

АКАДЕМИЯ НАУК СССР  
ИНСТИТУТ НАУЧНОЙ ИНФОРМАЦИИ

# РЕФЕРАТИВНЫЙ ЖУРНАЛ

ХИМИЯ

РЕФЕРАТЫ

50290—53584

\*

№ 15

1957

ИЗДАТЕЛЬСТВО АКАДЕМИИ НАУК СССР  
МОСКВА



ГЛАВНАЯ РЕДАКЦИОННАЯ КОЛЛЕГИЯ  
РЕФЕРАТИВНОГО ЖУРНАЛА

*Н. В. Атеев, В. В. Алтатов, Е. Е. Захаров, С. М. Лисичкин (зам. председателя),  
В. Ю. Ломоносов, А. И. Михайлов (председатель), С. М. Никольский, Е. Ф. Огородников,  
В. В. Покиншевский, Л. И. Осдов, В. В. Серпинский, Э. В. Шпольский*

СОДЕРЖАНИЕ

ОБЩИЕ ВОПРОСЫ . . . . .	1	Удобрения . . . . .	305
Методология. История. Научные учреждения и конференция. Преподавание. Вопросы библиографии и научной документации . . . . .	1	Пестициды . . . . .	297
Новые журналы . . . . .	4	Взентрохимические производства. Взентроосаждение. Химические источники тока . . . . .	276
ФИЗИЧЕСКАЯ ХИМИЯ . . . . .	5	Керамика. Стекло. Строительные материалы . . . . .	281
Общие вопросы . . . . .	5	Общие вопросы . . . . .	281
Атомное ядро . . . . .	5	Керамика . . . . .	283
Плазма . . . . .	6	Стекло . . . . .	287
Химическая связь . . . . .	8	Вяжущие материалы, бетон и другие строительные материалы . . . . .	292
Аморфные тела. Газы . . . . .	28	Получение и разделение газов . . . . .	301
Аморфные тела. Газы . . . . .	45	Подготовка воды. Сточные воды . . . . .	302
Термохимия. Термодинамика. Термодинамические функции. Фазовые переходы . . . . .	48	Переработка твердых горючих ископаемых . . . . .	307
Кинетика. Катализ. Вязкость. Топохимия. Катализ . . . . .	50	Переработка природных газов и нефти. Моторное топливо. Смазки . . . . .	315
Фотохимия. Радиационная химия. Теория фотографического процесса . . . . .	63	Промышленный органический синтез . . . . .	325
Растворы. Теория кислот и оснований . . . . .	73	Промышленный синтез красителей . . . . .	342
Взентрохимия . . . . .	74	Крашение и химическая обработка текстильных материалов . . . . .	348
Поверхностные явления. Адсорбция. Хроматография. Ионный обмен . . . . .	77	Взрывчатые вещества. Пиротехнические составы. Средства химической защиты . . . . .	356
Химия коллоидов. Дисперсные системы . . . . .	83	Лекарственные вещества. Витамины. Антибиотики . . . . .	356
НЕОРГАНИЧЕСКАЯ ХИМИЯ. КОМПЛЕКСНЫЕ СОЕДИНЕНИЯ . . . . .	90	Фотографические материалы . . . . .	371
КОСМОХИМИЯ. ГЕОХИМИЯ. ГИДРОХИМИЯ . . . . .	96	Душистые вещества. Эфирные масла. Парфюмерия и косметика . . . . .	375
ОРГАНИЧЕСКАЯ ХИМИЯ . . . . .	105	Каучук натуральный и синтетический. Резина . . . . .	377
Теоретические и общие вопросы органической химии . . . . .	117	Синтетические полимеры. Пластмассы . . . . .	383
Синтетическая органическая химия . . . . .	127	Лакс. Краски. Эмали. Олифы. Синквативы . . . . .	406
Природные вещества и их синтетические аналоги . . . . .	189	Лесохимические продукты. Целлюлоза и ее производные. Бумага . . . . .	412
ХИМИЯ ВЫСОКОМОЛЕКУЛЯРНЫХ ВЕЩЕСТВ . . . . .	224	Искусственные и синтетические волокна . . . . .	421
АНАЛИТИЧЕСКАЯ ХИМИЯ . . . . .	236	Жиры и масла. Воски. Мыла. Моющие средства. Фотореагенты . . . . .	425
Общие вопросы . . . . .	236	Углеводы и их переработка . . . . .	433
Анализ неорганических веществ . . . . .	242	Бродильная промышленность . . . . .	437
Анализ органических веществ . . . . .	249	Пищевая промышленность . . . . .	442
ОБОРУДОВАНИЕ ЛАБОРАТОРИЙ. ПРИБОРЫ. ИХ ТЕОРИЯ, КОНСТРУКЦИЯ, ПРИМЕНЕНИЕ . . . . .	253	Кожа. Мех. Желатина. Дубители. Технические белки . . . . .	453
ХИМИЧЕСКАЯ ТЕХНОЛОГИЯ. ХИМИЧЕСКИЕ ПРОДУКТЫ И ИХ ПРИМЕНЕНИЕ . . . . .	258	Прочие производства . . . . .	462
Общие вопросы . . . . .	258	КОРРОЗИЯ. ЗАЩИТА ОТ КОРРОЗИИ . . . . .	463
Химико-технологические вопросы ядерной техники . . . . .	259	ПРОЦЕССЫ И ОБОРУДОВАНИЕ ХИМИЧЕСКИХ ПРОИЗВОДСТВ . . . . .	470
Серная кислота, сера и ее соединения . . . . .	259	Процессы и аппараты химической технологии . . . . .	470
Азотная промышленность . . . . .	260	Контрольно-измерительные приборы. Автоматическое регулирование . . . . .	479
Содовая промышленность . . . . .	—	ТЕХНИКА БЕЗОПАСНОСТИ. САНИТАРНАЯ ТЕХНИКА . . . . .	482
Элементы. Минеральные соли. Окислы. Кислоты. Основания . . . . .	261	НОВЫЕ КНИГИ, ПОСТУПИВШИЕ В РЕДАКЦИЮ . . . . .	484
Люминесцентные материалы . . . . .	264	АВТОРСКИЙ УКАЗАТЕЛЬ . . . . .	486
Производство катализаторов и сорбентов . . . . .	265	УКАЗАТЕЛЬ ДЕРЖАТЕЛЕЙ ПАТЕНТОВ . . . . .	502

Адрес редакции: Москва Д-219, Балтийский пос., д. 42-Б



Р

Ред

50290

нос

№

50291

сро

20-

Кра

50292

пра

loni

leni

195

Сра

Месон

нение

благо

1) В

практи

ставо

ции.

масло

и, воз

челет

усове

и ар

какие

зуют.

тико

сведе

РЖХ.

50293

dist

195

Ист

включ

50294

сно

ring

te r

Ист

жени

50295

(Ve

Er

(не

Кра

50296

(Di

# РЕФЕРАТИВНЫЙ ЖУРНАЛ ХИМИЯ

Chem.  
R  
1957  
no. 50290-56728

ГЛАВНЫЙ РЕДАКТОР В. В. Серпинский, УЧЕНЫЙ СЕКРЕТАРЬ Е. А. Терентьева

РУКОВОДИТЕЛИ СЕКТОРОВ: Д. А. Бочвар, В. В. Кафаров, В. Л. Кретович,

Д. Н. Курсанов, К. С. Топчиев

Рефераты 50290—53584

№ 15

10 августа 1957 г.

## ОБЩИЕ ВОПРОСЫ

### МЕТОДОЛОГИЯ. ИСТОРИЯ. НАУЧНЫЕ УЧРЕЖДЕНИЯ И КОНФЕРЕНЦИИ. ПРЕПОДАВАНИЕ. ВОПРОСЫ БИБЛИОГРАФИИ И НАУЧНОЙ ДОКУМЕНТАЦИИ

Редактор Д. И. Тумаркин

50290. Совершенствование управления промышленностью и задачи ученых., Вестн. АН СССР, 1957, № 4, 3—6

50291. К истории развития вопроса о химическом средстве. Родина М. В., Химия в школе, 1956, № 2, 20—25

Краткий популярный очерк.

Д. Т.

50292. Химия в Вавилонии. Изучение парфюмерии арабов и второго тысячелетия до н. э. Леви (Babylonian chemistry: a study of Arabic and second millennium B. C. perfumery. Levey Martin), Osiris, 1956, 12, 376—389 (англ.)

Сравниваются клинописные тексты 7 таблечек из Месопотамии (XIII—XI в. в. до н. э.) и арабское сочинение Якуба бен-Исхак аль-Кинди (Книга о химии благовоний и о перегонке, IX в. н. э.). Выводы: 1) В древней Вавилонии была значительно развита практич. химия; при изготовлении парфюмерных составов применялись операции измельчения, мацерации, экстрагирования душистых в-в маслом, водой или маслом и водой, фильтрации, растворения, возгонки и, возможно, перегонки. 2) На протяжении двух тысячелетий в технике операций почти нет значительных усовершенствований. 3) По содержанию вавилонские и арабские тексты отличаются реалистичностью; какие-либо элементы алхимии, магии и т. п. отсутствуют. 4) В отличие от древних вавилонских математиков парфюмеры ограничивались лишь эмпирич. сведениями и не делали обобщений. См. также РЖХим, 1957, 43576.

Ю. Вендельштейн

50293. История перегонки. Либман (History of distillation. Liebmann A. J.), J. Chem. Educ., 1956, 33, № 4, 166—173 (англ.)

Исторический очерк с древних времен по XVIII в. включительно. Библ. 31 назв.

Ю. Вендельштейн

50294. Старинные установки для обжига керамики и способы регулирования огня. Винтер (Historic firing installations and the control of the fire. Winter Adam), Interceram, 1956, № 5, 19—23 (англ.)

Исторический очерк (начиная с примитивных сооружений древних); 18 иллюстр.

Д. Т.

50295. От пурпурной улитки до индантрена. Фишер (Von der Purpurschnecke zum Indanthren. Fischer Ernst), Chemiker-Ztg., 1955, 79, № 24, 840—841 (нем.; рез. англ., франц., итал.)

Краткий историч. очерк.

Ю. В.

50296. Искусство крашения до Перкина. Менци (Die Kunst des Färbens vor Perkin. Menzi K.), SVF

Fachorgan Textilveredlung, 1956, 11, № 10, 547—576 (нем.)

Краткий обзор развития средств и техники крашения от древних времен до появления синтетич. красителей. Описание источников (растительных и животных) естественных красителей и некоторые сведения о способах их выделения. 43 иллюстр., библ. 34 назв.

Ю. Вендельштейн

50297. Из истории красильной промышленности в Цюрихе. Хонольд (Aus der Geschichte der zürcherischen Färberei-Industrie. Honold Rob.), SVF Fachorgan Textilveredlung, 1956, 11, № 10, 579—586 (нем.)

50298. Столетие швейцеров реактива. Фрей-Вислинг (Hundert Jahre Schweizer-Reagens. Frey-Wyssling A.), Experientia, 1957, 13, № 4, 176 (нем.; рез. англ.)

В 1857 г. Эдуард Швейцер, проф. химии Цюрихского ун-та, открыл растворяющее действие аммиачного р-ра окиси меди на целлюлозу, а Карл Крамер, доцент общей ботаники Цюрихского политехникума, наблюдал гетерогенное набухание растительных волокон в этом реактиве. Соответствующие публикации см.: 1) Vierteljahrsschrift der Naturforschenden Gesellschaft Zürich, 1857, 2, 395—308 и Journ. Prakt. Chemie, 1857, 72, 109; 2) Vierteljahrsschrift..., 1858, 3, 1. Д. Т.

50299. Биографическая заметка о Лавуазье, написанная его женой. Гиллиспис (Notice biographique de Lavoisier par Madame Lavoisier. Gillispie Charles), Rev. histoire sci., 1956, 9, № 1, 52—61 (франц.)

Приведен текст рукописи (Notice biographique), написанной женой Лавуазье через 25 лет после его смерти и хранящейся в библиотеке Института Франции (Institut de France).

Ю. Вендельштейн

50300. Периодический закон Д. И. Менделеева и современное развитие физики и химии. Семенов В. К., Ж. физ. химии, 1957, 31, № 2, 273—282

К 50-летию со дня смерти Д. И. Менделеева. Д. Т.

50301. Подземная газификация угля. Гини П. И. (Подземна газификация угля. Гини П. И.), Висник АН УРСР, 1957, № 4, 61—64 (укр.)

К 50-летию со дня смерти Д. И. Менделеева. Д. Т.

50302. Николай Александрович Меншуткин. (К пятидесятилетию со дня смерти). Монастырский Д. Н., Заводск. лаборатория, 1957, 23, № 4, 508—510

50303. Книга Н. А. Меншуткина «Аналитическая химия» и ее значение в развитии химического анализа. Баталин А. Х., Заводск. лаборатория, 1957, 23, № 4, 510—512



50304. Эмиль Феллетар, основоположник судебной химии в Венгрии. Антал (Felletár Emil, a magyar törvényszéki vegyészet megalapítója. Antal József), Gyógyszerész, 1955, 10, № 6, 101—105 (венг.) Краткие биографич. сведения и очерк научной деятельности Э. Феллетара (1834—1917)—проф. судебной химии Будапештского ун-та и основателя спец. гос. ин-та по судебной химии (Országos művegyészeti intézet, 1868 г.). Библ. 23 назв. Г. В.
50305. Алексей Николаевич Бах (К столетию со дня рождения). Физиол. растений, 1957, 4, № 2, 113—116
50306. А. Н. Лебедев — выдающийся русский биохимик (по случаю 75-летия со дня рождения). Выхова, Стефанова (А. Н. Лебедев — голям руски биохимик (По случай 75 години от рождение-тому). Выхова Л., Стефанова Л.), Природа (Бълг.), 1956, 5, № 6, 78—81 (болг.)
- А. Н. Лебедев (1881—1938)—проф. Московского ун-та, исследователь в области химии брожения. Д. Т.
50307. Бертольд Рассов. Цауник (Berthold Rassow 1866—1954. Zaunick Rudolph), Chem. Technik, 1955, 7, № 12, 699—703 (нем.)
- Некролог. См. также РЖХим, 1955, 45165. Приведен список научных трудов и патентов Б. Рассова (103 назв.), а также библ. лит-ры о нем (8 назв.). Д. Т.
50308. Станислав Жеромский. Старчевская-Хорожиня (Mgr Inż. Stanisław Żeromski. Starczewska-Chorążyna H.), Przem. chem., 1956, 12, № 1, 54—55 (польск.)
- Некролог проф. С. Жеромского (1898—1955), зам. руководителя кафедры технологии огнеупоров Горно-металлургического ин-та в Кракове. J. Chodkowski
50309. Людвиг Эберт [1894—1957]. Кортюм (Ludwig Ebert Kortüm G.), Z. Elektrochem., 1957, 61, № 4, 457—459 (нем.)
- Некролог. См. также РЖХим, 1955, 30906, 30907; 1956, 67514. Д. Т.
50310. Юбилей профессора В. Свентославского. Кенцкий (Jubileusz profesora W. Świętosławskiego. Kęcki Zbigniew), Kosmos (Warszawa), 1955, В1, № 4, 346—347 (польск.)
- См. также РЖХим, 1956, 74011.
50311. Александр Владимирович Палладин. Фердман Д. Л. (Олександр Володимирович Палладин. Фердман Д. Л.), Наук. зап. Київськ. ун-т, 1956, 15, № 11, 155—161 (укр.)
- К 70-летию со дня рождения и 50-летию научно-педагогич. деятельности. См. также РЖХим, 1956, 10789. Д. Т.
50312. 60-летие профессора Карла Романа. Янекке (Professor Dr. Carl Rohmann zum 60. Geburtstag. Janescke Heinz), Arch. Pharmazie, 1957, 290/62, № 4, вкладка (нем.)
- К. Роман (род. 1897) — проф. фармацевтич. химии Фармацевтич. ин-та в Франкфурте на Майне. Д. Т.
50313. Лев Германович Берг (К 60-летию со дня рождения). Тейтельбаум Б. Я., Изв. Казанск. фил. АН СССР, Сер. хим. н., 1957, вып. 3, 127—132
- Краткие биографич. данные и очерк научной и педагогич. деятельности проф. Л. Г. Берга (род. 1896) — исследователя в области неорганич., физ. и аналитич. химии, зав. лабор. физ. химии Хим. ин-та Казанского филиала АН СССР, зав. кафедрой неорганич. химии Казанского гос. ун-та. Д. Т.
50314. Академик В. А. Каргин — выдающийся ученый в области физико-химии полимеров и коллоидной химии (К 50-летию со дня рождения). Михайлов Н. В., Ребиндер П. А., Ж. физ. химии, 1957, 31, № 2, 528—530
- Очерк научной, научно-организационной и педагогич. деятельности акад. В. А. Каргина (род. 1907) (Физ. хим. ин-т им. Л. Я. Карпова, Московск. гос. ун-т). Д. Т.
50315. Юбилей Д. Илковича. Гарай (Vzácné jubileum. Gara J.), Mat.-fys. časop., 1957, 7, № 1, 80—82 (словац.)
- К 50-летию академика Дioniса Илковича (род. 1907). Приведен перечень научных публикаций. См. также РЖХим, 1956, 28086; 1957, 40188. Д. Т.
50316. Пятилетие Института по переработке искусственных материалов в промышленности и в ремеслах при Рейнско-Вестфальском Высшем техническом училище в Аахене. Крекелер (Fünf Jahre Institut für Kunststoffverarbeitung in Industrie und Handwerk an der Rheinischen-Westfälischen Technischen Hochschule in Aachen. Krekeler K.), Techn. Mitt., 1955, 48, № 11-12, 571—572 (нем.)
- Краткие сведения об истории организации Ин-та (1950 г.), о его задачах и деятельности. Л. Песия
50317. Пятилетие Института по переработке искусственных материалов Высшего технического училища в Аахене. Крекелер (Fünf Jahre Institut für Kunststoffverarbeitung an der T. H. Aachen. Krekeler K.), Ind.-Anz., 1955, 77, № 89, 1335—1336 (нем.)
- См. предыдущий реферат.
50318. Развитие неорганической химии во Вроцлаве. Тшебатовский (Rozwój chemii nieorganicznej we Wrocławiu. Trzebiatowski Włodzimierz), Kosmos (Warszawa), 1955, В1, № 4, 348—355 (польск.)
- Обзор научной работы двух кафедр (I и II) неорганич. химии во Вроцлаве за 10 лет. Тематика: кафедра I — структура металлов и простых О-соединений, и их р-ции в твердой фазе; кафедра II — комплексные соединения и механизмы окисления и восстановления в р-рах. Дан очерк организации научной работы. Приведен перечень научных публикаций. А. Vincenz
50319. Проблемы научных исследований и подготовки кадров для промышленности в Канаде. Нелман (Problems on industrial research and education in Canada. Knelman F. H.), Canad. Chem. Process, 1956, 40, № 1, 95, 96, 98, 100, 104, 106, 108 (англ.)
- Анализ современного состояния и предложения об организационных мероприятиях. Д. Т.
50320. Организация научных исследований в Новой Зеландии. Джойнер (The organisation of science in New Zealand. Joiner W. A.), J. Roy. Inst. Chem., 1957, 81, Apr., 265—270 (англ.)
- Краткие сведения. Д. Т.
50321. Химические исследования и работа по обслуживанию в Департаменте земледелия [Новой Зеландии] в 1930—1955 гг. Гримметт (Chemical research and servicing in the Department of Agriculture, 1930—1955. Grimmett R. E. R.), J. New Zealand Inst. Chem., 1955, Nov., 12—21 (англ.)
- Обзор деятельности научных учреждений департамента в следующих областях: питание, биохимия, токсикология, продукты животного происхождения, удобрения и гербициды, химия почвы, химия овощей. Д. Т.
50322. Химия в Департаменте научных и промышленных исследований и в исследовательских институтах [Новой Зеландии]. Джойнер (Chemistry in the D. S. I. R. and research institutes. Joiner W. A.), J. New Zealand Inst. Chem., 1955, Nov., 21—27 (англ.)
- Краткий очерк развития исследовательских учреждений за 25 лет. Д. Т.
50323. 25 лет работы химиков в промышленности [Новой Зеландии]. Андрус, Брукер (Twenty-five years of the chemist and industry. Andrews J. C., Brooker S. G.), J. New Zealand Inst. Chem., 1955, Nov., 27—38 (англ.)
- Обзор за период 1930—1955 г. Д. Т.
50324. Промышленность, исследования в области химии, университет, исследовательские центры (Бель-

гия]. Дешан (L'industrie et la recherche dans le domaine chimique en relation avec l'Université et les centres de recherches. Dechamps Georges), Ind. chim. belge, 1955, 20, № 4, 357—364 (франц.)

Рассматриваются вопросы связи хим. пром-сти с исследовательскими учреждениями, координации и внедрения работ (углехимия, минер. химия, азот и удобрения, органич. синтез, пластмассы и хим. волокна, детергенты, фотоматериалы, фармацевтич. продукты). Д. Т.

50325. Профессия химика. Кент-Джонс (The profession of chemistry. Kent-Jones D. W.), J. Roy. Inst. Chem., 1957, 81, Apr., 251—257 (англ.)

Речь президента Королевского ин-та химии (Лондон) 5 апр., 1957 г. Краткий обзор развития ин-та (основан в 1877 г.; в 1956 г. ~ 15 000 членов), некоторые сведения о его деятельности и задачах. Д. Т.

50326. Отчет о деятельности Центрального института физико-химических констант [в Утрехте] за 1954 г. Смиттенберг (Verslag over 1954 van de Stichting «Centraal Instituut voor Physischchemische Constanten». Smittenberg J.), Chem. weekbl., 1955, 51, № 34, 559—562 (нем.)

50327. Подготовка квалифицированных рабочих в химической промышленности [ГДР]. Рихтер (Die Ausbildung von Facharbeitern im Industriebereich Chemie. Richter Jochen), Chem. Technik, 1956, 8, № 1, 2—5 (нем.)

Описывается существующая система и предлагаются для обсуждения некоторые изменения. Д. Т.

50328. О кадрах для современной аналитической химии в Польше. Минчевский (O kadry dla nowoczesnej chemii analitycznej w Polsce. Minczewski J.), Przem. chem., 1955, 11, № 12, 665—668 (польск.)

50329. О подготовке инженеро-химиков на Техническом факультете в Загребе. Брихта (O izobrazbi inženjera kemije na Tehničkom fakultetu u Zagrebu. Brihta Ivan), Kemija u industriji, 1956, 5, № 1, 7—10 (сербо-хорв.; рез. англ., нем., франц.)

Обсуждается назревшая необходимость реформы обучения на фак-те (модернизация содержания курсов, уменьшение описательного материала, акцентирование основных начал, подготовка учащихся для творческой деятельности в пром-сти). Д. Т.

50330. Состав атмосферы. Азимов (The composition of the atmosphere. Asimov Isaac), J. Chem. Educ., 1955, 32, № 12, 633—634 (англ.)

Взамен данных, обычно приводимых в учебниках, предлагаются таблицы, составленные с учетом изотопных различий. М. Селиванов

50331. Что должен знать преподаватель химии о нефти. Андерсон (What a chemistry teacher should know about oil. Anderson Howard C.), J. Chem. Educ., 1955, 32, № 11, 563—565 (англ.)

50332. Современное изложение курса общей химии. Трейл (A modern approach to general chemistry. Trail R. C.), Proc. Roy. Austral. Chem. Inst., 1955, 22, № 10, 189—193 (англ.)

Рассматриваются вопросы рационального построения курса и предлагается схема. Приведены статистич. данные по экзаменам в ун-тах Австралии, показывающие отставание по хим. дисциплинам. Е. Соколова

50333. Химия и ее преподавание за последние 25 лет. Вил (Chemistry and the teaching profession in the last 25 years. Veale P. O.), J. New Zealand Inst. Chem., 1955, Nov., 38—40 (англ.)

Отмечается отставание школьного преподавания химии от современного развития этой науки (продолжающееся использование устарелых концепций и примитивной лабораторной техники) и обсуждаются требующиеся изменения (в условиях Н. Зеландии). Д. Т.

50334. Положительные и отрицательные стороны учебно-воспитательной работы в первом году уни-

верситетского курса химии. Свинарский (Blaski i cienie pracy wychowawczo-dydaktycznej na I roku chemii uniwersyteckiej. Swinarski Antoni), Zycie szkoły wyższej, 1955, 3, № 12, 57—60 (польск.)

50335. Единый курс качественного и количественного анализа. Мак-Даффи (A chemistry course including both qualitative and quantitative analysis. McDuffie Bruce), J. Chem. Educ., 1955, 32, № 11, 560—562 (англ.)

Такой курс (R) был введен в колледже им. Вашингтона и Джефферсона в 1953/54 уч. г. взамен традиционных раздельных K. Новый K назван «Теория и практика аналитич. химии» и состоит из 5 разделов: 1) Качеств. и приближенный колич. анализ (A) (точность 10—30%). 2) Полуколич. A (точность 1%). 3) Колич. A (точность 0,1—0,2%). 4) Спец. методы A. 5) Изучение методов хим. разделения. Излагаются обоснования и сущность перестройки преподавания, приводятся методич. пояснения, а также типовой перечень работ лабор. практикума по всем разделам. Д. Т.

50336. Элементы теории и техники в обучении. Лаборатория органической химии. Ферст (Concepts and techniques in teaching. The organic chemistry laboratories. Furst Arthur), Sci. Counselor, 1955, 18, № 3, 92—93 (англ.)

Методическая статья. Б. Р.

50337. Значение решения задач по химии в ознакомлении учащихся с применением химии в промышленности. Шрайбман Б. Д. (Значення розв'язування задач з хімії в ознайомленні учнів з застосуванням хімії в промисловості. Шрайбман Б. Д.), Доповіді та повідомлення. Львівськ. держ. пед. ін-т, 1957, вип. 2, 7—9 (укр.)

50338. Из опыта осуществления связи с сельским хозяйством на уроках химии. Шрайбман Б. Д. (З досвіду здійснення зв'язку з сільським господарством на уроках хімії. Шрайбман Б. Д.), Доповіді та повідомлення. Львівськ. держ. пед. ін-т, 1957, вип. 2, 24—25 (укр.)

50339. Значение использования местного материала для экспериментальной работы химического кружка в средней школе в свете решений XX съезда КПСС. Горбенко Ф. П. (Значення використання місцевого матеріалу для експериментальної роботи хімічного гуртка в середній школі в світлі рішень. 20 з'їзду КПРС. Горбенко Ф. П.), Доповіді та повідомлення. Львівськ. держ. пед. ін-т, 1957, вип. 2, 18—20 (укр.)

50340. Роль внеклассной работы по химии в подготовке выпускников средней школы к работе в сельском хозяйстве. Носан В. (Роль позакласної роботи з хімії в підготовці випускників середньої школи до роботи в сільському господарстві. Носан В. М.), Доповіді та повідомлення. Львівськ. держ. пед. ін-т, 1957, вип. 2, 13—17 (укр.)

50341. К вопросу ознакомления учащихся с применением химии в промышленности. Борода Т. А. (До питання ознайомлення учнів із застосуванням хімії в промисловості. Борода Т. А.), Доповіді та повідомлення. Львівськ. держ. пед. ін-т, 1957, вип. 2, 3—6 (укр.)

Общеметодическая статья. Д. Т.

50342. Ознакомление учащихся со значением химии для производства во время экскурсий. Землянский И. И. (Ознайомлення учнів з значенням хімії для виробництва під час екскурсій. Землянський І. Т.), Доповіді та повідомлення. Львівськ. держ. пед. ін-т, 1957, вип. 2, 10—12 (укр.)

50343. Экскурсии на производственные предприятия в преподавании химии. Гродецкая (Wycieczki do zakładów produkcyjnych w nauczaniu chemii. Gro-

- decka Halina), Chem. szkole, 1955, 1, № 6, 32—36 (польск.).
50344. Химические охемы. Дуда (Schematy chemiczne. Duda Oktawian), Chem. szkole, 1955, 1, № 6, 41—46 (польск.).  
Методическая статья. Д. Т.
50345. Химическая азбука. Зюлек (Alfabet chemiczny. Ziölek Boleslaw), Chem. szkole, 1955, 1, № 3, 160—163 (польск.).  
Описывается простое наглядное пособие, рекомендуемое для пользования при начальном изучении валентности хим. элементов и строения молекул соединений. Д. Т.
50346. Модели для [начального] обучения написанию химических формул и уравнений. Берг («Loteryjka» do nauki pisania wzorów i równan chemicznych. Berg Anastazja), Chem. szkole, 1955, 1, № 6, 48—53 (польск.).
50347. Методы определения молекулярного веса. Пацёрек (Metody oznaczania ciężaru cząsteczkowego. Paciorek Alojzy), Chem. szkole, 1955, 1, № 3, 156—160 (польск.).  
Приведены подробные методики школьных экспериментов (по Дюма и по Мейеру). Д. Т.
50348. Генераторный и водяной газ в изучении химии. Тртілек, Гофман (Generátorový a vodní plyn ve vyučování chemii. Trtílek J., Hofmann V.), Přírod. vědy škole, 1957, 7, № 2, 159—162 (чешск.).  
Описан школьный опыт получения генераторного и водяного газа. Приведена схема прибора. Прибор пригоден также для демонстрации образования СО и СО<sub>2</sub> при горении угля и восстановления СО<sub>2</sub> углем. А. В.
50349. Школьные опыты в области парфюмерии. Полсей (Class experiments in perfumery. Paulsen F. R.), School Sci. Rev., 1956, 38, № 134, 29—35 (англ.).  
Автор рекомендует использовать в школьном преподавании химии практич. работы по составлению парфюмерных композиций. Приведены: классификация ингредиентов; перечни натуральных и синтетич. материалов; рецептуры 14 композиций (цветочного направления); методич. указания к проведению занятий. Ю. Вендельштейн
50350. Ситовой анализ и химический анализ. Янг (Size grading and analysis. Young R. S.), J. Chem. Educ., 1955, 32, № 6, 326—328 (англ.).  
Автор рекомендует проводить в общем практикуме по колич. анализу работу по отбору пробы, измельчению и ситовому анализу с сопоставлением распределения по фракциям и результатов хим. анализа фракций. Приведены подробные методич. указания. Д. Т.
50351. Лабораторный опыт по хроматографии на бумаге (со статистической обработкой результатов). Кеннер, Шнейдер (A laboratory experiment involving paper-chromatography and statistics. Kenner Charles T., Schneider Joan), Field and Lab., 1955, 23, № 3-4, 77—83 (англ.).  
Описан опыт (анализ черных чернил), легко выполнимый в обычных условиях учебной лаборатории; продолжительность — 3 часа. Приведена методика статистич. обработки результатов (для учебных целей). Д. Т.
50352. Возможности машинной документации в области органической химии. Штейдле (Möglichkeiten der mechanischen Dokumentation in der organischen Chemie. Steidle W.), Pharmaz. Ind., 1957, 19, № 3, 88—93 (нем.).  
Излагаются принципы разработанной системы кодирования структурных формул органич. соединений. Структуры расчленяются на стандартные составные блоки (циклы, углеродные цепи, функциональные группы и т. п.) и отмечается их взаимное расположение в структурах. На перфокарту записывают шифр формулы и зашифрованные данные о биол. и фармакол. активности соединения и о литературных источниках. Путем механич. сортировки перфокарт можно получить следующую информацию: 1) сведения о заданном соединении; 2) формулы всех соединений: а) содержащих заданную структурную группу, б) обладающих заданным видом активности, в) обладающих несколькими такими признаками. Г. Влэдуп
50353. Документация литературных данных по физиологической химии на перфокартах. Гей, Кальбе, Шён, Штегеман (Dokumentation physiologisch-chemischer Literatur auf Randlochkarten. Gey Karl Friedrich, Kalbe Hans, Schön Harald, Stegeman Hermann), Hoppe-Seyler's Z. physiol. Chem., 1955, 301, № 1/2, 70—77 (нем.; рез. англ.).  
Предложен способ систематизации на перфокарте (П) с 192 отверстиями, расположенными в 2 ряда вдоль краев П. Сортировка П производится вручную (спицей). Способ проверен на практике. Е. Зарх
50354. Система классификации и хранения научных материалов [по биохимии]. Пенц, Буши (A classification and filing system for scientific reprints and references. Pentz E. Irene, Bushee Ralph), J. Chem. Educ., 1955, 32, № 12, 622—623 (англ.).
50355. Британские учреждения по исследованиям и документации в области химии. Сьон (Organismes de recherches et de documentation en Grande Bretagne dans le domaine de la chimie. Sion A.), Cahiers docum., 1955, 9, № 1, 1—3 (франц.).  
Краткие справочные сведения. Д. Т.
- 50356 К. Энциклопедия химических реакций. В 5-ти томах. Ред. Джейкобсон (Encyclopedia of chemical reactions. 5 vol. Ed. Jacobson Carl Alfred. Reinhold, 1946—1953, vol. 1, 15 doll., vol. 2, 17.50 doll., vol. 3, 17.50 doll., vol. 4, 17.50 doll., vol. 5, 17.50 doll.) (англ.).
- 50357 К. Химия. Для X класса. Изд. 8-е. Туркевич (Chemia. Dla kl. 10. Wyd. 8. Turkiewicz Eugeniusz. Warszawa, Państw. Zakł. Wydawn. Szkoln., 1957, 95 s., il., 1,75 zł.) (польск.).
- 50358 Д. Основные направления развития электрохимии водных растворов в 19 в. Будрейко Е. А. Автореф. дисс. канд. хим. н., Ин-т истории естествозн. и техн. АН СССР, М., 1957
- См. также: Периодич. система 50657. Классификация, номенклатура: природные газы 51065; соединения типа морфина 51406; битуминозные сланцы 52131; горючие газы 52182; лаки и краски 52912. История: стеклоделие 50627; синтез тетрабензилсвинца (приоритет) 51320; сополимеризация с натур. каучуком 52654; лаки для с.ручных инструментов 52919. Конференция: научная фотография 50813; кокс 52157; каучук 52659; испытания каучука и резины 52677; кожей. произ-во 53371. Учебная лит-ра: неорг. химия 51007; 51008; орг. химия 51139; бетон 52083; пластмассы 52739; химия древесины и целлюлозы 53025; лесохим. произ-ва 53026. Справочные издания: Гмелин 51010; полимеры 52792; бум. произ-во 53027, 53028

## НОВЫЕ ЖУРНАЛЫ

50359. Tetrahedron. The International Journal of Organic Chemistry. (Тетраэдр. Международный журнал органической химии). London — New York — Paris, Pergamon press (англ., нем., франц.)



Журнал выходит с 1957 г., 4 номера в год. Подписная плата в год: общая — 6 ф. ст. или 17 долл., для индивидуальных подписчиков — 3 ф. ст. 10 шилл. или 9,80 долл. Журнал помещает оригинальные статьи по

органич. химии из всех стран мира. Региональный редактор для СССР и стран Восточной Европы — акад. А. Н. Несмеянов, Москва, Б. Калужская 14, АН СССР. (Сокращенное название в РЖ — Tetrahedron). Д. Т.

## ФИЗИЧЕСКАЯ ХИМИЯ

### ОБЩИЕ ВОПРОСЫ

Редактор А. Б. Нейдинг

50360. Статистическое обоснование закона диффузии. Моро (Justification statistique de la loi de la diffusion. Moreau J. J.), *Publs scient. et techn. Ministère air N. T.*, 1956, № 59, 9—15 (франц.)
50361. Критическое рассмотрение основных определений, относящихся к диффузии. Сальвиньен (Étude critique des définitions fondamentales relatives à la diffusion. Salvinien J.), *Publs scient. et techn. Ministère air N. T.*, 1956, № 59, 1—8 (франц.)
50362. Определение коэффициентов диффузии с помощью меченых атомов. Кордье (Détermination des coefficients de diffusion à l'aide des éléments marqués. Cordier S., m-lle), *Publs scient. et techn. Ministère aif. N. T.*, 1956, № 59, 51—55. Discuss. 56 (франц.)
50363. Вычисление коэффициента диффузии из результатов измерений диффузии при переменном режиме. Вернотт (Calcul du coefficient de diffusion à partir de mesures de diffusion en régime variable. Vernotte Pierre), *Publs scient. et techn. Ministère air N. T.*, 1956, № 59, 17—31. Discuss., 32 (франц.)
50364. Современные аспекты изучения диэлектрических постоянных. Мандель (Aspects récents de l'étude des constantes diélectriques. Mandel M.), *Ind. chim. belge*, 1957, 22, № 1, 3—10 (франц.; рез. англ., нем., флам.)
50365. Критическое изучение физико-химических применений диализа. Мариньян (Étude critique des applications physico-chimiques de la dialyse. Marignan R.), *Publs scient. et techn. Ministère air N. T.*, 1956, № 59, 33—41 (франц.)
50366. Об ошибке метода конечных разностей в  $l$ -мерных граничных задачах собственных значений. Фудзита (On the error of the finite difference method in  $l$ -dimensional boundary value problems. Fujita Hiroshi), *J. Phys. Soc. Japan*, 1956, 11, № 2, 160—169 (англ.)

См. также: Ин-т физ.-хим. констант 50326

### АТОМНОЕ ЯДРО

Редактор Г. А. Соколик

50367. Кулоновское возбуждение. Хус (Coulomb excitation. Huus Torben), *Physica*, 1956, 22, № 11, 1027—1038 (англ.)
- Доклад на Амстердамской конференции 1956 г. по ядерным р-циям. Производится полуклассич. рассмотрение кулоновского возбуждения ядер. Обсуждается зависимость квадрупольных моментов от  $A$ , а также эффективных моментов инерции от деформации ядер.
- Ю. Орлов
50368. Коллективное движение в ядрах и эффективная масса нуклона. Блин-Стойл (Collective nuclear motion and the effective mass of a nucleon.

Blin-Stoyle R. J.), *Nuclear Phys.*, 1956—1957, 2, № 2, 169—172 (англ.)

Коллективная модель ядра, учитывающая вращательные уровни в ядре, приводит к выводу, что деформация ядра, вычисленная из энергии вращательных уровней, отличается от деформации, полученной из величин квадрупольных моментов ядра. Из эксперимента следует, что момент инерции деформированных ядер при большой деформации стремится к  $(1/2)I$ , где  $I$  — момент инерции жесткого ядра. Этот эффект насыщения иллюстрируется зависимостью энергии первого возбужденного ротационного уровня от атомного номера. По мнению автора, эффект можно объяснить, считая эффективную массу нуклона равной половине истинной массы.

В. Струтиков

50369. О нижних возбужденных состояниях  $J^{127}$ , возникающих при упругом рассеянии D,D-нейтронов. Хейман, Линдстрем, Нейерт (Über die untersten Anregungszustände von  $J^{127}$  bei der elastischen Streuung von D,D-Neutronen. Heymann H., Lindström G., Neuert H.), *Z. Naturforsch.*, 1956, 11a, № 11, 919—920 (нем.)

С помощью одноканального дискриминатора изучался спектр  $\gamma$ -квантов, возникающих при неупругом рассеянии нейтронов на  $J^{127}$ . Максимум при  $E$  65 кэв связан, вероятно, с первым возбужденным уровнем  $J^{127}$ . Нейтроны получены из D—D-реакции.

М. Шталь

50370. Калориметрическое определение средних энергий  $\beta$ -спектров  $P^{32}$ ,  $S^{35}$ ,  $Cu^{64}$ ,  $W^{185}$  и  $Au^{198}$ . Шмандская Н. С., Ж. эксперим. и теор. физики, 1956, 31, № 3, 393—396

Калориметрическим методом исследованы энергии  $\beta$ -спектров  $P^{32}$ ,  $S^{35}$ ,  $Cu^{64}$ ,  $W^{185}$  и  $Au^{198}$  с  $T_{1/2}$  14,30 дня; 87,1 дня; 12,8 дня; 73,2 дня и 2,69 дня соответственно. Были получены следующие значения  $E_{\beta}$  (в кэв):  $P^{32}$   $693 \pm 22$ ;  $S^{35}$   $52 \pm 3$ ,  $Cu^{64}$   $213 \pm 12$ ,  $W^{185}$   $144 \pm 7$ ,  $Au^{198}$   $317 \pm 5$ . Приведены схемы распада всех исследованных изотопов.

Е. Ицкевич

50371. Ориентирование ядер  $Co^{58}$ . Гриффинг, Уитли (Nuclear alignment of  $Co^{58}$ . Griffing David F., Wheatley J. C.), *Phys. Rev.*, 1956, 104, № 2, 389—398 (англ.)

Методом адиабатич. размагничивания ориентировались ядра  $Co^{58}$ . Измерялась интенсивность  $\gamma$ -лучей с  $E$  0,805 и 1,6 Мэв под тремя фиксированными углами по отношению к оси кристалла в зависимости от парамагнитной восприимчивости. Установлено, что  $\gamma$ -излучение с  $E$  1,6 Мэв является квадрупольным. Установлена зависимость парамагнитной восприимчивости от  $T$ .

Из резюме авторов

50372. Свойства низколежащих уровней  $Mg^{25}$ . Гов, Бартоломью, Пол, Литерленд (Properties of low lying levels in  $Mg^{25}$ . Gove H. E., Bartholomew G. A., Paul E. B., Litherland A. E.), *Nuclear Phys.*, 1956—1957, 2, № 2, 132—146 (англ.)

С помощью люминесцентного спектрометра изучалась р-ция  $Mg^{25}$  ( $p, p' \gamma$ )  $Mg^{25}$  и  $\beta$ -распад  $Na^{25}$  с  $T_{1/2}$  60 сек. Изучены первые четыре возбужденные состояния  $Mg^{25}$  с  $E$  0,58; 0,98; 1,61 и 1,96 Мэв. Распад из состояния 0,98 Мэв происходит на уровень 0,58 Мэв или в основное состояние путем испускания  $\gamma$ -лучей. Рас-



пад из состояния 1,61 с большой вероятностью идет на основной уровень. Распад из состояния с  $E$  1,96 Мэв идет на уровни 0,98 и 0,58 Мэв или на основной уровень. Уровни  $Mg^{25}$  с  $E$  0,98 и 1,61 Мэв, образуются в результате  $\beta$ -переходов.  $Na^{25}$  получен облучением  $Mg^{25}$  протонами. Наряду с  $Na^{25}$  были идентифицированы следующие активности:  $Na^{24}$  и  $Ne^{23}$  с  $T \frac{1}{2}$  15 час.

и 40 сек. соответственно. Из резюме авторов 50373. Мгновенное  $\gamma$ -излучение при спонтанном делении  $Cf^{252}$ . Смит, Филдс, Фридман (Prompt gamma rays accompanying the spontaneous fission of  $Cf^{252}$ , Smith A. B., Fields P. R., Friedman A. M.), Phys. Rev., 1956, 104, № 3, 699—702 (англ.)

С помощью люминесцентных спектрометров исследовался спектр  $\gamma$ -излучения при спонтанном делении  $Cf^{252}$ . Спектр  $\gamma$ -лучей простирается до  $\sim 7$  Мэв и монохотонно падает с увеличением энергии  $\gamma$ -квантов. В мягкой части до 300 кэв спектр имеет максимум и резко падает с уменьшением энергии  $\gamma$ -квантов. Наблюдается линия 60 кэв. Б. Левин

50374. Эффективные сечения тяжелых изотопов Pu на нейтронах реактора. Филдс, Пайл, Инграм, Даймонд, Студьер, Маннинг (Pile neutron cross sections of the heavier plutonium isotopes. Fields P. R., Pyle G. L., Inghram M. G., Diamond H., Studier M. H., Manning W. M.), Nuclear Sci. and Engng., 1956, 1, № 1, 62—67 (англ.) Масс-спектрометрическим методом измерены эффективные нейтронные сечения захвата изотопов  $Pu^{240}$ ,  $Pu^{241}$ ,  $Pu^{242}$ ,  $Pu^{243}$ ,  $Pu^{244}$ .

50375. Амстердамская конференция по ядерным реакциям. Общее введение. Бете (Amsterdam nuclear reactions conference. General introduction. Bethe H. A.), Physica, 1956, 22, № 11, 941—951 (англ.) Обзор, посвященный анализу различных аспектов теории ядра. Автор подчеркивает различие между легкими и более тяжелыми ядрами. Р-ции на легких ядрах хорошо описываются оболочечной моделью, в то время как для описания р-ций на тяжелых ядрах в основном справедлива статистическая теория. Подробно рассмотрен комплексный ядерный потенциал, дающий хорошее согласие с экспериментом. Обсуждаются процессы, идущие на поверхности ядра, в частности р-ции срыва. Выяснено, что для этих процессов волновая функция частицы существенно зависит от граничных условий на поверхности. Подчеркнуто значение изучения ядерной поверхности. Обсуждаются выводы из коллективной модели Бора и Моттельсона. По мнению автора, статистическая теория дает наилучшее описание ядерных р-ций в области от 1 до 50 Мэв.

Г. Соколик

50376. Деление [ядер]. Уилер (Fission. Wheeler John A.), Physica, 1956, 22, № 11, 1103—1114 (англ.)

Обзорный доклад по физике деления на Амстердамской конференции по ядерным р-циям 1956 г. Рассматриваются три основных вопроса: ширина деления, концепция каналов деления и асимметрия деления. Основным предположением является гипотеза о существовании «переходного» ядра и влияние его структуры на деление. Дискретность состояний в «переходном» ядре позволяет объяснить колебания ширины деления для различных ядер и ее немонотонный ход с энергией нейтрона. Свойства симметрии «переходного» ядра влияют на симметрию деления. В зависимости от четности и момента налетающей частицы некоторые из каналов деления могут оказаться закрытыми, хотя они и доступны энергетически. С точки зрения свойств симметрии «переходного» ядра делается попытка объяснить результаты опытов Даффилда, обнаружившего

немонотонную зависимость отношения сечения симметричного деления к сечению асимметричного деления от энергии  $\gamma$ -квантов. Обсуждается попытка объяснить асимметрию деления с точки зрения статистической модели ядра. В. Струтиков

50377.  $(d, p)$ -Реакции  $Kr^{78}$  и  $Kr^{80}$ . Блейс, Уотсон  $((d, p)$  reactions with  $Kr^{78}$  and  $Kr^{80}$ . Blais N. C., Watson W. W.), Phys. Rev., 1956, 104, № 1, 202—204 (англ.)

Изучались  $(d, p)$ -р-ции на трех образцах Kr, имеющих состав (в %): 1)  $Kr^{78}$  45,  $Kr^{80}$  51 и  $Kr^{82}$  3,8; 2)  $Kr^{78}$  28,  $Kr^{80}$  65 и  $Kr^{82}$  6,3; 3)  $Kr^{78}$  14,2,  $Kr^{80}$  69,8 и  $Kr^{82}$  14,4. Значения энергии р-ции  $Q$  для р-ции, в результате которой образуется  $Kr^{79}$  в основном и первом возбужденном состояниях, равны  $5,98 \pm 0,05$  и  $5,52 \pm 0,05$  Мэв соответственно. Значение  $Q$ , отвечающее образованию  $Kr^{81}$  в основном состоянии, ориентировочно найдено равным  $5,63 \pm 0,1$  Мэв. Массы  $Kr^{79}$  и  $Kr^{81}$  равны  $78,94530 \pm 11$  и  $80,94249 \pm 14$  ат. ед. массы соответственно. Резюме авторов

50378. Эксперименты по реакциям срыва и вырывания. Холт (Stripping and pick-up reactions-experimental. Holt J. R.), Physica, 1956, 22, № 1, 1069—1078 (англ.)

Обзорная статья. Обсуждаются работы по изучению р-ций  $(d, p)$  и  $(d, n)$ . Наиболее подробно были исследованы легкие ядра. Получено много сведений об угловых распределениях, из которых можно определить спины и четности состояний конечных ядер при условии, что значение радиуса ядра выбрано правильно. Измеряя сечения процессов срыва для различных уровней одного и того же ядра, можно получить сведения о приведенных ширинах возбужденных состояний конечных ядер. Обсуждается гипотеза зарядной инвариантности. Ф. Тихомиров

50379. Реакции захвата. Эндт (Capture reactions. Endt P. M.), Physica, 1956, 22, № 11, 1062—1068 (англ.)

Обзорная статья. Р-ции захвата рассматриваются с точки зрения их использования в ядерной спектроскопии. Подробно обсуждается использование р-ций захвата нейтронов при исследовании состояний промежуточного ядра. Обсуждаются  $(p, \gamma)$ -,  $(p, p\gamma)$ - и  $(p, \alpha)$ -р-ции. Ф. Тихомиров

## АТОМ

Редактор Н. М. Яшин

50380. Распределения угловых моментов в модели атома по Томасу—Ферми—Дираку. Олифант (Angular momentum distributions in the Thomas—Fermi—Dirac model of the atom. Oliphant Thomas A., Jr.), Phys. Rev., 1956, 104, № 4, 954—958 (англ.)

Автор вычисляет среднее число электронов  $\nu(Z, l)$  с угловыми моментами  $l$  по модели Томаса—Ферми—Дирака. При этом используется метод, развитый ранее (Jensen J. H. D., Luttinger J. M., Phys. Rev., 1952, 86, 907). Расчет проведен для разных зависимостей  $L(l)$ : 1) в предположении Иенсена и Латтингера, 2) Ферми и 3) в предположении автора  $L(l) = [l(l+1)]^{1/2}$  для  $s, p, d$  и  $f$  электронов. Сравнение результатов расчета с эксперим. данными показывает, что зависимость  $L(l)$ , предложенная автором, дает несколько лучшее согласие. Расчеты показывают, что обменные эффекты играют заметную роль. Т. Ребане

50381. Транспозиционная матрица и  $3nj$ -символ в теории сложных спектров. Левинсон И. Б., Ванагас В. В., Оптика и спектроскопия, 1957, 2, № 1, 40—20

Рассматривается матрица преобразования, связывающая волновые функции системы одинаковых частиц

(построенные в одноконфигурационном приближении при полном разделении переменных) при различных способах связывания угловых моментов отдельных состояний. В случае, когда способы связи отличаются транспозицией двух моментов, все такие матрицы сводятся к  $3nj$ -символу, являющемуся обобщением известных  $6j$ -,  $9j$ - и  $12j$ -символов. Установлены основные правила алгебры  $3nj$ -символов и приведены некоторые ф-лы суммирования. Вводится понятие о  $3nj$ -символе 2-го порядка. Т. Ребане

**50382. Расчет электронного родства щелочных атомов и энергии ионизации атома Ca.** Сае (Calculation of the electron affinity of alkali atoms and of the ionisation energy of the Ca atom. Szász L.), Acta phys. Acad. Sci. hung 1956, 6, № 2, 307—317 (англ.; рез. русск.)

Вариационным методом в рамках двухэлектронного приближения произведен расчет электронного родства атомов Li, Na, K, Rb, Cs и энергии ионизации атома Ca. Эффективный потенциал валентного  $s$ -электрона, находящегося в поле ядра и остова сильносвязанных электронов замкнутых оболочек, берется в форме, предложенной Гельманом. Энергия отрицательных ионов  $Li^-$ ,  $Na^-$ ,  $K^-$ ,  $Rb^-$ ,  $Cs^-$  и атома Ca и величина электронного родства ионов находятся путем вариационного решения двух-электронной задачи с гамма-функцией  $H = -\frac{1}{2}(\Delta_1 + \Delta_2) - Z(1/r_1 + 1/r_2) + A[\exp(-2\alpha r_1)/r_1 + \exp(-2\alpha r_2)/r_2] + 1/r_{12}$ , где  $r_{12} = |r_1 - r_2|$ . Из расчета в 1-м приближении следует, что отрицательные ионы неустойчивы. Во 2-м приближении пробные функции взяты в виде:  $\psi_2 = \exp[-\gamma(r_1 + r_2)] \cdot [1 + c r_{12}]$ ;  $\gamma$  и  $c$  — вариационные параметры. Отрицательные ионы оказываются устойчивыми с энергией электронного родства порядка  $\varepsilon \approx 0,45$ . Для ионов  $Na^-$  и  $K^-$  производилась оценка энергии в 3-м приближении с пробными функциями типа  $\psi_3 = \exp(-\gamma_1 r_1 - \gamma_2 r_2) + \exp(-\gamma_2 r_1 - \gamma_1 r_2)$ . Оказывается, что энергия иона по отношению к значению, найденному во 2-м приближении, уменьшается на величину  $0,090$  эв для  $Na^-$  и  $0,055$  эв для  $K^-$ . Полученные результаты сравниваются с эксперим. данными и со значениями, рассчитанными другими авторами. Величина 1-го ионизационного потенциала Са отличается от эксперим. значения на 5,7%. Величины электронного родства щел. металлов согласуются со значениями, полученными с другими пробными функциями лишь по порядку величины. Д. Гречухин

**50383. Коэффициенты непрерывного поглощения отрицательных ионов водорода и лития.** Гелтман (Continuous absorption coefficient of the hydrogen and lithium negative ions. Geltman Sydney), Phys. Rev., 1956, 104, № 2, 346—350 (англ.)

Вычислены коэф. непрерывного поглощения отрицательных ионов  $H^-$  и  $Li^-$  в приближении одноэлектронных функций. Используется матричный элемент длины диполя. Одноэлектронные функции получены в аналитич. виде решением радиального у-ния Шредингера с потенциалом  $V = 1/r_0 - 1/r$  при  $r \leq r_0$  и  $V = 0$  при  $r > r_0$ . Постоянная  $r_0$  подбирается так, чтобы получить эксперим. значение энергии связи отрицательного иона. Автор считает, что указанный метод обеспечивает наиболее правильное поведение радиальной функции в важной области больших  $r$ . В случае  $H^-$  полученный результат лежит между кривыми непрерывного поглощения, вычисленными с помощью значительно более точных 11-параметрич. функций, по ф-лам длины и скорости диполя (ближе к последней), и в пределах ошибок измерений совпадает с эксперим. кривой. Показано, что вычисленная волновая функция связанного состояния  $H^-$  близка к вариационной функции типа  $\exp(-ar)$  при  $r \leq r_0$  и  $r^{-1} \exp(-br)$  при  $r > r_0$ . Л. Вайнштейн

**50384. Математическое представление периодической системы химических элементов.** Марсон, Цукки (Rappresentazione matematica del sistema periodico degli elementi chimici. Marson L. M., Zucchi U.), Chimica, 1955, 31, № 10, 369—374 (итал.; рез. англ.)

Атомные номера инертных газов рассматриваются как значения некоторой функции номера периода. Предложенное у-ние может быть распространено на всю периодическую систему введением орбитальных квантовых чисел последних заполненных оболочек.

Из резюме авторов

**50385. Метод молекулярного пучка и его применение для измерения степени поляризации резонансной флуоресценции натрия.** Эрмисх, Зейверт (Die Molekularstrahlmethode und ihre Anwendung bei der Messung des Polarisationsgrades der Natriumresonanzfluoreszenz. Ermisch W., Seiwert R.), Exptl. Techn. Phys., 1956, 4, № 3, 97—100 (нем.)

Для  $D$ -линий Na в исчезающе слабом магнитном поле измерена степень поляризации резонансной флуоресценции, которая равна  $12,84 \pm 0,28\%$  при теоретически ожидаемом значении 13,59%. Измерения в магнитном поле также дали результаты, согласующиеся с теоретич. предсказаниями. Обсуждены возможности метода мол. (атомного) пучка и границы его применимости.

Н. Суходрев

**50386. Влияние состава газа на интенсивности спектральных линий при термическом возбуждении.** Семенова О. П., Дуркина А. В., Оптика и спектроскопия, 1957, 2, № 1, 34—42

Теоретически рассмотрено влияние состава газовой смеси на интенсивность спектральных линий, излучаемых отдельными ее компонентами при термич. возбуждении спектра. Процессы реабсорбции во внимание не принимались. Установлено, что функции термич. возбуждения спектральных линий примесей газовой смеси очень сильно зависят от состава и отличаются от известных функций термич. возбуждения, полученных без учета зависимости. В зависимости от состава газовой смеси функции термич. возбуждения могут иметь несколько максимумов. На примере поведения интенсивностей спектральных линий Na 5890 и 6161 и Cu 5105 и 5153 А в плазме т-р установлено, что 1) интенсивности спектральных линий примесей в области  $T \ll T_m$  ( $T_m$  — т-ра, обеспечивающая максим. интенсивность спектральных линий) не зависят от состава газа; 2) при приближении  $T$  к  $T_m$  на интенсивности спектральных линий может сказаться состав газа, и при  $T > T_m$  наблюдается резкое влияние состава газовой смеси; 3) интенсивности спектральных линий основной компоненты газа не зависят от состава газа.

К. Петров

**50387. Влияние столкновений на заполнение состояний сверхтонкой структуры в водороде.** Перселл, Филд (Influence of collisions upon population of hyperfine states in hydrogen. Purcell Edward M., Field George B.), Astrophys. J., 1956, 124, № 3, 542—549 (англ.)

Рассмотрен процесс соударения двух атомов H, приводящий к изменению их спинного состояния, и роль этого процесса в установлении равновесного распределения по состояниям сверхтонкой структуры. Населенность этих уровней описывается в терминах аффективной спиновой т-ры  $T_S$ , определяемой соотношением  $n_F = 1/n_{F=0} = 3 \exp(-\hbar\omega/kT_S)$ ,  $\hbar\omega$  — расщепление уровней. При соударении двух свободных атомов H, первоначально находившихся в состояниях  $(F_1, m_1)$  и  $(F_2, m_2)$  соответственно, происходит образование квазимолекулы водорода. Начальное состояние системы является суперпозицией синглетного и триплетного электронных

состояний. При развале системы на два свободных атома фаза суперпозиции состояний  $s$  и  $t$  сдвигается на величину  $\Phi_{ts} = \int [(V_t - V_s)/\hbar] dt$ , обусловленную спинным обменом электроном в триплетном и синглетном состояниях квазимолекулы. ( $V_t, V_s$  — адиабатич. потенциалы взаимодействия в соответствующих состояниях). Отсюда для вероятности перехода ( $F=1$ )  $\rightarrow$  ( $F=0$ ) атома Н при соударении с другим атомом, спинное состояние которого не фиксируется, следует  $W_{1-0} = (1/4) [\sin^2(\Phi_{ts}/2)]$ . Для расчета величины сечения спинового обмена вводится понятие сильного соударения — соударения, при котором  $\Phi_{ts} \gg 1$ . В этом случае  $W_{1-0} = (1/4) [\sin^2(\Phi_{ts}/2)] = 1/8$ . Для обратного процесса  $W_{0-1}$  из принципа детального равновесия следует  $W_{0-1} = 3/8 \exp(-\hbar\omega/kT_K)$ , где  $T_K$  — кинетич. т-ра газа. Оценка сечения «спинного обмена» в сильном соударении проводится в рамках классич. механики с использованием адиабатич. потенциала межатомного взаимодействия. Поскольку в триплетном состоянии атомы отталкиваются, то в расчете предполагается, что весь сдвиг фазы обусловлен взаимодействием  $V_s$  в синглетном состоянии. Усредненное по максвелловскому распределению скоростей сечение сильного соударения  $\sigma$  протабулировано для значений  $T_K$  в интервале от 1 до 10 000°K. Из расчета следует, что с ростом  $T_K$  сечение  $\sigma$  падает примерно, как  $T_K^{-0.27}$ . Отмечается, что при т-рах  $T_K \leq 10^\circ$  K расчет следует проводить в рамках квантовой механики, а при  $T_K \geq 1000^\circ$  K расчет с учетом лишь сильных соударений становится некорректным. Д. Гречухин

**50388. Сверхтонкая структура метастабильного атома дейтерия.** Рейк, Хеберле, Кун (Hyperfine structure of the metastable deuterium atom. Reich Haskell A., Heberle Juergen W., Kusch P.), Phys. Rev., 1956, 104, № 6, 1585—1592 (англ.)

Методом магнитного резонанса в атомном пучке измерено сверхтонкое расщепление  $\Delta\nu(2S; D)$  метастабильного  $2^2S_{1/2}$ -состояния атома D. Получено  $\Delta\nu(2S; D) = 40\,924,439 \pm 0,020$  кГц. Отношение  $\Delta\nu(2S; D)/\Delta\nu(1S; D) = R_{\text{эксп}}(D) = 1/8 (1,0000342 \pm 0,0000006)$ , где для  $\Delta\nu(1S; D)$  взята величина, определенная ранее (РЖХим, 1956, 57187). Поскольку  $R_{\text{теор}} = 1/8 (1,0000333)$ , то разность для дейтерия равна  $\Delta R(D) = R_{\text{эксп}} - R_{\text{теор}} = 1/8 (9 \pm 6) \cdot 10^{-7}$ . Сравнение  $R_{\text{эксп}}(D)$  с величиной  $R_{\text{эксп}}(H)$  подтверждает в пределах эксперим. ошибки вывод теории, что  $R(D) = R(H)$ . Н. Яшин

**50389. Тонкая структура и лэмбовский сдвиг уровня  $2S_{1/2}$  линии  $T_\alpha$  трития  $\lambda$  6560 А.** Киреев П. С., Докл. АН СССР, 1957, 112, № 1, 41—44

Изучена тонкая структура и лэмбовский сдвиг уровня  $2S_{1/2}$  линии  $T_\alpha$  трития при помощи эталона Фабри — Перо. Спектр трития возбуждался в разрядной трубке с холодными электродами при охлаждении трубки жидким азотом. С этой же трубкой было измерено изотопич. смещение между линиями  $H_\alpha$  и  $T_\alpha$ . Линия  $T_\alpha$  состоит из трех комплексов, каждый из которых представляет группу неразрешенных компонент. Смещение термина  $2S_{1/2}$  вычисляется из сравнения измеренных расстояний между центрами тяжести комплексов с теоретич. величинами. Получено, что смещение термина  $2S_{1/2}$  лежит в пределах  $0,033-0,039$  см<sup>-1</sup>. Для величины изотопич. смещения между линиями  $H_\alpha$  и  $T_\alpha$  получена величина  $\nu = (5,5305 \pm 0,0025)$  см<sup>-1</sup>, что на  $0,006$  см<sup>-1</sup> больше теоретич. величины. Сравнение измеренных интеграль-

ных интенсивностей комплексов с вычисленными на основании теории Дирака показало, что интенсивности компонент тонкой структуры  $e, d$  и  $g, f$  увеличены по сравнению с теорией. Делается вывод, что теоретич. данные относительно интенсивностей компонент тонкой структуры неверны. Ю. Донцов

См. также: Расчет многоэлектронных систем 50390, 50394

## МОЛЕКУЛА. ХИМИЧЕСКАЯ СВЯЗЬ

Редакторы М. Е. Дяткина, А. А. Мальцев, Е. М. Попов

**50390. Современное состояние квантовой химии.** Лёвдин (Present situation of quantum chemistry. Löwdin Per-Olov), J. Phys. Chem., 1957, 61, № 1, 55—68 (англ.)

Обзор. Библ. 28 назв.

**50391. Ковалентные химические связи в освещении квантовой механики.** Лёвдин (Den kovalenta kemiska bindningen i kvantmekanisk belysning. Löwdin Per-Olov), Elementa, 1957, 40, № 1, 9—24 (шведск.)

**50392. 1s-орбиты как базисные функции для молекулярных расчетов.** Парр (1s orbitals as base functions for molecular calculations. Parr Robert G.), J. Chem. Phys., 1957, 26, № 2, 428 (англ.)

Водородоподобные 1s-функции, эффективные заряды которых принимают всевозможные значения, а центры которых пробегают все точки пространства, образуют полную систему функций. Любую волновую функцию можно представить в виде разложения по этой системе функций. Линейная комбинация двух 1s-функций с разными эффективными зарядами, отнесенных к одному центру, хорошо аппроксимирует водородоподобную 2s-функцию, а линейная комбинация двух 1s-функций с одинаковыми эффективными зарядами, отнесенных к разным центрам — водородоподобную 2p-функцию. Т. Ребане

**50393. Вывод теоремы вириала из обобщенной теоремы Гельмана — Фейнмана.** Фрост, Лайкос (Derivation of the virial theorem from the generalized Hellmann — Feynman theorem. Frost Arthur A., Lykos Peter G.), J. Chem. Phys., 1956, 25, № 6, 1299—1300 (англ.)

Дается вывод теоремы вириала для двухатомной молекулы:  $T + E + R(dE/dR) = 0$  из соотношения  $\partial E / \partial \lambda = \langle \partial H / \partial \lambda \rangle$ . Параметр  $\lambda$  вводится в  $H$  в виде коэф. при кинетич. энергии. С другой стороны,  $\partial E / \partial \lambda$  может быть вычислено путем введения  $\lambda$  в виде масштабного множителя при координатах. Искомый результат получается приравнованием этих двух выражений. Л. Вайнштейн

**50394. К теории малых возмущений.** Далгарно, Стюарт (On the perturbation theory of small disturbances. Dalgarno A., Stewart A. L.), Proc. Roy. Soc., 1956, A238, № 1213, 269—275 (англ.)

При анализе основ теории возмущений найдено, что для вычисления  $(2s+1)$ -й поправки к энергии достаточно знать поправки к волновой функции не выше  $s$ -го порядка, так что случаи, в которых найдена первая поправка к волновой функции и вторая поправка к энергии, могут быть дополнены вычислением третьей поправки к энергии. Для нахождения первых поправок к энергии даются ф-лы:  $\epsilon_0 = E_0$ ;  $\epsilon_1 = (0 | h | 0)$ ;  $\epsilon_2 = (0 | h f_1 | 0)$ ,  $\epsilon_3 = (0 | f_1 (h - \epsilon_1) f_1 | 0)$ ;  $\epsilon_4 = (0 | f_1 (h - \epsilon_2) f_2 | 0) - \epsilon_2 \{ (0 | f_2^2 | 0) + (0 | f_2 | 0) \}$ ;  $\epsilon_5 = (0 | f_2 (h - \epsilon_1) f_2 | 0) - 2\epsilon_2 (0 | f_1 f_2 | 0) - \epsilon_3 \{ (0 | f_2^2 | 0) + 2(0 | f_2 | 0) \}$  ( $\epsilon_n = n$ -я поправка к энергии;  $h$  — оператор возмущения; функция  $f_n$  выражается через функцию нулевого приближения



$\psi_0$  и поправку  $n$ -го порядка к собственной функции  $F_n: F_n = f_n(\psi_0)$ . В случае кулоновского взаимодействия теорема вириала выполняется во всех приближениях теории возмущений. Это позволяет, наряду с полной энергией, вычислять значения кинетич. и потенциальной энергии в  $(2s+1)$ -м приближении, когда известна волновая функция  $s$ -го приближения. На основании обобщенного правила суммирования выводятся ф-лы для вычисления поправок к диагональным элементам оператора произвольной динамич. переменной  $L$ . В частности, для нахождения поправки второго приближения к диагональному элементу оператора  $L$  достаточно знать функции  $F$  и  $g$ , удовлетворяющие ур-ниям:  $2\nabla F \nabla \psi_0 + \psi_0 \Delta F = h\psi_0 - (0|h|0)\psi_0$ ,  $2\nabla g \nabla \psi_0 + \psi_0 \Delta g = L\psi_0 - (0|L|0)\psi_0$ ;  $(0|g|0) = 0$ . Т. Ребане

50395. Резонансные силы на больших расстояниях. Далгарно, Линн (Resonance forces at large separations. Dalgarno A., Lynn N.), Proc. Phys. Soc., 1956, A69, № 11, 821—829 (англ.)

Предложен метод расчета энергии гомонуклеарных молекул при больших межъядерных расстояниях. Используется теория возмущений в форме, изложенной ранее (см. пред. реф.). Метод применяется для расчета энергии состояний  $1s\sigma_g$  и  $2p\sigma_u$  иона  $H_2^+$  и состояний  $1\Sigma_g^+$  и  $3\Sigma_u^+$  молекулы  $H_2$ . Результаты при больших  $R$  хорошо согласуются с результатами точного расчета (РЖХим, 1955, 33804). Без учета тождества протонов в  $H_2^+$  результаты заметно отклоняются от точных значений. Вычислены также потенциальные кривые для состояний  $1\Sigma_g^+$  и  $3\Sigma_u^+$  молекулы  $H_2$ . Предлагается полуэмпирич. модификация метода для достижения согласия с опытом при малых межъядерных расстояниях. Т. Ребане

50396. Расчет свойств состояний  $1s\sigma$  и  $2p\sigma$  молекулы  $HeH^{2+}$  по методу теории возмущений. Далгарно, Стюарт (A perturbation calculation of properties of the  $1s\sigma$  and  $2p\sigma$  states  $HeH^{2+}$ . Dalgarno A., Stewart A. L.), Proc. Roy. Soc., 1956, A238, № 1213, 276—285 (англ.)

По методу теории возмущений произведен расчет молекулы  $HeH^{2+}$  в состояниях  $1s\sigma$  и  $2p\sigma$  при больших межъядерных расстояниях. В качестве волновой функции нулевого приближения берется  $1s$ -функция атома с зарядом ядра  $\xi$ , а в качестве возмущения — потенциал ядра с зарядом  $\xi'$ , расположенного на расстоянии  $R$  от ядра  $\xi$ . Для состояния  $1s\sigma$   $\xi = 1$ ,  $\xi' = 2$ , а для состояния  $2p\sigma$ ,  $\xi = 2$ ,  $\xi' = 1$ . Возмущающий потенциал аппроксимируется ф-лой  $V_p = -2\xi'(\xi - 1)/R - 2\xi' \sum_{n=1}^{\infty} R^{-n} P_n(\cos \theta)$ . При использовании метода, изложенного ранее (пред. реф.), вычислены полная, кинетич. и потенциальная энергия в пятом приближении, дипольные моменты в третьем приближении и квадрупольные моменты — во втором приближении для  $R$  от 1,0 до 5,0  $a_0$  (через 0,5  $a_0$ ). Для состояния  $1s\sigma$  результаты при  $R > 3a_0$  (а для состояния  $2p\sigma$  при  $R > 7a_0$ ) практически совпадают с результатами, полученными с точными волновыми функциями (РЖХим, 1955, 8987, 1956, 60712). При меньших значениях  $R$  (для  $1s\sigma$  при  $R > 1,5a_0$ , а для состояния  $2p\sigma$  при  $R > 4a_0$ ) результаты более точны, чем получаемые с приближенными вариационными волновыми функциями (РЖХим, 1957, 14351). Ошибка, обусловленная применением теории возмущений, сравнима с ошибкой, происходящей от использования приведенного выше приближенного выражения для возмущающего потенциала. Т. Ребане

50397. О степени ионности состояния кремний — кислород в кварце. Шадури Р. С., Тр. Ин-та физ. АН ГрузССР, 1956, 4, 219—259

Рассматривается вопрос о соотношении ковалентной и ионной долей связи Si—O в кварце. Отношение коэф. при ковалентной и ионной частях волновой функции  $U\psi_a(1)\psi_a(2) + V\psi_b(1)\psi_b(2) + W(\psi_a(1)\psi_b(2) + \psi_b(1)\psi_a(2))$  определяется из вариационного принципа с эффективными зарядами ядер 4,15 для Si и 4,55 для O. Из условия минимума энергии найдено  $u:w = 0,4032$  и  $v:w = 0,7463$ . Т. Ребане

50398. О методе Моффитта «Атомы в молекулах». Оно (Moffitt's Atoms in Molecules の方法の吟味について・小野公男), 日本物理学会誌, Нихон буцури гаккайси, 1956, 11, № 7, 308—310 (японск.)

Изложение основных идей и анализ метода. 50399. Исправление: Лайкос, Парр «О  $\pi$ -электронном приближении и о его возможном уточнении» (Erratum: Lykos P. G., Parr R. G.), J. Chem. Phys., 1956, 25, № 6, 1301 (англ.)

К РЖХим, 1957, 7153. Т. Ребане 50400. О структуре индено-(2,1- $\alpha$ )-флуорена. Шальве, Пельтье (Note sur la structure de l'indéno [2,1- $\alpha$ ] fluorène. Chalvet Odilon, Peltier Jean), Bull. Soc. chim. France, 1956, № 11-12, 1667—1668 (франц.)

Произведен расчет основного и первого возбужденного состояний молекулы индено-(2,1- $\alpha$ )-флуорена по методам валентных схем и МО. Согласно данным расчетов  $\pi$ -связи в крайних бензольных ядрах делокализованы; преимущественная локализация остальных  $\pi$ -связей в молекуле соответствует ортогональной структуре центрального бензольного ядра. Из приведенных мол. диаграмм метода МО видно, что атомы 11 и 12 имеют максим. индексы свободной валентности ( $f(\text{макс.})$ ), причем значение  $f(\text{макс.})$  для первого возбужденного состояния = 0,653 больше, чем для основного [ $f(\text{макс.}) = 0,582$ ]. При переходе из основного в первое возбужденное состояние происходит заметное перераспределение  $\pi$ -электронной плотности. По мнению авторов, повышением величины  $f(\text{макс.})$  при электронном возбуждении молекулы обусловлена реакция фотоокисления.

М. Адамов 50401. Влияние поля и индуктивного эффекта на основность аминов. Холл (Field and inductive effects on the base strengths of amines. Hall H. K., Jr), J. Amer. Chem. Soc., 1956, 78, № 11, 2570—2572 (англ.)

Сравниваются значения  $pK_a$  для двух рядов соединений: 1)  $CH_3CH_2NHCH_2CH_2X$ , где  $X = -CH_3, NH, NH_2^+, O, S, NCOCH_3$  и  $NCOCH_2CH_3$ ; 2)  $NH_2-CH_2-CH_2-XH$ , где  $X = -CH_3, NH, NH_2^+, O, S, NCOCH_3, NCOCH_2CH_3$  и  $n-NSO_2-C_6H_5CH_3$ . Найдено, что график зависимости  $pK_a$  (циклич. амины)/ $pK_a$  (ациклич. амины) представляет собой прямую линию с наклоном +2,33 (выпадает точка, соответствующая диаммониевому иону). Наклон соответствующей прямой для производных бициклооктана равен всего —0,50. Большее влияние заместителя в случае циклич. аминов приписывается непосредственному воздействию его поля, которое у ациклич. аминов из-за большего отделения группы  $X$  слабее. Прямые линии получаются также при составлении графика зависимости  $pK_a$  от электроотрицательности групп и значений мета-констант Гамметта для группы  $X$ . Из графика зависимости  $pK$  от электроотрицательности определены значения электроотрицательностей групп  $CH_3CON$  (3,6),  $C_6H_5CON$  (3,7),  $C_6H_5SO_2N$  (3,8),  $C_2H_5OCON$  (3,5) и  $O=N-N$  (4,0). В. Александрия

50402. Теоретическое исследование реакционной способности бензимидазола. Браун, Хеффернан (A theoretical investigation of the chemical



reactivity of benzimidazole. Brown R. D., Hefernan M. L.), J. Chem. Soc., 1956, Nov., 4288—4291 (англ.)

По методу МО с использованием введенных ранее упрощающих предположений (РЖХим, 1955, 13365, 1956, 45997) произведен расчет распределения  $\pi$ -электронной плотности, энергии локализации для электрофильного, нуклеофильного и гомолитич. замещения и индексов свободных валентностей для нейтральной молекулы (I), катиона (II) и аниона (III) бензимидазола; вычисления производились для разных значений параметра  $h$ , являющегося мерой электроотрицательности азота (0,5 для I, 1—2 для II, —1 для III). Согласно вычисленным распределениям плотности  $\pi$ -электронов, электрофильные заместители в I ориентируются в положение 5, в II — в положение 4, в III — в положение 2. Сопоставление с опытом показывает, что электрофильное замещение в кислой среде происходит в непротонированных молекулах I, содержащихся в небольшой равновесной конц-ии. Предсказания о местах электрофильной атаки, основанные на вычисленных значениях энергии локализации, не согласуются с предсказаниями, сделанными на основе вычисленного распределения плотности  $\pi$ -электронов, что объясняется пересечением потенциальных кривых. В случае нуклеофильных заместителей, предсказания, основанные на энергиях локализации, согласуются с основанными на распределении плотности  $\pi$ -электронов. В этом случае, наибольшей реакционной способностью обладает в I и в II положение 2, а в III — положение 4. По отношению к атаке свободным радикалом, вычисленные энергии локализации и индексы свободных валентностей в согласии друг с другом предсказывают в качестве места атаки в I положение 4.

Т. Ребане

50403. Теория замещения в сопряженных молекулах. Фукуи, Йонедзава, Нагата (Theory of substitution in conjugated molecules. Fukui Kenichi, Yonezawa Teijiro, Nagata Chikayoshi), Bull. Chem. Soc. Japan, 1954, 27, № 7, 423—427 (англ.)

Предложена теория замещения в сопряженной системе с раздельным рассмотрением  $\sigma$  и  $\pi$ -частей общей энергии. Показано, что  $\sigma$ -части энергии системы в ходе р-ции  $AX + B \rightarrow AB + X$  имеют максимум, совпадающий с энергией переходного состояния для случая, когда  $X = B$ . Для простоты рассуждений принимается, что это совпадение имеет место и для  $X \neq B$ . Одна из мол. орбит,  $\psi_h$ , образующихся в результате взаимодействия в переходном состоянии  $[AX, B]$ , способна к сопряжению с  $\pi$ -электронами и названа псевдо- $\pi$ -орбитой. В зависимости от того, сколько электронов находится на этой орбите (0,1 или 2), р-ция замещения идет по электрофильному, радикальному или нуклеофильному механизму. Взаимодействие этой орбиты с  $\pi$ -орбитами сопряженной системы определяет  $\pi$ -часть общей энергии. Дано выражение, определяющее значение параметра  $\Delta q_h$ , представляющего собой разность между плотностью электронов в ВХ в переходном состоянии и числом электронов на орбите  $\psi_h$ . Величина  $\Delta q_h$  всегда положительна для р-ций, идущих по электрофильному механизму и отрицательна для р-ций, идущих по нуклеофильному механизму. Далее авторы показывают, каким образом из полученных ими выражений могут быть выведены так называемые граничные электронные орбиты (РЖХим, 1956, 64195), определяющие, согласно предложенной ранее «граничной» электронной теории, реакционную способность различных центров молекулы.

В. Александрия

50404. Заместители и их реакционные способности. Теоретические исследования постоянных амметта с точки зрения метода молекулярных орбит. Цурута, Фуэно (置換基と反応性・ハメット則に対する分子軌道論的考察. 鶴田順二, 笛野高之), 化学, Karaky, Chemistry (Japan), 1956, 11, № 12, 34—42 (японск.)

Обзор. Библ. 34 назв.

50405. Внутримолекулярные силы сцепления Вандер-Ваальса — Лондона в бутadiене и бензоле. Спиннер (Intramolecular van der Waals — London cohesions in butadiene and benzene. Spinner E.), J. Amer. Chem. Soc., 1957, 79, № 2, 504—505 (англ.)

Автор предполагает существование взаимодействия между одинаковыми связями (или электронными парами) внутри молекулы, аналогичного взаимодействию между осциллирующими мол. диполями. Это особенно существенно для молекул, содержащих сильно поляризуемые  $\pi$ -электроны, и объясняет многие эффекты, обычно связываемые с делокализацией  $\pi$ -электронов. Энергия, обусловленная взаимодействием продольных осцилляций  $\pi$ -электронов,  $U_0(\text{прод.})$  получается при вычислении  $q = (2a/R^3)$  из наблюдаемых в спектрах частот поглощения. Для бутadiена при сравнении с 2 молекулами этилена  $U_0(\text{прод.}) = -2,7$  ккал/моль. Для бензола  $U_0(\text{прод.}) = -28$  ккал/моль, т. е. составляет значительную часть энергии стабилизации, обычно приписываемой делокализации  $\pi$ -электронов.

Е. Шустрович

50406. О справедливости предположения парного взаимодействия в молекулярной физике. Джансен, Мак-Гиннис (Validity of the assumption of two-body interactions in molecular physics. Jansen Laurens, McGinnies Rosemary T.), Phys. Rev., 1956, 104, № 4, 961—966 (англ.)

В продолжение предыдущей работы (РЖХим, 1957, 21937) рассчитано тройное диполь-дипольное и диполь-квадрольное взаимодействие между атомами инертных газов в твердой фазе (два атома в соседних узлах решетки, а третий удален). Численные результаты приведены для Ne, Ar, Kr, Xe. Вклад диполь-квадрольного взаимодействия значительно меньше, чем диполь-дипольного. Роль тройных взаимодействий растет с увеличением атомного номера и достигает 20% в случае Xe, причем силы отталкивания уменьшаются. При учете тройных взаимодействий куб. гранецентр. решетка более стабильна, чем гексагональная, на  $\sim 0,1\%$  от энергии связи. Л. Вайштейн

50407. Молекулярно-орбитальное приближение для обусловленного электронами взаимодействия между спинами ядер. Мак-Коннелл (Molecular orbital approximation to electron coupled interaction between nuclear spins. McConnell H. M.), J. Chem. Phys., 1956, 24, № 2, 460—467 (англ.)

Энергия косвенного магнитного взаимодействия второго порядка спинов ядер  $I_N$  и  $I_{N'}$  в молекулах через спиновые и орбитальные моменты электронов имеет вид  $E = hJ_{NN'}I_NI_{N'}$ . Произведено вычисление матричных элементов в полученном ранее выражении для постоянной взаимодействия  $J_{NN'}$  в молекулах  $^1\Sigma$  (РЖХим, 1955, 48308) с помощью волновой функции, являющейся антисимметричным произведением мол. орбитальных и спиновых функций. При этом вклад спинов электронов в ядерное спин-спиновое взаимодействие дается суммой матричных элементов одно- и двухэлектронных операторов диполь-дипольного взаимодействия и взаимодействия Ферми электронов с ядрами; орбитальный вклад электронов и ядерное взаимодействие также имеет вид суммы одно и двухэлектронных членов. В рамках приближения ЛКАО — МО рассмотрено взаимодействие сильно удаленных ядер, т. е. ядер.

отстоящих друг от друга на длину двух и более связей. Рассматриваются  $S$ ,  $p$  и  $S-p$  гибридные орбиты. Вследствие большого расстояния между ядрами при вычислениях возможно ввести ряд упрощений; подсчитываются лишь наибольшие из одноэлектронных и двухэлектронных членов. Полученные ф-лы применимы для полуконич. рассмотрения взаимодействия протонов в молекуле. Основную роль при этом играет вклад взаимодействия спинов двух электронов атомной орбиты  $1s$  со спинами ядер. По аналогии с порядком хим. связи для непосредственно связанных ядер введен порядок связи  $\eta$  сильно удаленных ядер. Для сильно удаленных протонов в углеводородах найдено  $J_{HH'} \approx 20 \eta_{HH'}^2$  (сек $^{-1}$ ). При этом принято, что средняя энергия возбуждения электронов равна  $10 \text{ эв}$ . Для  $H_2$  следует ожидать  $\eta_{HH'} \sim 1$ , что согласуется с эксперим. значением  $J_{HH'} = 280 \text{ сек}^{-1}$ . Для  $CH_4$   $|\eta_{HH'}| = 0,118$  (Coulson C. A., *Frans. Faraday Soc.*, 1932, 28, 877). Отсюда  $J_{HH'} \approx 3 \text{ сек}^{-1}$ , что на порядок меньше величины, наблюдаемой у других углеводородов. Рассмотрено также более сложное взаимодействие ядер  $F^{19}$  на примере молекулы  $C_2F_4$ , когда существенно электронное как спинное, так и орбитальное взаимодействие. Значительную часть постоянной  $J$  составляет одноэлектронный вклад электронов  $\pi$ -орбит, убывающий с увеличением расстояния между ядрами  $F$  от  $-64 \text{ сек}^{-1}$  для ближайших ядер до  $-19 \text{ сек}^{-1}$  для наиболее удаленных. По эксперим. значению  $J_{F-F} \leq 100 \text{ сек}^{-1}$  можно оценить  $\eta_{NN'}^{\pi}$  порядка нескольких десятых;  $|\eta_{NN'}^{\pi}| < 4 \cdot 10^{-2}$ .

Т. Бирштейн

**50408. Квадрупольный момент двуокиси углерода. Гамильтон (Quadrupole moment of carbon dioxide. Hamilton Walter C.), J. Chem. Phys.**, 1956, 25, № 6, 1283 (англ.)

Исходя из найденных ранее (Mulligan J. E., *J. Chem. Phys.*, 1951, 19, 347) МО  $CO_2$ , автор рассчитал квадрупольный момент  $CO_2$ . Найдено  $q = 3,56 \cdot 10^{-16} \text{ см}^2$ , что согласуется с результатом, полученным ранее из диэлектрич. постоянной (РЖХим, 1957, 36894).

В. Бендерский

**50409. Исправление к статье: Мотидзуки, Нагатами. «Теория орто-пара-превращений» (Errata. Motizuki K., Nagamiya T.), J. Phys. Soc. Japan**, 1956, 11, № 6, 656 (англ.)

РЖХим, 1957, 29621.

**50410. О дихроизме некоторых комплексов  $Co(3+)$ . Бальхаузен, Моффитт (On the dichroism of certain  $Co(3+)$  complexes. Ballhausen C. J., Moffitt W.), J. Inorg. and Nuclear Chem.**, 1956, 3, № 3-4, 178-181 (англ.)

Экспериментальные данные, полученные при изучении дихроизма кристаллов, содержащих ионы *транс*- $[Co(en)_2Cl_2]^+$  и *транс*- $[Co(en)_2Br_2]^+$  (РЖХим, 1956, 42315), интерпретируются в терминах теории кристаллич. поля. У перхлората (I) полосы 6200 А появляются из-за света, поляризованного как параллельно ( $\parallel$ ), так и перпендикулярно ( $\perp$ ) оси  $Cl-Co-Cl$ , а полосы 4300 А только для  $\perp$ . Поскольку спектры I и *транс*- $[Co(NH_3)_4Cl_2]^+$  (II) почти неразличимы, вместо I рассматривается II с симметрией  $D_{4h}$ . В случае октаэдрич. симметрии, как это имеет место в гексаминах, орбиты  $3d$ -электронов центрального атома являются устойчивыми трижды вырожденными  $t_{2g}$  и дважды вырожденными  $e_g$ . Основным состоянием октаэдрич. комплекса будет  $(t_{2g})^6$ , с симметрией  $'A_{1g}$ . При возбуждении одного электрона  $t_{2g}$  на орбиту  $e_g$  образуются верхние состояния  $'T_{1g}$  или  $'T_{2g}$ , уровень  $'T_{1g}$  лежит на 16

$F_2 - 5F_4$  ниже, чем  $'T_{2g}$ . У II с кристаллич. полем низкой симметрии ( $O_h \rightarrow D_{4h}$ ) частично снимается вырождение возбужденных состояний. Уровень  $'T_{1g}$  дает  $'A_{2g}$  и  $'E_g$ ,  $'T_{2g} \rightarrow 'B_{2g}$  и  $'E_g$ , 3 орбиты  $t_{2g} \rightarrow b_{2g}$  и пару  $e_g$ , а октаэдрич. пара  $e_g \rightarrow a_{1g}$  и  $b_{1g}$ . Орбитальные конфигурации состояний  $'A_{2g}(T_{1g})$  и  $'B_{2g}(T_{2g})$  будут  $(e_g)^4(b_{2g})(b_{1g})$  и  $(e_g)^4(b_{2g})(a_{1g})$ . Если преобладает тетрагон. возмущение, то  $'E_g^{(1)}: (e_g)^3(b_{2g})^2(a_{1g})$  и  $'E_g^{(2)}: (e_g)^3(b_{2g})^2(b_{1g})$ , а если межполюсное, электронное отталкивание, то  $'E_g(T_{1g}) = 1/2 [V_3'E_g^{(1)} + E_g^{(2)}]$  и  $'E_g(T_{2g}) = 1/2 [E_g^{(1)} - V_3'E_g^{(2)}]$ . При переходе от  $O_h$  к  $D_{4h}$  в гармонич. ряду для потенциала одновременно появляются два новых члена ( $T_2^0$  и  $T_4^0$ ). Орбитальные уровни можно представить как  $\epsilon(a_{1g}) = \epsilon_0 + 6Dq - 2Ds - 6Dt$ ,  $\epsilon(b_{1g}) = \epsilon_0 + 6Dq + 2Ds - Dt$ ,  $\epsilon(b_{2g}) = \epsilon_0 - 4Dq + 2Ls - Dt$ ,  $\epsilon(e_g) = \epsilon_0 - 4Dq - Ds + 4Dt$ , где  $\epsilon_0$  — константа,  $Dq$  — параметр расщепления в октаэдрич. полях. Тетрагон. возмущение дает вклад  $(+14Dt)$  в состояние  $'A_{2g}(-4Ds + 9Dt)$ ,  $'B_{2g}(-Ds + 4Dt)$  и  $(+3Ds + 9Dt)$   $'E_g^{(2)}$ . Член  $Ds$  для состояния  $'E_g(T_{1g})$  должен исчезнуть, а для  $'E_g(T_{2g})$  должен быть равен  $(+2Ds)$ . Энергии этих состояний равны  $(+5,25Dt)$  и  $(2Ds + 7,75Dt)$  соответственно. Тетрагон. расщепление возбужденных октаэдрич. состояний равно  $E['A_{2g}(T_{1g})] - E['E_g(T_{1g})] = 8,75Dt$  и  $E['E_g(T_{2g})] - E['B_{2g}(T_{2g})] = 6Ds + 1,25Dt$ . По положению аддендов  $NH_3$  и  $Cl^-$  в спектрохим. ряду авторы оценивают  $Dt > 0$  и поэтому состояние  $'E_g(T_{1g})$  лежит ниже  $'A_{2g}(T_{1g})$ , причем первое, по-видимому, еще более понижено вследствие конфигурационного взаимодействия с  $'E_g(T_{2g})$  под влиянием тетрагон. возмущения. Авторы полагают, что полосы 6200 и 4300 А в I происходят от расщепления первого возбужденного октаэдрич. состояния  $'T_{1g}$  и поэтому соответственные отнесения будут  $'A_{1g} \rightarrow 'E_g$  и  $'A_{1g} \rightarrow 'A_{2g}$ . Основная часть поглощения происходит из невозбужденного колебательного основного состояния; это электронно-запрещенные переходы  $g \rightarrow g$ . Верхнее состояние  $'A_{2g}$  может проявиться в поглощении только с одновременным возбуждением колебаний или  $\alpha_{1u}$  (поляризация вдоль оси  $a$ ) или  $\epsilon_u$  (ось  $b$ ),  $\beta_{2g}$  с колебаниями  $\beta_{1u}$  или  $\epsilon_u$ , а  $'E_g$  с колебаниями  $\epsilon_u$  (ось  $a$ ) или  $\alpha_{1u}$ ,  $\alpha_{2u}$ ,  $\beta_{1u}$  и  $\beta_{2u}$  (ось  $b$ ). Если рассматривать адденды  $Cl^-$ ,  $NH_3$  или  $en$  как точечные массы в комплексе вида *транс*- $(CoX_2Y_2)$ , то валентные или деформационные колебания симметрии  $\alpha_{1u}$  или  $\beta_{1u}$  не должны существовать. Наличие полос около 6200 А как при параллельной, так и при перпендикулярной поляризации, предполагает, что это действительно предсказанный переход  $'A_{1g} \rightarrow 'E_g$ . Наличие полос около 4300 А только при поляризации вдоль оси  $b$  должно быть связано с отсутствием возможных колебаний симметрии  $\alpha_{1u}$  или  $\beta_{1u}$  в зависимости от симметрии верхнего состояния  $'A_{2g}$  или  $'B_{2g}$ . Е. Шусторович

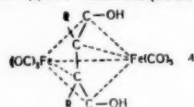
**50411. Строение гидридов  $\pi$ -циклопентадиенилов металлов. Липр (Structure of  $\pi$ -cyclopentadienyl metal hydrides. Liehr Andrew D.), *Naturwissenschaften*, 1957, 44, № 3, 61 (англ.)**

Для объяснения отличий в свойствах  $(C_5H_5)_2ReH$  (I) и  $(C_5H_5)_2RhH$  (II) (I в разб.  $HCl$  присоединяет протон с образованием  $(C_5H_5)_2ReH_2$ , а II — диссоциирует на  $(C_5H_5)_2Rh^+ + H^-$ ) автор предполагает,

что в I атом Н связан с  $d(a_{1g})$ -орбитой Re и находится на оси 5-го порядка ( $z$ ) между  $C_5H_5$  и Re, а в II Н связан с  $S(a_{1g})$ -орбитой Rh и находится в плоскости  $xy$ . Из-за отличия в расположении атом Н в II должен быть слабее экранирован диамагнитно, чем в I. В  $C_5H_5M(CO)_3N(M = Cr, Mo, W)$  предполагается такой же тип связи, как в I, но с расположением Н на оси  $c_5$  между группами CO. М. Дяткина

**50412. Строение мостиковых комплексов получающихся из гидрокарбонила железа и ацетиленовых соединений.** Кларксон, Джонс, Уэйлс, Уайтинг (The structure of the bridged iron complexes from iron hydrocarbonyl and acetylenes. Clarkson R., Jones E. R. H., Wailes P. C., Whiting M. C.), J. Amer. Chem. Soc., 1956, 78, № 23, 6206—6207 (англ.)

Для комплексов состава  $H_2RC \equiv CR'Fe_2(CO)_8$ , где  $R = R' = H$  (I),  $R = H, R' = CH_3$  (II) и  $R = R' = CH_3$  (III), полученных из соответствующих ацетиленовых соединений и моноаниона гидрокарбонила Fe, в отличие от ранее предложенной структуры (РЖХим, 1956, 32230, 1957, 34151) предложена мостиковая структура А. При мягком ацетилировании I дает диацетат (ДА), II дает моноацетат (МА), а III не



изменяется. В более жестких условиях все комплексы превращаются в ДА. Диацетат из II с горячим  $CH_3OH$  дает изомерный МА. Хлорусусный ангидрид превращает оба МА в различные ацетилхлорацетиленовые (т. пл. 107—108 и 89—90° соответственно). Отсюда авторы заключают, что имеющиеся в II две группы OH расположены несимметрично по отношению к молекуле  $CH_3C \equiv CH$  и что группы OH настолько близки к ацетиленовой молекуле, что значительные стерич. помехи возникают даже при метильном замещении в последней. В ацетиленовых комплексах гексакарбонила Co каждая ацетиленовая молекула замещает две группы  $C \equiv O$ , представляя тем самым свои 4  $\pi$ -электрона для  $\pi-d$ -связей комплекса. Аналогично каждая группа  $C \equiv OH$  должна предоставить 3 электрона. В изученных комплексах группа  $[RC \equiv C(OH)]$  в целом должна предоставлять только 8 или 6 (предполагая связь Fe—Fe) электронов. Поэтому вероятно, что 4 электрона используются в  $\sigma$ -связях, по-видимому, между группами  $C \equiv OH$  и остатком ацетиленовой молекулы, что приводит к структуре А. Последняя также подтверждается тем, что III легко взаимодействует с  $K_2Fe(CN)_6$  с образованием диметилмаленинового ангидрида, хотя в отдельности этого недостаточно для доказательства постулированных  $\sigma$ -связей, так как они могли образоваться при окислении. Для стерич. эффекта, наблюдаемого при  $R = CH_3$ , угол  $HO-C-CR$  около  $120^\circ$  предпочтительнее угла  $180^\circ$ , что предполагает  $sp^2$ -гибридизацию для связей  $C-C$  и  $C-O$ .

Е. Шусторович

**50413. Мезопонные соединения.** Ота (メソイオン化合物・大田正樹), 化学と工業, Kagaku to Kogyo, Chem. and Chem. Ind., 1956, 9, № 7, 311—315 (японск.) Обзор. Библи. 24 назв.

**50414. Парциальные заряды на атомах в органических соединениях.** Сандерсон (Partial charges on atoms in organic compounds. Sanderson R. T.), Science, 1955, 121, № 3137, 207—208 (англ.)

Высказывается предположение, что электроотрицательности атомов в молекулах выравниваются, вследствие чего на образующих связь атомах появляются

соответствующие по величине заряды. Изменение электроотрицательности атома в молекуле автор определяет, на основании предположения о линейном характере зависимости электроотрицательности от заряда на атоме, принимая в качестве стандарта связь в изолированной молекуле NaF, которая на 75% ионна. Вводится понятие парц. заряда  $\delta_E$ , определяемого как отношение изменения электроотрицательности при введении атома в молекулу  $[SR_{\text{соед.}} - SR_E]$  к изменению электроотрицательности, когда заряд атома меняется на единицу  $[\Delta SR_{E-E^+}]$ . Приведены результаты вычисления величин  $SR_E$  и  $\Delta SR_{E-E^+}$ , необходимых для расчета  $\delta_E$  атомов C, H, O, N, F, Cl, Br, J, P, S и Si. При проведении вычислений электроотрицательность выражалась через отношение стабильности ( $SR$ ). Автор отмечает, что наличие парц. зарядов на атомах может быть обусловлено не только полярностью связей, но и стерич. особенностями и электростатич. взаимодействием заряженных атомов в молекулах, непосредственно не связанных; более подвижные электроны в кратных связях особенно подвержены электростатич. влиянию полярных связей и могут вызвать противоположный эффект; при оценке электронодонорных или электронакцепторных свойств атомов или групп атомов следует учитывать также влияние их окружения. В. Александрия

**50415. Относительные стабильности *цис*- и *транс*-изомеров. II. Кольцевые системы типа декалина и гидриндана.** Аллингера (The relative stabilities of *cis* and *trans* isomers. II. The decalin and hydriindan ring systems. Allinger Norman L.), J. Organ. Chem., 1956, 21, № 8, 915—917 (англ.)

Указывается, что имеющиеся в литературе противоречивые оценки относительной стабильности *цис*- и *транс*-изомеров кольцевых систем типа декалина и гидриндана в жидкой фазе основаны на смешении свободных энергий  $F$  и энтальпий  $H$  этих изомеров. В рассматриваемых системах II *транс*-изомера меньше, чем *цис*-изомера, но и энтропия  $S$  *транс*-изомера меньше, чем *цис*-изомера (так как *транс*-изомер более жесткий), так что  $\Delta F$ , определяющая относительную стабильность изомеров, может иметь различный знак в зависимости от соотношения между  $\Delta H$  и  $\Delta S$ . Приведена таблица имеющихся в литературе данных по  $F$  и  $H$  *цис*- и *транс*-изомеров декалина (I), 9-метилдекалина (II), гидриндана (III) и 8-метилгидриндана (IV). В I  $\Delta H = H_{\text{цис}} - H_{\text{транс}} = 2,1$  ккал/моль, что обеспечивает большую стабильность *транс*-изомера. В II  $\Delta H$  составляет всего 0,8 ккал/моль, благодаря чему в его 1-кето-производных  $\Delta F = F_{\text{цис}} - F_{\text{транс}} = \Delta H$  составляет всего 0,8 ккал/моль, благодаря чему в  $-0,42$  ккал/моль, так что более стабильным является *цис*-изомер. Когда II входит в стероидное кольцо, то  $\Delta S$  уменьшается (так как *цис*-изомер также становится жестким), благодаря чему в этом случае *транс*-изомер (холестан) более стабилен, чем *цис*-изомер (копростан). Аналогичные соображения, по мнению автора, объясняют, почему в III ( $\Delta H = 1,8$  ккал/моль) и его 2-кетопроизводных ( $\Delta H = 2$  ккал/моль) более стабильным является *транс*-, а в 1- и 4-кето-производных — *цис*-изомер. В IV  $\Delta H$  мало, так что определяющую роль играет  $\Delta S$  и более стабилен *цис*-изомер. Сообщение I см. РЖХим, 1955, 23571. О. Птицын

**50416. Димер воды и его влияние на масспектроскопические измерения  $C_3^+$  в парах углерода.** Чупка, Инграм (Water Dimer and Its Relation to Mass Spectrometric Measurement of  $C_3^+$  in carbon vapor. Chupka W. A., Inghram M. G.), J. Chem. Phys. 1955, 23, № 1, 203—204



Опровергнуто выдвинутое ранее предположение о том, что пик с массой 36, в предыдущих опытах (РЖХим, 1955, 45261) обусловлен только  $(\text{H}_2\text{O})_2^+$ . Показано, что в основном этот пик, как и предполагалось ранее, обусловлен  $\text{C}_3^+$ . Е. Попов

**50417. Коэффициент ионизации Таунсенда для водорода и дейтерия.** Роз (Townsend ionization coefficient for hydrogen and deuterium. Rose D. J.), Phys. Rev., 1956, 104, № 2, 273—277 (англ.)

Коэффициент ионизации Таунсенда  $\alpha/P_0$  (см  $\times$  мм рт. ст. при  $0^\circ$ )<sup>-1</sup> для  $\text{H}_2$  и  $\text{D}_2$  измерялся в плоском электрич. поле как функция  $E/P_0$  (в  $\times$  мм рт. ст. при  $0^\circ$ ) от  $E/P_0 = 15$  ( $\alpha/P_0 = 2,6 \cdot 10^{-4}$  для  $\text{H}_2$ ) до  $10^3$  ( $\alpha/P_0 = 4,35$  для  $\text{H}_2$ ). Показано, что  $\alpha/P_0$  для  $\text{H}_2$  совпадает с  $\alpha/P_0$  для  $\text{D}_2$  при малых значениях  $P_0/E$  и в  $\sim 2$  раза меньше при больших  $P_0/E$ . Обсуждаются причины этого отличия. Е. Франкевич

**50418. Потенциалы ионизации карбонильных соединений.** Хигаси, Омута, Баба (Ionization potentials of carbonyl molecules. Higasi K., Omura I., Baba H.), Nature, 1956, 178, № 4534, 652 (англ.)

Масс-спектрометрическим методом измерены первые потенциалы ионизации ( $I$ ), соответствующие отрыву несвязывающего электрона атома  $\text{O}$  карбонильной группы (в эв):  $\text{H}_2\text{C} = 0,10,88$ ,  $\text{H} \cdot \text{C}(\text{OH})_3$  10,26,  $\text{NH}_2 \cdot \text{COH} -$ ,  $\text{H} \cdot \text{CHO}$  11,51,  $\text{CH}_3\text{COH}$  10,26,  $(\text{CH}_3)_2\text{C}=\text{O}$  9,89,  $\text{NH}_2 \cdot \text{CH}_2\text{C}=\text{O}$  10,36,  $\text{OH} \cdot \text{C}(\text{OH})_3$  10,66,  $\text{CH}_3\text{CH}_2 \cdot \text{C}(\text{OH})_3$  9,74,  $\text{CH}_3\text{NH} \cdot \text{C}(\text{OH})_3$  10,21,  $\text{OCH}_3 \cdot \text{C}(\text{OH})_3$  10,51. Из приведенных данных следует, что замена атома  $\text{H}$  в  $\text{H} \cdot \text{CHO}$  и  $\text{H} \cdot \text{C}(\text{OH})_3$  на  $\text{CH}_3$  или  $\text{CH}_2\text{CH}_3$  снижает  $I$ , в то время как при замене атома  $\text{H}$  на  $\text{NH}_2$ ,  $\text{OH}$  или  $\text{OCH}_3$  наблюдается повышение  $I$ . Наблюдаемые эффекты объясняются индуктивным влиянием замещающих групп. М. Полтева

**50419. Спектр испускания азота в северных сияниях.** Эрман, Морель, Эрман (Emission du spectre de l'azote dans les aurores de haute latitude. Herman L., Morel J., Herman R.), Ann. géophys., 1956, 12, № 3, 228—231 (франц.)

Результаты изучения в лабор. условиях дезактивации метастабильных молекул  $\text{N}_2(A^3\Sigma)$  при соударениях с электронами и нормальными молекулами  $\text{N}_2(X^1\Sigma)$  привлекаются для рассмотрения процессов излучения спектра азота в северном сиянии. На основании анализа изменения соотношения интенсивностей разрешенной 2-й положительной системы и запрещенной системы Вегарда-Каплана в зависимости от высоты сияния показано, что на высотах  $< 100$  км дезактивация за счет соударений с электронами пренебрежимо мала по сравнению с молекулярной дезактивацией. В. Дианов-Клюков

**50420. Некоторые инфракрасные полосы молекулы  $\text{SrO}$ .** Лагерквист, Селин (Einige ultrarotul Banden des  $\text{SrO}$  Moleküles. Lagerqvist Albin, Selin Lars-Erik), Arkiv fys., 1957, 11, № 4, 323—328 (нем.)

Проведен вращательный анализ полос 0-2, 1-3, 2-4 и 3-5 перехода  $A^1\Sigma - X^1\Sigma$   $\text{SrO}$ , полученных в дуге и снятых с большим разрешением. Вращательные постоянные для нижнего состояния (см<sup>-1</sup>):  $B_2''$  0,3326;  $B_3''$  0,3305;  $B_4''$  0,3279;  $B_5''$  0,3256;  $D_2''$   $0,39 \cdot 10^{-6}$ ;  $D_3''$  0,41;  $D_4''$  0,40;  $D_5''$  0,41. Обнаружена новая система полос с отчетливыми квантами в области 10 900—11 200 Å, по-видимому, принадлежащая  $\text{SrO}$ . Приведены таблицы наблюдаемых полос и фотографии спектров. В. Дианов-Клюков

**50421. Пропускание искусственных атмосфер в инфракрасной области.** IV. Приложение теоретических моделей полос. Говард, Берч, Вильямс (Infrared transmission of synthetic atmospheres. IV. Application of theoretical band models. Howard

J. N., Burch D. E., Williams Dudley), J. Opt. Soc. America, 1956, 46, № 5, 334—338 (англ.)

Для определения формы и интенсивности наблюдаемых контуров полос поглощения, состоящих из большого числа линий тонкой структуры, описываются два типа теоретич. моделей, которые применяются к ИК полосам поглощения  $\text{CO}_2$  и  $\text{H}_2\text{O}$ . В случае  $\text{CO}_2$ , когда тонкая структура имеет регулярный характер, используется модель Эльзассера, предполагающая равноотстоящие линии с одинаковой интенсивностью и лоренцовой формой. Для  $\text{H}_2\text{O}$ , тонкая структура полос которой имеет нерегулярный характер, удовлетворительные результаты дает статистич. модель Гуды, предполагающая случайные распределения расстояний между линиями и интенсивностей этих линий (форма линий опять принимается лоренцовой). Значения обобщенных коэф. поглощения хорошо передают наблюдаемую картину распределения интенсивностей. Для воды вычисленная зависимость пропускания от логарифма относительной концентрации оказывается, как ранее указывалось Гуды, одинаковой для всех полос поглощения (6,3; 2,7; 3,2; 1,87; 1,38 и 1,1μ). Вычисленные контуры полос поглощения удовлетворительно передают наблюдаемые. Ч. III, РЖХим, 1957, 47057.

В. Дианов-Клюков

**50422. Времена релаксации колебаний двухатомных молекул и ракетная характеристика.** Пенни, Арёсте (Vibrational relaxation times of diatomic molecules and rocket performance. Penny H. C., Aroeste Henry), J. Chem. Phys., 1955, 23, № 7, 1281—1283 (англ.)

В смеси молекул двух типов  $a$  и  $b$  определяются вероятности столкновений с одновременными колебательными переходами. Вероятности табулированы и представлены графически как функции от  $t$ -ры для двух газовых смесей  $\text{O}_2\text{-N}_2$  и  $\text{HF-N}_2$ . Вычисление вероятностей производилось по методу, изложенному ранее (Schwartz и др., J. Chem. Phys., 1952, 20, 1591; и РЖХим, 1955, 18282). Для  $\text{O}_2\text{-N}_2$  расчеты производились для интервала  $t$ -р 400—3000° К; а для  $\text{HF-N}_2$  1000—3000° К. Для каждой вероятности в обоих случаях рассчитана нижняя температурная граница применимости теории. Данные для  $\text{HF-N}_2$  применяются для доказательства того, что адиабатич. расширение  $\text{HF-N}_2$  газовой смеси в сопле Лавала ракетного двигателя может рассматриваться как почти равновесный поток. Доказательство основано на незначительности температурного запаздывания в струе  $\Delta T$ , связанного с временем релаксации колебаний  $t$ . Оценка дает  $t_m < 1 \cdot 10^{-7}$  сек., соответственно  $\Delta T \leq 3^\circ \text{K}$ .

Э. Фрадкий

**50423. Резонанс Ферми в спектре испускания бензола.** Лич (Résonance de Fermi dans le spectre d'émission du benzène. Leach Sydney), J. chim. phys. et phys.-chim. biol., 1955, 52, № 1, 12—23 (франц.)

Проведено детальное исследование ранее измеренного (РЖХим, 1956, 18498) спектра испускания паров бензола в близкой УФ-области и обнаружена существенная роль резонанса Ферми в этой области, что требует частичного изменения данной ранее интерпретации спектров флуоресценции (Garforth F. M., Ingold C. K., J. Chem. Soc., 1948, 427) и испускания (Asundi R. K., Radhye M. R., Indian J. Phys., 1949, 23, 199, 281).

Т. Бирштейн

**50424. Электронные состояния  $p$ -бензохинона.** Сидман (Electronic states of  $p$ -benzoquinone. Sidman Jerome W.), J. Amer. Chem. Soc., 1956, 78, № 11, 2363—2367 (англ.)

Исследованы спектры поглощения монокристаллов  $p$ -бензохинона в интервале 15 000—35 000 см<sup>-1</sup> в поляризованном свете при 20,4° К. Обнаружены 4 области



поглощения, которые связываются с 4-мя электронными переходами. Первые 3 перехода в видимой части спектра, безколебательные уровни которых имеют частоту 18942, 20206 и 21003  $\text{см}^{-1}$ , являются переходами типа  $n \rightarrow \pi^*$ . Малая величина поглощения и сдвиг спектров р-ров  $n$ -бензохинона в коротковолновую сторону при переходе от петр. эфира в качестве р-рителя к этиловому спирту и воде подтверждает это заключение. На основании анализа спектра автор приходит к выводу, что в области 18942—20061  $\text{см}^{-1}$  расположен синглет-триплетный переход  $^1A \rightarrow ^3U$ ; переходы в области 20206—20894  $\text{см}^{-1}$  и 21003—25040  $\text{см}^{-1}$  являются запрещенными синглет-синглетными переходами  $^1A \rightarrow ^1U$ ; слабый, локально запрещенный  $\pi \rightarrow \pi^*$ -переход в области 30110—33000  $\text{см}^{-1}$  имеет симметрию  $^1A_u \rightarrow ^1B_{2u}$ , причем есть указания на преддиссоциацию в верхнем состоянии. Приводится колебательный анализ спектра.

В. Бруде

**50425. Влияние алкильного замещения на спектры поглощения о- и п-бензохинонов в ближней ультрафиолетовой области. Кубо Яма (O-およびp-ベンゾキノンの近紫外部吸収帯におよぼすアルキル基置換の影響について. 久保山昭), Япония, Япония, Нихон катсугу дзасси, J. Chem. Soc. Japan. Pure Chem. Sec., 1956, 77, № 7, 1062—1066 (японск.)**

Измерены спектры поглощения о-бензохинона (I), 4-метил-I и 3-н-пентадецил-I в  $n$ -гексане и этиловом эфире и п-бензохинона (II), 2-метил-II и 2-н-бутадецил-I в  $n$ -гексане в ближней УФ-области. Сдвиги максимумов поглощения (в длинно- и коротковолновые стороны), обусловленные алкильным замещением, объясняются качественно путем рассмотрения квадратов коэф. при атомных орбитах в полумпирич. ЛКАО—МО.

Chem. Abstr., 1957, № 2, 853.

Masaji Kubo

**50426. Спектр поглощения газообразного трополона в ближней ультрафиолетовой области. Иманиси, Ито (Near ultraviolet absorption spectrum of tropolone vapor. Imanishi Sunao, Ito Mitsuo), J. Chem. Phys., 1956, 24, № 6, 1272 (англ.)**

Исследован спектр поглощения газообразного трополона в области 3375—3915 Å при  $t$ -ре 40—145°. Отмечена резкая полоса при 3699,53 Å, являющаяся дублетом с компонентами, разделенными промежуток в 3,5  $\text{см}^{-1}$ . Компонент дублета, расположенный в более коротковолновой области, принят за переход 0—0. С коротковолновой стороны полосы при 40—50° отмечено ~220 полос с главной прогрессией с интервалом 642  $\text{см}^{-1}$ , из которых найдены колебательные частоты возбужденного состояния. Частота 642  $\text{см}^{-1}$  (в основном состоянии 742  $\text{см}^{-1}$ ) отнесена к полностью симметричному колебанию 7-членного кольца. Полосы 1385, 1476 и 1552  $\text{см}^{-1}$  отнесены к вал. кол. С=О. С длинноволновой стороны полосы наблюдалось ~200 полос, в которых идентифицированы колебательные частоты основного состояния.

М. Полтева

**50427. Спектральное исследование вюрстеровского голубого и тетраметил- $n$ -фенилендиамина и интерпретация электронных переходов. Олбрехт, Симпсон (Spectroscopic study of Wurster's Blue and tetramethyl- $p$ -phenylenediamine with assignments of electronic transitions. Albrecht Andreas C., Simpson William T.), J. Amer. Chem. Soc., 1955, 77, № 17, 4454—4461 (англ.)**

Исследованы спектры поглощения р-ров  $N,N,N',N'$ -тетраметил- $n$ -фенилендиамина (I) вюрстеровского голубого (перхлората (IIa) и положительно заряженного свободного радикала (IIб)) при комнатной  $t$ -ре (I, IIa) и —195° (I, IIб) в области 2100—6500 Å и спектр люминесценции р-ра IIб при —195°. Р-рители: для I пропиловый спирт и для IIa вода, а для исследований

при —195° смесь изонентана с  $n$ - или изопропиловым спиртом или  $n$ -бутиловым спиртом. Облучение светом р-ров I приводило к фотоокислению и образованию IIб. При облучении твердых р-ров I линейнополяризованным светом образовывались правильно ориентированные молекулы IIб, а неокисленные молекулы I оказывались с преимущественной ориентацией. Из полученных спектров поглощения в поляризованном свете определено отношение интенсивностей полос поглощения в компонентах спектра. Установлено, что в спектре поглощения I полоса 3180 Å поляризована вдоль  $y$ -оси молекулы в плоскости кольца перпендикулярно связи, ведущей к заместителю, а полоса 2620 Å — вдоль  $x$ -оси (так же, но перпендикулярно связи). Аналогично для IIб полосы: 2580 (?), 3250 (IIz), 3950 (IIy), 5650 Å (IIx). Полученные результаты, а также сопоставление полос « $x$ » и « $y$ » I с полосами поглощения бензола 2200 и 2600 Å подтверждают еще раз, что 2 наименьших возбужденных электронных уровня бензола имеют симметрию  $B_{2u}$  и  $B_{1u}$ . На основании теории мол. орбит приводятся некоторые соображения по классификации полос исследуемых спектров. Теоретически оцененное поляризационное отношение согласуется с качественной интерпретацией кривых поглощения.

В. Бруде

**60428. Ультрафиолетовые спектры некоторых производных бромфурфуретиленов. Андриано, Паллардо (Spettri U. V. di alcuni derivati bromo-furil-tilenici. Andrisano Renato, Pappalardo Giovanni), Gazz. chim. ital., 1955, 85, № 4, 391—399 (итал.)**

Продолжено изучение влияния заместителей в фурановом цикле (сравнительно с бензольным) на спектры поглощения (СП). Исследованы УФ-спектры 5-бромфурфурала 2-к-ты (I), ее метилового и этилового эфиров (МЭ и ЭЭ), 5-бром-2-фуральацетона (II),  $n$ -бромкоричной к-ты (III), ее МЭ и ЭЭ,  $n$ -бромбензальацетона (IV), 5-бромфурфуркарбонной 2-к-ты (V), ее МЭ и ЭЭ, 5-бром-2-ацетилфурана (VI),  $n$ -бромбензойной к-ты, ее МЭ и ЭЭ и  $n$ -бромфурфурфенола (VII) в спирт. р-ре. Приводятся  $\lambda_{\text{макс}}$ ,  $\lg \epsilon$  и кривые СП I—VII и их производных и для сравнения —  $\lambda_{\text{макс}}$  и  $\lg \epsilon$  их незамещ. бромом аналогов, исследованных ранее (РЖХим, 1954, 26936, 1955, 13383). Найдено, что введение группы —CH=CH—, удлиняя сопряженную систему, вызывает bathochromный сдвиг, всегда больший для производных фурана, чем для производных бензола; введение Br в  $\alpha$ -, соответственно в пара-положение вследствие наложения индуктивного и противоположного по знаку более слабого мезомерного эффектов вызывает сдвиги  $\lambda_{\text{макс}}$  переменной величины и направления. I синтезирована конденсацией 5-бромфурфурола (VIII) и малоновой к-ты (IX) в присутствии пиперидина, т. пл. 180° (из кислоты или этилацетата); МЭ, т. кип. 193°/18 мм, т. пл. 92—93° (из лигр.); ЭЭ, т. кип. 200°/18 мм, т. пл. 77° (из лигр.). II получен конденсацией VIII и ацетона в водн. спирте в присутствии NaOH, т. пл. 56—57° (из лигр.). III синтезирована аналогично I из  $n$ -бромбензальацетона (X) и IX, т. пл. 255° (из сп.); МЭ, т. пл. 84° (из сп.); ЭЭ, т. кип. 180°/18 мм. IV получен аналогично II из X и ацетона, т. пл. 83—84° (из лигр.). V получена бромированием фуран-2-карбоновой 2-к-ты, т. пл. 190—191° (из воды); МЭ, т. пл. 65°; ЭЭ, т. кип. 146°/18 мм. VI синтезирован действием  $\text{CH}_2\text{N}_2$  на VIII, т. пл. 95° (из лигр.). VII получен по литературным данным, т. пл. 50° (из сп.).

А. Сергеев

**50429. К вопросу об анализе структурных влияний на спектр. I. Сравнительное изучение явлений цветности у азоэтинов типа  $\text{O}_2\text{NC}_6\text{H}_4\text{CH}=\text{NC}_6\text{H}_4\text{N}$  и  $\text{AC}_6\text{H}_4\text{CH}=\text{NC}_6\text{H}_4\text{NO}_2$ . Спектры отражения и погло-**

щения. Измаильский В. А., Смирнов Е. А., Ж. общ. химии, 1956, 26, № 11, 3042—3060

Исследованы: окраска в кристаллах и порошке, спектры отражения (CO) в видимой и спектры поглощения (СП) — в области 220—650 мμ растворов в этиловом спирте или дихлорэтаноле, анилов 2 типов (А)  $C_6H_5CH=NC_6H_4N(CH_3)_{2-n}$  (I);  $n-NO_2C_6H_4CH=NC_6H_5$  (II);  $n-NO_2C_6H_4CH=NC_6H_4OH-n$  (III);  $n-NO_2C_6H_4CH=NC_6H_5N(CH_3)_{2-n}$  (IV); (Б)  $n-(CH_3)_2NC_6H_4CH=NC_6H_5$  (V);  $C_6H_5CH=NC_6H_4NO_2$  (VI);  $n-HOC_6H_4CH=NC_6H_4NO_2-n$  (VII);  $n-(CH_3)_2NC_6H_4CH=NC_6H_4NO_2-n$  (VIII), а также незамененного  $C_6H_5CH=NC_6H_5$  (IX). Приведены кривые CO, и кривые λ<sub>макс</sub>. СП I—IX. Найдено, что I—IV (электрофильная группа в бензидиновом или электронодонорная — в анилиновом компоненте) в твердом виде и растворах окрашены более глубоко, чем V—VIII (обратное расположение заместителей). Кривые (CO) типа (А) сдвинуты по отношению к кривым (CO) типа (Б) bathохромно, причем наибольший сдвиг наблюдается у соединений, содержащих одновременно обе группы (электронодонорную и электронофильную) по сравнению с соединениями с одной из указанных групп. В СП типа (Б) наблюдается гипсохромное смещение длинноволнового максимума по сравнению с (СП) типа (А). Наибольшее смещение (47 мμ) — у соединений, содержащих одновременно группы  $NO_2$  и  $N(CH_3)_2$ , а наименьшее (3 мμ) — у соединений только с группой  $NO_2$ . Наблюдающийся в спектрах типа (А) коротковолновый максимум (260—320 мμ) появляется в спектре (IX). У некоторых соединений (Б) появляется еще более коротковолновый максимум. В основном (СП) типа (Б) напоминают спектры раствора *n*-нитроанилина. Для выяснения зависимости между структурой молекул и «цветностью» применяется гипотеза об электронном смещении и принцип разложения структур (ДАН СССР 1948, 60, 587) молекулы на сложные полярные хромоморфные системы: электрофильные ВК и электронодонорные АК. Введение донорного заместителя в донорную группу усиливает ее донорные свойства, а введение электрофильного в электрофильную же часть усиливает электрофильные свойства последней. В результате образуются две довольно сильные хромоморфные системы, противоположные по характеру, взаимодействие которых или через группу  $-CH=N-$  или непосредственно экзомолекулярно приводит к глубокой окраске и соответственно интенсивному поглощению. При обратном положении заместителей, вследствие предполагаемого сопряжения оиевого дублета атома азота азометиновой группы с  $NO_2$  и образования в результате двух как бы отдельных частей молекулы типа В—К—А, из которых каждая состоит из более слабых (по сравнению с типом (А)) электрофильных и электронодонорных систем, наблюдается гипсохромное смещение кривых поглощения соединений типа (Б) по сравнению с типом (А). Показана ошибочность взглядов Дильтея-Винцингера на роль  $-CH=N$ , как главного хромфора в анилах. Подвергнуты критике формулы тонкого электронного строения. I, IV, V, VI и VIII получены по лит. данным; перечисляются анал. т. пл. в °C (p-ритель): 1,99 (из  $CH_3OH$ ); IV, 219,5—220 (из толуола); V 100 (из  $CH_3OH$ ); VI, 117—118 (из бал. + бал.); VIII, 201—202 (из ацетона). VII получен конденсацией равных кол-в  $n-ONC_6H_4CHO$  и  $n-NO_2C_6H_4NH_2$  при 130—135°, 1 ч., т. пл. 202—203; (из дихлорэтана). Получение II, III и IX см. РЖХим, 1957, 33544.

А. Сергеев  
50430. I. Спектры некоторых гомологических шестичленных N-гетероциклов при низких температурах и их связь со спектрами акридиновых красителей. Цанкер (I. Die Tieftemperturspektren einiger homologer sechsgliedriger N-Heterocyclusen und ihre

Entwicklung zu den Spektren der Acridinfarbstoffe. Zanker Valentin), Z. phys. Chem. (Frankfurt), 1954, 2, № 1-2, 52—78 (нем.)

Измерены спектры поглощения в УФ (217—400 мμ) и видимой областях р-ров: пиридина (I), хинолина (II), акридина (III), 3-аминоакридина (IV), 3-диметиламиноакридина (V), 3,6-бис-диметиламиноакридина (VI), катионов их: I, II, III и катионов одно- и двухкислотных солей: IV, V, VI в замороженных р-рах смеси спирта с эфиром (1:2) при *t*-рах от -130 до -183°, а также спектры поглощения VI с различной конц-ей р-ров ( $10^{-2}$ ,  $10^{-3}$ ,  $10^{-4}$  M) и спектры флуоресценции VI, возбуждаемой поляризованным светом (при различных углах поляризации, в интервале конц-ий  $10^{-3}$ — $10^{-5}$  M). Рассматриваются две наиболее длинноволновые системы полос (18 000—45 000  $cm^{-1}$ ), которые по аналогии с полиаценами (4) приписываются двум поляризациям электронного перехода: вдоль длинной оси молекулы (b) и перпендикулярно ей (a). Для катиона I эта система идентифицируется с системой бензола. Переход от I к II, III, а также IV, V и их катионам вызывает различные изменения в обоих компонентах спектра (положение, интенсивность). Идентификация полос VI проводится с помощью данных спектров флуоресценции. Переход к спектрам диаминозамещенных акридиновых соединений показывает, что типичная «полоса красителя» акридинового красителя присутствует уже в спектрах основных соединений. Введение аукохромных заместителей в III не вызывает появления новых длинноволновых полос в спектре, а изменяет их положение. Изменение конц-ий р-ра VI вызывает изменение интенсивности полос поглощения.

Н. Спасокукоцкий

50431. Спектры поглощения гетероциклических соединений. V. Спектры поглощения селенофена и N-метилпиррола в шумановской области. Милаццо, Мишер. VI. Опыт отнесения спектров молекул с пятичленным циклом. Милаццо (Spettri di assorbimento di composti eterociclici. V. Gli spettri di assorbimento del selenofene e del N-metil-pirrolo nella regione di Schumann. Milazzo G., Miescher E. VI. Tentativo di interpretazione degli spettri di molecole ad anello pentatomico. Milazzo Giulio), Rend. Ist. super. sanità, 1956, 19, № 1, 80—85; 86—95 (итал.; реф. франц., англ., нем.)

V. Исследованы спектры поглощения (СП) селенофена (I) и N-метилпиррола (II) в шумановской области; приведены кривые СП и λ<sub>макс</sub>. I дает непрерывный СП, в котором можно отличить 3 широкие размытые полосы, II — также непрерывный СП, в котором налицо 3 налагающиеся друг на друга системы полос: 1-я довольно резкая, 2-я и 3-я — широкие размытые. Эти факты объяснены для молекул I и II тремя электронными переходами с очень малым временем жизни возбужденных состояний (часть IV, РЖХим, 1957, 10855).

VI. Произведено сравнение СП в УФ-области до 1600 Å гетероциклич. соединений, содержащих 5-членные циклы с 1 гетероатомом: фурана (III), пиррола (IV), тифена (V) и I. Гомоциклич. сопряжение между π-электронами атомов C и парой несвязанных электронов гетероатома, по-видимому, правильно возрастает от I к V и снова падает от V к I. Системы полос в области 2500 Å, имеющиеся у II—I, могут быть отнесены к электронному секстету бензольного типа, образуемому при гомоциклич. сопряжении указанных электронов. Для систем полос ~ 2000 Å II—I наиболее вероятно отнесение их за счет электронов гетероатома, не участвующих в связях. Приведены λ<sub>макс</sub> и кривые СП.

А. Сергеев

**50432. УФ-спектры поглощения некоторых дифениленоксидов.** Черниани, Пассерини, Риги (Spettri di assorbimento U. V. di alcuni difenilenossidi. Cerniani A., Passerini R., Righi Guido), Boll. scient. Fac. chim. industr. Bologna, 1954, 12, № 2, 75—81 (итал.).

В продолжение спектроскопич. исследований производных дибензо-тиофена (I) и дибензо-селенофена (II) (РЖХим, 1957, 36822), изучены УФ-спектры поглощения (СП) дифениленоксида (III) и его производных. 3-CH<sub>3</sub>, 2- и 3-Cl, 2- и 3-Br, 2- и 3-I, 2- и 3-NO<sub>2</sub>, 2- и 3-NH<sub>2</sub>, 2-NO<sub>2</sub>-3-NH<sub>2</sub>, 3,6-(NO<sub>2</sub>)<sub>2</sub> (IV), 3-NH<sub>2</sub>-6-NO<sub>2</sub> (V), 3-NHCOCH<sub>3</sub>-6-NO<sub>2</sub>, 3,6-(NH<sub>2</sub>)<sub>2</sub> (VI), 2,6-(NO<sub>2</sub>)<sub>2</sub>, 2-NH<sub>2</sub>-6-NO<sub>2</sub> и 2,6-(NH<sub>2</sub>)<sub>2</sub> в спирте или циклогексане (1:100 000) при 20°, а также III в конц. H<sub>2</sub>SO<sub>4</sub> и абс. спирте при —80°. Приведены  $\lambda_{\text{макс.}}$ ,  $\lg \epsilon$  и некоторые кривые СП. Отмечена значительная аналогия СП III и II (след. и I), позволяющая отнести поглощение III в области: 219—226 мк к колебаниям типа E<sub>1u</sub>, в области 241—249 мк — к возбуждению бифенильного хромофора (тип B<sub>1u</sub>), в области 278—300 мк — к возбуждению молекулы в целом (тип B<sub>2u</sub>). Замещение на CH<sub>3</sub> и галогены существенно не изменяет СП III, за исключением J в положении 2, который вызывает умеренный bathochromный сдвиг и увеличение интенсивности. Введение NO<sub>2</sub>, обладающей сильным I- и M-эффектом, вследствие сопряжения с бензольным ядром, сильно влияет на СП, так же как и введение NH<sub>2</sub>. Охарактеризованы основные хромофоры, ответственные за поглощение производных III. V получен восстановлением суспензии 1 г IV в 100 мл спирта 20%-ным водн. р-ром Na<sub>2</sub>S (кипчение 45 мин.), очищен через хлоридрат; т. пл. 185—187° (из спирта). VI получен действием 12 г Sn и 24 мл конц. HCl на 3 г IV, т. пл. 212—213° (из водн. спирта 1:1). А. Сергеев

**50433. Доказательство *цис-транс*-конфигураций и эффективности сопряжения в  $\alpha$ -фенилхалконах.** Блэк, Луц (Evidence for the *cis-trans* configurations and effective conjugations of  $\alpha$ -phenylchalcones. Black W. Bruce, Lutz Robert E.), J. Amer. Chem. Soc., 1953, 75, № 23, 5990—5997 (англ.).

Исследованы спектры поглощения р-ров *цис*-(Ia) и *транс*- $\alpha$ -фенилхалконов (Ib), *цис*-(IIa) и *транс*-3-(4-нитро)- $\alpha$ -фенилхалконов (IIb), *цис*-(IIIa) и *транс*-2-(4-нитро)- $\alpha$ -фенилхалконов (IIIb), *цис*- и *транс*-халконов (IV) и *цис* и *транс*-4-нитрохалконов (V) в этаноле в области 220—400 мк. Сравнение IV и V показывает, что введение группы NO<sub>2</sub> не вызывает значительного bathochromного смещения длинноволновой полосы поглощения в области 300 мк. *Транс*-изомеры IV и V поглощают в этой области значительно сильнее, чем *цис*-изомеры, что может быть связано с нарушением копланарности при переходе *транс-цис*. Полоса поглощения в области 240—260 мк, приписываемая отдельным бензольным группам, при переходе от *цис*- к *транс*-(IV, V) исчезает. Сравнение Ia и Ib с IIa и IIb показывает, что введение группы NO<sub>2</sub> в группу 3-C<sub>6</sub>H<sub>5</sub> приводит к значительному bathochromному смещению длинноволновой полосы поглощения. Наблюдаемое смещение объясняют большим сопряжением группы NO<sub>2</sub> с системой стильбена, чем с системой халкона. Эти же выводы относятся к IIIa и IIIb. Полученные данные согласуются с большей способностью *транс*-изомеров к нуклеофильным 1,4-присоединениям.

А. Золотаревский

**50434. Природа концентрационных эффектов в растворах акридиновых соединений.** Левшин Л. В., Докл. АН СССР, 1956, 108, № 2, 228—231

Изучалась причина обратимых изменений спектров поглощения и люминесценции 3,6-диаминиакридина (I) и 9-аминоакридина (II) с ростом их конц-и в

спирт. р-рах. Аналогичная деформация спектров может быть вызвана изменением pH среды при постоянной конц-и I или II. Это явление автор объясняет существованием двух окрашенных форм указанных соединений, переходящих друг в друга с изменением pH: при pH < 8,5 преобладает первая форма соединения I, имеющая более коротковолновый спектр люминесценции и длинноволновый спектр поглощения, при pH > 11 большинство молекул I находится во второй форме (РЖХим, 1957, 25772). В спектрах люминесценции и поглощения обеих форм I наблюдается зеркальная симметрия. Частоты электронного перехода для первой и второй форм I равны соответственно 21 050 и 22 100 см<sup>-1</sup>. Отмечена также большая фотохим. чувствительность второй формы. В. Ермолаев

**50435. Природа концентрационных эффектов у растворов радаминов.** Левшин В. Л., Баранова Е. Г., Изв. АН СССР. Сер. физ., 1956, 20, № 4, 424—432

Проведено исследование концентрационных эффектов в водн. р-рах радамина 3В экстра (I) и радамина 6Ж экстра (II). Показана независимость формы спектров поглощения этих р-ров от величины pH. Выяснено, что при повышении конц-и (1,5·10<sup>-3</sup>—3·10<sup>-3</sup> г/см<sup>3</sup>) ультрафиолетовая область спектра не меняется, а изменяется лишь видимая. Это означает, что ассоциация происходит за счет  $\pi$ -электронов. Температурные исследования показали, что при малых конц-ях в интервале 20—80° спектр поглощения не меняется. Наблюдающийся добавочный максимум в спектре р-ра высокой конц-и при 20° (I) при повышении т-ры исчезает и спектр делается похожим на (I). Форма спектров излучения р-ра (II) при изменении конц-и остается неизменной, — следовательно II излучает мономеры. У конц. р-ров при повышении т-ры наблюдается нарастание свечения (достигающее до 700%). Данные степени ассоциации, вычисленные из концентрационной зависимости спектров поглощения и законов разгара люминесценции конц. р-ра при нагревании, согласуются. В. Бродуе

**50436. Температурное тушение люминесценции антрацена и нафтацена.** Файдиш О. М. (Температурне гасіння люмінесценції антрацену і нафтацену. Файдиш О. М.), Наук. зап. Київськ. ун-т, 1956, 15, № 5, 67—70 (укр.; рез. русск.).

Исследовано влияние миграции энергии электронного возбуждения на температурное тушение (ТТ): чистых кристаллов антрацена (I) (интервал т-р 20—220°, возбуждение группой ртутных линий 366 мк); I в нафталине (II) (35—65°, 366 мк, C-0,01%, 0,1%, 0,5%); р-ра нафтацена (III) в I и II (35—65°, 366 мк и 35—65°, 366 мк; 20—70°, 435 мк C-0,01%); кристаллов I с примесью II (35—65°, 366 мк, C-0,01%). В результате было установлено, что ТТ (35—65°, 366 мк) чистых кристаллов I (9—12%) равно приблизительно сумме ТТ I с примесью II (4—6%) и чистого II (7—9%). ТТ чистых кристаллов I объясняется переходом энергии электронного возбуждения в энергию колебаний молекул. При добавлении III к I ТТ I уменьшается, что объясняется уменьшением времени затухания люминесценции I при добавлении III.

С. Яровой

**50437. Дихроизм некоторых полициклических кристаллов.** Бродин М. С. (Дихроїзм деяких поліциклічних кристалів. Бродин М. С.), Укр. фіз. ж., 1956, 1, № 4, 376—381 (укр.; рез. русск.).

Приведены результаты исследования оптич. свойств монокристаллов стильбена и толана, поглощения, дисперсии и отражения, в поляризованном свете для комнатной т-ры и т-ры жидкого азота. Измерения проводились на тонких лепестках кристаллов (0,25—0,35  $\mu$ ).



В плоскости лепестков, полученных таким образом, находятся оси наименьшего и наибольшего показателей преломления  $N_p$  и  $N_g$ , так что измерения в поляризованном свете относятся к поляризации светового вектора параллельно указанным осям. С помощью полученных кривых поглощения и дисперсии оценены силы осцилляторов 1-го и 2-го электронных переходов кристалла стильбена, а также первого перехода кристалла толана. Судя по этим результатам, кристаллы стильбена и толана сильно поглощают и дихроичны. Так, для 1-го электронного перехода в стильбене сила осциллятора поляризованной вдоль  $N_g$ -компоненты приблизительно в 5 раз больше силы осциллятора  $N_p$ -компоненты, а в кристалле толана это соотношение равно 6,4.

Из резюме автора  
**50438. Фосфоресценция и флуоресценция некоторых ароматических нитраминов. Фостер, Хаммик, Худ, Сандерс** (Phosphorescence and fluorescence of some aromatic nitro-amines. Foster R., Ham-mick D. L., Hood G. M., Sanders A. C. E.), J. Chem. Soc., 1956, Dec., 4865—4868 (англ.)

Для большого числа метил- и этилзамещ. нитроанилина (Н) в р-ре в этаноле + метанол 5:1 при  $-180^\circ$  измерено положение полос фосфоресценции (первая цифра после названия в-ва), флуоресценции (вторая цифра) и поглощения (третья цифра) все в  $\text{см}^{-1}$ . Проверка указывает на отсутствие флуоресценции для данного в-ва, а также отсутствие данных о поглощении. 4-нитроанилин (I) 19 400, —, 27 010; 2-метил-I 19 150, —, 26 390; N-метил-I 19 025, —, 25 600; N,N-диметил-I 18 975, 21 450, 25 600; 2,6-диметил-I 18 950, —, 26 700; N, 2-диметил-I 18 925, —, 25 840; N,N, 2,6-триметил-I 18 800, 20 950, 27 100; N,N, 2,6-тетраметил-I 18 650, 19 625, 26 800; 3-метил-I —, —, 27 030; 3,5-диметил-I —, —, 25 890; 2,3,5,6-тетраметил-I —, —, 25 580; N-этил-I 19 025, —, —; N,N-диэтил-I 18 875, 20 775, —; 3-нитроанилин (II) —, 19 100, —; 6-метил-II —, 19 150, —; 2-метил-II —, 19 025, —; NN-диметил-II —, 18 875, —; 2-нитроанилин III; —, 19 725, —; 4-метил-2-нитроанилин —, 19 225, —; 4-нитро-1-нафтиламин 17 300, —, —; 6-нитро-2-нафтиламин —, 19 900, —; 4-амино-4'-нитродифенил —, 19 150, —; 4,4'-динитро-дифенил 20 125, —. Обсуждено влияние метильных и этильных групп на спектры фосфоресценции и флуоресценции нитроанилинов с точки зрения возможных стeric эффектов.

В. Ермолаев  
**50439. Фосфоресценция молекул при обычной температуре. Лоше, Рыбак, Руссе, Валантен** (La phosphorescence moléculaire à la température ordinaire. Lochet Robert, Rybak Boris, Rousset Auguste, Valentin François), Cahiers phys., 1956, № 71-72, 57—60 (франц.)

Описана аппаратура для измерения спектров фосфоресценции малой интенсивности. Она состоит из фосфороскопа (РЖХим, 1957, 34789) и светосильного стеклянного спектрографа. Установка позволила обнаружить фосфоресценцию у 140 различных аминокислот в кристаллич. состоянии при обычной т-ре.

В. Ермолаев

**50440. Спектр поглощения и магнитные свойства хлористого иттербия. Дике, Кроссуайт** (Absorption spectrum and magnetic properties of ytterbium chloride. Dieke G. H., Crosswhite H. M.), J. Opt. Soc. America, 1956, 46, № 10, 885—889 (англ.)  
Исследован спектр поглощения монокристалла  $\text{YbCl}_3 \cdot 6\text{H}_2\text{O}$  при 4 и  $77^\circ\text{K}$  в первом порядке 6,3 м решетки (дисперсия  $\sim 5\text{Å/мм}$ ). В спектре найдены интенсивные и резкие линии в области 9700 Å, соответствующие двум из трех возможных переходов из основного состояния ( $^2F_{7/2}$ ) на штарковские подуровни верхнего состояния ( $^2F_{5/2}$ ). Кроме основных ли-

ний, наблюдается много диффузных линий с коротковолновой стороны, интерпретируемых как комбинации электронных переходов с колебаниями решетки. Эта интерпретация подтверждается тем фактом, что характер расщепления этих линий в магнитном поле такой же, как и у основных, т. е. они принадлежат к одному и тому же электронному переходу. Исследование расщепления линий спектра в магнитном поле при различных ориентациях кристалла показало, что магнитная ось симметрии кристалла — возможно шестого порядка, перпендикулярна оптич. оси второго порядка и ее ориентация неодинакова для трех изученных электронных состояний. В спектре, полученном при  $77^\circ\text{K}$ , наблюдаются линии, соответствующие переходам из второй штарковской компоненты основного состояния, расположенной на расстоянии  $132,8\text{ см}^{-1}$  от первой.

В. Александрия

**50441. Спектры и квантовые состояния иона европия в кристалле. II. Спектры поглощения и флуоресценции монокристаллов нонагидрата этилсульфата европия. Сэр, Фрид** (Spectra and quantum states of the europic ion in crystals. II. Fluorescence and absorption spectra of single crystals of europic ethylsulfate nonahydrate. Sayre Edward V., Freed Simon), J. Chem. Phys., 1956, 24, № 6, 1213—1219 (англ.)

Исследованы при  $77^\circ\text{K}$  спектры флуоресценции и поглощения монокристаллов нонагидрата этилсульфата европия в поляризованном свете при различных ориентациях кристалла. Из полученных данных по спектрам флуоресценции определен мультипольный характер переходов, энергии и квантовые числа участвующих в этих переходах состояний  $\text{Eu}^{3+}$ . Показано, что ион  $\text{Eu}^{3+}$  в изученном состоянии находится преимущественно в поле симметрии  $D_{3h}$ , создаваемом за счет расположенных в непосредственной близости молекул воды. На это поле налагается более слабое поле симметрии  $C_{3h}$  кристаллич. ячейки. Все переходы с  $\Delta J = \pm 1$  соответствуют переходам, разрешенным с магнитно-дипольным излучением, остальные — переходы с вынужденным электрич. дипольным излучением. Анализ спектров поглощения затруднен вследствие наложения компонент, появившихся из-за расщепления верхних уровней. Часть I, РЖХим, 1957, 14388.

В. Александрия

**50442. Неплоские силовые постоянные бензола. Кაკиути, Симаночути** (Out-of-plane force constants of benzene. Kakiuti Yuzo, Shimanouchi Takehiko), J. Chem. Phys., 1956, 25, № 6, 1252—1254 (англ.)

Известные из спектров частоты неплоских колебаний  $\text{C}_6\text{H}_6$ , симм- $\text{C}_6\text{H}_3\text{D}_3$  и  $\text{C}_6\text{D}_6$  использованы для вычисления силовых постоянных по методу наименьших квадратов. Исходными служили силовые постоянные, найденные Миллером и Крауфордом (Miller F. A., Crawford B. L., Jr., J. Chem. Phys., 1946, 14, 282). Вычислены значения силовых постоянных ( $10^5\text{ дин/см}$ ):  $\text{C—H}$  0,402;  $\text{C—C}$  0,181;  $\text{C—H}$  —0,073;  $\text{C—C}$  —0,012;  $\text{C—H}$ ,  $\text{C—C}$  —0,131. Учитывались только взаимодействия связей в орто-положениях. С указанными силовыми постоянными вычислены частоты неплоских колебаний  $\text{C}_6\text{H}_6$ ,  $\text{C}_6\text{H}_3\text{D}_3$ ,  $n\text{-C}_6\text{H}_4\text{D}_2$ , симм- $\text{C}_6\text{H}_3\text{D}_3$ ,  $n\text{-C}_6\text{H}_2\text{D}_4$ ,  $\text{C}_6\text{D}_6$ .

М. Ковнер

**50443. Исследование инфракрасных спектров паров уксусной кислоты и уксусной кислоты-d и отношение колебательных частот к мономерной форме кислот. Уилмхерст** (Infrared investigation of acetic acid and acetic acid-d vapors and a vibrational assignment for the monomeric acids. Wilmshurst J. K.), J. Chem. Phys., 1956, 25, № 6, 1171—1173 (англ.)  
Исследованы ИК-спектры паров  $\text{CH}_3\text{COOH}$  (I) и

$\text{CH}_3\text{COOD}$  (II) при  $t$ -рах 150, 105, 65 и  $25^\circ$  в области 2—25  $\mu$ . Дано следующее отношение частот в  $\text{см}^{-1}$  (в скобках значения для II).  $A'$ : вал. кол. O—H 3577 (2640), антисимм. вал. кол.  $\text{CH}_2$  2997 (2957), симм. вал. кол.  $\text{CH}_2$  2961 (2929), вал. кол. C—O 1799 (1792), антисимм. деф. кол.  $\text{CH}_2$  1401 (1387), симм. деф. кол.  $\text{CH}_2$  1340 (1323), вал. кол. C—O 1279 (1272), деф. кол.  $\text{CONH}$  1192 (959), деф. кол.  $\text{CH}_2$  990 ( $\sim$  995), вал. кол. C—C 846 (837), деф. кол.  $\text{OCO}$  654 (654), деф. кол.  $\text{CO}_2$  536 (536);  $A''$  антисимм. вал. кол.  $\text{CH}_2$  3048 (3058), антисимм. деф. кол.  $\text{CH}_2$  1445 (1464), деф. кол.  $\text{CH}_2$  1068 (1057), деф. кол.  $\text{CO}_2$  582 (582). Сделано заключение, что при  $25^\circ$  молекулы I и II димеризованы, при  $150^\circ$  — мономерны, а при 65 и  $105^\circ$  димеры и момеры находятся в отношении 2:1 и 1:2 соответственно. Интенсивность полос 1752, 1434, 946 и  $895 \text{ см}^{-1}$  с ростом  $t$ -ры уменьшается; при  $150^\circ$  полосы полностью исчезают, а полоса  $1299 \text{ см}^{-1}$  смещается к  $1279 \text{ см}^{-1}$ . Автор относит последнюю к мономеру. Интенсивность полос 1731, 1329, 1067 и  $703 \text{ см}^{-1}$  в спектре II с повышением  $t$ -ры уменьшается. Эти полосы приписаны димеру.

О. Ульянова

**50444.** Инфракрасные спектры поглощения уксуснокислой, пропионовокислой и маслянокислой меди. Лакшманан (Infra-red absorption spectra of copper acetate, copper propionate and copper butyrate. Lakshmanan B. R., J. Indian Inst. Sci., 1956, (A-B) 38, № 4, A217—A219 (англ.)).

Получены ИК-спектры поглощения уксуснокислой (I), пропионовокислой (II) и маслянокислой (III) меди в нуйоле в области  $600\text{--}5000 \text{ см}^{-1}$  с призмой из NaCl. Дано следующее отношение частот ( $\text{см}^{-1}$ ): вал. кол. C—H 2920; 1376, 1346, 1319 в III и 1377, 1305 в II деф. кол. C—H в группах C— $(\text{CH}_2)_2$ ; 1600 и 1420 симм. и асимм. кол. карбоксилатного иона (их обертоны у 4700 и 2760); 1610—1550 и 1300—1420 кол. карбонильных групп; 1265, 1165 в I, 1246, 1155 в II и 1269, 1213, 1165 в III вал. кол. C—O; 900—1000 вал. кол. C—C; 800—900 симм. деф. кол. групп COO; 700—800 и 670 кол. карбоксильных и алкильных групп. Полоса поглощения у  $3440 \text{ см}^{-1}$  связана с колебаниями молекул кристаллизационной воды.

Е. Покровский

**50445.** ИК-спектры поглощения и спектры комбинационного рассеяния фурфуральдегида в различных физических состояниях. Суэтак (Spettri Raman e d'assorbimento infrarosso dell'aldeide furilica in stati fisici diversi. Suetaka Wataru, Gazz. chim. ital., 1956, 86, № 8-9, 783—796 (итал.)).

Исследованы ИК-спектр поглощения фурфура (I) в газообразном (при  $170^\circ$ ), жидком и твердом ( $-70^\circ$ ) состояниях и в виде р-ров в  $\text{CCl}_4$ ,  $\text{CHCl}_3$ ,  $\text{C}_6\text{H}_6$ ,  $\text{C}_6\text{H}_5\text{Cl}$ ,  $\text{C}_6\text{H}_5\text{NO}_2$ ,  $\text{CH}_3\text{OH}$ ,  $\text{CS}_2$ ,  $\text{C}_6\text{H}_{12}$ , пиридине,  $\text{CH}_3\text{CN}$ ,  $\text{C}_6\text{H}_5\text{OH}$  и этилацетате, а также спектры комб. расс. твердого и жидкого I и его смесей с  $\text{CHCl}_3$  и  $\text{CH}_3\text{CN}$ . Приведены таблицы характеристич. частот ИК-спектров и спектров комб. расс. в интервале  $21\text{--}3403 \text{ см}^{-1}$  и кривые ИК-спектров газообразного и жидкого I. Наблюдая изменения отношения интенсивностей обоих компонент дублета карбонильной группы ( $\sim 1680 \text{ см}^{-1}$ ) и дублета, относящегося к валентным колебаниям связей C—H фуранового цикла ( $\sim 1470 \text{ см}^{-1}$ ), как при изменении физ. состояния I, так и конц-ии I в р-рах, автор отвергает поворотную изомерию как причину раздвоения указанных спектральных полос и присоединяется к мнению Ролла и др. (Rolla и др., Rend. Accad. Lincei, 1952, 12, 8, 92), что раздвоение вызвано эффектом возмущения.

А. Сергеев

**50446.** Спектральный конформационный анализ некоторых моногалогензамещенных циклогексанов. Клебу, Лоте, Лунне (Spectroscopic conformational analysis of some monohalogenated cyclohexa-

nes. Klaboe Peter, Lothe Johan J., Lunde K.), Acta chem. scand., 1956, 10, № 9, 1465—1474 (англ.).

Изучались ИК-спектры и спектры комб. расс. моноклор-(I), моноклор-(II) и монофторциклогексанов (III) в жидком и твердом состояниях. I и II в жидком состоянии находятся в виде двух структурных изомеров  $\bar{E}$ - и  $A$ -, с преобладанием  $\bar{E}$ -конформации.  $\bar{E}$ - и  $A$ -конформации I найдены также и в промежуточной куб. (вращающей) модификации. Объясняется это низким энергетич. барьером превращения одной конформации в другую, так что в куб. модификации такие превращения происходят так же свободно, как и в жидком состоянии. В твердой анизотропной модификации I и II находятся только в одной конформации. Куб. модификация для II не получена. III в жидкой фазе в куб. и анизотропной модификациях находится только в виде одной конформации. В этом случае превращение одной конформации в другую сильно заторможено вследствие возникновения межмолекулярной связи  $> \text{C—H} \cdots \text{F—C} <$ . Дано отношение частот.

С. Яровой

**50447.** Инфракрасный спектр сульфаминовой кислоты. Бичелли (Lo spettro infrarosso dell'acido solfammino. Bicelli Luisa), Ann. chimica, 1956, 46, № 7-8, 563—570 (итал.).

Исследован ИК-спектр поглощения (СП) кристаллич. сульфаминовой к-ты (I) в области 2—15  $\mu$ . Приведены кривые СП и частоты ИК, а также спектров комб. расс. (РЖХим, 1954, 39172, 39173). На основании установленного ранее (Kanda F. K., King A. J., J. Amer. Chem. Soc., 1951, 73, 2315) факта, что решетка I построена из амфотерных ионов  $\text{H}_2\text{N}^+ - \text{SO}_3^-$ , с тетраэдрич. расположением атомов O вокруг S и H вокруг N и междомолекулярными связями типа  $\text{NH} \cdots \text{O}$  и сопоставления со спектрами комб. расс., все найденные частоты отнесены при помощи метода локальной симметрии к валентным (плотностью симметрии и вырожденным) и деформационным колебаниям групп  $\text{N} - \text{SO}_3^-$  и  $\text{H}_2\text{N}^+$ . Обсуждено влияние на ИК-СП специфич. симметрии кристаллич. решетки I, а также H-связей.

А. Сергеев

**50448.** Спектр комбинационного рассеяния, анализ нормальных координат и термодинамические свойства триметиленоксида. II. Цюрхер, Гюнтхард (Raman-Spektrum, Normalkoordinatenanalyse und thermodynamische Eigenschaften von Trimethylenoxyd. II. Zürcher R. F., Günthard Hs. H.), Helv. chim. acta, 1957, 40, № 1, 89—101 (нем.; рез. англ.).

Новое исследование спектра комб. расс. жидкого триметиленоксида приводит к следующим значениям частот  $\nu$  (первая цифра) и степеней деполаризации  $\rho$ : 838; 0,90; 931; 0,89; 986; 0,83; 1029; 0,24; 1140; 0,73; 1185; 0,78; 1229; —; 1283; 0,70; 1340; 0,34; 1455; 0,86; 1498; 0,84; 2468; —; 2561; 0,39; 2668; 0,34; 2883; 0,36; 2951; 0,43; 2972; 0,51; 3001; 0,61. Классификация основных частот по представлениям группы симметрии  $C_{2v}$  имеет вид:  $8A_1 + 4A_2 + 6B_1 + 6B_2$ . Произведен расчет этих частот при следующих значениях длин связей, углов и силовых постоянных: CO 1,46; CC 1,54; CH 1,09A; COC 94,5°; CCO 88,5°; CCC 88,5°; HCN 109°23'; CC 4,15; CO 4,53; CH  $4,79 \cdot 10^5 \text{ дин/см}$ ; CCC 0,91; COC 0,69; CCO  $0,80 \cdot 10^{-11} \text{ эрг/рад}^2$ . Силовые постоянные деф. кол. групп  $\text{CH}_2 f_\delta$ ,  $f_t$ ,  $f_r$ ,  $f_w$  и силовая постоянная крутильного колебания  $\nu_b$  (CCCC) приняты равными 0,67; 1,326; 1,05; 0,663 и  $0,11 \cdot 10^{-11} \text{ эрг/рад}^2$ . На основании значений  $\rho$  анализа составных частот и расчета основных частот предложено полное отнесение последних к типам симметрии и к колебаниям связей и углов молекулы. Для частоты  $\nu_b$  (CCCC)

получены два возможных значения: 60 и 184 см<sup>-1</sup>. При найденных значениях  $\nu$  и при указанных двух значениях частоты  $\nu_{\text{в}}$  вычислены термодинамич. функции  $(H^\circ - H_0^\circ)/T$ ,  $-(G^\circ - H_0^\circ)/T$ ,  $S^\circ$ ,  $C_p^\circ$  в интервале т-р 298,16—1000° К. Сравнение этих величин с калориметрич. данными позволит сделать выбор между двумя значениями  $\nu_{\text{в}}$ . Часть I, РЖХим, 1957, 25787.

**50449.** Спектры комбинационного рассеяния и силовые постоянные GeJ<sub>4</sub> и SnJ<sub>4</sub>. Штампейх, Форнерис, Таварис (Raman spectra and force constant of GeJ<sub>4</sub> and SnJ<sub>4</sub>. Stammreich H., Forneris Roberto, Tavares Yara), J. Chem. Phys., 1956, 25, № 6, 1278—1279 (англ.)

Измерены частоты, интенсивности и деполаризации в спектрах комб. расс. GeJ<sub>4</sub> и SnJ<sub>4</sub>, и предложена классификация частот по представлениям группы симметрии T<sub>d</sub>: GeJ<sub>4</sub>, 60(10, dp)E; 80(10, dp)F<sub>2</sub>; 159(8, p)A<sub>1</sub>; 264(2, dp)F<sub>2</sub>. SnJ<sub>4</sub>, 47(10, dp)E; 63(10, dp)F<sub>2</sub>; 149(8, p)A<sub>1</sub>; 216(2, dp)F<sub>2</sub>. Расчет частот выполнен с помощью комбинированной системы центральных и валентных сил при следующих значениях силовых постоянных  $k_{\text{ХУ}}$ ,  $k_{\text{ХХ}}$ ,  $k_2$  (10<sup>5</sup> дн/см): GeJ<sub>4</sub>, 1,414; 0,047; 0,117; —0,009; SnJ<sub>4</sub>, 1,351; 0,026; 0,075; —0,010.

**50450.** Спектры комбинационного рассеяния и инфракрасные спектры поглощения тетраоксис осмия. Вудурд, Роберте (The Raman and infra-red absorption spectra of osmium tetroxide. Woodward L. A., Roberts H. L.), Trans. Faraday Soc., 1956, 52, № 5, 615—619 (англ.)

Получены спектры комб. расс. жидкого OsO<sub>4</sub> при 60° и ИК-спектры кристаллич. OsO<sub>4</sub> (I). Найденны 3 частоты (в см<sup>-1</sup>): 335  $\nu_2(E)$  и  $\nu_4(F_2)$ , 954  $\nu_3(F_2)$  и 965  $\nu_1(A_1)$ . Характеристика частот позволяет сделать вывод о тетраэдрич. строении (T<sub>d</sub>)OsO<sub>4</sub>. Сопоставление полученных спектров со спектрами водн. р-ров ReO<sub>4</sub><sup>-</sup> и WO<sub>4</sub><sup>2-</sup> показывает их полную аналогию в расположении и характеристике линий. Это дало основание авторам заключить о тетраэдрич. строении ионов ReO<sub>4</sub><sup>-</sup> и WO<sub>4</sub><sup>2-</sup>, что не согласуется с прежним предположением об их октаэдрич. строении (O<sub>h</sub>). (Fonteyne, Natuurw. Tijdschr. (Belg.), 1938, 20, 20, Gupta, Indian J. Phys., 1938, 12, 223).

**50451.** Колебательные спектры некоторых производных серной кислоты. Зибберт (Schwingungsspektren einiger Derivate der Schwefelsäure. Siebert Hans), Z. anorgan. und allgem. Chem., 1957, 289, № 1-4, 15—28 (нем.)

Исследованы спектры комб. расс. водн. р-ров NaNH<sub>2</sub>SO<sub>3</sub> (I), Na<sub>2</sub>NH(SO<sub>3</sub>)<sub>2</sub>, K<sub>2</sub>N(SO<sub>3</sub>)<sub>2</sub> (II), NaHSO<sub>4</sub>, KCH<sub>3</sub>SO<sub>4</sub> (III), NaFSO<sub>3</sub> (IV) и ИК-спектры твердого NaCH<sub>3</sub>SO<sub>3</sub> I, K<sub>2</sub>NH(SO<sub>3</sub>)<sub>2</sub> (V), Na<sub>2</sub>N(SO<sub>3</sub>)<sub>2</sub>·12H<sub>2</sub>O и III, полученные в области 600—4000 см<sup>-1</sup> методом прессования с KBr. Дано отнесение частот к основным колебаниям сульфатной группы XSO<sub>3</sub><sup>-</sup> (см<sup>-1</sup>): X — CH<sub>3</sub>; A<sub>1</sub> 1055  $\nu_1$ (SO<sub>3</sub>), 790  $\nu$ (SC), 531  $\delta_s$ (SO<sub>3</sub>), E 1200  $\nu_{\text{ас}}$ (SO<sub>3</sub>), 562  $\delta_{\text{ас}}$ (SO<sub>3</sub>), 348  $\rho$ (SO<sub>3</sub>); X — NH<sub>2</sub>, A<sub>1</sub> 1051  $\nu_1$ (SO<sub>3</sub>), 813  $\nu$ (SN), 564  $\delta_s$ (SO<sub>3</sub>), E 1191 и 1251  $\nu_{\text{ас}}$ (SO<sub>3</sub>), 591  $\delta_{\text{ас}}$ (SO<sub>3</sub>), 401  $\rho$ (SO<sub>3</sub>); X — OH, A<sub>1</sub>, 1051  $\nu_1$ (SO<sub>3</sub>), 887  $\nu$ (SO), 594  $\delta_s$ (SO<sub>3</sub>), E 1200  $\nu_{\text{ас}}$ (SO<sub>3</sub>), 594  $\delta_{\text{ас}}$ (SO<sub>3</sub>), 429  $\rho$ (SO<sub>3</sub>); X — CH<sub>3</sub>O, A<sub>1</sub> 1063  $\nu_1$ (SO<sub>3</sub>), 781  $\nu$ (SC), 599  $\delta_s$ (SO<sub>3</sub>), E 1221 и 1257  $\nu_{\text{ас}}$ (SO<sub>3</sub>), 615  $\delta_{\text{ас}}$ (SO<sub>3</sub>), 413 и 438  $\rho$ (SO<sub>3</sub>); X — F, A<sub>1</sub>, 1082  $\nu_1$ (SO<sub>3</sub>), 786  $\nu$ (SF), 566  $\delta_s$ (SO<sub>3</sub>), E, 1286  $\nu_{\text{ас}}$ (SO<sub>3</sub>), 592  $\delta_{\text{ас}}$ (SO<sub>3</sub>), 409  $\rho$ (SO<sub>3</sub>). Из полученных ранее (РЖХим, 1955, 11110, 31032) значений  $\nu_{\text{ас}}$ (SO<sub>n</sub>) и силовой постоянной связи SO ( $f_{\text{SO}}$ ) у соеди-

нений с известным порядком связи SO ( $N_{\text{SO}}$ ) выведено уравнение:  $f_{\text{SO}} = 0,53 (\nu_{\text{ас}})^2 \text{ дн/см}$ , позволяющее по  $\nu_{\text{ас}}$ (SO<sub>n</sub>) вычислять  $f_{\text{SO}}$  и оценивать  $N_{\text{SO}}$ . Приводятся следующие  $f_{\text{SO}} \cdot 10^5 \text{ дн/см}$  и  $N_{\text{SO}}$  для ионов: I 7,90 и 1,65, V 8,08 и 1,68, II 7,03 и 1,51, III 8,14 и 1,69, IV 7,63 и 1,60. Обсуждаются факторы, влияющие на характер связи SO.

**50452.** Исследование химического равновесия при помощи спектров комбинационного рассеяния. Обнаружение образования смесей молекул типа AX<sub>2</sub>Y при смешивании AsBr<sub>3</sub> с AsCl<sub>3</sub> и PBr<sub>3</sub> с PBr<sub>3</sub>. Дельволь, Шиллинг (Etude d'équilibres chimiques au moyen de l'effet Raman. Mise en évidence de la formation de molécules mixtes de type AX<sub>2</sub>Y lors du mélange de AsBr<sub>3</sub> et AsCl<sub>3</sub> et de PBr<sub>3</sub> et PBr<sub>3</sub>. Delwaule Marie-Louise, Schilling Gunther), C. r. Acad. sci., 1957, 244, № 1, 70—72 (франц.)

С помощью спектров комб. расс. было показано, что в смесях AsBr<sub>3</sub> с AsCl<sub>3</sub> образуются молекулы AsClBr<sub>2</sub> и AsCl<sub>2</sub>Br, а в смесях PBr<sub>3</sub> с PBr<sub>3</sub> образуются молекулы PBr<sub>2</sub>J<sub>2</sub> и PBr<sub>2</sub>J. Спектр смеси PBr<sub>3</sub> и PBr<sub>3</sub> возбуждался линиями A 5460 Hg или He 5876 A. Присутствие молекул PBr<sub>2</sub>J<sub>2</sub> обнаружено по линиям 88, 100, 118 и 132 см<sup>-1</sup>; PBr<sub>2</sub>J по линиям 102, 108, 147 и 331 см<sup>-1</sup>; AsCl<sub>2</sub>Br по линиям 129, 142, 178 и 282 см<sup>-1</sup>; AsClBr<sub>2</sub> по линиям 103 и 154 см<sup>-1</sup>.

**50453.** Интенсивности колебаний в галогенпроизводных метана. II. Метиленбромид и метилиодид. Сингх, Стрейли (Vibrational intensities in halogenated methanes. II. Methylene bromide and methylene iodide. Singh Nand Lal, Straley Joseph W.), J. Chem. Phys., 1956, 25, № 3, 490—494 (англ.)

Измерены абс. интегральные интенсивности полос поглощения колебаний  $\nu_6$ ,  $\nu_7$ ,  $\nu_8$  и  $\nu_9$  в ИК-спектрах CH<sub>2</sub>Br<sub>2</sub> и CH<sub>2</sub>I<sub>2</sub> (в см<sup>-1</sup>): 14,6 и 37,2·10<sup>10</sup> ( $\nu_6$ ), 48,2 и 77,9·10<sup>10</sup> ( $\nu_7$ ), 1003 и 473·10<sup>10</sup> ( $\nu_8$ ), 616 и 110,9·10<sup>10</sup> ( $\nu_9$ ). Найденные величины вместе с литературными данными по силовым постоянным CH<sub>2</sub>Br<sub>2</sub> и CH<sub>2</sub>I<sub>2</sub> использованы для расчета  $\mu_{\text{CH}}$ ,  $\mu_{\text{C—Hal}}$ ,  $\partial\mu_{\text{CH}}/\partial r_{\text{CH}}$  и  $\partial\mu_{\text{CX}}/\partial r_{\text{CX}}$ . Получающиеся в ходе расчета неопределенности в знаке величин частично удалось устранить, используя два соотношения:  $\mu_{\text{CH}} - \mu_{\text{CBr}} = 1,256 D$  и  $\mu_{\text{CH}} - \mu_{\text{CI}} = 0,944 D$ . Получены следующие результаты: CH<sub>2</sub>Br<sub>2</sub>,  $\mu_{\text{CH}} = +0,55 D$ ,  $\mu_{\text{CBr}} = -0,70 D$ ,  $\partial\mu_{\text{CH}}/\partial r_{\text{CH}} = +0,17$  или  $0,10 \cdot 10^{-10}$ ,  $\partial\mu_{\text{CBr}}/\partial r_{\text{CBr}} = +3,27 \cdot 10^{-10}$ , CH<sub>2</sub>I<sub>2</sub>,  $\mu_{\text{CH}} = -0,5 D$  (колебания симметрии B<sub>1</sub>),  $+0,86 D$  (колебания симметрии B<sub>2</sub>),  $\partial\mu_{\text{CH}}/\partial r_{\text{CH}} = +0,2$  или  $-0,2 \cdot 10^{-10}$ ,  $\partial\mu_{\text{CI}}/\partial r_{\text{CI}} = +2,1 \cdot 10^{-10}$ . Значение  $\mu_{\text{CI}}$  принято равным нулю. Сообщение см. РЖХим, 1956, 57266.

**50454.** Чистые вращательные спектры CO, NO и N<sub>2</sub>O между 100 и 600 м. Палик, Наракхари-Рао (Pure rotational spectra of CO, NO, and N<sub>2</sub>O between 100 and 600 microns. Palik E. D., Narakhari Rao K.), J. Chem. Phys., 1956, 25, № 6, 1174—1176 (англ.)

Впервые наблюдаются в области 100—600 м чисто вращательные линии CO ( $J = 3 - 23$ ), N<sub>2</sub>O ( $J = 19 - 40$ ) и NO ( $J = 5\frac{1}{2} - 24\frac{1}{2}$ ) с разрешением 0,8 см<sup>-1</sup>. Для молекулы NO получены вращательные постоянные основного состояния:  $B_0 = 1,6959 \text{ см}^{-1}$ ,  $D_0 = 6,0 \cdot 10^{-6} \text{ см}^{-1}$ . Предлагается использовать линии CO и N<sub>2</sub>O для калибровки спектрометров в области длин волн, > 300 м.

**50455.** Измерение полосы аммиака при 1,98 м. Хейслер (Etalonnage de la bande de l'ammoniac à 1,98 м. Haessler Claude), C. r. Acad. sci., 1955, 240, № 5, 507—508 (франц.)



Исследована полоса поглощения газообразного аммиака около 1,98  $\mu$ . Полоса имеет сложную структуру вследствие наложения ряда составных частот:  $\nu_1 + \nu_4 = 4963,4 \text{ см}^{-1}$  (тип E);  $\nu_3 + 2\nu_2 = 5011 \text{ см}^{-1}$  (тип E);  $\nu_2 + \nu_4 = 5041,5 \text{ см}^{-1}$  (тип E + A). Близость частот обуславливает значительный резонанс Ферми. Приведена таблица 27 компонент полосы; частоты от 4927,3 до 5134,5  $\text{см}^{-1}$ .

Т. Бирштейн

**50456. Исследование радиочастотного спектра  $\text{Li}^6\text{Cl}$  методом электрического резонанса в молекулярных пучках.** Марпл, Тришкка (Radio-frequency spectra of  $\text{Li}^6\text{Cl}$  by the molecular beam electric resonance method. Marple D. T. F., Trischka J. W.), Phys. Rev., 1956, 103, № 3, 597—611 (англ.)

Методом электрич. резонанса в мол. пучках исследованы переходы между уровнями сверхтонкой структуры состояния  $J = 1$  в  $\text{Li}^6\text{Cl}^{35}$  и  $\text{Li}^6\text{Cl}^{37}$ . Для каждого колебательного состояния каждой изотопной молекулы имели место три группы линий. В нулевом поле имел место лишь двухквантовый процесс (одноквантовый запрещен), при 15,32  $\text{в/см}$  — как одноквантовый, так и двухквантовый процессы, при 384  $\text{в/см}$  наблюдается группа из 6 линий, а при 231  $\text{в/см}$  появляется 7-я линия. При идентификации спектров учитывалось электрич. квадрупольное ( $eQq/h$ ) и спин-вращательное ( $C/h$ ) взаимодействие ядра Cl. Найдено (1-я цифра для  $v = 0$ ; 2-я  $v = 1$ ; 3-я  $v = 2$ ; 4-я  $v = 3$ ): для  $\text{Li}^6\text{Cl}^{35}$  ( $eQq/h$ )<sub>Cl</sub> — 3071,72  $\pm 0,61$ ; — 3479,3  $\pm 1,7$ ; — 3873,0  $\pm 1,8$ ; — 4250  $\pm 11 \text{ кГц}$ ; ( $C/h$ )<sub>Cl</sub> 2,07  $\pm 0,10$ ; 2,22  $\pm 0,20$ ; 2,19  $\pm 0,21 \text{ кГц}$ ;  $\mu^2 A \cdot 10^{-10}$  ед. CGS: 1774,26  $\pm 0,28$ ; 1840,26  $\pm 0,40$ ; 1909,3  $\pm 0,6$ ; 1980,6  $\pm 0,9$ ; для  $\text{Li}^6\text{Cl}^{37}$  ( $eQq/h$ )<sub>Cl</sub> — 2419,9  $\pm 2,4$ ; — 2736,6  $\pm 5,4 \text{ кГц}$ ; ( $C/h$ )<sub>Cl</sub> 1,88  $\pm 0,30$ ; 1,60  $\pm 0,34 \text{ кГц}$ ;  $\mu^2 A \cdot 10^{-10}$  ед. CGS: 1788,24  $\pm 0,40$ ; 1854,9  $\pm 0,6$ ; 1924,7  $\pm 0,7$ ; ( $eQq$ )<sub>Cl</sub>( $eQg$ )<sub>Cl</sub> = 1,2694  $\pm 0,0013$ ; 1,2714  $\pm 0,0025$ ;  $\mu^2 A (\text{Li}^6\text{Cl}^{37})/\mu^2 A \times (\text{Li}^6\text{Cl}^{35}) = 1,00788 \pm 0,00027$ ; 1,0081  $\pm 0,001$ . Здесь  $\mu$  — дипольный момент,  $A$  — момент инерции. Полученное значение квадрупольного взаимодействия  $\text{Li}^6\text{Cl}^{35}$  может быть представлено в виде  $eQq = eQ^*Q + (eQ^*Q)_1 (v + 1/2) + (eQ^*Q)_2 (v + 1/2)^2$ , где  $lQ^*Q = -2873,2 \text{ кГц}$ ; ( $eQ^*Q$ )<sub>1</sub> = —386,6  $\text{кГц}$ ; ( $eQ^*Q$ )<sub>2</sub> = —5,25  $\text{кГц}$

По величине постоянной спин-вращательного взаимодействия определено магнитное поле  $H_R$  в месте ядра. Cl. В молекуле  $\text{Li}^6\text{Cl}^{35}$  при  $v = 0$   $H_R = 4,96 \pm 0,23 \text{ гс}$ . Отношение  $H_R (\text{Li}^6\text{Cl}^{35})$  к  $H_R (\text{Li}^6\text{F}^{19})$  равно 0,54, что близко к отношению  $A (\text{Li}^6\text{F}^{19})/A (\text{Li}^6\text{Cl}^{35}) = 0,51$ . По величине  $\mu^2 A$  и  $\mu A$  найдено для  $\text{Li}^6\text{Cl}^{35}$   $\mu = 5,9 \pm 1,3 D$ ;  $r = 2,4 \pm 0,4 \text{ А}$ . По зависимости интенсивности линий от  $v$  найдено значение колебательной постоянной  $\omega_e = 536 \pm 60 \text{ см}^{-1}$ . Обнаружен радиочастотный квадратичный эффект Штарка, т. е. смещение частоты линий под действием радиочастотного поля, и разработана теория этого эффекта путем решения временного уравнения Шредингера, учитывающего взаимодействие дипольного момента молекул с постоянным и радиочастотным полем E. Рассмотрен случай, когда молекула является жестким диполем с одним ядром, обладающим квадрупольным моментом. При этом постоянное и радиочастотное поля невелики, так что достаточно приближение слабого поля. Исследован также случай, когда возмущение, вызванное постоянным полем велико, так что квадрупольным взаимодействием можно пренебречь. Задача решена для одноквантовых и двухквантовых переходов. Во всех случаях к ранее определенной резонансной частоте добавляется член, пропорциональный  $E^2$ . Для двухквантовых переходов как основной член, так и зависящий от  $E^2$  вдвое меньше, чем для одноквантовых. Экспериментально найденные значения

коэф. в радиочастотном эффекте Штарка лежат в пределах  $\pm 10^{-2} - \pm 6 \cdot 10^{-2} \text{ кГц/в}^2$ .

Т. Бирштейн

**50457. Определение молекулярных постоянных и постоянных ядерномолекулярных взаимодействий  $\text{Li}^7\text{F}^{19}$  посредством метода электрического резонанса в молекулярных пучках.** Бронштейн, Тришкка (Molecular constants and nuclear-molecular interactions of  $\text{Li}^7\text{F}^{19}$  by the molecular beam electric resonance method. Braunstein R., Trischka J. W.), Phys. Rev., 1955, 98, № 4, 1092—1098 (англ.)

Методом электрич. резонанса в мол. пучках исследована сверхтонкая структура радиочастотного спектра  $\text{Li}^7\text{F}^{19}$ . Исследованы переходы  $(J, m_J) \rightarrow (J, m_J')$ :  $(1,0) \rightarrow (1, \pm 1)$  и двухквантовый  $(2,0) \rightarrow (2, \pm 2)$  для колебательных состояний  $v = 0$  и  $v = 1$ . Несмотря на неполное разрешение сверхтонкой структуры (для перехода  $(1,0) \rightarrow (1, \pm 1)$   $v = 0$  7 линий вместо 11, для перехода  $(2,0) \rightarrow (2, \pm 2)$   $v = 0$  5 линий вместо 7), авторы нашли все основные постоянные ядерномолекулярных взаимодействий. Найдено ( $\text{кГц}$ ): ( $eQq$ )<sub>Li</sub> = 412,0  $\pm 7,0$ ; постоянные спин-вращательного взаимодействия  $C_{Fm} = 32,9 \pm 1,0$ ;  $C_{Li} = 2,2 \pm 0,6$ ; постоянная ядерного дипольного взаимодействия  $g_1 g_2 (\mu_N)^2/r^3 = 12,8$  ( $r$  — междуядерное расстояние) для состояний  $v = 0$  и соответственно 412,0  $\pm 7,0$ ; 32,4  $\pm 1,0$ ; 1,8  $\pm 0,6$  и 11,3  $\pm 2,0$  для  $v = 1$ . Путем исследования эффекта Штарка найдено произведение квадрата дипольного момента на момент инерции  $(\mu^2 A) \cdot 10^{-10}$  ед. CGS 837,1  $\pm 0,9$  ( $v = 0$ ); 872,3  $\pm 1,0$  ( $v = 1$ ). Найдено также  $\mu = 6,6 \pm 0,3 D$  ( $v = 0$ ); 6,4  $\pm 0,3 D$  ( $v = 1$ );  $r = 1,51 \pm 0,08 \text{ А}$  ( $v = 0$ ); 1,57  $\pm 0,08 \text{ А}$  ( $v = 1$ ); колебательная постоянная  $\omega_e = 646 \pm 32 \text{ см}^{-1}$ . Исследован также двухквантовый переход  $(2,0) \rightarrow (2, \pm 2)$  в  $\text{Li}^6\text{F}^{19}$  и найдено  $\omega_e = 756 \pm 38 \text{ см}^{-1}$ ;  $(\mu^2 A) \cdot 10^{-10}$  ед. CGS 747,6  $\pm 1,0$ . Т. Бирштейн

**50458. Дальнейшее распространение методов микроволновой спектроскопии на субмиллиметровый диапазон.** Кауан, Горди (Further extension of microwave spectroscopy in the submillimeter wave region. Cowan Monroe, Gordy Walter), Phys. Rev., 1956, 104, № 2, 551—552 (англ.)

Ранее разработанная методика измерения спектров молекул в миллиметровом и субмиллиметровом диапазоне (РЖХим, 1955, 1706, 33853, 34851, 1956, 60781) распространена на диапазон длин волн до 0,587 мм. Переходы OCS наблюдались до  $J = 41 \rightarrow 42$ . В диапазоне 0,778 мм исследован переход  $J = 0 \rightarrow 1$  в  $\text{HJ}^{127}$ , имеющий триплетную сверхтонкую структуру. Найдено  $eQq (J^{127}) = 8131,0 \pm 1,0 \text{ МГц}$ ; постоянная ядерного магнитного взаимодействия  $G (J^{127}) = 0,26 \text{ МГц}$ ;  $B_0 = 192 658,6 \text{ МГц}$ ;  $B_e = 195 229,1 \text{ МГц}$ ;  $r_0 = 1,61970 \text{ А}$ ;  $r_e = 1,60904 \text{ А}$ . При 345 802 МГц измерена частота перехода  $J = 2 \rightarrow 3$  в  $\text{Cl}^{35}\text{O}^{16}$ . Найдено путем совмещения трех линий переходов с различными  $J D_0 = 0,1888 \text{ МГц}$ .

Т. Бирштейн

**50459. Микроволновые спектры тиофена, 2- и 3-монодейтеро-, 3,3'-дидейтеро- и тетрадейтеро-тиофена.** Структура молекул тиофена. Бак, Кристенсен, Раструп-Андерсен, Танненбаум (Microwave spectra of thiophene, 2- and 3-monodeutero, 3,3'-dideutero, and tetradeuterothiophene. Structure of the thiophene molecule. Bak Børge, Christensen Daniel, Rastrup-Andersen John, Tannenbaum Eileen), J. Chem. Phys., 1956, 25, № 5, 892—896 (англ.)

В диапазоне 17,5—29,1  $\text{кМГц}$  исследован спектр тиофена (I) и его дейтерированных производных. Измерены и идентифицированы переходы от  $J = 1$  до  $J = 12$  типа  $\Delta J = 1$ ;  $\Delta K_1 = 0$ ;  $\Delta K_1 = 1$  в I, 2- и 3-дейтеро-I (II и III) 3,3'-дидейтеро-I (IV) и тетра-

дейтерий-1 (V), а также переходы с  $J = 1,2$  в  $C_6H_5S^{34}$  (VI),  $C^{13}$  (2)  $C_6H_5S$  и  $C^{13}$  (3)  $C_6H_5S$ . Найдены следующие значения моментов инерции (в ат. ед. массы  $\times \times A^2$ ):  $I_a$  62,8568; 67,9654; 64,3422; 66,3622; 76,7313;  $I_b$  93,2944; 93,3721; 98,3781; 102,8549; 103,0402;  $I_c$  156,2164; 161,4015; 162,7836; 199,2840; 179,8299;  $\Delta I$  0,0652; 0,0640; 0,0633; 0,0669; 0,0584 для I—V, соответственно. Параметр асимметрии  $k$  для I—V равен —0,09182; 0,05994; —0,14420; —0,16713; 0,10929. Полагая величину  $I_a$  для VI равной  $I_a$  для I, авторы находят для VI  $I_b = 95,8611$ ;  $I_c = 158,7190$ ;  $\Delta I = 0,001$  ат. ед. массы  $\cdot A^2$ ;  $k = -0,14009$ . Малое, почти одинаковое значение  $\Delta I$  для I—V, указывает на плоскую структуру I. При расчете параметров молекулы I предлагалось, что для молекул  $C^{13}C_6H_5S$   $\Delta I = 0,0652$ . Найдено C(2)—H(2) 1,085 Å; C(3)—H(3) 1,079 Å; C(2)—S 1,718 Å; C(2)—C(3) 1,352 Å; C(3)—C(4) 1,455 Å;  $\angle C(2)—S—C(2)$   $91^\circ 18'$ ;  $\angle S—C(2)—C(3)$   $112^\circ 36'$ ;  $\angle C(2)—C(3)—C(4)$   $111^\circ 45'$ ;  $\angle S—C(2)—H(2)$   $119^\circ 06'$ ;  $\angle C(4)—C(3)—H(3)$   $123^\circ 30'$ . Найденная длина C—S связи в I 1,352 Å вместе с величиной дипольного момента I 0,6 D указывает, что из двух возможных значений длины нормальной C—S связи 1,353 и 1,331 Å следует выбрать второе. Описано получение дейтеротрифенолов.

Т. Бирштейн

**50460. Частоты ядерного квадрупольного взаимодействия брома, йода и индия. Людвиг** (Some bromine, iodine, and indium nuclear quadrupole interaction frequencies. Ludwig G. W.), J. Chem. Phys., 1956, 25, № 1, 159—171 (англ.)

Исследован чисто квадрупольный резонанс ядер  $Br^{79}$  и  $J^{127}$  в ряде производных бромбензола и йодбензола при комнатной т-ре. Измеренные резонансные частоты лежат в интервале 254—302 МГц для  $Br^{79}$  и 261—316 МГц для  $J^{127}$ . Наблюдается корреляция между частотами J и Br и постоянной Гамметта  $\sigma$ . Исследованы также квадрупольные спектры  $Br^{79}$  в замещенных ди- и трибромбензолах. В симм-трибромфеноле наблюдались три резонансные частоты равной интенсивности при 275,96; 277,17 и 284,40 МГц. Для согласования со значением  $\sigma$  следует предположить, что ядро Br, расположенное в пара-положении относительно OH, дает одну из низших резонансных частот. Сильное различие частот двух ядер Br, в орто-положении к группе OH, не может быть обусловлено кристаллич. полем и является внутримолекулярным эффектом, вследствие заторможенности вращения группы OH и наличия у нее преимущественных положений, так что ядра Br оказываются не эквивалентными. Это подтверждается наличием цис-транс-изомерии у о-галогенофенолов. Квадрупольные спектры других ди- и трибромфенолов также могут быть интерпретированы при учете заторможенности вращения группы OH. Замена в 2,6-дибром-4-нитрофеноле группы OH на группу ONa приводит к уменьшению расщепления на порядок, так как в первом случае внутримолекулярные взаимодействия имеют тенденцию поддерживать атом H вблизи орто-атома Br, а в соли Na такая тенденция отсутствует. Аналогичные результаты получены для производных ди- и трибромбензолов. В ряде замещ. йодбензолов измерены 2 резонансные частоты  $J^{127}$  (спин  $5/2$ ), что позволило определить  $eQq$  (1740—2060 МГц) и параметр асимметрии  $\eta$  (1—15%). В орто-замещенных основной вклад в асимметрию дает взаимодействие атома J с заместителем. В случае пара- и мета-замещенных существенную роль играет характер связи J—C. Наблюдается приближенная корреляция между  $\eta$  и числом несбалансированных  $p$  электронов  $U_p = eQq/(eQq)_p$ , которое меняется в рассмотренных

соединениях в пределах 75,8—89,8%. Двоесвязность связи J—C  $[8(U_p)\eta/15]$  меняется от 0,5 до 3,5%. Ионный характер связи  $1 - (U_p)_0 (1 + \eta/5)$  лежит в пределах 5—21%. Исследовался также квадрупольный резонанс  $J^{127}$  в некоторых неорганич. соединениях:  $HJO_3$   $eQq = 1126,6 \pm 0,1$  МГц;  $\eta = 45,09 \pm 0,2\%$ ;  $U_p = 49,1\%$ ;  $KJO_3$   $eQq = 962,7 - 969,0$  МГц;  $\eta \leq 0,08\%$ ;  $U_p = 42,0 - 42,3\%$ ;  $Ca(JO_3)_2 \cdot 6H_2O$   $U_p = 43,2 - 44,7\%$ ;  $O_2JC_6H_5$   $eQq = 1045,9$  МГц;  $\eta = 17,89\%$ ;  $U_p = 42,6 - 45,6\%$ . Ядро J в этих соединениях связано с тремя ядрами O, большое значение  $eQq$  указывает на гибридизацию. Большая величина  $\eta$  для  $HJO_3$  позволяет исследовать переход  $|\Delta m| = 2$ . В  $InJ_3$  наблюдались 3 пары резонансных частот  $J^{127}$ . Найдено  $eQq = 771,8 \pm 0,1$ ;  $1153,3 \pm 0,1$ ;  $1156,4 \pm 0,1$  МГц;  $\eta = 23,55 \pm 0,02$ ;  $\leq 0,01$ ;  $\leq 0,01\%$ ;  $U_p = 33,7$ ; 50,3; 50,4%, соответственно. В  $InI_3$  наблюдались также 2 резонансные частоты  $In^{115}$  (спин  $5/2$ ) при  $26,93 \pm 0,04$  и  $36,93 \pm 0,05$  МГц;  $eQq = 219,8 \pm 0,3$  МГц;  $\eta = 32,0 \pm 4,0\%$ .

Т. Бирштейн

**50461. Ядерный квадрупольный резонанс  $Cl^{35}$  и  $Br^{79}$  в некоторых гетероциклических соединениях. Сегел, Барнс, Брей** (Nuclear quadrupole resonances of  $Cl^{35}$  and  $Br^{79}$  in some heterocyclic compounds. Segel S. L., Barnes R. G., Bray P. J.), J. Chem. Phys., 1956, 25, № 6, 1286—1287 (англ.)

Измерены частоты чисто квадрупольного резонанса в N-хлорсукцинимиде (I), N-хлор- $\pi$ -хинонимиде (II), 2,6-дибром-N-хлорхинонимиде, 2-хлорпиридине и его хлоргидрате, 2-бром- и 3,5-дибромпиридинах, 2-хлорхинолине и его хлоргидрате, 6-хлор-, 4,7-дихлор- и 3-бромхинолинах. В I частота такая же, как в  $Cl_2$ , в соответствии с равенством электроотрицательностей Cl и N, но в II частота на 18% ниже, поскольку в II возможна повышенная плотность электронов на N. Положение частот в других соединениях рассмотрено путем привлечения индуктивного эффекта и двоесвязности. В хлоргидратах частоты на 10% выше.

В. Бендерский

**50462. Влияние примесей на квадрупольный резонанс. Дрейфус, Дотрени** (Effet d'impureté en résonance quadrupolaire. Dreyfus Bernard, Dautreppe Daniel), C. r. Acad. sci., 1956, 243, № 20, 1517—1520 (франц.)

Кроме обычных эффектов, возникающих при до-бавлении примесей в в-во, на котором изучается квадрупольный резонанс (смещение частоты резонанса и уширение линий), авторы наблюдали также уменьшение площади линии поглощения. Площадь линий определялась путем интегрирования производных этих линий; она пропорциональна числу поглощающих ядер. Измерения проделаны на ядрах  $Br^{79}$  в кристаллах  $\pi$   $C_6H_4Br_2$  (I); в качестве примеси использовались  $\pi$   $C_6H_4Cl_2$  (II),  $\pi$   $C_6H_4ClI$  и  $\pi$   $C_6H_4J_2$  (III). Добавление III уменьшает площадь линии поглощения по закону  $I = I_0(1 - c)^{N+1}$ , где  $c$  — мол. конц-ция примеси;  $I_0$  — площадь линии в отсутствие примеси,  $N = 32$  при  $300^\circ K$  и  $N = 28$  при  $78^\circ K$ . Эти результаты объясняются возникновением внутренних напряжений вокруг молекулы примеси из-за различия объемов молекул; благодаря этому частота резонанса ближайших ядер смещается настолько, что эти ядра не участвуют в поглощении; вне этого крит. объема влияние молекулы примеси проявляется в уширении линий. Уширение линий оказалось пропорциональным конц-ии примеси:  $\sigma^2 = \sigma_0^2 + Ac$  ( $\sigma^2$  — второй момент линии;  $A$  — константа, зависящая от т-ры). Найдены значения  $A$ :  $66 \sigma_0^2$  при  $300^\circ K$  и  $206 \sigma_0^2$  при  $78^\circ K$ . Для примеси III в II  $N = 80$  и

для I в II  $N = 160$ . Эти числа коррелируют с числом молекул 34, 90, 188, содержащихся внутри куба с ребром, равным соответственно удвоенной, утроенной и учетверенной постоянной куб. решетки. К. Валиев 50463. Парамагнитное резонансное поглощение в нитрате гексапиридината меди. Абэ, Оцука (Paramagnetic resonance absorption in copper hexapyridine nitrate. Abe Hidetaro, Ohtsuka Mieko), J. Phys. Soc. Japan, 1956, 11, № 8, 896 (англ.)

При комнатной т-ре и длинах волн переменного поля 0,65 и 3,23 см изучен спектр парамагнитного резонанса в безводн. монокристаллах  $\text{Cu}(\text{C}_5\text{H}_5\text{N})_6(\text{NO}_3)_2$ . Спектр состоит из 4 линий, обязанных сверхтонкой структуре иона меди (спин ядра  $3/2$ ). Положение центральной линии описывается аксиально-симметрическим  $g$ -тензором с главными значениями:  $g_{11} = 2,25 \pm 0,02$ ;  $g_1 = 2,05 \pm 0,02$ , а линии сверхтонкой структуры — константами  $|A| = 190 \pm 5$  э,  $|B| < 15$  э. Ширина линий определяется внутрикристаллич. магнитными взаимодействиями и для каждой линии равна  $150 \pm 20$  э; роль спин-решеточного взаимодействия незначительна даже при комнатной т-ре. Отмечается, что в изучаемой безводн. соли сверхтонкое взаимодействие иона меди больше, чем в гидратированных солях (100—130 э). К. Валиев

50464. Парамагнитные резонансные спектры некоторых солей меди (I). Абэ, Ано (Paramagnetic resonance spectra of some cupric salts (I). Abe Hidetaro, Ono Kazuo), J. Phys. Soc. Japan, 1956, 11, № 9, 947—956 (англ.)

Исследованы спектры парамагнитного резонанса в монокристаллах  $[\text{Cu}(\text{NH}_3)_4]\text{SO}_4 \cdot \text{H}_2\text{O}$  (I),  $[\text{Cu}(\text{En})_2]\text{Cl}_2 \cdot x\text{H}_2\text{O}$  (II) (En — этилендиамин),  $[\text{Cu}(\text{py})_m] \cdot \text{SO}_4 \cdot n\text{H}_2\text{O}$  (III),  $[\text{Cu}(\text{py})_m](\text{NO}_3)_2 \cdot n\text{H}_2\text{O}$  (IV) (py — пиридин) при комнатной т-ре, на длине волны переменного поля 32, 11, 6,5 и 5,4 мм. Для I и II, для которых известны кристаллич. структуры (РЖХим, 1956, 6195), определены главные значения тензора  $g$ -фактора (направления осей тензора и осей симметрии кристалла  $a$ ,  $b$ ,  $c$  совпадают) и ширины линии в направлениях  $a$ ,  $b$ ,  $c$ . В I кристаллич. поле имеет тетрагон. симметрию с осью вдоль линии  $\text{H}_2\text{O} - \text{H}_2\text{O}$ ; такова же симметрия  $g$ -фактора. Измеренные значения  $g_{11}$  и  $g_{\perp}$  позволяют найти константу спин-орбитальной связи  $\lambda$ : в монокристалле I  $\lambda = -390 \text{ см}^{-1}$ , тогда как в свободном ионе  $\lambda = -852 \text{ см}^{-1}$ . Это свидетельствует о значительном уменьшении в кристаллах по сравнению с его значением для свободного иона, что можно объяснить примесью ковалентной связи в комплексе парамагнитного иона (РЖХим, 1956, 57270). При длине волны в 32 мм полная ширина линии равна 20 э (вдоль оси  $a$ ), 31 э (вдоль оси  $c$ ) и находится между этими значениями для поля, направленного вдоль оси  $b$  кристалла. Вычисленная же дипольная ширина линии равна 360 э. Видимо, линия сужается за счет сильных обменных взаимодействий между ионами меди. Найденное из т-ры Кюри обменное поле ( $\Theta = 15^\circ$ ) равно  $5,2 \cdot 10^4$  э. Это обменное взаимодействие должно уменьшить ширину линии до 3,1 э. Наблюдаемая ширина линии ( $\sim 30$  э) обязана, по-видимому, наличию неразрешенной сверхтонкой структуры иона меди, а также уширению от спин-решеточного взаимодействия спинов и от анизотропии  $g$ -фактора. Менее детально изучены монокристаллы II, III, IV. Авторы считают возможным объяснить полученные результаты и без допущения ковалентных связей в комплексах иона меди, если пользоваться уменьшенным, по сравнению со значением для свободного иона, значением константы спин-орбитальной связи парамагнитного иона. К. Валиев

50465. Квадрупольный эффект в смешанных кристаллах галогенидов щелочных металлов. Кавамура, Оцука, Исиواتари (The quadrupolar effect in alkali halide mixed crystals. Kawamura Hazimu, Otsuka Eizo, Ishiwatari Keiko), J. Phys. Soc. Japan, 1956, 11, № 10, 1064—1072 (англ.)

В смешанных кристаллах  $\text{NaBr} - \text{NaCl}$  изучено влияние квадрупольного момента ядра на линию магнитного резонанса на ядрах Na (спин ядра  $3/2$ ). Постоянное поле было равно 3600 э. В куб. кристаллах типа  $\text{NaCl}$  с идеальной решеткой квадрупольная связь должна отсутствовать; она появляется за счет нарушения структуры решетки (дислокации, примеси, колебания атомов). Линия, обязанная переходу  $I_z = 1/2 \rightarrow -1/2$ , лишь во втором приближении испытывает влияние квадрупольного момента ядра, а сателлитные линии  $1/2 \rightarrow 3/2$  и  $-1/2 \rightarrow -3/2$  — уже в первом приближении. Поэтому форма и интенсивность сателлитов меняется при внесении в кристалл примесей. В опытах авторов prominently является ион галогена меньшей конц-ии. Показано, что ион Br, находящийся на месте третьего иона галогена, считая от Na, и создающий на ядре Na поле с градиентом  $q \sim 10^{21} \text{ см}^{-3}$ , уже влияет на сателлитные линии этого ядра. Из измерений найдена константа антиэкранирования для ядер Na, равная  $\sim 10$ . При приближении примесного иона к Na центральная линия асимметрично уширяется за счет возмущений, возникающих во втором приближении. Из измерений на монокристалле интервал между центральной линией и сателлитами при различных ориентациях магнитного поля найден, что ион Br<sup>-</sup> создает на ядре Na градиент поля  $1,4 \cdot 10^{23} \text{ см}^{-3}$ , а ион Cl<sup>-</sup>  $2,0 \cdot 10^{23} \text{ см}^{-3}$ . К. Валиев

50466. Влияние квадрупольного взаимодействия на ядерный магнитный резонанс. Мория (守谷亨), 物性論研究, Буссайрон кэнкю, 1956, № 98, 207—211 (японск.)

50467. Определение знака константы непрямо-ядерной спин-спиновой связи. Вильямс, Гутовский (Determination of the signs of nuclear spin-spin indirect coupling constants. Williams G. A., Gutowsky H. S.), J. Chem. Phys., 1956, 25, № 6, 1288—1289 (англ.)

Используя данные теории о том, что константа непрямо-ядерной протон-протонной связи в молекулах положительна, авторы определяют знак этих констант для других пар ядер. Анализируется спектр магнитного резонанса системы связанных ядер: протон (1) и два ядра F (2, 3), имеющих различное хим. смещение. Расстояния между линиями в основном определяются числами  $A_{12} + A_{13}$  и  $A_{12} - A_{13}$  ( $A_{ij}$  — константа спин-спиновой связи ядер  $i, j$ ). Из спектра 1,4-дифтор-2,5,6-трихлорбензола определены константы:  $A_0^{\text{HF}} = 8,5 \text{ гц}$ ,  $A_m^{\text{HF}} = 6,2 \text{ гц}$  с одинаковым знаком (индексы 0,  $m$  отличают случаи орто- и мета-ориентации спинов ядер). К. Валиев

50468. Вращение образца и эффекты модуляции поля в ядерном магнитном резонансе. Вильямс, Гутовский (Sample spinning and field modulation effects in nuclear magnetic resonance. Williams G. A., Gutowsky H. S.), Phys. Rev., 1956, 104, № 2, 278—283 (англ.)

Исследовалась возможность усреднения статич. магнитных локальных полей  $H_0$  упорядоченными динамич. процессами. Последние по эффективности в 2 раза уступают беспорядочным динамич. процессам. При комнатной т-ре наблюдались боковые линии резонанса ( $\text{BJP}$ )  $H^1$  в воде, появляющиеся вследствие вращения



с частотой  $\nu_S$  цилиндрич. образца в магнитном поле  $H$  с линейным градиентом  $(\gamma/2\pi) dn/dr = 44,5$  гц/А/мм или модуляции  $H$  с частотой  $\nu_a$  20 гц при частоте  $\nu$  17,735 Мгц, амплитуде и времени качания  $H$  43 мкс и  $t = 13$  сек. соответственно. БЛР расположены через промежутки  $\omega_a/\gamma$  и по форме аналогичны линии основного резонанса. При возрастании  $\nu_S$  расстояние между линиями основного резонанса и БЛР увеличивается,  $H_1^0$  усредняется и интенсивность БЛР уменьшается в 100 раз при  $\nu_S \geq 5\sqrt{2}\gamma H_1^0/\pi^2$ . У. Копвиллем

50469. Определение методом ядерного резонанса скорости электронного обмена между ионами  $\text{Cu}^{2+}$  и  $\text{Cu}^+$  в растворах соляной кислоты. Мак-Коннелл, Уивер (Rate of electron exchange between cuprous and cupric ions in hydrochloric acid solutions by nuclear magnetic resonance. McConnell H. M., Weaver H. E., Jr., J. Chem. Phys., 1956, 25, № 2, 307—311 (англ.))

Наблюдалась линия магнитного резонанса ядер  $\text{Cu}^{63}$  в р-рах  $\text{CuCl}$  и  $\text{CuCl}_2$  в  $\text{HCl}$ . В чистых р-рах  $\text{CuCl}$  ширина линии  $\Delta H = 8\gamma$  и время релаксации спинов ядер  $T_2$  связаны соотношением:  $1/T_2 = (V/3/2)\gamma\Delta H$  (для лорентцовых кривых), откуда в чистом р-ре  $T_2 = 2 \cdot 10^{-5}$  сек. По мере добавления в р-р малых кол-в  $\text{CuCl}_2$  линия быстро уширяется (в р-ре 1 М  $\text{CuCl}$  +  $10^{-3}$  М  $\text{CuCl}_2$   $\Delta H = 17 \gamma$  и  $T_2 = 10^{-5}$  сек.). Наблюдаемое уширение вызвано электронным обменом между ионами  $\text{Cu}^{2+}$  и  $\text{Cu}^+$ . Время жизни иона  $\text{Cu}^+$ , определяемое только электронным обменом, равно  $2 \cdot 10^{-5}$  сек. Для бимолекулярной р-ции обмена найдено  $k = 0,5 \cdot 10^8$  л/мольсек и  $t_{\text{Cu}^{2+}} = 2 \cdot 10^{-8}$  сек.

К. Валиев

50470. Современное состояние применения ядерного магнитного резонансного поглощения для структурного анализа. Бейкер (The present status of high resolution NMR spectroscopy in analysis. Baker Edward B., Appl. Spectroscopy, 1956, 10, № 4, 198—202 (англ.))

Обзор. Библ. 33 назв.

50471. Триазоловые комплексы кобальта. II. Камби, Палья (Complessi triazolici del cobalto. Cambi Livio, Paglia Ernestina), Atti. Accad. naz. Lincei. Rend. Cl. sci. fis., mat. e natur., 1956, 20, № 6, 735—736 (итал.)

Измерены магнитные моменты 5-бромбензотриазоловых комплексов  $\text{Co}$  (в бороских магнетонах)  $\text{Co}(\text{C}_6\text{BrN}_3\text{H}_3)_2$  2,36 (на один атом  $\text{Co}$ ),  $\{\text{Co}^{++}(\text{C}_6\text{BrN}_3\text{H}_3)_4\}_2\text{Co}^{++}$  3,58 (на три атома  $\text{Co}$ ), соль, образующаяся при взаимодействии динитротетрамина с бромбензотриазолом 3,48 (на три атома  $\text{Co}$ ),  $\text{NO}_2(\text{NH}_3)_2\text{Co}(\text{C}_6\text{BrN}_3\text{H}_3)\text{Cl}$  — диамагнитен. Сообщ. I — РЖХим, 1956, 35614.

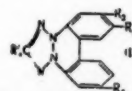
50472. Дальнейшие магнитные исследования ароматических комплексов металлов. Фишер, Писберген (Weitere magnetische Untersuchungen an Aromatenkomplexen von Metallen. Fischer E. O., Piesbergen U., Z. Naturforsch., 1956, 11b, № 12, 758—759 (нем.))

Измерены магнитные восприимчивости ряда ароматических комплексов металлов в интервале  $T$  20—292° К. Соединения  $\text{C}_5\text{H}_5\text{Cr}(\text{CO})_3\text{CH}_3$ ,  $\text{Cr}(\text{C}_6\text{H}_5)_2$ ,  $\text{Cr}(\text{C}_{12}\text{H}_{10})_2$ ,  $\text{Cr}(\text{C}_7\text{H}_5)_2$ ,  $\text{Cr}(\text{C}_9\text{H}_{12})_2$ ,  $\text{Cr}(\text{C}_{12}\text{H}_{18})_2$ ,  $[\text{Fe}(\text{C}_5\text{H}_5)(\text{CH}_3)_3]_2 \cdot [\text{B}(\text{C}_6\text{H}_5)_4]_2$ ,  $\text{Mo}(\text{C}_6\text{H}_5)_2$ ,  $\text{Ru}(\text{C}_5\text{H}_{11})_2$ ,  $\text{Sn}(\text{C}_6\text{H}_5)_2$ ,  $\text{C}_5\text{H}_5\text{W}(\text{CO})_3\text{CH}_3$ ,  $\text{C}_5\text{H}_5\text{W}(\text{CO})_3\text{C}_2\text{H}_5$ ,  $\text{C}_5\text{H}_5\text{HgCN}$ ,  $\text{TiC}_5\text{H}_5$ ,  $\text{Pb}(\text{C}_5\text{H}_5)_2$  оказались диамагнитными. Для  $\text{Cr}(\text{C}_6\text{H}_5)_2$ ,  $\text{C}_6\text{H}_5\text{N}_3\text{O}_7$ ,  $\text{Cr}(\text{C}_6\text{H}_5)_2\text{AlCl}_3$ ,  $[\text{Cr}(\text{C}_6\text{H}_5)_2][\text{C}_5\text{H}_5\text{Cr}(\text{CO})_3]$ ,  $\text{Cr}(\text{C}_{10}\text{H}_{12})_2\text{C}_6\text{H}_5\text{N}_3\text{O}_7$  и  $\text{Cr}(\text{C}_{12}\text{H}_{10})_2\text{J}$  найдены магнитные моменты  $\mu = 1,72$ —1,80 магнетонов Бора ( $\mu_B$ ), соответствующие одному неспаренному элек-

трон (HЭ). У  $\text{Cr}(\text{C}_5\text{H}_5)_2\text{J}$  и  $\text{NH}_4[\text{Cr}(\text{SCN})_4(\text{NH}_3)_2]$   $\mu = 3,73$  и  $3,87 \mu_B$  что отвечает 3 HЭ, а у  $[\text{Fe}(\text{C}_6\text{H}_5)(\text{CH}_3)_3]_2 \cdot [\text{Cr}(\text{SCN})_4(\text{NH}_3)_2]_2$  (I)  $5,50 \mu_B$ . Найденные  $\mu$  согласуются с предположением об образовании донорно-акцепторных связей за счет электронных пар аддендов и свободных  $dY^3$  — орбит центрального атома. Магнитный момент  $I$  обусловлен анионами, между которыми имеется взаимодействие, так как катион диамагнитен. В отношении  $\text{Pb}(\text{C}_5\text{H}_5)_2$  и  $\text{Sn}(\text{C}_5\text{H}_5)_2$  на основании сходства ИК-спектра последнего со спектром  $\text{Ni}(\text{C}_5\text{H}_5)_2$  возникает сомнение в правильности предложенной ранее структуры диамильного типа. Но их диамагнетизм согласуется как с диалкильной структурой, так и со структурой типа ферроцена. М. Дяткина

50473. Температурная зависимость магнитных и оптических свойств органических радикалов, содержащих азот. Хауссер (Temperaturabhängigkeit der magnetischen und optischen Eigenschaften organischer Stickstoff-Radikale. Haussner K. H., Z. Naturforsch., 1956, 11a, № 1, 20—32 (нем.))

Измерялась магнитная восприимчивость при 78—298° К и спектры поглощения в области 10 000—45 000  $\text{cm}^{-1}$  (в р-ре спирт: эфир = 2:1) при 90 и 298° К ряда азотсодержащих радикалов. Содержание радикалов  $q$  рассчитывалось из соотношения  $\chi_p T/q = \text{const}$ , где  $\chi_p$  — парамагнитная восприимчивость для  $q = 100\%$ ,  $\chi_p T = 0,372$ . С уменьшением  $T$ -ры от 298 до 78° К  $q$  изменяется для кристаллич. N-этилфеназила (I) от 70 до 40%; для I, растворенного в 5%-ном спирте, — от 78 до 3%; для  $[\text{N}(\text{CH}_3)_2\text{C}_6\text{H}_4]\text{ClO}_4$  (II) — от 93 до 7%; при охлаждении I обратимо появляется



новая полоса поглощения при 12 500  $\text{cm}^{-1}$ . Коэфф. поглощения  $\epsilon$  для этой полосы резко возрастает с уменьшением  $T$ -ры. При 90° К у I в области 15 950—16 750  $\text{cm}^{-1}$  наблюдается зависимость  $\epsilon$  от конц-ии, противоположная закону Бэра; полосы поглощения II при охлаждении смещаются в сторону коротких волн, что соответствует изменению цвета от голубого до красно-фиолетового; появляется новая полоса поглощения при 13 000  $\text{cm}^{-1}$ . Для производных III при 298° К получены следующие значения  $\chi_p$  и  $q$  (%):  $R_1 = \text{H}$  (III) 1060, 84;  $R_1 = \text{CH}_3$  (IV) 1000, 79;  $R_1 = \text{C}_6\text{H}_5$  (V) 1400, 110; для производных V:  $R_2 = \text{Cl}$  (VI) и  $R_2 = R_4 = \text{Cl}$  (VII) 1090, 86;  $R_3 = \text{Cl}$  (VIII) 1460, 115;  $R_2 = R_3 = \text{Cl}$  (IX) 950, 75. С понижением  $T$ -ры до 78° К  $q$  уменьшается для III, IV, V, VII, IX и не изменяется для VI и VIII. Приводятся спектры поглощения III: V при 298° К. Авторы предполагают, что при уменьшении  $T$ -ры димеризация I не может иметь места в плоскости молекулы, так как она соответствует уменьшению  $\chi_p$  для кристаллич. состояния и появлению полосы поглощения в области длинных волн. Полученные результаты объясняются димеризацией радикалов, лежащих один над другим, с переходом  $\pi$ -электронов перпендикулярно плоскости молекул. Для вычисления кол-ва радикалов, входящих в такую молекулу, авторы используют ур-ние  $\lg C_n = -\lg C_M + \lg n - \lg K$ , где  $C_n$  — конц-ия радикалов, участвующих в образовании полимеров;  $C_M$  — конц-ия свободных радикалов;  $n$  — степень полимеризации;  $K$  — константа равновесия. Вычислено  $n \sim 2$ , теплота диссоциации  $\sim 2 \pm 0,05$  ккал/моль. Предполагается, что полимеризация типа I имеет место и у всех



остальных радикалов, у которых нет для этого стерич. препятствий.

**50474.** Связь между спектральными и магнитными свойствами гемина в зависимости от комплексообразования. Раков (Der Zusammenhang zwischen dem spektralen und magnetischen Verhalten des Hämins in Abhängigkeit von seiner Komplexbildung. Backow B.), Arbeitstag. Biophys., 1954, Berlin, 1955, 25—27 (нем.)

Измерены спектры поглощения и магнитные моменты этерифицированного гемина (I) в различных р-рителях. Полоса поглощения I в уксусной к-те при 645 мμ отсутствует в пиридиновом р-ре I, но появляется при его нагревании, если пиридин содержит примесь HCl. Полоса при 645 мμ наблюдается во всех р-рителях не основной природы, а также в некоторых основаниях (замещенные анилина и пиридина). В алифатич. основаниях, пиридине и анилине эта полоса не наблюдается, хотя в анилине и появляется при нагревании. Автор высказывает предположение, что в возникновении полосы при 645 мμ принимают участие не только π-электроны сопряженной системы связей, но и электроны внешней оболочки железа. Если последние заняты в связях с молекулами р-рителя, то полоса при 645 мμ не наблюдается. Температурная зависимость интенсивности полосы объясняется тепловой диссоциацией комплекса. Согласно предложенной интерпретации, исчезновение полосы при 645 мμ должно сопровождаться уменьшением магнитного момента. Это подтвердили измерения парамагнитной восприимчивости. Магнитный момент I равен ( $\mu_B$ ) в алифатич. аминах и пиперидине 1,7, в бензоле 5,7, в анилине 4,2, в монометиланилине 5,4, в диметиланилине 5,6.

**50475.** Магнитная восприимчивость эритрокуруина крови моллюска *Anadara inflata*. Кубо, Кобаяси, Кисита (Magnetic susceptibility of erythrocyte from the blood of an arkshell. Kubo Masaji, Kobayashi Takehiro, Kishita Michihiko), Bull. Chem. Soc. Japan, 1956, 29, № 7, 767—770 (англ.)

Измерены магнитные восприимчивости эритрокуруина (I), выделенного из крови моллюска *Anadara inflata*, в окисленной и восстановленной формах. При окислении (присоединение кислорода) абс. величина диамагнитной восприимчивости растет. Если принять, что оксизерокуруин не содержит неспаренных электронов, то по изменению магнитной восприимчивости можно вычислить, что в I магнитный момент на один атом Fe равен 4,96  $\mu_B$ , что соответствует четырем неспаренным электронам на атом Fe. В этом отношении I аналогичен гемоглобину. Недавно проведенные измерения мол. веса ( $\sim 73\,000$ ) показали, что как и в гемоглобине, в одной молекуле I содержится четыре гема.

**50476.** Дипольные моменты, спектры поглощения и структура α-галогензамещенных циклогексанонов и цикlopentanов и родственных им веществ. Качлер, Гуйтрик (Dipole moments, spectra and structure of α-halocyclohexanones, α-halocyclopentanones and related compounds. Kumlér W. D., Huitric Alain C.), J. Amer. Chem. Soc., 1956, 78, № 14, 3369—3374 (англ.)

Измерены дипольные моменты ( $\mu$ ) α-хлор- (I) и α-бромциклопентанонов (II), α-хлор- (III) и α-бромциклогексанонов (IV), транс-1,2-дихлор- (V) и транс-1,2-дибромциклопентанов (VI) в *n*-гептане, бензоле и диоксане. Найдено в бензоле: I 3,62; II 3,47; III 3,78; IV 3,50; V 1,64, VI в диоксане 1,51.  $\mu$  III и IV значительно сильнее варьируют при изменении р-рителя, чем  $\mu$  I и II. Найденные для III и IV величины не

согласуются с предложенным ранее (РЖХим, 1954, 23331) на основании ИК-спектров аксиальным расположением галогенов. Величины  $\mu$  III—IV рассчитаны ранее описанным способом (Halverstadt I. F., Kumlér W. D., J. Amer. Chem. Soc., 1942, 64, 2988), приняв  $\mu$  связей C—Cl и C—Br 1,91, C=O 2,83D; получено для III и IV:  $\beta$ -форма 4,22,  $\alpha$ -форма 2,30, для V и VI 1,78 D. Наблюдаемые  $\mu$  III и IV значительно ближе к  $\mu$   $\beta$ -форм. Описанные факты не могут быть объяснены влиянием мезомерной структуры с разделенными зарядами, так как  $\mu$  III должен быть менее  $\mu$  IV, что противоречит фактам; возможны следующие объяснения: а) наличие формы кресла с  $\beta$ -галогенами, б) наличие гибкой формы (РЖХим, 1954, 42858), в) одновременное наличие  $\beta$ -,  $\alpha$ - и гибкой конформации в равновесии; наиболее вероятны б) и в). Тогда величина 5,6 ккал, приписываемая разности энергий форм ванны и кресла циклогексана (VII), точнее является разностью энергий растянутой конформации гибкой формы и формы кресла. По-видимому, влияние гибкой формы наиболее сильно в производных VII: 1) имеющих в цикле атом, связанный иной, нежели  $\mu$ , связью, и со значительным  $\mu$  соседнего атома; 2) с 2 и более атомами в цикле со связью, иной, нежели  $sp^3$ , напр. гетероатомами. К тому же выводу приводит расчет валентных углов. В N,N'-динитропиперазине также вероятно преобладание гибкой формы. Исследованы УФ-спектры поглощения (СП) I—IV, циклогексанона (VIII) и цикlopentanона (IX) в *n*-гептане и 95%-ном спирте (приведены  $\nu$  (макс.) и кривые СП для VIII и IX), причем гипохромный сдвиг полосы  $\pi \rightarrow \pi^*$  при переходе от *n*-гептана к спирту для производных VII значительно больше, чем для производных цикlopentanона, что, наряду с наличием тонкой структуры в СП IX и отсутствием ее в СП VIII, также может явиться результатом влияния гибкой формы.

А. Сергеев

**50477.** Диэлектрическая релаксация сферических молекул в кристаллическом поле: теория для двух простых моделей. Гофман, Аксилрод (Dielectric relaxation for spherical molecules in a crystalline field: theory for two simple models. Hoffman John D., Axilrod Benjamin M.), J. Res. Nat. Bur. Standards, 1955, 54, № 6, 357—363 (англ.)

Предложена теория диэлектрич. релаксации в мол. кристаллах. Предполагается, что полярные молекулы могут иметь различные ориентации в кристаллич. решетке. Рассмотрены 2 модели, в которых диполи направлены соответственно по углам тетраэдра (4 положения) и по граням куба (6 положений). В обеих моделях одной из ориентаций отвечает меньшая энергия, чем всем остальным (энергии которых предполагаются одинаковыми). Считается, что возможны непосредственные переходы между любыми двумя состояниями, причем переход рассматривается как элемент. процесс. Решение системы кинетич. ур-ний для чисел  $N_i$  молекул в *i*-м состоянии приводит к тому, что поляризация системы  $P$  убывает после выключения внешнего электрич. поля по закону  $P(t) = \sum P_{\beta} \exp \times (-t/\tau_{\beta})$ , где  $P_{\beta}$  и  $\tau_{\beta}$  — соответственно поляризация и время релаксации, связанные с  $\beta$ -м типом перехода. Для синусоидального внешнего поля частоты  $\omega$  диэлектрич. потери  $\epsilon''(\omega) \cong K \cdot \sum \alpha_{\beta} \omega \tau_{\beta} / (1 - \omega^2 \tau_{\beta}^2)$  ( $\alpha_{\beta}$  — ориент. поляризуемость, связанная с  $\beta$ -м типом перехода,  $K$  — константа). Следовательно, анизотропия поля в кристалле, обуславливающая наличие энергетически не эквивалентных ориентационных состояний, приводит к дискретному спектру времен релаксации. Первая модель приводит к двум временам релаксации,

второй — к четырем.  $\tau_2$  расположены сравнительно близко друг от друга, так что наблюдается только одна область потерь, однако максимум на кривой  $\epsilon'' = \epsilon''(\lg \omega)$  расширен по сравнению с теорией Дебая с одним временем релаксации. Указанное расширение тем больше, чем меньше величина  $g = \exp(-V/kT)$  ( $V$  — разность энергий менее устойчивого и более устойчивого состояний). При  $g < 1/2$  для первой модели и  $g < 1/3$  для второй модели максимум может быть заметно асимметричным (со стороны низких  $\omega$  круче, чем со стороны высоких). При высоких  $g$  имеется весьма слабая асимметрия противоположного знака. С увеличением  $g$  увеличивается  $g$ , а следовательно, уменьшается ширина асимметрии максимума. Дилектрич. пропускность при увеличении  $g$  возрастает до  $T \approx V/2k$ , а при дальнейшем увеличении  $g$  начинает падать (за счет множителя  $\mu^2/3kT$ ).

О. Птицын  
50478. Двойное лучепреломление, обусловленное освещением изотропной среды интенсивным световым пучком. Баккингем (Birefringence resulting from the application of an intense beam of light to an isotropic medium. Buckingham A. D.), Proc. Phys. Soc., 1956, B69, № 3, 344—349 (англ.)

Теоретически рассмотрено взаимодействие между электрич. полем световой волны и анизотропно поляризующимися молекулами среды, в которой распространяется волна. Предполагается, что частота света достаточно велика, чтобы молекулы не успевали следовать за полем. После усреднения энергии взаимодействия по времени автор получает, что средняя (по периоду волны) энергия взаимодействия анизотропно поляризующихся молекул с электрич. полем световой волны пропорциональна квадрату напряженности поля. Член, обусловленный взаимодействием постоянных диполей с полем, отсутствует, так как после усреднения по времени соответствующая энергия взаимодействия обращается в нуль. Наличие энергии взаимодействия, обусловленной поляризуемостью молекул, приводит к ориентации молекул своими осями максим. поляризуемости по полю, т. е. перпендикулярно направлению распространения света. Это делает среду дикопреломляющей с оптич. осью, совпадающей с направлением распространения светового пучка, вызывающего двойное лучепреломление. Ориентирующее действие магнитного поля световой волны ничтожно, и им можно пренебречь. Получены выражения для двойного лучепреломления, возникающего под действием световой волны, в газе и конденсированной фазе. Изучение предсказываемого эффекта должно дать дополнительные сведения о поляризуемости молекул. Для того, чтобы эффект можно было наблюдать экспериментально, необходимо либо пользоваться мощными источниками света, дающими пучки с мощностью  $\sim 10^6$  ватт/см<sup>2</sup>, либо брать очень толстые образцы и пропускать через них луч света, используемый для измерения двойного лучепреломления, несколько раз.

О. Птицын  
50479. Вращательная дисперсия некоторых аминокислотных комплексов металлов. О'Брайен, Тул (Rotatory dispersion of some metal-amine complexes. O'Brien T. D., Toole R. C.), J. Amer. Chem. Soc., 1955, 77, № 5, 1368—1371 (англ.)

Измерены кривые дисперсии оптич. активности ряда комплексных соединений, содержащих оптически активные диаминны в координационной сфере. Все кривые пересекаются в одной точке, соответствующей оптически активной полосе поглощения при 1380 Å. Если комплекс содержит более 2-х молекул оптически активного диамина на каждый ион металла, отношение  $\alpha$  4705/α 5880 равно 1,74—1,75, если менее двух молекул 1,85. Комплексы, содержащие неактивные диаминны, имеют различные значения отношения. Иссле-

довались следующие соединения:  $[\text{Pt}(\text{l-pn})_3]\text{Br}_4$ ,  $[\text{Zn}(\text{l-pn})_2]_2\text{Cl}_2$ ,  $[\text{Cd}(\text{l-pn})_2]_2(\text{NO}_3)_2$ ,  $[\text{Pt}(\text{l-pn})(\text{NH}_3)_2]\text{Cl}_2$ ,  $[\text{Cd}(\text{l-pn})_{1.57}](\text{NO}_3)_2$ ,  $[\text{Zn}(\text{l-pn})_{1.95}]\text{Cl}_2$ ,  $[\text{Ag}(\text{l-pn})_{1.58}]\text{NO}_3$ ;  $\text{l-pn}$  — линейный пропилендиамин. Авторы приходят к выводу, что причины оптич. активности в исследованных соединениях отличаются от таковых для комплексов с неактивными диаминнами. Оптич. активность исследованных комплексов определяется диаминнами, но не индуцированной асимметрией у центрального атома.

М. Волькенштейн

50480. К изучению оптической анизотропии и ориентации молекул. Ботерель, Пако, Руссе (Contribution à l'étude de l'anisotropie optique et de l'orientation moléculaire. Bothorel Pierre, Pacault Adolphe, Rousset Auguste), Cahiers phys., 1956, № 71-72, 66—68 (франц.)

Из измерений интенсивности и поляризации рассеянного света  $p$ -ров в циклогексане определены оптич. анизотропии  $\Delta^2$ . Величины  $\Delta^2 R_M^2$  ( $R_M$  — мол. рефракция) равны: бензол (I) 22,6, дифенил (II) 135, дифенилэтан (III) 90, дифенилметан (IV) 52, трифенилметан (V) 42,4. По этим данным в III кольца либо параллельны, либо свободно вращаются. В IV и V угол между плоскостью кольца и плоскостью, проходящей через ось симметрии молекулы и ось  $\text{C}_{\text{ар}}-\text{C}_{\text{ал}}$  равен соответственно  $30 \pm 7^\circ$  и  $58 \pm 3^\circ$  и миним. расстояния между атомами N двух колец равны 2,23 Å (IV) и 2,45 Å (V). Для II получается бессмысленный результат вследствие того, что делокализация электронов не учитывается.

О. Птицын

50481. Измерение оптической анизотропии молекул с помощью ралеевского рассеяния. Лоше, Массулье, Руссе (La mesure de l'anisotropie optique moléculaire à partir de la diffusion Rayleigh. Lochet Robert, Massoulier André, Rousset Auguste), Cahiers phys., 1956, № 71-72, 63—66 (франц.)

Эффективная оптич. анизотропия  $\delta^2$  молекул в жидкости и  $p$ -ре, определенная по деполаризации рассеянного света, отличается от  $\delta_0^2$  в газе, что объясняется анизотропией внутреннего поля (АВП) и ассоциацией молекул. Исследована концентрационная зависимость  $\delta^2$  для  $p$ -ров анизотропных  $n$ -в в изотропных  $p$ -рителях, где АВП слабо зависит от концентрации  $C$ . В  $p$ -ре нитробензола (I) в  $\text{CCl}_4$   $\delta^2$  с увеличением  $C$  от 0 до 1 растет от  $54 \cdot 10^{-3}$  до  $95 \cdot 10^{-3}$  ( $\delta^2 = 50 \cdot 10^{-3}$ ). Авторы объясняют это тем, что полярные молекулы I при увеличении  $C$  образуют димеры. В  $p$ -рах уксусной к-ты (II) в  $\text{CCl}_4$   $\delta^2 = 34 \cdot 10^{-3}$  ( $\delta_0^2 = 26 \cdot 10^{-3}$ ), что объясняется либо АВП (так как в молекулах II оптич. и геометрич. анизотропии имеют противоположные знаки), либо тем, что при всех  $C$  молекулы II в  $\text{CCl}_4$  образуют димеры. В  $p$ -рах бензола в  $\text{CCl}_4$   $\delta^2$  уменьшается от  $27,8 \cdot 10^{-3}$  до  $23,7 \cdot 10^{-3}$  с увеличением  $C$  от 0 до 1 ( $\delta_0^2 = 39,6 \cdot 10^{-3}$ ), что объясняется АВП. Исследованы также  $\delta^2$  водн.  $p$ -ров электролитов (Э), образующих ионы  $\text{Al}^{3+}$ ,  $\text{Mg}^{2+}$ ,  $\text{Ca}^{2+}$ ,  $\text{Na}^+$ ,  $\text{Li}^+$ ,  $\text{K}^+$ . В этом случае  $\delta^2$  воды растет с ростом  $C$  Э. Авторы объясняют это тем, что ионы Э разрушают существующую в воде ассоциативную структуру, приводящую к уменьшению  $\delta^2$ .

О. Птицын

50482. Магнитная вращательная способность вращение сернистого ангидрида. Маллеман, Гранж (Pouvoir rotatoire magnétique et rotativité de l'anhydride sulfureux. Malleman René de, Grange Jean), C. r. Acad. sci., 1956, 242, № 26, 3024—3026 (франц.)

Измерение мол. магнитной вращательной способности ряда  $n$ -в в парообразном состоянии и точное измерение плотности паров в тех же условиях показали постоянство уд. и мол. вращения  $[\alpha]$  и  $[\alpha]_M$ . При

проверке на примере насыщ. и ненасыщ. пара  $\text{SO}_2$  найдено, что: а) константа Верде — линейная функция плотности (следовательно,  $[\Lambda]$  и  $[\Lambda]_M$  постоянны) и б)  $[\Lambda]$  насыщ. пара ниже  $[\Lambda]$  ненасыщ., что вызвано возможно, быстрым изменением  $d$  вблизи области насыщения.  $[\Lambda]_M$  жидкого  $\text{SO}_2$  слегка убывает с возрастанием  $t$ -ры; вычисленное значение практически равно  $[\Lambda]_M$  насыщ. пара; по-видимому, внутренняя поляризуемость молекул отчасти зависит от средней величины сил сцепления.

А. Сереев

**50483. Изучение влияния корреляции на деполаризацию рассеянного света. Применение к газу, разбавленному раствору и макромолекулярным цепям. Бенуа, Вейль** (Etude de l'effet des corrélations sur la dépolarisation de la lumière diffusée. Application aux gaz, aux solutions diluées et aux chaînes macromoléculaires. Benoit Henri, Weill Gilbert), Cahiers phys., 1956, № 71-72, 60—63 (франц.).

Предложенным ранее методом (РЖХим, 1956, 46243) рассмотрено влияние корреляции между ориентациями молекул жидкости на деполаризацию рассеянного ею света. Для однокомпонентной системы из молекул, поляризуемость которых характеризуется эллипсоидом вращения,  $\Delta^2 = (\delta^2/NkT\beta)[1 + Z(3\cos^2\varphi - 1)/2]$ , где  $\delta^2$  — анизотропия поляризуемости молекулы,  $\Delta^2$  — анизотропия, получаемая при применении ф-лы Кабаша к деполаризации рассеянного света,  $N$  — число молекул в единице объема,  $\beta$  — изотермич. сжимаемость,  $Z$  — число соседей,  $\varphi$  — угол между направлениями соседних молекул. Получены также ф-лы для однокомпонентной системы, молекулы которой характеризуются 3 главными поляризуемостями для разб. р-ра и для полимерных цепей в р-ре. В последнем случае  $\Delta^2$  зависит от гибкости цепи, причем для жестких палочек  $\Delta^2 = \delta^2$ , а для гауссовых цепей  $\Delta^2 = \delta^2/N$ .

О. Птицын

**50484. Исследование строения молекулы перфтортриметиламина методом дифракции электронов. Ливингстон, Вон** (The molecular structure of perfluorotrimethylamine by electron diffraction. Livingston R. L., Vaughan G.), J. Amer. Chem. Soc., 1956, 78, № 19, 4866—4869 (англ.).

Проведено электронографич. исследование строения молекулы перфтортриметиламина. На кривой радиального распределения обнаружены пики 1,37 и 2,23 Å, отнесенные соответственно к связям C—F, C—N, N...F и F...F группы  $\text{CF}_3$ . Теоретич. кривые интенсивности рассчитывались в предположении симметрии  $C_3$  и фиксированной ориентации группы  $\text{CF}_3$ , при которой 6 кратчайших расстояний между атомами F равных групп  $\text{CF}_3$  одинаковы. Принято C—F 1,33 Å. Учитывался фактор  $\exp(-b_i q^2)$ . Варьировались параметры C—N 1,42—1,50 Å,  $\angle \text{CNC}$  110—120° и  $\angle \text{FCF}$  107,5—109,5°. Окончательно приняты параметры C—F 1,32 ± 0,02, C—N 1,43 ± 0,03 Å, F...F 2,59 ± 0,04 Å,  $\angle \text{CNC}$  114 ± 3°,  $\angle \text{FCF}$  108,5 ± 2,0°.

М. Полтева

**50485. О точности метода дифракции электронов при определении структурных параметров молекул в газообразном состоянии. Альменнинген, Бастиансен** (Accuracy of the electron diffraction method for the determination of structure parameters in the gaseous state. Almenningen A., Bastiansen O.), Research, 1956, 9, № 9, S35—S36 (англ.).

На примерах пиридина, фурана,  $\text{NH}_3$ ,  $\text{ND}_3$  и диметилдиэтилена путем сопоставления с результатами исследования этих соединений другими методами (микроволновая спектроскопия, рентгенография и т. д.) приведена оценка точности секторного метода дифракции электронов.

М. Полтева

**50486. Заторможенное вращение в замещенных этанах, обнаруженное с помощью ядерного магнитного резонанса. Драйсдейл, Филлипс** (Restricted rotation in substituted ethanes as evidenced by nuclear magnetic resonance. Drysdale J. J., Phillips W. D.), J. Amer. Chem. Soc., 1957, 79, № 2, 319—322 (англ.).

С помощью ядерного магнитного резонанса на ядрах  $\text{F}^{19}$  и  $\text{H}^1$  исследовано внутреннее вращение в 1,2-дибром- (I) и 1,2-дихлор-1,1-дифтор-2-фенилэтанах (II), 1,2-дибром-1-хлор-2,2-дифторэтана (III) и 1,2-дибром-1-хлор-1,2,2-трифторэтана (IV). Спектр ядер  $\text{F}^{19}$  имеет 5 максимумов, в том числе 2 спин-спиновых дублета каждого из атомов F. Каждая компонента распадается еще на 2 компоненты из-за взаимодействия F с H. Спектры II—IV имеют сходный вид. Вид спектров указывает на то, что вращение вокруг C—C-связи заторможено. Бедность спектра и его зависимость от  $t$ -ры означает, что реализуется только один из трех поворотных изомеров (ПИ). Спектр II при повышении  $t$ -ры от 0° до 200° обединяется и сужается, что объясняется уменьшением хим. сдвига из-за быстрых колебаний с амплитудой 120° между ПИ с *транс*-расположением (ТР) атомов Cl и ТР атома Cl и  $\text{C}_6\text{H}_5$ . Из величины расщеплений и стeric. соображений следует, что в I и III имеет ПИ с ТР атомов Br, а в IV — ПИ с ТР Br при  $\text{C}_{(1)}$  и F при  $\text{C}_{(2)}$ , либо ТР атомов Br.

О. Птицын

**50487. Давление пара молекулярных кристаллов.**

**XII. Давление пара диметилглиоксима и дикетопиперазина. Энергии водородных связей в этих кристаллах. Сэки, Судзуки, Коидэ** (分子性結晶の蒸気壓. 第12報. ジメチルグリオキシムおよびジケトピペラジンの蒸気壓および水素結合のエネルギーについて. 關集三, 鈴木啓介, 小出力), 日本化學雜誌, Нихон кагаку дзасси, J. Chem. Soc. Japan. Pure Chem. Sec., 1956, 77, № 2, 346—349 (японск.).

Энергии водородных связей  $\text{OH}\cdots\text{N}$  в диметилглиоксима (I) и  $\text{NH}\cdots\text{O}$  в дикетопиперазине (II) оценены из давлений пара мол. кристаллов этих в-в следующим путем: разность между теплотами сублимации (23,2 ккал) и изoeлектронного ему 3,4-диметилгексидиена (12,7 ккал) приравнена энергии двух водородных связей в I, что приводит к энергии  $\text{OH}\cdots\text{N}$  5,3 ккал. И изoeлектронен 1,4-диметилдиклогексану III, но имеет две водородные связи на 1 молекулу. Энергия каждой связи приравнена половине разности теплот сублимации II и III 7,0 ккал. Авторы заключают, что если отношение числа протонов к числу акцепторов протонов равно единице, энергия связей  $\text{NH}\cdots\text{O}$  такая же, как и  $\text{OH}\cdots\text{N}$ , если же это отношение > 2, как в ацетамиде, оксамиде и мочеине, энергия водородной связи гораздо меньше (< 4,2 ккал).

Chem. Abstr. 1956, 50, № 8, 5343.

М. Кубо

**50488. Систематика свойств инфракрасных спектров систем с водородной связью: смещение частоты, полуширина и интенсивность. Хаггинс, Пиментел** (Systematics of the infrared spectral properties of hydrogen bonding systems: frequency shift, half width and intensity. Huggins Charles M., Pimentel George C.), J. Phys. Chem., 1956, 60, № 12, 1615—1619 (англ.).

Системы X—H...Y подразделяются на два класса: 1) Y — основная молекула, отличная от X—H (комплексы); 2) Y и X—H — идентичные молекулы (димеры и полимеры). Приводятся эксперим. данные по частотам  $\nu$  O—H, их смещениям  $\Delta\nu$ , полуширинам линий  $\nu_{1/2}$  и интенсивностям (B) в ИК-спектрах обоих классов: р-ров пиридола, метанола и фенола в  $\text{CS}_2$ , бензоле, диэтиловом эфире, триэтиламине (первый класс); уксусной к-ты (мономер, димер),  $\gamma$ -бутиро-



лактама (мономер, димер), фенола (димер), метанола (димер, полимер), N-этилацетамида (мономер, димер, полимер) (второй класс). В случае первого класса имеют место систематическое возрастание  $\Delta\nu$ ,  $\nu_{\text{H}}$ ,  $B$  с возрастанием основности р-рителя и линейное уравнение  $\nu'_{\text{H}} = 0.72 \Delta\nu + 2.5 \text{ см}^{-1}$ . График зависимости  $\Delta\nu$  от  $\Delta B$  имеет вид возрастающей кривой. Такие же закономерности наблюдаются в случае уксусной к-ты и  $\gamma$ -масляного лактама.  $\Delta\nu$ ,  $\nu_{\text{H}}$  возрастают с удлинением полимерной цепочки. Влияние водородных связей на частоты деформационных колебаний значительно меньше. Так как описанные свойства характерны только для линейных водородных связей, то они могут служить критерием для установления линейности.

**50489. Молекулярная поляризация в тройных системах, содержащих бензол, пиридин и спирт.** Клевердон, Коллинс, Смит (Molecular polarisation in ternary systems comprising benzene, pyridine, and an alcohol. Cleverdon D., Collins G. B., Smith J. W.), J. Chem. Soc., 1956, Nov., 4499—4507 (англ.)

Измерены диэлектрич. проницаемости  $\epsilon$  при разных конц-ях и вычислены  $P_{\infty}$  и  $\mu$  *и* *трет*-бутиловых спиртов (I, II) и дифенилметанола (III) в смесях пиридин-бензол (IV—V) и IV в смесях V с I или II. Во всех системах  $P_{\infty}$  увеличивается с ростом конц-ии IV или спирта в смеси р-рителей. Для проверки наличия взаимодействия между IV, I, II и III с образованием ассоциированных комплексов были вычислены приросты поляризации  $\Delta P$  по уравнению  $\Delta P: (P_{\infty})_{BS} - (P_{\infty})_S = M_B / (K W_B d_{BS}) + 1$ , где  $M_B$  — мол. вес B,  $d_{BS}$  — плотность смеси р-рителей,  $K$  — константа ассоциации комплекса AB и  $\Delta P = (P_{AB\infty})_S - (P_{\infty})_S - (P_{B\infty})_S$ . Из графич. зависимости были вычислены  $K$  в р-ре бензола (первая цифра в скобках) и дипольные моменты ассоциированных комплексов ( $\mu_{AB}$  в D) (вторая цифра в скобках): для IV с I (20·10<sup>2</sup>; 3,37), для IV с II (12·10<sup>2</sup>; 3,16), для IV с III (32·10<sup>2</sup>; 3,71). При больших конц-ях III наблюдается отклонение от линейности. Полученные значения  $K$  показывают, что I ассоциирован с IV в большей степени, чем II, а III ассоциирован с IV сильнее, чем I и II. Большее значение  $\mu$  в случае III, по сравнению с I и II, авторы объясняют ассоциацией, которая вызывает смещение электронной плотности в молекуле III от бензольного кольца к присоединенному атому C. Это дает увеличение компонента момента, направленного вдоль связи C—O, как в молекуле II, поэтому результирующий  $\mu$  комплекса будет больше  $\mu_{agg}$ , полученного векторным сложением  $\mu$  отдельных молекул. Произведен расчет угла отклонения оси диполя молекул I, II, III от направления связи O—H ( $\theta$ ), который составил 60°, 72° и 29° соответственно.

**50490. О спектрах поглощения поляризованных органических молекул и их закономерностях.** II. Фенилполиацетальдегиды. Краусс, Груд (Über die Absorptionsspektren polarisierter organischer Moleküle und deren Gesetzmäßigkeiten. II. Phenylpolyacetaldehyde. Krauss Walther, Grund Harald), J. Elektrochem., 1954, 58, № 9, 767—776 (нем.)

Измерены и теоретически рассмотрены на основе модели одномомерного электронного газа спектры поглощения фенилполиацетальдегидов (I)  $C_6H_5-(CH=CH)_iCHO$ , где  $i = 0, 1, 2, 3, 4, 5, 6$ , в р-ре  $CHCl_3$ , а также р-ров I с электрофильными металлгалогенидами в присутствии кокатализатора  $CH_3COCl$ . Часть I, РЖХим, 1956, 21693.

А. Золотаревский

**50491. Механизмы проводимости кристаллов, содержащих водородные связи.** Поллок, Уббеллоде (Conductance mechanisms in crystals containing hydrogen bonds. Pollock J. McC., Ubbelohde A. R.), Trans. Faraday Soc., 1956, 52, № 8, 1112—1117 (англ.)

Измерена электропроводимость и ее температурная зависимость для прессованных образцов безводн. ацетилендикарбоновой к-ты (I), ее дигидрата (II), безводн. щавелевой к-ты (III), ее дигидрата (IV), бензойной к-ты (V) и фуранкарбоновой к-ты (VI). Из эксперим. данных вычислены энергии активации проводимости ( $E_a$ ), изученных к-т (в ккал/моль): 12,3 (I), 6,5 (II), 40,5 (III), 23,5 (IV), 48,9 (V) и 68,4 (VI). Полученные данные показывают, что кристаллы к-т, образующих изолированные димеры, связанные ван-дер-ваальсовыми силами (V, VI), имеют высокие, по сравнению с ионными кристаллами, значения  $E_a$ . Проводимость в таких кристаллах приписывается переносу протона из димера в промежуточное положение в кристалле, преимущественно вблизи кислородов карбоновых групп. Величина  $E_a$  низка у кристаллов гидратированных к-т (II, IV), так как при наличии цепи водородных связей в форме спирали имеется много энергетически выгодных положений для мигрирующего протона. Эксперим. данные показывают, что при дегидратации часть этих ячеек теряется и  $E_a$  растет.

В. Алексанян

**50492. Изучение диэлектрической поляризации при образовании водородной связи у комплексов спиртов.** Бауд, Смит (Dielectric polarisation studies of the formation of hydrogen-bond complexes by alcohols. Boud A. H., Smith J. W.), J. Chem. Soc., 1956, Nov., 4507—4513 (англ.)

Измерены диэлектрич. проницаемости  $\epsilon$  при разных конц-ях и вычислены молекулярные поляризации  $P_{\infty}$  и  $\mu$  *и* *трет*-бутилового спиртов (I, II) в смесях бензол (III) триэтиламин (IV) и IV в смесях III с I, или II, а также I, II в р-ре III с диметиламиноном (V), *n*-бутилсульфидом (VI), бензохиноном (VII), бензотрифторидом (VIII). Найдены дипольные моменты ( $\mu$  в D): IV 0,80; VI 1,61, VIII 2,56. Для проверки наличия взаимодействия между I, II и IV в р-ре III с образованием ассоциированных комплексов и водородной связи ранее описанным методом (см. пред. реф.) вычислены прирост поляризации IV в смесях I-II и I-III, константы ассоциации комплексов ( $K$ ) (первая цифра в скобках) и  $\mu$  комплексов (вторая цифра в скобках): для I, III, IV (3300, 234), для II, III, IV (860, 225). При значительных конц-ях I и II наблюдается такое же отклонение от линейности в системе II-пиридин (IX) в р-ре III. Значение  $K$  для I-IV больше, чем  $K$  для системы I-IX и близко к  $K$  для системы *n*-гептиловый спирт-триметиламин. Ассоциация II с IV происходит труднее, чем у II-IX, что, по мнению авторов, объясняется стерич. эффектами. Предполагая, что  $\mu$  комплексов I или II с IV являются векторной суммой  $\mu$  I или II (1,69 D) и IV (0,80 D), авторы вычислили углы отклонения диполей в спиртах от оси связи OH 43° и 54,5° соответственно. Различия вызвано перераспределением электронной плотности. Для остальных исследуемых систем значения  $P_{\infty}$  р-ров в смесях р-рителей сравнимы с значениями  $P_{\infty}$  найденными для тех же самых конц-ий в III, что свидетельствует, по мнению авторов, о незначительной ассоциации.

С. Барденштейн

**50493. Определение водородной связи группы SH при помощи инфракрасной спектроскопии.** I. Тиофенол. Жозьен, Дизабо, Сомань (Détermination par spectroscopie infrarouge de liaisons hydrogène inté-



ressant le vibreur SH. I. Le benzénethiol. Josien Marie-Louise, Dizabo Pierre, Saumagne Pierre), Bull. Soc. chim. France, 1957, № 3, 423—428 (франц.)

Путем исследования изменений в ИК-спектре поглощения в области 2500—2600  $\text{см}^{-1}$  тиофенола (I) в р-ре  $\text{CCl}_4$  и смесях  $\text{CCl}_4$  с мезитилом, бензолом, хлористым бутилом, бромистым бутилом и йодистым этилом различной конц-ии изучалось образование Н-связей через группы SH. Полоса поглощения вал. кол. свободных групп SH при 2591  $\text{см}^{-1}$  в очень разб. р-ре в  $\text{CCl}_4$  (2592  $\text{см}^{-1}$  в газе) с ростом конц-ии I расщепляется на две, и в чистом I полоса поглощения групп SH, включенных в Н-связь  $\text{SH} \cdots \text{S}$ , находится при 2569  $\text{см}^{-1}$  и становится значительно интенсивней. При растворении в смесях  $\text{CCl}_4$  с мезитилом при объемных конц-иях  $\text{CCl}_4$  от 100 до 50% интенсивность полосы 2591  $\text{см}^{-1}$  уменьшается, а 2564  $\text{см}^{-1}$  увеличивается при увеличении конц-ии мезитилена. При 50%  $\text{CCl}_4$  и 50% мезитилена полоса поглощения 2591  $\text{см}^{-1}$  исчезает, так как все несвязанные молекулы вступают в Н-связь с молекулами мезитилена. Полоса 2591  $\text{см}^{-1}$  в  $\text{CCl}_4$  при добавлении 5—20% бензола, хлористого и бромистого бутила или йодистого этила также раздваивается, что свидетельствует об образовании водородных связей с молекулами этих р-рителей.

Е. Покровский

**50494. Межмолекулярные ассоциации пиррола и пиридина. Криоскопическое исследование и термодинамическое обсуждение. Кьорболи, Моризи** (Sulle associazioni intermolecolari fra pirrolo e piridina: ricerche crioscopiche e considerazioni termodinamiche. Chioboli Paolo, Morisi Gabriella), Gazz. chim. ital., 1954, 84, № 11, 1066—1086 (итал.)

Криоскопическим путем определены коэф. активности пиридина и пиррола, а также их смесей (в мол. отношения 1:1 и 1:2) в бензоле; из полученных данных рассчитаны константы ассоциации для возможных равновесий:  $\text{C}_5\text{H}_5\text{N} + \text{C}_4\text{H}_5\text{N} \rightleftharpoons \text{C}_5\text{H}_5\text{N} \cdots \text{HNC}_4\text{H}_4$  ( $K_1$ ) и  $\text{C}_5\text{H}_5\text{N} + 2\text{C}_4\text{H}_5\text{N} \rightleftharpoons \text{C}_5\text{H}_5\text{N}(\text{HNC}_4\text{H}_4)_2$  ( $K_2$ ). Постоянство  $K_1$  указывает на то, что имеет место ассоциация первого типа в согласии с результатами, полученными ранее при исследовании спектров комб. рас. (РЖХим, 1955, 11158). А. Сергеев

**50495. К симметрии комплексов бензол-положительный ион; однозарядные положительные ионы третьей группы. Рандл, Корбетт** (Concerning the symmetry of benzenepositive ion complexes; unipositive third group ions. Rundle R. E., Corbett J. D.), J. Amer. Chem. Soc., 1957, 79, № 3, 757—758 (англ.)

Обсуждается возможность симметрии  $C_{6v}$  у комплексов  $\text{M}^+$  — бензол. Для образования связи необходимо, чтобы акцепторная орбита катиона (АОК) имела симметрию, такую же как и верхние орбиты кольца ( $I_1$ ). У ионов  $\text{Ag}^+$ ,  $\text{H}^+$  и т. д. нижняя АОК является  $S$ -орбитой ( $a_1$ ) и переход заряда невозможен без электронного возбуждения. Для  $\text{Ga} (1+)$ ,  $\text{In} (1+)$  и  $\text{Tl} (1+)$  нижние АОК являются  $p$ -орбитами, в том числе с симметрией  $e_1$ , и симметрия  $C_{6v}$  для иона бензол —  $\text{M}^+$  возможна. Изучение дифракции рентгеновских лучей кристаллами  $\text{Ga}(\text{GaCl}_4)$  — бензол (I) показало, что I имеет псевдогексагональную структуру ( $a = 11,89$ ,  $c = 30,05$  А,  $n = 12$ ) и не изоморфен комплексу  $\text{AgClO}_4$  — бензол. Е. Шусторович

**50496. Некоторые результаты изучения инфракрасных спектров поглощения смесей сжатых газов. Кулон, Галатри, Водар** (Quelques résultats sur les spectres d'absorption infrarouges des mélanges de gaz comprimés. Coulon Roger, Galatry Louis,

Vodar Boris), Cahiers phys., 1956, № 71-72, 47—49 (франц.)

Обзорный доклад о работах авторов. Е. Покровский **50497. Явления включения в растворах. Лауч, Бандель, Брозер** (Einschließungs-Erscheinungen in Lösungen. Lautsch W., Bandel W., Broser W.), Z. Naturforsch., 1956, 11b, № 5, 282—291 (нем.)

При добавлении к водн. р-рам тетрахлорсалцила (3,3',5,5'-тетрахлор-2,2'-диоксibenзил) (I) и метилового оранжевого (II), р-ров  $\alpha$ -циклодекстрина (III), альбумина из бычьей сыворотки (IV), глобина (V) (мол. в. 68 000) и натриевой соли дезоксихолевой к-ты (VI) в спектрах поглощения р-ров красителей (в области 350—550 м $\mu$ ) смещаются  $\lambda_{\text{макс}}$  (большей частью гипсохромно) и изменяется коэф. экстинкции ( $\epsilon$ ). Причиной изменений является образование соединений включения из молекул коллоида и красителя (РЖХим, 1956, 46079). При графич. изображении зависимости  $\epsilon$  для определенной длины волны (различной для различных комплексов) от конц-ии добавляемого коллоида получаются кривые, дающие следующие мол. соотношения составляющих в такого рода комплексах: I: III = 1:1, I: V = 2:1, I: IV = 1:1 (с ростом конц-ии IV доля его участия в составе увеличивается), II: V = 2:1, II: VI = 1:2. Колич. опытами по растворению диметиламиноазобензола (VII) (нерастворим в чистой воде) при прибавлении коллоида установлено образование комплексов VII: III = 1:1 и VII: VI = 1:2. Установление образования комплексов с в-вами, не поглощающими в видимой и УФ-области, и их строения производилось путем определения зависимости  $\epsilon$  комплекса краситель-коллоид от конц-ии исследуемого бесцветного в-ва. Напр., III с адреналином (VIII) дает комплекс VIII: III = 1:1. Полученные данные подтверждены опытами по диализу, при которых во внешний р-р переходит только избыток красителя. Диализом в присутствии третьего в-ва установлено, что комплекс I: V устойчивее I:  $\text{NaBO}_3$  и менее устойчив, чем гемоглобин, представляющий собой комплекс гемин: V. Н. Спасокукоцкий

**50498 Д. Исследование поглощения и дисперсии света в кристаллах некоторых полициклических соединений. Броди М. С.** Автореф. дисс. канд. физ.-матем. н., Ин-т физ. АН УССР, Киев, 1957

См. также: Структура молекул: неорганич. 50975, 50995; по рентген. данным 50533—50542. Энергия связи 50676. Магнитные св-ва 50599—50561.

## КРИСТАЛЛЫ

Редакторы Э. А. Гилинская, А. Б. Нейдинг, А. С. Хейнман

**50499. Структурные типы при плотнейшей упаковке атомов. Возможные структурные типы при составе АВ<sub>3</sub>. Смирнова Н. Л.** Кристаллография, 1956, 1, № 5, 502—505

В том же предположении, что и ранее (РЖХим, 1957, 25836), выведены возможные структурные типы для гексагон. и куб. плотнейших упаковок атомов, когда каждый атом В имеет 3 соседних атома А. Для каждой из упаковок найдено по одному структурному типу. В случае куб. плотнейшей упаковки — это тип  $\text{Ni}_3\text{W}$ . Н. Смирнова

**50500. Зависимость свойств силикатов от их структуры. Соболев В. С.** Геохимия, 1956, № 6, 49—60 Доклад, представленный на XX сессию Международного геологического конгресса в Мексике. Б. Зиягин

**50501. Жаростойкие соединения редкоземельных металлов: бориды, карбиды, нитриды, сульфиды, Гом-**

Ман (Composés réfractaires des métaux des terres rares: borures, carbures, nitrures, sulfures. G. a u m e - M a h n F., Mme), Bull. Soc. chim. France, 1956, № 11-12, 1862—1867 (франц.)

Обзор структур и свойств. Библ. 28 назв. П. Зоркий 50502. Усовершенствование метода «тяжелого атома» для решения кристаллических структур. Вулфсон (An improvement of the «heavy-atom» method of solving crystal structures. Woolfson M. M.), Acta crystallogr., 1956, 9, № 10, 804—810 (англ.)

Вместо рядов Фурье, построенных по наблюдаемым  $|F_h|$  и знакам, вычисленным по известным положениям тяжелых атомов, предлагается строить разностные ряды:  $\sigma_r = \sum \theta_h S_c \{ |U_h| \text{thg}(|U_h C_h|/\epsilon') - |C_h| \} \cos 2\pi h r$  (1). Здесь  $\theta_h$  — зависимость атомных факторов от  $\sin \theta$ ,  $C_h$  — вклад в единичную амплитуду известных атомов, а  $S_c$  — знак этого вклада;  $U_h$  — полная единичная амплитуда; величину  $\epsilon' = \sum n_j^2$  находят суммированием только по неизвестным атомам. Ряды (1) позволяют более ясно выделить неизвестную часть структуры. Приводятся критерии степени решаемости структуры, имеющих преимущества перед известным (РЖХим, 1954, 19518). Преимущества новых рядов демонстрируются на гипотетич. структуре.

И. О. 50503. Определение фаз структурных факторов нецентросимметричных кристаллов методом двойного изоморфного замещения. Харкер (The determination of the phases of the structure factors of non-centrosymmetric crystals by the method of double isomorphous replacement. Harker David), Acta crystallogr., 1956, 9, № 1, 1—9 (англ.)

Показано, что полная структура нецентросимметричного кристалла может быть определена из рентгенограмм, данных трех изоморфных в-в, принадлежащих к двум различным рядам изоморфных в-в (замещение различных частей молекулы). Определенная таким образом структура может быть энантиоморфна известной структуре.

И. Овсянникова 50504. Новая постановка и решение фазовой проблемы в рентгеновском анализе нецентросимметричных кристаллов, содержащих anomalously рассеивающие атомы. Окая, Пепинский (New formulation and solution of the phase problem in X-ray analysis of noncentric crystals containing anomalously scatterers. Oka Y., Yoshiharu, Pepinsky Kayu), Phys. Rev., 1956, 103, № 6, 1645—1647 (англ.)

Утверждается, что нецентросимметричные сложные структуры могут быть решены до конца при использовании эффекта аномального рассеяния. Фаза структурного фактора  $F$  находится при решении системы двух квадратных уравнений:  $|F_h|^2 = (A_h^{a.s.} + A_h^{n.s.})^2 + (B_h^{a.s.} + B_h^{n.s.})^2$  и  $|F_{-h}|^2 = (A_{-h}^{a.s.} + A_{-h}^{n.s.})^2 + (B_{-h}^{a.s.} + B_{-h}^{n.s.})^2$ , где  $A_h^{a.s.}$  — вклад в действительную часть структурного фактора anomalously рассеивающим атомом,  $A_h^{n.s.}$  — то же для нормально рассеивающих атомов,  $B_h^{a.s.}$  и  $B_h^{n.s.}$  — соответствующие коэф. при мнимой части. Система решается при известных  $A_h^{a.s.}$ ,  $B_h^{a.s.}$ ,  $A_{-h}^{a.s.}$ ,  $B_{-h}^{a.s.}$ , определенных предварительно из функции Паттерсона или каким-либо другим способом. Она дает 2 решения. Выбор одного из них производится на основе дополнительного исследования (с помощью  $P_s(u)$ -функции, метода изоморфного замещения или тяжелого атома, линейных неравенств Окая). Отмечается, что новый метод имеет значительные преимущества перед другими, в частности перед методом двойного изоморфного замещения.

И. О.

50505. Индексирование рефлексов в исследованиях, включающих использование эффекта аномального рассеяния. Пердеман, Бейвут (The indexing of reflexions in investigations involving the use of the anomalous scattering effect. Peerdeman A. F., Bijvoet J. M.), Acta crystallogr., 1956, 9, № 12, 1012—1015 (англ.)

Использование эффекта нарушения закона Фриделя при аномальном рассеянии рентгеновских лучей требует установления связи координатных систем рентгенограмм и кристалла. В связи с этим предложен способ приписывания знака триплету индексов при индексировании вейссенбергограмм. Указывается, что в случае применения Г.—М.-счетчика, в отличие от метода колебания, трудностей при индексировании не возникает. Изложена схема использования аномального рассеяния для определения фазовых углов структурных факторов нецентросимметричных кристаллов. См. также РЖХим, 1957, 47131.

П. Зоркий 50506. Распределение средней интенсивности для ограниченной группы рефлексов. Стэнли (The distribution of the mean intensity of a finite group of reflexions. Stanley E.), Acta crystallogr., 1955, 8, № 6, 351—352 (англ.)

В идеальном случае, когда число рефлексов не ограничено, интенсивности однородной группы рефлексов распределены по одному из двух законов в зависимости от наличия или отсутствия центра симметрии: (1)  $P(z) dz = \exp(-z) dz$  (I) и (2)  $P(z) dz = (2\pi z)^{-1/2} \times \exp(-1/2z) dz$  (II), где  $z = I/I_0^2$ . Для ограниченной группы рефлексов среднее значение  $\bar{z}$  зависит от числа рефлексов  $n$ , и законами распределения  $\bar{z}$  будут: (1)  $P(\bar{z}) d\bar{z} = n^n \Gamma(n)^{-1} \bar{z}^{n-1} \exp(-n\bar{z}) d\bar{z}$  и (2)  $P(\bar{z}) d\bar{z} = (1/2n)^{1/2} \Gamma(1/2n)^{-1} (\bar{z})^{1/2n-1} \exp(-1/2n\bar{z}) d\bar{z}$ . С увеличением  $n$  (1)  $P(\bar{z})$  приближается к нормальному распределению. Среднее значение  $\langle \bar{z} \rangle = 1$ . Среднеквадратичное отклонение  $\sigma(\bar{z})_n = (1/n)^{1/2}$ . Очевидно, что

(1)  $P(\bar{z})_n = (\bar{1}) P(\bar{z})_{2n}$ . Отсюда следует, что распределение средних значений рефлексов, взятых парами из центросимметричного распределения, дает распределение для нецентросимметричного кристалла, т. е. можно получить неверное распределение в случае перекрытия отдельных рефлексов (в частности, это может привести к неверному заключению о наличии центра симметрии в кристалле). Для определения коэф. приведения интенсивностей к абс. шкале ( $C$ ) и температурного коэф. ( $2B$ ) по Вильсону (Wilson A. J. C., Nature, 1942, 150, 152) откладывают  $\ln \langle I \rangle / \Sigma I^2$  в виде функции от  $\sin^2 \theta / \lambda^2$ . Если выбирать интервал  $\sin \theta$  небольшим, то (1)  $\sigma(\langle I_{abc} \rangle)_n \sim (1/n)^{1/2} \Sigma I^2$  и (2)  $\sigma(\langle I_{abc} \rangle)_n \sim (2/n)^{1/2} \Sigma I^2$ . Отсюда  $\sigma(C)$  будет порядка  $C \sigma(\bar{z})_n (m-1)^{-1/2}$ , где  $m$  — число отдельных групп, на которые делятся  $N$  рефлексов ( $N = mn$ ), так что в первом приближении  $\sigma(C)$  равно  $C(1/N)^{1/2}$  и  $C(2/N)^{1/2}$  соответственно для распределений [I] и [II].  $\sigma(2B)$  будет порядка  $\sigma(\bar{z})_n \lambda^2 / (m-1)^{1/2} \sin^2 \theta_{\max}$ . Такой приближенный анализ позволяет оценить надежность  $C$  и  $2B$  в зависимости от числа использованных рефлексов. И. Руманова 50507. Улучшенный метод построения узлов обратной решетки. Мартин (Improved method for plotting reciprocal lattice points. Martin W. G.), J. Appl. Phys., 1956, 27, № 5, 514—515 (англ.)

Предлагается новая сетка для построения проекции обратной решетки по рентгенограммам монокристаллов, снятых на монохроматич. излучении. Эта сетка вместе со стандартной сеткой Бернала позволяет избежать большей части вычислений, связанных с по-

строением проекции. Сетка представляет ортогон. проекцию сферы отражения на плоскость, нормальную к оси вращения кристалла. На нее нанесены концентрич. окружности и дуги, соответствующие постоянным значениям координат узлов обратной решетки  $z$  (0,1—1,0) и  $xi$  (0,1—2,0). Размер сетки выбирается в соответствии с размером проекции обратной решетки.

В. Горбунов  
50508. Машина-аналог для двумерного суммирования рядов Фурье в рентгеноструктурном анализе.

Сурьян (An analogue computer for double Fourier series summation for X-ray crystal-structure analysis. Suryan G., Acta crystallogr., 1957, 10, № 1, 82—84 (англ.))

Дано общее описание счетной машины (СМ) для суммирования двумерных рядов Фурье, основанной на использовании синхронных магнитных регистрирующих устройств, изобретенных автором (РЖФиз, 1956, 98, 99). Исходные  $P_{hk}$  задаются последовательно, что устраняет необходимость многочисленных генераторов и амплитудных регуляторов. Конструирующаяся в настоящее время СМ может оперировать с  $h$  и  $k$  по модулю  $\leq 12$ . Время, необходимое для полного просмотра  $x, y$ -области, равно 20 сек. По мнению автора, предложенная СМ гораздо дешевле машины X-RAC (Pepinsky R., Computing Methods and the Phase Problem in X-ray Crystal Analysis. State College: Pennsylvania State University, 1952), предназначенной для тех же целей.

П. Зоркий  
50509. О прецизионном определении параметров решетки в связи с изучением  $\alpha$ -титана. Санто (Precizios r  csparam  ter-meghat  roz  s probl  mai   -tit  n vizsg  lata kapcs  n. Sz  nto Istv  n), Magyar tud. akad. musz. tud. oszt. k  zl., 1955, 16, № 2-4, 233—248 (венг.)

Прецизионно измерены параметры кристаллич. решетки  $\alpha$ -Ti на образцах, представляющих собой сублимированные на W нити диам. 0,27 мм. Устранение внутреннего напряжения осуществлялось путем термич. обработки нити в условиях высокого вакуума (800°, 10<sup>-6</sup> мм рт. ст.). Измерения производились в дебаевской 19-см камере на микрорентгеновской установке с помощью излучения Си-K $\alpha$ ; интенсивность линий определялась фотометрически. Точность результатов оценивалась с помощью статистич. анализа полученных данных (Linder A., Statistische Methoden f  r Naturwissenschaftler, Mediziner und Ingenieure, 1951, Basel—Birkh  user, 156). Для  $\alpha$ -Ti получено:  $a$  2,9506,  $c$  4,6788   . Увеличение параметра  $c$  находится в линейной зависимости от кол-ва примесей (до 0,5 вес. %), что позволяет определять небольшое кол-во газообразных примесей в металле.

И. Дилунг  
50510. Кристаллическая структура  $U_2Mo$ . Холтман (The crystal structure of  $U_2Mo$ . Holteman E. K., Acta crystallogr., 1957, 10, № 3, 166-169 (англ.))

На рентгенограмме сплава U с 30,4 ат. % Mo, выдержанного при 590° и затем медленно охлажденного до 400°, появляются, кроме линий твердого р-ра со структурой  $\gamma$ -U, сверхструктурные линии. Это указывает на образование соединения  $U_2Mo$  ( $\gamma$ -фазы) с частично упорядоченной структурой (тетрагон. сингония, ф. гр.  $I4/mmm$ );  $a$  3,427,  $c$  9,834 ( $\approx 3 \times 3,279$ )   , положения атомов: 2(Mo+U) (неупорядоченно) в 000 и  $1/2, 1/2, 1/2$ , 4U в 00z;  $1/2, 1/2, 1/2 + z$ ;  $1/2, 1/2, 1/2 - z$ ;  $z$  0,328 $\pm$ 0,002. Структура относится к типу  $MoSi_2$ . Межатомные расстояния (в   ): Mo—8U 2,96; U—4 Mo 2,96; U—4 U 2,87.

П. Крипякевич  
50511. Структура  $V_4Al_{13}$ . Смит, Рей (The structure of  $V_4Al_{13}$ . Smith J. F., Ray A. E.), Acta crystallogr., 1957, 10, № 3, 169—172 (англ.)

Найдено, что соединение  $V_4Al_{13}$  (по данным диаграммы состояния  $VAl_3$ ) имеет гексагон. структуру (ф. гр.  $P6_3/mmc$ ),  $a$  7,692,  $c$  17,04   . Положение атомов определено построением проекций Паттерсона и Фурье (с применением разностных синтезов). Координационные числа для всех атомов равны 12. Координационные многогранники атомов V имеют вид икосаэдров. Средние межатомные расстояния V—V и Al—Al близки к расстояниям в чистых металлах; средние расстояния V—Al сокращены по сравнению с суммами атомных радиусов. В отношении зон Бриллюэна структура  $V_4Al_{13}$  родственна структурам  $Co_2Al_5$ ,  $Fe_2NiAl_{10}$  и  $Mn_2SiAl_6$ .

П. Крипякевич  
50512. Упорядочение атомов в  $\sigma$ -фазе. Каспер, Уотерстрат (Ordering of atoms in the  $\sigma$  phase. Kasper J. S., Waterstrat R. M.), Acta crystallogr., 1956, 9, № 3, 298—295 (англ.)

Нейтроннографически исследовано упорядочение атомов в  $\sigma$ -фазах систем Ni—V, Fe—V и Mn—Cr, не поддающиеся рентгенографич. изучению из-за близости атомных номеров компонент. Предположено, что атомы занимают те же положения, что и в структуре  $\sigma$ -фазы системы Co—Cr с пятью кристаллографическими различными сортами атомов в ф. гр.  $P4/mmm$ : I в 2 (b); II в 4 (f)  $x$  0,103; III в 8 (i)  $x$  0,371,  $y$  0,037, IV в 8 (i)  $x$  0,566,  $y$  0,240; V в 8 (j)  $x$  0,316,  $z$  0,250. Образцы готовились из максимально чистых компонентов путем длительной выдержки (до 120 час.) в инертной атмосфере при различной т-ре. В системе Ni—V внутри интервала гомогенности  $\sigma$ -фазы исследованы составы  $Ni_5V_{21}$  ( $a$  9,04,  $c$  4,67,  $\rho$  (рент.) 7,011),  $Ni_{11}V_{19}$  ( $a$  8,98,  $c$  4,64,  $\rho$  (рент.) 7,198) и  $Ni_{13}V_{17}$  ( $a$  8,95,  $c$  4,63,  $\rho$  (рент.) 7,338); распределение атомов: Ni в I и IV; V в II и V; Ni + V в III. В  $\sigma$ -фазе системы Fe—V при составе  $Fe_{12}V_{18}$  атомы Fe распределяются в: 1,7 Fe в I; 1,5 Fe в III, 6,8 Fe в IV и 2 Fe в V. В  $\sigma$ -фазе системы Mn—Cr при составе  $Mn_3Cr$  высокотемпературное состояние (фиксированное закалкой с 1100°) соответствует распределению атомов Cr: 1 в положении II, 3—в III, 3,5—в V. Отмечается сходство с системой Mn—Mo (РЖМет, 1956, 5634). Упорядочение различных атомов рассматривается в связи с координационным числом в структуре  $\sigma$ -фазы.

Р. Озеров  
50513. Изменения структуры кристаллов металлов и их влияние на кинетику твердения твердых растворов алюминия. Бергезан (Les modifications de structure du cristal m  tallique et leur influence sur la cin  tique du durcissement structural des solutions solides d'aluminium. Bergh  zan A., Publ. scient. et techn. Minist  re air, 1953, № 283, iii, 95 p. (франц.))

50514. Матричная фаза в низкотемпературном бейните и отпущенном мартенсите. Уэрнер, Авербах, Коэн (Matrix phase in lower bainite and tempered martensite. Werner F. E., Averbach B. L., Cohen Morris), J. Metals, 1956, 8, № 10, 1484 (англ.)

50515. О переходе порядок—беспорядок в кубических кристаллах  $Fe_3O_4$ . Бехар, Коллонг (Sur la transformation ordre-d  sordre dans la phase sesquioxyde de fer cubique. Behar Isaac, Colloques Robert), C. r. Acad. sci., 1957, 244, № 5, 617—619 (франц.)

Авторы считают, что многочисленные дополнительные линии на порошковых диаграммах (П)  $\gamma$ - $Fe_3O_4$  (I) по сравнению с П  $Fe_3O_4$  могут быть интерпретированы, если принять ячейку I тетрагон. с  $a = 8,322$     и  $c/a = 2$ . Дополнительные линии соответствуют появлению сверхструктуры, связанному с правильным расположением пустот в кристаллич. решетке I. Менее упорядоченная структура получена нагреванием I до 620° с последующей закалкой. По ранее описанной



методике (Mason B., Geol. Fören. Stockh. Förh., 1943, 65, 95) получено I, П которого совершенно не имели дополнительных линий.

П. Зоркий  
30516. Тетрабромид урана  $\text{UBr}_4$ . Дуглас, Старицкий (Uranium tetrabromide,  $\text{UBr}_4$ , Douglass R. M., Staritzky Eugene), *Analyst. Chem.*, 1957, 29, № 3, 459 (англ.)

Морфологически исследованы кристаллы  $\text{UBr}_4$ . Параметры монокл. решетки:  $a$  10,92,  $b$  8,69,  $c$  7,05 Å,  $\beta$  5,35,  $z = 4$ . Оптич. свойства:  $n_x = 1,86$ ,  $n_y = 2,02$ ,  $n_z = 2,06$ ,  $Z = b$ , угол  $X$  Ас-мал,  $2V_x = 51 \pm 3^\circ$ . Приведены спектры поглощения вдоль осей  $X$ ,  $Y$ ,  $Z$  и значения  $i$  и  $d$  порошковых диаграмм.

В. Глазков  
30517. Абсолютная структурная конфигурация хлорида и бромида меди и халькопирита; проверка морфологической теории нецентросимметричных мерздрических кристаллов. Монье, Керн (Configuration structurale absolue du chlorure cuivreux, du bromure cuivreux, et de la chalcopirite; vérification d'une théorie morphologique des cristaux méridres non centrés. Monier Jean-Claude, Kern Raymond), *C. r. Acad. sci.*, 1955, 241, № 1, 69-71 (франц.)

С целью подтверждения предложенной ранее теории (РЖХим, 1956, 18652) исследована связь структуры и внешней формы кристаллов  $\text{CuCl}$  (I),  $\text{CuBr}$  (II) и  $\text{CuFeS}_2$  (III). Кристаллы I и II (тетраэдры) и III (сфероэдр) сточены таким образом, что появлялись изгибы грани (ИГ), параллельные естественным (ЕГ). Фигуры травления ИГ и ЕГ оказались разными. Отсюда, а также из того, что при пьезоэффекте на ЕГ получался всегда положительный заряд, вытекала принципиальная возможность существования в каждом случае прямого или инвертированного кристаллич. многогранника. Рентгенографически ( $\lambda$  Zn) с использованием явления аномального рассеяния, которое возникло вследствие близости частот  $K$ -края поглощения  $\text{Cu}$  и  $K\beta$ -линии  $\text{Zn}$ , установлено, что ЕГ являются гранями  $\{111\}$  для I и II и  $\{112\}$  для III. Из структур I, II, III вытекает, что их грани могут представлять собой слои ионов  $\text{Cu}^+$  и  $(\text{Cu}^{2+} + \text{Fe}^{2+})$  или  $\text{Cl}^-$ ,  $\text{Br}^-$  и  $\text{S}^{2-}$ . Большая поляризуемость анионов, обуславливающая меньшую вероятность осаждения частицы на образованных ими плоскостях (РЖХим, 1956, 6264), указывает, по мнению авторов, на то, что грани кристаллов представлены анионами. В случае кристаллов  $\beta\text{-SiC}$  вследствие малой разницы в поляризуемости  $\text{Si}$  и  $\text{C}$  вероятности осаждения на гранях  $\{111\}$  и  $\{111\}$  почти равны; этим объясняется образование кристалла, внешняя форма которого не выявляет нецентросимметричности структур.

П. Зоркий  
30518. Исследования тройных халькогенидов. IX. О структуре  $\text{CuTi}_2\text{S}_4$ . Хан, Хардер. X. Опыты смешивания сульфидов титана с сульфидами двухвалентных переходных металлов. Хан, Хардер, Брокмюллер XI. Опыты получения тиоперовских. Хан, Мучке (Untersuchungen über ternäre Chalkogenide. IX. Über die Struktur des  $\text{CuTi}_2\text{S}_4$ . Hahn Harry, Harder Bernhard. X. Versuche zur Umsetzung von Titansulfiden mit Sulfiden zweiwertiger Übergangsmetalle. Hahn Harry, Harder Bernhard, Brockmüller Wolfgang. XI. Versuche zur Darstellung von Thioperowskiten. Hahn Harry, Mutschke Ursula), *Z. anorg. und allgem. Chem.*, 1956, 288, № 5-6, 257-259; 260-268; 269-278 (нем.)

IX. Нагреванием в вакууме при  $t$ -ре 500—600° эквивалентных кол-в  $\text{TiS}_2$  и порошка  $\text{Cu}$  (или  $\text{Ti}_2\text{S}_3$ ,  $\text{Cu}_2\text{S}$ ) получено соединение  $\text{CuTi}_2\text{S}_4$  в виде темного, мелкокристаллич. порошка с металлич. блеском. При более высоких  $t$ -рах оно разлагается. На основании

исследования рентгенограмм порошка авторы заключают, что это соединение имеет структуру нормальной шпинели. Параметры решетки:  $a$  9,86,  $kX$   $q$  (изм.) 3,80;  $q$  (рентг.) 3,95; для  $S$   $x$  0,382.

X. Исследовались системы  $\text{FeS} - \text{TiS} - \text{TiS}_2$  (I),  $\text{CoS} - \text{TiS} - \text{TiS}_2$  (II),  $\text{NiS} - \text{TiS} - \text{TiS}_2$  (III), а также взаимодействие  $\text{VS}$ ,  $\text{CrS}$  и  $\text{MnS}$  с  $\text{Ti}_2\text{S}_3$  ( $\text{Ti}_3\text{S}_4$ -фаза) при  $t$ -ре 600—1000° в вакууме. Во всех системах обнаружена фаза твердого р-ра, структура которой представляет собой постепенный переход от структурного типа  $\text{NiAs}$  к типу  $\text{CdI}_2$ . Область гомогенности этой фазы в системе I очень велика и резко уменьшается в ряду I — II — III. Склонность  $\text{VS}$ ,  $\text{CrS}$  и  $\text{MnS}$  к образованию твердых р-ров с  $\text{Ti}_2\text{S}_3$  существенно меньше.

XI. Нагреванием в вакууме при 600—1000° сульфидов щел.-зем. металлов, а также  $\text{MgS}$  с  $\text{TiS}_2$  и  $\text{ZrS}_2$  получены соединения  $\text{SrTiS}_3$  (IV),  $\text{BaTiS}_3$  (V) и  $\text{BaZrS}_3$  (VI). Рентгенограммы порошка IV и V могут быть проиндексированы в тетрагон., гексагон. и ромбич. сингониях, причем имеются следующие соотношения:  $a_T = b_P$ ;  $C_T = a_T = c_P = 1/2 a_P$ ;  $c = 1/2 a_P$ .

Параметры решетки (в гексагон. установке): IVa 6,57,  $c$  5,69,  $kX$ ,  $q$  (изм.) 3,56; V 6,71, 5,81,  $kX$ ; 4,00  $Z = 2$ . IV и V изоструктурны  $\text{BaNiO}_3$ , являющегося гексагон. аналогом перовскита (Lander I. I., *Acta crystallogr.*, 1951, 4, 148). VI образует 2 модификации с точкой перехода  $\sim 900^\circ$ : низкотемпературную с тетрагонально-искаженной структурой перовскита ( $a$  4,98,  $c$  5,07,  $kX$ ;  $q$  (изм.) 4,23,  $Z = 1$ ; ф. гр.  $P4/mmm$ ) и высокотемпературную с более сложной структурой. Ч. VIII см. РЖХим, 1956, 67679. Э. Юхно

30519. Исследование двойных хлоридов висмута и калия. Нарделли, Брайбанни, Кьеричи (Ricerche sui cloruri doppi di bismuto e potassio. Nardelli Mario, Braibanti Antonio, Chierici Ines), *Gazz. chim. ital.*, 1956, 86, № 11, 1031-1036 (итал.)

При исследовании системы  $\text{KCl} - \text{BiCl}_3 - \text{HCl} - \text{H}_2\text{O}$  при 25° и повышенной кислотности обнаружено образование гексагон. кристаллов  $\text{K}_2\text{BiCl}_6$  (I), ромбич.  $\text{K}_2\text{BiCl}_6 \cdot 2\text{H}_2\text{O}$  (II) и монокл.  $\text{KBiCl}_4 \cdot \text{H}_2\text{O}$  (III). Параметры решетки: I  $a$  12,81,  $c$  33,39 Å,  $Z = 6$ ,  $q$  3,01; II  $a$  8,38,  $b$  12,23,  $c$  21,83 Å,  $Z = 8$ ,  $q$  2,96, ф. гр.  $D_{2h}^{11,18}$  или  $C_{2v}^{8,9}$ ; III  $a$  17,19,  $b$  7,18,  $c$  12,87 Å,  $\beta$  111,6°,  $Z = 8$ ,  $q$  3,69, ф. гр.  $C_{2h}^6$  или  $C_s$ . Ранее описанное соединение  $\text{Sb}$  (Benedict F. G., *Proc. Amer. Acad.*, 1894, 29, 212) оказалось изоструктурным I и имеющим ф-лу  $\text{K}_7\text{Sb}_3\text{Cl}_6$ . Нагревание II при 100° в токе газообразного  $\text{HCl}$  приводит к образованию безводн.  $\text{K}_2\text{BiCl}_6$ .

Б. Каплан  
50520. Сравнение пикнометрической и рентгеновской плотностей для систем  $\text{NaCl} - \text{NaBr}$  и  $\text{KCl} - \text{KBr}$ . Уоллам, Уоллес (A comparison of pycnometric and X-ray densities for the sodium chloride-sodium bromide and potassium chloride-potassium bromide systems. Wollam John S., Wallace W. E.), *J. Phys. Chem.*, 1956, 60, № 12, 1654-1656

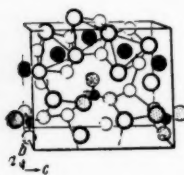
Разность плотностей  $q(\text{рентг.}) - q(\text{пикн.})$  в системах  $\text{NaCl} - \text{NaBr}$  и  $\text{KCl} - \text{KBr}$  оказалась в большинстве случаев больше для твердых р-ров, чем для чистых в-в, что свидетельствует о меньшем кол-ве дефектов кристаллич. решетки у последних. Результаты сравниваются с данными предыдущих исследований (Tammann G., Krings W., *Z. anorgan. und allgem. Chem.*, 1923, 130, 229; Oberlies F., *Ann. Phys.*, 1928, 87, 238; Bellanca A., *Periodico mineral*, 1939, 10; Nickels J. E. и др. *J. Phys. Chem.*, 1949, 53, 625), причем значения  $q(\text{пикн.})$  оказались выше найденных другими авторами значений, вследствие чего разности плотностей соответственно уменьшены.

П. Зоркий



**50521. Рентгенографическое исследование глауберовой соли. Мёлендейк** (An X-ray study of Glaubersalt. Meulendijk P. N.), Proc. Koninkl. nederl. akad. wet., 1956, B59, № 5, 493—495 (англ.)

Изучена методом Вейсберга  $\text{Na}_2\text{SO}_4 \cdot 10\text{H}_2\text{O}$ :  $a$  11,43,  $b$  19,34,  $c$  12,90 Å,  $\beta = 107^\circ 45'$ ,  $\rho$  1,464,  $Z = 4$ , ф. гр.  $P2_1/c$ . Координаты атомов определены с помощью метода изоморфного замещения с привлечением  $\text{Na}_2\text{SeO}_4 \cdot 10\text{H}_2\text{O}$  и построением проекций  $P(u, v, w)$  и  $q(x, y, z)$  вдоль  $[010]$  и  $[001]$ ,  $R = 0,14$ . В структуре содержатся атомы Na, октаэдрич. окруженные молекулами  $\text{H}_2\text{O}$ , тетраэдрич.  $\text{SO}_4$  и молекулы  $\text{H}_2\text{O}$ , не связанные с катионами. Все молекулы  $\text{H}_2\text{O}$  имеют различное тетраэдрич. окружение (всего 5 сор-



● Na

○ S

○ O

○ H<sub>2</sub>O

тов молекул  $\text{H}_2\text{O}$ ). На рис. представлена  $1/2$  элементарной ячейки.

Л. Ковба

**50522. О смешанных кристаллах в системах фосфиды — сульфиды и арсениды — селениды. Юца, Унхофф** (Über Phosphid/Sulfid- und Arsenid/Selenid-Mischkristalle. Juza R., Uphoff W.), Angew. Chem., 1957, 69, № 3, 96 (нем.)

В системах  $\text{Li}_2\text{SiP}_3 - \text{Li}_2\text{S}$ ,  $\text{Li}_2\text{VP}_3 - \text{Li}_2\text{S}$ ,  $\text{Li}_2\text{SiAs}_3 - \text{Li}_2\text{Se}$ ,  $\text{Li}_2\text{TiAs}_3 - \text{Li}_2\text{Se}$ ,  $\text{Li}_2\text{GeAs}_3 - \text{Li}_2\text{Se}$  и  $\text{Li}_2\text{VAs}_3 - \text{Li}_2\text{Se}$  констатированы непрерывные области твердых р-ров, в системах  $\text{Li}_2\text{TiP}_3 - \text{Li}_2\text{S}$  и  $\text{Li}_2\text{GeP}_3 - \text{Li}_2\text{S}$  эти области ограничены.

Э. Юхно

**50523. Рентгеноструктурные исследования систем двойных и тройных карбонатов и окислов щелочноземельных металлов. Остапенко Е. П.**, Изв. АН СССР. Сер. физ., 1956, 20, № 10, 1105—1111

С целью изучения физ.-хим. процессов, происходящих в оксидном катоде, рентгенографически (метод порошка,  $\lambda\text{Cu}$ ,  $\lambda\text{Co}$ ) исследованы кристаллич. структура совместно осажженных двойных и тройных карбонатов Ba, Sr и Ca, процесс разложения карбонатов в окислы, а также структура совместно прокаленных двойных и тройных окислов Ba, Sr и Ca. Показано, что образование смешанных кристаллов (Ba, Sr)O и (Sr, Ca)O уменьшает работу выхода и увеличивает эмиссионную способность по сравнению с чистыми окислами. В смеси BaO-CaO твердый р-р образуется, в связи с чем существенного уменьшения работы выхода нет. Обсуждается зависимость эмиссионной способности от кристаллич. структуры. П. Зоркий

**50524. Фосфаты и арсенаты цезия и двухвалентного гидратированного катиона. Феррари, Тани, Бонати** (Fosfati ed arsenati di cesio e un catione bivalente esaidrato. Ferrari Adolfo, Tani Maria Eleonora, Bonati Rosaria), Gazz. chim. ital., 1956, 86, № 11, 1026—1030 (итал.)

Рентгенографически исследованы соединения типа  $\text{CsM}(\text{OH}_2)_6\text{XO}_4$ , где M — 2-валентный катион и X — P или As.  $\text{CsMn}(\text{OH}_2)_6\text{PO}_4$  и  $\text{CsCd}(\text{OH}_2)_6\text{PO}_4$  принадлежат к гексагон. сингонии (с ф. гр.  $P6_3/mc$  и параметрами решетки соответственно:  $a$  6,92,  $c$  11,95;  $a$  7,02,  $c$  12,12 Å) и изоструктурны ранее изученному  $\text{CsMg}(\text{OH}_2)_6\text{PO}_4$  (РЖХим, 1955, 45340; 1956, 38764). Остальные соединения (с M — Fe, Co, Ni и  $\text{CsMn}(\text{OH}_2)_6\text{AsO}_4$ ) изоструктурны  $\text{CsMg}(\text{OH}_2)_6\text{AsO}_4$ . Приведены параметры решетки для изученных соединений.

Б. Каплан

**50525. Магнуссонит, новый арсенидный минерал из рудника Лонгбан в Швеции. Габриэльсон** (Magnussonite, a new arsenite mineral from the Långban mine in Sweden. Gabrielson O.), Arkiv mineralogi och geol., 1957, 2, № 1-2, 133—135 (англ.)

Описан новый минерал магнуссонит; хим. состав:  $(\text{Mn}, \text{Mg}, \text{Cu})_5(\text{OH}, \text{Cl})(\text{AsO}_3)_3$ . Цвет травянисто-зеленый до изумрудно-зеленого. Черта белая. Твердость 3,5—4. Параметр куб. решетки (по порошкограмме, с применением Г.—М.счетчика)  $16,05 \pm 0,05$  Å,  $\rho$  4,30,  $Z = 16$ ,  $n = 1,980 \pm 0,005$ . Приведены значения  $I$  и  $d$  порошкограмм.

В. Глазков

**50526. Индерит и герстлейт из боратного района Крамер, округ Керн, Калифорния. Фрондел, Морган** (Inderite and gerstleyite from the Kramer borate district, Kern County, California. Frondel Clifford, Morgan Vincent), Amer. Mineralogist, 1956, 41, № 11—12, 839—843 (англ.)

Минералогически, оптически и рентгенографически (методы порошка, вращения и Вейсберга) изучены индерит (I) и герстлейт (II). Хим. анализы дают ф-лы  $\text{Mg}_2\text{B}_6\text{O}_{11} \cdot 15\text{H}_2\text{O}$  для I и  $(\text{Na}, \text{Li})_4\text{As}_2\text{Sb}_2\text{Si}_{17} \cdot 6\text{H}_2\text{O}$  для II. Твердость 2,5 для I и II,  $\rho$  1,861 для I и 3,62 для II. Оптич. данные: I двухосный отрицательный,  $n_p$  1,490,  $n_m$  1,511,  $n_g$  1,520; II двухосный,  $n > 2,01$ , обнаруживает слабый плеохроизм. Порошкограммы показывают, что изучавшиеся образцы I идентичны описанным ранее (Heinrich E. W., Amer. Mineralogist, 1946, 31, 71), но отличаются от I, найденного в Казахстане (Болдырева А. М., Зап. Всесоюз. минералог. о-ва, 1937, сер. 2, 66, 651). Для II параметры решетки: монокл.,  $a$  5,6,  $c$  4,9 Å,  $\beta$   $97 \pm 3^\circ$ . II полностью растворяется в разб. щелочах и разлагается разб. HCl с выделением  $\text{H}_2\text{S}$  и образованием желтого осадка. П. 3.

**50527. Кристаллическая структура феррокарфолита. Мак-Гиллаври, Корст, Мур, Плас** (The crystal structure of ferrocapholite. MacGillavry Caroline H., Korst W. L., Moore Elisabeth J. Weichel, Plas H. J. van der), Acta crystallogr., 1956, 9, № 10, 773—776 (англ.)

Методами колебания, вращения и Вейсберга ( $\lambda\text{Cu}-K_\alpha$ ,  $\text{Mo}-K_\alpha$ ) изучен феррокарфолит  $\text{FeAl}_2(\text{OH})_4\text{Si}_2\text{O}_6$ :  $a$  13,77,  $b$  20,18,  $c$  5,10 Å,  $Z = 8$ , ф. гр.  $Ccca$ . Координаты атомов определены методами трехмерных сечений Паттерсона и Фурье. Структура содержит цепи  $[\text{SiO}_3]_n$  из тетраэдров  $\text{SiO}_4$ , подобные цепям в структуре пироксенов. Эти цепочки вместе с цепями из октаэдров  $\text{AlO}_6$  образуют цепочечные группы  $\text{Si}_4\text{Al}_2\text{O}_6$  (вдоль оси  $c$ ), связанные между собой октаэдрами  $\text{AlO}_6$  и  $\text{FeO}_6$ .

Л. Ковба

**50528. Феррокарфолит — карфолит. Штрупц** (Ferrokapholith — Karpholith. Strunz H.), Acta crystallogr., 1957, 10, № 3, 238 (нем.)

Рентгенографическое исследование карфолита  $\text{MnAl}_2(\text{OH})_4[\text{Si}_2\text{O}_6]$  (I) показало его изоморфизм с феррокарфолитом (см. пред. реф.). Параметры ромбич. решетки I:  $a$  13,86,  $b$  20,13,  $c$  5,12 Å,  $\rho$  (эксп.) 2,9,  $\rho$  (рент.) 3,060,  $Z = 8$ , ф. гр.  $Ccca$ .

Э. Гиллинская

**50529. Исследование минералов группы слюд: полиморфизм среди высококремнеземистых серцитов. Хейприх, Левинсон** (Studies in the mica group; polymorphism among the high-silica sericites. Heinrich E. Wm., Levinson A. A.), Amer. Mineralogist, 1955, 40, № 11-12, 983—995 (англ.)

Рентгенографическое ( $\lambda\text{Cu}$ ) исследование полиморфизма среди высококремнеземистых серцитов проведено методом Вейсберга и, при отсутствии монокристаллов, методом порошка. Для алургитов из разных мест (Сант Марсель, Италия; Восточный Тироль, Австрия; Каюан Пасс, Калифорния; Ультевис, Швеция) обнаружены полиморфные формы (ПФ) 3T и 2M, для марипозитов (Карсон Гилл, Калифорния, Каньон Сан-Франциско, Калифорния) — ПФ 2M и 1M, для феитов, включая серциты (Фонтал, долина Германаска, Италия; горы Адула, Швейцария; Амелия, Виргиния, США) — ПФ 3T, 2M и 1M. ПФ 3T

и 2M в изученных слюдах оказались наиболее тесно связанными, а в некоторых образцах они встречались внутри одного и того же слоя слюды. Установить хим. природу отдельных типов полиморфизма не удалось, так как большинство доступных авторам анализов выполнены на образцах, состоящих из смеси различных ПФ. Оказалось возможным установить, что слюды со средними значениями 2V относятся к ПФ 2M; слюды, у которых 2V  $\approx 0$ , имеют ПФ 3T в случае хорошо развитых кристаллов фенгита и алургита и форму 1M — в случае плохо развитых кристаллов высококремнеземистых серицитов и марицпозитов. Характер полиморфизма не удается объяснить ни вариациями хим. состава, ни состоянием той среды, где шло образование слюд.

В. Франк-Каменецкий.  
50530. Структурное исследование бёмита и диаспора в боксите. Иберг (Strukturuntersuchungen von Böhmit und Diaspor im Bauxit. Iberg R.), *Helv. chim. acta*, 1957, 40, № 1, 102—106 (нем.).

В результате исследования с помощью ИК-спектрометра образцов бокситов из Греции, состав которых, помимо того, контролировался рентгеновским дифрактометром, определялись относительные конц-ии в них бёмита и диаспора; установлена зависимость от этого фактора продуктивности боксита в получении глинозема. Последняя тем выше, чем больше содержание бёмита.

Б. Звягин  
50531. К изучению бёмита и диаспора в боксите. Иберг (Zur Kenntnis von Böhmit und Diaspor im Bauxit. Iberg Rolf), *Chimia*, 1957, 11, № 1, 13—16 (нем.).

В дополнение к предыдущей работе (см. пред. реф.) дана минералогич. и структурная характеристики бёмита и диаспора.

Б. Звягин  
50532. Структура хризотила. II. Клино-хризотил. III. Орто-хризотил. IV. Пара-хризотил. Уиттакер (The structure of chrysotile. II. Clino-chrysotile. III. Ortho-chrysotile. IV. Para-chrysotile. Whittaker E. J. W.), *Acta crystallogr.*, 1956, 9, № 11, 855—862, 862—864, 865—867 (англ.).

II. В развитие предыдущей работы (часть I, РЖХим, 1954, 21323) рассматривается кристаллич. структура клино-хризотила. Изучавшийся материал из Белле Майн (Тетфорд, Квебек) представляет собой волокна  $17 \times 0,14 \times 0,07$  мкм. Получены эквинаклонные рентгенограммы вращения (РЖХим, 1953, 1398) для всех слоевых линий до десятой. Установлена монокл. цилиндрич. решетка типа  $C_2$  3-го рода (РЖХим, 1957, 36907) с параметрами:  $a$  14,65,  $b$  9,2;  $c$  5,34 Å;  $\beta$  93°16'. Положения атомов уточнены методом проб и методами Фурье-анализа. Выяснено, что структура построена из каолиноподобных слоев  $Mg_3Si_2O_5(OH)_4$ , свернутых в цилиндрич. трубки и расположенных с периодом  $a$  в 2 слоя. Отмечаются следующие искажения в структуре: атомы O оснований тетраэдров лежат не в одной плоскости, атомы Si смещены из центров к основаниям тетраэдров, атомы Mg — из центров к гидроксильным основаниям октаэдров. Можно предполагать, что цилиндрич. слои беспорядочно смещены относительно друг друга в направлении оси  $b$ , и упорядочено — вдоль оси  $c$  (ось  $c$  совпадает с осью трубок, ось  $b$  изогнута в спираль 1-го порядка вокруг оси  $c$ ).

III. Орто-хризотил, как и клино-хризотил (см. сообщение II), имеет кристаллич. структуру, основанную на цилиндрич. решетке типа  $C_2$ . Изучавшийся материал из Куддапа (Мадрас, Индия) представляет собой волокна ( $11 \times 0,15 \times 0,10$  мкм), содержавшие кроме орто-хризотила до 22% примеси клино-хризотила. Рентгенографич. установлена ромбич. цилиндрич. решетка 1-го рода с образующей параллельной оси  $c$ ,  $a$  14,63;  $b$  9,2;  $c$  5,34 Å. Положения атомов уточнялись

методом проб и методами Фурье-анализа. Установлено, что структура отдельных слоев почти совершенно тождественна структуре слоя у клино-хризотила, но чередующиеся слои обращены треугольными основаниями своих октаэдров в противоположные стороны. Смежные слои беспорядочно смещены друг относительно друга в направлении оси  $b$  и упорядоченно — в направлении оси  $c$ .

IV. В отличие от клино- и орто-хризотила пара-хризотил, присутствующий как незначительная составная часть во многих образцах хризотилов, имеет параллельно оси волокна период повторяемости  $b$  9,2 Å. Изучен минерал из Южной Африки, содержащий достаточно большое кол-во пара-хризотила для получения эквинаклонных рентгенограмм вращения. Для пара-хризотила установлена ромбич. цилиндрич. решетка 2-го рода с параметрами:  $a$  14,7,  $b$  9,24,  $c$  5,3 Å. Особенности структуры орто- и клино-хризотила распространяются и на пара-хризотил и объясняют особенности его дифракционной картины, в частности, большое число отсутствующих рефлексов (все  $hkl$ ,  $h0l$ ,  $0kl$  при  $k + l \neq 2n$ ;  $hk0$  при  $k \neq 6n$ ;  $h00$  при  $h \neq 2n$ ). Смежные слои обращены в противоположные стороны основаниями своих октаэдров, и смещены упорядоченно в направлении оси  $b$  и неупорядоченно — в направлении оси  $c$ . Вследствие вероятного наличия плоскости симметрии, перпендикулярной оси  $b$ , для пара-хризотила невозможно полиморфный аналог, каким клино-хризотил является по отношению к орто-хризотилу.

В. Франк-Каменецкий  
50533. Кристаллическая структура хлористого циана. Хейарт, Карпентер (The crystal structure of cyanogen chloride. Heiart Robert B., Carpenter Gene B.), *Acta crystallogr.*, 1956, 9, № 11, 889—895 (англ.).

Рентгенографически исследованы (методы колебания, вращения, Вейсберга,  $\lambda Cu-K_\alpha$ ,  $\lambda Mo-K_\alpha$ , съемка при  $-30 \pm 5^\circ$ ) кристаллы ClCN. В-во получалось по ранее предложенной методике (Coleman и др., *Inorg. Syn.*, 1946, 2, 90). Параметры решетки: ромбич.  $a$  3,684,  $b$  3,977,  $c$  5,740 Å,  $\rho$  (эксп.) 1,55,  $Z = 2$ , ф. гр.  $Rmmn$ . Предварительная структура найдена методом проб. Произведены 2 последовательных линейных синтеза  $\rho(1/4, 1/2)$  и 2 цикла уточнения координат атомов и параметров анизотропного температурного фактора методом наименьших квадратов.  $R = 8,0\%$ . Стандартное отклонение (в долях  $c$ ):  $\sigma(c) = 0,000$   $\sigma(c) = 0,0029$   $\sigma(N) = 0,0019$ . Координаты атомов:  $1/4, 1/2$ , где  $z$  равно для Cl 0,1499, C 0,4239, N 0,6258. Структура изоморфна BrCN. Линейный характер молекул подтвержден трехмерным расчетом  $\rho(xxz)$ . Молекулы образуют цепи параллельно  $c$ . Межатомные расстояния между цепями (в Å): Cl—Cl 3,87, и 3,98 Cl—N 3,70. Расстояния между концами связанных в цепи молекул (3,01 Å) меньше суммы ван-дер-ваальсовых радиусов, однако в этом случае уплотнение меньше, чем для JCN и BrCN. При обсуждении структуры использована предложенная ранее (Townes G. H., Dailey B. P., *J. Chem. Phys.*, 1952, 20, 35; РЖХим, 1956, 194) схема резонанса между структурами:  $X-C \equiv N$  (I),  $X^+=C=N^-$  (II),  $-X^+=C=N^-$  (III). Уменьшение связи C—Cl при переходе от газа к кристаллу объяснено влиянием II или III или обоих. Предположение о преимущественном влиянии II приводит к представлению об электростатич. взаимодействии (рассчитано по Ewald P. P., *Ann. Phys.*, 1921, 64, 253) атомов Cl и N разных молекул. Эти выводы распространены на JCN и BrCN, причем расчеты Таунеса и Дейли автор подвергает сомнению. П. 3.  
50534. Кристаллическая структура нестабильной формы хлорацетамида. Катаяма (The crystal

structure of an unstable form of chloroacetamide. Katayama (Mikio), Acta crystallogr., 1956, 9, № 12, 986—991 (англ.)

Исследована структура нестабильной модификации  $\text{CH}_2\text{ClCONH}_2$ , кристаллизующейся из водн. р-ров. Параметры решетки:  $a$  7,45,  $b$  5,15,  $c$  10,27 Å,  $\beta$  102,5°,  $Z$  = 4, ф. гр.  $P2_1/a$ . Съемки проводились методами вращения, колебания и рентгеногониометра ( $\lambda\text{Cu-K}\alpha$ ). При определении структуры применялись двумерные проекции Паттерсона и Фуриэ и разностные синтезы Фуриэ вдоль осей  $a$  и  $b$ . Межатомные расстояния и валентные углы:  $\text{C}_{(1)}-\text{Cl}$  1,76,  $\text{C}_{(1)}-\text{C}_{(2)}$  1,51,  $\text{C}_{(2)}-\text{O}$  1,25,  $\text{C}_{(2)}-\text{N}$  1,40 Å,  $\text{Cl}-\text{C}-\text{C}$  115°,  $\text{O}-\text{C}-\text{N}$  116°,  $\text{C}-\text{C}-\text{N}$  120°,  $\text{C}-\text{C}-\text{O}$  124°. Стандартное отклонение координат атомов  $\sim 0,03$  Å. Атомы  $\text{C}_{(1)}$ ,  $\text{C}_{(2)}$ ,  $\text{O}$  и  $\text{N}$  лежат в одной плоскости. Связь  $\text{C}-\text{Cl}$  находится приблизительно в *цис*-положении по отношению к связи  $\text{C}-\text{N}$  за счет отталкивания между сильными диполями  $\text{C}=\text{O}$  и  $\text{C}-\text{Cl}$ . Для ряда соединений, содержащих амидную группу, установлена обратная зависимость между длиной (вязи  $\text{C}-\text{N}$  и величиной валентного угла  $\text{O}-\text{C}-\text{N}$ , которую автор объясняет взаимным отталкиванием валентно не связанных атомов и эффектом резонанса. В  $\text{CH}_2\text{ClCONH}_2$  имеются слабые водородные связи  $\text{N}-\text{H}\cdots\text{O}$  (3,05; 3,37 и 3,39 Å), что обуславливает легкость его сублимации. При переходе в устойчивую модификацию часть этих водородных связей рвется, а остальные упрочняются (о структуре стабильной формы см. РЖХим, 1956, 67702).

Л. Школьников  
50535. Рентгенографическое исследование тиацисексана. Кондо (An X-ray study on thiacyclohexane. Kondo Seichi), Bull. Chem. Soc. Japan, 1956, 29, № 9, 999 (англ.)

Рентгенографически (методы Лауэ, вращения и колебания  $\lambda\text{Cu-K}\alpha$  и  $\lambda\text{Mo-K}\alpha$  съемка при 14°) исследована устойчивая в интервале 240,02—292,25° К модификация тиацисексана (РЖХим, 1956, 15541). Монокристаллы получались в капилляре медленным охлаждением расплава, причем обычно [110] оказывалось параллельно оси капилляра. Параметры решетки: куб. гранецентр.,  $a$  8,69 Å,  $\rho(\text{эксп.})$  0,985,  $\rho(\text{выч.})$  1,036,  $Z$  = 4. Обнаружены распределение интенсивностей рефлексов и сильное диффузное рассеяние, характерные для пластичных кристаллов (Oda T., X-ray, 1948, 5, 26).

П. Зоркий  
50536. Кристаллическая структура бромидов и йодидов ацетилхолина. Сёрум (The crystal structures of acetyl choline bromide and acetyl choline iodide. Sörum Harald), Acta chem. scand., 1956, 10, № 10, 1669 (англ.)

Рентгенографически (методы колебания и Вейссенберга,  $\lambda\text{Cu-K}\alpha$ ) изучены кристаллы бромидов (I) и йодидов (II) ацетилхолина. Параметры решетки: I монокл.,  $a$  10,55,  $b$  13,67,  $c$  7,18 Å,  $\beta$  70,0°,  $\rho(\text{рент.})$  1,43,  $Z$  = 4, ф. гр.  $P2_1$ ; II монокл., 8,32, 16,44, 31,80, 90°, 1,67, 16. В случае I наличие сильных сверхструктурных рефлексов неизвестного ранее типа указывает на то, что выбранная ячейка является лишь псевдодейкой или что имеет место двойникование.

П. Зоркий  
50537. Кристаллические модификации тетрагидрохлорида бигеранила. Сёрум, Барстад. Дале (Crystal modifications of bigeranyl tetrahydrochloride. Sörum Harald, Barstad Jan, Dale Johannes), Acta chem. scand., 1956, 10, № 10, 1663—1664 (англ.)

Рентгенографически (методы колебания и Вейссенберга,  $\lambda\text{Cu-K}\alpha$ ) и с помощью ИК-спектров поглощения изучены кристаллы  $\text{C}_{20}\text{H}_{38}\text{Cl}_4$  (Sörensen N. A. и др., Acta chem. scand., 1951, 5, 757). Кристаллизацией

их охлажд. р-ра в ацетоне и р-ра в  $\text{CS}_2$  при комнатной т-ре получены две модификации с т. пл. 95° (I) и 110° (II) соответственно. I самопроизвольно переходит в II; при комнатной т-ре время этого перехода измеряется неделями, при 80° — часами или минутами. Расплавившись при 95°, в-во затвердевает снова и вновь плавится при 110°. Параметры решетки: I монокл.,  $a$  38,6,  $b$  10,20,  $c$  5,99 Å,  $\gamma$  93,0°,  $\rho(\text{эксп.})$  1,18,  $\rho(\text{выч.})$  1,81,  $Z$  = 4, ф. гр.  $P2_1/b$ ; II трикл.,  $a$  20,91,  $b$  9,77,  $c$  6,04 Å,  $\alpha$  87°13',  $\beta$  92°52',  $\gamma$  102°55',  $\rho(\text{эксп.})$  1,19,  $\rho(\text{выч.})$  1,186,  $Z$  = 2. Сравнение данных для I с полученными для мезоформ гексагидрохлорида сквалена  $\text{C}_{30}\text{H}_{56}\text{Cl}_6$  (РЖХим, 1955, 51332) показывает, что I является мезоформой. Различие ИК-спектров I и II обусловлено, по мнению авторов, скорее изменениями в молекуле, связанными с вращением вокруг какой-либо связи в цепи, чем перемещением молекул в кристалле.

П. Зоркий  
50538. Кристаллическая структура продукта присоединения бисульфата натрия к акролену. Тянь Ю-цзи, Хао Жунь-юн, Чжоу Гун-ду (丙稀醛与硫酸-钠加合物的晶体结构·唐有祺, 郝润容, 周公度), 化学报, Хуасюэ сюэбао, Acta chim. sinica, 1956, 22, № 5, 391—408 (кит.; рез. англ.)

Рентгенографически исследованы ромбич. кристаллы  $\text{CH}_2=\text{CHSO}_3\text{Na} \cdot 2\text{NaHSO}_3 \cdot 4\text{H}_2\text{O}$ . Параметры решетки:  $a$  18,24,  $b$  7,05,  $c$  4,77 Å,  $Z$  = 2, ф. гр.  $P2_12_12$  (возможна также ф. гр.  $\text{C}_{2v}^2$ ). Положение групп  $\text{SO}_3$  и атомов Na определено в основном из ряда сечений Паттерсона, координаты легких атомов найдены из синтезов  $\rho(xyz)$ ,  $\rho(x0z)$  и  $\rho(x'yz)$ . В результате исследования установлено, что продукт присоединения является рацемич. 1-оксипропан-1,3-дисульфатом. Межатомные расстояния в дисульфат-ионе соответствуют ковалентным связям:  $\text{C}-\text{S}$  1,78,  $\text{S}-\text{O}$  1,42,  $\text{C}-\text{C}$  1,54,  $\text{C}-\text{O}$  1,43 Å; валентные углы:  $\text{O}-\text{S}-\text{O}$  108—110°,  $\text{S}-\text{C}-\text{S}$  109°,  $\text{C}-\text{C}-\text{S}$  106°,  $\text{S}-\text{C}-\text{O}$  109°. Молекулы  $\text{H}_2\text{O}$  связаны друг с другом и с ионами дисульфата водородными связями. Ионы Na окружены октаэдрическими атомами O.

По резюме авторов  
50539. Моноклинный сульфат глицина: кристаллографические данные. Вуд, Холден (Monoclinic glycine sulfate: crystallographic data. Wood Elizabeth A., Holden Alan N.), Acta crystallogr., 1957, 10, № 2, 145—146 (англ.)

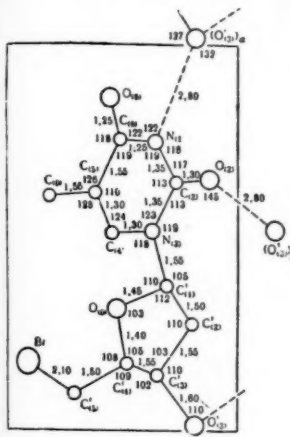
Оптически и рентгенографически (метод Вейссенберга,  $\lambda\text{Mo}$ ) изучен сульфат глицина. Наблюдается спайность параллельно (010), т. е. перпендикулярно к ферроэлектрич. оси. Кристаллы оптически отрицательны,  $2V = 40 \pm 5^\circ$ . Острая биссектриса параллельна  $b$ , плоскость оптич. осей образует с  $c$  угол  $\sim 93^\circ$  и, вероятно, параллельна (102). Параметры решетки: монокл.,  $a$  9,15,  $b$  12,69,  $c$  5,73 Å,  $\beta$  105°40',  $\rho(\text{эксп.})$  1,69,  $\rho(\text{выч.})$  1,66 для ф-лы  $(\text{CH}_2\text{NH}_2\text{COOH})_2 \cdot \text{H}_2\text{SO}_4 \cdot 4\text{H}_2\text{O}$  и 1,68 для  $(\text{CH}_2\text{NH}_2\text{COOH})_2 \cdot \text{H}_2\text{SO}_4$  (I); результаты хим. анализа соответствуют I;  $Z$  = 2, ф. гр.  $P2_1$ . Отмечается сходство структуры со структурой глицина (Albrecht G., Corey R. B., J. Amer. Chem. Soc., 1939, 61, 1087). Из р-ра, содержащего в отношении 1:1  $\text{H}_2\text{SO}_4$  и глицин, выпадает ромбич. кристаллы  $(\text{CH}_2\text{NH}_2\text{COOH})_2 \cdot \text{H}_2\text{SO}_4$  (II). Выращены также кристаллы  $(\text{CH}_2\text{NH}_2\text{COOH})_2 \cdot \text{H}_2\text{SeO}_4$  и  $(\text{CH}_2\text{NH}_2\text{COOH})_2 \cdot \text{H}_2\text{SeO}_4$ , изоморфные I и II соответственно.

П. Зоркий  
50540. Структура 5'-бром-5'-дезокситимидина. Ибер (Structures de la 5'-bromo-5'-deoxythymidine. Huber M.), Acta crystallogr., 1957, 10, № 2, 129—133 (франц.; рез. англ.)

Рентгенографически (метод Вейссенберга,  $\lambda\text{Cu-K}\alpha$ ) изучены монокл. (A) и ромбич. (B) модификации игольчатых кристаллов 5'-бром-5'-дезокситимидина. Параметры решетки: A  $a$  25,50,  $b$  5,50,  $c$  8,95 Å,  $\beta$  108;



$Z = 4$ , ф. гр.  $C2$ ;  $B$  23,10, 9,55, 5,42, 4,  $P2_12_12_1$ . Для  $A$  проведенные синтезы  $F(h0l)$ ,  $F_{\text{эксн.}}(h0l) - F_{\text{выч.}}(h0l)$ , обобщенные синтезы  $P(h1l)$  и  $P(h2l)$ ; для  $B - F(hk0)$ ,  $F(h0l)F_{\text{эксн.}}(h0l) - F_{\text{выч.}}(h0l)$ . Факторы сходности:  $R_A(h0l)$  0,27,  $R_B(hk0)$  0,20,  $R_V(h0l)$  0,21. Среднее отклонение координат атомов C, N, O для  $B$ :  $\sigma(x) = \sigma(y) = 0,05$  Å; для  $z$  вероятная ошибка  $\pm 0,04$  Å. Расстояния между атомами соседних молекул для  $A$ :  $O_{(6)} - O_{(3)}$  2,7,  $N_{(1)} - O_{(3)}$  (h0l) Å. Среднее отклонение межатоминых расстояний 0,07—0,10 Å, валентных углов



6—7°. Структуры  $A$  и  $B$  отличаются друг от друга небольшими поворотами одной части молекулы относительно другой вокруг связи  $C_{(1)} - N_{(3)}$ . Средние плоскости двух циклов пересекаются под прямым углом. Деформация пятичленного цикла аналогична наблюдавшейся для сахарозы и цитидина (Beevers C. A., Cochran W., Proc. Roy. Soc., 1947, A190, 257; Furberg S., Acta crystallogr., 1950, 3, 825). Автор считает, что между  $N_{(1)}$  и  $O_{(3)}$  двух молекул

имеется водородная связь, что соответствует таутомерной форме  $CH=C(CH_3) \cdot CO \cdot NH \cdot CO \cdot N$

шестичленного цикла. Результаты подтверждают ранее сделанное предположение (Brown D. M., Lythgoe B., J. Chem. Soc., 1950, 1990), что тимидин представляет собой 3-(2-дезоксирибозу)-рибофуранозид тимина. Структура дезоксирибофуранозидного остатка совпадает с найденной в дезоксирибонуклеиновой к-те (РЖХим, 1956, 67710).

**50541. Структура соединений типа ферроцианида.** Часть II. Структура кристаллов  $\beta$ -тетраметилферроцианида. Хьюм, Пауэлл (Structure of compounds of ferrocyanide type. Part II. Crystal structure of  $\beta$ -tetramethyl ferrocyanide. Hulme R., Powell H. M., J. Chem. Soc., 1957, Febr., 719—727 (англ.))

Рентгенографически (метод колебания,  $\lambda Cu-K\alpha$ ) исследована структура кристаллов  $\beta$ -Fe(CNCH<sub>3</sub>)<sub>4</sub>(CN)<sub>2</sub>, для которой ранее было указано лишь положение атомов (Powell, Stanger, J. Chem. Soc., 1939, 1105). В-во синтезировалось по ранее опубликованной методике (Hartley, J. Chem. Soc., 1913, 103, 1196). Параметры решетки: ромбич.,  $a$  8,45,  $b$  13,24,  $c$  11,62 Å,  $\rho(\text{эксн.})$  1,372,  $Z = 4$ , гр.  $Pbca$ , что хорошо согласуется с ранее полученными данными. Построены проекции  $q(xy0)$ ,  $q(x0z)$ ,  $q(0yz)$  и сечения  $q(110)$ ,  $q(021)$ ,  $q(011)$ . Использовался атомный фактор с поправкой на аномальное расстояние. Константа температурного фактора  $B = 1$ . Факторы сходности  $R(h0l)$  0,21,  $R(hk0)$  0,26,  $R(0kl)$  0,24,  $R(hkl)$  0,26. Установлено, что молекула обладает транс-эвдрич. конфигурацией. Средние межатоминые расстояния Fe—C 1,8 Å, что подтверждает, по мнению авторов, предположенное ранее строение ферроцианида (Pauling. The nature of the chemical bond, 1939, 234). C—N 1,3; N—CH<sub>3</sub> 1,4 Å. Валентные углы:  $\angle CFeC$  91°, 91° и 92°;  $\angle FeCN$  180°;  $\angle CN(CH_3)$  167° и 166°. Часть I см. J. Chem. Soc., 1945, 799.

П. Зоркий

**50542. О кристаллической структуре хлорацетамида.** Дежае (Note sur la structure cristalline de la chloroacétamide. Dejae J., Acta crystallogr., 1957, 10, № 3, 240 (франц.))

Автор считает, что значительное расхождение между структурами кристаллов хлорацетамида, предложенными ранее им (РЖХим, 1956, 67702) и Пенфолдом и Симпсоном (РЖХим, 1957, 33680), объясняется тем, что последние неправильно выбрали элементарную ячейку. Чтобы привести в соответствие результаты двух работ, необходим пересчет по ф-лам  $A = a + 1/2c$ ,  $B = -b$ ,  $C = -c$ , где  $A$ ,  $B$  и  $C$  — осевые векторы по Пенфолду и Симпсону,  $a$ ,  $b$  и  $c$  — принятые автором. В структуре Пенфолда и Симпсона расстояние между атомами Cl, связанными центром симметрии и лежащими вблизи начала координат, равно 3,30 Å, что слишком мало для ван-дер-ваальсовой связи.

П. Зоркий

**50543. О некоторых особенностях точечных электронограмм, связанных со вторичным рассеянием.** Вайнштейн Б. К., Тр. Ин-та кристаллогр. АН СССР, 1956, вып. 12, 25—30

Отмечается, что если рассеяние происходит на одной и той же фазе, то вторичные дифракционные лучи попадают в рефлексы первичной картины и вторичное рассеяние проявляется запрещенными рефлексами, которые в отличие от рефлексов двумерной дифракции исчезают при повороте препарата, выводящем сферу отражения из соприкосновения с соответствующими узлами обратной решетки. Вторичное рассеяние в таком случае приводит в наблюдаемой дифракционной картине к ослаблению сильных и усилению слабых рефлексов. Для восстановления интенсивности первичного рассеяния  $I_K^1$  для какого-либо рефлекса по наблюдаемым интенсивностям рефлексов  $I_N$  можно воспользоваться приближенными соотношениями:  $I_K^1 \approx I_K - b \sum_N I_N j_{N-K}$  ( $N, K$  — векторы обратной решетки;  $b = I_K^{\text{запр.}} / \sum_N I_N j_{N-K}$ ), или  $I_K^1 = I_K - j_{|K|}^1$ , где  $j_{|K|}^1$  находится по спаданию интенсивностей запрещенных рефлексов.

Б. Звягин

**50544. Об установлении характера рассеяния электронов (динамического или кинематического) при электронографических структурных исследованиях.** Вайнштейн Б. К., Лобачев А. Н., Кристаллография, 1956, 1, № 4, 472—473

Для установления характера рассеяния электронов (кинематич. или динамич.), что необходимо для перехода в структурных исследованиях от интенсивностей  $I$  к структурным амплитудам  $\Phi$ , предложено сопоставлять со спадом средней для данного  $h$ -ва кривой атомного фактора рассеяния электронов спады кривых

$$\{I(hkl), d(hkl)\}^{1/2} \approx \{I(hkl), d(hkl)\}$$

(где  $d(hkl)$  — фактор, аналогичный фактору Лоренца в рентгенографии), которые соответственно пропорциональны спаду средних  $\Phi_{\text{кин}}$  и  $\Phi_{\text{дин}}$ . При этом учитывается, что  $|\Phi|$  пропорционально  $f_{\text{ср}}$ . Таким путем для  $CO(NH_2)_2$  установлен динамич. характер получаемых точечных электронограмм.

Б. Звягин

**50545. Возможный источник ошибок в интерпретации электронограмм.** Арчард (A possible source of error in the interpretation of electron diffraction patterns. Archard G. D., Brit. J. Appl. Phys., 1956, 7, № 10, 367—369 (англ.))

Отмечается, что в поликристаллич. электронографии препарата возможны 2 типа частичной ориентации: какое-либо направление кристаллитов параллельно определенной плоскости или определенной прямой. Со-

ответственно обоим случаям функции распределения частиц  $P(\theta)d\Omega$  по углам  $\theta$  между указанным направлением с нормалью к плоскости или к прямой будут равны соответственно  $A \exp(k \sin \theta) d\Omega$  и  $A \exp(k \cos \theta) d\Omega$ . Полагая, что распределение интенсивности по сечению дифракционного кольца выражается, как  $I(\mu) = P(\theta) \exp[-(\mu - \mu_0)^2 / 2\sigma^2]$ , где  $\mu$  — угол дифракции, а  $\theta$  зависит от  $\mu$  и азимута  $\lambda$ , автор получает зависимость распределения интенсивности поперек кольца в зависимости от  $\lambda$  и типа частичной ориентации, причем предположена возможность получения ошибочных брегговских углов отражения.

Б. Звягин  
50546. Точность рядов Фурье потенциала в электронографии. Вайнштейн Б. К., Кристаллография, 1956, I, № 5, 495—501

На основе предложенного ранее автором метода выведены рабочие ф-лы для вычисления средней квадратичной ошибки определения потенциала с помощью рядов Фурье по электронографии. данным, ошибки в высотах пиков, возникающей вследствие обрыва, и средней квадратической ошибки в определении координат атомов.

Резюме автора  
50547. К электронной дифракции при различных длинах волн. Ямагути (Zur Elektronenbeugung mit verschiedenen Wellenlängen. Yamaguchi Shigetō), Z. Phys., 1956, 146, № 4, 447—450 (нем.)

Сопоставлены картины дифракции электронов при длинах волн  $\sim 0,05$  и  $0,025$  кХ для дыма ZnO и каолинита. Найдено, что при более жестких электронных лучах поглощение, многократное рассеяние и преломление электронов исчезают. Утверждается, что в этом случае распределение интенсивностей такое же, как и в рентгенограммах.

Б. Звягин  
50548. К анализу эффектов, наблюдаемых при нагревании золота на воздухе. I. II. Муди (A contribution to the analysis of the effects observed on heating gold in air. I. II. Moodie A. F.), Acta crystallogr., 1956, 9, № 12, 995—998, 999—1001 (англ.)

I. Листочки Au, содержащие  $\sim 0,3\%$  Cu, утоньшенные травлением и укрепленные на сетках или на поверхности кристалла NaCl, нагревались на воздухе от 200 до 600° от 1 до 50 час. Получены электронограммы как по обычной схеме, так и методом микропучка. Обнаружены кристаллич. иглы CuO, выросшие при прогреве на границах зерен Au нормально к пленке (вблизи винтовых дислокаций). Этот результат частично согласуется с выводами Трийа и др. (Trillat J. J. и др., J. phys. et radium, 1937, 8, 353).

II. При перпендикулярной и наклонной съемке пленок Au, прогретых на воздухе, получены точечные электронограммы, отвечающие гексагон. решетке:  $a$  5,32,  $c$  41,0 Å. Построены проекции Паттерсона и Фурье на плоскость базиса. Исследована модель, в которой определенные атомы Au смещены из частных положений. Для 24 отражений  $hkl$  фактор  $R \approx 0,26$ . Структура описывается как последовательность слоев  $AB_1 \rightarrow CB_2$ , где небольшие смещения атомов имеются в слоях  $B_1$  и  $B_2$ . Делается предположение о внедрении посторонних атомов (газа) под атомом Au ( $O$ ,  $2/3$ ) и над атомом ( $2/3$ ,  $O$ ), что и вызывает их смещение и приводит к составу  $Au_6X$ . Предполагается тетраэдрич. конфигурация внедренных атомов ( $O$  или  $N$ ), что совместимо с соответствующими ковалентными радиусами.

З. П.  
50549. Электронографическое исследование процесса азотирования никеля. Трийа, Третьян, Леконт (Etude, par diffraction électronique, de la nitruration du nickel. Trillat Jean-Jacques, Tertian Léa, Lecomte Christiane), C. r. Acad. sci., 1957, 244, № 5, 596—598 (франц.)

Электронографически (съемка на прохождение) изучались образцы Ni, обрабатывавшиеся  $NH_3$  при различ-

ных  $t$ -рах. От 200 до 500° всегда появлялась ранее описанная (РЖХим, 1957, 11279, 29681) гексагон. фаза (ГФ), по-видимому, отвечающая составу  $Ni_3N$ , кроме того наблюдалось несколько линий неизвестного происхождения. От 175 до 200° ГФ обнаруживалась совместно с куб. фазой (КФ) с гранецентр. решеткой, имеющей  $a$  3,72 Å, что много выше  $a$  для обычного Ni, причем  $d_{111}$  КФ =  $d_{002}$  ГФ. При 150° найдена лишь КФ с  $a$  3,62. Обработка образцов с помощью  $N_2$  описанных эффектов не дает. При постепенном нагревании в вакууме ( $3 \cdot 10^{-4}$  мм) Ni с увеличенной решеткой переходит в ГФ, которая затем разлагается с выделением  $N_2$ . По мнению автора, увеличение  $a$  связано с растворением  $N_2$ , получающегося из  $NH_3$ , возможно также образование  $NiN$  со структурой типа NaCl; после достижения насыщения атомы Ni перегруппировываются, образуя гексагон. упаковку.

П. Зоркий  
50550. К вопросу об электронографическом изучении текстуры слоев, получаемых испарением в вакууме. Руми М. А., Баклагина Ю. Г., Ж. техн. физики, 1956, 26, № 7, 1497—1500

Электронографическим и рентгеновским методами изучена текстура слоев PbS, напыленных в вакууме при различных значениях угла между мол. пучком и поверхностью подкладки. Показано, что направление оси текстуры, определенное электронографич. методом, всегда смещено в направлении к нормали к слою по сравнению с направлением оси текстуры, определенной рентгеновским методом и совпадающей с направлением мол. пучка. Авторы объясняют это систематич. ошибкой, обусловленной спецификой образования дифракционных картин в методе скользящего пучка. Полученный результат, по мнению авторов, подтверждает дендритный механизм возникновения структуры (РЖХим, 1956, 64388).

В. Гаврилюк  
50551. Нейтронографическое определение положения протона в  $CuCl_2 \cdot 2H_2O$ . Питерсон, Леви (Proton positions in  $CuCl_2 \cdot 2H_2O$  by neutron diffraction. Peterson S. W., Levy Henri A.), J. Chem. Phys., 1957, 26, № 1, 220—221 (англ.)

Проведено нейтронография. исследование структуры  $CuCl_2 \cdot 2H_2O$  (I) при комнатной  $t$ -ре с целью определения положения атомов H. Подтверждена правильность структуры, определенной ранее (Harker D., Z. Kristallogr., 1936, 93, 136). Положение атомов уточнено по проекциям Фурье и методом наименьших квадратов. Ф. гр.  $Pbm$ ; положение атомов: Cu 0, 0, 0; O 0, 0, 0,2390, 0; Cl 0,2402, 0, 0,3804; H 0,0822, 0,3065, 0,1295. Межатомные расстояния: O—H 0,948, H—H 1,553, H—Cl 2,258, Cu—Cl 2,275, Cu—O 1,925 Å; валентные углы: H—O—H 108°2', Cu—O—H 125°59', O—H—Cl 164°23'. Структура I содержит дискретные молекулы  $H_2O$  с расстояниями и валентными углами, близкими к таковым в газовой фазе. Атомы H расположены почти точно на линии O—Cl. Молекула I плоская. Отмечается значительная асимметрия тепловых колебаний атомов H. Полученные данные сравниваются с результатами исследования I с помощью ИР-спектроскопии и магнитного резонанса.

Р. Озеров  
50552. Нейтронографическое изучение феррита марганца. Хастингс, Корлисс (Neutron diffraction study of manganese ferrite. Hastings Julius M., Corliss Lester M.), Phys. Rev., 1956, 104, № 2, 328—331 (англ.)

Нейтронографически ( $\lambda$  1,064 Å) исследованы образцы  $MnFe_2O_4$  (I) при 300 и 42° К. Ядерная часть рассеяния (ЯР) выделена из общей картины с помощью отражений под большими углами, для которых доля, вносимая магнитным рассеянием, мала. Из ЯР определены: параметр, характеризующий положение атомов O,  $u = 0,3846 \pm 0,0003$ , и доля занятых атомами Mn тетраэдрич. пустот, равная  $0,81 \pm 0,03$ , что указывает

на то, что структура I очень близка к структуре нормальной пшеницы. Доля когерентного магнитного рассеяния полученная вычитанием из общей интенсивности части ЯР. Момент насыщения, вычисленный из этих данных, составил  $3,23 \pm 0,3 \mu_B$  и  $4,60 \pm 0,2 \mu_B$  при 300 и 4,2° К соответственно. Эти величины хорошо согласуются с результатами магнитных измерений (3,27 и  $4,60 \mu_B$ ). Моменты для атомов, находящихся в тетраэдрич. и октаэдрич. пустотах, составили соответственно 3,78 и  $4,33 \mu_B$  при 300° и  $4,60 \mu_B$  (для обоих сортов атомов) при 4,2° К.

Д. Хейкер  
50553. Ионные и ковалентные формы тригалогенидов галлия. Гринвуд, Уорралл (Ionic and covalent forms of the gallium trihalides. Greenwood N. N., Worrall I. J., J. Inorg. and Nucl. Chem., 1957, 3, № 6, 357—364 (англ.))

Электропроводность  $\sigma$  кристаллич. GaBr<sub>3</sub> быстро возрастает с повышением т-ры до максим. значения  $\sim 16,5 \cdot 10^{-6} \text{ ом}^{-1} \text{ см}^{-1}$  при 115°. При т-ре на  $\sim 3^\circ$  ниже т-ры плавления (122,3°)  $\sigma$  очень резко падает до  $\sim 0,8 \cdot 10^{-6} \text{ ом}^{-1} \text{ см}^{-1}$  при 121°.  $\sigma$  продолжает уменьшаться в процессе плавления, достигая минимума ( $\sim 0,72 \cdot 10^{-6} \text{ ом}^{-1} \text{ см}^{-1}$ ) при т-ре на  $\sim 1,5^\circ$  выше т-ры плавления. Сильное падение  $\sigma$  в области плавления приписано превращению ионного кристалла в жидкость, состоящую главным образом из димерных молекул Ga<sub>2</sub>Br<sub>6</sub>. Подобное явление наблюдается также для GaCl<sub>3</sub> (т. пл. 77,75°) — при плавлении  $\sigma$  уменьшается от  $15 \cdot 10^{-6}$  до  $1,7 \cdot 10^{-6} \text{ ом}^{-1} \text{ см}^{-1}$ . GaJ<sub>3</sub> имеет более высокую  $\sigma$  и этого эффекта не обнаруживает: вблизи точки плавления (211,5°)  $\sigma$  твердой фазы равна  $56 \cdot 10^{-6} \text{ ом}^{-1} \text{ см}^{-1}$ , а жидкой  $118 \cdot 10^{-6} \text{ ом}^{-1} \text{ см}^{-1}$ . Сравнение GaJ<sub>3</sub> с типичным ионным соединением NaCl показывает, что плавление GaJ<sub>3</sub> сопровождается сильным уменьшением степени диссоциации на ионы, т. е. увеличением ковалентной составляющей связи. А. Х.

50554. Влияние чистоты и структуры железа на растворимость кислорода. Сифферлен (Influence de la pureté et de la structure du métal sur la solubilité de l'oxygène dans le fer. Sifferlen Raymond, C. r. Acad. sci., 1955, 240, № 26, 2526—2539 (франц.))

Кол-во O<sub>2</sub> в чистом Fe после отжига в атмосфере сухого H<sub>2</sub> колеблется от 0,002 до 0,004%. Образцы, изготовленные из этого Fe, подвергались деформации на 50%, затем отжигу при 880 и 1200° в атмосфере сухого H<sub>2</sub>. После окисления образцов в смеси O<sub>2</sub> с парами воды при 850° до получения толстой пленки FeO и выдержки для достижения равновесия при той же т-ре в вакууме в течение 48 час. определялось кол-во растворенного O<sub>2</sub>. Оказалось, что по мере увеличения совершенства структуры в связи с высокими т-рами и большими выдержками при отжиге после деформации кол-во растворенного O<sub>2</sub> понижается от 0,025% после отжига 18 час. при 880° до 0,005% после отжига 7 час. при 1200° + 74 час. при 880°. Автор считает, что в равновесном состоянии Fe совсем не растворяет O<sub>2</sub>, а данные других авторов объясняются загрязнением Fe другими в-вами, которые, находясь в Fe в виде оксидов, вносят ошибку при определении растворенного O<sub>2</sub>. А. К.

50555. О существовании различных механизмов дипольного дебаевского поглощения в ZnO. Бланшар (Sur l'existence, pour l'oxyde de zinc, de plusieurs mécanismes distincts d'absorption dipolaire Debye. Blanchard Marie-Louise, C. r. Acad. sci., 1957, 244, № 6, 767—770 (франц.))

Исследовано дипольное поглощение (ДП) различных образцов ZnO (I) в интервале 20—350° К на частотах 1—1000 кГц. 1. Чистая I, прогретая при 100—900° С. Одна полоса ДП (ПДП) при 300—350° К, которой соот-

ветствует энергия активации  $U = 1 \text{ эв}$ . ПДП приписана поверхностным анионным и катонным вакансиям. 2. Чистая I, прокаленная при т-ре  $> 1000^\circ \text{ С}$ . Кроме ПДП с  $U = 1 \text{ эв}$ , наблюдается ПДП с  $U = 0,25 \pm 0,05 \text{ эв}$ , приписанная кислородным вакансиям. 3. Чистая I, увлажненная и высушенная при 150° С. ПДП с  $U = 1 \text{ эв}$  и очень слабая ПДП в области 150° К с  $U \approx 0,58 \text{ эв}$ , приписанная адсорбированной H<sub>2</sub>O. 4. Чистая влажная I, прогретая при 750—900°. Интенсивная ПДП при т-ре  $< 100^\circ \text{ К}$  с  $U \approx 0,04 \text{ эв}$ , приписанная группе OH-. 5. Чистая влажная I, прогретая при  $> 1000^\circ \text{ С}$ . Дублетная ПДП при т-ре  $< 100^\circ \text{ К}$  с  $U \approx 0,04 \text{ эв}$  и ПДП с  $U = 0,25 \text{ эв}$  (O<sup>2-</sup>-вакансия). 6. I с примесью Cu.  $U$  изменяется от 0,18 до 0,50 эв при увеличении конц-ии Cu от  $10^{-5}$  до  $10^{-3}$ . А. Хейнман

50556. Наблюдение дислокаций в галогенидах серебра. П. Деформированные кристаллы. Кандзаки (Observation of dislocations in silver halides. Part II. Strained crystals. Kanzaki Hiroshi, J. Phys. Soc. Japan, 1956, 11, № 2, 128—129 (англ.))

Методом, описанным ранее (часть I, см. РЖХим, 1957, 14558), исследовано распределение дислокаций в деформированных кристаллах AgCl и AgBr по картинам расположения ямок травления и фотолитич. частиц Ag. Кристаллы AgBr с поверхностью (100) выщипывали из расплава, отжигали при 400—410° и деформировали путем пластич. изгибания при 20°. Образцы облучались в области длинноволнового края поглощения. Образцы AgCl деформировали при 20° путем вдавливания в поверхность шарика (диам. 0,3 мм) из пирексового стекла. В случае отожженных кристаллов частицы фотолитич. Ag беспорядочно располагаются на поверхности с плотностью  $\sim 10^6 \text{ см}^{-2}$ . В деформированных образцах частицы Ag образуются на глубине 10 м под поверхностью кристалла, где они располагаются вдоль субгранц, возникающих как результат полигонизации, сопровождающей деформацию. Эти границы образованы рядами краевых дислокаций. Отмечается однозначное соответствие между частицами Ag и ямками травления вдоль гранц полигонов на кристаллах AgCl с поверхностью (110). Усиленное образование ямок травления после деформации указывает на концентрирование примесей вдоль дислокаций. Это возможно из-за большой подвижности дефектов в AgBr и AgCl.

А. Хейнман  
50557. Некоторые свойства вакансий и внедренных атомов в Cu<sub>3</sub>Au. Дугдейл (Some properties of vacancies and interstitial in Cu<sub>3</sub>Au. Dugdale R. A., Philos. Mag., 1956, 1, № 6, 537—559 (англ.))

Исследовано электросопротивление  $\rho$  образцов Cu<sub>3</sub>Au, подвергнутых различным типам термообработки, пластич. деформации и  $\gamma$ -облучения. Термообработкой достигалось частично упорядоченное состояние. Роль вакансий в процессе упорядочения выяснялась в опытах следующего типа. Образец в частично упорядоченном состоянии закаливается от 380 до 0°, затем выдерживался по 1 часу последовательно при 100, 130, 160, ... 340°, и измерялось  $\rho$ . При 0° и 100°  $\rho_0 = \rho_{100} = 7,4 \text{ момсм}$ , затем наблюдается отчетливый спад до  $\rho_{160} = \rho_{190} = 7,2$ , после чего начинается второй более резкий спад до  $\rho_{280} = 5$ , за которым следует подъем до  $\rho_{340} = 5,8$ . Спад около 130° объясняется увеличением степени дальнего порядка  $\eta$ , которое осуществляется при участии неравновесных вакансий, замороженных при закалке от 380°. Около 160° эти вакансии становятся настолько подвижными, что число их убывает до равновесного и упорядочение замедляется. Выше 200° упорядочение вновь ускоряется благодаря увеличению равновесного числа вакансий. В других опытах определена энергия активации образования вакансий (1,0 эв) и их миграции (0,9 эв). Изменения  $\rho$  при установлении равновесной  $\eta$  указывают на 2 времени релаксации, связан-



ных, по-видимому, с различными элементарными процессами взаимодействия вакансий с атомами в «чужих» узлах. Внедренные атомы более подвижны, чем вакансии.

А. Орлов  
50558. Переход от порядка к беспорядку в кристаллических неорганических соединениях. Хунд (Übergang von Ordnung nach Unordnung in kristallinen anorganischen Verbindungen. Hund F.), Dtsch. Farben-Z., 1956, 10, № 9, 342—345 (нем.)

Обзор. Рассмотрена связь между цветом и собственными и примесными дефектами кристаллич. решетки. Библ. 15 назв.

И. Рогинский  
50559. Макроскопическое и рентгенографическое измерение плотности сплавов Ag-Zn в связи с диффузионными свойствами. Хейман, Вилке (Über makroskopische und röntgenographische Dichtemessungen an Silber-Zinn-Legierungen im Hinblick auf das Diffusionsverhalten. Heumann Th., Wicke Werner), Z. Elektrochem., 1956, 60, № 9-10, 1154—1159 (нем.)

Исследования диффузии в  $\beta$ -фазе системы Ag-Zn указывают на значительный беспорядок в решетке этой куб. объемноцентр. фазы. Измерения в интервале 20—700° показывают, что рентгенографически определенная плотность  $\beta$ -фазы меньше макроскопич. плотности. На этом основании сделан вывод, что в  $\beta$ -фазе междоузлия заполнены. Число междоузельных атомов возрастает от ~0,3% при 44 ат. % Zn до ~1% при 52 ат. % Zn. Этот рост сопровождается таким же относительным увеличением коэф. диффузии. Знание плотности позволяет устранить некоторые противоречия, возникшие при оценке опытов по диффузии. В области  $\alpha$ -фазы (~34 ат. % Zn) и  $\gamma$ -фазы (~60 ат. % Zn), а также в чистом Zn наблюдается некоторое, хотя и меньшее, заполнение междоузлий. Для чистого Ag и сплавов в области  $\epsilon$ -фазы рентгенография, плотность несколько больше макроскопической. А. Хейнман

50560. Диффузия и растворимость железа в германии. Бугай А. А., Косенко В. Е., Миселюк Е. Г., Ж. техн. физики, 1957, 27, № 1, 210—211

Методом радиоактивных индикаторов с использованием радиоизотопа Fe<sup>59</sup> найдено, что растворимость Fe в монокристаллах Ge в интервале 750—850° возрастает от  $5 \cdot 10^{-4}$  до  $1,5 \cdot 10^{-5}$  атомов в 1 см<sup>3</sup> и снова падает в интервале 850—940°. Методом Зейца и Лерда (Seitz W., Laird J. G., Zs. f. Metallkunde, 1932, 24, 193) найдено, что в у-р-ии  $D = D_0 \exp(-E/RT)$  постоянные  $D_0$  и  $E$  соответственно равны  $0,13 \text{ см}^2/\text{сек}$  и  $25\,000 \text{ кал/моль}$ . Авторы полагают, что диффузия идет по междоузлиям. Сделан вывод, что Fe ведет себя подобно Cu, Ni, Li и отчасти Au, резко отличаясь от всех других изученных примесей.

И. Рогинский  
50561. Диффузия ионов и электронов. Эль (Diffusion von Ionen und Elektronen. Oel H. J.), Z. phys. Chem. (BRD), 1957, 10, № 3-4, 165—183 (нем.)

Указано, что у-рия переноса электрически заряженных частиц (ионов, электронов, дырок) Нернста — Планка и Пуассона имеют общее значение для описания процессов переноса в полупроводниках, твердых и жидких ионных проводниках, ионообменниках, а также процессов образования слоев победальности (окисления) и др. Даны приближенные методы решения соответствующих дифференциальных у-рий. А. Хейнман

50562. О диффузии индия, сурьмы и теллура в антимониде индия. Болтакс Б. И., Куликов Г. С., Ж. техн. физики, 1957, 27, № 1, 82—84

Методом снятия слоев измерены коэф. диффузии  $D_{\text{In}^{114}}$ ,  $D_{\text{Sb}^{124}}$  и  $D_{\text{Te}^{127}}$  в монокристаллич. слитках InSb в интервале 300—500°. Получено:  $D_{\text{In}} = 1,8 \cdot 10^{-9} \exp(-0,28/kT)$ ;  $D_{\text{Sb}} = 1,4 \cdot 10^{-8} \exp \times (-0,75/kT)$ ;  $D_{\text{Te}} = 1,7 \cdot 10^{-7} \exp(-0,57/kT)$ . При дан.

ной т-ре  $D_{\text{In}} > D_{\text{Te}} > D_{\text{Sb}}$ . Вблизи т-ры плавления InSb (523°)  $D_{\text{In}} = D_{\text{Te}} = D_{\text{Sb}}$ . Различие между энергиями активации диффузии Te и Sb приписано различию ковалентных радиусов этих элементов (1,32 и 1,36 Å соответственно), поскольку, по мнению авторов, Te и Sb перемещаются по вакантным Sb узлам, концы которых в InSb с дырочной проводимостью должны быть значительной. Низкую энергию активации In при его большом ковалентном радиусе (1,44 Å) авторы объясняют перемещением In по междоузлиям в виде нейтр. атомов или положительных ионов. А. Хейнман  
50563. Опыты по переносу вещества в твердой Cu. Вефер (Überführungsversuche an festem Kupfer. Wever H.), Z. Elektrochem., 1956, 60, № 9—10, 1170—1175 (нем.)

При прохождении постоянного тока через интерметаллич. фазы Cu<sub>3</sub>Al и Cu<sub>2</sub>Al, происходит не только распад на составляющие компоненты, но одновременно и перенос обоих компонентов к аноду (в случае  $\beta$ -фаз с электронной проводимостью) или к катоду (в случае  $\gamma$ -фаз с дырочной проводимостью). Это указывает на связь между направлением переноса в-ва и механическим проводимостью. Такой вывод подтверждается результатами опытов на Cu: до т-ры 950° Cu перемещается к аноду, а при т-рах > 950° — к катоду. Этот необычный результат объясняется тем, что при повышенных т-рах подвижны дефекты решетки (вакантные узлы в случае Cu), на которые во внешнем электрич. поле действуют две силы: а) сила поля, обусловленная тем, что все образующие решетку частицы ионизованы; б) сила, обусловленная рассеянием электронов электронного газа на дефектах решетки. Произведена колич. оценка эффекта переноса. А. Хейнман

50564. Растворимость и диффузия Au, Fe и Cu в Si. Стратере (Solubility and diffusivity of gold, iron, and copper in silicon. Struthers J. D.), J. Appl. Phys., 1956, 27, № 12, 1560 (англ.)

Растворимость S и коэф. диффузии в интервале 600—1300° определены с помощью радиоизотопов Au<sup>198</sup>, Fe<sup>59</sup> и Cu<sup>64</sup>. Зависимость  $\lg S = f(1/T)$  выражается прямыми с наибольшим наклоном у Fe и наименьшим у Au. При всех т-рах S возрастает в ряду Fe < Au < Cu. Методом послыонного измерения активности получено  $D_{\text{Au}} = 0,0011 \exp(-25\,800/RT)$ ,  $D_{\text{Fe}} = 0,0062 \exp(-20\,000/RT)$ . Для Cu при 900°  $D = 5 \cdot 10^{-8} \text{ см}^2/\text{сек}^{-1}$ .

А. Хейнман

50565. Диффузия в упорядоченном и разупорядоченном сплаве Cu-Zn. Кьюпер, Лазарус, Маннинг, Томидзука (Diffusion in ordered and disordered copper-zinc. Kuper A. B., Lazarus D., Manning J. R., Tomizuka C. T.), Phys. Rev., 1956, 104, № 6, 1536—1541 (англ.)

Методом послыонного определения активности измерены коэф. диффузии  $D_{\text{Cu}^{64}}$ ,  $D_{\text{Zn}^{65}}$  и  $D_{\text{Sb}^{124}}$  в монокристаллах  $\beta$ -латуни (47—48 ат. % Zn) в интервале 265—817°. Значения  $D$  сильно зависят от степени дальнего порядка в области ниже крит. т-ры (468°) и слабо зависят от степени ближнего порядка выше крит. т-ры. Температурная зависимость  $D$  описывается у-нием  $D = D_0 \exp(-Q/RT)$  в полностью разупорядоченном сплаве;  $D_{\text{Cu}} = 0,011 \exp(-22\,000/RT)$ ;  $D_{\text{Zn}} = 0,0035 \exp(-18\,800/RT)$ ;  $D_{\text{Sb}} = 0,08 \exp(-23\,500/RT) \text{ см}^2/\text{сек}^{-1}$ . Ниже крит. т-ры, т. е. в области упорядочения, зависимость  $D$  от т-ры описывается суммой у-ний  $D = D_0 \exp(-Q/RT)$  с различными значениями  $D_0$  и  $Q$ , каждое из которых действительно в узкой области т-р. Такая зависимость  $D$  от  $T$  количественно объясняется на основе предположения о простой зависимости энергии перемещения дефекта от наименьшего модуля сдвига  $E_{110}$ . В разупорядоченной фазе

$D_{Sb} > D_{Zn} > D_{Cu}$  в упорядоченной фазе  $D_{Sb} = D_{Zn} = D_{Cu}$ . Показано, что такие результаты несовместимы с механизмами диффузии обменом, перемещением по междузлиям и перемещением вакансий (с перескоками одиночных вакансий между ближайшими соседними положениями). Результаты совместимы с механизмом диффузии путем связанного движения междузельного атома и одного из соседних узловых атомов, приводящего к обмену местами между этими атомами и перемещению всей пары на одну постоянную решетку.

А. Хейнман

**50566. Влияние температуры на механические свойства лантана и церия.** Савицкий Е. М., Терехова В. Ф., Химия редких элементов, 1955, вып. 2, 148—155

Получены колич. данные о механич. свойствах (твердость, прочность, пластичность) La в интервале 20—800° и Ce в интервале 20—600°. Существуют две модификации La и Ce:  $\alpha$  (низкотемпературная) — гексаг. плотнупакованная, и  $\beta$  (высокотемпературная) — куб. гранцентрированная. Разрывы сплошности в температурном ходе логарифмич. кривых механич. свойств La в интервале 500—600° и резкое изменение угла наклона логарифмич. кривых механич. свойств Ce в интервале 350—400° обусловлены полиморфными превращениями, которые из-за наличия примесей совершаются в некотором интервале т-р. Превращение сопровождается резким увеличением пластичности. Максим. пластичности La достигает при 700° ( $\beta$ -La), Ce — при 450° ( $\beta$ -Ce).

М. Горбик

**50567. Уравнения преобразования упругих и пьезоэлектрических констант кристаллов.** Хермон (Equations for transforming elastic and piezoelectric constant of crystals. Hearmon R. F. S.), Acta crystallogr., 1957, 10, № 2, 121—124 (англ.)

На основе методов тензорного исчисления автор предлагает таблицы у-ний для преобразования упругих и пьезоэлектрич. констант кристалла из одной ортогональной системы координат в другую. П. Зоркий

**50568. Спектр поглощения кристаллов KCl, содержащих центры металлического таллия.** Роледер (The absorption spectrum of KCl crystals containing metallic thallium centres. Rohleder J.), Bull. Acad. polon. sci., 1955, Cl. 3, 3, № 4, 229—232 (англ.)

СМ. РЖХим, 1956, 38842.

**50569. Фотохимические процессы в полных решетках.** Стасев. Дискуссия по реферату Стасева. — (Photochemische Prozesse in Ionengittern. Stasiw O. Diskussion zum Referat Stasiw.—), Halbleiterprobleme. 1954, 2, Braunschweig, 1955, 184—211 (нем.; рез. англ.); 212—213 (нем.)

Обзор по механизму фотолиза в галогенидах щел. металлов и серебра. Рассмотрена кинетика электронных и ионных процессов в чистых и примесных кристаллах KCl и AgBr. Библ. 24 назв. Дискуссия.

А. Хейнман

**50570. Новая попытка интерпретации явлений, связанных с образованием центров окраски.** Сен-Жам (Nouvel essai d'interprétation des phénomènes liés aux centres colorés. Saint-James D.), J. phys. et radium, 1956, 17, № 10, 907—908 (франц.)

Рассмотрены модели дырочных центров Зейца (РЖХим, 1955, 23167) и Варли (РЖХим, 1955, 20677). На основании данных о спиновом резонансе  $V_1$ -центров (РЖХим, 1957, 40439) автор считает более правильной модель  $V_1$ -центра Зейца. Исходя из факта образования нейтр. свободных атомов при облучении щелочногалогидных кристаллов, а также из того, что модели Варли требуют меньше дополнительных гипотез, чем модели Зейца, автор сохраняет для  $H$ -,  $V_2$ - и  $V_3$ -центров модели Варли, а для  $V_1$ -центров предлагает новую модель, согласно которой он является междузельным

атомом галогена (Г). Предложен механизм образования центров окраски. При низкой т-ре рентгеновские лучи в результате многократной ионизации создают ионы  $G^{n+}$ , которые покидают узлы, оставляя  $F$ -центры. Ионы  $G^{n+}$  перемещаются по решетке, выбивая катионы в междузлия. Ионы  $G^{n+}$  захватывают фотоэлектроны, образуя  $V_1$ -центры и  $H$ -центры (междузельный ион Г+). При повышении т-ры дырка от  $H$ -центра переходит на катионную вакансию, образуя  $V_1$ -центр и оставляя  $V_2$ -центр. Кроме того, происходят другие процессы взаимодействия центров, приводящие к ослаблению одних и усилению других центров. При дальнейшем повышении т-ры начинается диффузия междузельных атомов Г, которые либо рекомбинируют с  $F$ -центрами, либо входят в вакантные узлы, образуя  $V_2$ - или  $V_3$ -центры (в зависимости от того, локализована или не локализована дырка на этих узлах). По мнению автора, оптич. поглощение междузельных катионов лежит в области собственного поглощения решетки.

А. Хейнман

**50571. Спектры поглощения цинка и кадмия, введенных в йодистое серебро и йодистую медь.** Гольцев В. Д., Коханенко П. Н., Тр. Сибирск. физ. техн. ин-та при Томском ун-те, 1956, вып. 35, 117—121

Исследованы спектры поглощения сублимированных пленок AgI и CuI, содержащих примесные Zn или Cd (РЖХим, 1957, 33719) и стехиометрич. избыток собственного металла. Zn и AgI дает дублетную полосу с максимумами при 3510 и 3480 Å при +20° или 3435 и 3390 Å при —180°. В спектрах толстых участков пленки дублет почти сливается и смещается. Это явление наблюдалось для всех образцов. При больших экспозициях выделяется еще сильная полоса при 2920 Å при +20°. При —180° она смещается к 2820 Å и сильно расширяется, что, по-видимому, объясняется расхождением неразрешенных дублетов. Cd и AgI: сильный слившийся дублет с максимумами при 3845 и 3815 Å при +20°. При —180° дублет смещается на 100 Å в сторону коротких волн. Zn в CuI: сильный дублет с максимумами при 3600 и 3580 Å при +20°. При —180° дублет смещается в сторону коротких волн на 110 Å. Cd в CuI легко замещает ионы Cu+ в узлах решетки и при больших конц-ях дает полосы при 3580 и 3475 Å, обусловленные ионами  $Cd^{2+}$  в решетке  $CdI_2$ . При малых конц-ях Cd он дает сильный слившийся дублет при 3900 Å при +20° или 3825 Å при —180°. Во всех случаях при введении Zn или Cd исчезают полосы поглощения избыточных Ag и Cu.

А. Хейнман

**50572. Спиновый резонанс V-центров.** Кози (Spin resonance in V-centers. Cohen M. H.), Phys. Rev., 1956, 101, № 4, 1432—1433 (англ.)

Анализируются результаты исследования спинового резонанса в рентгенизованных кристаллах KCl, NaCl, KBr, LiF (РЖХим, 1957, 40439). Функция состояния дырки (Д) в  $V_1$ -центре (РЖХим, 1955, 23167) показывает, что Д локализована по крайней мере на 4 атомах Cl. Однако детали наблюдаемого резонанса имеют цилиндрич. симметрию вдоль оси (110), что нельзя объяснить, если считать Д локализованной на 4 атомах. Кроме того, из расположения уровней энергии Д видно, что  $V_1$ -центр должен иметь очень короткое время релаксации и поэтому резонанс возможно наблюдать лишь при т-ре жидкого He. Автор приписывает резонанс  $V_2$ -центру. Этот центр состоит из Д, полностью локализованной на 2 соседних катионных вакансиях. Используя теорию групп, для  $V_2$ -центра получены функции состояния Д и правила отбора оптич. переходов. С помощью модели  $V_2$ -центра автор объясняет наблюдаемое оптич. поглощение, обесцвечивание кристалла при нагревании, смещение  $g$ -фактора магнитного резонанса.

К. Валиев

**50573. Измерение шумов и сигнала при модулированном освещении монокристаллов CdS. Влиет, Блок, Рис, Стекетте** (Measurements of noise and response to modulated light of cadmiumsulphide single crystals. Vliet K. M. van, Blok J., Ris C., Steketee J.), Physica, 1956, 22, № 8, 723—740 (англ.).

В полосе частот  $1-10^6$  гц исследован спектр шумов, возникающих при освещении монокристаллов CdS и CdS-Ag. Измерения проводились при  $+20$  и  $-196^\circ$  при облучении  $\lambda < 5100$  Å.  $\lambda > 5100$  Å и неразложившим светом W-лампы. Найдено, что значительная доля шумов связана с процессом возбуждения фотоносителей, а остальная часть — с процессами рекомбинации и захвата. М. Шейнкман

**50574. Поглощение и люминесценция центров окраски в KCl и NaCl. Дорн, Хавен** (Absorption and luminescence of colour centres in KCl and NaCl. Doorn C. Z. van, Haven Y.), Philips Res. Repts, 1956, 11, № 6, 479—488 (англ.; рез. нем., франц.).

Монокристаллы KCl, окрашенные аддитивно и закаленные от  $600-700^\circ\text{C}$  в жидкий  $\text{N}_2$ , обнаруживают при  $77^\circ\text{K}$  F-полосу поглощения (5340 Å), а при возбуждении светом из области F-полосы при  $77^\circ\text{K}$  излучают в полосе при 10010 Å. Поляризованное возбуждение дает неполяризованную люминесценцию, что согласуется с моделью F-центра по Де-Буру, поскольку ориентация возбужденного состояния исчезает из-за взаимодействия с решеткой. После  $10-25$  мин. выдерживания закаленного кристалла при  $20^\circ\text{C}$  и одновременной кратковременной диффузной засветки F-полоса исчезает и появляется M-полоса (8080 Å при  $77^\circ\text{K}$ ). Возбуждение такого кристалла в области F-или M-полосы (при  $77^\circ\text{K}$ ) дает полосу излучения при 10610 Å, обусловленную M-центрами. Тесная связь между F- и M-полосами подтверждается их дихроичными свойствами (РЖХим, 1957, 202). В зависимости от направления поляризации света M-центр дает либо M<sub>1</sub>-полосу поглощения при 8080 Å, либо M<sub>2</sub>-полосу при  $\sim 5390$  Å (т. е. в области F-полосы). Авторы отождествляют M-центр с F<sub>2</sub>-центром, образующимся при коагуляции двух F-центров. После длительного выдерживания кристалла при  $20^\circ\text{C}$ , кроме M-полосы, появляются R<sub>1</sub>- (8500 Å) и R<sub>2</sub>-полосы (7240 Å), которые обусловлены одним и тем же R-центром, поскольку отношение интенсивностей R<sub>1</sub>- и R<sub>2</sub>-полос постоянно для различных образцов и возбуждение светом в каждой из этих полос дает одну и ту же полосу излучения при 12430 Å. Эта полоса возбуждается светом из F-полосы, что, по-видимому, указывает на дихроизм R-центра. Поляризационные характеристики люминесценции R-центра несовместимы с моделью Зейца (F<sub>2</sub>-или F<sub>2</sub><sup>+</sup>-центр). Для NaCl получены качественно такие же результаты. А. Хейнман

**50575. О сенситивизированном фосфоре. Масуда** (増感性光体について. 増田磯雄), 照明學會雜誌, 1955, 39, № 6, 11—14 (японск.).

Обзор. Библ. 17 назв.

**50576. Контактная электролюминесценция. Леман** (Contact electroluminescence. Lehmann Willi), J. Electrochem. Soc., 1957, 104, № 1, 45—50 (англ.).

Обнаружено, что порошковые кристаллофосфоры различного типа, в обычных условиях не электролюминесцирующие, приобретают эти свойства после простого перемешивания их с порошками подходящих металлов или некоторых неметаллов, обладающих хорошей электропроводностью ( $\text{Cu}_2\text{S}$ ,  $\text{Ag}_2\text{S}$ , прокаленная  $\text{ZnO}$ ). Хим. и физ. свойства этих проводников не существенны для контактной электролюминесценции (ЭЛ). Некоторые металлы становятся эффективными для контактной ЭЛ, если частицы порошка имеют заостренные края. Цвет люминесценции при фотовозбуж-

дении и ЭЛ не всегда одинаков. Люминесцируют частицы фосфора, которые находятся в тесном контакте с металлич. порошком. Зависимость суммарной интенсивности свечения всех частиц от приложенного напряжения и частоты та же, что и для обычной ЭЛ. Сделан вывод, что обычная ЭЛ (эффект Дестрио) также связана с присутствием в-в с относительно высокой проводимостью в тесном контакте с непроводящими кристаллами фосфора. Таким контактным в-вом в  $\text{ZnS}$ -фосфоре может служить  $\text{ZnO}$  или  $\text{Cu}_2\text{S}$ , а в особых случаях и другие в-ва, выделяющиеся вследствие их ограниченной растворимости. Примеси имеют тенденцию выделяться по дислокациям и внутренним полостям и могут быть весьма тонкими (порядка  $10^{-5}-10^{-7}$  см). Электрич. поле вблизи острых краев у частиц контактного в-ва значительно больше, чем среднее его значение по сечению кристалла фосфора, что необходимо для возбуждения ЭЛ. Л. Ш.

**50577. Влияние различных элементов на люминесценцию урана во фтористом натрии. Старик Н. Е., Старик Ф. Е., Атрашенко Л. Я., Костырев Г. Б., Косяков В. Н., Крылов А. Я., Тр. Радиов. ин-та, АН СССР, 1956, 7, 114—125**

Исследование влияния различных ионов на люминесценцию (Л) нитрата U производилось на перлах из NaF весом 5 мг, содержащих  $2 \cdot 10^{-9}-8 \cdot 10^{-9}$  г U. Изученные элементы ориентировочно разделены на 5 групп: 1) Na, K, Pb, Zn, Ti, S, Mo, W, Ce, Br, J не оказывают заметного влияния на Л даже в относительно больших кол-вах; 2) Be, Ce, La, Th, P, Ni, Fe, Mn, Cu, Sr, Cd, Mg, B, Se, Cs, Zn, Ba, Li, Si тушат Л при конц-ях порядка нескольких процентов к весу перла; 3) Ag, Hg, Pb, Bi, Cr и Co тушат Л при конц-ях в несколько десятых процента; 4) Ca, Al, Ti, Sn усиливают Л или изменяют цвет свечения; 5) Ce, V, Nb, Ta и Sb обладают собственным свечением в NaF. Некоторые элементы в зависимости от конц-и усиливают или тушат Л. Предложено люминесцентное определение U в водах. А. Хейнман

**50578. Люминесценция NaCl, активированного Ca и Sr в возбужденного мягкими рентгеновскими лучами. Делейший** (Luminescence chlorure de sodium activé par le calcium et le strontium à l'excitation par rayons X mous. Dolejší Jarmila), Českosl. časop. fys., 1956, 6, № 6, 707—709 (чешск.).

Чехосл. физ. ж., 1956, 6, № 6, 629—631 (нем.). Исследованы спектры и температурная зависимость интенсивности термолюминесценции (ТЛ) рентгеновированных кристаллов NaCl (I), NaCl-Ca (II) и NaCl-Sr (III). Содержание  $\text{CaCl}_2$  и  $\text{SrCl}_2$  1% в расплаве. Положение полос в спектре ТЛ: I 4660 Å, II 3380, 4350 и 5600 Å, III 3760 и 4960 Å. Положение пиков на кривой термовысвечивания: I слабый при  $\sim 370^\circ\text{K}$ , главный при  $520^\circ\text{K}$ ; II главный при  $450^\circ\text{K}$ , слабый при  $470^\circ\text{K}$ ; III интенсивный при  $480^\circ\text{K}$ . После повторной рентгенизации положение пиков на кривой термовысвечивания для I не изменяется, а интенсивность их падает; у II пик при  $450^\circ\text{K}$  исчезает, пик при  $470^\circ\text{K}$  не изменяется и появляется новый пик при  $430^\circ\text{K}$ ; у III пик смещается к  $470^\circ\text{K}$ . Результаты указывают на изменение природы центров окраски в результате повторной рентгенизации. В. Свиридов

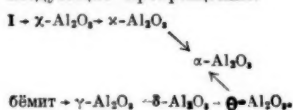
**50579. Использование спектров катодолюминесценции самария для изучения структуры  $\text{Al}_2\text{O}_3$ . IV.  $\text{Al}_2\text{O}_3$ , полученная термическим разложением водных кристаллов солей алюминия. V.  $\text{Al}_2\text{O}_3$ , полученная термической обработкой гидратгиллита. Ивасе, Насияма** (Cathodo-luminescence of samarium as applied to the structural studies of alumina. IV. On alumina yielded by thermal decomposition of hydrated crystals of aluminium salts. V. On alumina derived



from hydrargillite by thermal treatments. Iwase Eiichi, Nishiyama Seijiro, *Bull. Chem. Soc. Japan*, 1956, 29, № 1, 152—157, 157—163 (англ.)

IV. Структуру  $Al_2O_3$  устанавливали по спектру катодолюминесценции иона  $Sm^{3+}$ , внедренного в  $Al_2O_3$  (часть I, РЖХим, 1956, 50014). Р-ром  $Sm(NO_3)_3$  смачивали кристаллы  $Al(NO_3)_3 \cdot 9H_2O$  (I),  $Al_2(SO_4)_3 \cdot 18H_2O$  (II) и  $AlCl_3 \cdot 6H_2O$  (III) и прокачивали их при 800—1000°.  $Al_2O_3$ , полученная прокалкой I при 800°, дает спектр типа I, характерный для  $\gamma-Al_2O_3$ . При 900° появляются линии спектра типа II ( $\alpha-Al_2O_3$ ), и при 1000° образуется чистая фаза  $\alpha-Al_2O_3$ . При нагревании II и III превращение  $\gamma \rightarrow \alpha$  происходит с большим трудом и протекает лишь при  $t$ -рах  $> 1000^\circ$  или в открытом газо-кислородном пламени. Прокалка  $NH_4Al(SO_4)_2 \cdot 12H_2O$  при 1000° дает смесь  $\gamma$ - и  $\alpha$ -фаз, а прокалка в прямом газо-кислородном пламени — чистую  $\alpha$ -фазу. В другой серии опытов соли нагревали при различных  $t$ -рах I при 180—700°, II при 500—1200° и III при 200—1200°, затем смачивали р-ром  $Sm(NO_3)_3$  и превращали в безводн.  $Al_2O_3$  дополнительной прокалкой. Установлено, что превращение  $\gamma \rightarrow \alpha$  легче происходит у  $Al_2O_3$ , полученной из I, чем из II и III. Чем выше  $t$ -ра предварительного нагревания соли, тем слабее спектр катодолюминесценции, что указывает на трудность внедрения ионов  $Sm^{3+}$  в сильно прокаленную  $Al_2O_3$ .

V. С помощью эталонных спектров катодолюминесценции  $Sm$  в  $Al_2O_3$  (РЖХим, 1956, 50014) установлено, что при нагревании гидраргиллита (I) от 150 до 1200° протекают следующие превращения:



Бёмит образуется в результате побочной р-ции между  $\gamma-Al_2O_3$  и адсорбированной  $H_2O$ , выделявшейся из I. Часть III см. РЖХим, 1957, 36992. А. Хейнман

50580. Люминесценция тонких слоев  $CuI$  при очень низких температурах. Никитин, Рейсс (Luminescence de lames minces de  $CuI$  aux très basses températures. Nikitin Serge, Reiss René), *J. phys. et radium*, 1956, 17, № 12, 1017—1018 (франц.).

Два типа слоев  $CuI$ , исследованных ранее при  $t$ -ре жидкого  $N_2$  (РЖХим, 1957, 36987), изучены при  $t$ -ре жидкого  $He$ . 1) Слой, сублимированный и отожженный в вакууме. Спектр поглощения приведен ранее (РЖХим, 1957, 3595). При возбуждении УФ-лучами спектр люминесценции состоит из трех узких полос: интенсивной в области 4071—4076 Å, слабых при 4079 и 4098 Å. 2) Плавленный слой. Наблюдаются две полосы поглощения при 4106 и 4093 Å и сплошное поглощение от 4086 Å в сторону коротких волн. Спектр излучения состоит из интенсивной полосы в области 4075—4071 Å, двух дублетов 4093,5—4097,5 и 4107—4111 Å, слабой полосы 4125 Å, дублета 4133—4137 Å и шести почти эквидистантных полос в области 4150—4350 Å. Группа полос излучения в области 4050—4150 Å приписана экситону, а в области 4150—4350 Å — поляризованному экситону. При низких  $t$ -рах экситон поляризует решетку, и аннигиляция экситона происходит путем переходов с метастабильных уровней с более низкой энергией, чем у неполяризованного экситона. Аннигиляция возбуждает оптич. колебания решетки в области 4150—4350 Å (аналогия с краевым излучением  $CdS$ ). А. Хейнман

50581. Кинетика инфракрасного свечения записи меди. 1. Экспериментальная часть. Толстой Н. А., Ткачук Н. Н., Преображенский Р. К., *Оптика и спектроскопия*, 1957, 2, № 1, 116—126

С помощью электрооптич. ультратуометра (описана схема) исследованы статистич. вариации времени релаксации  $\tau$  свечения  $Cu_2O$  при  $+20$  и  $-183^\circ$ . Сверхстехиометрич. избыток кислорода уменьшает  $\tau$  при всех  $t$ -рах, кроме самых низких. При  $t$ -рах  $> 20^\circ$  происходит фотосорбция кислорода закисью  $Cu$ . Обнаружен аномальный рост выхода свечения с ростом  $t$ -ры у некоторых образцов и низкотемпературный максимум  $\tau$ . Указано, что изучение кинетики свечения  $Cu_2O$  методом тауметра позволяет обнаружить новые тонкие детали полупроводниковых явлений. А. Хейнман

50582. Дальнейшие исследования свойств металлического рения. Симс, Джаффи (Further studies of the properties of rhenium metal. Sims Chester T., Jaffee Robert I.), *J. Metals*, 1956, 8, № 8, Sec. 2, 913—917 (англ.).

В продолжение работы (РЖМет, 1956, 328) исследованы механич., электр. и коррозионные свойства  $Re$ . Изменение термо-э.д.с. термпары  $Pt-Pt-10\% Re$  в интервале 20—1600° выражается ф-лой  $E = 1,56 - 0,90 \cdot 10^{-2}T + 1,29 \cdot 10^{-5}T^2$  мВ. Изучение коррозионной стойкости  $Re$  в жидких металлах показало, что  $Re$  не растворяется в расплавленных  $Sn$ ,  $Zn$ ,  $Ag$ ,  $Cu$ , медленно растворяется в  $Al$  и быстро в  $Ni$  и  $Fe$  (при 1550 и 1640° растворяется соответственно в течение 2 и 1 часа).

Л. Миркин

50583. Магнитная восприимчивость рубидия и аномалия электрического сопротивления. Хеджкок (Magnetic susceptibility of rubidium and the electrical resistance anomaly. Hedgcock F. T.), *Canad. J. Phys.*, 1956, 34, № 11, 1164—1167 (англ.).

Методом Гюи измерена магнитная восприимчивость двух образцов  $Rb$ , один из которых соприкасался с воздухом. Максимум восприимчивости в этом образце при 180° K приписан парамагнетизму незначительного кол-ва растворенного  $O_2$ , который накладывался на диамагнетизм низших окислов  $Rb$ . Результаты подтверждают данные Келли и Пирсона (РЖХим, 1956, 9166) о том, что аномалия электросопротивления  $Rb$  при 180° K не связана ни с изменением кристаллич. структуры, ни с электронным переходом. Возможно, что аномалия также связана с  $O_2$ , растворенным в  $Rb$ .

Е. Мазель

50584. Ответ на критические замечания И. Ф. Квархавы по поводу наших статей. Лебедев С. В., *Ж. эксперим. и теор. физики*, 1957, 32, № 1, 144—146. Дискуссионная статья. См. РЖХим, 1956, 74244. А. Х.

50585. Захват электронов проводимости заряженными дефектами ионных кристаллов. Перлин Ю. Е., *Ж. эксперим. и теор. физики*, 1957, 32, № 1, 105—114 (рез. англ.).

Проведен квантовомеханич. расчет вероятности захвата электрона проводимости положительно заряженным дефектом решетки ионного кристалла (напр. анионной вакансии). Захват рассматривается как одноэлектронный тепловой переход из непрерывного спектра в возбужденное состояние дискретного спектра. Возмущением является неконфигурационное взаимодействие, приводящее в идеальном кристалле к обычному рассеянию поляронов. Вычислена вероятность захвата как функция скорости скорости полярона и определена зависимость времени жизни носителей заряда от  $t$ -ры. А. Хейнман

50586. Получение и исследование интерметаллических соединений в тонких слоях. Преснов В. А., Сынов В. Ф., *Ж. техн. физики*, 1957, 27, № 1, 123—126

Методом С. А. Векшинского получены слои систем  $Al-Sb$ ,  $In-Sb$ ,  $Ga-Sb$  переменного состава толщиной до  $10^{-4}$ — $10^{-5}$  см. Уд. сопротивление  $\rho$  и термо-э. д. с. изменяются по длине образца. В обоих случаях наблюдаются резкие максимумы, отвечающие

образованию интерметаллич. соединений атомного состава 1:1. На этих участках знак постоянной Холла и коэф. термо-э.д.с. положительных.  $\rho$  образцов мало изменяется в области от  $-186$  до  $+150^\circ$ . Энергия активации  $0,005-0,025$  эв. Дырочная проводимость и высокая конц-ия носителей в тонких слоях AlSb, InSb и GaSb могут быть объяснены, если принять, что у этих соединений существует зона поверхностных акцепторных уровней, лежащих вблизи заполненной зоны. В этом случае при малой толщине слоя интерметаллич. соединений число дырок, создаваемых переходами из заполненной в поверхностную зону, превышает конц-ию носителей, создаваемых примесями уровнями в объеме.

Л. Шамовский  
50587. Об интерметаллических сплавах платины и золота со щелочными и щелочноземельными металлами. Сокольская И. Л., Ж. техн. физики, 1957, 27, № 1, 127-129

Исследованы электрич. свойства систем Na—Au, Na—Pt и Ba—Pt. Слой Na—Au получали прогревом сублимированного слоя Au толщиной  $\sim 0,1$  м в парах Na при  $240^\circ$ . Слой Na—Au прозрачен, его сопротивление  $R$  порядка  $10^5$  ом и экспоненциально уменьшается с ростом  $t$ -ры (энергия активации  $0,15$  эв). Работа выхода на  $\sim 1,5$  в ниже, чем у Au. Испарением Pt в парах Na при давл.  $10^{-4}$  мм рт. ст. на стенки прибора получены высокоомные ( $10^4-10^8$  ом) слои с полупроводниковым ходом  $R$  с энергией активации  $0,3-0,5$  эв. Двойные слои Ba—Pt имеют низкое  $R$ . В результате прогрева  $R$  возрастает на несколько порядков, прозрачность увеличивается, температурный коэф.  $R$  становится отрицательным. Сделан вывод, что соединение NaAu является типичным полупроводником, а существование соединений Na—Pt и Ba—Pt не доказано.

А. Хейнман  
50588. Электрические свойства некоторых сложных вольфрамовых оксидов. Орнатская З. И., Ж. техн. физики, 1957, 27, № 1, 130-137

Образцы  $\delta\text{-Na}_2\text{WO}_4$  (I) и  $\text{Li}_2\text{WO}_4$  (II) получали прессованием порошков и прокаткой при  $500-550^\circ$  в вакууме или на воздухе. Зависимость уд. проводимости  $\sigma$  от  $t$ -ры для I типична для полупроводников. От  $350$  до  $500^\circ$  наклон кривой  $\lg \sigma = f(1/T)$  постоянен для различных образцов; энергия диссоциации  $E$  равна  $0,94$  эв. Измерения температурной зависимости коэф. термо-э.д.с. указывают на существование дырочной или электронной проводимости в зависимости от условий получения образцов;  $E$  на участке примесной проводимости равна  $0,63-0,75$  эв. Для II в интервале  $270-500^\circ$  зависимость  $\lg \sigma = f(1/T)$  выражается прямой,  $E = 1,43$  эв, проводимость электронная. Спеченные и спрессованные образцы бронз состава  $\text{Na}_{0,5}\text{WO}_3$  и  $\text{Na}_{0,65}\text{WO}_3$  обладают значительной электронной проводимостью, возрастающей в области  $t$ -р от  $20$  до  $250-270^\circ$  при измерениях на воздухе. Повторные прогревы бронз изменяют  $\sigma$ , но не термо-э.д.с.

А. Хейнман  
50589. Новые полупроводники со структурой халькопирита. Остин, Гудман, Пенджелли (New semiconductors with the chalcopirite structure. Austin I. G., Goodman C. H. L., Pengelly A. E.), J. Electrochem. Soc., 1956, 103, № 11, 609-610 (англ.)

Полупроводниковые соединения типа халькопирита имеют общую ф-лу  $\text{ABX}_2$ , где A—Cu или Ag; B—Al, Ga, In, а иногда Fe или Tl; X—S, Se или Te. Их можно рассматривать как производные соединений II—VI типа цинковой обманки, в которых два атома группы II замещены на один атом A и один B. Соединения  $\text{CuInS}_2$  (I),  $\text{AgInSe}_2$  (II),  $\text{CuInSe}_2$  (III),  $\text{AgInTe}_2$  (IV) и  $\text{CuInTe}_2$  (V) получены прямым взаимодействием элементов в запаянных эвакуированных кварце-

вых трубках. Большие поликристаллич. слитки всех в-в получали направленной кристаллизацией или зонной плавкой. Попытки получить крупные, без трещин, кристаллы методами направленной кристаллизации, зонной плавки или вытягивания из расплава дали отрицательный результат, по-видимому, из-за слабого искажения решетки, приводящего к анизотропии теплового расширения. Найдены следующие значения оптич. ширины запрещенной зоны (в эв) и  $t$ -ры плавления: I 1,2; —; II 1,18;  $\sim 1000^\circ$ ; III 0,92;  $990^\circ$ ; IV 0,96;  $675^\circ$ ; V 0,95;  $\sim 700^\circ$ ;  $\text{CuFeS}_2$  (природный)  $0,53$ ;  $950^\circ$ . Рентгеновское исследование I указывает на термич. разупорядочение структуры выше  $700^\circ$ . Зонная плавка, а также примеси Se и Cu изменяют параметр решетки I. Упругость паров I вблизи точки плавления высока, пар имеет сложный состав, а сублимат содержит хорошо выраженную фазу, которая не могла быть идентифицирована.

А. Хейнман  
50590. Зависимость сопротивления  $\beta$ -фазы сплавов Ti—H от температуры и концентрации. Эймс, МакКуиллан (The resistivity-temperature-concentration relationships in  $\beta$ -phase titanium-hydrogen alloys. Ames S. L., McQuillan A. D.), Acta Metallurgica, 1956, 4, № 6, 602-610 (англ.; рез. франц., нем.)

Проверены результаты прошлой работы (PJM Met, 1956, 7892), в которой было обнаружено, что если бы  $\beta$ -Ti существовал ниже  $t$ -ры превращения  $\alpha \rightarrow \beta$  ( $882,5^\circ$ ), то он обладал бы температурной зависимостью сопротивления  $\rho$ , характерной для полупроводников, а не для металлов. Аналогичные исследования выполнены на  $\beta$ -фазе сплавов Ti—H в интервале  $t$ -р  $400-904^\circ$  и составов вплоть до TiH. Путем экстраполяции изотерм  $\rho$ —состав при  $t$ -рах ниже  $t$ -ры превращения  $\alpha \rightarrow \beta$  на нулевую конц-ию водорода получены результаты, качественно согласующиеся с результатами прошлой работы. Так, при  $480^\circ$   $\rho$   $\beta$ -Ti было бы лишь на 2% ниже его  $\rho$  непосредственно выше  $t$ -ры превращения, а не на 40%, как для нормального металла.

А. Хейнман  
50591. Работа выхода кадмия. Андерсон (Work function of cadmium. Anderson Paul A.), Phys. Rev., 1955, 98, № 6, 1739-1740 (англ.)

Методом электронного пучка и методом Кельвина измерена контактная разность потенциалов Cd—Ba. Общими методами найдено, что работа выхода пленок Cd на Ta равна  $4,08 \pm 0,02$  эв. Свежесублимированные Cd-пленки адсорбируют некоторое кол-во газа, который удаляется веттерной очисткой, сопровождающейся ростом работы выхода на  $\leq 0,1$  эв.

А. Хейнман  
50592. Электрические свойства некоторых сложных оксидных полупроводников. Коломиец Б. Т., Шефтель И. Т., Курлина Е. В., Ж. техн. физики, 1957, 27, № 1, 51-72

Материалы в системах  $\text{CuO} - \text{MnO} - \text{O}_2$  (I) и  $\text{CoO} - \text{MnO} - \text{O}_2$  (II) получали совместным осаждением гидроксидов из нитратов металлов и последующей прокаткой при  $1000-1200^\circ$ . Исследованы составы, расположенные вдоль всей линии псевдобинарных разрезов  $\text{CuO} - \text{Mn}_2\text{O}_4$  и  $\text{CoO} - \text{Mn}_2\text{O}_4$ . Проводимость  $\sigma$  описывается ф-лой  $\sigma = A \exp(-\Delta E_e/2kT)$  для I (от  $-50$  до  $+120^\circ$ ) и II (от  $-20$  до  $+200^\circ$ ).  $\sigma$  для составов I изменяется в пределах  $10^{-8}-10^{-1}$  ом $^{-1}$ см $^{-1}$ , для II  $10^{-9}-10^{-3}$  ом $^{-1}$ см $^{-1}$ .  $\Delta E$  для II значительно выше, чем для I (при равных  $\sigma$ ). Рентгенографически обнаружены новые соединения: куб. шпинель  $\text{CuMn}_2\text{O}_4$  с  $a$  8,28 Å; куб. шпинель  $\text{MnCo}_2\text{O}_4$  с  $a$  8,268 Å и тетрагон. шпинель  $\text{CoMn}_2\text{O}_4$  с  $a$  5,72 Å и  $c$  9,28 Å. Исследованы микроструктура и фазовый состав образцов. Они состоят из различных кристаллич. фаз, в основном, типа шпинели. Рентгенографически установлено, что  $\text{CuMn}_2\text{O}_4$  является полубратной шпинелью, в которой 4 иона  $\text{Cu}^{2+}$  и 4 иона  $\text{Mn}^{3+}$  (в расчете на элементарную ячей-

ку) расположены в тетраэдрич. пустотах, а 4 иона  $\text{Cu}^{2+}$  и 12 ионов  $\text{Mn}^{3+}$  — в октаэдрич. пустотах:  $\text{Cu}_4^{2+}\text{Mn}_{12}^{3+}[\text{Cu}_4^{2+}\text{Mn}_{12}^{3+}\text{O}_{32}]^{2-}$ . Шпинель  $\text{MnCo}_2\text{O}_4$  является полностью обратной. Из двух возможных ф-л  $\text{Co}_8^{3+}[\text{Mn}_8^{3+}\text{Co}_8^{3+}\text{O}_{32}]^{2-}$  и  $\text{Co}^{2+}[\text{Mn}^{4+}\text{Co}_8^{3+}\text{O}_{32}]^{2-}$  на основании данных по  $\sigma$  отдано предпочтение второй ф-ле. Результаты по зависимости  $\sigma$  от микроструктуры образцов и структуры кристаллич. решетки интерпретируются на основе существующих представлений о проводимости как результата обмена электронами между ионами металлов переменной валентности. В случае  $\text{CuMn}_2\text{O}_4$  присутствие ионов  $\text{Mn}^{4+}$  обусловлено стехиометрич. недостатком ионов металла, и электронный обмен идет по схеме:  $\text{Mn}^{4+} + \text{Mn}^{3+} \rightarrow \text{Mn}^{3+} + \text{Mn}^{4+}$ . В случае  $\text{MnCo}_2\text{O}_4$  обмен возможен и в стехиометрич. образцах:  $\text{Co}^{2+} + \text{Mn}^{4+} \rightarrow \text{Co}^{3+} + \text{Mn}^{3+}$ ;  $\text{Co}^{3+} + \text{Co}^{2+} \rightarrow \text{Co}^{2+} + \text{Co}^{3+}$ ;  $\text{Mn}^{4+} + \text{Mn}^{3+} \rightarrow \text{Mn}^{3+} + \text{Mn}^{4+}$ . Исследована зависимость  $\sigma$  от термообработки в вакууме или  $\text{O}_2$ . Сделаны общие выводы, что  $\sigma$  зависит от хим. состава образца, степени нарушения стехиометрии, структуры решетки, пространственного распределения кристаллич. фаз и от состояния поверхности зерен. А. Хейнман 50593.

**Некоторые особенности электрических свойств пленок  $\text{HgSe}$  —  $\text{HgTe}$ .** Елпатьевская О. Д., Регель А. Р., Ж. техн. физики, 1957, 27, № 1, 45—50. Исследованы сублимированные в вакууме пленки  $\text{HgSe}$ ,  $\text{HgTe}$  и твердые р-ры  $\text{HgSe}$ — $\text{HgTe}$ . Прозрачные пленки толщиной 1—5  $\mu$ , по рентгенографии, данным, имеют очень дефектную структуру, возможно, близкую к аморфной. Электронограммы показывают, что они имеют кристаллич. структуру типа цинковой обманки с параметрами решетки, характерными для литых образцов. Размеры кристаллитов  $\sim 5 \cdot 10^{-7}$  см. Прозрачная пленка при прогреве до  $90 \pm 10^\circ$  становится непрозрачной, по-видимому, вследствие укрупнения кристаллитов и уменьшения дефектности. Сублимированные непрозрачные пленки имеют толщину 5—10  $\mu$ . Температурный коэф. сопротивления пленок  $\text{HgSe}$  изменяется от положительного (металлического) для толстых пленок до отрицательного (полупроводникового) для тонких. Уд. проводимость прозрачных пленок на порядок меньше, чем у непрозрачных. Подвижность носителей находится в том же соотношении. Все пленки  $\text{HgSe}$  относятся к п-типу, пленки  $\text{HgTe}$  и твердые р-ры  $\text{HgSe}$ — $\text{HgTe}$ , богатые  $\text{HgTe}$ , — к р- и п-типам. Пленки твердых р-ров плавно изменяют свои свойства с составом. Прозрачные пленки  $\text{HgSe}$ — $\text{HgTe}$  обладают значительной проводимостью.

А. Хейнман

**50594. Электропроводность системы  $\text{Ce}$  —  $\text{H}$ .** Вийар (Sur la conductibilité électrique du système cérium — hydrogène. Daou Joseph, Viillard Rodolphe), С. г. Acad. sci., 1956, 243, № 25, 2050—2052 (франц.)

С целью выяснения природы связи в системе  $\text{Ce}$  —  $\text{H}$  исследована зависимость сопротивления  $R$  этой системы от содержания  $\text{H}$ .  $\text{Ce}$  предварительно прогревали в вакууме при 500—800°. Абсорбция  $\text{H}_2$  чернем наблюдается уже при 20° и сопровождается ростом  $R$ . При конц-ии  $\text{H}$  50 ат. %  $R$  возрастает в 930 раз. Вначале ход изменения  $R$  во времени совпадает с кривой кинетики абсорбции. На более поздних стадиях абсорбция замедляется и  $R$  уменьшается, всегда оставаясь больше  $R$  чистого  $\text{Ce}$ . Это явление выражено тем резче, чем скорей протекает абсорбция. Уменьшение  $R$  приписано организации решетки системы  $\text{Ce}$  —  $\text{H}$  в процессе абсорбции. Исходное  $R$  металлич.  $\text{Ce}$  восстанавливается после продолжительной откачки системы  $\text{Ce}$  —  $\text{H}$  при  $t > 500^\circ$ . Поэтому изменения  $R$  обусловлены скорее внедренными атомами  $\text{H}$  в систему  $\text{Ce}$  —  $\text{H}$ , чем изменением текстуры. А. Хейнман

**50595. Тушение фотопроводимости в  $\text{CdS}$ .** Путихаси (Quenching of photoconductivity in cadmium sulfide, Tutihasi Simpei), J. Opt. Soc. America, 1956, 46, № 6, 443—448 (англ.)

Исследованы спектральное распределение и температурная зависимость ИК-тушения фотопроводимости в монокристаллах  $\text{CdS}$ . В «чистых» кристаллах при понижении т-ры максимум ИК-тушения при 1,4  $\mu$  исчезает при  $-75^\circ$ , а максимум при 0,9  $\mu$  остается вплоть до  $-185^\circ$ , уменьшаясь по величине. В активированных  $\text{Cu}$  кристаллах имеется один максимум ИК-тушения при 1,4  $\mu$ , который полностью исчезает ниже  $-80^\circ$ . Сделан вывод, что ИК-тушение при 1,4  $\mu$  обусловлено механизмом, предложенным ранее (Taft E. A., Hebb M. N., J. Opt. Soc. America, 1952, 42, 249). Кратковременное начальное увеличение фототока при воздействии ИК-света объясняется освобожждением электронов из ловушек в зону проводимости. М. Шейнман 50596.

**Электропроводность в фотопроводимость фталонцианов.** Вартанян А. Т., Карнович И. А., Докл. АН СССР, 1956, 111, № 3, 561—563

Исследована электропроводность  $\sigma_T$  и фотопроводимость  $\sigma_F$  сублимированных в вакууме слоев фталонцианов без металла (I) и его  $\text{Cu}$  (II),  $\text{Zn}$  (III) и  $\text{Mg}$  (IV) комплексов. Определена оптич. энергия активации: I 1,65—1,61; II 1,64—1,63; III 1,61—1,58; IV 1,53—1,51 эв. Термич. энергии активации в среднем на 0,2 эв превосходят эти величины. При обработке слоев II—IV в  $\text{O}_2$   $\sigma_T$  и  $\sigma_F$  резко увеличиваются, а энергия активации уменьшается. Исследована зависимость  $\sigma_F$  от интенсивности освещения и проведена корреляция спектральных кривых  $\sigma_F$  со спектрами поглощения для слоев различной толщины. И. Акимов 50597.

**Исследование диэлектрической проницаемости полупроводников.** Кирьяшкина З. И., Попов Ф. М., Биленко Д. И., Кирьяшкин В. И., Ж. техн. физики, 1957, 27, № 1, 85—89

Методом свободных волн измерена диэлектрич. проницаемость  $\epsilon$  прессованных порошков полупроводниковых материалов с уд. сопротивлением  $> 10^3$  ом см:  $\text{WO}_3$ ,  $\text{PbO}$ ,  $\text{CuO}$ ,  $\text{SnO}_2$ ,  $\text{Ni}_2\text{O}_3$ ,  $\text{Co}_2\text{O}_3$ ,  $\text{ZnO}$ ,  $\text{V}_2\text{O}_5$ ,  $\text{Cu}_2\text{O}$ ,  $\text{Na}_2\text{WO}_4$ ,  $\epsilon$  сильно зависит от условий приготовления образцов, а  $\epsilon_{\text{уд}} = \epsilon/\rho$  ( $\rho$  — плотность) является константой в-ва. В ряду полупроводников с одной структурой, у которых характер связи изменяется от ионного-гомеополярного к гомеополярно-металлическому,  $\epsilon$  возрастает:  $\text{ZnS}$ ,  $\text{CdS}$ ,  $\text{ZnSe}$ ,  $\text{ZnTe}$ ,  $\text{CdSe}$ ,  $\text{CdTe}$ ,  $\text{HgS}$ ,  $\text{HgSe}$ ,  $\text{HgTe}$ . А. Хейнман 50598.

**Изотопный эффект в сверхпроводящем свинце.** Хейк, Мапотер, Деккер (Isotope effect in superconducting lead. Hake R. R., Marother D. E., Decker D. L.), Phys. Rev., 1956, 104, № 2, 549—550 (англ.)

Изучалась зависимость напряженности крит. магнитного поля  $\Delta H_k$  от средней изотопной массы  $M$  в 6 образцах  $\text{Pb}$  при т-ре, близкой к критической ( $T_k = 7,22 \pm 0,02^\circ \text{K}$ ). При изменении  $M$  от  $206,19 \pm 0,01$  до  $207,81 \pm 0,04$  ат. ед. масс.  $\Delta H_k$  смещается от  $\sim 4,9$  до  $\sim -2,1$  гс относительно образца  $\text{Pb}$  с естественным содержанием изотопов ( $M = 207,27 \pm 0,01$  ат. ед. масс), для которого принято  $\Delta H_k = 0$ . Показатель  $p$  в ур-нии  $T_k = M^p$  при условии  $H_k = 0$  равен  $-0,52 \pm 0,04$ , что хорошо совпадает с теорией (Fröhlich H., Phys. Rev., 1950, 79, 845; Bardeen J., Phys. Rev., 1950, 80, 567) и значениями  $p$  для других элементов (Maxwell E., Physics Today, 1952, 5, 14). В. Любимов 50599.

**Магнитные свойства некоторых редкоземельных металлов и их окислов.** Апри-ла-Бланшете (Propriétés magnétiques de quelques métaux et



oxydes des terres rares. Henry la Blanchettais Charlotte), J. rech. Centre nat. rech. Scient. 1954, № 29, 103—133 (франц.)  
См. РЖФиз, 1956, 4129.

**50600.** Экспериментальное исследование взаимодействия типа молекулярного поля. Случай твердого раствора ферромагнитного или антиферромагнитного металла в палладии. Козн (Contribution a l'étude expérimentale des interactions du type champ moléculaire. Cas des solutions solides d'un métal ferromagnétique ou d'un métal antiferromagnétique dans le palladium. Cohen Joseph), C. r. Acad. sci., 1956, 243, № 21, 1613—1616 (франц.)

С целью выяснения природы магнитных взаимодействий атомов, характеризующихся константой  $\Theta$  в законе Кюри-Вейсса, наблюдалась зависимость  $\Theta$  от концентрации Ni и Cr в сплавах Pd-Ni и Pd-Cr. В интервале  $t$ -р от комнатной до 800° восприимчивость сплава Pd-Ni подчинялась закону Кюри-Вейсса с точностью не менее 5%. Парамагнитная и ферромагнитная точки Кюри несколько различались.  $\Theta$  сплава Pd-Cu отрицательна и растет с увеличением концентрации Cr, причем свойства сплава приближаются при этом к антиферромагнитным. У сплава Pd-Ni изменение  $\Theta$  с конц-ией описывается соотношением  $\Theta = (116 500x - 5000) / (141x + 35)$ , где  $x$  — атомная конц-ия Ni. Здесь быстро нарастают ферромагнитные свойства, однако переход от отрицательных  $\Theta$  к положительным происходит без особенностей кривой зависимости  $\Theta$  от  $x$ . Это приводит автора к выводу, что магнитные взаимодействия в этих ферромагнитных телах не отличаются резко от взаимодействий в антиферромагнитных телах. Возможно, что одновременно существуют несколько механизмов магнитной связи. Л. Соболев

**50601.** Магнитичность насыщения и магнитная структура  $\gamma$ -Fe<sub>2</sub>O<sub>3</sub>. Генри, Бём (Intradomain magnetic saturation and magnetic structure of  $\gamma$ -Fe<sub>2</sub>O<sub>3</sub>. Henry Warren E., Boehm Mary Jo), Phys. Rev., 1956, 101, № 4, 1253—1254 (англ.)

С целью определения положения и ориентации ионов Fe<sup>3+</sup> в  $\gamma$ -Fe<sub>2</sub>O<sub>3</sub> измерялась намагнитченность насыщения  $I_S$  при 4,2° К. Абс. величина магнитного момента определялась путем сравнения результатов измерений для  $\gamma$ -Fe<sub>2</sub>O<sub>3</sub> и для металла. Fe, причем магнитный момент на атом Fe принимался равным 2,22  $\mu_B$ . Величина  $I_S$  по данным измерений при 4,2 и 1,3° К экстраполировалась к 0° К и оказалась равной 1,18  $\mu_B$  на атом Fe. Этот результат, по мнению авторов, подтверждает преимущественное распределение вакансий Fe по октаэдрич. местам структуры обратной шпинели. Л. Соболев

**50602.** Ядерный магнитный резонанс и электронная структура проводников. Бломберген (Nuclear magnetic resonance and electronic structure of conductors. Bloembergen N.), Canad. J. Phys., 1956, 34, № 12A, 1299—1313. Discuss., 1313—1314. Исправление (correction), Canad. J. Phys., 1957, 35, № 3 (англ.)

Рассмотрены данные о волновых функциях электронов и зонных структурах, получаемые из экспериментов по ядерному магнитному резонансу. Рассмотрены изотропный и анизотропный сдвиги Найта, время релаксации, изотропия и анизотропия спин-обменного взаимодействия и квадратурные взаимодействия. Описана зависимость этих эффектов от давления,  $t$ -ры и состава сплава. Рассмотрены некоторые последние результаты для полупроводников и сверхпроводников. Резюме автора

**50603.** Опыт выращивания монокристаллов цинка. Бушманов Б. Н. Тр. Казанск. хим.-технол. ин-та, 1956, вып. 21, 79—89

Предложено упрощение метода Бриджмена и метода

Обреимова и Шубникова для выращивания монокристаллов легкоплавких металлов. Показано, что нет необходимости в равномерном распределении  $t$ -ры вдоль оси печи. Достаточным является постепенное понижение  $t$ -ры от верхней части печи к нижней, что достигается уменьшением расстояния между витками нагревательной спирали в направлении к низу печи. При помещении в печь на спец. подвеске одновременно 19 кристаллизационных трубок вместо одной, обнаружено возрастание выхода монокристаллов от 24 до 75%. Наибольший выход монокристаллов diam. 10—12 мм наблюдается при скорости опускания трубок  $\leq 10$  см/час. При скорости опускания  $< 4$  см/час, монокристаллы обычно ориентированы плоскостью базиса под углом 45—90° к оси образца. По мере увеличения скорости опускания возрастает доля монокристаллов, ориентированных под малыми углами к оси образца (0—30°). В. М.

**50604.** Изучение кристаллизации малорастворимых солей. I. Кристаллизация сульфата стронция из растворов при различных пересыщениях. Фигуровский Н. А., Комарова Т. А., Ж. неорганич. химии, 1956, 1, № 12, 2820—2827

Экспериментально установлена закономерная связь между индукционным периодом образования кристаллов BaSO<sub>4</sub> (I) и пересыщением исходных р-ров. На кривых распределения частиц по размерам в зависимости от пересыщения обнаруживается ряд максимумов и минимумов дисперсности. Высказаны соображения о механизме образования кристаллов I различной формы в связи с механизмом зародышеобразования и кинетикой роста. Резюме авторов

**50605.** Влияние ультразвука на кристаллизацию монокристалла алюмокалиевых квасцов. Капустин А. П., Кавалюняте В. Е., Кристаллография, 1956, 1, № 6, 737—738

Установлено, что линейные скорости роста и растворения октаэдрич. граней монокристалла алюмокалиевых квасцов повышаются в ультразвуковом поле (УЗП). Средний тангенс угла наклона кривой линейного перемещения грани в зависимости от времени в 2—3 раза больше при наличии УЗП. Ультразвук ускоряет рост не только той грани, которая обращена к источнику волн. Описанный эффект наблюдается лишь при слабом пересыщении и малых интенсивностях ультразвука. П. Зоркий

**50606.** Изменение габитуса неорганических кристаллов красителями. Часть 2. Структура кристаллов и красителей. Уэстон (The crystal habit modification of inorganic salts with dyes. Part 2. The relationship between the structure of crystals and habit modifying dyes. Whetstone J.), Trans. Faraday Soc., 1955, 51, № 8, 1142—1153 (англ.)

В развитие гипотезы, предложенной автором в части 1 (РЖХим, 1956, 77471), рассматриваются структурные особенности молекул красителей, необходимые для их адсорбции на кристаллич. плоскостях различного типа. Подчеркиваются преимущества плоской структуры молекул или частей молекул, несущих полярные группы. Последние при адсорбции замещают соответствующие ионы на плоскостях растущих кристаллов. Кристаллизация NH<sub>4</sub>NO<sub>3</sub> IV; KNO<sub>3</sub>, NaNO<sub>3</sub> и (NH<sub>4</sub>)<sub>2</sub>SO<sub>4</sub> в присутствии 26 отобранных на основе структурных признаков, красителей трифенилметановой группы и группы азокрасителей транс-изомерной формы, показала, что вызываемые красителями изменения габитуса кристаллов находятся в согласии с гипотезой, объясняющей механизм адсорбции. Адсорбирующие плоскости кристалла оказываются перпендикулярными или почти перпендикулярными плоскостям, габитус которых изменяется. Для идентификации адсорбирующих плоскостей использовано графич.

сопоставление структур молекул со структурным мотивом наиболее подходящей плоскости кристалла и исследование плеохроизма в кристаллах, содержащих плеохроичные включения красителя. Е. Славнова

50607. Эпитаксиальное нарастание на гранях куба и октаэдра пирита ( $\text{FeS}_2$ ). Часть I. Рост на грани куба пирита. Гхарпуре (Epitaxial crystal growth on iron pyrites ( $\text{FeS}_2$ ) cube and octahedral faces: Part I. Growth on cube face of pyrites. Gharpurey M. K.), J. Scient. and Industr. Res., 1956, (B—C) 15, № 5, B226—B230 (англ.)

Проведено электронографич. исследование ориентировки тонких пленок  $\text{NaCl}$ ,  $\text{KCl}$ ,  $\text{PbS}$ ,  $\text{As}_2\text{O}_3$  и  $\text{Ag}$ , полученных путем конденсации в вакууме на грани куба пирита  $\text{FeS}_2$ . Кристаллы  $\text{NaCl}$  располагаются на грани куба пирита в параллельной ориентировке при расхождении параметров на 4,1%. Кристаллы  $\text{KCl}$  при расхождении в параметрах на 16% росли как в параллельной, так и в октаэдрич. ориентировке с совмещением диагоналей [110]. Кристаллы  $\text{PbS}$  нарастают только в октаэдрич. ориентировке с совмещением по [110] и явным преобладанием совмещений этого направления с зигзагообразными рядами S на грани куба пирита. Параллельные ориентировки здесь не наблюдаются, хотя расхождение в параметрах при этом много меньше (9,7%), чем в первом случае. Кристаллы  $\text{As}_2\text{O}_3$  нарастают только в октаэдрич. ориентировке с совмещением по [110]. Кристаллы  $\text{Ag}$  дали ряд различных ориентировок. При более высоких  $t$ -рах подложки в момент отложения  $\text{Ag}$  оно частично кристаллизуется в гексагональной модификации, причем его оси  $b$  и  $c$  ориентируются параллельно цепочкам S на грани куба пирита. Сделан вывод о преобладающем влиянии на ориентировку осадка структуры поверхности подложки, а не только геометрич. соответствия.

В. Франк-Каменецкий

50608. Случай эпитаксиального замещения. Костов (A case of epitaxial replacement. Kostov Ivan), Mineral. Mag., 1956, 31, № 235, 333—338 (англ.)

Кварц из гранитных пегматитов близ Кальково (Болгария) претерпел частичное замещение биотитом вдоль трещин параллельных (1010). Биотит закономерно ориентирован по отношению к кварцу: биотит (001) [010] параллелен кварцу (1010) [1120]. Автор считает, что в данном случае имело место эпитаксич. замещение, которое он определяет как такое замещение, в котором замещающий минерал образует определенную, обусловленную структурой, ориентировку относительно замещаемого минерала. Наличие эпитаксиса подтверждается близким соответствием параметров решетки кварца и биотита в плоскости срастания.

В. Франк-Каменецкий

50609. Исследование травления и ориентировки кристаллов типа алмаза с помощью световых фигур. Вулф, Уилбер, Кларк (Etching and orientation measurements of diamond type crystals by means of light figures. Wolff G. A., Wilbur J. M., Jr., Clark J. C.), Z. Elektrochem., 1957, 61, № 1, 101—106 (англ.)

С помощью метода световых фигур изучен характер травления кристаллов типа алмаза ( $\text{Ge}$ ,  $\text{Si}$ , сфалерит, вюрцит), обладающих низкой координацией (4) и сильными направленными связями. Световые фигуры представляют собой рефлектограммы поверхностей кристалла, подвергнутых травлению; они получают путем отражения от травленной поверхности узкого пучка параллельного света и проектирования его на экран (плоский или цилиндрич.). Плоский экран ставится между источником света и отражающим кристаллом («задние рефлексы»), при использовании цилиндрич. экрана кристалл помещается в его центре

(«цилиндрич. рефлексы»). Исследуемым кристаллам придавалась форма шаров для того, чтобы любая кристаллографич. плоскость при травлении имела равную вероятность развития. Установлено, что появление рефлексов определенных плоскостей и зон связано с составом используемого травителя; исследованы световые фигуры  $\text{Ge}$ , травленного жидким  $\text{Cd}$  при высоких  $t$ -рах, термически и смесью (1 ч. супероксида + 1 ч. 48%-ной  $\text{HF}$  + 4 ч. воды);  $\text{Si}$ , травленного жидкими  $\text{In}$ ,  $\text{Sn}$ ,  $\text{Pb}$ ,  $\text{Sh}$ ,  $\text{Bi}$ ,  $\text{Zn}$ ,  $\text{Au}$ . При ускорении травления путем изменения конц-ии или  $t$ -ры травителя нижние части ямок травления заметно не изменяются; вследствие преимущественного возрастания тангенциальной скорости травления изменяется процесс травления лишь выпуклых поверхностей кристалла и соответственно меняется световая фигура. Установлено, что в случае шаров диам.  $> 1$  мм кривизна поверхности не влияет на картину травления. Показано, что метод световых фигур может быть использован для определения ориентировки образцов с точностью в несколько дуговых минут.

Н. Глики

50610 Д. Рентгеноструктурное исследование каптакса (2-меркаптобензотиазола). Ташпулатов Ю. Автореф. дисс. канд. хим. н., Н.-и. физ.-хим. ин-т, М., 1957

См. также: Рентгеногр. исслед. 50725, 50726, 50731, 50970, 50989. Магнитный резонанс 50462—50465, 50470. Термодинамика 50652, 50658, 50659. Магнитные св-ва 50473, 50670. Спектры и др. оптич. св-ва 50410, 50424, 50436, 50437, 50439—50441, 50445—50447, 50450, 50498. Рост 50711. Растворение 50854. Природа хим. связи 50477, 50487, 50491, 50712. Приборы и оборудование 51676, 51677

## ЖИДКОСТИ И АМОРФНЫЕ ТЕЛА. ГАЗЫ

Редактор А. Е. Алмазов

50611. Расчет жидкостей методом ячеек. Левин, Мейер, Арёсте (Cell method computation for liquids. Levine Howard B., Mayer Joseph E., Aroeste Henry), J. Chem. Phys., 1957, 26, № 1, 207—214 (англ.)

Пространственная плотность вероятности для системы частиц записывается в виде  $F_N(N) = \exp(-\Omega\psi_0)(z^N/N!) F_N(N)$ , где  $F_N(N) = \exp \times \{ \sum_{i=1}^N \psi_1(i) + \lambda \sum_{N \geq j > i \geq 1} \psi_2(i, j) \}$ ,  $\Omega$  — число ячеек,  $V = \Omega\omega = \Omega R_0^3$ ,  $\psi_1(i)$  — вероятность нахождения частицы в некотором частном положении по отношению к центру ячейки. В отличие от другой работы (Mayer J. E., Careri G., J. Chem. Phys., 1952, 20, 1001),  $\lambda\psi_2(i, j) = -\infty$ , если  $i$  и  $j$  относятся к одной ячейке,  $\lambda\psi_2(i, j) = \lambda$ , если  $i$  и  $j$  относятся к соседним ячейкам и  $\lambda\psi_2(i, j) = 0$  — в других случаях. Условие нормировки позволяет в принципе определить величину  $\psi_0$ . Используя разложение  $\psi_0$  по степеням плотности  $\rho = N/\Omega$ ,  $(\partial\psi_0/\partial \ln z)\lambda$  авторы получают ур-ние состояния, содержащее параметр, характеризующий вероятность отклонения частицы на определенное расстояние от центра ячейки. Требование минимальности свободной энергии при постоянной плотности и  $t$ -ре вместе с предположением об определенном характере межмолекулярного взаимодействия (авторы аппроксимировали потенциал функцией Морзе) дает возможность определить соотношение между параметрами ур-ния состояния и между измеримыми величинами. Величины, характеризующие состояние жидкости, табулированы для  $t$  от 0,70 до 1,70. Численный расчет даст хорошее согласие с наблюдениями для  $\text{Ar}$  вблизи крит. точки. Л. Малкин

**50612. Неаддитивный межмолекулярный потенциал в газах. I. Взаимодействие ван-дер-Ваальса. Мидзуно, Кихара. II. Групповые интегралы. Коба, Канэко, Кихара (Non-additive intermolecular potential in gases. I. Van der Waals interactions. Midzuno Yukio, Kihara Taro. II. Cluster integrals. Koba Saburo, Kaneko Shobu, Kihara Taro), J. Phys. Soc. Japan, 1956, 11, № 10, 1045—1049; 1050—1054 (англ.)**

**I.** Потенциальная энергия ван-дер-ваальсова взаимодействия между тремя сферич. симметричными атомами при больших разведениях подсчитана по теории возмущений и вариационным методом. Для потенциала взаимодействия получено выражение (из 2-го и 3-го приближений теории возмущений)  $W = -\mu_{12}r_{12}^{-6} - \mu_{23}r_{23}^{-6} - \mu_{31}r_{31}^{-6} + v(r_{12}r_{23}r_{31})^{-3} (3\cos\theta_1\cos\theta_2\cos\theta_3 + 1)$ , где  $r_{ij}$  — расстояние между  $i$ -м и  $j$ -м атомами,  $\theta_i$  — внутренний угол в треугольнике, образованном тремя атомами. Для вычисления коэф.  $\mu_{ij}$  требуется введение определенной атомной модели (напр., система трех гармонич. осцилляторов). Вариационным методом найдено приближенное выражение для  $v$  через  $\mu_{ij}$ :  $v = 2R_1R_2R_3(R_1 + R_2 + R_3)(R_1 + R_2)(R_2 + R_3)(R_3 + R_1)$ , где  $1/R_1 = (1/\mu_{12}a_2) + (1/\mu_{13}a_2) - (1/\mu_{23}a_1)$  и т. д., а  $a_i$  — поляризуемость  $i$ -го атома. В частном случае трех одинаковых атомов  $v = 3\mu_1^3/4$ ; для атомарного водорода это выражение обеспечивает среднюю ошибку  $\leq 1,8\%$ .

**II.** Результаты I части применены к ур-нию состояния разреженных газов. Для случая одинаковых молекул получено приближенное выражение для 3-го группового интеграла в виде  $b_3 = [(b_3^{(0)})_{v=0} + v(\partial b_3^{(0)}/\partial v)_{v=0} + \dots] + [(h^2/4mkT)(b_3^{(1)})_{v=0} + \dots]$ , причем последний член включает квантовые эффекты. Расчет дает  $(b_3^{(0)})_{v=0} = (\lambda/kT)^3 \sum_{i=0}^{\infty} G_i y^i$ ,  $(\partial b_3^{(0)}/\partial v)_{v=0} = - (1/kT)(kT/\lambda)^3 \sum_{i=0}^{\infty} H_i y^i$ ,  $(b_3^{(1)})_{v=0} = (\lambda/kT)^3 \times \sum_{i=0}^{\infty} I_i y^i$ , где  $y = (\mu^2/\lambda kT)^{1/2}$ ,  $G_i$ ,  $H_i$ ,  $I_i$  — функции, выписанные в явном виде, а  $\lambda$ ,  $\mu$  — коэф. в межмолекулярном потенциале  $U(r) = \lambda r^{-12} - \mu r^{-6}$ ; численно найдены значения первых 10—12  $G_i$ ,  $H_i$  и  $I_i$ . Сравнение с эксперим. значениями 2-го интеграла позволяет найти  $\lambda$  и  $\mu$  или, если принять форму  $U(r) = U_0(r/r_0)^{12} - 2(r/r_0)^6$ , найти  $U_0$  и  $r_0$  (приводится таблица  $U_0/k$ ,  $r_0$  и  $\mu$  для He, Ne, Ar, Kr и Xe). С этими значениями параметров проведен расчет 3-го интеграла для этих газов при разных  $T$ -рах; результаты представлены графически. На тех же графиках нанесены эксперим. точки, причем согласие лучше (особенно для Ar и Kr), чем с кривыми, построенными в предположении аддитивности потенциала; для Xe это согласие хуже.

**50613. Вычисление термодинамических функций двухатомных газов с учетом возбуждения электронных состояний молекул. Гурвич Л. В., Коробов В. В., Ж. физ. химии, 1956, 30, № 12, 2794—2800**

Предлагается 2 метода учета возбужденных электронных состояний в статистич. сумме  $Q = \sum_i p_i Q_i'$  ( $p_i$  — статистич. вес.  $i$ -го уровня) газа 2-атомных молекул. По 1-му методу вращательно-колебательно-электронная часть статистич. суммы  $Q_i'$  может быть вычислена с помощью выражения  $Q_i' = \exp\{M_i - (hc/kT)v_{00}^i\}$ , где  $v_{00}^i$  — энергия перехода в  $i$ -е электронное состояние из основного, причем вращательно-колебательная часть  $Q_i'$  для данного электронного уровня может быть найдена с помощью таблиц (Gordon A. R., Barnes C.,

J. Chem. Phys., 1933, 1, 297). Во 2-м более приближенном методе допускается, что в возбужденных электронных состояниях молекулы газа могут рассматриваться как гармонич. осцилляторы и жесткие ротаторы; получено выражение для  $Q$  в этом случае. Расчеты авторов показали, что если требуется произвести вычисление термодинамич. потенциала и энтропии с точностью до 0,001—0,002 кал/град моль, электронные состояния, для которых  $v_{00}^i/T \geq 8,0$ , могут совсем не учитываться. Если  $8,0 > v_{00}^i/T \geq 4,5$ , может быть использован обычный метод учета электронных состояний, в котором допускается, что при электронных переходах  $Q_i$  не меняется. При  $v_{00}^i/T \geq 3,5$  может быть использован 2-й метод авторов. Наконец при  $v_{00}^i/T \geq 0,8$  1-й метод авторов обеспечивает практически такую же точность, как и метод непосредственного суммирования. Вычисления энтропии и термодинамич. потенциала  $Q_2$  при 1000, 2000, 3000, 4000 и 5000° K, произведенные с учетом вышеуказанных критериев, показали, что термодинамич. функции  $Q_2$  могут быть рассчитаны весьма точно без применения метода непосредственного суммирования (максим. отклонение 0,002 кал/град моль).

**50614. О выборе координатной сетки для графика закона распределения скоростей газовых молекул Максвелла. Сахаров Д. И., Уч. зап. Моск. обл. пед. ин-т, 1956, 43, 159—160**

Предлагается пользоваться при изучении распределения Максвелла логарифмич. координатной сеткой, т. е. рассматривать распределение по интервалам  $\Delta \ln v$  и  $\Delta E/E$ . Отмечается ряд преимуществ такого выбора шкалы.

**50615. Скорость звука в среде при наличии реакции. Реслер (Sound speed in a reacting medium. Resler E. L., Jr), P. Chem. Phys., 1956, 25, № 6, 1287—1288 (англ.)**

Рассмотрено распространение звука в идеальном газе при учете конечной скорости  $r$ -ции, протекающих в среде. Система ур-ний гидродинамики идеальной сжимаемой жидкости, дополненная ур-нием, описывающим изменение состояния жидкости вследствие  $r$ -ции, приводится к двум ур-ниям в частных производных первого порядка (для давления и плотности). Характеристики этого ур-ния определяют, как обычно, скорость звука. Рассмотрены частные случаи двухатомного газа с неравновесной вращательной  $T$ -рой и частично диссоциированного двухатомного газа.

**50616. Энергия активации вязкости и диффузии в теории жидкостей Эйринга. Коллинс (Activation energy of the Eyring theory of liquid viscosity and diffusion. Collins F. C.), J. Chem. Phys., 1957, 26, № 2, 398—400 (англ.)**

В результате обсуждения и сопоставления методов определения энергии активации вязкости и диффузии по изобарич. температурному коэф. свойств переноса в теории Эйринга автор приходит к выводу, что эти методы дают результаты не согласующиеся с предполагаемым механизмом процесса. В квазикристаллич. модели жидкости, где энергия активации определяется по изохорич. температурному коэф. свойств переноса, согласие вычисленных и наблюдаемых значений вязкости и изобарич. температурных коэф.  $\text{CHCl}_3$  и  $\text{C}_6\text{H}_6$  вполне удовлетворительное; вычисленная вязкость  $\text{CCl}_4$  в 2 раза меньше наблюдаемой.

**50617. Нарушение непрерывности в ходе температурной зависимости теплового расширения воды. Лавернь, Дрост-Хансен (Discontinuities in slope of the temperature dependence of the thermal expansion of water. Lavergne Michel, Drost-Han-**



sen Walter), Naturwissenschaften, 1956, 43, № 22, 511—512 (англ.)

Данные о тепловом расширении воды были нанесены на график  $V^{1/3} - T$ : выявлено наличие трех несовпадающих по направлению приблизительно прямолинейных участков в интервалах  $A$  ( $5,3-15^\circ$ ),  $B$  ( $15-30^\circ$ ) и  $C$  ( $30-41^\circ$ ). Обработка данных по способу наименьших квадратов подтвердила это заключение: средние квадратичные отклонения при подборе парабол для каждого из этих интервалов намного меньше, чем при подборе парабол для каждой из двух пар интервалов ( $AB$  и  $BC$ ) или для всего диапазона  $t$ -р  $ABC$ .

В. Урбах

50618. Исследования температурной зависимости сдвигов вязкости некоторых органических жидкостей и их насыщенных паров в критической области. Малайя И. Г., Уч. зап. Моск. обл. пед. ин-та, 1956, 43, 223—241

Капиллярным методом и методом падающего шарика (в обоих случаях изложена теория эксперимента и подробно описаны установки) измерены сдвиговые вязкости этилацетата, метилацетата и метилформата вблизи их крит. точек. Для всех этих в-в в жидком состоянии динамич. вязкость с повышением  $t$ -ры в крит. области понижается, а кинематич. возрастает. Результаты измерений представлены таблицами и графиками.

Л. Малкин

50619. К проверке формулы вязкости Г. М. Панченкова. Халилов Х. М., Кесаманлы Ф. П., Тр. Ин-та физ. и матем. АН Азерб. ССР, 1956, 8, 65—71 (рез. азерб.)

Результаты работы Х. М. Халилова (Ж. эксперим. и теор. физики, 1939, 9, 335) использованы для проверки ф-лы Г. М. Панченкова для вязкости жидкостей (Ж. физ. химии, 1950, 24, 1390). Константы ф-лы найдены эмпирически путем использования значений  $\eta$  при 40 и 140°. Для всех 9 исследованных жидкостей (пентан, гексан, гептан, бензол, этилформат, пропиленформат, метиловый, этиловый и пропиловый спирты) ф-ла Панченкова хорошо описывает температурную зависимость  $\eta$  в широком интервале  $t$ -ры, хотя при  $t$ -рах, близких к 0°, ф-ла дает завышенные значения, а вблизи крит.  $t$ -ры — заниженные. Для бензола была сделана также попытка вычислить  $\eta$  по ф-ле Панченкова с переменной величиной параметра  $\epsilon$ , определенной из связи ее со скрытой теплотой испарения. Результат при этом получился неудовлетворительный.

Л. П. Ф.

50620. Микроволновые диэлектрические измерения в жидких кристаллах. Карр (Microwave dielectric measurements in liquid crystals. Carr E. F.), J. Chem. Phys., 1957, 26, № 2, 420—422 (англ.)

Измерены действительная  $\epsilon'$  и мнимая  $\epsilon''$  части комплексной диэлектрич. постоянной анизалдазина (4,4-метоксибензалазина) (I) в жидкокристаллич. и нормальном состоянии и смеси 63 мол. %  $n$ -азоксианизола (II) и 37 мол. %  $n$ -азоксифенетола (III) на частоте 14 400 Мгц. Смесь плавится при 98° и существует в жидкокристаллич. состоянии до 145—147°;  $\epsilon'$  смеси при магнитном поле 2000 гс, параллельном микроволновому электрич. полю (случай 1), уменьшается с  $t$ -рой линейно от 3,75 в точке плавления до 3,72 ГСГ в точке перехода в нормальное состояние, а при магнитном поле 2000 гс, перпендикулярном микроволновому электрич. полю (случай 2) —  $\epsilon'$  неравномерно растет от 3,2 до 3,5;  $\epsilon''$  неллинейно растет как в случае 1 (от 0,25 до 0,47), так и в случае 2 (от 0,68 до 0,88). Жидкий кристалл I существует в области 168—182°;  $\epsilon'$  слабо линейно уменьшается в области 3,85 в случае 1 и так же линейно растет в области 3,75 в случае 2 (в обоих случаях поле 2400 гс);  $\epsilon''$  слабо растет и убывает соответственно в случаях 1 ( $\epsilon'' \sim 0,3$ ) и 2

( $\epsilon'' \sim 0,62$ ). Измерения  $\epsilon''$  как для I, так и для II и III продолжены в область нормального жидкого состояния. Поскольку порядок величин  $\epsilon''$  в нормальном и жидкокристаллич. состоянии одинаков, механизм поглощения в обоих состояниях следует считать одинаковым.

А. Малкин

50621. Влияние давления на диэлектрические свойства и объем 1-пропанола и глицерина. Гилкрист, Эрли, Кол (Effect of pressure on dielectric properties and volume of 1-propanol and glycerol. Gilchrist A., Earley J. E., Cole R. H.), J. Chem. Phys., 1957, 26, № 1, 196—200 (англ.)

Методом измерения емкостного и индуктивного сопротивления конденсатора, погруженного в жидкость (мостик: Cole R. H., Gross P. M., Jr, Rev. Scient. Instrum., 1949, 20, 252) измерены диэлектрич. постоянные и потери глицерина (от 212 до 240° K) и 1-пропанола (124—240°) до давл. 1000 кг/см<sup>2</sup> на звуковых и радиочастотах. В ур-нии  $\epsilon = \epsilon' - i\epsilon'' = \epsilon_1 + (\epsilon_0 - \epsilon_1)/(1 + i\omega\tau_1)^\beta$  ( $\tau_1$  — макроскопич. время релаксации), параметр  $\beta = 1$  для 1-пропанола при всех  $t$ -рах и давлении и меняется от 0,62 при 240° до 0,61 при 212° для глицерина, не изменяясь с давлением. Ниже для глицерина первое число есть  $\epsilon_0$ , второе  $\epsilon_2$ , третье — инкремент  $\Delta\epsilon_0$ , обусловленный повышением давления до 1000 кг/см<sup>2</sup>, число в скобках — соответствующая  $t$ -ра: 69,1; 4,4; —; (212,8); 66,9; 4,525; —; (217,3); 65,6; 4,1; 2,4 (221,7); 62,8; 4,4; 2,29 (227,5); 60,7; 4,2; 2,26 (233,2); 58,8; 4,2; 2,05 (238,8)  $\Delta\epsilon_1 \approx 0$  для всех  $t$ -р и для 1-пропанола первое число  $\epsilon_0$ , второе ( $-V\Delta\epsilon_0/\Delta V$ ), третье  $\epsilon_1$ , четвертое  $\Delta\epsilon_1$ : 69,8; 0,65; 5,86; 0,35; (123,7); 5,70; 0,85; 64,9; 0,38 (132,4); 58,4; 0,78; —; —; (144,7); 53,4; 0,81 —; —; (156,1); 46,6; 0,80; —; —; (174,3); 41,3; 0,79; —; —; (191,1). Установлено для обоих в-в значительное возрастание  $\tau_1$  при низких  $t$ -рах. Параметры ур-ния Тейта ( $V_0 - V$ )/ $V_0 = C \lg[(P + B)/(P_0 + B)]$  при  $P_0 = 1$  атм: для глицерина  $C = 0,22$ ;  $B = 3400$  кг/см<sup>2</sup>, а  $V_0$  убывает от 73,26 при 298° до 70,51 см<sup>3</sup>/моль при 213°, и для 1-пропанола  $C = 0,200$ ,  $V_0$  и  $B$  меняются в области 293—137° монотонно соответственно от 74,57 до 66,11 и от 890 до 2000. Результаты измерения диэлектрич. свойств интерпретируются в рамках теорий Кирквуда и Онзагера.

Л. Малкин

50622. Экспериментальное исследование оптических свойств жидкой ртути и жидкого галлия при длинах волн 0,23—13 м. Шульц (Experimental study of the optical properties of liquid Hg and liquid Ga in the wavelength range of 0,23  $\mu$  to 13  $\mu$ . Schulz L. G.), J. Opt. Soc. America, 1957, 47, № 1, 64—69 (англ.)

В описанной ранее (РЖХим, 1955, 3376) аппаратуре предложены некоторые видоизменения, позволяющие исследовать свойства жидких Hg и Ga. Наблюдалось отражение лучей длины волны 0,23—13 м до углов 45° на поверхностях: стекло — металл, кварц — металл и NaCl — металл; изменение отражательной способности  $R$  (определение, см. выше) с длиной волны хорошо описывается теорией Друде. Измерен также фазовый сдвиг при нормальном отражении от поверхности слюда — металл (описана аппаратура) в области 0,4—0,87 м. Вычисленные из эксперим. данных величины действительной и комплексной частей показателей преломления также хорошо согласуются с расчетами на основе теории Друде.

Л. Малкин

50623. Измерение поглощения ультразвуковых волн в этилацетате по линии насыщения импульсным методом двойного фиксированного расстояния. Ноздрев В. Ф., Соболев В. Д., Докл. АН СССР, 1956, 111, № 4, 808—810

Импульсным методом двойного фиксированного расстояния (РЖХим, 1954, 23194, 1955, 1783) измерены коэф. поглощения ( $\alpha$ ) ультразвука по линии насыще-

ния на 7 частотах ( $\nu$ ) в интервале 5—15 Мгц. В области частот 5—9 Мгц  $\alpha/\nu^2$  резко уменьшается, что связано с релаксацией объемной вязкости. Релаксация наблюдается при всех  $\tau$ -рах в интервале 160—210°, время релаксации в том же интервале  $\tau$ -р убывает от  $2,65 \cdot 10^{-8}$  до  $2,12 \cdot 10^{-18}$  сек., а соответственное изменение скорости звука возрастает от 0,08 до 0,1%. Энергия активации процесса, обуславливающего релаксацию, вычислена в предположении, что процесс происходит без изменения объема,  $\sim 1,824$  ккал/моль.

**50624. Некоторые электрические свойства стекла при различных температурах.** Долов М. А., Уч. зап. Кабардинск. гос. пед. ин-т, 1956, вып. 10, 13—28.

Методом, описанным в диссертации автора (Ленинградской гос. пед. ин-т, 1953), установлено, что существуют две области  $\tau$ -р, в которых результаты процесса прохождения электрич. тока сквозь стекло резко различны: 1) область 40—100° и 2) область формовки. В области 1 процесс прохождения тока состоит из образования объемного заряда и вызванного им сильного поля в прикатодном слое и возникновения интенсивного движения ионов в этом поле; поэтому предполагается, что наиболее интенсивное движение ионов происходит вблизи катода, а ток через основную массу стекла осуществляется электронами. В области 2) при полях 100 в/см ионные процессы и электролиз в основном происходят у анодного слоя; при полях 300 в/см ионные процессы наблюдаются как в прианодном слое (образование кварцевого слоя) так и у катода (выделение на катоде продуктов электролиза). В обеих областях закон Фарадея для электролиза в стекле при металл. электродах не выполняется. Подбором температурных режимов и величин внешнего поля можно получить значительные отступления от закона Фарадея. Предполагается, что электролиз в стекле — вторичный процесс, происходящий в тех местах образца, где образуются сильные поля.

**50625. Дальнейшие экспериментальные исследования диэлектрических потерь в различных стеклах при низких температурах.** Волгер, Стевелс (Further experimental investigation of the dielectric losses of various glasses at low temperatures. Volger J., Stevels J. M.), Philips Res. Repts, 1956, 11, № 6, 452—470 (англ.; рез. франц., нем.).

Изучались диэлектрич. потери в интервале  $\tau$ -р 14—300° К в стеклообразном кремнеземе, бинарных щелочноземельно и щелочно-силикатных стеклах, бинарных боратных стеклах, а также в силикатных стеклах сложного состава. Изучение велось на частоте 32 кГц (в некоторых случаях 1 кГц и 1,5 Мгц). Рассмотрено влияние термич. обработки стекла на диэлектрич. потери. Кривые  $\text{tg} \delta(T)$ , полученные для образцов стекла одного и того же состава, но закаленных от различных  $\tau$ -р, различаются во всей области 14—300° К. Наоборот, стекла, отожженные от различных  $\tau$ -р, дают кривые  $\text{tg} \delta(T)$ , существенно отличающиеся только в области выше 300° К. В отличие от кристаллич. кварца для стеклообразного кремнезема и других стекол не найдено влияния облучения протонами на диэлектрич. потери при низких  $\tau$ -рах. Выше 200° К для некоторых из облученных стекол наблюдается уменьшение величины  $\text{tg} \delta$ . Диэлектрич. потери в стеклах и кристаллах классифицируются по механизму, обуславливающему эти потери.

**50626. Термо-э.д.с. в стекле.** Долов М. А., Уч. зап. Кабардинск. гос. пед. ин-т, 1956, вып. 10, 29—35.

Компенсационным методом с помощью чувствительного гальванометра и методом непосредственного измерения разности потенциалов электротермометром наблюдались термо-э.д.с. в цепи металл — натриевое стекло — металл. Знак термо-э.д.с. указывает на диффузию по-

ложительно заряженных частиц. С увеличением разности  $\tau$ -р термо-э.д.с. увеличивается: сначала линейно, а затем наблюдается стремление к насыщению. Величина термо-э.д.с. слабо уменьшается с ростом  $\tau$ -ры при постоянном градиенте  $\tau$ -ры и не зависит от предстории образца.

**50627. Микроскопические наблюдения античных стекол.** Кох (Mikroskopische Beobachtungen an antiken Gläsern. Koch Carlo), Kolloid-Z., 1957, 150, № 2, 140—144 (нем.).

Исследовались стекла, изготовленные  $\sim 2$  в. н. э. Процесс растекловывания (рекристаллизации) проявлялся на поверхности в 1) очень тонких «листочках» (аморфных, поскольку это можно видеть под микроскопом), 2) более толстых, также бесструктурных слоях, состоящих из отдельных тонких плоских параллельно расположенных пленок, 3) слоях с трещинами, аналогичными появляющимися при высывании высокомолекулярных жидкостей. Внутри стекла наблюдались длинные ряды отложений, слегка напоминающих ячейки в пчелиных сотах и расположенные на одной прямой линии, иногда в 2 яруса. Встречались также большие по величине продолговатой формы или пузыристые отложения, содержащие частично блестящие ядра.

См также: Стекло 51963, 51967

## ИЗОТОПЫ

Редакторы В. П. Левин, В. В. Лосев, Г. А. Соколик

**50628. Влияние космических лучей на распределение изотопов на земле.** Корф (The effects of cosmic rays on the terrestrial isotope distribution. Korff Serge A.), Ann. N. Y. Acad. Sci., 1956, 67, № 3, pp. 37—53 (англ.).

Рассмотрены возможные ядерные процессы в атмосфере и гидросфере земли под воздействием космич. излучения и дана колич. оценка их роли в происхождении существующих ныне изотопов. Обсуждаются вопросы, связанные с использованием  $\text{T}$  и  $\text{He}^3$  для определения возраста различных объектов.

**50629. Некоторые верхние пределы распространности изотопов.** Н. Не, Сл и Га. Керуин, Мак-Элчериан (Some upper limits of isotopic abundance. N. Ne, Cl, and Ca. Kerwin Larkin, McElcherran D. E.), Canad. J. Phys., 1956, 34, № 12B, 1497 (англ.).

Установлены верхние пределы распространенности следующих изотопов (в %):  $\text{Ne}^{18} < 0,05$ ;  $\text{Ne}^{19}$ ,  $\text{Ne}^{23}$ ,  $\text{Ne}^{25}$  и  $\text{Ne}^{26} < 0,01$ ;  $\text{Cl}^{31}$ ,  $\text{Cl}^{32}$ ,  $\text{Cl}^{33}$  и  $\text{Cl}^{34} < 0,02$ ;  $\text{Cl}^{36}$ ,  $\text{Cl}^{38}$  и  $\text{Ga}^{70} < 0,07$ ;  $\text{Ga}^{66}$ ,  $\text{Ga}^{67}$ ,  $\text{Ga}^{68}$ ,  $\text{Ga}^{73}$  и  $\text{Ga}^{74} < 0,04$ ;  $\text{Ga}^{72} < 0,2$ . Сообщение I см. РЖХим, 1957, 33832.

**50630. Определение масс  $\text{B}^{10}$ ,  $\text{B}^{11}$ ,  $\text{Na}^{23}$ ,  $\text{K}^{39}$  и  $\text{K}^{41}$  с помощью источника ионов, образующихся при электронном ударе.** Либль, Эвальд (Massenbestimmung von  $^{10}\text{B}$ ,  $^{11}\text{B}$ ,  $^{23}\text{Na}$ ,  $^{39}\text{K}$  und  $^{41}\text{K}$  mit Hilfe einer Elektronenstoß-Ionenquelle. Liebl H., Ewald H.), Z. Naturforsch., 1956, 11a, № 5, 406—410 (нем.).

Прецизионное измерение масс изотопов проводилось на масс-спектрографе с двойной фокусировкой ионного луча и автоматич. регулировкой ускоряющего напряжения. Измерены следующие дублеты масс (в ат. ед.):  $\text{B}^{10}\text{H} - \text{B}^{11} = 11\,450 \pm 12$ ;  $\text{B}^{11}\text{H} - \text{C} = 17\,139 \pm 7$ ;  $\text{B}^{10}\text{B}^{11}\text{H}_2 - \text{Na}^{23} = 48\,130 \pm 10$ ;  $\text{C}_3\text{H}_3 - \text{K}^{39} = 59\,762 \pm 20$ ;  $\text{C}_3\text{H}_3 - \text{K}^{41} = 77\,331 \pm 20$ ; за основу для расчетов были взяты ранее полученные значения:  $\text{H}^1 = 1,008141 \pm 0,000002$  ат. ед. и  $\text{C}^{12} = 12,003807 \pm 0,000011$  ат. ед. (Ewald H., Z. Naturforsch., 1951, 6a, 293). В. Любимов

50631. Применение масс-спектрометров с неоднородным магнитным полем для определения масс атомов. Дубровин А. В., Балабина Г. В., Докл. АН СССР, 1955, 102, № 4, 719—721. См. РЖФиз, 1956, 3566.

50632. Открытие легкого изотопа рубидия. Шампанад, Кро, Грато, Пап (Mise en evidence d'un isotope léger de rubidium. Chaminade R., Cros M., Grato I., Le Pape M.), Nuclear Phys., 1956—1957, 2, № 5, 634—639 (франц.; рез. англ.).

Путем бомбардировки  $\text{Cu}$  ядрами  $\text{O}$ ,  $\text{Ne}$ , а также галлия ядрами  $\text{N}$  получен новый изотоп  $\text{Rb}$ , излучающий  $\beta^+$ -частицы,  $T_{1/2} = 24 \pm 1$  мин. и  $\gamma$ -лучи с энергией  $\sim 150$  кэв. Массовый номер, вероятно, 79. В. Левин

50633. Ядерная изомерия нечетных изотопов свинца. Стоккендалл, Мак-Донелл, Шморак, Бергстрём (Nuclear isomerism in odd lead isotopes. Stockendal R., McDonell J. A., Schmorak M., Bergström I.), Arkiv fys., 1956, 11, № 2, 165—188 (англ.).

Мишени из природного  $\text{Pb}$  облучали дейтонами 25 Мэв и протонами 40—100 Мэв. В  $\text{Pb}$  отделили осаждением  $\text{Pd}$  в виде хлорида и сорбировали на смоле Дауко-1. Накапливавшиеся дочерние изотопы  $\text{Pd}$  отделили элюированием 0,3 н.  $\text{HCl}$ . Измерены  $T_{1/2}$  и спектры излучения:  $\text{Pb}^{197\text{m}}$   $T_{1/2} = 13 \pm 1$  мин.,  $E_\gamma = 410 \pm 30$  кэв;  $\text{Pb}^{201\text{m}}$   $T_{1/2} = 61 \pm 2$  сек.,  $E_\gamma = 629 \pm 1$  кэв;  $\text{Pb}^{203\text{m}}$   $T_{1/2} = 6,5 \pm 0,5$  сек.,  $E_\gamma = 825,2 \pm 0,5$  кэв. В. Левин

50634. Исследование  $\gamma$ -излучения  $\text{Br}^{82}$  методом внешней конверсии. Хультберг, Хедгран (Measurements of the gamma radiations from  $\text{Br}^{82}$  by the method of external conversion. Hultberg Sölve, Hedgran Arne), Arkiv fys., 1957, 11, № 4, 369—377 (англ.).

При распаде  $\text{Br}^{82}$  обнаружены  $\gamma$ -переходы с энергиями (Мэв) и относительными интенсивностями:  $554,1 \pm 0,2$  (80%),  $618,7 \pm 0,2$  (50%),  $698,4 \pm 0,3$  (33%),  $776,9 \pm 0,2$  (100%),  $827,6 \pm 0,4$  (30%),  $1044,0 \pm 0,2$  (35%),  $1317,1 \pm 0,2$  (32%),  $1475,3 \pm 0,4$  (21%). Приведена схема распада  $\text{Br}^{82}$ . В. Левин

50635. Теория разделения изотопов. Халлер (Théorie de la séparation des isotopes. Haller P. de), Bull. techn. Suisse romande, 1956, 82, № 22, 392—401 (франц.).

Обзор; изложена теория работы идеального каскада разделения изотопов и описаны различные методы разделения. В. Левин

50636. Обогащение изотопов урана в противоточной газовой центрифуге. Грот, Нанн, Вельге (Anreicherung der Uranisotope in einer Gegenstrom-Gas-Zentrifuge. Groth W., Nann E., Welge K. H.), Z. Naturforsch., 1957, 12a, № 1, 81 (нем.).

Продолжено исследование (РЖХим, 1955, 25740; 1957, 22219) процесса разделения изотопов  $\text{U}^{235}$  и  $\text{U}^{238}$  в противоточной газовой центрифуге (ГЦ) в виде  $\text{UF}_6$ , который непрерывно нагнетался и откачивался через ось ротора и для устранения турбулентности был смешан с избытком  $\text{H}_2$ . Разделение увеличивалось с ростом градиента  $T$ -ры между верхней и нижней крышками ГЦ и достигало максимума при  $\Delta T \sim 15$ — $20^\circ$  при давл. 19 торр за 12 мин. устанавливалось равновесное распределение изотопов  $\text{U}$  в ГЦ с коэф. разделения 1,190. В. Любимов

50637. Коэффициенты разделения изотопов углерода при равновесии жидкость—пар для этилена, этана и метана. Ягодин Г. А., Уваров О. В., Жаворонков Н. М., Докл. АН СССР, 1956, 111, № 2, 384—387

Коэффициенты разделения (КР) определялись методом рефлексной дистилляции. Исследуемое  $v$ -во испарилось

при перемешивании в аппарате для равновесного испарения (РЖХим, 1957, 47298). Последняя порция ( $\sim 1$  см<sup>3</sup>) отбиралась для анализа. Время испарения 15 см<sup>3</sup>  $v$ -ва  $\geq 4$  час., причем испарение последнего 1 см<sup>3</sup>  $\geq 1$  часа. Исследуемые  $v$ -ва тщательно очищались низкотемпературной разгонкой и содержали примесей не более:  $\text{C}_2\text{H}_4$  (I)  $1 \cdot 10^{-3}$ ,  $\text{C}_2\text{H}_6$  (II)  $2 \cdot 10^{-7}$  и  $\text{CH}_4$  (III)  $2 \cdot 10^{-4}\%$ . Изотопный анализ  $\text{CO}_2$ , полученного сжиганием I, II и III на  $\text{CuO}$ , проводился на масс-спектрометре МС-1. Установлено, что КР I в интервале  $120^\circ$ — $169,3^\circ$  К меняется от  $1,0014 \pm 0,0003$  до  $1,0019 \pm 0,0004$ ; для II в интервале  $130^\circ$ — $184,5^\circ$  К КР уменьшается от  $1,0022 \pm 0,0003$  до  $1,0000 \pm 0,0003$  и для III в интервале  $97,55$ — $111,8^\circ$  К от  $1,0099 \pm 0,0044$  до  $1,0070 \pm 0,0005$ . В указанных интервалах  $T$ -р КР подчиняются эмпирич. ур-ниям: для I  $\lg [P_{\text{C}_2\text{H}_4}/P_{\text{C}_2\text{H}_6}] = 0,00127 - 0,0816/T$ ; для II  $\lg [P_{\text{C}_2\text{H}_6}/P_{\text{C}_2\text{H}_4}] = 0,3985/T - 0,00213$ ; для III  $\lg [P_{\text{CH}_4}/P_{\text{C}_2\text{H}_4}] = 1,1938/T - 0,00782$ . Выказано предположение, что и для других предельных углеводородов КР будет уменьшаться с возрастанием числа атомов  $\text{C}$ . А. Макаров

50638. Изотопный эффект азота при дистилляции  $\text{N}_2\text{O}_4$ . Биган (Nitrogen isotope effect in the distillation of  $\text{N}_2\text{O}_4$ . Begun G. M.), J. Chem. Phys., 1956, 25, № 6, 1279—1280 (англ.).

Изучалось разделение изотопов  $\text{N}^{14}$  и  $\text{N}^{15}$  в результате  $r$ -ции обмена между  $\text{N}_2\text{O}_4$  (жидк.) и  $\text{NO}_2$  (газ) в 30-тарелочной колончатой колонне при атмосферном давлении и  $21^\circ$ . Изотопный анализ образцов проводился на масс-спектрометре в виде  $\text{N}_2$  или  $\text{NO}_2$ . Установлено, что  $\text{N}^{14}$  концентрируется в газовой фазе, обогащенной  $\text{NO}_2$ ; за 25 час. получен общий коэф. обогащения 1,078; коэф. однократного разделения 1,0038. В. Любимов

50639. Фракционирование изотопов азота между  $\text{NO}$  и  $\text{NO}_2$  и дискриминация масс при анализе массы  $\text{NO}_2$ . Биган, Мелтон (Nitrogen isotopic fractionation between  $\text{NO}$  and  $\text{NO}_2$  and mass discrimination in mass analysis of  $\text{NO}_2$ . Begun G. M., Melton C. E.), J. Chem. Phys., 1956, 25, № 6, 1292—1293 (англ.).

Смеси  $\text{NO}$  и  $\text{NO}_2$  с содержанием  $\sim 15\%$   $\text{N}^{15}$  вводились в камеру масс-спектрометра при  $23^\circ$  и давл. 0,05—0,1 мм рт. ст., и измерялись отношения высот пиков масс 30:31 и 46:47. Константа равновесия  $r$ -ции  $\text{N}^{15}\text{O} + \text{N}^{14}\text{O}_2 \rightleftharpoons \text{N}^{14}\text{O} + \text{N}^{15}\text{O}_2$  равна 1,028  $\pm$  0,002. Дискриминация масс азота лежит в пределах ошибок измерений: для трех образцов чистой  $\text{NO}_2$  с разным содержанием  $\text{N}^{15}$  средняя величина отношения пиков 30:31, деленная на отношение пиков 46:47, оказалась равной  $1,0003 \pm 0,002$ . В. Любимов

50640. Фракционирование изотопов в системе цианистый йод—цианид путем комбинированного процесса уравнивания—осаждения. Джекиннс, Гаррис (Isotopic fractionation in the system iodine cyanide/cyanide by a combined equilibration-precipitation process. Jenkins F. E., Harris G. M.), J. Amer. Chem. Soc., 1957, 79, № 2, 276—277 (англ.).

Более подробно изложение опубликованной ранее работы (РЖХим, 1956, 28419). В. Любимов

50641. Приготовление иттрия-90 без носителя при помощи хроматографии на бумаге. Кибя, Охаси, Тада (Preparation of carrier-free yttrium-90 by paper chromatography. Kiba Toshiyasu, Ohashi Shigeru, Tada Satoshi), Bull. Chem. Soc. Japan, 1956, 29, № 7, 745—748 (англ.).

$\text{Y}^{90}$  легко отделяется от  $\text{Sr}^{90}$  хроматографией на бумаге (РЖХим, 1956, 21899). Изменение концентрации  $\text{NH}_4\text{CNS}$  от 6 до 18% не влияет на разделение.  $R_f$  равны для  $\text{Y}$  без носителя нулю и для  $\text{Sr}$  0,7—0,8. Миним. время, требующееся для разделения,  $\sim 30$  мин. В при-



существовании носителя  $Y$  происходит распределение  $Y^{90}$  по хроматограмме, которое зависит от кол-ва носителя, времени промывки и, вероятно, связано с адсорбцией  $Y$  бумагой. Выделенный  $Y^{90}$  смывают с бумаги соляной к-той. Получен  $Y^{90}$  99,9%-ной чистоты в течение 40 мин. В. Левин

**50642. Получение меченого резерпина методом отдачи ядер трития.** Роуленд, Нумеров (Radioactive labelling of reserpine by tritium recoil. Rowland F. S., Numerof Paul), Internat. J. Appl. Radiat. and Isotopes, 1957, 1, № 4, 246—248 (англ.; рез. франц., русск., нем.)

Меченый резерпин (I) получали по р-ции  $Li^6(n, \alpha)^3H$  (РЖХим, 1956, 6336; 1957, 7413). Смесь  $Li_2CO_3$  и I подвергалась облучению в течение 72 час. потоком  $1,8 \cdot 10^{12}$  нейтр./см<sup>2</sup> сек, затем обрабатывалась лед.  $CH_3COOH$ , I экстрагировался из р-ра хлороформом и подвергался 10-кратной перекристаллизации из  $CH_3OH$ . Уд. активность I составляла 225 000 распадов/мин. мг. Примерно 50% активности находится в ядре резерпиновой к-ты, меньшая часть — в цепи триметоксибензойной к-ты. Уд. активность I и доля трития, остающегося в I, зависят от ряда факторов (размеры частиц  $Li_2CO_3$ , продолжительность экспозиции и др.). Л. Сазонов

**50643. Изотопный анализ тетраметилсвинца.** Бейт, Миллер, Калп (Isotopic analysis of tetramethyllead. Bate G. L., Miller D. S., Kulp J. L.), Analyst. Chem., 1957, 29, № 1, 84—88 (англ.)

Подробно исследован метод изотопного анализа Pb в виде  $Pb(CH_3)_4$ . Хим. обработка образцов перед анализом описана ранее (РЖХим, 1955, 1986). Средняя воспроизводимость измерений каждого образца составила 0,6; 0,4; 0,4 и 0,2% соответственно для  $Pb^{204}$ ,  $Pb^{206}$ ,  $Pb^{207}$  и  $Pb^{208}$ . Спектры  $Pb^{204}$  и  $Pb(CH_3)_3^+$ , полученные на двух масс-спектрометрах с различной конструкцией источников ионов, совпали в пределах ошибок измерений. Описана методика введения поправок на остаточные пики  $Hg^{204}$ , образование гидроксида Pb, отщепление H в спектре  $Pb(CH_3)_3^+$ , влияние отношения  $C^{13}:C^{12}$ . В. Любимов

**50644. Прибор для непрерывного изотопного анализа смесей водорода и дейтерия.** Сильвестри, Адорни (An apparatus for continuous isotopic analysis of hydrogen-deuterium mixtures. Silvestri M., Adorni N.), Nuovo cimento, 1956, 4, № 6, 1610—1612 (англ.)

Экспериментально проверен метод изотопного анализа смесей  $H_2$  и  $D_2$ , основанный на измерении теплопроводности (РЖХим, 1957, 26056). Прибор был откалиброван до конц-ий 5%  $[D]/[D] + [H]$ . Точность измерения  $1 \cdot 10^{-4}$   $[D]/([D] + [H])$  в интервале конц-ий 0—3% при условии, что колебания входного напряжения менее  $\pm 5$  вольт, колебания т-ры в термостате менее  $\pm 0,4^\circ$  и разноток в скоростях потока газов менее  $\pm 2\%$ . Изменения в атмосферном давлении на  $\pm 7$  мм рт. ст. заметно не влияют на результаты анализа.

И. Кувшинников

**50645. Применение паральдегида для введения больших количеств меченого углерода в жидкий сцинтиллятор.** Леже, Пиша (Utilisation du paraldéhyde pour incorporer de grandes quantités de carbone marqué dans un scintillateur liquide. Leger Concèle, Pichat Louis), C. r. Acad. sci., 1957, 244, № 2, 190—192 (франц.)

Исследовано применение паральдегида (I) в качестве соединения, предназначенного для введения радиоуглерода в жидкий сцинтиллятор (C). I имеет следующие преимущества: его легко синтезировать, исходя из  $BaCO_3$ ; он не гидролизуются на воздухе и его применение позволяет вводить в C 6 меченых атомов углерода в молекулу. Измерены максим. амплитуды импульсов от  $Cs^{137}$  при разных конц-иях I в C (р-рителем

служили ксилол или смесь ксилол + 300 г/л нафталина; C — дифенил-2,5-оксазол (3 г/л)). Показано, что в присутствии I в кол-ве, отвечающем 8 г углерода на 20 мл р-ра C, можно получить импульсы с амплитудами, равными 50% от максим. В. Левин

**50646. Химические эффекты реакции ( $\gamma, n$ ).** Мури А. Н., Нефедов В. Д., Барановский В. И., Попов Д. К., Успехи химии, 1957, 26, № 2, 164—175. Обзор. Библ. 83 назв. В. Ш.

**50647. Поставщики меченых соединений (Labeled compound suppliers).** Nucleonics, 1955, 13, № 12, 80—84 (англ.)

Справочная таблица, содержащая перечень ряда хим. соединений, меченных различными радиоизотопами и стабильными изотопами  $H^2$ ,  $C^{13}$ ,  $N^{15}$  с указанием фирмы-поставщика (из числа американских и канадских фирм) и цены за 1 мюри. Для стабильных изотопов указаны также некоторые другие данные. В таблице не отражены поставщики радиоизотопов Оксфордской национальной лабораторией. В. Левин

См. также: Получение 50377. Радиоактив. св-ва 50370, 50372—50374. Изотопные эффекты 50598, 50751, 51119. Изотопный обмен 50749, 50768, 50769; 16184Бх, 16210Бх, 16253Бх. Применения в исслед. кинетики и механизма р-ций: строение хим. соединений 50750; в физ. процессах 50362, 50736; в биохимии 16082Бх, 16083Бх, 16217Бх, 16283Бх, 16324Бх, 16330Бх, 16331Бх, 16409Бх, 16419Бх, 16432Бх, 16459Бх, 16542Бх, 16595Бх, 16625Бх, 16662Бх, 16681Бх, 16689Бх, 16702Бх, 16709Бх, 16722—16725Бх, 16727Бх, 16731Бх, 16733—16735Бх, 16746Бх, 16752Бх, 16765Бх, 16766Бх, 16772Бх, 16773Бх, 16776Бх, 16777Бх, 16782Бх, 16792Бх, 16794Бх, 16799Бх, 16813—16815Бх, 16822Бх, 16825Бх, 16836Бх, 16837Бх, 16840Бх, 16863Бх, 16900Бх, 16904Бх, 16919Бх, 16933Бх, 16975Бх, 17055Бх, 17101Бх, 17274Бх; в пром-сти 51735, 51736, 52100, 53225, 53541—53543. Изотопы в геохимии 51083. Защита от излучений 51684. Радиационные лаборатории и оборудование 51679, 51681—51684, 53564

## ТЕРМОДИНАМИКА. ТЕРМОХИМИЯ. РАВНОВЕСИЯ. ФИЗИКО-ХИМИЧЕСКИЙ АНАЛИЗ. ФАЗОВЫЕ ПЕРЕХОДЫ

Редактор В. А. Соколов

**50648. Теория необратимых процессов.** Оно (不可逆過程の理論. 小野周), Япон. физическое общество, Нихон буцури гаккайши, Proc. Phys. Soc., Japan, 1955, 10, № 7, 225—234 (японск.)

Обзор. Библ. 56 назв.

О. Гайсинская

**50649. О стабильности химического равновесия.** Версхаффелт (Sur la stabilité de l'équilibre chimique. Verschaffelt J. E.), Bull. cl. sci. Acad. roy. Belgique, 1954, 40, № 9, 888—895 (франц.)

Показано, отчасти исходя из кинетич. соображений, что хим. равновесие стабильно, если средство меняет знак при переходе системы через состояние, соответствующее равновесию; если же при переходе через некоторое состояние у системы, в которой идет хим. р-ция, средство хотя и обращается в нуль, но не меняет свой знак, то это состояние, хотя и является хим. равновесием, но это равновесие не стабильно. В. Аносов

**50650. О термодинамике разбавленных растворов.** Случай двух компонентов в одной фазе при постоянных температуре и давлении. Попов (Sur la thermodynamique des solutions diluées. Cas de deux composantes en une phase, la température et la pression restant constantes. Popoff Kyrylle), C. r. Acad. sci., 1955, 240, № 7, 735—737 (франц.)

Применение ур-ний, выведенных автором (РЖХим, 1956, 3363; 3364; 9290), на примере термодинамич. процесса в водн. р-ре уксусной к-ты при постоянных т-ре и давлении.

В. Аносов  
50651. Основания термодинамики. Ландсберг (Foundations of thermodynamics. Landsberg P. T.), Revs Mod. Phys., 1956, 28, № 4, 363—392 (англ.)

Развитие аксиоматического подхода (Born M., Physik Z., 1921, 22, 218, 249, 282; Carathéodory C., Math. Ann. 1909, 67, 355; Sitzber. preuss. Akad. Wiss., 1925, p. 39) в направлении формулирования основных понятий, принципов и доказательств термодинамики в терминах теоретико-множественной топологии.

Д. Бочвар  
50652. Метод вычисления спектральной плотности собственных колебаний кристаллической решетки. Перетти (Méthode de calcul de la densité spectrale des fréquences propres de vibration d'un réseau cristallin. Peretti Jean), C. r. Acad. sci., 1955, 241, № 5, 461—463 (франц.)

50653. К методам графического определения теплоемкостей органических соединений. Маслов П. Г., Маслов Ю., Ж. физ. химии, 1956, 30, № 11, 2444—2450

В развитии ранее описанного графич. метода определения теплоемкости органич. соединений в гомологич. рядах (РЖХим, 1956, 53870) описывается способ расчета теплоемкостей, позволяющий найти значения  $C_p^0$  для низших членов ряда. Для этого основной график дополнен двумя другими, на которых в интервале 298—1000° К представлены кривые поправок к  $C_p^0$  для низших  $n$ -алканов, 1-алкенов, 1-алкинов, жирных спиртов, альдегидов, к-т и их эфиров. Рассмотрены примеры применения описанного метода. Отмечена его применимость для других гомологич. рядов и других свойств.

М. Карапетьянц  
50654. Вычисление термодинамических функций двухатомных идеальных газов, молекулы которых находятся в  $^3P$ -состоянии. I. Хачкурузов Г. А., Броунштейн Б. И., Ж. физ. химии, 1956, 30, № 11, 2412—2423

Выведены ф-лы для вычисления по спектральным данным термодинамич. свойств двухатомных идеальных газов для всех возможных  $^3P$ -состояний. Наряду с ф-лами для расчета статистич. сумм по вращательно-колебательным состояниям, в которых сохранено суммирование только по колебательным уровням энергии, выведены более простые, но менее точные ф-лы, в которых полностью исключено непосредственное суммирование по энергетич. уровням молекулы.

М. Карапетьянц  
50655. Приближенный метод расчета зависимости температуры кипения от давления в гомологических рядах. Карапетьянц М. Х., Тр. Моск. хим.-технол. ин-та, 1956, вып. 23, 3—12

Один из описанных методов сравнительного расчета различных свойств (РЖХим, 1954, 19578; 1956, 38946) рассмотрен на примере т-р кипения органич. в-в. Предложено приближенное ур-ние  $t_{II} \approx At_I + B$ , в котором  $t_I$  и  $t_{II}$  — т-ры кипения соответственно соединений I и II гомологич. рядов при  $P = \text{const}$ . Это ур-ние рассмотрено на примере 2-, 3-метилалканов, 2,2-, 2,3-диметилалканов,  $n$ -моноалкилциклопентанов, 1-алкенов,  $n$ -моноалкилбензолов, а также  $n$ -силанов,  $n$ -германов и гидридов олова. В качестве аргумента в первом приближении принималась т-ра кипения соответствующего по числу атомов углерода  $n$ -алкана. На примере т-р кипения отмечена взаимосвязь между различными методами сравнительного расчета.

М. Карапетьянц

50656. О связи между точками плавления и числом атомов углерода в ряде высших нормальных парафинов. Неницеску, Цицейка (Despre o relație între punctele de topire și numărul de atomi de carbon în seria parafinelor normale superioare. Nenițescu Costin D., Tîțeica Serban), Studii și cercetări de chim., 1956, 4, № 1-2, 65—67 (рум.; рез. русск., франц.)

Установлена связь между точками плавления и числом атомов углерода в ряде высших нормальных парафинов, выраженная с помощью эмпирич. ур-ния. Ур-ние применимо и к высокомолекулярным парафинам.

Резюме авторов

50657. Взаимосвязь между физико-химическими константами элементов. Герцрикен (Взаємозв'язок між фізико-хімічними константами елементів. Герцрікен С. Д.), Наук. зап. Київськ. ун-т, 1956, 15, № 5, 107—114 (укр.; рез. русск.)

Различные физ.-хим. константы элементов, как-то энтропия плавления  $L/T$  (пл.), энтропия кипения  $H_k/T_k$  и др. ( $L$  — теплота плавления,  $H_k$  — теплота испарения, отнесенные к  $g$ -атому при т-ре кипения  $T_k$ ), являются

приблизительно постоянными в пределах каждой подгруппы периодич. системы элементов. Резюме автора

50658. Химия соединений переменного состава. II. Энергия решеток окислов элементов дополнительных подгрупп. III. Соединения переменного состава и периодический закон. Ария С. М., Вольф Э., Гроссманн Г., Ж. общ. химии, 1956, 26, № 8, 2097—2102; 2102—2106

II. На основании известной зависимости параметра решетки  $Fe_xO$ ,  $x < 1$ , от состава (Jette, Foote, J. Chem. Phys., 1933, 1, 1) и в предположении статистически беспорядочного размещения в решетке ионов  $Fe^{3+}$  и свободных позиций вычислены энергии решеток, составляющие для  $x = 1$ , 0,9466 и 0,9113 соответственно 930,8; 937,7 и 942 ккал/г-атом O. Рассчитанные из них с помощью кругового процесса энтальпии образования равны 68,1; 43,7 и 26,0 ккал/г-атом O и отличаются от величин, определенных экспериментально (Сообщение I, РЖХим, 1954, 44416); это объяснено упорядоченным расположением в решетке свободных позиций и ионов  $Fe^{3+}$ . Показано, что в системах  $Fe-O$ ,  $Ti-O$  и  $W-O$  энтальпии образования промежуточных окислов и механич. смесей двух крайних окислов того же состава практически равны. Исключение составляет  $Fe_3O_4$ , где предполагается наличие атомных связей в решетке. Исходя из близости энтальпий образования промежуточных окислов и смесей, авторы предполагают, что в решетках промежуточных окислов содержатся элементы структуры обоих крайних окислов.

III. Рассмотрены величины областей гомогенности (ОГ) для бинарных соединений металл — неметалл (исключая интерметаллич. соединения). ОГ наблюдаются только у соединений элементов дополнительных подгрупп. Приведены величины ОГ для соединений элементов первой вставной декады ( $Ti-Ni$ ) с O, S, Se и Te; Mn не образует соединений переменного состава в связи с особенностями строения электронной оболочки, имеющей наполовину завершенный  $d$ -уровень. Бинарные соединения переменного состава рассматриваются как твердые р-ры одних соединений (хотя бы и не существующих в свободном состоянии) в других. Установлено эмпирич. правило: широкое ОГ в системах металл — неметалл существуют, если энтальпии образования на 1  $g$ -атом неметалла (изонематаллы) изменяются незначительно.

В. Колесов  
50659. Вклад ядерного спина в термодинамические свойства йода, брома и хлора при низких температурах. Доджен, Пагг (Nuclear spin contribution

to the low temperature thermodynamic properties of iodine, bromine and chlorine. Dodgen H. W., Ragle J. L., J. Phys. Chem., 1956, 60, № 7, 909—910 (англ.)

Благодаря взаимодействию квадрупольных моментов ядер с электрич. полем валентных электронов в твердых в-вах вырождение ядерных спиновых уровней энергий оказывается частично снятым, и, следовательно, ядерные спины могут влиять на значения термодинамич. функций при соответствующих низких т-рах. По эксперим. значениям частот ядерного квадрупольного резонанса в твердых  $J_2$ ,  $Br_2$  и  $Cl_2$  (Pound R. V., Phys. Rev., 1951, 82, 343; Dehmelt H. G., Z. Phys., 1951, 130, 480; Livingston R., J. Chem. Phys., 1951, 19, 803) подсчитана теплоемкость  $C_p$ , обусловленная переходами между ядерными уровнями энергии. Максимум  $C_p$ , равный 1,7—2,0 кал/моль град, лежит при 10—30° К в случае  $Cl_2$  и ~10—20° К в случае  $Br_2$  и  $J_2$ .

Т. Вирштейн

**50660.** Термодинамические функции алкилнафталинов от 298 до 1500° К. Миллиган, Беккер, Пицер (Thermodynamic functions of alkylnaphthalenes from 298 to 1500° K. Milligan Dourphus E., Becker Edwin D., Pitzer Kenneth S.), J. Amer. Chem. Soc., 1956, 78, № 12, 2707—2711 (англ.)  
На основе известных термодинамич. функций нафталина, алканов и алкилбензолов методом инкрементов (Selected values of physical and thermodynamic properties of hydrocarbons. 1953. Carnegie Press, Pittsburgh) вычислены и табулированы значения  $C_p^0$ ,  $S^0$ ,  $(H^0 - H^0_0)/T$  и  $-(F^0 - P^0_0)/T$  при 298,16° К и в интервале 300—1500° К (шаг 100°) для 22 алкилнафталинов в состоянии идеального газа (1- и 2-алкилнафталины с алкилами  $C_nH_{2n+1}$ ,  $n-C_5H_{11}$  и  $n-C_5H_{12}$ ; все диметилнафталины, кроме 1,8-, а также 2-метил-3-этил-, 2-метил-6-этил и 2-метил-7-этилнафталины). Введены поправки на потенциальные барьеры вращения алкильных групп, вычисленные с использованием эксперим. данных по теплоемкостям и давлению паров 1- и 2-метилнафталинов и составляющие соответственно ~3,8 и ~2,3 ккал/моль.

В. Колесов

**50661.** Теплоты образования боридов некоторых переходных металлов. Самсонов Г. В., Ж. физ. химии, 1956, 30, № 9, 2057—2060

Табулированы и представлены графич. теплоты образования  $\Delta H$  карбидов, боридов и нитридов некоторых переходных металлов IV—VI групп периодической системы элементов. Величины  $\Delta H$  рассмотренных соединений определяются распределением электронной кон-ции в их кристаллич. решетках. Для боридов произведено сопоставление значений  $\Delta H$  на основании вычислений, тензиметрич. измерений и исследований продуктов взаимодействия с азотом и углеродом. В числе других приведены значения  $\Delta H$  (ккал/моль) для  $ZrB_2$  (63,1) и  $CrB_2$  (19,0).

М. Карапетьянц

**50662.** Термодинамические расчеты для системы  $Mo-C-H$ . Кемптер (Thermodynamic calculations for the  $Mo-C-H$  system. Kempter Charles P.), J. Amer. Chem. Soc., 1956, 78, № 23, 6209—6210 (англ.)

Указано, что для значений  $\Delta F^0_{900}$  °К р-ций  $Mo_3C + CH_4 = 2MoC + 2H_2$  (1),  $Mo = C(\beta\text{-графит}) = MoC$  (2),  $MoC + Mo = Mo_2C$  (3) и  $2MoC = Mo_2C + C$  (4) вместо значений, найденных ранее (Browning, Emmett, J. Amer. Chem. Soc., 1952, 74, 4773), следует рекомендовать: -2043 (1), -3798 (2), -5064 (3) и -1267 (4) кал/моль.

М. Карапетьянц

**50663.** III. Таблицы для непосредственного вычисления констант равновесия химических систем. Мора

(III. Tables pour le calcul direct des constantes d'équilibre des systèmes chimiques. Mauras Henri), Bull. Soc. chim. France, 1956, № 11-12, 1642—1646 (франц.)

На основании данных, приведенных в сводке Бюро Стандартов (Selected values of properties of hydrocarbons, 1947), в интервале 400—1400° К, а для некоторых в-в в интервале 409—1000° К (шаг 200°) вычислены и табулированы значения функции  $F_T = -[(\Delta H)_{298,16} + \int_{298,16}^T cpdT]/4,575 T + S_T/4,575$  (Часть II. РЖХим, 1957, 37081) для 52 алканов, 43 алкенов алкинов, бензола и 26 его производных, а также для  $O_2$ ,  $H_2$ ,  $H_2O$ ,  $C$ ,  $CO$  и  $CO_2$ . Рассмотрены примеры применения таблиц.

М. Карапетьянц

**50664.** Константы равновесия реакций образования гексакарбониллов хрома, молибдена и вольфрама. Герасимов Я. И., Шарифов К. А., АзербССР элм.лэр Акад. хабәр.лэри. Изв. АН АзербССР, 1956, № 10, 29—39 (рез. азерб.)

Видоизмененным методом Киреева сравнительного расчета энтропий вычислены  $S^0_{298,16}$  для  $Cr(CO)_6$  (I) и  $W(CO)_6$  (II), соответственно равные 77,0±3 и 79,3±3 энтр. ед. С применением значений  $\Delta H$  р-ций и теплоемкостей вычислены константы равновесия р-ций образования твердых и газообразных I, II и  $Mo(CO)_6$  (III) при 25—100°; величины  $-\Delta F^0$  образования I, II и III из элементов соответственно равны 222,7 ± 1,3, 200,20 ± 1,3 и 212,75 ± 0,53 кал/моль. Экстраполяция вычисленных констант равновесия показывает, что неудача попыток Монда с сотрудниками (Mond и др., J. Chem. Soc., 1910, 97, 808) получить II действием CO на W при 450° и 500 атм объясняется тем, что эти условия термодинамически неблагоприятны для синтеза.

И. Рысс

**50665.** Усовершенствованная диаграмма для определения равновесной конверсии из константы равновесия. Кубота, Морикава (化学平衡恒数より平衡反應率を求める線圖の改良, 久保田宏, 森川清), 化学工学, Karaku kogaku, Chem. Engng (Japan), 1956, 20, № 5, 248—250 (японск.; рез. англ.)

Приведена диаграмма для нахождения равновесной конверсии из константы равновесия, более удобная, чем предложенная ранее (РЖХим, 1955, 48048). Типы р-ций классифицированы на несколько групп, имеющих постоянное отношение молей реагирующих в-в к продуктам р-ции в стехиометрич. ур-ниях. Результаты представлены также в таблице. А. Золотаревский

**50666.** Нужны ли еще данные о  $H_2S$ ? Гоффман, Уйбер (Need more data on  $H_2S$ ? Hoffman Dwight S., Weber James H.), Petrol. Refiner, 1956, 35, № 3, 213—215 (англ.)

В виде таблиц и графиков представлены для  $H_2S$  летучесть, отнесенная к стандартному состоянию жидкости ( $f$ ) и пара ( $f_p$ ), а также константа равновесия испарения  $K = f_L/f_v$  от 60 до +100° и до давл. 70 атм.

Ю. Вырский

**50667.** Исследования в области низких температур.

XV. Об электронной теплоемкости металлов. Клузиус, Бюлер. XVI. Атомная и электронная теплоемкость тантала между 10 и 273° К. Клузиус, Лоза (Ergebnisse der Tieftemperaturforschung. XV. Zum Nachweis der Elektronenwärme in Metallen. Clusius Klaus, Bühler Hans Heinrich. XVI. Die Atom- und Elektronenwärme des Tantal zwischen 10° und 273° K. Clusius Klaus, Losa Celso Gutierrez), Z. Naturforsch., 1955, 10a, № 12, 930—938; 939—943 (нем.)  
XV. Анализируется обычно считающееся справедливым для низких т-р соотношение  $C_p = C(\text{спрв.}) +$



+  $C(\text{эл.}) = 464,5 [T/\theta^*(\text{реш.})]^3 + \gamma T$ , где  $C_v$  — теплоемкость металла (решеточная и электронная),  $\theta^*(\text{реш.})$  — дебаевская характеристич. т-ра для решетки без электронов в  $T^3$ -области,  $\gamma$ -параметр, определяющий вклад электронов в теплоемкость. Показывается, что величина  $\gamma$  может быть разумным образом введена также и для средних т-р, при которых решеточная теплоемкость снизу приближается к значению  $3 \text{ кал/г-атом}$ , соответствующему равномерному распределению. Эта область названа областью равномерного распределения. В области равномерного распределения для всех металлов, как показано, существует для наблюдаемых значений  $C_v$  более или менее резко выраженное падение  $\theta$  с ростом т-ры; это указывает на появление дополнительной теплоемкости. Если исправить наблюдаемое значение  $C_v$  на электронную теплоемкость и найти для чистой решеточной теплоемкости соответствующую  $\theta(\text{реш.})$ , то последние стремятся к постоянной с ростом т-ры. В области равномерного распределения  $\theta(\text{реш.})$ , вообще говоря, отличается от  $\theta(\text{реш.})$ , найденной для  $T^3$ -области низких т-р. Функция Дебая весьма чувствительна к незначительной аддитивной электронной теплоемкости как в области  $T^3$ , так и в области равномерного распределения. Величина  $\gamma$  для сравнительно высоких т-р выражена в аналитич. форме. Обсуждается на ряде примеров связь изложенных соображений с наблюдениями.

Е. Бабенков  
XVI. Теплоемкость  $C_v$  тантала (менее 1% Nb и 0,2% W, следы Fe; образец весом 250 г) измерена между 10 и 273°K. Энтропия при 25°С равна 9,90 энтр. ед. Ниже 19°K можно представить  $C_p$  как сумму теплоемкости решетки  $C(\text{реш.})$  и электронной теплоемкости  $C(\text{эл.})$ :  $C_p = C_v = C(\text{реш.}) + C(\text{эл.}) = 464,5 (T/228)^3 + 8,1 \cdot 10^{-4} T$ . Хотя  $C(\text{эл.})$  имеет большую величину, характерную для переходных металлов, однако полученное значение меньше, чем это следует из измерений других авторов при гелиевых т-рах. Дебаевская характеристич. т-ра  $\theta$  исчезает при  $T_0 = 270^\circ\text{K}$  и по этой т-ре  $T_0$  рассчитано значение  $\gamma$ , равное  $7,6 \cdot 10^{-4} \text{ кал/г-атом град}$ . Показано, что характеристич. т-ра  $\theta(\text{реш.})$  для чистой  $C(\text{реш.})$  равной  $C_v - \gamma T$ , где  $\gamma = 7,6 \cdot 10^{-4}$ , не обладает значительной температурной зависимостью. В пределах между 10 и 18°K  $C(\text{эл.}) = 8,1 \cdot 10^{-4} T$ , а между 50 и 270°K  $C(\text{эл.}) = 7,6 \cdot 10^{-4} T$ . Часть XIV см. РЖХим, 1957, 11131.

Г. Бабкин  
50668. Теплоемкость диспрозия от 15 до 300°K. Гриффел, Скочдопол, Спеддинг (Heat capacity of dysprosium from 15 to 300°K. Griffel Maurice, Skochdopole R. E., Spedding F. H.), J. Chem. Phys., 1956, 25, № 1, 75—79 (англ.). Измерена теплоемкость Dy (Si, Mg, Fe, Ca < 0,03%; Y < 0,1%, Ta ~ 0,6%) в области 15—300°K. Вблизи 15°K  $C_p \approx 1,78 \cdot 10^{-4} T^3$ . Вычислены значения  $S^0$ ,  $(H^0 - H_0^0)/T$  и  $(F^0 - H_0^0)/T$ ,  $S_{298,16}^0 = 17,868 \pm 0,12$  энтр. ед. В температурном ходе  $C_p$  имеется 2 острых пика — небольшой при 83,5°K и значительный при 174°K; второй пик полностью воспроизводим, в первом же обнаружен гистерезис: соответствующее изменение энтропии тем больше, чем ниже было предварительное охлаждение. В обоих случаях не было никаких указаний на наличие фазового превращения, что согласуется с результатами рентгеноструктурных исследований (РЖХим, 1955, 20627). Однако т-ры максимума  $C_p$  близки к т-рам, при которых ранее были отмечены резкие изменения других свойств. Так, при ~ 174°K известны излом кривой магнитной восприимчивости, заметное уменьшение коэф. теплового расширения, изменение темпера-

турного коэф. электросопротивления, максимум коэф. Холла. Нижний пик близок к т-ре 85°K, ниже которой  $Du$  спонтанно намагничивается. Полагая, что  $C_p = C_q + C_m + C_e + \delta c$  ( $C_q$  — вклад колебаний решетки,  $C_m$  и  $C_e$  — магнитная и электронная компоненты,  $\delta c$  — поправка на расширение), авторы вычисляют соответствующие значения энтропии и для  $S_m$  находят (при 300°K) 5,56 энтр. ед., что согласуется со значением вычисляемым в предположении, что атомы в металле находятся в спектроскопич. состоянии  $^6H_{11/2}$  (т. е. в том же, как и свободный ион  $Dy^{3+}$ ), и равным  $R \ln(2I + 1) = 5,51$  энтр. ед. Приводятся таблица и график температурного хода  $S_m$ ; до ~ 180°K  $S_m$  растет линейно, а выше 180°K почти не меняется.

В. Урбах  
50669. Термодинамические свойства диметила кадмия: теплоемкость от 14 до 291°K, теплоты превращения, плавления и испарения, давление пара по 296°K и энтропия идеального газа. Ли (The thermodynamic properties of cadmium dimethyl: heat capacities from 14 to 291°K, heats of transition, fusion and vaporization, vapor pressure up to 296°K, and the entropy of ideal gas. Li James C. M.), J. Amer. Chem. Soc., 1956, 78, № 6, 1084—1083 (англ.). Найдены термодинамич. свойства  $Cd(CH_3)_2$ ; чистота образца более 99,99%. Программа и методика измерений, обработка результатов и вычисления те же, что и в предыдущей работе (РЖХим, 1957, 26075). Теплоемкость измерена в интервале 14—291°K. Давление пара измерено в интервале 270—296°K,  $\lg p(\text{см}) = -24,6096 - (2759/T) - 6 \lg T$ . Теплоты превращения (при 254,35°K), плавления (270,48 ± 0,05°K) и испарения (при 291,5°K) равны соответственно 363,5 ± 0,5, 1873 ± 1 и 9153 ± 30 кал/моль. Стандартная энтропия при 298,16°K равна 48,25 ± 0,10 энтр. ед. для жидкости и 72,40 ± 0,20 энтр. ед. для газа. Вклад в энтропию колебаний 8,758 энтр. ед. (298,16°K), произведение моментов инерции  $6,929 \cdot 10^{-115} \text{ г}^3 \text{ см}^6$  (принятая постоянная C—C 2,15 А, C—H 1,40 А), вклад трансляций и внешних вращений 60,662 энтр. ед. Отсюда вклад влутреннего вращения 2,98 ± 0,20 энтр. ед., что при приведенном моменте инерции  $2,70 \cdot 10^{-40} \text{ г} \cdot \text{см}^2$  приводит к заключению, что высота потенциального барьера равна нулю. Ввиду недостаточной надежности имеющихся спектроскопич. данных, расчет термодинамич. функций не производился.

В. Урбах  
50670. Термические и магнитные свойства двойного сульфата железа и метиламмония. Кук, Мейер, Вулф (Thermal and magnetic properties of ferric methylammonium sulphate. Cooke A. H., Meyer H., Wolf W. P.), Proc. Roy. Soc., 1956, A237, № 1210, 404—412 (англ.).

Измерены теплоемкость и магнитная восприимчивость ( $\chi$ )  $Fe(NH_3CH_3)(SO_4)_2 \cdot 12H_2O$  (I) при т-рах 0,17—20°K. Вследствие штарковского расщепления основного состояния  $^6S_{5/2}$  иона  $Fe^{3+}$  электр. полем кристаллич. решетки на 3 уровня, I имеет аномалию магнитной теплоемкости, которую можно рассчитать, так как расстояния между уровнями известны из спектра парамагнитного резонанса I, измеренного ранее (РЖХим, 1955, 11142). Расчет дает  $C/R = 0,45/T^2$ . Магнитная часть теплоемкости измерена между 1,05 и 4,2°K методом парамагнитной релаксации и хорошо совпадает с результатами расчета. Теплоемкость решетки  $C_L = 4,7 \cdot 10^{-4} T^3 \cdot R$  и ниже 2°K пренебрежимо мала по сравнению с магнитной теплоемкостью. Максимум теплоемкости 1,1 кал/моль при 0,33°K.  $\chi$  измерена ниже 1°K с применением двойного нитрата Ce и Mg в качестве термометрич. в-ва. Из измерений  $\chi$  между 1,2 и 4,2°K находится постоянная закона Кюри  $\lambda = \chi T$ , которая при измерениях ниже

1° К служит для определения магнитной т-ры  $T^* = \lambda/\chi$ .  $\chi$  ниже 1° К несколько отличается от расчетных данных, что можно отнести за счет неучтенного магнитного дипольного взаимодействия. Результаты измерений показывают, что I можно применять для магнитного охлаждения до 0,2° К вместо дорогостоящего сульфата Gd, у которого магнитная теплоемкость  $C = 0,37 R/T^2$ .

**50671.** Энтропия криптона, адсорбированного на диоксиде титана (анатазе). Пейс, Берг, Сиберт (Entropy of krypton adsorbed on titanium dioxide (anatase). Pace E. L., Berg W. T., Siebert A. R.), J. Amer. Chem. Soc., 1956, 78, № 8, 1531—1533 (англ.)

При 12—140° К измерены теплоемкости, изотермы и теплоты адсорбции Kr, адсорбированного на активированном при 185° С в вакууме в течение 3 суток анатазе. Из полученных данных вычислена энтропия Kr при 0° К для различных степеней заполнения поверхности. Сделан вывод, что между поверхностью  $TiO_2$  и адсорбированным Kr термодинамич. равновесие не достигается, в противоположность Ne (РЖХим, 1956, 32146). Из эксперим. результатов и теоретич. соображений следует, что большая часть беспорядка, существующего в системе Kr— $TiO_2$  при 50° К, сохраняется и при более низких т-рах.

Ю. Третьяков

**50672.** Определение термодинамических свойств жидкого 3-метилтиофена ультразвуковым методом. Кембелл (A determination of thermodynamic properties of liquid 3-methylthiophene by the ultrasonic method. Campbell George M.), J. Phys. Chem., 1956, 60, № 8, 1147—1148 (англ.)

Определена интерферометрич. методом скорость звука в 3-метилтиофене (I) и плотность I от —10 до 50° с интервалами в 5°. Скорость звука в этих пределах т-р изменяется линейно с т-рой. На основе полученных данных и ранее опубликованных значений  $C_p$  (РЖХим, 1954, 46108) с помощью ур-ний, применявшихся ранее (РЖХим, 1957, 33874), были вычислены и представлены в таблице изотермич. сжимаемость, адиабатич. сжимаемость, коэф. расширения и  $C_p$  жидкого I.

Ю. Выровский

**50673.** Определение теплоемкости сурьмы и магния методом кривых охлаждения. Шульга (Визначення теплоємкості сурми і магнію методом кривих охолодження. Шульга М. С.), Наук. зап. Чернівецьк. ун-т, 1956, 19, 37—44 (укр.; рез. русск.) С целью проверки метода, методом кривых охлаждения определена теплоемкость ( $C$ ) Sb и Mg в области 100—400°.  $C$  спрессованных порошков Sb и Mg отличается от табличных данных значительно больше, чем  $C$  сплюснутых образцов.

Из резюме автора

**50674.** Экспериментальное исследование физических свойств паров силикона. Соколов С. Н., Ж. физ. химии, 1956, 30, № 12, 2734—2739

Измерены теплоемкость паров  $C_p$  в интервале 205,8—270,8° (методом проточного калориметра) и давление паров ( $p$ ) силикона (I) (этилополисилоксановая жидкость) при разных т-рах; исследованному I соответствует ф-ла  $[(C_2H_5)_2SiO]_n$  — 4, структура разветвленная; нормальная т. кип. равна 282° т. зам. —70°, мол. в. 360, кинематич. вязкость при 20° 10 сст, плотность при 20° 0,9623. Приведены подробная схема установки и методика измерений. Поправки к  $C_p$  на неидеальность невелики; для состояния идеального газа  $C_p^\circ = -0,2545 + 0,151 \cdot 10^{-2} T - 229/T^2$ ,  $\lg p(\text{мм}) = 7,185 - 2198/T - 43$  при 106,1—292,4°. Теплота испарения  $L = 10040 T^2/(T - 43)^2$  ккал/моль. Исследована термич. стойкость I; найдено, что при 300° и 1000 мм рт. ст. давление продуктов разложения составляет ~ 2% от общего давления паров.

С. Бык

**50675.** Термодинамические свойства системы натрий — кадмий. Алабышев А. Ф., Морачевский А. Г., Докл. АН СССР, 1956, 111, № 2, 369—371

Из измерений э. д. с. цепи Na/электролит с ионами  $Na^+$ /сплав Cd и Na при т-рах 425 и 475° выполненными описанным ранее методом (Hauffe K., Z. Elektrochem., 1940, 46, 348), вычислены термодинамич. функции сплавов. Для некоторых сплавов найдена линейная зависимость э. д. с. от т-ры в интервале 425—575°. Ход изотерм активности соответствует диаграмме состояния системы, где в области, богатой Na, существует тенденция к расслаиванию (положительные отклонения от закона Рауля), а в области, богатой Cd, образуются интерметаллич. соединения  $NaCd_2$ ,  $NaCd_6$  (отрицательные отклонения изотерм активности от закона Рауля). Данные авторов не позволяют отнести сплав Na-Cd к числу «регулярных» р-ров. Максим. теплота смешения  $\Delta H = 1070$  кал при 26% Na.

Ю. Любитов

**50676.** О теплотах образования в бинарных системах с металлическим характером связей. Голутвин Ю. М., Ж. физ. химии, 1956, 30, № 11, 2607—2609

Для соединений с металлич. характером связей обнаружена линейная зависимость теплоты образования из одноатомных газообразных элементов от общего числа валентных электронов. Для атомов переходных элементов наряду с  $s$ -электронами учитывались  $d$ -электроны достраивающегося подуровня. Автор считает, что необходимость учета  $d$ -электронов показывает их участие в образовании металлич. связей.

Ю. Любитов

**50677.** О теплотах образования силицидов титана. Голутвин Ю. М., Ж. физ. химии, 1956, 30, № 10, 2251—2259 (рез. англ.)

Определены теплоты сгорания  $TiSi_2$  (I),  $TiSi$  (II),  $Ti_3Si_2$  (III), Si (IV) и Ti методом сжигания в бомбе. Вспомогательное в-во (вата) укладывалось тонкими слоями, которые пересыпались исследуемым в-вом. Спец. опытами определялась полнота сгорания (%). Теплоты сгорания IV и I оказались зависящими от полноты сгорания, поэтому была сделана экстраполяция к 100%. Теплоты образования силицидов из Ti (крст.) и IV (крст.)  $\Delta H_{298}^\circ$  (ккал/моль) для I, II и III соответственно равны —42,9 ± 4,5; —39,2 ± 3,0; —147 ± 12.

А. Корнилов

**50678.** Энтальпия образования закиси титана как функция ее состава в пределах области гомогенности. Морозова М. П., Вольф Э., Ария С. М., Вестн. Ленингр. ун-та, 1956, № 22, 91—96

В ранее описанном калориметре (Magnus, Z. phys. Chem., 1951, 196, 379) измерены теплоты сгорания Ti и  $TiO_x$  в интервале значений  $x$  от 0,871 до 1,502 (11 составов). Препараты приготавливались путем спекания в вакууме при 1200—1300° гидрида и двуокиси титана. Сжигание производилось под давлением кислорода в 35 кг/см<sup>2</sup>. Вычислены значения теплоты образования соответствующих оксидов и установлено, что она в области гомогенности выражается линейной функцией состава с изломом в точке  $TiO_{0,900}$ . Рассматриваются причины этого обстоятельства и указывается, что оно находится в соответствии с общими положениями, развиваемыми А. В. Сторонкиным (РЖХим, 1957, 29914). Указано, что точка зрения, согласно которой все составы в пределах области гомогенности равноценны, возможно, объясняется преувеличением точности рентгеноструктурного анализа. Обсуждена одна из возможных моделей хим. строения оксидов переменного состава. Высказаны соображения, связанные с законами постоянства состава и кратных отношений и с понятиями «соединение переменного состава» и «твердый р-р».

М. Каранетянц

50679. Термохимия металлалкилов. Часть 7. Теплоты образования ртутьдифенила и ртутьфенилхлорида. Черник, Скинер, Вадсё (Thermochemistry of metallic alkyls. Part 7. The heat of formation of mercury diphenyl, and of mercury phenyl chloride. Chernick C. L., Skinner H. A., Wadsö I.), Trans. Faraday Soc., 1956, 52, № 8, 1088—1093 (англ.).

Измерены при 25° теплоты р-ций между  $\text{Hg}(\text{C}_6\text{H}_5)_2$  (I) и  $\text{HCl}$  в р-ре  $\text{C}_6\text{H}_6$  и между  $\text{HgCl}_2$  и I в  $\text{CH}_3\text{OH}$ . Найденны величины  $\Delta H_{298}$  (ккал/моль) для р-ций: I (крист.) +  $\text{HCl}$  (р-р в  $\text{C}_6\text{H}_6$ )  $\rightarrow$   $\text{C}_6\text{H}_5\text{HgCl}$  (II) (осадок + насыщ. р-р) +  $\text{C}_6\text{H}_6$  (жидк.) — 28,03  $\pm$  0,6; I (крист.) +  $\text{HCl}$  (газ) = II (крист.) +  $\text{C}_6\text{H}_6$  (жидк.) — 32,65  $\pm$  0,6; I (р-р в  $\text{CH}_3\text{OH}$ ) +  $\text{HgCl}_2$  (крист.) = 2 II (р-р) — 8,05  $\pm$  0,2. Для растворения I и II в  $\text{CH}_3\text{OH}$   $\Delta H$  соответственно 6,17 и 6,02; для р-ции I (крист.) +  $\text{HgCl}_2$  (крист.) = 2 II (крист.) — 13,92  $\pm$  0,5. Отсюда для образования из элементов I (крист.)  $\Delta H = 65,4 \pm 2,0$ ; но из теплот р-ции I с  $\text{J}_2$  и  $\text{Br}_2$  соответственно 67,2  $\pm$  2,2 и 66,1  $\pm$  3,2 (ккал/моль); рекомендуется значение 66  $\pm$  2,5; для II (крист.)  $\Delta H = -0,55 \pm 2$ . Вычислены значения энергии диссоциации:  $D(\text{C}_6\text{H}_5-\text{HgCl}) = 64 \pm 6$ ;  $D(\text{C}_6\text{H}_5-\text{HgBr}) = 62 \pm 6$ . Часть 6 см. РЖХим, 1957, 47327. Б. Анвар

50680. Термодинамические свойства бензойной кислоты. Готон, Уолли (Thermodynamic properties of benzoic acid. Goton R., Whalley E.), Canad. J. Chem., 1956, 34, № 10, 1506—1508 (англ.).

Из измеренной ранее теплоты сгорания бензойной к-ты (Jessup R. S., J. Res. Nat. Bur. Standards, 1942, 29, 247) и теплоемкости I в интервале 14—410° K (РЖХим, 1953, 4349) вычислена энтальпия образования I при 298,15° K и при 0° K, — 384 140  $\pm$  290 и — 366 761  $\pm$  340 абс. дж/моль соответственно и табулированы значения функций  $(H_T^\circ - H_0^\circ)/RT$ ,  $S^\circ/R$ ,  $-(F_T^\circ - H_0^\circ)/RT$  и  $-(\Delta F_{\text{обр}}^\circ)/RT$  в интервале 100—410° K. В. Колесов

50681. Теплоты сгорания хинола и п-бензохинона и термодинамические величины для окислительно-восстановительной реакции. Пилчер, Саттон (The heats of combustion of quinol and p-benzoquinone and the thermodynamic quantities of the oxidation-reduction reaction. Pilcher G., Sutton L. E.), J. Chem. Soc., 1956, Aug., 2695—2700 (англ.).

Определены теплоты сгорания  $\Delta H$  хинола (I) и п-бензохинона (II) при 25° и 1 атм. Калориметр описан ранее (РЖХим, 1956, 36319). Для  $\alpha$ -модификации I —  $\Delta H^\circ = 681,75 \pm 0,21$  ккал/моль; для II —  $\Delta H^\circ = 656,29 \pm 0,1$  ккал/моль. Рассчитаны теплоты образования —  $\Delta H_f^\circ$  (II) = 44,65  $\pm$  0,17 и —  $\Delta H_f^\circ$  (I) = 87,51  $\pm$  0,28 ккал/моль; отсюда для р-ции восстановления II до I в твердом состоянии:  $\Delta H^\circ = \Delta H^\circ$  (I) —  $\Delta H_f^\circ$  (II) 42,86  $\pm$  0,25 ккал/моль. Используя известные данные по теплоемкостям, авторы подсчитали изменения свободной энергии для этой р-ции  $\Delta G = 31,83$  ккал/моль, что соответствует окислительно-восстановительному потенциалу 0,690 в; эти величины хорошо согласуются с результатами электрохим. измерений. Соответствующие термодинамич. величины рассчитаны для р-ции восстановления, протекающей в газообразном состоянии и в р-рах. Л. Белых

50682. Изучение равновесия нитрозирования аминов. Сообщение I. Азокрасители со вторичной аминогруппой. Цымбал Р. М., Бурмистров С. И., Лошкарев М. А., Тр. Днепротр. хим.-технол. ин-та, 1956, вып. 5, 171—185

Фотоколориметрически изучены скорость и равновесие нитрозирования тропеолина (I), метанилового желтого (II) и бензилоранжа (III):  $\text{R}_2\text{NH}_2^+ +$

$+\text{HNO}_2 \rightleftharpoons \text{R}_2\text{NNO} + \text{H}_2\text{O} + \text{H}^+$ , причем учитывалось равновесие кислотной диссоциации  $\text{R}_2\text{NH}_2^+$ . Ионы  $\text{Cl}^-$  и  $\text{H}^+$  катализируют нитрозирование. III нитрозируется значительно медленнее, чем I или II. При 25° константы равновесия K нитрозирования I, II и III соответственно равны  $1,005 \cdot 10^6$ ,  $1,23 \cdot 10^6$  и  $3,11 \cdot 10^6$ . Из температурной зависимости K вычислено, что для нитрозирования как I, так и II  $\Delta H = -10$  100 ккал/моль. Разработан фотоколориметрич. метод косвенного определения равновесия нитрозирования неокрашенных аминов и спиртов, основанный на исследовании их смесей с I; K этерификации  $\text{CH}_3\text{OH}$  и  $\text{C}_2\text{H}_5\text{OH}$  соответственно равны 3,95 и 1,28. И. Рысс

50683. Термодинамика поглощения пропилена серной кислотой. Рустамов Х. Р., Чирков Н. М., Докл. АН УзССР, 1954, № 11, 27—33 (рез. узб.).

Исследована термодинамика поглощения пропилена (I) серной к-той (II). Опыты проводились в вакуумной установке, описанной ранее (Гольдманский В. И., Чирков Н. М., Ж. физ. химии, 1946, 20, 1336). II находилась в виде тонкого слоя ( $10^{-4}$ — $10^{-5}$  см) на стеклянные трубочки и шарики. Так как опыты проводились в условиях, практически исключающих образование полимеров, падение давления характеризовало поглощение I и образование алкилсерной кислоты. На основании эксперим. данных (приведены в виде графиков и таблиц) вычислена теплота р-ции образования алкилсерной из I и II в жидкой фазе, равная 9700 ккал/моль. Найденно, что логарифм константы равновесия с изменением процента к-ты ( $\alpha$ ) изменяется линейно:  $\lg K = 0,0335 \alpha - 2,721$ . Даны зависимость K от т-ры и конц-ии II в ур-ние для вычисления конц-ии пропиленсерной к-ты. См. также РЖХим, 1956, 3451. Н. Любощиц

50684. Термодинамика поглощения пропилена фосфорной кислотой. Рустамов Х. Р., Чирков Н. М., Докл. АН УзССР, 1955, № 1, 31—36 (рез. узб.).

Изучалось поглощение пропилена фосфорной к-той при 75, 85, 95 и 110°. Методика измерений описана ранее (см. пред. реф.). Кол-во поглощенного пропилен подчиняется закону Генри. Авторы приводят термодинамич. обработку полученных данных. Т. Р.

50685. Исследование системы сернистый газ — диметиланилин. I. Изотермы абсорбции. II. Теплота растворения. Балеј, Регнер (Studie systému kyslíčnick sifitý — dimethylanilin. I. Absorpční isothermy. II. Rozpouštěcí tepla. Balej Jan, Regner Albert), Chem. listy, 1956, 50, № 9, 1374—1380; 1381—1387 (чешск.); Сб. чехосл. хим. работ, 1956, 21, № 6, 1545—1552; 1553—1559 (нем.; рез. русск.).

I. Определены изотермы абсорбции сернистого газа в диметиланилине для давл. 0—0,33 атм при т-рах 15, 20, 25 и 40°. Из величин растворимости вытекает, что абсорбция сопровождается хим. р-цией, ведущей к образованию термически неустойчивого хим. соединения  $\text{C}_6\text{H}_5\text{N}(\text{CH}_3)_2 \cdot \text{SO}_2$ . Исходя из предположения, что поглощенный сернистый газ находится в р-ре преимущественно в виде хим. соединения, была определена константа равновесия р-ции: 40,32 (15°), 25,67 (20°), 16,24 (25°), 5,37 (40°).

II. Определены дифференциальные и интегральные теплоты растворения сернистого газа в диметиланилине. Дифференциальные теплоты определены из зависимости равновесного давления сернистого газа над р-ром от т-ры. Интегральные теплоты растворения определены, с одной стороны, непосредственно калориметрически, а, с другой стороны, путем вычисления из дифференциальных теплот растворения. Оба метода дали хорошо совпадающие результаты. Сравнение калориметрич. и абсорбционных измерений для разб. р-ров хорошо подтверждает предположение, что сер-



нистый газ находится преимущественно в химически связанном состоянии. Luboš Matoušek

50686. Простой метод исследования теплового изменения карбонатов бария в вакууме. Ядзава (Prosta metoda badania cieplnej przemiany węglanów barowych w próżni. Y. azawa K. M.), Elektronika, 1956, 2, № 2-3, 61—67 (польск.)

Перевод доклада на международном конгрессе по окисным катодам, опубликованного ранее (Le Vide, 1954, № 5, 90—93).

50687. Исправления к статье. Самарин, Куликов «Термодинамика десульфурации чугуна», Ж., неорганич. химии, 1956, 1, № 12, 2874  
К РЖХим, 1957, 29881.

50688. Соотношения термодинамических параметров  $P-T-V$  для воды и 30%-ных водных растворов NaCl. Леммлейн Г. Г., Клевцов П. В., Зап. Всес. минералог. о-ва, 1956, 85, № 4, 529—534

В целях уточнения условий образования минералов, содержащих в виде включений конп. р-ры солей, изучена зависимость  $P-T-V$  для 30%-ного р-ра NaCl. Использована автоклавная техника при давл. до 2500 ат. По эксперим. данным построена диаграмма поправок т-ры гомогенизации ( $T_g$ ) на давление. При  $T_g < 300^\circ$  поправки ( $\Delta T'$ ) для 30%-ного р-ра NaCl превышают таковые ( $\Delta T''$ ) для чистой воды. При  $T_g \approx 300^\circ$   $\Delta T' = \Delta T''$ . При  $T_g > 300^\circ$   $\Delta T' < \Delta T''$ . Последнее обстоятельство объясняется значительной сжимаемостью жидкой воды и ее малой плотностью, сильно уменьшающийся с повышением т-ры. Исходя из вида диаграммы, авторы полагают, что  $P$  (крит.) 30%-ного р-ра NaCl не ниже 2000 ат.

Ю. Варшавский

50689. Расчет активности и коэффициента активности воды в системе  $\text{NaOH}-\text{H}_2\text{O}$ . Вебер (Az  $\text{NaOH}-\text{H}_2\text{O}$ -rendszerben a víz aktivitásának és aktivitási koefficiensének számítása. Wéber József), Köhász. lapok, 1954, 9, № 12, 564—576 (венг.)

50690. Расчет дистилляции с помощью диаграммы энтальпии — концентрация. Ульбрехт (Řešení destilačních operací na diagramu enthalpie-koncentrace. Ulbrecht Jaromír), Chem. průmysl, 1956, 6, № 12, 502—505 (чешск.)

Отмечаются многие преимущества и недостатки графич. метода определения числа теоретич. тарелок ректификационных колонн, основанного на использовании диаграммы энтальпии — состав жидкой фазы и пара. Если имеются данные о равновесии на тарелках колонны и значения энтальпий, то метод дает очень точные результаты. Приводится ф-ла, по которой можно приближенно вычислить энтальпию смеси, зная физ. константы смеси и компонентов. К. Вацек

50691. Новый метод определения состава насыщенного пара. Ярым-Агаев Н. Л., Коган Е. А., Ж. физ. химии, 1956, 30, № 11, 2510—2518

Используя ур-ние процесса простой перегонки  $N'_1 = N_1 + dN_1/dlnt$ , где  $t$  — масса испаряемой жидкости,  $N_1$  — весовая доля компонента в жидкой, а  $N'_1$  — в паровой фазе, и исследуя спец. опытом  $dN_1/dlnt$ , авторы определяли состав насыщ. пара  $N'_1$ . Метод применим в случаях, когда скорость отвода пара по порядку величины меньше скорости образования пара и больше скорости диффузии в-ва из слоя в слой. При анализе насыщ. пара систем хлористый водород — вода и дихлорэтан — бензол получено хорошее совпадение с литературными данными. Изучение можно вести как изотермически, так и изобарически. Способ прост и требует не более 40 мл жидкости. Ю. Любитов

50692. Термодинамический метод предсказания азеотропизма в бинарной системе. Кайзер (Procédé thermodynamique de prévision de l'azéotropisme en

système binaire. Kaiser Louis), C. r. Acad. sci., 1956, 242, № 9, 1180—1181 (франц.)

По закону Дальтона  $P = \gamma_1 p_1^0 = \gamma_2 p_2^0$ , где  $P$  — давление,  $\gamma_1, \gamma_2$  — активности,  $p_1^0, p_2^0$  — максим. давление пара чистых в-в. Отсюда, пользуясь ур-нием  $\ln \gamma = L/R(1/\theta - 1/\theta^0)$ , где  $L$  — скрытая теплота испарения,  $\theta$  — т-ра равновесия,  $\theta^0$  — т-ра кипения чистого в-ва при давлении  $P$ , и правилом Трутона, получено ур-ние  $\ln(p_2^0/p_1^0) = (L_1 - L_2)/R\theta - (S_1^0 - S_2^0)/R$ . Зная изменение  $p_2^0/p_1^0$  с т-рой, можно решить графически это ур-ние относительно  $\theta$ . Левая часть ур-ния в функции от  $\theta$  практически представляет собой прямую, правая — гиперболу. Абсцисса точки пересечения дает азеотропную т-ру. Для нескольких двойных систем спиртов и углеводородов показано приблизительное совпадение левой и правой частей. Б. Анвар

50693. Использование измерений давления пара для определения диаграмм фазового равновесия конденсированных двойных смесей. Хисти (Use of vapor pressure measurements for the determination of phase equilibrium diagrams of condensed binary mixtures. Heastie R.), J. Chem. Phys., 1956, 24, № 2, 490—491 (англ.)

На примере системы из двух в-в, взаимно растворимых во всех соотношениях как в твердой, так и в жидкой фазах, поясняется графич. метод нахождения точек диаграммы фазового равновесия по результатам измерения общего давления пара  $P$ . Выбор  $P$  в качестве измеряемой переменной удобен тем, что: 1)  $P$  есть интенсивный параметр и 2) в координатах  $\lg P - 1/T$  зависимость  $P$  от  $T$  в двухфазных системах (жидкость — пар и твердое тело — пар) изображается прямыми  $p$  и  $r$ . Соответствующие трехфазным системам участки криволинейны, но можно показать, что они для разных конц-ий являются частью одной общей для всех конц-ий кривой  $Q$ , соединяющей тройные точки компонентов; эту кривую можно найти измерением  $P$  для ограниченного числа смесей разных конц-ий с последующим интерполированием. Точки фазового превращения находятся затем экстраполяцией прямых  $p$  и  $r$  до пересечения с кривой  $Q$ .

В. Урбах

50694. Термодинамические свойства двуокиси урана при высоких температурах. Аккерман, Гиллес, Торн (High-temperature thermodynamic properties of uranium dioxide. Ackermann Raymond J., Gilles Paul W., Thorn R. J.), J. Chem. Phys., 1956, 25, № 6, 1089—1097 (англ.)

Измерено эффузионным методом давление паров  $\text{UO}_2$  при 1600—2800° К и давл. от  $10^{-6}$  до 6 мм рт. ст. Опыты проводились с 4 видами препаратов, отличающихся изотопным составом (обычный  $\text{UO}_2$ , препараты обогащенные  $\text{U}^{233}$ ,  $\text{U}^{235}$  и  $\text{U}^{238}$ ). Эффузионные ячейки изготовлялись из тантала и вольфрама. Подробно описаны примененная аппаратура и методика проведения опытов. Общее давление пара над  $\text{UO}_2$ :  $\lg P_{\text{мм}} = 13,298 - 3,7195 \cdot 10^4/T + 3,5162 \cdot 10^6/T^2 + 2,6178 \cdot 10^9/T^3$ , (1600—2800° К). В интервале 1600—2200° К  $\lg P_{\text{мм}} = (-33,115 \pm 371)/T - 4,026 \lg T + 25,686 \pm 0,205$ .  $\Delta H$  (ккал/моль) и  $\Delta S$  (энтр. ед.) сублимации соответственно равны: при 1800° К  $137,1 \pm 1,7$ ;  $36,4 \pm 0,9$ ; при 298° К  $159,6$ ;  $49,4$ ; при 0° К  $\Delta H = 160 \pm 5$  ккал/моль. Обнаруженный выше 2200° К криволинейный характер зависимости  $\lg P$  от  $1/T$ , по мнению авторов, связан с процессом образования димера:  $2\text{UO}_2(\text{тв.}) = \text{U}_2\text{O}_4(\text{газ})$ . Ур-ние, описывающее давление паров димера  $\text{U}_2\text{O}_4$ :  $\lg P_{\text{мм}} = -38,221/T + 14,056$ .  $\Delta H$  и  $\Delta S$  диссоциации димера при 2450° К соответственно равны 88,9 ккал/моль и 16,6 энтр. ед. С. Бык

50695. Твердый раствор криптона и ксенона от 90 до 120° К. Давление пара аргона, криптона и ксенона

на. Фриман, Халес (The solid solution krypton-xenon from 90 to 120° K., the vapor pressures of argon, krypton and xenon. Freeman Mark P., Halsey G. D., Jr), J. Phys. Chem., 1956, 60, № 8, 1119—1125 (англ.)

Изучены твердые р-ры, образованные Kr в Xe при 90,2—120,2° K, путем измерений давления пара. Криостатом служил массивный Cu-блок в вакууме  $10^{-3}$  мм, погруженный в жидкий  $N_2$ . Равновесие газов в линии, соединяющей манометр с криостатом, устанавливалось менее чем за 10 час., в случае твердых р-ров — за 24 часа. Определены и сопоставлены с литературными данными давление пара, тройные точки и т-ры кипения Ar, Kr и Xe; давление пара в твердом и жидком состояниях для каждого из этих в-в может быть выражено ур-нием вида  $\lg P = A - B/T$  с точностью  $\pm 0,02\%$ . Обсуждена зависимость парц. давления Kr от его мол. доли в смеси. Анализ полученных данных, соответственно теории регулярных р-ров Фаулера и Гугенгейма, показывает, что «параметр теплоты растворения»  $w$  зависит от т-ры и может быть выражен ур-нием  $w_{AB} = 680 - 3,4 T$  кал/моль. Крит. т-ра разделения фаз твердого р-ра оценивается равной  $91 \pm 2^\circ K$ .

Ю. Выровский  
50696. Равновесие сплавов  $\alpha$ -Ag-Cd с парами Cd. Скатчард, Бойд (The equilibrium of  $\alpha$ -silver-cadmium alloys with cadmium vapor. Scatchard George, Boyd Richard H.), J. Amer. Chem. Soc., 1956, 78, № 16, 3889—3893 (англ.)

Для определения конц-ии паров металла, находящихся в равновесии с твердыми и жидкими сплавами  $\alpha$ -Ag-Cd, был использован электронный спектрофотометр, прокалиброванный по чистому Cd. Вместо дуги высокого давления применена разрядная трубка с полым катодом. Так как поглощение резонансной линии Cd этого источника с очень острым спектром в  $\sim 1000$  раз больше, чем от дуги высокого давления, то удалось провести определение конц-ии паров при более низких т-рах. Давление паров Cd ( $0,02$ — $0,3$  мм рт. ст.) измерено для 8 сплавов ( $5$ — $37$  ат. % Cd) в области  $600$ — $800^\circ$ . Сплавы приготавливались в графитовых тиглях и отжигались в течение 5 дней при  $500^\circ$ . Для каждого сплава давление пара Cd ( $p$ ) описывается ур-нием  $\lg p/x_2 = B - A/T$  ( $x_2$  — атомная доля Cd); зависимость от состава передается ур-ниями:  $B = 7,288 + x_2^2(3,075 + 1,885(3 - 4x_1))$ ;  $A = 3978 + x_2[4894 + 1990(3 - 4x_1)]$ . Энтальпия и энтропия испарения для всех сплавов, по-видимому, не зависят от т-ры. Сравнение полученных термодинамич. величин с литературными данными показывает, что сплав Ag-Cd по своим свойствам ближе к Cu-Zn, чем к Ag-Zn; это связывается с тем, что Zn вызывает сжатие решетки Ag и расширение решетки Cu, подобное расширению решетки Ag, вызываемому Cd.

Л. Белых  
50697. Упругость паров некоторых замещенных фталмидов. Ключков В. П., Ж. физ. химии, 1956, 30, № 12, 2823—2824

Измерены давления паров фталмида (I) 3-диметиламино-I, 3-метиламино-I, 3-амино-I, 3-диметиламино-6-амино-I, 3,6-диамино-I и 3-ацетиламино-I в интервале  $10^{-3}$ — $10^{-1}$  мм рт. ст. Для исследованных фталмидов давление пара (в интервале  $10^{-3}$ — $10^{-1}$  мм рт. ст.) хорошо описывается ф-лой  $\lg p = a/T + b$ . Вычислены значения констант  $a$  и  $b$ .

С. Бык  
50698. Давление пара тран-этил- $\beta$ -(2-фурил)-акрилата. Фромм, Лофлер (The vapor pressure of ethyl trans- $\beta$ -(2-furyl)-acrylate. Fromm F., Loeffler M. Constance, sister), J. Phys. Chem., 1956, 60, № 2, 252—253 (англ.)

Измерено давление пара тран-этил- $\beta$ -(2-фурил)-акрилата в интервале т-р  $155$ — $227^\circ$ . Использовался дважды перегнанный препарат.  $\lg P$  (мм рт. ст.) =

$= 2,969 \cdot 10^3/T + 8,727$ . Экстраполяцией найдена т-ра кипения при  $760$  мм рт. ст., равная  $235^\circ$ ; скрытая теплота испарения  $13,6$  ккал/моль.

С. Бык

50699. Равновесие жидкость — пар. XIV. Коэффициенты активности и физические свойства чистых компонентов. Гаала, Фрид, Пик, Вилим (Das Gleichgewicht Flüssigkeit-Dampf. XIV. Aktivitätskoeffizienten und physikalische Eigenschaften der reinen Komponenten. Hála E., Fried V., Pick J., Vilim O.), Сб. чехосл. хим. работ, 1956, 21, № 6, 1381—1387 (нем.; рез. русск.)

См. РЖХим, 1957, 26107.

50700. Взаимодействие между метилборатом и аминами, доказанное изучением давления пара. Хорн, Гулд (Interaction between methyl borate and amines as evidenced from vapor pressure studies. Horn Herman, Gould Edwin S.), J. Amer. Chem. Soc., 1956, 78, № 22, 5772—5773 (англ.)

Измеренное авторами давление пара  $(CH_3O)_3B \cdot NH_2CH_3$  (I) описывается ур-нием  $\lg P$  (мм) =  $10,16 - 2300/T$ , плохо сходящимся с предложенным ранее (Goubeau J., Link R., Z. anorgan. und allgem., Chem., 1952, 267, 27); величина  $P$  зависит от способа получения I вследствие наличия примеси  $(CH_3O)_3B$  (II) или  $CH_3NH_2$  (III). Диссоциация I в парах резко возрастает с повышением т-ры в области  $22,7$ — $45,6^\circ$  (кажущийся мол. вес падает от  $164$  до  $62,7$ ). Отношения парц.  $P$  II при  $24$ — $25^\circ$  над смесями II и аминов к вычисленному по закону Рауля определены для следующих аминов: III  $1,11$ ,  $C_2H_5NH_2$   $0,27$ ,  $n-C_3H_7NH_2$   $0,73$ ,  $iso-C_3H_7NH_2$   $0,87$ , аллиламин  $0,55$ ,  $n-C_4H_9NH_2$   $1,26$ ,  $(CH_3)_3CNH_2$   $1,44$ , этилендиамин  $0,03$ ,  $(CH_3)_2NH$   $0,71$ ,  $(C_2H_5)_2NH$   $0,75$ ,  $(n-C_3H_7)_2NH$   $0,72$ ,  $(n-C_4H_9)_2NH$   $0,72$ ,  $(n-C_5H_{11})_2NH$   $0,65$ ,  $(iso-C_3H_7)_2NH$   $1,00$ , диэтиламин  $2,16$ ,  $N(CH_3)_3$   $1,18$ ,  $N(C_2H_5)_3$   $0,86$ ,  $(n-C_4H_9)_3N$   $0,67$ , триэтиламин  $0,07$ , пирролидин  $0,70$ , пиперидин  $0,31$ , пирридин  $1,07$ , пиперазин  $0,26$ , морфолин  $0,74$ ; наименьшие значения этого отношения указывают на наибольшее взаимодействие II и амина. Введение  $CH_3OH$  в ряде случаев усиливает кажущееся взаимодействие II и амина; причины действия  $CH_3OH$  неясны.

И. Рыска

50701. Исследование полиморфных превращений висмута при сверхвысоких давлениях. Бутузов В. П., Понятовский Е. Г., Кристаллография, 1956, 1, № 5, 572—576

Исследована диаграмма состояния Bi ( $99,995\%$ ) при давл. до  $30\,000$  кг/см<sup>2</sup> и т-рах от комнатной до т-р плавления соответствующих модификаций. Методика исследования аналогична описанной (РЖХим, 1957, 29909). Кривая плавления  $\alpha$ -Bi и кривые равновесий  $\alpha$ — $\beta$  и  $\beta$ — $\gamma$  хорошо согласуются с ранее полученными (Bridgman P. W., Phys. Rev., 1935, 48, № 11, 893). Постоянство т-ры плавления  $\beta$ -Bi ( $184^\circ$ ) в интервале давл.  $17\,300$ — $22\,400$  кг/см<sup>2</sup> указывает, что его плавление происходит без изменения объема. Т-ра плавления  $\gamma$ -Bi повышается с ростом давления в среднем на  $0,0072$  град/кг см<sup>-2</sup>. Термографич. методом определено отношение тепловых эффектов  $\alpha \rightleftharpoons \beta$  и  $\beta \rightleftharpoons \gamma$  превращений при  $20^\circ$  и вычислены значения тепловых эффектов и уд. изменения объема для обоих превращений. Оба превращения при выбранной скорости охлаждения и нагрева ( $1$  град/сек) протекают с заметным гистерезисом и их скорость весьма велика во всем исследованном интервале т-р.

Ю. Заверьяев

50702. Измерения плотности. XVIII. Изменение объема при плавлении и процессе плавления солей. Шинке, Зауэрвальд (Dichtemessungen. XVIII. Über die Volumenänderung beim Schmelzen und den Schmelzprozess bei Salzen. Schinke Herbert, Sauerwald Franz), Z. anorgan. und allgem. Chem., 1956, 287, № 4—6, 313—324 (нем.)

Определены изменения объема,  $\Delta v$ , при плавлении ряда солей из плотностей расплавленных солей и плотностей твердых солей экстраполяцией дилатометрич. данных к т-ре плавления. Изученные соли по величине  $\Delta v$  в % распадаются на 3 группы: а) хлориды Ca, Sr и Ba (0,9–5%), б) галогениды щел. металлов, AgCl и AgBr (~8–29%), в) AgCl<sub>3</sub> (83%). Величины  $\Delta v$  для галогенидов щел. металлов растут почти прямолинейно с увеличением энтропии плавления на единицу объема, с увеличением энергии решетки, с уменьшением деформируемости и при изменении катионов с увеличением пространственного заполнения; фториды щел. металлов и соли Li менее точно подчиняются этим правилам. Вычислены производные от т-ры плавления по давлению для всех изученных солей. Часть XVII см. РЖХим, 1957, 26117.

И. Рысс

**50703. К вопросу об определении критических точек растворимости. Крупаткин** (Про визначення критичних точок розчинення. Крупаткін І. Л.), Наук. зап. Черкаськ. держ. пед. ін-т, 1956, 8, 65–68 (укр.)

Дан обзор существующих способов определения координат критической точки на равновесной кривой растворимости жидких фаз. Предложен новый способ точного определения координат критической точки, заключающийся в перенесении бинальной кривой из системы прямоугольных координат в косугольные и изображении двух ветвей бинальной кривой, которые и пересекаются в критич. точке.

Е. Банашек

**50704. λ-Температуры растворов изотопов гелия. Есельсон Б. Н., Березняк Н. Г., Каганов М. И., Докл. АН СССР, 1956, 111, № 3, 568–570**

Указан способ определения т-ры λ-перехода ( $T_\lambda$ ) смеси изотопов гелия по излому на кривой давление пара — т-ра. Регистрация такого излома облегчается при изучении температурной зависимости разности  $\Delta P$  давлений пара р-ра и чистого He<sup>4</sup>. Представлены кривые зависимости  $\Delta P - T$  для р-ров, разных концентраций  $x_{He^3}$ , и по изломам на них найдены  $T_\lambda$ . Имеется расхождение с опубликованными результатами (Daunt J. G., Heer C. V., Phys. Rev., 1950, 79, 46). Полученные эксперим. данные подчиняются ф-ле, предложенной ранее (РЖХим, 1956, 15485). Показано, что величину  $(dT_\lambda/dx_{He^3})_{x_{He^3}=0}$  можно получить, используя данные о плотности нормальной компоненты р-ров изотопов гелия.

В. Урбах

**50705. Кинетика процессов упорядочения. Дienesш** (Kinetics of order-disorder transformations. Dienes G. J.), Acta Metallurgica. 1955, 3, № 6, 549–557 (англ.; рез. франц., нем.)

Изложена теория кинетики процессов упорядочения, базирующаяся на теории скоростей хим. р-ций и построенная исключительно с помощью параметра дальнего порядка  $s$ . Начало процесса упорядочения обязано флуктуациям, которые ожидаются особенно значительными для сплавов типа АВ<sub>3</sub>. Найдено согласие теории с известным из опыта качеств. поведением упорядочивающихся систем. Отмечается, что для критич. оценки теории еще недостаточно опытных данных.

В. Р.

**50706. Явления на границе фаз при кипении растворов. Глейм В. Г., Шеломов И. К., Ж. прикл. химии, 1957, 30, № 1, 32–38**

Состав капель, уносимых паром из котла при кипении, может отличаться от состава кипящего р-ра за счет адсорбции растворенного в-ва. Поскольку поверхностный адсорбционный слой очень тонок, состав капель радиусом  $\geq 10^{-5}$  см практически одинаков с составом р-ра. Проведенные авторами изме-

рения повышения поверхностного натяжения воды при растворении в ней NaCl, NaOH, Na<sub>2</sub>SO<sub>4</sub>, Na<sub>2</sub>CO<sub>3</sub> и MgSO<sub>4</sub> показали, что оно приблизительно одинаково для всех этих в-в и, следовательно, десорбция их с поверхности не будет носить избирательного характера. В этом случае селективный унос солей жидкой фазой из кипящего р-ра термодинамически невозможен.

М. Барабанов

**50707. О коэффициенте испарения. Литтлвуд, Райдл** (On the evaporation coefficient. Littlewood Roy, Rideal Eric), Trans. Faraday Soc., 1956, 52, № 12, 1598–1608 (англ.)

Определены коэф. испарения ряда жирных к-т и спиртов с длинной углеводородной цепью. Найдено, что все они равны единице. Скорость испарения жидких и твердых тел в вакууме определяется ф-лой:  $n = j p (2\pi m k T)^{-1/2}$  молекула см<sup>-2</sup> сек<sup>-1</sup>, где  $p$  — давление пара,  $m$  — масса молекулы,  $k$  — константа Больцмана,  $T$  — абс. т-ра. Коэф. испарения  $f$ , по-видимому, всегда равен единице. Экспериментально найденные значения  $f$ , меньшие единицы, как в работе самих авторов, так и у других исследователей получены вследствие неправильных определений т-ры испаряющей поверхности. Точный учет потока тепла и т-ры поверхности тела при испарении в вакууме дает возможность исправить экспериментальные величины  $f$  и во всех случаях получить  $f \approx 1$ .

М. Барабанов

**50708. Период нестационарности процесса зарождения центров новой фазы при изотермических фазовых превращениях в однокомпонентной системе. Любов Б. Я., Ройтбурд А. Л., Докл. АН СССР, 1956, 111, № 3, 630–633**

Сделана попытка оценить время нестационарности ( $t_n$ ) в процессе зарождения центров новой фазы при изотермич. фазовых превращениях путем непосредственного решения соответствующего кинетич. ур-ния (Зельдович Я. Б., Ж. эксперим. и теор. физики, 1942, 12, 525). Численное интегрирование и приближенное решение дают при некоторых допущениях достаточно близкие результаты.  $t_n$  существенно зависит от величин энергии активации перестройки решетки  $U$  и параметра  $B$ , связанного с работой образования крит. зародыша. Для мартенситного превращения, при  $U \approx 1000$  кал и  $B \approx 1000$   $t_n = 10^{-7} - 10^{-10}$  сек. Для полиморфных превращений предполагается, что  $t_n$  соизмеримо с продолжительностью процесса; этот вопрос, однако, нуждается в дополнительном исследовании.

Ю. Любитов

**50709. Исследования механизма твердения гипсовых вяжущих веществ в присутствии добавок. Ратинов В. Б., Забежинский Я. Л., Розенберг Т. И., Докл. АН СССР, 1956, 109, № 5, 979–981**

Авторы принимают, что твердение гипсовых вяжущих в-в протекает вследствие выкристаллизовывания двуводн. гипса из р-ра, пересыщенного которого относительно двуводн. гипса обеспечивается растворяющимся полуводн. гипсом. Путем преобразования ур-ния А. Н. Колмогорова, выведенного им для кинетики гидратации вяжущих в-в, получено ур-ние, которое позволяет описать процесс твердения гипса в присутствии добавок, являющихся, как электролитами, так и неэлектролитами, объединить данные по действию ускорителей и замедлителей и учесть влияние добавок, имеющих одинаковые с гипсом ионы. Изучено действие солей аммония и натрия, аммиака и этилового спирта, являющихся замедлителями, и действие ряда солей калия, ускоряющих процесс твердения. Развиваемые взгляды на механизм твердения гипса открывают пути к управлению скоростью этого процесса.

Л. Громов





взаимодействие Ti и Pb с образованием соединения  $Ti_3Pb$ . Г. Бабкин

50717. Система титан — свинец. Фаррар, Марголин (Titanium — lead system. Farrar Paul, Margolin Harold), J. Metals, 1955, 7, Sec. 2, № 4, 101—104.

Методами микроструктуры изучалась диаграмма системы Ti — Pb в области 0—58% Pb от 500° до т-р жидкого состояния. Сплавы готовились спрессовыванием перемежающихся слоев Ti и Pb и плавлением в атмосфере Ar с последующим отжигом при 300—350°. При 725° обнаружено эвтектическое превращение  $\beta \rightarrow \alpha + Ti_3Pb$ , отвечающее 26%. Макс. растворимость Pb в  $\alpha$ -Ti равна 16% при эвтектичной т-ре. При 1305° наблюдается перитектическая реакция  $\beta + \text{жидкость} \rightarrow Ti_3Pb$ , макс. растворимость Pb в  $\beta$ -Ti при этой т-ре 45%. Исследование т-р плавления сплавов показало, что область между ликвидусом и солидусом очень узка ( $\leq 80^\circ$ ), а т-ра плавления йодидного Ti 1665°. Определены параметры решетки  $Ti_3Pb$  ( $c/a = 0,8075$ ,  $a = 5,962$  Å), совпадающие с литературными данными. Указывается на невозможность их определения в присутствии  $\alpha$ -фазы. М. Г.

50718. Влияние нерастворимых примесей на вязкость расплавленных металлов при переохлаждении. Горяга Г. И., Швидковский Е. Г., Вестн. Моск. ун-та, 1956, № 6, 33—37.

Описан крутильно-колебательный вискозиметр для измерения вязкости расплавленных металлов, на котором измерена вязкость легко переохлаждающихся металлов — олова и висмута. Вблизи т-ры затвердевания у переохлажд. жидких металлов кривая вязкости при нагревании лежит заметно выше, чем при охлаждении. Разница между обеими кривыми уменьшается при отфильтровывании из жидкости нерастворимых примесей. См. также РЖХим, 1955, 20720.

А. Лихтер  
50719. Дискуссия по статье: Энс, Марголин «Повторное исследование взаимоотношений фаз в системах Ti — Fe и Ti — Fe — O». — (Re-examination of Ti — Fe and Ti — Fe — O phase relations by Ence Elmars and Margolin Harold. Discussion.—), J. Metals, 1956, 8, № 10, Sec. 2, 1417—1419 (англ.)

К РЖХим, 1957, 26134.

50720. Фазовый анализ сплавов на титановой основе. Блок Н. И., Глазова А. И., Лашко Н. Ф., Завод. лаборатория, 1956, № 1, 35—38.

Разработан метод электролитич. разделения фаз в сплавах на Ti-основе. Для подавления гидролиза в анолите и предупреждения образования осадков основных солей электролиз проводили в неводн. среде (2 г KSCN и 10 г лимонной к-ты на 1200 мл метанола) при предварительном охлаждении электролита до  $-10^\circ$ . Исследуемый образец (цилиндр высотой  $\sim 40$  и диам. 13 мм) включали в качестве анода. Катодом служил цилиндр из листовой нержавеющей стали. Электролиз вели при плотности тока  $0,013$  а/см<sup>2</sup> и напряжении  $\sim 30$  в в течение 1—2 час., используя в качестве мембран мешочки из ацетицеллюлозы (РЖМет, 1956, 1579). По окончании процесса т-ра не превышала  $0^\circ$ . Выделенные осадки подвергались хим. анализу и рентгенографич. исследованиям. Метод применен для изучения фазового состава и структурных превращений сплавов систем: Ti — Cr — C, Ti — Cr — Al, Ti — Cr — Al — C. Метод позволяет выделять из сплавов систем Ti — Cr и Ti — Cr — C  $\beta$ -фазу и TiC, из сплавов системы Ti — Cr — Al — C  $\alpha$ -фазу, отличающуюся по своему составу от основной массы твердого т-ра, TiC и интерметаллич. фазу  $TiCr_2$ . Ю. З.

50721. Строение жидкого эвтектического сплава Bi-Pb по данным рентгеноструктурного анализа.

Скрышевский А. Ф. (Будова рідкого евтектичного сплаву Bi-Pb за даними рентгеноструктурного аналізу. Скрышевський А. Ф.), Довопіді АН УРСР, 1956, № 1, 62—66 (укр.; рез. русск.)

Проведено рентгеновское исследование жидкого сплава Bi-Pb эвтектич. состава. Съемка рентгенограмм проводилась в вакуумной камере при  $130^\circ$  со свободной поверхности расплавленного металла. Анализ полученных кривых атомного распределения подтверждает вывод Данилова и Радченко (Ж. эксперим. и теор. физики 9, 1158) о том, что в жидком эвтектич. сплаве имеются области с ближним порядком атомов, характерным для структуры Bi, и, наряду с этим, области с ближним порядком, характерным для кристаллич. решетки Pb. Л. Миркин

50722. Некоторые данные к диаграмме равновесия системы хром — ниобий. Елютин В. П., Функе В. Ф., Изв. АН СССР. Отд. техн. н., 1956, № 3, 68—76.

Построена диаграмма состояния Cr — Nb. Установлено наличие в системе конгруэнтно плавящегося металлич. соединения  $Cr_2Nb$  с куб. гранецентр. решеткой ( $a$  6,97—6,95 кХ). По обе стороны от  $Cr_2Nb$  имеются эвтектики: при 22% Nb и  $1600^\circ$  при 39% Nb и  $1660^\circ$ . Растворимость Nb в Cr составляет при  $1600^\circ$  11, при  $1500^\circ$  4,25 и при  $1400^\circ$  3,7 ат. %. Растворимость Cr в Nb составляет при  $1600^\circ$  20 и при  $1500^\circ$  13 ат. %. Р. М.

50723. О фазовой диаграмме германий — кремний. Хассон, Госс, Трамбор (On the germanium — silicon phase diagram. Hasson F. J., Goss A. J., Trumbore F. A.), J. Phys. Chem., 1955, 59, № 10, 1118—1119 (англ.)

Для системы Ge — Si получены точки на кривой ликвидуса: при содержании Si (ат. %) 7,4 и 33,5 соответственно  $1027 \pm 2$  и  $1207 \pm 2^\circ$ , аномальная остаточка т-ры замечена соответственно при  $940,4 \pm 2$  и  $938,7 \pm 2^\circ$ , т. е. на  $1-3^\circ$  выше т-ры плавления (РЖХим, 1957, 43983). На кривой солидуса получены точки при содержаниях 10, 13 и  $16 \pm 1$  ат. % Si соответственно  $963 \pm 1,5$ ,  $971 \pm 3$  и  $987 \pm 3^\circ$ . Плавление производилось в графитовом тигле в атмосфере аргона. Л. Белых

50724. Термодинамическая и структурная характеристика системы Ag — Zn. Терпиловский (Charakterystyka termodynamiczna i strukturalna układu Ag — Zn. Terpiłowski Janusz), Zesz. nauk. Politechn. wrocław., 1956, № 14, 3—40 (польск.; рез. русск., англ.)

Проведены электрохим. исследования 59 твердых сплавов Ag-Zn в пределах 28,4—82,4 ат. % Zn и 5 жидких сплавов Ag-Zn состава 70,8—83,9 ат. % Zn. Исследования основаны на измерениях э.д.с. высокотемпературных обратимых элементов типа Zn (жидк.) |  $(0,583 \text{ LiCl} + 0,417 \text{ KCl}) + 0,05 \text{ ZnCl}_2$  | Ag<sub>x</sub> Zn<sub>1-x</sub> (тв. или жидк.). На основе полученных данных вычислены: а) парц. молярные изменения изобарного термодинамич. потенциала, энтропии и энтальпии растворения Zn в твердых сплавах Ag-Zn, а также процесса растворения жидкого Zn в жидких сплавах Ag-Zn, б) энтальпия, изобарный термодинамич. потенциал и энтропия образования твердых сплавов Ag-Zn из твердых компонентов при  $400^\circ$ , в) активности и коэф. активности компонентов в твердых сплавах Ag-Zn при  $400^\circ$ . Проверена для т-р, при которых проведены опыты, фазовая диаграмма системы Ag-Zn. Подтверждено, что  $\beta$ - и  $\epsilon$ -фазы системы Ag-Zn имеют при вышних т-рах неупорядоченную структуру. Обсужден вопрос упорядочения фаз системы Ag-Zn, исходя из расчетов энтропии образования твердых сплавов из твердых компонентов. Резюме автора

50725. Кристаллическая структура тройных соединений в системах Mn — Co — Si и Mn — Ni — Si. Гладышевский Е. И., Кипрякевич П. И., Куз-

ма Ю. Б. (Кристаллическая структура потрийных сполук у системах Mn—Co—Si и Mn—Ni—Si. Гладишевский Е. I., Крип'якевич П. I., Кузьма Ю. Б.), Доводі АН УРСР, 1956, № 1, 67—71 (укр.; рез. русск.)

Проведено рентгеноструктурное и металлографич. исследование сплавов Mn—Co—Si и Mn—Ni—Si. Обнаружены тройные соединения  $Mn_3Co_3Si_2$  и  $Mn_3Ni_3Si_2$  структурного типа  $MgZn_2$  (ф. гр.  $D_{6h}^4 - C6/mmc$ ) и определены положения атомов в кристаллич. решетке.

Л. Миркин  
50726. Тройные фазы в системе никель—вольфрам—углерод. Уайтхед, Брауни (Ternäre Phasen im System Nickel—Wolfram—Kohlenstoff. Whitehead K., Brownlee L. D.), Planseeber. Pulvermetallurgie, 1956, 4, № 3, 62—71 (нем.)

Рентгенографически исследована система Ni—W—C в области 0—100 ат. % Ni и 50—100 ат. % W при 1200°. Исследован метод закалки равновесия. В изученной части диаграммы состояния обнаружены 3 тройные фазы:  $\eta$ —в области состава  $Ni_5W_2C$ , куб.,  $a$  10,873 Å;  $\theta$ —в области  $Ni_3W_2C$ , куб.,  $a$  11,217 Å;  $\chi$ —в области  $Ni_3W_6C_6$ , гексагон.,  $a$  7,8183,  $c$  7,8180 Å. Эти фазы изоморфны соответствующим фазам системы Co—W—C. Карбид  $W_2C$  при 1200° неустойчив.

Ю. Варшавский  
50727. Изучение тройных диаграмм железа и магнитных взаимодействий. Система Fe—Ni—Al. Рёслер (Study of ferrous ternary diagrams in relation to magnetic interactions: Fe—Ni—Al system. Roesler Ulrich H.), J. Metals, 1956, 8, № 10, Sec. 2, 1285—1289 (англ.)

Теория, развитая ранее (РЖМет, 1956, 12628), применена к тройной фазовой диаграмме Fe—Ni—Al. Построено пять вертикальных лучевых разрезов из Fe—угла с отношением конц-ий Ni:Al = 25:75, 35:65, 40:60, 45:55 и 50:50 ат. % в пределах существования  $\gamma$ -пелли. В каждом разрезе были получены параметры  $\Delta T$  (маг.) и  $\Delta T$  (март.), соответственно характеризующие влияние легирующих элементов на интервал магнитного превращения и т-ру гипотетич. мартенситного превращения. Экстраполяция кривых этих параметров, построенных в зависимости от величины соотношения конц-ий Ni/(Ni+Al), указывает на аномальное влияние Al на ферромагнитную характеристику Fe. Дана интерпретация обнаруженной аномалии.

Н. Груздева  
50728. О направлении экзотермических реакций обмена типа  $2AX + BY_2 = 2AY + BX_2$ . Воскресенская Н. К., Докл. АН СССР, 1955, 101, № 1, 89—91 См. РЖХим, 1956, 25077.

50729. Термический анализ минералов группы натролита. Бэн (Thermal analysis study of the natrolite group. Peng C. J.), Amer. Mineralogist, 1955, 40, № 9-10, 834—856 (англ.)

Изучалось поведение различных образцов натролита, сколецита и мезолита при нагревании. Были применены дифференциальный термич. анализ и определение кривых обезвоживания. Для характеристики исходных в-в и промежуточных твердых фаз, образующихся в процессе нагревания, использовались иммерсионный и рентгенографич. методы. Несмотря на сходство структур трех цеолитов, вода в них присоединена неодинаково прочно и, по-видимому, занимает различные места в кристалл. решетке. Доказательством этого является различие т-р дегидратации и различного кол-ва воды, выделяющейся на различных ступенях нагрева. Натролит теряет воду при 455°, разрушение структуры наступает только около 940°. Сколецит и мезолит менее устойчивы: разрушение структуры наблюдается при 560 и 490° (мезолит),

т. е. сразу после полного обезвоживания. Термограммы этих трех минералов различны и потому могут быть использованы для идентификации трех названных цеолитов.

И. Рассонская  
50730. Об устойчивости соединения  $CaO \cdot 2Fe_2O_3$ . Батти (Sulla stabilità del composto  $CaO \cdot 2Fe_2O_3$ . Batti Pietro), Chimica e industria, 1956, 38, № 10, 864—866 (итал.; рез. англ., нем., франц.)  
Определена устойчивость феррита  $CaO \cdot 2Fe_2O_3$  в области 1130—1230°. Имевшиеся сомнения в существовании этого соединения объясняются тем, что область его существования мала. Установлена возможность его образования при соответствующих условиях.

Резюме автора  
50731. Исследование систем расплавленных солей на основе фторида тория. Сообщение II. Емельянов В. С., Евстюхин А. И., Атом. энергия, 1956, № 5, 80—85

Изучены диаграммы состояния систем NaF—ThF<sub>4</sub> (I), KF—ThF<sub>4</sub> (II) и NaF—KF—ThF<sub>4</sub> (III) с применением термографич., рентгеновского и других методов анализа. В системе, изучавшейся рентгенографически ранее (Zachariasen W. H., J. Amer. Chem. Soc., 1948, 70, 2147), авторы обнаружили четыре соединения: Na<sub>2</sub>ThF<sub>6</sub>;  $\alpha$ - и  $\beta$ -разности Na<sub>2</sub>ThF<sub>6</sub>, NaThF<sub>5</sub> и NaTh<sub>2</sub>F<sub>7</sub>. В системе II обнаружено шесть соединений: K<sub>2</sub>ThF<sub>6</sub>,  $\alpha$ - и  $\beta$ -разности K<sub>2</sub>ThF<sub>6</sub>, KThF<sub>5</sub>, KTh<sub>2</sub>F<sub>7</sub>, KThF<sub>25</sub>. В системе III, в связи с электролитич. получением тория, исследовалась область NaF—Na<sub>2</sub>ThF<sub>6</sub>—KThF<sub>5</sub>—KF. Найдено новое соединение NaKThF<sub>6</sub>. На основании рентгенографич. исследования, выполненного Русаковым и Юдиным (не опубликовано), это соединение является комплексным с ионами ThF<sub>6</sub><sup>2+</sup>, (искаженный октаэдр). Параметры решетки NaKThF<sub>6</sub>:  $a_1$  6,3,  $a_2$  7,88 кХ, ф. гр.  $C_{6v}^2$ ;  $\rho$  (выч.) 5,0,  $\rho$  (эксп.) 4,75—4,8. Сообщение I см. РЖХим, 1957, 33917.

Е. Банашек  
50732. Исследование диаграмм состояния  $PbS - Na_2S$  и  $PbS - Na_2SO_4$ . Смирнов М. П., Кудряшова Л. Н., Цвет. металлы, 1956, № 12, 36—42

Методами термич. анализа, оптич. и рентгеноструктурным изучены системы PbS (I)—Na<sub>2</sub>S (II) и I—Na<sub>2</sub>SO<sub>4</sub> (III). Образцы для термич. анализа помещались в графитовый блок. Нагревание их и снятие кривых охлаждения производилось в токе очищ. азота. В системе I—II установлено incongruentно плавящееся соединение  $3PbS \cdot Na_2S$  (IV). Координаты перитектич. точки: 22,5 вес. % II, 575°. Координаты эвтектич. точки IV—II: 28 вес. % II, 520°. В жидком состоянии I и II обладают неограниченной взаимной растворимостью. Максим. конц-ия твердого р-ра II в I составляет 7%. При комнатной т-ре твердые р-ры не образуются. Структура р-ра идентична структуре чистого I. В системе I—III твердые р-ры не образуются. Область расслаивания в жидком состоянии при монотектич. т-ре (1035°)—от 1,0 до 95,0% III. Приблизительные координаты эвтектич. точки: 99,5% III, 875°. Температурные остановки при 985 и ниже 875°, возможно, связаны с превращениями в твердых фазах. Приведены диаграммы состояния систем.

Ю. Варшавский  
50733. Данные для разреза  $Ca_2SiO_4 - CaMgSiO_4$  ниже линии солидуса и стабильность мервинита. Рой (Subsolidus data for the join  $Ca_2SiO_4 - CaMgSiO_4$  and the stability of merwinite. Roy Della M.), Mineral. Mag., 1956, 31, № 233, 187—194 (англ.)

Изучены фазовые равновесия для разреза  $Ca_2SiO_4 - CaMgSiO_4$  при 600—900° с использованием гидротермического способа. Рентгенографич., оптич. данные и ИК-спектры поглощения указывают на присутствие  $\gamma$ - $Ca_2SiO_4$  (ниже 675°) и  $\alpha$ - $Ca_2SiO_4$  (выше 675°), переходящей в  $\beta$ - $Ca_2SiO_4$  при охлаждении до 20°, а также



фаз состава  $\text{Ca}_3\text{MgSi}_2\text{O}_8$  и  $\text{CaMgSiO}_4$ . Твердых р-ров при этих т-рах не обнаружено. Л. Ковба

**50734.** Тройная система из метаборатов, хлоридов и вольфраматов калия. Посыпайко В. И., Бергман А. Г., Кислова А. И., Ж. неорганич. химии, 1956, 1, № 11, 2613—2616

Визуально-политермическим методом исследована система  $\text{K}[\text{BO}_2]$ ,  $\text{Cl}$ ,  $\text{WO}_4$ . Поверхность кристаллизации состоит из трех полей кристаллизации компонентов и внутреннего поля  $\text{K}_2\text{WO}_4 \cdot \text{KBO}_2$ . Тройной эвктич. точке системы соответствует  $604^\circ$  и состав 8%  $\text{K}_2(\text{BO}_2)_2$ , 41%  $\text{K}_2\text{Cl}$ , 51%  $\text{K}_2\text{WO}_4$ . Кроме того, в системе имеется проходная точка ( $740^\circ$ ; 16%  $\text{K}_2(\text{BO}_2)_2$ , 19%  $\text{K}_2\text{Cl}$ , 65%  $\text{K}_2\text{WO}_4$ ). Тройная система является нижним основанием призмы четверной взаимной системы из метаборатов, хлоридов и вольфраматов лития и калия. О. Домбровская

**50735.** О растворимости труднорастворимых солей. Бацадзе Н. Л., Авалиани А. Е. (ბელოღ-ბნადი მარბოღბის ხნდობის შესახებ. ბაცანადე ი. ლ., ავალანის ა. ე.), საქართველოს პოლიტექნიკური ინსტიტუტის შრომები, Тр. Груз. политехн. ин-та, 1956, № 5, (46), 33—42 (груз.; рез. русск.)

Изучены действие сульфата свинца на водн. р-ры цитрата калия (I) разных конц-ий и конц-ия ионов свинца, находящихся в равновесии с полученными осадками. Зависимость  $\lg c_{\text{р-ра}} - \lg c_1$  линейна с изломом в зоне высокой конц-ии. Так как состав осадков, полученных при высокой конц-ии, постоянен и при этом на один атом свинца приходится 4 молекулы I, можно предположить, что в указанных условиях образуются комплексные соединения цитрата свинца. Из резюме авторов

**50736.** Определение растворимости молибдатов щелочноземельных металлов методом меченых атомов. Несмеянов А. Н., Савич Н. А., Элькин М. Ф., Коряжкин В. А., Вестн. Моск. ун-та, 1956, № 1, 221—224

Определены растворимости нормальных молибдатов стронция и бария при  $0-100^\circ$  с применением радиоактивных изотопов  $\text{Mo}^{99}$  и  $\text{Sr}^{90}$ . Описана методика эксперимента. Результаты приведены в виде таблицы и графически. Растворимости  $\text{SrMoO}_4$  и  $\text{BaMoO}_4$  (в мг  $\text{Mo}$  на 100 г р-ра) соответственно составляют 1,1—1,5 и 0,5—2,1; при повышении т-ры растворимость возрастает (логарифм растворимости убывает линейно с ростом  $1/T$ ). В. Урбах

**50737.** Растворимость в системе  $\text{CaSO}_4 - \text{NaCl} - \text{H}_2\text{O}$  при 25 и  $35^\circ$ . Маджин, Суэйле (Solubilities in the system  $\text{CaSO}_4 - \text{NaCl} - \text{H}_2\text{O}$  at  $25^\circ$  and  $35^\circ$ . Madgin W. M., Swales D. A.), J. Appl. Chem., 1956, 6, № 11, 482—487 (англ.)

Изучена растворимость в системе  $\text{CaSO}_4 - \text{NaCl} - \text{H}_2\text{O}$ . Опыты проводились со смесями гипс —  $\text{NaCl} - \text{H}_2\text{O}$  (I) при 25 и  $35^\circ$  и ангидрит —  $\text{NaCl} - \text{H}_2\text{O}$  (II) при  $35^\circ$ . Дополнительно изучалось влияние на растворимость  $\text{CaSO}_4$  в этих системах небольших кол-в (<4%)  $\text{Na}_2\text{SO}_4$ . Состав твердой фазы определялся описанным ранее методом (Bancroft W. D., J. Phys. Chem., 1902, 6, 178), дополненным микроскопич. идентификацией гипса. В системе I при 25 и  $35^\circ$  растворимость гипса очень близки и для обеих т-р проходит через максимум при 0,78 г  $\text{CaSO}_4$  и 18 г  $\text{NaCl}$  на 100 г  $\text{H}_2\text{O}$ ; присутствие в р-ре  $\text{Na}_2\text{SO}_4$  (1 г и 2,5 г на 100 г  $\text{H}_2\text{O}$ ) заметно снижает максимум растворимости гипса. В системе II растворимость ангидрита при  $25^\circ$  также проходит через максимум и уменьшается в присутствии  $\text{Na}_2\text{SO}_4$ . С. Бык

**50738.** Фазовая диаграмма для реакции взаимодействия карбоната лития с гидроокисью кальция. Гошьялек (Fázový diagram pro reakci uhličitanu

lithného s hydroxydem vápenatým. Hošťálek Zdeněk), Chem. listy, 1956, 50, № 9, 1369—1373 (чешск.); Сб. чехосл. хим. работ, 1957, 22, № 1, 175—180 (нем.; рез. русск.)

Для изучения образования  $\text{LiOH}$  каустификацией карбоната лития гидроокисью кальция автор исследовал фазовую диаграмму изотермы  $100^\circ$  для системы  $\text{Li}$ ,  $\text{Ca}[\text{OH}]$ ,  $\text{CO}_3 + \text{H}_2\text{O}$ . Для промышленного произ-ва  $\text{LiOH}$  максим. конц-ия суспензии  $\text{Li}_2\text{CO}_3$  5,52%; наиболее экономично вести процесс при  $100^\circ$ . О. Кнессл

**50739.** Система хлорат лития — хлорид лития — вода

при различных температурах. Кемпбелл, Гриффитс (The system lithium chlorate — lithium chloride — water at various temperatures. Campbell A. N., Griffiths J. E.), Canad. J. Chem., 1956, 34, № 11, 1647—1661 (англ.)

Методами растворимости, термич. анализа, dilatометрии и рентгеноструктурного анализа исследована система  $\text{LiClO}_3 - \text{LiCl} - \text{H}_2\text{O}$ . Получена диаграмма плавкости системы  $\text{H}_2\text{O} - \text{LiClO}_3$ . Описаны гидраты:  $\text{LiClO}_3 \cdot 3\text{H}_2\text{O}$  с конгруэнтной т. пл.  $8,4^\circ$ ;  $\text{LiClO}_3 \cdot \text{H}_2\text{O}$ , стабилен от  $-0,1$  до  $20,5^\circ$ ;  $(\text{LiClO}_3)_4 \cdot \text{H}_2\text{O}$ , стабилен от  $20,5$  до  $42^\circ$ .  $\text{LiClO}_3$  существует в энантиотропных формах  $\alpha$  и  $\beta$ , точка превращения  $99,8^\circ$ . На изотермах 3 и  $6^\circ$ , кроме кривых, отвечающих  $\text{LiClO}_3 \cdot 3\text{H}_2\text{O}$  и  $\text{LiClO}_3 \cdot \text{H}_2\text{O}$ , имеются кривые растворимости  $\text{LiCl} \cdot 2\text{H}_2\text{O}$  и  $\text{LiCl} \cdot \text{H}_2\text{O}$ . На изотерме  $8,5^\circ$  кривая  $\text{LiClO}_3 \cdot 3\text{H}_2\text{O}$  отсутствует, остальные 3 гидрата сохраняются. На изотерме  $25^\circ$  остаются лишь  $(\text{LiClO}_3)_4 \cdot \text{H}_2\text{O}$  и  $\text{LiCl} \cdot \text{H}_2\text{O}$ . Точка превращения дигидрата хлорида лития в моногидрат  $12,5^\circ \pm 0,1^\circ$ . Н. Д.

**50740.** Определение термодинамических данных из температурной зависимости светорассеяния высокомолекулярных веществ в растворе. Кантов (Die Bestimmung thermodynamischer Daten aus der Temperaturabhängigkeit der Lichtstreuung hochmolekularer Stoffe in Lösung. Cantow H.-J.), Z. phys. Chem. (BDR), 1956, 7, № 1-2, 58—79 (нем.)

На основе зависимости между интенсивностью бокового светорассеяния высокомолекулярных р-ров и их осмотич. давлением (теория Смолуховского, Эйштейна, Дебая) проведен расчет дифференциальных энтропии и энтальпии разбавления. Измерена температурная зависимость бокового рассеяния света в р-рах полистирола (I), метилэтилкетона (II) и I-циклогексан (III). Показано, что система I—II представляет регулярный р-р, а система I—III при  $35^\circ$  — псевдоидеальный р-р. Значения хим. потенциалов, энтальпий и энтропий разбавления ( $-0,140$ ;  $-0,140$ ;  $0$  кал/г для системы I—II и  $0,00$ ;  $+1,91$ ;  $+1,91$  кал/г для системы I—III соответственно), полученные из данных светорассеяния, хорошо согласуются со значениями этих термодинамич. величин, полученных из осмотич. и непосредственных калориметрич. измерений, проведенных другими авторами (РЖХим 1954, 39344; 1956, 16278). Ю. Третьяков

**50741.** Равновесие жидкость — твердое тело в идеальных системах. Применение к смесям ксилолов. Чолан (Echilibrul lichid-solid in sisteme ideale. Aplicatie la amestecurile de xileni. Ciolan I.), Rev. chim., 1956, 7, № 12, 690-693 (рум.; рез. русск., нем.) Дан расчетный метод определения фазового равновесия жидкость — твердое тело в идеальных р-рах. Резюме автора

**50742.** Графики пересчета (номограмма № 36). Растворимость воды в дистиллатах минерального масла. Орличек (Graphische Umrechnungsbilder (Nomo-gramm Nr. 36). Die Löslichkeit von Wasser in Mineralöldestillaten. Orlicek A. F.), Mitt. Chem. Forschungsinstit. Wirtsch. Österr., 1956, 10, № 5, 130 (нем.) Номограмма дает значения растворимости воды в дистиллатах минер. масла в зависимости от т-ры и среднего мол. веса и действительна для дистиллатов,

полученных из парафиновых и нафтовых нефтей, не содержащих больших кол-в олефинов; применяма к некрекированным продуктам. Номограмма № 35 см. РЖХим, 1957, 37163.

50743. Изучение растворимости в системе  $\text{UO}_2\text{C}_2\text{O}_4 - \text{H}_2\text{C}_2\text{O}_4 - \text{H}_2\text{O}$ . Большаков К. А., Коровин С. С., Плещев В. Е., Ермакова Т. А., Ж. неорг. химии, 1957, 2, № 1, 222—228

Исследована растворимость в системе  $\text{UO}_2\text{C}_2\text{O}_4 - \text{H}_2\text{C}_2\text{O}_4$  (I) —  $\text{H}_2\text{O}$  при 0°, 25, 40, 50 и 70°, подробно излагается методика определения  $\text{UO}_2^{2+}$ . При 25° растворимость  $(\text{UO}_2)_2\text{C}_2\text{O}_4 \cdot 3\text{H}_2\text{O}$  (II) значительно увеличивается при содержании I до 4 вес.%; дальнейшее увеличение содержания I вызывает незначительное увеличение растворимости II. При повышенных т-рах растворимость I возрастает при увеличении конц-ии I до 11—13 вес.%, дальнейшее повышение конц-ии приводит к уменьшению растворимости II. При 0°, 25, 40, 50 и 70° твердыми фазами в системе являются: III и  $\text{H}_2\text{C}_2\text{O}_4 \cdot 2\text{H}_2\text{O}$ .

50744. Вязкость и плотность жидких систем тринитротолуол — пикриновая кислота и четырех родственных чистых веществ. Мур, Беркардт, Мак-Юан (Viscosity and density of the liquid system TNT-picric acid and four related pure materials. Moore Donald W., Burkardt Lohr A., McEwan William S.), J. Chem. Phys., 1956, 25, № 6, 1235—1241 (англ.)

Измерены вязкость и плотность жидких систем 2,4,6-тринитротолуол-пикриновая к-та и четырех чистых родственных соединений (фениловый эфир, дифенил, 2,4-динитротолуол и 2,4-динитроанизол). Для исследованных смесей и индивидуальных в-в зависимость плотности от т-ры хорошо описывается ф-лой  $\rho = \rho_0 - \beta T$ , где  $\rho_0$  — плотность при 0°. Численные значения  $\rho_0$  и коэф.  $\beta$  приведены в таблице. Зависимость вязкости от т-ры описывается ф-лой  $\lg \eta = A + B/T + C/T^2$ , значения констант приводятся в таблице. Дана теоретич. интерпретация полученных результатов.

50745. Распределение некоторых фторфосфониевых соединений между органическими растворителями и водой. Розентал, Пронер, Эпштейн (The distribution of some phosphonofluorides between organic solvents and water. Rosenthal Robert W., Proper Reuben, Epstein Joseph), J. Phys. Chem., 1956, 60, № 11, 1596—1598 (англ.)

Исследовано распределение между водой и органич. р-рителями четырех фторфосфониевых соединений, имеющих ф-лу  $\text{FP}(\text{O})(\text{OR})\text{R}$ , где  $\text{R} - \text{CH}_3$ ,  $\text{R}' - \text{изо-C}_3\text{H}_7$  (I);  $\text{R} - \text{CH}_3$ ,  $\text{R}' - \text{пипаколил}$  (II);  $\text{R} - \text{C}_2\text{H}_5$ ,  $\text{R}' - \text{изо-C}_3\text{H}_7$  (III);  $\text{R} - \text{CH}_3$ ,  $\text{R}' - \text{циклогексил}$  (IV). Конц-ия фторфосфониевого соединения в обеих фазах определялась колориметрически с помощью видоизмененного о-толуидиново-перборатного метода. Методика определения подробно описана. Получены значения коэф. распределения  $K$  исследованных соединений в  $\text{CHCl}_3$ , симметричном тетрагидроэтане, 1-нитропропане, 1,4-дихлорбутане, нитробензоле, н-пентане,  $\text{CCl}_4$ , бензоле и других р-рителях. Для неполярных органич. р-рителей имеется качество, согласно с теорией растворимости Гильдебранда. В случае применения в качестве р-рителей галоидопроизводных углеводородов большое влияние на растворимость фторфосфониевых соединений оказывает образование ими водородной связи с р-рителями. Значение  $K$  уменьшается с уменьшением способности р-рителя образовывать водородную связь. Образование водородной связи подтверждается результатами изучения спектров поглощения в ИК-области. С укрупнением алкил-радикалов в фторфосфониевом соединении величина  $K$  возрастает.

В. Коган

50746. Селективная экстракция углеводородов в жидкой фазе. Часть I. Равновесие в системе ароматический углеводород — парафиновый углеводород — диоксидинитрил (бис-( $\beta$ -цианэтокс)-1,2-этан). Рипа, Де-Анджелине, Берти (Estrazione selettiva in fase liquida di idrocarburi. Parte I. Equilibri di ripartizione di idrocarburi aromatici e paraffinici con un diossidinitrile (bis-( $\beta$ -cianoetossi)-etano 1.2). Ripa D., De Angelis A., Berti V.), Riv. combust., 1956, 10, № 11, 803—829 (итал.; реэ. англ., нем., франц.)

Исследованы свойства бис-( $\beta$ -цианэтокс)-1,2-этана (I) в качестве селективного р-рителя для ароматич. углеводородов. Описан синтез I и эксперим. определение растворимости при 25° ряда тройных систем типа ароматич. углеводород — н-гептан — I. Определены экстрактивная способность и селективность I, оказавшиеся весьма пригодными для разделения ароматич. углеводородов от неароматич. На основании сравнения данных по растворимости в I и в других р-рителях сделан вывод о перспективности извлечения ароматич. углеводородов из фракций нефти с помощью I.

Резюме авторов

50747. Равновесное распределение гидроперекиси кумола между водой и кумолом. Ямада, Като (Partition equilibrium of cumene hydroperoxide between water and cumene. Yamada Shigehiko, Kato Tokio), Bull. Chem. Soc. Japan, 1956, 29, № 8, 919—920 (англ.)

Исследовано распределение гидроперекиси кумола (I) между водой и кумолом при 10, 20, 35 и 50°. На основании эксперим. данных высчитались константы распределения  $K = c_2/c_1$ , где  $c_2$  — конц-ия I в водн. слое,  $c_1$  — конц-ия в кумольном слое, в моль/л. При постоянной т-ре  $K$  в пределах ошибок опыта не зависит от конц-ии I. Для зависимости  $K$  от  $T$  предложена приближенная ф-ла:  $K = 1,34 \cdot 10^{-4} \exp 1580/T$ . Теплота переноса 1 моля I из р-ра кумола в воду равна 3,16 ккал/моль.

С. Бык

См. также: Фазовые переходы 51473. Термохимия 51002. Термодинамика: кристаллов 50487; силикатов 51915; высокополимеров 51485; колл. р-ра 50935; газов 50613; растворов 50831; теплоемкость рутла 51914. Равновесия 50452, 51382. Физ.-хим. анализ систем: металлич. 50559, 50560, 50587, 50717; неорганич. 50452, 50519, 50520, 50522, 50523, 50731, 50732, 51799, 51911, 51912. Приборы и методы 51059, 51060, 51685—51689. Термодинамич. св-ва триметиленоксида 50448

## КИНЕТИКА. ГОРЕНИЕ. ВЗРЫВЫ. ТОПОХИМИЯ. КАТАЛИЗ

Редакторы Х. С. Багдасарьян, А. С. Соколик, А. Б. Шефтер

50748. Реакция радикалов в газовых системах, Стиен (Reactions of radicals in gaseous systems. Steacie E. W. R.), J. Chem. Soc., 1956, Oct., 3986—3996 (англ.)

Обзор. Библ. 18 назв.

Х. В.

50749. Скорости изотопных реакций между металлом и водородом. Поланьи (Rates of isotopic reactions between methyl and hydrogen. Polanyi J. C.), J. Chem. Phys., 1955, 23, № 8, 1505—1513 (англ.); Исправления (Erratum), 1956, 24, № 2, 493

На основе теории абс. скорости р-ций вычислены константы скоростей р-ций  $\text{CH}_3$  и  $\text{CD}_3$  с  $\text{H}_2$ , HD, DH и  $\text{D}_2$ , причем поверхность потенциальной энергии для этих р-ций строилась по методу (Gorin и др., J. Chem. Phys., 1939, 7, 633) и имела впадину  $\sim 8$  ккал, соответствующую  $\text{CH}_3$ . Несовпадение вычисленных и

эксперим. величин констант указывает на неприменимость метода Горина и др. Используя «симметричную» поверхность, на которой отсутствовали энергетич. впадины, авторы получили хорошее совпадение расчетных и эксперим. данных. В. Веденев

**50750. Скорости реакции атомов натрия с ароматическими галогенидами. Райдинг, Скэнлан, Уорхерст** (Rates of reaction of sodium atoms with aromatic halides. Riding F., Scanlan J., Warhurst E.), Trans. Faraday Soc., 1956, 52, № 10, 1354—1362 (англ.)

Методом диффузионных пламен Поляни определены константы скорости ( $k$ ) р-ции паров Na с  $C_6H_5Cl$ ,  $C_6H_5Br$  и их монозамещенными, а также с хлор- и бромипридинами. По характеру влияния заместителя на скорость р-ции все соединения распадаются на две группы. В первой группе, включающей заместители  $OSCH_3$ ,  $OH$ ,  $Cl$  и  $F$ ,  $k$  возрастает в ряду: орто > мета > пара > без заместителя, во второй группе, включающей заместители  $CN$  и  $COOCH_3$ ,  $k$  возрастает в ряду орто > пара > мета > без заместителя. Полученные результаты рассмотрены с точки зрения участия ионных структур в переходном состоянии. Для 28 соединений измерена упругость пара при 1-ой—2-х т-рах в области от  $-40$  до  $0^\circ$ . Х. Багдасарян

**50751. Применение радиоактивного углерода  $C^{14}$  для исследования окисления углеводородов в газовой фазе. Нейман М. Б., Луковников А. Ф., Феклисов Г. И.** В сб.: Вопр. хим. кинетики, катализа и реакционной способности. М., Изд-во АН СССР, 1955, 184—196

Обзор работ авторов по исследованию окисления ряда углеводородов и ацетальдегида с применением изотопа углерода  $C^{14}$ . Описано разделение смеси альдегидов и спиртов хроматографич. методом. Для измерения активности  $C^{14}O$  и  $C^{14}O_2$  применяется счетчик внутреннего наполнения с использованием бутана для приготвления рабочей смеси. Методика применена для изучения вероятности образования альдегидов из различных атомов углеродной цепи при окислении  $C_3H_8$ ,  $C_4H_{10}$  и  $C_5H_{12}$  и показано, что  $C_2H_5O$  и  $C_2H_5CHO$  образуются из всех углеродных атомов. М. Нейман

**50752. Несколько замечаний относительно линейных уравнений Хамметта, Винштейна и Грюнвальда. Видлютте-Стейнерт, Фиренс, Ханнарт** (Quelques remarques relatives aux équations linéaires de Hammett et de Winstein et Grunwald. Wilputte-Steinert L., m-me, Fierens P. J. C., Hannaert H.), Bull. Soc. chim. belges, 1955, 64, № 9-10, 628—634 (франц.; рез. англ.)

Предложено ур-ние, обобщающее ур-ние Хамметта (1) и уравнение Винштейна и Грюнвальда (2) для сольво-литич. р-ций в р-рах, в виде  $\lg k_{Xx} = \alpha (\lg k_{Xo} - \lg k_{Oo}) (\lg k_{Ox} - \lg k_{Oo}) + (\lg k_{Xo} - \lg k_{Oo}) + (\lg k_{Ox} - \lg k_{Oo}) + \lg k_{Oo}$  (3). Здесь  $k$  — константа скорости; первые индексы означают:  $X$  — производные с заместителями (образующие ряд),  $O$  — соединение, взятое за стандарт. Вторые индексы у  $k$ :  $x$  — р-рители, образующие ряд,  $o$  — р-ритель, взятый за стандарт,  $\alpha$  — константа, равная  $\alpha = (m_x - 1) / \sigma_x = (\rho_x - 1) / Y_x$ , где  $\rho_x$  и  $\sigma_x$  — константы ур-ния (1), а  $m_x$  и  $Y_x$  — константы ур-ния (2). Ур-ние (3), так же как (1) и (2), выполняется для р-ций, идущих по механизму  $S_N 1$ . Предполагается, что эти ур-ния могут выполняться также и в другом крайнем случае р-ций нуклеофильного замещения ( $S_N 2$  предельно), когда скорость р-ции определяется только образованием новой связи, а стадия разрыва не входит в кинетич. ур-ние. Между этими крайними случаями ( $S_N 1$  и  $S_N 2$  предельно) лежат р-ции, протекающие по механизму  $S_N 2$ , характеризующиеся раз-

личным соотношением баланса образования — разрыва связи. А. Шиллов

**50753. Применение высокого давления для исследования механизма химических реакций. Гоникберг М. Г.** В сб.: Вопр. хим. кинетики, катализа и реакционной способности. М., Изд-во АН СССР, 1955, 374—382

Обзор работ по влиянию давления на скорость р-ций крекинга и гомог. деструктивного гидрирования толуола в газовой фазе и на скорость изотопного обмена, полимеризации и изомеризации в жидкой фазе. М. Нейман

**50754. Химическая кинетика и полярография. Швабе** (Chemische Kinetik und Polarographie. Schwabe Kurt), Abhandl. Sächsisch. Akad. Wiss. Leipzig, 1955, 44, № 6, 1—19 (нем.)

Полярографический метод анализа применен для ряда кинетич. исследований. Р-ция гидратации  $C_2H_2$  в присутствии солей Hg изучалась путем полярографич. определения ацетальдегида (РЖХим, 1955, 51497). Путем полярографич. определения цитраля изучена скорость его циклизации в парацимол в присутствии 4 н.  $H_2SO_4$  при  $25^\circ$ . Р-ция 1-го порядка, причем константа скорости  $k$  пропорциональна активности ионов  $H^+$  и сильно зависит от конц-ии  $C_2H_5OH$  ( $c$ ) в р-ре. При  $45^\circ$  в 1 н.  $H_2SO_4$ ,  $k = 0,509 \exp(-0,0452 c)$ . Получены эмпирич. зависимости для циклизации цитраля, катализируемой различными к-тами,  $\lg k = \lg \alpha + \beta \lg K$  ( $\alpha$  и  $\beta$  — константы,  $K_s$  — константа диссоциации к-ты) и для катализированного LiOH разложения цитраля на ацетальдегид и метилгептенол  $\lg k' = -11 + \lg 1,32 + 0,72 pH$  ( $k'$  — константа скорости р-ции при  $35^\circ$ ). Полярографич. методом изучена также кинетика окислительно-восстановительных р-ций ряда органич. красок. Результаты опытов удовлетворяют эмпирич. зависимости  $\lg k_1 = -c \lg \frac{1}{L} + L = -c' \Delta g^0 + L$ , где  $k_1$  — константа скорости,  $\frac{1}{L}$  — потенциал полувольты,  $\Delta g^0$  — термодинамич. потенциал,  $c$ ,  $c'$  и  $L$  — константы. М. Нейман

**50755. Прикладная химическая кинетика. XV. Взрывные реакции. Юнгерс, Лепренс** (Cinétique chimique appliquée. XV. Les réactions explosives. Junger J. C., Leprince P.), Rev. Inst. franç. pétrole, 1956, 11, № 11, 1406—1469 (франц.)

Часть XIV см. РЖХим, 1956, 77649.

**50756. Реакция в газовой фазе между NO и  $N_2O_5$ . Джэк** (The gas phase reaction between nitric oxide and nitrogen pentoxide. Jack J.), Trans. Faraday Soc., 1957, 53, № 1, 41—43 (англ.)

Газофазная р-ция между NO (20 мм рт. ст.) и  $N_2O_5$  изучалась по поглощению света при  $25^\circ$  в присутствии  $CO_2$ ,  $SF_6$ ,  $N_2$  и  $CF_4$ . С ростом конц-ии  $N_2O_5$  от 3 до 12 мм рт. ст. константа скорости р-ции  $k$  растет от  $2,0 \cdot 10^{-2}$  до  $3,5 \cdot 10^{-2}$  сек. $^{-1}$ . В присутствии большого избытка  $CO_2$  (1600 мм рт. ст.)  $k$  равна  $5,5 \cdot 10^{-2}$  сек. $^{-1}$  и не зависит от конц-ии  $N_2O_5$  в пределах 2—12 мм рт. ст. Полученные результаты согласуются с теорией мономолекулярных р-ций Линдемана. А. Помянский

**50757. Образование этана при крекинге пропана. Медведева Н., Нейман М., Торсуева Е.** (Formation de l'éthane lors du craquage du propane. Medvedeva Nina, Neiman Moïse, Torsoueva Hélène, m-lle), C. r. Acad. sci., 1956, 243, № 17, 1203—1205 (франц.)

Кинетическим методом (РЖХим, 1956, 9348) проверялась правильность предположения о том, что  $C_2H_6$  при крекинге  $C_3H_8$  образуется в результате рекомбинации радикалов  $CH_3$  (Rice F. O., J. Amer. Chem. Soc., 1931, 53, 1959). Крекинг  $C_3H_8$  (350 мм рт. ст.) с примесью  $C_3^{14}H_8$  (3,5 мм) и  $C_2H_6$  (2 мм) проводился при  $574^\circ$ . Продукты р-ции ( $CH_4$ ,  $C_2H_6$ ,  $C_2H_4$ ,  $C_3H_6$  и  $C_3H_8$ ) разделялись хроматографич. методом; определялось их



кол-во и уд. активности  $C_2H_4$  (a) и  $C_2H_6$  (b). Из основного ур-ния кинетич. метода следует, что в точке максимума уд. активности  $C_2H_6$   $a = b$ , если единственным предшественником  $C_2H_6$  является  $C_2H_4$ . Опыты показали, что действительно в момент времени, отвечающий максимуму b, величины a и b равны, т. е. основное кол-во  $C_2H_6$  получается путем гидрирования  $C_2H_4$ , а не путем рекомбинации радикалов  $CH_3$ . Этот вывод был подтвержден путем сравнения кол-ва образовавшегося  $C_2H_4$   $c = \int [C_2H_4] d \ln a$  суммой  $[C_2H_4] + [C_2H_6]$ . Эти величины оказались равными, что указывает на то, что расходующийся  $C_2H_4$  превращается в  $C_2H_6$ . Установлено также, что  $C_2H_4$  не является конечным продуктом р-ции крекинга, как предполагалось раньше. М. Пейман

**50758. Пиролиз ацетона. Теоретическое и практическое изучение образования кетена при пиролизе ацетона в лампах с нагретой проволокой.** Жибо (Pyrolyse de l'acétone. Etude théorique et pratique d'une lampe à cétène. Gibaud Alain), Ann. chimie, 1955, 10, juill.-août., 590—636 (франц.).

Распад ацетона на нагретой нихромовой проволоке ( $d = 0,4$  мм,  $l = 3,5$  м) при 700—750° следует брутто-уравнению:  $CH_3COCH_3 \rightarrow CH_4 + CH_2CO$ ,  $CH_3COCH_3 \rightarrow C_2H_6 + CO$ ,  $CH_2CO \rightarrow CO + \frac{1}{2}C_2H_4$ ,  $CH_2CO \rightarrow CO + \frac{1}{2}C_2H_2 + \frac{1}{2}C$ . Выход кетена увеличивается при увеличении длины проволоки, повышении концентрации ацетона и понижении глубины р-ции. Средний состав газа (в %):  $CH_2CO$  37,5, CO 10,2,  $C_2H_4$  4,  $CH_4$  46,3,  $C_2H_6$  2,1. Наряду с газообразными продуктами в небольших кол-вах образуются жидкие продукты р-ции: уксусная к-та, ацетониллацетон, метилэтилкетон и др. С. Поляк

**50759. Изучение пиролиза. Часть VI. Конкурирующие направления в пиролизе ацилцианидов и их димерных форм.** Беннет, Джонс, Ритчи. Часть VII. Модельные системы для пиролиза поли-(этилтерепфалата): 2,2'-дibenзоилоксидиэтилэфир, 2-benzoилоксидиэтилэфир и некоторые другие винилэфиры. Нэнгар, Ритчи (Studies in pyrolysis. Part VI. Competitive routes in the pyrolysis of acyl cyanides and their dimeric forms. Bennet R. N., Jones E., Ritchie P. D. Part VII. Model systems for the pyrolysis of poly(ethylene terephthalate): 2,2'-dibenzyloxydiethyl ether, 2-benzyloxydiethyl vinyl ether, and certain related vinyl ethers. Iengar H. V. R., Ritchie P. D.), J. Chem. Soc., 1956, Aug., 2628—2631; Sept., 3563—3570 (англ.).

VI. В струевых условиях в токе  $N_2$  изучался пиролиз цианистого ацетила (470°, пирексовый реактор), цианистого бензоила (470°, стальной реактор) и  $\alpha,\alpha$ -дихлорбензилбензоата (500°, пирексовый реактор). При распаде цианистого ацетила выделены: среди газовых продуктов CO (60,3%), ненасыщ. углеводороды (1,3%),  $N_2$  (38,4%) и кетен; в жидкой фракции HCN, ацетонитрил и цианистый ацетил. Образование продуктов предполагается по схеме  $CH_3COCN \rightarrow CO + CH_3CN$  (1) и  $CH_3COCN \rightarrow HCN + CH_2CO$  (2), причем р-ция (1) преобладает. При пиролизе цианистого бензоила образующийся газ состоит из CO (44%) и  $N_2$  (56%); в жидкости, кроме смолы, выделены бензонитрил и цианистый бензоил. При пиролизе  $\alpha,\alpha$ -дихлорбензилбензоата выделены: в газе CO,  $CO_2$ , HCN и  $N_2$ ; в жидкости бензол, бензойная к-та, бензонитрил, дифенилмалонитрил, а также смола и твердый углеродистый продукт. Предложена схема р-ции. Г. Капалова

VII. ИК-спектроскопич. и хим. анализами продуктов пиролиза 2,2'-дibenзоилоксидиэтилового эфира (I) при 450—500° в струе, в пирексовом реакционном сосуде обнаружено, что пиролизат содержит ацетальдегид (II), бензойную к-ту (III), винилбензоат (IV), этилдибензоат (V), винилэфир, ангидрид бензойной к-ты, стирол, ацетофенон,  $C_6H_6$ ,  $C_2H_4$ ,  $C_2H_2$ ,  $CH_4$ , CO

и  $CO_2$ . Предполагается, что пиролиз I включает следующие стадии: 1) расщепление одной из двух эфирных групп I с образованием III и 2-benzoилоксидиэтилвинилэфира (VI); 2) расщепление эфирной группы VI с образованием IV и II или же III и IV в диспропорционировании VI с образованием V и 1,2-двинилоксиэтана; 3) дальнейший крекинг всех продуктов, образовавшихся в стадиях 1 и 2. Анализ продуктов проводился в тех же условиях пиролиза VI, а также дивинил-, *n*-бутилвинил- и изобутилвинилэфиров подтверждает схему, предложенную для пиролиза I. Наличие  $C_2H_4$  в продуктах пиролиза, по мнению авторов, указывает на то, что пиролиз, или по крайней мере некоторые его стадии, протекают по радикально-цепному механизму. Обсуждено отношение полученных результатов к пиролизу технич. поли-(этилтерепфалата). Часть V см. РЖХим, 1957, 40663. Г. Королев

**50760. Об окислении и самовоспламенении парафиновых углеводородов в газовой фазе.** Фрелинг, Дюльё (Sur l'oxydation et l'inflammation spontanée en phase gazeuse des hydrocarbures paraffiniques. Fréling Eugène, Dugleux Pierre), C. r. Acad. sci., 1956, 242, № 20, 2462—2465 (франц.).

Анализ данных по самовоспламенению парафиновых углеводородов приводит авторов к выводу, что концы углеводорода, соответствующая максим. скорости окисления, понижается с повышением т-ры, приближаясь к стехиометрической. Принимая, что с повышением т-ры происходит постепенный переход от р-ции через перекиси  $HOON$  к р-ции через перекисные радикалы  $ROO$  и через окислительный крекинг с разрывом связей C—C, авторы определяют концы, соответствующие миним. значению т-ры воспламенения в различных температурных зонах. Результаты расчета сопоставлены с опытными данными. А. Соколик

**50761. Влияние комплексобразования на гомогенное восстановление молекулярным водородом солей двухвалентной ртути в водных растворах.** Коринек, Халперн (Effects of complexing on the homogeneous reduction of mercuric salts in aqueous solution by molecular hydrogen. Korinek G. J., Halpern J.), Canad. J. Chem., 1956, 34, № 10, 1372—1381 (англ.).

При 65—123°, в автоклаве, под давл. 4—10 атм  $H_2$  в водн. р-рах изучалась кинетика восстановления солей Hg (2+) до Hg (1+) или до металлич. Hg. Предполагается, что лимитирующей стадией всех этих р-ций является активация  $H_2$  при бимолекулярном взаимодействии с Hg (2+). В случае  $Hg(NO_3)_2$  и  $Hg(ClO_4)_2$  константы скорости ( $k = 0,397$  л/моль сек при 86°) равны между собой и не зависят от кон-ции добавки того же аниона. По мнению авторов, это обусловлено тем, что в обоих случаях агентом, активирующим  $H_2$ , является ион  $Hg^{2+}$ . Добавление аниона  $SO_4^{2-}$  увеличивает  $k$ , причем при  $[SO_4^{2-}] > 0,25$  моль/л  $k$  достигает предельной величины 0,69 л/моль сек при 86°. В случае  $HgCl$   $k = 0,0075$  (123°) и  $HgBr$   $k = 0,005$  (123°); с увеличением  $[Cl^-]$  или  $[Br^-]$   $k$  также возрастает до предельного значения. В случае  $Hg(CH_3COO)_2$   $k = 1,3 \cdot 10^{10} \exp[-19400/RT]$  и  $Hg(C_2H_5COO)_2$   $k = 0,021$  (90,2°);  $k$  линейно возрастает с увеличением кон-ции соответствующих анионов. В случае  $Hg(En)_2^{2+}$ ,  $k = 0,003$  (123°) и при наличии избытка En в р-ре добавки  $OH^- > CO_3^{2-} > C_2H_5COO^-$ ,  $CH_3COO^- > ClO_4^-$  увеличивают  $k$ , причем эффективность их возрастает в порядке увеличения основности. Реакционная способность комплексов как активаторов  $H_2$  убывает в том же порядке, в котором возрастает их стабильность:  $HgSO_4 > Hg^{2+} > Hg(CH_3COO)_2$ ,  $Hg(C_2H_5COO)_2 > HgCl_2 > HgBr_2 > Hg(En)_2^{2+}$ . Результаты обсуждены с точки зрения следующего механизма восстановления при активации  $H_2$  ионом  $Hg^{2+}$ :  $Hg^{2+} + H_2 \rightarrow Hg^0 + 2H^+$  (медленно).  $Hg^0 + Hg^{2+} \rightarrow Hg_2^{2+}$  (быстро). Г. Королев

**50762. Кинетика гидратации в щелочной среде три-метафосфата натрия.** Инделли (Misura cinetica sull'idratazione alcalina del trimetaphosfato di sodio. Indelli Antonio), Ann. chimica, 1956, 46, № 5-6, 367—386 (итал.)

Кондуктометрическим исследованием р-ции между Na-триметафосфатом и NaOH установлено, что р-ция протекает по 2-му порядку и константа скорости р-ции выражается ур-нием  $\lg k = \lg k_0 + c \sqrt{\mu}$  (где  $\mu$  — ионная сила), формально аналогичным ур-нию Брэнштеда, однако коэфф.  $c$  равен приблизительно  $1/3$  от значения, предсказываемого теорией, и его изменение с т-рой противоположно ожидаемому на основании теории ионного взаимодействия. На основании криоскопич. исследования водн. р-ров Na-триметафосфата с учетом коэфф. активности NaOH показано, что при больших разведениях скорость р-ции точно описывается ур-нием Брэнштеда. При экстраполяции результатов, полученных при различных т-рах, к значению  $\mu = 0$  для энергии активации получена величина 18,2 ккал/моль.

В. Щекин

**50763. Иницированное персульфатом окисление виниловых мономеров в водных растворах.** Дайер, Пиккетт, Страус, Уоррелл (The persulfate-initiated oxidation of vinyl monomers in aqueous solutions. Dyer Elizabeth, Pickett Oscar A., Jr, Strause F., Worrell Howard E., Jr), J. Amer. Chem. Soc., 1956, 78, № 14, 3384—3388 (англ.)

Кинетика окисления акрилонитрила (I), метилвинилкетона (II) и метакрилонитрила (III) молекулярным  $O_2$  в водн. р-ре в присутствии  $K_2S_2O_8$  изучалась при 50° по поглощению  $O_2$  и полярографически. Главный продукт окисления I — глицеронитрил (IV) — образуется, по мнению авторов, в результате распада неустойчивой в водн. р-ре полимерной перекиси (ПП) I. Обнаружены также HCN, HCOOH,  $CO_2$  и гликолевая к-та, которые образуются в результате обратимого распада IV. Из продуктов окисления II идентифицированы только  $CO$ ,  $CO_2$  и HCOOH. В продуктах окисления III обнаружены: значительное кол-во ПП, HCN,  $CH_2O$  и цианогидрин оксикетона. Образование их также объясняется распадом ПП. Кинетика р-ции описывается ур-ниями  $-d[M]/dt = K[K_2S_2O_8]^a [M]^b - d[O_2]/dt = -d[O_2]/dt = K''[K_2S_2O_8]^c [M]^d$ , где  $a, b, c$  и  $d$  — дробные числа. Такая зависимость согласуется с предположением, что основным процессом является социализация M и  $O_2$ , инициированная распадом  $S_2O_8^{2-}$  и р-цией  $S_2O_8^{2-}$  с молекулой мономера. Д. Кнорре

**50764. Кинетика гидролиза циановой кислоты.** Эймелл (Kinetics of the hydrolysis of cyanic acid. Amell Alexander R.), J. Amer. Chem. Soc., 1956, 78, № 24, 6234—6238 (англ.)

Скорость гидролиза KCNO в кислой среде определяется по скорости добавления р-ра HCl при постоянном pH. Начальная скорость  $w$  гидролиза зависит от конц-ии цианата  $c$ , а не от ионной силы р-ра и может быть представлена ур-нием  $w_0 = k_1(HO-CN) + k_2(OH^-)(HO-CN)^2$ ;  $k_1 \times 10^2$  в (мин.<sup>-1</sup>) равна 6,4 при 20°, 9,0 при 28° и 15,5 при 35°, а  $k_2 \times 10^{-4}$  (л/моль мин.) равна 0,59 при 20°, 2,9 при 28° и 5,3 при 35°. Найдена константа K ионизации HO-CN. Теплота и свободная энергия диссоциации равны соответственно 1,3 и 5 ккал/моль.

Г. Капразова

**50765. Влияние растворителя на разложение нитроамида, катализированное диметиланилином.** Калдин, Пикок (Solvent effects in the decomposition of nitramide catalyzed by dimethylaniline. Caldin E. F., Peacock J.), Trans. Faraday Soc., 1955, 51, № 9, 1217—1231 (англ.)

По методу, описанному ранее (Bell, Caldin, Trans. Faraday Soc., 1952, 47, 50), измерены скорости разло-

жения  $NH_2NO_2$  при 10—65° в следующих р-рителях (первая цифра — каталитич. константы ( $k$ ) в л/моль сек; вторая — энергия активации ( $E$ ) в ккал/моль; третья —  $\lg A$  ( $A$  — предэкспонент)): дибутыловый эфир  $5,2 \cdot 10^{-4}$  (45°), 18,4, 9,3; бензонитрил  $10,6 \cdot 10^{-4}$  (25°), 16,2, 8,9; нитробензол  $35,8 \cdot 10^{-4}$  (25°), 14,9, 8,5; бензол  $46,1 \cdot 10^{-4}$  (25°), 11,6, 6,1; дифениловый эфир  $71,1 \cdot 10^{-4}$  (27°), 12,0, 6,6; м-крезол  $195,0 \cdot 10^{-4}$  (20°), 14,8, 10,3; хлорбензол  $139 \cdot 10^{-4}$  (25°), 12,3, 7,2. Полученные результаты обсуждены с точки зрения электростатич. теории и теории сольватации. Изучена кинетика разложения  $NH_2NO_2$  в бензоле в присутствии различных катализаторов (анилина, метил-, диметил-, этил- и м-хлоранилинов); сравнением рассчитанной по этим данным величины показателя степени  $\alpha$  в ур-нии Брэнштеда с  $\alpha$  для разложения  $NH_2NO_2$  катализированного аминами, в других р-рителях установлено, что величина  $\alpha$  зависит от природы р-рителя. Путем сопоставления большого числа литературных данных по влиянию р-рителей на кинетику р-ции, включающих новую стадию, показано, что электростатич. теория непригодна для таких р-ций и что р-рители можно подразделить на 3 группы: ароматические (при переходе от одного р-рителя этой группы к другой  $E$  почти не меняется, а  $k$  и  $A$  возрастают с увеличением диэлектрич. постоянной ( $D$ ) р-рителя), алифатические ( $E$  и  $A$  в таких р-рителях больше, а  $k$  меньше, чем в ароматич. р-рителях с той же  $D$ ) и гидроксильные ( $E$ ,  $A$  и  $k$  больше, чем для ароматических). Различие  $E$  и  $A$  в различных р-рителях может быть отнесено за счет изменения условий сольватации.

Г. Королев  
**50766. Исследование кинетики автоокисления  $\Delta^3$ -карена.** Ерофеев В. В., Чирко А. И., Уч. зап. Белорусск. ун-т, 1956, вып. 29, 3—14

Кинетика автоокисления  $\Delta^3$ -карена (I) изучалась по поглощению  $O_2$  при 25—65°. В качестве инициаторов применялись ацетаты Co и Mn, стеарат Co, MnO и  $MnO_2$ . Добавка 0,5% стеарата Co снижает энергию активации окисления I с 21,4 (неиницированная р-ция) до 9,5 ккал/моль. Начальная скорость автоокисления I в смеси с бензолом пропорциональна мол. доле I в степени 2,5. Максимум скорости р-ции растет при увеличении конц-ии инициатора до 1% и падает при дальнейшем увеличении конц-ии инициатора. В опытах с добавкой уксуснокислого Mn показано, что последний превращается в  $MnO$  и уксусную к-ту. Авторы считают, что образование этих в-в происходит по схеме  $MX + RH \rightarrow M + R + HX$ ,  $M + \frac{1}{2}O_2 \rightarrow MO$ .

3. Майзус  
**50767. Окисление бензола.** Норриш, Тейлор (The oxidation of benzene. Norrish R. G. W., Taylor G. W.), Proc. Roy. Soc., 1956, A234, № 1197, 160—177 (англ.)

В струе при атмосферном давлении изучено окисление  $C_6H_6$  при 680—685° и пиролиз при 685—900°. Окисление смесей (в скобках давл. в мм рт. ст.)  $C_6H_6$  (96)  $O_2$  (80)  $N_2$  (584) протекает автокаталитически; уменьшение конц-ии  $C_6H_6$  и увеличение конц-ии образующихся при окислении  $C_6H_6$  продуктов ( $C_6H_5OH$ ,  $CO$ ,  $CO_2$ ,  $H_2O$ ,  $H_2$ ) происходит до момента полного выгорания  $O_2$  после чего конц-ии всех в-в в системе больше не меняются. При увеличении конц-ии  $O_2$  расход  $C_6H_6$  и выход продуктов р-ции увеличиваются, причем кол-во образующегося  $C_6H_5OH$  проходит через максимум, соответствующий конц-ии  $O_2$  при самовоспламенении смеси. В продуктах окисления  $C_6H_6$  качественно идентифицированы также катехол, хинол, дифенил, антрацен,  $C_2H_2$  и другие  $C_2$ -углеводороды,  $CH_2O$ , HCOOH и следы  $CH_4$ ; перекиси не обнаружены. В продуктах пиролиза  $C_6H_6$  найдены дифенил,  $H_2$ ,  $C_2H_2$  и другие  $C_2$ -углеводороды. Добавки  $> 10\%$   $O_2$  полностью ингибируют образование дифенила. Авторы предполагают, что молекула  $C_6H_6$  последовательно гидроксилируется

до дигидроксibenзола, а затем распадается на части, дальнейшее окисление которых представляет собой разветвленно-цепной процесс, аналогичный р-ции окисления алифатич. углеводов. В низкотемпературной области (200—600°) окисление  $C_6H_6$  не происходит.

Г. Королев  
50768. О влиянии  $\pi$ -электронов в молекулах углеводов на изотопный обмен водорода в них при катализе амидом калия. Шатенштейн А. И., Израйлевич Е. А., Докл. АН СССР, 1956, 108, № 2, 294—297

В развитие прежних работ (РЖХим, 1955, 45507; 23295) по дейтеробмену между этиленовыми углеводородами и жидким дейтероаммиаком, катализируемого  $KND_2$ , исследован обмен в 2-метилоктене-2, пентене-4, тридецено-6. В этих углеводородах на D обмениваются все атомы H; т. е. в алкенах с прямой цепью углеродных атомов происходит полный обмен H независимо от длины цепи и положения двойной связи. Опыты с алициклогексаном показали, что наличие двойной связи в боковой цепи обеспечивает полный обмен H в молекуле алициклич. углеводорода, а опыты с пропициклогексаном говорят о том, что если двойная связь находится в цикле, то обмениваются все атомы H не только в цикле, но и в боковой цепи. Указанные явления связываются с возможной изомеризацией ненасыщ. углеводородов при действии  $KND_2$ . Составляется гипотеза, что катализ основан на и других катализаторах. В гидриндене и фенилциклогексане наряду с атомами H ароматич. кольца происходит обмен на D атомов H алифатич.  $\alpha$ -CH-связей. Это согласуется с прежними наблюдениями над дейтеробменом между  $ND_3$  и тетралинами или алкилбензолами (РЖХим, 1955, 9218) и объяснено эффектом сд.-соединения.

А. Шатенштейн  
50769. Обмен  $Cl^{36}$  между хлор-ионом и хлоркислородом фосфора, треххлористым мышьяком или хлоркислородом селена. Льюис Ч. С. (Exchange of chlorine-36 between chloride ion and phosphorus oxychloride, arsenic trichloride, or selenium oxychloride. Lewis J. Sowerby D. B.), J. Chem. Soc., 1957, Jan., 336—342 (англ.)

Установлено, что полный обмен  $Cl^{36}$  между хлористым тетраэтиламмонием (I) и  $POCl_3$ , хлористым тетраэтиламмонием и  $AsCl_3$  и  $KCl$  или  $NaCl$  с  $SeOCl_2$  протекает нацело за несколько минут. Скорость обмена  $Cl^{36}$  между I и  $POCl_3$  в р-ре в ацетонитриле и  $CHCl_3$  пропорциональна [I] и  $[POCl_3]$ , причем константа скорости ( $л.сек^{-1}моль^{-1}$ ) в ацетонитриле при  $-20^\circ$  равна 2, в  $CHCl_3$  при  $25^\circ$  0,035, а энергии активации равны соответственно 13,5 и 17,6 ккал/моль. Авторы считают, что обмен идет не в результате самоионизации р-рителя, а, по-видимому, через промежуточный ион  $POCl_2^-$ .

Д. Кнорре  
50770. Кинетика разложения малоновой кислоты в ароматических аминах. Кларк (The kinetics of the decomposition of malonic acid in aromatic amines. Clark Louis Watts), J. Phys. Chem., 1956, 60, № 9, 1340—1341 (англ.)

Р-ция разложения малоновой к-ты (I) в анилине и пиридине имеет 1-й порядок. Константы скорости при  $140^\circ$  (сек. $^{-1}$ , первая цифра) и энергии активации (ккал/моль, вторая цифра) равны соответственно в анилине 0,0050; 22,8 и в пиридине 0,0126; 26,0. Разложение I при  $140^\circ$  в анилине в 21, а в пиридине в 52 раза быстрее, чем разложение расплавленного I. Д. Кнорре

50771. Восстановление нитробензола с помощью  $TiCl_3$ . Имото, Накамура, Хамагути (三氯化チタンによるニトロベンゼンの還元過程. 井本英二, 中村喜光, 浜口隆也), 工業化学雑誌, Kōgō Kagaku zasshi, J. Chem. Soc. Japan. Industr. Chem. Sec., 1956, 59, № 1, 95—98 (японск.)

Исследовано восстановление  $C_6H_5NO_2$  в присутствии  $TiCl_3$  в смеси  $HCl$  и  $C_2H_5OH$ . Предложен механизм р-ции.

Chem. Abstrs, 1957, 50, № 2, 1052. Katsuya Inouye  
50772. Жидкофазная реакция окиса пропилена с метанолом. Пекорини, Банкери (Propylene oxide—methanol liquidphase reaction. Pecorini H. A., Banchemo J. T.), Industr. and Engng Chem., 1956, 48, № 8, 1287—1297 (англ.)

Кинетика р-ции окиса пропилена (I) с  $CH_3OH$  изучалась в стеклянном реакторе при атмосферном давлении и в реакторе из монель-металла при давл.  $\leq 17$  атм и  $35-100^\circ$  в присутствии  $NaOH$ . За ходом р-ции наблюдали путем ацидиметрич. определения конц-ии I и по изменению показателя преломления системы. Р-ция велась в избытке  $CH_3OH$ , так что основным продуктом был метоксипропанол (II) и до 3% метоксидипропиленгликоля (III). Скорости образования II и III равны  $3,24 \cdot 10^{13} \exp(-17800/RT) [NaOH]_0 [I] [II]/n_1$  и  $3,15 \cdot 10^{10} \times \exp(-14600/RT) [NaOH]_0 [I] [II]$ , где  $n_1$  — суммарное число молекул на 100 г смеси, время — в часах, конц-ии — в молях и 100 г смеси. В отсутствие  $NaOH$  образование III идет со скоростью  $2,5 \cdot 10^6 \exp(-16900/RT) [I] [II]/n_1$ , которая становится соизмеримой со скоростью катализированной р-ции лишь при конц-ии  $NaOH < 0,015$ . По мнению авторов, реакция идет путем присоединения иона  $CH_3O^-$  к I.

Д. Кнорре  
50773. Исследование реакции Меншуткина. I. Кинетика реакции хинолина с йодистым метилом в салициловом альдегиде. Ли Цзо-цзунь, Ли Ван-чан, Сунь Чэн-а (Меншуткин 反應的研究. 1. 喹啉—碘甲烷在水杨醛中的反应动力学. 李作俊, 李旺长, 孫承壽), 化學學報, Huaxue xuebao, Acta chimica sinica, 1956, 22, № 5, 386—390 (кит.; рез. англ.)

Константы скорости 2-го порядка р-ции между хинолином и йодистым метилом в салициловом альдегиде, определенные кондуктометрич. методом, при 25, 35 и  $45^\circ$  соответственно равны:  $4,37 \cdot 10^{-3}$ ,  $9,57 \cdot 10^{-3}$  и  $19,8 \cdot 10^{-3}$  л/моль сек; энергия и энтропия активации равны соответственно 14,2 ккал/моль и 32 энтр. ед.

Резюме авторов  
50774. Кинетика ароматического галогенирования. III. Подирование  $\pi$ -хлоранилина хлористым йодом. Берлинер (Kinetics of aromatic halogenation. III. The iodination of  $p$ -chloroaniline with iodine monochloride. Berliner Ernst), J. Amer. Chem. Soc., 1956, 78, № 15, 3632—3637 (англ.)

Кинетика р-ции  $\pi$ -хлоранилина (I) с  $JCl$  изучалась при  $12-35^\circ$  в водн. р-ре в присутствии  $HClO_4$  и  $NaCl$  путем йодометрич. определения непрореагировавшего  $JCl$ . Продуктами р-ции являются 2-йод-4-хлоранилин (II) и незначительное кол-во (до 10% от II), 2,6-дйод-4-хлоранилина. При достаточном избытке  $Cl^-$  — р-ция 1-го порядка по I и  $JCl$ . Константа скорости  $k$  при  $35^\circ$  в 0,4 M  $HClO_4$  и 0,4 M  $NaCl$   $0,137$  л/моль $^{-1}$  сек $^{-1}$ , энергия активации 16,5 ккал/моль. При конц-иях  $HClO_4$  1—5 M наблюдается линейная зависимость  $\lg k$  от функции кислотности с наклоном 1,17. Величина  $k$  пропорциональна  $K_1/(K_1 + [Cl^-]) [Cl^-]$  ( $K_1$  — константа равновесия р-ции  $JCl_2 \rightleftharpoons JCl + Cl^-$ ) и падает с ростом ионной силы р-ра. Зависимость от  $[H^+]$  и  $[Cl^-]$  указывает, что амин реагирует в форме свободного основания и что йодирующим агентом является не  $JCl$ , а, по-видимому, ионы  $H_2OJ^+$ , образующиеся по р-ции  $JCl + H_2O \rightleftharpoons H_2OJ^+ + Cl^-$ . Часть II см. J. Amer. Chem. Soc., 1951, 73, 4307.

Д. Кнорре  
50775. Кинетика образования шиффовых оснований. Сообщение 3. Реакция  $\alpha$ -фенилэтиламина с  $\pi$ -хлорбензальдегидом. Кресе, Беккер (Zur Kinetik der Bildung Schiff'scher Basen. 3. Mitt.: Reaktion von  $\alpha$ -Phenyläthylamin mit  $p$ -Chlorbenzaldehyd. Kresze



Günter, Becker Kurt), Z. Naturforsch., 1957, 12b, № 1, 45—46 (нем.)

Кинетика р-ции  $\alpha$ -фенилэтиламина с *n*-хлорбензалдегидом изучалась поляриметрически. При 30° константа скорости р-ции (л/моль·мин) в метаноле, *n*-бутаноле, диметилформамиде, диоксане и ацетоне равна соответственно 0,39; 0,12; 0,11; 0,032 и 0,015. Р-ция катализируется к-тами, причем с уменьшением pH равновесие сдвигается в сторону исходных в-в. В буферном р-ре пиридин — хлоргидрат пиридина с pH 3,42 или 4,05 при 30° равновесие полностью сдвинуто в сторону исходных в-в. В основной среде (алкоголяты Ва или Na) р-ция идет несколько медленнее, чем в нейтральной. Сообщ. 2 см. РЖХим, 1956, 39052. Д. Кюрре

50776. Реакция разветвления. I. Передача цепи стирольным радикалом через тиол, спирт и нитрил. Мортон, Кала, Пиirma (The branching reaction. I. Chain transfer of styrene with thiol, alcohol and nitrile. Morton Maurice, Cala J. A., Piirma Irga), J. Amer. Chem. Soc., 1956, 78, № 20, 5394—5398 (англ.)

Исследована полимеризация стирола в присутствии 2-метил-2-пропантиола (I), 2-метилпропионитрила (II), 2-пропанола (III) и 2-метил-2-пропанола (IV) при 60—130°. Получены следующие значения для  $k_{тер}^{k_p}$  при 100° (первая цифра) и  $E_{тер} - E_p$  (ккал/моль): I 1,8, —3,4; II 2,7 · 10<sup>-4</sup>, 2,6; III 1,7 · 10<sup>-4</sup>, 4,7; IV 5,5 · 10<sup>-5</sup>, 6,0 ( $k$  и  $E$  — константа скорости и энергия активации р-ций передачи цепи и роста). Определено влияние изотопного эффекта на скорость передачи цепи в случае 2-дейтерооксипропана, 2-дейтероокси-2-дейтеропропана и 2-дейтероокси-2-метилпропана. Сделан вывод, что в случае вторичных спиртов передача цепи происходит в результате отрыва вторичного атома водорода, а в случае третичных спиртов — через водород группы OH.

А. Праведников

50777. Тепевое изображение плоского пламени. Уайнберг (The shadowgraph of a flat flame. Weinberg F. J.), Proc. Roy. Soc., 1956, A235, № 1203, 510—517 (англ.)

На основании аналитич. исследования распределения интенсивности освещенности в тепевом изображении плоского пламени автор делает вывод, что относительное повышение т-ры  $T/T_0$ , соответствующее минимуму и максимуму освещенности, зависит от расстояния  $d$  от оси пламени до экрана. При расположении экрана близки пламени  $T/T_0 = 1,14$  в зоне максим. освещенности и 2,19 в зоне миним. освещенности. Соотношение для  $d = \infty$  (РЖХим, 1957, 30029) применимо с точностью до 1%, начиная с  $d > (k_0 M c_0)^2 (1/D_0) \times \times 481$ , где  $D$  — диаметр плоского пламени,  $M$  — массовая скорость горения,  $\delta = n - 1$  ( $n$  — показатель преломления),  $c$  — теплоемкость,  $k$  — теплопроводность.

А. Соколик

50778. Исследование зоны пламени. II. Применимость одномерной модели к фронту трехмерных ламинарных бузеновских пламен. Фристром (Flame zone studies. II. Applicability of one-dimensional models to three-dimensional laminar Bunsen flame fronts. Fristrom Robert M.), J. Chem. Phys., 1956, 24, № 4, 888—894 (англ.)

Методом трассирующих частиц определялось изменение скорости течения газа в зоне пламени пропановоздушных смесей различного состава при давл. 0,25 и 0,5 атм в горелке с горизонтальным профилем скоростей. Исследовались 3 типа пламени — формы прямого и обратного конуса и бутанообразной формы. Для различных участков поверхности фронта пламени сохраняются неизменными профиль скоростей в зоне пламени, относительные изменения сечения трубки тока и профиля изменения плотности, вычисленного по

этим двум величинам. Полученные данные указывают на применимость к исследованным типам пламен одномерной модели. Отмечается необходимость в теории пламени учитывать расширение сечения трубки тока при прохождении через зону пламени. Часть I см. РЖХим, 1955, 7191.

А. Соколик

50779. ИК-спектры углеводородных пламен, снятые с высокой разрешающей силой. Бенедикт, Плайер (High-resolution spectra of hydrocarbon flames in the infrared. Benedict W. S., Plyler Earle K.), Nat. Bur. Standards Circ., 1954, № 523, 57—73 (англ.)

С помощью горелки обычного типа и ИК-спектрометра с дифракционной решеткой и сериоставляемым фотосопровождением получены колебательно-вращательные спектры H<sub>2</sub>O, CO<sub>2</sub>, CO и OH в электронных спектрах C<sub>2</sub> и CN в области 1—2,6 м. Система полос CN<sup>2</sup>P<sub>1</sub> — <sup>2</sup>S<sup>+</sup> в спектре внутреннего конуса богатой смеси C<sub>2</sub>H<sub>2</sub> + O<sub>2</sub> представляет собой 2 слабые побочные и 6 сильных ветвей. Возможность оценки по интенсивностям вращательной т-ры (~2500° К) свидетельствует об отсутствии больших отклонений от термич. равновесия между вращательными уровнями. Полосы ( $\nu' = 1 - \nu'' = 0$ ) и (0 → 0) системы <sup>1</sup>P<sub>u</sub> — <sup>1</sup>S<sub>u</sub> + радикала C<sub>2</sub> проявляются при тех же условиях, что и CN. Вращательная структура хорошо разрешена, из-за наличия всего трех ветвей ( $Q$ ,  $P$  и  $R$ ) и выпадения линий с нечетным  $J$  (из-за нулевого спина ядра C<sup>12</sup>). Оценка т-ры дает величину 2600 ± 200° К. Концентрация CN и C<sub>2</sub> приближенно оценена по интенсивностям и вероятностям переходов, на несколько порядков выше вычисленной по термодинамич. данным. Следовательно, эти радикалы образуются в результате хим. р-ции и их излучение представляет химилуминесценцию. В спектре CO<sub>2</sub> колебательная структура почти не разрешается, что обусловлено малой величиной колебательного кванта (667 см<sup>-1</sup>) и резонансом Ферми, приводящим к появлению большого числа интенсивных переходов. Наиболее интенсивные полосы в области 1—2,6 м принадлежат H<sub>2</sub>O. Это основное колебание  $\nu_3$  (4000—4250 см<sup>-1</sup>) и комбинационные тона  $\nu_3 + \nu_1$  (4400—5900 см<sup>-1</sup>) и  $\nu_1 + \nu_2$  (6300—7500 см<sup>-1</sup>). Колебательные и вращательные состояния находятся в термич. равновесии, т-ра ~ 2500° К. Авторы отмечают, что вычисление т-ры тех же самых пламен по интенсивностям видимых и УФ-спектров приводит к величине ~ 3000° К. Это обусловлено меньшим временем жизни возбужденного состояния и, следовательно, большими отклонениями от термич. равновесия. Р. Васильев

50780. Спектроскопическое исследование энергетических распределений радикалов OH, C<sub>2</sub> и CN в ацетилено-кислородных пламенах. Бройда, Хит (Spectroscopic survey of energy distributions of OH, C<sub>2</sub>, and CN radicals in low pressure acetylene-oxygen flames. Broida Herbert P., Heath Donald F.), J. Chem. Phys., 1957, 26, № 2, 223—229 (англ.)

Исследованием распределения интенсивностей спектральных линий, испускаемых электронновозбужденными радикалами OH, C<sub>2</sub> и CN, определены эффективные неравновесные «т-ры» в различных точках пламени в различных условиях. Показано существование новой области у основания светящейся зоны, которая составляет ~ 0,1 толщины светящейся зоны и характеризуется относительно большим излучением C<sub>2</sub> и CN по сравнению с OH. В этой области вращательные и колебательные «т-ры» C<sub>2</sub> и CN много выше чем «т-ры» в других точках пламени. Сразу за новой областью вращательная «т-ра» OH очень высока (9000° К) и не зависит от давления в пределах 1—6 мм рт. ст. При уменьшении отверстия горелки в 2 раза интенсивности излучения OH, C<sub>2</sub> и CN уменьшаются в 50 раз.

Е. Франкевич

50781. Исследование холодных пламен отборочным методом. Вильямс, Джонсон, Кархарт (Sampling studies of cool flames. Williams K. G., Johnson J. E., Carhart H. W.), Industr. and Engng Chem., 1955, 47, № 12, 2528—2532 (англ.).

В стационарном холодном пламени (ХП), образующемся в потоке смеси 4% н-гексана + 9%  $O_2$  + 87%  $N_2$  в нагретой трубе диам. 25 мм, определялись профили т-р (с помощью передвижной термомпары) и концентрации  $O_2$  в различных сечениях зоны ХП. Профили  $O_2$  вдоль зоны ХП варьируют в широких пределах в зависимости от линейной скорости газа в отборочной трубке (т. е. от времени пребывания в ней пробы газа), что указывает на развитие холоднопламенных р-ций в отборочных стеклянных трубках диам. > 0,6 мм. В связи с этим изучалось влияние скорости течения газа в отборочной трубке, ее диаметра и т-ры стенок на профиль  $O_2$  в реакционной трубе. Авторы считают, что холоднопламенный процесс состоит из двух последовательных фаз: разветвленной цепной р-ции в объеме и р-ции на поверхности, возникающей при появлении промежуточных или конечных продуктов объемной р-ции. А. Соколик

50782. Исследование реакций в сгоревших газах струйным методом. Франце (Untersuchung von Reaktionen in Verbrennungsgasen mittels einer Strömungsmethode. Franze C.), Z. phys. Chem. (BRD), 1957, 10, № 3-4, 161—164 (нем.).

Струя продуктов сгорания смеси  $CO-H_2-O_2$ , исходящая из пламени горелки, пропусклась через кварцевую трубку длиной ~1 м, помещенную в печь, постоянная т-ра (1300° К) в которой сохранялась на участке  $l_0 \approx 6$  см. К струе пламенных газов, состав которых соответствует равновесию водяного газа, в начале реакционной трубки добавлялись различные кол-ва  $H_2$  в зависимости от его концентрации  $\Delta H_2$  к концу  $l_0$  определялась скорость превращения  $R_{H_2} = \Delta H_2 / \Delta t$ , где  $\Delta t = l_0 / v$ ,  $v$  — скорость течения газа в трубе. Изменение  $R_{H_2}$  в области 1134—1272° К дает эффективную энергию активаций 72,2 ккал/моль. А. Соколик

50783. Искровое зажигание в газовом потоке. Кимура, Кумагаи (Spark ignition of flowing gases. Kimura Itsuro, Kumagai Seiichiro), J. Phys. Soc. Japan, 1956, 11, № 5, 599—604 (англ.).

Искровое зажигание в струе газа-воздушной смеси (городского газа) исследовалось в ламинарном потоке с равномерным профилем скоростей в сопле и в турбулентном потоке в трубе диам. 5 мм. Миним. сила тока ( $I$ ), необходимая для воспламенения в ламинарном потоке понижается с возрастанием скорости потока до перехода в турбулентное течение, для которого  $I$  повышается с ростом скорости. С понижением скорости потока сокращается длительность разряда, а при переходе через крит. скорость наблюдается разделение искры на серию последовательных разрядов. Возрастание воспламеняющей способности искры с повышением скорости потока в ламинарных условиях объясняется смещением очага пламени из электродной зоны и уменьшением теплопотерь в электроды, а снижение воспламеняющей способности при возрастании скорости турбулентного потока — усилением эффекта турбулентной диффузии. А. Соколик

50784. Влияние температуры края горелки на обратный проток турбулентных пламен в водородно-кислородных смесях. Боллингер, Эдз (Effect of burner-tip temperature on flash back of turbulent hydrogen-oxygen flames. Bollinger Loren E., Edse Rudolph), Industr. and Engng Chem., 1956, 48, № 4, 802—807 (англ.).

Путем измерения т-ры края горелки (ТГ) и градиента скорости (ГС), при которых происходит проток

пламени в смесях  $H_2-O_2$  при атмосферном давлении, исследовалось влияние материала, диаметра, толщины стенок и формы горелки, а также окружающей среды на крит. условия протекания. Исходя из равенства движущая сила — перепад давления и сопротивление — сила трения для стационарного течения ГС определяется: для ламинарного течения при коэфф. трения  $\lambda = 64/Re$  из ур-ния  $g^1 = 8\bar{u}_g/d$ , для турбулентного течения при  $\lambda = 0,3164/(Re)^{0,25}$  из ур-ния  $g^1 = [0,03955(Re)^{0,75}](\bar{u}_g)^2/v$ , где  $\bar{u}_g$  — средняя линейная скорость газа,  $d$  — диаметр горелки,  $v$  — кинематич. вязкость. Вычисленные таким образом ГС и ТГ в закрытой камере на 25% выше, чем в открытом пламени. В закрытой камере ГС растет с диаметром и толщиной стенок горелки; ТГ для бедной смеси определенного состава постоянна при неизменных теплопроводности материала и толщине стенок горелки и не зависит от диаметра. С усилением охлаждения ГС понижается, что подтверждает эффективность охлаждения для повышения стабильности пламен. ГС резко снижается при переходе от цилиндрич. к сопловой горелке, что авторы связывают с уменьшением зоны пониженных скоростей у стенок. А. Соколик

50785. Влияние водорода на пламена окиси углерода с кислородом. Слотмакере, Ван-Тиггелен (The influence of hydrogen on carbon monoxide oxygen flames. Sloomackers P. J., Van Tiggele A.), Bull. Soc. chim. belges, 1956, 65, № 5-6, 425—434 (англ.; реф. франц.).

Приводятся результаты систематич. измерений скорости горения ( $v_0$ ) и т-ры пламени ( $T$ ) для смесей  $CO-H_2-O_2-N_2$  стехиометрич. состава. При постепенном замещении  $CO$  на  $H_2$  наблюдается плавное возрастание  $v_0$  при относительно слабом повышении  $T$ . Используя предложенную ранее ф-лу (РЖХим, 1956, 64519) для зависимости  $v_0$  от  $T$ , авторы вычислили энергии активации, которые снижаются с возрастанием отношения  $H_2$ : ( $CO + H_2$ ) от 2,2 ккал для чистого  $CO$  до 18 ккал для чистого  $H_2$  при одновременном увеличении кажущегося порядка р-ции разветвления цепи с 2 до 3. А. Соколик

50786. О распространении пламени во взрывчатых газовых смесях. III. Распространение пламени в смесях метана в атмосфере с азотом, гелием и аргонном. Сандри (On flame propagation in explosive mixtures of gases. III. Flame propagation in mixtures of methane and nitrogen air, helium air, and argon air. Sandri Robert), Canad. J. Chem., 1956, 34, № 3, 331—337 (англ.).

Общая теория распространения пламени (ч. II см. РЖХим, 1957, 30027) применена к горению  $CH_4$  в воздухе, а также при замене в последнем  $N_2$  на  $He$  и  $Ar$ . Принимая в качестве лимитирующей стадии р-цию  $CH_4 + O \rightarrow H_2O + CH_3$  с энергией активации ~3500 ккал/моль, автор определяет скорость распространения пламени как собственное значение ур-ния баланса тепла (методом численного интегрирования). Вычисленные значения скорости пламени совпадают с экспериментальными. А. Соколик

50787. Влияние бромистого метила на пламена. Часть 2. Диффузионные пламена. Симмонс, Вулфхард (The influence of methyl bromide on flames. Part 2. Diffusion flames. Simmons R. F., Wolfhard H. G.), Trans. Faraday Soc., 1956, 52, № 1, 53—59 (англ.).

Исследовалось влияние  $CH_3Br$  на диффузионные пламена воздушных смесей  $CH_4$ ,  $C_2H_6$ ,  $C_2H_4$ ,  $C_2H_2$ ,  $H_2$  и  $CO$  при добавлении  $CH_3Br$  либо к топливу, либо к воздуху. Так как тушащая конц-я  $CH_3Br$  растет с уменьшением скорости потока, то определялась максим. тушащая конц-я, при которой достигается тушение пла-

мени для любой скорости потока. Тушащее действие (ТД)  $\text{CH}_3\text{Br}$  при введении его с воздухом больше, чем при введении с топливом, а тушащая кон-ция при добавке в воздух такая же, как в пламенах перемешанных газов (часть I, РЖХим. 1956, 67914). Изучение спектров плоских диффузионных пламен приводит к выводу, что введение  $\text{CH}_3\text{Br}$ , особенно с воздухом, изменяет структуру пламени, образуя дополнительную реакционную зону с полосами возбужденного  $\text{Br}_2^*$ , которые отсутствуют при введении в воздух  $\text{Br}_2$ . Образование  $\text{Br}_2^*$  авторы связывают с рекомбинацией атомов  $\text{Br}$ , образующихся при распаде  $\text{CH}_3\text{Br}$ , а ТД его в этих условиях — с расходом воздуха в дополнительной реакционной зоне при  $r$ -ции с радикалами  $\text{CH}_3$  и с соответствующим уменьшением кол-ва окислителя в основной реакционной зоне. При введении  $\text{CH}_3\text{Br}$  или  $\text{Br}_2$  резко возрастает выделение  $\text{C}$  и излучение  $\text{C}_2^*$ . Особенно интенсивно выделяется  $\text{C}$  в пламени  $\text{CH}_3\text{Br}-\text{O}_2$ , в котором основная зона  $r$ -ции полностью подавлена.

А. Соколик

**50788. Определение уравнения состояния газов по измерениям параметров ударной волны. I. Экспериментальный метод и адиабата Гюгонно для аргона. Кристиан, Яргер** (Equation of state of gases by shock wave measurements. I. Experimental method and the hughoniot of argon. Christian Russell H., Yarger Frederick L.), J. Chem. Phys., 1955, 23, № 11, 2042—2044 (англ.)

Предложен метод определения скорости плоской ударной волны (УВ) в газе и скорости потока за ней при большой интенсивности УВ, которая создавалась в люцитовой камере свободно движущейся пластиной, приводимой в движение подрывом ВВ. Свечение газа, вызванное УВ, отразившейся на специально сделанных в камере неровностях (ступеньки, клин), регистрировалось высокоскоростной многосетевой киносъемкой и позволяло определить скорость УВ и потока за ней. Давление и плотность за УВ определяются расчетом. Приводятся данные для УВ в  $\text{Ar}$  при интенсивности УВ, измеряемой по отношению давлений, от 200 до 1100 (давление за УВ до 900  $\text{atm}$ ). Полученные результаты сравниваются с теоретич. адиабатой Гюгонно.

А. Гладков

**50789. Детонационные явления в гомогенных взрывчатых веществах. Кемпбелл, Холланд, Мейлин, Коттер** (Detonation phenomena in homogeneous explosives. Campbell A. W., Holland T. E., Malin M. E., Cotter T. P., Jr), Nature, 1956, 178, № 4523, 38—39 (англ.)

Вблизи пределов детонации (Д) твердых и жидких ВВ наблюдались слабо светящиеся темные волны. Фотографич. регистрации, полученные с помощью камеры с зеркальной разверткой при распространении Д навстречу камере, показывают, что возникновению таких волн способствует разбавление ВВ (напр., нитрометана ацетоном), понижение начальной  $t$ -ры, уменьшение диам. заряда, ослабление оболочки. Заключение стеклянной трубки в оболочку из тонкой металлич. фольги (толщина  $< 0,02$  мм) полностью устраняет темные волны при диаметре трубки ниже критического и обеспечивает распространение нормальной Д, резко затухающей в отрезке трубки, свободном от оболочки. Эффективность оболочки из фольги возрастает в ряду: дюрал  $<$  фольга  $<$  сталь. Явление темных волн связывается с возникновением волн разрежения на поверхности заряда, а эффект фольговых оболочек — с устранением гидродинамич. возмущений в течение начальной кратковременной стадии  $r$ -ции. А. Соколик

**50790. Кривые скорости детонации — диаметр, изменение скорости детонации и скорость реакции этана, гексогена, этилендинитроамина и тетрила. Кук, Киз, Партридж, Урзенбах** (Velocity — diam-

eter curves, velocity transients and reaction rates in PETN, RDX, EDNA and tetryl. Cook Melvin A., Keyes Robert T., Partridge William S., Urzenbach W. O.), J. Amer. Chem. Soc., 1957, 79, № 1, 2—37 (англ.)

Экспериментально определена зависимость скорости детонации (Д) от диаметра заряда для этана, гексогена, этилендинитроамина и тетрила при небольших плотностях заряда. Обнаружена малая скорость Д в тетриле и этилендинитроамине на начальном участке при диаметрах заряда  $< 3-5$  см, резко увеличивающаяся до нормальной в  $2-5$  см от точки инициирования.

А. Гладков

**50791. Поверхностные реакции на нержавеющих сталях. Родин** (Reactions de surface sur les aciers inoxydables. Rhodin T. N.), J. chim. phys. et phys.-chim. biol., 1957, 54, № 1, 72—88. Discuss. 88—89 (франц.)

На поверхности нержавеющих сталей изучены процессы адсорбции, окисления и обезуглероживания в широкой области  $t$ -р (от  $-195$  до  $+1100^\circ$ ) и давлений ( $1 \cdot 10^{-6}$  —  $760$  мм рт. ст.) с использованием методов вакуумной микрогравиметрии, электронной микроскопии и микроанализа продуктов. Механизмы  $r$ -ций определены на основании кинетич. и энергетич. данных и свойств образующихся поверхностных пленок. Ход  $r$ -ций зависит от структуры и состава поверхности сплава.

Г. Мариенгоф

**50792. Исследование взаимодействия металлов с кислородом методом измерения потенциалов. Бурштейн Р. Х.** (Etude de l'interaction des métaux et de l'oxygène par la méthode de la mesure des potentiels volta. Bourstein R.), J. chim. phys. et phys.-chim. biol., 1957, 54, № 1, 106—110. Discuss., 110 (франц.)

Исследованы изменения работы выхода электрона во время первоначальных стадий окисления  $\text{Fe}$  и  $\text{Ni}$  и при адсорбции различных кол-в кислорода на поверхности  $\text{Pt}$ . Автор считает, что существуют различные формы взаимодействия кислорода с металлами и что противоречивость известных в литературе данных о влиянии кислорода на работу выхода объясняется различиями в кол-вах адсорбированного кислорода и в условиях взаимодействия последнего с металлами.

Г. Мариенгоф

**50793. К вопросу о переносе вещества через слой окисления. Пфейффер, Ильшнер** (Beitrag zur Frage des Materietransports durch Zunderschichten. Pfeiffer H., Iltschner B.), Z. Elektrochem., 1956, 60, № 4, 424—427 (нем.)

Установлено, что при полном окислении проволоки из армо- $\text{Fe}$  диам.  $0,4$  мм при  $700-1000^\circ$  внутри окисленных образцов образуются пустоты, размеры которых соответствуют размерам исходных проволок. При окислении проволок при  $t$ -рах  $< 700^\circ$  все поперечное сечение окисленного образца полностью окислом. Полученные результаты, по мнению авторов, свидетельствуют о том, что при окислении  $\text{Fe}$  в  $\text{FeO}$  через слой окисла диффундирует не только металл, но и металлоид. Для проверки этого предположения изучено образование  $\text{FeS}$  на поверхности  $\text{Fe}$ -пластинок толщиной  $1$  мм при воздействии на них паров  $\text{S}$  при  $670^\circ$ , с введением в пары  $\text{S}$  ее радиоизотопа после образования пленки нерадиоактивного  $\text{FeS}$  толщиной  $0,1$  мм. После удаления с  $\text{Fe}$ -пластинок компактных пленок  $\text{FeS}$  обнаружено равенство уд. радиоактивностей их наружной и внутренней поверхностей, что, по мнению авторов, доказывает правильность их предположения о значительной роли диффузии металлоида через слой окислов при окислении металлов.

М. Сахаров

**50794. Электронографические исследования пленок окислов, появляющихся на алюминии и никеле при**



электрическом разряде в кислородной газовой среде. Игнатов (Recherches électrographiques sur les pellicules d'oxydes apparaissant sur l'aluminium et le nickel dans une décharge électrique en milieu gazeux d'oxygène. Ignatov D. V.), J. chim. phys. et phys.-chim. biol., 1957, 54, № 1, 96—104, Discuss. 104—105 (франц.)

Электроннографически установлен быстрый переход Al в различные формы окиси алюминия в электрич. разряде в O<sub>2</sub>. Обнаружена генетич. связь между аморфными и кристаллич. формами ( $\gamma$ -Al<sub>2</sub>O<sub>3</sub> и  $\gamma$ -Al<sub>2</sub>O<sub>3</sub>) окиси алюминия. Установлено большое значение активации кислорода при окислении Al и Ni и роль локального разогрева при катодном окислении.

Г. Мариенгоф

**50795. Кинетика окисления сульфида свинца кислородом воздуха.** Пономарев В. Д., Полявинский И. Р., Изв. АН КазССР. Сер. горн. дела, металлургии, стр-ва и стройматериалов, 1956, вып. 9, 3—34 (рез. каз.)

Исследована скорость окисления PbS кислородом воздуха в зависимости от т-ры (400—1000°), продолжительности опыта, скорости потока воздуха, крупности зерен, метода обжига и присутствия компонентов пустой породы. Установлено, что основными продуктами окисления PbS являются PbO и PbSO<sub>4</sub>, причем отношение PbO/PbSO<sub>4</sub> и продуктов р-ции возрастает при повышении т-ры, увеличении продолжительности опыта и скорости струи воздуха, а также при уменьшении крупности зерен PbS. При т-рах < 700° имеет место кинетич. режим, при т-рах > 700° — диффузионный. Энергия активации процесса в кинетич. области равна 11160 кал/моль, в диффузионной 3330 кал/моль. Порядок р-ции изменяется от нулевого при низких т-рах до 1-го при высоких т-рах. Показано, что присутствие компонентов пустой породы SiO<sub>2</sub>, Al<sub>2</sub>O<sub>3</sub>, Fe<sub>2</sub>O<sub>3</sub> и CaO при 900—1000° уменьшает скорость десульфуризации PbS. Сделано заключение, что окисление PbS является автокаталитич. процессом; механизм его изменяется при переходе из области низких т-р в область высоких т-р.

Л. Березкина

**50796. Новый метод определения толщины тонких слоев, образующихся на поверхности меди при сульфировании.** Бенар, Лоран (Nouvelle méthode de détermination de l'épaisseur des couches minces formées à la surface du cuivre par sulfuration. Benard Jacques, Laurent Jean-François), J. chim. phys. et phys.-chim. biol., 1956, 53, № 7-8, 593—595. Discuss., 595—596, 605—606 (франц.)

Описан метод определения толщины сульфидных пленок на поверхности Cu, основанный на применении радиоактивной серы S<sup>35</sup>. Сульфидную пленку наносят обработкой смесью H<sub>2</sub> + H<sub>2</sub>S<sup>35</sup>; калибровочные кривые снимают в р-ре S<sup>35</sup> в C<sub>6</sub>H<sub>6</sub>. Для измерения радиоактивности применяется торцовый счетчик с толщиной окошка 2 мг/см<sup>2</sup>. При уд. радиоактивности S<sup>35</sup>, равной 94 мюри/г, и средних толщинах пленок 780—64 А минимально определяемая толщина пленки составляет ~40 А. Результаты отличаются на < 5—10% от результатов, полученных электрометрич. методом. На различных гранях монокристалла Cu образуются пленки различной толщины. См. также РЖХим, 1956, 67924.

В. Вассерберг

**50797. Окисление магнетита и аналогичных шпинелей. Соетан у-окиси железа.** Дейвид, Уэлш (The oxidation of magnetite and related spinels. Constitution of gamma ferric oxide. David L., Welch A. J. E.), Trans. Faraday Soc., 1956, 52, № 12, 1642—1650 (англ.)

При окислении магнетита, полученного осаждением из р-ра, образуется  $\gamma$ -Fe<sub>2</sub>O<sub>3</sub>. Окисление магнетита, приготовленного сухим путем (при взаимодействии 4Fe<sub>2</sub>O<sub>3</sub>

с Fe при 960°), происходит с большим трудом, причем  $\gamma$ -Fe<sub>2</sub>O<sub>3</sub> не образуется. В  $\gamma$ -окиси содержится небольшая примесь H<sub>2</sub>O, которая, по-видимому, не может быть удалена без разрушения кристаллич. решетки шпинели. Авторы предполагают, что структура  $\gamma$ -окиси стабилизируется присутствием гидроксильных ионов, замещающих часть кислородных ионов в решетке шпинели.

В. Фролов

**50798. Влияние предварительной обработки на скорость термического разложения оксалата свинца.** Болдырев В. В., Сб. научн. работ. Ин-т химии АН БССР, 1956, вып. 5(1), 100—112

См. РЖХим, 1956, 61084.

**50799. Приготовление и свойства катализаторов.** Фолкинс, Миллер (Preparation and properties of catalysts. Folkins Hillis O., Miller Elmer), Industr. and Engng Chem., 1957, 49, № 2, 241—244 (англ.)

Обзор. Библ. 41 назв.

В. Фролов

**50800. Каталитические свойства редких земель.** Комаревский (Catalytic properties of rare earths. Komarevsky V. I.), Industr. and Engng Chem., 1957, 49, № 2, 264—265 (англ.)

В струевой установке обнаружена каталитич. активность окисей Nd и Sm, полученных осаждением и последующим термич. разложением гидроксидов, по отношению к разложению спиртов при 400° (преимущественно дегидрирующие свойства), дегидрогенизации циклогексана (545°) и пропана (540°), циклизации n-гептана и 1-октена (525°). Особенно активны образцы Nd<sub>2</sub>O<sub>3</sub> и Sm<sub>2</sub>O<sub>3</sub>, нанесенные на окись Al. В. Фролов

**50801. Исследование природы поглотителей. Сообщение 2. Химическое строение и реакции активных высокомолекулярных соединений.** Алесковский В. Б., Тр. Ленингр. технол. ин-та им. Ленсовета, 1956, вып. 35, 138—157

Кратко излагается «основная» теория строения поглотителей и катализаторов. Рентгеноструктурный анализ показывает, что каталитич. активность присуща окислам железа, имеющим кристаллич. структуру типа шпинели, и что потеря активности при работе связана с образованием ромбоэдрич. структуры  $\sigma$ -Fe<sub>2</sub>O<sub>3</sub>; извлечение из состава катализаторов ионов Fe<sup>2+</sup> приводит к значительному понижению их стабильности (с 60—80 до 7 час.) с перерождением шпинельной структуры в структуру типа  $\alpha$ -Fe<sub>2</sub>O<sub>3</sub>; кристаллохим. замещение ионов Fe<sup>2+</sup> на ионы K<sup>+</sup> закрепляет ослабленный шпинельный остов. Автор приходит к выводу, что каталитич. способность связана с наличием прочного остова. Часть I см. РЖХим, 1954, 33958.

Ю. Мяценко

**50802. Микроструктура платиновой фольги, подвергнутой каталитической активации. Сжигание смеси метан — воздух.** Эро, Доманский, Берже (Microstructure de rubans de platine soumis à l'activation catalytique. Combustion du mélange méthane — air. Evraud Charles, Domanski Barthélemy, Berger Colette), Bull. Soc. chim. France, 1956, № 11-12, 1765—1767 (франц.)

При прогревании образцов Pt-фольги током при ~900—1200° в смеси воздуха с 3% CH<sub>4</sub> происходит увеличение размеров кристаллов Pt и возрастание каталитич. активности Pt по отношению к окислению CH<sub>4</sub>. Однако проведенные авторами микрографич. исследования и опыты по дезактивации образцов Pt закалкой в H<sub>2</sub>O не позволяют установить зависимости между размерами кристаллов и каталитич. активностью Pt.

В. Фролов

**50803. Поверхность и каталитическая активность прессованных катализаторов из окиси меди в зависимости от давления прессования.** Рипеккер, Хорн (Oberfläche und katalytische Aktivität gepreß-

ter Kupferoxydkatalysatoren in Abhängigkeit vom Preßdruck. Rienäcker G., Horn G.), Z. Elektrochem., 1956, 60, № 8, 828—831. Diskuss., 83 (нем.)

Показано, что уд. поверхность  $\text{CuO}$ -катализаторов (K), равная  $\sim 5 \text{ м}^2/\text{г}$  для порошка, падает с увеличением давления прессования (P), достигая  $3,1\text{--}3,2 \text{ м}^2/\text{г}$  при P, равном  $20\,000 \text{ кг}/\text{см}^2$ . При разложении  $\text{N}_2\text{O}$ , протекающем по первому порядку с торможением, уд. каталитич. активность на единицу поверхности K не зависит от P при  $250\text{--}290^\circ$ , а при  $360\text{--}400^\circ$  резко падает с увеличением P. Энергия активации р-ции, равная  $22 \text{ ккал}/\text{моль}$  для порошка, падает до  $11,8 \text{ ккал}/\text{моль}$  для таблеток, приготовленных при наиболее высоких P. Обнаруженное сокращение «эффективной поверхности» K с увеличением P при  $t\text{-рах} > 270^\circ$  авторы объясняют лимитированием скорости р-ции диффузией.

М. Сахаров

**50804.** Катализ гремучего газа на палладии в растворах электролитов. Кузелева Е. С., Уч. зап. Казанск. ун-та, 1956, 22, 3—16

Изучено влияние электролита на скорость каталитич. образования  $\text{H}_2\text{O}$  из гремучего газа на Pt-пластике, покрытой Pd-чернью, в р-рах  $0,1 \text{ н. KOH}$ ,  $0,1 \text{ н. H}_2\text{SO}_4$ ,  $0,1 \text{ н. HCl}$ ,  $0,1 \text{ н. KCl}$  и бидистиллата. Параллельно с измерением каталитич. активности снимались кривые заряджения, по которым судили о сорбционной способности катализатора. Р-ция протекает по нулевому порядку. В р-рах  $\text{H}_2\text{SO}_4$ ,  $\text{HCl}$  и  $\text{KCl}$  в процессе катализа происходит разрушение Pd-катализатора, аналогичное обнаруженному ранее электронномикроскопически при катализе гремучего газа на металлах в газовой фазе (Рогинский С. З., Третьяков И. И., Шехтер А. Б., Ж. физ. химии, 1949, 23, 51). При протекании р-ции устанавливается стационарный потенциал катализатора. Между скоростью р-ции и потенциалом катализатора нет прямой связи. В р-ции участвует весь водород, находящийся на Pd, но доля участия адсорбированного водорода, по мнению автора, в 4—5 раз меньше, чем адсорбированного.

В. Фролов

**50805.** Рентгенографическое исследование зависимости структуры палладиевого катализатора от условий электрического получения и термической обработки. Ручкина В. Д., Изв. АН СССР. Сер. физ., 1956, 20, № 7, 761—763

Структурные характеристики Pd-катализаторов (K), полученных электроосаждением из р-ров  $\text{PdCl}_2$ , зависят от условий осаждения. При увеличении плотности тока ( $i$ ) осаждения от 1 до  $9 \text{ ма}/\text{см}^2$  размеры кристалликов ( $l$ ) в K уменьшаются, и степень совершенства кристаллич. решетки падает. Кривая, выражающая зависимость  $l$  от  $i$  при  $5\text{--}6 \text{ ма}/\text{см}^2$ , имеет перегиб, связанный, по мнению автора, с затруднениями или невозможностью появления новых центров кристаллизации при больших плотностях тока. Увеличение периода кристаллич. решетки у K, полученных при  $i \geq 8 \text{ ма}/\text{см}^2$ , автор объясняет внедрением водорода в решетку Pd. У крупнокристаллич. образцов период решетки увеличивается при повышении  $t$ -ры нагревания до  $40^\circ$  и при дальнейшем повышении  $t$ -ры не изменяется; у мелкокристаллич. образцов период решетки увеличивается монотонно при нагревании в  $\text{H}_2$  до  $300^\circ$  для  $\beta$ -фазы и до  $120^\circ$  для  $\alpha$ -фазы. При дальнейшем возрастании  $t$ -ры период решетки  $\alpha$ -фазы Pd является постоянным. Средние размеры кристалликов при нагревании K в  $\text{H}_2$  до  $t$ -ры  $> 100^\circ$  увеличиваются, соотношение между кол-вами  $\alpha$ - и  $\beta$ -фаз может изменяться.

С. Киперман

**50806.** Метод определения активности скелетного никелевого катализатора с помощью реакции цементации. Крягова А. И., Ж. общ. химии, 1956, 26, № 12, 3280—3283

Предложен метод определения активности скелетного Ni-катализатора (K) с помощью р-ции цементации, т. е. вытеснения никелем ионов Cu из р-ра  $\text{CuSO}_4$  по ур-нию  $\text{CuSO}_4 + \text{Ni} = \text{NiSO}_4 + \text{Cu}$ . Чем активнее K, тем в большей степени он вытесняет ионы Cu из р-ра  $\text{CuSO}_4$ . Навеска подсушенного порошка K вносится в водн. р-р  $\text{CuSO}_4$  и перемешивается в нем 30 мин. при  $75^\circ$ . Автор предлагает считать мерой активности K кол-во вытесненной Cu в процентах от теоретического, указывая, что при соблюдении идентичных условий при определении активности различных K точность составляет 2—3%. Приведены результаты определения активностей ряда заводских катализаторов, показывающие, что активность свежих катализаторов падает после проведения на них р-ций гидрирования. Г. Леви

**50807.** О влиянии пиридина на скорость и избирательность гидрирования толана и циклопентадена на скелетном никелевом катализаторе и Pt-черни. Фрейдлин Л. X., Полковников Б. Д., Изв. АН СССР. Отд. хим. н., 1956, № 12, 1502—1504

При  $25^\circ$  и давл.  $1 \text{ атм}$  на скелетном Ni-катализаторе исследовали скорость жидкофазного гидрирования толана и циклопентадена, растворенных в 96%-ном  $\text{C}_2\text{H}_5\text{OH}$  (I) в  $\text{C}_2\text{H}_5\text{OH} + 10\%$  пиридина (II), в циклогексане (III), в циклогексане +  $10\%$  пиридина (IV) или в чистом пиридине (V). При гидрировании  $\text{C}\equiv\text{C}$  связи в толане прибавление пиридина сильно снижает скорость р-ции, идущей в этом случае лишь до образования стилибена. В V циклопентаден избирательно гидрируется до циклопентена, причем значительно медленнее, чем в I и III, но быстрее, чем в IV. На Pt-черни скорость р-ции в II тоже меньше, чем в I, но гидрирование идет до конца, т. е. до образования циклопентана. Авторы считают, что избирательное гидрирование на отравленном пиридином Ni-катализаторе может быть использовано для очистки промышленных фракций олефиновых углеводородов от диенов и ацетилена, а также для определения содержания последних в смесях с олефинами.

В. Вассерберг

**50808.** Природные алюмосиликаты некоторых месторождений Казахстана как катализаторы реакций крекинга. Бувалкина Л. А., Каиргалиева А., Сокольский Д. В., Вестн. АН КазССР, 1956, № 12, 13—23 (рез. каз.)

Исследована каталитич. способность ряда глини месторождений Казахстана в р-циях крекинга газойля. Глины активировались кислотной обработкой и подвергались прессованию при  $300 \text{ ат}$ , в некоторых случаях наносилась добавка  $\text{SiO}_2$  (поглощением паров  $\text{SiCl}_4$  из газовой фазы и последующим гидролизом). Эталонной активностью служил промышленный синтетич. алюмосиликатный катализатор (выход бензина  $29\text{--}32\%$  из сырья). Найдено, что некоторые монтмориллонитовые глины (Кокчетавской и Кустанайской областей, мопракская) обладают высокой каталитич. активностью (выход бензина  $30\text{--}32\%$ ; выход бензина зависит от состава исходного сырья. Добавка  $\text{SiO}_2$  к монтмориллонитовой и монтмеритной глинам не только не приводит к повышению активности, но даже иногда уменьшает ее.

В. Вассерберг

**50809.** Каталитическая активность и структурные характеристики алюмомагнийсиликатных катализаторов. Зульфугаров З. Г., Тончиева К. В., Ж. физ. химии, 1956, 30, № 9, 2011—2015

Исследовано влияние конц-ии исходных р-ров и кол-ва активаторов на структуру, насыпной вес, величину поверхности и характер пористости магний- и алюмомагнийсиликатных катализаторов (K), а также на стабильность K и на их активность при крекинге тяжелого астраханского газойля. Повышение конц-ии исходных р-ров вызывает уменьшение насыпного веса и увеличение поверхности и термостабильности K,

а также приводит к образованию пористой структуры. При этом получают менее ароматизированные бензины с пониженными уд. весами. Увеличение кол-ва активаторов приводит к получению мелкопористых образцов, дающих бензины с малым содержанием непредельных и повышенным содержанием ароматич. углеводородов. Содержание  $Al_2O_3$  в магнийсиликатных К приводит к увеличению поверхности, диаметра пор, каталитич. активности и термостабильности. По мнению авторов, в крекинге участвует не вся поверхность, определяемая по методу БЭТ, а лишь часть ее.

В. Вассерберг

**50810. Каталитические превращения индивидуальных алкилароматических углеводородов в присутствии алюмосиликатного катализатора.** Георгиев Х. Д. Автореф. дис. канд. хим. н., МГУ, М., 1957

См. также раздел *Производство катализаторов и сорбентов и рефераты*: Реакционная способность и строение 50402, 50404. Кинетика и механизмы р-ции 51120, 51121, 51133, 51504, 50855, 50995; 16192Бх, 16248Бх, 16267Бх. Гетерогенный катализ: изучение поверхности катализатора 52223; неорганич. 52090; органич. 51147, 51169. Топохимия 51913. Адсорбция 50891—50893. Приборы для изуч. кинетики 51690. Физ. хим. изучение воспламенения 52247. Т-ра воспламенения сажи 52249.

## ФОТОХИМИЯ. РАДИАЦИОННАЯ ХИМИЯ. ТЕОРИЯ ФОТОГРАФИЧЕСКОГО ПРОЦЕССА

Редактор Х. С. Багдасарян

**50811. Разложение полиметилметакрилата в растворе под действием  $\gamma$ -излучения  $Co^{60}$ . Пример передачи энергии при радиационно-химических реакциях.** Хенглейн, Бойзен, Шнабель (Die Zersetzung des Polymethacrylsäuremethylesters in Lösung unter dem Einfluß von  $^{60}Co$ -Gamma-Strahlen: Ein Beispiel für die Energie-Übertragung bei strahlenchemischen Reaktionen. Henglein Arnim, Boyesen Martin, Schnabel Wolfram), Z. phys. Chem. (BRD), 1957, 10, № 3-4, 137—155 (нем.)

Исследовано действие  $\gamma$ -излучения на р-ры полиметилметакрилата в бензоле в присутствии дифенилдикрилгидразила (I) или  $J_2$ . Содержание I в полимере определялось спектрофотометрич. методом, содержание  $J$  — по радиоактивности образца; изменение мол. веса полимера рассчитывалось из вискозиметрич. данных. Кол-во внедрившегося в полимер I или атомов  $J$  на 100 эв энергии (G), поглощенной непосредственно полимером, уменьшается при увеличении конц-ии полимера и при конц-ии  $\sim 0.3$ — $0.5$  моль/л достигает предельного значения, равного 7 в случае I и 0,97 в случае  $J_2$ . Замена  $C_6H_6$  на другие р-рители заметно изменяет величину G для I. Так, при конц-ии полимера 0,1 моль/л найдены выходы:  $C_6H_6$  9,2, диоксан 17,8, метиловый эфир изомасляной к-ты 27,3, нитробензол 27,6, хлорбензол 70,4,  $CHCl_3$  128. Увеличение наблюдается также и в случае  $J_2$  при замене  $C_6H_6$  на  $CHCl_3$ . Полученные результаты авторы объясняют протеканием процессов передачи энергии возбуждения от  $C_6H_6$  к полимеру, роль которых возрастает при уменьшении конц-ии полимера.  $O_2$  не влияет на величину G для I, но заметно снижает скорость внедрения в полимер  $J_2$ , что указывает на образование в ходе радиолитиза радикалов двух типов: радикалов, не реагирующих с  $O_2$  и  $J_2$  (напр., радикалы типа RO), и радикалов, присоединяющих к себе  $O_2$  (и  $J_2$ ). Выход радикалов 1-го типа, по-видимому, значительно превышает выход радикалов 2-го типа. Вы-

ход р-ции деструкции полимера (число разрывов связей C—C на 100 эв энергии, поглощенной полимером) равен 0,1 и не зависит от конц-ии полимера; этот процесс происходит, по мнению авторов, только за счет энергии, поглощенной непосредственно полимером.

А. Праведников

**50812. Химическое состояние радиоiodа в облученном нейтронами периодате после его термической обработки.** Эйтен, Кох, Весселинк, Рос (Chemical state of radio-iodine in neutron-irradiated periodate after thermal treatment. Aten A. H. W., Jr, Koch G. K., Wesselink G. A., Roos A. M. de), J. Amer. Chem. Soc., 1957, 79, № 1, 63—66 (англ.)

В р-ре  $KJO_4$ , облученного в твердом виде тепловыми нейтронами, установлено следующее распределение радиоiodа между выделенными хим. фракциями:  $J^- + J_2$  10%,  $JO_3^-$  86% и  $JO_4^-$  4%. Нагревание облученных кристаллов  $KJO_4$  перед растворением приводит к перераспределению активности. Ниже 100° активность  $J^- + J_2$  переходит к  $JO_3^-$ . Выше 100° наблюдается переход активности  $JO_3^-$  к  $JO_4^-$ . Последний процесс протекает постепенно (за 25—35 мин.) и не доходит до конца. С повышением т-ры нагревания (ТН) увеличивается относительная активность  $JO_4^-$ . При ТН 200° активность  $JO_4^-$  достигает 60% от общей активности, а при ТН 240° достигает 80%.

Б. Каплан

**50813. Итоги работы Международной конференции по научной фотографии (Кельн, 24—27 сент. 1956 г.).** Чибисов К. В., Ж. научн. и прикл. fotogr. и кинематогр., 1957, 2, № 1, 65—68

**50814. О природе светочувствительности и механизме ее формирования при созревании фотографической эмульсии.** Чибисов К. В., Ж. научн. и прикл. fotogr. и кинематогр., 1957, 2, № 1, 3—6

Выступление на дискуссии о фотографии, чувствительности на Международной конференции по научной фотографии 27.IX.1956 г. в г. Кельне. Библ. 33 назв.

Х. П.

**50815. Электронномикроскопическое изучение фотографических пленок.** Поханин, Клейн (Elektronenmikroskopische Untersuchungen an photographischen Schichten. Johann I., Klein E.), Photogr. Korresp., 1955, 91, № 12, 199—204 (нем.)

Обзор. Библ. 21 назв.

Л. Ф.

**50816. Новые результаты в области фотопроявления.** Штауде (Rezultate noi în problema dezvoltării fotografice. Staudé H.), Studii și cercetări fiz., 1954, 5, № 1-2, 179—187 (рум.)

Обзор.

Р. М.

**50817. Соосаждение  $AgBr$  с  $AgJ$  и  $AgCl$ .** Берри, Мариньо (Cocprecipitation of silver bromide with silver iodide and with silver chloride. Berry C. R., Marino S. J.), Photogr. Sci. and Techn., 1955, 2, № 4, 149—153 (англ.)

Фазовый состав осадков, полученных приливанием р-ра  $AgNO_3$  к смеси р-ров  $KBr-KJ$  (А) или  $KBr-KCl$  (Б), определен рентгенографически на основе зависимости между составом и параметрами кристаллич. решеток (Wilsey R. B., J. Franklin Inst., 1921, 200, 739). Первые порции  $AgNO_3$  осаждают чистое  $AgJ$  из р-ров А и фазу, содержащую 98—99 мол.%  $AgBr$ , из р-ров Б. Дальнейшее добавление  $AgNO_3$  вызывает перераспределение состава осадков галоидного  $Ag$ . Скорость р-ции перекристаллизации увеличивается с повышением т-ры и конц-ии ионов галоида, но равновесие не достигается даже при выдерживании осадка в течение 1 часа при 80° и 20%-ном избытке галоида. Ускорение р-ции в присутствии желатинаты приписано повышению дисперсности образующихся кристаллов.

Ю. Мошковский



**50818.** О функциях соединений с лабильной серой в фотографической эмульсии. Михайлова А. А., Броун Ж. Л., Чибисов К. В., Ж. научн. и прикл. fotogr. и кинематогр., 1956, 1, № 5, 342—353

С увеличением конц-ии аллилтиомочевины (I), аллилбензилтиомочевины (II) и дифенилтиомочевины от  $0,3 \cdot 10^{-7}$  до  $0,3 \cdot 10^{-2}$  М в кислой среде наблюдается сильная десенсибилизация и «обращение» спектров поглощения, что приписано частичному или полному разрушению центров светочувствительности. В щел. среде наблюдаются десенсибилизация, видимое потемнение и возрастание поглощения в коротковолновой части спектра, вызванное осаждением  $Ag_2S$ . Введение тиомочевины (III) и ее производных в  $AgBr-AgJ$ -эмульсию около оптима хим. созревания повышает светочувствительность, которая быстро падает при дальнейшем созревании. Эффект приписан свойству этих в-в связывать свободный Br. Адсорбция I, II и III на  $AgBr$  мало зависит от т-ры и времени перемешивания и достигает ~30—40%. На порошке  $Ag$  адсорбция достигает 100%, причем ее скорость сильно возрастает с повышением т-ры, что указывает на хемосорбцию. Обнаружено корродирующее действие  $I-Na_2S_2O_3$  на электроосажденные частицы  $Ag$ . Отмечено многообразие функций соединений с лабильной S в зависимости от условий р-ции, среды и конц-ии.

**50819.** Попытка новой обработки экспериментальных данных Обергуггенбергера по гиперсенсибилизации ртутью и влажности фотоэмульсии. Шванкль (Versuch einer neuen Auswertung der experimentellen Ergebnisse der Untersuchung von V. Oberguggenberger über Hg-Hypersensibilisierung und Feuchtigkeit der Emulsion. Schwankl Peter). Z. phys. Chem., 1956, 8, № 3-4, 249—254 (нем.). Критически рассмотрена работа Обергуггенбергера (Oberguggenberger V. S.-B. Akad. Wiss. Wien, math.-naturw. Kl., Abt. IIa, Bd. 155, 1 und 2, H., 1946-Mitt. Naturw. Sternw. Innsbruck № 16, Wien, 1946) и показано, что приведенные в ней эксперим. данные не позволяют установить зависимость между действием паров Hg и влажностью эмульсии. По мнению автора, оба эти фактора действуют независимо один от другого.

**50820.** Исследование температурных коэффициентов фотографического проявления. Температурные коэффициенты проявления веществами, резко различающимися по степени избирательного действия. Шеберстов В. И., Бородкина М. С., Ж. науч. и прикл. фотографии и кинематогр., 1956, 1, № 2, 118—124; Докл. АН СССР, 1956, 108, № 3, 499—501

Температурные коэф. (ТК) проявления киноплёнки в проявителе, содержащем *n*-аминофенол (I) и станин Na, определены из кривых  $D=f(t)$ , полученных при т-рах 10 и 20°. ТК при проявлении в I возрастает с увеличением заданной оптич. плотности и с уменьшением экспозиции и лежит в пределах 1,8—5,1 для позитивной и 2,7—7,8 для негативной киноплёнок. Проявление вуали станином Na имеет меньший ТК, равный 1,7—2,2 для позитивной и 1,3—1,8 для негативной киноплёнок. Авторы связывают избирательное действие проявителя с величиной энергии активации процесса проявления.

**50821.** Тиомочевина как ускоритель растворения и проявления зерен галоидного серебра. Джеймс, Банселлоу (Thiourea as an accelerator of the solution and development of silver halide grains. James T. H., Vanselow W.), Photogr. Sci. and Techn., 1956, 3, № 2, 69—75 (англ.)

Добавление  $10^{-5}$  моль/л тиомочевины (I) к проявителю заметно увеличивает скорость растворения V галоидного  $Ag$ . Предварительная обработка пленки

в кислом  $3 \cdot 10^{-5}$  М р-ре I приводит к увеличению V, обусловленному адсорбированным слоем I. Из семи испытанных производных I наименьшее влияние на V оказывает 1,3-диацетилтиомочевина, а наибольшее — аллилтиомочевина. Различие в эффективности производных I приписано разной адсорбируемости на галоидном  $Ag$ . В случае проявления глубинного скрытого изображения I увеличивает оптич. плотность больше, чем четвертичные соли. Действие I на проявление зависит от природы проявителя: в кислых р-рах амидола и 1-фенил-3-пиразолидона I замедляет проявление. Обсуждены возможные механизмы ускорения проявления.

Ю. Мошковский

См. также: Фотохимич. процессы в ионитных решетках 50569. Фотосинтез 16575Бх. Приборы 51691, 51692.

## РАСТВОРЫ. ТЕОРИЯ КИСЛОТ И ОСНОВАНИЙ

Редактор М. Д. Сурова

**50822.** Ячеечная модель растворов и аддитивность свободных энергий. Райс (Cell model for solutions and the additivity of free energies. Rice Stuart A.), J. Chem. Phys., 1956, 24, № 6, 1283 (англ.)

Описаны некоторые результаты усовершенствованной автором ячейочной теории р-ров (Prigogine I., Mathot V., J. Chem. Phys., 1952, 20, 49), учитывающей совместные движения групп молекул (пар, триплетов и т. д.). Приведены ур-ния для суммы состояний многокомпонентного р-ра, для избыточной свободной энергии бинарного р-ра и для полной свободной энергии F р-ра. Последнее ур-ние выражает F р-ра как сумму F компонентов при условии, что величины F р-ра и компонентов относятся к соответствующим состояниям (т. е. находятся при приведенных т-рах и давлениях).

Н. Хомутов

**50823.** Влияние собственного объема и сольватации на свойства растворенных веществ. Хомутов Н. Е., Ж. физ. химии, 1956, 30, № 9, 2016—2021

Излагается новый вариант теории конц. р-ров, характеризующийся непосредственным учетом влияния собственного объема сольватированных частиц на некоторые термодинамич. свойства растворенных в-в. В основе теории лежит введенное автором понятие «активная конц-ия»  $C_a$ , представляющая отношение числа  $z$ -молей (или  $z$ -ионов) растворенного в-ва к той части объема р-ра, которая не занята частицами данного в-ва. Введение этого понятия в ур-ние хим. потенциала растворенного электролита приводит к заключению, что опытный коэф. активности  $f(оп.)$  представляет произведение двух множителей  $f(эл.) \cdot f(к)$ , обусловленных существованием электростат. взаимодействия между ионами  $f(эл.)$  и коволюмносольватационного эффекта  $f(к)$ . Указанные соображения позволяют автору получить ф-лу, связывающую  $f_{\pm}$  растворенного электролита с конц-ией. Полученная ф-ла при подходящем подборе одной эмпирич. константы (среднего радиуса гидратированных ионов) хорошо описывает опытные данные для полностью диссоциированных электролитов, вплоть до конц-ий 4 М. Упрощенные варианты ф-лы тождественны ранее известным эмпирич. ф-лам для  $f_{\pm}$ . Понятие  $C_a$  использовано для рассмотрения опытных данных по величинам осмотич. давления в конц. р-рах сахара.

Н. Хомутов

**50824.** Вычисление коэффициентов диффузии и коэффициентов Соре из оптических измерений на ячейках для неискаженного эффекта Соре. Террелл (The calculation of diffusion coefficients and Soret coefficients from optical measurements on pure

Soret effect cells. Tyrrell H. J. V.), Trans. Faraday Soc., 1956, 52, № 7, 940—948 (англ.)

Обсуждается улучшенная феноменологич. теория неискаженного эффекта Соре (РЖХим, 1956, 18718) в свете данных, полученных оптич. методом Таннера (Tanner, Trans. Faraday Soc., 1927, 23, 75) с 2,2 М р-ром КВг. Найдено, что улучшенные ур-ния хорошо описывают опыт, если учитываются члены более высокого порядка. Показано, что точный расчет характеристик времени  $\Theta$ , а следовательно, и коэф. диффузии при существующих данных невозможен. Дано новое приближение, дающее результаты, близкие к ожидаемым. Из полученного ур-ния видно, что наиболее точно коэф. Соре могут быть получены измерением градиента показателя преломления в центре ячейки.

А. Попов

50825. Роль переноса через столкновения в флуоресцирующих растворах. Хардуик (Role of collision transfer in fluorescent solutions. Hardwick R.), J. Chem. Phys., 1957, 26, № 2, 323—324 (англ.)

Под переносом за счет столкновений понимается совместная диффузия возбужденной и невозбужденной молекул. Очевидно, в твердых р-рах такой механизм переноса возбуждения не может иметь места. Произведено сравнение интенсивности флуоресценции идентичных жидких и твердых (полимеризованных) р-ров нафталина и антрацена в метилметакрилате. Найдено, что полимеры флуоресцируют даже сильнее, чем соответствующие жидкости. Это позволяет исключить диффузионный механизм переноса энергии. Увеличение интенсивности у полимеров обусловлено прекращением «гасящих» столкновений между возбужденными и невозбужденными молекулами, уменьшением конц-ии инертных комплексов антрацена с другими молекулами, а также мол. ориентацией, способствующей передаче возбуждения.

С. Френкель

50826. Об эффекте Джонса и Рэя. Феррони, Габриэлли (Sull' effetto di Jones e Ray. Ferroni Enzo, Gabrielli Gabriella), Ricerca scient., 1956, 26, № 12, 3656—3661 (итал.; рез. англ., нем., франц.)

Приводятся результаты эксперим. исследования поверхностного натяжения р-ров  $MnCl_2$  и  $MnSO_4$ . Отмечается наличие эффекта Джонса и Рэя (Jones G., Ray W. A., J. Amer. Chem. Soc., 1942, 64, 2744). Полученные результаты сопоставлены с данными Кемпбелла (Campbell A. N., J. Chem. Soc., 1928, 130, 653) об электрострикции указанных солей. Показано, что при тех же конц-иях, при которых поверхностное натяжение достигает наименьшего значения, электрострикция достигает наибольшего. Резюме авторов

50827. Применение ультразвукового поля при определении константы разложения диазосоединений в водных растворах. Саттин, Скоффон (Sull' uso di campi ultrasonici nella determinazione delle costanti di decomposizione dei diazocomposti in soluzione acquosa. Sattin Paolo, Scoffone Ernesto), Gazz. chim. ital., 1956, В6, № 12, 1284—1292 (итал.)

Экспериментально (газоволюметрически) измерены константы разложения солей анилина, о-, м-, р-толуидина, сульфониловой и р-аминобензойной к-т и м-хлоранилина в водн. р-рах в ультразвуковом поле интенсивностью 5  $вт/см^2$  и частотой 800 кГц. Обезгаживающее действие ультразвука способствует газоволюметрич. определению истинной константы разложения соответствующих диазосоелей. В. Кудрявцев

50828. Парциальные объемы в растворах алкилсульфатов. Хатчинсон, Мошер (Partial molal volumes in alkyl sulfate solutions. Hutchinson Eric, Mosher Carol S.), J. Colloid Sci., 1956, 11, № 4-5, 352—355 (англ.)

При 25° с помощью пикнометра измерены плотности  $\rho$  водн. р-ров алкилсульфатов Na (децил-(I)-, додецил-(II)), содержащих добавки хлорида и сульфата Na или *n*-гексилового и *n*-октилового спирта, а также р-ра бензола в водн. р-ре децилсульфата Na. Опытные данные описываются ур-ниями типа  $\rho = a + b\pi$ , в которых  $a$  и  $b$  — постоянные для определенной конц-ии добавки и для определенного алкилсульфата,  $n$  — числа молей алкилсульфата или добавки. Вычислены парц. молярные объемы  $v$  отдельных компонентов р-ров. Величины  $v$  для *n*-гексилового, *n*-октилового спиртов и бензола в р-рах децилсульфата Na почти не отличаются от мол. объемов этих в-в в чистом виде, а также от их  $v$  в р-рах содержащих додецилсульфат Na. На основе обсуждения опытных данных авторы считают, что мицеллы алкилсульфатов имеют более рыхлую структуру, чем жидкие парафиновые углеводороды, и что добавки электролитов и высших спиртов оказывают незначительное влияние на величины  $v$  алкилсульфатов в р-рах.

Н. Хомутов

50829. Усовершенствованная теория ионных пар. I. Равновесный вариант. II. Неравновесный вариант. Рейсе (Refined theory of ion pairing. I. Equilibrium aspects. II. Irreversible aspects. Reiss Howard), J. Chem. Phys., 1956, 25, № 3, 400—407, 408—413 (англ.)

I. Автор отмечает некоторые противоречия теории ионных пар (ИП) Бьеррума (Bjerrum N., Kgl. Danske Videnskab. Selskab, 1926, 7, № 9), позднее развитой Фуоссом (Fuoss R. M., Trans. Faraday Soc., 1934, 30, 967) и излагает новый вариант теории, основанный на представлении, что взаимодействие ионов в р-ре в сущности ограничивается взаимодействием между ближайшими соседними ионами противоположных знаков и что распределение ИП имеет большее значение, чем распределение плотности ионов в ионной атмосфере. Путем рассмотрения кинетики обмена партнерами соседних ИП выведена функция распределения плотности положительных ионов, находящихся в ближайшем соседстве с отрицательными ионами. В расчетах не используется закон действующих масс. Показано, что применение новой теории к условиям равновесия в электролите приводит к результатам, аналогичным выводам Фуосса.

II. На основе выведенной автором функции распределения ИП показана возможность расчета их подвижностей. Полученные результаты показывают, что переход от подвижности ИП равной нулю к полной подвижности свободных ионов имеет место в той области, где функция ИП Фуосса имеет минимум. Суммирование эффектов от всех ИП приводит к установлению зависимости подвижности от конц-ии, аналогичной предсказанной теорией Фуосса, и тем самым, по мнению автора, подтверждает ее правильность.

Н. Хомутов

50830. Соотношение Бьеррума и образование ионных пар. Райс (On the Bjerrum relation and the formation of ion pairs. Rice Stuart A.), J. Amer. Chem. Soc., 1956, 78, № 20, 5247—5252 (англ.)

Излагается новый вариант теории образования ионных пар (ИП) в р-рах двусосновных к-т и болаформных электролитов (молекулы которых содержат 2 диссоциирующие группы, разделенные цепью атомов). Представления автора о механизме образования ИП отличаются от представлений Бьеррума допущением образования ИП за счет связи противоположно заряженных ионов со специфичными группами, расположенными вдоль полимерной цепи. При помощи главной функции распределения выведены ур-ния для степени диссоциации  $\alpha$  ИП и для 2-й константы диссоциации  $K_2$  двусосновной к-ты, а также ур-ние Бьер-

рума, устанавливающее связь между 1-й и 2-й константами  $K$ . Рассмотрена физ. сущность процессов, объясняющих взаимную зависимость ионизации двух кислотных групп. Обсуждена связь между теорией образования ИП в полиэлектролитах и известными из литературы свойствами болаформных электролитов.

Н. Хомутов

**50831. Определение коэффициентов активности сульфата цинка в цепях без жидкостного контакта и влияние посторонних ионов на электродвижущую силу.** Арвия (Determinacion del coeficiente de actividad del sulfato de zinc en pilas sin union liquida e influencias de iones extraños en su fuerza electromotriz. Arvia Alejandro Jorge), Rev. Fac. cienc. quim., 1952 (1955), 27, 57—63 (исп.).

Излагается теория метода и результаты определений коэф. активностей  $Zn(SO_4)_2$  по э. д. с. цепи:  $Zn-Hg$  (амальгама, 2 фазы) | р-р солей |  $HgSO_4$  |  $Hg$ . Определения произведены как с р-рами чистого  $Zn(SO_4)_2$ , так и со смесями его с  $MgSO_4$ ,  $MnSO_4$  и  $Na_2SO_4$ .

В. Анохин

**50832. Произведения растворимостей некоторых 2- и 8-хинолинкарбоксилатов металлов в водных растворах перхлората натрия.** Лумме (Solubility products of some metal 2- and 8-quinolinecarboxylates in aqueous sodium perchlorate solutions. Lumme P. O.), Suomen kem., 1957, 30, № 1, B1—B5 (англ.). Потенциометрическим методом измерена растворимость внутриспиральных комплексов металлов с 2-хинолинкарбоновой (I) и 8-хинолинкарбоновой (II) к-тами в водн. р-рах  $NaClO_4$ . Расчетные значения константы  $K_s$  (по определению:  $K_s = [M^{2+}][RH]^2 / (H^+)^2$ ), описываются уравнением

типа Дебая-Хюккеля:  $pK_s = pK_{s,0} - 2,036 \sqrt{I} / (1 + \alpha \sqrt{I}) + BI$ , где  $I$  — ионная сила р-ра. Для комплексов с I состава  $CoR_2 \cdot 2H_2O$ ,  $CdR_2$ ,  $PbR_2$   $B = 0$ ,  $pK_{s,0}$  равен соответственно 3,690, 2,871, 2,582;  $\alpha = 1,243$ , 2,07, 1,146. Для комплекса  $Pb$  с II состава  $PbR_2$   $B = 0,0498$ ,  $\alpha = 8,375$ ,  $pK_{s,0} = -3,274$ . Комплекс  $Cd$  с I может быть получен и в виде аморфного гидрата с  $2H_2O$ , постепенно превращающегося в иглы безводн. соединения.

И. Слоним

**50833. Изучение разнородностей ионов, присутствующих в растворах  $Ce(3+)$  и  $Ce(4+)$  в азотной кислоте.** Блаустейн, Грайдер (An investigation of the species existing in nitric acid solutions containing cerium (III) and cerium (IV). Blaustein Bernard D., Gryder John W.), J. Amer. Chem. Soc., 1957, 79, № 3, 540—547 (англ.).

Изучена экстракция  $Ce(4+)$  из водн. р-ров  $Ce(NO_3)_4$ ,  $Ce(NO_3)_3$ ,  $LiNO_3$  и  $HNO_3$  диизопропиловым эфиром. Показано, что доля извлекаемого  $Ce(4+)$  падает с увеличением его равновесной конц-ии в водн. р-ре, так как  $Ce(4+)$  мономерен в эфире и димерен в воде. Измерена э. д. с. концентрационных цепей, состоящих из двух Pt-электродов, погруженных в р-ры с одинаковым отношением  $Ce(4+)/Ce(3+)$ , но разной общей конц-ии  $Ce$ ; наличие этой э. д. с. подтверждает существование димеризации. Для константы ассоциации  $2Ce^{4+} = (Ce^{4+})_2$  в 5,5 н.  $HNO_3$  при 30  $\pm 0,03^\circ$  получено значение  $17 \pm 2$ ; для р-ции  $Ce^{4+} + Ce^{3+} = Ce^{4+} + Ce^{3+}$  в тех же условиях константа ассоциации равна  $2,0 \pm 0,7$ .

И. Слоним

**50834. Свойства алюминатных растворов.** Кузнецов С. П., Антипин Л. Н., Срывалин Н. Т., Серебрянникова О. В., Деревянкин В. А., Тр. Уральского политехн. ин-та, 1957, сб. 58, 36—50. Измерены электропроводность, вязкость, плотность и поверхностное натяжение алюминатных р-ров с различными мол. отношениями  $Na_2O : Al_2O_3$  в широком интервале конц-ий, при т-рах 30—80°. Отмечено не-

сколько характерных изгибов на кривых свойства — состав и на кривых температурных зависимостей. Оценены значения энергий активации электропроводности и вязкого течения и найдено, что обе величины в разб. р-рах равны между собой (400—700 кал/моль), но в конц. р-рах они различны и зависят от отношения  $Na_2O/Al_2O_3$ . Делается вывод, что в разб. р-рах  $Al$  присутствует в виде относительно простых подвижных анионов, а в конц. р-рах содержатся более сложные малоподвижные анионы. С увеличением конц-ии алюминатных р-ров и относительного содержания в них глинозема поверхностное натяжение р-ров повышается, а с ростом т-ры — понижается. В. Анохин

**50835. Изучение электрообменной реакции между таллием (I+) и таллием (3+) в сернокислом растворе.** Брубейкер, Миккел (A study of the electron-exchange reaction between thallium (I) and thallium (III) in sulphuric acid solutions. Brubaker Carl H., Jr, Mickel John P.), J. Inorg. and Nucl. Chem., 1957, 4, № 1, 55—61 (англ.). Электронный обмен между  $Tl^+$  и  $Tl^{3+}$ , наблюдаемый по распределению радиоизотопа  $Tl^{204}$ , в среде 2,19 М  $H_2SO_4$  протекает в  $\sim 200$  раз быстрее, чем в среде  $HClO_4$  при такой же ионной силе и конц-ии  $H^+$ . Измерялась также скорость электронного обмена в смешанных средах  $H_2SO_4$  с  $HClO_4$  и  $H_2SO_4$  с  $Li_2SO_4$ . Результаты обработки эксперим. данных показывают, что скорость обмена может быть выражена несколькими кинетич. уравнениями. Обсуждены некоторые модели механизма процесса, могущие объяснить полученные эмпирич. ур-ния. Приводятся данные о скорости электронного обмена в зависимости от конц-ии  $H_2SO_4$ , от ионной силы и от т-ры в пределах 0,0—24,9°.

В. Анохин

**50836. Закономерности в области силы неорганических кислородсодержащих кислот.** Сюй Гуан-сянь, У Цзинь-гуан (無機含氧酸の強度の規律性 徐光憲, 吳珏光), 北京大學學報 (自然科學), Бэйцзин дасюэ сюэбао (цзыжань кэсюэ), Acta scient. natur. Univ. pekinensis, 1956, № 4, 489—493 (кит.; рез. англ.).

Сила неорганич. кислородных к-т связана с числом  $N$  донорных связей центрального атома уравнением:  $pK_1 = 7 - 5N$ ,  $pK_m = pK_1 - 5(m-1)$ , где  $K_1$  и  $K_m$  — первая и  $m$ -я константы диссоциации. Эта эмпирич. ф-ла проверена на большом числе неорганич. к-т.

Резюме авторов

**50837. Реакции оксиан-ионов в водных растворах.** Тауб (Reactions of oxy-anions in water solution. Taube Henry), Rec. Chem. Progr., 1956, 17, № 1, 24—33 (англ.).

Обсуждены некоторые вопросы химии гипохлоритных ионов в водн. р-рах (механизм обмена  $O$  между ионом  $ClO^-$  и водой, опыты с мечеными атомами по изучению взаимодействия ионов  $ClO^-$  с различными реагентами, роль ионов  $H^+$  в этих р-циях, окисление воды, р-ции 2-го и 3-го порядка с участием ионов  $ClO^-$  и т. п.). Рассмотренные свойства ионов  $ClO^-$  использованы также для обсуждения природы других кислородсодержащих анионов в водн. р-рах и для обсуждения механизма обмена их кислорода с водой.

Н. Хомутов

**50838. Константа диссоциации пиперидинового иона при температурах от 0° до 50° и зависящие от нее термодинамические величины.** Бейтс, Бауэр (Dissociation constant of piperidinium ion from 0° to 50°C and related thermodynamic quantities. Bates Roger G., Bower Vincent E.), J. Res. Nat. Bur. Standards, 1956, 57, № 3, 153—157 (англ.). Из измерений э. д. с. ячейки  $Pt, H_2(1 \text{ ат}) | C_5H_{10}NNHCl(m_1), C_5H_{10}NH(m_2) / AgCl, Ag$  вычислены и приведены



в таблицах, для указанного интервала т-р. константы кислотной ( $K_a$ ) и основной ( $K_b$ ) диссоциации пиперидина, стандартное теплосодержание  $\Delta H^\circ$ , стандартная энтропия  $\Delta S^\circ$  и изменение теплоемкости  $\Delta C_p$  при диссоциации. Кажущаяся константа диссоциации  $K_a'$  изменяется с возрастанием ионной силы  $\mu$  р-ра. Показано, что зависимость  $K_a'$  от  $\mu$  обусловлена образованием ионных пар пиперидина и хлорида.

**Н. Хомутов 50839.** К изучению гидразидов изоникотиновой кислоты и ее изомеров. Цанич, Джёрджевич (Прилог познavaњу хидразида изоникотинске киселине и његових изомерних хидразида. Цанич Велимир, Ђорђевић Радмила, Гласник Хем. друштва, 1956, 21, № 4, 193—199 (сербо-хорв.; рез. англ.)

Потенциометрическим методом определены константы кислотной диссоциации  $K_a$  изоникотиновой, никотиновой и пиколиновой к-т. Показано, что  $K_a$  аналогично константам основной диссоциации (РЖХим, 1957, 30102) имеет наибольшее значение ( $8.9 \cdot 10^{-12}$ ) у гидразида изоникотиновой к-ты, а наименьшее ( $8.5 \cdot 10^{-13}$ ) — у гидразида пиколиновой к-ты. Вопреки мнению Цинголаи и Гаудиано (РЖХим, 1956, 61139), первая ступень основной диссоциации приписывается пиридиновому, а не гидразидному атому.

**В. Анохин 50840.** О кислых силикатах. V. Анионные равновесия силикатов натрия в расплавленной глауберовой соли. Тило, Крюгер (Über die Anionengleichgewichte der Natriumsilicate in schmelzendem Glaubersalz. Thilo Erich, Krüger Günther, Z. Elektrochem., 1957, 61, № 1, 24—35 (нем.)

Потенциометрически установлено, что степень гидролиза р-ров силикатов натрия в расплаве  $\text{Na}_2\text{SO}_4 \cdot 10\text{H}_2\text{O}$  (I) зависит от соотношения  $\alpha = \text{Na} : \text{Si}$  в исходном силикате. При  $\alpha = 4$  на каждый атом Si образуется  $\sim 2.5$  и при  $\alpha = 1.25 \sim 0.125$  группы  $\text{OH}^-$ . Силикаты с  $\alpha = 1$  не подвергаются гидролизу. Определены степени полимеризации различных силикатов в р-рах I. Рассмотрение механизма полимеризации приводит к следующим выводам: 1. Анион  $\text{H}_2\text{SiO}_4^{2-}$  (II) бифункционален, одна из его  $\text{OH}$ -групп вера́кционноспособна. Полимеризация II сводится к линейной поликонденсации с отщеплением молекул воды. 2. Анион  $\text{H}_2\text{SiO}_4^{2-}$  (III) монофункционален, к линейной полимеризации неспособен. III обратимо соединяется с II с образованием  $\text{H}_2\text{Si}_2\text{O}_7^{3-}$  (IV). Группы  $\text{Si}-\text{O}$  в IV соединяются между собой посредством H-связи. 3. Молекула  $\text{H}_4\text{SiO}_4$  (V) трифункциональна. V и I образуют различные сополимеры. С повышением  $\alpha$  увеличивается содержание I и V в системе. Часть IV см. РЖХим, 1956, 12639.

**Б. Каплан 50841.** Плотность и вязкость сульфидных и сульфидно-алюминатных растворов. Пономарев В. Д., Рубан Н. Н., Изв. АН КазССР. Сер. горн. дела, металлургия, стро-ва и стройматериалов, 1957, вып. 1, 23—33 (рез. каз.)

Измерены плотности  $d$  и вязкости  $\eta$  р-ров  $\text{Na}_2\text{S}$   $\text{Na}_2\text{S} + \text{Al}_2\text{O}_3$  при конц-ях  $\text{Na}_2\text{S}$  0,26—8,6 г-экв/л и мол. соотношении  $\text{Na}_2\text{S} : \text{Al}_2\text{O}_3$  равном 3,3—3,5, при т-ре 25—75°. Смешанные р-ры имеют при всех т-рах в конц-ях больше  $d$  и  $\eta$ , чем р-ры  $\text{Na}_2\text{S}$ . Б. Шахельдьян

**50842.** Растворители с высокой диэлектрической постоянной. III. Растворы галогенидов натрия и калия в N-метилпропионамиде и N-метилбутирамиде при температурах от 30 до 60°. Досон, Грейнс, Серс (Solvents having high dielectric constants. III. Solutions of sodium and potassium halides in N-methylpropionamide and in N-methylbutyramide from 30 to 60°. Dawson Lyle R., Graves Richard H.,

Sears Paul G., J. Amer. Chem. Soc., 1957, 79, № 2, 298—300 (англ.)

В продолжение прежней работы (сообщение II, РЖХим, 1956, 9438) измерялись плотность, вязкость ( $\eta$ ), эквивалентная электропроводность ( $\Lambda$ ) и диэлектрич. постоянная  $8 \cdot 10^{-4} - 0.5$  M р-ров  $\text{NaCl}$ ,  $\text{KCl}$ ,  $\text{NaBr}$ ,  $\text{NaJ}$  и  $\text{KJ}$  в N-метилпропионамиде при 30—60°. Результаты представлены в виде таблиц и в виде графиков  $\Lambda = f(\sqrt{C})$ , которые при  $C < 0.01$  M соответствуют теоретич. предельному ур-нию Онзагера. Для больших  $C$  авторами получены эмпирич. ур-ния, напр.  $\Lambda \sqrt{\eta} = \Lambda_0 - (\alpha + \beta \Lambda_0) \sqrt{C}$ , дающие удовлетворительное согласие с опытными данными до  $C = 0.2 - 0.3$  M. Во всех изученных случаях валленовское произведение  $\Lambda_0 \eta_0$  уменьшается с ростом т-ры. Обсуждены причины отклонения от предельных законов. Указано влияние на  $\Lambda$  не только  $\eta$  в объеме р-ра, но и «вязкости ионной атмосферы». И. Зайденман

**См. также:** Структура и исслед. состояния р-ров 50489, 50492, 50494, 50495, 50497. Твердые р-ры 50520, 50658, 50675, 50695. История 50358.

## ЭЛЕКТРОХИМИЯ

Редакторы О. А. Есин, В. В. Лосев

**50843.** Электропроводность концентрированных растворов сильных электролитов. Сурьянараяна, Венкатесан (Conductance of concentrated solutions of strong electrolytes. Suryanarayana C. V., Venkatesan V. K.), Nature, 1956, 178, № 4548, 1461 (англ.)

Введено понятие «концентрационный потенциал»  $C_p$ , представляющий отношение молярности (M)  $m$  электролита в данном р-ре к его M в насыщ. р-ре  $m_s$ , и получено ур-ние для электропроводности  $\lambda_C = \lambda_S + A(1 - C_p)/\eta_p$ . В этом ур-нии  $\lambda_C = \kappa \cdot 1000 C_p$ ;  $\lambda_S = \kappa_S \cdot 1000$ ;  $\kappa$  и  $\kappa_S$  — уд. электропроводности р-ров с M  $m$  и  $m_s$ ;  $\eta_p$  — отношение вязкостей р-ров с M  $m$  и  $m_s$ ;  $A$  — постоянная, зависящая от т-ры. Зависимости  $\lambda_C$  от  $(1 - C_p)/\eta_p$  для р-ров хлоридов и нитратов K и Na при 30—55° являются линейными в исследованном диапазоне конц-й (от 1 M до насыщения). Н. Хомутов

**50844.** Влияние сольватации ионов на их числа переноса при электролизе. Колле (De l'influence de la solvation des ions sur leur nombre de transport dans l'électrolyse. Collet Luc-Henry), J. chim. phys. et phys.-chim. biol., 1956, 53, № 5, 456—461 (франц.)

Сольватация ионов оказывает двойное влияние на их числа переноса  $t$  при электролизе: замедляет скорость движения ( $U$ ) ионов; вызывает образование встречного по отношению к движению ионов потока р-рителя ( $\Phi$ ), приводящего к возрастанию  $U$  одного из ионов и к такому же уменьшению  $U$  второго иона (РЖХим, 1954, 25039; 1955, 23344). Если происходит электролиз р-ра в кажущемся равновесии, то все  $U$  таковы, как при  $\Phi = 0$ . Числа переноса по Гитторфу являются истинными числами переноса и не требуют никаких поправок на сольватацию. Эксперим. значения  $t$  при бесконечном разбавлении становятся равными абсолютным ( $t^\circ$ ). В идеальном разб. р-ре имеют место соотношения:  $t_+ = t_+^\circ - n\varphi(t_+^\circ S_+ - t_-^\circ S_-)$ ;  $t_- = t_-^\circ + n\varphi(t_+^\circ S_+ - t_-^\circ S_-)$ , где  $S_\pm$  — число молекул р-рителя, связанное с соответствующим ионом;  $\varphi$  — «объем» 1 молекулы р-рителя;  $n$  — число молекул электролита в единице объема р-ра. При электролизе по методу Нернста с дифференциальным в-ном (РЖХим,

1955, 51565) последнее движется вместе с р-рителем. Определение изменений конц-ий электролита и дифференциального в-ва позволяет рассчитать  $i^0$  и относительные значения гидратации ионов. И. Зайденман 50845. Перенос понов в нитробензольных растворах полийодидов комплексных катионов. Шевченко Ф. Д., Наук. зап. Київського ун-ту, 1955, 14, № 4, 103—123

В продолжение работы (РЖХим, 1954, 12521) изучены электролиз и перенос понов  $\text{NH}_4\text{I}$ , а также аммиаков йодидов Ni, Zn и Cd в нитробензольных р-рах йода. В результате прохождения электрич. тока через указанные р-ры происходит перенос йода в анодное пространство и усиление окраски анолита; перенос комплексного катиона в катодное пространство и ослабление окраски католита. Если сила тока была во время опыта постоянной, суммарное кол-во J-ионов во всех трех частях прибора оставалось неизменным. Это объяснено катодным восстановлением  $\text{J}_2$  до J-. Найдены числа переноса в нитробензольных р-рах йода для катионов:  $[\text{Ni}(\text{NH}_3)_6]^{2+} - 0,43$ ;  $[\text{Zn}(\text{NH}_3)_4]^{2+} - 0,47$ ;  $[\text{Cd}(\text{NH}_3)_4]^{2+} - 0,36$ ;  $\text{NH}_4^+ - 0,36$ . Исследование переноса ионов в системах  $\text{KJ} - \text{J}_2 - \text{H}_2\text{O}$  и  $\text{NH}_4\text{J} - \text{J}_2 - \text{H}_2\text{O}$  показало, что и в этих системах основным катодным процессом является восстановление  $\text{J}_2$  до J-. Числа переноса ионов  $\text{K}^+$  и  $\text{NH}_4^+$  в водн. р-рах их йодидов и йода равны соответственно 0,44 и 0,43, а ионов J- и  $\text{J}_3^-$  — соответственно 0,48 и 0,08. Ф. Шевченко

50846. Определение чисел переноса полярграфическим методом. Халафалла, Ханафи (Détermination du nombre de transport avec le polarographe. Khalafalla Sanaa, Hanafy Zeinab), J. chim. phys., et phys.-chim. biol., 1956, 53, № 11-12, 986—989 (франц.)

Числа переноса анионов  $T_-$  и катионов  $T_+$  вычислялись по ур-ниям  $T_- = -\Delta i / i_1$  и  $T_+ = \Delta i / i_1$ , где  $\Delta i = i_1 - i_d$ ,  $i_d$  и  $i_1$  — соответственно максим. диффузионный ток и предельный ток (сумма диффузионного и миграционного токов). В  $1,62 \cdot 10^{-2} M$   $\text{CdSO}_4$ ,  $T_{\text{Cd}^{2+}} = 0,346$ ; в  $5 \cdot 10^{-3} M$   $\text{Pb}(\text{NO}_3)_2$ ,  $T_{\text{Pb}^{2+}} = 0,538$ ; в  $5 \cdot 10^{-3} M$   $\text{CuSO}_4$ ,  $T_{\text{Cu}^{2+}} = 0,371$ ; в  $5 \cdot 10^{-3} M$   $\text{KJO}_3$ ,  $T_{\text{JO}_3^-} = 0,575$ . Найдено, что  $T$  линейно возрастает при увеличении мольной доли данного иона в р-ре (в присутствии добавок  $\text{KNO}_3$ ,  $\text{Na}_2\text{SO}_4$  и  $\text{H}_2\text{SO}_4$ ). А. Городецкая

50847. Электродный потенциал системы  $\text{OsO}_2 - \text{OsO}_4$ . Картледж (The electrode potential of the  $\text{OsO}_2 - \text{OsO}_4$  couple. Cartledge G. H.), J. Phys. Chem., 1956, 60, № 10, 1468—1470 (англ.)

Для расчета нормального электродного потенциала ( $E_0$ ) системы  $\text{OsO}_2 - \text{OsO}_4(\text{aq})$ , определяющей пассивные свойства Fe при покрытии его пленкой  $\text{OsO}_4$ , измерялись равновесные потенциалы ( $E$ ) Pt электрода, покрытого пленкой  $\text{OsO}_2$ , в насыщ. воздухом р-рах  $\text{OsO}_4$  в присутствии  $\text{K}_2\text{SO}_4$  (I), KCl (II), фталата (III) и фосфата (IV) при pH 0,5—9,65. В I кривые зависимости  $E$  от pH в интервале  $3,5 < \text{pH} < 6,5$  линейны и имеют наклон  $-59 \text{ мВ}$ . В II и III  $E$  на несколько мВ отличаются от  $E$  в I. Совпадение  $E$  в I и II имеет место при pH 7, а в I и IV — при pH 6,26 и 5,51. Среднее значение  $E_0$  для р-ции  $\text{OsO}_2 + 2\text{H}_2\text{O} \rightarrow \text{OsO}_4(\text{aq}) + 4\text{H}^+ + 4e$ , рассчитанное из данных измерений  $E$  в I при pH 5,59—6,50 и в IV при pH 5,51 и 6,26, составляет  $-0,964 \pm 0,002 \text{ в}$  (н.в.э.). Практически то же значение получено для  $E_0$  при расчете из данных измерений  $E$  в р-рах, содержащих суспензию  $\text{OsO}_2$ . Г. Флорианович

50847. Электродные потенциалы в расплавленных системах. III. Платиновый электрод в некоторых расплавленных галогенидах. Штерн (Electrode

potentials in fused systems. III. The platinum electrode in some halide melts. Stern Kurt H.), J. Phys. Chem., 1956, 60, № 10, 1443—1445 (англ.)

В цепи  $\text{Ag}|\text{AgCl}, \text{KCl}|\text{Cl}_2$  при конц-ии  $\text{AgCl} < 0,05$  мол. доли самопроизвольно протекает р-ция  $\text{Ag} + \text{KCl} = \text{AgCl} + \text{K}$  (сообщ. II, РЖХим, 1957, 514). Для изучения ее кинетики методом э.д.с. необходим электрод сравнения, так как при использовании хлорного электрода взаимодействие  $\text{Cl}_2$  с K дает завышенные результаты. Исследовались электродные р-ции на Pt в цепях:  $\text{Ag}|\text{AgCl}, \text{KCl}|\text{KCl}|\text{Pt}$ ;  $\text{Ag}|\text{AgBr}, \text{KBr}|\text{KBr}|\text{Pt}$  и  $\text{Cu}|\text{CuCl}, \text{KCl}|\text{KCl}|\text{Pt}$  при т-рах 800—900° и различном составе расплавов. Измеренные э.д.с. пересчитывались к стандартному состоянию чистых солей ( $E^0$ ). В предположении, что на Pt происходит восстановление ионов  $\text{K}^+$ , рассчитывалось равновесное давление его паров. Стандартный потенциал  $E^0$  р-ции  $\text{Ag} + \text{KCl} = \text{AgCl} + \text{K}$  определялся из потенциалов образования  $\text{AgCl}$  и  $\text{KCl}$  (РЖХим, 1957, 513). Соотношение, связывающее  $E^0$  и  $E^0$  при разных давлениях паров K ( $P_K$ ):  $E^0 = E^0 - (RT/F) \ln P_K$ , дает  $P_K$  порядка  $10^{-13} \text{ атм}$ . Автор приходит к выводу, что в расплавленных щел. галогенидах Pt может применяться как электрод сравнения, поскольку на ней устанавливается равновесное давление паров K. Б. Марков

50849. Частотная зависимость емкости и омического сопротивления двойного слоя на границе металл — раствор. Бокрис, Мел, Конуэй, Янг (Frequency variation of the capacity and resistance of the electrical double layer at a metal — solution interface. Bockris J. O'M., Mehl W., Conway B. E., Young L.), J. Chim. Phys., 1956, 25, № 4, 776—777 (англ.)

Отмечается, что эквивалентная параллельная емкость ( $C_D$ ) двойного электрич. слоя на границе Hg — р-р изменяется, хотя и мало, при изменении частоты ( $\omega$ ) налагаемого на электрод переменного тока; эта зависимость гораздо ярче выражена для некоторых твердых электродов в очень чистых р-рах в области, где они очень сильно поляризуемы; кроме того, на границе Hg — инертный электролит наблюдается очень сильная зависимость от  $\omega$  эквивалентного параллельного сопротивления ( $R_D$ ), хотя условия опытов очень близки к условиям реализации гипотетич. идеально поляризуемого электрода, для которого  $R_D = \infty$ . Эти факты могут быть объяснены на основании допущения о том, что адсорбированные на электроде молекулы воды под влиянием переменного тока приходят в колебательное движение с достаточно большим временем релаксации ( $\tau$ ). Положение диполей перестает полностью соответствовать изменению потенциала, что приводит к появлению зависимости  $C_D$  и  $R_D$  от  $\omega$ . Соответствующие расчеты, проведенные в рамках классич. теории диэлектриков, дают возможность объяснить вышеприведенные эффекты. Наилучшее совпадение теории с опытными данными для Hg- и Cu-электродов получается, если принять для адсорбированных молекул воды  $\tau = 10^{-6} \text{ сек}$ . По мнению авторов, существование конечного  $R_D$ , а также зависимость  $C_D$  и  $R_D$  от  $\omega$  должны учитываться при оценке констант скорости электродных процессов по данным измерений с применением переменного тока. И. Зайденман

50850. О влиянии емкости на эльземографические измерения. Чупр (O vlivu kapacity na elchemografická měření. Čupr V.), Spisy vyd. přirodověd. fakult. Masarykovy, 1955, № 6, 295—314 (чешск.; реэ. русск., франц.)

Теоретическое рассмотрение влияния емкости исследуемого электрода на эльземографические измерения (РЖХим, 1956, 5720). С. Жданов

50851. Анодное поведение никеля в серной кислоте. II. Ландеберг, Холлнэгел (Das anodische Verhalten des Nickels in Schwefelsäure. II. Landsberg R., Hollnagel M.), Z. Elektrochem., 1956, 60, № 9-10, 1098—1102 (нем.).

Исследовалось влияние скорости размешивания (СР) электролита (от 0 до 180 об/мин), добавок  $\text{Na}_2\text{SO}_4$  и различных т-р восстановления (ТВ) Ni (500 и 710°С) при его предварительной обработке на кривые ( $I, t^{-1/2}$ ) ( $I$  — плотность анодного тока,  $t$  — время пассивации), измеренные на Ni в 0,02 и 0,2 н.  $\text{H}_2\text{SO}_4$ . Размешивание р-ра приводит к отклонению кривых ( $I, t^{-1/2}$ ) от линейности, причем с возрастанием СР при  $I = \text{const}$   $t$  увеличивается. С ростом конц-ии  $\text{Na}_2\text{SO}_4$  при данной  $I$  сначала наблюдается быстрый рост  $t$ , а затем его уменьшение. При изменении ТВ Ni меняются постоянные  $A$  и  $I_0$  в ур-нии  $(I - I_0)Vt = A$ . Предполагается, что при анодной поляризации происходит покрытие Ni первичной окисной пленкой. К моменту наступления пассивации непокрытой (анодно активной) остается только часть поверхности электрода, величина которой не зависит от  $I$ , но зависит от предварительной обработки Ni-электрода, в том числе от ТВ. Последующее покрытие окислами активных участков Ni происходит вследствие обеднения приэлектродного слоя ионами  $\text{H}^+$  и достижения достаточно высокого электродного потенциала. Предыд. сообщение РЖХим, 1955, 54733.

Г. Флорианович

50852. О скорости окисления меди в азотной кислоте. Милотин Н. Н., Шульгин А. И., Ж. прикл. химии, 1957, 30, № 1, 58—62

Изучалась зависимость скорости растворения  $\nu$  Cu (по убыли в весе) от стационарного потенциала  $\phi$  в 3,28—11,65 М  $\text{HNO}_3$  при 25 и 35°. Опытные данные могут быть выражены ур-нием  $\phi = 0,195 + 0,056 \lg \nu$ ; сделан вывод, что растворение Cu происходит по электрохим. механизму. В 3,28 М  $\text{HNO}_3$  температурный коэф.  $\nu$  составляет  $\sim 5$ , а в 11,65 М  $\text{HNO}_3 \sim 1,3$  (по-видимому,  $\nu$  лимитируется скоростью диффузии окислителя).

И. Киселева

50853. Связь ионов  $\text{Co}^{60}$  с поверхностью металла. Фоли, Старк, Гьюар (Association of  $\text{Co}^{60}$  ions with metal surfaces. Foley R. T., Stark B. T., Guare C. J.), J. Electrochem. Soc., 1956, 103, № 10, 534—538 (англ.)

При погружении металла в р-р, содержащий ионы радиоактивного изотопа  $\text{Co}^{60}$ , часть ионов  $\text{Co}^{60}$  переходит на металл. Для изучения механизма этого процесса измерялась радиоактивность (Р) Cu, Al и нержавеющей стали (НС), покрытых окисными пленками (ОП), а также Cu, покрытой пленкой сульфида (ПС), после выдерживания этих металлов в течение 10 мин. при 30° в р-ре  $2,5\text{—}4 \cdot 10^{-5}$  н.  $\text{HCl}$  + 0,5 — 0,8 г/л  $\text{CoCl}_2$ . Найдено, что Р Cu с ОП и ПС велика и возрастает с ростом толщины ОП или ПС. Р НС очень мала и несколько возрастает для НС, покрытой ОП. В случае Al Р сильно уменьшается с ростом толщины ОП. Тем же методом исследовался переход  $\text{Co}^{60}$  на Cu, обработанную шифовкой, а также на Cu, качественно нанесенную на поверхность НС и Al («гальванич. пары»). Показано, что потери Р Cu на Al, Cu на НС, ПС на Cu и ОП на Cu при промывке образцов в токе воды в течение различных периодов времени различны и имеют большие величины для ПС и ОП на Cu, чем для Cu на Al и на НС. Для пористых пленок (и для некоторых чистых металлов) предполагается адсорбционный механизм перехода  $\text{Co}^{60}$  из р-ра на металл. В этом случае большая часть адсорбированного  $\text{Co}^{60}$  может быть удалена с образца путем промывки. Для исследованных «гальванич. пар», по-види-

мому, преобладающее значение имеет эффект электроосаждения  $\text{Co}^{60}$ .

Г. Флорианович

50854. Влияние некоторых органических соединений на растворение в кислоте монокристаллического цинка высокой чистоты. Кавалларо, Болонези (Azione di alcuni composti organici sulla dissoluzione acida dello zinco monocristallino di alta purezza. Cavallaro L., Bolognesi G. P.), Metallurgia ital., 1956, 11, № 9, 393—400, 412 (итал.; реж. англ., нем., франц.)

Исследовано растворение монокристаллич. Zn в 1 н.  $\text{H}_2\text{SO}_4$  с добавкой 5%  $\text{C}_2\text{H}_5\text{OH}$  в присутствии изосульфониатов и некоторых производных тиомочевин путем измерения объема выделяющегося  $\text{H}_2$ . Установлены некоторые интересные свойства лаурилульфоната, являющегося типичным смачивающим агентом.

Б. Брук

50855. Исследование кинетики реакций вытеснения. Берточчи (Ricerche sulla cinetica delle reazioni di spostamento. Bertocchi Ugo), Ann. chimica, 1956, 46, № 1-3, 179—193 (итал.)

Исследована скорость вытеснения Pb, Cu и Sb железом из 0,1 М р-ров Pb- и Cu-солей сульфаминовой к-ты и из кислого р-ра 0,1 М  $\text{SbCl}_5$ , а также Pb цинком и влияние на структуру осадков т-ры, перемешивания, конц-ии р-ров. На основании анализа влияния различных факторов на скорость вытеснения сделан вывод об электрохим. природе этого процесса. В некоторых случаях определяющим фактором является анодная пассивность Fe, в других — структура осадков, влияющая на диффузионные процессы, на плотность локальных токов и перенапряжение. Наложение различных факторов усложняет течение р-ций и делает возможным лишь их качествен. истолкование, исходя из электрохим. свойств металлов и р-ров их солей.

В. Щекин

50856. Кристаллизация анодных окисных пленок на тантале в присутствии сильного электрического поля. Вермилья (The crystallization of anodic tantalum oxide films in the presence of strong electric field. Vermilyea D. A.), J. Electrochem. Soc., 1955, 102, № 5, 207—214 (англ.)

Описанным ранее методом (РЖХим, 1954, 18724) исследовался процесс кристаллизации окисных пленок на Ta, образующихся при анодировании в 2%-ном р-ре  $\text{HNO}_3$ . Аморфные окисные пленки на Ta кристаллизуются при т-рах 0—100° при наложении сильного электрич. поля. При этом в пленке возникают «зоны кристаллизации» в виде неправильных многоугольников со средним числом сторон 6 или 8. Эти зоны представляют собой не отдельные монокристаллы, а конгломерат из множества мелких кристаллов, причем они окружены свернувшимися в спирали цилиндрами из вытесненной аморфной фазы. Уменьшение скорости роста толщины кристаллов, вызванное, напр., понижением т-ры или напряженности электрич. поля, связано также с уменьшением их радиальной скорости роста. Скорость роста кристаллов несколько зависит от природы р-ра. Образование зародышей кристаллов в аморфной пленке происходит лишь ниже крит. величины напряженности поля, которая зависит от т-ры формирования пленки, состояния поверхности, содержания примесей в металле и толщины аморфного слоя, но не зависит от предистории пленки. Толщина кристаллич. пленки, образующейся при данных напряжении и т-ре, примерно в 2 раза больше, чем толщина аморфной пленки, образующейся при тех же условиях.

П. Шитов

50857. Об остаточном напряжении в электролитических конденсаторах. Гел, Писториус (On the residual voltage with electrolytic capacitors. Geel W. Ch. van, Pistorius C. A.), Philips Res.



Repts, 1956, 11, № 6, 471—478 (англ.; рез. франц., нем.)

Исследовалось остаточное напряжение (ОН), наблюдаемое в электрич. конденсаторе, напр., в системе  $Al|Al_2O_3|электролит$  после разряда током короткого замыкания в течение нескольких долей сек. Al, как правило, служил положительным электродом; электролит — р-р борной к-ты и буры в смеси глицероля и воды. Измерен рост ОН во времени при 20 и 80°; ОН увеличивается при более высокой т-ре. Зависимость изменения максим. ОН от приложенного зарядного напряжения при постоянной толщине слоя окисла  $3,5 \cdot 10^{-5}$  см является линейной. Зависимость ОН от толщины слоя окиси при постоянной напряженности поля также линейна. Авторы объясняют возникновение ОН, исходя из того, что в кристаллич. решетке  $Al_2O_3$  имеется много незаполненных мест и ионы  $Al^{3+}$  имеют возможность в ней перемещаться. Подсчитано, что при среднем смещении иона  $Al^{3+}$  на 2 Å смещение подвергается 0,1% всех ионов. После разряда конденсатора смещенные ионы возвращаются в свое первоначальное положение, что вызывает образование ОН.

В. Левинсон

50858. Некоторые интересные особенности кинетики деполаризации. Агарвал (Some interesting features in depolarization kinetics. Agarwal H. P.), J. Scient. and Industr. Res., 1956, (B—C)15, № 10, B611—B612 (англ.)

Путем снятия кривых спада потенциала  $E$  и анодных кривых зарядки изучалась кинетика деполаризации катодно-поляризованной Pt в 1 н.  $H_2SO_4$ . Обсуждена природа перегибов на кривых ( $E$ ,  $i$ ).

Н. Хомутов

50859. О зависимости проникновения водорода и хромовой кислоты через слои, возникающие на катоде при электролизе концентрированных водных растворов хромовой кислоты в присутствии и в отсутствие серной кислоты от напряжения. Брейтер, Фейгль, Кнофф (Über die Durchlässigkeit der sich bei der Elektrolyse wässriger konzentrierter Chromsäurelösungen mit und ohne Schwefelsäure auf der Kathode bildenden Schichten für Wasserstoff und Chromsäure in Abhängigkeit von der Bezugsspannung. Breiter M., Feigl H., Knorr C. A.), Z. Elektrochem., 1956, 60, № 9-10, 1089—1093 (нем.)

При катодной поляризации (20 мА/см<sup>2</sup>) Pd-проволоки в конц. р-ре  $CrO_3$  (300 г/л) Pd насыщается водородом (I). Омич. сопротивление (C) Pd-проволоки по мере насыщения I растет, достигает максим. величины и снижается при пересыщении. Если ток прервать, то часть I мользуется и C Pd постепенно возрастает до максим. величины. Таким образом, I, поглощенный Pd, практически не окисляется  $CrO_3$ . Если же Pd-проволоку, пересыщ. I, перенести в р-р  $CrO_3$ , содержащий 0,25%-ную  $H_2SO_4$ , и перемещаемый азотом, то вначале происходит возрастание C Pd, а затем медленное снижение C до величины, соответствующей Pd, свободному от I. При переносе Pd-проволоки, насыщ. I, в р-р с конц.-ей  $H_2SO_4 > 0,25\%$  снижение C Pd происходит скачкообразно и тем быстрее, чем выше конц.-ия  $H_2SO_4$ . Одновременно сменялись кривые зависимости потенциала Pd-электрода от времени. На катодных поляризационных кривых, снятых на Pd-электроде в р-рах  $CrO_3 + H_2SO_4$ , потенциостатич. методом, наблюдаются минимумы тока. По мнению авторов, при катодной поляризации в р-ре  $CrO_3$  Pd покрывается мономолекулярной пленкой, напр., хромит-хроматной, не препятствующей разряду и моликации I, но затрудняющей р-цию  $CrO_3$  с I. В р-ре, содержащем  $H_2SO_4$ , пленка с большей или меньшей скоростью превращается в растворимый комплекс.

С. Жданов

50860. Явления перенапряжения на биметаллических электродах. I. Маху, Фуад (Überspannungsercheinungen an bimetalischen Elektroden. I. Machu Willi, Fouad M. G.), Werkstoffe und Korrosion, 1956, 7, № 10, 560—566 (нем.; рез. англ., франц.)

Исследовалось перенапряжение водорода (ПВ) на Zn, Cd, Pb, Cu, Ni, Hg и платинированной Pt ( $Pt_{Pt}$ ), а также биметаллич. электродах Zn—Cu, Pb—Cu и Pb—Pt. Поляризационные кривые (ПК) на  $Pt_{Pt}$  и на Pb— $Pt_{Pt}$  измерялись в 1 н.  $H_2SO_4$ , на остальных электродах — в буферных р-рах 1 н.  $CH_3COOH + 1$  н.  $CH_3CO_2Na$ . Для построения ПК использовались значения потенциалов, установившиеся во времени. Приведены значения коэф.  $b$  в уравн. Тафеля для чистых металлов: Cu 0,13; Ni 0,10; Cd 0,15; Pb 0,29; Zn 0,16 и Hg 0,16 а. ПВ на Zn—Cu и Pb—Cu имеют промежуточные значения по сравнению с ПВ на чистых металлах, причем для каждого биметаллич. электрода ПВ на одном компоненте отличается от ПВ на другом. ПВ на Pb— $Pt_{Pt}$  совпадает с ПВ на  $Pt_{Pt}$  для обоих компонентов.

Г. Флорианович

50861. Электролиз Кольбе кислот метиловых эфиров *цис-транс*-гексагидрофталевых кислот. Овербергер, Кабасакальян (Kolbe electrolyses of *cis* and *trans* methyl hydrogen hexahydrophthalate. Overberger C. G., Kabasakalian Peter), J. Organ. Chem., 1956, 21, № 10, 1124—1130 (англ.)

Проведен электролиз Кольбе с Pt-электродами *цис*- и *транс*-метилводородгексагидрофталатов в безвод. метаноле в присутствии  $CH_3ONa$ . Оба изомера дали идентичные смеси мономерных продуктов: метилового эфира циклогексен-1-карбоновой-1 к-ты (I), метилового эфира циклогексен-2-карбоновой-1 к-ты и метилового эфира циклогексанкарбоновой к-ты. Отношение кол-в насыщ. продуктов к ненасыщ. равно 1:1. Это указывает на то, что мономерные продукты возникают в результате диспропорционирования появляющихся при первичном акте электролиза радикалов метилового эфира циклогексил-2-карбоновой к-ты. I дает 2 полярографич. волны с  $E_{1/2} = -2,076$  и  $-2,308$  в (н.к.); фон. 0,1 M  $(C_4H_9)_4NCl$  в 50%-ном метаноле. Наряду с мономерными получены димерные продукты, сапонификация которых дала *транс-анти-транс* и *транс-син-тоанс*-пергидродифеновые к-ты, которые были разделены и идентифицированы хроматографически и по ИК-спектру. Так как во всех α-положениях в карбоксильной группе происходит эпитермеризация, то на основании отношения кол-в димерных продуктов нельзя сделать выводов о стереохимии радикалов.

С. Жданов

50862. Об электролизе растворов нитратов щелочных металлов в жидком аммиаке. Абэ, Окабэ (On the electrolysis of liquid ammonia solution of alkali nitrates. Abe Suekichi, Okabe Taijiro), Sci. Repts Res. Insts Tôhoku Univ., 1953, A5, № 2, 189—201 (англ.)

Для выяснения причин взрывов, которые иногда имеют место при электролизе р-ров  $NaNO_3$  в жидком  $NH_3$ , изучены р-ции р-ров  $NH_4NO_3$  и  $NaNO_3$  с Na и Ca. При мол. отношении (MO) Na к  $NH_4NO_3$  до 0,9 образуется  $NaNO_3$  и немного  $NaNO_2$ , при MO 0,9—2,6 выпадает белый осадок (BO), свыше 2,6 — желтый осадок (JO), взрывающийся при соприкосновении с воздухом и влагой. В интервале MO 0,9—2,6 нитрат полностью восстанавливается, кол-во нитрита достигает максимума (далее медленно снижается), образуется большое кол-во NaOH, появляется  $Na_2N_2O_2$ , кол-во которого непрерывно возрастает. Начиная с MO 1,9 появляется  $NaNH_2$ . При MO 4,2—4,3 р-р приобретает голубую окраску (характерную для р-ров металлич. Na), кото-

рая постепенно исчезает, при этом выделяется  $H_2$ . При р-ции  $Na$  с  $NaNO_3$  при  $MO$  0—2,0 выпадает  $BO$ , при больших  $MO$  —  $JO$ . Изучена также р-ция описанного  $JO$  со смесью спирта с жидким  $NH_3$ , протекающая без взрыва с выделением газов (в основном  $N_2$  и  $N_2O$ ). Р-ция  $NH_4NO_3$  с  $Ca$  проходит без образования взрывчатого  $JO$ ,  $Na_2N_2O_2$  не обнаружен. При электролизе с  $Al$ -катодом и графитовым анодом р-ра 20 г  $NaNO_3$  в 50 г  $NH_3$  при напряжении 6—7 в и плотности тока 50 а/дм<sup>2</sup> образуется р-р металлич.  $Na$ ,  $NH_4NO_3$  и малые кол-ва  $NaNO_2$ . При длительности электролиза > 3 час. образуется желтый взрывчатый продукт — восстановитель. После 2 час. электролиза на катоде образуется  $BO$  (70—78%  $NaOH$ , 15%, вероятно,  $Na_2N_2O_2$  и немного  $NaNO_2$ ). На основании анализа полученных результатов (РЖХим, 1955, 16032) сделан вывод, что взрывчатый  $JO$  образуется в результате р-ции  $NaNO_3 + Na \rightarrow Na_2NO_2$ .

Л. Кристаллик  
50863. Стекланный электрод сравнения для расплавленных солей. Бокрис, Хилс, Инман, Янг (An all-glass reference electrode for molten salt systems. Bockris J. O. M., Hills G. J., Inman D., Young L.), J. Scient. Instrum., 1956, 33, № 11, 438—439 (англ.)

Предложена конструкция стеклнного электрода (Э) сравнения, который сочетает описанные ранее Э (Делимарский Ю. К., Колотий А. А., Укр. хим. ж., 1950, 16, 438; РЖХим, 1957, 3932):

Ag	1%-ный р-р $AgCl$ в этектике $LiCl + KCl$	стекло	эвтектика $LiCl + KCl$
----	---	--------	------------------------

Исследованы воспроизводимость (2,5 ме) и обратимость Э, а также потенциал асимметрии. Показано, что э.д.с. концентрированной цепи  $Ag | AgCl (m_1), эвтектика | стекло | AgCl (m_2)$ , эвтектика  $| Ag$  подчиняется ур-нию Нернста (с учетом мембранного потенциала  $E_m$ ) и не зависит от сорта стекла.  $E_m$  рассчитывался по ф-ле:  $E_m = (RT/F) \ln (m_2 Li^+ / m_1 Li^+)$ . Для каждого свежего расплава необходим новый электрод. Ю. Делимарский

50864. Определение электродвижущей силы поляризации при электролизе расплавленных фторидов. Делимарский Ю. К., Григоренко Ф. Ф., Укр. хим. ж., 1956, 22, № 6, 726—730

В развитие работ авторов (РЖХим, 1956, 22400; 1957, 44180) выполнены измерения э.д.с. поляризации при электролизе фторидов щел. и щел.-зем. металлов в индивидуальном расплавленном состоянии, а также 5 М р-ров  $AlF_3$ ,  $PbF_2$ ,  $ZnF_2$ ,  $CdF_2$ ,  $BiF_3$ ,  $CrF_3$ ,  $MnF_2$ ,  $FeF_3$ ,  $CoF_2$ ,  $NiF_2$  и  $NaF$  как р-рителе. Э.д.с. поляризации измерялась спустя менее 0,5 сек. после прекращения электролиза. Как правило, э. д. с. поляризации значительно ниже потенциалов разложения, найденных из кривых ( $I, V$ ), что авторы объясняют большой деполаризацией при прекращении электролиза. Установлено, что при т-ре кристаллизации соли э. д. с. поляризации резко возрастает, становясь больше потенциал разложения. Это явление авторы связывают с изменением электрохим. свойств электролита.

Б. Марков  
50865. О механизме элемента Лекланше. Эйлер (Zum Mechanismus der Leclanché-Zellen. Euler Joachim), Z. Elektrochem., 1956, 60, № 9-10, 1056—1063 (нем.)

Исследовалась зависимость напряжения  $U_k$  свежих и разряженных до 1,4; 1,3; 1,1; 0,96 и 0,75 в марганцово-цинковых элементов от величины разрядного тока  $I$ . Из полученных результатов вычислялись общее ( $|R_g| = (U_k - U_0)/I$ ) и дифференциальное ( $|R_d| = \Delta U/\Delta I$ ) внутренние сопротивления ( $U_0$  — начальная э.д.с. эле-

мента).  $R_d$  измерялось также с помощью переменного тока (50 гц) при наложении последнего на постоянный ток.  $R_g$  и  $R_d$  падают с ростом  $I$ . На кривых ( $R_g, I$ ) и ( $R_d, I$ ) при малых  $I$  обнаружен максимум. Кривые  $[U_k, (1/R_g)]$  и  $[U_k, (1/R_d)]$  имеют характерные ступени при  $U_0 - U_k$ , равные 20—40 и 165—185 мв, которые автор связывает с началом последовательно или параллельно идущих токообразующих процессов: разряд криptomелана ( $\alpha-MnO_2$ ), разряд пиролюзита ( $\beta-MnO_2$ ), разряд манганита ( $MnOOH$ ). Для объяснения полученных закономерностей использована эквивалентная схема элемента, в которой параллельно включены цепи, состоящие из источника э.д.с. ( $U_1, U_2 \dots U_i \dots U_n$ , обязанного определенному токообразующему процессу, сопротивлению ( $R_1, R_2 \dots R_i \dots R_n$ ) и выпрямителя, затрудняющего протекание уравнительного тока. Каждая из параллельно включенных цепей  $i$  вступает в действие, когда  $U_k$  падает до соответствующего значения  $U_i$ . Предположение о характере токообразующих процессов находится в согласии с результатами рентгенографич. исследований и определений температурного коэфф.  $U_k$ .

П. Луковце  
50866. Производная полярография. Скобец Е. М., Скобец В. Д., Завод. лаборатория, 1957, 23, № 2, 167—173

Обзор. Библ. 42 назв. В. Ш.  
50867. Некоторые применения дифференциального гальванометра в полярографии. Барендrecht (Some applications of the differential galvanometer in polarography. Barendrecht E.), Anal. chim. acta, 1956, 15, № 5, 484—491 (англ.; рез. нем., франц.)

Описываются преимущества дифференциального гальванометра при измерении обычных (демпфированные колебания), дифференциальных (упрощение схемы) и особенно производных полярограмм. Показано, что высота максимума на производной полярограмме определяется конц-ей деполаризатора, разностью потенциалов двух каплевых электродов, сопротивлением ячейки и типом электродной р-ции. С. Жданов

50868. О мгновенном полярографическом токе. I. Автоматическая запись отдельных участков кривой сила тока — время для отдельной капли ртути. Волин, Бресле. II. Измерения скорости истечения ртути. III. Точные измерения остаточного тока. IV. Измерения тока, определяемого диффузией. Бресле (On the instantaneous polarographic current. I. Automatic recording of selected parts of the current-time curve of the individual mercury drop. Wählin Erik, Bresle Åke. II. Measurements of the rate of flow of mercury. III. Accurate measurements of the residual current. IV. Measurements of the diffusion controlled current. Bresle Åke), Acta chem. scand., 1956, 10, № 6, 935—942; 943—946; 947—950; 951—956 (англ.)

I. Описана электрич. схема, позволяющая снимать полярограммы со значениями мгновенных токов ( $i_t$ ). Период капания каплевого электрода ( $t$ ) регулируется электромагнитным молоточком. Показано, что оптимальным является замер тока непосредственно перед отрывом капли ( $i_t$ ). Показано, что  $i_t/C$  при изменении конц-ии деполаризатора  $C$  сохраняется постоянным с точностью  $\pm 0,24\%$ .

II. С описанной конструкцией капилляра в атмосфере  $N_2$  в 0,1 М  $KCl$  + 0,009% желатинны измерена мгновенная скорость вытекания  $Hg$  ( $m$ ) в различные моменты времени  $\tau$ . Для этого определялась разница в весе капель  $\Delta\omega$  при их отрыве в моменты  $\tau_1$  и  $\tau_2$ . Если  $\tau_2 - \tau_1$  достаточно мало, то  $(\Delta\omega/\Delta\tau) = m$ . Получена зависимость ( $m, \tau$ ) при различных потенциалах  $E$ , которая (с точ-

ностью ~0,3%) совпадает с теоретич. ур-нием (Smith G. S., Trans. Faraday Soc., 1951, 47, 63).

III. Снята зависимость мгновенного остаточного тока  $i_{\text{ост}}$  от  $\tau$  в том же  $p$ -ре при  $E = -0,94$  в (относительно Ag-электрода в данном  $p$ -ре). Для различных  $m$  эксперим. данные хорошо согласуются с теоретич. ур-нием:  $i_{\text{ост}} = A\tau^{-1/2} + B\tau^{1/2}$ , где первый член соответствует конденсаторному току, второй — фарадеевскому току (восстановление следов  $O_2$ , примесей, понов Hg), а  $A$  и  $B$  — константы. Из значения  $A$ , найденного графически из зависимости ( $i_{\text{ост}}, \tau$ ), определена емкость двойного слоя Hg-электрода ( $19,7 \pm 0,2$   $\mu\text{f}/\text{cm}^2$ ).

IV. С целью проверки исправленного ур-ния Ильковича (ИУИ) (Strehlow H., von Stackelberg M., Z. Elektrochem., 1950, 54, 51; Lingane J. J., Loveridge B., J. Amer. Chem. Soc., 1950, 72, 438) снималась зависимость мгновенного диффузионного тока  $i_d$  от  $C$ ,  $\tau$  и  $m$  для  $p$ -ра  $\text{Cd}^{2+}$  в 0,1 M KCl + 0,009% желатин в атмосфере  $N_2$ . При всех  $\tau$  справедливо ур-ние  $i_d = aC$ , причем отклонения в величине  $a$  составляют ~1% при  $\tau \leq 1$  сек., с ростом  $\tau$  они падают до ~0,1%;  $a$  несколько возрастает с ростом  $C$ , что объяснено увеличением доли миграционного тока. Установлено, что константа  $K$  во втором члене ИУИ меняется с  $\tau$ ; при малых  $\tau$   $K \ll 0$ , при  $\tau \approx 1$  сек.  $K \approx 0$ , далее с ростом  $\tau$   $K$  возрастает, стремясь к пределу (~26) (РЖХим, 1956, 9475). Зависимость  $\lg i_d$  от  $m$  линейная (коэфф. наклона 0,7).

По мнению автора, указанные несоответствия опытных данных с ИУИ требуют пересмотра либо поправочного члена ИУИ, либо теоретич. принципов, использованных при выводе основного ур-ния Ильковича. С. Майрановский 50869.

Полярографическое восстановление иона перманганата на платиновом и ртутном электродах. Сонгина О. А., Рождественская З. Б., Ж.К. аналит. химии, 1956, 11, № 6, 717—722 (рез. англ.).

Исследовалось влияние конц-ии  $H_2SO_4$  (0,1—12 н.) на полярографич. восстановление (В) иона  $MnO_4^-$  на капельном Hg-электроде и на вращающемся Pt-микроэлектроде. При всех значениях pH получены отчетливые предельные токи в  $p$ -рах  $10^{-3}$ — $10^{-5}$  н.  $MnO_4^-$ . Начало В  $MnO_4^-$  на Hg совпадает с окислением Hg. Для В  $MnO_4^-$  на Pt  $E_{1/2}$  0,7—0,9 в (насыщ. к. э.). Высота волны  $h$  в случае Hg-электрода пропорциональна конц-ии  $MnO_4^-$ ; в случае Pt-электрода  $h$  уменьшается с ростом конц-ии  $H_2SO_4$  от 2 до 10 н. и несколько возрастает при дальнейшем росте конц-ии  $H_2SO_4$ . Найдено, что существенное значение для полярографии  $MnO_4^-$  имеет его хим. взаимодействие с восстановителями в  $p$ -ре. Так, предполагается, что на Hg-электроде предельный ток является волной В ионов  $Hg^{2+}$ , образующихся при окислении Hg ионами  $MnO_4^-$  (доказательством этого является сохранение постоянного значения  $h$  при обезвреживании  $p$ -ра  $KMnO_4$  в присутствии Hg). Аналогично на Pt-электроде  $h$  уменьшается, если предварительно подвергнуть Pt катодной поляризации, в результате чего на поверхности Pt появляется адсорбированный водород, способный восстанавливать  $MnO_4^-$ .

Г. Флорианович 50870. Полярографическое изучение некоторых тетразольных соединений. Кивало, Мустакаллио (A polarographic study of some tetrazolium compounds. Kivalo P., Mustakallio K. K.), Suomen kem., 1956, 29, № 9, B154—B162 (англ.).

Изучено полярографич. поведение хлоридов: 2,3,5-трифенилтетразолия (I), 4,4'-дифенил-3',3''-бис-(2,5-дифенилтетразолия) (II) и 3,3'-диметокс-4,4'-дифенил-3',3''-бис-(2,5-дифенилтетразолия) (III) в интервале pH 1,6—12,6. Все три в-ва при всех pH дают сходные полярограммы, однако волны II и III вдвое

выше, чем волна I. При pH < 3,6 I дает одну волну с  $n = 6$  ( $n$  — число электронов), соответствующую восстановлению (В) до амидразона (IV);  $E_{1/2}$  этой волны при увеличении pH сдвигается на ~50 мв/ед. pH к отрицательным  $E$  (при pH 1,6 ее  $E_{1/2} = -0,08$  в по насыщ. к. э.). При  $E \approx -0,9$  в на участке предельн. тока  $i_{\text{пр}}$  этой волны появляется минимум (углубляющийся с увеличением конц-ии I (с)), обусловленный, по-видимому, очень малой растворимостью промежуточных продуктов В I. При pH  $\geq 3,6$  I дает две волны с  $n = 4$  (В I до гидразина (V)) и  $n = 2$  (В V до IV). Перед 1-й волной наблюдается небольшая независимая от  $C$  предволна (ПВ), у которой  $i_{\text{пр}}$  линейно меняется с высотой столба Hg, а  $E_{1/2}$  не зависит от pH. ПВ вызвана адсорбцией первичного продукта В I-формазана (VI). При pH > 8 1-я волна I распадается на две ступени равной высоты с  $n = 2$ , отвечающие В I → VI и VI → V. При высоких pH перед разрядом фона появляется волна с максимумом, характерная для катализа выделения  $H_2$ . Осциллографич. ( $i, E$ ) полярограммы (РЖХим, 1956, 74537) показывают, что при высоких pH процесс VI → V обратим (совпадение  $E_{1/2}$  анодного и катодного пиков), тогда как остальные стадии при всех pH необратимы (РЖХим, 1956, 12499). Из опытов при pH < 3,6 рассчитаны коэф. диффузии при  $37^\circ$  (в  $\text{cm}^2 \text{сек}^{-1} \cdot 10^6$ ): I 6,7; II 3,7; III 3,5.

С. Майрановский 50871. Осциллополярографическое поведение мescalina. Калаб (Oscillopolarographisches Verhalten von Mezcalin. Kaláb D.), Pharmazie, 1956, 11, № 4, 268—269 (нем.).

Описано осциллографич. исследование  $\beta$ -(3,4,5-триметоксифенил)-этиламина — алкалоида мescalina с применением капельного Hg-электрода. В 1 н. KOH или  $NH_4Cl$ - $NH_4OH$  на осциллограмме типа  $\{(dv/dt), v\}$  наблюдаются два зубца на катодной и анодной ветвях осциллограммы. Потенциал катодного зубца равен -1,3 в. Катодный зубец наблюдается также при использовании стационарного амальгамированного Cu-электрода. Метод очень чувствителен ( $5 \cdot 10^{-5}$  M в-ва легко может быть измерено) и позволяет количественно определять содержание мescalina на фоне 1 н. KOH.

Ю. Вайнштейн 50872. Полярография металлических монослоев. Николсон (Polarography of metallic monolayers. Nicholson M. M.), J. Amer. Chem. Soc., 1957, 79, № 1, 7—12 (англ.).

Измерены поляризационные кривые растворения тонких пленок Ag, Pb и Cu с неподвижного Pt-микроэлектрода соответственно в  $p$ -рах  $AgNO_3$ ,  $Pb(NO_3)_2$  и  $Cu(NO_3)_2$  в отсутствие перемешивания при большой скорости изменения потенциала (до 50 мв/сек). Исходя из ур-ния нестационарной диффузии и полного ур-ния Нернста развита теория полярографич. кривых для обратимого анодного растворения монослоя металла, лишь частично покрывающего электрод, а также для анодного растворения толстых металлич. осадков. Теория хорошо согласуется с экспериментом при растворении монослоя Ag, несколько хуже — при растворении Pb и плохо — при растворении Cu. Pb обнаруживает некоторую тенденцию к преимущественному осаждению на определенных участках поверхности; в случае растворения Cu анодный процесс, по-видимому, необратим. Этот метод полезен для аналитич. применения полярографии пленок и для исследований электроосаждения.

С. Жданов 50873. Спектроскопические исследования мощного импульсного разряда в водород. Лукьянов С. Ю., Синицын В. И., Атом. энергия, 1956, № 3, 88—96. См. РЖФиз, 1957, 6076.

С. Брагинский



ну с  
вос-  
ольн  
Н к  
о на  
тока  
ийс  
о-ви  
чных  
ны с  
IV).  
имая  
ется  
В вы-  
азана  
е сту-  
VI и  
появ-  
тали-  
грам-  
высо-  
анод-  
тади-  
). Из  
и при  
вский  
меха-  
en von  
№ 4,  
5-три-  
на с  
KON  
di), v)  
ветвях  
равен  
е при  
анного  
0-5 М  
олтиче-  
фоне  
штейн  
в. Ни-  
layers.  
57, 79,  
орения  
микро-  
О<sub>2</sub>) в  
ильной  
Иско-  
одного  
кривых  
метал-  
также  
садков.  
и рас-  
рство-  
обнару-  
енному  
ости; в  
димоу,  
приме-  
й элек-  
нданов  
ощного  
с Ю.  
88-96  
инский

См. также: Электроосаждение металлов 51869, 51889. Коррозия 53417. Полярография 50754, 50981, 50998, 50999, 51564. Хим. источники тока 50831. Электропроводимость 50834, 50943, 50986, 50988, 50992. Методика электрохим. измерений 51696—51698, 51727, 51906. Стекло для электродов 51983, 51966. Электрохимия расплавов 51897. Др. вопр.: электрохимия колл. р-ров 50936—50940, 50943; кинетика разложения амальгамы Na 51867; ионнообменные мембраны 50920—50923. История 50358

## ПОВЕРХНОСТНЫЕ ЯВЛЕНИЯ. АДсорбция. ХРОМАТОГРАФИЯ. ИОННЫЙ ОБМЕН

Редактор Н. А. Фукс

50874. Кривые поверхности раздела между жидкостями. II. Обобщенная формула Неймана, Баффа, Солтсберга (Curved fluid interfaces. II. The generalized Neumann formula. Buff Frank P., Saltsburg Howard), J. Chem. Phys., 1957, 26, № 1, 23—31 (англ.)

Автор рассматривает равновесие на границе трех жидких фаз с мол. точки зрения и приходит к обобщению треугольника Неймана. Показано, что ур-ние Неймана следует пополнить термодинамич. членом, не влияющим, впрочем на равновесие жидкой линзы (находящейся на поверхности другой жидкости) по закону Архимеда. Часть I см. РЖХим, 1957, 22529.

Н. Фукс

50875. Меридиональные кривые менисков смачивающих жидкостей. Друкер (Über Meniskuskurven benetzender Flüssigkeiten. Drucker Carl), Arkiv kemi, 1957, 10, № 4, 389—395 (нем.)

Для получения неискаженных фотоснимков с менисков смачивающих жидкостей в стеклянных трубках радиусом 4—13 мм были подобраны смеси жидкостей, обладающие одинаковым показателем преломления со стеклом. По снимкам вычислены: площадь, ограниченная меридианной кривой мениска и горизонтальной касательной к ней, и расстояния центров тяжести обеих половин этой площади от оси мениска, а также объем мениска. Предложено эмпирич. ур-ние, хорошо передающее ход меридиональных кривых.

Н. Фукс

50876. К вопросу о температурной зависимости поверхностного натяжения ионных кристаллов. Задумкин С. Н., Уч. зап. Кабардинск. гос. пед. ин-та, 1956, вып. 10, 3—6

Результаты ранее опубликованной работы (РЖХим, 1956, 21771) распространены на галоидные соли щел. металлов. Вычисленные по выведенной автором ф-ле значения  $\sigma/dT$  в многих случаях близки к найденным из опыта.

Н. Фукс

50877. Поверхностное натяжение и температура кипения металлов. Задумкин С. Н., Уч. зап. Кабардинск. гос. пед. ин-та, 1956, вып. 10, 7—12

В развитие работ (РЖХим, 1955, 1691, 1692) автор, пользуясь ур-нием Трутона, вычисляет поверхностное натяжение ряда металлов в жидком состоянии по их атомному весу, плотности, т-ре кипения и характеру расположения атомов в решетке. Согласно с опытом несколько худшее, чем в цитируемых работах.

Н. Фукс

50878. Поверхностное натяжение растворов аэрозоля OT. Рой (The change of surface tension of aerosol O. T. cent % solution. Roy R. S.), Kolloid-Z., 1957, 150, 49—52 (англ.; рез. нем.)

Методом отрыва кольца измерено поверхностное натяжение  $\sigma$  р-ров деггента аэрозоль OT (I) в воде и в ацетатных буферных р-рах, pH 3,8 и 5,6, с ионной силой  $\mu = 0,01—0,2$ . Для р-ров I в воде и в буфере

pH 3,8 при  $\sigma < 60$  дн/см соблюдается ур-ние  $\sigma = a - \beta \lg c$ , где  $c$  — конц-ия I,  $\alpha$  и  $\beta$  — постоянные. При постоянной  $c$   $\sigma$  линейно уменьшается с ростом  $\mu$ . В буфере pH 5,6 линейная зависимость между  $\sigma$  и  $\lg c$  соблюдается лишь при  $\mu = 0,01$  и  $0,02$ ; при pH 5,6 и  $\mu = 0,04$   $\sigma$  минимально. На графике ( $\sigma, \lg c$ ) при pH 5,6 и  $\mu = 0,1$  и  $0,2$  имеется перегиб, соответствующий образованию ионных мицелл или сетчатой структуры в р-ре.

И. Слоним

50879. Поверхностное натяжение систем: вода — 0,2 н. соль жирной кислоты — бутанол-1 в присутствии свободных кислот и свободной гидроокиси натрия. Бос, Мехротра (A study of the surface tension of the systems: water — 0,2 N sodium salts of the fatty acids — butanol-1 in presence of free acids and free sodium hydroxide. Bose A. N., Mehrotra K. N.), Kolloid-Z., 1957, 150, № 2, 151—153 (англ.)

Добавки бутанола-1 к 0,2 н. р-рам лаурата, миристиата, пальмитата и стеарата Na с различной степенью нейтр-ции жирной к-ты (25, 50, 75 и 100%) вызывают постепенное снижение их поверхностного натяжения ( $\sigma$ ) до постоянного значения при конц-ии спирта  $\sim 50\%$ , после чего  $\sigma$  начинает возрастать. Аналогично изменяется и вязкость р-ров. Из этого авторы заключают, что в указанных областях конц-ий спирта (до 50% и при 50—90%) существует соответствен-но два типа мицелл — гидрофильные олеомицеллы и липофильные гидромицеллы. Снижение  $\sigma$  с повышением содержания в мылах свободных к-т или избытка NaOH связано с изменением характера мицелл или с подавлением гидролиза мыл.

А. Таубман

50880. Поверхностное натяжение водных растворов алифатических аминов и их солей и алифатические амины как индикаторы при капиллярно-манометрическом титровании. Чжао Го-си, Новодранов (脂肪酸及其鹽的水溶液的表面張力和脂肪酸用滴定指示劑. 趙國慶, 譚沃德, 拉諾夫), 化學學報, Хуасюэ сюэбао, Acta chem. sinica, 1956, 22, № 4, 311—325 (кит.; рез. русск.)

Методом давления пузырьков измерено поверхностное натяжение  $\sigma$  водн. р-ров ряда алифатич. аминов и их солянокислых и сернокислых солей. Установлена возможность кислотно-щел. титрования (в крепких р-рах) по кривым изменения  $\sigma$  в присутствии этих аминов. Аналогично можно титровать р-ры Fe (3+) щелочью.

По резюме авторов

50881. Измерение поверхностного натяжения с помощью капиллярного тензиометра. Пошан (De la mesure des tensions superficielles à l'aide des tensiometres capillaires. Pochan A. R.), Génie, chim., 1957, 77, № 1, suppl., 13—18 (франц.; рез. англ., исп.)

Разработана микрометодика определения поверхностного натяжения ( $\sigma$ ) жидкостей, основанная на измерении высоты их поднятия в узких тонкостенных ( $2r \approx 0,1$  мм) стеклянных капиллярах и позволяющая исследовать малые кол-ва жидкости ( $\sim 2$  мл). Описано несколько типов тензиометров для измерения  $\sigma$  на поверхностях раздела жидкость — газ и жидкость — жидкость. При использовании жидкости с известным  $\sigma$  данная методика может быть применена для определения ее плотности.

А. Б. Таубман

50882. Межфазное поверхностное натяжение и молекулярное взаимодействие. Казн, Десаи (Interfacial tension and molecular interaction. Kazi Hemlata, Desai C. M.), J. Indian Chem. Soc., 1956, 33, № 10, 724—726 (англ.)

В развитие предыдущих работ (РЖХим, 1955, 18333—18339, 36868, 36869; 1956, 518, 18764—18760) исследовано межфазное натяжение  $\sigma$  на поверхности раздела водн. р-ров солей ( $CdJ_2$ ,  $HgCl_2$ ,  $CuCl_2$ ) разных конц-ий с и органич. жидкостей (изоамилацетат,

ностью  $\sim 0,3\%$ ) совпадает с теоретич. ур-нием (Smith G. S., Trans. Faraday Soc., 1951, 47, 63).

III. Снята зависимость мгновенного остаточного тока  $i_{\text{ост}}$  от  $\tau$  в том же  $p$ -ре при  $E = -0,94$  в (относительно Ag-электрода в данном  $p$ -ре). Для различных  $m$  эксперим. данные хорошо согласуются с теоретич. ур-нием:  $i_{\text{ост}} = A\tau^{-1/2} + B\tau^{1/2}$ , где первый член соответствует конденсаторному току, второй — фарадеевскому току (восстановление следов  $O_2$ , примесей, ионов Hg), а  $A$  и  $B$  — константы. Из значения  $A$ , найденного графически из зависимости ( $i_{\text{ост}}, \tau$ ), определена емкость двойного слоя Hg-электрода ( $19,7 \pm 0,2$   $\mu\text{ф/см}^2$ ).

IV. С целью проверки исправленного ур-ния Ильковича (ИУИ) (Strehlow H., von Stackelberg M., Z. Elektrochem., 1950 54, 51; Lingane J. J., Loveridge B., J. Amer. Chem. Soc., 1950, 72, 438) снималась зависимость мгновенного диффузионного тока  $i_{\text{д}}$  от  $C$ ,  $\tau$  и  $m$  для  $p$ -ра  $\text{Cd}^{2+}$  в 0,1  $M$   $\text{KCl} + 0,009\%$  желатин в атмосфере  $N_2$ . При всех  $\tau$  справедливо ур-ние  $i_{\text{д}} = aC$ , причем отклонения в величине  $a$  составляют  $\sim 1\%$  при  $\tau \leq 1$  сек., с ростом  $\tau$  они падают до  $\sim 0,1\%$ ;  $a$  несколько возрастает с ростом  $C$ , что объяснено увеличением доли миграционного тока. Установлено, что константа  $K$  во втором члене ИУИ меняется с  $\tau$ ; при малых  $\tau$   $K \ll 0$ , при  $\tau \approx 1$  сек.  $K \approx 0$ , далее с ростом  $\tau$   $K$  возрастает, стремясь к пределу ( $\sim 26$ ) (РЖХим, 1956, 9475). Зависимость  $\lg i_{\text{д}}$  от  $m$  линейная (коэфф. наклона 0,7).

По мнению автора, указанные несоответствия опытных данных с ИУИ требуют пересмотра либо поправочного члена ИУИ, либо теоретич. принципов, использованных при выводе основного ур-ния Ильковича. С. Майрановский 50869.

**Полярографическое восстановление иона перманганата на платиновом и ртутном электродах.** Сонгина О. А., Рождественская З. Б., Ж. аналит. химии, 1956, 11, № 6, 717—722 (рез. англ.)

Исследовалось влияние конц-ии  $\text{H}_2\text{SO}_4$  (0,1—12 н.) на полярографич. восстановление (В) иона  $\text{MnO}_4^-$  на капельном Hg-электроде и на вращающемся Pt-микроэлектроде. При всех значениях pH получены отчетливые предельные токи в  $p$ -рах  $10^{-3}$ — $10^{-5}$  н.  $\text{MnO}_4^-$ . Начало В  $\text{MnO}_4^-$  на Hg совпадает с окислением Hg. Для В  $\text{MnO}_4^-$  на Pt  $E_{1/2}$  0,7—0,9 в (насыщ. к. э.). Высота волны  $h$  в случае Hg-электрода пропорциональна конц-ии  $\text{MnO}_4^-$ ; в случае Pt-электрода  $h$  уменьшается с ростом конц-ии  $\text{H}_2\text{SO}_4$  от 2 до 10 н. и несколько возрастает при дальнейшем росте конц-ии  $\text{H}_2\text{SO}_4$ . Найдено, что существенное значение для полярографии  $\text{MnO}_4^-$  имеет его хим. взаимодействие с восстановителями в  $p$ -ре. Так, предполагается, что на Hg-электроде предельный ток является волной В ионов  $\text{Hg}^{2+}$ , образующихся при окислении Hg ионами  $\text{MnO}_4^-$  (доказательством этого является сохранение постоянного значения  $h$  при обезвреживании  $p$ -ра  $\text{KMnO}_4$  в присутствии Hg). Аналогично на Pt-электроде  $h$  уменьшается, если предварительно подвергнуть Pt катодной поляризации, в результате чего на поверхности Pt появляется адсорбированный водород, способный восстанавливать  $\text{MnO}_4^-$ .

Г. Флорианович 50870. **Полярографическое изучение некоторых тетразольных соединений.** Кивало, Мустакаллио (A polarographic study of some tetrazolium compounds. Kivalo P., Mustakallio K. K.), Suomen kem., 1956, 29, № 9, B154—B162 (англ.)

Изучено полярографич. поведение хлоридов: 2,3,5-трифенилтетразолия (I), 4,4'-дифенил-3''-бис-(2,5-дифенилтетразолия) (II) и 3,3'-диметокси-4,4'-дифенил-3''-бис-(2,5-дифенилтетразолия) (III) в интервале pH 1,6—12,6. Все три в-ва при всех pH дают сходные полярограммы, однако волны II и III вдвое

выше, чем волна I. При pH < 3,6 I дает одну волну с  $n = 6$  ( $n$  — число электронов), соответствующую восстановлению (В) до амидразона (IV);  $E_{1/2}$  этой волны при увеличении pH сдвигается на  $\sim 50$  мв/ед. pH к отрицательным  $E$  (при pH 1,6 ее  $E_{1/2} = -0,08$  в по насыщ. к. э.). При  $E \approx -0,9$  в на участке предельн. тока  $i_{\text{пр}}$  этой волны появляется минимум (углубляющийся с увеличением конц-ии I (с)), обусловленный, по-видимому, очень малой растворимостью промежуточных продуктов В I. При pH  $\geq 3,61$  I дает две волны с  $n = 4$  (В I до гидразидина (V)) и  $n = 2$  (В V до IV). Перед 1-й волной наблюдается небольшая независимая от  $C$  предволна (ПВ), у которой  $i_{\text{пр}}$  линейно меняется с высотой столба Hg, а  $E_{1/2}$  не зависит от pH. ПВ вызвана адсорбцией первичного продукта В I-формазана (VI). При pH > 8 1-я волна I распадается на две ступени равной высоты с  $n = 2$ , отвечающие В I—VI и VI—V. При высоких pH перед разрядом фона появляется волна с максимумом, характерная для каталитич. выделения  $\text{H}_2$ . Осциллографич. ( $i, E$ ) полярограммы (РЖХим, 1956, 74537) показывают, что при высоких pH процесс  $\text{VI} \rightarrow \text{V}$  обратим (совпадение  $E_{1/2}$  анодного и катодного пиков), тогда как остальные стадии при всех pH необратимы (РЖХим, 1956, 12499). Из опытов при pH < 3,6 рассчитаны коэфф. диффузии при  $37^\circ$  (в  $\text{см}^2 \text{сек}^{-1} \cdot 10^6$ ): I 6,7; II 3,7; III 3,5.

С. Майрановский 50871. **Осциллополярографическое поведение мескалина.** Калаб (Oscilllopolarographisches Verhalten von Mezkalin. Kaláb D.), Pharmazie, 1956, 11, № 4, 268—269 (нем.)

Описано осциллографич. исследование  $\beta$ -(3,4,5-триметоксифенил)-этиламина — алкалоида мескалина с применением капельного Hg-электрода. В 1 н. KOH или  $\text{NH}_4\text{Cl-NH}_4\text{OH}$  на осциллограмме типа ( $dv/dt$ ),  $v$  наблюдаются два зубца на катодной и анодной ветвях осциллограммы. Потенциал катодного зубца равен  $-1,3$  в. Катодный зубец наблюдается также при использовании стационарного амальгамированного Cu-электрода. Метод очень чувствителен ( $5 \cdot 10^{-5}$   $M$  в-ва легко может быть измерено) и позволяет количественно определять содержание мескалина на фоне 1 н. KOH.

Ю. Вайнштейн 50872. **Полярография металлических монослоев.** Николсон (Polarography of metallic monolayers. Nicholson M. M.), J. Amer. Chem. Soc., 1957, 79, № 1, 7—12 (англ.)

Измерены поляризационные кривые растворения тонких пленок Ag, Pb и Cu с неподвижного Pt-микроэлектрода соответственно в  $p$ -рах  $\text{AgNO}_3$ ,  $\text{Pb}(\text{NO}_3)_2$  и  $\text{Cu}(\text{NO}_3)_2$  в отсутствие перемешивания при большой скорости изменения потенциала (до 50 мв/сек). Исходя из ур-ния нестационарной диффузии и полного ур-ния Нернста развита теория полярографич. кривых для обратимого анодного растворения монослоя металла, лишь частично покрывающего электрод, а также для анодного растворения толстых металлич. осадков. Теория хорошо согласуется с экспериментом при растворении монослоя Ag, несколько хуже — при растворении Pb и плохо — при растворении Cu. Pb обнаруживает некоторую тенденцию к преимущественному осаждению на определенных участках поверхности; в случае растворения Cu анодный процесс, по-видимому, необратим. Этот метод полезен для аналитич. применения полярографии пленок и для исследований электроосаждения.

С. Жданов 50873. **Спектроскопические исследования мощного импульсного разряда в водороде.** Лукьянов С. Ю., Синицын В. И., Атом, энергия, 1956, № 3, 88—96

См. РЖФиз, 1957, 6076. С. Брагинский

См. также: Электроосаждение металлов 51869, 51889. Коррозии 53417. Полярография 50754, 50981, 50998, 50999, 51564. Хим. источники тока 50831. Электропроводность 50834, 50943, 50986, 50988, 50992. Методика электрохим. измерений 51696—51698, 51727, 51906. Стекло для электродов 51983, 51966. Электрохимия расплавов 51897. Др. вопрос.: электрохимия колл. р-ров 50936—50940, 50943; кинетика разложения амальгамы Na 51867; ионнообменные мембраны 50920—50923. История 50358

## ПОВЕРХНОСТНЫЕ ЯВЛЕНИЯ. АДОРБЦИЯ. ХРОМАТОГРАФИЯ. ИОННЫЙ ОБМЕН

Редактор Н. А. Фуке

50874. Кривые поверхности раздела между жидкостями. II. Обобщенная формула Неймана. Бафф, Солтеберг (Curved fluid interfaces. II. The generalized Neumann formula. Buff Frank P., Saltsburg Howard), J. Chem. Phys., 1957, 26, № 1, 23—31 (англ.)

Автор рассматривает равновесие на границе трех жидких фаз с мол. точки зрения и приходит к обобщению треугольника Неймана. Показано, что ур-ние Неймана следует пополнить термодинамич. членом, не влияющим, впрочем на равновесие жидкой линзы (находящейся на поверхности другой жидкости) по закону Архимеда. Часть I см. РЖХим, 1957, 22529.

Н. Фуке

50875. Меридиональные кривые менисков смачивающих жидкостей. Друкер (Über Meniskuskurven benetzender Flüssigkeiten. Drucker Carl), Arkiv kemi, 1957, 10, № 4, 389—395 (нем.)

Для получения неискаженных фотоснимков с менисков смачивающих жидкостей в стеклянных трубках радиусом 4—13 мм были подобраны смеси жидкостей, обладающие одинаковым показателем преломления со стеклом. По снимкам вычислены: площадь, ограниченная меридианной кривой мениска и горизонтальной касательной к ней, и расстояние центров тяжести обеих половин этой площади от оси мениска, а также объем мениска. Предложено эмпирич. ур-ние, хорошо передающее ход меридиональных кривых.

Н. Фуке

50876. К вопросу о температурной зависимости поверхностного натяжения ионных кристаллов. Задумкин С. Н., Уч. зап. Кабардинск. гос. пед. ин-та, 1956, вып. 10, 3—6

Результаты ранее опубликованной работы (РЖХим, 1956, 21771) распространены на галогенные соли щел. металлов. Вычисленные по выведенной автором формулы значения  $ds/dt$  в многих случаях близки к найденным из опыта.

Н. Фуке

50877. Поверхностное натяжение и температура кипения металлов. Задумкин С. Н., Уч. зап. Кабардинск. гос. пед. ин-та, 1956, вып. 10, 7—12

В развитие работ (РЖХим, 1955, 1691, 1692) автор, пользуясь ур-нием Трутона, вычисляет поверхностное натяжение ряда металлов в жидком состоянии по их атомному весу, плотности,  $t$ -ре кипения и характеру расположения атомов в решетке. Согласно с опытом несколько худшее, чем в цитируемых работах.

Н. Фуке

50878. Поверхностное натяжение растворов аэрозоля О. Т. Рой (The change of surface tension of aerosol O. T. cent % solution. Roy R. S.), Kolloid-Z., 1957, 150, 49—52 (англ.; рез. нем.)

Методом отрыва кольца измерено поверхностное натяжение  $\sigma$  р-ров детергента аэрозоль ОТ (I) в воде и в ацетатных буферных р-рах, pH 3,8 и 5,6, с ионной силой  $\mu = 0,01$ —0,2. Для р-ров I в воде и в буфере

pH 3,8 при  $\sigma < 60$  дн/см соблюдается ур-ние  $\sigma = \alpha - \beta \lg c$ , где  $c$  — конц-ия I,  $\alpha$  и  $\beta$  — постоянные. При постоянной  $c$   $\sigma$  линейно уменьшается с ростом  $\mu$ . В буфере pH 5,6 линейная зависимость между  $\sigma$  и  $\lg c$  соблюдается лишь при  $\mu = 0,01$  и 0,02; при pH 5,6 и  $\mu = 0,04$   $\sigma$  минимально. На графике ( $\sigma$ ,  $\lg c$ ) при pH 5,6 и  $\mu = 0,1$  и 0,2 имеется перегиб, соответствующий образованию ионных мицелл или сетчатой структуры в р-ре.

И. Слоним

50879. Поверхностное натяжение систем: вода — 0,2 н. соль жирной кислоты — бутанол-1 в присутствии свободных кислот и свободной гидроокиси натрия. Бос, Мехротра (A study of the surface-tension of the systems: water — 0,2 N sodium salts of the fatty acids — butanol-1 in presence of free acids and free sodium hydroxide. Bose A. N., Mehrotra K. N.), Kolloid-Z., 1957, 150, № 2, 151—153 (англ.)

Добавки бутанола-1 к 0,2 н. р-рам лаурата, миристиата, пальмитата и стеарата Na с различной степенью нейтр-ции жирной к-ты (25, 50, 75 и 100%) вызывают постепенное снижение их поверхностного натяжения ( $\sigma$ ) до постоянного значения при конц-ии спирта  $\sim 50\%$ , после чего  $\sigma$  начинает возрастать. Аналогично изменяется и вязкость р-ров. Из этого авторы заключают, что в указанных областях конц-ий спирта (до 50% и при 50—90%) существует соответственно два типа мицелл — гидрофильные олеомицеллы и липофильные гидроммицеллы. Снижение  $\sigma$  с повышением содержания в мылах свободных к-т или избытка NaOH связано с изменением характера мицелл или с подавлением гидролиза мыл.

А. Таубман

50880. Поверхностное натяжение водных растворов алифатических аминов и их солей и алифатические амины как индикаторы при капиллярно-манометрическом титровании. Чжао Го-си, Новодранов (脂肪胺及其鹽的水溶液的界面張力和脂肪胺用作滴定指示劑. 趙國聖, 諾沃德蘭諾夫), 化學學報 Хуасюэ сюэбао, Acta chem. sinica, 1956, 22, № 4, 311—325 (кит.; рез. русск.)

Методом давления пузырьковой измерено поверхностное натяжение  $\sigma$  водн. р-ров ряда алифатич. аминов и их солянокислых и сернокислых солей. Установлена возможность кислотно-щел. титрования (в крепких р-рах) по кривым изменения  $\sigma$  в присутствии этих аминов. Аналогично можно титровать р-ры Fe (3+) щелочью.

По резюме авторов

50881. Измерение поверхностного натяжения с помощью капиллярного тензиометра. Пошан (De la mesure des tensions superficielles à l'aide des tensiometres capillaires. Pochan A. R.), Génie, chim. 1957, 77, № 1, suppl., 13—18 (франц.; рез. англ., исп.)

Разработана микрометодика определения поверхностного натяжения ( $\sigma$ ) жидкостей, основанная на измерении высоты их поднятия в узких тонкостенных ( $2r \approx 0,1$  мм) стеклянных капиллярах и позволяющая исследовать малые кол-ва жидкости ( $\sim 2$  мл). Описано несколько типов тензиометров для измерения  $\sigma$  на поверхностях раздела жидкость — газ и жидкость — жидкость. При использовании жидкости с известным  $\sigma$  данная методика может быть применена для определения ее плотности.

А. Б. Таубман

50882. Межфазное поверхностное натяжение и молекулярное взаимодействие. Каз, Десаи (Interfacial tension and molecular interaction. Kazi Hemlata, Desai C. M.), J. Indian Chem. Soc., 1956, 34, № 10, 724—726 (англ.)

В развитие предыдущих работ (РЖХим, 1955, 18333—18339, 36868, 36869; 1956, 518, 18764—18760) исследовано межфазное натяжение  $\sigma$  на поверхностях раздела водн. р-ров солей ( $\text{CdJ}_2$ ,  $\text{HgCl}_2$ ,  $\text{CuCl}_2$ ) разных конц-ий  $c$  и органич. жидкостей (изоамиллацетат,



изоамилловый спирт, хлороформ, анилин, бензол нитро-бензол,  $\text{CCl}_4$ , гептан и др.), а также их смесей. Показано, что на кривых (б, с) для всех указанных солей в ряде систем обнаруживаются три экстремума: при  $c \approx 0,05 \cdot 10^{-3} M$  — минимум; при  $c \approx 0,5 \cdot 10^{-3} M$  и  $5,0 \cdot 10^{-3} M$  — максимумы. К этим жидкостям относятся амилацетат, цитронеллол и ряд бинарных смесей. Остальные перечисленные выше в-ва и некоторые бинарные смеси не дают таких экстремумов. Причиной возникновения последних является, по мнению авторов, мол. взаимодействие через водородные связи и образование комплексов в органич. системах первой группы. В системах второй группы такое взаимодействие проявляется недостаточно сильно и не обнаруживается в ходе кривых.

**50883.** Измерение поверхностного натяжения несмачивающих стенки капилляра жидкостей методом газовых пузырьков. Янковский (O pomiarach napięcia powierzchniowego metodą pęcherzykową w cieczach niezwilżających ścianek kapilary. Jankowski Tadeusz), Zesz. nauk. Uniw. łódzki, 1956, Ser. 2, № 2, 93—99 (польск.; рез. русск., франц.)

Опытами с капиллярами из парафина показано, что процесс образования пузырьков газа из погруженного в воду капиллярного кончика происходит одинаково в смачиваемых и несмачиваемых капиллярах. В обоих случаях следует при расчетах брать внутренний радиус капилляра.

**50884.** Влияние величины молекулы спирта на поверхностную активность полученных из него и из сульфированной жирной кислоты эфиров. Гелл (Vliv velikosti molekuly esterifikačního alkoholu na povrchovou aktivitu sulfatovaného esteru vyšší mastné kyseliny. Hell Jiří), Chem. průmysl, 1957, 7, № 2, 61—63 (чешск.; рез. русск., англ.)

Установлено, что поверхностное натяжение  $\sigma$  р-ров Na-солей и эфиров сульфированной олеиновой к-ты с первичными спиртами  $C_1—C_4$  убывает с возрастанием мол. веса спирта  $M$ . В случае вторичных спиртов  $C_3—C_5$   $\sigma$  слегка увеличивается с ростом  $M$ . Для изо-спиртов влияние  $M$  на  $\sigma$  выражено слабее, чем для нормальных спиртов.

**50885.** Определение свойств молекул поверхностными методами. Гуасталла (Détermination des caractéristiques moléculaires par les techniques superficielles. Guastalla Jean), Chim. analyt., 1957, 39, № 2, 41—52 (франц.)

Излагаются некоторые вопросы физики и химии поверхностных и мономолекулярных слоев. Рассмотрены закономерности двухмерного состояния в-ва, методы исследования нерастворимых монослоев и адсорбционных слоев в р-рах, а также применение этих методов в аналитич. химии.

**50886.** Поверхностное давление растворимых слоев бензойной кислоты на поверхности раздела вода — галондопроизводные бензола. Джаспер, Вуд (The surface pressure of soluble benzoic acid films at water — halobenzene interfaces. Jasper Joseph J., Wood T. Donald), J. Phys. Chem., 1956, 60, № 12, 1625—1627 (англ.)

Измерено поверхностное давление ( $P$ ) растворимых мономолекулярных слоев бензойной к-ты (I) на поверхностях раздела между водой и хлор-(II), бром-(III) или йодбензолом (IV) ( $20—70^\circ$ ). Показано, что уже при очень малых конц-ях р-ров (порядка  $10^{-6}—10^{-5}$  моля на 100 мл) I обладает высокой поверхностной активностью.  $P$  возрастает в ряду  $II < III < IV$  (откуда следует, что адсорбция I имеет наибольшую величину в системе IV) и с повышением  $T$  уменьшается. Из полученных данных авторы заключают, что адсорбционные слои I газообразны.

А. Таубман

**50887.** Ступенчатый интерференционный рефлектор для определения оптических констант непоглощающих мономолекулярных пленок. I. Теория. Маттук, Петти, Бейтман (Stepped interference reflector for determining the optical constants of nonabsorbing unimolecular films. I. Theory. Mattuck Richard D. II. Experimental. Mattuck R. D., Petti R. D., Bateman J. B.), J. Opt. Soc. America, 1956, 46, № 8, 621—628; № 10, 782—789 (англ.)

I. Развита теория ступенчатого рефрактометра для одновременного определения толщины  $d$  и показателя преломления  $n$  мономолекулярных пленок. На предметное стекло сублимируется хром, затем наносится  $\sim 20$  двойных слоев стеарата Ba (I), на половину этой площади еще  $\sim 20$  слоев I, т. е. образуются 2 ступеньки приблизительно равной площади. Одна освещается белым светом, поляризованным перпендикулярно плоскости падения ( $S$ -волна), под углом падения  $\varphi_1^S = 78^\circ$ , другая — светом, поляризованным параллельно плоскости падения ( $P$  — волна) под углом падения  $\varphi_1^P = 81^\circ$ . Измеряются соответствующие полосы поглощения  $\lambda^S$  и  $\lambda^P$ . Затем на обе ступеньки последовательно наносится 2 дополнительных двойных слоя I и испытываемая пленка. После каждого нанесения измеряются полосы  $\lambda^S$  и  $\lambda^P$  и отсюда находятся  $n$  и  $d$  с точностью соответственно 1 и 4%.

II. Пригодность этого метода проверялась в интервале  $n$  1,25—2,0 и  $d$  10—250 Å. Опыты производились с нанесенными по методу Блэдкетт, сублимированными или полученными путем адсорбции пленками I, стеариновой к-ты, производного антрацена,  $\text{MgF}_2$ , криолита,  $\text{CaCO}_3$ , бычьего сыровоточного альбумина,  $\text{CaF}_2$  и  $\text{ZnS}$ . Для указанных  $d$  в интервале  $n$  1,4—1,7 получено полное согласие результатов измерений  $n$  и  $d$  с данными других методов, но за этими пределами  $n$  требуются дополнительные измерения.

**50888.** Поверхностная адгезия и упругие свойства слюды. Гейнс, Тейбор (Surface adhesion and elastic properties of mica. Gaines George L., jun., Tabor David), Nature, 1956, 178, № 4545, 1304—1305 (англ.)

Измерения активности листка слюды (I), погруженного до половины в р-р радиоактивного  $\text{CsCl}$ , промытого водой и высушенного, показали, что практически все поверхностные ионы  $K^+$  замещены на  $\text{Cs}^+$ . Через 3 недели активность I не изменилась, что указывает на отсутствие диффузии ионов  $\text{Cs}^+$  по поверхности и вглубь I. Принимая, что механич. свойства I определяются в основном кулоновскими силами, автор вычислил энергию адгезии и модуль упругости I и получил значения, близкие к найденным из опыта.

**50889.** Определение деформации и прочности слоев адгезива между металлическими поверхностями по методу «сальфеточного кольца». Гиллеспи, Райдл (The deformation and strength of napkin ring metal-adhesive-metal joints. Gillespie T., Rideal Eric), J. Colloid Sci., 1956, 11, № 6, 732—747 (англ.)

Для изучения прочности склеивания двух металлич. поверхностей адгезивом (A) использован метод «сальфеточного кольца». Слой A наносится в зазор между торцевыми поверхностями двух надетых на общий вал металлич. муфт: неподвижной и вращающейся. Прикладывая к подвижной муфте возрастающий момент, измеряют по углу поворота деформацию адгезива, а после снятия нагрузки — восстановление прежней

олектор  
показа-  
Mar-  
c, Per-  
tor for  
sorbing  
chard  
i R. D.,  
1956, 46,

тра для  
показа-  
нок. На  
м намо-  
а поло-  
азуется  
и. Одна  
рпенди-  
улом па-  
ным па-  
д углом  
щине по-  
уменьш  
х двой-  
го на-  
юда на  
и 4%.  
А. Попов  
в интер-  
водились  
мирован-  
нами I,  
и, MgF,  
бумина,  
1,4—1,7  
реный и  
предела-

Френкель  
свойства  
sion and  
E. L. Jun,  
1955, 1304—

погружен-  
и, проми-  
актически  
Cs<sup>+</sup>. Че-  
го указы-  
поверх-  
свойства  
силами.  
упругости  
из опыта  
Н. Фукс  
сти слое  
стями по  
и, Рай-  
rkin ring  
T. Ri-  
732—747

металлич.  
етод «са-  
дор между  
общий вал  
йсы. При  
и момент.  
дгезива, в  
прежней

формы слоя. Показано, что прочность слоя А пропорциональна общей площади соединения и во всех случаях значительно меньше, чем рассчитанная по прочности на разрыв образца А. Для парафина разрушение происходит при нагрузке  $< 6 \text{ кг/см}^2$ ; деформация, при постоянной нагрузке, пропорциональна куб. корню из времени, что характерно для поликристаллич. тел. Для нитроцеллюлозы наблюдался очень большой разброс результатов, возрастающий с уменьшением толщины слоя А.

И. Слоним  
50890. Рассмотрение теории полимолекулярной адсорбции и применение ее к адсорбции гелия. Стил (Concerning a theory of multilayer adsorption, with particular reference to adsorbed helium. Steele William A.), J. Chem. Phys., 1956, 25, № 5, 819—823 (англ.)

Теоретически рассмотрена локализованная адсорбция газа на твердом адсорбенте с однородной поверхностью без взаимодействия адсорбированных молекул для случая, когда энергия молекулы во 2-м слое значительно больше, чем в трехмерной жидкости. Сравнение теории с эксперим. данными по адсорбции Не показывает, что при 1—4,2° К адсорбция Не ближе отвечает такой модели, чем более простой модели БЭТ. Анализ эксперим. данных предлагаемым методом приводит к более реальным значениям констант  $V_m$  и  $s$  к выводу, что Не в монослое сжат меньше, чем предполагалось ранее. См. также РЖХим, 1956, 28663, 35548, 61204.

З. Высоцкий  
50891. Хемсорбция, чувствительная к структуре поверхности. Эрлих, Хикмтт (Structure sensitive chemisorption. Ehrlich Gert, Hickmott T. W.), J. Chem. Phys., 1957, 26, № 1, 219—220 (англ.)

Описанным ранее методом (РЖХим, 1957, 40801) в интервале 300—2200° К изучена десорбция  $N_2$  в одинаковых условиях с поверхностей тянутой проволоочки (I) и прокатанной ленты (II), изготовленных из W. Показано, что  $N_2$  десорбируется с I в 2 стадии: 1) при 350—500° К из  $\alpha$ -состояния (РЖХим, 1956, 2665, 71333) и 2) из  $\beta$ -состояния (1400—2000° К), а в случае II — в 3 стадии:  $\alpha$ - и 2  $\beta$ -стадии, причем десорбция  $\beta$ - $N_2$  начинается здесь уже при 1100° К. Теплоты десорбции  $\beta$ - $N_2$  при высокой т-ре равны  $\sim 75$  и  $\sim 110 \text{ ккал/моль}$  для I и II соответственно. Кол-во  $\beta$ - $N_2$  на I в  $\sim 9$  раз больше, чем  $\alpha$ - $N_2$ , а на II отношение  $\beta$ :  $\alpha \approx 100$ . Сделан вывод, что хемсорбция  $N_2$  на W зависит от структуры поверхности W, получающейся в результате различной ее обработки.

З. Высоцкий  
50892. Термические коэффициенты аккомодации на вольфраме, никеле и платине, покрытых газом. Амдур, Гилднер (Thermal accommodation coefficients on gas-covered tungsten, nickel and platinum. Amdur I., Guildner L. A.), J. Amer. Chem. Soc., 1957, 79, № 2, 311—315 (англ.)

При 9, 50 и 100° измерены термич. коэф. аккомодации ( $\alpha$ )  $H_2$ ,  $D_2$ , He, Ne,  $N_2$ ,  $O_2$ , Ar, Kr, Xe на поверхности проволок из W, Ni и Pt. Особое внимание уделялось тому, чтобы во время всех измерений сохранялось максим. покрытие поверхности слоем адсорбированного воздуха. Оптимальная разность т-р ( $t$ ) между проволокой и стенками ячейки 2°. Изменение давления от 0,004 до 0,3 мм рт. ст. не влияет на  $\alpha$ . С повышением  $t$   $\alpha$  на Ni и Pt несколько уменьшается, что объясняется частичной десорбцией воздуха;  $\alpha$  на W практически не зависит от  $t$ . Показано, что адсорбированный слой газа полностью маскирует характер поверхности и  $\alpha$  уже не зависит от природы металла. Несколько большие значения  $\alpha$  на W объясняются шероховатостью его поверхности, что подтверждается электронномикроскопич. снимками. А. Клячко

50893. Соотношение между изотермой адсорбции и уравнением скорости адсорбции. Кеи (Relation between adsorption isotherm and adsorption rate equation. Kei Tominaga), J. Chem. Phys., 1956, 25, № 6, 1283—1284 (англ.)

Показано, что, исходя из предложенных Рогинским ур-ний изотермы  $\theta_T(P)$  и кинетики  $\theta_{T,P}(t)$  адсорбции на неоднородных поверхностях и из правила Хориути—Поляни, по которому увеличение энергии  $E$  адсорбции на  $\Delta E$  сопровождается уменьшением энергии активации  $E^*$  на  $\sim 0,5\Delta E$ , можно вывести соотношения между функциями распределения  $f(E)$  и  $f^*(E^*)$  и ур-ниями  $\theta_T(P)$  и  $\theta_{T,P}(t)$ . В частности, если для данной поверхности  $f^*(E^*)$  имеет вид  $A^* \exp(\beta E^*)$ , то  $f(E)$  также будет экспоненциальной — вида  $A \exp(-\alpha \beta E)$ ; в этом случае  $f^*(E^*)$  приводит к ур-нию кинетики адсорбции Бангама, а  $f(E)$  — к изотерме Фрейндлиха. Между логарифмич. изотермой Темкина и кинетич. ур-нием Еловича также существует подобная связь. Отмечено, что такая связь ур-ний  $\theta_T(P)$  и  $\theta_{T,P}(t)$  не может служить подтверждением неоднородности поверхности, но является просто феноменологич. соотношением, основанным на правиле Хориути—Поляни.

З. Высоцкий  
50894. Теплота адсорбции паров бензола на сажах, термодинамика и адсорбционные силы. Август Н. Н., Березин Г. И., Киселев А. В., Лыгина И. А., Изв. АН СССР. Отд. хим. н., 1956, № 11, 1304—1311

В продолжение работы (РЖХим, 1957, 34084) определены дифференциальные теплоты  $q$  и изотермы адсорбции паров  $C_6H_6$  на исходной канальной окисленной саже сферон-6 и на саже (ГС), графитированной при 1700° в токе  $H_2$ . На ГС  $q$  вначале резко падает, в интервале  $0,25 < \theta < 0,75$  остается постоянной и затем при переходе ко 2-му слою опять падает до значения, близкого к теплоте конденсации  $C_6H_6$ . Изотерма адсорбции паров  $C_6H_6$  на ГС удовлетворительно описывается ур-ниями Ленгмюра и БЭТ. Предложенное ранее (см. ссылку выше) определение зависимости адсорбционных термодинамич. величин от  $\theta$  и расчет энергии адсорбции  $E$  распространены на  $C_6H_6$ . Вычисленное значение  $E$  (10,8 ккал/моль) близко к опытному значению (10,0 ккал/моль). Ю. Эльтеков

50895. Дебаевская дисперсия адсорбированной воды при низких температурах. Жиленков Н. В., Изв. АН СССР, Отд. хим. н., 1957, № 2, 232—235

Методом вариации частоты  $\nu$  исследована дебаевская дисперсия диэлектрич. проницаемости  $\epsilon$  адсорбированной воды на мелко- и крупнопористом силикагеле при широком изменении адсорбции, т-ры и  $\nu$ . Показано, что при изучении диэлектрич. изотермы адсорбции необходимо пользоваться статич. значениями  $\epsilon$ , полученными из дисперсионных измерений. Из экспериментально найденных частот релаксационных минимумов в области вагнеровской и дебаевской дисперсии найдена энергия активации  $E$  адсорбированной воды для процессов электропроводности и поляризации. Установлено, что  $E$  не испытывает скачка при 0°, но изменяется при  $-100^\circ$ . Величина  $E$  близка к значениям для нормального льда.

Резюме автора

50896. О природе адсорбции паров воды активным углем. Киселев А. В., Ковалева Н. В., Ж. физ. химии, 1956, 30, № 12, 2775—2786

Сняты изотермы адсорбции (ИА) паров  $H_2O$ ,  $C_6H_6$  и  $CH_3OH$  на исходных окисленных образцах непористой канальной сажи (I) и однородно-среднепористого активного угля из сахара (II) и после их восстановления (графитирования) водородом при 1700° (Г I и Г II). ИА  $H_2O$  на Г I и Г II смещаются в область больших  $P/P_s$ , причем даже предельная адсорбция на Г I недостаточна для образования плотного моно-

слоя; эти факты объясняются удалением при графитировании I и II их поверхностных окислов, на которых происходит первичная адсорбция  $H_2O_2$ . ИА  $H_2O$  на I и Г I вполне обратимы, а на II и Г II имеют гистерезисную петлю; предельная адсорбция  $H_2O$  на Г II отвечает заполнению всего сорбционного объема пор Г II и близка к сорбции органич. жидкостей на Г II. Гистерезис объяснен капиллярной конденсацией и испарением  $H_2O$  в бутылкообразных порах II и Г II. Сделан общий вывод, что основное кол-во  $H_2O$  в порах II и Г II сорбируется путем капиллярной конденсации, которой предшествуют локальные образования пленок ассоциированных молекул  $H_2O$  в местах с повышенным адсорбционным потенциалом (в суженных порах).

З. Высоцкий

**50897. Сорбция водяных паров растворимыми в воде полимерами: кинетика, равновесие и данные по температурам стеклования.** Хьюз, Фордайс (Sorption of water vapor by water-soluble polymers: kinetic equilibrium, and glass temperature data. Hughes L. J. Thompson, Fordyce D. B.), J. Polymer Sci., 1956, 22, № 102, 509—526 (англ.; рез. нем., франц.)

С помощью кварцевых спиральных весов изучена сорбция водяных паров Г при 30° на полиакриловой к-те, полиакрилате Na, Na-карбоксиметилцеллюлозе, диметиловом эфире целлюлозы и на ряде продуктов, полученных частичным гидролизом полиметилакрилата, в кислотной форме и в виде натриевых солей. Для этих же полимеров определена т-ра стеклования  $T_g$ . Г возрастает с числом ионизирующихся групп и для солей выше, чем для к-т. Диффузия воды в водорастворимых полимерах, в общем, медленнее, чем в нерастворимых. Диффузия в полиметилакрилате и диметилцеллюлозе подчиняется закону Фика; в полимерах, имеющих большую конц-ию весьма полярных или ионных групп —ОН, —COOH, —CO $_2$ —Na $^+$  в цепи наблюдается аномальная диффузия. С ростом ионного характера полимера  $T_g$  возрастает. Очевидно, полярные и ионные заместители увеличивают взаимодействие цепей полимера и уменьшают подвижность сегментов цепи.

Я. Слоним

**50898. Точка замерзания адсорбированных жидкостей.** Пур, Сингх, Мейер (Freezing points of adsorbate liquids. Puri Balwant Rai, Singh D. D., Myer Y. P.), Current Sci., 1956, 25, № 12, 394—395 (англ.)

Путем измерения т-р замерзания бензола, диоксана, л-ксилола и этилендиамина, адсорбированных на силикагеле, бентоните, активном угле и на геле Fe(OH) $_3$  при различных относительных давлениях пара и соответственно различных радиусах пор  $r_p$ , в которых происходит капиллярная конденсация, показано, что понижение т-ры замерзания адсорбированных в-в  $\Delta T$  правильно передается ф-лой  $\Delta T = 2T_0\sigma M / q_r H$  ( $T_0$  — нормальная т-ра замерзания,  $H$  — молярная теплота плавления,  $\sigma$  — поверхностное натяжение при т-ре  $T_0$  —  $\Delta T$ ,  $q$  — плотность жидкости). См. РЖХим, 1956, 49574.

Н. Фукс

**50899. Капиллярная конденсация в единичных порах.** Баррер, Мак-Кензи, Рей (Capillary condensation in single pores. Barrer R. M., McKenzie N., Reay J. S. S.), J. Colloid Sci., 1956, 11, № 4—5, 479—495 (англ.)

Теоретически исследована капиллярная конденсация паров в капиллярах (К), имеющих форму конуса, клина, двойного конуса, полусферы, сферы, цилиндра с полусферич. концами, и в полостях, образованных соприкасающимися цилиндрами и сферами (сконденсированные в жидкость пары полностью смачивают стенки К; адсорбция на стенках К не учиты-

вается; вычисления проведены для К длиной до 400 А с радиусом устья до 100 А). Вычислены изотермы капиллярной конденсации, которые в случае конич., клиновидных и образованных соприкасающимися цилиндрами К имеют форму, отвечающую III, IV или V типу классификации Брунауэра, а в сочетании с лентмюровской изотермой адсорбции на стенках К могут дать все 5 типов изотерм. Для систем жестких К с суженными устьями вычислены гистерезисные петли и отвечающие гистерезису значения необратимой работы и энтропии процесса. Сделан вывод, что отвечающими за гистерезис доменами (см. РЖХим, 1956, 529, 6538) в данном случае являются как правило, неважнодействующие участки сконденсированной жидкости в жестких порах с суженными устьями.

З. Высоцкий

**50900. Адсорбция радия на сернистоослом свинце.** Гребенщикова В. И., Тр. Радиов. ин-та АН СССР, 1957, 5, № 3, 134—147

Из р-ров  $MgSO_4$  и  $Pb(NO_3)_2$  получены суспензии (С)  $PbSO_4$ . Показано, что величина частиц С не зависит от соотношения компонентов р-ции. С отмыались декантацией и электродиализом. Определенный по скорости электроосмоса  $\zeta$ -потенциал частиц для С, приготовленных с избытком  $MgSO_4$ , увеличивается, а с недостатком — уменьшается при отмывке, в обоих случаях приближаясь к +16 мВ. Изучена адсорбция Ra на С. Процесс адсорбции заканчивается в течение 15 мин. Если при адсорбции не идет одновременно процесс частичной перекристаллизации, то наблюдается лишь кинетик. обмен изоморфных ионов с ионами поверхности. Величина адсорбции возрастает при уменьшении  $\zeta$ -потенциала. Полярнографич. методом определена растворимость  $PbSO_4$  в воде и р-рах  $H_2SO_4$  при 15°.

И. Слоним

**50901. Адсорбция короткоживущих продуктов распада радона из воды на стекло.** Щепотьева Е. С., Тр. Радиов. ин-та АН СССР, 1957, 5, № 2, 61—88

Изучена адсорбция RaA, RaB и RaC из разб. водн. р-ров Rn на стеклянной пластинке — неподвижной и вращающейся с различной скоростью. Показано, что образование адсорбционного слоя описывается ур-нием Ленгмюра; адсорбционное равновесие определяется кол-вом атомов, оседающих на поверхности в 1 сек. мол. весом ( $M$ ) и средней продолжительностью жизни адсорбированного атома на поверхности  $t$ . Определены значения  $M$  и  $t$  при разных условиях. При одновременной адсорбции нескольких радиоэлементов следует принимать в расчет также атомы, образующиеся в результате распада уже на поверхности. Сравнение эксперим. результатов с дифференциальными ур-ниями кинетики сорбции показывает, что RaA и, по-видимому, RaC первично адсорбируются на стекле. Коэф. десорбции 1/т для RaA равен 0, а для RaC не равен 0.

И. Слоним

**50902. Адсорбция из двойных жидких смесей на силикагеле. Часть I.** Джонс, Милл (Adsorption from binary liquid mixtures on silicic acid gel. Part I. Jones D. C., Mill G. S.), J. Chem. Soc., 1957, Jan., 213—225 (англ.)

Интерферометрическим методом измерена адсорбция на силикагеле из двойных жидких смесей: нитрометан- $CCl_4$ , нитрометан-бензол (I), нитроэтан-1, 1-нитропропан-1, 2-нитропропан-1, 1-нитро-н-бутан-1, нитрометан-нитробензол, спирт-вода, ацетон-вода. Ход кажущихся изотерм адсорбции из смесей удовлетворительно передается, если принять для индивидуальных изотерм адсорбции ур-ние Фрейндлиха или Ленгмюра, но в области малых мол. долей одного из компонентов различие между вычисленными и эксперим. изотермами велико. Для построения реальных изотерм адсорбции компонентов авторы вводят ур-ние, представляю-



до 400 А  
рмы на-  
ич., кл-  
и цилин-  
или V  
т с легч-  
K могут  
ких K с  
петли и  
мой ра-  
то отве-  
ем, 1956,  
правило,  
ованной  
ями.  
ысоцкий  
свинце.  
н-та АН

нзии (C)  
зависит  
ались де-  
по ско-  
C, при-  
тся, а с  
в обоих  
дсорбции  
течение  
времено  
наблюдае-  
ионами  
ри умень-  
опреде-  
SO, при  
Слоним  
тов рас-  
ва Е. С.,  
— 88

аб. водн.  
ижкой и  
зано, что  
ур-нем  
делается  
в 1 сек.,  
ю жизни  
ределены  
однове-  
е следует  
еся в ре-  
равнение  
и ур-ния  
по-види-  
е. Коэф.  
равен 0.  
Слоним  
ей на сит-  
ation from  
art I. Jo-  
1957, Jan.

на адсорб-  
ей: нитро-  
н-I, 1-ш-  
Код как-  
творитель-  
ных изо-  
глюра, по  
мпонентов  
изотерма-  
м адсорб-  
дставляю

щее условие постоянства общего объема адсорбированной фазы при всех соотношениях компонентов. Полученные пары изотерм компонентов могут относиться к I и III, к II и II или к V и V типам Брунауэра. Измерены равновесные упругости паров компонентов над двойными смесями. Показано, что S-образные изотермы адсорбции наблюдаются в том случае, когда имеются большие положительные отклонения от закона Рауля и в то же время силы притяжения молекул обоих компонентов к поверхности адсорбента примерно одинаковы. И. Слоним

50903. Адсорбция из двойных жидких смесей на активированном глиноземе. Киплинг, Пикал (Adsorption from binary liquid mixtures on activated alumina. Kipling J. J., Peakall D. B.), J. Chem. Soc., 1956, Dec., 4828—4840 (англ.)

Изучена адсорбция из двойных смесей полностью смешивающихся друг с другом жидкостей на бемте (I). В случае сравнительно малополярных органич. жидкостей: смесей бензола с циклогексаном, дихлорэтаном,  $\text{CHCl}_3$  и метилацетатом на поверхности сорбента, по-видимому, образуется монослой и соблюдается ур-ние  $n_1^s / (n_1)_m + n_2^s / (n_2)_m = 1$  (1), где  $n_1^s$  и  $n_2^s$  — числа молей компонентов 1 и 2, адсорбированных на 1 г твердого тела,  $(n_1)_m$  и  $(n_2)_m$  — кол-ва, адсорбируемые при образовании монослоя из паров индивидуальных компонентов. С ростом т-ры поглощение сильнее адсорбируемого компонента уменьшается. Если на I адсорбируется смесь бензола со спиртом (метиловым, этиловым или n-бутиловым), ур-ние (1) не соблюдается, так как происходит хемосорбция спирта вследствие образования H-связей между группами OH спирта и поверхностью I, и получается «акклирированная» поверхность, на которой в свою очередь может происходить мономолекулярная физ. адсорбция. Адсорбция на безводн.  $\gamma\text{-Al}_2\text{O}_3$  происходит так же, как на I; на поверхности  $\gamma\text{-Al}(\text{OH})_3$ , содержащей лишь гидроксильные группы, хемосорбция спиртов не наблюдается и происходит лишь физ. мономолекулярная адсорбция. И. Слоним

50904. Зависимость между адсорбцией и растворимостью органических кислот. Ермоленко Н. Ф., Лемец Н. Л., Уч. зап. Белорус. ун-та, 1956, вып. 29, 139—150

Измерена адсорбция (Г) ароматич. к-т: коричной, с-, м-, и п-нитробензойной, о- и п-хлорбензойной, л-оксibenзойной, на угле из смешанных органич. сред и растворимость к-т L в этих средах с целью проверки возможности применения ур-ния  $\Gamma = \gamma L^n$  (1) к системам органич. к-та — р-ритель. Показано, что ур-ние (1) хорошо соблюдается при адсорбции смеси из двух неполярных компонентов. Для р-рителей из полярного и неполярного компонента график  $(\lg L, \lg \Gamma)$  представляет собой прямую с изломом, тем резче выраженным, чем более полярны один из компонентов среды. В координатах (Г, L) в этом случае получаются кривые с минимумами, аналогичные описанным ранее (РЖХим, 1955, 1905). При адсорбции из смесей двух полярных р-рителей ур-ние (1) неприменимо. И. Слоним

50905. Влияние функциональных групп в органических кислотах на их адсорбцию из растворов. Кутанов Н. П., Ермоленко Н. Ф., Сб. научн. работ. Ин-т химии АН БССР, 1956, вып. 5(1), 188—193  
Изучена адсорбция (А) о-нитробензойной, салициловой, антрахинон, фталевой и фенилантрахинон к-т на активированном древесном угле из р-ров в спирте, ацетоне и в бинарных смесях органич. р-рителей. Показано, что по мере увеличения полярности 2-й замещающей группы А к-ты, как правило, уменьшается. А находится в обратной зависимости от дис-

социирующей способности к-т. Авторы объясняют найденные зависимости А от строения молекулы к-ты изменением сольватации молекул вследствие влияния дипольного момента функциональной группы и проявления ортоэффекта за счет водородной связи с карбоксильной группой. И. Слоним

50906. Расход поверхностноактивных реагентов на их адсорбцию минералами пласта. Гейман М. А., Фридман Р. А., Тр. Ин-та нефти АН СССР, 1956, 7, 236—254

Исследована адсорбция на кварцевом порошке ( $-150 + 170$  меш) поверхностноактивных в-в (ПАВ): анионных — солей ароматич. сульфокислот ДСМ, ДС100 и ДС76, полученных сульфированием керосиновых дистиллятов нефти, и неионного ОП-10. Из водн. р-ров адсорбируется только ОП-10. Из 6%-ного р-ра NaCl и (в меньшей степени) из морской или пластовой воды адсорбируются также анионные ПАВ. М. Липец

50907. Взаимодействие карбоксиметилцеллюлозы с поверхностью текстильных волокон. Штавиц, Клаус, Кремер (Das Grenzflächenverhalten von Carboxymethylcellulose an Textilfasern. Stawitz J., Klaus W., Krämer H.), Kolloid-Z., 1957, 150, № 1, 39—44 (нем.)

В развитие предыдущих работ авторов (РЖХим, 1956, 6539, 61201) повторно исследована адсорбция радиоактивной (меченной  $\text{C}^{14}$ ) карбоксиметилцеллюлозы (I) на поверхности волокон хлопка, ацетатного шелка, перлона и шерсти из водн. р-ров. Установлено, что в отличие от данных других исследователей адсорбция I на хлопке, так же как и на других указанных материалах, не имеет места. При этом, однако, обнаружено, что на волокнах хлопка после многократного отмывания их водой и высушивания сохраняется незначительный остаток I, но активности соответствующий такому ее кол-ву, которым можно заполнить  $\leq 1/10 - 1/5$  монослоя на поверхности волокна. Спец. опытами установлено, что этот остаток «окклюдирован» в порах между волокнами и при высушивании их перемещается в поверхностную зону исследуемого препарата. А. Таубман

50908. Связь между адсорбцией паров и смачиванием и подтверждение эффекта Ребиндера — влияния поверхностной активности паров на механическую прочность. Эйхборн (Beziehung zwischen Dampfadsorption und Benetzung und Bestätigung von Rehbinder-Effekten der Beeinflussung mechanischer Festigkeit durch Grenzflächenaktivität von Dämpfen. Eichborn Johann-Ludwig v.), Kolloid-Z., 1956, 149, № 2-3, 128—129 (нем.)

При размоле цементного клинкера, мрамора и кварца на вибрационной мельнице в атмосфере, насыщ. парами воды, ацетона, нитрометана, петр. эфира, гексана, бензола,  $\text{CCl}_4$  и этилформата, уд. поверхность материала растет быстрее, чем в сухом воздухе. Эффект облегчения диспергирования под влиянием паров полярных в-в возрастает с уменьшением размеров извлекаемых частиц. При измельчении стекла пары ацетона и этилформата уменьшают эффективность размола, что может быть объяснено смачивающим действием адсорбционных слоев на поверхности частиц. Автор связывает это, кроме того, с рассасыванием напряжений из-за пластификации поверхности стекла под влиянием полярных жидкостей. И. Слоним

50909. Поверхностные реакции глинистых минералов. Мортленд, Эриксон (Surface reactions of clay minerals. Mortland M. M., Erickson A. E.), Soil Sci. Soc. America Proc., 1956, 20, № 4, 476—479 (англ.)

Изучено влияние степени размола в шаровой мельнице глинистых минералов: каолинита (I), пиррофил-

лита (II), илита (III) и монтмориллонита (IV) на емкость поглощения ( $L$ ) катионов, удерживающую способность ( $y$ ) по этиленгликолю и адсорбцию  $\text{NH}_3$ . При размоле I и II уд. поверхность  $S$  увеличивается в  $\sim 3$  раза, а  $L$  в 2—2,5 раза; у III  $S$  почти не изменяется, но  $L$  несколько растет; у IV  $S$  и  $L$  не изменяются; рентгенографически установлено, что новые кристаллич. формы и аморфная фаза при размоле не образуются. Прямой связи между  $L$  и  $y$  не найдено. Показано, что  $S$ , вычисленные по  $y$  и по адсорбции  $\text{NH}_3$  (БЭТ), в случае I—III очень близки; у IV  $S$  по  $\text{NH}_3$  гораздо больше, чем по  $y$ .

З. Высоцкий  
50910. Влияние условий образования и структуры гидроокиси алюминия на ее адсорбционную активность. Левина С. А., Ермоленко Н. Ф., Сб. научн. работ. Ин-т химии АН БССР, 1956, вып. 5(1), 194—203

Исследована дисперсность, адсорбционная активность и старение геля  $\text{Al}(\text{OH})_3$  в момент образования и диализованного. Диализ приводит к укрупнению частиц и уменьшению их адсорбционной активности. Адсорбция салициловой к-ты из бензола и ацетона меньше, чем из воды. Увеличение т-ры высушивания до 800° снижает адсорбцию салициловой к-ты до нуля.

А. Клячко

50911. Обезвоживание гидратов окиси алюминия. III. Образование системы пор в ходе обезвоживания гиббита. Бур, Стеггерда, Звигеринг (The dehydration of alumina hydrates. III. Formation of the pore system during the dehydration of gibbsite. Boer J. H. de, Steggerda J. J., Zwietering P.), Proc. Koninkl. nederl. akad. wet., 1956, B59, № 5, 435—444 (англ.)

Снятием изотерм адсорбции  $\text{N}_2$  при 77,3° К, микрокопически, электронномикроскопически и рентгенографически исследовано образование системы пор при дегидратации (Д) гиббита (I). Вначале путем нитрат-гранулярной гидротермальной р-ции I превращается в бемит с образованием в гранулах очень крупных пористых пор; затем по мере дальнейшей Д и образования  $\gamma\text{-Al}_2\text{O}_3$  образуются плоские поры шириной  $\sim 30$  А между пластинчатыми кристаллитами (ПК) толщиной  $\sim 200$  А, расположенными параллельно плоскостям спайности исходного I; наконец, ПК превращаются в стержневидные кристаллиты (СК) с порами  $\sim 10$  А между ними. В ходе Д  $S$  изменяется от 1,3  $\text{м}^2/\text{г}$  (200°) до максим.  $S = 300$   $\text{м}^2/\text{г}$  (300°) с остаточной влажностью  $\sim 10\%$ ;  $> 300^\circ$  из-за спекания  $S$  резко уменьшается, ширина мелких пор растет и тридисперсная система пор постепенно превращается в монодисперсную. Ориентация СК в образцах сохраняется вплоть до 1200°. Часть II см. РЖХим, 1955, 42787. З. Высоцкий

50912. Газофазная хроматография. Сен (Gas-phase chromatography. Sen Buddhadev), Sci. and Culture, 1957, 22, № 7, 373—379 (англ.)

Популярный очерк.

В. А.

50913. Гидродинамическая модель сорбционной колонны. Чмутов К. В., Филатова Н. В., Ж. физ. химии, 1956, 30, № 12, 2801—2806

Предложена модель сорбционной колонны, состоящая из длинной плоской кюветы, разделенной вертикальными перегородками на большое число ячеек. Просвет между перегородками на большое число ячеек. Просвет между перегородками и верхней стенкой кюветы можно изменять. Ячейки последовательно заполняются жидкостью, подаваемой с одной стороны, моделируя таким образом сорбцию в-ва слоями сорбента. Глубина ячеек эквивалентна емкости сорбента, изменение просвета между ячейками — изменению кинетики сорбции. Изучены следующие процессы: параллельный перенос в-ва вдоль колонны; вытеснение одного в-ва другим, лучше сорбируемым; расклинивание зон третьим в-вом; разделение смеси двух в-в. Во

всех случаях модель давала картину движения зон, хорошо совпадающую с теор. ожидаемой и известной из опыта.

Л. Дмитриенко

50914. Колонка для хроматографии в парообразной фазе с малым сопротивлением. Сёренсен, Сёлтофт (A low-resistance vapour-phase chromatograph column. Sørensen Ib. Søltøft P.), Acta chem. scand., 1956, 10, № 10, 1673—1674 (англ.)

При применении  $\text{NaCl}$  в качестве носителя неподвижной фазы (РЖХим, 1955, 26406) падение давления в колонке составляет 52 мм рт. ст. для длины 2 м, а в случае сетчатых спиралей из нержавеющей стали типа Диксон 4,5 мм рт. ст. Разделение смеси метиловых эфиров жирных к-т  $\text{C}_8\text{—C}_{18}$  протекает почти одинаково на  $\text{NaCl}$  и на спиралах, но в последнем случае пики более симметричны.

В. Анхаер

50915. Константы равновесия ионообменных реакций. Янг (Die Gleichgewichtskonstante von Ionenaustauschreaktionen. J. ang G.), Österr. Chem.-Ztg, 1957, 58, № 3-4, 40—45 (нем.)

Излагаются теоретич. основания и описана практика методика определения констант ионообменного равновесия в условиях статич. опыта. См. J. Chem. Soc., 1950, 1845; 1951, 493.

В. Анохин

50916. Разделение нитратов тория и урана с помощью анионного обмена. Карсуэлла (Separation of thorium and uranium nitrates by anion exchange. Carswell D. J.), J. Inorg. and Nucl. Chem., 1957, 3, № 6, 384—387 (англ.)

Показано, что в отличие от U и Ce, Th образует в азотнокислых р-рах анионные комплексы и благодаря этому заметно поглощается смолами-анионитами. Определены коэф. распределения  $\text{Th}(4+)$  и  $\text{U}(6+)$  между анионитом деацитит FF и р-рами  $\text{HNO}_3$  различной конц-ии и проведено хроматографич. разделение Th и U на колонке с тем же анионитом. Вследствие замедленности процесса ионного обмена хроматографирование рекомендуется вести при нагревании (77°) и отмывку U производить 4 н.  $\text{HNO}_3$ . После выхода из колонки полосы U сорбированный Th отмывается чистой водой. Разделение фракций U и Th количественно.

В. Анохин

50917. О значении диффузионных потенциалов в кинетике ионного обмена. Шлёлгль, Хельферих (Comment on the significance of diffusion potentials in ion exchange kinetics. Schlögl R., Helfferich F.), J. Chem. Phys. 1957, 26, № 1, 5—7 (англ.)

Указывается на необходимость учета градиента электрич. потенциала, возникающего вследствие неравенства подвижностей обменивающихся ионов, при исследованиях по кинетике и динамике ионообменных процессов. Если при рассмотрении процесса считать, что р-р сильно разбавлен и конц-ия его не меняется, кинетика определяется стадией диффузии через пограничный слой жидкости, а константа ионообменного равновесия равна 1, то можно избежать больших математич. трудностей при теоретич. анализе процесса на основе диффузионных ур-ний Нернста — Планка.

В. Анохин

50918. Обменная адсорбция на алюмокремневых гелях. Шипицашвили (Обменная адсорбция на алюмокремневых гелях и глинах. Шыпицашвили М. Е.), Весті АН БССР, Сер. фіз.-техн. н., Изв. АН БССР. Сер. физ.-техн. н., 1956, № 3, 37—46 (белорусск.)

Смешением 0,1 н. р-ров  $\text{AlCl}_3$  или  $\text{Al}(\text{NO}_3)_3$  с  $\text{Na}_2\text{SiO}_3$  получены алюмокремневые гели (АКГ) и подвергнуты очистке электролизом. Хим. и потенциометрич. методами изучена адсорбция катионов и анионов на АКГ в зависимости от рН р-ра. Показано, что адсорбция катионов ( $\text{K}^+$ ,  $\text{Ba}^{2+}$ ) растет с ростом рН р-ра. Ионная точка, в которой адсорбция молекулярна, для

$\text{BaCl}_2$  и  $\text{K}_2\text{SO}_4$  лежит в слабощелочной области (рН 4,6 и 5,3), что связано с наличием обменного алюминия в АКГ. Натуральная бентонитовая глина «аскангель» имеет после электродиализа обменную емк. 76,0 мэкв на 100 г, причем 88,5% общей емкости составляет обменный Al. Автор делает вывод, что электродиализованный аскагель является не H-бентонитом, как это считают многие исследователи, а Al-бентонитом. См. также РЖХим, 1953, 4428.

**50919. Температурные и энергетические характеристики ионообменных реакций в почвах. Поляков Ю. А. В сб.: Докл. 6-му Междунар. конгрессу почвоведов. 2-я комис. Химия почв. М., 1956, 185—197 (русск.); 198—208 (франц.)**

Показано, что при обмене ионов одинаковой валентности ( $\text{K}^+$ ,  $\text{NH}_4^+$ ) на подзолистых почвах и черноземе константы равновесия  $K$  близки к единице, а при обмене ионов различной валентности ( $\text{Ca}^{2+}$ ,  $\text{NH}_4^+$ ) колеблются в пределах 0,15—0,26. Эксперим. данные вполне удовлетворительно описываются уравнениями Б. П. Никольского. Численные значения приращений энтальпии, свободной энергии и энтропии свидетельствуют об обратимости процессов, или, упрощенно, об изоэнергетич. характере рассматриваемых р-ций. Эти характеристики показывают также, что адсорбционные соединения  $\text{PK}^+$  и  $\text{PCa}^{2+}$  термодинамически более устойчивы, чем  $\text{PINH}_4^+$ .

**50920. Интерполимерные ионо-избирательные мембраны. I. Приготовление и характеристика сульфополистирол-динелевых мембран. Грегор, Джейкобсон, Шэр, Уэтстон. II. Приготовление и характеристика поликарбоновых динелевых мембран. III. Приготовление и характеристика четвертично-аммоний-динелевых анионо-избирательных мембран. Уэтстон, Грегор (Interpolymer ion-selective membranes. I. Preparation and characterization of polystyrenesulfonic acid-dynel membranes. Gregor Harry P., Jacobson Harold, Shair Robert, Wetstone David M. II. Preparation and characterization of polycarboxylic acid-dynel membranes. III. Preparation and characterization of quaternary ammonium-dynel anion-selective membranes. Wetstone David M., Gregor Harry P.), J. Phys. Chem. 1957, 61, № 2, 141—147; 147—151; 151—154 (англ.)**

Общий для всех перечисленных мембран (Мб) способ приготовления заключается в образовании тонких пленок при испарении р-ров смеси линейного полиакрилолита (ПЗ) с динелем (сополимер акрилонитрила с хлорвинилом). Мб, изготовленные из полистирола (I), винилметилового эфира и малеинового ангидрида (II) и из поливинилимидазола, переведенного в четвертичное основание посредством йодметила (III), характеризуются следующими показателями: толщина Мб I 50—50 м, Мб II 1—113, Мб III 1—30 м; отношение ПЗ: динель у Мб I 1:15—1:2, у Мб II 1:6—1:1, у Мб III 1:5—1:1; омич. сопротивление в 0,1 М р-ре KCl у Мб I 5, у Мб II 0,26 и у Мб III 5 ом·см<sup>2</sup>. Потенциалы Мб между 0,2 и 0,1 М р-рами KCl у лучших образцов Мб I 15,3—15,6, у Мб II 14,9—15,8 и у Мб III 15,5—15,8 мв, при теоретич. максим. значениях 16,1 мв, что указывает на некоторую проницаемость Мб для ионов одноименных с полиионами Мб. Собственная молярность ПЗ оценивается для Мб I в пределах 0,3—7, для Мб II 0,4—4,4 и для Мб III 2,1—5,7. Измерены, кроме того, осмотич. потоки 1 М р-ров сахара через Мб. Измерения бионного потенциала катионитовых Мб в комбинациях LiCl/KCl и  $\text{CaCl}_2/\text{KCl}$  показали значительную проницаемость Мб I и II для катиона  $\text{Ca}^{2+}$  сравнительно с катионом  $\text{K}^+$ , а у Мб III, кроме того, — пониженную для  $\text{Li}^+$ . Бионный потенциал Мб III в комбинации 0,01 М  $\text{KJO}_3/0,01$  М KCl показывает пре-

обладающую проницаемость Мб III для  $\text{Cl}^-$ , что может объясняться влиянием стерич. препятствий.

**50921. Электрохимические исследования ионитов. Часть 21. Электрофоретическое концентрирование растворов хлористого натрия посредством ионообменных мембран. Исибаси, Сэйяма, Сакаэ (イオン交換体の電気化学的研究. 第21報. イオン交換樹脂膜による食塩水の電解濃縮について. その11. 石橋 信彦, 清山哲郎, 坂井 渡), 電気化学, Дэнки какаку, J. Electrochem. Soc. Japan, 1956, 24, № 12, 572—577 (японск.; рез. англ.)**

Излагается теория процесса электрофоретич. концентрирования р-ров электролитов в многомембранных ячейках и на примере р-ров NaCl исследуется вопрос о потреблении электроэнергии в зависимости от заданной скорости процесса, чисел переноса ионов в мембранах, электропроводности, коэф. диффузии, концентрации р-ра и пр. Часть 20 см. РЖХим, 1957, 37334

**50922. Приготовление и свойства коллоидных матричных мембран сильноосновного типа. Готтлиб, Нейхоф, Зольнер (Preparation and properties of strong base type colloid matrix membranes. Gottlieb Melvin H., Neihof Rex, Sollner Karl), J. Phys. Chem., 1957, 61, № 2, 154—159 (англ.)**

Анионитовые мембраны (Мб) изготавливаются путем адсорбции поли-2-винил-N-метилпиридинийбромид (с отношением Br:N, равным 65—85% от теоретич. для четвертичного основания) из водн. р-ра на предварительно подготовленной коллоидной пленке. Мб обладают свойствами сильноосновного анионита, механич. прочны и эластичны. Образцы Мб с повышенной пористостью обладают значительной аномальной осмотич. активностью. Электрич. концентрационный потенциал лучших образцов Мб в ячейках с р-рами KCl достигает почти теоретич. величины при малых абс. значениях конц-ий с по обе стороны Мб; при больших с заметны отклонения от теории. Проницаемость анионов  $\text{Cl}^-$  в 0,1 н. р-рах KCl в 500—1300 раз, а в 0,01 н. р-рах — в 5000—32 000 раз больше, чем для катионов  $\text{K}^+$ ; в р-рах  $\text{CaCl}_2$  это соотношение еще на 2—3 порядка больше. Омич. сопротивление Мб в 0,1 н. р-ре KCl  $\sim 10$  ом/см<sup>2</sup>. Бионные потенциалы в ячейках с р-рами Na-солей различных к-т значительно выше наблюдаемых с протаминовыми Мб. (ср. РЖХим, 1955, 20930)

**50923. Ионообменные мембраны в бионных системах. Гельферих, Оккер (Ionenaustauschermembranen in biionischen Systemen. Helfferich F., Ocker H. D.), Z. phys. Chem. (BRD), 1957, 10, № 3-4, 213—235 (нем.)**

На сульфифенол-формальдегидных катионитовых мембранах (Мб), включенных в систему типа: р-р AX | Мб | р-р BX (где AX и BX — два электролита), измерены коэф. диффузии, концентрационные профили диффундирующих катионов в Мб, интердиффузионные потоки  $\Phi_{Na}$  и бионные потенциалы  $E$  Мб в комбинациях  $\text{Na}^+ - \text{H}^+$ ,  $\text{Na}^+ - \text{K}^+$  и  $\text{Na}^+ - \text{Sr}^{2+}$ . Результаты использованы для проверки теории бионных систем, основанной на диффузионных уравнениях Нерста — Планка. Входящие в расчеты величины (коэф. самодиффузии катионов, электропроводности и изотермы сорбции) взяты из независимых измерений. Получено очень хорошее согласие вычисленных и опытных значений  $\Phi_{Na}$  и  $E$ .

См. также: Термодинамика 50671. Поверхностное натяжение стекла 51967. Исслед. поверхностей 50791, 50794, 50796. Хроматография 51699. Ионный обмен 51700. Иониты 52773—52775. Электрофорез 51701, 51702



## ХИМИЯ КОЛЛОИДОВ. ДИСПЕРСНЫЕ СИСТЕМЫ

Редактор Н. А. Фукс

50924. Методы исследования структуры пористых материалов. Венке (Methoden zur Untersuchung der Struktur von porösen Stoffen. Wencke Karl a), Wiss. Ann., 1956, Beih., 233—248 (нем.)  
Обзор. Библ. 31 назв.

50925. Состояние малых количеств радиоэлементов в растворах. I. Состояние 3- и 4-валентного рутения в солянокислых растворах. Старик П. Е., Косенко А. В., Ж. неорганич. химии, 1957, 2, № 2, 444—451  
Изучена адсорбция Ru (3+) и Ru (4+) на стекле из  $10^{-4}$ — $10^{-7}$  M p-ров хлоридов Ru при различных pH. Методом ультрафильтрации установлена область существования в исследованных p-рах Ru в колл. форме. Показано, что адсорбция Ru на стекле имеет максимум в узком ( $\sim 5$ ) интервале pH, связанный с переходом Ru в колл. состояние. Из полученных данных вычислены приближенные значения произведения растворимости гидроокисей Ru(3+) и Ru(4+).

Из резюме авторов

50926. О реологии водных глинистых систем. Часть II. Набухание, тиксотропия и механические свойства натрий-монтмориллонитовых гелей. Пактер (Studies in the rheology of clay-water systems. Part 2. The swelling, thixotropy and mechanical properties of sodium montmorillonite gels. Packter A.), Kolloid-Z., 1957, 150, № 1, 60—69 (англ.; рез. нем.)

Объемы набухания ( $V_{sw}$ ) Na, Ca-монтмориллонитовых глин (МГ) (См. РЖХим. 1957, 44254), увеличиваются по мере дезагрегации частиц и достигают заметных значений при  $d < 0,3\mu$ . При одинаковом составе катионного комплекса  $V_{sw}$  возрастает с увеличением анизометрии. Седиментационный объем, полученный на центрифуге, изменяется по тем же закономерностям, что и  $V_{sw}$ . Изучение кинетики желатинизации МГ при помощи вискозиметра Штормера показало, что для гетерокоагулирующих систем (I)  $dS/dt = K_g(S_\infty - S_t)$ , где  $S_t$  — прочность структуры в момент  $t$ ,  $S_\infty$  — предельная прочность,  $K_g$  — константа скорости. Энергия активации желатинизации  $E = 14\,000$ — $17\,000$  кал/моль для различных МГ с содержанием Na 80—90 мЭ/100 г. У систем, не подверженных гетерокоагуляции (II), заметная прочность структур наблюдается лишь при высокой концентрации.  $S_\infty$  достигается через 1—2 мин. после прекращения перемешивания. Для II  $S_\infty = KC^3$ , тогда как для I  $S_\infty = KC^3$  при меньших концентрациях  $C$ . Изучены зависимости  $S_\infty$  и  $S_0$  от вязкости. Полученные эксперим. данные объясняются при рассмотрении простой геометрич. модели гетерокоагуляции по типу «карточного домика».

Б. Шахкельдян

50927. Оценка степени коагуляции и глинистых растворов. Жуховицкий С. Ю., Нефть. х-во, 1957, № 2, 18—22

При изучении зависимости статич. напряжения сдвига ( $\Theta$ ) от условной вязкости ( $T$ ) глинистых растворов (ГР) с различной конц-ией твердой фазы приборами СНС-2 и СПВ-5 при условии предварительного разрушения структуры обнаружена линейная зависимость  $\Theta = KC(T - 15) + PC$ , где  $KC$  — коэф. структурообразования,  $PC$  — прочность первичной структуры, т. е. часть  $\Theta$ , которая не зависит от конц-ии ГР.  $T = 15$  соответствует вязкости чистой воды.  $KC$  и  $PC$ , объективно характеризующие степень коагуляции, предопределяют изменение  $\Theta$  при увеличении конц-ии ГР в процессе бурения. Для предупреждения чрезмерного структурообразования  $KC$  рекомендуется

поддерживать в пределах 0,25—0,50 мг/см<sup>2</sup> сек, а  $PC$  15—25 мг/см<sup>2</sup>.

Б. Шахкельдян

50928. О типах структурообразования в глинистых растворах. Гурвич М. М., Коллоидн. ж., 1956, 18, № 6, 666—673 (рез. англ.)

Структурно-механич. свойства глинистых суспензий изучены при помощи ротационного вискозиметра с постоянной скоростью вращения наружного цилиндра 0,003 об/сек. Измерение статич. предельного напряжения сдвига  $P_r$  и остаточного напряжения (после прекращения вращения)  $P_0$  привело к установлению двух типов структур. Для структур I-го типа (I) характерно резкое падение  $P$  до  $P_0$  при прекращении вращения в момент достижения  $P_r$ , тогда как для структур 2-го типа (II) наблюдается постепенное снижение.  $P_r$  у II возрастает со временем старения и снижается при механич. воздействиях. У I  $P_r$  от времени не зависит, а при механич. воздействиях повышается, что, вероятно, объясняется временным сцеплением флюкул, образующих I. Автор полагает, что, в отличие от типично тиксотропных II, в I структуры конденсационного типа подавляют тиксотропию. Различные типы структур зависят от степени гидратации глины. Увеличение последней в несколько раз при введении в суспензию зыхской глины в воде p-ра гуматов Na способствует переходу I в II. Б. Ш.

50929. Равновесие вязко-пластической дисперсной системы на вращающемся диске. Гуткин А. М., Коллоидн. ж., 1957, 19, № 1, 31—34 (рез. англ.)

Теоретически найдено распределение деформаций и напряжений в слое пластич. среды, находящемся на вращающемся диске в состоянии равновесия. Получено соотношение между предельным радиусом слоя в равновесном состоянии и предельным напряжением сдвига  $E$ . Найденная ф-ла применена к расчету  $E$  на основании опытов Н. В. Тябина и др. (Труды Казанского химико-технологич. ин-та, вып. 16, Казань, 1951).

Резюме автора

50930. К исследованию структурированных суспензий. Кургаев Е. Ф., Коллоидн. ж., 1957, 19, № 1, 72—77 (рез. англ.)

Изучена кинетика осаждения хлопьевидных суспензий (C) Fe(OH)<sub>3</sub>, Fe(OH)<sub>2</sub>, Al(OH)<sub>3</sub>, Mg(OH)<sub>2</sub>, CaCO<sub>3</sub> и их смесей, образующихся в процессах коагуляции и умягчения воды. По зависимости скорости осаждения и уплотнения слоя  $C$  от начальной высоты рассчитаны их физ. параметры: объемный вес, прочность на сжатие, величина сил сцепления между частицами и кол-во воды, иммобилизованной структурной сеткой. Обнаружена линейная зависимость между коэф. адгезии и массой хлопьевидных частиц. Увеличение доли Mg в C Mg(OH)<sub>2</sub> + CaCO<sub>3</sub> вызывает переход конденсационно-кристаллизационной структуры к коагуляционной с уменьшением объема кристаллов CaCO<sub>3</sub> и объемного веса хлопьев. Зависимость между силами сцепления в этих структурах и кол-вом иммобилизованной воды выражается гиперболой, вершина которой соответствует переходу от одного вида структурообразования к другому. С Al(OH)<sub>3</sub> + Fe(OH)<sub>3</sub> имеют оптимальные физ. параметры при соотношении компонентов 1:1.

И. Слоним

50931. Вязкость пигментных суспензий и гидродинамический объем дисперсной фазы. Динтенфассе (The viscosity of pigment suspensions and the hydrodynamical volume of the dispersed phase. Dintenfass L.), Chemistry and Industry, 1957, № 5, 141—142 (англ.)

При изучении вязкости суспензий ряда пигментов установлено соотношение  $\lg \eta = F/(1 - F)$  (1), где  $\eta$  — относительная вязкость,  $F$  — седиментационный объем пигмента. При малых конц-иях (1) становится

аналогичным ур-нию Эйнштейна. Если  $F$  рассматривать как гидродинамич. объем пигментной фазы с включением адсорбированного и иммобилизованного связующего, то (1) справедливо и для тиксотропных суспензий. Для ньютоновских суспензий  $F$  рассматривается как гидродинамич. эквивалент объемной кон-ции  $C$ :  $F = kC$ , где  $k$  меняется от 1,2 для пигментов с примерно сферич. частицами до 1,9 для некоторых глин. При повышении скорости связанное связующее частично или полностью освобождается,  $F$  снижается и при скоростях выше критической становится равным седиментационному объему диспергированной ньютоновской суспензии такого же состава.

Б. Шахельдэн  
50932. Исследование структур в суспензиях сажи.

2. Влияние температуры и добавок поверхностно-активных веществ на структурирование сажевых суспензий. У-Шу-Цю, Ямпольский Б. Я., Волюцкий С. С., Коллоидн. ж., 1956, 18, № 6, 748—754 (рез. англ.)

Методом измерения электропроводности ( $\lambda$ ) исследовано влияние т-ры и (ПАВ) на структурирование суспензий сажи (СС) в вазелиновом масле. Кривые зависимости максим.  $\lambda$  СС от кон-ции сажи показали, что увеличение кон-ции дисперсной фазы, способствующее структурообразованию, повышает  $\lambda$ . Установлено, что при повышении т-ры 10%-ной СС до 80°  $\lambda$  постепенно увеличивается, по-видимому, в связи с образованием коагуляционной структуры, дальнейшее же повышение т-ры до 120° вызывает уменьшение  $\lambda$ , обусловленное частичным разрушением структуры. Показано, что введение олеиновой к-ты вызывает снижение  $\lambda$ , особенно резкое при малых добавках к-ты. Снижение  $\lambda$  под влиянием ПАВ авторы объясняют образованием на частицах сажи защитных адсорбционных оболочек, препятствующих формированию структурной сетки, обладающей электронной проводимостью. Сообщение 1 см. Коллоидн. ж., 1951, 13, 333.

М. Линец  
50933. Структурно-механические свойства взаимных коагулятов. Фазылова М. Ф., Запорожцев Б. Г., Изв. АН УзССР. Сер. хим. н., 1957, № 1, 55—65 (рез. узб.)

Изучены структурно-механич. свойства коагелей и коагулятов, полученных при взаимной коагуляции разномножно ( $\text{Fe}(\text{OH})_3 + \text{V}_2\text{O}_5$ ,  $\text{SiO}_2$  или суспензии лесса и глины) и одноножно ( $\text{SiO}_2 - \text{V}_2\text{O}_5$ ,  $\text{As}_2\text{S}_3 - \text{V}_2\text{O}_5$  и золи  $\text{V}_2\text{O}_5$ ,  $\text{As}_2\text{S}_3$  и  $\text{SiO}_2$  с золем канифоли) заряженных золей. Механич. прочность осадков растет до известного отношения между компонентами, а затем падает. Большая прочность наблюдается при соотношениях, дающих большой объем осадка. Изучена также сорбционная способность к парам воды и бензола высушенных чистых компонентов и смешанных коагулятов.

Н. Фукс  
50934. Об особенностях кривых нейтрализации коллоидных кислот глины. Гунта (On the features of the neutralisation curves of the colloidal clay acids. Gupta S. L.), Sci. and Culture, 1956, 22, № 5, 282—283 (англ.)

При нейтр-ции колл. к-т глин, напр. бентонита разных месторождений, получают кривые нейтр-ции (КН) двух типов. КН 1-го типа начинаются резким ростом pH (как при титровании сильной к-ты), затем проходит через точку перегиба и кончается, как КН слабой к-ты; такие КН хорошо описываются выведенными автором ранее ур-ниями (РЖХим, 1957, 14991). КН 2-го типа начинаются медленным увеличением pH (как при титровании к-ты средней силы), затем рост pH замедляется, кривая проходит через точку перегиба и кончается, как КН очень слабой к-ты. 2-й тип КН встречается в том случае, когда решетка минерала

сжата по оси с или малы расстояния между частицами и ионы  $\text{Na}^+$  могут проникнуть в решетку или между частицами лишь после некоторого набухания после прибавления первых порций  $\text{NaOH}$ . И. Слоним  
50935. Статистическая термодинамика концентрированных коллоидных растворов. Часть I. Белл, Левин (Statistical thermodynamics of concentrated colloidal solutions. Part 1. Free energy of electrical double layers. Bell G. M., Levine S.), Trans. Faraday Soc., 1957, 53, № 2, 143—158 (англ.)

Так называемая электр. свободная энергия  $F_e$  кон-к. р-ра рассчитана при помощи предложенного Дебаем и Гюкелем процесса зарядки. Особенно простое выражение получено для разности  $F_e - E_e$  ( $E_e$  — электростатич. энергия системы), которую можно обычно считать равной  $-TS_e$ , где  $S_e$  — энтропия перегруппировки ионов при образовании двойного слоя. Учен также эффект распределения зарядов внутри колл. частиц. Путем варьирования  $F_e$  и хим. части  $F_c$  свободной энергии системы выведены ур-ния равновесного распределения зарядов по поверхности частиц. Метод расчета суммы  $F_e + F_c$ , предложенный Фервеем и Овербеком, обобщен и распространен на кон-к. системы.

Полученные ф-лы позволяют просто вычислять свободную энергию системы из стержнеобразных частиц, правильно расположенных в среде с одним типом ионов. Резюме авторов  
50936. Активность противоионов в коллоидных растворах. III. Добри, IV. Бурде, Добри (Sur l'activité des ions compensateurs dans les solutions colloïdales. III. Dobry A. IV. Bourdais Jacques, Dobry A.), Bull. Soc. chim. France, 1957, № 3, 320—323; 360—366 (франц.)

III. Измерена э.д.с. ( $E$ ) цепей (1), состоящих из каплевого электрода, солевого мостика и золя с электродом, обратным относительно противоиона, а также цепей (2), в которых вместо золя взят равновесный с ним р-р. Опыты проведены с зольми гидроокиси железа (I) и полиакрилата серебра (II). Показано, что хим. природа соли, взятой для мостика, не влияет на  $E$ , если подвижности аниона и катиона примерно одинаковы. Разность  $E$  1-й и 2-й цепей для II, в согласии с ур-нием Овербека (РЖХим, 1955, 7301), равна  $(RT/F) \times \lg(\sigma_i/\sigma_e)$  (1), где  $\sigma_i$  и  $\sigma_e$  — электропроводности золя и равновесного р-ра. Ур-ние Овербека соблюдается также при прибавлении к II  $\text{KNO}_3$ . Однако рассчитанные по электрометрич. данным активности  $\text{Ag}^+$  ( $a_{\text{Ag}}$ ) в II больше, чем определенные из осмотич. измерений, и нельзя считать доказанным, что они представляют истинные термодинамич. активности. Для I ур-ние (1) не соблюдается, так как ионы  $\text{H}^+$  в зольях I имеют подвижность значительно большую, чем остальные ионы.

IV. Указанным выше методом определены  $a_{\text{Ag}}$  в р-рах серебряных солей сополимеров акриловой или малеиновой к-ты с акриламидом. Содержание к-ты и амида в полимерах характеризуется параметром  $\rho$ , выражающим число карбоксильных групп на 100 атомов С в цепи: для полиакриловой к-ты  $\rho = 50$ , для сополимеров, содержащих наименьшее кол-во к-ты,  $\rho = 48$ . Все сополимеры образуют в водн. р-ре мицеллы с примерно одинаковым мол. в.  $18 - 20 \cdot 10^6$ , а  $\rho$  пропорционален общему заряду мицеллы. По  $a_{\text{Ag}}$  и общей кон-ции  $c_{\text{Ag}}$  рассчитан коэф. активности  $f(a) = a_{\text{Ag}}/c_{\text{Ag}}$ . Получено эмпирич. ур-ние, связывающее  $f(a)$  с кон-цией противоионов и составом сополимера  $f(a) = 1/(1 + A\rho^{1/2}c_{\text{Ag}}^{1/2})$ , где  $A$  — постоянная. Принимая (часть I, РЖХим, 1956, 12580), что активность указывает число «свободных» противоионов, авторы показывают, что при больших  $\rho$  соблюдается закон действия масс. Для сополимеров

с малыми и средними значениями  $p$  кажущаяся константа диссоциации  $pK$  выражается ур-нием  $pK = (pK)_{a,p \rightarrow 0} + Bp - bcf(a)$ , где  $(pK)_{a,p \rightarrow 0}$  — предельное значение  $pK$ ,  $B$ ,  $b$  и  $A$  — постоянные. Ур-ние Овербека правильно передает общий ход изменения  $pK$  с  $p$ , но дает заниженные значения константы диссоциации. Часть II см. РЖХим. 1956, 15786. И. Словим

**50937. Электрофоретическая подвижность и изоэлектрическая коагуляция золь и суспензий йодистого серебра. Мирник, Флајшман, Тежак** (Electrophoretic mobility and the isoelectric coagulation of the silver iodide sols and suspensions. Mirnik M., Flaјšman F., Težak B.), Croat. chem. acta, 1956, 28, № 3, 167—174 (англ.; рез. сербо-хорв.)

Изучен электрофорез и коагуляция гидрофобных золь AgI в интервале  $6,5 > pAg > 2,8$  в зависимости от продолжительности их сохранения и от конц-й  $NaNO_3$ . Нефелометрич. определения величины  $pAg$  коагуляции золь показывают, что нулевые точки подвижности частиц совпадают с «положительной» областью устойчивости золь. Показано, что как метод приготовления золь, так и продолжительность сохранения их являются важным фактором для достижения определенной степени коагуляции. В области «отрицательной» устойчивости золь электрофоретич. потенциалы, так же как и необратимые потенциалы  $Ag - AgI$ -электрода, менее отрицательны, чем обратимые потенциалы  $Ag - AgI$ , что и является причиной устойчивости отрицательно заряженных частиц. В области изоэлектрич. коагуляции ( $6,2 > pAg > 4,5$ ) как электрофоретич. потенциалы, так и необратимые потенциалы  $Ag - AgI$  резко возрастают параллельно обратимым более положительным потенциалам  $Ag - AgI$ . Устойчивость положительно заряженных частиц объясняется тем, что обратимые потенциалы  $Ag - AgI$  более положительны, чем электрофоретические. По мнению авторов, ориентация диполей  $H_2O$  является важным фактором стабилизации лиофобных золь. Т. Крмоань

**50938.  $\zeta$ -потенциал частиц каолинита. Стрит, Бьюкенен** (The  $\zeta$ -potential of kaolinite particles. Street N., Buchanan A. S.), Austral. J. Chem., 1956, 9, № 4, 450—466 (англ.)

Изучены свойства суспензий каолинита (I). По БЭТ определена уд. поверхность частиц; отсюда вычислен эквивалентный радиус частиц  $0,15 \cdot 10^{-4}$  см. Сняты кривые потенциометрич. и кондуктометрич. титрования суспензий I р-рами  $LiOH$ ,  $NaOH$ ,  $KOH$ ,  $Ca(OH)_2$ ,  $Ba(OH)_2$  и рассчитаны конц-ии различных ионов в интермедиальной жидкости. Измерена электрофоретич. подвижность частиц I и по методу Стигтера и Майсела (РЖХим, 1955, 42731) определены истинные значения  $\zeta$ -потенциала в функции конц-ии прибавленных оснований. Начальный рост  $\zeta$  при прибавлении щелочей увеличивается в ряду  $Li < Na < K$ , что объясняется возрастанием радиуса катиона. Прибавление  $Ca(OH)_2$  или  $Ba(OH)_2$  вызывает лишь незначительное увеличение  $\zeta$ , а затем потенциал уменьшается из-за сжатия двойного слоя. В щел. среде края частиц I приобретают отрицательный заряд; по-видимому, происходит также адсорбция  $OH^-$  на поверхностях [001]; все это ведет к значительному возрастанию поверхностной плотности заряда частиц I. И. Словим

**50939. Численное решение уравнения Пуассона — Больцмана для сферической молекулы полиэлектролита. Уолл, Берковиц** (Numerical solution to the Poisson-Boltzmann equation for spherical polyelectrolyte molecules. Wall F. T., Berkowitz J. O.), J. Chem. Phys., 1957, 26, № 1, 114—122 (англ.)

Ур-ние Пуассона-Больцмана (П.—Б.) для прони-

цаемого сферич. иона полиэлектролита (ПЭ) в присутствии меньших ионов точно решено с помощью счетной машины. В одном случае принято, что ион ПЭ погружен в р-р простого электролита, а во втором — что он окружен только собственными противоionsами. Так как электростатич. потенциальная энергия малого иона в центре иона ПЭ равна нескольким  $kT$ , ур-ние П.—Б. не может быть линеаризовано с помощью приближения Дебай — Хюккелевского типа. Доля противоionsов, удерживаемых внутри сферы, образуемой полиионом, рассчитывается после решения ур-ния П.—Б. Уровень ионной ассоциации такого типа, при разумных значениях мол. параметров,  $\approx 50$ —75%, в удовлетворительном согласии с эксперим. наблюдениями, основанными на исследовании переноса ионов. Из резюме авторов.

**50940. Конфигурация цепи полиэлектролита в растворе. Кригер** (Configuration of a polyelectrolyte chain in solution. Krieger Irvin M.), J. Chem. Phys., 1957, 26, № 1, 1—4 (англ.)

На основе ур-ния Гиббса — Больцмана находится функция распределения конфигураций заряженной цепной макромолекулы (ММ). При этом энергия ММ подразделяется на конфигурационную и электрическую. Последняя рассчитывается как сумма попарных взаимодействий между индивидуальными зарядами. Рассчитывается среднее квадратичное расстояние между концами ММ. При расчетах пренебрегается взаимодействием между ММ и р-рителем и неэлектростатич. взаимодействием между звеньями одной ММ. С. Френкель

**50941. Получение органоэлей гидроокисей железа и циркония. Маслов В. Н.**, Коллоидн. ж., 1957, 19, № 1, 90—92 (рез. англ.)

Разработан метод получения золь гидроокисей Fe и Zr в бензоле или толуоле из соответствующих гидроэлей. К органич. р-рителю прибавляют 1% окисленного керосина, 0,005% каучука и 4% ацетона. Наплавают р-ритель на гидрозоль и барботируют воздухом, насыщенный парами р-рителя. При конц-ии исходного гидрозоля  $0,02$  г Fe/l в толуол извлекается до 40%  $Fe(OH)_3$ . Полученные органоэли устойчивы при хранении и могут быть сконцентрированы упариванием. Облегчение перехода частиц из водн. в органич. фазу при барботировании воздуха объясняется их промежуточной дегидратацией на поверхности раздела водн. р-р/воздух. И. Словим

**50942. Отрицательный предел устойчивости и числа коагуляции галогенидов серебра. Мирник, Флајшман, Шульц, Тежак** (The negative activity limit of stability and the coagulation values of the silver halides. Mirnik M., Flaјšman F., Schulz K. F., Težak B.), J. Phys. Chem., 1956, 60, № 11, 1473—1475. Discuss., 1475—1476 (англ.)

Исследование влияния нейтр. электролитов ( $NaNO_3$ ,  $Ba(NO_3)_2$ ) на устойчивость золь  $AgI$ , проведенное ранее (РЖХим, 1955, 54801), распространено на золи  $AgBr$  и  $AgCl$ . Авторы приходят к выводу, что область значений  $pAg$ , лежащих между отрицательным и положительным пределами устойчивости золь, является областью изоэлектрич. коагуляции. Влияние  $NaNO_3$  (в широком интервале конц-ий  $0,1$ — $0,0001$  н.) на величину отрицательного предела устойчивости золь  $AgI$ ,  $AgBr$  и  $AgCl$  выражается одной и той же кривой, что указывает на одинаковое строение двойного слоя, определяющего стабильность этих золь. Установлено, что числа коагуляции для ионов разной валентности ( $Na^+$ ,  $Ba^{2+}$  и  $La^{3+}$ ) практически постоянны в интервале значений  $pI$ : для  $Na^+$  1—8, для  $Ba^{2+}$  2,7—8,8, для  $La^{3+}$  4,1—9,7. А. Таубман

**50943. Электропроводность гидрогалогенидов додециламина в водных растворах этанола различной**



**концентрации. Сираи** (The electrical conductivities of dodecylamine hydrohalides in various dilutions of aqueous ethanol. Shirai Michio), Scient. Papers Coll. Gen. Educ., Univ. Tokyo, 1956, 6, № 1, 29—35 (англ.)

Измерена электропроводность при 30° р-ров хлорида (I), бромиды (II) и йодида (III) додециламина в воде и в 2 М и 4 М водн. этаноле. В водн. р-ре I изменение эквивалентной электропроводности  $\Lambda$  с ростом конц-ии  $c$  типично для колл. электролитов:  $\Lambda$  медленно уменьшается, затем резко снижается в области крит. конц-ии мицеллообразования  $c(\text{кр.})$  и остается почти постоянной. Прибавление небольших кол-в этанола уменьшает  $c(\text{кр.})$ , а в присутствии большой конц-ии спирта  $c(\text{кр.})$  растет. Этанол, как правило, снижает  $\Lambda$ , но в некоторой области конц-ий I ( $> c(\text{кр.})$ )  $\Lambda$  в водн. спирте несколько выше, чем в воде. Изменение свойств р-ров II и III в присутствии этанола аналогично наблюдаемому в р-вах I, но для III  $c(\text{кр.})$  растет и  $\Lambda$  уменьшается, во всем интервале конц-ий спирта 0—4 М. Предлагается объяснение этим наблюдениям.

**И. Слоним 50944. Влияние больших поверхностноактивных ионов на стабильность гидрофобных коллоидов. Тамамуси** (The action of surface active large ions on the stability of hydrophobic colloids. Tamamushi Bun-ichi), Kolloid-Z., 1957, 150, № 1, 44—49 (англ.; рез. нем.)

Исследована стабильность отрицательно заряженных золей сульфидов As и Au в р-вах катионоактивных мыл (KM) и положительно заряженного золя окиси железа в р-вах анионоактивных мыл (AM). В зависимости от конц-ии р-ров действие KM и AM на соответствующих золях проявляется аналогичным образом: первые добавки вызывают коагуляцию, после чего с увеличением их постепенно возникает частичная или полная пенитизация образовавшегося коагулята, если только мыло представляет собой гомолог не ниже  $C_{12}$ . В соответствии с этим KM сенситизируют золи в малых конц-иях и стабилизируют их в больших конц-иях. Измерения электрофоретич. подвижности частиц и электрокинетич. потенциала в исследованных системах показывают, что причиной изменения стабильности золей является изменение величины заряда частиц и характера их поверхности (гидрофобизация и последующая гидрофилизация) в результате адсорбции на них моно- или бимолекулярных слоев ионов мыл.

**А. Таубман 50945. Давление паров фенола и вязкость растворов фенола в водном гексадецилтриметиламмонийбромиде. Гуд, Миллоу** (The (phenol) vapour pressure and viscosity of solutions of phenol in aqueous hexadecyl-trimethylammonium bromide. Heat of solubilization. Good W., Milloy M. H.), Chemistry and Industry, 1956, № 33, 872—873 (англ.)

Измерена вязкость р-ров фенола (I) в 1%-ном водн. р-ре гексадецилтриметиламмонийбромида (II) и парц. упругость паров I над р-рами при 25°. При конц-ии I  $c \approx 0,068$  М наблюдается резкий максимум вязкости. Упругость паров I над р-рами в II (р) меньше, чем над водн. р-рами I ( $p_0$ ). Отношение  $p/p_0$  минимально ( $\sim 0,55$ ) при  $c \approx 0,068$  М, а при  $c \approx 0,123$  М  $p/p_0$  делается постоянным. Изменение свойств р-ров I с ростом  $c$  авторы объясняют переходом по схеме: сферич. гидрофильные мицеллы (M)  $\rightleftharpoons$  ламеллярные M  $\rightleftharpoons$  сферич. липофильные M  $\rightleftharpoons$  индивидуальные ионы мыла в водн. I. По величине  $p/p_0$  рассчитано изменение свободной энергии при переходе I из водн. р-ра в 1%-ный р-р II ( $\Delta G$ ). При малых  $c$   $\Delta G = -360 \text{ кал/моль}$ . Принимая, что переход I из воды в М сопровождается небольшим уменьшением энтропии, авторы получают для выделения тепла при переходе —

«теплоты солибилизации» — величину порядка 400 кал/моль.

**И. Слоним 50946. Исследование мицелл поверхностноактивных веществ. I. Строение внутренней фазы мицелл поверхностноактивных веществ. Сасаки, Окуяма, Сайто** (The studies on micelles of surfactants. I. The phase in the interior of micelles of surfactants. Sasaki Hiroji, Okuyama Haruhiko, Saito Shūji), Bull. Chem. Soc. Japan, 1956, 29, № 7, 752—757 (англ.)

Предложен следующий метод исследования внутреннего строения мицелл ПАВ. Солюбилизаторы (C), т. е. в-ва, плохо растворимые в воде, солюбилизируются в водн. р-вах ПАВ и их спектры поглощения сравниваются со спектрами для р-ров C в неполярных р-рителях. Если эти спектры идентичны, можно заключить, что внутренняя фаза мицелл ПАВ полностью неполярна. В противном случае молекулы C взаимодействуют с молекулами воды. Описано изменение характеристик. полос поглощения азобензола, желтого ОВ, антрацена и фенантрена при их солюбилизации в водн. р-вах додецилсульфата Na, хлорида триметилдодециламмония и лаурилполиэтиленового эфира. Помимо немедленных смещений и изменений интенсивности  $\epsilon$  полос, наблюдались изменения  $\epsilon$  со временем, обусловленные образованием Н-связей. Подробный анализ спектральных изменений S показывает, что взаимодействие S с водой на внешней поверхности мицелл ПАВ не может иметь места. Отсюда следует (по крайней мере при конц-иях ПАВ  $c \leq 10\%$ ), что внутри мицелл содержится небольшое кол-во воды, уменьшающееся при добавлении неполярных в-в или увеличении  $c$ .

**С. Френкель 50947. Определение критической концентрации мицеллообразования дезоксихолата методом красителя. Бовен, Рёйссен** (Bepaling van de kritische concentratie van micelvorming met kleurstoffen toegepast op Na-desoxycholaat. Boven R., Ruysen R.), Meded. Vlaamse chem. verenig., 1956, 18, № 5, 102—111 (флам.; рез. англ., франц.)

Показано, что солюбилизация азобензола дезоксихолатом Na начинается уже при конц-ии  $c \approx 1 \text{ ммоль/л}$ , но делается заметной лишь при  $c > 6-8 \text{ ммоль/л}$ . Такая же величина крит. конц-ии мицеллообразования получена и с пинацианолом. С роданином наблюдается ряд осложнений и его применять не рекомендуется.

**Н. Фуке**

**50948. Растворимость в растворах мыл. VI. Влияние мыла на верхнюю и нижнюю критические температуры растворения в системах никотин — вода и триэтилами — вода. Лангбридж, Лоренс, Стенсон** (Solubility in soap solutions. VI. The effect of soap upon upper and lower consolute temperatures in the nicotine — water and triethylamine — water systems. Langbridge D., Lawrence A. S. C., Stenson R.), J. Colloid Sci., 1956, 11, № 4-5, 585—592 (англ.)

Исследовано влияние пальмитата Na (I), бромида цетильтриметиламмония (II) и додецилсульфата Na (III) на взаимную растворимость в системах никотин — вода (1) и триэтилами — вода (2). В системе 1 добавление все больших кол-в II вызывает все большее сжатие кольца, ограничивающего область неполной смешиваемости компонентов; добавление 20% II вызывает полное сжатие компонентов при всех конц-иях никотина в интервале 15—250°. Аналогичное явление вызывает добавление I. Добавление II к системе 2 приводит к резко выраженному повышению нижней крит. т-ры растворения. При добавлении 20—25% III наблюдается внезапное резкое повышение вязкости системы на  $\geq 4$  порядка. Причина этого заключается в возникновении в ранее изотропном р-ре

жидко-кристаллич. смектич. фазы. При более высокой  $t$ -ре эта фаза так же внезапно исчезает. Предыдущее сообщение см. РЖХим, 1956, 3599.

**50949. Мицеллообразование в немоногенных детергентах и солибилизация бензола в их водных растворах. Куроива (非イオン性界面活性剤のミセル形成とベンゼンの溶解化について. 黒岩茂隆), 工業化学雑誌, Kōgō Kagaku zasshi, J. Chem. Soc. Japan. Industr. Chem. Sec., 1956, 59, № 6, 665—667 (японск.)**

Путем определения прозрачности водн: р-ров бензола (I) изучено влияние полиоксипропиленгликолей (ПОГ) на растворимость I. Установлено, что по мере увеличения конц-ии ПОГ с растворимость I сперва весьма быстро возрастает, а затем становится почти постоянной и начинает снова расти уже при значительно больших с.

**50950. Исследования полимолибдатов методом рассеяния света. Часть I. Деполаризация света, рассеянного молибдатом натрия в кислых и щелочных растворах. Ван чун (Light scattering investigations of polymolybdates. Part I. Depolarization of light scattered by sodium molybdate in acid basic solutions. Wanchun V. N.), Proc. Nat. Inst. Sci. India, 1956, A 22, № 3, 149—154 (англ.)**

Измерялась деполаризация света, рассеянного в поперечном направлении р-рами молибдата Na (I) при конц-иях с 0,1—30% и pH 8,0—0,5.  $q_h$  проходит через минимум вблизи pH 3—4, из чего следует, что при этих pH тенденция к агрегации максимальна. Однако и при pH 7—8 агрегация имеет место, причем размеры ионов простираются от молекулярных до 110 мн. Судя по характеру изменения  $q_h$ , в интервале максим. агрегации агрегаты более симметричны, чем при крайних значениях pH. Зависимость  $q_h$  от с указывает на заметные изменения формы частиц I при разбавлении. Анизотропия максимальна при с 15—20% и проходит через минимум при с 0,6%.

**50951. Состояние кремнезема в водных растворах.**

**II. Растворимость аморфной кремневой кислоты.**

**III. Влияние pH на полимеризацию кремневой кислоты. Гото (水中ケイ酸の状態に関する研究. 第2報. 無定形ケイ酸の溶解度について. 第3報. ケイ酸の重合に對する pH の影響. 後藤克巳), 日本化学雑誌, Nihon Kagaku zasshi, J. Chem. Soc. Japan. Pure Chem. Sec., 1955, 76, № 12, 1364—1366; 1956, 77, № 6, 957—959 (японск.)**

**II.** Колориметрическое определение растворимости с аморфной кремневой к-ты (I) в воде при 0°—200° показало, что при повышении pH с резко увеличивается и что между  $\lg c$  и  $1/T$  существует почти линейная зависимость. Произведено сравнение значений с с данными Александра (РЖХим, 1955, 13601), а также рассмотрен вопрос о I в морской воде. Часть I см. РЖХим, 1957, 26406.

**III.** В литературе указывается, что скорость полимеризации I при некотором pH максимальна. Автор не мог обнаружить такого максимума. При низких pH скорость полимеризации пропорциональна конц-ии OH-ионов. Ускоряющее полимеризацию действие OH-иона наблюдается в очень широком диапазоне pH. Процесс деполаризации также ускоряется OH-ионами. Автор полагает, что процессы полимеризации и деполаризации обладают общим механизмом.

**50952. Электронномикроскопическое изучение структуры целлафильтров, набухших в различных жидкостях. Шпандау, Курц (Elektronenmikroskopische Untersuchungen der Struktur von Cellafiltern in verschiedenen Quellungsmitteln. Spandau Hans, Kurz Robert), Kolloid-Z., 1957, 150, № 2, 109—121 (нем.)**

Разработан метод электронномикроскопич. изучения набухших целлафильтров (ЦФ). При набухании в воде для фиксирования структуры ЦФ в их порах осаждают нерастворимый осадок, напр.  $\text{BaSO}_4$  или  $\text{AgCl}$ . Структуру ЦФ, набухших в органич. р-рителях, фиксируют полимеризацией в них метакрилового эфира. Показано, что ЦФ представляют собой полидисперсные системы, имеющие структуру пен. Отдельные пузырьки соединены «проломами», величина которых определяет проницаемость ЦФ. Внутри ЦФ пузырьки и отверстия между ними распределены равномерно, но с одной стороны ЦФ имеется более плотная пленка. Площадь пор в набухшем ЦФ составляет 16—18% общей площади фильтра, средняя площадь поры  $3 \cdot 10^{-2} \mu^2$ , число пор на  $1 \text{ cm}^2$  порядка  $3 \cdot 10^6$ .

**50953. К вопросу о характеристике состояния студней высокополимеров. Николаев А. В., Нейман Р. Э., Нейман О. В., Коллоидн. ж., 1957, 19, № 1, 121—124**

Дискуссия с С. М. Липатовым и С. М. Меерсоном (РЖХим, 1956, 9541).

**50954. О ритмическом образовании осадков  $\text{CaCO}_3$  в гидрогелях. I. О диффузии углекислого газа в гели желатинны, содержащие  $\text{Ca}(\text{OH})_2$ . Бузаг, Франкой (Über die rhythmische Bildung von  $\text{CaCO}_3$ -Niederschlägen in Hydrogelen. I. Über die Diffusion der Kohlensäure in  $\text{Ca}(\text{OH})_2$ -haltigen Gelatinegelelen. Buzagh A., Frankóy Veronika), Kolloid-Z., 1957, 150, № 2, 97—108 (нем.)**

Изучена кинетика и морфология образования  $\text{CaCO}_3$  при диффузии  $\text{CO}_2$  в содержащие  $\text{Ca}(\text{OH})_2$  (I) гели желатинны (II). В 5%-ных гелях при конц-ии  $\text{C}_{16}$ —12 мМ образуются ритмич. осадки (PO) в виде колец, между которыми наблюдаются лишь отдельные кристаллики  $\text{CaCO}_3$ . Продвижение зоны образования осадка подчиняется закону Фика лишь для больших времен от начала опыта и замедляется с ростом  $\text{C}_I$  и  $\text{C}_{II}$ . Расположение колец описывается прогрессией, знаменатель которой растет с уменьшением  $\text{C}_I$  и увеличением  $\text{C}_{II}$ ; так же меняется и толщина колец. Кондуктометрич. и потенциометрич. титрованием золь II р-рами I доказано связывание I в соотношениях I:II, соответствующих оптимальному образованию PO в гелях. Авторы считают, что условием образования PO является обратимое связывание I с II; осадок образуется в области «насыщения» II.

**50955. Экспериментальные исследования ламинарных систем. 23. Кинетика образования гидроокисных пленок на поверхности растворов аммиака меди. Мокрушин С. Г., Китаев Г. А., Коллоидн. ж., 1957, 19, № 1, 93—99 (рез. англ.)**

На чистой поверхности р-ра аммиака меди (I) пленка гидроокиси не образуется. Поверхностноактивные в-ва, дающие твердые слои, напр. пальмитиновая к-та, способствуют образованию гидроокисных пленок неоднородной толщины. В присутствии жидкого моносоля олеиновой к-ты при продувании воздуха над р-ром I образуется однородная пленка. Интерферометрич. изучение кинетики роста пленки и кинетики испарения  $\text{NH}_3$  показывает, что процесс образования пленки состоит из ряда стадий. Вначале испаряется избыточный  $\text{NH}_3$ , затем тетрааммиакат меди гидролизует до диаминодиаquoкомплекса, гидролизуемого при pH 9,0 с образованием частиц  $\text{Cu}(\text{OH})_2$  размером 100—200 Å, при коагуляции которых и получается пленка. Часть 22 см. РЖХим, 1956, 74607. II. Слоним

**50956. Адсорбция и десорбция саж на хлопке в водной среде. I. Определение поверхностной концентрации саж на хлопке. Штраусс (Über die Adsorption und Desorption von Ruß an Baumwolle in**

wäßrigem Milieu. I. Die Bestimmung der Rußoberflächenkonzentration an Baumwolle. Strauss Wenemar, Kolloid-Z., 1957, 150, № 2, 134—136 (нем.).

Для изучения кинетики удаления загрязнений с волокон хлопка при стирке разработан метод определения поверхностной концентрации с частиц пигмента на волокне. Установлена эмпирич. зависимость между  $c$  и отражательной способностью волокна, загрязненного частицами  $Fe_3O_4$  диам.  $1 \cdot 10^{-5}$  см; при этом кол-во Fe определяли колориметрич. и радионуклидным методом с применением  $Fe^{59}$ . Пересчетом по плотности получено эмпирич. ур-ние для определения  $c$  — частиц сажи того же размера  $c = 10^{-5} (5,89 \cdot 10^{-2} a - 0,40a^2 + 2,27a^3 - 4,28a^4 + 3,71a^5)$  г сажи на 1 см<sup>2</sup> хлопка, где  $a = 1 - R/R_0$ ,  $R'$  и  $R_0$  — коэф. отражения загрязненного и чистого волокна. Это ур-ние дает значительно лучшие результаты в области больших  $c$ , чем ранее предложенные ур-ния. И. Слоним

50957. К теории диссолюционной пептизации. Пономарев В. Д., Изв. АН КазССР. Сер. горн. дела, металлургия, стро-ва и стройматериалов, 1957, вып. 1, 52—72 (рез. каз.).

Автор считает, что растворение твердых тел идет через стадии; грубая дисперсия — колл. дисперсия — мол. дисперсия, а при кристаллизации из р-ра те же стадии проходят в обратном порядке. Таким образом растворение и кристаллизация являются по существу процессами пептизации и коагуляции. См. РЖХим, 1954, 47915.

Н. Фуке  
50958. О некоторых поверхностных явлениях в нефтяных эмульсиях. Бенъковский В. Г., Тр. Ин-та нефти. АН КазССР, 1956, 1, 52—56

Измерено поверхностное натяжение на границе вода — воздух  $\sigma_{в-а}$ , нефть — воздух  $\sigma_{н-а}$  и на границе вода — нефть  $\sigma_{в-н}$  в эмульсиях (Э) кошкарской нефти в пластовой воде. Прибавление деэмульгатора («черный контакт») почти не меняет  $\sigma_{н-а}$  но значительно снижает  $\sigma_{в-а}$  и  $\sigma_{в-н}$ . Аналогичные результаты получены и на модельных Э трансформаторного масла в воде в присутствии олеата Na. При повторном эмульгировании разрушенной Э нефти происходит обращение и образуется Э типа В/М. При повышении т-ры Э, содержащих «черный контакт»,  $\sigma_{в-н}$  растет из-за десорбции поверхностноактивного в-ва с поверхности раздела; в отсутствие деэмульгатора  $\sigma_{в-н}$  не зависит от т-ры в пределах 0°—75°. И. Слоним

50959. Желатинированные эмульсии. 13. Предельные эмульсии типа м/в с тиксотропной дисперсионной средой. Кремнев Л. Я., Коллоиды. ж., 1957, 19, № 1, 68—71 (рез. англ.).

Получены предельно конц. эмульсии (Э) типа м/в при помощи тиксотропных р-ров олеата Na. Основным фактором устойчивости этих Э являются повышенные структурно-механич. свойства защитных адсорбционно-солевых слоев. Тиксотропное структурирование дисперсионной среды Э вызывает заметное увеличение эмульгирующей способности стабилизатора и уменьшение крит. толщины защитных слоев. Э с тиксотропной средой весьма высокодисперсны и однородны по размерам капелек. Часть 12 см. РЖХим, 1955, 28685.

Резюме автора  
50960. Седиментация шламов окиси тория при высокой температуре. Рид, Кроули (Sedimentation of thorium oxide slurries at elevated temperatures. Reed S. A., Crowley P. R.), Nucl. Sci. and Engng, 1956, 1, № 6, 511—521 (англ.).

Измерена скорость седиментации (оседания верхней границы) коагулированных конц. водн. суспензий окиси тория при 150—325°. Опыты проводились в кварцевых трубках с применением киносъемки. Результаты измерений использованы для расчета эффективного размера частиц и кажущегося уд. веса осадков при

высоких т-рах. В расчетах принималось, что шлам состоит из агрегированных частиц и что характер агрегатов зависит от т-ры.

Резюме авторов  
50961. Действие электролитов на бентонитовые суспензии. Берштейн, Барр (Effect of electrolytes on bentonite suspensions. Bernstein Harris B., Barr Martin), J. Amer. Pharmac. Assoc. Scient. Ed., 1957, 46, № 1, 41—44 (англ.).

Изучено влияние электролитов на степень коацервации и реологич. свойства водн. суспензий бентонита (I). Добавление электролитов не вызывает тиксотропии при нетиксотропных конц-ях I (3 г/100 мл), но предельное напряжение сдвига суспензий при этом возрастает. Последнее наблюдается также при тиксотропных конц-ях I (5 г/100 мл). Тиксотропия при таких конц-ях не возрастает при добавлении электролитов, а в случае цитрата и фосфата Na даже убывает.

Резюме авторов  
50962. Получение стандартного субмикроскопического аэрозоля с твердыми частицами для испытания фильтров. Глоберман, Бреслин (The generation of a solid submicron test aerosol. Glauberman H., Breslin A. J.), Amer. Industr. Hyg. Assoc. Quart., 1956, 17, № 4, 401—404 (англ.).

Описан генератор дыма  $U_3O_8$  с регулируемым конц-ей и средним размером частиц. Дым образуется при горении урановой стружки в струе смеси  $Ag$  и  $O_2$ . Для равномерности горения стружка вносится в струю на жолобе из стальной сетки, укрепленном на периферии медленно вращающегося столика. Измерение частиц дыма производилось при помощи термопреципитатора и электронного микроскопа. Меданный размер частиц варьирует в зависимости от соотношения  $Ag$  и  $O_2$  и скорости струи в пределах 0,5—0,2 м.

В. Дунский  
50963. Осаждение аэрозольных частиц на объекте цилиндра под действием электростатического притяжения. Натансон Г. Л., Докл. АН СССР, 1957, 112, № 4, 696—699

Выведены ф-лы для коэф. захвата аэрозольных частиц на потенциально объектом перпендикулярно оси круглом цилиндре для случаев заряженного и незаряженного цилиндра, заряженных и незаряженных частиц и под влиянием ван-дер-ваальсовых сил. Диффузия, инерция и тяжесть частиц не учитываются.

Н. Фуке  
50964. О коагуляции атмосферных ядер конденсации на пылинках. Михельсон М. Л., Коллоиды. ж., 1957, 19, № 1, 125—126

В воздух, содержащий  $n = 7,5 \cdot 10^5/\text{см}^3$  ядер конденсации и находившийся в пылевой камере, вводилась пыль с средним радиусом  $\sim 1$  м до конц-и  $6 \cdot 10^4/\text{см}^3$ . Пропуская воздух из камеры через проточный конденсатор (РЖХим, 1956, 38367) и измеряя конц-ию образовавшихся капелек, автор показал, что  $\lg n$  линейно убывает с временем в согласии с ур-нием Смолуковского, если принять для радиуса ядер величину  $3 \cdot 10^{-6}$  см.

Н. Фуке  
50965. Возникновение многократных изображений аэрозольных частиц, находящихся на поверхности погруженных пузырьков, и связь этого явления с наличием поверхностной пленки. Гардинер (Notes on multiple image formation by aerosol particles at submerged bubble surfaces, and its relevance to a surface film. Gardiner M. W.), J. Roy. Microscop. Soc., 1955 (1956), 75, № 4, 223—234 (англ.).

На рефракционных кольцах, образуемых воздушными пузырьками, погруженными в различные жидкости, наблюдаются радиальные полосы, обусловленные наличием частиц аэрозоля на поверхности пузырьков и свидетельствующие о том, что на ней имеется тонкий слой, в котором коэф. преломления отличается



от такового в окружающей жидкости. Таким образом, возникают 2 поверхности раздела и создаются многократные изображения частиц аэрозоля, образующие радиальные полосы.

В. Дунский  
50966. Отношение положительной и отрицательной ионных проводимостей в газовой среде нейтрального в целом аэрозоля. Ганн (The ratio of the positive and negative light ion conductivities within a neutral aerosol space. Gunn Ross), J. Colloid Sci., 1956, 11, № 6, 691—696 (англ.)

Исходя из диффузионной теории зарядки аэрозольных частиц (РЖХим, 1956, 3612, 74610; 1957, 30261), автор выводит ур-ние, связывающее отношение положительной и отрицательной проводимостей среды за счет газовых ионов с конц-ией и размером частиц нейтр. в целом аэрозоля, числом ионных пар, образующихся в 1 сек. в единице объема, коэф. рекомбинации и подвижностью ионов.

Н. Фукс  
50967. Баллоэлектрические явления при распылении водных растворов органических соединений. Натансон Г. Л., Ж. физ. химии, 1956, 30, № 12, 2662—2690

Исследованы знак и величина электрич. заряда аэрозольных систем, получаемых при обработке п-льверизации воды и глицерино-води. р-ров поверхностно-активных (ПА) сильных и слабых органич. электролитов, и неэлектролитов, в зависимости от конц-ии р-ров, конц-ии добавочного неорганич. электролита и режима распыления. Измерен заряд отдельных капель при распылении глицерино-води. р-ров органич. соединений в интервале радиусов капель 0,5—2,1 м. Рассмотрена связь между характером электризации при распылении и природой двойного электрич. слоя на поверхности распыляемых р-ров. Полученные резуль-

таты интерпретированы с точки зрения наложения двух механизмов электризации. 1-й механизм, проявляющийся в основном для р-ров, содержащих ПА ионы в условиях не слишком высокой ионной силы, состоит в разделении зарядов ионного двойного слоя на поверхности р-ра и приводит к совпадению знака заряда наиболее мелких распыленных капель со знаком заряда присутствующих ПА ионов. 2-й механизм, проявляющийся при высоких ионных конц-иях, состоит в перераспределении носителей заряда под действием неоднородного двойного слоя, возникающего на поверхности распыляемой жидкости вследствие того, что на ее свежесформированных участках не успевает установиться равновесный адсорбционный скачок потенциала. Этот механизм приводит к противоположности знака заряда наиболее мелких распыленных капель и наружной обкладки адсорбционного двойного слоя.

Г. Натансон  
50968. О влиянии ионизации воздуха на дисперсную фазу аэроколлоидов. Беляева И. И., Микиров А. Е., Смирнов Н. С., Коллоидн. ж., 1957, 19, № 1, 24—26 (рез. англ.)

В продолжение работы (РЖХим, 1957, 26427) показано фотометрич. методом, что при облучении α-частицами воздуха с влажностью  $\leq 100\%$  образуется рассеивающий свет туман, причем его рассеивающая способность возрастает с увеличением интенсивности и продолжительности облучения. Время жизни тумана — несколько часов.

Н. Фукс

См. также раздел Химия высокомолекулярных соединений и рефераты: Промоторы капельной конденсации 51164, 51165. Исслед. аэрозолей 51703. Разжижаемость бентонитовых и каолиновых суспензий 51918

## НЕОРГАНИЧЕСКАЯ ХИМИЯ. КОМПЛЕКСНЫЕ СОЕДИНЕНИЯ

Редактор А. Б. Нейдин

50969. К химии наиболее редких элементов. I. Выделение скандия из остатков после обработки вольфрамовых руд. Петру, Гаек, Прохазка, Вит (Příspěvky k chemii vzácnějších prvků. I. Isolace skandia ze zbytků po zpracování wolframových rud. Petrů František, Hájek Bohumil, Procházka Vladimír, Vít Jaroslav), Chem. listy, 1956, 50, № 11, 1696—1701 (чешск.)

Разработан метод очистки  $\text{Sc}_2\text{O}_3$  из остатков после обработки чешских вольфрамовых руд, состоящий в сочетании роданидного (Fischer W., Bock R., Z. anorg. und allgem. Chem., 1942, 249, 146) и оксалатного (Stérba-Böhm J. S., Bull. Soc., chim. France, 1920, 4, 27, 185) методов. Полученный препарат содержал 10—3% Si, Ca, Mn. Больше кол-во чистого  $\text{Sc}_2\text{O}_3$  можно получить из безводн.  $\text{ScCl}_3$ , который получают хлорированием гомог. смеси активированного угля и неочищ.  $\text{Sc}_2\text{O}_3$  в кварцевой трубке при 900—1000°. Возгонку неочищ.  $\text{ScCl}_3$  проводят при  $t_{\text{ре}} \sim 780^\circ$  в токе  $\text{N}_2$ . Полученный этим способом  $\text{ScCl}_3$  содержит 0,009% Fe, и из него можно получить  $\text{Sc}_2\text{O}_3$  такой же степени чистоты, как и предыдущим способом.

Vlastimil Růžička  
50970. Получение металлческих циркония и гафния восстановлением их фторидов в бомбе. Карлсон, Шмидт, Уилхелм (Preparation of zirconium and hafnium metals by bomb reduction of their fluorides. Carlson O. N., Schmidt F. A., Wilhelm H. A.), J. Electrochem. Soc., 1957, 104, № 1, 51—56 (англ.)

Описана полупромышленная установка и метод получе-

ния чистых Zr и Hf кальциотермич. восстановлением их фторидов.  $\text{ZrCl}_4$ , свободный от примеси Hf, растворяли в дистил. воде, выпаривали до конц-ии  $\sim 6$  н. по HCl; выпавшие при охлаждении р-ра кристаллы  $\text{ZrOCl}_4 \cdot 8\text{H}_2\text{O}$  (I) очищали от Fe промыванием ацетоном. При прибавлении 48—70%-ной HF к I сначала образовывался гомог. р-р, из которого при дальнейшем прибавлении HF выпадал  $\text{ZrF}_4 \cdot \text{H}_2\text{O}$  (II) (выход II максимален при стехиометрич. отношении I : HF). Отфильтрованный осадок II сушили при  $70^\circ$  и дегидратировали до  $\text{ZrF}_4$  в токе HF-газа сначала при  $250^\circ$ , затем при  $400^\circ$ .  $\text{ZrF}_4$  восстанавливали в стальной, изолированной изнутри слоем  $\text{CaF}_2$  бомбе действием Ca в присутствии Zn и J<sub>2</sub>. Из полученного сплава Zr и Zn примесь Zn удаляли испарением в вакууме, сначала при  $1250^\circ$ , затем при  $1500—1600^\circ$ . Плавлением полученной губки Zr в вакууме или атмосфере Ar получался массивный 99,8%-ный Zr с твердостью по Роквеллу ( $R_A$ )  $\sim 40—45$ , подававшийся холодной прокатке. Для получения Hf использовался  $\text{HfF}_4$ , получавшийся методом, аналогичным получению  $\text{ZrF}_4$ . Полученный (после испарения Zn в вакууме при  $1800^\circ$  и сплавления губки) Hf имел  $R_A$  69, т. пл.  $2235^\circ$ ,  $d$  13,19 и подавался горячей прокатке, но был крайне хрупок при низкой  $t_{\text{ре}}$ . Очисткой губки йодидным методом и сплавлением получен Hf с  $R_A$  60, т. пл.  $2150^\circ$ ,  $d$  13,29 и параметрами решетки  $a$  3,197 и  $c$  5,057 Å.

И. Рысс

50971. Очистка плутония с помощью катионообменника. Диздар, Бур (Purification of plutonium by

a cation exchanger. Dizdar Z. I., Boer D. H. W. den), J. Inorg. and Nuclear Chem., 1956, 3, № 5, 323—325 (англ.)

После растворения урана из реактора в 6M HNO<sub>3</sub>, экстракции смесью три-н-бутилфосфата (30 об.%) и керосина (70 об.%), промывки органич. слоя 3M HNO<sub>3</sub> + 0,1 M NaNO<sub>2</sub> и извлечения гидразином, получают р-р, содержащий 1M HNO<sub>3</sub>, 3,2 · 10<sup>-2</sup> M U, 0,23 M N<sub>2</sub>H<sub>4</sub>, 2,8 · 10<sup>-6</sup> M Pu с β-активностью ~ 3000 отсчетов/мин. Разбавляют р-р водой до pH 0,27 и пропускают через колонну с ионообменником даэкс-50 в H-форме. Колонну промывают 0,1M HNO<sub>3</sub> и элюируют 1,5M HNO<sub>3</sub>. Вначале элюируются N<sub>2</sub>H<sub>4</sub> и U, затем Pu, загрязненный некоторым кол-вом продуктов деления. Большая часть продуктов деления извлекается 5M HNO<sub>3</sub>, но в колонне остается еще некоторая β-активность.

И. Слоним

50972. Удаление фосфора из перекиси водорода с помощью каолинита. Чжан, Джэксон (Removal of phosphorus from hydrogen peroxide by kaolinite. Chang S. C., Jackson M. L., Science, 1956, 124, № 3233, 1209 (англ.))

Препараты перекиси водорода (I), даже марки х. ч., часто содержат значительную примесь P, так как для их стабилизации применяют фосфорную к-ту. Для удаления P из препаратов I встряхивают р-р в течение 1 мин. с «колл. каолинитом» (г.л. обр. каолинитом; 10 г на 100 мл р-ра). После 3—4-кратной обработки каолинитом и центрифугирования содержание P не превышает 0,1—0,2 ч. на 1 млн. Потери I невелики, конц-ия H<sub>2</sub>O<sub>2</sub> в препарате уменьшается незначительно.

И. Слоним

50973. К изучению закиси железа. Марьон (Contribution à l'étude du protoxyde de fer. Marion F., Docum. metallurg., 1955, № 24, 87—136 (франц.). См. РЖМет, 1957, 5572.

50974. К вопросу о получении перекисных соединений цинка. Макаров С. З., Ладейнова Л. В., Ж. неорган. химии, 1956, 1, № 12, 2708—2711

Рассмотрены описанные в литературе методы получения перекисных соединений Zn. На основании данных исследования системы Zn(OH)<sub>2</sub>—H<sub>2</sub>O<sub>2</sub>—H<sub>2</sub>O разработан метод получения ZnO<sub>2</sub> · 0,5 H<sub>2</sub>O. К суспензии свежеполученной Zn(OH)<sub>2</sub>, не содержащей CO<sub>2</sub>, прибавляют тонкой струей 28%-ную H<sub>2</sub>O<sub>2</sub>, перемешивают 2 часа, отфильтровывают массу, промывают дистил. водой и сушат в вакууме при 80—90°. Продукт содержит ~ 76% ZnO<sub>2</sub>. Дальнейший процесс дегидратации приводит к разложению. Метод проверен в заводских условиях.

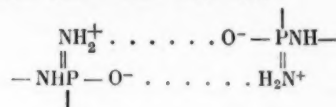
И. Слоним

50975. О соединениях фосфора с азотом. Сообщение III. Амид-имид ортофосфорной кислоты. Сообщение IV. Реакция между аммиаком и тетрагидридом дифосфорной кислоты. Гёринг, Ниденцу. Сообщение V. Внутримолекулярная перегруппировка моноамидофосфорной кислоты. Гёринг, Замбет (Über Phosphor-Stickstoffverbindungen. III. Mitteilung. Orthophosphorsäureamid-imid. IV. Mitteilung. Zur Kenntnis der Reaktion zwischen Ammoniak und Diphosphorsäure-tetrachlorid. Goehring Margot, Niedenzu Kurt. V. Mitteilung. Zur Kenntnis einer intramolekularen Umlagerung der Monoamido-phosphorsäure. Goehring Margot, Sambeth Jörg, Chem. Ber., 1956, 89, № 7, 1774—1775; 1957, 90, № 1, 151—153; № 2, 232—234 (нем.))

III. При р-ции OP(NH<sub>2</sub>)<sub>3</sub> с POCl<sub>3</sub> образуется промежуточный продукт, имеющий вероятное строение: P(=O)(NH<sub>2</sub>)NHP(=O)NHP(=O)ClNHP(=O)(NH<sub>2</sub>)NH<sub>2</sub>,

в котором в результате р-ции с NH<sub>3</sub> атом Cl замещается на NH<sub>2</sub>, после чего это соединение превращается в

рентгеноаморфный нерастворимый в воде и в ряде других р-рителей полимерный [H<sub>2</sub>N—P(=O)=NH]<sub>n</sub>, которому авторы приписывают структуру:



В. Гиляров

IV. При р-ции Cl<sub>2</sub>P(=O)—O—P(=O)Cl<sub>2</sub> (I) с избытком NH<sub>3</sub> в абс. эфире образуется тетраимид дифосфорной к-ты по ур-нию I + 8NH<sub>3</sub> → (H<sub>2</sub>N)<sub>2</sub>P(=O)—O—P(=O)(NH<sub>2</sub>)<sub>2</sub> (II) + 4NH<sub>4</sub>Cl. Если эфир содержит следы (< 0,01%) воды, образуются фосфороксигетриамид

диамидофосфорная к-та: I + 9NH<sub>3</sub> → O=P(NH<sub>2</sub>)<sub>3</sub> (III) + (H<sub>2</sub>N)<sub>2</sub>P(=O)OH + 4NH<sub>4</sub>Cl. При содержании воды в эфире > 0,01% образуется NH<sub>4</sub>-соль диамидофосфорной к-ты в виде бесцветных гигроскопич. растворимых в воде кристаллов: I + 10NH<sub>3</sub> + H<sub>2</sub>O → 2(H<sub>2</sub>N)<sub>2</sub>P(=O)ONH<sub>4</sub> (IV) + 4NH<sub>4</sub>Cl. По-видимому, сначала идет гидролиз связи P—O—P, а затем уже аммонолиз. При хроматографии на бумаге для диамидофосфата NH<sub>4</sub> найден R<sub>f</sub> = 0,59. При быстром прилипании I к избытку жидкого NH<sub>3</sub> образуется полимерный [—P(=O)(NH<sub>2</sub>)—O—P(=O)(NH<sub>2</sub>)—NH—]<sub>n</sub>, рассматриваемый авторами как амид полиметафосфорной к-ты, в котором 1/4 атомов O замещена на NH. При многократной обработке полимера жидким NH<sub>3</sub> получен P<sub>2</sub>O<sub>5</sub>N<sub>2</sub>H<sub>8</sub>. Полимер и его соль рентгеноаморфны, нерастворимы в воде, медленно гидролизуются с образованием смеси ортофосфата и моноамидофосфата. Приведены порошковые диаграммы II, III и IV.

V. При нагревании моноамидофосфорной к-ты HOP(=O)(OH)NH<sub>2</sub> (V) в течение 3 час. при 100—140° она количественно превращается в NH<sub>4</sub>-соль полиметафосфорной к-ты P+(=O)(ONH<sub>4</sub>)—O—[—P(=O)(ONH<sub>4</sub>)—O—]<sub>n</sub>—P(=O)(ONH<sub>4</sub>)—O— (IV), растворимую в воде. При 70—90° превращение идет медленнее. Авторы предлагают следующий механизм этой перегруппировки: V ⇌ HOP(=O)(O—)N+H<sub>3</sub> → HOP+(=O)(O—) + NH<sub>3</sub> → O=P+(O—)O—(NH<sub>4</sub>) + V. Приведены хроматограммы и порошковые диаграммы V и VI. Часть II см. РЖХим, 1957, 8108.

И. Слоним

50976. О строении и сольволизе третичных фосфин-диалогенидов R<sub>3</sub>PX<sub>2</sub>. Нелейб, Зейдель (Zur Konstitution und Solvolysen von tertiären Phosphindihalogeniden —R<sub>3</sub>PX<sub>2</sub>—. Issleib K., Seidel W.), Z. anorgan. und allgem. Chem., 1956, 288, № 3-4, 201—215 (нем.)

При пропускании тока сухого Cl<sub>2</sub> через охлаждаемый р-р третичных фосфинов в бензоле или 1,2-дихлорэтано происходит быстрое образование (R<sub>3</sub>)<sub>3</sub>PCl<sub>2</sub>, где R—n-C<sub>3</sub>H<sub>7</sub> (R<sub>1</sub>), n-C<sub>4</sub>H<sub>9</sub> (R<sub>2</sub>) или циклогексил (R<sub>3</sub>). Р-ры Br или J в C<sub>6</sub>H<sub>6</sub> мгновенно реагируют с р-рами третичных фосфинов в C<sub>6</sub>H<sub>6</sub> или смеси C<sub>6</sub>H<sub>6</sub> и эфира; так синтезированы (R<sub>3</sub>)<sub>3</sub>PBr<sub>2</sub>, где R—R<sub>1</sub>, R<sub>2</sub>, R<sub>3</sub>, C<sub>2</sub>H<sub>5</sub> (R<sub>4</sub>) или изопропил (R<sub>5</sub>), и (R<sub>3</sub>)<sub>3</sub>PJ<sub>2</sub>, где R—R<sub>1</sub>—R<sub>5</sub> или C<sub>6</sub>H<sub>5</sub> (R<sub>6</sub>). Соединения труднорастворимы в C<sub>6</sub>H<sub>6</sub>, эфире и диоксане, хорошо растворимы в CH<sub>3</sub>CN и C<sub>6</sub>H<sub>5</sub>NO<sub>2</sub>, разлагаются водой и спиртом. Все соединения, за исключением (R<sub>3</sub>)<sub>3</sub>PJ<sub>2</sub> и (R<sub>3</sub>)<sub>3</sub>PJ<sub>2</sub>, чрезвычайно чувствительны к влаге; т-ры разложения соединений лежат между 170 и 260°. При р-ции (R<sub>3</sub>)<sub>3</sub>P с 0,5 моля галогена или при р-ции их с молярными кол-в (R<sub>3</sub>)<sub>3</sub>PX<sub>2</sub>, где X—галоген, и (R<sub>3</sub>)<sub>3</sub>P образуются соединения с P:X = 1:1. Соединения (R<sub>3</sub>)<sub>3</sub>PX<sub>2</sub> функционируют как доноры галогенов: смешением их с р-рами в 1,2-дихлорэтано, C<sub>6</sub>H<sub>5</sub>NO<sub>2</sub> или C<sub>6</sub>H<sub>6</sub> с р-рами теоретич. кол-в в SbCl<sub>5</sub>, SbBr<sub>3</sub>, HgJ<sub>2</sub> или HgBr<sub>2</sub> и осаждением абс. эфиром

синтезированы следующие комплексы (в скобках  $t$ -ры разложения):  $[(R_3)_3P]Cl$  [SbCl<sub>5</sub>] (252),  $[(R_3)_3P]Cl$  [SbCl<sub>5</sub>] (164),  $[(R_3)_3P]Br$  [SbF<sub>6</sub>] (208),  $[(R_3)_3PBr] [HgBr_3]$  (245),  $[(R_3)_3P] [HgJ_3]$  (205) и  $[(R_3)_3P] [HgJ_3]$  (149—150°). Комплексы растворимы в  $C_6H_5NO_2$ ,  $CH_3CN$  и часть их в ацетоне; они разлагаются водой и спиртом; электропроводность их в  $C_6H_5NO_2$  доказывает, что они являются бинарными электролитами. Р-ры  $(R_3)_3PJ_2$  (но не  $(R_3)_3PBr_2$  или  $(R_3)_3PBrCl_2$ ) в  $C_6H_5NO_2$  также испытывают диссоциацию  $(R_3)_3PJ_2 \rightleftharpoons [(R_3)_3PJ]^+ + J^-$ . Выделить промышленные продукты гидролиза  $(R_3)_3PX_2 + H_2O \rightarrow (R_3)_3PX(OH) + HX$  не удалось. При смешении р-ров соли Рейнке и  $(R_3)_3PX_2$  в 80%-ном спирте и введении  $H_2O$  выпадают продукты присоединения окислов фосфинов и к-ты Рейнке  $[H][Cr(SCN)_4(NH_3)_2]$  или  $HY$ ; они образуются и из  $(R_3)_3PO$  и  $HY$ ; выделены следующие соединения этого типа (в скобках  $t$ -ры разложения):  $(R_4)_3PO \cdot HY$  (138—144),  $[(R_4)_3PO]_2 \cdot HY$  (130),  $(R_1)_3PO \cdot HY$  (133),  $(R_2)_3PO \cdot HY$  (124—126),  $(R_6)_3PO \cdot HY$  (110),  $(R_3)_3PO \cdot HY$  (171) и  $[(R_3)_3PO]_2 \cdot HY$  (152°). Эти комплексы окрашены в разные оттенки красного цвета, нерастворимы в воде, растворимы в спирте, разлагаются ацетоном. Перекристаллизацией  $[(R_3)_3PO]_2 \cdot HY$  из смеси изопропанола и воды (1:1) получены розовые иголки, т. разл. 127°, с отношением  $(R_3)_3PO : HY = 4 : 1$ , содержание 5—7 молей кристаллизационной воды. Выделены также  $[(R_3)_3PO]_2 \cdot H_2S$  (190—191°) и  $[(R_3)_3PO]_2 \cdot H[HgJ_3]$ , т. разл. 124°.

И. Рынсе

**50977. Химия серы. XXX. О получении сульфанов  $H_2S_n$ ,  $H_2S_3$ ,  $H_2S_4$  и  $H_2S_5$ . Фехер, Лауе, Винкхаус. XXXI. О получении сульфанов  $H_2S_3$ ,  $H_2S_4$ ,  $H_2S_5$  и  $H_2S_6$ . Фехер, Винкхаус. XXXI. Über die Darstellung der Sulfane  $H_2S_3$ ,  $H_2S_4$  und  $H_2S_5$ . Fehér F., Laue W., Winkhaus G. XXXI. Über die Darstellung der Sulfane  $H_2S_3$ ,  $H_2S_4$ ,  $H_2S_5$  und  $H_2S_6$ . Fehér F., Winkhaus G., Z. anorgan. und allgem. Chem., 1956, 288, № 3-4, 113—122, 123—130 (нем.).**

XXX. Усовершенствованы способы выделения сульфанов  $H_2S_n$  ( $n = 2, 3, 4, 5$ ) из «сырого масла» (I) (часть XXIX, РЖХим, 1957, 47661).  $H_2S_2$  и  $H_2S_3$  получают крекингем I в колонне с паялкой из стеклянных колец Рашига при давл. 10—15 мм рт. ст. и 130° с последующей вакуум-разгонкой;  $H_2S_2$  перегоняют при —15° и 15 мм рт. ст.,  $H_2S_3$  — при 42° и 1,5 мм рт. ст.  $H_2S_4$  и  $H_2S_5$  выделяют из I перегонкой в тонком слое:  $H_2S_4$  при  $t$ -ре испарителя 75° и 10<sup>-3</sup> мм рт. ст.,  $H_2S_5$  при 95° и том же вакууме. Выделенные из I сульфаны представляют собой чистые индивидуальные в-ва. Из-за уменьшения термич. устойчивости выход уменьшается с ростом длины цепи. Определены физ.-хим. константы индивидуальных сульфанов при 20°:  $d$ ,  $n_D$ , кинематич. вязкость  $\nu$  (сст), динамич. вязкость  $\eta$  (спуз), и приведены частоты спектров комб. расщ. Для  $H_2S_2$   $d = 1,334$ ,  $\nu = 0,462$ ,  $\eta = 0,616$ ,  $n_D = 1,631$ . Для  $H_2S_3$   $d = 1,491$ ,  $\nu = 0,886$ ,  $\eta = 1,321$ ,  $n_D = 1,729$ . Для  $H_2S_4$   $d = 1,582$ ,  $\nu = 1,66$ ,  $\eta = 2,63$ ,  $n_D = 1,791$ . Для  $H_2S_5$   $d = 1,664$ ,  $\nu = 3,36$ ,  $\eta = 5,52$ ,  $n_D = 1,836$ .

XXXI. Разработан метод получения сульфанов  $H_2S_n$  ( $n = 5, 6, 7, 8$ ), основанный на р-ции дисульфана с хлорсульфанами. При избытке  $H_2S_2$  получается почти чистый сульфан с практически колич. выходом по р-ции  $2HSSH + ClS_mCl = H_2S_{4+m} + 2HCl$ . К охлажденному до ~ -60°  $H_2S_2$  прибавляют соответствующий хлорсульфан ( $SCl_2$ ,  $S_2Cl_2$ ,  $S_3Cl_2$  или  $S_4Cl_2$ ), через некоторое время повышают  $t$ -ру до 0°, а затем до комнатной; отгоняют основную массу  $H_2S_2$  при 15 мм рт. ст. и последние остатки — при 10<sup>-3</sup>—10<sup>-4</sup> мм рт. ст. и 30—40°. Сульфаны  $H_2S_5$ — $H_2S_8$  — желтовато-

зеленые жидкости со слабым камфарным запахом, при 0° без доступа воздуха устойчивы несколько суток. Для  $H_2S_6$   $d = 1,688$ ,  $\nu = 6,5$ ,  $\eta = 11,0$ . Для  $H_2S_7$   $d = 1,742$ ,  $\nu = 13,3$ ,  $\eta = 22,8$ . Для  $H_2S_8$   $d = 1,747$ ,  $\nu = 26,7$ ,  $\eta = 46,8$ . Приведены частоты спектров комб. расщ.  $H_2S_5$ ,  $H_2S_7$  и  $H_2S_8$ . Метод синтеза сульфанов подтверждает их цепное строение.

И. Слоним

**50978. Неорганические оксониевые соединения. Шишкин Н. В., Крогус Е. А. Ж. неорг. химии, 1956, 1, № 6, 1252—1256**

На ряде примеров показана применимость метода изоморфных замещений (РЖХим, 1956, 57773, 57774) для изучения структуры оксониевых соединений. С помощью этого метода удалось установить генетич. связь между некоторыми соединениями, исправить эмпирич. ф-лы отдельных в-в и установить характерные особенности аммониево-оксониевого обмена.

Г. Бабкин

**50979. Комплексы меди с аминами. I. Моноамины. Кирсон (Les complexes aminés du cuivre. I. Les monoamines. Kirson B.), Bull. Soc. chim. France, 1956, № 11—12, 1793—1797 (франц.).**

Изучалось каталитич. разложение  $H_2O_2$  р-рами комплексов  $Cu(2+)$  с моноаминами (А): этиламин (I), диэтиламином (II), триэтиламином (III), бутиламин (IV), бензиламин (V), пиперидином (VI) (РЖХим, 1955, 39746) и пиридином (Ру). Газометрич. методом (измерялся объем выделившегося  $O_2$ ) находили время разложения  $\frac{1}{2}$  или  $\frac{1}{3}$   $H_2O_2$ . Установлено, что нет различия в каталитич. действии на  $H_2O_2$  комплексов с I—VI; для всех оно начинается при отношении А:  $Cu = 1:1$ . Комплексы с Ру начинают оказывать каталитич. действие только при отношении Ру:  $Cu = 3:1$ . Потенциометрич., титрованием р-ров  $CuSO_4$  в присутствии избытка  $(NH_4)_2SO_4$  р-рами I, IV, V и VI установлен состав высших комплексов  $[CuA]^{2+}$ . Спектрофотометрич. методом подтверждено для многих А образование комплексов  $[CuA]^{2+}$ ; их состав не меняется при увеличении конц-и А вплоть до отношения А:  $Cu = 6:1$ . В случае Ру потенциометрич. и спектрофотометрич. методы не дали четких результатов, так как образуется смесь комплексов (РЖХим, 1954, 35659). При каталитич. действии комплексов  $[CuA]^{2+}$  (со многими из А) наблюдалось промежуточное образование  $[CuA]^{+}$ , вновь окислявшихся в  $[CuA]^{2+}$ .

Л. Волштейн

**50980. Спектрофотометрическое исследование реакции взаимодействия ионов цинка с пурпурной кислотой. Толмачев В. Н., Вестфрид Ц. Ю., Ж. неорг. химии, 1957, 2, № 1, 60—64**

Пурпурная к-та ( $H_3R$ ) на 1-й ступени диссоциирует как сильная; 2-я и 3-я константы диссоциации  $H_3R$  равны соответственно  $2,0 \cdot 10^{-9}$  и  $5,2 \cdot 10^{-11}$ . Спектрофотометрич. исследованием эквимольных р-ров  $ZnSO_4$  и пурпура К с конц-ей компонентов  $7,5 \cdot 10^{-4}$  М при pH 9 установлено образование комплекса состава 1:2. Ранее описанный комплекс состава 1:1 (Schwarzenbach G., Gysling H., Helv. chim. acta, 1949, 32, 1108, 1314) в шел. р-рах не образуется. Комплекс состава 1:2 образуется также в р-рах с pH 7. Этот комплекс авторы считают пригодным для колориметрич. определения Zn, так как он обладает изолированной полосой поглощения при 455 мμ с высоким мол. коэф. погашения. На основании результатов измерения оптич. плотности р-ров, содержащих ионы  $Zn^{2+}$  и пурпурат К, при различных значениях pH авторы выражают комплексобразование р-цией:  $Zn^{2+} + 2H_3R^{2-} \rightleftharpoons Zn(H_3R)_2^{2-}$ . При pH > 10 вследствие гидролиза ионов  $Zn^{2+}$  и диссоциации  $H_3R^{2-}$  создаются неблагоприятные условия для существования комплекса состава 1:2. Константа нестойкости комплекса  $Zn(H_3R)_2^{2-}$ , определенная ранее



описанным методом (РЖХим, 1956, 15572), равна  $(4.8 \pm 1.6) \cdot 10^{-10}$ . Н. Полянский

50981. Исследование комплексов двухвалентной ртути с этилендиаминном с применением ртутного электрода. Уоттерс, Мейсон (Investigation of the complexes of mercury (II) with ethylenediamine using the mercury electrode. Watters James I., Mason John G.), J. Amer. Chem. Soc., 1956, 78, № 2, 285—289 (англ.)

Комплексы  $Hg(2+)$  с Еп обратимо восстанавливаются в шел. р-рах до свободной Hg на капельном Hg-электроде. Изучены анодно-катодные полярографич. волны комплексных ионов  $Hg(2+)$  в р-ре, содержащем  $Hg(ClO_4)_2$  и Еп. Установлена обратимость окислительно-восстановительного процесса в ряду pH 11—7. Авторы считают, что в р-ре содержатся следующие комплексные ионы (в скобках приведены константы образования, рассчитанные по методу Бьеррума при  $25^\circ$  и  $\mu = 0.1$ ):  $Hg(En)_2^{2+}$  ( $10^{23.32}$ ),  $Hg(En)^{2+}$  ( $10^{14.3}$ ),  $Hg(En)(OH)^+$  ( $10^{23.8}$ ),  $Hg(HEu)_2^{1+}$  ( $10^{12.9}$ ),  $Hg(En)(HEu)^+$  ( $10^{18.6}$ ),  $Hg(En)(HEu)_2^{1+}$  ( $10^{22.2}$ ). А. Аблов

50982. Комплексные соединения хлорного и бромного олова с гликоколом. Сумарокова Т., Ярмухамедова Э., Ж. общ. химии, 1956, 23, № 12, 3295—3301

Смешением р-ров  $SnCl_4$  и гликокола (Gln) в уксусной к-те (AcH) при разных отношениях получены соединения  $SnCl_4 \cdot 2Gln \cdot 2AcH$  (I) (бесцветный гигроскопичный порошок, т. пл.  $74.6^\circ$ ) и  $SnCl_4 \cdot 4Gln$  (II) (стеклообразная масса, при нагревании — вязкая жидкость). II получен также действием Gln на расплавленный I. Смешением  $SnCl_4$  и Gln, растворенных в  $CCl_3CO_2H$ , выделено соединение  $SnCl_4 \cdot 2Gln$  (III) (очень гигроскопичные белые кристаллы). Аналогичным путем выделены  $SnBr_4 \cdot 2Gln \cdot 2AcH$  (IV) и  $SnBr_4 \cdot 4Gln$  (V). Криоскопич. измерения в AcH показали, что кажущиеся мол. веса I, II, IV и V равны  $1/2$  формульного, что объясняется диссоциацией на 3 иона. Авторы считают, что соединения  $SnX_4 \cdot 2Gln$  (X — Cl, Br) являются довольно сильными к-тами, присоединяющимися во внешней сфере AcH или Gln с образованием соединений солеобразного характера:  $[SnX_4(NH_2CH_2CO_2)_2]^{2-} \cdot (CH_3CH_2CO_2H)_2^+$  и  $[SnX_4(NH_2CH_2CO_2)_2]^{2-} \cdot (NH_2CH_2CO_2H)_2^+$ . Показано, что не существует соединений  $SnX_4 \cdot 6Gln$ . Отвергается возможность принадлежности соединений I, II, IV и V к продуктам внедрения. Л. Волштейн

50983. Зависимость свойств соединений висмута от их циклического строения. Туркевич Н. М. В сб.: Некоторые вопросы фармации, Киев, Госмедиздат УССР, 1956, 48—53

На основании собственных и литературных данных автор приходит к следующим выводам. Отличительной чертой циклич. соединений Bi кшневидного и конденсированного типа является нерастворимость в воде и прочность к гидролизу. Наиболее прочными являются 5-членные циклы. 7-Членные циклы, соединения легко разрушаются или превращаются в 5- и 6-членные циклы конденсированного типа. Упрочнение или ослабление 7-членного кольца происходит при введении различных групп, в зависимости от природы последних. И. Слоним

50984. Растворимые в воде комплексы ниобия и тантала. Часть I. Комплексы с  $\alpha$ -оксикислотами и 2-оксизтиламинами. Фэрбретер, Тейлор (Water-soluble complexes of niobium (columbium) and tantalum. Part I. Complexes with  $\alpha$ -hydroxy-acids and (2-hydroxyethyl)-amines. Fairbrother Fred, Taylor John B.), J. Chem. Soc., 1956, Dec., 4946—4954 (англ.)

Ниобиевая (I) и танталовая (II) к-ты нерастворимы в воде. При кипячении с  $\alpha$ -оксикислотами (OK) I растворяется; введение р-ра  $NH_3$  до pH 8—9 резко ускоряет растворение I вследствие образования комплексов с анионами OK. Р-р I, освобожденный от  $NH_4^+$  действием катионита в H-форме и выпаренный в вакууме при  $60^\circ$  до состояния сиропа, выделяет при введении смеси спирта и эфира осадки комплексов, в которых отношение I:OK = 1. Синтезированы комплексы с гликолевой, молочной, яблочной, винной и лимонной к-тами:  $C_2H_5O_6Nb$ ,  $C_3H_7O_6Nb$ ,  $C_4H_7O_6Nb$ ,  $C_4H_7O_6Nb$  и  $C_6H_9O_6Nb$ . Авторы считают, что эти комплексы образуются в результате замещения атомов H карбоксильной и  $\alpha$ -оксигрупп на остаток  $Nb(OH)_3$ . Комплексы некристаллические, очень хорошо растворимы в воде, р-ры их устойчивы только в присутствии избытка OK. Р-ры комплексов осаждаются таннином и холодными 3 н. р-рами  $H_2SO_4$ , HCl,  $HNO_3$  (или NaOH) или кипящей  $CH_3COOH$ . I нерастворима в 2-основных к-тах (малоновой, янтарной, адипиновой или фталевой), в тиогликолевой или боксимасляной к-тах, в спирт. р-ре ацетилацетона или в р-ре теноилтрифторацетона в  $C_6H_6$ . I растворима в 2-оксизтиламинах; из р-ров выделены аналогичным описанному выше методом осадки  $[NbCl_4(NH_2CH_2CO_2)_2] \cdot [Nb(OH)_3]$ ,  $[(HOOC_2H_4)_2NH_2^+Nb(OH)_3]$  и  $[(HOOC_2H_4)_3N] \cdot [Nb(OH)_3]$ . II растворяется во всех описанных комплексообразователях значительно хуже, чем I. Однако попытки, разделения сосоединенных I и II не привели к успеху, так как растворимость II резко возрастает в присутствии I, вероятно, вследствие образования многоядерных соединений. И. Рысе

50985. О разложении комплексного трис-(этилендиамин)-хром-иона в водном растворе как темновой, так и фотохимической реакцией. Шлаефер, Клинг (Über die Zersetzung des Tris-äthylendiamin-chrom (III)-komplexions in wäßriger Lösung als Dunkel- und Lichtreaktion. Schläfer H. L., Kling O.), Z. anorg. und allgem. Chem., 1956, 287, № 4—6, 296—312 (нем.)

В видимой и близкой УФ-областях спектры поглощения водн. р-ров  $[CrEn_3]Cl_3$  (I) и  $[CrEn_3](ClO_4)_3$  (II) идентичны, влияние взаимодействия  $[CrEn_3]^{3+}$  (III) и аниона не проявляется. Спектр поглощения водн. р-ра  $cis-[CrEn_2(H_2O)_2]^{3+}$  (IV) очень сходен по типу со спектром II, но сдвинут в красную область на  $\sim 3000$  см $^{-1}$ . Спектрфотометрически установлено, что как в темновой, так и в фотохим. р-ции разложения р-ров I и II первичный процесс одинаков:  $III + 2H_2O \rightarrow IV + En$ ; процесс ускоряется освещением. В водн. р-ре возможны дальнейшая кислотная диссоциация  $IV + H_2O \rightleftharpoons [CrEn_2(H_2O)(OH)]^{2+} + (V) + H_3O^+$  и  $V + H_2O \rightleftharpoons [CrEn_2(OH)_2]^{2+} + H_3O^+$  и образование 2-ядерного комплекса за счет отщепления  $H_2O$  от V. Для р-ра I в присутствии HCl и KCl (pH  $\sim 1$ ) эти процессы исключаются; некоторое смещение спектра в красную область объяснено внедрением Cl во внутреннюю сферу или образованием ассоциата  $[(CrEn_2(H_2O)_2)Cl]^{2+}$ . В р-ре II в присутствии  $HClO_4$  и  $NaClO_4$  (pH  $\sim 1$ ) после образования IV идет медленная дальнейшая акватизация до  $[Cr(H_2O)_6]^{3+}$ . И. Рысе

50986. Исследование физико-химических свойств оксалатов четырехвалентного урана и тория. Гринберг А. А., Петряк Г. И., Тр. Радиов. ин-та АН СССР, 1956, 7, 50—73

Измерены мол. электропроводность ( $\lambda$  в ом $^{-1}$  см $^2$ ), pH и растворимость ( $s$  в г на 1000 г р-ра)  $U(C_2O_4)_2 \cdot 6H_2O$  (I),  $Th(C_2O_4)_2 \cdot 6H_2O$  (II) и  $K_2U(C_2O_4)_4 \cdot 5H_2O$  (III) и изучено взаимодействие I и II с газообразным пиридином (IV). Величина  $s$  I в воде при  $25^\circ$  равна  $5.0 \cdot 10^{-2}$ , pH насыщ. р-ра 4.3 и  $\lambda = 495$ . I представляет собой к-ту; весь I нацело диссоциировал как соль и

70% катиона диссоциировано по кислотному типу. В 0,1 н.  $\text{H}_2\text{SO}_4$ ,  $\text{HNO}_3$ ,  $\text{HCl}$ ,  $\text{HClO}_4$  и  $\text{CH}_3\text{COOH}$  с I при 25° значительно меньше, чем в 1,0 н. к-тах. Уменьшение с обусловлено подавлением кислотной диссоциации; в более конц. р-рах к-т с выше, чем в воде, из-за процесса замыкания цикла в комплексе. I поглощает пары IV, через 30 суток достигается равновесие, при котором на 1 моль I связывается 1 моль IV. Величина с II в воде при 25° равна  $2,3 \cdot 10^{-2}$ , рН насыщ. р-ра 5,8—5,9 и  $\lambda = 236$ . II практически не обладает кислотными свойствами и диссоциирует только как соль по схеме  $\text{Th}(\text{C}_2\text{O}_4)_2 \rightleftharpoons [\text{Th}(\text{C}_2\text{O}_4)]^{2+} + \text{C}_2\text{O}_4^{2-}$ ; с парами IV II не взаимодействует. Отсутствие кислотных свойств у II частично объясняется тем, что ионный радиус  $\text{Th}^{4+}$  больше, чем у  $\text{U}^{4+}$ . III при растворении в воде в начальный момент не обладает кислотными свойствами — рН р-ра равен рН воды. Затем рН снижается и стремится к постоянному для каждого разведения значению, уд. электропроводность р-ра растет со временем. Очевидно, III первоначально диссоциирует по схеме  $\text{K}_4[\text{U}(\text{C}_2\text{O}_4)_4] \rightleftharpoons 4\text{K}^+ + [\text{U}(\text{C}_2\text{O}_4)_4]^{4-}$ , а затем происходит размыкание одного из оксалатных циклов и молекула  $\text{H}_2\text{O}$  в поле иона  $\text{U}^{4+}$  проявляет кислотные свойства. И. Слоним

**50987. Изучение щавелевокислых соединений четырехвалентного урана. Гринберг А. А., Петряк Г. И., Тр. Радиев. ин-та АН СССР, 1956, 7, 17—49**

Разработаны методы синтеза  $\text{U}(\text{C}_2\text{O}_4)_2 \cdot 6\text{H}_2\text{O}$  (I) и солей комплексной к-ты  $\text{H}_4[\text{U}(\text{C}_2\text{O}_4)_4]$  (II) и изучены физ.-хим. свойства этих соединений. Чистые препараты I получены: 1) электролитич. восстановлением р-ра оксалата уранила и щавелевой к-ты при плотности тока  $8,32 \text{ а/см}^2$  в виде зеленого кристаллич. осадка в Pt-чашке, служащей катодом; 2) осаждением щавелевой к-той горячего р-ра U в разб.  $\text{HCl}$ . Ориентировочное значение растворимости I в воде при 18°  $3,75 \cdot 10^{-2}$  г/л. Р-цией двойного обмена  $\text{K}_4[\text{U}(\text{C}_2\text{O}_4)_4]$  с  $\text{Pb}(\text{NO}_3)_2$  вновь синтезирована Pb-соль II — кристаллич. серо-зеленый с фиолетовым оттенком  $\text{Pb}_2[\text{U}(\text{C}_2\text{O}_4)_4] \cdot 8\text{H}_2\text{O}$ . Аналогично, с  $\text{CdSO}_4$  вновь синтезирована мелкокристаллич. фиолетовая, устойчивая на воздухе нерастворимая в воде соль  $\text{Cd}_2[\text{U}(\text{C}_2\text{O}_4)_4] \cdot 7\text{H}_2\text{O}$ . При р-ции  $\text{K}_4[\text{U}(\text{C}_2\text{O}_4)_4]$  с малыми количествами  $\text{CaCl}_2$  получается фиолетовая мелкокристаллич. Ca-соль II, содержащая 6 или 7 молекул  $\text{H}_2\text{O}$ ; при больших количествах  $\text{CaCl}_2$  комплексный ион разлагается с образованием оксалатов U и Ca. Ca- и Cd-соли II при нагревании обратимо отщепляют кристаллизационную воду и меняют фиолетовую окраску на зеленую. Мол. электропроводность р-ров  $\text{K}_4[\text{U}(\text{C}_2\text{O}_4)_4] \cdot 5\text{H}_2\text{O}$  указывает на диссоциацию соли на  $4\text{K}^+$  и  $[\text{U}(\text{C}_2\text{O}_4)_4]^{4-}$ . Кривая потенциометрич. титрования р-ра I в разб.  $\text{H}_2\text{SO}_4$  р-ром  $\text{KMnO}_4$  имеет 2 скачка потенциала: 1-й соответствует окислению  $\text{U}(4+) \rightarrow \text{U}(6+)$ , а 2-й — одновременному окислению обеих оксалатных групп. Измерена магнитная восприимчивость I и K-, Ba- и Cd-солей II в твердом состоянии. Все эти соединения парамагнитны, эффективные магнитные моменты порядка 2,8—2,9, что соответствует наличию двух неспаренных электронов. Спектр поглощения водн. р-ров  $\text{K}_4[\text{U}(\text{C}_2\text{O}_4)_4] \cdot 5\text{H}_2\text{O}$  имеет в видимой части 3 максимума при 490,0; 560,0 и 695,5 мμ и аналогичен спектрам ионных соединений  $\text{U}(4+)$ . Сопоставляя результаты изучения магнитной восприимчивости и спектров, авторы делают вывод о преобладании в изученных соединениях ионного типа связи. И. Слоним

**50988. Физико-химические свойства водных растворов комплексных оксалатов уранила. Гринберг**

**А. А., Птицын Б. В., Текстер Е. Н., Тр. Радиев. ин-та АН СССР, 1956, 7, 74—86**

Методом повторных промывок (основанном на том, что достаточно устойчивые соединения постоянного состава должны сохранять неизменный состав при повторной промывке) показана индивидуальность синтезированных по известным методам соединений  $\text{UO}_2\text{C}_2\text{O}_4 \cdot 3\text{H}_2\text{O}$  (I),  $\text{K}_2[\text{UO}_2(\text{C}_2\text{O}_4)_2 \cdot 3\text{H}_2\text{O}]$  (II),  $(\text{NH}_4)_2[\text{UO}_2(\text{C}_2\text{O}_4)_2 \cdot 2\text{H}_2\text{O}]$  (III),  $\text{K}_6[\text{UO}_2(\text{C}_2\text{O}_4)_3] \cdot 10\text{H}_2\text{O}$  (IV) и измерена электропроводность и рН их водн. р-ров. Показано, что I диссоциирует как соль:  $\text{UO}_2\text{C}_2\text{O}_4 \rightleftharpoons \text{UO}_2^{2+} + \text{C}_2\text{O}_4^{2-}$ , и как к-та:  $[\text{UO}_2\text{C}_2\text{O}_4(\text{H}_2\text{O})] \rightleftharpoons \text{H}^+ + [\text{UO}_2\text{C}_2\text{O}_4(\text{OH})]^-$ , с константой кислотности K (кисл.)  $\approx 5 \cdot 10^{-7}$ . При потенциометрич. титровании р-ров I р-ром NaOH со стеклянным электродом обнаружены 2 скачка потенциала. Первый скачок при мол. отношении NaOH:I  $\approx 0,9$  соответствует р-ции  $[\text{UO}_2\text{C}_2\text{O}_4(\text{H}_2\text{O})] + \text{Na}^+ + \text{OH}^- \rightleftharpoons \text{H}_2\text{O} + \text{Na}^+ + [\text{UO}_2\text{C}_2\text{O}_4(\text{OH})]^-$ ; второй скачок при NaOH:I = 2,03—2,3 связан с образованием осадка  $\text{UO}_2(\text{OH})_2$ . Р-ры II и III имеют мол. электропроводность  $\sim 250 \text{ ом}^{-1} \text{ см}^2$ , что подтверждает диссоциацию по ур-нию  $\text{M}_2[\text{UO}_2(\text{C}_2\text{O}_4)_2] \rightleftharpoons 2\text{M}^+ + [\text{UO}_2(\text{C}_2\text{O}_4)_2]^{2-}$ ; средняя подвижность иона  $[\text{UO}_2(\text{C}_2\text{O}_4)_2]^{2-}$  при 25° равна  $56 \text{ ом}^{-1} \text{ см}^2$ . IV в водн. р-ре распадается по схеме  $\text{IV} \rightleftharpoons \text{K}_2\text{C}_2\text{O}_4 + 2\text{K}_2[\text{UO}_2(\text{C}_2\text{O}_4)_2]$ . Кислотные свойства оксалатных соединений уранила уменьшаются в ряду I—II—IV из-за увеличения числа оксалатных групп, обладающих основными свойствами. Константа нестойкости  $[\text{UO}_2(\text{C}_2\text{O}_4)_2]^{2-}$ , отвечающая диссоциации  $[\text{UO}_2(\text{C}_2\text{O}_4)_2]^{2-} \rightleftharpoons \text{C}_2\text{O}_4^{2-} + \text{UO}_2\text{C}_2\text{O}_4$ , равна  $3,5 \cdot 10^{-8}$ ; константа нестойкости  $[(\text{UO}_2)_2(\text{C}_2\text{O}_4)_6]^{6-}$  для диссоциации  $[(\text{UO}_2)_2(\text{C}_2\text{O}_4)_6]^{6-} \rightleftharpoons \text{C}_2\text{O}_4^{2-} + 2[\text{UO}_2(\text{C}_2\text{O}_4)_2]^{2-}$  составляет  $\sim 5 \cdot 10^{-17}$ . И. Слоним

**50989. Некоторые гексафтороренаты. Пикок (Some hexafluororhenates (v). Peacock R. D.), J. Chem. Soc., 1957, Jan., 467—469 (англ.)**

$\text{MReF}_6$ , где M — Na (I), K (II), Rb (III), Cs (IV), получены быстро протекающей даже при  $-60^\circ$  экзотермич. р-цией р-ров MJ и избытка  $\text{ReF}_6$  (V) в жидком  $\text{SO}_2$ ; ур-ние р-ции  $2\text{V} + 2\text{MJ} \rightarrow \text{J}_2 + \text{MReF}_6$ . Избыток V и  $\text{J}_2$  удаляются в вакууме при 200°. Попытки получения  $\text{Ca}(\text{ReF}_6)_2$  и  $\text{Ba}(\text{ReF}_6)_2$  не привели к успеху вследствие недостаточной растворимости йодидов металлов в  $\text{SO}_2$ . Комплексы II—IV бесцветны, действуют на стекло при  $\sim 300^\circ$ , чрезвычайно чувствительны к действию следов влаги, бурно гидролизуются в воде и в р-рах щелочей:  $3\text{II} + 8\text{H}_2\text{O} \rightarrow 2\text{ReO}_2 + 4\text{KReO}_4 + 2\text{KHF}_2 + 14\text{HF}$ ; параллельно, в меньшей степени протекает р-ция  $6\text{II} + 2\text{ReO}_2 + 4\text{H}_2\text{O} \rightarrow 2\text{KReO}_4 + 2\text{K}_2\text{ReF}_6 + 4\text{H}_2\text{ReF}_6$ ; в  $\text{ReF}_6^{2-}$  переходит  $\sim 20\%$  рения. II кристаллизуется в куб. сингонии,  $a_0$  8,18 Å, III — в тетрагональной (искаженная решетка  $\text{CsCl}$ ),  $a$  10,26,  $c$  10,01 Å; в тригональной системе кристаллизуются IV,  $a$  5,11 Å,  $a$  96,7°, и V  $a$  5,28 Å,  $a$  95,9°. Комплексы II—V более сходны по структуре с аналогичными комплексами Sb, Nb и Ta, чем с комплексами Os и других платиновых металлов. Близость постоянных решеток  $\text{MReF}_6$  и  $\text{MSbF}_6$  указывает на то, что радиусы  $\text{Re}^{5+}$  и  $\text{Sb}^{5+}$  почти одинаковы. И. Рысс

**50990. Комплексы металлов с ароматическими соединениями. VIII. Комплекс двухвалентного железа с мезитилоном. Фишер, Бётхер (Ein Mesitylenkomplex des zweiwertigen Eisens. Über Aromatenkomplexe von Metallen. VIII. Fischer E. Otto, Böttcher Rudolf), Chem. Ber., 1956, 89, № 10, 2397—2400 (нем.)**

При взаимодействии в атмосфере  $\text{N}_2$  безводн.  $\text{FeBr}_2$  и сухого мезитилена в присутствии порошка безводн.  $\text{AlCl}_3$  при 80—90° и последующем действии на реак-

дионную смесь метанола и воды образуется оранжевый р-р, содержащий катион  $[\text{Fe}(\text{C}_6\text{H}_5(\text{CH}_3)_2)_2]^{2+}$  (I). Этот р-р устойчив при слабом подкислении;  $\text{HNO}_3$  разрушает комплекс, при действии  $\text{NaOH}$  наблюдается образование  $\text{Fe}(\text{OH})_2$  и выделение ароматич. молекулы; при стоянии на воздухе р-р I медленно разлагается. I может быть осажден в виде пикрата, гексафторофосфата, тетрафторобората, перхлората, тетрафенилбората, реинеката и йодида. На основании диамагнетизма тетрафенилбората I (при 90 и 290° K  $\chi_M = 310 \cdot 10^{-6}$  и  $-320 \cdot 10^{-6}$ ) сделан вывод, что I обладает структурой дибензолхрома и молибдена, причем из-за наличия стерич. препятствий метильные группы одного из ароматич. колец сдвинуты по отношению к метильным группам другого кольца на 60°. Попытки получения аналогичного катиона  $[\text{Fe}(\text{C}_6\text{H}_5)_2]^{2+}$  оказались безуспешными. Авторы полагают, что образование комплексов рассматриваемого типа облегчается при наличии у ароматич. молекулы симметрии с осью  $C_2$ . По предварительным данным возможно получение катионов дитетралин- и ди-м-ксило-тикозола. Сообщение VII см. РЖХим, 1957, 30299. М. П.

50991. Исследование комплексов железа с органическими кислотами. Колта, Зукал (Szervessavak vassal képzett komplexek vizsgálata. Kolta Rezső, Zukál Endre), Élelm. ipar, 1955, 9, № 12, 365—370 (венг.)

Изучался процесс гидролиза ионов Fe в присутствии органич. к-т при различных значениях pH среды. Расчеты показывают, что логарифм конц-ии свободных ионов  $\text{Fe}^{2+}$  в р-ре линейно зависит от pH среды. Однако в присутствии органич. к-т (молочной, янтарной, яблочной, лимонной и виннокислотной) линейная зависимость не соблюдается. На основании этого сделан вывод, что  $\text{Fe}^{2+}$  образует растворимые комплексы с органич. к-тами, не подвергающиеся гидролизу. Из кривых гидролиза можно рассчитать состав комплекса и его константу диссоциации. Для р-ров  $\text{Fe}^{3+}$  в присутствии органич. к-т также линейная зависимость не соблюдается; однако в данном случае отклонение, по мнению авторов, связано не с комплексобразованием, а с пептизацией гидроксида Fe органич. к-тами.

И. Дилунг  
50992. О поведении диацидо-бис-диметилглиокси-мокобальткислот в водном растворе. Аблов А. В., Сырцова Г. П., Ж. неорг. химии, 1956, 1, № 11, 2457—2464

Измерена электропроводность (Э) р-ров к-т  $\text{HCo}(\text{DH})_2\text{X}_2$ , где X— $\text{NO}_2$  (I), NCS (II), J (III), Br (IV) и Cl (V). Из хода полученных кривых видно постепенное уменьшение Э р-ра I, что объясняется медленно идущей гидратацией. Э р-ра II не изменяется, гидратация не имеет места. Э р-ров IV и V значительно изменяется, что указывает на вымывание двух атомов галогена из внутренней координационной сферы. Для р-ров V уже начальное значение Э равно  $417,4 \text{ ом}^{-1} \text{ см}^2$ . Такое поведение подобно поведению транс-хлоронитридиамминплатины, отмеченному И. И. Черняевым (Изв. Ин-та по изучению платины, 1929, вып. 7, 98). Изучение взаимодействия щелочи с I методом потенциометрии, измерения pH дало кривую, типичную для титрования сильной к-ты сильным основанием. На кривых титрования IV и V имеются 3 скачка потенциала. При добавлении  $< 1$  экв щелочи замещается 1 кислотный остаток на молекулу воды с образованием аквосоединения  $[\text{Co}(\text{H}_2\text{O})(\text{DH})_2\text{X}]$ , при добавлении 1—2 экв щелочи в р-ре образуются  $[\text{Co}(\text{DH})_2\text{OHX}]$  и  $(\text{CoH}_2\text{O})(\text{DH})_2\text{OH}$ , а при добавлении  $< 2$  экв щелочи —  $[\text{Co}(\text{DH})_2(\text{OH})_2]$ . Для III полной кривой титрования не получено, так как при добавлении 1 экв щелочи образуется трудно растворимое йодоаквосоединение. Кривая изменения

pH в зависимости от кол-ва прибавленной щелочи к II похожа на кривую титрования смеси сильной и слабой к-т. Проведено титрование щелочью р-ра  $[\text{CoH}_2\text{O}(\text{DH})_2\text{NO}_2]$ . Константа ионизации равна  $1,5 \cdot 10^{-8}$ . Изучено изменение pH при добавлении щелочи в присутствии иона, одноименного кислотному аццеду. Для III и IV имеет место незначительное уменьшение гидратации в интервале, когда прибавлено 1—2 экв щелочи. Избыток KCNS подавляет гидратацию II почти полностью. Авторы объясняют это большим транс-влиянием изороданогруппы. Для III присутствие KJ меньше подавляет гидратацию. Авторы считают, что в диоксимидах  $\text{Co}(3+)$  йод обладает значительной транс-активностью, большей, чем хлор и бром. Положение изороданогруппы в ряду транс-активности зависит от pH р-ра. А. Аблов

50993. Комплексы иона  $\text{Co}^{3+}$  с цистеином. I. Одноядерная структура бис-цистеината трехвалентного кобальта. II. Спектрофотометрическое исследование природы координации в комплексах цистеина с ионом  $\text{Co}^{3+}$ . Невилл, Горин. III. Роль газообразного кислорода в образовании комплексов иона  $\text{Co}^{3+}$  с цистеином из иона  $\text{Co}^{2+}$  и цистеина. Невилл (Cysteine complexes with the cobalt (III) ion. I. The mononucleate structure of cobalt (III) bis-cysteinate. II. Spectrophotometric study of the nature of coordination in the complexes of cysteine with the cobalt (III) ion. Neville Roy G., Gorin George. III. The role of gaseous oxygen in the formation of cysteine complexes of cobalt III from cobalt II ion and cysteine. Neville Roy G.), J. Amer. Chem. Soc., 1956, 78, № 19, 4891—4893, 4893—4896; № 21, 5511—5512 (англ.)

I. При смешивании р-ров солинокислого цистеина (Су) и  $\text{CoSO}_4$  в присутствии KOH и пропускания воздуха через смесь выделен  $\text{CoH}_2\text{O} \cdot 2\text{H}_2\text{O}$  (I). Для получения I другим методом  $[\text{Co}(\text{NH}_3)_6]\text{Cl}_3$  (II) растворяли в миним. кол-ве горячей воды и к р-ру добавляли Су и KOH. Затем р-р нагревали при 60—70° до прекращения выделения  $\text{NH}_3$ , и к нему добавляли конц. HCl до pH 1,0. Микрокристаллич. осадок I промывали холодной водой и спиртом и сушили на воздухе. Хим. анализом, определением кол-ва  $\text{NH}_3$ , освобождающегося при получении I из II, и криоскопич. определением мол. веса доказана идентичность комплексов, полученных обоими методами, а также одноядерная структура I. Никаких данных в пользу двухядерной структуры (Schubert M. P., J. Amer. Chem. Soc., 1933, 55, 3336) не было найдено.

II. Спектрофотометрически изучены комплексы Со с Су, тиогликолевой к-той, аминокислотной к-той, 2-меркаптоэтиламинном и N-формилцистеином в области 210—700 мμ. Путем сравнения УФ-спектров комплекса с Су и комплексов, в которых природа координации ясна, установлена структура комплексов Со с Су. Показано, что коричневый бис-цистеинат (III) и зеленый трис-цистеинат (IV) количественно взаимно обратимы. IV устойчив только при pH > 11. Снижение pH до 8 вызывает разложение IV на III и Су. Связь с атомом Со в III и IV осуществляется сульфгидрильными и аминокислотными Су. IV и красный трис-цистеинат Со (3+) (V) являются структурными изомерами. Связь с Со в V осуществляется через сульфгидрильные и карбоксильные группы. Цистеинат Na при pH 12 превращается необратимо V в IV. А. Аблов

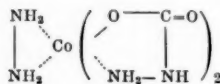
III. Изучено влияние  $\text{O}_2$  на р-ры Су, содержащие различные конц-ии  $\text{Co}^{2+}$ . В разб. р-рах при отношениях  $\text{Co}:\text{Су} \geq 1:3$  один атом Со эквивалентен 0,75 атома О; при отношениях  $< 1:3$  одна молекула Су эквивалентна 0,25 атома О. Р-ция не является чисто стехиометрической и осложнена, по крайней мере,



двумя побочными р-циями: окислением  $\text{Cu}$  в цистин (VI) и  $\text{Co}^{2+}$  в  $\text{Co}^{3+}$ . В конц. р-рах образование III и V из  $\text{Co}^{2+}$  и  $\text{Cu}$  при соответствующих значениях pH происходит с поглощением 0,5 атома O; это точно соответствует превращению  $\text{Co}^{2+}$  в  $\text{Co}^{3+}$ . Хотя VI при этих р-циях не был обнаружен, он, по мнению автора, присутствует в р-ре, так как кол-во израсходованного O значительно превышает таковое при окислении  $\text{Cu}$  в VI.

Р. Савельева  
50994. Комплексные соединения двухвалентного кобальта с гидразином и гидразинкарбоновой кислотой. Гогоришвили П. В., Каркарашвили М. В., Цицишвили Л. Д., Ж. неорг. химии, 1956, 1, № 8, 1731—1738

При взаимодействии  $[\text{Co}(\text{NH}_3)_5\text{Cl}]\text{Cl}_2$  (I) или  $[\text{Co}(\text{NH}_3)_4\text{CO}_2\text{NO}_2 \cdot \frac{1}{2}\text{H}_2\text{O}]$  с разб. р-ром  $\text{N}_2\text{H}_4 \cdot \text{H}_2\text{O}$  и пропускании  $\text{CO}_2$  при 45—50° выделено бледно-розовое мелко-кристаллич. в-во с наиболее вероятной ф-лой  $(\text{N}_2\text{H}_3\text{COO})_2\text{Co} \cdot (\text{N}_2\text{H}_4)$  (II). Соединение II было получено и при действии гидразинкарбоновой к-ты (III) с несколькими каплями р-ра  $\text{N}_2\text{H}_4 \cdot \text{H}_2\text{O}$  на I, на  $\text{Co}(\text{N}_2\text{H}_4)_2\text{Cl}_2$  и на  $\text{CoCl}_2 \cdot 6\text{H}_2\text{O}$ . При взаимодействии III без  $\text{N}_2\text{H}_4$  с  $\text{Co}(\text{N}_2\text{H}_4)_2\text{Cl}_2$  получен  $(\text{N}_2\text{H}_3\text{COO})\text{Co}$ . Авторы предполагают, что II является смешанным соединением с 5- и 3-членными циклами, построенным по типу октаэдра:



II нерастворимо в воде, хорошо растворимо в неорганич. к-тах. При действии щелочи выпадает гидроксид- $\text{Co}$ . Электропроводность ( $\nu = 1000$  л) после 25—30 мин. 69 ом<sup>-1</sup>, pH 7,92. Двухвалентность  $\text{Co}$  в этом соединении подтверждена измерением магнитной восприимчивости. Кристаллохим. исследование подтвердило индивидуальность II. Циклич. строение II доказано изучением действия на него  $\text{HCl}$ . При действии I или 2 молей 0,2 н.  $\text{HCl}$  на II происходит замыкание циклов в месте связи  $\text{Co}$  с  $\text{N}_2\text{H}_4$ ; при этом образуется на холоду  $(\text{N}_2\text{H}_3\text{COO})_2\text{Co} \cdot 2\text{H}_2\text{O}$ , а при нагревании  $(\text{N}_2\text{H}_3\text{COO})_2\text{Co}$ . При действии избыточного кол-ва  $\text{HCl}$  происходит полное замыкание циклов, разложение карбоксильной группы III. А. Аблов

50995. Механизм реакций замещения в октаэдрических комплексах. Индуцированная ионами металлов активация галогенопентаминкобальти-иона. Позн, Таубе (The mechanisms of substitution reactions of octahedral complexes: the induced aquation of the halogenopentamminecobaltic ions by metal cations. Posey Franz A., Taube Henry, J. Amer. Chem. Soc., 1957, 79, № 2, 255—262 (англ.))

Изучение фракционирования изотопов O при активации  $\text{RX}^{2+}$ , где  $\text{R} = \text{Co}(\text{NH}_3)_5$ , а  $\text{X} = \text{Cl}$ ,  $\text{Br}$  или  $\text{I}$ , в присутствии ионов  $\text{Ag}^+$ ,  $\text{Ti}^{3+}$  и  $\text{Hg}^{2+}$  показало, что только  $\text{Hg}^{2+}$  образует сходные по свойствам активированные комплексы со всеми  $\text{RX}^{2+}$ ; в этом случае активация по-видимому протекает по механизму  $\text{S}_{\text{N}}1$ . При активации в присутствии  $\text{Ti}^{3+}$  часть воды поступает в  $\text{RN}_2\text{O}^{3+}$  из гидратной сферы  $\text{Ti}^{3+}$ . Спектрофотометрически установлено, что константы ассоциации  $\text{RCl}^{2+}$  и  $\text{Hg}^{2+}$  с  $\text{SO}_4^{2-}$  при 25° и ионной силе 0,34 равны соответственно  $4,8 \pm 0,5$  и  $26,3 \pm 0,6$ . Определены данные, характеризующие конкуренцию параллельно протекающих процессов образования  $\text{RN}_2\text{O}^{3+}$  и  $\text{RSO}_4^+$  при действии  $\text{SO}_4^{2-}$  на  $\text{RCl}^{2+}$  в присутствии ионов металлов. В присутствии  $\text{Hg}^{2+}$  и  $\text{SO}_4^{2-}$  скорость расщепления  $\text{RCl}^{2+}$  определяется выражением  $\nu = k_1(\text{RCl}^{2+})(\text{Hg}^{2+}) + k_2(\text{RCl}^{2+})(\text{Hg}^{2+})(\text{SO}_4^{2-}) + k_3(\text{RCl}^{2+})(\text{Hg}^{2+})(\text{SO}_4^{2-})^2$ ; при 25°  $k_1 = 3,43 \pm$

$\pm 0,26$  лмоль<sup>-1</sup>мин<sup>-1</sup>,  $k_2 = (4,8 \pm 0,4) \cdot 10^2$  лмоль<sup>-2</sup>мин<sup>-1</sup>,  $k_3 = (1,11 \pm 0,14) \cdot 10^4$  л<sup>2</sup>моль<sup>-3</sup>мин<sup>-1</sup>. Ион  $\text{SO}_4^{2-}$  действует путем ассоциации с реагентами и путем вхождения в активированный комплекс. И. Рысс

50996. Комплексы диацетилгидразона и пиридинальдегидгидразонов с двухвалентными железом, кобальтом и никелем. Стауфер, Бун (Complexes of biacetylhydrazones and pyridinaldehydrazones with iron (II), cobalt (II) and nickel (II). Stouffer R. Carl, Rusch Daryle H., J. Amer. Chem. Soc., 1956, 78, № 23, 6016—6019 (англ.))

Соединения, содержащие группировку  $\text{—N}=\text{C}=\text{C}=\text{N}=\text{—}$ , характерную для гетероциклич. диаминов и для  $\alpha$ -диаминов, образуют прочие комплексы с  $\text{Fe}(2+)$  (РЖХим, 1957, 20983; 1957, 15044).  $\text{Co}(2+)$  и  $\text{Ni}(2+)$ . Нагреванием смесей водн. или спирт. р-ров солей и аддендов синтезированы комплексы этих металлов с диацетилгидразоном (А), 2-пиридинальгидразоном (Б), 2,6-пиридинальгидразоном (В) и 2-пиридиналь-*n*-толилимином (Г). Получены  $[\text{FeA}_3]_2 \cdot 3\text{H}_2\text{O}$ , цвета темной ржавчины, коричневый  $[\text{CoA}_2]\text{Cl}_2$ , темно-янтарный  $[\text{CoA}_3]_2$ , голубой  $[\text{NiA}_2]\text{Cl}_2$ , красно-коричневый  $[\text{NiA}_3]_2 \cdot 2\text{H}_2\text{O}$ , коричневые  $[\text{MB}_3]_2$ , где  $\text{M} = \text{Fe}, \text{Co}, \text{Ni}$ , черные  $[\text{MB}_2]_2$ , где  $\text{M} = \text{Fe}, \text{Co}, \text{Ni}$ .  $[\text{FeG}_2]\text{Cl}_2$ ,  $[\text{FeG}_3]_2 \cdot 2\text{H}_2\text{O}$ , оранжевый  $[\text{CoG}_2]_2 \cdot 3\text{H}_2\text{O}$ ,  $[\text{NiG}_2]_2(\text{ClO}_4)_2 \cdot \text{H}_2\text{O}$ ,  $[\text{NiG}_2]\text{Cl}_2 \cdot 2\text{H}_2\text{O}$  и оранжевый  $[\text{NiG}_3]_2 \cdot 2\text{H}_2\text{O}$ . Вычисленные из магнитной восприимчивости соединений с поправкой на парамагнетизм анионов и аддендов значения эффективных магнитных моментов ионов металлов в магнетонах Бора равны (в порядке перечисления) 0,62; 4,91; 4,26; 3,10; 3,10; 0,94; 4,63; 3,15; 0,86; 2,90; 3,24; 5,34; 0,80; 5,06; 2,98; 3,35; 3,24.  $\text{Fe}(2+)$  в шести координированных соединениях сохраняет только слабый остаточный парамагнетизм обнаруженного ранее (РЖХим, 1956, 28230; 1957, 14429) типа; другие комплексы сильно парамагнитны. Судя по составу, цвету, магнитным свойствам и растворимости соединений, исследованные комплексы аналогичны комплексам гетероциклич. диаминов. И. Рысс

50997. Циклопентадиенилнитрозилов никеля, хрома, молибдена и вольфрама. Фишер, Беккерт, Хафнер, Штааль (Cyclopentadienyl-metall-nitrosyle des Nickels, Chroms, Molybdäns und Wolframs. Fischer E. O., Beckert O., Hafner W., Stahl H. O., Z. Naturforsch., 1955, 10b, № 10, 598—599 (нем.))

Взаимодействием  $(\text{C}_5\text{H}_5)_2\text{Ni}$  с  $\text{NO}$  (90—110°, без р-р-теля) получен жидкий красно-коричневый  $(\text{C}_5\text{H}_5)_3\text{NiNO}$  (I), т. кип. 144—145°/715 мм (разл.), 47—48°/15 мм, т. пл. —41°. С жидкой  $\text{NO}$  р-ция не идет. I растворим в органич. р-рителях, не гидролизуетс. водой. I диамагнитен ( $\chi_{\text{M}} = -73 \cdot 10^{-6}$  при 287° K и  $-68 \cdot 10^{-6}$  при 90° K). Установлено, что  $[(\text{C}_5\text{H}_5)_3\text{Cr}(\text{CO})_2]_2$  (II) количественно реагирует с  $\text{NO}$  по ур-нию  $\text{II} + 2\text{NO} \rightarrow 2(\text{C}_5\text{H}_5)_3\text{Cr}(\text{CO})_2\text{NO} + 2\text{CO}$ , образуя оранжево-красный  $(\text{C}_5\text{H}_5)_3\text{Cr}(\text{CO})_2\text{NO}$  (III), т. пл. 67—68°. III устойчив на воздухе, растворим в органич. р-рителях, диамагнитен ( $\chi_{\text{M}} = -45 \cdot 10^{-6}$  при 290° K и  $-51 \cdot 10^{-6}$  при 90° K).  $[(\text{C}_5\text{H}_5)_3\text{Mo}(\text{CO})_2]_2$  и  $[(\text{C}_5\text{H}_5)_3\text{W}(\text{CO})_2]_2$  с  $\text{NO}$  не реагируют. Анионы  $[(\text{C}_5\text{H}_5)_3\text{Mo}(\text{CO})_3]^-$  и  $[(\text{C}_5\text{H}_5)_3\text{W}(\text{CO})_3]^-$  реагируют с  $\text{NO}$  в водн. р-рах, образуя нерастворимые в воде оранжево-красные  $(\text{C}_5\text{H}_5)_3\text{Mo}(\text{CO})_2\text{NO}$ , т. пл. 85°, и  $(\text{C}_5\text{H}_5)_3\text{W}(\text{CO})_2\text{NO}$ , т. пл. 105—107° (очищены возгонкой в высоком вакууме при 55—60°). Для перечисленных соединений характерна электронная конфигурация инертного газа у центрального атома (с учетом связей, образованных  $\text{CO}$  и  $\text{NO}$ , и участия всех л электронов циклопентадиенильного кольца). Н. Волькену

50998. Комплексные соли о-аминобензальдоксима и их физико-химическое исследование. Папафил, Папафил, Рали, Клейнштейн (Săruri

complexe ale o-aminobenzaldoximei și studii lor fizico-chimic. Papafil E., Papafil M., Ralea R., Kleinstein A., An. științ. Univ. Iași. Sec. 1, 1955, 1, № 1-2, 273—286 (рум.; рез. русск., франц.).

Из умеренно разб. р-ров  $\text{CuSO}_4$  и o-аминобензальдоксима (I) в смеси  $\text{H}_2\text{O}$  с  $\text{CH}_3\text{OH}$  на холоду выделяются светло-зеленые кристаллы  $\text{CuSO}_4 \cdot \text{C}_7\text{H}_7\text{N}_2\text{O} \cdot \text{H}_2\text{O}$ , очень устойчивые в сухом виде. В р-ре зеленая окраска медленно переходит в коричневую. Мол. электропроводность  $\mu_{1000} \approx 250$  ом<sup>-1</sup>см<sup>2</sup>. Полярограмма зеленого р-ра, полученная с помощью капельного Hg электрода на фоне 0,05 M  $\text{LiSO}_4$  и 0,01%-ного р-ра желатин, обнаруживает только 1 порог при потенциале полу волны  $E_{1/2} = -0,46$ , соответствующий восстановлению аминогруппы, а в избытке I выветляется и второй при  $E_{1/2} = -0,9$  в. По смещению  $E_{1/2}$  при восстановлении комплексно-и поногенно-связанной Cu, вычислена константа нестойкости комплекса  $K = [\text{Cu оксим}^{2+}] [\text{Cu}^{2+}] \times [\text{оксим}] = 1,07 \cdot 10^{-8}$ . Из зеленых р-ров, полученных из  $\text{CuNO}_3$ ,  $\text{Cu}(\text{ClO}_4)_2$  и  $\text{Cu}(\text{CH}_3\text{COO})_2$ , авторам не удалось изолировать кристаллич. продукты из-за большой растворимости последних. Значение  $\mu$  сильно разб. р-ров того же порядка, что и в случае  $\text{CuSO}_4$ . При  $\nu = 2000$  моль  $\mu$  производного с  $\text{Cu}(\text{CH}_3\text{COO})_2$  равна 139,3 ом<sup>-1</sup>см<sup>2</sup>. Константы нестойкости, определенные полярграфич. методом для приравненных с  $\text{CuNO}_3$  и  $\text{Cu}(\text{CH}_3\text{COO})_2$ , равны  $0,66 \cdot 10^{-8}$  и  $2,12 \cdot 10^{-8}$ . Отсюда авторы заключают, что ионногенно-связанные кислотные остатки влияют на устойчивость комплекса. Переход зеленой окраски р-ра в коричневую объясняется автокатализаторизацией оксимной группы. А. Аблов

50999. Комплексы некоторых металлов с глицином и валином. Ли, Уайт, Иост (Some metal complexes of glycine and valine. Li Norman C., White James M., Yoest Robert L., J. Amer. Chem. Soc., 1956, 78, № 20, 5218—5222 (англ.)).

Потенциометрическим методом Бьеррума определены константы образования  $K_1$  и  $K_2$ , соответствующие равновесиям  $\text{Ni}^{2+} + \text{A}^- \rightleftharpoons \text{NiA}^+ + \text{A}^- \rightleftharpoons \text{NiA}_2$ , где  $\text{A}^-$  — ионы глицина (I) или валина (II). В водн. среде при ионной силе  $\mu = 0,15$   $\lg K_1$  и  $K_2$  равны соответственно: для I 5,97 и 4,95 (25°); 5,88 и 4,86 (30°); 5,72 и 4,70 (40°); для II 5,37 и 4,16 (25°); 5,27 и 4,07 (30°); 5,17 и 3,99 (35°); 5,11 и 3,91 (40°). В 45%-ном (по весу) водн. р-ре диоксана ( $\mu = 0,004$ )  $\lg K_1$  и  $\lg K_2$  комплексов с I равны соответственно: 7,16 и 6,06 (25°); 7,09 и 5,97 (30°); 6,96 и 5,77 (40°). В 70%-ном диоксане ( $\mu = 0,001$ )  $\lg K_1$  и  $\lg K_2$  тех же комплексов равны 8,51 и 7,24 (25°); 8,45 и 7,22 (30°). Полярграфич. методом определены общие константы образования комплексов  $\text{CuA}_2$ ;  $\lg K_1 K_2$  для I и II равны соответственно: 15,10 и 14,76 (25°); 14,83 и 14,51 (30°); 14,60 и 14,28 (35°). Из значений  $K_1 K_2$  при разных т-рах вычислены для р-ции  $\text{M}^{2+} + 2\text{A}^- \rightleftharpoons \text{MA}_2$  (при 25°) значения  $\Delta H$  (ккал) и  $\Delta S$  (энтр. ед.), равные соответственно: —14,0 и 2,5 для  $\text{Ni}^{2+}$  с I; —14,5 и —5,5 для  $\text{Ni}^{2+}$  с II; —21,0 и —1,0 для  $\text{Cu}^{2+}$  с I; —20,5 и 0 для  $\text{Cu}^{2+}$  с II (все — в водн. среде). В 45%-ном диоксане для  $\text{Ni}^{2+}$  с I  $\Delta H = -14,0$  ккал и  $\Delta S = 14,0$  энтр. ед. Различия устойчивости комплексов  $\text{Ni}^{2+}$  с I и II связано преимущественно с энтропийным эффектом. Показана линейная зависимость  $\lg K^N$  от  $N$ , где  $K = K_1$  или  $K_2$  комплексов  $\text{Ni}^{2+}$  с I, а  $N$  — мол. доля диоксана. Полярграфич. методом изучено комплексобразование  $\text{Cd}^{2+}$  с I, лейцином, изолейцином и норлейцином. Установлено образование комплексов  $\text{CdA}_3$ . Для I определена общая константа образования  $\lg K_1 K_2 K_3 = 9,94$ . На основании малой величины  $K_3 = 1,8$  ( $\lg K_1 K_2$ , по литературным данным, равен 8,1) авторы считают, что в  $\text{CdA}_3$  два иона  $\text{A}^-$  связаны циклически, а третий ион  $\text{A}^-$  связан только через аминогруппу; координационное число принимается

равным 6, в комплекс входит одна молекула воды. Л. Волштейн

51000. Образование кристаллов клатратных соединений мочевины. Хирано, Кадота (Urea-Adducts (の結晶發生. 平野康一, 角田サキ), 科學, Kagaku, 1955, 25, № 6, 311—312 (японск.)).

Наблюдением под микроскопом влияния спиртов  $\text{CH}_3\text{OH}$ ,  $\text{C}_2\text{H}_5\text{OH}$ ,  $\text{C}_3\text{H}_7\text{OH}$ ,  $\text{C}_4\text{H}_9\text{OH}$  на образование клатратных соединений мочевины и парафина с прямой цепью (капля бензольного р-ра парафина на кристалле мочевины в присутствии спирта вызывала появление игольчатых кристаллов) установлено, что скорость образования и кол-во продукта увеличивается с увеличением числа атомов C спирта. Авторы связывают это влияние с различной растворимостью мочевины в этих спиртах, убывающей в том же ряду. Л. Левин

51001. Пространственно затрудненное образование комплексов металлов с продуктами конденсации *цис*- и *транс*-1,2-диаминоциклогексана с ацетоном. Хонда, Шварценбах (Sterisch behinderte Metallkomplexbildung bei den Kondensationsprodukten von cis- und trans-1,2-Diaminocyclohexan mit Acetylaceton. Honda Masatake, Schwarzenbach G., Helv. chim. acta, 1957, 40, № 1, 27—40 (нем.; рез. англ.)).

Судя по УФ-спектру, продукт конденсации этилендиамина и ацетилацетона ( $\text{H}_2\text{A}$ ) имеет строение  $\text{H}_2\text{CC}(\text{O}) = \text{CH} - \text{C}(\text{CH}_3)\text{NHC}_2\text{H}_4\text{NHC}(\text{CH}_3) = \text{CHC}(\text{O}) - \text{CH}_3$ . Он является тетраденатным аддендом, теряющим при взаимодействии с ионами металлов 2 протона, связанных с атомами N, хотя свободный  $\text{H}_2\text{A}$  не обладает заметными кислотными свойствами. Для комплексов  $\text{H}_2\text{A}$  наиболее выгодна структура с копланарными циклами, поэтому  $\text{H}_2\text{A}$  не образует комплексов с 2-валентными Cd, Hg и Zn. Фиолетовые листочки  $\text{CuA}$  при длительном контакте с водой превращаются в зеленый  $\text{CuA} \cdot \text{H}_2\text{O}$ . Продукты конденсации *цис*- и *транс*-1,2-диаминоциклогексана с двумя молекулами ацетилацетона (*цис*- и *транс*- $\text{H}_2\text{B}$ , т. пл. 130—131° и 134—136°) менее способны к комплексообразованию в связи с пространственными затруднениями, особенно большими для *транс*- $\text{H}_2\text{B}$ ; они не образуют комплексов с Zn, Cd, Hg и Co (2+), а *транс*- $\text{H}_2\text{B}$  и с Ni (2+) и Cu (2+). Устойчивость комплексов металлов (M) падает соответственно возрастанию пространственных препятствий для образования копланарных циклов в ряду  $\text{MA} > \text{M}(\text{цис-B}) > \text{M}(\text{транс-B})$ , а при изменении M в ряду Pt, Pd > Cu > Ni > Co. Приближенно оценена константа устойчивости  $\text{CuA}$ . Различие цветов пурпурного  $\text{CuA}$  и зеленого  $\text{Cu}(\text{цис-B})$  объяснено различием симметрии поля аддендов. Т. пл.  $\text{CuA}$ ,  $\text{Cu}(\text{цис-B})$ ,  $\text{NiA}$ ,  $\text{PdA}$ ,  $\text{Pd}(\text{цис-B})$ ,  $\text{Pd}(\text{транс-B})$ ,  $\text{PtA}$  и  $\text{Pt}(\text{транс-B})$  соответственно равны 140, 177—178, 200, 226—227, 213—214, 243, 252 и 260°. Из измерений магнитной восприимчивости следует, что  $\text{CuA}$ ,  $\text{CuA} \cdot \text{H}_2\text{O}$  и  $\text{Cu}(\text{цис-B})$  содержат 1 неспаренный электрон, комплексы Ni диамагнитны. Измерены спектры поглощения  $\text{H}_2\text{A}$ , *цис*- и *транс*- $\text{H}_2\text{B}$  и их комплексов в видимой и УФ-областях. И. Рысс

51002. Энтропия внутреннего комплексобразования. Уэйтсхеймер, Инграм (The entropy of chelation. Westheimer F. H., Ingraham Lloyd L., J. Phys. Chem., 1956, 60, № 12, 1668—1670 (англ.)). Обсуждены причины возрастания энтропии (S) при замыкании циклов, способствующего их упрочению. Авторы проводят аналогию между циклизацией углеводородов и образованием циклов в комплексных соединениях и учитывает роль: а) уменьшения трансляционной S при уменьшении числа частей, б) уменьшения вращательной S в результате исчезновения внутримолекулярного вращения при образова-

нии цикла и в)  $S$  сольватации. Так как вычисляемая величина является малой разностью больших величин, то результаты вычислений оказываются грубо приближенными. Из измеренного авторами парц. давления этилендиамина (Еп) над 1  $M$  р-ром при 25° (0,0013 мм рт. ст.) и известных теплот испарения и растворения Еп авторы вычислили, что  $S$  растворения газообразного Еп при давл. 1 атм в 1  $M$  р-ре равна 36 энтр. ед. на 1 моль Еп или 18 энтр. ед. на одну группу  $NH_2$ , что близко к известному значению  $S$  растворения  $NH_3$  (19,7), но не  $CH_3NH_2$  (27 энтр. ед.). И. Рысс

**51003. Реакции расплавленной гидроокиси натрия с различными металлами.** Вильямс, Гранд, Миллер (The reactions of molten sodium hydroxide with various metals. Williams D. D., Grand J. A., Miller R. R.), J. Amer. Chem. Soc., 1956, 78, № 20, 5150—5155 (англ.)

При  $t$ -рах  $< 1000^\circ$  для всех изученных металлов ( $M$ ) первичная р-ция, по мнению авторов, протекает по ур-нию  $NaOH + M \rightarrow Na_2O + \text{окись } M$  (или соединение  $Na$  с  $M$ ) +  $H_2$  (1). Вторичные р-ции протекали с теми  $M$ , которые легко восстанавливаются или образуют неустойчивые оксиды. Только р-ция (1) установлена для  $Cr$ ,  $Fe$ ,  $Ti$ ,  $Be$ ,  $Ta$ ,  $Mn$  и сплавов  $Fe$ . Для  $Ni$ ,  $Cu$ , монель-металла (66%  $Ni$  + 32%  $Cu$  + 2%  $Fe$ ),  $Au$  и, вероятно,  $Ag$  и  $Co$  возможны одна или несколько вторичных р-ций: окись  $M + H_2 \rightarrow M + H_2O$  (2);  $Na_2O + \frac{1}{2}H_2 \rightarrow NaOH + Na$  (3);  $H_2O + Na \rightarrow NaOH + \frac{1}{2}H_2$  (4). Для  $Ni$ ,  $Cu$ , монель-металла и, возможно,  $Co$  р-ция (2) и (3) обратимы. Для  $Au$  и, возможно,  $Ag$  р-ция (3) необратима вследствие образования сплава  $M$  с образовавшимся металлич.  $Na$ . По этой же причине, а также из-за устойчивости сплава р-ция (4) не протекает. Только  $Ni$ ,  $Cu$  и их сплавы, а также, вероятно,  $Co$ , р-ции которых приходят к состоянию равновесия, могут быть защищены добавлением  $H_2$  перед нагреванием. Если р-ция (1) доводится до конца путем постоянной откачки  $H_2$  и если имеется избыток  $M$ , то все изученные  $M$  вступают в р-цию с  $Na_2O$ , образовавшейся в результате первичной р-ции:  $Na_2O + M \rightarrow \text{окись } M + 2Na$  (5). Р-ция (5) протекает полностью только при удалении металлич.  $Na$  из реакционной зоны отгонкой или в результате образования сплавов.

В. Струнин

**51004. Реакция между одновалентной ртутью и трехвалентным таллием в водном растворе. Доказательство дисмутации  $Hg_2^{2+}$ .** Армстронг, Халперн, Хиггинсон (The reaction between mercury (I) and thallium (III) in aqueous solution: evidence for the dismutation of  $Hg_2^{2+}$ . Armstrong A. M., Halpern J., Higginson W. C. E.), J. Phys. Chem., 1956, 60, № 12, 1661—1662 (англ.)

Изучена кинетика окисления 1-валентной ртути 3-валентным таллием в 3  $M$  водн. р-ре  $HClO_4$ . Р-ция описывается суммарным ур-нием  $Hg_2^{2+} + Tl^{3+} \rightarrow 2Hg^{2+} + Tl^+$  (1). Скорость р-ции растет пропорционально  $[Hg_2^{2+}]$  и  $[Tl^{3+}]$  и обратно пропорционально  $[Hg^{2+}]$ . По мнению авторов, вначале происходит дисмутация:  $Hg_2^{2+} \xrightleftharpoons[k_{-1}]{k_1} Hg^{2+} + Hg$ , равновесие которой устанавливается весьма быстро и определяет конц-ию атомов  $Hg$  в р-ре. Затем следует переход пары электронов  $Hg + Tl^{3+} \xrightarrow{k_2} Hg^{2+} + Tl^+$ , облегчаемый отсутствием заряда на  $Hg$ , и, следовательно, электростатич. отталкивания между  $Hg$  и  $Tl^{3+}$ . Общее ур-ние кинетики р-ции —  $d[Hg_2^{2+}]/dt = (k_1 k_2 / k_{-1}) [Hg_2^{2+}] [Tl^{3+}] / [Hg^{2+}]$ . Для  $k_1 k_2 / k_{-1}$  получено значение  $2,7 \cdot 10^{-3} \text{ мин}^{-1}$  при 25°. Так как, по литературным данным,  $k_1 / k_{-1} \approx 10^{-9} \text{ моль}^{-1} \text{ л}^{-1}$ , то  $k_2$  должна быть равна  $\sim 10^6 \text{ л моль}^{-1} \text{ мин}^{-1}$ . При умень-

шении конц-ии  $HClO_4$  в р-ре, растет, вследствие гидролиза, конц-ия ионов  $TlOH^{2+}$ , реагирующих с  $Hg$  быстрее, чем  $Tl^{3+}$ ,  $k_2$  увеличивается, и суммарная скорость р-ции растет. Непосредственное взаимодействие  $Hg_2^{2+}$  с  $Tl^{3+}$  по р-ции (1), по-видимому, не имеет места из-за электростатич. отталкивания ионов и димерной конфигурации  $Hg_2^{2+}$ ; постоянная скорости для прямого взаимодействия, вероятно,  $< 1 \text{ л моль}^{-1} \text{ мин}^{-1}$ .

И. Словин

**51005 К. Химия фтора и его неорганических соединений.** Рысс И. Г. М., Госхимиздат, 1956, 718 стр., илл., 25 руб.

**51006 К. Химия актинидов (Актиний, протактиний и трансурановые элементы).** Серебренников В. В. Томск, Томский ун-т, 1956, 101 стр., илл., 6 р. 30 к.

**51007 К. Неорганическая химия.** Изд. 16-е. Гофман (Anorganische Chemie. 16. Aufl. Hofmann Karl A. Braun-schweig, Vieweg und Soh., 1956, IX, 870 S., ill., 28 DM) (нем.)

**51008 К. Неорганическая химия для работников химических специальностей.** Изд. 4-е, перепечатка со 2-го изд. Шарнке (Anorganische Chemie für Chemiefacharbeiter. 4. Aufl., unveränd. Nachdr. d. 2. Aufl. Scharnke Wolfgang et al. Berlin, «Volk und Wissen», 1956, 320 S., 5,85 DM) (нем.)

**51009 К. Неорганическая и теоретическая химия.** Дополнительный т. 2, ч. 1. Фтор, хлор, бром, йод; радиохимия и радиационная химия галогенов. Меллор (A comprehensive treatise on inorganic and theoretical chemistry. Suppl. 2, part 1. F, Cl, Br, I; including the radiochemistry and radiation chemistry of the halogens. Mellor Joseph William London, Longmans, Green, 1956, lii, 1153 pp., ill., 8 z 10 sh.) (англ.)

**51010 К. Справочник Гмелина по неорганической химии.** Сист. № 32. Цинк. Том 8. (Gmelins Handbuch der anorganischen Chemie. System № 32, Zink 8. vollständig bearb. Aufl. Weinheim, Verl. Chemie, 1956, XXXVI, 1025 S., ill., 575 DM) (нем.)

**51011 Д. 1. О галогенид-метилатах двухвалентной ртути и о метилате двухвалентной ртути. 2. Гидролиз и реакции  $(SN)_4 \cdot 2,5 NH_3$  и  $(NSCl)_3$ .** Бёмлендер (1. Über  $Hg$  (II)-halogenid-methylate und  $Hg$  (II)-methylat. 2. Über Hydrolyse von  $(SH)_4 \cdot 2,5 NH_3$  und  $(NSCl)_3$  sowie dessen Reaktionen. Böhmländer Fritz. Diss., Naturwiss. Fak., Erlangen, 1956, S. 1., 1956, IV, 60 S.), Dtsch. Nationalbibliogr., 1956, 13, № 29, 2456 (нем.)

**51012 Д. Исследование некоторых внутрикомплексных соединений.** Дятлова Н. М. Автореф. дисс. канд. хим. н., Моск. гос. пед. ин-т, М., 1956

**51013 Д. Влияние эффективной силы поля катионов внешней сферы на термическую устойчивость комплексных анионов.** Жарновский А. М. Автореф. дисс. канд. хим. н., Кипиневск. ун-т, 1956

**51014 Д. Влияние восстановителей на цианобалани и на некоторые его производные.** Сигел (The effect of reducing agents on cyanobalamin and some of its derivatives. Siegel Frederick Phillip. Doct. diss. Univ. Illinois, Chicago Profess. Colleges, 1955), Dissert. Abstrs, 1955, 15, № 11, 2025 (англ.)

См. также: Строение и св-ва молекул и кристаллов 50408, 50420, 50450, 50510, 50511, 50515—50519, 50521, 50524, 50533, 50549, 50551—50553, 50579, 50730, 50797, 50833, 50836, 50837, 50925. Кинетика и механизм неорганич. р-ций 50756, 50761, 50764, 50769, 50795, 50797, 50798, 50804, 50835, 50855, 51913. Комплексные соедин.



50410—50412, 50464, 50471, 50472, 50479, 50495, 50664, 50713, 50832, 51312, 51560. Системы: металлич. 50559, 50560, 50587, 50675, 50717, 50722—50726; солевые: 50452, 50522, 50523, 50731, 50732, 50519, 50520, 50731—50734, 51799; силикат. и др. 51911, 51912. Синтез неорг. соед. 50664, 51955. Разделение нитратов тория и урана

с помощью обмена 50916. Электроногр. исслед. процесса азотирования никеля 50549. Устойчивость р-ров  $\text{H}_2\text{O}_2$  51550. Св-ва редкоземельных боридов, карбидов, нитридов, сульфидов 50501.

Научные учреждения 50318. Энциклопедия хим. р-ций 50356

## КОСМОХИМИЯ. ГЕОХИМИЯ. ГИДРОХИМИЯ

Редакторы Г. Г. Воробьев, М. С. Яншина

51015. Химия верхних слоев атмосферы. Васси (Chimie de la haute atmosphère. Vassy M. E.). Bull. Soc. chim. France, 1957, № 3, 273—278 (франц.). Обзорная статья. Л. Афанасьева

51016. Одновременное определение атмосферного озона методом фотографической спектрофотометрии и с помощью прибора Добсона в облачную погоду. Расаул (Mesures simultanées de l'ozone atmosphérique par spectrophotométrie photographique et avec l'appareil Dobson par temps nuageux. Rasool S. I.). J. scient. météorol., 1956, 8, № 31, 107—110 (франц.; рез. англ., исп.)

Проведены параллельные определения общего озона в атмосфере спектрофотометрич. и фотозлектрич. методами в ясную и облачную погоду. При отсутствии облаков оба метода дают хорошо совпадающие результаты. В облачную погоду наблюдается избирательная адсорбция, зависящая от формы и плотности облаков. В отдельных определениях ошибка достигает 10—15%.

Л. Афанасьева

51017. О постоянстве универсальных мировых констант. Чердынцев В. В., Бюл. Комис. по определению абсолют. возраста геол. формаций. АН СССР, 1957, вып. 2, 35—37

Сходимость результатов определений абс. возраста древних минералов различными методами, помимо сравнительно узкой задачи подтверждения достоверности основ радиологич. анализа, свидетельствует о большом постоянстве мировых констант. Наиболее низки возможные пределы изменения константы Планка и элементарного заряда. Достигнутая точность определения возраста архейских минералов, равная 5%, говорит о том, что эти константы изменяются не более чем на  $3 \cdot 10^{-4}$  своей величины за один млрд. лет.

Р. Хмельницкий

51018. Термическое расширение твердых тел и температура на границе земного ядра. Верхоген (Thermal expansion of solids and the temperature at the boundary of the earth's core. Verhoogen John). Trans. Amer. Geophys. Union, 1955, 36, № 5, 866—874; Дискуссия, Trans. Amer. Geophys. Union, 1956, 37, № 3, 332

Зависимость коэфф. термич. расширения  $\alpha$  от  $T$  может быть для обычных давлений удовлетворительно представлена эмпирич. соотношением  $\alpha T = b(T/\Theta)^{1.5}$ , где  $\Theta$  — температура Дебая, а  $b$  — безразмерная константа, имеющая одну и ту же величину для большого числа в-в, включая окислы, силикаты, алмаз. Автор указал способ для выражения зависимости  $b$  от давления и, взяв значения  $\alpha$  и  $\Theta$  из сейсмич. данных и решив вышеприведенное ур-ние относительно  $T$ , нашел, что  $T$  на границе земного ядра  $2700 \pm 100^\circ \text{K}$ . Ю. Трусов

51019. Сравнение данных по возрасту пород, полученных различными методами, и геологические выводы. Виноградов А. П., Геохимия, 1956, № 5, 3—17

Определен абс. возраст наиболее древних пород докембрия СССР несколькими независимыми радиоактивными методами: по  $\text{Ar}^{40}$ — $\text{K}^{40}$ ,  $\text{Rb}^{87}$ — $\text{Sr}^{87}$  и  $\text{UTh}$ — $\text{Pb}$ .  $\text{K}$  определялся хлорплатинатным и перхлоратным ме-

тодами, а затем по фотометрии пламени. Вводилась поправка на  $\text{Rb}$ . Ошибки определения  $\text{Ar}$  2—3% для пород 5% для минералов, для  $\text{K}$  (хим. путем) 1—2%. Отношение постоянных распада  $\text{K}^{40}$  ( $\lambda_E$   $\lambda_\beta$  равно 0,124, общая постоянная распада  $\lambda = 0,55 \cdot 10^{-9}$  лет $^{-1}$ . Ошибка метода в целом 5%. По  $\text{Rb}$ — $\text{Sr}$  методом ошибка определения  $\text{Sr} \sim 5\%$ ,  $\text{Rb} \sim 5$ —7%. Наибольшая ошибка метода связана с неточным значением  $T_{\text{Rb}^{87}}$ . По  $\text{UTh}$ — $\text{Pb}$  методом  $\text{Pb}$  определялся несколькими способами. Ошибка метода  $\leq 5\%$ . На основании литературных и эксперим. данных по возрасту  $\sim 60$  образцов пород Украинского кристаллич. щита сделаны геологич. выводы. За основу определения возраста взяты данные по монацитам ( $\text{Pb}^{208}/\text{Th}^{232}$ ), а затем ортитам, циркону, сфенам, биотитам, мусковитам и др. Возраст наиболее молодых пород района Шполю, Корсуня, Бабанов и Умани лежит в интервале 1130—1400 млн. лет. Породы из района Губник на р. Собь, по-видимому, относятся к другой, более древней группе гранитов. Днепровско-Токовский, Кировоградско-Житомирский и Чудново-Бердичевские магматич. комплексы синхронны и укладываются в одну геологич. эпоху 1800—2100 млн. лет. Метасоматиты Криворожской толщи (по малаконам и биотитам) синхронны гранитам Кировоградско-Житомирского комплекса ( $\sim 1900$  млн. лет). По циркону возраст массива щел. пород Приазовья равен 1880—1920 млн. лет. Возраст древнейших образований украинского докембрия (в млн. лет): по биотитам 2000, ортитам 2630, галениту  $2400 \pm 200$ , Украинский и Балтийский щиты с древним возрастом ( $\sim 2000$  млн. лет) не представляют собой исключения среди докембрийских платформ земного шара. Они указывают на интенсивную вулканич. деятельность на границе верхнего и нижнего архея.

Р. Хмельницкий

51020. Калий-аргоновое определение возраста Боулерского батолита, Монтана. Кнофф (Argon-potassium determination of the age of the Boulder batholith, Montana. Knopf Adolph), Amer. J. Sci., 1956, 254, № 12, 744—745 (англ.)

В исследованном образце гранодиорита содержится  $8,21 \pm 0,08\%$   $\text{K}$ , отношение  $\text{Ar}^{40}$  (радиоактивный):  $\text{K}^{40}$  равно  $0,00399 \pm 0,00012$ , кол-во атмосферного  $\text{Ar}$  в газе 21,0%. Возраст батолита определен в 65—87 млн. лет. Эта величина не отличается от значения, полученного методом  $\alpha$ -счета по циркону, и согласуется с геологич. представлениями.

И. Задорожный

51021. О диффузии аргона в калиевом полевоом шпате. Ноддак, Цейтлер (Über die Diffusion von Argon in Kalifeldspäten. Noddack W., Zeitler G.), Z. Elektrochem., 1956, 60, № 9-10, 1192—1195 (нем.)

Проведено измерение скорости выделения  $\text{Ar}$  из ортоклаза при нагревании в интервале 500—1000°. Установлено, что отдача  $\text{Ar}$  при  $> 500^\circ$  происходит только с наружной поверхности зерен и из микротрещин, возникающих при разрушении кристалла. Объемная диффузия  $\text{Ar}$  практически отсутствует во всем исследованном интервале  $T$ . Так как за время существования минерала, даже в случае хорошо сохранившегося образца, возникают нарушения решетки кристалла, то

при его нагревании возможна потеря Ag. Эта потеря при высоких  $t$ -рах в начальной стадии формирования минерала не влияет на результат определения геологич. возраста, ввиду малости данного отрезка времени. Возможная потеря при  $\leq 50^\circ$  за геологич. время может повлиять на результаты измерения; однако этот вопрос остается пока невыясненным.

И. Задорожный

**51022.** Исследование кинетики радиоактивного распада при помощи фотографических эмульсий. Часть I. Экспериментальное изучение урановой смоляной обманки в состоянии радиоактивного равновесия. Фараоне (Indagini sulle cinetiche di decomposizione radioattiva mediante emulsioni fotografiche. — Nota I. Esame sperimentale di una pechenda in equilibrio radioattivo. Faraone Giovanni), Ann. chimica, 1955, 45, № 2-3, 141—155 (итал.)

Описан способ внесения радиоактивного в-ва в эмульсию, выгодно отличающийся от простой пропитки эмульсии 100%-ной эффективностью регистрации  $\alpha$ -частиц распада и точным знанием абсолютного кол-ва внесенного в-ва. По полному числу  $\alpha$ -частиц в эмульсии, экспонированной не более 28 час., определено содержание U в урановой смоляной обманке, оказавшееся равным 46,787%. Содержание Th определяется числом  $\alpha$ -следов соответствующей длины в эмульсиях с большей конц-цией урановой смоляной обманки и долее экспонированных. Оно оказалось равным  $0,82 \pm 0,4\%$ . Хим. анализ дал для того же образца урановой смоляной обманки значения 47,768% и 0,806%. По соотношению содержания U, Th и Pb определен возраст образца, оказавшийся равным  $1,2 \cdot 10^9$  лет. С. Ф.

**51023.** Определение климатических условий некоторых районов СССР в верхнемеловой период методом изотопной палеотермометрии. Пайдин Д. П., Тейс Р. В., Чупахин М. С., Геохимия, 1956, № 8, 23—34 (рез. англ.)

Представлены данные по определению отношения изотопов кислорода в кальците 40 образцов верхнемеловых белемнитов.  $\Delta O^{18}$  (‰) и среднет годовые  $t$ -ры роста белемнитов соответственно равны: Львовская обл. 0; 13,3°; Десна — Сож от —0,06 до 0; 16,5—13,3°; Северный Донец — Дон от 0,194 до 0,43; 23,8—14,9°; Ульяновское Поволжье от —0,03 до 0; 14,9—13,3°; Саратовское Поволжье от —0,13 до 0; 20,4—13,3°; Эмба от —0,15 до 0; 21,4—13,3°; Крым от —0,08 до 0; 17,6—13,3°. На материале Русской платформы подтверждается понижение средних  $t$ -р от кампана к маастрихту. Так как абс. значения маастрихтских  $t$ -р Русской платформы ниже, по сравнению с Западной Европой, намечается общее понижение  $t$ -ры в маастрихте при движении с запада на восток. Разница в  $t$ -рах сантонских актинокамаков из двух удаленных районов, расположенных в разных широтах (Аральское море 22° и р. Сыня 13,3°), скорее всего свидетельствует о принадлежности этих районов к двум различным климатич. поясам. Не укладывающуюся в средние значения для верхнего маастрихта  $t$ -ру Belemnites arkhangelski с р. Аят (20,9°) можно объяснить существованием здесь теплого течения или прибрежного мелководного участка.

Р. Хмельницкий

**51024.** Применение ядерной физики в промышленной геологии. Асватханараяна (Applications of nuclear physics in the economic aspects of geology. Aswathanarayana U.), Bull. Nat. Inst. Sci. India, 1955, № 5, 4—9 (англ.)

Обсуждаются вопросы использования радиоактивности и изотопного анализа в промышленной геологии. Указывается на необходимость учреждения радиометрич. службы в Индии и применения меченых атомов для поисков (обнаружение естественно-радиоактивных

элементов и нейтронный кароттаж) и обработки (напр. контроль при флотации) минер. сырья. Указано значение изотопного состава некоторых элементов (H, He, Li, O, S и K) для изучения условий образования горных пород, содержащих эти элементы. Ю. Трусов

**51025.** О нахождении  $Ag^{38}$  в минералах, содержащих калий. Герлинг Э. К., Левский Л. К., Афанасьева Л. И., Докл. АН СССР, 1956, 109, № 4, 813—815

В аргоне, выделенном из калиевых минералов, обнаружено обогащение изотопом  $Ag^{38}$ . Наиболее вероятны ядерные р-ции: 1)  $Cl^{35}(\alpha, p) Ag^{38}$  2)  $Cl^{35}(\alpha, n) K^{38} \rightarrow Ag^{38}$  3)  $K^{41}(n, \alpha) Cl^{38} \rightarrow Ag^{38}$ . Однако проведенные опыты показали, что кол-во  $Ag^{38}$  не зависит от содержания хлора в образцах. Поэтому р-ции (1) и (2) исключаются. Установлено, что слюды, находившиеся с момента их образования в контакте с урановыми минералами, содержат такое же кол-во  $Ag^{38}$ , как и слюды, не подвергавшиеся нейтронному облучению. Таким образом, накопление  $Ag^{38}$  не связано также с р-цией (3). Обнаружена зависимость отношения  $Ag^{38}/K$  от возраста образца. Предполагается, что накопление  $Ag^{38}$  вызвано распадом долгоживущего изомера  $K^{38}$ , присутствующего в кол-ве  $1 \cdot 10^{-10}$  з/г. Константа распада этого изомера равна  $\sim 9 \cdot 10^{-10}$  год $^{-1}$ . Определения изотопного состава Ag производились на масс-спектрометре MC-2M. Величина пиков составляла 5—15 мв, вследствие чего ошибка опыта доходила до 30%.

Ю. Шуколоков

**51026.** Современные данные об австрийских урановых минералах; основные положения и перспективы. Мейкснер (Bisherige Kenntnisse über österreichische Uranmineralvorkommen, Grundlagen und Aussichten. Meixner Heinz), Berg- und Hüttenmänn. Monatsh., 1956, 101, № 11, 223—228 (нем.)

Описаны 8 месторождений урансодержащих минералов в Австрии. Различаются 4 группы: 1) в негматитах, 2) в парагенезисе с рудами Ni, Co, Bi, Ag, Au и As, 3) в районах горячих источников, 4) осадочные. Ни одно из них не пригодно для промышленного использования. Л. Афанасьева

**51027.** К вопросу о происхождении медных отложений Родезии; изотопный состав сульфидов. Бейтман, Дженсен (Notes on the origin of the Rhodesian copper deposits: isotope composition of the sulfides. Bateman Alan M., Jensen M. L.), Econ. Geol., 1956, 51, № 6, 555—564 (англ.)

Для решения вопроса о сингенетич. или эпигенетич. происхождения Cu проведен ряд работ по исследованию изотопного состава серы ( $S^{32}$ :  $S^{34}$ ) в сульфидных отложениях «Медного пояса» Родезии. Изучено 13 образцов руд из шахт описываемой зоны и для сравнения из Бельгийского Конго и Северной Родезии. В рудах Родезии отношение  $S^{32}$ :  $S^{34}$  колеблется в пределах 22,16—22,45, что является характерным для пород как осадочного, так и магматич. происхождения. Отмечено, что присутствие минерала дигенита говорит в пользу эпигенетич. происхождения, так как при осадочном образовании сульфидов Cu из сульфатов с помощью биогенного  $H_2S$  характерным минералом являлся бы ковеллин. Таким образом, вопрос остается открытым.

Л. Флерова

**51028.** Происхождение и форма проявления силикатных месторождений никеля. Юбельт (Entstehung und Erscheinungsweise silikatischer Nickellagerstätten. Jubelt Rudolf), Z. angew. Geol., 1956, 2, № 8-9, 339—347 (нем.)

Обзор. Библ. 24 назв.

Р. Хмельницкий

**51029.** К вопросу о типах месторождений титановых руд и о закономерностях их размещения. Малышев И. И., Докл. АН СССР, 1957, 112 № 2, 311—314

51030. Типы обводненности и характеристика устойчивости пород железорудных месторождений СССР. Левицкий Д. И., Прохоров С. П., Тр. Всес. н. и. ин-та гидрогеол. и инж. геол., 1956, сб. 14, 176—185.

51031. Перекристаллизация минералов. Григорьев Д. П., Зап. Всес. минералог. о-ва, 1956, 85, № 2, 147—170.

Обзорная статья с привлечением неопубликованных данных ряда авторов. На примерах рассмотрены перекристаллизация индивидов (рекристаллизация, перекристаллизация с разделением на части и по принципам Рикке и Кюри), моно- и полиминеральных агрегатов и собирательная перекристаллизация. По мнению автора, частота проявления перекристаллизации и предшествующей ей деформации уменьшается для рудных минералов в следующей последовательности: золото — медь — галенит — халькопирит — сфалерит — блеклая руда — пирит; в ряду нерудных минералов: галит — гипс — кальцит — доломит — пироксены — полевые шпаты — гранаты. Библ. 57 назв.

А. Чемоданов  
51032. Взаимоотношение расплавленных Ni—Mg оливинов и некоторые геохимические выводы. Рингвуд (Melting relationships of Ni—Mg olivines and some geochemical implications. Ringwood A. E.), Geochim. et cosmochim. acta, 1956, 10, № 5-6, 297—303 (англ.).

Изучена двойная система  $Ni_2SiO_4$ — $MgSiO_4$  (сокращение N—M) с полным рядом твердых p-ров. Начальная t-ра плавления возрастает с увеличением содержания  $Mg_2SiO_4$ . Твердые растворы при  $Ni_{100}$ — $Ni_{50}Mg_{50}$  плавятся incongruently с выделением NiO. При  $Ni_{50}Mg_{50}$ — $Mg_{100}$  система бинарна. На основании литературных и эксперим. данных обсужден вопрос поведения Ni в магме и сделан вывод, что Ni входит в обыкновенный оливин предпочтительнее, если оливин содержит Fe, а не Mg.

Р. Хмельницкий  
51033. Отделение минералов фосфата алюминия от каолинита селективным растворением. Мей, Смит (Separation of aluminum phosphate minerals from kaolinite by selective solution. May Irving, Smith Robert A.), J. Assoc. Agric. Chemists, 1956, 39, № 3, 766—768 (англ.).

Предложен метод отделения фосфатов Al (вавеллит, крадаллит, миллзит) от каолина кипячением минерала с HCl (1:1) в течение 20 мин. Метод разработан на образцах месторождения желвакового фосфорита во Флориде. Спектрофотометрирование P в виде молибденованадофосфатного комплекса в 8 (из 23) остатках после обработки минералов соляной кислотой показало, что фосфатные минералы разлагаются количественно.

А. Чемоданов  
51034. Частотное распределение элементов в изверженных породах. Обри (Frequency-distributions of elements in igneous rocks. Aubrey K. V.), Geochim. et cosmochim. acta, 1956, 9, № 1—2, 83—89 (англ.).

Критически рассмотрен предложенный Аренсом геохим. закон, устанавливающий, что содержание главных и редких элементов в типичных интрузивных породах изменяется логарифмически (РЖХим, 1955, 23551; 1956, 19043; 19044). На примере двух- и многокомпонентных систем автор показывает, что логарифмич. закон неприменим к распределению главных элементов в интрузивных породах. Содержания > 50% имеют больше шансов варьировать к низким значениям, чем к высоким, и поэтому вариационная кривая имеет тенденцию к отрицательному отклонению. В отношении редких элементов закон Аренса является более приемлемым. Автор выделяет три типа связи редких элементов с главными, в зависимости от хим. свойств и ионных радиусов: 1) параллелизм между редкими элементами и элементами-хозяевами; те и другие имеют от-

рицательное отклонение кривых содержания; 2) параллелизм между редкими и главными элементами, с положительным отклонением кривых содержания (подчинение логарифмич. закону); 3) распределение главных и редких элементов не имеет никакой связи.

И. Липова  
51035. Спектрохимическая характеристика гранитов. П. Берилловый гранит Центрального западного массива (Франция). Едваб (Caractérisation spectrochimique des granites. P. Granite à beryl du Massif Central occidental (France). Jedwab J. Bull. Soc. belge géol., 1956, 65, № 1, p. 120—126) (франц.).

Изучалось распределение Li, Ni, Sn в биотитах и Be в биотитах, мусковитах и полевых шпатах из гранулитового массива От-Вьенн, контактирующих с ним гранитов и гранитов, рвущих гранулиты. Богатое оруденение, представленное бериллом, ленидолитом, касситеритом, танталитом, апатитом и др., приурочено к меридионально расположенной зоне в южной части массива. Существуют заметные различия между гранитами и берилловыми гранулитами: для первых характерны биотиты, богатые Ni и бедные Sn, Li и Be, для вторых — наоборот. Содержание этих элементов в пегматитах гранулитового массива возрастает по мере приближения к участкам оруденения. Be в мусковитах, Li и Sn в биотитах не обнаруживают отчетливой связи с близостью оруденения. Сообщение 1 см. РЖХим, 1957, 34183.

Л. Афанасьева  
51036. Петрохимическая характеристика изверженных пород северо-западной части Рудного Алтая. Горжевский Д. И., Яковлева Е. Б., Тр. Всес. аэрогеол. треста, 1956, вып. 2, 46—59.

Обнаружено различие в петрохим. и петрографич. особенностях разновозрастных комплексов магматич. пород Алтая. Хим. состав магматич. образований изменяется с течением времени в определенных петрохим. направлениях. Значительная часть малых интрузий плагиигранит-порфиров и кварцевых альбит-порфиров имеет девонский возраст, на что указывает наличие гальки этих пород в конгломератах верхов среднего девона. Обнаружено петрохим. сходство этих пород с девонскими эффузивами. Делается вывод об обусловленности разнообразия изверженных пород существованием двух родоначальных магм. При отнесении тех или иных магматич. образований к каким-либо интрузивным комплексам дополнительным признаком может быть хим. состав и связанные с ним минералогич. особенности. Приведены петрохим. характеристики 73 различных пород, по литературным данным.

Ю. Шуколоков  
51037. Исследование физико-химических свойств расплавленного стекловидного и перекристаллизованного базальта. Сообщение. 2. Изучение вязкости плавного-переохлажденного базальта в интервале размягчения. Абрамян А. З., Изв. АН АрмССР, Физ.-матем., естеств. и техн. н., 1956, 9, № 8, 17—23 (рез. арм.).

Методом измерения скорости растяжения стержня изучена вязкость плавного-переохлажденного ереванского базальта в интервале размягчения. Установлено, что переход базальтовой стекломассы из хрупкого состояния в вязкое происходит при  $T_g = 903^\circ K \pm 10^\circ$

(при этом вязкость  $\eta = 10^{12.974}$  пула, как для обычных и органич. стекол). При охлаждении в интервале размягчения от  $T_g$  до точки деформации ( $740$ — $755^\circ C$ )  $\eta$  удваивается через каждые  $10$ — $12^\circ$ . Предложена ф-ла:  $\lg \eta = -M' [(T - T_g) / T_g] + B$ , где для базальтовых стекол  $M' = 0,9$  и  $B = 1,114$ , применимая от  $T_g$  до точки плавления. Сообщ. 1 см. РЖХим 1957, 735.

А. Чемоданов



**51038. Лейкократовый альбитсенит из среднебогемского плутона. Дудек, Федюк (Leukokrater Albit-senit aus dem mittelhöhmischen Pluton. Dúdek Arnošt, Fediuk Ferry), Neues Jahrb. Mineral. Monatsh., 1956, № 10, 233—236 (нем.)**

Проведено микроскопич. и хим. исследование породы из сиенитового массива. Модальный состав по двум подсчетам (в об. %): плагиоклаз  $An_{63}$  90, 1; 89,1; хлорит (по биотиту) 0,1; 0,4; хлорит (в микророллах) 1,6; 3,8; кальцит 6,2; 4,3; гематит 1,2; 2,2; акцессорные минералы 0,8; 0,2. Хим. состав (в %):  $SiO_2$  58,49,  $TiO_2$  0,26,  $Al_2O_3$  17,35,  $Fe_2O_3$  1,64,  $FeO$  0,46,  $MnO$  0,08,  $CaO$  5,45,  $MgO$  1,11,  $Na_2O$  10,13,  $K_2O$  0,04,  $P_2O_5$  0,35,  $H_2O$  0,08,  $CO_2$  4,32, сумма 99,76. По минер. составу порода относится к семейству апсенитов, по хим. составу является переходом между нуласкитом и натриево-сиенитовыми типами магмы и, таким образом, может быть названа лейкосодаклаз-диоритом либо лейкократовым альбитсенитом. Ю. Шуколов

**51039. Минералогическая и геохимическая связь между серпентинами и перидотитами Новой Каледонии, включениями, выдернинами и вмещающими породами. Ави́я (Relations minéralogiques et géochimiques entre les serpentines et péridotites de Nouvelle Calédonie, leurs inclusions, leurs enclaves, les roches encaissantes Avias J.), Colloq. internat. Centre nat. rech. scient. 68. Paris, 1955, 213—237 (франц.)**

Массивы перидотитов и серпентинов Новой Каледонии характеризуются замечательной минералогич. и геохим. комплементарностью по отношению к ассоциирующим породам. Автор объясняет эту особенность метасоматич. сегрегацией одних элементов ( $Mg$ ,  $Ni$ ,  $Co$ ) и вытеснением других ( $Na$ ,  $K$ ,  $Ca$ ). Выдвинутая гипотеза дает возможность выявить связь между парагенезисом и географич. распределением пород с одной стороны, и некоторыми факторами ионной диффузии, — с другой. Тесная ассоциация ультраосновных пород с древними подводными лавами, согласно этой гипотезе, является результатом того, что ультраосновные породы образовались путем диффузии ионов внутри базальтово-окисан. лав. Часть этих лав, обедненная  $Mg$  и обогащенная  $Ca$  и  $Na$ , должна состоять из долеритов, сиплитов и хлоритовых сланцев, ассоциация которых и наблюдается в настоящее время в ультраосновных породах. Гипотеза объясняет также нахождение массивов ультраосновных пород только в молодых цепях и ряд других геохим. процессов.

**51040. Некоторые вопросы генезиса порфирировых пород Восточного Забайкалья. Бородаевская М. Б., Шмидт А. И., Зап. Всес. минералог. о-ва, 1956, 85, № 3, 358—372**

Выделения калиевого полевого шпата гигантопорфирировых пород Восточного Забайкалья тождественны калишпату овоидов рапакиви, что говорит об их одинаковом происхождении. Крупные выделения полевого шпата образуются кристаллобластич. путем в ксенолитах основных пород в ходе р-ций с расплавом кислого состава. Характерно наличие вкрапленников, «неравносильных» по отношению к составу вмещающего их базиса и окружающих реакционными каймами. Встречаются также крупные зерна кварца, плагиоклаза, амфиболов, биотитов. Валовой хим. состав пород базиса меняется от нормального гранитоидного до близкого кварцевым габбро и лампрофирам (в %):  $SiO_2$  70,38—55,60;  $TiO_2$  0,25—0,63;  $Al_2O_3$  13,85—15,98;  $Fe_2O_3$  0,95—2,97;  $MnO$  0,02—0,13;  $MgO$  1,21—7,33;  $CaO$  2,01—5,72;  $Na_2O$  2,62—3,63;  $K_2O$  2,91—5,78;  $H_2O$  0,20—2,54;  $P_2O_5$  0,01—0,18.

**51041. К изучению гранитных пегматитов Калмы. Кузнецов В. И., Научн. зап. Львовск. политехн. ин-та, 1956, 46, 99—105**

**51042. Основные черты геологического строения месторождений тантала и ниобия, связанных с гранитными пегматитами. Кузнецов В. И., Научн. зап. Львовск. политехн. ин-та, 1956, вып. 46, 126—134**

**51043. О пегматитовых минералах, найденных в юго-западном районе Японии. I. Геологическое изучение преимущественно островной части района. Умегаки, Соэда, Фукуяма (Über die pegmatitische Mineralien, die in südwestlichen Gegenden von Japan gefunden worden sind. Nr. 1. Die in Beziehung insbesondere auf einige Inseln stehende, geologische Untersuchung. Umegaki Yoshiharu, Soeda Akira, Fukuyama Yoshiro), J. Sci. Hiroshima Univ., 1954, C1, № 2, 67—78 (нем.)**

Между префектурами Хиросима и Эхиме на островах Среднего моря развиты палеозойские метаморфич. породы, прорванные двумя типами интрузий: древними роговообманково-биотитовыми гранитами и молодыми биотитовыми гранитами. С теми и другими связаны пегматитовые жилы, главным отличием которых является ортитовость древних пегматитов. Хим. состав ортита (в %):  $SiO_2$  62,14,  $Al_2O_3$  6,39,  $Fe_2O_3$  21,19,  $TiO_2$  0,63,  $ZrO_2$  следы,  $ThO_2$  1,93,  $HfO_2$  0,15,  $U_3O_8$  0,28,  $CaO$  2,49,  $MgO$  0,35,  $K_2O$  1,28,  $Na_2O$  0,70, сумма 97,53. Предполагается, что присутствие ортита может указывать, таким образом, на относительный возраст гранитов данного района. Примечание редактора. В оригинале статьи вместо  $ThO_2$  написано  $R_2O_3$ . Г. Воробьев

**51044. Возможное происхождение платины в кварцевых жилах. Альбов М. И., Зап. Всес. минералог. о-ва, 1956, 85, № 2, 212—215**

Критически рассмотрены описанные в литературе сведения о находках платины и осмистого иридия в кварцево-сульфидных жилах и их окисленных зонах. Все эти находки приурочены к районам распространения платиноносных гипербазитов, и платина обнаружена обычно лишь хим. путем в рудах из близповерхностных частей жил. Автор считает, что зерна платины могли проникать в верхние разрушенные части жил механич. путем из аллювиальных отложений и платина, следовательно, генетически не связана с жилами. Самородная платина в кварцевых жилах достоверно установлена лишь на месторождении Вотеберг в Южной Африке, где гидротермальные р-ры, по-видимому, обогащались  $Pt$  при прохождении через нориты Бушвельдского комплекса. В. Александров

**51045. Главнейшие типы свинцово-цинковых месторождений. Вольфсон Ф. И., Сов. геология, сб. 53, 1956, 152—169**

Автор выделяет 10 типов  $Pb$ — $Zn$  месторождений: 1) галенит — сфалерит — полевошпатово — гранатовый; 2) галенит — сфалерит — турмалиновый; 3) галенит — сфалерит — скарновый; 4) галенит — сфалерит — калчеданитовый; 5) галенит — сфалерит — арсенопиритовый; 6) галенит — сфалерит — касситеритовый; 7) галенит — сфалеритовый с кварцем и карбонатами (иногда с баритом); 8) галенит — сфалеритовый с сульфосолями  $Cu$  и  $Pb$ ; 9) галенит — баритовый — флюоритовый; 10) галенит — сфалерит — доломитовый. Дается краткое описание всех типов с указанием состава вмещающих пород и их изменения, формы рудных тел, отношения оруденения к массивам интрузивных пород, относительных промышленных масштабов месторождений. Г. Воробьев

**51046. Аксицит некоторых месторождений Центрального Казахстана. Соловьев Ю. С., Зап. Всес. минералог. о-ва, 1956, 85, № 3, 429—433**

Описаны аксициты из двух районов в северо-западной части Чу-Балхашского пояса ультраосновных пород (Центральный Казахстан) 1. Кокчетав. Аксицит-содержащие амфиболо-карбонатные жилы залегают в

пироксено-плагноклазовых порфиритах. Минер. состав жидк.: аксинит, кальцит, амфибол асбест, эпидот, хлорит, кварц и неизвестный бурый минерал. Хим. состав аксинита (в %):  $\text{SiO}_2$  42,79,  $\text{Al}_2\text{O}_3$  17,12,  $\text{MnO}$  4,87, п. п. 2,12,  $\text{TiO}_2$  0,06,  $\text{Fe}_2\text{O}_3$  0,33,  $\text{MgO}$  1,25,  $\text{B}_2\text{O}_3$  6,39,  $\text{FeO}$  5,18,  $\text{CaO}$  19,82, сумма 99,93. Ф-ла  $8\text{SiO}_2 \cdot \text{B}_2\text{O}_3 \cdot 2,1\text{Al}_2\text{O}_3 \cdot 2,1(\text{Fe}, \text{Mn}, \text{Mg})\text{O} \cdot 4,3\text{CaO} \cdot \text{H}_2\text{O}$ . 2. Чу-Балхашские горы. Кварцево-карбонатные жилы в порфиритах. С аксинитом ассоциируют: кварц, кальцит, хлорит, эпидот. Хим. состав (в %):  $\text{SiO}_2$  41,82,  $\text{Al}_2\text{O}_3$  17,36,  $\text{MnO}$  7,03, п. п. 1,41,  $\text{TiO}_2$  0,02,  $\text{Fe}_2\text{O}_3$  0,47,  $\text{MgO}$  0,91,  $\text{B}_2\text{O}_3$  6,45,  $\text{FeO}$  5,12,  $\text{CaO}$  19,28, сумма 99,87. Ф-ла  $8\text{SiO}_2 \cdot \text{B}_2\text{O}_3 \cdot 2,1\text{Al}_2\text{O}_3 \cdot 2,3(\text{Fe}, \text{Mn}, \text{Mg})\text{O} \cdot 4,2\text{CaO} \cdot \text{H}_2\text{O}$ . В соответствии с делением аксинитов на манганово-, ферро-, и магнезио-разности, минерал из группы 1 является ферро-аксинитом, а минерал из группы 2 — манган-аксинитом.

Г. Воробьев

**51047. Антраксолит из Волковского месторождения на Урале. Штейнберг Д. С.** Зап. Всес. минералог. о-ва, 1956, 85, № 3, 416—418

В массиве габбро внутри кальцито-доломитовых жил обнаружены мелкие (1—10 мм), выделения антраксолита. Хим. состав (в пересчете на обезвоженный при 135° материал в %): зола 0,35, летучие 3,30, C 94,3, H 2,81. Кол-во влаги 0,36%. Уд. в.  $1,42 \pm 0,002$ . Предполагается миграция углерода из ксенолита ороговикомангановых порфиритов и их туфов в теле массива, в котором могут быть прослойки известняков и других пород — источников углерода.

Г. Воробьев

**51048. Исправление к статье: Павлов Н. В. «О гипогенных магнетит-гематитовых солитах из железнорудных месторождений Ангаро-Илимского района».** Изв. АН СССР. Сер. геол., 1956, № 5, 128  
К РЖХИМ, 1957, 15149

**51049. Об ассоциации турмалина и глаукофана. Бранш, Ронер** (Sur une association tourmaline-glaucoaphane. Branche Georges, Robert Marie-Edith), C. r. Acad. sci., 1956, 243, № 4, 387—389

В кристаллич. сланцах о-ва Груакс (Морбиган) впервые наблюдалось совместное присутствие глаукофана и турмалина. Последний встречается в виде призматических, гексагональных кристаллов, которые почти всегда ориентированы параллельно моноклиническим кристаллам глаукофана. Спектроскопич. состав парагенетич. ассоциации минералов в сланце (в %): турмалин — Be 2,5—0,5 · 10<sup>-1</sup> (1), Ni 5—1 · 10<sup>-2</sup> (2), Co, Cr, Cu, Pb 10—2 · 10<sup>-3</sup> (3), As, Sn, V, Li < 2 · 10<sup>-3</sup> (4); глаукофан — Mn, Ti 1, Ni, Cr, V, Co 2, K 3, Pb, Cu 4; мусковит — Mg, Mn, 1, Ti, V, Ca, 2, B, Ni, Cu 3; Pb, Co, Cr 4; ринидолит — Mn 1, Ni 2, Co, B, Ti 3, Cr, V 4; тисмондлин — Ni 2, Co, B 3, Cr, V 4; эпидот — Mg, Mn, 1, Ti, K, 2, Pb 3, Cu, Cr 4; альбит — Mn, Mg 2, Pb 3; гранаты — Ti 2, Cu, V 3, Ni, Co 4; кричтонит (ильменит) — Al, Ca 1, Cr, V, 2, B, Ni, Co 3. Л. Афанасьева

**51050. Отложения таконита в районе горы Райт, Квебек. Дуглас** (The taconite deposits in the Mount Wright Area of Quebec. Douglas George Vibert), Econ. Geol., 1956, 51, № 3, 280—281 (англ.)

Исследуемый район представлен метаморфич. осадочными образованиями, состоящими из перемежающихся слоев кварцитов и сланцев. Кварциты содержат железные минералы и грионерит. На юге эти осадки превращены в мигматитовые гнейсы. Предложена схема хим. превращений:  $\text{Fe}_2\text{O}_4 + 6\text{H}_2\text{O} \xrightarrow{\text{нагрев}} 3\text{Fe}(\text{OH})_3 + \text{H}_2\text{O} + \text{H}_2$ ;  $2\text{Fe}(\text{OH})_3 \rightarrow \text{Fe}_2\text{O}_3 + 3\text{H}_2\text{O}$ . Кол-во тепла, необходимое для проведения этой р-ции, равно 36 000 кал/моль. Исходя из предположения, что вода может быть в кварцитах и сланцах, а тепло обеспечивается габбро-породами, представлен расчет теплового баланса и сделан вывод о размерах гематитовых отложений в районе залегаания габбро. Р. Хмельницкий

**51051. Химия поверхностных явлений в качестве химического контроля минеральных ассоциаций. Де-Вор** (Surface chemistry as a chemical control on mineral association. De Vore George W.), J. Geol., 1956, 64, № 1, 31—55 (англ.)

Рассмотрена геохимия зоны гипергенеза в связи с возникновением минер. ассоциаций, распределением и отношением силикатных минералов в породах. Гидратация полимеризованных поверхностей минерала ведет к понижению степени полимеризации. Степень обрыва полимеризации может быть полной (р-ция кварца и MgO с образованием оливина) или незначительной и ограниченной на поверхности минерала (образование  $\text{H}_2\text{Si}_2\text{O}_7$  на кварце в водн. среде). Энергия поверхности раздела в значительной мере определяет места образования центров кристаллизации, роста кристаллов и отчасти энергию замещения, т. е. контролирует минералогич. состав и распределение минерала в породе. Поверхностная гидратация, возможно, является промежуточной стадией в обычных процессах роста кристаллов. Отношения минералов в породах рассматриваются как условия термодинамич. равновесия, так же важного для ассоциации минералов, как и обычные термодинамич. равновесие для отдельного минерала.

А. Чемоданов

**51052. Типы распределения рассеянных содержаний элементов в отложениях гумидных зон. Страхов Н. М., Залманзон Э. С., Глаголева М. А., Геохимия, 1956, № 6, 25—32**

В различных осадочных толщах СССР изучалось распределение содержаний следующих 15 элементов: Fe, Mn, P, C органич., V, Cr, Ni, Co, Cu, Ba, Sr, Pb, Zn, Be, Ga. Выявлено 3 типа распределения названных элементов. 1-й тип приурочен к угленосным толщам Караганды, где содержание элементов характеризуется большой пестротой. 2-й тип — угленосные формации Донецкого бассейна с однообразным согласованным распределением всех 15 элементов; миним. содержание Fe, Mn, P, C органич., V, Cu и др. наблюдается в песчанниках, более высокое — в алевролитах, максим. — в аргиллитах; в мергелях содержание элементов падает, в известняках — достигает максимума, 3-й тип — толща Второго Баку; в ряду от песчаников к алевролитам и аргиллитам содержание элементов непрерывно растет, быстрее, чем в Донбасском типе. По направлению к известнякам конца большинства элементов падает, но у 4 наиболее подвижных (Mn, P, Cu, Sr) в зоне осадкообразования продолжает расти, достигая максимума то в мергелях, то в глинистых известняках, то в чистых карбонатных породах.

М. Коф

**51053. О магнезиальном калините из Шорсу. Випиченко Н. Т.** Зап. Узбекист. отд. Всес. минералог. о-ва, 1956, вып. 10, 41—44

Наряду с новым минералом шорсуитом (РЖХИМ, 1956, 32253) в зоне окисления серной залежи (квасцовая шляпа) автор описал новую — магнезиальную разновидность калинита. Хим. состав (в %):  $\text{Al}_2\text{O}_3$  10,17;  $\text{Fe}_2\text{O}_3$  0,63;  $\text{MgO}$  1,45;  $\text{K}_2\text{O} + \text{Na}_2\text{O}$  8,20;  $\text{SO}_3$  34,12;  $\text{H}_2\text{O}$  42,30;  $\text{SiO}_2$  3,40; сумма 100,27; CaO и FeO не обнаружены. Спектральный анализ дополнительно открыл: B, P, Cr, Ba, Ti, Sr, Cu, Be. Ф-ла  $(\text{Mg}, \text{K}_2, \text{Na}_2)(\text{Al}, \text{Fe})_7(\text{SO}_4)_4 \cdot 23\text{H}_2\text{O}$ . Определены простейшие физ. свойства, получены термич. кривые и рентгенограмма.

Г. Воробьев

**51054. Новые местонахождения ванадиевых минералов (моттрита, деклаузита и ванадинита) в районе Колдбек, Камберленд. Книгсберн, Хартли** (New occurrences of vanadium minerals (motttramite, descloizite, and vanadinite) in the Caldbeck area of Cumberland. Kingsbury Arthur W. G., Hartley J.), Mineral Mag., 1956, 31, № 235, 289—295 (англ.)

Описаны три пункта нахождения ванадиевых минералов в зоне окисления сульфидных жил: главная часть Бранди-Гилл, Каррок-Фелл (молттрамит, деклаунит и ванадинит), Грейнгилл близ Бранди-Гилл (ванадинит), баритовый рудник Потс-Гилл (ванадинит), Нетерроу-Брау (молттрамит). Приведены рентгенограммы описанных минералов.

Г. Воробьев  
51055. Осадочные железные руды Баррандиена. I. Рудный округ Здие. Свобода, Прантль (Sedimentární železné rudy Barrandienu. I. Rudní revír Zdie. Svoboda Josef, Prantl Ferdinand. Geotechnica, 1955, № 19, 107 s., il.) (чеш.; рез. русск., нем.)

Изучены железные руды в отложениях ордовика (Средняя Чехия). Рудные горизонты сложены сидеритом, фосфоритом и частью пиритом с примесью глинистого материала, наибольшая мощность соответствует береговой зоне бассейна отложения руды. Руда нижних частей залежей содержит примесь кластич. материала и прослои песчаных сланцев. Генезис оолитовых Fe руд автор связывает с подводными излияниями диабазов, приносит Fe гидротермальным путем или в виде газовых подводных выделений. Допускается возможность мобилизации Fe в процессе гальмизации пирокластич. диабазового материала.

С. И. Б.  
51056. К вопросу об условиях образования осадков Девонского бассейна северо-западной части Русской платформы по некоторым геохимическим показателям. Казмина Т. И., Маймин З. Л., Петрова Ю. Н., Тр. Всес. нефт. и-и. геологоразвед. ин-та, 1956, вып. 95, 497—510

Для изучения условий образования девонских отложений были проведены комплексные геохим. исследования (определение водорастворимых хлоридов, состава карбонатов, различных форм Fe и S) по Пестовской скважине и ряд данных сопоставлен с р-ном Волго-Уральского свода. Содержание Cl<sup>-</sup> в районе Пестово указывает на постепенное опреснение осадков среднефранского яруса по сравнению с живецким: Cl<sup>-</sup> (в %) 0,46 для алевроитов D<sub>2</sub><sup>17</sup> и 0,03—0,15 для известняков и глин D<sub>3</sub>/r<sub>2</sub>. Отмечено высокое содержание карбонатов в наровских и тарусских слоях (до 39% нерастворимого остатка) и их преимущественно доломитовый состав. Абс. содержание сульфатной и сульфидной форм S очень мало (0,02—0,69); карбонатное железо (0,26—1,45) всегда превышает пиритное. Данные по S и Fe свидетельствуют об окислительных условиях первоначального осадкообразования и о слабо восстановительных — в стадию диагенеза. Меданное значение органич. в-ва ≤ 0,1, в то время как для Волго-Уральского свода оно достигает 0,4. Содержание битума в 10—15 раз ниже, чем для района Волго-Уральского свода, причем преобладающими являются метаново-нафтенные компоненты.

Л. Флерова  
51057. К геохимии терригенных девонских отложений юго-востока Татарии. Родионова К. Ф., Подольская Е. В., Володченкова А. П., Тр. Всес. нефтегаз. и-и. ин-та, 1956, вып. 9, 164—204

Изучен хим. состав пород кыновского, пашийского и верхнеживецкого возраста по шести разрезах юго-восточной Татарии. Определено содержание в породах (80 проб) S, органич. в-ва, серы пиритной, сульфидной и элементарной, Fe закисного, окисного и пиритного. В 2%-ных HCl-вытяжках определено содержание SiO<sub>2</sub>, Al<sub>2</sub>O<sub>3</sub>, Fe<sub>2</sub>O<sub>3</sub>, MnO, CaO, MgO, P<sub>2</sub>O<sub>5</sub>, SO<sub>3</sub>, CO<sub>2</sub>. С. нерастворимый остаток. На основании полученных данных сделаны следующие выводы: солонность живецкого и кыновского морей на всей изученной территории приближалась к нормальной, а пашийское море было опресненным. Периодич. накопление в породах повышенных кол-в Fe, Ni и V указывает на существование

крупной ритмичности в осадкообразовании, особенно резко выраженной в живецких отложениях по сильной фашиальной изменчивости. Отмечено существование более мелких колебательных движений, в разных районах происходивших неоднозначно. При формировании пашийской толщи юго-восточной Татарии, преобладающая обстановка была слабо восстановительной, иногда менялась на окислительную. Повышенное кол-во пиритного Fe указывает на анаэробное окисление вторичных битумов.

М. Янишина  
51058. К петрографии осадочных пород истоков рек Тертер и Тутхун. Мамедов А. П., Тр. Респ. науч. конференции по развитию и освоению курорта Исти-су. 1952. Баку, АН АзербСССР, 1955, 62—71

Изучены осадочные породы в районе выходов минер. источников Истису. Приведены хим. анализы мергелей, песчаников, песчаных известняков и известковистых аргиллитов.

М. Янишина  
51059. Влияние органического вещества при дифференциальном термическом анализе глин. Сильверберг (Influence of organic matter on differential thermal analysis of clays. Silfverberg Lennart. Proc. Roy. Swed. Geotechn. Inst., 1955, № 11, 37 pp.) (англ.)

Влияние органич. в-в при дифференциальном терм. анализе глин обнаружено в интервале t-р 200—850°. Появляющийся вследствие окисления органич. в-в в большой экзотермич. эффект может затмевать более слабые тепловые эффекты минер. в-в и искажать картину анализа. Предварительное нагревание образца или обработка его хим. в-вами (H<sub>2</sub>O<sub>2</sub> или ацетиленбромидом; последний действует сильнее) устраняет в основном только низкотемпературный экзотермич. эффект органич. в-в. На этом основании был сделан вывод, что высокотемпературный эффект обусловлен трудно-окисляемыми органич. в-вами, которые не разрушаются при нагревании и хим. обработке.

Ю. Трусов  
51060. Использование насыщения пиперидином для идентификации глинистых минералов методом дифференциального термического анализа. Картью (Use of piperidine saturation in the identification of clay minerals by differential thermal analysis. Carthew A. R., Soil Sci., 1955, 80, № 5, 337—347) (англ.)

Показано, что после насыщения 0,5 н. р-ром пиперидина пика монтмориллонита, нонтронита и иллита на термограмме различаются по интенсивности и t-ре; это дает возможность идентифицировать указанные минералы. Различия обусловлены сгоранием сначала водорода, а затем углерода, входящих в состав пиперидина, и зависят от положения адсорбированных частиц в минерале (во внешних или внутренних слоях). Площадь пика пропорциональна кол-ву адсорбированного пиперидина и, следовательно, катионообменной способности минерала и может служить для оценки последней.

Ю. Трусов  
51061. Петрографическое изучение глинистых минералов. Грим (Petrographic study of clay materials. Grim Ralph E., Bull. Div. Mines. Dept. Natur. Resources State Calif., 1955, № 169, 101—104) (англ.)

Автор считает, что по оптич. свойствам в препаратах из ориентированных частиц можно достоверно диагностировать глинистые минералы. Приведена таблица оптич. констант 20 глинистых минералов, и даны их краткие диагностич. признаки.

В. Кудряшова  
51062. Соотношение между химическим составом и физическими свойствами доломита. Цзень Э-ань (Correlation of chemical composition and physical properties of dolomite. Zen E-An), Amer. J. Sci., 1956, 254, № 1, 51—60) (англ.)

Ур-ния, связывающие хим. состав почти чистого до-



домита с его показателем преломления и межплоскостными расстояниями, соответствующими скалыванию по ромбу, получены методом наименьших квадратов. Расчеты согласуются с экспериментом. На основе урний рассчитаны уд. мол. объемы некоторых компонентов доломита и установлено, что они отличаются от мол. объемов чистых карбонатов. Эти данные показывают, что состав сосуществующих кальцит-доломитовых пар сильно зависит от давления. Изучение подобных пар может дать сведения о  $p$ - $T$  и давлении при их кристаллизации, это поможет изучению метаморфизма горных пород. Ю. Трусов

51063. К изучению рассеянного органического вещества и углей нижне-карбонных отложений Русской платформы. Родионова К. Ф., Канакина М. А., Докл. АН СССР, 1957, 112, № 2, 287—290

Проведено битуминологич. исследование 33 образцов кернов из сталингорского и тульского горизонтов Второго Баку и юго-западного крыла Московской синеклизы, а также 4 образцов углей, встречающихся в разрезе. Содержание углеводородов (в % на органич. в-во): в первых 0,0048—5,15, во вторых 0,0186—0,112. Получение из углей жидких углеводородов является подтверждением высказанных позрений о возможности образования нефти из органич. в-ва континентальных отложений в известных условиях.

Р. Хмельницкий

51064. Токійское месторождение газа. Пешвада (東京ガス田. 石和田靖章), 石油技術協会誌, Сэкио гисаюцу кёкайси, J. Japan Assoc. Petrol. Technologists, 1956, 21, № 4, 132—142 (японск.; рез. англ.)

Газ изученного месторождения приурочен к песчаным толщам верхнего плицена и связан с пленочной водой. Установлено, что пленочная вода является реликтоной морской с содержанием  $Cl$  6,7—14,3 г/л; остаточные компоненты (в мг/л):  $J$ —13,0—25,0;  $Br$ —82,0;  $HCO_3$ —800—1400;  $CO_2$  10—20;  $NH_4$  80—140;  $Ca^{2+}$  85—215;  $Mg^{2+}$  110—275;  $Fe^{2+}$  4,0; окисляемость 100 ± 10; при содержании  $Cl$ —< 5 г/л растворимость газа уменьшается. При содержании  $Cl$ —< 3 г/л в воде присутствуют в большом кол-ве гуминовые кислоты. Газ состоит преимущественно из метана (97—98%) и небольшого кол-ва  $N$  и  $CO_2$ . Пропитательность газа невелика — в пределах 100—1000 м<sup>3</sup> в день. Флерова

51065. Классификация природных газов по признакам, диагностирующим их происхождение. 1. Газы гипергенного типа. Флоренский К. П., Геохимия, 1956, № 8, 55—64 (рез. англ.)

Предложена схема и таблицы со сводкой наиболее характерных свойств природных газов гипергенного типа, позволяющих отличать их друг от друга по условиям образования. В основу таблиц положено соотношение микрокомпонентов, всегда присутствующих в газовых смесях. Р. Хмельницкий

51066. Новое месторождение кайнозита в Швейцарских Альпах. Паркер, Кервен (Ein neues Vorkommen von Kainosit in der Schwiezer Alpen. Parker Robert L., Quervain Francis de), Schweiz. mineral. und petrogr. Mitt., 1956, 36, № 2, 604—606 (нем.)

51067. Теория равновесия и передвижения почвенной влаги при различной степени увлажнения. Дерягин Б. В., Мельникова М. К., Нерпин С. В. В сб.: Докл. 6-му Междунар. конгрессу почвоведов. 1-я комис. Физика почв. М., 1956, 101—109 (русск.), 110—116 (англ.)

51068. Водный режим почв и его типы. Роде А. А. В сб.: Докл. 6-му Междунар. конгрессу почвоведов. 1-я комис. Физика почв. М., 1956, 77—81 (русс.) 82—100 (франц.)

51069. Категории и формы почвенной влаги и водные свойства почв. Роде А. А. В сб.: Докл. 6-му

Междунар. конгрессу почвоведов. 1-я комис. Физика почв. М., 1956, 53—68 (русск.); 69—76 (франц.)

51070. Экспериментальное исследование передвижения воды в почве под влиянием градиентов концентрации растворенных веществ, температуры и влажности. Дерягин Б. В., Мельникова М. К. В сб. Докл. 6-му Междунар. конгрессу почвоведов. 1-я комис. Физика почв. М., 1956, 117—127 (русск.); 128—136 (англ.)

51071. Почвообразующая и геохимическая роль элементов минерального питания растений. Ковда В. А. В сб.: Докл. VI Междунар. конгрессу почвоведов. 5-я комис. Классификация почв. М., 1956, 57—72 (русск.); 73—79 (франц.)

На основании исследований, проведенных советскими учеными, показано, что биологич. круговорот минер. в-в в сочетании с другими факторами почвообразования, особенно с направлением развития рельефа и типа водн. режима местности, играет определяющую роль в современных почвообразующих процессах. В результате этого круговорота происходит синтез вторичных почвенных минералов, являющихся важнейшими элементами минер. корневого питания растений. Библ. 76 назв. Р. Хмельницкий

51072. Распределение бора в природных водах. Мито (Distribution of boron in natural waters. Mito Satoru), Bull. Chem. Soc. Japan, 1956, 29, № 4, 532—536 (англ.)

Содержание  $B$  в дождевой воде и свежем снегу в районе Кирю равно 0,1 мг/л,  $B:Cl$  = 0,04. В образцах дождевой воды, собранных в разное время от начала дождя, содержание  $B$  остается неизменным,  $B:Cl$  с течением времени повышается. Под влиянием биологич. и геологич. факторов содержание  $B$  в районе Кирю равно 0,2 мг/л,  $B:Cl$  = 1,31. В воде минер. и горячих источников содержание  $B$  равно соответственно 123,3 и 6,55 мг/л,  $B:Cl$  соответственно 0,0105 и 0,0196; под воздействием этих вод вода рек Окурасава и Агацума содержит  $B$  1,97 мг/л и имеет  $B:Cl$  0,02. В воде реки Ватараса, загрязняемой бытовыми стоками, содержание  $B$  0,197 мг/л и  $B:Cl$  0,02. Главная река Тоно, принимающая все вышеупомянутые реки, содержит  $B$  0,345 мг/л и имеет  $B:Cl$  0,06. В. Кошкин

51073. Некоторые закономерности в распределении минеральных источников Забайкалья. Степанов В. М., Тр. Всес. н.-и. ин-та гидрогеол. и инж. геол., 1956, сб. 14, 54—59

51074. Перспективы использования минеральных вод Дарыдагского месторождения. Аскеров А. Г., Элмисерлар Азерб. унив., Уч. зап. Азерб. ун-та, 1956, № 3, 27—39 (рез. азерб.)

Исследовано 17 источников (И) Дарыдагских минер. вод (МВ) в Азербайджане, в 8 км к северу от г. Дюльфа. Дебит И 1600—150 000 л в сутки,  $t$ -ра 17—25°, минерализация (М) воды 13—18 г/л. Воды И относятся к группе углекислых, однако высокое содержание  $As$ , а также присутствие  $Li$ ,  $B$ ,  $Fe$  и др. позволяет рассматривать И как особый тип МВ. По хим. составу И относятся к типу углекисло-мышьяковисто-железисто-хлоридно-гидрокарбонатно-натриевых. Наиболее распространены в них ионы  $Na^+$ ,  $Cl^-$  и  $HCO_3^-$ , а  $Ca^{2+}$ ,  $Mg^{2+}$  и  $SO_4^{2-}$  — в небольших кол-вах. Высокая М при наличии тяжелых металлов и мышьяковистых соединений (15—23 мг/л  $As$ ), а также большое кол-во  $CO_2$  (одна из существенных факторов формирования хим. состава) обусловлены спецификой генезиса этих вод (по генезису МВ Дарыдага относятся к метаморфизованным). Солевой состав МВ по данным за 10 лет остался почти неизменным, но кол-во  $CO_2$  уменьшается (видимо, за счет выделения  $CO_2$  из устьев 32 открытых скважин). МВ Дарыдага по благоприятному хим. составу, большому дебиту и содержанию  $As$  превосходят все осталь-

ные И в СССР и за границей; И пригодны для питья.

М. Глебова

**51075. Газовая фаза минеральных источников курортного района Истису. Зайцева А. Г., Тр. Респ. науч. конференции по развитию и освоению курорта Истису. 1952. Баку, АН Азерб. ССР, 1955, 101—107**

В источниках Истису растворенный газ содержит только  $\text{CO}_2$  в кол-вах 205—1025 мл/л; в зависимости от т-ры кол-во свободного газа ( $\text{CO}_2$ ) колеблется в пределах 11—3700 мл. Содержание газа увеличивается с глубиной. Баланс газа не соответствует росту баланса воды; это объясняется тем, что источники, полученные бурением, выводят воду с большой глубины, сохраняющей свой газ.

М. Яншина

**51076. Сутинский термальный источник. Геохимическое изучение. Михолич, Мирник (Termalno vrelo Sutinskih toplica geokemijska studija. Miholič S., Mirnik K.), Croat. chem. acta, 1956, 28, № 3, 163—166 (серб.-хорв.; реф. англ.)**

В Словакии и на северо-западе Кroatии проходят две параллельных зоны тектонич. нарушений, к которым приурочены выходы термальных источников. Водоносным горизонтом являются доломиты среднего триаса. Несколько источников связано с конгломератами и песчанками карбона. Т-ра воды 22,8—35,9°, радиоактивность (в ед. махе) 0,563—11,24; более радиоактивны источники карбона (9,87—11,24). Подробный анализ Сутинского источника показал небольшую минерализацию (в мг/кг) 455,0; Na 11,92, K 2,993, Ca 54,94, Mg 28,91, Sr 1,842, Ba 0,0909, Mn 0,0017, Zn 0,0132, Pb 0,0205, Cu 0,0058, Ni 0,0174, Cl—3,069,  $\text{SO}_4^{2-}$  35,0,  $\text{HCO}_3^-$  301,6. Радиоактивность 1,296 ед. махе. Повышенное кол-во Ni (0,006%) подтверждает высказанное ранее предположение о существовании в этом районе докембрийских пород.

Л. Флерова

**51077. Физико-химические исследования минеральных вод Истису. Кедрова В. Т. Тр. Респ. науч. конференции по развитию и освоению курорта Истису. 1952. Баку, АН Азерб. ССР, 1955, 97—100**

Определены pH и окислительно-восстановительный потенциал ( $E_h$ ) воды источников Истису. Выявлена слабая забуференность, отмечены резкие сдвиги pH и  $E_h$  в разных условиях режима;  $E_h$  в отдельных источниках колеблется в пределах 115—289 мВ, изменяется и карбонатное равновесие.

М. Яншина

**51078. Новые данные по изучению месторождений Истису и перспективы развития курорта в Кельбаджарском районе. Кашкай М. А. Тр. Респ. науч. конференции по развитию и освоению курорта Истису. 1952. Баку, АН Азерб. ССР, 1955, 24—42**

Приведены результаты подробного изучения минер. вод, в основном вновь пробуренных источников. Т-ра воды 23—60°, pH 6,68—7,8,  $\text{SO}_2$  60—150 мл/г. Сухой остаток 3,5—6,3 г/л. Тип воды гидрокарбонатно-сульфатно-хлоридный, натриево-кальциевый. Спектроскопически определено наличие в водах Li, Sr, Be, Mn, следы Ti. Хим. определено содержание  $\text{H}_2\text{SO}_4$  2,84 мг/л  $\text{HPO}_3$  0,42 мг/л. Минер. воды Истису расположены в области распространения четвертичных лав, (разгрузка происходит по трещинам из грандиоритов) метаморфизованной туфогенной толщ и циркулируют по осадочным породам.

М. Яншина

**51079. Определение микроэлементов в воде источников курорта Цхалтубо. Сообщение 1. Определение йода, брома, бора. Цагарели К. К., Шихашвили Т. Г. Сб. тр. Цхалтубек. фил. Н.-н. ин-та курорт. и физиотерапии, 1956, 1—2, 69—73**

Изучено содержание микроэлементов (МЭ): J, Br и B в 8 источниках (И). В воде семи И: № 1, 2, 3, 5, 6, 7, и «источника Красоты» — содержится (в мг/л): J 0,009—0,01; Br 0,34—0,36; B (в виде  $\text{BO}_3^-$ ) 0,4—0,37.

В воде И Кучис-Цхали содержание МЭ заметно занижено в среднем (в мг/л): J 0,0087; Br 0,27 и B (в виде  $\text{BO}_3^-$ ) 0,339. Установлено, что соотношение содержания Cl, Br и J для вод И Цхалтубо является постоянным (Cl:Br:J = 1:3,5·10<sup>-3</sup>:10<sup>-4</sup>), в том числе и для И «Кучис-Цхали», несмотря на меньшее содержание галлоидов в нем. Это подтверждает предположение, что пониженная т-ра и минерализация этого И вызвана подмешиванием к минер. воде поверхностных пресных вод. Кол-во содержания J, Br и B в воде И постоянно и не зависит от времени года, дебиты воды и метеорологич. условий.

Л. Матвеева

**51080. Генетические типы трещинных вод Украинского кристаллического щита. Бабинец А. Е. (Генетичні типи тріщинних вод Українського кристалічного щита. Бабинець А. Е.), Доповіді АН УРСР, 1956, № 5, 489—491 (укр.; реф. рус.)**

В пределах Украинского щита выделяется 4 генетич. типа подземных вод. 1. В северной части — пресные гидрокарбонатные воды минерализация (М) в г/л: 0,5 в Полесье и 0,6—1,0 в Лесостепи. Воды содержат 2—6% растворенного газа (РГ), его состав (в %):  $\text{N}_2$  70—88,  $\text{CO}_2$  8—20,  $\text{O}_2$  8—12. 2. В южной части — сульфатные, М 5 г/л. Кол-во РГ 2,5—4,0%, в том числе  $\text{N}_2$  80—90,  $\text{O}_2$  8—20,  $\text{CO}_2$  2—3; в Приазовье выявлен также  $\text{CH}_4$ . 3. Криворожская синклиналь содержит соленые воды, М 72—81; воды содержат также (в мг/л): Br 126—147; J 0,3—1,0, РГ 1—2%, в том числе  $\text{N}_2$  88—70,  $\text{CO}_2$  3—12,  $\text{O}_2$  8—12, He 0,16—1,43. Наличие He указывает на древнее морское происхождение этих вод. 4. Углекистые воды вскрыты двумя скважинами: м. Хмельники Винницкой области и м. Мироновка Киевской области. Воды м. Хмельника, применяемые для лечебных целей, гидрокарбонатно-хлоридно-кальциевые, М 5,0 и Br 0,007 мг/л, J 0,048 мг/л; > 20% РГ — главным образом  $\text{CO}_2$  (700—800 мг/л). Воды м. Мироновки гидрокарбонатно-магниево-кальциевые, М 2,5; содержат  $\text{CO}_2$  (200 мг/л). Высокое содержание  $\text{CO}_2$  в водах м. Хмельника объясняется глубинным происхождением и реактивным распадом, который разрушает органич. соединения.

М. Коф

**51081. Геология и запасы подземных вод бассейна Верхней Нейбрыра штаты Небраска и Уайоминг. Брэдли. Химический состав подземных вод. Рейнуотер (Geology and ground-water resources of the upper Niobrara River basin, Nebraska and Wyoming. Bradley Edward. Chemical quality of the ground water. Bainwater F. H. Geol. Survey Water-Supply Paper, 1956, № 1368, IV, 70 pp., ill., maps) (англ.)**

Гидрогеологич. характеристика бассейна и данные хим. состава пресных вод четвертичных и третичных отложений, среднее содержание (в мг/л):  $\text{SiO}_2$  46—63, Fe 0,01—1,69, Ca 23—73, Mg, 2,2, Na 4—24, K 3,5—15,  $\text{HCO}_3^-$  70—275,  $\text{CO}_3$  0—6,0,  $\text{SO}_4$  1,0—3,2, Cl 1,0—16,0, F 0,2—1,3,  $\text{NO}_3$  0,6—50,0, B 0,00—0,08, сумма солей 180—386, pH 7,52—8,3. Большое кол-во содовых озер в бассейне объясняется питанием глубокими водами из закрытых частей бассейна.

М. Яншина

**51082. Химическое изучение превращения веществ в озерах. Танака (Étude chimique sur le métabolisme minéral dans les lacs. Tanaka Motoharu), J. Earth Sci. Nagoya Univ., 1953, 1, № 2, 119—134 (франц.)**

На ряде озер Японии изучалось вертикальное распределение, сезонные изменения и превращения Fe, Mn, P, Si, Al и минер. производных N. Особенно детально изучались придонные слои озер, где также производились определения йодопотребления растворенного  $\text{O}_2$ .

В. Красинцева

51083. Изучение с помощью меченых атомов круговорота фосфора в озерной воде. Риглер (A tracer study of the phosphorus cycle in lake water. Rigler F. H.), Ecology, 1956, 37, № 3, 550—562 (англ.)

Радиоактивный фосфор  $P^{32}$  вносился в поверхностную воду небольшого болотного озера Туссен, расположенного близ р. Чок в провинции Онтарио (Канада). Через 4 недели 77% прибавленного  $P^{32}$  исчезало из воды и планктона, причем стоком из озера удалялось только 2%, в ил перешло 3%; по-видимому, имеется обмен Р между водой эпипланктона и организмами литорали. Время оборота Р в эпипланктоне на этот обмен равно 3,5 дням. По лаборатор. опытам в течение 20 мин. поглощается планктоном свыше 95% прибавленного  $P^{32}$ . Время оборота неорганич. Р для поверхностной воды оз. Туссен равно 4,5 мин. В двух небольших олиготрофных озерах Уазо и Маскиноке время оборота Р равно соответственно 3,6 и 26 мин. Кол-во  $P^{32}$ , потребленного в опытах бактериями, в 2—3 раза больше потребленного фитопланктоном. В. Коншин

51084. Об образовании меромиктических состояний в озере, питаемом ключами и имеющем глубину до трех метров. Рутнер (Über die Entstehung meromiktischer Zustände in einem kaum drei Meter tiefen Quellsee. Ruttner Franz), Publs. Union internat. sci. biol., 1955, B, № 19, 265—280; Mem. Ist. Ital. Idrobiol., 1955, Suppl., 8, 265—280 (нем.)

Осенью 1951 и 1953 г. в небольшом (площадь 2,5 га; объем 14 тыс. м<sup>3</sup>, глубина ~ 3 м) Среднем Лунцком озере, питаемом холодными ключами (т-ра воды озера 6—7°), наблюдалась резкая хим. стратификация: ниже 1 м от поверхности минерализация (по электропроводности) возрастала вдвое, содержание  $O_2$  резко снижалось (в 1953 г. до 0,5 мг/л), вода становилась слегка мутной с гнилостным запахом и в ней обнаруживалось большое кол-во серобактерий, ряд других сопутствующих бактерий и некоторые фотосинтезирующие водоросли; распределение т-ры дихотомическое, с небольшой разницей (до 1,4°) между слоями. С течением времени стратификация становилась менее выраженной. Автор объясняет возникновение меромикт. состояния преобладанием в осеннее время процессов разложения над фотосинтезом, в результате чего появляется агрессивная  $CO_2$ , растворяющая осевший  $CaCO_3$ . Образовавшийся  $Ca(HCO_3)_2$  увеличивает минерализацию воды, которая, как более плотная, стекает в более глубокие места и создает стратификацию, прекращающую перемешивание воды и поступление  $O_2$  из верхних слоев; в этих условиях  $H_2S$  проникает из отложений в воду. Весной потребление  $CO_2$  за счет фотосинтеза вызывает вновь выпадение  $CaCO_3$  в осадок и уменьшение минерализации нижних слоев, в результате чего прекращается меромикт. состояние. В. Коншин

51085. Геохимическое изучение рек. 6. Химический состав воды реки Канна. Ивасаки, Нитта 河川の地球化学的研究. 第6報. 神流川の河水の化学組成. 岩崎岩次, 新田正一, 日本化学雑誌, Нихон какаку дзасси, J. Chem. Soc. Japan. Pure Chem. Sec., 1956, 77, № 9, 1347—1361 (японск.)

С июля 1954 г. по май 1955 г. изучались изменения хим. состава воды горной реки Канна (в верховьях реки Тоно) в зависимости от уровня и кол-ва воды, погоды, времени года, состава пород, грунтовых вод. Проведено сравнение с такими же данными для ряда других рек. В июле в воде содержалось в мг/л:  $Cl^-$  1,5—3,2;  $Na^+$  2,7—3,7;  $SiO_2$  13,9—16,9;  $SO_4^{2-}$  5,5—7,4;  $Ca^{2+}$  15,9—17,1;  $Mg^{2+}$  2,7—3,4;  $K^+$  0,5—1,0. Во время паводка, вызванного тайфуном, содержание  $Cl^-$  уменьшилось до 1,3. После паводка содержание  $Ca^{2+}$  (18—20) и  $Mg^{2+}$  (3,6—4,3) увеличилось. С увеличе-

нием кол-ва протекающей воды электропроводность уменьшилась соответственно увеличению содержания растворенных хим. компонентов. Вывос в г/сек составлял во время паводка 710, после спада паводка, несмотря на увеличение концентрации  $Cl^-$ , 30, а в засушливое время 15. В засушливый период (январь—февраль) концентрация  $SiO_2$  уменьшалась до 7,9—9,7 мг/л, а концентрация  $Cl^-$ ,  $SO_4^{2-}$ ,  $Ca^{2+}$ ,  $Mg^{2+}$ ,  $Na^+$  увеличилась. Часть 5 см. РЖХим, 1957, 30432.

Л. Левин  
51086. Ионный состав вод Амура и Зеи. Дуцунга Е. Г., Тр. Благовещен. гос. мед. ин-та, 1956, 2, 184—187

Ионный состав вод Амура и Зеи претерпевает некоторые изменения в течение года. Кол-во  $Ca^{2+}$ ,  $Mg^{2+}$ ,  $Cl^-$  и  $HCO_3^-$  увеличивается зимой и уменьшается летом. Так, содержание  $Ca^{2+}$  в воде Амура в феврале 22,1 мг/л, а в июне 12,5 мг/л. Кол-во растворенного  $O_2$  является наибольшим весной. Кол-во свободной  $CO_2$  и кремниевые кислоты уменьшаются летом и увеличиваются зимой. Весовые кол-ва ионов в воде Зеи соответственно меньше, чем в воде Амура: в январе 1955 г. кол-во  $Ca^{2+}$  в воде Амура составило 25,5 мг/л, а в воде реки Зеи 14,5 мг/л. Воды исследованных рек относятся к гидрокарбонатному типу с малой минерализацией — до 100 мг/л. (Резюме автора)

51087. Гидрохимические особенности среднего течения реки Припяти и ее притоков. Сивко Т. Н. В сб.: Тр. Комплекс. экспедиции по изуч. водоемов Полесья. Минск, Белорус. ун-т, 1956, 55—68

Экспедиционное исследование водоемов производилось в июле 1953 г. Воды Припяти от Пинска до Мозыря относятся к гидрокарбонатно-кальциевому типу; плотный остаток (306—210 мг/л), щелочность (щел.) (4,4—3 мг/экв/л),  $Ca^{2+}$  (71—37 мг/л) снижаются вниз по течению. Цветность (Ц) (40—150°), перманганатная (18,7—26 мг  $O_2$ /л) и бихроматная (29,6—42,2 мг  $O_2$ /л) окисляемость (ОК) вниз по течению увеличиваются. БПК<sub>5</sub> 1—3,2 мг  $O_2$ /л. В крупных левых притоках плотного остатка 136—300 мг/л. По Ц и ОК эти притоки разбиваются на реки с низкой ОК (5—13 мг  $O_2$ /л) и Ц (< 80°), реки с ОК 13—30 мг  $O_2$ /л и Ц ~ 100° и реки с ОК 40—50 мг  $O_2$ /л и Ц > 100°. Для устьевых участков правых притоков Стирь и Горынь характерны повышенные: минерализация (плотный остаток 240—336 мг/л), щелочность (4—5 мг-экв/л), содержание  $Ca^{2+}$  (61—84 мг/л) и малые: ОК (11—18 мг  $O_2$ /л), Ц (60—70°); в реках Стига, Уборть наблюдается обогащение органич. в-вами (ОК 48—50 мг  $O_2$ /л, Ц > 200°) и малая минерализация (плотный остаток 132—143 мг/л), щелочность (1—1,4 мг-экв/л) и содержание  $Ca^{2+}$  (15—23,5 мг/л). Для всех рек характерен дефицит  $O_2$ , доходящий даже днем в летний период до 40—60%; содержание в мг/л:  $Cl^-$  2—9 с резким увеличением до 30 в местах выклинивания девонских вод; Fe до 5—7. Летом  $NO_2$  и  $NO_3$  отсутствуют, аммиачного N 0,03—0,4, органич. N 1,2—3,3, фосфатного P 0,02—0,03, общего P < 0,25. Отношение C(орг.)/N(орг.) 4—21; N(общ.)/P(общ.) в среднем 10; отношение Ц к ОК 2,2—5,8. В. Коншин

51088. Некоторые закономерности распределения и формирования грунтовых вод на Русской равнине. Семихатов А. Н., Духанин В. И., Тр. Всес. н.-и. ин-та гидрогеол. и инж. геол., 1956, сб. 14, 8—21

51089. Гидрохимическая зональность грунтовых вод в одном из оазисов Узбекистана. Кац Д. М., Докл. АН УзССР, 1956, № 10, 29—34 (рез. узб.)

На основании обработки большого кол-ва анализов выделено несколько типов хим. состава грунтовых вод, объединенных в гидрохим. зоны двух геохим. ландшафтов с учетом гидродинамич. условий. М. Коф



**51090. Содержание растворенных органических веществ в воде Тунисского залива. Риччи** (Taneur en matières organiques dissoutes dans le golfe de Tunis. Ricci Edmond), Bull. Stat. océanogr. Salammbô, 1956, № 53, 69—74 (франц.)

Определена восстановительная способность воды (перманганатная окисляемость в щел. среде с восстановлением избытка  $\text{KMnO}_4$  при помощи оксалата) в течение осенне-зимнего периода; исследуемая вода предварительно фильтровалась через бумажный фильтр. Окисляемость колебалась в сравнительно узких пределах: 13—35 и в среднем 24 мл 0,01 н.  $\text{KMnO}_4$  на 1 л воды, что соответствует 2,80—1,20 и в среднем 1,92 мл  $\text{O}_2$  на 1 л. В среднем содержание органич. в-в вполне достаточно для поддержания жизнедеятельности моллюсков. Источником органич. в-в в воде залива являются, с одной стороны, морские организмы, с другой — органич. остатки, попадающие с побережья. Л. Афанасьев

**51091. Об оценке продукции органического вещества в некоторых районах Берингова и Охотского морей. Сметанин Д. А.,** Тр. Ин-та океанол. АН СССР, 1956, 17, 192—203

Работы, посвященные определению продукции органич. вещества в море по балансу биогенных элементов (БЭ) за длительный период времени, дают «урожаи» органич. в-ва, так как не учитывают регенерацию БЭ в верхнем слое воды и повторное их использование фитопланктоном. Оборачиваемость питательных веществ (П. В.) в верхнем слое зависит от различных биологич. и гидрологич. особенностей вод. Поступление БЭ в период фотосинтеза (ф.-с.) в верхний продуцирующий слой путем турбулентной диффузии снизу учтено там, где оно значительно. Расчет баланса питательных солей при определении «урожайности» (Ур.) необходимо увязывать с гидрологией района исследования. Приводимые данные Ур. вод Берингова моря в  $\text{гС/м}^2$  в районе «холодного пятна» на сев. запад, мелководье 50—60; в районе интенсивного взаимодействия вод на сев.-запад. 60—225; в прибрежной глубоководной части 120—150; в открытой глубоководной части 35—55, подтверждают представление о меньшей продуктивности вод открытых районов по сравнению с водами прибрежных зон. Однако различие в биомассах ф.-с. больше. По хим. данным отмечается значительный ф.-с. в открытом океане, что не подтверждает мнения биологов о пустынности вод открытого Беринг. моря. Южные открытые районы Охотского моря более урожайны (80—100  $\text{гС/м}^2$ ) открытых районов Беринг. моря. Ур. обоих морей увеличивается в районах перемешивания. Хим. данные показывают резкую весеннюю вспышку ф.-с., распространяющуюся от берегов в открытое море. Для получения данных по Ур. морей необходимы неоднократные гидрохим. наблюдения в течение года. О. Шинкина

**51092. Сезонные изменения содержания фосфатов и силикатов в морской воде залива Цзяочжау. Си Сюэ-и** (Seasonal variations of phosphate and silicate in sea water of Chiao-Chow Bay. Shin Hsuo-yi), Шаньдун дасяо сюэбао, J. Shantung Univ., 1953, 1, № 3, 85—94 (кит.)

Представлены результаты анализов морской воды на станции С1 в заливе Цзяочжау (у города Циндао) в период с ноября 1949 г. по декабрь 1950 г. в целях выяснения сезонных изменений содержания фосфатов (Р) и силикатов (Si). Описан метод, использованный в работе, и его достоверность. Добавлены сведения о сезонном изменении солености, прозрачности, сод. растворенного  $\text{O}_2$ , pH, общей щелочности и физ. свойствах морской воды внутри залива и вне его. В феврале и марте в воде имеет место сравнитель-

но высокое сод. Р. С апреля начинается постепенное уменьшение и в августе достигает минимума. В конце августа внезапно кол-во Р повышается и на поверхности достигает значений февраля и марта. В сентябре содержание Р вновь уменьшается, но не достигает августовского минимума. После сентября опять кол-во Р повышается, таким образом, за год имеются 2 цикла. Разница между максимумом и минимумом составляет 0,36 Р  $\text{мг/л}$ . Среднее значение всех слоев воды за сезон 0,59 Р  $\text{мг/л}$ . Сод. Si минимально в июле. В августе оно быстро повышается и достигает максимума во второй половине августа. В поверхностном слое воды максимум Si в два раза больше зимнего повышения, а среднее значение для всех слоев летнего максимума на 25% больше зимнего. Сентябрьский минимум выше июльского. Во 2-й половине сентября начинается увеличение сод. Si и с февраля вновь уменьшение, т. е. также отмечены 2 цикла. Разница между максимумом и минимумом в поверхностной воде составляет 13,49 Si  $\text{мг/л}$ , а среднее значение для всех слоев за сезон равно 9,5 Si  $\text{мг/л}$ . Чжан Чже-ган

**51093. Донные отложения в районе работ дрейфующей станции «Северный полюс-2». Белов Н. А., Лапина Н. Н.,** Изв. АН СССР. Сер. геол., 1956, № 7, 3—16

Изучение 30 проб из колонок грунта длиной до 75 см и 12 проб крупнообломочного материала позволило выяснить строение осадков в районе материкового склона и котловины Леваневского. Поверхностный слой представлен темно-коричневым глинистым илом, содержащим пелитовую фракцию от 50,3 до 61,1% на глубинах 500—3000 м и весьма глинистым илом с палитовой фракцией 71,7—85,2% на глубине свыше 3000 м. Мощность поверхностного слоя 0,4—15,5 см, для него характерно повышенное содержание Fe (3,65—4,76% по данным 10%-ной  $\text{HCl}$ -вытяжки) и Mn (0,21—0,96%  $\text{MnO}$ ), а также наличие корненожек Североатлант. вида. Ниже залегают глинистые илы серого цвета с незначительным содержанием Fe, Mn и отсутствием корненожек. Среди этих илов на глубинах 22—25 см и 40—60 см прослеживаются 2 слоя темно-коричневого ила, обогащенные Fe, Mn и корненожками. Наличие таких слоев отмечалось в отложениях всего Атлантического бассейна. На материковом склоне нормальный ход осадкообразования нарушается явлениями оползания. Полученные данные подтвердили выводы предыдущих экспедиций о том, что кроме современного периода продолжительностью 9—10 тысяч лет отмечены 2 более теплых и 2 более холодных периода. Отложения теплых периодов характеризуются коричневым цветом, обогащением Fe, Mn и карбонатами, обилием микрофауны атлантического типа, указывающей на доступ теплых атлант. вод в Северный Ледовитый океан, вызвавший потепление. Отложения холодного периода характеризуются серым цветом и бедностью перечисленными элементами, что свидетельствует о сокращении доступа атлант. вод в Полярный бассейн. Анализ крупнообломочного материала позволил предположить наличие выходов доломитовых пород на дне бассейна и подтвердить предположения о периодич. сокращения и расширения доступа атлант. вод в Полярный бассейн. Наличие в нижних слоях осадков грубообломочного материала указывает на изменение положения береговой линии. О. Шинкина

**51094. Содержание бора, брома, и йода в Ахтале-леченной гряде. Эрнстави Д. И., Чилингаришвили Т. Н., Померанцева Н. Я.** (ბორის, ბრომის და იოდის შემცველობა ახტალის სამკერძლო ტალახში გრისთავი დ. ი., ჩილინგარიშვილი თ. ი., პომერანცევა ნ. ი.), საქართველოს პოლიტექნიკური ინსტიტუტის შრომები, Тр. груз. политехн. ин-та, 1956, № 5, (46), 54—63 (груз.; рез. русск.)

Исследованы образцы из 11 сопок месторождения. Содержание в жидкой фазе грязи и в воде. Вытяжка на 100 г сухой грязи (соответственно в мг/л и мг): В 84,4—133,5; 1,8—19,3; Вг 29,0—57,3; 1,6—7,9; J 18,2—25,8; следы — 7,6. В жидкой фазе (среднее для 7 сопок): В/Вг<sup>-1</sup> 1,9—3,7; В/J<sup>-1</sup> 3,9—6,1; В<sup>-1</sup>/J<sup>-1</sup> 1,5—2,7. Эти отношения указывают на непосредственное участие подземных вод в формировании жидкой фазы. Твердая фаза занимает больший объем, чем жидкая. Содержание В в твердой и жидкой фазах соответственно: 131,9—184,7 и 84,4—169,5 мг/л. Суммарное содержание В (твердая фаза + жидкая) колеблется от 123,3 до 189,9 мг/л. Присутствие J в жидкой фазе обусловлено наличием в грязи органич. в-в; содержание Вг, по-видимому, обусловлено выщелачиванием солей Вг подземными водами. Часть В внесена той подземной водой, которая участвует в происхождении грязи, другая представляет собой составную часть силикатного скелета глинистой породы. Р. Хмельницкий

51095. Процессы обмена серы в придонном иле и связанные с этим проблемы. 1. Кояма, Сугавара (Sulphur metabolism in bottom muds and related problems. 1. Koyama Tadashi, Sugawara Ken), J. Earth Sci. Nagoya Univ., 1953, 1, № 1, 24—34 (англ.)

Процессы восстановления  $\text{SO}_4^{2-}$ , образования сульфидов Fe,  $\text{CaCO}_3$  и  $\text{MgCO}_3$  изучались в придонных и поровых водах (водах, пропитывающих илы.—Ред.) и илах солоноватого озера Абурагафучи, в Японии. Найдено, что 35%  $\text{SO}_4^{2-}$  морской воды, перенесенной в озеро, восстановлены до сульфидов в анаэробной среде придонной воды. Сульфиды в виде FeS осаждаются на дно. В поровой воде ила, несмотря на анаэробную среду, значительное кол-во  $\text{SO}_4^{2-}$  остается не восстановленной. Это объясняется, с одной стороны, тормозящим действием Mn, содержащегося в поровой воде, с другой — недостатком в ней Fe, являющегося антагонистом по отношению к Mn. Эксперименты показали, что максим. кол-во сульфидной серы  $\text{S}^{2-}$  64 мг/л образуется из 576 мг/л  $\text{SO}_4^{2-}$  в присутствии 152 мг/л Fe и в отсутствие Mn. Миним. кол-во  $\text{S}^{2-}$  12 мг/л образуется из 384 мг/л  $\text{SO}_4^{2-}$  в отсутствие Fe и в присутствии 110 мг/л Mn. Присутствие Mn в кол-ве 1 мг/л и при большом содержании Fe (112 мг/л) не оказывает тормозящего действия. Заметное действие Mn начинается при конц-ии его от 11 до 110 мг/л. Сульфатвосстанавливающие бактерии образуют  $\text{S}^{2-}$  не только из  $\text{SO}_4^{2-}$ , но и из свободной S и из так называемой авторами unidentified серы. Авторами получено 14 мг/л  $\text{S}^{2-}$  вместо теоретически следующих из  $\text{SO}_4^{2-}$  3,25 мг/л, следовательно, 11 мг/л получено за счет свободной S и в значительной мере органически связанной S. В процессе восстановления  $\text{SO}_4^{2-}$  осаждаются не только сульфиды Fe, но в результате повышения pH поровой воды —  $\text{CaCO}_3$  и  $\text{MgCO}_3$ . Повышение pH наступает как в результате редукции  $\text{SO}_4^{2-}$ , так и в силу других причин и продолжается до определенной величины порога, при котором начинается осаждение  $\text{CaCO}_3$  и  $\text{MgCO}_3$ . Полученные данные показывают, что в результате восстановления, в поровых водах остается 3—20%  $\text{SO}_4^{2-}$ , 28—96% Ca и 44—66% Mg от их первоначального кол-ва в морской воде.

О. Шишкина

51096. Исследования состава придонных илов в связи с циклом фосфатов в водах Малабарского побережья. Сешарпа, Джагарман (Observations on the composition of bottom muds in relation to the phosphate cycle in the inshore waters of the Malabar Coast. Seshappa G., Jayagaman R.), Proc. Indian Acad. Sci., 1956, B43, № 6, 288—301 (англ.)

На 2 станциях, взятых на глубинах 4 и 19 м, параллельно с изучением распределения  $\text{PO}_4^{3-}$  в илах и

придонных водах проводились определения т-ры, pH, содержания колл. фракции и влажности. Пробы ила отбирались на глубине ~10 см от поверхности дна. Консервирование проб не производилось. Регулярное обогащение вод бассейна в летние месяцы ионами  $\text{PO}_4^{3-}$ , вымываемыми из ила, сопровождается слабым понижением pH. Полученные автором данные показали, что в период муссонов благодаря интенсивному перемешиванию происходит вымывание  $\text{PO}_4^{3-}$  из илов, которое тем сильнее, чем выше проницаемость ила. В эти месяцы наблюдается обогащение придонных вод обеих станций  $\text{PO}_4^{3-}$  и падение конц-ии  $\text{PO}_4^{3-}$  в пропитывающих илы водах. Связанные и адсорбированные формы  $\text{PO}_4^{3-}$  находятся в равновесии; по мере выноса  $\text{PO}_4^{3-}$  в придонные воды новые массы адсорбируемых  $\text{PO}_4^{3-}$  переходят в пропитывающие илы воды, а затем в водн. толщу бассейна. В месяцы без муссонов проницаемость илов очень низка и в пропитывающих илы водах возникают высокие конц-ии  $\text{PO}_4^{3-}$ . Одним из возможных источников P в илах Малабарского побережья является принос мелких частиц латерита, несущих массу адсорбированных  $\text{PO}_4^{3-}$ . Обогащение происходит также в процессе распада под влиянием бактерий организмов, накапливающихся в илах в результате массовой гибели в период муссонов придонных животных.

О. Шишкина

51097. Зависимость между удельным весом и объемом при концентрировании морской воды для 25° С. III. Вычисление степени концентрации и определение точки насыщения NaCl. Итикава, Фукуда (海水の恒温 (25° C) 濃縮による比重と容積との関係・第3報・濃縮率の計算及び鹽化曹達での飽和點の推定. 市川一夫, 福田増人), 日本鹽學會誌, Нихон сию гаккайси, Bull. Soc. Salt. Sci., Japan, 1956, 10, № 2, 17—22 (японск.; рез. англ.)

По уд. весу морской воды, взятой весной 1940 г. на поверхности Желтого моря близки Ляодунского п-ва, вычислено для 25° содержание Cl<sup>-</sup> и процентный объем на различных стадиях концентрирования морской воды до состояния насыщения NaCl. Применены следующие ф-лы, выведенные авторами ранее (Bull. Soc. Salt Science, Japan, 1952, 6, 145—151). Для 1-й стадии (до точки насыщения воды гипсом  $S = 1,0640$ ,  $Cl^- = 5,1612$ )  $S_1 = 0,997968 + 0,012794 \cdot Cl_1$  и  $C_1 = 172,24 / (78,16041 \cdot S_1 - 78,00159)$ . Для 2-й стадии (от точки насыщения гипсом до точки перехода к твердому гипсу)  $S_2 = 1,002943 + 0,011830 \cdot Cl_2$  и  $C_2 = 17,21 / (84,53013 \cdot S_2 - 84,77891)$ . Для 3-й стадии (свыше точки перехода)  $S_3 = 1,011613 + 0,010865 \cdot Cl_3$  и  $C_3 = 172,24 / (92,03611 \cdot S_3 - 93,10493)$ , где  $S_n$  — уд. вес воды,  $Cl_n^-$  — содержание Cl в г/100 см<sup>3</sup> воды,  $C_n$  — 100  $Cl_0 / Cl_n$  процентный объем после конц-ии  $Cl_0$  — содержание Cl<sup>-</sup> в морской воде взято 1,7221 г/100 см<sup>3</sup>. По приведенным выше ф-лам вычислено отношение  $dC/dS$  и рассмотрено влияние конц-ии на повышение уд. веса при концентрировании морской воды. До насыщения гипсом уд. вес увеличивается только при сильном уменьшении объема, а после насыщения уд. вес обратно пропорционален объему. При концентрации морской водой до насыщения ее NaCl  $S = 1,2159$  и  $Cl^- = 18,804$ .

Л. Левин

51098. Влияние концентрации на температуру гомогенизации систем, состоящих из водных растворов солей. Леммлейн Г. Г., Клевцов П. В., Зап. Всес. минералог. о-ва, 1956, 85, № 3, 310—320

По литературным данным построены диаграммы плотности от т-ры и т-ры гомогенизации  $T_g$  от степени заполнения объема F р-рами NaCl разной конц-ии. Система  $\text{H}_2\text{O}$ —NaCl гомогенизируется при 385 и 396° соответственно при конц-иях 0,65 и 1,7% и F, равном 0,357 и 0,386.  $T_g$  системы в жидкую фазу понижается

с повышением  $F$ , а в газовую фазу — повышается с уменьшением  $F$ . По эмпирич. ф-лам Сорби вычислены значения  $F$  при  $0^\circ$ , которым отвечают т-ры исчезновения газовой фазы 150, 175, 200°, для чистой воды, 25%-ных р-ров NaCl, KCl,  $\text{Na}_2\text{SO}_4$ , NaCl + KCl и смеси из всех указанных р-ров. Показано, что коэф. расширения р-ров NaCl при низких т-рах меньше, а при высоких ( $> 100$ – $150^\circ$ ) больше коэф. расширения воды. Построены кривые гомогенизации для 1%-ного р-ра NaCl при  $F = 0,25$ – $1$ . Т-р в жидкую фазу заметно превышает  $T_{\text{р}}$  чистой воды. А. Чемоданов

**51099. Поверхностная рапа соляных озер и ее изменения во времени.** Кашкаров О. Д., Тр. Всес. н.-и. ин-та галургии, 1956, вып. 32, 49–66

В соляных озерах, в которых не происходит садки хорошо растворимых солей, солевой состав относительно последних отличается высокой устойчивостью (для Каспийского моря по данным за 70 лет, для Сиваша — за 37 лет, для озер Б. Кулундинского и Б. Ярового — за 3–4 года). При регулярной садке хорошо растворимых солей постоянными остаются пути кристаллизации на диаграмме (для оз. Эльтон по данным за 126 лет, для оз. Мормышанского — за 35 лет, для оз. Красного — за 50 лет, для оз. Кучук — за 15 лет). Применение математич. статистики к обработке наблюдений над озерами годичными циклонами позволяет определить вероятность того или другого состава озерного рассола и вероятность даты начала кристаллизации солей. В. Коншин

**51100. Охлаждение морской воды и солевых рассолов.** Ильинский В. Н., Тр. Дальневост. фил. АН СССР, 1956, вып. 2, 5–19

В процессе получения соли из морской воды методом выделения льда наиболее сложной считают операцию вымораживания воды и отделения от маточного р-ра. Решением вопроса являются: 1) бассейное вымораживание с выкачиванием рассола из-под льда; 2) устройство зимней грядири с механич. сбросом нарастающего льда; 3) процесс вымораживания льда на наклонной поверхности (поток, естественная поверхность) со стоком маточника к естественному сборному водоему. Автором предложена схема 3-го варианта, который может найти широкое применение. Трудность заключается в том, что кол-во морской воды и льда из нее очень велико по отношению к кол-ву извлекаемых солей, на 1 т соли кол-во морской воды 50 м<sup>3</sup>, кол-во льда по отношению к рассолу с конц.  $\sim 10\%$  в 3 раза больше. Приведены эксперим. данные по составу рассолов, получающихся при последовательном охлаждении морской воды при т-рах от  $-1,8$  до  $-35,5^\circ$ . О. Шишкина

**51101. Изотермическое испарение концентратов морской воды при температурах 55 и 75°. Ильинский В. Н., Данюшевская А. И., Тр. Дальневост. фил. АН СССР, 1956, вып. 2, 54–73**

Изучено изотермич. испарение концентратов (сумма солей 10–12%) воды из Японского моря при т-рах 55 и 75°. Установлено, что кристаллизация NaCl происходит непрерывно по стабильному пути в поле хлористого натрия и далее по метастабильному пути в поле сульфатных солей с выходом NaCl 90% от содержания этой соли в исходном рассоле или морской воде. Приведены микрофотографии выделявшихся твердых фаз. Ю. Трусов

**51102. Экспериментальное и расчетное определение температуры кипения концентратов морской воды при различных давлениях.** Данюшевская А. И., Тр. Дальневост. фил. АН СССР, 1956, вып. 2, 74–82

Здановский показал, что свойства жидкостей, полученных смещением р-ров с одинаковыми активностями при условии, что растворенные соли химически не

взаимодействуют напр. KCl и NaCl, NaCl и  $\text{MgCl}_2$ ), меняются по законам идеальных жидкостей (Здановский А. Б., Бюл. Всес. н.-и. ин-та галургии, 1938, № 4; 1939, № 12; Тр. Всес. н.-и. ин-та галургии, 1949, вып. 21). Автор настоящей работы проверил применимость выведенных Здановским зависимостей для вычисления т-ры кипения морских концентратов при различных давлениях. Проверена применимость ф-лы  $\lg B = K_1/T + K_2 + \lg \alpha$ , где  $K_1$  и  $K_2$  — константы, находимые для воды;  $B$  — барометрич. давление (в атмосф.);  $\alpha$  — активность воды р-ров одного или нескольких электролитов;  $T$  — т-ра кипения в абс. градусах. Приведен расчет кипения для одного концентрата NaCl 16,30%,  $\text{MgCl}_2$  2,07,  $\text{MgSO}_4$  1,5% с графич. построениями и расчетами вспомогательных величин — активностей констант для воды. Данные расчета проверены экспериментально на концентрировании воды Японского моря. Получена хорошая сходимость. Метод расчета пригоден для определения т-ры кипения р-ров сложного состава в интервале давл. 100–700 мм рт. ст. дает хорошие результаты для разб. и конц. р-ров, содержащих  $\text{MgCl}_2$  до 25%. Метод устанавливает истинную т-ру кипения рассолов в вакуум-аппаратах при изменении состава рассолов и давления, а также полезен в случаях установления истинных значений среди нескольких разнящихся между собой опытных данных. О. Шишкина

**51103. О химическом составе поваренной соли, получаемой из морской воды.** Кизеветтер И. В., Тр. Дальневост. фил. АН СССР, 1956, вып. 2, 83–88

Результаты анализов большого числа образцов поваренной соли морского происхождения, используемой в рыбной пром-сти Дальнего Востока, показали следующее: насыпной вес соли не превышает 0,938 кг (от 0,820 до 1,091) из-за крупнокристаллич. состояния и особенностей строения кристаллов; 2) некоторые образцы содержат против ГОСТ повышенное содержание влаги (до 8,9%), нерастворимого остатка и в особенности магниевых солей (до 0,46%). В составе балластных солей Ca и Mg присутствуют главным образом в виде сульфатов. Образцы с большим содержанием Mg и меньшим содержанием Ca представляют собой соль без достаточной выделки. А. Чемоданов

**51104 К. Петрография железисто-кремнистых формаций Украинской ССР.** Семененко Н. П., Половко Н. И., Жуков Г. В., Ладиева В. Д., Макухина А. А. Киев, АН УССР, 1956, 536 стр., илл., 30 р.

**51105 Д. Минеральные воды Центрального Кавказа как одно из проявлений его геологического развития.** Врублевский М. И. Автореф. дисс. докт. геол.-минералог. н. ЛГУ, Л., 1956

**51106 Д. Химический состав подземных и поверхностных вод и некоторые закономерности его изменения в условиях распространения многолетнемерзлых пород (район среднего течения р. Лены).** Анисимова Н. П. Автореф. дисс. канд. геол.-минералог. н., Ин-т мерзлотовед. АН СССР, Якутск, 1957

**51107 Д. Геология, минералогия и генезис оловянных и оловянно-вольфрамовых месторождений Забайкалья.** Григорьев Ив. Ф. Автореф. дисс. докт. геол.-минералог. н., Моск. геолог.-развед. ин-т, М., 1957

См. также: Физ. и хим. методы анализа минералов 51536, 51591, 51609. Распределение изотопов на Земле 50628, 50629. Структура, состав и св-ва минералов 50525–50532, 50729, 51917. Определение тория в воде и в минералах 51595. Новые минералы 50525. Исследование озера Аннеси 52094. Нерудное сырье огнеупорной и керамической пром-сти 51924



## ОРГАНИЧЕСКАЯ ХИМИЯ

ТЕОРЕТИЧЕСКИЕ И ОБЩИЕ ВОПРОСЫ  
ОРГАНИЧЕСКОЙ ХИМИИ

Редактор М. Е. Вольпин

51108. Конфигурация оптически активных N-метилпипекколиновых кислот. Лукеш, Клаубек, Блага, Коварж (Konfigurace opticky aktivnich kyseliny N-methylpippekolinových. Lukeš Rudolf, Kloubek Jan, Bláha Karel, Kovář Jan), Chem. listy, 1956, 50, № 9, 1466—1470 (чешск.); Сб. чехосл. хим. работ, 1957, 22, № 1, 286—290 (нем.; рез. русск.)

В связи с изучением стереохимии некоторых алкалоидов определена абс. конфигурация оптически активных N-метилпипекколиновых к-т (I). Установлена конфигурационная связь I с оптически активными пипекколиновыми к-тами (II) известной конфигурации (Leithe W., Ber., 1932, 65, 927; King и др., J. Chem. Soc., 1950, 3590). Левовращающая I—L-I, правовращающая I—D-I. I получены гидрированием четвертичных солей этилового эфира пикколиновой к-ты, омылением полученного эфира и расщеплением на оптич. антиподы при помощи (—)-дибензоилвинной к-ты. При изменении pH вращения I изменяется так же, как у соответствующих оптически активных II. Чистоту всех препаратов и ход метилирования II контролировали при помощи хроматографии на бумаге. Для сравнения приведены значения  $R_f$  некоторых аминокислот. I в отличие от II не дает р-ции с нингидрином; I обнаруживают при помощи паров йода. Из этилового эфира пикколиновой к-ты (III) при помощи  $\text{CH}_3\text{J}$  в  $\text{C}_6\text{H}_6$  (1 месяц, ~20°) получен йодметилат 2-карботоксипиридина (IV), выход 64%, т. пл. 107° (из сп.-бзд.). Из III и метилового эфира *n*-толуолсульфонилсоединения (книжение 8 час. в сп.) получен *n*-толуолсульфометилат 2-карботоксипиридина (V), выход 62%, т. пл. 143° (из этилацетата). Из IV гидрированием над  $\text{PtO}_2$  при 1000 мм (~20°) получен йодгидрат этилового эфира I, т. пл. 121—122° (из этилацетата). Гидрированием V, как описано, получен этиловый эфир I, выход 87%, т. кип. 83—84°/8 мм. Этиловый эфир I гидролизуют разб. р-ром  $\text{Ba}(\text{OH})_2$ , выход I 92,5%, т. пл. 207°, хлоргидрат I, т. пл. 203—204° (из сп.-эф.). Хлоргидрат (+)-II нагревают с 40%-ным  $\text{CH}_3\text{O}$ , 3 часа, прибавляют 75%-ную  $\text{HCOOH}$ , нагревают на водяной бане 16 час., выход хлоргидрата (+)-I 45%, т. пл. 206° (из сп.-эф.),  $[\alpha]_D^{25} +49,2^\circ$  (с 3,27; вода). Из DL-I и (—)-дибензоилвинной к-ты (VI) получена кислая соль (+)-I—(—)-VI, т. пл. 175,5° (разл., из сп.-эф.). Соль обрабатывают  $\text{HCl}$  (к-той), затем  $\text{Ag}_2\text{CO}_3$  и  $\text{H}_2\text{S}$ , получают (+)-I, т. пл. 236° (из сп.-эф., испр.)  $[\alpha]_D^{25} +62$  (с 2,22; вода). Аналогично из (—)-II метилированием  $\text{CH}_2\text{O}$  и  $\text{HCOOH}$  получают (—)-I, хлоргидрат, т. пл. 206°  $[\alpha]_D^{25} -47^\circ$  (с 2,9; вода); (—)-I, т. пл. 236° (испр.),  $[\alpha]_D^{25} -59,7^\circ$  (с 2,21; вода). Гидрированием пикколиновой к-ты над  $\text{PtO}_2$  в лед.  $\text{CH}_3\text{COOH}$  получена DL-II, выход 88%, т. пл. 264°. Кислая соль (+)-II и (+)-винной к-ты (VII-соль), т. пл. 182°,  $[\alpha]_D^{25} +20,3^\circ$  (с 6,4; вода); (+)-II, т. пл. 264°,  $[\alpha]_D^{25} +25^\circ$  (с 4,45; вода). Кислая соль (—)-II и (—)-винной к-ты, т. пл. 182° (из маточного р-ра после отделения VII),  $[\alpha]_D^{25} -20,2^\circ$  (с 6,8; вода). (—)-II, т. пл. 264°,  $[\alpha]_D^{25} -25,2^\circ$  (с 3,70; вода). Jaromir Plešek

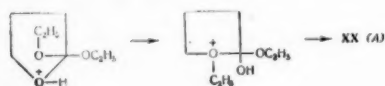
51109. Реакции с алкилкатами. Мервейн, Борнер, Фукс, Зассе, Шродт, Шпилле (Reaktionen mit Alkylkationen. Meerwein Hans, Borner Peter, Fuchs Otto, Sasse Hans

Jürgen, Schrodtt Heinz, Spille Jürgen), Chem. Ber., 1956, 89, № 9, 2060—2079 (нем.)

Описан ряд р-ций триалкилоксониевых солей, аналогичных р-циям, происходящим при каталитич. действии водородных к-т. Удалось изолировать промежуточные продукты этих р-ций и таким образом обосновать механизм кислотного катализа препаративным путем. Проведены р-ции триэтилоксонийфторбората (I) и триметилоксонийфторбората (II) с этиловым эфиром ортоугольной к-ты (III), диэтиловым эфиром угольной к-ты (IV), бутиролактоном (V), фталидом (VI), диметилформамидом (VII), N-метилпирролидоном (VIII), тибутиролактоном (IX), пинаколиндиметилацетатом (X). Установлено, что при р-ции I с IV—IX, где кроме карбонильного атома O имеется еще один гетероатом, обладающий неподеленной парой электронов, присоединение этилкатона происходит исключительно к карбонильному кислороду с образованием из IV триэтоксикарбонийфторбората  $[(\text{C}_2\text{H}_5\text{O})_3\text{C}]\text{BF}_4$  (XI) (т. пл. 108°); из V—IX — соответствующих O-этилфторборатов (ЭФБ) (в случае V O-этилбутиролактонийфторбората (XII), т. пл. XII 42°; (разл. при 90° на этилфторид и борофторидбутиролактон, т. пл. 72—73°); ЭФБ, полученный из VI, т. пл. 107—108° (разл.); из VIII, т. пл. 12—14°, из IX, т. пл. 75—77° (из  $\text{CH}_2\text{Cl}_2$ ). Взаимодействие V с II получен O-метилбутиролактонийфторборат, т. пл. 60—62° (из нитробензола). Направление присоединения алкилкатонов подтверждается тем, что при обработке ЭФБ спирт. р-ром  $\text{NH}_3$  или  $\text{NaOC}_2\text{H}_5$  из XI образуется III, из XII — 2,2-диэтокситетрагидрофуран (XIII), из ЭФБ VI, VII, VIII, IX — аналогичные диалкоксипроизводные, которые при р-ции с  $\text{BF}_3$  или I вновь регенерируют исходный ЭФБ. При взаимодействии фторангидрида  $\gamma$ -этоксимасляной к-ты (XIV) с  $\text{BF}_3$  вместо этилфторбората, в котором  $\text{C}_2\text{H}_5^+$ -катион связан с эфирным кислородом, образуется XII, что объясняется большей стабильностью XII. Авторы полагают, что свойства  $\text{R}_3\text{O}^+$ , входящего в состав I и II, аналогичны свойствам иона  $\text{H}_3\text{O}^+$ , и р-ции с участием I и II, а также с участием ЭФБ, содержащих в своем составе аликарбониевый ион, могут быть использованы в качестве модельных для исследования отдельных стадий механизмов, предлагаемых для превращений протонированных молекул в водн. р-рах. Образование O-метилпинаколинийфторбората (т. пл. 106°) при действии II на X и образование XI при взаимодействии I с III рассматривается как доказательство протекания гидролиза III и X в водн. р-рах через соответствующие карбониевые ионы. При р-ции O-этилкарбонийфторбората с семикарбазидом образуется фторборгидрат камфорсемикарбазона (т. пл. 203—205°), что свидетельствует в пользу того, что в кислотно-катализируемом образовании семикарбазонов протонированная молекула карбонильного соединения взаимодействует с свободной молекулой семикарбазид. Р-ция XII с *n*-толуидином (XV) в  $\text{CH}_2\text{Cl}_2$  в течение 2 дней приводит к образованию *n*-толуида  $\gamma$ -*n*-толуидиномасляной к-ты (XVI) (т. пл. 145—146°). При прибавлении по каплям эфирного р-ра XV к р-ру XII выпадает осадок, представляющий собой 2-(*N*-*n*-толилимينو)-тетрагидрофуранфторборат (XVII), т. пл. 127° (из этиленхлорида). При взаимодействии XVII с *n*-хлоранилином в  $\text{CH}_2\text{Cl}_2$  образуется фторборгидрат *n*-толуида  $\gamma$ -*n*-хлоранилиномасляной к-ты, т. пл. 123—124°. На основании полученных данных авторы полагают, что первой стадией этой р-ции аналогично р-ции образования семикарбазона является взаимодействие иона

лактония и нейтр. молекулы амина с образованием XVII, р-ция которого со второй молекулой амина приводит к образованию XVI. Водородные ионы в р-ции образования ариидов  $\gamma$ -ариламиноасляной к-ты из V активируют V и дезактивируют амин, этим объясняется то, что р-ция осуществляется лишь в случае ариамидов с ослабленными основными свойствами (2,4-дихлоранилин, 160°,  $\text{NaHSO}_4$ ), а в случае *n*-толуидина и *n*-хлоранилина образуются лишь соответствующие  $\gamma$ -арилипролидоны. При смешении XII с изопропиловым и *втор*-бутиловым спиртом на холоду образуются соответственно О-изопропил- (XVIII) и О-*втор*-бутилбутиролактонийфторобораты (т. пл. соответственно 63° (разл.) и 49–50°), что является, по мнению авторов, результатом быстрой обратимой р-ции:

$\text{OCH}_2\text{CH}_2\text{CH}_2\text{C}^+\text{OC}_2\text{H}_5 + \text{RON} \rightleftharpoons \text{OCH}_2\text{CH}_2\text{CH}_2\text{C}(\text{OC}_2\text{H}_5)\text{O} + (\text{R})\text{N} \text{ (XIX)}$ . Р-ция между XII и *трет*- $\text{C}_4\text{H}_9\text{ON}$  приводит к образованию триизобутилена и *трет*-бутилового эфира  $\gamma$ -этоксимасляной к-ты. Взаимодействие между XII и  $\text{C}_2\text{H}_5\text{ON}$  или  $(\text{CH}_3)_2\text{CHON}$  и XVIII в течение нескольких часов при  $\sim 20^\circ$  приводит к образованию соответственно этилового эфира  $\gamma$ -этоксимасляной к-ты (XX) (т. кип. 183–186°) и изопропилового эфира  $\gamma$ -изопропоксимасляной к-ты (т. кип. 82–83°/11 мм), что является результатом непосредственного присоединения  $\text{RON}$  к  $\gamma$ -углеродному атому в XII. Помимо этих двух процессов в случае XVIII имеет место также отщепление алкилкатиона с образованием V и диизопропилового эфира. В случае ЭФБ VI, VIII, IX при взаимодействии со спиртом имеет место лишь последняя р-ция с образованием VI, VIII, IX и соответствующих простых эфиров. Предполагается, что XIX (при  $\text{R} = \text{C}_2\text{H}_5$ ) является промежуточным в-вом в превращении XII  $\rightarrow$  XX. Это подтверждается тем, что XIII в присутствии к-т ( $\text{HCl}$ ,  $\text{H}_2\text{SO}_4$ ,  $\text{HSO}_3\text{Cl}$ ,  $\text{BF}_3$ ,  $\text{HBF}_4$ ) с саморазогреванием превращается в XX. Часть мигрирующих групп  $\text{C}_2\text{H}_5$  при этом расходуется на образование эфира с присутствующей к-той, это обстоятельство, а также то, что выход XX возрастает, если р-цию проводят в спир. р-ре, свидетельствует в пользу межмолекулярного механизма миграции. Предполагается возможным также путь этой р-ции по схеме (А). Р-ция XIII  $\rightarrow$  XX в присутствии I, по мнению



авторов, протекает через межмолекулярную миграцию  $(\text{C}_2\text{H}_5)_2\text{O}$ . Это предположение подтверждается тем, что при кипячении XII в эфире в течение 6 дней образуется 7,8% I по р-ции  $\text{XII} + 2(\text{C}_2\text{H}_5)_2\text{O} \rightarrow \text{XX} + \text{I}$ . Низкий выход объясняется малой растворимостью XII в эфире, выход XX возрастает в 2 раза, если в р-цию вместо XII вводят I и V. В присутствии протонных к-т эта р-ция не имеет места, как предполагается, из-за того, что концы протонированных молекул V слишком мало вследствие их низкой основности. XIV получен обработкой хлорангидрида  $\gamma$ -этоксимасляной к-ты трехфтористой сурьмой в безводн. эфире при 15° (т. кип. 37°/13 мм).

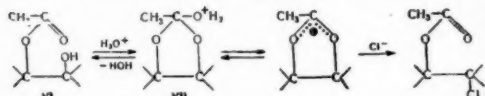
И. Моисеев  
51110. Диарилйодониевые соли. IV. Ионные пары и катализ медью в реакциях ионов дифенилйодония с ионами галоида и гидроксидсодержащими растворителями. Берингер, Гириг, Кунц, Мауснер (Diaryliodonium salts. IV. Ion-pairs and copper catalysis in the reactions of diphenyliodonium ions with halide ions and hydroxylic solvents. Beringer F. Marshall, Geering Emil J., Kuntz Irving,

Mausner Marvin), J. Phys. Chem., 1956, 60, № 2, 141–150 (англ.)

Измерена кинетика распада хлорида, бромид и йодида дифенилйодония (Ia, б, в) в диметилформамиде при 60–120°, Ia и Ib в воде при 98,3 и 80,1°, Ia в диэтиленгликоле и в смеси вода-диэтиленгликоль при 98,3°. В диметилформамиде получены следующие значения предэкспонента ( $\lg Z$  в сек $^{-1}$ ), энергии активации ( $E_{\text{акт}}$  в ккал), теплоты активации ( $\Delta H_{\text{акт}}$  в ккал/моль $^{-1}$ ) и энтропии активации ( $\Delta S_{\text{акт}}$  в энтр. ед.): Ia, 15,4, 32,4, 31,7, 8,6; Ib, 15,4, 32,3, 31,6, 9,6; Iv, 13,9, 29,3, 28,6, 2,9. Аналогичные величины для р-ции Ia в диэтиленгликоле: 13, —, 31, —1. В диметилформамиде р-ция следует первому порядку относительно иона галоида; добавление полярных соединений ( $\text{H}_2\text{O}$ ,  $\text{HCl}$ ,  $\text{LiCl}$ ,  $\text{LiNO}_3$ ) уменьшает скорость распада Ia на 20–30%, если концы этих соединений в 1,5–3,5 раза превышает исходную концы Ia. В воде помимо основной бимолекулярной р-ции распада Ia на хлорбензол и йодбензол, идет побочная р-ция с образованием фенола, иона оксия и йодбензола; на побочную р-цию расходуется  $\sim 10\%$  Ia. По скорости р-ции р-рителю располагаются в порядке: диметилформамид > диэтиленгликоль > вода.  $\text{CuCl}$  и  $\text{CuCl}_2$  в концы 0,1–0,3 мол.% от исходной концы йодониевой соли значительно ускоряют распад последней, однако эти катализаторы в диметилформамиде не столь эффективны, как в диэтиленгликоле или в воде. В диэтиленгликоле в присутствии  $\text{CuCl}$  для Ia  $\Delta H_{\text{акт}}$  19. Эксперим. результаты подтверждают выдвинутое ранее (РЖХим, 1956, 39036) положение, что распад диарилйодониевых солей протекает через обратимую р-цию образования ионных пар, с последующим необратимым разложением пары в конечные продукты, в то время как сольволиз идет через свободный дифенилйодониевый катион. Присутствие катализатора полностью подавляет р-цию сольволиза. Катализ осуществляется ионом  $\text{Cu}^+$ , каталитич. действие  $\text{CuCl}_2$  объясняется восстановлением  $\text{Cu}^{2+}$  в  $\text{Cu}^+$  р-рителем. В каталитич. р-ции имеет место образование комплекса между  $\text{Cu}$  и катионом дифенилйодония. Для синтеза Ia 140 мл концы.  $\text{H}_2\text{SO}_4$  в 200 мл  $(\text{CH}_3\text{CO})_2\text{O}$  медленно на холоду добавляли к взвеси 0,93 моля KI в смеси 200 мл  $(\text{CH}_3\text{CO})_2\text{O}$  и 180 мл  $\text{C}_6\text{H}_6$ . Реакционную смесь оставляли на 48 час. при  $\sim 20^\circ$ , разбавляли водой (т-ра не выше 10°), промывали эфиром и осаждали Ia добавлением воды. р-ра 100 г  $\text{NH}_4\text{Cl}$ , выход Ia 63%, т. пл. 228–229° (испр., разл.; из  $\text{CH}_3\text{OH}$ ). Аналогично получены Ib, т. пл. 231–232° (испр., разл.; из  $\text{CH}_3\text{OH}$ ), и Iv, т. пл. 182–183° (испр., разл.; из  $\text{CH}_3\text{OH}$ ). Сообщение III см. РЖХим, 1956, 64514. Г. Бадурова

51111. Роль соседних групп в реакциях замещения. XXI. Участие ацетоксигруппы с фронтальной стороны. Каталитическое влияние уксусной кислоты на реакцию гликолей с хлористым водородом. Бошан, Уинштейн (The role of neighboring groups in replacement reactions. XXI. Frant-sice participation of the acetoxo group. Catalytic effect of acetic acid on the reaction of glycols with hydrogen chloride. Boschan Robert, Winstein S.), J. Amer. Chem. Soc., 1956, 78, № 19, 4921–4925 (англ.)

Выяснены роль  $\text{CH}_3\text{COOH}$  и значение геометр. расположения окси- и ацетоксигрупп в гликолях в ранне

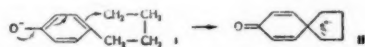


описанной р-ции (см. сообщение XX, РЖХим, 1954, 17968) превращения гликолей и их диацетатов в хлоргидрины при действии  $\text{HCl}$ . Дис- и транс-циклогексан-

диолы-1,2 (*цис*-I, *транс*-I) или их диацетаты (II) смешивались с конц. HCl. Из *транс*-I и *транс*-II получаются только моноацеталь и гликоль. Из *цис*-II или *цис*-I в присутствии  $\text{CH}_3\text{COOH}$  получается в заметных кол-вах 2-хлорциклогексанол (III) и его ацетат (IV). III не получается из *цис*-I, если не добавлена  $\text{CH}_3\text{COOH}$ . Аналогично в присутствии  $\text{CH}_3\text{COOH}$  получен  $\text{Cl}(\text{CH}_2)_2\text{OH}$  из этиленгликоля (V) с выходом 64%. Предложенный авторами механизм предполагает участие циклогександиолмоацетата (VI) в таутомерной ортомоацетатной форме, которая в виде ацетоксониевого иона (VII) реагирует с  $\text{Cl}^-$ . Механизм объясняет роль  $\text{CH}_3\text{COOH}$  как катализатора и отсутствие р-ции у *транс*-гликолей. Аналогичные эфиры трихлоруксусной к-ты не способны образовывать хлорзамещ. при действии конц. HCl. 30 г *транс*-II смешаны с 43 мл конц. HCl, после чего пропущен газ при  $-15^\circ$  HCl до насыщения. После стояния 7 дней из смеси выделены: *транс*-VI, выход 21% и *транс*-I, т. пл. 100–103°. В аналогичном опыте из 34 г *цис*-II выделены 9,54 г *транс*-III (41%),  $\alpha$ -нафтилуретан (НУ) 167° (из бал.), и 3,17 г *цис*-VI (11,7%). Из смеси 17,9 г I, 9,3 г  $\text{CH}_3\text{COOH}$  и 5,79 г конц. HCl после насыщения HCl-газом при 0° и стоянии 5 дней при 50° выделен *транс*-IV, выход 74%. После стояния 10 дней из смеси 15,1 г V, 15 г  $\text{CH}_3\text{COOH}$  и 90 мл конц. HCl, к которой добавлено 48 г сухого HCl, выделен  $\text{Cl}(\text{CH}_2)_2\text{OH}$ , выход 67%; НУ, т. пл. 99–100°. *Цис*-1,2-дихлоррацетоксидциклогексан (*цис*-VIII) получен смешением 2 г *цис*-I и 7,67 г трихлоррацетилхлорида (IX) в 65 мл пиридина, выход 88%, т. пл. 61,7°. Аналогично получен *транс*-VIII, выход 86%, т. пл. 60,8–61°. *Цис*-2-трихлоррацетоксидциклогексанол (X) приготовлен из 10 г *цис*-I, суспендированных в 180 мл дитиолового эфира, и 15,66 г IX, выход 49%, т. пл. 56° (из петр. эф.). При смешении *цис*-I и IX в эквимолярных кол-вах в пиридине получены *цис*-I и *цис*-VI. Из 4,27 г *транс*-трихлоррацетоксидциклогексанол и 3,3 г *n*-толуолсульфонилхлорида в 15 мл пиридина получен *транс*-2-трихлоррацетоксидциклогексил-*n*-толуолсульфонат, выход 51%, т. пл. 105–105,5° (из петр. эф. + хлор.). При выдерживании *цис*-X (0,73 г) в 40 мл конц. HCl при 35° за 5 дней образовался только *цис*-I, выход 83%. Аналогично из *транс*-X получен *транс*-I, выход 95%. А. Ясников

**51112. Образование диенонов при участии арильных групп. Уинстейн, Бэрд** (The formation of dienones through  $\text{Ar}_1$ -participation. Winstein S., Baird R.), J. Amer. Chem. Soc., 1957, 79, № 3, 756–757 (англ.)

При р-ции *n*-бромбензолсульфоната 4-*n*-оксифенилбутанола-1 (I) с *трет*-C<sub>4</sub>H<sub>9</sub>OK в безвод. третичном бутаноле выделен кетон с т. пл. 34–35°, которому на основании анализа, спектральных данных и хим. свойств приписана структура *спиро*-(4:5)-декадиен-1,4-она-3

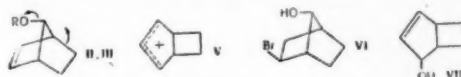


(II). Таким образом эта р-ция идет с участием арильной группы; выход II свыше 50%. Р-ция бромистого (йодистого) 2*n*-оксифенил-1-этила с  $\text{CH}_3\text{OK}$  в  $\text{CH}_3\text{OH}$  приводит к эфиру *n*-ОНС<sub>6</sub>H<sub>4</sub>СН<sub>2</sub>СН<sub>2</sub>ОСН<sub>3</sub> (выход ~82%, т. пл. 42–43°); выделять промежуточный *спиро*-(2:5)-октадиен-1,4-он-3 не удалось и его образование было доказано лишь спектрометрич. путем. Г. Балуева

**51113. Син-7-норборнилтолуолсульфонат. Уинстейн, Штаффорд** (Syn-7-norbornenyl toluenesulfonate. Winstein S., Stafford E. T.), J. Amer. Chem. Soc., 1957, 79, № 2, 505–506 (англ.)

В развитие предыдущих работ по сольволизу *n*-толуолсульфоната анти-7-норборненола (I) (см. РЖХим, 1956, 43054; 1957, 7908) синтезирован изомерный син-

7-норборненол (II, R = H) и изучен ацетоллиз его *n*-толуолсульфоната (III, R = SO<sub>2</sub>C<sub>6</sub>H<sub>4</sub>CH<sub>3</sub>-*n*). Мономолекулярная константа скорости ацетоллиза III при 25° равна  $2,6 \times 10^{-11}$  сек<sup>-1</sup>. Хотя скорость р-ции III в 10<sup>7</sup> раз меньше чем I, она все же в 10<sup>4</sup> раз больше скорости р-ции 7-норборнилового эфира (IV), что указывает на истинное участие («anchimeric assistance») метиленовой группы в р-ции, что было установлено исследованием продуктов гидролиза. Ионизация III приводит к аллильному катиону (V), в котором энергия сопряжения превосходит повышение напряжения, вызванное сокращением цикла, и это приводит к значительному уменьшению свободной энергии в переходном состоянии. Для синтеза III из оксида бициклопентана действием HBr получен бромгидрин (VI), т. пл.



75–76°. Р-ция толуолсульфоната VI с *трет*-C<sub>4</sub>H<sub>9</sub>OK (VII) в бензоле дает с выходом ~80% III, т. пл. 67–68°. Гидрирование III приводит к IV. Р-ция VII с тетрагидропиранильным производным VI с последующим гидролизом дает II; фенилуретан, т. пл. 125–126°. При гидролизе III 0,2 л. водн. NaHCO<sub>3</sub> при 100° получен с выходом ~90% ненасыщ. спирт, которому на основании данных анализа и ИК-спектров приписано строение бицикло-[3,2,0]гептен-2-ола-4 (VIII); фенилуретан, т. пл. 118,6–119,4°. Гидрирование VIII количественно переводит его в ненасыщ. спирт C<sub>7</sub>H<sub>12</sub>O; фенилуретан, т. пл. 113–114°. Г. Балуева

**51114. 1,4-участие в циклогексильных системах. Нойс, Томас** (1,4 participation in cyclohexyl systems. Noice Donald S., Thomas Barbara R.), J. Amer. Chem. Soc., 1957, 79, № 3, 755 (англ.)

Получен ряд производных *транс*-(I) и *цис*-4-метоксидциклогексанола (II) и измерена скорость р-ции их этанолиза, ацетоллиза и р-ции их *n*-толуолсульфонатов (Ia и IIa) с C<sub>2</sub>H<sub>5</sub>ONa. При р-ции Ia в  $\text{CH}_3\text{COOH}$  образуется 4-метоксидциклогексен (III) с выходом 75% и *транс*-4-метоксидциклогексанацетат (IV) с выходом 20%.



В тех же условиях IIa дает 40% III и 40% IV. Сохранение конфигурации при ацетоллизе Ia объясняется участием  $\text{CH}_3$ -группы и образованием промежуточного иона (V), причем в р-ции имеет место двукратное обращение конфигурации. Приведены т-ры плавления ряда производных I (первая цифра) и II: фталаты, 148,6–149,0, 61–65; *n*-толуолсульфонаты, 65,5–66,2, 87,8–88,2; 3,5-динитробензоаты, 125,5–126,5, 116,2–116,5. Г. Балуева

**51115. Пространственно-обусловленное ускорение реакции в результате влияния конформации. Перегрупуировка Смайла. Баннетт, Окамото** (Steric acceleration through regulation of rotational conformation: the Smiles rearrangement. Bunnett J. F., Okamoto Toshihiko), J. Amer. Chem. Soc., 1956, 78, № 20, 5363–5367 (англ.)

Определена скорость перегруппировки (СП) 2-оксид-2'-нитродифенилсульфонов типа 2-ОН-3-R-4-R'-5-CH<sub>3</sub>-6-R''C<sub>6</sub>H<sub>4</sub>SO<sub>2</sub>C<sub>6</sub>H<sub>4</sub>NO<sub>2</sub>-2' (Ia–n) (a R = R' = R'' = H; б R = R'' = H, R' = CH<sub>3</sub>; в R = R'' = H, R' = Cl; г R = R'' = H, R' = Br; д R = Cl, R' = CH<sub>3</sub>, R'' = H; е R = R' = H, R'' = CH<sub>3</sub>; ж R = R' = H, R'' = Cl; з R = R' = H, R'' = Br; и R = Cl, R' = H, R'' = CH<sub>3</sub>) в соответствующие 2-(*o*-нитрофенокси)-бензолсульфиновые к-ты (II) (см. РЖХим, 1957, 15203, 37598). Определения



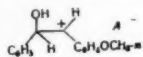
СП производились в присутствии 1,2 моля NaOH в 50%-ном водн. диоксане путем потенциометрич. титрования и полярографич. способом, основанным на различии восстановительных потенциалов I и II при определенных pH. Получены следующие результаты (перечислены исходный сульфон, т-ра р-ции в °C, константа СП в мин.<sup>-1</sup>): Ia, 46,  $1.94 \cdot 10^{-2}$ ; Ib, 0,  $3.6 \cdot 10^{-6}$ ; Ic, 46,  $1.66 \cdot 10^{-2}$ ; Id, 0,  $1.8 \cdot 10^{-6}$ ; Ie, 46,  $1.44 \cdot 10^{-3}$ ; If, 46,  $1.23 \cdot 10^{-3}$ ; Ig, 0,  $7.4 \cdot 10^{-7}$ ; Ih, 46,  $1.0 \cdot 10^{-3}$ ; Ii, 0, > 3; Ij, 0,  $9.2 \cdot 10^{-1}$ ; Ik, 0, 2.4; Il, 0,  $1.29 \cdot 10^{-1}$ . Для Ie — и, имеющих заместители в положении 6, СП в 100 000—500 000 раз больше, чем в случае Ib — д с заместителями в положении 4. Звуду того, что заместители носили как электронодонорный (CH<sub>3</sub>), так и электроноакцепторный характер (Cl, Br), изменение СП связывается не с электронным эффектом, а с пространственными факторами. Приведены соображения о влиянии заместителя на наиболее благоприятную для р-ции конформацию I.

**51116. Стереохимия катализируемого кислотами раскрытия цикла окиси стирола. Куксон, Гуден** (The stereochemistry of acid-catalysed opening of styrene oxides. C o o k s o n R. C., H u d e n J.), Proc. Chem. Soc., 1957, Jan., 24 (англ.)

2α,3α-Оксидо-3β-фенилхолостан (I) реагирует с нуклеофильными реагентами с образованием аксиальных продуктов, в то время как р-ция I с электрофильными в-вами может привести к продукту с экваториальным расположением заместителей. Так р-ция I с LiAlH<sub>4</sub> приводит к 3β-фенилхолостану-3α, а при взаимодействии I с разб. HClO<sub>4</sub> в водн. ацетоне наряду с небольшим кол-вом диэкваториального 3β-фенилхолостандиол-2α,3α (II), полученный также окислением Δ<sup>2</sup>-3-фенилхолостана посредством OsO<sub>4</sub>. Под влиянием HBr или BF<sub>3</sub> в CHCl<sub>3</sub> или CCl<sub>4</sub> I изомеризуется в 3α-фенилхолостан-2 (III), синтезированный также из 2β,3β-оксидохолостана путем обработки C<sub>6</sub>H<sub>5</sub>Li и окисления образующегося при этом 3α-фенилхолостана-2β. При обработке к-тами в полярной среде III быстро переходит в экваториальный 3β-фенилхолостан-2. Авторы считают, что I расщепляется с образованием промежуточного карбониевого иона (IV), который в полярной среде подвергается атаке с менее затрудненной стороны, образуя II. В неполярной среде IV стабилизируется с миграцией водорода от C<sub>(2)</sub> к C<sub>(3)</sub>. Л. Бергельсон

**51117. Цис-окисление олефинов пербензойной кислотой в монобензоаты гликолей. Доказательство раскрытия окисного кольца с сохранением конфигурации. Кертин, Бредли, Хендриксон** (The cis-oxidation of olefins to glycol monobenzoates with perbenzoic acid. Evidence of epoxide ring opening with retention of configuration. Curtin David Y., Bradley Arthur, Hendrickson Yngve Gust), J. Amer. Chem. Soc., 1956, 78, № 16, 4064—4068 (англ.)

Цис- и транс-метоксистильбены (цис-I и транс-I) окисляются пербензойной к-той (II) с образованием монобензойных эфиров метоксигидробензойных (III). Присоединение атомов II происходит по цис-схеме, о чем свидетельствует образование трео-III из транс-I и эритро-III из цис-I. Гликоли, полученные из трео- и



эритро-III щел. гидролизом или восстановлением LiAlH<sub>4</sub>, соответствуют по конфигурации гликолям, полученным при окислении I OsO<sub>4</sub>, который служит реагентом для цис-присоединения OH-групп по двойной связи. Если, как предполагается, окиси ненасыщ. соеди-

нений являются промежуточными соединениями, то раскрытие окисного кольца в р-ции с бензойной к-той должно проходить с сохранением конфигурации. Действительно *d,l*-транс-метоксистильбен-оксид (транс-IV) реагирует с бензойной к-той с образованием трео-III. Однако авторы считают, что на основании сохранения конфигурации при раскрытии кольца транс-оксид нельзя сделать общего заключения о стереонаправлении этой р-ции, так как образующийся ион карбония (A) имеет центр асимметрии. Поэтому не исключено образование трео-изомера из цис-оксидов в результате инверсии. Цис-оксид, необходимую для проверки этого предположения, не удалось получить. Аналогичные результаты получены при окислении цис- и транс-*n*-метокси-*n*-метилстильбена (V). 0,00494 моля транс-I и 12 мл 0,45 M II в CHCl<sub>3</sub> оставляют стоять 48 час. при 0°, получается трео-III, выход 45%, т. пл. 118—119°. После гидролиза трео-III в 120 мл 0,5 M KOH и 50 мл воды при кипячении получен трео-*n*-метоксигидробензойн (трео-VI), выход 43% на транс-I. В аналогичном опыте цис-I превращен в эритро-III, т. пл. 153—154°, выход 30%. После гидролиза эритро-III 0,5 M KOH получен эритро-VI, выход 60%, т. пл. 134—135°. Транс-IV получен по ранее описанному методу (Tiffeneau M., Oetkhoff A., Bull. soc. chim., 1925, 37, 1410) кипячением дибромид эритро-*n*-метоксистильбена (полученного бромированием транс-I в CHCl<sub>3</sub>), в водно-ацетонном р-ре с Na<sub>2</sub>CO<sub>3</sub>, выход 60%, т. пл. 82—83° (из гексана). Попытка синтезировать цис-IV из эритро-дибромидов путем окисления цис-I с помощью II не удалась. Транс-IV (0,5 г) при стоянии 2 дня в 0,5 г бензойной к-ты в 6 мл CHCl<sub>3</sub> превращен в трео-III, выход 70%. Транс-I и цис-I (0,5 г) были превращены окислением OsO<sub>4</sub> (0,5 г) в р-ре 1 мл пиридина в 15 мл эфира и последующим гидролизом в трео-VI и эритро-VI. Транс-V приготовлен дегидратированием спирта при перегонке при 200—215°/12 мм спирта, полученного из анисового альдегида и *n*-метилбензилмагнийбромид. Выход транс-V 20%, т. пл. 166—167°. При нагревании 6 час. при 160° *n*-толуилуксусной к-ты (9,5 г), анисового альдегида (12 мл) и пиперидина (1,5 мл) получена цис-2-*n*-толил-*n*-анизиллакриловая к-та (VII), выход 30%, т. пл. 217—219°. Декарбоксилированием цис-VII (8,7 г) получен цис-V, выход 65%. Транс-V при двухдневном стоянии при 0° с II в CHCl<sub>3</sub> превратился в монобензоат трео-*n*-метокси-*n*-метилгидробензойна (трео-VIII), выход 60%, т. пл. 138° (из бал.-петр. эф.). Омыление трео-VIII привело к трео-*n*-метокси-*n*-метилгидробензойну (трео-IX), т. пл. 130°. Транс-V действием OsO<sub>4</sub> в смеси бензола, эфира и пиридина превращен в трео-IX, выход 46%, т. пл. 128—129°. Цис-V при стоянии 48 час. с II в CHCl<sub>3</sub> превращен в эритро-VIII, выход 40%, т. пл. 144°. При гидролизе эритро-VIII KOH при кипячении получен эритро-IX, выход 58%, т. пл. 134—135°. Окисление цис-V OsO<sub>4</sub> дало эритро-IX с выходом 63%. Транс-метокси-*n*-метилстильбен-оксид (транс-X) получен тем же способом, что и транс-IV, из транс-V. Выход транс-X 57%, т. пл. 84—85°. При выдерживании транс-X (0,3 г) с бензойной к-той в 10 мл CHCl<sub>3</sub> 1 час при ~20° получен трео-VIII, выход 64%. А. Ясников

**51118. Стереохимия реакции кетонизации энолов. III. Зиммерман, Джалломбардо** (The stereochemistry of the ketonization reaction of enols. III. Zimmerman Howard E., Giallombardo Harry J.), J. Amer. Chem. Soc., 1956, 78, № 24, 6259—6265 (англ.)

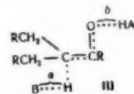
Изучая стереоспецифичность декарбоксилирования 4-фенилциклогексаксидкарбоновой-1,1 к-ты (I), авторы установили, что образуется больше цис-4-фенилциклогексаксидкарбоновой к-ты (цис-II), чем следовало бы из термодинамич. соображений. Для определения состава смеси цис-транс-II использованы ИК-спектры. Наи-

большая стереоспецифичность (61% *цис-II*) наблюдалась, когда в качестве *p*-рителя применялся коллидин. Стереоспецифичность данной *p*-ции меньше, чем исследованного ранее (РЖХим, 1956, 64817) превращения 1-фенил-2-бензоилциклогексана и декарбоксилирования 2-фенилциклогександикарбоновой-1,1-к-ты; в последнем случае образуется без *p*-рителя 69% *цис*-формы. При частичном омылении диэтилового эфира **I** (**III**) выделено 53% 1-карбоксокси-транс-4-фенилциклогександикарбоновой к-ты (*транс-IV*) и лишь 12% *цис-IV*. Для получения диэтилового эфира 4-фенилциклогексен-3-дикарбоновой-1,1-к-ты (**V**) к *p*-ру 0,605 моля 2-фенилбутадиена в 250 мл  $C_6H_6$  добавлено 0,605 моля диэтилового эфира метилемалоновой к-ты, после кипячения 4,75 часа перегонкой получено 58,5% **V**, т. кип. 162—164°/0,7 мм,  $n_D^{25}$  1,5292—1,5308. При гидрировании над 250 мг  $PtO_2$  из 0,298 моля **V** в 250 мл этилацетата получено 78,5% неочищ. **III** после перегонки на колонке, т. кип. 142,1—146,8°/12 мм,  $n_D^{25}$  1,5138. Очистка **III** перегонкой на колонке. К *p*-ру 0,482 моля КОН в 100 мл 95% спирта прибавлено 0,0632 моля **III**, после 6 час. кипячения добавлено 200 мл воды, примеси извлечены эфиром, водн. слой подкислен, получено 9,1 г **I**, т. пл. 185—186° (из этилацетата-лигр.), и из фильтратов еще 1,03 г менее чистой **I**, т. пл. 181—183°. К *p*-ру 0,0164 моля КОН в 12 мл 95% спирта прибавлено 0,0164 моля **III**, через 48 час. смесь обрабатывалась, как описано при получении **I**: выделено 53% *транс-IV*, т. пл. 149—150° (из этилацетата), и из эфирных фильтратов 0,1 г *цис-IV*, т. пл. 76—78°. *Цис-IV* образуется с выходом 12% при кипячении 1,5 часа смеси 0,0012 моля **I**, 5 мл абс. спирта и 0,02 мл конц.  $H_2SO_4$ , выделение хроматографированием на  $SiO_2$  (из эф.-гексана, 1:3). Омылением 0,0166 моля **V** (48 час. при ~20° в смеси с 0,0166 моля КОН и 12 мл 95% сп., далее как описано для **I**) получено 30% 1-карбоксокси-4-фенилциклогексен-3-карбоновой-1-к-ты (**VI**), т. пл. 130—132° (из этилацетата). Гидрирование 0,00365 моля **VI** в 15 мл этилацетата (30 мг  $PtO_2$ , 41 мин. при атмосферном давлении) дает 119 мг чистой и 36,7 мг менее чистой *транс-IV* и 86,5 мг *цис-IV*. При попытке получения *транс-II* (Johnson, Offenbauer, J. Amer. Chem. Soc., 1945, 67, 1045) выделен обратно исходный материал. К кипящему *p*-ру 0,025 моля дифенилкарбоновой-4-к-ты в 500 мл изо- $C_8H_{17}OH$  при перемешивании быстро прибавляют 1,52 моля Na, после кипячения 45 мин. получено 78% *транс-II*, т. пл. 201—203° (из разб.  $CH_3COOH$ ). Для получения *цис-II* (7 порций по 1 г) декарбоксилировали вакуум-возгонкой (12 мин. при 193°/1,5 мм), получено 91% возгона, из которого перекристаллизацией из этилацетата-лигроина выделено 1,62 г *транс-II*; из фильтратов хроматографированием на  $SiO_2$  в эфире-гексана, 1:9 (вымывание той же смесью 2:8), получено 0,703 г чистой *цис-II* и ряд менее чистых фракций. Состав смеси *цис-транс-II* при декарбоксилировании **I** определялся по ИК-спектрам, как описано в сообщении **II** (РЖХим, 1956, 78002). Контрольными опытами установлено отсутствие взаимных переходов *цис*- и *транс-I* в условиях декарбоксилирования.

**В. Потапов**  
51119. Первичный и вторичный изотопный эффект при енолизации кетонов. Эммонс, Хоттори (Primary and secondary isotope effects in the enolization of ketones. Emmons William D., Hawthorne M. Frederick, J. Amer. Chem. Soc., 1956, 78, № 21, 5593—5596 (англ.))

Определены изотопные эффекты ( $I\bar{H} \neq k_D$ ) в *p*-циях енолизации фенилциклопентилкетона (**I**) и фенилциклогексилкетона (**II**), дейтерированных в положениях  $\alpha$  (первичный  $I\bar{H}$ ) или в положениях  $\beta$ ,  $\beta'$ ,  $\beta''$  (вторичный  $I\bar{H}$ ). Скорость енолизации обычных и дейтерокетонов измерялась с помощью спектрофотометрии.

определений содержания брома в смесях. *p*-ция велась при 26,7° в водн. уксусной к-те с добавкой натрийацетата (щел. катализ) или HCl (кислый катализ). При кислотном и щел. катализе  $I\bar{H}$  енолизации равны: для **I** первичный  $I\bar{H}$  3,96 и 6,17 вторичный 1,21 и 1,24; для **II** при кислотном катализе первичный  $I\bar{H}$  6,72 и вторичный 1,41. Полученная величина вторичного  $I\bar{H}$  показывает, что переходное состояние при образовании енолов близко по строению к енолу и стабилизируется сверхсопряжением, включающим  $\beta$ -водородные атомы. Этот вывод подтверждается и большей величиной  $I\bar{H}$  для **II**, чем для **I**. Наличие вторичного  $I\bar{H}$  енолизации **I** в щел. среде показывает, что постулат (см. Ingold «Structure and Mechanism in Organic Chemistry», 1953, 557; РЖХим, 1954, 21562) об образовании аниона енолата, как промежуточного продукта *p*-ции, не верен, тогда как тримолекулярный механизм (Swain, J. Amer. Chem. Soc., 1950, 72, 4578) позволяет объяснить наличие и этого вторичного  $I\bar{H}$  и большую величину первичного  $I\bar{H}$ , исходя из образования переходного состояния (**III**), где В — основание, НА — к-та. При кислотном



катализе связь *b* относительно коротка, а связь *a* длинна, поэтому стерич. препятствия вокруг *a* в большинстве случаев не влияют, и сверхсопряжение является определяющим фактором енолизации, тогда как при катализе основаниями *b* относительно велика, *a* коротка и стерич. фактор делается существенным. На основании этого переходного состояния объясняются и значения первичных  $I\bar{H}$ .  $\alpha$ -Дейтерокетоны **I** и **II** получены прямым обменом H на D при действии  $D_2O$ . Тетрадейтерокетоны **I** и **II** были получены из циклопентанона и циклогексана, в которых  $\alpha$ -водородные атомы обменивались на D путем енолизации. Кетоны восстанавливались в алкоholes, которые переводились в хлориды и затем при помощи гриньяровской *p*-ции с  $CO_2$  в тетрадейтерокислоты. Из них через хлорангидриды получались кетоны **I** и **II** путем реакции Фриделя — Крафта с бензолом.

**В. Антоновский**  
51120. Кинетические исследования в ряду алициклических соединений. V. Необратимый обмен  $S_N2$  между ионами йода и  $\alpha$ -бромциклогексеном. VI. Необратимый обмен  $S_N2$  между ионами йода и  $\alpha$ -хлорциклопентаном и  $\alpha$ -хлорциклогексаном. Фиренс (Etude cinétique en série alicyclique V. Echange  $S_N2$ , irréversible, entre les ions iodure et l' $\alpha$ -bromocyclohexène. VI. Echange  $S_N2$ , irréversible, entre les ions iodure et l' $\alpha$ -chlorocyclohexanone et l' $\alpha$ -chlorocyclopentanone. Fierens P. J. C., Bull. cl. sci. Acad. roy. Belgique, 1956, 42, № 10, 1063—1068, 1069—1075 (франц.; рез. англ.))

V. Кондуктометрическим методом измерена скорость *p*-ции КJ с  $\alpha$ -бромциклогексеном (**I**) в безводн. ацетоне. Получены следующие значения: *k* при 25°  $3,10 \cdot 10^{-3}$  сек<sup>-1</sup>моль<sup>-1</sup>л, *E* = 15,87 ккальмоль<sup>-1</sup>, lgPZ = 10,14. **I** реагирует в 150 000 раз быстрее бромциклогексана, хотя разница в энергии активации составляет лишь 7 ккал. Большая скорость *p*-ции **I** может быть следствием пространственных факторов, обуславливающих незначительную разность энергии напряжения невозмущенного и переходного состояний.

VI. Кондуктометрич. методом измерена кинетика *p*-ции КJ с  $\alpha$ -хлорциклопентаном (**II**),  $\alpha$ -хлорциклогексаном (**III**) и с 3-хлорпентаном-4 (**IV**) в безводн. ацетоне. Получены следующие значения параметров ур-ния Аррениуса (приведены *k* при 25°

в  $\text{моль}^{-1}\text{сек}^{-1}$ ,  $E$  в  $\text{ккал}$ ,  $\lg PZ$ ): II,  $1,26 \cdot 10^{-6}$ , 20, 50, 11,13; III,  $1,13 \cdot 10^{-5}$ , 22,43, 11,50; IV,  $7,37 \cdot 10^{-4}$ , 17,66, 9,82. Более медленное течение р-ции II и III по сравнению с IV может быть объяснено пространственными затруднениями в переходном комплексе. Г. Балуева

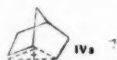
**51121. Изучение кинетики действия уксуснокислого натрия на 2-хлор-2-метилоктан в среде ледяной уксусной кислоты. Прево, Ланде** (Etude cinétique de l'action de l'acétate de sodium sur le chlorure de diméthyl-heptyle en milieu acétique glacial. Prévost Charles, Landais Jean), C. r. Acad. sci., 1956, 243, № 23, 1893—1895 (франц.)

Изучена кинетика р-ции 2-хлор-2-метилоктана (I) в лед.  $\text{CH}_3\text{COOH}$  (II) с  $\text{CH}_3\text{COONa}$  (III). В конц. р-рах I и III (от 0,1 н. до 1 н.) при 50, 65 и 80° при проведении р-ции без III или если кол-во III ниже или равно стехиометрич., р-ция протекает по первому порядку. Средняя энергия активации равна 26,6  $\text{ккал}$  в пределах от 50 до 65° и 24,7  $\text{ккал}$  — в пределах от 65 до 80°. При 1, 2 и 5-кратных кол-вах III скорость р-ции повышается и относится как 1:1,15:1,35. Скорость р-ции 0,002 н. I в одной II при тех же т-рах в 2 раза выше, чем с III (без II), а в присутствии  $\text{H}_2\text{SO}_4$  она возрастает в 2,5 раза. При 65° получено 70% олефина  $\text{C}_8\text{H}_{18}$  (IV) и 30% ацетата (V). Авторы считают, что I превращается в  $(\text{CH}_3)_2\text{C}(\text{ClH}^+)\text{CH}(\text{CH}_2)_6\text{CH}_3$  (по р-ции первого порядка), который, теряя  $\text{HCl}$ , превращается в IV или V. Нарушение первого порядка в конц. р-рах вызывается уменьшением степени ионизации II под влиянием III, а следовательно, уменьшением конц-н  $\text{H}^+$ . Поэтому, в разб. р-рах этот фактор роли не играет.

В. Райгородская

**51122. Хлоролит S—C-связей в арилалкилсульфидах. Куорт, Миллер** (Chlorinolysis of sulfur-carbon bonds in aryl-alkyl sulfides. Kwart Harold, Miller Robert K.), J. Amer. Chem. Soc., 1956, 78, № 49, 5008—5011 (англ.)

Арилалкилсульфиды реагируют с хлором в среде  $\text{CH}_3\text{COOH}$  в присутствии воды с разрывом связи S—C. Р-ция может служить для определения строения исходных сульфидов. Так, циклогексил-2,4-динитрофенилсульфид (I) реагирует с хлором в 92%-ной  $\text{CH}_3\text{COOH}$  с образованием хлорциклогексана и 2,4-динитробензолсульфохлорида (II). Транс-2-хлорциклогексил-2,4'-динитрофенилсульфид (III) в тех же условиях дает II и смесь транс-1,2-дихлорциклогексана (преобладает) и транс-2-хлорацетоксидциклогексана (идентифицированы ИК-спектром), а экзо-норборнил-*n*-толилсульфид (IV) образует *n*- $\text{CH}_3\text{C}_6\text{H}_4\text{SO}_2\text{Cl}$  и смесь экзо-норборнилхлорида (V) (преобладает) и экзо-норборнилацетата. Таким образом, при хлоролитизе II и IV конфигурация сохраняется. Авторы предполагают, что р-ция проходит по механизму  $\text{S}_\text{N}1$  через образование промежуточных хлорсульфониевых ионов. В случае III сохранение конфигурации объясняется образованием промежуточного циклич. хлорониевого иона, в случае IV хлоролитиз проходит через мостиковый ион (IVa). Строение III



доказано дегидрохлорированием его сульфона (VI) в 1-циклогексенил-2,4'-динитрофенилсульфон (VII) и окисление последнего  $\text{KMnO}_4$  до адипиновой к-ты. Смесь 189 г неочищ. циклогексантиола, 400 мл спирта и 70 мл 28%-ного вода. КОН добавляют к теплему р-ру 70 г 2,4-динитробензола в 300 мл спирта, смесь перемешивают 10 мин. при 100°, отфильтровывают I, выход 60,8 г, т. пл. 146—147° (из  $\text{CCl}_4$ ); сульфид, т. пл. 170—172°. Смесь 50 г 2,4-динитробензолсульфенилхлорида и 80 мл циклогексана кипятят 30 мин.; отфильтровывают III, выход 96,3%, т. пл. 118—119° (из  $\text{CCl}_4$ ). 10 г III,

80 мл лед.  $\text{CH}_3\text{COOH}$  и 15 мл 30—35%-ной  $\text{H}_2\text{O}_2$  нагревают 2,5 часа при 100°, выдерживают 12 час. при 20° и отфильтровывают VI, выход 82,7%, т. пл. 130—131° (из сп.). Смесь 5 г VI и 3 мл  $(\text{C}_2\text{H}_5)_3\text{N}$  выдерживают 5 дней при 20°, фильтруют, из фильтрата выделяют VII, выход 3,27 г, т. пл. 156—160° (из бал.-метр. эф.). Избыток  $\text{HCl}$  (газа) добавляют при  $-70^\circ$  к р-ру 50 г норборнена в 120 мл петр. эфира, смесь выдерживают 1 день, разгонкой выделяют V, выход 70,8%, т. кип. 54—55,5°/16 мм,  $n_D^{20}$  1,4842. Л. Бергельсон

**51123. Внутримолекулярные реакции замещения. IX. Метанолиз некоторых N-2-бромэтилбензамидов. Хейн** (Intramolecular substitution reactions. IX. The methanolysis of some N-2-bromoethylbenzamides. Heine Harold W.), J. Amer. Chem. Soc., 1957, 79, № 4, 907—909 (англ.)

Измерена скорость метанолиза N-(2-бромэтил)-бензамида (I), N-2-бромэтил-*n*-хлор (II) и *n*-нитробензамидов. Р-ция идет по ур-нию 1-го порядка, для I при 22,90°  $k = 2,31 \cdot 10^{-3} \text{ сек}^{-1}$ . Введение в бензольное ядро электроакцепторных заместителей замедляет р-цию. Продуктами метанолиза II являются N-(2-метоксиэтил)-2-хлорбензамид (III) и (в зависимости от метода разделения) либо *n*-хлорфенилосказолинбромид (IV), либо бромидат 2-аминоэтил-*n*-хлорбензоата (V). Скорость р-ции II не меняется в присутствии ацетата, хотя продуктом р-ции является 2-*n*-хлорфенил-2-оксазолин (VI). Стадий, определяющей скорость р-ции метанолиза II, является внутримолекулярное нуклеофильное замещение галогена на бензамидную группу с образованием иона оксазолиния. Этот ион далее может реагировать с  $\text{CH}_3\text{OH}$ ,  $\text{H}_2\text{O}$  или  $\text{CH}_3\text{COO}^-$ , давая соответственно III, V и VI. Из 0,10 моля 2-метоксиэтиламина в 150 мл воды, 19,25 г *n*- $\text{ClC}_6\text{H}_4\text{COCl}$  в 50 мл  $\text{C}_6\text{H}_6$  и 4,4 г  $\text{NaOH}$  в 95 мл воды получен III, выход 20,1 г (неочищ.), т. пл. 97—98° (из водн. сп.). Аналогично, из 21,4 г *n*- $\text{NO}_2\text{C}_6\text{H}_4\text{COCl}$  получен N-2-метокси-*n*-нитробензамид, выход 18,2 г (неочищ.), т. пл. 112—113°. Сообщение VIII см. РЖХим, 1957, 34256. Г. Балуева

**51124. Электрофильное замещение. Часть III. Нитрование фенантрена. Дьюар, Уорфорд** (Electrophilic substitution. Part III. The nitration of phenanthrene. Dewar M. J. S., Warford E. W. T.), J. Chem. Soc., 1956, Sept., 3570—3572 (англ.)

С помощью фенантрена (I), меченного  $\text{C}^{14}$  в положении 9, исследовано соотношение между монопнитропроизводными, образующимися при нитровании  $\text{HNO}_3$  избыточного кол-ва I в среде  $(\text{CH}_3\text{CO})_2\text{O}$ . В интервале 0—35° содержание изомеров в продукте р-ции мало зависит от т-ры и в среднем составляет 26, 5, 22, 6 и 34% соответственно для 1-, 2-, 3-, 4- и 9-нитрозамещ. I. Приблизительное равенство кол-в 1- и 9-изомеров соответствует близости вычисленных коэф. реакционной способности (KPC) для положений 1 и 9. Отношение кол-в 9- и 2-изомеров (разность KPC 0,36) близко к отношению кол-в  $\alpha$ - и  $\beta$ -нитропроизводных нафталина (разность KPC 0,31) (см. часть II, РЖХим, 1957, 47935). Пониженная реакционная способность положения 4 объясняется стерич. препятствиями. По сравнению с выходом 1- и 9-изомеров (KPC, 1,86 и 1,80) выход 3-изомера (KPC 2,04) завышен, что объясняется наличием в более реакционноспособных позициях 1 и 9 стерич. препятствий, полностью отсутствующих в положении 3. Анализ продуктов р-ции производился методом изотопного разделения. Пробу продуктов, полученных при нитровании I-(9- $\text{C}^{14}$ ), смешивали с четырехкратным кол-вом неактивного образца монопнитропроизводного (РЖХим, 1956, 50725), на содержание которого производился анализ. И. Моисеев

**51125. Электрофильное замещение. Часть IV. Нитрование дифенила, хризена, бензо-(а)-пирена и антрацена. Дьюар, Мол, Эрч, Уорфорд** (Electro-



philic substitution. Part IV. The nitration of diphenyl, chrysene, benzo-(a)-pyrene, and anthanthrene. Dewar M. J. S., Mole T., Urch D. S., Warford E. W. T.), J. Chem. Soc., 1956, Sept., 3572—3575 (англ.)

Исследованы продукты нитрования  $\text{HNO}_3$  дифенила (I), хризена (II), бензо-(а)-пирена (3,4-бензопирена) (III) и антантрена (IV) в среде  $(\text{CH}_3\text{CO})_2\text{O}$  при  $0^\circ$ . При нитровании I получена смесь, содержащая 2- и 4-нитрофенил в отношении 3,3:1. Из продуктов р-ции II выделен 6-нитрохризен (73—90%) и изомер с т. п.  $205^\circ$ , который, как предполагается на основании значений коэф. реакционной способности (KPC), представляет собой 1-нитрохризен. При р-ции III помимо 6-нитробензо-(а)-пирена образуется небольшое кол-во изомера с т. п.  $250$ — $252^\circ$ , которому на основании значений KPC приписывается строение 1- или 3-нитробензо-(а)-пирена. В случае IV предполагается, что при нитровании образуются 6-нитроантантрен (т. п.  $264^\circ$ , в конц.  $\text{H}_2\text{SO}_4$ , так же как полученный из него восстановление амин (РЖХим, 1957, 15314), разлагается с образованием зеленого р-ра антантрона и 1- или 3-изомер (разл.  $225^\circ$ , в  $\text{H}_2\text{SO}_4$ , образует красный р-р соответствующего нитроантантрена, не изменяющегося даже при  $200^\circ$ ). Продукты р-ции во всех случаях разделились с помощью хроматографии на  $\text{Al}_2\text{O}_3$  из р-ров в бензоле и петр. эфире. Состав продукта р-ции I определен измерениями УФ-спектров. И. Моисеев

**51126. Электрофильное замещение. Часть V. Конкурирующие нитрования.** Дьюар, Мол, Уорфорд (Electrophilic substitution. Part V. Competitive nitrations. Dewar M. J. S., Mole T., Warford E. W. T.), J. Chem. Soc., 1956, Sept., 3576—3580 (англ.)

С целью определения относительной реакционной способности полициклич. углеводородов (УГ) в р-ции нитрования исследовано нитрование  $\text{HNO}_3$  смесей нафталина (I) с пиреном (II), хризеном (III), бензо[а]-пиреном, антантроном (IV), периленом, фенантроном[9С<sup>14</sup>] (V), бензолом (VI), трифенилом (VII) и короненом, а также смесей V с II, III, VI, VII и дифенилом в среде  $(\text{CH}_3\text{CO})_2\text{O}$  при  $0^\circ$ . В предположении, что во всех случаях нитрует один и тот же агент и скорость р-ции подчиняется ур-нию первого порядка относительно конц-ии УГ, из эксперим. данных вычислены отношения  $k_{\text{УГ}}/k_1$  и  $k_{\text{УГ}}/k_V$  ( $k_{\text{УГ}}$  и  $k_1$  — константы скорости параллельных р-ций нитрования УГ и I,  $k_{\text{УГ}}$  и  $k_V$  — то же для смесей УГ и V). Значения  $k_{\text{УГ}}/k_1$  изменяются в пределах от 0,0025 в случае VI до 290 в случае IV. Отношение  $k_{\text{УГ}}/k_V$  изменяется симбатно  $k_{\text{УГ}}/k_1$ , эксперим. значение  $k_1/k_V$  составляет 1,3. Продукты р-ции отделялись от исходных с помощью хроматографии. И. Моисеев

**51127. Электрофильное замещение. Часть VI. Нитрование ароматических углеводородов; парциальные факторы скорости и их интерпретация.** Дьюар, Мол, Уорфорд (Electrophilic substitution. Part VI. The nitration of aromatic hydrocarbons; partial rate factors and their interpretation. Dewar M. J. S., Mole T., Warford E. W. T.), J. Chem. Soc., 1956, Sept., 3581—3586 (англ.)

Из эксперим. данных (РЖХим, 1957, 36793, 47935, 51124—51126) вычислены парц. факторы скорости (ПФС) для наиболее реакционноспособных позиций дифенила (I), нафталина, фенантрена (II), пирена (III), трифенилена (IV), хризена, перилена, бензо-(а)-пирена, коронена, антантрена (V). Значения ПФС лежат в пределах от 18 для положения 4 в I до 156 000 для позиций 6 в IV (ПФС бензола (VI) принято равным 1). Между значениями логарифма ПФС ( $\lg k$ ) и коэф. реакционной способности (N) существует линейная зависимость в соответствии с ур-нием

(РЖХим, 1957, 36793)  $\lg k_i/k_0 = \beta'(N_i - N_0)/RT$  (1), при  $\beta = -6,0$  ккал/моль ( $k_0$  и  $N_0$  относятся к V). Отклонения от ур-ния (1) наблюдаются в случае VI и V. В случае III ур-ние (1) не выполняется, на что указывает отсутствие 4-нитрокоронена в продуктах р-ции. Значения ПФС для позиций типа  $\alpha$ -нафталиновых лежат выше теоретич. прямой, а ПФС для более затрудненных позиций типа  $\beta$ -нафталиновых обладают несколькими большими значениями ПФС. Эквивалентные кол-ва 1- и 2-нитротрифенилена, полученные при р-ции IV, указывают на то, что позиции типа 4 в II подвержены стерич. затруднениям. Показано, что в случае р-ции метилирования (PM) (РЖХим, 1957, 22394) и трихлорметилирования (PT) (РЖХим, 1953, 1614) выполняется ур-ние (1) при значениях  $\beta$  соответственно  $-3,2$  ккал/моль и  $-6,0$  ккал/моль. Авторы полагают, что низкие значения  $\beta'$  трудно объяснить с позиций переходного состояния, в котором замещаемый атом и вступающий реагент X связаны с атомом C нормальными  $\sigma$ -связями (Wheland, J. Amer. Chem. Soc., 1942, 64, 900), даже если учесть гиперконъюгацию между тетраэдрич. группой  $>\text{CNH}$  и соседней ароматич. системой. Предполагается, что в переходном состоянии связь C—X слабее и длиннее связи C—M так, что гибридизация атома C является промежуточной между  $sp^2$  и  $sp^3$ . Соответственно этому значению  $\beta'$  определяется соотношением  $\beta' = \beta - \beta_X$ , где  $\beta$  — обычное значение резонансного интеграла  $-20$  ккал/моль,  $\beta'$  — резонансный интеграл между соседними атомами C в переходном состоянии для замещения. Значение  $\beta_X$  зависит от степени изменения гибридизации  $sp^2$  в переходном состоянии и является характеристикой данного реагента X. В случае более экзотермич. р-ции с реагентом Z за счет выделения большого кол-ва энергии, сопровождающего образование связи C—Z, или частичной сольватации, переходное состояние будет достигаться при меньших нарушениях  $sp^2$  гибридизации, вследствие чего  $|\beta_Z| > |\beta_X|$  и  $|\beta'|$  в случае X больше, чем в случае Z. Из ур-ния (1) следует, что отношение ПФС для двух позиций углеводорода меньше в случае более активного реагента, что подтверждается в случае PM и PT, где трихлорметилрадикалы являются менее активными агентами за счет мезомерной стабилизации и отталкивания между атомами Cl, препятствующего образованию тетраэдрич. конфигурации в продукте  $\text{RCCL}_3$ . И. М.

**51128. Электрофильное замещение. Часть VII. Скорость хлорирования ароматических углеводородов.** Дьюар, Мол (Electrophilic substitution. Part VII. Rates of chlorination of aromatic hydrocarbons. Dewar M. J. S., Mole T.), J. Chem. Soc., 1957, Jan, 342—344 (англ.)

Измерены скорости хлорирования при  $25^\circ$  в  $\text{CH}_3\text{COOH}$  и в  $\text{CCl}_4 + \text{CH}_3\text{COOH}$  (3:1) ряда ароматич. углеводородов (в скобках даны значения констант скорости в молях<sup>1</sup> сек<sup>-1</sup>):  $\text{C}_6\text{H}_6$  ( $6 \cdot 10^{-7}$ , —); дифенила ( $6,9 \cdot 10^{-4}$ ,  $9 \cdot 10^{-7}$ ); нафталина ( $6,3 \cdot 10^{-2}$ ,  $1,9 \cdot 10^{-4}$ ); фенантрена ( $2,9 \cdot 10^{-1}$ ,  $1,3 \cdot 10^{-3}$ ); трифенилена ( $2,2 \cdot 10^{-2}$ , —); пирена (—,  $7,1 \cdot 10^{-1}$ ). Р-ция протекает по ур-нию второго порядка. Результаты сопоставлены с данными по нитрованию (часть VI) и показано, что логарифм константы скорости хлорирования находится в линейной зависимости от значения логарифма относительной константы скорости нитрования. Вычислены значения фактора  $\beta$  для хлорирования в  $\text{CH}_3\text{COOH}$  11 ккал/моль, в  $\text{CCl}_4 + \text{CH}_3\text{COOH}$  13 ккал/моль. В. Антоновский

**51129. Электрофильное замещение. Часть VIII. Нитрование бензофурана и новый метод ультрафиолетового спектрофотометрического анализа смесей.** Дьюар, Эрч (Electrophilic substitution. Part VIII. The nitration of dibenzofuran and a new method of

ultraviolet spectrophotometric analysis of mixtures. Dewar M. J., S. Urch R. S.), J. Chem. Soc., 1957, Jan., 345—347 (англ.)

При нитровании дибензофурана в  $(\text{CH}_3\text{CO})_2\text{O}$  получен продукт, состоящий из 20% 1-, 40% 2- и 40% 3-нитродибензофурана (при 25° и максим. конверсии 15%). Соотношение изомеров определено с помощью разработанного авторами метода спектрофотометрич. анализа, использующего всю ультрафиолетовую область спектра.

В. Антоновский

**51130. Бензoiлоксипирование, галогенирование и фенилирование ароматических соединений бромидом дибензоата серебра и йодидом дибензоата серебра Брейс-Смит, Кларк** (Benzyloxylation, halogenation, and phenylation of aromatic compounds by silver bromide dibenzoate and silver iodide dibenzoate. Bryce-Smith D., Clarke Peter), J. Chem. Soc., 1956, July 2264—2272 (англ.)

$\text{Br}_2$  и  $\text{I}_2$  смешивались в эквимолекулярных отношениях с бензойнокислым серебром (I) в среде различных ароматич. соединений ( $\text{C}_6\text{H}_5\text{NO}_2$  (II),  $\text{C}_6\text{H}_5\text{Cl}$  (III),  $\text{C}_6\text{H}_6$  (IV), трет-бутилбензол (V), анизол (VI)). Ссылаясь на литературные данные, авторы полагают, что в таких смесях содержится комплекс  $(\text{C}_6\text{H}_5\text{CO}_2)_2\text{AgBr}$  и  $(\text{C}_6\text{H}_5\text{CO}_2)_2\text{AgI}$ . Бром, прибавляемый по каплям к взвеси I в ароматич. р-рителе, реагирует при  $\sim 20^\circ$  (для II  $45^\circ$ ) почти мгновенно. Чтобы избежать прямого бромирования, V и VI обрабатывались смесью  $\text{Br}_2$  и I, полученной отдельно в *n*-пентане. Смеси  $\text{I}_2$  и I реагируют при  $80$ — $132^\circ$ . Исследование выделенных продуктов показывает, что р-ция идет как фенилирование, бензоксилирование и галогенирование ароматич. субстрата. Выходы соответствующих продуктов различны для  $\text{Br}_2$  и  $\text{I}_2$  и связаны с нуклеофильностью ароматич. соединения. Выходы  $\text{C}_6\text{H}_5\text{Ag}$ ,  $\text{C}_6\text{H}_5\text{COOAg}$  и  $\text{AgBr}$  ( $\text{AgI}$ ) составляли последовательно: при действии смеси ( $\text{Br} + \text{I}$ ) на II 4, 9, 0; на III 0, 25, 0; на IV 0, 25, 2; на V 0, 6, 3; на VI 0, 1, 21,5; при действии смеси ( $\text{I}_2 + \text{I}$ ) на II 17,5, 13,5, 0; на III 21, 8, 0; на IV 25, 1, 0,5; на VI 0,1, 37,5. Фенилирование является, по-видимому, гомолитич. р-цией, протекающей путем образования радикалов при термич. разложении комплексов I с галогеном. Это подтверждается тем, что отношения кол-в *o*-, *m*- и *p*-изомеров (60 : 24 : 16), образующихся при действии  $\text{Br}_2 + \text{I}$  на  $\text{C}_6\text{H}_5\text{Cl}$ , очень близки к соотношениям изомеров, наблюдаемых при действии на III перекиси бензоила. Бензоксилирование, как и галогенирование, имеет характер электрофильного замещения, что подтверждается тем, что бензоксилирование II дает только мета-замещенное. Авторы обсуждают взгляды Брауна и Нелсона (РЖХим, 1954, 44564) и Инголда по вопросу о значении относительной активности электрофильных агентов и влияния замещающих групп при ароматич. замещениях. Делается вывод, что в этих р-циях, особенно при гомолитич. замещении, имеет значение сопряжение в переходном комплексе. Е. Ш.

**51131. К вопросу о механизме реакции Гофмана.** Каневская С. И., Яскина Д. С., Ж. общ. химии, 1957, 27, № 1, 65—68

При взаимодействии амида  $\beta$ -фенил- $\beta$ -(*N*-фенил-*N*-бензоиламино)-пропионовой к-ты (I) и  $\text{KOBg}$  образуется  $\beta$ -фенил- $\beta$ -(*N*-фенил-*N*-бензоил)-этилендиамин (II), а не соответствующий глиоксалидон. На основании этого авторы считают, что образование глиоксалидонового цикла из амидов ацилированных  $\beta$ -аминокислот по Гофману протекает не через внутримолекулярную циклизацию промежуточных солей карбаминных к-т, а в результате внутримолекулярной изомеризации промежуточных изоцианатов по схеме:  $\text{R}'\text{CONHCH}(\text{R})\text{CH}_2\text{N}=\text{C}=\text{I} \rightarrow \text{CONHCH}_2\text{CH}(\text{R})\text{NCOR}'$ , с последующим

отщеплением  $\text{COR}'$ -группы. К р-ру 6  $\beta$ -фенил- $\beta$ -(*N*-

фениламино)-пропионовой к-ты в 9 мл хинолиновых оснований (т. кип.  $187$ — $189^\circ$ ) добавляют 6 мл  $\text{C}_6\text{H}_5\text{COCl}$ , через 26 час. смесь выливают по каплям в 100 мл 2%-ной  $\text{HCl}$ , осадок пересаживают из 7%-ной  $\text{NaHCO}_3$  20%-ной  $\text{HCl}$ , выход  $\beta$ -фенил- $\beta$ -(*N*-фенил-*N*-бензоиламино)-пропионовой к-ты (III) 70%, т. пл.  $163$ — $164^\circ$  (из водн. сп., 1 : 2). 2,4 г III и 1,5 мл  $\text{SOCl}_2$  нагревают 2 часа 15 мин. при  $39$ — $40^\circ$ , избыток  $\text{SOCl}_2$  отгоняют, остаток, растворенный в  $\text{CHCl}_3$ , приливают к насыщ. аммиаком  $\text{CHCl}_3$ , через 12 час. отделяют  $\text{NH}_4\text{Cl}$ , получают I, т. пл.  $155$ — $156^\circ$ . К р-ру  $\text{KOBg}$  (из 0,606 г  $\text{KOH}$ , 2,91 мл воды и 0,093 мл  $\text{Br}_2$ ) прибавляют 0,3 г I, через 2 часа смесь нагревают 6 мин. при  $80^\circ$ , выход II 0,16 г, т. пл.  $168,5$ — $169,5^\circ$  (из водн. сп., 1 : 1). И. Цветкова

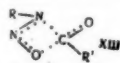
**51132. Повторное исследование щелочного расщепления  $\alpha$ -арилбензионов. Петхем, Хаффейкер, Рон, Коллине** (A reinvestigation of the alkaline cleavage of  $\alpha$ -arylbenzoins. Eastham Jerome F., Huffaker James E., Raaen Vernon F., Collins Claik J.), J. Amer. Chem. Soc., 1956, 78, № 17, 4323—4328 (англ.)

Вопреки ранее сделанному наблюдению (Sharp D. B. Miller E. L., J. Amer. Chem. Soc., 1952, 74, 5643), авторы установили, что при взаимодействии *o*-толилмагнийбромида (I) и бензила (II) образуются два изомера: *o*- $\text{CH}_3\text{C}_6\text{H}_4\text{C}(\text{OH})(\text{C}_6\text{H}_5)_2$  (III) с т. пл.  $116$ — $117^\circ$ , *o*- $\text{CH}_3\text{C}_6\text{H}_4\text{C}(\text{OH})(\text{C}_6\text{H}_5)_2$  (IV) с т. пл.  $82$ — $83^\circ$ . Строение III доказывалось: а) встречным синтезом из I и метилового эфира бензойной к-ты, а также из фенилмагнийбромида и 2-метилбензила, б) восстановлением его  $\text{LiAlH}_4$  до гликоля *o*- $\text{CH}_3\text{C}_6\text{H}_4\text{CH}(\text{OH})\text{C}(\text{C}_6\text{H}_5)_2\text{OH}$  (V) с последующим окислением V до бензофенона (VI) и *o*-толиловой к-ты (VII) и в) данными УФ-спектра. Структура IV доказывалась аналогичным образом, причем при окислении гликоля, полученного из IV, выделена бензойная к-та и 2-метилбензофенон. При обработке IV спиртовой щелочью он изомеризуется в III, который расщепляется до бензидрола (VIII) и VII без дальнейшей перегруппировки. Аналогично описанному, взаимодействие *m*-толилмагнийбромида или *n*-толилмагнийбромида (IX) с II сопровождается такой же перегруппировкой и получаемые продукты в каждом случае являются смесью двух возможных изомерных  $\alpha$ -арилбензионов:  $\text{ArC}(\text{C}_6\text{H}_5)(\text{OH})\text{CO}_2\text{C}_6\text{H}_5$  (A) +  $\text{ArC}(\text{C}_6\text{H}_5)(\text{OH})\text{CO}_2\text{C}_6\text{H}_5$  (B), где Ar — *m*-толил, *n*-толил. Степень перегруппировки (СП) при р-ции Гриньяра определяли окислением  $\text{CrO}_3$  смеси A и B и выделением VI. Более точно СП при взаимодействии IX с II определяли восстановлением  $\text{LiAlH}_4$  смеси A и B до соответствующих гликолей. Кол-во гликоля из B определялось методом изотопного разбавления и составляло 7,5%. Авторы использовали метод меченых атомов для определения СП при щел. расщеплении  $\alpha$ -фенилбензоина (X), меченного  $\text{C}^{14}$  в карбониле и  $\alpha$ -анизиланизоина (XI), содержащего  $\text{C}^{14}$  в *m*-метоксильной группе. Исследования показали, что за 2 часа в р-ре  $\text{KOH}$  в водн.  $\text{CH}_3\text{OH}$  X полностью расщепляется, причем СП составляет лишь 3% (выделенный VIII содержал 3%  $\text{C}^{14}$ , а бензойная к-та 97%  $\text{C}^{14}$ ). В аналогичных условиях, но за 6 час. XI расщепляется лишь на 55% (определено по выходу анисовой к-ты), а СП оставшегося XI составляет 100%, что следует из данных молярных активностей продуктов р-ции. Для объяснения того, что СП при щел. расщеплении X значительно меньше, чем для XI или IV, но больше чем для III, авторы проводят аналогию между р-цией расщепления (PP) и р-цией перегруппировки (PIP) с р-циями типа перегруппировки бензиловой к-ты и пинаколиновой перегруппировкой соответственно. По мнению авторов, повышение реакционной способности CO-группы должно способствовать PP, так как промежуточной ста-

дией этой р-ции является атака  $\text{OH}^-$  на карбонильный углерод, также и в случае перегруппировки типа бензидиовой к-ты. Введение *п*-метоксильной группы в арил, соседний с  $\text{CO}$ , должно затруднять такую атаку. РП осуществляется через стадию миграции  $\text{Ar}$  с парой электронов, чему должно способствовать введение *п*-метоксильной группы в мигрирующий  $\text{Ar}$ , так же как и при пинаколиновой перегруппировке. Авторы отмечают также большую роль стерич. факторов в рассматриваемых р-циях, напр. *о*-метильная группа в IV должна затруднять РР и способствовать РП. Расщепление III без перегруппировки подтверждает, по мнению авторов, эти соображения.

Е. Кронгауз  
51133. Нитрозоациламины и диазоэфиры. X. Изомеризация нитрозоациламинов в диазоэфиры и ее кинетика. Хейсен, Реймлингер (Nitroso-acyl-amine und Diazo-ester. X. Die Isomerisierung der Nitroso-acyl-alkylamine zu Diazo-estern und ihre Kinetik. Huisgen Rolf, Reimlinger Hans), Liebigs Ann. Chem., 1956, 599, № 3, 161—182 (нем.)

Исследована кинетика перегруппировки (ПГ) некоторых нитрозо-*N*-ацетиламинов (НА)  $\text{RN}(\text{NO})\text{COR}'$  в диазоэфиры в *p*-ре псевдокумола и спирт. *p*-ре  $\text{HCl}$ . Значения констант скорости ПГ (КПГ) вычислены из эксперим. данных по скорости выделения  $\text{N}_2$  в предположении, что ПГ является самой медленной стадией из р-ций, протекающих при разложении НА. Скорость термич. ПГ подчиняется ур-нию первого порядка. При  $\text{R} = \text{C}_6\text{H}_5\text{CH}_2$  значения КПГ (при  $70^\circ$ ) возрастают в ряду  $\text{R}' = \text{H}$  (I)  $< \text{CH}_3$  (II)  $< \text{C}_2\text{H}_5$ ,  $n\text{-C}_3\text{H}_7$ ,  $\text{C}_{15}\text{H}_{31}$   $< \text{CH}(\text{CH}_3)_2$  (III)  $< \text{C}(\text{CH}_3)_3$  (IV). Энергия активации ( $E$ , ккал/моль) падает в той же последовательности от значения 28,7 для I до 21,4 для IV. Значение  $E$  в случае  $\text{R}' = \text{OC}_2\text{H}_5$  составляет 27,9. Значения КПГ нитрозо-*N*-бензилгалогенацетамидов несколько уменьшаются в порядке  $\text{R}' = \text{CH}_2\text{Cl} > \text{CH}_2\text{J} > \text{CH}_2\text{Br}$  ( $E = 25,2\text{--}24,5$ ,  $\lg A = 12,2\text{--}11,6$ ) и так же, как в случае  $\text{R}' = \text{C}_6\text{H}_5$  (V) и  $n\text{-NO}_2\text{--C}_6\text{H}_4$  ( $E$  26,1, 27,6,  $\lg A$  13,1, 14,2) имеют промежуточное значение между КПГ II и III. В ряду нитрозо-*N*-алкилбензамидов КПГ возрастают в порядке  $\text{R} = \text{CH}_2\text{COOC}_2\text{H}_5$  (VI)  $\ll \text{CH}_3 < \text{C}_2\text{H}_5 < n\text{-C}_4\text{H}_9 < \text{C}_6\text{H}_5\text{CH}_2 < \text{CH}(\text{CH}_3)_2$  (VII)  $< \text{C}_6\text{H}_{11}$  (VIII)  $< \text{C}_6\text{H}_5$  (IX) ( $E$  и  $\lg A$  для VI 31,4 и 13,2, IX 21,2 и 13,0). В ряду нитрозо-*N*-метилацетиламинов КПГ возрастают в последовательности  $\text{R}' = \text{OC}_2\text{H}_5$  (X)  $< \text{NH}_2$  (XI)  $< \text{NHCOCH}_3$  (XII) ( $E$  30—24,2,  $\lg A$  12,4—11,4). Значения  $E$  и  $\lg A$  для нитрозо-*N*-циклогексилацетамида составляют 23,3 и 12,9. Предполагается, что р-ция протекает через переходное состояние (XIII), переход в которое связан с потерей энергии амидомезомерии реагирующей молекулы. Рост КПГ в ряду  $\text{R}' = \text{CH}_3$ ,  $\text{C}_2\text{H}_5$ ,  $n\text{-C}_3\text{H}_7$ ,  $\text{C}_{15}\text{H}_{31}$



объясняется уменьшением энергии амидомезомерии. На основании сравнения КПГ для  $\text{R}' = \text{C}_2\text{H}_5$  и  $\text{CH}_2\text{X}$  ( $\text{X} = \text{Cl}$ ,  $\text{Br}$ ,  $\text{J}$ ) сделан вывод о том, что полярный эффект имеет второстепенное значение для кинетики р-ции. Развито представление, согласно которому из-за частичной двоевзаимности связей  $\text{CN}$  и  $\text{NN}$  в основном состоянии имеет место заметный барьер вращения вокруг этих связей, что делает возможным существование четырех конфигураций НА, отвечающих комбинациям *цис*- и *транс*-расположения  $\text{R}$  и  $\text{R}'$  относительно  $\text{C--N}$ -связи и  $\text{COR}'$  и  $\text{O}$  (из группы  $\text{N=O}$ ) относительно связи  $\text{N--N}$ . Энергетически наиболее выгодной является конфигурация *транс-транс* благодаря миним. отталкиванию групп  $\text{NCOR}'$  и  $\text{NN=O}$ , в этом положении наименее выгодной *цис-цис*. Увеличение объема группы  $\text{R}$  и  $\text{R}'$  при замещении в  $\alpha$ -положении мало влияет на энергию переходного состояния, но делает менее

выгодной *транс-транс*-конфигурацию за счет стерич. отталкиваний или нарушения копланарности групп  $\text{R}$  с остатком молекулы, за счет чего повышается энергетич. уровень основного состояния и тем самым снижается активационный барьер. Этим объясняются повышенные значения КПГ в случае III, IV, V, VII и близкие значения КПГ в случае III и V. Предполагается, что нитроацетамида из-за копланарности групп  $\text{C}_6\text{H}_5$  и  $\text{CH}_2\text{CON}(\text{NO})$ , необходимой для анилин-мезомерии, не может находиться в *транс-транс*-конфигурации и принимает *транс-цис*-форму, чем объясняется пониженное значение  $E$  21,7 (Liebigs Ann. Chem., 1951, 574, 157) против 28,2 для II. Повышенное значение  $E$  в случае X объясняется тем, что в этом случае переход в XIII связан с дополнительной потерей энергии мезомерии в группе  $\text{COOC}_2\text{H}_5$ . Повышенные значения КПГ в случае XI и XII объясняются частичным изменением механизма р-ции и протеканием параллельно процесса со сдвигом группы  $\text{NO}$ , повышающим общую скорость выделения  $\text{N}_2$ . Для объяснения пониженного значения КПГ VI высказано предположение, что ПГ в данном случае не является стадией, лимитирующей р-цию. В спирт. *p*-ре  $\text{HCl}$  при  $35^\circ$  скорость разложения нитрозоипропиона (XIV) пропорциональна конц-ии  $\text{HCl}$  и XIV в первой степени. В случае нитрозокапролактама в этих условиях наряду с бимолекулярной р-цией имеет место мономолекулярный некатализируемый распад, а в случае нитрозоциклопентанонизоксима скорость р-ции не зависит от присутствия к-ты. Значения бимолекулярных констант ( $k_2 \cdot 10^3$   $\text{сек}^{-1} \cdot \text{моль}^{-1}$ ) при  $35^\circ$  в *p*-ре спирта в случае НА с *цис-транс*-конфигурацией: нитрозоциперидона, нитрозокапролактама составляют 11—12 и превышают в  $\sim 40$  раз значения  $k_2$  для *транс-транс*-НА: нитрозоэксальтонизоксима, нитрозо-*N*-метилацетамида (XV), нитрозо-*N*-этил-*n*-бутирамида (XVI). Исключение составляет нитрозо-*N*-метилформамид (XVII) ( $k_2 = 33,6$ ). Между значениями  $k_2$  и значениями констант скорости распада НА в цел. среде (Angew. Chem., 1950, 62, 369; Liebigs Ann. Chem., 1951, 573, 163) имеет место симбатность. Предполагается, что лимитирующей стадией кислотнокатализируемого распада является р-ция  $\text{R'CON} + \text{R} = \text{NOH} + \text{C}_2\text{H}_5\text{OH} \rightarrow \text{R'COOC}_2\text{H}_5 + \text{RN} = \text{NOH} + (\text{H}^+)$ . Повышенные скорости р-ции в случае *цис-транс*-НА объясняются их повышенной основностью. Нитрозированием соответствующих амидов к-т с помощью нитрита натрия в разб.  $\text{H}_2\text{SO}_4$  получены X, XI, XII, XV. Нитрозированием двуокисью азота в эфир. *p*-ре получены XV, XVI, XVII и нитрозо-*N*-*n*-бутилбензамид. Действием нитрозиохлорида в смеси лед.  $\text{CH}_3\text{COOH}$  и  $(\text{CH}_3\text{CO})_2\text{O}$  в присутствии  $\text{CH}_3\text{COOK}$  и  $\text{P}_2\text{O}_5$  получены VII, VIII, а также нитрозо-*N*-бензилхлор- и -трихлорацетамиды (последний в чистом виде не выделен, разл.). Остальные нитрозо-*N*-алкилбензамиды и -*N*-бензилацетиламины а также *N*-метил-*n*-нитробензамид (т. пл.  $83,5^\circ$  с разл.) получены обработкой соответствующих амидов к-т двуокисью азота в лед.  $\text{CH}_3\text{COOH}$  в присутствии  $(\text{CH}_3\text{CO})_2\text{O}$ . Сообщение IX см. РЖХим, 1956, 3905.

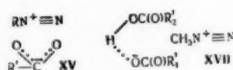
И. Моисеев

51134. Нитрозоациламины и диазоэфиры. XI. Распад алкилдиазоэфиров в органических растворителях. Хейсен, Реймлингер (Nitroso-acyl-amine und Diazo-ester. XI. Der Zerfall der Alkyl-diazoester in organischen Lösungsmitteln. Huisgen Rolf, Reimlinger Hans), Liebigs Ann. Chem., 1956, 599, № 3, 183—202 (нем.)

Исследован термич. распад *N*-нитро-*N*-бензилбензамида (I), *N*-нитро-*N*-метилбензамида (II), *N*-нитро-*N*-циклогексилацетамида (III), *N*-нитро-*N*-метилуретана (IV), *N*-нитро-*N*-метилмочевины (V), *N*-нитро-*N*- $\alpha$ -фенилэтилацетамида (VI) в органич.



р-рителях, и кинетика р-ции бензойной (VII) и *n*-нитрозобензойной (VIII) к-т с II, нитрозо-N-метил-*n*-нитрозобензамидом (IX) и  $\text{CH}_2\text{N}_2$ . При распаде I в бензоле при 60–80° получен с выходом 86% бензилбензоат (X) и 7% VII. В присутствии  $\beta$ -нафтола (XI), наряду с этими продуктами образуется 2-бензилоксинафталин. При р-ции I в кипящем метаноле, кроме X и XII, получен бензилметилэфир. При разложении II в р-е толуола получен лишь метилбензоат (XII), р-ция метилирования толуола не имеет места, что объясняется низкой основностью толуола. При р-ции III в бензоле получен с выходом 36% циклогексикаетат и 44% циклогексена, при распаде VI установлено образование стирола, что объясняется распадом соответствующего диазоэфира с элиминацией олефина. При р-ции V при 80° в р-е толуола, содержащего 10% XI, наряду с 2-метокси-*n*-нафталином образуется  $\beta$ -нафтиловый эфир N-метилкарбаминового к-ты (XIII), идентичный полученному из  $\beta$ -нафтилового эфира хлормуравьиной к-ты и метиламина. Образование XIII объясняется последовательностью р-ции  $\text{V} \rightarrow \text{CH}_3\text{NHCN}(\text{NO}) \rightarrow \text{CH}_3\text{NHCN}=\text{NOH} \rightarrow \text{CH}_3\text{N}=\text{C}=\text{O} + \text{H}_2\text{O} + \text{N}_2$  и последующим взаимодействием  $\text{CH}_3\text{NCO}$  с XI. В отсутствие XI при распаде V образуется более 30% триметилового эфира изоциануровой к-ты, что объясняется тримеризацией  $\text{CH}_3\text{NCO}$ . При р-ции IV с XI в кипящем толуоле получен 2-метокси-*n*-нафталин. Распад оптич. активного VI в бензоле приводит к образованию 74% *l*- $\alpha$ -фенилэтилацетата и 24% *d*- $\alpha$ -фенилэтилацетата. При проведении разложения нитрозоацетилариламинов, а также нитрозоизопропилацетата (XIV) в присутствии стирола или акрилонитрила наблюдается образование небольших кол-в полимеров. Однако, по мнению авторов, распад диазоэфира, образовавшегося из XIV по радикальной схеме, исключается на том основании, что способность этого соединения к инициированию полимеризации зависит от т-ры и, возможно, обязана сопутствующим примесям. В случае очищенного кристаллизацией VI полимеризация не наблюдается. При взаимодействии нитрозоэтилацетата с  $\alpha$ -пикрил- $\beta$ -дифенилгидразилом при 60° в бензоле наблюдается обесцвечивание в течение нескольких минут, хотя изомеризация в диазоэфир в этих условиях не имеет места. Предполагается, что аналогичное окислительное взаимодействие нитрозо-соединения с винилмономером может явиться причиной полимеризации. Авторы полагают, что р-ция протекает через промежуточное образование поной пары (XV), мономолекулярный распад которой приводит к образованию эфира с сохранением конфигурации в радикале R и молекулы  $\text{N}_2$ . Предполагается также возможным равновесие между XV и диазоалканом и карбоновой к-той, сдвинутое в сторону XV. Алкилирование р-рителя, наблюдавшееся при распаде диазоэфиров в метаноле, объясняется диссоциацией XV и последующим  $\text{S}_\text{N}1$  распадом сольватированного диазониюна. Образование эфиров XI объясняется замещением карбоксилатного иона в XV молекулой XI. При распаде II в присутствии VIII получен XII и метиловый эфир *n*-нитрозобензойной к-ты (XVI). В присутствии 3,5-динитробензойной к-ты получен ее метиловый эфир с выходом, повышенным по сравнению с XVI. Отноше-



ние констант скоростей образования XII ( $k_1$ ) и XVI ( $k_2$ ) при р-ции VII с IX или VIII с II в ксироле при 90° в обоих случаях, так же как при р-ции  $\text{CH}_2\text{N}_2$  с эквивалентными кол-вами VII и VIII при  $-10^\circ$ ,

составляет  $k_2/k_1 \approx 2.54$ . Предполагается, что р-ция VII или VIII с  $\text{CH}_2\text{N}_2$  также протекает через промежуточное образование XV, мономолекулярный распад которой приводит к образованию XII в случае VII и XVI в случае VIII. Образование XII при р-ции IX в присутствии VII объясняется взаимодействием XV, образовавшейся из IX, с VII через (XVII), в которой два аниона к-т связаны водородным мостиком. Аналогично объясняется образование XVI при р-ции IX с VIII.

И. Моисеев

**51135. Распад арилизотриарилметанов.** Дейвис, Хей, Вильямс (The decomposition of arylazotriarylmethanes. Davies G. L., Hey D. H., Williams Gareth H.), J. Chem. Soc., 1956, Nov., 4397–4408 (англ.)

Изучена кинетика распада фенилизотрифенилметана  $\text{C}_6\text{H}_5\text{N}=\text{NC}(\text{C}_6\text{H}_5)_3$  (I) в различных р-рителях и арилизотриарилметанов  $\text{XC}_6\text{H}_5\text{N}=\text{NCR}_3$  (II) в толуоле. Р-ция мономолекулярна и имеет первый порядок. Проведением распада I в присутствии йода показано, что кинетика р-ции не зависит от последующих р-ций свободных радикалов. Радикалы, образующиеся при распаде I по схеме:  $\text{I} \rightarrow \text{C}_6\text{H}_5\text{N}=\text{N} \cdot + \cdot \text{C}(\text{C}_6\text{H}_5)_3$ ;  $\text{C}_6\text{H}_5\text{N}=\text{N} \cdot \rightarrow \text{C}_6\text{H}_5 \cdot + \text{N}_2$ , вступают в р-цию замещения с р-рителем, причем выделяющийся водород восстанавливает трифенилметил в трифенилметан, а в нитробензоле, получаются небольшие кол-ва анилина. Первая стадия р-ции протекает очень быстро и скорость р-ции определяется скоростью второй стадии. Ниже приводятся I или X, R для II, р-ритель,  $E$  ккал/моль $^{-1}$  и  $\Delta S$  кал/градус $^{-1}$ : I, толуол,  $27.4 \pm 0.6$ ,  $8 \pm 2$ ; I, нитрометан,  $28 \pm 1$ ,  $10 \pm 3$ ; нитробензол,  $27 \pm 1$ ,  $7 \pm 3$ ; I,  $\text{CH}_3\text{COOH}$ ,  $27 \pm 1$ ,  $7 \pm 3$ ; I *n*- $\text{C}_3\text{H}_7\text{OH}$ ,  $31 \pm 2$ ,  $19 \pm 6$ ; *n*- $\text{CH}_3$ ,  $\text{C}_6\text{H}_5$  (адес и далее — в толуоле);  $25.2 \pm 0.6$ ,  $2 \pm 2$ ; *n*-Cl,  $\text{C}_6\text{H}_5$ ,  $27.3 \pm 0.6$ ,  $7 \pm 2$ ; *n*-Br,  $\text{C}_6\text{H}_5$ ,  $27.8 \pm 0.6$ ,  $8 \pm 2$ ; *n*-NO $_2$ ,  $\text{C}_6\text{H}_5$ ,  $29.3 \pm 0.6$ ,  $11 \pm 2$ ; *m*- $\text{CH}_3$ ,  $\text{C}_6\text{H}_5$ ,  $29.2 \pm 0.6$ ,  $14 \pm 2$ ; *m*-Cl,  $\text{C}_6\text{H}_5$ ,  $29.8 \pm 0.6$ ,  $14 \pm 2$ ; *m*-NO $_2$ ,  $\text{C}_6\text{H}_5$ ,  $30.5 \pm 0.6$ ,  $15 \pm 2$ ;  $\text{C}_6\text{H}_5$ , *n*- $\text{CH}_3\text{C}_6\text{H}_4$ ,  $27.5 \pm 0.6$ ,  $9 \pm 2$ ;  $\text{C}_6\text{H}_5$ , *n*-Cl $\text{C}_6\text{H}_4$ ,  $26.0 \pm 0.6$ ,  $6 \pm 2$ . Завышенные величины  $E$  и  $\Delta S$  распада в *n*- $\text{C}_3\text{H}_7\text{OH}$  объясняются образованием водородной связи  $\text{C}_3\text{H}_7\text{OH} \dots \text{N}(\text{N}=\text{C}_6\text{H}_5)\text{C}(\text{C}_6\text{H}_5)_3$ . Влияние заместителей и р-рителя на параметры активации рассматривается с точки зрения резонанса и сольватации.

Ю. Сорокин

**51136. Реакции соединений двухвалентного углерода. Реакционная способность олефинов в реакциях с дибромкарбеном.** Скелл, Гарнер (Reactions of bivalent carbon compounds. Reactivities in Olefin-dibromocarbene reactions. Skell Philip S., Garner Albert Y.), J. Amer. Chem. Soc., 1956, 78, № 20, 5430–5433 (англ.)

Определялась относительная скорость образования 1,1-дибромциклопропанов (I) при р-ции олефинов (II) с  $\text{CHBr}_2$  в присутствии *tert*- $\text{C}_4\text{H}_9\text{OK}$ . Скорость р-ции падает в ряду тетраметилэтилен > триметилэтилен > анетол > изобутилен 1,1-дифенилэтилен > бутадие > циклопентен > циклогексен = стирол > гексен-1 > аллилбензол > винилбромид. Между реакционной способностью II в р-ции присоединения:  $\text{CBr}_2$  в р-ции бромирования (Anantakrishnan S. V., Ingold C. K., J. Chem. Soc., 1935, 984, 1396) и р-ции Прилежаева (Swern D., J. Amer. Chem. Soc., 1947, 69, 1692) имеется определенная связь, однако такой связи не обнаруживается при сравнении скоростей присоединения:  $\text{CBr}_2$  и  $\text{CCl}_4$  к II (РЖХим, 1954, 46253). Это показывает, что присоединение:  $\text{CBr}_2$  по двойной связи  $\text{R}_2\text{C}=\text{CR}_2$  происходит через 3-центровый активный комплекс (A) как электрофильная р-ция и что образование бирадикала  $\text{CBr}_2-\text{CR}_2-\text{Br}_2\text{C}$  является мало вероятным (ср. РЖХим, 1957, 47823). Свободная электронная пара невозбужденной молекулы:  $\text{CBr}_2$  занимает, вероятно, одну *sp* $^2$ -орбиту, в то время как *p*-орбита,

расположенная перпендикулярно плоскости молекулы, остается незаполненной, перекрывается с парой электронов атомов Br. Получены следующие I (приводятся заместители в I, выход в %, т. кип. в °C/мм,  $n_D^{25}$  D и относительная реакционная способность исходного II): 2,2,3,3-тетраметил, 54,0, 93—94/22, —, 3,5 (т. пл. 77—78°);



2,2,3-триметил, 66,0, 83/24, 1,5134, 3,2; 2-(4-метоксифенил)-3-метил, ~46,9, 155 (разл.), —, 1,2; 2,2-диметил, 65,1, 65—66/27, 1,5110, 1,00; 2,2-дифенил, 66,2, —, —, 0,8 (т. пл. 151—152°); 2-винил, 72,0, 70/26, 1,5412, 0,5; (6,6-дибромбицикло-[3,1,0]-гексан), 54,2, 110/11, 1,5744, 0,5; (7,7-дибромбицикло-[4,1,0]-гептан), 42,7, 79—80/2, 1,5560, 0,4; 2-фенил, 36,5, 94/2, 1,5963, 0,4; 2-н-бутил, 14,0, 120—122/58, 1,4905, 0,07; 2-бензил, 13,3, 104—106/1, 1,5801, 0,02;  $CH_2=CHBr$  реагировал очень медленно.

А. Савицкий

**51137. Димеризация ацетилцианида. Тейт, Барлетт** (The dimerization of acetyl cyanide. Tate Bruce E., Bartlett Paul D.), J. Amer. Chem. Soc., 1956, 78, № 21, 5575—5580 (англ.)

Изучены свойства  $CH_3COCN$  (I) и его превращение  $\alpha,\alpha$ -дицианоэтилацетат  $CH_3C(CN)_2OCOCN$  (II). I — активный ацетилирующий агент, с  $CH_3OH$  дает метиловый эфир уксусной к-ты, выход 63%, с третичным бутанолом — трет. бутиловый эфир уксусной к-ты с выходом 19%. ИК-спектр не обнаруживает в I еволевой формы. Превращение I в II (25°) идет в две стадии:  $I + CN^- \rightleftharpoons CH_3C(CN)_2O^-$  (A);  $A + I \rightarrow II + CN^-$ . I в  $CH_3COOH$  с ацетатом натрия, как катализатором, переходит в II с выходом 21%; с триэтиламином в нитрометане, хлорбензоле и ацетонитриле (III) выход II составляет 52,61 и 68% соответственно. Кинетика превращения I в II измерялась по уменьшению абсорбции при 304 мμ (р-ритель III). I в III с пиридином (0,136 M) показывает увеличение оптич. плотности, что указывает на преобладание других р-ций над р-цией димеризации. В присутствии 0,5 M HCN и конц-ии пиридина вплоть до 0,137 M оптич. плотность в ходе р-ции уменьшается. Исследована зависимость скорости р-ции от конц-ии HCN, пиридина и солей пиридина. Увеличение в 5,2 раза конц-ии HCN увеличивает в 4,4 раз константу скорости первой быстрой р-ции первого порядка ( $K_1$ ) и в 2,8 раза константу скорости второй медленной р-ции второго порядка ( $K_2$ ). Увеличение конц-ии хлорида пиридина в 5 раз уменьшает в 3,4 раза  $K_1$  и в 2,7 раза  $K_2$ . Пятикратное изменение в конц-ии пиридина вызывает изменение в 4,9 раза в  $K_1$  и в 4,6 раза в  $K_2$ . Замена хлорида пиридина на перхлорат вдвое увеличивает скорость первой стадии. В р-рах, содержащих только I и хлорид тетраэтиламмония, оптич. плотность увеличивается. Влияние иона перхлората авторы связывают с изменением положения равновесия в р-ции:  $C_5H_5N + HCN \rightleftharpoons C_5H_5NH^+ + CN^-$  в результате солевого эффекта.

В. Якерсон

**51138. Восстановление окиси углерода алюмогидридом лития. Мартин, Нил, Тернер** (The reduction of carbon monoxide by lithium aluminium hydride. Martin J. F., Neale A. J., Turner H. S.), J. Chem. Soc., 1956, Nov., 4428—4433 (англ.)

С помощью D и  $C^{14}$  исследовано восстановление окиси углерода  $LiAlH_4$  до  $CH_3OH$  и  $CH_4$ . Р-р  $LiAlH_4$  в тетрагидротетраоксифурфулокси-тетрагидрашране насыщает CO при 55—60°. Авторы полагают, что р-ция идет через комплексы (I), (II), (III) по схеме:  $AlH_3 + C \equiv O \rightarrow H_3Al \cdot C \equiv O \rightarrow I \rightarrow H_3AlCH_2OAlH_2$  II  $\xrightarrow{ROH}$  A  $\xrightarrow{H^+} DCH_2OH$ ; II  $\xrightarrow{H^+} H_3AlCH_3$  III  $\xrightarrow{ROH}$   $CH_3D$ . При

алкоголизе комплексов II и III дейтерированным тетрагидрофуриловым спиртом (IV) образуется  $CH_2DOD$  и  $CH_3D$ . Такое распределение D указывает на образование  $CH_4$  из III, а  $CH_3OH$  из II. В качестве побочного продукта образуется гликоль в кол-ве 0,03% от взятого CO. Дейтерированный IV приготовлен смешением 99,7%  $D_2O$  и IV.  $C^{14}O$  получен действием 100%-ной  $H_2SO_4$  на  $HC^{14}O_2Na$ . А. Ясников

**51139 К. Учебник по органической химии. 10 стереотипное изд. Бильман** (Laerebog i organisk kemi 10. uforandrede udg. Biilmann Einar. 1956, 279 s. ill., 22,00 kr.) (датск.)

См. также: Новый журнал 50359. Строение органич. соед. 50400, 50433, 50459, 50473, 50476, 50480, 50484, 50486, 50492, 50533—50542. Реакционная способность 50401, 50402, 50404, 50415. Механизмы и кинетика р-ций см. раздел Кинетика и реферат 50403. Документация 50352.

## СИНТЕТИЧЕСКАЯ ОРГАНИЧЕСКАЯ ХИМИЯ

Редакторы М. А. Атабекова, Н. С. Вульфсон, Б. М. Дубинин, В. А. Загоревский, Я. Ф. Комиссаров, Г. Я. Кондратьева, И. Ф. Луценко, Л. А. Хейфиц

**51140. Термические превращения пентадиена-1,3 при различных давлениях. Шуйкин Н. П., Нарышкина Т. И.**, Изв. АН СССР, Отд. хим. н., 1956, № 10, 1249—1255

Изучены термич. превращения пиперилена (I) при 450—550°, скорости подачи 3 час<sup>-1</sup> и давлениях  $N_2$  20 мм и 15 ат в проточной системе с кварцем в качестве наполнителя, приводящие к смеси пентенов, гексенов, изопрена, циклопентадиена (II), алкилциклогексенов, ароматич. углеводородов и продуктов циклич. полимеризации I с увеличением давления от 20 мм до 15 ат при 550° падает кол-во неизмененного I с 83,6% до 6,5% и возрастает содержание в продуктах р-ции ароматич. углеводородов  $C_8$ — $C_{10}$  (при 20 мм образование ароматич. соединений незначительно). При повышении т-ры с 450 до 550° возрастает выход ароматич. углеводородов и газообразных олефинов, а содержание неизмененного I падает. Полученные конденсаты разгонялись на колонке и исследовались методом комб. расщ. света; обнаружены пентен-1,2-метилбутен-1, транс-пентен-2, 2-метилбутен-1, изопрен, II, транс-пиперилен; фракции, содержащие ароматич. углеводороды и циклены, анализировались по спектрам комб. расщ. смеси продуктов гидрирования и по результатам окисления ароматич. компонентов. Дана сравнительная характеристика процесса при различных давлениях (см. также РЖХим, 1955, 42888).

Ю. Охлобыстин

**51141. Пропаргилалленовая перегруппировка при гетеролитических замещениях и при реакциях, сопровождающихся перемещением электронов. Годемар** (Réarrangement propargyl-allénique dans les substitutions hétérolytiques et dans les réactions de transfert électronique. Gaudemar Marcel), Ann. chimie, 1956, I, mars-avr., 161—213 (франц.)

Целью работы является выяснение возможности пропаргилалленовой перегруппировки (ПАП) при р-циях обменного разложения пропаргилбромидов (I) и его гомологов с металлич. производными соединений с активным Н,  $NH_3$ , реактивами Гриньяра (РГ) и при получении и превращениях  $Mg$ -,  $Al$ - и  $Zn$ -производных I и его гомологов. ПАП наблюдалась при р-циях этих соединений с РГ, особенно в случае алифатич. РГ, при гидролизе и карболизации  $HC \equiv CCH_2MgBr$  (II). Раз-

работан метод получения  $\text{BrMgC}\equiv\text{CCH}_2\text{MgBr}$  (III). III нормально реагирует с альдегидами и кетонами и служит исходным в-вом для синтеза  $\alpha,\beta$ -алкиндиев. Пропаргилламинийбромид (IV) и пропаргилцинкабромид (V) ведут себя подобно PG; IV особенно пригоден для синтеза  $\beta$ -ацетиленовых спиртов из  $\alpha$ -ацетиленбромидов (соответствующие хлориды не реагируют с Al). Исходные бромиды получались действием соответствующих спиртов на  $\text{PBr}_3$  в присутствии пиридина (Kirtmann A., Bull. Soc. chim., 1926, 39, 698). (В случае высших гомологов p-p спирта в 3 объемах эфира прибавляют постепенно при слабом кипячении к  $\text{PBr}_3$ , выливают на лед). Получены (перечисляются бромиды, выход в %, т. кип. в °C): I, 80–85, 82–83,  $n_D^{15}$  1,497,  $d_{15}$  1,587; 3-бромбутин-1, 46, 50°/170 мм; 2-бромпентин-3 (VI), 63, 63°/70 мм,  $n_D^{16}$  1,496,  $d_{16}$  1,407; 2-бромоктин-3 (VII), 78, 80–82°/17 мм,  $n_D^{15}$  1,480; 3-бром-1-фенилпропин-1, 97, 92°/2 мм, 123°/12 мм,  $n_D^{12}$  1,625,  $d_{12}$  1,400; 3-бром-1-фенилбутин-1, 89, 72°/0,1 мм, 132°/20 мм,  $n_D^{20}$  1,605,  $d_{20}$  1,329; 1-бром-1-фенилпропин-2 (VIII), 1-бром-1-фенилбутин-2. Последние два соединения не выделены в чистом виде, так как легко полимеризуются и для p-ции применялись их эфир. p-ры. При p-ции I с фталимидом калия (в сн.),  $\text{C}_4\text{H}_9\text{ONa}$  (в эф.),  $\text{C}_6\text{H}_5\text{ONa}$ ,  $\text{CH}_3\text{COONa}$ , натрацетокисусным эфиром (IX) и натрмалоновым эфиром получены соответственно (перечисляются продукт p-ции, выход в %, т. пл. в °C, т. кип. в °C,  $n_D$ ,  $d$ ): N-пропаргилфталимид, 147°, —, —, —; пропаргилбутиловый эфир, 45%, —, 126°, 1,416 (21°), 0,827 (21°); пропаргилфениловый эфир, 87%, —, 87°/15 мм, 1,537 (16°), 1,033 (16°), пропаргилацетат, 50%, —, 123°, 1,418/24°, 0,999 (24°); этиловый эфир пропаргилацетокисусной к-ты, 53%, —, 84°/0,3 мм, 1,452 (16°), 1,032 (11°) и пропаргил и дипропаргилмалоновые к-ты (после омыления). При гидролизе разб. p-ром NaOH сырого продукта p-ции I с IX (из моля I) получено 25 г пропаргиллактона, т. кип. 149°, 25 г пропаргилуксусной к-ты, т. пл. 56° (из лигр.), т. кип. 98°/11 мм и 20 г дипропаргилуксусной к-ты, т. пл. 45°, т. кип. 135°/12 мм. После прибавления I по каплям к большому избытку жидкого  $\text{NH}_3$  и разложения разб. p-ром KOH остатка после испарения  $\text{NH}_3$ , отгоняют фракцию до 99°, высушивают KOH и фракционируют. Суммарный выход моно-(X) и дипропаргил-амин (XI) (1:1) 50%. При p-ции I с водн. p-ром  $\text{NH}_3$  (не выше 30°) суммарный выход XI и трипропаргил-амин (XII) 54%. Образующийся при этих p-циях бромистый тетрапропаргил-аммоний выделяется с трудом, но легко получается при p-ции XII с I (24 часа, 20°), иглы (из сн.). Пропаргилламин обладает характером истинных ацетиленовых соединений; X и XI количественно (1:1) присоединяются к дипропаргилкетону и бис-фенетилкетону (Chauvelier J., Ann. Chim, 1948, 3, 395). Продукты присоединения X циклизуются при 150°, образуя N-пропаргил-2,6-лутидон-4, т. пл. 227°, и N-пропаргил-2,6-дифенилпиридон-4, т. пл. 183°. Свойства пропаргилламина (перечисляются амин, т. кип.,  $n_D^{16}$ ,  $d_4^{16}$ , т. пл. шкраты, т. пл. оксалата, т. пл. продукта конденсации с дипропаргилкетон, т. пл. продукта конденсации с бис-фенетилкетон): X, 84, 1,4495, 0,867, 190°, 143°, 73°, 56°; XI, 51°/10 мм, 1,4785, 0,901, 135°, 240°, 68°, 125°; XII, 76°/10 мм, 1,4875, 0,922, 108°, 135°, —, —. К p-ру PG в эфире по каплям прибавляют при —10° — —15° I. После обычной обработки эфирного слоя получают смесь алленового и ацетиленового углеводородов, из которой выделяют p-ром  $\text{AgNO}_3$  в абс. спирте комплекс  $\text{RC}\equiv\text{C}\cdot\text{Ag}\cdot\text{AgNO}_3$ . Спиртовый фильтрат разбавляют водой, извлекают эфиром, промывают, высушивают, перегоняют. Перечисляются PG, полученные углеводороды, т. кип. смеси, суммарный выход, выход алкина, выход аллена после разделения, его т. кип.,  $n_D$ ,  $d$ ):  $\text{C}_4\text{H}_6\text{MgBr}$ ,  $\text{C}_4\text{H}_6\text{CH}_2\text{C}\equiv\text{CH}$ ,  $\text{C}_4\text{H}_6\text{CH}=\text{C}=\text{CH}_2$ , 99°–105°, 94%, 15%,

70%, 105°, 1,437 (15°), 0,733 (15°);  $(\text{CH}_3)_2\text{CHCH}_2\text{MgBr}$ ,  $(\text{CH}_3)_2\text{CHCH}_2\text{CH}_2\text{C}\equiv\text{CH}$ ,  $(\text{CH}_3)_2\text{CHCH}_2\text{CH}=\text{C}=\text{CH}_2$ , 90–95°, 83%, 7%, 65%, 95°, 1,430 (17°), 0,727 (17°);  $\text{C}_5\text{H}_{11}\text{MgBr}$ ,  $\text{C}_5\text{H}_{11}\text{CH}_2\text{C}\equiv\text{CH}$ ,  $\text{C}_5\text{H}_{11}\text{CH}=\text{C}=\text{CH}_2$ , 129–135°, 90%, 12%, 56%, 131–132°, 1,444 (15°), 0,768 (15°);  $\text{C}_6\text{H}_5\text{MgBr}$ ,  $\text{C}_6\text{H}_5\text{CH}_2\text{C}\equiv\text{CH}$  (XIII),  $\text{C}_6\text{H}_5\text{CH}=\text{C}=\text{CH}_2$  (XIIIa), 67–68°/16 мм, 69%, 40–50%, 50%, 68/16 мм, 1,583 (17°), 0,937 (17°), 0,937 (17°). Смесь XIII и XIIIa получен также гидролизом  $\text{C}_6\text{H}_5\text{CHMgBrC}\equiv\text{CH}$ , выход 20% на исходный спирт. Смесь содержит 15% XIII и легко разделяется эфир. p-ром  $\text{AgNO}_3$  или p-ром  $\text{Cu}_2\text{Cl}_2$  в  $\text{NH}_3$ . При замене  $\text{RMgBr}$  на  $\text{RMgCl}$  полученные углеводороды загрязнены  $\text{RBr}$ , возникающим при p-ции обмена. Смесь углеводородов, образующаяся из  $\text{C}_2\text{H}_5\text{MgBr}$  и VI, не поддается разделению с  $\text{AgNO}_3$ . Действие I на Mg (1 моль:1 моль) в эфире проходит в присутствии  $\text{HgCl}_2$ ; сдвигание углеводородных радикалов незначительно, образующийся углеводород — дипропаргил. В тетрагидрофуране p-ция идет при соотношении 2 моля:1 моль Mg и с выделением  $\text{MgBr}_2$ , образующийся с хорошим выходом дипропаргил содержит примесь  $\text{CH}\equiv\text{CCH}_2\text{CH}=\text{C}=\text{CH}_2$  и  $\text{CH}_2=\text{C}=\text{CHCH}=\text{C}=\text{CH}_2$ . II устойчив ниже 20°, а при 35° превращается в  $\text{CH}_3\text{C}\equiv\text{CMgBr}$  и в III. Гидролиз II дает смесь пропина и аллена с небольшим преобладанием последнего и может быть использована для быстрого приготовления аллена. При конденсации I с альдегидом или кетоном при 0° в равном объеме эфира получены следующие ацетиленовые спирты (спирт, выход в %, т. кип. в °C,  $n$ ,  $d$ ):  $\text{CH}_3\text{CHONCH}_2\text{C}\equiv\text{CH}$  (XIV), 41, 126, 1,440 (17°), 0,894 (17°);  $(\text{CH}_3)_2\text{CHONCH}_2\text{C}\equiv\text{CH}$  (XV), 61, 124, 1,438 (13°), 0,882 (13°);  $\text{CH}_2\text{CHONCH}_2\text{C}\equiv\text{CH}$  (XVI), 50, 49°/12 мм, 1,465 (17°), 0,921 (17°);  $\text{C}_6\text{H}_5\text{CHONCH}_2\text{C}\equiv\text{CH}$  (XVII), 63, 83°/0,2 мм, 1,548 (15°), 1,048 (15°);  $\text{C}_6\text{H}_5\text{C}(\text{CH}_3)\text{ONCH}_2\text{C}\equiv\text{CH}$ , 65, 72°/0,1 мм, 1,540 (19°), 1,025 (19°). В ИК-спектре всех спиртов имеется полоса при 2117  $\text{cm}^{-1}$ . При карбонизации II при —80° образуется смесь пропаргилуравильной, т. пл. 83°, и алленкарбоновой (XVIII) к-т (последняя не выделена). Суммарный выход к-т 45%, содержание XVIII 40%. Сырой p-к-т после карбонизации этерифицируют действием  $\text{CH}_2\text{N}_2$  при —15°. Через 24 часа, после отгонки  $\text{CH}_2\text{N}_2$  и p-рителя перегоняют при 0,1 мм, затем фракционируют. Эфиры не получены в чистом виде. Суммарный выход (на к-ты) 87%, т. кип. алленовой фракции 68°/70 мм,  $n_D^{19}$  1,452, ИК-спектр: 1942 и 1968  $\text{cm}^{-1}$ , т. кип. ацетиленовой фракции 71–72°/70 мм,  $n_D^{19}$  1,436; ИК-спектр 2130  $\text{cm}^{-1}$ . При омылении каждой из фракций эфиров 0,25 M p-ром NaOH и выделении разб.  $\text{H}_2\text{SO}_4$  получают только XVIII, выход 45%, т. пл. 65–66°, ИК-спектр: 1934 и 1970  $\text{cm}^{-1}$ . Карбонизацией  $\text{CH}_3\text{CHMgBrC}\equiv\text{CH}$  (XIX) получена  $\text{HC}\equiv\text{CCH}(\text{CH}_3)\text{COOH}$ , выход 32%, т. кип. 50–51°/0,1 мм,  $n_D^{16}$  1,444,  $d_4^{16}$  1,033. Конденсацией XIX с ацетоном при —15° получен  $(\text{CH}_3)_2\text{C}(\text{OH})\text{CH}(\text{CH}_3)\text{C}\equiv\text{CH}$ , выход 57%, т. кип. 41°/12 мм,  $n_D^{14}$  1,445,  $d_4$  0,880. При 20° в p-р II быстро вводят  $\text{C}_2\text{H}_5\text{MgBr}$ , оставляют на несколько часов, при ~20° III выделяется в виде масла. При конденсации III с кетонами или альдегидами получены (перечисляются диол, выход в %, т. пл., т. кип., продукт полного гидрирования):  $(\text{CH}_3)_2\text{C}(\text{OH})\text{C}\equiv\text{CCH}_2\text{C}(\text{CH}_3)_2\text{OH}$ , 65, 58° (из этилацетата), 85°/0,2 мм;  $(\text{CH}_3)_2\text{C}(\text{OH})(\text{CH}_2)_3\text{C}(\text{CH}_3)_2\text{OH}$ ;  $\text{CH}_3\text{CH}(\text{OH})\text{C}\equiv\text{CCH}_2\text{CH}(\text{OH})\text{CH}_3$ , 16, 98°/0,2 мм,  $n_D^{20}$  1,482;  $\text{CH}_3\text{CH}(\text{OH})(\text{CH}_2)_2\text{CH}(\text{OH})\text{CH}_3$ ; 1,5-дифенилпентин-2-диол-1,5 50%, 1,5-дифенилпентадиол-1,5; кристаллизацией из этилацетата выделены: фракция с т. пл. 143° (ИК-спектр соответствует димазе, ацетилену), фракция с т. пл. 112° с примесью алленового гликоля. При действии I на Al в присутствии  $\text{HgCl}_2$  в эфире образуется IV, представляющий собой смесь сольватированных соединений:  $(\text{CH}\equiv\text{CCH}_2)_3\text{Al}$ ,  $(\text{CH}\equiv\text{CCH}_2)_2\text{AlBr}$ ,  $\text{CH}\equiv\text{CCH}_2\text{AlBr}_2$  и  $\text{AlBr}_3$ . IV конденсируется с альдегидами и кетонами



с образованием ацетиленовых спиртов. Получены (перечисляются спирт, выход): XV, 70%; XIV, 40%; XVI, 53%, XVII, 72%. 0,25 моля  $\text{HCOOC}_2\text{H}_5$  прибавляют к р-ру 0,5 моля IV (т-ра ниже  $+20^\circ$ ), кипятят  $\frac{1}{4}$  часа. Выход динпропаргилкарбинола 66%, т. кип.  $81-82/30$  мм,  $n_D^{18} 1,475$ ,  $d_{18} 0,969$ . В тех же условиях образуются: трипропаргилкарбинол (из  $\text{ClCOOC}_2\text{H}_5$  и IV), выход 58%, т. кип.  $107/20$  мм,  $n_D^{18} 1,500$ ,  $d_{18} 0,983$ ; метилдинпропаргилкарбинол (из  $\text{CH}_3\text{COOC}_2\text{H}_5$  или  $\text{CH}_3\text{COCl}$  и IV), выход 71-75%, т. кип.  $68/16$  мм,  $n_D^{17} 1,471$ ,  $d_{17} 0,944$ . Р-ция с нитрилами привела к отрицательным результатам (полимеризация нитрила). При р-ции VII с Al (в тех же условиях, что и I с Al) и последующей конденсацией с ацетоном получен 2,3-диметилпентон-4-ол-2, выход 54%, т. кип.  $96-98/17$  мм,  $n_D^{14} 1,454$ ,  $d_{14} 0,868$ . При действии I на Zn в тетрагидрофуране (атмосфера  $\text{N}_2$ ) при т-ре не выше  $20^\circ$  происходит образование V (при повышении т-ры идет изомеризация в  $\text{CH}_3\text{C}\equiv\text{CZnBr}$ . Коричневый р-р нормально реагирует с альдегидами и кетонами, с  $\text{CO}_2$  реагирует только под давлением; ПАП не наблюдается. Попытка получить Zn-производное из VII была безрезультатна. Аллилбромид реагирует с Zn в тех же условиях, что и I. На основании ИК-спектров изученных металлоганнч. соединений автор приходит к выводу, что полученным промежуточным Mg-органич. соединениям отвечает ацетиленовая структура, соединениям алюминия — алеленовая, а соединения цинка представляют собою смесь обеих форм. Е. Алексеева

**51142. Галогидрирование бромгидантонами, растворимыми в четыреххлористом углеводе. Ораиц, Корраля, Бонафедэ** (Halogenacion con bromohidantoinas solubles en tetracloruro de carbono. Orazi Orfeo O., Corral Renee A., Bonafede Julio D.), An. Asoc. guim. argentina, 1955, 43, № 2, 98-100 (исп.; рез. англ.)

Предложено использовать вместо N-бромсукцинимиды (I) и 1,3-дибром-5,5-диметилгидантоина (II) значительно лучшие растворимые в  $\text{CCl}_4$  1-бром-3,5,5-триметилгидантоин, 1,3-дибром-5-метил-5-этилгидантоин (при 76,5° растворимость в  $\text{CCl}_4$  0,024 моля на 1 л); 1-бром-3,5-диметил-5-этилгидантоин (при 76,5° растворимость в  $\text{CCl}_4$  0,36 моля на 1 л), получен бромированием 3,5-диметил-5-этилгидантоина в щел. среде, выход 85%, т. пл.  $107-108^\circ$  (из  $\text{CCl}_4$ , разл.), и 1,3-дибром-5-метил-5-изопропилгидантоин (при 76,5° растворимость в  $\text{CCl}_4$  0,19 моля на 1 л). На примере бромирования фенантрена ( $\text{CCl}_4$ , 48 час.) показано преимущество перечисленных бромгидантоинов по сравнению с I и II. Л. Я.

**51143. О гидратации димазецированных ацетиленовых соединений, содержащих в  $\alpha$ -положении спиртовую группу. Кулкес** (Sur l'hydratation des composés acétyléniques bisubstitués contenant une fonction alcool primaire en  $\alpha$  (Note de laboratoire). Koulkes Michel), Bull. Soc. chim. France, 1957, № 2, 127-129 (франц.)

Гидратация  $\text{RC}\equiv\text{CCH}_2\text{OH}$  (I) в  $\text{CH}_3\text{COOH}$  в присутствии  $\text{BF}_3 \cdot \text{H}_2\text{O}$  приводит к  $\text{RCOCH}_2\text{CH}_2\text{OCOCCH}_3$  (II), образующим после алколиза  $\text{RCOCH}_2\text{CH}_2\text{OH}$  (III), в которых положение кетогруппы показано отсутствием р-ции с феллинговой жидкостью и сравнением с известным образцом. 1,5 мл эфира  $\text{BF}_3$  (47%  $\text{BF}_3$ ), 1,5 мл  $\text{CH}_3\text{OH}$ , 1 г  $\text{HgO}$  и немного  $\text{CCl}_3\text{COOH}$  нагревают 3-4 мин., затем 10 мин. при  $50-55^\circ$  с 12 г лед.  $\text{CH}_3\text{COOH}$  и со смесью 0,2 моля I ( $\text{R} = \text{C}_4\text{H}_9$ ) и 12 г  $\text{CH}_3\text{COOH}$ , нейтрализуют р-ром  $\text{Na}_2\text{CO}_3$ , эфиром извлекают II ( $\text{R} = \text{C}_4\text{H}_9$ ), выход 45%, т. кип.  $117-118/15$  мм,  $n_D^{17} 1,4300$ ; при кипячении 2 часа с  $\text{CH}_3\text{OH}$  и  $\text{K}_2\text{CO}_3$  получают 86% III ( $\text{R} = \text{C}_4\text{H}_9$ ), т. кип.  $80/15$  мм,  $n_D^{19} 1,4150$ . Аналогично из I ( $\text{R} = \text{C}_6\text{H}_{11}$ ) получены II, выход 52%. т. кип.  $121/12$  мм,  $n_D^{21} 1,4315$ , и III, выход 77%, т. кип.  $94,6/8,9$  мм; из I ( $\text{R} = \text{C}_6\text{H}_{13}$ ) получены II,

выход 55%, т. кип.  $100-101/0,4$  мм,  $n_D^{22,5} 1,4340$ , и III, выход 94%, т. кип.  $113/15$  мм,  $n_D^{22,5} 1,4280$ . И. К.

**51144. Исследование винилмагнийорганических соединений. Получение  $\alpha$ -этиленовых окисей. Норман, Кризан** (Recherches sur les magnésiens vinyliques. Préparation d'époxydes  $\alpha$ -éthyléniques. Normant Henri, Crisan Cornel), C. r. Acad. sci., 1957, 244, № 1, 85-86 (франц.)

Изучены р-ции  $\text{RCHClCHONCH}=\text{CHR}'$  (I), синтезированных ранее (см. РЖХим, 1956, 57951) из  $\text{R}'\text{CH}=\text{CHMgX}$  и  $\text{RCHClCHONCH}=\text{CHR}'$  (I) превращаются в  $\text{OCHRCHCH}=\text{CHR}'$  (II). Получены II (перечислены R, R', выход в %, т. кип. в  $^\circ\text{C}/\text{мм}$ ,  $n_D/t$ ,  $d_4/t$ ):  $\text{C}_2\text{H}_5$ , H, 50,  $108/735$ ,  $1,4198/26$ ,  $0,853/26$ ;  $\text{C}_2\text{H}_5$ ,  $\text{CH}_3$ , 40,  $41/15$ ,  $1,4398/17$ ,  $0,861/17$ ;  $\text{C}_6\text{H}_{11}$ , H, 66,  $73/17$ ,  $1,4373/17$ ,  $0,846/17$ ;  $\text{C}_6\text{H}_{11}$ ,  $\text{CH}_3$ , 55,  $91/16$ ,  $1,4474/16$ ,  $0,853/16$ . Гидратация II 0,1 н.  $\text{H}_2\text{SO}_4$  дает смесь стереоизомеров  $\text{RCHONCHONCH}=\text{CHR}'$  (III). Получены III (перечислены R, R', выход в %, т. кип. в  $^\circ\text{C}/\text{мм}$ ,  $n_D/t$ ,  $d_4/t$ ):  $\text{C}_2\text{H}_5$ , H, 80,  $100/15$ ,  $1,4198/26$ ,  $0,853/26$ ;  $\text{C}_2\text{H}_5$ ,  $\text{CH}_3$ , 40,  $41/15$ ,  $1,4398/17$ ,  $0,957/21$ ;  $\text{C}_6\text{H}_{11}$ , H, 63,  $95/0,8$  (т. пл.  $17^\circ$ ),  $1,4578/22$ ,  $0,932/22$ ;  $\text{C}_6\text{H}_{11}$ ,  $\text{CH}_3$ , 58,  $108-109/0,7$ ,  $1,4620/21$ ,  $0,921/21$ . При взаимодействии II с  $\text{NH}(\text{C}_2\text{H}_5)_2$  образуется смесь аминоспиртов  $\text{RCHONCHN}(\text{C}_2\text{H}_5)_2\text{CH}=\text{CHR}'$  и  $\text{RCHN}(\text{C}_2\text{H}_5)_2\text{CHONCH}=\text{CHR}'$ . Е. Караулова

**51145. Получение и характеристика некоторых алифатических 2,4-диеналей. Форс, Ханкокс** (The preparation and characterization of some aliphatic 2,4-dienals. Forss D. A., Hancox N. C.), Austral. J. Chem., 1956, 9, № 3, 420-424 (англ.)

С целью изучения процессов окисления при порче молока (РЖХим, 1957, 36372) синтезированы гептадиен-2,4-аль (I), нонадиен-2,4-аль (II) и хендекадиен-2,4-аль (III) по схеме:  $\text{RCH}=\text{CHCHO} + \text{H}_2\text{C}(\text{COOH})_2 \rightarrow \text{RCH}=\text{CHCH}=\text{CHCOOH} \xrightarrow{\text{LiAlH}_4} \text{RCH}=\text{CHCH}=\text{CHCH}_2\text{OH} \xrightarrow{\text{MnO}_2} \text{RCH}=\text{CHCH}=\text{CHCHO}$ . Из  $n$ -валеральдегида через ацеталь 2-бромвалеральдегида получают пентен-2-аль (IV), т. кип.  $122-124/760$  мм (Kuhn R., Grundmann C., Ber., 1937, 70, 1894). Смесь 18 г малоновой к-ты и 12,5 г IV в 20 мл безвод. пиридина ( $18^\circ$ ) через 3 дня нагревают до удаления  $\text{CO}_2$  (8-9 час.), подкисляют 25%-ной  $\text{H}_2\text{SO}_4$ , получают 2,4-гептадиеновую к-ту (V), выход 37%, т. кип.  $119-120/10$  мм. 7 г V восстанавливают в гептадиен-2,4-ол (VI) кипячением 2 часа с 2 г  $\text{LiAlH}_4$  в 105 мл эфира. 5 г неочищ. VI окисляют 40 г  $\text{MnO}_2$  в 200 мл бензина ( $18^\circ$ , 4 часа), 2 г продукта  $\sim 50\%$ -ный I прибавляют к 4 г 1,2-дианилинэтана в 80 мл  $\text{CH}_3\text{OH}$ , содержащих 0,8 мл 50%-ной  $\text{CH}_3\text{COOH}$ , охлаждают до  $0^\circ$ , добавляют несколько капель воды, получают 1,8 г 1,3-дифенил-2-(2,4-гексадиенил)-тетрагидроимидазола (VII), т. пл.  $120,5-121,5^\circ$  (из  $\text{CH}_3\text{OH}$ , все т-ры плавления исправлены). Встряхиванием 1 г VII с 50 мл 10%-ной  $\text{HCl}$  30 мин. получают 200 мг I, т. кип.  $58-60/5$  мм; семикарбазон (СК), т. пл.  $138-190^\circ$  (из сп.); 2,4-динитрофенилгидразон (ДНФГ), т. пл.  $155-156^\circ$ . Аналогично из гептен-2-аля, т. кип.  $54-56/15$  мм через нонадиеновую к-ту (48%) и нонадиен-2-аль (91%) получают II, т. кип.  $72-74/3$  мм; СК, т. пл.  $182-183^\circ$  (из сп.); ДНФГ, т. пл.  $136-138^\circ$  (из сп.); 1,3-дифенил-2-(2,4-октадиенил)-тетрагидроимидазол, т. пл.  $113-114^\circ$  (из  $\text{CH}_3\text{OH}$ ); из нонен-2-аля, т. кип.  $70-72/3$  мм (Scanlan J. T., Swern D., J. Amer. Chem. Soc., 1940, 62, 2309), через хендекадиеновую к-ту (66%) получен III, т. кип.  $80-81/1$  мм; СК, т. пл.  $183-184^\circ$  (из сп.); ДНФГ, т. пл.  $131-132^\circ$  (из сп.); 1,3-дифенил-2-(2,4-декадиенил)-тетрагидроимидазол, т. пл.  $101-102^\circ$  (из  $\text{CH}_3\text{OH}$ ). ИК-спектром доказана транс-транс-конфигурация I. Приведены УФ-спектры I, II, III, их СК и ДНФГ, V и VI. М. Шварцберг



гидрофурана с 50 мг  $\text{HgCl}_2$ , кипятят 30 мин., выливают в разб.  $\text{CH}_3\text{COOH}$  со льдом, водн. слой насыщают солью, извлекают эфиром, выход IV 46—55,4%. К смеси 56 г IV и 32 г дигидропирана добавляют 2 капли конц.  $\text{HCl}$ , охлаждают до 0°, через 12 час. добавляют твердый  $\text{KOH}$ , к декантированной жидкости добавляют  $\text{K}_2\text{CO}_3$ , перегонкой выделяют ( $\pm$ )-4-(тетрагидро-2-пиранилокси)-децин-1 (XIII), выход 84%, т. кип.  $84^\circ/10^{-3}$  мм,  $n_D^{22} 1,4588$ . К  $\text{NaNH}_2$  из 2 г Na в 500 мл жидкого  $\text{NH}_3$  добавляют 9 г XIII, перемешивают 1,5 часа, добавляют по каплям 9 г V [получен из гексадиона-1,6 (см. Raphael, Sondheimer, J. Chem. Soc., 1950, 2100), т. кип.  $66-69^\circ/0,5$  мм,  $n_D^{21} 1,5234-1,5245$ ], перемешивают ~ 12 час., испаряют  $\text{NH}_3$ , добавляют 100 мл воды, извлекают эфиром, получают ( $\pm$ )-VI, выход 42%, т. кип.  $164^\circ/10^{-6}$  мм,  $n_D^{22} 1,4772$ . 3,99 г VI в 50 мл ацетона кипятят 7 час. с 3,5 г NaI, выливают в воду, извлекают эфиром; полученный неочищ. 1-иод-10-(тетрагидро-2-пиранилокси)-гексадецил-7 добавляют к р-ру натралонового эфира (из 1,96 г малонового эфира, 0,28 г Na и 20 мл спирта) и кипятят 17 час; после охлаждения к полученному р-ру VII добавляют 4 г  $\text{KOH}$  в 40 мл  $\text{CH}_3\text{OH}$  и 2 мл воды, оставляют для гидролиза на 44 часа при  $25^\circ$ , выливают в воду, извлекают эфиром, водн. слой подкисляют  $\text{H}_2\text{SO}_4$ , извлекают эфиром, получают VIIa, выход 2,22 г, которую перегоняют (2 часа,  $10^{-6}$  мм, т-ра обогрета  $140^\circ$ ), дистиллят кипятят 30 мин. с 2 н.  $\text{H}_2\text{SO}_4$ , извлекают эфиром; из эфирного слоя после обработки разб.  $\text{NaOH}$  и подкисления получают ( $\pm$ )-VIII, выход 7,7%, т. пл.  $53-53,5^\circ$  (из петр. эф.), *n*-бромфенациловый эфир (B9), т. пл.  $82^\circ$  (из сп.), 1,06 г ( $\pm$ )-VIII в 10 мл  $\text{CH}_3\text{OH}$  насыщают  $\text{H}_2$  (83,2 мл,  $29^\circ/766$  мм) в присутствии 0,5 г катализатора Лиядлара (Lindlar, Helv. chim. acta, 1952, 35, 446) и 5 капель хинолина, фильтруют, подкисляют разб.  $\text{HCl}$ , извлекают эфиром; получают ( $\pm$ )-I, выход 0,80 г, т. пл.  $23-24^\circ$  (из ацетона при  $-70^\circ$ ),  $n_D^{19} 1,4723$  (в переохлажденном состоянии), B9, т. пл.  $62-63^\circ$ , с  $\text{CH}_2\text{N}_2$  дает метиловый эфир I (XIV), т. кип.  $178^\circ/1$  мм,  $n_D^{16} 1,4638$ , ИК-спектр которого не отличается от спектра природного (+)-XIV. R суспензия 135 г (+)-XIV, т. кип.  $181-182^\circ/0,15$  мм,  $n_D^{22} 1,4620$ , т. пл.  $-6^\circ$ ,  $[\alpha]_D^{22} 5,10^\circ$ , полученного из природного I, в 450 мл воды добавляют при встряхивании 90 г  $\text{Br}_2$ , полученный дибромид извлекают эфиром, кипятят 20 час. с избытком 10%-ного спирт.  $\text{KOH}$ , добавляют воду, подкисляют, извлекают эфиром, получают (+)-VIII, выход 39%, т. пл.  $52^\circ$  (из петр. эф.),  $[\alpha]_D^{22} 13,2^\circ$  (с 53%; ацетон), B9, т. пл.  $63^\circ$  (из сп.), S-бензилтурониевая соль, т. пл.  $125^\circ$ . 28,5 г (+)-VIII в 360 мл ацетона окисляют, добавляя при  $0^\circ$  и перемешивании смесь 6,6 г  $\text{CrO}_3$  и 10,6 г конц.  $\text{H}_2\text{SO}_4$ , доведенную водой до 33 мл, перемешивают при  $0^\circ$  еще 1 час, добавляют 1 л воды, извлекают эфиром, получают IX, выход 55%, т. пл.  $64-64,5^\circ$  (из сп.). Смесь 3,13 г IX в 140 мл  $\text{CH}_3\text{OH}$  и 0,95 г  $\text{KBN}$  в 10 мл воды оставляют на 16 час. при  $0^\circ$ , добавляют 60 мл 10%-ного  $\text{NaOH}$ , нагревают 15 мин. при  $45^\circ$ , добавляют воду и разб.  $\text{HCl}$ , извлекают эфиром, получают ( $\pm$ )-VIII, выход 85%, 0,42 г IX в 10 мл  $\text{CH}_3\text{OH}$  нейтрализуют р-ром  $\text{CH}_3\text{ONa}$  в  $\text{CH}_3\text{OH}$ , добавляют 47,4 мг  $\text{KBN}$  в 1 мл воды, нагревают 1 час при  $50^\circ$ , добавляют 2 н.  $\text{NaOH}$  и нагревают еще 15 мин., подкисляют, получают XII, выход 40%, т. пл.  $82-82,5^\circ$  (из ацетона), B9, т. пл.  $90-90,5^\circ$  (из сп.), семикарбазон, т. пл.  $108,5-109,5^\circ$  (из сп.),  $\alpha$ -нафтилуретан, т. пл.  $48^\circ$  (из петр. эф.). R 340 мг XII в 1,6 мл  $\text{CHCl}_3$  и 0,8 мл конц.  $\text{H}_2\text{SO}_4$  добавляют при  $0^\circ$  и перемешивании 65,2 мг  $\text{NaN}_3$ , через 15 мин. выливают в ледяную воду, извлекают  $\text{CHCl}_3$ , остаток после испарения р-рителя нагревают 3,5 часа при  $100^\circ$  в запаянной трубке с 1,5 мл конц.  $\text{HCl}$ , подщелачивают, извлекают эфиром, из водн. слоя получают себаценовую

к-ту, выход 20 мг. 269 мг IX растворяют в 25 мл спирта, содержащего 1 мл 1 н.  $\text{KOH}$ , прибавляют к р-ру, содержащему 1,1 мл 1 н.  $\text{HCl}$ , извлекают эфиром, получают XI, т. пл.  $28-31^\circ$  (неочищ.). 93 мг XI в 4 мл  $\text{CH}_3\text{OH}$  нейтрализуют 0,2 н.  $\text{NaOH}$  по фенолфталеину, добавляют 14,8 мг  $\text{KBN}$ , оставляют на 12 час. при  $0^\circ$ , выливают в разб. к-ту, получают масло, которое по спектроскопич. данным не содержит алленовой и ацетиленовой группировок. 5 г VIII в эфире титруют эфирным р-ром  $\text{CH}_2\text{N}_2$ , упаривают в вакууме, к остатку в 10 мл сухого пиридина медленно добавляют 5 г  $\text{POCl}_3$  в 10 мл пиридина, перемешивают 2 часа, нагревают 30 мин. при  $0^\circ$  добавляют разб.  $\text{H}_2\text{SO}_4$ , извлекают эфиром, получают метиловый эфир 12-хлорринстеаровой к-ты (XV), выход 54%, т. кип.  $148-149^\circ/10^{-2}$  мм,  $n_D^{20} 1,4682$ . 5,4 г XV кипятят 1 час с 9,6 г хинолина в атмосфере  $\text{N}_2$ , выливают в разб.  $\text{H}_2\text{SO}_4$  при  $0^\circ$ , получают 76%-ный (по данным спектров) метиловый эфир ксимениновой к-ты, т. кип.  $143-144^\circ/0,05$  мм,  $n_D^{21} 1,4117$ ,  $\lambda_{\text{макс}}$  228 мμ (ε 12260). 1 г полученной из природного материала (+)-VIII в 12 мл  $\text{CH}_3\text{OH}$  гидрируют (1 моль  $\text{H}_2$ ) в присутствии катализатора Лиядлара; полученное масло при действии  $\text{CH}_2\text{N}_2$  в эфире дает (+)-XIV, выход 0,89 г, т. кип.  $167^\circ/0,15$  мм,  $n_D^{20} 1,4629$ ,  $[\alpha]_D^{22} 5,0^\circ \pm 0,2^\circ$  (с 10%; сп.), после гидролиза дает B9, т. пл.  $58^\circ$  (из сп.). 3,14 г (+)-XIV в 30 мл спирта добавляют к 0,84 г  $\text{NH}_4\text{OH} \cdot \text{HCl}$  в 6 мл  $\text{CH}_3\text{OH}$ , обрабатывают 0,5 г Na в 20 мл спирта, через 3 дня при  $20^\circ$  фильтруют, нейтрализуют разб.  $\text{HCl}$  при  $0^\circ$ , добавляют воду, получают соответствующую гидрокамсовую к-ту, выход 1,85 г, т. пл.  $63^\circ$  (из этилацетата). Предыдущую часть см. РЖХим, 1955, 55253.

Т. Амбруш  
51150. Липиды. Часть III. Определение селективности гидрирования при синтезе жирных *цис*-кислот. Кромби (Lipids. Part III. Determination of hydrogenation selectivity in the synthesis of *cis*-fatty acids. Crombie L.), J. Chem. Soc., 1955, Oct., 3510—3512 (англ.)

Смеси ацетиленовой, этиленовой и насыщ. к-т, получаемые каталитич. семигидрированием при синтезе жирных *цис*-кислот, могут быть разделены хроматографированием с обращением фаз (см. РЖХимБх, 1956, 9344). При получении ундециленовой к-ты (I) из ундециновой (II) изучена селективность 4 катализаторов:  $\text{PtO}_2$ , скелетного Ni,  $\text{Pd/BaSO}_4$  и катализатора Лиядлара. Последний наиболее селективен — в этилацетате или петр. эфире гидрирование прекращается после поглощения 1 моля  $\text{H}_2$ ; найдено: 0% II, 91—94,5% I, 9—5,5% ундекановой к-ты (III). После поглощения 0,85 моля  $\text{H}_2$ , найдено: 9% II, 88% I, 3,5% III.

А. Лютенберг

51151. Жирные кислоты. Часть V. Применение метода Вудворда *цис*-гидроксифилирования к длинноцепным олефиновым соединениям. Ганстон, Моррис (Fatty acids. Part V. Applications of the Woodward *cis*-hydroxylation procedure to long-chain olefinic compounds. Gunstone F. D., Morris L. J.), J. Chem. Soc., 1957, Jan., 487—490 (англ.)

*Цис*-гидроксифилирование ряда этиленовых соединений (I) действием  $\text{I}_2$  и  $\text{CH}_3\text{COOAg}$  (II) в  $\text{CH}_3\text{COOH}$  дает диолы с хорошим выходом, 0,01 моля I перемешивают 30 мин. ( $20^\circ$ ) с 0,01 моля  $\text{I}_2$  и 0,022 моля II в 65 мл лед.  $\text{CH}_3\text{COOH}$ , кипятят 1 час с 0,011 моля  $\text{H}_2\text{O}$  в 10 мл  $\text{CH}_3\text{COOH}$ , фильтрат упаривают, из водн. остатка эфиром извлекают в-во, которое кипячением 1 час. с 3 н. водно-спирт.  $\text{KOH}$  превращают в соответствующий диол. Так получены диолы из следующих II (даны II, выход в %, т. пл. диола в  $^\circ\text{C}$ ): метилолеат, 89, 130—132; метилавладат, 91, 93,5—94,5; алкидиновая к-та, 85, 94—94,5; олеиловый спирт, 81, 126; алкидиловый спирт, 79, 82,5—83,5; циклогексен, 41, 94—97 (перемешивают 4,5 часа, после кипячения с  $\text{KOH}$  нейтрализуют, упаривают).



ривают и в-во извлекают  $\text{CHCl}_3$ ; аценафтилен, 28, 203—208 (встряхивание 2 часа); оливковое масло (0,1 моля), 97, 125—132; касторовое масло (низкоплавкий и высокоплавкий изомеры разделены в  $\text{CHCl}_3$ ), 30, 108—111 и 7, 135—137; метилдудеаноат, 42, 84—87,5 (перемешивание 12 час., кипячение с водн.  $\text{CH}_3\text{COOH}$  2,5 часа); метиллинолеат (получены два тетрала с двойным кол-вом  $\text{I}_2$  и  $\text{II}$ , разделены в ацетоне), 14, 173, и 15, 163—165 (из 50%-ного сп.); олеиновая к-та, 56, 123—127. Даны методы очистки некоторых  $\text{I}$ . Часть IV см. РЖХИМ, 1957, 37810).

И. Котляревский

**51152. Исследование окисления изолимонной кислоты йодной кислотой.** Йоханнесен, Нордаль (Untersuchungen über die Oxydation von Isolitronensäure mit Perjodsäure. Johannesen Björn, Nordal A.), Pharm. acta helv., 1956, 31, № 6, 339—347 (нем.; рез. англ., франц., итал.)

Изучено окисляющее действие  $\text{HJO}_4$  на изолимонную к-ту ( $\text{I}$ ), выделенную из *Sedum spectabile* через диметилэфир лактонной формы  $\text{I}$ . Р-ция контролировалась потреблением  $\text{HJO}_4$  и исследованием образующихся в-в. При  $\sim 20^\circ$  р-ция протекает очень медленно, часть  $\text{I}$  превращается в лактонную форму; при  $37^\circ$  наблюдается более быстрое потребление  $\text{HJO}_4$  и обнаружено небольшое кол-во карбонильных соединений, при  $100^\circ$  окисление протекает быстро; через 1 час кол-во карбонильных соединений достигает максимума (0,53 моля) и вследствие дальнейшего окисления уменьшается; среди летучих продуктов найдены  $\text{CO}_2$  и  $\text{CH}_2\text{O}$ . При аналогичном окислении лимонной к-ты ( $100^\circ$ ) карбонильные соединения не образуются.

А. Травин

**51153. Выделение и идентификация янтарной и глутаровой кислот в виде *n*-фенилазоанилов.** Хенбест, Оуэн (Isolation and characterisation of succinic and glutaric acids as *p*-phenylazoanils. Henbest H. B., Owen T. C.), J. Chem. Soc., 1955, Aug., 2968—2969 (англ.)

Янтарную ( $\text{I}$ ), глутаровую ( $\text{II}$ ) и  $\alpha,\alpha$ -диметилянтарную к-ту ( $\text{III}$ ) идентифицируют путем превращения в окрашенные кристаллич. *n*-фенилазоанилы, которые очищают

хроматографированием на  $\text{Al}_2\text{O}_3$ :  $\text{OSO}(\text{CH}_2)_n\text{CO} \rightarrow \text{C}_6\text{H}_5\text{N}_2\text{C}_6\text{H}_4\text{NHCO}(\text{CH}_2)_n\text{COOH}$  ( $\text{IV}$ )  $\rightarrow \text{C}_6\text{H}_5\text{N}_2\text{C}_6\text{H}_4\text{NCO}(\text{CH}_2)_n\text{CO}$  ( $n = 2, 3$ ). *n*-Фенилазоанилы удается получить

даже из сильно загрязненных образцов  $\text{I}—\text{III}$ . Небольшие кол-ва *n*-фенилазоанилов можно идентифицировать по их УФ-спектрам. 6 г  $\text{I}$  и 20 мл  $(\text{CH}_3\text{CO})_2\text{O}$  нагревают 30 мин. при  $100^\circ$ , упаривают в вакууме, остаток растворяют в 20 мл  $\text{CHCl}_3$  и кипятят 30 мин. с 10 г *n*-аминоазобензола ( $\text{V}$ ) (очищен хроматографированием) в 20 мл  $\text{CHCl}_3$ , получают 13,5 г  $\text{IV}$  ( $n = 2$ ), т. пл.  $217^\circ$  (разл., из сп.). 1,1 г  $\text{IV}$  ( $n = 2$ ) растворяют при кипячении в 30 мл  $\text{CH}_2\text{COCl}_2$ , упаривают в вакууме, продукт хроматографируют на  $\text{Al}_2\text{O}_3$ , желтый одиночный слой вымывают  $\text{C}_6\text{H}_6$ -эфиром (3:1), выделяют 0,9 г *n*-фенилазоанила  $\text{I}$ , т. пл.  $214^\circ$  (из сп.),  $\lambda_{\text{max}}^{\text{в водн. сп.}}$  22,000. Аналогично из 1,4 г ангидрида  $\text{II}$  и 2,61 г  $\text{V}$  получают  $\text{IV}$  ( $n = 3$ ) с выходом 90%, т. пл.  $190—192^\circ$  (из водн. сп.), из которой при действии  $\text{CH}_3\text{COCl}$  образуется *n*-фенилазоанил  $\text{II}$ , выход 90%, т. пл.  $219^\circ$ ,  $\lambda_{\text{max}}^{\text{в водн. сп.}}$  23,210,  $\xi_{1900}$ . 1 г  $\text{III}$  нагревают с 10 мл  $(\text{CH}_3\text{CO})_2\text{O}$  ( $100^\circ$ , 30 мин.), упаривают при  $80^\circ/20$  мм., полученный ангидрид кипятят 30 мин. с 1,34 г  $\text{V}$  в  $\text{CHCl}_3$ , выделяют смесь к-т, из которой получают *n*-фенилазоанил  $\text{III}$ , выход 80%, т. пл.  $136^\circ$  (из водн. сп. или  $\text{CH}_3\text{COOH}$ ),  $\lambda_{\text{max}}^{\text{в водн. сп.}}$  23,250,  $\xi_{1900}$ . Описано окисление 3-дегидро- $\beta$ -инона и полученного из него (конденсацией с ацетиленом) ацетиленового спирта,  $\text{C}_{15}\text{H}_{20}\text{O}$ , т. пл.  $31^\circ$ . В

продуктах окисления найдена  $\text{III}$ , идентифицированная в виде ее *n*-фенилазоанила.

А. Файнзильберг

**51154. Синтез сложных эфиров лигноцеринового спирта и лигноцеринового спирта.** Халецкий А. М., Горская Н. М., Ж. общ. химии, 1956, 26, № 10, 2765—2767

Синтезированы сложные эфиры лигноцеринового спирта,  $n\text{-C}_{21}\text{H}_{43}\text{OH}$  ( $\text{I}$ ) и сложные эфиры лигноцеринового к-ты ( $\text{II}$ ); последние получены окислением  $\text{I}$  (Халецкий А. М., Соломоник Н. Н., ЖОХ, 1947, 17, 1171). Нагревают 10 час. смесь 1 моля  $\text{I}$  (т. пл.  $74—76^\circ$ ), 4 молей к-ты и 2 молей конц.  $\text{H}_2\text{SO}_4$ ; получают (перечисляются исходная к-та, эфир, т-ра р-ции в  $^\circ\text{C}$ , выход в %, т. пл. в  $^\circ\text{C}$ ):  $\text{C}_{17}\text{H}_{35}\text{COOH}$ ,  $\text{C}_{18}\text{H}_{37}\text{O}_2$ , 100, 79, 44—48 (из сп.);  $\text{CH}_2(\text{COOH})_2$ ,  $\text{C}_{51}\text{H}_{100}\text{O}_4$ , 140, 94,5, 80—81 (из хлф.);  $\text{HOOC}(\text{CH}_2)_6\text{COOH}$ ,  $\text{C}_{54}\text{H}_{106}\text{O}_4$ , 155—160, 56,8, 79—80 (из хлф.). Нагреванием  $\text{I}$  с  $(\text{CH}_3\text{CO})_2\text{O}$  при  $100^\circ$  получают ацетат  $\text{I}$ , т. пл.  $55—57^\circ$  (из сп.). Этерификацией  $\text{I}$  безводн.  $(\text{COOH})_2$  при  $185—190^\circ$  получен оксалат  $\text{I}$ , выход 81,9%, т. пл.  $\text{C}_{50}\text{H}_{98}\text{O}_4$ , 81—82° (из хлф.). Взаимодействием  $\text{I}$  с 2 молями безводн.  $\text{HCOONa}$  в присутствии  $\text{NaHSO}_4$  получают (за 10 час.,  $100^\circ$ ) формиат  $\text{I}$ , выход 61,1%, т. пл.  $57—59^\circ$  (из смеси ацетон + хлф.; 1:1). Нагревают (10 час.  $180^\circ$ ) 4 моля этиленгликоля с одним молем  $\text{II}$ , выход моноэфира  $\text{C}_{26}\text{H}_{52}\text{O}_3$  28,8%, т. пл.  $79—81^\circ$  (из хлф.), выход эфира  $\text{C}_{50}\text{H}_{98}\text{O}_4$  44,21%, т. пл.  $74—76^\circ$  (из ацетона). Аналогично из  $\text{II}$  и глицерина (200°, 10 час.) получают изомерные дилигноцериноглицириновые эфиры состава  $\text{C}_{51}\text{H}_{100}\text{O}_5$ : с т. пл.  $73—75^\circ$  (из ацетона), выход 24,3%,  $63—67^\circ$  (из хлф.), выход 28,5%. Б. Мерков

**51155. Исследование сложных эфиров диолов и триолов.** Го, Гианг Нгуэн Тханх (Recherches sur des esters de diols et de triols. Gault Henry, Giang Nguyen Thanh), C. r. Acad. sci., 1956, 243, № 20, 1530—1532 (франц.)

Сложные эфиры диолов и триолов, содержащие свободную  $\text{OH}$ -группу, получают ацетилируя бутанол-1-он-3 ( $\text{I}$ ) и 1-оксиметилбутанол-1-он-3 ( $\text{II}$ ) и восстанавливая  $\text{CO}$ -группы полученных эфиров каталитич. гидрированием. К смеси 0,75 моля  $\text{I}$  и 1,65 моля пиридина прибавляют при  $-10^\circ$  1,65 моля  $\text{CH}_3\text{COCl}$  в  $\text{CHCl}_3$ , через 4 часа ( $-10^\circ$ ) нагревают 1 час до  $50^\circ$  и оставляют на 12 час. Подкисляют 10%-ной  $\text{H}_2\text{SO}_4$ , хлороформенный р-р нейтрализуют  $\text{NaHCO}_3$ , получают ацетат  $\text{I}$  ( $\text{III}$ ), т. кип.  $97/15$  мм. Побочно образуется незначительное кол-во  $(\text{CH}_3\text{CO})_2\text{CHCH}_2\text{OCOSCH}_3$ , т. кип.  $112—113/15$  мм; фенилгидразон, т. пл.  $205^\circ$ . Аналогично  $\text{III}$  (без нагревания) готовят диацетат  $\text{II}$  ( $\text{IV}$ ), т. пл.  $84^\circ$  (из сп.).  $\text{III}$  гидрируют (скелетный  $\text{Ni}$ ,  $90^\circ$ , 100 ат) в среде  $\text{CH}_3\text{COOC}_2\text{H}_5$ , получают  $\text{CH}_3\text{CHONCH}_2\text{CH}_2\text{OCOSCH}_3$ , т. кип.  $102—104/15$  мм. Гидрируя  $\text{IV}$  при  $155^\circ$  и 140 ат, получают  $\text{CH}_3\text{CHONCH}(\text{CH}_2\text{OCOSCH}_3)\text{CH}_2\text{OCOSCH}_3$ , т. кип.  $172—173/0,5$  мм. Б. Мерков

**51156. Реакция Реформатского. Сообщение III. Реакции  $\gamma$ -бромкротоновых эфиров.** Каноника, Фьекки, Адоббати (Reazioni di Reformatzkj. Nota III. Reazioni degli esteri  $\gamma$ -bromocrotonici. Canonica L., Fieccchi A., Adobbati M.), Rend. ist. lombardo sci. e lettere. Cl. sci. mat. e natur., 1954, 87, № 2, 257—275 (итал.)

Показано, что при конденсации  $\text{X}-\text{CH}_2-\text{CR}=\text{CH}-\text{COOR}'$  ( $\text{I}$   $\text{X} = \text{Br}$ ,  $\text{R} = \text{H}$ ,  $\text{R}' = \text{C}_2\text{H}_5$ ;  $\text{II}$   $\text{X} = \text{Br}$ ,  $\text{R} = \text{CH}_3$ ,  $\text{R}' = \text{CH}_3$ ;  $\text{III}$   $\text{X} = \text{Br}$ ,  $\text{R} = \text{CH}_3$ ,  $\text{R}' = \text{C}_2\text{H}_5$ ) с фенолом ( $\text{IV}$ ) и диэтиламино ( $\text{V}$ ) образуются нормальные продукты р-ции: ( $\text{VI}$ ) ( $\text{X} = \text{C}_6\text{H}_5\text{O}$ ,  $\text{R} = \text{H}$ ,  $\text{R}' = \text{C}_2\text{H}_5$ ), ( $\text{VII}$ ) ( $\text{X} = \text{C}_6\text{H}_5\text{O}$ ,  $\text{R} = \text{CH}_3$ ,  $\text{R}' = \text{CH}_3$ ), ( $\text{VIII}$ ) ( $\text{X} = \text{C}_6\text{H}_5\text{O}$ ,  $\text{R} = \text{CH}_3$ ,  $\text{R}' = \text{C}_2\text{H}_5$ ), ( $\text{IX}$ ) ( $\text{X} = (\text{C}_2\text{H}_5)_2\text{N}$ ,  $\text{R} = \text{H}$ ,  $\text{R}' = \text{C}_2\text{H}_5$ ) и ( $\text{X}$ ) ( $\text{X} = (\text{C}_2\text{H}_5)_2\text{N}$ ,  $\text{R} = \text{CH}_3$ ,  $\text{R}' = \text{CH}_3$ ). Строение последних доказано окислением  $\text{KMnO}_4$ , каталитич. гидрированием и последующим омылением. Гидрирование  $\text{VII}$  и  $\text{X}$  наряду с нор-

малыми продуктами восстановления приводит к IV, V и соответствующим жирным к-там—продуктам гидронолиза  $\gamma$ -С-связи. Фенолат Na (из 2,7 г Na и 10 г IV) кипятят 6 ч. в  $C_6H_6$  с 15 г I, обрабатывают двойным объемом 5% NaOH в 20%-ном спирте и экстрагируют бензолом, выход VI 9,2 г, т. кип.  $107^{\circ}/2,1$  мм,  $n_D^{20}$  1,5165,  $d_4^{20}$  1,073. В аналогичных условиях из 22,5 г III получают 7,8 г VIII, т. кип.  $166-168^{\circ}/30$  мм,  $121-123^{\circ}/2,5$  мм,  $n_D^{20}$  1,5194,  $d_4^{20}$  1,065. 16 г IV кипятят с 23 г I в 75 мл метилэтилкетона с 20 г  $K_2CO_3$  8 час., выход VI 18,8 г. Аналогично из 16,7 г III получают 11 г VIII, а из 20 г II—17,5 г VII, т. кип.  $118-120^{\circ}/2$  мм,  $n_D^{22}$  1,5258. Взаимодействие 5,14 г I с 4,2 г V в бензоле (4 часа при  $0^{\circ}$ ) приводит к IX, т. кип.  $110-112^{\circ}/14$  мм; хлоргидрат (XI), т. пл.  $144-145^{\circ}$  (из ацетона-эф.); аналогично из II получают X с выходом 66%, т. кип.  $98-100^{\circ}/15$  мм,  $n_D^{17}$  1,4439; хлоргидрат, т. пл.  $174-175^{\circ}$  (из ацетона). 7 г этилового эфира  $\alpha$ -броммасляной к-ты, 8,6 г V в 30 мл бензола кипятят 80 час., получают этиловый эфир  $\alpha$ -диэтиламиномасляной к-ты, т. кип.  $84^{\circ}/12$  мм; хлоргидрат, гипоскопичное масло. При гидролизе 0,5 г VI 3% спирт. NaOH (6 час. при  $20^{\circ}$ ) образуется 0,12 г  $\gamma$ -феноксикротоновой к-ты, т. пл.  $136^{\circ}$  (из бал.-петр. эф.). Омылением 0,946 г VII водно-метанольным NaOH (кипячение 30 мин.) получают 0,48 г  $\gamma$ -феноксис- $\beta$ -метилкротоновой к-ты, т. пл.  $108-109^{\circ}$  (из петр. эф.), в более жестких условиях к-ту выделить не удалось, образуется в-во, дающее динитрофенилгидразон. Гидрирование VI на  $PtO_2$  и последующий гидролиз 30% NaOH (12 час. при  $20^{\circ}$ ) приводит к  $\gamma$ -феноксимасляной к-те, т. пл.  $64^{\circ}$ . При гидрировании в аналогичных условиях VII и омылении спирт. NaOH наряду с  $\gamma$ -феноксис- $\beta$ -метилмасляной к-той, т. пл.  $44^{\circ}$  (из петр. эф.), образуется некоторое кол-во фенола и изовалериановой к-ты. Гидрирование IX на Pd/C приводит к этиловому эфиру  $\gamma$ -диэтиламиномасляной к-ты; хлоргидрат, т. пл.  $111-112^{\circ}$ ; реинекат, т. пл.  $113-114^{\circ}$ . При гидрировании XI на  $PtO_2$  при  $20^{\circ}$  и последующей обработке HCl образуются хлоргидрат  $\gamma$ -диэтиламиномасляной к-ты, т. пл.  $166^{\circ}$  (из ацетона-эф.), и небольшое кол-во хлоргидрата V. При исчерпывающем гидрировании 1,06 г X на 0,2 г 5% Pd/C при  $20^{\circ}$  получают 0,516 г хлоргидрата V и, после омыления нейтр. фракции, изовалериановую к-ту в виде бензилтлурониевой соли, т. пл.  $151^{\circ}$ . При поглощении 1 моля  $H_2$  X образует смесь эфиров, которая при омылении дает в основном  $\beta\beta$ -диметил-акриловую к-ту и немного изовалериановой к-ты. При окислении VI посредством  $KMnO_4$  в водн. диоксане образуется феноксисукусная к-та. При окислении  $KMnO_4$  в водн. ацетоне VII дает феноксацетон и феноксисукусную к-ту. Сообщение II см. РЖХим, 1955, 31541. Э. Будовский

**51157. Получение винилацетата в жидкой фазе. Ковач, Турзо** (Vinilacetát előállítás folyékony fázisban. Kovács László, Thurzó György), Vegyipari kut. int. közl., 1954, 4, 216—221 (венг.)

Исследовались условия получения винилацетата (I) из ацетилена (II) по способу Грота и Йогансена (пат. США 2376964, 1945 г.). К р-ру 6 г мышьяковой к-ты (III) в 600 г  $CH_3COOH$  (IV), 52,5 г  $(CH_3CO)_2O$  (V) и 20 г 40%-ной  $H_2F_2$  (VI) в атм. сухого II, добавляя р-р 2,8 г HgO в 400 г IV и 52,5 г V, через 30 мин. ( $50-60^{\circ}$ ) охлаждают до  $10^{\circ}$  и пропускают II при давл. 100 мм. Из продуктов р-ции отгоняют до  $50^{\circ}/50$  мм фракцию, содержащую I и IV, затем до  $20-3$  мм перегоняют IV, V и этилдиациацетат (VII). В ходе р-ции (с накоплением I) скорость образования I падает, скорость образования VII растет. После 2,5 час. (конверсия IV 68%) выход VII превышает выход I. Исследовалась зависимость выхода I от кол-ва добавляемых катализаторов. При добавке 0,5 г HgO, 0,85 г III, 1,75 г 40%-ного VI (3 часа,  $15-25^{\circ}$ , конверсия 66%) выход I

670 г/1 г HgO. Проверен и улучшен метод получения I из  $C_2H_2$  и IV в присутствии Hg-соли мышьяковой к-ты по Гроту и Йогансену (пат. США 2376964). В 333 г лед. IV растворяют 0,85 г  $H_3AsO_4$ , осаждают 53 г 98%-ного V, растворяют осадок 1,75 г VI. К полученному р-ру добавляют р-р 0,5 г HgO в 167 г IV, выдерживают 30 мин. при  $50-60^{\circ}$ , охлаждают до  $15^{\circ}$ . Через р-р пропускают 3 часа сухой II (10 см вод. ст.), поднимая т-ру к концу р-ции до  $25-30^{\circ}$ . Собирают фракцию до  $50^{\circ}/50$  мм, содержащую I и IV; I выделяется повторными вакуум-перегонками. Конверсия 66%, выход 84,5% на II, 65,5% на IV, 670 г I/1 г HgO. Увеличение продолжительности р-ции, при увеличении степени конверсии не увеличивает выхода I вследствие образования  $CH_3CH(OCOSCH_3)_2$ . Р-цию нужно проводить непрерывно с циркуляцией реакционной массы между реактором и испарителем для испарения I при 13 мм рт. ст. Длительность катализатора 16,5 час. Конверсия 66,8%, выход 79,7%, получены 238 г I/1 г HgO. В промышленных условиях более выгоден энергетический процесс, так как жидкофазный процесс изотермичен и вызывает сильную коррозию аппаратуры. Промышленное использование метода затруднено из-за больших расходов энергии на охлаждение. И. Амбруш

**51158. Побочные продукты синтеза акрилонитрила из ацетилена и синильной кислоты. I. Нейтральные составляющие. Моримото** (By-products of acrylonitrile synthesis from acetylene and hydrocyanic acid. I. Neutral constituents. Morimoto Shiro), Bull. Chem. Soc. Japan, 1956, 29, № 4, 450—455 (англ.)

Конденсацией 2443 г HCN с  $CH \equiv CH$  (1:3,2—4,4) над 1,7 л ZnO на пемзе (прокаливает осаждаемую на пемзе  $Zn(OH)_2$  при  $400-500^{\circ}$ ) при  $330-560^{\circ}$  за 132,5 часа получают 1471 г акрилонитрила, 160 г динитрила ятарной к-ты и 242,5 г побочных в-в, из которых обработкой к-той и щелочью выделено 229 г нейтр. в-в (I). Из I получены пропонионитрил (II), т. кип.  $95,8-97^{\circ}$ , бензонитрил, т. кип.  $190,6^{\circ}$ , и нафталин, т. пл.  $80,2^{\circ}$ . II выделен в виде хлоргидрата  $\alpha$ -иминопропилмеркаптоуксусной к-ты пропусканием HCl (газа) в р-р I с II и 2 г тиогликолевой к-ты в эфире, выход 0,5 г, т. пл.  $123-124^{\circ}$  (разл.). По т-рам кипения и ИК-спектрам идентифицированы 1-цианобутадиев, 2-цианобутадиев и 1-, 2- и 3-цианогексатриены. И. Котляревский

**51159. О получении диэтиламиноацетонитрила и N,N-диэтилэтилендиамин. Вишневская Г. И., Мостовова Г. А., Фялков Ю. А., Хаскин И. Г.**, Укр. хим. ж., 1956, 22, № 5, 630—632

Диэтиламиноацетонитрил (I) почти с колич. выходом образуется при взаимодействии диэтиламина (II),  $CH_2O$  и диангидрина ацетона (III). Синтез I катализируется следами NaOH, в р-ции применяется 5—30%-ный избыток  $CH_2O$ . I восстанавливается Na в спирте в N,N-диэтилэтиленdiamин (IV). К 0,43 моля II добавляют при  $0^{\circ}$  последовательно 0,56 моля 33,5%-ного р-ра  $CH_2O$ , 5 мл 0,1 н. NaOH и 0,45 моля III, через 3 часа ( $\sim 20^{\circ}$ , перемешивание) извлекают I  $CHCl_3$ , выход 93,5%, т. кип.  $73-74^{\circ}/26$  мм. Аналогично получены  $\alpha$ -диэтиламино- $\alpha$ -азилацетонитрил (выход 89%) и  $\alpha$ -диэтиламинопропионитрил (выход 40%). Конц. толуольный р-р неперегнанного I (из 2,2 моля II, 2,37 моля  $CH_2O$ , 2 мл 0,5 н. NaOH и 2,26 моля III, экстракция толуолом) смешивают с 0,7 л абе. спирта и смесь прибавляют при перемешивании к 280 г Na в 1400 мл кипящего толуола. Через 3—4 часа добавляют 800 мл воды, органич. слой подкисляют конц. HCl и отгоняют р-рителем до  $103-104^{\circ}$ . Остаток нейтрализуют 40%-ным KOH и высаливают KOH. При разгонке выделяют фракции: т. кип.  $110-118^{\circ}$  (содержит 71% IV), т. кип.  $144-147^{\circ}$  (95,5% IV) Из щел. р-ров после высаливания и сушки экстрагируют  $C_6H_6$  дополнительное кол-во IV; общий выход 67,8% (на I). О. Нефёдов

**51160.** О взаимодействии алифатических диазосоединений с аммиаком. Виланд, Пейль (Umsetzungsprodukte aliphatischer Diazoverbindungen mit Ammoniak. Wieland Theodor, Peil Heinz), Chem. Ber., 1956, 89, № 10, 2408—2414 (нем.)

Исследовано взаимодействие диазоуксусного эфира (I) с  $\text{NH}_4\text{OH}$  (II) и  $\text{NH}_3$ , а также действие последнего на  $\text{CH}_2\text{N}_2$ . 2 г I с небольшим избытком воды. р-ра II в присутствии  $\text{C}_6\text{H}_5\text{N}$  оставляют длительное время ( $40^\circ$ ); проявленная  $\text{FeCl}_3$  бумажная хроматограмма показывает наличие пяти гидроксамовых к-т, среди них  $\alpha$ -гидроксиламиноацетогидроксамовая к-та. 5 г I с 100 мл конц.  $\text{NH}_4\text{OH}$  нагревают 10 час. ( $60$ – $70^\circ$ ), упаривают в вакууме и при помощи электрофореза на бумаге идентифицируют глицинамид, глицин, аспарагиновую к-ту, ее диамид и пептид из глицина и аспарагина. Кипячение I с избытком спиртово-водн. р-ра  $\text{CH}_3\text{NH}_2$  5 час. привело к N-метилглицину. I с  $2,4\text{-(NO}_2)_2\text{-C}_6\text{H}_3\text{NH}_2$  не взаимодействует. 1,5 г  $\text{CH}_2\text{N}_2$  в 50 мл эфира с 100 мл конц.  $\text{NH}_4\text{OH}$  выдерживают ( $\sim 20^\circ$ ) 1–2 часа, упаривают в вакууме, идентифицируют (электрофорез)  $\text{CH}_3\text{NH}_2$ ,  $(\text{CH}_3)_2\text{NH}$  и коламин, возникающий за счет образования  $\text{CH}_2\text{O}$  из  $\text{CH}_2\text{N}_2$ . Дано объяснение механизма протекающих процессов. И. Горбачева

**51161.** Взрыв во время получения диазоацетонитрила. Филлипс, Чемпион (An explosion during the preparation of diazoacetone nitrile. Phillips Donald D., Champion William C.), J. Amer. Chem. Soc., 1956, 78, № 20, 5452 (англ.)

Описан случай взрыва конц. р-ра диазоацетонитрила (I) в  $\text{CH}_2\text{Cl}_2$ . Отмечено, что I надо применять только в разб. р-ре. Подобный случай взрыва I был сообщен ранее (см. РЖХим, 1956, 9959).

**51162.** О продуктах C-замещения гидразо- и азо-трет-бутана и их распаде. Гольдшмидт, Зарнецкий (Über C-Substitutionsprodukte des Hydrazo- und Azo-t-butans und ihren Zerfall. Goldschmidt Stefan, Sarnecki Wilhelm), Liebigs Ann. Chem., 1955, 595, № 3, 179–192 (нем.)

При восстановлении диметилового эфира азонизомасляной к-ты  $\text{H}_3\text{COCO}(\text{CH}_3)_2\text{CN}=\text{NC}(\text{CH}_3)_2\text{COOCH}_3$  (I)  $\text{LiAlH}_4$  образуется 2,2'-азонизобутанол (II), который разлагается лишь при  $200^\circ$  и легко гидролизуется водой или к-тами с образованием  $\text{HCHO}$  и  $(\text{CH}_3)_2\text{CO}$ . Восстановление диметилового эфира гидразо-изомасляной к-ты (III)  $\text{LiAlH}_4$  в отсутствие воздуха приводит к 2,2'-гидразонизобутанолу (IV), а в присутствии воздуха к II. При восстановлении динитрила гидразонизомасляной к-ты (V)  $\text{LiAlH}_4$  получают 2,2'-гидразонизобутанол (VI), амино-трет-бутилгидразин (VII), ацетон и  $\text{HCN}$ , а при восстановлении динитрила азонизомасляной к-ты (VIII) основными продуктами являются амидо-трет-бутилгидразон ацетона (IX), азин ацетона (X) и  $\text{HCN}$ . Взаимодействие IV с  $\text{SOCl}_2$  приводит к 2,2'-азонизобутилкуриду (XI). R 0,055 моля  $\text{LiAlH}_4$  в 50 мл абс. эфира в токе чистого  $\text{N}_2$  при  $35^\circ$  прибавляют 0,035 моля III в 100 мл абс. эфира, кипятят 1 час, разлагают водой, 10 г винной к-ты и 80 мл 25%-ного  $\text{KOH}$ , эфиром извлекают IV, выход 82%, т. кип.  $140^\circ/1$  мм,  $145^\circ/2$  мм, т. пл.  $85$ – $86^\circ$  (из хлф.), в присутствии воздуха переходит в II; хлоридат IV, т. разл.  $155$ – $160^\circ$  (из эф.- $\text{CH}_3\text{OH}$ ). Так же (но без применения  $\text{N}_2$ ) из 0,104 моля I и 0,13 моля  $\text{LiAlH}_4$  получают II, выход 77%, т. пл.  $74^\circ$  (из бэл.). Через суспензию II в 2 н.  $\text{HCl}$  5 дней пропускают воздух, упаривают в вакууме и получают хлоридат окси-трет-бутилгидразона формальдегида, выход  $\sim 100\%$ , т. разл.  $108^\circ$ ; дибензонильное производное (по Шоттену — Бауману), т. пл.  $164,5^\circ$  (из  $\text{CH}_3\text{OH}$ ). Смесь 2 г II, 30 мл пиридина и 5 мл уксусного ангидрида нагревают 45 мин. до  $100^\circ$ , получают диацетат II, выход 96%, т. кип.  $90^\circ/0,4$  мм,  $108^\circ/1,8$  мм. В атмосфере чистого  $\text{N}_2$  0,1 моля V при  $35^\circ$  постепенно при-

бавляют к 0,3 моля  $\text{LiAlH}_4$  в 350 мл абс. эфира, кипятят еще 1 час и после обработки, как при получении IV, выделяют VI, выход 39%; динитрат т. пл.  $198^\circ$  (из абс. сп.); диацетат, т. разл.  $140^\circ$  (из водн. диоксиана); побочно получается VII; дибензонильное производное, т. пл.  $94$ – $100^\circ$  (из  $\text{CH}_3\text{OH}$ ) и  $\text{HCN}$ . 0,052 моля VIII кипятят с 0,13 моля  $\text{LiAlH}_4$  в 350 мл абс. эфира в атмосфере чистого  $\text{N}_2$ , улавливают выделяющийся  $\text{CH}_3\text{NH}_2$ , разлагают 25 г винной к-ты и 150 мл 30%-ного  $\text{KOH}$ ; водн. слой промывают эфиром, при разгонке (атмосфера  $\text{N}_2$ ) выделяют: X, т. кип.  $51$ – $54^\circ/37$  мм; IX, т. кип.  $57$ – $59^\circ/1,4$  мм,  $79^\circ/14$  мм, нират, т. пл.  $170^\circ$  (из эф. разл.); хлоридат, т. пл.  $160^\circ$  (разл.); 2-гидразонизобутиламид, т. кип.  $71$ – $105^\circ/12$  мм, хлоридат, т. пл.  $205$ – $206^\circ$  (разл.); дибензонильное производное, т. пл.  $93$ – $98^\circ$ . Р-р 0,023 моля IV в 5 мл  $\text{CHCl}_3$  оставляют на 12 час. с 0,046 моля  $\text{SOCl}_2$  и затем кипятят 1 час с еще 0,023 моля  $\text{SOCl}_2$ .  $\text{CHCl}_3$  отгоняют, эфир. р-р остатка промывают  $\text{Na}_2\text{CO}_3$  и водяным паром отгоняют XI, выход 18%, т. кип.  $92^\circ/12$  мм, т. пл.  $23$ – $24^\circ$ .

И. Котляревский

**51163.** Синтезы с помощью дипиридинового соли фосгена. Шольтиссек (Synthesen mit Hilfe des Dipyridiniumsalzes des Phosgens. Scholtissek Christoph), Chem. Ber., 1956, 89, № 11, 2562–2565 (нем.)

Дипиридиневая соль фосгена  $[(\text{C}_5\text{H}_5\text{N})^+\text{}_2\text{CO}] \cdot 2\text{Cl}^-$  (I), устойчивая (без доступа влаги) в-во, конденсируется с различными соединениями с выделением пиридина и освобождением несвязанного  $\text{COCl}_2$ , благодаря чему может заменять  $\text{COCl}_2$  в синтезах. Изучено взаимодействие I с анилином (II), метиланилином (III), этаноламином (IV), гексаметилендиамином (V), холестерин (VI) и 4-оксистероидом (VII).  $\text{COCl}_2$  пропускают в 10%-ный р-р пиридина в абс.  $\text{C}_6\text{H}_6$  30 мин., I высушивают в вакууме при  $20^\circ$ . К 2,5 г I в 100 мл эфира добавляют 0,7 мл II в 50 мл эфира и встряхивают 10 мин., к половине р-ра добавляют р-р  $\text{CH}_3\text{NH}_2$  в эфире, выход метилфенилмочевины 100%, т. пл.  $149$ – $150^\circ$  (из сп.); ко второй половине р-ра прибавляют фенилгидразин, синтезирован 1,4-дифенилсесмикарбазид (VIII), т. пл.  $176^\circ$ . 0,5 г VIII + 3 г I в 40 мл абс. тетрагидрофурана кипятят 1 час, получают 1,4-дифенил-2,5-дикетотриазолин, выход  $70$ – $80\%$ , т. пл.  $174^\circ$  (из  $\text{CH}_3\text{OH}$ ). 3 г I в 80 мл  $\text{C}_6\text{H}_6$  с 4 мл III встряхивают 10 мин., добавляя воду, выход  $\text{C}_6\text{H}_5\text{N}(\text{CH}_3)\text{COCl}$  0,6 г, т. пл.  $89^\circ$  (из  $\text{CH}_3\text{OH}$  + вода), при кипячении 2 часа образуется симметричная диметилдифенилмочевина, т. пл.  $121^\circ$  (из  $\text{CH}_3\text{OH}$ ). 4 г I в 150 мл эфира и 2 мл IV встряхивают 10 мин., к половине р-ра добавляют р-р  $90^\circ$  (из бэл.). К 3 г I в 35 мл ксилола прибавляют 1 мл  $\text{CH}_3\text{COOH}$ . По окончании выделения  $\text{CO}_2$  осадок кипятят 5 час. с 1 г VI, получают ацетат VI, выход 100%, т. пл.  $113$ – $114^\circ$  (из  $\text{CH}_3\text{OH}$ ). Р-р 4 г VII в 60 мл  $\text{C}_6\text{H}_6$  встряхивают 1 час с 1,1 г I, разлагают водой, выход карбоната VII 100%, т. пл.  $172^\circ$  (из  $\text{CH}_3\text{OH}$ ). Р-ция I и V в эфире дает полимочевину.

К. Пузичкий

**51164.** Промоторы капальной конденсации пара. Часть I. Получение соединений, содержащих монофункциональные сернистые группы. Блэкман, Дьюар (Promoters for the dropwise condensation of steam. Part I. Preparation of compounds containing monofunctional sulphur groups. Blackman L. C. F., Dewar M. J. S.), J. Chem. Soc., 1957, Jan., 162–165 (англ.)

Синтезированы сернистые соединения — возможные промоторы капальной конденсации пара на металлических поверхностях. R 57 г  $\text{CH}_3(\text{CH}_2)_{16}\text{CH}_2\text{OH}$  и 11,2 г  $\text{KOH}$  прибавляют 52 г  $\text{CS}_2$ , через 15 час. ( $\sim 20^\circ$ ) выделяют  $\text{C}_{18}\text{H}_{37}\text{OCS}(\text{S})\text{K}$  (I), выход 73 г, т. пл.  $206^\circ$  (разл., из сп.). 1,1 г  $\text{C}_2\text{H}_5\text{Br}$ , 3,8 г I и 20 мл спирта кипятят 2 часа, прибавляют 10 мл воды, извлекают эфиром  $\text{C}_{18}\text{H}_{37}\text{OCS}(\text{S})\text{H}_2$ , выход 3,4 г, т. пл.  $38$ – $39^\circ$  (из



$\text{CH}_3\text{COCH}_3 + \text{CH}_3\text{OH}$ ). Аналогично получены:  $\text{CH}_3(\text{CH}_2)_{16}\text{CH}_2\text{OCSSCH}_2(\text{CH}_2)_{16}\text{CH}_3$ , т. пл.  $54,5^\circ$  (из  $\text{CH}_3\text{COCH}_3$ );  $\text{CH}_3(\text{CH}_2)_{16}\text{CH}_2\text{OCSSCH}_2\text{C}_6\text{H}_5$ , т. кип.  $160^\circ/3$  мм, т. зам.  $\sim 20^\circ$ ;  $\text{C}_2\text{H}_5\text{OCSSCH}_2(\text{CH}_2)_{16}\text{CH}_3$ , т. пл.  $41,5-42^\circ$  (из сп.);  $\text{ClCSCC}_2\text{H}_5$  (II), т. кип.  $90^\circ/34$  мм (по Braun, Ber., 1902, 35, 3377); одновременно образуется  $\text{C}_2\text{H}_5\text{SCSSC}_2\text{H}_5$ , т. кип.  $110^\circ/34$  мм; аналогично получают  $\text{ClCSCC}_{12}\text{H}_{25}$ , т. кип.  $176-178^\circ/1,5$  мм,  $n_D^{20}$  1.5196. Из 5 г  $\text{C}_{12}\text{H}_{25}\text{SH}$  (III) и 3,5 г II в 20 мл  $\text{CS}_2$  ( $\sim 20^\circ$ , 6 дней) получают  $\text{C}_{12}\text{H}_{25}\text{SCSSC}_2\text{H}_5$ , т. кип.  $116-118^\circ/4$  мм,  $n_D^{20}$  1.4872. Аналогично из 8,1 г III, 2,3 г  $\text{CSCl}_2$  и 20 мл  $\text{CS}_2$  синтезируют  $\text{C}_{12}\text{H}_{25}\text{SCSSC}_{12}\text{H}_{25}$ , выход 7,1 г, т. пл.  $51-52,5^\circ$  (из сп.). 16,7 г  $\text{CH}_3(\text{CH}_2)_{16}\text{CH}_2\text{Br}$  (IV) и 5,3 г  $\text{KSCN}$  в 80 мл спирта кипятят 3 часа, выделяют  $\text{C}_{18}\text{H}_{37}\text{SCN}$  (V), выход 13,5 г, т. кип.  $120^\circ/0,9$  мм, т. зам.  $\sim 25^\circ$ . Из 16,7 г IV и 8,5 г  $\text{KSeCN}$  получают  $\text{C}_{18}\text{H}_{37}\text{SeCN}$ , выход 15 г, т. пл.  $59,5-60^\circ$  (из эф.). 3,1 г V и 4 мл  $\text{CH}_3\text{COSH}$  кипятят 3 часа, выделяют  $\text{CH}_3\text{CONHSCS}_2(\text{CH}_2)_{16}\text{CH}_3$ , выход 3,6 г, т. пл.  $95-96^\circ$  (из сп.). 1 г V сушат 24 часа над  $\text{P}_2\text{O}_5$ , обрабатывают 5 мл охлад. до  $\sim 0^\circ$  96%-ной  $\text{H}_2\text{SO}_4$ , разлагают льдом, осаждают води.  $\text{CH}_3\text{COCH}_3$ , выделяют  $\text{C}_{18}\text{H}_{37}\text{SCONH}_2$ , выход 0,8 г, т. пл.  $111-112^\circ$  (из  $\text{CH}_3\text{COCH}_3$ ). По методу (см. Frank, Smith, Org. Synth., 1941, 21, 36) синтезирован  $\text{C}_{18}\text{H}_{37}\text{SH}$ , т. кип.  $145-148^\circ/1$  мм, т. пл.  $55-56^\circ$ . Р-р октадецилтируний-бромиды кипятят 10 мин. со спирт. р-ром пикриновой к-ты, выделяют октадецилтирунийпикрат, т. пл.  $124,5-125^\circ$  (из сп.). 2,95 г III кипятят 15 мин. с 0,6 г  $\text{NaOH}$  в спирте, прибавляют 4,93 г IV в спирте и кипятят 2 часа. Через 2 часа ( $0^\circ$ ) выделяют  $\text{C}_{12}\text{H}_{25}\text{SC}_{18}\text{H}_{37}$ , выход 6,5 г, т. пл.  $53,5^\circ$  (из сп.). 3 г  $\text{C}_{17}\text{H}_{35}\text{COCl}$  при  $\sim 30^\circ$  обрабатывают 2 г III, через 2 часа ( $\sim 20^\circ$ ) нагревают при  $60^\circ$  1 час и обрабатывают 20 мл петр. эфира при  $40^\circ$ , выделяют  $\text{C}_{17}\text{H}_{35}\text{COSC}_{12}\text{H}_{25}$ , выход 4,3 г, т. пл.  $53,5^\circ$  (из  $\text{CH}_3\text{COCH}_3$ ). Е. Караулова

**51165. Промоторы капельной конденсации пара. Часть II. Получение соединений, содержащих полифункциональные сернистые группы.** Блэкман, Дьюар (Promoters for the dropwise condensation of steam. Part II. Preparation of compounds containing polyfunctional sulphur groups. Blackman L. C. F., Dewar M. J. S.), J. Chem. Soc., 1957, Jan., 165-169 (англ.)

Синтезирован ряд полифункциональных соединений, аналогичных монофункциональным соединениям, описанным в ч. I. Атомы галоида в  $\text{Br}(\text{CH}_2)_{10}\text{Br}$  (I),  $\text{Br}(\text{CH}_2)_{10}\text{COSC}_{12}\text{H}_{25}$  (II) и в  $\text{Br}(\text{CH}_2)_{10}\text{COS}(\text{CH}_2)_{10}\text{SOC}(\text{CH}_2)_{10}\text{Br}$  (III) замещены с образованием алкил- и алкиламидов, производных ксантогенатов, селеноцианатов, тиоцианатов, меркаптанов и тиуронийпикратов. Из 4,4 г  $\text{HO}(\text{CH}_2)_{10}\text{OH}$ , 2,8 г  $\text{KOH}$  и 4 г  $\text{CS}_2$  получают  $\text{KS}_2\text{CO}(\text{CH}_2)_{10}\text{OCS}_2\text{K}$  (IV), выход 7,3 г, т. пл.  $290^\circ$  (из сп.). Из 0,22 г  $\text{C}_2\text{H}_5\text{Br}$  и 0,4 г IV в спирте (нагревание) образуется  $\text{C}_2\text{H}_5\text{S}_2\text{CO}(\text{CH}_2)_{10}\text{OCS}_2\text{C}_2\text{H}_5$ , выход 0,28 г, т. кип.  $49-50^\circ$  (из петр. эф.). Аналогично получают  $\text{C}_{18}\text{H}_{37}\text{S}_2\text{CO}(\text{CH}_2)_{10}\text{OCS}_2\text{C}_{18}\text{H}_{37}$ , т. пл.  $53,5-54^\circ$ . Из 3 г I и 3,2 г  $\text{C}_2\text{H}_5\text{OCS}_2\text{K}$  (V) в спирте (нагревание) синтезируют  $\text{C}_2\text{H}_5\text{OCS}_2(\text{CH}_2)_{10}\text{S}_2\text{COC}_2\text{H}_5$ , выход 2,6 г, т. пл.  $34-35^\circ$  (из петр. эф.). Аналогично получают  $\text{H}_3\text{C}(\text{CH}_2)_{16}\text{CH}_2\text{OCS}_2(\text{CH}_2)_{10}\text{S}_2\text{COC}_{18}\text{H}_{37}$ , т. пл.  $55,5-56^\circ$  (из  $\text{CH}_3\text{COCH}_3$ ). 6 г I, 3 г  $\text{KSCN}$  в 40 мл спирта (нагревание) дают  $\text{NCS}(\text{CH}_2)_{10}\text{SCN}$  (VI), выход 2,1 г т. кип.  $224-227^\circ/2$  мм. Аналогично получают  $\text{NSe}(\text{CH}_2)_{10}\text{SeCN}$ , т. пл.  $63-63,5^\circ$  (из толуола). 1,3 г VI и 2 мл  $\text{CH}_3\text{COSH}$  (VII) кипятят 3 часа, избыток к-ты отгоняют в вакууме, выделяют 0,5 г  $\text{CH}_3\text{CONHSCS}_2(\text{CH}_2)_{10}\text{SCSNHCOCH}_3$ , т. пл.  $158-159^\circ$  (из сп.). 1 г VI с 5 мл 96%-ной  $\text{H}_2\text{SO}_4$  (см. часть I) дает  $\text{H}_2\text{NCOS}(\text{CH}_2)_{10}\text{SCONH}_2$ , выход 1 г, т. пл.  $185,5-187^\circ$  (из  $\text{CH}_3\text{COCH}_3$  + петр. эф.). Из 12 г  $\text{ClCO}(\text{CH}_2)_8\text{COCl}$  и 20 г  $\text{C}_{12}\text{H}_{25}\text{SH}$  (VIII) синтезируют (см. часть I)

$\text{C}_{12}\text{H}_{25}\text{SOC}(\text{CH}_2)_8\text{COSC}_{12}\text{H}_{25}$ , выход 27 г, т. пл.  $64-64,5^\circ$  (из  $\text{CH}_3\text{COCH}_3$ ). Аналогично из 6 г  $\text{C}_{17}\text{H}_{35}\text{COCl}$  и 2 г  $\text{HS}(\text{CH}_2)_{10}\text{SH}$  (IX) получают  $\text{C}_{17}\text{H}_{35}\text{COS}(\text{CH}_2)_{10}\text{SOCC}_{17}\text{H}_{35}$ , выход 7 г, т. пл.  $81-81,5^\circ$  (из  $\text{CH}_3\text{COCH}_3 + \text{CHCl}_3$ ). 37,5 г  $\text{Br}(\text{CH}_2)_{10}\text{COOH}$  и 6,5 г  $\text{PCl}_5$  в 250 мл  $\text{C}_6\text{H}_6$  кипятят 5 час., декантируют и повторно добавляют и затем отгоняют  $\text{C}_6\text{H}_6$ , продукт нагревают при  $70^\circ$  20 мин. в высоком вакууме, получают  $\text{Br}(\text{CH}_2)_{10}\text{COCl}$  (X), т. зам.  $\sim 20^\circ$ . Из 14,1 г X и 10,1 г VIII ( $\sim 20^\circ$ , 4 часа) синтезируют II, выход 17,8 г, т. пл.  $43-44^\circ$  (из  $\text{CH}_3\text{COCH}_3$ ). 1 г II и 0,36 г V в спирте (нагревание) дают  $\text{C}_{12}\text{H}_{25}\text{SCO}(\text{CH}_2)_{10}\text{SCOSC}_2\text{H}_5$ , выход 0,8 г, т. пл.  $39,5-40,5^\circ$  (из петр. эф.). Аналогично из 0,7 г II и 0,6 г  $\text{C}_{18}\text{H}_{37}\text{OCS}_2\text{K}$  (XI) синтезируют  $\text{C}_{18}\text{H}_{37}\text{OCS}_2(\text{CH}_2)_{10}\text{COSC}_{12}\text{H}_{25}$ , выход 0,85 г, т. пл.  $54-55^\circ$  (из эф.). 0,7 г II и 0,23 г  $\text{KSeCN}$  в 5 мл спирта кипятят 2 часа, прибавляют 5 мл воды и кипятят 10 мин., уваривают и экстрагируют эфиром  $\text{NSe}(\text{CH}_2)_{10}\text{COSC}_{12}\text{H}_{25}$ , выход (неочищ.) 0,7 г, т. пл.  $71-72^\circ$  (из эф.). Аналогично из 2,4 г II и 0,52 г  $\text{KSCN}$  получают  $\text{NCS}(\text{CH}_2)_{10}\text{COSC}_{12}\text{H}_{25}$  (XII), выход 2,2 г, т. пл.  $40,5-41^\circ$  (из петр. эф.). 0,5 г XII и 2 мл VII (нагревание) дают  $\text{CH}_3\text{CONHSCS}_2(\text{CH}_2)_{10}\text{COSC}_{12}\text{H}_{25}$ , выход 0,5 г, т. пл.  $88-89^\circ$  (из сп. + петр. эф.). 0,5 г XII и 5 мл 96%-ной  $\text{H}_2\text{SO}_4$  дают  $\text{C}_{12}\text{H}_{25}\text{SOC}(\text{CH}_2)_{10}\text{SCONH}_2$ , выход 0,42 г, т. пл.  $97-99^\circ$  (из сп. + петр. эф.). 2,2 г II и 0,4 г  $(\text{NH}_2)_2\text{CS}$  (XIII) в 15 мл спирта кипятят 6 час. (р-р А), обрабатывают 0,2 г  $\text{NaOH}$  в спирте и кипятят еще 2 часа (атмосфера  $\text{N}_2$ ). Выделяют  $\text{HS}(\text{CH}_2)_{10}\text{COSC}_{12}\text{H}_{25}$ , выход 0,8 г, т. пл.  $73-74^\circ$  (из  $\text{CH}_3\text{COCH}_3$  + петр. эф.). Р-р А нагревают со спирт. р-ром пикриновой к-ты, выделяют (при  $0^\circ$ ) пикрат основания  $\text{H}_2\text{NC}(=\text{NH})\text{S}(\text{CH}_2)_{10}\text{COSC}_{12}\text{H}_{25}$ , т. пл.  $109-110^\circ$  (из сп.). Из 0,45 г VIII и 1 г II синтезируют (см. часть I)  $\text{C}_{12}\text{H}_{25}\text{S}(\text{CH}_2)_{10}\text{COSC}_{12}\text{H}_{25}$ , выход 0,6 г, т. пл.  $57-59^\circ$  (из  $\text{CH}_3\text{COCH}_3$ ). 28,3 г X и 10,3 г IX (5 час.,  $\sim 20^\circ$ ) дают III, выход 28 г, т. пл.  $67-68^\circ$  (из  $\text{CH}_3\text{COCH}_3$ ). Из 0,5 г III и 0,23 г V в спирте (нагревание) получают  $\text{C}_2\text{H}_5\text{OCS}_2(\text{CH}_2)_{10}\text{COS}(\text{CH}_2)_{10}\text{SOC}(\text{CH}_2)_{10}\text{S}_2\text{COC}_2\text{H}_5$ , выход 0,4 г, т. пл.  $48-49^\circ$  (из петр. эф.). Аналогично синтезируют  $\text{C}_{18}\text{H}_{37}\text{OCS}_2(\text{CH}_2)_{10}\text{COS}(\text{CH}_2)_{10}\text{SOC}(\text{CH}_2)_{10}\text{S}_2\text{COC}_{18}\text{H}_{37}$ , т. пл.  $69-70^\circ$  (из эф.). Из 0,5 г III и 0,21 г  $\text{KSeCN}$  в спирте (нагревание) получают  $\text{NSe}(\text{CH}_2)_{10}\text{COS}(\text{CH}_2)_{10}\text{SOC}(\text{CH}_2)_{10}\text{SeCN}$ , выход 0,21 г, т. пл.  $61-62^\circ$  (из эф.). Аналогично с помощью  $\text{KSCN}$  синтезируют  $\text{NCS}(\text{CH}_2)_{10}\text{COS}(\text{CH}_2)_{10}\text{SOC}(\text{CH}_2)_{10}\text{SCN}$  (XIV), т. пл.  $67-68^\circ$  (из петр. эф.). 0,5 г XIV с 2 мл VII (нагревание) дают  $\text{CH}_3\text{CONHSCS}_2(\text{CH}_2)_{10}\text{COS}(\text{CH}_2)_{10}\text{SCSNHCOCH}_3$ , выход 0,45 г, т. пл.  $101-102,5^\circ$  (из сп.). 0,5 г XIV с 5 мл 96%-ной  $\text{H}_2\text{SO}_4$  дают  $\text{H}_2\text{NCOS}(\text{CH}_2)_{10}\text{COS}(\text{CH}_2)_{10}\text{SOC}(\text{CH}_2)_{10}\text{SCONH}_2$ , выход 0,4 г, т. пл.  $113-114,5^\circ$  (из сп.). Из 3,3 г III и 0,72 г XIII получают (аналогично соответствующей р-ции II) р-р Б, который обрабатывают 0,37 г  $\text{NaOH}$ , выделяют  $\text{HS}(\text{CH}_2)_{10}\text{COS}(\text{CH}_2)_{10}\text{SOC}(\text{CH}_2)_{10}\text{SH}$ , выход 1,4 г, т. пл.  $105-107^\circ$  (из сп. + эф.). Из р-ра Б и пикриновой к-ты получают дипикрат основания  $\text{NH}_2\text{C}(=\text{NH})\text{S}(\text{CH}_2)_{10}\text{COS}(\text{CH}_2)_{10}\text{SOC}(\text{CH}_2)_{10}\text{SC}(\text{=NH})\text{NH}_2$ , т. пл.  $134-135,5^\circ$  (из сп. + петр. эф.). Из 9,5 г X, 1,02 г глицерина и 4,32 г хинолина в 100 мл безводн. эфира (6 дней,  $\sim 20^\circ$ ) получают  $\text{RBBr}_3$  (XV) ( $\text{R} = -(\text{CH}_2)_{10}\text{OCOC}_2\text{H}_4\text{CH}(\text{COO}(\text{CH}_2)_{10}-)\text{CH}_2\text{COO}(\text{CH}_2)_{10}-$ ), выход 4,4 г, т. пл.  $50-50,5^\circ$  (из петр. эф.). Из 0,4 г XV и 0,11 г XIII синтезируют, как описано выше,  $\text{R}(\text{SH})_3$ , выход 0,14 г, т. пл.  $67-68,5^\circ$  (из  $\text{CH}_3\text{COCH}_3$  + петр. эф.), и трипикрат основания  $\text{RSC}(\text{=NH})\text{NH}_2$ , т. пл.  $165-167^\circ$  (смакает при  $160^\circ$ ) (из сп. +  $\text{CHCl}_3$ ). Из 0,15 г VIII, 0,3 г  $\text{NaOH}$  и 0,2 г XV (из сп., кипячение) синтезируют  $\text{R}(\text{SC}_{12}\text{H}_{25})_3$ , выход (неочищ.) 0,13 г, т. пл.  $64-65^\circ$  (из петр. эф.). 1,67 г XV и 0,98 г V в спирте (нагревание) дают  $\text{R}(\text{S}_2\text{COC}_2\text{H}_5)_3$ , выход 0,63 г, т. пл.  $44-45^\circ$  (из сп.). Аналогично из 0,21 г XV и 0,29 г XI синтезируют

$R(S_2COC_6H_{13})_3$ , выход 0,26 г т. пл. 66,5—55,5° (из  $CH_3COCH_3$ ). Аналогично получают  $R(SeCN)_3$ , т. пл. 50—50,5° (из петр. эф. + эф.), и  $R(SCN)_3$  (XVI), т. пл. 32—32,5° (из петр. эф. + эф.). Из 0,38 г XVI и 0,5 мл VII синтезируют  $(CH_3CONHCS_2)_2R$ , выход (неочищ.) 0,4 г, т. пл. 118—119° (из сп. + петр. эф.). 0,2 г XVI с 1 мл 96%-ной  $H_2SO_4$  дают  $[H_2NCOS_2]_2R$ , выход (неочищ.) 0,15 г, т. пл. 123—124° (из  $CH_3COCH_3$  + петр. эф.).

Е. Караулова

**51166. Идентификация меркаптанов по их реакции с 2,4-динитрофенилсульфенилхлоридом.** Бёме, Штахель (Über die Identifizierung von Mercaptanen durch Umsetzung mit 2,4-Dinitrophenyl-schwefelchlorid. Böhme Horst, Stachel Hans-Dietrich), Z. analyt. Chem., 1957, 154, № 1, 27—28 (нем.).

К взвеси 0,6 г  $2,4-(NO_2)_2C_6H_3S_2Cl$  в 3—4 мл спирта прибавляют эквивалентное кол-во RSH. Осадок  $2,4-(NO_2)_2C_6H_3S_2R$  (I) перекристаллизовывают из спирта или спирта-петр. эфира. Описаны I (приведены R и т. пл. в °C):  $CH_3$ , 96;  $C_2H_5$ , 84;  $HOCH_2CH_2$ , 107;  $n-C_3H_7$ , 54;  $(CH_3)_2CH$ , 62;  $Cl(CH_2)_3$ , 58;  $ClCH_2CHClCH_2$ , 106;  $C_6H_5$ , 86;  $n-CH_3C_4H_9$ , 114;  $C_6H_5CH_2$ , 112.

Г. Кондратьева

**51167. Исправление к статье:** Хельферих, Оттен «О двух алифатических аminosульфоновых кислотах». (Berichtigung zur Arbeit: «Über zwei aliphatische Aminosulfon-säuren». Helferich B., Otten G.), J. prakt. Chem., 1956, 4, № 3, 176 (англ.) См. РЖХим, 1956, 759.

**51168. Структура стеркуловой кислоты.** Льюис, Рафайел (Structure of stercic acid. Lewis B. A., Raphael R. A.), Chemistry and Industry, 1957, № 2, 50 (англ.)

Синтезирована 9,11-диоксононадекановая к-та (I), идентичная с к-той, образующейся при озонлизе стеркуловой к-ты (II), чем еще раз подтверждено ранее предложенное (Nunn, J. Chem. Soc., 1952, 313) строение II. I получена конденсацией децина-1 с монометилowym эфиром азелановой к-ты в присутствии  $(CF_3CO)_2O$  с последующим щел. гидролизом (в мягких условиях) образующегося с низким выходом этилового эфира I (т. пл. 18,5°, выделен через Cu-соль, т. пл. 90—91°); т. пл. I 57—58° (из гексана).

Л. Хейфиц

**51169. Последовательность гидрирования двойных связей циклопентадиена на Pd- и Pt-чернях.** Фрейдлин Л. Х., Полковников Б. Д., Докл. АН СССР, 1957, 112, № 1, 83—85

На основании изучения кинетики гидрирования циклопентадиена (I) на Pd-черни (в циклогексане) и Pt-черни (в циклогексане или сп.) при 25° установлено, что в первом случае сопряженные связи I гидрируются последовательно (кинетич. кривая имеет перелом, соответствующий поглощению 1 моля  $H_2$  в этот момент в р-ре нет I), а во втором — одновременно (кривая не имеет перелома, в р-ре все время присутствует I). Скорость гидрирования на Pt-черни зависит от кол-ва катализатора. Гидрирование I на Pt/ $BaSO_4$  также протекает не избирательно.

С. Поддубная

**51170. О равновесных смесях пяти- и шестичленных циклонов.** Петров Ал. А., Докл. АН СССР, 1956, 109, № 3, 549—551

Исследованы равновесные концы пяти- и шестичленных циклонов в присутствии  $Al_2O_3$ , активированной 1 н. HCl (I), и синтетич. алюмосиликата (II). В то время как на I изомеризация протекает гладко и практически достигает полное равновесие, на II идет также р-ция перераспределения водорода, которая искажает результаты, что вызывает расхождение равновесных концы для I и II. Приведено объясне-

ние этого явления. Изомеризация проводилась в точной установке при 250—400° и объемной скорости 0,6. Содержание шестичленных циклонов в случае I определялось путем гидрирования фракций катализатора, соответствующих по пределам выкипания изомерам исходных углеводородов, последующим дегидрированием над Pt/C при 305° и поглощением 98%-ной  $H_2SO_4$ . В случае II катализатор вторично пропускался над II, а затем дегидрировался над Pt/C. Ниже приведены углеводороды, катализатор, т-ра в °C и концы гексаметиленовых углеводородов в об. %: циклогексен, II, 250, < 5; I, 300, < 5; 1-метилциклопентен-1, II, 250, < 5; I, 300, < 5; 1-метилциклогексен-1, II, 250, 61; 300, 39; 400, 21; I, 300, 18; 400, 13; 1-этилциклопентен-1, II, 250, 55; 300, 34; 400, 27; I, 300, 20; 1,2-диметилциклопентен-1, II, 250, 20; 1,3-диметилциклопентен-1, II, 250, 15; 1-этилциклогексен-1, II, 250, 65; 300, 39; 400, 38; I, 300, 20; 1,3-диметилциклогексен-1, II, 250, 64; I, 300, 21; 1-пропилциклогексен-1, II, 250, 72; I, 300, 24; 1-гексилциклогексен-1, I, 300, 25; 1-гептилциклопентен-1, I, 300, 20.

Н. Беликова

**51171. К вопросу о физических свойствах *цис*-1,3,5-триметилциклогексана.** Либерман А. Л., Пришников М. А., Казанский Б. А., Изв. АН СССР. Отд. хим. н., 1956, № 9, 1142—1143

Получен *цис*-1,3,5-триметилциклогексан чистотой не ниже 99,5% и измерены его физ. константы: т. кип. 138,4°, т. зам. —43,2°,  $n_D^{20}$  1,4263,  $d_4^{20}$  0,76942.

А. Лихтер

**51172. Циклические сульфаты *цис* и *транс*-циклогександиолов-1,2.** Фостер, Ханкок, Оверенд (The cyclic sulphates of *cis*- and *trans*-cyclohexane-1,2-diol. Foster A. B., Hancock E. B., Overend W. G.), Chemistry and Industry, 1956, № 41, 1144—1145 (англ.)

При окислении циклич. сульфитов *цис*- (I) и *транс*- (II)-циклогександиолов-1,2 с помощью  $Sa(MnO_4)_2$  в водн.  $CH_3COOH$  получены соответствующие циклич. сульфаты *цис*- (III) (выход 33% т. пл. 36—37°) и *транс*- (IV) (выход 30%, т. пл. 54—55°) циклогександиолов-1,2. Показано, что кислот (KГ) и щел. (ЩГ) гидролиз II идет с разрывом SO-связи, приводя к *транс*-циклогександиолу-1,2 (V). KГ I происходит аналогично, а ЩГ сопрягается частичным разрывом SO-связи, приводя к смеси V и небольшого кол-ва *цис*-циклогександиола (VI). ЩГ IV, вероятно, происходит через образование промежуточной циклич. окиси и приводит к V; образование такой окиси в случае III невозможно и при ЩГ получается смесь моносульфата VI (?) и V. KГ III идет ожидаемым образом, приводя к V (ср. Garner, Lucas, J. Amer. Chem. Soc., 1950, 72, 5497), а IV — аномально, давая смесь V и небольшого кол-ва VI.

В. Андреев

**51173. Синтез 5-дегидрохинной кислоты.** Гревс, Ешке (Die Synthese der 5-Dehydro-chinasäure. Grewe Rudolf, Jeschke Jürgen-Peter), Chem. Ber., 1956, 89, № 9, 2080—2088 (нем.)

Из хинной к-ты (I) обработкой  $HNO_3$  (48 час. при 0°) получена 5-дегидрохинная к-та (II) (выход 63%, т. пл. 139—140° (осаждением  $CHCl_3$  из р-ра II в ацетоне),  $[\alpha]_D^{20}$  —44,5° (с 0,6, сп.), которая при гидрировании над Pt (из  $PtO_2$ ) и спирт. р-ре вновь превращается в I; триацетат, т. пл. 133° (из этилацетата),  $[\alpha]_D^{20}$  —25° (с 1,5;  $CH_3OH$ ). Гидрирование II над Pt в р-ре 2 н.  $H_2SO_4$  и последующее кипячение с  $(CH_3CO)_2O$  и  $CH_3COONa$  приводит к диацетоксислактону (III) (т. пл. 130° (из этилацетата-петр. эф.),  $[\alpha]_D^{20}$  —31,2° (с 1,0;  $CH_3OH$ ). Превращение III в 5-дезоксихинную к-ту при омылении (выход 65%, т. пл. 164—165° (из  $CH_3OH$ -этилацетата),  $[\alpha]_D^{20}$  —20,5° (с 2,2; вода)) и взаимодействие последней с 1 молем  $HJO_4$  доказывают, что CO-группа в II находится в положе-

нии 5. При кипячении I с  $\text{HNO}_3$  (1,5 часа), кроме II, образуется 5-дегидрошкимова к-та (IV); гидрат, т. пл. 155° (из этилацетата),  $[\alpha]_D^{20} -52,2^\circ$  (с 0,9; сп.); метиловый эфир (V), т. пл. 130—131° (из этилацетата),  $[\alpha]_D^{20} -43,2^\circ$  (с 0,7; сп.); 2,4-динитрофенилгидразон V (VI), т. пл. 256—257° (разл.; из  $\text{C}_6\text{H}_5\text{N}-\text{CH}_3\text{OH}$ ). Восстановлением  $\text{NaBH}_4$  с последующей обработкой  $\text{CH}_2\text{N}_2$  V превращают в смесь метилового эфира шкимова к-ты (выход 0,43 г из 1 г V, т. пл. 117° (из этилацетата)),  $[\alpha]_D^{20} -136,8^\circ$  (с 1,9;  $\text{CH}_3\text{OH}$ ) и метилового эфира 5-эпишкимова к-ты, выход 0,53 г из 1 г V, т. пл. 133°,  $[\alpha]_D^{20} -13,2^\circ$  ( $\text{CH}_3\text{OH}$ ). Приведены кривые ИК- и УФ-спектров II и УФ-спектры IV—VI.

С. Кустова

**51174. О *cis*- и *trans*-изомерах 4-циклогексилбутен-3-она-2.** Тейс, Шниц (Über die *cis*, *trans*-isomeren 4-Cyclohexyl-buten-(3)-one-(2). Theus V., Schinz H.) Helv. chim. acta, 1956, 39, № 5, 1290—1298 (нем.; рез. англ.)

Синтезированы *cis*- (I) и *trans*- (II)-4-циклогексилбутен-3-оны-2. Циклогексанкарбинола к-та (III) восстановлена в циклогексилкарбинол (IV), окисленный затем в циклогексилальдегид (V). Конденсация V с ацетоном привела к смеси 4-циклогексилбутанол-4-она-2 (VI) и II, которая при обработке конц.  $\text{H}_2\text{PO}_4$  дала чистый II. Действием  $\text{CH}_3\text{Li}$  на III получен циклогексилметилкетон (VII), р-ция которого с  $\text{P}_2\text{Cl}_5$  привела к смеси продуктов хлорирования. Обработка этой смеси  $\text{NaNH}_2$  дала этилциклогексан (VIII), из Mg-органич. соединения которого р-цией с  $(\text{CH}_3\text{CO})_2\text{O}$  приготовлен 4-циклогексилбутин-3-он-2 (IX), при частичном гидрировании давший I. Обработка I слабым р-ром 2,4-динитрофенилгидразина в  $\text{CH}_3\text{OH}$  приводит к 2,4-динитрофенилгидразону II, а при действии семикарбазида он, в отличие от II, дает семикарбазидосемикарбазон, а не монопроизводное. В противоположность *cis*- и *trans*-изомерам  $\alpha$ -иона и  $\alpha$ -пропа, I и II обладают одинаковым запахом. Восстановлением III  $\text{LiAlH}_4$  получают IV, выход 95%, т. кип. 79—81°/11 мм. При пропускании IV над Ag-сеткой (380°, 100 мм) образуется V, выход 62%, т. кип. 65—67°/24 мм, 43°/11 мм,  $n_D^{20}$  1,4509,  $d_4^{20}$  0,9227. Встряхивают 24 часа смесь 7,3 г V, 15 мл ацетона и 60 мл 3%-ного водн. р-ра NaOH, получают смесь II и VI (7,2 г), к которой прибавляют 0,25 г 84%-ной  $\text{H}_3\text{PO}_4$ , небольшое кол-во Si-порошка и гидрохинона, перегоняют при 170°/160 мм и получают II, выход 2,93 г, т. кип. 103—104°/11 мм, 52—53°/0,1 мм,  $n_D^{20}$  1,4805,  $d_4^{20}$  0,9257; семикарбазон (СК), т. пл. 157° (из  $\text{CF}_3$ -петр. эф.); 2,4-динитрофенилгидразон (ДНФГ), т. пл. 145—146° (из хлф.- $\text{CH}_3\text{OH}$ ); фенилсемикарбазон (ФСР), т. пл. 175—176° (из  $\text{CH}_3\text{OH}$ ), при хранении на воздухе желтеет. К эфирному р-ру 32,4 г III в атмосфере  $\text{N}_2$  за 0,5 часа при перемешивании прибавляют 700 мл эфирного р-ра  $\text{CH}_3\text{Li}$  (2,15 моля), перемешивают еще 1 час, разлагают лед. водой и получают VII, выход 83%, т. кип. 64°/11 мм,  $n_D^{20}$  1,4519,  $d_4^{20}$  0,9178; СК, т. пл. 174°; ДНФГ, т. пл. 139—140°. Обработывают 31,3 г VII за 3 часа при 0° 51,4 г  $\text{PCl}_5$ , выдерживают ~ 12 час. и реакционную смесь прибавляют за 3 часа к нагретой до 180° и перемешиваемой суспензии 72 г  $\text{NaNH}_2$  в 200 мл парафинового масла, перемешивают еще 4 часа при 200°, разлагают водой, перегоняют с паром и получают VIII, выход 38%, т. кип. 75—77°/130 мм, 70—72°/100 мм,  $n_D^{20}$  1,4550,  $d_4^{20}$  0,8396. К р-ру  $\text{C}_2\text{H}_5\text{MgBr}$  (из 2,2 г Mg, 9,85 г  $\text{C}_2\text{H}_5\text{Br}$  и 25 мл эфира) по каплям прибавляют р-р 11,95 г VIII в 25 мл эфира, образовавшийся р-р Mg-органич. соединения при -70° осторожно прибавляют к р-ру 11,2 г  $(\text{CH}_3\text{CO})_2\text{O}$  в 50 мл эфира, выдерживают при -70° еще 3 часа, разлагают насыщ. р-ром  $\text{NH}_4\text{Cl}$  и получают IX, выход 42,5%, т. кип. 99—101°/11 мм,

53°/0,17 мм,  $n_D^{20}$  1,4843,  $d_4^{20}$  0,9384; СК, т. пл. 108—109° (из  $\text{CH}_3\text{OH}$ ); ДНФГ, т. пл. 134—135° (из хлф.- $\text{CH}_3\text{OH}$ ); ФСР, т. пл. 186—187° (из сп.). Р-р 2,36 г IX в 30 мл гексана гидрируют в темноте над 1,52 г 5%-ного  $\text{Pd}/\text{CaCO}_3$  до поглощения 1 моля  $\text{H}_2$  и получают I, выход 2,18 г, т. кип. 42—44°/0,17 мм, 35—36°/0,1 мм,  $n_D^{20}$  1,4746,  $d_4^{20}$  0,9145; семикарбазидосемикарбазон, т. пл. 203—206° (из  $\text{CH}_3\text{OH}$ ) и 215—216° (в эвакуированной трубке); ФСР, т. пл. 176—176,5° (из  $\text{CH}_3\text{OH}$ ). Приведены УФ- и ИК-спектры I, II, VIII и IX.

В. Андреев

**51175. Стереохимия образования и дегидрогалогенирования *cis*-2-хлорциклогексифенилкетона.** Козак, Лейленд (The stereochemistry of the formation and dehydrohalogenation of *cis*-2-chlorocyclohexyl phenyl ketone. Kosak Alvin I., Leyland Harry M.), J. Organ. Chem., 1956, 21, № 7, 733—735 (англ.)

Описан стереоспецифич. синтез *cis*-2-хлорциклогексифенилкетона (I) и изучено его дегидрогалогенирование. Присоединение  $\text{HClO}$  к циклогексену привело к *trans*-2-хлорциклогексанолу (II), превращенному действием KSN в *trans*-2-цианоциклогексанол (III). Обработкой III  $\text{SOCl}_2$  в  $\text{C}_6\text{H}_5\text{N}$  приготовлен известный *cis*-1-хлор-2-цианоциклогексан (IV) (van Coillie, Bull. Soc. chim. Belg., 1933, 42, 419), при действии  $\text{C}_6\text{H}_5\text{MgBr}$ , образовавший I, идентичный получаемому при стереоспецифич. присоединении  $\text{HCl}$  к циклогексен-1-илфенилкетону (V). Дегидрогалогенирование I нагреванием или действием спирт. р-ра KOH приводило к V, строение которого установлено ИК- и УФ-спектрами. *Trans*-элиминирование  $\text{HCl}$  с образованием V авторы объясняют преобладанием в равновесной смеси такой конформации I, в которой Cl-атом является аксиальным, а более объемистая  $\text{C}_6\text{H}_5\text{CO}$ -группа — экваториальной. Приготовить *trans*-1-хлор-2-цианоциклогексан описанным методом (см. ссылку) не удалось. Из II по известной методике (Mousseron, Jullien, Winternitz, Bull. Soc. chim. France, 1948, (5), 15, 878) получают III, выход 65%, т. кип. 145—147°/16 мм т. пл. 45—46°. Р-р 25,5 г III в 33,8 г  $\text{C}_6\text{H}_5\text{N}$  прибавляют к 48,6 г  $\text{SOCl}_2$  с такой скоростью, чтобы смесь кипела, кипятят 2,5 часа, выливают в смесь льда и  $\text{HCl}$  (к-ты), экстрагируют  $\text{CH}_2\text{Cl}_2$  и получают IV, выход 62%, т. кип. 92—93°/2 мм,  $n_D^{20}$  1,4792. При использовании  $\text{SOCl}_2$  без  $\text{C}_6\text{H}_5\text{N}$  получают IV (выход 24%) и 1-цианоциклогексен, выход 18%, т. кип. 90—92°/18 мм. К р-ру 5,0 г IV в 35 мл безводн. эфира за 1,5 часа при 0° прибавляют 40 мл р-ра  $\text{C}_6\text{H}_5\text{MgBr}$  в эфире (35 ммоль), выливают смесь в 250 мл 4%-ной  $\text{H}_2\text{SO}_4$  и получают I, выход 14%, т. пл. 101,0—101,5° (из петр. эф.). В р-р 42 г V в 150 мл безводн. эфира пропускают до насыщения сухой  $\text{HCl}$  (газ) и получают I. К р-ру 8,0 г I в 60 мл спирта при встряхивании прибавляют 2,0 г KOH, выдерживают 10 мин. и получают V, выход 76%, т. кип. 125—128°/0,7 мм, т. пл. 31—32°,  $n_D^{20}$  1,5652; семикарбазон (VI), т. пл. 205—207° и т. пл. 185—187° (диморфизм). I нагревают в вакууме при 120—125° до прекращения выделения  $\text{HCl}$  (15 мм.) и получают V, выход 83%, т. кип. 133—134°/1,5 мм. Приведены УФ-спектры V и VI и ИК-спектр V.

В. Андреев

**51176. Попытка проведения перегруппировки Мейера — Шустера для 2-этинил-2-оксидциклогексана.** Мак-Энти, Пиндер, Смит, Торнтон (Attempts at the Meyer — Schuster rearrangement on 2-ethynyl-2-hydroxycyclohexanone. McEntee M. E., Miss, Pinder A. R., Smith R. E., Thornton R. E.), J. Chem. Soc., 1956, Nov., 4699—4700 (англ.)

Показано, что при действии  $\text{HCOOH}$  или  $\text{P}_2\text{O}_5$  в  $\text{C}_6\text{H}_6$  в условиях перегруппировки Мейера — Шустера



ра 2-этил-2-оксикиклогексанон (I) не изменяется. При нагревании (5—5,5 часа) I превращается в 1-ацетилциклогексен (II) с выходом ~10%, т. кип. 65—70°/10 мм; 2,4-динитрофенилгидразон (ДНФГ), т. пл. 200—201°. Обработка I  $P_2O_5$  также приводит к II, выход 25%. Предложен простой метод синтеза циклогексантиона-1,2 (III) омылением 2-хлорциклогексанона (IV) с последующим окислением образующегося 2-оксикиклогексанона. Взаимодействие III с ацетилидом Na или с  $JMgCl \equiv CMgJ$  приводит к I. 90 г IV кипятят с 800 мл воды до полного растворения, добавляют за 1,5 часа р-р 333 г  $FeCl_3$  в 167 мл воды, прибавляют при 40° 240 г  $(NH_4)_2SO_4$  и экстрагируют эфиром, выход III 43%, т. кип. 96—100°/24 мм. Р-р 16 г III в 25 мл эфира добавляют к р-ру ацетиленида Na (из 7 г Na) в 300 мл жидкого  $NH_3$ , пропускают  $C_2H_2$ , перемешивают 2—3 часа, добавляют 16 г  $NH_4Cl$ , испаряют  $NH_3$ , приливают 200 мл воды и экстрагируют эфиром, выход I 9,6 г, т. кип. 104—106°/25 мм, т. пл. 51,5—52,5° (из петр. эф.). ДНФГ, т. пл. 161° (из сп.); фенилгидразон, т. пл. 146° (из  $CH_3OH$ ). Р-р 10 г III в 100 мл  $C_6H_6$  добавляют в атмосфере  $N_2$  к р-ру  $JMgCl \equiv CMgJ$  (из 330 г  $C_2H_5MgJ$  в 450 мл  $C_6H_6$ ), оставляют на 12 час., кипятят 2 часа и выливают в холодный насыщ. р-р  $NH_4Cl$ , выход I, 2 г, т. кип. 85°/12 мм, т. пл. 53—54° (из петр. эф.). Аналогично из циклопентантиона-1,2 получают 2-этил-2-оксикиклопентанон (V), т. кип. 86°/12 мм. Приведены ИК-спектры I и V.

Э. Будовский  
51177. К изучению карбодимида. Шульц, Фидлер (Notiz zur Kenntnis der Carbodiimide. Schulz Gerhard, Fiedler Kurt), Chem. Ber., 1956, 89, № 11, 2681—2684 (нем.).

Предпринята попытка использования  $N,N'$ -дициклогексилкарбодимида (I) для получения сложных эфиров стероидных спиртов. Показано, что тестостерон не реагирует с I и  $C_6H_5COOH$  в р-ре  $HCON(CH_3)_2$  или  $C_6H_5N$  в присутствии  $n-C_4H_9SO_3H$ ; I при этом примерно на 50% превращается в  $(C_6H_{11}NH)_2CO$  II, а к-та переходит в ангидрид, который, взаимодействуя с I, дает  $N,N'$ -дициклогексил-N-бензоилмочевину (III), т. пл. 164—165° (из гексана), причем промежуточным продуктом является, повидимому,  $C_6H_{11}N=C(OCOC_6H_5)_2N(COC_6H_5)_2C_6H_{11}$ . При замене  $C_6H_5COOH$  на  $n$ -хлорфеноксиуксусную к-ту или  $C_6H_5COOH$  также выделяют 49 и соответственно 52% II. Кипячение (2 часа) эквимолярных кол-в I с  $(C_6H_5CO)_2O$ ,  $(C_6H_5CO)_2O$  и  $(C_6H_7CO)_2O$  в р-ре  $HCON(CH_3)_2$  в присутствии  $n-C_4H_9SO_3H$  приводит соответственно к III (выход 97,5%),  $N,N'$ -дициклогексил-N-энантолмочевине (выход 53%, т. пл. 99—101° [из водн.  $HCON(CH_3)_2$ ]) и  $N,N'$ -дициклогексил-N-пеларгонилмочевине, выход 36,5%, т. пл. 73—74° [из водн.  $HCON(CH_3)_2$ ].

Н. Шрецов  
51178. Изучение реакции элиминирования в 2-бромтропонионе и 6-окситропонионе: селективный путь к тропонионной циклической системе. Тамелен, Барт, Лорниццо (Elimination studies involving 2-bromotropinone and 6-hydroxytropinone: a selective route to the tropinoid ring system. Tamelen Eugene E. van, Barth Patricia, Lornitzo Frank), J. Amer. Chem. Soc., 1956, 78, № 20, 5442—5444 (англ.).

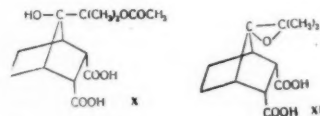
Описано получение тропона (I) расщеплением йодметилата 6-окситропониона (II) или бромметилата 2-бромтропониона (III) в мягких условиях. К р-ру 0,5 г 6-окситропониона (РЖХим, 1955, 11770) в 5,0 мл абс. спирта прибавляют 1 г  $CH_3I$ , выдерживают ~12 час. при ~0° и получают II, выход 84%. Р-р 0,25 ммоль II и 0,25 ммоль  $NaHCO_3$  в 50 мл воды нагревают 1,5 часа при 100°, прибавляют водн. р-р 0,5 г пириновой к-ты, экстрагируют  $CHCl_3$ , упари-

вают досуха, остаток растворяют в 25 мл 50%-ного спирта, обрабатывают ионообменной смолой (IR-45) и получают I, выход 82%; пикрат, т. пл. 98—101°. В р-р 5 г 2-(β)-бромтропониона в 75 мл  $CH_3OH$  пропускают 10 г  $CH_3Br$ , выдерживают 48 час., прибавляют эфир и получают III, выход 10—14%, т. пл. 264—266° (разл.). Расщепление III с помощью  $NaHCO_3$  приводит к I с выходом 7%. К р-ру 34,3 мг III в 10 мл воды прибавляют 0,66 мл 0,033 н. р-ра  $NaOH$ , нагревают 5 мин. при 100° и получают I, выход 22—25%. К р-ру 31 мг III в 0,5 мл воды прибавляют 120 мг  $NaHCO_3$  и 2,5 мл 50%-ного водн. р-ра  $(CH_3)_3N$ , нагревают 4 часа при 83° и получают I, выход 60%.

В. Андреев

51179. Изучение в ряду бицикло-[2,2,1]-гептана. III. Некоторые алифатические бицикло-[2,2,1]-гептаны-7. Уайлдер, Уинстон (Studies in the bicyclo-[2,2,1] heptane series. III. Some aliphatic bicyclo-[2,2,1]-7-heptanones. Wilder Pelham Jr, Winston Anthony), J. Amer. Chem. Soc., 1956, 78, № 4, 868—871 (англ.).

Из аддуктов 6,6-диметилфульвена (I) с малечным ангидридом (II) синтезированы эндо-цис-бицикло-[2,2,1] heptane series. III. Some aliphatic bicyclo-(IV)- и эндо-цис-2,3-диметилбицикло-[2,2,1]-гептаны-7 (V). III получают следующим образом. Смесь экзо- и эндо-аддуктов I и II (Alder K., Rühmann R., Liebigs Ann. Chem., 1950, 566, 1) гидрируют над Pt (из  $PtO_2$ ) в смеси ангидридов экзо- (VIa)- и эндо-цис-7-изопропилиденбицикло-[2,2,1]-гептандикарбоновой-2,3 к-ты (VIb), обработкой лигроином выделяют VIb, т. пл. 168—170° (из лигр.), омыляют его в соответствующую эндо-кислоту (VII), выход 91%, т. пл. 163—164° (разл.; из водн. сп.) озонлиз которой приводит к III, выход 99% (неочищ.), т. пл. 164—166° (разл.); 2,4-динитрофенилгидразон (ДНФГ), т. пл. 187—188°. Восстановление III по Кижнеру—Вольфу приводит к транс-бицикло-[2,2,1]-гептандикарбоновой-2,3 к-те, т. пл. 192—195° (из воды). IV и V синтезируют следующим



путем. VIa и VIb восстанавливают  $LiAlH_4$ , соответственно в экзо- (VIIa) (выход 70%, т. пл. 135—136° (из водн. сп.)) и эндо-цис-7-изопропилиден-2,3-ди-(оксиметил)-бицикло-[2,2,1]-гептаны (VIIIb), выход 75%, т. пл. 125,5—126° (из водн. сп.). Ди- $n$ -толуолеульфаты VIIa (выход 63%, т. пл. 128,5—129° (из сп.)) и VIIIb (выход 26%, т. пл. 137,5—138° (из сп.)) восстанавливают  $LiAlH_4$ , соответственно в экзо- (IXa) (выход 88%, т. кип. 197°/754 мм, 72—73°/8 мм, т. пл. 29—30°,  $n_D^{20}$  1,4759) и эндо-цис-2,3-диметил-7-изопропилиден-бицикло-[2,2,1]-гептаны (IXb) (выход 79%, т. кип. 202°/749 мм, 82°/10 мм, т. пл. 38—39°,  $n_D^{20}$  1,4851). Озонлиз IXa и IXb приводит к IV (выход 30%, т. кип. 207°/750 мм, 78—82°/5 мм,  $n_D^{20}$  1,4668; ДНФГ, т. пл. 172,5—173° (из сп.)) и V, выход 30%, т. кип. 202°/752 мм, 74—76°/8 мм,  $n_D^{20}$  1,4712; ДНФГ, т. пл. 146,5—149° (из сп.). Окисление VIb  $CH_3CO_3H$  при 60° приводит к оксидантату (X) (выход 44%, т. пл. 165—168° (разл.; из воды)), который при обработке  $NaOH$  переходит в соответствующую окись (XI), выход 85%, т. пл. 171—172° (разл.; из ацетона-лигр.). Устойчивость X и XI к дальнейшему окислению не позволила использовать их для синтеза III. Приведены ИК-спектры IV и V. Сообщение II см. РЖХим, 1957, 43741.

С. Поддубная

51180. Синтез диацетата 1,5-ди-(аминометил)-декалидиола-1,5. Андерсон, Барлоу (Synthesis of 1,5-Di-(aminomethyl)-decalin-1,5-diol diacetate. Anderson Arthur G., Jr., Barlow David O., J. Amer. Chem. Soc., 1955, 77, № 22, 6048—6049 (англ.).

Диацетат 1,5-ди-(аминометил)-декалидиола-1,5 (I) синтезировали из транс-декалидиона-1,5 (II) превращением его (прямо и через бисульфитное соединение) в соответствующий динитрогидрин (III), который при гидрировании в р-ре  $\text{CH}_3\text{COOH}$  дает I. Попытки получить I восстановлением III  $\text{LiAlH}_4$ , а также восстановлением соответствующего ди-(нитрометил)-диола не удалось. Расширение цикла I по Демьянову приводит к смеси декагидрогепталеидионов (выход 39%, т. кип. 108—109°/0,2 мм), из которой удалось получить ди-2,4-динитрофенилгидразон с т. пл. 125—126° (из  $\text{CH}_3\text{OH}$ ), и дисемикарбазон с т. пл. > 250°. Попытки превратить эту смесь в производное гепталеина или соединения типа тропона или трополона не удалось. Суспензию 10 г II в 150 мл эфира встряхивают 3,5 часа с 80 мл насыщ. р-ра  $\text{NaHSO}_3$  и образовавшиеся бисульфитные соединения встряхивают 2 часа с р-ром 24 г KCN в 100 мл воды, выход III 84%, т. пл. 221—222° (разл.; из  $\text{CH}_3\text{NO}_2$ ). К суспензии 3 г I в 150 мл эфира прибавляют р-р 8,1 г KCN в 10 мл воды, затем при 5° по каплям 11 мл конц. HCl и оставляют на 12 час. при ~ 20°, выход 62%. Р-р 1 г III в 45 мл  $\text{CH}_3\text{COOH}$  гидрируют над Pt (из  $\text{PtO}_2$ ), выход I 92%, т. пл. 231—235° (разл., из лед.  $\text{CH}_3\text{COOH}$ -эф.); дибензолсульфонат, т. пл. 92,5—94° (из сл.).

Л. Пронина

51181. Химия прохамазулена и хамазулена. Михалюк, Оświęcimская (Chemia prochamazulenu i chamazulenu. Michaluk Adam, Oświęcimska Maria), Farmac. polska, 1956, 12, № 9, 229—233 (польск.).

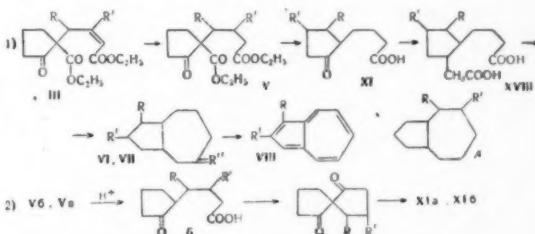
Обзор. Библ. 18 назв.

С. Войткевич

51182. Азулены. VII. Новая перегруппировка в синтезе азуленов. Херц (Azulenes. VII. A novel rearrangement in the synthesis of azulenes. Herz Werner), J. Amer. Chem. Soc., 1956, 78, № 7, 1485—1494 (англ.).

С целью получения исходных в-в для синтеза алкилазуленов проведена конденсация этилового эфира циклопентанонкарбоновой-2 к-ты (I) с некоторыми  $\gamma$ -бром- $\alpha,\beta$ -ненасыщ. эфирами (БНЭ), получаемыми взаимодействием соответствующих ненасыщ. эфиров с N-бромсукцинимидом (II). Синтез алкилазуленов из полученных продуктов конденсации (IIIa—IIIr) проводился по схеме (1). Конденсация I с БНЭ не сопровождается какой-либо перегруппировкой, что доказано: а) образованием при озоноллизе IIIa соответствующего дикетоефира  $\text{C}_{11}\text{H}_{16}\text{O}_4$  (IV) (т. кип. 102—108°/1,5 мм,  $n_D^{22}$  1,4570; дисемикарбазон, т. пл. 232—233° (разл.; из  $\text{HCON}(\text{CH}_3)_2$ ), идентичного с дикетоефиром, полученным при конденсации I с  $\text{ClCH}_2\text{COCH}_3$ ; б) отсутствием у IIIa—IIIr и продуктов их гидрирования (Va—Vr) цветной р-ции с  $\text{FeCl}_3$ , и в) невозможностью изомеризации IIIa и IIIb в енолизующиеся  $\beta$ -кетоефиры. Строение IIIa—IIIr подтверждено также с помощью УФ- и ИК-спектров. Однако дальнейший синтез по приведенной выше схеме приводит не к ожидаемым 4- или 5-алкилазуленам, а к 1- или 2-алкилазуленам, что объясняется перегруппировкой, происходящей на одной из стадий синтеза. Ранее предполагалось (РйХХим, 1955, 21135), что такая перегруппировка протекает под действием кислотных агентов при дегидратации спирта, образующегося при восстановлении бициклич. кетона строения (A). Для проверки этого предположения углеводород (VIa), полученный при восстановлении бициклич. кетона (VIIa) по Кижнеру, был подверг-

нут дегидрогенизации (с помощью Pd/C или Se), в результате которой образовался 1-метилазулен (VIIIa). Так как при подобной дегидрогенизации ни разу не наблюдалось перемещения алкильных групп из 7-членного кольца в 5-членное, то полученный результат показывает, что VIa и VIIa являются соответственно 8-метилбицикло-(5,3,0)-деканом и 8-метилбицикло-(5,3,0)-деканом-3 и что перегруппировка протекает не при переходе от VIa к VIIa, а на более ранней стадии синтеза. Некоторые различия в свойствах и ИК-спектрах VIa, полученных из VIIa восстановлением по Кижнеру и восстановлением  $\text{LiAlH}_4$  с последующей дегидратацией 8-метилбицикло-(5,3,0)-деканол-3 (IXa) и каталитич. гидрированием 8-метилбицикло-(5,3,0)-децена (Xa), объясняются, по-видимому, различным соотношением *цис*- и *транс*-изомеров или присутствием метилдекалинов, образующихся при кислотной дегидратации. Перемещение алкильных групп происходит при обработке этилового эфира Vb и Vb HCl (к-той), что приводит к 4-(5-метил-2-оксоциклопентил)-масляной к-те (XIa) и соответственно 4-(4-метил-2-оксоциклопентил)-масляной к-те (XIIb), причем механизм перегруппировки проходит, по мнению авторов, по схеме (2). Этот вывод подтвержден следующими данными: а) восстановление XIa и XIIb по Кижнеру приводит к 4-(2-метилциклопентил)-мас-



IIIa, Va R=R'; б R=CH<sub>3</sub>, R'=H; в R=H, R'=CH<sub>3</sub>, R=CH(CH<sub>3</sub>)<sub>2</sub>, R'=H; VIa, VIIa, VIIIa, XIa R=CH<sub>3</sub>, R'=H; б R=H, R'=CH<sub>3</sub>; VI R'=H<sub>2</sub>; VII R'=O

ляной к-те (XIHa), т. кип. 120°/1,2 мм (по-видимому, смесь *цис-транс*-изомеров) и соответственно к 4-(3-метилциклопентил)-масляной к-те (XIIb) (т. кип. 120—122°/2 мм,  $n_D^{23}$  1,4550; амид, т. пл. 100—101° (из лигн.); N-бромфенацетовый эфир (БФЭ), т. пл. 67,5—68° (из водн. сл.); 2-бром-4-(3-метилциклопентил)-масляная к-та, т. кип. 122—125°/3,5 мм,  $n_D^{22}$  1,4731, образование которых нельзя предположить, исходя из (Б); б) XIHa и XIIb после двух расщеплений по Барбье—Виланду дают соответственно не 2-циклопентилпропионовую к-ту и циклопентилацетол (XIII), что наблюдалось бы в отсутствие перегруппировки, а 2-метилциклопентилуксусную к-ту (XIV) и соответственно 3-метилциклопентилуксусную к-ту (XV). Заведомый образец XV получают конденсацией 3-метилциклопентанона с  $\text{CNCH}_2\text{COOC}_2\text{H}_5$ ; образующийся этиловый эфир 3-метилциклопентилдипианоуксусной к-ты (XVI) (выход 72%, т. пл. 67—68°) восстановлением амальгамой Al переводит в соответствующий насыщ. эфир (XVII) (выход 69%, т. кип. 103—107°/2 мм,  $n_D^{22}$  1,4513); последний после гидролиза и декарбоксилирования дает XV (по-видимому, смесь *цис-транс*-изомеров), т. кип. 93—95°/1,4 мм,  $n_D^{22}$  1,4499. XVII может быть получен также гидрированием XVI над 5%-ным Pd/C в р-ре  $\text{C}_2\text{H}_5\text{OH}$ . Полученная для сравнения 3-метил-4-циклопентилмасляная к-та (XVIII) синтезирована следующим образом. Циклопентилацетоксусный эфир киничением с р-ром KOH переводит в XIII (выход 71%,

т. кип. 84—86°/31 мм; 2,4-динитрофенилгидразон, т. пл. 84°, который при кипячении с  $\text{CNCH}_2\text{COOC}_2\text{H}_5$  в р-ре  $\text{C}_6\text{H}_6$  и  $\text{CH}_3\text{COOH}$  в присутствии  $\text{CH}_3\text{COONH}_4$  дает этиловый эфир 2-циано-3-метил-4-циклопентилкратоновой к-ты, выход 87%, т. кип. 135—138°/2,5 мм,  $n_D^{20}$  1,4890; гидрирование последнего (74,5 г) над 5%-ным Pd/C в абс.  $\text{C}_2\text{H}_5\text{OH}$  при 3—4 ат приводит к этиловому эфиру 2-циано-3-метил-4-циклопентилмасляной к-ты (XIX — к-та) (выход 66 г, т. кип. 120—126°/2 мм,  $n_D^{20}$  1,4559), кипячение которого с р-ром KOH (16 час.) приводит к XIX (т. пл. 99°), превращающуюся в XVII при кипячении с HCl, выход 67%, т. кип. 119—121°/2 мм,  $n_D^{20}$  1,4579; амид, т. пл. 99,5—101° (из лигр.); БФЭ, т. пл. 56—57° (из водн. сп.). Р-р 62 г этилового эфира пентен-2-овой к-ты в 500 мл сухого  $\text{CCl}_4$  кипятят 12 час. с 85 г II и 1 г  $(\text{C}_6\text{H}_5\text{CO})_2\text{O}_2$ , выход этилового эфира 4-бромпентен-2-овой к-ты (XX) 84%, т. кип. 60—62°/1 мм,  $n_D^{20}$  1,4838. Аналогично из соответствующих ненасыщ. эфиров получают этиловый эфир 4-бром-5-метилгексен-2-овой к-ты (XXI), выход 61%, т. кип. 78—79°/1 мм,  $n_D^{20}$  1,4815, и этиловый эфир 4-бром-3-метилбутен-2-овой к-ты (XXII), выход 62%, т. кип. 78—82°/4 мм. К 4,8 г Na в 250 мл горячего толуола прибавляют 31 г I, кипятят 3 часа, прибавляют 39 г этилового эфира  $\gamma$ -бромкратоновой к-ты, кипятят 6 час. и разбавляют водой, выход IIIa 60%, т. кип. 156—161°/2 мм; семикарбазон (CK), т. пл. 92,5—93,5° (из бэл. лигр.). При обработке  $\text{C}_2\text{H}_5\text{ONa}$  IIIa изомеризуется в этиловый эфир 4-(3-карботоксиз-2-оксоциклопентил)-кратоновой к-ты (XXIII), т. кип. 165—170°/5 мм. При аналогичной конденсации I с XX, XXI и XXII получают соответственно IIIb (выход 60%, т. кип. 140—142°/0,5 мм,  $n_D^{20}$  1,4766), IIIc (выход 64%, т. кип. 162—168°/2 мм,  $n_D^{20}$  1,4808; CK, т. пл. 124—125,5° (разл.)) и IIId (выход 26%, т. кип. 138°/0,8 мм,  $n_D^{20}$  1,4675). При обработке  $\text{C}_2\text{H}_5\text{ONa}$  IIIb изомеризуется в эфир (XXIV) с т. кип. 160—167°/1 мм,  $n_D^{20}$  1,4796. Гидрирование спирт. р-ра 30 г IIIa над 5%-ным Pd/C приводит к Va, выход 24,5 г, т. кип. 160—170°/3,5 мм,  $n_D^{20}$  1,4572, который при обработке  $\text{C}_2\text{H}_5\text{ONa}$  изомеризуется в этиловый эфир 4-(3-карботоксиз-2-оксоциклопентил)-масляной к-ты (XXV), т. кип. 175—179°/3,5 мм,  $n_D^{20}$  1,4572. Гидрирование спирт. р-ра IIIb над 5%-ным Pd/C при 2—3 ат приводит к Vb, выход 83%, т. кип. 143—147°/1,2 мм,  $n_D^{20}$  1,4635. При гидрировании спирт. р-ра 26,5 г IIIc над Pt (из  $\text{PtO}_2$ ) получают 23,5 г Vc, т. кип. 145—147°/1,2 мм,  $n_D^{20}$  1,4581, а гидрирование 15 г IIId приводит к 10,5 г Vd, т. кип. 150—160°/1,5 мм. При гидролизе 130 г Vb кипячением (7 час.) с 500 мл конц. HCl образуется XIa, выход 76 г, т. кип. 165°/1,5 мм,  $n_D^{20}$  1,4760; CK, т. пл. 200° (разл.; из  $\text{CH}_3\text{OH}$ ). При стоянии 73 г XIa с 300 мл абс. спирта, насыщ. HCl, образуется этиловый эфир XIa, выход 61 г, т. кип. 112—114°/1,5 мм,  $n_D^{20}$  1,4560. Гидролиз Vc приводит к XIb, выход 86%, т. кип. 160—161°/1,2 мм,  $n_D^{20}$  1,4708; CK, т. пл. 162—164° (разл.; из  $\text{CH}_3\text{OH}$ ); этиловый эфир XIb, выход 83%, т. кип. 119—121°/2 мм,  $n_D^{20}$  1,4538. Смесь 97 г этилового эфира XIa, 52 г  $\text{CNCH}_2\text{COOC}_2\text{H}_5$ , 7,1 г  $\text{CH}_3\text{COONH}_4$ , 22 г  $\text{CH}_3\text{COOH}$  и 300 мл  $\text{C}_6\text{H}_6$  кипятят 17 час. с отгонкой образующейся воды, выход продукта конденсации (XXVIa) 64%, т. кип. 172—174°/1 мм,  $n_D^{20}$  1,4831. Аналогично из этилового эфира XIb получают соответствующий продукт конденсации (XXVIb), выход 60—67%, т. кип. 180—185°/1,5 мм,  $n_D^{20}$  1,4775. Гидрирование XXVIa и XXVIb над Pt (из  $\text{PtO}_2$ ) в р-ре  $\text{C}_2\text{H}_5\text{OH}$  приводит соответственно к этиловому эфиру 4-(5-метил-2- $\alpha$ -цианкарботоксиметилциклопентил)-масляной к-ты (XXVIIa), т. кип. 175—177°/1,7 мм,  $n_D^{20}$  1,4640, и этиловому эфиру 4-(4-метил-2- $\alpha$ -цианкарботоксиметилциклопентил)-масляной к-ты (XXVIIb), выход 80%, т. кип. 165—170°/1,5 мм,  $n_D^{20}$  1,4607. При обработке XXVIIa и XXVIIb конц. HCl образуются

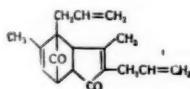
соответственно 4(5-метил-2-карботоксиметилциклопентил)-масляная к-та (XXVIIIa) (смесь изомеров), т-ра плавления одного из изомеров 102—104° (из воды), и 4-(4-метил-2-карботоксиметилциклопентил)-масляная к-та (XXVIIIb), выход 98%, т. пл. 133—133,5° (из воды). Смесь 14,5 г XXVIIIa, 14 г Fe и 0,7 г Ba(OH)<sub>2</sub> нагревают до 350°, выход VIIa 71%, т. кип. 92—96°/2,5 мм; CK, т. пл. 143—143,5° (из водн.  $\text{CH}_3\text{OH}$ ). 5,5 г VIIa восстанавливают по Кижнеру нагреванием с 4 г KOH, 30 мл триэтиленгликоля и 5 мл гидразингидрата (1 час при 110° и 3 часа при 190°), выход VIa 3,2 г, т. кип. 47—50°/2 мм,  $n_D^{20}$  1,4703. Восстановлением VIIa (5,5 г) с помощью LiAlH<sub>4</sub> получают 4,7 г IXa, т. кип. 104—105°/4 мм,  $n_D^{20}$  1,4911. 4,5 г IXa нагревают с 6 г  $\text{KHSO}_4$  (0,5 часа при 190°), выход Xa 1,3 г, т. кип. 45—47°/1 мм,  $n_D^{20}$  1,4829. При гидрировании Xa над 5%-ным Pd/C образуется VIa, т. кип. 47—50°/2 мм,  $n_D^{20}$  1,4750. 2,2 г Xa и 1,8 г S нагревают 25 мин. при 230—240°, экстрагируют петр. эфиром и хроматографируют на  $\text{Al}_2\text{O}_3$ , получают VIIa; тринитробензоат (ТНБ), т. пл. 160—160,5° (из сп.). Дегидрогенизация VIa также приводит к VIIa. Взаимодействие 4 г VIIa с  $\text{CH}_3\text{MgI}$  и дегидратация образующегося карбинола над  $\text{KHSO}_4$  приводят к 3,8-диметилбиккло-(5,3,0)-децену (XXIX) (выход 2,3 г, т. кип. 56°/1,6 мм,  $n_D^{20}$  1,4821), при дегидрогенизации которого над S (30 мин. при 225—230°) образуется 1,5-диметилазулен (XXX); ТНБ, т. пл. 151—152,5° (из сп.). Аналогично из  $(\text{CH}_3)_2\text{CHMgBr}$  и VIIa получают 1-метил-5-изопропилазулен (XXXI); ТНБ, т. пл. 137,5—138° (из сп.). При циклизации XXVIIIb, аналогичной циклизации XXVIIIa, образуется 9-метилбиккло-(5,3,0)-деканон-3 (VIIb), выход 65%, т. кип. 79—80°/1 мм,  $n_D^{20}$  1,4820; CK, т. пл. 182—183° (разл.; из водн.  $\text{CH}_3\text{OH}$ ). Восстановление 5,5 г VIIb по Кижнеру приводит к 9-метилбиккло-(5,3,0)-декану (VIb), выход 3,1 г, т. кип. 53—54°/2,8 мм,  $n_D^{20}$  1,4680, а восстановление VIIb  $\text{LiAlH}_4$  — к 9-метилбиккло-(5,3,0)-деканолу-3 (IXb) (т. кип. 85—88°/1,5 мм,  $n_D^{20}$  1,4887), который при нагревании с  $\text{KHSO}_4$  (35 мин. при 180—190°) дает 9-метилбиккло-(5,3,0)-децен (Xb), т. кип. 45°/0,8 мм,  $n_D^{20}$  1,4867; дегидрогенизация IXb над S (30 мин. при 235°) приводит к 2-метилазулену (VIIb); ТНБ, т. пл. 135—136° (из сп.). При дегидрогенизации VIb над S или Pb VIIb не образуется. Взаимодействие 8 г VIIb с  $\text{CH}_3\text{MgI}$  (из 3 г Mg и 21 г  $\text{CH}_3\text{I}$ ) и последующая дегидратация карбинола над  $\text{KHSO}_4$  (20 мин. при 180°) приводит к 3,9-диметилбиккло-(5,3,0)-децену, выход 5,1 г, т. кип. 55—58°/1,5 мм,  $n_D^{20}$  1,4817 при дегидрогенизации которого над S (30 мин. при 230°) образуется 2,5-диметилазулен (XXXII); ТНБ, т. пл. 149—150,5° (из бэл.). Аналогично из VIIb и  $(\text{CH}_3)_2\text{CHMgBr}$  получают 2-метил-5-изопропилазулен (XXXIII); т. пл. 113—114,5° (из сп.). XIa с выходом 96% превращают в соответствующий этиловый эфир (т. кип. 79—80°)/1,5 мм,  $n_D^{20}$  1,4448), который после взаимодействия с  $\text{C}_6\text{H}_5\text{MgBr}$  и дегидратации образующегося карбинола (нагревание со смесью  $(\text{CH}_3\text{CO})_2$  и  $\text{CH}_3\text{COOH}$ ) дает соответствующий олефин, т. кип. 191—198°/3 мм,  $n_D^{20}$  1,5650; последний при окислении  $\text{CrO}_3$  в р-ре изоктана и  $\text{CH}_3\text{COOH}$  дает с выходом 61% 3-(2-циклопентил)-пропионовую к-ту (XXXIV) (смесь *цис-транс*-изомеров), т. кип. 102—105°/1,5 мм,  $n_D^{20}$  1,4602; БФЭ, т. пл. 57,5—58,5°; амид, т. пл. 101—102,5°. Этерификация *транс*-XXXIV  $\text{CH}_3\text{N}_2$  приводит к метиловому эфиру, т. кип. 65—70°/2 мм,  $n_D^{20}$  1,3348, превращающемуся после взаимодействия с  $\text{C}_6\text{H}_5\text{MgBr}$  и дегидратации в соответствующий олефин (т. кип. 175—180°/3,5 мм), окисление которого  $\text{CrO}_3$  приводит к смеси *цис-транс*-XIV, т. кип. 105—108°/4 мм,  $n_D^{20}$  1,4538; амид, т. пл. 132—133,5°; БФЭ, т. пл. 62,5—64°. Этиловый эфир XIIb (т. кип. 78—80°/1,5 мм,  $n_D^{20}$  1,4418) взаимодействием с  $\text{C}_6\text{H}_5\text{MgBr}$  и последующей дегидратацией превращают



с выходом 84% в 1,1-дифенил-4-(3-метилциклопентил)-бутен-1, т. кип. 170–174°/1 мм,  $n_D^{22}$  1,5643, который после окисления  $\text{CrO}_3$  дает 3-(3-метилциклопентил)-пропионовую к-ту, т. кип. 105–110°/5 мм. Этиловый эфир этой к-ты (выход 83%, т. кип. 62–66°/1 мм,  $n_D^{22}$  1,4364) взаимодействием с  $\text{C}_6\text{H}_5\text{MgBr}$  переходит в соответствующий карбинол (выход 88%, т. кип. 170–175°/1 мм), который после дегидратации дает 1,1-дифенил-3-(3-метилциклопентил)-пропен-1, выход 82%, т. кип. 155–160°/1 мм,  $n_D^{22}$  1,5702; окисление последнего  $\text{CrO}_3$  приводит к XV, выход 50%, т. кип. 93–95°/2 мм,  $n_D^{22}$  1,4503; амид, т. пл. 140,5–141° (из бал.-лигр.); БФЭ, т. пл. 67,5° (из водн. сл.). Приведены ИК-спектры IIIa–IIIb, IV, Va–Vg, VIIa, VIIb, Xb, XVI, XXIII–XXV, XXIX и УФ-спектры СК IIIa, СК IIIb, VIIa, VIIb, XXX–XXXIII. Сообщение VI см. РЖХим, 1955, 55027.

51183. Соединение с карбонильным мостиком, в котором цикл, содержащий мостик, является насыщенным. Аллен, Ван-Аллан (A carbonyl bridge compound in which the bridged ring is saturated. Allen C. F. H., Van Allan J. A.), J. Organ. Chem., 1955, 20, № 3, 323–327 (англ.).

Гидрированием трициклич. кетона (I) (моносемикарбазон (II), т. пл. 209–210°; дисемикарбазон (III), т. пл. 246–247°), образующегося при димеризации 3-метил-2-аллилциклопентен-2-ол-4-она (аллетролона) (IV), над Pt (из  $\text{PtO}_2$ ) в этилацетате в присутствии лед.  $\text{CH}_3\text{COOH}$  получен 3,5-диметил-1,8-дикето-2,4-ди-*n*-пропил-3a,4,5,6,7,7a-гексагидро-4,7-метаноиден (V) (выход 2,6 г из 4,9 г I, т. кип. 206–210°/3 мм,  $n_D^{25}$  1,5179), являющийся первым известным эндокарбонильным соединением, в котором мостиковый цикл является насыщенным и не содержит арильных заместителей. При нагревании до 240° (2 часа) V не отщепляет СО-мостик, дает моносемикарбазон (VI), т. пл. 246° (разл.; из сл.),



и моно-2,4-динитрофенилгидразон (VII), т. пл. 229° (из сл.), по эндокарбонильной группе и взаимодействует с 2 молями  $\text{CH}_3\text{MgI}$ , нормально реагируя (подобно аналогичным *n*-вам) с эндокарбонильной группой, а по циклич. СО-группе образуя Mg-енолят (с выделением  $\text{CH}_4$ ). V получен также гидрированием IV над Pt (из  $\text{PtO}_2$ ) в этилацетате в присутствии лед.  $\text{CH}_3\text{COOH}$  (25–30°, ~2 ат), приводящим к 3-метил-2-*n*-пропилциклопентен-2-ол-4-ону (т. кип. 123–125°/0,7 мм,  $n_D^{25}$  1,4960; 2,4-динитрофенилгидразон, т. пл. 203–204° (из  $n\text{-C}_4\text{H}_9\text{OH}$ ), кислотный фталат которого т. пл. 124–126° (из бал.-лигр.) после обработки *p*-ром NaOH и гидрирования над Pt (из  $\text{PtO}_2$ ) дает V. Приведены ИК-спектры I, II, IV–VII и кривые УФ-спектров I–VI и семикарбазона IV.

51184. Хлорарилрование сопряженных диенов и новый способ синтеза  $\alpha$ -арилбутадиенов. Домбровский А. В., Докл. АН СССР, 1956, 111, № 4, 827–830. Изучена р-ция дивинила (I), пиперилена (II), изопрена (III), 2,3-диметилбутадиена-1,3 (IV), 3-метилпентадиена-2,4 (V), хлоропрена (VI), 1-фенилбутадиена-1,3 (VII), 1-(*n*-тозил)-бутадиена-1,3 (VIII) и 2-фенилбутадиена-1,3 (IX) с  $\text{ArN}_2\text{Cl}$  (X) в присутствии  $\text{CuCl}_2$ . В случае I, его гомологов и VI происходит главным образом присоединение арила и Cl [хлорарилрование (XA)] с образованием  $\text{ArCH}_2\text{CH}=\text{CHCH}_2\text{Cl}$  (XI), небольших кол-в  $\text{ArCH}=\text{CHCH}=\text{CH}_2$  (XII),  $\text{C}_6\text{H}_5\text{Cl}$  и смолистых в-в. При р-ции II и  $n\text{-NO}_2\text{C}_6\text{H}_4\text{N}_2\text{Cl}$  образуется только 1-(*n*-нитрофенил)-пентадиен-1,3. В слу-

чае арилбутадиенов имеет место замещение атомов H в конце сопряженной системы на Ar. Лучшие результаты при XA  $\text{C}_6\text{H}_5\text{N}_2\text{Cl}$  или диазотированными аминами с положительными заместителями в ядре получаются в водно-ацетоном *p*-ре в присутствии  $\text{Ca(OH)}_2$  или  $\text{MgO}$ , при pH 4–5; в условиях р-ции Meerвейна (J. prakt. Chem., 1939, 152, 237) р-ция либо вовсе не идет, либо дает малые выходы. XA I посредством X с отрицательными заместителями в ядре происходит с лучшими выходами в *p*-ре HCl, без щел. добавок. Строение XI доказано озонлизом или окислением  $\text{KMnO}_4$  до  $\text{ClCH}_2\text{COOH}$  и соответствующих арил-алкилкарбоновых к-т. Разработан удобный способ получения XII почти без осмоления и полимеризации действием на XI KOH в диоксане. XI с заместителями первого рода в ядре при действии спирт. KOH образуют смесь XII и алкоксибutenов с преобладанием последних. К 1,1 моля I, 400 мл ацетона, 0,25 моля  $\text{SiCl}_4$ , 80 мл воды и 0,1 моля  $\text{Ca(OH)}_2$  при 7–10° постепенно прибавляют *p*-р, полученный диазотированием 1 моля  $\text{C}_6\text{H}_5\text{NH}_2$  в 2,2 моля конц. HCl 1 молем  $\text{NaNO}_2$  в 140 мл воды; выделение  $\text{N}_2$  заканчивается через 4 часа; органич. часть извлекают эфиром, разгонкой выделяют XI, Ar =  $\text{C}_6\text{H}_5$ , выход 70%, т. кип. 92–93°/3 мм,  $n_D^{20}$  1,5402,  $d_4^{20}$  1,0541. Таким образом получены XI общей ф-лы  $\text{ArCH}_2\text{CH}=\text{CHCH}_2\text{Cl}$  (приводятся Ar, выход в %, т. кип. в °C/мм,  $n_D^{20}$ ,  $d_4^{20}$ ): *n*- $\text{CH}_3\text{C}_6\text{H}_4$ , 52, 112–114/6, 1,5349, 1,0227; *m*- $\text{CH}_3\text{C}_6\text{H}_4$ , 50, 107–109/3, 1,5354, 1,0320; *o*- $\text{CH}_3\text{C}_6\text{H}_4$ , 52,5, 94–95/2, 1,5400, 1,0434; *n*- $\text{CH}_3\text{OC}_6\text{H}_4$ , 40,6, 124–126/2, 1,5450, 1,0932; *n*- $\text{ClC}_6\text{H}_4$ , 67, 125–126/2, 1,5518, 1,1670; 2,4- $\text{Cl}_2\text{C}_6\text{H}_3$ , 64, 145–148/4, 1,5677, 1,2972; *n*- $\text{BrC}_6\text{H}_4$ , 60, 117–118/2, 1,5728, 1,4218; 2,4- $\text{Br}_2\text{C}_6\text{H}_3$ , 62, 155–156/2, 1,6071, 1,7095; *n*- $\text{JC}_6\text{H}_4$ , 30, 137–140/2, 1,6082, 1,5790; *n*- $\text{NO}_2\text{C}_6\text{H}_4$ , 75, 145–146/2, 1,5740, 1,2243; *m*- $\text{NO}_2\text{C}_6\text{H}_4$ , 57, 174–176/7, 1,5680, 1,2188; *o*- $\text{NO}_2\text{C}_6\text{H}_4$ , 66, 155–156/3, 1,5692, 1,2226. Аналогично получены арил-хлоралкены (XII) (даны XII, исходное в-во, выход в %, т. кип. в °C/мм,  $n_D^{20}$ ,  $d_4^{20}$ ):  $\text{CH}_3\text{CHClCH}=\text{CHCH}_2$ ,  $\text{C}_6\text{H}_5$ , II, 56, 79–80/2, 1,5447, 1,0115;  $\text{ClCH}_2\text{C}(\text{CH}_3)=\text{CHCH}_2\text{C}_6\text{H}_5$ , III, 68, 82/1, 1,5430, 1,0320;  $\text{ClCH}_2\text{C}(\text{CH}_3)=\text{C}(\text{CH}_3)\text{CH}_2\text{C}_6\text{H}_5$ , IV, 45, 84/2, 1,5410, 1,0175;  $\text{C}_2\text{H}_5\text{I}$ , V, 48, 114/4, 1,5560, 1,1847;  $\text{ClCH}_2\text{C}(\text{Cl})=\text{CHCH}_2\text{C}_6\text{H}_5$ , VI, 56/7, 101/2, —, —. К нагетой до кипения смеси 3 ч. порошка KOH в диоксане прибавляют 1 ч. XI; с 0,2 моля XI р-ция заканчивается в 10–15 мин., получены XII (приведены Ar, выход в %, т. кип. в °C/мм,  $n_D^{20}$ ,  $d_4^{20}$ , т. пл. аддукта с малеиновым ангидридом (АМА) в °C):  $\text{C}_6\text{H}_5$ , 90, 65–66/3, —, 1,6073, 0,9270, 120; *n*- $\text{CH}_3\text{C}_6\text{H}_4$ , 91, 90–91/9, 26, 1,5970 (при 28°), 0,9079 (при 28°), 117; *m*- $\text{CH}_3\text{C}_6\text{H}_4$ , 92, 86–97/7, —, 1,5995, 0,9212, 77–18; *o*- $\text{CH}_3\text{C}_6\text{H}_4$ , 96/7, 86/8, —, 1,6001, 0,9256, 92–93; *n*- $\text{CH}_3\text{OC}_6\text{H}_4$ , 78/7, 115–120/6, 45, —, —, 141–142; *n*- $\text{ClC}_6\text{H}_4$ , 84/5, 104/9, 48, 1,6530, 1,0728, 107; 2,4- $\text{Cl}_2\text{C}_6\text{H}_3$ , 90, —, 54, —, —, 134; *n*- $\text{BrC}_6\text{H}_4$ , 82/3, 110/3, 29, —, —, 139; *n*- $\text{JC}_6\text{H}_4$ , 77/8, —, 60, —, —, 160. Следующие XII получены нагреванием с 2 п. KOH в  $\text{CH}_3\text{OH}$  (приведены Ar, выход в %, т. пл. в °C, т. пл. АМА в °C): *n*- $\text{NO}_2\text{C}_6\text{H}_4$ , 97, 79, 168; *m*- $\text{NO}_2\text{C}_6\text{H}_4$ , 80, 53, 159; *o*- $\text{NO}_2\text{C}_6\text{H}_4$ , 100, 68, 151,5. Получены также следующие  $\alpha$ -арилдиены (приводятся в-во, выход в %, т. кип. в °C/мм,  $n_D^{20}$ ,  $d_4^{20}$ , т. пл. АМА в °C): *n*- $\text{NO}_2\text{C}_6\text{H}_4\text{CH}=\text{CHCH}=\text{CHCH}_3$  (из II), 40, — (т. пл. 75°), 1,5415, 1,0422, 159;  $\text{C}_6\text{H}_5\text{CH}=\text{CHCH}=\text{CHCH}_3$  (из VII), 80, — (т. пл. 149°), —, —, 163; *n*- $\text{CH}_3\text{C}_6\text{H}_4\text{CH}=\text{CHCH}=\text{CHCH}_3$  (из VIII), 70, — (т. пл. 156°), —, —, —;  $\text{C}_6\text{H}_5\text{CH}=\text{CHC}(\text{CH}_3)=\text{CH}_2$  (из IX), —, — (т. пл. 55°), —, —, 125, 5;  $\text{C}_6\text{H}_5\text{CH}_2\text{CH}=\text{CHCH}=\text{CH}_2$ , 83, 68–69/3, 1,6054, 0,9312, 142,5;  $\text{C}_6\text{H}_5\text{CH}=\text{CHC}(\text{CH}_3)=\text{CH}_2$ , 83,5, 66–67/2, 1,5843, 0,931, —;  $\text{C}_6\text{H}_5\text{CH}=\text{C}(\text{CH}_3)\text{C}(\text{CH}_3)=\text{CH}_2$ , 72, 64–65/2, 1,5645, 0,9377, 240;  $\text{C}_6\text{H}_5\text{CH}=\text{CHC}(\text{CH}_3)=\text{CHCH}_3$ , 65, 80–82/2, 1,5900, 0,9466, 219;  $\text{C}_6\text{H}_5\text{CH}=\text{CHC}\equiv\text{CH}$ , 67, 105/9, 1,6085, 0,9356, 154.

В. Скородумов

**51185. О реакциях Лейкарта. Богословский В. М.**, Научно-исслед. тр. Моск. текстильн. ин-та, 1956, 18, 103—114

Дан обзор методов получения по Лейкарту арилмеркаптанов или их эфиров (через диазосоединения), а также ароматич. карбоновых к-т (взаимодействием ароматич. изонитрилов с ароматич. углеводородами или эфирами фенолов в присутствии  $AlCl_3$ ). О превращении карбонильных соединений в амины по р-ции Лейкарта см. РЖХим, 1955, 18643. Библ. 49 назв.

В. Загоревский

**51186. Химическое определение изомерных ксилолов. Кобаяси, Нагахана, Акиёси** (キシロレン異性体の化学的定量法について, 小村泰人, 長浜静男, 秋吉三郎), 工業化学雑誌, Korô kagaku zasshi, J. Chem. Soc. Japan, Industr. Chem. Sec., 1956, 59, № 2, 179—182 (японск.)

С целью разработки хим. метода определения изомерных ксилолов в смеси определены оптимальные условия нитрования м- (I), п- (II) и о-ксилола (III), а также толуола и этилбензола по описанному методу (Reichel, Chem. Abstrs., 1943, 37, № 9, 2305): т-ра  $100^\circ$ , объемное отношение  $HNO_3(d\ 1,50) : H_2SO_4(d\ 1,84) = 1-1,5 : 2$ . Разработан метод определения в смеси I и II, основанный на нитровании смеси в оптимальных условиях, осаждении водой нитропродуктов и последовательной экстракции полученного осадка кипящим ацетоном (100 или 200 мл) и затем спиртом (100 или 200 мл) с последующим весовым определением кристаллич. осадков, выпадающих при охлаждении экстрактов и расчетом по ф-лам: % I =  $0,44(A + 0,6) \cdot 0,44/W \cdot 1,02 \cdot 100$  и % II =  $(B + 0,2 - 0,6) \cdot 0,44/W \cdot 1,43 \cdot 100$ , где W — навеска смеси I + II, A — вес осадка, выпавшего из ацетонного экстракта, а B — вес осадка, выпавшего из спирт. экстракта. Точность определения 1% для I и 2% для II. III определяют по этому методу не удается. Л. Яновская

**51187. Окисление ядра фенола. 1. Окумура** (Phenol (類)の核酸化に就て, 1. 奥村重雄), 徳島大学工学部研究報告 Tokushima daigaku kougaku kenkyû ho, 1955, № 6, 108 (японск.)

Изучено окисление ядра фенола (I) посредством 30%-ной  $H_2O_2$  при  $40-50^\circ$  (3 часа) в присутствии в качестве катализаторов: 10%  $CuSO_4$  (см. японск. пат. 167343, 1944 г.), Cu-, ClFe-, Mg- или Fe-фталаципина (II). Максим. выход пирокатехина (29,61%) получен при окислении I в присутствии II, одновременно образуется гидрохинон с выходом 7,16%. Л. Яновская

**51188. Синтез жирно-ароматических непредельных эфиров — аналогов трифенилкарбинола. V. Аналоги фталенинов с ксантеновой структурой. Дашкевич Б. Н., Смолянка И. В.**, Укр. хим. ж., 1956, 22, № 4, 494—497

Синтезлением резорцина (I), галловой к-ты (II), гидрохинона (III) или флороглюцина (IV) с малеиновым ангидридом (V) в присутствии  $ZnCl_2$  синтезированы  $\gamma$ -лактоны 3,6-диокси- (VI), 3,4,5,6-тетраокси- (VII), 2,7-диокси- (VIII) и 1,3,6,8-тетраокси- (IX)-ксантгидролакриловых к-т, являющихся аналогами фталенинов с ксантеновой структурой. Окраска VI резко меняется при изменении pH среды. При аналогичной р-ции с пирогаллолом образуются смолы. 11 г I, 0,5 г V и 3,5 г чуть влажного  $ZnCl_2$  (с абс. сухим  $ZnCl_2$  р-ция не идет) постепенно нагревают до  $125-130^\circ$  (самонагревание до  $160^\circ$ ), затем при  $100^\circ$ , плав растворит в спирте, приливают воду с избытком поташа, нагревают, подкисляют HCl и получают VI, выход 20%, т. пл.  $253^\circ$ . 13,2 г II, 23,5 г V и 1,8 г  $ZnCl_2$  нагревают до  $180^\circ$ , выдерживают 20 мин. при  $160^\circ$ , приливают 0,1 л воды и отделяют VII, выход 8,3%, разлагается  $> 315^\circ$ . Аналогично из 25 г III, 12 г

V и 7 г  $ZnCl_2$  (10 мин.  $175^\circ$ , 30 мин.,  $150^\circ$ ) получают VIII, выход 1,8 г; из 2,5 г IV, 1 г V и 1 г  $ZnCl_2$  (1 час,  $125-135^\circ$ ) — IX, выход 25,8%, т. пл.  $315^\circ$ , начинает чернеть при  $308^\circ$  (из воды). Сообщение IV см. РЖХим, 1957, 47861.

Д. Витковский

**51189. Исследования в области синтеза метил- $\beta$ -фенилэтилового эфира. Гунта, Лал, Шукла** (Studies in the preparation of methyl beta-phenylethyl ether. Gupta R. C., Lal J. B., Shukla U. N.), J. and Proc. Instn Chemists (India), 1956, 28, № 1, 39—43 (англ.)

Предпринято детальное изучение синтеза  $C_6H_5CH_2CH_2OCH_3$  (I), основной составной части эфирного масла цветов *Pandanus Odoratissimus* (Hindi-Kewda). Для метилирования  $C_6H_5CH_2CH_2OH$  (II) действием  $(CH_3)_2SO_4$  (III) применен измененный метод (Lewis H. F., Industr. and Engng Chem., 1930, 22, 34). При молярном соотношении (MC) II : III : NaOH = 2 : 1 : 2 и отсутствии воды выход I достигает 57%, но с увеличением кол-ва воды до 2 молей на 1 моль I быстро уменьшается; при дальнейшем повышении содержания воды выход I уменьшается медленно. При MC II : III : NaOH = 1 : 1,5 : 3 в случае отсутствия воды выход I достигает 94%. К 2 молям III, 2 молям NaOH и 2 молям воды при  $95^\circ$  прибавляют по каплям за 1 час 1 моль II, кипятят 2 часа, прибавляют 70 мл 30%-ного NaOH и кипятят еще 1 час, органич. слой промывают 20%-ным NaCl, высушивают  $Na_2SO_4$ ; водн. слой экстрагируют эфиром (3  $\times$  100 мл), общий выход III 440—450 мл. Чистоту продукта устанавливают анилизированием, фтализированием и определением  $CH_3O$ -группы.

В. Скородумов

**51190. Новый синтез карвакрола. Штрубель, Баумгертель** (Eine neue Carvacrol-Synthese. Strubell Wolfgang, Baumgärtel Horst), Arch. Pharmazie, 1956, 289/61, № 12, 719—720 (нем.)

Предлагается простой синтез карвакрола (I), исходя из  $n$ -цимола. 28 г KOH при нагревании растворяют в 115 г гликоля и прибавляют 107 г 2-бром- $n$ -цимола, полученного из  $n$ -цимола по ранее описанному методу (Hübner, Jannasch, Liebigs. Ann. Chem., 154, 293; 170, 117), нагревают 4—5 час. при  $140^\circ$ , отделяют продукт р-ции и перегоняют его с водяным паром; после высушивания  $Na_2SO_4$  получают I, выход 75%.

В. Скородумов

**51191. Перегруппировка фенилаллиловых эфиров. Аллиловый и кротильловый эфиры 2,4-диметил-6-пропенилфенола. Лауэр, Вуйчак** (The phenylallyl ether rearrangement. The allyl and crotyl ethers of 2,4-dimethyl-6-propenylphenol. Lauer Walter M., Wujciak Donald W.), J. Amer. Chem. Soc., 1956, 78, № 21, 5601—5606 (англ.)

2,4-( $CH_3$ )<sub>2</sub>-6- $CH_3CH=CHC_6H_4OCH_2CH=CH_2$  (I) и 2,4-( $CH_3$ )<sub>2</sub>-6- $CH_3CH=CHC_6H_4OCH_2CH=CHCH_3$  (II) при нагревании перегруппировываются (ср. Glaisen, Tietze, Liebigs Ann. Chem., 1926, 449, 81) с миграцией без инверсии аллильной или кротильной группы к  $\beta$ -атому пропенильной боковой цепи. В результате р-ции образуется более сложная смесь, чем при обычной перегруппировке Кляйзена. Приведены возможные схемы механизма р-ции (с двойной инверсией или одностадийной миграцией через переходное состояние с шестичленным циклом, или через дисоциацию с последующей рекомбинацией ионов или радикалов). Строение продуктов перегруппировки доказано встречным синтезом и озолизмом полученных из них при изомеризации и метилировании 2,4-( $CH_3$ )<sub>2</sub>-6- $CH_3CH=CHC_6H_4OCH_2CH=CHCH_3$  (III) и 2,4-( $CH_3$ )<sub>2</sub>-6- $CH_3CH_2CH=CHC_6H_4OCH_2CH=CHCH_3$  (IV). 0,25 моля 2,4-( $CH_3$ )<sub>2</sub>-6- $CH_3CH=CHC_6H_4OCH_2CH=CHCH_3$  (V) (т. пл.  $73,5-74^\circ$ , фенилдуретан, т. пл.  $137-139^\circ$ ), 0,263 моля  $K_2CO_3$  и 100 мл ацетона кипятят 2 часа, прибавляют р-р 0,334 моля

$\text{CH}_2=\text{CHCH}_2\text{Br}$  в 100 мл ацетона, кипятят 24 часа, охлаждают, разбавляют 200 мл воды, выход **I** 87%, т. кип. 88–89°/0,5 мм, 96–97°/0,9 мм. Аналогично синтезируют **II**, выход 80,7%, т. кип. 77–84°/0,04–0,08 мм,  $n_D^{25}$  1,5317. 0,1 моля **I** кипятят в вакууме в токе  $\text{N}_2$  13 час. (т-ра поднимается до 184°/13 мм), разбавляют 80 мл петр. эфира, извлекают воды.  $\text{NaOH}$  (экстракт А) и щелочью Кляйзена (экстракт В). Из экстракта А выделяют **V**, выход 10%; из экстракта В выделяют 2,4-( $\text{CH}_3$ )<sub>2</sub>-6- $\text{CH}_2=\text{CHC}(\text{CH}_3)=\text{CHNC}_6\text{H}_5\text{OH}$  (**VI**), выход 26,1%, т. кип. 95–97°/0,55 мм,  $n_D^{25}$  1,5427; фенилуретан, т. пл. 115–116°. Аналогично из **II** наряду с **V** (25,4%) получают 2,4-( $\text{CH}_3$ )<sub>2</sub>-6- $\text{CH}_2\text{CH}=\text{CHNC}_6\text{H}_5\text{OH}$  (**VII**), выход 22,6%, т. кип. 76–80°/0,05 мм,  $n_D^{25}$  1,5369; фенилуретан, т. пл. 117–118°. **II** гидрируют в спирте над скелетным  $\text{Ni}$ , получают 2,4-( $\text{CH}_3$ )<sub>2</sub>-6- $\text{H}-\text{C}_6\text{H}_4-\text{C}_6\text{H}_4\text{OCH}_2\text{CH}_2\text{N}$ , выход 90,5%, т. кип. 63–64°/0,02 мм,  $n_D^{25}$  1,4875. Смесь 0,0192 моля **VI** и 12 мл насыщ.  $\text{KOH}$  в  $\text{CH}_3\text{OH}$  нагревают с отгонкой  $\text{CH}_3\text{OH}$  до 110°, кипятят при 110° 6 час., охлаждают, растворяют в 5 мл воды + 5 мл  $\text{CH}_3\text{OH}$ , при  $\sim 0^\circ$  прибавляют 0,021 моля  $(\text{CH}_3)_2\text{SO}_4$ , через 30 мин. нагревают и выдерживают 15 мин. при 50°, выливают на лед + конц.  $\text{HCl}$ , извлекают эфиром, обрабатывают щелочью Кляйзена, выход **III** 30%, т. кип. 80–82°/0,04 мм,  $n_D^{25}$  1,5650. Аналогично из **VII** получают **IV**, выход 27%, т. кип. 97–99°/0,2 мм,  $n_D^{25}$  1,5469. 0,02 моля метилового эфира **V** ( $n_D^{25}$  1,5311) обрабатывают 0,29 моля 30%-ной  $\text{H}_2\text{O}_2$  + 15 мл 88%-ной  $\text{HCOOH}$  24 часа при 40°, р-ритель отгоняют в вакууме, прибавляют 25 мл 20%-ного  $\text{NaOH}$ , кипятят 1 час, этилацетатом извлекают 2,4-( $\text{CH}_3$ )<sub>2</sub>-6- $\text{CH}_2\text{CHONCHONC}_6\text{H}_4\text{OCH}_3$  (**VIII**), выход 72%, т. пл. 86,5–87°. К 0,033 моля **VIII** в 100 мл лед.  $\text{CH}_3\text{COOH}$  порциями прибавляют  $\text{Pb}(\text{OSOC}_2\text{H}_5)_4$  до положительной пробы на  $\text{Pb}^{+4}$ , прибавляют 60 г  $\text{NaOH}$  в 100 мл воды, отгоняют с паром, полученные 500 мл дистилата нейтрализуют  $\text{Na}_2\text{CO}_3$ , извлекают петр. эфиром 3,5-( $\text{CH}_3$ )<sub>2</sub>-2- $\text{CH}_2\text{OC}_6\text{H}_4\text{CHO}$  (**IX**), выход 65%, т. кип. 69–72°/0,2 мм,  $n_D^{25}$  1,5337, 2,4-динитрофенилгидразон (ДНФГ), т. пл. 238–239°. 3,5-( $\text{CH}_3$ )<sub>2</sub>-2- $\text{CH}_2\text{OC}_6\text{H}_4\text{MgBr}$  (из 0,1 моля бромидов) в эфире + 0,1 моля  $\text{HS}(\text{OC}_2\text{H}_5)_2$  в 40 мл эфира кипятят 5 час; р-ритель отгоняют, остаток нагревают 1 час при  $\sim 100^\circ$ , охлаждают, прибавляют эфир, обрабатывают 15 мин. насыщ.  $\text{NH}_4\text{Cl}$ , затем 15 мл 6 н.  $\text{HCl}$ , отгоняют эфир, перегоняют с паром, из дистилата петр. эфиром извлекают **IX**, выход 56%. 40 мл смеси 0,15 моля  $\text{CH}_3\text{CHBrCH}=\text{CHCH}_3$  (т. кип. 61–64°/95–107 мм,  $n_D^{25}$  1,4712) и 100 мл эфира прибавляют к 0,151 моля  $\text{Mg}$ , после начала р-ции остаток смеси + 0,03 моля **IX** + 50 мл эфира прибавляют за 1 час, кипятят 1 час, получают 3,5-( $\text{CH}_3$ )<sub>2</sub>-2- $\text{CH}_2\text{OC}_6\text{H}_4\text{CHONCH}(\text{CH}_3)-\text{CH}=\text{CHCH}_3$  (**X**), выход 87%, т. кип. 89–90°/1,2 мм,  $n_D^{25}$  1,5165. 0,005 моля **X** и 0,015 моля  $\text{KHSO}_4$  нагревают 1 час при 190°, извлекают петр. эфиром, р-р хроматографируют на  $\text{Al}_2\text{O}_3$ , получают **III**, выход 45%, т. кип. 95–96°/2 мм. Смесь 3 ммоль **IX**, 3,4 ммоль  $\text{C}_6\text{H}_5\text{CHO}$  и 0,3 ммоль  $\text{KOH}$  в 1 мл абс. спирта + 1 капля воды выдерживают  $\sim 12$  час. при  $\sim 20^\circ$ , выливают на смесь льда и  $\text{HCl}$  (к-ты), петр. эфиром извлекают 2- $\text{CH}_3\text{O}-3,5-(\text{CH}_3)_2\text{C}_6\text{H}_2\text{CH}=\text{C}(\text{CH}_3)\text{CHO}$  (**XI**), выход 46%, т. кип. 82–83°/0,04 мм; ДНФГ, т. пл. 219–220°.  $\text{H-C}_6\text{H}_4-\text{MgI}$  (из 0,02 моля  $\text{Mg}$  и 0,02 моля  $\text{H-C}_6\text{H}_4\text{I}$  в 10 мл эф.) обрабатывают 7,3 ммоль **XI** в 15 мл эфира, кипятят 2 часа, получают 2- $\text{CH}_3\text{O}-3,5-(\text{CH}_3)_2\text{C}_6\text{H}_2\text{CH}=\text{C}(\text{CH}_3)\text{CHONCH}_2\text{CH}_2\text{CH}_3$  (**XII**), выход 49%, т. кип. 104–110°/0,18 мм,  $n_D^{25}$  1,5361. Из **XII**, аналогично синтезу **III** из **X**, получают **IV**, выход 66%, т. кип. 98–102°/0,2 мм,  $n_D^{25}$  1,5538. 0,05 моля **IX** в 0,1 моля  $\text{CH}_3\text{COC}_2\text{H}_5$  обрабатывают  $\text{HCl}$  (газом), через 48 час. выливают на лед + 10 мл 5%-ного  $\text{NaOH}$ , петр. эфиром извлекают 3,5-( $\text{CH}_3$ )<sub>2</sub>-2- $\text{CH}_2\text{OC}_6\text{H}_4\text{CH}=\text{C}(\text{CH}_3)\text{COCH}_3$  (**XIII**), выход 66%, т. кип. 92–94°/1 мм,  $n_D^{25}$  1,5510; ДНФГ, т. пл. 196,5–197°.  $\text{C}_2\text{H}_5\text{MgI}$  (из 0,02 моля  $\text{Mg}$  и 0,02 моля  $\text{C}_2\text{H}_5\text{I}$  в 20 мл эф.) обрабатывают 0,01 моля **XIII** в 25 мл эфира, кипятят 1 час, получают 3,5-( $\text{CH}_3$ )<sub>2</sub>-2- $\text{CH}_2\text{OC}_6\text{H}_4\text{CH}=\text{C}(\text{CH}_3)\text{CON}(\text{CH}_3)-\text{C}_2\text{H}_5$  (**XIV**), выход 74%, т. кип. 105–110°/0,12 мм,  $n_D^{25}$  1,5550. **XIV** обрабатывают аналогично **XII**, получают 3,5-( $\text{CH}_3$ )<sub>2</sub>-2- $\text{CH}_2\text{OC}_6\text{H}_4\text{CH}=\text{C}(\text{CH}_3)\text{C}(\text{CH}_3)=\text{CHCH}_3$ , выход 64%, т. кип. 94–96°/0,2 мм,  $n_D^{25}$  1,5487.

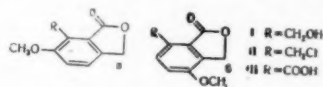
А. Гуревич

#### 51192. Реакция отщепления в *o*-карбалкоксбензил-бромидов. Гранди (An elimination reaction of *o*-alkoxycarbonylbenzyl bromides. Grundy J.), Chemistry and Industry, 1956, № 41, 1145 (англ.)

Изучена р-ция отщепления галогенного алкила  $\text{RX}$  в  $o$ - $\text{XCH}_2\text{C}_6\text{H}_4\text{COOR}$  (**I**) с образованием фталида (**II**) (ср. Davies, Perkin, J. Chem. Soc., 1922, 2208). Установлено, что р-ция идет при  $\text{R} = \text{CH}_3$ ,  $\text{H-C}_6\text{H}_5$ ,  $\text{из-C}_6\text{H}_5$ ,  $\text{H-C}_6\text{H}_5$ ,  $\text{втор-}$  и  $\text{трет-}$   $\text{C}_4\text{H}_9$ ,  $\text{H-C}_{15}\text{H}_{11}$ ,  $\text{H-C}_6\text{H}_{13}$ ,  $\text{H-C}_7\text{H}_{13}$  и циклогексил, и не идет при  $\text{R} = \text{C}_6\text{H}_5$ ; р-ция не идет также с соответствующими эфирами тиоловой к-ты. **I** ( $\text{X} = \text{Br}$ ) легко взаимодействует со спирт.  $\text{AgNO}_3$ , причем образуется  $\text{AgBr}$  и немного **II**. Р-ция, по-видимому, идет с образованием промежуточного иона карбония  $o$ - $\text{ROOCC}_6\text{H}_4\text{CH}_2^+$  (с последующей циклизацией в **II**) и образованием промежуточного  $\text{R}^+$ , вероятно, с последующим превращением в  $\text{RBr}$ . Предполагено, что затрудняющее действие  $\text{COOR}$ -группы на образование иона карбония в данном случае снижается, благодаря возможному стерич. ортоэффекту. С **I** ( $\text{X} = \text{Cl}$  или  $\text{I}$ ) р-ция не идет в отличие от диалкор-производных, которые дают хлорфталид (см. выше-приведенную ссылку). Для идентификации  $\text{RX}$  из них и 2,6-диоксинафталина были получены соответствующие 2,6-диалкоксинафталины (**III**) (перечислены алкил и т. пл. в  $^\circ\text{C}$  **III**):  $\text{CH}_3$ , 153–154;  $\text{C}_2\text{H}_5$ , 163–164;  $\text{H-C}_6\text{H}_5$ , 136–137;  $\text{из-C}_6\text{H}_5$ , 127–128;  $\text{H-C}_4\text{H}_9$ , 98–99;  $\text{H-C}_6\text{H}_{11}$ , 94–95;  $\text{H-C}_6\text{H}_{13}$ , 79–80;  $\text{H-C}_7\text{H}_{15}$ , 78–79. Г. К.

#### 51193. Действие формальдегида на *m*-метоксисбензойную кислоту. I. Икэда, Канахара, Накагава (m-Methoxybenzoic acid. 1. 對するホルムアルデヒドの反應. その1 池田鉄太郎, 金原三郎, 中川靖夫). 金澤大學藥學部報年研究. Канадзава дайгаку якугакубу кэнкю нэмпо, Annual Rept. Fac. Pharmacy Kanazawa Univ., 1956, 6, 48–51 (японск.; рез. англ.)

При кипячении 6 г  $\text{m-CH}_3\text{OC}_6\text{H}_4\text{COOH}$  с 24 мл 37%-ного  $\text{CH}_2\text{O}$  и 30 мл 35%-ной  $\text{HCl}$  1 час (см. Chakravarti S. N., Perkin W. H., J. Chem. Soc., 1929, 196) помимо выделенного ранее 6-метоксифталида, выход 1 г, т. пл. 119–120° (из  $\text{CH}_3\text{OH}$ ), получены оксиметилметоксифталид (**Ia** или **б**), т. пл. 156–157° (из бэл.), и хлорметилметоксифталид (**IIa** или **б**), выход 700 мг, т. пл. 176–178° (из  $\text{CH}_3\text{OH}$ ). Строение **I** подтверждено ацетилированием  $[(\text{CH}_3\text{CO})_2\text{O}$ , конц.  $\text{H}_2\text{SO}_4$ ;  $\sim 20^\circ$ , 12 час.] до ацетильного производного, т. пл. 122–123° (из сп.); окислением (1 н.  $\text{KOH}$ , 60–65°, введение водн.  $\text{KMnO}_4$ , 3 часа, затем нагревание при 75° 2 часа) до 1-метоксисбензолтрикарбоновой-2,3,4



к-ты, т. пл. 213–215° (разл.; из сп.); триметилловый эфир (эфирный р-р  $\text{CH}_2\text{N}_2$ ,  $\sim 20^\circ$ , 12 час.), т. пл. 89–90° (из сп.). При невольном окислении **I** посредством  $\text{KMnO}_4$  (1 н.  $\text{KOH}$ , 60–65°, введение р-ра  $\text{KMnO}_4$  за 1 час; 75°, 1 час) дано к-ту (**IIIa** или **б**), т. пл. 213–214° (разл.; из сп.); метиловый эфир, т. пл. 168–169° (из сп.). Строение **II** подтверждено превращением в **I** кипячением с водн. содой. Л. Яновская



51194. Хлоргидриновые производные окиси *транс*-бензальацетофенона. Хаус (The chlorohydrins derived from *trans*-benzalacetophenone oxide. House Herbert O.), J. Organ. Chem., 1956, 21, № 11, 1306—1307 (англ.)

Окись *транс*-бензальацетофенона (I) при действии HCl дает 2 стереоизомерных хлоргидрина  $C_6H_5COCH(OH)CHClC_6H_5$  (II): в спиртовой среде образуется с 44%-ным выходом форма (IIa) с т. пл. 105—107° (из гексана); в эфире (0°, 75 мин.) — форма (IIb), выход 43%, т. пл. 71—72° (из гексана). При нагревании с  $CH_3COONa$  в спирт *p*-ре IIa реагирует значительно медленнее, чем IIb, образуя дикетон  $C_6H_5COCOSCH_2C_6H_5$ , выделенный в виде 2-бензил-3-фенилхиноксалина (III), причем в случае IIa образуется также значительное кол-во I; кроме того, при действии холодного спирт. *p*-ра  $CH_3ONa$  IIa превращается с 72%-ным выходом в I, не образующийся из IIb в аналогичных условиях, из чего сделан вывод, что IIa является *эритро*-, а IIb — *трео*-формами II. Фторгидрин (IV), т. пл. 113—114°, полученный действием  $BF_3$  на I, реагирует аналогично IIb и, следовательно, имеет *трео*-конфигурацию. 0,5 ммоль IIa и 1 ммоль  $CH_3COONa$  в 10 мл спирта кипятят 3 часа, добавляют *p*-р 0,55 ммоль  $o$ - $C_6H_4(NH_2)_2 \cdot 2HCl$ , кипятят 30 мин. и выделяют III, выход 26%, и I, выход 32%. Аналогично, но после 35 мин. кипячения из IIb получают III, выход 61%. Д. Витковский

51195. О метилendioксбензенах. Сообщение IV. О перегруппировке ацетиленовых  $\gamma$ -гликолей с хлористым ацетилом. Фиesselман, Зассе (Über Methylendioxybenzoinone. IV. Mitteilung. Über die Umlagerung von Acetylen- $\gamma$ -glykolen mit Acetylchlorid. Fiesselmann Hans, Sasse Klaus), Chem. Ber., 1956, 89, № 7, 1775—1791 (нем.)

В целях подтверждения высказанного ранее (см. сообщение III, РЖХим, 1956, 64879) предположения о том, что образование из димерного метилendioксбензоина и  $Br_2$  желтого соединения (Kleinfeller, Eckert, Ber., 1929, 62, 1598) включает в себя перегруппировку замещ. бутиндиола-1,4, исследовано действие  $(CH_3CO)_2O$ ,  $CH_3COCl$  и  $CH_3CO$  на ацетиленовые спирты (AC) и ацетиленовые  $\gamma$ -гликоли (AG). При этом установлено, что AC претерпевают либо дегидратацию, либо нормальное ацелирование. Так, диметил-(фенилэтинил)-карбинол (I) с  $CH_3CO$  превращается в ацетат  $C_6H_5C \equiv CC(CH_3)_2OCOSCH_3$  (II), а с  $CH_3COCl$  в  $C_6H_5C \equiv CC(CH_3)_2SCH_3$  (III); 1-(фенилэтинил)-циклогексанол-1 (IV) с  $CH_3CO$  или  $(CH_3CO)_2O$  дает ацетат  $C_6H_5C \equiv CC(C_6H_{10})OCOSCH_3$  (V), а с  $CH_3COCl$  1-фенилэтинил-циклогексен-1 (VI); в случае дифенил-(фенилэтинил)-карбинола (VII) как с  $CH_3COCl$ , так и с  $(CH_3CO)_2O$  имеет место перегруппировка, приводящая к 1,1-дифенил-2-бензоилэтилену (VIII), а с  $CH_3CO$  имеет место ацелирование, что подтверждается образованием рубрена (IX) при повышении т-ры. При исследовании AG установлено, что *бис*-(1-оксидиклогексил)-ацетилен (X) при действии  $CH_3COCl$  перегруппировывается в додекагидробензил  $C_{11}H_{10}COCO-C_6H_{11}$  (XI) с промежуточным образованием моноенолацетата XI (XII); бутин-2-диол-1,4 (XIII) дает 1,4-диацетоксипутин-2 (XIV); 1-(1-оксидиклогексил-1)-пропин-3 (XV) вопреки литературным данным (Zeile K., Meyer H., Ber., 1942, 75, 356) перегруппировывается с образованием 1-(циклогексен-1-ил-1)-2,3-диацетоксипропена-1 (XVI), омыление которого приводит к 1-(циклогексен-1-ил-1)-3-оксипропанону-2 (XVII); 1,1-дифенилбутиндиол-1,4 (XVIII), полученный из  $CO(C_6H_5)_2$  и Гриньяровского соединения пропаргильного спирта (XIX — спирт), при ацелировании в результате перегруппировки превращается в 1,1-дифенил-3,4-диацетоксипутадиен-1,3 (XX), строе-

ние которого подтверждено значительной устойчивостью к омылению, а также изучением УФ-спектра; для 1,1,4,4-тетрафенилбутиндиола-1,4 не подтвердились данные Залкина и Гатаева (Ж. общ. химии, 1947, 17, 1958), получивших его моноацетат; при многочасовом нагревании с  $CH_3COCl$  образовались только хлорсодержащие продукты; синтезированный 1-фенилбутиндиол-1,4 (XXI) при нагревании с  $(CH_3CO)_2O$  и  $CH_3COONa$  претерпевает нормальное ацелирование и дает 1-фенил-1,4-диацетоксипутин-2 (XXII), с  $CH_3COCl$  образуется 1-фенил-4-ацетоксипутин-1-он-3 (XXIII); *бис*-(1-оксидиклогексил)-диацетилен (XXIV) с  $(CH_3CO)_2O$  и  $CH_3COONa$  также дает *бис*-(1-ацетоксидиклогексил)-диацетилен (XXV), а с  $CH_3COCl$  1,4-ди-(циклогексен-1-ил-1)-2-хлорбутен-1-он-3 (XXVI). Таким образом установлено, что под действием  $CH_3COCl$  перегруппировываются те AG, которые содержат либо два третичных, либо один третичный и один первичный, либо один вторичный и один первичный спиртовый гидроксил. AG с двумя третичными гидроксилами претерпевают симметричную перегруппировку; у AG, содержащих первичный гидроксил, мигрирует лишь третичный или вторичный гидроксил; при этом вначале образуются алленовые соединения, которые, если это допускает структура молекулы, перегруппировываются в енолацетаты XV; если же это невозможно, енол превращается в соответствующий кетонацетат XXI. В случае, если третичный гидроксил связан с двумя электроотрицательными заместителями, под их влиянием происходит миграция двойной связи со сдвигом атома водорода, что приводит к ендондиацетату XVIII. К суспензии реактива Гриньяра из 0,1 моля  $C_6H_5C \equiv CH$  и 0,1 моля  $(C_6H_5)_2CO$  в 250 мл эфира при  $\sim 0^\circ$  прибавляют по каплям 0,1 моля  $CH_3COCl$ , перемешивают 30 мин. при 0, 30 мин. при  $\sim 20^\circ$ , кипятят 30 мин., фильтруют, к осадку добавляют эфир, разлагают HCl со льдом и получают VII, выход 40,5%, т. пл. 79° (из петр. эф.); из фильтрата выделяют VIII, выход 38,7%, т. пл. 89° (из сп.). В *p*-р 0,025 моля VII в 100 мл  $CCl_4$  в присутствии небольшого кол-ва  $n$ - $CH_3C_6H_4SO_3H$  пропускают быстрый ток  $CH_3CO$ , через 1 час отгоняют  $CCl_4$  в вакуум (так как при нагревании образуется IX); оставшийся в виде масла ацетат нагревают при  $50^\circ$  с  $CH_3OH$  и получают метиловый эфир дифенилфенилэтинилкарбинола, выход 81,5%, т. пл. 124° (из  $CH_3OH$ ). Из 0,056 моля I и  $CH_3CO$  в 50 мл  $CCl_4$  получают II, выход 75%, т. кип. 90—92°/0,2 мм. Нагревают 0,031 моля I и 20 мл  $CH_3COCl$ , выливают на лед, экстрагируют эфиром и получают III, выход 94%, т. кип. 101—102°/15 мм,  $n_D^{20}$  1,5700. К смеси 1 моля  $C_6H_5C \equiv CH$ , 1 л сухого  $C_6H_6$  и 2 молей измельченного КОН при  $10^\circ$  прибавляют по каплям 1 моль циклогексанона, оставляют на 12 час. при  $\sim 20^\circ$ , выливают в смесь льда и HCl и получают IV, выход 90%, т. кип. 170—172°/15 мм, т. пл. 59—60° (из петр. эф.). Из 0,05 моля IV и 50 мл  $CH_3COCl$ , аналогично III, получают VI, выход 88%, т. кип. 112°/0,4 мм. Смесь 0,25 моля IV, 2,5 моля  $(CH_3CO)_2O$  и 5 г безводн.  $CH_3COONa$  кипятят 1 час, выливают в 1 л воды, экстрагируют  $C_6H_6$  и получают V, выход 92%, т. кип. 172—179°/14 мм, 123—130°/0,1 мм, 119—123°/0,05 мм; из IV в  $CH_3CO$  выход V 91%. Аналогично из X получают *бис*-(1-ацетоксидиклогексил)-ацетилен, выход 85%, т. кип. 177—178°/12 мм, т. пл. 46—46° (осаждением водой из  $CH_3OH$ ). Смешивают при  $0^\circ$  60 г  $CH_3COCl$  и 0,05 моля X, дают нагреться до  $\sim 20^\circ$ , отгоняют  $CH_3COCl$ , экстрагируют эфиром и получают XII, выход 40%, т. пл. 79,5—80° (из сп.). К 0,01 моля XII в 25 мл спирта в несколько приемов прибавляют *p*-р 0,6 г КОН в 10 мл воды, а затем 25 мл воды, охлаждают и получают XI, выход  $\sim 100\%$ ,

т. кип. 163°/13 мм, т. пл. 39° (из сп.). К неочищ. XII прибавляют разб. р-р КОН, экстрагируют эфиром и получают XI, выход 62%. Аналогично XII из XIII получают XIV, выход 90%, т. кип. 130°/14 мм, т. пл. 29,5–30°, а из XV получают XVI, выход 70%, т. кип. 124–130°/3 мм. Из XVI аналогично XI получают XVII, выход 65%, т. кип. 105–114°/0,3 мм. К  $C_6H_5MgBr$  (из 1 моля Mg и 1 моля  $C_6H_5Br$ ) в 250 мл эфира прибавляют по каплям 0,5 моля XIX в 200 мл  $C_6H_6$ , после окончания выделения  $C_6H_6$  прибавляют еще 100 мл  $C_6H_6$  и 0,22 моля  $(C_6H_5)_2CO$  в 150 мл  $C_6H_6$ ; на следующий день нагревают 1 час при  $\sim 100^\circ$ , разлагают льдом и разб. HCl, нейтрализуют  $Na_2CO_3$ , водн. слой экстрагируют эфиром, экстракт объединяют с органич. слоем и получают XVIII, выход 61,5%, т. пл. 149,5–150°. В случае избытка  $(C_6H_5)_2CO$  наряду с XVIII образуется бензилнаокон, т. пл. 173–174° (из  $CCl_4$ ). Из 60 мл  $CH_3COCl$  и 0,05 моля XVIII получают XX, выход 80%, т. кип. 151–152°/0,2 мм, т. пл. 86° (из сп.). К р-ру 1 моля  $C_2H_5MgBr$  в 250 мл эфира прибавляют по каплям 0,5 моля XIX в 200 мл  $C_6H_6$ , 150 мл  $C_6H_6$  и 0,4 моля  $C_6H_5CHO$  в 100 мл  $C_6H_6$ , оставляют на 3 дня, кипятят 1 час, обрабатывают как при получении XVIII, причем получают масло, которое вымораживают из  $CCl_4$  при  $-15^\circ$ , выход XXI 55%, т. пл. 86° (из бэл.). 0,04 моля XXI с 0,4 моля  $(CH_3CO)_2O$  и 0,2 г  $CH_3COONa$  дают XXII, выход 65%, т. кип. 148°/0,4 мм. Из 0,04 моля XXI и 0,25 моля  $CH_3COCl$  получают XXIII, т. кип. 142–144°/0,2 мм (разл.); 2,4-динитрофенилгидразон, т. пл. 188–190° (из этилацетата). При омылении XXIII спирт. КОН получают 1-фенил-4-оксибутен-1-он-3, т. кип. 128°/0,1 мм (разл.). Смесь 0,025 моля XXIV, 0,4 моля  $(CH_3CO)_2O$  и 0,2 г  $CH_3COONa$  кипятят 1 час, выливают в воду, через 12 час. экстрагируют эфиром, полученное масло хроматографируют в  $C_6H_6$  на  $Al_2O_3$  и получают XXV, выход 68%, т. пл. 84,5–85,5° (из петр. эф.). Из 0,02 моля XXIV и 0,32 моля  $CH_3COCl$  получают XXVI, выход 81,5%, т. кип. 175–177°/0,4 мм; 2,4-динитрофенилгидразон, т. пл. 195° (из этилацетата).

Ю. Волькенштейн

51196. О метилдензоксibenзоннах. Сообщение V. Об окислении ацетиленовых  $\gamma$ -гликолей и ацетиленовых спиртов в  $\alpha$ -дикетоны. Фицельман, Зассе (Über Methylendesoxybenzoin, V. Mitteilung: Über die Oxidation von Acetylen- $\gamma$ -glykolen und Acetylenalkoholen zu  $\alpha$ -Diketonen. Fiesselmann Hans, Sasse Klaus), Chem. Ber., 1956, 89, № 7, 1791–1799 (нем.).

Установлено, что в результате окисления ацетатов третичных ацетиленовых спиртов и ацетатов двутретичных ацетиленовых  $\gamma$ -гликолей (см. пред. реф.) посредством  $KMnO_4$  образуются  $\alpha$ -дикетоны. Бис-(1-ацетоксициклогексил)-ацетилен (I) окисляется  $KMnO_4$  в бис-(1-ацетоксициклогексил)-этандион (II), омыление которого приводит к бис-(1-оксциклогексил)-этандиону (III). Под действием конц. метанольного КОН II превращается в бис-(1-оксциклогексил)-гликолевую к-ту (IV). Отщепление 1 молекулы  $H_2O$  от III дает бис-(спиро-циклогексил)-3,4-дикетотетрагидрофуран (V), отщепление 2 молекул  $H_2O$  приводит к бис-(циклогексен-1-ил-1)-этандиону (VI). Ацетат 1-(1-ацетоксициклогексил-1)-пропинола-3 (VII) при окислении наряду с циклогексаном и ацетилгликолевой к-той дает ацетат 1-(1-ацетоксициклогексил-1)-3-оксипропандиона-1,2 (VIII). Бис-(1-ацетоксициклогексил)-диацетилен при окислении расщепляется на циклогексанон,  $(COOH)_2$  и  $CH_3COOH$ . Ацетат диметил-(фенилэтинил)-карбинола (IX) гладко окисляется в 2-ацетокси-2-метил-4-фенилбутандион-3,4 (X), при омылении которого получен 2-окси-2-метил-4-фенилбутандион-3,4 (XI). Окисление ацетата 1-(фенил-

этинил)-циклогексанола (XII) приводит к 1-(1-ацетоксициклогексил)-2-фенилэтандиону (XIII). При действии водно-спирт. NaOH XIII омыляется в 1-(1-оксциклогексил)-2-фенилэтандион (XIV), а 2 моля разб. NaOH превращают его в 1-(1-оксциклогексил)-1-фенилгликолевую к-ту (XV). Окисление неочищ. ацетата дифенил-(фенилэтинил)-карбинола дает только  $(C_6H_5)_2CO$  и  $C_6H_5COOH$ . К 0,05 моля I в 150 мл диоксана и 25 мл воды прибавляют при 30–35° за 1 час 0,2 моля  $KMnO_4$ ; получают II, выход 80%, т. пл. 113° (из  $CH_3OH$ ). При окислении I в кипящем  $(CH_3)_2CO$  выход II снижается до 45%. К кипящему р-ру 0,02 моля II в 350 мл  $CH_3OH$  прибавляют по каплям 0,042 моля 0,2 н. NaOH, постоянно поддерживая щел. р-цию, отгоняют  $CH_3OH$ , прибавляют равный объем воды, охлаждают до 0° и получают III, выход 95%, т. пл. 106–107° (из бэл.); моно-2,4-динитрофенилгидразон (МДНФГ), т. пл. 175° (из лигр.); хиноксалиновое производное (ХПР) (нагреванием с эквимолекулярным кол-вом  $o$ -( $NH_2$ ) $_2C_6H_4$  1 час, 120–125°), т. пл. 160–161° (из сп.). Смесь 0,1 моля КОН, 50 мл  $CH_3OH$  и 0,02 моля II кипятят 1 час, отгоняют  $CH_3OH$ , добавляют 100 мл воды, экстрагируют эфиром, водн. слой, подкисляют разб.  $H_2SO_4$ , отделяют примеси и получают IV, выход 46%, т. пл. 148° (разл.; из бэл.), *n*-бромфенацетил эфир, т. пл. 127° (из петр. эф.). При ацетилировании III  $CH_3COCl$  получают II, выход 94%. Смесь 0,04 моля III и 30 г  $P_2O_5$  медленно нагревают до 150°, а затем 30 мин. при 150–170° и получают V, выход 20%, т. кип. 138–140°, т. пл. 192–196° (разл.; из  $CH_3OH$ ). К 0,01 моля III в 10 мл  $C_6H_5N$  прибавляют по каплям при 20° 10 г  $PCl_5$  в 25 мл  $C_6H_5N$ , нагревают 1,5 часа при 100° и получают эфир фосфорной к-ты, т. разл. 213–214°. Смесь 0,02 моля III и 7 г безводн.  $(COOH)_2$  медленно нагревают до 185°, через 30 мин. добавляют еще 2 г  $(COOH)_2$ , в течение 30 мин. поднимают т-ру до 200°, экстрагируют эфиром и получают VI, выход 69%, т. кип. 138°/0,01 мм. К р-ру 0,057 моля  $KMnO_4$  в 500 мл воды при 10–15° прибавляют по каплям 0,027 моля VII, через 3 часа экстрагируют эфиром и получают VIII, выход 12%, т. кип. 162°/15 мм. Аналогично из IX получают X, выход 51,3%, т. кип. 99–100°/0,1 мм; ХПР, т. пл. 110–111° (из сп.). К 0,01 моля X в 50 мл спирта при 50–60° прибавляют по каплям, как описано для III, 0,011 моля КОН в 50 мл воды и получают XI, выход 90%, т. кип. 101°/0,2 мм; ХПР, т. пл. 141–142° (из сп.). XII окисляют, как I, получают XIII, выход 62%, т. пл. 82° (из сп.); МДНФГ, т. пл. 140–141° (из лигр.); ХПР, т. пл. 179,5–180,5° (из сп.). К р-ру 0,05 моля XIII в 350 мл спирта небольшими порциями прибавляют 200 мл 0,2 н. NaOH, в вакууме отгоняют спирт, экстрагируют эфиром и получают XIV, выход 90%, т. пл. 52–53° (из петр. эф.); МДНФГ, т. разл. 150° (из бэл.). Из XIII аналогично III получают XV, выход 44%, т. пл. 124–125° (петр. эф. из бэл.); *n*-бромфенацетил эфир, т. пл. 150–151° (из бэл.-петр. эф.).

Ю. Волькенштейн

51197. О метилдензоксibenзоннах. Сообщение VI. О действии ацетилирующих агентов на 1,4-дифенил-1,4-дibenзоилбутиндиол-1,4 и 1,4-дифенил-1,4-дibenзилбутиндиол-1,4. Фицельман, Линднер (Über Methylendesoxybenzoin, VI. Mitteilung: Über die Einwirkung von Acetylierungsmitteln auf 1,4-diphenyl-1,4-dibenzoyl-butin-diol-(1.4) und 1,4-diphenyl-1,4-dibenzyl-butin-diol-(1.4). Fiesselmann Hans, Lindner Heinz-Joachim), Chem. Ber., 1956, 89, № 7, 1799–1804 (нем.).

Продолжая исследования строения, полученного ранее (Kleinfeller H., Eckert F., Ber., 1929, 62, 1598) из 1,4-дифенил-1,4-дibenзоилбутиндиола-1,4 (I) желтого соединения (II) с т. пл. 212°, а также механизма его

образования, авторы установили, что при действии на I ( $\text{CH}_3\text{CO}$ )<sub>2</sub>O,  $\text{CH}_3\text{CO}$  или  $\text{CH}_3\text{COCl}$  образуется 1,4-дифенил-1,4-дибензоил-2,3-диацетоксибутандиен-1,3 (III). Строение III доказано щел. омылением в  $\text{C}_6\text{H}_5\text{COOH}$  и 1,4-дифенилбутандион-2,3 (IV). При действии  $\text{HBr}$  (к-ты) в лед.  $\text{CH}_3\text{COOH}$  III дает II. Это свидетельствует о том, что механизм образования II из I включает в себя перегруппировку I в 1,4-дифенил-1,4-дибензоил-2,3-диоксидибутандиен-1,3. Осуществлен также синтез построенного аналогично I 1,4-дифенил-1,4-дибензилбутидиола-1,4 (V) и установлено, что действие на него ацетилирующих агентов приводит к отщеплению воды с образованием 1,2,5,6-тетрафенилгексадиен-1,5-ина-3 (VI). Отщепление воды от V происходит также при действии  $\text{HBr}$  (к-ты) в лед.  $\text{CH}_3\text{COOH}$ . Смесь 0,003 моля I, 25 мл ( $\text{CH}_3\text{CO}$ )<sub>2</sub>O и следов безводн.  $\text{CH}_3\text{COONa}$  кипятят 3 часа, отгоняют ( $\text{CH}_3\text{CO}$ )<sub>2</sub>O и получают III, выход 63%, т. пл. 194° (из лигр.). В р-р 0,003 моля I в 20 мл  $\text{CCl}_4$  в присутствии следов  $n\text{-CH}_3\text{C}_6\text{H}_4\text{SO}_3\text{H}$  75 мин. пропускают ток  $\text{CH}_3\text{CO}$ , прибавляют немного  $\text{CH}_3\text{COONa}$ , кипятят, упаривают и получают III, выход 82%. Смесь 0,003 моля I, 10 мл  $\text{CH}_3\text{COCl}$  и следов  $\text{CH}_3\text{COONa}$  кипятят 1,5 часа, отгоняют  $\text{CH}_3\text{COCl}$ , растворяют в эфире и получают III, выход 69%. Смесь 0,003 моля III и 50 мл 3,5 н. метанольного  $\text{NaOH}$  оставляют на 24 часа при ~20°, прибавляют 300 мл 2 н.  $\text{HCl}$ , экстрагируют эфиром, содовым р-ром извлекают  $\text{C}_6\text{H}_5\text{COOH}$ , выход 89%; эфир отгоняют, масло растворяют в теплом спирте, прибавляют 0,7 г о-фенилендиамина в 20 мл спирта, кипятят 10 мин., выливают в 100 мл воды и получают хиноксалиновое производное IV, выход 10%, т. пл. 118° (из сп.). 0,002 моля III в 30 мл лед.  $\text{CH}_3\text{COOH}$  окисляют 0,02 моля  $\text{CrO}_3$  в 50 мл лед.  $\text{CH}_3\text{COOH}$  (10 час.; ~100°), выливают в 100 мл воды, экстрагируют эфиром и получают  $\text{C}_6\text{H}_5\text{COOH}$ , выход 98%. Смесь 0,002 моля III в 20 мл лед.  $\text{CH}_3\text{COOH}$  и 5 мл  $\text{HBr}$  (к-ты) кипятят 1 час, выливают в 500 мл воды и получают III, выход 87%, т. пл. 212° (из сп.). В р-р  $\text{C}_2\text{H}_5\text{MgBr}$  (из 0,5 моля  $\text{Mg}$  и 0,5 моля  $\text{C}_2\text{H}_5\text{Br}$ ) в 200 мл эфира при 0° 24 часа пропускают  $\text{C}_2\text{H}_2$ , за 1 час прибавляют по каплям р-р 0,025 моля дезоксибензоина в 120 мл  $\text{C}_6\text{H}_6$ , перемешивают 24 часа при 20°, кипятят 1 час, разлагают холодным конц. р-ром  $\text{NH}_4\text{Cl}$ , экстрагируют эфиром, полученное масло растворяют в 30 мл спирта, откуда через 3 дня выкристаллизовывается Va, выход 9,6%, т. пл. 135° (из сп.); маточный р-р экстрагируют  $\text{C}_6\text{H}_6$ , адсорбируют на  $\text{Al}_2\text{O}_3$ , вымывают  $\text{C}_6\text{H}_6$ , а затем  $\text{C}_6\text{H}_5\text{-CH}_2\text{OH}$  (10:1) и получают второй изомер V, выход 27%, т. пл. 129° (из циклогексанола или водн.  $\text{CH}_3\text{OH}$ ). 0,0025 моля Va, 30 мл ( $\text{CH}_3\text{CO}$ )<sub>2</sub>O в присутствии следов безводн.  $\text{CH}_3\text{COONa}$  кипятят 4 часа, получают VI, выход 52%, т. пл. 200° (из лигр.). VI с выходом 73 и 63%, соответственно, получают при взаимодействии Va с  $\text{CH}_2\text{CO}$  и  $\text{CH}_3\text{COCl}$ . 1,04 г V, 20 мл лед.  $\text{CH}_3\text{COOH}$  и 5 мл  $\text{HBr}$  кипятят 1 час и получают VI, выход 74%. Второй изомер V с конц.  $\text{HCl}$  в  $\text{CH}_3\text{OH}$  также дает VI с выходом 75%.

Ю. Волькенштейн

**51198. Поиски новых инсектицидов. Часть VII. Сен, Пармар** (Search for new insecticides. Part VII. Sen A. B., Parmar S. S.), J. Indian Chem. Soc., 1953, 30, № 11, 801—803 (англ.)

С целью исследования инсектицидной активности синтезированы  $n$ -хлорбензильные эфиры 2-алкилтимолов (I), 2-алкилтимолы (II) получены восстановлением по Клемменсену соответствующих алкил-(тимил-2)-кетонов (III), а последние — перегруппировкой Фриса сложных эфиров алкилтимолов (J. Indian Chem. Soc., 1952, 29, 407). I получены кипячением 5—6 час. эквивалентных кол-в  $o\text{-ClC}_6\text{H}_4\text{CH}_2\text{Br}$  с II и  $\text{KOH}$  в спирте по методу, описанному ранее (Tien-Chin Chen, Sum-

ford, J. Amer. Chem. Soc., 1951, 73, 4694). Приведены алкил в III, алкил в I—II, выход II в %, т. кип. II в °C/мм, выход I в %, т. кип. I в °C/мм:  $\text{C}_2\text{H}_5$ ,  $\text{C}_3\text{H}_7$ , 54,9, 113/5, 60,6, 125/5;  $\text{C}_4\text{H}_9$ ,  $\text{C}_4\text{H}_9$ , 54,3, 119/4, 59,5, 141/5;  $\text{C}_6\text{H}_{13}$ ,  $\text{C}_6\text{H}_{11}$ , 55,3, 159/9, 63,2, 151/6;  $\text{C}_8\text{H}_{17}$ ,  $\text{C}_8\text{H}_{15}$ , 57,2, 145/6, 56,2, 175/6;  $\text{C}_8\text{H}_{13}$ ,  $\text{C}_7\text{H}_{15}$ , 67,6, 163,5, 56,2, 178/6;  $\text{C}_7\text{H}_{15}$ ,  $\text{C}_8\text{H}_{17}$ , 63,2, 166/5, 54,2, 180,5;  $\text{C}_{11}\text{H}_{23}$ ,  $\text{C}_{12}\text{H}_{25}$ , 60, 177/5, 52,8, 189/6;  $\text{C}_{13}\text{H}_{27}$ ,  $\text{C}_{14}\text{H}_{29}$ , 62,4, 191/5, 57,7, 185/4. Инсектицидное действие I (1%-ный р-р в нефти) испытано на *Musca nebulosa* в сравнении с ДДТ (1%-ный р-р), гексахлорциклопексаном (IV) (1%-ный р-р) и пиретрумом (0,01%-ный р-р). Приведены алкил в I, время в мин.,  $\text{LD}_{50}$  и  $\text{LD}_{100}$ :  $\text{C}_6\text{H}_{13}$ , 62, 98;  $\text{C}_7\text{H}_{15}$ , 64, >120;  $\text{C}_{12}\text{H}_{25}$ , 51, 91; для сравнения: ДДТ, 6, 11; IV, 4, 7; пиретрум, 33 сек., 71 сек. I (алкил =  $\text{C}_8\text{H}_{17}$ ,  $\text{C}_8\text{H}_9$ ) не уничтожают за 60 мин., а I (алкил =  $\text{C}_8\text{H}_{11}$ ,  $\text{C}_8\text{H}_7$  и  $\text{C}_{14}\text{H}_{29}$ ) за 120 мин. Часть VI см. РЖХим, 1956, 50681.

Г. Крюкова

**51199. Поиски новых инсектицидов. Часть VIII. Сен, Пармар** (Search for new insecticides. Part VIII. Sen A. B., Parmar S. S.), J. Indian Chem. Soc., 1954, 31, № 2, 161—162 (англ.)

Получены  $n$ -хлорбензильные эфиры 2-алкилкарвакролов (I) по методу, описанному в предыдущем сообщении (см. пред. реф.), из 2-алкилкарвакролов, полученных восстановлением по Клемменсену соответствующих  $\alpha$ -оксикетонов (см. ссылку выше). Приведены алкил в I, выход I в %, т. кип. в °C/мм:  $\text{C}_2\text{H}_5$  (Ia), 54,6, 142/10;  $\text{C}_4\text{H}_9$  (Ib), 56,1, 154/8;  $\text{C}_6\text{H}_{11}$  (Ic), 68,6, 159/9;  $\text{C}_7\text{H}_{15}$  (Id), 65,3, 149/6;  $\text{C}_8\text{H}_{17}$  (Ie), 52,2, 178/1. Инсектицидная активность I и 4- $\text{RCOC}_6\text{H}_4\text{OR}'$  (II), где  $\text{R}' = \text{CH}_2\text{C}_6\text{H}_4\text{Cl-}o$  (IIa) и  $\text{R}' = \text{CH}_2\text{CH}=\text{CH}_2$  (IIb), испытана против *Musca nebulosa* в условиях, аналогичных описанным ранее (см. ссылку выше). Приведены в-во, время в мин.,  $\text{LD}_{50}$  и  $\text{LD}_{100}$ : Ia, 43, >120; Ib, 66, >120; Ic, 40, 76; Id (R =  $\text{CH}_3$ ), 18, 38; IIa (R =  $\text{C}_2\text{H}_5$ ), 32, 48; IIa (R =  $\text{C}_6\text{H}_{13}$ ), 47, 78; IIa (R =  $\text{C}_6\text{H}_{15}$ ), 59, >120; IIb (R =  $\text{CH}_3$ ), 40, 85; IIb (R =  $\text{C}_2\text{H}_5$ ), 53, 96; IIb (R =  $\text{C}_3\text{H}_7$ ), 67, 116; IIb (R =  $\text{C}_4\text{H}_9$ ), 27, 67; IIb (R =  $\text{C}_6\text{H}_{13}$ ), 25, 45; IIb, Id, IIa (R =  $\text{C}_4\text{H}_9$ ) и IIb (R =  $\text{C}_5\text{H}_7$ ) не уничтожают за 120 мин., а IIa (R =  $\text{C}_3\text{H}_7$ ) за 60 мин.

Г. Крюкова

**51200. Поиски новых инсектицидов. Часть IX. Сен, Гупта** (Search for new insecticides. Part IX. Sen A. B., Sen Gupta A. K.), J. Indian Chem. Soc., 1955, 32, № 2, 120—122 (англ.)

Конденсацией 7-оксикумарина (I), 4-метил-6-хлор-I (II) и 4-метил-6- $\text{R-I}$  (III), где  $\text{R} = \text{C}_2\text{H}_5$ ,  $\text{R} = \text{C}_3\text{H}_7$  и  $\text{R} = \text{C}_4\text{H}_9$ , с  $(\text{C}_2\text{H}_5\text{O})_2\text{P(S)Cl}$  (IV),  $\text{CH}_2\text{Cl-CH}_2\text{OH}$  (V) и  $\text{POCl}_3$  (VI) получены соответственно 7- $(\text{C}_2\text{H}_5\text{O})_2\text{P(S)O-}$ производные I (VII), II (VIII) и IIIa—в (IXa—в); 7-( $\beta$ -оксэтилокси)-производные I (X), II (XI), IIIa—в (XIIa—в) и 7-( $\text{HO})_2\text{P(O)O-}$ производные I (XIII), II (XIV) и IIIa—в (XVa—в). IV, т. кип. 80°/10 мм, получен взаимодействием (5—10°)  $\text{PSCl}_3$  в  $\text{C}_6\text{H}_6$  с  $\text{C}_2\text{H}_5\text{ONa}$ , выход 50%. 1 моль  $\text{Na-соли I—III}$  кипятят 1 час с спирт. р-ром 1 моля IV, фильтрат упаривают в вакууме, экстрагируют толуолом VII—IXa—в. К 1 молю  $\text{Na-соли I—III}$  добавляют по каплям 1 моль V, выливают в воду, экстрагируют эфиром полученные X—XII; 1 моль I—III в  $\text{C}_6\text{H}_6$  (или диоксане), 3 моля VI и 0,1 г  $\text{Mg-стружки}$  кипятят 3 часа, выливают в воду, отделяют полученные XIII—XV. Приведены в-во, время в %, т. кип. в °C/мм, или т. пл. в °C (из сп.): VII, 55, 170/8; VIII, 56, 165/10; IXa, 65, 112/10; IXb, 55, 145/8; IXc, 56, 135/8; X, 65, 225; XI, 66, 200; XIIa, 50, 208; XIIb, 80, 175; XIIc, 65, 100; XIII, 90, 198; XIV, 80, 230; XVa, 80, 160; XVb, 75, 149; XVc, 60, 157. Г. Крюкова

**51201. Поиски новых инсектицидов. Часть X. Сен, Гупта** (Search for new insecticides. Part X. Sen A. B., Gupta A. K.), J. Indian Chem. Soc., 1955, 32, № 2, 120—122 (англ.)



Sen A. B., Sen Gupta A. K.), J. Indian Chem. Soc., 1955, 32, № 9, 619—621 (англ.)

Синтезированы производные ксантона (I) конденсацией по Ульману соответствующих 4-RC<sub>6</sub>H<sub>4</sub>OH (II) (везде а R = *tert*-C<sub>4</sub>H<sub>9</sub>, б R = *tert*-C<sub>8</sub>H<sub>11</sub>) или 5-CH<sub>3</sub>-2-C(CH<sub>3</sub>)<sub>2</sub>C<sub>6</sub>H<sub>4</sub>OH (III) с 5-R'-2-XC<sub>6</sub>H<sub>3</sub>COOH (IV) (где X = Cl или Br) с последующим замыканием цикла в полученных 4-RC<sub>6</sub>H<sub>4</sub>OC<sub>6</sub>H<sub>3</sub>COOH-2-R'-4 (V) или соответственно в 5-CH<sub>3</sub>-2-C(CH<sub>3</sub>)<sub>2</sub>C<sub>6</sub>H<sub>4</sub>OC<sub>6</sub>H<sub>3</sub>COOH-2-R'-4 (VI), а также с применением р-ции Нейцкого из соответствующих 2-НО-5-RC<sub>6</sub>H<sub>3</sub>COOH (VIIa, б) и IIa, б или III (нагревание эквимольных кол-в до 200° за 5 мин., затем 4 часа при 180° в присутствии ZnCl<sub>2</sub>); VIIa, выход 64%, т. пл. 152° (из воды), и VIIб, выход 58%, т. пл. 132° (из воды), получены по Тиману — Реймеру кипячением 10 час. соответствующих *n*-RC<sub>6</sub>H<sub>4</sub>OK с CCl<sub>4</sub> в присутствии Cu. II (или III) и IV (по 1 моль) кипятят 30 мин. с CH<sub>3</sub>ONa (2 экв Na, 20 мл CH<sub>3</sub>OH) и Cu-порошком, выпаривают до суха, нагревают до 140°, размельчают плав, экстрагируют воды. Na<sub>2</sub>CO<sub>3</sub>, разб. HCl выделяют из фильтрата V (или VI). Нагревают V (или VI) 1 час при ~100° с конц. H<sub>2</sub>SO<sub>4</sub> (или POCl<sub>3</sub> в случае с VI), охлаждают, выливают в воду и полученные 2-R-7-R-I (VIII) или соответственно 4-CH<sub>3</sub>-4-C(CH<sub>3</sub>)<sub>2</sub>-7-R-I (IX) кристаллизуют из спирта. Приведены R и R' в V, т. пл. V в °C: (CH<sub>3</sub>)<sub>3</sub>C, H, 130; *tert*-C<sub>8</sub>H<sub>11</sub>, H, 135; C(CH<sub>3</sub>)<sub>3</sub>, NO<sub>2</sub>, 129; *tert*-C<sub>8</sub>H<sub>11</sub>, NO<sub>2</sub>, 135; C(CH<sub>3</sub>)<sub>3</sub>, NH<sub>2</sub>, 150; *tert*-C<sub>8</sub>H<sub>11</sub>, NH<sub>2</sub>, 149; C(CH<sub>3</sub>)<sub>3</sub>, CH<sub>3</sub>O, 140; *tert*-C<sub>8</sub>H<sub>11</sub>, CH<sub>3</sub>O, 145; приведены R' в VI и т. пл. в °C: H, 140; NO<sub>2</sub>, 138; NH<sub>2</sub>, 143; OCH<sub>3</sub>, 142. Приведены R и R' в VIII (полученных по первому способу), выход в % и т. пл. в °C: C(CH<sub>3</sub>)<sub>3</sub>, H, 77, 110; *tert*-C<sub>8</sub>H<sub>11</sub>, H, 70, 125; C(CH<sub>3</sub>)<sub>3</sub>, NO<sub>2</sub>, 85, 140; *tert*-C<sub>8</sub>H<sub>11</sub>, NO<sub>2</sub>, 66, 130; C(CH<sub>3</sub>)<sub>3</sub>, NH<sub>2</sub>, 55, 170; *tert*-C<sub>8</sub>H<sub>11</sub>, NH<sub>2</sub>, 55, 173; C(CH<sub>3</sub>)<sub>3</sub>, CH<sub>3</sub>O, 60, 180; *tert*-C<sub>8</sub>H<sub>11</sub>, CH<sub>3</sub>O, 55, 156; VIII (получены по второму способу): C(CH<sub>3</sub>)<sub>3</sub>, C(CH<sub>3</sub>)<sub>3</sub>, 55, 182; C(CH<sub>3</sub>)<sub>3</sub>, *tert*-C<sub>8</sub>H<sub>11</sub>, 54, 175; *tert*-C<sub>8</sub>H<sub>11</sub>, C(CH<sub>3</sub>)<sub>3</sub>, 60, 190; *tert*-C<sub>8</sub>H<sub>11</sub>, *tert*-C<sub>8</sub>H<sub>11</sub>, 63, 192. Приведены R в IX (полученных по первому способу), выход в % и т. пл. в °C: H, 77, 115; NO<sub>2</sub>, 84, 155; NH<sub>2</sub>, 63, 185; OCH<sub>3</sub>, 54, 169; IX (получены по второму способу): C(CH<sub>3</sub>)<sub>3</sub>, 56, 187; *tert*-C<sub>8</sub>H<sub>11</sub>, 65, 200.

Г. Крюкова

51202. Бромирование β-фенилглутаровой кислоты. См. Кадоба (Bromination of β-phenylglutaric acid. Smith Walter T., Jr., Kadoba Pankaja), J. Organ. Chem., 1956, 21, № 6, 704 (англ.)

При бромировании β-фенилглутаровой к-ты (I) единственным продуктом р-ции является β-(*n*-бромфенил)-глутаровая к-та (II) (выход 60—65%, который не изменяется при проведении р-ции в УФ-свете), даже в присутствии PCl<sub>5</sub>, облегчающего вступление Br<sub>2</sub> в α-положение; в последнем случае выход II всего 18%. Предположено, что р-ция протекает по ионному механизму с образованием промежуточного комплекса AgBr<sup>+</sup>Br<sup>-</sup> (ср. Buckles, J. Amer. Chem. Soc., 1950, 72, 2494). К 5 г I добавляли 5,7 г Br<sub>2</sub> через 7—8 час. промывали холодной водой и перекристаллизовывали II из ацетона, т. пл. 177—178°; II идентифицирована окислением KMnO<sub>4</sub> в *n*-BrC<sub>6</sub>H<sub>4</sub>COOH.

Г. Крюкова

51203. Реакция Реформатского. Сообщение IV. Конденсация бензальдегида и метилового эфира γ-бром-β-метилкетоновой кислоты. Каноника, Пеллицини (Reazioni di Reformatsky. Nota IV. Sulla condensazione tra benzaldeide e γ-bromo-β-metilcrotonato di metile. Canonica L., Pellicioni F.), Rend. Ist. lombardo sci. e lettere. Cl. sci. mat. e natur., 1954, 87, № 2, 356—364 (итал.)

Конденсация бензальдегида (I) с метиловым эфиром γ-бром-β-метилкетоновой к-ты (II) в C<sub>6</sub>H<sub>6</sub> по Реформатскому приводит к метиловым эфирам изо-

мерных β-стирилкетоновых к-т (Fuson, Southwick, J. Amer. Chem. Soc., 1944, 66, 679). Катализ. гидрирование β-стирилкетоновой к-ты с т. пл. 158,5—159,5° и β-стирилкетоновой к-ты с т. пл. 156,5—157,5° (полученных после омыления эфиров) в CH<sub>3</sub>OH в присутствии 5%-ного Pd/C при обычной т-ре и давлении приводит к одной и той же β-метил-δ-фенилвалериановой к-те (III), строение которой подтверждено встречным синтезом. При проведении р-ции Реформатского между I и II в эфире наблюдается «аномальная» р-ция и образуется метиловый эфир α-изопропенил-β-окси-β-фенилпропионовой к-ты (IV); строение IV подтверждено гидрированием (5-ный Pd/C, обычная т-ра и давление) IV до метилового эфира α-изопропил-β-окси-β-фенилпропионовой к-ты (V), и дегидратацией V (SOCl<sub>2</sub>, пиридин, 50°; 90 мин.) до метилового эфира α-изопропилкоричной к-ты, а также действием 5%-ного метанольного NaOH при обычной т-ре (40 час.) на IV с расщеплением до I и метилового эфира β-метиленактовой к-ты, что типично для в-в, аналогичных по структуре IV. К 7,2 г Zn в 15 мл безводн. C<sub>6</sub>H<sub>6</sub> + кристаллик йода добавляют 14 г бензилacetона и 15,5 г этилового эфира бромуксусной к-ты в 20 мл C<sub>6</sub>H<sub>6</sub> за 2 часа, кипятят 1 час, выливают в 10%-ную H<sub>2</sub>SO<sub>4</sub>, извлекают эфиром, разгонкой выделяют 10,4 г β-окси-β-метил-δ-фенилвалериановой к-ты (VI), т. кип. 124°/2,1 мм, *n*<sub>D</sub><sup>20</sup> 1,5060, *d*<sub>4</sub><sup>15</sup> 1,048, 2,83 г VI омыляют при обычной т-ре (48 час.) 30 мл 10%-ного метанольного NaOH, упаривают, добавляют воды, промывают эфиром, подкисляют, получают β-окси-β-метил-δ-фенилвалериановую к-ту (VII), т. пл. 85° (из бзл.). 530 мг VII нагревают 1 час при 120° с 2,5 г 70%-ной HJ и 10 мг красного P, выливают в избыток 3%-ного NaOH, промывают эфиром, подкисляют и получают III, идентифицирована в виде ангидрида. К 9,7 г Zn в 50 мл безводн. эфира за 5 час. при нагревании добавляют 26 г II и 14,3 г I, нагревают, выливают в 10%-ную H<sub>2</sub>SO<sub>4</sub> со льдом, фракционной разгонкой выделяют 2,31 г IV, фракция с т. кип. 113—148°/1,5 мм, т. пл. 71—72° (из бзл.-петр. эф., 1:10), фракция с т. кип. 152—157°/1,5 мм и фракция с т. кип. 146—148°/1,5 мм представляют собой метиловые эфиры низкомолекулярной и высокомолекулярной β-стирилкетоновой к-ты. Сообщение III см. РЖХим, 1957, 51156.

Л. Яновская

51204. О реакциях α-кетонитрилов. Сообщение III. О присоединении α-кетонитрилов к соединениям с двойной C=N-связью. Дорнов, Люпферт (Über die Anlagerung von α-Ketonitrilen an Verbindungen mit C=N-Doppelbindung (Über Umsetzungen von α-Ketonitrilen, III. Mitteilung). Dornow Alfred, Lüpfer Siegfried), Chem. Ber., 1956, 89, № 12, 2718—2722 (нем.)

Бензоилцианид (I) подобно HCN присоединяется в эфирном р-ре к двойной C=N-связи иминов, шиффовых оснований и некоторых гидрозонов; этим путем из I и бензофенон-(IIa), пропиофенон- или флуоренин-(IIб)-иминов получены соответственно α-бензоил-аминодифенилацетонитрил (III), α-бензоиламино-α-фенилбутиронитрил (IV) и 9-бензоиламино-9-цианофлуорен (V); из β-аминокетонового эфира — эфира β-бензоиламино-β-цианомасляной к-ты (VI); из бензальанилина (IIв), бензальбутиламина или циклогексилциклогексиламина — α-(N-бензоиланилино)- (VII) и (N-н-бутил-N-бензоиламино)- (VIII)-фенилацетонитрилы и 1-(N-циклогексил-N-бензоиламино)-1-цианоциклогексан (IX); из фенилгидразона ацетона — нитрил-α-(α-бензоил-β-фенилгидразино)-изомасляной к-ты (X). Аналогичной р-цией I с IIa или IIб в бензольном р-ре получены α-аминодифенилацетонитрил (XI), выход 82%, т. пл. 104° (из C<sub>6</sub>H<sub>5</sub>OH), и 9-амино-9-цианофлуорен, выход 75%, т. пл. 95°.

10\*

III синтезирован также кипячением 2 часа I с XI в диоксане и гидролизован 40%-ной  $H_2SO_4$  (8 час., 130–140°) в  $\alpha$ -аминодифенилуксусную к-ту, выход 65%, т. пл. 245°, превращенную диазометодом в бензильную к-ту, выход 55%, т. пл. 150°. От р-ра 0,01 моля I и 0,01 моля IIa в 10 мл эфира медленно испаряют эфир и получают III, выход 97%, т. пл. 199° (из  $C_6H_5OH$ ). Эфирный р-р 0,01 моля IIb и 0,01 моля I оставляют на 2 дня при 20°, отгоняют эфир и получают V, выход 22,3%, т. пл. 227° (из  $C_6H_5OH$ ); аналогично получают (указано в-во, выход в % и т. пл. в °C): IV, 23, 183 (из  $C_6H_5OH$ ); VI, 19, 196 (из  $C_6H_5OH$ ); IX, 69, 189 (из  $CH_3OH$ ), и X, 65, 168, 0,01 моля IIa, 0,01 моля I и 10 капель 10%-ного бензольного р-ра  $N(CH_3)_3$  в эфире оставляют на 12 час. и получают VII, выход 47%, т. пл. 167° (из  $CH_3OH$ ); так же получают VIII, выход 83%, т. пл. 99°. Предыдущее сообщение см. РЖХим, 1956, 12775.

Д. Витковский

**51205. Ацилирование нитрилов сложными эфирами в присутствии амида натрия в жидком аммиаке с образованием  $\beta$ -кетонитрилов. Об образовании амидинов. Иби, Хаусер** (Acylation of nitriles with esters by sodium amide in liquid ammonia to form  $\beta$ -ketonitriles. Consideration of amidine formation. Eby Charles J., Hauser Charles R.), J. Amer. Chem. Soc., 1957, 79, № 3, 723–725 (англ.).

В продолжение прежней работы (Levine R., Hauser C. R., J. Amer. Chem. Soc., 1946, 68, 760) по ацилированию нитрилов (NT) сложными эфирами (СЭ) в присутствии  $NaNH_2$  (I) в жидком  $NH_3$  (II) с образованием  $RCOCHN/CHN$  (III) исследована р-ция 2 экв NT и I на 1 экв СЭ; лучшие выходы III получают при быстром прибавлении СЭ в эфире к смеси NT и II (5 мин.); при увеличении времени до 30–40 мин. выход III резко понижается; применение  $CH_3ONa$  или  $C_2H_5ONa$  вместо I ухудшает выход III и увеличивает время прохождения р-ции. NT, имеющие один атом Н в  $\alpha$ -положении, могут реагировать с I с образованием амидинов.  $(CH_3)_2CHCN$  (IV) после обработки  $NaNH_2$  с  $C_6H_5COCl$  дает  $(CH_3)_2CHC(=NH)NH-COC_6H_5$ . 0,5 моля NT в равном объеме эфира за 5 мин. прибавляют к 0,5 моля I в 600 мл II, через 5 мин. прибавляют за 5 мин. 0,25 моля  $RCOOSCH_3$  в равном объеме эфира и размешивают 1 час, отгоняют II (~за 10 мин.), прибавляют эфир до объема 500 мл, выливают в 500 г битого льда, фильтруют, осадок промывают ледяной водой, из водн. р-ра 6 н. HCl выделяют III, который или экстрагируют эфиром или отфильтровывают и перекристаллизовывают; эфирный экстракт промывают насыщ.  $NaHCO_3$ , остаток после удаления р-рителя перекристаллизовывают или перегоняют, получают III (перечисляются R, R', выход в %, т. пл. в °C или т. пл. в °C/мм):  $C_2H_5$ , Н, 75 (неочищ.; часть при перегонке полимеризуется), 97–98/12;  $C_6H_5$ , Н, 94, 81–82 (из эф.);  $m-ClC_6H_4$ , Н, 84, 79,5–80,5;  $n-CH_3OC_6H_4$ , Н, 84, 131–132,5 (из  $CH_3OH$  или из  $CH_3OH$  + вода);  $CH_3$  [применяют этилацетат (V)],  $CH_3$ , 63, 89–90,5/30 ( $n^{25D}$  1,4215);  $C_2H_5$ ,  $CH_3$ , 78, 90–92/20 (76–77/10;  $n^{25D}$  1,4250);  $C_6H_5$ ,  $CH_3$ , 93, 128–130/31;  $C_6H_5N$  (применяют этиловый эфир никотиновой к-ты),  $CH_3$ , 54, 126–127/0,75 ( $n^{25D}$  1,5512);  $C_6H_5$ ,  $C_2H_7$ , 78, 149–149,5/4 (152/4,5;  $n^{25D}$  1,5255);  $m-ClC_6H_4$ ,  $C_2H_7$ , 70, 162–163/3 ( $n^{25D}$  1,5381);  $CH_3$  (применяют V),  $C_6H_5$ , 70, 87–89 (из  $CH_3OH$  или из  $CH_3OH$  и воды);  $C_2H_5$ ,  $C_6H_5$ , 74, 70,5–72;  $C_6H_5$ ,  $C_6H_5$ , 70, 94–95 (из  $CH_3OH$  или из  $CH_3OH$  и воды). 0,5 моля I в II обрабатывают IV и прибавляют 0,25 моля  $C_6H_5COOSCH_3$  (VI), получают 49% IV, 8% VI и 39%  $C_6H_5CONH_2$ . Если смесь размешивают в эфире 2 дня, получают  $(CH_3)_2CHC(NH_2)=NH$  (VII), выход 24%, т. кип. 105–107°/20 мм и 93–94°/10 мм,  $n^{25D}$  1,4800, 1,72 г VII и 10 мл воды вбалтывают 1 день при ~20°, удаляя

р-ритель в вакууме, получают  $(CH_3)_2CHCONH_2$ , выход 78%, т. пл. 129–131°. К 0,5 моля I в II прибавляют 0,5 моля IV, через 40 мин. II заменяют эфиром, кипятят 20 мин., пропуская  $N_2$  за 15 мин. прибавляют 0,5 моля  $C_6H_5COCl$  в равном объеме эфира; через ~12 час. выливают в 500 мл 1,1 н. HCl (0°) и экстрагируют эфиром; из водн. слоя через ~12 час. получают  $C_6H_5CONHCOCH(CH_3)_2$  (VIII), выход 50%, т. пл. 154–155,5°. 4,75 г VIII кипятят 30 мин. с 60 мл 6 н. HCl, получают 87%  $C_6H_5COOH$ . 4,75 г VIII и 75 г полифосфорной к-ты нагревают 30 мин. при ~100°, затем 30 мин. размешивают со льдом, после нейтр-ции  $NaHCO_3$  получают 60%  $C_6H_5CONH_2$ . В. Скородумов

**51206. Синтез высших жирных кислот. II. Синтез  $\alpha,\omega$ -диарилжирных кислот. Оура, Хасэ, Хонда** (高級脂肪酸類の合成研究. 第2報.  $\alpha,\omega$ -ジアリル脂肪酸類の合成. 大浦彦吉, 長谷純一, 本田和雄), 薬学雑誌, Якугаку заасси, J. Pharm. Soc. Japan, 1956, 76, № 9, 1071–1074 (японск.; рез. англ.).

Получены 2,14-дифенилмиристиновая (I), 2,16-дифенилпальмитиновая (II), 2,18-дифенилстеариновая (III), 16-( $n$ -толил)-2-фенилпальмитиновая (IV) и 18-( $n$ -толил)-2-фенилстеариновая (V) к-ты. 12,3 г  $C_6H_5(CH_2)_2CO(CH_2)_2COOC_2H_5$  гидрируют в абс. спирте в присутствии скелетного Ni и 4 г  $SiO-CuCl_2$  при 250° и 90 ат, получают 12-фенилдодеканол (VI), выход 41%, т. пл. 38–40° (из  $CH_3OH$ ). 4,2 г VI нагревают с 2,3 г  $I_2$  и 0,2 г красного Р при 100° 2 часа, извлекают эфиром, фильтруют через  $Al_2O_3$ , рагонкой выделяют 12-фенилдодецилдиол (VII), выход 92%, т. кип. 200–204°/2 мм. К 0,2 г Na в 50 мл безводн.  $C_6H_6$  добавляют 2,8 г  $C_6H_5CH(COOC_2H_5)_2$  (VIII), затем 3 г VII, перемешивают 30 час., полученный диэтиловый эфир 2-фенил-12-фенилдодецилмалоновой к-ты омыляют спирт. КОН и к-ту декарбоксилируют нагреванием при 150–160°, получают I, т. кип. 205°/0,001 мм, т. пл. 41–43°. Из 10-оксо-24-фенилтетрадекановой к-ты (IX) получают этиловый эфир IX (X), т. пл. 25–26°. Из 8 г X аналогично VI получают  $C_6H_5(CH_2)_{14}OH$  (XI), выход 82%, т. пл. 49,5–51° (из сл.). 0,5 г IX нагревают с 0,2 г КОН, 1,7 мл 80%-ного  $N_2H_4 \cdot H_2O$ , 10 мл диэтиленгликоля 3 часа при 145–150°, затем повышают т-ру до 185–190°, отгоняют воду и избыток  $N_2H_4 \cdot H_2O$ , добавляют 1,7 г КОН, нагревают 1 час при 185°, 3 часа при 220°, добавляют кипящую воду, подкисляют HCl, получают  $C_6H_5(CH_2)_{13}COOH$ , выход 84%, т. пл. 68,5–69° (из сл.), этиловый эфир этой к-ты восстанавливают эфирным  $LiAlH_4$  (в аппарате Сокетета), получают XI, выход 96%. Из XI получен  $C_6H_5(CH_2)_{14}J$ , выход 87%, т. кип. 200°/0,5 мм, а из него и VIII аналогично I (120°, 5 час.) через диэтиловый эфир 2-фенил-14-фенилтетрадецилмалоновой к-ты, выход 53%, т. кип. 240°/0,4 мм, получена II, выход 90%, т. кип. 238°/0,0025 мм. Из  $C_6H_5(CH_2)_4Br$  и  $C_2H_5OCO(CH_2)_nCOCl$  (XII),  $n = 10$  (XIIa), с выходом 32% получают  $C_6H_5(CH_2)_4CO(CH_2)_{10}COOC_2H_5$  (XIII, XIIa – к-та), т. кип. 200–203°/0,005 мм, т. пл. 37,5–38° (из сл.); из XIII получают  $C_6H_5(CH_2)_{16}OH$  (XIV), выход 66%, т. пл. 58–61° (из  $CH_3OH$ ); XIV получен также из XIIa, т. пл. 77–78° (из сл.), через  $C_6H_5(CH_2)_{15}COOH$ , т. пл. 73,8–74,8°, восстановлением этилового эфира последней, выход 84%. Из XIV получен 16-фенилгексадецилдиол, выход 94%, т. кип. 230–235°/0,4 мм, а из него через диэтиловый эфир 2-фенил-16-фенилгексадецилмалоновой к-ты, выход 43%, т. кип. 255–260°/0,4 мм, получена III, выход 62%, т. кип. 260–262°/0,008 мм, т. пл. 31–32°. Из  $n-CH_3C_6H_4(CH_2)_4Br$  (XV) и XII,  $n = 8$ , получен  $n-CH_3C_6H_4(CH_2)_4CO(CH_2)_8COOC_2H_5$ , выход 66,5%, т. кип. 196°/0,003 мм, т. пл. 28–28,3° (из сл.), из него приготовлен  $n-CH_3C_6H_4(CH_2)_{14}OH$ , выход 67%, т. кип. 192°/0,001 мм, который превращен в  $n-CH_3C_6H_4(CH_2)_{14}J$ ,

выход 65%, т. кип. 211—213°/4,5 мм, последний обычным способом переведен в IV, выход 16%, т. кип. 225°/0,001 мм. Из XV и XHa получен  $n\text{-CH}_3\text{C}_6\text{H}_4(\text{CH}_2)_4\text{CO}(\text{CH}_2)_{10}\text{COOC}_2\text{H}_5$  (XVI — к-та), выход 30%, т. кип. 200—208°/0,003 мм, т. пл. 41,5—42° (из сп.); из него получен  $n\text{-CH}_3\text{C}_6\text{H}_4(\text{CH}_2)_{16}\text{OH}$  (XVII), выход 90%, т. пл. 62° (из  $\text{CH}_3\text{OH}$ ). XVII получен также из XVI, т. пл. 88,5—89° (из сп.), через  $n\text{-CH}_3\text{C}_6\text{H}_4(\text{CH}_2)_{16}\text{COOH}$ , т. пл. 69—71° (из сп.), и ее этиловый эфир, т. пл. 31—32,5°. Из XVII получен  $n\text{-CH}_3\text{C}_6\text{H}_4(\text{CH}_2)_{16}$ , выход 70%, т. кип. 240—245°/0,5 мм; а из него через диэтиловый эфир 2-фенил-16-*n*-толилгексадецилмалоновой к-ты, выход 63%, т. кип. 280—287°/0,5 мм, получена V, выход 56,5%, т. кип. 253—255°/0,002 мм, т. пл. 32—33,5°. Л. Яновская 51207.

**О превращениях орто- и пара-нитротолуолов в щелочной среде.** Щукина М. Н., Преводителева Г. С., Докл. АН СССР, 1956, 110, № 2, 230—233

Показано, что при действии щелочи и S на *о*-нитротолуол (I), в условиях образования *n*-аминобензальдегида (II) из *n*-нитротолуола (III), получают *о*-аминобензальдегид (IV), выход 14%, и *о*-толуидин; в случае же, когда *p*-р S в щелочи прибавляют после кипячения I с 20%-ным водно-спиртовым р-ром щелочи, получен с 15%-ным выходом 2-индазилбензиловый спирт; промежуточными продуктами в этих р-циях являются, по-видимому, соединения нитронного типа, так как при действии S и щелочи из антрацила получены IV и антрациловая к-та; из фенил-*N*-фенилнитрона — бензальанилин, а из *n*-нитрофенил-*N*-толилнитрона — *n*-толуидин и аморфный ангидрополимер IV, сходный по свойствам с аморфным в-вом (V), образующимся помимо II при аналогичной р-ции III. ИК-спектр V в отличие от ИК-спектров *N*-метилантрона и *N*-оксидов пиридина и триметиланина не имеет полос поглощения в областях 1185—1250 и 920—950  $\text{см}^{-1}$ , но очень близок к ИК-спектру полиамида, полученного длительным нагреванием *n*-аминобензиловой к-ты с  $\text{SOCl}_2$ ; предположено, что IV является продуктом бекмановской перегруппировки первоначально образующегося нитрона. Д. Витковский 51208.

**Получение паранитроацетофенона из этилбензола.** Кочергин П. М., Мед. пром-сть СССР, 1956, № 4, 7—8

*n*-Нитроацетофенон (I), полупродукт при синтезе синтоминина, получен по схеме:  $\text{C}_6\text{H}_5\text{C}_2\text{H}_5$  (II) →  $n\text{-NO}_2\text{C}_6\text{H}_4\text{C}_2\text{H}_5$  (III) → I. Нитрование II проводили смесью 22,3%  $\text{HNO}_3$ , 65,60%  $\text{H}_2\text{SO}_4$  и 12,1% воды при 25—40°; полученную смесь мононитроэтилбензолов (97—99%) фракционировали на колонке при 10—20 мм, получено 42,7—43,5%  $o\text{-NO}_2\text{C}_6\text{H}_4\text{C}_2\text{H}_5$ , 44,7—46,2% III и 10,3—12,6% смеси *о*-, *м*- и *n*-изомеров. Окисление III проводили при 60—62° за 14—17 час.  $\text{KMnO}_4$  (25%-ный избыток, постепенно добавлявший через чаш равные порции) в пределах pH 3—7 в воде (5—7 ч. на 1 ч. III) в присутствии буфера  $\text{Al}_2(\text{SO}_4)_3$  или других солей сильных к-т и слабых оснований (75% от вычисленного на  $\text{KMnO}_4$ ). В отсутствие буфера идет преимущественно образование  $n\text{-NO}_2\text{C}_6\text{H}_4\text{COOH}$  (IV). I отфильтровывают горячим или экстрагируют дихлорэтаном, выход 52,5—54,7%, побочно получают 1,6—3,2% IV. Г. Крюкова 51209.

**Изучение новой методики синтеза ароматических нитросоединений путем окисления азотсодержащих ароматических соединений.** Косура, Миясита (含窒素異環化合物の過酸化水素酸化によるニトロ化合物の合成. 小菅貞二, 宮下修一), 金澤大學藥學部研究年報, Канадзава дайгаку якугаку канкю нэмпо. Annual Rept. Fac. Pharmacy Kanazawa Univ, 1953, 3, 69—70 (японск.)

В продолжение прошлой работы по превращению ациламинопроизводных ароматич. соединений путем

окисления 30%-ной  $\text{H}_2\text{O}_2$  в ароматич. нитросоединения (Annual Rept. Fac. Pharmacy Kanazawa Univ., 1952, 2, 10—29) изучено окисление в тех же условиях хинолина (I) и 6-нитрохинолина (II). Из I при этом получено 6,4%  $2\text{-NO}_2\text{C}_6\text{H}_4\text{COOH}$ , одновременно за счет разрушения пиридинового кольца выделялось 42,6%  $\text{NH}_3$ ; из II получено 23,1%  $3,5\text{-(NO}_2)_2\text{C}_6\text{H}_3\text{COOH}$  и выделялось 33,3%  $\text{NH}_3$ . Приведена предполагаемая схема р-ции. Л. Яновская 51210.

**Нитрование ацето-*m*-толуида.** Субба-Рао, Ратнам (Nitration of acet-*m*-toluide. Subba Rao N. V., Ratnam C. V., J. Scient. and Industr. Res., 1956, (B—C) 15, № 7, B410—B411 (англ.))

Нитрованием (1 час) 25 г ацето-*m*-толуида (I) смесью  $\text{HNO}_3$  (d 1,45) (68,9 мл), конц.  $\text{H}_2\text{SO}_4$  (76,2 мл) и  $\text{CH}_3\text{COOH}$  (100 мл) с последующей обработкой по ранее описанной методике (McCookin A., Swift S. R., J. Soc. Chem. Ind. London, 1939, 58, 152T), получено 27 г смеси 4- и 6-нитроацето-*m*-толуидов (II, III); многократной экстракцией холодным петр. эфиром отделен нерастворимый III, выход 17,6 г, т. пл. 103—104° (из сп.); после отгонки р-рителя получено 7 г II, т. пл. 85° (из петр. эф.). Гидролиз II и III (4 часа нагреванием с разб.  $\text{H}_2\text{SO}_4$ ; 1:1) дал соответственно 4- и 6-нитро-*m*-толуидин с т. пл. 110—112° и 136—138°. При нитровании 12,1 г I по методу (Green H., Day A. R., J. Amer. Chem. Soc., 1942, 64, 1167) с последующей фракционной экстракцией петр. эфиром полученной смеси изомеров (8 г) было выделено 4,6 г II, 3,4 г III и 2-нитроацето-*m*-толуид, т. пл. 126°, гидролизом которого получен 2-нитро-*m*-толуидин, т. пл. 108—110°. Г. Крюкова 51211.

**Химическое и фармакологическое изучение веществ противоместноанестезирующего действия.** III. Синтез и фармакологическое действие β-диаллиламиноэтилового эфира *n*-аминобензойной кислоты. Каку, Каса, Сакума. IV. Химическое и фармакологическое исследование *N*′-диэтил- и *N*′-этил-*n*-аминобензолеульфамида. Каку, Каса, Исекава (抗局所麻酔薬の化学的及び薬理學的の研究. 第3報. β-Diallylaminoethyl-*p*-aminobenzoateの合成と薬理作用. 加来天民, 加藤佳年, 関忠行. 第4報. *N*′, *N*′-diethyl-及び $N$ ′-ethyl-*p*-aminobenzenesulfonamideの化学的及び薬理學的の研究. 加来天民, 加藤佳年, 石川貞嘉) 藥學雜誌, Якутаку даасси, J. Pharmac. Soc. Japan, 1954, 74, № 7, 732—734; № 8, 824—827 (японск.; реза. (англ.))

III. Синтезирован  $n\text{-NH}_2\text{C}_6\text{H}_4\text{COOCH}_2\text{CH}_2\text{N}(\text{CH}_2\text{CH}=\text{CH}_2)_2$  (I), который значительно менее токсичен, чем прокаин (II) и кокаин (III).  $\text{LD}_{50}$  для I при подкожном введении мышам равна 21,8 мг на 10 г. Токсич. симптомы I такие же, как и у II. Не обнаружено антагонизма между I и II, местноанестезирующее действие I в 2 раза сильнее II и в 2 раза слабее III при поверхностной и инфильтрационной анестезии. По вредному действию на органы дыхания, кровяное давление и на сердце I в 2—3 раза уступает II. В конц. р-рах I вызывает сужение сосудов, в разб. р-рах — их расширение, прибавление эпинефрина всегда вызывает сужение сосудов. Водн. р-ры I не изменяются при стерилизации при высокой т-ре. Нагревают 93 г  $n\text{-NO}_2\text{C}_6\text{H}_4\text{COCl}$  (IV) и 45 г  $\text{ClCH}_2\text{CH}_2\text{OH}$  до прекращения выделения HCl, получен  $n\text{-NO}_2\text{C}_6\text{H}_4\text{COOCH}_2\text{CH}_2\text{Cl}$  (V), выход 91%, т. пл. 56° (из разб. сп.). Восстановлением 30 г V спирт. HCl и 120 г  $\text{SnCl}_2$  при < 40° получено 13 г  $n\text{-NH}_2\text{C}_6\text{H}_4\text{COOCH}_2\text{CH}_2\text{Cl}$  (VI), т. пл. 87° (из сп.). Нагревают 4 г VI и 3 г диаллиламина 10 час. при 100°, выход I 74,8%, т. кип. 218—220°/9 мм; дихлоргидрат, т. пл. 200—201° (разл.); монохлоргидрат, т. пл. 156—159°. К 7 г IV в  $\text{C}_6\text{H}_6$  прибавляют 5 г  $(\text{CH}_2=\text{CHCH}_2)_2\text{NCH}_2\text{CH}_2\text{OH}$  в  $\text{C}_6\text{H}_6$  и 1,6 г KOH, встряхивают 20 мин., вы-



ход  $n\text{-NO}_2\text{C}_6\text{H}_4\text{COOCH}_2\text{CH}_2\text{N}(\text{CH}_2\text{CH}=\text{CH}_2)_2$  90,3%, восстановление которого Fe и  $\text{CH}_3\text{COOH}$  в спирте (2 часа, 50–60°), приводит к I, выход 72,3%.

IV. Синтезирован  $n\text{-NH}_2\text{C}_6\text{H}_4\text{SO}_2\text{NHC}_2\text{H}_5$  (I) и  $n\text{-NH}_2\text{C}_6\text{H}_4\text{SO}_2\text{N}(\text{C}_2\text{H}_5)_2$  (II). LD<sub>50</sub> для II при подкожном введении мышам 5,5 мг на 10 г, пер ос 31,3 ± ± 3,29 мг на 10 г; LD<sub>50</sub> I при подкожном введении хлоридрата 5,1 мг на 10 г. Общее действие I–II на мышей выражается в прекращении автоматич. движений тканей и органов, в дрожании и в параличе дыхания. К 24 г  $n\text{-CH}_3\text{CONHC}_6\text{H}_4\text{SO}_2\text{NH}_2$  в 300 мл 3%-ного NaOH при 10° прибавляют 40 г  $(\text{C}_2\text{H}_5)_2\text{SO}_4$ , выделен наряду с небольшим кол-вом  $n\text{-CH}_3\text{CONHC}_6\text{H}_4\text{SO}_2\text{NHC}_2\text{H}_5$  (III), т. пл. 155°.  $n\text{-CH}_3\text{CONHC}_6\text{H}_4\text{SO}_2\text{N}(\text{C}_2\text{H}_5)_2$  (IV), т. пл. 82°. Обработкой III–IV HCl (к-той) получены соответственно хлоридраты I, т. пл. 226° (разл.), и II, т. пл. 130–132°, из которых выделены I, т. пл. 107°, и II, т. пл. 105°. Приведены кривые УФ-спектров I–IV. Сообщение И. см. РЖХим, 1954, 42934. Я. Комиссаров

51212. О новом методе получения  $n$ -аминокоричной кислоты. Карролл, Ноблс (A note on a new method of preparation of  $p$ -aminocinnamic acid. Carroll James J., Nobles W. Lewis, J. Amer. Pharm. Assoc. Scient. Ed., 1957, 46, № 1, 72–73 (англ.)) К 0,5 моля  $n\text{-CH}_3\text{CONHC}_6\text{H}_4\text{CHO}$ , 1 молю  $\text{CH}_2(\text{COOH})_2$  и 400 мл  $\text{C}_2\text{H}_5\text{N}$  прибавляют 5 мл  $\text{NC}_5\text{H}_{11}$ , за 2 часа нагревают до 85° и выдерживают при 85° 5 час. или до прекращения выделения  $\text{CO}_2$ , охлаждают до 25°, подкисляют конц. HCl, осадок промывают лед.  $\text{CH}_3\text{COOH}$ , получают  $n\text{-CH}_3\text{CONHC}_6\text{H}_4\text{CH}=\text{CHCOOH}$  (I), выход 92%, т. пл. 260–262°. 0,46 моля I и 1,5 л 15%-ного NaOH 1 час нагревают до 85° и выдерживают при 85° 3 часа, охлаждают до 25°, доводят лед.  $\text{CH}_3\text{COOH}$  до pH 5, получают  $n\text{-NH}_2\text{C}_6\text{H}_4\text{CH}=\text{CHCOOH}$ , выход 92%, т. пл. 173–175° (разл.; из воды и водн. сп.). В. Скородумов

51213. Новые карбаматы, обладающие местноанестезирующим действием. Сообщение II. Производные  $n$ -аминофенола и  $o$ -аминофенола. Шабрие, Наже, Джудичелли (Nouveaux carbamates doués d'activité anesthésique locale. 2-e mémoire: Dérivés du  $p$ -aminophénol et de l' $o$ -aminophénol. Chabrier Pierre, Najer Henry, Giudicelli René, Bull. Soc. chim. France, 1955, № 10, 1353–1362 (франц.))

В продолжение работ по поискам новых лекарственных препаратов местноанестезирующего действия (МАД) (см. сообщение I РЖХим, 1957, 34339), получен ряд производных  $n$ - (I) и  $o$ - $\text{NH}_2\text{C}_6\text{H}_4\text{OH}$  (II), имеющих общую ф-лу  $n$ - (или  $o$ -)  $\text{ROOCNHC}_6\text{H}_4\text{O}(\text{CH}_2)_n\text{R}'\text{-HCl}$  (III), где R=алкил или арилалкил, R'=N(C<sub>2</sub>H<sub>5</sub>)<sub>2</sub>, NC<sub>5</sub>H<sub>10</sub> или NC<sub>5</sub>H<sub>10</sub>, n=2 или 3. Предлагаются два пути синтеза III; путь а:  $2\text{NH}_2\text{C}_6\text{H}_4\text{OH} + \text{ClCOOR} \rightarrow$  (IV)  $\rightarrow \text{ROOCNHC}_6\text{H}_4\text{OH}$  (V); Cl(CH<sub>2</sub>)<sub>2</sub>R' (VI)  $\rightarrow$  V  $\rightarrow$   $\text{ROOCNHC}_6\text{H}_4\text{O}(\text{CH}_2)_n\text{R}'$  (VII)  $\rightarrow$  III; путь б:  $\text{NO}_2\text{C}_6\text{H}_4\text{OH} + \text{VI} \rightarrow \text{NO}_2\text{C}_6\text{H}_4\text{O}(\text{CH}_2)_n\text{R}'$  (VIII)  $\rightarrow \text{NH}_2\text{C}_6\text{H}_4\text{O}(\text{CH}_2)_n\text{R}$  (IX); IV + IX  $\rightarrow$  III. Получен также ряд карбаматов общей ф-лы  $\text{ROOCNHC}_6\text{H}_4\text{N}(\text{CH}_3)_2\text{-HCl}$  (X) (где R=алкил) действием VI на водн. р-р 4- $\text{NH}_2\text{C}_6\text{H}_4\text{N}(\text{CH}_3)_2$  (XI). Способом а получают III, R'=N(C<sub>2</sub>H<sub>5</sub>)<sub>2</sub>, n=2 (перечисляются положение заместителей, R, выход в %, т. пл. в °C):  $n$ -, C<sub>2</sub>H<sub>5</sub>, 68, 151–152;  $o$ -, C<sub>2</sub>H<sub>5</sub>, 71, 152;  $n$ -, C<sub>3</sub>H<sub>7</sub>, 71, 154–155;  $n$ -, C<sub>4</sub>H<sub>9</sub>, 70, 162–163;  $o$ -, C<sub>4</sub>H<sub>9</sub>, 47, 122;  $n$ -,  $\text{изо-C}_4\text{H}_9$ , 58, 155;  $n$ -, C<sub>5</sub>H<sub>11</sub>, 68, 146;  $n$ -, C<sub>6</sub>H<sub>13</sub>, 78, 148;  $o$ -, C<sub>6</sub>H<sub>13</sub>, 55, 70;  $n$ -, C<sub>7</sub>H<sub>15</sub>, 55, 132;  $n$ -, C<sub>8</sub>H<sub>17</sub>, 81, 135;  $n$ -, C<sub>10</sub>H<sub>21</sub>, 53, 140;  $n$ -, C<sub>14</sub>H<sub>29</sub>, 64, 117;  $n$ -, C<sub>6</sub>H<sub>5</sub>CH<sub>2</sub>, 85, 196;  $o$ -, C<sub>6</sub>H<sub>5</sub>CH<sub>2</sub>, 39, 120; C<sub>6</sub>H<sub>5</sub>(CH<sub>2</sub>)<sub>2</sub>, 56, 123. Следующие III получают аналогично (перечисляются положение заместителей, R, R', число n, путь получения, выход в %, т. пл.

в °C):  $n$ -, CH<sub>3</sub>, NC<sub>4</sub>H<sub>9</sub>O, 2, 6, 70, 225;  $n$ -, C<sub>2</sub>H<sub>5</sub>, NC<sub>4</sub>H<sub>9</sub>O, 2, а, 64, 174;  $o$ -, C<sub>2</sub>H<sub>5</sub>, NC<sub>4</sub>H<sub>9</sub>O, 2, а, 93, 222;  $n$ -, C<sub>3</sub>H<sub>7</sub>, NC<sub>4</sub>H<sub>9</sub>O, 2, а, —, 178;  $n$ -, C<sub>4</sub>H<sub>9</sub>, NC<sub>4</sub>H<sub>9</sub>O, 2, а, 78, 146;  $o$ -, C<sub>4</sub>H<sub>9</sub>, NC<sub>4</sub>H<sub>9</sub>O, 2, а, 94, 158;  $n$ -,  $\text{изо-C}_4\text{H}_9$ , NC<sub>4</sub>H<sub>9</sub>O, 2, а, 69, 175;  $n$ -, C<sub>5</sub>H<sub>11</sub>, NC<sub>4</sub>H<sub>9</sub>O, 2, а, 86, 145;  $n$ -, C<sub>6</sub>H<sub>13</sub>, NC<sub>4</sub>H<sub>9</sub>O, 2, а, 76, 147;  $o$ -, C<sub>6</sub>H<sub>13</sub>, NC<sub>4</sub>H<sub>9</sub>O, 2, а, 96, 116;  $n$ -, C<sub>7</sub>H<sub>15</sub>, NC<sub>4</sub>H<sub>9</sub>O (IIIa), 2, 6, 75, 153;  $o$ -, C<sub>7</sub>H<sub>15</sub>, NC<sub>4</sub>H<sub>9</sub>O, 2, а, 82, 128;  $n$ -, C<sub>8</sub>H<sub>17</sub>, NC<sub>4</sub>H<sub>9</sub>O, 2, а, 77, 155;  $o$ -, C<sub>8</sub>H<sub>17</sub>, NC<sub>4</sub>H<sub>9</sub>O, 2, а, 78, 137;  $n$ -, C<sub>10</sub>H<sub>21</sub>, NC<sub>4</sub>H<sub>9</sub>O, 2, а, 29, 159;  $n$ -, C<sub>6</sub>H<sub>5</sub>CH<sub>2</sub>, NC<sub>4</sub>H<sub>9</sub>O, 2, а, 63, 190;  $o$ -, C<sub>6</sub>H<sub>5</sub>CH<sub>2</sub>, NC<sub>4</sub>H<sub>9</sub>O, 2, а, 78, 188;  $n$ -, C<sub>2</sub>H<sub>5</sub>, NC<sub>4</sub>H<sub>9</sub>O, 3, а, 58, 220;  $n$ -, C<sub>3</sub>H<sub>7</sub>, NC<sub>4</sub>H<sub>9</sub>O, 3, а, —, 219;  $n$ -, C<sub>4</sub>H<sub>9</sub>, NC<sub>4</sub>H<sub>9</sub>O, 3, а, 82, 204;  $n$ -, C<sub>5</sub>H<sub>11</sub>, NC<sub>4</sub>H<sub>9</sub>O, 3, а, 52, 190;  $n$ -, C<sub>6</sub>H<sub>13</sub>, NC<sub>4</sub>H<sub>9</sub>O, 3, а, 54, 186;  $n$ -, C<sub>7</sub>H<sub>15</sub>, NC<sub>4</sub>H<sub>9</sub>O, 3, а, 45, 180;  $n$ -, C<sub>8</sub>H<sub>17</sub>, NC<sub>4</sub>H<sub>9</sub>O, 3, а, 39, 222;  $n$ -, C<sub>2</sub>H<sub>5</sub>, NC<sub>5</sub>H<sub>10</sub>, 2, а, 65, 182;  $o$ -, C<sub>2</sub>H<sub>5</sub>, NC<sub>5</sub>H<sub>10</sub>, 2, а, 95, 182;  $n$ -, C<sub>4</sub>H<sub>9</sub>, NC<sub>5</sub>H<sub>10</sub>, 2, а, 47, 146–147;  $o$ -, C<sub>4</sub>H<sub>9</sub>, NC<sub>5</sub>H<sub>10</sub>, 2, а, 94, 145;  $n$ -, C<sub>5</sub>H<sub>11</sub>, NC<sub>5</sub>H<sub>10</sub>, 2, а, 47, 144;  $n$ -, C<sub>6</sub>H<sub>13</sub>, NC<sub>5</sub>H<sub>10</sub>, 2, а, 46, 160;  $o$ -, C<sub>6</sub>H<sub>13</sub>, NC<sub>5</sub>H<sub>10</sub>, 2, а, 17, 121;  $n$ -, C<sub>7</sub>H<sub>15</sub>, NC<sub>5</sub>H<sub>10</sub>, 2, а, 58, 157;  $o$ -, C<sub>7</sub>H<sub>15</sub>, NC<sub>5</sub>H<sub>10</sub>, 2, а, 60, 111;  $n$ -, C<sub>8</sub>H<sub>17</sub>, NC<sub>5</sub>H<sub>10</sub>, 2, а, 56, 159;  $o$ -, C<sub>8</sub>H<sub>17</sub>, NC<sub>5</sub>H<sub>10</sub>, 2, а, 58, 106;  $n$ -, C<sub>10</sub>H<sub>21</sub>, NC<sub>5</sub>H<sub>10</sub>, 2, а, 82, 143;  $n$ -, C<sub>14</sub>H<sub>29</sub>, NC<sub>5</sub>H<sub>10</sub>, 2, а, 69, 144;  $n$ -, C<sub>6</sub>H<sub>5</sub>CH<sub>2</sub>, NC<sub>5</sub>H<sub>10</sub>, 2, а, 73, 182;  $o$ -, C<sub>6</sub>H<sub>5</sub>CH<sub>2</sub>, NC<sub>5</sub>H<sub>10</sub>, 2, а, 85, 190;  $n$ -, C<sub>6</sub>H<sub>5</sub>(CH<sub>2</sub>)<sub>2</sub>, NC<sub>5</sub>H<sub>10</sub>, 2, а, 49, 178. К 0,2 моля I в 300 мл безводн. ацетона прибавляют 0,1 моля IV (R=C<sub>6</sub>H<sub>13</sub>), кипятят 1 час, отделяют I-HCl, отгоняют р-ритель, остаток растирают с 50 мл 10%-ной HCl, получают  $n$ -замещ. V (R=C<sub>6</sub>H<sub>13</sub>) (Va), выход 97%, т. пл. 118° (из 50%-ного сп.). К 0,2 моля II в 300 мл безводн. ацетона прибавляют 0,1 моля IV (R=C<sub>6</sub>H<sub>17</sub>), кипятят 1 час, отгоняют р-ритель, маслянистый остаток растирают с 100 мл 10%-ной HCl, после охлаждения получают  $o$ -замещ. V (R=C<sub>6</sub>H<sub>17</sub>), выход 82%, т. пл. 59° (из сп.). Аналогично получают  $n$ -замещ. V (перечисляются R, выход в %, т. пл. в °C (из водн. сп.)): CH<sub>3</sub>, —, 118; C<sub>2</sub>H<sub>5</sub>, 97, 127; C<sub>3</sub>H<sub>7</sub>, 84, 104; C<sub>4</sub>H<sub>9</sub>, 98, 108;  $\text{изо-C}_4\text{H}_9$ , 84, 119; C<sub>5</sub>H<sub>11</sub>, 82, 110; C<sub>7</sub>H<sub>15</sub>, 93, 115; C<sub>8</sub>H<sub>17</sub>, 83, 117; C<sub>10</sub>H<sub>21</sub>, 86, 122; C<sub>14</sub>H<sub>29</sub>, 51, 124; C<sub>6</sub>H<sub>5</sub>CH<sub>2</sub>, 84, 160; C<sub>6</sub>H<sub>5</sub>(CH<sub>2</sub>)<sub>2</sub>, 95, 156; а также  $o$ -замещ. V (перечисляются те же показатели): C<sub>2</sub>H<sub>5</sub>, 92, 88,5; C<sub>4</sub>H<sub>9</sub>, 94, 89; C<sub>6</sub>H<sub>13</sub>, 89, 57–58; C<sub>7</sub>H<sub>15</sub>, 97, 55; C<sub>8</sub>H<sub>17</sub>, 90, 117. К р-ру 0,2  $\alpha$ -атома Na в 120 мл безводн. спирта и 0,2 моля Va прибавляют 0,22 моля ОСН<sub>3</sub>N(CH<sub>2</sub>)<sub>2</sub>Cl и кипятят 1 час, охлаждают, маслянистый остаток после выпаривания р-рителя извлекают ~ 500 мл эфира, получают 67,5 г неочищ. VIIa, т. пл. 64° (из 50%-ного сп.). Аналогично получают  $n$ -замещ. VII (перечисляются R, R', т. пл. в °C): C<sub>7</sub>H<sub>15</sub>, N(C<sub>2</sub>H<sub>5</sub>)<sub>2</sub>, 2, 59; C<sub>8</sub>H<sub>17</sub>, N(C<sub>2</sub>H<sub>5</sub>)<sub>2</sub>, 2, 60; C<sub>10</sub>H<sub>21</sub>, N(C<sub>2</sub>H<sub>5</sub>)<sub>2</sub>, 2, 48; C<sub>14</sub>H<sub>29</sub>, N(C<sub>2</sub>H<sub>5</sub>)<sub>2</sub>, 2, 61; C<sub>2</sub>H<sub>5</sub>, NC<sub>4</sub>H<sub>9</sub>O, 2, 92; C<sub>3</sub>H<sub>7</sub>, NC<sub>4</sub>H<sub>9</sub>O, 2, 104; C<sub>4</sub>H<sub>9</sub>, NC<sub>4</sub>H<sub>9</sub>O, 2, 94; C<sub>7</sub>H<sub>15</sub>, NC<sub>4</sub>H<sub>9</sub>O, 2, 67; C<sub>8</sub>H<sub>17</sub>, NC<sub>4</sub>H<sub>9</sub>O, 2, 68; C<sub>10</sub>H<sub>21</sub>, NC<sub>4</sub>H<sub>9</sub>O, 2, 78; C<sub>6</sub>H<sub>5</sub>CH<sub>2</sub>, NC<sub>4</sub>H<sub>9</sub>O, 2, 103; C<sub>2</sub>H<sub>5</sub>, NC<sub>4</sub>H<sub>9</sub>O, 3, 121; C<sub>3</sub>H<sub>7</sub>, NC<sub>4</sub>H<sub>9</sub>O, 3, 107; C<sub>4</sub>H<sub>9</sub>, NC<sub>4</sub>H<sub>9</sub>O, 3, 90; C<sub>5</sub>H<sub>11</sub>, NC<sub>4</sub>H<sub>9</sub>O, 3, 80; C<sub>7</sub>H<sub>15</sub>, NC<sub>4</sub>H<sub>9</sub>O, 3, 88; C<sub>8</sub>H<sub>17</sub>, NC<sub>4</sub>H<sub>9</sub>O, 2, 58; C<sub>14</sub>H<sub>29</sub>, NC<sub>4</sub>H<sub>9</sub>O, 2, 78; C<sub>6</sub>H<sub>5</sub>(CH<sub>2</sub>)<sub>2</sub>, NC<sub>4</sub>H<sub>9</sub>O, 2, 106. К 1 молю  $n$ -нитрофенола и р-ру C<sub>2</sub>H<sub>5</sub>ONa (из 1  $\alpha$ -атома Na и 1,2 л сп.) прибавляют 1,1 моля ClCH<sub>2</sub>CH<sub>2</sub>NC<sub>4</sub>H<sub>9</sub>O, кипятят 1 час, после удаления NaCl и р-рителя получают  $n$ -замещ. VIII, R=NC<sub>4</sub>H<sub>9</sub>O, n=2 (VIIIa), выход 79%, т. пл. 89°, хлоридрат (XГ), т. пл. 199°. Аналогично получают VIII (перечисляются расположение заместителей, R, число n, выход в %, т. пл. в °C):  $n$ -, N(C<sub>2</sub>H<sub>5</sub>)<sub>2</sub>, —, —, масло (XГ, т. пл. 164°);  $n$ -, NC<sub>4</sub>H<sub>9</sub>O, 3,69, 84;  $n$ -, NC<sub>5</sub>H<sub>10</sub>, 2, 36, 66;  $o$ -N(C<sub>2</sub>H<sub>5</sub>)<sub>2</sub>, 2, 57, 140;  $o$ -, NC<sub>4</sub>H<sub>9</sub>O, 2, 73, 150. 0,2 моля VIIIa, 200 мл абс. спирта, 10 г 5%-ного Pd/C гидрируют при ~ 20° и начальном давл. 80 ат, после упаривания фильтрата получают  $n$ -замещ. IX, R=NC<sub>4</sub>H<sub>9</sub>O, n=2 (IXa), выход 85%, т. кип. 165–167°/4 мм, т. пл. 73°, XГ, т. пл. 175°. Аналогично получают IX (перечисляются положение заместителей, R, n, выход в %, т. кип. в °C/мм, т. пл. в °C):  $n$ -, N(C<sub>2</sub>H<sub>5</sub>)<sub>2</sub>,

2, 57, 135—136/0,5, — (XГ, т. пл. 145°); *n*-,  $\text{NC}_4\text{H}_9\text{O}$ , 3, 87, 180—181/0,8, 49; *n*-,  $\text{NC}_5\text{H}_{10}$ , 2, 90, 146/0,09, 65; *o*-,  $\text{N}(\text{C}_2\text{H}_5)_2$ , —, —, —, 156; *o*-,  $\text{NC}_4\text{H}_9\text{O}$ , 2, —, —, 167. К 0,2 моля **IXa** в 200 мл безводн.  $\text{CH}_3\text{COC}_2\text{H}_5$  постепенно прибавляют 0,2 моля **IV** ( $\text{R} = \text{C}_7\text{H}_{15}$ ) в 100 мл  $\text{CH}_3\text{COC}_2\text{H}_5$ , при охлаждении через ~12 час. получают **IIIa**. К 0,04 моля **XI** в 30 мл воды при 50° прибавляют 0,04 моля **IV** ( $\text{R} = \text{C}_3\text{H}_7$ ), размешивают 12 час., через ~12 час. (~20°) выпаривают в вакууме, получают **X** ( $\text{R} = \text{C}_3\text{H}_7$ ), выход 50%, т. пл. 163° (из безводн. сл.). Аналогично получают **X** (перечисляются, выход в %, т. пл. в °C):  $\text{CH}_3$ , 56, 212;  $\text{C}_2\text{H}_5$ , 59, 194;  $\text{C}_4\text{H}_9$ , 37, 174. Введение группы  $\text{NHCOOR}$  изменяет МАД в зависимости от **R**; при алифатич. **R** МАД повышается по мере увеличения числа С-атомов до максимума при  $\text{R} = \text{C}_7\text{H}_{15}$  и падает при дальнейшем увеличении числа С-атомов. Токсичность, также являясь функцией числа С-атомов, изменяется подобно МАД, но медленнее его. Введение групп  $\text{OC}_4\text{H}_9\text{N}(\text{CH}_2)_2$  и  $\text{OC}_4\text{H}_9\text{N}(\text{CH}_2)_3$  увеличивает МАД сильнее, чем введение групп  $\text{C}_5\text{H}_{10}\text{N}(\text{CH}_2)_2$  и  $\text{C}_5\text{H}_{10}\text{N}(\text{CH}_2)_3$ , достигая максимума при 6, 7 или 8 С-атомах в радикале: **IIIa** в отношении МАД в 30—40 раз превосходит **XГ** кокаина и в 2 раза **XГ** цихокаина, будучи менее токсичным. Орто-производные уступают соответствующим пара-производным в силе МАД. Однако и здесь максим. МАД проявляется при 6—7 атомах С в радикале. **X** оказались неактивными. В. Скородумов

**51214. Местные анестетики — производные *n*-цимола: диэтиламиноацетилкарвакриламид. Самдаль, Онпедаль** (Anesthésiques locaux dérivés du *p*-cymène diéthylaminoacétylcarvacrylméthylamine. Samdahl Bjarne, Oppedal Leif-Victor), С. г. Acad. sci., 1956, 242, № 24, 2843—2845 (франц.) 2-хлорметил-4-изопропилтолуол, полученный хлорметилированием *n*-цимола, превращен в карвакрилметиламин (**I**) (J. Amer. Chem. Soc., 1939, 61, 3585); хлоридрат, т. пл. 158—160° (разл.). Действием  $\text{ClCH}_2\text{COCI}$  в эфире **I** превращен в хлорацетилкарвакрилметиламин (**II**) с почти колич. выходом. Обработка **II** избытком  $(\text{C}_2\text{H}_5)_2\text{NH}$  привела к диэтиламиноацетилкарвакрилметиламину (**III**), выход 93%, т. кип. 191—194,5/8 мм, т. пл. 66—67° (из петр. эф., испр.). **III** обладает сильным анестезирующим действием, мало токсичен и не вызывает некроза тканей.

Л. Яновская

**51215. Изучение реакций едкого щелочи в неводных растворях. III. Реакция с простыми эфирами (I). Токуяма** (非水溶液中における苛性アレカリの反応に関する研究. 第3報. エーテルとの反応. その1. 徳山幹治), 薬学雑誌, Якугаку заасси, J. Pharm. Soc. Jap., 1956, 76, № 1, 80—82 (японск.; рез. англ.) При нагревании 2-нитро-, 4-нитро- или 2,4-динитро-4'-метил-дифениловых эфиров с *p*-ром  $\text{NaOH}$  в жидком  $\text{NH}_3$  (125° 12 час.) образуются соответственно 2-нитро-, 4-нитрофенол или 2,4-динитрофенол- и *p*-крезол в результате анионного замещения  $\text{C}_6\text{H}_5\text{O}-$  на  $\text{OH}-$ , что подтверждает факт диссоциации  $\text{NaOH}$  в жидком  $\text{NH}_3$ . При расщеплении анизол до фенола (**I**) в аналогичных условиях (за 96 час. выход **I** 19,7%) щелочь является, по-видимому, катализатором восстановительного расщепления, что подтверждается частичным образованием наряду с фенолами аминов (*o*-нитроанилина, *m*-нитроанилина и соответственно 2,4-динитроанилина) при расщеплении *o*-нитро-, *m*-нитро- или 2,4-динитроанизол. 2- и 4-метоксибензилэфир при действии *p*-ра  $\text{NaOH}$  в жидком  $\text{NH}_3$  (125°, 24 часа) дают 2- и 4-оксифениловый эфиры, что указывает на большую прочность связи  $\text{C}_6\text{H}_5-\text{O}-\text{Ar}$ , чем  $\text{Ar}-\text{O}-\text{CH}_3$ . Дифениловый эфир, дибензо-*p*-диоксан, окись дифенила и 3-нитродифениловый эфир не изменяются после на-

гревания 24 часа с  $\text{NaOH}$  в жидком  $\text{NH}_3$ . Сообщение II см. РЖХим, 1957, 47850. Н. Шведов

**51216. Исследование гидроксамовых кислот. VI. О химических свойствах и фунгицидной активности некоторых арилоксиацетогидроксамовых кислот. Экштейн, Урбанский** (Badania nad kwasami hydroksamowymi VI. O własnościach chemicznych i czynności grzybobójczej pewnych pochodnych kwasów aryloksyaceto hydroksamowych. Eckstein Z., Urbaniski T.), Przem. chem., 1956, 12, № 11, 640—642 (польск.)

К 0,25 моля  $\text{NH}_2\text{OH} \cdot \text{HCl}$  в 100 мл абс.  $\text{CH}_3\text{OH}$  при 30—40° добавляют *p*-р 0,35 моля  $\text{Na}$  в 150 мл  $\text{CH}_3\text{OH}$ , охлаждают, фильтруют, добавляют 0,1 моля этилового эфира арилоксиуксусной к-ты, через 24 часа (~20°) упаривают в вакууме, растворяют остаток в воде, выделяют добавкой к-ты  $\text{ROCH}_2\text{CONHON}$  (**I**). **I** ацетилируют осторожным нагреванием с  $(\text{CH}_3\text{CO})_2\text{O}$  на водяной бане до образования прозрачного *p*-ра, через 2—3 часа (~20°) добавляют воду, получают  $\text{ROCH}_2\text{CONHOCCH}_3$  (**II**) (даны **R** для **I** и **II**; выход **I** в %, т. пл. **I** в °C; выход **II** в %, т. пл. **II** в °C):  $\text{C}_6\text{H}_5$ , 73,9, 114, 92,1, жидкость; *o*- $\text{OH}\text{C}_6\text{H}_4$ , 84,6, 134—135, 84,2, 107,5—108,5; *o*- $\text{ClC}_6\text{H}_4$ , 88,8, 132—133, 32,1, 73,5—75,5; *m*- $\text{ClC}_6\text{H}_4$ , 88,8, 133—134, 41,6, 65—66; *n*- $\text{ClC}_6\text{H}_4$ , 93, 136—137, 30, 84—85, 2,4- $\text{Cl}_2\text{C}_6\text{H}_3$ , 89,4, 158—159, 95,1, 106,5—108; 3,4- $\text{Cl}_2\text{C}_6\text{H}_3$ , 95,4, 143—144, 85,2, 76—77,5; 2,5- $\text{Cl}_2\text{C}_6\text{H}_3$ , 95,3, 147—148, 84,7, 133—134,5; 2,4,5- $\text{Cl}_3\text{C}_6\text{H}_2$ , 98,7, 153—154, 88,8, 158—159; 2,4,6- $\text{Cl}_3\text{C}_6\text{H}_2$ , 93,5, 155—156, 81,9, 121—122; 2,3,4,5,6- $\text{Cl}_5\text{C}_6$ , 95,6, 165—166, 79,8, 156—158; *o*- $\text{CH}_3\text{C}_6\text{H}_4$ , 85,5, 105,5—107, 60,1, 64—64; *m*- $\text{CH}_3\text{C}_6\text{H}_4$ , 84,2, 95—95,5, 65,2, жидкость; *n*- $\text{CH}_3\text{C}_6\text{H}_4$ , 89, 136,5—137,5, 84,2, 93,5—95; 4- $\text{Cl}-2-\text{CH}_3\text{C}_6\text{H}_3$ , 90,9, 139,5—140,5, 81,6, 109—110; 4,6- $\text{Cl}_2-2-\text{CH}_3\text{C}_6\text{H}_3$ , 94,7, 148—149, 89, 93,5—94,5; *o*- $\text{NO}_2\text{C}_6\text{H}_4$ , 80, 156,5—157, 70, 130,5—132; *m*- $\text{NO}_2\text{C}_6\text{H}_4$ , 91,2, 143—144,5, 82, 103—104; *n*- $\text{NO}_2\text{C}_6\text{H}_4$ , 86,3, 156—157,5, 78, 133—134; 2,4- $\text{Cl}_2-5-\text{NO}_2\text{C}_6\text{H}_3$ , 70,1; 145—146, 20,8, 147—147,5;  $\alpha$ -нафтил, 92,1, 139—140,5, 5, 5, 83,4, 109,5—111,5;  $\beta$ -нафтил, 93,2, 162—163, 85,7, 135—136; 1-нафтилацетил, 86,7, 164—165, 92,4, 130—131,5;  $\alpha,\alpha$ -диметилфеноксиацетил, 88,4, 132—133,5, 83,6, 56—57,5. Приведена сравнительная таблица тормозящего действия **I** на рост грибов: *Fusarium culmorum*, *Alternaria solani*, *Rhizoctonia solani* в сравнении с спергоном (2,3,5,6-тетрахлор-*p*-бензохинон) и *p*-хлор-*m*-крезолом. Активность большинства **I** приближается и в некоторых случаях превосходит активность спергона. Сообщ. V см. РЖХим, 1956, 46999. Л. Яновская

**51217. Реакции соединений, содержащих активные метиленовые группировки, с диазониевыми солями. III. Сочетание диазониевых солей с этиловым эфиром сукцинилянтной кислоты. Ясуда** (Reactions of reactive methylene compounds with diazonium salts. (III). Coupling of the salts with ethyl succinylsuccinate. Yasuda Heinosuke), J. Scient. Res. Inst., 1955, 49, Sept., 249—253 (англ.) Этиловый эфир сукцинилянтной к-ты  $\text{C}_2\text{H}_5\text{OOCCH}(\text{COCH}_2\text{CH}(\text{COOC}_2\text{H}_5)\text{COCH}_2)$  (**I**) сочетается с 4 молями  $\text{C}_6\text{H}_5\text{N}_2\text{Cl}$ , образуя, по-видимому, 1,3,4,6-тетраазобензолсукцинилянтный эфир (**II**) или его таутомеры. При омылении 5%-ным водн.  $\text{NaOH}$  **II** превращается в соответствующую дикарбоновую к-ту, т. пл. 221—221,5° (разл.; из лед.  $\text{CH}_3\text{COOH}$ ). Аналогично с **I** реагируют *n*- $\text{CH}_3\text{C}_6\text{H}_4\text{N}_2\text{Cl}$  (**III**) и *o*- $\text{NO}_2\text{C}_6\text{H}_4\text{N}_2\text{Cl}$ . 4,4 г анилина в 15 мл конц.  $\text{HCl}$  и 10 мл воды диазотируют (0°) 3,4 г  $\text{NaNO}_2$  в 5 мл воды, диазораствор постепенно приливают к 3 г **I** и 15 г  $\text{CH}_3\text{COONa} \cdot 3\text{H}_2\text{O}$  (**IV**) в 200 мл ацетона, перемешивают 30 мин., оставляют стоять 20°, несколько часов), в осадке и из фильтрата получают **II**, выход 2,4 г, т. пл. 153—154°. В сходных ус-

ловиях при сочетании III с I получают в-во состава  $C_{40}H_{40}O_6N_8$ , т. пл. 142,5–143,5° (из ацетона). 2,9 г  $o$ - $NO_2C_6H_4NH_2$  в 20 мл лед.  $CH_3COOH$  и 7 мл конц.  $HCl$  диазотируют (0–5°) 1,7 г  $NaNO_2$  в 5 мл воды, диэтиловый раствор приливают к 1,4 г I и 10 г IV в 100 мл ацетона, аналогично предыдущему (фильтрат разбавляют 100 мл воды) выделяют в-во состава  $C_{36}H_{28}O_{14}N_{12}$ , выход 2,2 г, т. пл. 176–177° (разл.; из  $CH_3OH$  +  $C_6H_5N$ ). Сообщение II см. РЖХим, 1957, 41985. Е. Федичева

#### 51218. Синтетические аналоги алкалоидов кураре.

VI. Несколько замечаний к получению *три*-(2-диэтиламиноэтилового)-эфира пирогаллола. Плимп, Боровичка, Протива (Synthetické analogy kurarových alkaloidů. VI. Několik poznámek k přípravě pyrogallol-tris-(2-diethylaminoethyl)-etheru. Pliml Jiří, Boročička Miloš, Protiva Miroslav), Chem. listy, 1956, 50, № 10, 1630–1635 (чешек).

Исследовано получение  $C_6H_3(OCH_2CH_2N(C_2H_5)_2)_3$ , 1,2,3, (I), представляющего фармакологич. интерес; выделено и идентифицировано несколько побочных продуктов, образующихся при получении I. Лучшие результаты получены при алкилировании пирогаллола (II) при помощи  $(C_2H_5)_2NCH_2CH_2Cl$  (III) в среде толуола. В качестве побочного продукта выделен  $[(C_2H_5)_2NCH_2CH_2O]_2$  (IV), образующийся также побочно при взаимодействии фенилциклогексилацилхлорида с диэтиламиноэтанолом (V) наряду с фенилциклогексил-ацетокси-2-диэтиламиноэтаном. I, т. кип. 194°/0,4 мм, получен с выходом 35% кипячением 3 часа II с III и  $C_2H_5ONa$  в абс. спирте, с последующей отгонкой спирта, подщелачиванием избытком воды, р-ра NaOH и извлечением эфиром; трихлоргидрат I, т. пл. 222° (из сп.-этилацетата); трикрат, т. пл. 154–155°; тридодэтилат, т. пл. 245° (из сп.). В качестве побочного продукта получен  $C_6H_3OCH_2CH_2N(C_2H_5)_2$ , т. кип. 150–156°; пикрат, т. пл. 50–51° (из сп.); йодэтилат, т. пл. 105–106° (из эф.-ацетона). I получен аналогично предыдущему кипячением 9 час. II и III; по отгонке спирта полученный остаток разбавляли водой и извлекали эфиром, а затем  $C_6H_6$ ; соединенные вытяжки затем перегоняли. Выделить какой-либо чистый продукт не удалось даже при помощи хроматографии: во всех фракциях обнаружено присутствие фенольных соединений. I получен с выходом 60%, т. кип. 207°/1 мм, из II, III и  $Na NH_2$  в среде толуола, наряду с IV, т. кип. 114°/17 мм; дихлоргидрат, т. пл. 221–222° (из сп.-ацетона); дипикрат, т. пл. 131–132° (из сп.-ацетона); дийодэтилат, т. пл. 267° (разл.; из сп.); последний образуется с выходом 12 г при кипячении 15 мин. 23,6 г фенилциклогексилацилхлорида (VI) с 11,7 г 2-диэтиламиноэтанола в  $C_6H_6$  и последующей обработке йодистым этилом.  $C_6H_{11}(C_6H_5)CH_2COOCH_2CH_2N^+(C_2H_5)_3J^-$ , т. пл. 161–162° (из ацетона), получен кипячением 2 часа 23 г VI с 23,5 г V в  $C_6H_6$ ; реакция смесь разложена водой, р-ром NaOH и фракция т. кип. 160–164°/1,4 мм (25 г) оставлена стоять с йодистым этилом в ацетоне. При взаимодействии II и III с  $C_6H_{11}ON$  и  $C_6H_{11}ONa$  получен  $C_6H_{11}OCH_2CH_2N(C_2H_5)_2$ , т. кип. 207°; пикрат маслянистый. Бисдиэтиламинд янтарной к-ты (VII), выход 80%, т. кип. 135–137°/0,5 мм, получен обычным способом из дихлорамида янтарной к-ты и диэтиламина, 1,4-бисдиэтиламинбутан, т. кип. 100°/22 мм, получен с выходом 85% восстановлением VII  $LiAlH_4$  в эфире, а также с выходом 12% при нагревании 8 час. в автоклаве при 150–170° 1,4-дийодбутана с диэтиламином; дихлоргидрат, т. пл. 231–232° (разл.; из сп.-ацетона); дипикрат, т. пл. 174–175° (из ацетофенона-ацетона); дийодэтилат, т. пл. 259–260° (разл.; из сп.). Йодистый N-триэтил-N-(4-йодбутил)-аммоний, т. пл. 120–121° (из сп.-эф.), получен с выходом 79% при стоянии триэтиламина (4 сут., ~ 20°) и 1,4-дийодбутана в эфире. Сообщение V см. РЖХим, 1957, 15661. Jaromír Plešek

#### 51219. Синтез некоторых азофенолов. Канэнива (Azophenol 系色素の合成・金庭照子), 金澤大學薬學部研究年報, Канадзава дайгаку якуугакю канкю зэмпо. Annual Rept Fac. Pharmacy Kanazawa Univ., 1956, 6, 54–56 (японск.; рез. англ.).

Получен ряд азофенолов общих ф-л  $RC_6H_4N=NC_6H_3(OH)_2$  2',4' (I) и  $RC_6H_4N=NC_6H_3CH_3$  3'-OH-2' (II) (даны R в I или II, т. пл. в °C): I, 2- $NO_2$  185 (разл., из хлф.); 3- $NO_2$ , 175–180 (разл.; из разб. сп.); 4- $NO_2$ , 199–200 (разл.; из  $CH_3OH$ ); 2- $CH_3$ , 176–178 (разл.; из хлф.); 3- $CH_3$ , 148–150 (из хлф.; выделен хроматографически); 4- $CH_3$ , 182–184 (разл.; из хлф., выделен хроматографически); 2- $CH_3O$ , 190 (разл.; из разб. сп.); 3- $CH_3O$ , 162–165 (разл.; из разб. сп.); 4- $CH_3O$ , 176–178,5 (из разб. сп.); 2-Br, 184 (разл.; из разб. сп.); 3-Br, 182,5–184 (из сп.); 4-Br, 197–199 (разл.; выделен хроматографически); II, 2- $NO_2$ , 115–117 (из сп.); 3- $NO_2$ , 162–163,5 (из бал.); 4- $NO_2$ , 184–186 (из лед.  $CH_3COOH$ ); 2- $CH_3$ , 95–98 (здесь и далее из сп.); 3- $CH_3$ , 98–100; 2- $CH_3O$ , 119–121; 3- $CH_3O$ , 72–75; 4- $CH_3O$ , 94–96; 2-Br, 110–113; 3-Br, 110–112,5; 4-Br, 148–150. Л. Яновская

#### 51220. Некоторые наблюдения над восстановлением ацилгидразinov, амидов и родственных им соединений посредством алюмогидрида лития. Хинман (Some observations on the reductions of acylhydrazines, amides and related compounds with lithium aluminum hydride. Hinman Richard L., J. Amer. Chem. Soc., 1956, 78, № 11, 2463–2467 (англ.).

Ацилгидразины и амиды, содержащие в молекуле группировку  $CONH_2$ , в отличие от таких же в-в с группировкой  $CONR$ , трудно восстанавливаются  $LiAlH_4$ , вследствие образования в первую стадию р-ции  $CONH_2 + AlH_4^- \rightarrow H_2 + H_3Al-O-C=N^-$  (I) аниона типа енолята, неспособного к дальнейшему восстановлению.  $C_6H_5CON(CH_3)NH_2$  (II),  $C_6H_5CON(C_6H_5)NH_2$  (III),  $C_6H_5CONH(CH_3)_2$  (IV),  $C_6H_5CONHNH_2$  (V), растворенные в тетрагидрофуране обработаны  $LiAlH_4$  в течение 3 час. Для р-ции с II и III взят избыток  $LiAlH_4$ , 38% и 43%, а для IV и V 100%. Из II и III получены  $C_6H_5CH_2N(R)NH_2$  (R =  $CH_3$  или  $C_6H_5$ ), выходы 55% и 45% соответственно. Вероятно, гетерогенность среды после смещения реактивов понижает выход. Для выяснения, зависит ли неактивность аниона I от наличия кислорода при углероде связи  $C=N$  или от влияния электроотрицательного заряда, проведено восстановление имидоэфира  $C_6H_5C(OC_2H_5)=NC_2H_5$  (VI) в кипящем тетрагидрофуране 20%-ным избытком  $LiAlH_4$ . Выделен  $C_6H_5CH_2NHC_2H_5$ , выход 49%. VI трудно атакуется нуклеофильными реагентами, что объяснено пониженной полярностью двойной связи  $C=N$  вследствие соседства  $OC_2H_5$ . На основании опытов этой и других работ построено два ряда функциональных групп в порядке их убывающей способности восстанавливаться  $LiAlH_4$ : 1)  $-CO-O- > -C(O-)=N- > -C(O-)=C=$  и 2)  $-CO-OR > -CO-NR^2 > -C(OR)=N- > -C(OR)=C=$ . Первые два члена ряда анионов обычно менее реакционноспособны, чем соответствующие члены второго ряда. А. Курсанова

#### 51221. Реакция 1,1-дифенил-2,2-диметилгидразина с алюмогидридом лития. Хинман (The reaction of 1,1-dibenzoyl-2,2-dimethylhydrazine with lithium aluminum hydride. Hinman Richard L., J. Organ. Chem., 1956, 21, № 10, 1177–1179 (англ.).

Продолжено изучение влияния строения ацилгидразinov на легкость их восстановления  $LiAlH_4$  (РЖХим, 1957, 15245). При действии  $LiAlH_4$  на 1,1-дифенил-2,2-диметилгидразин (I) получены 1-бензил-2,2-диметилгидразин (II), 1-бензоил-2,2-диметилгидразин (III),  $C_6H_5CH_2OH$ ,  $C_6H_5CHO$  и  $(CH_3)_2NNH_2$  (IV). Обсуждается возможный механизм образования этих соединений. I получен бензоилированием IV в пиридине, выход 67%. Кипятят 2 часа р-р 0,05 моля I и 0,1 моля  $LiAlH_4$ .



в 250 мл тетрагидрофурана. Смесь при 0° обрабатывают последовательно 3,8 мл воды, 3,8 мл 15%-ного NaOH и 11,4 мл воды. Выделяющиеся газы пропускают в эфир. р-р пириновой к-ты и выделяют пикрат IV. Реакционную смесь фильтруют, выпаривают в вакууме до объема 30 мл, извлекают 10%-ной HCl, подщелачивают р-ром NaOH, извлекают эфиром и после отгонки эфира из остатка отгоняют II, выход 21%, т. кип. 61–62°/0,55 мм; II·CH<sub>3</sub>J, т. пл. 216–217° (из 80%-ного сп.). Из остатка от перегонки выделяют III, выход 18%, т. пл. 106–107° (из этилацетата-пентр. эф.), затем из CCl<sub>4</sub>-пентр. эф.). В. Беликов

**51222. О гуанил- и нитрогуанилигидразонах α-галогид-кетонот. Бейер, Пиль** (Über Guanil- und Nitroguanilylhydrazon von α-Halogenketonen. Beyer Hans, Pyl Theodor, Chem. Ber., 1956, 89, № 11, 2556–2562 (нем.))

При р-ции аминогуанидина (I) с хлорацетоном (II), 3-бромбутаном-2 (III) или ω-бром-(IV), 4-ω-дибром-(V), 4-хлор-ω-бром-(VI) или 3-нитро-ω-бром-(VII)-ацетофенонами в спирт. р-рах HCl или HBr при 20° образуется соответственно хлоргидрат (XG) гуанилигидразона II (IIa) и бромгидраты (BG) гуанилигидразонов III–VII (IIIa–VIIa) (а везде обозначение гуанилигидразонов). В слабых р-рах к-т р-ция проходит медленно и неполно; 4–5 н. к-ты разлагают IIa–VIIa на исходные компоненты; α-бромпропиофенон и дезилхлорид не реагируют с I в аналогичных условиях. IIa–VIIa гидролизуются уже при перекристаллизации из воды, спирта или при действии р-ров щелочей на холоду, превращаясь сначала в гуанилигидразоны α-оксикетонот [напр., из IVa или Va в гуанилигидразоны ω-оксикетонот (VIII) и 4-бром-ω-оксикетонот (IX) ацетофенонов], разлагающиеся при нагревании их р-ров на соли I и α-оксикетонот; только BG гуанилигидразона 3-нитро-ω-оксикетонот фенона (X) устойчив к кипячению в воде. Нитрогуанилигидразоны II (IIb), IV–VI (IV–VIb), ω-хлор-(XIb) и 4-бром-ω-хлор (XIb)-ацетофенонов устойчивее IIa–VIIa и кристаллизуются из кипящего воды. Спирта без изменения, но разлагаются при нагревании до т-ры плавления. Нагреванием IIa–VIIa в пиридином синтезированы с колич. выходами четвертичные соли HX HN=C(NH<sub>2</sub>)NHN=C(R)CH(R')C<sub>6</sub>H<sub>5</sub>N+X<sup>-</sup>, [R = CH<sub>3</sub>, R' = H, X = Cl (IIb); CH<sub>3</sub>, CH<sub>3</sub>, Br (IIIb); C<sub>6</sub>H<sub>5</sub>, H, Br (IVb); n-C<sub>6</sub>H<sub>4</sub>Br, H, Br (Vb); n-C<sub>6</sub>H<sub>4</sub>Cl, H, Br (VIb); n-C<sub>6</sub>H<sub>4</sub>NO<sub>2</sub>, H, Br (VIIb)], разлагающиеся при действии щелочей на пиридин, CH<sub>3</sub>OH и соответствующий ациламиногуанидин, циклизующийся в производное 3-амино-1,2,4-триазол; IIb превращен этим путем в 3-амино-5-метил-1,2,4-триазол, т. пл. 225°. Взаимодействием IV с 2 молями α-нафтиламина в спирт. р-ре получен BG гуанилигидразона ω-(α-нафтиламино)-ацетофенона (XIII). 0,1 моля бикарбоната I в 40 мл 18%-ной HCl встряхивают с 0,1 моля II и получают IIa, выход 81%, т. пл. 171° (из 2 н. HCl). Аналогично из III или IV в HBr (к-те) получены (здесь и далее при в-вах указаны выход в % и т. пл. в °C): IIIa, 70, 161 и IVa, 80, 198 (из CH<sub>3</sub>OH-эф.). 0,1 моля бикарбоната I, 0,1 моля V, VI или VII, 0,1 л спирта и 20 мл конц. HBr нагревают при 40° и выделяют при 0° Va, 76, 218 (разл.; из сп.+HBr); VIa, 85, 209 или VIIa, 80, 228 (разл.). Р-р 11 г IVa в 50 мл спирта разбавляют 50 мл воды, приливают 0,1 л эфира, затем 50 мл 40%-ного NaOH, встряхивают, и из эфирного слоя выделяют VIII, т. пл. 156°; 0,01 моля Va или VIIa в 50 мл воды нагревают до кипения, охлаждают и отделяют IX, т. пл. 146°, или X, т. пл. 210° (из воды). К р-ру 0,02 моля нитроаминагуанидина (XIV) и 1 мл конц. HCl в 50 мл теплого 60%-ного спирта добавляют 0,02 моля II в 10 мл спирта и отделяют IIb, 75, 165 (из разб. сп.); 0,01 моля XIV, 0,01 моля IV, 50 мл CH<sub>3</sub>OH и 1 мл конц. HBr кипятят 10 мин. и получают IVb, 80, 164 (из сп.);

аналогично получены Vb, 85, 166; VIb, 93, 172; XIb, 80, 168 и XIIb, 75, 164. 0,01 моля IIa–VIIa в 10 мл спирта смешивают с 2 мл пиридина, приливают двойной объем эфира и отделяют [указаны т. пл. в °C (из сп.)]: IIa, 233, IIIa, 212, IVa, 239; Va, 233; VIa, 242 или VIIa, 238. 0,01 моля IVa, 0,02 моля α-нафтиламина и 25 мл спирта кипятят 5 мин., разбавляют тройным объемом воды и получают XII, т. пл. 193° (из сп.-эф.).

Д. Витковский

**51223. Предварительные замечания о гипотензивном действии двух ароматических дисульфидов.**

Кьярло (Osservazioni preliminari sull'azione ipotensiva di due disolfuri aromatici. Chiarlo B., Boll. Soc. ital. sperim., 1955, 31, № 6, 669–671 (итал.)) (2-HOCOC<sub>6</sub>H<sub>4</sub>S)<sub>2</sub> (I) получают двумя путями: метод А: диазотированием 2-NH<sub>2</sub>C<sub>6</sub>H<sub>4</sub>COOH (II) и р-цией Зандмейера (CuCNS и KCNS) получают 2-NCSC<sub>6</sub>H<sub>4</sub>COOH, которую действием щелочей при 70° переводят в I, т. пл. 290–291°; метод Б: диазотированием II и действием на диазосоединение Na<sub>2</sub>S<sub>2</sub> при 3–5°. (2-HOCO-5-NO<sub>2</sub>C<sub>6</sub>H<sub>3</sub>S)<sub>2</sub> (III) получают из 2-NH<sub>2</sub>-5-NO<sub>2</sub>C<sub>6</sub>H<sub>3</sub>COOH по методу А, т. пл. 172–173°. При внутривенном введении в слабощел. 1%-ном р-ре летальная доза I в мг/кг: 20 для собак и 25 для кроликов; III: 25 и 30 соответственно. Гипотензивный эффект обнаружен при дозах в 100 раз меньших.

В. Скородумов

**51224. Некоторые арвинилсульфиды и арвинилсульфиды эфиры. Монтанари** (Su alcuni aril-vinil-solfuri e aril-vinil-eteri. Montanari F., Boll. scient. Fac. chim. industr. Bologna, 1956, 14, № 3, 55–59 (итал.))

В связи с изучением ненасыщ. S-содержащих соединений (см. РЖХим, 1957, 26792, 41022) получены CH<sub>2</sub>=CHSR, где R = C<sub>6</sub>H<sub>5</sub> (I) и n-NO<sub>2</sub>C<sub>6</sub>H<sub>4</sub> (II), а также n-нитрофенилвиниловый эфир (III). Приведены кривые УФ-спектров I–III, фенилвинилового эфира (IV) и n-нитрофенил-β-пиперидилвинилсульфида. В р-ре I в циклогексане обнаружено два максимума в области 245–250 мμ и 264–270 мμ; УФ-спектр I подобен спектру тиоанизола и дифенилсульфида; УФ-спектр IV с полосой поглощения в области 220–230 мμ подобен спектру анизола или дифенилового эфира. Смесь 0,1 моля β-хлорэтилфенилсульфида в 30 мл спирта и 0,12 моля KOH в 30 мл спирта кипятят 3 часа, из фильтрата удаляют спирт, получают I, выход 83,7%, т. кип. 94°/25 мм. Аналогично из β-хлорэтил-п-нитрофенилсульфида (кипение 40 мин.) получают II, выход 75,1%, т. пл. 30–31° (из пентр. эф.), и из β-бромэтил-п-нитрофенилового эфира (кипение 2 часа) — III, т. кип. 114–116°/4 мм, т. пл. 54–56°. Л. Яновская

**51225. Амид бензилсульфиновой кислоты. Зейлер, Эрленмейер** (Über Benzylsulfonamid. Seiler H., Erleymeyer H., Helv. chim. acta, 1957, 40, № 1, 88–89 (нем.; рез. англ.))

При взаимодействии бензилмеркаптата Na с NH<sub>2</sub>Cl образуются дибензилдисульфид (I) и амид бензилсульфиновой к-ты (II), далее окисленный в известный бензилсульфамид. К 100 мл 1,8 М р-ра NaOCl прибавлено при –15° 300 мл 2 п. NH<sub>3</sub>, через 1 час смесь прилита к р-ру 22,3 мл C<sub>6</sub>H<sub>5</sub>CH<sub>2</sub>SH в спирт. NaOH (7,2 г NaOH в 300 мл сп.), через 15 час. (20°) отфильтрован I, выход 70,7%, т. пл. 69–70°, из фильтрата выделен II, выход 10,8%, т. пл. 124° (из ацетона).

А. Берлин

**51226. О взаимодействии ацилсульфенхлоридов с ненасыщенными соединениями. Бёме, Бецценбергер, Штахель** (Über Umsetzungen von Acylschwefelchloriden mit ungesättigten Verbindungen. Böhme Horst, Bezzenger Horst, Stachel Hans-Dietrich, Liebigs Ann. Chem., 1957, 602, № 1–3, 1–14 (нем.))

Взаимодействием CH<sub>2</sub>COSCl (I) с ненасыщ. соединениями с сильно поляризованными двойными связями, именно: с кетеном (II) или этилвиниловым эфиром

(III) синтезированы соответствующие ацетилмоносульфиды. Напротив, из этилена (IV) циклогексена (V), стирола (VI),  $\text{CH}_2=\text{CHCH}_2\text{Cl}$  (VII) и  $\text{CH}_2=\text{CHCOOCH}_3$  (VIII) при этом получены  $\beta$ -хлоралкиладетилдисульфиды, образование которых объясняется расщеплением  $\beta$ -хлоралкиладетилсульфидов на  $\text{CH}_3\text{COCl}$  и алкиленсульфиды и  $p$ -цией последних с I. Через  $p$ -р 16,5 г I в 25 мл  $\text{CH}_2\text{Cl}_2$  при 0° пропустили 45 мин. быстрый ток II; выделен  $\text{CH}_3\text{COSCH}_2\text{COCl}$  (IX), выход 53%, т. кип. 61–62°/2,5 мм,  $n_D^{20}$  1,5020; метиловый эфир, т. кип. 94–95°/10 мм, 64–65°/2,5 мм,  $n_D^{20}$  1,4795. Из IX после гидролиза нагреванием с водой и обработки  $p$ -ром J в  $\text{CH}_3\text{OH}$  получен  $\text{S}_2(\text{CH}_2\text{COOH})_2$ , т. пл. 105–106 (из этилацетата-бэл.). К охлажд.  $p$ -ру 14,4 г III в 30 мл эфира при –10° прибавлен по каплям эфирный  $p$ -р 22 г I, выделено 36 г жидкого неочищ. неустойчивого  $\text{CH}_3\text{COSCH}_2\text{CHClOC}_2\text{H}_5$  (X); диэтилацеталь (XI), т. кип. 102–103°/11 мм,  $n_D^{22,5}$  1,4561. При действии  $\text{NH}_2\text{NHCONH}_2$  на X в спирте образуется в-во,

по-видимому, строения  $\text{SCH}(\text{CH}_2\text{SH})\text{N}(\text{CONH}_2)\text{N}=\text{CHCH}_2$ , т. пл. 197–199° (из  $\text{C}_6\text{H}_5\text{OH}$ ). Другим путем XI синтезирован из  $\text{CH}_3\text{COSH}$ ,  $\text{C}_2\text{H}_5\text{OK}$  и бромдиэтилацетата с выходом 68%. Строение XI подтверждено гидролизом его в  $\text{HSC}_2\text{H}_4\text{CH}(\text{OC}_2\text{H}_5)_2$  (XII), выход 75%, т. кип. 62°/11 мм,  $n_D^{20}$  1,4410. Из XII,  $p$ -ра  $\text{C}_2\text{H}_5\text{ONa}$  и  $\text{C}_6\text{H}_7\text{Br}$  получен пропил-XII, выход 83%, т. кип. 103–104°/11 мм,  $n_D^{21,5}$  1,4470. Через  $p$ -р 3 г I в 50 мл  $\text{CCl}_4$  при –15° пропустили 2 часа IV; получен  $\beta$ -хлорэтилацетилдисульфид (XIII), выход 86%, т. кип. 116–118°/18 мм. XIII получен также с выходом 91% из 9 г  $\beta$ -хлорэтилмеркаптана в 40 мл эфира и 10,3 г I. Из 3 г I в 15 мл  $\text{CCl}_4$  и 2,2 г V в 10 мл  $\text{CCl}_4$  при –10° получен 2-хлорциклогексилдисульфид (XIV), выход 82%, т. кип. 164°/12 мм. В тех же условиях из 5,5 г  $\text{CH}_3\text{COS}_2\text{Cl}$  (XV) и 3,2 г V получено 81% XIV, а из 2,3 г циклогексенсульфида и смеси 2,2 г I и 31,4 г  $\text{CH}_3\text{COCl}$  – 60% XIV. Последняя  $p$ -ция свидетельствует о большей реакционной способности I, чем  $\text{CH}_3\text{COCl}$ . Кроме того, из V и  $\text{CH}_3\text{SCl}$  получен метил-2-хлорциклогексилсульфид, выход 60%, т. кип. 99°/13 мм. К  $p$ -ру 22 г I в 20 мл эфира при –10° прибавлен  $p$ -р 10,4 г VI в 15 мл эфира; через 1 час (20°) выделена смесь  $\alpha$ -(фенил- $\beta$ -хлорэтил)-ацетилдисульфида (XVI) и  $\beta$ -(фенил- $\alpha$ -хлорэтил)-ацетилдисульфида (XVII), выход смеси 91%, т. кип. 115–120°/0,01 мм,  $n_D^{18}$  1,5984. При восстановлении продуктов  $p$ -ции  $\text{LiAlH}_4$  в эфире получена смесь  $\alpha$ - и  $\beta$ -фенилэтилмеркаптанов, т. кип. 82–83°/12 мм,  $n_D^{21}$  1,5590. К  $p$ -ру  $\text{C}_2\text{H}_5\text{ONa}$  (из 0,23 г Na и 5 мл сп.) прибавлено 1,4 г смеси меркаптанов и 1,3 г  $\text{C}_6\text{H}_5\text{CH}_2\text{Cl}$ , жидкость кипятили, разбавили водой и обработали эфиром; остаток после отгонки  $p$ -рителя в 8 мл лед.  $\text{CH}_3\text{COOH}$  кипятит с 4 мл 3%-ной  $\text{H}_2\text{O}_2$ ; выделена смесь  $\alpha$ -(XVIII) и  $\beta$ -фенилэтилбензилсульфона (XIX), выход 81%, т. пл. 85–94,5° (из сп.). На основании диаграммы плавок смеси чистых XVIII и XIX показано, что выделенная смесь сульфонов содержит 87% XVIII и 13% XIX. Из 7,8 г VI и 10,7 г XV так же получена смесь XVI и XVII (выход 85%, т. кип. 115–125°/0,01 мм,  $n_D^{21}$  1,6005), превращенная аналогичным способом в смесь 84% XVIII и 16% XIX. Чистый XIX (выход 81%, т. пл. 126 (из сп.)) синтезирован кипячением 2 часа 2,5 г бензилмеркаптана,  $\text{C}_2\text{H}_5\text{ONa}$  (из 0,46 г Na в 8 мл сп.) и 3,7 г  $\beta$ -фенилэтилбромида с последующим окислением  $\text{H}_2\text{O}_2$  в лед.  $\text{CH}_3\text{COOH}$ . При взаимодействии 22 г I и 7,7 г VII в эфире также получена смесь  $\beta$ , $\gamma$ -дихлорпропилацетилдисульфида (XX) и  $\beta$ , $\gamma$ -дихлорпропилацетилдисульфида, выход 94%, т. кип. 116–117°/1,5 мм, 103–104°/0,6 мм,  $n_D^{20}$  1,5633,  $n_D^{20}$  1,5625, которая аналогично смеси XVI и XVII превращена в смесь  $n$ -изопропилмеркаптанов (т. кип. 55–75) и, далее, в смесь  $n$ - и изопропилбензилсульфонов, т. пл.

45–48° (из  $\text{C}_6\text{H}_{12}$ ). Тот же результат достигнут, исходя из 11 г I и 10,9 г  $\gamma$ -хлорпропиленсульфида в эфире. При гидролизе этой смеси дисульфидов 5 н. спирт.  $\text{HCl}$  в  $\text{N}_2$  (2,5 часа, 20°) выделен только  $\beta$ , $\gamma$ -дихлорпропилмеркаптан (XXI), выход 38%, т. кип. 66–68°/11 мм,  $n_D^{20}$  1,5239. Нагреванием I и XXI в  $\text{CCl}_4$  15 мин. получен чистый XX, выход 91%, т. кип. 112°/1,3 мм,  $n_D^{21}$  1,5624. Из смеси 37 г I в эфире и 14,5 г VIII через 2 дня (20°) выделен  $\text{ClCH}_2\text{CH}(\text{COOCH}_3)_2\text{COCH}_3$  (XXII), выход 88%, т. кип. 152–153°/11 мм, 140–142°/7 мм,  $n_D^{20,5}$  1,5360. Восстановлением  $\text{LiAlH}_4$  в эфире XXII превращен в 2-меркаптопропанол-1, выход 54%, т. кип. 54°/11 мм,  $n_D^{21}$  1,4843; бисфенилкарбамат, т. пл. 157°. Омылением 3- $S$ -ацетилмеркаптопропанола-1 получен 3-меркаптопропанол-1, т. кип. 74–75°/10 мм; бисфенилкарбамат, т. пл. 114° (из сп.-петр. эф.). А. Берлин

51227. Производные тиомочевинны с возможным антивирусным действием. Б. у. Хой, С. Мейт, Нам (Potential antiviral thiourea derivatives. В. у. Хо́й Нг. Ph., Xuong Ng. D., Nam Ng. H.), J. Chem. Soc., 1956, July, 2160–2165 (англ.).

Взаимодействием  $\text{ArNCS}$  с  $\text{NH}_2\text{NH}_2$  (I) синтезированы  $\text{ArNHCSNHNH}_2$  (II); II с  $\text{Ar}'\text{NCS}$  или  $\text{Ar}'\text{NCO}$  дает соответственно  $\text{ArNHCNSNHNHCSNHA}'$  (III) и  $\text{ArNHCNSNHNHCONHA}'$  (IV).  $p$ -цией на холоду спирт.  $p$ -ров  $\text{ArNCS}$  с  $\text{C}_6\text{H}_5\text{NHNH}_2$  получены  $\text{NH}_2\text{NC}_6\text{H}_5\text{CSNHA}'$  (V), а при нагревании получены  $\text{C}_6\text{H}_5\text{NHNHCSNHA}'$  (VI), последние в некоторых случаях образуются и на холоду. При перекристаллизации из кипящего спирта или  $\text{C}_6\text{H}_6$  V перегруппировывается в VI.  $\text{ArNCS}$  с  $\text{NH}_2\text{NHCSNHNH}_2$  или  $\text{NH}_2\text{NHCONHNH}_2$  (VII) образует соответственно  $\text{ArNHCNSNHNHCSNHNH}_2$  (VIII) или  $\text{ArNHCNSNHNHCONHNH}_2$  (IX). Кипячением (несколько часов) спирт.  $p$ -ра эквимолярных кол-в  $\text{Ar}'\text{COCH}_2\text{Br}$  с  $\text{Ar}'\text{NHCNSNHA}'$  с последующей нейтр-цией водн.  $\text{NaOH}$  и кристаллизацией из спирта получены  $\text{ArN}=\text{CSCH}=\text{C}(\text{Ar}')\text{NAr}$  (X).

К спирт.  $p$ -ру 2 молей I постепенно добавляют спирт.  $p$ -р 1 моля  $\text{ArNCS}$  при 0°, получают II, выход почти колич.; приведены Ar и т. пл. в °C (из сп.):  $n$ - $\text{FC}_6\text{H}_4$ , 189, 4-н-фторфенилтиосемикарбазон  $n$ -хлорбензалдегида, т. пл. 205° (из сп.+бэл.), пирироная, т. пл. 223° (из сп.+бэл.);  $n$ - $\text{C}_2\text{H}_5\text{OC}_6\text{H}_4$ , 145;  $n$ - $\text{C}_2\text{H}_5\text{C}_6\text{H}_4$ , 131;  $m$ - $\text{ClC}_6\text{H}_4$ , 115;  $n$ - $\text{ClC}_6\text{H}_4$ , 191;  $m$ - $\text{CH}_3\text{C}_6\text{H}_4$ , 108;  $\beta$ - $\text{ClC}_6\text{H}_4$ , 178. Смешивают теплые спирт.  $p$ -ры эквимолярных кол-в II и  $\text{Ar}'\text{NCS}$ , охлаждают и отфильтровывают III, перекристаллизуют из спирта или спирта +  $\text{C}_6\text{H}_6$ . Обработкой холодного спирт.  $p$ -ра II  $p$ -ром  $\text{Ar}'\text{NCS}$  в  $\text{C}_6\text{H}_6$  получены IV с почти теоретич. выходами. Приведены Ar в III и т. пл. в °C (при  $\text{Ar}' = \text{C}_6\text{H}_5$ ):  $n$ - $\text{C}_6\text{H}_4$ , 221;  $n$ - $\text{ClC}_6\text{H}_4$ , 216;  $n$ - $\text{BrC}_6\text{H}_4$ , 219;  $n$ - $\text{CH}_3\text{C}_6\text{H}_4$ , 210; 2,4-( $\text{CH}_3$ ) $_2\text{C}_6\text{H}_3$ , 205; 2,3-( $\text{CH}_3$ ) $_2\text{C}_6\text{H}_3$ , 198;  $n$ - $\text{CH}_3\text{OC}_6\text{H}_4$ , 211;  $o$ - $\text{CH}_3\text{OC}_6\text{H}_4$ , 172;  $n$ - $\text{C}_2\text{H}_5\text{OC}_6\text{H}_4$ , 219;  $o$ - $\text{C}_2\text{H}_5\text{OC}_6\text{H}_4$ , 159;  $изо$ - $\text{C}_5\text{H}_{11}\text{OC}_6\text{H}_4$ , 209;  $\alpha$ - $\text{C}_{10}\text{H}_7$ , 191;  $\beta$ - $\text{C}_{10}\text{H}_7$ , 201; (при  $\text{Ar}' = n$ - $\text{FC}_6\text{H}_4$ ):  $n$ - $\text{FC}_6\text{H}_4$ , 230;  $n$ - $\text{ClC}_6\text{H}_4$ , 234;  $n$ - $\text{BrC}_6\text{H}_4$ , 238;  $n$ - $\text{CH}_3\text{C}_6\text{H}_4$ , 231;  $m$ - $\text{CH}_3\text{C}_6\text{H}_4$ , 219;  $n$ - $\text{CH}_3\text{OC}_6\text{H}_4$ , 229;  $n$ - $\text{C}_2\text{H}_5\text{OC}_6\text{H}_4$ , 229;  $\alpha$ - $\text{C}_{10}\text{H}_7$ , 206;  $\beta$ - $\text{C}_{10}\text{H}_7$ , 220; (при  $\text{Ar}' = n$ - $\text{ClC}_6\text{H}_4$ ):  $n$ - $\text{ClC}_6\text{H}_4$ , 232;  $n$ - $\text{BrC}_6\text{H}_4$ , 234;  $n$ - $\text{CH}_3\text{C}_6\text{H}_4$ , 235;  $n$ - $\text{CH}_3\text{OC}_6\text{H}_4$ , 228;  $n$ - $\text{C}_2\text{H}_5\text{OC}_6\text{H}_4$ , 230;  $\alpha$ - $\text{C}_{10}\text{H}_7$ , 212;  $\beta$ - $\text{C}_{10}\text{H}_7$ , 221; (при  $\text{Ar}' = n$ - $\text{BrC}_6\text{H}_4$ ):  $n$ - $\text{BrC}_6\text{H}_4$ , 234;  $n$ - $\text{CH}_3\text{C}_6\text{H}_4$ , 233;  $n$ - $\text{CH}_3\text{OC}_6\text{H}_4$ , 228;  $\alpha$ - $\text{C}_{10}\text{H}_7$ , 215;  $\beta$ - $\text{C}_{10}\text{H}_7$ , 223; (при  $\text{Ar}' = n$ - $\text{CH}_3\text{C}_6\text{H}_4$ ):  $n$ - $\text{CH}_3\text{C}_6\text{H}_4$ , 227;  $n$ - $\text{CH}_3\text{OC}_6\text{H}_4$ , 225;  $n$ - $\text{C}_2\text{H}_5\text{OC}_6\text{H}_4$ , 234;  $\alpha$ - $\text{C}_{10}\text{H}_7$ , 204;  $\beta$ - $\text{C}_{10}\text{H}_7$ , 219; (при  $\text{Ar}' = n$ - $\text{C}_2\text{H}_5\text{OC}_6\text{H}_4$ ):  $n$ - $\text{CH}_3\text{OC}_6\text{H}_4$ , 237;  $n$ - $\text{C}_2\text{H}_5\text{OC}_6\text{H}_4$ , 227;  $\alpha$ - $\text{C}_{10}\text{H}_7$ , 204;  $\beta$ - $\text{C}_{10}\text{H}_7$ , 225; (при  $\text{Ar}' = n$ - $\text{C}_2\text{H}_5\text{OC}_6\text{H}_4$ ):  $n$ - $\text{C}_2\text{H}_5\text{OC}_6\text{H}_4$ , 239;  $\alpha$ - $\text{C}_{10}\text{H}_7$ , 202;  $\beta$ - $\text{C}_{10}\text{H}_7$ , 227. Приведены Ar в IV и т. пл. в °C (при  $\text{Ar}' = n$ - $\text{FC}_6\text{H}_4$ ):  $n$ - $\text{ClC}_6\text{H}_4$ , 280;  $n$ - $\text{BrC}_6\text{H}_4$ , 281;  $n$ - $\text{C}_2\text{H}_5\text{OC}_6\text{H}_4$ , 233; (при  $\text{Ar}' = m$ - $\text{ClC}_6\text{H}_4$ ):  $n$ - $\text{ClC}_6\text{H}_4$ , 226;  $n$ - $\text{BrC}_6\text{H}_4$ , 241; (при  $\text{Ar}' = m$ - $\text{CH}_3\text{C}_6\text{H}_4$ ):  $n$ - $\text{BrC}_6\text{H}_4$ , 248; (при  $\text{Ar}' = n$ - $\text{CH}_3\text{C}_6\text{H}_4$ ):  $n$ - $\text{ClC}_6\text{H}_4$ , 274;  $n$ - $\text{BrC}_6\text{H}_4$ , 288;  $n$ - $\text{C}_2\text{H}_5\text{OC}_6\text{H}_4$ , 246; (при  $\text{Ar}' = n$ - $\text{ClC}_6\text{H}_4$ ):  $n$ - $\text{ClC}_6\text{H}_4$ , 273;

$n\text{-BrC}_6\text{H}_4$ , 279;  $n\text{-C}_2\text{H}_5\text{OC}_6\text{H}_4$ , 246; (при  $\text{Ar} = n\text{-BrC}_6\text{H}_4$ ):  $n\text{-ClC}_6\text{H}_4$ , 277;  $n\text{-BrC}_6\text{H}_4$ , 283;  $n\text{-C}_2\text{H}_5\text{OC}_6\text{H}_4$ , 248; (при  $\text{Ar}' = n\text{-CH}_3\text{OC}_6\text{H}_4$ ):  $n\text{-ClC}_6\text{H}_4$ , 268;  $n\text{-BrC}_6\text{H}_4$ , 276;  $n\text{-C}_2\text{H}_5\text{OC}_6\text{H}_4$ , 237; (при  $\text{Ar}' = n\text{-C}_2\text{H}_5\text{OC}_6\text{H}_4$ ):  $\text{C}_6\text{H}_5$ , 233;  $n\text{-C}_2\text{H}_5\text{OC}_6\text{H}_4$ , 252; (при  $\text{Ar}' = \beta\text{-нафтил}$ ):  $n\text{-ClC}_6\text{H}_4$ , 262;  $n\text{-BrC}_6\text{H}_4$ , 270;  $n\text{-C}_2\text{H}_5\text{OC}_6\text{H}_4$ , 249. Спирт. р-р 3 г  $n\text{-C}_2\text{H}_5\text{O}-\text{C}_6\text{H}_4\text{NCS}$  добавляють на холоду к спирт. р-ру VII, получен IX ( $\text{Ar} = n\text{-C}_2\text{H}_5\text{OC}_6\text{H}_4$ ), т. пл. 243° (из сп.), аналогично из  $n\text{-FC}_6\text{H}_4\text{NCS}$  получен IX ( $\text{Ar} = n\text{-FC}_6\text{H}_4$ ), т. пл. 246—247° (из сп. + бзл.). Приведены  $\text{Ar}$  в VIII и т. пл. в °C:  $\text{C}_6\text{H}_5$ , 218;  $n\text{-CH}_3\text{C}_6\text{H}_4$ , 222; 2,4-( $\text{CH}_3$ ) $_2\text{C}_6\text{H}_3$ , 223; 2,3-( $\text{CH}_3$ ) $_2\text{C}_6\text{H}_3$ , 198;  $n\text{-C}_2\text{H}_5\text{C}_6\text{H}_4$ , 218;  $n\text{-C}_3\text{H}_7\text{C}_6\text{H}_4$ , 241;  $n\text{-C}_4\text{H}_9\text{C}_6\text{H}_4$ , 223;  $\alpha\text{-C}_{10}\text{H}_7$ , 229;  $\beta\text{-C}_{10}\text{H}_7$ , 218;  $o\text{-C}_6\text{H}_5$ , 199;  $n\text{-CH}_3\text{OC}_6\text{H}_4$ , 238;  $n\text{-C}_2\text{H}_5\text{OC}_6\text{H}_4$ , 241;  $n\text{-изо-C}_5\text{H}_{11}\text{OC}_6\text{H}_4$ , 223;  $n\text{-FC}_6\text{H}_4$ , 240;  $n\text{-ClC}_6\text{H}_4$ , 249;  $n\text{-BrC}_6\text{H}_4$ , 241. Получены следующие V (приведены  $\text{Ar}$  и т. пл. в °C):  $n\text{-CH}_3\text{OC}_6\text{H}_4$ , 155;  $n\text{-C}_2\text{H}_5\text{OC}_6\text{H}_4$ , 150; 2,3-( $\text{CH}_3$ ) $_2\text{C}_6\text{H}_3$ , 172;  $n\text{-C}_4\text{H}_9\text{C}_6\text{H}_4$ , 134;  $n\text{-ClC}_6\text{H}_4$ , 158;  $n\text{-BrC}_6\text{H}_4$ , 165;  $\alpha\text{-C}_{10}\text{H}_7$ , 185. Приведены значения  $\text{Ar}$  в VI и т. пл. в °C:  $n\text{-CH}_3\text{OC}_6\text{H}_4$ , 169;  $n\text{-C}_2\text{H}_5\text{OC}_6\text{H}_4$ , 182;  $o\text{-C}_6\text{H}_5\text{OC}_6\text{H}_4$ , 185,  $изо\text{-C}_5\text{H}_{11}\text{OC}_6\text{H}_4$ , 179; 2,3-( $\text{CH}_3$ ) $_2\text{C}_6\text{H}_3$ , 198; 2,4-( $\text{CH}_3$ ) $_2\text{C}_6\text{H}_3$ , 173;  $n\text{-C}_3\text{H}_7\text{C}_6\text{H}_4$ , 144;  $n\text{-C}_4\text{H}_9\text{C}_6\text{H}_4$ , 152;  $n\text{-FC}_6\text{H}_4$ , 177;  $n\text{-ClC}_6\text{H}_4$ , 176;  $n\text{-BrC}_6\text{H}_4$ , 178;  $n\text{-CH}_3\text{C}_6\text{H}_4$ , 186;  $\alpha\text{-C}_{10}\text{H}_7$ , 203. Получены также N( $\text{CH}_3$ )( $\text{C}_6\text{H}_5$ )NHCSNAr (приведены  $\text{Ar}$  и т. пл. в °C):  $n\text{-ClC}_6\text{H}_4$ , 172;  $n\text{-CH}_3\text{C}_6\text{H}_4$ , 165;  $n\text{-C}_2\text{H}_5\text{C}_6\text{H}_4$ , 162; 2,4-( $\text{CH}_3$ ) $_2\text{C}_6\text{H}_3$ , 172;  $n\text{-C}_2\text{H}_5\text{OC}_6\text{H}_4$ , 145. Приведены значения  $\text{Ar}$ ,  $\text{Ar}'$ ,  $\text{Ar}''$  в X и т. пл. в °C:  $n\text{-ClC}_6\text{H}_4$ ,  $n\text{-FC}_6\text{H}_4$ ,  $n\text{-CH}_3\text{C}_6\text{H}_4$ , 157; 2,5- $\text{Cl}_2\text{C}_6\text{H}_3$ ,  $n\text{-FC}_6\text{H}_4$ ,  $n\text{-CH}_3\text{C}_6\text{H}_4$ , 122;  $n\text{-изо-C}_5\text{H}_{11}\text{OC}_6\text{H}_4$ ,  $n\text{-C}_2\text{H}_5\text{C}_6\text{H}_4$ ,  $n\text{-CH}_3\text{C}_6\text{H}_4$ , 95;  $n\text{-ClC}_6\text{H}_4$ ,  $n\text{-FC}_6\text{H}_4$ ,  $n\text{-ClC}_6\text{H}_4$ , 195; 2,5- $\text{Cl}_2\text{C}_6\text{H}_3$ ,  $n\text{-FC}_6\text{H}_4$ ,  $n\text{-ClC}_6\text{H}_4$ , 130;  $изо\text{-C}_5\text{H}_{11}\text{OC}_6\text{H}_4$ ,  $n\text{-C}_2\text{H}_5\text{C}_6\text{H}_4$ ,  $n\text{-ClC}_6\text{H}_4$ , 117;  $n\text{-ClC}_6\text{H}_4$ ,  $n\text{-FC}_6\text{H}_4$ ,  $n\text{-BrC}_6\text{H}_4$ , 202; 2,5- $\text{Cl}_2\text{C}_6\text{H}_3$ ,  $n\text{-FC}_6\text{H}_4$ ,  $n\text{-BrC}_6\text{H}_4$ , 163;  $n\text{-изо-C}_5\text{H}_{11}\text{OC}_6\text{H}_4$ ,  $n\text{-C}_2\text{H}_5\text{C}_6\text{H}_4$ ,  $n\text{-BrC}_6\text{H}_4$ , 128.

Г. Крюкова

51228. Ациламинометилсульфиды и ациламинометилсульфоны. Хельман, Хаас (Acylaminomethylsulfide und Acylaminomethylsulfone. Hellmann Heinrich, Haas Gerhard, Chem. Ber., 1957, 90, № 3, 444—446 (нем.).

$\text{C}_6\text{H}_5\text{COCH}_2\text{NR}_2$  (I), где  $\text{R} = \text{CH}_3$  (Ia) или  $\text{C}_2\text{H}_5$  (Ib) реагируют с  $\text{R}'\text{SH}$  (II), образуя  $\text{C}_6\text{H}_5\text{COCH}_2\text{SR}'$  (III), а с  $\text{HSO}_3\text{R}''$  (IV) —  $\text{C}_6\text{H}_5\text{COCH}_2\text{SO}_3\text{R}''$  (V). II ( $\text{R}' = \text{C}_6\text{H}_5$ ), 16 и N( $\text{C}_4\text{H}_9$ ) $_3$  (по 0,09 моля) (или небольшое кол-во NaOH) кипятят 50 час. в 40 мл толуола в атмосфере  $\text{N}_2$ , прибавляют 100 мл петр. эфира (VI), получают III ( $\text{R}' = \text{C}_6\text{H}_5$ ), выход 70%, т. пл. 87° (пересаживают водой из спирт. р-ра) (из VI + бзл.). II ( $\text{R}' = \text{C}_6\text{H}_5\text{CH}_2$ ), 16 (по 0,01 моля) и 0,01 г порошка NaOH в 30 мл толуола кипятят 3 часа 20 мин. в атмосфере  $\text{N}_2$ , по охлаждению выделяется 0,2 г ( $\text{C}_6\text{H}_5\text{CONH})_2\text{CH}_2$ , к фильтрату прибавляют 100 мл VI получают III ( $\text{R}' = \text{C}_6\text{H}_5$ ), выход 85%, т. пл. 56° (из VI). 0,01 моля IV ( $\text{R}'' = \text{C}_6\text{H}_5$ ), 0,011 моля Ib и 40 мл толуола кипятят с 0,01 г NaOH в атмосфере  $\text{N}_2$  8 час., прибавляют 50 мл VI, выход V ( $\text{R}'' = \text{C}_6\text{H}_5$ ) 71%, т. пл. 133° (из сп.). 0,01 моля IV ( $\text{R}'' = n\text{-C}_6\text{H}_{13}\text{CH}_3$ ), 0,011 моля Ib и 40 мл толуола кипятят 24 часа, прибавляют 60 мл VI, выход V ( $\text{R}'' = n\text{-C}_6\text{H}_{13}\text{CH}_3$ ) 68%, т. пл. 162° (из сп.). 0,01 моля  $\text{HSO}_3\text{C}_6\text{H}_{11}[\text{NH}(\text{C}_4\text{H}_9)]_2$  и 0,01 моля Ib в 30 мл толуола кипятят в атмосфере  $\text{N}_2$  6 час., прибавляют 100 мл VI, через 3 дня выделяется V ( $\text{R}'' = \text{C}_6\text{H}_{11}$ ), выход 42%, т. пл. 135° (из сп.).

В. Скородумов

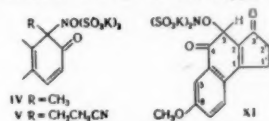
51229. Синтез  $\alpha$ -(дипропилсульфамил)-бензойной кислоты. Тосика, Нитта, Йомода ( $\alpha$ -(Dipropylsulfamyl)-benzoic Acid (の合成に就いて). 田中義雄, 新田義博, 四方田實郎, 薬学雑誌, Якугаку дзасси, J. Pharm. Soc. Japan, 1954, 74, № 11, 1193—1195 (японск.; рез. англ.).

Описан синтез  $(\text{C}_3\text{H}_7)_2\text{NSO}_2\text{C}_6\text{H}_4\text{COOH}$ -n (I) (бензил-мид) (т. пл. 194—194,5°) конденсацией  $n\text{-ClSO}_2\text{C}_6\text{H}_4\text{COOH}$  (II) с  $(\text{C}_3\text{H}_7)_2\text{NH}$  или гидрированием над Pd/C продукта р-ции II с диалкиламином —  $n\text{-HOOC}_6\text{H}_4\text{SO}_2\text{N}(\text{C}_3\text{H}_7)_2$ , т. пл. 186—187°, выходы I соответственно 60 и 95%. Взаимодействием  $n\text{-CH}_3\text{C}_6\text{H}_4\text{SO}_2\text{Cl}$  (III) с  $(\text{C}_3\text{H}_7)_2\text{NH}$  синтезирован  $n\text{-CH}_3\text{C}_6\text{H}_4\text{SO}_2\text{N}(\text{C}_3\text{H}_7)_2$  (IV) (выход 85%, т. кип. 172—175°/4 мм), окисление которого  $\text{KMnO}_4$  не приводит к I; при 50° образуется  $n\text{-CH}_3\text{C}_6\text{H}_4\text{SO}_2\text{NH}_2$ , при 90° —  $n\text{-NH}_2\text{SO}_2\text{C}_6\text{H}_4\text{COOH}$ . Р-цией III с диалкиламином синтезирован  $n\text{-CH}_3\text{C}_6\text{H}_4\text{SO}_2\text{N}(\text{C}_3\text{H}_7)_2$  (V) (выход 72%, т. кип. 190—193°/9 мм). При гидрировании V над Pd/C образуется IV, при окислении V получены те же продукты, что и при окислении IV.

Я. Комиссаров

51230. Реакции с нитрозодисульфатом. XIV. Хинитролоподобные продукты замещения в нафталиновом ряду. Тейбер, Гёц (Reaktionen mit Nitrosodisulfat. XIV. Mitteilung. Chinitrolartige Substitutionsprodukte der Naphthalinreihe. Teuber Hans-Joachim, Götz Norbert, Chem. Ber., 1956, 89, № 11, 2654—2669 (нем.).

При р-ции 1-метил- (I) или 1-( $\beta$ -цианэтил)- (II)  $\beta$ -нафтолов с 2 молями нитрозодисульфата калия  $\text{ON}(\text{SO}_3\text{K})_2$  (III) образуются хинитролы (IV) и (V), из которых при кипячении с водой, или при действии минер. к-т или тиосульфата регенерируются I и II и выделяются  $\text{NaHSO}_4$  и  $\text{N}_2\text{O}$ . Строение IV и V подтверждается УФ- и ИК-спектрами. Бис-(2-оксинафтил-1)-метан (VI) с 2 молями III образует аналогичный  $\alpha$ -монозамещ. продукт  $\text{C}_{21}\text{H}_{15}\text{O}_5\text{NS}_2\text{K}_2$  (VII), а с 4 молями III —  $\alpha,\alpha'$ -дизамещ. продукт  $\text{C}_{21}\text{H}_{14}\text{O}_6\text{NS}_2\text{K}_4$  (VIII). При р-ции VIII с 2,4-динитро- или  $n$ -нитрофенилгидразинами остатки  $\text{NO}(\text{SO}_3\text{K})_2$  замещаются на OH и образуются 2,4-динитро- (т. пл. 281—283°) и  $n$ -нитро- (т. пл. 205° (разл.)) фенилгидразоны соответствующего хинола. 3'-кето-4-окси-6-метокси-1,2-циклопентенонафталин (IX) и 3'-кето-4-окси-1,2-циклопентенонафтантён (X) дают с 2 молями III хинитролы, которым по аналогии приписано строение (XI) и (XII) (5,6-бенз- XI); в случае IX кроме XI образуется 3,4,3'-трикето-6-метокси-3,4-дигидро-1,2-циклопентенонафталин (XIII). Предложен ионный механизм р-ции. 45 г VI, 0,1 л 10%-ного NaOH и 45 г Zn-пыли кипятят 8 час., добавляют при 20° 13 мл 40%-ного  $\text{H}_2\text{O}_2$ , оставляют 4 часа при 20°, повторяют все операции еще 3 раза, уменьшая порции Zn-пыли до 20, 10 и 5 г, а  $\text{CH}_2\text{O}$  — до 8, 5 и 3 мл, приливают еще 8 мл р-ра  $\text{CH}_2\text{O}$ , фильтруют, подкисляют разб. HCl, извлекают кипящей водой I, т. пл. 110—112° (из воды), 2 ммоль I в 50 мл  $\text{CH}_3\text{OH}$  и 4 ммоль III в 60 мл воды и 40 мл  $\frac{1}{6}$  M



$\text{KH}_2\text{PO}_4$ , встряхивают, добавляют 25 мл  $\text{CH}_3\text{OH}$  и 12 мл воды, через 70 мин. (0°) отделиют моногидрат IV, выход 80%. 0,2 моля  $\beta$ -нафтола, 55 мл  $\text{C}_6\text{H}_6$ , 9 г NaOH и 0,22 моля акрилонитрила кипятят 2 часа, добавляют 0,1 л воды, подкисляют  $\text{CH}_3\text{COOH}$ , из осадка извлекают горячим спиртом II, выход 36%, т. пл. 141—142° (из сп.). 4 ммоль II в 120 мл  $\text{CH}_3\text{OH}$  смешивают при 0° с р-ром 8 ммоль III в 120 мл воды и 80 мл  $\frac{1}{6}$  M р-ра  $\text{KH}_2\text{PO}_4$ , тотчас фильтруют, оставляют при 0° и отделивают моногидрат V, выход 91,5—98,5%, т. пл. 230—235° (разл.). Аналогично из 4 ммоль VI и 8 ммоль III получен тригидрат VII, выход 84%. 2 ммоль IX в 190 мл ацетона смешивают с 1,7 г III в 170 мл воды и 2 мл 1 н.  $\text{CH}_3\text{COONa}$ , через 10 мин. добавляют 0,5 г



III в 25 мл воды, из фильтрата после стояния при 0° отгоняют ацетон и извлекают  $\text{CHCl}_3$  XI, т. пл. > 225° (разл.; из ацетона); из маточного р-ра выделен XIII. Аналогично из 28 г X в 140 мл ацетона и 10 мл диоксиана и 21 г III в 150 мл воды получен XII. К 0,6 ммоль IV в 25 мл воды добавляют 1 ммоль  $\text{Na}_2\text{S}_2\text{O}_4$  в 5 мл воды, через 1 час (0°) отделяют I, выход 87%. Приведены кривые ИК-спектров I—V, IX, X, XII и XIII и УФ-спектра XIII. Предыдущее сообщение см. РЖХим, 1957, 37648. Д. Витковский

**51231. Реакция кетенов с этилдиазоацетатом.** Кенд (The reaction of ketenes with ethyl diazoacetate. Kende Andrew S.), Chemistry and Industry, 1956, № 39, 1053—1054 (англ.)

Изучено взаимодействие диметил- (I) и дифенилкетена (II) с диазоуксусным эфиром (III). Из II и III получены этиловый эфир 2-оксис-3-фенилинденокарбонной-1 к-ты (IV), т. пл. 139—140°, и циклич. кетен-ацеталь  $(\text{C}_6\text{H}_5)_2\text{C}(\text{COCH}=\text{C}(\text{OC}_2\text{H}_5)_2)$  (V), т. пл. 125—126°.

V легко гидролизует до  $\gamma$ , $\gamma$ -дифенилтетраоновой к-ты, т. пл. 211—212°, полученной встречным синтезом из  $\alpha$ -хлордифенилацетилхлорида и Na-малонового эфира. Строение IV подтверждено декарбосилированием его до 1-фенил-2-оксоиндана (VI), семикарбазон которого, т. пл. 206—208°, идентичен полученному встречным синтезом из N-бромсукцинимидом и 3-фенилинденом. Из 2 г I и III в этилацетате получают 1,5 г этилового эфира  $\beta$ , $\beta$ -диметилакриловой к-ты, т. кип. 46—47°/10 мм, и 0,6 г эфира енола  $\alpha$ , $\alpha$ -диметилэтарной ангидрида (VII), т. кип. 76—79°/10 мм, т. пл. 50—51°. VII при кислотном гидролизе дает  $\alpha$ , $\alpha$ -диметилэтарную к-ту, т. пл. 138—139,5°. Показано, что образование новой C—C-связи протекает в случае II у  $\alpha$ -C-атома, а в случае I у C-атома карбонильной группы. Т. Краснова

**51232. Изучение синтеза нингидрина.** Эгасира (= ンヒロン合成法の改良・江頭暁), 日本化学雑誌, Нихон катэку дзасси, J. Chem. Soc. Japan. Pure Chem. Sec., 1954, 75, № 3, 308—309 (японск.)

Улучшена методика синтеза нингидрина (I) (Teegers W. O., Shriner R. L., J. Amer. Chem. Soc., 1933, 55, 3026). К р-ру 5 г инданона-1,3 в 200 мл разб. NaOH при 0° добавляют 2,5 г  $\text{Na}_2\text{O}_2$ , вводят понемногу HCl до кислой р-ции, перемешивают 30 мин., получают 2-изонитрозоинданон-1,3 (II), выход 100%. Смесь 3,7 г  $\text{H}_2\text{SeO}_4$ , 250 мл 2 н. HCl и 5 г II кипятят 3 часа, фильтрат насыщают при ~ 20°  $\text{SO}_2$ , фильтруют, упаривают до 50 мл (активированный C), упаривают до 1/3, отделяют I, из маточного р-ра упариванием выделяют еще одну порцию I, выход I 73%, т. пл. 238° (разл.). I не содержит даже следов Se и может быть использован для колориметрич. определения аминокислот и др. Л. Яновская

**51233. Гидроперекись тетралина. Получение некоторых  $\alpha$ - $\alpha$ -производных тетралина.** Чижевская И. И., Идельчик З. Б., Ж. общ. химии, 1957, 27, № 1, 83—88

Разработан ускоренный способ получения гидроперекиси тетралина (I) окислением тетралина (II)  $\text{O}_2$  в присутствии 0,01% стеарата Mn (III); в присутствии стеарата Co (или 0,1% III) I получается сильно загрязненной; I восстанавливают  $\text{Na}_2\text{SO}_3$  до  $\alpha$ - $\alpha$ -тетралола (IV), который действием  $\text{CH}_3\text{OH}$  и  $\text{H}_2\text{SO}_4$  превращают в  $\alpha$ - $\alpha$ -метокситетралин (V), проведение р-ции при > 60° ведет к дегидратации IV и образованию 1,2-дигидронафталина (VI); аналогичное явление отмечается при действии конц. HCl на IV; получаемый при этом  $\alpha$ - $\alpha$ -хлортетралин (VII) используют для синтеза  $\alpha$ - $\alpha$ -ацетокситетралина (VIII) и  $\alpha$ - $\alpha$ -диэтиламинотетралина (IX). Подвижность атома Cl в VII значительно снижена по сравнению с подвижностью галогена в алициклах. 100 г II и 0,013 г III нагревают

до 70°, пропускают  $\text{O}_2$  (очищение аскаритом,  $\text{H}_2\text{SO}_4$  и  $\text{CaCl}_2$ ) со скоростью 25—30 мл/мин, до содержания I 200—220 мг в 1 г реакционной массы (йодиметрич.), р-ритель отгоняют при 65—70°/2 мм, при охлаждении остатка получают I, выход 79,5%, т. пл. 55° (промыт петр. эф.). К 28 г I в 40 мл  $\text{CH}_3\text{OH}$  частями прибавляют 20%-ный р-р  $\text{Na}_2\text{SO}_3$  при взбалтывании и периодич. охлаждении за 5 час.; эфиром извлекают IV, выход 95%, т. кип. 107°/2 мм,  $n_D^{20}$  1,5673,  $d_4^{20}$  1,0996;  $\alpha$ -нафтилуретан, т. пл. 145—145,5° (из водн.  $\text{CH}_3\text{OH}$ ). 5,2 г IV в 15 мл безводн.  $\text{CH}_3\text{OH}$  с 1 каплей  $\text{H}_2\text{SO}_4$  нагревают при 60° 9 час., выливают в воду, экстрагируют эфиром V, выход 78%, т. кип. 90—92,5°/2, 5 мм,  $n_D^{20}$  1,5430,  $d_4^{20}$  1,0343. 5 г IV, 25 мл  $\text{CH}_3\text{OH}$  и 0,3 г конц.  $\text{H}_2\text{SO}_4$  нагревают при ~ 100° 7 час., нейтрализуют  $\text{BaCO}_3$ , из фильтрата получают VI, выход 2,5 г, т. кип. 77°/5 мм,  $n_D^{20}$  1,5832,  $d_4^{20}$  1,0016. 0,3 г VI в 20 мл  $\text{CHCl}_3$  охлаждают до -2°, бромруют 0,5 г  $\text{Br}_2$  в 10 мл  $\text{CHCl}_3$ , отгоняют р-ритель, получают 1,2-дибромтетралин, т. пл. 68—69°. 5 г IV и 50 мл конц. HCl нагревают 6 час. при 40—45°, выливают в 400 мл холодной воды, экстрагируют эфиром VII, выход 77%, т. кип. 98—100°/2 мм,  $n_D^{20}$  1,5698,  $d_4^{20}$  1,1474. 20 г VII и 25 г  $(\text{C}_2\text{H}_5)_2\text{NH}$  нагревают при 110—120° 25 час., хлориды аминов растворяют в воде, эфирный экстракт щел. р-ра после промывания водой высушивают, получают IX, выход 68%, т. кип. 100—102°/1,5 мм,  $n_D^{20}$  1,5382,  $d_4^{20}$  0,9819. 3,6 г VII, 4 г  $\text{CH}_3\text{COOAg}$  и 4 мл  $\text{CH}_3\text{COOH}$  нагревают 6 час. при 60°, разбавляют водой, экстрагируют эфиром VIII, т. кип. 112—114°/2,5 мм,  $n_D^{20}$  1,5286,  $d_4^{20}$  1,0810. 30 г IV, 23 г  $(\text{CH}_3\text{CO})_2\text{O}$  и 18 г  $\text{NC}_5\text{H}_5$  нагревают 6 час. при 60°, выливают в 2 л воды с 200 мл 3 н. HCl, экстрагируют эфиром VIII, т. кип. 108—109°/1,5—2 мм,  $n_D^{20}$  1,5290,  $d_4^{20}$  1,0815. В. Скородумов

**51234. Ретропинаколиновая перегруппировка при некоторых процессах ароматизации.** Муссерон, Жакье, Кристолю (Rearrangements retropinacologiques dans quelques réactions d'aromatization. Mousseron Max, Jacquier Robert, Christol Henri), C. r. Acad. sci., 1956, 243, № 20, 1532—1534 (франц.)

При дегидратации 2,2-диалкилтетраолов-1  $\text{KHSO}_4$  в результате ретропинаколиновой перегруппировки образуются 1,2-диалкил-3,4-дигидронафталины, строение которых подтверждено их УФ-спектрами и дегидрированием  $\text{SeO}_2$  в соответствующие производные нафталина. Так, из 2,2-диметил- или 2,2-диэтилтетраолов-1 получены с 80%-ными выходами 1,2-диметил- или 1,2-диэтил- (из сп.) и 1,2-диэтил- [ПК, т. пл. 107—108° (из сп.)] нафталины; из 2,2-тетраметил- и 2,2-пентаметилтетраолов-1 получены 1,2,3,4-тетрагидрофенантрен, т. пл. 34° (из  $\text{CH}_3\text{OH}$ ), ПК, т. пл. 111—112° (из сп.) и 1,2-циклопентенафталин, т. пл. 40—41° (из  $\text{CH}_3\text{OH}$ ), ПК, т. пл. 102° (из сп.). Аналогично 2,2-диметиллиданон-1, т. пл. 46—47° (из петр. эф.), динитрофенилгидразон (ДНФГ), т. пл. 184° (из бэл.-сп.), или 2,2-диэтиллиданон-1, ДНФГ, т. пл. 165° (из бэл.-сп.), синтезированные взаимодействием инданона-1 (I) с  $\text{CH}_3\text{I}$  или  $\text{C}_2\text{H}_5\text{I}$  в присутствии  $\text{трет-С}_2\text{H}_5\text{OK}$  и восстановленные  $\text{LiAlH}_4$  в соответствующие инданолы, превращены в 2,3-диметил- (т. кип. 115°/20 мм) и 2,3-диэтил- (т. кип. 92°/0,5 мм) индены; а 2,2-тетраметил- [ДНФГ, т. пл. 208° (из бэл.)] или 2,2-пентаметил- [т. пл. 58° (из бэл.-петр. эф.), ДНФГ, т. пл. 228—229° (из бэл.), оксим, т. пл. 187° (из бэл.)] инданоны-1, синтезированные с 50%-ными выходами р-цией I с 1,4-дибромбутаном или 1,5-дибромпентаном превращены в 1,2,3,4-тетрагидрофлуорен, т. пл. 58—59° (из сп.), дегидрированный над Pd/C в флуорен, и 2,3-циклопентениден, дегидрированный в бензаулен-1,2, 1,2-дигидро-, 1-метил-3,4-дигидро- и 1-этил-3,4-

дигидронафталины дегидрированы  $\text{SeO}_2$  в нафталин и 1-метил- и 1-этилнафталины. При дегидрировании  $\text{SeO}_2$  2-метил- (II) или 2-этил-3,4-дигидронафталина (III) получены: из II — 2-метилнафталин, выход 60%, т. пл. 34–35° (из петр. эф.); ПК, т. пл. 115–116° (из сл.), и нафтаальдегид-2, выход 10%, т. пл. 61° (из бзл.-петр. эф.); ДНФГ, т. пл. 253–254° (из ксилола), и из III — 2-этилнафталин; ПК, т. пл. 77° (из сл.), и  $\beta$ -нафтилметилкетон, т. пл. 56° (из бзл.-петр. эф.); ДНФГ, т. пл. 262° (из ксилола). Д. Витковский

51235. К вопросу о получении  $\alpha$ -алкилнафталинов. Сергиевская С. И., Сафонова Т. С., Ж. общ. химии, 1956, 26, № 12, 3479–3485

Дегидратацией  $\alpha$ -(1-оксипропил)- (Ia),  $\alpha$ -(1-оксипропил)- (Ib),  $\alpha$ -(2-оксипропил)- (Iв) или  $\alpha$ -(1-оксипропил)- (Iг) нафталинов  $\text{KHSO}_4$  в присутствии гидроксина и последующим гидрированием образующихся  $\alpha$ -винил- (IIa),  $\alpha$ -пропенил-1)- (IIб),  $\alpha$ -пропенил-2)- (IIв) и  $\alpha$ -бутенил- (IIг) нафталинов синтезируются с хорошими выходами  $\alpha$ -этил- (IIIa),  $\alpha$ -пропил- (IIIб),  $\alpha$ -изопропил- (IIIв) и  $\alpha$ -бутил- (IIIг) нафталины, не содержащие  $\beta$ -изомеров и полиалкилнафталинов. Iг дегидратирован также перегонкой в вакууме над KOH, причем часть в-ва изомеризуется, при окислении образующейся смеси  $\text{KMnO}_4$  в ацетоне образуются  $\alpha$ -нафтойная (IV) (64,5%),  $\alpha$ -нафтилуксусная (19,1%) к-ты и  $\alpha$ -нафтилметилкетон (7%); при гидрировании же этой смеси получен IIIг с несколько пониженным выходом. Ia — г синтезируются по Гриньяру из  $\alpha$ - $\text{C}_{10}\text{H}_7\text{Br}$ . К 6 г Mg добавляют 51,8 г  $\alpha$ - $\text{C}_{10}\text{H}_7\text{Br}$  в 0,2 л эфира и 0,1 мл  $\text{CH}_3\text{I}$ , затем р-р 20,6 г  $\text{C}_2\text{H}_5\text{CHO}$  в 0,1 л эфира и получают Iг, выход 92%, т. кип. 130–131°/1 мм; пикрат, (ПК), т. пл. 51–52° (из сл.). 38,5 г Ia быстро перегоняют при 1 мм над 6,2 г  $\text{KHSO}_4$  и 0,25 г гидроксина и получают IIa, т. кип. 93–94°/1 мм; ПК, т. пл. 101°. Аналогично получены (указаны т. кип. в °C/мм и т. пл. ПК в °C): IIб, 98–100°/1, 110–114; IIв, 122–123°/10, 89–90. 26 г Iг, 8 г  $\text{KHSO}_4$  и 0,14 г гидроксина нагревали 1,5 часа при 140–145°/30 мм, перегоняют и получают IIг, 143–145°/30, 91–92 (из сл.); 26,6 г IIa в 0,2 л спирта гидрируют над 5 г скелетного Ni и получают (здесь и далее указаны выход в %, т. кип. в °C,  $n_D^{20}$ ,  $d_4^{20}$  и т. пл. ПК в °C): IIIa, 75 109/9, 1,6070, 1,0280, 99; аналогично получены IIIб, 78,6, 114–114,5/6, 1,6001, 0,9902, 93; IIIв, 80, 131–131,5/10, —, —, 86; IIIг, 95,6, 148,5–149/13, —, 0,9756, 64–65. При окислении IIIг  $\text{KMnO}_4$  образуется только IV. Д. Витковский

51236. О синтезе 1,5-дивинилнафталина. Штефан (Notiz über die Synthese des 1,5-Divinyl-naphthalins. Stephan Rudolf), Chem. Ber., 1957, 90, № 2, 296–298 (нем.)

Катализическим гидрированием или действием  $\text{LiAlH}_4$  1,5-диацетилнафталин (I) восстановлен в 1,5-бис-( $\alpha$ -оксипропил)-нафталин (II), который превращен в 1,5-бис-( $\alpha$ -бромэтил)-нафталин (III). Дегидратацией II получен 1,5-дивинилнафталин (IV). К р-ру 10 г I в 500 мл спирта добавлен 1 мл 30%-ного NaOH, смесь гидрировали над 10 г скелетного Ni, получен II, выход ~100%, т. пл. 222° (из хлф.). При действии  $\text{LiAlH}_4$  на I в смеси эфира и  $\text{C}_6\text{H}_6$  также образуется II. Р-р 6,5 г II в 200 мл  $\text{CHCl}_3$  медленно обработан 5,5 г  $\text{PBr}_3$ , выделено 10 г III, т. пл. 175° (из хлф.). Р-р 10,8 г II в 250 мл пиридина пропустили за 40 мин. через трубку с  $\text{Al}_2\text{O}_3$  при 400°/40 мм; после разбавления водой выделен IV, выход 30%, т. пл. 56° (из сл.); тетрабромид, т. пл. 200° (из хлф.). А. Берлин

51237. О бензо- и нафтоиндантрионах. Мейер, Лоттер (Über Benzo- und Naphthoindantrione. Meier Richard, Lotter Hans Georg), Chem. Ber., 1957, 90, № 2, 222–228 (нем.)

С целью получения в-в типа нингидрина синтезиро-

ваны 4,5-(I) и 5,6-бензиндантрион-1,2,3 (II), исходя из диметилловых эфиров нафталиндикарбоновой-1,2 и -2,3 к-ты (III–IV) через 4,5- и 5,6-бензиндантрион-1,3 (V–VI). Аналогично, из диметилловых эфиров антрацендикарбоновой-1,2 и -2,3 к-ты (VII–VIII) получены нафто-(2,3'-4,5)- и нафто-(2,3'-5,6)-индантрион-1,3 (IX–X), при окислении которых не удалось выделить соответствующие трионы. При действии  $\text{HNO}_3$  на V образуется, вероятно, 2-окси-бис-(1,3-диоксо-4,5-бензинданрил-2) (XI). Из 12 г III (т. пл. 84–85°), 25 г этилацетата, 30 мл ксилола и 4 г Na (2 часа, кипячение) синтезирован V, выход 73%, т. пл. 174–175° (разл.; из сл.); 2,2-дибромид (XII), т. пл. 243–245° (разл.) 2-изонитрозо-V, т. пл. 221–223 (разл.; из  $\text{CH}_3\text{OH}$  или ацетона). Так же, из IV (т. кип. 141–145°/1 мм, т. пл. 48–50°) получен VI, выход 79%, т. пл. 223–225° (разл.; из бзл.); 2,2-дибромид, т. пл. 272–273° (разл.). Смесь р-ра 5 г V в 50 мл  $\text{C}_6\text{H}_5\text{NO}_2$  и 2,8 г  $\text{SeO}_2$  нагревали 6 час. при 150°; после фильтрования и отгонки р-рителя с паром выделен I ·  $\text{H}_2\text{O}$ , выход 53%, т. пл. безводи. I 244–246° (разл.); кроме того, получено 1,2 г, вероятно, бис-(1,3-диоксо-4,5-бензинданрила-2), т. пл. 265–268° (разл.; из ацетона). Из 5,7 г VI в 100 мл  $\text{C}_6\text{H}_5\text{NO}_2$  и 3,3 г  $\text{SeO}_2$  (15 час., 150°) получен II ·  $\text{H}_2\text{O}$ , выход 23%, т. пл. безводи. II 279–282° (разл.). К р-ру 3,5 г VII (т. пл. 114–115°) в 7 мл этилацетата и 10 мл  $\text{C}_6\text{H}_6$  прибавлен 1 г Na и смесь кипятили 12 час.; осадок нагрет с 100 мл конц. HCl (5 час., 100°) и продукт р-ции возогнан при 140–150°/1 мм; получен IX, выход 48%, т. пл. 246–247° (разл.; из бзл.). Аналогично, из VIII (т. пл. 117–118°) синтезирован X, очищ. возогной при 170–180°/1 мм, выход 35%, т. пл. 249–251° (разл.; из  $\text{CH}_3\text{CO}_2\text{H}$ ). Окислением 0,5 г X 0,25 г  $\text{SeO}_2$  в 50 мл диоксана получено в-во состава  $\text{C}_{17}\text{H}_8\text{O}_3$ , т. пл. 343–346° (разл.). Р-р 2 г V в 80 мл лед.  $\text{CH}_3\text{COOH}$  обработан 2 мл дымящей  $\text{HNO}_3$  (20 мин., 58–60° и 1 час, 20°); выделено 1,4 г XI, т. пл. 207–210° (разл.; из ацетона). При бромировании XI в лед.  $\text{CH}_3\text{COOH}$  (100°) образуется XII. При р-ции 2,2 ммоль I ·  $\text{H}_2\text{O}$  в 200 мл воды с 5,5 ммоль аланина (20 мин., медленная перегонка в  $\text{CO}_2$ ) выделено 1,1 ммоль  $\text{CH}_3\text{CHO}$  в виде 2,4-динитрофенилгидразона и 0,4 г красно-фиолетового в-ва  $\text{C}_{16}\text{H}_{12}\text{O}_4\text{N}_2$ , т. разл. от 330°. Аналогично реагирует I ·  $\text{H}_2\text{O}$  с образованием темно-коричневого в-ва того же состава, т. разл. от 325°. А. Берлин

51238. О стереоизомерных N-этилированных гексагидроантралиновых ксилотах. Хюниг, Каханек (Über die stereoisomeren N-äthylierten Hexahydroanthranilsäuren. Hünig Siegfried, Kahanek Herbert), Chem. Ber., 1957, 90, № 2, 234–238 (нем.)

Исследованы *цис*- и *транс*-формы N-этилгексагидроантралиновой (I) и N,N-диэтилгексагидроантралиновой к-ты (II). При нагревании 13,7 г этилового эфира (ЭЭ) *транс*-гексагидроантралиновой к-ты, 30 г ( $\text{C}_2\text{H}_5$ )<sub>2</sub> ·  $\text{SO}_4$ , 16 г  $\text{CaCO}_3$  и 80 мл  $\text{C}_6\text{H}_5\text{Cl}$  8 час. получен ЭЭ *транс*-I (III), выход 78%, т. кип. 111–113°/11 мм; *транс*-I, т. пл. 231–232° (из  $\text{CH}_3\text{OH}$ -эф.). Аналогично получен ЭЭ *цис*-I (IV), т. кип. 112–113°/12 мм; хлоргидрат *цис*-I, т. пл. 205–206° (из *изо*- $\text{C}_2\text{H}_5\text{OH}$ - $\text{C}_6\text{H}_{12}$ ); *цис*-I, т. пл. 175–176° (из ацетона). Нагреванием с конц. HCl (10 час., 180–190°) *цис*-I превращен в *транс*-I. Смесь 4,3 г IV и 15 г ( $\text{C}_2\text{H}_5$ )<sub>2</sub>  $\text{SO}_4$  нагревали 7 час. при 130–140°; выделен ЭЭ *цис*-II (V), выход 73%, т. кип. 124–125°/12 мм, йодметилат, т. пл. 157,5° (из  $\text{CH}_3\text{OH}$ -эф.). Аналогично, из III получен ЭЭ *транс*-II (VI), т. кип. 124–125°/12 мм; *транс*-II, т. пл. 92–93° (из этилацетата). При нагревании с конц. HCl (10 час., 150–160°) не кристаллич. *цис*-II превращен в *транс*-II. Термич. отщепление ( $\text{C}_2\text{H}_5$ )<sub>2</sub>  $\text{NH}$  от V в  $\text{C}_6\text{H}_5\text{CH}_2\text{OH}$  при 154° протекает в 3,2 раза быстрее, чем от VI. А. Б. 51239. Действие гриньяровых реактивов на 9,9'-диантропильден и 9,9'-диантропиль. Абдель Фатта

Али Измаил, Заки Мохаммед эль-Шафей (The action of Grignard reagents on dianthron-9-ylidene and dianthron-9-yl. Abdel Fattah Aly Ismail, Zaki Mohammed El-Shafei, J. Chem. Soc., 1957, Febr., 796—799 (англ.).)

При действии  $\text{RMgX}$  (I—IV) (I  $\text{R} = \text{C}_6\text{H}_5$ ; II  $\text{R} = \text{C}_6\text{H}_5\text{CH}_2$ ; III  $\text{R} = n\text{-ClC}_6\text{H}_4$ ; IV  $\text{R} = \alpha\text{-ClC}_6\text{H}_7$ ) на 9,9'-диантронил (V) получены карбинолы  $\text{RR}'\text{C}(\text{C}_6\text{H}_5)_2\text{-CHCH}(\text{C}_6\text{H}_5)_2\text{CR}''\text{R}'''$  (VI—IX) (VI  $\text{R} = \text{R}' = \text{C}_6\text{H}_5$ ,  $\text{R}'' = \text{R}''' = \text{OH}$ ; VII  $\text{R} = \text{C}_6\text{H}_5\text{CH}_2$ ,  $\text{R}' = \text{OH}$ ,  $\text{R}'' = \text{R}''' = \text{O}$ ; VIII  $\text{R} = \text{R}' = n\text{-ClC}_6\text{H}_4$ ,  $\text{R}'' = \text{R}''' = \text{OH}$ ; IX  $\text{R} = \text{R}' = \alpha\text{-ClC}_6\text{H}_7$ ,  $\text{R}'' = \text{R}''' = \text{OH}$ ). При дегидратации IX образуется 9,9'-ди-(10- $\alpha$ -нафтилантирил) (X). Из 9,9'-диантронилена (XI) и III синтезирован 10,10'-ди- $n$ -хлорфенил-10,10'-диоксид-XI (XII). Действием  $\text{LiAlH}_4$  XI превращен в 10,10'-дигидро-9,9'-диантрилен (XIII). Приведены кривые УФ-спектров X и 9,9'-диантрила. К р-ру I (из 1,1 г Mg, 7,2 г  $\text{C}_6\text{H}_5\text{Br}$  и 25 мл эф.) прибавлено 50 мл  $\text{C}_6\text{H}_6$  и постепенно 5 г V; после кипячения 4 часа с медленной отгонкой эфира обычным путем выделено 5,2 г VI, т. пл. 285° (из этилацетата); диацетат, т. пл. 140° (из толуола). Аналогично, из V и II (1 моль; 3 моля) получен VII, т. пл. 178° (из толуол-баз.); моноацетат, т. пл. 170° (из  $\text{CH}_3\text{OH}$ ), из V и III синтезирован VIII, т. пл. 298° (разл.; из толуола), а из V и IV—IX, т. пл. > 300°. При попытке ацетилирования  $(\text{CH}_3\text{CO})_2\text{O}$  в  $\text{CH}_3\text{COOH}$  (3 часа) IX получен X, т. пл. > 330° (из толуола). При действии III на XI получен XII, т. пл. > 300° (разл.; из толуола). Из 3 г XI в 100 мл  $\text{C}_6\text{H}_6$  и 1,2 г  $\text{LiAlH}_4$  в 100 мл эфира (3 часа, кипячение) получено 2,5 г XIII, т. пл. 328° (из бэл.). А. Б. 51240. Синтез производных 2,2'-диметил-4,5,4',5'-тетраметоксибензилена и превращение их в производные 2,3,6,7-тетраметоксифенантрена. Келе, Матарассо-Чирухина (Synthèse de dérivés du diméthyl-2,2'-tétraméthoxy-4,5,4',5' biphenyle; passage à des dérivés du tétraméthoxy-2,3,6,7-phénanthrène. Quelet Raymond, Matarasso-Tchiroukhine Elisabeth, C. r. Acad. sci., 1957, 244, № 4, 467—470 (франц.).)

При кипячении с разб.  $\text{CH}_3\text{COOH}$  (3:1) 2,2'-дихлор-4,5,4',5'-тетраметоксибензил (I) (РЖХим, 1956, 46928) образуется вместо ожидаемого гликоля продукт его дегидратации — соответствующая циклич. окись (II), выход 70%, т. пл. 258° (из бэл.). Аналогично протекает гидролиз I в щел. среде. II кипятят 3 часа с  $\text{K}_2\text{Cr}_2\text{O}_7$  (1:1 по весу) в 90%-ной  $\text{CH}_3\text{COOH}$ , разбавляют водой и отделяют диальдегид — 4,5,4',5'-тетраметокси-2,2'-диметилалдифенил (III), выход 60%, т. пл. 215° (из ксилола); диоксим, т. пл. 295—296° (из  $\text{CH}_3\text{OH}$ ); бис-дифенилгидразон, т. пл. 263—264° (из  $\text{CH}_3\text{COOH-CH}_3\text{OH}$ ). III образуется также при окислении I по методу Соммле. Если окисление II проводить 1 час в лед.  $\text{CH}_3\text{COOH}$  (II:  $\text{Na}_2\text{Cr}_2\text{O}_7$ , 1:10), то образуется 2,3,6,7-тетраметоксифенантренин (IV), т. пл. 262° (из анизола); хинокальиновое производное (из IV и  $o\text{-C}_6\text{H}_4(\text{NH}_2)_2$ ), т. пл. 276° (из  $\text{CH}_3\text{COOH}$ ). IV восстанавливают смесью  $\text{LiAlH}_4 + \text{LiH}$  в тетрагидрофуране и выделяют 2,3,6,7-тетраметокси-9,10-дигидродифенил-антрен, т. пл. 202—203° (из бэл.); диацетат, т. пл. 205—206° (из  $\text{CH}_3\text{OH}$ ). Аналогичное восстановление III приводит к 4,5,4',5'-тетраметокси-2,2'-диметилалдифениду (V), выход 70%; полутиграт, т. пл. 128° (из бэл.); V, т. пл. 136—137° (вторичное плавление); диацетат, т. пл. 99—100°. И. Леви 51241. Синтез эфиров  $\beta$ -формилпропионовой кислоты из фуффуrola. Сёно, Хатихама (フルフラールから $\beta$ -ホルミルプロピオン酸エステルの合成. 莊野利之, 八浜義和), 工業化学雑誌, Kōgō Kagaku Zasshi, J. Chem. Soc. Japan. Industr. Chem. Sec., 1955, 58, № 9, 692—693 (японск.).)

Предложен метод синтеза эфиров  $\beta$ -формилпропио-

новой к-ты  $\text{OHC}(\text{CH}_2)_2\text{COOR}$  (I) из фуффуrola (II) через  $\beta$ -формилдихлор (III) или  $\beta$ -формилдибромалювую к-ту (IV) и лактон  $\text{R'OCHNCX}=\text{CXCOO}$  (V).

Последний синтезирован при обработке III или IV  $\text{R'OH}$  в присутствии к-ты. Дегалондированием с последующим восстановлением скелетным Ni (VI) или Ni на кизельгуре (VII) V превращают в I. III, т. пл. 125°, IV, т. пл. 120°, полученные из II, и  $\text{R'OH}$  кипятят 20 час. в р-ре  $\text{C}_6\text{H}_6$  или  $\text{C}_6\text{H}_5\text{CH}_3$  в присутствии конц.  $\text{H}_2\text{SO}_4$ , получают V (приведены  $\text{R}'$ , X, выход в %, т. кип. в °C/мм, т. пл. в °C,  $n_D^{20}$ ,  $d_4^{20}$ ):  $\text{CH}_3$ , Cl, 64, 106—108/6, —, 1,4952, 1,4701;  $\text{C}_2\text{H}_5$ , Cl, 88, 87—88/4, —, 1,4856, 1,3677;  $\text{iso-C}_3\text{H}_7$ , Cl, 74, 109—111/6, 23—24, —,  $\text{C}_4\text{H}_9$ , Cl, 62, 99—101/4, —, 1,4789, 1,2760;  $\text{C}_6\text{H}_5\text{CH}_2$ , Cl, 17, 169—173/4, —, 1,6019, 1,0615; тетрагидрофурурил, Cl, 74, 136—140/4, —, 1,5072, 1,3847;  $\text{CH}_3$ , Br, (Va), 93, 105/3, 48,5—49,5, —, —;  $\text{C}_2\text{H}_5$ , Br, (Vb), 95, 120—121/5, 48—49, —, —;  $\text{iso-C}_3\text{H}_7$ , Br, 77, 100—102/0,2, 21—22, 1,5109, 1,7557;  $\text{C}_4\text{H}_9$ , Br, 58, 110—113/0,3, —, 1,5091, 1,6087;  $\text{C}_6\text{H}_5\text{CH}_2$ , Br, 20, 167—170/0,4, —, 1,6041, 1,1226; тетрагидрофурурил, Br, 53, 158—160/0,3, 49—50, —, —. Описаны следующие I (приведены R, выход в %, т. кип. в °C/мм, т. пл. в °C 2,4-динитрофенилгидрозола I, г V, мл  $\text{R'OH}$ , давл.  $\text{H}_2/\text{ат}$ , т-ра р-ции, катализатор):  $\text{CH}_3$ , 44,8, 77—80/12, 133—133,5, 27,1, 50, 42, 130°, VI;  $\text{C}_2\text{H}_5$  (из Va), 35,3, 83—86/12, 110,5—111,5 (семикарбазон, т. пл. 135°, 19,6, 70, 67, 130, VII;  $\text{C}_2\text{H}_5$  (из Vb), 63,6, —, —, 143, 250, 80, 122, VI;  $\text{iso-C}_3\text{H}_7$ , 7,6, 80—85/6, 131—132, 30, 50, 60, 119, VI).

И. Леви 51242. Исследование 4-хлорбутанола-1 и гликолей-1,5. Кризан (Contribution à l'étude du chloro-4-butanol-1 et des glycols 1-5. Crisan Cornel, Ann. chimie, 1956, 1, mai-juin, 436—474 (франц.).)

4-хлорбутанол-1 (I) в виде легко гидролизуемого 1-хлор-4-тетрагидропиранилоксибутана (II) является удобным исходным материалом в различных отраслях органич. синтеза. Исследования р-ции II со спиртами, KCN, малоновым эфиром (III) и вторичными аминами, р-ции гриньяровского соединения, полученного из II (IIa) с альдегидами и кетонами, и свойства синтезированных этим путем гликолей-1,5. I получается гидролизом метанольным р-ром  $\text{HCl}$  его ацетата, образующегося с почти колич. выходом при р-ции (т-ра < 35°) тетрагидрофурана (IV) с  $\text{CH}_3\text{COCl}$ , и превращается в II (выход 93%, т. кип. 114°/12 мм,  $n_D^{20}$  1,4596,  $d_4^{24}$  1,0648) взаимодействием с 2,3-дигидропираном (V) при т-ре < 25°. II легко реагирует с  $\text{C}_2\text{H}_5\text{ONa}$ ,  $\text{C}_4\text{H}_9\text{ONa}$ ,  $\text{NH}(\text{C}_2\text{H}_5)$  или KCN, образуя 4-этоксид-(VIa), 4-бутоксид-(VIb), 4-диэтиламино- и 4-циано-(VIc)-1-тетрагидропиранилоксибутаны, гидролизуемые в 4-этоксид-(VIa), 4-бутоксид-(VIb) и 4-диэтиламино-(VIc)-бутанола-1 и  $\omega$ -оксидвалериановую к-ту; конденсируется с III в  $\omega$ -тетрагидропиранилоксибутилмалоновый эфир (VIII). IIa дает с Mg нормальный реактив Гриньяра, образующий с уксусным, масляным и кротоновым альдегидами или акролеином вторичные спирты

$\text{O}(\text{CH}_2)_4\text{CHO}(\text{CH}_2)_4\text{CH}(\text{OH})\text{R}$  (IX, где  $\text{R} = \text{CH}_3$  (IXa),  $\text{C}_2\text{H}_5$  (IXb),  $\text{CH}=\text{CHCH}_3$  (IXc),  $\text{CH}=\text{CH}_2$  (IXd); при аналогичной р-ции IIa с  $\text{C}_6\text{H}_5\text{CHO}$  или  $\text{C}_6\text{H}_5\text{CH}_2\text{CHO}$  вследствие неустойчивости образующихся тетрагидропиранилоксипроизводных получают соответственно ундекан-(Xa) и 1-фенилпентан-(Xb)-диолы-1,5. В аналогичных условиях с  $(\text{CH}_3)_2\text{CO}$ ,  $\text{CH}_3\text{COC}_2\text{H}_5$  или

$(\text{C}_2\text{H}_5)_2\text{CO}$  получены третичные спирты  $\text{O}(\text{CH}_2)_4\text{CHO}(\text{CH}_2)_4\text{C}(\text{OH})\text{RR}'$  (XI, где  $\text{RR}' = \text{CH}_3$ ,  $\text{CH}_3$  (XIa),  $\text{CH}_3$ ,  $\text{C}_2\text{H}_5$  (XIb),  $\text{C}_2\text{H}_5$ - $\text{C}_2\text{H}_5$  (XIc); продукт конденсации IIa с окисью мезитила дегидратируется в 2,4-диметил-8-тетрагидропиранилоксиоктадиен-2,4 (XII); гидролизом продукта конденсации 2 молей IIa с 1 молем



$\text{HCOOC}_2\text{H}_5$  синтезирован поантриол-1,5,9 (XIII). Па реагирует также с хлорметилловыми эфирами:  $\text{CH}_3\text{OCH}_2\text{Cl}$ ,  $\text{C}_2\text{H}_5\text{OCH}_2\text{Cl}$  или  $\text{C}_4\text{H}_9\text{OCH}_2\text{Cl}$ , образуя 1-метоксид-(XIVa), 1-этоксид-(XIVb) и 1-бутоксид-(XIVc) 5-тетрагидропиранилоксиантаны, гидролизующиеся  $\text{H}_3\text{PO}_4$  в V и 1-метоксид-(XVa), 1-этоксид-(XVb) и 1-бутоксид-(XVc) пентанола-5; с  $\text{CH}_2=\text{CHCH}_2\text{Br}$  или  $\text{CH}_2=\text{C}(\text{CH}_3)\text{CH}_2\text{Cl}$  Па дает 7-тетрагидропиранилокси-(XVIa) и 2-метил-7-тетрагидропиранилокси-(XVIb) гентены-1, также гидролизующиеся  $\text{H}_3\text{PO}_4$  в V и гентен-6-ол-1 (XVII) и 2-метилгентен-1-ол-7 (XVIII). XVII бромирован в 2-бромгентен-1-ол-7 (XIX), превращенный действием  $\text{NaNH}_2$  в жидком  $\text{NH}_3$  в гентен-6-ол-1, выход 75%, т. кип.  $87,5^\circ/14 \text{ мм}$ ,  $n_D^{22} 1,4515$ ,  $d_4^{22} 0,892$ ; фенилуретан (ФУ), т. пл.  $56^\circ$  (из петр. эф.). С  $\text{C}_6\text{H}_5\text{CH}_2\text{Cl}(\text{Br})$  Па образует, после гидролиза продукта конденсации  $\text{H}_3\text{PO}_4$ , 1-фенилпентанол-5, выход 37%, т. кип.  $146^\circ/19 \text{ мм}$ ,  $n_D^{20} 1,5304$ ,  $d_4^{20} 0,993$ ; ФУ, т. пл.  $67^\circ$  (из петр. эф.). IXa, б гидролизуются в гександиол-1,5 (XX) и октандиол-1,5 (XXI), легко дегидратирующиеся и циклизующиеся при действии  $\text{H}_2\text{SO}_4$  или  $\text{H}_3\text{PO}_4$  в  $\alpha$ -метил-(XXIIa) и  $\alpha$ -пропил (XXIIb)-тетрагидропираны; Ха превращен аналогично в  $\alpha$ -н-гексилтетрагидропиран (XXIIв). При гидролизе XIa в  $\text{H}_3\text{PO}_4$  в вакууме получаются (здесь и в дальнейшем указано в-во, выход в % и т. кип. в  $^\circ\text{C}/\text{мм}$ ): 2-метил-(XXIIIa), 75, 93/0,5,  $n_D^{22} 1,4556$ ,  $d_4^{22} 0,967$  и 2-этил-(XXIIIb), 63, 103/0,5,  $n_D^{19} 1,4605$ ,  $d_4^{19} 0,961$ -гександиолы-2,6 и 3-этилгектандиол-3,7 (XXIIIв), 73, 106—107/0,4,  $n_D^{18} 1,4660$ ,  $d_4^{18} 0,958$ . Если XIa в перегоняют в присутствии незначительного кол-ва  $\text{H}_3\text{PO}_4$ , то в результате дегидратации образующихся диолов получают 2-метилгексен-2-ол-6, 84, 79/151,  $n_D^{18} 1,4482$ ,  $d_4^{18} 0,861$ ; ФУ, т. пл.  $36^\circ$  (из петр. эф.), смесь 3-метилгексен-2- и 3-метилгексен-3-олов-7, 95—96/18,  $n_D^{18} 1,4311$ ,  $d_4^{18} 0,862$ , и 3-этилгексен-2- и 3-этилгексен-3-олов-7, 106—108/18,  $n_D^{18} 1,4577$ ,  $d_4^{18} 0,870$ , перегонкой которого или Xб с  $\text{H}_3\text{PO}_4$  получены 2,2-диметил-(XXIVa) и 2-метил-2-этил-(XXIVb), 2,2-диэтил-(XXIVв) и 1-фенил-(XXIVг)-тетрагидропираны. IXг гидролизуют в сравнительно устойчивый гентен-6-диол-1,5 (XXV). IXв в аналогичных условиях превращается в октадиен-4,6-ол-1 (XXVI); соответствующие производные третичных

спиртов, напр.,  $\text{O}(\text{CH}_2)_3\text{CHO}(\text{CH}_2)_3\text{C}(\text{OH})(\text{CH}_3)\text{CH}=\text{C}(\text{CH}_3)_2$  (XXVII) при гидролизе  $\text{H}_3\text{PO}_4$  дают только продукты циклизации; но при нагревании XXVII с  $(\text{CH}_3\text{CO})_2\text{O}$  получен ацетат 2,4-диметилпентадиен-2,4-ола-8 (XXVIII). XXVI циклизуют при перегонке с  $\text{H}_3\text{PO}_4$  в 2-винилтетрагидропиран, 58, 131—133/755,  $n_D^{22} 1,4446$ ,  $d_4^{22} 0,855$ , но алкенилтетрагидропираны могут быть получены и непосредственно нагреванием соответствующих гомологов IXг с каталитич. кол-вом  $\text{H}_3\text{PO}_4$  при 15 мм; этим путем синтезированы 2-пропенил-(50, 55/18,  $n_D^{20} 1,4526$ ,  $d_4^{20} 0,886$ ) и 2-метил-2-изокротил (46, 69/17,  $n_D^{22} 1,4568$ ,  $d_4^{22} 0,884$ )-тетрагидропираны. Взаимодействием на холоду этилвинилового эфира и I синтезирован 1-этоксид-1-(4-хлорбутоксид)-этан, 25, 87/13,  $n_D^{23,5} 1,4280$ ,  $d_4^{24} 1,4280$ , и 1-(ди-4-хлорбутоксид)-этан, 36, 150/12,  $n_D^{22} 1,4550$ ,  $d_4^{23} 1,0764$ . Р-р 10 г Na в 0,2 л спирта или  $\text{C}_2\text{H}_5\text{OH}$  и 38,4 г II кипятят 4 часа и получают VIa, 98 118/12,  $n_D^{22} 1,4400$ ,  $d_4^{22} 0,9532$ , или VIb, 82, 144—145/12,  $n_D^{18} 1,4438$ ,  $d_4^{20} 0,9387$ . К р-ру 26 г KCN в 35 мл воды добавляют последовательно 120 мл спирта, немного CuCN и 57,6 г II, кипятят 6 час и выделяют VIIb, 33, 95/0,2,  $n_D^{20} 1,4544$ ,  $d_4^{20} 1,009$ . 12 г VIa или 6, 0,12 г 85-ной  $\text{H}_3\text{PO}_4$  нагревают 2 часа при 175—200°, перегоняют и получают VIIa, 90, 83/16,  $n_D^{20} 1,4229$ ,  $d_4^{20} 0,9038$ , или VIIb, 87, 106/17,  $n_D^{20} 1,4303$ ,  $d_4^{20} 0,8923$ . 0,1 моля II и 0,15 моля  $\text{NH}(\text{C}_2\text{H}_5)_2$  нагревают 14 час, при 160—165°, смещают с 5 н. HCl, извлекают эфиром, насыщают KOH и извлекают

VIIb, 83, 101—102/15,  $n_D^{24} 1,4472$ ,  $d_4^{24} 0,879$ . Смесь  $\text{C}_2\text{H}_5\text{ONa}$  (из 2,3 г Na и 230 мл спирта) с III и 19,2 г II кипятят 4 часа, продукт перегоняют и получают VIII, 38, 154/0,5,  $n_D^{20} 1,4511$ ,  $d_4^{20} 1,057$ . К 4,86 г Mg в IV приливают несколько капель  $\text{C}_2\text{H}_5\text{Br}$  и немного II, нагревают до начала р-ции, приливают по каплям 0,2 моля II в 38 мл IV, нагревают, постепенно приливают р-р 0,2 моля  $\text{CH}_3\text{CHO}$  в IV, кипятят 1 час, гидролизуют смесью 20 г  $\text{NH}_4\text{Cl}$  с 200 г льда и из водн. слоя извлекают эфиром IXa, 65, 104—105/0,4,  $n_D^{24} 1,5482$ ,  $d_4^{24} 0,9926$ . Аналогично получают IXb, 84, 111—112/0,8,  $n_D^{20} 1,4602$ ,  $d_4^{20} 0,975$ ; IXc, 88, 121/0,2,  $n_D^{17} 1,4733$ ,  $d_4^{17} 0,997$ ; IXr, 88, 118—121/0,4,  $n_D^{18} 1,4702$ ,  $d_4^{18} 1,008$ . Ха, 40, 136/0,2,  $n_D^{21} 1,4582$ ,  $d_4^{21} 0,914$ ; Xб, 71, 155/0,6,  $n_D^{24} 1,5356$ ,  $d_4^{24} 1,080$ ; XIa, 67, 107/0,2,  $n_D^{22} 1,4590$ ,  $d_4^{23} 0,980$ ; XIb, 56, 111/0,2,  $n_D^{17} 1,4632$ ,  $d_4^{17} 0,8839$ ; XIv, 52, 119—121/0,2,  $n_D^{19} 1,4653$ ,  $d_4^{19} 0,981$ , и XII, 52, 103—104/0,2,  $n_D^{18} 1,4810$ ,  $d_4^{18} 0,934$ . Конденсируют 0,4 моля Па и 0,2 моля  $\text{HCOOC}_2\text{H}_5$  в IV, продукт гидролизуют  $\text{H}_3\text{PO}_4$  (см. выше) и превращают в триацетат XIII, 150/0,2,  $n_D^{22} 1,4447$ ,  $d_4^{24} 1,059$ . Аналогично из 0,2 моля Па и 0,15 моля соответствующих хлорметилловых эфиров получают XIVa, 88, 133/19,  $n_D^{20} 1,4438$ ,  $d_4^{23} 0,969$ ; XIVb, 90, 136/17,  $n_D^{19} 1,4458$ ,  $d_4^{20} 0,961$  и XIVv, 71, 110/0,4,  $n_D^{23} 1,4436$ ,  $d_4^{23} 0,930$ . XIVa-в нагревают (2—3 часа, 180—220°) с 1%-ной  $\text{H}_3\text{PO}_4$ , продукт перегоняют и получают XVa, 85, 100/21,  $n_D^{26} 1,4262$ ,  $d_4^{25} 0,919$ ; XVb, 85, 110—111/20,  $n_D^{20} 1,4299$ ,  $d_4^{21} 0,901$ , или XVv, 80, 129/20,  $n_D^{26} 1,4353$ ,  $d_4^{24} 0,892$ . Конденсируют (см. IXa, нагревание 2 часа) 0,2 моля Па и 0,2 моля  $\text{CH}_2=\text{CHCH}_2\text{Br}$  или  $\text{CH}_2=\text{C}(\text{CH}_3)\text{CH}_2\text{Cl}$  и получают XVIa, 53, 95—97/1, или XVIb, 61, 128—129/13,  $n_D^{21} 1,4545$ ,  $d_4^{21} 0,917$ , которые гидролизуют (см. XV) в XVII, 89, 79—80/16,  $n_D^{20} 1,4400$ ,  $d_4^{20} 0,851$ ; ацетат, 90, 85—86/21,  $n_D^{19} 1,4293$ ,  $d_4^{19} 0,907$ ; ФУ, т. пл.  $41,5^\circ$  (из петр. эф.), и XVIII, 84, 89—90/14,  $n_D^{23} 1,4489$ ,  $d_4^{23} 0,853$ ; ФУ, т. пл.  $34,5^\circ$  (из петр. эф.). К охлажденному эфир. р-ру XVII приливают при  $t \approx 15^\circ$  0,332 моля  $\text{Br}_2$ , оставляют на 2 часа и получают XIX, 70, 116/12,  $n_D^{16} 1,4902$ ,  $d_4^{16} 1,295$ . Гидролизуют (см. VIIa) IXa, б и получают XX, 85, 135/16,  $n_D^{20} 1,4528$ ,  $d_4^{20} 0,971$ , и XXI, 88, 145—148/15,  $n_D^{16} 1,4500$ ,  $d_4^{16} 0,946$ . 7,2 г XX, XXI или Ха и 0,7 г 85%-ной  $\text{H}_3\text{PO}_4$  медленно перегоняют и из диэтилата извлекают эфиром XXIIa, 48, 103—104/759,  $n_D^{20} 1,4182$ ; XXIIb, 31, 152—153,  $n_D^{19} 1,4328$ , или XXIIv, 30, 103/19,  $n_D^{16} 1,4448$ . Аналогично получают XXIVa, 86, 118—120,  $n_D^{20} 1,4264$ ,  $d_4^{18} 0,865$ ; XXIVb, 78, 145—146/755,  $n_D^{22} 1,4362$ ,  $d_4^{22} 0,878$ ; XXIVv, 80, 61/17,  $n_D^{21} 1,4438$ ,  $d_4^{22} 0,880$  и XXIVr, 70, 115/13,  $n_D^{16} 1,5286$ ,  $d_4^{16} 1,017$ . 11 г IXr или XIv и 0,1 г  $\text{H}_3\text{PO}_4$  перегоняют в течение 3 час. в вакууме при 180—220° и получают XXV, 93, 105—107/0,6,  $n_D^{16} 1,4963$ ,  $d_4^{16} 0,989$ , или XXVI, 40, 105—106/18,  $n_D^{22} 1,4878$ ,  $d_4^{22} 0,892$ . 12 г XXVII и 8 г  $(\text{CH}_3\text{CO})_2\text{O}$  кипятят 6 час., перегоняют и получают XXVIII, 61, 115—118/13,  $n_D^{21} 1,4617$ ,  $d_4^{22} 0,958$ . Д. В.

51243. Изучение синтезов производных кумарина. V. Синтез производных кумаринкарбонной-3 кислоты. VI. Синтез производных нитрокумаринкарбонной-3 кислоты. VII. Синтез производных ампинокумаринкарбонной-3 кислоты. VIII. Наркотическое и снотворное действие производных кумаринкарбонной-3 кислоты. IX. Метаболизм производных кумаринкарбонной-3 кислоты. Итибагае (クマリン誘導体の合成研究. 第5報. クマリン-3-カルボン酸誘導体の合成. 第6報. ニトロクマリン-3-カルボン酸誘導体の合成. 第7報. アミノクマリン-3-カルボン酸誘導体の合成. 第8報. クマリン-3-カルボン酸誘導体の鎮静催眠作用について. 第9報. クマリン-3-カルボン酸誘導体の生体内変化について. 一番ヶ瀬向), 薬學雜誌, Якугаку дзасси. J. Pharmac. Soc. Japan, 1955, 75, № 12, 1477—1480, 1480—1482, 1483—1486, 1486—1489, 1489—1491 (японск.; рез. англ.)

V. Кумаринкарбоновая-3 к-та (I), т. пл. 190°, получена конденсацией салицилового альдегида (II) и малоновой к-ты (III) в присутствии аминов (IV). Установлено, что наилучший выход I достигается при соотношении II:III:IV = 1:2:1 с первичными IV и 1:1:2 с вторичными IV. С третичными IV выход I очень низок. Наилучшим из применяемых IV оказались анилин (IVa). Отмечено, что р-ция идет через промежуточные 2-оксисалициденанилины (V), -*n*-толуидин и -*bis*-пиперидин (т. пл. 85,5°), образующиеся в результате конденсации II и соответствующего IV. Изучена зависимость выхода I от времени р-ции, применяемого IV и его кол-ва.

VI. 6-нитро-I (VIa) получена из 5-нитро-II (VII) и III по методу, описанному в сообщении V. Установлено, что на выход VIa влияет время р-ции и кол-во IVa. Лучший выход VIa (0,9 г из 1 г VII) достигнут при соотношении VII:III:IVa = 1:1:1/8. Этим же путем получены 5-нитро-I (VIb), 7-нитро-I (VIв) и 8-нитро-I (VIг). Синтез VIa идет через промежуточный 5-нитро-V, т. пл. 131°, который подвергается дальнейшей конденсации под действием избытка III или HCl (к-ты). Приведены т. пл. в °C VI (разл.) (в скобках т. пл. их этиловых эфиров): VIa, 235 (198); VIб, 198, (118); VIв, 215, (173); VIг, 190 (160); 3-нитро-V, т. пл. 134°.

VII. Синтезирована 6-амино-I (VIII): 5-ацетиламино-салициловую к-ту восстанавливают 2%-ной амальгамой ртути в присутствии IVa до 2-окси-5-ацетиламинобензилиденанилина, т. пл. 185,5°, который конденсацией с III или ее эфиром превращают в 6-ацетиламино-I (IX), т. пл. 258,5° (разл.), или ее эфир (X), т. пл. 202°. IX и X гидролизуют разб. HCl до VIII, т. пл. 228°, или эфира VIII, т. пл. 157—158°. VIII и эфир VIII получены также из VIa и ее эфира восстановлением. Аналогично, из 4-аминосалициловой к-ты были синтезированы 2-окси-4-ацетиламинобензилиденанилин, т. пл. 161°, 7-ацетиламино-I (XI·H<sub>2</sub>O), т. пл. 296° (разл.), безвод. XI, т. пл. 280—282° (разл.), 7-амино-I (XII), т. пл. 278°, этиловый эфир XI, т. пл. 235,5°, и этиловый эфир XII, т. пл. 232°. XI и XII получены также восстановлением VIa и ее этилового эфира соответственно.

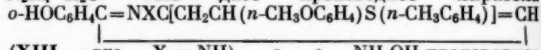
VIII. Исследовано наркотич. и спяточное действие на мышей, а также токсичность 25 производных I. Установлено, что исследованные эфиры обладают некоторой активностью; при R = фенил активность меньше, чем при R = алкил; удлинение цепи вызывает уменьшение активности, аналогично действует замена разветвленной цепи на прямую. Амиды неактивны. Соединения, содержащие заместители в положении 6, оказались нетоксичными и неактивными; заместитель в положении 7 снимает исследуемые активности, но не токсичность.

IX. С целью исследования метаболизма производных кумарина этиловые эфиры I и VIв вводились мыши и в эктомированные печень и почку. Результаты опытов определяют хроматографированием флуоресцирующих в-в, находящихся в моче, печени и почках. Установлено, что эфир VIв подвергается в печени и почках восстановлению с одновременным гидролизом до XII, часть которой ацетилируется в печени; оба последних соединения обнаружены в моче. Гидролиз и другие превращения эфира I происходят в печени, при этом часть эфира I гидролизует в I. Сообщения IV см. РЖХим, 1954, 42953.

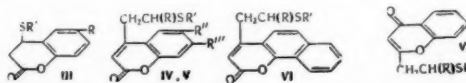
И. Леви 51244. Реакции с меркаптанами. III. Действие ароматических тиолов на кумарины, 4-стирилкумарины и 2-стирилхромоны. Ахмед Мустафа, Мохамед Камель, Мохамед Али Аллаам, Абдель Хамид-эль-Сайед Хархаш, Алаа Эддин Абдель Азиз Хассан (Reactions

with mercaptans. III. Action of aromatic thiols on coumarins, 4-styrylcoumarins and 2-styrylchromones. Ahmed Mustafa, Mohamed Kamel, Mohamed Aly Allam, Abdel Hamid El-Sayed Harhash, Alaa Eldin Abdel Aziz Hassan, J. Amer. Chem. Soc., 1956, 78, № 19, 5011—5016 (англ.)

С целью изучения фармакологич. действия S-содержащих соединений взаимодействием производных: кумарина (Ia), 4-стирилкумарина (Iб), 4-стирил-7,8-бензокумарина (Iв) и 2-(β-стирил)-хромона (Iг) с ароматич. тиолами (II) получены соответствующие аддукты: (IIIa-ж), (IVa-ж), (Va-к), (VIa-з), (VIIa-м), строение которых доказано разложением их 4%-ным спирт. КОН на исходные компоненты. Окислением некоторых V и VI получены соответствующие сульфоны (C). Взаимодействием 6-метилкумаринил-4-уксусной к-ты (VIII) с альдегидами получены 4-стирил-(IX) и 4-*n*-метоксистирил-6-метилкумарин (X). 7,8-бензокумарин (XI) переведен в 7,8-бензтиокумарин (XII), который не реагирует с II. При действии N<sub>2</sub>H<sub>4</sub>·H<sub>2</sub>O VIIз дает производное пиразола



(XIII, где X = NH), а с NH<sub>2</sub>OH-производное изоксазола (XIV, где X = O). Нагревают 3 часа при ~ 100° 0,5 г Ia-г, 0,5 г II и 2 капли пиперидина и получают следующие III—VII (указаны в-во, выход в %, т. пл. в °C): IIIa, 91, 110; IIIб, 78, 111; IIIв, 81, 151; IIIг, 94, 96; IIIд, 78, 122; IIIе, 89, 116; IIIж, 82, 115; IVa, 93, 65; IVб, 78, 95; IVв, 87, 103; IVг, 91, 157; IVд, 71, 110—111; IVе, 83, 114—115; IVж, 92, 100; Va, 94, 136; Vб, 74, 147; Vв, 70, 133; Vг, 89, 130—131; Vд, 85, 115; Ve, 80, 118; Vж, 77, 114; Vz, 85, 104; Vн, 95, 102; Vк, 91,



III a R = H, R' = C<sub>6</sub>H<sub>5</sub>; б R = H, R' = o-CH<sub>3</sub>C<sub>6</sub>H<sub>4</sub>; в R = H, R' = n-CH<sub>3</sub>C<sub>6</sub>H<sub>4</sub>; г R = CH<sub>3</sub>, R' = C<sub>6</sub>H<sub>5</sub>; д R = CH<sub>3</sub>, R' = o-CH<sub>3</sub>C<sub>6</sub>H<sub>4</sub>; е R = CH<sub>3</sub>, R' = n-CH<sub>3</sub>C<sub>6</sub>H<sub>4</sub>; ж R = CH<sub>3</sub>, R' = m-CH<sub>3</sub>C<sub>6</sub>H<sub>4</sub>; з R = H, R' = C<sub>6</sub>H<sub>5</sub>; к R = C<sub>6</sub>H<sub>5</sub>, R' = o-CH<sub>3</sub>C<sub>6</sub>H<sub>4</sub>; л R = C<sub>6</sub>H<sub>5</sub>, R' = n-CH<sub>3</sub>C<sub>6</sub>H<sub>4</sub>; м R = C<sub>6</sub>H<sub>5</sub>, R' = m-CH<sub>3</sub>C<sub>6</sub>H<sub>4</sub>; н R = C<sub>6</sub>H<sub>5</sub>, R' = n-CH<sub>3</sub>OC<sub>6</sub>H<sub>4</sub>; о R = C<sub>6</sub>H<sub>5</sub>, R' = o-CH<sub>3</sub>OC<sub>6</sub>H<sub>4</sub>; п R = C<sub>6</sub>H<sub>5</sub>, R' = n-CH<sub>3</sub>OC<sub>6</sub>H<sub>4</sub>; р R = C<sub>6</sub>H<sub>5</sub>, R' = m-CH<sub>3</sub>OC<sub>6</sub>H<sub>4</sub>; с R = C<sub>6</sub>H<sub>5</sub>, R' = n-CH<sub>3</sub>OC<sub>6</sub>H<sub>4</sub>; т R = C<sub>6</sub>H<sub>5</sub>, R' = o-CH<sub>3</sub>OC<sub>6</sub>H<sub>4</sub>; у R = C<sub>6</sub>H<sub>5</sub>, R' = n-CH<sub>3</sub>OC<sub>6</sub>H<sub>4</sub>; ф R = C<sub>6</sub>H<sub>5</sub>, R' = m-CH<sub>3</sub>OC<sub>6</sub>H<sub>4</sub>; х R = C<sub>6</sub>H<sub>5</sub>, R' = n-CH<sub>3</sub>OC<sub>6</sub>H<sub>4</sub>; ц R = C<sub>6</sub>H<sub>5</sub>, R' = o-CH<sub>3</sub>OC<sub>6</sub>H<sub>4</sub>; ч R = C<sub>6</sub>H<sub>5</sub>, R' = n-CH<sub>3</sub>OC<sub>6</sub>H<sub>4</sub>; ш R = C<sub>6</sub>H<sub>5</sub>, R' = m-CH<sub>3</sub>OC<sub>6</sub>H<sub>4</sub>; щ R = C<sub>6</sub>H<sub>5</sub>, R' = n-CH<sub>3</sub>OC<sub>6</sub>H<sub>4</sub>; х R = C<sub>6</sub>H<sub>5</sub>, R' = o-CH<sub>3</sub>OC<sub>6</sub>H<sub>4</sub>; ц R = C<sub>6</sub>H<sub>5</sub>, R' = n-CH<sub>3</sub>OC<sub>6</sub>H<sub>4</sub>; ч R = C<sub>6</sub>H<sub>5</sub>, R' = m-CH<sub>3</sub>OC<sub>6</sub>H<sub>4</sub>; ш R = C<sub>6</sub>H<sub>5</sub>, R' = n-CH<sub>3</sub>OC<sub>6</sub>H<sub>4</sub>; х R = C<sub>6</sub>H<sub>5</sub>, R' = o-CH<sub>3</sub>OC<sub>6</sub>H<sub>4</sub>; ц R = C<sub>6</sub>H<sub>5</sub>, R' = n-CH<sub>3</sub>OC<sub>6</sub>H<sub>4</sub>; ч R = C<sub>6</sub>H<sub>5</sub>, R' = m-CH<sub>3</sub>OC<sub>6</sub>H<sub>4</sub>; ш R = C<sub>6</sub>H<sub>5</sub>, R' = n-CH<sub>3</sub>OC<sub>6</sub>H<sub>4</sub>; х R = C<sub>6</sub>H<sub>5</sub>, R' = o-CH<sub>3</sub>OC<sub>6</sub>H<sub>4</sub>; ц R = C<sub>6</sub>H<sub>5</sub>, R' = n-CH<sub>3</sub>OC<sub>6</sub>H<sub>4</sub>; ч R = C<sub>6</sub>H<sub>5</sub>, R' = m-CH<sub>3</sub>OC<sub>6</sub>H<sub>4</sub>; ш R = C<sub>6</sub>H<sub>5</sub>, R' = n-CH<sub>3</sub>OC<sub>6</sub>H<sub>4</sub>; х R = C<sub>6</sub>H<sub>5</sub>, R' = o-CH<sub>3</sub>OC<sub>6</sub>H<sub>4</sub>; ц R = C<sub>6</sub>H<sub>5</sub>, R' = n-CH<sub>3</sub>OC<sub>6</sub>H<sub>4</sub>; ч R = C<sub>6</sub>H<sub>5</sub>, R' = m-CH<sub>3</sub>OC<sub>6</sub>H<sub>4</sub>; ш R = C<sub>6</sub>H<sub>5</sub>, R' = n-CH<sub>3</sub>OC<sub>6</sub>H<sub>4</sub>; х R = C<sub>6</sub>H<sub>5</sub>, R' = o-CH<sub>3</sub>OC<sub>6</sub>H<sub>4</sub>; ц R = C<sub>6</sub>H<sub>5</sub>, R' = n-CH<sub>3</sub>OC<sub>6</sub>H<sub>4</sub>; ч R = C<sub>6</sub>H<sub>5</sub>, R' = m-CH<sub>3</sub>OC<sub>6</sub>H<sub>4</sub>; ш R = C<sub>6</sub>H<sub>5</sub>, R' = n-CH<sub>3</sub>OC<sub>6</sub>H<sub>4</sub>; х R = C<sub>6</sub>H<sub>5</sub>, R' = o-CH<sub>3</sub>OC<sub>6</sub>H<sub>4</sub>; ц R = C<sub>6</sub>H<sub>5</sub>, R' = n-CH<sub>3</sub>OC<sub>6</sub>H<sub>4</sub>; ч R = C<sub>6</sub>H<sub>5</sub>, R' = m-CH<sub>3</sub>OC<sub>6</sub>H<sub>4</sub>; ш R = C<sub>6</sub>H<sub>5</sub>, R' = n-CH<sub>3</sub>OC<sub>6</sub>H<sub>4</sub>; х R = C<sub>6</sub>H<sub>5</sub>, R' = o-CH<sub>3</sub>OC<sub>6</sub>H<sub>4</sub>; ц R = C<sub>6</sub>H<sub>5</sub>, R' = n-CH<sub>3</sub>OC<sub>6</sub>H<sub>4</sub>; ч R = C<sub>6</sub>H<sub>5</sub>, R' = m-CH<sub>3</sub>OC<sub>6</sub>H<sub>4</sub>; ш R = C<sub>6</sub>H<sub>5</sub>, R' = n-CH<sub>3</sub>OC<sub>6</sub>H<sub>4</sub>; х R = C<sub>6</sub>H<sub>5</sub>, R' = o-CH<sub>3</sub>OC<sub>6</sub>H<sub>4</sub>; ц R = C<sub>6</sub>H<sub>5</sub>, R' = n-CH<sub>3</sub>OC<sub>6</sub>H<sub>4</sub>; ч R = C<sub>6</sub>H<sub>5</sub>, R' = m-CH<sub>3</sub>OC<sub>6</sub>H<sub>4</sub>; ш R = C<sub>6</sub>H<sub>5</sub>, R' = n-CH<sub>3</sub>OC<sub>6</sub>H<sub>4</sub>; х R = C<sub>6</sub>H<sub>5</sub>, R' = o-CH<sub>3</sub>OC<sub>6</sub>H<sub>4</sub>; ц R = C<sub>6</sub>H<sub>5</sub>, R' = n-CH<sub>3</sub>OC<sub>6</sub>H<sub>4</sub>; ч R = C<sub>6</sub>H<sub>5</sub>, R' = m-CH<sub>3</sub>OC<sub>6</sub>H<sub>4</sub>; ш R = C<sub>6</sub>H<sub>5</sub>, R' = n-CH<sub>3</sub>OC<sub>6</sub>H<sub>4</sub>; х R = C<sub>6</sub>H<sub>5</sub>, R' = o-CH<sub>3</sub>OC<sub>6</sub>H<sub>4</sub>; ц R = C<sub>6</sub>H<sub>5</sub>, R' = n-CH<sub>3</sub>OC<sub>6</sub>H<sub>4</sub>; ч R = C<sub>6</sub>H<sub>5</sub>, R' = m-CH<sub>3</sub>OC<sub>6</sub>H<sub>4</sub>; ш R = C<sub>6</sub>H<sub>5</sub>, R' = n-CH<sub>3</sub>OC<sub>6</sub>H<sub>4</sub>; х R = C<sub>6</sub>H<sub>5</sub>, R' = o-CH<sub>3</sub>OC<sub>6</sub>H<sub>4</sub>; ц R = C<sub>6</sub>H<sub>5</sub>, R' = n-CH<sub>3</sub>OC<sub>6</sub>H<sub>4</sub>; ч R = C<sub>6</sub>H<sub>5</sub>, R' = m-CH<sub>3</sub>OC<sub>6</sub>H<sub>4</sub>; ш R = C<sub>6</sub>H<sub>5</sub>, R' = n-CH<sub>3</sub>OC<sub>6</sub>H<sub>4</sub>; х R = C<sub>6</sub>H<sub>5</sub>, R' = o-CH<sub>3</sub>OC<sub>6</sub>H<sub>4</sub>; ц R = C<sub>6</sub>H<sub>5</sub>, R' = n-CH<sub>3</sub>OC<sub>6</sub>H<sub>4</sub>; ч R = C<sub>6</sub>H<sub>5</sub>, R' = m-CH<sub>3</sub>OC<sub>6</sub>H<sub>4</sub>; ш R = C<sub>6</sub>H<sub>5</sub>, R' = n-CH<sub>3</sub>OC<sub>6</sub>H<sub>4</sub>; х R = C<sub>6</sub>H<sub>5</sub>, R' = o-CH<sub>3</sub>OC<sub>6</sub>H<sub>4</sub>; ц R = C<sub>6</sub>H<sub>5</sub>, R' = n-CH<sub>3</sub>OC<sub>6</sub>H<sub>4</sub>; ч R = C<sub>6</sub>H<sub>5</sub>, R' = m-CH<sub>3</sub>OC<sub>6</sub>H<sub>4</sub>; ш R = C<sub>6</sub>H<sub>5</sub>, R' = n-CH<sub>3</sub>OC<sub>6</sub>H<sub>4</sub>; х R = C<sub>6</sub>H<sub>5</sub>, R' = o-CH<sub>3</sub>OC<sub>6</sub>H<sub>4</sub>; ц R = C<sub>6</sub>H<sub>5</sub>, R' = n-CH<sub>3</sub>OC<sub>6</sub>H<sub>4</sub>; ч R = C<sub>6</sub>H<sub>5</sub>, R' = m-CH<sub>3</sub>OC<sub>6</sub>H<sub>4</sub>; ш R = C<sub>6</sub>H<sub>5</sub>, R' = n-CH<sub>3</sub>OC<sub>6</sub>H<sub>4</sub>; х R = C<sub>6</sub>H<sub>5</sub>, R' = o-CH<sub>3</sub>OC<sub>6</sub>H<sub>4</sub>; ц R = C<sub>6</sub>H<sub>5</sub>, R' = n-CH<sub>3</sub>OC<sub>6</sub>H<sub>4</sub>; ч R = C<sub>6</sub>H<sub>5</sub>, R' = m-CH<sub>3</sub>OC<sub>6</sub>H<sub>4</sub>; ш R = C<sub>6</sub>H<sub>5</sub>, R' = n-CH<sub>3</sub>OC<sub>6</sub>H<sub>4</sub>; х R = C<sub>6</sub>H<sub>5</sub>, R' = o-CH<sub>3</sub>OC<sub>6</sub>H<sub>4</sub>; ц R = C<sub>6</sub>H<sub>5</sub>, R' = n-CH<sub>3</sub>OC<sub>6</sub>H<sub>4</sub>; ч R = C<sub>6</sub>H<sub>5</sub>, R' = m-CH<sub>3</sub>OC<sub>6</sub>H<sub>4</sub>; ш R = C<sub>6</sub>H<sub>5</sub>, R' = n-CH<sub>3</sub>OC<sub>6</sub>H<sub>4</sub>; х R = C<sub>6</sub>H<sub>5</sub>, R' = o-CH<sub>3</sub>OC<sub>6</sub>H<sub>4</sub>; ц R = C<sub>6</sub>H<sub>5</sub>, R' = n-CH<sub>3</sub>OC<sub>6</sub>H<sub>4</sub>; ч R = C<sub>6</sub>H<sub>5</sub>, R' = m-CH<sub>3</sub>OC<sub>6</sub>H<sub>4</sub>; ш R = C<sub>6</sub>H<sub>5</sub>, R' = n-CH<sub>3</sub>OC<sub>6</sub>H<sub>4</sub>; х R = C<sub>6</sub>H<sub>5</sub>, R' = o-CH<sub>3</sub>OC<sub>6</sub>H<sub>4</sub>; ц R = C<sub>6</sub>H<sub>5</sub>, R' = n-CH<sub>3</sub>OC<sub>6</sub>H<sub>4</sub>; ч R = C<sub>6</sub>H<sub>5</sub>, R' = m-CH<sub>3</sub>OC<sub>6</sub>H<sub>4</sub>; ш R = C<sub>6</sub>H<sub>5</sub>, R' = n-CH<sub>3</sub>OC<sub>6</sub>H<sub>4</sub>; х R = C<sub>6</sub>H<sub>5</sub>, R' = o-CH<sub>3</sub>OC<sub>6</sub>H<sub>4</sub>; ц R = C<sub>6</sub>H<sub>5</sub>, R' = n-CH<sub>3</sub>OC<sub>6</sub>H<sub>4</sub>; ч R = C<sub>6</sub>H<sub>5</sub>, R' = m-CH<sub>3</sub>OC<sub>6</sub>H<sub>4</sub>; ш R = C<sub>6</sub>H<sub>5</sub>, R' = n-CH<sub>3</sub>OC<sub>6</sub>H<sub>4</sub>; х R = C<sub>6</sub>H<sub>5</sub>, R' = o-CH<sub>3</sub>OC<sub>6</sub>H<sub>4</sub>; ц R = C<sub>6</sub>H<sub>5</sub>, R' = n-CH<sub>3</sub>OC<sub>6</sub>H<sub>4</sub>; ч R = C<sub>6</sub>H<sub>5</sub>, R' = m-CH<sub>3</sub>OC<sub>6</sub>H<sub>4</sub>; ш R = C<sub>6</sub>H<sub>5</sub>, R' = n-CH<sub>3</sub>OC<sub>6</sub>H<sub>4</sub>; х R = C<sub>6</sub>H<sub>5</sub>, R' = o-CH<sub>3</sub>OC<sub>6</sub>H<sub>4</sub>; ц R = C<sub>6</sub>H<sub>5</sub>, R' = n-CH<sub>3</sub>OC<sub>6</sub>H<sub>4</sub>; ч R = C<sub>6</sub>H<sub>5</sub>, R' = m-CH<sub>3</sub>OC<sub>6</sub>H<sub>4</sub>; ш R = C<sub>6</sub>H<sub>5</sub>, R' = n-CH<sub>3</sub>OC<sub>6</sub>H<sub>4</sub>; х R = C<sub>6</sub>H<sub>5</sub>, R' = o-CH<sub>3</sub>OC<sub>6</sub>H<sub>4</sub>; ц R = C<sub>6</sub>H<sub>5</sub>, R' = n-CH<sub>3</sub>OC<sub>6</sub>H<sub>4</sub>; ч R = C<sub>6</sub>H<sub>5</sub>, R' = m-CH<sub>3</sub>OC<sub>6</sub>H<sub>4</sub>; ш R = C<sub>6</sub>H<sub>5</sub>, R' = n-CH<sub>3</sub>OC<sub>6</sub>H<sub>4</sub>; х R = C<sub>6</sub>H<sub>5</sub>, R' = o-CH<sub>3</sub>OC<sub>6</sub>H<sub>4</sub>; ц R = C<sub>6</sub>H<sub>5</sub>, R' = n-CH<sub>3</sub>OC<sub>6</sub>H<sub>4</sub>; ч R = C<sub>6</sub>H<sub>5</sub>, R' = m-CH<sub>3</sub>OC<sub>6</sub>H<sub>4</sub>; ш R = C<sub>6</sub>H<sub>5</sub>, R' = n-CH<sub>3</sub>OC<sub>6</sub>H<sub>4</sub>; х R = C<sub>6</sub>H<sub>5</sub>, R' = o-CH<sub>3</sub>OC<sub>6</sub>H<sub>4</sub>; ц R = C<sub>6</sub>H<sub>5</sub>, R' = n-CH<sub>3</sub>OC<sub>6</sub>H<sub>4</sub>; ч R = C<sub>6</sub>H<sub>5</sub>, R' = m-CH<sub>3</sub>OC<sub>6</sub>H<sub>4</sub>; ш R = C<sub>6</sub>H<sub>5</sub>, R' = n-CH<sub>3</sub>OC<sub>6</sub>H<sub>4</sub>; х R = C<sub>6</sub>H<sub>5</sub>, R' = o-CH<sub>3</sub>OC<sub>6</sub>H<sub>4</sub>; ц R = C<sub>6</sub>H<sub>5</sub>, R' = n-CH<sub>3</sub>OC<sub>6</sub>H<sub>4</sub>; ч R = C<sub>6</sub>H<sub>5</sub>, R' = m-CH<sub>3</sub>OC<sub>6</sub>H<sub>4</sub>; ш R = C<sub>6</sub>H<sub>5</sub>, R' = n-CH<sub>3</sub>OC<sub>6</sub>H<sub>4</sub>; х R = C<sub>6</sub>H<sub>5</sub>, R' = o-CH<sub>3</sub>OC<sub>6</sub>H<sub>4</sub>; ц R = C<sub>6</sub>H<sub>5</sub>, R' = n-CH<sub>3</sub>OC<sub>6</sub>H<sub>4</sub>; ч R = C<sub>6</sub>H<sub>5</sub>, R' = m-CH<sub>3</sub>OC<sub>6</sub>H<sub>4</sub>; ш R = C<sub>6</sub>H<sub>5</sub>, R' = n-CH<sub>3</sub>OC<sub>6</sub>H<sub>4</sub>; х R = C<sub>6</sub>H<sub>5</sub>, R' = o-CH<sub>3</sub>OC<sub>6</sub>H<sub>4</sub>; ц R = C<sub>6</sub>H<sub>5</sub>, R' = n-CH<sub>3</sub>OC<sub>6</sub>H<sub>4</sub>; ч R = C<sub>6</sub>H<sub>5</sub>, R' = m-CH<sub>3</sub>OC<sub>6</sub>H<sub>4</sub>; ш R = C<sub>6</sub>H<sub>5</sub>, R' = n-CH<sub>3</sub>OC<sub>6</sub>H<sub>4</sub>; х R = C<sub>6</sub>H<sub>5</sub>, R' = o-CH<sub>3</sub>OC<sub>6</sub>H<sub>4</sub>; ц R = C<sub>6</sub>H<sub>5</sub>, R' = n-CH<sub>3</sub>OC<sub>6</sub>H<sub>4</sub>; ч R = C<sub>6</sub>H<sub>5</sub>, R' = m-CH<sub>3</sub>OC<sub>6</sub>H<sub>4</sub>; ш R = C<sub>6</sub>H<sub>5</sub>, R' = n-CH<sub>3</sub>OC<sub>6</sub>H<sub>4</sub>; х R = C<sub>6</sub>H<sub>5</sub>, R' = o-CH<sub>3</sub>OC<sub>6</sub>H<sub>4</sub>; ц R = C<sub>6</sub>H<sub>5</sub>, R' = n-CH<sub>3</sub>OC<sub>6</sub>H<sub>4</sub>; ч R = C<sub>6</sub>H<sub>5</sub>, R' = m-CH<sub>3</sub>OC<sub>6</sub>H<sub>4</sub>; ш R = C<sub>6</sub>H<sub>5</sub>, R' = n-CH<sub>3</sub>OC<sub>6</sub>H<sub>4</sub>; х R = C<sub>6</sub>H<sub>5</sub>, R' = o-CH<sub>3</sub>OC<sub>6</sub>H<sub>4</sub>; ц R = C<sub>6</sub>H<sub>5</sub>, R' = n-CH<sub>3</sub>OC<sub>6</sub>H<sub>4</sub>; ч R = C<sub>6</sub>H<sub>5</sub>, R' = m-CH<sub>3</sub>OC<sub>6</sub>H<sub>4</sub>; ш R = C<sub>6</sub>H<sub>5</sub>, R' = n-CH<sub>3</sub>OC<sub>6</sub>H<sub>4</sub>; х R = C<sub>6</sub>H<sub>5</sub>, R' = o-CH<sub>3</sub>OC<sub>6</sub>H<sub>4</sub>; ц R = C<sub>6</sub>H<sub>5</sub>, R' = n-CH<sub>3</sub>OC<sub>6</sub>H<sub>4</sub>; ч R = C<sub>6</sub>H<sub>5</sub>, R' = m-CH<sub>3</sub>OC<sub>6</sub>H<sub>4</sub>; ш R = C<sub>6</sub>H<sub>5</sub>, R' = n-CH<sub>3</sub>OC<sub>6</sub>H<sub>4</sub>; х R = C<sub>6</sub>H<sub>5</sub>, R' = o-CH<sub>3</sub>OC<sub>6</sub>H<sub>4</sub>; ц R = C<sub>6</sub>H<sub>5</sub>, R' = n-CH<sub>3</sub>OC<sub>6</sub>H<sub>4</sub>; ч R = C<sub>6</sub>H<sub>5</sub>, R' = m-CH<sub>3</sub>OC<sub>6</sub>H<sub>4</sub>; ш R = C<sub>6</sub>H<sub>5</sub>, R' = n-CH<sub>3</sub>OC<sub>6</sub>H<sub>4</sub>; х R = C<sub>6</sub>H<sub>5</sub>, R' = o-CH<sub>3</sub>OC<sub>6</sub>H<sub>4</sub>; ц R = C<sub>6</sub>H<sub>5</sub>, R' = n-CH<sub>3</sub>OC<sub>6</sub>H<sub>4</sub>; ч R = C<sub>6</sub>H<sub>5</sub>, R' = m-CH<sub>3</sub>OC<sub>6</sub>H<sub>4</sub>; ш R = C<sub>6</sub>H<sub>5</sub>, R' = n-CH<sub>3</sub>OC<sub>6</sub>H<sub>4</sub>; х R = C<sub>6</sub>H<sub>5</sub>, R' = o-CH<sub>3</sub>OC<sub>6</sub>H<sub>4</sub>; ц R = C<sub>6</sub>H<sub>5</sub>, R' = n-CH<sub>3</sub>OC<sub>6</sub>H<sub>4</sub>; ч R = C<sub>6</sub>H<sub>5</sub>, R' = m-CH<sub>3</sub>OC<sub>6</sub>H<sub>4</sub>; ш R = C<sub>6</sub>H<sub>5</sub>, R' = n-CH<sub>3</sub>OC<sub>6</sub>H<sub>4</sub>; х R = C<sub>6</sub>H<sub>5</sub>, R' = o-CH<sub>3</sub>OC<sub>6</sub>H<sub>4</sub>; ц R = C<sub>6</sub>H<sub>5</sub>, R' = n-CH<sub>3</sub>OC<sub>6</sub>H<sub>4</sub>; ч R = C<sub>6</sub>H<sub>5</sub>, R' = m-CH<sub>3</sub>OC<sub>6</sub>H<sub>4</sub>; ш R = C<sub>6</sub>H<sub>5</sub>, R' = n-CH<sub>3</sub>OC<sub>6</sub>H<sub>4</sub>; х R = C<sub>6</sub>H<sub>5</sub>, R' = o-CH<sub>3</sub>OC<sub>6</sub>H<sub>4</sub>; ц R = C<sub>6</sub>H<sub>5</sub>, R' = n-CH<sub>3</sub>OC<sub>6</sub>H<sub>4</sub>; ч R = C<sub>6</sub>H<sub>5</sub>, R' = m-CH<sub>3</sub>OC<sub>6</sub>H<sub>4</sub>; ш R = C<sub>6</sub>H<sub>5</sub>, R' = n-CH<sub>3</sub>OC<sub>6</sub>H<sub>4</sub>; х R = C<sub>6</sub>H<sub>5</sub>, R' = o-CH<sub>3</sub>OC<sub>6</sub>H<sub>4</sub>; ц R = C<sub>6</sub>H<sub>5</sub>, R' = n-CH<sub>3</sub>OC<sub>6</sub>H<sub>4</sub>; ч R = C<sub>6</sub>H<sub>5</sub>, R' = m-CH<sub>3</sub>OC<sub>6</sub>H<sub>4</sub>; ш R = C<sub>6</sub>H<sub>5</sub>, R' = n-CH<sub>3</sub>OC<sub>6</sub>H<sub>4</sub>; х R = C<sub>6</sub>H<sub>5</sub>, R' = o-CH<sub>3</sub>OC<sub>6</sub>H<sub>4</sub>; ц R = C<sub>6</sub>H<sub>5</sub>, R' = n-CH<sub>3</sub>OC<sub>6</sub>H<sub>4</sub>; ч R = C<sub>6</sub>H<sub>5</sub>, R' = m-CH<sub>3</sub>OC<sub>6</sub>H<sub>4</sub>; ш R = C<sub>6</sub>H<sub>5</sub>, R' = n-CH<sub>3</sub>OC<sub>6</sub>H<sub>4</sub>; х R = C<sub>6</sub>H<sub>5</sub>, R' = o-CH<sub>3</sub>OC<sub>6</sub>H<sub>4</sub>; ц R = C<sub>6</sub>H<sub>5</sub>, R' = n-CH<sub>3</sub>OC<sub>6</sub>H<sub>4</sub>; ч R = C<sub>6</sub>H<sub>5</sub>, R' = m-CH<sub>3</sub>OC<sub>6</sub>H<sub>4</sub>; ш R = C<sub>6</sub>H<sub>5</sub>, R' = n-CH<sub>3</sub>OC<sub>6</sub>H<sub>4</sub>; х R = C<sub>6</sub>H<sub>5</sub>, R' = o-CH<sub>3</sub>OC<sub>6</sub>H<sub>4</sub>; ц R = C<sub>6</sub>H<sub>5</sub>, R' = n-CH<sub>3</sub>OC<sub>6</sub>H<sub>4</sub>; ч R = C<sub>6</sub>H<sub>5</sub>, R' = m-CH<sub>3</sub>OC<sub>6</sub>H<sub>4</sub>; ш R = C<sub>6</sub>H<sub>5</sub>, R' = n-CH<sub>3</sub>OC<sub>6</sub>H<sub>4</sub>; х R = C<sub>6</sub>H<sub>5</sub>, R' = o-CH<sub>3</sub>OC<sub>6</sub>H<sub>4</sub>; ц R = C<sub>6</sub>H<sub>5</sub>, R' = n-CH<sub>3</sub>OC<sub>6</sub>H<sub>4</sub>; ч R = C<sub>6</sub>H<sub>5</sub>, R' = m-CH<sub>3</sub>OC<sub>6</sub>H<sub>4</sub>; ш R = C<sub>6</sub>H<sub>5</sub>, R' = n-CH<sub>3</sub>OC<sub>6</sub>H<sub>4</sub>; х R = C<sub>6</sub>H<sub>5</sub>, R' = o-CH<sub>3</sub>OC<sub>6</sub>H<sub>4</sub>; ц R = C<sub>6</sub>H<sub>5</sub>, R' = n-CH<sub>3</sub>OC<sub>6</sub>H<sub>4</sub>; ч R = C<sub>6</sub>H<sub>5</sub>, R' = m-CH<sub>3</sub>OC<sub>6</sub>H<sub>4</sub>; ш R = C<sub>6</sub>H<sub>5</sub>, R' = n-CH<sub>3</sub>OC<sub>6</sub>H<sub>4</sub>; х R = C<sub>6</sub>H<sub>5</sub>, R' = o-CH<sub>3</sub>OC<sub>6</sub>H<sub>4</sub>; ц R = C<sub>6</sub>H<sub>5</sub>, R' = n-CH<sub>3</sub>OC<sub>6</sub>H<sub>4</sub>; ч R = C<sub>6</sub>H<sub>5</sub>, R' = m-CH<sub>3</sub>OC<sub>6</sub>H<sub>4</sub>; ш R = C<sub>6</sub>H<sub>5</sub>, R' = n-CH<sub>3</sub>OC<sub>6</sub>H<sub>4</sub>; х R = C<sub>6</sub>H<sub>5</sub>, R' = o-CH<sub>3</sub>OC<sub>6</sub>H<sub>4</sub>; ц R = C<sub>6</sub>H<sub>5</sub>, R' = n-CH<sub>3</sub>OC<sub>6</sub>H<sub>4</sub>; ч R = C<sub>6</sub>H<sub>5</sub>, R' = m-CH<sub>3</sub>OC<sub>6</sub>H<sub>4</sub>; ш R = C<sub>6</sub>H<sub>5</sub>, R' = n-CH<sub>3</sub>OC<sub>6</sub>H<sub>4</sub>; х R = C<sub>6</sub>H<sub>5</sub>, R' = o-CH<sub>3</sub>OC<sub>6</sub>H<sub>4</sub>; ц R = C<sub>6</sub>H<sub>5</sub>, R' = n-CH<sub>3</sub>OC<sub>6</sub>H<sub>4</sub>; ч R = C<sub>6</sub>H<sub>5</sub>, R' = m-CH<sub>3</sub>OC<sub>6</sub>H<sub>4</sub>; ш R = C<sub>6</sub>H<sub>5</sub>, R' = n-CH<sub>3</sub>OC<sub>6</sub>H<sub>4</sub>; х R = C<sub>6</sub>H<sub>5</sub>, R' = o-CH<sub>3</sub>OC<sub>6</sub>H<sub>4</sub>; ц R = C<sub>6</sub>H<sub>5</sub>, R' = n-CH<sub>3</sub>OC<sub>6</sub>H<sub>4</sub>; ч R = C<sub>6</sub>H<sub>5</sub>, R' = m-CH<sub>3</sub>OC<sub>6</sub>H<sub>4</sub>; ш R = C<sub>6</sub>H<sub>5</sub>, R' = n-CH<sub>3</sub>OC<sub>6</sub>H<sub>4</sub>; х R = C<sub>6</sub>H<sub>5</sub>, R' = o-CH<sub>3</sub>OC<sub>6</sub>H<sub>4</sub>; ц R = C<sub>6</sub>H<sub>5</sub>, R' = n-CH<sub>3</sub>

или X, выход ~ 40%, т. пл. 164° (из бал.-петр. эф.). Кипятят 4 часа 2 г XI и 5 г P<sub>2</sub>S<sub>5</sub> в 40 мл кислоты, фильтруют смесь горячей, фильтрат упаривают и по охлаждению получают XII, выход 1,2 г, т. пл. 159° (из петр. эф.); гидразон, т. пл. 160° (из петр. эф.); оксим т. пл. 222° (из сп.). К р-ру VIIa в 30 мл спирта добавляют 1 г N<sub>2</sub>H<sub>4</sub>·H<sub>2</sub>O, кипятят 1 час и по охлаждению отделяют XIII, т. пл. 138° (из сп.); ацетат, т. пл. 109° (из сп.). Кипятят 3 часа 0,5 г VIIa, 0,1 г NH<sub>2</sub>OH·HCl, 30 мл спирта и 5 капель C<sub>6</sub>H<sub>5</sub>N, охлаждают, выливают в воду, добавляют разб. CH<sub>3</sub>COOH и получают XIV, выход ~ 0,41 г, т. пл. 162° (из сп.); ацетат, т. пл. 119° (из сп.). Сообщ. II см. РЖХим, 1956, 47001. Р. Журн 51245. Синтез 2-метилхромона. Бинецкий, Кеслер (Synteza 2-metylochromonu. Biniński, Kessler, 1956, 13, № 6, 503—505 (польск.).

Модификацией двух последних стадий синтеза 2-метилхромона (I) по схеме Виттига (Wittig G и др., Liebigs Ann. Chem., 1925, 446, 155—204), получен I с выходом 95,5%. К 9,8 г о-оксиацетифенона в 30 мл этилацетата добавляют 4 г измельченного Na, по окончании бурной р-ции нагревают на водяной бане 4 часа, разбавляют 130 мл эфира, отделяют осадок Na-соли о-оксиацетифенона, растирают его с 48%-ной CH<sub>3</sub>COOH (75 мл) и получают о-оксиацетифенона (II), выход 63,2%. 5 г II смешивают с 75 мл H<sub>2</sub>SO<sub>4</sub>, через 3 часа (обычная т-ра) добавляют 75 мл воды, нагревают на песчаной бане 10 мин., нейтрализуют содой и извлекают эфиром I. Л. Яновская 51246. Синтез 6-аминофлаванонов. Касихара (6-アミノフラバノン類の合成・笠原晃), 山形大学紀要自然科学, Ямагата дайгаку киб (сидзэн кагаку). Bull. Yamagata Univ. Natur. Sci., 1956, 3, № 4, 231—236 (японск.; рез. англ.).

Синтезированы производные 6-аминофлаванонов через производные 2'-окси-5-ацетиламинохалкона. В качестве исходного в-ва применялся 2-окси-5-ацетиламиноацетифенол.

М. Лянькова 51247. Замыкание кольца халкона до флаванона в присутствии концентрированной ортофосфорной кислоты. Накадзава, Мацуура (濃オルト磷酸によるカルコンのフラバノン閉環・中澤浩一, 松浦信), 薬学雑誌, Якугаку дзасси, J. Pharm. Soc. Japan, 1955, 75, № 4, 469—470 (японск.; рез. англ.).

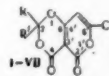
0,1 г 2-ОН-4,6-(OCH<sub>3</sub>)<sub>2</sub>C<sub>6</sub>H<sub>3</sub>COCH = CHC<sub>6</sub>H<sub>4</sub>OCH<sub>3</sub>-4 нагревают 5 мин. при 100° с 1 г 95%-ной H<sub>2</sub>PO<sub>4</sub>, разбавляют водой, декантируют, остаток оставляют на несколько дней в 10%-ном р-ре K<sub>2</sub>CO<sub>3</sub> и получают 4',5,7-триметоксифлаванон, выход 0,07 г, т. пл. 123° (из разб. сп.). Аналогично из 0,1 г 2-ОН-4,6-(OCH<sub>3</sub>)<sub>2</sub>-3-CH<sub>3</sub>-C<sub>6</sub>H<sub>3</sub>CO = CHC<sub>6</sub>H<sub>4</sub>OCH<sub>3</sub>-4 (I) и 1 г 95%-ной H<sub>2</sub>PO<sub>4</sub> получают молекулярное соединение 4',5,7-триметоксис-8-метилфлаванона (II) с H<sub>2</sub>PO<sub>4</sub>, т. пл. 175° (разл., из сп. 85%-ной H<sub>2</sub>PO<sub>4</sub>, 1:1); при перекристаллизации из спирта получают 0,095 г II, т. пл. 132°. 0,2 г I и 1,5 г полифосфорной к-ты осторожно нагревают, обрабатывают, как описано выше, и получают II, выход 0,16 г. Chem. Abstrs, 1955, 49, № 15, 10276. К. Kitsuta 51248. Производные пентаэритрита. II. 3-галоидметил-3-оксиметилкетаны. Иссидоридес, Гулен, Абрахамиян (Pentaerythritol derivatives. II. 3-halomethyl-3-hydroxymethyl oxetanes. Issidorides, Costas H., Gulen Riza C., Abrahamian Nazar S.), J. Organ. Chem., 1956, 21, № 9, 997—998 (англ.).

При р-ции дихлорида (I) или дибромиды (II) пентаэритрита с C<sub>2</sub>H<sub>5</sub>ONa в спир. р-ре получают с выходами 70—76% 3-хлорметил-(III) или 3-бромметил-(IV)-оксиметилкетаны, превращающиеся при 2-час. кипячении (или в течение 48 час. при 20°) с конц. HCl или с 48%-ной HBr в исходные I и II; при нагревании

IVс конц. HCl или при 30-мин. кипячении III с 45%-ной HJ, последующем разбавлении р-ра водой и нейтр-ции его содой, получены соответственно 2-бромметил-(V, выход 71%, т. пл. 95,5—96° (из CCl<sub>4</sub>-толуола) и 2-йодметил-(выход 78%, т. пл. 95—95,5° (из CCl<sub>4</sub>-толуола))-2-хлорметил-1,3-пропандиолы, строение которых доказано на примере V, синтезом из пентаэритрилбромида (VI), превращенного взаимодействием с C<sub>6</sub>H<sub>5</sub>CHO в 2-фенил-5-оксиметил-5-бромметил-1,3-диоксан (VII), из которого действием SOCl<sub>2</sub> получен 2-фенил-5-хлорметил-5-бромметил-1,3-диоксан, гидролизированный в V. К 0,31 моля II (т. пл. 110—111°) в 150 мл спирта постепенно приливают р-р C<sub>2</sub>H<sub>5</sub>ONa (из 7,2 г Na и 350 мл сп.), кипятят 2,5 часа, фильтруют, перегоняют и получают IV, т. кип. 141—143°/1—2 мм, n<sub>D</sub><sup>20</sup> 1,5101; аналогично получают III, т. кип. 142—145°/4—5 мм, n<sub>D</sub><sup>20</sup> 1,4822. 0,1 моля VI в 50 мл воды, 0,1 моля C<sub>6</sub>H<sub>5</sub>CHO и 0,6 мл конц. HCl размешивают 48 час. и отделяют VII, выход 69%, т. пл. 73,5—74,5° (из бал.-петр. эф.). К р-ру 17,2 г VII в 4,7 г пиридина и 8 мл CHCl<sub>3</sub> приливают (2 часа, 0°) 7,2 г SOCl<sub>2</sub> в 8 мл CHCl<sub>3</sub>, кипятят, затем гидролизуют (см. РЖХим, 1954, 26960) и получают V, выход 53%; при аналогичной обработке II избытком SOCl<sub>2</sub> получают 2,2-ди-(бромметил)-1,3-дихлорпропан, выход 69%, т. пл. 116,5—118° (из петр. эф.). Сообщение I см. РЖХим, 1956, 54339.

Д. Витковский 51249. Циклические производные хлорангидрида малоновой кислоты. II. Гидролиз продуктов реакции малонилхлорида с алифатическими, циклоалифатическими и ароматическими кетонами. Маливский, Роневич (Cykliczne pochodne chlorku malonylu. II. Hydroliza produktów reakcji chlorku malonylu z ketonami alifatycznymi, cykloalifatycznymi i aromatycznymi. Malawski Marek J., Roniewicz Anna), Roczn. chem., 1956, 30, № 1, 157—164 (польск.).

Проведен гидролиз полученных по ранее описанному методу (J. Chem. Soc., 1952, 4109), следующих производных 6'-хлор-2',4'-дикетопиран-(3',4'-5,6)-1,3-диоксиана (I); 2,2-дифенил-I (II), 2-метил-2-фенил-I (III), 2-



метил-2-этил-I (IV), т. разл. 111—118°, 2,2-диэтил-I (V), 2-метил-2-н-пропил-I (VI) и 2-спироциклопентенил-I (VII), т. разл. 90—98°. 0,01 моля II—VII нагревают в течение 20 мин. при 65—75° с 35 мл 2,5 н. Na<sub>2</sub>CO<sub>3</sub> (в случае II, III, V—VII прибавляют небольшое кол-во ацетона), фильтруют и выделяют полученные Na-соли в виде масел или кристаллов (в случае II). Установлено, что в результате гидролиза произошло замещение хлора в положении 6' II—VII на ONa-группу. Приведены т. пл. S-бензилтиурониевых солей (соответственно IIa—VIIa): IIa, 154° (разл.); IIIa, 156—156,5° (разл.); IVa, 153—154° (разл.); Va, 123—124° (разл.); VIa, 166—167°; VIIa 166—167° (разл.), соль с продуктом гидролиза 2,2-диметил-I, 169—170° (разл.). Сообщение I см. РЖХим, 1956, 16062. W. Tuszko 51250. Бензотиофенхиноны-4,5. Мартин-Смит, Гейте (Benzothiophene-4,5-quinones. Martin-Smith M., Gates Marshall), J. Amer. Chem. Soc., 1956, 78, № 20, 5351—5357 (англ.).

Исследованы различные способы получения 7-(цианкарбатоксиметил)-бензотиофенхинона-4,5 (I) и его производных. Исходный 6-бромбензотиофенхинон-4,5 (II) получен окислением HNO<sub>3</sub> 4,6-дибром-5-оксibenзотиофена (III), т. пл. 94,5—96°. О-ацетильное производное, т. пл. 76,5—78° (из разб. CH<sub>3</sub>COOH). II и III описаны ранее (см. Fries K. и др., Liebigs Ann. Chem., 1936, 527, 83) как 3,4-дибром-5-оксibenзотиофен (IV) и



3-бромбензотиофенхинон-4,5, но сравнение III с заводным IV (РЖХИМ, 1956, 58047) и свойства II и III позволяют приписать им указанное выше строение. При конденсации с  $\text{CNC}_2\text{H}_5\text{COOC}_2\text{H}_5$  (V) в присутствии  $\text{N}(\text{C}_2\text{H}_5)_3$  и  $\text{K}_3\text{Fe}(\text{CN})_6$  II теряет Br и превращается в I, подобно тому как 3-бромнафтохинон-1,2 в аналогичных условиях превращаются в 4-цианокрбэтоксиметилнафтохинон-1,2 (VI), т. пл. 127—129° (из сп.); в отсутствие  $\text{K}_3\text{Fe}(\text{CN})_6$  р-ция проходит без отщепления Br и получается 6-бром-7-(цианокрбэтоксиметил)-бензотиофенхинон-4,5, т. пл. 191—192° (из этилацетата (VII)). При применении в этой р-ции (в присутствии  $\text{K}_3\text{Fe}(\text{CN})_6$ ) неочищ. II получены I и его 2-бромпроизводное (Ia), что, по-видимому, является результатом наличия в II примеси 2,6-дибромбензотиофенхинона-4,5 (VIII); действительно, при недостаточно быстром выделении II из реакционной смеси при его получении образуется с хорошим выходом VIII. При конденсации VIII с V в присутствии  $\text{N}(\text{C}_2\text{H}_5)_3$  и  $\text{K}_3\text{Fe}(\text{CN})_6$  также отщепляется атом Br и получается Ia, который гидрированием над Pd/C и последующим окислением превращен в I. 2-карбокситроизводное I (Ib) синтезировано восстановлением 5-окси-4-нитробензотиофенкарбонистой-2 к-ты (IX) (полученной восстановлением 5-нитробензотиофенкарбонистой-2 к-ты (X) в соответствующую аминокислоту (XI), дезаминированную в 5-оксибензотиофенкарбонистую-2 к-ту (XII), превращенную действием  $\text{NaNO}_2$  в IX) над скелетным Ni в соответствующий амин, конденсированный с V в присутствии  $\text{N}(\text{C}_2\text{H}_5)_3$  и  $\text{K}_3\text{Fe}(\text{CN})_6$  в Ib; аналогично из 4-нитробензотиофена синтезирован I. С лучшим выходом Ib получается восстановлением 5-окси-4-нитробензотиофенкарбонистой-2 к-ты (XIII), синтезированной нитрованием ацетильного производного XI (XIa) в 5-ацетиламино-4-нитробензотиофенкарбонистую-2 к-ту (XIV), гидролизованную разб. р-ром NaOH (0,3 л воды на 40 мл 1%-ного р-ра NaOH) при 100° в аминокислоту, т. пл. 301—302° (из  $\text{CH}_3\text{COOH}$ ), при нагревании которой, или XIV, с 10%-ным р-ром NaOH получается XIII, т. пл. 269—271° (из  $\text{CH}_3\text{COOH}$ ). 3-бромпроизводное I (Ib) получено бромированием 5-ацетоксibenзотиофена, т. пл. 66—68°, в присутствии 1 моля  $\text{CH}_3\text{COONa}$  и нитрованием образующегося 3,4-дибром-5-оксibenзотиофена (XV), выход 70%, т. пл. 147—149° (из гексана), в неустойчивый 3,4-дибром-4,5-дигидро-5-кето-4-нитробензотиофен, превращающийся при нагревании в  $\text{C}_6\text{H}_6$  в 3-бромбензотиофенхинон-4,5, конденсированный с V в Ib. Попытка получения 7-цианометилбензотиофенхинонов-4,5 элиминированием  $\text{COOC}_2\text{H}_5$ -группы из I и его производных при действии гидрата бензилтриэтиламмония (XVI) оказалась безуспешной; только из Ib этим путем получен разлагающийся при перекристаллизации 2-бром-7-(цианометил)-бензотиофенхинон-4,5, выделенный в виде феназинового производного (ФП) (XVII). VI при действии XVI превращен в устойчивый 4-цианометилнафтохинон-1,2 (XVIII). Попытки получения бензотиофенхинонов-4,5 из 5-амино- (XIX) или 5-окси- (XX) 4-бромбензотиофенкарбонистых к-т, или из 5-амино- (XXI) или 4-бром-5-окси- (т. пл. 110,5—112° (из гексана)-бензотиофенов не имели успеха. XII декарбокситирована в 5-оксibenзотиофен (XXII), нитрозированный в 5-окси-4-нитробензотиофен (XXIII), и бромирована в 4,6-дибром-5-оксibenзотиофенкарбонистую-2 к-ту (XXIV). К взвеси 0,16 г II в 10 мл спирта приливают последовательно 2 капли V и 1 мл  $\text{N}(\text{C}_2\text{H}_5)_3$ , размешивают 4 мин., добавляют р-р 1 г  $\text{K}_3\text{Fe}(\text{CN})_6$  в 10 мл воды, затем (немедленно) 0,5 г соды в 10 мл воды, размешивают 7 мин., подкисляют разб.  $\text{H}_2\text{SO}_4$  и извлекают эфиром I, выход 0,07 г, т. пл. 184—186° (из VII); ФП, т. пл. 194—196° (из разб.  $\text{CH}_3\text{COOH}$ ). Аналогично из 0,7 г VIII получают Ia, выход 0,025 г, т. пл. 225—227° (разл., из VII); ФП, т. пл.

203,5—205,5° (из  $\text{CH}_3\text{COOH}$ ). К 0,5 г III в 10 мл  $\text{CHCl}_3$  приливают 3 мл конц.  $\text{HNO}_3$ , встряхивают 2 мин., смешивают с 25 мл воды, оставляют на 24 часа и из органич. слоя выделяют VIII, выход 40%, т. пл. ~130° (разл., из VII). 0,2 г Ia в 20 мл спирта гидрируют над 0,5 г 10%-ного Pd/C, р-р фильтруют в атмосфере  $\text{N}_2$ , приливают к 0,75 г  $\text{K}_3\text{Fe}(\text{CN})_6$  в 10 мл воды и 3 мл  $\text{N}(\text{C}_2\text{H}_5)_3$  и получают I, выход 35%. К 15 г Na-соли X в 0,7 л воды, 2 г скелетного Ni и 11 мл 85%-ного  $\text{N}_2\text{H}_4 \cdot \text{H}_2\text{O}$  нагревают 30 мин при 100°, добавляют немного катализатора и 3 мл  $\text{N}_2\text{H}_4 \cdot \text{H}_2\text{O}$ , нагревают еще 30 мин., р-р подкисляют разб.  $\text{H}_2\text{SO}_4$ , продукт разлагают р-ром NaOH, приливают  $\text{CH}_3\text{COOH}$  и получают XI, выход 85%, т. пл. 279—280° (разл., из  $\text{CH}_3\text{COOH}$ ); сульфат, т. пл. > 335°; ацетильное производное (XIa), т. пл. 340° (из  $\text{CH}_3\text{COOH}$ ). 10 г XI и 0,5 л 40%-ного р-ра  $\text{NaHSO}_3$  кипятят 48 час, приливают 0,8 л воды, добавляют избыток NaOH, кипятят 1 час, отделяют осадок, т. пл. 331—332°, фильтрат подкисляют конц. HCl и получают XII, выход 55%, т. пл. 262—263° (из разб. сп.). Взвесь 1 г XII в 35 мл 30%-ной  $\text{CH}_3\text{COOH}$  нитрозируют 0,435 г  $\text{NaNO}_2$  и получают IX, выход 90%, разлагающийся при перекристаллизации. 1 г IX в 125 мл спирта гидрируют над 0,8 г скелетного Ni, фильтруют в атмосфере  $\text{N}_2$  в р-р 0,8 мл V и 3 мл  $\text{N}(\text{C}_2\text{H}_5)_3$  в 25 мл спирта, тотчас добавляют 6 г  $\text{K}_3\text{Fe}(\text{CN})_6$  в 0,1 л воды, размешивают, приливают р-р 1 г соды в 0,2 л воды, размешивают 10 мин., подкисляют 6 M  $\text{H}_2\text{SO}_4$  и получают Ib, выход 0,3 г, т. пл. 268—270° (разл., из  $\text{CH}_3\text{COOH}$ ); ФП, т. пл. > 300°. К взвеси 4 г XIa в 125 мл  $\text{CH}_3\text{COOH}$  приливают при 100° 5 мл конц.  $\text{HNO}_3$ , размешивают и получают XIV, выход 65%, т. пл. 254,5—256° (разл., из  $\text{CH}_3\text{COOH}$ ). Взвесь 0,12 г XV в 4 мл  $\text{CH}_3\text{COOH}$  и 2 мл конц.  $\text{HNO}_3$  размешивают, разбавляют водой, продукт растворяют в 10 мл  $\text{C}_6\text{H}_6$ , кипятят 10 мин., отгоняют р-ритель, остаток растворяют в 4 мл абс. спирта, добавляют последовательно 0,1 мл V, 0,3 мл  $\text{N}(\text{C}_2\text{H}_5)_3$ , 0,3 г  $\text{K}_3\text{Fe}(\text{CN})_6$  в 2 мл воды и 0,15 г соды в 10 мл воды, размешивают, подкисляют разб.  $\text{H}_2\text{SO}_4$  и получают Ib, выход 29%, т. пл. 239—240° (из VII). 0,4 г Ib в 7 мл XVI оставляют на 45 мин., приливают 3-кратное кол-во воды, фильтруют, р-р подкисляют 6 н. HCl, кипятят с о-фенилендиаминном и  $\text{CH}_3\text{COOH}$  и получают XVII, т. пл. 253—254° (разл., из разб.  $\text{CH}_3\text{COOH}$ ). Р-р 0,5 г VI в 80 мл XVI оставляют на 25 мин., подкисляют 6 н. HCl и отделяют XVIII, выход 79%, т. пл. 208—211° (из водн. ацетона); ФП, т. пл. 200—202° (из бзд.-гексана). К 2,034 г XI в 0,4 л теплой  $\text{CH}_3\text{COOH}$  приливают 1 моль  $\text{Br}_2$  в 9 мл  $\text{CH}_3\text{COOH}$ , продукт растворяют в разб. р-ре NaOH, подкисляют  $\text{CH}_3\text{COOH}$  и отделяют XIX, выход 88%, т. пл. 273—274° (из сп.). К р-ру 1 г XII в 25 мл  $\text{CH}_3\text{COOH}$  приливают по каплям при 0° р-р 1 моля  $\text{Br}_2$  в  $\text{CH}_3\text{COOH}$ , смесь разбавляют водой и получают XX, выход 93%, т. пл. 273—274° (из  $\text{CH}_3\text{COOH}$ ). 10 г 5-нитробензотиофена в 0,1 л абс. спирта, 1 г скелетного Ni и водн. р-р 10 мл 85%-ного  $\text{N}_2\text{H}_4 \cdot \text{H}_2\text{O}$  нагревают 30 мин. почти при т-ре кипения, фильтруют в 0,1 л 6 M  $\text{H}_2\text{SO}_4$  и отделяют сульфат XXI, выход 87%, т. пл. 270—272° (из воды). Смесь 4,25 г XII, 2 г порошка Si и 40 мл хиволина нагревают (30 мин., 190—200°) в токе  $\text{N}_2$ , разбавляют эфиром, фильтруют, вымывают хинолин 6 н. HCl, извлекают разб. р-ром NaOH, подкисляют HCl и получают XXII, выход 73%, т. пл. 103—105°. К р-ру 1 г XXII в 7 мл  $\text{CH}_3\text{COOH}$  приливают 15 мл ледяной воды, добавляют при 0° в течение 30 мин. 0,55 г  $\text{NaNO}_2$  и отделяют XXIII, выход 90%, т. пл. 121—123° (из водн.  $\text{CH}_3\text{OH}$ ). 1 г XII и 2 г  $\text{CH}_3\text{COONa}$  растворяют в 35 мл  $\text{CH}_3\text{COOH}$ , приливают при 0° 10,3 мл 2 M р-ра  $\text{Br}_2$  в  $\text{CH}_3\text{COOH}$  и отделяют XXIV, выход 78%, т. пл. 301—303° (из  $\text{CH}_3\text{COOH}$ ). 4 г Na-соли 5-нитробензотиофенкарбон-

вой-2 к-ты в 0,2 л воды смешивают с р-ром 5 г  $\text{AgNO}_3$  в 50 мл воды, продукт отделяют, высушивают над  $\text{P}_2\text{O}_5$ , кипятят с 40 мл  $\text{CCl}_4$ , добавляют 2,26 г  $\text{Br}_2$  в 30 мл  $\text{CCl}_4$ , кипятят 1,5 часа, отделяют осадок, из которого извлекают бензолом в-во, выход 2,6 г, т. пл. 308–310° (из сп.), являющееся, вероятно, 7-бром-5-нитробензотиофенкарбонистой-2 к-той; р-р концентрируют и получают в-во, т. пл. 217–218° (из сп.). Д. В. 51251.

**Реакция N-фенилпирролидина с перекисью бензоила.** Кодзима (N-フェニルピロリンとベンゾイルパーオキシドとの反応・小島茂樹), *工業化学雑誌*, Котэ какаку дзасси, J. Chem. Soc. Japan. Industr. Chem. Sec., 1955, 58, № 6, 470–471 (японск.).

К 7,2 г N-фенил-2,5-дигидропиррола (т. пл. 93–94°), полученного обработкой N-фенил-3,6-дигидро-1,2-оксаяна  $\text{CH}_3\text{COOH}$  и  $\text{Zn}$ , прибавляют при 30° в течение 3 час. р-р 12,1 г  $(\text{C}_6\text{H}_5\text{CO})_2\text{O}_2$  (I) в  $\text{C}_6\text{H}_6$ , получают 12,0 г  $\text{C}_6\text{H}_5\text{COOH}$  (II) и 4 г N-фенилпиррола (III), т. пл. 59–60° (из сп.). Аналогично, при обработке 5,8 г N-фенил-3,4-диметил-2,5-дигидропиррола, 8,1 г I в  $\text{C}_6\text{H}_6$ , но при 45°, получают 8 г II и 2,7 г N-фенил-3,4-диметилпиррола (IV), т. пл. 63–64° (из сп.). Р-ции сочетания III и IV с диазониевыми солями дают соответствующие диазосоединения с окраской от желтой до оранжевой.

Chem. Abstrs, 1956, 50, № 7, 4903. Katsuya Inouye

51252. О термическом расщеплении четвертичных оснований и солей с ненасыщенными алкилами. VII. Гидроокиси 1,1-диметил- $\Delta^3$ -пирролина и 1-фенил-1,3,4-триметил- $\Delta^3$ -пирролина. Лукеш, Троянек (O methylnacinn štěpení kvartérních zásad a soli s nenasyčenými alkyly. VII. 1,1-dimethyl- $\Delta^3$ -pyrroliniumhydroxyd a 1-fenyl-1,3,4-trimethyl- $\Delta^3$ -pyrroliniumhydroxyd. Lukeš Rudolf, Trojáněk Jan), Chem. listy, 1956, 50, № 10, 1617–1623 (чешск.); Сб. чехосл. хим. работ, 1957, 22, № 2, 569–576 (нем.; рез. русск.).

Из бромметилата 1-метил-3,4-дигидропирролидина получена гидроокись 1,1-диметил- $\Delta^3$ -пирролина (I), термич. расщепление (TP) которой в соответствии с предыдущими работами (см. сообщение VI, РЖХим, 1956, 74938) идет в двух направлениях. С одной стороны, образуются кротоновый альдегид (II) и диметиламин, с другой, 1-диметиламино-2-бутин (III) наряду с изомерным основанием неизвестного строения. III синтезирован независимо из 1-диметиламино-3-хлор-2-бутена (IV) дегидрохлорированием. Последнее протекает с трудом, но лучше всего идет с помощью гликолята Na в этиленгликоле. Авторы получили 4,5-диметил-2-фенил-3,6-дигидро-1,2-оксаян (V) (ср. Wichterle O., Сб. чехосл. хим. работ, 1947, 12, 292). При восстановлении V образуются 4-фениламино-2,3-диметил-2-бутен-1-ол и 1-фенил-3,4-диметил- $\Delta^3$ -пирролин (VI). Из VI получены йодметилат и бромметилат, которые переведены в гидроокись 1,3,4-триметил-1-фенил- $\Delta^3$ -пирролина. В отличие от I из VII при TP образуется обратно VI в качестве единственного изолированного продукта. Бромид 1,1-диметил-3,4-дигидропирролидина перемешивают с водн. суспензией  $\text{Zn}$ -пыли 3 часа, фильтрат подщелачивают водн. р-ром  $\text{Ba}(\text{OH})_2$ , фильтруют, осаждают  $\text{Ba}^{2+}$  и фильтрат после  $\text{BaSO}_4$  встряхивают с  $\text{Ag}_2\text{O}$ . Выход I 93%, определяется титрованием аликвотной части; пикрат, т. пл. 282–283° (разд. сп.-вода). Водн. р-р I перегоняют после прибавления нескольких мл р-ра  $\text{Ba}(\text{OH})_2$  до 120–130° и выделяют 0,13 г II и смесь оснований, выход 59,4% (определено титрованием), из которой *n*-толуолсульфохлоридом выделяют *n*-толуолсульфодиметиламид, т. пл. 82° (пекр. эф.). Отношение диметиламина к третичным основаниям (ТО) — 7:2:4:1 (2 определения). ТО дали пикрат 1-диметиламино-2-бутина, т. пл. 123–124° (сп.), идентичный с синтетич. препаратом, наряду с небольшим кол-вом пикрата изомерного

основания  $\text{C}_{12}\text{H}_{14}\text{O}_4\text{N}_4$ , т. пл. 115° (сп.). Разделение обоих пикратов затруднительно. Гидрогенизацией смеси ТО после израсходования 88,5%  $\text{H}_2$  (исчислено на 2 двойных связи) получают 1-диметиламинобутан; пикрат, т. пл. 97–98° (сп.). IV, выход 48%, т. кип. 42°/18 мм, получен из 1,3-дихлор-2-бутена и диметилamina в сухом  $\text{C}_6\text{H}_6$  (~20°, 15 час.); пикрат, т. пл. 120–121° (сп.). III, выход 51%, т. кип. 116–117° (из IV и гликолята Na в этиленгликоле, перемешивание 3 час. при 120–140° (баня)); пикрат, т. пл. 122–123° (сп.); йодметилат, т. пл. 161–162° (эф.  $\text{CH}_3\text{OH}$ ). VI, выход 9,5 г, т. пл. 114–115° ( $\text{CH}_3\text{OH}$ ), получен из 18,9 г V и  $\text{Zn}$ -пыли в лед.  $\text{CH}_3\text{COOH}$  при 160–170° наряду с 1,1-г 4-фениламино-2,3-диметил-2-бутен-1-олом, т. кип. 157–158°/3 мм. Бромметилат VI, выход 79%, т. пл. 166–167°, из VI и  $\text{CH}_3\text{Br}$ , 2 часа при 90–95° в запаянной трубке. Йодметилат VI, выход 65%, т. пл. 161–162° (из V и  $\text{CH}_3\text{I}$ , 2 часа 100°). VII получают обычным способом из бромметилата VI и  $\text{Ag}_2\text{O}$ .

Jaromir Plešek

51253. Асимметрия в реакции *l*-ментола с  $\beta$ -фенил-глутаровым ангидридом, аналогом лимонной кислоты. Синтез оптически активных пирролидидов  $\beta$ -фенилглутаровой кислоты. Олтшур, Бернштейн, Кози (Asymmetry in the reaction of *l*-menthol with  $\beta$ -phenylglutaric anhydride, an analog of citric acid. Preparation of optically active pyrrolidides of  $\beta$ -phenylglutaric acid. Altschul Rolf, Bernstein Philip, Cohen Saul G.), J. Amer. Chem. Soc., 1956, 78, № 19, 5091–5095 (англ.).

Найдено, что при взаимодействии *l*-ментола (I)  $\beta$ -фенилглутаровый ангидрид (II) образует смесь двух диастереомерных моноэфиров (III) в неравных кол-вах (см. также РЖХим, 1955, 18622). Это явление может быть принято во внимание при объяснении некоторых стереоспецифич. энзиматич. процессов на субстратах типа лимонной к-ты. (ср. Ogston, Nature, 1948, 162, 963). Смесь 0,0527 моля I и 0,0542 моля II нагревают 9,5 час. при 154 ± 2°; продукт р-ции кристаллизацией из  $\text{C}_6\text{H}_6$  разделяют на фракции; 1) т. пл. 168–174°,  $[\alpha]_D^{25} - 57,6$  (с 5,47; здесь и дальше в диоксане); 2) т. пл. 118–140°,  $[\alpha]_D^{25} - 42,5$  (с 5,56); 3) т. пл. 96–106°,  $[\alpha]_D^{25} - 34,8$  (с 5,80); 4) т. пл. 86–100°. Из 1-й фракции после кристаллизации из  $\text{C}_6\text{H}_6$  получают диастереомер III с т. пл. 173–174°,  $[\alpha]_D^{25} - 59,0$  (с 5,7) (IIIa). Фракции 3 и 4 растворяют в ацетоне, нейтрализуют 2 н.  $\text{NaOH}$ , упаривают ацетон, отделяют ди-ментилловый эфир  $\beta$ -фенилглутаровой к-ты (IV, к-та — V), т. пл. 105–106° (из  $\text{CH}_3\text{COOH}$ ),  $[\alpha]_D^{25} - 67,5$  (с 5,57), фильтрат подкисляют конц.  $\text{HCl}$ , извлекают эфиром, упаривают и остаток дробно кристаллизуют из  $\text{C}_6\text{H}_6$ , получают диастереоизомер III с т. пл. 112–113°,  $[\alpha]_D^{25} - 36,9$  (с 5,45) (IIIб). Соотношение IIIa:IIIб = 54:46 остается постоянным и при изменении условий р-ции, хотя кол-во IV меняется. Смесь 0,021 моля II и 0,02 моля циклогексанола нагревают 9 час. при ~155°; получают моноциклогексильный эфир V (VI), выход 76%, т. пл. 88–89° (из водн.  $\text{CH}_3\text{OH}$ ). К р-ру 0,021 моля II в 25 мл  $\text{C}_6\text{H}_6$  прибавляют при 50° 0,021 моля пирролидина (VII), через 30 мин. выделяют монопирролидид V (VIII), выход 45%, т. пл. 108–109° (из этилацетата). Аналогично получают монопирридинид V, выход 57%, т. пл. 138–139° (из этилацетата). Смесь 0,03 моля Li и 0,21 моля VII кипятят 24 часа, прибавляют 0,0035 моля VI, выдерживают 23 часа при ~20°, подкисляют 6 н.  $\text{HCl}$  и извлекают  $\text{CHCl}_3$ ; получают VIII, выход 17%. Аналогично из IIIa получают один из оптич. изомеров VIII, выход 41%, т. пл. 128,5–129,5° (из этилацетата),  $[\alpha]_D^{25} - 13,6$  (с 2,18, абс. сп.), и из IIIб получают другой оптич. изомер VIII, выход 17%, т. пл. 128–129°,  $[\alpha]_D^{25} + 11,8$  (с 2,34; абс. сп.). Смесь 0,01 моля II и 25 мл

$\text{CH}_3\text{OH}$  кипятят 6 час.,  $\text{CH}_3\text{OH}$  отгоняют в вакууме; получают монометилэфир **V**, выход 94%, т. пл. 96–97° (из циклогексана).

А. Гуревич

**51254. Синтез индолов из диазокетонов.** Блейде, Уайлде (The preparation of indoles from diazo ketones. Blades C. E., Wilds A. L.), J. Organ. Chem. 1956, 21, № 9, 1013–1021 (англ.)

При взаимодействии  $\text{RCOC}(\text{R}')\text{N}_2$  (**I**) с  $\text{C}_6\text{H}_5\text{NH}_2$  (**II**) или  $\text{C}_6\text{H}_5\text{NHR}'$  (**III**) в присутствии  $\text{HBr}$ ,  $\text{BF}_3$  или  $\text{HCl}$  при 180–200° образуются производные индола (**IV**). Р-ция **I** с **II** приводит к 2-R-3-R'-замещ. **IV** (**IVa**), тогда как р-ция **I** ( $\text{R}'=\text{H}$ ) с **III** приводит к смеси **IVa**, 1-R'-2R- (**IVb**) и 1-R'-3-R- (**IVв**) замещ. **IV**. Положения **R** в **IVa** (при  $\text{R}'=\text{H}$ ) подтверждено синтезом 2-R-замещ. 3-бензоилоксимининдолининов (**V**). Показано, что образующиеся при взаимодействии **I** с  $4\text{-CH}_3\text{C}_6\text{H}_4\text{N}\cdot\text{HBr}$  четвертичные соли ( $4\text{-CH}_3\text{C}_6\text{H}_4\text{NCH}_2\text{COR} + \text{Br}^-$ ) (**VI**) (ср. King, Miller, J. Amer. Chem. Soc., 1948, 70, 4154), при взаимодействии с **II** превращаются в **IV**. Обсуждается механизм р-ции и связь его с механизмом р-ции Бишлера. К эфирному р-ру 1 моля хлорангидрида к-ты прибавляют по каплям 2,5–3 моля  $\text{CH}_2\text{N}_2$  при 0–5° или  $\text{C}_6\text{H}_5\text{N}_2$  при –20° в эфире, получают  $n\text{-N}_2\text{CHCOC}_6\text{H}_4\text{COCHN}_2$  (**VII**), выход 98%, т. пл. > 300° (разлагается при 180°) и следующие **I** (указаны **R**,  $\text{R}'$ , выход в %, т. пл. в °C): нафтил-2, **H**, 86, 81–83 (из баз.-петр. эф.);  $n\text{-C}_6\text{H}_5\text{C}_6\text{H}_4$ , **H**, 83, 119–120,5 (из петр. эф.);  $n\text{-C}_6\text{H}_5\text{C}_6\text{H}_4$ ,  $\text{CH}_3$ , 71, 103–104,5 (из петр. эф.);  $\text{C}_6\text{H}_5\text{CH}_2$ , —, —,  $n\text{-CH}_2\text{OC}_6\text{H}_5$ ,  $\text{CH}_3$ , —, —. Строение **VII** доказано его превращением в  $n\text{-ClCH}_2\text{COC}_6\text{H}_4\text{COCH}_2\text{Cl}$  при обработке 5%-ной  $\text{HCl}$ , выход 75%, т. пл. 185–186° (из сп.). Смесь 5,5 ммоль **I** ( $\text{R}=n\text{-ClC}_6\text{H}_4$ ,  $\text{R}'=\text{H}$ ), 5,7 ммоль бромгидрата **II** (или 0,9 г эфира  $\text{BF}_3$ ) и 10–15 мл **II** нагревают при 175–200°, охлаждают, прибавляют  $\text{Na}_2\text{CO}_3$  и отгоняют с паром **II**, получают **IVa** ( $\text{R}=n\text{-ClC}_6\text{H}_4$ ,  $\text{R}'=\text{H}$ ) (**VIII**), выход 79–81% (с  $\text{BF}_3$  75–82%), т. пл. 206–207° (из  $\text{CCl}_4$  или смеси баз.-петр. эф.); при обработке р-ра **VIII** в  $\text{CH}_3\text{COOH}$  водн. р-ром  $\text{NaNO}_2$  при ~ 20° получают 2-( $n$ -хлорфенил)-3-оксимининдолинин, выход 72%, т. пл. 275–275,3° (разл.; из  $\text{CH}_3\text{COOH}$ ), который с  $\text{C}_6\text{H}_5\text{COCl}$  и 10%-ным р-ром  $\text{NaOH}$  превращают в 2-( $n$ -хлорфенил)-**V**, т. пл. 169–170° (из баз. или ацетона). Аналогично получают следующие **IVa** с  $\text{R}'=\text{H}$  и соответствующие им **V** (указаны заместители в положении 2, катализатор, продолжительность р-ции в час., выход **IVa** в %, т. пл. **IVa** в °C, т. пл. **V** в °C):  $\text{C}_6\text{H}_5$  (**IX**),  $\text{BF}_3$ , 1–5, 67, 189,5–190 (из сп.), 152–153;  $n\text{-CH}_2\text{OC}_6\text{H}_4$ ,  $\text{BF}_3$ , 1–5, 61–65, 230,5–231 (из сп.), 159,5–160,5 (из  $\text{CH}_3\text{OH}\cdot\text{CHCl}_3$ );  $n\text{-O}_2\text{NC}_6\text{H}_4$ ,  $\text{BF}_3$ , 0,08, 3, 251–253 (из баз.), —;  $n\text{-CH}_3\text{C}_6\text{H}_4$ ,  $\text{BF}_3$ , 1, 77, 220,5–221 (из сп.), 134–134,5 (из ацетона- $\text{CH}_3\text{OH}$ );  $n\text{-C}_6\text{H}_5\text{C}_6\text{H}_4$ ,  $\text{HBr}$ , 5, 75, 300–300,5 (из  $2\text{-CH}_3\text{OC}_2\text{H}_4\text{OH}$ ), 157,5–158,5 (из ацетона); нафтил-1',  $\text{BF}_3$ , 5, 76 (с  $\text{HBr}$  за 1 час выход 73%), 140–141 (из сп.), 171,5–172,5 (из ацетона- $\text{CH}_3\text{OH}$ ); нафтил-2' (**X**),  $\text{BF}_3$ , 5, 83 (с  $\text{HBr}$  за 5 час. выход 69%), 203,5–204 (из сп.), 211–212,5 (из ацетона);  $n$ -пропил,  $\text{HBr}$ , 0,17, 23, —, —, (цикрат, т. пл. 147–150), а также  $n$ -бис-(индол-2)-бензол (с  $\text{BF}_3$ ), выход 10%, т. пл. > 360° (из ацетона). Аналогично из **II** и **I** с  $\text{R}'=\text{CH}_3$  получены следующие **IVa** с  $\text{R}'=\text{CH}_3$  (указаны заместители в положении 2, катализатор, продолжительность р-ции в час., выход в %, т. пл. в °C, т. пл. соединения с тринитробензолом в °C):  $n\text{-ClC}_6\text{H}_4$  (**XI**),  $\text{BF}_3$ , 5, 42 (с  $\text{HCl}$  за 1 час выход 46%), 175–176 (из  $\text{CH}_3\text{OH}$  и петр. эф.), 131–131,5 (из сп.);  $\text{C}_6\text{H}_5$  (**XII**),  $\text{HBr}$ , 1, 32, 89,5–91, 155–155,5 (из сп.);  $n\text{-CH}_3\text{C}_6\text{H}_4$ ,  $\text{HBr}$ , 0,08, 50, 116–117 (возогнан в вакууме), 150–150,5;  $n\text{-C}_6\text{H}_5\text{C}_6\text{H}_4$ ,  $\text{HBr}$ , 0,33, 55, 162–163,5 (из сп.), 176–176,5 (из сп.); попытка получения указанным методом **IVa** ( $\text{R}=\text{нафтил-2}'$ ,  $\text{R}'=\text{CH}_3$ ) (**XIII**), **IVa** ( $\text{R}=n\text{-CH}_2\text{OC}_6\text{H}_4$ ,  $\text{R}'=\text{CH}_3$ ) и **IVa** ( $\text{R}=n\text{-CH}_2\text{OC}_6\text{H}_4$ ,

$\text{R}'=\text{C}_2\text{H}_5$ ) (**XIV**) не привела к положительному результату. **XIII** получен из фенилгидразона 2-пропанофтона (по Фишеру), выход 75%, т. пл. 123–124,5°, соединение с тринитробензолом, т. пл. 197–197,5° (из сп.), и из  $\alpha$ -бромпропанофтона (по Бишлеру), выход 46%. **XIV** синтезирован из фенилгидразона  $n$ -метоксибутирофтона, выход 69%, т. пл. 106–107° (из сп.), соединение с тринитробензолом, т. пл. 99–100° (из сп.). При взаимодействии **I** ( $\text{R}'=\text{H}$ ) с **III** получают смесь **IVa**, **IVб** и **IVв**, которую разделяют фракционной кристаллизацией из петр. эфира (указаны **R**,  $\text{R}'$ , продолжительность р-ции в мин., выход **IVв** (т. пл. в °C), **IVб** (т. пл. в °C), **IVa** (с  $\text{R}'=\text{H}$ ) в %):  $n\text{-ClC}_6\text{H}_4$ ,  $\text{CH}_3$ , 20–60, 39–40 (96,6–97), 12–18 (120,7–121,3), 7–8;  $n\text{-ClC}_6\text{H}_4$ ,  $\text{C}_2\text{H}_5$ , 60, 55 (80–80,5), 0,3–0,5 (—), 1;  $n\text{-C}_6\text{H}_5\text{C}_6\text{H}_4$ ,  $\text{C}_2\text{H}_5$ , 60, 64 (111,5–112 (из сп.)), 4 (135,1–135,7 (из петр. эф.-ацетона)), 2. Р-р 0,98 г  $\text{C}_6\text{H}_5\text{COCHN}_2$  (**XV**) и 1,16 г  $4\text{-CH}_3\text{C}_6\text{H}_4\text{N}\cdot\text{HBr}$  в 15 мл абс. спирта кипятят 15 мин., получают **VI** ( $\text{R}=\text{C}_6\text{H}_5$ ,  $\text{R}'=\text{H}$ ) (**XVI**), выход 92%, т. пл. 265–268° (разл.; из сп.-этилацетата). Аналогично синтезируют следующие **VI** (указаны **R**,  $\text{R}'$ , выход в %, т. пл. в °C (разл.; из абс. сп.)):  $n\text{-ClC}_6\text{H}_5$ , **H**, 78, 249–250;  $n\text{-ClC}_6\text{H}_5$ ,  $\text{CH}_3$ , 39, 206–207. Р-р 1 г **XV** и 1,25 г  $\text{C}_6\text{H}_{10}\text{NCH}\cdot\text{HBr}$  в 15 мл  $2\text{-CH}_3\text{OC}_2\text{H}_4\text{OH}$  кипятят 15 мин., р-ритель отгоняют, остаток промывают этилацетатом, получают  $\text{C}_6\text{H}_5\text{COCCH}_2\text{NC}_6\text{H}_{10}\cdot\text{HBr}$ , выход 78%, т. пл. 229–231° (разл.; из сп.-этилацетата). Р-р 1,21 г **XVI** в 10 мл **II** нагревают 1 час при ~ 185° в токе  $\text{N}_2$ , после обычной обработки получают **IX**, выход 68%. Р-р 25 мл 10%-ного  $\text{AgNO}_3$  и 5 мл **II** в спирте прибавляют к 3,2 г  $\text{C}_6\text{H}_5\text{COC}(\text{CH}_3)\text{N}_2$ , кипятят 30 мин., подкисляют  $\text{HCl}$  (к-той), фильтруют, р-р промывают  $\text{C}_6\text{H}_6$ , подщелачивают  $\text{NaOH}$ , отгоняют с паром **II**, остаток возгоняют в вакууме и хроматографируют на  $\text{Al}_2\text{O}_3$ , выделяют 0,24 г  $\text{C}_6\text{H}_5\text{COCCH}_2\text{NHC}_6\text{H}_5$ , т. пл. 115,5–116,5°; бензоильное производное, т. пл. 163–164° (из сп.); ацетильное производное, т. пл. 87,5–88,5° (из петр. эф.). Приведены положения полос в УФ-спектрах ( $\lambda_{\text{макс}}$  и  $\epsilon$ ) **VIII**, **IX**, **X**, **XI**, **XII**, **XIII**, **IVб** ( $\text{R}=n\text{-ClC}_6\text{H}_4$ ,  $\text{R}'=\text{CH}_3$ ) и **IVв** ( $\text{R}=n\text{-ClC}_6\text{H}_4$ ,  $\text{R}'=\text{CH}_3$ ).

А. Гуревич

**51255. Продукты восстановления фталимида. Синтез октагидроизоиндола.** Дюне, Ратуя, Кадю, Вильмар (Produits de réduction du phthalimide: octahydroisoindole. Dunet Albert, Ratouy Roger, Cadiot Paul, Willemart Antoine), Bull. Soc. chim. France, 1956, № 6, 906–910 (франц.)

Показано, что при восстановлении фталимида (**I**) с хромитом меди (**II**) в качестве катализатора происходит лишь частичное гидрирование **I**, приводящее к образованию фталимидина (**III**). Синтез октагидроизоиндола (**IV**) из **I** удалось осуществить (с применением различных методов восстановления), исходя из продуктов неполного восстановления **I**: изоиндолина (**V**), гексагидрофталимида (**VI**) или гексагидрофталимидина (**VII**). Для получения **II** 1 моль  $\text{Cu}(\text{NO}_3)_2\cdot 3\text{H}_2\text{O}$  растворяют в 800 мл дистил. воды, нагревают до 75° медленно и при размешивании прибавляют р-р  $(\text{NH}_4)_2\text{Cr}_2\text{O}_7$  (приготовленный смешением р-ра 0,5 моля  $\text{K}_2\text{Cr}_2\text{O}_7$  в 600 мл дистил. воды и 200 мл 20%-ного  $\text{NH}_4\text{OH}$ ), размешивают 10 мин., фильтруют, осадок высушивают ~ 12 час. при 110° и прокаливают в тонком слое (1 см) 1 час при 400°. В качестве катализаторов испытаны также некоторые модификации **II**: хромит  $\text{Cu}$  и  $\text{Ba}$  (**IIa**); хромит  $\text{Cu}$  и  $\text{Ca}$  **IIa**, обработанный  $\text{CH}_3\text{COOH}$ ; **II**, осажженный на  $\text{Al}_2\text{O}_3$ . Р-р **I** в дioxане гидрируют 2,5 часа при 240° и 200–300 ат, фильтруют и упаривают р-р; получают **III**, выход 80%, т. пл. 149–150° (из воды). **V** приготовлен электролитич. восстановлением **I**. **VI**, т. пл. 132–133° (из сп.), получен гидрированием **I** со скелетным  $\text{Ni}$  в спирте при повышенном давлении или с  $\text{Pt}$  (из  $\text{PtO}_2$ ) в  $\text{CH}_3\text{COOH}$



при нормальном давлении, а также (с колич. выходом) гидрированием *цис*- $\Delta^4$ -тетрагидрофталимиды (VIII) с Pt (из PtO<sub>2</sub>) при нормальном давлении; VIII получен нагреванием (3 часа) 0,5 моля *цис*- $\Delta^4$ -тетрагидрофталивого ангидрида с 110 мл 20%-ного NH<sub>4</sub>OH; выход 75%, т. пл. 137–138° (из бал.). Для получения VII р-р 20 г I в дioxане гидрируют над 5 г скелетного Ni 1 час, при 160° и 140 ат, упаривают досуха и обрабатывают изопропиловым эфиром; выход 75%, т. пл. 100°. Р-р 15 г хлоргидрата V в 150 мл абс. спирта гидрируют над Pt (из 1,5 г PtO<sub>2</sub>) при 50°, фильтруют, обрабатывают щелочью и извлекают эфиром; получают IV, выход 72%, т. кип. 188–189°/760 мм, 76–77°/18 мм,  $n_D^{20}$  1,4917; пикрат, т. пл. 154–155°. При электролитич. восстановлении VI выход IV составляет 13%, при каталитич. гидрировании VII над Pt (300°, 250 ат) 40%. В последней р-ции, наряду с IV, получены продукты его гидрогенолиза (гексагидро-*о*-кислот (IX) и NH<sub>3</sub>), а также N-(2-метилциклогексил-1)-метил-IV (X), т. кип. 143°/5 мм; пикрат, т. пл. 139°. Строение X подтверждено его синтезом при взаимодействии IV с  $\alpha$ -галогенированными IX. Синтезированы следующие производные IV: N-бензолсульфонил IV, т. пл. 77° (из CH<sub>3</sub>OH); N-*n*-толуолсульфонил IV, т. пл. 68° (из CH<sub>3</sub>OH); N-фенил-N-гексагидро-*о*-кислотенмочевина, т. пл. 141° (из сп.); N-фенил-N-гексагидро-*о*-кислотендимочевина, т. пл. 176° (из сп.); соль IV и *о*-ксилендинитиокарбаминной к-ты, т. пл. 161° (из дioxана). А. Травин

51256. Восстановление пиридиновых оснований муравьиной кислотой. IX. Восстановление форматов 1-фенилпиридиния и 1-фенил-3-оксипиридиния. Лукеш, Ферлес (Redukce pyridinových zásad kyselinou mravenčí IX. Redukce mravenčanu 1-fenylpyridinia a 1-fenyl-3-hydroxypyridinia. Lukeš Rudolf, Ferles Miloslav, Chem. listy, 1956, 50, № 9, 1471–1473 (чешск.); Сб. чехосл. хим. работ, 1957, 22, № 1, 121–124 (нем.; рез. русск.).

Восстановлением хлористого 1-фенилпиридиния (I) при помощи HCOOH (II) в присутствии HCOOK (III) наряду с 1-фенилпиридином (IV) выделен также 1-фенил-1,2,5,6-тетрагидропиридин (V), тогда как аналогичное восстановление хлористого 1-фенил-3-оксипиридиния (VI) привело к одному 1-фенил-3-оксипиридину (VII). Кипячением 6 час. 60 г I, 157 г II и 157 г плавящего III, растворением выделенного масла в 50 мл II, кипячением 4 часа, подщелачиванием NaOH выделяют V, выход 2 г, т. кип. 240–245°, т. пл. 44–45° (из пентана); пикрат, т. пл. 146–147° (из сп.). Из маточного р-ра получен IV, выход 8,5 г, т. кип. 250–258°; пикрат, т. пл. 149° (из сп.). Кипячением 120 час. 62 г I, 336 г III и 352 мл II ( $d$  1,19), подщелачиванием, перегонкой с паром, нейтр-цией HBr (к-той), упаркой досуха получен IV·HBr, т. пл. 230–231° (из сп.). Упаркой маточного спирт. р-ра, растворением остатка (30 г) в 150 мл HBr (к-ты), смешением с р-ром 5 мл Br<sub>2</sub> в 50 мл HBr (к-ты) получен 1-фенил-3,4-дигидропиридинбромгидрат, т. пл. 129–130° (из сп.). Упариванием маточного р-ра, растворением в воде, подщелачиванием, извлечением эфиром, отгонкой примесей с паром выделяют в виде бромгидрата 1-*n*-бромфенилпиридин, выход 1,68 г, т. пл. 201° (из сп.); в-во с т. пл. 201,5° (из сп.) получено разложением пикрата IV с содой, перегонкой с паром, нейтр-цией диглятата HBr (к-той), прибавлением Br<sub>2</sub> к HBr (к-те); основание, т. пл. 77°. Кипячением 9 час. 51 г VI, 368 г плавящего III и 150 г 98%-ной II, отгонкой 120 мл жидкости, подщелачиванием выделяют VII, выход 20,5 г, т. кип. 165–166°/12 мм; 151–152°/5 мм, 120°/1 мм; *n*-нитробензоат, т. пл. 100–101° (из метилэтилкетона). Сообщение VIII см. РЖХим, 1957, 19196. Karel Hejno

51257. К вопросу о бромциановом расщеплении

N-метилпиридина и N-метилкониина. Лукеш, Веселый (Poznávka k bromkyanovému štěpení N-methylpyridinu a N-methylkoniiu. Lukeš R., Veselý Z., Chem. listy, 1956, 50, № 10, 1643–1645 (чешск.); Сб. чехосл. хим. работ, 1957, 22, № 2, 638–640 (нем.; рез. русск.).

При бромциановом расщеплении (БР) N-метилпиридина (I) образуется в качестве побочного продукта бромметилат N-метилпиридина (II), загрязненный небольшим кол-вом бромгидрата N-метилпиридина (III). Соединение III возникает при БР I из небольшого кол-ва пиридина, которым были загрязнены прежде приготовленные препараты I. Авторы получили I из хлоргидрата пиридина метилированием HCHO и очистили C<sub>6</sub>H<sub>5</sub>SO<sub>2</sub>Cl. Из I и CH<sub>3</sub>Br получают чистый II, т. пл. 344–344,5°. Равным образом N-метилкониин (IV), если загрязнен небольшим кол-вом вторичного основания, дает бромметилат N-метилкониина (V), который при БР образуется в качестве побочного продукта со значительно более низкой т-рой плавления, чем это соответствует чистому V. Из хлоргидрата пиридина и параформальдегида (8 час., 220°) получают I, выход 56,3%, т. пл. 344–344,5° (сп., запаянный капилляр). Из I, очищ. C<sub>6</sub>H<sub>5</sub>SO<sub>2</sub>Cl и CH<sub>3</sub>Br в C<sub>6</sub>H<sub>6</sub> при ~ 20° или из I и бромциана в абс. эфире, кипячение 1 час., наряду с II (выход 72%) образуется N-цианпиридин, т. кип. 95–98°/8 мм. V, выход 85,8%, т. пл. 217,5–219° (ацетон, тетрагидрофуран и следы сп.) получен из основания и CH<sub>3</sub>Br в C<sub>6</sub>H<sub>6</sub>; пикрат, т. пл. 118–119,5° (из воды). IV, очищ. C<sub>6</sub>H<sub>5</sub>SO<sub>2</sub>Cl, кипятят с бромцианом в абс. эфире 8 час.; получают V, выход 71%. Кроме V образуется N-цианкониин, т. кип. 128–130°/15 мм. Jaromír Plešek

51258. Разделение оптических изомеров вторичных и третичных спиртов, содержащих пиридиновый радикал. Дейвис, Кенъон, Тхакер (The resolution of secondary and tertiary alcohols containing the pyridyl group. Davies Alwyn G., Kenyon J., Thaker Kumar, J. Chem. Soc., 1956, Sept., 3394–3397 (англ.).

Описано разделение оптич. изомеров фенилпиридил-(2)-метанола (I), фенилпиридил-(4)-метанола (II) и 1-фенил-1-пиридил-(2')-пропанола (III) посредством дробной кристаллизации их кислых солей с (+)-винной к-той (IV). 1-Фенил-1-пиридил-(4')-пропанол (V) и 1-фенил-1-пиридил-(2')-этанол (VI) не дают кристаллич. солей с оптически деятельными к-тами; VI разделен на антиподы через соль брутциана (VII) с кислым фталевым эфиром VI. Восстановлением фенилпиридил-(2)-кетона (VIII) изопропилатом Al (в кипящем *изо*-C<sub>3</sub>H<sub>7</sub>OH, 2 часа) получают I, выход 73%. Аналогично получен II, выход 70%. Р-р 92 г VIII в эфире прибавляют по каплям к эфирному р-ру C<sub>2</sub>H<sub>5</sub>MgBr (из C<sub>2</sub>H<sub>5</sub>Br и 12 г Mg), через 12 час. выделяют III, выход 39%, т. пл. 80–81° (из сп.); пикрат, т. пл. 105–106° (из сп.). Аналогично из VIII и CH<sub>3</sub>MgBr получают VI, выход 72%, т. кип. 118°/0,2 мм, т. пл. 18–20°,  $n_D^{20}$  1,5812. Гриньяровский реактив, полученный из 27 г C<sub>2</sub>H<sub>5</sub>Br, 6 г Mg и 150 мл эфира, упаривают досуха, остаток растворяют в 50 мл абс. C<sub>6</sub>H<sub>6</sub>, р-р прибавляют по каплям к 35 г фенилпиридил-(4)-кетона в 100 мл C<sub>6</sub>H<sub>6</sub> и кипятят 2 часа; получают V, выход 36%, т. пл. 153–155° (из бал.-петр. эф.). Р-р 18,5 г I и 15 г IV в 50 мл теплого спирта оставляют на 2 дня при ~ 20°; получают 19,6 г кристаллич. битартрата I (кристаллизат А), т. пл. 89–90°, который разлагают р-ром Na<sub>2</sub>CO<sub>3</sub> и извлекают эфиром 9,7 г I, т. пл. 73–74°,  $[\alpha]_D^{20}$  –16,5° ( $l$  здесь и далее 1; с 5,14; в CHCl<sub>3</sub>); при его кристаллизации из смеси 30 мл эфира и 20 мл петр. эфира получают 6,8 г I, т. пл. 73°,  $[\alpha]_D^{20}$  –1,3° (с 4,42; CHCl<sub>3</sub>); из фильтрата выделяют

чистый (—)-I, выход 2,1 г, т. пл. 66°,  $[\alpha]_D^{18}$  —67,8°,  $[\alpha]_D^{18}$  —86,2°,  $[\alpha]_D^{18}$  —104,7° (с 4,682;  $\text{CHCl}_3$ ),  $[\alpha]_D^{18}$  —3° (с 2,713; в сп.),  $[\alpha]_D^{18}$  —3,2° (с 3,2; ацетон). Маточный р-р от кристаллизации А упаривают и обрабатывают р-ром  $\text{Na}_2\text{CO}_3$ ; получают 7,8 г I, т. пл. 73–74°,  $[\alpha]_D^{18}$  +17,3° (с 5,44;  $\text{CHCl}_3$ ); при его кристаллизации из смеси эфира и петр. эфира получают 5,2 г I, т. пл. 78°,  $[\alpha]_D^{18}$  +1,6° (с 4,55;  $\text{CHCl}_3$ ), и из фильтрата выделяют чистый (+)-I, выход 1,8 г, т. пл. 66°,  $[\alpha]_D^{18}$  +84,8° (с 3,352;  $\text{CHCl}_3$ ). Аналогично получают кристаллич. битартраты II (т. пл. 98–100°) и III· $\text{C}_2\text{H}_5\text{OH}$  (т. пл. 114–115°). Из кристаллизатов после разложения р-ром  $\text{Na}_2\text{CO}_3$  получают соответственно чистые (—)-II, т. пл. 131–132° (из сп.),  $[\alpha]_D^{18}$  —55,5° (с 3,656;  $\text{CHCl}_3$ ), и (+)-III, т. пл. 68°,  $[\alpha]_D^{18}$  +65,9° (с 4,52;  $\text{CHCl}_3$ ); из маточных р-ров выделяют (+)-II, т. пл. 131–132°,  $[\alpha]_D^{18}$  +52,4° (с 2,083;  $\text{CHCl}_3$ ), и (—)-III, т. пл. 68°,  $[\alpha]_D^{18}$  —66,2° (с 4,825;  $\text{CHCl}_3$ ). Смесь 3,7 г I, 2,96 г фталевого ангидрида (IX) и 1,6 г пиридина нагревают ~100°, 5 час.) и через 12 час. разбавляют ледяной водой; получают кислый фталевый эфир I, выход 55%, т. пл. 145–146°. Аналогично получают кислые фталаты II, т. пл. 195° (из диоксана), и III, т. пл. 98–100° (из смеси эф.-петр. эф.). Смесь 21,3 г VI, 14,8 г IX и 10,5 г ( $\text{C}_2\text{H}_5$ )<sub>3</sub>N нагревают при ~100° 12 час., через 12 час. обрабатывают р-ром  $\text{Na}_2\text{CO}_3$  и нейтрализуют HCl (к-той); получают кислый фталевый эфир VI (X), выход 47%, т. пл. 128–129° (разл.; из эф.-петр. эф.). Р-р 42 г X и 47 г VII в 200 мл ацетона оставляют на 4 недели при ~20°; получают 29,8 г брассиновой соли X, т. пл. 156–158°, из которой после растрескивания с 50 мл ацетона, разложения 76 мл 0,5 н.  $\text{H}_2\text{SO}_4$  и извлечения эфиром (25 мл × 2) получают (—)-X, выход 11,8 г, т. пл. 136–138° (разл.),  $[\alpha]_D^{20}$  —8,6° (с 4,25;  $\text{CHCl}_3$ ); из маточного р-ра выделяют (+)-X,  $[\alpha]_D^{20}$  +2,2° (с 3,55;  $\text{CHCl}_3$ ). При нагревании 10 г (—)-X с 20 мл 5 н. NaOH (~100°, 30 мин.) и извлечением эфиром получают (+)-VI, выход 3,2 г, т. кип. 128°/0,8 мм,  $n_D^{20}$  1,5813,  $[\alpha]_D^{20}$  +38,2° (с 7,36;  $\text{CHCl}_3$ ),  $[\alpha]_D^{20}$  +72,1° (с 3,328;  $\text{CH}_3\text{COOH}$ ),  $[\alpha]_D^{20}$  +51° (с 1,47;  $\text{CS}_2$ ).

А. Травин  
51259. Синтез производных пиридина. VII. Нитрование 2,4-лутидина. Фурукава (ピリジン誘導体の合成研究 第7報 2,4チジンのニトロ化に就いて・古川淳), 薬学雑誌, Якугаку даэсси, J. Pharmac. Soc. Japan, 1956, 76, № 8, 900–902 (японск.; рез. англ.).

Найдено, что при действии  $(\text{CH}_3\text{CO})_2\text{O}$  на 2,4-лутидин-1-окись образуется не 3-окси-2,4-лутидин (I), а 5-окси-2,4-лутидин (II). При нитровании 2,4-лутидина с последующим восстановлением получают 3- и 5-амино-2,4-лутидины, которые при диазотировании образуют I и II, наряду с 3Н-1,2,6-триаза-7-метилинденом и 3Н-1,2,6-триаза-5-метилинденом соответственно Ю. Р.

51260. Реакция метилвинилкетона с аммиаком. Мурата, Арай (メチルビニルケトンとアンモニアとの反応 村田二郎・新井秀男), 工業化学雑誌, Kōgō Kagaku даэсси, J. Chem. Soc. Japan. Industr. Chem. Sec., 1955, 58, № 5, 387–388 (японск.).

1 моль  $\text{CH}_3\text{COCH}=\text{CH}_2$  (т. кип. 78–82°) и 0,5 моля 25%-ного водн. р-ра  $\text{NH}_3$  (20°, 1,5 часа) дают вязкую жидкость (I). Кипячением I (4 часа, 120–140°) с 1 молем 6 н. HCl, нейтр-цией NaOH и последующей перегонкой получают 4- и 2,3,4-триметилпиридина (II), т. кип. 88–90°/25 мм, и 17 г 3-ацетил-4-метил-1,2,5,6-тетрагидропиридина (III), т. кип. 103–107°/10 мм. Из I образуется II при действии NaOH (с последующим извлечением  $\text{C}_6\text{H}_6$ ) или HCl-FeCl<sub>3</sub>. При обработке III HCl-FeCl<sub>3</sub> II не образуется.

Chem. Abstr., 1956, 50, № 6, 4150. К. J.

51261. β-Хлорэтиламид никотиновой кислоты. Браз Г. Н., Скородумов В. А., Ж. общ. химии, 1956, 26, № 3, 770–773

Взаимодействием этиленimina (I) с хлорангидридом никотиновой к-ты (II, III — к-та) получен этиленимид III (IV), оказавшийся нестойким соединением. При действии спирт. HCl на эфир. р-р IV образуется хлоргидрат β-хлорэтиламида III (V). Последний при кипячении его водн. р-ра превращается в дихлоргидрат β-аминоэтилового эфира III (VI). При нагревании с рассчитанным кол-вом щелочи V дает 2-(пиридил-3)-Δ<sup>2</sup>-оксазолин (VII). В кислой среде VII легко размыкает свой цикл и при действии эфирно-спирт. р-ра HCl переходит в VI даже на холоду. 45 г III кипятят ~40 час. с 90 мл  $\text{SOCl}_2$ ; выход II 79%, т. кип. 101–102°/21 мм, 122–123°/60–64 мм, т. пл. 15–16°. К р-ру 0,716 моля I в 150 мл абс. эфира при т-ре —3° приливают р-р 41 г II в 300 мл абс. эфира, размешивают при —5° еще 3,5–4 часа и фильтрат упаривают в вакууме при 0°; выход IV 80–89% (неочищ.), в-во плавится ~20°, быстро темнеет и полимеризуется. 35 г свежеполученного кристаллич. IV растворяют в 200 мл абс. эфира, фильтруют, при —5–0° постепенно приливают к 350 мл 17,5%-ного р-ра HCl в безводн. спирте и через ~12 час. отделяют V, выход 85%, т. пл. 142–143° (из безводн. сп.). 2 г V растворяют в 20 мл воды, кипятят 1,5 часа и упаривают досуха; выход VI 1,3 г (неочищ.), т. пл. 206–207° (разл.; из  $\text{CH}_3\text{OH}$ -этилацетата). 0,2 моля V присыпают к р-ру 0,42 моля NaOH в 240 мл воды, нагревают 3 мин. при 50°, оставляют на 45 мин. при ~20°, приливают 220 мл конц. р-ра KOH и извлекают эфиром VII, выход 92,2%, т. кип. 135–137°/11–13 мм, 153–154°/22–23 мм, ~260° при обычном давлении, т. пл. 70–71° (из петр. эф.), пикрат, т. пл. 141–142°; йодатилат, т. пл. 193–194° (из сп.). 2 г VII и 27,3 мл 0,1 н. HCl кипятят 1,75 часа и упаривают в вакууме; выход VI 2,3 г (неочищ.). К р-ру I и VII в 20 мл эфира при охлаждении приливают смесь 20 мл эфира и 3,5 г 15,6%-ного спирт. р-ра HCl; получают 1 г VI. При кипячении (60 час.) с 12–15-кратным кол-вом воды VII превращается в β-оксипириламид III.

Г. Браз  
51262. Бекмановская перегруппировка оксима циклопентанона. Стивен, Стивен (The Beckmann rearrangement of cyclopentanone oxime. Stephen T., Mrs. Stephen Henry), J. Chem. Soc., 1956, Nov., 4694–4695 (англ.).

Доказывается, что при р-ции оксима циклопентанона (I) с  $\text{SOCl}_2$  (II) в  $\text{CHCl}_3$  в результате Бекмановской перегруппировки получается хлоргидрат пиперид-2-она (III) (47%) и 2-хлор-3,4,5,6-тетрагидропиридин (47%), последний в неочищ. виде конденсировался с метиловым эфиром антралиновой к-ты (IV) с образованием 6,7,8,9-тетрагидропиридо-(2,1-в)-хиназолон-11 (V). К 84 г циклопентанона и 70 г  $\text{NH}_2\text{OH} \cdot \text{HCl}$  в 250 мл воды при перемешивании (~20°) прибавляют 84 г  $\text{NaHCO}_3$ ; выпавший I промывают 150 мл (40°) воды, выход 95%. К 5 г I в 100 мл сухого  $\text{CHCl}_3$  при —5° по каплям прибавляют 3,5 мл II; прекращают охлаждение, за 5 мин. т-ра доходит до 15° и затем быстро до 38°, через 5 мин. охлаждают до 0° и отделяют III, выход 44%, т. пл. 167–169° (разл.; из  $\text{CH}_3\text{OH}$ -этилацетата, 1:1, или из II). Нагревают при ~100° 5 г III с 25 мл  $\text{POCl}_3$ ; отгоняют в вакууме избыток  $\text{POCl}_3$ , к остатку прибавляют 15 г IV; по окончании р-ции добавляют 150 мл воды, подщелачивают  $\text{NH}_3$  и отгоняют с паром избыток IV; остаток растворяют в горячей разб. HCl, фильтруют; из фильтрата  $\text{NH}_3$  осаждают V, выход 75%, т. пл. 100,5° (из воды); гексахлороплатинат, т. пл. 260° (разл.). V получают также непосредственно р-цией I (1 моль) с II (1 моль) в 50 мл  $\text{CHCl}_3$  (см. выше), прибавляя после перегруппировки 15 г IV, выход 40%.

П. Соков  
51263. Конденсация 4-винилпиридина и 2-метил-6-винилпиридина с первичными и вторичными амина-

**ми. Профт** (Über die Kondensation von 4-Vinylpyridin und 2-Methyl-6-vinylpyridin mit primären und sekundären Aminen. Profft Elmar, J. prakt. Chem., 1956, 4, № 1—2, 19—34 (нем.).

Конденсация 4-винилпиридина (I) и 2-метил-6-винилпиридина (II) с первичными (ПА) и вторичными аминами в присутствии  $\text{CH}_3\text{COOH}$  протекает как р-ция «пиридилэтилирования» соответствующих аминов (см., напр., РЖХим, 1957, 899). В ряде случаев I и II, реагируя с ПА, дают одновременно продукты моно- (МП) и дипиридилэтилирования (ДП). Процесс преимущественно протекает гладко, хотя в случае I иногда осложняется его полимеризацией: р-ция I с *н*-дипропиламином (III), диэгоксиламином (IV) и 2-пиперидином (V) не дает определенных в-в, а с изопропиламином (VI) вообще не реагирует. Приведены условия р-ции и полученные в-ва при р-ции I с различными аминами (перечисляются амин, кол-ва (в молях) амина, I,  $\text{CH}_3\text{COOH}$ , время р-ции (в часах) и т-ра р-ции в °C, выход в %, т. кип. в °C/мм МП, в скобках т. пл. в °C и р-ритель кристаллизации,  $n_D^{20}$ , в квадратных скобках — данные для ДП: выход в %, т. кип. в °C/мм,  $n_D^{20}$ ): *н*-бутиламин (VII), 0,1, 0,22, 0,018, 4,5, 135, 28,7, 162—167/0,2, 1,5390; изогексилламин (VIII), 0,3, 0,243, 0,025, 4, кипячение (K), 47,8, 141—147/0,8, —, [6,5, 194/1—]; анилин (IX), 0,2, 0,22, 0,018, 4, 130, 61, 162—166/0,5 (61,5, эф.), 1,6043; *о*-толуидин (X), 0,2, 0,24, 0,022, 4, 130, 88,5, 168—175/0,5 (66—67, эф.), 1,5910; *п*-толуидин (XI), 0,2, 0,24, 0,022, 4, 130, 76,3, 184—187/2 и 162—163/0,45, 1,5928; *п*-толуидин (XII), 0,2, 0,22, 0,02, 3, 130, 60,9, 180—185/0,5, 1,5969, [13, 236—241/0,25, 1,6001]; *о*-анилин (XIII), 0,2, 0,218, 0,018, 5,25, 130, 72,4, 176—177/0,3, 1,5951; *п*-анилин (XIV), 0,2, 0,218, 0,018, 6,75, 130, 78,1, 180—185/0,4, 1,5871; 2-аминофенил-1-пропиловый эфир (XV), 0,2, 0,22, 0,018, 4,5, 140, 71,3, 179—185/0,6, 1,5753; 1-пропоксис-2-амино-4-нитробензол (XVI), 0,1, 0,142, 0,012, 4, 140, —, 174—244/1,5 (разл.), природа в-ва не установлена; бензиламин (XVII), 0,2, 0,218, 0,018, 5,5, 130, 50,2, 143/0,3, 1,5679 [15,8, 235/0,4, 1,5795]; 1-пропоксис-4-(1'-метил-бензиламин (XVIII), 0,01, 0,12, 0,01, 4, 140, 63,4, 184—190/1, 1,5420; метиловый эфир антралиловой к-ты (XIX), 0,06, 0,068, 0,005, 3, 130, 20, 166/0,6, 1,5947;  $\alpha$ -нафтил-амин (XX), 0,2, 0,22, 0,019, 4, 140, 58,7, 226—228/0,8, —; 1- и 2-аминотетрагидроафталины (~50:50) (XXI), 0,1, 0,124, 0,01, 3,5, 130, 80, 195—206/0,2, 1,6113;  $\epsilon$ -аминокапронитрил (XXII), 0,2, 0,24, 0,023, 4, 140, 47, 158—166/0,3, 1,5090 [25,1, 246—256/0,4, 1,5359]; гексаметилендиамин (XXIII), 0,1, 0,22, 0,018, 4,5, 120, 14,4, 159—162/0,25, 1,5138 [21,1, 216—219/2,4, 1,5331]; для сравнения 2-винилпиридин: XVI, 0,1, 0,142, 0,012, 4, 140, 74,8, —, (105, сп.); —; диэтиламин (XXIV), 0,333, 0,314, 0,027, 3, K, 8, 124—128/12, —; III, 0,2, 0,22, 0 и 0,02, 7/12 и 3, K, рыхлая масса с т. пл. > 215° и твердый остаток; *н*-дипропиламины (XXV), 0,1, 0,14, 0,012, 4,5, 125, 45, 171—175/19, 1,4893; IV (т. кип. 218—220°), 0,1, 0,124, 0,01, 3, —, 130, серая масса, т. пл. 276—298°; *N*-бензил-анилин (XXVI), 0,158, 0,276, 0,015, 4,5, 140, 55,8, 203—205/0,3, 1,6180; фталимид (XXVII), 0,2, 0,22, 0,018, 2, 130, 46,1, —, (143—146; бал.), —; пиридин (XXVIII), 0,1, 0,11, 0,01, 4, 130, 28,4, 145—148/12, 1,5272; пиперидин (XXIX), 0,2, 0,23, 0,018, 4, 120, 83,7, 156—160/16, 1,5261; V, 0,2, 0,21, 0,018, 4, 120 и 105, желатинообразный остаток; тетрагидрохинолин (XXX), 0,068, 0,081, 0,007, 3, 130, 78,8, 171—173/0,2, 1,6004. С VI (кипение 4 часа) р-ция не идет. Аналогичные данные приведены для р-ции II с различными аминами (обозначения те же, что и для I): *н*-пропиламин, 0,1, 0,21, 0,02, 3, K, 51,7, 125—126/14, 1,5080 [31, 161/0,6, 1,5359]; VII, 0,1, 0,21, 0,02, 3,5, K, 52,3, 88—92/0,6, 1,5024; VIII, 0,2, 0,21, 0,017, 4,5, 140, 37, 148—152/12, 1,4945 [56,9, 178—183/0,4, 1,5240]; IX, 0,2, 0,22, 0,022, 4, 130, 81,6,

154/0,9, (59, —), 1,5914; X, 0,2, 0,21, 0,02, 4, 130, 81,5, 160—163/0,7, 1,5827; XI, 0,2, 0,21, 0,02, 4, 130, 65,5, 152—154/0,8, 1,5830; XII, 0,2, 0,21, 0,02, 3, 130, 68,4, 176/0,5, 1,5860; XIII, 0,2, 0,21, 0,02, 4, 130, 68,6, 164/0,2, 1,5852; XIV, 0,2, 0,21, 0,02, 4, 130, 67,2, 168—170/0,15, 1,5791 [4,2 225—230/0,25, —]; XV, 0,2, 0,21, 0,02, 4,5, 140, 76,3, 174—176/0,4, 1,5679; XVI, 0,0842, 0,165, 0,008, 4, 140, 19,6, 207/1,7, (105, —), 1,6071; XVII, 0,2, 0,21, 0,02, 4, 140, 37, 136—146/0,6, 1,5583, [18,6, 204—208/0,6, 1,5680]; XVIII, 0,1, 0,11, 0,01, 4, 140, 78,2, 176—181/0,6, 1,5426; XIX, 0,062, 0,068, 0,007, 4, 130, 51,2 179—182/0,2, 1,5949; XX, 0,2, 0,201, 0,02, 4, 140, 67,6, 211—218/0,8, 1,6497; XXI, 0,1, 0,118, 0,012, 3, 130, 77,8, 180—192/0,1, —; XXII, 0,2, 0,24, 0,027, 4, 140, 57, 169—170/0,8, 1,5120 [27,2, 232/1, 1,5225]; XXIII, 0,1, 0,21, 0,02, 4,5, 120, 23,8, 170—182/1,9, 1,5220, [23,4, 228—234/1,9, 1,5341]; XXIV, 0,333, 0,35, 0,033, 4,5, K, 39, 124—125/12, 1,4983; III, 0,333, 0,35, 0,033, 4,5, K, 44,7, 145—148/12, 1,4912; XXV, 0,333, 0,35, 0,033, 4,5, K, 47, 122—126/1,2, 1,4882; IV, 0,2, 0,22, 0,022, 4,5, K, 43,6, 148—154/1,1, 1,4850; XXVI, 0,2, 0,21, 0,02, 4, 140, 54,8, 202—204/0,6, 1,6115; XXVII, 0,2, 0,21, 0,027, 4, 130, —, продукт полимеризации с т. пл. > 205°; XXVIII, 0,1, 0,105, 0,01, 4, 120, 21,1, 140—141/12, 1,5250; XXIX, 0,1, 0,101, 0,008, 3,5, 120, 87,7, 151—152/12, 1,5212; V, 0,2, 0,2, 0,032, 4, 130, 57, 160—161/12, 1,5191; XXX, 0,068, 0,076, 0,007, 3, 130, 62,8, 152/0,15, 1,5939. С. Гурвич

**51264. Получение магниорганических производных  $\alpha$ -пиколина и хинальдина замещением активного атома водорода на остаток галогенида магния. Марекков** (Préparation de dérivés organomagnésiens de  $\alpha$ -picoline et quinaldine en substituant un groupe magnésyl à un atome actif d'hydrogène. Marécoff N.), Докл. Болгар. АН, 1956, № 1, 35—38 (франц.; рец. русск.).

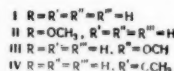
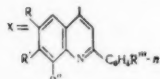
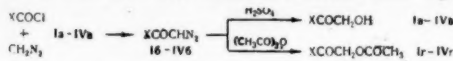
Взаимодействием  $\alpha$ -пиколина (I) или хинальдина (II) с *изо*- $\text{C}_3\text{H}_7\text{MgCl}$  (III) в отсутствие р-рителя получены магниорганические соединения с  $\text{MgCl}$  в боковой цепи, которые с бензофеноном (IV) или бензалдегидом (V) дают соответствующие спирты. К 0,05 моля III (из 1,2 г Mg и 4 г *изо*- $\text{C}_3\text{H}_7\text{Cl}$ ) в эфире добавляют 0,04 моля II, отгоняют эфир, нагревают 1,5 часа при 80°, прибавляют эфир и (при размешивании, по каплям) эфир. р-р 0,04 моля IV, кипятят при размешивании 4 часа и гидролизуют на льду 15%-ным р-ром  $\text{NH}_4\text{Cl}$ ; выход 1,1-дифенил-2-(хинолил-2')-этанола 85%, т. пл. 168—169° (из сп.). Аналогично взаимодействием продукта р-ции 0,1 моля III и 0,08 моля I с 0,08 моля V или IV получены: 1-фенил-2-(пиридил-2')-этанол, выход 45%, и 1,1-дифенил-2-(пиридил-2')-этанол, выход 70%, т. пл. 150—151° (из сп.). Г. К.

**51265. О производных 2-фенил-4-(оксаацетил)-хинолина с противоартритной активностью. Цорн, Манкель** (Über antiarthritisch wirksame Derivate des 2-Phenyl-4-(oxy-acetyl)-chinolins. Zorn Bernhard, Mankel Auguste), Hoppe-Seyler's Z. physiol. Chem., 1954, 296, № 5—6, 239—245 (нем.).

Поскольку многие ароматич. соединения, содержащие в боковой цепи кетольную группу, обладают противоартритной активностью, синтезированы производные 2-фенил-4-(оксаацетил)-хинолина, полученные из хлорангидридов соответств. карбоновых к-т с помощью  $\text{CH}_3\text{N}_2$  по указанной ниже схеме. Опыты на животных показали, что они обладают заметной противоартритной активностью; наиболее активным оказался 6-метокси-2-фенил-4-(ацетоксиацетил)-хинолин (III). 8 г хлоргидрата атофанилхлорида при —5° понемногу вносят в эфир. р-р  $\text{CH}_3\text{N}_2$  (из 30 г нитрозо-метилмочевина), через несколько часов упариванием в вакууме и кристаллизацией при охлаждении выделяют 3 г 2-фенил-4-(диаацетил)-хинолина (Ib), т. пл. 98°. 2 г Ib растворяют при 60° в 5 мл  $(\text{CH}_3\text{CO})_2\text{O}$ , осторожно нагревают в течение 2—3 час. до 100° и по



охлаждении с добавлением нескольких капель лед.  $\text{CH}_3\text{COOH}$  выделяют 2-фенил-4-(ацетоксиацетил)-хинолин (Ir), т. пл. 88°. Р-р 1g Ib в 15 мл диоксана при 20°



смешивают с 3 мл 2 н.  $\text{H}_2\text{SO}_4$ , через 30 мин. коротковременно нагревают при 40°, по охлаждению выделяют 0,45 г 2-фенил-4-(ацетоксиацетил)-хинолин (Ib), т. пл. 118° (из  $\text{CH}_3\text{OH}$ ). Аналогично из 2 г хлорангирида 6-метокси-2-фенилхинолин-карбонной-4 к-ты (IIa) получают 1 г 6-метокси-2-фенилхинолид-4-диазокетона (IIb), т. пл. 132°; из 2 г IIb получают взаимодействием с  $(\text{CH}_3\text{CO})_2\text{O}$  1,5 г IIr, т. пл. 123° (из лед.  $\text{CH}_3\text{COOH}$ ). При осторожном нагревании р-ра IIb в диоксане с 2 н.  $\text{H}_2\text{SO}_4$  получают 6-метокси-2-фенил-4-(ацетоксиацетил)-хинолин (IIv), т. пл. 140° (из разб. сп.). Из 2 г хлорангирида 8-метокси-2-фенилхинолин-4-карбонной к-ты (IIIa) получают 1,4 г 8-метокси-2-фенилхинолид-4-диазокетона (IIIb), который, вследствие его неустойчивости, немедленно подвергают дальнейшему превращению; из 2 г IIIb получают 1,69 г 8-метокси-2-фенил-4-(ацетоксиацетил)-хинолина (IIIr), т. пл. 63°, или 1,08 г 8-метокси-2-фенил-4-(ацетоксиацетил)-хинолина (IIIv), т. пл. 74°. Из 2 г 7-метокси-2-фенилхинолид-4-диазокетона (IVb), т. пл. 142° получают 1,3 г 7-метокси-2-фенил-4-(ацетоксиацетил)-хинолина (IVr), т. пл. 123°, или 1,08 г 7-метокси-2-фенил-4-(ацетоксиацетил)-хинолина (IVv), т. пл. 162°; омылением IVr 2%-ным р-ром NaOH в спирте получают IVv. Р-р 2 г п-анизидина в 10 мл абс. спирта смешивают с р-ром 3 г п-цианбензальдегида в 15 мл абс. спирта и отфильтровывают п-цианбензильден-п-анизидин, т. пл. 108° (из сп.). К суспензии 3 г последнего в 25 мл абс. спирта при 60° постепенно при перемешивании прибавляют 2 г свежеперегнанной пировиноградной к-ты, кипятят 4 часа и после 24-часового стояния при 0° отфильтровывают и промывают эфиром 2,8 г 6-метокси-2-(4-цианфенил)-хинолин-карбонной-4 к-ты, т. пл. 214° (из петр. эф.). 2 г этого нитрила омыляют кипячением в течение 5 час. с метанольным р-ром KOH, отгоняют  $\text{CH}_3\text{OH}$ , прибавляют немного воды и подкислением разб. HCl выделяют 6-метокси-2-(4-карбоксифенил)-хинолин-карбонную-4 к-ту, т. пл. 245° (из сп.). 2 г последней кипятят 5 час. с 20 мл  $\text{SOCl}_2$ , удаляют в вакууме  $\text{SOCl}_2$  и размешиванием с не содержащим спирта эфиром выделяют хлоридат хлорангирида 6-метокси-2-(4-хлоркарбоксифенил)-хинолин-карбонной-4 к-ты, т. пл. 196°. 1,5 г этого хлоридата при -5° обрабатывают 10 экв.  $\text{CH}_2\text{N}_2$ , после 2-часового стояния при 0° упаривают в вакууме до ~ 5 мл и отфильтровывают 6-метокси-4-(диазоацетил)-2-[4-(диазоацетил)-фенил]-хинолин (V), т. пл. 123°. 2 г V в 20 мл диоксана нагревают до 40° и прибавляют по каплям 1 мл 2 н.  $\text{H}_2\text{SO}_4$ , после 24-часового стояния при 20° нагревают с размешиванием при 50° до окончания выделения  $\text{N}_2$ , после чего непродолжительное время кипятят. Разбавлением водой выделяют 6-метокси-4-(ацетоксиацетил)-2-[4-(ацетоксиацетил)-фенил]-хинолин, т. пл. 102–106°. 1 г V ацетилируют  $(\text{CH}_3\text{CO})_2\text{O}$  с прибавлением пиридина и разбавлением водой выделяют 0,9 г 6-метокси-4-(ацетоксиацетил)-2-[4-(ацетоксиацетил)-фенил]-хинолина, т. пл. 70° (разбавлением водой р-ра в горячей лед.  $\text{CH}_3\text{COOH}$ ).

В. Уфимцев 51266. Применение сафрولا в качестве лекарственного сырья. VII (1). Новый синтез 3,4-метилендио-

ксибензилметилкетона. VII. (2). Синтез 1-[3-(β-диэтиламиноэтокси)-фенил]-3-метил-6,7-метилендиоксизохинолина и его 3,4-дигидропроизводного. Фудзисава, Дзугути (藥學品原料としてサフロールの利用研究, 第7報, その1, 3,4-Methylenedioxybenzyl Methyl Ketone の新合成法, その2, 1-[3-(β-Diethyl-aminoethoxy)-phenyl]-3-methyl-6,7-methylenedioxyisoquinoline 及びその 3,4-Dihydro誘体の合成研究, 藤澤俊郎, 出口義雄, 薬學雜誌, Якугаку дзасси, J. Pharmas. Soc. Japan, 1954, 74, № 9, 975–977, 977–979 (японск.; рез. англ.).

VII. (1). К 34 г 30%-ной  $\text{H}_2\text{O}_2$  и 150 г 80%-ной  $\text{HCOOH}$  добавляют по каплям 32,4 г изосафрولا в 120 мл  $(\text{CH}_3)_2\text{CO}$  при т-ре ниже 40°, смесь перемешивают 2 часа, выдерживают ~ 12 час.,  $\text{HCOOH}$  и  $(\text{CH}_3)_2\text{CO}$  отгоняют в вакууме, получают 61 г остатка (I). 30 г I в 30 мл  $\text{CH}_3\text{OH}$  и 180 г 15%-ной  $\text{H}_2\text{SO}_4$  нагревают 3 часа, смесь охлаждают и извлекают эфиром, промывают водой и 5%-ной NaOH, выход 3,4- $\text{CH}_2\text{O}_2\text{C}_6\text{H}_4\text{COCH}_3$  (II) 10,3 г (58%), т. кип. 108–112°/2 мм; оксим, т. пл. 85–88°; семикарбазон, т. пл. 162–163°.

VII. (2). 18 г II в  $\text{CH}_3\text{OH}$  обрабатывают 9 г  $\text{NH}_2\text{OH} \cdot \text{HCl}$  и 12 г  $\text{CH}_3\text{COONa}$  в небольшом кол-ве воды (1,5 часа, ~ 100°), добавляют воды для растворения NaCl, фильтруют в горячем состоянии, охлаждают, выход 3,4- $\text{CH}_2\text{O}_2\text{C}_6\text{H}_4\text{CH}_2\text{C}(\text{NH})\text{CH}_3$  (III) 18 г (94%), т. пл. 85–87°. К 12 г III в 140 мл безводн. спирта добавляют порциями 20 г Na, затем немного спирта и воды, подкисляют HCl, спирт и воду отгоняют в вакууме, остаток извлекают эфиром, получают 6 г 3,4- $\text{CH}_2\text{O}_2\text{C}_6\text{H}_4\text{CH}_2\text{CH}(\text{NH}_2)\text{CH}_3$  (IV), т. кип. 116–125°/6 мм; или 23 г II и 65 г  $\text{HCONH}_2$  нагревают 5 час. при 190°, охлаждают, добавляют 100 мл воды, извлекают  $\text{C}_6\text{H}_6$ , остаток после отгонки  $\text{C}_6\text{H}_6$  нагревают 2 часа (100°) с 8 мл  $\text{CH}_3\text{OH}$  и 75 мл 15%-ной HCl, удаляют  $\text{CH}_3\text{OH}$ , подщелачивают р-ром NaOH, масло извлекают бензолом, выход IV 11,7 г (49%), т. кип. 122–127°/5 мм. 14,7 г  $\text{C}_6\text{H}_5\text{CH}_2\text{OC}_6\text{H}_4\text{COOH}$  в 10 мл  $\text{C}_6\text{H}_6$  обрабатывают по каплям 28 г  $\text{SOCl}_2$  (3 часа), избыток  $\text{SOCl}_2$  удаляют в вакууме, остаток извлекают эфиром и вытяжку добавляют к 10 г IV, 40 г  $\text{NaHCO}_3$ , 100 мл эфира и 200 мл воды, перемешивают 1,5 часа фильтруют, промывают водой и эфиром, выход 3,4- $\text{CH}_2\text{O}_2\text{C}_6\text{H}_4\text{CH}_2\text{CH}(\text{CH}_3)\text{NHCO}_2\text{C}_6\text{H}_4\text{OCH}_2\text{C}_6\text{H}_5$  (V) 16,7 г (80%), т. пл. 105–107° (из абс. сп.). 8 г V в 50 мл  $\text{C}_6\text{H}_5\text{CH}_3$  обрабатывают 16 г  $\text{POCl}_3$  (2 часа), охлаждают, выдерживают ~ 12 час., верхний слой декантируют, нижний слой обрабатывают небольшим кол-вом  $\text{CH}_3\text{OH}$ , фильтруют с углем и водой, фильтрат подщелачивают  $\text{NH}_4\text{OH}$ , выход 1-(3-бензилоксифенил)-3-метил-3,4-дигидро-6,7-метилендиоксизохинолина (VI) 6,6 г (85%), т. пл. 105–107° (из сп.). 4,5 г VI в небольшом кол-ве  $\text{CH}_3\text{OH}$  и 45 мл 20%-ной HCl нагревают 2 часа, продукт фильтруют с углем и водой, фильтрат обрабатывают р-ром NaOH, добавляют р-р  $\text{NH}_4\text{Cl}$  в избытке, отфильтровывают, промывают водой, выход 1-(3- $\text{HOC}_6\text{H}_4$ )-аналога VI (VII) 2,5 г (73%), т. пл. 171–173° (из  $\text{CH}_3\text{OH}$ ). 2,8 г VII в 11,5 г 2%-ного р-ра  $\text{C}_2\text{H}_5\text{ONa}$  обрабатывают небольшим кол-вом NaI и 1,5 г  $(\text{C}_2\text{H}_5)_2\text{NCH}_2\text{CH}_2\text{Cl}$  (3 часа, ~ 100°), фильтруют, фильтрат концентрируют в вакууме, остаток извлекают разб. HCl, фильтруют с углем, подщелачивают р-ром NaOH, извлекают бензолом, получают 2,7 г (71%) 1-[3-( $\text{C}_2\text{H}_5$ ) $_2\text{NCH}_2\text{CH}_2\text{OC}_6\text{H}_4$ ]-аналога VII (VIII); дишкролонат, т. пл. 203° (разл.). 2,3 г Pd/C (0,3 г Pd) 0,8 г  $\text{C}_6\text{H}_5\text{CH}=\text{CHCOOH}$ , 1,2 г VI в 40 мл ксилола нагревают 5 час., фильтруют, концентрируют в вакууме, остаток растворяют в разб. HCl, фильтруют с углем, подщелачивают  $\text{NH}_4\text{OH}$ , получают 1-(3-бензилоксифенил)-3-метил-6,7-метилендиоксизохинолин (IX), т. пл. 115–117° (из  $\text{CH}_3\text{OH}$ ). IX в 1 мл спирта и 10 мл 20%-ной HCl (2 часа, 100°), фильтруют с углем, добавляют разб.

p-р NaOH, затем избыток насыщ. p-ра  $\text{NH}_4\text{Cl}$ , выход 1-(3- $\text{HOC}_6\text{H}_4$ )-аналога IX 0,3 г (33%), т. пл. 368° (разл., из сп.). Сообщение VI см. Якугаку дзаэси, J. Pharm. Soc. Japan, 1952, 72, 939.

Chem. Abstr., 1955, 49, № 16, 10958. K. Kitsuta 51267. Синтез метилового эфира 8-оксихинолидинкарбоновой-3 кислоты. Винтерфельд, Клауке (Die Synthese des 8-Oxychinolizidin-3-carbonsäuremethylesters. Winterfeld K., Klauke E.), Arch. Pharmazie, 1956, 289/61, № 8, 405—408 (нем.).

Описан синтез метилового эфира 8-оксихинолидинкарбоновой-3 к-ты (I). Из 2,5-лутидина по видоизмененному методу (Black C., Depp E., J. Organ. Chem., 1949, 14, 14) синтезируют диметилловый эфир изоцинохомеровой к-ты (II), выход 52%. P-р 10 г II в 50 мл лед.  $\text{CH}_3\text{COOH}$  гидрируют при 50° над 0,15 г  $\text{PtO}_2$  и получают диметилловый эфир гексагидроизоцинохомеровой к-ты (III), выход 65%, т. кип. 103—104°/0,9 мм,  $n_D^{20}$  1,4710; пикрат, т. пл. 111—113° (из сп.); пикроло-нат, т. пл. 158—160° (из сп.). Смесь 5 г III, 4,5 г метилового эфира  $\gamma$ -броммасляной к-ты и 3 г  $\text{K}_2\text{CO}_3$  при перемешивании нагревают при 100° до прекращения выделения газа, выливают в воду, экстрагируют и получают метилловый эфир  $\gamma$ -(2,5-дихарбометокси-N-пиперидил)-масляной к-ты (IV), выход 60%, т. кип. 155—156°/0,2 мм,  $n_D^{20}$  1,4707. К суспензии  $\text{CH}_3\text{ONa}$  (из 1,26 г Na и 1,76 г  $\text{CH}_3\text{OH}$ ) в 100 мл эфира прибавляют p-р 15 г IV в 30 мл эфира, кипятят, перемешивают 15 мин. и получают диметилловый эфир 8-кетохинолидинкарбоновой-3,7 к-ты (V), выход 84%, т. пл. 77—79° (из лигр.). P-р 8 г V в 30 мл разб. HCl (1:1) нагревают 3 часа при 80°, p-ритель отгоняют в вакууме, к остатку прибавляют 40 мл  $\text{CH}_3\text{OH}$  и 10 мл конц.  $\text{H}_2\text{SO}_4$ , кипятят 5 час., выдерживают ~ 12 час., подщелачивают 20%-ным p-ром  $\text{K}_2\text{CO}_3$  и получают метилловый эфир 8-кетохинолидинкарбоновой-3 к-ты (VI), выход 86%, т. кип. 104—106°/0,2 мм,  $n_D^{20}$  1,4954; пикрат, т. пл. 152,5—154,5°. P-р 1,5 г VI в 15 мл лед.  $\text{CH}_3\text{COOH}$  гидрируют над 10 мг  $\text{PtO}_2$  и получают I, т. пл. 127—132°, вероятно, смесь стереоизомеров.

В. Андреев

51268. Реакции производных гидразина. IX. Взаимодействие фенилгидразина с  $\beta$ -замещенными пропони-трилами. Кост А. Н., Ершов В. В., Ж. общ. химии, 1956, 26, № 11, 3132—3134.

Изучена p-ция различных  $\text{RCH}_2\text{CH}_2\text{CN}$  (I) (Ia  $\text{R} = (\text{CH}_3)_2\text{N}$ , Ib  $\text{R} = \text{Cl}$ , Ic  $\text{R} = \text{C}_6\text{H}_5$  (или  $n\text{-C}_4\text{H}_9$ ), Id  $\text{R} = \text{HO}$ ) с  $\text{C}_6\text{H}_5\text{NHNH}_2$  (II) в присутствии  $\text{C}_2\text{H}_5\text{ONa}$  в  $\text{C}_2\text{H}_5\text{OH}$  (III) или в  $\text{C}_6\text{H}_5\text{OH}$  (IV), приводящая к образованию 3-амино-1-фенилпиразолина (V). Наилучший выход получен с Ia (5,5 часа, IV, выход 87%), несколько хуже p-ция идет с Ib и Ic (8 час., III или IV, выходы 52,8—65,2%), низкий выход получен с Id (8 час., III, 37% или 8 час., IV, 19,3%). Полученные в-ва охарактеризованы спектрами поглощения. Смесь p-ра  $\text{C}_2\text{H}_5\text{ONa}$  (из 0,5 г Na и 20 мл спирта) 0,1 моля II и 0,1 моля I кипятят 8 час., выделяют V, т. пл. 169° (из III). Размешивают 50 мл  $(\text{CH}_3\text{CO})_2\text{O}$  с 50 г V (1 час, 20°), выделяют водой 3-ацетил-V, выход 40,3%, т. пл. 192°. Кипятят V и o- $\text{HOC}_6\text{H}_4\text{CHO}$  (по 0,035 моля) с 40 мл III 1 час, получают o- $\text{HOC}_6\text{H}_4\text{CH}=\text{NC}=\text{NN}(\text{C}_6\text{H}_5)\text{CH}_2\text{CH}_2$  (VI), выход 60%, т. пл. 128° (разл., из III); VI образует с солями  $\text{Cu}^{2+}$  комплекс с т. пл. 145° (разл.). Сообщение VIII см. РЖХим, 1957, 30635.

Е. Головинская

51269. Исследование амидных производных антипиритинокарбоновой-4 и антипиринкарбоновой-4 кислот. Яник, Коцва (Z badań nad amidowymi pochodnymi kwasów 4-tiokarboksylowego i 4-karboksylowego antypiryny. Janik Bolesław, Kocwa

Aleksander), Dissert. pharm. PAN, 1956, 8, № 3, 191—201 (польск.; рез. русск., англ.).

Синтезированы монозамещ. амиды (где R — заместитель) антипиритинокарбоновой-4 (I) и антипиринкарбоновой-4 к-ты (II). Установлено, что при нагревании этилового эфира антипиридитинокарбоновой-4 к-ты (III) или I ( $\text{R} = \text{H}$ ) с водн. p-ром  $\text{NH}_3$  под давлением образуется 1-фенил-2-метил-3-амино-4-ацетилпиразолон-5, а не II ( $\text{R} = \text{H}$ ), как описано ранее (Kocwa A., Dissert. Pharm., 1950, II, 21—32). Смесь 0,01 моля III и ~ 0,5 моля 70%-ного водн. этиламина кипятят 2 часа, подкисляют разб. HCl, получают I ( $\text{R} = \text{C}_2\text{H}_5$ ) (Ia), т. пл. 169—170° (из сп.); взвесы 2,8 г Ia и 0,02 моля желтой HgO в 100 мл 30%-ного спирта кипятят 2 часа, фильтруют, из фильтрата выделяют II ( $\text{R} = \text{C}_2\text{H}_5$ ), т. пл. 177—178° (из воды). Аналогично Ia при действии соответствующих аминов на III получают I (в безводн. среде) и из них II (приводится R, т. пл. I (из сп.) и II (из разб. сп.) в °C): o-толил, 175,5—176,5, 236—237; n-толил, 202,5—203; 219;  $\beta$ -(тиоантипирил)-аминоэтил (Ib) (для I из III и водн. этилендиамина) 242—244;  $\beta$ -(антипирил-4)-аминоэтил (для II), 234—235; Ib при стоянии на свету разлагается, образуя в-во с т. пл. 177—178°. При p-ции I ( $\text{R} = \text{H}$  или  $\text{C}_6\text{H}_5$ ) с желтой HgO в описанных условиях получают соответствующие II, т. пл. 242—243° и соответственно 250°.

Т. Амбруш

51270. О расщепляемых C—C-связях. Действие пернеозона. Сообщение VII. Кузмано, Тиберио (Sui legami «lidenici». Azione di perneozonio. Nota VII. Cusmano Sigismondo, Tiberio Tito), Gazz. chim. ital., 1956, 86, № 5—7 507—514 (итал.).

В продолжение прошлых работ (Gazz. chim. ital., 1952, 82, 98, 191, 341, 373, 421) изучено действие  $\text{H}_2\text{O}_2$  (пернеозон) на бензальцианацетифенол (I) в присутствии  $\text{NH}_3$ . В результате p-ции образуется амид 3-фенил-2-бензил-2,3-эпоксипропионовой к-ты (II). Строение II подтверждено: 1) образованием хлоргидринов, т. пл. 175° (из разб. сп.) и т. пл. 136—146° (выделен разбавлением маточного p-ра водой), при действии конц. HCl (~ 20°, 4—5 дней) на спирт. суспензию II (принадлежность структур  $\text{C}_6\text{H}_5\text{CH}(\text{OH})\text{CCl}(\text{COC}_6\text{H}_5)\text{CONH}_2$  или  $\text{C}_6\text{H}_5\text{CHClC}(\text{OH})(\text{COC}_6\text{H}_5)\text{CONH}_2$  полученным в-вам не установлена), 2) образованием фенилгидразона II с т. пл. 225° (из сп.), 3) действием конц. HCl на спирт. суспензию фенилгидразона II (кипчение 1 час) с образованием амида 1,3,5-трифенилпиразолкарбоновой-4 к-ты т. пл. 199—200° (из сп.); строение последнего подтверждено превращением в нитрил 1,3,5-трифенилпиразолкарбоновой-4 к-ты, т. пл. 192° (из сп.), при кипячении амида с  $(\text{CH}_3\text{CO})_2\text{O}$  в течение 3 час., а также омылением амида водно-спирт. p-ром KOH (кипчение 30—40 час.) до 1,3,5-трифенилпиразолкарбоновой-4 к-ты, т. пл. 238° (из сп.). Последние при кипячении (5—6 час.) с 85%-ной  $\text{H}_3\text{PO}_4$  дает 1,3,5-трифенилпиразол, т. пл. 136—137° (из сп.). 5 г I нагревают в 25 мл спирта до растворения, после охлаждения вводят 1 мл  $\text{NH}_4\text{OH}$  и затем по каплям 5 мл  $\text{H}_2\text{O}_2$ , получают II, т. пл. 185° (из сп.).

Л. Яновская

51271. Триптамыны, карболины и родственные соединения. Часть II. Удобный метод синтеза триптамынов и  $\beta$ -карболинов. Абрамович, Шапиро (Tryptamines, carbolines, and related compounds. Part II. A convenient synthesis of tryptamines and  $\beta$ -carbolines. Abramovitch R. A., Shapiro D.), J. Chem. Soc., 1956, Nov., 4589—4592 (англ.).

Описан синтез триптамина (I) по схеме: 3-фенилгидразон 2,3-люксониперидина (II)  $\rightarrow$  1,2,3,4-тетрагидро-1-оксо- $\beta$ -карболин (III)  $\rightarrow$  триптаминкарбоновой-2 к-та (IV)  $\rightarrow$  I. Аналогично осуществлен синтез некоторых производных I. Восстановлением III и его произ-

водных получены 1,2,3,4-тетрагидро-β-карболин (V) и его производные. Р-р 5 г *n*-анизидина в 60 мл воды и 11 мл конц. HCl диазотируют 3,6 г NaNO<sub>2</sub> в 10 мл воды, избыток HNO<sub>2</sub> разрушают мочевиной, нейтрализуют (при 0°) р-ром Na<sub>2</sub>CO<sub>3</sub>, фильтрат прибавляют к охлажденной смеси 68 г этилового эфира 2-оксопиперидинкарбонвой-3 к-ты с р-ром 2,4 г КОН в 80 мл воды (предварительно выдержанной ~12 час. при 30°), подкисляют CH<sub>3</sub>COOH до pH 3—4, перемешивают 6 час. при 0—5° и оставляют на ~12 час. в холодильнике; получают 3-(*n*-метоксифенил)-аналог II (VI), выход 6,7 г, т. пл. 176—177° (из воды). При проведении той же р-ции при pH > 7 образуется только смола; при pH 6—7 образуется неустойчивое в-во (VII) с т. пл. 112,5° (разл.), вероятно, 3-(*n*-метоксифенилазо)-производное 2-оксопиперидина. Аналогично получен 3-(*n*-бензилоксифенил)-аналог II (VIII), т. пл. 185—186° (из водн. сп.). Смесь 1 г II и 5 мл полифосфорной к-ты медленно нагревают при перемешивании, выдерживают 5 мин. при 120—125° и по охлаждении обрабатывают водой; получают III, выход 0,85 г, т. пл. 183—185° (из водн. сп.); пикрат, т. пл. 195—197° (из сп.). III получают также кипячением (30 мин.) 1 г II с 4 мл 70%-ной HCOOH, выход 0,7 г. Аналогично (с 90%-ной и 70%-ной HCOOH) получают: из 5 г VI 3,1 г 6-метокси-III (IX), т. пл. 275—277° (из сп.), и из 8 г VIII 5,2 г 6-бензилокси-III (X), т. пл. 199—201° (из разб. сп.); IX получен также при циклизации VII, 0,5 г III кипятят 5 час. с 10 мл 2 н. р-ра КОН в 50%-ном спирте, упаривают до 5 мл, прибавляют 5 мл воды, фильтруют и подкисляют CH<sub>3</sub>COOH; получают IV, выход 0,45 г, т. пл. 241—242° (разл., из водн. сп.). Аналогично из 0,5 г IX получают 0,53 г 5-метокси-IV (XI), т. пл. 246—248° (разл., из водн. сп.), и из 1 г X 1 г 5-бензилокси-IV (XII), т. пл. 243—244° (из 90%-ного сп.). 0,33 г IV кипятят 1 час с 5 мл 5%-ной HCl и подщелачивают; получают 0,2 г I, т. пл. 115°, пикрат, т. пл. 245—246° (разл., из водн. ацетона). Аналогично из 2 г XI получают 1,45 г 5-метокси-I (XIII), т. пл. 120—121°; пикрат, т. пл. 219° (разл., из сп.). XIII получен также кипячением 0,5 г XI с 4,2 г *n*-CH<sub>3</sub>C<sub>6</sub>H<sub>4</sub>SO<sub>3</sub>H (XIV) в 5 мл воды, выход 0,2 г. XII не поддается декарбоксилированию; при нагревании с XIV получен *n*-толуолсульфонат XII, т. пл. 197—198° (из разб. сп.). К суспензии 1 г IX в 25 мл кипящего сухого бутанола прибавляют 2,5 г Na, через 0,5 часа охлаждают, прибавляют 25 мл 90%-ного спирта и 25 мл воды и отгоняют в паром; из р-ра выпадает 6-метокси-V, выход 0,35 г, т. пл. 221—222°; пикрат, т. пл. 240—241° (разл., из сп.). Аналогично из 1 г III получают 0,3 г V, т. пл. 200—202°; пикрат, т. пл. 253° (разл., из смеси сп.-ацетон). Часть I см. РЖХим, 1955, 51932.

В. Аваева  
51272. Изучение производных пиазолона. I. Синтез 1-фенил-3,4-диметилпиазолона-5. Сиран, Ясиро (ピラゾロン誘導体の研究. 第1報. 1-フェニル3,4ジメチルピラゾロンの合成. 白井秀明, 八代有),名古屋 市立大学薬学部 紀要, Nagoya Univ. Pharm. School, 1955, № 3, 30—33 (японск.).

4,5 г C<sub>6</sub>H<sub>5</sub>NHNH<sub>2</sub> смешивают с 6 г CH<sub>3</sub>COCH(CH<sub>3</sub>)-COOC<sub>2</sub>H<sub>5</sub>, по окончании экзотермич. р-ции отгоняют воду и спирт в вакууме, остаток нагревают 3 час. при 140° в токе CO<sub>2</sub>, на другой день добавляют эфир, получают 6,4 г 1-фенил-3,4-диметилпиазолона-5 (I), т. пл. 127—132° (из сп.); из эфир. р-ра выделены *bis*-(1-фенил-3,4-диметилпиазолол-5) (II) с т. пл. 164°; в-во (III) с т. пл. 143°, неуставленного строения и в-во с т. пл. 172° — ацетильное производное I, которое образуется также при кипячении (3 час.) I с (CH<sub>3</sub>CO)<sub>2</sub>O в присутствии CH<sub>3</sub>COONa. II и III образуются при длительном (1 час) кипячении I в метаноле или спирте. II образуется также при действии

NaNO<sub>2</sub> на I в 5%-ной H<sub>2</sub>SO<sub>4</sub>. III превращается в II при кипячении (1 час) в метаноле. Л. Яновская 51273. Основания Манниха как промежуточные продукты при образовании замещенных в ядре арил-аминов из соединений, содержащих СН-группу, обладающую кислотными свойствами, формальдегида и первичных или вторичных аминов. Тезинг, Циг, Майер (Mannich-Basen als Zwischenprodukte bei der Umsetzung von CH-aciden Verbindungen mit Formaldehyd und primären oder sekundären aromatischen Aminen zu kernsubstituierten Arylaminen. Thesing Jan, Zieg Hermann, Mayer Hans), Chem. Ber., 1955, 88, № 12, 1978—1988 (нем.).

Показано, что соответствующие основания Манниха (ОМ) являются промежуточными продуктами при образовании пара-замещ. анилинов (ЗА) из антипирина (I) или β-нафтола (II), CH<sub>2</sub>O и анилина (IIIa), *N*-метил-(IIIb) или *N,N*-диметил-(IIIв)-анилинов в кислой среде. Действительно, если р-цию I, CH<sub>2</sub>O и IIIa в кислой среде, приводящую в течение 48 час. к *n*-(антипирил-4-метил)-анилину (IV), прервать через 5—10 мин., то удастся выделить типичное ОМ: *N*-(антипирил-4-метил)-анилин (V); кроме того при получении IV по Бодендорфу и Рафу (см. РЖХим, 1956, 847) выделен *N*,4-ди-(антипирил-4-метил)-*N*-метиланилин (VI), очевидно, обладающий функциями как ОМ, так и ЗА; наконец, если к реакционной смеси I, CH<sub>2</sub>O и IIIв в кислой среде, из которой получается только моногидрат метилен-*bis*-антипирина (VII), но не получается *n*-(антипирил-4-метил)-*N,N*-диметиланилин (VIII), добавить 0,5 моля IIIa, то удастся получить VIII с выходом 58,5%, т. пл. 149—150° (из сп.), что может быть объяснено только промежуточным образованием V, от которого затем отщепляется IIIa и образующийся остаток алкилирует IIIв в VIII. Эти же отношения отчетливо выступают при аналогичных р-циях II или индола: так II и индол, не конденсирующиеся с CH<sub>2</sub>O и IIIв в кислой среде, легко дают при добавке к реакционной смеси 0,1 моля IIIб *n*-(2-оксинафтил-1-метил)-(IX) и *n*-скатил-(X)-*N,N*-диметиланилины; и при р-ции II с CH<sub>2</sub>O и IIIб при 20° получается ОМ, *N*-(2-оксинафтил-1-метил)-*N*-метиланилин (XI), которое при действии CH<sub>3</sub>COOH превращается в *n*-(2-оксинафтил-1-метил)-*N*-метиланилин (XII), образующийся также непосредственно при нагревании смеси II, CH<sub>2</sub>O и IIIб с CH<sub>3</sub>COOH. К р-ру 0,033 моля I и 0,026 моля 35%-ного CH<sub>2</sub>O в 15 мл воды добавляют 0,025 моля IIIa в 12,5 мл 2 н. HCl, оставляют на 9 мин. при 25°, встряхивают с CHCl<sub>3</sub>, приливают 15 мл 2 н. р-ра NH<sub>4</sub>OH и отделяют V, выход 60,3%, т. пл. 140—141° (из ацетона). Смесь 0,025 моля I, 0,025 моля IIIб и 0,033 моля CH<sub>2</sub>O нагревают 30 мин. при 120°, продукт растирают с 5 мл эфира и отделяют VI, выход 0,44 г, т. пл. 163° (из CH<sub>3</sub>COOH); или к смеси 0,023 моля *n*-(антипирил-4-метил)-*N*-метиланилина, 0,025 моля I и 0,1 л CH<sub>3</sub>OH приливают по каплям 0,025 моля 35%-ного CH<sub>2</sub>O, оставляют на 2 часа, отгоняют р-ритель и получают VI, выход 57%. Р-р 0,05 моля I и 0,05 моля CH<sub>2</sub>O в 30 мл воды смешивают с р-ром 0,062 моля IIIв в 40 мл 2 н. HCl и 60 мл спирта, оставляют на 2 дня при 20°, отгоняют при 40° спирт и извлекают CHCl<sub>3</sub> VII, выход 99%, т. пл. 157—165° (из сп.). К охлаждаемому льдом р-ру 0,05 моля II, 0,05 моля IIIв и 0,005 моля IIIб в 10 мл CH<sub>3</sub>COOH приливают по каплям 4,3 мл 35%-ного CH<sub>2</sub>O, смесь оставляют на 12 час. в холодильнике, разбавляют 0,2 л воды, р-р нейтрализуют NaHCO<sub>3</sub> и извлекают эфиром IX, выход 90%, т. пл. 142—143° (из сп.); аналогично получают X, выход 60%, т. пл. 141—142° (из сп.). Смесь 0,05 моля II, 0,05 моля IIIб в 5 мл спирта и 0,05 моля 40%-ного CH<sub>2</sub>O оставляют на 1,5 часа и получают XI, выход 98%, т. пл. 87—88° (из сп.). К смеси 0,05 моля II и



0,05 моля **III** в 25 мл  $\text{CH}_3\text{COOH}$  приливают по каплям при  $5^\circ$  0,05 моля  $\text{CH}_2\text{O}$ , оставляют на 12 час. в темноте, или 7,2 г **XI** и 20 мл  $\text{CH}_3\text{COOH}$  оставляют в темноте на 16 час., приливают 0,3 л воды, затем 20 мл 5 н.  $\text{HCl}$ , извлекают эфиром, кипятят, нейтрализуют  $\text{NaHCO}_3$  и получают **XII**, выход 18–31%, т. пл.  $163,5-165^\circ$  (из сп.).

Д. Витковский

**51274. Исследование образования кольца с ортормуравным эфиром.** Танабэ (正酸エステルによる閉環反応. 田邊良久), 金澤大學薬学部研究年報, Канадзава дайгаку якутакубу кэнкю нэмпо, Annual Rept Fac. Pharmacy Kanazawa Univ., 1955, 5, 61–62 (японск.; рез. англ.)

Показано, что *o*-фенилендиамин и *o*-аминофенол при нагревании с  $\text{CH}(\text{OC}_2\text{H}_5)_2$  образуют бензимидазол и бензоксазол соответственно, тогда как с 4,5,6-триаминопиримидином циклизация не происходит, вместо этого идет формилирование с образованием 5-формил-амино-4,6-диаминопиримидина.

М. Линькова

**51275. Азопропиновая иммунизация. I. Денатурирование протенин.** 1. Синтез порфирина, реактива на тиолгруппы. Окано, Фукугава (アゾ蛋白免疫法の研究. 第1報. 變性蛋白質. 1SH基試薬Porphyrinolinの合成について. 岡野定輔, 深川安彦), 藥學雜誌, Якутаку дзасси, J. Pharm. Soc. Japan, 1954, 74, № 10, 1059–1061 (японск.)

Изучались методы синтеза порфирина (см. Lillvik и др., J. Organ. Chem., 1942, 165; Kuhn Franke, Ber., 1935, 65, 1528). Подтверждено, что маслянистое в-во, образующееся в качестве побочного продукта в процессе превращения  $(\text{CH}_3)_2\text{C}(\text{NHOH})\text{C}(=\text{NH})\text{OC}_2\text{H}_5 \cdot 2\text{HCl}$  (**I**) в  $(\text{CH}_3)_2\text{C}(\text{NHOH})\text{C}(=\text{NH})\text{NH}_2 \cdot \text{HCl}$  (**II**) является свободным основанием амида к-ты. Установлено, что кол-во его увеличивается в присутствии воды и при повышении т-ры. Смесь 85 г  $(\text{CH}_3)_2\text{C}=\text{NOH}$  и 85 г  $\text{HCN}$  выдерживают 8 дней при  $0-5^\circ$ , оставляют на 1 день при  $20^\circ$ , упаривают при  $20^\circ$ , остаток промывают эфиром и получают  $(\text{CH}_3)_2\text{C}(\text{NHOH})\text{CN}$  (**III**), выход 12 г, т. пл.  $99^\circ$ ; 12 г **III** в 100 мл абс. спирта при  $0^\circ$  обрабатывают  $\text{HCl}$  (газом) и через 12 час. при  $0-5^\circ$  получают **I**, выход 23 г, т. пл.  $200^\circ$  (разл.). К 12 г **I** в 35 мл абс. спирта добавляют по каплям 29 мл абс. спирта. р-ра  $\text{NH}_3$  (4,6 г/мл), размешивают 4 часа при  $15-20^\circ$ , отфильтровывают  $\text{NH}_4\text{Cl}$ , удаляют спирт и получают **II**, 6,5 г, т. пл.  $154^\circ$  (разл.). В 3,5 г **II** в 17 мл воды и 0,5 мл конц.  $\text{HCl}$  пропускают  $\text{Cl}_2$ ; продукт р-ции промывают водой, получают 2,6 г  $(\text{CH}_3)_2\text{C}(\text{NO})\text{C}(=\text{NH})\text{NH}_2 \cdot \text{HCl} \cdot 2\text{H}_2\text{O}$  (**IV**); 2,6 г **IV** и 4 мл 35,6%-ного р-ра  $\text{KOH}$  нагревают при  $55-60^\circ$ , охлаждают и отфильтровывают 2,3 г порфирина (**V**), т. пл.  $249-250^\circ$  (разл.). 1,2 г **V** в 4 мл воды встряхивают 10 мин. с 0,16 мл  $\text{N}_2\text{H}_5 \cdot \text{H}_2\text{O}$  кипятят 1 час, упаривают до сиропа; добавляют небольшое кол-во воды и получают 0,3 г лейкопорфирина (**VI**), т. пл.  $270-274^\circ$  (разл.); 0,3 г **VI** в 1,9 мл 1 н.  $\text{NaOH}$  обрабатывают 0,6 г  $\text{K}_2\text{Fe}(\text{CN})_6$  в 24 мл воды, через 12 час. при  $0-5^\circ$  фильтруют, растворяют в  $\text{C}_5\text{H}_5\text{N}$ , упаривают и получают 0,15 г порфирина, т. пл.  $183^\circ$  (разл.).

Chem. Abstrs, 1955, 49, № 17, 11628.

K. Kitsuta

**51276. Изучение лекарственных веществ гетероциклического ряда.** Сообщение 16. Пиридазин, сообщение IX. Реакции замещения 3,4,6-трихлорпиридазина. Эйхенбергер, Ромеч, Дрюэ (Heilmittelchemische Studien in der heterocyclischen Reihe. 16. Mitteilung. Pyridazine IX. Substitutionsreaktionen am 3,4,6-Trichlor-pyridazin. Eichenberger K., Rometsch R., Druetz J.), Helv. chim. acta, 1956, 39, № 6, 1755–1764 (нем.; рез. англ.)

Ввиду ценных фармакологических и хемотерапевтических свойств продуктов превращения 3,6-дихлорпиридазина (см. РЖХим, 1955, 7483) исследованы подобные р-ции 3,4,6-трихлорпиридазина (**I**). Строение 3,6-дихлор-4-

метоксипиридазина (**II**), полученного обработкой **I**  $\text{CH}_3\text{ONa}$ , доказано дехлорированием его (с  $\text{Pd/C}$ ) до 4-метоксипиридазина (**III**). Строение **III** вытекает из его неидентичности с известным 3-метоксипиридазинном (**IV**). Щел. гидролиз **I** ведет к 3,6-дихлор-4-оксипиридазину (**V**) и 3,4- (или 3,5-) дихлорпиридазону-6 (**VI**). Строение **V** определено дехлорированием его до 1,4-дигидро-4-кетопиридазина (**VII**), строение **VI** основано на сходстве его УФ-спектра со спектром пиридазона-6 (**VIII**), однако положение атомов  $\text{Cl}$  не установлено. При метилировании **V**  $(\text{CH}_3)_2\text{SO}_4$  в присутствии  $\text{C}_2\text{H}_5\text{ONa}$  образуется не **II**, а 1,4-дигидро-1-метил-3,6-дихлор-4-кетопиридазин (**IX**) (сходство УФ-спектров **IX** и **VII**). Дехлорированием **IX** с  $\text{Pd/C}$  получен 1,4-дигидро-1-метил-4-кетопиридазин (**X**), строение которого подтверждено сравнением  $\text{pKt}$  **III** ( $+3,7 \pm 0,02$ ), **VII** ( $+1,07 \pm 0,03$ ) и **X** ( $1,1 \pm 0,1$ ) и совпадением УФ-спектров **III**, **VII** и **X** в  $\text{HCl}$  (к-те). В нейтр. и щел. средах УФ-спектр **VII** весьма сходен со спектром у-пиридона. При метилировании **VII** аналогично **V** образуется 1-метил-5-оксипиридазин в виде биполярного иона  $-\text{O}-\text{C}=\text{CHCH}=\text{NN}+(\text{CH}_3)=\text{CH}(\text{XI})$  (низкая

т-ра плавления, слабая растворимость в неполярных р-рителях, сильная гигроскопичность), сходный с  $\beta$ -пиридоном (**XII**). Для **XI** отмечен при ионизации  $\text{OH}$ -группы гипсохромный сдвиг  $\lambda_{\text{max}}$ , аналогичный сдвигу для **XII**. (Синтез **I** см. РЖХим, 1955, 18766). Р-р 18,3 г **I** в 140 мл  $\text{CH}_3\text{OH}$  смешивают (т-ра  $< 20^\circ$ ) с р-ром  $\text{CH}_3\text{ONa}$  (из 2,3 г  $\text{Na}$ ) в 100 мл  $\text{CH}_3\text{OH}$  и через 12 час. ( $20^\circ$ ) упаривают досуха в вакууме и остаток смешивают с водой, выход **II** 13 г, т. пл.  $130-131^\circ$  (из 50%-ного сп.). Гидрируют 12 г **II** в 500 мл абс. спирта с 3 г  $\text{Pd/C}$  (всюду 10%-ный), фильтрат упаривают в вакууме и остаток переосаждают из 140 мл горячего спирта 140 мл горячего этилацетата, выход хлоргидрата **III** (**XIII**) 7,8 г, т. пл.  $147-148^\circ$  (разл.; из сп.-этилацетата). Р-р 3,9 г неочищ. **XIII** в небольшом кол-ве воды, обработанной  $\text{K}_2\text{CO}_3$ , насыщают  $\text{K}_2\text{CO}_3$  и экстрагируют эфиром, выход **III** 1,3 г, т. пл.  $43-44^\circ$  (из абс. эф.), чрезвычайно гигроскопичен. Гидрируют 57 г 3-метокси-6-хлорпиридазина в 300 мл  $\text{CH}_3\text{OH}$  с 2 г  $\text{Pd/C}$ , остаток после упаривания в вакууме обрабатывают конц. р-ром  $\text{K}_2\text{CO}_3$  и экстрагируют  $\text{CH}_2\text{Cl}_2$ , выход **IV** 30,3 г, т. кип.  $86-87^\circ/13$  мм. Кипятят 10 мин. 5,5 г **I** со 120 мл 2 н.  $\text{NaOH}$  и подкисляют  $\text{HCl}$  (1:1). При  $0^\circ$  выпадает 2,1 г **V**, т. пл.  $199-200^\circ$  (высушиванием в высоком вакууме при  $100^\circ$ ). Из маточного р-ра от выделения **V** выкристаллизовывается **VI**, выход 0,23 г, т. пл.  $170-172^\circ$  (из сп.). Гидрируют 10,7 г **V** в 400 мл абс. спирта с 2 г  $\text{Pd/C}$  аналогично **II**, упаренный остаток переосаждают из 50 мл горячего спирта 150 мл этилацетата и охлаждают до  $0^\circ$ , выход хлоргидрата **VII** 6,15 г, обработкой  $\text{K}_2\text{CO}_3$  его (0,5 г) переводят в **VII**, выход 0,27 г, т. пл.  $250-251^\circ$  (из сп. и  $\text{CH}_3\text{OH}$ ). Гидрируют 75 г 4,5-дихлорпиридазона-6 в 1,38 л воды и 0,92 л 1 н.  $\text{NaOH}$  с 10 г  $\text{Pd/C}$ , фильтрат нейтрализуют 2 н.  $\text{HCl}$ , упаривают досуха, остаток кипятят с этилацетатом и экстракт упаривают досуха, выход **VIII** (сушка в вакууме) 42 г, т. пл.  $100-102^\circ$  (из ацетона-петр. эф.). Кипятят 30 мин. 19,8 г **V** с 12,6 мл  $(\text{CH}_3)_2\text{SO}_4$  и  $\text{C}_2\text{H}_5\text{ONa}$  (2,76 г  $\text{Na}$ ) в 160 мл абс. спирта и охлаждают до  $0^\circ$ , выход **IX** 3,1 г, т. пл.  $153-155^\circ$  (из воды). Гидрируют 1,79 г **IX** в 180 мл абс. спирта с 0,8 г  $\text{Pd/C}$  и фильтрат упаривают в вакууме при  $50^\circ$ . 200 мг остатка всего (1,4 г) растворяют в 4 мл абс. спирта, прибавляют 0,5 мл 5 н. спирта.  $\text{HCl}$  (к-ты) и немного этилацетата, выход хлоргидрата **X** 130 мг, т. пл.  $173-176^\circ$  (из сп.-эф.). Из 400 мг неочищ. хлоргидрата действием  $\text{K}_2\text{CO}_3$  и экстракцией  $\text{CHCl}_3$  выделяют 268 мг **X**, т. пл.  $98-99^\circ$  (из ацетона-петр. эф.). Кипятят 30 мин. 1,92 г **VII** с 2,1 мл  $(\text{CH}_3)_2\text{SO}_4$  и  $\text{C}_2\text{H}_5\text{ONa}$  (0,46 г  $\text{Na}$ ) в 30 мл абс.

спирта и выделяют в виде хлоргидрата XI (XIV), выход 0,7 г, т. пл. 234° (разл.; из сн.). Из 0,2 г XIV ( $K_2CO_3$  в воде и экстракция  $CHCl_3$ ) выделяют 0,1 г XI, т. пл. 115–117°,  $pK_a$  1,74±0,05. Приведены данные УФ-спектров II–XI в различных р-телях. Сообщение 15 см. РЖХим, 1957, 44582. А. Точилин

**51277. Реакции 2,4,6-триметилпиримидина, подобные конденсации Кляйзена.** Салливан, Колдуэлл (Claisen-like condensation reactions with 2,4,6-trimethyl-pyrimidine. Sullivan Hugh R., Caldwell William T.), J. Amer. Chem. Soc., 1955, 77, № 6, 1559–1562 (англ.)

Показано, что при конденсации 2,4,6-триметилпиримидина (I) с эфирами к-д-н в р-цию вступает  $CH_3$ -группа в положении 4. Вопреки литературным данным (см. Ochiai, Janai, J. Pharmas. Soc. Japan, 1938, 58, 76), эта же группа является наиболее реакционноспособной и при альдольной конденсации. Р-р 1,85 моля  $CH_3C(=NH)NH_2 \cdot HCl$ , 2,28 моля  $CH_3COCH_2COCH_3$  и 490 г  $K_2CO_3$  в 1,2 л воды выдерживают 2 недели при ~20°, прибавляют 510 г  $K_2CO_3$  и извлекают эфиром (300 мл × 2); получают I, выход 32,4%, т. кип. 58–60°/11 мм. К 100 мл жидкого  $NH_3$  + 1 кристаллик  $Fe(NO_3)_3$  прибавляют 0,1 г-атома Na, по окончании р-ции (исчезновение синей окраски) прибавляют по каплям за 30 мин. р-р 0,05 моля I в 50 мл  $C_6H_6$ , затем 100 мл  $C_6H_6$ , выдерживают ~12 час. при ~20° и 3 часа при 50° (для удаления  $NH_3$ ), прибавляют по каплям 0,08 моля  $C_6H_5COOCC_2H_5$ , кипятят 18 час. и обрабатывают 50 мл воды; после обычной обработки получают 2,6-диметил-4-фенилпиримидин (II), выход 22%, т. кип. 146–150°/0,7 мм,  $n_D^{25}$  1,6512; хлоргидрат, т. пл. 223–224° (разл., из  $CH_3OH$ -этилацетата). Строение II доказано его синтезом из 2,6-диметил-4-литийметилпиримидина (III) и  $C_6H_5CN$ . Аналогично из 0,8 моля I, 0,8 моля Na в эфире и  $C_6H_6$  и 0,4 моля  $CH_3COOCC_2H_5$  получают 2,6-диметил-4-ацетилпиримидин (IV), выход 31%, т. кип. 75–76°/0,5 мм, и из 0,2 моля I и 0,3 моля  $(COOCC_2H_5)_2$  — смесь этилового эфира (2,6-диметилпиримидил-4-пировиноградной к-ты, выход 12%, т. пл. 108–109° (из этилацетата-скеллисоля А), и 1,4-бис-(2,6-диметилпиримидил-4)-бутандиона-2,3, выход 3%, т. пл. 231–232° (разл., из эфира-скеллисоля А). 0,15 моля  $C_6H_5CH_2Br$  прибавляют к р-ру III (из 0,15 моля I) в эфире; получают 2,6-диметил-4-(β-фенилэтил)-пиримидин (V), выход 37,4%, т. кип. 120°/0,5 мм,  $n_D^{25}$  1,5500; хлоргидрат, т. пл. 185–186° (из  $CH_3OH$ -этилацетата). Конденсацией 0,1 моля I с 0,093 моля  $C_6H_5CHO$  в присутствии 2 г  $ZnCl_2$  (запаянная трубка, 4 часа, 100°) получают дистирилметилпиримидин, выход 14,5%, т. пл. 177–178° (из бзл.-эф.), и 2,6-диметил-4-стирилпиримидин (VI), которому ранее (см. ссылку выше) было ошибочно приписано строение 4,6-диметил-2-стирилпиримидина, выход 30%, т. пл. 57–58° (из скеллисоля А); хлоргидрат, т. пл. 194–195°. Строение VI доказано его превращением в V при гидрировании над 5%-ным Pd/C. Смесь 0,074 моля IV, 0,074 моля  $NH_2OH \cdot HCl$ , 50 мл сухого пиридина и 50 мл абс. спирта кипятят 3 часа; получают дихлоргидрат оксима IV (VII), выход 47%, т. пл. 172–173° (из  $CH_3OH$ -этилацетата). Аналогично получают хлоргидрат оксима II (VIII), выход 54%, т. пл. 222–223° (из  $CH_3OH$ -этилацетата). VII и VIII в абс. спирте гидрируют над скелетным Ni, после обычной обработки выделяют малеаты соответственно 4-(β-аминопропил)-2,6-диметилпиримидина, выход 18%, т. пл. 130–131° (из  $CH_3OH$ -этилацетата), и 4-(β-аминофенилэтил)-2,6-диметилпиримидина, выход 25%, т. пл. 170–171° (разл., из  $CH_3OH$ -этилацетата). А. Гуревич

**51278. Синтез соединений, родственных тимину. III. Хлорсульфирование урацила.** Герр, Энкоджи,

Бардос (Synthesis of compounds related to thymine III. Chlorosulfonation of uracil. Herr Ross R., Enkoji Takashi, Bardos Thomas J.), J. Amer. Chem. Soc., 1956, 78, № 2, 401–403 (англ.)

В поисках путей получения антагонистов тимина детально разработаны синтезы 5-меркаптоурацила (I) и 5-урацилдисульфида (II), получены также 5-урацилсульфонилид (III), 5-(N,N-диметилсульфанил)-урацил (IV) и фениловый эфир урацилсульфо-5 к-ты (V). Смесь 11,2 г урацила (VI) и 105 г  $ClSO_3H$  (VII) кипятят 8 час. и выливают на 500 г льда; получают 10,4 г 5-хлорсульфонурацила (VIII), т. пл. > 300° (из лед.  $CH_3COOH$ ). К 0,3 мл анилина в 5 мл 10%-ного NaOH прибавляют 0,4 г VIII, встряхивают 15 мин., охлаждают, фильтруют, подкисляют конц. HCl; получают III, т. пл. 267–268° (из воды), выход неочищ. 0,14 г. Аналогично получают: IV (5 мл 40%-ного вода. р-ра диметиланилина, 1 г VIII), т. пл. 340–342° (разл., из воды), выход неочищ. 0,25 г; V (0,45 г фенола в 10 мл 5%-ного NaOH, 1,1 г VIII), т. пл. 250–253° (разл., из воды), выход неочищ. 0,3 г. К суспензии 10,5 г VIII в 100 мл 20%-ной  $H_2SO_4$  при 0° прибавляют по частям 20 г Zn-пыли, перемешивают 1 час. при ~0 и 1 час при ~100°, охлаждают, фильтруют, осадок растворяют в 5%-ном р-ре NaOH, фильтруют, лед.  $CH_3COOH$  осаждают Zn-соль I (IX), выход 5,1 г, очищают пересосаждением. 2 г IX в 30 мл 5%-ного NaOH обрабатывают (0°,  $N_2$ ), 20 мл 20%-ного р-ра  $Na_2S \cdot 9H_2O$  отделяют центрифугированием ZnS и высаживают I конц. HCl, выход 0,8 г (из воды). 2 г IX нагревают до кипения с 30 мл 6 н. HCl, выход I 1,2 г. Суспензию 38 г VIII в 400 мл 20%-ной  $H_2SO_4$  восстанавливают 60 г Zn, как указано выше (кипение 4 часа, осадок растворяют в 5%-ном  $Na_2CO_3$ ), выход II 82% (перекристаллизация из воды). К 4,5 моля VII прибавляют 0,5 моля VI и кипятят 4 часа, смесь частями при ~20° вливают в суспензию 125 г Zn-пыли в 1,8 л воды и 15 мл конц.  $H_2SO_4$ , добавляют осторожно 75 г Zn, перемешивают 4 часа и оставляют на 12 час; прибавляют 50 г Zn, перемешивают 3 часа, в атмосфере  $N_2$  осадок растворяют в 400 мл 5%-ного NaOH, медленно добавляют 300 мл 40%-ного р-ра  $Na_2S \cdot 9H_2O$ , отделяют ZnS и подкисляют р-р 12 н.  $H_2SO_4$ ; выпавший I растворяют в 400 мл кипящей воды, фильтруют, при охлаждении получают I, выход 25%. 0,5 моля VI хлорсульфонируют, как указано (125 г Zn, кипение 5 час.), II осаждают  $CH_3COOH$  из 5%-ного р-ра  $Na_2CO_3$  и экстрагируют в аппарате Сокслета водой, выход 41%. Сообщение 2 см. РЖХимБх, 1957, 4896. П. Соков

**51279. Изучение синтезов пиперазинов. III. Синтез некоторых производных пиперазина и триметилэтилендиамина.** Фудзин, Сигэмацу. IV. Формилпиперазины как формилирующие агенты. Фудзин, Юкава (ビペラジン類の合成研究. 第3報. Piperazine 及び Trimethylethylenediamine 誘導体の合成. 藤井輝一, 重松通. 第4報. Formylpiperazine によるホルミル化. 藤井輝一, 湯川敦彦) 薬学雑誌, Якугаку дааси J. Pharmas. Soc. Japan, 1956, 76, № 5, 605–607; 607–608 (японск. рез. англ.)

III. Синтезированы некоторые 1-производные 4-метилпиперазина (I). Р-цией I с  $COCl_2$  при 0–5° был получен хлоргидрат хлорангидрида 1-метил-4-пиперазинкарбоновой к-ты (II), т. кип. 93°/7 мм, т. пл. 229–230° (разл.). При обработке 20 г II 14,6 г  $(C_2H_5)_2NH_2$  непосредственно, а также в присутствии NaOH были синтезированы 1-диэтилкарбамоил-I (IIIa  $R = CON(C_2H_5)_2$ ), выход 62,5–65%, т. кип. 108–111°/3 мм; дигидроцитрат (ДГЦ), т. пл. 137–138,5° (разл.). Получены также следующие III (здесь и далее  $R = COOCC_2H_5$ , в R =  $CSN(C_2H_5)_2$ , г R =  $CSOC_2H_5$ , д R =  $CSSC_2H_5$ ) (указано в-во, выход в %, т. кип.

в °C/мм, т. пл. в °C ДГЦ): IIIб, 85, 96—97,7, 123—130; IIIв, 54,5 г из 35 г I, 151—153/4, 121—122 (разл.); IIIг, 90, 117—118/3, 156—157; IIIд, 61, 155—156/4, 130—131 (разл.). Из III получен N,N',N'-триметилэтилендиамин (IV) и его N-производные: IV, т. кип. 135—140°; пикрат, т. пл. 209—210°; N-фенил-IV, т. кип. 135—140°/20 мм; IVа, т. кип. 125—128°/12 мм; ДГЦ, т. пл. 125—126° (разл.); IVб, т. кип. 101—104°/7 мм; пикролат (PK), т. пл. 154—155°; IVв, т. кип. 110°/2 мм; PK, т. пл. 136—137°; IVг, т. кип. 123—128°/14 мм; PK, т. пл. 153—154°.

IV. Изучалось формирование при помощи 1-формил-(V) и 1,4-диформилпириперазина (VI). 1 моль диалкил-алимина (R = CH<sub>3</sub>, C<sub>2</sub>H<sub>5</sub>) обрабатывали 0,6—0,7 моля VI (или 1,2—1,4 моля V) в присутствии 1,2—1,3 моля POCl<sub>3</sub>, выход 4-диалкилпириперазина (VII) соответственно 59 и 62% (48 и 52% в случае применения V); VII, т. кип. 156—158°/13 мм, т. пл. 74°; 2-тиофенальдегид получен с выходом 77% из 34 г тиофена и 40 г VI (55% при замене VI на V), т. кип. 99—102°/36 мм. Сообщ. II см. РЖХим, 1956, 46994. И. Левин 51280. S-бензилтиурониевые соли некоторых производных барбитуровой кислоты. Хан, Коханский, Гуштак-Машек, Емрич (S-benzylthiuronium salts of some barbituric acid derivatives. Hahn V., Kochansky Z., Guštak-Mašek I., Jemrič K.), Croat. chem. acta, 1956, 28, № 2, 119—124 (англ.; рез. сербо-хорв.)

R-р-у 0,002—0,03 моля RR'CCON(R'')C(=R''')NHCO (I) в 4—5 мл теплой воды прибавляют эквивалентное кол-во 15%-ного р-ра NaOH, 1—2 капли 1 н. HCl и р-р рассчитанного кол-ва C<sub>6</sub>H<sub>5</sub>CH<sub>2</sub>SC(=NH)NH<sub>2</sub>·HCl (II) в 3—5 мл воды; при охлаждении выделяются соли, содержащие 1 моль I на 1 моль II, которые очищают кристаллизацией из водн. спирта (1:1). Описаны S-бензилтиурониевые соли следующих I (указаны R, R', R'', R''', выход в %, т. пл. в °C): CH<sub>3</sub>, H, H, O, ~100, 168—169 (моногидрат; безводн. соль имеет т. пл. 173—174°); C<sub>2</sub>H<sub>5</sub>, H, H, O, 75, 178—179; n-C<sub>3</sub>H<sub>7</sub>, H, H, O, 88, 182—183; C<sub>6</sub>H<sub>5</sub>, H, H, O, 70, 240—241 (из воды); C<sub>6</sub>H<sub>5</sub>CH<sub>2</sub>, H, H, O, 91, > 320 (разл.); фуфурил-2, H, H, O, ~100, > 320 (разл.); C<sub>2</sub>H<sub>5</sub>, H, CH<sub>3</sub>, O, 91, 159—160 (из смеси сл.-эф.); C<sub>2</sub>H<sub>5</sub>, C<sub>2</sub>H<sub>5</sub>, H, O, ~100, 82—83 (моногидрат); CH<sub>3</sub>=CHCH<sub>2</sub>, CH<sub>2</sub>=CHCH<sub>2</sub>, H, O, ~100, 89—90 (полугидрат); C<sub>2</sub>H<sub>5</sub>, C<sub>6</sub>H<sub>5</sub>, H, O, ~100, 134—135; CH<sub>3</sub>CH<sub>2</sub>CHCH<sub>3</sub>, CH<sub>2</sub>=CBrCH<sub>2</sub>, H, O, ~100, 100—101; H, H, H, S, 80—90, > 320 (разл.); C<sub>2</sub>H<sub>5</sub>, H, H, S, ~100, 156—157 (моногидрат; безводн. соль имеет т. пл. 180—181°); C<sub>2</sub>H<sub>5</sub>, CH<sub>3</sub>CH<sub>2</sub>CH<sub>2</sub>CHCH<sub>3</sub>, H, S, 60, 111—112. Г. Крюкова

51281. Дальнейшие синтезы и превращения 2,4-диаминохиноазолинов. III. Дымек (Dalsze syntezy i przemiany polaczej typu 2,4-dwuaminochinazolin (III). Dymek Wojciech), Ann. Univ. M. Curie-Skłodowska, 1954 (1956), AA9, № 1—9, 45—52 (польск.; рез. русск., нем.)

Конденсация N,N'-ди-м-толилуанидина (I) с м-толизоцианатом (II) приводит к 2,4-ди-м-толилуидино-7-метилхиноазолину (III). Аналогично из N,N'-ди-н-толилуанидина и н-толизоцианата (IV) получен 2,4-ди-н-толилуидино-6-метилхиноазолин (V); последний образуется также из ацетамида и IV. При нагревании III и V с KOH получены соответственно 2,4-диокси-7-метилхиноазолин (VI) и 2-оксид-4-н-толилуидино-6-метилхиноазолин (VII). 5 г I и 3,6 г II нагревают 3 час. при 180—200°, обрабатывают спиртом и HCl (к-той), из образующегося хлоргидрата выделяют III р-ром соды, получают гидрат III, т. пл. 116—122° (из разб. сл.); хлоргидрат, т. пл. 256—257° (из сл.), пикрат, т. пл. 290—291° (из сл.), ортофосфат, т. пл. 252—254° (из разб. сл.). Аналогично получен IV, т. пл. 80—90°, диацетильное производное, т. пл. 213—216° (из сл.), хлоргидрат, т. пл.

320—321° (из CH<sub>3</sub>COOH), пикрат, т. пл. 289° (из сл.), моноацетильное производное IV (из хлоргидрата IV, CH<sub>3</sub>COOH и (CH<sub>3</sub>CO)<sub>2</sub>O, нагревание 20 мин.), т. пл. 262° (разл., из сл.). 3 г III и 30 мл 35%-ного спирт. KOH нагревают 3 час. при 180°, получают VI, т. пл. 315—317° (из воды); аналогично получают VII, т. пл. 302° (из сл.). Сообщение II см. РЖХим, 1956, 16104. Л. Яновская 51282.

Исследование конденсированных пиридино-ных систем. XII. Синтез некоторых 4- и 2,4-замещенных пиридо-[2,3-d] пиримидинов. Робинс, Хитчингс (Studies on condensed pyrimidine systems. XII. Synthesis of some 4- and 2,4-substituted pyrido [2,3-d] pyrimidines. Robins Roland K., Hit-chings George H.), J. Amer. Chem. Soc., 1955, 77, № 8, 2256—2260 (англ.)

Взаимодействием 2-аминоникотиновой к-ты (I) с HCONH<sub>2</sub>, (H<sub>2</sub>N)<sub>2</sub>CO и (H<sub>2</sub>N)<sub>2</sub>CS получены соответственно 4-окси-(II), 2,4-диокси-(III) и 2-меркапто-4-оксипиридо-[2,3-d]пиримидин (IV). Изучены превращения II, III и IV в другие производные пиридино-[2,3-d]пири-мидина (V) с одним или двумя заместителями в пири-мидиновом ядре. К р-ру 100 г 2-CH<sub>3</sub>CONH-3-CH<sub>3</sub>C<sub>6</sub>H<sub>3</sub>N (см. Seide, Ber., 1924, 57, 1804) в 13 л воды при 70° прибавляют 250 г KMnO<sub>4</sub>, выдерживают 6 час. при 70—75°, фильтруют, упаривают досуха, остаток растворяют в 500 мл воды, нейтрализуют конц. HCl, прибавляют 100 мл конц. HCl, кипятят 15 мин., охлаждают и нейт-рализуют конц. NH<sub>3</sub> до pH 5; через ~12 час. получают I, выход 54—59 г, т. пл. 301—308°. 50 г I и 100 г HCONH<sub>2</sub> нагревают 2,5 часа при 165—170°, получают 37,5 г II, т. пл. 258° (из воды). 50 г I и 90 г (H<sub>2</sub>N)<sub>2</sub>CO постепенно нагревают до 210°, охлаждают, растворяют в 500 мл 2 н. NaOH при нагревании и насыщают CO<sub>2</sub>; получают III, выход 35,2 г, т. пл. 365° (из лед. CH<sub>3</sub>COOH). Аналогично из 20 г I и 30 г (H<sub>2</sub>N)<sub>2</sub>CS получают IV, выход 5 г, т. пл. 355—356°. Смесь 20 г III и 400 мл POCl<sub>3</sub> кипятят до полного растворения (15—20 час.), отгоняют POCl<sub>3</sub> в вакууме, остаток обрабатывают 400 г льда и извлекают CHCl<sub>3</sub>; получают 2,4-дихлор-V (VI), выход 21 г, т. пл. 158—158,5° (из скелетисольва С). Аналогично из 20 г II и 300 мл POCl<sub>3</sub> (кипячение 1 час) получают 4-хлор-V (VII), выход 43,7 г, т. пл. 137° (разл., из скелетисольва С). 5 г VII обрабатывают 50 мл конц. NH<sub>4</sub>OH 45 мин. при ~100°, р-р очищают углем, фильтруют, охлаждают и насыщают NH<sub>3</sub>; полу-чают 4-амино-V (VIII), выход 3,1 г, т. пл. 229—301° (разл.; из 95-ного изо-С<sub>6</sub>H<sub>5</sub>OH). 6,5 г VI и 20 мл абс. спирта, насыщ. NH<sub>3</sub> при 0°, нагревают 12 час. при 150° в автоклаве, охлаждают, прибавляют 30 мл воды и 10 мл 2 н. NaOH, нагревают и выдерживают 5 час. при 5°; получают 3,9 г 2,4-диамино-V (IX), т. пл. 356° (разл., из подщелоченного 50%-ного сл.). 3 г VI растворяют в 75 мл 1 н. NaOH при 20°, р-р обрабатывают активиро-ванным углем при ~20°, фильтруют, подкисляют лед. CH<sub>3</sub>COOH и выдерживают ~12 час. при 5°; полу-чают 2,4 г 2-хлор-4-окси-V (X), т. пл. > 360°. 3,1 г X и 20 мл спирт. р-ра NH<sub>3</sub> выдерживают 15 час. при 150° и разбавляют 80 мл воды; получают 2-амино-4-окси-V (XI), выход 2,4 г, т. пл. > 360°. 70 г VI и 300 мл конц. NH<sub>4</sub>OH нагревают 2 часа при ~100°, охлаждают, филь-руют, осадок обрабатывают 30 мин. 200 мл 1 н. NaOH и промывают водой; получают 8,1 г 2-хлор-4-амино-V (XII), т. разл. ~340°. 3 г VII, 150 мл диоксана и 30 мл (C<sub>2</sub>H<sub>5</sub>)<sub>2</sub>NH выдерживают ~12 час. при 0°, фильтруют, упаривают досуха, остаток извлекают скелетисольвом В и концентрируют; получают 0,7 г 4-дигетиламино-V, т. пл. 72—73° (из скелетисольва В). 1 г VII, 1 г C<sub>6</sub>H<sub>5</sub>NH<sub>2</sub> и 10 мл воды нагревают 30 мин. при ~100° и подщелачивают конц. NH<sub>4</sub>OH; получают 0,51 г 4-ани-лино-V, т. пл. 256—257° (из сл.). 4 г VI и 150 мл 4 н. р-ра NaSH нагревают 15 мин. при ~100°, разбавляют 100 мл воды и подкисляют CH<sub>3</sub>COOH; получают 3,5 г



2,4-димеркапто-V (XIII), т. пл.  $> 360^\circ$ . XIII получают также нагреванием (2 часа,  $200-205^\circ$ ) смеси 20 г III, 100 мл  $P_2S_5$  и 500 мл тетралина, выход 23 г. Аналогично из 23 г II получают 11,2 г 4-меркапто-V (XIV), т. пл.  $> 360^\circ$ . 5 г XIII и 150 мл конц.  $NH_4OH$  нагревают 2 часа при  $\sim 100^\circ$ , горячий р-р фильтруют, осадок обрабатывают 1 час при  $\sim 100^\circ$  конц.  $NH_3$ , горячий р-р фильтруют и осадок промывают р-ром  $NH_4OH$ ; получают 3,5 г 2-меркапто-4-амино-V (XV), т. разл.  $> 360^\circ$ . 2,3 г XII обрабатывают 4 н. р-ром  $NaSH$  2 часа при  $\sim 100^\circ$  в токе  $H_2S$ , горячий р-р фильтруют и подкисляют  $CH_3COOH$ ; получают 1,5 г XV. Смесь 0,3 г XV, 1 л спирта, 50 мл конц.  $NH_4OH$  и 1 г скелетного Ni кипятят 3 часа, р-р фильтруют, упаривают досуха, извлекают 50 мл воды и упаривают, получают, 0,11 г VIII. 2 г VII прибавляют к 30 мл водн. р-ра  $H_2NNH_2$  и нагревают 30 мин, при  $\sim 100^\circ$ ; через  $\sim 12$  час. получают 1 г 4-гидразино-V, т. пл.  $164-166^\circ$  (из абс. сп.). 0,3 г X и 5 мл 2 н.  $NaSH$  нагревают при  $\sim 100^\circ$ , фильтруют и подкисляют  $CH_3COOH$ ; получают 0,23 г IV. 0,5 г XV и 25 мл 2 н.  $NaOH$  кипятят 2,5 часа и подкисляют  $CH_3COOH$ ; получают 0,42 г IV. К 3 г KOH в 30 мл 95%-ного  $C_6H_5ONa$  за 10 мин. при  $40-50^\circ$  прибавляют 4 г VI, нагревают до  $50^\circ$ , охлаждают, обрабатывают 200 мл 2 н.  $NaOH$ ; получают 2,4-дифенокси-V, выход 2,6 г, т. пл.  $203-205^\circ$  (из сп.). 2 г VI, 5 г  $C_6H_5NH_2$  и 25 мл воды нагревают 3 часа при  $\sim 100^\circ$ , подщелачивают конц.  $NH_4OH$ , осадок промывают спиртом, растворяют в горячей смеси 100 мл 1 н.  $NaOH$  и спирта и охлаждают; получают 2,1 г 2,4-дианилино-V (XVI), т. пл.  $235-237^\circ$ . 5 г VI и 30 мл 25%-ного водн. р-ра  $(CH_3)_2NH$  нагревают 2 часа при  $\sim 100^\circ$ , упаривают досуха, остаток растворяют в 200 мл воды, подщелачивают  $NaOH$  и извлекают  $CHCl_3$ ; получают 2,9 г 2,4-бис-диметиламино-V, т. пл.  $97-99^\circ$  (из гептана). Смесь 20 мл 85%-ного  $H_2NNH_2$  и 5 г VI нагревают 2 часа при  $\sim 100^\circ$ ; получают 2,4-дигидразино-V, выход 1,6 г, т. пл.  $348-350^\circ$  (разл., из абс. сп.). Аналогично XVI из 0,5 г X синтезирован 2-анилино-4-окси-V, выход 0,4 г, т. пл.  $350-352^\circ$  (из лед.  $CH_3COOH$ ). К 100 мл 4 н.  $NaSH$  при  $0^\circ$  прибавляют 2 г VI, выдерживают 30 мин. при  $0^\circ$  и подкисляют  $CH_3COOH$ ; получают 1,6 г 2-хлор-4-меркапто-V (XVII), т. пл.  $327-330^\circ$ . Смесь 4 г XVII, 10 мл лед.  $CH_3COOH$ , 5 г  $CH_3COONa$  и 100 мл воды нагревают 15-20 мин. при  $100^\circ$ ; получают 3,5 г 2-окси-4-меркапто-V (XVIII), т. пл.  $294-296^\circ$ , приведены  $\lambda_{max}$  и  $\lambda_{min}$  УФ-спектров I, II, III, IV, VIII, IX, XI, XII, XIII, XIV, XVII и XVIII при pH 1,0 и 11,0. Сообщение XI см. РЖХим, 1955, 40171. А. Гуревич

51283. Исследование конденсированных пиримидиновых систем. XIII. Некоторые аминозамещенные производные гуанина и 6-тиогуанина. Элион, Ланг, Хитчингс (Studies on condensed pyrimidine systems. XIII. Some amino-substituted derivatives of guanine and 6-thioguanine. Elion Gertrude B., Lange William H., Hitchings George H.), J. Amer. Chem. Soc., 1956, 78, № 1, 217-220 (англ.).

В связи с синтезом 6-тиогуанина (см. РЖХим, 1955, 51958), как ингибитора роста *Lactobacillus casei*, эмбриональной опухоли, а также саркомы 180 и лейкоми L 1210, при взаимодействии 6-окси-2-метилмеркаптопурина (I) с  $CH_3NH_2$ ,  $C_2H_5NH_2$ ,  $NH(CH_3)_2$ ,  $C_6H_5NH_2$ ,  $n-C_4H_9NH_2$  и пиперидина соответственно синтезированы следующие 2-замещ. 6-оксипурины (II) (приведены заместители, выход в % и  $\lambda_{max}$  в мμ при pH 1):  $CH_3NH$  (IIa), 65, 250, 280 (ε 12 300, 6900);  $C_2H_5NH$  (IIb), 30, 253, 280 (ε 14 800, 8100);  $N(CH_3)_2$  (IIc), 61, 258, 290 (ε 14 500, 6300);  $C_6H_5NH$  (IIe), 56, 270 (ε 20 400);  $n-C_4H_9NH$  (IIg), 35, 274 (ε 20 200); пиперидил (IIe), 33, 260, 290 (ε 19 800, 6150). При обработке II  $P_2S_5$  синтезированы соответствующие

2-замещ. 6-меркаптопурины (III) (приведены выход в % и  $\lambda_{max}$  в мμ при pH 1): (IIIa), 64, 261, 350 (ε 11 500, 18 900); (IIIb), 45, 263, 350 (ε 11 500, 17 100); (IIIc), 52, 268, 368 (ε 12 700, 17 200); (IIId), 34, 278, 352 (ε 17 600, 17 900); (IIIe), 51, 272, 359 (ε 14 500, 14 400). 100 г 4,5-диамино-6-окси-2-меркаптопурина кипятят 2 часа с 500 мл 90%-ной  $HCOOH$ , получают 4-амино-5-формамидо-6-окси-2-меркаптопиримидин, который суспендируют в 200 мл  $HCONH_2$  и после нагревания ( $175-185^\circ$ , 2 часа) получают 6-окси-2-меркаптопурин (IV), который очищают растворением в 2 л 1 н.  $NaOH$ , фильтрацией и подкислением до pH 5 лед.  $CH_3COOH$ , выход 90 г. К р-ру 42 г IV в 250 мл 2 н.  $NaOH$  и 100 мл воды при  $25-40^\circ$  прибавляют 28,3 мл  $(CH_3)_2SO_4$ , перемешивают 1 час, после выдержки ( $\sim 20^\circ$ ,  $\sim 12$  час.) подкисляют лед.  $CH_3COOH$  до pH 5, получают I, выход 95,5%. Превращение I в II осуществляют по общей прописи: 1 моль I нагревают (трубка,  $140^\circ$ , 24 часа) с 3-4 молями соответствующего амина. При получении II и III смесь нагревают при  $160^\circ$  48 час. Р-цию проводят как без р-рителя, так и в воде,  $CH_3OH$ ,  $C_2H_5OH$ . Лучшие выходы IIa-IIc получают при проведении р-ции в  $CH_3OH$ . IIa, IIb очищают растворением в 40 объемах горячей 0,3 н.  $HCl$  и нейтр.-цией до pH 6  $NH_4OH$ , а IIc кристаллизацией из воды (1:100). Для получения IIe реакционную массу разбавляют 4 ч. воды, фильтруют и осаждают (pH 5)  $HCl$  (к-та) смесь I и IIe, из фильтра после упаривания и обработки остатка 50 ч. смеси (1:1) 6 н.  $HCl$  и ацетона получают хлоридат IIc, который также извлекают из фильтратов, полученных при кипячении смеси I и IIe с 10 ч. воды. III получают по общей прописи: смесь 1 ч. II, 5 ч.  $P_2S_5$  и 50 ч. сухого пиридина кипятят 3 часа, упаривают, остаток кипятят 15-20 мин. с 40 объемами воды в случае IIc, по охлаждении получают IIId, в случае остальных II прибавляют равный объем конц.  $NH_4OH$ , охлаждают, фильтруют, упаривают до небольшого объема и при pH 5 получают III, IIIa, IIIb и IIIc очищают переосаждением из  $NH_4OH$  прибавлением  $CH_3COOH$  до pH 5, IIIb переосаждают из 60 ч. горячей 2 н.  $HCl$  прибавлением  $NH_4OH$  до pH 5, IIIg растворяют в 12 ч.  $HCON(CH_3)_2$  и осаждают прибавлением 8 объемов воды. Р. Глушков

51284. Исследование конденсированных пиримидиновых систем. XIV. Некоторые пиридо-[3,2-d]-пиримидины. Робинс, Хитчингс (Studies on condensed purimidine systems. XIV. Some pyridof-3,2-d-pyrimidines. Robins Roland K., Hitchings George H.), J. Amer. Chem. Soc., 1956, 78, № 5, 973-976 (англ.).

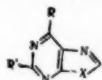
В связи с изучением конденсированных пиримидиновых систем, как возможных антагонистов некоторых пуринов, пиримидинов и птеридинов, исходя из 2,4-диоксипиридо-[3,2-d]-пиримидина (I), синтезированы изомерные ранее полученным (см. РЖХим, 1957, 51282) пиридо-[3,2-d]-новые пиридо-[3,2-d]-пиримидины и изучены их УФ-спектры. I получают сращиванием 3-аминопиридинового к-ты (II) или ее амида (III) с мочевиной (IV). Из I получают 2,4-дихлорпиридо-[3,2-d]-пиримидин (V), превращением действием  $NH_3$ , тиомочевны (VI),  $NH_4OH$  и  $(CH_3)_2NH$  (VII) в соответствующие 2,4-диамино- (VIII), 2,4-димеркапто- (IX), 4-амино-2-хлор- (X) и 2,4-бис-(диметиламино)- (XI) пиридо-[3,2-d]-пиримидины. IX при обработке  $NH_4OH$ , а также X с VI дают 4-амино-2-меркаптопиридо-[3,2-d]-пиримидин (XII), строение которого доказано двумя путями: а) обессериванием скелетным Ni в 4-аминопиридо-[3,2-d]-пиримидин (XIII) и гидролизом XIII в присутствии  $NaOH$  в известный 4-оксипиридо-[3,2-d]-пиримидин (XIV); б) аналогичным гидролизом XII в известный 4-окси-2-меркаптопиридо-[3,2-d]-пиримидин (XV). Из V при действии анилина (XVI), 4-хлор-, 2-хлор- и 2,5-диметиланилинов соответственно получают 2,4-дианилино- (XVII), 2,4-ди-(4'-хлоранилино)- (XVIII),

2,4-ди-(2'-хлоранилино)- (XIX) и 2,4-ди-(2'-5'-диметиланилино)- (XX) пиридо-[3,2-d]-пиримидины. Ниже приведены (выход в %, т. пл. в °C полученных соединений): XVII, 83,2, 168—170; XVIII, 51,6, 215—217; XIX, 63, 143—145; XX, 36, 176—178. При обработке XVI также дает XVII. В кипящий р-р 5 г II в 75 мл абс. CH<sub>3</sub>OH в течение 4 час. пропускают HCl (газ), упаривают до 15 мл, выливают в 150 мл конц. NH<sub>4</sub>OH, нагревают до 50° и после вымораживания (4 дня) получают III, т. пл. 181—182° (из воды). Смесь 33 г II и 70 г IV нагревают при 160° 20 мин., т-ру повышают до 180°, охлаждают, осадок растворяют в 400 мл 2 н. NaOH с нагреванием до 70°, охлаждают до 25°, выдерживают 1 час, отфильтровывают III, фильтрат нагревают (~100°) и осаждают струей CO<sub>2</sub> I, т. пл. 360° (из лед. CH<sub>3</sub>COOH). 10 г III скармливают (190°, 30 мин.) с 30 г IV, осадок растворяют в 300 мл 2 н. NaOH (при 70°), после охлаждения до 25° и выдержки (1 час) р-р нагревают до кипения и осаждают CH<sub>3</sub>COOH 6,3 г I. 10 г I, 50 г PCl<sub>5</sub> и 150 мл POCl<sub>3</sub> кипятят 2 часа и выделяют V, т. пл. 177° (из гептана). К 20 мл спирта, насыщ. NH<sub>3</sub>, прибавляют 2,5 г V, нагревают (трубка, 155—160°, 18 час.), выливают в равное кол-во воды, подщелачивают NaOH, получают VIII, т. пл. 317—319° (из 50%-ного сп.) (здесь и далее при pH 1). Р-р 6 г VI в 200 мл абс. спирта и 6 г V кипятят 5 час., фильтруют, остаток растворяют в 2 н. NaOH и осаждают CH<sub>3</sub>COOH IV, т. пл. 335—340°. При нагревании (~100°, 1,5 часа) 2 г V со 100 мл конц. NH<sub>4</sub>OH получают 1,3 г X, т. пл. 264—265°. Аналогично 2,3 г IX нагревают 1 час со 100 мл NH<sub>4</sub>OH, вновь прибавляют 100 мл NH<sub>4</sub>OH, нагревают еще 2 часа, получают 1,8 г XII, т. пл. 340—345° (разл.). При кипячении 4 часа р-ра VI в абс. спирте с X также получают XII. К 25 мл 10 н. NaOH прибавляют 0,5 г XII, нагревают (~100°, 3 часа), разбавляют до 50 мл и после подкисления CH<sub>3</sub>COOH получают XV, т. разл. > 300°. 5 г XII суспендируют в 1,8 л абс. спирта и 200 мл конц. NH<sub>4</sub>OH, прибавляют ~15 г скелетного Ni, кипятят 30 час., получают 1,2 г XIII, т. пл. 221—222°. При нагревании (~100°, 4 часа) р-ра 0,15 г XIII в 10 мл 10 н. NaOH получают Na-соль XIV, из которой при подкислении CH<sub>3</sub>COOH получают XIV, т. пл. 345—346° (разл.). Смесь 2 г V и 30 мл 20%-ного спирта. VII нагревают (трубка, 150°, 8 час.), упаривают, остаток растворяют в 20 мл 2 н. NaOH при 40°, после охлаждения (4°, 12 час.) и фильтрации осадок экстрагируют кипящим гексаном, получают XI, т. пл. 65—66° (из пентана). Аналогично, при упаривании досоха смеси 1,5 г V и 75 мл 20%-ного водн. VII также получают 1,1 г XI. К 3 г XVI прибавляют 1 г V, нагревают (~100°, 12 час.), массу растворяют в горячем 50%-ном спирте с добавкой NaOH, получают XVII. Аналогично получены XVIII—XX. Приведены данные УФ-спектров I, VIII—XII, XVII, XIX, XX.

Р. Глушков  
51285. Исследование конденсированных пиримидиновых систем. XvI. Пурины и тиазоло-[5,4-d]-пиримидины. Фалко, Хитчинге (Studies on condensed pyrimidine systems. XV. Some pyrazolo [3,4-d] pyrimidines. Falco Elvira A., Hitchings George H., J. Amer. Chem. Soc., 1956, 78, № 13, 3143-3145 (англ.). Синтезирован ряд производных 1-пиразоло-[3,4-d]-пиримидина (I). Р-ция диамида пиразолдикарбоновой-3,4 к-ты (II—к-та) с NaClO приводит к образованию 4,6-диокси- I (Ia), из которого получены 4-меркапто-6-окси- I (Ib) и 4,6-димеркапто- I (Iv). При обработке Iб и Iв NH<sub>3</sub> и аминами получены меркаптоамино-, оксаминно- и амминопроизводные I. Строение Ia доказано отличием 4-димеркапто-6-окси- I (Ir) и 4,6-димеркапто- I (Id), полученных из Iб и Iв от соответствующих изомерных производных пиразоло-[4,3-d]-пиримидинов, а также тем, что при хроматографии на бумаге и в УФ-спектре Ia не удается обнару-

жить присутствие возможного изомерного в-ва. Смесь 7,5 г II и 150 мл SOCl<sub>2</sub> кипятят 40 час., избыток SOCl<sub>2</sub> отгоняют в вакууме, остаток прибавляют (1 час) к 250 мл жидкого NH<sub>3</sub>, получают диамид II, т. пл. 327° (разл.; из воды). К охлажд. 16,6 мл 0,4 M NaClO прибавляют сразу 0,5 г диамида II, выдерживают 1 час при ~20°, подкисляют 2 н. HCl до pH 3 и получают Ia, не плавится при 320° (из воды). Из 4 г Ia, 12 г P<sub>2</sub>S<sub>5</sub> и 60 мл сухого пиридина (кипение 3 часа) получают 3,5 г Iб, т. пл. > 360° (переосаждение из щел. р-ра; из воды). Из 8 г Iб, 21 г P<sub>2</sub>S<sub>5</sub> и 500 мл тетрагидронафталина (185—190°, 3 часа; 205°, 16 час.) выделяют промыванием осадка петр. эфиром, растворением в 2 н. NaOH при pH 10 и подкислением до pH 3 Iв, т. пл. > 360° (из воды). Смесь 0,65 г Iв и 50 мл спирта, насыщ. при 0° NH<sub>3</sub>, нагревают в запаянной трубке 18 час. при 150°, при pH 7 выделяют 0,4 г 4-амино-6-меркапто- I (Ie), т. пл. > 325° (из воды). Смесь 0,9 г Iе, 200 мл воды, 15 мл конц. NH<sub>4</sub>OH и 2,8 г скелетного. Ni кипятят 3 часа, фильтруют горячим и фильтрат упаривают в вакууме, получают 0,25 г 4-амино- I, т. пл. > 300° (из воды). Из 0,5 г Iб и 100 мл 30%-ного (CH<sub>3</sub>)<sub>2</sub>NH (запаянная трубка, 130°, 16 час.) при pH 7 выделяют 0,175 г Ir, т. пл. > 360°. Из 1,5 г Iб аналогично Iе (143°, 72 часа) получают 0,65 г 4-амино-6-окси- I, т. пл. 360°. Смесь 0,5 г Iв, 100 мл воды, 2,7 мл 2 н. NaOH и 0,766 г CH<sub>3</sub>I встряхивают 2 часа, при нейтр-ции получают Id, т. пл. 188—189° (разл. при 186°; из воды). Приведены данные УФ-спектров всех I и изомерных в-ва.

Б. Дубинин  
51286. Исследование конденсированных пиримидиновых систем. XVI. Пурины и тиазоло-[5,4-d]-пиримидины из 4-амино-5-формамидо-6-меркаптопиримидинов. Элион, Ланг, Хитчинге (Studies on condensed pyrimidine systems. XVI. Purines and thiazolo-[5,4-d]-pyrimidines from 4-amino-5-formamido-6-mercaptopyrimidines. Elion Gertrude B., Lange William H., Hitchings George H., J. Amer. Chem. Soc., 1956, 78, № 12, 2858—2863 (англ.). 5-амино-6-меркаптопиримидины (I) с HCOOH в зависимости от условий дают 5-формильные производные (ФП) или тиазоло-[5,4-d]-пиримидины (IIa—д). Образованию II благоприятствует конц. HCOOH и нагревание. Этот метод позволял получить тиазолипиримидиновые аналоги аденина, гипоксантина, 2,6-диаминопурина и 6-меркаптопурина. При нагревании Na-солей ФП 4-амино- I и 2,4-диамина- I получают 6-меркаптопурина (IIIa) и 2-амино-6-меркаптопурина (IIIб) соответственно. Полоса поглощения 6-меркаптогруппы в УФ-спектрах I в области 300 мμ существенно не меняется при формилировании 5-аминогруппы, но уменьшается в интенсивности и сдвигается в область коротких волн при S-бензилировании; при образовании II она почти полностью исчезает. УФ-спектры 7-(R)-монозамещ. II весьма сходны со спектрами соответствующих III. Состав смеси продуктов, образующихся при р-ции 4-амино- I с HCOOH, определяется из соотношения E 265 мμ/E 300 мμ равного 0,24 для ФП и 7,0 для



II X—S; а R—NH<sub>2</sub>, R'—H; б R—OH, R'—H;  
в R—SH, R'—H г; R—R'—OH; д R—R'—NH<sub>2</sub>;  
III X—NH; а R—SH, R'—H; б R—SH, R'—NH<sub>2</sub>

IIa. К р-ру 0,07 моля 4-амино-I в 85 мл 2 н. NaOH медленно прибавляют 0,1 моля C<sub>6</sub>H<sub>5</sub>CH<sub>2</sub>Cl, размешивают 3 часа при pH 7 (CH<sub>3</sub>COOH), выделяют 4,5-диамино-6-бензилмеркаптопиримидин, выход 60%, т-ра плавления моногидрата 104—106° (из воды), который при нагревании (~100°, 2 часа) с 98—100%-ной HCOOH и отгонкой к-ты в вакууме дает 5-формильное производное (IV), выход 62%, т. пл. 202—203° (разл.). Из 5,55 г IV, 1,2 г Na в 250 мл жидкого NH<sub>3</sub> получают

(при pH 5) 4-амино-5-формамидо-6-меркаптопиримидин (V), выход 61%, т. пл. 255 (разл.; из воды). 2 г 4-амино-I в 50 мл 50%-ной HCOOH нагревают при 30° до растворения, оставляют на 1 час, при 20° отфильтровывают V, из фильтрата при pH 3 (NH<sub>4</sub>OH) получают еще 0,9 г V, общий выход 80%. Р-р 0,1 г V в 0,295 мл 2 н. NaOH упаривают в вакууме досуха, постепенно нагревают до 240°, выдерживают 45 мин. при pH 5 (CH<sub>3</sub>COOH), выделяют гидрат IIIa, выход 79%, который получают также из V и HCONH<sub>2</sub> (200°, 15 мин.), выход 40%. Из IIIa и C<sub>6</sub>H<sub>5</sub>CH<sub>2</sub>Cl в 2 н. NaOH (2 часа) при pH 5 выделяют гидрат S-бензил-IIIa, выход 95,5%, т. пл. 188–189° (разл.; из воды), который получают также из IV и HCONH<sub>2</sub> (200°, 10 мин.), выход 91%. 10 г 4-амино-I в 100 мл 98–100%-ной HCOOH кипятят 1 час и упаривают в вакууме досуха, при pH 7 (NH<sub>4</sub>OH) выделяют IIa, выход 80%, т. пл. 211–212°; хлоргидрат кристаллизуется из 1 н. HCl. К 1,65 г IIa в 40 мл 0,5 н. H<sub>2</sub>SO<sub>4</sub> прибавляют (80–85°, 15 мин.) р-р 1,65 г NaNO<sub>2</sub> в 10 мл воды, оставляют на 15 мин. при 80° и 12 часа. ~20° и получают IIb, выход 54%, кристаллизуют из воды. Смесь 18 г 4,6-дихлор-5-нитропиримидина и 1 л 2 н. NaHS размешивают 30 мин., затем нагревают (~100°, 3 часа) с периодич. пропусканием H<sub>2</sub>S, подкисляют до pH 6,5, фильтрат упаривают в вакууме до 300 мл и при pH 3 получают 4-меркапто-I, выход 80%, т. пл. > 330° (пересаживание из цел. р-ра), из которого и 98–100%-ной HCOOH (~100°, 2 часа) получают IIв, выход 94%, т. пл. > 330° (из воды). Из тиюрамина ранее описанным методом (Childress S. J., McKee R. L., J. Amer. Chem. Soc., 1951, 73, 3862), применяя 98%-ную HCOOH, получают IIг. Смесь 10 г 6-хлор-2,4-диаминопиримидина и 200 мл 1 н. KHS нагревают в автоклаве при 150° 20 час. Ввиду склонности полученного 2,4-диамино-6-меркаптопиримидина (т. пл. 309–310°, (из воды)) образовывать пересыщ. р-ры в-во не выделяют, а сочетают с n-ClC<sub>6</sub>H<sub>4</sub>-N<sub>2</sub>Cl в бикарбонатном р-ре (0°, 3 часа), получают 5-п-хлорбензолазонпроизводное, выход 86%. К 20 г последнего и 20 г Zn-пыли в 500 мл кипящего 50%-ного CH<sub>3</sub>OH медленно прибавляют 30 мл конц. HCl и кипятят до образования pH 4–5. Горячий фильтрат упаривают в вакууме до 100 мл, осадок нагревают с 60 мл 2 н. HCl, фильтрат упаривают досуха, получают дихлоргидрат 2,4-диамино-I (VI), выход 26% (осаждение эф. из CH<sub>3</sub>OH). К смеси 1,15 г VI, 10 мл 1 н. NaOH, 5 мл воды и 15 мл 98–100%-ной HCOOH через 6 час. прибавляют 100 мл абс. спирта и быстро упаривают в вакууме, при pH 5 выделяют 2,4-диамино-5-формамидо-6-меркаптопиримидин (VII), выход 71%, т. разл. ~275° (темнеет при 260°). Из 1,15 г V, 5 мл 2 н. NaOH и 75 мл 98–100%-ной COOH (~100°, 4 часа, упаривание в вакууме) при pH 8 выделяют IIд, выход 72%, т. пл. > 300° (из CH<sub>3</sub>NO<sub>2</sub>). Из Na-соли VII (220–240°, 1,5 часа) выделяют IIб (тиогуанин), выход 36%.

Б. Дубинин

**51287. Исследование конденсированных пиримидиновых систем. XVII. Некоторые галогензамещенные пурины. Элион, Хитчингс** (Studies on condensed pyrimidine systems. XVII. Some halogenopurines. Elion Gertrude B., Hitchings George H.), J. Amer. Chem. Soc., 1956, 78, № 14, 3508–3510 (англ.). Исходя из гипоксантина (I) и ксантина (II) синтезированы 6-моногалогид- и 2,6-дигалогидпурины соответственно. К 200 мл POCl<sub>3</sub> по каплям прибавляют 20 мл воды, кипятят 1,5 часа, охлаждают и отделяют верхний слой «пирофосфорилхлорида» (III). Смесь 8 г II и 64 мл III нагревают (запаивая трубка, 165°, 19 час.), р-р декантируют, упаривают в вакууме, остаток выливают на 200 г льда, фильтруют и эфиром экстрагируют 2,6-дихлорпурин (IV), выход 43%, т. пл. 181° (из воды). К 10 мл HJ (d 1,5) при ~0° прибавляют

1 г IV, через 1 час фильтруют, осадок суспендируют в 20 мл воды и прибавляют NH<sub>4</sub>OH до pH 5, получают 2(6)-хлор-6(2)-йодпурин (V), выход 67%, т. пл. 208° (разл.; из воды). 10 г II в 100 г POBr<sub>3</sub> нагревают при 135° 22 часа, встряхивают с 500 мл C<sub>6</sub>H<sub>6</sub>, осадок обрабатывают 100 г льда и затем ацетоном, из которого после нейтр-ции NH<sub>4</sub>OH выделяют 1,9 г неочищ. 2,6-дибромпурина. Из 50 мл HJ (d 1,7) и 5,7 г 6-хлорпурина аналогично V (pH 7,5) получают полугидрат 6-йодпурина, выход 54%, т. пл. 167° (разл.). Из 5 г I и 50 г POBr<sub>3</sub> (130°, 7 час. извлекают 50%-ным ацетоном) получают 6-бромпурин, т. разл. 200° (из воды, желтеет при 130°). Приведены данные УФ-спектров, и R<sub>f</sub> для всех полученных в-в.

Б. Дубинин

**51288. Исследование конденсированных пиримидиновых систем. XVIII. Вещества, родственные пуринкарбоновой-6-кислоте. Маккей, Хитчингс** (Studies on condensed pyrimidine systems. XVIII. Substances related to 6-purinecarboxylic acid. Mackay Lottie Bohm, Hitchings George H.), J. Amer. Chem. Soc., 1956, 78, № 14, 3511–3513 (англ.). 6-цианпурин (I), полученный из 6-йодпурина (II), при щел. гидролизе дает пуринкарбоновую-6-к-ту (III) или ее амид. Кислый гидролиз приводит к образованию гипоксантина и одного неидентифицированного в-ва. Из I получен амид пуринтиокарбоновой-6-к-ты (IV) и, через иминоэфир, 6-пуринкарбоксамидин (V) и 6-(2'-имидазолинил)-пурин (VI). Приведены данные УФ-спектров всех полученных в-в, кроме II. Смесь 0,12 моля II, 0,18 моля Cu<sub>2</sub>CN<sub>2</sub> и 300 мл сухого пиридина нагревают при 125–135° 2 часа, охлаждают и к фильтрату прибавляют 1 л эфира. Через несколько часов фильтруют, упаривают в вакууме, осадок растаивают с 100 мл воды, фильтруют и из фильтрата высаливанием и экстракцией эфиром выделяют I, выход 51%, т. пл. 177–178° (из бал.). 3 г I в 20 мл 2 н. NaOH кипятят 1 час, подкисляют конц. HCl до pH 2 и получают III, выход 90%, моногидрат, т. пл. 198° (разл.; из воды), при декарбоксилировании (300°) переходит в пурин. Смесь I и 2,2 н. NaOH (по 0,02 моля) кипятят 1 час и прибавляют разб. HCl до pH 7, отфильтровывают амид III, выход 95%, т. пл. 315–320° (разл.; из воды). В р-р 1,45 г I в 20 мл абс. спирта, насыщ. NH<sub>3</sub>, пропускают 4 часа H<sub>2</sub>S, упаривают досуха и получают IV, выход 98%, т. пл. 240–242° (разл.; из CH<sub>3</sub>OH). В суспензию 4,5 г I в 25 мл абс. спирта пропускают 5 час. сухой HCl, выдерживают 12 час. при 0° и отфильтровывают иминоэфир C<sub>8</sub>H<sub>6</sub>N<sub>2</sub>O · HCl. C<sub>2</sub>H<sub>5</sub>OH (VII), выход 80%. 5,5 г VII в 100 мл абс. спирта, насыщ. NH<sub>3</sub>, нагревают в автоклаве при 100° 16 час., осадок хлоргидрата V растворяют в разб. HCl и V осаждают прибавлением 5%-ного р-ра NaHCO<sub>3</sub>, выход 75%, т. пл. 316–320° (разл.). Из 0,01 моля VII и 0,03 моля этилендиамина в 25 мл абс. спирта (автоклавы, 110–120°, 1–3 дня) получают хлоргидрат VI, выход 85% действием NaHCO<sub>3</sub> выделяют VI, выход 0,5 г из 1,5 г соли, т. пл. 287–288° (разл.; из абс. сп.). Б. Дубинин

**51289. Неустойчивость 1,4,6-триазанафталина. Алберт, Педерсен** (The lability of 1:4:6-triazanaphthalene. Albert Adrien, Pedersen Christian), J. Chem. Soc., 1956, Nov., 4683–4685 (англ.). Установлено, что 1,4,6-триазанафталин (I) при титровании к-той образует 3-амино-4-глиоксиленаминопиридин, который при титровании щелочью каталитически превращается в изомер — 4-амино-3-глиоксиленаминопиримидин, из последнего под влиянием к-ты вновь образуется I. Изомер I ведет себя нормально при титровании к-той. 1 г 3,4-диаминопиримидина (II), 0,8 г гликоксаль гидрата и 50 мл спирта кипятят 1 час, спирт отгоняют в вакууме, сублимируют при 65°/0,01 мм, получают I, выход 50%, т. пл. 97° (из петр. эф.). 0,7 г II и 1 мл HCOOH кипятят 1 час, избыток HCOOH отго-



няют в вакууме, получают 1,3,5-триазаинден, выход 52%, т. пл. 168—169°.

**51290. Получение некоторых структурных аналогов N-метилированных ксантинов и 2-замещенных имидазолов с сосудистой активностью.** Костоланский, Мокрый, Тамхина (Priprava niektorých štruktúrnych hybidov N-metylovaných xantínov a vazoaktívnych 2-substituovaných imidazolov. Kostolanský A., Mokry J., Tamchyna J.), Chem. zvesti, 1956, 10, № 2, 96-109 (словацк.; рез. русск., нем.).

С целью изучения фармакологич. свойств производных N-метилированных ксантинов и 2-замещ. имидазолов конденсацией соответствующих аминораурилов с арилуксусными к-тами с последующей циклизацией образующихся продуктов синтезированы 8-бензилтеофиллин (I) и некоторые его производные, 8-( $\alpha$ -нафтилметил)-теофиллин (II) и 8-бензилтеобромин (III). Метилирование I и II действием  $(\text{CH}_3)_2\text{SO}_4$  дало соответствующие производные кофеина. 1 моль 1,3-диметил-4,5-диаминоурацила (IV) и 1 моль  $\text{C}_6\text{H}_5\text{CH}_2\text{COOH}$  (V) нагревают при 110—125° 45 мин., обрабатывают спиртом, получают 1,3-диметил-4-амино-5-фенилацетиламинораурил (VI), выход 74—84%, т. пл. 252—253°. VI вносят в 30-кратное кол-во 2%-ного NaOH при 50°, нагревают 15—30 мин. при 90° фильтруют, разбавляют водой и осаждают I при помощи  $\text{CH}_3\text{COOH}$ , выход 92—97%, т. пл. 287—288°. К 27 г I и 6 г NaOH в 300 мл воды добавляют 16,1 г этиленхлоргидрина (VII), затем еще 6 г NaOH и 16,1 г VII и нагревают 4 часа, полученное в-во кипятят в 50 мл 10%-ного NaOH и выделяют 7-(2'-оксиэтил)-8-бензилтеофиллин, выход 85,1%, т. пл. 157—159° (из воды). К 13,5 г I и NaOH в 350 мл воды добавляют в течение получаса 10 мл 1-хлорпропандиола-2,3, затем еще 3 г NaOH в 20 мл воды и 10 мл хлорпропандиола в 50 мл воды и нагревают 2 часа, фильтруют, выпаривают в вакууме досуха, экстрагируют 20 мл  $\text{CHCl}_3$ , отгоняют  $\text{CHCl}_3$ , через 3 дня добавляют 20 мл спирта и выделяют 7-(2',3'-диоксипропил)-8-бензилтеофиллин, выход 62,3%, т. пл. 169—171°. К 10,8 г I в 150 мл воды прибавляют 5 мл  $(\text{CH}_3)_2\text{SO}_4$  и 5 г 42%-ного NaOH (35°, 1 час, pH 9—10), смесь нагревают до 90°, добавляют еще 5 мл  $(\text{CH}_3)_2\text{SO}_4$  и 2,1 г NaOH, на другой день отфильтровывают 8-бензилкофеин, выход 78,5%, т. пл. 161—162° (из сп.). 10,2 г IV растирают с 11,2 г  $\alpha$ -нафтилуксусной к-ты (VIII) и за 30 мин. доводят до 140°, охлаждают, растворяют в 80 мл 5%-ного NaOH при 50° и нагревают 5 мин. при 90°, охлаждают, добавляют 200 мл воды, нейтрализуют  $\text{CO}_2$  и выделяют II, выход 5,5 г, т. пл. 300—301°. 5,2 г IV и 5,6 г VIII нагревают 1 час при 140°, охлаждают, плав растворяют в 50 мл 5%-ного NaOH, нагревают 15 мин. при 90°, к охлажд. р-ру медленно прибавляют 15 г  $(\text{CH}_3)_2\text{SO}_4$  и выделяют 8-( $\alpha$ -нафтилметил)-кофеин, выход 64%, т. пл. 211° (из ацетона). 5 г 3-метил-4,5-диаминоурацила и 5 г V нагревают 3 часа при 160°, плав обрабатывают 200 мл спирта, фильтруют горячим, выделяют 5,4 г ацилпроизводного (IX), т. пл. 290° (разл.). К 2 г взвеси IX в 30 мл воды добавляют 15 мл 5%-ного KOH, кипятят 5 мин., фильтруют, нейтрализуют 1,5 мл 50%-ной  $\text{CH}_3\text{COOH}$  и выделяют 3-метил-8-бензилксантин (X), выход 85,5%. 10,3 г X и 3,1 г KOH в 210 мл воды смешивают с равным объемом метанола, затем при 60° в течение 1 часа добавляют 5 мл  $(\text{CH}_3)_2\text{SO}_4$ , на другой день обрабатывают  $\text{CO}_2$  и выделяют III, выход 37,8%, т. пл. 251—252° (из сп.). Смесь 5 г IV и 5 г анилиноуксусной к-ты нагревают при 100—150°, получают 5-(фениламиноацетиламино)-1,3-диметил-4-аминоурацил, выход 80,5%, т. пл. 213—213,5° (из сп.). Аналогично из 85 г IV и 47 г  $\text{CH}_2\text{ClCOOH}$  получают в-во с т. пл. 261—263° (из хлф.), по-видимому, 1,3-диметил-2,6,8-триоксо-1,2,3,6,8,9-гексагидропиридино-(4,5)-пароксазин. При нагревании 1,3-диметил-4-

амино-5-хлорацетиламиноурацила с 3-кратным кол-вом  $\text{C}_6\text{H}_5\text{NH}_2$  при 60—70° получают 1,3-диметил-4-амино-5-фениламиноацетиламиноурацил (XI), выход 60—65%, т. пл. 211—212° (из воды). XI смешивают с равным кол-вом 40%-ного NaOH, нагревают на водяной бане и действием  $\text{CO}_2$  выделяют 8-фениламинометилтеофиллин (XII), выход 61—63%, т. пл. 300—301° (из сп.). 24,4 г XII в 60 мл 15%-ного NaOH обрабатывают 11 мл  $(\text{CH}_3)_2\text{SO}_4$  при 60—70° 1 час и получают 8-фениламинометилкофеин, выход 62,5%, т. пл. 197—198° (из сп.).

Б. Белов

**51291. Синтез аденина.** Танабэ (Adenine の合成. 田邊 良久), 金澤大學 薬學部研究年報, Канадзава дайгаку якугакубу кэнкю нэмпо, Annual Rept. Fac. Pharmacy Kanazawa Univ., 1955, 5, 58—60 (японск.; рез. англ.).

Восстановлением 4,6-диамино-5-нитропиримидина (I) с  $\text{Na}_2\text{S}_2\text{O}_4$  получен 4,5,6-триаминопиримидин (II) (выход 42%), который обычным методом превращен в аденин (80%). 4,6-диаминопиримидин-2-тиол со скелетным Ni дает 4,6-диаминопиримидин, выход 95%, т. пл. 267° (разл.), из которого действием  $\text{HNO}_3$  получен I, выход 96%. Из 4,6-диамино-5-нитроаопиримидин-2-тиола-2 и  $\text{Na}_2\text{S}_2\text{O}_4$  получен 2-тиол-II, выход сульфата 40,6%.

М. Линькова

**51292. Взаимодействие ацетамида с анилином и фенилгорчичным маслом.** Дымек, Бжозовская, Бжозовский (O reakcjach acetamidu z anilina i olejkiem fenylogorczycznym. Dymek Wojciech, Brzozowska Natalia, Brzozowski Tadeusz), Ann. Univ. M. Curie-Skłodowska, 1954 (1956), AA9, № 1—9, 35—43 (польск.; рез. русск., нем.).

При нагревании (200—220°, 4 час.) эквимолярных кол-в ацетамида (I) с фенилизотиоанатом (II) в присутствии анилина (III) образуется немного ацетанилида, трифенилмеланина (2,4,6-трианилино-1,3,5-триазин) (IV) и 2,4-дианилинохиназолина (V). По мнению авторов, I и II дают в первую очередь N-фенил-N'-ацетилтиомочевину (VI), которая при высокой т-ре в присутствии III дает фенилцианамид, полимеризующийся в IV. Это подтверждается тем, что при нагревании 12,5 г VI с 7 г III (200—220°, 4 час.) образуется 4 г IV, т. пл. 224—225° (из сп.), хлоргидрат, т. пл. 255—257° (из сп.), пикрат, т. пл. 242° (разл., из  $\text{CH}_3\text{COOH}$ ). Идентичность IV подтверждена образованием циануровой к-ты при нагревании хлоргидрата IV со спирт. KOH (135—140°, 6 час., автоклав). При нагревании (200—220°, 4 час.) 1 моля I с 2 молями II образуется главным образом V, т. пл. 152° (из разб. сп.); хлоргидрат, т. пл. 317° (из  $\text{CH}_3\text{COOH}$ ); диацетильное производное (V,  $(\text{CH}_3\text{CO})_2\text{O}$ , кипячение 1 час), т. пл. 148—150° (из сп.); моноацетильное производное (хлоргидрат V,  $(\text{CH}_3\text{CO})_2\text{O}$ , лед.  $\text{CH}_3\text{COOH}$ , нагревание 30 мин.), т. пл. 192° (из сп.); нитрат, т. пл. 209° (разл., из  $\text{CH}_3\text{COOH}$ ). По мнению авторов, при р-ции I с II в первую очередь образуется VI, которая распадается на III и метилизотиоанат. III реагирует с VI и дает фенилтиомочевину, которая с II и III через промежуточный N,N'-дифенилгуанидин образует V. При нагревании (130°, 4 час.) 8 г хлоргидрата V с 40 г KOH и 56 мл спирта образуется 4-анилино-2-оксихиназолин (VII), т. пл. 252—254° (из сп.), хлоргидрат, т. пл. 256—257°, пикрат, т. пл. 262° (разл.; из сп.). При нагревании (20 мин.) на водяной бане 1 г VII в 20 мл 15%-ного KOH и  $(\text{CH}_3)_2\text{SO}_4$  образуется 4-анилино-2-метоксихиназолин, т. пл. 198—200° (из сп.).

Л. Я.

**51293. Образование меланина из дициандиамида в жидком аммиаке.** Курабаяси, Янагиса (液體アンモニア中におけるジシアンジアミドのメラミン化反応の研究. 倉林正弘, 柳谷康新), 工業化学雑誌, Koré kagaku daesens, J. Chem. Soc. Japan, Industr. Chem. Sec., 1955, 58, № 10, 750—763 (японск.).

Изучено превращение дициандиамида (I) в меламин (II). При этом из реакционной среды выделялись неизменяемый I, II, а также гуанидин, бигуанидин, гуанилмеламин и др. Р-ция проводилась в стальных сосудах при 120–160° в присутствии жидкого NH<sub>3</sub>. Исследовалось влияние времени р-ции (из 1,4 г I в 2,1 г NH<sub>3</sub> при 120° за 54 часа получен II с выходом 89,3%), соотношения компонентов, а также добавок различных солей. И. Леви

**51294. Синтез и свойства оксазолидиндионов и пирролидинтрионов.** Скиннер, Людвиг (Synthesis and properties of oxazolidinediones and pyrrolidinetriones. Skinner Glenn S., Ludwig Richard E., J. Amer. Chem. Soc., 1956, 78, № 18 4656–4659 (англ.))

Описано приготовление 1,4-триалкилпирролидин-2,3,5-трионов RR'CCONR''COCO (I) перегруппировкой

соответствующих 3-алкил-2-диалкилметиленоксазолидиндионов RR'C=CNR''COCO (II) в спирт. р-ре. II

[R = H, R' = R'' = C<sub>6</sub>H<sub>5</sub> (III)] в этих условиях образует 1,4-дифенилоксимид (IV). Аналогичная обработка II, в которых R'' = H, приводит к расщеплению до соответствующих амидов. IV получен также конденсацией фенилацетанилида с (COOC<sub>2</sub>H<sub>5</sub>)<sub>2</sub> в присутствии C<sub>2</sub>H<sub>5</sub>ONa. α-Диалкилацетамиды в этих условиях не образуют I. Конденсацией N-алкилацетамидов с (COCl)<sub>2</sub> по ранее описанному методу (J. Amer. Chem. Soc., 1950, 72, 5569; кипячение 15 мин.) получены II, которые нагревают в спирте до образования постоянной желтой окраски р-ра; при охлаждении р-ра получают I с почти колич. выходом (перечисляются R, R' и R'', выход II в % и его т. пл. в °C, т. пл. I и его 2,4-динитрофенилгидразона (последние кристаллизуются из этилацетата): C<sub>6</sub>H<sub>5</sub>CH<sub>2</sub>, C<sub>6</sub>H<sub>5</sub>, C<sub>6</sub>H<sub>5</sub>, 85, 150–151, 134–135, —; C<sub>6</sub>H<sub>5</sub>, C<sub>2</sub>H<sub>5</sub>, C<sub>6</sub>H<sub>5</sub>, 79, 135–136, 116–117, 196–197; C<sub>6</sub>H<sub>5</sub>, C<sub>6</sub>H<sub>5</sub>, C<sub>2</sub>H<sub>5</sub> (V), 76, 165–166, 93–94, 209–210; C<sub>6</sub>H<sub>5</sub>, C<sub>6</sub>H<sub>5</sub>, CH<sub>3</sub>, 92, 235–236, 138–139, 250–251; C<sub>2</sub>H<sub>5</sub>, C<sub>2</sub>H<sub>5</sub>, C<sub>6</sub>H<sub>5</sub>, 82, 70–71, 60–61, 180–181; C<sub>2</sub>H<sub>5</sub>, C<sub>2</sub>H<sub>5</sub>, C<sub>2</sub>H<sub>5</sub> (VI), 62, —, т. кип. 150°/1,3 мм., —, т. кип. 93–95°/0,6 мм. (VII), 149–150; C<sub>6</sub>H<sub>5</sub>, C<sub>2</sub>H<sub>5</sub>, H, 75, 125–126, —, —; C<sub>2</sub>H<sub>5</sub>, C<sub>2</sub>H<sub>5</sub>, H, 78, 85–86, —, —; C<sub>6</sub>H<sub>5</sub>, C<sub>6</sub>H<sub>5</sub>, H (VIII), 91, 159–160, —, —; C<sub>6</sub>H<sub>5</sub>, H, C<sub>6</sub>H<sub>5</sub>, 86, 239–240, 197–198, —; C<sub>6</sub>H<sub>5</sub>, C<sub>6</sub>H<sub>5</sub>, C<sub>6</sub>H<sub>5</sub> (IX), 99, 232–233, 172–173, 272–273; CH<sub>2</sub>(CH<sub>2</sub>CH<sub>2</sub>)<sub>2</sub>, —, C<sub>6</sub>H<sub>5</sub>, 72, 133–134, 181–182, 238–239. В отличие от I все II и IV реагируют с KMnO<sub>4</sub> в ацетоне. I, IV и II с C<sub>6</sub>H<sub>5</sub>-группами у метиленового атома углерода не реагируют с Br<sub>2</sub> в CCl<sub>4</sub>, тогда как II с подобными C<sub>2</sub>H<sub>5</sub>-группами реагируют быстро. Соответствующие II и I дают колич. выход идентичных амидов при кипячении в спирте. IX расщепляется до (C<sub>6</sub>H<sub>5</sub>)<sub>2</sub>CHCONHC<sub>6</sub>H<sub>5</sub> и в присутствии C<sub>2</sub>H<sub>5</sub>ONa. I, имеющие одну или две C<sub>2</sub>H<sub>5</sub>-группы в положении 4, не реагируют с анилином при 185°, тогда как I, содержащие две C<sub>6</sub>H<sub>5</sub>-группы в этом положении, расщепляются до амидов. 2-бензилтеноксазолидиндион расщепляется на холоду анилином в положении 5 с образованием N-фенил-N'-фенилацетилоксиамида. В случае VIII, III и IX расщепление кольца II происходит в обоих положениях 3 и 5. Для определения строения в-в проведен их озонлиз. При разложении озонида V в присутствии Zn получен бензиннапол, другая половина молекулы разлагается Ca(OH)<sub>2</sub> до (COO)<sub>2</sub>Ca и NH<sub>2</sub>C<sub>2</sub>H<sub>5</sub>. Озонид VI дает диэтилкетон, а IV — фенилглюксалинид (выход 70%). VII с O<sub>3</sub> не реагирует. IV с анилином дает 1,4-дифенил-3-фениламиноамид (X). Положение двойной связи между 3 и 4 атомами C установлено озонлизом до оксалинда. Фармакологич. испытание I показало, что только VII имеет характерные антиконвульсионные свойства. Приведены данные ИК-спектров для I и II, α,β-ди-

фенилпропионанилид (из хлорангидрида в C<sub>6</sub>H<sub>6</sub>), выход 92%, т. пл. 170–171°. 1,0 г III в 15 мл абс. толуола с 1,0 г CH<sub>3</sub>ONa встряхивают 15 мин., прибавляют 10 мл конц. HCl и 10 г льда, встряхивают 20 мин., осадок растворяют в NaHCO<sub>3</sub> и толуольный р-р экстрагируют NaHCO<sub>3</sub>, при подкислении получают IV, выход 86%. При кипячении 1,5 часа в спирте выход IV 62%, при продолжительном кипячении (44 часа) выделен наряду с IV (56%) и фенилацетанилид, выход 42%. 10 г IV в 45 мл анилина нагревают 0,5 часа при 185°, охлаждают, выливают в 500 мл воды с избытком HCl, получают X, 94%, т. пл. 209–210° (из сн.). М. Л.

**51295. Изучение сульфизоксазола. I. Синтез метил-α-хлорэтилкетона и α-ацетилпропионитрила.** Океда, Танигутти, Эноки, Танигутти, Кадзи, Абэ, Сакимото. II. Механизм образования α-ацетилпропионитрила из α,β-диметилглицидонитрила (с применением C<sup>14</sup>). Океда, Танигутти, Танигутти, Кадзи. III. Синтезы и химические свойства эфиров α-ацетилпропионитрила. Океда, Танигутти, Эноки, Ямада, Араки (Сулфайソオキサゾール合成に関する研究. 第1報. Methyl α-Chloroethyl Ketone 及び α-Acetylpropionitrile の合成 桶田 秀雄, 谷口 幹二, 横吉 二, 谷口 卓雄, 加治 有恒, 阿部 一夫, 先本 禮二. 第2報. α,β-Dimethylglycidonitrile より α-Acetylpropionitrile 生成機構の研究. (放射性炭素 C<sup>14</sup> の利用). 桶田 秀雄, 谷口 幹二, 谷口 卓雄, 加治 有恒. 第3報. α-Acetylpropionitrile Ether の 成. 桶田 秀雄, 谷口 幹二, 横吉 二, 山田 幸元, 荒木 正雄). 薬学雑誌, Якутаку дзасси, J. Pharmac. Soc. Japan, 1956, 76, № 1, 60–63, 63–66, 66–69 (японск.; рез. англ.)

I. Предложен новый путь синтеза 3,4-диметил-5-сульфаниламидоизоксазола (сульфизоксазола) через α-ацетилпропионитрил (I). Для получения I метил-этилкетон (II) хлорируют до метил-α-хлорэтилкетона (III), последний действием KCN превращен в α,β-диметилглицидонитрил (IV), который изомеризуют в I действием различных солей и органич. оснований. Исследованы различные условия синтеза III. Через 100 г II и 100 г 5%-ной HCl при 0° пропускают 100 г Cl<sub>2</sub>, продукт р-ции нагревают при 40–50°, экстрагируют эфиром и выделяют III, выход 81%, т. кип. 110–120°. Хлорирование ацетона этим способом дает CH<sub>3</sub>COCH<sub>2</sub>Cl, выход 78–83%, т. кип. 113–123°. 59 г NaCN в 118 г воды и 97 г IV нагревают 5–10 мин. при 90°, добавляют 100 мл воды, нейтрализуют разб. H<sub>2</sub>SO<sub>4</sub> и экстрагируют эфиром, выход I 52%, т. кип. 78–80°/20 мм; семиркарбон (CK), т. пл. 154–155°. При применении Na<sub>2</sub>CO<sub>3</sub>, Ca(OH)<sub>2</sub>, K<sub>2</sub>CO<sub>3</sub> или C<sub>6</sub>H<sub>5</sub>N выход соответственно 30, 27, 23 и 15,6%. К кипящему р-ру 23 г NaCN в 100 мл CH<sub>3</sub>OH добавляют по каплям 20 г III, кипятят 1 час, нейтрализуют H<sub>2</sub>SO<sub>4</sub>, фильтруют и перегонкой выделяют I, выход 52,2%, а также циангидрин III, 1,2%.

II. С целью изучения механизма образования I из IV и NaCN α-этил-β-метилглицидонитрил (V) кипятят с NaCN в водн. р-ре; при этом из реакционной среды был выделен лишь 2-цианопентанон-3 (VI). Если IV кипятить с NaCN в воде или CH<sub>3</sub>OH, то удельная активность 2,4-динитрофенилгидразона (ДНФГ) получающегося меченого I равна активности исходного NaCN<sup>14</sup>, что свидетельствует о том, что первоначально идет присоединение NaCN к IV с образованием циангидрина, который затем превращается в I; перемещение H<sup>+</sup> или CN<sup>-</sup>-группы IV при этом не происходит. V получен из 48 г C<sub>2</sub>H<sub>5</sub>COCHClCH<sub>3</sub> и 32 г NaCN в 65 мл воды (–5°, 8 час.), выход 20 г, т. кип. 162–165°. 20 г V и 10 г NaCN в 25 мл воды кипятят 15 мин., обрабатывают при 0–5° 30%-ной H<sub>2</sub>SO<sub>4</sub> и экстрагируют эфиром VI, выход 6 г, т. кип. 93–98°/30 мм; ДНФГ, т. пл. 124–126°. 6,6 г C<sub>2</sub>H<sub>5</sub>CN и 1,4 г Na перемешивают 12 час. в эфир. р-ре при 2–5°, осаждают C<sub>2</sub>H<sub>5</sub>C(=

$=\text{NH})\text{CH}(\text{CN})\text{CH}_3$ ; его отделяют и растворяют в 37 г 50%-ной  $\text{H}_2\text{SO}_4$ , через 1 час экстрагируют эфиром, перегонкой выделяют 1,5 г VI, 0,403 г  $\text{NaCN}$  в 0,6 мл воды и 0,8 г IV нагревают 5 мин. при 100°, нейтрализуют 50%-ной  $\text{H}_2\text{SO}_4$  и экстрагируют  $\text{C}_6\text{H}_6$ , содержащийся в дистиллате при перегонке (25 мл)  $\text{CH}_3\text{COCH}(\text{CN})\text{CH}_3$  превращают в ДНФГ, выход 0,6 г, т. пл. 139°.

III. Показано, что эфир  $\alpha$ -ацетопропиоамида  $\text{CH}_3\text{CH}(\text{COCH}_3)\text{C}(\text{=NH})\text{OR}$  (VII) легко образуется в виде хлоргидрата (VIIa) из I и HCl в спирт. среде. Обработка VIIa щелочью приводит к VII, а минер. к-той или водой — к эфиру  $\text{CH}_3\text{COCH}(\text{CH}_3)\text{COOR}$  (VIII); VIII может быть получена также непосредственно из VII под действием к-ты или  $\text{NH}_4\text{Cl}$ . При действии щелочи VII превращается в I, 3,4-диметил-5-аминоизоксазол (IX) и 1-карбамино-3,4-диметил-5-аминопипразол (X) получены из VII при действии  $\text{NH}_4\text{OH}$  или  $\text{NH}_2\text{CONH}_2$  (XI) соответственно VIIa и VII с  $\text{NH}_3$  дают вещества с т. пл. 178 и 200° соответственно, строение которых не установлено. Так как I под действием HCl легко дает неустойчивый, по-видимому,  $\alpha$ -ацетилпропиоамидохлорид  $\text{CH}_3\text{CH}(\text{COCH}_3)\text{C}(\text{=NH})\text{Cl}$  (XII), превращающийся в спирт. р-ре в VIIa, авторы предполагают, что образование VIIa из I идет через VII и XII. Этим же путем IV был превращен в эфир  $\beta$ -хлор- $\alpha$ -оксис- $\alpha$ -метилбутироксимида  $\text{CH}_3\text{CH}(\text{Cl})\text{C}(\text{=NH})\text{OR}$  (XIII). Р-р I и абс.  $\text{CH}_3\text{OH}$  в  $\text{CCl}_4$  насыщают при 0° HCl, через несколько часов отделяют VIIa (R =  $\text{C}_2\text{H}_5$ ), выход колич., т. пл. 113° (разл.); аналогично получают VIIa (R =  $\text{C}_2\text{H}_5$ ), т. пл. 114° (разл.). 8,3 г VIIa (R =  $\text{CH}_3$  или  $\text{C}_2\text{H}_5$ ) добавляют при 0° к конц. р-ру  $\text{NH}_3$ , упаривают в вакууме, остаток промывают водой и получают VII (R =  $\text{CH}_3$ ), 93%, т. пл. 118°; или VII (R =  $\text{C}_2\text{H}_5$ ), т. пл. 122°. VIIa (R =  $\text{C}_2\text{H}_5$ ) перемешивают с водой при ~20°, перегонка маслянистого слоя дает VIII (R =  $\text{C}_2\text{H}_5$ ), выход 85–88%, т. кип. 186–188°;  $\text{CH}_3$ , т. пл. 183–185° (разл.). Аналогично получают VIII (R =  $\text{CH}_3$ ), т. кип. 177–178°;  $\text{CH}_3$ , т. пл. 142–143° (разл.). 5 г VII (R =  $\text{CH}_3$ ) обрабатывают 10 мл 10%-ной HCl, экстрагируют эфиром VIII (R =  $\text{CH}_3$ ), выход 80,7%. 5 г VII (R =  $\text{CH}_3$ ) перемешивают при ~20° с 50 мл 10%-ного р-ра NaOH, фильтрат подкисляют и экстрагируют  $\text{C}_6\text{H}_6$  I, выход 79,8%. Водн. р-р 0,5 хлоргидрата XI перемешивают с 0,5 г VII (R =  $\text{CH}_3$  или  $\text{C}_2\text{H}_5$ ) и отделяют X, выход 78,3%, т. пл. 154–155° (из  $\text{CH}_3\text{OH}$ ); шкрат, т. пл. 249–250° (разл.). Смесь 3 г VII (R =  $\text{CH}_3$ ), 2,2 г  $\text{NH}_4\text{OH}$ ·HCl, 4,8 г  $\text{NH}_4\text{Cl}$ , 18 мл  $\text{CH}_3\text{OH}$  и 0,3 мл воды кипятят 1 час, упаривают в вакууме, остаток промывают водой и отделяют IX, выход 80,8%, т. пл. 124° (из  $\text{CH}_3\text{OH}$ ). I насыщают HCl, при стоянии количественно осаждаются XII, который при обработке спиртом количественно дает VIIa, 10 г XII и 2,9 мл  $\text{CH}_3\text{OH}$  дают VIIa (R =  $\text{CH}_3$ ), выход 96,7%. 10 г IV и 5 мл  $\text{CH}_3\text{OH}$  насыщают HCl при 0–2°, оставляют на 2 дня и отделяют хлоргидрат XIII (R =  $\text{CH}_3$ ), выход 77%, т. пл. 103° (разл.). Аналогично получают хлоргидрат XIII (R =  $\text{C}_2\text{H}_5$ ), т. пл. 113° (разл.). 1,5 г Na в 35 мл спирта перемешивают при 0° с 10 г хлоргидрата XIII (R =  $\text{C}_2\text{H}_5$ ), спирт удаляют в вакууме, остаток растворяют в воде и экстрагируют эфиром, из которого выделяют XIII (R =  $\text{C}_2\text{H}_5$ ), т. кип. 120–121°/30 мм, т. пл. 48–50°.

И. Леви  
51296. 3,4-дигидро-1,3,2Н-бензоксазин. Такахаеи, Сэто (3,4-ジヒドロ 1,3,2Н-ベンゾキサジンについて. 高橋秋水, 二正戸), 工業化学雑誌, Korô kagaku zasshi, J. Chem. Soc. Japan. Industr. Chem. Sec., 1955, 58, № 11, 943–944 (японск.)

К смеси 0,2 г 2-оксисбензиламина (I) и 0,65 г 10%-ного NaOH добавляют по каплям 0,2 г 37%-ного формалина (II), при стоянии получают 0,2 г 3,4-дигидро-1,3,2Н-бензоксазина (III) т. пл. 154° (из 80%-ного сп.). При медленном испарении смеси 0,3 г I, 7 мл спирта и 37%-

ного II получают 0,25 г III. III получен также при действии II на 2-оксис-N-(2'-оксисбензилиден)-бензиламин в 10%-ном NaOH. Л. Яновская 51297.

Некоторые новые аналоги петидина. Часть I. Андерсон, Фрирсон, Стерн (Some new analogues of pethidine. Part I. Anderson R. J., Frearson P. M., Stern E. S.) J. Chem. Soc., 1956, Nov., 4088–4491 (англ.)

Синтезирован ряд аналогов лидола (петидина) общей ф-лы  $4\text{-C}_6\text{H}_5\text{-4-C}_2\text{H}_5\text{COOR}$  (I), где R = алкильная группа с азотсодержащим гетероциклич. радикалом. 7 г I (R = H) (II) (сп. Eisleb, Ber., 1941, 74, 1433; Walton, Англ. пат. 592016) (т. кип. 156°/1,8 мм, т. пл. 33°; бромидат, т. пл. 165–166°), 4,5 г 2-морфолиноэтилхлорида (III), 1,8 г безводн.  $\text{Na}_2\text{CO}_3$  и 50 мл спирта кипятят несколько часов, фильтруют, упаривают в вакууме и прибавляют спирт. р-р HCl, получают дихлоргидрат I (R = 2'-морфолиноэтил) (IV), выход 9,8 г, т. пл. 264–266° (разл., из водн. сп.); основание, т. кип. 188–192°/0,5 мм,  $n_D^{20}$  1,5276; шкрат, т. пл. 247–248° (разл.).

Аналогично синтезированы дихлоргидраты следующих I (указаны R, т. пл. в °C с разл.): 2'-пирролидинэтил, 259–262; 2'-пиперидинэтил, 270–272; 2'-(тетрагидро-4', 4''-тиазинил-4'')-этил (V), 266; 2'-(4''-карбэтокси-4''-фенилпиперидино)-этил, 241–243; 3'-морфолинопропил (VI), 240; 2'-морфолинопропил (VII), 235–237. Смесь 20 г II и 6 мл  $\text{SiCl}_2\text{CH}_2\text{OH}$  в этилацетате кипятят 2,5 часа и фракционируют; получают I (R =  $\text{CH}_2\text{-CH}_2\text{OH}$ ) (VIII), т. кип. 125–128°/1–1,5 мм,  $n_D^{20}$  1,5215. В другом опыте, не выделяя VIII, обрабатывают смесь на холоду 8 мл  $\text{SOCl}_2$  и кипятят до начала кристаллизации; получают хлоргидрат I (R =  $\text{CH}_2\text{-CH}_2\text{Cl}$ ) (IX), выход 8,5 г, т. пл. 219–220° (разл., из водн. сп.). Р-р 5,5 г IX в спирте нейтрализуют спирт. р-ром 1 экв  $\text{C}_2\text{H}_5\text{ONa}$ , прибавляют 3,6 г пиперазина, кипятят 4 часа, упаривают в вакууме и прибавляют спирт. р-р HCl; получают трихлоргидрат I (R = 2'-пиперазинэтил), т. пл. 244–246° (разл., из водн. сп.). Аналогично синтезированы дихлоргидраты следующих I (указаны R, т. пл. в °C с разл.): 2'-(4''-метилпиперидино)-этил, 270–272; 2'-(1'',2'',3'',8''-тетрагидропиперидино)-этил, 257–259; 2'-(4''-оксипиперидино)-этил, 250–252. Смесь 10 г морфолина и 17 г III кипятят 1 час, прибавляют избыток водн.  $\text{NH}_4\text{OH}$  и извлекают  $\text{CHCl}_3$ ; получают 1-2-диморфолиноэтан (X), выход 12 г, т. кип. 140–150°/12 мм, т. пл. 70–72°. Смесь 30 г 2'-аминоэтилциклогексана (т. кип. 70°/15 мм, 188°/760 мм,  $n_D^{20}$  1,4720), 34 г  $(\text{ClCH}_2\text{CH}_2)_2\text{O}$ , 25 г  $\text{Na}_2\text{CO}_3$  и 100 мл спирта кипятят 8 час.; получают 12 г 2'-морфолиноэтилциклогексана (XI), т. кип. 130°/12 мм; хлоргидрат, т. пл. 253–254°. Смесь 24,7 г 4-оксипиперидина (т. кип. 110–125/10–15 мм), 37 г III, 13 г  $\text{Na}_2\text{CO}_3$  и 150 мл спирта кипятят несколько часов, фильтруют, р-р концентрируют и прибавляют спирт. HCl; получают дихлоргидрат 4-[2'-(4''-оксипиперидино)-этил]-морфолина (XII) выход 50 г т. пл. 299° (разл., из водн. сп.); основание, т. кип. 155–158°/2–3 мм, т. пл. 65–66° (из эф. бзл.). IV, V, VI и VII обладают аналогич. действием (см. РЖХимБх, 1956, 22646; 1957, 1003); X, XI и XII неактивны. А. Г. 51298.

Изучение синтетических анагетиков. Получение эфиров  $\alpha$ -(N-метилпиперазино)- или морфолиноалифатических кислот. Сугимото, Сигэмацу, Имадо (合成鎮痛剤の研究. 第10報.  $\alpha$ -(N-Methylpiperazino)又は $\alpha$ -Morpholino脂 脂肪酸エステル類の合成, 杉本典夫, 重松達, 今戸佐太郎), 薬学雑誌, Якугаку заасси, J. Pharm. Soc. Japan., 1956, 76, № 3, 270–272 (японск.; реф. англ.)

В качестве соединений, обладающих антихолинергической активностью, синтезирован ряд эфиров  $\alpha$ -пиперазино- (I) и  $\alpha$ -морфолиноалифатических к-т  $\text{RR}'\text{CHCOOR}'$  (II), где I R' =  $-\text{NCH}_2\text{CH}_2\text{N}(\text{CH}_3)\text{CH}_2\text{CH}_2$ ; II R' =  $\text{C}_2\text{H}_5$ ,



$R'' = NCH_2CH_2OCH_2CH_2$ . Получены следующие I (указаны  $R, R'$ , выход %, т. кип. в °C/мм, производные т. пл. в °C):  $C_2H_5$ ,  $C_2H_5$ , 81,7, 95—99/5; пикролат (ПЛ), 201—202;  $C_3H_7$ ,  $C_2H_5$ , 73,7, 116—119/7; пикрат (ПК), 207—209;  $изо-C_3H_7$ ,  $C_2H_5$ , 19,7, 113—118/7; ПК, 186—188;  $C_4H_9$ ,  $CH_3$ , 78, 115—119/6; ПК, 204—206;  $C_4H_9$ ,  $C_2H_5$ , 84,5, 114—117/3,5; ПК, 204—205;  $C_4H_9$ ,  $C_3H_7$ ,  $C_2H_5$ , 73, 130—134/5; ПК, 191—193;  $C_4H_9$ ,  $изо-C_3H_7$ , 79,4, 128—131/5; ПК, 201—203;  $C_4H_9$ ,  $CH_2=CH$ , 73, 117—123/3,5; ПК, 189—191;  $C_4H_9$ ,  $C_4H_9$ , 72,8, 137—142/6; ПК, 186—188;  $C_4H_9$ ,  $(CH_3)_2CHCH_2$ , 72,5, 133—137/4; ПК, 193—195;  $C_4H_9$ ,  $(CH_3)_2CH(CH_2)_2$ , 72, 139—145/3,5; ПК, 186—187;  $C_5H_{11}$ ,  $C_2H_5$ , 69, 125—127/5; ПК, 187—189;  $C_6H_{13}$ ,  $C_2H_5$ , 90,5, 146—147/6; ПК, 188—189;  $C_6H_{13}$ ,  $изо-C_3H_7$ , 79,2, 134—138/3; ПК, 190—192;  $C_7H_{15}$ ,  $C_2H_5$ , 78,5, 158—161/6; ПК, 182—183;  $C_8H_{17}$ ,  $C_2H_5$ , 76,5, 154—158/5; ПЛ, 187—188;  $C_8H_5$ ,  $C_2H_5$ , 60,2, 173—176/9; ПК, 210—212;  $цикло-C_6H_{11}$ ,  $C_2H_5$ , 30,2, 163—165/13; ПК, 209—211;  $C_2H_5OCH_2$ ,  $C_2H_5$ , 76,7, 115—119/3; ПК, 199—200;  $CH_2=CHCH_2$ ,  $C_2H_5$ , 61,2, 135—139/7; ПК, 188—190;  $C_4H_9$ ,  $OR' = NH_2$ , 67, т. пл. 115—117°;  $C_4H_9$ ,  $OR' = (CH_3)_2N$ , 88; ПК 238—239 и следующие II (указаны R, выход %, т. кип. в °C/мм, производные, т. пл. в °C):  $C_3H_7$ , 73,6, 87—89/2; ПЛ, 176—178;  $C_4H_9$ , 60, 127—130/7; ПЛ, 174—177;  $C_4H_{11}$ , 57,8, 125—129/4; ПЛ, 170—172;  $C_6H_{13}$ , 75, 135—140/5; ПЛ, 161—163;  $CH_3CH_2OCH_2$ , 78, 110—115/4; хлоридат, 94—96;  $CH_2=CHCH_2$ , 62,6, 105—110/4; ПЛ, 139—141.

Р. Журин  
51299. О некоторых семикарбазонах и тиосемикарбазонах оснований Манниха из нитрофураляцетона. Торнетта, Аркория (Su alcuni semicarbazoni e tiosemicarbazoni di basi di Mannich da nitro-fural-acetone, Torretta B., Arcoria A.), Boll. scient. Fac. chim. industr. Bologna, 1956, 14, № 2, 50—51 (итал.).

В связи с предыдущими работами (РЖХим, 1956, 814) с целью фармакологич. испытания получены некоторые семикарбазоны (СК) и тиосемикарбазоны (ТСК) 5-алкилманин-1-(5'-нитрофурил-2')-пентен-1-она-3 (I). Водно-спирт. р-р 0,01 моля хлоридата (ХГ) I и водн. р-р 0,011 моля ХГ семикарбазидна нагревают на водяной бане 15 мин., получают ХГ СК I (даны алкиламиногруппы, выход в %, т. пл. °C (из воды)):  $(CH_3)_2N$ , 65, 215;  $C_2H_5NH$ , 75, 218;  $(C_2H_5)_2N$ , 78, 242; N-морфолино, 80, 241; пиперидино, 75, 203. Аналогично получают ХГ ТСК I (даны алкиламиногруппы, выход в %, т. пл. в °C (из сп.)):  $(CH_3)_2N$ , 75, 168;  $C_2H_5NH$ , 75, 165;  $(C_2H_5)_2N$ , 80, 175; пиперидино, 85, 174; морфолино, 85, 181.

Л. Яновская  
51300. Реакция ацетата аммония с β-окси-α,α-диметилпропионовым альдегидом. Кавалла (The reaction of ammonium acetate with β-hydroxy-α,α-dimethylpropionaldehyde. Cavalla J. F.), J. Chem. Soc., 1956, Nov., 4672—4673 (англ.).

Установлено, что при получении 2-циан-5-окси-4,4-диметилпентен-2-лактона из β-окси-α,α-диметилпропионового альдегида (0,3 моля) (I),  $CH_3COONH_4$  (0,2 моля) и  $CH_3COOH$  (0,2 моля) (ср. Core, J. Amer. Chem. Soc., 1941, 63, 3452) в  $C_6H_6$  (100 мл) в качестве побочного продукта образуется додекагидро-3,3,6,6,9,9-гексаметил-1,4,7-триокса-9β-азафенален (II) (кипячение 3 часа), выход 71%, т. пл. 185—187° (из хлф.-сп.); перхлорат, т. пл. 250° (разл.; из сп.-эф.). Хроматографированием установлено, что II при кипячении с HCl (к-той) разлагается, образуя  $CH_2O$ ,  $изо-C_3H_7CHO$  и I. Приведены данные ИК-спектра II. Ю. Розанова

51301. Производные тиазола. IX. Синтез бис-(тиазол-2)-сульфида. (2). Сава, Маэда Х. Соль, β-(4-метил-5'-тиазолил)-этилтиотимочевин. Сава, Исиды (チアツォール誘導體の研究. 第9報. Bis (thiazolyl-2) sulfide 體の研究その2. 澤芳郎, 前田量三. 第10報. β-(4-Methyl-5'-thiazolyl) ethylthiothiouzonium 鹽について. 澤芳郎, 石田恒子), 藥學雜誌, Якутану дзасси,

J. Pharm. Soc. Japan, 1956, 76, № 3, 301—305; 337—338 (японск.; рез. англ.).

IX. Взаимодействием 2-(2'-меркапто-4'-метилтиазол-5'-этанол) (I) или этилового эфира 2-меркапто-4-метилтиазолил-5-карбоновой к-ты (II) с 2-(2'-хлор-4'-метилтиазолил-5'-этанолом) (III) этиловым эфиром 2-хлор-4-метилтиазолил-5-карбоновой к-ты (IV) получены: бис-(4-метил-5-(β-оксиэтил)-тиазолил-2)-сульфид (V), бис-(4-метил-5-карботокситиазолил-2)-сульфид (VI) и 4,4'-диметил-5-(β-оксиэтил)-5'-карботокситиазолил-2,2'-сульфид (VII). При р-ции I с IV и III с II одновременно образуются V, VI и VII. Нагреванием 54,4 г  $CH_3COCH_2CH_2CH_2CH_2OH$  (VIII) с 33,6 г  $(NH_2)_2CS$  1 час в 163 мл воды получают 2-(2'-амино-4'-метилтиазолил-5'-этанол), который диазотированием в присутствии CuCl превращают в 27,2 г III, т. кип. 131—134°/4,5 мм. Аналогично из 65,5 г  $CH_3COCH_2CH_2CH_2CH_2CH_2OH$  (IX) через 2-NH<sub>2</sub>-аналог IV, т. пл. 216—217° (разл.), получают 38,9 г IV, т. кип. 116/11 мм, т. пл. 51°. 65,8 г IX и 54 г  $NH_2CS_2NH_2$  в водно-спирт. р-ре дают 75,5 г II, т. пл. 150—151° (из сп.). II с IV и  $NH_4Cl$  (по 10 г) в 100 мл  $CS_2$  при кипячении (4 часа) превращаются в 17,5 г VI, т. пл. 95° (из сп.). 10 г I, 12 г IV и 10 г  $NH_4Cl$  в аналогичных условиях образуют 18,8 г VII, т. пл. 62° (из тетрагидрофурана-пентр. эф.). При кипячении (6 час.) 3 г I и 3,6 г IV в 99%-ном спирте получают 3,8 г V, т. пл. 127—129°, 0,5 г этилового эфира 2-окси-4-метилтиазолил-5-карбоновой к-ты (X), т. кип. 177°, а также VI и VII. При кипячении (6 час.) 3 г III и 3,6 г II с 3 г  $NH_4Cl$  в 30 мл  $CS_2$  получают 4,9 г V, 0,3 г VII и 1,1 г I; при той же р-ции в 99%-ном спирте получают 1,2 г V, 0,1 г VII, 1,5 г VI, 1,1 г III и 1,7 г II. При нагревании 1 г IV, 10 мл 99%-ного спирта и 0,5 г конц. HCl на водяной бане (4 часа) получают 0,8 г X, т. пл. 178° (из бэл.); аналогично из 3 г III получают 1,8 г 2-оксаназола I, т. пл. 135—136° (из смеси тетрагидрофуран-пентр. эф.). Л. Яхонтов

X. Взаимодействием 6,45 г 4-метил-5-(2-хлорэтил)-тиазола (I) с тиомочевинной получен хлоридат 2-(4'-метил-5'-тиазолил)-этилтиотимочевин (II), выход 84%, т. пл. 147—148°; пикрат, т. пл. 198—200°. Окислением II с помощью щел.  $H_2O_2$  получен дихлоридат ди-2,2'-(4-метилтиазолил-5)-диэтилдисульфида, т. пл. 207—208°; дибромидат, т. пл. 214—215°; дипикрат, т. пл. 183—184°. I получен действием  $SOCl_2$  на 4-метил-5-(2-оксиэтил)-тиазол, выход 78,5%, т. пл. 130—140°. Сообщ. VIII см. РЖХим, 1956, 78183. Р. Ж

51302. Синтез цианиновых красителей. XIV. Трехядерные триметинцианины ряда бензтиазола. Танаба (チヤニン色素の合成研究. 第14報. Benzenethiazole核を有するトリメチン三核色素の合成. 田邊 良久), 金澤大學藥學部研究年報, Канадзава дайгаку якутанку кэнкю эмпо, Annual Rept Fac. Pharmacy Univ. Kanazawa, 1953, 3, 10—12 (японск.).

Смесь трифенилгуанидина,  $CaCO_3$  и  $(CH_3CO)_2O$  нагревают 5 мин. (150°), добавляют при перемешивании 3-метилбензтиазол,  $C_2H_5J$  (I) и  $CdCO_3$  и нагревают 10 мин. (130°), получают 1,1'-диоксидный 1,1',1''-триэтил-9-бензтиазолилтриметинцианин ( $\lambda_{max}$  5450 Å), который был получен также при нагревании (15 мин. 110—120°) смеси I,  $CHCl_3$ ,  $CdCO_3$  и  $(CH_3CO)_2O$ . Подобный краситель ( $\lambda_{max}$  5550 Å) был получен при замене  $CHCl_3$  на  $CCl_4$ . Во всех случаях образовывалось большое кол-во бесцветного промежуточного продукта, 1,1',1''-трехоксидного 1,1',1''-триэтил-9-бензтиазолил-2,2'-(8-гидро)-триметина. Сообщение XIII см. РЖХим, 1955, 45911.

Chem. Abstrs, 1955, 49, № 3, 1711. J. G. Joshioka

51303. Бензтиазолы. XI. Нитрование 6-замещенных 2-метилбензтиазолов. Мидзуно, Адати (Ben-

zothiasoles. XI. Nitration of 6-substituted 2-methylbenzothiazoles. Mizuno Yoshihisa, Adachi Kikuo), 金澤大學薬学部研究年報, Канадзава дайгаку якутакубу кэнкю нэмпо, Annual Rept. Fac. Pharmacy Univ. Kanazawa, 1953, 3, 1—7 (англ.).

Нитрование 2-метилбензотиазола (I), замещ. в положении 6 Cl- или  $\text{CH}_3\text{O}$ -группами приводит главным образом к 7-нитропроизводному и к некоторому кол-ву 5-нитропроизводного. К 6 г 6-хлорпроизводного I в 30 мл конц.  $\text{H}_2\text{SO}_4$  добавляют 12 мл дымящей  $\text{HNO}_3$  (d 1,54) и 12 мл конц.  $\text{H}_2\text{SO}_4$  (20 мин.,  $10^\circ$ ), доводят т-ру до  $\sim 20^\circ$ , выливают в ледяную воду, выход 6-хлор-7-нитропроизводного I (II) 3,28 г (45%), т. пл.  $118\text{--}119^\circ$  (из сп.). Из маточного р-ра от первой перекристаллизации получают 3 г в-ва, которое при хроматографировании в  $\text{CHCl}_3$  на  $\text{Al}_2\text{O}_3$  дает 0,5 г (12%) II, т. пл.  $120\text{--}121^\circ$  и 0,75% (6%) 6-хлор-5-нитропроизводного I (III), т. пл.  $132^\circ$ . Строение III доказано следующим образом: нитрование 1,59 г 5-хлорпроизводного I дало 0,69 г (28,3%) 5-хлор-6-нитропроизводного I (IV), т. пл.  $169\text{--}170^\circ$  (из сп.); из маточного р-ра выделен 1 г (41,4%), 5-хлор-4-нитропроизводного I (предположительно), т. пл.  $159\text{--}160^\circ$ ; восстановление 1,3 г IV при помощи  $\text{SnCl}_2$  в спирт. HCl привело к 1,15 г (100%) 6-амино-5-хлор-I (V), т. пл.  $152\text{--}153^\circ$  (из сп.);  $\text{N}_6\text{-COCH}_3$ -производное, т. пл.  $206^\circ$ . Аналогичное восстановление 0,13 г III привело к получению 0,11 г 5-амино-6-хлор-I (VI), т. пл.  $122\text{--}124^\circ$  (из сп.). 0,6 г VI диазотируют ( $0^\circ$ ), и р-р прибавляют к суспензии Гаттермановской меди; получают 0,31 г 5,6-дихлор-I (VII), т. пл.  $133\text{--}134^\circ$ ; аналогично 0,11 г V дали 0,07 г VII. Это доказывает строение III, поскольку отличающиеся друг от друга соединения III и IV дали одно и то же соединение VII. Аналогичное нитрование 5 г 6-метокси-5-нитропроизводного I привело к 7,5 г (75%) 6-метокси-7-нитропроизводного I (VIII), т. пл.  $151^\circ$ , маточный р-р дал 1,2 г неочищ. продукта, из которого при хроматографировании в  $\text{CHCl}_3$  на  $\text{Al}_2\text{O}_3$  получены 0,5 г 6-метокси-5-нитропроизводного I (IX), т. пл.  $122\text{--}123^\circ$  (из сп.). Строение VIII было доказано обработкой 0,6 г II в  $\text{CH}_3\text{OH}$  метилатом Na с получением 0,1 г VIII; строение IX было доказано аналогично обработкой III метилатом натрия. После нитрования 6-нитропроизводного I удалось выделить только исходный I. Chem. Abstrs, 1955, 49, № 12, 8257, Rip G. Rice

51304. Синтез гетероциклических азотсодержащих соединений. Сообщение 100. Светочувствительные красители (16). Такахаси, Сато (含素素現化合物の合成. 第100報. 感光色素について. その16. 高柳西蔵, 佐藤浩一), 薬学雑誌, Якугаку даэсси, J. Pharm. Soc. Japan, 1956, 76, № 2, 195—198 (японск.).

Конденсацией 2-метил-6'-хлорпиридо-(2',3':5,4)-тиазола (I), 6'-метоксисамола (II), 6'-этоксисамола (III) и 4-пикolina (IV) (в виде четвертичных солей) с ароматич. альдегидами, бис-[4-метилтиазолил-2)]-метана (V), в виде йодметилата (VI), с салициловым альдегидом (VII) и четвертичных солей I и III с дифенилформамидином (VIII) синтезированы светочувствительные красители. Смесь 0,3 г йодметилата I, 0,15 г  $n\text{-CH}_3\text{CONHC}_6\text{H}_4\text{CHO}$  (IX) и 20 мл спирта кипятят 2 часа в присутствии пиперидина; получают 2- $n$ -ацетаминотирил-6'-Cl-пиридо-(2',3':5,4)-тиазол (X) в виде йодметилата, выход 0,05 г, т. пл.  $221\text{--}222^\circ$  (здесь и далее с разл.). Аналогично синтезированы следующие йодметилаты аналогов X (указаны заместители в положениях 2 и 6' и т. пл. в  $^\circ\text{C}$ ):  $n\text{-(CH}_3)_2\text{NC}_6\text{H}_4\text{CH=CH}$ , Cl, 247—248;  $3\text{-CH}_3\text{O}_2\text{-ONC}_6\text{H}_3\text{-CH=CH}$ , Cl, 239; йодметилаты аналогов X с  $\text{CH}_3\text{O}$  в положении 6' (указаны заместитель в положении 2 и т. пл. в  $^\circ\text{C}$ ):  $o\text{-ClC}_6\text{H}_4\text{CH=CH}$ , 233—234;  $n\text{-HOC}_6\text{H}_4\text{-CH=CH}$ , 242;  $n\text{-CH}_3\text{CONHC}_6\text{H}_4\text{CH=CH}$ , 254—255;  $(\text{CH}_3)_2\text{NC}_6\text{H}_4\text{CH=CH}$ , 256;  $1\text{-C}_{10}\text{H}_7$ , 233—234; йодметилаты аналогов X с  $\text{C}_2\text{H}_5\text{O}$  в положении 6' (указаны заместители в положении 2, т. пл. в  $^\circ\text{C}$ ):  $n\text{-HOC}_6\text{H}_4\text{-CH=CH}$ , 236;  $3,4\text{-CH}_2\text{O}_2\text{C}_6\text{H}_3\text{CH=CH}$ , 253;  $n\text{-CH}_3\text{CONHC}_6\text{H}_4\text{CH=CH}$ , 252;  $n\text{-(CH}_3)_2\text{NC}_6\text{H}_4\text{CH=CH}$ , 253,5—254;  $1\text{-C}_{10}\text{H}_7$ , 224. Нагреванием 4 г IV с 8 г йодистого бутила в трубке (10 час.,  $120^\circ$ ) получают 8 г йодбутилата IV. Аналогично синтезированы бромбутиллат и йод- $n$ -гептиллат IV. Конденсацией четвертичных солей IV с эвмолекулярными кол-вами IX (нагревание в спирте в присутствии пиперидина) получены следующие галоидалкилаты 4-( $n$ -ацетаминотирил)-пиридина (указаны т. пл. в  $^\circ\text{C}$ ): йодатиллат, 286—287; йодпропиллат, 272—273, йодбутиллат, 269—270, йодизоамиллат, 277, йод- $n$ -гептиллат, 221—222, бромбутиллат, 279—280. Кипячением (3 часа) 0,5 г V с 1 мл  $\text{CH}_3\text{I}$  получают VI, выход 0,3 г, т. пл.  $189\text{--}190^\circ$  (из сп.). Конденсацией 0,3 г VI с 0,12 г VII получают моно-йодметилат 1- $o$ -оксифенил-2-ди-(4,4'-метилтиазолил-2')-этилена, т. пл.  $215\text{--}216^\circ$ . Смесь 8 г 2-меркапто-3-амино-6-этоксипиридина, 8 мл  $(\text{CH}_3\text{CO})_2\text{O}$  и 2 г Zn-пыли нагревают 6 час. при  $160^\circ$ , обрабатывают по охлаждению водой (10 мин.,  $60^\circ$ ), подщелачивают  $\text{Na}_2\text{CO}_3$  и извлекают этилацетатом; получают III, т. пл.  $55\text{--}56^\circ$  (возгонка при  $85\text{--}90^\circ/2\text{ мм}$ ). Конденсацией 0,9 г йодатилата I с 0,55 г VIII ( $150^\circ$ , 20 мин.) получают 0,35 г йодатилата 2-( $\omega$ -анилиновинил)-аналога I, т. пл.  $241^\circ$  (из  $\text{CH}_3\text{OH}$ ); из маточного р-ра выделен бис-(6'-хлор-3-этилпиридо-(2',3':5,4)-тиазолил-2)-триметиланиний-йодид, т. пл.  $277^\circ$ . Аналогично из 1 г йодметилата III и 0,6 г VIII получен 2-( $\omega$ -анилиновинил)-аналог III, т. пл.  $258^\circ$ . Сообщ. 99 см. РЖХим, 1957, 41142. Л. Я. 51305. Реакция между O,S-диацетилтиамином и глутатионом. Мацукава, Кавасаки (O,S-Diacetylthiamine and Aniline との反応について. 松川泰三, 川崎式), 薬学雑誌, Якугаку даэсси, J. Pharm. Soc. Japan, 1954, 74, № 8, 893 (японск.).

Водный р-р O,S-диацетилтиамина обрабатывают 0,1 моля глутатиона, выдерживают 6 час. ( $20^\circ$ ), продукт р-ции хроматографируют на бумаге, получают тилтамин и S-ацетилглутатион.

Chem. Abstrs, 1955, 49, № 16, 9628. K. Kitsuta

51306. Научение производных 1,3,4-тиадиазола. X. 2,5-диметил-1,3,4-тиадиазол. Ота, Кимото (1,3,4-Thiadiazole 誘導体に関する研究. 第10報. 2,5-Dimethyl-1,3,4-thiadiazole について. 大田正樹, 木本安), 薬学雑誌, Якугаку даэсси, J. Pharm. Soc. Japan, 1956, 76, № 1, 10—12 (японск.; рез. англ.).

Изучалась реакционная способность  $\text{CH}_3$ -групп в 2,5-диметил-1,3,4-тиадиазоле (I). При взаимодействии I с  $\text{C}_6\text{H}_5\text{CHO}$  (II), образуются 5-стирил-2-метил-1,3,4-тиадиазол (IIIa) и 2,5-дистирил-1,3,4-тиадиазол (IIIb). Если р-цию проводить с йодметилатом I (IV), то образуется лишь 2-моностирилпроизводное (V). Аналогично II реагируют  $n$ -нитро-,  $n\text{-(CH}_3)_2\text{-бензальдегиды}$  или  $n\text{-ONC}_6\text{H}_4\text{N(CH}_3)_2$  (VI). Замена II на  $\text{C}_6\text{H}_5\text{COCH}_2\text{Br}$  (VII) или  $n\text{-NO}_2\text{-VII}$  приводит к псевдочетвертичным основаниям, из которых получить производное тиадизолилпиррола не удалось. I, т. пл.  $64^\circ$ , получен из  $\text{CH}_3\text{CONHNHCOC}_6\text{H}_5$  и  $\text{P}_2\text{S}_5$  (1:2 по весу,  $160^\circ$  в вакууме, 1 час). Смесь I, II (0,5 г; 0,5 г), 2 мл спирта и немного  $\text{C}_2\text{H}_5\text{ONa}$  кипятят 2 часа и выделяют IIIa, т. пл.  $223^\circ$  (из  $\text{CH}_3\text{COOH}$ ). IIIb получен из I и II (0,5 г; 1 г, 0,5 г  $\text{ZnCl}_2$ , 5 час.,  $160^\circ$ ), т. пл.  $173^\circ$  (из сп.). 0,5 г IV (I + избыток  $\text{CH}_3\text{I}$ , 2 часа, в запаянной трубке  $80\text{--}90^\circ$ ), т. пл.  $148^\circ$  (из сп.), и 0,5 г II кипятят 3 часа в 10 мл спирта с 1 каплей  $\text{C}_6\text{H}_5\text{N}$ , выход V 0,6 г, т. пл.  $202^\circ$ . Аналогично получены:  $n$ -диметиламино- (т. пл.  $223^\circ$ ) и ацетимино- (т. пл.  $250^\circ$ ) производные V. Р-цией IV с VI получено 2-( $n\text{-(CH}_3)_2\text{NC}_6\text{H}_4\text{N=CH}$ )-производное,

т. пл. 221° (из с.а.). Спирт. р-р 3,7 г I и 6,5 г VII нагревают на водяной бане и выделяют I. VII (VIIa), т. пл. 193° (разл.; из с.п.). 2 г VIIa в 10 мл воды нагревают с 1 г  $\text{NaHCO}_3$  и выделяют 1,5 г соединения  $\text{C}_{12}\text{H}_{14}\text{O}_2\text{N}_2\text{S}$  (VIIIa), т. пл. 152—153° (разл.; из б.а.); циклат, т. пл. 172°. VIIIa нагревают с 10%-ной HCl, нейтрализуют  $\text{NaHCO}_3$  и выделяют VIIa. Из 1 г I и 2,2 г  $\text{H-NO}_2$ -VII выделяют продукт присоединения (VIIb), т. пл. 196—197° (разл.). Водн. р-р 2 г VIIb и 1 г  $\text{NaHCO}_3$  оставляют на 1 день при 0° и выделяют соединения состава  $\text{C}_{12}\text{H}_{13}\text{O}_4\text{N}_2\text{S}$  (VIIIb), т. пл. 166° (разл.). VIIIb растворяют в разб. HBr, упаривают в вакууме, остаток перекристаллизовывают из с.п. и выделяют VIIb. Сообщ. IX см. РЖХим, 1956, 43206.

И. Л.

**51307. О некоторых 6-замещенных 2,3-дигидро-3-кетонафто-1,4-тиазилах с возможным антигельминтным действием.** Конти, Леандри (Su alcune 2,3-diidro-3-cheto-nafto-1-4-tiazine 6-sostituite di possibile azione antelmintica. Conti L., Leandri G.), Boll. scient. Fac. chim. industr. Bologna, 1956, 14, № 3, 60—62 (итал.).

В продолжение прошлой работы (Gazz. chim. ital., 1949, 79, 53) синтезированы 6-бензоиламино-(I), 6-хлор-(II), 6-бром-(III), 6-йод-(IV), 6-родан-(V), 6-хлормеркури-2,3-дигидро-3-кетонафто-1,4-тиазин (VI) и 2,3-дигидро-3-кетонафто-1,4-тиазинмишьяковая-6 к-та (VII), с целью испытания противогельминтного действия на *Ascaris lumbricoides* и *Fasciola hepatica*. К суспензии 20 г 2,4-динитроафтил-1-тиогликолевой к-ты (VIII) в 80 мл конц. HCl при 80° добавляют 46 г стружек Sn, удаляют HCl в вакууме, обрабатывают осадок в 1550 мл воды  $\text{H}_2\text{S}$ , получают 2,3-дигидро-3-кето-6-аминонафто-1,4-тиазин (IX), выход хлоргидрата (XG) 65%. Смесь 25 г 2,4-динитро-1-хлорнафталина, 125 мл смеси равных частей спирта с диоксаном, 11,4 г тиогликолевой к-ты и 16,65 г  $\text{NaHCO}_3$  кипятят 15 мин., удаляют р-ритель в вакууме, остаток растворяют в кипящей воде, фильтруют, 10%-ной HCl осаждают VII, выход 86%. XG IX бензолируют посредством  $\text{C}_6\text{H}_5\text{COCl}$  в 30%-ном NaOH, получают I, выход 60%, т. пл. 282° (из  $\text{CH}_3\text{COOH}$ ). XG IX диазотируют в конц. HCl при 5—10° обычным способом и разлагают диазосоединение нагреванием на водяной бане с р-ром  $\text{Cu}_2\text{Cl}_2$  (получен как обычно из  $\text{CuSO}_4 \cdot 5\text{H}_2\text{O}$ , NaCl в воде, стружек Cu и конц. HCl), осадок извлекают 60% спиртом, получают II, выход 50%, т. пл. 248° (из  $\text{CH}_3\text{COOH}$ ). IX диазотируют в 40%-ной HBr и разлагают диазосоединение Cu по Гаттерману при ~100°, получают III (выделяют возгонкой при 2 мм), выход 40%, т. пл. 258° (из с.п.). Аналогично после диазотирования IX в конц.  $\text{H}_2\text{SO}_4$  и разложения диазосоединения KJ и Cu в присутствии  $\text{H}_2\text{SO}_4$  получают IV (выделен возгонкой при 2 мм), выход 50%, т. пл. 260° (из с.п.). Суспензию 2,3 г IX в небольшом кол-ве воды + 1,8 мл  $\text{H}_2\text{SO}_4$  диазотируют при 5—10° посредством 0,7 г  $\text{NaNO}_2$  (20%-ный р-р), диазосоединение смешивают с 1 г KSCN, а затем 3 г  $\text{CuSO}_4 \cdot 5\text{H}_2\text{O}$ , 6 г  $\text{Fe}_2(\text{SO}_4)_3$  и 1,4 г KSCN, перемешивают 1 час при 25°, оставляют на 12 час, нагревают на водяной бане 2 часа, осадок извлекают кипящим спиртом, выделяют V, выход 60%, т. пл. 247° (из  $\text{CH}_3\text{COOH}$ ). 5 г XG IX в 200 мл воды + 3,2 мл конц. HCl диазотируют при 5°, добавляют 2,8 г арсенита Na (20%-ный р-р), подщелачивают 10%-ным NaOH, нагревают 3 часа на водяной бане, фильтруют, подкисляют, упаривают, получают VII, выход 30%, т. пл. 265° (из  $\text{CH}_3\text{COOH}$ ). 2 г IX диазотируют при 0° обычным путем, добавляют при 0° р-р 2,10 г  $\text{HgCl}_2$  в 2,10 мл конц. HCl, перемешивают 2 часа. Осадок сушат и медленно добавляют к суспензии 1,8 г Cu по Гаттерману в 12 мл ацетона при 0°, постепенно нагревают и закапывают разложение нагреванием в

течение часа на водяной бане, р-ритель удаляют, получают VI, т. пл. 261° (из  $\text{CH}_3\text{COOH}$ ).

Л. Яновская  
**51308. Исследование синтеза производных фенотиазина. II. О восстановлении 10-β-цианоэтилфенотиазинов. III. О восстановлении 10-β-цианоэтилфенотиазинов в присутствии вторичных аминов и синтезы N,N'-тетразамещенных производных пропилендиамина восстановлением производных β-цианоэтиламина.** Фудзими (Phenothiazine誘導體の合成研究第2報: 10-β-Cyanoethylphenothiazineの還元について, 第3報: 10-β-Cyanoethylphenothiazineの二級アミン存在下の還元並びにβ-Cyanoethylamine誘導體の還元によるN,N'-tetra substituted Propylenediamine 誘導體の合成について, 藤井輝一), 薬學雑誌, Якутаку дзасси, J. Pharm. Soc. Japan, 1956, 76, № 6, 640—644; 655—648 (японск. рез. (англ.))

II. 2-хлор-10-(β-цианоэтил)-фенотиазин (I), т. пл. 191°, синтезированный конденсацией 2-хлорфенотиазина (II) с акрилонитрилом, восстанавливается над скелетным Ni (108—116°, 45 ат) в 2-хлор-10-(γ-аминопропил)-фенотиазин (III) и бис-(2-хлорфенотиазинил-10-пропил)-метиламин (IV). III метилирован в 2-хлор-10-(γ-диметиламинопропил)-фенотиазин (V), т. кип. 205—206°/2 мм; циклат (PK), т. пл. 172—173°. При восстановлении I в присутствии формирующих средств образуется 2-хлор-10-γ-формамидопропилфенотиазин, т. кип. 263—265°/2 мм, метилированный в V и восстановленный  $\text{LiAlH}_4$  в 2-хлор-10-γ-метиламинопропилфенотиазин, т. пл. 180—182°, превращенный взаимодействием с  $\text{CH}_3\text{SO}_3\text{Na}$  или  $\text{CH}_3\text{SO}_2\text{Na}$  в Na-соли N-метил-γ-(2-хлорфенотиазинил-10)-пропиламинометансульфоновой (т. пл. 160° (разл.)) и -метансульфиновой (т. пл. 160° (разл.)) к-т. Гофмановское разложение йодметилата IV приводит к образованию V, выход 25%, и 2-хлор-10-аллилфенотиазина, выход 39%, т. кип. 194—196°/3 мм, т. пл. 74—75°, синтезированный также взаимодействием II с бромистым аллилом. 10-β-цианоэтилфенотиазин, т. пл. 160°, синтезированный аналогично I из фенотиазина, восстановлен (см. выше) в 10-γ-формамидопропилфенотиазин (VI), т. кип. 261°/3 мм, превращенный в 10-γ-диметиламинопроизводное, т. кип. 193—196°/2,5 мм; PK, т. пл. 143—144°, восстановлением VI над  $\text{LiAlH}_4$  получен 10-γ-метиламинопропилфенотиазин, выход 63%, т. кип. 188—190°/2 мм, т. пл. 209—210° (разл.). Синтезирован 4-хлор-10-(β-цианоэтил)-фенотиазин, т. пл. 150°.

III. При восстановлении 10 г 2-хлор-10-β-цианоэтилфенотиазина в 1 л  $\text{C}_6\text{H}_6$  над 3 г скелетного Ni в присутствии 3 молей диметиламина, диэтиламина, пиперидина или морфолина, при 56—62 ат и t-рах 40—53°, 88—97°, 46—56° или 49—61° соответственно получены (указано в-во, выход в %, т. кип. в °C/мм): 10-γ-диметиламино-(199—201/2); 10-γ-диэтиламино-(19, 217/2,5; оксалат, т. пл. 196° (разл.)); 10-γ-пиперидино-(24,7, 225—228/1,5; оксалат, т. пл. 219° (разл.)) и 10-γ-морфолино-(39,7, 240/2,5; PK, т. пл. 178—179°)-пропил-2-хлорфенотиазины, причем одновременно образуются 2-хлор-10-γ-аминопропилфенотиазин и бис-(2-хлорфенотиазинил-10-пропил)-амин. Конденсацией карбазола (I), пндзола (II), бензимидазола (III), 3-хлордифениламина (IV) N'-метилпиперазина (V) или N'-фенилпиперазина (VI) с  $\text{CH}_2=\text{CHCN}$  получены соответствующие N-β-цианоэтилпроизводные (I—VIa) (здесь и далее указаны в-во, выход в %, т. пл. в °C (или т. кип. в °C/мм)): Ia, 85, 155; IIa, 83, 164—168/2, 47—48; IIIa, 48, 112; IVa, 82, 197—202/5,5; Va, 82,3, 107—111/6; PK, т. пл. 246° (разл.), и VIa, 80, 194—197/6,5, 72—74, восстановленные в описанных выше условиях в присутствии  $\text{NH}(\text{CH}_3)_2$  в N-γ-диметиламинопропилпроизводные (I—VIb) и N-γ-аминопропилпроизводные (I—VIb): Ib, 53, 176—181/1; PK, 182—183; IIb 30,3, 171—173/1,2; PK 128—129; IIIb, 33, 142—145/3; PK, 191—192;



IVb, 22,6, 174—176/3; ПК, 128—130; Vb, 38,6, 78—82/2,5; дибромэтилат, т. пл. 258° (разл.); V1b, 21, 181—184/9; диникрат, т. пл. 208°; Ib, 22,2, 213—215/1; формильное производное (ФП), т. пл. 127—128°; IIa, 35, 161—163/5; ПК, 166—167,5; IIb, 29, ФП, т. кип. 274—284°/3 мм; ПК, 155; IVa, 51, 181—184/3; ПК, 172—173; Vb, 34,5, 90—93/7; трипикрат, т. пл. 253° (разл.), и V1b, 47,5, 178—183,6; трипикрат, 152—153. Сообщение I см. РЖХим, 1957, 41165. Д. Витковский

51309. Металлорганические соединения в органической химии. Мак-Гукки (Organometallic compounds in organic chemistry. McGookin A.), Industr. Chemist, 1957, 33, № 383, 15—20 (англ.)

Обзор общего характера. Я. Комиссаров  
51310. Реакция ароматических литиорганических соединений с арилселеноцианатами. Новый синтез несимметричных диарилселенидов. Гринберг, Гулд, Берлант (The reaction of aryllithium compounds with aryl selenocyanates. A new synthesis of unsymmetric diaryl selenides. Greenberg Bernard, Gould Edwin S., Burlant Wm.), J. Amer. Chem. Soc., 1956, 78, № 16, 4028—4029 (англ.)

Получены  $RC_6H_4SeC_6H_4R'$  (I) из эквивалентных кол-в  $RC_6H_4SeCN$  (II) и  $R'C_6H_4Li$  (III) или  $R'C_6H_4MgBr$  в условиях р-ции Гриньяра (15 час. ~ 20°). Побочные образующиеся  $(RC_6H_4)_2Se_2$  удаляют кипячением 1 час неочищ. I с 10%-ным р-ром NaOH в  $CH_3OH$  и Zn-пылью. Р-ция носит общий характер и осложняется лишь если I за счет R может реагировать с III (напр., если  $R = NO_2$ ). При синтезе I ( $R' = 4-C_6H_5$ ) кипятят 1 час  $C_6H_5Li$  и  $n-C_6H_5C_6H_4Br$  в эфире, а затем прибавляют II и через ~ 12 час. после обычной обработки выделяют I. Получены следующие I (приведены R, R', выход в %, т. кип. в °C/1 мм, т. пл. в °C (испр.), т. пл. полученных из I дихлоридов и дибромидов в °C):  $o-C_6H_5$ , H, 82, 180—185, —, 160 (разл.), —;  $n-Cl$ , H, 68, 145—150, —, 144—145, —;  $n-Br$ , H, 70, 158—161, 32, 155—156, —;  $m-Cl$ , H, 65, 145—150, —, 107—109, —;  $n-CH_3O$ , H, 86, 120—124, 45—46, —, 125;  $\beta-C_6H_4$ , H ( $RC_6H_4 = \beta$ -нафтил), 61, 142—147, —, 149—150, —;  $m-CH_3$ ,  $n-CH_3$ , 75, 129—134, —, 143—144, —;  $o-C_6H_5$ ,  $n-CH_3$ , 77, —, 79—80, 160 (разл.), —;  $n-Cl$ ,  $n-CH_3$ , 68, —, 72—73, —, 120—122;  $m-Cl$ ,  $n-CH_3$ , 66, 160—162/1—2, —, 182—183, —;  $n-Br$ ,  $n-CH_3$ , 75, —, 80—81, 170, 145—146,  $n-CH_3O$ ,  $n-CH_3$ , 88, 150—153, —, 144—146, —;  $\beta-C_6H_4$ ,  $n-CH_3$ , 64, —, 112—113, —, 114—116; H,  $n-C_6H_5$ , 60, —, 69—70, 200—201, 161—162;  $n-CH_3$ ,  $n-C_6H_5$ , 66, 102—103, 151—152, 146—148;  $n-C_6H_5$ ,  $n-C_6H_5$ , 58, —, 98—100, 160 (разл.), —;  $n-Cl$ ,  $n-C_6H_5$ , 59, —, 117, 170, —;  $n-Br$ ,  $n-C_6H_5$ , 62, —, 126—128, 171—174;  $n-CH_3O$ ,  $n-C_6H_5$ , 70, —, 110—112, 166, —;  $\beta-C_6H_4$ ,  $n-C_6H_5$ , 57, 120, 168—170, —;  $m-Cl$ ,  $n-C_6H_5$ , 56, —, 42—44, 163—165, —;  $n-Br$ ,  $m-CH_3$ , 69, —, 64—66, 126—127, —;  $n-CH_3O$ ,  $m-CH_3$ , 80, 147—150, —, 117—118, —;  $n-Cl$ ,  $m-CH_3$ , 63, 150—155/1—2, —, 102, —;  $\beta-C_6H_4$ ,  $m-CH_3$ , 59, —, 45—50, —, 108—111;  $o-C_6H_5$ ,  $m-CH_3$ , 71, 172—182, —, 160 (разл.), —;  $m-Cl$ ,  $m-CH_3$ , 66, 146—153, —, 117—118; H,  $m-CH_3$ , 78, 100—102, —, 110—111, —; H,  $n-CH_3$ , 73, 100, —, 126—127, 137—138,  $m-CH_3$ ,  $n-C_6H_5$ , 61, —, 94—96, —, 149—150;  $m-Cl$ ,  $n-Br$ , 67, —, 59—60, 157—158, —;  $\beta-C_6H_4$ ,  $n-Br$ , 63, —, 118—120, 164—165, —;  $o-C_6H_5$ ,  $n-Br$ , 71, 168—170/<1, —, 160 (разл.), —;  $n-CH_3O$ ,  $n-Br$ , 77, —, 69—70, 146—147, —;  $o-C_6H_5$ ,  $n-Cl$ , 69, 156—166/<1, —, 160 (разл.), —;  $m-Cl$ ,  $n-Cl$ , 61, 138—142/<1, —, 152—153, —;  $\beta-C_6H_4$ ,  $n-Cl$ , 59, —, 115—116, —, 125—127;  $n-CH_3O$ ,  $n-Cl$ , 76, 145—147/<1, —, 151—152, —;  $n-Br$ ,  $n-Cl$ , 72, —, 103—104, 193, —. Диалкоиды производные I ( $R = o-C_6H_5$ ) неустойчивы и при нагревании циклизуются в соли селенония (замещ. 9-селенафлуорена). В эфирный р-р 2,5 г фенил-о-бифенилселенида пропускают 10—15 мин. при 5°  $Cl_2$ , осадок нагревают до 170°, затем растворяют в кипящей воде,

горячий р-р обрабатывают толуолом, отделяют водный слой и обрабатывают теплой конц. HCl, при охлаждении получают хлористый дифенилфенилселенид, выход 95%, т. пл. 252—254° (разл.). Аналогично получены другие селеноновые соли (указан заместитель в бензольном ядре и т. пл. °C (разл.)):  $n-CH_3$ , 252—254;  $m-CH_3$ , 250—252;  $n-Br$ , 252—253;  $n-Cl$ , 252—254,  $n-C_6H_5$ , 252—254. Ф. Величко

51311. Синтез и свойства димеркаптопропансульфонатов алкансульфокислот. 2. Циклические тиоарсениты из 2,3-димеркаптопропансульфоната натрия (унитиола). Петрунькин В. Е., Укр. хим. ж., 1956, 22, № 5, 608—611

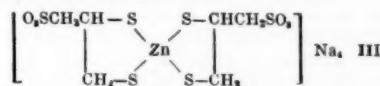
С целью биологич. исследований по сравнению с дитиолами взаимодействием в водн. среде при 50—60° эквимольных кол-в унитиола (I) с  $\beta$ -хлорвиниларсеникисом, фенилдихлорарсином, соевареном и осаролом синтезированы тиоарсениты  $SA_sRSCCH_2CH_2SO_3Na$ ,

где R соответственно  $ClCH=CH$  (II),  $C_6H_5$  (III),  $3,4-C_6H_3(NH_2)OH$  (IV) и  $3,4-C_6H_3(NHCOCH_3)OH$  (V). В водн. р-ре с  $Na_3AsO_3$  и  $Bi(NO_3)_3$  на холоду, а с  $As_2S_3$  и  $Sb_2S_3$  при нагревании I образует циклич. соединения:  $SCH(CH_2SO_3Na)CH_2SXSCH_2CH(CH_2SO_3Na)SXS-$   
 $CH_2CH(CH_2SO_3Na)S$ , где X = As, (VI), Sb (VII) или Bi

(VIII). Перечисляются полученное в-во, кол-во взятого в р-цию I в г, выход в г, т. разл. в °C, т. пл. S-бензилтиурониевой соли: II, 1,1, 0,75, 218—225, 110—112; III, 1,2, 1,5, 215—218, 166—167; IV, в виде к-ты (IX), 4, 2,3, 224—227, —; V, 2, 2 IX, 1,5, 185, —; V, 1, 0,35, 224, —; VI, 1,9, 1,9 (из  $Na_3AsO_3$ ), 254—257, —; VII, 0,5, 0,42, 240, —; VIII, 0,7, 1,1, 224, —. Сообщение I см. РЖХим, 1957, 48011. Ф. Величко

51312. Синтез и свойства димеркаптопропансульфонатов алкансульфокислот. 3. S-металлодимеркаптопропансульфоната натрия (унитиола). Петрунькин В. Е., Укр. хим. ж., 1956, 22, № 6, 787—790

Получены и охарактеризованы в виде S-бензилтиурониевых солей (BTC). Na-соли 2,3-металлодимеркаптопропансульфокислот  $SMeSCH_2CHCH_2SO_3Na$  (I), где Me = Zn (Ia), Cd (Ib), Hg (Ic), Pb (Id), Co (Ie), Ni (If) или Cu<sub>2</sub> (Iж); из унитиола (II) и Ia получена комплексная соль (III).



Подобные соли, вероятно, играют роль в процессе детоксикации при применении II в качестве антидотного препарата. 5 ммоль II в 5—10 мл воды встряхивают с 5 ммольями ZnO, HgO, PbO, NiCO<sub>3</sub> или Co(OH)<sub>2</sub>, или к р-ру II приливают р-р 5 ммольей ацетатов Ni или Cd, к полученному р-ру приливают 10 мл спирта и отделяют с выходом 63—95% (указано в-во, т. разл. в °C): Ia, 285—300; Ib, 254—256; Ic, 220; Id, 210, Id, > 360; Ie > 360. Встряхивают р-р 1,4 г II в 30 мл воды и 5 ммольей Cu<sub>2</sub>Cl<sub>2</sub>, приливают по каплям 0,4 г NaOH в 5 мл воды, затем 50 мл спирта и отделяют Iж, выход 88%, т. разл. 221—225°, 0,2—0,3 г Ia—ж в 10 мл воды приливают к 0,2 г S-бензилтиуронийхлорида в 10 мл воды и через 10—20 мин. отделяют с выходом 55—90% BTC (указано в-во, т. пл. в °C): Ia, 164; Ib, 185; Ic, 150 (разл.); Id, 152; Ie, 186—188; Ie 215 (разл.); Iж 160 (разл.). К 1 ммолью II и 1 ммолью Ia в 1,5 мл воды добавляют 2 ммоль NaHCO<sub>3</sub>, затем 5 мл спирта, нижний слой жидкости растирают с 5 мл спирта, добавляют 0,5 мл CH<sub>3</sub>OH и получают III, выход 85%, т. разл. 227—235°. Д. Витковский

51313. Синтез и свойства димеркаптопроизводных алкансульфокислот. 4. 2-(β,γ-димеркаптопропилмеркапто)-этан- и 3-(β,γ-димеркаптопропилмеркапто)-пропансульфонаты натрия. Петрунькин В. Е., Лысенко Н. М., Укр. хим. ж., 1956, 22, № 6, 791—795

Конденсацией S-(β-сульфоэтил)-(I) или S-(γ-сульфо-пропил)-(II)-изотиомочевины с бромистым аллилом (III) в присутствии NaOH получены Na-соли 2-аллилмеркаптоэтан-(IV) и 3-аллилмеркаптопропан-(V)-сульфокислот, бромированные в Na-соли 2-(β,γ-дибромпропилмеркапто)-этан-(VI) и 3-(β,γ-дибромпропилмеркапто)-пропан-(VII)-сульфокислот, из которых нагреванием с водно-спирт. р-ром KSH получены сульфонаты K, превращенные в Na-соли 2-(β,γ-димеркаптопропилмеркапто)-этан-(VIII) и 3-(β,γ-димеркаптопропилмеркапто)-пропан-(IX)-сульфокислот, характеризованные в виде S-бензилтиуроиевых солей (BTC) 2-(β,γ-свинцидимеркаптопропилмеркапто)-этан-(X) и 3-(β,γ-свинцидимеркаптопропилмеркапто)-пропан-(XI)-сульфокислот. Взаимодействием I с CH<sub>3</sub>I, C<sub>2</sub>H<sub>5</sub>Br, C<sub>3</sub>H<sub>7</sub>Br или C<sub>4</sub>H<sub>9</sub>Br синтезированы Na-соли 2-аллилмеркаптоэтансульфокислот (где алкил = CH<sub>3</sub> (XIIa), C<sub>2</sub>H<sub>5</sub> (XIIб), n-C<sub>3</sub>H<sub>7</sub> (XIIв), изо-C<sub>3</sub>H<sub>7</sub> (XIIг), C<sub>4</sub>H<sub>9</sub> (XIIд)), охарактеризованные в виде BTC. Строение IV подтверждено встречными синтезами из S-аллилтиуронийбромида (XIII) и 2-бромэтансульфоната Na (XIV) или из III и 2-меркаптоэтансульфоната Na (XV). 0,1 моля XIV или 3-хлорпропансульфоната-Na и 0,1 моля тиомочевины в 40 мл воды кипятят 3 часа и получают I, выход 94%, т. пл. 269—270° (разл.; из воды), или II, выход 66%, т. пл. 243—244° (разл.; из воды). К 69,5 г I или эквивалентного кол-ва II и 45 г III в 80 мл воды постепенно добавляют р-р 30,9 г NaOH в 30 мл воды, оставляют на 30 мин., охлаждают и отделяют IV, выход 90%; BTC, т. пл. 121°, или V, выход 70%, т. пл. 234—235° (разл.); BTC, т. пл. 105—106°. Аналогично, но при кипячении 5—6 час. получают с 30%-ными выходами (указаны в-во, т. пл. BTC, в °C): XIIa, 111; XIIб, 102; XIIв, 116—117; XIIг, 115; XIIд, 110. К 0,01 моля XV и 0,01 моля III приливают по каплям 0,01 моля NaOH в 2 мл воды и через 1 час при 0° отделяют IV, выход 82%. К р-ру I г XIII в 2 мл воды добавляют 4,05 г XIV, приливают 0,4 г NaOH в 2 мл воды, оставляют на 48 час. и отделяют IV. К 11,1 г IV в 50 мл CH<sub>3</sub>COOH постепенно приливают при 0° р-р 8 г Br<sub>2</sub> в 5 мл CH<sub>3</sub>COOH, оставляют на 1 час при 0° и получают VI, выход 16 г, т. пл. 171—175° (разл.; из сп.). 7,3 г V в 40 мл CHCl<sub>3</sub> бромируют при 0° 5,1 г Br<sub>2</sub> в 5 мл CHCl<sub>3</sub> и получают VII, выход 87%, т. пл. 134 (разл.). К р-ру 5,1 г KSH в 21 мл спирта приливают 11,6 г VI в 42 мл 50%-ного спирта, нагревают 1 час при 55—60°, разбавляют водой, подкисляют CH<sub>3</sub>COOH, отдувают H<sub>2</sub>S током CO<sub>2</sub> и полученный р-р приливают к 9,5 г (CH<sub>3</sub>COO)<sub>2</sub>Pb в 40 мл воды; в суспензию 9,85 г продукта в 25 мл спирта пропускают H<sub>2</sub>S, фильтруют, осадок смешивают с 15 мл спирта и вновь разлагают H<sub>2</sub>S, р-р нагревают в вакууме при 40°, приливают 0,42 г NaOH в 0,6 мл воды и получают VIII, выход 2,72 г. Аналогично получают IX, выход 36%. 0,6 г VIII или IX в 10 мл воды встряхивают 10 мин. с 0,6 г PbO в 10 мл воды, нагревают до 40°, фильтруют, разбавляют спиртом, 0,3 г продукта растворяют в 15 мл воды, смешивают с р-ром 0,25 г S-бензилтиуронийхлорида в 15 мл воды и отделяют X, выход 0,3 г, т. пл. 134° (разл.), или XI, т. пл. 128—130° (разл.).

Д. Витковский  
51314. Присоединение меркаптанов к винилсиланам. Овербергер, Малвани, Берингер (Addition of mercaptans to vinyl silanes. Overberger C. G., Mulvaney J. E., Beringer F. Mar-

shall), J. Organ. Chem., 1956, 21, № 11, 1311—1312 (англ.)  
C<sub>6</sub>H<sub>5</sub>SH и C<sub>6</sub>H<sub>5</sub>CH<sub>2</sub>SH (I) присоединяются к винилсиланам CH<sub>2</sub>=CHSi(OC<sub>2</sub>H<sub>5</sub>)<sub>n</sub>(CH<sub>3</sub>)<sub>3-n</sub> (II), где n = 1, 2, 3 с образованием RSC<sub>6</sub>H<sub>5</sub>CH<sub>2</sub>Si(OC<sub>2</sub>H<sub>5</sub>)<sub>n</sub>(CH<sub>3</sub>)<sub>3-n</sub> (IIIa—б) (а R = C<sub>6</sub>H<sub>5</sub>, б R = C<sub>6</sub>H<sub>5</sub>CH<sub>2</sub>). При нагревании смеси 0,5 моля I и 0,5 моля II (n = 3) (100—120°, 4 часа) образуется IIIб, выход 34%, т. кип. 125—128°/0,3—0,4 мм. Аналогично синтезированы следующие в-ва (перечисляются т-ра р-ции в °C, продолжительность р-ции в час., выход в %, т. кип. в °C/мм): IIIa (n = 3), 80—100, 6, 75, 130/0,8; IIIб (n = 2) 110—130,8, 36, 114/0,2; IIIб (n = 1), 125—130, 10, 26, 107/0,5. Описан синтез (CH<sub>2</sub>=CH)(C<sub>2</sub>H<sub>5</sub>)SiCl<sub>2</sub> (IV) и (CH<sub>2</sub>=CH)(C<sub>2</sub>H<sub>5</sub>)Si(OC<sub>2</sub>H<sub>5</sub>)<sub>2</sub> (V). Р-р 1,94 моля C<sub>2</sub>H<sub>5</sub>MgBr в 450 мл эфира прибавляют при 10—20° к р-ру 1,54 моля CH<sub>2</sub>=CHSiCl<sub>2</sub> в 250 мл эфира, выход IV 40%, т. кип. 122—124°. V получают из 0,258 моля IV, 0,57 моля C<sub>2</sub>H<sub>5</sub>N и 1,03 моля абс. C<sub>2</sub>H<sub>5</sub>OH, выход 29%, т. кип. 48,5—51,5°/2 мм. Г. М.

51315. К вопросу о взаимодействии четырехфтористого кремния с бензилмагнийхлоридом. Медоке Г. В., Сомественская Е. М., Ж. общ. химии, 1956, 26, № 12, 3310—3312

Установлен ступенчатый характер р-ции C<sub>6</sub>H<sub>5</sub>CH<sub>2</sub>MgCl (I) с SiF<sub>4</sub>, при 0° снижаются выходы (C<sub>6</sub>H<sub>5</sub>CH<sub>2</sub>)<sub>2</sub>Si (II) и (C<sub>6</sub>H<sub>5</sub>CH<sub>2</sub>)<sub>3</sub>SiF (III) и образуется (C<sub>6</sub>H<sub>5</sub>CH<sub>2</sub>)<sub>2</sub>SiF<sub>2</sub> (IV). В р-р I из 56,9 г C<sub>6</sub>H<sub>5</sub>CH<sub>2</sub>Cl, 11 г Mg и 210 мл эф. пропускают 42 мин. при 0° SiF<sub>4</sub> (из 24 г Na<sub>2</sub>SiF<sub>6</sub>, 12 г стеклянного порошка и 30 мл конц. H<sub>2</sub>SO<sub>4</sub>), через 21 час смесь разлагают 55 мл 8%-ной HCl и из эфирного слоя выделяют III, выход 21,7%, т. пл. 79° (из сп.), следы (0,11 г) II и 7,76 г IV, т. кип. 289—291°/657 мм. При взаимодействии I (из 2,53 г C<sub>6</sub>H<sub>5</sub>CH<sub>2</sub>Cl) с 3,2 г III (20°, 5 суток) или при нагревании 1 час до 180—185° получен II с выходами 90 и 96,9% соответственно, т. пл. 127,5° (из сп.). При пропускании в эфирный р-р 3,2 г II (0°, 1 час) SiF<sub>4</sub> р-ции не происходит. Г. Моцарев

51316. Катализируемые основаниями реакции отщепления от трифенилсиланкарбоновой кислоты и ее производных. Брук, Гилман (Base-catalyzed elimination reactions of triphenylsilanecarboxylic acid and its derivatives. Brook A. G., Gilman Henry), J. Amer. Chem. Soc., 1955, 77, № 8, 2322—2325 (англ.)

Карбоксилированием (C<sub>6</sub>H<sub>5</sub>)<sub>3</sub>SiK (I) получена (C<sub>6</sub>H<sub>5</sub>)<sub>3</sub>SiCOOH (II), из которой в присутствии оснований легко отщепляется CO и образуется (C<sub>6</sub>H<sub>5</sub>)<sub>3</sub>SiOH (III). При действии CH<sub>2</sub>N<sub>2</sub> на II образуется (C<sub>6</sub>H<sub>5</sub>)<sub>3</sub>SiCOOCH<sub>3</sub> (IV), из которой при р-ции с NaOH, CH<sub>3</sub>ONa или C<sub>2</sub>H<sub>5</sub>ONa отщепляется CO и получается соответственно III, (C<sub>6</sub>H<sub>5</sub>)<sub>3</sub>SiOCH<sub>3</sub> (V) или (C<sub>6</sub>H<sub>5</sub>)<sub>3</sub>SiOC<sub>2</sub>H<sub>5</sub> (VI). Восстановление IV ведет к (C<sub>6</sub>H<sub>5</sub>)<sub>3</sub>SiCH<sub>2</sub>OH (VII). Из 20 г (C<sub>6</sub>H<sub>5</sub>)<sub>3</sub>SiSi(C<sub>6</sub>H<sub>5</sub>)<sub>3</sub> вводят в эфирный р-р CO<sub>2</sub>, прибавляют 100 мл ледяной воды, водн. слой подкисляют разб. HCl до pH 4, выход неочищ. II 87% т. пл. 183—184° (осаждение петр. эф. р-ра II в C<sub>6</sub>H<sub>6</sub>) К 1 г II в 15 мл абс. спирта прибавляют 2 капли 10%-ного NaOH, выделено 8% (C<sub>6</sub>H<sub>5</sub>)<sub>3</sub>SiOSi(C<sub>6</sub>H<sub>5</sub>)<sub>3</sub> (VIII) и 90% III, т. пл. 149—150°; образование VIII объясняется дегидратацией III под действием NaOH, так как если реакционную смесь вылить в воду и нейтрализовать выход III 90% и VIII не образуется. К 0,2 г IV (т. пл. 107—109° (из петр. эф.)) в 5 мл CH<sub>3</sub>OH прибавляют р-р CH<sub>3</sub>ONa (из 0,1 г Na), выход I 82%, т. кип. 166—168°/1,3 мм, т. пл. 53,5—54,5° (из петр. эф.). Строение V подтверждено синтезом из (C<sub>6</sub>H<sub>5</sub>)<sub>3</sub>SiCl и CH<sub>3</sub>OH. Подобно V получен VI, выход 73%, т. пл. 59—61°. Смесь 1,2 г IV в 26 мл эфира и 0,12 г LiAlH<sub>4</sub> перемешивают 3,5 часа, выход VII 69%, т. пл. 109—111° (из петр. эф.). Я. Комиссаров

51317. О некоторых *m*-бифенилизамещенных соединениях кремния. Гилман, Лихтенуолтер (Some *m*-biphenyl-substituted silicon compounds. Gilman Henry, Lichtenwalter Glen, J. Organ. Chem., 1956, 21, № 11, 1307—1309 (англ.).

Синтезированы  $(m-C_6H_5C_6H_4)_4-nSiR_n$  (I) взаимодействием хлорсиланов с *m*-бифениллилитием (II). К суспензии 0,197 моля Li в 50 мл эфира постепенно прибавляют 0,086 моля  $m-BrgC_6H_4C_6H_5$  в 300 мл эфира, смесь кипятят 3 часа, выход II 75—80%. К эфир. р-ру 0,05 моля II добавляют 0,01 моля  $SiCl_4$ , смесь кипятят 24 часа, прибавляют  $C_6H_6$  и после отгонки эфира смесь кипятят еще 3 часа при 50°, после обычной обработки выделен I ( $n=0$ ), выход 45,3%, т. пл. 137—137,5° (из бал.-этилацетата). Аналогично синтезированы другие I (перечисляются R, значение  $n$ , выход в %, т. кип. в °C/мм или т. пл. в °C, и для жидких в  $n^{20}D$  и  $d_4^{20}$ ):  $C_6H_5$ , 1, 68, 285—295/0,001, —;  $C_6H_5$ , 2, 56, 134,5—135 (из этилацетата);  $C_6H_5$ , 3, 62, 128—129 (из этилацетата);  $m-C_{18}H_{37}$ , 1, 65, 300—310/0,0005, 1,5948, 1,030;  $m-C_{12}H_{25}$ , 1, 78, 310—315/0,01, —;  $CH_3$ , 3, 75, 170—172/20, 1,5684, 0,990. Кроме того, синтезированы в-ва (те же показатели):  $(m-C_6H_5-C_6H_4)_3SiOSi(C_6H_5C_6H_4)_3$ , 50, 219,5—220 (из бал.);  $mm'-(CH_3)_3SiC_6H_4C_6H_4Si(CH_3)_3$  (III), 72, 103—104/0,005, 1,5480, 0,950. III получен взаимодействием *m,m'*-дифенилбифенила с  $(CH_3)_3SiCl$ . Г. Моцарев

51318. Применение неорганических солей олова в органической химии. Сенешаль (Application des sels minéraux de l'étain en chimie organique. Sénéchal P., Chimie et industrie, 1956, 76, № 6, 1299—1304 (франц.).

Обзорная статья, в которой освещается роль  $SnCl_4$  как исходного продукта для синтеза органич. соединений Sn и их практич. применение. Я. Комиссаров 51319. Новый метод синтеза свинцовоорганических соединений класса  $ArPbX_3$ . Панов Е. М., Лодчинова В. И., Кочешков К. А., Докл. АН СССР, 1956, 111, № 5, 1042—1044

Труднодоступные соединения  $ArPb(OCOR)_3$  (I) получены с хорошими выходами взаимодействием  $Ar_2Hg$  с  $Pb(OCOCR)_4$ . К р-ру 1,7 г  $Pb(OCOCR)_4$ , смоченного лед.  $CH_3COOH$ , в 12 мл сухого  $CHCl_3$  прибавляют при перемешивании 1,17 г  $(C_6H_5)_2Hg$  в 10 мл  $CHCl_3$ . После исчезновения в реакционной смеси  $Pb^{4+}$  (проба с водой) из охлад. р-ра прибавлением спирт. HCl осаждают  $C_6H_5HgCl$  (выход 84,5%), удаляют р-рителем из фильтрата в вакууме при 20° и перекристаллизуют остаток из этилацетата. Получают с колич. выходом  $C_6H_5Pb(OCOCR)_3$ , т. пл. 100—101°. Аналогично получены следующие I (даны Ar, R, выход в %, т. пл. в °C):  $C_6H_5$ , *изо*- $C_3H_7$ , 50, 77—78; *n*- $CH_3C_6H_4$ ,  $CH_3$ , 66,5, 87. Ф. Вельченко

51320. Приоритет синтеза тетрабензилсвинца. Бер, Цохе (Zur Priorität der Darstellung des Bleitetra-benzyls. Bähr Gerhard, Zoche Günter, Chem. Ber., 1957, 90, № 3, 454 (нем.).

В связи с синтезом тетрабензилсвинца (I) (РЖХим, 1956, 3948) отмечается, что, как стало известно авторам, получение и свойства I описаны в диссертации (Schlöttig O., 1927 г., Берлин, руководитель Е. Краусе).

Я. Комиссаров

51321. К расщеплению эфиров фосфорной кислоты кремневой кислотой. Шварц, Шёллер (Zum Abbau von Phosphorsäure-estern durch Kieselsäure. Schwarz R., Schoeller K., Angew. Chem., 1957, 69, № 3, 93 (нем.).

В связи с исследованием силикоза (РЖХим, 1957, 34478), установлено на модели р-ии  $(CH_3)_2POOCH_3$  с  $(C_2H_5)_3SiOH$  (I), что происходит не переэтерификация, а образование  $CH_3P(O)OSi(C_2H_5)_3$  (II) (т. кип.

127°/5 мм) и  $CH_3OH$ . II легко гидролизуетеся с образованием  $(CH_3)_3P(O)OH$  и I, который играет таким образом как бы роль катализатора. Высказано предположение, что и  $Si(OH)_4$  подобно I может ускорять дефосфорилирование. Я. Комиссаров

51322. Арилдифенилтриамиды фосфорной кислоты.

1. Корнев К. А., Проценко Л. Д., Укр. хим. ж., 1956, 22, № 6, 782—783

Синтезированы *N*-арил-*N',N'',N'''*-диэтилтриамиды фосфорной к-ты (I) взаимодействием  $ArNHPOCl_2$  с этиленгликолем (II) в присутствии триэтиламина (III). К 0,04 моля  $C_6H_5NHPOCl_2$  в 200 мл  $C_6H_6$  прибавлен р-р 0,11 моля II и 0,06 моля III в 20 мл  $C_6H_6$ , перемешивают 3 часа при 20—25°, получают *N*-фенил-*N',N'',N'''*-диэтилтриамид фосфорной к-ты, выход 78,2%, т. пл. 141—143° (из бал.). Аналогично получены следующие I (указаны арил, выход в %, т. пл. в °C (р-ритель); *n*-толил, 95,4, 132—134 (бал.); *n*-хлорфенил, 65,3, 171—172 (бал.); 2,4-дихлорфенил, 66,6, 156—158 (ацетон); 2,4,6-трихлорфенил, 65, 161—163 (бал.); *n*-нитрофенил, 72,3, 168—170 (ацетон). А. Грапов

51323. О действии щелочных металлов на арилированные оксиды. Хейн, Хеккер (Zur Einwirkung von Alkalimetallen auf arylierte Oxyde. Hein Fr., Hecker H., Z. Naturforsch., 1956, 11b, № 11, 677—678 (нем.).

В развитие работы (РЖХим, 1953, 8503) показано, что при наличии даже одной арильной группы в фосфиноксидах они образуют устойчивые окрашенные продукты присоединения (ПП) с щел. металлами. Получены ПП в тетрагидрофуране при 20° из  $(C_6H_5C_6H_4)_2SO_2$  и K,  $(C_6H_5)_2SO$  и Na,  $(C_6H_5)_2SeO$  и  $(C_6H_5)_2SeO$  и K, а также из  $(Ar_2SiO)_x$ ,  $(Ar_2SnO)_x$ ,  $(Ar_2PbO)_x$ ,  $(ArBO)_x$ ,  $C_6M_5AsO$ ,  $(C_6H_5)_3AsO$ ,  $C_6H_5SbO$ ,  $(C_6H_5)_3SbO$  и  $(C_6H_5)_3PS$ . С. Иоффе

51324. Исследование фосфорорганических соединений. I. Получение алкилхлорфторфосфатов и диалкилфторфосфатов из дихлорфторфосфата. Ола, Освальд (Untersuchung organischer Phosphorverbindungen. I. Darstellung von Alkylchlor-fluor-thiophosphaten und Dialkyl-fluor-thiophosphaten aus Phosphor-thio-dichlorid-fluorid. Oláh Georg, Oswald Alexius, Liebigs Ann. Chem., 1957, 602, № 1—3, 118—122 (нем.).

Действием  $PSCl_2F$  (I) на спирты получены  $ROPSClF$  (II), из I и  $RONa$  получены  $(RO)_2PSF$  (III), из II и  $R'ONa$  получены  $(RO)(R')PSF$ , которые обладают антимикотич. и инсектицидным действием. Нагревают 2 моля  $PSCl_2F$  (IV) с 3 мл  $SbCl_5$  до 70° при 200 мм, добавляют в течение 3 час. 0,66 моля  $SbF_3$  и нагревают еще 30 мин., выход I 53%. При нагревании без вакуума 0,33 моля  $SbF_3$  и 1 моля IV при 60° и добавке 5 мл  $SbCl_5$ , выход I 44,5%. Из 1 моля IV и 0,33 моля  $SbF_3$  при 60—80° выход I 53%, т. кип. 64—65°, и  $PSCl_2F$ , выход 9,5%, т. кип. 5—6°. Добавляют при 0° к 0,1 моля I за 2 часа 0,11 моля  $CH_3OH$ , через 12 час. выход II ( $R=CH_3$ ) 55%, т. кип. 37°/50 мм,  $n^{20}_D$  1,4429; аналогично получены II ( $R=C_2H_5$ ) (IIa) (при 25°), выход 63%, т. кип. 50—51°/50 мм,  $n^{20}_D$  1,4390. II ( $R=iso-C_3H_7$ ) (IIb) (при 30—45°), выход 59%, т. кип. 64—65°/80 мм,  $n^{20}_D$  1,4363. К 0,1 моля I, охлад. сухим льдом, добавляют р-р  $CH_3ONa$  (из 0,2 моля Na и 80 мл  $CH_3OH$ ), через 30 мин. (из 20°) выделяют III ( $R=CH_3$ ), выход 69%,  $n^{20}_D$  1,4528; III ( $R=iso-C_3H_7$ ), выход 75%, т. кип. 88—89°/10 мм; III ( $R=C_2H_5$ ), выход 87%, т. кип. 79—81°/10 мм. Этот же продукт с выходом 65% получен из 0,05 моля IIa в 10 мл спирта и 0,05 моля NaOH в 5 мл воды и 20 мл спирта. К 0,1 моля IIa в 40 мл  $CHCl_3$  добавляют р-р 0,1 моля  $CH_3ONa$



в  $\text{CH}_3\text{OH}$ , выход  $(\text{C}_2\text{H}_5\text{O})(\text{CH}_3\text{O})\text{PSF}$  85%, т. кип.  $32^\circ/10$  мм,  $n_D^{20}$  1,4250. Из **II** и  $\text{CH}_3\text{ONa}$  получен  $(\text{изо-C}_3\text{H}_7\text{O})(\text{CH}_3\text{O})\text{PSF}$ , выход 88%, т. кип.  $34-35^\circ/10$  мм,  $n_D^{20}$  1,4225. Из 0,1 моля **II** в 20 мл спирта и 0,1 моля  $\text{NaOH}$  в водн. спирте получен  $(\text{изо-C}_3\text{H}_7\text{O})(\text{C}_2\text{H}_5\text{O})\text{PSF}$ , выход 89%, т. кип.  $37-38^\circ/10$  мм,  $n_D^{20}$  1,4237. С. Иоффе

**51325. Исследование фосфорорганических соединений. II. Получение аминоклорфтортиофосфатов, алкиловых эфиров аминоклорфтортиофосфорной кислоты и диаминофтортиофосфатов.** Ола, Освальд, Млинко (Untersuchung organischer Phosphorverbindungen II. Darstellung von Amino-chlor-fluor-thiophosphaten, Amino-fluor-thiophosphorsäure-alkylestern und Diamino-fluor-thiophosphaten. Oláh Georg, Oswald Alexius, Mlinko Alexander), Liebig's Ann. Chem., 1957, 602, № 1-3, 123-126 (нем.)

Реакцией  $\text{PSCl}_2\text{F}$  (**I**) с 2 молями  $\text{R}_2\text{NH}$  получены  $\text{R}_2\text{NPSClF}$  (**II**), с 4 молями  $\text{RNH}_2$  получены  $(\text{RNH})_2\text{PSF}$  (**III**). Из **II** и  $\text{RONa}$  получены  $\text{R}_2\text{NP}(\text{S})\text{F}(\text{OR})'$  (**IV**). Из  $\text{ROPSClF}$  (**V**) и  $\text{R}_2\text{NH}$  также образуется **IV**. Полученные **II** и **IV** обладают сильным инсектицидным действием. Добавляют к 0,1 молю охлад. **I** в 150 мл  $\text{C}_6\text{H}_6$ , 0,2 моля  $(\text{C}_2\text{H}_5)_2\text{NH}$  в 30 г  $\text{C}_6\text{H}_6$ , выделен  $(\text{C}_2\text{H}_5)_2\text{N}-\text{P}(\text{S})\text{ClF}$  (**IIa**) (здесь и далее указан выход в %, т. кип. в  $^\circ\text{C}/\text{мм}$  и  $n_D^{20}$ ): 72, 60-61/12, 1,4769;  $\text{C}_4\text{H}_9\text{NHP}(\text{S})\text{ClF}$  (**VI**), 69, 81-83/10; 1,4737;  $\text{C}_6\text{H}_{11}\text{NHP}(\text{S})\text{ClF}$ , 79, 95-97/8, 1,5148. К 0,1 молю охлад. **VI** в 50 мл  $\text{CCl}_4$  добавляют 0,1 моля  $\text{CH}_3\text{ONa}$  в  $\text{CH}_3\text{OH}$ ; выделен  $\text{C}_4\text{H}_9\text{NHP}(\text{S})\text{F}(\text{OCH}_3)_2$ , 82, 91-93/10, 1,4660. К 0,05 моля **IIa** в  $\text{CHCl}_3$  добавляют 0,05 моля  $\text{C}_2\text{H}_5\text{ONa}$  в спирте, получен **IV** ( $\text{R} = \text{R}' = \text{C}_2\text{H}_5$ ), 89, 70-71/10, 1,4548. Тот же продукт с выходом 94% получен из 0,1 моля **V** ( $\text{R} = \text{C}_2\text{H}_5$ ) в 100 мл толуола и 0,2 моля  $(\text{C}_2\text{H}_5)_2\text{NH}$  в 30 мл толуола. Из **V** ( $\text{R} = \text{C}_2\text{H}_5$ ) и  $\text{C}_6\text{H}_{11}\text{NH}_2$  (**VII**) получен  $\text{C}_6\text{H}_{11}\text{NHP}(\text{S})(\text{OC}_2\text{H}_5)_2\text{F}$ , 81, 125-127/12, 1,4878. Из **V** ( $\text{R} = \text{изо-C}_3\text{H}_7$ ) и  $(\text{C}_2\text{H}_5)_2\text{NH}$  получают  $(\text{C}_2\text{H}_5)_2\text{NP}(\text{S})\text{FOC}_3\text{H}_7\text{-изо}$ , 87, 60-61/8, 1,4482. При действии на 0,05 моля **V** ( $\text{R} = \text{C}_2\text{H}_5$ ) в 30 мл охлад. ацетона 20%-ного водн. р-ра 4,5 г  $(\text{CH}_3)_2\text{NH}$  после обычной обработки получен  $(\text{CH}_3)_2\text{NP}(\text{S})(\text{OC}_2\text{H}_5)_2\text{F}$ , 66, 41-42/6, 1,4478. Из 0,05 моля **I** в  $\text{C}_6\text{H}_6$  и 0,2 моля **VII** получен  $(\text{C}_6\text{H}_{11}\text{NH})_2\text{P}(\text{S})\text{F}$ , 96, —, —, т. пл.  $97^\circ$ . Из 0,05 моля **I** и 0,41 моля  $\text{C}_6\text{H}_5\text{NH}_2$  синтезирован  $(\text{C}_6\text{H}_5\text{NH})_2\text{P}(\text{S})\text{F}$ , 94, —, —, т. пл.  $123^\circ$ . С. И.

**51326. Некоторые реакции 1,4-диселенана.** Гулд, Берлант (Some reactions of 1,4-diselenane. Gould Edwin S., Burlant Wm.), J. Amer. Chem. Soc., 1956, 78, № 22, 5825-5826 (англ.)

При окислении 1,4-диселенана (**I**) действием  $\text{CH}_3\text{COOOH}$  получены 1,4-диоксид **I** (**II**) и ангидрид транс-этандиселениновой к-ты (**III**). При действии  $\text{HNO}_3$  на **I** образуется динитрат **II** (**IV**), превращенный в **II** при помощи анионита с выходом 31%. Строение **II** подтверждено превращением его при действии конц.  $\text{HCl}$  или  $\text{HBr}$  в 1,1,4,4-тетрахлор-**I** (**V**) и 1,1,4,4-тетрабром-**I** (**VI**). Из **I** получены комплексные соединения  $\text{I} \cdot 2\text{CdCl}_2$  и  $\text{I} \cdot \text{PdCl}_2$ . Смесь  $\text{Al}_2\text{Se}_3$  (из 100 г  $\text{Se}$  и 40 г  $\text{Al}$ ) и 200 г 1,2-дибромэтана медленно нагревают до начала р-ции, затем 1 час при  $80-85^\circ$ , 1 час при  $85-95^\circ$ , 1 час при  $95-105^\circ$ ; за 8 час. медленно повышают т-ру до  $140^\circ$  и нагревают 5 час. при  $140^\circ$ ; по охлаждению прибавляют 2,5 л воды (выделение ядовитого  $\text{H}_2\text{SeI}$ ) и 20 г  $\text{KOH}$ , смесь кипятят 1 час, перегонкой с паром получают **I**, выход 10%, т. пл.  $112^\circ$  (из  $\text{CH}_3\text{OH}$ ); монойодидат, т. пл.  $133^\circ$ . К смеси 1 мл лед.  $\text{CH}_3\text{COOH}$  и 200 мг **I** при  $0^\circ$  по каплям прибавляют 1 мл 32%-ного р-ра  $\text{CH}_3\text{COOOH}$  в лед.  $\text{CH}_3\text{COOH}$ ; через 10 мин. прибавляют 2 мл воды, обрабатывают эфиром ( $3 \times 10$  мл) и водн. слой выпаривают досуха в вакууме при  $25^\circ$ ; остаток (**A**) растворяют в миним. кол-ве

воды при  $45^\circ$  и разбавляют 20-кратным объемом кипящего спирта, получен **II**, выход 30%, т. пл.  $109^\circ$  (разл.); **V**, т. пл.  $223^\circ$ ; **VI**, т. пл.  $151^\circ$ . Аналогично, но при растворении **A** в миним. кол-ве воды и разбавлении 8-кратным объемом кипящего  $\text{CH}_3\text{OH}$  получен **III**, выход 14%, т. пл.  $100-102^\circ$  (разл.). К 1,2 мл конц.  $\text{HNO}_3$  при  $0^\circ$  понемногу прибавляют 300 мг **I**, выделен **IV**, выход 78%, т. пл.  $111,5^\circ$  (разл.). А. Б.

**51327. Фторорганические соединения. VI. Синтезы алкилфторидов через эфиры хлор- и фторсульфиновой кислот.** Наканиси, Янагава (Organic fluorine compounds. VI. Synthesis of alkyl fluorides via chloro- and fluorosulfonates. Nakanishi Sumu, Yanagawa Tetsuosuke 同志社工学会誌, Досиясэ когаку кайси, Doshisha Engng Rev., 1956, 7, № 2, 172-180 (англ.; рез. японск.)

В развитие работ (см. сообщение V, РЖХим, 1957, 26617) предложен метод получения  $\text{RF}$ , где  $\text{R} = \text{C}_4\text{H}_9 \rightarrow (\text{I})$ ,  $\text{изо-C}_3\text{H}_7$  и  $\text{втор-C}_4\text{H}_9$ , по схеме:  $\text{RON} + \text{SOCl}_2 \rightarrow \text{ROSOCI} (\text{II}) + \text{HCl}$ ;  $\text{II} + \text{TIF} \rightarrow \text{ROSOF} (\text{III}) + \text{TICI}$ ; **III** в присутствии  $\text{C}_5\text{H}_5\text{N}$  выделяют  $\text{SO}_2$  с образованием  $\text{RF}$ . Выходы  $\text{RF}$  по этому методу ниже чем из  $\text{ROCOF}$ . Необходимо применение безводн.  $\text{TICI}$ ;  $\text{TIF}$  нельзя заменить  $\text{KF}$  или  $\text{ZnF}_2$ . При р-ции **III** с  $\text{C}_5\text{H}_5\text{N}$  предполагается промежуточное образование комплекса. К 1,08 моля  $\text{SOCl}_2$  при  $0^\circ$  добавляют по каплям 1 моль  $\text{C}_4\text{H}_9\text{OH}$ , перемешивают при  $0^\circ$  3 часа, после отгонки  $\text{SOCl}_2$  в вакууме выделен  $\text{C}_4\text{H}_9\text{OSOCI}$  (здесь и далее перечисляются выход в %, т. кип. в  $^\circ\text{C}/\text{мм}$ ,  $n_D^{25}$ ): 88,9, 60-61/16, 1,4561. Аналогично получены  $\text{изо-C}_3\text{H}_7\text{OSOCI}$ , 76,7, 63-64/70, 1,4455, и  $\text{втор-C}_4\text{H}_9\text{OSOCI}$ , 82,7, 62-63/35, 1,4530. 0,39 моля безводн.  $\text{TIF}$  помещают в прибор с головкой для мол. перегонки и добавляют по каплям 0,75 моля  $\text{C}_4\text{H}_9\text{OSOCI}$  при  $\sim 20^\circ$ , нагревают при встряхивании до  $105-110^\circ/75$  мм, через 6 час. добавляют 0,045 моля  $\text{TIF}$ , выделен  $\text{C}_4\text{H}_9\text{OSOF}$  (**IIIa**), 21,7, 55-56/75, 1,3881. К 50 ммоль **IIIa** добавляют по каплям при  $\sim 20^\circ$  50 ммоль  $\text{C}_5\text{H}_5\text{N}$  и при перемешивании нагревают 3 часа при  $110-120^\circ$ . Выход **I** 18,1%, т. кип.  $18-23^\circ$ . С. Т. Иоффе

**51328. Некоторые новые полифторалкилгалогениды,  $\text{H}(\text{CF}_2)_n\text{CH}_2\text{X}$ , и реакции  $\text{H}(\text{CF}_2)_n\text{CH}_2\text{J}$  с водой, серой и селеном.** Форот, О'Рип (Some new polyfluoroalkyl halides,  $\text{H}(\text{CF}_2)_n\text{CH}_2\text{X}$ , and the reactions of  $\text{H}(\text{CF}_2)_n\text{CH}_2\text{J}$  with water, sulfur and selenium. Faure P. D., O'Rear J. G.), J. Amer. Chem. Soc., 1956, 78, № 19, 4999-5001 (англ.)

Синтезирован ряд в-в, в ф-ле которых  $\text{R} = \text{H}(\text{CF}_2)_n\text{CH}_2$  и  $\text{R}' = \text{H}(\text{CF}_2)_{10}\text{CH}_2$ . Приведены в-во, т. кип. в  $^\circ\text{C}/\text{мм}$ ,  $n_D^{20}$ ,  $d_4^{20}$ :  $\text{ROSO}_2\text{C}_6\text{H}_4\text{CH}_3$  (**I**), 126/0,5, (т. пл.  $\sim 33^\circ$ ), 1,4123, 1,592;  $\text{R}'\text{OSO}_2\text{C}_6\text{H}_4\text{CH}_3$  (**II**), 149/0,5 (т. пл.  $77-80^\circ$ ), —, —;  $\text{RCl}$ , 141-143/760, 1,3189, 1,7054;  $\text{RBr}$ , 157-159/760, 1,3350, 1,887;  $\text{RJ}$ , 78-79/20, 1,3643, 2,0441;  $\text{R'I}$ , 190/200 (т. пл.  $82-85^\circ$ ), —, —;  $\text{RSH}$ , 70-71/20, 1,3378, 1,6700;  $\text{RH}$ , 108-110/760, 1,298, 1,608;  $\text{RR}$ , 135/20 (т. пл.  $33-34^\circ$ ), 1,3104 (при  $37,5^\circ$ ), —, —;  $\text{RSR}$ , 159-160/20, 1,3370, 1,7822;  $\text{RSeR}$ , 150/10, 1,3468, 1,8892;  $\text{RSeSeR}$ , 170-175/10, 1,378, 1,979;  $\text{R'SeR}$ , 170/0,6 (т. пл.  $94-96^\circ$ ), —, —. **I** и **II** очень устойчивы к нагреванию и гидролизу. При нагревании  $\text{RJ}$  с р-ром  $\text{Na}_2\text{SO}_3$  образуется  $\text{RH}$ . При высокой т-ре  $\text{RJ}$  реагирует с  $\text{S}$  с образованием  $\text{RR}$ ,  $\text{RSR}$  и  $\text{RSSR}$ . В этих же условиях из  $\text{RJ}$  и  $\text{Se}$  получены  $\text{RSeR}$  и  $\text{RSeSeR}$ , а из  $\text{R'I}$  и  $\text{Se}$  образуется  $\text{R'SeR}$ . Предложен свободно-радикальный механизм этих р-ций с гомолитич. расщеплением  $\text{C}-\text{J}$  связи. Нагревают 24 часа при  $180-190^\circ$  0,23 моля  $\text{RJ}$ , 1,43 моля  $\text{Na}_2\text{SO}_3$ , 180 г воды, 0,68 г анилина и 1,44 г  $\text{Na}_3\text{PO}_4 \cdot 10\text{H}_2\text{O}$ , после перегонки с паром получен  $\text{RH}$  с выходом 33% и  $\text{RSH}$ , выход 5%. Нагреванием 0,4 моля  $\text{RJ}$ , 0,2 моля  $\text{Na}_2\text{S} \cdot 5\text{H}_2\text{O}$  и 150 г воды (24 часа,  $250^\circ$ ) получен  $\text{RH}$  с выходом 18,7%. При восстановле-

нии 0,24 моля RJ, 0,16 моля  $\text{LiAlH}_4$  в эфире выход RH 45%. Нагреванием 0,4 моля RJ с 0,37 г S 24 часа при 250–270° получен RR, выход 20%, RSR, выход 44%, и RSSR, выход 10%, т. кип. 165–175°/20 мм. Аналогично из 1 моля RJ и 0,93 моля Se (24 часа, 260°) получен RSeR, выход 45%, и RSeSeR, выход 6%. Из 0,35 моля RJ и 0,3 моля Se (24 часа, 260°) получен R'SeR', выход 38%. При кипячении 25 час. смеси 0,2 моля RJ, 0,21 моля Zn и 0,45 моля  $(\text{CH}_3\text{CO})_2\text{O}$  в 100 мл  $\text{CH}_2\text{Cl}_2$  выход RR 56%. С. Иоффе

51329. Фторспирты и их производные. Китано, Фукуи, Осака (フルオールアルコールおよびその誘体の研究. 野向男, 福井謙一, 大坂太郎), 工業化学雑誌, Koré kagaku zasshi, J. Chem. Soc. Japan. Industr. Chem. Sec., 1955, 58, № 2, 119–123 (японск.)

В продолжение работы (см. предыдущие сообщения, РКХим, 1956, 61609; 1957, 34467) изучены способы получения фторгидринов. При нагревании этиленхлоргидрина (I) с KF (120°, 8 час.) образуется окись этилена (II) с выходом 93,2%. Аналогично при нагревании (120°, 4 часа, 128–130°, 1 час)  $\text{CH}_2\text{ClCH}_2\text{ONCH}_3$  (III) с KF образуется окись пропилена. Р-ция между I и KF (140°, 4 часа) приводит к этиленфторгидрину (IV), выход 42,18%, т. кип. 101–103,5°,  $n_D^{20}$  1,3705,  $d_4^{20}$  1,039, и небольшого кол-ва  $\text{HOCH}_2\text{CH}_2\text{OCH}_2\text{CH}_2\text{F}$ , т. кип. 170–171°,  $n_D^{20}$  1,4127,  $d_4^{20}$  1,1254. Поскольку при нагревании II с  $\text{KHF}_2$  или  $\text{KHF}_2 + \text{KCl}$  (110–120°, 18 час., 45–50 ат) выход IV равен 5–8,1%, образование IV при р-ции I с KF происходит в результате обменной р-ции, а не присоединения HF. Наилучшие результаты получены при р-ции между хлоргидринами и KF в этиленгликоле при 180°. Так получены (даны исходное в-во, т. кип. в °C,  $n_D^{20}$ ,  $d_4^{20}$ , фторгидрин, выход в %, т. кип. в °C,  $n_D^{20}$ ): III, 127,5, 1,4392, 1,1108,  $\text{CH}_2\text{FCH}_2\text{ONCH}_3$ , 40, 106,5–108,5, 1,3810,  $d_4^{20}$  1,0208;  $\text{CH}_2\text{ClCH}_2\text{CH}_2\text{OH}$ , 160–162, 1,4469, 1,1310,  $\text{CH}_2\text{FCH}_2\text{CH}_2\text{OH}$ , 49,8, 127,8, 1,3771 (при 25°),  $d_4^{20}$  1,0390;  $\text{CH}_2\text{ClCH}_2\text{OC}_2\text{H}_5$ , 107–108, 1,4115, 0,9895,  $\text{CH}_2\text{FCH}_2\text{OC}_2\text{H}_5$ , 40, 73–75, 1,3412;  $(\text{CH}_2\text{ClCH}_2)_2\text{O}$ , 178,5, 1,4570, 1,2095,  $(\text{CH}_2\text{F}-\text{CH}_2)_2\text{O}$ , 36, 116–117, 1,3768;  $\text{CH}_2(\text{OCH}_2\text{CH}_2\text{Cl})_2$ , 173, 1,4584, 1,2325,  $\text{CH}_2(\text{OCH}_2\text{CH}_2\text{F})_2$ , 23, 162–164, 1,3850;  $\text{CH}_2\text{ClCH}(\text{OC}_2\text{H}_5)_2$ , 157–158, 1,4170, 1,0159,  $\text{CH}_2\text{FCH}(\text{OC}_2\text{H}_5)_2$ , немного, 59–60/25 мм. В этих же условиях бис-(β-хлорэтил)-сульфид (V) превращается в бис-(β-фторэтил)-сульфид, т. кип. 178–180°/1,5 мм; при нагревании (150° и выше) V с KF без р-рителя образуются дивинилсульфид и дитан. 4-хлорбутанол настолько легко превращается в окись, что 4-фторбутанол получить не удалось. Нагревание (15 час., 145°) ацетата I с KF привело к ацетату IV с выходом лишь 10%, т. кип. 117–119°, 39°/20 мм,  $n_D^{20}$  1,3768,  $d_4^{20}$  1,0980; при 190–200° выход ацетата IV 45–53%. Аналогично ацетату IV получены (даны в-во, т. кип. в °C/мм и (или) т. пл. в °C,  $n_D^{20}$ ,  $d_4^{20}$ ):  $\text{CH}_2\text{FCH}_2\text{OCOSCH}_2\text{F}$ , 73/20, –26, 1,3900, 1,2910;  $\text{CH}_2\text{FCH}_2-\text{OCOSCH}_2\text{Cl}$ , 93/20, –9, 1,3950, 1,3210;  $\text{CH}_2\text{FCH}_2\text{OCOSCH}_2\text{Br}$ , 99/20, 1,4527, 1,6615;  $\text{CH}_2\text{FCH}_2\text{OCOSCH}_2\text{I}$ , 118/20, 1,5091, 1,9891;  $\text{CH}_2\text{FCH}_2\text{OCOC}_6\text{H}_5$ , 228/760, —, —;  $\text{CH}_2\text{FCH}_2\text{O}-\text{COC}_6\text{H}_4\text{Br}-n$ , 183/59, 15, 1,5480, —;  $\text{CH}_2\text{FCH}_2\text{OCOC}_6\text{H}_3(\text{NO}_2)_2$ , 3,5, 87, —, —;  $\text{CH}_2\text{FCH}_2\text{OCONHC}_6\text{H}_5$ , 39, —, —. 0,8 г IV и 1,5 г 2,4-динитрофторбензола нагревают и добавляют понемногу р-р 0,5 г  $\text{Na}_2\text{CO}_3$  в 20 мл воды, нагревают 1 час, получают 1,5 г  $\text{FCH}_2\text{CH}_2\text{OCOC}_6\text{H}_3(\text{NO}_2)_2$ , т. пл. 91–92° (из сп.). Л. Яновская

51330. Фторуглеродные азотсодержащие соединения.

I. Производные перфторкарбамной кислоты; амиды и оксазолидины. Янг, Симмонс, Гофман (Fluorocarbon nitrogen compounds. I. Perfluorocarbamic acid derivatives, amides and oxazolines. Young John A., Simmons Thomas C., Hoffman Friedrich W.), J. Amer. Chem. Soc., 1956, 78, № 21, 5637–3639 (англ.)

При электрохим. фторировании  $(\text{CH}_3)_2\text{NCOCl}$  (I),  $\text{HCON}(\text{CH}_3)_2$  (II),  $(\text{C}_2\text{H}_5)_2\text{NCOCl}$  (III),  $\text{CH}_3\text{CON}(\text{CH}_3)_2$ ,  $\text{CF}_3\text{CON}(\text{CH}_3)_2$  (IV),  $\text{O}(\text{CH}_2\text{CH}_2)_2\text{NCOCl}$  (V) и  $(\text{CH}_3)_2\text{NCON}(\text{CH}_3)_2$  (VI) всегда образуется  $(\text{CF}_3)_2\text{NCOF}$  (VII). Кроме того дополнительно в случае III выделен  $\text{CF}_2\text{OCF}_2\text{CF}_2\text{NC}_2\text{F}_5$  (VIII), из IV —  $\text{CF}_3\text{COF}$  (IX) и  $\text{CF}_3\text{CON}(\text{CF}_3)_2$  (X), из V —  $\text{O}(\text{CF}_2\text{CF}_2)_2\text{NCOF}$  (XI), из VI —  $(\text{CF}_3)_2\text{NCON}(\text{CF}_3)_2$  (XII). При электрохим. фторировании  $(\text{C}_6\text{H}_5)_2\text{NCOCl}$  (XIII) образуется  $\text{CF}_2\text{OCF}(\text{C}_2\text{F}_5)\text{CF}_2\text{NC}_2\text{F}_9$  (XIV). Пирролизом VII получа-

ны  $\text{COF}_2$  и  $\text{CF}_3\text{N}=\text{CF}_2$  (XV). Приводятся исходное в-во, конц-ия в мол.%, вес в г, средняя сила тока (при 4,6–5,4 а), число фарадеев, полученное в-во, вес в г: I, 3,5, 1423, 49, 249, VII, 154; I, 0,5, 2175, 55, 452, VII, 965; II, 5, 1139, 24,1, 198, VII, 170; III, 3, 810, 18,8, 100, VIII, 273; III, 5,5, 595, 8, 125, VII, 40 и VIII, 241; IV, —, 569, —, IX, 65, VII, 137 и X, 48; V, 1,1, 604, 10, 170, VII, 34 и XI, 30; VI, 1,1, 196, 8, 56, VII, 46, XII, 10; XIII, 2,2, 1176, 25,3, 184, XIV, 211. Лучший выход VII (37%) (т. кип. 13–15°) получен из I при малых конц-ях и низком напряжении, свободную  $(\text{CF}_3)_2\text{NCOOH}$  (XVI) получить не удалось. Выделены в-ва (указаны т. кип. в °C и  $n_D^{20}$ ): метиловый эфир XVI, 76, 1,2997; этиловый эфир XVI, 89, 1,3118; VII, 47,5, 1,2590,  $d_{25}^{20}$  1,685; XI, 45–48, —; X, 29,5–30, —; XII, 60–63, 1,2668; XIV, 132,5, 1,2851,  $d_{25}^{20}$  1,809. При пропускании VII через трубку при 575° получен XV с выходом 96%, т. кип. —31 до —33°. Строение VIII и XIV подтверждено сп. яд. магн. резонанса. С. И.

51331. О нитроперфторалкилнитритах. Кяунг И. Л., Фокин А. В., Докл. АН СССР, 1957, 112, № 1, 67–69

При гидролизе  $\text{O}_2\text{NCFXCF}_2\text{ONO}$  (I), где X = F или  $\text{CF}_3$ , образуются  $\text{O}_2\text{NCFXCOOH}$ , где X =  $\text{CF}_3$  (II), X = F (III), которые устойчивы при перегонке и хранении. Этерификацией III спиртами получены сложные эфиры. Сложные эфиры III получены действием спиртов на ангидриды и галоидангидриды. При прямой этерификации III в присутствии минер. к-т III разлагается. Приводятся т. кип. в °C,  $n_D^{20}$ ,  $d_4^{20}$  полученных в-в: III, 80/32, 1,3670, 1,438; метиловый эфир III, 53/100, 1,3567, 1,3790; хлорангидрид III, 52, 1,3581, 1,5080; нитрид III, 27, 1,3229, 1,4010; ангидрид III, 63/35, 1,3590, 1,5820; II, 149, 1,3560, 1,638; амид II, 154/11, т. пл. 118°; N,N-диэтиламид II, 149, 1,3715, 1,368; этиловый эфир II, 117,5, 1,3740, 1,412; хлорангидрид II, 37, 1,3502, 1,6591;  $(\text{CF}_3)_2\text{C}(\text{NO}_2)\text{COOH}$ , 151/40 —, —; I (X =  $\text{CF}_3$ ), 72–73, 1,3130, 1,673;  $(\text{CF}_3)_2\text{C}(\text{NO}_2)\text{COOC}_2\text{H}_5$ , 134, 1,3362, 1,441;  $\text{O}_2\text{N}(\text{CF}_3)_2\text{NO}_2$ , 110/18, 1,3410, 1,798;  $\text{H}_2\text{NCOCF}_2\text{CF}_2\text{CONH}_2$ , т. пл. 250°. Константы диссоциации, вычисленные методом измерения электропроводности р-ров, для III  $9,7 \cdot 10^{-4}$  для II  $1,88 \cdot 10^{-2}$ . Получать металлич. соли II–III не удалось. С. И.

51332. Некоторые фторсодержащие производные муравьиной и карбаминной кислот. Китано, Фукуи (フシ素を含む有機およびカルバミン酸の二, 三の誘体の合成. 北野向男, 福井謙一), 工業化学雑誌 Koré kagaku zasshi, J. Chem. Soc. Japan. Industr. Chem. Sec., 1955, 58, № 8, 603–605 (японск.)

K 10 г 80%-ной  $\text{HCOOH}$  и 10 г этиленфторгидрина (I) в 30 мл эфира добавляют 30 г безводн.  $\text{CuSO}_4$  через ~12 час. выделают  $\text{HCOOCH}_2\text{CH}_2\text{F}$ , выход 70%, т. кип. 95–97°. На 35 г I действуют 2 часа  $\text{CoCl}_2$  через ~12 час. выделают  $\text{ClCOOCH}_2\text{CH}_2\text{F}$  (II), выход 90%, т. кип. 128–130°; II получен также нагреванием  $\text{ClCOOC}_2\text{H}_5$  и I в присутствия конц.  $\text{H}_2\text{SO}_4$  с отгонкой в течение 3 час., выход 22%. 0,2 моля KF, 20 г  $\text{C}_6\text{H}_5\text{NO}_2$  и  $\text{ClCOOR}$  нагревают при 160° 10 час. и отгоняют FCOOR (указан R, выход в %, т. кип. в °C):  $\text{CH}_3$ , 32, 37–40;  $\text{C}_2\text{H}_5$ , 45, 55–57;  $\text{CH}_2\text{CH}_2\text{F}$  (III), 60,

93—95;  $\text{CH}_2\text{CH}_2\text{Cl}$ , 21, 123—125 (два последних продукта образуются одновременно из  $\text{ClCOOCH}_2\text{CH}_2\text{Cl}$ ). При замене  $\text{C}_6\text{H}_5\text{NO}_2$  на этиленгликоль протекает р-ция:  $\text{ClCOOR} + \text{HOCH}_2\text{CH}_2\text{OH} + 2\text{KF} \rightarrow \text{HOCH}_2\text{CH}_2\text{OCOOCH}_2\text{CH}_2\text{OH} + \text{KCl} + \text{KHF}_2$ . К р-ру  $\text{C}_2\text{H}_5\text{NO}_2$  (из 2,3 г Na и 100 мл сп.) добавляют р-р 12,6 г II в 20 мл спирта, получают  $\text{C}_6\text{H}_5\text{OCOOCH}_2\text{CH}_2\text{F}$ , выход 80%, т. кип. 134—137°. К 40 мл 20%-ного  $\text{NH}_4\text{OH}$  добавляют по каплям 12,6 г II, упаривают до 15 мл, растворяют в ацетоне, фильтрат упаривают, получают  $\text{H}_2\text{NCOOCH}_2\text{CH}_2\text{F}$ , выход 80%. 2 г *n*-толуидина в 10 мл  $\text{C}_6\text{H}_6$  смешивают с 1 г II в 10 мл  $\text{C}_6\text{H}_6$ , нагревают несколько часов, промывают 10%-ной  $\text{HCl}$ , по удалении  $\text{C}_6\text{H}_6$  получают *n*- $\text{CH}_3\text{C}_6\text{H}_4\text{NHCOSCH}_2\text{CH}_2\text{F}$ , выход 80%, т. пл. 63° (из лигр.). Аналогично с выходом 80% получены  $\text{FCH}_2\text{CH}_2\text{OCOSCH}_2\text{CH}_2\text{R}$  (даны R, т. пл. в °C): H, 39; o- $\text{CH}_3$ , 76; *n*-Cl, 67; *m*-Cl, 32; *n*-Br, 78; *m*-Br, 45; *n*-NO<sub>2</sub>, 136; *n*- $\text{C}_6\text{H}_5$ O, 66. К смеси 0,6 г  $\text{CH}_3\text{COOH}$ , 1 г циклогексил-амина в 8 мл 20%-ного р-ра  $\text{CH}_3\text{COONa}$  добавляют поменьше 1,1 г III, через ~12 час. получают  $\text{C}_6\text{H}_{11}\text{NHCOSCH}_2\text{CH}_2\text{F}$ , выход 90%, т. пл. 67° (из лигр.); вместо III можно использовать II. При нагревании (200°, 15 час.) 20 г  $\text{C}_6\text{H}_5\text{NHCOSCH}_2\text{CH}_2\text{Cl}$  с безводн. KF в 50 мл  $\text{C}_6\text{H}_5\text{NO}_2$  образуется с выходом 30%  $\text{C}_6\text{H}_5\text{NHCOSCH}_2\text{CH}_2\text{F}$ . Предыдущее сообщение см. РЖ-Хим. 1957, 34468. Л. Яновская

**51333. Синтезы фторуглеродных соединений, содержащих фосфор и йод.** Берг, Малер, Билбо, Хейбер, Херринг (The synthesis of fluorocarbon phosphorus iodides. Burg Anton B., Mahler Walter, Bilbo A. J., Haber C. P., Herring D. L.), J. Amer. Chem. Soc., 1957, 79, № 1, 247 (англ.). В автоклав при -78° загружают 88 г  $\text{CF}_3\text{COOAg}$ , 50 г красного P и 100 г  $\text{J}_2$  и нагревают 120 час. при 195°; получено 9 г  $(\text{CF}_3)_3\text{P}$ , 13 г  $(\text{CF}_3)_2\text{PJ}$  и 10 г  $\text{CF}_3\text{PJ}_2$ , а также 4 г  $\text{CF}_3\text{J}$ , 3 г  $\text{POF}_3$  и 5 г в-ва с т. пл. 0°, упругостью пара 19 мм при 0° и мол. в. 196. С. Иоффе

**51334. Получение и свойства некоторых фторсодержащих эпоксидов.** Рауш, Лавлейс, Колман (The preparation and properties of some fluorine-containing epoxides. Rausch Douglas A., Lovelace Alan M., Coleman Lester E., Jr.), J. Organ. Chem., 1956, 21, № 11, 1328-1330 (англ.). Получены в-ва общей ф-лы  $\text{RCHCR}'\text{R}''\text{O}$  (I) (Ср.

McBee, Burton, J. Amer. Chem. Soc., 1952, 74, 3022, 3902), где R =  $\text{CF}_3$  или  $\text{C}_2\text{F}_5$ ; R' = H или  $\text{CH}_3$ ; R'' =  $\text{CH}_3$  или  $\text{C}_2\text{H}_5$ , следующим образом: действием гриньяровых реактивов на  $\text{RCOOH}$  или на их литиевые соли получают алкилперфторалкилкетоны (II) (Ср. РЖ-Хим. 1957 4487). Бромированием II получают перфторалкил-α-бромалкилкетоны (III), которые восстанавливают до перфторалкил-α-бромалкилкарбинолов (IV); при дегидробромировании IV образуются I. Получены следующие в-ва (приведены выходы в %, т. кип. в °C/мм,  $n_D^{20}$  и  $d_4^{20}$ ):  $\text{C}_2\text{F}_5\text{COCBrCH}_2\text{CH}_3$ , 60, 57/85, 1,3491, 1,686;  $\text{C}_2\text{F}_5\text{COCBrC}_2\text{H}_5$ , 72, 52/31, 1,3594, 1,627;  $\text{C}_2\text{F}_5\text{COCBr}(\text{CH}_3)_2$ , 66, 62, 1/61, 1,3628, 1,631;  $\text{CF}_3\text{COCBrCH}_2\text{CH}_3$ , 82, 93/748, 1,3805, 1,640;  $\text{CF}_3\text{COCBrC}_2\text{H}_5$ , 83, 61/124, 1,3905, 1,554;  $\text{C}_2\text{F}_5\text{CH}(\text{OH})\text{CHBrCH}_3$ , 56, 85/81, 1,3709, 1,748;  $\text{C}_2\text{F}_5\text{CH}(\text{OH})\text{CHBrC}_2\text{H}_5$ , 65, 75-75,8/32, 1,3770, 1,674;  $\text{C}_2\text{F}_5\text{CH}(\text{OH})\text{CBr}(\text{CH}_3)_2$ , 54, 83, 9/62, 1,3798, 1,664;  $\text{CF}_3\text{CH}(\text{OH})\text{CHBrCH}_3$ , 78,5, 65,5/63, 1,4080, 1,697;  $\text{CF}_3\text{CH}(\text{OH})\text{CHBrC}_2\text{H}_5$ , 34, 94-94,5/116, 1,4148, 1,602;  $\text{CF}_3\text{CH}(\text{OH})\text{CBr}(\text{CH}_3)_2$ , 42, 67,5/47, 1,4159, 1,594;  $\text{C}_2\text{F}_5\text{CHCH}(\text{CH}_3)\text{O}$ , 76, 93,5/748, 1,3091, 1,424;

$\text{C}_2\text{F}_5\text{CHCH}(\text{C}_2\text{H}_5)\text{O}$  (Ia), 83, 110,5-111/749, 1,3218, 1,358;  $\text{C}_2\text{F}_5\text{CHC}(\text{CH}_3)_2\text{O}$ , 85, 102,5-103/747, 1,3187, 1,351;  $\text{CF}_3\text{CHCH}(\text{CH}_3)\text{O}$ , 90, 58,5-59/747, 1,3167, 1,207;

$\text{CF}_3\text{CHCH}(\text{C}_2\text{H}_5)\text{O}$ , 83, 78,8-79/745, 1,3340, 1,146;

$\text{CF}_3\text{CHC}(\text{CH}_3)_2\text{O}$ , 84, 71,3-71,9/747, 1,3292, 1,125. К 3 молям  $\text{RMgX}$  в 1 л эфира добавляют 1 моль  $\text{RCOOH}$ , выход II 40-60%; к 1 молю  $\text{C}_2\text{F}_5\text{COOLi}$  в 1 л охлажд. эфира добавляют 1,1 моля  $\text{C}_2\text{H}_5\text{MgBr}$  в 400 мл эфира, после гидролиза 200 мл 20%-ной  $\text{H}_2\text{SO}_4$  получают  $\text{C}_2\text{F}_5\text{COC}_2\text{H}_5$ , выход 44%, т. кип. 82-83°,  $n_D^{20}$  1,3030. Превращение II в III, восстановление  $\text{LiAlH}_4$  в IV и превращение IV в I действием 50%-ного водн. р-ра  $\text{NaOH}$  проводилось по описанной методике (см. ссылки выше). 2 г Ia нагревают в трубке 60 час. при 105° с 6 мл 20%-ной  $\text{H}_2\text{SO}_4$  и получают  $\text{C}_2\text{F}_5\text{CH}(\text{OH})\text{CH}(\text{OH})\text{C}_2\text{H}_5$  с т. пл. 88°. Также гидролизуются другие I. С. Иоффе

**51335. Новый способ получения ароматических фтористых соединений.** Бергман, Беркович, Икан (A new method for the preparation of aromatic fluorine compounds. Bergmann Ernest D., Berkovic S., Ikan R.), J. Amer. Chem. Soc., 1956, 78, № 23, 6037-6039 (англ.)

К р-ру  $\text{HBF}_4$  прибавляют одновременно р-р  $\text{NaNO}_2$  и р-р хлоргидрата или бортфторида ароматич. амина так, чтобы нитрит был всегда в избытке. Образовавшийся диазобортфторид (I) растворяют в ацетоне и обрабатывают Si-порошком или  $\text{Cu}_2\text{Cl}_2$  2-3 часа при 20-90° в зависимости от скорости разложения. Если I растворим в воде, р-цию проводят без выделения I. Получены следующие результаты (перечислены исходный амин, выход I в %, т. разл. I в °C, выход фтористого производного в % на амин, его т. кип. в °C/мм или т. пл. в °C,  $n_D^{20}$  (°C),  $d_4^{20}$  (°C)): *n*-фенилендиамин, 95-98, 180, 38, 89/760, 1,4422 (20), 1,1688 (20/4); *m*-фенилендиамин, 96, 200, 28, 82,8/760, —, 1,1650 (20); *o*-нитранилин, 95, 135, 52, 115/26, 1,5488 (18), 1,3373 (18); *m*-нитранилин, 97, 165, 47, 205/760 (54/2), 1,5362 (18), 1,3250 (18); *n*-нитранилин, 98, 156, 61, 26, —, —; *o*-аминобензойная к-та, 51, 125, 48, 117-119 (из воды), —, —; *n*-аминобензойная к-та, 50, 140, 43, 180-181 (из воды), —, —; *m*-аминоацетофенон (II), 88-90, 135-138, 24, 110/38 (99/25, 76-78/10), 1,5120 (20), 1,5080 (25), 1,1385 (25); бензидин, 90, 140, 72, 86, —, —; *n*-аминофенилуксусная к-та, —, 87, 164/2, 94, —, —; *n*-аминокоричная к-та, 76, 100 (этиловый эф.), 48, 210/4, 209 (из бэл.), —, —;  $\alpha$ -нафтиламин, 92, 110, 46, 212/760, 1,5938 (20), 1,1340 (20);  $\beta$ -нафтиламин, 95, 115, 54, 59, —, —; 1-аминоантрахинон, 88, 195-200, 72, 127-128, —, —; 2-аминоантрахинон, 95, 160-170, 86, 202, —, —; 2-аминофлуорен, 77, 120, 60, 98 (из бэл.), —, —; *n*-аминофенил, —, —, 71, 189/760, 46, —, —; *o*-аминофенол, —, —, 40, 154/760, —, —; *n*-аминоацетанид, 65, 116-118, 55, 148 (из 40%-ного сп.), —, —. При диазотировании хлоргидрата II из осадка I получен *p*-фторацетофенон (II); 2,4-динитрофенилгидразон, т. пл. 252° (из *изо*- $\text{C}_2\text{H}_5\text{OH}$ ), а из р-ра после отделения I — *p*-хлорацетофенон (IV), т. кип. 130°/30 мм,  $n_D^{20}$  1,5490; 2,4-динитрофенилгидразон, т. пл. 242° (из  $\text{C}_2\text{H}_5\text{OH}$ ). От смеси 6,9 г III, 5 г  $\text{HSCH}_2\text{CH}_2\text{SH}$ , 0,5 г *n*-толуолсульфокислоты и 50 мл  $\text{C}_6\text{H}_6$  отогнали азотропную смесь  $\text{C}_6\text{H}_6$ -вода; получено 7 г этилглицероацетата III, т. кип. 170-172°/30 мм,  $n_D^{20}$  1,591,  $d_4^{20}$  1,2523. Аналогично из IV синтез. этилглицероацетат IV, т. кип. 202°/30 мм. А. Б.

**51336. Изучение ароматических фтористых соединений. 1. Получено *n*-фторбензолсульфокислоты и родственных соединений.** Подзу, Осака, Китао, Фукуи (芳香族フッ素化合物に関する研究, 第1報 *p*-ハオールベンゼンスルホン酸およびその関連化合物の合成. 野津龍三郎, 大坂太一郎, 北野尚男, 福井謙一), 日本化学雑誌. Нихон кагаку даасси, J. Chem. Soc. Japan Pure Chem. Sec., 1955, 76, № 7, 775-778 (японск.)



200 г  $C_6H_5F$  добавляют за 3 часа к 670 г охлад. 5%-ного олеума, затем т-ру медленно поднимают до 60° и нагревают 1 час, выливают в 3 л охлад. насыщ. р-ра  $NaCl$  и получают  $n-FC_6H_4SO_3Na$  (I к-та), выход 95%. При нагревании I с  $PCl_5$  образуется хлорангидрид II (II), выход 96%, т. кип. 106—107/9 мм, т. пл. 36° (из бзл.). II получают также с выходом 95% при введении  $C_6H_5F$  при -5° к  $HSO_3Cl$  с последующим перемешиванием 2 часа. К р-ру 30 г  $Na_2SO_3$  в 100 мл воды добавляют 10 г Na-соли I, нагревают 5 час. при 80°, высаливают  $NaCl$ , осадок растворяют в 60 мл 5%-ного  $NaOH$ , упаривают, получают  $n-FC_6H_4SOONa$  (III), выход 80%. Из II по р-ции Фриделя—Крафта получают  $n-FC_6H_4SO_2R$  (даны R, выход в %, т. пл. в °C):  $C_6H_5$ , 90, 113;  $C_6H_4F$ -*n* (IV), 92, 101;  $C_6H_4Cl$ -*n*, 86, 113;  $C_6H_4Br$ -*n*, 84, 115. IV с выходом 65 г получен также постепенным добавлением 60 г  $C_6H_5F$  в охлад.  $HSO_3Cl$  (35 г) с последующим нагреванием 1 час при 50—60°. Смесь 10 г IV и р-ра  $CH_3OK$  (из 1,5 г K в 50 мл  $CH_3OH$ ) кипятят 9 час., выливают в воду, получают *n*-фтор-*n*-метоксифенилсульфон, выход 7 г, т. пл. 88—89° (из сп.). Аналогично при р-ции 7,5 г IV с 2,5 н.  $NH_3$  в  $CH_3OH$  получено 5 г *n*-амино-*n*-фтордифенилсульфона, т. пл. 200—201° (из бзл.). 3 г II нагревают 10 мин. с 30%-ным водн. р-ром амина, подкисляют разб.  $HCl$ , получают следующие III (указан R, выход в %, т. пл. в °C (из сп.)):  $NHCH_3$ , 92, 78;  $N(CH_3)_2$ , 90, 76;  $NHC_2H_5$ , 89, 59;  $N(C_2H_5)_2$ , 86, 42;  $NH(C_3H_7)$ , 85, 44;  $NH(изо-C_3H_7)$ , 90, 69;  $NH(C_4H_9)$ , 91, 37;  $NHC_6H_{11}$ , 87, 31;  $NH(n-C_6H_{13})$ , масло. Смешивают 20%-ный эфир. р-р амина и 10%-ный эфир. р-р II, через 30 мин. выделяют III (те же показатели):  $NHC_6H_5$ , 94, 113;  $NHC_6H_4CH_3$ -*o*, 92, 102;  $NHC_6H_4CH_3$ -*m*, 93, 112;  $NHC_6H_4CH_3$ -*p*, 92, 100;  $N(CH_3)C_6H_5$ , 90, 67;  $N(C_2H_5)C_6H_5$ , 85, 48;  $NHCH(CH_3)C_6H_5$ , 90, 70;  $NHCH_2CH_2OH$ , 86, 98;  $NHC_6H_{17}$ , —, —, масло (из 2-этилгексиламина). Смесь 0,01 моля амина и 0,01 моля II с 1—3 мл пиридина нагревают на водяной бане 1 час, получают следующие III (те же показатели):  $NHC_6H_4NO_2$ -*n*, 84, 175;  $NHC_6H_3Cl_2$ -2,4, 86, 135;  $NHC_6H_4N$ -*o*, 89, 189;  $NHC_6H_4N$  (из 2-аминопиридина), 90, 153;  $NHC_6H_4Br$ -*n*, 91, 154;  $NHC_6H_4J$ -*n*, 93, 144; эквимолярные кол-ва амина и II нагревают на водяной бане 30 мин., получают следующие III:  $NHC_6H_5$ -*n*, 93, 101;  $NHC_6H_4Cl$ -*n*, 91, 145;  $NHC_6H_4Cl$ -*m*, 86, 85,5;  $NHC_6H_4OCH_3$ -*n*, 87, 106;  $NHC_6H_{11}$  (из циклогексиламина), 90, 84;  $NC_6H_6$ , 94, 92;  $NHC(CH_2CH_2)_2O$ , 92, 100.

Л. Яновская

51337. Асимметрическое восстановление. IV. Действие реактива Гриньяра из (+)-2-метилбутилхлорида на 2,2,2-трифторацетофенон. Мошер, Стивенот, Кимбл (Asymmetric reductions. IV. The action of the Grignard reagent from (+)-2-methylbutyl chloride on 2,2,2-trifluoroacetophenone. Mosher Harry S., Stevenot Joseph E., Kimble Donald O.), J. Amer. Chem. Soc., 1956, 78, № 17, 4374—4376 (англ.).

При действии на 2,2,2-трифторацетофенон (I) (10,1 г, т. кип. 152°,  $n_D^{20}$  1,4580) (+)-2-метилбутилмагнийхлорида (из 10,5 г (+)-2-метилбутилхлорида,  $n_D^{20}$  1,4130,  $[\alpha]_D^{24}$  +1,44 и 2,4 г Mg) выделен оптически активный 2,2,2-трифтор-1-фенилэтанол, выход 96%, т. кип. 52°/2 мм,  $n_D^{20}$  1,4568,  $[\alpha]_D^{24}$  +7,59. Авторы, на основании стереоспецифичности р-ции, полагают, что механизм р-ции Гриньяра с карбонильными соединениями, содержащими фтор, аналогичен механизму р-ции Гриньяра с карбонильными соединениями, не содержащими фтора, т. е. небольшие кол-ва неустойчивого комплекса, образованного фторированным карбонильным соединением и реагентом Гриньяра, быстро реагируют по циклич. механизму. Попытки разделить на оптич. антиподы *dl*-2,2,2-трифтор-1-фенилэтанол (II), полученный восстановлением I в присутствии Ni-ка-

тализатора, оказались безуспешными: при действии брутцина на кислый фталат II (т. пл. 137—138°) в ацетоне выделены II и фталат брутцина, т. пл. 215—216°,  $[\alpha]_D^{21}$  +11,7 ± 0,2 (с 10;  $CHCl_3$ ). Сообщение III см. РЖХим, 1957, 15204. Л. Иванова

51338 Д. Синтез перборатов первой и второй аналитической группы. Цал М. И. Автореф. дисс. канд. хим. н., Ленингр. технол. ин-т им. Ленсовета, Л., 1957

51339 Д. Синтез и свойства непредельных δ-лактонов. Лурье М. Ю. Автореф. дисс. канд. хим. н., МГУ, М., 1957

См. также: разделы Промышленный органический синтез и Промышленный синтез красителей и рефераты: Соединения алифатич. 51858, 52532, 53095; ароматич. 50432, 51854, 51855, 52526, 52530, 52533—52535, 52537, 52538, 52540, 52545—52547, 52564, 52566, 52596, 52631; 17197Бх; гетероциклич. 52541—52543, 52550—52556, 52559, 52561—52563, 52565; элементорганич. 51348, 51409, 51849, 51850; получение меченого резерпина 50562

## ПРИРОДНЫЕ ВЕЩЕСТВА И ИХ СИНТЕТИЧЕСКИЕ АНАЛОГИ

Редакторы Л. Д. Бергельсон, М. М. Ботешник, А. Д. Кузовков, В. В. Некрасов, И. В. Торгов, Л. М. Уткин, В. В. Шпанов

51340. Новейшее развитие химии природных веществ. Вудворд Р. Б., Усп. химии, 1956, 25, № 12, 1518—1531

См. РЖХимБх, 1956, 18729.

51341. Механизм разложения сахаров. VIII. Каталитическое окисление L-фуцита над Pt. Окуи (糖類分解機構の研究 第8報. L-Fucitol の白金觸媒酸化反応について. 奥井誠一), 薬學雜誌, Якугаку дзасси, J. Pharmac. Soc. Japan., 1954, 74, № 12, 1395—1397 (японск.; рез. англ.).

При окислении L-фуцита над Pt получают L-фуконовую к-ту с максим. выходом 10%,  $(COOH)_2$  и тартроновую к-ту. При аналогичном окислении D-глюкозы образуется глюконовая к-та с выходом 30%. Такой же результат получен при окислении D-сорбита. Сообщение VII см. Якугаку дзасси, J. Pharmac. Soc. Japan, 1952, 72, 1558.

Chem. Abstrs, 1955, 49, № 21, 14648. K. Kitsuta

51342. Стерические эффекты при окислении гекситов периодатом. Шварц (Steric effects in the oxidation of hexitols with periodate. Schwarz J. C. P.), J. Chem. Soc., 1957, Jan., 276—278 (англ.).

С целью установления первичных продуктов р-ции изучалось окисление водн. р-ров гекситов малыми кол-вами  $NaIO_4$ . Окисление может идти по трем направлениям с образованием в качестве первичных продуктов: а) пентозы и  $CH_2O$ , б) тетрозы и  $CH_2ONCHO$  и в) двух молекул глицеринового альдегида (I). Показано, что окисление дупльита протекает главным образом по типу б, маннита — по типу в; в обоих случаях в незначительной степени идет р-ция а. В продуктах окисления сорбита найдены сравнимые кол-ва I и эритрозы и следы кислот и арабинозы, таким образом, окислению преимущественно подвергаются *трео*-гликольные группы.

Е. Алексеева

51343. Циклиты. Часть IV. Метилвые эфиры миоинозита. Анджал, Гилем, Макдоналд (Cyclitols. Part IV. Methyl ethers of myoinositol. Angyal S. J., Gilham P. T., Macdonald C. G.), J. Chem. Soc., 1957, March, 1417—1422 (англ.).

Обсуждено строение встречающихся в природе бор-

незита (I) и дамбонита (II), являющихся производными инозита (1, 2, 3, 5) (III) (в скобках  $\text{N}_2\text{N}_2$  С-атомов, OH-группы у которых находятся по одну сторону плоскости кольца). Данные ионофореза указывают на наличие у II двух ОСН-групп у С(1) и С(3). Частичным деметилированием II получен рацемат I. Таким образом, I является 1-метил-III, а II — 1,3-диметил-III. Применением при конденсации с ацетоном избытка  $\text{ZnCl}_2$  получен с улучшенным выходом (60% от теории) ( $\pm$ )-1-2-изопропилдентетраацетил-III и из него при гидролизе, сопровождающемся миграцией ацетильной группы (АГ), получен ( $\pm$ )-1,4,5,6-тетраацетил-III, т. пл. 142—148° (из воды). Метилированием последнего, также сопровождающемся миграцией АГ, получен тетраацетат II; из маточного р-ра после гидролиза выделен 1,2-диметил-III, т. пл. 162—163° (из этилацетата). Часть III см. РЖХим, 1956, 39653.

**51344. Циклиты. Часть V. Ионофорез на бумаге, образование боратных комплексов и скорость окисления йодной кислотой. Анджал, Мак-Хью (Cyclitols. Part V. Paper ionophoresis complex formation with borate, and the rate of periodic acid oxidations. Angyal S. J., McHugh D. J.), J. Chem. Soc., 1957, March, 1423—1431 (англ.)**

Изучен ионофорез изомерных форм инозитов, их метиловых эфиров, кварцитов, циклогексантриолов и циклогександиолов в присутствии  $\text{Na}_2\text{B}_4\text{O}_7$ . Найдено, что в комплексобразование с боратным ионом вступают не только *цис*-1,2-диольные группы, как ранее предполагалось Безекемом (Böeseken, Adv. Carbohydrate Chem., 1949, 4, 189); при наличии *цис*-1,3,5-триольной группировки образуется комплекс, в котором атом бора связан с тремя С-атомами циклита и имеет одну свободную OH-группу. В отличие от комплекса Безекема для такого комплекса предложено наименование «тридентатного». Такой комплекс обладает сильными кислотными свойствами. На основании изменения величины рН рассчитана константа равновесия р-ции комплексобразования. Предположено, что тридентатные комплексы с боратным ионом образуются также с пентаэритритом и глюкофуранозидами. Изучена также кинетика начальной стадии (раскрытия цикла) окисления циклитов йодной к-той. Обнаружено резкое различие скоростей р-ции в ее начальной стадии, зависящее от конфигурации циклитов, образующих промежуточные 5-членные комплексы с  $\text{HJO}_4$ .

**51345. О нитровании фруктозы. Швагер, Лейбовиц (On the nitration of fructose. Schwager A., Leibowitz Y.), Bull. Res. Council Israel, 1956, A5, № 4, 266—267 (англ.)**

Нитрованием фруктозы ( $\text{HNO}_3 + \text{H}_2\text{SO}_4$ ;  $\text{HNO}_3 + \text{CH}_3\text{COOH}$  или  $(\text{CH}_3\text{CO})_2\text{O}$ ;  $\text{N}_2\text{O}_5$  в  $\text{CHCl}_3$ ) с последующей кристаллизацией из спирта и хроматографией получены два дифруктозангексанитрата (оба полиморфны). При их каталитич. восстановлении образуются два диангидрида дифруктозы: 1,2',2,4'-(I) и, вероятно, 1,2',2,4'-(II). При нагревании выше т-ры плавления, I переходит в II. Возможно, что I и II являются аномерами.

**51346. Реакция фруктозы с бензиламином. Карсон (Reaction of fructose with benzylamine. Carson John F.), J. Amer. Chem. Soc., 1956, 78, № 15, 3728—3731 (англ.)**

Фруктоза с избытком бензиламина при  $\sim 20^\circ$  образует фруктозилбензиламин (I), выход 51%, т. разл. 107—108°, в р-рах пиридина и метанола разлагается, кислотами гидролизует. Из р-ров I в ацетоне выделено 10—14% изопропилдифруктозилбензиламина (II) (предположительно 4,5-производное), т. разл. 124—125°,  $[\alpha]^{25}_D - 64,5^\circ \rightarrow +14,6^\circ$  (с 1; пиридин). Из II и бензо-

илхлорида в пиридине получен трибензоат изопропилдифруктозиламина, выход 70%, т. пл. 125—125,5° (разл.; из абс. сп.).  $[\alpha]^{25}_D - 5,0^\circ$  (с 1,07; этилацетат). В присутствии  $\text{CH}_3\text{COOH}$  в р-ре  $\text{CH}_3\text{OH}$  I перегруппировывается в 2-дезоксид-2-бензиламино-3-Д-глюкозу (III), т. разл. 157—158° (из сп.-ацетона, 1:1).  $[\alpha]^{25}_D + 79,0^\circ \rightarrow +84,5^\circ$  (с 1; пиридин).  $[\alpha]^{25}_D + 59^\circ \rightarrow +75,6^\circ$  (с 0,9; 0,1 н. HCl). Получены гидридаты III, т. разл. 192°,  $[\alpha]^{25}_D + 78,5^\circ \rightarrow +66,6^\circ$  (с 0,9; 0,1 н. HCl); пентабензоат III, выход 39%, т. пл. 238—239,5°, и 2-дезоксид-2-бензиламино-Д-глюконовая к-та, выход 39%, т. разл. 221° (из 50% этанола). При гидрогенолизе III на Pd/C получено 65% Д-глюкозамина. Описаны кристаллич. производные 2-имидазолдинитиона.  $\text{CH}_2\text{OH}(\text{C}_6\text{H}_5)_3\text{C}=\text{CHN}(\text{C}_6\text{H}_5)_2$  (S) NR, получаемые при р-ции 2-дезоксид-1-глюкозы с фенилизотиопианатом с выходом 50—60% (перечисляются R, т. пл. в °C,  $[\alpha]^{25}_D$  в пиридине, р-ритель для кристаллизации):  $\text{C}_2\text{H}_5$ , 165—166,5, +22,2°, этилацетат;  $\text{C}_6\text{H}_5$ , 139—140, +17,1°, этилацетат; *изо*- $\text{C}_6\text{H}_7$ , 191—192 (разл.), +21,3°, этилацетат; *н*- $\text{C}_4\text{H}_9$ , 163—164, +19,7°, спирт;  $\text{C}_6\text{H}_5\text{CH}_2$ , 144—145, +83,8°, этилацетат-петр. эфир. Гредыдушие сообщения см. РЖХим, 1957, 8159, 19293.

**51347. Азотосодержащие сахара. I. Конфигурация так называемой хитозы. Акия, Осава (含窒素糖類の研究. 第1報. 所謂キトースの構造について. 秋谷 七郎, 大澤利昭), 薬學雜誌, Якугаку дзасси, J. Pharm. Soc. Japan, 1954, 74, № 11, 1259—1262 (японск.; рез. англ.)**

7 г хлоргидрата глюкозамина в воде и 1 г  $\text{AgNO}_3$  размешивают при 0° 1 час, оставляют на 24 часа при 20°, затем нагревают до 70° в течение 3 часов и фильтруют. Фильтрат обрабатывают 1 н. HCl, удаляют AgCl и упаривают до получения сиропа (I). 2,5 г I в 10 мл воды кипятят 2 часа с 4 г  $\text{C}_6\text{H}_5\text{NNH}_2$  в спирте, спирт удаляют в вакууме. Остаток оставляют на 12 час с эфиром при 0° и получают 2 г дифенилгидразона хитозы (II), т. пл. 144—145°,  $[\alpha]^{25}_D + 30^\circ$ ; 1,8 г II в 13 г 95%-ного спирта, 10 мл воды, 1,5 г  $\text{C}_6\text{H}_5\text{CHO}$  и 0,2 г  $\text{C}_6\text{H}_5\text{COOH}$  кипятят 5 час., спирт отгоняют в вакууме. Остаток в 10 мл воды промывают 3 раза 10 мл эфира и упаривают, получают хитозу (III), выход 0,6 г, жидкость,  $[\alpha]^{25}_D + 70,8^\circ$  (10 мин.)  $\rightarrow -53,8^\circ$  (30 мин.)  $\rightarrow 21,9^\circ$  (1 час). При окислении  $\text{NaJO}_4$  III поглощает 1 моль  $\text{HJO}_4$ , однако не образует ни HCOOH, ни HCNH<sub>2</sub>. При каталитич. восстановлении скелетным Ni (100°, 80 ат) I дает жидкий гидрированный продукт (IV). 1,4 г IV в 30 мл  $\text{C}_6\text{H}_5\text{N}$  выдерживают 2 дня с 5 г  $(\text{C}_6\text{H}_5)_3\text{CCl}$ , затем выливают в 400 мл ледяной воды. Осадок поглощают 30 мл  $\text{CH}_3\text{OH}$ , добавляют воду и оставляют при 0° для выделения 2,5-ангидро-1,6-дитригил-Д-маннита, выход 1 г, т. пл. 149° (из 50%-ного сп.),  $[\alpha]^{25}_D + 60,66^\circ$ . Аналогично из IV получают 2,5-ангидро-1,6-дитолоусульфонилад-маннит (V), т. пл. 133,5° (из 30%-ного спирта),  $[\alpha]^{25}_D + 9,6^\circ$ ; 1 г V в 20 мл  $\text{C}_6\text{H}_6$  встряхивают с 1,9 г  $\text{Pb}(\text{OCOC}_2\text{H}_5)_4$ , 24 часа, фильтруют, фильтрат промывают водой, обезвоживают  $\text{CaCl}_2$ ,  $\text{C}_6\text{H}_6$  удаляют, получают 3,3'-( $\text{CH}_3\text{C}_6\text{H}_4\text{SO}_2$ )<sub>2</sub>-эфир 2,2'-ди-(Д- $\text{CH}_2\text{OHCHONCHO}$ ), жидкость,  $[\alpha]^{25}_D 50,16^\circ$ . Таким образом, установлено что хитоза — 2,5-ангидро-Д-аминоза.

**51348. Замещенные силлпропаноидные пектина и глюкозы. Хенглейн, Шейнвост (Substituierte Silyl-derivate des Pektins und der Glucose. Henglein F. A., Scheinost K.), Makromolek. Chem., 1956, 21, № 1, 59—73 (нем.; рез. англ.)**

Изучены р-ции взаимодействия пектина (I) с  $\text{SiCl}_4$ , алкил- и арилхлорсиланами в присутствии пиридина и формамида; метод позволяет во многих случаях почти полностью заместить активные Н-атомы I

кремневой к-той или замещ. силильными группами. Приведены условия получения R-силилпектинов:  $R^1 =$  —триметил,  $R^2 =$  —трифенил,  $R^3 =$  —полидиметил,  $R^4 =$  —полидифенил, и кремнекислого эфира I; приведен состав полученных соединений и их свойства. Описано получение пента-(триметилсилил)-D-глюкозы (II), выход 80%. ИК-спектр указывает на нециклич. строение II; масло, т. кип.  $135-140^\circ/0.007$  мм,  $310^\circ/760$  мм,  $n_D^{20}$  1.4412,  $d_4^{20}$  0.9592,  $[\alpha]_D^{20} + 30.59^\circ$  (с 3 и 11; циклогексан). Соединения сахаров типа II позволяют очищать их перегонкой и выделять свободные сахара в чистом виде путем гидролиза (ср. РЖХим, 1957, 37901).

Л. Михайлова  
51349. Специфичность химического и ферментативного окисления аномеров глюкозы. Бентли (Specificity in chemical and enzymatic oxidations of glucose anomers. Bentley Ronald, Nature, 1955, 176, № 4488, 870—873 (англ.).

При хим. и ферментативном окислении глюкозы (I) и метилглюкозидов  $\beta$ -аномеры окисляются скорее, чем  $\alpha$ . Сделана попытка использовать конформационный анализ для истолкования специфичности и механизма хим. и биохим. окисления I- $\beta$ . В I- $\alpha$  имеется II-OH-группа при C(1), менее реакционноспособная нежели соответствующая  $\beta$ -OH группа в I- $\beta$ . Это распространяется и на производные, в которых OH при C(1) замещен. Стадий, определяющей скорость р-ции I с бромом является воздействие электрофильного брома на OH при C(1). Предполагается, что окисление бромом идет через образование промежуточного гипобромита:  $>CH-O-Br \rightarrow >CH-O-Br^+ >C=O + HBr$ . При ферментативном окислении электрофильная сторона поверхности фермента атакует  $\beta$ -OH с образованием промежуточного комплекса. Конечным этапом р-ции является переход  $H^+$  от комплекса к другой реакционноспособной стороне фермента. Р-ция может быть истолкована также с точки зрения радикального механизма. Библ. 35 назв. Е. Алексеева

51350. Производные D-глюкодальдогексозы. Мак-Дональд, Фишер (Derivatives of D-glucodialdohexose. MacDonald D. L., Fischer Hermann O. L., J. Amer. Chem. Soc., 1956, 78, № 19, 5025—5026 (англ.).

По р-ции Нефа из 1:2-изопропилиден-6-дезоксип-глюкозы (I) получен тетраэтил-бис-меркаптал- $\beta$ -глюкодальдогексозы (II). Р-р 5 г I в 25 мл 1 н. 6 NaOH прибавляют к 25 мл конц. HCl (к-ты) (15 мин., 20°), насыщают HCl (газом) (0°), прибавляют 12.5 мл  $C_2H_5SH$  (III) (0°), выливают в лед, выход II 47.5%, т. пл.  $80-81^\circ$  (из водн.  $CH_3OH$ , 1:1),  $[\alpha]_D^{14} + 8^\circ$  (с 2; ацетон). Тетраацетат II, т. пл.  $70-71^\circ$  (из пентана),  $[\alpha]_D^{24} - 13.5^\circ$  (с 2;  $CH_3OH$ ). II получен также восстановлением  $\beta$ -глюкуронолактона  $NaBH_4$  и действием III, выход 11.6%. Е. Алексеева

51351. Реакция 2-дезоксип-2-ацетиамидо- $\beta$ -глюкозы с этантиолом и соляной кислотой. Хаф, Таха (The reaction of 2-acetamido-2-deoxy-D-glucose with ethanethiol and hydrochloric acid. Hough L., Taha Mahmoud I., J. Chem. Soc., 1956, July, 2042—2048 (англ.).

При встряхивании 2-дезоксип-2-ацетиамидо- $\beta$ -глюкозы с конц. HCl и этантиолом в течение 24 час. получены: 24.3% дигидлитиацетата 2-дезоксип-2-ацетиамидо- $\beta$ -глюкозы, т. пл.  $132^\circ$  (из  $CH_3OH$ -эф.),  $[\alpha]_D - 29.3^\circ$  (с 1.5); 2-дезоксип-2-ацетиамидо- $\beta$ -глюкопиранозилтиозан (I) — 9.5%,  $\alpha$ -I, т. пл.  $228^\circ$  (из  $CH_3OH$ -эф.),  $[\alpha]_D + 175^\circ$  (с 0.8), и 16.7%  $\beta$ -I, т. пл.  $215^\circ$  (из  $CH_3OH$ ),  $[\alpha]_D - 55^\circ$  (с 1.0); 28.8% хлоргидрата  $\beta$ -глюкозамина. Показано, что в условиях р-ции устанавливается равновесие между продуктами. Разделение произведено на целлюлозе,  $\alpha$ - $\beta$ -формы I при ацетилировании образуют 2-дезоксип-2-ацетамидотриацетил- $\beta$ -глюкопиранозилтиозан

(II),  $\alpha$ -II, т. пл.  $73^\circ$  (из эф.),  $[\alpha]_D + 151.5^\circ$  (с 2.79;  $CH_3OH$ ), и  $\beta$ -II, т. пл.  $181^\circ$  (из эф.),  $[\alpha]_D - 38^\circ$  (с 1.0;  $CH_3OH$ ).  $\beta$ -II синтезирован также из 2-дезоксип-2-ацетамидотетраацетил- $\alpha$ - $\beta$ -глюкозы и этантиола в присутствии  $ZnCl_2$ ; обращение конфигурации в этом случае объясняется образованием иона с участием соседней  $NHCOCH_3$ -группы у  $C_{(2)}$   $\alpha$ -I восстановлением скелетным Ni в 2-дезоксип-2-ацетамидо-1,5-ангидро- $\beta$ -сорбит, т. пл.  $190^\circ$  (из  $CH_3OH$ -эф.); триацетат, т. пл.  $164^\circ$  (из эф.).  $\beta$ -I в этих условиях дает только 2-дезоксип-2-ацетамидо- $\beta$ -глюкозу. Из  $\beta$ -I получено 6-трифенилметильное производное, т. пл.  $95^\circ$  (из  $CH_3OH$ ). Метаноллиз  $\beta$ -II с  $HgCl_2$  и  $CaCO_3$  дает 2-дезоксип-2-ацетамидотриацетил- $\beta$ - $\beta$ -метилглюкозид (III), т. пл.  $160^\circ$  (из эф.),  $[\alpha]_D - 21^\circ$  (с 2.7;  $CH_3OH$ ); сохранение конфигурации объясняется образованием иона с участием  $NHCOCH_3$ -группы. Деацетилирование III дает 2-дезоксип-2-ацетамидо- $\beta$ - $\beta$ -метилглюкопиранозид и небольшое кол-во  $\alpha$ -аномера;  $\alpha$ -II метаноллизу не подвергается. Приведены данные по окислению полученных и других родственных  $\beta$ -в  $NaJO_4$ . Для сравнения получен 1,1-ди-(этилтио)-этан-2-ол из гликолевого альдегида, т. кип.  $240^\circ$  (т-ра бани) при 15 мм. Предыдущее сообщение см. РЖХим, 1957, 4495.

В. Векслер

51352. Восстановление алюмогидридом лития амидов 3:4:5:6-дизопропилиден-D-глюконовой и дизопропилиденгалактуроновой кислот. Морган, Вулфром (Lithium aluminum hydride reduction of 3,4,5,6-di-O-isopropylidene-D-glucosamine and di-O-isopropylidene-galactaramide. Morgan J. W. W., Wolf from M. L., J. Amer. Chem. Soc., 1956, 78, № 11, 2496—2497 (англ.).

Амид 3:4:5:6-дизопропилиден-D-глюконовой к-ты (I) синтезирован двумя способами. Из  $\beta$ -глюко  $\delta$ -лактона получены триизопропилиден-L-глюконовая к-та (II), т. пл.  $109^\circ$  (из гексана),  $[\alpha]_D^{22} + 34^\circ$  (с 2.2; хлф.),  $[\alpha]_D^{23} + 31.5^\circ$  (с 1.8; сп.) и 3:4:5:6-дизопропилиден-D-глюконовая к-та (III), т. пл.  $157-158^\circ$  (из эф. гексана),  $[\alpha]_D^{24} + 13^\circ$  (с 2; сп.); III, в отличие от II, не растворим в гексане. II с  $\beta$ -ром  $NH_2$  в  $CH_3OH$  при  $0^\circ$  превращается в I (из 20.5 г II — 9.5 г I), который промывают эфиром и гексаном. I получен также при действии диазометана на III с последующим расщеплением  $NH_3$  образующегося метилового эфира (1 г I и 3 г III). I имеет т. пл.  $151-152^\circ$  (из сп.),  $[\alpha]_D^{20} + 31^\circ$  (с 1.4; хлф.),  $[\alpha]_D^{20} + 32^\circ$  (с 1.1; вода). При восстановлении I в эфир. р-ре  $LiAlH_4$  получен сироп, который растворен в эфире, нейтрализован  $HCl-C_2H_5OH$ . Выход хлоргидрата 1-амино-1-дезоксип-3:4:5:6-дизопропилиденсорбита 58%, т. пл.  $132-133^\circ$  (из эф.  $CH_3OH$ ),  $[\alpha]_D^{21} + 9^\circ$  (с 1.6; сп.). Амид дизопропилиденгалактуроновой к-ты (IV) получен при действии  $NH_3$  в р-ре  $CH_3OH$  на диэтилдизопропилиденгалактарат, т. пл.  $229-230^\circ$  (из сп.). Восстановлением IV  $LiAlH_4$  и обработкой  $HCl-C_2H_5OH$  получен дихлоргидрат 1,6-диамино-1,6-дидезоксидизопропилидендальциты (V), выход 45%; V очищен переосаждением эфиром из спирта, разлагается выше  $200^\circ$ . При нейтр-ции эфирного р-ра  $HCl$ -газом получен дихлоргидрат 1,6-диамино-1,6-дидезоксидальцита (0.55 г из 5 г IV), кристаллизуется из водн. спирта, разлагается выше  $220^\circ$ . Из IV действием  $n$ -толуолсульфохлорида получен 1,6-диамино-1,6-дидезоксидизопропилиден-N,N'-дитозилдальцит, т. пл.  $210-211^\circ$  (из сп.-ацетона).

В. Векслер

51353. Избирательное замещение в сахарах. Получение 1',4,6'-триметилсахарозы. Мак-Кьюэн, Серениус, Хейуорд (Selective substitution in sucrose. I. The synthesis of 1',4,6'-tri-O-methyl sucrose. McKeown G. G., Serenius R. S. E., Hayward L. D., Canad. J. Chem., 1957, 35, № 1, 28—36 (англ.). С целью получения производных сахарозы (I) с блокированными вторичными OH-группами синтези-



рована действием на I трифенилхлорметана в пиридине ( $\sim 20^\circ$ , 48 часов) и затем уксусного ангидрида три-(трифенилметил)-пентаацетилсахароза (II), выход 45%; при кипячении II с лед.  $\text{CH}_3\text{COOH}$  с добавкой 2% воды получен дигидрат пентаацетилсахарозы (III), выход 55%, т. пл.  $155-156^\circ$ ,  $[\alpha]^{25}_D + 22,0^\circ$  (с, 3,1;  $\text{CHCl}_3$ ). III получен также гидрированием II в лед.  $\text{CH}_3\text{COOH}$  над  $\text{PtO}_2$  при  $40-50^\circ$ , выход 27%. При метилировании III в сухом ацетоне  $\text{CH}_3\text{I}-\text{Ag}_2\text{O}$  в присутствии  $\text{CaSO}_4$  получена триметилпентаацетилсахароза (IV),  $[\alpha]^{25}_D + 57,7^\circ$  (с, 3,72;  $\text{CHCl}_3$ ), деацетилированием IV в водн.  $\text{CH}_3\text{OH}$  анионообменной смолой получена смесь триметилсахарозы (V), выход 75%,  $[\alpha]^{25}_D + 67,6^\circ$  (с, 1,74; вода), диметилсахарозы (25%) и следов монометилсахарозы. При гидролизе V 1%-ной  $\text{CH}_3\text{COOH}$  выделены 4-метил-D-глюкоза и 1,6-диметил-D-фруктофураноза,  $[\alpha]^{25}_D + 17,4^\circ$  (с, 1,84; вода). Таким образом V представляет собой 1',4,6'-триметилсахарозу; этот вывод подтверждается окислением V, причем расходуется 2 моля  $\text{NaJO}_4$  на 1 моль V,  $\text{HCOOH}$  не выделяется. Предположено, что при метилировании III происходит миграция ацетильной группы в глюкозном остатке от C(4) к C(6).

Г. Зарубинский  
51354. Образование 2:1',1:2'-диангидрида дифруктофуранозы из полифруктозанов и его структурное значение. Боггс, Смит (The formation of difructofuranose-2,1':1,2'-dianhydride from polyfructosans and its structural significance. Boggs L. A., Smith F.), J. Amer. Chem. Soc., 1956, 78, № 9, 1878-1880 (англ.)

Ранее было показано, что триацетат нулина (I) при действии дымчатой  $\text{HNO}_3$  дает 2:1'-1:2'-диангидрид гексаацетилдифруктофуранозы (II), что можно представить, как результат действия протона на глюкозидный кислород ангидрофруктофуранозной цепи I с расщеплением молекулы и образованием промежуточного карбониевого иона; далее либо присоединяется ион  $\text{NO}_2^-$ , либо замыкается кольцо с образованием II. Кислотный гидролиз I также описывается приведенным механизмом. В условиях гидролиза возможна нейтрция карбониевого иона путем захвата иона  $\text{O}^-$ , или замыкания кольца с образованием диангидридов. Низкий выход диангидридов (5%) показывает, что первое направление доминирует. Обработка октаацетат сахарозы дымчатой  $\text{HNO}_3$  дает 1-нитротетраацетил- $\beta$ -D-глюкозу, т. пл.  $150-151^\circ$ , но II не получен.

Л. Фельдштейн  
51355. Синтез трисахарида с разветвленной цепью.

Клеммер (Synthese eines Trisaccharids mit verzweigter Kette. Klemmer Almuth), Chem. Ber., 1956, 89, № 11, 2583-2588 (нем.)

Исходя из  $\beta$ -метилцеллобиозида (I) синтезирован трисахарид с разветвленной цепью,  $\beta$ -метил-6-( $\beta$ -D-глюкозидо  $< 1,5 >$ )-4',6'-этилиденцеллобиозид (II). Строение II доказано как ходом синтеза, так и на основании исследования продуктов гидролиза октаметильного производного II. 5 г I взбалтывают 20 час. с 28 мл паральдегида и 0,07 мл конц.  $\text{H}_2\text{SO}_4$ ; осадок отделяют, приливают к нему 50 мл воды ( $0^\circ$ ) и 5 мл насыщ. р-ра  $\text{NaHCO}_3$ , нагревают на бане до растворения, очищают углем, добавляют равный объем  $\text{CH}_3\text{OH}$  ( $0^\circ$ ), выход  $\beta$ -метил-4',6'-этилиденцеллобиозида (III) 81%, т. пл.  $279-281^\circ$  (разл.; из 50%-ного сп.). 0,14 г III ацетилируют  $(\text{CH}_3\text{CO})_2\text{O}$  в пиридине (40 час.), выход  $\beta$ -метил-2,3,6,2',3'-пентаацетил-4',6'-этилиденцеллобиозида 66%, т. пл.  $170-172^\circ$  (из сп.),  $[\alpha]^{25}_D - 45^\circ$  (с 1; хлф.). Суспензию 5 г III в 30 мл абс. пиридина нагревают с 4 г триэтиллорид (100°, 7 час.), охлаждают ( $0^\circ$ ), разбавляют смесью 20 мл  $(\text{CH}_3\text{CO})_2\text{O}$  и 40 мл абс. пиридина, через 36 час. ( $20^\circ$ ) выделяют  $\beta$ -метил-2,3,2',3'-тетраацетил-6-третил-4',6'-этилиденцеллобиозид (IV), выход 77%, т. пл.  $125-130^\circ$

(из сп.),  $[\alpha]^{20}_D - 23^\circ$  (с 1; хлф.). К р-ру 2 г IV (высушен в вакууме,  $56^\circ$ ,  $\text{P}_2\text{O}_5$ ) в 20 мл лед.  $\text{CH}_3\text{COOH}$  прибавляют ( $0^\circ$ ) 0,8 мл насыщ. ( $0^\circ$ ) р-ра  $\text{HBr}$  в лед.  $\text{CH}_3\text{COOH}$ , взбалтывают, отделяют тритилбромид, фильтрат взбалтывают со смесью 25 мл  $\text{CHCl}_3$  с равным кол-вом льда;  $\text{CHCl}_3$  промывают, сушат, выпаривают в вакууме ( $30^\circ$ ), остаток растворяют в 4 мл  $\text{CHCl}_3$ , прибавляют 6 мл абс. эфира, охлаждают; выход  $\beta$ -метил-2,3,2',3'-тетраацетил-4',6'-этилиденцеллобиозида (V) 72%, т. пл.  $239-241^\circ$  (из сп.),  $[\alpha]^{25}_D - 56,8^\circ$  (хлф.). При получении IV из V выход 91%. В склянке темного стекла взбалтывают несколько часов р-р 2,2 г V в 13 мл абс.  $\text{CHCl}_3$ , 2,7 г  $\text{Ag}_2\text{O}$ , 10 г  $\text{CaSO}_4$  и несколько стеклянных бус, прибавляют 0,15 г  $\text{J}_2$  и р-р 1,35 г ацетобромглюкозы в 6,8 мл абс.  $\text{CHCl}_3$ , взбалтывают 2 дня; фильтрат выпаривают в вакууме ( $30^\circ$ ), сироп растворяют в 10 мл спирта, р-р по каплям при перемешивании прибавляют к 100 мл воды, выход  $\beta$ -метил-6-( $\beta$ -глюкозидо)-октаацетил-4',6'-этилиденцеллобиозида (VI) 8,3%, т. пл.  $139-141^\circ$ ,  $[\alpha]^{25}_D - 35,6^\circ$  (с 1; хлф.). 0,4 г VI суспендируют в 1,6 мл абс.  $\text{CH}_3\text{OH}$  и деацетилируют добавлением 0,6 мл 0,1 н.  $\text{CH}_3\text{ONa}$ , выход II 97%, т. пл.  $234^\circ$  (из 90%-ного  $\text{CH}_3\text{OH}$ ),  $[\alpha]^{25}_D - 36,8^\circ$  (с 1,11; вода). 0,18 г II метилируют  $(\text{CH}_3)_2\text{SO}_4$ , затем  $\text{CH}_3\text{I} + \text{Ag}_2\text{O}$ , выход октаметил-II (VII) 77%, т. пл.  $175^\circ$  (из  $\text{CHCl}_3$  с петр. эф.),  $[\alpha]^{25}_D - 31,5^\circ$  (с 1; хлф.). VII гидролизуют ( $100^\circ$ , 7 час.) 5%-ной  $\text{HCl}$ ; гидролизат, освобожденный от  $\text{HCl}$ , хроматографируют на бумаге; обнаружены: 2,3-диметил-D-глюкоза (VIII), 2,3,4,6-тетраметил-D-глюкоза (идентифицированы в форме анилидов). Метилированием III  $(\text{CH}_3)_2\text{SO}_4$ , затем  $\text{CH}_3\text{I} + \text{Ag}_2\text{O}$  получают 2,3,6,2',3'-пентаметил-III (IX), выход 81%, т. пл.  $141^\circ$  (из абс. эф. + петр. эф.),  $[\alpha]^{25}_D - 30,5^\circ$  (с 1; хлф.). В продуктах гидролиза IX хроматографией на бумаге обнаружены VIII и 2,3,6-триметил-D-глюкоза.

Е. Алексеева

51356. Конфигурация гликозидных связей в олигосахаридах. I. Применение окислительного метода Джексона и Хадсона к восстанавливающим дисахаридам. Чарльсон, Перлин (The configuration of glycosidic linkages in oligosaccharides. I. Application of Jackson and Hudson's oxidation method to reducing disaccharides. Charlson A. J., Perlin A. S.), Canad. J. Chem., 1956, 34, № 12, 1804-1810 (англ.)

Предложен метод установления конфигурации гликозидной связи (ГС) в дисахаридах (ДС), заключающийся в измерении оптич. активности продуктов окисления  $\text{NaJO}_4$  или  $\text{Pb}(\text{CH}_3\text{COO})_4$ . При подобном окислении все ДС, имеющие, напр.,  $\beta-1 \rightarrow 6$  ГС, образуют триальдегиды (ТА), состоящие из остатка диальдегида (ДА) (за счет нередуцирующего звена ДС), соединенного с остатком гликолевого альдегида (за счет редуцирующего звена ДС). Знак вращения полученных ТА определяется конфигурацией единственного асимметрич. атома С в остатке ДА. Таким образом, продукты окисления ДС с  $\beta-1 \rightarrow 6$  ГС и  $\alpha-1 \rightarrow 6$  ГС будут обладать противоположными знаками вращения, что позволяет отнести конфигурацию исследуемого ДС к  $\alpha$ - или  $\beta$ -ряду. Метод экспериментально подтвержден для ДС с  $1 \rightarrow 6$  и  $1 \rightarrow 4$  ГС, но неприменим для ДС с  $1 \rightarrow 2$  и  $1 \rightarrow 5$  ГС, вследствие симметричности обеих частей образующихся ТА. А. Лютенберг

51357. Химический синтез полисахаридов. Часть I. Синтез гентиодекстринов. Хак, Уилан (The chemical synthesis of polysaccharides. Part I. Synthesis of gentiodesextrins. Haq S., Whelan W. J.), J. Chem. Soc., 1956, Nov., 4543-4549 (англ.)

Исследована р-ция полимеризации 2,3,4-триацетил- $\alpha$ -D-глюкопиранозилбромид (I). Р-р 35 г в 150 мл  $\text{CHCl}_3$  в смеси с 50 г  $\text{CaSO}_4$ , 18 г  $\text{Ag}_2\text{O}$ , 1 г йода (ката-

лизатор) взбалтывают 9 дней в темноте, при 2—4°. Добавляют 10 г  $\text{Ag}_2\text{O}$ , 20 мл  $\text{CH}_3\text{OH}$ , взбалтывают ~12 час., фильтрат выпаривают, остаток омыляют ( $\text{CH}_3\text{O}$ )<sub>2</sub>Вa. Деацетилированный продукт фракционируют на смеси угля с целитом и очищают хроматографией на бумаге и монофорезом на бумаге. Выделены глюкоза, левоглюкозан и олигосахариды ряда гентиобиозы (биоза — пентаоза); гентиопентаоза,  $[\alpha]_D^{25} -25,9$  (вода); ацетат, т. пл. 230—231°;  $[\alpha]_D^{13,22}$  ( $\text{CHCl}_3$ ); гентиогексаоза,  $[\alpha]_D^{28} -28^\circ$  (вода). На основании гидролиза эмульсином установлена  $\beta$ -связь между структурными единицами.

Е. Алексеева  
51358. Состав камеди *Hakea acicularis*. Стивен (The composition of *Hakea acicularis* gum. Stephen A. M.), J. Chem. Soc., 1956, Nov., 4487—4490 (англ.).

Полисахаридная камедь коры *Hakea acicularis* (Южная Африка, Австралия) имеет кислотный экв. вес ~2000 и при гидролизе дает L-арабинозу (19%), D-ксилозу (8%), D-галактозу (58%), D-маннозу (I) (7%) и D-глюкуроновую к-ту (II) (8%). Нейтр. дисахариды не получены. Выделена альдобуриновая к-та (2- $\beta$ -D-глюкуронозил-D-манноза). Таким образом остатки I и II связаны между собой так же, как в гумми-гатти и камедях дамасской сливы и вишни. Вся I, очевидно, связана с II в положении C<sub>2</sub>.

Л. Май

51359. Исследование в области углеводов. Часть V. Исследование камеди *Acacia catechu*. Халйялкар, Ингл. Бхиде (Studies in carbohydrates. Part V. Investigation of the gum from *Acacia catechu*. Hulyalkar R. K., Ingle T. R., Bhide B. V.), J. Indian Chem. Soc., 1956, 33, № 12, 861—863 (англ.). Изучен состав камеди *Acacia catechu*. При гидролизе (10%-ной  $\text{H}_2\text{SO}_4$  выделены L-арабиноза (I), D-галактоза (II), L-рамноза (III) и альдобуриновая к-та (IV). После нечерпывающего метилирования IV и гидролиза выделены 2,3,4-триметил-D-галактоза и 2,3,4-триметил-D-галактопиранозил-D-галактозу. Таким образом, IV представляет собой 6- $\beta$ -D-глюкуронозил-D-галактозу. Полиуронид, входящий в состав камеди, содержит I, II, III и глюкуроновую к-ту в отношении 4:9:3:3. Часть IV см. РЖХим, 1957, 34473.

Л. Михайлова

51360. Полисахариды морских красных водорослей. Часть I. *Gracilaria confervoides*. Клингман, Нанн, Стивен (Red-seaweed polysaccharides. Part I. *Gracilaria confervoides*. Clingman A. L., Nunn J. R., Stephen A. M.), J. Chem. Soc., 1957, Jan., 197—203 (англ.).

Агариз *Gracilaria confervoides* (A) подвергли частично кислотному гидролизу (0,1 н.  $\text{H}_2\text{SO}_4$ , 100°) гидролизат восстановили  $\text{NaBH}_4$  и выделили 3:6-ангидро-4- $\beta$ -D-галактопиранозил-L-галактит (I). Частичный метаноллиз агара (1%-ный р-р  $\text{HCl}$  в  $\text{CH}_3\text{OH}$ , кипячение 1 час) привел к образованию диметилацетата 3:6-ангидро-4- $\beta$ -D-галактопиранозил-L-галактозы (II). Гидролиз II дает агарибозу (III); восстановление II дает I. А построен из остатков III, образующих неразветвленную цепь и связанных между собой, по-видимому, в положении 1-3; т. пл. I 174° (из  $\text{CH}_3\text{OH}$ ),  $[\alpha]_D^{22} -15^\circ$  (с 1,2; вода), гексаацетат II, т. пл. 137,5—138,5° (из  $\text{CH}_3\text{OH}$ ),  $[\alpha]_D^{18} 13,5^\circ$  (с 1,2; бал.).

Е. Алексеева

51361. О составных частях цикория. IV. Краткое сообщение. Гидролиз инулина и сахарозы посредством франконита KL. Цинке, Хольцер, Шмерлайб (Über Inhaltsstoffe der Zichorie. IV. Kurze Mitteilung: Die Hydrolyse von Inulin und Rohrzucker mit Frankonit KL. Zinke A., Holzer K., Schmerlaib G.), Monatsh. Chem., 1956, 87, № 6, 794—798 (нем.).

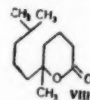
Кислая, отбеленная земля франконит KL (Ф) очищена кипячением (5 раз по 1 часу) с 6-кратным

кол-вом воды и последующим промыванием водой; во втором фильтрате  $\text{Cl}^-$  не найдены, pH пятого фильтрата 5,86. Р-р 5 г чистойшего инулина (I) или сахарозы (II) в 20 мл горячей воды нагревают с 2,5 г очищ. Ф (100°, 4 часа). В гидролизате I найдена только фруктоза (III), в гидролизате II обнаружены глюкоза и III. Скорость гидролиза I зависит от кол-ва Ф. При 80° полный гидролиз наступает: с 50% Ф через 2 часа 40 мин., с 20% Ф через 3—4 часа; с 10 или 5% Ф через 4 часа гидролиз неполный. При продолжительном кипячении мальтозы, растворимого или обыкновенного крахмала с Ф гидролиз не имеет места. Сообщение II см. РЖХим, 1954, 46391.

А. Лотенберг

51362. Синтез 22,23-дигидроизоосквалена. Мондон (Die Synthese des 22,23-Dihydroisosqualens. Mondon Albert), Chem. Ber., 1956, 89, № 12, 2750—2756 (нем.).

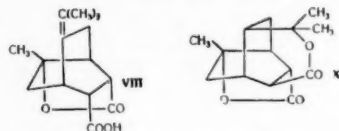
С целью изучения р-ции циклизации в ряду сквалена синтезирован 22,23-дигидроизоосквален (I). Метилгептанон (II) превращают, через 2,3-дигидродегидролиналоол (III) и 2,3-дигидролиналоол (IV) в 2,3-дигидрогеранилбромид, образующий при конденсации с Na-малоновым эфиром диэтиловый эфир (V) 2,3-дигидрогеранилмалоновой к-ты (VI). При декарбоксилировании VI дает смесь 2,3-дигидрогеранилуксусной к-ты (VII) и лактона (VIII), превращающуюся при восстановлении с  $\text{LiAlH}_4$  в смесь 2,3-дигидробисомогераниола (IX) и 5,10-диметилдекадиенола-1,5 (X). Полученное из IX Mg-органич. производное 2,3-дигидробисомогеранилбромид (XI — бромид) при конденсации



с фарнецилацетовым (XII) дает 22,23-дигидроизооскваленовый спирт (XIII), дегидратация которого приводит к I (по-видимому, в виде смеси изомеров, отличающихся положением двойной связи). В охлажд. смесь 205 г II и 150 г порошкового  $\text{NaNH}_2$  в 2 л абс. эфира вводят (60 час.)  $\text{C}_2\text{H}_2$ . После обычной обработки получают III, выход 91,5%, т. кип. 77,5—79,5°,  $n_D^{21} 1,4399$ ,  $d_4^{20} 0,8515$ . 70 г III гидрируют с катализатором Линдлара в присутствии хинолина в среде петр. эфира до IV, выход 95%, т. кип. 76—76,5°/9 мм.,  $n_D^{21} 1,4411$ ,  $d_4^{21} 0,8355$ . К р-ру 142,5 г IV и 1 мл пиридина в 150 мл петр. эфира добавляют при 0° 99 г  $\text{PBr}_3$ , перемешивают 15 час. при охлаждении, продукт р-ции добавляют к охлажд. р-ру 21 г Na-малонового эфира (из 21 г Na) в абс. спирте, содержащем NaI, смесь перемешивают 15 час. при 0° и 2 часа при 100°. После обработки выделяют V, выход 78%, т. кип. 110°/0,05 мм.,  $n_D^{22} 1,4466$ ,  $d_4^{22} 0,9557$ . Омылением V (водно-спирт. KOH, 2 часа без нагревания) получают VI, выход 100%, т. пл. 38°. 81,2 г VI и 10 г стеклянного порошка нагревают в вакууме 75 мин. при 145—160°. Для отделения VIII продукт р-ции (66 г) встряхивают с р-ром  $\text{NaHCO}_3$ , экстрагируют эфиром, к водн. р-ру добавляют петр. эфир и подкисляют. Выделяют VII, S-бензилтнурониевая соль, т. пл. 131° (из водн. сп.). 39,5 г VII восстанавливают  $\text{LiAlH}_4$  в эфире (20°, 5 час.) до IX, выход 84%, т. кип. 80°/0,1 мм.,  $n_D^{21,5} 1,4561$ ,  $d_4^{21,5} 0,8412$ . При восстановлении неочищ. VII наряду с IX выделяют X, т. кип. 120°/0,1 мм. При озонировании 1,8 г IX (этилацетат, —30°, 2 часа) и последующем гидрировании с 0,5%-ным Pd/ $\text{CaCO}_3$  получают 0,76 г II. 28,6 г IX бромруют (как IV) до XI, выход 79%, т. кип. 64—65°/0,02 мм.,  $n_D^{19} 1,4732$ . Р-р Mg-производного XI (из 1,25 г Mg и 12,35 г XI) в эфире добавляют

при 20° к эфир. р-ру 10,5 г XII, смесь перемешивают 15 час. После обычной обработки разгонкой в атмосфере N<sub>2</sub> выделяют XIII, выход 50,5%, т. кип. 160° (т-ра бани)/10<sup>-4</sup> мм,  $n_D^{21}$  1,4872,  $d_4^{21}$  0,8715, и 2,6-диметилдецен-6, т. кип. 76°/9 мм,  $n_D^{18}$  1,4372. К р-ру 3,8 г XIII в 12 мл абс. пиридина добавляют смесь 3 мл POCl<sub>3</sub> и 14 мл абс. пиридина, через 12 час. добавляют лед. и петр. эфиром извлекают I, выход 79,5%, т. кип. 170° (т-ра бани)/0,01 мм,  $n_D^{18}$  1,4886,  $d_4^{18}$  0,8582; пентагидрохлорид I (XIV) (HCl-газ в ацетоне, 6 час. в холодильнике), т. пл. 111—114° (из ацетона). XIV получают также непосредственно из XIII). Л. Бергельсон 51363. О *n*-ментатриене-1,5,8(9) и пиролизе его в дегидроцимен. Альдер, Шумахер (Über das *p*-Menthatrien-(1,5,8(9)) und seine Pyrolyse zum Dehydro-cimen. Alder Kurt, Schumacher Marienne), Chem. Ber., 1956, 89, № 11, 2485—2497 (нем.)

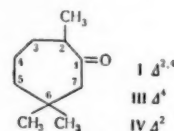
Из *d* (+)-карвона описанным ранее методом (РЖ-Хим, 1954, 41235) получают *d*-цис-карвеол (I), т. кип. 111—112°/13 мм. При дегидратации с KHSO<sub>4</sub> (100°) I (90 г) превращается в ментатриен-1,5,8(9) (II), выход 60—65 г, т. кип. 65—66,5°/14 мм,  $d_4^{20}$  0,8656,  $n_D^{20}$  1,4883, из которого нагреванием с 5%-ной HCl в CH<sub>3</sub>COOH получают кумол. При гидрировании II (Pt, лед. CH<sub>3</sub>COOH) получают *n*-ментан; а при озонировании II выделяют CH<sub>2</sub>O. Нагреванием 6,5 г II в 10 мл CH<sub>3</sub>C<sub>6</sub>H<sub>5</sub> (15 час., 140°) с CH<sub>3</sub>OCOC≡CCOCH<sub>3</sub> (III) получают аддукт (IV), т. кип. 90—120°/0,04 мм. При омылении IV распадается, образуя 4-метил-*o*-фталевую к-ту (V), т. пл. 159°, и изопрен, который, реагируя с III, дает 3,6-дигидропроизводное V, т. пл. 216° (из этилацетата). Аддукт II с *o*-нафтахином (VI-аддукт) (кипение 6—7 час. в C<sub>6</sub>H<sub>6</sub>), т. пл. 90—91° (из CH<sub>3</sub>OH), распадается при пропускании воздуха через р-р VI в 17%-ном метанольном KOH, образуя изопрен и 2-метилантрахинон, т. пл. 174—175° (из сл.). Аддукт II с маленовым ангидридом (MA) (VII-аддукт) (эфир, кипение 3—4 часа или 48 час. при 20°), т. пл. 89—90° (из этилацетата-петр. эф.) дает при обработке 50%-ной H<sub>2</sub>SO<sub>4</sub> (2—3 дня в диоксане) монолактон (VIII), т. пл. 184—185° (из этилацетата); монометилловый эфир VIII (IX), т. пл. 128—129° (из этилацетата-петр. эф.). Аналогично из дигидропроизводного VII (т. пл. 91—92°) получают монолактон с т. пл. 220°. При озонлизе VIII выделены ацетон и кетокислота C<sub>11</sub>H<sub>12</sub>O<sub>5</sub>, т. пл. 215° (из этилацетата); монометилловый эфир, т. пл. 168° (из CH<sub>3</sub>OH). Предполагение авторов об *эндо*-*цис*-конфигурации обеих COOH-групп в VII и соответствующей к-те (VIIa) подтверждено полу-



чением дилактона (X), т. пл. 158° (из этилацетата) последовательной обработкой IX 10%-ным C<sub>2</sub>H<sub>5</sub>ONa и 50%-ной H<sub>2</sub>SO<sub>4</sub>, и дилактона, т. пл. 164—165°, аналогичным способом из диметилового эфира VIIa через *транс*-кислоту, т. пл. 256°. Пиролизом 105 г II при 520—540° получают дегидроцимен (XI) (выход 100 г) (неочищ.), т. кип. 36—72°/13 мм,  $d_4^{20}$  0,8671,  $n_D^{20}$  1,4959. Первичный аддукт XI с MA (XII — аддукт) изомеризуется со сдвигом двойной связи в сопряженное положение и подвергается внутренней диеновой конденсации, превращаясь в 4,7-диметил-октагидронафталиндикарбоновую-1,2 к-ту (XIII), т. пл. 191°; дигидропроизводное XIII, т. пл. 177—178° (из этилацетата). *o*-Нафтахинон с XI дает аддукт

(XIV), который переходит в 2',3-диметил-октагидро-бензантрахинон-1,2 (XV), т. пл. 115—116° (из CH<sub>3</sub>OH)). При дегидрировании с S (180—200°) XIII дает 4,7-диметилнафталиндикарбоновую-1,2 к-ту (XVI), т. пл. 213—214°; ангидрид [кипение с (CH<sub>3</sub>CO)<sub>2</sub>O], т. пл. 235—236°; диметиловый эфир, т. пл. 127—128° (из петр. эф.). Полученный окислением XV воздухом в щелочном р-ре 2,3-диметилдигидробензантрахинон-1,2, т. пл. 145—146°, при дегидрировании с S (170—190°) переходит в 2,3-диметилбензантрахинон-1,2 (XVII), т. пл. 205°. 0,5 г XVI окисляют конц. HNO<sub>3</sub> в бензпентакарбоновую к-ту (16 час., 140°); пентаметилловый эфир, т. пл. 147—148° (из CH<sub>3</sub>OH или этилацетата-петр. эф.). Аналогично (7 час., 200°) 0,5 г XVII дают 1,2,3-антрахинонтрикарбоновую к-ту, т. пл. 280°; триметилловый эфир, т. пл. 184—185°. Эти данные, а также образование CH<sub>2</sub>O при озонировании XII и XIV свидетельствует о том, что XII является 3-(2-метилбутадие-1,3-ил)-5-метил-1,2,3,6-тетрагидро-*o*-фталевым ангидридом, а XIV — 1-(2-метилбутадие-1,3-ил)-3-метил-1,1,12-дигидроантрахиноном. Кипячением смеси XVII (1 г), CH<sub>3</sub>COONa (2 ч.), Zn (3 ч.) и (CH<sub>3</sub>CO)<sub>2</sub>O (10—15 ч.) получен ацетат C<sub>24</sub>H<sub>20</sub>O<sub>4</sub>, т. пл. 175—176° (из этилацетата-петр. эф.), который при дегидрировании (воздух, щелочь) переходит в XVII. Приведены кривые УФ-спектра XVII и 1,2-бензантрахинона. Аддукт XI с III (3—4 часа при кипении), т. пл. 118—119° (из CH<sub>3</sub>OH), дает при омылении к-ту, C<sub>14</sub>H<sub>14</sub>O<sub>4</sub>, т. пл. 213—214° (из этилацетата); ангидрид, т. пл. 197—198° (из этилацетата), дегидрированием которой получают ангидрид XVI. С. Кустова 51364. Продукты превращения эйкарвона. Кемпбелл, Ислам, Рафаэл (Elaboration products of eucarpone. Campbell J. R. B., Islam A. M., Raphael R. A.), J. Chem. Soc., 1956, Nov., 4096—4103 (англ.)

Описано превращение эйкарвона (I) в туйевую к-ту (II) и изучены продукты, образующиеся при окислении I посредством SeO<sub>2</sub>. Восстановление I LiAlH<sub>4</sub> приводит к 2,6,7-триметилциклопентадиен-2,4-олу-1 (II), легко изомеризующемуся в присутствии следов H<sub>2</sub>SO<sub>4</sub> в α-дигидроэйкарвон (III). В более жестких условиях II переходит в β-дигидроэйкарвон (IV), наряду с которым образуется немного 3,7,7-триметилциклопентадиена-1,3,5 (V). В тех же условиях III также превращается в IV. При дегидратации II посредством H<sub>2</sub>BO<sub>3</sub> V является главным продуктом р-ции. Попытки превращения II в V через 7-хлор-1,5,5-триметилциклопентадиен-1,3 (VI) были безуспешны. Строение II подтверждено УФ-спектром, окислением до диметилмалоновой к-ты (VII) и гидрированием в 1,1,4-триметилциклопентан (VIII). При р-ции V с N-бромсукцинимидом получают 3-бромметил-7,7-диметилциклопентатриен-1,3,5 (IX), который при обработке ацетатом тетрагидраммония (X) переходит в ацетат (XI) 3-оксиметил-7,7-диметилциклопентатриена-1,3,5 (XII). Окисление XII с CrO<sub>3</sub> приводит к II. При



окислении I SeO<sub>2</sub> образуется 3,7,7-триметилбицикло-(4,1,0)-гептен-3-ол-5-он-2 (XIII), наряду с небольшим кол-вом 3,7,7-триметилбицикло-(4,1,3)-гептен-3-дионом-2,5 (XIV) и смеси фенолов, из которой 2-метил-6-изопропенилфенол был выделен в виде димера, 2'-оксид-2,4,4,8,3'-пентаметилфлавана (XV). При окислении III



с  $\text{SeO}_2$  получают смесь 2-окси-2,6,6-триметилциклопентен-4-она-1 (XVI) и 4-окси-2,6,6-триметилциклопентен-2-она-1 (XVII). Последний не окисляется  $\text{HNO}_3$ , при озонировании дает  $\beta$ , $\beta$ -диметилглutarовую к-ту (XVIII), а при окислении с  $\text{MnO}_2$  переходит в 2,6,6-триметилциклопентен-2-дион-1,4 (XIX). XVI не окисляется  $\text{MnO}_2$  или  $\text{NaBiO}_3$ , но реагирует количественно с  $\text{HNO}_3$  (1 моль) и при действии  $\text{KMnO}_4$  дает  $\alpha$ , $\alpha$ -диметилантарную к-ту (XX). При дегидратации с  $\text{H}_2\text{BO}_3$  XVII переходит в I. Полученные результаты показывают, что 7- $\text{CH}_2$ -группа в I экранирована  $\beta$ -метильной группой. 20 г I восстанавливают  $\text{LiAlH}_4$  в эфире при 20° до II, выход 92%, т. кип. 94–97°/10 мм,  $n_D^{20}$  1,4980; фенилуретан, т. пл. 110–111° (из петр. эф.). Во избежание изомеризации II необходимо вести обработку при  $t$ -ре < 5° и сокращать время контакта II с к-той. 2 г II перегоняют в присутствии капли 10%-ного р-ра  $\text{H}_2\text{SO}_4$  в спирте, получают III, выход 86%, т. кип. 74–76°/9 мм,  $n_D^{17}$  1,4686, семикарбазон (СК), т. пл. 188–189° (из водн. сп.); 2,4-динитрофенилгидразон (ДНФГ) (получают в среде  $\text{CH}_3\text{COOH}$ ), т. пл. 120–121° (из сл.). При получении ДНФГ в спирте  $\text{H}_2\text{SO}_4$  образуется ДНФГ IV. 5 г II перегоняют в присутствии  $n$ - $\text{CH}_3\text{C}_6\text{H}_4\text{SO}_3\text{H}$ . Фракционированием дистиллата выделяют IV, выход 70%, т. кип. 78–79°/7 мм,  $n_D^{25}$  1,4777; СК, т. пл. 203–204° (разл., из водн. сп.); оксим, т. пл. 121–122° (из водн. сп.); ДНФГ, т. пл. 194–195° (из этилацетата). При кипячении 10 г II и 1 мл конц.  $\text{H}_2\text{SO}_4$  в 25 мл спирта (45 мин.), получают IV с выходом 92%. К р-ру 5 г II и 6 г диметиланилина в 10 мл  $\text{CHCl}_3$  добавляют 5 г  $\text{SOCl}_2$  в  $\text{CHCl}_3$  (0°, 30 мин.), смесь выдерживают 10 час. при –10°, выделяют VI, выход 70%, т. кип. 78–80°/8 мм,  $n_D^{18}$  1,4992 (при хранении полимеризуется). Смесь 20 г II и 10 г  $\text{H}_2\text{BO}_3$  нагревают медленно до образования гомог. р-ра и затем быстро до 350°. Разгонкой дистиллата выделяют V, выход 61%, т. кип. 62°/20 мм,  $n_D^{20}$  1,4948, и III, выход 4,6 г. 1 г V и 0,8 г малеинового ангидрида нагревают в запаянной ампуле 3 часа при 100°, выделяют аддукт с т. пл. 112–114° (из сп.). 1 г V в  $\text{C}_6\text{H}_6$  окисляют водн.  $\text{KMnO}_4$ , насыщ.  $\text{CO}_2$ , до VII, выход 60 мг, т. пл. 189–191° (разл.). Гидрированием I с  $\text{Pd/C}$  в спирте получают 2,6,6-триметилциклопентанон (XXI), т. кип. 79–80°/12 мм,  $n_D^{19}$  1,4558; ДНФГ, т. пл. 137–137,5°. 3,5 г XXI, 5 мл 60%-ного гидразингидрата, 2,3 г  $\text{NaOH}$  и 20 мл диэтиленгликоля кипятят 2 часа, нагревают до 200° (с отгонкой летучих в-в), остаток кипятят 12 час. и объединяют с дистиллатом. После обычной обработки получают VIII, выход 59%, т. кип. 72–72,5°/35 мм,  $n_D^{16}$  1,4438. 1,32 г V гидрируют с  $\text{PtO}_2$  в среде  $\text{CH}_3\text{COOH}$  до VIII, выход 1,1 г. Смесь 1 г V, 10 мл  $\text{CCl}_4$  и 1,3 г  $N$ -бромсукцинимиды кипятят 20 мин. в присутствии  $(\text{C}_6\text{H}_5\text{CO})_2\text{O}_2$ ; охлаждают, отфильтровывают сукцинимид (97%). Полученный IX (1,5 г) добавляют к р-ру 5 г X в ацетоне (при < 5°), смесь выдерживают 12 час., фильтруют и выделяют XI, выход 1 г, т. кип. 94–97°/12 мм,  $n_D^{19}$  1,5435. Гидролиз XI ( $\text{CH}_3\text{ONa}$  в  $\text{CH}_3\text{OH}$ , 20°, 18 час.) приводит к XII, т. кип. 100–102°/12 мм,  $n_D^{19,5}$  1,5200. 0,35 г XII окисляют  $\text{CrO}_3$  (0,31 г) в водн. ацетоне (< 20°, 1 час) до II, выход 40 мг, т. пл. 78–80° (из петр. эф.). При нагревании с конц.  $\text{HCl}$  (30 мин.) II изомеризуется в кумовую к-ту, т. пл. 114–116°. Р-р 30 г I и 22,2 г  $\text{SeO}_2$  в 550 мл спирта и 20 мл воды кипятят 16 час., упаривают до 100 мл, отфильтровывают  $\text{Se}$ , продукт р-ции кипятят с 30 г  $\text{Ag}$ -порошка в  $\text{C}_6\text{H}_6$  и перегонкой при 40–180°/0,1 мм выделяют XIII, выход 4,7 г, т. пл. 85–86° (из петр. эф.). Маточный р-р экстракцией 10 н.  $\text{NaOH}$  разделяют на нейтр. и фенольную фракции (5,9 г), т. кип. 86–87°/10 мм,  $n_D^{20}$  1,5392. Часть фенольной фракции нагревают с  $\text{J}_2$  (60°, 30 мин.), затем с паром отгоняют XV, т. пл. 68–70° (из петр. эф.); ацетильное производное,

т. пл. 101–102°. Из нейтр. фракции разгонкой выделяют непрореагировавший I (1,9 г) и XIV, выход 1,2 г, т. кип. 115–120°/9 мм, т. пл. 91–92° (из петр. эф.); моно-ДНФГ, т. пл. 171–173° (из сп.- $\text{C}_6\text{H}_5$ ); бис-ДНФГ разлагается при 250° (из  $\text{C}_6\text{H}_5\text{NO}_2$ ). Р-р 20 г III и 15,2 г  $\text{SeO}_2$  в 300 мл спирта и 10 мл воды кипятят 16 час., разгонкой продукта р-ции выделяют XVI, выход 9,5 г, т. кип. 88–90°/8 мм,  $n_D^{18}$  1,4845; фенилуретан, т. пл. 131° (из петр. эф.), и XVII, выход 6 г, т. кип. 78–81°/0,1 мм,  $n_D^{18}$  1,5004; фенилуретан, т. пл. 141–141,5° (из петр. эф.); ДНФГ, т. пл. 152° (из сп.-этилацетата). При обработке 2,4-динитрофенилгидразином в метанольной  $\text{H}_2\text{SO}_4$  XVI дает ДНФГ метилового эфира XVII, т. пл. 157–158° (из сп.-этилацетата). В тех же условиях, но в спирте, среде образуется ДНФГ этилового эфира XVII, т. пл. 150° (из сп.-этилацетата), а в  $\text{CH}_3\text{COOH}$  получают ДНФГ ацетата XVII, т. пл. 179–180° (из сп.-этилацетата). Строение этих ДНФГ принято на основании их УФ-спектров. 0,5 г XVII окисляют  $\text{CrO}_3$  в водн.  $\text{CH}_3\text{COOH}$  (20°, 12 час.) до XIX, выход 0,41 г, т. кип. 110–112°/9 мм,  $n_D^{18}$  1,4948; моно-ДНФГ, т. пл. 190–191° (из сп.-этилацетата); бис-ДНФГ, т. пл. 289° (разл.; из  $\text{CH}_3\text{COOH}$ ). К водн. суспензии 0,5 г XVI добавляют р-р 2,5 г  $\text{KMnO}_4$  в 40 мл воды, пропуская в смесь ток  $\text{CO}_2$  (20°, 1 час). Смесь выдерживают 12 час., подкисляют пропуская  $\text{SO}_2$ , этилацетатом извлекают XX, т. пл. 139–140° (из бал.). Аналогично получают XX из XVII, 0,19 г XVII в этилацетате озонируют (0,6%-ный  $\text{O}_3$ , –30°, 4 часа), гидрируют с  $\text{Pd/C}$  и продукт р-ции нагревают 2 часа с 0,35 г  $\text{CrO}_3$  в 10 мл 50%-ной  $\text{CH}_3\text{COOH}$ . Бензолом извлекают XVIII, т. пл. 101° (из бал.-петр. эф.). Дегидратацией 0,5 г XVII с 0,2 г  $\text{H}_2\text{BO}_3$  (аналогично II) получают I. В тех же условиях 1,5 г XVI дает кетон  $\text{C}_{10}\text{H}_{14}\text{O}$  (XXII), выход 74%, т. кип. 88–89°/11 мм; ДНФГ, т. пл. 172–173°; тетрагидропроизводное XXII (XXIII) (10%-ный  $\text{Pd/C}$ ), т. кип. 90°/15 мм; ДНФГ, т. пл. 115–118° (из петр. эф.). Окисление XXII с  $\text{CrO}_3$  (или озонирование) приводит к XX. Смесь 25 г I, 150 мл изопропилацетата (XXIV) и 2 г  $n$ - $\text{CH}_3\text{C}_6\text{H}_4\text{SO}_3\text{H}$  кипятят 15 час. с добавлением свежего XXIV по мере его отгонки. Выделяют эполацетат I, выход 90%, т. кип. 110°/10 мм,  $n_D^{25}$  1,4926. Приведены данные об ИК- и УФ-спектрах I–V, XIII, XVI, XVII, XIX, XXI–XXIII и об УФ-спектрах соответствующих ДНФГ и эполацетата I. Л. Бергельсов

51365. Химия ладана. Часть I. Некоторые кислые компоненты. Коккер, Холсэлл, Бауэре (The Chemistry of gum labdanum. Part I. Some acidic constituents. Cocker J. D., Halsall T. G., Bowers A.), J. Chem. Soc., 1956, Nov., 4259–4262 (англ.).

Эфирный экстракт ладана (I) разделен на нейтр., фенольную и кислые фракции. Из последней хроматографированием продукта метилирования выделены  $n$ -анисовая к-та (II),  $\beta$ -фенилпропионовая к-та (III), смесь (IV) метиловых эфиров докозановой и йкозановой к-ты, непредельная кетокислота  $\text{C}_{20}\text{H}_{32}\text{O}_3$  (V), оксикислота  $\text{C}_{20}\text{H}_{36}\text{O}_3$  (VI), названная авторами лабданоловой к-той и смеси неидентифицированных высших жирных оксикислот. Изучением ИК-спектра VI установлено отсутствие в ней двойных связей, откуда следует, что VI обладает бициклич. структурой. I содержит 1,6% в-в, летучих с паром. Экстракцией I петр. эфиром выделен продукт (VII), состоящий, вероятно, из 60%  $n$ -нонакозана и 40%  $n$ -гептриакозана. 135 г I подвергают перегонке с паром. Из дистиллата (4 л) экстракцией эфиром и последующей разгонкой выделяют 2 фракции (по 0,3 г) с т. кип. 125–130° (т-ра бани)/14 мм,  $n_D^{18}$  1,4838, и т. кип. 135–150° (т-ра бани)/14 мм,  $n_D^{18}$  1,4933. 60 г I встряхивают 2 дня с 400 мл петр. эфира; экстракт упаривают, остаток (6,8 г) хроматографируют (в петр. эф.) на  $\text{Al}_2\text{O}_3$ . Петр. эфиром вымывают VII, выход 0,75 г, т. пл. 63–64° (из

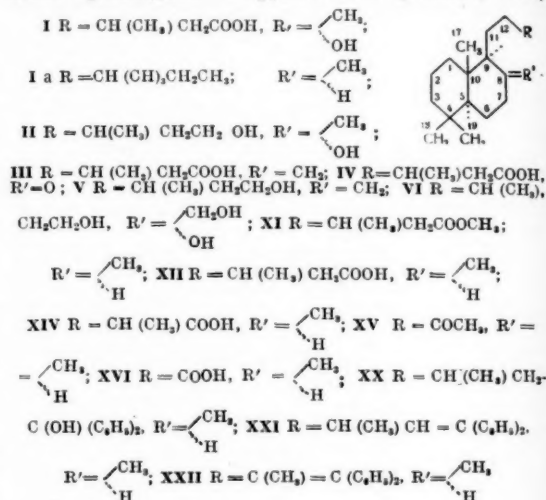
этилацетата). 4 кг I экстрагируют эфиром, центрифугируют, эфир. р-р (VIII) промывают  $\text{NaHCO}_3$ , щел. р-р подкисляют (рН 5) и экстрагируют эфиром. После отгонки р-рителя получают кислую фракцию (1 кг). Дальнейшей экстракцией VIII р-ром КОН выделяют фенольную фракцию (2,2 кг), а при упаривании эфирного слоя, оставшегося после обработки  $\text{NaHCO}_3$  и КОН, получают нейтр. фракцию (700 г). Кислую фракцию растворяют в 1 л эфира и 1 л  $\text{CH}_3\text{OH}$  и обрабатывают эфир. р-ром  $\text{CH}_2\text{N}_2$ , продукт р-ции экстрагируют петр. эфиром ( $3 \times 1$  л), к объединенному экстракту добавляют 5 л петр. эфира, через 12 час. декантируют, р-р упаривают и остаток (760 г) хроматографируют порциями по 150 г (в петр. эф.) на  $\text{Al}_2\text{O}_3$ , дезактивированной 10%-ной  $\text{CH}_3\text{COOH}$ . Вымывают: а) петр. эфиром — IV, выход 15 г, т. пл. 43–44° (из  $\text{CHCl}_3$ - $\text{CH}_3\text{OH}$ ); б) петр. эфиром- $\text{C}_6\text{H}_6$  (3:1) смесь II и III (IX), выход ~40 г; в) бензолом — метиловый эфир VI, выход 24 г, т. пл. 73–74°,  $[\alpha]_D -8,0^\circ$  (с 2,0); г) эфиром и  $\text{CH}_3\text{OH}$  — смеси жирных оксикислот, выход 50 г. IX хроматографируют вторично на дезактивированной  $\text{Al}_2\text{O}_3$ . Петр. эфиром вымывают 1,52 г в-ва,  $n_D^{15} 1,4970$ –1,4990, дающее после гидролиза (КОН в водн.  $\text{CH}_3\text{OH}$ ) III, т. пл. 48–49° (из петр. эф.). Смесь петр. эфир- $\text{C}_6\text{H}_6$  (4:1 и 2:1) вымывают 1,31 г в-ва, гидролизом которого получают II, т. пл. 177–184° (из водн.  $\text{CH}_3\text{OH}$ ). Вымыванием смесью петр. эфир- $\text{C}_6\text{H}_6$  (2:1 и 1:1) и чистым  $\text{C}_6\text{H}_6$  (1:1) выделяют фракцию, образующую (после гидролиза) V, выход 2 г, т. пл. 114–115° (из водн.  $\text{CH}_3\text{OH}$ ),  $[\alpha]_D +13,5^\circ$  (с 1,7). УФ-спектр V ( $\lambda_{\text{макс}}$  2385 Å,  $\epsilon$  11470, в см.) указывает на наличие группировки  $\alpha,\beta$ -непредельного кетона с двумя алкильными заместителями при  $\text{C}=\text{C}$ -связи. 630 мг метилового эфира VI кипятят 1 час со спирт. р-ром  $\text{C}_2\text{H}_5\text{ONa}$ , выделяют VI, выход 580 мг, в виде смолы,  $[\alpha]_D -7^\circ$  (с 0,98). VI обрабатывают циклогексилламином (X) в горячем этилацетате. Получают соль VI и X, т. пл. 115–135°,  $[\alpha]_D -12^\circ$  (с 1,4). Приведены данные об ИК-спектрах IV, V и метилового эфира VI.  $[\alpha]_D$  определены в  $\text{CHCl}_3$ .

Л. Бергельсон

**51366. Химия ладана. Часть II. Строение ладаноловой кислоты.** Коккер, Холсэлл (The chemistry of gum labdanum. Part. II. The structure of labdanolic acid. Cocker J. D., Halsall T. G.), J. Chem. Soc., 1956, Nov., 4262–4271 (англ.)

Установлено, что ладаноловая к-та (I) (см. пред. реф.) является 8α-оксиладановой-15 к-той [авторы предлагают название ладан для углеводорода (Ia)]. Третичное положение OH-группы в I подтверждено тем, что I ацетируется лишь с трудом, не окисляется  $\text{CrO}_3$  в ацетоне и восстанавливается  $\text{LiAlH}_4$  до ладандиола-8α,15 (II), который в мягких условиях дает только моноацетат. Дегидратация I приводит к  $\Delta^8(20)$  ладановой-15 к-те (III), образующей при озонлизе 20-нор-8-кетоладановую-15 к-ту (IV) и  $\text{CH}_2\text{O}$ . При восстановлении метилового эфира III  $\text{LiAlH}_4$  получают  $\Delta^8(20)$ -ладанол-15 (V), превращающийся при гидроксильровании с  $\text{OsO}_4$  в ладантриол-8α,15,20 (VI). Дегидрирование V с  $\text{Pt/C}$  приводит к 1,2,5-триметилафталину (VII) и 1,2,5,6-тетраметилафталину (VIII). В кислой среде метиловый эфир III изомеризуется в метиловый эфир (IX)  $\Delta^8$ -ладановой-15 к-ты (X). При каталитич. гидрировании III и IX переходит в ранее известный метиловый эфир (XI) ладановой-15 к-ты (дегидрокатиновой к-ты) (XII), чем подтверждается β-ориентация боковой цепи в I. Гидроксильрованием X посредством  $\text{OsO}_4$  получают 8ε,9ε-диоксиладановую к-ту (XIII). Дегидратация XI по Барбье-Виланду приводит к 15-норладановой-14 к-те (XIV), дающей при повторной дегидратации 15,16-биснорладанол-13 (XV). При окислении с  $\text{NaOCl}$  XV дает 14,15,16-триснорладановую-13 к-ту (XVI), идентичную с продуктом, полученным ра-

нее деградацией маррубинна (РЖХим, 1957, 4577), откуда следует, что кольца I транс-сочленены и что абс. конфигурация при  $\text{C}_{10}$  соответствует конфигурации амбрейна. Сравнение полученных в-в с соответствующими производными эперуовой к-ты (РЖХим, 1956,

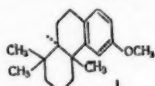


19409) (XVII) показывает, что XVII является антиподом III, т. е. что скелет XVII соответствует зеркальным изомерам всех известных ди- и тритерпенов и стероидов. Сравнительно большое значение  $[\alpha]_D$  метилового эфира XVII (XVIII) ( $-47^\circ$ ) объясняется тем, что образцы XVIII содержали изомер с двойной связью в положении 8,9. Это доказано превращением XVII в антипод IX при кипячении с метанольной  $\text{H}_2\text{SO}_4$ . Смесь 960 мг метилового эфира I, 4 мл  $\text{CH}_2\text{COCl}$ , 18 мл диметиламина и 15 мл  $\text{CHCl}_3$  кипятят 17 час. продукт р-ции хроматографируют на  $\text{Al}_2\text{O}_3$ . Смесью пента- $\text{C}_6\text{H}_6$  (9:1) вымывают метиловый эфир III, выход 170 мг,  $[\alpha]_D +27^\circ$  (с 1,03),  $n_D^{15} 1,4980$ , а вымыванием бензолом выделяют ацетат метилового эфира I, выход 300 мг, т. пл. 84–84,5° (из водн.  $\text{CH}_3\text{OH}$ ),  $[\alpha]_D -29^\circ$  (с 1,15). 580 мг метилового эфира I восстанавливают  $\text{LiAlH}_4$  (0,3 г) в эфире (кипчение 1 час; 20°, 12 час.) до II, т. пл. 84–85° (из пентана),  $[\alpha]_D -7^\circ$  (с 1,7); 15-моноацетат II (пиридин,  $(\text{CH}_3\text{CO})_2\text{O}$ , 20°, 18 час.),  $[\alpha]_D -3,7^\circ$  (с 0,98)  $n_D^{15} 1,4944$ . К 26,8 г метилового эфира I в 360 мл пиридина добавляют 70 мл  $\text{POCl}_3$ , смесь выдерживают 15 час. при 20°, продукт р-ции хроматографируют на  $\text{Al}_2\text{O}_3$ . Смесью петр. эфир- $\text{C}_6\text{H}_6$  (4:1) вымывают метиловый эфир III, выход 96%,  $[\alpha]_D +27^\circ$  (с 2,31),  $n_D^{15} 1,4980$ ,  $n_D^{20} 1,4969$ , омыление которого (КОН в см.) приводит к III, циклогексилламиниевая соль, т. пл. 123–136° (из этилацетата),  $[\alpha]_D +22^\circ$  (с 0,78). 0,92 г метилового эфира III озонируют при  $-70^\circ$  в среде этилацетата. После разложения озонидов выделяют  $\text{CH}_2\text{O}$  (в виде 2,4-динитрофенилгидразона), выход 30%, и смолостое в-во, дающее при гидролизе (2 н. КОН в  $\text{CH}_3\text{OH}$ , кипячение 1 час) IV, т. пл. 110,5–111° (из водн.  $\text{CH}_3\text{OH}$ ),  $[\alpha]_D -40^\circ$  (с 1,01); оксим, т. пл. 188–190° (размягчается при 170°, из водн. см.),  $[\alpha]_D +74,5^\circ$  (с 1,14; в диоксане). 2 г метилового эфира III восстанавливают  $\text{LiAlH}_4$  в эфире (0°, 1 час) до V, выход 1,75 г,  $[\alpha]_D +40^\circ$  (с 0,98). Смесь 1,6 г V и 2 г  $\text{OsO}_4$  в 100 мл пиридина- $\text{CHCl}_3$  (1:1) выдерживают 6 дней при 20°, р-ритель отгоняют в вакууме, остаток кипятят 3 часа с 35 мл  $\text{C}_6\text{H}_6$ , 35 мл  $\text{CH}_3\text{OH}$ , 8 г КОН, 8 г маннита, 35 мл эфира и 22 мл воды, про-





т. пл. 191—192°, образующий при конденсации с йодметилатом 4-диэтиламинобутанола 6-метокси-2-кето-4а-метил-2,3,4,4а,9,10-гексагидрофенантрен (III), выход 62%, т. кип. 115—120° (т-ра воздушной бани) 0,004 мм; 2,4-динитрофенилгидразон (IV), т. пл. 241—242° (разл.). При обработке  $\text{CH}_3\text{I}$  в присутствии  $\text{трет-C}_4\text{H}_9\text{OK}$  III дает 1,1-диметил-2-кето-6-метокси-4а-метил-1,2,3,4,4а,9-гексагидрофенантрен (IV), выход 72%, т. кип. 120—125° (т-ра воздушной бани) 0,004 мм; 2,4-динитрофенилгидразон (сольват с 1 мол.  $\text{CH}_3\text{COOH}$ ), т. пл. 238—240° (разл., из  $\text{CH}_3\text{COOH}$ ). При гидрировании с 10%-ным

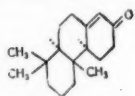


$\text{Pd/C}$  в среде  $\text{CH}_3\text{COOH}$  IV превращается в соответствующее производное 1,2,3,4,4а,10,10а-октагидрофенантрена (V), т. кип. 180—184°/0,8 мм; 2,4-динитрофенилгидразон, т. пл. 198—199°. Восстановление V по Клемменсену приводит к I, т. кип. 145—147°/0,8 мм,  $n_D^{20}$  1,5570.

Л. Бергельсон

**51369. Промежуточное соединение для синтеза дитерпеноидов. Барлтрон, Роджерс** (An intermediate for the synthesis of diterpenoids. Barltrop J. A., Rogers N. A. J.), Chemistry and Industry, 1957, № 1, 20 (англ.)

Описан синтез трициклического кетона (I) из 2,2,6-триметилциклогексанола (II). Конденсацией II с  $\alpha$ -метоксифенилацетиленом в жидком  $\text{NH}_3$  в присутствии  $\text{KNH}_2$  получают 1-( $\alpha$ -метоксифенилэтил)-2,2,6-триметилциклогексанол, т. кип. 150—155° (т-ра бани) 0,1 мм, переходящий при гидрировании с  $\text{Pd/C}$  в 1-( $\alpha$ -метоксифенилэтил)-2,2,6-триметилциклогексанол (III), т. кип.



210—212° (т-ра бани) 0,15 мм. Циклизация III под влиянием смеси  $\text{P}_2\text{O}_5\text{-H}_3\text{PO}_4$  при 90° приводит к 1,1,12-триметил-7-метокси-1,2,3,4,9,10,11,12-октагидрофенантрону (IV), т. кип. 152—160°/0,1 мм, т. пл. 52—55°. При восстановлении IV посредством Li в жидком  $\text{NH}_3$  и последующем гидролизе и хроматографировании продукта р-ция на  $\text{Al}_2\text{O}_3$  получают  $\beta$ , $\gamma$ -изомер I и I, т. пл. 86—88°; семикарбазон, т. пл. 213—215° (разл.). Судя по физ. свойствам и ИК-спектру, IV представляет собой *dl*-изомер оптически деятельного кетона, выделенного ранее (Hosking, Ber. dtsch. chem. Ges., 1936, 69, 780).

Л. Бергельсон

**51370. К изучению тритерпенов. Сообщение 190. Стереохимическая интерпретация биогенетического изопренового правила для тритерпенов. Эшенмосер, Ружичка, Егер, Аригони** (Zur Kenntnis der Triterpene. 190. Mitteilung. Eine stereochemische Interpretation der biogenetischen Isoprenregel bei den Triterpenen. Eschenmoser A., Ruzicka L., Jeger O., Arigoni D.), Helv. chim. acta, 1955, 38, № 7, 1890—1904 (нем.)

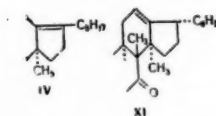
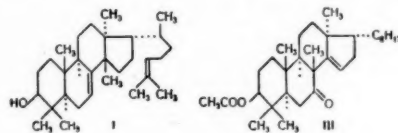
Предложено объяснение биогенетич. изопренового правила для тритерпенов со стереохим. точки зрения. Показано, что из сквалена (I) теоретически можно вывести пространственные ф-лы всех известных представителей тритерпенов (эйфола, фиделина,  $\alpha$ -амирина, тирукаллола, лувеола, таракастерина, германикола,  $\beta$ -амирина, тараксерола, ланостерина, олонцерина, амбринна), исходя из следующих положений: для внутримолекулярной циклизации I должен иметь *транс*-кон-

фигурацию всех двойных связей, а также строго определенную конформацию скелета (цепочка C—C-связей I должна быть построена так, чтобы после циклизации, там где нужно, образовалась бы кресловидная или ваннообразная конформация шестичленного кольца); все без исключения циклизации должны происходить по схеме катионидного антипараллельного присоединения; перегруппировки Вагнера—Меервейна и 1,2-элиминирование должны протекать только в тех случаях, где имеются оптимальные стерич. условия; все переходы от I к конечным продуктам должны протекать без образования промежуточных стабильных соединений. Эти теоретич. рассуждения подтверждают гипотезу биогенеза тритерпенов из I. Предполагается, что *in vivo* определенное оптимальное построение скелета I происходит под влиянием энзимов, и дальнейшая циклизация происходит в мягких физиологич. условиях с большой скоростью, требуя только незначительной свободной энергии активации, тогда как подобная циклизация *in vitro* идет только под влиянием сильных к-т. Сообщение 189 см. РЖХим, 1956, 58150.

Г. Сегаль

**51371. Тритерпеноиды. Часть LIII. Строение и стереохимия бутиропермола. Лорри, Гамилтон, Спринг, Уотсон** (Triterpenoids. Part LIII. The constitution and stereochemistry of butyrospermol. Lawrie William, Hamilton William, Spring F. S., Watson H. S.), J. Chem. Soc., 1956, Sept., 3272—3280 (англ.)

Обсуждено строение и стереохимия бутиропермола (I) и показано, что I является 9 $\alpha$ - $\Delta^7$ , $\Delta^8$ -эйфадиенолом-3 $\beta$ . При окислении ацетата дигидробутиропермола (II) хромовой кислотой образуется ацетат  $\Delta^{14}$ -7-кетопозифенола-3 $\beta$  (III), строение которого доказано данными ИК-спектров и некоторыми превращениями. При изомеризации III минер. к-тами образуется ацетат  $\Delta^{13(17)}$ -7-кетонизойфенола-3 $\beta$  (IV), строение которого доказано восстановлением его в ацетат  $\Delta^{13(17)}$ -изойфенола-3 $\beta$  (V) (идентичный с продуктом, полученным при кислотной изомеризации ацетата  $\Delta^8$ -эйфенола-3 $\beta$  (VI)) и окислением с помощью  $\text{SeO}_2$  в ацетат  $\Delta^{11,13(17)}$ -7-кетонизойфенола-3 $\beta$  (VII). Наличие молекулярной перегруппировки при образовании III из II доказано тем, что при восстановлении III по Кижнеру образуется ацетат  $\Delta^{14}$ -апоэйфенола-3 $\beta$  (VIII), который при обработке  $\text{HCl}$  при 0° дает V. В этих условиях VI не изменяется, а P изомеризуется в VI. При окислении III  $\text{SeO}_2$  образуется ацетат  $\Delta^{5,14}$ -7-кетопозифенола-3 $\beta$  (IX), который легко изомеризуется при действии минер. к-т в ацетат  $\Delta^{5,13(17)}$ -7-кетонизойфенола-3 $\beta$  (X). Авторы считают, что окисление II сопровождается изомеризацией  $\text{CH}_3$ -группы от  $\text{C}_{14}$  к  $\text{C}_8$ ; из двух возможных структур (III и XI) отдают предпочтение III, вследствие устой-



чивости III к действию  $\text{SeO}_2$ . Подтверждение структуры I для бутиропермола также получено из сравнения данных  $\alpha_D$  для II и  $\Delta^7$ -ланостенола-3 $\beta$  (XII). По-

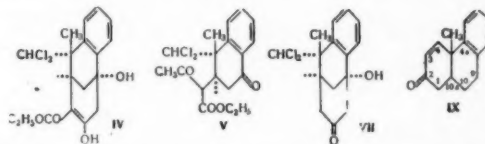
казано, что ацетат  $\Delta^7$ -эйфенола-3 $\beta$  (XIII), полученный при восстановлении по Кижнеру ацетата  $\Delta^8$ -7-кетозейфенола-3 $\beta$  (XIV) является 9 $\beta$ -эпимером II. Попытка получить III озонированием II (1 час,  $-30^\circ$ ) в этилацетате не увенчалась успехом, так как полученная при этом окись II, т. пл.  $154-155^\circ$ ,  $[\alpha]_D^{25} -21,5^\circ$  (с 1,0; в бэл.), при действии HCl (2 часа) дает ацетат  $\Delta^7,9^{(11)}$ -эйфаденола, т. пл.  $110-114^\circ$ , а не III. К р-ру 2 г II в 20 мл  $\text{CH}_2\text{Cl}_2$  и 250 мл  $\text{CH}_3\text{COOH}$  прибавляют (30 мин.) при  $20^\circ$  р-р 844 мг  $\text{CrO}_3$  в 70 мл  $\text{CH}_3\text{COOH}$  и смесь оставляют на 16 час. при  $20^\circ$ . После хроматографирования на  $\text{Al}_2\text{O}_3$  получено (из петр. эф.) 442 мг II, т. пл.  $134-135^\circ$ . Из фракций петр. эфир- $\text{C}_6\text{H}_6$  (9:1 и 4:1) получено 450 мг XIV, т. пл.  $162-163^\circ$ ,  $[\alpha]_D^{25} +40 \pm 5^\circ$  (с 0,4), и из фракции петр. эфир- $\text{C}_6\text{H}_6$  (1:1) — 335 мг III, т. пл.  $119-120^\circ$ ,  $[\alpha]_D^{25} -85^\circ$  (с 1,0). Р-р 20 мг III в 2 мл конц. HCl в  $\text{CH}_3\text{COOH}$  (1:20) нагревают при  $100^\circ$  3 часа, получают IV, т. пл.  $112-113^\circ$ ,  $[\alpha]_D^{25} -50^\circ$  (с 1,3). Смесь 90 мг IV, 10 мл диэтиленгликоля и р-р 250 мг Na в 15 мл диэтиленгликоля нагревают до  $200^\circ$ , прибавляют безводн.  $\text{NH}_2 \cdot \text{NH}_2$ , пока т-ра кипения не понизится до  $180^\circ$ , кипятят при  $180^\circ$  18 час., отгоняют летучие, пока т-ра не поднимется до  $210^\circ$ , и нагревают еще 24 часа. Полученный продукт ацетируют при  $100^\circ$  ( $\text{CH}_3\text{CO}_2\text{O}$ ) в пиридине и после хроматографирования получают 37 мг V, т. пл.  $110^\circ$ ,  $[\alpha]_D^{25} -9^\circ$  (с 2,0). К р-ру 140 мг IV в 14 мл  $\text{CH}_3\text{COOH}$  прибавляют конц. водн. р-р 80 мг  $\text{SeO}_2$  и кипятят смесь 3 часа. После хроматографирования получают 32 мг VII, т. пл.  $107-109^\circ$ ,  $[\alpha]_D^{25} -44,5 \pm 5^\circ$  (с 0,2). 125 мг III восстанавливают по Кижнеру по методу, описанному для получения V, и после ацетилирования и хроматографирования получают 74 мг VIII, т. пл.  $114-115^\circ$ ,  $[\alpha]_D^{25} -12^\circ$  (с 1,1). В р-р 14 мг VIII в 3 мл сухого  $\text{CHCl}_3$  пропускали ( $0^\circ$ , 2 часа) ток HCl и после хроматографирования получают 11,6 мг V. Окисление 118 мг III с 60 мг  $\text{SeO}_2$  дало после хроматографирования из фракции петр. эфир- $\text{C}_6\text{H}_6$  (4:1) 102 мг IX, т. пл.  $103-104^\circ$ ,  $[\alpha]_D^{25} -120^\circ$  (с 1,2). Р-р 217 мг IX в 10 мл смеси конц. HCl в  $\text{CH}_3\text{COOH}$  (1:20) нагревали при  $100^\circ$  2 часа и получали 105 мг X, т. пл.  $119-120^\circ$ ,  $[\alpha]_D^{25} -52^\circ$  (с 2,4). Ацетат XII получен по методу, описанному ранее (Marker и др., J. Amer. Chem. Soc., 1937, 59, 1368) и имел т. пл.  $144-145^\circ$ ,  $[\alpha]_D^{25} +33,2^\circ$  (с 2,6). При действии на ацетат XII  $\text{LiAlH}_4$  получен XII, т. пл.  $157-158^\circ$ ,  $[\alpha]_D^{25} +10,4^\circ$  (с 1,5). Бензоат XII, т. пл.  $207-209^\circ$ ,  $[\alpha]_D^{25} +50^\circ$  (с 1,9). Смесь 2 г XII, 40 мл пиридина и 2 г  $\text{CrO}_3$  в 20 мл пиридина оставили на 24 часа при  $16^\circ$  и получили  $\Delta^7$ -ланостенов-3, т. пл.  $146-147^\circ$ ,  $[\alpha]_D^{25} -20^\circ$  (с 2,8). В р-р 10 г VI в 300 мг этилацетата пропускают при  $-5^\circ$  (2 часа) ток  $\text{O}_3$ . После хроматографирования получают (фракция петр. эф.-бэл., 1:1) 128 мг ацетата  $\Delta^8$ -11-кетозейфенола-3 $\beta$ , т. пл.  $127-128^\circ$ ,  $[\alpha]_D^{25} +26,2^\circ$  (с 2,2), из фракции  $\text{C}_6\text{H}_6$ -петр. эфир (3:1) и  $\text{C}_6\text{H}_6$  получено 716 мг XIV. 690 мг XIV восстанавливают по Кижнеру и получают после хроматографирования 160 мг XIII, т. пл.  $78-79^\circ$ ,  $[\alpha]_D^{25} -98^\circ$  (с 0,4). XIII возвращается без изменения при обработке его током HCl ( $0^\circ$ , 2 часа). Приведены данные УФ-спектров полученных соединений. Все  $[\alpha]_D^{25}$ , кроме указанных, измерены в  $\text{CHCl}_3$ . Часть LII см. РЖХИМ, 1957, 26957.

С. Ананченко

**51372. Новый стереоспецифический синтез гидрофенантронов. Уэнкерт-Стивенс (A novel stereospecific synthesis of hydrophenanthrones. Wenkert Ernest, Stevens Travis E.), J. Amer. Chem. Soc., 1956, 78, № 21, 5627-5631 (англ.).**

Предложен новый путь синтеза гидрофенантронов, исходя из 4-дихлорметил-4-метил-1(4Н)-нафталеноно (I), получающегося по р-ции Реймер-Тимана из 4-метилнафтаола-1 (II). Этот путь имеет следующие преимущества: 1) краткость, 2) стереоспецифичность в транс-соединениях колец А и В, 3) наличие функцио-

нальных групп в конечном продукте, дающих возможность перейти к природным соединениям. При получении I из II показано, что сульфирование 1-метилнафталина протекает в 2- и 4-положениях, в результате, с выходом 3-4% образуется соответствующий орто-изомер I (III). При конденсации I с ацетоуксусным эфиром под влиянием  $\text{C}_2\text{H}_5\text{ONa}$  образуется этиловый эфир 3,5-диокси-6,7-бензо-8-дихлорметил-8-метилбицикло-(3,3,1)-нонен-2 карбоновой к-ты (IV). При проведении этой р-ции в присутствии пиперидина образуется этиловый эфир 2-(1-дихлорметил-1-метил-4-кето-1,2,3,4-тетрагидро-2-нафтил)-3-кетомасляной к-ты (V). V при обработке  $\text{C}_2\text{H}_5\text{ONa}$  легко дает смесь, состоящую из 35% IV и 62% I. При кислотном гидролизе как IV, так и V образуется смесь, состоящая из 4-дихлорметил-4-метил-3-ацетонил-тетраолеа-1 (VI) и его альдоля (VII), строение которых доказано данными ИК-спектров. Образование одинаковой смеси продуктов при необратимом декарбосилировании IV и V указывает на то, что остаток ацетоуксусного эфира в IV и V име-



ет идентичное пространственное расположение по отношению к соседним заместителям, т. е. дихлорметильная группа и остаток ацетоуксусного эфира расположены экваториально, т. е. в положении *trans* по отношению одна к другой. Найдено, что при гидрировании как VI, так и VII в кислой среде образуется 1-дихлорметил-1-метил-2-ацетонил-1,2,3,4-тетрагидро-нафталин (VIII). При действии на VIII  $(\text{C}_6\text{H}_5)_3\text{CNa}$  происходит циклизация и одновременное  $\beta$ -отщепление хлора, в результате чего образуется 4а-метил-4а,9,10,10а-тетрагидро-2-(1Н)-фенантрон (IX). Каталитич. гидрирование IX приводит к *trans*-4а-метил-3,4,4а,9,10,10а-гексагидро-2-(1Н)-фенантрону (X). Сульфированием 1-метилнафталина с последующим расщеплением соответствующего Na-сульфоната смесью NaOH и KOH получают II, выход 20-50%. Последний получают также из 4-окси-1-нафталальдегида восстановлением по Клемменсену в водно-спирт. среде, выход 40-45%. Известным методом (Fuson R. C., Miller T., J. Organ. Chem., 1952, 17, 316) II превращают в I, т. пл.  $109-110^\circ$ ; 2,4-динитрофенилгидразон, т. пл.  $212-213^\circ$ . Из маточных р-ров с выходом 3-4% выделен III, т. пл.  $66-67^\circ$ . При гидрировании последнего в присутствии  $\text{PtO}_2$  образуется 1-дихлорметил-1-метилтетраолеон-2, т. пл.  $71-72^\circ$ . Смесь 10,8 г  $\text{CH}_3\text{COCH}_2\text{COOC}_2\text{H}_5$  и 2 г I прибавляют к р-ру  $\text{C}_2\text{H}_5\text{ONa}$ , полученному из 0,64 г Na в 240 мл абс. спирта и оставляют при  $20^\circ$  на 5 дней. После обработки получают IV, выход 61,4%, т. пл.  $116-117^\circ$ . После хроматографирования фильтрата на силикагеле выделено 21,6% I (фракция петр. эф.-эф.; 32:1) и 12,4% IV. Смесь 15 г I, 15 г  $\text{CH}_3\text{COCH}_2\text{COOC}_2\text{H}_5$ , 1,2 мл пиперидина и 120 мл  $\text{C}_6\text{H}_6$  оставляют при  $20^\circ$  на 52 дня. После обработки получают 39,1% I. При хроматографировании фильтрата выделено 38,7% I (фракция петр. эф.-эф.; 19:1); 1% IV (из фракции петр. эф.-эф.; 9:1) и 18,3% V (из петр. эф.-эф.; 4:1), т. пл.  $102-103^\circ$ . При сокращении времени проведения р-ции до 20 дней выход V падает до 15%. При кипячении реагентов в течение 3 дней выход V уменьшается до 0,3%, а 96% I возвращается обратно. Смесь 15 г, 300 мл конц. HCl, 300 мл спирта кипятят 9 час. и получают 65,2% VI, т. пл.  $147-148^\circ$ , из маточных р-ров выделено 6,4% VII, т. пл.  $187-188^\circ$ . После хроматографирования фильтратов на

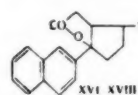
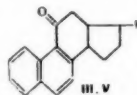
$\text{Al}_2\text{O}_3$  получено еще 4,6% **VI** (фракция бэл.-хлф.; 9:1) и 9,5% **VII** (фракция бэл.- $\text{CH}_3\text{OH}$ ; 100:1). Аналогичным образом при кипячении (7 час.,  $100^\circ$ ) смеси 500 мг **V**, 10 мл конц.  $\text{HCl}$ , 10 мл спирта образуется 58,4% **VI** и 19,8% **VII**. При гидрировании 690 мг **VI** в 60 мл этилацетата, содержащего 1 мл 80%-ной  $\text{H}_2\text{SO}_4$  в присутствии 200 мг 5%-ного  $\text{Pd/C}$  получен **VIII** в виде 2 полиморфных форм, т. пл.  $82-83^\circ$  (пластинки) и  $93-94^\circ$  (призмы); 2,4-динитрофенилгидразон **VIII**, т. пл.  $169-170^\circ$ . Аналогичным образом при гидрировании 200 мг **VII** в 25 мл этилацетата, содержащем 1,25 мл конц.  $\text{H}_2\text{SO}_4$  в присутствии 100 г  $\text{Pd/C}$ , образуется **VIII**. 200 мл эфирного р-ра, содержащего 28,6 ммоль  $(\text{C}_6\text{H}_5)_3\text{CNa}$  прибавляют (атмосфера  $\text{N}_2$ ) к 1 г (3,5 ммоль) **VIII** и оставляют на 3 дня при  $20^\circ$ , после чего кипятят 5 час. при  $100^\circ$  и после обработки и хроматографирования на силикагеле получают 90 мг **IX**, т. пл.  $103-104^\circ$ ; 2,4-динитрофенилгидразон, т. пл.  $205-206^\circ$ . Р-р 200 мг **IX** в 20 мл спирта гидрируют в присутствии 50 мг 5%-ного  $\text{Pd/C}$  и получают **X**, т. пл.  $107-108^\circ$ . Приведены данные ИК- и УФ-спектров для всех полученных соединений.

С. Ананченко  
51373. **Опыты синтеза стероидов. XII. Частично гидрированные три- и тетрациклические соединения.**

**Бухта, Цинер** (Versuche zur Synthese von Steroiden XII. Partiiell Hydrierte tri- und tetracyclische Verbindungen. Buchta Emil, Ziener Hermann), Liebigs Ann. Chem., 1956, 601, № 1-3, 155-169 (нем.).

Синтезированы 1-кето-1,2,3,4-тетрагидроциклопентано-(3,4)-нафталин (**I**), *цис*- и *транс*-9-кето-1,2,3,4,9,10,11,12-октагидрофенантрены (**IIa** и **б**), 4-кето-1,2,3,4-тетрагидроциклопентано-(1,2)-фенантрен (**III**), *цис* и *транс*-11-кето-1,2,3,4,11,12,13,14-октагидрохризены (**IVa** и **б**) и 4-кето-1,2,3,4-тетрагидро-3'-метилциклопентано-(1',2':1,2)-фенантрен (**V**). **III**, **IVa** и **IVb** восстановлены в соответствующие углеводороды, а **V** превращен в 3'-метилциклопентано-(1',2':1,2)-фенантрен (**VI**, углеводород Дильса). К р-ру 12 г этилового эфира 2-кетодифенилциклопентановой к-ты (**VII**) в 50 мл абс. эфира прибавляют при  $0^\circ$  р-р  $\text{C}_6\text{H}_5\text{MgBr}$  (из 11,0 г  $\text{C}_6\text{H}_5\text{Br}$  и 1,7 г  $\text{Mg}$  в 50 мл абс. эфира), размешивают 1 час при  $0^\circ$  и 1 час при  $\sim 20^\circ$  и разлагают 2 н.  $\text{H}_2\text{SO}_4$ ; продукт р-ции перегоняют, фракцию с т. кип.  $130-135^\circ/0,05$  мм кипятят 3 часа с 3 г  $\text{KOH}$  в 50 мл  $\text{CH}_3\text{OH}$  и получают 2-оксид-2-фенилциклопентилуксусную к-ту (**VIII**), выход 30%, т. пл.  $92-93^\circ$  (в виде  $\text{VIII} \cdot 0,5 \text{ H}_2\text{O}$  из эф. петр. эф.; 1:1). **VIII** при нагревании до  $100^\circ$  в вакууме превращается в лактон **VIII** (**IX**), выход 74%, т. кип.  $127-129^\circ/0,05$  мм. 3 г **IX** кипятят 24 часа с 30 г амальгамированного  $\text{Zn}$  в 60 мл  $\text{C}_6\text{H}_5\text{CH}_3$ , 90 мл конц.  $\text{HCl}$  и 35 мл воды, добавляя через каждые 6 час. 25 мл конц.  $\text{HCl}$ , и получают 2-фенилциклопентилуксусную к-ту (**X**), выход 79%, т. кип.  $146-147^\circ/0,15$  мм. 2,4 г **X** растворяют в 25 мл безводн.  $\text{HF}$ , выдерживают 20 мин. при  $0^\circ$ , выливают в 250 мл конц. р-ра  $\text{K}_2\text{CO}_3$  и получают **I**, выход 65%, т. пл.  $89-90^\circ$  (из петр. эф.); 2,4-динитрофенилгидразон (**ДНФГ**), т. пл.  $224-225^\circ$  (из этилацетата- $\text{CH}_3\text{OH}$ ; 1:1). При взаимодействии 9 г этилового эфира 2-кетодифенилциклопентановой к-ты (**XI**) с  $\text{C}_6\text{H}_5\text{MgBr}$  (из 7,7 г  $\text{C}_6\text{H}_5\text{Br}$  и 1,2 г  $\text{Mg}$  в 50 мл абс. эфира) 1 час при  $0^\circ$  сразу получают лактон 2-оксид-2-фенилциклопентилуксусной к-ты (**XII**, к-та **XIII**), выход 52%, т. пл.  $56-58^\circ$  (из петр. эф.). **XII** (8 г) при кипячении 5 час. с 5 г  $\text{KOH}$  в 50 мл  $\text{CH}_3\text{OH}$  дает **XIII**, выход 86,5%, т. пл.  $132-134^\circ$  (из эф. петр. эф.; 1:5). При восстановлении **XII** аналогично **IX** получают смесь *цис*- и *транс*-2-фенилциклопентилуксусных к-т (**XIVa** и **б**), выход 72%. Р-р 4 г смеси **XIVa** и **XIVb** в лед.  $\text{CH}_3\text{COOH}$  разбавляют водой до появления муты; при стоянии выпадает **XIVa**, выход после повторного осаждения 0,5 г, т. пл.  $168-170^\circ$  (из 50%-ного сп.). Из маточного р-ра

выделяют **XIVb**, выход 1,8 г, т. пл.  $112-114^\circ$  (из 50%-ного сп.). При циклизации **XIVa** и **XIVb** аналогично **X** получают соответственно **IIa**, выход 85%, т. кип.  $145^\circ/0,2$  мм; **ДНФГ**, т. пл.  $224-225^\circ$  (из  $\text{C}_6\text{H}_5\text{N}$ -воды; 1:1), и **IIb**, выход 85%, т. пл.  $96-97^\circ$  (из сп.); **ДНФГ**,



**III, XVI R = H**  
**V, XVIII R = CH<sub>3</sub>**

т. пл.  $246-248^\circ$  (из  $\text{C}_6\text{H}_5\text{N}$ ). К р-ру 23 г **VII** в 50 мл абс. эфира прибавляют при  $0^\circ$  р-р  $\beta\text{-C}_{10}\text{H}_7\text{MgBr}$  (**XV**, из 28 г  $\beta\text{-C}_{10}\text{H}_7\text{Br}$  и 3,25 г  $\text{Mg}$  в 100 мл абс. эфира), выдерживают 1 час при  $0^\circ$  и 1 час при  $\sim 20^\circ$  и разлагают разб.  $\text{H}_2\text{SO}_4$  при  $0^\circ$ ; продукт р-ции кипятят 2 часа с 8 г  $\text{KOH}$  в 100 мл  $\text{CH}_3\text{OH}$ ; полученную в виде масла к-ту перегоняют в вакууме и получают лактон 2-оксид-2-фенилциклопентилуксусной к-ты (**XVI**), выход 22%, т. кип.  $160-190^\circ/0,1$  мм, т. пл.  $105-107^\circ$  (из  $\text{CH}_3\text{OH}$ ). Аналогично из **XI** и **XV** получают лактон 2-оксид-2-фенилциклопентилуксусной к-ты (**XVII**), выход 20%, т. кип.  $195-205^\circ/0,04$  мм, т. пл.  $110-112^\circ$  (из  $\text{CH}_3\text{OH}$ ), а из этилового эфира 3-кето-1-метилциклопентил-2-уксусной к-ты (получен гидрированием 20 г этилового эфира (1-метилциклопентен-1-он-3-ил-2)-уксусной к-ты в 100 мл абс. спирта в присутствии 10 г 2%-ного  $\text{Pd/CaCO}_3$  при  $\sim 20^\circ$ , выход 95%, т. кип.  $132-134^\circ/11$  мм) и **XV** — лактон 3-оксид-1-метил-3-β-нафтилциклопентил-2-уксусной к-ты (**XVIII**), выход 17%, т. кип.  $175-185^\circ/0,01$  мм, т. пл.  $94-95^\circ$  (из  $\text{CH}_3\text{OH}$ ). **XVI** (7 г) восстанавливают аналогично **IX** (30 г  $\text{Zn}$ ) и полученную 2-β-нафтилциклопентилуксусную к-ту (выход 80%, т. кип.  $170-190^\circ/0,1$  мм) циклизуют действием безводн.  $\text{HF}$  ( $0^\circ$ , 20 мин.) в **III**, очищ. хроматографией на  $\text{Al}_2\text{O}_3$  (вымывание  $\text{C}_6\text{H}_6$ ) и возгонкой в вакууме, выход 72%, т. пл.  $119-120^\circ$  (из сп.); **ДНФГ**, т. пл.  $234-235^\circ$  (из  $\text{C}_6\text{H}_5\text{N}$ ). **XVII** (4 г) восстанавливают аналогично **IX** (20 г  $\text{Zn}$ ) и получают смесь *цис*- и *транс*-2-β-нафтилциклопентилуксусных к-т (**XIXa** и **б**), выход 75%, разведенную кристаллизацией из  $\text{CH}_3\text{OH}$ : **XIXa** (менее растворима), выход 0,7 г, т. пл.  $200-201^\circ$ ; **XIXb**, выход 1,5 г, т. пл.  $131-133^\circ$ . **XIXa** (1,5 г) при действии безводн.  $\text{HF}$  (20 мл,  $0^\circ$ , 20 мин.) дает **IVa**, очищ. возгонкой в вакууме, выход 72%, т. пл.  $87-88^\circ$  (из сп.); **ДНФГ**, т. пл.  $205-207^\circ$  (из  $\text{C}_6\text{H}_5\text{N}$ ). Аналогично из **XIXb** получают **IVb**, выход 72%, т. пл.  $87-88^\circ$  (из сп.); **ДНФГ**, т. пл.  $222-225^\circ$  (из  $\text{C}_6\text{H}_5\text{N}$ ). Этим же путем из **XVIII** через 1-метил-3-β-нафтилциклопентил-2-уксусную к-ту (**XX**, выход 75%, т. кип.  $195-205^\circ/0,05$  мм) получают **V** (выход 72% (на **XX**), т. пл.  $121-123^\circ$  (из сп.)). 1 г **V** кипятят 24 часа с 10 г амальгамированного  $\text{Zn}$  в 20 мл  $\text{C}_6\text{H}_5\text{CH}_3$ , 50 мл конц.  $\text{HCl}$  и 10 мл воды, добавляя через каждые 6 час. 5 мл конц.  $\text{HCl}$ , и получают 1,2,3,4-тетрагидроциклопентано-(1,2)-нафталин (по-видимому, *транс*-изомер), выход 27%, т. кип.  $145-160^\circ/1,8$  мм, т. пл.  $85-87^\circ$  (из сп.). Аналогично из **IVa** получают *цис*-1,2,3,4,11,12,13,14-октагидрохризен (**XXIa**), выход 21%, т. кип.  $184^\circ/0,4$  мм, т. пл.  $84-85^\circ$  (из сп.), а из **IVb** — соответственно *транс*-изомер (**XXIb**), выход 15,5%, т. кип.  $184-186^\circ/0,2$  мм, т. пл.  $110-111^\circ$  (из сп.). **XXIa** и **XXIb** при деидрировании нагреванием 30 мин. при  $300-320^\circ$  с 10%-ным  $\text{Pd/C}$  (30 мг на 0,11 г **XXIa**) дают хризен. 3,5 г **V** восстанавливают 0,5 г  $\text{LiAlH}_4$  в 200 мл абс. эфира (2 часа при  $\sim 20^\circ$  и 2 часа при кипячении) и получают 4-оксид-1,2,3,4-тетрагидро-3'-метилциклопентано-(1',2':1,2)-фенантрен (**XXII**), выход 91%, т. пл.  $112-114^\circ$  (из эф. петр. эф.; 1:10) **XXII** (2,6 г) при нагревании с 500 мг 10%-ного  $\text{Pd/C}$  ( $300-320^\circ$ , 30 мин.) превращается в **VI**, очищ. возгонкой в вакууме и зонной плавкой, выход 73%, т. пл.  $126-128^\circ$



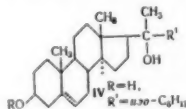
(из сп.); пикрат, т. пл. 129—130°. Отмечено, что транс-изомеры соединений с двумя сочлененными гидрированными кольцами имеют более высокую т-ру плавления, чем соответствующие цис-изомеры. Сообщение XI см. РЖХим, 1956, 71790. В. Коптюг

**51374. О фитостерине, выделенном из корней *Glycyrrhiza glabra*. Сообщение II. Ромео, Виллотти, Карелли** (Su un fitosterolo isolato dalle radici di *Glycyrrhiza glabra*. Nota II. Romeo Aurelio, Vilotto Riccardo, Carelli Vincenzo), Ann. chimica, 1956, 46, № 12, 1092—1104 (итал.).

В продолжение прошлой работы (см. РЖХим, 1956, 58156) фитостерин (I), выделенный из корней *Glycyrrhiza glabra*, идентифицирован как 22,23-дигидростигмастерин. I при гидрировании ( $\text{CH}_3\text{COOH}$ -эфир,  $\text{PtO}_2$ , 50—60; 30 ат) дает известный ацетат стигмастанолола (II—спирт), т. пл. 129—130° (из ацетона)  $[\alpha]_D^{20} + 16^\circ$  (30,02 мг в 3 мл хлф.), идентичный с образцом, полученным из ацетата стигмастерина (III—спирт). Омыление обоих образцов ацетатов (3%-ный метанольный КОН, кипячение) дало один и тот же II, т. пл. 133—134° (из ацетона),  $[\alpha]_D^{20} + 25^\circ$  (20,01 мг в 2 мл хлф.). Оба образца II и ацетатов II имеют одинаковые кристаллографич. данные (КД). Ацетат I, т. пл. 122—123°,  $[\alpha]_D^{20} - 36^\circ$  (10 мг в 1 мл хлф.) и бензоат I, т. пл. 144—145° (из ацетона),  $[\alpha]_D^{20} - 15^\circ$  (10,1 мг в 1 мл хлф.), полученных как из I, так и синтетически; их КД также совпадают. Синтетич. и природный I по константам и КД идентичны. Получен 3,5-динитробензоат I, т. пл. 202—204° (из ацетона),  $[\alpha]_D^{20} - 10,5^\circ$  (25 мг в 2,5 мл хлф.), приведенные его КД. Синтетически I получен по схеме: III  $\rightarrow$  п-толуолсульфонат III, т. пл. 146—147° (из ацетона),  $[\alpha]_D^{20} - 47^\circ$  (46,25 мг в 5 мл хлф.)  $\rightarrow$  метиловый эфир 3,5-цикло- $\Delta^{22}$ -стигмастенола-6, т. пл. 54—55° (из ацетона),  $[\alpha]_D^{20} + 34,6^\circ$  (20,5 мг в 2,5 мл хлф.) I. КД для I отличаются от данных для фитостерина, выделенного из камеди (Phil. Trans. Roy. Soc., A., 1940, 339A, 135), которому была приписана структура I.

**51375. 20 $\beta$ -оксистерин. Петров, Стюарт-Уэбб** (20 $\beta$ -hydroxycholesterol. Petrov Vladimir, Stuart-Webb Isobel A., Mrs.), J. Chem. Soc., 1956, Nov., 4675—4676 (англ.).

При ацетилировании продукта взаимодействия ацетата  $\Delta^5$ -прегненол-3 $\beta$ -она-20 (I) с *изо*- $\text{C}_6\text{H}_{13}\text{MgBr}$  (II) получен 3-ацетат 20 $\beta$ -оксистерина (III). Омыление III дало  $\Delta^5$ -холестендиол-3 $\beta$ -20 $\beta$  (IV), который окислен по методу Оппенауэра в  $\Delta^4$ -20 $\beta$ -оксистерин-3 (V). Р-р 3,58 г I в 150 мл бензола приливают к р-ру II (из 2,4 г Mg, 1,65 г *изо*- $\text{C}_6\text{H}_{13}\text{Br}$  и 100 мл эф.), отгоняют, пока т-ра не достигнет 78°, и кипятят еще 3 часа. По охлаждению смесь обрабатывают р-ром  $\text{NH}_4\text{Cl}$ , экстрагируют бензолом, выделенное масло ацетируют при помощи  $(\text{CH}_3\text{CO})_2\text{O}$  в пиридине (1 час при 100°), хроматографируют бензольный р-р на  $\text{Al}_2\text{O}_3$  и вымывают III (смесью бzl.-эф., 6,5:1), т. пл. 155—156° (из  $\text{CH}_3\text{OH}$ ),  $[\alpha]_D^{20} - 58^\circ$  (с 0,455). Обрабатывают 220 мг III в 20 мл  $\text{CH}_3\text{OH}$  р-ром 140 мг  $\text{K}_2\text{CO}_3$  в 2 мл воды 12 час. при ~20°, экстрагируют  $\text{CHCl}_3$  и получают IV, т. пл. 123—125° (из ацетона-гексана),  $[\alpha]_D^{22} - 52^\circ$  (с 0,369). Смесь 1 г

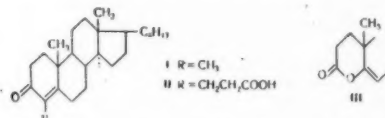


IV, 13 мл циклогексанона и р-ра 1 г *трет*-бутилата Al в 8 мл толуола кипятят 40 мин. и выделяют V, т. пл. 137—138° (из воды,  $\text{CH}_3\text{OH}$ ),  $[\alpha]_D^{22} + 66^\circ$  (с 0,592). Аналогично, исходя из I и соответствующего галоидалкила, получены аналоги IV (перечислены R, R', т. пл. в

°С,  $[\alpha]_D$ , c): H,  $\text{CH}_3$ , 187,  $[\alpha]_D^{23} - 65$ , 0,291; H,  $\text{C}_2\text{H}_5$ , 167—168,  $[\alpha]_D^{24} - 65^\circ$ , 0,46;  $\text{CH}_3\text{CO}$ ,  $\text{C}_2\text{H}_5$ , 172—173,  $[\alpha]_D^{23} - 64$ , 0,823; H, *н*- $\text{C}_4\text{H}_9$ , 112—114, —, —; H, *н*- $\text{C}_5\text{H}_{11}$ , 123,  $[\alpha]_D^{24} - 61$ , 0,604;  $\text{CH}_3\text{CO}$ , *н*- $\text{C}_5\text{H}_{11}$ , 155,  $[\alpha]_D^{22} - 57$ , 0,402,  $[\alpha]_D$  измерены в  $\text{CHCl}_3$ . М. Бурмистрова

**51376. Производные холестерина. Микинс, Родиг** (Compounds derived from cholesterol. Meakins G. D., Rodig O. R.), J. Chem. Soc., 1956, Nov., 4679—4681 (англ.).

Описан синтез 4-метил-(I) и 4-(карбоксиэтил-2')-(II)- $\Delta^4$ -холестенонов-3. Эфирный р-р 0,73 г  $\text{C}_2\text{H}_5\text{MgI}$  прибавляют при 0° в токе  $\text{N}_2$  к р-ру 1,5 г лактона енола (III) в 15 мл эфира, выдерживают 13 час. при 0° и разлагают 6 н. HCl; выделенное извлечением эфиром в-во кипятят 3 часа в атмосфере  $\text{N}_2$  с р-ром 2,05 г NaOH в 10 мл воды и 60 мл  $\text{CH}_3\text{OH}$  и получают I, очищ. хроматографией на 50 г  $\text{Al}_2\text{O}_3$  (вымывание  $\text{C}_6\text{H}_6$ ), выход 1,06 г, т. пл. 102—103° (из  $\text{CH}_3\text{OH}$ ),  $[\alpha]_D - 108^\circ$  (с 0,9; хлф.). I (190 мг) восстанавливают Li (100 мг в 35 мл абс. эф.).



в жидком  $\text{NH}_3$  (75 мл), продукт р-ции хроматографируют на 20 г  $\text{Al}_2\text{O}_3$  и вымыванием  $\text{C}_6\text{H}_6$ -эфир (19:1) выделяют 4 $\alpha$ -метилхолестанол (IV), выход 130 мг, т. пл. 123—124° (из  $\text{CH}_3\text{OH}$ ),  $[\alpha]_D + 26^\circ$  (с 1,1; хлф.). При гидрировании 500 мг I в 10 мл лед.  $\text{CH}_3\text{COOH}$  в присутствии Pt (из 150 мг  $\text{PtO}_2$ ) и окислении продукта гидрирования в ацетоне 8 н. р-ром  $\text{CrO}_3$  также получен IV, выход 85 мг. К р-ру 2 г холестерона в 20 мл эфира прибавляют в токе  $\text{N}_2$  7 мл 1 M р-ра *трет*- $\text{C}_4\text{H}_9\text{OK}$  и *трет*- $\text{C}_4\text{H}_9\text{OH}$  и затем за 5 мин. (при 0°) р-р 0,6 г  $\text{CH}_2=\text{CHCOOCH}_3$  в 10 мл эфира, размешивают 1,5 часа при 0° и 1 час при 20°, добавляют 5 мл воды, р-рителем удаляют в вакууме, остаток кипятят 2,5 часа в атмосфере  $\text{N}_2$  с р-ром 10 г KOH в 60 мл 50%-ного водн.  $\text{CH}_3\text{OH}$  и выделяют II, выход 1,3 г, т. пл. 136—138° (из ацетона),  $[\alpha]_D - 88^\circ$  (с 1,0; хлф.). Приведены данные УФ-спектров I и II и ИК-спектров I, II и IV. В. Коптюг

**51377. Гидрирование органических веществ над Ni по Урусибара. I. Гидрирование стероидов. Нисимура** (漆原ニッケルによる有機化合物の還元. 第1報. ステロイドの還元B西村重夫), 日本化学雑誌, Нихон катяку даасси, J. Chem. Soc. Japan. Pure Chem. Sec., 1956, 77, № 2, 340—343 (японск.).

Изучено гидрирование 3-, 6- и 7-кетостероидов и ацетата 6-нитрохолестерина (I) над Ni-B-катализатором Урусибара при 10—15° и нормальном давлении в спирте, и дегидрохолоевой к-ты (II) в водно-щел. р-ре. В последнем случае получают только 3 $\alpha$ -ОН-производное, из холестерона-3 (III) — 90%  $\beta$ - и 10%  $\alpha$ -холестанола, из копростанола (IV) — 58%  $\alpha$ - и 42%  $\beta$ -копростанола. Из холестерол-3 $\beta$ -она-6 получают с выходом 90% только холестерандиол-3 $\beta$ , 6 $\beta$ , а из холестерол-3 $\beta$ -она-7 (V) равные кол-ва 7 $\alpha$ - и 7 $\beta$ -спиртов. При гидрировании I получают оксим ацетата холестерол-3 $\beta$ -она-6 с выходом 70%. При гидрировании  $\Delta^4$ -холестерона-3 восстанавливается и двойная связь и кетогруппа и получают смесь всех четырех изомерных спиртов (СМ) в таком соотношении, которое образуется при восстановлении равных кол-в III и IV. В ацетате 7-кетохолестерина восстанавливается только двойная связь и получают ацетат V. Для получения Ni-B-катализатора 5 г Zn-пыли при 80—90° 1—2 мин. обрабатывают р-ром 2 г  $\text{NiCl}_2$  в 10 мл воды, промывают водой, перемешивают с 100 мл 10%-ного NaOH при 50—60° 15—25 мин., промывают водой и хранят под спиртом. 0,3 г стероида гид-

рируют над 0,45 г катализатора (с 2 г Zn) в 30–40 мл спирта. Приведены график гидрирования II в водно-щел. и спирт. р-рах и диаграмма плавления СМ разного состава.

Н. Швецов  
51378. Стереохимия восстановления некоторых стероидных кетонов гидридами. Добен, Бланз, Жу, Микели (The stereochemistry of the hydride reduction of some steroidal ketones. Dauben William G., Blanz Erwin J., Jr, Jiu James, Micheli Robert A.), J. Amer. Chem. Soc., 1956, 78, № 15, 3752–3755 (англ.)

С целью изучения стерич. направленности восстановления кетогруппы гидридами металлов было исследовано восстановление холестанола-2 (I) и холестанол-3 $\beta$ -она-7 (II) с LiAlH<sub>4</sub> и NaBH<sub>4</sub>. При восстановлении I с LiAlH<sub>4</sub> образуется 52% холестанола-2 $\beta$  (III) (с аксиальным OH) и 37% холестанола-2 $\alpha$  (IV) (с экваториальным OH). Больше по сравнению с холестаном-3 (V) (Shorpee C. W., Summers G. H. R., J. Chem. Soc., 1950, 687) кол-во  $\alpha$ -изомера, образующегося путем атаки с  $\beta$ -стороны, указывает, что пространственные затруднения со стороны аксиальной C(1<sub>0</sub>)-метильной группы не являются определяющим фактором. В случае восстановления I NaBH<sub>4</sub> такие затруднения играют большую роль и образуется 71% III и 16% IV. Восстановление более стерически затрудненного 3-ацетата-II (IIa) LiAlH<sub>4</sub> привело к смеси, содержащей 57% холестандиола-3 $\beta$ ,7 $\alpha$  (VI) и 43% холестандиола-3 $\beta$ ,7 $\beta$  (VII). Аналогичная р-ция с NaBH<sub>4</sub> привела к 73% VI и 27% VII. Восстановление 0,5 г I LiAlH<sub>4</sub> в эфире (1 час., 20°) дало 495 мг смеси III и IV, хроматографированием которой на SiO<sub>2</sub> выделено 259 мг III, т. пл. 153,3–155,1° (из CH<sub>3</sub>OH), и 178 мг IV, т. пл. 177,1–178,9° (из эф.). Аналогично 0,5 г I при действии 0,2 г NaBH<sub>4</sub> в водн. CH<sub>3</sub>OH (80°, 3 часа) дали 488 мг смеси, хроматографированием которой на SiO<sub>2</sub> выделено 22 мг I, 342 мг III, т. пл. 153–155°, и 76 мг IV, т. пл. 177–179°. Ацетат холестерина действием трет-бутилхромата с 65%-ным выходом превращен в ацетат 7-кетохолестерина, 15 г которого гидрировались последовательно в этилацетате на PtO<sub>2</sub> и в CH<sub>3</sub>COOH на PtO<sub>2</sub>. Получено 9,2 г смеси 3-ацетатов холестандиолов-3 $\beta$ ,7 (VIII) 61%, т. пл. 95–105°. VIII окислялся CrO<sub>3</sub> в водн. CH<sub>3</sub>COOH (16 час., 20°) в 8,08 г IIa, т. пл. 146,3–147,4°. Омылением 4,55 г IIa с помощью спирт. KOH (1 час, 80°) получено 3,89 г II, т. пл. 156,3–158° (из водн. сп.). Восстановление 2,24 г IIa LiAlH<sub>4</sub> в эфире привело к 2,05 г смеси VI и VII, [ $\alpha$ ]<sub>D</sub><sup>20</sup> +28,1° (с 1,012), хроматографированием 1,08 г которой на Al<sub>2</sub>O<sub>3</sub> было выделено 3 мг некристаллич. материала и 1,01 г смеси VI и VII, 93,5% [ $\alpha$ ]<sub>D</sub><sup>20</sup> +26,9° ( $\alpha$  +0,286, с 1,062), что соответствует [ $\alpha$ ]<sub>D</sub> смеси, содержащей 57% VI и 43% VII. Аналогично, кипячение 0,5 г IIa с LiAlH<sub>4</sub> в тетрагидрофуране (1 час) привело к смеси с [ $\alpha$ ]<sub>D</sub><sup>20</sup> +23,2° ( $\alpha$  +0,252, с 1,086), соответствующей 65% VI и 35% VII. 0,822 г II восстанавливались NaBH<sub>4</sub> в водн. CH<sub>3</sub>OH (22 часа, 20°, 2 часа, 100°); получено 0,792 г смеси VI и VII, [ $\alpha$ ]<sub>D</sub><sup>20</sup> +19,8° ( $\alpha$  +0,252, с 1,828), что соответствует 73% VI и 27% VII.

А. Камерницкий  
51379. Стероиды. Вклад японской химии за послевоенное десятилетие. Кубота (ステロイド. 戦後10年の日本化学の寄与. 久保田尚志), 化学の領域. Катаку-но рёики, J. Japan. Chem., 1956, 10, № 6, 1–18 (японск.)

51380. Синтез некоторых холеновых кислот из норхолестенолола. Киприанов Г. И., Вейцман А. М., Укр. хим. ж., 1956, 22, № 5, 612–615

Действием C<sub>6</sub>H<sub>5</sub>MgBr на ацетат  $\Delta^5$ -26-норхолестенол-3 $\beta$ -она-25 (I) получен  $\Delta^5$ -25-метил-25-фенил- $\Delta^5$ -гомохолодиол-3 $\beta$ ,25, выход 72,5%, т. пл. 177–179°. Последний при кипячении с 10-кратным кол-вом CH<sub>3</sub>COOH (12 час.) превращается в ацетат 25-метил-25-фенил-

$\Delta^5$ ,24-гомохолодиенола-3 $\beta$  (II), выход 98%, т. пл. 121–122° (из ацетона). Окисление II CrO<sub>3</sub> в р-ре лед. CH<sub>3</sub>COOH при 0–3° дает 3 $\beta$ -ацетокси- $\Delta^5$ -холоновую к-ту, выход 47,5%, т. пл. 184–185° (из сп.). При омылении II спирт. р-ром KOH получен 25-метил-25-фенил- $\Delta^5$ ,24-гомохолодиенол-3, выход 90%, т. пл. 122–124° (из сп.), который окислением по Оппенгауэру (изопропилят Al, циклогексанон, толуол) превращен в 25-метил-25-фенил- $\Delta^4$ ,24-гомохолодиенол-3, выход 70%, т. пл. 117–118° (из эф.). Окислением последнего CrO<sub>3</sub> в лед. CH<sub>3</sub>COOH получена  $\Delta^5$ -3-кетохолоновая к-та, выход 70%, т. пл. 182–184°. При окислении I гипобромитом Na в р-ре спирта и CHCl<sub>3</sub> получена  $\Delta^5$ -3 $\beta$ -оксигомохолоновая к-та, выход 65%, т. пл. 210–212°; ацетат, т. пл. 187–189°.

И. Зарецкая

51381. О стероидах. VII. Азотнокислые эфиры в ряду желчных кислот. Тэнзеску, Ганя, Ходошан, Тердик (Despre steroide. VII. Esteri nitrici în clasa acizilor biliari. Tănăsescu I., Ganea I., Nodocșan F., Terdic M.), Studii și cercetări de chim., 1956, 4, № 1–2, 21–30 (рум.; рез. русск., франц.)

Действием HNO<sub>3</sub> в (CH<sub>3</sub>CO)<sub>2</sub>O на метиловые эфиры холевой к-ты (I) 3-ацетилхолевой (II), 3-карбэтоксиколевой к-ты (III), литохолевой к-ты (IV) и дезоксиколевую к-ту (V) получены соответствующие азотнокислые эфиры и изучены некоторые их превращения. Тринитрат I (VI) при щел. гидролизе образовал тринитрат холевой к-ты (VII), который в обычных условиях дал соответствующий этиловый эфир VII (VIII). При восстановительном ацетилировании VI получен триацетат I (IX). При действии Zn в CH<sub>3</sub>COOH VI перешел в I. В этих же условиях динитрат V и нитрат (X) литохолевой к-ты (IVa) дали соответственно V и IVa. Динитраты II и III омылены щелочью в 7,12-динитрат холевой к-ты (XI), метиловый эфир (XII) которого при окислении CrO<sub>3</sub> образовал 7,12-динитрат метилового эфира 3-кетог-7 $\alpha$ ,12 $\alpha$ -диоксиколоановой к-ты (XIII). При восстановлении XIII получен метиловый эфир 3-кетог-7 $\alpha$ ,12 $\alpha$ -диоксиколоановой к-ты (XIV). К 12,5 мл HNO<sub>3</sub> (d 1,5) в 50 мл (CH<sub>3</sub>CO)<sub>2</sub>O за 15 мин. при –5° прибавляют 5 г I в 50 мл CHCl<sub>3</sub>, перемешивают 5 мин. при 0°, выливают в ледяную воду, из CHCl<sub>3</sub>-р-ра выделают 5 г VI, т. пл. 171–172° (из CH<sub>3</sub>OH), [ $\alpha$ ]<sub>D</sub><sup>20</sup> +71,5° (с 4,369; хлф.). Аналогично получают (даны исходное в-во, продукт р-ции, т. пл. °C (из CH<sub>3</sub>OH), [ $\alpha$ ]<sub>D</sub> (хлф.): V, динитрат V, 199 (разл., из лед. CH<sub>3</sub>COOH), +96,1° (с 4,138); IV, нитрат IV, 113–114, 38,2° (с 3,137); II, динитрат II, 183–184 (разл.), 67,3° (с 1,552); III, динитрат III, 197–199 (разл.), +73,8° (с 10,3688). 5 г VI кипятят 4 часа с 200 мл 0,5 н. метанольного KOH, выделают 3,5 г VII, т. пл. 214–215° (разл., из лед. CH<sub>3</sub>COOH), [ $\alpha$ ]<sub>D</sub><sup>20</sup> +73° (с 2,155, ацетон). Аналогично получают (даны исходное в-во, продукт р-ции, т. пл. °C, [ $\alpha$ ]<sub>D</sub>): нитрат IV, X, 169–170 (из CH<sub>3</sub>OH), +39,2° (с 3,543; хлф.); динитрат II и III, XI, 206–208 (разл., из сп.), +63,5° (с 8,1996; диоксан). 0,35 г VII кипятят 30 мин с 20 мл абс. спирта и 0,7 мл конц. HCl, выделают VIII, т. пл. 157–159° (из сп.), [ $\alpha$ ]<sub>D</sub><sup>20</sup> +73,6° (с 0,187; хлф.). Аналогично из динитрата V получают соответствующий метиловый эфир, т. пл. 105,5–106,5° (из CH<sub>3</sub>OH), [ $\alpha$ ]<sub>D</sub><sup>20</sup> +92,8° (с 2,666; хлф.). К 5 г VI в 100 мл (CH<sub>3</sub>CO)<sub>2</sub>O в течение 45 мин. прибавляют 30 г порошка Zn, фильтруют, выливают в воду, эфиром извлекают IX, т. пл. 83,5–88°. К 0,5 г VI в 13 мл лед. CH<sub>3</sub>COOH прибавляют постепенно 2 г Zn, из фильтрата после разбавления водой выделают I. Аналогично из XIII получают XIV, т. пл. 172–174° (из бzl.-петр. эф.). 2 г XI кипятят 3 часа с 300 мл CH<sub>3</sub>OH и 6,4 мл конц. H<sub>2</sub>SO<sub>4</sub>, получают 1,65 г XII, т. пл. 172,5–173,5° (из CH<sub>3</sub>OH), [ $\alpha$ ]<sub>D</sub><sup>20</sup> +61,7° (с 7,336; диоксан). К 3,5 г XII в 45 мл CH<sub>3</sub>COOH при 15° прибавляют 1,8 г CrO<sub>3</sub> в 45 мл CH<sub>3</sub>COOH, после стояния при ~20° (24 ча-

са) выделяют XIII, т. пл. 181—182° (из  $\text{CH}_3\text{OH}$  и этилацетата). Сообщение VI см. РЖХим, 1956, 35975.

С. Завьялов

51382. Желчные кислоты и стероиды. 34. Приготовление спаренных желчных кислот через смешанные ангидриды угольной кислоты. Норман (Preparation of conjugated bile acids using mixed carboxylic acid anhydrides. Bile acids and steroids. 34. Norman Arne), Arkiv kemi, 1955, 8, № 4, 331—342 (англ.).

Действием таурина и глицина на смешанные ангидриды угольной и различных желчных к-т (I) получены соответствующие спаренные желчные к-ты (II). Смешанные ангидриды получали взаимодействием  $\text{ClCOOC}_2\text{H}_5$  с трибутиламинной солью соответствующей I в диоксане. Через 15 мин. к этому р-ру прибавляли водн. р-р Na-соли глицина или таурина с небольшим избытком. Выделение и очистку производили обычными методами. В некоторых случаях, в частности, при получении II, меченных  $\text{C}^{14}$  в положении 24, применяли распределительное хроматографирование на гидрофобных носителях и на бумаге. Ниже приведены т. пл. II, выход II, т. пл. Na-солей II, их выход,  $[\alpha]_D^{25}$  для II и их Na-солей для концы 1, 2, 5 и 5 для свободных к-т в спирте, для Na-солей в воде. Гликохолевая к-та (III) (нормальная форма) 165—168° (из этилацетата), 69% или 132—134° (из 5%-ного сп.),  $30,6 \pm 0,6$ ,  $30,5 \pm 0,3$ ,  $30,4 \pm 0,4$ ; пара-форма III 190—195°, Na-соль III 230—240°, 95%,  $29,2 \pm 1,0$ ,  $26,5 \pm 0,6$ ,  $24,0 \pm 0,2$ ; Na-соль таурохолевой к-ты (IV — к-та) 225—235°, 79%,  $25,2 \pm 1,0$ ,  $24,2 \pm 0,4$ ,  $21,7 \pm 0,3$ . Гликодезоксихолевая к-та (V) 187—188°, 76%,  $45,9 \pm 0,8$ ,  $46,4 \pm 0,5$ ,  $46,2 \pm 0,5$ ; Na-соль 245—250°, —,  $41,2 \pm 1,0$ ,  $38,5 \pm 0,6$ ,  $37,8 \pm 0,4$ ; Na-соль тауродезоксихолевой к-ты (VI — к-та) 171—176°, —,  $37,0 \pm 0,8$ ,  $34,4 \pm 0,4$ ,  $33,7 \pm 0,3$ ; Na-соль гликохенодезоксихолевой к-ты 160—170°, —,  $9,2 \pm 1,5$ ,  $8,5 \pm 0,6$ ,  $7,2 \pm 0,5$ ; Na-соль таурохенодезоксихолевой к-ты (VII — к-та) 165—175°, —,  $9,0 \pm 1,2$ ,  $8,0 \pm 0,6$ ,  $7,0 \pm 0,5$ ; гликолитохолевая к-та (VIII) 181—182° (из водн. сп.), 212—214° (из этилацетата), 66%,  $30,6 \pm 1,5$ ,  $29,9 \pm 0,2$ , —; тауролитохолевая к-та (IX) 213—214°, 84%,  $27,2 \pm 0,8$ , —; гликохолановая к-та 204—206°, 68%,  $23,6 \pm 0,5$ , —; таурохолановая к-та (X) 241—243°, 79%,  $21,3 \pm 1,0$ , —; гликодегидрохолевая к-та 240—242°, 69%,  $23,4 \pm 0,5$ , — (в 90%-ном сп.); таурогидрохолевая к-та 237—238°, 72%,  $20,5 \pm 0,6$ , — (в 90%-ном сп.). Приведены аналогичные данные для I и их Na-солей.  $[\alpha]_D$  I и II мало различаются:  $[\alpha]_D$  солей уменьшается с увеличением концы, что связано с образованием мицелл. Даны также т-ры плавления для Na-солей VIII, IX и X: 210—220°, 220—230° и 220—240°, соответственно. Получены III, IV, V, VI, VII и IX, меченные  $\text{C}^{14}$  в положении 24. Сообщение 33 см. РЖХимБХ, 1957, 12988.

Н. Спасокукоцкий

51383. О синтезе нестероидных андрогенов. Халецкий А. М., Запугряев Б. А., Ж. общ. химии, 1956, 26, № 11, 3026—3030

Получен диэтиловый эфир  $\alpha, \beta$ -дициклопентанон-2,2'-этидикарбоновой-1,1 к-ты (I) и изучена его андрогенная активность. Взаимодействием этилового эфира циклопентанон-2-карбоновой-1 к-ты (II) в спирте с 40%-ным КОН при 2—3° получено его калиевое производное (III) в виде белого кристаллич. порошка, выход 80%. При нагревании 479 г III с 278 г  $\text{CH}_2\text{BrCH}_2\text{Br}$  в 300 мл сухого толуола при 120—125° в течение 92 час. и после соответствующей обработки получено 211 г смеси в-в, кипящей в широких пределах. Из фракция т. кип. 135—201°/1 мм выделено 3,25 г I, т. пл. 104—106° (из 50% сп.); моносемикарбазон, т. пл. 223—224° (разл.; из разб.  $\text{CH}_3\text{COOH}$ ); бис-2,4-динитрофенилгидразон, т. пл. 247—248° (разл.; из этилацетата и ксилола). На крысах I обладает андрогенной активностью в дозе

15 γ. При электролизе Na-производного II в водн.  $\text{CH}_3\text{OH}$  (плотность тока 30  $\text{mA/cm}^2$  анод — платина, катод — никель, электролит 0,1 н. NaOH) получен диэтиловый эфир дициклопентанон-2,2-дикарбоновой-1,1 к-ты, т. пл. 105—105,5° (из 50%-ного  $\text{CH}_3\text{OH}$ ); 2,4-динитрофенилгидразон, т. пл. 264° (разл.; из смеси сп. и дихлорэтана).

И. Зарецкая

51384.  $\Delta^4$ -Прегненол-3β-он-20. Гут (3β-hydroxypregn-4-en-20-one. Gut Marcel), J. Organ. Chem., 1956, 21, № 11, 1327—1328 (англ.).

Синтезирован  $\Delta^4$ -прегненол-3β-он-20 (I), гестогенная активность которого равна активности прогестерона. При кипячении смеси 15 г ацетата  $\Delta^5$ -прегненол-3β-она-20 (II), 17 мл этиленгликоля, 1 г  $n\text{-C}_7\text{H}_{15}\text{SO}_3\text{H}$  и 530 мл бензола в течение 18 час. получено 14,6 г кристаллов, из которых после хроматографирования над  $\text{Al}_2\text{O}_3$  выделен 3-ацетат 20-этиленкетала II (III), т. пл. 157—161° (из  $\text{CH}_3\text{OH}$ ),  $[\alpha]_D^{25} -20 \pm 2^\circ$ . Омыление 10 г III с 5%-ным р-ром NaOH в  $\text{CH}_3\text{OH}$  (500 мл, 4 часа, 26°) дало 8,1 г неочищ. 20-этиленкетала II (IV), т. пл. 163—166° (очистка хроматографией и перекристаллизацией),  $[\alpha]_D^{25} -39 \pm 2^\circ$ . При окислении 7 г IV по Опшенуэру (изопропилат Al 3 г, толуол 250 мл; циклогексанон 40 мл; кипячение 1 час) получен (после хроматографирования над  $\text{Al}_2\text{O}_3$ ) 20-этиленкеталь прогестерона (V), выход 5,9 г, т. пл. 189—191° (из  $\text{CH}_3\text{OH}$ ),  $[\alpha]_D^{25} +119 \pm 2^\circ$ . Восстановлением 2 г V с помощью  $\text{NaBH}_4$  с последующим разделением при помощи диэтана и хроматографированием над  $\text{Al}_2\text{O}_3$  выделена фракция 20-этиленкетала I (VI), т. пл. 170—173°,  $[\alpha]_D^{25} +71 \pm 2^\circ$ . При обработке 300 мг VI 0,08%-ным р-ром  $(\text{COOH})_2$  в спирте (20 мл, 16 час., 25°) получен (после хроматографирования над  $\text{Al}_2\text{O}_3$ ) I, выход 230 мг, т. пл. 155—161°,  $[\alpha]_D^{25} +135 \pm 2^\circ$ . Строение полученных соединений доказывалось ИК- и УФ-спектрами.

И. Зарецкая

51385. Микрометод, позволяющий обнаружить изомеризацию дигоксина в изодигоксин. Моца (A micromethod for the detection of isomerization of digoxin to isodigoxin. Moza B. K.), J. Scient. and Industr. Res., 1956, (B—C) 15, № 5, B251—B253 (англ.).

Описан микрометод, позволяющий обнаружить изомеризацию дигоксина (I), в изодигоксин (II), основанный на разделении I и II хроматографированием на бумаге и идентификации их с помощью специфич. цветных р-ций. Найдено, что I и II при обработке видоизмененным р-ром Келлера — Килиани (р-р А) на двойную связь в дигоксозе дают в УФ-свете различную флуоресценцию. II получен по методу (Smith S., J. Chem. Soc., 1930, 2, 2481), разработанному для получения изодигоксигенина: р-р 100 мг I в 1 мл 10%-ного КОН разбавляли через 30 мин. 1 мл воды и 1 мл спирта подкисляли 1 мл 10% HCl. Через 30 мин. разбавляли 5 мл воды и концентрировали (37°) до выделения осадка. После центрифугирования осадок растворяли в  $\text{CH}_3\text{OH}$  и разбавляли водой до выделения тонких игл. Их отделяли, перекристаллизовывали 3 раза и сушили в вакууме над  $\text{CaCl}_2$  (48 час.), т. пл. 246—248° (неиспр.; с разл.). II не дает пробу Легала. Для открытия I и II применялись 1%-ные р-ры, которые наносили на ватман № 1. После высушивания встряхиванием на воздухе опрыскивали р-ром Б (пикриновая к-та) на двойную связь в лактонной боковой цепи. Пятно I окрашивается в оранжевый цвет, пятно II не окрашивается. После опрыскивания той же полоски бумаги р-ром А оба пятна окрашиваются в синий цвет. Другую полоску бумаги с пятнами I и II опрыскивали только р-ром А и после высушивания (~ 20°) нагревали (98—100°; 2 мин.). Пятно II окрашивается в фиолетовый цвет, изменяющийся в синий. Пятно I окрашивается в темно-синий цвет. В УФ-свете I дает яблочно-зеленую флуоресценцию, II — фиоле-



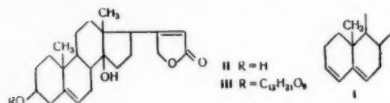
товую. Для разделения I и II на бумагу, высушенную в вакууме над  $\text{CaCl}_2$  24 часа, наносили смесь р-ров I и II по 10  $\gamma$  каждого и для сравнения по 10  $\gamma$  каждого отдельно. Для проявления употребляли  $\sim 40$  мл смеси р-рителей ( $\text{C}_6\text{H}_6$ :  $\text{CH}_3\text{OH}$ :  $\text{H}_2\text{O}$ ; 100:30:2) и вышеуказанные р-ры.  $R_f$  для I 0,51, для II 0,73. Метод полезен вследствие простоты и чувствительности и может применяться в тех случаях, где изомеризация не может быть обнаружена пробой Легала. Для получения воспроизводимых результатов необходимо пропитывание хроматограммы в течение 30 мин. и предварительное высушивание бумаги в указанных условиях, так как скорость продвижения р-рителя зависит от влажности бумаги. Оптимальным кол-вом является 10  $\gamma$ , хотя и при этом величина  $R_f$  колеблется в пределах 10%. При больших кол-вах пятна расплываются и  $R_f$  сильно меняются. Поэтому более надежными признаками изомеризации являются окраска и флуоресценция пятен.

В. Мерлис

# 51386. Глюкозиды *Escrophulariaceae canarias*. II.

Ангидроканариенгенин А. Гонсалес, Калеро (Glucosidos de las *Escrophulariaceae canarias*. II. Anhidrocanariengenina A. González A. G., Calero R.), An. Real. soc. espanola fis. y quim., 1955, B51, № 5, 341—350 (исп.; рез. англ.)

Описано выделение ангидроканариенгенина (I) из листьев *Digitalis canariensis* L. и на основании ряда свойств I предложены ф-лы для I, канариенгенина (II) и канариенглюкозида (III). Характерные р-ции, а также результаты титрования и элементарного анализа I, указывают на присутствие в I  $\alpha\beta$ -непредельного  $\gamma$ -лактонового цикла. Наличие двух сопряженных двойных связей подтверждается УФ-спектром I. Неспособность I к р-циям ацетилирования и бензоилирования в обычных условиях и образование изоангидроканариенгенина (IV) при действии щелочи на I позволяют предположить, что OH-группа I расположена при  $\text{C}_{14}$ . Присоединение углеводного остатка к OH-группе при  $\text{C}_3$  III подтверждается легкостью дегидратации



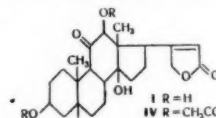
при омылении III. Листья *D. canariensis* L. смешивают с  $(\text{NH}_4)_2\text{SO}_4$ , сушат на солнце, экстрагируют спиртом (4 дня,  $\sim 20^\circ$ ), фильтруют и отгоняют спирт в вакууме. Остаток обрабатывает 4 л петр. эфира, нерастворимый осадок растворяют в 500 мл  $\text{CH}_3\text{OH}$  и нагревают 12 час. при  $60^\circ$  с 100 мл 5%-ной  $\text{H}_2\text{SO}_4$ . Из выпавшего осадка кипящим  $\text{CH}_3\text{OH}$  извлекают в-о с т. пл.  $196\text{--}201^\circ$ , которое нагревают 6 час. при  $60^\circ$  с 150 мл  $\text{CH}_3\text{OH}$  и 50 мл 5%-ной  $\text{H}_2\text{SO}_4$ , получают I, который после хроматографии на  $\text{Al}_2\text{O}_3$  (вымывание  $\text{CHCl}_3$  и  $\text{CH}_3\text{OH}$ ) имеет т. пл.  $212\text{--}214^\circ$  (из  $\text{CH}_3\text{OH}$ ), дает р-ции Легала и Раймонда, дает красно-фиолетовое окрашивание с конц.  $\text{H}_2\text{SO}_4$ . I реагирует в  $\text{CHCl}_3$  с 1 молем надбензойной к-ты при  $0^\circ$  (5 час.) и 2 молями при  $15\text{--}18^\circ$  (21 час). Чистота I подтверждается хроматографией на бумаге. 1 г I нагревают на водяной бане 3 часа с 100 мл 10%-ного метанольного KOH, при охлаждении выпадает неидентифицированное в-о с т. пл.  $237\text{--}242^\circ$ , из фильтра экстракцией эфиром выделяют неидентифицированное в-о с т. пл.  $65\text{--}67^\circ$  (из  $\text{CH}_3\text{OH}$ -эф.; 2:1), водно-метанольный р-р подкисляют и эфиром извлекают IV, т. пл.  $204\text{--}206^\circ$ ,  $[\alpha]_{\text{D}}^{25} -123^\circ$  (с 1,223; хлф.). Для выделения I можно применять также следующую методику: 4,75 г листьев *D. canariensis* извлекают 18 л спирта (8 дней  $\sim 20^\circ$ ) после осаждения танина посредством  $\text{Pb}(\text{OH})_2$  р-р,

упаривают в вакууме, остаток экстрагируют водой (2 л) и полученный р-р нагревают 24 часа при  $60^\circ$  с 50 мл 5%-ной  $\text{H}_2\text{SO}_4$ . Выпавший осадок нагревают 14 час. при  $60^\circ$  с 1 л водн.  $\text{CH}_3\text{OH}$  (1:1) и 50 мл 5%-ной  $\text{H}_2\text{SO}_4$ , получают I. Сообщение I см. РЖХим, 1957, 8163.

С. Завьялов

# 51387. Гликозиды и агликоны. Сообщение 161. Строение сармугенина. Кюндиг-Хегедюш, Шиндлер (Die Konstitution von Sarmutogenin. Glykoside und Aglykone 161. Mitteilung. Kündig-Hegedüs H., Schindler O.), Helv. chim. acta, 1956, 39, № 3, 904—913 (нем.)

Доказана правильность предложенной ранее (см. сообщение 160 РЖХим, 1956, 78240) ф-лы строения сармугенина (I), являющегося агликоном гликозидов амбозида (II), сармугозида и мусарозида. Ф-ла I основывается на свойствах сармугенина (III), полученного ранее (Richter R. и др. Helv. Chim. Acta, 1951, 37, 76) окислением I  $\text{CrO}_3$ . По УФ-спектру III содержит бутеноидное кольцо и кетогруппы у  $\text{C}_{11}$  и  $\text{C}_{12}$ . С целью расщепления I, полученного гидролизом II, до соответствующей 14- $\beta$ -оксигидроксиановой к-ты, I превращен в 3,12-диацетат (IV), т. пл.  $265\text{--}268^\circ$  (испр.), который озонолировали в р-ре уксусного эфира ( $-80^\circ$ ) и озонид подвергали восстановительному расщеплению Zn-пылью, после чего омыляли  $\text{KHSO}_5$  в водн.  $\text{CH}_3\text{OH}$  ( $20^\circ$ ; 17 час.). Получен неочищ. некристаллизующийся кетоспирт (V), точнее восстанавливающий цел. р-р аммиачного Ag ( $20^\circ$ ). Небольшую часть V окисляли  $\text{CrO}_3$  в лед.  $\text{CH}_3\text{COOH}$ . Из нейтр. части выделено в-о (VI), т. пл.  $286\text{--}290^\circ$  (из хлф.-эф.),  $[\alpha]_{\text{D}}^{25} -11,98 \pm 3^\circ$  (с 0,9095; хлф.). По УФ-спектру VI является  $\alpha$ -кетолактоном (лактон  $21 \rightarrow 14$ ) 3 $\beta$ , 12 $\beta$ -диацетоксид-14 $\beta$ -оксид-12,20-дикетопрегнан-21 к-ты). Образование лактона VI доказывает наличие в I OH-группы у  $\text{C}_{14}$ , стоящей в *цис*-положении к заместителям у  $\text{O}_{17}$ . V окисляли также  $\text{NaJO}_4$  ( $20^\circ$ ; 20 час. при pH 5,5—6,5, полученную некристаллизующуюся к-ту метилировали  $\text{CH}_3\text{N}_2$  (в эф.) и очищали хроматографированием на  $\text{Al}_2\text{O}_3$ . Получен метиловый эфир 3 $\beta$ , 12 $\beta$ -диацетоксид-11-кето-14-оксид-14 $\beta$ -этиановой к-ты (VII), т. пл.  $204\text{--}207^\circ$  (испр.; из ацетона-эф.),  $[\alpha]_{\text{D}}^{25} D$



+59,91  $\pm 1^\circ$  (с 1,9012; хлф.),  $[\alpha]_{\text{D}}^{25} +59,6 \pm 3^\circ$  (с 0,60416;  $\text{CH}_3\text{OH}$ ). Элиминирование OH-группы у  $\text{C}_{14}$  в VII проводили  $\text{SOCl}_2$  в пиридине ( $0^\circ$ ; 1 час). Получен метиловый эфир  $\Delta^{14,15}$ -3 $\beta$ , 12 $\beta$ -диацетоксид-11-кетозетиановой к-ты (VIII), т. пл.  $193\text{--}195^\circ$  (испр.; из хлф.-эф.-пиридина),  $[\alpha]_{\text{D}}^{25} +59,52 \pm 5^\circ$  (с 0,47718; хлф.),  $[\alpha]_{\text{D}}^{25} +63,65 \pm 2^\circ$  (с 0,9896;  $\text{CH}_3\text{OH}$ ). Гидрированием VIII с  $\text{PtO}_2$  в лед.  $\text{CH}_3\text{COOH}$  получен метиловый эфир 3 $\beta$ , 12 $\beta$ -диацетоксид-11-кетозетиановой к-ты, т. пл.  $237\text{--}239,5^\circ$  (испр.; из ацетона-эф.-пиридина),  $[\alpha]_{\text{D}}^{25} +37,25 \pm 2^\circ$  (с 1,020; хлф.), идентифицированный с образцом, полученным синтетич. путем. Так как III образуется при окислении каудогенина, то строение последнего также в значительной степени выясняется. Приведены ИК- и УФ-спектры полученных соединений и таблица мол. вращений.

В. Мерлис

# 51388. Цветные реакции сердечных ядов как реакции боковой лактонной цепи. Зиверт (Farbreaktionen der Herzgifte als Reaktionen der Laktoneitenkette. Siewert G.), Planta med., 1956, 4, № 5—6, 140—143. Diskuss., 143 (нем.)

При растворении сердечных ядов (СЯ) в пиридине

или спирте, содержащем пиперидин, происходит перегруппировка, сопровождающаяся переходом двойной связи из  $\alpha$ -,  $\beta$ -положения в  $\beta$ -,  $\gamma$ -положение. Добавление ароматич. альдегида (салицилового или пиперонала) вызывает развитие желтой окраски (медленное на холоду, быстрое при нагревании), сопровождаемое интенсивно-зеленой флуоресценцией. Выделены кристаллич. продукты р-ции. Омылением доказано сохранение лактонной группировки. При добавлении к воде или водно-спирт. р-рам СЯ избытка щелочи происходит быстрое омыление лактона; скорость омыления при значительном избытке щелочи примерно равна скорости развития окраски при р-ции между разб. р-ром СЯ и сильно щел. р-ром пикриновой к-ты. При взаимодействии строфантина ( $2 \cdot 3 \cdot 10^{-5}$  M) с пикриновой к-той оранжевая окраска развивается за 10–20 мин. Указанная р-ция при  $\sim 1000$ -кратном избытке щелочи сопровождается омылением; образуется ненасыщ. оксикислота, превращающаяся в соответствующий альдегид. Дигиталигенин, образующийся за счет отщепления 2 молекул воды из гитоксигенина и не имеющий ОН-группу С(14), не дает максимума окраски. Т. Леви

**51389. Гликоалкалоид томатов. Коланкевич, Млодецкий, Шимчик** (O glikoalkaloidzie pomidorow. Kolankiewicz Jadwiga, Młodecki Henryk, Szymczyk Franciszek), Roczn. Państw. zakł. hig., 1956, 7, № 6, 537–542 (польск.).

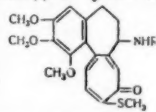
Изучался состав сахарной части гликоалкалоида (I), выделенного из плодов культурных и дикорастущих томатов. 2 мг I нагревают с 2 мл 2%-ной HCl 10 час. при 40° в ампулах без доступа воздуха, нейтрализуют конц.  $\text{NH}_4\text{OH}$ , фильтруют, упаривают в вакууме при 20°, растворяют в нескольких каплях воды; нейтр. р-ры хроматографируют на бумаге; р-рители фенол-вода (4:1) или  $n\text{-C}_4\text{H}_9\text{OH} + \text{CH}_3\text{COOH} + \text{вода}$  (4:1:5). В последнем случае на дне камеры помещают 0,3 н. р-р  $\text{NH}_4\text{OH}$  и р-р 0,1 г NaCN в 5 мл воды. Проявляют смесью 0,93 г анилина, 1,6 г фталевой к-ты и 100 мл  $n\text{-C}_4\text{H}_9\text{OH}$ , насыщ. водой при  $\sim 20^\circ$ ; сушат 10 мин. при 105°. Обнаружены глюкоза, галактоза и ксилоза, из чего, а также из сравнения физ. и хим. свойств сделан вывод, что I является томатином, который найден и в листьях этих растений. Кол-во его в плодах незначительно. Т. Амбруш

**51390. Некоторые реакции галостехина. Бородин Г. М.**, Ж. общ. химии, 1957, 27, № 1, 281–283

Из *l*- и *d*-фенилметиламинометилкарбинолов (*l*- и *d*-галостехин, Ж. общ. химии, 1947, 17, 1569) получены мононитропроизводные, выделенные в виде хлоргидратов (*l*-I и *d*-I). Группа  $\text{NO}_2$  занимает, по-видимому, пара-положение к углеродной цепи, *l*-I, т. пл. 214–215°,  $[\alpha]_D^{20} -44,09^\circ$  (с 7,28; вода). *d*-I, т. пл. 213–214°,  $[\alpha]_D^{20} +43,81^\circ$  (с 8,24; вода). *d*- и *l*-I каталитически восстановлены с Pd/C до хлоргидратов *l*- и *d*-аминофенилметиламинометилкарбинолов. При сочетании диазосоединений последних с  $\beta$ -нафтолом получены соответствующие красители. Т. Платонова

**51391. Тиокоалихин. V. N-озиды. Мюллер** (La thiochalcine. V. N-osides. Muller Georges), Bull. Soc. chim. France, 1957, № 3, 433 (франц.).

Из дезацетилаиокоалихина (I R=H) с хорошим выходом путем прямой конденсации получены N-глю-



II, III R=C<sub>6</sub>H<sub>4</sub>O<sub>2</sub> IV–VII R=C<sub>6</sub>H<sub>5</sub>O<sub>2</sub>  
VIII R=C<sub>6</sub>H<sub>4</sub>O<sub>2</sub>

козид (II), N-галактозид (III), N-рибозид (IV), N-ксилозид (V), N-арабинозид (VI), N-ликозид (VII), N-тиоинозид (VIII). 2 г I и 1 г глюкозы 30 мин. кипятят

в 20 мл метанола. После упарки кристаллизуется II, выход 63%, т. пл. 190° после потери H<sub>2</sub>O при 135° (из водн. сп.).  $[\alpha]_D^{20} -504 \pm 20^\circ$  (с 0,5; вода). III, т. пл. 184°,  $[\alpha]_D^{20} -445^\circ \pm 20^\circ$  (с 0,2; вода). IV, т. пл. 175°,  $[\alpha]_D^{20} -345^\circ \pm 20^\circ$  (с 0,2; вода). V, т. пл. 173°,  $[\alpha]_D^{20} -482^\circ \pm 20^\circ$  (с 0,2; вода). VI, т. пл. 159°,  $[\alpha]_D^{20} -220^\circ \pm 20^\circ$  (с 0,2; метанол). VII, т. пл. 199°,  $[\alpha]_D^{20} -257^\circ \pm 20^\circ$  (с 0,5; ацетон). VIII, т. пл. 150°,  $[\alpha]_D^{20} -265^\circ \pm 20^\circ$  (с 0,5; сп.). Все в-ва обла-дают антимиотич. действием аналогичным таковому I. Сообщение IV см. РЖХим, 1956, 16213. В. Киселев

**51392. Строение кислоты с т. пл. 116°, образующейся при пиролизе чаккина. Сиддики, Хан, Шарма, Камал** (Pyrolysis of chaksine. Constitution of the acid of M. P. 116°C. Siddiqui S., Hahn G., Sharma V. N., Kamal A.), Chemistry and Industry, 1956, № 51, 1525 (англ.).

При пиролизе йодида чаккина в присутствии Су-

или Ag-стружек выделены фталевая к-та и к-та с т. пл. 116° (растворимая в воде и легком петр. эф.). Последняя идентична *n*-изопропилбензойной к-те. См. также РЖХим, 1957, 26992. В. Быховский

**51393. Конфигурация некоторых надольных алкалоидов при C(3) Уенкерт, Ройчаудхури** (The C-3 configuration of chaksine. Constitution of the acid of M. P. 116°C. Siddiqui S., Hahn G., Sharma V. N., Kamal A.), Chemistry and Industry, 1956, № 51, 1525 (англ.).

Исследованием ИК-спектров в хлороформе различных пар C(3) эфимеров надольных алкалоидов установлено, что характер поглощения при 3,4–3,7 м для C–H-связей указывает на стереоконфигурацию H-атома при C(3) этих алкалоидов и их производных. Все соединения с  $\alpha$ -H при C(3) (нормальные или алло-соединения) имеют 2 и более полос средней силы сбоку главной полосы 3,46 м (нохимбин; *d,l*-аллонохимбин и аймалицин); соединения, имеющие  $\beta$ -ориентацию C(3) — H, т. е. псевдо- или эпипалло-соединения имеют только плечо около этой полосы 3,46 м (ф-нохимбин; *d,l*-эпипаллонохимбин и 3-изоаймалицин). Приведены кривые. На основании этих измерений следующие в-ва являются нормальными или алло-системами: нохимбин, нохимбон, похимбон,  $\beta$ -нохимбин, коринантин, аллонохимбин, раувольсин, 11-метоксиналлонохимбин, метилизореверпат, коринантеин, аймалицин и тетрагидроалестонин. К псевдо- или эпипалло-системам относятся: резерпин, ресцинамин, дезерпиндин, метилизореверпат, 3-эпи- $\alpha$ -нохимбин, ф-нохимбин и ф-нохимбин. Исходя из ИК-спектров серпин и метил-18-дезоксидерпинат, а также алкалоиды неизвестной структуры: арицин, тетрафилия, резерпинин, майумбин, изореверпинин и коринантеин, относятся к нормальной или алло-структуре; изораухимбин, раунесцин, изораунесцин, раулемидин, псевдореверпин, изореверпинин, раумиторин, резерпинин и акуаминин принадлежат к псевдо- или эпипалло-ряду. Л. Шахновский

**51394. Идентичность изораухимбина и 3-эпи- $\alpha$ -нохимбина. Гутарель, Гофман, Жано, Ле Ир, Нейс** (Identité de l'isorauhimbine et de la 3-épi- $\alpha$ -yohimbine. Goutarel R., Hofmann A., Janot M.—M., Le Hir A., Neuss N.), Helv. chim. acta, 1957, 40, № 1, 156–160 (франц.; рез. нем.).

Изораухимбин (I), выделенный из корней *Rauwolfia serpentina* Benth., идентичен 3-эпи- $\alpha$ -нохимбину (II). При эфимеризации у C(2) I и II переходят в  $\alpha$ -нохимбин (III). Ввиду разности физ. констант (т-ра плавления и  $[\alpha]_D^{20}$ ) I и II считали различными. Т-ра плавления I была определена ранее после кристаллизации из  $\text{CH}_3\text{OH}$ , а II — из водн.  $\text{CH}_3\text{OH}$ ; при перекристаллизации I также из водн.  $\text{CH}_3\text{OH}$  смесь I и II не дала депрессии, т. пл. 225°. ИК-спектры I и II оснований почти идентичны, а ИК-спектры ди-(*n*-толил)-L-тар-тратов I (IV) и II идентичны. 20 мг I растворяют в

0,5 мл  $\text{CH}_3\text{OH}$ , прибавляют 12 мг ди-(*n*-толил)-*L*-винной к-ты, выход IV 18 мг, т. пл. 174–175° (из  $\text{CH}_3\text{OH}$ ). К р-ру 0,5 г I в 25 мл  $\text{CH}_3\text{COOH}$  прибавляют по каплям 56 мл 0,052 *M* р-ра  $\text{Pb}(\text{CH}_3\text{COO})_2$  в  $\text{CH}_3\text{COOH}$ , выдерживают 3 часа при 60°, выделяют в виде хлоргидрата тетрадегидро-I, выход 0,43 г, его растворяют в 30 мл  $\text{CH}_3\text{OH}$ , прибавляют 0,5 г  $\text{KBrO}_4$ , кипятят 1 час, получают 0,28 г III, т. пл. 240° (из  $\text{CH}_3\text{OH}$ ). К. Уткина

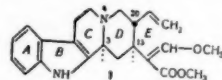
**51395. Стереоспецифический синтез *dl*-аллонохимбана и *dl*-3-эпаллонохимбана.** Сторк, Хилл (The stereospecific synthesis of *dl*-alloyohimbane and *dl*-3-epialloyohimbane. Stork Gilbert, Hill Richard K.), J. Amer. Chem. Soc., 1957, 79, № 2, 495–500 (англ.)

Разработан метод стереоспецифич. синтеза эпимерных аллонохимбановых структур на примере *dl*-аллонохимбана (I) и *dl*-3-эпаллонохимбана (II). При каталитич. гидрировании *dl*- $\Delta^8$ -дегидроаллонохимбана (III) образуется I, так как в данном случае направление р-ции определяется пространственным строением III (присоединение H с наименее экранированной стороны). III при восстановлении Sn + HCl (к-та) также дает I. Восстановление III Na в жидком  $\text{NH}_3$  приводит к II как более стабильному эписмеру. Обсуждается стереохимия р-ций образования I и II.  $\text{CH}_3\text{ONa}$  (из 35,2 г Na), 265 г  $(\text{COOC}_2\text{H}_5)_2$ , 233 г *cis*-декалон-2 (получен из  $\beta$ -нафтола через *cis*-декалон-2) и 900 мл абс.  $\text{C}_6\text{H}_6$  встряхивают 30 мин. при охлаждении водой, через 12 час. смесь выливают в воду (0°), водн. слой подкисляют HCl (1:3), эфиром извлекают 3-карбоксисформил-*cis*-декалон-2 (IV), выход неочищ. 78%. 2 г IV в 25 мл этилацетата озонируют при –75° и прибавляют по каплям к 100 мл кипящей воды, выход *cis*-1,2-дикарбоксиметилциклогексана 0,83 г, т. пл. 160–161° (из воды). Последний пролизом с BaO превращают в *cis*-гидринданон-2 (V), выход 81%, т. кип. 127–128°/45 мм; семикарбазон, т. пл. 215,5–216°. 0,36 моля  $\text{C}_6\text{H}_5\text{CO}_2\text{H}$  и 0,32 моля V в 1250 мл  $\text{CHCl}_3$  оставляют стоять на 10 дней (20°, в темноте), выход лактона *cis*-2-оксиметилциклогексилуксусной к-ты (VI) 80%, т. кип. 115–120°/4 мм. Р-р 4,1 г VI в 8 мл  $\text{CHCl}_3$  насыщают 2,16 г HBr–газа (0°), добавляют 4,7 мл абс. спирта, 0,15 мл конц.  $\text{H}_2\text{SO}_4$  и кипятят 12 час., выход этилового эфира *cis*-2-бромметилциклогексилуксусной к-ты (VII), 4 г, т. кип. 100–106°/1 мм. Взаимодействие VI с HBr – газом в  $\text{CHCl}_3$  (3 дня, 20°) и последующая обработка р-ром  $\text{NaHCO}_3$  приводит к *cis*-2-бромметилциклогексилуксусной к-те, т. пл. 65,5–66° (из циклогексана). VII, 2,5 г триптамина, 2 г NaI и 50 мл  $(\text{CH}_3)_2\text{NCHO}$  кипятят 24 часа, выливают в 250 мл воды (0°), содержащей 50 мл HCl (1:4),  $\text{CHCl}_3$  извлекают *cis*-2-[2-(индолил-3)-этил]-октагидро-(2Н)-изохинолон-3 (VIII), выход 20%, т. пл. 171–172° (из  $\text{CH}_3\text{OH}$ ); выделен хроматографированием на  $\text{Al}_2\text{O}_3$ . 0,23 г VIII в 150 мл тетрагидрофурана (ТФ) кипятят 45 час. с 1,6 г  $\text{LiAlH}_4$ , выделяют *cis*-2-[2-(индолил-3)-этил]-дегидроизохинолин, выход йодметилата 0,2 г, т. пл. 234–236° (из  $\text{CH}_3\text{OH}$ ). 0,308 г VIII в 8 мл  $\text{POCl}_3$  кипятят 3 часа в атмосфере  $\text{N}_2$ ,  $\text{POCl}_3$  отгоняют, остаток обрабатывают 5%-ным NaOH и экстрагируют  $\text{CHCl}_3$  в азоте, полученный неочищ. III гидрируют в 10 мл абс. спирта на  $\text{PtO}_2$ , I очищают хроматографированием, выход 0,12 г, т. пл. 143,5–144° (из  $\text{CH}_3\text{OH}$ ). III (из 0,385 г VIII) при восстановлении Sn в HCl дает 0,1 г I. 1 г Na и 3 мл абс.  $(\text{CH}_3)_2\text{CONH}$  прибавляют (1 час) к III (из 0,3 г VIII) в 250 мл жидкого  $\text{NH}_3$ , смесь перемешивают 1 час, добавляют 0,3 г Na и через 1 час  $\text{CH}_3\text{OH}$  до исчезновения синего окрашивания, II очищают хроматографированием, выход 0,1 г, т. пл. 185–186° (из  $\text{CH}_3\text{OH}$ ). 0,97 г  $\text{Br}(\text{CH}_2)_2\text{COOC}_2\text{H}_5$  и 1,6 г триптамина в 50 мл  $\text{CH}_3\text{OCH}_2\text{N}_4\text{OH}$  кипятят 72 часа, выход N-[2-(индолил-3)-этил]-пирролидона 82%, т. пл.

136–137° (из  $\text{CH}_3\text{OH}$ ); последний восстанавливают  $\text{LiAlH}_4$  в ТФ до N-[2-(индолил-3)-этил]-пирролидина, выход 80–90%, т. пл. 109–110° (очищен возгонкой). Приведены ИК-спектры I и II. Е. Цветков

**51396. Стереохимия коринантеина, дигидрокориантеина и коринантеидина.** Тамелен, Олдрич, Кац (Stereochemistry of corynantheine, dihydrocorynantheine and corynantheidine. Tamelen E. E. van, Aldrich P. E., Katz T. J.), Chemistry and Industry, 1956, № 30, 793 (англ.)

Изучалась структурная близость алкалоидов *Pseudo-cinchona africana* – коринантеина (I), дигидрокориантеина (II) и коринантеидина (III) с группой индольных алкалоидов типа похимбина. Проведен стереонаправленный синтез DL-дигидрокориантеина (IV). Окислением *транс*-3,4-диэтилциклогексена, т. кип. 171–173°/730 мм,  $\text{KMnO}_4$  получена DL-3,4-диэтилдициклопентановая к-та, переведенная в DL-*транс*-3,4-диэтилциклопентанон. Последний окислен  $\text{C}_6\text{H}_5\text{CO}_2\text{H}$ . Без выделения промежуточного лактона, действием спирт. р-ра HBr получен этиловый эфир *трео*-3,4-диэтил-5-бромвалериановой к-ты, т. кип. 137°/13 мм. При кипячении его спирт. р-ра с триптамином получен лактам N-( $\beta$ -3'-индолилэтил)-*трео*-3,4-диэтил-5-аминовалериановой к-ты, т. пл. 124,5–125°. Циклизацией последнего  $\text{POCl}_3$  и гидрированием с Pt из  $\text{PtO}_2$  получен IV, т. пл. 154–156°. Каталитич. восстановление  $\Delta^8$ -15,20-*транс*-



системы похимбанового типа приводит к более стабильной 3,15-*cis*-конфигурации, последняя приписана и IV. Из анализа условий получения коринантеина следует наличие  $\Delta$ -связи  $\text{C}(2)$  –  $\text{C}(3)$  и 3,15,20-*cis*-*транс*-конфигурации в I и II. Для III, являющегося диастереомером I при  $\text{C}(15)$  и  $\text{C}(20)$  установлена 15,20-*cis*-конфигурация. А. Данилова

**51397. Алкалоиды раувольфии.** Яхонтов Л. Н., Успехи химии, 1957, 26, № 2, 239–262  
Обзор. Библ. 159 назв.

**51398. Алкалоиды *Rauwolfia vomitoria* Afz.** Обнаружение изорезерпина и сарпагина. Пуассон, Гутарель (Alcaloides du *Rauwolfia vomitoria* Afz: Présence de l'isorésérpine et de la sarpagine. Poisson Jacques, Goutarel Robert), Bull. Soc. chim. France, 1956, № 11–12, 1703–1706 (франц.)

Из корней *Rauwolfia vomitoria* выделены алкалоиды изорезерпин (I), выход 0,75 г/кг и сарпагин (II), выход 0,21 г/кг, т. пл. 360° (после возгонки при 280°/0,01 мм; в запаянном капилляре). I и II выделены ранее (РЖХим, 1955, 14083; 1956, 54573) из листьев *R. canescens* L. и корней *R. serpentina* соответственно. На основании анализа констант соединений и изучения ИК- и УФ-спектров для I предложено строение 10,11-диметоксималицина; ф-ла II полностью не выяснена, по-видимому, II содержит 2,3-диалкил-5-оксигидравальную группировку. Л. Иванова

**51399. Полный синтез лизергиновой кислоты.** Корнфелд, Форнефелд, Клайн, Манн, Моррисон, Джонс, Вудфорд (The total synthesis of lysergic acid. Kornfeld Edmund C., Fornefeld E. J., Kline G. Bruce, Mann Marjorie J., Morrison Dwight E., Jones Reuben G., Woodward R. B.), J. Amer. Chem. Soc., 1956, 78, № 13, 3087–3114 (англ.)

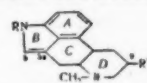
Осуществлен 15-стадийный синтез лизергиновой к-ты (I), исходя из  $\beta$ -индолилпропионовой к-ты (II). Каталитич. гидрированием и бензоилированием II получен 1-бензоил-3-( $\beta$ -карбоксиэтил)-2,3-дигидроиндол (III),



хлорангидрид которого под действием  $AlCl_3$  в  $CS_2$  циклизуется в трициклич. кетон (IV). Бромирование IV привело к 4-бромпропадиону (V), при взаимодействии последнего с этиленкеталем метиламиноацетона (VI) в  $C_6H_6$  образуется кеталь-кетон (VII). VI подвержен р-ции  $CH_3NH_2$  с этиленкеталем бромацетона (VIII). Омыление VII привело к дикетону (IX), давшему при циклизации 9-кето-7-метил-4,5,6,6а,7,8,9-октагидроиндолохинолин (X). Ацилированием и восстановлением  $NaBH_4$  X превращен в соответствующий спирт (XI). Действием  $SOCl_2$  в жидком  $SO_2$  XI переведен в хлорид (XII), а из последнего обработкой  $NaCN$  в жидкой  $HSCN$  получен нитрил (XIII). При метанолизе XIII дал метиловый эфир (XIV), гидролизированный до 5,6а-дигидролизергиновой к-ты (XV). Дегидрированием со скелетным Ni в присутствии  $Na_2AsO_4$  XV превращена в I. Из синтетич. I получен гидразид изолизергиновой к-ты (XVI). Попытки непосредственной циклизации III под действием  $H_2SO_4$  или  $HF$  были неудачны. При действии  $AlCl_3$  на хлорангидрид III в  $C_6H_6$  продуктом р-ции является 1-бензоил-3-β-бензоилэтил-2,3-дигидроиндол (XVII). С целью получения трициклич. полу-продукта метиловый эфир III подвергли конденсации с  $(COOCH_3)_2$  (XVIII), однако образовавшееся оксало-ловое производное (XIX) при гидролизе и декарбокси-лировании дало 1-бензоил-α-кето-3-индоллиномасляную к-ту (XX). Гидролиз IV приводит к свободному основанию (XXI), дегидрированием которого с Pd/C в n-цимоле получен 5-кето-1,3,4,5-тетрагидробензиндол (XXII). Такое же дегидрирование IV и его N-ацетильного аналога (XXIII) (полученного ацилированием XXI) привело к 1-бензоил- и 1-ацетил-5-окси-1,2-дигидробензиндолу (XXIV и XXV соответственно). Кроме синтеза VII, были предприняты другие попытки введения азота к C(4). При р-ции с  $CH_3NH_2$  V дал 1-бензоил-4,5-диметиламино-1,2-дигидробензиндол (XXVI). Конденсацией IV с  $C_6H_5NO$  получен α-оксиминокетон (XXVII), но восстановить его в α-амино-кетон (XXVIII) не удалось. Хлоридат XXVIII был получен действием на O-н-тозилное производное оксима IV  $C_2H_5OK$ , а затем к-ты, но основание XXVIII оказалось неустойчивым. IV конденсацией с  $HCOOC_2H_5$  или с XVIII переведен соответственно в оксиметил-ловое (XXIX) и метилоксалоидное (XXX) соединения. Действие на XXIX  $HN_3$  в  $CF_3COOH$  в присутствии  $H_2SO_4$  приводит одновременно к цианкетону (XXXI) и (с небольшим выходом) к формилиаминкетону (XXXII). В этих же условиях XXX дает оксазол (XXXIII). При гидролизе как XXXII, так и XXXIII образуется аминокетон (XXXIV), неустойчивый подобно XXVIII. Исследована также возможность получения 4-алкиламинокетонов через оксиды. IV при взаимодействии с изопропенилацетатом и  $HC(OC_2H_5)_3$  дал енольные производные (XXXV и XXXVI соответственно). Однако при обработке их перекисами вместо оксида был получен оксикетон (XXXVII).  $NaBH_4$  восстанавливает IV до соответствующего спирта (XXXVIII), образовавшего под действием  $PBr_3$  бромид (XXXIX). Последний р-цией с коллидином превращен в олефин (XL), переведенный в оксид (XLI) действием  $C_6H_5CO_3H$ . Гидрирование XL приводит к насыщ. соединению (XLII), получены также N-ацетильные аналоги XL и XLII (XLIII и XLIV соответственно). XLI присоединяет  $HBr$ , образуя бромгидрин (XLV), и перегрупуировывается в присутствии  $MgBr_2$  в 4-кетосоединение (XLVI). При взаимодействии с  $CH_3NH_2$  XLI дает алкиламиноспирт (XLVII), а с VI — спиртокеталь (XLVIII). Окислить XLVIII до VII не удалось. Действие бромацетона превращает XLVII в 4-кетокеталь (XLIX), метанольный  $HCl$  переводит XLVIII и XLIX в метиловый эфир (L), использовать XLIX и L в дальнейшей синтезе не удалось. Пред-

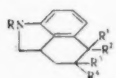
принимались попытки построения кельца D путем введения углеродной цепи к C(5). С этой целью полученные из IV по р-ции Реформатского оксиафиды (LI и LII) нагревались с  $HCOOH$ . Полученные ненасыщ. эфиры (LIII и LIV) гидролизуются щелочью до соответствующей к-ты (LV), которая последовательным действием  $(COCl)_2$  в толуоле,  $CH_2N_2$  в  $CH_2Cl_2$  и водн.  $HBr$  превращена в бромкетон (LVI). Восстановление LVI  $NaBH_4$  приводит к оксиду (LVII), который образует диоксид (LVIII) при взаимодействии с  $C_6H_5CO_3H$ . При р-ции с  $CH_3NH_2$  LVIII дал тетрациклич. основание (LIX), однако общий низкий выход превращения IV → LIX делает этот путь малоудобным. Оксид (LX), полученный действием на LIV моноафталевой к-ты (LXI), реагирует с  $CH_3NH_2$ , давая лактонам (LXII), а с  $CH_3NHCCH_2COOCH_3$  (LXIII) — давая лактон (LXIV) вместо ожидаемого диэфира. Синтез VII, исходя из IV первоначально был осуществлен в 9 стадий. По р-ции Дарзана в присутствии  $трет-C_4H_9OK$  IV был превращен в глицидный эфир (LXV), из соответствующей Na-соли (LXVI) действием минер. к-т получен насыщ. альдегид (LXVII), а действием пербромада пиридина и семикарбазида ненасыщ. альдегид (LXVIII) в виде семикарбазона (CK). Щел.  $H_2O_2$  переводит LXVIII в оксид (LXIX), который при восстановлении  $NaBH_4$  дает эпокси-спирт (LXX). LXX получен также восстановлением LXVIII в ненасыщ. спирт (LXXI) и действием на LXXI  $C_6H_5CO_3H$ . Этот путь, однако, хуже из-за побочного образования при восстановлении LXVIII насыщ. спирта (LXXII). Р-ция LXX с VI привела к желаемому аминопгликолю (LXXIII), но с малым выходом. Окислением

$XI R=COCH_3, R'=OH; XII R=COCH_3,$   
 $R'=Cl; XIII R=COCH_3, R'=CN; XIV R=H,$   
 $R^1=COOCH_3, XV R=H, R^1=COOH,$   
 $LXXXV R=COCH_3, R^1=NHCHO$



$HNO_3$  LXXIII превращен в VII. С этиленгликолем LXVIII образует этиленацеталь (LXXIV), который окисляется  $C_6H_5CO_3H$  до оксида (LXXV). Последний реагирует с  $CH_3NH_2$ , давая основание (LXXVI). Нитрил (LXXVII) получен присоединением к LXXVI акрил-нитрила. Однако использовать LXXVII не удалось из-за невозможности омылить ацетальную функцию: метанолиз LXXVII приводит к эфиру (LXXVIII), действии 6 н.  $HCl$  — к нитрилу (LXXIX), горячая  $CH_3COOH$  превращает LXXVII в исходное LXXVI, в более жестких условиях происходит распад молекулы. Под действием  $SOCl_2$  оксим LXVIII дегидратируется до ненасыщ. нитрила (LXXX). При р-ции LXXX с щел.  $H_2O_2$  образуется эпоксиамид (LXXXI), давший с VI основание (LXXXII), обработка которого  $Pb_2O_4$  вместо образования CO-группы привела к пентациклич. лактону (LXXXIII). При попытке получить XIII непосредственно из XI действием  $CuCN$  в конц.  $HCl$  произошла элимеризация у C(9) и был выделен эфирный спирт (LXXXIV). Обработкой XI жидкой  $HSCN$  в присутствии эфира  $BF_3$  вместо XIII было получено формилиаминсоединение (LXXXV). Первоначально дегидрирование XV проводилось обработкой ее Na-соли в кипящей воде Ni-катализатором. Это, однако, привело к к-те (LXXXVI) ненасыщ. в положении 5,6а, но насыщ. в кольце D. При дегидрировании с Pd/C в кипящем ксилоле N-ацетильный аналог XIV дал нафталиновое производное (LXXXVII). Р-р 94,6 г II в 600 мл воды, содержащей 20 г  $NaOH$ , гидрируют со 100 г Ni (20°, 20–30 ат), фильтруют бензоилируют по Шоттену — Бауману 180 мл  $C_6H_5COCl$  и 240 мл 12 н.  $NaOH$  (40°), выделяют III, выход 70%, т. пл. 151–153° (из  $CH_3OH$ ). Получен также N-ацетильный аналог III, выход 63%, т. пл. 157–158° (из  $CH_3OH$ ). Р-р хлорангидрида III (из 118 г III и 200 мл  $SOCl_2$ )

в 200 мл  $\text{CS}_2$  прибавляют к суспензии 240 г  $\text{AlCl}_3$  в 1,75 л  $\text{CS}_2$ , кипятят 1 час, разлагают 500 г льда, 250 мл конц.  $\text{HCl}$  и 500 мл воды,  $\text{CS}_2$  отгоняют и  $\text{C}_6\text{H}_6$



IV  $\text{R} = \text{COC}_2\text{H}_5$ ,  $\text{R}^1 + \text{R}^2 = \text{O}$ ,  $\text{R}^3 = \text{R}^4 = \text{H}$   
 V  $\text{R} = \text{COC}_2\text{H}_5$ ,  $\text{R}^1 + \text{R}^2 = \text{O}$ ,  $\text{R}^3 = \text{Br}$ ,  $\text{R}^4 = \text{H}$   
 VII  $\text{R} = \text{COC}_2\text{H}_5$ ,  $\text{R}^1 + \text{R}^2 = \text{O}$ ,  $\text{R}^3 = \text{N}(\text{CH}_3)$

$\text{CH}_3\text{C}(\text{CH}_3)\text{OCH}_2\text{CH}_2\text{O}$ ,  $\text{R}^4 = \text{H}$ ; IX  $\text{R} = \text{H}$ ,  $\text{R}^1 + \text{R}^2 = \text{O}$ ,  $\text{R}^3 = \text{N}(\text{CH}_3)$ ,  $\text{CH}_3\text{C}(\text{CH}_3)\text{OCH}_2\text{CH}_2\text{O}$ ,  $\text{R}^4 = \text{H}$ ; XXI  $\text{R} = \text{H}$ ,  $\text{R}^1 + \text{R}^2 = \text{O}$ ,  $\text{R}^3 = \text{H}$ ; XXIII  $\text{R} = \text{COC}_2\text{H}_5$ ,  $\text{R}^1 + \text{R}^2 = \text{O}$ ,  $\text{R}^3 = \text{R}^4 = \text{H}$ ; XXVII  $\text{R} = \text{COC}_2\text{H}_5$ ,  $\text{R}^1 + \text{R}^2 = \text{O}$ ,  $\text{R}^3 + \text{R}^4 = \text{NOH}$ ; XXVIII  $\text{R} = \text{COC}_2\text{H}_5$ ,  $\text{R}^1 + \text{R}^2 = \text{O}$ ,  $\text{R}^3 = \text{O}$ ,  $\text{R}^4 = \text{NH}_2$ ,  $\text{R}^5 = \text{H}$ ; XXIX  $\text{R} = \text{COC}_2\text{H}_5$ ,  $\text{R}^1 + \text{R}^2 = \text{O}$ ,  $\text{R}^3 + \text{R}^4 = \text{CHON}$ ; XXX  $\text{R} = \text{COC}_2\text{H}_5$ ,  $\text{R}^1 + \text{R}^2 = \text{O}$ ,  $\text{R}^3 + \text{R}^4 = \text{C}(\text{OH})\text{COOCH}_3$ ; XXXI  $\text{R} = \text{COC}_2\text{H}_5$ ,  $\text{R}^1 + \text{R}^2 = \text{O}$ ,  $\text{R}^3 + \text{R}^4 = \text{CN}$ ,  $\text{R}^5 = \text{H}$ ; XXXII  $\text{R} = \text{COC}_2\text{H}_5$ ,  $\text{R}^1 + \text{R}^2 = \text{O}$ ,  $\text{R}^3 = \text{NHCHO}$ ,  $\text{R}^4 = \text{H}$ ; XXXIV  $\text{R} = \text{H}$ ,  $\text{R}^1 + \text{R}^2 = \text{O}$ ,  $\text{R}^3 = \text{NH}_2$ ,  $\text{R}^4 = \text{H}$ ; XXXVII  $\text{R} = \text{COC}_2\text{H}_5$ ,  $\text{R}^1 + \text{R}^2 = \text{O}$ ,  $\text{R}^3 = \text{OH}$ ,  $\text{R}^4 = \text{H}$ ; XXXVIII  $\text{R} = \text{COC}_2\text{H}_5$ ,  $\text{R}^1 + \text{R}^2 = \text{O}$ ,  $\text{R}^3 = \text{H}$ ,  $\text{R}^4 = \text{H}$ ; XXXIX  $\text{R} = \text{COC}_2\text{H}_5$ ,  $\text{R}^1 + \text{R}^2 = \text{O}$ ,  $\text{R}^3 = \text{H}$ ,  $\text{R}^4 = \text{Br}$ ,  $\text{R}^5 = \text{H}$ ; XLI  $\text{R} = \text{COC}_2\text{H}_5$ ,  $\text{R}^1 + \text{R}^2 = \text{O}$ ,  $\text{R}^3 = \text{H}$ ,  $\text{R}^4 + \text{R}^5 = \text{O}$ ,  $\text{R}^6 = \text{H}$ ; XLII  $\text{R} = \text{COC}_2\text{H}_5$ ,  $\text{R}^1 + \text{R}^2 = \text{O}$ ,  $\text{R}^3 = \text{R}^4 = \text{H}$ ; XLIV  $\text{R} = \text{COC}_2\text{H}_5$ ,  $\text{R}^1 + \text{R}^2 = \text{O}$ ,  $\text{R}^3 = \text{R}^4 = \text{H}$ ; XLV  $\text{R} = \text{COC}_2\text{H}_5$ ,  $\text{R}^1 + \text{R}^2 = \text{O}$ ,  $\text{R}^3 = \text{OH}$ ,  $\text{R}^4 = \text{H}$ ; XLVI  $\text{R} = \text{COC}_2\text{H}_5$ ,  $\text{R}^1 + \text{R}^2 = \text{O}$ ,  $\text{R}^3 = \text{H}$ ,  $\text{R}^4 = \text{H}$ ; XLVII  $\text{R} = \text{COC}_2\text{H}_5$ ,  $\text{R}^1 + \text{R}^2 = \text{O}$ ,  $\text{R}^3 = \text{NHCH}_3$ ,  $\text{R}^4 = \text{H}$ ; XLVIII  $\text{R} = \text{COC}_2\text{H}_5$ ,  $\text{R}^1 + \text{R}^2 = \text{O}$ ,  $\text{R}^3 = \text{OH}$ ,  $\text{R}^4 = \text{N}(\text{CH}_3)$

$\text{CH}_3\text{C}(\text{CH}_3)\text{OCH}_2\text{CH}_2\text{O}$ ,  $\text{R}^4 = \text{H}$ ; XLIX  $\text{R} = \text{COC}_2\text{H}_5$ ,  $\text{R}^1 + \text{R}^2 + \text{R}^3 = -\text{OC}(\text{OH})(\text{CH}_3)\text{CH}_2\text{N}(\text{CH}_3)-$ ,  $\text{R}^4 = \text{H}$ ; L  $\text{R} = \text{H}$ ,  $\text{R}^1 + \text{R}^2 + \text{R}^3 = -\text{OC}(\text{OCH}_3)(\text{CH}_3)\text{CH}_2\text{N}(\text{CH}_3)-$ ,  $\text{R}^4 = \text{H}$ ; LI  $\text{R} = \text{COC}_2\text{H}_5$ ,  $\text{R}^1 + \text{R}^2 + \text{R}^3 = \text{CH}_2\text{COOCH}_3$ ,  $\text{R}^4 = \text{OH}$ ,  $\text{R}^5 = \text{H}$ ; LII  $\text{R} = \text{COC}_2\text{H}_5$ ,  $\text{R}^1 + \text{R}^2 + \text{R}^3 = \text{CH}_2\text{COOCH}_3$ ,  $\text{R}^4 = \text{OH}$ ,  $\text{R}^5 = \text{H}$ ; LVIII  $\text{R} =$

$\text{COC}_2\text{H}_5$ ,  $\text{R}^1 = \text{CH}_2\text{CHONCH}_3$ ,  $\text{R}^2 + \text{R}^3 = \text{O}$ ,  $\text{R}^4 = \text{H}$ ; LIX  $\text{R} = \text{COC}_2\text{H}_5$ ,  $\text{R}^1 = \text{OH}$ ,  $\text{R}^2 + \text{R}^3 = -\text{CH}_2\text{CHONCH}_3$ ,  $\text{R}^4 = \text{H}$ ; LX  $\text{R} = \text{COC}_2\text{H}_5$ ,  $\text{R}^1 = \text{CH}_2\text{COOCH}_3$ ,  $\text{R}^2 + \text{R}^3 = \text{O}$ ,  $\text{R}^4 = \text{H}$ ; LXII  $\text{R} = \text{COC}_2\text{H}_5$ ,  $\text{R}^1 + \text{R}^2 + \text{R}^3 = -\text{CHON}(\text{CH}_3)-$ ,  $\text{R}^4 = \text{H}$ ; LXIV  $\text{R} = \text{COC}_2\text{H}_5$ ,  $\text{R}^1 + \text{R}^2 + \text{R}^3 = -\text{CHCOO}-$ ,  $\text{R}^4 = \text{H}$ ; LXV  $\text{R} = \text{COC}_2\text{H}_5$ ,  $\text{R}^1 + \text{R}^2 = -\text{CH}(\text{COOCH}_3)\text{O}-$ ,  $\text{R}^3 = \text{R}^4 = \text{H}$ ; LXVI  $\text{R} = \text{COC}_2\text{H}_5$ ,  $\text{R}^1 + \text{R}^2 = -\text{CH}(\text{COONa})\text{O}-$ ,  $\text{R}^3 = \text{R}^4 = \text{H}$ ; LXVII  $\text{R} = \text{COC}_2\text{H}_5$ ,  $\text{R}^1 = \text{CHO}$ ,  $\text{R}^2 + \text{R}^3 = \text{O}$ ,  $\text{R}^4 = \text{H}$ ; LXX  $\text{R} = \text{COC}_2\text{H}_5$ ,  $\text{R}^1 = \text{CH}_2\text{OH}$ ,  $\text{R}^2 + \text{R}^3 = \text{O}$ ,  $\text{R}^4 = \text{H}$ ; LXXII  $\text{R} = \text{COC}_2\text{H}_5$ ,  $\text{R}^1 = \text{CH}_2\text{OH}$ ,  $\text{R}^2 = \text{R}^3 = \text{R}^4 = \text{H}$ ; LXXIII  $\text{R} = \text{COC}_2\text{H}_5$ ,  $\text{R}^1 = \text{CH}_2\text{OH}$ ,  $\text{R}^2 = \text{OH}$

$\text{R}^3 = \text{N}(\text{CH}_3)\text{CH}_2\text{C}(\text{CH}_3)\text{OCH}_2\text{CH}_2\text{O}$ ,  $\text{R}^4 = \text{H}$ ; LXXV  $\text{R} = \text{COC}_2\text{H}_5$ ,

$\text{R}^1 = \text{CHOCH}_2\text{CH}_2\text{O}$ ,  $\text{R}^2 + \text{R}^3 = \text{O}$ ,  $\text{R}^4 = \text{H}$ ; LXXVI  $\text{R} = \text{COC}_2\text{H}_5$ ,

$\text{R}^1 = \text{CHOCH}_2\text{CH}_2\text{O}$ ,  $\text{R}^2 = \text{OH}$ ,  $\text{R}^3 = \text{NHCH}_3$ ,  $\text{R}^4 = \text{H}$ ; LXXVII

$\text{R} = \text{COC}_2\text{H}_5$ ,  $\text{R}^1 = \text{CHOCH}_2\text{CH}_2\text{O}$ ,  $\text{R}^2 = \text{OH}$ ,  $\text{R}^3 = \text{N}(\text{CH}_3)\text{CH}_2\text{CH}_2\text{CN}$

$\text{R}^4 = \text{H}$ ; XXVIII;  $\text{R} = \text{R}^4 = \text{H}$ ,  $\text{R}^1 = \text{CHOCH}_2\text{CH}_2\text{O}$ ,  $\text{R}^2 = \text{OH}$ ,  $\text{R}^3 =$

$= \text{N}(\text{CH}_3)\text{CH}_2\text{CH}_2\text{COOCH}_3$ ; LXXIX  $\text{R} = \text{R}^4 = \text{H}$ ,  $\text{R}^1 = \text{CHOCH}_2\text{CH}_2\text{O}$

$\text{R}^2 = \text{OH}$ ,  $\text{R}^3 = \text{N}(\text{CH}_3)\text{CH}_2\text{CH}_2\text{CN}$ ; LXXXI  $\text{R} = \text{COC}_2\text{H}_5$ ,  $\text{R}^1 =$

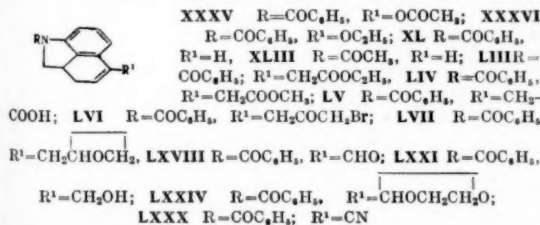
$= \text{CONH}_2$ ,  $\text{R}^2 + \text{R}^3 = \text{O}$ ,  $\text{R}^4 = \text{H}$ ; LXXXII  $\text{R} = \text{COC}_2\text{H}_5$ ,  $\text{R}^1 =$

$= \text{CONH}_2$ ,  $\text{R}^2 = \text{OH}$ ;  $\text{R}^3 = \text{N}(\text{CH}_3)\text{CH}_2\text{C}(\text{CH}_3)\text{OCH}_2\text{CH}_2\text{O}$ ,  $\text{R}^4 = \text{H}$ .

экстрагируют IV, выход 77%, т. пл. 146–147° (из бал.-эф.), СК, т. пл. 260–262° (разл., из разб.  $\text{CH}_3\text{COOH}$ ). Применение  $\text{C}_6\text{H}_6$  вместо  $\text{CS}_2$  приводит к XVII, выход 52%, т. пл. 101–102° (из сп.). К р-ру 304,7 г IV в 2,2 л лед.  $\text{CH}_3\text{COOH}$  прибавляют (40°, освещение 250 ат) 352 г  $\text{C}_5\text{H}_5\text{N} \cdot \text{HBr}_3$ , нагревают р-р 30 мин. при 55–60°, обрабатывают углем, концентрируют в вакууме и  $\text{CHCl}_3$  извлекают V, выход 69%, т. пл. 180,5–181,5° (из  $\text{CH}_3\text{COOH}$ -эф. 1:1). Смесь 1,45 кг VII (см. Kuhn M., J. prakt. Chem., 1940, 156, 103) и 2,75 кг жидкого  $\text{CH}_3\text{NH}_2$  нагревают 24 час. при 162–173° и 5,5–6,5 ат, выделяют VI, выход 80%, т. пл. 160–162°; хлоргидрат, т. пл. 165–167°. Р-р 270 г V и 307 г VI в 4,5 л абс.  $\text{C}_6\text{H}_6$  кипятят 21 час в атмосфере  $\text{N}_2$ , фильтрат экстрагируют 2,5 л разб.  $\text{HCl}$ , смешивают экстракт с р-ром  $\text{NaOH}$  и  $\text{CHCl}_3$  извлекают VII, выход 71%, т. пл. 135–136° (из ацетона); хлоргидрат  $(\text{CH}_3)_2\text{CO}$ , т. пл. 138–139°, сульфат  $\cdot 3\text{H}_2\text{O}$ , т. пл. 153–155° (разл.). Гидролиз 20 г VII (5 дней при 37° с 250 мл конц.  $\text{HCl}$  и 250 мл воды в атмосфере  $\text{N}_2$ ) привел к IX, выход 77%,

т. пл. 109–110° (из сп.); хлоргидрат, т. пл. 200° (разл., из водн. сп.). К смеси 25 г IX и 550 мл абс.  $\text{C}_2\text{H}_5\text{OH}$  в атмосфере  $\text{N}_2$  при –15° прибавляют 16,9 г  $\text{CH}_3\text{ONa}$ , перемешивают 10 мин. при (–10)–(–12°), охлаждают до –25° и отфильтровывают X, выход 69%, т. пл. 155–157° (из водн. сп.); дихлоргидрат, т. пл. 270° (разл., из ацетона), оксим, т. пл. 235–236° (из  $\text{HCON}(\text{CH}_3)_2$ -эф.); СК, т. пл. 225° (разл., из  $\text{HCON}(\text{CH}_3)_2$ -эф.); N-ацетильное производное (LXXXVIII), т. пл. 169–170° (из ацетона-сп.); хлоргидрат, т. пл. 250° (разл., из водн. сп.), оксим, т. пл. 250° (разл., из  $\text{HCON}(\text{CH}_3)_2$ -эф.); СК, т. пл. 245–246° (разл., из водн. сп.). К 10 г LXXXVIII в смеси 150 мл  $\text{CH}_3\text{OH}$  и 10 мл воды прибавляют 1,5 г  $\text{NaBH}_4$ , выдерживают 2 час. при 20°, выделяют хлоргидрат XI, выход 79%, т. пл. 245–246° (разл., из водн. сп.), основание XI, т. пл. 182–184° (из этилацетата (ЭА), бромгидрат, т. пл. 243–244° (разл., из водн. сп.), йодметилат, т. пл. 257–258° (разл., из воды), хлорметилат, т. пл. 240–241° (разл., из  $\text{CH}_3\text{OH}$ -ЭА), уксусный эфир XI, т. пл. 186–187° (разл., из водн. сп.). Аналогичное восстановление  $\text{NaBH}_4$  X приводит к N-дезацетильному аналогу XI (XIa), выход 85%, т. пл. 210–220° (разл., из сп.), дихлоргидрат, т. пл. 240–243° (разл., из водн. сп.). Р-р 3,1 г хлоргидрата XI в 75 мл жидкого  $\text{SO}_2$  и 1,2 мл  $\text{SOCl}_2$  выдерживают в автоклаве 6 час. при 25°,  $\text{SO}_2$  испаряют, добавляют абс. эфир и отфильтровывают хлоргидрат XII, выход 3,5 г, т. пл. 130–135° (разл.). Охлажд. смесь 40 г  $\text{NaCN}$ , 300 мл жидкого  $\text{HCN}$  и 7,5 г хлоргидрата XII перемешивают 30 мин.,  $\text{HCN}$  отгоняют в вакууме (10°), к остатку добавляют  $\text{CHCl}_3$  и лед. воду и из органич. слоя выделяют XIII, выход 3,3 г, т. пл. 181–182° (из ЭА). 1 г XIII в 15 мл  $\text{CH}_3\text{OH}$  и 0,25 мл воды выдерживают с 2 мл конц.  $\text{H}_2\text{SO}_4$  в атмосфере  $\text{N}_2$  при 100° 23–24 час. и  $\text{CHCl}_3$  выделяют XIV, выход 53%, т. пл. 160–161° (из ЭА), N(4)-ацетильное производное, т. пл. 140–142° (из бал.-эф.), N(4)-п-толуолсульфопроизводное, т. пл. 172–173° (из сп.). Р-р 1 г XIV в 30 мл конц.  $\text{HCl}$  и 5 мл воды кипятят 3 часа, водн. р-р полученного дихлоргидрата на ионообменной колонке превращают в XV, т. пл. > 300° (из воды). 3,9 г XIV в 78 мл 1,5%-ного  $\text{KOH}$  кипятят под  $\text{N}_2$  30 мин., добавляют 8,5 г  $\text{Na}_2\text{AsO}_4$  и 16 г  $\text{Ni}$  (дезактивированного кипячением в ксилоле) и кипятят под  $\text{N}_2$  20 час.; р-р обрабатывают углем и при pH 5,6 осаждают гидрат dl-I, выход 30%, т. пл. 242–243° (после растворения в водн.  $\text{NH}_3$  и осаднения  $\text{CO}_2$ ), 0,4 г I, 23 мл  $\text{C}_6\text{H}_6$ , 2 мл  $\text{CH}_3\text{OH}$ , 25 мл 2,5%-ного эфира. р-ра  $\text{CH}_2\text{N}_2$  выдерживают 45 мин., полученный метиловый эфир I кипятят в 10 мл  $\text{CH}_3\text{OH}$  и 2 мл безводн.  $\text{N}_2\text{H}_4$  1,5 часа под  $\text{N}_2$  и выделяют XVI, выход 0,05 г т. пл. 224–227° (разл., из  $\text{CH}_3\text{OH}$ ). 62,5 г метилового эфира III (полученного из 60 г III действием эфира. р-ра  $\text{CH}_2\text{N}_2$ ), 30 мл абс. эфира, 36 г XVIII и 12,5 г  $\text{CH}_3\text{ONa}$  кипятят 22 час., добавляют лед. воду и из водн. слоя подкислением и экстракцией эфиром выделяют некристаллич. XIX, выход 55%. Р-р 44,2 г XIX в 265 мл 77%-ной  $\text{H}_2\text{SO}_4$  нагревают при ~100° 20 мин., получают XX, выход 51%, т. пл. 160–161° (разл., из баль. диоксана), метиловый эфир XX, т. пл. 146,5–147,5° (из бал.-эф.). IV (30 г) гидролизуются (кипчение с 300 мл конц.  $\text{HCl}$  и 225 мл лед.  $\text{CH}_3\text{COOH}$  16 час.) до XXI, выход 73%, т. пл. 126–127° (из  $\text{CH}_3\text{OH}$ ); хлоргидрат, т. пл. 195–200° (разл., из сп.-эф.); бромгидрат, т. пл. 212–215° (разл., из сп.-эф.); N-бутиральное производное XXI, т. пл. 137,5–138,5° (из сп.). XXI при ацетилировании дал XXIII, выход 73%, т. пл. 177,5–178,5° (из сп.). Смесь 2 г XXI, 3 г 5%-ного  $\text{Pd/C}$  и 30 мл n-цимола кипятят 1 час, отгоняют n-цимол и  $\text{C}_6\text{H}_6$  экстрагируют XXII, выход 15%, т. пл. 159,5–160,5° (из бал.). Аналогично из XXIII (2 г) получен выделенный смесью  $\text{CH}_3\text{OH} + \text{CHCl}_3$  XXV, выход 0,25 г, т. пл.

230—247° (из  $\text{CH}_3\text{COOH} + \text{CH}_3\text{OH}$ ), О-ацетильное производное XXV, т. пл. 156—161° (из ацетона). Такое же дегидрирование IV (вместо *n*-цимола ксилол) привело к XXIV, выход 42%, т. пл. 231—235° (разл., из хлф- $\text{CH}_3\text{OH}$ ), О-ацетильное производное XXIV, т. пл. 168—169° (из ЭА). Р-р 19 г IV в 300 мл жидком  $\text{CH}_3\text{NH}_2$  выдерживают в автоклаве 2 дня при 25°, получают XXVI, выход 56%, т. пл. 205—209° (разл., из  $\text{C}_6\text{H}_5\text{CH}_3$ ). Р-р  $\text{C}_2\text{H}_5\text{OK}$  (из 0,9 г К и 6,5 мл абс.  $\text{C}_2\text{H}_5\text{OH}$ ), 100 мл абс. толуола и суспензию 5,55 г IV в 75 мл абс. толуола нагревают до растворения IV, охлаждают, добавляют 5 мл  $\text{C}_4\text{H}_9\text{NO}$ , перемешивают 4 час. при ~20°, оставляют на 3 дня и отфильтровывают К-соль XXVII, выход 100%, т. пл. 167—169° (разл., из абс. сп.). Из IV получены оксим, т. пл. 210—211°, и тозилат оксима, т. пл. 152—155° (из сп.). Суспензию последнего (8,8 г) в 200 мл абс.  $\text{C}_2\text{H}_5\text{OH}$  прибавляют к р-ру  $\text{C}_2\text{H}_5\text{OK}$  (из 0,86 г К и 50 мл абс.  $\text{C}_2\text{H}_5\text{OH}$ ), перемешивают 8 час. при 10°, выдерживают 3 дня в холодильнике и выделяют хлоридрат XXVIII, выход 60%, т. пл. 248—250° (разл., из абс. сп.). К охлажд. смеси 6,0 г  $\text{CH}_3\text{ONa}$ , 15 мл  $\text{HCOOC}_2\text{H}_5$  и 150 мл абс.  $\text{C}_6\text{H}_6$  прибавляют 27,7 г IV, перемешивают 15 мин. на холоду и 2 час. при 25° и отфильтровывают Na-соль XXIX, выход 85%, XXIX, т. пл. 142—145° (разл., из  $\text{HCON}(\text{CH}_3)_2 + \text{CH}_3\text{OH}$ ). К смеси 20 г Na-соли XXIX в 270 мл  $\text{CF}_3\text{COOH}$  и 4,6 г  $\text{NaN}_3$  прибавляют по каплям 18 мл конц.  $\text{H}_2\text{SO}_4$  (т-ра 45°), концентрируют в вакууме (<30°) и приливают 200 мл  $\text{CHCl}_3$  и 250 мл лед. воды, кислый органич. слой экстрагируют р-ром NaOH, из нейтр.  $\text{CHCl}_3$  выделяют XXXI, выход 11,4%, т. пл. 178—180° (из  $\text{CH}_3\text{OH}$ ), а из шел. экстракта после подкисления извлекают  $\text{CHCl}_3$  XXXI, выход 32%, т. пл. 190—191° (из  $\text{CH}_3\text{OH}$ ). К р-ру 30 г XXVIII в 800 мл  $\text{C}_6\text{H}_6$  и 15 г  $\text{CH}_3\text{ONa}$  прибавляют по каплям теплый р-р 55,5 г IV в 350 мл  $\text{C}_6\text{H}_5\text{CH}_3$ , перемешивают на холоду 2 час. и приливают 400 мл лед. воды, из водн. слоя подкислением и экстракцией  $\text{CHCl}_3$  выделяют XXX, выход 72%, т. пл. 202—204° (разл., из  $\text{CH}_3\text{COOH} + \text{CH}_3\text{OH}$ ). Смесь 3,63 г XXX в 15 мл конц.  $\text{H}_2\text{SO}_4$  и 1 г  $\text{NaN}_3$  нагревают до 40°, т-ра растет до 50°, охлаждают и выдерживают при 40° 10 мин., выливают на лед и отфильтровывают XXXIII, выход 19%, т. пл. 237—238° (разл., из  $\text{HCON}(\text{CH}_3)_2 + \text{CH}_3\text{OH}$ ). Действием на XXX метанольного HCl получено N(4)-дебензоильное производное в виде хлоридрата, т. пл. 226—267° (разл., из  $\text{CH}_3\text{OH}$ ), а действием  $\text{NH}_2\text{NH}_2$  в  $\text{HCON}(\text{CH}_3)_2$  — соответствующий XXXIII гидразид, т. пл. 270° (разл.). Р-р 7,6 г XXXIII в 400 мл  $\text{CH}_3\text{OH}$ , насыщ. HCl, кипятят с одновременным пропусканием HCl 4,5 час., получают дихлоридрат XXXIV, выход 62%, т. пл. выше 300°. XXXIV получен также гидролизом хлоридрата XXVIII в конц. HCl, выход 68%, и из XXXII. 100 г IV смешивают с 500 мл изопропенилацетата и 2 г *n*- $\text{C}_8\text{H}_5\text{CH}_2\text{SO}_3\text{H}$  и 26 час. отгоняют 250 мл изопропенилацетата, периодически добавляя свежий, выделяют XXXV, выход 65%, т. пл.



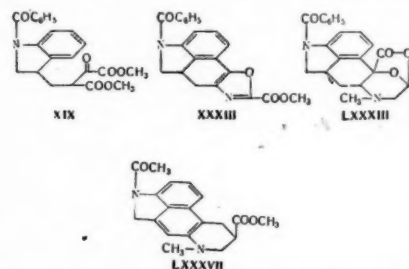
145—146° (из ЭА). Кипячением 5 г IV, 50 мл  $\text{HC}(\text{OC}_2\text{H}_5)_3$ , 45 мл абс.  $\text{C}_2\text{H}_5\text{OH}$  и 2 кап.  $\text{H}_2\text{SO}_4$  получают XXXVI, выход 55%, т. пл. 97,5—102° (из ЭА-п.тр.эф.). Смесь р-ра 10 г XXXV в 250 мл абс.  $\text{C}_6\text{H}_6$  и р-ра

7,3 г LXI в 135 мл абс. эфира выдерживают при ~20° 3 дня, из р-ра выделяют XXXVII, выход 85%, т. пл. 205—206° (из ЭА). XXXVII получен также р-цией XXXVI с  $\text{C}_6\text{H}_5\text{CO}_2\text{H}$  в  $\text{CHCl}_3$ . К кипящему р-ру 25 г IV в 200 мл абс.  $\text{C}_2\text{H}_5\text{OH}$  прибавляют по каплям р-р 2,5 г  $\text{NaBH}_4$  в 120 мл абс.  $\text{C}_2\text{H}_5\text{OH}$ , кипятят еще 1 час, приливают 50 мл 10%-ного водн. NaOH, нагревают еще 30 мин. и выделяют XXXVIII, выход 80%, т. пл. 182—183° (из ЭА-п.тр.эф.). К р-ру 39,5 г XXXVIII в 400 мл  $\text{C}_6\text{H}_6$  при охлаждении прибавляют 25 мл  $\text{PBr}_3$ , оставляют на ночь при ~20°, кипятят 4 час., выливают на лед и из органич. слоя выделяют XXXIX, выход 74%. Р-р 36 г XXXIX в 150 мл 2,6-лутидина кипятят 4 часа, выливают при охлаждении в 400 мл 6 н. HCl и эфиром- $\text{C}_6\text{H}_6$  (1:1) экстрагируют XL, выход 32% на IV, т. пл. 95,5—96,5° (из баль-п.тр.эф.). XXIII восстановлен аналогично IV в соответствующий спирт, выход 89%, т. пл. 150—151° (из баль.). Гидролиз XL (2 часа кипячения с 50%-ным NaOH в  $\text{C}_2\text{H}_5\text{OH}$ ) и ацилирование  $(\text{CH}_3\text{CO})_2\text{O}$  в  $\text{CH}_3\text{OH}$  приводит к XLIII, выход 78%, т. пл. 120,5—121,5° (из баль-п.тр.эф.). 24 г XL прибавляют порциями к охлажд. р-ру  $\text{C}_6\text{H}_5\text{CO}_2\text{H}$  в  $\text{CHCl}_3$  (20%-ный избыток  $\text{C}_6\text{H}_5\text{CO}_2\text{H}$ ), выдерживают 44 часа при 0° и выделяют XLI, выход 81%, т. пл. 104—105° (из баль-п.тр.эф.). 8,2 г XL в 150 мл  $\text{C}_2\text{H}_5\text{OH}$  гидрируют с 4,1 г 5%-ного Pd/C (при 3 ат), получают XLII, выход 74%, т. пл. 107—108° (из  $\text{CH}_3\text{OH}$ ). Гидролизом и ацилированием (аналогично XL) XLII переведен в XLIV, выход 77%, т. пл. 104—105° (из эф.-п.тр.эф.). Р-р 5,0 г XLI в 200 мл  $\text{C}_6\text{H}_5$ -эфира (1:1) при охлаждении насыщают HBr (23 г), выдерживают 5,5 час. при 25° и выделяют XLV- $\text{CH}_3\text{OH}$ , выход 57%, т. пл. 80° (разл., из  $\text{CH}_3\text{OH}$ ). XLV получен также восстановлением V  $\text{NaBH}_4$ , выход 54%. К эфир. р-ру  $\text{MgBr}_2$  (полученного действием на 40 г Mg, 40 мл  $\text{Br}_2$ ) приливают р-р 20 г XLI в 1 л абс.  $\text{C}_6\text{H}_6$ , перемешивают 1,5 часа, выдерживают 18 час. при 25° и выделяют XLVI, выход 75%, т. пл. 149,5—151,5° (из баль-эф.); СК, т. пл. 225—226° (из водн.  $\text{CH}_3\text{COOH}$ ). 20 г XLI и 200 мл жидкого  $\text{CH}_3\text{NH}_2$  нагревают в автоклаве при 100° 16 час. и выделяют XLVII- $\text{C}_6\text{H}_6$ , выход 90%, т. пл. 93—95° (из баль.), 4-ацетилметиламинопроизводное, т. пл. 158—160°. N(1)-дебензоильное производное, т. пл. 185,5—186,5° (из баль.). Смесь 155,5 г XLI и 310 мл VI нагревают при ~100° 17 час., избыток VI отгоняют и  $\text{C}_6\text{H}_6$  извлекают XLVIII, выход 74%, т. пл. 126—129° (из ацетона); хлоридрат- $(\text{CH}_3)_2\text{CO}$ , т. пл. 159—160° (разл., из сп.-ацетона), сульфат- $\text{C}_2\text{H}_5\text{OH}$ , т. пл. 184—185° (разл., из водн. сп.). N(1)-дебензоильное производное дихлоридрат- $(\text{CH}_3)_2\text{CO}$ , т. пл. 166—167° (из сп.-ацетона), N(1)-ацетильное производное, т. пл. 152—153° (из ацетона). 14,8 г XLVIII, 2,64 г бромацетона и 125 мл  $\text{C}_6\text{H}_6$  кипятят 1 час, выделяют XLIX, выход 2,8 г, т. пл. 158—160° (из водн. ацетона) N(1)-дебензоильное производное, т. пл. 120—122° (из сп.). Р-р 1 г XLIX в 40 мл  $\text{CH}_3\text{OH}$  насыщают сухим HCl, выдерживают 16 час. при 25°, выделяют L (из абс. сп.-эф.). Аналогично L получен и из XLVIII. 16,6 г IV, 30 г активированного Zn, 300 мл абс.  $\text{C}_6\text{H}_6$  и 15 мл  $\text{CH}_2\text{BrCOOC}_2\text{H}_5$  нагревают до кипения, прибавляют немного  $\text{C}_2\text{H}_5\text{MgI}$  и кристалл  $\text{J}_2$ . После начала р-ции через каждые 30 мин. (3 раза), а затем через каждый час (2 раза) прибавляют по 15 г Zn к кристаллу  $\text{J}_2$  (после первого часа вносят также 7,5 мл  $\text{CH}_2\text{BrCOOC}_2\text{H}_5$ ), кипятят еще 1 час и выделяют LI, выход 35%, т. пл. 142—143° (из ЭА). Полученный сходным образом (вместо  $\text{J}_2 - \text{HgCl}_2$ ) LII (из 300 г IV) нагревают 1 час при 100° с 2,25 л 98%-ной  $\text{HCOOH}$  и 0,5 л  $(\text{CH}_3\text{CO})_2\text{O}$ , выливают в лед. воду и  $\text{C}_6\text{H}_6$  экстрагируют LIV, выход 83%, т. пл. 114—126° (из  $\text{CH}_3\text{OH}$ ). LIV гидролизом (4,5 часа кипячения с 3 н. NaOH в  $\text{C}_2\text{H}_5\text{OH}$ )



превращен в **LV**, выход 96%, т. пл. 168,5–170° (разл., из **3A**). Суспензию 50 г **LV** в 750 мл абс.  $C_6H_5CH_3$ , 40 мл  $(COCl)_2$  и 1 мл  $C_6H_5N$  перемешивают 2 часа при ~20°, фильтруют, из фильтрата выделяют масло, р-р которого в 1 л абс.  $C_6H_6$  при охлаждении прибавляют по каплям к р-ру  $CH_2N_2$  (из 75 г  $NH_2CON(CH_3)NO$ ) в  $CH_2Cl_2$ , оставляют на ночь при ~25°, прибавляют 500 мл  $CHCl_3$  и (в течение 1 час.) 300 мл 48%-ной  $HBr$ , перемешивают 3 часа при ~20° и из органич. слоя выделяют **LVI**, выход 77%, т. пл. 128–132° (из бэл.-петр. эф.). К р-ру 20 г  $NaNH_2$  в 960 мл  $CH_3OH$  и 40 мл воды прибавляют порциями 20 г **LVI**, кипятят 1 час, выливают в воду и  $CHCl_3$  экстрагируют **LVII**, выход 59%, т. пл. 115–117° (из водн. сп.). Смесь 9,5 г **LVII** и 6,1 г  $C_6H_5CO_2H$  в 90 мл  $CHCl_3$  оставляют на ночь при 0° и выделяют **LVIII**· $C_6H_5OH$ , выход 42%, т. пл. 186–187° (из сп.). Р-цией **LVIII** с  $CH_3NH_2$  (аналогично **XLI**) получен **LIX** (очищаемый 20%-ным р-ром  $NaNO_2$ ), т. пл. 102–110°; йодметилат, т. пл. 200–202° (разл., из сп.-этилацетата). Смесь 3,5 г **LIV**, 30 мл  $CHCl_3$  и р-ра 2,2 г **LXI** в 37 мл эфира оставляют на неделю при ~20° и из р-ра выделяют **LX**, выход 55%, т. пл. 181–182° (из бэл.). Р-цией с  $CH_3NH_2$  (аналогично **XLI**, нагревание 6 час. **LX** превращен в **LXII**, т. пл. 201–202° (из сп.). Смесь 1 г **LX** и 4 мл **LXIII** нагревают при 100° 2,5 часа, **LXIII** отгоняют и получают **LXIV**· $H_2O$ , т. пл. 160–161° (из водн. сп.). Смесь *трет*- $C_4H_9OK$  (из 179 г  $K$ ), 3,7 л  $C_6H_6$ , 4,9 л  $C_6H_5CH_3$ , 750 г **IV** и 593 г  $CH_2ClCOOC_2H_5$  перемешивают под  $N_2$  при –5°, 15 мин., нагревают до 75°, охлаждают до ~20° и выделяют **LXV**, р-р его в 5,9 л абс.  $C_2H_5OH$  нагревают с 350 мл 50%-ного  $NaOH$  (до 70–75°) и выделяют **LXVI**, выход 91%, т. пл. 230–232° (разл., из  $CH_3OH$ -сп.-эф.). Подкислением водн. р-ра **LXVI** получен аморфный **LXVII**, т. пл. 90–100° (разл.), бисульфитное соединение, т. пл. 128–130°, оксим, т. пл. 168–170° (из  $CH_3OH$ );  $CR$ , т. пл. 200–202° (разл., из  $CH_3OH$ ). Кипячением 71,5 г **LXVI**, 800 мл  $(CH_3CO)_2O$ , 25 г безводн.  $CH_3COONa$  и 100 мл  $CH_3COOH$  (1 час) получен 1-бензоил-5-ацетоксиметил-1,2,2а,3,4,5-гексагидробензидол, выход 74,5%, т. пл. 166–168° (из сп.). 500 г **LXVI**, 10 л  $CH_2Cl$  и 448 г перборида пиридина перемешивают при освещении ( $2 \times 250$  ст) 12–15 мин., прибавляют 468 г хлоргидрата семикарбазида и 460 г безводн.  $CH_3COONa$ , нагревают 3 час. при ~100° и выделяют  $CR$  **LXVIII**, выход 87%, т. пл. 231–232° (разл., из  $CH_3COOH$  +  $CH_3OH$ ). Действием пировиноградной к-ты из  $CR$  получен **LXVIII**, выход 83,5%, т. пл. 179,5–180,5° (из сп.); фенилгидразон, т. пл. 210–212° (из бэл.-сп.); оксим, т. пл. 195–197° (разл., из бэл.- $CH_3OH$ ). Смесь 100 г **LXVIII** в 5 л ацетона, 400 мл 30%-ной водн.  $H_2O_2$  и 175 мл 5%-ного  $Na_2CO_3$  перемешивают 5 час. при 5°, добавляют 2 л лед. воды и 10 мл  $CH_3COOH$  и выделяют **LXIX** в виде гидрата, выход 92%, т. пл. 150–153° (разл., из  $CH_3OH$ ), безводн. **LXIX**, т. пл. 173–174° (из **3A**). Горячий р-р 76,5 г **LXVIII** в 350 мл диоксана добавляют (20 мин.) к р-ру 7,32 г  $NaNH_2$  в 330 мл абс.  $C_2H_5OH$ , перемешивают 2 часа при ~20°, прибавляют 800 мл воды и отфильтровывают **LXXI**· $H_2O$ , выход 74%, т. пл. 108–110° (разл.), О-ацетильное производное, т. пл. 95–98° (из **3A**-петр. эф.), ИК-спектр: 5,74 и 6,09  $\mu$ ; О-трифторацетильное производное, т. пл. 161–163° (разл., из хлф.-эф.), ИК-спектр: 5,62  $\mu$ ; О-бензоильное производное, т. пл. 133–135° (из **3A**-петр. эф.). Из фильтрата от **LXXI** выделяют **LXXII**, выход 10%, т. пл. 136–138° (из ацетона). Гидрат **LXIX** восстановлен (аналогично **LXVIII**) в **LXX**, выход 75%, т. пл. 174–177° (из  $CH_3OH$ ); О-ацетильное производное, т. пл. 177–179° (из **3A**- $CH_3OH$ ). 12 г **LXX** и 50 мл **VI** нагревают в  $N_2$  при 125° 16 час., выделяют **LXXIII**, выход 7%, т. пл. 148–150° (из **3A**); пикрат, т. пл. 185–186° (разл., из  $CH_3OH$ ). Смесь 140 г **LXVIII**,

250 мл этиленгликоля, 480 мл  $C_6H_5CH_3$  и 0,4 г *n*- $CH_3C_6H_4SO_3H$  кипятят 7,5 час. с водоотделителем, выделяют **LXXIV**, выход 80%, т. пл. 153–155° (из **3A** петр. эф.). 83,5 г **LXXIV**, 41,5 г  $C_6H_5CO_2H$  и 600 мл  $CHCl_3$  выдерживают 23 часа при 0–5°, получают **LXXV**, выход 87%, т. пл. 178–180° (из  $CH_3OH$ ). Смесь 15 г **LXXV** и 0,5 л жидкого  $CH_3NH_2$  нагревают в автоклаве при 120° 14 час.,  $CH_3NH_2$  испаряют и выделяют **LXXVI** в виде пикрата, выход 51%, т. пл. 240° (разл., из  $HCON(CH_3)_2$  +  $CH_3OH$ ); встряхиванием пикрата с 40%-ным водн. этаноламином и  $CHCl_3$  получают **LXXVI**, выход 71%, т. пл. 151–153°; хлоргидрат· $H_2O$ , т. пл. 221° (разл., из сп.-**3A**), N-дебензоильное производное, т. пл. 207–210° (из  $HCON(CH_3)_2$  +  $CH_3OH$ ), дихлоргидрат, т. пл. 250° (разл., из  $CH_3OH$ -ацетона), *n*-толуол-сульфамидное производное, т. пл. 204–206° (из  $HCON(CH_3)_2$  +  $CH_3OH$ ). Гомог. смесь 6,5 г **LXXVI** и 50 мл  $CH_2CHCN$  выдерживают при 25° 16 час., выделяют **LXXVII**, выход 88%, т. пл. 135–138° (из **3A**-петр. эф.); хлоргидрат, т. пл. 184–186° (разл., из сп.-эф.). Метанолизом **LXXVII** (выдержка с  $CH_3OH$ , насыщ.  $HCl$  при 25° 4 дня) получен **LXXVIII**, выход 24%, т. пл. 138–140° (из **3A**). Выдержка **LXXVII** с 6 н.  $HCl$  (при 25° 4 дня) приводит к дихлоргидрату **LXXIX**, выход 63%, т. пл. 173–175° (из разб. сп.), основание **LXXIX**, т. пл. 130–132° (из бэл.). К суспензии 12,5 г оксима **LXVIII** в 200 мл абс.  $C_6H_6$  прибавляют по каплям 20 мл  $SOCl_2$  (т-ра 0°–5°), перемешивают 30 мин. и выделяют **LXXX**, выход 91%, т. пл. 142–144° (из бэл.-петр. эф.). Смесь 2,86 г **LXXX**, 11,3 г 30%-ной  $H_2O_2$ , 22,6 г воды, 150 мл ацетона и 2,7 мл 10%-ного  $Na_2CO_3$  перемешивают 10 час. при ~20°, кипятят 2,5 часа и выделяют **LXXXI**· $1/2 H_2O$ , выход 94,8%, т. пл. 229,5–230° (разл., из  $CH_3OH$ ). Нагреванием **LXXXI** с  $CH_3NH_2$ ,  $(CH_3)_2NH$  и **VI** получены соответственно: 4-метилами-



носоединение, выход 89%, т. пл. 191–193° (из бэл.), дихлоргидрат, т. пл. 223–226° (разл., из  $CH_3OH$ -эф.); 4-диметиламиносоединение, выход 61%, т. пл. 204–205,5° (из бэл.) и **LXXXII**, выход 71%, т. пл. 200,5–203° (разл., из бэл.),  $N(1)$ -дебензоильное производное, т. пл. 255° (разл., из  $HCON(CH_3)_2$ -сп.). Р-р 1,8 г **LXXXII** в 55 мл  $CH_3COOH$  и 2,74 г  $Pb_3O_4$  выдерживают 18 час. при ~20°, добавляют 1 мл глицерина и 3,5 г конц.  $H_2SO_4$  и из фильтрата выделяют **LXXXIII**, выход 58%, т. пл. 249–250° (разл., из  $CH_3OH$ ). Р-р хлоргидрата **XI** в конц.  $HCl$  оставляют на 2 час. при 25°, получают **LXXXIV**, выход 75%, т. пл. 194–196° (разл., из **3A**). О-ацетильное производное, т. пл. 176–177° (разл., из  $CH_3OH$ –**3A**). Суспензию 5 г **XI** (или **LXXXIV**) в 500 мл жидкой  $HCN$  и 200 мл эфира  $BF_3$  выдерживают 20 час. при 25°, выделяют **LXXXV**, выход 85%, т. пл. 225–226° (разл., из  $HCON(CH_3)_2$  +  $CH_3OH$ ),  $N(4)$ -деацетил **LXXXV** (**LXXXVa**), т. пл. 242–244° (разл., из  $HCON(CH_3)_2$  +  $CH_3OH$ ). Исходя из **LXXXV** получены следующие соединения: 4-ацетил-9-амино-, т. пл. 178–179° (разл., из воды); 9-амино-, т. пл. 165–166° (из **3A**), трихлоргидрат, т. пл. 303–305°

(разл., из водн. сп.); 4 ацетил-9-ацетиамидо-, т. пл. 215—217° (разл., из водн.  $\text{CH}_3\text{OH}$ ); 4-триметоксисбензоил-9-триметоксисбензамидо-, т. пл. 275—280° (разл., из  $\text{HCON}(\text{CH}_3)_2 + \text{CH}_3\text{OH}$ ), 1,0 г XIV и 40 мл 1 н. NaOH кипятят 19 час., обрабатывают углем, к фильтрату добавляют 10 г влажного Ni, кипятят еще 3 часа под  $\text{N}_2$ , при pH 5,8 выделяют LXXXVI ·  $\text{H}_2\text{O}$ , выход 0,5 г, т. пл. 315—316° (разл.). 0,575 г XIV, 15 мл ксилола и 0,5 г 5%-ного Pd/C кипятят 16 час. в  $\text{N}_2$ , получают LXXXVII, выход 35%, т. пл. 177—178° (из бал.). Приведены УФ-спектры I, XI, XIa, XIII, XIV, XXIV, XXXV, XL, L, LXVII, LXXXVa и ряда производных LXXXV, а также ИК-спектры XIa, LX, LXIV, LXXX, LXXXV и LXXXVa. Даны кривые УФ-спектров: IV, XI, XLII, XLIII, XLIV и ИК-спектров: I, IV, VII, IX, X, XI, XIII, XIV, XVI, XXII, XL, XLI, XLVI, XLVIII, XLIX, LXVIII, LXIX, LXX, LXXI, LXXIII, LXXIV, LXXV, LXXVII, LXXXIII, LXXXIV и LXXXVII. УФ-спектры измерены в  $\text{CH}_3\text{OH}$ , ИК-спектры в  $\text{CHCl}_3$  (с 0,15).

Л. Нейман

**51400. Алкалоиды Voacanga и структура воакамина.** Гутарель, Першерон, Жано (Alcaloides des Voacanga: structure de la voacamine. Goutarel Robert, Percheron François, Janet Maurice-Marie, C. r. Acad. sci., 1956, 243, № 21, 1670—1673 (франц.)).

Из растений рода *Voacanga*, в частности *V. africana* Stapf., выделено 5 кристаллич. алкалоидов: воакамин (I), воакинин (II) или карбометоксисбогвин, воакинин, воакин и вобутин. Кроме II, все алкалоиды имеют двойную молекулу типа геисоспермина или некоторых алкалоидов кураре. I,  $\text{C}_{45}\text{H}_{56}\text{O}_6\text{N}_4$ , содержит 3  $\text{OCH}_3$  и 1  $\text{CH}_2$ -группу, два основных N, pK 5,45 и 7,14; УФ-спектр  $\lambda$  225 (lg e 4,59);  $\lambda$  295 (lg e 4,16) 2 индольных хромофора соответствуют ибоганину (III) (5-метоксиндольная группировка). В ИК-спектре 2 полосы соответствуют  $\text{C}=\text{O}$  5,8 и 5,9  $\mu$ , отвечают 2 группам метилового эфира; часть молекулы I соответствует II, так как при сплавлении I с KOH образуется 3-метил-5-этилпиридин (IV). При омылении I отщепляется  $\text{COOCH}_3$  и получается промежуточная к-та (V) в виде К-соли; ИК-спектр дает для  $\text{COO}^-$  6,3  $\mu$ ; при действии на соль 2 н. HCl V декарбоксируется и получается новое основание (VI) в виде дихлоргидрата  $\text{C}_{42}\text{H}_{50}\text{O}_5\text{N}_4 \cdot 2\text{HCl}$ , содержит 1  $\text{OCH}_3$  и 1  $\text{NCH}_3$ . Омыление VI приводит к декарбоновой к-те (VII) с отщеплением  $2\text{OCH}_3$ ; одна из двух  $\text{COOH}$ -групп VII легко удаляется в кислой среде, как и у II, вторая дает лактон; УФ-спектр не изменяется, что указывает на постоянство  $\text{OCH}_3$  в положении 5 индола; pK основного третичного атома N 5,45, этот атом входит в состав IV. Природа второго основного N выяснена пирилизмом II при 220—240°/0,001 мм, при этом выделяется  $1\text{CO}_2$  и  $1\text{N}(\text{CH}_3)_3$  (VIII). В составе VIII отщепляется основной третичный N с pK 7,14; при сплавлении остатка после пирилиза с KOH получают IV. Образование  $\text{CO}_2$  и VIII может быть объяснено наличием в I группировки эфир-N-диалкиламмино кислоты (Wilstätter R., Ber., 1902, 35, 597; 1904, 37, 401). В условиях пирилиза I происходит двукратная необратимая бетанизация с удалением N и образованием  $\delta$ -лактона, на присутствие которого в некристаллич. остатке после пирилиза указывает полоса 5,9  $\mu$  в ИК-спектре. Та же полоса имеется в ИК-спектре продукта омыления и кислотного гидролиза I, однако в последнем случае группа  $\text{NCH}_3$  не отщепляется при образовании  $\delta$ -лактона. Полагая, что в обоих случаях лактон образуется за счет одной и той же  $\text{COOH}$ , может принять, что I содержит цепь  $\text{CH}_3\text{OOC}-\text{C}-\text{C}-\text{N}(\text{CH}_3)-\text{C}-\text{C}-\text{C}-\text{C}(\text{COOCH}_3)-\text{C}-\text{C}-\text{OH}$ . Таким образом, 2 не основных атома N принадлежат 2 индольным группировкам; из двух основных атомов тре-

тичного N один в цикле пиперидина, как у II и III, другой связан с группой  $\text{CH}_3$ . Одна половина молекулы I типа II ( $\text{COOCH}_3$ -группа в  $\alpha$ -положении индольного цикла), другая содержит группу  $\text{NCH}_3$ , которая находится в положении триптаминого атома N второй индольной группировки.

К. Уткина

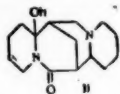
**51401. Новые синтезы миозмина.** Стейн, Бургер (New syntheses of myosmine. Stein Maria Luisa, Burger Alfred, J. Amer. Chem. Soc., 1957, 79, № 1, 154—156 (англ.)).

В связи с изучением превращений алкалоидов табака в организме человека разработаны синтезы миозмина (2-(пиридил-3)-пиролидина) (I), позволяющие получать I, меченный по C(4) и C(5) пироллинового ядра. Конденсацией 1-(пиридил-3)-3-диметиламинопропанола-1 (II) с  $\text{CH}_3\text{NO}_2$ , взятым в большом избытке, получают 1-(пиридил-3)-4-нитробутанон-1 (III) наряду с небольшим кол-вом 1,7-ди-(пиридил-3)-4-нитрогептандиона-1,7 (IV). Каталитич. восстановление III приводит к I, получаемому с высоким выходом. При конденсации метилового эфира никотиноилуксусной к-ты (V) в виде К-производного с N- $\beta$ -бромэтилфталымидом (VI) образуется с небольшим выходом метиловый эфир  $\alpha$ -( $\beta$ -фталимидоэтил)-никотиноилуксусной к-ты (VII) наряду с  $\text{RC}(=\text{CHCOOCH}_3)\text{OCH}_2\text{CH}_2\text{N} < (\text{CO})_2 > > \text{C}_6\text{H}_4$  (VIII), где R = пиридил-3, геометрич. изомером VIII (IX) и гидроксиэти 1-( $\beta$ -фталимидоэтил)-3-(карбометоксиацетил)-пиридиния (X). После гидролиза и декарбоксилирования VII превращается в I. Постепенно прибавляют 0,055 моля  $\text{CH}_3\text{ONa}$  в 100 мл  $\text{CH}_3\text{OH}$  к р-ру 0,05 моля хлоргидрата II и 0,35 моля  $\text{CH}_3\text{NO}_2$  в 60 мл  $\text{CH}_3\text{OH}$ , для удаления  $(\text{CH}_3)_2\text{NH}$  отгоняют за 15 мин.  $\sim 40$  мл  $\text{CH}_3\text{OH}$ , удаляют в вакууме р-ритель и  $\text{CH}_3\text{NO}_2$ ; остаток растворяют в 100 мл воды, к которой прибавлено несколько капель 10%-ного р-ра NaOH, выдерживают 10 мин. при 4°, отфильтровывают небольшое кол-во три-( $\gamma$ -никотиноилпропил)-нитрометана (XI), фильтрат подкисляют  $\text{CH}_3\text{COOH}$ , выделившееся масло растворяют в этилацетате, хроматографируют на  $\text{Al}_2\text{O}_3$  и вымывают этилацетатом. Из первых 180 мл фильтрата выделяют 5,4 г III, т. пл. 32—32,5° (из эф.); хлоргидрат т. пл. 143—143,5° (из сл.-эф.); пикрат, т. пл. 112° (из сп.). При дальнейшем вымывании получают 0,3 г ди-( $\gamma$ -никотиноилпропил)-нитрометана (XII) и IV, выход  $\sim 10\%$ , т. пл. 154—155° (из этилацетата). Если при конденсации хлоргидрата II с  $\text{CH}_3\text{NO}_2$  (см. выше) кол-во последнего уменьшить до 0,05 моля, нагревать 30 мин. и остаток после отгонки обработать разб. р-ром NaOH, получают XI, затвердевающий при стоянии, выход 70%, т. пл. 180° (из сп.). Из щел. фильтрата от XI после нейтр-ции, извлечения и хроматографирования на  $\text{Al}_2\text{O}_3$  выделяют XII, выход 25%. 0,6 г III в 30 мл безводн. спирта восстанавливают над скелетным Ni (давление  $\text{H}_2$  2 ат, 30°, 7 час.). Фильтрат упаривают и остающийся I превращают в диникрат, выход 80%, т. пл. 182—183° (из сп.); мононикрат I, т. пл. 175,5—176° (из сп.); хлоргидрат, т. пл. 173—177°, через несколько дней хранения в закрытом сосуде плавится при 168—170°. Р-р 2 г III в 50 мл воды, подкисленной  $\text{H}_2\text{SO}_4$  до pH 4, прибавляют за 45 мин. к кипящей суспензии 3 г Fe-порошка в 5 мл воды, кипятят еще 1 час и взвешивают из фильтрата  $\text{CHCl}_3$  1,2 г гигроскопичного в-ва с т. пл. 91—92°; пикрат, т. пл. 164—166°. Это в-во, не содержащее CO-группы, превратить в I не удалось. V получают из метилового эфира никотиновой к-ты по общему методу (см. Strong F. M., McElvain S. M., J. Amer. Chem. Soc., 1933, 55, 816), т. кип. 128—129°/1 мм, т. пл. 42° (из лигр.); хлоргидрат, т. пл. 154—155° (из абс. сп.); пикрат, т. пл. 146,5—147° (из сп.). Р-р 23,5 г VI в 15 мл свежепероганного  $\text{HCON}(\text{CH}_3)_2$  прибавляют к нагретой почти до кипения смеси 20 г безводн. К-производного V и

40 мл  $\text{HCON}(\text{CH}_3)_2$ , поддерживают кипение в течение 8 мин. и охлажд. смесь фильтруют; фильтрат приливают к смеси 300 мл воды и 50 мл 6 н.  $\text{HCl}$ , сливают с нерастворимого осадка, р-р извлекают эфиром, подщелачивают, оставляют на ~12 час. при 4° и отделяют 7 г полутвердого VIII, т. пл. 144° (из сп.). Из спирт. маточного р-ра после кристаллизации VIII удается выделить небольшое кол-во IX. Хлоргидрат VIII, т. пл. 145–146°, при перекристаллизации из спирта теряет  $\text{HCl}$  и превращается в VIII. При нагревании до 150–160° (2–3 мин.) хлоргидрат VIII количественно переходит в хлоргидрат IX, т. пл. 190–195°; из хлоргидрата IX при перекристаллизации из спирта или при осаждении р-ра хлоргидрата в разб.  $\text{HCl}$  содой получают IX, т. пл. 181° (из сп.). Щел. фильтрат после отделения VIII (см. выше) нейтрализуют  $\text{CH}_3\text{COOH}$ , выделившееся масло извлекают  $\text{CHCl}_3$ , вытяжку упаривают, прибавляют эфир и оставляют при 4°, получают X, т. пл. 137–138° (из сп.-эф.). Эфирнохлороформный маточный р-р после отделения X упаривают досуха, остаток растворяют в этилацетате, хроматографируют на  $\text{Al}_2\text{O}_3$  и получают VII, т. пл. 159–160,5° (из сп.). Неочищ. VII с т. пл. 125–140° кипятят 6 час. с 6 н.  $\text{HCl}$  и упаривают досуха; полученный I выделяют в виде шкраты. Г. Браз

**51402. О строении оксафиллина. Садыков А. С., Нуридин Р. Н., Докл. АН УзССР, 1956, № 12, 25–28 (рез. узб.).**

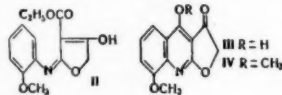
Из суммы сульфатов алкалоидов *Anabasis aphylla* выделены афиллин, афиллидин и два новых в-ва: оксафиллидин (I) и оксафиллин (II). I, нейтр. в-во,  $\text{C}_{15}\text{H}_{20}\text{O}_2\text{N}_2$ , т. пл. 182–184°,  $[\alpha]_D^{25} -21,5^\circ$  ( $\text{CH}_3\text{OH}$ ). II  $\text{C}_{15}\text{H}_{24}\text{O}_2\text{N}_2$ , т. пл. 165–167°,  $[\alpha]_D^{25} +39,2^\circ$  ( $\text{CH}_3\text{OH}$ ); йодметилат. т. пл. 223–224°; перхлорат, т. пл. 210–



212°; хлоргидрат, т. пл. 254–255°. II содержит лактамную и OH-группы; при нагревании до 170° в течение 3 час. или при действии 40%-ного р-ра  $\text{H}_2\text{SO}_4$  теряет 1 молекулу воды и превращается в афиллидин. Предложена ф-ла II. Т. Платонова

**51403. Синтез γ-фагарина. Туппи, Бём (Synthese des γ-Fagarins. Турпу Н., Бём Ф.), Monatsh. Chem., 1956, 87, № 6, 774–777 (нем.).**

Синтез γ-фагарина (I) осуществлен в 5 стадий. К 7 г порошка Na в 400 мл абс. эфира и 48 г малонового эфира через 12 час. при 20° добавляют 13 мл хлорацетила, смесь оставляют на 30 мин. (~20°), нагревают 20 мин. (100°), добавляют 21 мл о-анизида и кипятят 2 часа, выделяют этиловый эфир о-метоксифенилмидотетрон-α-карбоновой к-ты  $\text{C}_{14}\text{H}_{15}\text{O}_5\text{N}$  (II), выход 28%, т. пл. 178° (из сп. и водн. сп.). II превращают в 8-метокси-4-окси-3-кето-2,3-дигидрофурано-(2,3-б)-хинолин  $\text{C}_{12}\text{H}_9\text{O}_4\text{N}$  (III). В 25 мл парафинового масла при 270° вносят 1 г II и быстро



нагревают до 305°, эту т-ру поддерживают в течение 60–75 сек., охлаждают, разбавляют 25 мл эфира и выделяют III, выход 57%, т. разл. 312–318° (из воды). Р-р III в 800 мл  $\text{CH}_3\text{OH}$  при 0° метилируют  $\text{CH}_3\text{N}_2$ , получают 4,8-диметокси-3-кето-2,3-дигидрофурано-(2,3-б)-хинолин (IV), выход 16%, т. пл. 224–226° (из сп., бzl., этилацетата). Из не растворимого в  $\text{C}_6\text{H}_6$  продукта ме-

тирования выделяют 8-метокси-9-метил-3,4-диоксо-2,3,4,9-тетрагидрофурано-(2,3-б)-хинолин (V), выход 28%, разл. ~270° (из воды, затем из этилацетата). IV кипятят 4 часа с 100–120-кратным кол-вом смеси  $\text{POCl}_3$  и воды (30:1), получают 3-хлор-γ-фагарин (VI), возгоняют при 140–145° (т-ра бани) / 0,001 мм, выход 41%, т. пл. 120–121° и 137–138°. Аналогично из V (после возгонки при 160–170°/0,001 мм) получают 3-хлор-изо-γ-фагарин (VII), выход 61%, т. пл. 223–224° (из сп.). 61 мг VI в 70 мл спирта гидрируют с 70 мг 10%-ного  $\text{Pd}/\text{CaCO}_3$ , I перегоняют при 140–170°/0,001 мм, выход 45 мг, т. пл. 138–140° (из сп., бzl.-петр. эф., разб. сп.). Аналогично получают изо-γ-фагарин (VIII) при гидрировании 78 мг VII с 90 мг  $\text{Pd}/\text{CaCO}_3$ , т. пл. 177–178° (из бzl.-петр. эф.,  $\text{CH}_3\text{OH}$ ,  $\text{CH}_3\text{OH}$ , разб.  $\text{CH}_3\text{OH}$  и возгонки при 170–180°/0,005 мм). А. Лютенберг

**51404. Синтез производных хицина — основания.**

**XXV. Синтез 2'-замещенных хициных алкалоидов. Химана, Удзу (規那鹽基誘 體の合成, 第25報, 規那鹽基の2'-置換體の合成, 濱名政和, 宇津慶三), 藥學雜誌, Якутаку дзасси, J. Pharm. Soc. Japan, 1954, 74, № 12, 1315–1318 (японск.; рез. англ.).**

Нагреванием моно- и дисолей арил-N-оксихицина и гидрохицина с  $\text{POCl}_3$  в  $\text{CHCl}_3$  получены 2'-хлорзамещ. хицины, из которых с  $\text{CH}_3\text{ONa}$ , фенолятом,  $\text{CH}_3\text{SH}$  и пиперидином синтезированы соответствующие 2'-метокс-, -фенокси-, тиометил- и N'-пиперидил производные. Арил-N-оксид дигидрохицина (I) в  $\text{CH}_3\text{OH}$  нагревают с водн. р-ром  $\text{NH}_4\text{Cl}$  и выпаривают досуха, получают монохлоргидрат I (II), т. пл. 200–205° (разл.; из сп.). К 0,5 г II в 10 мл  $\text{CHCl}_3$  добавляют по каплям 0,8 г  $\text{POCl}_3$  в 5 мл  $\text{CHCl}_3$ , кипятят 2 часа, подщелачивают  $\text{NaOH}$  и экстрагируют  $\text{CHCl}_3$ , выход 2'-хлордигидрохицина (III) 0,42 г, т. пл. 194–195° (из  $\text{C}_6\text{H}_6$ ). С  $\text{NH}_4\text{SCN}$  готовят III·HSCN· $\text{H}_2\text{O}$ , т. пл. 151–152°, с  $\text{NH}_4\text{Cl}$  — III·HCl· $\text{H}_2\text{O}$ , т. пл. 267–268° (разл.). 2 г монотиоцианата I в 20 мл  $\text{CHCl}_3$  нагревают 2 часа с 1,27 г  $\text{POCl}_3$  в 5 мл  $\text{CHCl}_3$ , далее поступают как описано выше. Получают 1,5 г III, т. пл. 194–195°. Дихлоргидрат I (из 0,5 г I) в 5 мл  $\text{CHCl}_3$  с 0,6 г  $\text{POCl}_3$  в 5 мл  $\text{CHCl}_3$  (кипятят 2 часа) дает 0,27 г III. Из 1 г монотиоцианата арил-N-оксид хицина в 18 мл  $\text{CHCl}_3$  с 0,6 г  $\text{POCl}_3$  в 2 мл  $\text{CHCl}_3$  синтезируют 0,8 г 2'-хлорхицина (IV), т. пл. 205–206°, 0,7 г III и  $\text{CH}_3\text{CONa}$  (из 0,3 г Na и 15 мл  $\text{CH}_3\text{OH}$ ) нагревают в запаянной трубке (100°, 3 часа).  $\text{CH}_3\text{OH}$  отгоняют. Выход 2'-метоксидигидрохицина (V) 0,6 г, т. пл. 201–202°. Аналогично из 0,8 г IV, 0,3 г Na и 13 мл  $\text{CH}_3\text{OH}$  получают 0,6 г 2'-метоксидигидрохицина (VI), т. пл. 204°; монотиоцианат VI·0,5 $\text{H}_2\text{O}$ , т. пл. 147. 0,3 г Na в 13 г  $\text{C}_6\text{H}_5\text{OH}$  и 1 г III (140°, 7 час.) подщелачивают в воде  $\text{NaOH}$  и экстрагируют  $\text{CCl}_4$  и  $\text{CHCl}_3$  дают 1,1 г 2'-феноксидигидрохицина, т. пл. 93–94° (разл.). 1 г IV, 0,3 г Na и 13 г  $\text{C}_6\text{H}_5\text{OH}$  дают 1 г 2'-феноксидигидрохицина, т. пл. 90–91° (разл.).  $\text{CH}_3\text{SH}$  выделяют из 28 г  $\text{NH}=\text{C}(\text{SCH}_3)\text{NH}_2$  и 30 мл 20%-ного  $\text{NaOH}$ , поглощают 1,6 г Na в 50 мл  $\text{CH}_3\text{OH}$ . 12 мл полученного р-ра и 2 г III в запаянной трубке (120–130°, 4 часа) дают 1,75 г 2'-тиометилдигидрохицина (VII), т. пл. 228–230° (из  $\text{C}_6\text{H}_6$ , затем из  $\text{CH}_3\text{OH}$ ). VII·HSCN, т. пл. 193–194°. Аналогично получают 2'-тиометилхицин (VIII), т. пл. 233–234°; тиоцианат VIII, т. пл. 157–159°. 2 г III, 0,4 г  $\text{Cu}$ -порошка и 8 мл пиперидина нагревают в запаянной трубке (120–125°, 12 час.), растворяют в 5%-ной  $\text{HCl}$ ; фильтрат подщелачивают  $\text{Na}_2\text{CO}_3$ . Осадок хроматографируют из ацетона на  $\text{Al}_2\text{O}_3$ , получают 0,2 г 2'-(1-пиперидил)-дигидрохицина, т. пл. 158–160°; бензильное производное, т. пл. 168°. Аналогично получают 2'-(1-пиперидил)-хицин, т. пл. 131–134°.

Chem. Abstr., 1955, 49, № 22, 15922.

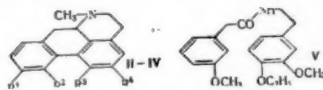
К. Kitsuta

**51405. Синтез этилового эфира (±)-изотебана. Бенгли, Дайк (The synthesis of (±)-isothetbane**



ethyl ether. Bentley K. W., Dyke S. F.), Chemistry and Industry, 1956, № 39, 1054 (англ.)

Показано, что строение алкалоида изотейбаина (I) не отвечает предложенным ранее (Klee, Arch. Pharm.,



II  $R^1=R^2=OCH_3$ ,  $R^3=OH$ ,  $R^4=H$ ; III  $R^1=H$ ,  $R^2=R^3=R^4=OCH_3$ ; I V  $R^1=H$ ,  $R^2=R^3=OCH_3$ ,  $R^4=OH$

1914, 252, 211; РЖХим, 1957, 19353) ф-лам (II) и (III) и должно выражаться ф-лой (IV). В подтверждение синтезирован амид (V), из которого путем N-метилирования, восстановления и циклизации получен (±)-4,6-диметоксис-5-этоксинапорфин, ИК-спектр которого идентичен спектру природного этилового эфира I.

В. Шибнев

**51406. Вещества наркотического действия и их номенклатура.** Галло, Вентура (Sostanze assuefacenti e loro nomenclatura. Gallo U., Ventura G.), Boll. chim. farm., 1956, 95, № 7, 294—299 (итал.) Предложена единая итальянская номенклатура для соединений типа морфина с использованием нумерации кольца морфина Галланда и Робинсона (Gulland P. M., Robinson R., J. Chem. Soc., 1923, 123, 980, РЖХимБх, 1955, 16929).

Л. Яновская

**51407. Синтез гидроксилодержащих каротиноидов.** Пелер, Монтавон, Рюэг, Соси, Целлер (Synthese hydroxylhaltiger Carotinoide. Isler O., Montavon M., Rüegg R., Saucy G., Zeller P.), Verhandl. Naturforsch. Ges. Basel, 1956, 67, № 2, 379—391 (нем.)

Описаны пути синтезов (без деталей): пизоэаксантина (I) (каротиноида грибов *Cantharellus cinnabarinus* (Basidiomyceten), кантаксантина (II) и два пути синтеза зеаксантина (III) и физалина (IV); все в-ва получены в виде рацематов. Для получения I 2 моля дегидроретроальдегида  $C_{10}$  (см. РЖХим, 1957, 4553) конденсируют с  $MgBrC \equiv CMgBr$  (V), полученный диол обрабатывают конц.  $HBr$  (к-той) в эфире (0°), выделяют 4,4'-дибром-15,15'-дегидрокаротин, который при действии  $Ag_2O$  в  $C_6H_6$  дает смесь мезо- и рацемата-15,15'-дегидропизоэаксантина (VI), т. пл. 188—190° и 160—163°. Последний при частичном гидрировании над  $Pd/Pb$  в  $CH_3COOH$  + петр. эфир и изомеризации путем нагревания в петр. эфире превращают в I. В результате окисления ( $MnO_2$  в  $CH_2Cl_2$ ) обеих форм VI до 4,4'-дикето-15,15'-дегидро-β-каротина (VII) и частичного гидрирования получают 15,15'-цис-изомер II, который после изомеризации дает II. При восстановлении VII  $LiAlH_4$  получают VI. При синтезе III исходят из изофорона, который изомеризуют  $CuH_2MgI$  по Карашу в β-изофорон. Последний окисляют  $CH_3CO_3H$  до 2,6,6-триметилциклогексен-2-ол-4-она-4 и к-той изомеризуют в 2,6,6-триметилциклогексантион-1,4, в котором 4-кетогруппу защищают этиленкеталем и конденсируют по Гриньяру с метилэтилдиметоксиметилкарбинолом. После частичного гидрирования, дегидратации ( $KHSO_4$ ) и кислотного гидролиза получают кето-изо- $C_{14}$ -альдегид (VIII). Его превращают в ацеталь, восстанавливают кетогруппу  $LiAlH_4$ , гидролизуют и получают ацетоксис-изо- $C_{14}$ -альдегид. Его превращают в ацеталь и последовательно наращивают цепь (виниловым эфиром, а затем пропениловым эфиром) до образования ацетоксис-изо- $C_{30}$ -альдегида. Последний с V образует 3,3'-диацетоксис-изо- $C_{40}$ -диол, который после обработки к-той, затем щелочью, дегидратации, аллильной перегруппировки и омыления дает 15,15'-дегидрозеаксантин (IX). Последний после частичного гидри-

рования и изомеризации образует III, который действием  $C_{15}H_{31}COCl$  превращают в IV. По второму пути получения IX исходят из тиглинового альдегида, 2 молекулы которого конденсируют с V и получают 3,8-диметилдекадиен-2,8-ин-5-диол-4,7. В результате аллильной перегруппировки и окисления последнего получают 3,8-диметилдекадиен-3,7-ин-5-дион-2,9, который после превращения в кеталь и обработки  $POCl_3$  или  $(CH_3CO)_2O$  дает диэфир 3,8-диметилдекатетраен-1,3,7,9-ин-5-диола-2,9 (X). В результате конденсации X с 2 молями ацетала VII в присутствии  $ZnCl_2$  получают диэфирдикеталь  $C_{40}$ , который гидролизуют  $CH_3COOH$ , превращают в тетракетон, его восстанавливают  $LiAlH_4$ , полученный тетрол ацетируют и обрабатывают галловодородной к-той; происходит дегидратация, аллильная перегруппировка и омыление и образуется IX. Этот же путь удобен для синтеза β-каротина. Приведены кривые УФ-спектров I, II, III, 15,15'-цис-I, VI, VII, 4,4'-дикето-15,15'-цис β-каротина, IX, 15,15'-цис-III и кривая ИК-спектра IV, а также цветные микрофотографии кристаллов I, II, III и IV.

Н. Шведов

**51408. Получение S-ацилпантетинов.** Фельдер, Питре (Zur Herstellung von S-Acyl-pantetheinen. Felder E., Pitre D.), Angew. Chem., 1956, 68, № 23, 755 (нем.)

Синтезированы S-ацильные производные пантетоина (I — пантетоин) общей ф-лы  $HOCH_2C(CH_3)_2CH(OH)-CONHCH_2CH_2CONHCH_2CH_2SCOR$ . Из трибутиламминой соли пантетоновой к-ты и  $ClCOOC_2H_5$  (в этилацетате — 5°) образуется смешанный ангидрид, который с хлоргидратом S-ацилмеркантоэтиламина (Wieland, Liebigs Ann. Chem., 1952, 20, 576) +  $(C_4H_9)_3N$  дает ацилпантетоины (АП), выход 50—70%. Получены АП (указаны ацил и т. пл.): ацетил-I, бутирил-I, капроил-I, капроил-ол-I, лаурил-I, (все жидк.), миристоил-I, 43—44°, пальмитоил-I, 52—53°, стеариол-I, 58—59°, бензоил-I, 116°; n-бромбензоил-I, 114—115°; α-нафтоил-I, 105—108°, β-нафтоил-I, 146—148°.

Г. Челпанова

**51409. Селен- и селенодержащие производные хлоромидетина.** Супневский, Миштал, Крупицкая (Selenowe i siarkowe pochodne chloromycetyny. Supniewski Janusz, Misztal Stanislaw, Krupinska Jolanta), Arch. immunol. i terap. doświadcz., 1955, 3, 531—553 (польск.; рез. русск., англ.)

Синтезированы Se- и S-аналоги хлоромидетина  $n-CH_3XC_6H_4CHONHCH(NHOCCHCl_2)CH_2OH$  (I X = Se; Ia X = S). I и Ia являются сильными антибиотиками, причем I в 10—50 раз активнее чем Ia; приведены подробные данные (таблицы, кривые) о биол. действии I и Ia. К эфир. p-ру  $C_6H_5MgBr$  (из 9,3 г Mg) добавляют за 2 часа взвес. 25,2 г аморфного Se в эфире, кипятят 1 час, охлаждают, добавляют 125 г  $CH_3J$ , кипятят 2 часа, получают метилселенобензол (II), выход 40—45 г, т. кип. 200—204°. Из 20 г II и 15,2 г  $CH_3COCl$  + 15,4 г  $AlCl_3$  в  $CHCl_3$  (—5°—0°) образуется n-метилселеноацетофенон (III), выход 15,2 г, т. пл. 72—15° (из сл.). Из 6 г III и 5,4 г  $Br_2$  в  $CHCl_3$  (20°, ~40°) получают n-метилселено-α-бромацетофенон (IV), выход 2,3—2,7 г, непрочен, т. пл. 58—60°. Из 14 г IV и 6,44 г уротропина в  $CHCl_3$  (3 часа, ~20°) получают двойное соединение  $n-CH_3SeC_6H_4COCH_2N_4(CH_2)_6Br$  (V), выход 18 г, т. пл. 105—110°. 11,7 г V перемешивают (12 час., ~20°) с 14,3 мл конц.  $HCl$  + 28 мл спирта, получают хлоргидрат n-метилселено-α-аминоацетофенона (VI), выход 9,2 г, т. пл. 236—237° (из разб.  $HCl$ -к-ты). Из 4 г VI при повторной обработке  $CHCl_3COCl$  (кипчение 5 час.) образуется n-метилселено-α-дихлорацетамидоацетофенон (VII), выход 3,1 г, т. пл. 153—154° (из бэл.). Из 5,8 г VII и 2,8 мл 30%-ного  $HCHO$  + 0,264 г  $NaHCO_3$  в спирте (10 час., 45°) получают n-метилселенофенил-α-дихлорацетамид-

до  $\beta$ -оксиэтилкетон (VIII), выход 5,6 г, т. пл. 146° (из  $C_2H_5Cl_2$ ). Смесь 3 г VIII и 4,98 г ( $iso-C_3H_7O$ )<sub>3</sub>Al в 27 мл  $iso-C_3H_7OH$  нагревают в токе  $N_2$ , отгоняя ацетон, упаривают в вакууме, из остатка извлекают кипящим 80%-ным спиртом, выход 1,02 г, т. пл. 106–107° (из  $C_2H_5Cl_2$ ). Теми же методами синтезированы S-аналоги III–VIII (IIIa–VIIIa); далее перечисляются кол-во исходного в-ва в г, полученное в-во, его выход в г и т. пл.: 20,6, IIIa, 16,6, 80–81 (из сп.); 22, IVa, 21,3, 66° (из петр. эф.); 22,36, Va, 31,1–145–146; 33,9, VIa, 17,8, 245; 16,2, VIIa, 16, 156–157° (из бзл.); 11,4, VIIIa, 147–148°; 4,8, Ia, 1,4, 98°.

Т. Амбруш  
51410. О синтезе D- $\alpha$ -детиобенилпеницилловой кислоты. Ромео, Скимберни, Савьоли (Sulla sintesi dell'acido D- $\alpha$ -detiobenzilpenicilloico. Romeo Aurelio, Schimberni Anna Maria, Savioi Clara), Ann. chimica, 1956, 46, № 12, 1147–1157 (итал.).

При р-ции между метиловым эфиром  $\alpha$ -фенилацетаминиакриловой к-ты (I) и метиловым эфиром D-валина (II) образуются диметиловый эфир D- $\gamma$ -детиобенилпеницилловой к-ты (III) и диметиловый эфир D- $\alpha$ -детиобенилпеницилловой к-ты (IV). Омыление IV дало D- $\alpha$ -детиобенилпеницилловую к-ту (V), идентичную полученной из природного материала деградацией бензилпенициллина. Идентичность синтетич. и природной V подтверждена т-рой плавления смешанной пробы,  $[a]_D$ , УФ- и ИК-спектрами и диаграммой Дебая — Шерера, а также тем, что асимметрия, центр в синтетич. I соответствует остатку изовалериановой к-ты с D-конфигурацией (из II). Р-ция между I и II контролировалась спектрофотометрически. К 10 г амальгамы Al и 30 г  $CNC(=NOH)COOC_2H_5$  в 1 л эфира за 90 мин. добавляют 80 мл воды, на другой день к эфирному слою добавляют р-р 14 г  $NaHCO_3$  в 140 мл воды и 11,8 г  $C_6H_5CH_2COCl$ , эфирный слой упаривают, получают 20 г  $C_6H_5CH_2CONHCH(CN)COOC_2H_5$  (VI), т. пл. 128° (из сп.-воды; 1:1). 3 г VI вазалтывают 5 час. с 10,5 мл 1 н. NaOH, фильтруют, разбавляют 25 мл воды, добавляют 15 г жидкого  $NH_3$ , 2 г скелетного Ni, гидрируют при 50 ат и 70–80° 7 час., на другой день фильтруют, упаривают до 20 мл, подкисляют HCl до pH 4–5, получают 1,5 г  $\alpha$ -фенилацетамидо- $\beta$ -аланина (VII), т. пл. 216–217° (разл.); метиловый эфир VII (VII, метанол, насыщ. HCl, при 5°; обычная т-ра 15 час.), т. пл. 69–70° (из этилацетата-эф.). I получен этерификацией 8 г  $\alpha$ -фенилацетаминиакриловой к-ты в 240 мл безводн. эфира + 2 капли  $C_6H_5NO_2$  посредством 142 мл эфир. р-ра 0,0372 молей  $CH_3N_2$ , выход 6,9 г, т. пл. 51–53°. 2,9 г I в 25 мл 90%-ного  $CH_3OH$  и 7,5 г II выдерживают при 20° 96 час., выпаривают в вакууме, остаток растворяют в эфире, эфирный слой извлекают 1 н. HCl, кислый р-р подщелачивают, извлекают эфиром, удаляют р-ритель, отгоняют при 0,1 мм (т-ра бани 35–40°), получают III, т. пл. 84–86° (из эф.-петр. эф.),  $[a]_D^{20} + 38,4^\circ$  (с 1,21; 0,5 н. HCl),  $[a]_D^{20} + 30,7^\circ$  (с 1,04;  $CH_3OH$ ) из маточного р-ра выделяют IV-масло, кристаллизуется при низкой т-ре. Омыление IV в водно-спирт. р-ре 1 н. NaOH при обычной т-ре (12 час.) дало V, т. пл. 176–177° (разл., из  $CH_3OH$ -эф.),  $[a]_D^{20} - 35,5^\circ$  (с 1,07; 0,5 н. HCl). Омыление III получена D- $\gamma$ -детиобенилпеницилловая к-та, т. пл. 172–173° (разл., из  $CH_3OH$ -эф.),  $[a]_D^{20} + 24,6^\circ$  (с 1,14; 0,5 н. HCl).

Л. Яновская  
51411. Труднорастворимые соли хлортетрациклина и тетрациклина. Асколи-Маркетти, Казини (Sali poco solubili della clorotetraciclina e della tetraciclina. Ascoli Marchetti Franca, Casini Giovanni), Ricerca scient., 1956, 26, № 11, 3321–3331 (итал.; реф. англ., нем., франц.).

Приготовлен ряд труднорастворимых солей хлортетрациклина (I) и тетрациклина (II) действием водн.

р-ра свободной к-ты или ее соли на водн. р-р I или II. Получены (даны соль I или II, т. разл. в °C; растворимость в г %): пикрат I, т. пл. 168–178° (разл.); 1,8 пикрат II, т. пл. 168–175° (разл.); 3,3; флавионат I, 230–240; 1,9; флавионат II, 200–230; 4,9;  $\beta$ -антраценсульфонат I, 219; 0,6;  $\beta$ -антраценсульфонат II, 210–220; 2,4;  $\alpha$ -антраценсульфонат I, 190–200; 1,6;  $\alpha$ -антраценсульфонат II, 190–200; 3,2;  $\beta$ -антрахинонсульфонат III, 220, 3,8  $\beta$ -антрахинонсульфонат II, 220, 3,8;  $\alpha$ -антрахинонсульфонат I, 200–230; 2,7; ализаринсульфонат I, 190–210; 1,6; ализаринсульфонат II, 205–210; 3,3; свободный I, растворимость 0,5–0,6; свободный II — растворимость 0,5. Приведены УФ-спектры для всех солей; приведены данные УФ-спектров для всех солей и свободных к-т. Оксалат  $NH_4$ , тартрат и цитрат  $NH_4$  осаждают из хлоргидратов I или II свободные основания; бензоат Na, галловая к-та, сульфосалициловая к-та не дают осадков с хлоргидратами I или II. Со стифиновой к-той и Na-солью 2-нафтосульфоновой-6 к-ты — желатиноподобные осадки; с Na-солями 2,3-диоксинафталисульфоновой-6 к-ты и  $\beta$ -нафтолдисульфоновой-6,8 к-ты — осадки в конц. р-рах, растворяющиеся при избытке реагента; с Na-солью 1,2,4-нафтохинонсульфоновой к-ты — коричневый, не фильтрующийся осадок; с танниновой к-той — опалесценция; с перхлоратом  $NH_4$  — осадок, растворяющийся при разбавлении.

Л. Яновская  
51412. Производные  $\alpha$ -аминоальдегидов. II. Семикарбазоны. Фой, Ланг (Derivatives of alpha-amino aldehydes II. Semicarbazones. Foye William O., Lange Winthrop E.), J. Amer. Pharm. Assoc. Scient. Ed., 1956, 45, № 11, 742–745 (англ.).

Восстановлением хлорангидридов  $\alpha$ -фталимидокислот (I) по Розенмунду до  $\alpha$ -фталимидоальдегидов (II), их превращением в семикарбазоны (III) и отщеплением фталильной защиты действием гидразина получен ряд семикарбазонов  $\alpha$ -аминоальдегидов (IV). Изучена также интраперитональная токсичность хлоргидратов IV и тиосемикарбазонов ряда  $\alpha$ -аминоальдегидов. I получены нагреванием (4 часа) 0,05 моля  $\alpha$ -фталимидокислоты с 0,1–0,15 моля  $SOCl_2$  после отгонки избытка  $SOCl_2$  I перекристаллизованы из  $C_6H_6$  или из гексана. Таким образом, получены хлорангидриды  $\alpha$ -фталилфенилаланина, т. пл. 130–131°,  $\alpha$ -фталилаланина, т. пл. 71–71,5°, фталилглицина, т. пл. 82–83°,  $\alpha$ -фталилметионина, масло. I могут быть восстановлены в II 3 различными методами. 1.  $H_2$  пропускают в кипящую смесь 0,05 моля I, 150 мл абс.  $C_6H_6$  и 3 г 10%-ного Pd/C. После выделения 90–95% теоретич. кол-ва HCl (~3 часа) р-р обрабатывают как описано ранее (см. предыдущее сообщение. РЖХим, 1956, 6953). Выход I 93–94%. 2. Смесь 0,02 моля хлорангидрида фталилметионина, 150 мл абс.  $C_6H_6$  и 2 г 10%-ного Pd/C кипятят в вакууме при т-ре 40° и пропускают ток  $H_2$  в течение 2 час.; получают 4,8 г 2-фталимида-4-метилтиобутанала (V). 3. 0,01 моля I, 1 г 10%-ного Pd/C, 60 мл абс. этилацетата (предварительно кипятившего над  $CaH_2$ ) и 2,4 г абс. диметиламина встраивают 2 часа с  $H_2$ . Катализатор отфильтровывают, р-р в этилацетате экстрагируют водой, 5%-ной HCl, 5%-ным  $K_2CO_3$  и вновь водой. Этилацетат отгоняют в вакууме и получают II с выходом > 90%. Р-р 0,01–0,05 моля II в 50–75 мл водн. спирта обрабатывают 7 экв хлоргидрата семикарбазиды и 2 экв  $CH_3COONa$  и кипятят 1 час; выход III 85–95% (из водн. сп.). При проведении р-ции с V смесь кипятят 2 часа до прибавления  $CH_3COONa$  и 1 час после прибавления; выход семикарбазона V 58%, т. пл. 183–184° (из сп.). 0,02 моля III, 0,02 моля гидразина или гидразингидрата и 100 мл воды перемешивают 3 часа при 100°. Р-р охлаждают, прибавляют разб. HCl до pH 3, отфильтровывают фталилгидразид

(80—95%) и упаривают в вакууме. Остаток перекристаллизовывают из абс. спирта. Таким образом, получены следующие IV общей ф-лы  $\text{HX} \cdot \text{NH}_2\text{CHRCN} = \text{NNHCONH}_2$  (перечисляются R, HX, выход в %; т. пл. в °C):  $\text{CH}_3$ ,  $\text{H}_2\text{SO}_4 \cdot 2\text{H}_2\text{O}$ , 79, 208—210 (из водн.  $\text{CH}_3\text{OH}$ );  $(\text{CH}_3)_2\text{CHCH}_2$ , HCl, 62, 201—202°;  $(\text{CH}_3)_2\text{CH}$ , HCl, 79, 212—215°;  $\text{C}_6\text{H}_5\text{CH}_2$ , HCl, 54, 173—174. В последних двух случаях анализ значительно отличается от вычисленного, что объясняется образованием циана при сжигании этих в-в в ходе анализа. С. Аваева

**51413. Удобный синтез DL-глутаминовой кислоты из β-пропиолактона.** Толбот, Годри, Берлеге (A convenient synthesis of DL-glutamic acid from β-propiolactone. Talbot Guy, Gaudry Roger, Berlinguet Louis), Canad. J. Chem., 1956, 34, № 10, 1440—1443 (англ.)

Описан новый метод синтеза глутаминовой к-ты (I) из β-пропиолактона (II) и ацетиламиноялонового эфира (III): 0,057 моля Na растворяют в 50 мл  $\text{C}_2\text{H}_5\text{OH}$ , прибавляют 0,05 моля III, перемешивают при  $\approx 20^\circ$  30 мин., затем при  $-10^\circ$  прибавляют 0,069 моля II (30 мин., т-ра  $< 0^\circ$ ). Через 12 час. пропускают сухой HCl (газ), упаривают досуха в вакууме и экстрагируют эфиром. Из сгущенной вытяжки добавлением петр. эфира высаживают диэтиловый эфир N-ацетил-2-карботоксиглутаминовой к-ты (IV), выход IV 68%, т. пл. 66—67° (из эф.-петр. эф.). При нагревании 5 час. IV (5 г) с HCl (1:1, 100 мл) получают хлоридат глутаминовой к-ты (V), выход 95%, т. пл. 190° (сп.-эф.). При растворении 1 г V в горячем  $\text{C}_2\text{H}_5\text{OH}$  и прибавлении 1 экв пиридина выделяют I, выход 100%, т. пл. 190°. Можно получить I без промежуточного выделения IV из II и III, как указано выше. Для этого реакционную смесь после размешивания 12 час. при  $\approx 20^\circ$  выливают в воду, содержащую 1 экв HCl, упаривают в вакууме, остаток выщипывают перегонкой с  $\text{C}_6\text{H}_6 \cdot \text{C}_2\text{H}_5\text{OH}$  и экстрагируют эфиром. Маслообразный остаток гидролизуют HCl (1:1) и обрабатывают пиридином, как указано выше, выходя I 87%. Е. Морозова

**51414. N-Замещенные амиды глутаминовой кислоты.**

Барцили, Кук-Мейри, Лихтенштейн (N-substituted amides of glutamic acid. Barzily I., Kuk-Meiri S., Lichtenstein N.), Bull. Res. Council Israel, 1956, A5, № 2—3, 155—157 (англ.)

Обработкой хлоридата γ-этил-L-глутамата спирт. р-рами различных аминов получены N-замещ. γ-амиды L-глутаминовой к-ты  $\text{HOOC} \cdot \text{CHNH}_2 \cdot \text{CH}_2 \cdot \text{CH}_2 \cdot \text{COR}$  (даны последовательно R, т. пл. в °C,  $[\alpha]_D$ ):  $\text{CH}_3\text{NH}$ , 202—203,  $+7,14^\circ$  (с 10; вода);  $\text{C}_2\text{H}_5\text{NH}$ , 205—206,  $+7,91^\circ$  (с 9; вода);  $\text{CH}_2=\text{CHCHNH}$ , 202—203,  $+9,32^\circ$  (с 8; вода);  $\text{CH}_2\text{OHCH}_2\text{CH}_2\text{NH}$ , 199—200, —;  $n\text{-C}_6\text{H}_{13}\text{NH}$ , 209,  $+25,5^\circ$  (с 5; 2 н. HCl);  $\text{C}_6\text{H}_5\text{CH}_2\text{NH}$ , 203—205,  $+26,7^\circ$  (с 5; 2 н. HCl). Нагреванием DL-пирролидонкарбоновой к-ты с избытком *n*-гексилamina (95°, 2,5 ч.) получен γ-N(*n*-гексил)-амид DL-глутамин. к-ты, т. пл. 210—211°. Л. У.

**51415. Полимеризация N-карботоксинаминокислот.** Лившиц, Цилька (The polymerization of N-carboxy amino acids. Liwischitz Y., Zilkha A.), Bull. Res. Council Israel, 1956, A5, № 4, 265—266 (англ.)

При нагревании N-карботоксиглутамина в вакууме при 180° вместо ожидаемого пмида N-карботоксиглутамина-аспарагиновой к-ты образуется N-карботоксиглутамина-аспарагина (очищен растворением в спирте и осаждением абс. эфиром). Аналогично полимеризуются N-карботоксиглицин, N-карботоксиглутамин, N-карботоксиглутамин и N-карботоксиглутамин-DL-аланилглицин, однако очистка продуктов р-ции затруднена. С. Аваева

**51416. Поли-L-оксипролин.** Качальский, Курц, Фасман, Бергер (Poly-L-hydroxyproline. Katchalski E., Kurtz J., Fasman G., Berger

A.), Bull. Res. Council Israel, 1956, A5, № 4, 264—265 (англ.)

Синтезирован поли-L-оксипролин (I). О-ацетил-L-оксипролин превращен действием  $\text{SOCl}_2$  в N-карбонилхлорид, циклизацией которого действием  $\text{Ag}_2\text{O}$  в ацетоне получен О-ацетил-N-карбоксит-L-оксипролинангидрид (II), т. пл. 120° (разл.). Аналогично из пролина может быть легко получен N-карбоксит-L-пролинангидрид. Полимеризацией II в пиридине получен поли-O-ацетил-L-оксипролин, который обработкой конц.  $\text{NH}_4\text{OH}$  или переэтерификацией спиртом в присутствии  $\text{CH}_3\text{ONa}$  превращают в I, очисти. осаждением спиртом из водн. р-ра. I растворим в воде и трихлоруксусной к-те, средняя длина цепи  $n = 40$ ,  $[\alpha]_D^{20} - 400^\circ$  (с 1,0; вода). Кислый гидролиз I дает колич. выход L-оксипролина. С. Аваева

**51417. О циклогексильных эфирах аминокислот.** Менгельберг (Notiz über Aminosäure-cyclohexylester. Mengelberg Margarete), Chem. Ber., 1957, 90, № 3, 451—452 (нем.)

Предложен метод синтеза циклогексильных эфиров (ЦЭ) аминокислот этерификацией карбоновых (КБЗ)-аминокислот циклогексанолом (I) в присутствии катализ. кол-в *n*-толуолсульфокислоты (II) с последующим отщеплением КБЗ-группы HBr в лед.  $\text{CH}_3\text{COOH}$ . 0,05 моля КБЗ-аминокислоты, 100 мл  $\text{C}_6\text{H}_{12}$ , 8 г I и 0,8 г II нагревают на водяной бане 4—5 час., отгоняя образующуюся воду в виде азеотропной смеси; остаток промывают 5%-ной  $\text{NaHCO}_3$ , упаривают в вакууме и получают ЦЭ КБЗ-аминокислоты (масло, выход 33%-ного р-ра HBr в лед.  $\text{CH}_3\text{COOH}$  (1 час.,  $\approx 20^\circ$ ), прибавляют 500 мл абс. эфира и получают кристаллич. бромидат (III) ЦЭ аминокислоты. При обработке III р-ром  $\text{K}_2\text{CO}_3$  и затем сухим HCl в эфире получают соответствующий хлоридат ЦЭ аминокислот. Ниже перечисляются производные ЦЭ аминокислот (выход в % и т. пл. в °C бромидата, т. пл. в °C хлоридата, т. пл. в °C пикрата): ЦЭ глицина, —, 186, —, —; ЦЭ аланина, 90, 136—137, 105—106, 161—162; ЦЭ, фенилаланина, 100, 198, 174, 186—187; ЦЭ α-аминомасляной к-ты 85, 106—107, 103—104, —; ЦЭ валлина, 70, 113, 118, —; ЦЭ лейцина, 75, 144, 161—162, 141—142. Ю. Швачкин

**51418. Новые производные глицинамида и β-аланинамида, содержащие арильные радикалы.** Ренци, Ланди-Виттори, Марини-Беттоло (Nuovi derivati della glicinamide e della β-alaninamide contenenti radicali arilici. Renzi Luca, Landi-Vittory Rodolfo, Marini-Bettolo G. B.), Gazz. chim. ital., 1956, 86, № 12, 1332—1335 (итал.)

С целью фармаколог. испытаний получены новые производные глицинамида и β-аланинамида типа  $\text{ArNH}(\text{CH}_2)_n\text{COR}$  (I) ( $n = 1$ ), и (II) ( $n = 2$ ). Смесь ароматич. амина и N-алкилхлорацетамиды (2:1) нагревают 4—10 час. при 95°, обрабатывают подкисленной водой, подщелачивают 40%-ным  $\text{K}_2\text{CO}_3$ , извлекают эфиром, разгонкой выделяют I (даны Ar, R, т. кип. в °C/мм, т. пл. в °C): 2,3-( $\text{CH}_3$ ) $_2\text{C}_6\text{H}_3$ ,  $\text{C}_2\text{H}_5\text{NH}$ , 156/0,15, 99; 3,4-( $\text{CH}_3$ ) $_2\text{C}_6\text{H}_3$ ,  $\text{C}_2\text{H}_5\text{NH}$ , 172/0,2, 76; 2,6-( $\text{CH}_3$ ) $_2\text{C}_6\text{H}_3$ ,  $\text{C}_2\text{H}_5\text{NH}$ , 155/0,2; 2,5-( $\text{CH}_3$ ) $_2\text{C}_6\text{H}_3$ ,  $\text{C}_2\text{H}_5\text{NH}$ , 169/1, 174; 2,4-( $\text{CH}_3$ ) $_2\text{C}_6\text{H}_3$ ,  $\text{C}_2\text{H}_5\text{NH}$ , 169/0,8, 180; 2- $\text{C}_2\text{H}_5\text{C}_6\text{H}_4$ ,  $\text{C}_2\text{H}_5\text{NH}$ , 175/1,5; 2,3-( $\text{CH}_3$ ) $_2\text{C}_6\text{H}_3$ , ( $\text{C}_2\text{H}_5$ ) $_2\text{N}$ , 146/0,15; 3,4-( $\text{CH}_3$ ) $_2\text{C}_6\text{H}_3$ , ( $\text{C}_2\text{H}_5$ ) $_2\text{N}$ , 149/?, 64; 2,6-( $\text{CH}_3$ ) $_2\text{C}_6\text{H}_3$ , ( $\text{C}_2\text{H}_5$ ) $_2\text{N}$ , 142/0,15; 2- $\text{C}_2\text{H}_5\text{C}_6\text{H}_4$ , ( $\text{C}_2\text{H}_5$ ) $_2\text{N}$ , 143/0,2; 2- $\text{CH}_3\text{OC}_6\text{H}_4$ , пирролидил, 145/0,08, 59; 2,4-( $\text{CH}_3$ ) $_2\text{C}_6\text{H}_3$ , пирролидил, 155/0,2. Аналогично получены II (даны Ar, R, т. кип. в °C/мм, т. пл. в °C): 3,4-( $\text{CH}_3$ ) $_2\text{C}_6\text{H}_3$ , ( $\text{CH}_3$ ) $_2\text{N}$ , 145/0,15, 154; 2,3-( $\text{CH}_3$ ) $_2\text{C}_6\text{H}_3$ , ( $\text{CH}_3$ ) $_2\text{N}$ , 145/0,2, 109; 2,6-( $\text{CH}_3$ ) $_2\text{C}_6\text{H}_3$ , ( $\text{CH}_3$ ) $_2\text{N}$ , 147/0,15; 2,5-( $\text{CH}_3$ ) $_2\text{C}_6\text{H}_3$ , ( $\text{CH}_3$ ) $_2\text{N}$ , 142/0,8, 113; 2,4-( $\text{CH}_3$ ) $_2\text{C}_6\text{H}_3$ , ( $\text{CH}_3$ ) $_2\text{N}$ , 180/0,8; 2- $\text{C}_2\text{H}_5\text{C}_6\text{H}_4$ , ( $\text{CH}_3$ ) $_2\text{N}$ , 136/0,2, 55; 2,5-( $\text{CH}_3\text{O}$ ) $_2\text{C}_6\text{H}_3$ , ( $\text{CH}_3$ ) $_2\text{N}$ , 168/0,1, 123;



2,3-(CH<sub>3</sub>)<sub>2</sub>C<sub>6</sub>H<sub>3</sub>, (C<sub>2</sub>H<sub>5</sub>)<sub>2</sub>N, 145/0,15, 58; 3,4-(CH<sub>3</sub>)<sub>2</sub>C<sub>6</sub>H<sub>3</sub>, (C<sub>2</sub>H<sub>5</sub>)<sub>2</sub>N, 148/0,15, 45,5; 2,6-(CH<sub>3</sub>)<sub>2</sub>C<sub>6</sub>H<sub>3</sub>, (C<sub>2</sub>H<sub>5</sub>)<sub>2</sub>N, 147/0,15; 2-C<sub>2</sub>H<sub>5</sub>C<sub>6</sub>H<sub>4</sub>, (C<sub>2</sub>H<sub>5</sub>)<sub>2</sub>N, 139/0,2; 2-CH<sub>3</sub>OC<sub>6</sub>H<sub>4</sub>, морфолит, 172/0,08, 140; 2,4-(CH<sub>3</sub>)<sub>2</sub>C<sub>6</sub>H<sub>3</sub>, морфолит, 180/0,2, 140.

Л. Яновская

**51419. dl-Фенилсеринолы: новый синтез и стереохимические данные. I. Тагучи, Томоэда, Арата-ни** (*dl-Phenylserinols: a new synthesis and its stereochemical findings. I. Taguchi Tanezo, Tomoe-da Munemitsu, Aratani Isao*), J. Amer. Chem. Soc., 1956, 78, № 7, 1468—1471 (англ.)

Описывается новый синтез *dl*-фенилсеринолов из *dl*-транс-коричного спирта (I). Установлена конфигурация промежуточных продуктов. Приведены доказательства энимеризации *dl*-трео-1-фенил-2-бензоиламино-1,3-дибромпропана (II) при нагревании в эритроформу (III). Бромированием I в CCl<sub>4</sub> (—5°) синтезируют *dl*-эритро-3-фенил-2,3-дибромпропанол-1 (IV), выход 84%, т. пл. 73—74° (из петр. эф.). Бензоат IV, выход 74%, т. пл. 114—115° (из CH<sub>3</sub>OH); он же получается при восстановлении этилового эфира *dl*-эритро-3-фенил-2,3-дибромпропионовой к-ты (LiAlH<sub>4</sub>) с последующим бензоилированием. Р-р 20 г IV и 7 г C<sub>6</sub>H<sub>5</sub>CN в 10 мл эфира насыщают (0°) HCl (газом), через несколько дней (охлаждение) выпадает хлоргидрат *dl*-эритро-3-фенил-2,3-дибромпропилбензилиминоэфира, выход 79%, т. пл. 148—150°. Растиранием 26 г хлоргидрата с 130 мл 10%-ного р-ра Na<sub>2</sub>CO<sub>3</sub> получают свободный бензилиминоэфир (V), выход 92%, т. пл. 133,5—135° (из ацетона). Смесь 15 г V и 30 г Na<sub>2</sub>CO<sub>3</sub> кипятят 1 час в 300 мл толуола, выход *dl*-трео-2-фенил-4-фенилбромметил-Δ-оксазолина (VI) 57%, т. пл. 103—105° (из эф.). Из VI получены соли *dl*-трео-1-бензоилокси-2-амино-3-бром-3-фенилпропана (VII): хлоргидрат VII (с 10%-ной HCl (к-той) + сл., в эф.), выход 96%, т. пл. 176—179° (разл.; из CH<sub>3</sub>OH); бромгидрат VII (в тех же условиях, с 46%-ной HBr (к-той)), выход 76%, т. пл. 190—192° (разл.; из CH<sub>3</sub>OH); пикрат VII, т. пл. 134—136° (из CH<sub>3</sub>OH). Р-р 0,5 г VI в 5 мл C<sub>6</sub>H<sub>6</sub> насыщают HBr (газом), выпаривают в вакууме, получают III, выход 32%, т. пл. 132—134° (из бzl.); в маточном р-ре — IV (масло), при гидролизе HBr (к-той) образует *dl*-трео-1-фенил-1-бензоилокси-2-амино-3-бромпропан (VIII), выход бромгидрата VIII 67%, т. пл. 206—208° (разл.; из воды). Кипячением (1,5 часа) р-ра 1,6 г V в 16 мл толуола получают III (выход 13%) и IV, гидролизованный 10%-ной HCl (к-той) с образованием хлоргидрата VIII, выход 22%, т. пл. 196—198° (разл.; из этилацетата-CH<sub>3</sub>OH). Р-р 8,1 г V в 40 мл толуола кипятят 9 час., выпаривают в вакууме, прибавляют 16 мл 1%-ной HBr, нагревают (1 час, 100°), выход бромгидрата VIII 53%, в маточном р-ре — *dl*-эритро-1-фенил-1,2,3-трибромпропан, выход 1 г, т. пл. 123,5—125,5° (из CH<sub>3</sub>OH). Бромгидрат VIII гидрируют над 20%-ным Pd/C в CH<sub>3</sub>OH (25—30°), получают *dl*-ψ-N-бензоилнорэфедрин. 0,5 г II растворяют (20°) в 50 мл 90%-ного спирта, содержащего 0,1% HBr (к-ты). Через 15 дней выпаривают в вакууме, выход бромгидрата VII 80%. При нагревании (6 час.) р-ра 0,5 г II в 50 мл 99%-ного спирта, содержащего 0,1% HBr, выход бромгидрата VII 0,38 г, действием на него р-ра Na-пикрата получены: пикрат VIII, выход 8,5%, т. пл. 172—174° (из CH<sub>3</sub>OH); пикрат VII, выход 32%, и третий пикрат, т. пл. 175—177° (из CH<sub>3</sub>OH), вероятно пикрат *dl*-эритро-1-фенил-1-бензоилокси-2-аминопропанола-3. Р-р 0,5 г бромгидрата VIII в 50 мл воды кипятят 4 часа (рН р-ра изменяется от 5,4 до 1,6), получают *dl*-трео-1-фенил-2-бензоиламинопропандиол-1,3, выход 73%, т. пл. 163—165° (из этилацетата). Приведены данные ИК-спектров II, VI и хлоргидрата VII.

Г. Сегаль

**51420. Синтез производных аспарагиновой кислоты. I. Некоторые N-ацетил-N-бензилпроизводные *dl*-аспа-**

**рагиновой кислоты. Лившиц, Цилька, Амиза** (*Syntheses of aspartic acid derivatives. I. Some N-acetyl-N-benzyl derivatives of D,L-aspartic acid. Liwshitz Y., Zilkha A., Amiel Y.*), J. Amer. Chem. Soc., 1956, 78, № 13, 3067—3069 (англ.)

При р-ции ангидрида N-ацетил-N-бензил-D, L-аспарагиновой к-ты (I) с водн. NH<sub>4</sub>OH или бензиламином образуются β-амиды. Синтезированы различные N<sub>(2)</sub>-ацетил-N<sub>(2)</sub>-бензилпроизводные аспарагина и аспартимида. К 30 мл кипящего (CH<sub>3</sub>CO)<sub>2</sub>O добавлено 10 г N-бензил-DL-аспарагиновой к-ты; I выделен добавлением эфира + петр. эфир, выход 63%, т. пл. 118° (из этилацетата-петр. эф.). При обработке 2,7 г I 20 мл 25%-ного р-ра NH<sub>4</sub>OH (0°) и подкислении HCl получают N<sub>(2)</sub>-ацетил-N<sub>(2)</sub>-бензил-DL-аспарагин, выход 73%, т. пл. 148° (из воды). N<sub>(2)</sub>-ацетил-N, N<sub>(2)</sub>-добензил-DL-аспарагин (II) получен из 4 г бензиламина в 15 мл воды и 2,5 г I (0°, подкисление HCl), выход 82%, т. пл. 174° (из сл.). 2-имино-4-(ацетил, бензил)-аминофуранол-5 (III) получен при кипячении 4 г N<sub>(2)</sub>-бензил-DL-аспарагина (IV) с 20 мл (CH<sub>3</sub>CO)<sub>2</sub>O (осажден эф. + петр. эф.), выход 61%, т. пл. 143° (из этилацетата-петр. эф.). Аналогично III получен 2-бензилимино-4-(ацетил, бензил)-аминофуранол-5 (V) из N, N<sub>(2)</sub>-добензил-DL-аспарагина (VI), выход 70%, т. пл. 118° (из этилацетата-петр. эф.). При добавлении 20 мл CH<sub>3</sub>COCl к суспензии 4 г VI в 20 мл лед. CH<sub>3</sub>COOH выделен хлоргидрат VI (VII), выход 60%, т. пл. 172° (из сл.). К суспензии 2,5 г IV в 15 мл CH<sub>3</sub>COCl добавлено 10 мл лед. CH<sub>3</sub>COOH, образовавшийся N<sub>(2)</sub>-ацетил-N<sub>(2)</sub>-бензил-DL-аспартиимид выделен через 6 час. петр. эфиром, выход 58%, т. пл. 144—145° (из воды). N<sub>(2)</sub>-ацетил-N, N<sub>(2)</sub>-добензил-DL-аспартиимид (VIII) получен различными методами: а) при добавлении к суспензии 2 г VI в 10 мл лед. CH<sub>3</sub>COOH 10 мл CH<sub>3</sub>COCl образуется VII, который превращается через несколько часов (~20°) в VIII. Его выделяют добавлением эфира, выход 60%, т. пл. 140° (из сл.); б) при кипячении 4 г N, N<sub>(2)</sub>-добензил-α-аспарагина (IX) со 100 мл CH<sub>3</sub>COCl (0,5 часа); в) р-р 1 г II в 10 мл CH<sub>3</sub>COCl кипятят 1,5 часа и выливают в 50 мл воды. При гидролизе 1 г VIII 20 мл 10%-ного р-ра Na<sub>2</sub>CO<sub>3</sub> (кипение, 2 часа) и подкислении HCl получен II. Хлоргидрат N, N<sub>(2)</sub>-добензил-DL-аспартиида (X) получен несколькими способами: а) из р-ра 4 г IX в 110 мл CH<sub>3</sub>COCl через 6,5 часа выделен X, выход 59%, т. пл. 195° (из сл.); б) при нагревании (1 час, 130°) 4 г II, V или VIII в 30 мл 5 н. HCl и последующем охлаждении, в) при кипячении (30 мин.) 2 г VI в 25 мл 2 н. HCl, выход X 73%. Проведен гидрогенолиз р-ра 2 г X в 25 мл лед. CH<sub>3</sub>COOH над 0,2 г 30%-ного PdCl<sub>2</sub>/C (4 часа, 70°), выход хлоргидрата N-бензил-LD-аспартиида (XI) колич., т. пл. 210° (из сл.). Р-р XI в 2 н. NaOH нейтрализован р-ром 2 н. HCl, получен N-бензил-DL-аспарагин, т. пл. 265° (из воды).

А. Лютенберг

**51421. Синтез N-бензоил-О-пептидов треонина и аллотреонина и их метиламидов. II Авава С. М., Ботвиник М. М., Ж. общ. химии, 1956, 26, № 8, 2329—2335**

Реакцией N-бензоилтреонина (I) и N-бензоилаллотреонина (II) или их метиламидов (III, IV) с хлоргидратами оксазолинов соответствующих аминокислот получены следующие N, О-пептиды треонина и аллотреонина и их метиламиды общей ф-лы C<sub>6</sub>H<sub>5</sub>CONHCH(R')COOCH<sub>2</sub>CH(NHCOC<sub>6</sub>H<sub>5</sub>)COR: N-бензоил-О-бензоилнорлейцил-DL-треонин (V) и N-бензоил-О-бензоилвалил-DL-треонин (VI); N-бензоил-О-бензоилфенилаланилаллотреонин (VII) и N-бензоил-О-бензоилнорлейцилаллотреонин (VIII); метиламиды N-бензоил-О-бензоилфе-

нилаланил-DL-треонина (IX), метиламид V (X), метиламид VI (XI); метиламид VII (XII), метиламид VIII (XIII) и метиламид N-бензоил-О-бензоилвалилаллотреонина (XIV). Хлорангидрид бензоилфенилаланина из 1,7 г бензоилфенилаланина (XV) в диоксане прибавляют к 0,9 г II в диоксане. Через 30 мин. прозрачный р-р нагревают 5,5 часа при 55–65°, оставляют на 12 час., упаривают в вакууме, остаток пересаживают петр. эфиром из этилацетата и отмывают  $C_6H_6$  и горячей водой, выход VII 24%, т. пл. 170–170,5° (осаждено петр. эф. из этилацетата). К 1,8 г бензоилпорлейцина (XVI) прибавляют 1,56 г  $PCl_5$  и 20 мл  $CCl_4$ , через 30 мин. фильтруют и осадок в 20 мл диоксана прибавляют к р-ру 0,9 г I в диоксане. Через 12 час. р-р нагревают 4 часа при 45–50° и еще через 12 час. упаривают в вакууме. Остаток растворяют в этилацетате, обрабатывают петр. эфиром и выделившееся V промывают этилацетатом,  $C_6H_6$  и горячей водой, выход 47%, т. пл. 191–191,5 (из водн. сп.). 0,67 г II смешивают с суспензией хлоридрата оксазолонна XVI в диоксане. Через 1 час. нагревают 4 часа при 45–50°, упаривают в вакууме; оставшееся масло пересаживают несколько раз петр. эфиром из этилацетата, выход VIII 15,1%, т. пл. 131–133° (пересаживают петр. эф. из этилацетата). К 1,35 г бензоилвалина (XVII) прибавляют 1,2 г  $PCl_5$  и  $CCl_4$ , перемешивают и через 30 мин. фильтруют и осадок прибавляют в р-р 0,9 г I в диоксане. Через 48 час. упаривают в вакууме, масло пересаживают петр. эфиром из этилацетата, выход VI 23%, т. пл. 173–173,5° (этилацетат-петр. эф.). Во взвесь 4 г I в эфире пропускают ток  $CH_2N_2$ , упаривают, масло обрабатывают р-ром  $CH_3NH_2$  в  $CH_3OH$ . Упариванием выделяют III, выход 64%, т. пл. 170–171° (из этилацетата). Аналогично получают IV, выход 51%, т. пл. 180–182°. К р-ру 0,95 г III в диоксане прибавляют хлорангидрид XV (из 1,6 г XV и 1,17 г  $PCl_5$ ), нагревают 7,5 часа при 60–65° и через 12 час. отфильтровывают IX, выход 39%, т. пл. 219–221° (из сп. с небольшим кол-вом этилацетата). Аналогично за 4 часа получают XII, выход 51%, т. пл. 214–214,5° (из сп.). К 0,94 г III в диоксане прибавляют хлоридрат оксазолонна XVI в 30 мл  $CHCl_3$  (из 1,4 г XVI и 1,17 г  $PCl_5$ ) и нагревают 8 час. при 55–60°. Через 12 час. отфильтровывают X, выход 49%, т. пл. 222,5–223,5° (из лед.  $CH_3COOH$ ). В аналогичных условиях получают XIII в виде студенистой массы, выход 20%, т. пл. 205–206° (высасывают водой из лед.  $CH_3COOH$ ). К 0,8 г III в диоксане приливают хлоридрат оксазолонна XVII в 90 мл  $CHCl_3$  (из 1,36 г XVII и 1,17 г  $PCl_5$ ) и нагревают 1 час при 65–70°. Через 12 час. (~20°) отфильтровывают XI, выход 40%, т. пл. 215–216° (из водн. сп.). В аналогичных условиях получают XIV в виде геля, для уменьшения растворимости которого прибавляют петр. эфир, выход 35%, т. пл. 224–226° (из  $CH_3COOH$ ). Сообщение I см. РЖХим, 1957, 34542. С. Аваева

**51422. Окислительное отщепление фенилгидразидной группы от фенилгидразидов карбаллиокси- $\alpha$ -аминокислот и карбаллиоксидипептидов.** Милн, Халвер, Хо Дон Со, Мейсон (The oxidative cleavage of phenylhydrazide groups from carboallyloxy- $\alpha$ -amino acid phenylhydrazides and carboallyloxydipeptide phenylhydrazides. Milne H. Rayard, Halver John E., Ho Don So, Mason Michael S.), J. Amer. Chem. Soc., 1957, 79, № 3, 637–639 (англ.)

Изучено отщепление фенилгидразидной группы от фенилгидразидов (ФГ) карбаллиокси- $\alpha$ -аминокислот под действием окислителей. Лучшие результаты получают при действии  $KMnO_4$ ,  $Cu(CH_3COO)_2$  и  $FeCl_3$ , однако последние два в-ва предпочтительней, так как они не окисляют алильную группу. Ниже перечисляются ФГ, %  $N_2$ , выделившийся при действии  $Cu(CH_3COO)_2$

или  $FeCl_3$  (25 мл 0,01 М р-ра ФГ в метилцеллозолье и 15 мл 1 н. р-ра окислителя, 96–97°): ФГ карбаллиокси-глицина, 94,8, 99,2; ФГ карбаллиокси-L-аланина (I), 96,3, 99,5; ФГ карбаллиокси-L-фенилаланина (II), 97,1, 100,8; ФГ карбаллиокси-L-лейцина (III), 96,0, 99,4; ФГ N, N-дикарбаллиокси-L-лизина (IV), 95,8, 99,6; ФГ O, N-дикарбаллиокси-L-тирозина (V), 96,1, 100,2. Разработанный метод использован при энзиматич. синтезе L-лейцил-L-лейцина (VI). Исходные ФГ получены р-цией соответствующей карбаллиоксаминикислоты (КА) с фенилгидразином в присутствии папаина и хлоридрата цистеина при 40°. Ниже перечисляются ФГ, выход в %, т. пл. в °C,  $[\alpha]^{22}_D$ : I, 28,8 (из DL-КА), 115–116, –60,3° (с 3; хлф.); II, 37 (из DL-КА), 163–164, –26,5° (с 1; хлф.); V, 94 (из L-КА), 162–163, –8,5° (с 1; хлф.); N-карбопропилокси-L-тирозин, 75, 185–186, –3,4° (с 1; сп.). К р-ру 2,62 г III в 100 мл метилцеллозолье при 96–97° прибавляют 100 мл р-ра, 16,2 г  $FeCl_3 \cdot 6H_2O$  в 1 н. HCl и нагревают ~14 мин. до прекращения выделения  $N_2$ . Р-р охлаждают, разбавляют водой и экстрагируют в экстракторе  $C_6H_6$ . Р-р в  $C_6H_6$  упаривают, промывают водой и выделяют карбаллиокси-L-лейцин, выход 85%,  $[\alpha]^{22}_D$  –14,6° (с 3,7; хлф.). Аналогично получены соответствующие КА из IV, выход 86%,  $[\alpha]^{22}_D$  –8,2 (с 12; 11% конц. HCl + 89% метилцеллозолье), и из V (0,44 е), выход 0,32 г, т. пл. 105° (из 50%-ного сп.),  $[\alpha]^{22}_D$  +28,9° (с 3; хлф.). ФГ карбаллиокси-L-лейцина (6,8 г) гидрированием над  $PtO_2$  (2 ам) превращен в ФГ хлоридрата-L-лейцина (VII), выход 4,35 г. К р-ру 4,35 г VII, 5 г карбаллиокси-L-лейцина и 2 г хлоридрата цистеина в 300 мл 3М ацетатного буфера при pH 4,7 прибавляют 3 г папаина и выдерживают 55 час. при 40°, выпадает ФГ N-карбаллиокси-L-лейцил-L-лейцина (VIII), выход 63,5%, т. пл. 185–186° (из сп.),  $[\alpha]^{22}_D$  –91,0° (с 0,86; хлф.). К р-ру 2,04 г VIII в 30 мл спирта прибавляют при 35° 15 г  $FeCl_3 \cdot 6H_2O$  в 25 мл воды. Р-р перемешивают до прекращения выделения  $N_2$ , подщелачивают и фильтруют. Фильтрат подкисляют и экстрагируют эфиром. Прибавлением лигнона выделяют карбаллиокси-L-лейцил-L-лейцин, выход 43%, т. пл. 113–114°,  $[\alpha]^{22}_D$  –25,1° (с 2; хлф.), гидрирование которого с  $PtO_2$  в спирте + конц. HCl получают VI, выход 42%, т. пл. 259–261° (из сп.),  $[\alpha]^{22}_D$  –13,5° (с 1,2; 1 н. NaOH). С. Аваева

**51423. Разделение аминокислот, дипептидов и трипептидов путем вакуум-сублимации N-трифторацетилированных эфиров. N-трифторацетилированные аминокислоты.** Сообщение VII. Вейгад, Гейгер, Своденк (Trennung von Aminosäuren, Dipeptiden und Tripeptiden durch Vacuumsublimation der N-trifluoracetylierten Ester. N-trifluoracetylierte Aminosäuren. VII Mitteilung. Weygand F., Geiger H., Swodenk W.), Angew. Chem., 1956, 68, № 8, 307 (нем.)

N-трифторацетилпроизводные аминокислот, эфиров аминокислот, дипептидов, их эфиров некоторых трипептидов могут быть очищены путем возгонки в вакууме. Метод возгонки предложен также для разделения смесей аминокислот и простейших пептидов. Авторы предполагают применить метод сублимации для синтеза ди- и трипептидов. Приведены т-ры сублимации при давл. 0,02–0,06 мм для следующих соединений (в скобках указаны т-ры сублимации трифторацетиламинокислоты (или пептида) и ее эфира): глицин (60–65; этиловый эф., 30), аланин (60–65; –), валин (70–80; метиловый эф., 35–40), пролин (70–75; метиловый эф., 37–40), метионин (75–90; метиловый эф., 35–40), фенилаланин (80–90; метиловый эф., 40), тирозин (135–145; диметиловый эф., 75–80), триптофан (140; метиловый эф., 65–80), этиловый эфир L-глутаминовой к-ты (80–95; этиловый, метиловый диафиры, 45–60), лизин

(110—120; метиловый эф., 70—80) глицилглицин (150, метиловый эф., 95—100, этиловый эф., 95—100), изолейцилглицин (150; —), аланилаланин (150; этиловый эф., 95—100), глицилаланин (—; этиловый эф., 90—100), фенилаланилглицин (—; этиловый эф., 95—100), фенилаланилаланин (—; этиловый эф., 100—110), валилаланин (—; этиловый эф., 100—110), диглицилглицин (—; этиловый эф., 160—165), глицилаланилглицин (—; этиловый эф., 150), глицилвалилаланин (—; этиловый эф., 160—165), S-бензилцистеин (100; метиловый эф., 46—60); анилд аланина (85—90; —), анилд валина (90; —). Сообщение VI см. РЖХим, 1957, 15524.

Е. Чаман

**51424. Получение D и L-глицил-β-2-тиенилаланина.** Дани (Preparation of d and l forms of glycyl-β-2-thienylalanine. Dunn Floyd W., J. Organ. Chem., 1956, 21, № 12, 1525—1526 (англ.))

Ферментативным разделением глицил-β-2-тиенил-D, аланина получены L-(Ia) и D-(Ib) изомеры. Для *Escherichia coli* 9723 токсичен только Ia. В верналовом буфере при pH 7,5 9 г карбобензоксид I обрабатывают карбоксипептидазой до полного гидролиза Ia. Подкисленный р-р экстрагируют эфиром, остаток после испарения эфира (3,6 г) обрабатывают  $\text{PH}_4\text{J}$  в лед.  $\text{CH}_3\text{COOH}$ , выход 1,6 г, т. пл. 245—247° (из  $\text{H}_2\text{O}$ ),  $[\alpha]^{25}_D -40,1^\circ$  (20 мг в 2 мл  $\text{H}_2\text{O}$ ). Водн. маточный р-р упаривают досуха в вакууме, остаток экстрагируют теплым абс.  $\text{C}_2\text{H}_5\text{OH}$ , фильтруют и нейтрализуют конц.  $\text{NH}_4\text{OH}$ ; выпадает β-2-тиенил-L-аланин (II), выход 1,6 г, т. пл. 255—256°,  $[\alpha]^{25}_D -31,7^\circ$  (20 мг в 2 мл  $\text{H}_2\text{O}$ ). Обработкой 1,6 г II эквивалентным кол-вом хлорацетилхлорида при 5° в присутствии 2 экв 1 M р-ра NaOH получают 1,5 г хлорацетил-β-2-тиенил-аланина (III), т. пл. 124°,  $[\alpha]^{25}_D +46,6^\circ$  (20 мг в 2 мл абс.  $\text{C}_2\text{H}_5\text{OH}$ ), 0,7 г III и 20 мл конц.  $\text{NH}_4\text{OH}$  оставляют на ~12 час. при 20° и удаляют р-ритель; выход Ia 0,6 г, т. пл. 245—248° (из  $\text{C}_2\text{H}_5\text{OH} + \text{H}_2\text{O}$ ),  $[\alpha]^{25}_D +40,0^\circ$  (20 мг в 2 мл  $\text{H}_2\text{O}$ ).

Р. Костяновский

**51425. Изучение синтеза лизинвазопрессина.** Барлетт, Йель, Роске, Седман, Стюарт, Иорд, Виньо (Studies on the synthesis of lysinevasopressin. Bartlett M., Frederick, Jöhl Albert, Roeske Roger, Stedman R. J., Stewart F. H. C., Ward Darrell N., Vigneaud Vincent du, J. Amer. Chem. Soc., 1956, 78, № 12, 2905—2906 (англ.))

Описан синтез лизинвазопрессина (I), аналогичный по биологич. активности природному. I получен из S-бензил-N-тозил-L-цистеил-L-тиролил-L-фенилаланил-L-глутамил-L-аспарагил-S-бензил-L-цистеил-L-пролил-Σ-тозил-L-лизилглицинамида (II) отщеплением S-бензиловых и N-тозилных групп восстановлением Na в жидком  $\text{NH}_3$  и окислением пептида в дисульфид воздухом в водн. р-ре при pH 6,4. Для очистки применяли противоточный метод в *etor*-бутиловом спирте и р-ре 0,08 M *n*-толуолсульфокислоты и электрофорез. Необходимые для синтеза пептиды S-бензил-N-тозил-L-цистеил-L-тирозил-L-фенилаланил-L-глутамил-L-аспарагин (III) и S-бензил-L-цистеил-L-пролил-Σ-тозил-L-лизилглицинамид (IV) были синтезированы следующим образом: L-фенилаланил-L-глутамил-L-аспарагин (РЖХим, 1955, 55246) через смешанный ангидрид с изобутилхлоругольным эфиром был конденсирован с S-бензил-N-тозил-L-цистеил-L-тирозином с образованием III. Выход III 55%, т. пл. 203—204°,  $[\alpha]^{21}_D +4,4^\circ$  (с 2,08; диметилформамид). IV был получен N,N'-дициклогексилкарбодимидным методом из этилового эфира L-пролил-Σ-тозил-L-лизилглицина (т. пл. 81—84°) и S-бензил-N-карбобензоксид-L-цистеина с последующим амидированием аммаком в спирте. Т. пл. IV 101—104°,  $[\alpha]^{21}_D -29,3^\circ$  (с 1;  $\text{CHCl}_3$ ). Карбобензоксигруппа затем удалена HBr в  $\text{CH}_3\text{COOH}$ . Конденсация III и IV с об-

разованием II была осуществлена на N,N'-дициклогексилкарбодимидным методом с выходом 39%, т. пл. II 226—230°,  $[\alpha]^{18}_D -23,0^\circ$  (с 2,11; диметилформамид). Е. Чаман

**51426. Пульхерримин. Синтез 1,4-диокси-2,5-дикетопиперазинов.** Кук, Слейтер (Pulcherimin: A synthesis of 1:4-dihydroxy-2:5-dioxopiperazines. Cook A. H., Slater C. A., J. Chem. Soc., 1956, Nov., 4130—4133 (англ.))

В связи с исследованием пигмента пульхерримина, действием  $\text{NH}_4\text{OH}$  на N-(α-бромгексанойльное)-(I) или N-хлорацетильное-(II) производные метилового эфира (MЭ) α-гидроксикапроновой к-ты (III к-та), или на N-(α-бром-γ-метилвалеринойное)-(IV) ил. N-хлорацетильное-(V) производные MЭ α-гидроксикапроновой к-ты (VI к-та) синтезированы соответственно 2,5-дибутил-(VIIa), 2-бутил-(VIIb), 2,5-диизобутил-(VIIg) и 2-изобутил-(VIIg)-1,4-диокси-3,6-дикетопиперазины, строение которых подтверждено цветными р-циями и восстановлением VIIa и б Zn и  $\text{CH}_3\text{COOH}$  в 2,5-дибутил-(VIII, т. пл. 169°) и 2,5-диизобутил-(IX)-3,6-дикетопиперазины. III и VI, а также α-гидроксикапрононвалериановая к-та (X) получены взаимодействием α-бромпроизводных капроновой, γ-метилвалериановой или изовалериановой (XI) к-т с метанольным р-ром  $\text{NH}_4\text{OH}$ . III, VI и X имеют свойства слабых к-т, являются сильными восстановителями, окисляются щел. р-ром  $\text{KMnO}_4$  в валериановый, изовалериановый и масляный альдегиды и восстанавливаются Zn-пылью и  $\text{CH}_3\text{COOH}$  в соответствующие аминокислоты и VIII, IX или 2,5-изопропил-3,6-дикетопиперазин, т. пл. 268° (из воды). *n*-нитробензиловый, *p*-бром- или *p*-фенилфенацетовые эфиры III и VI не удалось получить обычными методами, но MЭ III и VI, *n*-бутиловый (а) и этиловый (б) эфиры получены;  $\text{CH}_3\text{N}_2$  энергично реагирует в эфирном р-ре с VI, образуя MЭ α-(N-оксид-N-метиламино)-γ-метилвалериановой к-ты, т. кип. 104°/6 мм. VIIb и г метилируются эфирным р-ром  $\text{CH}_2\text{N}_2$  (20° 14—16 час.) в 3-*n*-бутил-(т. пл. 98° (из циклогексана)) и 3-изобутил-(т. пл. 115°)-1,4-диметокси-2,5-дикетопиперазины; р-р 0,05 г VIIb в 0,1 л спирта с эфирным р-ром  $\text{CH}_2\text{N}_2$  в аналогичных условиях метилирован в 2,5-диизобутил-1,4-диметокси-3,6-дикетопиперазин, выход 0,02 г, т. пл. 130°. При р-ции I с  $\text{NH}_3$  получается 2,5-ди-*n*-бутил-3,6-дикето-1-оксипиперазин (XII). VIIg отличается от природной пульхерриминовой к-ты, поэтому строение, предложенное ранее для этого в-ва (см. РЖХимБх, 1957, 3731), должно быть пересмотрено. К 27,6 г  $\text{NH}_4\text{OH} \cdot \text{HCl}$  в 0,2 л  $\text{CH}_3\text{OH}$  добавляют при охлаждении  $\text{CH}_3\text{ONa}$  (из 9,2 г Na и 0,1 л  $\text{CH}_3\text{OH}$ ), отделяют NaCl, фильтрат вливают в нейтрализованный  $\text{CH}_3\text{ONa}$  в  $\text{CH}_3\text{OH}$  р-р 40 г XI, кипятят 12—14 час., отгоняют р-ритель, остаток смешивают с водой и отделяют X, выход 10%, т. пл. 204° (разл.). Аналогично получают III, выход 46%, т. пл. 161—162° (разл.; из сп.); MЭ, т. пл. 55° (из петр. эф.); ацетильное производное MЭ, т. кип. 104°/1,5 мм; IIIa, т. кип. 110—120°/0,1 мм, IIIb, т. кип. 90—95°/0,2 мм, и VI, выход 44%, т. пл. 155° (разл., из сп.), MЭ, т. пл. 51° (из петр. эф.), VIa, т. пл. 60° (из сп.), VIb, т. кип. 90—95°/0,2 мм. 1 г MЭ III в 10 мл  $\text{CHCl}_3$  и 0,5 мл  $\text{C}_6\text{H}_5\text{COCl}$  оставляют на 30 мин., р-р встряхивают последовательно с р-ром  $\text{NaHCO}_3$ , разб. HCl и водой, отгоняют  $\text{CHCl}_3$  и получают N-бензойное производное MЭ III, выход 0,4 г, т. пл. 76° (из петр. эф.-бэл.) (10:1); аналогично получают I, т. кип. 125—130°/0,01 мм, II, т. пл. 55° (из петр. эф.), IV, т. кип. 135—140°/10<sup>-3</sup> мм, и V, т. пл. 81° 1 г I, II, IV или V оставляют на ночь с избытком р-ра  $\text{NH}_4\text{OH}$  в  $\text{CH}_3\text{OH}$ , отгоняют р-ритель и получают VIIa, т. пл. 232—233° (разл., из этилацетата), VIIb, выход 0,18 г, т. пл. 214° (разл., из этилацетата), VIIg, т. пл. 253° (разл., из сп.), или VIIg, т. пл. 235—236° (разл., из сп.). 0,4 г I и 15 мл насыщ. спирт. р-ра  $\text{NH}_3$  остав-



ляют на 48 час., разбавляют водой и получают XII, выход 0,2 г, т. пл. 187—190° (разл. из этилацетата).

Д. Витковский

**51427. Эфиры аденозина с органическими и минеральными кислотами.** Хубер (Ester des Adenosins mit organischen und anorganischen Säuren. Huber Gerhard), Chem. Ber., 1956, 89, № 12, 2853—2862 (нем.)

Ацилированием аденозина (I) избытком ангидрида или хлорангидрида органич. или минер. к-ты получены аденозинтриэфиры; иногда при этом ацилируется аминная группа. Аденозиндиэфиры выделены при ацилировании I высокомолекулярными к-тами. Аналогично, из 2',3'-изопропилиденаденозина (II), с последующим удалением изопропилиденовой группы, получены аденозин-5'-моноэфиры. Колич. омыление эфиров проводилось кипячением (1 час) с 0,1 н. спирт. р-ром КОН; избыток щелочи оттитровывался 0,1 н. HCl (фенолфталеин). Приведены значения  $R_f$  для восходящей хроматограммы ( $m$ -C<sub>6</sub>H<sub>5</sub>ОН, насыщ. водой). II получен по Баддлиту (Baddiley J., J. Chem. Soc., 1951, 1348),  $R_f$  — 0,60, и 2',3' — изопропилиденаденозин-5'-ацетат,  $R_f$  — 0,70, и аденозин-5'-ацетат (III),  $R_f$  0,23, получены по ранее известному методу (Brown D. M. и др., J. Chem. Soc., 1950, 3299). 5 г II в 100 мл абс. пиридина (IV) оставляют на 2 дня при 37° с 30 мл (CH<sub>3</sub>CO)<sub>2</sub>O, добавляют 50 мл абс. C<sub>2</sub>H<sub>5</sub>ОН, упаривают в вакууме, сироп растворяют в СНCl<sub>3</sub>, добавляют петр. эфир и выделяют 2',3'-изопропилиденаденозин-N(6), 5'-диацетат, выход 6,3 г, т. пл. 113—114° (из 50%-ного C<sub>2</sub>H<sub>5</sub>ОН),  $R_f$  0,85. При омылении щелочью образуется III; при нагревании с 10%-ной CH<sub>3</sub>COOH образуется III. Аналогично из 5 г II и 20 мл (CH<sub>3</sub>CH<sub>2</sub>CO)<sub>2</sub>O в 125 мл IV (16 час., 20°) получают 5 г 2',3'-изопропилиденаденозин-5'-пропионата (V),  $R_f$  0,75. 5 г V нагревают (1,5 часа, 100°) со 100 мл 10%-ной CH<sub>3</sub>COOH и упаривают, выход аденозин-5'-пропионата 3,5 г, т. пл. 170—172° (из воды и затем из C<sub>2</sub>H<sub>5</sub>ОН),  $R_f$  0,44. Из 5 г II и 3,5 мл бутирилхлорида в 100 мл IV (2 дня, 37°) получают 8 г 2',3'-изопропилиденаденозин-N(6), 5'-дибутирата (VI) (сироп),  $R_f$  0,90. 8 г VI нагревают 3 часа с 200 мл 40%-ной CH<sub>3</sub>COOH и упаривают, выход аденозин-5'-бутирата 3,2 г, т. пл. 97—98° (из воды),  $R_f$  0,48. Аналогично получают: 2',3'-изопропилиденаденозин-5'-нитробензоат,  $R_f$  0,80, аденозин-5'-нитробензоат (изопропилиденовую группу снимают 10%-ной HCOOH, 3 часа, 100°),  $R_f$  0,30; 2',3'-изопропилиденаденозин-5'-никотинат, т. пл. 182—183° (из абс. C<sub>2</sub>H<sub>5</sub>ОН),  $R_f$  0,65; аденозин-5'-никотинат, т. пл. 157—158° (из воды),  $R_f$  0,30; 2',3'-изопропилиденаденозин-5'-изоникотинат, т. пл. 179—181° (из C<sub>2</sub>H<sub>5</sub>ОН),  $R_f$  0,60; аденозин-5'-изоникотинат,  $R_f$  0,26. Из II и ангидридов к-т получают 2',3'-изопропилиденаденозин-5'-сукцинат,  $R_f$  0,15, аденозин-5'-сукцинат (изопропилиденовую группу снимают 10%-ной CH<sub>3</sub>COOH, 1,5 часа, 100°), т. пл. 172—174° (из абс. C<sub>2</sub>H<sub>5</sub>ОН),  $R_f$  0,40 (60%-ный C<sub>2</sub>H<sub>5</sub>ОН), 2',3'-изопропилиденаденозин-5'-фталат (1 час, 100°), т. пл. 163—165° (из абс. C<sub>2</sub>H<sub>5</sub>ОН),  $R_f$  0,15. Аденозин, 2',3',5'-триацетат получен по Бредеру (Bredereck H., Ber., 1947, 80, 401),  $R_f$  0,67. 5 г I и 7,5 мл (CH<sub>3</sub>CH<sub>2</sub>CO)<sub>2</sub>O в 70 мл VI оставляют на 2 дня при 37°, упаривают, добавляют СНCl<sub>3</sub>, промывают и упаривают. Остаток растворяют в C<sub>2</sub>H<sub>5</sub>ОН и высаживают водой. Выход аденозин-2',3',5'-трипропионата 3 г, сироп,  $R$  0,72. Ацилированием I избытком хлорангидрида к-ты в IV (2 дня, 37°) получают эфиры I: дибутират, трилаурилат, дипальмитат, дистеарат, диолеат, трибензоат,

т. пл. 100—104° (пересаживание из C<sub>6</sub>H<sub>6</sub> бан.), три-нитробензоат (16 час., 20°), т. пл. 220° (разл.; пересаживание из CH<sub>3</sub>COCH<sub>3</sub> водой), три- $\alpha$ -аминобензоат, т. пл. 200° (пересаживание из р-ра в HCl р-ром NaOH), триникотинат, т. пл. 95° пересаживание из СНCl<sub>3</sub> петр. эф.), триизоникотинат,  $R_f$  0,70, дифталат (2 дня при 37° и 1 час при 100°), т. пл. 132—134° (из абс. C<sub>2</sub>H<sub>5</sub>ОН). К суспензии 5 г I в 50 мл IV при —10° медленно добавляют 4,5 мл HOSO<sub>2</sub>Cl (VII) в 15 мл сухого СНCl<sub>3</sub>, оставляют на 30 мин. при 20° и 1 час при 100°, отгоняют IV (в вакууме), остаток растворяют в 250 мл воды, встряхивают с 24 г PbO (4 часа), фильтруют, добавляют насыщ. при нагревании р-р 15 г Ag<sub>2</sub>SO<sub>4</sub>; к фильтрату добавляют избыток сухого BaCO<sub>3</sub> и пропускают до насыщения H<sub>2</sub>S. В фильтрат пропускают CO<sub>2</sub>, упаривают в вакууме, к остатку в небольшом кол-ве воды добавляют при перемешивании медленно 150 мл C<sub>2</sub>H<sub>5</sub>ОН, оставляют на несколько часов (0°), фильтруют, промывают абс. C<sub>2</sub>H<sub>5</sub>ОН, выделяют 12 г Ва-соли аденозинтрисульфата,  $R_f$  0,22 (60%-ный р-р C<sub>2</sub>H<sub>5</sub>ОН). Аналогично, из 6 г II и 7,6 мл VII в 60 мл IV (15 мин., 50°) с последующим гидролизом 10%-ной CH<sub>3</sub>COOH (90 мин., 100°) получают 8 г аденозин-5'-моносulfата-Ва,  $R_f$  0,52 (60%-ный C<sub>2</sub>H<sub>5</sub>ОН). 10 г I в 100 мл абс. СНCl<sub>3</sub> и 100 мл дымящей HNO<sub>3</sub> оставляют на 30 мин. при 0°, добавляют лед; водн. слой нейтрализуют 40%-ным р-ром NaOH, выход аденозиндинитрата (VIII) 11,5 г, т. пл. 123° (из водн. диоксана). При хроматографировании, кроме VIII ( $R_f$  0,83), проявляется пятно инозиндинитрата (IX) ( $R_f$  0,70). IX получают аналогично из инозина, т. пл. 190—196° (разл.; из водн. диоксана).

З. Шабарова

**51428. Синтез 5-оксиметилцитозина-(2-C<sup>14</sup>).** Вейганд, Свобода (Synthese von 5-Hydroxymethylcytosin-(2-C<sup>14</sup>). Weygand Friedrich, Swoboda Otto Paul), Z. Naturforsch., 1956, 11b, № 7, 369—370 (нем.)

Описан метод синтеза 5-оксиметилцитозина-(2-C<sup>14</sup>) (I) (РЖХим, 1954, 25257; 1955, 43149) путем конденсации C<sup>14</sup>-моченины (II) с ортомуравлиным эфиром (III) и циануксусным эфиром (IV), последующей циклизации получающегося уреидометиленилциануксусного эфира (V) этилатом натрия в 5-карботоксикитозин-(2-C<sup>14</sup>) (VI) и восстановления с LiAlH<sub>4</sub>. Описан также синтез 4-аминоурацила-(2-C<sup>14</sup>) (VII). 5 ммоль II, (активность 1 мкюри/ммоль) 5,6 ммоль III и 610 мг IV нагревают при 110—120°, 8 час., разбавляют 1,8 мл абс. спирта и оставляют на ~12 час. при ~0°. Выход V 67%. 614,8 мг V смешивают с р-ром 152 мг Na в 3,1 мл абс. спирта, помещают в баню при 110°, через 10 мин. добавляют 1 мл абс. спирта и нагревают 30 мин. После охлаждения осадок отфильтровывают, растворяют в 16 мл воды и подкисляют 0,24 мл лед. CH<sub>3</sub>COOH. Выход VI 71%. В р-р 500 мг LiAlH<sub>4</sub> в 36 мл абс. тетрагидрофурана вносят в течение 20 мин. 440 мг VI, нагревают 2,5 часа при 50°, охлаждают, добавляют 4 мл этилацетата и через 2 часа 1,7 мл воды, осадок отделяют, промывают эфиром и экстрагируют водой (12×10), р-р обрабатывают 2 н. H<sub>2</sub>SO<sub>4</sub> до pH 7 (стеклянный электрод), фильтруют и упаривают в вакууме до 30 мл. Через 24 часа I отфильтровывают. Маточный р-р подвергают дважды повторной обработке к-той и упариванию. Выход I 62% на стадии восстановления, общий выход 28%, считая на II. Для синтеза VII 36 мг II, 27,6 мг Na в 0,7 мл спирта и 68 мг IV кипятят 20 мин., добавляют 0,5 мл абс. спирта, кипятят еще 25 мин. и упаривают в токе N<sub>2</sub>. Остаток растворяют в 1,2 мл воды и осаждают VII 0,12 мл лед. CH<sub>3</sub>COOH. Выход VII 55,5%. Приведены значения  $R$  в смеси  $n$ -бутанол-вода (86:14) и этанол- $n$ -бутанол-

вода-2 и  $\text{NH}_3$  (50:15:25:40) для I (0,055; 0,54), II (0,17; 0,6), VI, (0,3; 0,77) и VII (0,11; 0,45). Е. Чаман 51429. Гидрогенолиз  $\beta$ -L-метиларабинопиранозидов до 3,4-диокситетрагидро-2-пирана. Бауэр, Штюдц (Hydrogenolysis of methyl  $\beta$ -L-arabopyranoside to 3,4-dihydroxytetrahydro-2-pyrans. Bauer H. F., Stuetz D. E.), J. Amer. Chem. Soc., 1956, 78, № 16, 4097—4099 (англ.)

При гидрогенолизе  $\beta$ -L-метиларабинопиранозидов (I) в диоксане над хромитом меди (в автоклаве, начальное давление  $\text{H}_2$  170 ат, 240°, 6 час.) образуется смесь оптически не активных *цис*- и *транс*-формы 3,4-диокситетрагидро-2-пирана, идентифицированных в виде дигликолизсульфоновых производных. В качестве побочных продуктов идентифицированы 5-метоксипроизводные 1,2-, 2,3- и 3,4-пентадиолов. Примесь редуцирующих сахаров к исходному I приводит к разложению катализатора.

А. Юркевич 51430. Синтез и свойства 1,1'-диглицеромонофосфорной кислоты. Стокс, Ванденриессе (Synthesis and properties of 1-1' diglyceromono-phosphoric acid. Stock J., Vandendriessche L.), Bull. Soc. chim. belges, 1956, 65, № 11—12, 919—927 (англ.; реф. франц.)

Улучшены условия синтеза Ва-соли 1,1'-диглицеромонофосфорной к-ты (I) из 1,2-изопропилдиглицерина и  $\text{POCl}_3$  (Fischer E., Pfähler E., Chem. Ber., 1920, 53, 1618). При окислении  $\text{NaJO}_4$  I дает Ва-соль ди-(глицольдегид)-фосфорной к-ты. При гидролизе 1 н.  $\text{H}_2\text{SO}_4$  (85—90°, 2 часа) как I, так и ее 1,2'- и 2,2'-изомеры образуют 1 моль глицерина и 1 моль смеси 1-моноглицеринофосфорной к-ты (90%) и ее 2-изомера (10%); их можно количественно отделить от I и ее изомеров на анионитах.

В. Некрасов 51431. О химическом строении дикарбоновых флемиколевых кислот. Клермонте, Ледерер (Sur la structure chimique des acides phleimycologiques dicarboxyliques. Clermonté Raymonde, Lederer Edgar), C. r. Acad. sci., 1956, 242, № 21, 2600—2603 (франц.)

Омылением восков *M. phlei* получена к-та ( $\text{HOOC}$ )-(CO) $\text{RCHONCHNR'COOH}$  (I), где  $\text{R} = \text{C}_{11}\text{H}_{23}$  и  $3\text{CH}_2$ ,  $\text{R}' = \text{C}_{20}\text{H}_{41}$  или  $\text{C}_{22}\text{H}_{45}$ , очищ. хроматографированием на  $\text{Al}_2\text{O}_3$  с вымыванием эфиром + 1%  $\text{CH}_3\text{COOH}$ , т. пл. 55°,  $[\alpha]_D^{25} + 6^\circ$  ( $\text{CHCl}_3$ ). I является смесью двух к-т среднего состава  $\text{C}_{68}\text{H}_{132}\text{O}_6 \pm 3\text{CH}_2$ , содержащих 2  $\text{COOH}$ , 1  $\text{OH}$  (в  $\beta$ -положении к  $\text{COOH}$ ) и 1  $\text{CO}$ , и различающихся длиной боковой цепи в  $\alpha$ -положении. Производные I: диметиловый эфир (II), т. пл. 45—47°; его моноацетат, т. пл. 31°. Дегидратацией II получен моноагидромиколовый диэфир  $\text{C}_{70}\text{H}_{134}\text{O}_5$  (III), т. пл. 38—40°; окислением II ( $\text{CrO}_3$ ) — диметиловый эфир дикетокислоты  $\text{C}_{70}\text{H}_{134}\text{O}_6$  (IV), т. пл. 42—43°, а частичным омылением IV — дикетомонокислоту, метиловый эфир  $\text{C}_{68}\text{H}_{132}\text{O}_6$ , т. пл. 70—72°. При действии на I  $\text{NH}_2\text{OH}$  образуется оксим ангидродикарбоновой к-ты  $\text{C}_{68}\text{H}_{131}\text{O}_6\text{N}$  (V), т. пл. 38—40°. Восстановлением II  $\text{LiAlH}_4$  получен тетрол  $\text{C}_{68}\text{H}_{134}\text{O}_4$ , т. пл. 54°. Радикал R имеет лишь одно разветвление. Пиролизом II с последующим омылением получена смесь 60% н. докозановой и 40% н. тетракозановой к-т. Приведены данные УФ-спектров III и IV и ИК-спектра V. Предыдущее сообщение см. РЖХимБх, 1957, 8412.

В. Некрасов 51432. Микокерановая кислота. Часть II. Маркс, Полгар (Mycoseranic acid. Part II. Marks G. S., Polgar N.), J. Chem. Soc., 1955, Nov., 3851—3857 (англ.)

Для сравнения с кетонами (K), полученными (ср. часть I, РЖХимБх, 1957, 14271) при ступенчатом расщеплении микокерановой к-ты (I), синтезировали ряд K, в том числе D-(+)-4-метилгексакозанон-2 (II), однако идентифицировать их с K не удалось. По-видимому,

I является 2(D)-4(D)-6(D)-триметилгексакозановой к-той; изучались пути ее синтеза. Получена 2,4,6(D), триметилгексакозановая к-та (III), очевидно, смесь изомеров. Приводится т. пл. в °C (из сп.) K, полученных конденсацией  $\text{RCOCl}$  с  $\text{CH}_3\text{ZnI}$  в толуоле и их семикарбазонов (СК): докозанон-2, 64—65, СК, 128—129; трикозанон-2, 66—67, СК, 129,5—130,5; тетракозанон-2, 67—68, СК, 131—131,5. Неполный метиловый эфир I(+)-3-метилгексакозановой к-ты (IV) превращен через Na-соль в Ag-соль; бромированием последней в  $\text{CCl}_4$  получен (-)-метиловый эфир -4-бром-3-метилгексакозановой к-ты (V), выход 60%; т. кип. 94—96°/20 мм,  $[\alpha]_D^{25} -2,54^\circ$  (без р-рителя),  $n_D^{20} 1,4602$ . Кипячением с NaI в ацетоне V переведен в J-эфир (VI). Из 9 г VI и 13,6 г метилового эфира 3-оксодокозановой к-ты кипячением в  $\text{CH}_3\text{COCH}_3$  с 30 г  $\text{K}_2\text{CO}_3$  (20 час.) с последующим гидролизом и кетонным расщеплением продукта р-ции (34,6 г NaOH в смеси 44 мл  $\text{C}_6\text{H}_6$  + 34,6 мл воды + 520 мл  $\text{CH}_3\text{OH}$ , 50°, 20 час.) получена D(+)-3-метил-6-оксодокозановая к-та (VII), выход 50%, т. пл. 74,5—75,5° (из Петр. эф.),  $[\alpha]_D^{25} + 4,65^\circ$  (с 7,95; хлф.). При восстановлении VII в спирте по Клемменсену с последующим омылением эфира получена D(+)-3-метилпентакозановая к-та (VIII), выход 83%, т. пл. 67—68,5° (из Петр. эф.),  $[\alpha]_D^{25} + 3,76^\circ$  (с 4,52; хлф.). Из 1,8 г VIII +  $\text{SOCl}_2$  получен хлорангидрид, который с  $\text{CH}_3\text{ZnI}$  дал II, выход 0,7 г, т. пл. 52,5—53,5° (из сп.),  $[\alpha]_D^{25} + 4,9^\circ$  (с 6,31; хлф.); СК, т. пл. 101—102° (из сп.). При кипячении V с  $\text{CH}_3\text{ONa}$  в  $\text{CH}_3\text{OH}$  образуется в-во  $\text{C}_{68}\text{H}_{130}\text{O}_2$ , т. кип. 62°/85 мм,  $[\alpha]_D^{25} -85,4^\circ$  (с 13,09; эф.), по-видимому, производное циклопропана. Из оптич. неактивного V действием  $\text{CH}_3\text{COOK}$  в лед.  $\text{CH}_3\text{COOH}$  (кипячение, 12 час.) получен метиловый эфир 4-ацетокси-3-метилгексакозановой к-ты, выход 58%, т. кип. 112—113°/20 мм,  $n_D^{20} 1,4266$ . При кипячении (14 час.) оптич. неактивного VI с фенолом +  $\text{K}_2\text{CO}_3$  в  $\text{CH}_3\text{COCH}_3$  образуется метиловый эфир 3-метил-4-феноксигексакозановой к-ты, выход 17% (в ацетоне выход 21%), т. кип. 146°/16 мм, при гидролизе 20%-ным р-ром NaOH дает 3-метил-4-феноксигексакозановую к-ту (IX), т. кип. 180°/20 мм. Бромированием Ag-соли IX в  $\text{CCl}_4$  получено в-во  $\text{C}_{11}\text{H}_{13}\text{O}_3\text{Br}$ , т. пл. 79,5—80° (из Петр. эф.). Из хлорангидрида IV и  $\text{CH}_3\text{ZnI}$  образуется (-)-метиловый эфир 3-метил-5-оксодокозановой к-ты (X), выход 65%, т. кип. 99°/13 мм,  $[\alpha]_D^{25} -1,1^\circ$  (с 35,6; эф.),  $n_D^{20} 1,4290$ . Восстановлением X (как VII) получена (+)-3-метилгексакозановая к-та, т. кип. 170° (баня)/80 мм,  $[\alpha]_D^{25} + 11,05^\circ$  (с 6,69; баз.),  $n_D^{20} 1,4308$ . При бромировании Ag-соли VIII образуется D-1-бром-2-метилтетракозан (XI), т. пл. 40—41° (из ацетона). Взаимодействием 2 г XI с Na-производным этилового эфира метилмалоновой к-ты (Na-MMЭ) в спирте (кипячение, 10 час.) с последующим гидролизом и декарбоксилизацией получена 2,4(D)-диметилгексакозановая к-та (XII), выход 0,8 г, т. пл. 54—55° (из Петр. эф.), оптичически не активна, n-бромфенацетилловый эфир (БФЭ), т. пл. 67—73° (из сп.). Действием  $\text{LiAlH}_4$  в эфире 1 г XII превращен в 2,4(D)-диметилгексакозанол-1 (XIII), выход 0,82 г, т. пл. 52—55°, т. кип. 215° (баня)/0,01 мм. Из XIII нагреванием с J + P (180°, 3 часа) получен йодид, т. кип. 210—225° (баня)/0,01 мм, который при взаимодействии с Na-MMЭ (как XI) дал III, т. кип. 220—240° (баня)/0,01 мм, т. пл. 45° (из Петр. эф.); БФЭ, т. пл. 62—67°.

В. Некрасов 51433.  $\beta$ -Трикетоны. III. Ксантостемон. Берч, Эллиотт ( $\beta$ -Triketones. III. Xanthostemon. Birch A. J., Elliott Patricia), Austral. J. Chem., 1956, 9, № 2, 238—240 (англ.)

Ксантостемон (I), т. кип. 95—102°/0,8 мм,  $n_D^{25} 1,5112$ ,  $[\alpha]_D^{25} 0^\circ$  (с 2,37;  $\text{CHCl}_3$ ); 2,4-динитрофенилгидразон, т. пл. 239° (из  $\text{CH}_3\text{OH}$ ), извлеченный эфиром из продуктов перегонки с паром листьев *Xanthostemon oppositifolius*.

*sittifolius*, не изменяется при кипячении 2 часа с 10%-ным р-ром NaOH; окисляется NaOBr в к-ту (вероятно, 2,2-диметилглутаконовую), т. пл. 132° (из бзл.-пентр. эф.); гидролизует 50%-ной H<sub>2</sub>SO<sub>4</sub> при 100° в изомасляную к-ту, идентифицированную хроматографированием на бумаге, и в 4,4-диметилциклогексен-5-дион-1,3, т. пл. 105,5° (из бзл.-пентр. эф.), строение которого подтверждено данными УФ-спектра; при окислении I KMnO<sub>4</sub> получена диметилмалоновая к-та, т. пл. 187° (из бзл.-пентр. эф.), а при гидрировании в спирте над Pt (из PtO<sub>2</sub>) и последующем гидролизе продукта гидрирования 50%-ной H<sub>2</sub>SO<sub>4</sub> — β-дикетон, т. пл. 104° (из бзл.-пентр. эф.), являющийся, вероятно, 4,4-диметилциклогександион-1,3. Исходя из описанных превращений, I приписано строение 2-изобутирил-3-окс-4,4-диметилгексадиенона.

Д. Витковский

**51434. Изучение производных холина. III. Синтез и L-метилхолина. IV. Синтез холинного эфира L-2-оксопирролидин-5-карбоновой кислоты и L-глутамилдихолина.** Мацукава, Масуда (Choline誘導體の研究. 第3報. DL-および L-Methionylcholineの合成. 第4報 L-Glutaminicholineおよび L-2-Oxopyrrolidin-5-炭酸の Cholin ester の合成. 松川泰三, 増田克忠), 薬學雜誌 Якутаку дзасси, J. Pharmac. Soc. Japan, 1954, 74, № 11, 1174—1176; № 12, 1344—1346 (японск.; рез. англ.).

III. К 15 г метионина (I) в 50 мл 2 н. NaOH, при размешивании, попеременно добавляют порциями 18 г ClCOOCH<sub>2</sub>C<sub>6</sub>H<sub>5</sub> и 60 мл 2 н. NaOH, выдержка 3 часа. Избыток ClCOOCH<sub>2</sub>C<sub>6</sub>H<sub>5</sub> отмыляют эфиром, водн. слой подкисляют (конго красное) HCl и фильтруют, получают 19,5 г DL-CH<sub>3</sub>SCN<sub>2</sub>CH<sub>2</sub>CH(NHCOOCH<sub>2</sub>C<sub>6</sub>H<sub>5</sub>)COOH (II), т. пл. 113° (из 40%-ного сп. в виде CHCl<sub>3</sub>). 6 г I в 100 мл свежеперегнанного CH<sub>3</sub>COCl размешивают с 11 г PCl<sub>5</sub> (—5°, 2 часа), фильтруют, промывают безводн. пентр. эфиром и получают CH<sub>3</sub>SCN<sub>2</sub>CH<sub>2</sub>CH(NH<sub>2</sub>·HCl)COCl (III). III в 200 мл безводн. C<sub>6</sub>H<sub>6</sub> кипятят с 5 г хлорида холина, C<sub>6</sub>H<sub>6</sub> декантируют; остаток, обесцвеченный в теплом спирте, с (CH<sub>3</sub>)<sub>2</sub>O дает 5—6 г L-метионилхолина (IV), содержащего следы I и холина; перхлорат, т. пл. 151° (разл.); хлороплатинат, т. пл. 195—197°; или смесь III и небольшой избыток (CH<sub>3</sub>)<sub>2</sub>NCH<sub>2</sub>CH<sub>2</sub>OH в C<sub>6</sub>H<sub>6</sub> размешивают при 0°, кипятят до удаления C<sub>6</sub>H<sub>6</sub>. К остатку добавляют спирт, удаляют HCl добавкой Ag<sub>2</sub>O и кипятят 1 час с CH<sub>3</sub>N<sub>3</sub>. Выделенный IV очищают, как описано выше, выход несколько лучше. Или 5 г II в 50 мл CH<sub>2</sub>ClCH<sub>2</sub>Cl при 0° обрабатывают 5 г PCl<sub>5</sub>; фильтруют, удаляют р-ритель и промывают пентр. эфиром. Добавляют 2,5 г хлорида холина в 20 мл диоксиана, нагревают (3 часа, 100°), упаривают, промывают C<sub>6</sub>H<sub>6</sub> и очищают IV, как обычно. Или HON(CH<sub>3</sub>)<sub>2</sub>CH<sub>2</sub>CH<sub>2</sub>Cl и I упаривают досуха, чтобы получить CH<sub>3</sub>SCN<sub>2</sub>CH<sub>2</sub>CH(NH<sub>2</sub>)COON(CH<sub>3</sub>)<sub>2</sub>CH<sub>2</sub>CH<sub>2</sub>Cl; нагревают (5 час., 100°) и очищают IV. 2 г I, 1,4 г C<sub>6</sub>H<sub>5</sub>SCN<sub>2</sub>Cl и 20 мл конц. HCl (к-ты) кипятят 10 час., нейтрализуют NaOH и отфильтровывают S-бензилгомоцистин, т. пл. 240° (из сп.).

IV. 5 г L-2-оксопирролидин-5-карбоновой к-ты (I) и 4 г NaHCO<sub>3</sub> в воде с 7 г AgNO<sub>3</sub> в воде дают 4 г Ag-соли I (II). 25 г HOCH<sub>2</sub>CH<sub>2</sub>N(CH<sub>3</sub>)<sub>2</sub>Cl (III) в 60 мл C<sub>6</sub>H<sub>6</sub> нагревают с 30 мл SOCl<sub>2</sub>. После удаления C<sub>6</sub>H<sub>6</sub> и SOCl<sub>2</sub> получают 23 г ClCH<sub>2</sub>CH<sub>2</sub>N(CH<sub>3</sub>)<sub>2</sub>Cl (IV), т. пл. 242° (из сп.). К 4 г II и 2,7 г IV добавляют 50 мл воды. AgCl отфильтровывают. Фильтрат после упаривания в вакууме и безводн. ацетон дает 3,2 г холинного эфира I. т. пл. 203°, [α]<sub>D</sub><sup>20</sup> — 6,2 ± 0,6°. 26 г ангидрида N-карбобензилокси-L-глутаминовой к-ты, 28 г IV и 30 мл диоксиана нагревают (7 час., 117°), затем при размешивании пропускают сухой HCl (газ). Диоксан декантируют, остаток промывают C<sub>6</sub>H<sub>6</sub> и экстрагируют 100 мл спирта. Добавлением спирт. MnCl<sub>2</sub> осаждают L-глутамилдихолин и γ-глутамилхолин в виде комплексной Mn-соли. Осадок растворяют в неболь-

шом кол-ве воды, обрабатывают 60%-ной HClO<sub>4</sub> и добавляют спирт для получения ((CH<sub>3</sub>)<sub>2</sub>NCH<sub>2</sub>CH<sub>2</sub>COOCH<sub>2</sub>CH<sub>2</sub>N(CH<sub>3</sub>)<sub>2</sub>)(ClO<sub>4</sub>)<sub>2</sub>, т. пл. 146°, [α]<sub>D</sub><sup>20</sup> 2,4 ± 0,5°. Сообщение II см. РЖХим, 1956, 54602.

Chem. Abstrs, 1955, 49, № 21, 14642, № 22, 15855.

K. Kitsuta

**51435. Реакции с азотистоводородной кислотой в сернокислом растворе. Сообщение XVII. Превращение аллоксана в амид оксалуровой кислоты. Каронна, Бруно** (Reazioni con acido azotidrico in soluzione solforica. Nota XVII. Trasformazione della allossana in amide ossalurica. Caronna Gaetano, Bruno Sigfrido), Gazz. chim. ital., 1956, 86, № 10, 878—882 (итал.).

В продолжение прошлой работы (см. сообщение XVI, РЖХим, 1955, 45873) установлено, что соединения с группировкой —NHCOCONH—, как парабановая к-та, диэтил- и фенилэтилбарбитуровые к-ты, не реагируют с HN<sub>3</sub> в сернокислом р-ре. В-ва с группировкой —NHCOCONH— легко реагируют в HN<sub>3</sub>. Аллоксан (I) взаимодействует с 1 молем HN<sub>3</sub> в конц. H<sub>2</sub>SO<sub>4</sub> с выделением N<sub>2</sub> и небольшим кол-вом CO<sub>2</sub>, после обработки водой выделяется стехиометрич. кол-во CO<sub>2</sub> и образуется амид оксалуровой к-ты (II). Предложен механизм этой р-ции. К р-ру 2 г гидрата I в 15 мл конц. H<sub>2</sub>SO<sub>4</sub> при 0° прибавляют эквимолярное кол-во NaN<sub>3</sub>, выливают на лед, получают 1,4 г II, что подтверждается гидролизом II кипячением с конц. NH<sub>4</sub>OH с образованием цавелевой к-ты, мочевины и NH<sub>4</sub>-соли оксамидной к-ты.

Л. Яновская

**51436. Об идентичности родотоксина, андромедотоксина и греанотоксина. I. Такэмото, Нисимото, Магури, Катояма** (Rhodotoxin, Andromedotoxin 及び Grayanotoxin I の一致に就いて. 竹本常松, 西本喜重, 廻治雄, 片山和子), 薬學雜誌 Якутаку дзасси, J. Pharmac. Soc. Japan, 1955, 75, № 11, 1441—1442 (японск.).

Молекулярные ф-лы, т-ры плавления, величины R<sub>f</sub>, [α]<sub>D</sub> бензоатов этих соединений почти идентичны. Предлагается называть их андромедотоксином.

Chem. Abstrs, 1956, 50, № 6, 4456.

K. Kitsuta

**51437. Конфигурация гумулонов. Говард** (The configuration of humulones. Howard G. A.), Chemistry and Industry, 1956, № 50, 1504 (англ.).

Левовращающий гумулон (I) и его природные аналоги образуют со щел. металлами правовращающие соли (см. РЖХим, 1956, 50919; 61368; 1957, 14431). При сравнении I с D-глицериновым альдегидом (II), OH-, алкенил, CO- и енолизирующая CO-группы при асимметрии C-атоме I соответствуют OH-, HOCH<sub>2</sub>-, H и CHO-группам II. Для I и его аналогов: когумулона, адгумулона и т. д. предложена D-конфигурация. А. Л. 51438. Синтез цитреорозина и алоэ-эмодина. Раджагопалан, Сешадри (Synthesis of citreorosein and aloë-emodin. Rajagopalan T. R., Seshadri T. R.), Proc. Indian Acad. Sci., 1956, A44, № 6, 418—422 (англ.).

Осуществлен синтез цитреорозина (I) и алоэ-эмодина (II) исходя соответственно из франгулаэмодина (III) и хризеофанола (IV). При кипячении (24 часа) 0,5 г триацетата III с 0,4 г N-бромсукцинимидом и 0,02 г C<sub>6</sub>H<sub>5</sub>COOH в CCl<sub>4</sub> образуется ω-бромэмодинтриацетат (V), выход 0,35 г, т. пл. 232—234° (из этилацетата). 0,2 г V кипятят 6 час. с 15 мл (CH<sub>3</sub>CO)<sub>2</sub>O и 0,6 г CH<sub>3</sub>COOAg, выход тетраацетата I, 0,15 г; омылением 0,1 г его H<sub>2</sub>SO<sub>4</sub> в CH<sub>3</sub>OH получают I, выход 0,07 г. При метилировании 1 г III (CH<sub>3</sub>)<sub>2</sub>SO<sub>4</sub> в ацетоне + K<sub>2</sub>CO<sub>3</sub> (кипчение 4 часа) получен 2-метил-7-метокси-4,5-диоксинантрахинон (физинон), выход 0,5 г; при кипячении (12 час.) 1 г его в лед. CH<sub>3</sub>COOH + HBr (к-та) образуется III, выход 0,9 г. Диацетат IV бромированием



(см. выше) превращен в диацетат  $\omega$ -бромхризофанола, т. пл. 212—215°, который с  $\text{CH}_3\text{COOAg}$  дает триацетат II, т. пл. 175—177° (из бэл.), омыленный ( $\text{H}_2\text{SO}_4$  в р-ре  $\text{CH}_3\text{OH}$ ) до II.

В. Антонов  
51439. Синтез анголензина. Гупта, Сешадри (Synthesis of angolensin. Gupta V. N., Seshadri T. R.), Proc. Indian Acad. Sci., 1956, A44, № 4, 223—227 (англ.)

Анголензин (I) синтезирован р-цией Фриделя—Крафта из хлорангидрида *n*-метоксигидратроновой к-ты и дибензилевого эфира резорцина (II) с дебензилированием  $\text{HCl}$  (к-той) образующегося 4-бензилевого эфира I. При замене II диметилловым эфиром резорцина образуется 4-метилловый эфир. I.

Л. Май  
51440. Строение вещества «максима А». Рангасвами, Састри (Constitution of Maxima substance A. Rangaswami S., Sastry B. V. Rama), Proc. Indian Acad. Sci., 1956, A44, № 5, 279—283 (англ.)

При нагревании р-ра г-ва «максима А» (I)  $\text{C}_{17}\text{H}_{10}\text{O}_6$  (см. РЖХим, 1956, 19404) в 5%-ном спирте. КОН в 30%-ной  $\text{H}_2\text{O}_2$  получены пиперониловая к-та и фенолокетон  $\text{C}_{16}\text{H}_{12}\text{O}_6$  (II), т. пл. 131—132° → 142—144° (из бэл.-петр. эф.); 2,4-динитрофенилгидразон II, т. пл. 239—241° (из хлф.- $\text{CH}_3\text{OH}$ ). При гидролизе I 12%-ным р-ром NaOH в 50%-ном спирте обнаружены II и  $\text{HCOOH}$ . Р-ция I с безводн.  $\text{AlCl}_3$  в  $\text{C}_6\text{H}_6$  (кипение 2,5 часа) приводит к 6,7,3',4'-тетраоксизофлавоноу  $\text{C}_{15}\text{H}_{10}\text{O}_6$ , т. пл. 320° (разл.; из  $\text{CH}_3\text{OH}$ -бэл.); он превращен в 6,7,3',4'-тетраметоксиизофлавонон, т. пл. 168—170° (из  $\text{CH}_3\text{OH}$ -петр. эф.). По-видимому, I является 6,7,3',4'-ди-(метилendioкси)-изофлавоном. А. Л.

51441. Структура флавоноидного гликозида из пыльцы травы. Инглетт (Structure of a grass pollen flavonoid glycoside. Inglett G. E.), Nature, 1956, 178, № 4546, 1346 (англ.)

Из гликозида дактилыла (I), содержащегося в пыльце тимфевики гидролизом 2 н.  $\text{H}_2\text{SO}_4$  выделяет аглюкон (II). При ацетилировании II образуется 3,5,7,4'-тетраацетоксис-3'-метоксифлавонон; метилирование II приводит к 3,7,3',4'-тетраметоксис-5-оксифлавонону. Р-цией I с  $\text{CH}_2\text{N}_2$  с последующим гидролизом получен 5,7,3'-триметоксис-3,4'-диоксифлавонон. Таким образом, I является 3,4'-диглюкозидом изорамнетина, ранее выделенным из пыльцы *Crocus* (Kuhn, Ber., 1944, 77, 196).

А. Лютенберг

51442. Флавоноиды различных видов слив. V. Флавоноиды древесины *Prunus verecunda*. Хасегава, Ширато (Flavonoids of various *Prunus species*. V. The flavonoids in the wood of *Prunus verecunda*. Hasegawa Masao, Shirato Teruo), J. Amer. Chem. Soc., 1957, 79, № 2, 450—452 (англ.)

Древесина *Pr. verecunda* (2,4 кг) извлечена  $\text{CH}_3\text{OH}$ ; выделены (приведен выход в г): пиноцембриин (I) 0,3; изосакурнетин (II) 0,5; норинганиян 2,5; таксифолин 0,5; генезаниян 0,5; генистеин 1,0; ируветин 0,3; эриодиктиол 0,3; изосакураурия 0,3; новый гликозид «верекундин»  $\text{C}_{21}\text{H}_{22}\text{O}_9 \cdot 2\text{H}_2\text{O}$  (III) 5,00, т. пл. 135° (из сп.),  $[\alpha]_D^{25} - 71,1^\circ$  (в 60%-ном ацетоне);  $R_f$ : 0,97 (м-крезол- $\text{CH}_3\text{COOH}$ -вода; 24:1:25); 0,95 (60%-ная  $\text{CH}_3\text{COOH}$ ). Диацетат III, т. пл. 191° (из  $\text{CH}_3\text{OH}$ ). Монометилловый эфир III, т. пл. 98° (из воды + эф.), т. разл. 123°. III является 5-гликозидом I. Получен 5,7-диметилловый эфир I, т. пл. 169°. II,  $[\alpha]_D^{25} - 27^\circ$ , I (в ацетоне + пиридин). Сообщение IV см. РЖХим, 1956, 16258. Л. А.

51443. Выделение и структура патулитрина. Баннерджи, Сешадри (Isolation and constitution of patulitrin. Bannerjee N. R., Seshadri T. R.), Proc. Indian Acad. Sci., 1956, A44, № 5, 284—286 (англ.)

Из лепестков цветов *Tagetes patula* Т выделен новый гликозид патулитрин (I)  $\text{C}_{22}\text{H}_{22}\text{O}_{13}$ , выход 0,045%, т. пл. 253—254° (разл.; из ацетона +  $\text{CH}_3\text{OH}$ ); значе-

ния  $R_f$  0,77 (фенол, насыщ. водой), 0,64 (вода, насыщ. фенолом), 0,58 (бутанол:  $\text{CH}_3\text{COOH}$ : вода; 4:1:5). По данным гидролиза и метилирования I является 7-моноглюкозидом патулетина, т. е. 6-метоксис-3,5,7,3',4'-пентаоксифлавонона.

А. Лютенберг

51444. Некоторые реакции понгамола. Рао, Венкатесварлу (Some reactions of pongamol. Rao Ch. Bheemasankara, Venkateswarlu V.), Current Sci., 1956, 25, № 11, 357 (англ.)

При гидролизе понгамола ( $\text{K}_2\text{CO}_3$  в абс. сп.) образуется 5-ацетил-4-оксифенофуран (I), т. пл. 86°, и 5-ацетил-4-метоксифенофуран (II) (см. РЖХим, 1956, 43333). При действии  $\text{SOCl}_2$  О-ацетилкаранджевая к-та превращена в хлорид к-ты, который с избытком  $\text{CH}_2\text{N}_2$  образует диазокетон; восстановление его р-ром  $\text{HJ}$  в  $\text{CHCl}_3$  (см. РЖХим, 1956, 28957) с последующим гидролизом дает хороший выход I. Аналогично из О-метилкаранджевой к-ты синтезирован II. А. Л.

51445. Ядовитые вещества ягод австралийской вишни *Rhodomyrtus macrocarpa* Benth. Триппетт (Toxic constituents of the Australian finger cherry, *Rhodomyrtus macrocarpa* Benth. Trippett S.), J. Chem. Soc., 1957, Jan., 414—419 (англ.)

Из сухих незрелых ягод *Rhodomyrtus macrocarpa* ацетоном извлечен родомиртоксин — тетраоксидиметилдизовалерилдифенофуран (I)  $\text{C}_{24}\text{H}_{28}\text{O}_7$ , выход 1,2—1,9%, т. пл. 198—199° (из  $\text{CH}_3\text{COOH}$ , затем из бэл.), летальная доза для мышей 12 мг/кг. Адильные производные I (даны т. пл. в °C): тетраацетат 191—192 (из  $\text{H}_2\text{C}_6\text{H}_5\text{OH}$ ); тетра-*n*-толуолсульфонат, 170—171 (из бутанола-1); тетра-*n*-хлорбензоат, 228 (из сп.); тетрабензоат, 230—233 (из бутанола-1). Метилирование I дает сиропообразный тетраметилловый эфир (II). Восстановлением I (по Клемменсену или со скелетным Ni) с последующим ацетилированием получен тетраацетат  $\text{C}_{22}\text{H}_{20}\text{O}_9$  (III), т. пл. 172—174° (из сп.). При действии на I  $\text{HJ}$  (к-ты) образуется диизовалерилродомиртоксин  $\text{C}_{14}\text{H}_{12}\text{O}_5$  (IV), т. пл. 300° (из эф.-петр. эф.); тетраацетат (V), т. пл. 197—200° (из бутанола-1). С  $\text{CH}_2\text{N}_2$  IV дает три-О-метилловый эфир (VI), т. пл. 171—172° (из сп.). Производные VI (даны т. пл. в °C): аддукт с тринитробензолом (ТНБ), 184—185 (из сп.); пикрат, 185—186° (разл.; из петр. эф.); моноацетат, 204—205; *n*-хлорбензоат, 244—245; метилловый эфир (VII), т. е. тетраметилловый эфир IV, 203—204 (все из бутанола-1); аддукт VII с ТНБ, 234—235 (из сп.). Из VII действием Na в жидком  $\text{NH}_3$  с последующим ацетилированием получен диацетат (VIII)  $\text{C}_{14}\text{H}_{10}\text{O}(\text{OCH}_3)_2(\text{OCOCH}_3)_2$ , т. пл. 224° (из бутанола-1). При действии на I  $\text{HJ}$  (к-ты) в  $\text{CH}_3\text{COOH}$  +  $\text{BF}_3$  образуется ди-С-ацетат IV  $\text{C}_{18}\text{H}_{16}\text{O}_7$  (IX), т. пл. 300° (из сп.). В тех же условиях, но в  $\text{CH}_3\text{COOH}$  из I получен *изо*-I, т. пл. 231—234° (из  $\text{CH}_3\text{COOH}$ ); тетраацетат (X), т. пл. 190—191° (из бутанола-1). В зрелых плодах *Rh. macrocarpa* содержится другой изомер  $\text{C}_{24}\text{H}_{28}\text{O}_7$  (XI), также токсичный, т. пл. 186—188° (из водн.  $\text{CH}_3\text{OH}$ ); тетраацетат, т. пл. 117—119° (из эф.-петр. эф.); тетрабензоат, т. пл. 199—200° (из сп.). Приведены данные УФ-спектров I, II, III и в V по XI и кривые УФ-спектров I, *изо*-I, V и 1,3,7,9-тетраоксидифенофурана.

Е. Алексеева

51446. Компоненты *Justicia procumbens* L. var. *leucantha* Honda. I. Выделение юстинина и изоюстинина. Цукamoto, Кисimoto (キツノメノマゴ成分の研究. 第1報 Justicin 及び Isojusticin の分離. 塚本越夫, 岸本安生). 薬学雑誌, Якутаку даасси, J. Pharm. Soc. Japan, 1955, 75, № 12, 1565—1567 (японск., рез. англ.)

600 г высушенных цветущих растений экстрагируют эфиром, экстракт упаривают до 100 мл, выдерживают при 0°, отфильтровывают осадок, омыляют 0,5 н.  $\text{NaOH}$ - $\text{C}_2\text{H}_5\text{OH}$ , добавляют воду; отфильтровывают

осадок. Фильтрат подкисляют HCl, выдерживают 2 дня, отфильтровывают осадок, промывают разб. NaOH, растворяют в 150 мл  $\text{CHCl}_3$ , пропускают через  $\text{Al}_2\text{O}_3$ . Промывной р-р упаривают до 50 мл и получают изокустициин,  $\text{C}_{16}\text{H}_{12}\text{O}_5$ , (I), выход 0,02%, т. пл. 251—252° (из  $\text{CHCl}_3$ ), число этерификации 188,3. Маточный р-р обрабатывают большим кол-вом  $\text{CH}_3\text{OH}$ ; получают юстицин (II), выход 0,1%, т. пл. 216° (из  $\text{CHCl}_3$  +  $\text{CH}_3\text{OH}$ ), число этерификации 203,7. I и II содержат 2  $\text{CH}_3\text{O}$ -группы и 1 лактонный цикл, характер которого дает основание считать, что I и II не являются обычными соединениями группы кумарина.

Chem. Abstrs, 1956, 50, № 15, 10744. K. Kitsuta

51447. Синтез DL-азаринина и DL-сезамина. Брухаузен, Лингнер (Eine Synthese von DL-Asarinin und DL-Sesamin. Bruchhausen Friedrich v., Lingner Klaus), Arch. Pharmazie, 1957, 290/62, № 1, 1—16 (нем.).

Для синтеза DL-сезамина (I) и DL-азаринина (II) использована р-ция гофманского расщепления четвертичного аммониевого основания, изученная на модельном синтезе  $\alpha$ -(метилendioксибензил)-тетрагидрофурана (III). Взаимодействием Mg-комплекса из  $\text{C}_2\text{H}_5\text{MgBr}$  и пропаргилдиметиламина с пипероналом получен оксипиперонилпропаргилдиметиламин, выход 58%; при гидрировании его с  $\text{PtO}_2$  в 50%-ной  $\text{CH}_3\text{COOH}$  образуется оксипиперонилпропаргилдиметиламин (IV), выход 79%, масло, т. кип. 192°/6 мм. Подметилат IV, т. пл. 208—211°, обработан  $\text{Ag}_2\text{O}$ , продукт р-ции при кипячении с твердым KOH (140—150°, 1 час) дает III, выход 87%, т. кип. 130°/1,5 мм. Конденсацией 48 г ацетдиметиламина с 42 г этилового эфира пиперонилэтановой к-ты (V) в бензоле + суспензия 20 г  $\text{NaNH}_2$  (нагревание, 5 час.) получен пиперонил-ацетдиметиламид,  $3,4\text{-CH}_2\text{O}_2\text{C}_6\text{H}_5\text{COCH}_2\text{CON}(\text{CH}_3)_2$  (VI), выход 45—50%, т. пл. 87—88° (из хлф.-эф.), т. кип. 180°/0,5 мм. При димеризации 2,4 г VI нагреванием (1 час) в  $\text{C}_6\text{H}_6$  с 20 мл 0,54 M р-ра  $\text{C}_6\text{H}_5\text{Li}$  в эфире + 1,2 г J образуются две формы бис-диметиламина диниперонилэтановой к-ты (VII): кристаллич. (а), выход 1,7 г, т. пл. 208—211° (из эф.), и масло (б), выход 0,7 г. Обе формы при восстановлении  $\text{LiAlH}_4$  в диоксане + эфир (кипячение, 4 часа) дают масло — смесь диастереомерных бис-оксипиперонил-бис-диметиламинобутанов (VIII). С  $\text{CH}_3\text{I}$  в тетрагидрофуране (кипячение, 2 часа) из 3,5 г VIII (из VIIa) получен кристаллич. йодметилат  $\text{C}_{28}\text{H}_{38}\text{O}_6\text{J}_2$  (IXa), выход 1 г, т. пл. 269—271° (из водн. сп.); в этих же условиях VIII из VIIb дает йодметилат — масло (IXb). Обработкой  $\text{Ag}_2\text{O}$  с последующим нагреванием продукта р-ции (160—170°, 20 мин.) из IXa получен I, выход 20%, а из IXb — II, выход очень мал. Диэтиловый эфир диниперонилэтановой к-ты (X) при действии избытка  $(\text{C}_2\text{H}_5)_2\text{NH}$  в водн. р-ре постепенно превращается в диниперонилэтан, т. пл. 216—218° (из лед.  $\text{CH}_3\text{COOH}$ ). При нагревании X (кристаллич. а) с р-ром  $\text{C}_2\text{H}_5\text{OK}$  образуется полуэфир — эноллактон  $\text{C}_{22}\text{H}_{16}\text{O}_9$  (XI), т. пл. 151—153°. Восстановлением X (масло б) Al-амальгамой в эфире получен этиловый эфир пиперонил-оксипиперонилэтановой к-ты — масло, т. кип. 180°/6 мм, при омылении дает монолактон к-ты,  $\text{C}_{26}\text{H}_{16}\text{O}_8$ , т. пл. 242—244°; из остатка после частичного омыления продукта восстановления Xb (KOH в водн. спирте, комнатная т-ра) выделен этиловый эфир пиперонил-оксипиперонилэтановой к-ты, т. пл. 96—101°, дающий при омылении к-ту, т. пл. 215°. X является сильным восстановителем, вероятно, вследствие легкости ионизации  $\text{CH}$ -группы. При нагревании 65 г Xa с 130 г  $\text{Hg}(\text{CH}_3\text{COO})_2$  в смеси (1:1) диоксана с лед.  $\text{CH}_3\text{COOH}$  (100°, 30 час.) образуется диэтиловый эфир диниперонилфумаровой к-ты (XII), выход 50%, т. пл. 144—146° (из сп.).

Гидрированием XII с  $\text{PtO}_2$  получен изомер X (вероятно, DL-форма), т. пл. 136—138° (из сп.), с р-ром  $\text{C}_2\text{H}_5\text{OK}$  дает XI. При кипячении с 1%-ным спирт. р-ром KOH (30 мин.) XII образует диниперонилфумаровую к-ту, т. пл. 254—256° (разл., из сп.), а с более конц. щелочью — также и диниперонилэтилен, т. пл. 262—264° (из диоксана). При взаимодействии 24 г V, 5 г  $\text{CH}_3\text{CN}$  и 7,5 г  $\text{NaNH}_2$  в бензоле (30 мин.) образуется  $\omega$ -пиперонилпиперон,  $\text{CH}_2\text{O}_2\text{C}_6\text{H}_5\text{COCH}_2\text{CN}$  (XIII), выход 68,5%, т. пл. 133—135° (из сп.). Действием сухого HCl (газа) в смеси абс. спирта + диоксан (0°) XIII превращен в хлоргидрат пиперонил-ацетимидоэфира (XIV), выход 76,5%, т. пл. 145° с разложением и образованием (после обработки спиртом) пиперонил-ацетамиды (XV), выход 63%, т. пл. 150—151°. Димеризовать XV действием  $\text{C}_2\text{H}_5\text{ONa}$  и J не удалось. Из XIV и избытка  $(\text{CH}_3)_2\text{NH}$  в абс. спирте получен хлорид пиперонил-ацетидиметиламина, т. пл. 169° (из ацетона + сл.), при действии водн. р-ра NaOH дает пиперонил-ацетидиметиламид  $\text{C}_{12}\text{H}_{14}\text{O}_3\text{N}_2$  (XVI), т. пл. 186—188° (из водн. сп.). Получить VI омылением XVI не удалось. Приведена кривая ИК-спектра I. В. Некрасов

51448. Химические компоненты промышленной древесины и других растительных материалов.

Часть II. Древесина *Pinus excelsa* Wall. Махеш, Сешадри (Chemical components of commercial woods and related plant materials: Part II. The heartwood of *Pinus excelsa* Wall. Mahesh V. B., Seshadri T. R.), J. Scient. and Industr. Res., 1954, B13, № 12, 835—841 (англ.).

Из древесины гималайских образцов сосны *Pinus excelsa* экстрагированием петр. эфиром (фракция А), затем эфиром (фракции В, С, D, Т) и горячим спиртом (фракции F, G, H) выделены в-ва, не обнаруженные ранее в *P. excelsa*: галангин, изальпинин, 7-метилловый эфир цинобанксина, 2-окси-4,6-диметоксикалкон, 4-окси- и 4-метоксикалкон и диметилловый эфир пиносильвина. Одновременное наличие халкона, флаванона, оксифлаванона и флаванола послужило основанием для разработки гипотетич. схемы биогенеза различных флавоноидов, найденных в *P. excelsa*. Кроме того, выделен ряд в-в, обнаруженных в *P. excelsa* ранее (Lindsteadt, Acta chem. scand., 1949, 3, 1375; 1951, 5, 121, 129). Но их выходы были значительно ниже чем в работах Линдштедта. Это обстоятельство, а также большее число соединений, по-видимому, обусловлено различием в месте обитания и возрасте растений. Г. Дячина

51449. О реакции ненасыщенных соединений с водой. Шауэнштейн (Über die Reaktion ungesättigter Verbindungen mit dem Wasser. Schauenstein E.), Naturwissenschaften, 1956, 43, № 16, 372—373 (нем.).

При взаимодействии ненасыщ., нерастворимых в воде в-в с очищ. дистил. водой образуются продукты, растворимые в воде. В р-ции вступает 30—40% в-ва (см. РЖХим, 1957, 15248). Из 1,12-линолевой к-ты (I) или ее этилового эфира (II), кроме диоксисоединений, образуется 5—15% сопряженных диенов (СД), из витамина А — 2% сопряженных триенов и СД, из витамина D<sub>2</sub> 30% СД. Аналогично гидроксилируются липиды (Л) из сыворотки человека и олеиновая к-та. В результате растворимость в-в в воде достигает 0,5 г на 100 мл и создаются новые условия резорбции. Водн. р-ры (при исходных I, II или Л) обесцвечивают на холоду кислый р-р  $\text{KMnO}_4$ , выделяют Ag из р-ра тетрамина Ag, образуют комплексы с  $\text{Fe}^{3+}$ . Гидратация подтверждается ИК-спектрами, хроматографией на бумаге, НО-числами и р-цией с  $\text{KJO}_4$  + крахмал.

А. Лютенберг

51450 Д. Продукты превращения веществ, образующихся при конденсации изопельтерина с формальдегидом. Буркхардт (Umsetzungsprodukte der Kondensation von Isopelletieren mit Formaldehyd. Burkhardt Karl. Diss. T. H. F. f. Chemie, Darmstadt, 1954), Dtsch. Nationalbibliogr., 1955, В, № 21, 1531 (нем.)

51451 Д. Применение реакции расширения циклов с помощью диазоалканов для синтезов в ряду колхицина. Джонсон (Application of ring enlargement reactions with diazoalkanes to synthesis in the colchicine field. Johnson Herbert Edmond. Doct. diss. Univ. Washington, 1955), Dissert, Abstrs, 1955, 15, № 9, 1498 (англ.)

51452 Д. Синтез антагонистов триптофана. Лайл (Synthesis of tryptophan antagonists. Lyle Richard Edward. Doct. Diss., Univ. Illinois, 1955), Dissert. Abstrs, 1955, 15, № 10, 1725 (англ.)

51453 Д. О строении хиновой кислоты. Пюрхер (Zur Konstitution der Chinoväsure. Zürcher Alfred. Diss., techn. Wiss., ETH, Zürich, 1955), Schweiz. Buch, 1955, В 55, № 6, 274 (нем.)

51454 Д. К исследованию горечей из растений семейства сложноцветных. Изучение *Artemisia absinthium*. Шустер (Beitrag zur Kenntnis der Kompositenbitterstoffe. Untersuchung ausgeführt an *Artemisia absinthium*. Schuster Nussa Erika. Diss., Math. u. naturwiss. F., F. U., 1954), Dtsch. Nationalbibliogr., 1955, В, № 19, 1375 (нем.)

51455 Д. Строение адонитоксина. Петерсен (Die Konstitution des Adonitoxins. Petersen Rudolf. Diss. Math.-naturwiss. F., Hamburg, 1953), Dtsch. Nationalbibliogr., 1955, В, № 3, 226 (нем.)

См. также: Эфиры целлюлозы 52989—52991, 53035. Стероиды 52577—52588. Алкалоиды: получение меченого резерпина 50642; алкалоиды *Naplophyllum foliosum* 16612Бх; получение резерпина 52567; получение дегидрокодеина 52568. Витамины 52569—52576. Антибиотики 52589—52595. Аминокислоты и белки 52557; 16154—16157Бх, 16159Бх, 16160Бх, 16185Бх, 16186Бх. Получение кристаллич. каротина 52511

## ХИМИЯ ВЫСОКОМОЛЕКУЛЯРНЫХ ВЕЩЕСТВ

Редакторы Х. С. Багдасарян, Г. С. Колесников, Ю. С. Липатов

51456. Некоторые макромолекулярные проблемы в химии белков. Клеesson (Quelques problèmes macromoléculaires dans la chimie des protéines. Claesson S.), Colloq. internat. Centre nat. rech. scient., 1955, 57, 161—166 (франц.)

Рассмотрен вопрос о микрогетерогенности белков и о гидродинамич. и оптич. свойствах этих соединений. Библ. 30 назв. А. Праведников

51457. Нуклеиновая кислота, рассматриваемая как полиэлектролит. Батлер (L'acide nucléique considéré comme un polyélectrolyte. Butler J. A. V.), Colloq. internat. Centre nat. rech. scient., 1955, 57, 145—159 (франц.)

Обзор. Библ. 23 назв. А. Праведников

51458. Молекулярная цепь целлюлозы II. Птипа, Оберлен, Меринг (Chaîne moléculaire de la cellulose II. Petitpas Thérèse, m-lle, Oberlin Michel, Mering Jacques), C. r. Acad. sci., 1957, 244, № 3, 346—349 (франц.)

Приведены эксперим. подтверждения ранее предложенной структурной модели целлюлозы II (РЖХим, 1957, 8258), полученные с помощью непрерывного фотометрирования интенсивности рентгеновского рассеяния. С. Френкель

51459. К вопросу о точной величине отношения Рэлея. Карпентер, Кригбаум (On the question of the correct values for Rayleigh's ratio. Carpenter D. K., Krigbaum W. R.), J. Chem. Phys., 1956, 24, № 5, 1041—1048 (англ.); Исправления (Errata), 1956, 25, № 2, 384

Измерено абс. значение отношения Рэлея для неполяризованного света ( $R_u$ ) для бензола, толуола и р-ра (0,5 г на 100 см<sup>3</sup>) полистирола в толуоле на длинах волн 426 и 551 мμ. Интенсивность начального пучка  $I_0$  измерялась с помощью блока MgCO<sub>3</sub> методом отражения, который, как показано авторами, является наиболее точным и свободным от каких-либо систематич. ошибок. Полученные данные в пределах эксперим. ошибок совпадают с известным из литературы рядом значений  $R_u$ , большим по величине. Авторы подробно рассматривают возможные ошибки при из-

мерениях, давших низкие значения  $R_u$ , анализируя известные литературные данные. По их мнению, они сводятся к ошибочному измерению  $I_0$  и игнорированию поправки на коэф. преломления.

В. Кушнер  
51460. Некоторые свойства коэффициентов диффузии в полимерах. Баррер (Some properties of diffusion coefficients in polymers. Barrer R. M.), J. Phys. Chem., 1957, 61, № 2, 178—189 (англ.)

Рассмотрены последние работы в области сорбции и диффузии в полимерах. Любая бинарная система полимер — диффундирующее в-во может быть охарактеризована 5 коэф. диффузии, измеряемыми в различных условиях. Подчеркивается значение временной зависимости коэф. диффузии, которая связывается с происходящими в полимерах релаксационными процессами. Дана классификация систем полимер — диффундирующее в-во и обсуждены факторы, влияющие на концентрационную зависимость диффузии. Рассмотрено также проникновение молекул через органич. мембраны. Ю. Липатов

51461. Исследование строения и свойства карбоцепных полимеров в разбавленных растворах. 2. Растворы сополимера хлористого винила и акрилонитрила. Зеликман С. Г., Михайлов Н. В., Коллоидн. ж., 1957, 19, № 1, 35—40 (рез. англ.)

Изучена температурная зависимость вязкости сополимеров винилхлорида и акрилонитрила различного состава при  $t$ -рах 20—60° и определены характеристики и уд. вязкости сополимеров в диметилформамиде, а также мол. веса фракций при 20, 35 и 50° осмотич. методом. Описана методика фракционирования. Произведен расчет изменения термодинамич. функций при растворении и оценен параметр  $\mu$ , характеризующий гибкость. Показано, что гибкость возрастает с увеличением содержания в полимере акрилонитрила. С уменьшением мол. веса гибкость уменьшается. Отличия свойств сополимеров от свойств гомополимеров авторы объясняют нерегулярностью структуры сополимера и внутримолекулярным взаимодействием полярных групп (хлора с углеродом нитрильной группы). Сообщение. Часть I см. РЖХим, 1957, 37852

Ю. Липатов



51462. Исследование взаимодействия нитрата целлюлозы с бинарной жидкостью с помощью измерений осмотического давления. Буайе-Кавенюки (Etude de l'interaction nitrate de cellulose — liquide binaire au moyen de la pression osmotique. Boyer-Kawenoki Fanny), Bull. Soc. chim. France, 1957, № 3, 413—416 (франц.).

Измерялось осмотическое давление  $\pi$  нитроцеллюлозы (I) в смешанных р-рителях (ацетон + осадитель) и метаноле. По значениям 2-го вириального коэф.  $B$  определялась константа взаимодействия  $\mu$ . Показано, что добавление активного или инертного осадителя (напр., спирта или углеводорода) к ацетону понижает растворимость I. В исследованных системах значения  $\mu$  варьируют от 0,205 для чистого ацетона до 0,474 для смеси 54 об. % ацетона + 46 об. % циклогексана. Последняя цифра почти соответствует пределу растворимости, когда  $B \rightarrow 0$ . Близкое значение  $\mu$  (0,419) получается, когда ацетон разбавлен 14% воды. В метаноле  $\mu = 0,356$ , однако мол. вес I оказывается 53500 вместо  $\sim 69000$  в остальных р-рителях. Автор объясняет это старением I, которое протекает с разной скоростью в различных р-рителях и которому благоприятствует наличие в р-рителе группы OH. С. Френкель

51463. Определение молекулярных весов декстранов методом светорассеяния. I. Сато (光散法による Dextran の分子重量測定. I. 佐藤猛), 高分子化学, Кобунси кагаку, Chem. High Polym., 1956, 13, № 140, 526—530 (японск.; рез. англ.).

Декстран, получаемый в Японии, гидролизован в кислой среде и фракционирован с выделением 16 фракций. Определены средневесовой мол. вес и 2-й вириальный коэф. Результаты сравнены с данными по среднечисленному мол. весу, полученному методом определения конечных групп. Резюме автора

51464. Соотношение между вязкостью и молекулярным весом для полиакрилонитрила. Онъон (The molecular weight-viscosity relation for polyacrylonitrile. Onyon P. F.), J. Polymer Sci., 1956, 22, № 100, 13—18 (англ.; рез. нем., франц.).

Вязкость нефракционированных полимеров, полученных при 25° неглубокой полимеризацией в массе или в р-ре диметилформамида (передатчик цепи), подчиняется ур-нию ( $\eta = 3,92 \cdot 10^{-4} M_n^{0.75} \text{ дЛ/г}$ ). Вязкость измерялась в р-ре диметилформамида. Х. Багдасарян

51465. Характеристическая вязкость в смешанном растворителе. Каван (混合溶媒中における極限粘度について. 河合徹), 高分子化学, Кобунси кагаку, Chem. High Polym., 1955, 12, 373—382 (японск.).

Характеристическая вязкость  $[\eta]$  определялась по методу Флори (Flory P. J., Fox T. G., J. Amer. Chem. Soc., 1951, 73, 1904—1908). Рассмотрено влияние избирательной абсорбции на  $[\eta]$ . Обсуждены 2 случая: 1)  $[\eta]$  монотонно изменяется с составом смешанного р-рителя; 2)  $[\eta]$  проходит через максимум при некотором составе смешанного р-рителя. Опытные данные (особенно во 2-м случае) удовлетворительно согласуются с теорией.

Chem. Abstrs, 1957, 51, № 1, 45. Eiichi Wada

51466. Вязкость растворов частично ацетилированных поливиниловых спиртов. Сакагути, Ито (ポリビニルアルコール部分酢化物水溶液の粘度. 坂口康義, 伊藤順夫), 高分子化学, Кобунси кагаку, 1956, 13, № 140, 544—548 (японск.; рез. англ.).

Установлена линейная зависимость между характеристической вязкостью  $[\eta]$  частично ацетилированных поливиниловых спиртов (22—32 мол. %) и корнем квадратным из мол. веса этих спиртов при «идеальной» т-ре,  $\Theta$ . Термодинамический параметр теории Фокса — Флори, вычисленный из зависимости  $[\eta]$  от т-ры, отрицателен и по абс. величине в 4,5 раза меньше вычисленного из фазового равновесия. Резюме автора

51467. Поликислоты из полиакрилонитрила. Вискозиметрия в чистом водном растворе. Сёниерскуг (Polyacids from polyacrylonitrile. Viscosimetry in pure aqueous solution. Sönnerskog Sven), Acta chem. scand., 1955, 9, № 10, 1649—1655 (англ.).

Сравнивалось вискозиметрическое поведение полученных щел. омылением полиакрилонитрила полиэлектролитов (I) и полиакриловой к-ты (II), непосредственно полученной путем окислительно-восстановительной полимеризации мономера в водн. р-ре. Основная разница структур этих полимеров сводится к тому, что в I сохраняется некоторое кол-во неомыленных нитрильных групп, т. е. их следует рассматривать как статистич. сополимеры акрилонитрила и метакриловой к-ты. Наличие акрилонитрильных звеньев понижает растворимость I в воде и соответственно обуславливает иное значение фактора набухания Флори (РЖХим, 1954, 10374), чем у II. Этим обстоятельством качественно объясняются наблюдавшиеся различия кривых приведенной вязкости,  $\eta_{уд}/c$ —с. Для всех образцов I характерно наличие более или менее размытых максимумов  $\eta_{уд}/c$  при  $\lg c$  порядка 1—1,5  $\cdot 10^{-3}$  (с в г на 100 мл), тогда как у II  $\eta_{уд}/c$  монотонно растет при разбавлении до указанных конц-й, а далее остается неизменной. С. Френкель

51468. Исследование пластификации полимеров. Эффективность пластификаторов при пластификации поливинилхлорида. Сёдз и (高分子材料の可塑化に関する研究. ポリ塩化ビニールの可塑化に及ぼす可塑剤の作用効率について. 庄司重敏), 大阪工業技術試験所季報, Осака когё гидзюсю сикэнсё кихо, 1956, 7, № 2, 65—70 (японск.; рез. англ.).

Для оценки эффективности пластификаторов в определенной области т-р измерены вязкости (120—160°) нескольких типов пластифицированного поливинилхлорида с различным содержанием пластификаторов на пластометре с параллельными пластинами. Получены кривые: жесткость — т-ра. Пластификаторы охарактеризованы т-рой, по которой кривая зависимости логарифм модуля Юнга — т-ра (от —10 до —60°) имеет максим. наклон. Резюме автора

51469. О «кристалличности» целлюлозы. Боковая организация цепей в сухом рами. Оберлен, Меринг (De la «crystallinité» de la cellulose. (Organisation latérale des chaînes dans la ramie sèche). Oberlin M., Mering J.), Ind. plast. mod., 1956, 8, № 10, 58—59 (франц.).

Исследована кристалличность сухих волокон рами. Эксперим. функция  $P(r)$ , выражающая вероятность расстояния  $r$  между двумя атомами с данными атомными числами, сопоставлена с теоретич. функцией  $P(r)$ , вычисленной на основе модели Мейера — Миша для идеальной структуры. Теоретич. кривая  $P(r)$  плохо согласуется с экспериментальной, что авторы объясняют конечностью размеров кристаллитов. Совпадение теоретич. и эксперим. кривых может быть получено при учете большей сплюснутости кристаллитов рами в направлении (001). Расчет весовых долей кристаллитов, содержащих  $N$  плоскостей (001), показывает, что 26% в-ва входит в кристаллиты, состоящие из 4 слоев (16 А), и 41% — в кристаллиты, состоящие из 6—8 слоев ( $\sim 30$  А); 33% в-ва не входит в кристаллиты ( $N = 1$ ), что согласуется с данными физ.-хим. исследований. Высказано предположение, что не вошедшая в кристаллиты часть в-ва образует пластинки типа (001), но произвольно сдвинутые одна относительно другой. О. Птицын

51470. Плавление облученного полиэтилена. Дол, Говард (Melting behavior of irradiated polyethylene. Dole Malcolm, Howard W. H.), J. Phys. Chem., 1957, 61, № 2, 137—139 (англ.).

Рассмотрены возможные изменения т-ры плавления полиэтилена в результате действия на него излучений высокой энергии. Определены теплоемкости образцов полиэтилена, подвергнутых действию  $\gamma$ -излучения дозой 1 и 50 мега-фэр (образцы I и II) и излучению тепловых нейтронов 20 час. при потоке  $10^{13}$  тепловых нейтронов на  $\text{см}^2 \cdot \text{сек}^{-1}$  и от реактора на тяжелой воде; доза 336 мега-фэр (образец III). Кривая теплоемкости I не отличается от кривой для необлученного образца. Для II при нагревании до  $135^\circ$  визуально не наблюдается плавления, хотя кривая теплоемкости показывает, что плавление имеет место при той же т-ре, что и у исходного полимера. Для I и II не обнаружено изменений степени кристалличности, оцененной по теплосодержанию, хотя для II обнаружено уменьшение т-ры пл. на  $1,5^\circ$ . По ур-нию Флори вычислена доля кристаллизующихся единиц  $X_a$  в II, равная 0,995, т. е. изменение состояния аморфных областей в результате облучения составляет 0,5%. Эта оценка совпадает с произведенной на основании данных по выделению водорода при облучении. Для III изменение  $X_a$  составляет 3,4%, что соответствует изменению т. пл. на  $11^\circ$ , которое не наблюдалось на опыте. Это объяснено изменением характера плавления за счет возможного перераспределения размеров кристаллитов. Вычислено значение выхода реакции образования водорода, равное 3,75 молекул  $\text{H}_2$  на 100 зв.

Ю. Липатов

**51471. Плавление смешанного полиэтилена. Ортман, Иберрейтер** (Das Schmelzen vermischter Polyäthylene. Orthmann H. J., Ueberreiter K.), Z. Elektrochem., 1957, 61, № 1, 106—113 (нем.)

Путем снятия зависимости объема от т-ры исследовано плавление смесей полиэтилена (I) с рядом низкомолекулярных в-в. Кривые указывают на наличие двух областей плавления, относящихся к плавлению чистых макромолекулярной и низкомолекулярной кристаллич. фаз. Для смесей I с некристаллизующимся гексахлордифенилом и кристаллизующимся нафталином изменение т-ры плавления I описывается ур-нием, предложенным Флори (Flory P. J., «Principles of Polymer Chemistry», N. Y., 1953, гл. 12). Для системы I — антрацен, где 2-й компонент имеет более высокую т-ру плавления чем I, применено другое ур-ние Флори, хорошо описывающее опытные данные, в предположении, что в этом случае I играет роль р-рителя. Ширина интервала плавления уменьшается с увеличением содержания низкомолекулярных добавок. Авторы считают, что верхняя т-ра плавления относится к бинарной системе кристаллич. полимер — низкомолекулярное в-во, а нижняя т-ра плавления — к системе аморфные области полимера — низкомолекулярное в-во. Исследованы смеси I с членами гомологич. ряда — парафинами  $\text{C}_{10}$  и  $\text{C}_{28}$ . В этих случаях верхняя т-ра плавления также описывается ур-нием Флори. Таким образом, I не образует с парафинами смешанных кристаллов. На основании ур-ний Флори определены длины аморфных областей кристаллич. I и растворимость его в плохом р-рителе — гликоле.

Ю. Липатов

**51472. Изучение полиэтилена «высокого давления» с помощью рассеяния света. Никола** (Etude des polyéthylènes «haute pression» par diffusion de la lumière. Nicolas Louis), C. r. Acad. sci., 1957, 244, № 1, 80—82 (франц.)

Исследовано 5 образцов полиэтиленов, приготовленных полимеризацией при высоком давлении, в тетралине (при 80, 100 и  $120^\circ$ ) и  $\alpha$ -хлорнафталине (при  $125^\circ$ ). Методом Цимма определены средневесовые мол. веса  $M_w$  и средние радиусы инерции  $R$ . Для исследованных образцов  $M_w$  меняется от  $3 \cdot 10^5$  до

$5 \cdot 10^6$  и  $R$  от 1500 до 4300 А. Значения  $M_w$  и  $R$  для одного и того же образца, полученные в различных р-рителях и при различных т-рах, удовлетворительно согласуются между собой (с точностью 10—40%), что доказывает отсутствие агрегации в р-ре молекул. Отношение  $M_w$  к среднечисленному мол. весу аномально велико (65—185), что означает очень высокую полидисперсность. Второй виральный коэф. уменьшается почти до нуля с уменьшением угла рассеяния, что указывает на большую компактность молекул с большими мол. весами.

О. Птицын

**51473. Переход 2-го рода в поливинилацетате. Мирс** (The second-order transition of polyvinyl acetate. Meares P.), Trans. Faraday Soc., 1957, 53, № 1, 31—40; Corrigendum, Trans. Faraday Soc., 1957, 53, № 5 (англ.)

Явления стеклования в поливинилацетате рассматриваются исходя из существующей связи между т-рой стеклования  $T_g$  и объемной концентрацией концевых групп полимерной цепи. В основу обсуждения кладутся 3 положения: 1) плотность данного элемента объема полимера должна достигнуть крит. величины для того, чтобы могло начаться вращение сегментов, 2) свободный объем единицы массы полимера при  $t < T_g$  пропорционален т-ре, 3) каждая концевая группа вносит избыточный свободный объем. Предполагается, что с ростом т-ры свободный объем, занимаемый единицей массы полимера, возрастает и постепенно достигает величины, при которой становится возможным вращение сегментов; полимер переходит в жидкообразное состояние. Т-ра, при которой это состояние распространяется на весь объем полимера, есть  $T_g$ . На основе развитой теории вычислены доли свободного объема в малых элементах объема при разных т-рах и объем, необходимый для перехода в жидкообразное состояние; установлена связь теоретич. параметров с опытными величинами. Ю. Липатов

**51474. Изменение молекулярной структуры высоко-**

**полимеров методом инклюдирования. Быков А. Н.,**

**Пакшвер А. Б., Коллоид. ж., 1957, 19, № 1, 27—30**

**(рез. англ.)**

Исследовано влияние инклюдирования различных в-в на свойства смолы и волокна капрон, целлюлозы и ацетилацетиленолозы. Показано, что введение в молекулярную структуру полимера, предварительно ослабленную в результате набухания, индифферентных в-в позволяет сохранить после удаления их более рыхлую структуру. Это повышает реакционную способность, а также сорбцию к-т и красителей, уменьшает время растворения и т. п. Эффект инклюдирования тем выше, чем больше степень предварительного набухания полимера.

Ю. Липатов

**51475. Исследование межмолекулярной структуры**

**термопластичных волокон. Пакшвер А. Б., Натан Э. Е.,**

**Катушкина И. Ф., Коллоид. ж., 1957, 19, № 1, 109—112 (рез. англ.)**

Показано, что сорбция фенола шелком нитрон (полиакрилонитрил) и сорбция ацетона ацетатным шелком и хлорином (хлорированный поливинилхлорид) уменьшается по мере вытягивания волокна. Сорбция уменьшается с повышением т-ры. Одновременно наблюдается рост модуля и уменьшение коэф. диффузии, указывающие на упрочнение структуры.

Ю. Липатов

**51476. Упрочнение молекулярной структуры корд-**

**ного шелка. Пакшвер А. Б., Герасимова Л. С.,**

**Козловская Х. Н., Коллоид. ж., 1957, 19, № 1,**

**104—108 (рез. англ.)**

Исследовано влияние вытяжки на изменение механич. свойств (величины нагрузки, вызывающей данное удлинение,  $M$ ) вискозного и капронового корда.

Показано, что вытяжка в нагретом состоянии увеличивает  $M$ , наряду с чем происходит уменьшение скорости сорбции в полимер и ее равновесной величины. Увеличение времени прогрева в вытянутом состоянии приводит к дальнейшему изменению свойств в указанном направлении, однако увеличение длительности нагрева сверх оптимального времени вновь приводит к падению  $M$ . Оптимум  $M$  достигается тем быстрее, чем выше  $t$ -ра, натяжение волокна и начальное значение  $M$ . Свободное набухание вискозного шелка в  $p$ -ре щелочи приводит к снижению  $M$  и росту сорбции оснований.

Ю. Липатов  
51477. Структурные изменения в поливинилхлориде при нагревании. Ямагучи, Оцу, Имото (加熱によるポリビニルクロライドの構造変化について. 山口政明, 大津隆行, 井本稔), 工業化学雑誌, Kōgō Kagaku daasshi, J. Chem. Soc. Japan. Industr. Chem. Sec., 1955, 58, № 6, 472—474 (японск.)

При нагревании порошка, поливинилхлорида (191°, 100 мин., в токе  $N_2$  или  $O_2$ ) определялись кол-ва выделяющейся  $H_2O$  и  $HCl$ . В токе  $O_2$  процесс выделения  $H_2O$  и  $HCl$  является автокаталитическим и деградация основных цепей приводит к образованию более растворимого продукта с меньшей степенью полимеризации. При нагревании тонких пленок при 191° в токе  $N_2$  в течение 280 мин. обнаружен сдвиг УФ-спектров поглощения в длинноволновую область, что авторы объясняют образованием сопряженных двойных связей.

Chem. Abstrs, 1955, 49, № 21, 15282. Katsuya Inouye  
51478. Периодические явления при холодной вытяжке. Мюллер, Энгельтер (Periodische Erscheinungen bei Kaltverstreckung. Müller F. H., Engelter Ad.), Kolloid-Z., 1957, 150, № 2, 156—157 (нем.)

При холодной вытяжке тонких пленок терилена и полиамидов наблюдается образование периодических расположенных полос, перпендикулярных направлению вытяжки. Диаграмма вытяжки показывает после обычного максимума и области постоянного напряжения еще несколько резких максимумов. Эти явления связываются с характером перераспределения тепла, выделяющегося в зоне течения.

Ю. Липатов  
51479. Вязкоэластичное поведение каучукоподобных высокомолекулярных полимеров. V. Релаксационный спектр с учетом эмпирической зависимости  $\lg \eta - \lg M$  и его связь с деформацией под постоянным напряжением. Шай, Сёр (Kaucsukszerű nagy-molekulájú polimerek viszkoelasztikus viselkedése. V. A. késteltetési időspektrum a  $\log \eta - \log M$  tapasztalati képlet figyelembevételével, valamint összefüggése a deformációval állandó feszültség alatt. Schay Géza, Ször Peter), Magyar tud. akad. kém. tud. oszt. közl., 1955, 6, № 3-4, 289—301 (венг.)

Сопоставляя эксперим. временные зависимости деформации с теоретич. при постоянном напряжении, авторы находят, что в процессах релаксации изменение положения центра тяжести молекулы, т. е. макрообновочное движение, связано не только с перемещением сегментов, т. е. микрообновочским движением, но и с перемещением групп атомов, закрепленных в «узлах». С увеличением мол. веса ( $M$ ) уменьшается скорость макрообновочского движения. В случае малых  $M$ , когда на молекулу приходится один «узел», вязкость сильно зависит от  $M$ , что соответствует прямолинейной зависимости  $\lg \eta - \sqrt{M}$ , с увеличением  $M$  растет число «узлов», скорость смещения которых не зависит от всей длины молекулы. Предложена механ. модель, соответствующая описанному механизму. Сообщение IV см. РЖХим, 1956, 61725.

Э. Натан

51480. Затухание колебаний и температура стеклования сополимеров, полимерных смесей и растворов. Енкель, Хервиг (Schwingungsdämpfung und Einfriertemperatur an Mischpolymerisaten, Polymerisatgemischen und Lösungen. Jenckel Ernst, Herwig Hans Ulrich), Kolloid-Z., 1956, 148, № 1-2, 57—66 (нем.)

Исследованы механ. потери, эффективный модуль сдвига  $G_{\text{эф}}$  и  $t$ -ры стеклования  $T_E$  различных сополимеров и полимерных смесей. Механ. потери и  $G_{\text{эф}}$  исследовались методом крутильных колебаний в интервале  $t$ -р от  $-60$  до  $120^\circ$ ,  $T_E$  определялась по температурной зависимости показателя преломления и времени релаксации, вычисленного из механ. испытаний. Для каждого сополимера стирола с метилметакрилатом имеется одна точка  $T_E$  и один максимум механ. потерь.  $T_E$ , определенная обоими методами, линейно возрастает при переходе от чистого полиметилметакрилата к чистому полистиролу.  $T$ -ра, соответствующая максимуму механ. потерь, лежит на  $\sim 20^\circ$  выше  $T_E$  и также линейно зависит от состава.

В смесях полиметилметакрилата с поливинилацетатом, а также в смесях двух сополимеров стирола с метилметакрилатом наблюдаются 2 максимума потерь и 2 точки  $T_E$ , приписанные наличию в смеси 2 фаз. Этот факт наблюдается и в тех случаях, когда не происходит помутнения образцов, так как частицы двух фаз системы имеют размеры, меньше длины световой волны. В конц.  $p$ -рах смеси полиметилметакрилата с поливинилацетатом в хлороформе также наблюдаются 2 максимума потерь, но значительно более широких, чем в твердой фазе.

О. Птицян

51481. Молекулярное значение вторичных максимумов потерь. Движения атомных групп в полиметакрилатах в стеклообразном состоянии. Хейбур (Molekulare Deutung sekundärer Dämpfungsmaxima. Bewegungen von Atomgruppen in Polymethacrylaten im Glaszustand. Heijboer J.), Kolloid-Z., 1956, 148, № 1-2, 36—47 (нем.; рез. англ.)

Исследованы механ. потери в полиметилметакрилате и его сополимерах с метилметакрилатом, фенилметакрилатом, циклогексилметакрилатом, этилендииметилметакрилатом,  $N$ -метилметакриламидом, акриловой  $k$ -той и метакрилатитрилом. Потери исследовались в области 1  $\mu$  методом свободных крутильных колебаний и 200—6000  $\mu$  (вынужденные колебания на изгиб). В полиметилметакрилате наряду с большим низкочастотным максимумом, связанным с переходом из стеклообразного состояния в высокоэластическое, наблюдается ВЧ-максимум, который с увеличением  $t$ -ры (в интервале от  $-80$  до  $110^\circ$ ) смещается в сторону больших частот и возрастает; этот максимум связан с движением боковых метоксикарбонильных групп. Причины изменения величины максимума потерь в сополимерах и смещения его положения по частоте рассматриваются исходя из природы и размера боковых групп сополимеров, влияющих на движение метоксикарбонильных групп.

О. Птицян

51482. Теория неньютоновской реологии сырых каучуков, состоящих из надмолекулярных реологических единиц. Мунн (Theory of the non-Newtonian rheology of raw rubbers consisting of supermolecular rheological units. Mooney M.), J. Appl. Phys., 1956, 27, № 7, 692—696 (англ.)

Предложена теория вязкости сырых каучуков (I), основанная на предположении, что I, подверженные непрерывному сдвигу в неньютоновской области течения, состоят из микроскопич. реологич. единиц, которые представляют собой «полуперманентные» агрегаты из многих ценных молекул (РЖХим, 1955, 45658).



Эти единицы рассматриваются как клейкие, упругие твердые частицы, относительные смещения и сдвиги которых проявляются в виде макроскопич. течения I. Результирующая теоретич. кривая течения сходна с таковой, полученной Смолвудом (Smallwood H. M., J. Appl. Phys., 1937, 8, 505), но интерпретация параметров этой кривой совершенно иная. Новая теория позволяет получить выражения для кол-ва временных точечных контактов на единицу поверхности между двумя соприкасающимися реологич. единицами и для среднего времени жизни этих контактов или связей. Резюме автора

51483. Реология синтетических латексов. V. Поведение в потоке низкотемпературного латекса GR-S. Марон, Фок Сю-мин. VI. Поведение в потоке неопренового латекса. Марон, Леви-Паскаль VII. Текучесть синтетического латекса при низких напряжениях сдвига. Марон, Белнер (Rheology of synthetic latex. V. Flow behavior of low-temperature GR-S latex. Maron Samuel H., Fok Shui Ming. VI. The flow behavior of neoprene latex. Maron Samuel H., Levy-Pascal Arie E. VII. Flow behavior of synthetic rubber latex at low shear stress. Maron Samuel H., Belner Robert J.), J. Colloid Sci., 1955, 10, № 5, 482—493, 494—503; № 6, 525—535 (англ.)

V. Зависимость градиента скорости  $G$  от сдвигового напряжения  $F_m$  и относительная вязкость  $\eta_r$  исследовались для низкотемпературного латекса GR-S при объемных долях  $v$  до 0,60, в интервале  $F_m = 50—800$   $\text{дин/см}^2$  и при  $20—50^\circ$ . При  $v \leq 0,25$  латекс является ньютоновской, а при  $v > 0,25$  — неньютоновской жидкостью. В отличие от некоторых ранее исследованных латексов (см. сообщение IV, РЖХим. 1954, 44512) зависимость  $\eta_r$  от  $v$  представляется с помощью модифицированного ур-ния Эйлера вида  $(\eta_r^{1/2} - 1)/v = \alpha + \beta(\eta_r^{1/2} - 1)$ , где параметр  $\alpha$  является функцией т-ры, а  $\beta$  — функцией  $F_m$ . При  $v \rightarrow 0$ ,  $\eta_{уд}/v = 2,50 \pm 0,05$  в согласии с ур-нем Эйнштейна для разб. суспензий жестких сфер. При  $v = 0,69$   $\eta_r \rightarrow \infty$  при  $F_m = 50$ , а при  $v = 0,75$  при  $F_m = 800$   $\text{дин/см}^2$ . Эти данные показывают, что первоначально тетрагон. плотная упаковка неоднородных сфер в латексе переходит в ромбоэдрическую по мере возрастания  $F_m$ . Отклонения от ньютоновского поведения существенно независимы от т-ры и зависят только от  $F_m$  и  $v$ , причем зависимость от  $F_m$  довольно сложная и характеризуется появлением максимумов на кривых  $(N-1)vs \cdot F_m$  при  $F_m$ , тем меньших, чем больше  $v$ . Индекс неньютоновского поведения  $N$  определяется согласно ф-ле  $1-N = -[\partial \ln \eta_r / \partial \ln F_m]_{v,p}$ .

VI. Проведено аналогичное исследование неопренового латекса типа 60 при  $29,94^\circ$ ,  $v = 0—0,51$  и  $F_m = 30—800$   $\text{дин/см}^2$ . При  $v \leq 0,20$  латекс ведет себя, как ньютоновская жидкость, а при  $v > 0,20$  становится неньютоновским. Зависимость  $\eta_r$  от  $v$  и  $F_m$  дается тем же модифицированным ур-нем Эйлера, что и для латекса GR-S с  $\alpha = 1,541$  и  $\beta = (1 + 0,02803 F_m)/(0,4700 + 0,01567 F_m)$ . Это ур-ние хорошо удовлетворяется во всем исследованном интервале  $v$ . При  $v \rightarrow 0$ ,  $(\eta_r - 1)/v = 2,82$  (вместо теоретич. 2,50) (ср. сообщение V). Экстраполяция к  $\eta_r = \infty$  при крайних значениях  $F_m$  дает крит. значения  $v$ , равные 0,55 и 0,61, что соответствует куб. плотной упаковке. Зависимость  $N-1$  от  $v$  и  $F_m$  носит тем более выраженный характер, чем больше  $v$  и меньше  $F_m$ . Максимумы на кривых

$(N-1)vs \cdot F_m$  не наблюдались, хотя возможно, что при  $F_m < 30$   $\text{дин/см}^2$  они и появились бы. Этим неопредел. латекс также отличается от латекса GR-S. С. Ф.

VII. Вязкостные свойства водн. р-ров латекса GRS-X-667 (I) с конц-ией 5—59% при напряжениях сдвига  $F_m$  от 0 до 20  $\text{дин/см}^2$ . При объемной конц-ии  $v < 0,246$  наблюдается ньютоновское течение. При  $v > 0,246$  I обладают ньютоновской вязкостью при малых  $F_m$  и проявляют аномалии при увеличении  $F_m$ . При  $v > 0,544$  вязкость аномальна во всем исследованном интервале  $F_m$ . Относительная вязкость  $\eta_r$  связана с  $v$  ур-нем Эйлера  $\alpha = 1,43$ . Если в  $v$  ввести поправку на объем слоя адсорбированного мыла, то для разб. р-ров приведенное соотношение переходит в ур-ние Эйнштейна с константой  $2,52 \pm 0,01$ . Вычислен индекс отклонения от неньютоновского поведения, возрастающий по мере роста  $v$  при любом  $F_m$ . Б. Шахкедиди

51484. Реология наполненных силоксановых полимеров. Уоррик (Rheology of filled siloxane polymers. Warrick E. L.), Industr. and Engng Chem., 1955, 47, № 9, Part 1, 1816—1820 (англ.)

Метод приведенных переменных был применен для исследования реологич. свойств двух полидиметилсилоксанов I с мол. в. 427 000 и 220 000. Исследовались также влияние на I трех наполнителей —  $\text{TiO}_2$ , фталодипина  $\text{Cu}$  и фирменного препарата Degussa Aerosil silica (DAS). Показано, что последний является активным, а первые два — инертными наполнителями. Инертные наполнители не изменяют (по сравнению с ненаполненным полимером) вида кривой зависимости приведенной вязкости  $\eta(\text{пр})$  от приведенной скорости сдвига  $G(\text{пр})$ , тогда как DAS усиливает неньютоновские свойства системы. С. Френкель

51485. Давление паров пластмасс. Енсен (Vapor pressure of plastic materials. Jensen Niels), J. Appl. Phys., 1956, 27, № 12, 1460—1462 (англ.)

Разработан метод измерения давления пара (мм Hg) над полимерами при разных т-рах. Исследуемый материал нагревают в вакуумной печи, помещенной в большой резервуар, в котором поддерживается давление  $\sim 0,1$  Р. Печь соединена с резервуаром небольшим отверстием, и давление в ней, равное  $P$ , измеряется ионизационным манометром. При  $25^\circ$  для майлара, сарана, винила, тефлона, нейлоновой ткани, каучука хайкар, бутылкаучука и полиэтилена  $P$  равно, соответственно  $1 \cdot 10^{-7}$ ;  $3 \cdot 10^{-8}$ ;  $1 \cdot 10^{-8}$ ;  $1 \cdot 10^{-7}$ ;  $1 \cdot 10^{-6}$ ;  $4 \cdot 10^{-6}$ ;  $1 \cdot 10^{-5}$ ;  $3 \cdot 10^{-8}$  мм рт. ст. Изменение  $P$  с т-рой  $T$  (в пределах  $T = 300—450^\circ\text{K}$ ) описывается эмпирич. ур-нем  $\lg P = A - B/T$ , где  $A$  и  $B$  — постоянные, значение которых приведено автором. Величина  $P$  определяется, главным образом, характером пластификатора. Появления хрупкости или размягчения после многих суток пребывания полимеров в высоком вакууме и при высокой т-ре не наблюдалось, что указывает на возможность применения этих материалов в вакуумной аппаратуре. И. Слоним

51486. Иницирование полимеризации ди-*трет*-бутилперекисью. Оффенбах, Тобольский (The initiation of polymerization by Di-*tert*-butyl peroxide. Offenbach J. A., Tobolsky A. V.), J. Amer. Chem. Soc., 1957, 79, № 2, 278—281 (англ.)

Исследована кинетика полимеризации метилметакрилата и стирола при  $60—98^\circ$  и определены мол. веса полученных полимеров; инициатор — ди-*трет*-бутилперекись (I). Из полученных данных рассчитана скорость иницирования. Полученные данные сопоставлены с имеющимися литературными данными о скоростях распада I в три-*н*-бутиламин, *трет*-бутилбензоле и кумоле и показано, что во всех р-рителях  $k = 2,8 \cdot 10^{14} \exp [-35\,000/RT]$  ( $k$  — константа распада).

да I). Это ур-ние удовлетворительно описывает распад I в газовой фазе. Из полученных данных сделан вывод, что при иницировании полимеризации I р-ция первичной рекомбинации не имеет существенного значения.

А. Праведников  
51487. Окислительно-восстановительные системы для иницирования радикальных процессов. Сообщение I. Обратимые системы с участием гидроперекисей, диенолов и солей металлов переменной валентности. Белоносова Г. П., Долгопосок Б. А., Тинякова Е. И., Изв. АН СССР, Отд. хим. н., 1956, № 12, 1478—1486

Исследована кинетика взаимодействия диенолов (диоксималеновой (I) и аскорбиновой (II) к-т) с гидроперекисью изопропилбензола (III) в воде или водн. глицерине. При введении в систему солей металлов переменной валентности в конц-ях  $\sim 1$  мол. % к конц-и III р-ция значительно ускоряется; в кислой среде наиболее эффективна соль Мора, в щелочной — соли Cu. В системах, содержащих II, соли металлов эффективны в значительно меньших конц-ях, чем в системах, содержащих I. Ускоряющее действие солей металлов особенно велико при  $-45$  и  $-35^\circ$ , когда III практически не реагирует с диенолами. Р-ция восстановления и окисления солей Fe под влиянием III и II при  $0^\circ$  протекают практически мгновенно. В отсутствие солей металлов при  $t < 0^\circ$  система, состоящая из III и диенола, не инициирует процесс полимеризации. Для полимеризации смеси дивинила со стиролом более эффективна система, содержащая II, чем система с I. Увеличение конц-и соли Мора приводит к замедлению процесса полимеризации и в некоторых случаях к полному ингибированию вследствие быстрого израсходования компонентов системы. Влияние pH среды на процесс полимеризации в эмульсии аналогично влиянию pH на кинетику взаимодействия в водн. р-рах.

И. Верещинский  
51488. Виниловая полимеризация. XIV. Распад перекиси бензоила в присутствии ди-N-алкиланилинов. Имото, Такэмото (ビニル重合に関する研究. 第14報. N-ジアルキルアニリンの存在下における過酸化ベンゾイルの分解反応. 井本 稔, 竹本 喜一). 高分子化学, Кобунсикаку, Chem. High Polym., 1956, 13, № 136, 331—337 (японск.; рез. англ.)

Определены константы скорости 2-го порядка для р-ции взаимодействия перекиси бензоила с  $C_6H_5NR_2$  (R-H,  $CH_3$ ,  $C_2H_5$ ,  $C_3H_7$ ,  $C_4H_9$ ,  $C_6H_{13}$ ,  $C_9H_{19}$ ,  $C_{10}H_{21}$ ) в р-ре  $C_6H_6$  при  $30^\circ$  в отсутствие  $O_2$ . Скорость р-ции с  $C_6H_5N(CH_3)_2$  в атмосфере  $N_2$  выше, чем в атмосфере  $O_2$  или воздуха. Сообщение XIII см. РЖХим, 1957, 27054.

Р. Милютинская  
51489. Полимеризация винилацетата под действием азосоединений. I. Смешанный инициатор 2,2-нитрил азонизомасляной кислоты и сульфоновая кислота. Имото, Укида (アゾ化合物による酢酸ビニルの重合. 第1報. 2,2'-azo-bis-isobutyronitrile-スルフィン酸系觸媒について. 井本 三郎, 田純二). 高分子化学, Кобунсикаку, Chem. High Polym., 1955, 12, № 122, 235—239 (японск.)

Смешанный инициатор: 2,2-нитрил азонизомасляной к-ты (I) и *n*-хлорбензолсульфиновая к-та (II) — сильно ускоряет полимеризацию винилацетата при  $45^\circ$ . Влияние II проявляется, если мол. отношение II : I < 1. На основании полярографии, исследования р-ции между I и II сделан вывод, что влияние смешанного инициатора связано с радикальной р-цией между I и II.

Chem. Abstrs, 1957, 51, № 2, 1645. Eiichi Wada  
51490. О полимеризации винилхлорида. III. Полимеризация в присутствии различных инициаторов и смесей инициаторов. IV. Полимеризация в присутствии перекиси циклогексанола. Дануссо,

Сианези (Sulla polimerizzazione del clorure di vinile. III. Polimerizzazione in presenza d'iniziatori diversi e di miscele di iniziatori. IV. Polimerizzazione in presenza di perossidi di cicloesano. Danusso F., Sianesi D.), Chimica e industria, 1955, 37, № 3, 189—194; № 4, 278—282 (итал.; рез. франц., англ., нем.)

III. Гравиметрическим и dilatометрич. исследованием скорости полимеризации (II) винилхлорида найдено, что наиболее эффективными инициаторами являются динитрил азонизомасляной к-ты и перекись лаурила, менее активными — перекиси *n*-хлорбензола и бензола. Скорость II во всех случаях пропорциональна  $C^{1/2}$  (C — конц-ия инициатора).

IV. Установлено, что перекись (1-гидроперокси)-циклогексанола, полученная окислением циклогексанола 30%-ной  $H_2O_2$ , обладает высокой иницирующей активностью при II винилхлорида. При глубине II 20—40%-ная энергия активации равна 6—7 ккал/моль, скорость II пропорциональна C. Присутствие  $O_2$  ускоряет р-цию. Водн. фаза оказывает замедляющее действие. Сообщение II см. РЖХим, 1957, 41349. Л. П.

51491. Молекулярные веса при полимеризации акрилонитрила. Онъон (Molecular weights in acrylonitrile polymerization. Onyon P. F.), J. Polymer Sci., 1956, 22, № 100, 19—23 (англ.; рез. нем., франц.)

Начальная скорость полимеризации V при  $25^\circ$  (инициатор — динитрил азонизомасляной к-ты) постоянна. Получены ур-ния:  $V = 5,37 \cdot 10^{-4} \epsilon^{0,81}$  моль/л сек ( $\epsilon$  — конц-ия инициатора) и  $1/P = 4,61 \cdot 10^{-8} \epsilon/V + 1,05 \cdot 10^{-5}$  ( $P$  — длина полимерных цепей). Определены константы  $kp/ko^{1/2} = 0,051$  ( $k$ ,  $k'$  — константы скорости р-ции роста и обрыва цепи). См. также РЖХим, 1956, 58288.

Х. Багдасарян

51492. Влияние обратимости реакции роста цепи на состав совместного полимера. Джоши (The influence of depropagation on copolymer composition. Joshi R. M.), J. Scient. and Industr. Res., 1956, (B-C) 15, № 10, B553—B556 (англ.)

Учет обратимости р-ции роста цепи приводит к следующим выражениям для констант совместной полимеризации  $r_1 = (k_{11}/k_{12})[1 + (1/M_1)(k'_{12}/k_{21} - k'_{11}/k_{11})]$ ,  $r_2 = (k_{22}/k_{21})[1 + (1/M_2)(k'_{21}/k_{12} - k'_{22}/k_{22})]$ , где  $k$  и  $k'$  — константы скоростей р-ции роста цепи и обратной р-ции отщепления молекулы мономера (индексы 1 и 2 относятся соответственно к мономерам  $M_1$  и  $M_2$ ). Применимость выведенного ур-ния подтверждена на примере совместной полимеризации стирола и фумаронитрила (Fordyce, Ham, J. Amer. Chem. Soc., 1951, 73, 1186).

А. Праведников

51493. О полиметилметакрилате, привитом на каучуке. Длина боковых цепей. Бандре, Кобринер (Sur le caoutchouc greffé par le polyméthacrylate de méthyle. Longueur des chaînes latérales. Banderet Albert, Kobryner Waldemar), C. r. Acad. sci., 1957, 244, № 5, 604—606 (франц.)

Озонирование на холоду в р-ре хлороформа привитого сополимера НК и метилметакрилата приводит к разрушению НК и почти не затрагивает молекул полиметилметакрилата (I), в результате чего удалось установить, что мол. вес (M) боковых цепей I, привитых на НК, составляет 350 000 (найден из данных по вязкости), в то время как M чистого I, образующегося вместе с привитым сополимером, составляет 418 000.

Н. Платэ

51494. Фосфониевые полимеры. Часть I. Совместная полимеризация диэтилвинилфосфоната и стирола. Аркус, Маттьюс (Phosphonic polymers. Part I. The copolymerisation of diethyl vinylphosphonate and styrene. Arcus C. L., Matthews R. J. S.), J. Chem. Soc., 1956, Nov., 4607—4612 (англ.)

Исследована совместная полимеризация стирола (I) и диэтилвинилфосфоната (II) при 80—154°; инициатор — трет-бутилгидроперекись. Для определения состава полученные полимеры окислялись хлорной кислотой и содержание Р (в виде ортофосфата) определялось по модифицированному методу Аллена (Allen, Biochem. J., 1940, 34, 858). Из полученных данных рассчитаны константы совместной полимеризации  $r_1 = 3,25$  и  $r_2 = 0$  (116°). Повышение т-ры или увеличение конц-ии инициатора практически не влияет на состав полимера, но заметно снижает характеристич. вязкость образующихся полимеров. Глубина превращения, достигаемая за 11 час., проходит через максимум при 112° и при дальнейшем повышении т-ры быстро падает. К снижению глубины превращения (за 11 час.) приводит также и повышение конц-ии инициатора. Изменение состава исходной смеси I:II от 1 до 9 изменяет содержание Р в полимере от 4,5 до 1,5%. Характеристич. вязкость увеличивается при увеличении содержания I в полимере. Методом светорассеяния определены мол. веса полученных полимеров (14 300—55 600). А. Праведников

51495. К теории распада цепных молекул. III. Об однозначном доказательстве статистического распада. Кестнер (Zur Theorie des Abbaus von Kettenmolekülen. III. Über den eindeutigen Nachweis des statistischen Zerfalls. Kästner Siegfried), Kolloid-Z., 1957, 151, № 1, 24—27 (нем.).

Показано, что измерения средней степени полимеризации недостаточны для однозначного доказательства определенного механизма распада. В общем случае необходимо знать изменение во времени общей функции распределения. Сообщение II см. РЖХим, 1957, 15595. Резюме автора

51496. О химии активных молекул, образующихся при механической деструкции полимеров. Берлин А. А., Докл. АН СССР, 1956, 110, № 3, 401—403

Рассмотрение имеющихся в литературе данных об образовании макрорадикалов и макроионов при механич. деструкции полимеров приводит автора к выводу о необходимости развития механич. химии высокомолекулярных соединений. А. Праведников

51497. Термическая деполимеризация полистирола. Часть I. Механизм реакции. Грасси, Керр (The thermal depolymerization of polystyrene. Part I. The reaction mechanism. Grassie N., Kerr W. W.), Trans. Faraday Soc., 1957, 53, № 2, 234—239 (англ.).

При термич. деструкции полистирола (280—320°) в начальной стадии наблюдается резкое снижение мол. веса полимера, которое в дальнейшем, после выделения ~ 30% летучих продуктов (ЛП) заметно замедляется. Скорость образования ЛП проходит через максимум при глубине р-ции ~ 30%. Отношение кол-ва немомерных продуктов к кол-ву мономера в ЛП, в ходе р-ции остается постоянным и равным 1,6—2,0. Полученные результаты указывают, по мнению авторов, на наличие в полимере слабых звеньев, распад которых с последующим диспропорционированием приводит к образованию стабильных молекул. Образование ЛП происходит или в результате отщепления молекул мономера от полимерного радикала, имеющего свободную валентность на конце цепи, или в результате внутримолекулярной передачи цепи вблизи конца цепи с последующим отщеплением ди-, три-, тетра- или пентамера. Длина кинетич. цепи р-ции отщепления молекул мономера ~  $10^3$ . Межмолекулярная передача цепи при деполимеризации полистирола, по мнению авторов, практически не происходит. А. Праведников

51498. Дегградация высокополимеров ультразвуковыми волнами. Мостафа (Degradation of addition polymers by ultrasonic waves. Mostafa M. A. K.),

J. Polymer Sci., 1956, 22, № 102, 535—548 (англ.; рез. франц., нем.)

При помощи матричной алгебры дано общее решение кинетич. у-рий дегградации высокополимерных молекул как для однородных цепей, так и для цепей с заданным начальным распределением по числу звеньев. Автор приходит к выводу, что средневесовая длина цепи в конце дегградации зависит от начальной средней длины цепи и что число молекул к концу дегградации слегка уменьшается по мере увеличения длины цепи от мономера до некоторой промежуточной длины цепи. Эти выводы отличаются от результатов предложенной ранее теории (Jellinek H. H. G., White G., J. Polymer Sci., 1951, 6, 745, 757). Резюме автора

51499. Химическая активность полиметилметакрилата, облученного  $\gamma$ -излучением. Уолл, Браун (Chemical activity of gamma-irradiated polymethyl methacrylate. Wall Leo A., Brown Daniel W.), J. Res. Nat. Bur. Standards, 1956, 57, № 3, 131—136 (англ.)

Полиметилметакрилат (I), предварительно облученный в вакууме ( $10^7$  рентген), способен иницировать полимеризацию метилметакрилата (II) при низких т-рах (29°). При термич. деструкции при 125° предварительно облученного полимера наблюдается резкое увеличение выхода летучих (первая цифра — необлученный полимер, вторая — облученный; моль  $\cdot 10^3$  на 1 кг полимера): H<sub>2</sub> 0,78, 4,67, II 11,7, 45,6. Полученные результаты указывают на образование в ходе облучения в полимере долгоживущих свободных радикалов, конц-ия которых оценивается авторами ~  $10^{-5}$  моль/л. При облучении на воздухе в полимере накапливаются перекисные группировки (~  $10^{-3}$  моль/л), распад которых приводит к разрыву связей C—C в основной цепи полимерной молекулы. Отмечается, что скорость распада этих группировок заметно увеличивается при введении в систему трет-бутилкатехола. А. Праведников

51500. Радиационная защита в сополимерах изобутилена и стирола. Александер, Чарлзби (Radiation protection in copolymers of isobutylene and styrene. Alexander P., Charlesby A.), Proc. Roy. Soc., 1955, A230, № 1180, 136—145 (англ.)

Исследовано действие излучения атомного реактора на сополимеры изобутилена (20—80%) со стиролом (I). Сначала сополимер деструктирует, причем степень деструкции тем выше, чем ниже содержание I (при данной дозе), а затем частично сшивается в гель. Указывается, что даже при 80% I в полимере не удается получить полностью нерастворимый полимер. Выказано предположение, что защитное действие стирольных звеньев распространяется только на 1—2 ближайшие изобутиленовые единицы. С помощью хим. анализа облученных полимеров показано, что изобутиленовые и стирольные звенья распределены в полимере по закону случая. А. Праведников

51501. Влияние химической структуры виниловых полимеров на сшивание и деструкцию под действием ионизирующей радиации. Миллер, Лотон, Балунт (Effect of chemical structure of vinyl polymers on crosslinking and degradation by ionizing radiation. Miller A. A., Lawton E. J., Balwit J. S.), J. Polymer Sci., 1954, 14, № 77, 503—504 (англ.)

Из литературных данных и данных, полученных авторами, о действии ионизирующих излучений на высокополимеры высказано предположение, что деструкция полимерных молекул происходит в том случае, если эти молекулы содержат четвертичные углеродные атомы; молекулы, не содержащие таких углеродных атомов, при облучении сшиваются. Образование поперечной связи происходит в результате



рекомбинации двух радикалов, один из которых образовался в результате разрыва связи C—H под действием излучения, а второй — в результате отрыва водорода атомарным водородом от цепи, расположенной в непосредственной близости от места разрыва связи C—H. Указывается, что под действием излучения сшиваются полиэтилен, полиметилден, полипропилен, полистирол, полиакриловая к-та, полиметилакрилат, полиакриламид, поливинилалкиловые эфиры и полиметилвинилкетон; разрушаются — полиизобутилен, поли- $\alpha$ -метилстирол, полиметакриловая к-та, полиметилметакрилат и полиметакриламид. А. Праведников

**51502. Изменения в силиконовых полимерных жидкостях, вызванные излучением с высокой энергией. Чарлби** (Changes in silicone polymeric fluids due to high-energy radiation. Charlesby A.), Proc. Roy. Soc., 1955, A230, № 1180, 120—135 (англ.)

При действии излучения атомного реактора или  $\gamma$ -излучения  $\text{Co}^{60}$  на полидиметилсилоксан происходит сшивание последнего с образованием нерастворимого прозрачного аморфного каучукоподобного в-ва. В случае излучения реактора единица дозы ( $10^{17}$  медленных нейтронов на  $1 \text{ см}^2$  + сопутствующие им быстрые нейтроны и  $\gamma$ -лучи) образует поперечные связи у 2,2% мономерных единиц; в случае  $\gamma$ -излучения  $\text{Co}^{60}$  на образование 1 поперечной связи затрачивается 32 эв.

А. Праведников

**51503. Исследование окисления высокополимеров. I. Измерение скорости абсорбции кислорода полиэтиленом с помощью пружинных весов. II. Эффект ингибирования реакции окисления полиэтилена фенол- $\beta$ -нафтиламина. Кавамацу, Харада** (高分子の酸化の研究. 第1報. スパリングバランスによるポリエチレンの酸素吸収速度. 第2報. フェニル・ベータ・ナフタミンのポリエチレンに對する酸化防止効果. 川松俊治, 原田豊), 高分子化学, Kobunshi Kagaku, Chem. High. Polym., 1956, 13, № 135, 456—460; № 139, 491—496 (японск.; рез. англ.)

I. Скорость абсорбции  $\text{O}_2$  полиэтиленом, измеренная с помощью вольфрамовых пружинных весов, пропорциональна корню квадратному из давления  $\text{O}_2$ . При низких т-рах наблюдается значительный индукционный период. Энергия активации  $E$  равна 29 ккал/моль при т-рах  $< 130^\circ$  и 14 ккал/моль при т-рах  $> 130^\circ$ .  $E$  определены без учета диффузии  $\text{O}_2$  через образцы и образования летучих продуктов, содержащих главным образом  $\text{H}_2\text{O}$ .

II. С помощью вольфрамовых пружинных весов исследовано влияние фенол- $\beta$ -нафтиламина (I) на окисление полиэтилена. Индукционный период при  $116^\circ$  пропорционален  $\lg$  конц-ии I и линейно растет с т-рой ( $125$ — $145^\circ$ ). Скорость окисления падает с уменьшением конц-ии I. Энергия активации  $E$  равна 35 ккал/моль при т-рах  $< 130^\circ$ . При т-рах  $> 130^\circ$   $E = 15$  ккал/моль.  $E$  вычислена из кажущихся констант скорости абсорбции  $\text{O}_2$ . Скорость диффузии  $\text{O}_2$  пропорциональна корню квадратному из давления  $\text{O}_2$ .

Резюме авторов

**51504. Математический анализ кинетики реакций поликонденсации — деполиконденсации. Тан Ао-цин, Цзян Юань-шэн** (縮聚-裂解反應動力學的理論分析. 唐教慶, 江元生), 化學學報, Хуасяо хуэбэо, Acta Chem. sinica, 1956, 22, № 4, 271—287 (кит.; рез. англ.)

Дан в наиболее общей форме математич. анализ кинетики р-ций поликонденсации — деполиконденсации. Рассмотрены 3 различных типа р-ций: 1) между молекулами АВ и АВ; 2) между молекулами АА и ВВ; 3) между молекулами АА и ВС. Из резюме авторов

**51505. Полимеры акролеина. Сообщение IV. Получение, свойства и молекулярный вес ацеталей полиакролеина. Шульц, Фаут, Керн** (Polymere

Acroleine. IV. Mitt. Herstellung, Eigenschaften und Molegewichte von Acetalen polymerer Acroleine. Schulz Rolf C., Fauth Heinrich, Kern Werner), Makromolek. Chem., 1956, 21, № 3, 227—235 (нем.; рез. англ.)

Изучалась р-ция полиакролеинов с рядом спиртов (метанол, этанол,  $n$ -пропанол,  $n$ -бутанол,  $\beta$ -хлорэтанол, этиленгликоль и др.). Катализаторами служили  $\text{HCl}$ ,  $\text{SnCl}_4$ ,  $n$ -толуолсульфокислота, диалкилсульфат и др. Полученные ацетали хорошо растворимы в бензоле, ацетоне и пиридине. При нагревании в присутствии к-т, а также при длительном хранении ацетали расщепляются с выделением исходных компонент. Вискозиметрич. и осмотич. измерения показали, что ацетали, а следовательно, и исходные полиакролеины являются высокомолекулярными, средние степени полимеризации которых достигают до 1500 и более. Сообщение III см. РЖХим, 1957, 23296.

М. Мосевичкий

**51506. Физические свойства 2,4,6-три-(диметиламинометил)-фенолтриацетата. Бонди, Парри** (Physical properties of 2,4,6-tri-dimethylaminomethylphenol triacetate. Bondi A., Parry H. L.), J. Phys. Chem., 1956, 60, № 10, 1406—1411 (англ.)

Исследована диссоциация 2,4,6-три-(диметиламинометил)-фенолтриацетата (I), применяемого для вулканизации эпоксиэпид, в невод. средах при  $20$ — $80^\circ$ . Диссоциация I на ионы в р-ре незначительна ( $0,01$ — $0,1\%$ ) и практически не зависит от т-ры. Степень диссоциации на свободный амин и свободную к-ту в расплаве или в р-ре равна  $20$ — $25\%$  при  $80^\circ$ ; в то же время степень диссоциации этого соединения, оцененная из данных по скоростям вулканизации при  $80^\circ$ , превышает  $70\%$ . Это расхождение связано, по мнению авторов, с тем, что скорость вулканизации определяется не степенью диссоциации I на к-ту и амин, а скоростью удаления к-ты из I в процессе этерификации.

А. Праведников

**51507. Определение индивидуальных циклических олигомеров в равновесных системах, состоящих из  $\epsilon$ -капролактама и воды. Хейкенс** (Determination of the individual cyclic oligomers in equilibrium systems from  $\epsilon$ -caprolactam and water. Heikens D.), Recueil trav. chim., 1956, 75, № 9-10, 1119—1204 (англ.)

Содержание циклич. димеров, тримеров и тетрамеров в равновесной системе  $\epsilon$ -капролактама — вода определено с помощью фракционной перегонки в вакууме метанольного экстракта, свободного от циклич. мономера и линейных олигомеров. Соотношение между циклич. димерами, тримерами и тетрамерами в этой системе равно  $2:1:2$  при  $221,5^\circ$  и  $5:2:7$  при  $253,5^\circ$ . Большую стабильность димеров и тетрамеров по сравнению с тримерами автор объясняет тем, что в циклах, состоящих из четного числа мономерных единиц, все амидные группы участвуют в образовании внутренних водородных связей.

А. Праведников

**51508. Строение и свойства продуктов конденсации мочевины и ацетальдегида. Шеффер, Пихман, Кунце** (Untersuchungen über Aufbau und Eigenschaften von Harnstoff-Acetaldehyd-Kondensaten. Scheffer F., Ziechmann W., Kuntze H.), Naturwissenschaften, 1957, 44, № 3, 52—58 (нем.). Обзор. Библ. 20 назв.

Л. Ф.

**51509. Реакция в эмульсии. I. Щелочное омыление полиакриловых эфиров. II. Щелочное омыление поливинилацетата. Окамура, Мотояма, Тода, Нисияма** (乳濁液に於ける化學反應. 第1報. ポリアクリル酸メチルのアルカリ鹼化. 第2報. ポリ酢酸ビニルのアルカリ鹼化. 岡村誠三, 本山卓彦, 戸田卓男, 西山富弘), 工業化學雜誌, Kore Kagaku Daasshi, J. Chem. Soc. Japan Industr. Chem. Sec., 1954, 57, № 1, 31—33, 33—35 (японск.)

\* 1. Проводили полимеризацию акриловых эфиров при 70° в течение 5 час. в присутствии детергента (1% к р-ру) и  $(\text{NH}_4)_2\text{S}_2\text{O}_8$  (1% к мономеру); полученную эмульсию полимера разбавляли до 10%. Изучали омыление эмульсии при 30, 60 и 100°. Р-ция 2-го порядка по отношению к конц-ии эфира и щелочи; ур-ние Аррениуса не применимо. Константа скорости омыления эмульсий с более крупными частицами (диаметр частиц измеряли по мутности) больше.

II. Эмульсию поливинилацетата, полученную воздействием на мономер (10%) т-ры 65° в течение 4 час. в присутствии катионного детергента (0,5% к р-ру) и  $\text{K}_2\text{S}_2\text{O}_8$  (1% к мономеру), омыляли NaOH при 1,6 и 10° в продолжение до 40 час. Р-ция омыления 2-го порядка по отношению к конц-ии эфира и щелочи. Кажущаяся константа скорости обратно пропорциональна радиусу частиц эмульсии. Энергия активации р-ции 18,4 ккал/моль.

Chem. Abstrs, 1955, 49, № 3, 1414. Katsuya Jnouye 51510. Исследование в области низкомолекулярной полимеризации. Сообщение 1. Взаимодействие некоторых простых виниловых эфиров с четыреххлористым углеродом. Шостаковский М. Ф., Богданова А. В., Зверов М. М., Плотникова Г. Н., Изв. АН СССР, Отд. хим. н., 1956, № 10, 1236—1242

Исследованы условия взаимодействия  $\text{CCl}_4$  с винилфениловым (I), винилбутиловым (II) и винилэтиловым (III) эфирами в присутствии перекиси бензоила (IV). I—II способны реагировать с  $\text{CCl}_4$  с образованием как тетрахлорпропиловых эфиров (ТХПЭ), так и полимерных продуктов (ПП), в зависимости от условий р-ции. ТХПЭ получают с хорошими выходами при соотношении I—III и  $\text{CCl}_4$  равном 1:4 и 1:2. С увеличением кол-ва I—III выход ТХПЭ уменьшается, выход полимера — возрастает. Строение ТХПЭ доказано гидролизом. Подвижность атома хлора в α-положении в ТХПЭ подтверждают замещением его на алкоксигруппу и выделением диэтилового ацетата 1,1,1-трихлорпропилового альдегида (V). ПП представляют собой прозрачные, бесцветные или слабо окрашенные в-ва, вязкие в случае II и III и твердые в случае I. В ПП из I на 1 молекулу  $\text{CCl}_4$  приходится 4—5 молекул I, а в ПП из II — 41 молекула II. Из 0,4 моля  $\text{CCl}_4$ , 0,1 моля I и 0,0045 моля IV при перемешивании (70—75°, 2 часа) получают 1,1,1,3-тетрахлорпропилфениловый эфир (VI), выход 95,3%, т. кип. 145—145,5°/9 мм,  $n_D^{20}$  1,5432,  $d_4^{20}$  1,3976, и 1,5 г ПП. Перечисляются исходный виниловый эфир, мол. соотношение (I—III):  $\text{CCl}_4$ , максим. т-ра р-ции в °С, выход ТХПЭ в %, выход ПП в %: I, 1:4, 75, 95,3, 2,0; I, 1:3, 85, 88,5, 5,5; I, 1:2, 95, 80,1, 7,7; I, 1:1, 115, 69,4, 23,6; I, 4:1, 110, 0,0, 56,8; I, 4:1, 90, 0,0, 58,3; I, 6:1, 120, 0,0, 42,0; II, 1:4, 100, 81,2, 5,6; II, 1:2, 95, 75,4, 8,4; II, 1:1, 70, 55,1, 15,8; II, 4:1, 97, 13,7, 67,0; II, 6:1, 70, —, 45,4; III, 1:4, 75, 78,6, 1,2; III, 1:2, 90, 84,2, 2,2; III, 1:1, 124, 72,3, 4,2; III, 4:1, 65, 8,0, 53,3; III, 6:1, 65, 2,4, 63,5. Р-цию проводят или как в случае VI или в ампулах. 1,1,1,3-тетрахлорпропилбутиловый эфир, т. кип. 96,5—98,5°/6 мм,  $n_D^{20}$  1,4695,  $d_4^{20}$  1,2585, 1,1,1,3-тетрахлорпропилэтиловый эфир (VII), т. кип. 72,5°/8 мм,  $n_D^{20}$  1,4700,  $d_4^{20}$  1,3472. Гидролизом VI получают фенол и дихлоракролеин, который выделяют в виде семикарбазона (VIII), т. пл. 164,5—165°. Из 0,12 моля спирта и 0,06 моля VII в 6 мл  $\text{CCl}_4$  получают V, выход 90%, т. кип. 80—81°/9 мм,  $n_D^{20}$  1,4450,  $d_4^{20}$  1,1836, 1,6 г V кипятят 1 час с 5 мл 2%-ной HCl, выход VIII 83,4%, т. пл. 165,0°. С. Виноградова

51511. Изучение этиленсульфида. I. Полимеризация этиленсульфида. Ота, Кондо, Ои (Этиленсальфайдに関する研究, 第1報, Этиленсальфайд

の重合について, 大田正樹, 近藤朝士, 大井 令一), 日本化学雑誌, Нихон какаку дзасси, J. Chem. Soc. Japan, Pure Chem. Sec., 1954, 75, № 10, 985—987 (японск.) Из  $\text{ClCH}_2\text{CH}_2\text{OH}$ , KCNS и NaOH получают этиленсульфид (I). С рядом в-в I дает полимеры (ПЛ) по

схеме:  $n\text{SCH}_2\text{CH}_2 + \text{XY} = \text{X}(\text{SCH}_2\text{CH}_2)_n\text{Y}$ , где  $n$  = от 5 до 15 в зависимости от природы XZ. В случае  $\text{NH}_3$  мол. вес. ПЛ при уменьшении конц-ии  $\text{NH}_3$  от 24 до 2% возрастает с 878 до 947. К 150 мл воды, 20 г NaOH и 50 г KCNS добавляют 40 г  $\text{ClCH}_2\text{CH}_2\text{OH}$ , оставляют при 0° на 24 часа. Из верхнего слоя получают 8 г I, т. кип. 54—55°,  $n_D^{18}$  1,4914, который с NaOH в  $\text{CH}_3\text{OH}$  через 24 часа при ~20° дает ПЛ, т. пл. 182—185°. К  $1/30$  моля I в 20 мл  $\text{CH}_3\text{OH}$  добавляют  $1/30$  XZ, оставляют на 24 часа при ~20°, промывают 100 мл воды и 50 мл горячего  $\text{CH}_3\text{OH}$  и сушат 5 час. в вакууме над  $\text{P}_2\text{O}_5$  при 70—80°. Перечисляются XZ, т. пл. в °С,  $n$ :  $\text{NH}_3$ , 163—168; 14; пиперидин, 97—98; 7; HCl (к-та), 91—96; 5; гидразин, 135—140; 15; пиридин, 188, —;  $\text{CH}_3\text{NH}_2$ , 150—156; 15; этилендиамин, 163—165, 15. Н. Швецов

51512. Синтез и полимеризация нитропентена. Асахара, Миёси (エトロペンテンの合成および重合, 原田三, 三好淑子), 生産研究, Сайсан кэнкю, 1955, 7, № 3, 21 (японск.)

Конденсацией масляного альдегида (I) с  $\text{CH}_3\text{NO}_2$  получают 1-нитропентанол-2 (II), который при дегидратации переходит в 1-нитропентен-1 (III). При добавлении 0,1—0,5 н. р-ра. К в  $\text{CH}_3\text{OH}$  III полимеризуется на ~50%. В полимер входит 6 молекул III, с другими катализаторами этот полимер не образуется. К р-ру 29 г  $\text{CH}_3\text{NO}_2$  и 35 г I в 15 мл  $\text{CH}_3\text{OH}$  добавляют 1—2 мл 6 н. водн. NaOH и нагревают 30 мин., получают II, выход 85%, т. кип. 89—91°/5 мм,  $n_D^{20}$  1,4435,  $d_4^{20}$  1,0556. II перегоняют в вакууме над  $\text{P}_2\text{O}_5$ , получают III, выход 80—90%, т. кип. 70°/15 мм,  $n_D^{20}$  1,4510,  $d_4^{20}$  0,9943. Приведены ИК-спектры II, ацетата II и III и УФ-спектр III. Н. Швецов

51513. Незаученные высокомолекулярные соединения. Ода (未開發の高分子化学, 小田良平), 化学, Какаку, Chemistry (Japan), 1956, 11, № 9, 66—67 (японск.)

Кратко рассмотрены возможности синтеза новых высокомолекулярных соединений типа XRY, где  $\text{R} = (\text{CH}_2)_n$ ;  $\text{C}_6\text{H}_4$ ;  $(\text{CH}_2)_n\text{Z}(\text{CH}_2)_m$ , а  $\text{Z} = \text{O}$ , S, NH; X и Y = OH,  $\text{NH}_2$ , COOH,  $\text{N}=\text{C}=\text{O}$ ;  $\text{CH}=\text{CO}$ ;  $\text{CHCH}_2\text{O}$ ;  $\text{CH}_2=\text{CHCO}$ ;  $\text{CH}_3\text{COCH}_2\text{CO}$  или  $\text{C}_2\text{H}_5\text{OOCCH}_2\text{CO}$ . Л. Я.

51514. О некоторых полимерах соединений с пропениловой цепью. О полимерах изосафрола и анетола. Ратту, Сеччи (Su alcuni polimeri di composti a catena propenilica. Sui polimeri dell'isofavrolo e dell'anetolo. Rattu A., Secci M.), Rend. Seminar. Fac. sci. Univ. Cagliari, 1956, 26, № 1-2, 118—122 (итал.)

Обработкой изосафрола (I) и анетола (II)  $\text{AlCl}_3$  получены их насыщ. тетрамеры. К 20 г свежеперегнанного I в 70 г безводн. эфира порциями добавляют 10 г  $\text{AlCl}_3$ ; после 30 мин. обработки кипятят смесь 12 час., отгоняют эфир, промывают водой, растворяют в  $\text{C}_6\text{H}_6$ , высаживают петр эфиром и получают ~6 г тетрамера I, т. пл. 150—253°, мол. в. (по Ратту) 655,3. Действием 15 г  $\text{AlCl}_3$  на 50 г II в 50 мл эфира получают 10 г тетрамера II, т. пл. 165—190°, мол. в. (по Ратту) 580. Л. Песня

51515. Из области высокомолекулярных соединений. Сообщение 81. О смешанных полиамидах, содержащих глутаровую или пимелиновую кислоты. Коршак В. В., Фрунзе Т. М. (グルタル酸またはピメリン酸を含有する混合ポリアミドについて, Korshak V.V., Frunze T. M.), 通連経済化学工業レポート, Соран кадзай

рапото; Рапорт хим. пром-сти, 1956, № 11, 37—52 (японск.)

Перевод, см. РЖХим, 1957, 8329.

# 51516. Исследования в области синтеза полиамидов.

**I. Поликонденсация диметилполиметилэтилендиамин** с фталевой кислотой. Масуда (ボリアミドの合成研究, 第1報,  $N,N'$ -ジメチルポリメチレンジアミンとフタル酸との重縮合, 増田幸夫), 高分子化学, Кобунши кагаку, Chem. High Polym., 1955, 12, № 124, 356—361 (японск.)

Гексаметилендиамин (I) превращают в  $N,N'$ -ди-*n*-толуолсульфопроизводное (II), метилируют  $CH_3I$ , омыляют, выделяют  $N,N'$ -диметилгексаметилендиамин (III) и получают его соль с фталевой к-той (IV) (IV — соль). Аналогичным путем из  $NH_2CH_2CH_2NH_2$  получают  $CH_3NHCH_2CH_2NHCH_3$  (V) и соль (VI) и фталевой к-ты (VI) (VI — соль). Исследована зависимость поликонденсации IV от т-ры и продолжительности р-ции. К 245 г *n*- $CH_3C_6H_4SO_2Cl$  в 250 мл эфира и 250 мл воды при 0° добавляют за 1 час 50 г I, растворенного в 12%-ном водн. р-ре 1,7 моля КОН и оставляют на 3—4 часа при 20°; получают II, выход 85%, т. пл. 151—152° (из  $CH_3OH$ ). К 150 г II в 105 г 32%-ного водн. NaOH и ~1 л  $CH_3OH$  добавляют при 0° 115 мл  $CH_3I$  и оставляют на ночь; получают  $N,N'$ -диметилгексаметилен-ди-*n*-толуолсульфамид (VII), выход 40%, т. пл. 145—147° (из лед.  $CH_3COOH$ ). Р-р 100 г VII в 200 мл 98%-ной  $H_2SO_4$  и 40 мл воды нагревают 7 час. при 140—145°, затем выпавший осадок обрабатывают 32%-ным водн. NaOH и продукт р-ции обрабатывают конц. HCl. Получают дихлоргидрат III, выход 98%, т. пл. 243—245° (из сп.); III, т. кип. 203—205°. IV получают из 1 моля III и 1 моля фталевой к-ты, выход 98%, т. пл. 80—85° (из  $CH_3OH$ , эф.); V, т. кип. 119—120°; ди-*n*-толуолсульфопроизводное V, т. пл. 165—166°, выход 76%; дихлоргидрат V, т. пл. 234—236°; VI, т. пл. 130—140°. 1 г IV полимеризуют нагреванием в стеклянной трубке без р-рителя. При 200° мол. вес полимера достигает максимума через 4 часа (12000), а затем снижается, при 250° наибольший мол. вес наблюдается через 4 часа (5000), а при 300° через 3 часа (1200); при 360° полимеризация не идет.

Н. Шведов

# 51517. Синтез монотозилевого эфира целлюлозы и его оксигенилирование. Климова О. М., Семенова Э. В., Сб. студ. работ Ленингр. технол. ин-та им. Ленсовета, Л., 1956, 121—125

При действии окиси этилена (I) в присутствии NaOH на *n*-толуолсульфонилсый эфир целлюлозы (II — эфир) со степенью замещения 0,87 получен смешанный эфир, содержащий 12 оксигенильных групп (ОЭГ) на 100 глюкозных остатков (ГО). Оксигенильный эфир, полученный в аналогичных условиях из целлюлозы, содержал 103 ОЭГ на 100 ГО. Так как сульфогруппа во II находится у  $C_6$ , то очевидно, что в цел. среде I присоединяется преимущественно к свободным первичным гидроксильным группам целлюлозы.

И. Лишанский

# 51518. О строении алкилцеллюлозы и к вопросу о направленном замещении в частично алкилированной целлюлозе. Хессе, Хейман, Лейпольд (Über die Konstitution der Alkylcellulose und zur Frage der gerichteten Substitution bei partiell alkylierter Cellulose. Hess Kurt, Neumann Karl E., Leopold Richard), Liebigs Ann. Chem., 1955, 594, № 2, 119—136 (нем.)

В связи с вопросом о направленном замещении в алкилцеллюлозе (АЦ) при ксантогенировании авторы подробно изучили р-цию метилирования АЦ йодистым метилом (Sugihara J. M., Wolfram M. L., J. Amer. Chem. Soc., 1949, 71, 3509). Полной идентификацией всех сахаров расщепления метилцеллюлозы

(хроматография на бумаге) и сравнением эксперим. данных с расчетными (Spurlin, J. Amer. Chem. Soc., 1939, 61, 2222) установлено, что для частично метилированной целлюлозы (Ц) в первом приближении имеет место статистич. распределение заместителей. При гидролизе продуктов метилирования (ПМ), полученных из осажденной Ц и из водокнистой (рами), найдены практически одинаковые смеси метилсахаров и незамещ. глюкозы. Состав сахаров расщепления для ПМ, полученных из АЦ с низкой конц-ей цел. ванны (6%) и с высокой, также практически одинаков (20—35% моно-, 10—25% ди-, 5—15% три-метилглюкоз). Показано, что кол-во образовавшихся при метилировании метоксильных групп полностью соответствует наличию Na в АЦ. Авторы полагают, что связь NaOH в Ц основана на дипольных силах и этим объясняют образование всех возможных метилсахаров. На основе строения АЦ, как дипольного соединения, обсуждается механизм р-ции. Делается вывод о причинах затрудненности направленной р-ции метилирования в решетке АЦ, где большую роль играют процессы диффузии. Результаты метилирования АЦ йодистым метилом сравнивают с данными по метилированию препаратов Ц диазометаном (см. РЖХим, 1955, 29080) и диметилсульфатом. Расщепление ПМ проводили 1,5%-ным р-ром хлористого водорода в  $CH_3OH$  и для сравнения — 41%-ной HCl. Хроматографией на бумаге (р-ритель: *n*-бутанол — вода — уксусная к-та; 4:5:1; нисходящий метод, 17 час.; проявление анилинофталатом) дифференцированы глюкоза, монометилглюкозы (нераздельно), диметилглюкозы (только со слабым разделением 2 пачек) и три-метилглюкоза. Посредством электрофореза на бумаге (рН 8, 110 в, 2 ма, ~20°, 4—6 час.) доказано наличие 2,3- и 3,6-диметилглюкоз и идентифицирована 2-монометилглюкоза.

Е. Лукина

# 51519. Ацетилирование оксигенированных Фудзимы (Оキシセルロースの酢化について. 藤村敏一), 高分子化学, Кобунши кагаку, Chem. High Polym., 1955, 12, № 123, 315—321 (японск.)

Исследована зависимость ацетилирования оксигенированных (McGee и др., J. Amer. Chem. Soc., 1947, 69, 355) от характера предварительной обработки сырья, времени и т-ры ацетилирования и от состава ацетилирующей смеси. Результаты опытов и свойства полученных в-в представлены в виде 5 таблиц и 6 графиков. Приведена растворимость продуктов р-ции и в-в, полученных при их омылении в ацетоне, спирте,  $CHCl_3$ ,  $CH_3COOH$ , пиридине, *m*-крезоле,  $C_6H_5OH$  и смеси  $CHCl_3$  и спирта (1:3).

Н. Шведов

# 51520. Лигнин. V. Ванильномуравьиная кислота из продуктов щелочного расщепления лигносульфонатов. Гленни, Текленберг, Ривилд, Мак-Карти (Lignin. V. Vanilloylformic acid from alkaline cleavage of lignin sulfonates. Glennie D. W., Techlenberg H., Reaville E. T., McCarthy Joseph L., J. Amer. Chem. Soc., 1955, 77, № 9, 2409—2412 (англ.))

В результате щел. расщепления лигносульфонатов (I) в присутствии  $SiO_2$  наряду с различными в-вами фенольного характера выделена ванилолмуравьиная к-та (II). Р-р после щел. расщепления был подвергнут электрофорезу, в результате найдены ацетованилон (III), ванилин (IV), ванилиновая к-та (V) и II. После проведения р-ра через колонку с анионитом и вымывания р-ром бисульфата натрия, в вымываемом р-ре найдена II, идентифицируемая с II, полученной из III. Высказывается мнение, что II выделенная в очень незначительных кол-вах (0,4%) является промежуточным продуктом превращения I в V, в то время как III является конечным продуктом превращения I. Для опыта брались Ca-соль I, содер-



жащая: 3,97%  $H_2O$ , 8,26%  $OSCH_3$ , 9,53% редуцирующих в-в (в пересчете на глюкозу), 6,62%  $CaO$ , 17,75% активных атомов водорода. Коэф. диффузии  $14,8 \text{ мм}^2$  в день, максимум поглощения УФ-света при 2800 Å. В смесь 2330 г  $Cu(OH)_2$  и 1610 г  $NaOH$  в 10 л воды поместили 2300 г Са-соли I и нагревали в автоклаве при 178° 4 часа. Полученный профильтрованный р-р подкислили до pH 1 и извлекли эфиром. Выделено 29,5 г в-ва. Приведены кривые электрофореза этого препарата, после повторного извлечения получено 9,9 г в-ва, его растворили в 1 л воды и пропустили через колонку с дуолитом А-2. После вымывания  $NaHSO_3$  получили фракцию, содержащую II и V. Повторным проведением р-ра через анионит, насыщ. р-ром  $NaHSO_3$ , отделено II от V. После подкисления выделено 117 мг II, т. пл.  $132-132,5^\circ$  (из бал.). Электрофоретич. подвижность II  $1,06 \pm 0,02 \text{ см}^2/\text{в час}$ . Получение II из III. Из 49,8 г III и 11,7 г К в абс. спирте, кипячением 12 час. с 40,2 г  $CH_3I_2$  и 1 г Си-пороска с последующим добавлением 40,2 г  $CH_3I_2$  и 36 час. кипячением получен формальдегид-бис-ацетованилоацеталь (VI), выход 57%; окислением 29,1 г VI в 1200 мл воды и 190 мл 2 н.  $NaOH$  получена II, выход 67%; 2,4-динитрофенилгидразон II, полученной синтетически, плавится аналогично 2,4-динитрофенилгидразону II, полученному из продуктов щел. расщепления I. 0,392 г II подвергли метилированию  $(CH_3)_2SO_4$  в присутствии щелочи, получено 0,39 г вератроилмуравьиной к-ты (VII), т. пл.  $133-134^\circ$  (из бал.), строение которой доказано плавлением смеси ее с заводской VII. Метилирование VII  $CH_3N_2$  в эфире дало метилвератроилформат (VIII), т. пл.  $60-61^\circ$  (из водн. сп.), проба плавления смеси с заводской VIII депрессии не дала. При окислении 98 мг II в условиях щел. окисления I, с помощью смеси 12,4 г  $NaOH$ , 26,9 г  $CuSO_4 \cdot 5H_2O$  и 69 мл воды в 130 мл стальном автоклаве при 178° (2 часа) получено 78 мг II и 13 мг V. Если окисление вести 3 часа, получают 59 мг II и 21 мг V. При аналогичном окислении III и смеси III и IV, II не выделено. УФ-спектры получены на спектрофотометре Бекмана, ИК-спектры на спектрофотометре Перкина — Элмера. Сообщение IV см. РЖХим, 1957, 41382. А. Юркевич

**51521. Лигнин. VI. Определение молекулярного веса сульфонов лигнина методом светорассеяния.** Моаканин, Феличетта, Халлер, Мак-Карти (Lignin. VI. Molecular weights of lignin sulfonates by light scattering. Moacanin Jovan, Felicetta Vincent F., Haller Wolfgang, McCarthy Joseph L., J. Amer. Chem. Soc., 1955, 77, № 13, 3470—3475 (англ.))

Водный р-р сульфонов лигнина (СЛ) из древесины западного болиголова подвергли диализу и недиффузные СЛ фракционировали методом осаждения спиртом. Фракции СЛ охарактеризованы по УФ-спектрам и по коэф. диффузии из р-ра в агаровый гель (J. Amer. Chem. Soc., 1949, 71, 2879). Для некоторых фракций СЛ определен средневесовой мол. вес ( $10^4-10^5$ ) по методу светорассеяния (РЖХим, 1955, 5423). Обнаружена корреляция между величинами коэф. диффузии и мол. весом, которая объяснима при предположении, что молекулы СЛ в р-ре ведут себя как гибкие цепи, проникаемые для р-рителя. И. Лишанский

**51522. Физико-химические исследования крахмалов. Часть III. Взаимодействие крахмалов и разветвленных α-1,4-глюкозанов с йодом; клапанный микровольтметр для дифференциального потенциометрического титрования.** Андерсон, Гринвуд (Physicochemical studies starches. Part III. The interaction of starches and Branched α-1:4-glucosans with iodine; and a valve microvoltmeter for differen-

tial potentiometric titrations. Anderson D. M. W., Greenwood C. T., J. Chem. Soc., 1955, Sept., 3016—3023 (англ.))

Посредством разработанного авторами микровольтметра для дифференциального потенциометрич. титрования (приведены схема и описание прибора) изучено взаимодействие препаратов крахмала различного происхождения с йодом (I), определено их «сродство к йоду» (СИ) и рассчитано содержание амилозы в препаратах крахмала. Исследовано также взаимодействие разветвленных α-1,4-глюкозанов (амилопектины и гликогены) с I. Найдено, что с увеличением средней длины цепи в них возрастает СИ. Часть II см. РЖХим, 1956, 29261. И. Лишанский

**51523. Попытка получения гомогенной гемицеллюлозы из осиновой древесины.** Милкс, Первее (Attempted preparation of a homogeneous hemicellulose from aspen wood. Milks J. E., Purves S. B., J. Amer. Chem. Soc., 1956, 78, № 15, 3738—3744 (англ.))

С целью выделения индивидуальных в-в холоцеллюлозу (I) из осиновой древесины экстрагировали почти безводн. жидким  $NH_3$  (20°, ~ 100 ат). Остаток обрабатывали водой, растворимую часть после переосаждения ацетилировали. Фракционированием ацетатов выделены в-ва, содержащие 1 остаток гекусуновой к-ты и 2 остатка 4-метилглюкуроновой к-ты (II), связанные с остатком D-ксилозы (III). При частичном гидролизе этих в-в получены альдотриуриновая к-та,  $[\alpha]^{20}_D + 46,9^\circ$  (с 1,5; вода), построенная из остатка II и 2 остатков III. Выделена также другая альдотриуриновая к-та,  $[\alpha]^{20}_D + 81^\circ$  (с 1,5; вода), неустойчивого строения. При гидролизе продуктов метилирования одной из фракций I выделено 6,5% монометилксилос, что указывает на значительную разветвленность молекулы I. И. Лишанский

**51524. О метоксилсодержащих углеводах сосновой древесины.** Хегланд, Рихтценхайн, Дрюселюс (Über ein methoxylhaltiges Kohlenhydrat im Fichtenholz. Hägglund Erik, Richtzenhain Hermann, Dryselius Elisabeth), Chem. Ber., 1956, 89, № 2, 375—378 (нем.)

Из кислых продуктов гидролиза древесины сосны и холоцеллюлозы, полученной из сосны, были выделены хроматографич. путем углеводы, содержание до 6,5%  $OSCH_3$ . Выводили предположение, что эти углеводы являются неочищ. метоксилсодержащими альдобиновыми к-тами. Описана методика получения холоцеллюлозы, проведения гидролиза, разделения полученных продуктов гидролиза на 9 фракций и анализ фракции, содержащей наибольшее кол-во  $CH_3O$ -групп. Т. Финкельштейн

**51525. Исследование сравнительной реакционной способности гидроксильных групп целлюлозы.** Деревницкая В. А., Козлова Ю. С., Роговин З. А., Сообщ. о научн. работах Всес. хим. о-ва им. Менделеева, 1955, вып. 3, 9—12

Изучалась сравнительная реакционная способность OH-групп целлюлозы (I) в р-циях образования метилового эфира целлюлозы в щел. и нейтр. средах. Метилцеллюлозу (II) с  $\eta \approx 100$  получают метилированием I  $CH_3I$  и диметилсульфатом в р-рах щелочи, четвертичного аммониевого и меднощел. оснований и метилированием I  $CH_3N_2$  в эфире. Установлено, что в р-ции метилирования в щел. и нейтр. средах наибольшей реакционной способностью обладают вторичные гидро-OH-группы I. Структура I не влияет на распределение  $CH_3O$ -групп в II. Т. Финкельштейн

**51526. Получение натриевых солей полиоксэтилен-алкилфеносульфокислот.** Асахара, Такага (ポリオキシエチレンアルキルフェノールスルホン酸ソーダの合成. 浅原三, 高木行雄), 工業化学雑誌,

Kogé караку дзасси, J. Chem. Soc. Japan. Industr. Chem. Sec., 1956, 59, № 4, 489—490 (японск.)

Конденсацией диизобутил-(I) или нонилфенола (II) с различными кол-вами окиси этилена (III) (150%; 0,5% безводн.  $\text{CH}_3\text{COONa}$ ) получают полиоксипропилен-алкилфенолы (IV), в которых на 1 моль I приходится 1,54, 3,34 или 4,41 моля III или на 1 моль II приходится 1,32, 2,85 или 4,30 моля III. IV кипятят (6 час.) с  $(\text{CH}_3\text{CO})_2\text{O}$  в присутствии 1% безводн.  $\text{CH}_3\text{COONa}$  и перегонкой выделяют ацетиленовые производные I: 1,54 III, т. кип. 154—200°/2 мм; 1: 3,34 III, т. кип. 190—240°/2 мм; 1: 4,41 III, т. кип. 205—268°/1,5 мм; II: 1,32 III, т. кип. 158—200°/2 мм; II: 2,85 III, т. кип. 180—225°/2 мм; II: 4,30 III, т. кип. 200—280°/1,5 мм; выход 85—90%. Ацетиленовые производные сульфировать в  $\text{CCl}_4$  при 2—5° добавлением избытка  $\text{HSO}_3\text{Cl}$  (1,5 часа) и перемешиванием (1,5 часа) при обычной т-ре. Полученные ацетиленовые производные полиоксипропиленалкилфенолсульфокислот превращают в Na-соли подщелачиванием при 30° 40%-ным NaOH и омыляют р-ром NaOH в  $\text{CH}_3\text{OH}$  нагреванием (1 час) на водяной бане до Na-солей полиоксипропиленалкилфенолсульфокислот, выход 60—70%. Приведены ИК-спектры полученных солей. Наибольшей поверхностной активностью обладает Na-соль сульфокислоты II: 2,85 моля III. Л. Яновская

51527. Рациональный синтез циклического новолака, содержащего 8 циклов, и «спитого» новолака, содержащего 10 циклов, Хантер, Тернер (Rational synthesis of a cyclic octanuclear novolak and of a cross-linked decanuclear novolak. Hunter R. F., Turner C.), Chemistry and Industry, 1957, № 3, 72—73 (англ.)

Показано, что в процессе отверждения фенол-формальдегидных и родственных им смол образуются структуры, аналогичные полученным при синтезе циклич. новолака, содержащего 8 циклов (I) и «спитого» новолака, содержащего 10 циклов (II). I получают конденсацией эквимолекулярных кол-в бис-2-окси-3-(2'-окси-3'-метил-5'-метилбензил)-5-метилфенолметана и бис-2-окси-3-(2'-окси-3'-метилбензил)-5-метилфенилметана. II синтезируют отщеплением  $\text{CH}_2\text{O}$  от спиртов, содержащих 10 циклов и полученных взаимодействием двух молекул новолака, содержащего 5 циклов, с  $\text{CH}_2\text{O}$  при нагревании в щел. среде. Структуры I и II подтверждены ИК-спектрами.

С. Якушкина

51528. Структура агара. Нанн (The structure of agar. Nunn J. R.), S. Afric. Industr. Chemist, 1956, 10, № 10, 236—237 (англ.)

Приведен краткий обзор работ по выяснению строения агара. Найдено, что агар из *Gracilaria confervoides* в основном представляет собой неразветвленные цепи, состоящие из остатков агаробизозы, связанных 1→3 гликозидными связями. Мол. вес ацетилированного агара составляет 34000—93000.

И. Липанский

51529 Д. Некоторые вопросы кинетики ингибированной термополимеризации стирола. Тюдеш Френц. Автореф. дисс. канд. хим. н. Ленингр. технол. ин-т им. Ленсовета, Л., 1956

51530 Д. Влияние пространственных препятствий на свойства диеновых полимеров *цис*-строения.

Хадсон (The effect of steric hindrance on the properties of all-*cis* diene polymers. Hudson Robert Leslie. Doct. diss., Univ. Maryland, 1955), Dissert. Abstrs, 1955, 15, № 12, 2411—2412 (англ.)

Изучены свойства 3-метил-1,2-диметиленциклогексана (I) и 3,6-диметил-1,2-диметиленциклогексана (II), в которых  $\text{CH}_3$ -группы находятся в положении, максимально затрудняющем вращение.  $\text{CH}_3$ -группы в положениях 3 и 3,6 вызывают пространственные препятствия, не допускающие гомополимеризации. Однако сополимеры получены из I и II в смеси с 1,2-диметиленциклогексаном. Обрабатывают пентадиен-1,3 малеиновым ангидридом и этерификацией неочищ. аддукта, получают диэтиловый эфир 3-метил-*цис*- $\Delta^4$ -тетрагидрофталевой к-ты (III). III восстанавливают при помощи  $\text{LiAlH}_4$  в диол, который ацетилированием превращают в диацетат 3-метил-*цис*- $\Delta^4$ -тетрагидрофталевой к-ты (IV). IV гидрируют до диацетата 3-метилгексагидрофталевой к-ты; последний при пиролизе дает I, выход 10,5%. Аналогично из гексадиена-2,4 получают II, выход 8,5%. Структура I и II подтверждена анализом, синтезом аддуктов по Дильсу—Альдеру и УФ-спектрами. Пиролизом диацетата 3,6-диметил-*цис*- $\Delta^4$ -тетрагидрофталевой к-ты получают 3,6-диметил-1,2-диметиленциклогексен-4, который дегидрированием превращают в пиренитол  $\text{C}_{12}\text{H}_2(\text{CH}_3)_4$ , что также подтверждает строение углеродного скелета циклич. диенов. Получены сополимеры I и II при различных начальных соотношениях диенов. Строение сополимеров и долю присоединения в положения 1,2 определяют при помощи ИК-спектров. Соплимер, содержащий 86% I, несмотря на то, что он обладает меньшим объемом и менее симметричен, чем сополимер, содержащий 80% 4,5-диметил-1,2-диметиленциклогексана, имеет т-ру размягчения выше на 20°. Исходный продукт для синтеза ациклич. *цис*-полимера — 2,3-дикарбометоксибутадие-1,3 (V) — получают гидролизом диацетилдициангидрина и последующей этерификацией образующейся диолдикислоты в диметиловый эфир  $\alpha,\alpha'$ -диметилвинной к-ты (VI). Действием  $\text{CH}_3\text{COCl}$  на VI получают диацетат, который при пиролизе дает V, выход неочищ. 8,3%.

И. Цветкова

51531 Д. Синтез и полимеризация эфиров альфа-хлоракриловой кислоты и исследование полученных полимеров. Боднар Э. Автореф. дисс. канд. техн. н., Моск. хим.-технол. ин-т им. Менделеева, М., 1956

51532 Д. Исследование термических превращений тетраметилэтилена и тетрагидроэтилена при высоких давлениях. Жулин В. М. Автореф. дисс. канд. хим. н., Ин-т орган. химии АН СССР, М., 1956

51533 Д. Синтез и исследование арилатических полиамидов. Аскаров М. А. Автореф. дисс. канд. техн. н., Моск. хим.-технол. ин-т им. Менделеева, М., 1956

См. также разделы: Каучук натуральный и синтетический. Резина, Синтетические полимеры. Пластмассы и рефераты: Физ. св-ва высокополимеров 50470, 50897, 50907, 50940. Кинетика и механизм полимеризации 50776, 50811. Деполимеризация 50811. Хим. анализ 51574

## АНАЛИТИЧЕСКАЯ ХИМИЯ

## ОБЩИЕ ВОПРОСЫ

Редакторы А. И. Бусев, Ф. П. Судаков

**51534. Ценность корреляционных вычислений при интерпретации аналитических результатов. Графф** (De l'intérêt des calculs de corrélation dans l'interprétation des résultats analytiques. Graff Yves), Bull. Soc. chim. France, 1957, № 3, 436—440 (франц.) На примере изучения зависимости между содержанием к-т и спирта в сидре показано значение статистич. методов. И. Леви

**51535. Общий систематический ход открытия катионов IV и V аналитических групп. Ганчев Н.** (Общ. систем. ход за откриване катионите от IV и V аналитични групи. Ганчев Н.), Изв. Хим. ин-т. Българ. АН, 1956, 4, 311—326 (болг.; рез. русск., нем.)

Предложен новый ход открытия катионов IV и V аналитич. групп. Фильтрат после отделения катионов III группы, подкисляют соляной к-той и выпаривают до ~30 мл. В случае наличия осадка его отфильтровывают. Если присутствует  $Ba^{2+}$  (желтый осадок при прибавлении к 1 мл р-ра избытка  $CH_3COONa$  и нескольких капель р-ра  $K_2Cr_2O_7$ ), то р-р нагревают до кипения, прибавляют ~2 н.  $H_2SO_4$  и выпавший осадок отфильтровывают. К половине фильтрата прибавляют 20%-ный р-р  $K_2CO_3$ , свободный от солей Na, до нейтр. р-ции на лакмус + 1 мл избытка. Р-р кипятят до полного удаления  $NH_3$  (если р-р при этом становится кислым по лакмусу, то добавляют еще 1 мл р-ра  $K_2CO_3$ ), фильтруют и в фильтрате открывают Na+ при помощи пиросульфатнокислого K (при наличии  $Mg^{2+}$  анализируемый р-р кипятят с KOH и фильтруют). Из второй половины фильтрата удаляют  $NH_3$  кипячением с 20%-ным р-ром  $Na_2CO_3$ , свободным от солей K. В фильтрате открывают  $Mg^{2+}$  в виде  $MgNH_4PO_4$  и K+ после подкисления 20%-ной  $CH_3COOH$  в виде  $K_2Na[Co(NO_2)_6]$ . Осадок карбонатов растворяют в 5—6 мл 10%-ной  $CH_3COOH$ . В 1-й части полученного р-ра открывают  $Sr^{2+}$  при помощи глицер. воды. Из другой части р-ра осаждают  $Sr^{2+}$  избытком  $Na_2SO_4$  в присутствии нескольких капель 10%-ного NaOH; в фильтрате открывают  $Ca^{2+}$  при помощи оксалата Na или аммония. Указанным методом открывают еще 0,0001 г  $Mg^{2+}$ , 0,0004 г  $Sr^{2+}$  и 0,0001 г  $Ca^{2+}$  (осадки появляются через некоторое время при потирании стенок пробирки стеклянной палочкой). Продолжительность анализа 1,5 часа.

Н. Туркевич

**51536. Обнаружение некоторых элементов в химических соединениях и минералах методом растирания. Бицан** (Důkaz některých prvků v chemických sloučeninách a minerálech roztěrovou metodou. Bican Jaroslav), Přírod. vědy škole, 1956, 6, № 9, 826—828 (чешск.)

Анализируемую пробу растирают с соответствующим реактивом (в некоторых случаях производят последующую обработку 1 каплей воды,  $NH_4OH$  или HCl) и обнаруживают элементы по возникновению характерного окрашивания. Реактивом для Al служит ализарин + 1 капля  $NH_4OH$  (светлокрасное окрашивание), для  $Fe(2+)$  —  $K_3Fe(CN)_6$  (синее окрашивание) или диметилглиоксим + 1 капля  $NH_4OH$  (малиново-красное окрашивание), для  $Fe(3+)$  —  $K_3Fe(CN)_6$  (синее окрашивание) или  $NH_4SCN$  (коричнево-красное окрашивание), для  $Cd(2+)$  — смесь  $CuSO_4$  +  $K_4Fe(CN)_6$  + сегнетова соль (1:10:20) +  $NH_4OH$  (сине-фиолетовое окрашивание) или

$Na_2S$  (желтое окрашивание),  $Bi$  —  $KHSO_4$  +  $Na_2SO_3$  (желтое окрашивание, переходящее в красное), для  $MoO_4^{2-}$  —  $NH_4SCN$  +  $SnCl_2$  (красно-фиолетовое окрашивание), для вольфрамовой к-ты —  $SnCl_2$  + HCl (синее окрашивание), для  $KJ$  —  $PbSO_4$  + 1 капля воды (желтое окрашивание) или  $(CH_3COO)_2Hg$  (красное окрашивание), для  $Sb$  — KOH (красно-оранжевое окрашивание), для  $Hg$  — KJ (оранжевое окрашивание). Н. Туркевич

**51537. Старение осадков. Гу Ли-чжи** (沈澱的陳化. 顧里之), 化學世界, Хуасюэ шицзе, 1957, № 1, 10—13, 14 (кит.)

Обзорная статья.

Сун Ин-чжу

**51538. Количественная проба на примеси. IV. Изучение воспроизводимости результатов, полученных при осаждении. Часть III. Циммерман, Крогсвендсен, Реймерс** (Limit tests for impurities. IV. Investigations into the reproducibility of precipitation. Part III. Zimmermann J., Krogh-Svendsen E., Reimers F.), Analyt. chim. acta, 1957, 16, № 1, 6—21 (англ.; рез. нем., франц.)

Ранее предложенные методы определения  $Ba^{2+}$ ,  $Ca^{2+}$  и  $SO_4^{2-}$  усовершенствованы путем увеличения концентрации  $SO_4^{2-}$  и применения в качестве затравок препаратов, полученных из р-ров, содержащих  $C_2H_5OH$ . Для определения  $SO_4^{2-}$  к 10 мл испытуемого р-ра прибавляют 1 мл 1 M  $BaCl_2$ , смесь встряхивают 10 сек. и наблюдают помутнение, образовавшееся через 5 мин. В качестве эталона употребляют смесь, полученную добавлением 1 мл 1 M  $BaCl_2$  к 1 мл стандартного р-ра  $SO_4^{2-}$  (30 γ/мл  $SO_4^{2-}$  в 0,2 M HCl) и через 1 мин. 10 мл воды. Для устранения помех за счет  $NO_3^-$  и оксалата 1 мл 1 M  $BaCl_2$  прибавляют к 5 каплям стандартного р-ра (100 γ/мл  $SO_4^{2-}$  в 30%-ном  $C_2H_5OH$ ), встряхивают и через 1 мин. добавляют 10 мл нейтр. или кислого испытуемого р-ра и 1 мл 2 M HCl; помутнение наблюдают через 5 мин. Для определения  $Ba^{2+}$  + 1 мл 0,1 M  $H_2SO_4$  добавляют к 6 каплям стандартного р-ра  $Ba^{2+}$  (500 γ/мл  $Ba^{2+}$  в 89%-ном  $C_2H_5OH$ ); через 1 мин. добавляют 10 мл испытуемого р-ра, встряхивают 10 сек. и наблюдают помутнение через 5 мин. В качестве эталона употребляют смесь из 1 мл 0,1 M  $H_2SO_4$  и 1 мл стандартного р-ра  $Ba^{2+}$ , разбавленную после встряхивания и 1-минутной выдержки водой до 10 мл. Для определения  $Ca^{2+}$  + 4 капли стандартного р-ра  $Ca^{2+}$  (100 γ/мл  $Ca^{2+}$  в 89%-ном  $C_2H_5OH$ ) добавляют к 1 мл 0,25 M  $(NH_4)_2C_2O_4$ , встряхивают, через 1 мин. добавляют 10 мл нейтр., слабо подщелоченного аммиаком или подкисленного уксусной к-той р-ра. Помутнение наблюдают через 5 мин. Эталоном служит 0,5 мл стандартного р-ра  $Ca^{2+}$ , разб. водой до 10 мл, с добавкой реактива для затравки; выдерживают 5 мин. Части I и II см. Acta pharm. internat. suecica, 1950, 1, 55; 139. Т. Леви

**51539. Поведение окиси трехвалентного хрома при прокаливании ее в атмосфере различных газов. Михов** (Върху отнасянията на хромоксида при нагряване в атмосфера от различни газове. Михов М.), Изв. Хим. ин-т. Българ. АН, 1956, 4, 357—367 (болг.; рез. русск., нем.)

Для выяснения характера связи хромата в окиси Cr (3+) и зависимости кол-ва присутствующего хромата от т-ры и атмосферы прокаливания производили прокаливание  $Cr(OH)_3$  при различных т-рах в атмосфере воздуха,  $O_2$ ,  $H_2$ ,  $N_2$ ,  $CO_2$  и в вакууме. Кол-во  $CrO_3$  определяли фотометрированием окрашенного р-ра, образовавшегося при прибавлении дифенилкарбила к водн. вытяжке обработанных осадков. Установ-



лено, что хромат в окиси Cr (3+) связан необратимо и содержание его уменьшается до следовых кол-в при прокаливании окиси Cr (3+) до 1000°. Хромат обнаружен в осадках окиси, прокаленных в любой атмосфере, включая H<sub>2</sub>; в осадках окиси Cr (3+), прокаленных в вакууме, хромат не обнаружен. Предполагается, что хромат образуется за счет адсорбированного небольшого кол-ва O<sub>2</sub>, который не может быть вытеснен другими газами в обычных условиях. Т. Лени 51540. **Контроль величины pH и использование щелочей.** Анспак (pH value control and the use of alkalis. Anspach J. M.), Eng. and Foundryman, 1956, 21, № 1, 50—55 (англ.)

Отмечено значение измерений pH при контроле произ-ва, в частности при произ-ве огнеупорных материалов. Описаны методы определения pH.

51541. **Абсорбционная спектрометрия кислот и оснований в спиртовых растворах.** Фармер, Томсон (Absorption spectrometry of acids and bases in alcoholic solutions. Farmer V. C., Thomson R. H.), Chemistry and Industry, 1957, № 4, 112—113 (англ.)

Рассмотрены спектры поглощения спирт. р-ров некоторых органич. в-в. Указано, что изменение формы кривых светопоглощения может вызываться различной степенью диссоциации органич. к-ты или основания.

51542. **Комплексометрическое титрование (хелатометрия).** XXIV. **Определение свинца с применением пирокатехинового фиолетового в качестве индикатора.** Вржештл, Гавирж. XXV. **Определение свинца с применением бриллиантового конго синего в небуферной среде.** Вржештл, Катрлы (Komplexometrické titrace (chelatometrie). XXIV. Stanovení olova na pyrokatechinovou violet jako indikátor. Vřešťál J., Havří J. XXV. Stanovení olova na brilantní kongomodř v netlumeném prostředí. Vřešťál Jan, Kotrlý Stanislav), Chem. listy, 1956, 50, № 11, 1851—1853; 1775—1779 (чешск.); Сб. чехосл. хим. работ, 1957, 22, № 1, 316—318; 189—194 (нем.; рез. русск.)

XXIV. Пирокатехиновый фиолетовый (I) в слабощелочной среде (при  $\leq$  pH 4,5) образует с Pb<sup>2+</sup> окрашенный в синий цвет комплекс, который можно непосредственно титровать р-ром комплексона III (II); в точке эквивалентности появляется желтая окраска самого индикатора. Оптимальное значение pH 5,5 (для создания буферной среды используют уротропин (III); при более высоких конц-ях Pb вследствие недостаточности буферной емкости III для титрования применяют р-р II, нейтрализованный аммиаком, или р-р четырехаммонийной соли комплексона II (IV)). 100 мл р-ра пробы (1—500 мг Pb) нейтрализуют аммиаком, образовавшуюся муть растворяют добавлением 1 капли разб. HNO<sub>3</sub>, прибавляют 2 капли 0,1%-ного водн. р-ра I и 10%-ный водн. р-р III до ясно синей окраски и титруют 0,01 М р-ром IV до перехода синей окраски в желтую. Перед точкой эквивалентности появляется серый оттенок, который прибавлением  $\sim$  1 мл р-ра III переводит в первоначальный синий тон. Титрованию не мешают даже значительные кол-ва Mg<sup>2+</sup>, Sr<sup>2+</sup>, Ba<sup>2+</sup> и NaNO<sub>3</sub>. Присутствие Ca<sup>2+</sup> понижает четкость перехода окраски и завышает результаты.

XXV. Бриллиантовый конго синий (V) образует с многовалентными катионами комплексы, водн. р-ры которых окрашены в синий или красно-фиолетовый цвета; водн. р-р комплекса Pb имеет кирпично-красную окраску. Чувствительность р-ции V с Pb максимальна при pH 6,1—7,5. Однако вследствие гидролиза солей Pb pH титруемых р-ров нельзя довести до требуемого значения добавлением буферных в-в. Поэтому титрование выполняют в небуферной среде, причем

в качестве титранта используют 0,025 М р-р II, нейтрализованный аммиаком и содержащий некоторый избыток NH<sub>4</sub>OH для нейтрации ионов H<sup>+</sup>, образующихся в процессе титрования. Необходимый избыток NH<sub>4</sub>OH находят титрованием порции р-ра II, нейтрализованного NH<sub>4</sub>OH, 0,4 г. р-ром NH<sub>4</sub>OH по феноловому красному в присутствии избытка Ca<sup>2+</sup>. Содержание Pb в титруемом р-ре должно быть 10—250 мг в 75—100 мл. Так как водн. р-ры I неустойчивы, индикатор добавляют к титруемому р-ру в твердом виде. Перед титрованием pH р-ра при помощи разб. NH<sub>4</sub>OH доводят до  $\sim$  5; титруют до перехода кирпично-красной окраски в синюю. Определению Pb не мешают нитраты NH<sub>4</sub><sup>+</sup>, K и Na, ацетаты, небольшие кол-ва Cl<sup>-</sup>, Ag<sup>+</sup> и Mg<sup>2+</sup>. В присутствии ионов щел.-зем. металлов получаются несколько завышенные результаты, остальные катионы титруются одновременно с Pb. Сообщение XXIII см. РЖХим, 1957.

51543. **Применение органических производных серы в титриметрическом анализе.** II. **Титрование раствором калиевой соли меркаптофенилтиотиадиазолона.** Чигалик, Ворачек (Použití organických derivátů síry v odměrné analýze. II. Titrace draselnou soli merkaptofenylthiathiadiazolonu. Čihálik Jaroslav, Voráček Jaroslav), Chem. listy, 1956, 50, № 11, 1780—1785 (чешск.); Сб. чехосл. хим. работ, 1957, 22, № 2, 407—413 (нем.; рез. русск.)

К-соль меркаптофенилтиотиадиазолона (I) предложена в качестве титранта при амперометрич., потенциометрич. и визуальном титровании катионов 1-й аналитич. группы. I при pH 1—7 дает анодную волну, соответствующую образованию Hg-соли; высота этой волны в некоторой степени зависит от pH. При амперометрич. титровании измеряют понижение предельного тока для ионов металлов (напр., Ag<sup>+</sup>, Hg<sub>2</sub><sup>2+</sup>, Pb<sup>2+</sup>). Потенциометрич. титрование рекомендуется для определения Ag<sup>+</sup> и Hg<sup>2+</sup>. Для определения I используют визуальное argentометрич. титрование с применением флуоресцентных индикаторов. Сообщение I см. РЖХим, 1956, 65214.

51544. **Определение ионов металлов с использованием их оксалатов.** VI. **Определение тория.** VII. **Определение кобальта.** VIII. **Определение висмута.** Кавагаки (シユウ酸鹽を使用する金属イオンの定量. 第6報.トリウム, 第7報.コバルトの定量について. 第8報.ビスマスの定量について. 川垣 恭三), 日本化学雑誌, Нихон кagakу дзасси, J. Chem. Soc. Japan. Pure Chem. Sec., 1956, 77, № 10, 1459—1461; 1461—1464; 1464—1467 (японск.). Сообщение V см. J. Chem. Soc. Japan. Pure Chem. Sec., 1952, 73, 705.

51545. **Применение хлористого йода в аналитической химии.** V. **Определение цианидов и роданидов.** VI. **Определение гидразина, фенилгидразина, гидроксиламина и хлористого йода.** Чигалик, Теребова (Použití chloridu jodného v analytické chemii. V. Stanovení kyanidů a rhodanidů. VI. Stanovení hydrazinu, fenylhydrazinu, hydroxylaminu a chloridu jodného. Čihálik Jaroslav, Terebová Květuše), Chem. listy, 1956, 50, № 11, 1761—1767; 1768—1774 (чешск.)

V. В нейтр. или умеренно щел. р-ре в присутствии избытка NaHCO<sub>3</sub> (pH 6,5—7,5) можно выполнить колич. определение CN<sup>-</sup> потенциометрич. титрованием 0,1 н. р-ром JCl (CN<sup>-</sup> + J<sup>+</sup> → JCN). Средняя ошибка при 6,5—65 мг KCN (общий объем р-ра 50—500 мл)  $\leq$   $\pm$  0,4%. Не мешает присутствие 250-кратного кол-ва Cl<sup>-</sup> и 300-кратного кол-ва Br<sup>-</sup>, но мешает присутствие даже 10-кратного кол-ва J<sup>-</sup>. На основании результатов потенциометрич. титрования определен окислительно-восстановительный потенциал системы CNS<sup>-</sup>/SO<sub>4</sub><sup>2-</sup> в слабощелочной (0,44 в) и слабощел. среде

(0,25 е).  $\text{CNS}^-$  определяется количественно как в слабодиссоциированной, так и слабощел. среде, но по разному механизму р-ции. В 0,5–1%-ной  $\text{HCl}$   $\text{CNS}^-$  окисляется по схеме:  $\text{CNS}^- + 7\text{J}^+ + 4\text{H}_2\text{O} \rightarrow \text{SO}_4^{2-} + \text{JCN} + 3\text{J}_2 + 8\text{H}^+$ . В присутствии избытка  $\text{NaHCO}_3$  р-ция идет по ур-нию:  $\text{CNS}^- + 4\text{J}^+ + 4\text{OH}^- \rightarrow \text{SO}_4^{2-} + \text{JCN} + 3\text{J}_2 + 4\text{H}^+$ . Средняя ошибка определения составляет  $\pm 0,34\%$  даже в случае  $1 \cdot 10^{-4} \text{ M}$  р-ров. Определению не мешает  $\text{Cl}^-$ . Показана возможность определения  $\text{CNS}^-$  и  $\text{CN}^-$  при их совместном присутствии.

VI. Изучены условия, при которых р-ция между  $\text{JCl}$  и  $\text{N}_2\text{H}_4 \cdot \text{H}_2\text{SO}_4$  (I) протекает количественно в кислой и щел. средах. В слабодиссоциированной среде р-ция идет по ур-нию:  $\text{N}_2\text{H}_6^{2+} + 4\text{J}^+ \rightarrow \text{N}_2 + 2\text{J}_2 + 6\text{H}^+$ , а в среде  $\text{CH}_3\text{COONa}$  по ур-нию:  $\text{N}_2\text{H}_4 + 2\text{J}^+ + 4\text{OH}^- \rightarrow \text{N}_2 + 2\text{J}_2 + 4\text{H}_2\text{O}$ . 0,50–4 мл 0,1 н. I в общем объеме 100–300 мл определяли с точностью  $\pm 0,35\%$  в слабодиссоциированной среде и  $\pm 0,25\%$  в среде  $\text{CH}_3\text{COONa}$ . Конечную точку определяли потенциометрически; при титровании в среде  $\text{CH}_3\text{COONa}$  можно использовать также крахмал. Возможно также обратное титрование  $\text{J}^+$  0,05 н. р-ром I в р-рах, кислотность которых не больше 3 н.  $\text{HCl}$ ; это использовано для установки титра р-ров  $\text{J}^+$  в сильнокислой среде. Определение фенилгидразина аналогично определению I (в кислой среде  $\text{C}_6\text{H}_5\text{NHNH}_2 + 3\text{J}^+ \rightarrow \text{N}_2 + \text{C}_6\text{H}_5\text{J} + 3\text{H}^+ + \text{J}_2$ , в среде  $\text{CH}_3\text{COONa}$ :  $\text{C}_6\text{H}_5\text{NHNH}_2 + \text{J}^+ \rightarrow \text{N}_2 + \text{C}_6\text{H}_5\text{J} + \text{J}^- + 2\text{H}^+$ ). Прямое титрование гидроксилана при помощи  $\text{JCl}$  вследствие побочных р-ций протекает неточно. Однако можно производить косвенное определение: к определенному кол-ву р-ра  $\text{JCl}$  прибавляют р-р  $\text{NH}_4\text{OH}$ , и избыток  $\text{JCl}$  оттитровывают 0,05 н. р-ром I. Сообщение IV см. РЖХим, 1956, 68811. Jiří Horáček

51546. Определение фосфита, арсенита, сульфита, тиосульфата и антимонита титрованием щелочным раствором перманганата в присутствии теллурата. Исса, Исса (Titrations with alkaline permanganate in the presence of tellurate: determination of phosphite, arsenite, sulfite, thiosulfate, and antimonite. Issa I. M., Issa R. M.), Chemist Analyst, 1956, 45, № 3, 62–65 (англ.)

Для определения  $\text{PO}_3^{3-}$ ,  $\text{AsO}_2^-$ ,  $\text{SO}_3^{2-}$ ,  $\text{S}_2\text{O}_3^{2-}$  и  $\text{SbO}_2^-$  к 25 мл стандартного 0,1 н. или 0,01 н. р-ра  $\text{KMnO}_4$  прибавляют 0,2 г  $\text{H}_2\text{TeO}_4$ , а затем 5 н.  $\text{NaOH}$  до получения р-ра, 0,1–2 н. по  $\text{NaOH}$ . Перемешивают, прибавляют  $\sim 0,1$ –0,01 н. р-р восстановителя, выдерживают 15 мин. в случае определения  $\text{PO}_3^{3-}$  или 3–5 мин. при определении остальных анионов, выливают р-р в 50 мл охлажд. льдом стандартного 0,1 или 0,01 н. р-ра  $\text{Fe}(2+)$  (кислотность р-ра 3 н. по  $\text{H}_2\text{SO}_4$ ), прибавляют  $\text{H}_3\text{PO}_4$  и избыток  $\text{Fe}(2+)$  оттитровывают стандартным р-ром  $\text{KMnO}_4$ . А. Зозуля

51547. Аналитическое исследование полифосфатов. VII. Определение анионов — окислителей в присутствии иона трехвалентного железа с использованием маскирующего действия тиофосфата. Кобаяси, Окамото (ポリリン酸に関する分析化学的研究. 第7報. 酸性陰イオンに共存する鉄(III)の封鎖作用. 小林正光, 岡本和男), Японская химическая литература, J. Chem. Soc. Japan. Pure Chem. Sec., 1956, 77, № 10, 1626–1627 (японск.)

Сообщение VI см. РЖХим, 1957, 15643.

51548. Металлы-восстановители в аналитической химии. 1. Потенциалы восстановления и эффективность жидких амальгам. 2. Потенциалы восстановления и активность жидких амальгам. Йосимура (分析化学における金属状態還元剤の研究. 液状アマルガムの還元電圧ならびに還元能について. その1. 液状アマルガムの還元電圧について. その2. 吉村長蔵), Японская химическая литература, J. Chem. Soc. Japan. Pure Chem. Sec., 1956, 77, № 10, 1509–1511; № 11, 1672–1675 (японск.)

51549. Исследование методов анализа, основанных на каталитических или индуцированных реакциях. X. Определение ртути на основе индуцированной реакции двухвалентного марганца с оксалатом. Сакураба, Икэя (接觸および誘発反応を應用した化学分析法. 第10報.  $\text{Mn(II)} = \text{C}_2\text{O}_4^{2-}$  系反應の光誘発作用による水銀の定量. 櫻場周吉, 池谷昭三), Японская химическая литература, J. Chem. Soc. Japan. Pure Chem. Sec., 1956, 77, № 10, 1528–1532 (японск.)

Сообщение IX см. РЖХим, 1957, 15764.

51550. Об устойчивости растворов перекиси водорода. Чжан Юй-чжун (過氧化氫の安定性と安定平衡. 章育中), Химический мир, Хуасюэ тунбао, 1956, № 11, 4–16, 7 (кит.)

Обзорная статья. Сун Ин-чжу

51551. Замена титра Циммермана — Рейнгартта. Исибаси, Сигэмацу, Сибата (Zimmermann-Reinhardt 試薬について. 石橋雅義, 重松恒信, 柴田正三), Японская химическая литература, J. Chem. Soc. Japan. Analyst, 1956, 5, № 11, 636–639 (японск.)

51552. Очистка фенилфлуорона. Асада (フェニルフルオロンの精製法について. 浅田正子), Японская химическая литература, J. Chem. Soc. Japan. Analyst, 1956, 5, № 11, 635–636 (японск.)

51553. Аналитические реакции салициловой кислоты и ее производных. Спектрофотометрическое исследование комплексов четырехвалентного титана с сульфосалициловой кислотой. Зоммер (Analytische reaktionen kyseliny salicylové a jejích derivátů a spektrofotometrické sledování komplexu  $\text{Ti}^{4+}$  s kyselinou sulfosalicylovou. Sommer Lumír), Chem. listy, 1956, 50, № 11, 1702–1710 (чешск.); Сб. чехосл. хим. работ, 1957, 22, № 2, 453–463 (нем.; рез. русск.)

Изучены цветные р-ции салициловой (I), ацетилсалициловой,  $\beta$ -аминосалициловой,  $\beta$ -крезотиновой,  $\beta$ -резорциновой и сульфосалициловой (II) к-т с многими катионами и анионами. Установлено, что эти р-ции аналогичны р-циям пирокатехина и его производных с той разницей, что указанные реактивы более устойчивы к окислению. Наиболее важны р-ции с  $\text{Fe}^{3+}$ ,  $\text{Ti}^{4+}$ ,  $\text{UO}_2^{2+}$  и  $\text{MoO}_4^{2-}$ , идущие с образованием окрашенных внутрикомплексных соединений. Кривые светопоглощения желтых р-ров  $\text{Ti}^{4+}$  в присутствии избытка II при pH 2,29–4,96 имеют постоянный максимум в области 352–355 мμ, аналогичные кривые желто-оранжевых р-ров  $\text{Ti}^{4+}$  в присутствии избытка I при pH 2,13–4,93 имеют максимум в области 362–365 мμ. Закон Бера соблюдается при 3,36–20,14 γ/мл  $\text{Ti}^{4+}$ , постоянном избытке II (10 мл 5–10%-ного р-ра II или ее Na-соли в 50 мл), 430 мμ и pH 4,55–5,54. Проведено тщательное спектрофотометрич. изучение комплексов  $\text{Ti}^{4+}$  с I и II в эквимольных и неэквимольных р-рах. Рассчитаны общие константы образования для комплексов  $\text{TiR}$ ,  $\text{TiR}_2$ ,  $\text{TiR}_3$  и  $\text{TiR}_4$  (R — анион II) (эквимольный р-р; 17–680-кратный избыток II; pH 3,8–4,8). Jiří Horáček

51554. Спектрофотометрическое исследование комплексов титана с хромотроповой кислотой и с 1,8-диоксиафталином. Окач, Зоммер (Spektrofotometrické sledování komplexů titanu s kyselinou chromotropovou a 1,8-dihydroxynattalenem. Okáč, Arnošt, Sommer Lumír), Chem. listy, 1956, 50, № 11, 1711–1728 (чешск.); Сб. чехосл. хим. работ, 1957, 22, № 2, 433–452 (нем.; рез. русск.)

Спектрофотометрически исследованы р-ции комплексообразования  $\text{Ti}^{4+}$  с хромотроповой к-той (I) и с 1,8-диоксиафталином (II). Развивающиеся при этих р-циях окраски (красная или оранжевая в случае I, pH 2–5, и красно-фиолетовая в случае II, pH 3–5) пригодны для капельного открытия и спектрофотометрич. определения  $\text{Ti}^{4+}$ . Закон Бера для динатриевой соли I (20 мл 0,2%-ного р-ра в 50 мл) соблюдается:

при 0,5—8,4  $\mu\text{м}$   $\text{Ti}^{4+}$  (рН 2,15—6,15,  $\lambda = 470 \text{ м}\mu$ ). Для колич. определения  $\text{Ti}^{4+}$  в присутствии небольших кол-в  $\text{Fe}^{3+}$  пригодна среда ацетатного буферного р-ра (рН 3,5—4);  $\text{Fe}^{3+}$  предварительно восстанавливают гидросилиином или аскорбиновой к-той. Спектрофотометрически установлено, что в эквимоларных разб. р-рах при рН 1,52—1,63 образуются красные комплексы  $\text{TiR}$  и  $\text{TiR}_2$  с максимумами светопоглощения в области 480—470  $\text{м}\mu$  ( $\text{R}$  — анион I). Комплекс  $\text{TiR}$  в единственном числе образуется, по-видимому, только в неэквимоларных р-рах при избытке  $\text{Ti}$  и небольшой конц-ии I.  $\text{TiR}_2$  возникает при избытке I и рН 1,87—1,96. При рН 2,39—2,44 и высокой конц-ии I или при высоких абс. конц-иях компонентов в эквимоларных р-рах и большой ионной силе р-ра существует также неустойчивый комплекс  $\text{TiR}_4$ . При рН 3,32—4,69 образуется один красный комплекс  $\text{TiR}_3$  ( $\lambda_{\text{макс.}} = 470 \text{ м}\mu$ ), который при 3,8—5,5 переходит в оранжевый гидросокомплекс  $\text{Ti}(\text{OH})\text{R}_3$  ( $\lambda_{\text{макс.}} = 420 \text{ м}\mu$ ), устойчивый в области рН 4,5—6,16. Приведены ф-лы строения двух последних комплексов. При рН > 6 возможно существование высших гидросокомплексов с I. Для устойчивых комплексов рассчитаны общие и ступенчатые константы образования. Jiří Horáček

**51555. Аналитические реакции некоторых о-дифенолов. Спектрофотометрическое исследование комплексов титана с пирокатехином и тироном. Зоммер** (Analytische reaktionen einiger o-difenoole a spektrofotometrické sledování komplexů titanu s pyrokatechinem a tironem. Sommer Lumír, Chem. listy, 1956, 50, № 11, 1729—1745 (чешск.); Сб. чехосл. хим. работ, 1957, 22, № 2, 414—432 (нем.; рез. русск.).

Изучены р-ции пирокатехина (I) с  $\text{Ti}^{4+}$  и со многими другими катионами и анионами. Установлено, что аналитич. применение I ограничено ввиду его легкого окисления и изменения окраски в щел. р-ре и при кипячении. Р-ции I сопоставлены с р-циями некоторых его производных: тирона (II), гваякола, вератрола, пирокатехинальдегида, ванилина и ванилиновой к-ты. Некоторые из указанных р-ций имеют окислительно-восстановительный характер.  $\text{Fe}^{3+}$ ,  $\text{Ti}^{4+}$ ,  $\text{UO}_2^{2+}$ ,  $\text{MoO}_4^{2-}$  и  $\text{NbO}_3^-$  дают с I и II внутрикомплексные соединения оранжево-желтого цвета. Для метиловых эфиров о-дифенолов эти р-ции мало характерны, диметилловый эфир не реагирует совсем. Проведено тщательное изучение р-ции  $\text{Ti}^{4+}$  с I или II; спектрофотометрически установлен состав комплексов, присутствующих в реакционной смеси при различных рН. При рН 3—4 в эквимоларных р-рах  $\text{Ti}^{4+}$  и I или II существуют оранжевые комплексы состава  $\text{TiR}$  и  $\text{TiR}_2$  ( $\text{R}$  — анион I или II). При повышении рН до 5,1—5,4 оба комплекса количественно переходят в желтый комплекс  $\text{TiR}_3$ , устойчивый при рН 5,1—6,1. При постоянном избытке реактива в неэквимоларных р-рах обнаружены те же комплексы, но в другой области рН: при рН 1,6 существует  $\text{TiR}$ , переходящий с повышением рН в  $\text{TiR}_2$ , который при рН > 2,6 в свою очередь количественно переходит в  $\text{TiR}_3$ . Для комплексов  $\text{TiR}_3$  приведены ф-лы строения. Комплексы  $\text{Ti}^{4+}$  с II устойчивее, чем с I. Сделано предположение о существовании в р-ре смешанных гидросокомплексов при рН ~ 6 и смешанных ацетатных комплексов при высокой конц-ии ацетатного буферного р-ра. Описан способ открытия  $\text{Ti}$  с помощью I. Jiří Horáček

**51556. Функционально-аналитическая группа для иона четырехвалентного титана. Окач, Зоммер** (Funkčně analytická skupina pro  $\text{Ti}^{4+}$ . Okáč Arnošt, Sommer Lumír, Chem. listy, 1956, 50, № 11, 1746—1748 (чешск.); Сб. чехосл. хим. работ, 1957, 22, № 2, 464—467 (нем.; рез. русск.).

Изучены цветные р-ции  $\text{Ti}^{4+}$  с некоторыми али-

фатич. и ароматич. окиссоединениями. В дополнение к функционально-аналитич. группам Кульберга для  $\text{Ti}^{4+}$  найдено еще несколько группировок. Из этих группировок выведена обобщенная функционально-аналитич. группа для  $\text{Ti}^{4+}$ . Приведены чувствительности цветных р-ций  $\text{Ti}^{4+}$  при рН 4—6 и капельном способе выполнения для в-в, имеющих значение для исследования указанной функционально-аналитич. группы (о-дифенолы, о-фенолкарбоновые к-ты, оксипираны, флавонолы, алифатич. 1,3-дикетоны, эндиолы и перидифенолы). Jiří Horáček

**51557. Функционально-аналитические группы, обуславливающие характерные реакции производных тиазолидина с солями серебра, меди и никеля. Туркевич Н. М., Макуха М. П. В сб.: Некоторые вопросы фармации. Киев, Госмедиздат УССР, 1956, 103—107**

Исследованы качеств. р-ции солей  $\text{Ag}$ ,  $\text{Cu}$  и  $\text{Ni}$  с роданидами, псевдотригидантоинами, тиазолидиндионами, тиомочевинами, горчичными маслами, роданидами, карбаминилтиогликоламидами и дитиогликоламидами в нейтр. и аммиачной средах. Функционально-аналитич. группами, обуславливающими выпадение труднорастворимых солей  $\text{Ag}$ , являются  $-\text{CO}-\text{N}=\text{}$ ,  $-\text{CS}-\text{N}=\text{}$  и  $-\text{CO}-\text{N}-\text{CS}-$ . При наличии гетероатома

S или n-диметиламинной группы осадки окрашены в желтый, коричневый или красный цвет. Алкильные или арильные группы при атоме N понижают чувствительность р-ции, а утяжеляющие группы в положении 5 производных тиазолидина ее повышают. Функционально-аналитич. группой для  $\text{Cu}$  и  $\text{Ni}$ , обуславливающей возникновение красного или коричневого окрашивания в аммиачной среде, является группа  $-\text{S}-\text{CH}_2-$   $-\text{CO}-\text{NR}_2$ . Н. Т.

**51558. Спектрофотометрическое изучение металло-органических комплексов, используемых в аналитической химии. Комплекс германия с 3-окситрополоном. Ока, Мацуо** (分析化学に用いられた有機金属錯化合物の分光化学的研究. 3-ヒドロキシトロポンのゲルマニウム錯物について. 岡好良, 松尾 茂樹), 日本化学雑誌, Нихон катэку дзасси, J. Chem. Soc. Japan. Pure Chem. Sec., 1956, 77, № 11, 1663—1668 (японск.).

**51559. Палладий и замещенные хинолины. Райан** (Palladium and substituted quinolines. Ryan D. E.), Canad. J. Chem., 1956, 34, № 6, 839 (англ.).

Изучена возможность применения замещ. хинолинов в качестве органич. осадителей  $\text{Pd}(2+)$  из р-ров  $\text{PdCl}_2$ . 10 мл р-ра  $\text{PdCl}_2$  (~ 1 мг/мл  $\text{Pd}$ ) разбавляли до 100 мл дистил. водой, полученный р-р (рН 3) помещали на паровую баню, добавляли небольшое кол-во хинолинового основания и выдерживали 0,5 часа. Получены желтые осадки, экстрагирующиеся органич. р-рителями, со следующими основаниями: хинолином, 6-нитро-, 6-метил-, 6-бром-, 6-хлор-, 6-метокси-, 6-фенил-, 8-нитро-, 8-метил-, 8-хлор-, 2-хлор-, 4-метил-, 8-нитро-4-метил-, 8-хлор-4-метилхинолинами и бензо-(f)-хинолином. Отсутствие  $\text{NO}_2$ -группы в хинолиновом ядре, замена ее на другие заместители и изменение положения заместителя на осаждение (хинолин) $_2\text{PdCl}_2$  не оказывают заметного влияния. 1,2,3,4-тетрагидрохинолин восстанавливает  $\text{Pd}(2+)$  до  $\text{Pd}$ . Аналогичные р-ции наблюдались с р-ром  $[\text{PtCl}_4]^{2-}$ . Избыток ионов  $\text{CN}^-$  или  $\text{SCN}^-$  мешает осаждению, очевидно, вследствие образования прочных комплексов типа  $[\text{Pd}(\text{CN})_4]^{2-}$  с трудно замещаемыми  $\text{CN}$ -группами. Комплексы с  $\text{Pd}(2+)$  в отличие от  $[\text{PtCl}_4]^{2-}$  имеют молекулярное строение, а не ионное. А. Семеновский

**51560. Константа нестойкости таргратного комплекса кадмия. Павлинова А. В., Мильштейн Е. М. (Константа нестойкости таргратного комплексу**



кадмю Павлінова А. В., Мільштейн Е. М.)  
Наук. зап. Чернівецьк. ун-ту, 1955, 17, 92—98

Установлены условия титриметрич. определения Cd при помощи тартрата. Изучено равновесие между галлоидными и тартратными комплексами Cd и определена константа нестойкости тартратного комплекса Cd ( $1.2 \cdot 10^{-3}$ ), почти совпавшая с константой, найденной Пятницким И. В. (ЖК. аналит. химии, 1951, 6, 125). Для определения кол-ва Cd, соединяющегося с тартратом, использован разработанный авторами титриметрич. метод.

Резюме авторов  
51561. О цитратном комплексе марганца. Сообщение 2. Шнаревич А. П. (Про цитратну сполуку марганцю (Повідомл. 2). Шнаревич А. П. Наук. зап. Чернівецьк. ун-ту, 1955, 17, 66-71 (укр.; рез. русск.))  
Изучена возможность титриметрич. определения Mn в рудах с помощью цитратов. Метод заключается в титровании щелочью к-ты, выделяющейся в эквивалентном кол-ве при добавлении цитратов к солям Mn. Соли Fe и Al предварительно должны быть удалены. Установлен состав цитратного комплекса Mn по максимуму на кривой титрования к-ты, выделяющейся при смешивании р-ров соли Mn и цитрата в различных соотношениях. Найденное отношение Mn:цитрат-1:1 подтверждено методом электропроводности

Сообщение 1 см. РЖХим, 1956, 22214. Резюме автора  
51562. Хроматографическое разделение нитро-комплексов нитрозилирования в азотнокислом растворе. Уэйн, Браун, Флетчер (The chromatographic separation of nitrate complexes of nitrosylruthenium in nitric acid solution. Wain A. G., Brown P. G. M., Fletcher J. M.), Chemistry and Industry, 1957, № 1, 18—20 (англ.)

Методом измерения распределения Ru в различных относительных объемах органич. керосина и трибутилфосфата и в водн. фаз определены состав синтетич. р-ров ( $\sim 10^{-3}$  M Ru) нитрато-комплексов нитрозилирования в условиях равновесия в среде  $\text{HNO}_3$  и вычислены коэф. распределения (K) для различных нитрато-комплексов в органич. фазе. Установлено, что отношение K нитрато-комплекса (I)/K динитрато-комплекса (II) равно  $10.5 \pm 0.5$ ; отношение K I/K моногидрато-комплекса (III) равно  $\sim 900$ . Методом хроматографии на бумаге (РЖХим, 1956, 7105) в восходящем потоке с применением в качестве элюента метилизопропилкетона, 1,1 M по  $\text{HNO}_3$ , осуществлено выделение I, при разделении II и III обнаружены «хвосты». R и K для I, II и III  $\text{RuNO}$  и  $\text{UO}_2(\text{NO}_3)_2$  соответственно равны 1,0 и 10,5; 0,6—0,8 и 1,3; 0,2—0,35 и 0,28; 0,95 и 2,7 (для U).

Т. Леви  
51563. Изучение анализа кислотных радикалов методом электрохроматографии. Часть 2. Изучение поведения промывной жидкости путем оценки изменения ее электрохимических характеристик и градиента потенциала. Атива (Electrochromatographyによる酸根の系統的分析法の研究, その 2. 電気化学的變化並びに電位傾斜からみた洗液の挙動について. 阿知波繁一). 電気化学, Донки кагаку, J. Electrochem. Soc. Japan, 1956, 24, № 12, 550—557 (японск.; рез. англ.)

Установлено, что распределение градиента потенциала на фильтровальной бумаге является неоднородным; резкое изменение отмечено для слабокислотных, слабощел. зон и зоны воды, образующейся в результате электролиза; в сильнокислотных и сильнощел. зонах изменение градиента потенциала является незначительным. В центральной части фильтровальной бумаги при употреблении любых типов промывной жидкости градиент потенциала со временем начинает изменяться медленнее, а скорость перемещения ионов снижается. Скорость распространения кислотных и основных зон изменяется в следующей последовательности  $\text{NaCl} > \text{Na}_2\text{SO}_4 > \text{CH}_3\text{COONa} > \text{NH}_4\text{OH} > \text{NH}_4\text{Cl} >$

$> \text{CH}_3\text{COONH}_4 > \text{NaOH} > \text{H}_2\text{SO}_4 > \text{CH}_3\text{COOH}$ . Раствор  $\text{CH}_3\text{COONH}_4$  является хорошей промывной жидкостью. Часть 1 см. РЖХим, 1956, 75372.

И. Каринская  
51564. К полярографическому изучению наиболее обычных катионов. I. Потенциалы полуовали и коэф. диффузии при использовании различных фонов. Мартенс, Наньо (Contribution à l'étude polarographique des cations les plus usuels. I. Potentiels de demi-onde et coefficients de diffusion en milieu du base varies. Martens Pierre H., Nanguiot Paul), Bull. Inst. agron. et stat. rech. Gembloux, 1956, 24, № 3, 285—306 (франц.)

Определены  $E_{1/2}$  и рассчитаны коэф. диффузии для  $\text{Al}^{3+}$ ,  $\text{As}^{3+}$ ,  $\text{AsO}_4^{3-}$ ,  $\text{Bi}^{3+}$ ,  $\text{Cd}^{2+}$ ,  $\text{Co}^{2+}$ ,  $\text{CrO}_4^{2-}$ ,  $\text{Cr}^{3+}$ ,  $\text{Cr}^{2+}$ ,  $\text{Cu}^{2+}$ ,  $\text{Cu}^+$ ,  $\text{Fe}^{3+}$ ,  $\text{Fe}^{2+}$ ,  $\text{Mn}^{2+}$ ,  $\text{Ni}^{2+}$ ,  $\text{Pb}^{2+}$ ,  $\text{Sb}(5+)$ ,  $\text{Sb}^{3+}$ ,  $\text{Sn}^{2+}$ ,  $\text{Zn}^{2+}$ ,  $\text{Ag}^+$  и  $\text{Ti}^+$  при полярографировании с различными фонами: 0,5 M р-рами  $\text{KCl}$ ,  $\text{CaCl}_2$ ,  $\text{NaClO}_4$ ,  $\text{KNO}_3$ ,  $\text{KJ}$ ,  $\text{KCN}$ ,  $\text{KSCN}$  и тартрата; 1 M р-ров  $\text{HCl}$ ,  $\text{H}_2\text{SO}_4$  и  $\text{NaOH}$ ; 0,5 M р-рами цитрата и оксалата; смесями 0,5 M р-р тартрата + 0,4 M  $\text{NaOH}$  + 0,25 M  $\text{NH}_4\text{OH}$  + 0,25 M  $\text{NH}_4\text{Cl}$  и 0,25 M  $\text{CH}_3\text{COOH}$  + 0,5 M  $\text{CH}_3\text{COONa}$ . Указана пригодность изученных фонов для определения тех или иных ионов.

Л. Яновская  
51565. Применение осциллографической полярографии в химическом анализе. I. Определение  $\text{Pb}^{2+}$  +  $\text{Ti}^+$  и  $\text{Cd}^{2+}$  +  $\text{In}^{3+}$ . II. Определение цинка и никеля. Синагава, Имаи, Сунахара (オシログラフイック・ポーログラフイの化学分析への適用. 第1報. 鉛イオン—第一—タリウムイオン、カドミウムイオン—インジウムイオン共存系の同時定量. 第2報. ニッケルイオン共存時の亜鉛イオンの定量. 品川 隆明, 今井 日出夫, 砂原 廣志), 日本化学雑誌, Нихон какаку дзасси, J. Chem. Soc. Japan. Pure Chem. Sec., 1956, 77, № 10, 1482—1486, 1486—1489 (японск.)

51566. Кондуктометрические методы комплексометрического титрования. I. Введение. II. Определение общей жесткости воды. Выдра, Карлик (Konduktometrické titrace v chelatometrii. I. Úvodní sdělení. II. Stanovení celkové tvrdosti vody. Vydra František, Karlík Milan), Chem. listy, 1956, 50, № 11, 1749—1753; 1754—1756 (чешск.); Часть I, Сб. чехосл. хим. работ, 1957, 22, № 2, 401—406 (нем.; рез. русск.)

I. Проведено титрование р-ров многих катионов металлов р-рами комплексона III (I) и двуатриевой соли 1,2-диаминодигидроксиэтан-N,N,N',N'-тетрауксусной к-ты (II) с кондуктометрич. определением конечной точки титрования. Установлено, что указанным способом можно титровать все катионы, которые могут быть определены прямо или косвенно другими известными методами комплексометрич. анализа. Некоторые металлы (напр., Cu, Ni, Co) можно титровать в достаточно широких пределах pH, иные только в кислой (напр., Fe, Bi, In), нейтр. или щел. среде (Mg, щел.-зем. металлы). Применение II дает возможность несколько лучшего определения конечной точки благодаря большой устойчивости соответствующих комплексов металлов по сравнению с I. Выгодным является также титрование сильно разб. р-ров, в которых устойчивость комплексов более высокая. В качестве буферных р-ров наиболее пригодны: в кислой среде — ацетатный, а в щел. среде — боратный. Цитратные, фосфатные и аммиачные ( $\text{NH}_4\text{OH}$ — $\text{NH}_4\text{Cl}$ ) буферные р-ры не дали ожидаемых результатов. Обсуждаются формы кривых титрования в небуферной, буферной, слабокислой и аммиачной средах.

II. При определении общего содержания Ca и Mg в воде титрование проводят в щел. среде, забуференной бурой. Fe и Al маскируют триэтилоламинном, Cu и Zn — цианидом K,  $\text{Mn}^{2+}$  (если присутствует) титруется вместе с Ca и Mg. В отличие от визуального комплексометрич. титрования с применением эрио-

хрома черного Т кондуктометрич. титрование указанных катионов можно проводить также в мутных и окрашенных р-рах, содержащих окислители (напр.,  $\text{HClO}_4$ ). К 200 мл анализируемой воды прибавляют 5 мл 0,05 М  $\text{Na}_2\text{B}_4\text{O}_7$  по 0,3 мл 10%-ных р-ров KCN и триэтанолamina и титруют кондуктометрически 0,02 М р-ром I.

Karel Kámen  
51567. Кондуктометрический анализ с четырьмя электродами. Шпильер (Vier-Elektroden-konduktometrische Analyse (4-EK-Analyse.). Spillner F.), Chem.-Ing.-Techn., 1957, 29, № 1, 24—27 (нем.; рез. англ., франц.)

Для устранения мешающих эффектов, возникающих на поверхности соприкосновения металлич. электродов и р-ра, предложено пользоваться косвенным методом оценки и измерять падение потенциала в р-ре с помощью двух вспомогательных электродов. Установлено, что падение напряжения зависит исключительно от омич. сопротивления р-ра. Приведены принципиальные схемы установки и эскизы электродов. Описано титрование р-ров  $\text{NH}_4\text{NO}_3 + (\text{NH}_4)_2\text{SO}_4$ ,  $\text{HCl}$ ,  $\text{HNO}_3$  и  $\text{H}_2\text{SO}_4$ . Осуществлено определение  $\text{K}_2\text{O}$  в удобрениях, содержащем ~ 12% N, 12%  $\text{P}_2\text{O}_5$  и 21%  $\text{K}_2\text{O}$ , титрованием р-ром  $\text{NaB}(\text{C}_6\text{H}_5)_4$ .

T. Levi  
51568. Кулометрическое титрование. Агасян П. К. (Titrare coulombmetrică. Agasian P. K.), An. Rom.-Sov. Metalurgie și constr. mașini, 1956, 10, № 4, 161—175 (рум.)

Перевод с русск. См. РЖХим, 1956, 51083.

51569. Кулометрия бихромата. Монье, Цвален (Coulométrie du dichromate. Monnier D., Zwalhen P.), Helv. chim. acta, 1956, 39, № 7, 1865—1876 (франц.)

Метод кулометрии при постоянной силе тока использован для получения титрованных р-ров  $\text{Cr}_2\text{O}_7^{2-}$ . Для этой цели в течение определенного времени ведут электролиз р-ра  $\text{H}_2\text{SO}_4$  с Cr-анодом и Pt-катодом. Изучением кривых поляризации Cr-электрода установлено, что окислительные потенциалы этого электрода значительно ниже окислительных потенциалов Pt-электрода (1,85 в в среде 4 н.  $\text{H}_2\text{SO}_4$ ). Осуществлено кулометрич. определение 100  $\gamma$ —10 мг Fe:  $\text{Fe}^{2+}$  окисляют Cr(6+), получаемым кулометрически при  $\text{pH} < 2$ , в присутствии редокс-индикатора дифениламин-п-сульфокислоты. Возможна также регистрация скачка потенциала пары Pt—W или Pt-электрода по отношению к электроду сравнения  $\text{Hg}|\text{H}_2\text{SO}_4|$  насыщ. р-р  $\text{K}_2\text{SO}_4$ .

T. Levi  
51570. Потенциал адсорбционного микроэлектрода в воздухе, содержащем редукционные газы. Каменский Б., Кулявик Я., Бюл. Польской АН, 1956, Отд. III, 4, № 8, 517—521

Изучено действие некоторых восстановительных газов ( $\text{H}_2$ ,  $\text{CO}$ ,  $\text{H}_2\text{S}$ ,  $\text{C}_2\text{H}_2$ ) на Pt-микроэлектрод, примененный ранее в качестве индикаторного при открытии гадоидов в воздухе (РЖХим, 1956, 36186). Показана применимость этого электрода для обнаружения восстановительных газов в воздухе.

T. Levi  
51571. Необычное спектроскопическое замедление возбуждения линий. 1. Искра между электродами, содержащими расплавленные раскаленные соли. 2. Искра между электродами, содержащими расплавленные металлы. Боначини, Перилли-Федели (Inibizione spettroscopica anomala. I. Scintilla fra elettrodi di sali fusi incandescenti. 2. Scintilla fra elettrodi di metalli fusi incandescenti. Bonacini C., Perilli Fedeli R.), Atti Soc. natur. e mat. Modena, 1954—1955 (1956), 85-86, 83—86; 87—88 (итал.)

1. На концы угольных электродов надеты кварцевые или фарфоровые трубки, в которые помещают соль, напр.,  $\text{NaCl}$ . Трубки нагревают газовыми горелками до расплавления и сильного разогревания рас-

плавленной соли. Концы трубок располагают на некотором расстоянии друг от друга и через промежуток пропускают разряд конденсированной искры при напряжении 100 000 в. В момент включения искры прекращают нагревание соли и расплав постепенно охлаждается. Обнаружено, что атомные линии Na не возбуждаются в искровом разряде в начальный период, а возникают и усиливаются по мере охлаждения соли. В начальный период в спектре наблюдаются лишь линии воздуха. При этих же условиях возбуждения спектра обнаружено своеобразное влияние на свечение атомов с более высоким потенциалом возбуждения атомов с более низким потенциалом. Так, в условиях расплавленного и раскаленного KCl возбуждается дублет Na, присутствующего в KCl в следовых кол-вах.

2. В случае металлов, напр., Pb, Sn, Al и Zn обнаружены аналогичные явления, наблюдавшиеся с расплавленными в трубках солями.

E. Шпитальная  
51572. Возбуждение (спектров) при спектроскопическом анализе. Эннс (Excitation in spectrochemical analysis. Enns J. H.), Trans. Southeast. Semin. Spectroscopy, 1954, 8, № 9, 13—18 (англ.)

Дан обзор различных источников возбуждения спектра: пламени, дуг постоянного и переменного токов, низковольтной и высоковольтной искры, разрядных трубок с полым катодом и безэлектродного разряда. Разбираются особенности свойств источников, механизм испарения и возбуждения спектра пробы. Подчеркивается, что разряд с полым катодом отличается высокой энергией возбуждения и может быть применен для определения таких элементов, как S, F, Cl и других галоидов, в окислах металлов. По сравнению с другими источниками света имеет важное преимущество (отсутствие загрязнений) безэлектродный разряд с предварительным испарением пробы нагреванием ВЧ-токами. Библ. 21 назв.

B. Борзав  
51573. Спектрография местных поверхностных дефектов на материалах, не проводящих электричество. Черноглавек (Spektrografie místních povrchových vad na elektricky nevodivých materiálech. Černohlávek D.), Chem. listy, 1956, 50, № 10, 1645—1646 (чешск.); Сб. чехосл. хим. работ, 1957, 22, № 1; 307—308 (нем.; рез. русск.)

Описана установка для эмиссионного спектрального анализа непроводящих электричество материалов без нарушения целостности анализируемых образцов. Спектр возбуждают в дуговом разряде переменного тока между угольными электродами. Плазма дуги отклоняется магнитным полем к поверхности исследуемого образца. Наименьшая захватываемая разрядом поверхность равна ~4 мм<sup>2</sup>. Установка пригодна для быстрого анализа в керамич. пром-сти. Приведены рисунок штатива и спектр керамики.

Otto Knessl  
51574. Количественное (спектральное) определение металлов в поливинилхлориде. Рупр, Меркеман (Quantitative determination of metals in polyvinyl chloride. Rouir E. V., Merkemann M. J.), Appl. Spectroscopy, 1956, 10, № 4, 206—209 (англ.)

Описан метод определения примесей Pb, Ca и Ti в поливинилхлориде. Образец 2,5 г растворяют при перемешивании в 100 г этилфталата, нагретого до 100—110°, затем добавляют 0,5 г нафтената Со (внутренний стандарт) и 0,1 г стеариновой к-ты. Р-р выдерживают при 155° в течение 60 мин. для полного разложения полимера. Спектр возбуждают в разряде низковольтной искры (25 мкф, 3000 мкв). Р-р подают в аналитич. промежуток графитовым диском, вращающимся со скоростью 2 об/мин. Время обжаривания 20 сек., экспозиция 50 сек. Спектры фотографируют на дифракционном спектрографе фирмы ARL при ширине щели 50 м. Интервалы определяемых конц-й в %

к р-ру и аналитич. пары линий (в А): 0,004—0,1 Рb 2833,1—Со 3044,0; 0,002—0,002 Са 3179,3—Со 3147,1; 0,01—0,2 Ti 2641,4—Со 2787,2. Градуировочные графики в логарифмич. координатах, построенные по синтетич. смесям и образцы с известным содержанием примесей, прямолинейны с наклонами: для Са и Рb—0,5; Ti—0,3. Ошибка анализа составляет для Рb 3,5%, для Са 5% и для Ti 2%. Б. Львов

**51575. Спектрографическое определение микроколичеств мышьяка, сурьмы, висмута, олова и свинца. Иокояма (微量の七素, アンチモン・ビスマス, スズおよび鉛の定量. 横山友), 日本化学雑誌, Нихон кагаку дзасси, J. Chem. Soc. Japan. Pure Chem. Sec., 1956, 77, № 11, 1668—1671 (японск.)**

**51576. Применения инфракрасной спектроскопии. Хаусдорф (Applications of infrared spectroscopy. Hausdorff H. N.), Chemistry and Industry, 1957, № 6, 154—158 (англ.)**

Доклад на Симпозиуме по ИК-спектроскопии, организованном Лондонской секцией химико-промышленного общества 9—10 апреля 1956. Ф. С.

**51577. Количественная спектроскопия в инфракрасной области спектра. I. Определение содержания окиси углерода в крови. Мурё, Шовен, Трюффер, Лебб (Spectrographie infra-rouge quantitative. I. Application à la détermination de l'oxycarbonémie. Moureu Henri, Chovin Paul, Truffert Louis, Lebbe Jacques), Chim. analyt., 1957, 39, № 1 3—9 (франц.)**

Описан автоматич. лабор. прибор для определения СО в крови методом спектроскопии в ИК-области (приведена схема) и аппарат для экстракции газов из крови. Отмечены преимущества (малая проба, чувствительность, быстрота и точность) указанного метода. Т. Леви

**51578. Флуориметрический анализ. II. Флуориметрическое определение иттрия при помощи оксихинолина. III. Флуориметрическое определение индия при помощи оксихинолина и оксихинолина. Исэбаси, Сигэмаки, Нисикава (螢光分析に関する研究. 第2報. オキシンによるイットリウムとインジウムの定. 石横雅義, 重松恒信, 西川泰治), 日本化学雑誌, Нихон кагаку дзасси, J. Chem. Soc. Japan. Pure Chem. Sec., 1956, 77, № 10, 1474—1479; 1479—1482 (японск.)**

См. также: Приборы для титрования 51706, 51707, 51721, 51722. История 50303. Подготовка кадров 50328. Методика преподавания 50335.

## АНАЛИЗ НЕОРГАНИЧЕСКИХ ВЕЩЕСТВ

Редакторы А. И. Бусев, Ф. П. Судаков

**51579. Определение калия в виде метаперйодата. Джентофт, Робинсон (Determination of potassium as the metaperiodate. Jentoft Ralph E., Robinson Rex J.), Analyt. Chem., 1956, 28, № 12, 2011—2015 (англ.)**

В анализируемом р-ре должны отсутствовать окислители и восстановители. Галоиды удаляют выпариванием р-ра досуха с  $\text{HNO}_3$ .  $\text{K}^+$  йодной к-той можно осадить лишь в присутствии малых кол-в катионов щел.-зем. металлов и  $<2,5 \text{ мкг Na}^+$ . Умеренные кол-ва этих катионов удаляют осаждением в виде оксалатов. В присутствии больших кол-в  $\text{Na}^+$ ,  $\text{Li}^+$  или катионов щел.-зем. металлов  $\text{K}^+$  отделяют от них осаждением в виде  $\text{K}_2\text{Na}[\text{Co}(\text{NO}_2)_6]$  (описан способ осаждения).  $\text{K}^+$  из подготовленного таким образом анализируемого р-ра ( $<75 \text{ мкг K}^+$ ) осаждают прибавлением 1 мл р-ра  $\text{H}_2\text{J}_2\text{O}_8$  (0,5 г/мл)

в течение 30 мин. при перемешивании. Через 10 мин. устанавливают соответствующий рН р-ра, для чего добавляют по каплям 0,4 мл 2,5 н.  $\text{CH}_3\text{COOLi}$ , через 10 мин. 1 каплю 0,1%-ного р-ра 2,6-динитрофенола, а затем снова по каплям 2,5 н. р-р  $\text{CH}_3\text{COOLi}$  до перехода цвета индикатора в темно-желтый (рН 3,0—3,5). Прибавляют 2 мл 95%-ного  $\text{C}_2\text{H}_5\text{OH}$  и выдерживают р-р 30—40 мин. при 0°. Осадок отфильтровывают через тигель Гуча с асбестовой прокладкой, промывают смесью  $\text{C}_2\text{H}_5\text{OH}$ -и-а- $\text{C}_2\text{H}_5\text{OH}$  (2:1), охлажденной до 0°. Осадок растворяют в 10 мл 4 н.  $\text{H}_2\text{SO}_4$  и 25 мл воды, прибавляют 1—5 г КJ и титруют выделившейся  $\text{J}_2$  р-ром  $\text{Na}_2\text{S}_2\text{O}_3$  с крахмалом в качестве индикатора.

Ф. Линкова  
**51580. Быстрое микроопределение меди в хлориде алюминия. Нисино (銅化アルミニウム中に含まれる微量成分の定量. 西尾成久), 日本化学雑誌, Нихон кагаку дзасси, J. Chem. Soc. Japan. Pure Chem. Sec., 1956, 77, № 11, 1701—1704 (японск.)**

**51581. Изучение микроанализа благородных металлов. I. Золото. Симма (貴金属の微量分析法について. 第一報. 金の分析法. 島誠), 科学研究所報告, Кагаку канкюдэ хококу, Repts. Scient. Res. Inst., 1956, 32, № 5, 152—157 (японск.)**

**51582. Фотометрическое определение бериллия в бериллиевых бронзах. Адамович Л. П., Юцис Б. В., Укр. хим. ж., 1956, 22, № 6, 805—808**

Описан фотометрич. метод определения Ве в Ве-бронзах в форме окрашенного соединения с торонном. Предварительное отделение Си производят двумя способами: 1) электролизом с последующим извлечением следов Си экстрагированием р-ром дитизона в  $\text{CCl}_4$  и 2) при помощи комплексона III. Относительная погрешность при 1-м способе отделения Си составляет  $\pm 1,8\%$ , при 2-м способе  $\pm 1,75\%$ . Для рядовых анализов Ве-бронз предпочтителен более быстрый 2-й вариант. Т. Леви

**51583. Спектрографическое определение магния в чугунах со сферодальным графитом. Бузинку, Николайд (Determinarea conținutului de magneziu din fontele cu grafit nodular pe cale spectrografică. Buzincu Jeana, Nicolaid Maria), Studii si cercetări metalurgice, 1956, 1, № 1, 217—228 (рум.; рез. русск., франц.)**

Спектры возбуждают в разряде конденсированной искры при напряжении 12000 в, емк. 4500 пф, самоиндукции 0,8 мГн и силе тока 1,5 а. Верхним электродом служит железный стержень, нижним — стержень диам. 10 мм, отлитый из анализируемого образца. Спектры фотографируют средним спектрографом при обсыривании в течение 2 мин. и экспозиции 1 мин.; аналитич. линии Mg 2802,71 — Fe 2806,97 А. Градуировочные графики строят в координатах  $\Delta S - \lg C$  для концы 0,02 — 0,12%. Анализ производят по методу одного эталона. Вторая точка графика является постоянной, соответствующей величинам  $\Delta S = 0$  и  $\lg C = -2,66$  (Прокофьев В. К. Фотографич. методы колич. спектрального анализа металлов и сплавов. М.—Л., 1951, 145). Ошибка анализа  $\pm 3,6\%$ . Б. Манолэ

**51584. Титриметрическое определение кальция и магния в воде с помощью комплексона III. Кинт (Titrimerische calcium- en magnesiumbepalingen met di-natrium-aethyleen-diaminetetraacetaat in water. Kint Etienne), Fermentatio, 1956, № 6, 289—303 (флам.)**

Описан комплексометрич. метод определения жесткости воды. К 50 мл пробы прибавляют 1 мл буферного р-ра (350 мл 25%-ного  $\text{NH}_4\text{OH}$  и 54 г  $\text{NH}_4\text{Cl}$  в 1 л), 3 капли р-ра индикатора (0,5 г эриохрома черного Т в 4,5 г  $\text{NH}_4\text{OH} \cdot \text{HCl}$  в 100 мл 96%-ного  $\text{C}_2\text{H}_5\text{OH}$ ) и титруют 0,01 М р-ром комплексона III до синей окраски. Для отдельного определения  $\text{Ca}^{2+}$  к 50 мл пробы прибавляют



1 мл 2 н. NaOH и небольшое кол-во смеси мурексидов с NaCl (1 : 100 или 0,2 : 100) и титруют р-ром комплексона III до красно-фиолетистой окраски. Приведены литературные данные относительно мешающего действия других катионов.

Н. Туркенич  
51585. Определение обменных катионов и магния в почве методом комплексометрического титрования. Спек, Хаге (Bepaling van de gehalten aan uitwisselbaar calcium en magnesium van de grond met een complexmetrische titratiemethode. Spek J. a. c. van der, Hage J. ten), Chem. weekbl., 1957, 53, № 2, 10—14 (гол.; рез. англ.).

Навеску почвы (25 г) обрабатывают 0,5 н. р-ром NaCl, к полученной вытяжке добавляют 5 мл 10%-го р-ра  $\text{NH}_4\text{Cl}$ , несколько мл бумсидной воды и  $\text{NH}_4\text{CN}$  до щел. р-ва. Кипятят несколько минут, фильтруют, в фильтрате осаждают Ca р-ром  $(\text{NH}_4)_2\text{C}_2\text{O}_4$ , фильтруют через стеклянный фильтр, промытый осадок  $\text{CaC}_2\text{O}_4$  растворяют в 80 мл 2 н.  $\text{H}_2\text{SO}_4$  и титруют 0,1 н. р-ром  $\text{KMnO}_4$ . Фильтрат после отделения Ca разбавляют до 200 мл, добавляют 10 мл 5%-го р-ра KSCN, 25 мл карбонатного буферного р-ра (80 г/л  $\text{Na}_2\text{CO}_3$ ) и 12 капель р-ра аргрохсма черного Т (0,5 г индикатора + 4,5 г  $\text{NH}_4\text{CN} \cdot \text{HCl}$  в 100 мл  $\text{C}_2\text{H}_5\text{CN}$ ) и титруют 0,1 н. р-ром комплексона III до перехода окраски р-ра в синюю. Для проверки выполняют комплексометрич. определение суммы Ca + Mg. При определении Ca в почвах, содержащих  $\text{CaSO}_4$ , вводят поправку на  $\text{CaSO}_4$ . Т. Левин

51586. Вытеснение кадмия элементом. Павлова А. В., Берштейн Б. И. (Витиснення кадмію алмінієм. Павлінова А. В., Берштейн Б. І.) Наук. зап. Чернівецьк. ун-ту, 1955, 17, 81—84 (укр. рез. русск.).

Установлено, что в нейтр. и кислой средах вытеснение Cd алюминием идет количественно. В нейтр. среде необходимо длительное кипячение (до 1 часа); в кислой среде вытеснение заканчивается за 20—30 мин. при т-ре кипения, но при охлаждении выделяющийся Cd частично растворяется.

Реакме авторов

51587. Электрохроматография. XVIII. Разделение редкоземельных элементов. Маки (千葉クロマトグラフ法, 第 18 報. 著者 千葉の分離, 池田文), 分析化学, Бунсёк кагаку, Japan Analyst, 1956, 5, № 10, 571—573 (японск.; рез. англ.).

Выполнено электрохроматографич. разделение  $\text{Yb}^{3+}$ ,  $\text{La}^{3+}$ ,  $\text{Ce}^{3+}$ ,  $\text{Pr}^{3+}$  и  $\text{Nd}^{3+}$  в форме комплексных соединений с лимонной к-той (I). Установлено, что хорошие результаты получаются при использовании в качестве электролита р-ра, 0,0125—0,05 M по I и 0,05 M по NaCl или 0,05 M по I и 0,05 M по NaCl. Увеличение pH электролита ведет к снижению перемещения ионов редкоземельных элементов по направлению к катоду; при pH 2,8—3,0 ионы начинают перемещаться по направлению к аноду и при pH > 3 наблюдается резкое снижение перемещения ионов к аноду. При низких pH указанные ионы движутся по направлению к катоду. Оптимальный pH, обеспечивающий разделение ионов редкоземельных элементов, составляет 2,6 и (после изменения направления перемещения) 3,05. Сообщение XVII см. РЖХим, 1957, 11998.

И. Каринская

51588. Спектрофотометрическое определение перия в виде протектиридисульфатного комплекса (тирон). Сарна (Spectrophotometric estimation of cerium as pyrocatechol disulphonate (Tiron) complex. Sarma A. B.), J. Scient. and Industr. Res., 1956, (B—C) 15, № 12, B686—B701 (англ.).

Разработан спектрофотометрич. метод определения Ce (0,4—400 ч. Ce на 1 млн.) на основе р-ции Ce с тироном (двузамещенный 1,2-доксибензол-3,5-дисульфат Na) (I) с образованием растворимого комплекса фиолетового цвета в нейтр. или слабощел. среде.

Максимум светопоглощения комплекса лежит при 500 мμ, минимум — при 390 мμ. Большие кол-ва Th, редкоземельных элементов и анионов ( $\text{F}^-$ ,  $\text{C}_2\text{O}_4^{2-}$ , тарат, пикрат,  $\text{SO}_4^{2-}$ ,  $\text{IO}_3^-$  и др.) не мешают определению. Предельное разбавление 1:10000. Ce (3+) с I образует окрашенный комплекс мерленнее (5—6 час.); при нагревании и пропускании воздуха р-ция ускоряется. Th, Nd, Pr, Sm, Y и La с I не образуют соединений, поглощающих свет в пределах 340—750 мμ.  $\text{Fe}^{2+}$ ,  $\text{Ti}^{4+}$ ,  $\text{UO}_2^{2+}$ ,  $\text{MnO}_4^{2-}$ ,  $\text{Ta}^{5+}$ ,  $\text{Nb}^{5+}$ ,  $\text{VO}_3^-$  образуют с I окрашенные комплексы и должны быть предварительно отделены от Ce. Изучено также влияние времени, избытка реактива и pH на р-цию образования комплекса Ce с I. При определении к аликвотной порции р-ра  $\text{CeCl}_3$  (или  $\text{Ce}(\text{SO}_4)_2$ ) (0,1—2 мг  $\text{CeO}_2$ ) добавляет 5 мл 5%-го водн. р-ра I, 5 мл 5 н.  $\text{CH}_3\text{COONa}$ , несколько капель разб. р-ра NaOH (до pH ~ 8), разбавляет водой до 25 мл и через 5—6 час. измеряют оптич. плотность при 500 мμ (р-р сравнения — р-р глухого опыта). Метод применен для определения Ce в монацитовом песке без предварительного отделения его от других редкоземельных элементов и Th. Результаты вполне удовлетворительны. Методом Жюба установлено, что состав комплекса выражается соотношением  $\text{Ce}:\text{I} = 1:3$ .

Р. Моторкина

51589. Техника спектрографического определения галлия в микропробах. Мурт (A spectrographic technique for the determination of gallium in micro samples. Murt E. M.), Appl. Spectroscopy, 1956, 10, № 4, 210—213 (англ.).

Для повышения чувствительности определения Ga в сплаве In (99,5%) с Ga (0,1%) пробу сжигают в дуге постоянного тока в атмосфере He. Ослабление полос CN в указанных условиях позволяет использовать чувствительные линии Ga 4172,1 и 4032,9 Å. Миним. навеска сплава, при которой еще возможно обнаружение Ga, составляет 5,10<sup>-6</sup> г по линии 4172,1 Å и 2·10<sup>-6</sup> г по линии 2843,6 Å. Анализ ведут на спектрографе Бауш и Лемб типа Литтрова при ширине щели 0,02 мм и силе тока короткого замыкания 10 А. Навеску пробы помещают в нижний графитовый электрод diam. 5 мм. Верхняя часть электрода имеет diam. 2 мм; в ней высверлена чашечка diam. 1,3 мм и глубиной 0,8 мм. Электрод с пробой устанавливают в спец. электродержатель, помещенный в камеру. Газ подается по резиновому шлангу из баллона в камеру держателя и выходит из отверстий искруг нижнего электрода со скоростью 8 л/мин. Перед включением разряда He пропускают в течение 10 сек. Дугой промывают 3 мм, электрод с пробой включают анодом, продолжительность экспозиции 15 сек. Эталонные сплавы приготавливают отweighиванием In и Ga и сплавлением их в пробирке под вакуумом (5 мм рт. ст.) при нагревании на глицериновой бане до 200°. Пробирку покачивают в течение 5 мин. при 200°, а затем охлаждают в воде при 25°. Приготовленные эталоны представляют собой однородный твердый р-р. Предложенная техника может быть применена для определения других элементов, имеющих наиболее чувствительные линии в той же области: Tl, Mo, Mn, K, Pb, Nb, Sr и Rb.

В. Борова

51590. Косвенный фотометрический метод определения иридия. Подзак (インジウムの間接比色分析法, 奥崎亨), 日本化学雑誌, Нахон кагаку дзас. ш., J. Chem. Soc. Japan. Pure Chem. Sec., 1956, 77, № 11, 1751—1752 (японск.).

51591. Метод определения небольших количеств свинца в минералах и горных породах. Йорданов, Кочева (Метод за определяне на мали количества олово в минерали и скали. Йорданов Н., Кочева Л.), Изв. Хим. ин-т. Българ. АН, 1956, 4, № 327—339 (болг.; рез. русск., нем.).

При установлении геологич. возраста минералов и

горных пород применяют 2 метода определения Pb. 1. Анализируемую пробу смешивают (1:1) со спектрально чистым углеродом и нагревают в кварцевой трубке (длина 6 см, диам. 8—10 мм) при 950—1100° и 1—2 мм рт. ст. Сублимат растворяют в 0,65 мл 58%-ной HNO<sub>3</sub>, разбавляют водой до 20 мл, прибавляют 1 мл р-ра CuSO<sub>4</sub> (30 мг Cu) и подвергают электролизу. Выделенный PbO<sub>2</sub> растворяют в смеси 2—3 капли 58%-ной HNO<sub>3</sub> и 1 капли H<sub>2</sub>O<sub>2</sub> и р-р выпаривают досуха. Остаток растворяют в 10%-ном р-ре SrCl<sub>2</sub> в 0,1 н. HCl, прибавляют 1 каплю 0,5%-ного р-ра желатин и определяют Pb полярографически. При 1—10 γ Pb работают с объемами 0,1—0,4 мл (погрешность 8—10%), а при >30 γ—Pb — с объемами 1—4 мл (погрешность 3—5%). 2. Пробу растворяют в смеси H<sub>2</sub>SO<sub>4</sub> и HF, прибавляют 1 мл р-ра HgCl<sub>2</sub> (50 мг), разбавляют водой до 10—15 мл, подкисляют 0,1 н. р-ром HCl и насыщают сероводородом. Осадок HgS и PbS отфильтровывают, растворяют в царской водке, выпаривают досуха и нагревают в кварцевом тигле при 350—400° до полной сублимации S и HgS. В остатке определяют Pb полярографически. Погрешность при 50 γ Pb составляет ~5%. Оба метода проверены при анализе ортита.

Н. Туркевич

**51592. Спектральный метод определения малых количеств свинца в хроме и окиси хрома.** Нибуэр, Потман (Verfahren zur spektrophotischen Bestimmung sehr kleiner Bleigehalte in Chrommetall und Chromoxyd. Niebuhr Johannes, Pothmann Curt), Arch. Eisenhüttenwesen, 1957, 28, № 1, 13—15 (нем.).

Навеску металл. хрома 1 г обрабатывают р-ром HCl (1:1), добавляют воду до конц-ии 25 мг/мл Cr, отбирают 40 мл полученного р-ра, вносят 4 мл конц. H<sub>2</sub>SO<sub>4</sub>, нагревают до кипения, добавляют 2 мл HNO<sub>3</sub>, упаривают до 20 мл, переносят в фарфоровый тигель, выпаривают досуха и прокаливают 30 мин. при 800°. Навеску полученной окиси Cr (100 мг) помещают в графитовый тигель, имеющий в верхней части конусообразную крышку с отверстием диам. 3 мм (внутренний и внешний диаметры тигля соответственно равны 7,5 и 9 мм, общая высота с крышкой 37,5 мм). Дно тигля толщиной ~6 мм с внешней стороны заточено на припущенный конус. Определение Pb производят по методу двойной дуги. Между тиглем, служащим анодом, и нижним угольным электродом зажигают дуговой разряд при силе тока 13 а. Одновременно возникает дуга между верхней крышкой тигля и противозлектродом при силе тока 1,8 а. Pb испаряется из окиси Cr, и пары поступают в верхний дуговой промежуток. Дуги поджигают ВЧ-токами. Предварительный обжиг 20 сек., продолжительность экспозиции 110 сек. Спектр регистрируют на спектрографе с дифракционной решеткой; аналитич. пара линий: Pb 2833,07—2833,5 А. Линия сравнения принадлежит мол. порош. На линию Pb накладывается также линия полосы. Влияние наложения устраняется представительным определением относительной интенсивности обеих линий полос и внесением поправки. Для изготовления эталонов применяют окись Cr, полностью очищенную от Pb прокаливанием 0,25 часа при 1500° в вакууме, или же определяют остаточную конц-ию Cr методом добавок. Стандартная ошибка, характеризующая воспроизводимость результатов, равна ±15 % при 0,01 % Cr и ±35 % при 0,001 % Cr.

Г. Кибисов

**51593. Количественное определение свинца в эмалевых красках, содержащих свинцовый синкват.** Кондратова В. П., Петрашень В. И., Научн. тр. Новочеркас. политехн. ин-т, 1956, 27(41), 211—312

Метод определения Pb электролизом азотнокислого р-ра, рекомендованный ранее для анализа шлаков

(Файнберг. Технический анализ руд цветных металлов, 1946, стр. 307), применен для определения Pb в эмалевых красках, содержащих 0,2—1% Pb в виде металлоорганич. соединений. Разработан быстрый метод предварительной подготовки эмалевой краски к анализу (сжигание навески ≤2 г в муфельной печи при 500°), позволяющий сократить время растворения ее на 7—8 час. Получены удовлетворительные результаты.

Р. Моторкина

**51594. Симпозиум по титану. III. Успехи в области анализа титановых сплавов. Виго (Symposium on titanium. III. Analytical developments. Vigo S.), J. Metals, 1957, 9, № 1, Sec. 1, 177—176, Discuss., 176—177 (англ.)**

Обзор и обсуждение методов определения Cr, Fe, Mo, Mn, V, W, Al, C, Si, N, Cl, O и H в Ti-сплавах.

И. Каринская

**51595. Определение тория в воде горячих источников и силикатных минералах.** Исиноори, Уэно, Аматацу (温泉、ケイ酸岩石中のトリウムの定量. 法森富太郎, 上野馨, 天辰浩久). 日本化学雑誌, Нихон какаку дааси, J. Chem. Soc. Japan. Pure Chem. Sec., 1956, 77, № 11, 1705—1707 (японск.)

**51596. Определение тория в калильных сетках и стеклах титрованием комплексом III с использованием в качестве индикатора пирокатехинового фиолетового.** Малат, Пеликан, Сук (EDTA titration of thorium in gas mantles and in glasses with pyrocatechol violet as indicator. Malat M., Pelikan J., Suk V.), Chemist Analyst, 1956, 45, № 3, 61—62 (англ.)

При определении Th в материале калильных сеток к навеске ~0,5 г прибавляют 100 мл воды + 0,5 мл конц. HNO<sub>3</sub>, осторожно кипятят ~10 мин., охлаждают, прибавляют 100 мл воды 5—8 капель 0,1%-ного водн. р-ра пирокатехинового фиолетового и разб. NH<sub>4</sub>OH до появления красновато-розовой окраски (рН 3—3,5) и титруют 0,1 М р-ром комплексона III до изменения окраски от красновато-розовой до лимонно-желтой. 1 мл 0,1 М р-ра комплексона III эквивалентен 23,21 мг Th, 26,41 мг ThO<sub>2</sub> и 55,22 мг Th(NO<sub>3</sub>)<sub>4</sub>·4H<sub>2</sub>O. Для определения Th в стеклах к 0,2—0,3 г тонкоизмельченной пробы прибавляют 10—20 мл дистил. воды + 2,5 мл конц. HClO<sub>4</sub>, осторожно нагревают несколько минут при размешивании (не до кипения), разбавляют до ~225 мл, прибавляют разб. NH<sub>4</sub>OH до рН 3,5 (по индикаторной бумаге) и 5—8 капель 0,1%-ного водн. р-ра пирокатехинового фиолетового и титруют 0,1 М р-ром комплексона III. Продолжительность одного определения ~30 мин.

А. Зогуля

**51597. Открытие малых количеств ванадия с использованием ионообменника.** Марасэ (イオン交換樹脂を使用するバナジウムの微量検出法. 村岡武男), 日本化学雑誌, Нихон какаку дааси, J. Chem. Soc. Japan. Pure Chem. Sec., 1956, 77, № 12, 1826—1833 (японск.)

**51598. Колориметрическое определение ванадия при помощи цитратов.** Павлинова А. В., Элиософ Г. М. (Колориметричне визначення ванадію при допомозі цитратів. Павлінова А. В., Еліософ Г. М.) Наук. зап. Чернівецьк. ун-ту, 1955, 17, 72—80 (укр., рез. русск.)

Для восстановления V (5+), в диванадил использованы соли лимонной к-ты. Образующиеся при этом интенсивно синяя окраска устойчива, подчиняется закону Бера и пригодна для колориметрич. и фотоколориметрич. определения V. Окраска еще заметна при конц-ии 0,0369 мг/мл V.

Резюме авторов

**51599. Фотометрическое определение микрограммовых количеств урана в форме комплексного соединения торнола с четырехвалентным ураном.** Форман

Райли, Смит (The absorptiometric determination of microgram quantities of uranium with the thoronol complex of quadrivalent uranium. Foreman J. K., Riley C. J., Smith T. D.), Analyst, 1957, 82, № 971, 89—95 (англ.)

При взаимодействии U (4+) в среде разб. HCl или HNO<sub>3</sub> с Na-солью 1-(*o*-арсонофенилазо)-2-нафтол-3,6-дисульфокислоты (I) (торонол) образуется окрашенное в красный цвет комплексное соединение, устойчивое в водно-ацетонном р-ре. Установлено, что комплекс имеет состав U(торонол)<sub>2</sub>, константа устойчивости  $k = 9,2 \pm 0,5 \cdot 10^9$ . UO<sub>2</sub><sup>2+</sup> предварительно отделяют от Fe, Co, Ni и Bi экстрагированием. Анализируемый р-р (1 мл) разбавляют до 5 мл 1 М р-ром HCl, добавляют 2 мл 5%-ного р-ра купферона и экстрагируют хлороформом (15 мл); к водн. фазе добавляют 1 каплю р-ра фенолфталеина и 20 мл насыщ. р-ра этилендиаминтетрауксусной к-ты устанавливают pH на уровне 6 (ацетатный буферный р-р), добавляют 5 мл 5%-ного р-ра дитизидиокарбамината Na и 20 мл 0,3 М Ca(NO<sub>3</sub>)<sub>2</sub> для связывания избытка этилендиаминтетрауксусной к-ты. Водн. фазу экстрагируют хлороформом (3 × 15 мл), органич. фазу рекстрагируют 10%-ным р-ром (NH<sub>4</sub>)<sub>2</sub>CO<sub>3</sub>, выпаривают, остаток прокалывают 30 сек., растворяют в 2 мл конц. HCl, вновь выпаривают и растворяют в 1 мл 3 н. HCl. К р-ру добавляют 15 г опщ. Pb-дроби, встряхивают, добавляют 20 мл ацетона, 1 мл 0,5%-ного р-ра торонола, разбавляют до 25 мл и фотометрируют в 4-см кювете фотометра Спекера с фильтром Илфорд № 605. Метод чувствителен и точен.

И. Каринская  
51600. Полярнографическое определение урана в урансодержащих минералах. Борлера (Dosamento polarografico dell'uranio nei minerali uraniferi. Borlera Maria Lucio), Ricerca scient., 1956, 26, № 10, 3097—3107 (итал.; рез. англ., нем., франц.)

Разработан метод полярнографич. определения U на фоне лимонной и серной к-т. 2—5 г тонкоизмельченного минерала (~500 γ U) выпаривают с 50 мл парской водки досуха, остаток обрабатывают разб. соляной к-той (40—50 мл) и отфильтровывают SiO<sub>2</sub>. В случае присутствия больших кол-в SiO<sub>2</sub> пробу разлагают в Рт-плге смесью конц. HF и HCl. Фильтрат выпаривают досуха и остаток растворяют в 10—15 мл 5%-ной HNO<sub>3</sub>. При наличии SO<sub>4</sub><sup>2-</sup> прибавляют несколько г Ca(NO<sub>3</sub>)<sub>2</sub> и отфильтровывают CaSO<sub>4</sub>. Р-р концентрируют до 7—8 мл, смешивают с 12—15 г целлюлозного порошка, полученную сухую массу помещают в хроматографич. колонку (30 × 2,5 см) вместе с 16—18 г целлюлозы, элюируют эфиром (65 мл), содержащим 5% HNO<sub>3</sub>, и из элюата после добавления 10 мл воды отгоняют эфир. Остаток выпаривают с 25 мл 2 н. H<sub>2</sub>SO<sub>4</sub> и 5 мл HClO<sub>4</sub> до паров SO<sub>3</sub>, разбавляют водой (20 мл), обрабатывают 0,7—1,5 г NH<sub>2</sub>OH·HCl при 60—70° (для восстановления Fe<sup>3+</sup>), прибавляют 42 г лимонной к-ты, разбавляют водой до 100 мл и полярнографируют при 25 ± 0,2° на полярнографе типа Сарджент. При >1000 γ U предварительное концентрирование U хроматографич. методом не обязательно. Описанным способом легко определяют 0,1—0,2 % U в минерале, содержащем ~10% Fe. Th в кол-ве 1 : 10 и As<sup>3+</sup> в кол-ве 1 : 15 не мешают. В присутствии PO<sub>4</sub><sup>3-</sup> (~0,5 М H<sub>3</sub>PO<sub>4</sub>) погрешность метода составляет <2,5%.

Н. Туркенич  
51601. Изучение методов определения марганца с помощью висмута натрия. II. Одновременное фотометрическое определение хрома и марганца. III. Открытие и титриметрическое определение марганца. Киёта, Ямамото (ビスマス酸ナリウムを用いるマンガン分析法に関する研究. 第1報. クロムの比色定量およびマンガンの同時比色定量について. 第3報. 定性および容量分析法について. 清田壽, 山本俊夫), 日本

化学雜誌, Нихон кагаку дзасси, J. Chem. Soc. Japan, Pure Chem. Sec., 1956, 77, № 11, 1746—1749: 1749—1751 (японск.)

Сообщение I см. РЖХим, 1957, 8486.

51602. Определение железа в титановой губке, титановых сплавах и рудах. Автоматическое дифференциальное спектрофотометрическое титрование электролитически генерируемыми ионами трехвалентного титана. Мальмстадт, Роберте (Determination of iron in titanium sponge, alloys, and ores. Automatic derivative spectrophotometric titration with electrolytically generated titanous ion. Malmstadt Howard V., Roberts Charles B.), Analyt. Chem., 1956, 28, № 9, 1412—1416 (англ.)  
Образец (~1 г) растворяют в 30 мл 5 М H<sub>2</sub>SO<sub>4</sub> (3—5 час.) или в смеси 30 мл 5 М H<sub>2</sub>SO<sub>4</sub> и 10 мл 45%-ной HBF<sub>4</sub> (15—20 мин.) при нагревании. К полученному р-ру в стакане для титрования добавляют 2 мл конц. HCl, насыщ. р-р KMnO<sub>4</sub> до появления малиновой окраски (для окисления Fe и Ti), а затем ~0,3 г азиды Na (для разрушения избытка KMnO<sub>4</sub>); р-р разбавляют до 150 мл добавлением 4 М H<sub>2</sub>SO<sub>4</sub> и кипятят 5 мин. для разрушения избытка NaN<sub>3</sub> и удаления Cl<sub>2</sub> и O<sub>2</sub>, которые могут присутствовать. Р-р охлаждают до 75° и добавляют 1 мл метилового голубого (0,0: М р-р в 2 М HCl, предварительно пропущенный для восстановления через серебряный редуктор). Стакан с р-ром помещают в соответствующее отделение спектрофотометрич. титратора (РЖХим, 1957, 27124) и Fe<sup>3+</sup> автоматически титруют электролитически генерируемыми ионами Ti<sup>3+</sup>, получаемыми из анализируемого же образца. Описан генераторный электрод, обеспечивающий 100%-ный выход Ti<sup>3+</sup> в кислых р-рах. Относительная ошибка при >3% Fe составляет 0,1%; абс. ошибка 0,003%. Продолжительность определения (включая растворение) ~35 мин.

Л. Чистяков

51603. Применение смешанных растворителей для колориметрического определения кобальта. Павлинова А. В. (Застосування змішаних розчинників в для колориметричного визначення кобальту. Павлінова А. В.), Наук. зап. Чернівецьк. ун-ту, 1955, 17, 85—91 (укр., рез. русск.)

Установлено, что смеси C<sub>2</sub>H<sub>5</sub>OH-вода-этилацетат и C<sub>2</sub>H<sub>5</sub>OH-вода-амилацетат при определенных соотношениях компонентов дают однородный р-р и с успехом могут заменять ацетон при колориметрич. определении Co.

Резюме автора

51604. Хлорид диметилфенилбензиламмония как реагент для весового определения платины. Райан (Dimethylphenylbenzylammonium chloride: a reagent for the gravimetric determination of platinum. Ryan D. E.), Canad. J. Chem., 1956, 34, № 12, 1683—1686 (англ.)

Хлорид диметилфенилбензиламмония [C<sub>6</sub>H<sub>5</sub>-N(CH<sub>3</sub>)<sub>2</sub>-C<sub>6</sub>H<sub>5</sub>Cl] (I) количественно связывает Pt (4+) из р-ров HBr в широком интервале конц-ий HBr. Для определения Pt (4+) р-р, содержащий PtBr<sub>4</sub>, разбавляют до 100 мл, прибавляют р-р I в конц. HBr и при перемешивании 5%-ный р-р I (5 мл г-го I на каждые 10 мл Pt) и оставляют при комнатной т-ре на 3 часа. Осадок отфильтровывают через пористый фарфоровый тигель, промывают 0,1%-ным водн. р-ром I и высушивают при 110°; фактор пересчета 0,1776. Нитраты и хлориды Pt для их превращения в бромид упаривают с HBr или NaBr на паровой бане досуха. Pb не мешает; в присутствии платиновых металлов последние удаляют гидролитич. осаждением, фильтрат упаривают, переводят Pt в PtBr<sub>4</sub><sup>2-</sup> и определяют, как описано выше. Для приготовления I смесь эквимолярных кол-в бензилхлорида и диметиланилина выдерживают при обычной т-ре до выделения кристаллич. массы, последнюю отфильтровывают, промывают



эфиром до удаления бензилхлорида и диметиланилина, растворяют в  $C_2H_5OH$  и перекристаллизовывают добавлением этилацетата. I не дает осадка с  $Cu^{2+}$ ,  $As^{3+}$ ,  $As^{5+}$ ,  $Fe^{3+}$ ,  $Co^{2+}$ ,  $Mn^{2+}$ ,  $Cr^{3+}$ ,  $Al^{3+}$ ,  $Zn^{2+}$ ,  $Ba^{2+}$ ,  $Ca^{2+}$ ,  $Sr^{2+}$ ,  $Mg^{2+}$ ,  $UO_2^{2+}$ ,  $Ti^{4+}$ ,  $Zr^{4+}$ ,  $Th^{4+}$ ,  $Ce^{4+}$ ,  $Cl^-$ ,  $C_2O_4^{2-}$ ,  $PO_4^{3-}$ ,  $Fe(CN)_6^{3-}$ ,  $Br^-$ ,  $CH_3COO^-$ ,  $NO_3^-$ ,  $SCN^-$ ,  $JO_4^-$  и  $CO_3^{2-}$ ; осадки с I дают  $Bi^{3+}$ ,  $Sb^{3+}$ ,  $Cd^{2+}$ ,  $Hg^{2+}$ ,  $Sn^{4+}$ ,  $ClO_4^-$ ,  $MoO_4^{2-}$ ,  $WO_4^{2-}$ ,  $Cr_2O_7^{2-}$ ,  $VO_4^{3-}$  и  $Fe(CN)_6^{4-}$ .

А. Зозуля

**51605.** Определение содержания титрия в жидкостях. Грачева Е. Г., Хусанова Ш. Г., Атом. энергия, 1957, 2, № 1, 70

Для определения титрия в жидкостях, не содержащих других радиоактивных элементов, предложено использовать тормозное излучение, вызываемое  $\beta$ -частицами титрия в в-ве пробы. Анализируемую жидкость помещают в виде тонкого слоя (высота 1,5 см) перед счетчиком торцевого типа (около 4 мв/см<sup>2</sup>, диам. ~40 мм); сосуд с жидкостью накрывают Al-крышкой (толщина 18 м). Кол-во титрия в пробе находят сравнением со стандартным образцом. Описанным методом определяют  $\geq 10^{-4}$  кюри/л титрия.

Т. Левя

**51603.** Определение гидроксиланина в растительных материалах. Ямбор, Кишш (Determination of hydroxylamine in plant materials. Jám bor B., Kí ss J.), Acta biol. Acad. sci. hung., 1956, 7, № 1, 2—23 (англ.; рез. русск., нем.)

Критически изучены модифицированный метод Блома (Jám bor B., Agrokémia és talajtan, 1951, 1, № 1, 51—86; Lemoigne M. и др., Bull. Soc. chim. biol., 1936, 18, 841—867) и метод Лемуана (Lemoigne M. и др., Bull. Soc., chim. biol., 1937, 19, 1350—1360) для определения гидроксиланина.

Т. Левя

**51607.** Проба на содержание фосфора в железных рудах на местах их залежей и на складах. Ферилунд, Пехнер, Эрикссон (Fosforprov på järnmalm i fast klyft och i upplag. Fernlund Uno, Zechner Sepp, Eriksson Sven-Olof), Jernkontorets ann., 1956, 140, № 5, 389—391 (шведск.; рез. нем.)

Предложен быстрый качеств. и полуколич. метод определения P в рудах с помощью хинолиновдато-мобильного реактива (I). I готовят путем смешением р-ров А, Б и В. Р-р А: 100 г  $Na_2MoO_4 \cdot 2H_2O$  растворяют в 250 мл воды, 115 мл конц. HCl и 100 мл конц.  $HNO_3$ ; р-р Б: 14 мл хинолина растворяют в 160 мл воды, 75 мл конц. HCl и 60 мл конц.  $HNO_3$ ; р-р В: 2 г  $V_2O_5$  растворяют в р-ре NaOH, нейтрализованном 1 М р-ром HCl и разбавленном водой до 800 мл. Полученную смесь фильтруют через 24 часа. ~0,2 г измельченной руды обрабатывают 10 сек. 4—5 каплями конц. HCl, а затем ~25 мл р-ра I. По объему выделяющегося желтого осадка устанавливают (после 4—5 мин.) приблизительное содержание P.

Н. Туркевич

**51608.** Метод быстрого определения мышьяка в рудах и других неметаллических материалах, а также в стойких к азотной кислоте ферросплавах. Плом (Verfahren zur schnellen Bestimmung des Arsens in Erzen und anderen nichtmetallischen Stoffen sowie in salpetersäurebeständigen Ferrolegierungen. Ploum Heinrich), Arch. Eisenhüttenwesen, 1956, 27, № 12, 761—766 (нем.)

Метод определения As в растворимых в  $HNO_3$  металлах (РХХМ, 1957, 27204) модифицирован и применен для определения As в рудах, сплавах, шлаках, стеклах и в стойких к  $HNO_3$  сплавах. Описан способ выделения As сорбцией на  $Fe(OH)_3$ . Дистилляцию As производят из р-ров, содержащих  $ZnCl_2$ ; As в дистиллате определяют потенциометрически.

Т. Левя

**51609.** Быстрые методы анализа металлов и минерального сырья. II. Определение сурьмы в небогатых рудах и концентратах. Дольежал, Бераи

(Rychlé metody v analýze kovů a nerostných surovin. II. Stanovení antimonu v dobových rudách a koncentrátech. Doležal Jan, Beraň Přemysl), Chem. listy, 1956, 50, № 11, 1757—1760 (чешск.)

Разработан простой полярографич. метод быстрого определения Sb в изобогатенных рудах и концентратах. Тонко измельченный образец растворяют при нагревании в избыточном кот-ве конц.  $H_2SO_4$  и р-р разбавляют водой и конц. HCl. Мешающее влияние Fe, Cu и As устраняют восстановлением гипосульфитом. Затем к р-ру прибавляют конц. HCl до получения кислотности ~8 н. по HCl и полярографируют обычным способом. Содержание Sb находят по высоте полярографич. волны, соответствующей восстановлению  $Sb^{5+}$  до малахита. Sb. Для четкого различия волн Sb и Cu<sup>+</sup> полярографируют р-р насыщают хлоридом К и полярографируют в азот при низком напряжении; четкость различия волн Sb и Cu<sup>+</sup> уменьшается в присутствии больших кот-в  $H_2SO_4$  и желатин. Конц-ция Cu не должна превышать отношения Cu : Sb = 1 : 1. Образцы с высоким содержанием Cu, а также образцы, содержащие Bi (волны Sb и Bi сливаются), предварительно сшивают со смесью  $Na_2CO_3 + S$ ; выделенные сульфиды As, Sb и Sn растворяют в 0,2 М NaOH и фильтруют окисляя перекисью водорода. Средняя ошибка определения Sb в рудах и концентратах составляет соответственно 10 и 5%. Сообщение I см. РХХМ, 1957, 41474.

Карел Кáмп

**51610.** Титриметрическое определение сурьмы в сурьмяно-свинцовых сплавах. Браун, Форшоу, Хейс (The volumetric determination of antimony in antimony lead alloys. Brown E. G., Forshaw I. P., Heyes T. J.), Metallurgia, 1957, 55, № 327, 45—47 (англ.)

Сурьмяно-свинцовый сплав, содержащий не более 12% Sb, растворяют в смеси  $CH_3COOH$  и  $H_2O_2$ . Sb (5+) восстанавливают до 3-валентного состояния при помощи р-ра  $SO_2$  и титруют р-ром  $KBrO_3$ . Метод дает воспроизводимые и точные результаты.

В. Сазанова

**51611.** Определение кислорода в стали методом диффузии в алюминий. Карлссон (Determination of oxygen in steel by the aluminium diffusion method. Carlsson C. Georg), Jernkontorets ann., 1956, 140, № 8, 551—574 (англ.; рез. шведск.)

Изучен ранее описанный метод определения O в стали (Gotta A., Arch. Eisenhüttenwesen, 1943—1944, 17, 53—55). Установлено, что причиной погрешности при определении O могут являться слишком высокое содержание Al в поверхностном слое, недостаточная диффузия  $O_2$  в Al и наличие O в поверхностном слое, удаляемом при травлении. Для устранения 1-й причины погрешностей, имеющей место, в частности, при анализе сталей с высоким содержанием C, рекомендуется вести процесс отжига в 2 стадии; 2-й отжиг выполняют в атмосфере  $H_2$ . Для устранения 2-й причины погрешностей рекомендуется применять более тонкие диски, вести анализ при более высокой т-ре и увеличить время отжига. 3-ю причину погрешностей, характерную для раскисленной стали с низким содержанием C, устраняют ведением процесса травления так, чтобы при этом происходило удаление лишь тонкого слоя материала (2 мин. при помощи разб. HCl, 1 : 1). Модифицированный метод определения O в стали дает лучшие результаты, чем метод вакуум-плавки, и характеризуется более высокой чувствительностью.

Т. Левя

**51612.** Определение кислорода в титане, цирконии, хроме, ванадии и сталях комбинационным методом бромирования-восстановления углеродом. Коделл, Норунц (Determination of oxygen in titanium, zirconium, chromium, vanadium, and steels by bromination — carbon reduction method. Codell

Maurice, Norwitz George), *Analyt. Chem.*, 1956, 28, № 12, 2006—2011 (англ.)

Ранее описанный метод определения О в Ti и Ti-сплавах (РЖХим, 1956, 36184) усовершенствован и применен для определения О в Ti, Zr, Cr, V и сталях. Поправка на глухой опыт значительно уменьшена (до 0,1 мг  $\text{CO}_2$  в 1 час) главным образом за счет тщательной предварительной очистки брома и применения смеси  $\text{CuSO}_4$  + прокаленный асбест, помещаемой в поглощающей трубке за аскаритом. Для ускорения р-ции т-ру реакционной трубки рекомендуется поддерживать на уровне 925° вместо ранее предложенной 815°. Получены устойчивые результаты при применении для задерживания  $\text{TiBr}_4$  и  $\text{Br}_2$  сухого льда вместо смеси сухой лед + спирт. Результаты определения О усовершенствованным методом в большинстве случаев хорошо согласуются с данными других методов; лишь при анализе образцов V полученные результаты не совпадают с данными метода вакуум-плавки. О. Горлова 51613. Определение кислорода в металлическом магнии.

Ода, Саваба (酸化マダネシウムの定量法. 小田 伸三, 澤邊重治). *工業化学雑誌*, (フッ素の比色定量法の研究. 第1報. ジルコニウム-ブリススルホン酸ナトリウム-レキによる方法について. 阪元作郎), *日本化学雑誌*, Koré kaikan dasseti, J. Chem. Soc. Japan. Industr. Chem. Sec., 1956, 59, № 12, 1445—1446 (японск.)

51614. Спектрофотометрическое определение селена в нержавеющей стали и меди с помощью 3,3'-диаминобензидина. Чжэн (Spectrophotometric determination of selenium in stainless steels and in copper by 3,3'-diaminobenzidine, Cheng K. L.), *Chemist Analyst*, 1956, 45, № 3, 67—68 (англ.)

Метод состоит в экстрагировании толуолом комплексного соединения Se с 3,3'-диаминобензидином (I) и последующим фотометрированием полученного экстракта. К 0,5—1 г нержавеющей стали прибавляют 10 мл конц.  $\text{HCl}$  + 5 мл конц.  $\text{HNO}_3$ , нагревают до полного растворения, упаривают до ~5 мл, охлаждают, приливают 50 мл воды, при необходимости фильтруют и разбавляют до 250 мл. К аликвотной порции полученного р-ра ( $\leq 100 \gamma$  Se) прибавляют 0,1 М р-р комплексона III (0,2 мл на 1 мг пробы), 7 М  $\text{NH}_4\text{OH}$  до pH 2—4, 2 мл 2,5 М  $\text{HCOON}$  (рН конечного р-ра 2—3) и 2 мл 0,5%-ного водн. р-ра I, выдерживают ~30 мин., прибавляют 7 М  $\text{NH}_4\text{OH}$  до pH 6—7, встряхивают с 10 мл толуола ~30 сек., центрифугируют и фотометрируют толуольный слой при 420 мμ (нулевой р-р — толуол; вводят поправку на глухой опыт). Для определения Se в меди 1 г последней растворяют в смеси 10 мл  $\text{H}_2\text{O}$  + 10 мл конц.  $\text{HNO}_3$ , упаривают до 2—3 мл, добавляют ~40 мл воды, 6,5 г твердого комплексона III, 7 М  $\text{NH}_4\text{OH}$  до растворения твердых в-в, конц.  $\text{HCl}$  до pH 2,5—3,0, 5 мл 2,5 М  $\text{HCOON}$  и далее поступают, как описано выше. Окраска р-ров подчиняется закону Бера при конц-ии до 100  $\gamma$  Se в 10 мл экстракта. Описанный метод чувствительнее и удобнее метода, основанного на восстановлении Se. А. Зозуля 51615. Фотометрическое определение фтора. Гёке (Die photometrische Bestimmung von Fluor. G ö k e Gerhard), *Lab.-Praxis*, 1957, 9, № 2, 13-14 (нем.)

Метод определения F в минералах основан на замедлении степени ослабления окраски перекисного комплекса Ti(4+) от действия  $\text{F}^-$ .  $\text{SiO}_2$  и полутонные окислы предварительно отделяют. Фотометрируют при 436 мμ. А. Давыдов 51616. Определение фтора в присутствии фосфатона с помощью алizarинового комплекса циркония.

Повышение к природным фосфатам. Вижье (Contribution à l'étude du dosage du fluor par le complexe alizarine-zirconium en présence de l'ion phosphorique. Application aux phosphates naturels.

Vigier R.), *Bull. Soc. chim. France*, 1957, № 2, 160—167 (франц.)

Метод основан на ослаблении ионом  $\text{F}^-$  красной окраски алizarинового комплекса Zr. 100 мг образца сплавляют в Pt-чашке с 1 г смеси  $\text{K}_2\text{CO}_3$  и  $\text{Na}_2\text{CO}_3$  (1:1) в течение 5 мин., выщелачивают 20%-ной  $\text{HCl}$  (100 мл), фильтруют и разбавляют до 500 мл. В 3 мерные колбы емк. 100 мл наливают 25,10 и 5 мл р-ра  $\text{NaF}$  (10  $\gamma/\text{мл}$  F) и по 10 мл р-ра  $\text{P}_2\text{O}_5$  +  $\text{CaO}$  +  $\text{Na}_2\text{CO}_3$  +  $\text{K}_2\text{CO}_3$  (97 мг  $(\text{NH}_4)_2\text{H}_2\text{PO}_4$  + 178 мг  $\text{CaCO}_3$  + 1 г  $\text{Na}_2\text{CO}_3$  + 1 г  $\text{K}_2\text{CO}_3$  растворяют в 200 мл 20%-ной  $\text{HCl}$  и разбавляют водой до 1 л. В другие мерные колбы емк. 100 мл вводят по 10 мл анализируемого р-ра. Во все колбы добавляют 20 мл  $\text{HCl}$  (1:4), 20 мл реактива (2 г нитрата Zr растворяют в 200—300 мл воды, добавляют 100 мл р-ра  $\text{HCl}$  (уд. в. 1,19) и разбавляют до 1 л; к 100 мл полученного р-ра добавляют 100 мл  $\text{HCl}$ , разбавляют до 500 мл, добавляют 75 мл р-ра алizarинового красного S (2 г/л), доливают до 1 л и через 15 час. фильтруют) и разбавляют до 100 мл водой. Фотометрируют через 1 час при 520 мμ; р-ром сравнения служит р-р 250  $\mu/\text{мл}$  F. Содержание F определяют по калибровочной кривой. Погрешность ~4%. М. Пасманик 51617. Спектрофотометрическое определение фторидов. I. Метод с использованием лака пурпурсульфата циркония и натрия. Вакимото (フッ素の比色定量法の研究・第1報・ジルコニウム-ブリススルホン酸ナトリウム-レキによる方法について. 阪元作郎), *日本化学雑誌*, Нихон кагаку дзасси, J. Chem. Soc. Japan. Pure Chem. Sec., 1956, 77, № 10, 1483—1492 (японск.)

51618. Аналитическое изучение фторидов. II. Фотометрическое определение фторидов в растениях с использованием комплекса тория с неоторином. Эми, Хаями (フッ素の分析化学的研究・第2報・Fh = Neo-Florinによる植物中のフッ素の比色定量法. 江見浩一, 速水謙), *日本化学雑誌*, Нихон кагаку дзасси, J. Chem. Soc. Japan. Pure Chem. Sec., 1956, 77, № 11, 1656—1658 (японск.) Сообщение I см. РЖХим, 1957, 8537.

51619. Изучение методов определения двуокиси хлора в воде. Германович, Сикоровская (Badania nad oznaczaniem dwutlenku chloru w wodzie. Hermanowicz W., Sikowska S.), *Roczn. Państw. zakł. hig.*, 1956, 7, № 6, 511—520 (польск.; рез. русск., англ.)

С целью выбора наиболее удобного метода определения  $\text{ClO}_2$  в питьевой воде сравнены результаты йодометрич., а также колориметрич. (с о-толидином (I) и тирозином (II)) методов. При йодометрич. методе к 100 мл пробы прибавляют 10 мл  $\text{H}_2\text{SO}_4$  (1:50) и 10 мл 10%-ного р-ра  $\text{KJ}$  и через 5 мин. титруют выделившийся  $\text{I}_2$  0,002 н. р-ром  $\text{Na}_2\text{S}_2\text{O}_3$ . При колориметрич. методе с применением I к 100 мл пробы прибавляют 0,1 мл  $\text{HCl}$  (1:1), 1 мл насыщ. р-ра  $(\text{COOH})_2$  (для удаления свободного  $\text{Cl}_2$ ) и через 10 мин. 5 мл р-ра I; колориметрируют через 5 мин. При наличии в воде  $\text{NH}_3$  к пробе добавляют 5 мл 0,1 н.  $\text{Na}_3\text{AsO}_3$ . При колориметрич. методе с применением II к 100 мл пробы прибавляют 2 мл р-ра II (растворяют 0,300 г II в 100 мл 0,1 н.  $\text{NaOH}$  и разбавляют до 1 л р-ром, содержащим в 1 л 97 мл лед.  $\text{CH}_3\text{COOH}$  и 150 г ацетата Na) и сравнивают через 10 мин. со стандартными р-рами, приготовленными смешением р-ров  $\text{Co}(\text{NO}_3)_2 \cdot 6\text{H}_2\text{O}$  (14 г/л),  $\text{K}_2\text{CrO}_4$  и  $\text{K}_2\text{Cr}_2\text{O}_7$  (0,155 г  $\text{K}_2\text{Cr}_2\text{O}_7$  и 0,465  $\text{K}_2\text{Cr}_2\text{O}_7$  в 1 л 0,1 М фосфатного буферного р-ра). Последний метод дает хорошие результаты при  $>0,2$  мг/л  $\text{ClO}_2$ . Н. Туркевич 51620. Определение йода в йодтианиновом сиропе.

Биллертова, Цешинский (Oznaczenie zawartości jodu w syropie jodogarbinkowym. Billewowa T., Cieszyński T.), *Farmac. polska*, 1956, 12, № 11, 299—301 (польск.)

Для определения J в йодтианиновом сиропе модифи-

цирован метод Ланга (Lang R., Z. anorgan. und allgem. Chem., 1922, 122, 332). 10 г пробы кипятят 20 мин. с обратным холодильником с 10 мл лед.  $\text{CH}_3\text{COOH}$  и 1 г  $\text{Zn}$ -пыли. К полностью обезжелезненной смеси прибавляют 35 мл горячей воды и р-р фильтруют через ватку, которую затем дважды промывают горячей водой (по 15 мл). К охлажд. фильтрату прибавляют 15 мл  $\sim 1,2$  н.  $\text{HCl}$ , 5 мл 5%-ного р-ра  $\text{KCN}$  и титруют 0,1 н. р-ром  $\text{KIO}_3$  в присутствии крахмала. Н. Туревич

**51621. Определение содержания влаги в пробе для анализа. Крофорд** (Determination of the moisture content of the «analysis» sample. Crawford A.), Fuel, 1957, 36, № 1, 7—25 (англ.)

Изучены различные варианты метода определения влаги в пробах угля: метод воздушной сушки (прямой и косвенный) и метод дистилляции. Установлено, что для получения точных результатов пробы для последующего анализа должны иметь то же влагосодержание, как и пробы, использованные для определения влажности; пробы должны быть хорошо перемешаны. Вес пробы должен составлять 50 г при влажности  $>10\%$  и 100 г при влажности  $<10\%$ . При определении влаги методом азеотропной дистилляции рекомендуется употреблять толуол, имеющий четкую т-ру кипения ( $110^\circ$ ); нагревание ведет до прекращения образования капель воды и просветления слоя р-рителя над конденсатом (2—3 часа); объем толуола должен составлять 200 мл. Для выполнения дистилляции используют аппарат Кёлера (приведена схема) или аппарат Дина и Старка. Результаты, полученные различными методами, табулированы. Т. Левин

**51622. Определение воды в гигроскопических материалах, содержащих растворимые твердые вещества, методом ядерного магнитного резонанса. Палмер, Элскен** (Determination of water by nuclear magnetic resonance in hygroscopic materials containing soluble solids. Palmer K. J., Elsen R. H.), J. Agric. and Food chem., 1956, 4, № 2, 165—167 (англ.)

Изучено влияние растворимых твердых в-в на результаты определения воды в пищевых продуктах (сахар, молоко и яблочный сок) методом ядерного магнитного резонанса. Установлено, что характер поглощения ядер водорода твердых в-в не отличается от характера поглощения ядер водорода воды. Поэтому при определении воды в этом случае пользуются калибровочной кривой или выведенным авторами ур-нием. Т. Левин

**51623. Спиртово-йодный метод экстрагирования включений из стали. Гарсайд, Руни, Белли** (The alcoholic-iodine method for the extraction of inclusions from steel. Garside J. E., Rooney T. E., Belli J. J.), J. Iron and Steel Inst., 1957, 185, № 1, 95—103 (англ.)

Рассмотрены успехи применения спиртово-йодного метода определения окислов в стали. Описаны усовершенствования аппаратного оформления метода. Обсуждено применение метода в анализе различных типов сталей. А. Зозули

**51624. Видовременный общий стандартный метод спектрального анализа нержавеющей стали. Кеннеди** (Revised mutual standard method for spectrographic analysis of stainless steels. Kennedy W. R.), Trans. Southeast. Semin. Spectroscopy, 1954, 8, № 9, 30—35 (англ.)

Ранее описанный метод определения  $\text{Cr}$  и  $\text{Ni}$  в сталях (Coulliette J. H., Industr. and Engng Chem., Analyt. Ed., 1943, 15, 732) модифицирован и применен также для определения  $\text{Si}$ ,  $\text{Mn}$ ,  $\text{Nb}$ ,  $\text{Ti}$ ,  $\text{Cu}$  и  $\text{Mo}$ . Образцы отливают в виде массивных брусков, рабочую поверхность которых зачищают наждачным кругом. Верхним электродом служит заточенный на полусферу графитовый стержень. Возможен анализ проб в виде стержней

диам. 6—7 мм, заточенных на конус с углом  $120^\circ$ . Спектры фотографируют во втором порядке на большом спектрографе фирмы Baird на пленках Eastman № 1. Спектры возбуждают в разряде низковольтной искры от универсального генератора ARL 4700 при 60 разрядах в 1 сек., емк. 10 мф, самоиндукции 50 мГ. Верхний электрод — анод, обсыкивание 5 сек., экспозиция 70 сек., ширина щели 75 м, межэлектродный промежуток 2 мм. Приведены также условия возбуждения спектра между парой стержней, но при анализе проб, отлитых в виде брусков, получают более точные результаты. Находят относительные интенсивности линий всех элементов в спектрах эталонов и проб, принимая  $\text{Fe}$  за элемент сравнения. Аналитич. линии (в Å):  $\text{Si}$  2881,57— $\text{Fe}$  2883,7;  $\text{Mn}$  2933,06— $\text{Fe}$  2926,58;  $\text{Cr}$  3169,19— $\text{Fe}$  3259,04;  $\text{Cr}$  3169,19— $\text{Fe}$  3255, 89;  $\text{Ni}$  3087,07— $\text{Fe}$  3259,04;  $\text{Ni}$  3087,05— $\text{Fe}$  3255, 89;  $\text{Ni}$  3012,00— $\text{Fe}$  3259,04;  $\text{Nb}$  3194,97— $\text{Fe}$  3259,04;  $\text{Nb}$  3194,97— $\text{Fe}$  3255,89;  $\text{Ti}$  3168,52— $\text{Fe}$  3259,04;  $\text{Ti}$  3168,52— $\text{Fe}$  3255,89;  $\text{Ti}$  3372,80— $\text{Fe}$  3255,89;  $\text{Cu}$  3273,96— $\text{Fe}$  3265,61;  $\text{Mo}$  3087,6— $\text{Fe}$  3259,04;  $\text{Mo}$  2816,15— $\text{Fe}$  3259,04. Результаты спектрального анализа хорошо согласуются с данными хим. анализа. Т. Гуревич

**51625. Спектрохимический анализ серого и белого чугунов. Карльссон** (Spectrochemical analysis of grey and white cast iron. Carlsson C. Georg), Jernkontorets ann., 1956, 140, № 2, 137—147 (англ. рез. шведск.)

Предложен метод определения 1,5—3,5 %  $\text{Si}$  в чугунах. Плоские концы образцов, взятых в виде стержней диам. 10—15 мм, обтачивают на абразивном круге. Состояние обсыкиваемой поверхности сильно влияет на точность анализа. Контрольным электродом служит графитовый стержень, заточенный на конус с углом  $120^\circ$ . Межэлектродный промежуток 3 мм устанавливают с точностью до 0,1 мм. Рабочую поверхность электрода располагают вертикально, контрольный — горизонтально так, чтобы поверхность, поражаемая искрой, находилась от краев образца не менее чем на 3 мм. Измерения интенсивностей линий производят при помощи фотоэлементов типа 1P28 на среднем спектрографе фирмы Hilger с входной щелью высотой 2 мм, шириной 20 м и выходными щелями шириной 40 м. Расстояние от источника света до щели 85 мм, освещение без линзы. Спектры возбуждают низковольтной искрой при емк. 2 мф, самоиндукции 5 мГ, сопротивления 0 ом, силе тока 2,5 а; обсыкивание 20 сек., экспозиция 15 сек. Аналитич. линии  $\text{Si}$  2516,12— $\text{Fe}$  3059,09 Å. Градуировочные графики строят в координатах: отклонение стрелки прибора — процент  $\text{Si}$ . Анализ обоих видов чугунов производят по одному графику. При анализе белых чугунов ошибка равна  $\pm 1,0$ —1,5%, для серых  $\pm 1$ —2%. Т. Гуревич

**51626. Количественный спектральный анализ карбида кремния при искровом возбуждении спектров. Хегеман, Гизен, Зибель** (Quantitative Spektalanalyse von Siliziumkarbid mit Funkenanregung. Hegemann F., Giesen K., Sybel Ch. von), Ber. Dtsch. keram. Ges., 1956, 33, № 12, 387—390 (нем.)

Описан метод определения  $\text{Fe}$ ,  $\text{Al}$  и  $\text{Ti}$ . Смешивают пробу в отношении 1 : 1,5 с угольным порошком и прессуют под давл.  $2000 \text{ кг/см}^2$  в стержни весом 300 мг и размером  $2 \times 3 \times 20$  мм. В порошок вводят  $\text{Ni}$  из расчета 10% по отношению к  $\text{SiC}$ . Спектры возбуждают в конденсированной искре от генератора Фейснера при емк. 3450 мф, самоиндукции 0,8 мГ и искровом промежутке 4,5 мм. Спектры фотографируют на среднем спектрографе при ширине щели 20 м с обсыкиванием 4 мин. и экспозицией 6 мин. Эталоны изготовлены из образцов  $\text{SiC}$  Национального бюро стандартов и чистого  $\text{SiC}$  в пределах конц-ии (в %):  $\text{Fe}$  0,017—0,45,  $\text{Al}$  0,008—



в,23 и Ti 0,005%. Второй комплект эталонов приготовлен введением в чистый SiC окислов Fe, Al и Ti. Градуировочные графики строят в логарифмич. координатах по линиям (в А): Fe 2599,6 — Si 2987,6, Fe 2599,6 — Ni 3050,8, Al 3092,7 — Si 2987,6, Al 3092,7 — Ni 3050,8, Ti 3088,0 — Si 2987,6 и Ti 3088,0 — Ni 3050,8. Графики для разных комплектов эталонов не совпадают. Существенного выигрыша в точности анализа по линиям Ni не получено. Ошибка анализа, характеризующая воспроизводимость, находится в пределах от  $\pm 1,9$  до  $\pm 3,2\%$ .

Г. Кибисов  
51627. Химический анализ предметов древней культуры. Ивасаки (古文化財の分析. 岩崎友吉), анализ хим., Бунсэки какаку, Japan Analyst, 1956, 5, № 11, 649—653 (японск.)  
Обзор. Библ. 50 назв.

См. также: Приборы для определения: воды по Фишеру 51708;  $H_2SO_4$  в хромовых ваннах 51709; окислов азота в воздухе 51705. Анализ минералов 51033. Определение:  $NH_3$  17100Бх; неорг. в-в в биол. материале 16121 Бх, 16123 Бх, 16132Бх; Са в серных мазях 52520; хлора в молоке 53321. Газоанализаторы 53547 — 53551

## АНАЛИЗ ОРГАНИЧЕСКИХ ВЕЩЕСТВ

Редакторы А. И. Бусев, Ф. П. Судакос

51628. Гексанитратоцерат аммония как реактив для количественного окисления органических веществ в спиртовой среде. Дайпер, Ричардсон (Alcoholic hexanitrate ammonium cerate as a quantitative oxidant for organic substances. Diaper D. G. M., Richardson F. R.), Canad. J. Chem. 1956, 34, № 12, 1835—1837 (англ.)

Обесцвечивание оранжевой окраски, развивающейся при взаимодействии между спиртом и  $(NH_4)_2 Ce(NO_3)_6$  (I), под действием легкоокисляющихся в-в (Duke F. R., Smith F. S. Industr. and Engng Chem., Analyt. Edit., 1940, 12, 201), использовано для титриметрич. и фотометрич. определения ряда органич. в-в. 1. Р-р анализируемого в-ва в  $CH_3OH$  (или  $C_2H_5OH$ ) титруют водн. р-ром I (0,1—0,3 М) в присутствии  $HNO_3$  (конечная конц-я  $HNO_3$  0,1—0,2 н.), катализирующей р-цию окисления. Избыток I вызывает появление желто-оранжевой окраски. На титрование анетол и  $H_2C_2O_4$  расходуется соответственно 1,5 и 2 экв окислителя. 2. К 0,01 М р-ру I в  $CH_3OH$  прибавляют анализируемое в-во и фотометрируют с зеленым фильтром; для каждого в-ва производят серию измерений со стандартами; содержание определяемого в-ва находят интерполяцией. Погрешность определения  $\leq 10$  мк в-ва соответствует  $\pm 0,1$  мг в 10 мл р-ра. Спирт. р-р I до введения анализируемого в-ва выдерживают 15—20 мин. в темноте. Разработанные методы применены для определения анетол,  $NH_2OH$ ,  $H_2C_2O_4$ , оксимов циклогексанона, циклогептанона, гептальдегида и масляного альдегида.

Т. Левин

51629. Некоторые ультрамикрометоды в количественном органическом элементарном анализе. Кирстен (Einige Ultramikromethoden in der quantitativen organischen Elementaranalyse. Kirsten Wolfgang J.), Mikrochim. acta, 1956, № 4-6, 836—842 (нем.; рез. англ., франц.)

Дано краткое описание ультрамикрометодов для определения S, N, C и H в органич. соединениях.

Ев. Терентьева

51630. Микроанализ перфторированных соединений. Раш, Крукшанк, Роде (Microanalysis of perfluoro compounds. Rush Cecil A., Cruikshank Stewart S., Rhodes Erna J. H.),

Mikrochim. acta, 1956, № 4-6, 858—862 (англ.; рез. нем., франц.)

C и H определяют сжиганием в токе  $O_2$  в трубке, наполненной следующими в-вами: I слой Ag,  $3MgO \cdot Al_2O_3$ , Ag (950°); II слой Ag,  $Pb_2O_3$  (450°); III слой Ag,  $PbO_2$ , Ag (180°). Метод дает хорошие результаты при анализе в-в, содержащих P, N, S, Cl, Br и O. Для определения F навеску вместе с металлич. Na помещают в Ni-бомбу с Р-или Си-прокладкой; жидкие образцы берут в стеклянных капиллярах. Дно бомбы нагревают  $\sim 20$  сек. при т-ре красного каления в пламени кислородной горелки; верх бомбы охлаждают водяной рубашкой. По охлаждении избыток Na разлагают этиловым спиртом (20 мл), р-р фильтруют, нейтрализуют, забуферивают и титруют 0,02 н. р-ром Th ( $NO_3$ )<sub>4</sub>. Если присутствует Р, то р-р предварительно отгоняют. В присутствии металлов р-р предварительно пропускают через ионообменную колонку. N определяют по методу Дюма, O — по методу Унтерзаухера. После разложения навески методом Кариуса Р определяют осажением в форме фосформолибата аммония; Cl, Br, и J — в форме галогенидов Ag, а S — в форме  $BaSO_4$ .

Ев. Терентьева

51631. Органический микроанализ. 1. Определение углерода, водорода и азота при использовании одной и той же трубки для сжигания. Итатани, Сайто (有機微量分析に関する研究. 第1報. 同一燃焼管による炭素, 窒素定量法について. 板谷芳京, 齊藤佳子), 金澤大學薬部研究年報, Канадзава дайгаку якугакубу кэнкю измпо, Annual Rept. Fac. Pharmacy Kanazawa Univ., 1956, 6, 37—40 (японск.; рез. англ.)  
Установлено, что аппарат для определения C и H может быть использован и для определения N. Для этой цели к аппарату присоединяют Си-трубку и пропускают  $CO_2$ ; когда определение N закончено, можно приступить к определению C и H. Получены удовлетворительные результаты.

Резюме авторов

51632. Наблюдения по определению углерода и водорода. Сернистый гидроксилантин как поглотитель диоксида азота. Мидзуками (炭素, 水素分析に関する知見. 窒素酸化物除去剤ヒドロキシルアミン硫酸塩について. 水上隆), 薬学雑誌, Якугаку дзасси, J. Pharm. Soc. Japan, 1956, 76, № 10, 1216 (японск.)

51633. Исключение стадии отгонки в методе Кьельдаля. Белчер, Бхатти (The elimination of the distillation procedure in the Kjeldahl method. Belcher R., Bhatti M. K.), Mikrochim. acta, 1956, № 7-8, 1183—1186 (англ.; рез. нем., франц.)

Стадия отгонки в методе Кьельдаля исключена применением метода титрования аммониевых солей р-ром гипохлорита (Kolthoff I. M., Stenger V. A., Industr. Eng. Chem., Analyt. Ed., 1935, 7, 79). В качестве катализатора при разложении навески использован  $HgSO_4$ , другие катализаторы мешают последующему титрованию. В качестве титранта применен 0,05 н.  $NaOCl$ , в качестве индикатора — 0,05%-ный водн. р-р тартазина. При работе с микроколичествами разложение навески и титрование можно проводить в одном и том же сосуде. Метод неприменим в том случае, если необходимо предварительное восстановление, так как все используемые для этого реактивы мешают последующему титрованию.

Ев. Терентьева

51634. Микроопределение фтора в органических веществах. Кайнц, Шёллер (Microbestimmung des Fluors in organischen Substanzen. Kainz Gerald, Schöller Ferdinand), Mikrochim. acta, 1956, № 4-6, 843—849 (нем.; рез. англ., франц.)

Навеску 3—4 мг фторорганич. в-ва разлагают нагреванием с металлич. К в закрытой стеклянной трубке, которую для снижения значения глухого опыта предварительно обрабатывают горячей HCl. По окончании

р-ции избыток К разлагают метиловым спиртом и смесь взбалтывают с водой. Уголь отфильтровывают, промывая фильтр кипящей водой. По охлаждению к фильтрату добавляют индикатор ализариновый красный S и нейтральный 10%-ной хлорной к-той. Прибавляют буферный р-р (глицерин + хлорная к-та) и индикатор (водный синий или китайский синий) и титруют 0,02 н. р-ром  $\text{Th}(\text{NO}_3)_4$  со свидетелем. Продолжительность одного определения 15–20 мин.; ошибка  $\pm 0,4\%$ .

Ев. Терентьева

**51635. Полумикроопределение фтора во фторорганических соединениях.** Эгер, Ярден (Semimicrodetermination of fluorine in organic fluoro compounds. Eger Chaim, Yarden Asher), *Analyst. Chem.*, 1956, 28, № 4, Part 1, 512–514 (англ.)

Навеску 20–60 мг фторорганич. соединения смешивают с тонкоизмельченной сахарозой и нагревают в бомбе Парра измененной конструкции в присутствии  $\text{Na}_2\text{O}_2$ . Жидкие образцы взвешивают в желатиновой капсуле, которую затем помещают в смесь сахарозы и  $\text{Na}_2\text{O}_2$ . По охлаждению содержимое бомбы растворяют при кипячении в воде, фильтруют и полученный р-р вместе с промытыми водами пропускают через колонку с амберлитом IR-112. вытекающий р-р нейтрализуют р-ром  $\text{NaOH}$  по фенолфталеину и титруют р-ром  $\text{Th}(\text{NO}_3)_4$  в присутствии индикатора ализаринового красного S. Кол-во F определяют по калибровочной кривой. Средняя ошибка  $\pm 0,6\%$ . Если присутствуют Cl и Br, то они могут быть определены одновременно. S и N не мешают, P мешает.

Ев. Терентьева

**51636. Изучение поведения и реакционной способности свободной серы, растворенной в органических растворителях. I. Полюмографическое определение свободной серы в углеводородах.** Окада, Такемото, Кодзума (有關溶媒中に溶解せる遊離イオウの挙動ならびに反応性に關する研究. 第1報. 炭化水素に溶解せる遊離イオウのポーログラフ的研究. 岡田富男, 竹本博一, 七妻常英), *日本化学雑誌*, Нихон кагаку дзасси, *J. Chem. Soc. Japan. Pure Chem. Sec.*, 1956, 77, № 10, 1503–1508 (японск.)

**51637. Определение азогрупп в азокрасителях.** Окубо, Ники (アゾ染料のアゾ基の定量法. 大久保一郎, 二木利介), *油脂化学協会誌*, Юки госэй кагаку кёкайси, *J. Soc. Organ. Synth. Chem., Japan*, 1956, 14, № 12, 727–731 (японск.)

Обзор. Библ. 27 назв.

**51638. Титрование в неводных средах. I. Количественное определение карбонильной группы.** Накамура (非水溶液滴定の應用. 第1報. Carbonyl 化合物の容分析法. 中村直慎), *分析化学*, Бунсёки кагаку, *Japan Analyst*, 1956, 5, № 8, 459–461 (японск.)

**51639. Разделение и идентификация органических перекисей методом хроматографии на бумаге.** Маруяма, Оноэ, Гото (クロマトスリッパによる過酸化物の分離ならびに定性について. 丸山和博, 尾上馨吾, 後藤良造), *日本化学雑誌*, Нихон кагаку дзасси, *J. Chem. Soc. Japan. Pure Chem. Sec.*, 1956, 77, № 10, 1496–1499 (японск.)

**51640. Определение гидроперекисей в мономерном метилметакрилате.** Такаяма (メチルメタクリレートモノマー中のハイドロペロキシドの定量法. 高山雄二), *工業化学雑誌*, Kōgō кагаку дзасси, *J. Chem. Soc. Japan. Industr. Chem. Sec.*, 1956, 59, № 10, 1115–1117 (японск.)

**51641. Об определении карбонильного числа.** Барро-Раффель, Ячини (Sulla determinazione del numero di carbonile. Barro-Raffel M., Jacini G.), *Olii miner., grassi e saponi, colori e vernici*, 1956, 33, № 11, 381–384 (итал.; рез. франц., нем., англ., исп.)

Для определения карбонильного числа в жирах моди-

фицирован метод А. П. Терентьева и К. С. Забродной (РЖХим, 1955, 674). Р-цию выполняют с р-ром хлоргидрата фенилгидразина (1) (0,5–0,6 г в 50 мл) в смеси вода-пиридин (3:5) при комнатной т-ре в течение 3 час. Не вступивший в р-цию избыток I оттитровывают потенциометрически (Pt- и  $\text{Hg}_2\text{Cl}_2$ -электроды) 0,1 н. р-ром  $(\text{CH}_3\text{COO})_2\text{Cu}$ . Погрешность метода  $<0,6\%$ .

Н. Туркевич

**51642. Хроматография на бумаге полициклических ароматических углеводородов.** Бергман, Грюнвальд (Paper chromatography of polycyclic aromatic hydrocarbons. Bergmann Ernst D., Gruenwald Theodor), *J. Appl. Chem.*, 1957, 7, № 1, 15–24 (англ.)

Произведены опыты хроматографич. разделения полицикл. ароматич. углеводородов (ПАУ) на ацетилированной или пропитанной окисью алюминия, пропиленгликолем, вазелином или силиконом фильтровальной бумаге. Для обнаружения пятен ПАУ хроматограммы наблюдали в УФ-свете или опрыскивали 20%-ным р-ром  $\text{SbCl}_5$  в  $\text{CCl}_4$ . При хроматографировании антрацена (антрацен, 1-метил-, 2-метил-, 2,7-диметил-, 1,4-диметилантрацены) лучшие результаты получены при использовании ацетилированной фильтровальной бумаги и следующих смесей р-рителей: этилацетат-пиридин-вода (3:5:1 и 1:5:10), толуол- $\text{CH}_3\text{OH}$ -вода (1:10:2), петр. эфир- $\text{CH}_3\text{OH}$ -вода (2:10:2),  $\text{C}_6\text{H}_6$ -этилацетат- $\text{CH}_3\text{OH}$ -вода (1:9:9:5). При использовании ацетилированной или пропитанной пропиленгликолем фильтровальной бумаги и р-рителя толуол- $\text{CH}_3\text{OH}$  (1:1) разделение 1-метил- и 1,4-диметилантраценов не достигнуто. При опытах с флуореном и метилированными флуоренами лучшие результаты получены при употреблении бумаги, пропитанной пропиленгликолем (р-ритель — смесь  $\text{CH}_3\text{OH}$ -вода- $\text{CH}_3\text{COOH}$ , 85:10:5), и ацетилированной бумаги (р-ритель — смесь толуол- $\text{CH}_3\text{OH}$ -вода, 1:8:2), разделение 2- и 3-метилфлуоренов не достигнуто. Для разделения антрацена, фенантрена, флуорена и метильных производных рекомендуется пользоваться бумагой, пропитанной силиконом, и употреблять в качестве р-рителя смесь толуол- $\text{CH}_3\text{OH}$ -вода (1:9:2). Хризеновую фракцию ароматизированной нефти хроматографировали на ацетилированной бумаге; лучшие результаты получены при употреблении в качестве р-рителя смеси толуол- $\text{CH}_3\text{OH}$ -вода (1:10:1).

Т. Леви

**51643. Спектрофотометрическое определение тетрациклина.** Иноуэ, Ито, Огава (テトラサイクリンの紫外外部吸収による定量について. 井上重治, 伊藤定一郎, 小川洋), *日本農薬化学会誌*, Нихон ногай кагаку кайсй, *J. Agric. Chem. Soc. Japan*, 1956, 30, № 10, 591–596 (японск.)

**51644. Прямой метод определения 4-метил-2,6-дитретбутилфенола в минеральном масле по инфракрасным спектрам поглощения.** Бейн (A direct infrared method for determining 4-methyl-2,6-ditertiarybutylphenol in mineral oil. Bain George H.), *Appl. Spectroscopy*, 1956, 10, № 4, 193–194 (англ.)

Для определения 4-метил-2,6-дитретбутилфенола, добавляемого к минер. маслам в качестве ингибитора окисления, предложен метод спектрометрии в ИК-области, в котором используется полоса поглощения ОН-группы при 2,74 м. Приготовления стандартного образца масла, свободного от фенолов, не требуется. Измерют оптич. плотность анализируемого образца при 2,74 м (увеличение оптич. плотности при этой длине волны прямо пропорционально конц-ни присутствующего фенола-ингибитора) и 2,82 м (длина волны, характерная для свободного от фенолов масла); кол-во фенола определяют по разности (применяют калибровочную кривую). При 0,2–0,8% фенола среднеквадратичная погрешность определения 0,006%.

Т. Леви

51645. Окисление ароматических аминов. I. Новые цветные реакции ароматических аминов с окислителем — гидратом окиси марганца. Генчев, Атанасов (Върху окисляването на ароматните амини. I. Нови цветни реакции на ароматните амини, съществени с окислител мanganов хидроксид. Генчев М. л., Атанасов Б.), Изв. Хим. ин-т. Българ. АН, 1956, 4, 233—249 (болг.; рез. русск., франц.)

Для идентификации ароматич. аминов используют р-цию со свежевыделенным  $Mn(OH)_2$  в щел. среде с последующим подкислением р-ра. 0,1—0,5 г анализируемой пробы смешивают с 1,5—2 мл воды, 0,5 мл 1%-ного р-ра  $Mn(NO_3)_2$  и 0,5 мл 1%-ного NaOH. Смесь взбалтывают для получения коричневого осадка  $MnO(OH)_2$  и подкисляют с помощью 0,5—1 мл конц. органич. или разб. (1:4) минер. к-ты (изучены 5 минер. и 15 органич. к-ты). Описаны характерные р-ции анилина, метиланилина, диметиланилина, о-, м- и п-толуидинов, о- и п-анизидинов, о-, м- и п-фенилендиамин, о-толидина, м-толуиленидина, л-аминодифениламина, бензидина,  $\alpha$ - и  $\beta$ -нафтиламинов и дифениламина. Чувствительность р-ции от 1  $\mu$  (о-анизидин) до 80  $\mu$  ( $\beta$ -нафтиламин). Описаны способы открытия изомеров аминов, а также индивидуальных в-в в смеси аминов.

Н. Туркевич  
51646. Разделение и определение карбоновых кислот  $C_1$ — $C_6$  методом распределительной хроматографии на колонках силикагеля. I. Общее изучение. II. Новый способ выполнения анализа. Бовэ, Равё (La séparation et la détermination des acides carboxyliques de  $C_1$  à  $C_6$  par chromatographie de partage sur colonne de silice. I. Étude générale. Raveux Roger, Bové Josy. II. Nouvelle technique proposée. Bové Josy, Raveux Roger), Bull. Soc. chim. France, 1957, № 3, 369—376, 376—381 (франц.)

I. Изучены различные факторы, влияющие на процесс разделения карбоновых к-т  $C_1$ — $C_6$  на колонках силикагеля. Установлено, что наиболее важное значение имеет марка силикагеля; наилучшие результаты получены при использовании силикагелей XNB-I и YDR; силикагель ACM дает неудовлетворительные результаты. В качестве элюентов употребляют различные смеси, отличающиеся своей полярностью; скорость элюирования 2—3 мл/мин; объем фракций элюата, как правило, составляет 2—5 мл. Для оценки кол-ва к-т пользуются титриметрич. или флуориметрич. методами, хроматографией на бумаге или специфич. р-циями.

II. С использованием в качестве элюентов 6 смесей трет- $C_4H_9OH$ - $CHCl_3$  (8:92; 13:87; 20:80; 28:72; 35:65; 40:60) осуществлено разделение масляной (или пропионовой), уксусной, фумаровой, пировиноградной, глутаровой, янтарной (или молочной),  $\alpha$ -кетоглутаровой, транс-аконитовой, щавелевой (или гликолевой), яблочной, лимонной, изо-лимонной и винной к-т; продолжительность элюирования первыми тремя смесями 7 час., вторыми тремя смесями (после ~18 час. перерыва) — 7 час. Содержание к-т во фракциях определяют титриметрически; добавляют по 1 капле р-ра фенолового красного, 2—3 мл воды, не содержащей  $CO_2$ , и титруют 0,005 н. р-ром NaOH, погрешность определения ~5%. Установлено, что  $HNO_3$  может быть элюирована вместе с изо-лимонной к-той;  $H_3PO_4$  не мешают.  $H_2SO_4$  элюируется лишь после винной к-ты.

Т. Левин  
51647. Количественное определение аминокислот методом хроматографии на бумаге. Растворитель, заменяющий фенол. Вулф (The quantitative determination of amino acids by paper chromatography. A solvent to replace phenol. Wolfe M.), Biochim. et biophys. acta, 1957, 23, № 1, 186—191 (англ.)  
При разделении и определении аминокислот (АК)

методом 2-мерной хроматографии (на бумаге ватман 3 ММ) вместо насыщ. водой  $C_4H_9OH$  для первого хроматографирования использована смесь н- $C_4H_9OH$ -метилэтилкетон-17 п.  $NH_3 \cdot H_2O$  (5:3:1:1). В качестве р-рителя при втором хроматографировании применена смесь н- $C_4H_9OH$ - $CH_3COOH$ - $H_2O$  (4:1:5). При употреблении нового р-рителя  $R_f$  при одномерной хроматографии для цистеиновой, глутаминовой, аспарагиновой к-т, лизина, аргинина, орнитина, цитруллин, глутамин, аспарагин, метионинсульфата, оксипролина, глицина,  $\alpha$ -аминомасляной к-ты, сульфоксилата метионина, гистидина, аланина, серина, пролина, тирозина, валина, метионина, треонина, изолейцина, лейцина и фенилаланина соответственно равен 0,01, 0,02, 0,02, 0,08, 0,08, 0,09, 0,09, 0,10, 0,10, 0,13, 0,13, 0,14, 0,19, 0,21, 0,24, 0,25, 0,26, 0,32, 0,44, 0,60, 0,62, 0,83, 0,87, 0,95 и 1,00. Вторичное хроматографирование ведет к безукоризненному разделению указанных АК. Потери АК при хроматографировании и последующем фотометрич. определении с нингидрином не превышают 1—4%. В тех случаях, когда достаточно 90—98%-ного выхода АК, применение контрольных хроматограмм обязательно. Описанный метод использован для анализа белков кукурузы, подсолнечника и хлопковых семян.

Т. Левин  
51648. Определение гликолевой кислоты в изолированных растворах антифризов. Грин (Determination of glycolic acid in used antifreeze solutions. Green H.), Analyst, 1957, 82, № 971, 107-110 (англ.)

К р-ру антифриза на основе этиленгликоля (10 мл) добавляют 40 мл воды, 5—10 г  $ZnO$  и центрифугируют (2000 об/мин) 5 мин. К 25 мл прозрачной жидкости добавляют 1—2 г катионита цеокارب 225 и через несколько минут фильтруют. К фильтрату, содержащему этиленгликоль, гликолевую к-ту и небольшое кол-во  $H_3PO_4$ , добавляют 1 г анионита деацидита FF, через несколько минут фильтруют, остаток на фильтре осушают фильтровальной бумагой, гликолевую к-ту вымывают 80%-ной  $H_2SO_4$  ( $2 \times 2$  мл) и к полученной вытяжке добавляют 20 мл конц.  $H_2SO_4$ . К аликвотной порции р-ра (5 мл) прибавляют 10 мл реактива (0,01 г 2,7-диокси-нафталина растворяют в конц.  $H_2SO_4$  и разбавляют той же к-той до 100 мл), выдерживают смесь 10 мин. в водяной бане, охлаждают, разбавляют до 25 мл 50%-ной  $H_2SO_4$  и фотометрируют в 2-см кювете при 535 м $\mu$ ; в качестве р-ра сравнения употребляют смесь 10 мл 80%-ной  $H_2SO_4$  с 20 мл конц.  $H_2SO_4$ , обработанную, как описано выше.

Т. Левин  
51649. Определение  $\gamma$ -бутиролактона и его производных. I. Фотометрическое определение  $\gamma$ -бутиролактона. Мидауками, Нагата ( $\gamma$ -ブチロラクトン及びその誘導体の定量. 第1報.  $\gamma$ -ブチロラクトンの比色定量. 水上聰, 永田耕一), 薬学雑誌, Якугаку дзаси, J. Pharmac. Soc. Japan, 1956, 76, № 10, 1129—1133 (японск.; рез. англ.)

Для фотометрич. определения  $\gamma$ -бутиролактона использована р-ция образования комплексного соединения гидроксамовой к-ты с  $Fe^{2+}$ . Сравнительно устойчивая окраска наблюдается в р-ре  $HNO_3$  при использовании железоаммониевых квасцов в качестве соли  $Fe^{2+}$ . С целью улучшения воспроизводимости результатов определения тщательно изучены условия проведения р-ции, приведены методика и расчетная ф-ла. Метод быстр и прост; примеси не мешают; сходимость результатов  $\leq \pm 1,0\%$ , воспроизводимость  $\pm 1,3\%$ . Оптич. плотность окрашенного р-ра зависит от конц-ии и pH гидроксилламина, pH окрашенного р-ра и конц-ии соли  $Fe^{2+}$ , а устойчивость окрашенного р-ра зависит от pH и т-ры р-ра. Р-цию  $\gamma$ -бутиролактона с гидроксилламинном (0,1 н.) (с образованием оксамовой к-ты) ведут при 40° и pH 11,0—12,0 в течение 20 мин. охлаждают льдом, добавляют р-р железоаммониевых квасцов, подкислен-



ный азотной к-той до получения конц-ии 48% при pH 0,8, и через 10 мин. измеряют оптич. плотность р-ра при 505 мμ на спектрофотометре Бекмана (модель 13).

Резюме авторов

51650. Сравнение некоторых методов определения инвертного сахара в присутствии сахарозы. Розенталь (Porównanie niektórych metod oznaczania cukru inwertowanego oraz sacharozy obok siebie. Rozental Ludwik), Roczn. Państw. zakł. hig., 1956, 7, № 6, 521—530 (польск.; рез. русск., англ.)

Приведена сравнительная оценка различных методов определения инвертного сахара в пищевых продуктах в присутствии сахарозы. Наиболее результаты получены по методу Лейна и Эйнона (Lane H. J., Eynon L., Analyst, 1923, 48, 221) и методу Схорла (Schoorl N., Z. U. L., 1929, 57, 566). Продолжительность определения по первому методу 20—25 мин., по второму 7 мин. Метод Брунса (Bruhns G., Dtsch. Zuckerind., 54, 1237; 55, 422) быстр (8 мин.), но дает большие ошибки, так что может служить только для получения ориентировочных результатов. Метод Бертрана, а также йодометрич. метод Фелленберга и Демона (Fellenberg Th., Demont P., Mitteilungen, 1935, 26, 168) непригодны.

Н. Туркевич

51651. Определение микроколичеств алкалоидов амперометрическим методом. Часть V. Титрование кодеина и дионина в кислом растворе (HCl) кремневольфрамовой кислотой. Часть VI. Титрование папаверина, дионина и вератрина в нейтральном растворе кремневольфрамовой кислотой. Огава (電流滴定法による微量アルカロイドの定量. 第5報. 鹽酸マヒ溶液中における微量磷酸コデインおよびチオニンのケイタンダステン酸による電流滴定法. 第6報. 中々溶液中における微量鹽酸パバヴリン, チオニンおよび硫酸ベラトリンのケイタンダステン酸による電流滴定法. 小川忠彦), 電気化学, Дэнки кагаку, J. Electrochem. Soc. Japan, 1956, 24, № 10, 476—479; № 11, 521—524 (японск.; рез. англ.)

V. Алкалоиды (А) количественно взаимодействуют с кремневольфрамовой к-той (I) и образуют осадки, нерастворимые в воде. Для определения А применен метод амперометрич. титрования р-ром I с использованием капельного Hg- и Hg<sub>2</sub>Cl<sub>2</sub>-электродов; титрование вели при —0,70 в; O<sub>2</sub> удаляли при помощи N<sub>2</sub>. При титровании кодеина и дионина в среде HCl остаточный ток является небольшим до точки эквивалентности; после точки эквивалентности  $i_d$  пропорционален конц-ии I. Кривая титрования имеет обратную L-форму. При кислотности >1 н. по HCl 1 моль I реагирует с 4 молями кодеина и дионина. При 4—40 мг А погрешность определения ±2%. Продолжительность определения 40—50 мин.

VI. При амперометрич. титровании микроколичеств папаверина, дионина и вератрина в нейтр. р-ре р-ром I в качестве фона использовали р-р KNO<sub>3</sub> с исходной конц-ией 0,42 М. Изучением хода кривых титрования установлено, что при конц-ии KNO<sub>3</sub> >0,05 М кривые имеют прямолинейный характер, добавление I вызывает снижение конц KNO<sub>3</sub>. Титрование папаверина вели при —0,8 в, дионина и вератрина при —0,75 в. Остаточный ток является небольшим до наступления точки эквивалентности; после точки эквивалентности  $i_d$  пропорционален конц-ии I. 1 моль I реагирует с 4 молями указанных А; погрешность определения ±2%.

И. Каринская

51652. Успехи химического анализа. Липец (Postępy analizy chemicznej. Lipiec Tadeusz), Acta polon. pharm., 1956, 13, № 7, 559—564 (польск.) Обзор новых методов анализа фармацевтич. препаратов. Описаны методы ацидиметрич. и бромато-

метрич. титрования в невод. среде, комплексометрич. титрования, осаждения ионов гидролизующимися в воде реактивами (напр., амидом тиоуксусной к-ты) и методы хроматографии. Библи. 76 назв. Н. Туркевич 51653. Разделение сульфамидных соединений методом хроматографии на бумаге. Йосида, Коно (ペーパー・クロマトグラフィーによる混合サルファ剤の分離について. 吉田嶋介, 河野美保), 名古屋市立大学薬学部紀要, Нагоя-сипицу дайгаку якугакубу кйё, Bull. Nagoya Univ. Pharm. School, 1956, № 4, 41—44 (японск.)

51654. Определение 4,8-диоксихинолина и ксантуреновой кислоты. Мацуура (4,8-Dihydroxypurine および Xanthurenic acid の定量法に関する研究. 松浦泰), 生化学, Сайкагаку, J. Japan. Biochem. Soc., 1956, 28, № 5, 294—299 (японск.)

51655. Хроматография на бумаге некоторых сердечных гликозидов и их производных. Гаррисон, Райт (Paper chromatography of some cardiac glycosides and their derivatives. Harrison Jeanette, Wright S. E.), J. Pharmacy and Pharmacol., 1957, 9, № 2, 92—97 (англ.)

Изучено влияние структурных особенностей различных сердечных гликозидов (СГ) и производных СГ на их хроматографич. поведение. Приведены значения  $R_f$  для изученных СГ. Установлено, что смесь р-рителей этилгексанол-амиловый спирт-вода-формалид (6:2:8:2) пригодна для большинства соединений и является наиболее общей; та же смесь с соотношением компонентов 6:2:1:4 пригодна для соединений с низкой водорастворимостью, а смесь р-рителей амиловый спирт-вода (1:1) — для более водорастворимых ланатозидов. Установлено, что наличие и положение ОН-групп в СГ и генинах влияет на  $R_f$ ; наличие второй ОН-группы в генине в положении С(12) вызывает большее увеличение  $R_f$ , чем наличие ОН-группы в положении С(16). Присутствие глюкозы увеличивает скорость перемещения (СП) СГ, присутствие дигитоксозы мало влияет на СП. Ацетилирование по месту ОН-групп снижает, а превращение в кетон увеличивает СП. Образование ангидросоединений  $\Delta^{14:15}$  значительно снижает СП, тогда как гидрирование лактонного кольца мало влияет на СП. Результаты, полученные со смесью р-рителей CHCl<sub>3</sub>-C<sub>6</sub>H<sub>6</sub> (78:12), насыщенной формамидом, являются противоположными.

Т. Левин

51656. Разделение метилхлорсиланов методом газожидкостной хроматографии. Фридрих (Partition of methylchlorosilanes by gas-liquid chromatography. Friedrich K.), Chemistry and Industry, 1957, № 2, 47 (англ.)

На колонке (диам. 4, длина 1300 мм) наполненной диффузорной землей с 30% нитробензола в качестве стационарной фазы, проведено разделение искусств. смеси SiHCl<sub>3</sub>-SiCl<sub>4</sub>-CH<sub>3</sub>SiHCl<sub>2</sub>-(CH<sub>3</sub>)<sub>2</sub>SiCl<sub>2</sub>-CH<sub>3</sub>SiCl<sub>3</sub>-(CH<sub>3</sub>)<sub>2</sub>SiCl<sub>2</sub>. Выходящий из колонки газ проходит через 0,02 н. KCl, где компоненты смеси гидролизуются; изменение кислотности определяют кондуктометрически. Вычислены объемы удерживания компонентов смеси по отношению к SiCl<sub>4</sub>, объем которого принят за единицу.

Б. Анявер

51657. К анализу германской сырой нефти. Лутер, Ессе (Ein Beitrag zur Analyse deutscher Rohöle. Luther Horst, Jesse Helmut), Brennstoff-Chemie, 1957, 38, № 1-2, 23—27 (нем.) Фракции нефти с т. кип. >450° разделены хроматографич. методом на Al<sub>2</sub>O<sub>3</sub> и силикагеле с применением в качестве элюентов эфира (1 л), бензола (1 л) и пиридина (0,5 л) и методом противотоочного распределения (Grubhofer N., Chem.-Ingr.-Techn., 1950, 22, 209). Вы-

деленные продукты изучены методами спектроскопии в УФ- и ИК-областях. Результаты, полученные для нефти различного месторождения при отборе проб с различных уровней, обсуждены и сведены в таблицы.

Т. Леви

**51658. Определение устойчивости пектинов методом получения гелей в присутствии тилоля.** Олливвер, Уэйд, Дент (The determination of grade strength of pectins by the teepol-gel procedure. Olliver Mamie, Wade Peter, Dent Kathleen P.), Analyst, 1957, 82, № 971, 127—128 (англ.)

Порошкообразные пектины (П) смешивают с 30 г сахара, добавляют кипящую воду до общего веса смеси 225 г и через 1 час проверяют под микроскопом однородность смеси. Полученный р-р П (жидкие П используют без предварительной обработки) разбавляют до 500 г, устанавливают рН р-ра на уровне 3,05—3,10 (в присутствии  $\text{SO}_3^{2-}$  или  $\text{SO}_2$  рН устанавливают на уровне 2,8—2,9), добавляют 5 мл 10%-ного р-ра тилоля, 50 мл буферного р-ра (84 г лимонной к-ты и 185 мл 1 н.  $\text{K}_2\text{CO}_3$  в 1 л р-ра) с рН  $2,90 \pm 0,02$ , разбавляют до 850 г, добавляют сахар в кол-ве, эквивалентном 695 г минус кол-во растворимых твердых в-в в р-ре

П, кипятят 10 мин. (конечный вес смеси 1 кг), выдерживают пробы геля 2 часа под вощеными бумажными дисками, 22 часа при  $30^\circ$  и определяют устойчивость геля при помощи ранее описанного прибора (Cox R. E., Higby R. H., Food Industr., 1944, 16, 441; 505). Содержание растворимых твердых в-в оценивают рефрактометрически.

Т. Леви

См. также: Определение цитруля 16085Бх. Потенцирование белков 16086Бх. Определение: серы в растит. материале 16087Бх, рибофлавиннуклеотидов 16095Бх. Идентификация: аминокислот 16097Бх, 16100Бх, 16102Бх; кетокислот 16098Бх. Разделение гиббереллинов 16099Бх. Определение углеводов 16101Бх. Разделение и определение стероидов 16103—16106Бх, 16119Бх. Определение: жирных кислот 16108—16110Бх; холестерина 16114Бх, витаминов 16115—16118, 16129, стрихнина в присутствии бруцина 52522; кодеина 52593. Обнаружение малых конц-й красителей 52606. Анализ реани 52679. Определение карбоксильных групп в целлюлозах 52998. Анализ мыл 53114, 53115. Определение бензойной к-ты в пищевых продуктах 53238; монобромуксусной к-ты и ее эфиров 53311

## ОБОРУДОВАНИЕ ЛАБОРАТОРИЙ. ПРИБОРЫ, ИХ ТЕОРИЯ, КОНСТРУКЦИЯ, ПРИМЕНЕНИЕ

Редактор А. И. Саранос

**51659. Метод поддержания заданной температуры и влажности в лаборатории.** Исидза (某試験室の恒温恒湿装置調整に関する報告. 石田進一). 衛生工業協会誌. Эйсай корё кикайси, J. Soc. Domest. and Sanit. Engng, 1956, 30, № 1, 54—58 (японск.)

Приведены схемы устройства, графики и психрометрич. номограмма.

В. А.

**51660. Ультразвуковые приборы для лабораторий.** Андерс (Ultraschallgeräte für das Laboratorium. Anders Heinz), Beiztechnik, 1957, 6, № 2, 14—16 (нем.)

**51661. Новые кварцевые весы для работ в ультра-высоком вакууме.** Майер, Берндт (Eine neue Mikrowaage aus Quarz für Arbeiten im Höchstvakuum. Mayer Herbert, Behrndt Klaus), Z. Phys., 1957, 147, № 4, 499—506 (нем.)

Описаны кварцевые весы (КВ) с магнитным управлением для взвешивания в высоком вакууме при пониженных и повышенных т-рах. КВ состоит из коромысла длиной 140 мм, подвешенного на кварцевых нитях диам. 70 м и кварцевых спиралях диам 6,7 мм к кварцевому штативу; на одном конце коромысла укреплена слюдяная пластинка  $17,2 \times 15,6$  мм для навесок (напыляемые слои), на другом — постоянный магнит. Равновесное положение коромысла определяется методом зеркала и шкалы. На коромысле укреплен кусок мягкого железа для компенсации изменения магнитного момента постоянного магнита при нагревании системы. Весы управляются двумя соленоидами, расположенными вне вакуумной системы. Весы имеют чувствительность  $1 \cdot 10^{-8}$  г и позволяют взвешивать монокристаллы напыленные слои.

А. Лошманов

**51662. Быстродействующий спектроанализатор для регистрации быстропотекающих изменений поглощения.** Любберс, Низель (Ein Kurzzeit-Spektalanalysator zur Registrierung rasch verlaufender Änderungen der Absorption. Lübbers D.,

Niesel W.), Naturwissenschaften, 1957, 44, № 3 60 (нем.)

**51663. Парный спектрометр с промежуточным изображением.** Олбергер (Intermediate-image pair spectrometer. Alburger David E.), Rev. Scient. Instrum., 1956, 27, № 12, 991—1004 (англ.)

Сконструирован аксиально-фокусирующий β-спектрометр с промежуточным изображением, относящийся к типу спектрометров статистич. разделения (Bame S. J., Baggett L. M., Phys. Rev., 1951, 84, 891; Alburger D. E., Rev. Scient. Instrum., 1952, 23, 671).

Л. Розенштейн

**51664. Описание инфракрасного спектрометра с призмами и решетками.** Вернью, Делупи (Description d'un spectromètre infrarouge à prismes et à réseaux. Vergnoux A.-M., m-lle, Deloisy M. C.), J. phys. et radium, 1956, 17, № 12, S72—S73 (франц.)

**51665. Вакуумный спектрограф для далекой ультрафиолетовой области с вогнутой решеткой, работающий при нормальном падении.** Робен, Робен (Spectrographe à vide et réseau concave en incidence normale pour l'ultraviolet lointain. Robin Simon, Robin Stéphane), J. phys. et radium, 1956, 17, № 11, 976 (франц.)

Описана конструкция вакуумного спектрографа с решеткой  $R = 1$  м, 1200 штрихов на мм. Корпус прибора стальной. Насосы создают в приборе вакуум  $10^{-4}$  мм рт. ст. за 15 мин. Миним. регистрируемая величина  $\lambda 1400$  А. На пластинках  $9 \times 12$  можно снять 24 спектра шириной по 2 мм.

Л. Розенштейн

**51666. Спектроскопия комбинационного рассеяния.** I. Конструкция регистрирующего спектрометра с большой дисперсией. Мишель, Дёйкарте (Contribution à la spectrométrie Raman. I. Construction d'un spectromètre enregistreur à grande dispersion. Michel Gilbert, Duyckaerts Geor-

- ges), Spectrochim. acta, 1957, 8, № 6, 356—373 (франц.; реф. англ.)
- 51667.** Простое приспособление для измерений интенсивности инфракрасных спектров. Арендс, Эггерс (Simple aid to infrared intensity measurements. Arends C. B., Eggers D. F., Jr), Rev. Scient. Instrum., 1956, 27, № 11, 939—940 (англ.)
- Предложено приспособление для быстрого определения интегральной интенсивности ИК-полос. Приспособление выполнено в виде моста Уитстона. Измерительная часть имеет 3 движка, скользящих по реостату, располагаемому над спектрограммой параллельно ее оси ординат. Указатели крайних движков ставятся на линиях 0 и 100% ( $T_0$ ) пропускания, средний — на спектральную кривую пропускания  $T$  для данной частоты, что определяет 2 плеча моста. Затем мост приводится в равновесие, и на шкале непосредственно отсчитывается  $\lg T/T_0$ . Сложение этих величин, промеренных через каждые  $2 \text{ см}^{-1}$ , дает интегральную интенсивность полосы. Л. Розенштейн
- 51668.** Криостат для спектрофотометрических измерений. Джонс, Уиллард (Cryostat for spectrophotometric measurements. Jones Thomas O., Willard John E.), Rev. Scient. Instrum., 1956, 27, № 12, 1037—1039 (англ.)
- Описана конструкция криостата, позволяющего сохранять т-ру кюветы постоянной в интервале от  $-190$  до  $0^\circ$ . В. Лыгин
- 51669.** О систематической ошибке в спектрометрических измерениях при изучении флуоресценции. Шеман, Одран, Верен (De l'erreur systématique qu'entraînent les mesures spectrométriques dans l'étude des fluorescences. Chéban C., Audran R., Vergain A.), Chim. analyt., 1957, 39, № 2, 59—61 (франц.)
- На основании опытов снятия спектра флуоресценции родамина с помощью фотоэлементов с катодами из Sb-Cs и Cs-O-Ag авторы делают вывод о невозможности точного измерения поглощения экстремумов в сплошных спектрах способами, при которых приемник радиации имеет селективную чувствительность. В качестве стандарта предлагается выбрать визуальный метод. Л. Розенштейн
- 51670.** Автоматическое интегрирование интенсивности инфракрасных полос поглощения. Страусс (Automatic band-integration in the infrared. Strauss F. B.), Chemistry and Industry, 1956, № 41, 1140—1142 (англ.)
- 51671.** Интерферометр типа Костерса. Брусе (A Kösters-type interferometer. Bruce C. F.), J. Scient. Instrum., 1956, 33, № 12, 478—482 (англ.)
- Основное отличие описываемой конструкции от обычного интерферометра типа Костерса (Kösters W. Z. Feinmech., 1926, 34, 55) состоит в использовании регулируемого по высоте зеркала, вместо строго фиксированного, что делает возможным проведение измерений длины в пределах 0—500 мкм. Конструкция интерферометра позволяет производить измерение длины образцов в воздухе, вакууме, при строго контролируемых температурных условиях или в условиях полного термостатирования. В качестве источников света используются лампы, содержащие  $\text{Hg}^{198}$ ,  $\text{Kr}^{86}$ ,  $\text{Kr}$ ,  $\text{Cd}$ , с охлаждением и без охлаждения катода. Приведены результаты измерения эталонных длин со всеми используемыми источниками в воздухе и вакууме. В. Лыгин
- 51672.** Фазовая регуляция двойного эталона. Кун, Рамсден (The phase adjustment of the double etalon. Kuhn H. G., Ramsden S. A.) Proc. Phys. Soc., 1956, B69, № 12, 1309—1311 (англ.)
- Для фазовой регуляции (ФР) двойного эталона Фабри-Перо использован метод гетерохромных полос, получаемых в фокальной плоскости спектрографа, когда свет предварительно проходит через эталон (Kuhn H., Rep. Progr. Phys., 1951, 14, 78). Л. Розенштейн
- 51673.** Широкополосовый многослойный пленка для интерферометра Фабри — Перо. Баумейстер, Стоун (Broad-band multilayer film for Fabry — Perot interferometers. Baumeister Philip W., Stone John M.), J. Opt. Soc. America, 1956, 46, № 3, 228—229 (англ.)
- Расширение спектральной области высокого отражения пленки из чередующихся слоев  $\text{ZnS}$  и криолита достигнуто увеличением числа слоев до 15 и изменением толщины слоев. Приведены кривые отражательной способности пленок из 5, 7, 9 и 15 слоев  $\text{ZnS}$  и криолита. Пленка из 15 слоев отражает 95% света в области 400—750 мкм. Величины отражения пленок получены путем измерения пропускания на спектрофотометре Бекмана DU. В. Лыгин
- 51674.** Некоторые применения электронных приборов в оптической измерительной технике. Юнтер (Einige Anwendungen elektronischer Geräte in der optischen Messtechnik. Günther Herbert), Chem. Technik, 1957, 9, № 2, 82—90 (нем.)
- Обзор. Библ. 17 назв.
- 51675.** Новые приборы для измерения показателя преломления. Флюгге (Neuere Geräte zur Brechungsmessung. Flügge Joh.), Arch. techn. Messen, 1957, № 252, 17—20 (нем.)
- Приведено краткое описание усовершенствованных приборов для измерения показателя преломления: рефрактометра АСбе, рефрактографа, интерференционного рефрактометра, интерферометра для анализа рудничного газа и диффузионного интерферометра. В. Лыгин
- 51676.** Интенсивность поглощения ультрафиолетового света монокристаллами. Часть 1. Измерение толщины тонких кристаллов с помощью интерферометрии. Бри, Лайонс (The intensity of ultraviolet light absorption by monocrystals. Part I. Measurement of thickness of thin crystals by interferometry. Bree A., Lyons L. E.), J. Chem. Soc., 1956, Aug., 2658—2662 (англ.)
- Описаны два интерферометрич. метода измерения толщины тонких кристаллов антрацена, полученных сублимацией. О. Пахомова
- 51677.** Получение тонких слоев алюминия при коротких периодах накаливания. Герхарц (Zur Herstellung dünner Aluminiumschichten in kurzen Bedampfzeiten. Gerharz Reinhold), Z. angew. Phys., 1957, 9, № 2, 95—98 (нем.)
- 51678.** Грибок для изготовления газовых смесей очень малой концентрации. Мак-Келви, Холшер (Apparatus for preparation of very dilute gas mixtures. McKelvey James M., Hoelscher H. E.), Analyt. Chem., 1957, 29, № 1, 123 (англ.)
- Для изготовления газовых смесей с кон-цией 0,01—10% разработан грибок, состоящий из расположенных друг за другом двух соединенных между собой колб. В верхнюю колбу входит трубка для разбавляющего газа и с противоположной стороны трубка для выхода получаемой смеси. Скорость диффузии пара жидкости, находящейся в нижней термостатированной колбе, выражается уг-ном  $r = (D_0 P_0 M A / RT_0^2 L) T \ln \pi$ , где  $D_0$  — коэф. диффузии при нормальных условиях ( $T_0$ ,  $P_0$ ),  $A$  — поперечное сечение трубки, соединяющей колбы,  $L$  — длина трубки,  $M$  — мол. вес,  $\pi = P/(P-p)$ , где  $P$  — общее давление,  $p$  — давление пара жидкости. Кривая калибровки для смеси толуол-воздух показывает, что зависимость  $r$  от  $T \ln \pi$  выражается прямой линией. В. Анвар



51679. Новые радиационные лаборатории фирмы Монсавто. — (Radiation and chemical research — Monsanto's new radiation laboratories. —), Atomics, 1956, 7, № 7, 256—259 (англ.)

Лаборатории предназначены для изучения действия  $\beta$ - и  $\gamma$ -излучения на материалы (пластмассы), а также для исследования протекания действия радиации на хим. р-ции, имеющие промышленное значение. Предусмотрена установка источников  $\text{Co}^{60}$  по 100 и 500 кюри и  $\text{Cs}^{137}$  1000 кюри. Описано защитное и противопожарное оборудование. В. Левин

51680. Автоматический анализатор содержания урана в производственных растворах. Би сби, Браун, Чапман (An automatic analyser of uranium content in process streams. Bisby H., Brown L. H., Chapman D. R.), J. Scient. Instrum., 1956, 33, № 12, 467—475 (англ.)

Описано 2 анализатора, действие которых основано на измерении поглощения света (при 3650 Å) роданидных комплексов U. Миним. обнаруживаемая конц-ия 0,0004 г/л. Ошибка в определении конц-ий 0,1 н. р-ра равна 3,5%. В. Левин

51681. Дистанционные манипуляторы с ручным управлением. Ринг (Remote-control handling devices. Ring Frank, Jr), Mech. Engng, 1956, 78, № 9, 828—831 (англ.)

Обзор. В. Сумм

51682. Зажим для работы с радиоактивными жидкостями. Швобел (Clamp for handling radioactive liquids. Schwebel A.), Nucleonics, 1956, 14, № 9, 112 (англ.)

51683. Жидкостные сцинтилляционные счетчики. III. Тушение жидких сцинтиллирующих растворов органическими соединениями. Керр, Хейс, Отт (Liquid scintillators — III. The quenching of liquid — scintillator solutions by organic compounds. Kerr Vernon N., Hayes F. Newton, Ott Donald G.), Internat. J. Appl. Radiat. and Isotopes, 1957, 1, № 4, 284—288 (англ.; рез. англ., русск., нем.)

Исследовалось тушащее действие органич. соединений в нескольких жидких сцинтиллирующих р-рах. В р-ры, содержащие  $\text{C}^{14}$ , добавлялись органич. соединения ароматич. и алифатич. рядов, и определялась зависимость эффективности счета (схема совпадений) от конц-ии добавок. Указанная зависимость оказалась экспоненциальной. Характеристики исследованных тушителей представлены в виде таблиц. Разобраны возможные причины тушения. Часть II см. РЖХим, 1957, 12286. Г. Радзиевский

51684. О применимости пластмассовых сцинтилляторов для дозиметрических измерений. Розман И. М., Циммер К. Г., Атомн. энергия, 1957, 2, № 1, 70—71

Установлено сохранение пропорциональности между мощностью поглощенной дозы и интенсивностью свечения некоторых пластмассовых сцинтилляторов на основе полистирола вплоть до  $10^6$ — $10^8$  эрг/г сек при действии  $\alpha$ - и  $\beta$ -излучения. Исследованы сцинтилляторы с добавками тетрафенилбутадина и п-терфенила с тетрафенилбутаденом. Г. Радзиевский

51685. Аппарат для дифференциального термоанализа. Егер, Шиллинг (Zum Selbstbau einer Apparatur zur Differentialthermoanalyse (DTA). Jäger Emilie, Schilling Sepp), Schweiz. mineral. und petrogr. Mitt., 1956, 36, № 2, 595—598 (нем.)

Описано изготовление аппарата из заводских деталей. Аппарат имеет линейный подъем т-ры 12 град/мин в интервале 250—650° и зависимость термоэффекта от навески, близкую к линейной. Воспроизводимость результатов при калиброванных термопарах составляет несколько процентов. А. Ложманов

51686. Подогревный калориметр для точных измерений теплот реакций при температурах до 600°. Виттиг, Хубер (Ein Erwärmungskalorimeter zur genauen Messung von Reaktionswärmen bei Temperaturen bis 600° C. Wittig Franz Eberhard, Huber Franz), Z. Elektrochem., 1956, 60, № 9-10, 1181—1192 (нем.)

Калориметр (К) помещен в термостат diam. 98, высотой 180 мм из хромированной стали, снабженный бифилярным Ta-нагревателем и дифференциальной термопарой. Дополнительные нагреватели вмонтированы в дно и крышку. Измерение и регулировка т-р производилась калиброванными Ni — CrNi-термопарами. Разработана компенсационная схема измерения и регулирования т-р с точностью 0,0002—0,0006°. Собственно К diam. 55, высотой 75 мм имеет нагреватель (600 ом), расположенный в 12 каналах корпуса, и дифференциальную термопару. Все устройство помещается в трубчатую печь. Найдено, что водное число К не зависит в пределах 0,5—1% от кол-ва подводимого тепла (46—460 кал) и длительности нагрева (5—20 мин.); чувствительность К 0,95 кал  $\pm$  6%. Определены теплоты смешения систем Bi — Pb и Bi — Zn.

А. Ложманов

51687. Новый метод построения шкалы оптических пиromетров в области температур выше 3000° С. Шпигельман Е. С., Измерит. техника, 1956, № 6, 37—40

51688. Портативный калориметр для определения температуры кипения органических растворителей. Ямамото (Portable calorimetric apparatus applying the boiling point of the organic solvent. Yamamoto Daisei), Kumamoto J. Sci. A, 1956, 2, № 3, 302—303 (англ.)

51689. Прибор для получения кривых нагревания и охлаждения. Беркардт, Мак-Юан, Питман (Apparatus for obtaining heating and cooling curves. Burkardt Lohr A., McEwan William S., Pitman Hayden W.), Rev. Scient. Instrum., 1956, 27, № 9, 693—696 (англ.)

Описана установка для изучения фазовых диаграмм путем получения кривых охлаждения или нагревания. Градиент т-ры между образцом и баней задается электрич. схемой (мост Уитстона с двумя термисторами). Для нахождения равновесного положения точки ликвидуса через расплав пропускается луч света и кол-во проходящего света определяется с помощью фотозлемента. При некотором понижении т-ры в расплаве образуются кристаллики, что изменяет пропускание света. Установление равновесия кристалликов с расплавом при последующем постепенном нагревании отмечается по постоянству фототока. При низкой конц-ии кристаллов наилучшие результаты дает визуальное наблюдение. А. Лихтер

51690. Инфракрасная абсорбционная кювета для изучения гетерогенных реакций. Мицнер (Infrared absorption cell for the study of heterogeneous reactions. Mitzner Bernard M.), J. Phys. Chem., 1956, 60, № 12, 1670 (англ.)

51691. Аппараты для фотохимических реакций и их применение в препаративной фотохимии. Шенк (Apparate für Lichtreaktionen und ihre Anwendung in der präparativen Photochemie. Schenck G. O.), Dechema Monogr., 1955, 24, № 283—292, 105-145 (нем.)

Обзор. Библ. 42 назв.

51692. Микроденситометр для фотографических измерений. Олتمان, Сталц (Microdensitometer for photographic research. Altman Joseph H., Stultz Keith F.), Rev. Scient. Instrum., 1956, 27, № 12, 1033—1036 (англ.)

В качестве источника света микроденситометра (МД) используется ленточная лампа накаливания, свет ко-

торой фокусируется конденсорной линзой на окуляр осветительного микроскопа, проектирующего уменьшенное изображение входной щели на исследуемый объект. Регистрирующая оптика. Система МД позволяет освещать одну и ту же поверхность катода фотоумножителя независимо от величины апертуры. Анодный ток фотоумножителя усиливается и регистрируется самописцем. Разрешающая способность МД 800 линий/мм, если апертура имеет ширину  $1 \mu$  и длину 200  $\mu$ . МД обеспечивает линейность отсчета при этих условиях вплоть до оптич. плотности 3,0. При сужении апертуры до 0,1  $\mu$  разрешающая способность возрастает до 1800 линий/мм. В. Лыгин

51693. Денситометр для цветных печатных материалов. Уотт (A densitometer for colour print materials. Watt P. B.), J. Photogr. Sci., 1956, 4, № 5, 116—120 (англ.)

51694. Простой осмометр высокой точности. Элиас (Ein einfaches Osmometer hoher Genauigkeit. Elias H.-G.), Chem.-Ingr.-Techn., 1957, 29, № 1, 19—22 (нем.; рез. англ., франц.)

Двухкамерный осмометр (О) предназначен для серийных измерений при пониженных и повышенных  $t$ -рах и для подбора мембран. Медные камеры О емк.  $\sim 3,5$  мл уплотняются полупроницаемой мембраной. Каждая камера состоит из системы параллельных канавок  $3 \times 2$  мм, объединенных кольцевой канавкой, с 3-мм отверстиями для введения и удаления  $r$ -ров. Капилляр внутренним diam.  $2,0 \pm 0,01$  мм соединяется с камерой посредством нормального шлифа. Направляющие штифты на камере обеспечивают быструю и точную сборку. При измерении О термостатируется с точностью  $\pm 0,005^\circ$ . Приведены ур-ния для обработки данных измерения. А. Лощманов

51695. Прибор для определения растворимости твердых веществ в жидкостях. Секера, Страник (Přístroj na stanovení rozpustnosti pevných látek v kapalinách. Sekera A., Stránilík J.), Chem. listy, 1956, 50, № 11, 1864—1865 (чешск.)

51696. Осциллографическая установка для исследования обратимости электродных процессов. Нигматуллин Р. Ш., Шекун Л. Я., Уч. зап. Казанск. ун-та, 1956, 116, № 5, 103—107

Предлагается осциллографич. метод исследования обратимости электродных процессов на капельном Нг-электроде по вольтамперным ( $I-E$ ) кривым, получаемым при наложении на электролитич. ячейку синусоидального напряжения. Установка позволяет проводить измерения с погрешностью  $\leq 2\%$ . На примерах ионов  $Pb^{2+}$ ,  $Te^{2+}$  и  $Zn^{2+}$  показана возможность использования предложенного метода и установки для определения степени необратимости электродной  $r$ -ции. Р. Нигматуллин

51697. Простой прибор для потенциометрии и кондуктометрии. Такияма (簡易な電位差および電気伝導度の測定装置. 瀧山—善), 分析化学, Бунсэки какаку, Japan Analyst, 1956, 5, № 10, 574—575 (японск.)

51698. Новый высокочастотный электрод погружного типа. Муся, Такэда (高周波分析用容量型新電極 (投込型). 武者宗一郎, 武田正巳), 分析化学, Бунсэки какаку, Japan Analyst, 1956, 5, № 8, 459 (японск.)

51699. Радиологический детектор для газовой хроматографии. Дил, Отвоэ, Смит, Цукко (A radiological detector for gas chromatography. Deal C. H., Otvoš J. W., Smith V. N., Zucco P. S.), Analyt. Chem., 1956, 28, № 12, 1958—1964 (англ.)

Описан чувствительный прибор, быстро отмечающий изменения состава смеси газов в потоке. Датчиком является цилиндрич. ионизационная камера, вдоль ко-

торой протекает газ. Центральный электрод камеры, установленный по оси последней, содержит  $\beta$ -излучатель ( $10$  мюри  $Sr^{90}-Y^{90}$ ). Жесткое  $\beta$ -излучение ( $2,2$  Мэв), пройдя оболочку центрального электрода, ионизирует окружающий газ. Изменение состава протекающего газа вызывает изменение ионного тока, отмечаемое потенциометром с самописцем. Показания прибора не зависят от скорости тока газа, но сильно зависят от давления и  $t$ -ры. Прибор снабжен регулятором  $t$ -ры. Г. Радзиевский

51700. Автоматический понообменный прибор для определения в почве ионов, способных к обмену, в частности фосфат-ионов. Барков (Ein automatischer Apparat zur Bestimmung der austauschbaren Ionen, insbesondere Phosphationen, im Boden mittels Ionenaustauscher. Barkoff Eugen), Maataloustieteellinen aikakauskirja, 1956, 28, № 4, 229—236 (нем.; рез. финск.)

51701. Источник питания для зонального электрофореза, электродиализа и общего применения. Проктор (Power supply for zone electrophoresis, electro-dialysis, and general use. Proctor Charles M.), Analyt. Chem., 1956, 28, № 12, 2032—2034

В ходе электрофореза на носителях снижается электросопротивление вследствие испарения  $r$ -рителя и концентрирования  $r$ -ра, а при электродиализе сопротивление возрастает вследствие обеднения  $r$ -ра электролитами. Для автоматич. поддержания постоянной силы тока предлагается электронный регулятор напряжения. Прибор обеспечивает отдачу тока  $\leq 30$  ма при напряжении  $\leq 300$  в. В. Анохин

51702. Аппарат для поддержания постоянства микропотока жидкости при непрерывном электрофорезе на бумаге. Мамия (連続濾紙電気永動法における試料滴加器について. 間宮眞佐人), 分析化学, Бунсэки какаку, Japan Analyst, 1956, 5, № 9, 522—523 (японск.)

51703. Новый ступенчатый кониметр для исследования аэрозолей. Георгин (Ein neues Stufenkonimeter zur Untersuchung von Aerosolen. Georgii Hans-Walter), Staub, 1956, № 47, 628—633 (нем.; рез. англ., франц.)

Описан трехступенчатый кониметр для разделения аэрозолей с радиусом частиц  $r > 2 \cdot 10^{-5}$  см по трем группам: «большие» ядра  $0,2 \cdot 10^{-4} < r < 0,9 \cdot 10^{-4}$  см, «гигантские» ядра  $0,9 \cdot 10^{-4} < r < 2,0 \cdot 10^{-4}$  см, «пылевые» частицы  $r > 2,0 \cdot 10^{-4}$  см. Исследуемый воздух прокачивается со скоростью 300 см<sup>3</sup>/сек через три щели:  $15 \times 1,5$ ,  $10 \times 0,58$  и  $7,5 \times 0,2$  мм. Щели образованы лезвиями брита. Приведены кривые распределения осажденных частиц по размерам. Осаждение хорошо удовлетворяет ф-ле Ranz W. E., Wong J. B., (Arch. Industr. Hug. and Occupat. Med., 1952, 5, 464).

А. Лощманов  
51704. Приборы для быстрых спектроскопических анализов. Оптические и рентгеновские эмиссионные монохроматоры и полихроматоры. Кемп (Instrumentation for rapid spectrochemical analysis. Optical and X-ray emission monochromators and polychromators. Kemp J. W.), Analyt. Chem., 1956, 28, № 12, 1838—1843 (англ.)

Разобраны основы оптич. и рентгеновского метода анализа состава металлов, металлич. порошков, полупроводников и жидкостей. Описана конструкция оптич. квантографа с непосредственным отсчетом кон-ции и рентгеновского квантометра типа ARL. Приведены таблицы точности спектроскопич. анализа 94 элементов при использовании квантографа и квантометра. Применение описанной аппаратуры позволяет производить до 1000 анализов за 1 час. В. Лыгин

51705. Автоматический прибор для определения окиси азота и двуокиси азота в атмосфере. Томас, Мак-Лауд, Роббинс, Готтсман,

Элдридж, Роджерс (Automatic apparatus for determination of nitric oxide and nitrogen dioxide in the atmosphere. Thomas M. D., MacLeod J. A., Robbins R. C., Goettelman R. C., Eldridge R. W., Rogers L. H.), *Analyt. Chem.*, 1956, 28, № 12, 1810—1816 (англ.)

Прибор состоит из двух скрубберов для абсорбции  $\text{NO}_2$ , озонатора для превращения  $\text{NO}$  в  $\text{NO}_2$ , насосов для поглощения р-ра и воздуха, колориметра для определения окраски р-ра после поглощения  $\text{NO}_2$  и самописца. Описано несколько типов абсорберов. Рассмотрены различные методы окисления  $\text{NO}$ : посредством  $\text{O}_3$ ,  $\text{KMnO}_4$  и  $\text{ClO}_2$ . При избытке  $\text{O}_3$   $\text{NO}_2$  окисляется до  $\text{HNO}_3$ .  $\text{NO}$  определяется по разности между содержанием  $\text{NO}_2$  до и после окисления  $\text{NO}$ . Примеси альдегидов, кетонов, перекисей, хинолина и других органич. оснований,  $\text{N}_2\text{O}$  и  $\text{SO}_2$  не влияют на результаты анализа; акридин и нитрозосоединения слегка разрушают окраску. Алкилнитриты могут быть приняты за  $\text{NO}_2$ .

Б. Анвар

51706. Прибор для непрерывного автоматического титрования с пропорциональной пульсационной интегрирующей сервосистемой. Макиема, Йоэда, Мориока, Мио (比列積分動作を有する連続自動滴定装置の試作. 牧島象二, 米田幸夫, 森川久, 宮尾健次), *工業化学雑誌*, Koré karaku daasii, J. Chem. Soc. Japan. Industr. Chem. Sec., 1956, 59, № 8, 878—883 (японск.)

51707. Бюретка для автоматической записи титрования. Масико (定洗毛管ビュレットについて. 益子安), *分析化学*, Бунсэки кагаку, Japan. Analyst, 1956, 5, № 10, 575—576 (японск.)

51708. Простой современный аппарат для электрометрического определения воды при помощи реактива Фишера. Капитани, Милани, Пеккатори (Semplice e moderna apparecchiatura per la determinazione elettrometrica dell'acqua col reattivo di Karl Fischer. Capitani Clito, Milani Ennio, Paccatori Ennio), *Misure e regolaz.*, 1956, 4, № 6, 265—266 (итал.)

Приведена схема прибора, обеспечивающего при титровании защиту от  $\text{CO}_2$  и влаги, удобство подачи реактива и перемешивания.

Т. Леви

51709. Новая аппаратура для определения серной кислоты в хромовых ваннах. Ловречек, Бошняк (Neue Apparatur zur Bestimmung von Schwefelsäure in Chrombädern. Lovreček B., Bošnjak K.), *Metalloberfläche*, 1957, 1, № 1, 19—20 (нем.)

Предложена простая схема определения конц-ии  $\text{H}_2\text{SO}_4$  в хромовых ваннах, действующая на принципе нахождения точки перегиба на вольтамперной кривой для данного электролита. Вольтамперная кривая снимается при медленном нарастании напряжения на электролитич. ячейке с электролитом, отобранным из ванны. Медленное нарастание напряжения обеспечивается конденсатором большой емкости (5000  $\mu\text{f}$ ), включенным параллельно ячейке.

А. Лопманов

51710. Прибор для получения сероводорода. Ощиповский В. В., Науч. зап. Львовск. политехн. ин-т, 1956, вып. 22, 111—112

Предложен простой стеклянный прибор, работающий по принципу аппарата Киппа, для получения  $\text{H}_2\text{S}$  при работе по полумикрометоду.

А. Лопманов

51711. Современный газоанализатор. Бадич (Korszerű gázvizsgáló készülék. Badics Sándor), *Mérés és automat.*, 1955, 3, № 12, 361—365 (венг.)

Обзор. Библ. 17 назв. И. Амбруш

51712. Ротационные высоковакуумные насосы с газовым балластом. Берли, Фрай (Rotierende Hochvakuumumpen mit Gasballast. Burleigh Theodore E., Frye William C.), *Vakuum Technik*, 1957, 6, № 1, 11—12 (нем.)

53713. Усовершенствованная схема стабилизации ионизационного манометра. Хари харан, Бхалла (An improved ionization gauge control circuit. Hariharan P., Bhalla M. S.), *J. Scient. Instrum.*, 1956, 33, № 12, 488—491 (англ.)

Описан стабилизатор для поддержания постоянства тока эмиссии катода ионизационного манометра в пределах  $\pm 1,5\%$ . Питание катода манометра осуществляется через многокаскадный усилитель с отрицательной обратной связью током с частотой 500  $\mu\text{c}$  от генератора Колпица. Для усиления ионного тока используется ранее описанный авторами (РЖХим, 1957, 19768) логарифмич. усилитель.

Л. Абрамович

51714. Точность показаний манометра с качающимся уровнем. Исихара, Ида (動搖するマノメータ指示値の読み取り精度. 石原智男, 井田富夫), *生産研究*, Сэйсан кэнкю, 1956, 8, № 12, 6—11 (японск.)

51715. Колонна с вращающимися концентрическими трубками. Хоккинс, Берри (Rotating concentric tube column. Hawkins J. Erskine, Burris William A.), *Analyt. Chem.*, 1956, 28, № 11, 1715—1725 (англ.)

Предложена новая конструкция колонны больших размеров, чем колонна, описанная ранее (Willingham C. B. и др., *Industr. and Engng. Chem.*, 1947, 39, 706). Новая конструкция позволяет работать с более высокими скоростями вращения и под вакуумом. Колонна снабжена устройством для автоматич. регулирования и точного отбора проб. Приведена зависимость числа теоретич. тарелок и падения давления в колонне от скорости вращения и производительности колонны. Изучены характеристики колонны при работе с вакуумом 200 мм рт. ст. Испытания колонны проводились на системе  $n$ -гептан — метилциклогексан, величины задержки измерены для системы  $n$ -гептан — дибутилсебаднат.

Б. Анвар

51716. Эффективность колпачковой фракционирующей колонны. Оливер, Уотсон (Correlation of bubble-cap fractionating-column plate efficiencies. Oliver Earl D., Watson C. C.), *A. I. Ch. E. Journal*, 1956, 2, № 1, 18—25 (англ.)

Разработан метод определения условий работы колпачковой колонны, который является промежуточным между ранее описанными методами (Murphree E. V., *Industr. and Engng. Chem.*, 1925, 17, 747; Lewis W. K., *Industr. and Engng. Chem.*, 1936, 28, 399). Опыты проводились на фракционирующей колонне с внутренним диам. 45 см, состоящей из 3 тарелок с 10-ю колпачками на каждой, при давл. 21 атм. Изучено влияние на эффективность колонны скорости пара, давления, температуры и глубины жидкости для смесей ацетон —  $\text{H}_2\text{O}$ ,  $\text{C}_2\text{H}_5\text{OH}$  —  $\text{H}_2\text{O}$  и  $\text{C}_2\text{H}_5\text{Cl}_2$  — толуол. Для определения состава пользовались измерением плотности или коэф. преломления.

Б. Анвар

51717. Непрерывнодействующий жидкостной экстрактор для растворителей тяжелее воды. Пирс, Петерсон (Liquid-liquid continuous extractor for solvents heavier than water. Pierce Charles E., Peterson Ralph E.), *Analyt. Chem.*, 1956, 28, № 12, 2029—2030 (англ.)

51718. Перегонка воды. Листопадов В. В., Научн. тр. Новочеркасск. политехн. ин-т, 1956, 27(41), 209—210

Описан прибор с производительностью 0,6 л/час для получения воды с электропроводностью (0,72—0,9)  $10^{-6}$  ом $^{-1}$  см $^{-1}$ .

А. Лопманов

51719. Усовершенствование прибора для перегонки с водяным паром. Миёсава (水蒸気蒸留装置の改良. 三代澤康雄), *化学工業*, Kagaku kōgō, Chem. and Chem. Ind., 1956, 9, № 10, 484 (японск.)

Пояснено схематич. рисунком.



51720. Усовершенствованная аппаратура для непрерывной экстракции. Ли Чжу-лянь (連續抽提裝置的一些改進. 李珠蓮), 化學世界, Хуасюэ шицзе, 1956, № 11, 579 (кит.).  
Пояснено схематич. рисунками. В. А.
51721. Приспособления к бюреткам для некоторых специальных видов титрования. Кирстен (Buret arrangement for some special titrations. Kirsten Wolfgang J.), *Analyt. Chem.*, 1957, 29, № 3, 460—461 (англ.).
51722. Титровальная колба. Кьюкин (Titration flask. Kükün Irga), *Analyt. Chem.*, 1957, 29, № 3, 461 (англ.).
51723. Лабораторная промывалка. Хосикава (計量式洗滌瓶の試作. 星川支兒), 分析化學. Бунсэки кагаку, *Japan Analyst*, 1955, 4, 317 (японск.).  
Описано устройство промывалки, позволяющей отмерять кол-во промывной жидкости. А. Сарахов
51724. Применение ступок из сплавленной окиси алюминия. Каммори (熔化アルミナ製乳鉢の實用性について. 神森大彦), 分析化學. Бунсэки кагаку, *Japan. Analyst*, 1956, 5, № 8, 463 (японск.).
51725. Полуавтоматический прибор для установки цилиндров при опытах «цилиндр-пластинка». Мур, Мейсон (Semi-automatic cylinder dispenser for "cylinder-plate" assays. Moore W. T., Mason B.), *Lab. Practice*, 1956, 5, № 8, 303—305 (англ.).  
Прибор разработан для устранения недостатков, присущих обычному методу: значительное время, затрачиваемое на установку цилиндров, градиент т-ры от края к центру пластинки, колебания т-ры цилиндров, их быстрое охлаждение и изменение т-ры в зависимости от глубины погружения цилиндра. В приборе цилиндры попадают из алюминиевого магазина с 48 равномерно расположенными отверстиями в стеклянную конич. воронку, вращающуюся от руки, сползают вниз и устанавливаются на пластинке. Прибор позволяет сэкономить 90% времени и обеспечивает точное и равномерное погружение цилиндров. Б. Анвар
51726. Указатель уровня жидкого азота с применением полупроводникового прибора. Ле-Бо, Ле-Монтанье, Пти (Un indicateur de niveau d'azote liquide utilisant un transistor. Le Bot Jean, Le Montagner S., Petit J. C.), *Bull. Soc. scient. Bretagne, Sci. math., phys. et natur.*, 1955 (1956), 30, № 1—4, 79—80 (франц.).  
Чувствительным элементом служит волюстонона нить диам. 0,01 и длиной 8—10 мм, по которой пропускается ток силой 0,1 а. В качестве усилителя в схеме применяется полупроводниковый триод, что увеличивает чувствительность электромагнитного реле. А. Лихтер
51727. Криостат для промежуточных температур. Заварицкий Н. В., Приборы и техн. эксперимента, 1956, № 2, 140.  
Описан упрощенный вариант криостата Оннеса, предназначенный для исследований в области промежуточных т-р (11—13° К). Г. Березин
51728. Анализ схемы фазочувствительного терморегулятора. Бруке (Analysis of phase-shift controlled thermoregulator circuits. Brooks A. A.), *Rev. Scient. Instrum.*, 1956, 27, № 9, 746—748 (англ.).  
Рассмотрено влияние изменения напряжения в диагонали моста сопротивлений, соединенного с фазочувствительным терморегулятором, на величину силы тока в нагревателе. Это влияние выражено в параметрах схемы. Определены условия компенсации изменения линейного напряжения. Вычисленные результаты сопоставлены с эксперим. данными. Г. Березин
51729. К. Эксплуатация и ремонт потенциометров лабораторного типа. Оболенский П. В. М., Медгиз, 1956, 100 стр., илл., 2 р. 60 к.
- 51730 К. Современные приборы в химическом анализе. Биффен, Симан (Modern instruments in chemical analysis. Biffen Frank Moody, Seaman William. New York—London, McGraw—Hill, 1956—1957, IX, 333 pp., ill., 56sh. 6d.) (англ.).
- 51731 Д. Систематические исследования счетчиков со стеклянными стенками и наружной проводящей поверхностью. Приложение к изучению некоторых особенностей рейгеровского разряда. Блан (Recherches systématiques sur les compteurs à parois de verre et surface conductrice externe. Application à l'étude de certaines modalités de la décharge de Geiger. Thèse. Blanc Daniel), *Ann. Univ. Paris*, 1956, 26, № 2, 250—254 (франц.).
- 51732 П. Метод уменьшения фона при  $\gamma$ -счете. Маццагатти (Method for reducing background in gamma ray counting. Mazzagatti Roy P.) [Texaco Development Corp.]. Канад. пат. 519047, 29.11.55.  
Для  $\gamma$ -детекторов предлагаются Та катоды, покрытые пленкой окиси тантала. Описаны способы электролитич. осаждения пленок окиси. Г. Радаевский
- См. также: Прибор для опред. оптич. констант пленок 50887. Прибор для анализа по Ван-Слайку 16137Бх. Приборы для испытаний пластмасс 52712. Оборудования радиохим. лабор. 53564.

## ХИМИЧЕСКАЯ ТЕХНОЛОГИЯ. ХИМИЧЕСКИЕ ПРОДУКТЫ И ИХ ПРИМЕНЕНИЕ

### ОБЩИЕ ВОПРОСЫ

Редакторы В. И. Елинек, В. Д. Матвеев,  
Н. А. Ширяева

51733. Итальянская химическая промышленность в 1955 г. Моранди (Die italienische chemische Industrie im Jahre 1955. Morandi Luigi). *Chemiker-Ztg*, 1956, 80, № 21, 765—767 (нем.).  
Приведены данные о произ-ве в 1953—1955 гг. N-и Р-удобрений, к-т,  $\text{NH}_3$  и мочевины,  $\text{CH}_3\text{OH}$ , щелочей,

$\text{CaC}_2$ , кокса, бензола, красителей, пластмасс, искусств. волокна и других хим. продуктов. Г. Рабинович

51734. Состояние химической техники и химической промышленности в Финляндии. Илвесвита (Näkymä kemian tekniikasta ja Suomen kemian teollisuudesta. Ilvesviita Rolf), *Tekn. aikakauslehti*, 1956, 46, № 5—6, 136—140 (фин.).

Обзор. В 1953 г. в хим. пром-сти было занято 14,8% от общего числа промышленных рабочих. Приведены данные по добыче сырых и переработке обогащенных руд за 1954 г., а также достижения хим. пром-сти и ме-

таллургии за последние 6 лет, в частности по произ-ву Ti, Ni, Co, смешанных удобрений,  $Cl_2$ , каустич. соды, цианамиды кальция, искусств. волокна, сульфитного спирта и т. д. Годовая производительность страны достигла (в т):  $H_2SO_4$  15 500, фосфорных удобрений 264 066, связанного азота (в пересчете на чистый азот) 16 800. М. Тойка

**51735. Промышленное использование радиоизотопов.** Андре (Les utilisations industrielles des radioisotopes vues sous l'angle de l'industrie Belge. André G. E.), Rev. Soc. roy. belge ingrs et industriels, 1956, № 9—10, 370—387 (франц.)

Приведены историч. данные по изучению изотопов и описаны основные методы их получения. Рассмотрены различные пути промышленного использования радиоизотопов Бельгии в качестве источников излучения, индикаторов, для ускорения р-ций и проч. В. Левин

**51736. Промышленное применение неразделенных продуктов деления.**— (Industrial application of gross fission products.—), U. S. Atomic Energy Comm. Repts, 1953, KX — 1385, 43 pp. (англ.)

Приведены предварительные расчеты физ. характеристик источников излучения, состоящих из продуктов деления, предназначенных для облучения зерна, консервированного мяса и жидкостей. Сделан вывод о необходимости применения источников излучения активности 3—8 Мкюри. В. Левин

**51737. Использование побочных продуктов ядерного реактора.** Глюкауф (Utilization of reactor waste products. Gluekauf E.), Research, 1955, 8, № 8, 314—323 (англ.)

Рассматриваются различные виды радиоактивных продуктов из ядерного реактора и их применение для интенсификации многих хим. р-ций (напр., полимеризация этилена в полиэтилен,  $n$ -винилпропиона в поливинил — пирролидон), а также в медицине, фармацевтич. и пищевой пром-сти. Библ. 13 назв.

А. Смирнов

См. также: Перспективы хим. и коксохим. пром-сти Японии 51132. Подготовка кадров 50327, 50329

## ХИМИКО-ТЕХНОЛОГИЧЕСКИЕ ВОПРОСЫ ЯДЕРНОЙ ТЕХНИКИ

Редакторы В. И. Елинек, В. Д. Матвеев,  
Н. А. Ширяева

**51738. Химические проблемы, связанные с работой реакторов.** Д'Он (Les problèmes chimiques posés par les réacteurs. Cycle de conférences sur l'énergie nucléaire. D'Hont Maurice), Bull. scient. A. I. M., 1955, 68, № 5, 393—408 (франц.)

Обзор. В. Левин

**51739. Экстракция неорганических веществ органическими растворителями.** Николаев А. В., Хим. наука и пром-сть, 1956, 1, № 5, 548—554

Обзор достижений в области разделения неорганич. в-в, главным образом металлов, методом экстракции органич. р-рителями. Библ. 16 назв. К. Сакодинский

**51740. Контроль чистоты в реакторах с охлаждением металлическим натрием.** Бруггеман (Purity control in sodium-cooled reactor systems. Bruggeman W. A. G.), A. I. Ch. E. Journal, 1956, 2, № 2, 153—156 (англ.)

Рассмотрены вопросы, связанные с определением нежелательных примесей (особенно Ca и  $O_2$ ) в металлах. На. Описаны фильтрующая система для отделения  $Na_2O$ , прибор для индикации  $O_2$ , способы удаления Ca и  $O_2$ . Приведены эксперим. данные, полученные для

реактора на промежуточных нейтронах (для силовой установки подводной лодки). Библ. 7 назв. Б. Сумм

См. также: Разделение нитратов тория и урана с помощью анионного обмена 50916. Определение содержания урана в произв. р-рах 51680. Обогащение изотопов урана 50636. Очистка плутония 50971. Применение побочных продуктов ядерного реактора 51736, 51737. Радиоактив. сточные воды 52115, 52116. Коррозия металлов, применяемых в реакторах 53437. Теплоносители в атомн. реакторах 53488

## СЕРНАЯ КИСЛОТА, СЕРА И ЕЕ СОЕДИНЕНИЯ

Редакторы В. И. Елинек, В. Д. Матвеев,  
Н. А. Ширяева

**51741. Некоторые соображения об измельчении при флотации серных руд.** Д'Ипполито (Alcuni aspetti della macinazione nella flottazione dei minerali di zolfo. D'Ippolito Franco), Riv. minerar. siciliana, 1954, 5, № 27, 107—109 (итал.)

Рассматриваются 2 схемы флотации S из руды: с измельчением фракций после 1-й флотации и с предварительным измельчением всей руды. Г. Рабинович

**51742. Выбор технологического процесса для нового медеплавильного завода в Боре [Югославия].** Иованович (Izbor tehnoloskog postupka za novu topionicu bakra u Boru. Jovanovic Milan), Tehnika, 1955, 10, № 11, 1585—1590 (сербо-хорват.; реж. англ., нем.)

Дан анализ требований предъявляемых к новому заду, на котором предусмотрено использование S из отходящих газов для получения  $H_2SO_4$ , применяемой в произ-ве суперфосфатов. Рассмотрены возможности применения гидрометаллургич. и финского процессов и плавки в отражательной печи. В местных условиях наилучшим вариантом является плавка в отражательной печи. Л. Херсонская

**51743. Одновременное получение глинозема и серной кислоты из боксита и гипса.** Опыты на полупроизводственной установке. Лупан, Бэдой (Fabricarea concomitentă a aluminei și a acidului sulfuric din bauxită și gips. Incercări în fază pilot. Lupan Șt., Bădoi R.), Rev. chim., 1956, 7, № 7, 392—397 (рум.; реж. русск., нем.)

Для получения глиноземного клинкера и  $SO_2$  методом обжига местных гипса и боксита изготовлена полупроизводственная установка, в которой обезвоженный при 600° гипс и высушенный боксит при 130° смешивались с коксом и измельчались в шаровой мельнице. Полученная мука увлажнялась 15—20% воды и образовывавшиеся гранулы высушивались при 200° до 2—3%-ного содержания воды. Обжиг гранул производился во вращающейся печи с применением метана в качестве горючего. Т-ра клинкерообразования 1250—1300°. Изготовлены три смеси с коэфф. насыщения (K) 1,06; 1,20 и 1,26. Приведены средние результаты из 30 опытных клинкеров с различными K, показывающие, что конц-ия  $SO_2$  в газах составляет 5—6%, а выход  $Al_2O_3$  из клинкера 70—80%. Средние уд. расходы сырья на 1 т  $Al_2O_3$  составляли (в кг): боксита 2200, гипса 3650, кокса 180 и условного топлива 920. Я. Матлис

**51744 П. Способ получения серы.** Тумм (Verfahren zur Gewinnung von Schwefel. Thumm Wilhelm) [Metallgesellschaft A.-G.]. Пат. ФРГ 945750, 19.07.56

При возгонке S с помощью горячих газов (лучше в прямотоке) из руды, содержащей битум, (или) карбонаты щел.-зем. металлов и другие подобные примеси (или из других в-в, содержащих термически отщепляе-

мую S и такие же примеси), к газам добавляют водяной пар или вбрызгивают воду в кол-ве 5—50 об. %, зависящем от содержания примесей в исходном материале и определяемом опытом. Качество и выход S значительно выше, чем при применении горячих газов без добавления  $H_2O$ .

Г. Рабинович  
51745 П. Выделение серной кислоты и хлорбензолсульфокислоты (Recovery of sulphuric acid and chlorobenzene sulphonic acid) [Taubmans Industries Ltd]. Австрал. пат. 166780, 23.02.56

70%-ную  $H_2SO_4$  и очищ. хлорбензолсульфокислоту (I) выделяют из отходов произ-ва ДДТ, осажда I доведением конц-ии  $H_2SO_4$  в р-ре до 70% прибавляя воду и затем доливая (для селективного смачивания кристаллов I) р-ритель, устойчивый к 70%-ной  $H_2SO_4$ . Р-ритель должен содержать ароматич. и алифатич. соединения, причем ароматич. в-в должно быть  $\geq 25\%$  или, если прибавлять 0,1—1,0% анионного смачивающего агента (сульфата или сульфоната), ароматич. в-в может быть  $< 25\%$ ; далее 70%-ную  $H_2SO_4$  отделяют от шлама, состоящего из р-рителя и кристаллов I. I растворяют в воде; указанный р-ритель оставляют для повторного употребления. И. Шалавина

См. также: Утилизация серы из средневосточных нефтей на нефтеперерабатывающем з-де 52222

## АЗОТНАЯ ПРОМЫШЛЕННОСТЬ

Редакторы В. И. Еличек, В. Д. Матвеев,  
Н. А. Ширяева

51746. Азотный завод в Кендзеине. Лайдлер (Zakłady Przemysłu Azotowego Kedzierzyn. Laidler K.), Przem. chem., 1955, 11, № 8, 404—412 (польск.)

Для произ-ва  $NH_3$  исходным сырьем является кокс, который газифицируют в снабженных автоматикой газогенераторах с водяными рубашками (внутренний диам. 3,5 м). Низкое содержание CO в выходных газах не оправдывает дожигания его и установки котла-утилизатора, поэтому каждый газогенератор снабжен регенерационной камерой, в которой тепло нагретых газов используется для подогрева пара перед подачей его в газогенератор. Очистка газа от пыли производится в электрофильтрах, а от S — в скрубберах мокрой очистки, орошаемых 4%-ным р-ром  $Na_2CO_3$  (удаление  $\sim 85\%$   $H_2S$ ) и в адсорберах сухой очистки с активным углем. Перед водн. очисткой от  $CO_2$  конвертированный газ сжимается в турбокомпрессорах до 10,5 *atm*. Последующее компримирование газа до 305 *atm* производится в 4-ступенчатых компрессорах. Остатки CO отводятся при 120 *atm* с помощью медно-аммиачного р-ра. Колонна синтеза (внутренний диам. 760 мм, высота 12 м) имеет в нижней части теплообменник (100  $m^2$ ), а в верхней части — катализаторную коробку с 4,5 *t* катализатора и пусковым электроподогревателем. На действующей установке для произ-ва слабой  $HNO_3$  сжигание  $NH_3$  и абсорбция окислов N осуществляются под атмосферным давлением. Каждый контактный аппарат (диам. 2 м) имеет 2 сетки (Pt + 5% Rh), обеспечивающие сжигание 93—95%  $NH_3$ . Система абсорбции состоит из 3 металлич. башен (диам. 8 м, высотой 23 м) и 3 параллельных рядов башен (диам. 6 м, высотой 23 м) из кислотоупорной керамики с прослойкой из полиизобутилена (3 мм). Вторая установка оборудована контактными аппаратами (диам. 3 м), непосредственно связанными с паровыми котлами системы Ламонта. Абсорбция окислов N производится под давл. 5 м вод. ст. В произ-ве  $Ca-NH_4$ -селитры (20,5% азота) нейтр-ции  $HNO_3$  аммиаком про-

изводится в аппаратах Хоблера (диам. 2,2 м, высота 11,2 м) с получением 73—75%-ного р-ра  $NH_4NO_3$ , который упаривается до 94,5%-ного плава в двухкорпусных выпарках. После смешения с  $CaCO_3$  проводится гранулирование продукта в башнях. Освобожденный от мелочи и припудренный инертным материалом продукт упаковывается машинами в бумажные мешки.

А. Иванов  
51747. Анализ технических показателей аммиачного завода в США. Погань (Egy USA ammóniagyár műszaki mutatóinak elemzése. Pó g á n y G y ő r g y), Műszaki élet, 1956, 11, № 15, 25—26 (венг.)

51748. Очистка газовой смеси для синтеза аммиака. Удаление окиси углерода промывкой медноаммиачными карбонатными растворами. Игалон, Ванхилл, Уиллеминс (Purification of gases for ammonia manufacture. Removal of carbon monoxide by cuprammonium carbonate solutions. E g a l o n R., V a n h i l l e R. W i l l e m y n s M.), Industr. and Engng Chem., 1955, 47, № 5, 887—899 (англ.)

Исследовано влияние компонентов р-ра, содержащего (%):  $NH_3$  17—18,  $CO_2$  13—14,  $Cu^{2+}$  1,5—2,  $Cu^{+}$  10—11, на абсорбцию CO из газовой смеси для синтеза  $NH_3$ . Установлено, что активным является комплекс  $Cu_2CO_3 \cdot nNH_3$  (I), а комплексы  $CuCO_3 \cdot 4NH_3$ ,  $NH_4HCO_3$  и  $(NH_4)_2CO_3$  неактивны. Приведен пример расчета и номограмма для определения при 25° абсорбционной способности р-ра (по CO). Исследования влияния т-ры (4—55°) и парц. давления CO (до 8 *atm*) подтвердили ур-ние Жаворонкова. При регенерации р-ра имеет значение содержание в р-ре  $Cu^{2+}$ . Продолжительность нагревания р-ра можно увеличить установкой теплоизолированной камеры перед холодильником для регенерированного р-ра. Приведены также: схемы аппаратов для непрерывного определения и записи содержания активного  $NH_3$  (связанного в комплексе I),  $Cu^{+}$  и CO в р-ре, а также фотоколориметра для  $Cu^{2+}$ ; новая схема очистки газа от CO (с нагревательной камерой для регенерированного р-ра); пример расчета скруббера для абсорбции CO; 3 старых и одна новая схема регенерации р-ра. Библ. 8 назв. Г. Рабинович

51749. Аммиак из газов каталитического реформинга. Пфейффер, Сандлер (Ammonia from cat reformer off-gas. Pfeiffer Carl, Sandler Henry J.), Petrol. Refiner, 1955, 34, № 5, 145—152 (англ.)

Рассматривается экономика синтеза  $NH_3$  при использовании  $H_2$  из отходящих газов реформинга с различным содержанием  $N_2$  (94,2, 85,4 и 77,7 мол.%) для 6 различных способов очистки  $H_2$ : 1) низкотемпературного разделения, 2) конверсии с паром, 3) частичного окисления, 4) конверсии с 95%-ным  $O_2$ , 5) конверсии с воздухом, обогащенным  $O_2$ , 6) комбинации промывки маслом и реформинга с паром. Приведены технологич. схемы очистки. Для установки производительностью 200 *t* в сутки  $NH_3$  миним. издержки произ-ва дает 1-й способ, затем 3-й и 4-й, однако стоимость 1 *t*  $NH_3$  в двух последних случаях получается выше  $\sim$  на 30%.

В. Шекин  
51750. Очистка отходящих газов от окислов азота. Питерс (Stop pollution by nitrogen oxides. Peters Max S.), Chem. Engng, 1955, 62 № 5, 197—200 (англ.)

Приведены результаты опытов по определению эффективности поглощения окислов N (OA), содержащихся в газе-разбавителе (воздухе) в кол-ве 0—2%, водой в различных абсорберах при атмосферном давлении и т-ре 25° и сравнение их с результатами опытов Фостера и Даниэла (Foster E. G., Daniels F., Industr. and Engng Chem., 1951, 43, 986) по абсорбции OA силикагелем. Скорость абсорбции OA лимитируется р-цией с водой. При большой конц-ии OA наиболее эффектив-



ны адсорберы барботажного типа (с колпачками или пористыми стеклянными пластинками); при конц-ии ОА < 0,4% более эффективны адсорберы с силикагелем. Повышение давления или понижение т-ры повышает эффективность поглощения ОА для обоих случаев. Эффективность не зависит от скорости жидкости (при конц-ии < 10%  $\text{HNO}_3$ ). Библ. 8 назв. Г. Рабинович

**51751 П.** Аппаратура для окисления аммиака (Ammonia oxidation apparatus) [Norsk-Hydro-Electrisk Koaelstofaktieselskap]. Австрал. пат. 163646, 14.07.55. При сжигании в контактной печи  $\text{NH}_3$  до окислов N для удаления части тепла р-ции устанавливается теплоустойчивый газопроницаемый экран, расположенный в пространстве между контактом и зоной отвода реакционного тепла. В. Матвеев

**51752 П.** Получение гидразина. Пассино (Production of hydrazine. Passino Herbert J.). [The M. W. Kellogg Co.]. Пат. США 2717201, 6.09.55. Для получения  $\text{N}_2\text{H}_4$  (I) мочевины (II) контактируется в реакционной зоне с металлом (III) (образующим карбонил) взятым в кол-ве  $\geq 2$  вес.% (10—50%) от находящейся в зоне р-ции II, при т-ре между 40° и т-рой плавления или кипения II. В качестве III можно применять Fe, Ni, Co, Mo и Pb. Жидкая смесь I и карбонила удаляется из зоны р-ции, I отделяется, а металл регенерируется и снова идет на контактирование. В случае применения Ni для регенерации металла смесь I с  $\text{Ni}(\text{CO})_4$  нагревается 10—60 мин. при 60—80° для разложения карбонила. Пример. Расплавленная II при т-ре > 132° пропускается при атмосферном давлении через гранулированную массу Ni или Fe. Образовавшийся I в газообразном виде вместе с CO уходит из зоны р-ции и при 100° отделяется от CO. В случае применения Fe получают некоторые кол-ва семикарбонида и тетракарбонила Fe, эти соединения отделяются от I при 113°. Л. Пашковская

См. также: Контроль произ-ва 53556

## ЭЛЕМЕНТЫ. МИНЕРАЛЬНЫЕ СОЛИ. ОКИСЛЫ. КИСЛОТЫ. ОСНОВАНИЯ

Редакторы В. И. Елинек, В. Д. Матвеев,  
Н. А. Ширяева

**51753.** Извлечение лития из руд. Эллестад, Кларк (Extraction of lithium from its ores. Ellestad Reuben B., Clarke Fremont F.), Mining Engng, 1955, 7, № 11, 1045—1047 (англ.). Приведены методы извлечения Li из сподуменовых руд: 1) обменной р-цией с сульфатами щел. металлов ( $\text{K}_2\text{SO}_4$ ,  $\text{Na}_2\text{SO}_4$ ) и последующим выщелачиванием сульфата Li; 2) спеканием при высокой т-ре с CaO или  $\text{CaCO}_3$  и выщелачиванием гидроокиси Li; 3) смешанным процессом высокотемпературного спекания со смесями солей ( $\text{CaCO}_3$  с  $\text{CaSO}_4$  и  $\text{CaCl}_2$ ;  $\text{CaCO}_3$  с  $\text{CaSO}_4$ ;  $\text{Ca}(\text{OH})_2$  с гипсом;  $\text{CaCO}_3$  с  $\text{CaCl}_2$ ) и последующим выщелачиванием  $\text{Li}_2\text{SO}_4$  или дистилляцией LiCl. Метод, применяемый в настоящее время Американской Литиевой Корпорацией, основан на предварительной конверсии при ~1100°  $\alpha$ -сподумена в  $\beta$ -сподумен, который затем разлагается конц.  $\text{H}_2\text{SO}_4$ . В отличие от вышеперечисленных методов такая технология не требует тщательного измельчения и перемешивания руды и реагентов, а также продолжительных высокотемпературных операций; не нужен дополнительный разлом после вскрытия руды. На работающем по этой схеме з-де конверсию сподуменовой флотоконцентрата проводят в футерованной огнеупорным кирпичом 12-м вращающейся печи диам. 1,2 м с производительностью (по концентрату) 2 т/час. Обогрев — дымовыми газами. Кис-

лотная обработка размолотой руды ведется в 9-м вращающейся печи диам. 0,9 м при 40%-ном избытке к-ты и нагреве до 250°. Водн. выщелачивание ведут при перемешивании воздухом в резервуаре емк. 3 м<sup>3</sup>. Избыток к-ты нейтрализуют известняком, осаждающая одновременно часть Fe и Al. Р-р отделяют от осадка на барабанном вакуум-фильтре, очищают от Ca, Mg, Fe и Al и упаривают до конц-ии  $\text{Li}_2\text{SO}_4$  200 г/л. Из этого р-ра осаждают кальцинированной содой карбонат Li. Извлечение Li из концентрата, содержащего 4—5%  $\text{Li}_2\text{O}$  составляет ~85%, однако общий выход из руды < 40—50%. Библ. 16 назв. Л. Херсонская

**51754.** Сернокислый магний из морской воды. Ильинский В. П., Тр. Дальневост. фил. АН СССР, 1956, вып. 2, 89—94

Технически чистый эпсомит ( $\text{MgSO}_4 \cdot 7\text{H}_2\text{O}$ ) получают охлаждением до -5° рассолов уд. в. 1,29—1,31, полученных из морской воды испарением при 25, 55, 75 и 100° с добавлением к ним 6 объемн.% морской воды. Для получения оптимального выхода эпсомита (65—68% от содержания  $\text{MgSO}_4$  в морской воде) маточный р-р должен содержать (в %):  $\text{MgSO}_4$  9,1,  $\text{MgCl}_2$  14,7, NaCl 9,8. А. Чемоданов

**51755.** Производство титана. Каванаэ (チタン工業概観. 概観), 化学と工業, Кагаку то коге, Chem. and Chem. Ind., 1956, 9, № 8, 369—376 (японск.) Обзор. Библ. 17 назв. Н. Ширяева

**51756.** Производство фосфора. Шеперд (The manufacture of phosphorus. Shepherd F. B.), Chemistry and Industry, 1956, № 45, 1324—1330 (англ.) Обзор. История развития произ-ва Р. Электротермич. произ-во Р. Подготовка сырья. Печь с 2 электродами, расположенными по 6-угольнику, и с 2-х трехфазными трансформаторами. Электрофильтры и конденсаторы. Очистка Р. Работа печи и ее регулирование. Аналитич. контроль произ-ва. Использование отходов. Библ. 11 назв. Е. Бруккус

**51757.** Получение хлористого нитризола. Виль (Préparation du chlorure de nityle. Ville Jean), Mém. poudres, 1955, 37, 343—349 (франц.)

Получение хлористого нитризола взаимодействием хлорсульфоновой к-ты с крепкой азотной к-той по ур-нию:  $\text{HClSO}_3 \times \text{HNO}_3 \rightarrow \text{H}_2\text{SO}_4 \times \text{NO}_2\text{Cl}$ , а также применяемая для этой цели аппаратура и метод определения степени чистоты получаемого продукта (~97%). Библ. 24 назв. М. Фийсбейн

**51758.** Получение хлора. Линдаль, Якобсон (Klórvinnsla. Lindal Baldur, Jakóbsson Johann), Timarit Verkfraedingafélags Islands, 1956, 41, № 1, 1—10 (исл.)

**51759.** Удаление железа из растворов хлоридов ионным обменом. Ринте, Калер (Anion exchange removal of iron from chloride solutions. Reents A. C., Kahler F. H.), Industr. and Engng Chem., 1955, 47, № 1, 75—77 (англ.)

$\text{Fe}^{3+}$  из HCl удаляют в виде комплексного иона  $\text{FeCl}_4^-$  сильной анионообменной смолой (на основе тетраамещ. аммониевых оснований). В начале цикла вытекающий из колонны р-р содержит небольшое кол-во Fe, однако по мере создания в колонне достаточной конц-ии HCl содержание Fe быстро снижается до 0. Емкость смолы при конц-ии HCl 28% и Fe в виде  $\text{FeCl}_4^-$  125·10<sup>-4</sup>% составляет 325 л HCl на 1 л смолы. Регенерация смолы осуществляется пропуском через колонну 3,6 л  $\text{H}_2\text{O}$  на 1 л смолы, уменьшение конц-ии HCl приводит к разрушению комплекса и вымыванию Fe. За 203 цикла емкость смолы уменьшилась на 3,7%. Метод пригоден для очистки от  $\text{Fe}^{3+}$  р-ров  $\text{AlCl}_3$  и HCl-ров травильных ванн (при условии предварительного окисления Fe до  $\text{Fe}^{3+}$ , продуванием воздуха через р-р). Библ. 5 назв. В. Матвеев

1760. Флотация растворимых солей и некоторые ее применения. Реми-Женте (La flottation des sels solubles. Quelques applications. Rem y - G e n n e t é P.), Génie chim., 1956, 76, № 2, Suppl., 45—57 (франц.).

Флотация растворимых солей по сравнению с дробной кристаллизацией значительно упрощает и удешевляет извлечения солей. Разобраны условия для наиболее полной флотации и приведены 3 типа коллекторов: анионные (жирные к-ты, мыла, ксантаты типа  $S = C(OC_2H_5)_3 \cdot Na$ , аэрофлоты типа  $S = P(OC_2H_5)_3 \cdot Na$ , алкиларилсульфонаты  $R - Ar - SO_3Na$ , алкилсульфаты  $R - O - SO_3Na$ ), катионные (соли аминов  $[R - N(CH_3)_3]^+ Cl^-$  и неионные (алифатич. амины с длинной цепью). Примеры применения. Библ. 10 назв. И. Зимаков

51761 Д. Исследование действия ксантогената и влияния некоторых модификаторов на флотацию гаденита, сфалерита и церуссита с применением метода радиоактивных индикаторов. Поднек А. К. Автореф. дисс. канд. техн. н., Ленингр. горн. ин-т, Л., 1956

51762 П. Способ получения твердого сульфата натрия. Яги, Накадзава, Мэгуро (固形亜硫酸ソーダ製造法. 八木 啓, 中澤道雄, 目黒智郎) [別府化学工業株式会社. Баппу кагаку корё кабусики кайсей]. Япон. пат. 8176, 11.12.54 [Chem. Abstrs, 1956, 50, № 13, 9702 (англ.)]

В конц. р-р  $Na_2CO_3$  пропускают  $SO_2$ ; получают конц. р-р  $NaHSO_3$  уд. в. 1,35—1,41, содержащий (в г/л):  $NaHSO_3$  420—490,  $H_2SO_3$  5—7. Этот р-р обрабатывают твердым  $Na_2CO_3$  при 50° до прекращения выделения  $CO_2$ , а затем выливают в форму, где он затвердевает. Полученный продукт, т. пл. 42°, содержат (в %):  $Na_2SO_3$  52,6,  $Na_2SO_4$  2,3,  $H_2O$  44,1 и не содержит  $Na_2CO_3$ . Г. Рабинович

51763 П. Процесс производства двуокиси углерода, сульфата натрия и карбоната кальция. Мурад (Process for the production of carbon dioxide, sodium sulphate and calcium carbonate. Mourad J. N.), Англ. пат. 722059, 19.01.55

Сухую смесь  $NaHCO_3$  и  $CaSO_4$  помещают в закрытый сосуд и прибавляют  $H_2O$  для инициирования р-ции и получения жидкой или полужидкой смеси, удобной для перемешивания. Когда выделение  $CO_2$  уменьшится, повышают т-пу до 80°. Затем содержимое реактора выгружают,  $CaCO_3$  отстаивают и перерабатывают, а из р-ра выкристаллизовывают сульфат Na.

В. Шацкий

51764 П. Способ удаления воды из концентрированного раствора нитрата кальция. Акен (Verfahren zum Austreiben von Wasser aus einer konzentrierten Calciumnitratlösung. Aken Johannes Stephanus Antonius Joseph Maria van) [Der Niederländische Staat vertreten durch: De Directie van de Staatsmijnen in Limburg]. Пат. ФРГ 941789, 19.04.56

Гранулированный безводн. (или с малым содержанием воды)  $Ca(NO_3)_2$  (I) получают нагреванием конц. р-ра I, полученного обычным способом, под давлением, повышенным настолько, что р-р не кипит. Затем давление резко снижают, образовавшуюся при этом кашку (в результате испарения воды) смешивают с уже обезвоженным I, получая продукт, содержащий ≤10% воды, который затем окончательно высушивают. Пример. В испаритель помещают р-р I, содержащий 45% воды, и упаривают его до содержания воды 25,5%. Полученный конц. р-р при давл. 19 ага нагревают до ~260° и затем сбрасывают давление до ~1 ага. Содержание воды в р-ре при этом падает до 14,7%. 100 кг

полученной кашицы смешивают со 110 кг сухого продукта, содержащего 1,5% воды; получают смесь с влажностью 7,8%, которую сушат в барабане при ~230°. Сухой продукт (197 кг, 1,5% влажность) после охлаждения разделяют на ситах. Получают 30 кг продукта с величиной гранул ≤3 мм, 97 кг — с величиной гранул 3—4 мм и 70 кг — с величиной гранул >4 мм. Тонкие и грубые фракции вместе с 10 кг средней фракции после смешения возвращают в процесс для облучения к кашке. Выход средней фракции I 87 кг.

И. Елинек

51765 П. Способ получения хлоритов щелочных металлов. Ямамото, Фукусима, Накамура (亜塩素酸アルカリの製造方法. 山本外男, 福島登司男, 中村光良) [旭化成工業株式会社. Асахи касэй корё кабусики кайсей] Япон. пат. 7576, 18.11.54 [Chem. Abstrs, 1956, 50, № 9, 6758 (англ.)]

Р-р, содержащий 3% NaOH и 0,3% гемицеллюлозы, обрабатывали 4,09 г  $ClO_2$ -газа, разбавленного воздухом до 5% конц-ии; получали продукт, содержащий 5,15 г  $NaClO_2$  и 0,2 г NaCl; выход 94%, считая на  $ClO_2$ . В качестве восстановителя для этой р-ции может служить остаток от гидролиза клейковины HCl-к-той в произ-ве glutaminовой к-ты. Г. Рабинович

51766 П. Тиосульфат аммония. Фарр, Рухов (Ammonium thiosulfate. Farr Henry V., Ruffhoff John R.) [Mallinckrodt Chemical Works.], Канад. пат. 508817, 4.01.55

Для предохранения от разложения безводного  $(NH_4)_2S_2O_8$  его помещают в контейнер со сжатым  $NH_3$ , поступающим из внешнего источника. В. Матвеев

51767 П. Новые соли меди и методы их получения. (Nouveaux sels de cuivre et leur procédé de préparation) [Société des usines chimiques Rhône-Poulenc]. Франц. пат. 1109259, 24.01.56

Предлагаемый метод получения Cu-солей галлоидо-содержащей бензойной к-ты состоит в проведении р-ции обменного разложения в водн. среде между растворимой солью щел. металла и галлодосодержащей бензойной к-ты и растворимой солью Cu (напр.,  $CuSO_4 \cdot 5H_2O$ ). Приведены рецептуры получения р-хлорбензоата меди и дихлор-2,4 бензоата меди. Обе соли отделяют фильтрацией в виде осадка. Л. Михайловский

51768 П. Усовершенствование способов гидратации цианамиды кальция (Perfectionnement aux procédés d'hydratation de la cyanamide de chaux) [Soc. des Produits Azotés]. Франц. пат. 1083446, 10.01.55 [Chimie et industrie, 1956, 75, № 1, 93 (франц.)]

Усовершенствование состоит в объединении операции гидратации  $CaCN_2$  с операцией разделения на сите 300—350 меш. (путем пневматич. сепарации воздухом) недостаточно полно гидратированных смесей, полученных в 1-й операции. Я. Кантор

51769 П. Флотационный способ обогащения руд, содержащих цинковую обманку. Зибель (Verfahren zur Aufbereitung von zinkblendehaltigen Erzen nach dem Schaumschwimmverfahren. Siebel Joseph) [Erz- u. Kohle-Flotation G. m. b. H.]. Пат. ФРГ 938242, 26.01.56

При селективной флотации свинцово-цинковых руд для ускорения активирования  $ZnS$ , помимо  $CuSO_4$ , добавляют к пульпе альдегиды (формальдегид, хлоральдегид, фурфурол), водорастворимые соли  $S_2(S_2O_3)$ ,  $NaCl_2$ ,  $Fe_2(SO_4)_3$ , сульфиды ( $Na_2S$ ) и окислители  $((NH_4)_2S_2O_8)$  отдельно или в сочетании друг с другом. Напр., при употреблении на 1 т руды 275 г  $CuSO_4$  и 250 г хлоральдегидата или 275 г  $CuSO_4$  и 50 г  $SeO_2$  достигают такого же извлечения, как при 550 г  $CuSO_4$  без добавок. Помимо перечисленных реагентов, в пульпу вводят метилксантат калия, сапониол и в качестве депрессора—двойные бисульфитные соли. М. Александрова

**51770 П.** Способ извлечения стронция из барита. Накан (重晶石中に含まるストロンチウム分を抽出する方法. 半井茂明), Японск. пат. 8003, 7.12.54 [Chem. Abstrs, 1956, 50, 12, 8980 (англ.)]

Отделенный от гранита флотационный барит, содержащий 0,6% Sr, смешанный с 4%  $\text{SiO}_2$  и 30% бездымного угля, нагревали 2 часа при 800—1000° и 3 часа при 1200° для восстановления  $\text{BaSO}_4$  в  $\text{BaS}$ . Материал обрабатывали теплой водой для выщелачивания  $\text{Ba}(\text{HS})_2$ ; получили остаток, содержащий 1,8—2,3%  $\text{SrSO}_4$ ; этот остаток нагревали в вертикальной печи при 800—1000° с воздухом; получили полупродукт, содержащий 4,5—5,1%  $\text{SrSO}_4$ . Полупродукт нейтрализовали  $\text{HCl}$  (к-та) и отфильтровали р-р  $\text{BaCl}_2$  и  $\text{SrCl}_2$ . Р-р концентрировали для отделения  $\text{BaCl}_2$  кристаллизацией, затем экстрагировали спиртом с образованием спирт. р-ра  $\text{SrCl}_2$ .

**51771 П.** Способ получения боргидридов щелочных металлов. Виттиг, Хорнбергер (Verfahren zur Herstellung von Alkali-bor-hydrid. Wittig Georg, Hornberger Paul) [Heyl & Co. Chemisch-Pharmaceutische Fabrik]. Пат. ФРГ 944546, 21.06.56

Боргалогениды (преимущественно  $\text{BF}_3$ ) или их эфиры подвергают обменному разложению с гидридом щел. металла в среде эфира при повышенной т-ре в автоклаве. Пример: эфирную суспензию из 0,63 моля порошкообразного  $\text{LiH}$  тесно смешивают с 0,05 моля эфира  $\text{BF}_3$ , разб. таким же объемом безводн. эфира. Смесь нагревают в автоклаве при 125° 24 часа, обрабатывают эфиром, отфильтровывают остаток  $\text{LiH}$  и при охлаждении р-ра выделяют бесцветные кристаллич. иглы  $\text{Li}[\text{BH}_4](\text{C}_2\text{H}_5)_2\text{O}$ ; выход 85—90%. Кристаллизационный эфир удаляют при высушивании в вакууме при 70—80°.

**51772 П.** Обработка щелочных алюминатных растворов (Treating caustic aluminate liquors) [Kaiser Aluminium & Chemical Corp.]. Австрал. пат. 163682, 14.07.55

Щелочные алюминатные р-ры, содержащие органич. соединения, препятствующие осаждению перешедших в р-р нерастворимых остатков алюминиевых руд, подвергают конц-ии, при этом органич. соединения осаждаются в виде шлама, который затем отделяют от жидкости.

**51773 П.** Способ абсорбции четырехфтористого кремния. Глосс, Гросс (Verfahren zur Absorption von Siliciumtetrafluorid. Gloss Gunter H., Gross John H.) [International Minerals & Chemical Corp.]. Пат. ФРГ 947791, 23.08.56

Газы, выделяющиеся при разложении природного фосфата (ПФ) к-той (напр. при получении  $\text{H}_3\text{PO}_4$ , суперфосфатов и т. д.) и содержащие  $\text{SiF}_4$  и частицы пыли ПФ, промывают води. р-ром  $\text{NH}_3$  (для уменьшения растворимости пыли ПФ); полученный р-р должен иметь pH-3,5÷5,5 (4,5); т-ру р-ра поддерживают в пределах от т-ры замерзания до 40° (5—25°); шлам, содержащий пыль ПФ и  $\text{SiO}_2$ , может находиться в р-ре ≤ 8 час. Этот шлам отделяют от р-ра фильтрованием или другим способом, а р-р, содержащий незначительное кол-во  $\text{P}_2\text{O}_5$ , перерабатывают в  $\text{NH}_4\text{F}$  или другие фториды или кремнефториды.

**51774 П.** Сложные материалы с высокой термостойкостью и стойкие к окислению (Compound materials with high heat and oxidation resistance) [Metro-Cuntant, Ltd]. Англ. пат. 719852, 8.12.54

Материал состоит из смешанных карбидов, основным компонентом которых является  $\text{TiC}$ , находящийся в смеси с одним или несколькими другими карбидами, обладающими такой же высокой т-рой плавления. Карбидная составная часть составляет 40—60%; остальное кол-во приходится на связующее, в качестве которого

служат Ni-Cr- или Co-Cr-сплавы, стойкие к окислению и жаростойкие при т-рах, близких к т-ре плавления. Карбидная фаза, состоящая из 50%  $\text{TiC}$ , может также содержать карбиды V, Zr и Cr и до 20% карбидов Mo, W, Nb, Ta и Hf. Примеры. Смесь равных частей карбидов V и Ti импрегнировалась Co-Cr-сплавом, содержащим растворенные карбиды Ti и V, или смесь карбидов Ti и Cr импрегнировалась Ni-Cr-сплавом, содержащим растворенные карбиды Ti и Cr, или смесь  $\text{TiC}$  импрегнировалась Ni-Cr-сплавом.

**51775 П.** Усовершенствование способа хлорирования титановых руд. Исицука (チタニウム含有物の鹽素化法の改良. 石塚博), Японск. пат. 1869, 22.3.55 [Chem. Abstrs, 1957, 51, № 3, 2242 (англ.)]

Через брикеты руды (3,9 м), содержащие (в %):  $\text{TiO}_2$  55,6, C 25,3, FeO 7,2,  $\text{SiO}_2$  44, MgO 3,5 и  $\text{Al}_2\text{O}_3$  3,2 и помещенные в печь пропускали при 700° в течение 24 час. 5,2 м  $\text{Cl}_2$ ; образовавшийся  $\text{TiCl}_4$  конденсировали. Остаток в печи, содержащий  $\text{CaCl}_2$  и  $\text{MgCl}_2$ , обрабатывали в течение 2 час. воздухом для выделения  $\text{Cl}_2$ . Всего получили 3,8 м  $\text{TiCl}_4$  и 1,2 м золы. Без обработки воздухом выходы  $\text{TiCl}_4$  и золы составили соответственно 3,4 и 1,7 м.

**51776 П.** Очистка германия (Purification of germanium) [Marconi's Wireless Telegraph Co. Ltd]. Австрал. пат. 163707, 14.07.55

Металлический Ge получают восстановлением водородом  $\text{GeO}_2$  при нагревании; затем Ge охлаждают с определенной скоростью в теплопроводном тигле. Последний сделан такой формы, чтобы получить слиток каплеобразной формы. Тигель устанавливается так, чтобы в контакте со стенками печи (или около стенок) находилась лишь удлиненная сторона каплеобразного слитка.

**51777 П.** Способ обогащения карбонатных, окисных или окисленных сульфидных руд или других минералов с помощью пенной флотации. Зибель (Verfahren zur Aufbereitung karbonatischer, oxydischer oder oxylierter sulfidischer Erze oder anderer Mineralien nach dem Schaumschwimmverfahren. Siebel Joseph) [Erz- u. Kohle-Flotation G. m. b. H.]. Пат. ФРГ 938243, 26.01.56

Способ отличается тем, что для сульфидирования руд, напр. свинцовых, наряду с сульфидами щел. металлов или щелочами применяют тиоцетамид, тиоформамид, тиомочевину. Дозировку щел. средств производят так, чтобы не превышалось крит. значение pH.

**51778 П.** Способ получения хлорангида сульфаминовой кислоты. Граф (Verfahren zur Herstellung von Sulfaminsäurechlorid. Graf Roderich) [Farbwerke Hoechst Akt.-Ges. vormals Meister Lucius & Brüning]. Пат. ФРГ 937645, 12.01.56

К хлорангидриду N-карбонилсульфаминовой к-ты  $\text{OCNSO}_2\text{Cl}$  (I), полученному по пат. (РЖХим, 1956, 62766), при сильном охлаждении (от -80 до 0°) и перемешивании приливают по каплям эквимоляр. кол-во воды или в-в, содержащих воду, напр. конц.  $\text{HCl}$ , или  $\text{Na}_2\text{SO}_4 \cdot 10\text{H}_2\text{O}$ , причем образуются  $\text{H}_2\text{N} \cdot \text{SO}_2\text{Cl}$  (II) и  $\text{CO}_2$ . Можно также растворить I в  $\text{C}_6\text{H}_6$ , ксилоле,  $\text{CCl}_4$  или циклогексане, а воду разбавить ацетоном, диоксаном или эфиром и проводить р-цию при 0°—40°; в р-р I в  $\text{C}_6\text{H}_6$  или другом р-рителе пропускать определенное кол-во воздуха с известной влажностью или пропускать смесь паров воды и р-рителя. Для выделения II р-ритель отгоняют при пониженном давлении. В случае необходимости II можно дистиллировать под высоким вакуумом. II является промежуточным продуктом для получения фармацевтич. продуктов, вспомогательных материалов для текстиля и пестицидов. Пример: к 141,5 вес. ч. I в течение 30 мин. добав-



ляют 27,7 ч. 35%-ной HCl, поддерживая вначале т-ру  $-60^\circ$  и допуская ее повышение до  $30^\circ$  в конце р-ции. При этом отщепляется  $\text{CO}_2$ , выделяется HCl и получается плав, затвердевающий при охлаждении. При дистилляции его при  $100-105^\circ$  и давл. 1 мм рт. ст. отгоняется 95 вес. ч. II (т. пл.  $40-41^\circ$ ).

Г. Рабинович

**51779 П. Метод приготовления водорастворимых комплексов хрома.** Бильже, Тассель (Procédé de préparation de complexes de chrome solubles dans l'eau. Bilger Xavier, Tassel Edmond) [Compagnie française des matières colorantes]. Франц. пат. 1110459, 13.02.56

Получение комплексных солей хрома (I) производят взаимодействием хроматов щел. металлов, карбоновой к-ты (содержащей  $>3$  атомов C) и HCl (газ) в среде низших спиртов (этилового, изопропилового). Пример. В амалированном чугунном реакторе смешивают (в вес. ч.):  $\text{Na}_2\text{Cr}_2\text{O}_7$ , 680 и 85%-ного  $\text{C}_2\text{H}_5\text{OH}$  1600, далее пропускают HCl (газ) 280 (р-р окрашивается в зеленый цвет), затем добавляют стеариновой к-ты 560 и нагревают при  $70^\circ$  до полной растворимости в воде. Полученный р-р I отфильтровывают.

Л. Михайловский

**51780 П. Способ получения чистого селена.** Вальден, Эденвалль (Sätt att framställa raffinerat selen. Wallidén S. J., Edenwall I. A. O. [Bolidens Gruv AB]. Швед. пат. 153085, 17.01.56

Из водн. р-ра соединений Se примеси удаляют адсорбирующими осадками, полученными в р-ре; из фильтрата получают чистые соединения Se. Способ может быть выполнен введением реагентов, вызывающих образование осадка немедленно или после изменения кислотности р-ра. Для получения осадков применяют соединения, образующие гидроокиси Fe, Al, Ni, Co, Mg, Mn, или силикаты, образующие осадок  $\text{SiO}_2$ . Для очистки от соединений Te р-р должен иметь pH  $\sim 4-7$  (лучше 5,5-6,0). Исходные щел. р-ры нейтрализуют HCl,  $\text{H}_2\text{SO}_4$  или  $\text{SeO}_2$ . В случае введения в р-р соединения Fe его добавляют перед нейтр-цией. Пример: к 8 л водн. щел. р-ра  $\text{Na}_2\text{SeO}_4$  или  $\text{Na}_2\text{SeO}_3$ , содержащего 56 г/л Se, добавляют 37 г  $\text{FeSO}_4 \cdot 7\text{H}_2\text{O}$  и нейтрализуют 1,35 л р-ра  $\text{SeO}_2$ , содержащего 240 г/л Se. Se осаждают из фильтрата действием  $\text{SO}_2$ ; полученный продукт содержит (%): Te  $<0,001$ ; Sb  $<0,0005$ ; Bi  $<0,0002$ ; Pb  $<0,0005$ .

К. Герцфельд

**51781 П. Водные растворы, содержащие комплексный ион марганца, и получение из них соединений марганца.** Дин (Aqueous solutions containing manganese in a complex ion and to manganese compounds made from them. Dean Reginald S.). Канад. пат. 507478, 23.11.54

Новое комплексное кристаллич. соединение  $\text{Mn}_2\text{O} \cdot [(\text{NH}_4)_2\text{X}_4]_2$ , где X — анион одноосновной к-ты (напр., HCl, карбоновой или карбаминной к-ты), получают, экстрагируя Mn из его соединений (напр., металлч. Mn,  $\text{MnO}$ ) водн. р-ром  $\text{NH}_3$  (или водн.  $\text{NH}_3$ -р-ром, содержащим Mn в виде аниона) с  $\text{NH}_4$ -солью к-ты HX. Указанный р-р должен содержать избыток в 50 г/л  $\text{NH}_3$ , а кол-во HX не больше — стехиометрич. кол-ва Mn. Приведена треугольная диаграмма для расчета условий равновесия в р-ре.

В. Матвеев

**51782 П. Способ и аппарат для восстановления железа.** Кит, Уобк (Förfarande och apparat för reduktion av järnoxid. Keith P. C., Woebcke H. N.) [Hydrocarbon Research. Inc.]. Швед. пат. 150261, 14.06.55

Тонкоизмельченные окислы Fe псевдооживают водяным газом при давл.  $14-42 \text{ кг/см}^2$  и  $370-540^\circ$ , причем водяной газ имеет средний мол. в  $\leq 7,5$  и содержит при  $370^\circ \leq 0,5$  об.% водяного пара и при  $540^\circ \leq 3\%$ .

К. Герцфельд

**51783 П. Метод восстановления руд и соединений.** Шир, Корман (Process of reducing ores and compounds. Sheer Charles, Korman Samuel). Пат. США 2735016, 14.02.56

Патентуется процесс и система для разделения элементов из огнеупорных хим. соединений. Создают дугу высокой интенсивности между анодом из этих соединений (в виде карбидов) и угольным катодом, чтобы получить почти 100%-ную ионизацию в форме обильного потока ионов (И); поток И пропускают через пару трубчатых концентрч. электродов для придания дополнительной энергии, значительно большей начальной энергии И, предотвращая при этом отклонение потока созданием магнитного поля в направлении движения И. Затем поток И проходит через перекрестные электрич. и магнитное поля, чтобы разделить различные И на различные пути. Разделенные И собираются в приемниках, находящихся под отрицательным потенциалом, в которых И нейтрализуются, и элементы осаждаются в элементарной форме.

В. Шацкий

См. также: Состав повар. соли из морской воды 51103. Гигроскопические точки солей 51795

## ЛЮМИНЕСЦЕНТНЫЕ МАТЕРИАЛЫ

Редакторы В. И. Елинек, В. Д. Матвеев, Н. А. Ширяева

**51784 П. Светящиеся составы для покрытий** (Fluorescent coating compositions) [British Thomson-Houston Co., Ltd]. Англ. пат. 733318, 6.07.55

Светящийся состав представляет собой суспензию люминесцентного материала (ЛМ) в эфирцеллюлозном лаке, содержащем несмешивающиеся с водой р-рителю и добавку 0,1-0,7 вес. % (в расчете на ЛМ) мелкодисперсной  $\text{H}_2\text{BO}_3$ . Последняя применяется в момент образования ее при гидролизе небольшим кол-вом воды гликоль-, фенил- или алкил- (бутил-, этил-, метил-) боратов. Гидролиз проводится в присутствии р-рителя — целлолозы, смешивающегося как с водой, так и с лаковыми р-рителями. В качестве ЛМ применяют галофосфатный ЛМ и смеси вольфрамата Mg и силиката Ca, активированные Pb и Mn. Лак готовится на нитро-, ацетил-, этил-, бутират- или ацетобутиратцеллюлозе с р-рителями: сольнат-нафтой и бутилацетатом, амил-ацетатом, нитропропаном, метилэтилкетон и толуолом в смеси со спиртом.

В. Матвеев

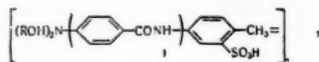
**51785 П. Люминесцентный экран.** Крёгер, Бомгард (Luminiscensskärm. Kröger F. A., Boomgaard J. van den) [N. V. Philips' Gloeilampenfabrieken]. Швед. пат. 149984, 10.05.55

Люминесцентное в-во (ЛВ) экрана состоит из кристаллич. продуктов р-ции, активированных Се и Mn, и содержащих Al, O, P и Ca или Sr; последние содержатся в таких отношениях, что ЛВ имеет структуру  $\beta$ -ортофосфата Ca. Состав ЛВ может быть выражен на треугольной диаграмме тройной системы  $(\text{CaO} + \text{SrO}) - \text{P}_2\text{O}_5 - \text{Al}_2\text{O}_3$  точкой, лежащей в пределах области смешанных кристаллов, ограниченной четырехугольником ABCD, в котором вершины углов соответствуют мол. отношениям компонентов: A 3:1:0; B 40:13:7; C 86:36:21; D 96:42:10.

К. Герцфельд

**51786 П. Люминесцентные вещества.** Робертс (Fluorescent agents. Roberts Stiles M.) [General Aniline & Film Corp.]. Пат. США 2723288, 8.11.55

Патентуются флуоресцирующие в-ва (и их соли) общей ф-лы:



где R — алкилен с 2—4 атомами C,  $n = 0-4$ .

Ю. Гольнец

**51787 П.** Способ получения люминесцентных покрытий в электрических разрядных трубках. Хегедюш, Сигети, Хорват (Verfahren zur Herstellung eines fluoreszierenden Überzuges in elektrischen Entladungsröhren. Hegedus Andreas, Szigeti György, Horvath Antal) (Egysült Izzólámpa és Villamosági Résevénytársaság). Австр. пат. 183480, 10.10.55 [Chem. Abstrs., 1955, 49, № 22, 15504 (англ.)]

При изготовлении люминесцентных ламп и катодно-лучевых трубок перед, во время или после нанесения люминесцентного в-ва применяется аэрозоль, содержащий кремнийорганические соединения. Таким образом, образуемая поверхность содержит, кроме люминесцентного в-ва,  $\text{SiO}_2$  в форме частиц величиной  $\sim 1\mu$ . Покрытие далее обрабатывают соединениями, содержащими спирт. группу (лучше  $\text{C}_2\text{H}_5\text{OH}$ ). Н. Ширева

**51788 П.** Метод образования тонких слоев вещества на кривых поверхностях, например на стенках телевизионных трубок. Каэн (Method for forming thin layers of a substance on curved walls, for instance on the walls of television tubes. Cahen Roger Raymond) [Soc. «La Radio-Industrie»]. Пат. США 2691612, 12.10.54

Для образования на вогнутой стороне кривой поверхности тонкого слоя в-ва, покрытого защитным листом (Л), получают тонкий слой этого в-ва на одной стороне Л из деформируемого материала и накладывают этот Л на вогнутую поверхность стороной с нанесенным слоем. В. Шацкий

## ПРОИЗВОДСТВО КАТАЛИЗАТОРОВ И СОРБЕНТОВ

Редакторы В. И. Елинек, В. Д. Матеева,  
Н. А. Ширева

**51789.** Применение отходов кожи с целью получения активного угля для обесцвечивания. Кокеш, Хореску (Utilizarea deșeurilor de piele în scopul obținerii carbonului activ pentru decolorare. Coșeci V., Horescu I.). Ind. usoaara, 1956, 3, № 5, 179—182 (рум.; реф. русск., нем.)

Приведены результаты опытов по получению активированного угля (АУ) сухой перегонной отходов кожи. Показано, что выход АУ снижается от 55,5% до 42,5% при повышении т-ры дистилляции от 300 до 600°; при этом выход конденсата и газов растет соответственно от 31 и 13,5% до 36 и 21,5%. С повышением т-ры дистилляции растет отношение между смолой и аммиачными водами в конденсате. В конденсате присутствуют: свободный  $\text{NH}_3$ ,  $(\text{NH}_4)_2\text{CO}_3$ ,  $\text{NH}_4\text{CNS}$ , пирролы и фенолы. Для активации к АУ прибавляли  $\text{K}_2\text{CO}_3$  12,5% и вода (0,4 от веса АУ) до образования пасты, подвергавшейся в дальнейшем действию высокой т-ры. Оптимальные условия активации АУ: т-ра при первичной активации 850—900°, продолжительность 7—8 час.; при вторичной активации т-ра 850—900°, продолжительность 6—8 час. Промывка АУ проводилась 2 н.  $\text{HCl}$  и дистилл. водой. Характеристика продукта: зольность 4,2%,  $\text{CN}^-$ ,  $\text{SO}_4^{2-}$ , тяжелые металлы отсутствуют,  $\text{Ca}^{+2}$ ,  $\text{Cl}^-$  следы. Исследована обесце-

вляющая способность полученного АУ. Библ. 9 назв. Г. Маркус

**51790 П.** Аллюмосиликатный катализатор (Silicaalumina catalyst) [Standard Oil Development Co.]. Австрал. пат. 159118, 14.10.54

Катализатор крекинга углеводородов, содержащий 20—60 вес.%  $\text{Al}_2\text{O}_3$  и 80—40 вес.%  $\text{SiO}_2$ , получают механич. смешением гидрогеля  $\text{SiO}_2$  (содержание  $\text{SiO}_2$  3—20 вес.%) и гидрозоля  $\text{Al}_2\text{O}_3$  (содержание  $\text{Al}_2\text{O}_3$  2—6 вес.%). Смешение продолжают до превращения  $\text{SiO}_2$ -гидрогеля в гидрозоль. Затем сумат смесь при т-ре  $> 120^\circ$ . Ю. Гольнец

**51791 П.** Процесс и реактор для окисления олефинов (Process and reactor for the oxidation of olefins) [Chem. patents, Inc.]. Англ. пат. 721412, 5.01.55

Катализатор для получения окисей олефинов состоит из  $\text{Ag}$  или  $\text{Ag} + \text{Ag}_2\text{O}$  на прокаленных  $\text{Al}_2\text{O}_3$ ,  $\text{MgO}$ ,  $\text{ZrO}_2$ , когунде или муллите. Предпочтительно, чтобы катализатор был в виде шариков с шероховатой поверхностью. Диаметр шарика 3,2 мм.  $\text{Ag}$  осаждают (в виде плама) на носитель при взаимодействии  $\text{NaOH}$  и  $\text{AgNO}_3$ . Продукт обжигают при 400°. Перед обжигом можно ввести промоторы: соли или окислы  $\text{Ba}$ ,  $\text{Ca}$ ,  $\text{Sr}$ ,  $\text{Li}$ , напр. Ва-лактат. Ю. Гольнец

**51792 П.** Платиновый катализатор (Platinum catalyst) [Universal Oil Products. Co.]. Австрал. пат. 161066, 24.02.55

Катализатор для риформинга, содержащий 0,01—2%  $\text{Pt}$  на пористом носителе, состоящий из окисла  $\text{Al}$ ,  $\text{Zr}$ ,  $\text{Th}$ ,  $\text{Zn}$ ,  $\text{Si}$  и  $\text{Mg}$ , приготавливают пропитыванием носителя р-ром  $\text{Pt}$  с N-содержащим основанием (растворимое в р-ре  $\text{Pt}$ -соединения), оставшимся в р-ре в процессе пропитки; после пропитки носитель нагревают до т-ры  $> 260^\circ$ . Б. Застенкер

**51793 П.** Адсорбент или составы для катализатора, содержащие основной фосфат кальция (Adsorbent or catalytic compositions containing basic calcium phosphate) [Baugh & Sons Co.]. Англ. пат. 722863, 2.02.55

Для получения адсорбента, пригодного в частности для очистки сока сахарного тростника, формируют пластичную смесь фосфата  $\text{Ca}$  (основность которого  $\geq$  основности гидроксипалатита), глины (отбеливающей глины — аттапульгита), измельченного активированного угля и воды и нагревают массу в отсутствие воздуха при т-ре ниже т-ры стеклования до затвердевания. В смесь можно добавлять крахмал или другое обугливающее органич. в-во. Фосфат  $\text{Ca}$  можно получать при приготовлении смеси, добавляя фосфат к суспензии извести, глины и воды. Е. Бруцке

См. также: Приготовление и свойства катализаторов 50799. Получение металлич. пиркония и гафния восстановлением их фторидов в бомбе 50970. Очистка плутония с помощью катионообменника 50971. Природные алюмосиликаты 50808. Катализаторы 50809

## УДОБРЕНИЯ

Редактор И. Л. Гофман

**51794.** Методика определения потерь аммиачного азота при сплавлении аммиачной селитры с другими компонентами. Кильман и Я. И., Клевке В. А., Тр. Гос. н.-и. и проект. ин-та азот. пром-сти, 1956, вып. 6, 333—336

Для определения потерь  $\text{N}$  50—100 г  $\text{NH}_4\text{NO}_3$  нагревают до плавления в стеклянном реакторе с мешалкой, находящемся в термостате и соединенном с обратным холодильником. В расплав при перемешивании в те-

чение 4—5 мин. вводят небольшими порциями тонкоизмельченный  $\text{CaCO}_3$  (или другое в-во) и перемешивают еще 10 мин. Продукты р-ции, выделяющиеся в результате разложения  $(\text{NH}_4)_2\text{CO}_3$ , просасывают с помощью водоструйного насоса через склянки с титрованным р-ром  $\text{H}_2\text{SO}_4$  и определяют уловленный  $\text{NH}_3$ .

Г. Рабинович

51795. Об определении гигроскопических точек солей. Людковская М. А., Кильман Я. И., Тр. Гос. н.-и. и проэк. ин-та азот. пром-сти, 1954, вып. 4, 178—184

Разработан метод определения гигроскопич. точек солей и, в частности, удобрений, основанный на автоматическом непрерывном фиксировании изменения веса образца, исключающем необходимость периодич. взвешиваний его на воздухе. Описана установка автоматич. регистрирующих весов. Образец соли размером частиц 1—2 мм на стеклянной чашечке помещают на уравновешенные весы в эксикатор. Дно эксикатора заливают насыщ. р-ром соответствующей соли или  $\text{H}_2\text{SO}_4$  или чистой водой для создания заданной упругости водяных паров. Для получения упругости пара, равной нулю, используют  $\text{P}_2\text{O}_5$ . Эксикатор герметично закрывается крышкой и включаются фотоэлектр. и регистрирующие устройства. Весы агрегируют и на ленте гальванометра фиксируется изменение веса во времени. Если исследуют скорости обратного процесса после замены эксикатора, весы не уравновешивают и запись на ленте идет в обратном направлении. Скорость изменения веса определяется тангенсом угла наклона прямой и выражается в мг/час. Приведены результаты определения гигроскопич. точек  $\text{NH}_4\text{NO}_3$  и других N-содержащих солей.

К. Карчевская

51796. Производство сульфата аммония для Австралии. — (Sulphate of ammonia for Australia. —), Chem. and Process Engng, 1956, 37, № 12, 419—420 (англ.)

Описан з-д в Рисдоне (о. Тасмания), получающий контактную  $\text{H}_2\text{SO}_4$  обжогом Zn-концентратов во взвешенном состоянии,  $\text{NH}_3$  из электролитич.  $\text{H}_2$  под давл. 361 ат и  $(\text{NH}_4)_2\text{SO}_4$  (55000 т/год).

Г. Рабинович

51797. Мочевинно-формальдегидные удобрения. Растворимость уреаформа и нитрификация. Кларк, Пи, Гадди, Лундстром (Solubility relationships and nitrification characteristics of urea-form. Clark K. G., Yee J. Y., Gaddy V. L., Lundstrom F. O.), J. Agric. and Food Chem., 1956, 4, № 2, 135—140 (англ.)

Исследованы 35 продуктов конденсации мочевины (М) с формальдегидом (Ф), различных по составу и способу получения, и определена зависимость растворимости и нитрификации в почве от мол. отношения М : Ф в пределах 0,75—1,4. Продукты можно применять в качестве удобрений при отношении М : Ф > 1, но повышение этого отношения не является необходимым для улучшения растворимости и нитрификации продуктов в почве.

Г. Рабинович

51798. Водорастворимая фосфорная кислота в удобрениях. Арчер, Томас (Water-soluble phosphorus in fertilizer. Archer J. R., Thomas R. P.), J. Agric. and Food Chem., 1956, 4, № 7, 608—613 (англ.)

Приведены данные относительного содержания водорастворимой  $\text{P}_2\text{O}_5$  (I) в 250 образцах удобрений различного состава, отобранных в разное время с разных з-дов. Значительные колебания результатов показывают, что на содержание I могут влиять многие факторы при произ-ве удобрений. Так как обычно в произ-ве содержание I не контролируется, то невозможно установить какой фактор является наиболее важным. Можно только указать некоторые общие положения: любая добавка к суперфосфиту (за исключением  $\text{H}_2\text{SO}_4$  и буры) снижает содержание I. Высокая влаж-

ность смешанных удобрений обычно снижает содержание I, за исключением случая применения предварительно аммонизированного суперфосфата. При быстрой сушке и охлаждении содержание I обычно не изменяется. Удобрения можно получать почти с любой желательной степенью растворимости в воде. Агрономич. опыты показывают, что для развития растений достаточная степень растворимости в воде  $\approx 50\%$  и что большее содержание I способствует только первоначальному росту, но не увеличивает урожай.

Е. Бруккус

51799. Производство обесфторенных кальциевых фосфатов в свете новых работ над системой  $\text{CaO} - \text{P}_2\text{O}_5 - \text{SiO}_2$ . Берак (Produkcja termofosfatów wapienowych odfluorowanych w świetle nowych prac nad układem  $\text{CaO} - \text{P}_2\text{O}_5 - \text{SiO}_2$ . Berak J.), Przem. chem., 1956, 12, № 9, 478—484 (польск.)

С целью усовершенствования произ-ва обесфторенных фосфатов — Са (ОФ) проведен ряд работ по уточнению состояния тройной системы  $\text{CaO} - \text{P}_2\text{O}_5 - \text{SiO}_2$ . Изучено поле первичной кристаллизации  $2\text{CaO} \cdot \text{SiO}_2$ , граничащее с полями кристаллизации  $3\text{CaO} \cdot \text{P}_2\text{O}_5$ ,  $\text{CaO} \cdot \text{SiO}_2$  и  $3\text{CaO} \cdot 2\text{SiO}_2$ ; уточнены температурные области существования двух тройных соединений: силикокарнотита (СК) —  $5\text{CaO} \cdot \text{P}_2\text{O}_5 \cdot \text{SiO}_2$  (29,4%  $\text{P}_2\text{O}_5$ ) и нагеллмита —  $7\text{CaO} \cdot \text{P}_2\text{O}_5 \cdot 2\text{SiO}_2$  (21,7%  $\text{P}_2\text{O}_5$ ), из которых 1-й обнаружен в фосфорсодержащем томасовском, а 2-й в мартеновском шлаке. Образование СК происходит с увеличением объема, вследствие чего образцы рассыпаются в порошок. Кроме того, СК полностью растворим в 2%-ном р-ре лимонной к-ты и его присутствие в ОФ является крайней желательной для использования последнего. Приведено 5 разрезов участков тройной системы:  $2\text{CaO} \cdot \text{SiO}_2 - 3\text{CaO} \cdot \text{P}_2\text{O}_5$ ,  $3\text{CaO} \cdot \text{P}_2\text{O}_5 - \text{SiO}_2$ , 10%  $\text{P}_2\text{O}_5$ , 25%  $\text{P}_2\text{O}_5$  и 35%  $\text{P}_2\text{O}_5$ . На основе полученных результатов даются рекомендации оптимальных условий ведения технологич. процесса обесфторивания природных фосфатов при произ-ве удобрений.

С. Глебов

51800. Об агрономическом значении фосфоритной муки. Чернавин А. С. В сб.: Вопр. геол. агроном. руд. М., АН СССР, 1956, 35—40

Приведены результаты полевых опытов, доказавших высокую эффективность фосфоритной муки (ФМ) и возможность ее применения в самых разнообразных районах СССР, на различных почвах и под различными с.-х. культурами, особенно в районах достаточного увлажнения нечерноземной полосы, а также в зоне свеклосеяния. ФМ может стать дешевым местным удобрением. Ее недостаток — трудная растворимость и неспособность снабжать растения фосфором в начальный период роста — исправляется при сочетании ФМ с небольшой дозой суперфосфата, вносимого в рядки вместе с семенами или в гнезда, в лунки при посадке различных с.-х. культур.

Е. Бруккус

51801. Местное калийное сырье для сельского хозяйства. Литынский (Krajowe surowce jako źródło potasu dla rolnictwa. Litynski T.), Przem. chem., 1956, 12, № 5, 276—280 (польск.; реф. русск., англ.)

Приведена характеристика имеющегося в Польше сырья К: филипповских туфов, цементной пыли из электрофильтров, К-солей из Клодавы, глауконитовых зеленых песков и мелассы. Указаны возможности переработки этого сырья в  $\text{K}_2\text{SO}_4$  и применения в необработанном виде в пром-сти и с. х. Важнейшим сырьем является цементная пыль; содержание К в ней можно повысить, добавляя туфы к сырью, поступающему во вращающиеся цементные печи. Библ. 29 назв. Г. Р.

51802. Усовершенствованные способы добавления инсектицидов к удобрениям. Смит (Improved methods for adding insecticides to fertilizers. Smith Victor), Agric. Chemicals, 1956, 11, № 6, 49, 51, 127—128 (англ.)



Выработка в США смешанных удобрений с добавкой инсектицидов (почти исключительно хлорпроизводных для борьбы с насекомыми, обитающими в почве) непрерывно возрастает и составляет  $>1,3\%$  всей продукции смешанных удобрений. Описано оборудование для равномерного распределения твердых и жидких инсектицидов в твердых и жидких удобрениях. Указаны преимущества применения смесей удобрений с инсектицидами.

Е. Бруцкус  
51803. Новый взгляд на применение молибдена. — (A fresh look at molybdenum usage. —), Farm Chemicals, 1955, 118, № 8, 45—49 (англ.)

Освещены следующие вопросы: необходимость Мо для питания растений и симптомами отсутствия Мо в почве. Способы произ-ва удобрений, содержащих молибдаты Na или  $\text{NH}_4$  или  $\text{Mo}_2\text{O}_3$  (смешение; обрызгивание суперфосфата р-ром молибдата; получение суперфосфата разложением природного фосфата  $\text{H}_2\text{SO}_4$ , содержащий Мо-соединения). Возможность замены извести молибденом. Токсичность для скота больших доз Мо в почве и устранение этой токсичности при применении  $\text{CuSO}_4$ . Способы применения Мо: внесение в почву с удобрениями, протравливание семян, опыление с самолетов.

Г. Рабинович

51804 П. Способ получения гранулированной пеллагицидной смеси сульфата и нитрата аммония (Procédé de préparation d'un mélange granulé et ne s'agglomérant pas de sulfate d'ammonium et de nitrate d'ammonium) (Ruhchemie A.-G.). Франц. пат. 1108973, 19.01.56

Слабокислую смесь  $(\text{NH}_4)_2\text{SO}_4$  и  $\text{NH}_4\text{NO}_3$  (свободная кислотность  $<0,1\%$ ), содержащую Fe-соль, в частности Fe-сульфат (в кол-ве 0,4—0,5%  $\text{Fe}_2\text{O}_3$ ), обрабатывают во время или после гранулирования  $\text{NH}_3$  (газом) в таком кол-ве, чтобы гидроокись и/или окись Fe осадилась только на поверхности гранул ( $\sim 1/5$  всей  $\text{Fe}_2\text{O}_3$ ). Можно также к указанной смеси солей добавить в-ва, способствующие затвердеванию гранул, напр.  $\text{Al}_2\text{O}_3$ ,  $\text{SiO}_2$  или легко разлагающийся силикат; добавить к  $\text{NH}_3$  немного водяного пара; горячий гранулированный продукт обработать водяным паром, а затем охладить на решетке, через которую подуют холодные газы, содержащие  $\text{NH}_3$ .

Г. Рабинович

51805 П. Получение нитрата аммония с различной кажущейся плотностью. Сояма, Симоба (各種見掛比重の硝酸アンモニウム製造法. 曾山武, 下部屋太郎) [旭化成工業株式会社, Асахи касэй когё кабушикай]. Японск. пат. 1873, 22.03.55 [Chem. Abstrs, 1957, 51, № 3, 2240 (англ.)]

68%-ный водн. р-р  $\text{NH}_4\text{NO}_3$  выпаривают под вакуумом до насыщения при т-ре 80—100°, нагревают на 5° выше т-ры насыщения и подуют в кристаллизатор, где охлаждают при перемешивании до 50—60°. Полученный продукт пропускают через сито и циклон; он содержит  $<0,1\%$  влаги и имеет кажущуюся плотность 0,95—1,05. Аналогично, при применении р-ра, насыщ. при 100—130°, получают продукт с кажущейся плотностью 0,7—0,95. Патентуется также аппаратура для осуществления процесса.

Г. Рабинович

51806 П. Способ получения компонентов, содержащих калий, из калийных минералов. Данен (Verfahren zur Gewinnung der kaliumhaltigen Bestandteile aus kaliumhaltigen Mineralien. Dansey William B.) [International Minerals & Chemical Corp.]. Пат. ФРГ 945756, 19.07.56

Для получения К-содержащих компонентов (I) из минералов (M), в состав которых входят К и сульфат, из М и насыщ. NaCl- и KCl-р-ра приготавливают смесь, содержащую 25—65% твердых в-в, затем выдерживают эту смесь в течение времени, достаточного для практически полного образования глазерита (II) ( $\geq 10$  мин.),

после чего смесь, содержащую II, направляют в аппаратуру для выделения I. В первоначальную смесь можно добавлять II в качестве затравки (1—10 кг I на 500 кг М). В качестве М применяют, напр., сильвинит (III), содержащий двойные соли сульфата Mg; водн. р-р практически насыщен III.

В. Шацкий

51807 П. Способ уменьшения слеживаемости сульфата калия или аммония или их смесей, содержащих главным образом один или оба этих сульфата. Кире (Verfahren zur Verminderung der Tendenz des Zusammenbackens von Kaliumsulfat, Ammoniumsulfat und Mischungen, die sich im wesentlichen aus einem oder beiden dieser Sulfate zusammensetzen. Kiers Pieter Jakobus Hendrik) [N. V. Koninklijke Nederlandsche Zoutindustrie]. Пат. ФРГ 944317, 14.06.56

Для уменьшения слеживаемости к  $\text{K}_2\text{SO}_4$ ,  $(\text{NH}_4)_2\text{SO}_4$  или их смеси добавляют  $\leq 0,1\%$  (0,05—0,001%) сульфаминовой к-ты или ее соли (щел. металла), распыляя разб., напр. 6%-ный, р-р к-ты или ее соли над твердым сульфатом (или смесью сульфатов) или добавляя р-р к суспензии сульфата (или смеси сульфатов) с последующим отделением сульфата от маточного р-ра и сушкой.

Г. Рабинович

51808 П. Способ уменьшения слеживаемости сульфата калия или аммония или их смесей, содержащих главным образом один или оба этих сульфата. Кире (Verfahren zur Verminderung der Tendenz des Zusammenbackens von Kaliumsulfat, Ammoniumsulfat und Mischungen, die sich im wesentlichen aus einem oder beiden dieser Sulfate zusammensetzen. Kiers Pieter Jakobus Hendrik) [N. V. Koninklijke Nederlandsche Zoutindustrie]. Пат. ФРГ 945392, 5.07.56

Для уменьшения слеживаемости к  $\text{K}_2\text{SO}_4$ ,  $(\text{NH}_4)_2\text{SO}_4$  или их смеси добавляют  $\leq 0,1\%$  (0,05—0,001%) растворимого дитионата (щел. металла), распыляя разб., напр. 5%-ный, р-р последнего над твердым сульфатом (или смесью сульфатов) или добавляя р-р к суспензии сульфата (или смеси сульфатов) с последующим отделением сульфата от маточного р-ра и сушкой.

Г. Рабинович

## ПЕСТИЦИДЫ

Редакторы Ю. А. Баскаков, Н. Н. Мельников

51809. Фумарин — новый родентицидный антикоагулянт оксикумаринового ряда. Робинсон, Крабтри (Fumarin. A new hydroxycoumarin anticoagulant rodenticide. Robinson William H., Crabtree D. Glen), Agric. Chemicals, 1956, 11, № 5, 30—31, 127 (англ.)

В лабор. и полевых опытах найдено, что хлебная приманка, содержащая 0,025% фумарина [3-( $\alpha$ -ацетонилфурфурил)-4-оксикумарина], является хорошим средством для истребления грызунов (крыс и мышей). При хранении в запаянных сосудах в течение 9 месяцев при т-ре  $\sim 20^\circ$  препарат сохраняет родентицидные свойства.

А. Травин

51810. Новый инсектицид-акарицид из группы органических тиоцианатов. Марджания Г. М., Есаян Г. Т., Изв. АН АрмССР, Биол. и с.-х. н., 1956, 9, № 8, 59—66 (рез. арм.)

$\gamma$ -Хлоркродитиоцианат (I) получают взаимодействием 1,3-дихлорбутена-2 (II) с KSCN (III), NaSCN или  $\text{NH}_4\text{SCN}$  в спирте, водн. спирте или воде. Из 25 г II, 20 г III в 20 мл спирта после 2-дневного стояния, фильтрации и промывки водой получают 23,8 г 86,2%-ного I. 50 г II, 44 г III и 30 мл воды при перемешивании при комнатной т-ре в течение 14 час. дают

47,8 и 85,4%-ного I. Строение I доказано восстановлением его в  $\gamma$ -хлоркритилмеркаптан. I обладает ярко выраженным контактным действием против жуков малого амбарного хрущака (*Tribolium confusum* Duv.), гусениц карадрины (*Laphygma exiqua* Hb) и молодых гусениц мальной моли (*Pectinophora malvella* Hb). В концентрации 0,25% I вызывает 99—100%-ную смертность паутиных клещиков (*Tetranychus urticae* Koch.) I обладает овицидным действием по отношению к яйцам *P. malvella*. Фитотоксичность I невысока, отмечены слабые ожоги хлопчатника и томатов. А. Гранов

51811. Устойчивость насекомых к инсектицидам.

Появление устойчивых рас и их существующее положение. Басвайн (Resistance of insects to insecticides. The occurrence and status of insecticide resistant strains. Busvine J. R.), Chemistry and Industry, 1956, № 42, 1190—1194 (англ.)

Обзор. Рассмотрены вопросы истории появления и распространения рас насекомых, устойчивых к различным инсектицидам, и современное состояние вопроса изучения устойчивости насекомых. Библ. 54 назв.

Ю. Фадеев

51812. Влияние гексахлорциклогексана (ГХЦГ) на рост и развитие хлопчатника. Мустакимов Г. Д., Докл. АН УзССР, 1956, № 7, 45—50 (рез. узб.)

Обработка семян хлопчатника ГХЦГ в целях борьбы с озимыми сорняками (40 и 80 кг ГХЦГ на 1 т семян) вызывает задержку развития хлопчатника в начальном периоде. В связи с этим рекомендуется применять ГХЦГ в сочетании с протравителем НИУИФ-2 при дозировке ГХЦГ  $\leq 40$  кг/т.

К. Бокарев

51813. Изучение влияния фумигации ливдана в оптимальный период борьбы с вредителями запасов зерна. Влияние аэрозолей ливдана на хранящееся зерно. II. Ида, Кацуя (防除適期におけるLindaneくん煙の効果に関する研究. Lindane aerosolの貯蔵害虫に對する防除効果. II 伊田基, 勝屋志朗), 防除科學, Ботю кагаку, Scient. Insect. Control, 1956, 21, № 3, 92—99 (японск.; рез. англ.)

Фумигация зернохранилищ ливданом при дозе 0,0556 г/м<sup>3</sup> эффективна в борьбе с *Calandra oryzae* L. и жуками *Tenebrio molitor* L. в течение почти 3 месяцев. Часть I см. РЖХим, 1956, 62140.

Л. Волффсон

51814. Лабораторные испытания действия остатков смачивающихся порошков ДДТ на *Musca nebulosa* Fabricius. Пател (Laboratory tests on the residual effect of DDT water dispersible powder against *Musca nebulosa* Fabricius. Patel G. A., Patel N. G.), Indian J. Entomol., 1956, 18, № 1, 10—28 (англ.)

Путем определения времени, необходимого для получения 50%-ного паралича *Musca nebulosa* от остатков ДДТ (из 50%-ного смачивающегося порошка) на непоглощающих поверхностях, установлено, что при увеличении кол-ва инсектицида (в некоторых пределах) наблюдается тенденция к относительному снижению его активности. Описан метод получения точных инсектицидных остатков для массовых лабор. исследований.

Е. Гранин

51815. Новый акарицид кельтан. Гармус, Ангел (A new miteicide Kelthane. Garmus R. D., Ungert V. A.), Agric. Chemicals, 1956, 11, № 7, 41—42 (англ.)

Кельтан (I) представляет собой 1-оксисаналог ДДТ, т. е. 1,1-бис-( $n$ -хлорфенил)-2,2,2-трихлорэтанол, но отличается от ДДТ по биологич. свойствам. I является спещифич. акарицидом и не наносит вреда, в отличие от ДДТ, полезным насекомым. I безопаснее для теплокровных животных, чем ДДТ.  $LD_{50}$  I (в мг/кг) для самцов белых крыс 809 + 33, для самок 685 + 16 (ДДТ 250). I высоко эффективен против необычайно широкого круга

растительноядных клещей (*Tetranychus telarius*, *Metatetranychus citri*, *M. ulmi*, *T. pacificus*, *T. atlanticus*, *T. devitalarsus*, *Bryobia praetiosa*, *Eotetranychus sexmaculatus*, *Steneotarsonemus pallidus*, *Brevipalpus inornatus*). I эффективен также как овицид против *Tetranychus* sp. и *Brevipalpus* sp. I обладает быстрым убивающим и длительным остаточным действием и применяется в виде 18,5%-ных концентратов эмульсий или смачивающихся порошков, которые разбавляют перед употреблением (1,6 г/л). В этих дозах I не фитотоксичен и не уменьшает урожай плодов. З. Нудельман

51816. Устойчивость к ДДТ у клеща *Boophilus decoloratus*, Koch. Уайтхед (DDT resistance in the blue tick, *Boophilus decoloratus*, Koch. Whitehead G. B.), J. S. Afric. Veterin. Med. Assoc., 1956, 27, № 2, 117—120 (англ.)

Лабораторными опытами установлено, что клещи (K), собранные с площадей, на которых 5 лет применяли ДДТ, приобрели повышенную устойчивость к этому инсектициду. Более ранними исследованиями установлено, что K из этого же района стали в свое время устойчивыми к арсениту Na и к ГХЦГ. Независимое развитие устойчивости K ко всем трем инсектицидам доказывает, что механизм устойчивости K к этим ядам не взаимосвязан и что важную роль в этом процессе играют внешние условия.

Е. Гранин

51817. Увеличенная активность насекомых, связанная с ускорением действия инсектицидов при более высоких температурах. Прадхан, Сривастава (Increased activity of insects associated with increased pick-up of insecticide at higher temperatures. Pradhan S., Srivastava H. M. L.), Indian J. Entomol., 1956, 18, № 1, 78—79 (англ.)

Представлены дополнительные сведения (Pradhan S., Bull. Entomol. Res., 1949, 40, 239—265) по влиянию т-ры на контактную активность ДДТ. Повышение т-ры ускоряет движение насекомых по слою дуста ДДТ, они постоянно встречаются со свежими порциями инсектицида, что и приводит к увеличению чувствительности насекомых к ДДТ.

Е. Гранин

51818. О химической борьбе с древесницей вьедливой. Анфинников М. А., Защита раст. от вредит. и болезней, 1956, № 4, 55—56

Для борьбы с древесницей вьедливой испытаны путем опрыскивания ранней весной (при этом не наносится вреда полезным насекомым-паразитами) следующие препараты: 3%-ный технич. ДДТ в соляровом масле (СМ) (I), 3,5%-ный технич. ГХЦГ с СМ (II), 10%-ный р-р 12%-ного дуста ГХЦГ в СМ (III) и 10%-ная водн. суспензия 12%-ного дуста ГХЦГ. Наиболее эффективно действовал II, затем III и I. У всех препаратов не обнаружено токсичности для деревьев.

З. Нудельман

51819. Изучение характера действия и эффективности кремнезема, азотокса и ГХЦГ на амбарного долгоносика *Calandra granaria* L. Гое (Badania nad działaniem i skutecznością krzemionki, azotoku i HCH na wółka zbożowego (*Calandra granaria* L.). Goos Adam), Polskie pismo entomol., 1955 (1956), 25, № 1, 165—191 (польск.; рез. франц.)

В лабор. условиях изучено действие кремнезема (I), азотокса (10%-ный ДДТ) (II) и ГХЦГ (12%  $\gamma$ -изомера) на амбарного долгоносика. Приведены данные о влиянии концентрации и продолжительности пребывания долгоносиков на отложениях технич. ДДТ. Сравнено действие I, II и ГХЦГ в зависимости от возраста долгоносиков, т-ры и влажности воздуха. Установлено, что для борьбы с долгоносиком в зерне наиболее пригоден II, хотя его действие слабее действия ГХЦГ. Недостатком ГХЦГ является неприятный запах. I мало эффективен, кроме того, его действие зависит от влажности воздуха и зерна.

С. Яворовская

**51820.** Борьба с вредителями хлопчатника в Восточной провинции Танганьики. Мак-Кинли (Cotton pest control in the Eastern Province, Tanganyika. McKinlay K. S.), E. Afric. Agric. J., 1956, 22, № 1, 20—23 (англ.)

В целях борьбы с гусеницами вида *Earias* и *Heliothis armigera* и хлопковой тлей *Aphis gossypiae* испытаны (в дозах 0,28; 1,12 и 2,24 кг/га) альдрин, дильдрин, эндрин (I) и ДДТ в отдельности и в смеси с 0,28 кг/га γ-ГХЦГ. Установлено, что наиболее эффективно, с точки зрения повышения урожая и уменьшения стоимости обработки, еженедельное применение (все 8 опрыскиваний при норме 112 л/га каждое) смеси 1,12 кг ДДТ и 0,28 кг/га γ-ГХЦГ или 0,28 кг/га I. Самый высокий урожай (2903 кг с 1 га) семян хлопка собран с участков, где применяли 1,12 кг I + 0,25 кг/га γ-ГХЦГ, однако наибольшая чистая прибыль получена с участков, обработанных ДДТ в дозе 1,12 кг/га. В год проведения опытов зараженность хлопчатника тлями была слабой.

**51821.** Потенциал размножения, продолжительность жизни и вес комнатных мух, которые выжили после одной инсектицидной обработки. Афифи, Кнутсон (Reproductive potential, longevity, and weight of house flies which survived one insecticidal treatment. Afifi Saad E. D., Knutson Herbert), J. Econ. Entomol., 1956, 49, № 3, 310—313 (англ.)

Комнатные мухи из обычной лабор. разводки обработаны дильдрином (нанесение аэрозолевого р-ра отдельно на каждую муху) в дозе, вызывающей 60—90%-ную смертность. Дальнейшие исследования проводились на потомках оставшихся в живых мух и на параллельных генерациях (Г) необработанных мух (контроль). Оставшиеся в живых мухи дали популяцию на 16,7% большую, чем необработанные; 1-я, 2-я и 3-я Г были соответственно на 69,2; 9,3 и 13,4% больше, чем у контроля. Статистич. анализ не показал значительных различий в средней продолжительности жизни мух обработанных и необработанных Г. Во 2-й Г обработанных мух самки весили значительно больше, чем в контроле; в других Г различия в весе были незначительными. Установлена линейная корреляция между весом самок обработанной родительской Г и кол-вом потомков от этих самок; однако такая корреляция слабо выражена во всех 3 Г обработанной группы, а также в родительской и во всей 3 Г контроля. Корреляция между продолжительностью жизни и средним весом у обработанных или контрольных самок и у их соответствующих Г мало выражена. Нет существенного соответствия между долговечностью и кол-вом потомков в обеих группах мух.

**51822.** Борьба с клеверным корнеедом и луговой пенницей на красном клевере. Аппи (Control of the clover root borer and the meadow spit lebug on red clover. App B. A.), J. Econ. Entomol., 1956, 49, № 2, 161—164 (англ.)

Для борьбы с *Hylastinus obscurus* (Marsh.) и личинками *Philaenus leucophthalmus* (L.) наиболее эффективно при однократном внесении в почву в дозе 1,12—1,86 кг/га альдрин, γ-ГХЦГ и гектахлор. А. Бурова

**51823.** Изучение остаточной активности некоторых органических инсектицидов для борьбы с хлопковым коробочным долгоносиком. Сиддики (Studies on the residual toxicity of certain organic insecticides for the control of the boll weevil (*Anthonomus grandis* Boh.). Siddiqi A. A.), Indian J. Entomol., 1956, 18, № 1, 45—48 (англ.)

Для борьбы с *Anthonomus grandis* Boh. испытаны эмульсии эндрина (I) (0,24 кг/га), токсафена (II) (2,4 кг/га) и смесей ДДТ (0,6 кг/га) + ГХЦГ (0,36 кг/га) (III) и дильдрин (0,18 кг/га) + ДДТ (0,6 кг/га) (IV).

Смертность долгоносика на хлопчатнике при учете сразу после опрыскивания была значительной и одинаковой для всех препаратов, однако через 48 час. на делянках, опрысканных III, оказалось 50% начального кол-ва долгоносиков по сравнению с 25% после опрыскивания I, II и IV.

**51824.** Остаточные обработки снаружи помещений для борьбы с солончаковыми комарами. Бидлингмайер, Шуф (Outdoor residual treatments of premises for control of salt-marsh mosquitoes. Bidingmayer W. L., Schoof H. F.), Mosquito News, 1956, 16, № 1, 17—19 (англ.)

В целях борьбы с комарами *Aedes taeniorhynchus* (Wiedemann) и *A. sollicitans* (Walker) растительность и нижние части построек вокруг зданий опрыскивают эмульсиями ДДТ, дильдрин (I), ГХЦГ, линдана (II) и суспензий I. В условиях умеренного заражения ДДТ, в дозах 5,6 и 11,2 кг/га, эффективно снижает кол-во комаров соответственно в течение 4 и 9 недель. При повторных заражениях эти же дозы ДДТ были эффективны в течение ≤ 2 недель. I (1,12—4,48 кг/га), ГХЦГ (0,336—1,455 кг γ-изомера на га) и II (0,56 кг/га) эффективны также не свыше 2 недель.

**51825.** Опыт применения ЭПН в борьбе с *Cydia pomonella* L. и *Paratetranychus pilosus* Can. et Franz. Бакколо (Esperimenti di lotta con EPN (etil-paranitrofenil-tiobenzenfosfato) contro *Cydia pomonella* L. e *Paratetranychus pilosus* Can. et Franz. Baccolo Sergio), Boll. zool. agrar. e bachicoltura, 1955, 21, № 3, 253—257 (итал.)

Двукратное (с интервалом в 18 и 25 дней) опрыскивание грушевых деревьев водн. эмульсией (120 г на 100 л воды) препарата ЭПН 300 сохраняло урожай на участках, зараженных *C. pomonella* и *P. pilosus*. Препарат не имел фитотоксич. действия.

**51826.** Лабораторное сравнение восьми фосфорорганических инсектицидов в качестве ларвицидов против неустойчивых комнатных мух. Линдквист, Фей (Laboratory comparison of eight organic phosphorus insecticides as larvicides against nonresistant house flies. Lindquist Donald A., Fay R. W.), J. Econ. Entomol., 1956, 49, № 4, 463—465 (англ.)

Изучена активность 8 фосфорорганич. инсектицидов против личинок, куколок и взрослых мух при опрыскивании поверхности питательной среды р-рами инсектицидов в ксилоле. Наиболее активен диазинон (I), который вызывал > 90% смертности личинок мух различных возрастов в дозе 53,8 мг/м<sup>2</sup>. Все препараты активны против молодых личинок и относительно неэффективны против пупариев. В порядке убывающей активности препараты располагаются в ряд: I, ЭПН, паратион, Байер 21/199, НПД, деметон, Байер Л 13/59 и малатион.

**51827.** К характеристике токсического действия некоторых фосфорорганических препаратов на насекомых. Алейникова М. М., Изотова Т. Е., Утробина Н. М., Тр. Казанск. фил. АН СССР, 1956, вып. 2, 63—77

Пирофос (I) и дитио (II) обладают контактным действием, вызывая 100%-ную гибель гороховых слоников (*Sitona*) в конце II 0,1%; октаметил (III) дает такой же эффект в конце II 0,5%. Все три препарата обладают системным действием, вызывая почти полную гибель гороховой тли (*Acyrtosiphon pisi* Kalt) и личинок кокцинедлии (*Coccinella septempunctata* L.) на горохе. Предпосевная обработка семян 0,2%-ным р-ром III снижает поврежденность ячменя шведской мухой (*Oscinoma* sp.) в 2 раза. I и II в конце II 0,1% через 2 суток убивают 83—90,4% жуков и 49,5 и 91,1% личинок пиявки (*Lema melanopus* L.) II в конце II 0,5% почти не действует на гусениц капустной совки. I, II, III



токсичны для медоносных пчел (*Apis mellifera* L.) только сразу после обработки, затем токсичность падает. Фитопатидным действием препараты не обладают. III в конц-ии 0,2% стимулирует прорастание и начальное развитие ячменя и гороха. А. Грапов

**51828.** Полевые испытания двух тиофосфатов против устойчивых солончаковых комаров. Гахан, Бертольд, Дейвис, Смит (Field tests with two phosphorothioates against resistant salt-marsh mosquitoes. Gahan James B., Bertholf J. H., Davis A. N., Jr, Smith Carrol N.), Mosquito News, 1956, 16, № 2, 91—93 (англ.)

Проведены полевые испытания малатиона (I) и Байер-21/199 (II) для борьбы с устойчивыми к хлорированным углеводородам солончаковыми комарами (*Ck*) *Aedes taeniorhynchus* (Wied.) и *A. sollicitans*. Осенняя обработка болот с самолета р-ром I в смеси минер. масла и циклогексана при дозе 0,56; 0,28 и 0,11 кг/га действующего начала уничтожает 95—99% СК. Летом эти дозы могут быть не достаточными. Авиаобработка гранулированным II в кол-ве 0,06—0,11 кг/га действующего начала уничтожает 90—95% личинок СК, для которых обработка γ-ГХЦГ (0,11—0,22 кг/га) не эффективна. М. Галашина

**51829.** Смесь сульфит-целлюлозного экстракта и известки как ингибитор инсектицидных смесей алкалоидов. Гегенава Г. В., Сообщ. АН ГрузССР, 1956, 17, № 6, 519—526

Для замены мыла (I) в качестве ингибиента инсектицидных смесей алкалоидов предложена механич. смесь, содержащая 20% известки и 10% в пересчете на сухой остаток сульфит-целлюлозного экстракта (II). Прибавление II повышает токсичность анабазин-сульфата (III) больше, чем добавки I и нефтяных сульфокислот (IV). Опыты проведены на капустной (*Brevicorine brassicae* L.) и кукурузной (*Sipha maydis* Pass.), тлях. II добавляли к р-рам III в кол-ве 0,5%. CI<sub>50</sub> (летальные конц-ии) для капустной тли равны: при добавке II 0,01; I 0,015; IV 0,06%. Преимуществом II является ее совместимость с жесткой водой. Л. Вольфсон

**51830.** Опыты по борьбе с земляничной листовёрткой *Ancyliis comptana fragariae* (W. и R.) в округе Норфолк, Онтарио. Хикити, Холл (Experiments on control of the strawberry leaf roller, *Ancyliis comptana fragariae* (W. and R.), in Norfolk County, Ontario. Hikichi A., Hall J. A.), Annual Rept Entomol. Soc. Ontario, 1955, 86, 50—53 (англ.)

Против земляничной листовёртки испытаны следующие препараты (в скобках указаны дозы препарата в кг на га): смачивающиеся порошки — 50% ДДТ (4,48 и 5,6), 25% малатион (4,48 и 5,6), 20% альдрин (5,6), 15% паратион (4,48), 25% диазинон (4,48) и 50% метоксихлор (4,48); эмульсии — 50% малатион (5,6) и 20% эдрин (0,236 л/га); 7% dust ДДТ (28,0); арсенат Рb (11,2); 100% риния (13,4). Смачивающиеся порошки ДДТ, диазинона, паратиона и малатиона были значительно эффективнее всех других препаратов. Е. Гранин

**51831.** К вопросу внесения удобрений и борьбы с вредителями леса и плодовых насаждений. Блещинский С. В., Дружинин П. Г., Абрамова В. Ф., Блакитная Л. П., Тр. Ин-та химии АН КиргССР, 1956, № 7, 137—143

Изучены методы подкормки растений микроэлементами. При вбивании в ствол дерева железных гвоздей, содержащих Mn, и гвоздей из Mg получены положительные результаты на примере вяза, тополя, яблони и персика. Растворение металлич. Fe в соках дерева доказано с помощью меченых атомов. Вбивание в ствол персика медного гвоздя для борьбы с курчавостью листьев дает результаты, аналогичные опрыскиванию пре-

паратами Cu. Метод ускоренной подкормки растений состоит в том, что кончик ветки опускают в питательный р-р, предварительно обламывая верхнюю часть ветки. Изучена возможность борьбы с болезнями и вредителями с-х культур путем инъекции через углубление в стволе. NH<sub>4</sub>CNS безвреден для тлей на абрикосе, CuSO<sub>4</sub> в небольшой конц-ии вызывает опадение листьев на персике; H<sub>2</sub>BO<sub>3</sub>, NH<sub>4</sub>CN (0,3%-ный р-р) вызывают гибель растения. H<sub>2</sub>S и PH<sub>3</sub> не действуют на яблоневую тлю (ЯТ) и безвредны для растения. При обработке черемухи 0,4%-ным р-ром тиомочевны тля гибнет через 30 час., листья слабо огибаются. Триформальдегид, л-нитроанилин, этиловый и изопропиловый спирты не действуют на вредителей и растения. Динитрофенол, ДДТ, ГХЦГ, гексаметиленетрамин, α-нитрозо-β-нафтол, формиат Na, салицилат Na, α-нафтилтиомочевина ожигают растения и слабо действуют на вредителей. Анабазин и никотин безвредны в больших конц-иях для тлей на абрикосе. Аконитин слабо действует на ЯТ. Синтезирован диэтил-л-нитрофенилфосфат (I) из л-нитрофенола и диэтилхлорфосфата в присутствии соды в р-ре ацетона. I испытан в виде 0,1; 0,02 и 0,01%-ных водн. р-ров на пирамидальных тополях двумя методами инъекции: методом непосредственного укола и методом инъекции через ветку. 100%-ная гибель тополевой минирующей моли *Lithocolletis populi* Fil. и *Lithocolletis obliquifascia* Fil. и ивового туркестанского волнянки *Leucoma flavosulphurea* Ersch. происходит при норме расхода (НР) I соответственно 6,03 мл/м<sup>2</sup> и 1,624 мл/м<sup>2</sup> древесины. Выпуклая ивовая щитовка *Diaspidiotus slaronium* Green. частично погибает при НР I 250 мл/м<sup>2</sup>. В последнем случае наблюдается небольшой ожог листьев через 30 дней. I, вводимый в больших кол-вах в дерево, вызывает значительный прирост веток по сравнению с контрольными деревьями. И. Мильштейн

**51832.** Влияние инсектицидной обработки почвы и листьев на борьбу с тлями и вирусом мозаичной болезни репы на шведской брюкве. Фрай, Джеке (Effect of foliar and soil applications of insecticides on control of aphids and turnip-mosaic virus on swedes. Fry P. R., Jacks H., N. Z. J. Sci. and Technol., 1956, A38, № 2, 120—123 (англ.)

Для борьбы с тлей *Myzus persicae* Sulz. проведены оранжерейные и полевые испытания препаратов лндана (I), паратиона (II), шрадана (III) и ТЭПФ. 0,025%-ный I и 0,024%-ный II (опрыскивания) подавляли рост тли в течение 2 дней после опрыскивания, через 7 дней эффект становился слабым (в оранжерее). В полевых опытах все препараты значительно снижали численность *M. persicae*. При опрыскивании получены следующие результаты (приведены препарат и среднее кол-во тлей на 16 растений через 7 и 14 дней после опрыскивания при кол-ве в контроле 955): 0,025%-ный I 12,73; 0,024%-ный II 11,11; 0,025%-ный ТЭПФ 54, —; 0,35%-ный III 11,71 (через 21 день), III + ТЭПФ 11,15 (через 21 день). При поливке почвы 0,35%-ный III был наиболее эффективен: через 7,14 и 21 день тлей 4, 13 и 25 соответственно. При обработке всеми указанными инсектицидами зараженность растений устойчивым вирусом мозаичной болезни репы снижалась, но 30—60% растений оставались зараженными. З. Нудельман

**51833.** Результаты испытания препаратов пиретрума, ДДТ и других инсектицидов против личинок 3-й стадии кожного овода *Hypoderma bovis* De Geer. Савельев Д. В., Тр. н.-и. ин-та с. х. Крайн. Севера, 1956, 3, 53—58

Для борьбы с личинками 3-й стадии кожного овода *Hypoderma bovis* De Geer испытаны препараты пиретрума, ДДТ, альбихтоловая паста, ГХЦГ и нафталин в виде дустов, эмульсий, суспензий и р-ров. Наилуч-

шие результаты достигнуты при применении масляных р-ров экстракта пиретрума и 4—5%-ных р-вов ДДТ в соляровом масле.

**51834.** Применение жидкой цианитоводородной кислоты в качестве инсектицида. Сардо (L'acido cianidrico liquido nella lotta contro le cocciniglie degli agrumi. Sardo Stanislao), Notiz. malatt. piante, 1956, № 37—38, 217—223 (итал.).

Фумигация цитрусовых жидкой HCN в борьбе с коцидами дает постоянный инсектицидный эффект и удобен для применения при наличии распылителя хорошей конструкции. HCN действовала стимулирующе на рост деревьев и повысила устойчивость плодов при хранении.

**51835.** Дымовые инсектицидные шашки. Конь Я. С., Природа, 1956, № 10, 89—100.

Приведено описание дымовых инсектицидных шашек типа НЕК Д-17 (I) и НЕК Г-17 (II). Испытание II показало хорошие результаты при борьбе с туссом и комарами *Aedes* на открытой местности. Пчелы улья необходимо выносить за пределы распространения дымовой волны. I применяется для уничтожения двухкрылых кровососущих насекомых и мух в помещениях.

**51836.** Ртутьорганические фунгициды. Махана-тра (Organomercurials as fungicides. Mahanatra G. N.), J. and Proc. Instn Chemists (India), 1956, 28, № 1, 55—72 (англ.).

Обзор. Описаны 22 класса ртутиорганич. фунгицидов (способы получения, применяемые дозы, специфичность действия). Дана таблица фирменных препаратов (36 наименований) с указанием действующего начала и рекомендации по применению. Билл. 78 назв.

**51837.** Опыт применения фунгицидов в борьбе со спорами *Coniella diploidiella* в почве. Турян, Штеалини (Essais de lutte chimique contre les spores du champignon du coître de la vigne dans le sol. (Coniella diploidiella [Speg.] Pet. et Syd.). Turian Gilbert, Staehelin Marc), Publ. Stat. fédér. essais. agric., Lausanne, 1955, № 474—485, 799—808 (франц.; рез. нем., англ., итал.).

В опытах *in vitro* тетраметилтиурамдисульфид (I) в дозе 1 г на 1 кг почвы убивали споры *C. diploidiella*. Через 40 дней после обработки почвы в виноградишке смесью, содержащей 25% I, 25% S и CaCO<sub>3</sub> (в количестве 40 кг/га), установлена гибель 94% спор, несмотря на обильные дожди, выпавшие в период испытания препарата. I не оказал влияния на аутофлору микробиоту почвы, в частности на *Azotobacter*.

**51838.** Гермицидные, дезинфицирующие, дезинсектирующие и противогнилостные вещества. Леорато (Germicidi, disinfettanti, disinfestanti ed anti-putridi. Leorato E.), Ind. vernice, 1956, 10, № 9, 236—238 (итал.).

Препарат Dialben, содержащий четвертичные NH<sub>4</sub>-основания, обладает бактериостатич. действием в концентрации 0,0005% и дезинфицирующим — в концентрации 1%.

**51839.** Фунгистатическое действие некоторых ароматических гидрокарбонатов. Хальвег, Кракувска (Działanie fungistatyczne niektórych aromatycznych kwasów hydrokarnowych. Halweg Halina, Krakowska Pawel), Gruźlica, 1956, 24, № 4, 233—238 (польск.; рез. русск., англ.).

Изучено фунгистатич. действие бензогидрокарбонатов к-ты (I), 1-карбокисбензогидрокарбонатовой к-ты, салицилгидрокарбонатовой к-ты (II) и ее Na-соли, бромсалициловой к-ты и ее Na-соли, 2-окси-3-нафтилгидрокарбонатовой к-ты, бензойной к-ты (III) и ее Na-соли, салициловой к-ты (IV) и ее Na-соли. Для исследований применялся чашечный метод (agar Saburo 3%-ный и 1,5%-ный с глю-

козой) и видоизмененный метод разбавлений (питательная среда Сабуро). Исследовано влияние упомянутых соединений на *Trichophyton gypsum*, *Trichophyton rubrum*, *Trichophyton violaceum* и *Achorion Schoenleini*. Сильнее всех действуют *in vitro* I и II. Полное торможение роста установилось при концентрации I и II 0,125—1,0 мг/мл. Фунгистатич. действие связано с присутствием гидроксильной группы. Введение брома в II и карбоксильной группы в I обуславливает потерю фунгистатич. способности. III и IV их Na-соли активны только при концентрации  $\geq 1$  мг/мл.

**51840.** Дальнейшее изучение комбинационных опытов для борьбы с вредителями на яблонях в штате Коннектикут. Гарман (Further study of spray combinations for control of apple pests in Connecticut. Garmann Philip), J. Econ. Entomol., 1956, 49, № 4, 521—523 (англ.).

Для комбинационных опытов использованы: аргентат Pb (I), метоксифтор (II), ТДЭ, дильдрин (III), ДДТ, дилан (IV), препарат 1189 (2,3,3а,4,5,6,7,7а,8,8-декалор-3а,4,7,7а-тетрагидро-4,7-эпидометилениндекан-1) (V), паратион (VI), малатион (VII), диазинон (VIII), S, фетбам (IX), глиодин (X), каптан (XI), дихлор (XII), вагам (XIII), малеб (XIV), Fe<sub>2</sub>(SO<sub>4</sub>)<sub>3</sub> (XV), препарат I O-738 (этилен-бис-(тиурамтрисульфид) (XVI), гуаизин (XVII) и ротенон (XVIII). В течение 1952—1955 гг. испытаны следующие смеси: I + VII + IX, I + X, I + XI (или X), I + XII, V + S + IX, II + ТДЭ + S + IX, II + XIII (или XI), IV + ТДЭ + IX (или XI), II + ТДЭ + XI (или XIV), II + ДДТ + XI + VII, II + ДДТ + XI + X, ДДТ + VI + XII (или XI), ДДТ + VI + XI + X, VI + XIII + XV, XVII + X + VII, VIII + XVI, III + I + XI, VII + XI, VIII + XI + X, XVII + XVIII + XI + X. Против плодовой гнили *Conotrachelus pomonella* (L.) наиболее эффективны были II, ТДЭ и ДДТ. Против тлей *Anuraphis roseae* Baker, *Aphis pomi* DeG. и *Eriosoma lanigerum* (Hausm.) фосфорорганич. инсектициды (d II) действовали лучше, чем хлороорганич. (XII), однако для уничтожения *A. roseae* смесь I + XI + VII малоэффективна. Лучшие результаты против паутинного клеща *Tetranychus testudineus* (Klug) получены с XII и ДДТ + VI, а против сливовой долгоносика *Conotrachelus nenuphar* (Hbst.) — с II. На опытных участках, обработанных смесями, содержащими XII и I (без d II) наблюдалась повышенная зараженность клещами *Tetranychus telarius* (L.) и *Metaetetranychus ulmi* (Koch). После опыливания яблонь смесями, содержащими VI, VII и VIII, спец. акарицидная обработка излишня. Против гнили яблони наиболее эффективен III. Несмотря на применение X и XI, мучнистая роса на яблонях продолжала развиваться. Приведены неполные данные определения привкуса и оценки внешнего вида обработанных плодов. Е. Гарман.

**51841.** Испытание активности 8-оксихинолина на грибах. Блок (Examination of the activity of 8-quinolinol to fungi. Block S. S.), Appl. Microbiol., 1956, 4, № 4, 183—186 (англ.).

Как показало исследование, проведенное с 8-оксихинолином (I) и спорами *Aspergillus niger* на агаре, специально очищ. от металлов, фунгистатич. действие свойственно I, однако, внутрикомплексное соединение I и Cu (II) в 100 раз более токсично для грибов, чем I. Как I, так и II обладают скорее фунгистатич., а не фунгицидным действием.

**51842.** Борьба с пятнистостью листьев сельдерея (*Septoria apii* Chester) в полевых условиях. Джекс, Уэбб (A note on field control of celery leaf-spot. (Septoria apii) Chester) Jacks H., Webb A. J.), N. Z. J. Sci. and Technol., 1956, A38, № 2, 129—131 (англ.).

В борьбе с болезнью сельдерея, вызываемой грибом *Septoria apii* Chester, испытаны смачивающиеся порош-

ки 50%-ной хлорокиси Cu (I), 70%-ного фербама (II), 50%-ного фигона (III), 50%-ного тирама (IV) и цинеба (V), представляющего собой смесь 2 г набама, 1 г  $ZnSO_4$ , 0,5 г гашеной извести. Опрыскивание растений фунгицидами проведено через 2 недели после посадки растений — 19 раз с интервалом 7 дней и 10 раз с интервалом 14 дней. Хорошие результаты получены в дозах (г/л) для I 6, для II 4,8 и для V 4,2; III (0,6) и IV (4,8) эффективны при опрыскивании через короткие интервалы (7 дней). II, III, IV в опытах в теплицах дают более устойчивые против смыва осадки, чем I и IV.

Е. Андреева

#### 51843. Возможности загрязнения пищи пестицидами.

Трюо, Вьель (Les possibilités de contamination des aliments par des produits phytopharmaceutiques (pesticides). Trubaut René, Viel Guy), Bull. Soc. scient. hyg. aliment., 1956, 44, № 4—6, 103—131 (франц.)

Обзор работ по изучению токсичности пестицидов и возможности загрязнения ими пищевых продуктов.

К. Бокарев

#### 51844. Препарат для уничтожения эйхорнии. Сринастава (Mercene Special as an eradicator of water-hyacinth. Srivastava M. G.), Sci. and Culture, 1956, 22, № 4, 242—244 (англ.)

Рекомендованные для борьбы с эйхорнией *Eichornia crassipes* препараты «Мерцен и Специал» и «Мерцен Специал-А» представляют собой щел. р-р арсенитов. Как и другие гербицидные препараты, содержащие As, они обладают рядом отрицательных свойств: высокой токсичностью для теплокровных, длительной остаточной токсичностью для растений и отсутствием избирательности действия.

М. Галашина

#### 51845. Различные изомеры феноксиуксусных кислот и фенолов и их эффективность и значение как гербицидов. Оберг (Different isomers of phenoxyacetic acids and phenols — their effect and value as weed killers. Aberg Ewert), Kgl. lantbrukshogskol. ann., 1954 (1955), 21, 213—260 (англ.)

Фенолы, находящиеся в технич. препаратах 2,4-Д, 2М-4Х и 2,4,5-Т, почти не обладают гербицидным действием. Гербицидная активность технич. метоксона зависит от содержания 2М-4Х. 4-Хлор- и 2,4,6-трихлорфеноксиуксусная к-ты, содержащиеся в технич. 2,4-Д, почти не влияют на гербицидную активность препаратов. 2,4,5-Трихлорфенокси- $\alpha$ -пропионовая к-та сильнее действует на ячмень и лен, чем 2,4-Д.

К. Бокарев

#### 51846. «Дефолиант 713». Гудхью, Осборн (Defoliant 713. Goodhue Lyle, Osborn Charles), Agric. Chemicals, 1956, 11, № 5, 32—34 (англ.)

Описаны результаты 2-летних испытаний на хлопчатнике препарата «Дефолиант-713» — бис-(этилксантоген)-трисульфида (I). I — золотисто-желтая жидкость, уд. в. 1,3, обладает свойствами дефолианта и десиканта, быстро действует и не задерживает раскрытие коробочек. I производят в виде 25%-ного р-ра в минер. масле или 100%-ного концентрата. Применяют I в виде р-ра в дизельном топливе или других минер. маслах при наземных обработках — в дозе 25—50 л/га, при авиаобработках 12—20 л/га. Нормы расхода I 2,24—3,36 кг/га. Активность I не зависит от климатич. условий и сорта хлопчатника. I удобен в применении, не вызывает коррозии аппаратуры, не оказывает токсич. действия на оператора при обработках.

М. Галашина

#### 51847 П. Борьба с вредителями урожая. Маделъ, Каут (Bekämpfung von Getreideschädlingen. Madel Waldemar. Kauth Herbert) [C. H. Boehringer Sohn.]. Пат. ФРГ 949435, 20.09.56

Для получения приманок (II) для борьбы с вреди-

телями урожая семена пшеницы или ржи, высушенные в вакуум-эксикаторе, экстрагируют настаиванием с эфиром, свободным от перекисей, и эфир отгоняют. Экстракт (из 20 кг измельченных семян пшеницы получают 300 г экстракта) обрабатывают щелочью, неомылившуюся часть экстрагируют эфиром. После отгонки эфира в остатке получают II. Смесь (в ч.): II 60,  $\gamma$ -ГХЦГ 6, эмульгатора 10—14 и кислоты 20—24 применяют в виде 0,5%-ной водн. эмульсии; смесь (в ч.): II 5,0, ГХЦГ 0,5, кизельгура 15,0 и каолина 79,5 — в виде дуста.

А. Грапов

#### 51848 П. Борьба с вредителями. Гётте (Schädlingbekämpfung. Götte Ernst) [Dehydag Deutsche Hydrierwerke G. m. b. H.]. Пат. ФРГ 937856, 19.01.56

В состав смесей, обладающих инсектицидной, фунгицидной и бактерицидной активностью, входят соединения с ди- и тригалогидметильными и дигалогидметиленовыми группами (напр., ДДТ, 1,1-дифенил-2,2,2,1,1-бис-(3',4'-дихлорфенил)-, 1,1-бис-(2,5-дихлорфенил)-, 1,1-бис-(нитрофенил)-, 1-фенил-1-(4'-хлорфенил)-, 1,1-бис-(хлорхинолил)-, 1,1-бис-(2'-тиенил)-, 1,1-бис-(фениламино)-, 1,1-бис-(4'-толуолсульфамидо)-, 1,1-бис-(3',4'-дихлорбензолсульфамидо)-2,2,2,трихлорэтан, 1,1-бис-(4-оксифенил)-2,2,2-трибромэтан, 1,1-дифенил-, 1,1-бис-(4-хлорфенил)-2,2-дихлорэтилен (I), продукты конденсации 2 молей хлорбензола и 4 молей хлорфенола с диэтилацеталем 2,2-дихлор-*n*-бутиральдегида или  $\alpha$ , $\beta$ -трихлорпропионовым альдегидом и др.), а также катионоактивные в-ва (напр., хлористый додецилтриэтиламмоний, хлористый додецилбензилдиптиламмоний, хлористый додецилпиридиний, хлорбензилаты додециламинидов диметиламиноуксусной (амид-II) и пиперидиноуксусной к-ты и др.). Расплавляют 66 2/3 части хлорбензилата II и в расплав вносят 33 1/2 части ДДТ. Для получения эмульсий плавы обливают горячей, и затем разбавляют холодной водой. 0,25—3%-ная эмульсия ДДТ применяется для пропитки одежды против вшей. Эмульсия, полученная из плава 60 ч. хлорметилата II и 40 ч. I, применяется для борьбы с паразитами животных и для дезинфекции помещений.

А. Грапов

#### 51849 П. Способ получения эфиров фосфорной кислоты. Жизен, Марго (Verfahren zur Herstellung von Phosphorsäureestern. Gysin Hans, Margot Alfred) [J. R. Geigy A.-G.]. Пат. ФРГ 910652, 3.05.54 [Chem. Zbl., 1955, 126, № 24, 5636 (нем.)]

Применяемые в качестве пестицидов эфиры фосфорной или тиофосфорной к-ты общей ф-лы  $RXP(=X^3)$  ( $X^1R^1)(X^2R^2)$  (где  $RX$  — остаток енольной формы замещ. неконденсированного гетероциклич. соединения с эндоциклич. енолизруемой кето- или тиокетогруппой,  $R^1$  и  $R^2$  — алкилы, алкенилы, алкоксилалкилы, алкилтиоалкилы или галогидалкилы, а  $X^1$ ,  $X^2$  и  $X^3$  — O- или S-атомы) получают: а) взаимодействием алифатич. диэфира моногалогенида (тио)-фосфорной или фосфористой к-ты общей ф-лы  $YP(=X^3)(X^1R^1)(X^2R^2)$  или  $R^1X^1P(Y)X^2R^2$  ( $Y$  — галоген) с замещ. неконденсированным гетероциклич. соединением с эндоциклич. енолизруемой (тио)-кетогруппой или с солью енола этого соединения, с последующей обработкой полученного во 2-м случае гетероциклоаллифатич. эфира фосфористой к-ты S или выделением S-соединением; б) взаимодействием гетероциклич. сульфенилгалогенида общей ф-лы  $R-S-Y$  с алифатич. диэфиром фосфорной к-ты; в) взаимодействием гетероциклич. моноэфира дигалогенида тиофосфорной к-ты с 2 молями алифатич. спирта, меркаптана или их щел. производного. Так, 124 ч. 2,4-диметил-6-оксипиримидина нагревают (с перемешиванием) до кипения со 138 ч.  $K_2CO_3$  и 2000 ч.  $C_6H_6$  с одновременной отгонкой реакционной воды



в виде азеотропа. При 60—70° добавляют по каплям 190 ч. хлорангидрида диэтилтиофосфорной к-ты, кипятят 10 час. с обратным холодильником, нейтрализуют  $K_2CO_3$ , отгоняют р-ритель и получают в остатке (2,4-диметилпиримидил-6)-диэтиловый эфир тиофосфорной к-ты (I). Аналогично из 4-окси-2,6-диметилпиридина и хлорангидрида диизопропилфосфорной к-ты получают (2,6-диметилпиримидил-4)-диизопропиловый эфир фосфорной к-ты (II), т. кип. 123°/0,3 мм, из 4-метилтиазолсульфенилхлорида-2 и диэтилфосфита — S-(4-метилтиазол-2-ил)-диэтиловый эфир I, из 3-метилпирозолина-5 и хлорангидрида диэтилтиофосфорной к-ты — (3-метилпирозолил-5)-диэтиловый эфир I в качестве неперехаживающегося остатка, из (2-изопропил-4-метилпиримидил-6)-диэтилфосфита и  $PCl_3$  нагреванием до ~120° — (2-изопропил-4-метилпиримидил-6)-диэтиловый эфир I, из K-соли 2-изопропил-4-метил-6-оксипиримидина и  $PCl_3$  с обработкой продукта р-ции  $CH_3ONa$  — (2-изопропил-4-метилпиримидил-6)-диэтиловый эфир I (бесцветное масло с т. кип. 88—90°/0,005 мм). Получены также (2,6-диметилпиримидил-4)-диэтиловый и -дибутиловый эфиры II, т. кип. 118—120°/0,2 мм и 150°/0,1 мм соответственно, (2,4-диметилпиримидил-6)-диэтиловый и -диизопропиловый эфиры II, т. кип. 122—124°/0,2 мм и 117—119°/0,1 мм соответственно, (2-этил-4-метилпиримидил-6)-диэтиловый эфир II, т. кип. 120—122°/0,08 мм, и -диизооктиловый эфир I, т. кип. 180—183°/0,05 мм, (2-пропил-4-метилпиримидил-6)-диэтиловый и диизопропиловый эфиры II, т. кип. 128—130°/0,06 мм и 122—124°/0,1 мм соответственно, (2-изопропил-4-метилпиримидил-6)-диэтиловый и -дибутиловый эфиры I, т. кип. 99—101°/0,04 мм и 92—94°/0,002 мм соответственно, (2-бутил-4-метилпиримидил-6)-диэтиловый эфир I, т. кип. 125—127°/0,02 мм, (2-амил-4-метилпиримидил-6)-диэтиловый эфир II, т. кип. 140—142°/0,2 мм, (2-метилмеркапто-4-метилпиримидил-6)-диэтиловый эфир II, т. кип. 152—154°/0,05 мм, (2-этилмеркапто-4-метилпиримидил-6)-диэтиловый эфир II, т. кип. 150—153°/0,15 мм и (2-3-этоксипропил-4-метилпиримидил-6)-диэтиловый эфир I, т. кип. 145—147°/0,3 мм. Приведены также 48 эфиров фосфорной и тиофосфорной к-т без указания т-р кипения. Я. Кантор

51850 П. Способ получения производных фосфония. Хорнер (Verfahren zur Herstellung von Phosphoniumyliden. Horner Leopold) [Farbwerke Hoechst A.-G. vormals Meister Lucius & Brünning]. Пат. ФРГ 937587, 12.01.56. При р-ции соединений общей ф-лы  $R'CH=C(R^2)R^3$  (I) (где  $R'$  — H, алкил, арил или арил, последний может быть замещен Cl, Br, J, COR, COOR, алкилом, CN или  $NO_2$ ;  $R^2$  и  $R^3 = CN, CONH_2, COOAlk$ ) с третичными фосфинами общей ф-лы  $R^4R^5R^6P$  (II) (где  $R^4, R^5$  и  $R^6$  — низшие алкилы с 1—4 атомами C) образуются соединения общей ф-лы  $R'CH(P^+R^4R^5R^6)-C(R^2)R^3$  (III). Р-цию целесообразно проводить в р-рителях:  $C_6H_6$ , толуоле, ксилоле, диоксане, тетрагидрофуране (IV) (наиболее подходящие первый и последний), в атмосфере инертного газа ( $CO_2$  или  $N_2$ ) при 20° или слабом нагревании. III легко растворимы в разб. к-тах и высаживаются из кислых р-ров разб. р-рами  $CH_3COONa$ ; разлагаются между 140—150°. Эти соединения обладают фунгицидич. действием, могут быть использованы как промежуточные в-ва для получения фармацевтич. препаратов и как пестициды. Смешивают в атмосфере  $CO_2$  р-р 0,01 моля I ( $R' = n-NO_2C_6H_5$ ,  $R^2 = R^3 = CN$ , т. пл. 161°) в 10—20 мл безводн. IV (или  $C_6H_6$ ) с р-ром 0,01 моля II ( $R^4 = R^5 = R^6 = C_2H_5$ ) в IV (или  $C_6H_6$ ), встряхивают, осадок растворяют в разб. HCl, добавляют р-р  $CH_3COONa$ , получают III ( $R' = n-NO_2C_6H_5$ ,  $R^2 = R^3 = CN$ ,  $R^4 = R^5 = R^6 = C_2H_5$ ), т. пл. 145°. При использовании конц. р-ров I целесо-

образно охлаждать смесь. Аналогично из II ( $R^4 = R^5 = R^6 = C_2H_5$ ) и соответствующих I получают (перечислены I, его т-ра плавления, т-ра плавления синтезированного III ( $R^1, R^2$  и  $R^3$  те же, что и в исходном I,  $R^4 = R^5 = R^6 = C_2H_5$ ):  $R' = C_6H_5$ ,  $R^2 = R^3 = CN$ , —, 147;  $R' = n-CH_3C_6H_5$ ,  $R^2 = R^3 = CN$ , 134, 143;  $R' = n-CNC_6H_5$ ,  $R^2 = R^3 = CN$ , 154, 120—125;  $R' = m-NO_2C_6H_5$ ,  $R^2 = R^3 = CN$ , 104, 141;  $R' = o-NO_2C_6H_5$ ,  $R^2 = R^3 = CN$ , 140, 92;  $R' = n-ClC_6H_5$ ,  $R^2 = R^3 = CN$ , 163, 143;  $R' = m-ClC_6H_5$ ,  $R^2 = R^3 = CN$ , 101, 143;  $R' = o-ClC_6H_5$ ,  $R^2 = R^3 = CN$ , 93, 145;  $R' = n-CH_3COO \cdot C_6H_5$ ,  $R^2 = R^3 = CN$ , 98, 133;  $R' = C_6H_5$ ,  $R^2 = CN$ ,  $R^3 = COOCH_3$ , —, 122;  $R' = C_6H_5$ ,  $R^2 = R^3 = COOC_2H_5$ , —, 76. Г. Швахгеймер

51851 П. Способ получения дисперсной элементарной серы. Лейтхейзер (Fremgangsweise til fremstilling af findelt elementært svovl. Leithäuser Heinz). Дат. пат. 80893, 30.04.56

При получении дисперсной элементарной S из газов, содержащих  $H_2S$ , поглощением  $H_2S$  щел. или аммиачными р-рами и окислением  $H_2S$  до S выделившуюся S отфильтровывают, к остатку осадку добавляют смачиватель или эмульгатор и интенсивным перемешиванием осадок превращают в кашку. Суспензию S, полученную разбавлением кашки, высушивают на распылительной сушилке и получают порошкообразный препарат. В качестве смачивателей и эмульгаторов применяют соли молочной к-ты, соли сульфокислот, свободные сульфокислоты, сульфитный щелок, компоненты каменноугольного дегтя; особенно удобно применение 0,1—0,3 вес. % лигнинсульфокислоты (I) и соли I и щел. и щел.-зем. металлов. Кашку, полученную обработкой отжатого осадка, можно также превратить в устойчивую суспензию S и применить ее в качестве пестицида. К. Герцфельд

51852 П. Способ получения дитиокарбаматов. Рена, Брукма, Меллес (Procédé de préparation de dithiocarbamates. Rena Mille, Broekema A., Melles Johan L., [N. V. Aagronol Chemische Fabriek]. Франц. пат. 1085944, 8.02.55 [Ind. chim. 1955, 42, № 461, 397 (франц.)])

Проводят р-цию между амином и  $CS_2$  и к полученному р-ру постепенно добавляют сильную щелочь, переводя аминную соль дитиокарбаминовой к-ты в соль щел. металла. Выделяющийся при этом свободный амин снова вводит в р-цию с  $CS_2$ . Путем добавления к р-ру растворимой соли Fe, Zn, Mg, Mn, Pb, Cu, Hg, Cd, Cr или Al получают соответствующие соли дитиокарбаминовой к-ты, которые находят применение в качестве фунгицидов и инсектицидов. Я. Кантор

51853 П. Средство для борьбы с раком деревьев в плодоводстве. Оккер (Mittel zur Bekämpfung des Baumkrebes, insbesondere an Obstbäumen. Ocker Hans) [Fa. Gottlob Eppl. Пат. ФРГ 945663, 12.07.56]

Для борьбы с раком плодовых деревьев применяют составы, состоящие из обычных средств для лечения ран (СЛР) и сильных фунгицидов на основе соединений Hg или Cu. Напр.: 1) 1 кг 10%-ного водно-спиртового р-ра  $HgCl_2$  перемешивают с СЛР, состоящим из 45 ч. смоляно-спирто-масляного р-ра и 54 ч. инертного наполнителя (каолин, тальк, окисл. железа) до получения однородной массы. 2) В СЛР, состоящее из смолы, растительного или минер. воска и р-рителя, добавляют 1%-ный спирт. р-р фенолята Cu. 3) В смесь битума с р-рителем добавляют 10%-ный фунгицидный р-р (соединения Hg или Cu). А. Гранов

51854 П. Диметилхлорфеноксипропиловые спирты. Берджер, Хаббард, Людвиг (Dimethyl-chlorophenoxy propanols. Berger Frank M., Hubbard Clarence V., Ludwig Bernard J.) [Carter Products, Inc.]. Пат. США 2734087, 7.02.56

Патентуются 1-(3,5-диметил-4-хлорфенокси)-2-пропиловый (I) и 3-пропиловый (II) спирты, обладающие очень сильными фунгицидными и бактерицидными свойствами. К р-ру (в ч.): 3,5-диметил-4-хлорфенола (III) 156,5 и NaOH 45 в воде 400 прибавляют пропиленхлоргидрин 95 и при размешивании кипятят 2 часа до окончания р-ции, по охлаждению продукт извлекают 500 ч. эфира, а водн. слой удаляют. Из эфир. р-ра удаляют непрореагировавший III и другие растворимые в воде примеси путем повторной или непрерывной экстракции сначала разб. р-ром NaOH, затем водой; перегонкой эфир. экстракта выделяют фракцию с т. кип. 130—135°/2 мм и кристаллизацией ее затвердевшей части получают I, выход 85%, т. пл. 62° (из бан. + петр. эф.). К р-ру (в ч.): Na 24 в абс. спирте 800 прибавляют III 156,5, затем пропиленхлоргидрин 95, кипятят несколько часов при размешивании, отгоняют спирт, извлекают  $\text{CHCl}_3$  и выделяют из  $\text{CHCl}_3$ -экстракта I, выход ~50%. Смесь 156,5 ч. III и 58 ч. окиси пропиленов выдерживают несколько дней при 20° в присутствии каталитич. кол-ва конц. р-ра КОН, извлечением смеси эфиром или  $\text{CHCl}_3$  и перегонкой выделяют с хорошим выходом II. К р-ру (в ч.): III 156,5 и NaOH 44 в воде 300 прибавляют 1,3-триметиленхлоргидрина 95 и кипятят при размешивании несколько часов до окончания р-ции, по охлаждению извлекают эфиром, эфир. экстракт промывают разб. водн. NaOH и водой и вакуум-перегонкой выделяют II, выход 60%, т. пл. 53—54° (из  $\text{CCl}_4$  или бан. + петр. эф.). Бактерицидное действие I проявляется в разведении 1/2500—1/5000, а II-1/5000—1/10 000. В. Уфимцев

**51855 П.** Метод получения ароматических аминокетонов и их солей, обладающих фунгицидными и протозооцидными свойствами. Гольдберг, Рахлин (Verfahren zur Herstellung von neuen, fungiciden und protozoociden aromatischen Aminoketonen und deren Salzen. Goldberg Moses Wolf, Rachlin Albert Israel) [F. Hoffmann-La Roche & Co. A.-G.]. Пат. ФРГ 949105, 13.09.56

Ароматические аминокетоны получены р-цией шел. солей оксифенилстирилкетонов общей ф-лы: 2,3,4-R, R', R'', C<sub>6</sub>H<sub>2</sub>CH:CHCOC<sub>6</sub>H<sub>4</sub>OH (I) (R, R', R'', —H, Cl, Br, OCH<sub>3</sub>, NO<sub>2</sub>) с галодалкилами общей ф-лы X—(CH<sub>2</sub>)<sub>n</sub>—Y (X — галоген, Y — втораминогруппа). К суспензии 0,1 моля Na-соли I в хлорбензоле (II) или спирте прибавлен р-р β-диэтиламиноэтилхлорида (III), в II, полученный из 0,2 моля хлоргидрата III действием 50%-ной NaOH. После 4-час. нагревания р-ритель отогнан с паром или в вакууме. Неочищ. продукт действием спир р-ра шавелевой к-ты или HBr (к-та) переведен в соответствующую соль. Na-соль I получена действием  $\text{CH}_3\text{ONa}$  на I в II или в спирте или действием 50%-ной NaOH в II. Получены оксалаты (указаны выход в процентах и т. пл. в °C): *n*-(β-диэтиламиноэтокси)-фенилстирилкетона, 59,7, 152—153 (из сп. + эф.) (бромгидрат, —, 170—172 (из сп.)); *n*-β (диэтиламиноэтокси)-фенил-2,4-дихлорстирилкетона, 77,4 91—93° (из сп.), после нескольких дней сушки на воздухе т. пл. 126—129° (бромгидрат, 40, 191—194 (из сп.)); *m*-(β-диэтиламиноэтокси)-фенил-2,4-дихлорстирилкетона 48,6, 148—151° (из водн. сп.); *m*-(β-диэтиламиноэтокси)-фенил-2-хлорстирилкетона (71,8, 121—124°) из изо-C<sub>6</sub>H<sub>4</sub>OH) и *o*-(β-диэтиламиноэтокси)-фенилстирилкетона (37,3, 113—114° (из сп.), а также бромгидраты *n*-(β-диэтиламиноэтокси)-фенил-*n*-метоксистирилкетона 34,8, 134—136° (из сп.), *n*-(β-диэтиламиноэтокси)-фенил-2-хлорстирилкетона, 71,8, 197—199° (из водн. сп.); *n*-(β-диэтиламиноэтокси) фенил-3 нитростирилкетона 42,9, 202—204° (из  $\text{CH}_3\text{OH}$  + сп.) и *n*-(β-диэтиламиноэтокси)-фенил-*n*-хлорстирилкетона 88,5, 165—166° (из сп.). К взвеси Na-соли *n*-оксифенилсти-

рилкетона (кетон — IV), полученной из 0,15 моля IV, 0,155 моля  $\text{CH}_3\text{ONa}$  в 350 мл II, прибавили 0,177 моля γ-морфолинпропилхлорида. После 18-часового кипячения получили 44,5 г неочищ. *n*-[γ-(4-морфолинил)-пропокси]-фенилстирилкетона, т. пл. 89—91° (из сп.), цитрат, т. пл. 151—153° (с разл.). Аналогично получены (указаны выход в процентах и т. пл. в °C): *n*-(γ-(1-пиперидил)-пропокси)-фенилстирилкетон, 80,6, 58—62° (из сп.) (цитрат, т. пл. 109—113 с разл.); 6*n*-(γ-диэтиламинопропокси)-фенилстирилкетон, 91,8, —, (цитрат, т. пл. 142—143° с разл.); *n*-(β-диметиламиноэтокси)-фенилстирилкетон, 91,5, 67,5—70° (цитрат, т. пл. 132—134°). Некоторые исходные I синтезированы по следующей методике: к 10 г в 100 мл воды при 30° прилили 0,1 моля *n*-оксипеттофенона и затем 0,1 моля 2,4-дихлорбензальдегида. После 20-часового перемешивания (комн. т-ра) р-р вылили в 2 л воды и подкислили по конго HCl (к-та), выпавший 4-оксифенил-2,4-дихлорстирилкетон отфильтровали, т. пл. 175—176° (из  $\text{CH}_3\text{OH}$ ). Аналогично получены (указаны т. пл. в °C): *n*-оксифенил-*n*-хлорстирилкетон, 188—199° (из сп.); *n*-оксифенил-*m*-нитростирилкетон, 228—230 (из воды); *m*-оксифенил-2,4-дихлорстирилкетон, 121—124 (из водн.  $\text{CH}_3\text{COOH}$ ). Для выделения *m*- и *n*-оксифенил-2-хлорстирилкетона т. пл. соответственно 170° (из сп.) и 115—117° (из водн.  $\text{CH}_3\text{COOH}$ ) применяли вместо HCl (к-та)  $\text{CO}_2$ . Полученные аминокетоны обладают фунгицидными и протозооцидными свойствами (напр., против *Trichophyton mentagrophytes*, *Microsporum lanosum* и *Trichomonas vaginalis*), а также лечущим действием.

А. Гранов

**51856 П.** Метод получения гербицидных препаратов с незначительной огнеопасностью. содержащих хлораты (Verfahren zur Herstellung von Chlorat enthaltenden Unkrautvertilgungsmitteln mit verringerter Feuergefährlichkeit) [Borax Consolidated Ltd.]. Пат. ФРГ 945664, 12.07.56

Для получения гербицидных препаратов водн. р-р  $\text{NaClO}_2$  (I) и боратов [ $\text{Na}_2\text{B}_4\text{O}_7 \cdot 10\text{H}_2\text{O}$  (II),  $\text{Na}_2\text{B}_4\text{O}_7 \cdot 5\text{H}_2\text{O}$ ,  $\text{Na}_2\text{B}_4\text{O}_7 \cdot 2\text{H}_2\text{O}$  или их смеси с  $\text{H}_3\text{BO}_3$  (III)], взятых в определенном соотношении, испаряют в токе горячего воздуха (500—550°). Из 21,5% I, 36,8% II, 25,6% III и 15,7%  $\text{H}_2\text{O}$  получен продукт, содержащий 34,93% I, 10, 45%  $\text{Na}_2\text{O}$ , 46,97%  $\text{B}_2\text{O}_3$  и 7,65%  $\text{H}_2\text{O}$ ,  $d = 0,52$ . В других препаратах отношение I:  $\text{Na}_2\text{B}_4\text{O}_7 = 1 : 1,5 \div 3$ .

А. Гранов

**51857 П.** Способ стерилизации почвы. Эмонд, Арнот (Soil sterilizing procedure. Emond Robert E., Arnot James) [Esso Research and Engng Co.]. Пат. США 2541550, 10.04.56

Для стерилизации почвы ее последовательно обрабатывают 10—20%-ными водн. р-рами тетрабората Na (I) или твердым пента-или декагидратом I, а затем нефтепродуктом (II) типа ароматич. крекированных газойлей, кипящих в интервале т-р 205—304°, или типа жидких асфальтовых битумов с вязкостью по Сейболту-фуру 8—100 сек. при 28°. При расходе I 900—9000 кг/га и II — 225—22 500 л/га обеспечена стерилизация почвы на длительное время. I можно также вводить предпрарительно в ароматич. II или битумный материал. Раздельное применение для борьбы с сорняками I или II неэффективно так же, как и одновременное применение II с другими стерилизаторами почвы.

Л. Херсонская

**51858 П.** Эфиры α,α-дихлорпропионовой кислоты и многоатомных спиртов. Браст, Сенкбейл (α,α-Dichloropropionic acid esters of the polyhydric alcohols. Brust Harry F., Senckbeil Herman O.) [The Dow Chemical. Co.]. Пат. США 2734075, 7.02.56

При р-ции α,α-дихлорпропионовой к-ты (I) с многоатомными спиртами, напр., этиленгликолем (II), про-

пиленгликолем (III), бутленгликолем, глицерином (IV), эритролом (V), пентаэритролом (VI), диэтиленгликолем, триэтиленгликолем (VII), дипропиленгликолем, трипропиленгликолем, ди-(триметилен)гликолем, три-(триметилен)гликолем (VIII), 1-(2-оксипрокси)-пропанол-2 (IX), оксипроксиэтоксипропанол, оксипроксиэтоксипропанол, оксипроксиэтоксипропанол, оксипроксиэтоксипропанол и др. при 75—180° образуются соответствующие эфиры. Р-цию можно проводить в присутствии катализаторов этерификации (напр.,  $H_2SO_4$ ) и желательнее в несмешивающихся с водой р-рителях (напр.  $CH_2Cl_2$ ,  $C_6H_5Cl$ ,  $C_6H_5CH_3$ ). Смесь 1,5 молей II и 3,1 молей I нагревают 0,5 час. при 125°, после чего под уменьшенным давлением т-ру постепенно повышают до 160° и нагревают до прекращения отгонки воды, остаток фракционируют, получают *бис*-( $\alpha$ ,  $\alpha$ -дихлорпропионат) II, т. кип. 125—129,5°/2,2 мм, т. зам. 16°. Смесь 1,5 молей III, 3 молей I и 300 мл  $CH_2Cl_2$  нагревают 40 час. при 100—121° (при этом отгоняется вода и  $CH_2Cl_2$ ,  $CH_2Cl_2$  отделяют и возвращают в реакционную смесь), получают *бис*-( $\alpha$ ,  $\alpha$ -дихлорпропионат) III, т. кип. 120—120°/1 мм,  $n_D^{20}$  1,4711. Подобным образом проведены следующие р-ции (перечислены: взятый спирт, его кол-во в молях, кол-во I в молях, кол-во  $CH_2Cl_2$  в мл, т-ра р-ции в градусах, время р-ции в часах, т. кип. в град/мм полученного *бис*, три- или тетра-( $\alpha$ ,  $\alpha$ -дихлорпропионата): пропандиол-1,2 (X), 1,5, 3, 300, 98—100, 22, 127—134/2; X, 1,2, 350, кипячение, 20, —; дипропиленгликоль  $n_D^{25}$  1,439, содержащий 60% 2-(2-оксипрокси)-пропанола-1 (XI); 35% 1-(2-оксипрокси)-пропанола-2 (XII) и 5% 2-(2-оксипрокси)-пропанола (XIII), 1,2, 200, 119—143, 38, 128—133/1,  $n_D^{20}$  1,4624 (смесь эфира I с XI и XII); VII, 0,5, 1,025, 200, 100—111, 20, 190—195/4; бутандиол-2,3, 1,2, 200, 112—131, 38, —,  $n_D^{20}$  1,4620; VIII, 1,2, 300, 100—121, 40, —; VI, 1,4, 300, 110—120, 39, т. пл. 116—120°, V, 1,4, 4, 300, 110—120, 39, —; IV, 1,3, 05, 300, 113—142, 46, 167—170/0,4—0,6. Полученные эфиры эффективны как гербициды и могут быть применены в виде дустов или водн. эмульсий и дисперсий с добавками эмульгаторов и диспергаторов. Исходные ди- и триэтиленгликоли получают 1/2-часовым нагреванием смеси II и окиси этилена (XIV) при 170° и 13 атм в присутствии катализатора ( $H_2SO_4$  или NaOH); XIII получен из X и окиси пропилена (XV) в присутствии NaOH; из 1-метоксипропанола-2 и XV в присутствии щел. катализаторов образуется 1-(2-метоксипропилокси)-пропанол-2, который при нагревании с HBr (газ) дает XI; XIII синтезирован при действии  $LiAlH_4$  на диэтиловый эфир димолочной к-ты; триалкиленгликоли пропиленовой серии получены при р-ции дипропиленгликолей этой серии с XV в присутствии NaOH; ди- и триалкиленгликоли триметиленовой серии получены при нагревании III с дегидратированными катализаторами (напр.,  $I_2$ ) при 175° с непрерывной отгонкой воды; смешанные гликоли могут быть получены при р-ции гликолей с XIV и XV.

Г. Швехгеймер

51859 П. Гербицид. Тинкнелл, Кресент (Unkrautbekämpfungsmittel. Tinncknell Raymond Charles, Crescent Baring) (Monsanto Chemicals Ltd.). Пат. ФРГ 949436, 20.09.56 В качестве гербицида патентуются 2,4-дихлор-5-метилфеноуксусная к-та (I), ее  $Na^+$ ,  $K^+$ ,  $NH_4^+$ , ди- и триметилен-, ди- и триэтанол- и моноизопропиламинные соли, а также метиловый, этиловый, пропиловый и изопропиловый эфиры. К р-ру 413 г 2,4-дихлор-5-метилфенола и 93,3 г NaOH в 230 мл воды при 90° прибавили в течение 4 час. р-р 222 г  $ClCH_2COOH$  и 93,3 г NaOH в 432 мл воды и в течение следующих 4 час. 700 мл воды. Na-соль I отфильтровали, суспендировали в 1000 мл воды и после обработки 300 мл HCl получили

436,5 г I, т. пл. 143°. Экстракцией маточника петр. эфиром выделили еще 62 г неочищ. I. Применяют I в виде водн. суспензий (1 ч. I  $\times$  15 ч. сульфированного кастрового масла + 200 + 1000 ч. воды или 1 ч. I + 20 ч. эмульгатора на основе Na-солей высокомолекулярных арилалкилсульфонатов + 1000 ч. воды) или 1%-ного дуста на тальке. Диэтиламинную соль I, полученную действием 6 г  $(C_2H_5)_2NH$  на взвесь 20 г I в 74 мл воды, применяют в виде 1%-ного водн. р-ра, Na-соль I — в виде 0,2%-ного р-ра. Азотропной этерификацией 235 г 1175 мл изопропанола в присутствии 2 г  $H_2SO_4$  в 100 мл бензола получили 251 г неочищ. изопропилового эфира I (II), а после очистки 137 г II, т. пл. 40—41°. II можно применять как гербицид самостоятельно или в смеси с  $C_6H_5OH$  (III). Препарат из 1 ч. II, 1 ч. III, 15 ч. дуброля (продукт конденсации окиси этилена с жирными спиртами) и 40 ч. праналина KEV (смесь жидких углеводородов) применяют в виде 1%-ной водн. дисперсии. Сравнение действия 1%-ных р-ров III, изопропиловых эфиров 2,4-Д и 2,4,5-Т (IV и V) в алкилнафталинах на дикую малину, ежевику, яблоню, клен показало, что III обладает большей пиротой действия, чем IV и V.

А. Гранов

51860 П. Соли алкиламиннов и  $\alpha$ -2,4,5-трихлорфенокиспропионовой кислоты (Alkylamine salts of  $\alpha$ -2,4,5-trichlorophenoxypropionic acid) [Dow Chemical Co.]. Англ. пат. 731902, 15.06.55

Соединения ф-лы  $2,4,5-Cl_3C_6H_2OCH(CH_3)COONH(R)R'$  (где R—H или алкил, содержащий 1—4 атомов C; R'—алкил, содержащий 1—4 атомов C) получают р-цией одного моля  $\alpha$ -2,4,5-трихлорфенокиспропионовой к-ты (I) с  $\geq 1$  молем (лучше 2—20 молей) амина ф-лы  $(R)_2R'N$  (R и R' то же, что выше). I получают подкислением Na-соли I, синтезированной из  $CH_3CHClCOONa$  и  $2,4,5-Cl_3C_6H_2ONa$ . В примерах соли I с  $(CH_3)_2NH$ ,  $CH_3NH_2$ , *изо*- $C_3H_7NH_2$ , (*изо*- $C_3H_7$ ) $_2NH$ ,  $(CH_3)_3N$  и *втор*- $C_4H_9NH_2$ ; также упоминаются соли I с  $(C_2H_5)_2NH$ , (*изо*- $C_4H_9$ ) $_2NH$ ,  $(C_4H_9)_2NH$ , *н*- $C_5H_{11}NH_2$ , *изо*- $C_4H_9NH_2$ ,  $(C_4H_9)_3N$  и  $(C_2H_5)_3N$ . Эти соли могут быть использованы как составляющие смесей для регуляторов роста растений.

Г. Швехгеймер

51861 П. Получение ингибитора роста растений. Дой, Онука, Ямагучи (植物の生長抑制剤の製造方法. 土肥忠博, 大森正富, 山口幸之) [大森正富株式会社, Онука какаку якуин кабусики кайся]. Японск. пат. 9098, 14.12.55

Устойчивые водн. р-ры солей гидразидов малеиновой к-ты (I) получают добавлением к исходным р-рам небольших кол-в первичных, вторичных, третичных аминов, этаноламина (II) или едкой щелочи. Примеры: 1) смесь (в г): I 112, 80%-ного  $N_2H_4 \cdot H_2O$  62,5 и дистил. воды 138,7 нагревают 1 час при 100—110°, воду выпаривают и в остатке получают  $N_2H_4$ -соль I, т. пл. 158—159°, водн. р-р которой устойчив в присутствии 5% II; 2) смесь (в г): ангидрида малеиновой к-ты 98, дистил. воды 922, гидразинсульфата 260 нагревают 1 час при 100—110°, затем добавляют 160 г NaOH, нагревание продолжают до полного растворения осадка и к полученной смеси прибавляют 5% II. М. Гусев

51862 П. Хлортолилоксифосфаты (Chlorotoloxethyl phosphates) [Dow Chemical Co.]. Англ. пат. 734824, 10.08.55

При действии  $ClCH_2CH_2OH$  или  $BrCH_2CH_2OH$  на эквимолекулярное кол-во щелочно-металлич. соли 4-хлор-о-крезола образуется 2-(4-хлор-о-толилокси)-этанол (I). Кипячение 1 моля I с 2—5 молями  $POCl_3$  при 40—80° (лучше в р-ре  $CCl_4$ ) и последующей отгонкой  $POCl_3$  дает *о*- $CH_3$ -*п*- $ClC_6H_3OCH_2CH_2CH_2OP(O)Cl_2$ , который при действии воды превращается в *о*- $CH_3$ -*п*- $ClC_6H_3OCH_2CH_2CH_2OP(O)(OH)_2$  (II); II при обработке стехиометрич. кол-вом щел. металла, щел.-зем. металла  $Mg(OH)_2$  или  $MgCO_3$  дает соответствующую соль II.



Даны примеры получения ди Na-, Са-, К- и Mg-солей II. Эти соли используют для подавления прорастания семян сорняков. Г. Швехгеймер

См. также: Инсектициды: синтез 51198—51201, 53376, добавление к удобрениям 51802; противомольный состав 52492; инсектициды в пищевых продуктах 53252. Регуляторы роста 53363; 16637—16639 Бх. Дефолианты 16636 Бх

## ЭЛЕКТРОХИМИЧЕСКИЕ ПРОИЗВОДСТВА.

### ЭЛЕКТРООСАЖДЕНИЕ.

#### ХИМИЧЕСКИЕ ИСТОЧНИКИ ТОКА

Редактор М. М. Мельникова

51863. Двухокись марганца для химических источников тока. Лей (Manganese dioxide for primary batteries. Lay J. O.), Chem. and Process Engng, 1956, 37, № 11, 389—391 (англ.)

Рассмотрены дополнительные сырьевые источники получения ( $MnO_2$ ) для пром-сти гальванич. элементов в связи с ростом потребления марганцевых руд металл. пром-стью. Приведена таблица годовой добычи марганцевых руд различными государствами (за 1954 г.). Дан обзор хим. и электрохим. методов получения высококачеств.  $MnO_2$  из низкосортных руд; приводятся общие методы контроля качества  $MnO_2$ . Указаны основные направления необходимых исследований этого вопроса и перспективы развития методов получения марганцевых руд в будущем. Л. Ельцова

51864. Работа аккумуляторных батарей при их параллельном соединении. Клеричи (Funzionamento in parallelo di batterie di accumulatori. Clerici Guido), Elettrofissione, 1956, № 8, Elettrochimica, 63—64 (итал.)

Рассматривается случай параллельного соединения аккумуляторов в батарее, которое применяется только в том случае, когда последовательное соединение невозможно. Выведены ф-лы для подсчета ориентировочных значений величин силы тока и напряжения батарей в период разрядки и зарядки. Я. Лапин

51865. Приготовление порошка для отрицательных пластин кадмевых и никелевых щелочных батарей электролитическим методом. Гао Юй-юй (高永毅), 錄 鹼 性 蓄 電 池 負 極 粉 製 造 —— 混 合 液 電 解 法. 高 永 毅, 化學世界, Хуасюэ шицзе, 1956, № 8, 432 (кит.)

51866. Падение напряжения между электродами в электролизере для получения натрия. Ямагути, Йосикава, Кобаяси, Сэйдзи (再びソーダ電解槽の極間電壓降下について・山口寛、吉川英夫、小林慶一郎、清治満), 電気試験所彙報, Дэнки сикэнсё йо, Bull. Electrotechn. Lab., 1956, 20, № 4, 263—271, 310 (японск.; рез. англ.)

Изучено сопротивление электролита между Hg и различными (по форме и способу изготовления) графитовыми электродами методом переменного тока. Перепадение напряжения рассчитано из напряжения на электролизере, потенциала разложения и падения напряжения в электролите и проводниках. На основании эксперим. данных выведено практич. ур-ние для расчета падения напряжения в электролите и перепадения для 6 видов электродов. Ур-ние Нора не совпадает с полученным практич. ур-нием по величине падения напряжения и перепадения, но согласуется по сумме их в пределах практич. условий работы. З. Соловьева

51867. К изучению кинетики разложения амальгамы натрия в растворах NaOH. Калистру, Попович, Леонте, Хершковиц (Contribuți la studiul cinetice de descompunerii amalgamului de sodiu în soluții de hidroxid de sodiu. Calistru

Const, Popovici Aurel, Leonte Cornelia, Hershovici Mayer), Studii și cercetări știint., 1954, 5, № 1—2, 197—213 (рум.; рез. русск., франц.)

Исследовано влияние карбида кремния на процесс разложения амальгамы натрия (I) при одновременном выявлении кинетики разложения последней в р-рах NaOH. Для выявления механизма разложения I водой и различными р-рами NaOH использовался гальванич. элемент — Pt р-р NaOH/амальгамный электрод /растворимый анод. Сосуд емк. 200 см<sup>3</sup> содержал 66 г амальгамы поверхностью 710 мм<sup>2</sup>, поверхность индифферентного электрода 135 мм<sup>2</sup>, расстояние между электродами 3—6 мм. Конц-ия I определялась путем ее разложения 0,05 н. HCl и последующим титрованием избытка к-ты 0,05 н. NaOH в присутствии метилоранжа. Кол-во электрохимически растворенного Na высчитывалось по поверхности, ограниченной кривой изменения D от времени. Кривые, полученные измерением э. д. с. элемента для разб. и конц. NaOH и воды при т-ре 25°, характеризуются наличием трех участков: 1-й из них, соответствовавший разложению I, показывает постоянство э. д. с. во времени благодаря достаточной скорости диффузии атомов Na из р-ра в амальгаму, непрерывно замещающей кол-во растворенного Na в поверхностном слое; 2-й участок соответствует резкому снижению значения э. д. с., т. е. хим. растворению, что объясняется изменением, происходящим в поверхностном слое по отношению к общей массе I, обеденной атомами Na; 3-й горизонтальный участок соответствует равновесию между конц-ией Na в поверхностном слое и общей его конц-ией в I и в р-ре NaOH, на этом участке скорость хим. растворения амальгамы, очень незначительна. Кривые изменения D во времени коротко замкнутого элемента состоят из четырех участков; это показывает, что механизм разложения амальгамы аналогичен наблюдаемому при непосредственном разложении I р-ром NaOH. Увеличение т-ры, давления, наложение переменного тока, а также природа электрода, т. е. факторов, уменьшающих перенапряжение водорода, способствуют увеличению скорости хим. разложения I. На основе полученных кривых для электродов из карбида Si и графита, а также анализа содержания Na в амальгаме, были выявлены три средние скорости разложения I: общая (CO), хим. (CX) и электрохим. (CЭ). CO падает с увеличением конц-ии р-ра NaOH и растет с т-рой. CX при комнатной т-ре и разб. р-ре NaOH в 2 раза превышает CO для графитового анода и в три раза — для анода из кремния. CЭ во всех случаях больше для электрода из карбида Si, чем для графита. Наибольшее кол-во I разлагается химически. Кол-во Na, оставшегося в амальгаме после периода химич. растворения, зависит от толщины слоя. Уменьшение ее толщины сокращает конечное время разложения I. Частичная или полная замена графита карбидом увеличивает скорость разложения I. Я. Матлис

51868. Изучение нагревания раствора при электролизе. Мицуи, Сато (電解加熱法の研究. 三井壽雄・佐藤敏一), 自動車技術, Дзидоса гикаку, 1956, 10, № 9, 279—285 (японск.)

Рассматриваются вопросы о нагревании катода при электролизе и о зависимости нагрева от напряжения на ванне, кол-ва проходящего тока, формы и размеров электродов, состояния поверхности катода и вопрос о возможности практич. использования нагрева катодов. В результате ряда опытов было установлено, что нагрев катода почти совершенно не зависит от формы анода, но зависит от глубины погружения электродов в электролит, от состояния площадей анода и катода, от состояния поверхности катода. М. Гусев

51869. Теория электроосаждения сплавов. Пьонтели (Teoria dell'elettrodeposizione di leghe.

Piontelli Roberto), Rend. Ist. lombardo sci. e lettere. Cl. sci. mat. e natur., 1954, 87, № 4, 453—472 (итал.; реф. англ.)

Рассматривается и обсуждается теория электроосаждения сплавов. Подробно обсуждается эффект «стимулирования депозитизации» при образовании смешанных фаз вместе с кинетикой процесса подачи реагирующих в-в к поверхности электрода. Применены результаты недавно развитой теории электрохим. поведения металлов. Библ. 8 назв.

3. Соловьев

51870. Контроль плотности тока в ячейке Хулла. Кальво (El control de la densidad de corriente y la celula de Hull. Calvo Julian V.), Ingenieria quim., 1956, 6, № 2, 50—72 (исп.)

51871. Влияние задний стенки электролизера на распределение электрического тока. Хина (電気分布に及ぼす負角材後壁の影響. 日本文明), 工業化学雑誌, Kōgō Kagaku Zasshi, J. Chem. Soc. Japan. Industr. Chem. Sec., 1956, 59, № 8, 875—878 (япон.)

Рассматривается вопрос о влиянии задней стенки электролизера на распределение электрич. тока в ванне и даются расчеты задний стенки электролизера, но по изложению самого автора, эти расчеты являются чисто эмпирич. и вряд ли могут служить руководством при расчетах и проектировании электролизеров. М. Гусев

51872. Гидропескоструйная очистка. Соловьев А. П., Литийное произ-во, 1955, № 3, 10—13

51873. Гидрополировка. Скуибб, Холл (Gyofinishing. Squibb George R., Hall Fred T.), Metal Ind., 1956, 89, № 16, 333—335 (англ.)

Гидрополировка — процесс шлифовой и полировочной металлич. поверхностей в массе чистого абразива. Эта масса абразива приводится во вращательное движение, в частности материала, увлекаемого общим потоком, оказывающее шлифующее или полирующее действие. Гидрополировка успешно применяется для отделки отдельных деталей, которые затем подвергаются декоративному покрытию.

И. Ерусалимчик

51874. Электролитическое обезжиривание в нейтральных растворах. Детнер (Was ist elektrolytische Neutral-Entfettung? Detner Heinz W.), Ind.-Anz., 1956, 78, № 92, 1373—1374 (нем.)

Рекомендуется применять электролитич. обезжиривание в нейтр. р-рах, обладающих достаточной электропроводностью. Для обезжиривания рекомендуется напряжение 8—12 в,  $D = 8—15 \text{ адм}^2$ . Для латуни и полированных изделий требуется более высокое напряжение, чем для стали. Время обработки 1—3 мин. Применение нейтр. обезжиривающих ванн исключает необходимость нагрева и устройств для бортовой вентиляции, контроль за ними значительно проще. Рекомендуется не допускать вспенивания путем применения спец. сеток. Нейтр. ванны для обезжиривания не ядовиты. В этих ваннах можно обезжиривать все металлы.

А. Липин

51875. Травление металлов. Вернер (Ätzen von Metallen. Werner E.), Metallwaren-Ind. und Galvanotechn., 1955, 45, № 12, 586—587 (нем.)

51876. Процесс удаления окалины с помощью гидроксида натрия. Тейлор (Sodium hydride descaling process. Taylor W. F. S.), Metal Treatm. and Drop Forging, 1956, 23, № 134, 465—468 (англ.)

Описывается процесс удаления окалины с поверхности различных металлов путем обработки этих металлов в 1,5—2%-ном р-ре NaN в расплавленном NaOH при  $t \sim 350^\circ$ . Так как NaN является сильным восстановителем, он легко восстанавливает до металла окислы Ni, Cr, Fe, Ti и ряда других металлов, поэтому этот процесс весьма успешно применяется для очистки поверхности перешлифованных металлов и их сплавов. Обработке NaN не могут быть подвергнуты металлы, взаимодействующие с расплавленной щелочью, и ме-

таллы,  $t$ -ра плавления которых ниже  $t$ -ры плавления NaOH.

И. Ерусалимчик

51877. Механизация при эмалировании, травлении и предварительная обработка. Стак (Mechanization in enamelling: a symposium pickling and pre-treatment. Stack J.), Metal Finish. J., 1956, 2, № 22, 373—375, 379 (англ.)

Рассматриваются вопросы механизации процессов травления и обработки поверхности перед эмалированием. Для продолжения обрабатываемых предметов предлагаются 4 типа конвейеров, в зависимости от применяемого процесса. Механизация улучшает качество обработки поверхности и значительно удешевляет ее.

Т. Фабрикант

51878. Электронномикроскопическое исследование

электролитически полированных поверхностей металлов. II. О влиянии электрохимических условий на электронномикроскопическую картину аноднополированной меди и латуни. Поппа, Шпенн (Elektronenmikroskopische Untersuchung electrolytisch geglänzter Metalloberflächen (II). Zum Einfluß der elektrochemischen Bedingungen auf das elektronenmikroskopische Bild von anodisch geglänztem Kupfer und Messing. Poppe H., Späen H.), Metallberfläche, 1956, 10, № 12, 358—365 (нем.)

Исследовалось влияние режима электрополировки на электронномикроскопич. картину состояния поверхности меди и латуни. В качестве электролита применялись водн. р-ры  $\text{CrO}_3$  (Оптимальный состав электролита 50—60 вес. %  $\text{CrO}_3$ ,  $t$ -ра  $25^\circ$ ). Образцы полировались при определенных значениях потенциала, соответствующих отдельным участкам на кривой зависимости анодного потенциала от плотности тока. Указанные кривые имеют характерный для процесса электрополировки горизонтальный участок, который наиболее отчетливо выражен для электролитов, содержащих 30—50 вес. %  $\text{CrO}_3$ . Появление или отсутствие горизонтального участка на кривой зависит, кроме всех прочих условий, также от схемы электр. цепи и методики снятия кривых. Анодное растворение при потенциалах до появления горизонтального участка сопровождается сильным травлением поверхности, которое легко обнаруживается с помощью обычного микроскопа. При электрополировке в области горизонтального участка получается большое разнообразие тончайших структур травления, которые могут быть обнаружены лишь с помощью электронного микроскопа (метод снятия реплик с поверхности). Особенно характерны структуры, имеющие некоторое сходство с ячеистой структурой поверхности алюминия после удаления анодной пленки. Рассматривается также акцепторная теория электрополировки Эдвардса и Вагнера применительно к условиям полирования в указанном электролите. В качестве акцепторов в данном случае могут служить молекулы воды в отличие от водн. р-ров  $\text{H}_2\text{PO}_4$ , где акцептором является ион  $\text{PO}_4^{3-}$ . Сообщение I см. РЖХим, 1957, 35029.

П. Шиголев

51879. Области применения электрополировки в технике. Современное состояние техники. Часть II. Мондон (Die technischen Anwendungen des Elektropolierens. Augenblicklicher Stand der Technik. Teil II. Mondon R.), Metalloberfläche, 1956, 10, № 12, 376—380 (нем.)

Обзор. Библ. 11 назв. Предыдущее сообщение см. 1957, 23837.

П. Шиголев

51880. Исследование процесса анодного пассивирования алюминиевых сплавов. Сообщение 4. Электропроводность анодно-формированных окисных пленок. Богоявленский А. Ф., Ишкин А. З., Тр. Казанск. авиац. ин-та, 1956, 31, 113—126

Методом «прямого отсчета» исследована электропроводность анодных окисных пленок на Al, полученных

в следующих электролитах: 20%-ная  $H_2SO_4$ , 9,5%-ный р-р  $CrO_3$ , 3%-ная  $H_2C_2O_4$ , 5%-ный р-р  $Na_2CO_3$ . Анодирование в указанных электролитах производилось при стандартном режиме. Метод «прямого отсчета» состоит в том, что сила тока, протекающего через пленку, определяется непосредственно по отклонению луча высокочувствительного гальванометра, включенного в измерительную цепь (чувствительность равна  $3,4675 \cdot 10^{-9} \text{ а/м.м.}$ ). В области слабых полей искомое сопротивление определялось по закону Ома. Ввиду того, что анодные окисные пленки обладают эффектом поляризации, определение их электропроводности проводилось как при анодном (+), так и при катодном (-) включении образцов. Электропроводность ( $I$ ) пленок, полученных в указанных электролитах, может быть охарактеризована следующим рядом:  $I_{CO_3^{2-}} > I_{CrO_4^{2-}} > I_{SO_4^{2-}} > I_{C_2O_4^{2-}}$ . Сопротивление анодных пленок характеризуется следующими величинами:  $R_{CrO_4^{2-}} = 8 \cdot 10^6$ ,  $R_{SO_4^{2-}} = 6 \cdot 10^6$ ,  $R_{CrO_4^{2-}} = 3 \cdot 10^6$ ,  $R_{CO_3^{2-}} = 2 \cdot 10^6 \text{ ом}$  (анодное включение образцов). Изучено изменение сопротивления анодных пленок после наполнения их в дистилл. воде в течение 30 мин. при различных т-рах. Установлено, что электропроводность пленки, полученной в р-ре  $Na_2CO_3$ , повышается до 90% в зависимости от т-ры. Электропроводность пленок, полученных в других электролитах, после наполнения в воде понижается, причем максимум понижения соответствует определенному т-рам наполнения (для сернокислого электролита эта т-ра равна  $30^\circ$ , для остальных  $40-50^\circ$ ). Высказано предположение о связи электропроводности пленок с их старением, гидратацией стенок пор пленки и «вымыванием» ионов из мицелл пленки. Исследовано влияние на электропроводность анодных окисных пленок наполнения их красителем («анилиновый черный для домашнего крашения»). Установлено, что электропроводность пленок, полученных в р-ре  $Na_2CO_3$ , после окрашивания уменьшается, а пленок, полученных в р-рах  $H_2SO_4$  и  $CrO_3$ , возрастает в 15–20 раз. Особенно сильное возрастание сопротивления наблюдается для пленок, полученных в р-ре  $H_2C_2O_4$ . При этом поведение пленок в электрич. поле приближается к поведению в нем диэлектриков ( $R \geq 10^{12} \text{ ом}$ ). Предыдущее сообщение см. РЖХим, 1954, 28573.

П. Шиголев

**51881. Растрескивание анодированных поверхностей алюминиевых сплавов, подвергающихся действию повышенных температур.** Лелон, Эрангелъ (Le fûilage des surfaces en alliage d'aluminium traitées par oxydation anodique brillante et soumises a des échauffements. Lelong Pierre, Héren-guel Jean), Rev. aluminium, 1956, 33, № 236, 923–930 (франц.; рез. англ., исп.)

Использование отражателей из чистого Al и его сплавов с Mg при нагреве ИК-лучами часто приводит к растрескиванию окисной анодной блестящей пленки вследствие ее нагрева до  $150-200^\circ$ . Установлено, что растрескивание обуславливается различными коэфф. расширения металла и окисной пленки и зависит от структуры  $Al_2O_3$  и в особенности от степени ее гидратации. Дегидратация пленки при ее нагреве и, в особенности, различная степень дегидратации, меняющаяся по толщине пленки, играет при этом важную роль и зависит от метода анодной обработки и способа уплотнения пленки. Высказано предположение, что пленки  $Al_2O_3$ , наименее подверженные растрескиванию, должны иметь структуру средней степени компактности. При высокой степени компактности образуются трещины, вызывающие местные деформации сердцевин металла, т. е. изменение профиля поверхности. Недостаточная компактность может вызвать сильные

хим. воздействия по крайней мере на свободную поверхность, что вызывает в конечном итоге дегидратацию нагретой пленки и ее растрескивание. Опыты показали, что отражатели, сохраняющие свои качества в течение нескольких тысяч часов работы при разогреве до  $250^\circ$ , могут быть получены блестящим анодированием в обычном сернокислом электролите, содержащем  $100-180 \text{ г/л } H_2SO_4$  при т-ре  $15-20^\circ$ ,  $D_a = 0,75$  и  $1,5 \text{ а/д.м.}^2$ , при соблюдении следующих условий: 1) применение в качестве материала сплава A9G1 или A9G3 (использование A9 не рекомендуется для этих целей); 2) ограничение толщины анодной пленки до  $8-12 \mu$ ; 3) отказ от наполнения пленки в кипящей воде и использование для этой цели дисперсной эмульсии эфиров жирных к-т.

А. Матлис

**51882. Исследования в области химической полировки алюминия.** Латтей, Нейнциг (Entwicklungen auf dem Gebiet des chemischen Glänzens von Aluminium. Lattey R., Neunzig H.), Metalloberfläche, 1955, 9, № 7, 97(A) — 103 (H.) (нем.)

**51883. Некоторые способы определения качества анодных пленок, полученных по способу «Eloxal».** Бауман, Латтей (Einige Verfahren zur Bestimmung der Güte von Eloxalschichten. Baumann F., Lattey R.), Aluminium (Düsseldorf), 1955, 31, № 5, 199–204 (нем.; рез. франц., англ.)

**51884. Окраска анодированного алюминия неорганическими красителями.** Херман, Хюбнер (Färben von anodisch oxydiertem Aluminium mittels anorganischer Pigmente. Herrmann E., Hübner W.), Aluminium suisse, 1955, 5, № 4, 134–138 (нем., франц.)

**51885. Отделка алюминия.** Брейс (Finishes for aluminium. Brase A. W.), Engrs' Digest, 1955, 16, № 5, 244–247, 252 (англ.)

**51886. Электрохимическая заточка цилиндрических тел.** Рудаков Г. П., Сб. работ. студ. науч. о-ва Пензенск. индустр. ин-та. Пенза, 1955, 85–94

**51887. Электролитическое покрытие стальной проволоки и водородная хрупкость.** Хигути (鋼線の電氣メッキと水素脆性. 樋口正紀), 金屬表面技術, Киндзоку хэмэн гидзюцу, Metal Finish. Soc. Japan, 1956, 7, № 4, 28–31 (японск.; рез. англ.)

Был изучен вопрос о причинах возникновения водородной хрупкости, возникающей при электролитич. покрытии металлов. В результате ряда опытов со стальной проволокой (содержащей 0,7% С) диам. 3,74 мм было установлено, что водородная хрупкость возникает не столько в результате самого процесса электролитич. покрытия, сколько в результате предварительной обработки проволоки. Водородная хрупкость металла может быть в какой-то мере предотвращена при условии правильной предварительной обработки. М. Гусев

**51888. Серебрение медной проволоки, ее изготовление и испытание.** Кейль (Versilberte Kupferdrähte, ihre Herstellung und Prüfung. Keil A.), Metalloberfläche, 1956, 10, № 11, 327–329 (нем.)

Способ гальванич. серебрения в последнее время широко применяется вследствие дешевизны и значительной производительности. К недостаткам этого способа относится значительная пористость покрытия и более слабое, чем при плакировании, сцепление с основой. Толщина покрытия составляет 30μ на проволоке (диам. ~1,5 мм). При серебрении плакированием, особенно при повышенной т-ре, имеет место диффузия кислорода воздуха через слой Ag и образование окислов. Слой, содержащий окислы, хрупок и при изгибе образца ломается. В связи с этим рекомендуется производить термообработку в нейтр. атмосфере или вакууме. В то время как при гальванич. серебрении прочность сцепления зависит от подготовки поверхности. Описаны методы испытания сцепления. А. Липин



51889. Электроосаждение селена. Хирасава (セレンウムの電着に関する研究. 平澤良介), Япон. металлург. индустрия, 1956, 72, № 815, 255—257 (японск.)

В качестве электролита использовался р-р  $\text{H}_2\text{SeO}_3$  (5 М), катод и анод — Pt-стержни длиной 62 мм, диам. 1 мм. Se осаждался в виде порошка от ярко-красного до темно-бурого цвета. Это аморфный красный Se. Добавки  $\text{HNO}_3$  и  $\text{H}_2\text{SO}_4$  (0,5—1,2 н.) снижают напряжение на ванне с 3,5 до 2,5 в, повышают электропроводность р-ра и уменьшают катодный потенциал. Приведены поляризационные кривые при различных т-рах и добавках. Добавки  $\text{H}_2\text{SO}_4$  и  $\text{HNO}_3$  дают возможность получать тонкие, гладкие, золотистые пленки Se. Металлич. Se получается при т-ре  $>60^\circ$ , ниже  $30^\circ$  осаждаются различные модификации аморфного Se.

51890. Значение марганца, полученного электролитическим путем в производстве металлов. Бакнал (Role of electrolytic manganese in the metal industries. Bucknal E. H.), Bull. India Soc. Electrochem. Soc., 1956, 5, № 3, 56—57 (англ.)

51891. Электролитические осадки родия. Эгре (Dépôts électrolytiques de rhodium. Egré M. P.), France — Inds, 1956, 3, № 19, 21—23 (франц.)

Рассматриваются свойства, применение и получение Rh-покрытий. 3. Соловьева

51892. Электролитическое осаждение олова при изготовлении жести. Френкель (La deposizione elettrolitica dello stagno nella fabbricazione della banda stagnata. Frenkel C.), Metallurgia ital., 1956, 48, № 10, 338, 350, Repr. Atti notizie, 1956, № 10 (итал.)

Отмечено, что производительность щел. ванны весьма низка (50%), что делает еще более благоприятным применение кислых ванн, которые распространены в США, в то время как в Европе применяются щел. ванны. Скорость движения листа через ванну практически может лежать в пределах 240—300 м/мин и определяется в основном скоростью разрезки листов. Я. Лапин

51893. О применении соединений бария в гальванотехнике. Завельсберг (Über die Verwendung von Barium-Verbindungen in der Galvanotechnik. Savelsberg W.), Metallwaren-Ind., und Galvanotechn., 1956, 47, № 11, 487—490 (нем.)

Описан способ очистки гальванич. ванн соединениями Ba. Удаление  $\text{SO}_4^{2-}$  из хромовых ванн производится  $\text{BaCO}_3$ . В цинковых ваннах латунирования, цинкования и кадмирования с целью удаления карбонатов применяется  $\text{Ba}(\text{CN})_2$  совместно с  $\text{Ba}(\text{OH})_2$ . Для очистки никелевых ванн от примесей Cu и Zn используется BaS.

51894. Применение электронной микроскопии в гальванотехнике. Брюхе (Wozu Elektronenmikroskopie in der Galvanotechnik? Brüche E.), Metallwaren-Ind. und Galvanotechn., 1956, 47, № 9, 385—392 (нем.)

Описано применение электронного микроскопа для исследования структуры гальванич. осадков.

Ю. Петрова

51895. Электролитический метод уменьшения толщины образцов для магнитных и структурных исследований. Гурвич Е. И., Синицын К. К., Завод. лаборатория, 1956, 22, № 10, 1206—1207

Описан электролитич. метод уменьшения толщины магнитных сплавов: 50Н (50%-ный пермаллой) и 79НМ (молибденовый пермаллой). Для этой цели авторами используется электрополировка в р-рах состава (в %):  $\text{H}_3\text{PO}_4$  (уд. в. 1,70) 85,  $\text{CrO}_3$  15 при 75—85°,  $D_a = 1,6$ — $1,8$  а/см<sup>2</sup> для сплава 79НМ и 2,0—2,1 а/см<sup>2</sup> для сплава 50Н. При полировке образец вертикально погружается в электролит. В качестве катодов приме-

нялись две пластины из нержавеющей стали. Электролит перемешивался. Указанный метод дает возможность равномерно уменьшать толщину изделия, не ухудшая магнитных свойств сплава. Ю. Петрова

51896. Нанесение слоя селена в вакууме при изготовлении селеновых выпрямителей. Котани, Харад (真空蒸着法によるセレン整流板. 小谷錦治, 原田茂久), 金属, Киндаоку, Metals, 1955, 25, № 9, 700—702 (японск.)

51897. Электролиз системы хлористый свинец — окись свинца. Деламарский Ю. К., Панченко И. Л., Марков Б. Ф., Укр. хим. ж., 1956, 22, № 5, 574—577

Для восстановления PbO как продукта переработки аккумуляторной массы отработанных пластин применен электролиз эвтектич. расплава PbO и PbCl<sub>2</sub> при 500—530°. Электродами служили графитовые стержни. В процессе электролиза происходило окисление графитового анода в результате выделения O<sub>2</sub>. В лабораторных опытах получен Pb с выходом по току в среднем 98—99% (в крупнолабораторных опытах — 96%). Напряжение разложения PbO при 500° равно 0,55 в (температурный коэфф.  $-0,0022$  в град<sup>-1</sup>). Для эвтектич. расплава предельная катодная плотность тока лежит выше 0,5 а/см<sup>2</sup>. Добавление в расплав хлоридов щел. металлов нежелательно, так как в их присутствии заметно снижается растворимость PbO в расплаве. Чистота металла определяется чистотой PbO; при этом более электроположительные, чем Pb, металлы (Bi, Cu, Ag, Sn, Sb) выделяются на катоде совместно с Pb, а электроотрицательные накапливаются в электролите.

Б. Марков

51898 П. Электролизер для восстановления металлических ионов. Бойер (Electrolytic cells. Boyer Robert Q.) [United States of America as represented by the United States of America Energy Commission]. Пат. США 2733220, 31.01.56

Запатентован электролизер для обработки р-ров, содержащих металлич. ионы, напр., для обработки р-ра уранила, содержащего примеси ионов Fe<sup>3+</sup>, Cu<sup>2+</sup>, Ni<sup>2+</sup>, Cr<sup>3+</sup>, в процессе которой уранил восстанавливается до U<sup>4+</sup>, а сопутствующие ионы выделяются на катоде. Электролизер состоит из корпуса, в нижней части которого налита Hg, и ряда пористых сосудов прямоугольного сечения, расположенных в его верхней части. Внутри пористых сосудов помещены графитовые аноды, а во внешнем пространстве — катодные диски, наполовину погруженные в Hg. Длина пористых сосудов меньше, чем ширина ванны. Поэтому при смещении четных и нечетных сосудов к противоположным стенкам электролизера образуется длинное извилистое катодное пространство. Спец. механизм приводит во вращение четные диски в одном направлении, а нечетные — в противоположном. Благодаря этому происходит непрерывное обновление Hg на катодных дисках, перемешивание по извилистому катодному пространству от места ввода электролита до места его выхода из электролизера. В процессе работы происходит непрерывный обмен не только электролита, но и Hg, которая загрязняется металлами в процессе электролиза.

В. Ельцов

51899 П. Электролиз хлоридов щелочных металлов с Hg-вращающимся катодом. Дон (回転陰極型水銀式鹽化アルカリ電解装置. 土居義朝) [中央工業株式会社, Дон Исисато, Тую Когэ Кабусики Кайся]. Японск. пат. 8059, 7.11.55

На полюс оси электролизера перпендикулярно к ней укреплены стальные цилиндры, внутри которых имеются расположенные звездобразно желоба. В промежутках между цилиндрами расположены угольные аноды. Вся система приводится во вращение при помощи ш-

стерен. Ртуть поступает по воронке в полую часть оси и через пазы растекается по поверхности стенок нижней части цилиндра, смачивая сталь. Установлено, что при силе тока 2000 а и при диаметре цилиндра 800 мм, конц-ия амальгамы = 0,35%, напряжение на ванне 4,3 в, ВТ 95% и конц-ия NaOH 32%. З. Завьялов 51900 П. Процесс и аппарат для каталитического разложения амальгам щелочных металлов. Саковский (Process and apparatus for the catalytic decomposition of alkali metal amalgams. S a k o w s k i Walter J.) [Olin Mathieson Chemical Corp.]. Пат. США 2732284, 24.01.56

Недостатками существующих вертикальных разлагателей являются интенсивное перемешивание, препятствующее получению высококонд. каустика, истирание графита и загрязнение им каустика, захват ртути и каустика водородом, недостаточная полнота разложения амальгам. Автор предлагает прямоточный разлагатель, состоящий из ряда горизонтальных тарелок с укрепленными в них графитовыми стержнями. Амальгама и разлагающая жидкость располагаются на тарелках в виде двух слоев и переливаются на нижние тарелки с помощью широких переливных трубок, устроенных таким образом, что переливная трубка для верхнего слоя, расположенная над трубкой для амальгамы коаксиально с ней и имеющая больший диаметр, погружена своим нижним концом в амальгаму, образуя затвор. Особенностью аппарата является свободное удаление водорода, не сопровождающееся интенсивным перемешиванием жидкости. Это позволяет устранить перечисленные выше недостатки разлагателей обычного типа и дает возможность получать каустик конц-ией до 75%.

Л. Кристаллик 51901 П. Фор-электроды и метод их изготовления (Vorelektrode für Elektrolysezellen und Verfahren zur Herstellung einer solchen Elektrode) [Bamag-Meguin A.-G.]. Швейц. пат. 302143, 16.12.44 [Chem. Zbl., 1955, 126, № 39, 9165 (нем.)]

На электрод, состоящий из перфорированной пластины, натягивается проволоочная сетка, которая крепится на нем точечной сваркой. При этом места сварки распределяются так по всей плоскости, что почти каждая проволоочка сетки приваривается к пластине по крайней мере в одном месте. Для формирования электрода на пластину и сетку наносится слой металла. В. Ельцов 51902 П. Фор-электроды для электролитических ячеек. Деллинг (Vorelektrode für electrolytische Zellen. Dähling Heinz) [Maschinenfabrik Sürth, Zweigniederlassung der Ges. für Linde's Eismaschinen A.-G.]. Пат. ФРГ 941843, 19.04.56

Патентуется новая конструкция фор-электрода (ФЭ) для электролиза воды, состоящая из тонких листов, прикрепленных к основному электроду (ОЭ) с помощью пружинок, прикрепленных к ОЭ и ФЭ на их противоположных концах и создающих растягивающее усилие вдоль плоскости ФЭ, обеспечивающее его жесткость. В средней части между ОЭ и ФЭ также установлены пружинок. Взаимное расположение соседних ФЭ на равных расстояниях друг от друга обеспечивается установленными между ними в точках крепления пружинок изолирующими прокладками. ФЭ может представлять собой тонкий перфорированный Ni-лист, предпочтительно осажденный гальванич. путем, или проволоочную сетку. ФЭ может располагаться непосредственно на диафрагме. Пружинки прикрепляются к ОЭ и ФЭ предпочтительно сваркой. Я. Лаппи 51903 П. Электролизер для получения фтора. Голл, Миллер (Fluorine cell. G a l l J o h n F., M i l l e r H e n r y C.) [The Pennsylvania Salt Manufacturing Co.]. Пат. США 2739114, 20.05.56

Ячейка для электролитич. получения F отличается способом изоляции и крепления анода в крышке, которое производится посредством фосфатов металлов (Cu, Al или Fe валентностью <3), коррозионностойких и неэлектропроводных. Фосфаты получают при смешении 1—10 вес. ч. окиси металла (преимущественно 2 ч.) с 1 вес. ч. 70—100%-ной H<sub>2</sub>PO<sub>4</sub> (преимущественно 80%-ная H<sub>2</sub>PO<sub>4</sub>). Окись металла применяется в виде порошка размером частиц 35—250 меш. (преимущественно 50% порошка 60—150 меш.). Непрореагировавшая окись металла цементируется образовавшимися фосфатами. Время твердения смеси меняется в зависимости от обработки окиси металла: для некальцинированных окисей — от 0,5 до нескольких минут, а для кальцинированных при 1000° в течение 20 мин. — от 1 часа до нескольких часов. З. Соловьева 51904 П. Электролизер для получения фтора. Голл, Миллер (Fluorine cell. G a l l J o h n F., M i l l e r H e n r y C.) [The Pennsylvania Salt Manufacturing Co.]. Пат. США 2739115, 20.03.56

Электролитическая ячейка для получения F отличается тем, что для разделения катодных и анодных газообразных продуктов (H<sub>2</sub> и F<sub>2</sub>) применяется диафрагма из фосфатов металлов (Cu, Al, Fe валентностью <3), которые стойки к действию электролита (HF + KF) и неэлектропроводны. Диафрагма представляет собой полый проходящий через крышку цилиндр, опущенный в электролит в вертикальном положении немного ниже уровня над анодом и имеющий фланцы для крепления с крышкой. Диафрагма делит пространство над электролитом на два отделения. Внутренняя полость ее образует анодное пространство над электролитом, а полость, образованная наружными стенками и катодом, — катодное пространство. Диафрагма получается плавлением пластичной массы в любую форму. Метод приготовления фосфатов описан в пат. США 2739114. З. Соловьева

51905 П. Способ получения электролитного цинка с содержанием 99,8% цинка из цинковых сульфатных щелоков (Verfahren zur Herstellung von Elektrolyt-Feinzink aus Zinksulfatlaugen) [Klöckner-Humboldt-Deutz A.-G.]. Австр. пат. 179101, 26.07.52 [Chem. Zbl., 1956, 127, № 11, 3146 (нем.)]

Патентуется способ получения электролитного Zn с применением анодов из Pb или из сплавов Pb-Ag, которые периодически подвергаются очистке с помощью катодной обработки в спец. ячейках, включенных параллельно основным непрерывно работающим ячейкам для получения Zn. Я. Лаппи 51906 П. Непрерывный контроль pH в водных дисперсиях. Ингольд (Verfahren zur kontinuierlichen Kontrolle des pH-Wertes von wässrigen Dispersionen mittels einer Glaselektrode und Vorrichtung zur Durchführung des Verfahrens. I n g o l d W e n n e r). Швейц. пат. 292451, 2.11.53 [Chem. Abstr., 1955, 49, № 18, 12054 (англ.)]

Для непрерывного определения значения pH рекомендуется стеклянный электрод, поверхность которого непрерывно освобождается от твердого осадка посредством спец. приспособления, которое движется вокруг активной части электрода. А. Лаппи 51907 П. Метод и аппарат для разделения ионов. Дьюи II, Гиллиленд (Method of and apparatus for separating ions. D e w e y I I D a v i s R., G i l l i l a n d E d w i n R.) [Ionics, Inc.]. Пат. США 2741591, 10.04.56

Описан метод разделения ионов путем их перемещения под действием постоянного тока через полупроницаемую мембрану (М) или через слой гранулированного материала. М изготавливается обычно из полимеров, обладающих избирательной проницаемостью в сочетании с высокой электропроводностью ( $\geq 10^{-8}$  ом<sup>-1</sup> см<sup>-1</sup>). Процесс в зависимости от требуемой степени разделения идет в одну или несколько стадий. Разделение

ние происходит в цилиндрич. аппаратах со спиральной М (или рядом концентрично расположенных М) или в насадочных колоннах. Описан аппарат для предварительного испытания М на проницаемость. Рассмотрена технология разделения р-ров NaCl и KCl. Б. Сумм

51908 П. Способ проведения электролитического процесса. Нитцше (Verfahren zur Durchführung elektrolytischer Prozesse. Nitzsche Oswin) [Chemische Werke Hüls A.-G.]. Пат. ФРГ 926004, 4.04.55

Патентуется способ проведения электролитич. процесса, при котором один из электродов образован неподвижной наклонной или вертикальной поверхностью, несущей слой жидкого металла (ЖМ), обновляемого орошением поверхности, отличающейся тем, что подвод ЖМ к несущей поверхности (НП) осуществляется по частям, причем отдельные части НП орошаются одновременно или периодически. Способ иллюстрируется тремя схемами: 1) цилиндрич. сосуд, внутренняя поверхность которого орошается ЖМ из сегнерова колеса; 2) сосуд конич. формы с плоскими стенками, внутренняя поверхность которых орошается через распределенные по длине поверхности отдельные стационарные подводы для ЖМ, который попадает в них попеременно; 3) плоский электрод орошается из трубы, имеющей отверстия и совершающей возвратно-поступательные движения вдоль верхнего края электрода. Г. Волков

51909 П. Электротермический способ получения силикокальция (Procédé de préparation par électrothermie du silicure de calcium) [Wacker-Chemie G. m. b. H.]. Франц. пат. 1108547, 13.01.56

Патентуется метод электротермич. получения силикокальция из сырья, содержащего карбид Са. Условия плавки таковы, что образуются небольшие кол-ва силикокальция, а шлак, состоящий в основном из карбида Са (до 45%) и силикатов, вновь добавляется к исходному сырью, в состав которого входит также известь. Известь добавляется непрерывно или периодически, напр., незадолго перед плавкой или в момент ввода сырья. Кол-во добавляемого извести составляет ~10% от веса используемого карбида Са. Я. Матлис

51910 П. Усовершенствование электролитических ванн (Perfectionnements aux bacs électrolytiques) [Halkyn District United Mines Ltd.]. Франц. пат. 1110984, 20.02.56

Стенки электролизера для электролитич. обработки с применением расплавленной соли металла, напр.  $PbCl_2$ , содержащего минералы (естественный свинцовый блеск), футерованы тальком и стеатитом. Электролизер отличается также формой сложного электрода, образованного рядом пластинок, расположенных слегка наклонно по направлению электролитич. тока, и приспособлением, позволяющим вводить в электролит газообразный  $Cl_2$  во избежание образования пены. З. Соловьева

См. также: Механизм элемента Лекланше 50836. К теории хромирования 50859. Анодные пленки на Та 50856. Очистка сточных вод цехов гальванич. покрытий 52117. Коррозия бетона в электролитных цехах 53452

## КЕРАМИКА.

### СТЕКЛО. СТРОИТЕЛЬНЫЕ МАТЕРИАЛЫ

#### Общие вопросы

Редакторы П. П. Будников, С. И. Горелкина, А. С. Пантелеев

51911. Замечания, касающиеся диаграммы  $SiO_2-Al_2O_3$ . Конопницкий (Remarques relatives au diagramme d'équilibre  $SiO_2-Al_2O_3$ . Конопіцьк

К.), Bull. Soc. franç. céram., 1956, № 33, 3—5, discuss., 5—6 (франц.; рез. англ., нем.)

Измерения т-р плавления смесей чистых  $SiO_2$  и  $Al_2O_3$  подтверждают, с маленькими изменениями, диаграмму Боуэна и Грейга с инконгруэнтным плавлением муллита. Автор считает, что диаграмма Боуэна и Грейга действительно при равновесных условиях и продолжительном плавлении, в то время как диаграмма Торопова и Галахова — при условиях быстрого плавления и охлаждения. Это объясняет отсутствие корунда в электроплавленных муллитовых изделиях. Кроме того, следует признать существование зоны твердых р-ров на основании изменения содержания  $Al_2O_3$  в муллите, подтвержденном перемещением линий рентгенограмм муллита при содержании  $Al_2O_3$  от 72 до 77%.

А. Говоров

51912. Действие  $MgO$  на  $3 CaO \cdot Al_2O_3$ . Канада, Миядзава (3CaO·Al<sub>2</sub>O<sub>3</sub>に対するMgOの挙動. 栗田義彰, 宮澤清), 窯業協會誌, Eigē kōkai-shi, J. Ceram. Assoc., Japan, 1956, 64, № 731, 235 (японск.; рез. англ.)

Изучалось действие  $MgO$  на  $3 CaO \cdot Al_2O_3$ . Установлено, что  $MgO$  в кол-ве 2—3% образует твердый р-р с  $3 CaO \cdot Al_2O_3$ . Результаты опытов сопали с данными, полученными Эгольдом (РЖХим, 1956, 236065).

И. Михайлова

51913. Реакции в твердой фазе извести и углекислого кальция в керамических массах при температуре ниже 1000°. Менере (La réactivité à l'état solide de la chaux et du carbonate de chaux dans les pâtes céramiques cuisant à une température inférieure à 1000° C. Menere M. J.), Schweiz. Tonwaren-Ind., 1956, 59, № 6, 6, 9; 10, № 7, 7—8, 10—12 (франц.) См. РЖХим, 1957, 12499.

51914. Зависимость теплоемкости рутила от температуры. Тарасов В. В., Хоконов Х. Б., Черноплеков Н. А. В сб.: Физ.-хим. основы керамики. М., Промстройиздат, 1956, 170—172. Учитывая гетеродинамич. характер структуры рутила, температурная зависимость его теплоемкости передается следующим ур-нем:  $C = D_1(\theta_1/T) - (\theta_2/\theta_3) \times [D_1(\theta_2/T) - D_2(\theta_2/T)]$ , где параметры  $\theta_1$  и  $\theta_2$ , найденные в результате обработки эксперим. данных ( $\theta_1 = 1080^\circ K$  и  $\theta_2 = 324^\circ K$ ). Сравнение эксперим. данных с теоретич. показало расхождение между значениями теплоемкости < 2% до т-ры 50° К. Указывается, что связь в  $TiO_2$  очень близка по своему характеру к чисто ионной связи. Г. Масленникова

51915. К определению термодинамических свойств некоторых силикатов. Матвеев М. А., Матвеев Г. М. В сб.: Физ.-хим. основы керамики. М., Промстройиздат, 1956, 504—506

Описывается методика расчетного определения энтропии, энтальпии и изобарно-изотермич. потенциала на примере трисиликата Na при 298° К. Г. Масленникова

51916. О фазовом составе спеков глина — технич. глинозем. Гончаров В. В. В сб.: Физ.-хим. основы керамики. Промстройиздат, 1956, 160—169. Приводятся результаты опытов по уточнению методики рационального хим. анализа, позволяющего с достаточной точностью оценивать фазовый состав спеков глина — глинозем. Установлено, что для анализа оптимальной является фракция 900—1600; для получения постоянного выхода нерастворимого остатка достаточно обработка свежей к-той в течение 1 часа (двумя последовательными порциями при помешивании через 5—10 мин.). Исследованы фазовые составы спеков глина — глинозем (на основе технич. глинозема, латенской и часоварской глины) с различным отношением  $Al_2O_3: SiO_2$ , изменявшимся от 2,74 : 2 до 4,80 : 2. Обжиг образцов производился в криптоловой печи до 1650° с полуторачасовой выдержкой. Приводятся



результаты расчета фазового состава спеков и хим. состава стеклофазы по данным рационального анализа, а также коэф. связывания кремнекислоты, представляющие собой отношение  $\text{SiO}_2$  в нерастворимом остатке, «первичном» и «вторичном» муллите и стеклофазе к  $\text{SiO}_2$  в спеке. Установлено, что оптимальные условия муллитобразования создаются в спеке глина — глинозем с муллитовым отношением  $\text{Al}_2\text{O}_3 : \text{SiO}_2$  и что латенская глина как составляющая смеси имеет существенные преимущества перед часоварской. По мере возрастания отношения  $\text{Al}_2\text{O}_3 : \text{SiO}_2$  происходит обогащение стеклофазы спеков глиноземом. Показано, что особенности поведения глины при высоких  $t$ -рах сохраняются ею и в смесях с глиноземом.

Г. Масленикова

**51917. Новейшие исследования по определению полевых шпатов.** Цвеч (Nowoczesne badania nad opaczaniem skaleni. Zwetsch Artur), Szkło i ceram., 1957, 8, № 2, 49—56 (польск.)

Произведено исследование 17 разновидностей полевых шпатов (ПШ) (4 из Швеции, 3 из Франции, 3 из Финляндии, по 1 из Саара, Югославии, Норвегии, Баварии и 3 неизвестного происхождения). Сделаны хим. и петрографич. анализы, расчет минералогич. состава и дилатометрич. определения до  $1400^\circ$ . Основным методом изучения было исследование объемных изменений спрессованного образца ПШ (диам. 3 мм, высотой 3 мм) под микроскопом, снабженным автоматически регулируемой печью. Прибор позволял производить нагревание образцов до  $1400^\circ$  в течение 2 час. 46 мин. У ПШ, содержащих заметную примесь кварца, отмечается рост объема при  $550-700^\circ$ . У большинства ПШ наблюдается резкая усадка при  $1270-1330^\circ$  (1-й поворотный пункт), после которого следует увеличение объема (при  $1290-1430^\circ$  — 2-й поворотный пункт), а далее вновь усадка до наступления плавления. ПШ, содержащие повышенное кол-во ортоклаза, имеют более высокие  $t$ -ры поворотных пунктов. Приведены кривые изменения объема ПШ в зависимости от  $t$ -ры и фото микрошлифов некоторых ПШ.

С. Глебов

**51918. Влияние синтетических гетерополярных линейных коллоидов с различной длиной цепи на разжижаемость каолина и бентонита.** Бергманн, Фидлер (Der Einfluß synthetischer heteropolarer Linearkolloide unterschiedlicher Kettenlänge auf Kaolin- und Bentonitaufschlammungen. Bergmann W., Fiedler H. J.), Z. Pflanzenernähr., Düng., Bodenkunde, 1956, 72, № 2, 114—136 (нем.)

Изучено влияние на разжижаемость каолиновых и бентонитовых суспензий длины цепи полимеров, которую характеризуют величиной  $\kappa$  в ур-нии Фикенчера (Н. Fikentscher, Cellulose Chemie, 1932, 13, 58) для «высшего» полимера  $\kappa = 170$  и для «среднего»  $\kappa = 155$ . Поставлены следующие опыты: действие возрастающей конц-ии (0,002—2,0% к весу глины) полиэлектролитов (ПЭ) на шликер из кальциевого бентонита и каолина с постоянным содержанием твердой фазы (1 г/100 см<sup>3</sup> H<sub>2</sub>O); действие постоянной добавки ПЭ (0,2 мг/100 см<sup>3</sup> суспензии) при возрастающей конц-ии твердой фазы (0,2—7,0 г/100 см<sup>3</sup> H<sub>2</sub>O); действие возрастающих добавок ПЭ на суспензии с меняющейся величиной частиц (0,2—0,1 мм; <0,1 мм; фракция <0,1 мм после дополнительного 24-часового помола); влияние добавок  $\text{CaCl}_2$  и  $\text{LiCl}$  на суспензию с постоянным содержанием твердого в-ва (1 г/100 см<sup>3</sup> H<sub>2</sub>O) и оптимальной конц-ией ПЭ (0,2%); влияние оптимальной и избыточной (1,0%) конц-ии ПЭ при возрастающей добавке  $\text{CaCl}_2$  и  $\text{LiCl}$ ; влияние малых добавок  $\text{CaCl}_2$  на изменение оптимальной конц-ии ПЭ; влияние добавки  $\text{LiCl}$  при возрастающей конц-ии глинистого в-ва и постоянном содержании ПЭ (1 мг/100 см<sup>3</sup> суспензии); влияние pH на флокулирующее действие ПЭ, для

чего к каолиновой суспензии (1 г/100 см<sup>3</sup> H<sub>2</sub>O), обработанной ПЭ, добавлялись 1 н. р-р NaOH и HCl (0,1; 0,2; 0,5 и 2,0 см<sup>3</sup>). Установлено, что особенно сильное действие оказывают высшие ПЭ, которые также делают суспензии менее чувствительными к изменениям pH; обработка солями Ca и Li в определенных условиях также дает увеличение размеров агрегатов. Библ. 28 назв.

М. Карапетьянд

**51919. Взаимодействие воды с поверхностью глинистых минералов.** Овчаренко Ф. Д. В сб.: Физ.-хим. основы керамики. М., Промстройиздат, 31—49

Приводятся результаты исследования гидрофильных свойств глинистых минералов монтмориллонитовой и каолиновой групп. Гидрофильность глин оценивалась по кол-ву связанной воды, определявшейся в основном методом теплоты смачивания. Для сравнения были использованы методы: индикаторный, гигроскопич. увлажнения и структурно-адсорбционный. Установлено, что теплота смачивания может быть использована для вычисления эффективной уд. поверхности глин. Полное смачивание поверхности глины заканчивается при влажности, соответствующей объему мономолекулярного слоя воды. Кол-во тепла, приходящегося на 1 г связанной воды при полном смачивании, равно в среднем 98 ккал/г или 1,76 ккал/моль связанной воды. Кол-во адсорбированных паров воды до начала адсорбционного гистерезиса при  $P/P_s \approx 0,5$  соответствует объему связанной воды, распределенному по всему адсорбционному пространству мономолекулярным слоем. По величинам теплоты смачивания, эффективной уд. поверхности и кол-ву связанной воды глинистые минералы располагаются в ряд: монтмориллонит > беделлит > >галлуазит>монтермит > каолинит > пиррофиллит. Коэфф. фильности, определенные по методу Ребиндера, показывают, что все глины высокогидрофильны ( $\beta = 2-3$ ). Для глин различного минералогич. состава определенной закономерности в изменении величины  $\beta$  не найдено. Показано, что обменные ионы оказывают влияние на гидрофильность глин, располагаясь в следующий ряд:  $\text{Ca} > \text{H} > \text{Na} > \text{K}$ . При этом теплота смачивания Са-монтмориллонитов втрое, а каолинов влвое больше, нежели К-монтмориллонитов. Библ. 39 назв.

Г. Масленикова

**51920. Пригодность некоторых индийских глин в качестве связки для графитовых тиглей.** Прасад, Муртхи, Сингх (Suitability of certain Indian clays as bonds for graphite crucibles. Prasad T. V., Murthy H. P. S., Singh Rabinadar, J. Scient. and Industr. Res., 1956, (B-C) 15, № 9, B 541—B 548 (англ.)

Для определения пригодности в качестве связки при изготовлении графитовых тиглей исследованы 3 разновидности индийских каолинов и 2 пластичные глины. Произведены хим. и дифференциальный термич. анализы, определение огнеупорности, рабочего водосодержания, усушки и сжиг. сухих и обожженных при 800, 1100, 1250 и 1375° образцов цилиндрич. формы (с выдержкой 3 часа). Изготовлены образцы из смесей мадагаскарского графита (для него приведены результаты хим. и ситового анализов) и испытываемых глин (в соотношении 1 : 1), для которых определены оптимальные водосодержание, огнеупорность, усушка, сжиг. в сухом и обожженном состоянии (обжиг в засыпке из кокса на 1100, 1250 и 1375°). Результаты представлены в виде таблиц и графиков.

М. Карапетьянд

**51921. Обогащение боросодержащих пород.** Попова Э. П., Науч.-техн. информ. бюл. Всес. н.-и. ин-та, стекла, 1954, № 11—12, 34—39

См. также: Свойства и структура силикатов 50500. История 50294

## Керамика

Редакторы С. В. Глебов, С. П. Горелкина,  
В. В. Клыкова

51922. Перспективы развития некоторых областей керамической промышленности. Славик (Príspevek ke studiu perspektiv některých oborů jemné keramiky. Slavík C. F.), Sklár a keramik, 1957, 7, № 3, 72—73 (чешск.)

51923. О физико-химических процессах, лежащих в основе получения высокоглиноземистой керамики. Подубояринов Д. Н. В сб.: Физ.-хим. основы керамики. М., Промстройиздат, 1956, 286—300. Рассматриваются физ.-хим. процессы образования 2-х кристаллич. в-в—муллита и корунда, представляющих собой основу высокоглиноземистой керамики. Описываются процессы синтеза муллита и рекристаллизационного спекания корунда и основные факторы, оказывающие влияние на течение и завершенность этих процессов. Библ. 35 назв. Г. Масленникова

51924. Минералогия и петрография перудного сырья огнеупорной и керамической промышленности. Петров В. П. В сб.: Физ.-хим. основы керамики. М., Промстройиздат, 3—30

Описывается важнейшее сырье, добываемое для удовлетворения нужд огнеупорной и керамич. про-сти. Рассматриваются ресурсы этого сырья в СССР. Дается характеристика глины, каолинов, полевошпатовых и кварцевых материалов, талька, волластонита, пиррофилита, высокоглиноземистых и карбонатных материалов и сырья для магнезиально-силикатных огнеупоров. Г. Масленникова

51925. Неоднородность нагрева керамических изделий при обжиге. Тулев (Heterogenite thermique des produits ceramiques au cours de leur cuisson. Tuleff J.), Bull. Soc. franç. céram., 1956, № 30, 34—40 (франц.; рез. англ., нем.)

Дифференциальный термич. анализ (ДТА) при изучении тепловых процессов, происходящих внутри керамич. изделий, позволяет предвидеть внезапные изменения т-ры внутри этих изделий при промышленном обжиге и дает основание к следующей классификации по группам: 1) продукты, не отличающиеся или отличающиеся в весьма малой степени тепловой (температурной) аномалией; 2) продукты со слабо выраженной или медленно возрастающей аномалией; 3) продукты со внезапно возникающей аномалией и большой амплитудой (расстоянием между пиками эндо- и экзотермич. р-ций, взятым по высоте). В соответствии с такой классификацией проводились испытания керамич. блоков или образцов из необожженного товара. Как правило, в каждом отдельном случае кривые ДТА увязывались с кривыми, выражающими зависимость «т-ра — время». Все опытные образцы нагревались с одной и той же скоростью (68° в час); образцы из штабеля нагревались с 2—3 скоростями (35, 68 и 136° в час.). В результате испытания замечено, что 1) во время протекания эндотермич. р-ций разниц т-ры между серединой изделия и его наружной поверхностью непрерывно увеличивается и при продолжающемся повышении т-ры поверхности подъем т-ры середины отстает; 2) во время протекания экзотермич. р-ций эта разниц, наоборот, прогрессивно уменьшается и даже, возможно, меняет свой знак. В случае испытания изделия из известкового фаянса (2-я группа) обозначались 2 эндотермич. пика, из которых один (обычный) объяснялся удалением влаги, а другой — обезуглероживанием. Увеличение размеров изделия вызывает более интенсивное тепловое нарушение в середине продукта. Пренебрегать тепловыми аномалиями нельзя, так как при внешне нормально совершающемся (равномерном

и постепенном) нагреве именно они и являются причиной брака товара. В заключение указывается, что независимо от размеров изделия максимумы кривых, выражающих зависимость т-ры средней или наружной части его (ось абсцисс) от температурных разниц этих частей (ось ординат), лежат на общей прямой, пересекающей ось абсцисс в одной и той же точке. Используя это любопытное свойство кривых, можно для изделия с любыми размерами определить т-ру наружной части изделия, при которой будет иметь место наибольшая тепловая неустойчивость. В. Роговцев

51926. Кремнеземистая керамика Анатолии и Среднего Востока. Кифер (Les ceramiques siliceuses d'Anatolie et du Moyen Orient. Kiefer Ch.), Bull. Soc. franç. céram., 1956, № 31, 17—34, Discuss. 34 (франц.)

Сравниваются свойства различных керамик Среднего Востока. Дается подробная таблица свойств как черепков, так и окрашенных глазурей восточной керамики с указанием природы красителей. Начало см. РЖХим, 1956, 75721. С. Г. Туманов

51927. К теории керамического синтеза. Матвеев М. А., Матвеев Г. М. В сб.: Физ.-хим. основы керамики. М., Промстройиздат, 1956, 179—182

Принципиальные положения кристаллохимии типично ионных соединений переносятся на материалы керамич. синтеза, учитывая высокую т-ру их плавления и значительную вязкость. Исходя из ф-лы, характеризующей устойчивость решетчатого ионного соединения, найдены частичные производные, позволяющие определить изменение энергии связи с т-рой и давлением. Анализ приведенных ур-ний показывает, что повышение т-ры снижает устойчивость кристаллич. структуры в-ва, чем способствует спеканию кристаллич. фаз. Влияние внешнего давления на устойчивость кристаллич. структуры можно не принимать во внимание. Указывается, что для учета влияния стеклофазы на процесс спекания керамич. материала целесообразно вводить стеклообразующие добавки, отвечающие следующим требованиям: 1) стеклообразующая добавка должна служить средой, облегчающей перемещение структурных элементов (простых и комплексных ионов и т. п.) при твердофазных взаимодействиях спекаемых компонентов; 2) она должна создавать за счет ориентированного структурообразования высокопрочную стекломикросетку, цементирующую основные кристаллич. фазы. Г. Масленникова

51928. Керамические материалы для запальных свечей. Ничман (Keramische Werkstoffe im Zündkerzenbau. Nitschmann Hans), Kraftfahrzeugtechnik, 1955, 5, № 5, 155—158 (нем.)

Рекомендуются керамич. материалы для изготовления изоляторов запальных свечей, содержащих в составе до 90%  $Al_2O_3$  и стекловидную фазу. Материалы имеют фирменные названия «элкорит», «спиранил», «синтекорунд», обладают хорошей теплопроводностью, термостойкостью, механич. прочностью и высоким сопротивлением коррозии. С. Горелкина

51929. Изоляторы для запальных свечей. Граме (Zündkerzen-Isolatoren. Grams Armin), Silikattechnik, 1955, 6, № 8, 347—350 (нем.)

Об изготовлении и испытаниях «элкорита» и «синтекорунда» — изоляционных материалов для запальных свечей. С. Горелкина

51930. Электрокерамика с малыми диэлектрическими потерями. Часть II (Verlustarme Elektrokeramik Fortschritte in Entwicklung und Herstellung. Teil II. H. G.), Keram. Z., 1955, 7, № 7, 349—351 (нем.) Часть I см. РЖХим, 1957, 12579.

51931. Об ускорении процесса помола непластичных материалов, применяемых в тонкой керамике. Ду-

дерев Г. Н., Советова Р. К. В сб.: Физ.-хим. основы керамики. Промстройиздат, 1956, 173—178

Изучалось влияние некоторых электролитов (соли кальцинированной, хлористого Са, хлористого магния и хлористого Al) на повышение интенсивности помола непластичных материалов: вольского песка, чупинского пегматита и технич. глинозема. Помол производился в фарфоровых мельницах емк. 2 л при постоянном соотношении воды, материала и шаров, равном 1:1,2:1,5. Установлено, что независимо от типа электролита эффективность помола возрастает с повышением его конц-ии до определенного предела. Тип электролита влияет на эффективность помола. Соли слабой к-ты и сильного основания дают меньший эффект, чем соли сильной к-ты и слабого основания. Рекомендуется использовать следующие добавки при помолах (в %): кварцевый песок — хлористый Ва 0,05—0,15, хлористый Al 0,08—0,12; полевой шпат — хлористый Ва, хлористый Mg, хлористый Al 0,75—1,0, технич. глинозем — хлористый Al 0,08—0,12. Г. Масленникова

51932. Физико-химические основы стеатитовой электроизоляционной керамики. Аветиков В. Г., Звилюк Э. И. В сб.: Физ.-хим. основы керамики. М., Промстройиздат, 1956, 463—482

Рассматриваются основные физ.-хим. процессы, протекающие при образовании стеатитовой керамики. Указывается, что фазово-минералогич. состав этой керамики определяется содержанием 60—65% кристаллов клиноэстатита и наличием стекловидной фазы, представленной силикатными стеклами сложного состава, содержащими окислы щел.-зем. металлов и примеси —  $Al_2O_3$ ,  $Fe_2O_3$ ,  $R_2O$  и др. Стеатитовая керамика отличается высокой механич. прочностью (предел прочности при изгибе составляет 1300—1600 кг/см<sup>2</sup>) и малыми диэлектрич. потерями ( $tg\delta$  изменяется от  $4 \cdot 10^{-4}$  до  $20 \cdot 10^{-4}$  при т-ре 20° и частоте  $1 \cdot 10^6$  гц). Указывается, что основным источником диэлектрич. потерь стеатитовой керамики является ее стекловидная фаза, небольшие изменения в составе и строении которой приводят к изменениям  $tg\delta$ . Описываются процессы, протекающие при обжиге стеатитовых масс, влияние стекловидной фазы на его диэлектрич. потери и составы и свойства различных стеатитовых материалов. Г. Масленникова

51933. Влияние пористости на физические свойства синтекорунда. Кобл, Кингери (Effect of porosity on physical properties of sintered alumina. Coble R. L., Kingery W. D.), J. Amer. Ceram. Soc., 1956, 39, № 11, 377—385 (англ.)

Изготовлены образцы синтекорунда, содержащие 5—50% закрытых пор, путем введения размолотого нафталина в шликер. Изучалось влияние пористости и т-ры на прочность, модуль упругости и коэф. термич. расширения образцов, обожженных при 1790°. При постоянной т-ре изучалось влияние пористости на сопротивление термич. напряжениям и на деформацию под нагрузкой. Пористость не влияет на коэф. термич. расширения. Увеличение пористости влечет за собой снижение механич. прочности, модуля упругости, максим. деформации ( $\sigma/E$ ) и напряжения при деформации с постоянной скоростью. При растущей пористости падают также величины отношений прочности — плотность, и напряжения при деформации с постоянной скоростью — плотность. Напряжение при деформации с постоянной скоростью увеличивается в 50 раз при увеличении пористости с 5 до 50%. Температурный перепад, вызывающий растрескивание образцов, максимален при нулевой пористости и минимален при 35% пористости. Влияние пористости на механич. свойства в данном случае оказалось меньше, чем показывали предыдущие исследования, что соответствует представ-

лениям о влиянии пористости в структурах с закрытыми неориентированными порами. Еще меньшее влияние пористости на свойства может быть получено у структур с анизометрич. и ориентированными порами. А. Говоров

51934. Барит в составе фарфора и фаянса. Расселл, Валенсиа, Эмрих (Barite in ceramic whitewares. Russell Ralston, Jr., Valencia Camilo, Emrich H. W.), Brit. Clayworker, 1956, 65, № 775, 211—215 (англ.) См. РЖХим, 1957, 1624

51935. Организация поточных линий на фарфоровых заводах Украины. Юрчак И. Я., Захарова В. П., Сажко В. П., Резников Л. Г., Клейнер М. Б., Тр. Гос. н.-и. керам. ин-та, 1956, вып. 3, 31—52

Описываются следующие поточные линии на Барановском з-де: по формированию и оправке чашек и приставке ручек, позволявшая повысить норму выработки на 35%; по оправке плоских изделий; по литью изделий, давшая повышение производительности на 33%; по глазуровке чашек производительностью в 15 000 шт. в смену; по глазуровке плоских изделий; по сортировке изделий; по нанесению деколи; конвейер для отводки и живописи и комбинированная линия по раскраске изделий различными методами. В описании приведены схемы поточных линий. Кратко описываются аналогичные линии и конвейеры на з-дах: Будянском, Добышском и Коростенском. С. Туманов

51936. Усовершенствование процесса обжига электро-технического фарфора в туннельных печах. Голянов А. Н. В сб.: Работы М-ва электротехн. пром-сти СССР по механиз. и автоматиз. нар. х-ва 2. М., 1956, 80—83

Описаны работа по уменьшению перепада т-ры по вертикали в туннельной печи, применение сосредоточенной подачи топлива в зону высоких т-р и осуществление автоматич. регулирования процесса обжига при указанных условиях. Исследование проводилось на туннельной печи длиной 102 м, отапливаемой генераторным газом. В результате работы перепад т-ры в начале зоны подогрева был снижен с 450—500° до 100—120°, кол-во функционирующих газовых горелок сократилось с 29 до 10, а автоматич. регулирование теплового режима осуществлено по т-ре в зоне обжига, причем сохранялся необходимый стабильный характер газовой среды. Качество изделий определялось браком по обжигу в пределах до 1%; экономия топлива вследствие понижения т-ры отходящих газов составила 15%. М. Степаненко

51937. О структуре медных ферритов. Кусима, Аманума (Cu-フェライトの組成およびその性状について. 久島玄三雄・天沼原), 日本金属学会誌, Нихон киндаоку гаккайси, J. Japan Inst. Metals, 1956, 20, № 8, 473—476 (японск.; рез. англ.)

Проведены систематич. исследования системы CuO— $Fe_2O_3$ , образуемых медными ферритами (МФ) из смесей окислов в различных мол. соотношениях. Получены следующие результаты: 1) МФ может растворять избыток  $Fe_2O_3$  при высоких т-рах, растворенный избыток  $Fe_2O_3$  можно извлекать отжигом при т-ре  $>550^\circ$ ; 2) изучены магнитные свойства МФ различных составов и при различной тепловой обработке; 3) имеется 2 типа МФ: со структурой шпинели ( $CuO \cdot Fe_2O_3$ ), другой — ромбоэдрич. ( $Cu_2O \cdot Fe_2O_3$ ); последний образуется при т-ре  $>1100^\circ$ ; 4) наблюдается рост кристаллов МФ по спекаемым плоскостям. С. Горелкина

51938. Проблема использования отходов от угледобычи в керамической промышленности. Керштыи (Zagadnienie wykorzystania odpadów z eksploatacji kopalni węgla w przemyśle ceramicznym. Kiersztyn Edmund), Mater. budowl., 1957, 12, № 1, 11—17 (польск.)



Кирпич, изготовленный методом пластичной формовки из измельченной шахтной пустой породы и обожженный при  $1020^\circ$ , имел  $\sigma_{сж}$  180 (слабообожженный 130) кг/см<sup>2</sup>, водопоглощение 8,11% и удовлетворительную морозостойкость. Технология производства должна приспособиться к особенностям пустой породы каждой шахты.

Е. Стефановский

**51939. Уровень развития техники дозирования составных частей масс в промышленности грубой керамики.** Хейнрихаус, Полль (Der Entwicklungsstand der Verriegeltechnik von Masseversätzen in der grobkeramischen Industrie. Hönigshaus Werner, Noll Wilhelm A.), Tonind.-Ztg., 1956, 80, № 17—18, 296—298 (нем.)

Описана схема весовой дозировки сыпучих материалов разной зернистости. Весовой дозатор может обслуживать до 20 бункеров. Предельный вес отвешиваемого материала 1500 кг. От бункеров в дозатор материал подается по вибрирующим желобам или трубам. Скорость продвижения материала по трубам диам. 200 мм достигает 15 000 кг в 1 час. Трубы длиной  $>3$  м должны иметь по 2 вибратора, трубы длиннее 4 м — по 3 вибратора. Использование такой схемы дозирования позволяет полностью автоматизировать процесс.

Т. Ряховская

**51940. Актуальность проблемы морозостойкости черепицы.** Амрейн (Aktuelles zum Problem der Frostbeständigkeit von Dachziegeln. Amrein E.), Schweiz. Tonwaren-Ind., 1956, 59, № 8, 11—12 (нем.)

Обзор работ о методах определения морозостойкости и способах ее повышения.

Т. Ряховская

**51941. Изоляционные материалы для высоких температур.** Крадохвил (Isolační hmoty pro vysoké teploty. Kratochvíl F.), Stavivo, 1956, 34, № 1, 14—19 (чешск.; рез. русск., нем.)

Рассматривается современное состояние производства теплоизоляционных материалов (ТИМ). Приведены графики зависимости теплопроводности ТИМ от об. веса, т-ры и величины пор. С увеличением об. веса и размера пор, с повышением т-ры увеличивается теплопроводность. Развитие произ-ва ТИМ должно идти в этом направлении. Описана технология произ-ва ТИМ различными методами: введеннем органич. добавок, равномерно распределенных в массе; образованием пустот вспенивающими материалами и хим. р-циями, вследствие чего в массе образуются газовые пузырьки  $\text{CO}_2$ ; воздействием на доломит  $\text{H}_2\text{SO}_4$ ; сублимацией вводимых в массу летучих в-в (нафталин); введеннем в массу пористых материалов (диатомитов); добавкой вспучивающих минералов (вермикулит, диатомит) и кирпичных глини. Кроме шамотных ТИМ, приведена технология произ-ва легковесного дианаса в СССР и других странах. Сырьем для него являются: диатомиты, антрацит в кол-ве до 45%, вспенивающие добавки и др. Представлены таблицы с технич. характеристикой различных изоляционных изделий.

Д. Шапиро

**51942. Оправдавшие себя в эксплуатации сушильные рамки.** Хаук (Bewährte Trockengutträger im praktischen Einsatz. Hauck Alfons), Ziegellindustrie, 1956, 8, № 22, 836—839 (нем.)

Описаны сушильные рамки из лучших, обогранных сортов листовой стали, покрытой спец. эмалью для защиты от коррозии. Отмечается, что благодаря высокой прочности и долговечности этих рамок использование их как в камерных, так и в туннельных сушилках способствует повышению рентабельности произ-ва.

П. Беренштейн

**51943. Достижение равномерного распределения температур по сечению обжигательного канала.** Фладунг (Ist im Ringofen ein gleichmäßiger Tempera-

turausgleich über den gesamten Brennkanaalquerschnitt möglich? Fladung Rolf), Ziegellindustrie, 1956, 9, № 23, 870 (нем.)

Соображения о влиянии на равномерность обжига образующегося при огневой усадке материала свободного пространства между садкой и объемом обжигательного канала печи. По мнению автора, для материалов с высокой огневой усадкой ( $>20$  см на высоту садки) лучшим способом достижения равномерного обжига является работа при такой тяге, при которой последние 2—3 рядка зоны завара находятся под незначительным положительным давлением.

П. Беренштейн

**51944. Работа кольцевой печи.** Часть 1., 2, 3, 4. Мейсеи (What happens in a Hoffmann. Part 1, 2, 3, 4. Meisey H. H.), Brit. Clayworker, 1956, 64, № 767, 341—346; 65, № 768, 17—19; № 769, 39—42; № 770, 76—77 (англ.)

Описываются история развития конструкции и работа кольцевой печи. Отмечается, что кол-во тепла, необходимого для хим. превращений в обжигаемом материале и для удаления из него влаги, составляет  $\frac{1}{3}$  общего тепла. Благодаря теплопередаче от обожженного кирпича к сырцу постоянно утилизируется одно и то же кол-во тепла; топливо (уголь) расходуется только на создание тепла, необходимого для осуществления хим. р-ций, удаления влаги из сырца, возмещение теплопотерь в кладке печи и дымовой трубе. Теплопередача от обожженного кирпича к сырцу происходит через воздух и дымовые газы. В зоне обжига, кроме того, имеет место теплопередача радиацией. Приводится схема кольцевой печи (с указанием зон и способов теплопередачи) и перечисляются функции, выполняемые зоной подогрева.

В. Роговцев

**51945. Огнеупоры. Контроль качества.** Матиба (Feuerfeste Baustoffe. Die Gütekontrolle. Matiba Richard), Bauzeitung (DDR), 1956, 10, № 24, 137, 140—142 (нем.)

Перечисляются требования к качеству огнеупоров согласно DIN 1086.

А. Быков

**51946. Новые понятия о технике динасового производства.** (New concepts in engineering a feature in the production of silica refractories.), Refractories J., 1956, 32, № 6, 269—276 (англ.)

Популярная статья об автоматизированном производстве дианаса. Приведены технологич. схема, хим. состав и физ. свойства продукции.

Т. Ряховская

**51947. Производство специальных доломитовых огнеупоров из морской воды и шламов  $\text{Ca}(\text{OH})_2$  как отходов.** Об определении устойчивости против действия фосфатных удобрений. Нисикава, Икэда, Ито (アセチレン発生廃液と海水より特殊ドロマイト質耐火物の製造. 熔成磷肥に對する耐蝕試験. 西川保重, 池田和英, 伊藤尚徳), 窯業協會誌, Ege kēkaiji, J. Ceram. Assoc. Japan, 1955, 63, № 709, 259 (японск.)

$\text{Ca}(\text{OH})_2$ , полученную как отход при произ-ве  $\text{H}_2\text{C}_2$ , добавляли к морской воде и осаждали  $\text{Mg}(\text{OH})_2$ ; мол. отношение  $\text{CaO} : \text{MgO} = 0,19$ . К смеси добавляли  $\text{Fe}_2\text{O}_3$ , шлам высушивали и обжигали на  $1500^\circ$  с выдержкой в течение 3 час. Из полученного молотого клинкера состава (в вес. %):  $\text{SiO}_2$  4,39,  $\text{Al}_2\text{O}_3$  1,63,  $\text{Fe}_2\text{O}_3$  6,23,  $\text{CaO}$  18,59,  $\text{MgO}$  68,96 изготовляли опытные тигли. Для сравнения были также изготовлены тигли из  $\text{MgO}$ , хромомagneзита и обычного доломита, содержащего (в вес. %):  $\text{SiO}_2$  14,56,  $\text{CaO}$  43,7. Спец. доломит оказался весьма стойким против расплавленного в тиглях фосфорного удобрения; толщина реакционной пленки не превышала 60 м.

Chem. Abstrs, 1956, № 9, 6764 h. К. Jamasaki

**51948. Огнеупоры для футеровки цементных печей.** Лопес-Гомес (Refractarios en el horno cementero. López Gómez Pedro), Cemento-hormigón, 1955, 23, № 256, 254—261 (исп.)

**51949. Использование огнеупоров в низкочастотных индукционных печах для плавки медных сплавов. Часть II. Кук, Каули, Бродфилд** (Use of refractories in low-frequency induction furnaces for melting copper alloys: Part 2. Cook Maurice, Cowley C. L. M., Broadfield E. R.), Industr. Heat., 1956, 23, № 6, 1265—1266, 1268, 1270, 1272, 1274, 1276, 1278 (англ.)

Футеровку (Ф) низкочастотных индукционных печей обычно выполняют набивкой двух видов: I — кислую, из 85% молотого кварцита + 15% огнеупорной глины; II — амфотерную, из 80—85% молотого шамота + 20—15% огнеупорной глины. Хим. состав (в вес. %): FI SiO<sub>2</sub> 88,6, Al<sub>2</sub>O<sub>3</sub> 6,6, прочие 2,8, п. п. п. 2; FII SiO<sub>2</sub> 54, Al<sub>2</sub>O<sub>3</sub> 39,5, прочие 3,3, п. п. п. 2,2. FI применяют при плавке фосфористой бронзы, Cu-Ni и Ni-Ag-сплавов; FII — для плавки Cu-Zn-сплавов с добавками Pb, Sn, Al и др. металлов. Подробно описан способ пневматич. набивки, сушки и выводы Ф. Часть I см. РЖХим, 1957, 41867.

**51950. Спеченные окислы или карбиды? Сикман** (Cemented oxides or carbides? Siekman H. J.), Machinery (USA), 1956, 63, № 2, 204—209 (англ.)

Приведены эксперим. данные о влиянии скорости резания карбидными и спекшими окисными инструментами на срок их службы, коэф. трения, вертикальные и радиальные усилия при положительном и отрицательном угле инструмента. Приведена ф-ла для выбора наименьшей стоимости инструмента, наибольшего срока службы и оптимальной скорости резания инструментами из спекшихся окислов и карбидов. Оба вида инструментов при надлежащем подборе допускают работу в пределах 0—900 м/мин. Область устойчивой службы резцов из спекшихся окислов находится в пределах скоростей резания 270—770 м/мин. Новые виды карбидных инструментов позволяют обрабатывать сталь в пределах скоростей резания 120—270 м/мин.

**51951. Производство и применение графито-шамотного ковшевого кирпича. Цейтлин Л. А., Огнеупоры**, 1955, № 2, 56—59

**51952. Модели для целей проектирования печей. Той, Шинглер, Моулдинг** (Models as an aid to kiln design. Toye R., Shingler T., Moulding P.), Trans. Brit. Ceram. Soc., 1955, 54, № 8, 482—504, Discuss., 504—505 (англ.)

На небольших моделях исследовались потоки стекломассы в различных частях ванны для проектирования ванн печей.

**51953. Основы процесса горения и точное оборудование. Шепард** (Principles of combustion and combustion equipment. Shepard S. E.), Ceramic Ind., 1955, 65, № 3, 91—95 (англ.)

Приводится анализ процесса горения топлива и точное оборудование применительно к керамич. пром-сти. Указывается на кол-во O<sub>2</sub> воздуха для всех видов топлива, спец. случаи применения особых окислителей, способ сжигания топлива в туннельных печах. Для туннельных печей керамич. пром-сти наиболее пригодным типом горелки является комбинированная с предварительным смешением в сопле. Выбор горелок должен производиться с учетом создания короткофакельного режима и существования достаточно большой скорости тепловыделения. Мазут для форсунок не должен содержать S > 0,75%. Избыток воздуха для туннельных печей колеблется от 40 до 100%. Приводится таблица влияния избытка воздуха на CO<sub>2</sub> в продуктах сгорания для 12 видов топлива и график потерь вследствие употребления избытка воздуха. Автор считает экономичным подавать воздух (25%) под давл. 88—1320 мм H<sub>2</sub>O только для целей распыления, а для смешения в пламени пользоваться остальным воздухом под

давлением вдвое меньшим. Равномерность распределения теплового потока и короткое пламя достигается множеством малых горелок.

**51954. Рациональное использование генератора нагретого воздуха. Рассе** (Exemple d'utilisation rationnelle d'un générateur d'air chaud. Rasse Michel) Terre cuite, 1953, № 25, 6—12 (франц.)

Описан способ получения нагретого воздуха, используемого для сушки керамич. изделий в туннельной сушилке. Генератор нагретого воздуха мощностью 320 ккал/час состоит из трубчатого теплообменника, топki с 3 горелками, в которых сжигается мазут, и 2 вентиляторов, один из которых подает воздух в теплообменник, а другой — отсасывает дымовые газы. Т-ра нагретого воздуха регулируется при помощи автоматич. устройства таким образом, что при ее отклонении от установленной величины уменьшается или увеличивается поступление мазута в 2 горелки (в 3 горелку мазут поступает с постоянной скоростью). По сравнению с генераторами нагретого воздуха обычной конструкции данный генератор отличается лучшим использованием тепла (80,7 вместо 69%) и меньшими потерями тепла получением и с дымовыми газами (19,3 вместо 31%). Кроме того, постоянство условий процесса в генераторе предотвращает коррозию его металлич. частей, обусловленную уменьшением т-ры дымовых газов ниже точки росы, а также обеспечивает равномерную сушку керамич. изделий.

**51955 П. Способ получения синтетического кварца. Франке** (Procédé pour obtenir du quartz synthétique. Franke Immanuel) [Etat Français représenté par le Ministre des Postes, Télégraphes et Téléphones], Франц. пат. 1116752, 11.05.56

Кристаллы синтетич. SiO<sub>2</sub> предложено выращивать при т-ре ~300° (ниже крит. точки) и давл. ~50 атм. SiO<sub>2</sub> растворяют в чистом 2—3 н. шел. р-ре в верхней части автоклава при 295° под давл. 50—60 атм; одновременно в нижнюю часть автоклава помещают зародышевый кристалл SiO<sub>2</sub> и поддерживают здесь т-ру ~260°. По другому варианту вначале растворяют SiO<sub>2</sub> в 2—3 н. шел. р-ре при 295° и давл. 50—60 атм, помещая зародыш в газообразную фазу. После растворения и охлаждения р-ра до 260° автоклав переворачивают. Способ позволяет использовать менее громоздкие автоклавы из обыкновенных сталей. Н. Синельников

**51956 П. Керамически диэлектрик. Уайнер, Саломин** (Dielektrischer keramischer Werkstoff. Wainer Eugene, Salomin Allen N.) [National Lead Co.], Пат. ФРГ 918690, 4.10.54 [Keram. Z., 1955, 7, № 4, 190 (нем.)]

В качестве основных материалов применяют: титанаты шел.-зем. металлов (Ca, Sr, Ba), а также их смеси, в особенности титанаты Sr, Ba и марганецсодержащие материалы, преимущественно химически получаемую MnO<sub>2</sub>. Можно использовать также пиролизит с содержанием MnO<sub>2</sub> ~ 96%. Тонко размолотые составные части хорошо перемешивают, увлежняют и просеивают через сито 20 меш. Затем из массы прессуют шайбы для конденсаторов diam. 2,5 см и толщиной 0,25 см под давл. 28 кг/см<sup>2</sup>, просушивают и обжигают их с выдержкой при максим. т-ре 3 часа. Для электро-физ. измерений на обеих сторонах шайбы обжигают Ag-электроды. Материал из смеси титанатов шел.-зем. металлов или из смеси титанатов шел.-зем. металлов с добавками 0,05—1 вес. % MnO<sub>2</sub> следует обжигать при 1260—1400°.

**51957 П. Электроизоляционные изделия и диэлектрики для конденсаторов. Рат** (Elektrischer Isolierkörper und Kondensatordielektrikum. Rath Werner) [Porzellanfabrik Kohla], Пат. ФРГ 920916, 29.11.54, [Keram. Z., 1955, 7, № 4, 190 (нем.)]

Керамические диэлектрики изготавливают из плотно спеченного керамика. материала (диэлектрика) с малыми потерями, состоящего в основном из  $TiO_2$  и  $BeO$ , диэлектрич. постоянная которых может быть получена от 12 до 100 и выше с отрицательными температурными коэф., которые могут колебаться в широких пределах в зависимости от содержания  $TiO_2$  и  $BeO$ .

С. Горелкина  
51958 П. Керамический материал и способ его изготовления. Мёллер (Keramisches Material und Verfahren zu seiner Herstellung. Möllers Josef) [Philips Patentverwaltung G. m. b. H.]. Пат. ФРГ 925518, 21.03.55 [Keram. Z., 1955, 7, № 4, 150 (нем.)]

Керамический материал содержит один титанат или более:  $2CaO \cdot TiO_2$ ,  $3CaO \cdot 2TiO_2$ ,  $2SrO \cdot TiO_2$  и (или)  $3SrO \cdot 2TiO_2$ , к которым добавляется от 3 до 50% одного или более титанатов:  $ZnO \cdot TiO_2$ ,  $2ZnO \cdot TiO_2$ ,  $CdO \cdot TiO_2$  и (или)  $2CdO \cdot TiO_2$ . Кроме того, смесь может содержать до 10% легкоплавкого материала, напр. глину. При изготовлении следует исходить из чистых оксидов. Можно также применять разлагающиеся соединения также, как карбонаты. Так как карбонаты при спекании имеют большую усадку, их предварительно необходимо обжечь при 800—1200°, затем снова размолоть. Смесь перемешивают и обжигают при 1200—1350° в окислительной атмосфере.

С. Горелкина  
51959 П. Высокоогнеупорные и жароупорные изделия из карбида кремния со связкой из карбидов бора и циркония. А б б и (Bonded silicon carbide articles and method of making same. A b b e y A.) [Carborundum Co.]. Англ. пат. 717462, 27.10.54 [Corros. Prevent. and Control, 1955, 2, № 2, 61 (англ.)]

Высокоогнеупорные и коррозионностойкие материалы или изделия изготавливаются из порошкообразного SiC со связкой из карбидов Zr и B, которые сплавлены между собой и с SiC. Хим. состав материала (в %): SiC 86, карбид B 9, карбид Zr 4; возможны также иные соотношения. Метод получения состоит в приготовлении смеси из SiC с временным связующим в-вом, формования изделия и его сушки. Обжиг осуществляется в запылке, состоящей из смеси, содержащей карбид Zr и B в нейтр. среде при т-ре, при которой смесь карбидов расплавляется, заполняя в конечном итоге поры отформованного из SiC изделия. Приводятся также дополнительные ссылки на англ. пат. См. РЖХим, 1957, 31623, 31624. Согласно первому из них связкой является смесь из нитрида и карбида Si с оксидами металлов, напр.  $Al_2O_3$  или  $ThO_2$ ,  $BeO$  и т. п. Обжиг производится в среде  $N_2$ .

В. Злочевский  
51960 П. Способ производства огнеупорных волокнистых изделий. Раннига (Verfahren zur Herstellung von feuerfesten Fasererzeugnissen. Rannila T u o m a s V a l d e m a r) Швейц. пат., 307340, 1.08.55 [Wochenbl. Papierfabr., 1956, 84, № 14, 570 (нем.)]

Для произ-ва огнеупорной бумаги, картона, обоев и т. п. волокнистых продуктов к бумажной массе добавляют гель неорганич. (напр.,  $SiO_2$ ) или органич. характера (канифоль, казеин, белковый клей, органич. полимеры и т. п.). Пример: готовят взвесь А (в г): магнезит 10, жидкое стекло 4, древесноугольный пек 4, клей 12 (в 1,7 г воды); р-р В (в г):  $MgCl_2$  20,  $Al_2(SO_4)_3$  12,5,  $NH_4H_2PO_4$  8—14 (в 1,05—1,35 г воды). Взвесь А и р-р В вливают последовательно в бумажную массу. Образуется  $Al(OH)_3$ , гель  $SiO_2$  и гель из клея. Из массы изготавливают огнеупорный картон. С. Глебов

51961 П. Канцели или кольца для обжига керамических изделий. Каммель (Brennkapsel oder — ring zum Einfüllen und Stapeln keramischer Erzeugnisse für den Ofenbrand. K a m m e l H e r m a n n) [Rosenthal — Isolatoren G. m. b. H.]. Пат. ФРГ 948132, 30.08.56

Патентуются канцели или кольца с меньшей толщиной стенки, что создает увеличение полезного объема на 5%. Необходимая прочность сохраняется за счет внешних ребер, расположенных по образующим на таком расстоянии друг от друга, что плотность установок канцелей соответствует плотности установок цилиндров без ребер.

А. Быков  
51962 П. Абразивные изделия и метод их производства. Хаучинс (Abrasive articles and method of making same. Houchins Henry R.) [The Carborundum Co.]. Пат. США 2730439, 10.01.56

Предложено изготавливать абразивный инструмент из электрокорунда (Э) на стекловидной боросиликатной связке, содержащей ~69%  $SiO_2$ , 13%  $B_2O_3$  и <10% шел. окислов, в том числе ~3%  $Li_2O$ . В расплавленном состоянии связка хорошо смачивает зерна Э. Т-ра обжига кругов 1000°, что позволяет вводить внутрь арматуру из жароупорной стали. Абразивную массу (в вес. ч.): Э 91, связка 9, декстрин 1,5, вода 2,5, прессуют в формах под давл. 105 кг/см<sup>2</sup>, сушат и обжигают при 1000° (весь цикл с охлаждением 10 час.). Хим. состав связки после обжига (вес. %):  $SiO_2$  69,1,  $Al_2O_3$  2,9,  $CaO$  0,33,  $MgO$  0,63,  $K_2O$  2,0,  $Na_2O$  4,0,  $B_2O_3$  13,0,  $Li_2O$  3,35,  $F_2$  4,57,  $Fe_2O_3$  0,2. Стойкость Э кругов на предлагаемой связке на 20—80% выше, чем у кругов на обычной связке без  $Li_2O$ .

В. Карлин

См. также: Кип в керамич. пром-сти 53555. Огнеупоры: редкоземельные 50501; смешанные карбиды 51774

### Стекло

Редакторы О. К. Ботвинкин, С. И. Горелкина, С. И. Иофе

51963. Новые взгляды на структуру стекла. Фандерлик (Ještě o dnešních názorech na strukturu skla. Fanderlik Milota). Sklár a keramik, 1957, 7, № 1, 13—15 (чешск.)

См. также РЖХим, 1957, 35136.

51964. О рациональных методах ввода  $Al_2O_3$  в стекловую шихту. Тыкачинский Н. Д., Бунаева Л. И., Хачванкиан М. А., Науч.-техн. информ. бюл. Всес. н.-и. ин-та стекла, 1954, № 10, 1—11

51965. Роль трехоксида мышьяка в стекловом шихте. Чжоу Мэн-и (砷在玻璃配料中的作用. 逄孟一), 化学世化, Хуасэ шицзе, 1955, № 12, 599 (кит.). Рассматривается роль  $As_2O_3$  в процессах стеклообразования.

И. Михайлова  
51966. Нейтральные стекла. Рем (I vetri neutri. Rehm Karl), Boll. chim. farm., 1956, 85, № 11, 494—499 (итал.)

Нейтральным в хим. смысле можно назвать стекло, которое при гидролизе кипящей дистил. водой существенно не меняет ее рН. В большинстве стран принят метод испытания гидролитич. свойств стекла путем кипячения в воде навески стеклянного порошка с последующим титрованием полученной вытяжки 0,01 н. HCl и расчетом потерь в вес. %. Другой метод испытания, особенно фармацевтич. стекла, состоит в титровании воды после кипячения в испытуемых сосудах или в испытании окраски индикатором; расчет потерь ведут в мг/дм<sup>2</sup> поверхности стеклянного образца. Первый метод точнее и принят международной организацией для определения гидролитич. сопротивления стекла. Приведены данные о свойствах нейтр. стекла (ФРГ): «аппаратного 20» («Geräteglas 20»), Fiolax и Duran 50. При кипячении в течение 2 часа в воде 2 г порошка из этих стекол с размером зерен 0,3—0,5 мкм в р-р переходит 0,015—0,016 мг щелочей в пересчете на





охлаждались с определенной постоянной скоростью до заданной  $t$ -ры, после чего скорость охлаждения резко увеличивалась. Показано, что для образцов, быстрее охлаждаемых которых начиналось в пределах  $t_{\text{отж}} = 60^\circ$ ,  $T_{\text{отж}} + 50^\circ$ , образующиеся напряжения тем больше, чем выше была  $t$ -ра начала быстрого охлаждения. Полученные экспериментально границы зоны образования остаточных напряжений хорошо согласуются с результатами расчета по предложенной ф-ле. Полученные результаты позволяют выбирать рациональные режимы отжига стеклянных деталей и максимально использовать длину туннеля печей для охлаждения изделий. Так, изменение режима первичного отжига плоских ножек радиоламп позволило устранить необходимость их повторного отжига.

Ю. Шмидт  
51978. Шлифовка стекла тонкодисперсными абразивными порошками. Корелова А. И., Стекло и керамика, 1956, № 12, 5—9

Изучался процесс шлифовки стекла тонкодисперсными порошками: кварцевого песка, электрокорунда, карбида Si, карбида B, M-20, M-14, M-10, M-7, M-5 и M-3.5. Микропорошки (МП) с зернами размером  $>10 \mu$  получались путем многократного отмучивания в спокойной воде, а более мелкие — в восходящем потоке жидкости в спец. классификаторе, имеющем сетчатую перегородку с прямоугольными ячейками и вертикальными стенками. В полученных МП содержится 60—70% зерен основной фракции и 4—6% зерен более крупной соседней фракции. Шлифовка производилась на станке ШП-150 при расходах абразивного порошка на 25—30% больше оптимальных. Показано, что производительность процесса шлифовки увеличивается пропорционально размерам зерен абразивных порошков. Определены коэф. относительной активности МП исследованных абразивных материалов и произведено сравнение их с микротвердостью этих материалов. Глубина выколок шлифованного стекла увеличивается соответственно увеличению микротвердости абразивных материалов и при шлифовке чугуном шлифовальным составом в среднем 0,23 от максим. диаметра зерен кварцевого песка и соответственно 0,28, 0,31 и 0,35 от диаметра зерен электрокорунда, карбида Si и карбида B. В основании результатов работы сделан вывод, что закономерности процесса шлифовки, полученные ранее для абразивных порошков с размерами зерен больше  $10 \mu$ , полностью сохраняются и для тонкодисперсных порошков.

П. Бокан  
51979. Цеховой контроль чистоты поверхности шлифованного стекла. Городинский Г. М., Мишаков А. Г., Цой Р. И., Стекло и керамика, 1956, № 12, 9—11

С помощью накладного рефлексометра НРГ-1, действие которого основано на фотометрич. способе контроля качества обработки стеклянной шлифованной поверхности, проведены опыты цехового контроля чистоты поверхностей плоского шлифованного стекла, обработанного на ротационных станках и конвейере. Шкала прибора с помощью профилографа градуирована по образцам, шлифованным по такому же технологич. процессу, как и измеряемые листы стекла. При измерении средней высоты неровностей на шлифованном стекле 2,1—3,0  $\mu$  разность показаний прибора отличается на 32 деления шкалы прибора. Контроль одного листа стекла на 9 участках его производится за 5 мин., причем прибор показывает средние значения неровностей шлифованного стекла на площади, равной  $10 \text{ см}^2$ .

П. Бокан  
51980. Производство стеклянных сосудов в США. Изучение положения на заводе С.— (Production of glass containers in the U. S. A. Case study of plant C.—), Glass, 1956, 33, № 7, 321—325 (англ.)

Подробно описано положение на заводе С, вырабатываемом стеклянные кувшины и бутылки разных размеров в течение 2 недель. Приводятся кол-во и назначение заводских зданий, описание оборудования (печей и машин), используемых сырьевых материалов. Указывается кол-во рабочей силы, вес и кол-во выработанной продукции и ее стоимость.

В. Мейтина  
51981. Производство двухслойных стеклянных листов. Kène (Herstellung von Doppelglasscheiben. Köhne K. H.), Glas-Email-Keramo-Technik, 1957, 8, № 1, 1—4 (нем.; рез. англ., франц.)

Приведен обзор патентной литературы по способам изготовления 2-слойных полых стеклянных листов, пространство между которыми вакуумировано или наполнено сухим воздухом или газом во избежание образования влаги или льда на внутренних стенках стекол. При разрежении между листами 710 мм рт. ст. каждый  $\text{м}^2$  его поверхности испытывает от атмосферного давления нагрузку в 1088 кг. В связи с этим рассматриваются мероприятия по упрочнению 2-слойных стекол для предотвращения их от разрушения. Сообщается также о способах полной герметизации отверстия, оставшегося в торцовой стенке спаренного листа для его вакуумирования или наполнения газом.

А. Бережнов  
51982. О кварцевых стеклах, поглощающих образующее озон излучение в области ниже 2000 Å. Mohr (Über Quarzgläser, welche die ozonbildende Strahlung unterhalb 2000 Å absorbieren. Mohr Heinrich), Glastechn. Ber., 1956, 29, № 12, 483—487 (нем.; рез. англ., франц.)

При использовании газоразрядных ламп из простого кварцевого стекла образуется озон в больших кол-вах, что является помехой в работе. Озон образуется под действием УФ-излучения с длиной волны 2100 Å и ниже. Чтобы избежать образование озона, повышают поглощаемость в стекле этого излучения, для чего используется кварцевое стекло с небольшими примесями других элементов. В зависимости от характера примеси и ее кол-ва стекло испытывает определенные изменения и приобретает окраску. Проведено испытание оптич. свойств кварцевых стекол «Е» — для ртутных ламп низкого давления и «38» — для ламп высокого давления до и после их эксплуатации. Оптич. свойства этих стекол сравниваются со свойствами чистого кварцевого стекла.

Н. Синельников  
51983. Стекло для стеклянных электродов. Окада Ниси, Имафуки (硝子電極・硝子について. 岡田辰三, 西朋太, 今吹勝治), 京都大学工学研究所 彙報, Kôto daigaku kôgaku kankyôshi hiro, Bull. Engng Res. Inst. Kyoto Univ., 1955, 8, сент., 949 (японск.)

51984. Перспективы развития в области технического стекла. Балзар (Perspektivní výhled v oboru technického skla. Balzar Vojtěch), Sklár a keramik, 1957, 7, № 2, 43—46 (чешск.)

51985. Влияние механической подготовки и pH на механическую прочность бумаги из стеклянного волокна. О'Лири, Хоббс, Миссиммер, Эрвинг (Effects of mechanical preparation and pH on the strength of glass-fiber paper. O'Leary Martin J., Hobbs Robert B., Missimer J. K., Erving James J.), Tappi, 1954, 37, № 10, 446—450 (англ.)

Освещены методы и результаты исследования возможности изготовления из стеклянных волокон бумаги с большим сопротивлением разрыву. Установлено, что поддержание  $t$ -ры  $\sim 29,5^\circ$  в процессе размола и pH 3,5 и ниже (до 2,9) обеспечивает получение стеклянной бумаги повышенной прочности на разрыв; pH готовой бумаги при этом будет в пределах 7—7,4.  $t$ -ра подготовки обуславливает термич. расширение стеклянного волокна и снижение поверхностного натяжения и вяз-

кости воды, а pH обеспечивает желатинизацию силиката в поверхностном слое волокон с получением связей между ними при сушке бумаги. М. Белецкая 51886. Современные способы производства стекла.

Швейсхеймер (Moderne Methoden der Glasfabrikation. Schweisheimer W.), Glass-Email-Keram-Technik, 1957, 8, № 1, 12—13 (нем.)

Приводятся некоторые данные о работе в США 3-да по произ-ву высококачеств. полированного листового стекла (С) методом двухсторонней шлифовки. Ширина ленты 3 м, длина от места выработки до места отрезки листов 250 м. Обе поверхности каждого листа С абсолютно параллельны. Диаметр шлифовальника 3 м, общий вес головок верхнего и нижнего шлифовальных станков ~58 т. Каждая пара станков настолько точно сбалансирована, что она приводится во вращение с помощью одного небольшого мотора. После разрезания шлифованные листы С поступают на полировку. Ввиду высокой степени параллельности сторон готовое С пропускает через свои плоскости световой луч без малейшего отклонения. Такое С применяется для военных целей в качестве защитных лобовых С в самолетах и на морских судах. Оно может применяться также для произ-ва высокосортных зеркал, дающих гораздо более четкое и точное отражение, чем зеркала, изготовленные из других С. Для установки на фундамент очень тяжелых машин двухсторонней шлифовки в землю на глубину 30 м на скальный грунт было опущено 92 бетонные плиты, каждая из которых имела поперечник в 1,5 м. Стандартные размеры выпускаемых листов С 3×4,5 м. Для особых целей могут изготовляться листы размером 3×6,25 м. А. Бережной 51987. Метод измерения щелочестойкости глазури и надглазурной живописи. Браун, Кук (A method of measuring the alkali resistance of glazes and overglaze decorations. Brown R. J., Cook R. L.), Amer. Ceram. Soc. Bull., 1956, 35, № 12, 472—475 (англ.)

Метод состоит в измерении потери веса образца после 72 час. его обработки кипячением в 10-ном р-ре  $\text{Na}_4\text{P}_2\text{O}_7$ . Испытывались глазури с интервалом т-р обжига в пределах  $960^\circ$  (для сырой свинцовой глазури  $1160^\circ$ ) и они показали очень слабое разрушение (в 1 мг на  $6,45 \text{ см}^2$ ) в то время как надглазурные краски при этом опробовании значительно разрушались с потерей в весе в пределах 50—100 мг на  $6,45 \text{ см}^2$ . Присутствие в глазури 10% обычных пигментов не оказывало существенного влияния на щелочестойкость глазури. С. Туманов 51988. Высокотемпературные эмали. Бетцер (Hochtemperaturemails. Betzer Helmut), Silikattechnik, 1957, 8, № 1, 20—22 (нем.)

Низколегированные стали перед нанесением покрытия подвергаются травлению в 6—8%-ном р-ре  $\text{H}_2\text{SO}_4$ , спец. стали — в смеси  $\text{HNO}_3$  и HF. Применяют и светлое травление в атмосфере  $\text{H}_2$ . Жароупорные сплавы после обезжиривания травят в течение 20 мин. в р-ре (100 г  $\text{FeCl}_3$ , 50 мл конц.  $\text{HCl}$  и 850 мл  $\text{H}_2\text{O}$ ) при  $90^\circ$ . Применяют также пескоструйную обработку. Эмали содержат мало  $\text{V}_2\text{O}_5$  и щел. окислов. Наряду с  $\text{SiO}_2$  в них вводят огнеупорные компоненты  $\text{Al}_2\text{O}_3$ ,  $\text{CeO}_2$ ,  $\text{Cr}_2\text{O}_3$ ,  $\text{BaO}$ ,  $\text{TiO}_2$ ,  $\text{ZrO}_2$ , и минералы — диаспор, нефелин-ситин. Для улучшения сцепления с хромо-никелевыми сплавами добавляют 2—10%  $\text{V}_2\text{O}_5$  на 100 вес. ч. фритты. Для покрытий с малым коэф. поглощения нейтронов применяют безборные составы. Примерный состав (в мол. %):  $\text{SiO}_2$  51,02,  $\text{BaO}$  25,51,  $\text{CaO}$  6,12,  $\text{ZnO}$  5,10,  $\text{BeO}$  10,20,  $\text{P}_2\text{O}_5$  2,05; при размоле на 195 вес. ч. фритты берут (в вес. ч.):  $\text{CeO}_2$  75,  $\text{Cr}_2\text{O}_3$  30, глины 15 и воды 120. Для вольфрама предложен следующий состав (в вес. ч.):  $\text{ZrSiO}_4$  9,0,  $\text{Al}_2\text{O}_3$  1,5,  $\text{CoO}$  0,5,  $\text{H}_2\text{MoO}_4$  0,02 и декстрина 0,3. Приведены и другие составы. Эмали замельчаются очень тонко: на сите 15 600  $\text{отв}/\text{см}^2$

должно оставаться  $\leq 1\%$ . Уд. вес шликера 1,65—1,95. Нанесение производится методом погружения или пульверизацией. Т-ра обжига  $1000\text{—}1100^\circ$ , время 4—20 мин. Толщина слоя обожженной эмали составляет 0,025—0,050 мм. Покрытия выдерживают длительное нагревание при т-рах до  $500^\circ$ , кратковременное — до  $1000^\circ$ . Они обладают достаточной устойчивостью к резким изменениям т-ры. По изоляционным свойствам они значительно превосходят обычные грунтовые эмали: при  $400^\circ$  и нагрузке 200 е сопротивление их составляет  $1,6 \cdot 10^8 \text{ ом} \cdot \text{см}$ . М. Серебрякова 51989. Непрерывная работа печи на заводе по производству эмалированных изделий. Альдингер (Der kontinuierliche Ofenbetrieb im Emailierwerk. Aldinger Richard), Sprechsaal Keramik, Glas, Email, 1957, 90, № 1, 28—30 (нем.)

Краткий обзор работ по переводу на непрерывный режим печей для обжига эмалированных изделий. Описываются туннельные печи с одной и двумя приводными цепями, на которые подвешивается обжигаемый товар; при двух цепях товар движется в противоположных направлениях, причем уже обожженный товар в зоне охлаждения на одной цепи отдает тепло сырому товару, подвешенному на другой цепи. Печи этого типа отапливаются газом, нефтью или электроэнергией. Бесконечная транспортная цепь, установленная над печью, снабжена стержнями из высокоугнеупорной стали, проходящими через прорезы в печном своде. Обжигаемые изделия навешиваются на указанные стержни или устанавливаются на подвешенные к ним полки. Благодаря замене муфельных периодич. печей туннельными достигнуто значительное снижение себестоимости эмалированных изделий за счет сокращения обслуживающего персонала (в 4 раза), а также уменьшения расхода топлива и транспортных затрат. Однако в связи с большими капиталовложениями установка туннельной печи экономична лишь при производительности  $\geq 4 \text{ т}$  за 24 часа. Электрич. кольцевые печи непрерывного действия успешно используются на небольших предприятиях, работающих в 1 или 2 смены. Товар из такой печи поступает в правку, а затем по транспортной ленте — через спец. канал на охлаждение. Для обслуживания электропечи достаточно 1 человека. С. Берзон 51990. Поведение эмалированного стального листа при кавитации. Пецольд, Бетцер (Über das Verhalten von emailiertem Stahlblech bei Kavitation. Petzold Armin, Betzer Helmut), Silikattechnik, 1956, 7, № 11, 466 (нем.)

В связи с возобновлением вопроса об эмалировании гребных винтов пароходов были произведены лабор. испытания различных типов эмалей на кавитационную устойчивость. Метод состоял в том, что образец, вращаясь в перпендикулярной плоскости, пересекал струи воды, испытывая в 1 мин. 6000 ударов водяных капель. Кавитационный эффект измерялся потерей в весе образца. Испытанию подвергались: 1) нормальная грунтовая эмаль 0,1, 0,3 и 0,4 мм толщиной; 2) покровная эмаль «синяя глазурь»; 3) прозрачная эмаль, 4) синяя покровная эмаль; 5) титановая эмаль «F»; 6) титановая эмаль «Z». Во всех случаях наблюдалось быстрое разрушение эмали и через 10—15 мин. обнажился основной металл. Проведенные испытания вновь подтвердили непригодность эмалировки для защиты от кавитации независимо от типа эмалей. А. Быков 51991. Огнестойкие красочные пигменты. Фивегер (Feuerbeständige Farbkörper. Fiehweger Fritz), Sprechsaal Keramik, Glas, Email, 1956, 89, № 19, 449—453; № 20, 476—477; № 21, 499—500 (нем.)

Изучались цирконо-ванадиевые огнестойкие пигменты, в которые входили также другие составляющие.



Было проведено 3 серии опытов, в которых получались желтые, зеленые и бирюзовые пигменты. В 1-й серии (желтые краски) лучшие результаты были получены с составами, содержащими (в %):  $ZrO_2$  80—80, гидрата окиси V 8—18, и  $TiO_2$  1,5. Все пигменты обжигали при 1160—1180° и затем опробовали при изготовлении цветных полевошпатовых глазури с т-рой обжига в 1200—1220°. Во 2-й серии опытов зеленые пигменты содержали  $SiO_2$  в пределах 8,5—35%. В 3-й серии опытов (бирюзовые пигменты) содержание  $SiO_2$  повышено до 49% и с полевошпатовыми глазури были получены бирюзово-зеленые окраски с сероватым оттенком. На основании проведенных экспериментов рекомендуются следующие составы новых пигментов (в %): желто-оранжевый № 8 — титановой к-ты б/водной 1,5, гидрата окиси ванадия 11,5,  $ZrO_2$  87,0%; травянисто-зеленый № 4 — титановой к-ты б/водной 1,5, гидрата окиси ванадия 15,  $ZrO_2$  65, тонкоразмолотого  $SiO_2$  18,5, и бирюзово-синий № 15 —  $BaCO_3$  8,5, гидрата окиси ванадия 12,5,  $ZrO_2$  48,0, тонкоразмолотого  $SiO_2$  31. Материалы смешиваются в шаровой мельнице, сливаются в чаши, высушиваются досуха, просеиваются и обжигаются в канселях в пределах 1180—1300°. Было выяснено поведение этих красок в глазурих различного состава: свинцовых, борных, борно-свинцовых и шел.; в свинцовых и борно-свинцовых глазурих окраска пигментов очень хорошо развивается, в боросиликатных несколько слабее; в шел. полевошпатовых глазурих на т-ру 1180—1200° желтые и бирюзово-синие развиваются очень хорошо, в шел. глазурих на т-ру 1250—1320° зеленые тона переходят в светло-зеленые и бирюзовые тона разрушаются. Подглазурные краски из 3 основных пигментов под всеми изучавшимися глазуриями дали безукоризненные результаты. До т-ры 1200—1250° все три разработанных пигмента устойчивы. Был предложен более устойчивый и более чистой окраски, чем № 15, бирюзовый пигмент № 24 состава: гидрата окиси ванадия 4%,  $ZrO_2$  58%, тонкоразмолотого кварца 29% и двойного фториды 9,0%. В заключение отмечается возможность получения различных тонов зеленых пигментов от смешения желто-оранжевого пигмента № 8 с бирюзовыми № 15 или № 24. С. Туманов 51992. Суспензии драгоценных металлов и применение их в электротехнике и электронике. Лангли (Precious metal suspensions for electrical and electronic use. Langley Robert C.), Ceramic Ind., 1956, 67, № 4, 116—117 (англ.)

Отмечается применение драгоценных металлов — Pt, Pd, Au, Rh и их сплавов, наносимых на стекло, глазурированную и неглазурированную керамику, кварц, слюду, графит, эмалированную сталь, Al и некоторые типы нержавеющей стали с целью получения герметич. спая или определенного электрич. сопротивления. Суспензии изготавливаются из тонких порошков металлов на органич. связующем, наносятся кисточкой на изделия и обжигаются при соответствующей т-ре. А. Быков

51993 П. Машина для оплавления краев стеклянных трубок. Диктер (Maschine zum Verschmelzen der Ränder an Glasröhren. Dichter Jakob). Пат. ФРГ 948352, 30.08.56

Машина для оплавления и выравнивания краев стеклянных трубок отличается тем, что сильно нагретый с помощью горелки конец трубы размягчается, при этом отверстие несколько сужается, после чего в него вводится в горизонтальном направлении спец. оправка, которая снова расширяет отверстие и выравнивает его диаметр. Машина имеет несколько оправок, устанавливаемых на отдельном приспособлении, которое движется с той же скоростью, что и приспособление, подающее трубки к горелкам, причем оправки свободно входят в разогретый конец трубки и выходят из него. Сначала

оплавляется и выравнивается один конец трубки, затем второй. Машина снабжена приспособлением для запайки дна трубок.

А. Бережной 51994 П. Процесс производства стеклянных изделий. Моррилла (Process of fabricating glass articles. Morrill Vaughan, Jr.). Пат. США, 2735230, 21.02.56

Патентуется способ произ-ва стеклянных пипеток, применяемых для измерения определенных кол-в крови с точным, заранее определяемым объемом и постоянством внутреннего диаметра ствола пипетки. Способ состоит в том, что стеклянная трубка-заготовка, толщина стенок которой и внутренний диаметр могут быть неравномерными, насаживается с двух концов на две фасонные утолщенные оправки, формирующие расширенную часть пипетки. Кроме того, через трубку и упомянутые 2 оправки пропускается тонкий круглый сердечник, служащий для предварительного формирования ствола пипетки. Трубка, надетая на указанные оправки, нагревается горелками до т-ры, лежащей выше начала размягчения стекла; при этом спец. вращающимися роликами, обкатывающими трубку снаружи, ее заставляют принять внутри точную форму и размеры оправок. Затем внутренний сердечник извлекается из трубки и вместо него вставляется другой еще меньшего диаметра для окончательного формирования тонкого капилляра пипетки. После этого при помощи горелок и спец. вращающихся профилирующих роликов трубка в ее узкой части разрезается на 2 равные половины, причем в этот же момент выдуваются шарики на концах каждой из половин и сами концы принимают конусообразную форму готового изделия. Наконец, каждая из 2 полученных трубок зажимается в вертикальном положении узким концом во вращающиеся патроны-держатели, в нижнюю открытую расширенную часть помещается маленькое цилиндрич. тело, после чего нижняя и верхняя части приводятся в соприкосновение друг с другом и заплавляются в пламени горелки при непрерывном вращении и заглаживании шва спец. плиткой. Подачей сжатого воздуха внутрь трубки во время спайки обеспечивают исключение постоянных и одинаковых размеров и объема расширенной части готовой пипетки. Приведены схематич. чертежи установок. А. Бережной 51995 П. Способ и приспособление для уменьшения полостности ленты стекла, непрерывно вытягиваемой из расплавленной стекломассы. Тум, Рамсауэр, Килиан (Verfahren und Einrichtung zur Minderung der Welligkeit eines aus der Glasschmelze kontinuierlich gezogenen Glasbandes. Thum Rudolf, Ramsauer Rembert, Kilian Georg). Пат. ГДР, 11503, 19.04.56

Способ уменьшения полостности ленты стекла непрерывного вертикального вытягивания состоит в том, что с одного или обоих концов подмашинной камеры (К) по обе стороны ленты стекла вводится подогретый газ, движущийся прямо или противоположно и перпендикулярно направлению движения ленты. Вводимый газ подогревается в подмашинной К до 250° и в турбулентном потоке направляется вдоль ленты в основном между поверхностью холодильников и стенкой К, а выше холодильников — между лентой стекла и стенкой К, а затем отсасывается эксгаустером со стороны, противоположной входному отверстию для газа. Применяемый газ представляет собой смесь воздуха, засасываемого благодаря существующему в К разрежению, с камерным или печным газом. Газы, вводимые со стороны, противоположной их входу, вблизи бортов ленты стекла подвергаются воздействию другого нагретого газового потока, поднимающегося вертикально вверх по всей ширине пространства между лентой стекла и стенкой К. Подогрет газ и турбулентный характер их движения обеспечиваются двумя или более газовыми

горелками. Языки пламени горелок направлены под углом  $60^\circ$  к направлению движения газового потока. Газ к горелкам подводится по трубопроводу, проходящему через торцовую стенку подмашинной К. Приведены чертежи устройства подмашинной К с горелками, трубами-эксгаустерами и газовыми трубопроводами.

А. Бережной

**51996 П.** Способ изготовления электродного стекла для измерения pH. Швабе (Verfahren zur Herstellung von Elektrodenglas zur pH-Messung. Schwa-be Kurt), Пат. ГДР 11584, 7.05.56

Способ изготовления электродного стекла для измерения pH в щел. среде и при высоких т-рах отличается тем, что в литвиных стеклах, содержащих 20—25%  $\text{Li}_2\text{O}$ , 5—8% окислов щел.-зем. металлов и кремнезем, часть  $\text{SiO}_2$  замещается одним или несколькими окислами тяжелых металлов переменной валентности. Стекла состава (в %):  $\text{Li}_2\text{O}$  24,  $\text{CaO}$  6,  $\text{ZrO}_2$  2,  $\text{ThO}_2$  2,  $\text{SiO}_2$  66 легко выдуваются в мембраны и обладают примолни-нейной функцией pH вплоть до pH 14 даже в одноно-рмальном щелочно-натриевом р-ре, не обнаруживая при этом повышенного сопротивления. Срок службы их при  $100^\circ$  доходит до 1 года. Из стекла состава  $\text{Li}_2\text{O}$  23,  $\text{BaO}$  6,  $\text{TiO}_2$  3,  $\text{UO}_2$  3 и  $\text{SiO}_2$  65 легко получить прозрач-ные непористые мембраны, обладающие высокой прово-димостью и температурной устойчивостью. В качестве добавок других окислов тяжелых металлов для заме-щения части  $\text{SiO}_2$  в указанных стеклах рекомендуются также  $\text{V}_2\text{O}_5$ ,  $\text{WO}_3$  и  $\text{MoO}_3$ .

А. Бережной

**51997 П.** Электропроводящая прозрачная стеклян-ная пластинка. Лайтл (Elektrisch leitende, trans- parente Glasscheibe. Lytle William Orl- and) [Pittsburgh Plate Glass Co.]. Пат. ФРГ 948915, 6.09.56

Способ получения электропроводящей прозрачной, не подвергающейся обледенению стеклянкой пластин-ки отличается тем, что на 2 противоположных края ее наносится тонкие полоски из электропроводящей и про-зрачной SnO, на которые затем накладывается пара се-ребренных электродов таким образом, что часть края полосок SnO остается непокрытой электродами, после чего вся поверхность пластины и ее края покрыв-аются тем же слоем из SnO, хорошо сцепляющимся с электродами и с поверхностью стекла. Электроды изготавливаются смещением порошкообразного метал-лич. Ag или Au со стекловидной спечкой и размоло-той фриттой, которая может состоять из свинцового глета и борной или кремневой к-ты. К полученной массе добавляют в качестве связки терпентиновое масло, воду или спирт для удобства нанесения электродного слоя пульверизацией или намазыванием. Толщина электродов не должна превышать 0,13 мм, лучше всего ~0,075 мм. Способ состоит в том, что обрабатываемый лист стек-ла нагревается до т-ры  $>260^\circ$ , но ниже т-ры плавлени-я стекла, затем на наружную поверхность листа на-носится электропроводящий прозрачный слой SnO. После охлаждения пластины большая часть этого слоя удаляется действием разб. неорганич. к-ты (соляной, серной или азотной) в смеси с металлич. Zn, Cd или Al. Оставляются только узкие полоски по краям. На пластину наносятся силикатно-серебряные электроды, и она помещается в печь, где нагревается сначала до  $150^\circ$  для подсушки электродного слоя, а затем до  $520$ — $620^\circ$  с выдержкой в течение 1—2 мин. При этом силикатно-металлич. слой плавится, прочно прилипая к поверх-ности стекла и к электропроводящему слою. Затем пластинка извлекается из печи, и прежде чем она успеет значительно охладиться, на всю ее поверхность вторич-но наносится слой SnO. Таким образом, вблизи внут-реннего края каждого из электродов пластинка оказыва-ется покрытой двойным электропроводящим слоем. Этим достигается хороший электрич. контакт между

наносимым слоем и электродами, а также исключается возможность возникновения перенапряжения на краях и кондах электродов и связанного с этим перегрева и разрушения электропроводящего слоя. Приведен со-став р-ра для нанесения электропроводящего оловян-ного покрытия.

А. Бережной

**51998 П.** Эмалирование металлических изделий с при-менением угля. Комацу (炭素を鉄材の表面に塗- 着せしめる製品. 小松英次郎), Японск. пат. 1567, 26.03.54

На поверхность металлич. изделия, промытого к-той или очищ. песком, наносится слой состава (в %):  $\text{SiO}_2$  43—65,  $\text{Al}_2\text{O}_3$  3—7,  $\text{B}_2\text{O}_3$  8—15,  $\text{Na}_2\text{O}$  8—15,  $\text{CaF}_2$  4—7,  $\text{CoO}$  0,2—2, глина 2—3, после чего изделие нагревается до т-ры  $850$ — $920^\circ$ . Затем на этот слой наносится другой слой, состоящий в основном из угля, и к которому, в качестве связующего, добавляется не-большое кол-во стекла, а также глины и воды, после чего изделие снова выдерживается при т-ре  $800$ — $850^\circ$ , при которой угольный порошок спекается за счет подмешанного стекла и одновременно наплавляется на ранее нанесенный слой. Покрытие не трескается при нагревании до  $300^\circ$  и быстром охлаждении в воде при  $8^\circ$ , устойчиво против истирания, обладает сопротив-лением в 50 Мом при напряжении 500 в, не появляется изменений после выдержки в течение 5 час. при т-ре  $800^\circ$ .

З. Завьялов

См. также: Использование телевизионной техники 53:55. Электрич. св-ва стекла 50624, 50625. Термо-э-д в стекл: 50627. Античные стекла 50627

#### Вязущие материалы, бетон и другие строительные материалы

Редакторы Ю. М. Бутт, А. С. Пантелеев

**51999.** Физико-химические процессы при промышлен-ном получении извести-пушонки. Бакман (Physi- kalisch-chemische Probleme bei der industriellen Kalkhydratherstellung. Backman A.), Zement- Kalk-Gips, 1956, 9, № 6, 262—275 (нем.; рез. англ., франц.)

Обзор данных о физ.-хим. изменениях, сопутствующих процессу гашения извести в пушонку. Приводятся дан-ные, характеризующие тиксотропию растворяемых смесей. Согласно проведенным опытам внутренние силы трения между частицами извести преобладают над псевдоколлаидными свойствами растворяемых смесей. Особое внимание уделено вопросу пластичности этих смесей. По современным взглядам пластич. текучесть колл. тел является следствием притяжения ядрами молекул воды с образованием поверхностного слоя и мицелл. Силам поверхностного притяжения у пушонки соответствуют силы побочных валентностей, обуслав-ливающие способность кристаллита связывать до 8 мо-лекул  $\text{H}_2\text{O}$  на одну молекулу  $\text{Ca}(\text{OH})_2$  с образованием поверхностного слоя. При произ-ве пушонки это озна-чает, что для придания растворяемой смеси наибольшей пластичности следует стремиться к такому состоянию продукта, при котором процессы присоединения воды и обезвоживания происходили бы максимально быстро и полно. Указывается, что сцепление извести является ее важнейшим свойством как строительного материала. Рассматриваются также процесс отвердевания карбонизированной штукатурки и его зависимость от свойств из-вести; влияние состава песка на консистенцию раство-рных смесей; возможность применения для растворяемых смесей гидроокиси Са.

Е. Штейн

**52000.** Проблемы упаковки. Результаты опытов по уплотнению материала. Цан-де-р (Verpackungspro-

bleme: Ergebnisse der bisherigen Versuche mit verdichtetem Material. Zander H. von, Zement-Kalk-Gips, 1956, 9, № 12, 541—545 (нем.; рез. англ., франц.).

Описываются опыты по уплотнению извести-пушонки при упаковке ее в бумажные клапанные мешки. Автором сконструирована 2-штурперная вакуумная упаковочная машина, которая обеспечивает значительное уплотнение извести (до 900 г/л) и, следовательно, значительную экономию мешков. Большее уплотнение нецелесообразно, так как может привести к образованию плотных комков, не рассыпавшихся при опорожнении мешка. Практически целесообразно уплотнять известь до 600 г/л против 450, достигаемых в обычных упаковочных мешках. Производительность вакуумной машины 12 т/час. Принцип вакуумирования может быть применен и при упаковке сыпучих материалов в открытую тару, а также для предварительного уплотнения материалов, поступающих в обычные упаковочные машины. Установлено, что при упаковке материала после предварительного уплотнения вторичное разрыхление  $\leq 10\%$ . Предлагается новый способ уплотнения извести или цемента перед упаковкой, основанный не на вакуумировании, а на применении вибрационных камер, обтянутых проволоочной сеткой. Материал, попадающий в камеры, под действием вибрации отдает часть заключенного в нем воздуха, который через сетку выводится наружу. При этом воздух оказывается совершенно свободным от пыли.

Б. Левман  
52001. Автоклавные известково-глиняные материалы из литых и пластичных смесей. Волженский А. В., Федин А. А. В сб.: Крупноразмерн. силикаты и пеносиликаты. Издания М., Гос. изд-во лит. по стр-ву и архитект., 1956, 119—159

Установлена возможность изготовления известково-глиняных автоклавных материалов (ИГАМ), об. в. 800—1500 кг/м<sup>3</sup>, с  $\sigma_{сж}$  80—350 и  $\sigma_{из}$  20—60 кг/см<sup>2</sup>. Для произ-ва ИГАМ наиболее целесообразно применять молотую негашеную известь (с добавлением к смеси 1% есб) и тощие, а также среднепластичные глины.

М. Майнц  
52002. Применение молотой негашеной извести в производстве центрифугированных автоклавных материалов. Болквядзе Л. С., Тр. Груз. политех. ин-та, 1956, № 6 (47), 106—109 (рез. груз.)

Центрифугированные автоклавные известково-песчаные бетоны (Б) на основе молотой извести обладают высокой плотностью и прочностью до 500—800 кг/см<sup>2</sup>. Водопоглощение Б составляет 9%, коэф. размягчения 0,85. Изделия из Б выдерживают без видимых изменений до 200 циклов попеременного замораживания и оттаивания. Модуль упругости высокопрочных Б равен 200 000—250 000 кг/см<sup>2</sup>, сила сцепления с арматурой составляет до 70 кг/см<sup>2</sup>.

М. Майнц  
52003. К вопросу о стойкости известково-песчаных автоклавных изделий при систематическом действии воды. Попов Н. А., Чеченин М. Е. В сб.: Крупноразмерн. силикаты и пеносиликаты. Издания М., Гос. изд-во лит. по стр-ву и архитект., 1956, 27—36

В известково-песчаных материалах при воздействии воды и агрессивных сред имеют место деструктивные процессы, сопровождающиеся значительным разупрочнением. Стойкость цементных бетонов в условиях сульфатной, магnezальной и углекислотной агрессив (марка бетона «150—200») значительно выше, чем известково-песчаных автоклавных изделий.

М. Майнц  
52004. Безавтоматические известковые материалы с применением вибропомола. Буткевич Б. К., Сб. тр. Респ. н.-п. ин-та местных строит. материалов, 1956, № 11, 17—34

Использование смешанного известково-шлакового

вяжущего, состоящего из 33% извести и 66% топливного шлака, подвергнутого вибропомолу, позволяет получить стеновые камни марок «35»—«100», отличающиеся удовлетворительной водостойкостью (коэф. размягчения 0,7—1,0), морозостойкостью (15 циклов), воздушостойкостью и теплозащитными свойствами.

М. Майнц  
52005. Газогипс — теплоизоляционный материал. Ежов Б., Строит. материалы, 1956, № 12, 24—25

В качестве газообразователя при изготовлении газогипса применялись мергелистая глина и сернокислый Al. Об. вес газогипса 500—800 кг/м<sup>3</sup>, прочность при сжатии 10—36 кг/см<sup>2</sup>, коэф. теплопроводности 0,12—0,17 ккал/м час град, водопоглощение 38—36%. В водонасыщ. состоянии газогипс временно снижает прочность на 40—50%.

И. Смирнова  
52006. Изучение использования гипса, получающегося в качестве побочного продукта при производстве солей. Нагаи (熊谷 副産石膏(ホニースケール)の利用研究. 永井彰一郎), 日本化学会誌, Нихон сёо гаккаиси, Bull. Soc. Chem. Sci. Japan, 1955, 9, № 2, 24—27, № 6, 5—8 (японск.)

52007. Физические и механические свойства литой гипсовой штукатурки: штукатурка АВ/2. Расселл, Блейки (Physical and mechanical properties of one cast gypsum plaster: plaster AB/2. Russell J. J., Blakey F. A.), Austral. J. Appl. Sci., 1956, 7, № 2, 176—190 (англ.)

Приведены данные о физ.-хим. свойствах строительного гипса. Показано, что модуль Юнга, предел прочности при сжатии и растяжении, плотность и максимум расширения после схватывания уменьшаются с увеличением кол-ва воды затворения. Коэфф. Пуассона остается неизменным для данного водогипсового отношения. Свойства материалов изучены в возрасте до 12 месяцев.

И. Смирнова  
52008. Расчет трехкомпонентной сырьевой смеси по предельным дозировкам. Вирелля-Блода (Cálculo de crudos de tres componentes mediante dosificaciones límites. Virella Bloda Alberto), Cemento-hormigón, 1954, 20, № 248, 439—446 (исп.)

Предыдущее сообщение см. РЖХим, 1955, 46608.  
52009. Присадка золы при обжиге клинкера. Мусалик (Absorpcja popiołu przy wypale klinkru. Musialik Mieczyslaw), Cement. Wapno. Gips, 1957, 13, № 1, 12—15 (польск.)

Предложенный Окорочковым расчетный способ определения величины присадки золы топлива при обжиге клинкера проверялся на примере 6 врашающихся печей различной длины и диаметра. Результаты наблюдений показывают, что различные составные части золы неодинаково поглощаются клинкером. Особенно большие колебания наблюдаются в содержании Fe<sub>2</sub>O<sub>3</sub>, очевидно, эта окись попадает в клинкер из магнезитовой футеровки. Увеличение содержания MgO в сырьевой смеси снижает кол-во Fe<sub>2</sub>O<sub>3</sub>, уносимой с поверхности огнеупоров. Для проверки этого предположения необходимо собрать дополнительные материалы по различным печам, а также исследовать вопрос о распределении Fe<sub>2</sub>O<sub>3</sub> между стекловидной и другими фазами огнеупорной футеровки.

Б. Левман  
52010. Контроль качества глинистого клинкера (Mbi kontrollin korrant te kvalitit te klinkerit. Morduhovič M. A.), Teknika, 1955, 2, № 5, 27 (албанск.)

52011. Взаимодействие порландцементного клинкера с тонкоиспеченными магнезитовыми футеровками в условиях водяного охлаждения зон спекания. Ключаров Я. В., Михайлова Н. К., Тр. Гос. Всес. ин-та по проектир. и науч.-исслед. работам в цемент. пром-сти, 1955, № 18, 88—106



**52012. Использование сланцевого кокса для получения цементного клинкера. Ходоров Е. И., Косарева В. М.,** Тр. Гос. Вес. ин-та по проектир. и науч.-исслед. работам в цемент. пром-сти, 1956, вып. 19, 67—83

Описываются схема и результаты лабор. и полузаводских испытаний установки с шахтной печью по произ-ву цементного клинкера из сланцевого кокса и известняка с добавкой и без добавки антрацита. Приводятся также данные опытов по изысканию способа повышения прочности обжигаемых гранул. Установлено, что присутствие в сланцевом коксе горючих составляющих (10—15%) снижает расход условного топлива при обжиге клинкера с 200 кг/т, как это имеет место при обжиге обычного сырья, до 50 кг/т. Добавка 1,5—2,0% сульфитно-спиртовой барды сообщает достаточную прочность гранулам. Структура получаемого клинкера не отличается от обычной, цемент марок «300» и «400».

В. Тимашов

**52013. Экономическая эффективность использования сланцевого кокса камерных печей для производства портландцемента. Куль Э. В.,** ENSV teaduste Akad. Toimetised. Ühiskonnateaduste seer., Изв. АН ЭССР. Сер. обществ. н., 1956, 5, № 3, 235—246 (рез. эст.; англ.)

Опытное произ-во цемента марки «400—500» из сланцевого кокса на з-де «Пунане-Кунда» и им. Воровского в Ленинграде показало, что стоимость сырья снижается на 37—38% и технологич. топлива — на 9—10%; производительность вращающихся печей в среднем уменьшается на 20%. Себестоимость цемента на з-де им. Воровского была ниже на 11,7%, а на з-де «Пунане-Кунда» — выше на 0,6% по сравнению с цементом на обычном сырье. Автор считает, что вопрос о произ-ве цемента из сланцевого кокса нельзя считать полностью разработанным как с технологич., так и с экономич. точек зрения.

Г. Копелянский

**52014. О влиянии первичных неустойчивых расплаво на процесс клинкерообразования. Чебук М. Ф., Пьячев В. А.,** Цемент, 1956, № 5, 16—19

Исследовано влияние на процесс клинкерообразования первичных неустойчивых расплаво (ПНР), образующихся при быстром обжиге сырьевой смеси, содержащей легкоплавкие компоненты. Путем подбора кол-ва и состава ПНР, обладающих низкой вязкостью и высокой реакционной способностью, можно создать условия для быстрого обжига алитового клинкера с высоким содержанием силикатов. Содержание в шихте достаточного кол-ва ПНР требуемых свойств обеспечивается применением никелевых шлаков (III), а также смеси титанистых доменных III с медными III, образующимися при нагреве жидкую фазу, через которую проходят р-ции клинкерообразования. Возможно применение медных III в смесях с известняком и кремнеземистыми добавками (песком, опокой), содержащими небольшое кол-во  $Al_2O_3$ , при доведении глиноземного модуля шихты до 0,5—1,0.

Г. Копелянский

**52015. Развитие науки о коллоидах и современная теория схватывания цемента. Колодзинский (Rozwój wiedzy o koloidach a nowoczesna teoria wiązania cementu. Kolodziński Wojciech),** Cement. Wapno. Gips, 1956, 12, № 12, 276—279 (польск.)

Твердые коллоидные частицы обладают упорядоченной кристаллич. структурой и играют большую роль в процессе схватывания портландцемента. При затворении цемента небольшим кол-вом воды происходит быстрое насыщение р-ра и образование коллоидов. Условия схватывания цементной массы неблагоприятны для образования крупных кристаллов. Процесс схватывания цемента зависит также от формы кристаллов алита. По данным Гэжимека, цемент, содержащий

кристаллы алита меньшего размера и удлиненной формы, обладает более высокой прочностью, чем цемент, состоящий из алита с размерами зерен  $>40 \mu$  и правильной формой кристаллов.

Б. Левман

**52016. Добавки, влияющие на условия схватывания цемента. Грюнер, Бастиан (Srodki wpływające na warunki wiązania cementu. Grüner Małgorzata, Bastian Stanisław),** Mater. budowl., 1956, 11, № 11, 368—374 (польск.)

Дается обзор добавок (Д), применяемых в технологии цемента и бетона для улучшения их строительно-технич. свойств. Рассматривается хим. природа действия Д, ускоряющих и замедляющих процессы схватывания. В Польше применяются, наряду с общеизвестными видами Д, как гипс,  $CaCl_2$  и др. соединения хлора, соляная к-та, жидкое стекло (ЖС) и др., три вида искусств. Д, ускоряющих схватывание: флуобизоль (на основе ЖС, фторсиликата Na и мыла), муросан В (на основе ЖС и небольших кол-в хлористого Zn, калиевого мыла и отходов переработки дерева) и рапидоль (по составу близок к муросану). В малых кол-вах (1—2%) эти Д ускоряют начало схватывания и замедляют конец его. При добавке 5% значительно сокращаются сроки начала и конца схватывания цемента. Все Д, как правило, понижают прочность цемента в поздние сроки твердения (с 3 суток). В качестве замедлителей схватывания применяются фосфорная к-та, хлористый Zn, сахар, крахмал.

Б. Левман

**52017. Электролиты как ускорители твердения портландцемента. Аяпов У.,** Вестн. АН КазССР, 1956, № 12, 77—87 (рез. казах.)

Активность электролитов в отношении ускорения твердения портландцемента рекомендуется выражать величиной, обратно пропорциональной произведению суммы размеров составляющих их ионов на сумму кол-ва зарядов последних. Чем меньше это произведение, тем больше активность электролита. По активности ионы могут быть расположены в следующие ряды: анионы —  $Cl^- > SO_4^{2-} >$  комплексные ионы; катионы —  $Li^+ > Na^+ > NH_4^+ > Ca^{2+} > Fe^{3+} > Al^{3+} >$  комплексные ионы. Ускоряющее действие электролитов на процесс твердения объясняется их дисперсирующим воздействием на частицы портландцемента, увеличением поверхности взаимодействия с водой и увеличением степени диссоциации последней. В качестве наиболее эффективных и дешевых электролитов рекомендуются  $NaCl$  и  $NH_4Cl$ . Наиболее активным электролитом является  $LiCl$ , но он дефицитен и дорог. Г. Копелянский

**52018. Об усадке твердеющего цемента. Чернин (Über die Schrumpfung des erhärtenden Zementes. Czernin W.),** Zement — Kalk — Gips, 1956, 9, № 12, 525—530 (нем.; рез. англ., франц.)

С помощью объеммера исследовались явления усадки чистого цементного теста в замкнутой системе цемент — вода. Эти явления отличны от усадки, происходящей при высыхании р-ра с удалением воды из системы. Объемная усадка в реагирующей системе цемент — вода практически выражается так, как если бы на всем протяжении процесса твердения на каждые 100 г цемента испарилось ~6 мл воды. Напряжения, возникающие в обычном р-ре или бетоне в результате этого «самовысыхания», незначительны и составляют лишь небольшую часть обычных усадочных напряжений. Однако жирные р-ры и бетоны во избежание излишних напряжений должны твердеть в воде. Явление «самовысыхания» играет существенную роль в повышении морозостойкости бетона в ранние сроки твердения. По данным последних американских исследований, между усадкой в замкнутой системе ( $\Delta w$ ) и кол-вом химически связанной воды ( $w_n$ ) существует следующая зависимость:  $w_n = 4\Delta w$ . Таким образом,

измерение усадки с помощью объеммера может служить средством наблюдения за развитием процесса гидратации. Величина объемной усадки цементного теста с добавкой кварцевой муки может характеризовать в общем виде стандартную прочность цемента. Сравнение величины объемной усадки и показателей стандартной прочности при низких  $t$ -рах дает основание считать, что в этих условиях образуются продукты гидратации с большим содержанием воды. Б. Левман

**52019. Влияние глинежа на морозо- и атмосферостойкость портландцемента.** Мякинченко М. И., Канцпольский И. С., Изв. АН УзССР, 1956, № 12, 77—83 (рез. узб.).

Исследовали морозостойкость образцов из цементного  $p$ -ра состава 1 : 3 пластичной консистенции. Образцы изготовляли на портландцементе (ПЦ), содержащем (в %):  $C_3A$  4,  $C_4AF$  18. Глинеж содержал до 3,5% активного глинозема, активность по поглощению извести за 15 титрований составила 53 мг  $CaO$  на 1 г; опока и трепел имели активность 361 и 338 мг  $CaO$ . Глинеж добавлялся в кол-ве 15, 30 и 50% от веса смешанного вяжущего, а трепел и опока в кол-ве 15%. Образцы замораживали при  $t$ -ре  $-11 \div -26^\circ$ . Атмосферостойкость изучалась на образцах восьмерках при воздушном (на открытом воздухе) и комбинированном воздушно-водном хранении.  $T$ -ра воздуха колебалась от  $-15^\circ$  до  $+40^\circ$  и относительная влажность от 20 до 80%. Глинеж — ПЦ, содержащий 30% глинежа, после 100 циклов замораживания и оттаивания имел такую же морозостойкость, как и чистый ПЦ. Пуццолановый ПЦ, содержащий 50% глинежа, выдерживает 50 циклов замораживания и оттаивания. Он атмосферостоек и может применяться наравне с ПЦ в наземных сооружениях. И. Смирнова

**52020. Производство цемента.** Джонс (Cement manufacture. Jones K. E.), Australas Engr., 1956, 48, Aug., 70—73 (англ.)

Описывается цементный 3-д Дирра в провинции Квинсленд (Австралия), на котором в качестве известнякового компонента сырьевой смеси применяется коралл (К). К добывается на коралловом рифе в 65 км от 3-д с помощью «шагающей» драги, оборудованной вращающимися резаками из марганцевой стали, и центробежным насосом подается в виде жидкой пульпы ( $J$ :  $T = 10:1$ ) на спец. баржи. Мощность насоса 500 м<sup>3</sup> К в час (на твердое в-во). Баржи доставляют коралловую пульпу к заводской пристани и выгружают ее в воду, откуда К вычерпывается грейфером и направляется в отстойники. Глина добывается в карьере возле 3-д и после отмучивания добавляется к К. Конечная влажность шлама 38%. 3-д оборудован 4 вращающимися печами, в том числе 2 новыми ( $2,7 \times 105$  м). Длинные печи имеют 2 расширенные зоны: подготовки материала (диам. 3,2 м) и спекания (диам. 3,8 м). Отходящие газы с  $t$ -рой  $260^\circ$  обеспыливаются в электрофильтрах. Длинные печи оборудованы колосниковыми холодильниками переталкивающего типа. Транспорт материала на 3-д в основном пневматический. Б. Левман

**52021. О термичности гаше-цементов.** Куталадзе, Кикладзе (გაზ-ცემენტების თერმულობის შესახებ. ქუთათელაძე კ. ს., კიკელაძე ქ. ა.), საერთაშორისო პოლიტექნიკური ინსტიტუტის შრომები, Т) Груз. политехн. ин-т, 1956, № 5 (46), 106—116 (груз.; рез. русск.)

Добавка гашки к портландцементному клинкеру заметно снижает термичность цемента. Это вызвано наличием в гаше гипса, активного  $SiO_2$  и гидроксидов железа, которые при гидратации входят во взаимодействие с минералами клинкера. Наличие  $CaSO_3$  в гаше также способствует снижению термичности, при этом  $CaSO_3$  действует как микронаполнитель. М. Степанова

**52022. Сульфатостойкие цементы.** Кинд В. В., Сб. науч. работ по химии и технол. силикатов. М., Промстройиздат, 1956, 54—62

Приводится краткая характеристика сульфатостойкого портландцемента (ПЦ), пуццолановых и шлаковых ПЦ, сульфитно-шлакового цемента (Ц) и ангидритоглиноземистого Ц, а также соображения о наиболее рациональном использовании их в строительстве. Указывается, что сульфатостойкий ПЦ при значительном содержании в воде сульфатов не является вполне сульфатостойким. Рекомендуется для повышения сульфатостойкости несколько понижать величину коэф. насыщения. Отмечается также нецелесообразность введения в состав сульфатостойкого ПЦ гидравлич. добавки (ГД), учитывая ее отрицательное влияние на морозостойкость бетона. Наиболее целесообразно применение сульфатостойкого ПЦ в гидротехнич. сооружениях северных морей. Пуццолановые и шлаковые ПЦ стойки по отношению как к сульфатоалюминатной, так и к гипсовой коррозии. Наблюдающаяся в некоторых случаях недостаточная сульфатостойкость пуццолановых и шлаковых ПЦ объясняется недостаточным содержанием ГД и ее низкой активностью, повышенным содержанием в добавке активного глинозема и высоким содержанием в клинкере  $C_3A$ . Рекомендуется наименьшее содержание активных ГД в 25%, а среднеактивных 30%. Сульфатостойкими являются также пуццолановые ПЦ на основе обожженных глин, при содержании их в 30—40%. Положительное влияние глинистой добавки объясняется наличием в добавке активных кремнезема и глинозема. Подобные ПЦ имеют большое значение в Средней Азии. Сульфитно-шлаковый Ц отличается повышенной стойкостью по отношению к сульфитно-магнезальной, к углекислой и общекислотной агрессии. Рекомендуется расширение произ-ва сульфитно-шлакового Ц и внедрение его в практику гидротехнич. строительства, особенно в южных районах. Ангидритоглиноземистый Ц обладает высокой стойкостью в сульфитно-магнезальных средах и при наличии углекислой и общекислотной агрессии. Его применение особо рекомендуется в зимнее время, а также при необходимости быстрого ввода сооружений в эксплуатацию. Г. Копелянский

**52023. К вопросу сульфатостойкости цементов Закавказья.** Моница Н. Л., Изв. Тбилисс. и.и. ин-та сооруж. и гидроэнерг., 1955, № 8, 13—21

**52024. Пылевидная зола для изготовления цемента.** Ватанабэ (セメント用フライアッシュ. 渡邊幸三郎), 産業協會誌, Ege kékaisi, J. Ceram. Assoc. Japan, 1956, 64, № 720, C67—C73 (японск.)

**52025. Портландцемент с добавкой золы-уноса Грузинской ГРЭС.** Яшвили А. И., Изв. Тбилисс. и.и. ин-та сооруж. и гидроэнерг., 1955, № 8, 23—43

**52026. Тонкомолотый сланец как добавка к цементу.** Осидзе В. И., Моница Н. Л., Изв. Тбилисс. и.и. ин-та сооруж. и гидроэнерг., 1955, № 8, 3—7

**52027. О методах испытания прочности цемента.** Попович, Уйхейн (A cementszilárdság vizsgálási módszereiről. Popovics Sándor, Újhelyi János), Építőanyag, 1956, 8, № 9, 336—344 (венг.)

Рекомендуется метод испытания образцов пластичной консистенции с переменным В/Ц, при котором прочность на сжатие цементного  $p$ -ра (1 : 3) соответствует прочности на сжатие бетонных образцов. Д. Пюшпек

**52028. Новый материал для тампонирования глубоких скважин.** Смит (A new material for deep well cementing. Smith Dwight K.), J. Petrol. Technol., 1956, 8, № 3, 59—63, discuss. 63—64 (англ.)

Описывается известково-пуццолановое вяжущее (ИПВ), предназначенное для цементирования глубоких нефтяных скважин (от 1800 до 5400 м) в условиях уме-

ренных и высоких  $t$ -р и непригодное для  $t$ -р ниже  $60^\circ$ . Кроме извести-пушонки и пуццоланы (летучей золы), ИПВ содержит также ускоритель или замедлитель твердения. Прочность ИПВ не падает в последующие сроки твердения. При твердении ИПВ не образуются растворимые соединения, чувствительные к действию сульфатных вод, что значительно повышает его стойкость в агрессивной среде. Уд. вес  $p$ -ра из ИПВ колеблется в незначительных пределах и зависит от уд. веса и водопотребности пуццоланового компонента. Опыт применения ИПВ при тампонировании нефтяной скважины глубиной 2730 м показал, что  $p$ -р обладает повышенной подвижностью и легко поддается накачиванию.

Б. Левман

**52029. Новый цемент с малым водоотделением.** П о р т е р (New cement cuts water loss. Porter Edward W.), Canad. Oil and Gas Inds, 1956, 9, № 11, 115—119 (англ.)

Для улучшения свойств тампонажного цемента применены три новые добавки под фирменным обозначением «лайасел». Добавка D (один из видов диатомита) понижает плотность цементного  $p$ -ра. Добавка LWL (продукт обработки целлюлозы) служит для регулирования потери воды и загустевания цементного  $p$ -ра. Добавка A (спец. вид силиката Na) вводится как ускоритель твердения в тех случаях, когда не нужно замедлять загустевание  $p$ -ра. Эти добавки позволяют снизить плотность цементного  $p$ -ра для тампонирования скважины до 1,23 г/см<sup>3</sup>, а потерю воды до 10 мл/час (против 1400—2000 мл/час у цемента без добавок). Добавка D вводится в виде порошка в обыкновенный портландцемент в кол-ве 10—40%, добавка LWL — в кол-ве 0,3—0,7%, добавка A — в кол-ве 3%. Хорошие результаты дает комбинированная добавка, составленная из всех трех добавок в указанных дозировках. Описываются результаты применения этих добавок по опыту бурения 750 нефтяных скважин.

Б. Левман

**52030. Мазутный цемент.** М а к - Л а ф л и н, Х а у э р (A report to the industry on diesel oil cement. McLaughlin Charles, Hower Wayne F.), World Oil, 1955, 141, № 7, 153—154, 164 (англ.)

Разработан новый способ тампонирования нефтяных скважин с помощью цементного  $p$ -ра, изготовляемого из портландцемента, моторного (дизельного) мазута и поверхностноактивной добавки (ПАД). Вместо дизельного мазута может быть применен керосин с добавкой небольшого кол-ва сырой нефти. Так как  $p$ -р не содержит воды, он при накачивании в скважину не начинает схватываться до тех пор, пока не достигает уровня воды. Введение ПАД позволяет увеличить содержание цемента в смеси с дизельным мазутом, а также облегчает проникновение воды в цементный  $p$ -р даже при отсутствии в скважине перепада давлений. Поглощение воды вызывает быстрое уплотнение  $p$ -ра с уменьшением его объема. Приводятся результаты применения мазутного цемента в различных условиях бурения и тампонирования скважин.

Б. Левман

**52031. Техничко-экономический анализ производства и применения пластичного шлакового цемента.** Р о л е к (Analiza techniczno-ekonomiczna produkcji i stosowania cementu żuźlowego plastycznego. Rolek Międzyśląsław), Cement. Wapno. Gips, 1956, 12, № 10, 213—217 (польск.)

Рекомендуется применение пластичного шлакового цемента (70—80% гранулированного шлака и 30—15% портландцемента или извести и гипса), приготовляемого непосредственно на стройке или на предприятиях стройдеталей.

Е. Стефановский

**52032. Исследование доменных шлаков термографическим методом.** Л о м м а т з ш (Untersuchung von Hochofenschlacke mit der Differentialthermoanalyse.

Lommatzsch Alexander), Silikattechnik, 1956, 7, № 11, 468 (нем.)

Термограммы остеклованных основных доменных шлаков, растертых в порошок (зерна  $<120\mu$ ) и затворенных 31% воды, после 2- и 7-суточного твердения при  $18-21^\circ$  и относительной влажности  $65\pm 5\%$  имеют резкий эндотермич. эффект при  $180^\circ$  (отдача воды), переходящий далее в экзотермич. (ЭТ) с пиками при 800 и  $900^\circ$ . При 850 и  $1000^\circ$  ЭТ эффекты резко снижаются, приближаясь к нулю. Наблюдаемые ЭТ пики при 800 и  $900^\circ$  достаточно велики при добавлении к шлаку до 10%  $\text{CaSO}_4 \cdot 2\text{H}_2\text{O}$ . При более высоких добавках двудного гипса абс. величина ЭТ пика резко уменьшается. Уменьшение величины ЭТ эффекта наблюдается также и при увеличении времени твердения образцов.

Е. Штейн

**52033. О пуццоланах.** У э м у р а (ボゾランについて. 植村次郎), 村料試験, Дзайрё сикэн, J. Japan Soc. Test. Mater., 1956, 5, № 34, 398—403 (японск.)

**52034. Возможные факторы, определяющие гидравлическую активность пуццолан.** С р и н и в а с а н (The probable factors governing puzzolanic action. Srinivasan N. R.), J. Scient. and Industr. Res., 1956, A15, № 11, 500—504 (англ.)

Современная характеристика пуццолановых материалов (ПМ) и теория, объясняющая механизм их действия как добавок в цементе и бетоне, неточны и недостаточны. Многие ПМ одинакового хим. и минералогич. состава обладают различной гидравлич. активностью. На основе исследований обожженных глин показано, что гидравлич. активность ПМ зависит от их структуры. ПМ с несовершенной, нарушенной структурой, характеризующиеся плохой кристаллизацией, обладают более высокой активностью, что можно объяснить большей способностью их к р-циям в твердом состоянии. Важную роль играет и величина уд. поверхности, поскольку тонкий помол вызывает серьезные нарушения кристаллич. решетчатой и усиливает внутренние напряжения. Но в некоторых случаях этот фактор не оказывает влияния (напр., с материалами типа кварца). Гидравлич. активность ПМ зависит также в значительной мере от характера ионов в кристаллич. решетке, размеров ионных радиусов и возможности размещения в решетке ионов Са.

Б. Левман

**52035. Исследование гидравлических добавок вулканического происхождения.** Р о я к С. М., Мышляева В. В., Тандилова К. Б., Сб. науч. работ по химии и технол. силикатов. М., Промстройиздат, 1956, 95—111

Сравнительной характеристикой кислот в основных добавках вулканич. происхождения (ДВП) является содержание растворимого глинозема (РГ), определяемого по выщелачиванию 6%-ной НСІ. Для кислот ДВП наблюдается некоторая зависимость между содержанием РГ, активностью по поглощению СаО и величиной п. п. п. Твердение цементов в 10%-ном  $p$ -ре  $\text{Na}_2\text{SO}_4$  сопровождается образованием сульфатомината Са (САК), а в 5%-ном  $p$ -ре — также и кристаллизацией свободного гипса. При введении в цементы ДВП степень участия РГ в образовании САК, при нахождении цементов в 1 и 5%-ных  $p$ -рах  $\text{Na}_2\text{SO}_4$ , невелика; образование САК отрицательно влияет на сульфатостойкость цементов в том случае, если отношение активности ДВП в мг СаО к % РГ  $<10-15$ . При испытании ДВП рекомендуется определение: активности по поглощению СаО; хим. и минералогич. состава, а также характера породы (по методу А. Н. Заварицкого) и содержания РГ. См. также РЖХим, 1957, 12656

Г. Копелянский

**52036. Вяжущие свойства речного ила.** Такада, Асано, Ногутти (河川水泥の凝集. 高田成夫, 浅野隆吉, 野口豊), セメントコンクリート, Сэмэнт



конкуриту, Cement and Concrete 1956, № 111, 26—31 (японск.)

52037. Современное состояние портландцементной промышленности. Каптаноглу (Modern Portland Cimentosu Istihsalı. Kaptaoğlu Y. Mühendis), Demir ve Çelik, 1955, 4, № 3, 57—66 (турецк.)

52038. Применение вяжущих и растворов в водопроводном деле. Дельбек (L'utilisation des liants et mortiers en couverture plomberie. Delebecque M.), Batir, 1956, № 61, 42—47 (франц.)  
Приведен обзор основных вяжущих и их технич. характеристики по действующим нормам и рекомендована область их применения в строительстве.

И. Смирнова

52039. Электрооборудование вращающихся печей. Вебер (Elektrische Ausrüstungen für Drehofenanlagen. Waebber H. G.), Zement-Kalk-Gips, 1956, 9, № 11, 486—496 (нем.; рез. англ., франц.)

52040. Цементные заводы с шахтными печами. Свобода (Vývoj cementárního sachtových pecí s ich projekci. Svoboda K.), Stavivo, 1956, 34, № 11, 398—402 (словацк.; рез. русск., нем.)

Приводятся общие сведения о шахтных печах и краткое описание цементного завода, оборудованного шахтными печами в г. Быстре в Чехословакии.

М. Степанова

52041. Шахтная печь Де-Ролл. Хьюз (The de Roll vertical kiln. Hughes H. Herbert), Mining Engng, 1956, 8, № 12, 1199—1204 (англ.)

Швейцарская фирма Де-Ролл с 1950 г. строит шахтные клинкерообжигательные печи двух типов: диам. 1,8 м с суточной производительностью 75—85 т и диам. 2,4 м — 150 т. Грануляция материала происходит в тарельчатом грануляторе с добавкой 12—14% воды. Загрузка гранул в печь производится с помощью регулируемой вращающейся воронки. Разгрузочная решетка с 3-шлюзовым затвором обеспечивает непрерывный выход клинкера из печи. Расход тепла на обжиг  $\leq 900$  ккал/кг клинкера, а расход электроэнергии 12—14 кВт/т клинкера. Установка с 2 печами обслуживается 2 рабочими. Фирма сконструировала новую шахтную печь, работающую на жидком и газовом топливе. Печь имеет не круглое, а овальное сечение. Вокруг печи на участке зоны клинкерообразования расположено устройство для сжигания топлива, откуда горючие газы пропускаются через слой загрузки, опускающейся вниз. Печь оборудована теплообменником, позволяющим использовать тепло выходящего клинкера и части отходящих газов для подогрева вторичного воздуха. Для эффективного сгорания топлива требуется мощная воздушодувка, вследствие чего общий расход электроэнергии несколько выше.

Б. Левман

52042. Вопросы работы трубных мельниц. Тапак (Rohrmühlen — Probleme. Tapak T.), Zement-Kalk-Gips, 1956, 9, № 12, 530—533 (нем.; рез. англ., франц.)

Автор анализирует данные о работе трубных мельниц в японской цементной промышленности и выводит ряд зависимостей, которые могут быть положены в основу расчетов при конструировании мельниц для помола сырья, клинкера и угля. На основе опытных данных выводятся статистич. ф-лы зависимости между диаметром и длиной мельницы. Автор приходит к выводу, что длина является функцией диаметра. Оптимальная величина заполнения мельницы шарами составляет по расчетным и опытным данным  $\sim 30\%$  (к общему объему агрегата). Аналитически выведено уравнение, характеризующее основную зависимость между величиной диаметра и производительностью мельницы. Автор наметил, что производительность мельницы пропорциональна величине диаметра в степени 2,7, а рас-

ход энергии с увеличением диаметра растет в степени 2,5. Следовательно, с увеличением размеров мельницы достигается более высокий к. п. д. Эти расчеты подтверждаются данными заводского опыта. В заключение автор дает ф-лу, характеризующую оптимальный размер шаров для различной тонкости помола. Б. Левман

52043. Поведение смешанных цементов при воздействии повторного замораживания. Молдован (Comportarea cimenturilor amestecate la acțiunea înghețului repetat Moldovan V.), Ind. construcțiilor și mater. constr., 1956, № 10, 624—628 (рум.; рез. русск., нем.)

Изучена морозостойкость бетонов, изготовленных на смешанных цементах, содержащих 50% добавок различной степени дисперсности. Образцы в виде кубов со стороной 10 см, изготовленные на цементах Р-500, цемента с добавкой доменного шлака, песка, золы ТЭЦ и с добавкой трасса, выдерживались 1—2 дня в формах, 7 дней в воде и 21 день на воздухе, после чего одна часть образцов хранилась в воде в лаборатории и вторая — в ночное время на морозе, а в дневное время — в воде в течение 46 суток. Испытания показали, что частичная замена цемента шлаком снижает прочность образцов на 5%, золой — на 27—31, трассом — на 19—26 и песком — на 21—42%. Я. Матлис

52044. Физическая структура и свойства бетона.

Пауэре (The physical structure and engineering properties of concrete. Powers T. C.), Civil and Struct. Engrs Rev., 1956, 10, № 6, 272—276; № 7, 329—334 (англ.)

1. При отвердевании цементного теста образуется система из частиц цемента (Ц), в заполненном водой пространстве. В результате хим. р-ций между Ц и водой возникают новые твердые продукты, которые занимают больший объем, чем занимал Ц. Приведены диаграммы, показывающие соотношение между негидратированным и гидратированным Ц и водой. Для определения структуры цементного камня важно установить, какое в-во заполняет пространство, ранее занимаемое водой. С этой целью изучают состояние воды в затвердевшем продукте. По поглощению высушенными образцами воды можно вычислить истинную поверхность, занятую молекулами воды, вовлеченными из воздуха. Кол-во вовлеченных из воздуха молекул воды зависит от влажности среды. Материал, занимающий пространство, ранее заполненное водой, является в основном цементным гелем. Есть и негелеобразные продукты, как, напр., кристаллы гидроксида Са. Плотность цементного теста зависит от плотности геля и капиллярной пористости. Показана зависимость теплоты гидратации Ц от кол-ва связанной или неиспаряемой воды. Приведены данные об относительной степени гидратации Ц в зависимости от его минералогич. состава и возраста твердения. Физ. свойства Ц зависят не только от того, какая часть Ц гидратирована, а главным образом от того, насколько пространство, занимаемое ранее водой, заполнено продуктами гидратации.

II. Образующийся в результате гидратации Ц гель имеет волокнистую структуру. Капиллярная пористость геля может быть уменьшена 2 способами: путем дальнейшей гидратации Ц (с течением времени) и путем уменьшения величины В/Ц. Прочность структуры в целом зависит от кол-ва геля, заполняющего доступные пространства. Отношение объема геля к занимаемому им пространству является функцией степени гидратации Ц и исходной величины В/Ц. Кроме того, прочность цементного камня также зависит от кол-ва воздуха, содержащегося в тесте. Объемные изменения бетона: усадка или набухание связаны с потерей образцами воды или насыщением их водой. Помимо этого, имеются гидротермальные объемные изменения бетона, обусловленные различием энтропии воды геля и ка-

пиллярной воды. Гидротермальные объемные изменения достигают наибольшей величины при относительной влажности воздуха 70%. Приведены данные, характеризующие зависимость водопроницаемости теста от капиллярной пористости. Морозостойкость бетона может быть повышена путем увеличения в нем кол-ва воздуха. Качество бетона определяется структурными свойствами цементного теста. Следует отметить, что вода в бетоне будет постоянно в движении, так как состояние геля будет изменяться в зависимости от влажности, давления, т-ры и напряжения. Деформации ползучести бетона обусловлены передвижением воды из одного места в другое и связанной с этим усадкой и набуханием бетона. Все особенности поведения бетона связаны с его колл. структурой. П. Зильберфарб

**52045.** Производство и контроль качества заполнителей — песка и гравия. Мортон (Sand and gravel aggregates—production and quality control. Morton B. L.), Cement, Lime and Gravel, 1956, 31, № 1, 11—15 (англ.)

**52046.** Обзор методов испытания заполнителей для бетона, не применяемого для строительства дорог и аэродромов. — (A review of the methods of testing aggregates for structures other than roads and airfield runways. —), Proc. Instn Civil Engrs, 1955, Part 1, 4, № 3, 353—384 (англ.)

В зависимости от условий работы сооружений к заполнителям (З) могут предъявляться требования в отношении формы зерен, зернового состава, величины адсорбции воды, уд. и об. веса, однородности свойств, петрографич. характеристики, механич. прочности, загнивания глинистыми и илстыми частицами, а также растворимыми в воде солями, физ. и хим. стойкости под воздействием высокой т-ры, хим. стойкости при р-циях с щелочами цемента, атмосферостойкости. На поведение З может оказывать влияние ряд факторов, не связанных с свойствами самих З, напр. методы перемешивания З с цементирующим в-вом, методы транспортирования, уплотнения бетона и отделки изделий. Приведены данные, характеризующие поведение легких и тяжелых З под воздействием различных факторов (высокой т-ры, хим. воздействия и пр.). Описаны методы определения различных свойств З с ссылкой на существующие стандарты. П. З.

**52047.** Значение качества цемента для получения долговечных бетонов. Шестоперов С. В., Тр. Совещания по химии цемента. М., Промстройиздат, 1956, 401—414

Морозостойкость (М) бетона (Б) зависит от ряда факторов: минералогич. и хим. состава цементного камня (ЦК), и, в частности, степени водостойкости отдельных составляющих (напр., гидрата  $C_3A$ ); величины контракции, результатом которой является образование воздушных буферов в капиллярах ЦК; добавки гипса, являющегося регулятором распределения воды в момент контракции; структуры клинкера; введения воздухововлекающих добавок и электролитов; качества приготовления бетонных смесей и пр. Разрушение Б при морозостойком заполнителе происходит послойно, от периферии к центру, а не по всему объему Б, где происходит охлаждение и замораживание; при неморозостойком — также и по месту нахождения заполнителя. Применение пластифицирующих добавок оказывает положительное влияние только при связях цементах (Ц). Более гонкий помол высокоалюминатного Ц без одновременного увеличения добавки гипса не увеличивает М. При введении гипса и сульфитно-спиртовой барды более тонкий помол приводит к значительному повышению М высокоалюминатного и малоалюминатного Ц. Ц должны классифицироваться не только по активности, но и по условиям воздействия на ЦК внешней среды. Е. Штейн

**52048.** Рекомендуемая практика оценки результатов полевых испытаний бетона на сжатие. Кордон (Recommended practice for evaluation of compression test results of field concrete. Cordón William A.), J. Amer. Concrete Inst., 1956, 28, № 6, Part 1, 561—579 (англ.)

Описываются результаты испытаний прочности бетона в полевых условиях. Характеризуются различные методы проведения испытаний и виды контрольно-измерительных приборов. На основе контрольных диаграмм делаются следующие выводы: 1) В/Ц должно быть снижено для повышения средней прочности или коэф. колебания прочности должен быть уменьшен для снижения задаваемой прочности; 2) необходимо обеспечивать идентичность условий проведения испытаний с тем, чтобы нижний предел колебаний средней прочности не был ниже допускаемой средней величины С. Круглов

**52049.** Зависимость прочности бетона от температуры среды. Ядзава, Ямаути (舗装コンクリートの強さと養生温度, 矢澤徳治, 山内三子), Семент-Конкрет, 1956, № 109, 29—30 (японск.)

**52050.** Влияние температуры на прочность бетона при сжатии. Малхотра (The effect of temperature on the compressive strength of concrete. Malhotra H. L.), Mag. Concrete Res., 1956, 8, № 23, 85—94 (англ.)

Проводились опыты с бетонными образцами диам. 5 см и длиной 10 см, изготовленными из поргланце-мента, речного песка и гравия при различных В/Ц и составах бетона. Прочность образцов на сжатие при т-ре до 600° не зависит от В/Ц, но определяется отношением заполнителя: цемент. У тощих смесей потеря прочности относительно меньше, чем у жирных. При стандартном испытании прочности на сжатие в период нагревания образцы под нагрузкой показали меньшую потерю прочности, чем без приложенной нагрузки. Прочность понизилась еще больше (примерно на 20%) при охлаждении образцов после нагревания. Б. Левман

**52051.** Влияние вида песка и цемента на трещинообразование при высыхании и усадке. Говард, Ида (Sands and cements affect drying and shrinkage cracks. Howard E. L., Ida James), Rock Prod., 1956, 59, № 10, 226, 228, 232 (англ.)

Проводились лабор. исследования влияния 10 видов песка в сочетании с 5 цементами различного химико-минералогич. состава на образование трещин в бетоне. Установлено, что добавка 15% смешанного песка, состоящего из обычно применяемой фракции, и песка размером — 30 меш уменьшает образование трещин. Добавка другого смешанного песка с модулем крупности 2,82 полностью устранила трещинообразование. Б. Левман

**52052.** Начальное термическое расширение изоляционного огнеупорного бетона. Краули (Initial thermal expansion characteristics of insulating refractory concretes. Crowley M. S.), Amer. Ceram. Soc. Bull., 1956, 35, № 12, 465—468 (англ.)

Приводятся данные лабор. исследований изменения длины опытных образцов размером 15 × 2,5 × 2,5 см при повышении т-ры. Из-за сложности состава бетона лабор. определение степени термич. расширения является в настоящее время единственно надежным. Испытания показали, что наименьшее термич. расширение имеют бетоны на основе высокопрочного поргланце-мента. С. Круглов

**52053.** Исследование по выбору метода лабораторного определения реакционной способности заполнителя к щелочам цемента. Чаудхури, Чакрабурти (Investigations to find out a suitable

laboratory test method for evaluation of cement alkali aggregate reactivity. Chowdhury K. P., Roy, Chakraborty S. K.), Indian Constr. News, 1956, 5, № 6, 78—79, 81—83, Indian Ceram, 1956, 3, № 7, 221—230 (англ.)

Проведенные исследования показали, что для определения реакционной способности заполнителя (3) по отношению к щелочам достаточно пользоваться методом хим. анализа, при помощи которого устанавливается растворимость (SC) кремнезема 3 и степень уменьшения щелочности (RC) р-ров NaOH или KOH. Дополнительно микроскопич. исследованием определяется наличие в затвердевшем бетоне силикагеля, образующего оболочку вокруг частиц 3. Разрушительный характер 3 определяется величиной RC и отношением  $SC : RC$ . Если последнее  $> 1$ , то 3 представляет опасность для бетона. Степень разрушительного действия 3 может быть установлена посредством определения величины RC. В этом случае испытание образцов на расширение излишне. Если цемент содержит  $> 0,6\%$  щелочей, испытание 3 на р-цию с щелочами обязательно.

Б. Левман

52054. Метод измерения поверхностной текстуры заполнителя. Райт (A method of measuring the surface texture of aggregate. Wright P. J. F.), Mag. Concrete Res., 1955, 7, № 21, 151—160 (англ.)

Разработан метод колич. измерения поверхностной текстуры частиц заполнителя для бетона. Частица помещается в синтетич. резину, и с нее делается препарат для микроскопич. исследования. Расстояние между камнем и резиной увеличивается с помощью проекционного микроскопа в 125 раз. Длина полученного очертания измеряется и сравнивается с длиной линии шероховатости, нанесенной в виде ряда хорд. Разность этих двух величин принимается за меру шероховатости. Метод дает хорошо воспроизводимые результаты. Однако ввиду малой длины измеряемых линий необходимо большое кол-во измерений для получения достаточно точных средних величин. Б. Левман

52055. Dresinate X — новый воздухововлекающий материал, используемый при строительстве плотин в Сакума. Есигоси, Ходауми, Осай (佐久間ダムに用いた新しい AE 材 Dresinate X. 吉越盛次, 穂村豊, 太清宗一), 土木技術, Добоку гидзюцу, 1955, 10, № 6, 13—21, № 7, 25—30 (японск.)

52056. Исследование качественного состава бетона при помощи рентгеновских и гамма-лучей. Нарика, Омюра, Какутани (X線 よび γ線によるコンクリート配合比の研究. 成岡昌夫, 大村裕, 角谷保), 京都大学工学部研究報告, Kōgo дайгаку когаку канкюсю-хо, Bull. Engng Res. Inst. Kyoto Univ., 1956, 8, сент., 22 (японск.)

52057. Зависимость между размером частиц крупного заполнителя бетона и расходом бетонной смеси. Цутихаси, Осиуми (粗骨材の粒度とコンクリートの分離との関係. 土橋 寛夫, 鷲 海浩), セメントコンクリート, Сэмэнто конкүрүто, Cement and Concrete, 1956, № 111, 15—25 (японск.)

52058. Состав высокопрочного бетона и его деформация при сжатии. Нокомити, Хитоцуги, Хаяси (高強度普通コンクリートの配合および壓縮ひずみ. 横澤英雄, 一木保夫, 村正道), セメントコンクリート, Сэмэнто конкүрүто, Cement and Concrete, 1955, № 105, 2—5 (японск.)

52059. Изготовление добавок при цементировании оснований. Гёбель, (Bereitstellung der Zuschlagstoffe bei der Bodenvermörtelung. Goebel Wolfgang), Strassen- und Tiefbau, 1956, 10, № 9, 586—588 (нем.)

Приведено описание установки по изготовлению связующего для стабилизации оснований. И. Смирнова

52060. Новый простой метод испытания пластичности свежеприготовленной бетонной смеси с помощью прибора Келли. Рик (Der. Kelly — Ball — eine neue einfache Prüfmethode für die Plastizität von Frischbeton. Rick), Strassen- und Tiefbau, 1957, 11, № 1, 24 (нем.)

Рекомендуется определять пластичность бетонной смеси погружением в нее железного стержня диам. 150 мм. Способ пригоден, если максимум. крупность заполнителя  $\leq 50$  мм.

М. Майнц

52061. Пенобетон на базе нефелинового цемента.

Боженев П. И., Сатин М. С., Архитектура и стр-во Ленинграда, 1956, № 4, 31—32

В случае обработки пенобетона паром высокого давления и применения в качестве вяжущего нефелинового цемента можно получать пенобетон, не уступающий по основным показателям изготовленному с применением высокомарочного портландцемента. Повышенная вязкость теста из нефелинового цемента, а также сравнительно короткие сроки схватывания, обеспечивающие фиксацию вспененной массы до начала разрушения пены, дают возможность изготовить безосадочный пенобетон для крупноразмерных изделий. М. Степанова

52062. Костровый бетон. Срински (Pazderovský beton. S r n s k ý L.), Stavivo, 1956, 34, № 10, 364—365 (чешск.; рез. русск., нем.)

Костровый бетон готовится путем смещения костры (отход при переработке льна, предварительно пропитанный 7,5% р-ром жидкого стекла) с портландцементом в механич. мешалке. Состав 1 м<sup>3</sup> кострового бетона: костра измельченная (2—10 мм), 175 кг, цемент 400—450 кг, жидкое стекло 37,5 л, вода 462,5 л. Смешивание ведется в течение 3—5 мин., затем смесь запрессовывают в формы нужного размера вручную или с помощью поверхностного вибратора и оставляют в форме на 24 часа, после чего плиты вынимают из форм и хранят некоторое время (14—28 дней) до отверждения.

Б. Адамец

52063. Бетон с добавкой золы. Мидзукоки. (フライアッシュ・コンクリートについて. 水越雄雄), 電力, Дэнрёкү, Electric Power, 1956, 40, № 5, 42—47 (японск.)

52064. Использование в бетоне летучей золы пылеугольного топлива. Петере (Die Verwertung von Flugasche im Beton (Literaturbericht) Peters H.), Betonstein — Ztg, 1957, 23, № 1, 27—34 (нем., рез. англ., франц.)

Обзор литературных данных по применению в бетоне летучей золы пылеугольного топлива. Оптимальная добавка золы повышает конечную прочность бетона, его стойкость в минерализованных водах, водонепроницаемость, уменьшает усадку, тепловыделение и выцветы на изделиях.

М. Майнц

52065. Малоцементные гидротехнические бетоны на базе карадагского трасса. Завриев К. С., Кобахидзе М. Г., Неткачев М. И., Сб. тр. Тбилисск. ин-та ниж. ж.-д. трансп., 1956, № 30, 15—29

Исследовали в бетоне 3-компонентные цементы, состоящие из 75—42% карадагского трасса, 25—7,5% гидравлич. извести и 0—50% портландцемента (ПЦ) марки «400». Бетон испытывался на прочность, водонепроницаемость, морозостойкость, деформативные свойства и усадку. Бесцементные бетоны, содержащие 280—320 кг сложного вяжущего на 1 м<sup>3</sup> бетона, имели прочность при сжатии  $R_{90} = 50—65$  кг/см<sup>2</sup>; бетоны с расходом сложного вяжущего 240—380 кг/м<sup>3</sup> (портландцемента 50% от веса вяжущего) имели прочность  $R_{90} = 104—273$  кг/см<sup>2</sup>. По водонепроницаемости бетоны, содержащие 50% ПЦ от веса сложного вяжущего, имели марку В-8 и морозостойкость, превышающую марку Мрз-50. Усадка бетонов, содержащих 40 и 20% ПЦ и бесцемент-



ного бетона, составляла в первые 30 суток 0,45—0,52 мм/м.

И. Смирнова

52066. Методы приготовления бетона в разных странах. I, II, III. Сираяма (各國のコンクリート調合法. I, II, III. 白山和久), 建築技術, Кэнтингу гадзю-цу, Build. Engng, 1956, № 56, 50—56, № 2 (57), 61—67; № 3 (58), 67—73 (японск.; рез. англ.)

52067. Бетон для противоприливных дамб. Кита (防壩塊のコンクリート. 木田五一郎), セメントコンクリート, Сэмэнто конкурито, Cement and Concrete, 1956, № 114, 12—19 (японск.)

52068. О применении жесткого бетона с целью экономии цемента и повышения качества бетона. Цзянь Цзяньфэн. (關於採用干硬性混凝土節約水泥提高混凝土質量的體會, 蔣家奮). 工程建設, Гунчэн цзяньшэ, 1956, № 6/75. 49-52 (кит.).

52069. Оценка прочности бетона по степени поверхностной твердости. Сака (表面硬度法による實コンクリートの強度判定. 坂崎雄), 京都大學工學研究所彙報, Kōto daigaku kōgaku kenkyūso kōhō, Bull. Engng. Res. Inst. Kyoto Univ., 1955, 8, сент., 22—23 (японск.)

52070. Испытание на удар бетона, применяемого для дорожных покрытий. Акаси, Ванатабэ (舗装用コンクリートの非破壊試験。明石外世樹, 渡邊昭彦), Сементконкретит, Семэнто конкурито, Cement and Concrete, 1956, № 107, 10—14 (японск.)

52071. Влияние размеров бетонных образцов на среднюю прочность и стандартное отклонение. Nevill (The influence of size of concrete test cubes on mean strength and standart deviation. Nevill A. M.), Mag. Concrete Res., 1956, 8, № 23, 101—110 (англ.)

На основе статистич. обработки результатов испытаний свыше 300 бетонных кубов 3 размеров установлено, что образцы меньшего размера (6—8 см) имеют значительно более высокую среднюю прочность и повышенное стандартное отклонение по сравнению с кубами размером 12,5 и 15 см. Исходя из этого, можно полагать, что стандартное отклонение, получаемое при испытаниях растворных образцов-кубов размером 6—8 см, дает несколько завышенные показатели влияния различных видов цемента на качество бетона. Б. Левман

Б. Левман

52072. Пропарочные камеры. Грант (Kilns. Grant William), Concrete, 1956, 64, № 12, 31—34 (англ.)

Рассматриваются различные факторы, которыми следует руководствоваться при конструировании пропарочных камер на бетонных з-дах: расстояние от камеры до машины, формующей блоки, производительность машины, способ подачи пара и др. Сравниваются различные методы герметизации камер и системы паропроводов. Описываются приборы для измерения т-ры и влажности воздуха в камерах. Даются рекомендации по конструированию устройств для выпуска отработанного пара.

С. Круглов

С. Круглов

52073. Технология бетона и техника бетонных работ. Тацута, Кота, Косака, Кондо, Сиро-  
тама, Мураками (コンクリートの施工技術.  
鶴田泰弘, 幸田太一, 小坂賢二, 近藤芳美, 白山和久, 村上忠  
直). 建築技術, Кэнгитсу гидзюцу, Build. Engng,  
1956, № 60, 1—142 (японск.).

52074. Морской песок как заполнитель бетона, применяемого при строительстве железобетонных сооружений. Кано, Осима (岩倉コンクリート工事用骨材としての海砂. 狩野春一, 大島久次). Семент Конкрет, 1956. № 110. 30—35 (японск.)

52075. Зависимость водонепроницаемости бетона от напряженного состояния образцов. Лавринович Е. В., Гидротехн. стр-во, 1957, № 1, 39—42. Напряженное состояние бетона существенно влияет

на его водонепроницаемость. При изменении сжимающих напряжений в образце от 0 до 2 кг/см<sup>2</sup> скорость фильтрации в результате упругих деформаций бетона уменьшается почти в 2 раза. При назначении марки бетона и определении его водонепроницаемости надлежит учитывать напряжения, возникающие в нем в натурных условиях.

М. Степанова

М. Степанова

52076. Вакуумная обработка бетонного дорожного покрытия. Саката, Ватанабэ (錦装コンクリートの真空施工. 坂田中, 渡邊昇), セメントコンクリート, Сэмэнто конкурито, Cement and Concrete, 1956, № 111, 2-12 (японск.)

52077. Исследование свойств холодных асфальтовых мастик, затворяемых на битумных эмульсионных пастах. Глебов П. Д., Попченко С. Н., Ильяшев Г. М., Изв. Всес. и.-н. ин-та гидротехн., 1956, 56, 82-100

Изучали свойства мастик, состоящих из битумных паст в сочетании с заполнителями из кирпичного и доломитового порошка, портландцемента, пылеватого песка и песчаной пыли. Отмечается, что холодные асфальтовые мастики пригодны для заполнения деформационных швов и штукатурной гидроизоляции гидротехнич. сооружений. И. Смирнова

И. Смирнова

52078. Из английской практики изготовления и укладки смольных и асфальтовых смесей для дорожных покрытий. Темме (Aus der englischen Praxis der Herstellung und Verlegung von Teer- und Asphaltmischmakadam. Темме Т. х.), Strassen-Asphalt- und Tiefbau-Technik, 1956, 9, № 9, 332—335 (нем.).

Описаны способы изготовления смесей для дорожного строительства и подземных сооружений. В качестве связующих материалов используются смолы, битумы, эмульсии. В качестве наполнителя — дробленый камень (базальт, гранит, известняк, доменный шлак).

менный шлак)

52079. Объемные изменения в растворах и бетонах. **Андерегг, Андерегг** (Some volume changes in mortars and concrete. **Anderegg F. O., Anderegg J. A.**), ASTM Bull., 1955, № 210, 60—64, discuss. 64—65 (англ.)

Опыты проведены с использованием кладочных цементов, а также смешанных цементов, приготовленных из смеси кладочного цемента с известью гидравлич., доломитовой, высококальциевой. Образцы из чистого теста и из р-ра подвергались автоклавной обработке. Параллельно изготовлялись опытные образцы кирпичной кладки, выполненной на р-рах с применением кладочных и смешанных цементов. Опыты показали, что величины расширения в образцах из теста намного больше, чем в образцах из р-ра, что объясняется различной жесткостью структуры материала. Р-ции, имеющие место при автоклавной обработке материалов, не воспроизводит процессов гидратации  $MgO$  в естественных условиях. Существующие допуски расширения при водотепловой обработке смешанных цементов в автоклавах должны быть пересмотрены. Опыты показали, что величина усадки р-ра зависит от зернового состава песка. Чем больше в песке фракций, проходящих через сито № 50 (с ячейкой 0,247 мм), тем больше величина усадки. Величина усадки р-ра оказывает влияние на возникновение начальных трещин в кладке. Приведены данные о величинах усадки бетона, приготовленного на портландцементе и смешанных цементах, в зависимости от величины  $R/H$  и зернового состава песка.

11. Зильберфарб

52080. Влияние поверхностноактивных добавок на стойкость цементных растворов в агрессивных средах. Стольников В. В. Сб. науч. работ по химии и технол. силикатов. М., Промстройиздат, 1956, 121—137

Исследовано влияние поверхностноактивных доба-

вок типа смоляных мыл и сульфитно-спиртовой барды на стойкость цементных р-ров при длительном (до 2 лет) хранении их в р-рах сернистого Na, Mg и  $\text{NH}_4$ . Установлено, что поверхностноактивные добавки типа смоляных мыл в несколько раз повышают стойкость образцов, приготовленных из пластичных цементных р-ров, в связи с чем могут быть рекомендованы для гидротехнич. строительства. Сульфитно-спиртовая барда незначительно повышает стойкость цементных р-ров. Стойкость повышается как при снижении В/Ц и сохранении номинального состава р-ра, так и при уменьшении расхода цемента при сохранении В/Ц постоянным.

Г. Копелянский  
52081. Водонепроницаемость цементного камня и раствора. Адамович А. Н., Изв. Всес. н.-и. ин-та гидротехн., 1956, 56, 129—143

На основе изучения фильтрационных свойств цементного камня и р-ра предложена методика испытания на водонепроницаемость. Степень водонепроницаемости оценивается путем определения величины коэф. фильтрации по ф-ле  $K = Q/l/FH$ , где  $K$  — коэф. фильтрации;  $Q$  — объем профильтровавшейся воды;  $l$  — высота образца;  $F$  — площадь образца;  $H$  — напор.

М. Маяц  
52082. Армированный асбестоцемент. Пинкель Л. Н. В сб.: Исследования. Каменные конструкции. М., Гос. изд-во лит. по стр-ву и архитект., 1955, 155—192

52083 К. Курс по армированному бетону. Люмин Е. (Cours de béton armé. Luminet P. Paris, Dunod, 1956, 296 p., ill.) (франц.)

52084 Д. Вязко-пластичные свойства штукатурных растворов. Васильева В. В. Автореф. дисс. канд. техн. н. Моск. ин-т ниж. гор. стр-ва Мосгорисполкома, 1956.

52085 П. Установка для получения высокопрочного формовочного гипса. Штейнман (Anlage zum Erzeugen von Hartformengips. Steinmann Friedrich) Königshütte G. m. b. H.). Пат. ФРГ 937998, 19.01.56

Установка для получения высокопрочного формовочного гипса состоит из автоклава, обогреваемого снаружи паром, и обогреваемого таким же образом котла для сушки материала и генератора пара. Установка отличается тем, что автоклав и сушильный котел окружены паровыми рубашками генератора пара, отапливаемыми дымовыми газами, и тем, что обе паровые рубашки соединены между собой отапливаемыми дымовыми газами кипятильными трубками. В котлах предусмотрены мешалки, состоящие из вала со смесительными лопастями. С помощью штурвала или рычага смесительные лопасти могут быть преобразованы в шнековые, предназначенные для транспортирования материала. Преобразование смесительных лопастей в шнековые осуществляется путем их поворота вокруг своей оси на некоторый угол. В качестве поворотного механизма служит планка, расположенная внутри пустотелого вала. Лопасти эксцентрично соединены с планкой пальцами, выполненными в виде кривошипа. Угол поворота лопастей изменяется путем перемещения планки вдоль оси вала.

Е. Штейн  
52086 П. Вращающийся барабан для обжига или охлаждения цемента и т. п. материалов. Штамм (Drehtrommel zum Brennen, Trocknen oder Kühlen von Massengut, wie Zement od. dgl. Stahmkarl) [Arno Andreas]. Пат. ФРГ 942858, 9.05.56

Вращающийся барабан для обжига, сушки или охлаждения цемента и т. п. материалов с подъемными лопастями, установленными друг за другом перпендикулярно оси вращения на внутренней поверхности барабана. Внутри кольца, образованного лопастями, на

некотором расстоянии от него (в радиальном направлении) установлено распределительное кольцо. Агрегат отличается тем, что распределительное кольцо снаружи ограничено конич. плоскостями, расстояния между которыми увеличиваются к центру. Распределительное кольцо может быть выполнено также в виде отдельных конич. сегментов. В этом случае конич. сегменты устанавливаются по несколько штук (с разным наклоном по отношению к оси барабана) под каждой подъемной лопастью. На сегментах или около них подвешиваются цепи и т. п. На некотором расстоянии от конич. сегментов по обе стороны расположены дополнительные конич. сегменты, поверхность которых имеет такой же или меньший наклон по отношению к оси печи.

Е. Штейн  
52087 П. Способ производства стабилизирующей и пластифицирующей добавки для цементных инъекций. Ямбор, Шторк (Spůsob výroby stabilizační a plastikační přísady do cementových injekcí. Jambor Jaromír, Štork Juraj). Чехосл. пат. 83727, 3.01.55

Способ отличается тем, что добавка состоит из твердого порошкообразного стабилизатора из диатомита и натриевых солей лигносульфоновых к-т, полученных из сульфитных отходов. В качестве порошкообразного стабилизатора используется другой высокоактивный, очень тонко измельченный силикатный материал. Наиболее распространенный способ изготовления добавки заключается в том, что 1 кг диатомита тонкоизмельченного и просеянного через сито 4900 отв/см<sup>2</sup> смешивается с 3 л 10—15%-ного р-ра натриевой соли лигносульфоновой к-ты. Этот р-р готовится из сульфитных отходов целлюлозных предприятий, в состав которых входит кальциевые соли лигносульфоновых к-т. Сульфитный экстракт подщелачивают добавкой NaOH, а затем в 10—15%-ный р-р, нагретый до 50—60°, добавляют соду до полного осаждения  $\text{CaCO}_3$ , после чего р-р фильтруется. После смешения с диатомитом суспензия высушивается при 60—70°, сухой продукт тонко измельчается и просеивается через сито 4900 отв/см<sup>2</sup>. Добавка должна храниться в сухом месте. В цементное молоко вносится 0,5—1% добавки от веса вяжущего цемента, а в цементный р-р 1—5%. Б. Адамец

52088 П. Вращающаяся печь (Rotary kiln) [Kennedy Van Saun Mfg. & Eng. Corp.]. Австрал. пат. 162741, 19.05.55

Описывается вращающаяся печь, в кожухе которой по диаметру и длине равномерно расположены многочисленные отверстия. В футеровке имеются такие же отверстия. Через отверстия, находящиеся друг против друга, пропускаются крестообразно по длине печи пустотелые трубы, вследствие чего печь делится на многочисленные параллельно расположенные камеры.

Г. Самохин  
См. также: Коррозия бетона 53452. Автоматизация произ-ва 53554. Битуминозные материалы 52277. Механизм твердения гипса 50709. Автоматизация в цементной пром-сти 53554

## ПОЛУЧЕНИЕ И РАЗДЕЛЕНИЕ ГАЗОВ

Редактор В. Г. Фастовский

52089. Установки низкого давления для производства газообразного кислорода. Руэман (Impianti a bassa pressione per la produzione di ossigeno gassoso. Rueman M.), Arco e gas, 1956, 6, № 4, 3—5 (итал.)

Описана схема установок низкого давления для получения 200—1000 м<sup>3</sup>/час газообразного кислорода методом ректификации жидкого воздуха (В). Сжатие В





(РЖХим, 1957, 27872) факте, что скорость окисления аммонийных соединений не зависит от их конц-ии, но определяется кол-вом бактерий, и на аналогичных данных Хувера и др. (РЖХим, 1956, 47954), относящихся к окислению углеродсодержащих примесей, указывается на необходимость пересмотра метода расчета допустимого сброса СВ в водотоки, который должен быть основан на использовании данных по определению: БПК, общего С, ХПК, аммонийного N и кол-ва нитрифицирующих бактерий. М. Губарь 52096. Водоснабжение и водное хозяйство. I, II.

Пота (Vízellátás és vízgazdálkodás I. Szennyvíztisztítás és elhelyezés II. Pöta György), Elem. irap, 1956, 10, № 7, 216—220; № 8, 247—252 (венг.).

52097. Проблема повторного использования воды по схеме: сброс сточных вод в почву — забор инфильтрационных вод. Ки (The recharge ground water problems and dangers. Key A.), Surveyor, 1957, 116, № 3380, 105—107 (англ.).

52098. Использование морской воды в промышленности. Рагст (Use of sea water in industry. Rust A. D.), South. Power and Ind., 1955, 73, № 9, 70, 72, 74, 76 (англ.).

Морские водозаборы следует сооружать с учетом приливов и отливов, усиливаемых стоном и нагоном воды ураганами. Целесообразнее всего водозабор устраивать в гаванях, пропуская воду через вращающиеся решетки — сетки. Хлорирование воды обязательно; достаточен избыток свободного  $\text{Cl}_2$  в 0,3 мг/л. Применяется забор воды из колодцев, расположенных на берегу и оборудованных системой дренажных труб, заглубленных в песок. Подача морской воды может производиться при низком давлении по бетонным трубам, а при повышении — по стальным. Последние следует защищать битумным лаком. См. также РЖХим, 1956, 49447. Г. Крушель

52099. Влияние облицовки труб и резервуаров на качество воды в Атланте (Джорджия). Уип (Effects of pipe and tank lining on water quality at Atlanta. Weir P. A. L.), J. Amer. Water. Works Assoc., 1957, 49, № 1, 1—14 (англ.).

52100. Дискуссия по статье: Стэнли «Исследование процесса фильтрования при помощи радиоактивных изотопов». Кемп. Ответ автора (Discussion of «Sand filtration studied with radiotracers» by Donald R. Stanley. Camp Thomas R.), Proc. Amer. Soc. Civil Engrs, 1955, 81, № 752, 15—17; Author's reply J. Sanit. Engng Div. Amer. Soc. Civil Engrs, 1956, № 2, 932—3—932—7 (англ.).

Указывается, что примененная методика ввода  $^{131}\text{I}$  в хлопья  $\text{Fe}(\text{OH})_3$  разрешает ряд методич. вопросов. Конденция глубины проникновения хлопьев в толщу фильтрующего слоя песка не может помочь разработке рациональной теории фильтрования, ибо небольшая часть хлопьев всегда проникает через весь слой. Зависимость потери напора фильтра от нагрузки не может быть однозначной в течение всего фильтроцикла. См. РЖХим, 1956, 69301. О. Мартынова

52101. Использование ионитов для умягчения воды. Папарелле (Resine scambiatrici di Ioni per addolcimento acque di generatori vapore. Paparrelle G.), Mater. plastiche, 1955, 21, № 5, 409—412 (итал.).

Краткое описание применяемых схем. II. Рез 52102. Обескремнивание и обессоливание воды методом совместного Н-ОН-ионирования. Дик (Plant attacks silica problem with monobed demineralization. Dick I. B.), Power, 1955, 99, № 5, 82—85 (англ.).

На электростанции Уотерсайд добавок хим. очнщ. воды в котлы высокого давления (100—120 ат) составляет 30—40%. Ранее обработка добавочной воды про-

извлеклась по схеме параллельного Н-На-катионирования, продувка котлов составляла 6—8%, соли и кремнесодержание котловой воды достигало соответственно 300 и 30—35 мг/л; шел. промывка турбин производилась через 4—6 недель. В настоящее время обработка добавочной воды производится по схеме: Н-катионирование (4 фильтра), декарбонизация (2 декарбонизатора), совместное Н-ОН-ионирование (6 фильтров). Фильтры совместного Н-ОН-ионирования загружены ионитами марок IR-120 ( $1/3$  объема) и IRA-401 ( $2/3$  объема), общий объем ионита 14 м<sup>3</sup>, высота слоя 1,5 м. Процесс регенерации фильтров автоматизирован. При уменьшении производительности водоочистки отдельные фильтры ставятся в резерв с тем, чтобы скорость фильтрования не снижалась <32 м/час. Фильтры совместного Н-ОН-ионирования после стояния в резерве не дают ухудшения качества фильтрата. Регенерация фильтров совместного Н-ОН-ионирования требует 233 мин.; расход воды на собственные нужды ~1%, уд. расход  $\text{NaOH}$  128 кг/м<sup>3</sup>. Электропроводность обессоленной воды ~0,12 мсм<sup>-1</sup>, pH ~5,5. После пуска обессоливающей установки продувку котлов снижали постепенно, так как вследствие растворения кремнекислых отложений, имевшихся в котле, кремнесодержание котловой воды снижалось медленно. Сейчас оно доведено до ~2 мг/л при продувке, равной 2%. Занос турбин отложениями существенно уменьшился.

Н. Субботина 52103. Водоснабжение и сброс сточных вод — факторы, которые необходимо учитывать при размещении целлюлозно-бумажных предприятий. Грант (Water supply and waste effluent disposal as factors in locating pulp and paper mills. Grant Julius), World's Paper Trade Rev., 1954, 142, № 24, 2004, 2006, 2008, 2010, 2014, 2017, 2018, 2020, 2024, 2026; Tappi, 1955, 38, № 4, A54—A56, A58, A60 (англ.). Приведены данные о кол-ве потребной производственной воды, методах определения водн. ресурсов, требованиях к качеству производственной воды и методах ее обработки, возможности сброса СВ. Нормы расхода воды (в м<sup>3</sup>) на произ-во 1 т: небеленой целлюлозы 160; беленой целлюлозы 180; бумаги 210; бумаги из собственной целлюлозы 360. М. Белецкая

52104. Водоснабжение и оборот воды. Таннер (Wasserversorgung und Wasserkreisläufe. Tanner E. R. I. C. H.), Techn. Mitt., 1955, 48, № 5, 267—271 (нем.). Потребление воды при выработке 1 т кокса составляет 0,875—1,865 м<sup>3</sup> (данные по 6 русским коксохим. з-дам). Удешевление произ-ва может быть достигнуто введением оборота охлаждающей воды. Для эффективного охлаждения отработанной воды рекомендуются градирни с принудительной циркуляцией воздуха, некоторые из них выдают воду с т-рой только на 0,5° выше т-ры мокрого термометра. Мощность применяемых при этом вентиляторов 40 квт при производительности 400 м<sup>3</sup>/час и охлаждении с 50° до 20,5° при т-ре наружного воздуха 20°. Возможность предельного повышения т-ры воды при ее использовании лимитируется ее жесткостью. При карбонатной жесткости 1,5 мг-экв/л возможно повышение т-ры охлаждающей воды до 50°. С добавкой 1,5—2,5 мг/л  $\text{P}_2\text{O}_5$  возможно повысить т-ру воды до 60—70° при исходной жесткости 3,5—4,3 мг-экв/л. В случае повышения т-ры охлаждающей воды до 70° ее нужно умягчать катионированием. М. Марьясин

52105. Улучшение санитарного состояния пригородов. I. Национальное значение проблемы. Кайкер. II. Улучшение санитарного состояния пригородов Нью-Джерси. Райкер. III. Развитие местных канализационных сетей в пригородах. Нелсон, Меллер, IV. Программа санитарного оздоровления пригородов Флориды. Уэйкфилд (Fringe-area sani-

tation — a symposium. I. National problem. K i k e r John E., Jr. II. Fringe-area sanitation in New Jersey. R i k e r J. Russell. III. Sewer districts in suburban development. Nelson Myron K., Metzler Dwight F. IV. Florida's fringe-area sanitation program. Wakefield John W.), Sewage and Industr. Wastes, 1956, 28, № 4, 471, 472—473, 474—481, 482—487 (англ.)

I. Отмечается не соответствующее санитарным нормам состояние канализации и водопровода в пригородах штатов Калифорния, Флорида, Канзас, Нью-Джерси.

II. Беспланиовая индивидуальная застройка пригородов привела к возникновению массы мелких очистных устройств, сооружаемых на не соответствующих грунтах и безграмотно эксплуатируемых. Штатом принят закон об отведении участков под строительство по улицам, где уже существуют водопроводная и канализационная сети. В случае устройства местной системы очистных сооружений необходимо строго подходить к выбору места их расположения. Миним. число семей, обслуживаемое местной системой, должно быть 150.

III. Описаны организационные формы объединения жилых зданий в канализуемые районы и определены доли участия в капиталовложениях города и частных лиц.

IV. В настоящее время основная масса СВ очищается в малогабаритных септиках, число которых ~500 000. Планируется подключение индивидуальных систем к городским.

В. Разношикс

52106. Влияние температуры на процесс осаждения грубодисперсных примесей сточных вод. А б б а с, Ра э ф (Temperature effects on plain sedimentation. Abbas A. A., Raef M.), Sewage and Industr. Wastes, 1954, 26, № 12, 1456—1462 (англ.)

Проведено исследование работы опытного горизонтального отстойника, принимающего бытовые СВ (среднее БПК 450 мг/л) в интервале  $t$ -р 18,5—31°; конц-ия грубодисперсных примесей (ГДП) изменялась от 150 до 650 мг/л; время отстаивания от 30 мин. до 6 час. Установлено, что при  $t$ -рах  $\leq 25^\circ$  процесс осаждения ГДП в основном заканчивается за 1 час (при 550—650 мг/л ГДП конц-ия их после 1 часа снижалась на ~65%, после 6 час. на ~70%). С повышением конц-ии ГДП процент удаления их за одно и то же время возрастает (с ~50% при 150—250 мг/л ГДП до ~70% при 550—650 мг/л ГДП за время 6 час.), но остаточная конц-ия ГДП при этом повышается. При  $t$ -рах  $> 25^\circ$  процесс осаждения ГДП в основном заканчивается за 3 часа, причем для конц-ии ГДП  $> 450$  мг/л это время является и оптимальным, так как повышение его вызывает понижение процента удаления ГДП (для 550—650 мг/л ГДП с ~75 до ~60%). Это объясняется развитием процесса газообразования, вызывающего всплывание ГДП. При указанном оптимальном времени отстаивания наблюдается та же зависимость процента снижения ГДП и остаточной их конц-ии от исходной, что и для  $t$ -р  $< 25^\circ$ .

М. Лапшин

52107. Характеристика работы вторичных отстойников, микропроцеживателей и песчаных фильтров. Н и к о л л е (Humus tank performance, microstraining, and sand filtration. Nicolle N. P.), J. and Proc. Inst. Sewage Purific., 1955, № 1, 19—23 (англ.)

С целью использования очн. бытовых СВ в качестве охлаждающих на электростанции были поставлены опыты по снижению в них конц-ии грубодисперсных примесей (ГДП) путем отстаивания (О), микропроцеживания (М) и фильтрования на песчаных фильтрах (ПФ). При 3-часовом О осаждалось 50% ГДП, при 4—6-часовом О ~75% (остаточная конц-ия ГДП соответственно равна 25—35 и 20 мг/л). Обработка  $\text{FeSO}_4$  и  $\text{Al}_2(\text{SO}_4)_3$  совместно с  $\text{Ca}(\text{OH})_2$  ускоряет осаждение ГДП, однако

дозы реагентов велики (325 мг/л  $\text{CaO}$  и ~200 мг/л  $\text{Al}_2(\text{SO}_4)_3$ ). При М задерживалось до 50% ГДП при скорости вращения барабана 6,6 м/мин. Для обратной промывки использовалось 10% СВ после биофильтра. Для предупреждения биообрастаний периодически производилась промывка хлорной водой (0,03%). Фильтрование проводилось на ПФ, имевших распределительные устройства для промывки с помощью сопел и через карборундовые пористые (—20 +30 мш по Тейлеру) днщце; в последнем случае не требовалось поддерживающего слоя. Скорость фильтрования 6,2 м/час. Найдено, что экономически более приемлемо 4—6-часовое О с последующим М, чем 2—3-часовое О с последующим фильтрованием на ПФ.

С. Конобеев

52108. Дискуссия по статье: Стоунс «Опыты по обработке сточных вод известью». — (Discussion on papers by Dr. T. Stones «Experimental work on chemical precipitation at Salford». —), J. and Proc. Inst. Sewage Purific., 1955, № 2, 133—135 (англ.)

Высказываются сомнения в том, что на практике будут получены те же результаты, что и в лабор. условиях. См. РЖХим, 1957, 20285

П. Зильберфарб

52109. О происхождении *Salmonella* в осветленных сточных водах, водоемах, принимающих сточные воды, стоках и дренажных водах полей орошения, свежем и перегнившем осадках. П о л ь (Über das Vorkommen von Salmonellen in geklärten Abwässern, ihren Vorflutern, Rieselfeldabflüssen und -drainagen und Klär- und Faulschlamm. Pohl G.), Berliner und Münchener tierärztl. Wochenschr., 1955, 68, № 10, 163—168 (нем.; рез. англ.)

В 27 из 29 проб различных СВ, воды из рек, принимающих СВ, и т. п. объектов были обнаружены бактерии *Salmonella* (I) типов, обычно не встречающихся у животных, источником появления которых являются выделения человека. Установлено, что использование СВ для орошения и осадков СВ для удобрения влечет за собой бактериальное заражение почвы и выращиваемых на ней овощей. При разливе рек трава пастбищ инфицируется бактериями, попадающими в реку со СВ. Величина титра I в реках зависит от скорости обмена воды и кол-ва белковых в-в, вносимых со СВ. Продолжительность жизни I в различных условиях колеблется от нескольких суток до нескольких месяцев (233 дня в свежем осадке СВ). Наиболее подвержены заражению затопляемые луга и поля орошения с влажным мало проницаемым грунтом.

С. Конобеев

52110. Песчаные биофильтры с перемежающимся фильтрованием. Ферман, Калавей, Грантем (Intermittent sand filters—multiple loadings. Furman Thomas de S., Calaway Wilson T., Grantham George R.), Sewage and Industr. Wastes, 1955, 27, № 3, 261—276 (англ.)

Исследован процесс очистки отстойных бытовых СВ студенческого городка на песчаных биофильтрах (Б) с перемежающимся фильтрованием. Варьировалась толщина слоя песка (45—75 см), его крупность, нагрузка на единицу площади Б. Испытанные пески с  $d_{90}$  0,25, 0,29, 0,31, 0,44, 0,46, и 1,04 мм. Очищаемые СВ имели БПК<sub>5</sub> 85—161 мг/л, содержание взвешенных в-в в них колебалось от 87 до 105 мг/л,  $t$ -ра была ~20°. Фильтрование снижало БПК<sub>5</sub> на 67,4—97,8%, содержание взвешенных в-в на 43—94,6%. Содержание органич. в-в снижалось в 2—4 раза. Наилучший эффект очистки был получен на Б с песком  $d_{90}$  0,25—0,31 мм при подаче СВ на Б два раза в сутки. Нагрузка на Б составляла при этом ~1500 м<sup>3</sup> СВ на 1 г<sup>2</sup> в сутки.

В. Клячко

52111. Изучение очистки сточных вод активным илом. V. Скорость биохимического окисления. VI. Аэрирование воды барботированием. VII. Эффективность

диффузного аэрирования воды. Пасвер (Research on activated sludge. V. Rate of biochemical oxidation. VI. Oxygenation of water with air bubbles. VII. Efficiency of the diffused air system. Pasveer A.), Sewage and Industr. Wastes, 1955, 27, № 7, 783—792; № 10, 1130—1146; 1956, 28, № 1, 28—35 (англ.)

V. При очистке СВ с активным илом необходимо отличать: 1) полную очистку со снижением БПК  $>90\%$  и 2) частичную (высоко нагружаемый процесс — high load) — со снижением БПК на 70—80%. Отношение производительности по кислороду (ПК) ( $\text{г O}_2$  в 1 час на  $1 \text{ м}^3$ ) к нагрузке (Н) ( $\text{г БПК}_5$  в 1 час на  $1 \text{ м}^3$ ) определяет направление процесса. При ПК:Н  $\approx 5$  в  $1 \text{ м}^3$  аэротенка (А) за 24 часа возможно достичь полного окисления 1800  $\text{г БПК}_5$ . При ПК:Н  $\approx 1,4$  и  $20^\circ$  возможно достичь  $\approx 93\%$  снижения БПК<sub>5</sub> при Н 60 000  $\text{г БПК}_5$  на  $1 \text{ м}^3$  А в сутки. Понижение т-ры с 20 до  $10^\circ$  мало сказывается на течении процесса (соответственное снижение БПК<sub>5</sub> на 96 и 92—94% при нагрузке 25 000  $\text{г БПК}_5$  на  $1 \text{ м}^3$  А в сутки). Одновременное увеличение ПК и Н в 10 или 20 раз практически не изменяет характера процесса.

VI. Подвергается критике теория «жидкой пленки» (Lewis, Whitman, Ind. Engng Chem., 1924, 16, № 12, 1215) и на основании эксперим. данных показана непригодность ф-л, выведенных, исходя из этой теории, для расчета кол-в  $\text{O}_2$ , поглощаемых водой при прохождении через нее пузырьков воздуха. Учет этих кол-в  $\text{O}_2$  рекомендуется производить путем анализа воздуха, прошедшего через слой аэрируемой воды.

VII. Показано, что аэрирование воды мелкими пузырьками воздуха более эффективно, чем крупными. ПК при диаметре пузырьков 0,2 см повышается до  $\approx 17 \text{ кг}$  на 1 квт-ч (при высоте столба жидкости 50 см) по сравнению с  $\approx 5,5 \text{ кг}$  на 1 квт-ч при диаметре пузырьков воздуха 1 см. Навыгоднейшая высота столба жидкости изменяется с изменением диаметра пузырьков (для диам. 0,2 см она составляет 100 см, для диам. 1 см — 200 см). Интенсивная циркуляция воды в А оказывает резко отрицательный эффект на кол-во растворимого в воде  $\text{O}_2$ . Поступление воздуха с поверхности А имеет значение только при низкой ПК (когда аэрирование производится пузырьками воздуха крупных размеров и в случае глубоких А), но и в этих условиях кол-во  $\text{O}_2$ , поступающее этим путем, не превышает 10%. Мелкие А (1,5—2 м) более экономичны по сравнению с глубокими. Необходимо уделять серьезное внимание резкому снижению объема А за счет соответствующего повышения ПК и увеличения нагрузки по БПК. Части I—IV см. РЖХим, 1957, 42040. М. Лапшин

52112. Соотношения между минеральным питанием, активностью синтеза и скоростью очистки в биохимических процессах. Соьер (Relation of inorganic nutrients, synthetic activity and purification rate in biological processes. Sawyer Clair N.), Municipal Utilities Mag., 1956, 94, № 7, 32—34, 44—46, 48, 50, 52, 54—55 (англ.)

Характеризуются факторы, имеющие важное значение при очистке бытовых и промышленных СВ. При нормальной эксплуатации на 1 кг усвоенного БПК приходится  $\approx 0,5 \text{ кг}$  прироста активного ила. При значительной конц-ии в СВ взвешенных в-в необходимо вводить поправку. В случае недостатка N и P в СВ необходима их добавка. При совместной очистке бытовых и промышленных СВ оптимальное соотношение БПК: N = 17; БПК: P = 90. В отдельных случаях берут соотношения БПК: N = 32, БПК: P = 150. При большом недостатке N активный ил плохо оседает. Дана ф-ла для расчета минимально потребного кол-ва N. Потребность в минер. питании при высоких т-рах снижается. Ц. Роговская

52113. Новые сооружения для очистки сточных вод. Буличек (Naše nové čistírny. Bulíček J.), Vodní hospodářství, 1955, 5, № 8, 272—275 (чеш.) Краткое описание некоторых вновь построенных и запроектированных установок на предприятиях нефтеперерабатывающей, бумажной, текстильной, молочной и других видов пром-сти. Начало см. РЖХим, 1957, 31760. З. Бобырь

52114. Возможность очистки сточных вод газовых заводов на биофильтрах. Уотсон, Хаттон, Смит. — Дискуссия. — (Some aspects of gas liquor treatment on percolating filter beds. Watson W., Hutton D.B., Smith W.S. — Discussion. —) J. and Proc. Inst. Sewage Purific., 1955, № 1, 73—79; 79—84; № 4, 340—344 (англ.)

На станции очистки бытовых СВ проводились опыты по совместной очистке СВ газового з-да. Наблюдения велись за 2 биофильтрами (Б) (диам. 30 м, загрузка известняком крупностью 3,75—7,5 см), причем на один Б подавалась только бытовая СВ, на другой — смесь газовой и бытовой СВ. Кол-во сырой газовой СВ, имевшей 4-часовую окисляемость 14 130  $\text{мг/л}$ , составляло 0,3%, кол-во обработанной газовой СВ (после отгонки  $\text{NH}_3$ ; 4-часовая окисляемость 8 300  $\text{мг/л}$ ) — 0,5%. Нагрузка смеси СВ на Б составляла  $\approx 0,4 \text{ м}^3/\text{м}^2$  в сутки. Величина 4-часовой окисляемости смеси с сырой газовой СВ составляла 100  $\text{мг/л}$ , с обработанной — 83  $\text{мг/л}$ . В присутствии газовой СВ осадок становился легче и обильнее. Наличие в бытовой СВ обработанной газовой СВ способствовало заилению Б зимой, что не имело места в смеси с сырой газовой СВ. 4-часовая окисляемость СВ после очистки на Б составляла 23,9—26,3  $\text{мг/л}$ . С. Конобеев

52115. Концентрирование радиоактивных сточных вод. Уолтере, Уэйзер, Марек (Concentration of radioactive aqueous wastes. Electromigration through ion-exchange membranes. Walters W.R., Weiser D.W., Marek L.J.), Industr. and Engng Chem., 1955, 47, № 1, 61—67 (англ.)

Описан метод глубокой очистки радиоактивных СВ путем их обессоливания (О), обеспечивающий концентрирование радиоактивных примесей в небольшом объеме. Процесс О осуществляется в две стадии: 1) частичное О проводится электрононитным методом в многокамерной ячейке; 2) окончательное О — в аналогичной установке с тем отличием, что пространство между мембранами заполняется смесью катионита и анионита, на которую поступает р-р. Отработанные нониты периодически регенерируются пропусканьем через всю систему электрич. тока. Первая стадия процесса проверяла экспериментально на водопроводной воде, к которой добавлялась смесь радионуклидов (активность воды составляла  $10^5$  имп/мин мл). Для приготовления катионитовой мембраны служил Nepton CR-41, анионитовой — Amberplex A-1. В результате очистки конц-ия радионуклидов снизилась в  $\approx 100$  раз. В большом масштабе процесс проверен на водопроводной воде и р-ре  $\text{Na}_2\text{SO}_4$  без введения радионуклидов. Изучение второй стадии проводилось в трехкамерной ячейке, загруженной смесью 60% анионита и 40% катионита (по объему); поступающий 0,0046 н. р-р  $\text{Na}_2\text{SO}_4$  имел уд. сопротивление 2000 ом. см, вытекающий — 500 000 ом. см. Конц-ия  $\text{Na}_2\text{SO}_4$  у электродов достигала 0,44 н. Выявлен ряд параметров, определяющих экономичность предложенного метода (выход по току, расход электроэнергии и т. п.). О. Альшулер

52116. Концентрирование продуктов распада. Хатч, Риган (First step in ultimate waste disposal: concentrating fission products. Hatch L.P., Regan W.H., Jr), Nucleonics, 1955, 13, № 12, 27—29 (англ.)



Первым этапом обезвреживания радиоактивных СВ является отделение радиоактивных примесей от нерадиоактивных, после чего следует их концентрирование и фиксация на монтмориллонитовых глинах с прокаливанием при  $\sim 1000^\circ$ . Адсорбционная емкость глин  $\sim 1,2$  мг/г. Не фиксируется на глинах только Ru. В СВ, образующихся при обработке легированных и легированных топливных Al- и Zr-U-элементов, основной примесью является  $\text{HNO}_3$ . Выделение ее может быть проведено либо дистилляцией, либо электроионитным методом. При обработке  $\text{HNO}_3$  топливных легированных Al-U элементов в СВ появляется  $\text{Al}(\text{NO}_3)_3$ , конц-ия которого в  $10^4$  раз превышает конц-ию продуктов распада.  $\text{Al}(\text{NO}_3)_3$  может быть превращен в  $\text{Al}(\text{OH})_3$ , а затем в  $\text{Al}_2\text{O}_3$ . Более простой способ — выпаривание р-ра досуха и прокаливание остатка ( $350-950^\circ$ ) с последующим извлечением растворимых радиоактивных продуктов водой или 0,1 н.  $\text{HNO}_3$ . Незавлекаемые при такой обработке продукты можно считать прочно фиксированными. Образующиеся при обработке легированных топливных Al — Zr — U-элементов  $\text{AlF}_3$  и  $\text{ZrF}_4$  также переводятся в соответствующие гидроокиси, а затем в окиси путем гидролиза водяным паром при  $t\text{-ре} > 700^\circ$ .  $\text{Cs}^{137}$  является единственным продуктом распада, вымываемым из прокаленных окислов в заметных кол-вах.

О. Мартынова  
52117. Краткая характеристика состава и способов очистки сточных вод цехов гальванических покрытий. Чапке (Abwässer in galvanotechnischen Betrieben. Tschapke A. M. in), Handelsblatt. 1957, 12, № 19, Techn. Linie, 10, № 2, 1—2 (нем.)

52118. Разрушение эмульсий сточных вод и их биохимическая очистка. Грунер (Breaking of coolant emulsions, plus biological filtration. Gruner C. T.), Wastes Engng, 1955, 26, № 8, 384—387 (англ.)

Для разрушения нефтяных эмульсий СВ машиностроительного з-да применяется коагуляция  $\text{CaCl}_2$ ,  $\text{Al}_2(\text{SO}_4)_3$ ,  $\text{FeCl}_3$  или нагреванием. Перед коагуляцией СВ проходят нефтеловушку и фильтры, заполненные бумажной массой. Удаляемая нефть используется в качестве топлива. Осадки поступают на иловые площадки. Осветленная СВ в смеси с бытовыми СВ идет на биохим. доочистку, снижающую БПК<sub>5</sub> на 96—99,7%, и хлорируется (конц-ия остаточного  $\text{Cl}_2$  0,5—2,0 мг/л).

Л. Милованов  
52119. Обзор данных по биохимическому окислению сточных вод нефтеперерабатывающих заводов. Гендерсон, Элкин (Research on bio-oxidation of refinery wastes. Henderson Gordon, Elkin H. A. in), Engng and Contract Rec., 1956, 69, № 8, 88, 90, 92—93 (англ.)

52120. Достижения в области очистки сточных вод нефтеперерабатывающих заводов. Шервуд (Recent progress in treatment of refinery waste waters. Sherwood Peter W.), Water and Water Engng, 1955, 59, № 709, 106—110 (англ.)

При проектировании нефтеловушек (НЛ) расчетный диаметр нефтяных частиц принимают в 0,015 см, горизонтальную скорость движения СВ  $V_{\text{гор}} = 15 V_{\text{верт}}$ , но  $\leq 15$  мм/сек. После НЛ конц-ия нефтепродуктов в СВ составляет 200—300 мг/л. Дальнейшее снижение их конц-ии может быть достигнуто флотацией при насыщении СВ воздухом под давл. 3,5—4,5 атм. Из 3 способов: 1) насыщения воздухом всего кол-ва СВ, поступающих в НЛ; 2) насыщения воздухом 50% СВ, выходящих из НЛ, с последующим направлением их в НЛ; 3) насыщения воздухом  $1/3$  СВ, наилучшие результаты (40% снижения конц-ии нефтепродуктов) достигнуты при последнем способе. Расход воздуха 70 л/час при расходе СВ  $\sim 18$  м<sup>3</sup>/час. Эффект очистки повышается при предварительной обработке СВ  $\text{Al}_2(\text{SO}_4)_3$  и активированной  $\text{SiO}_2$ . (80% при применении

4—12 мг/л  $\text{Al}_2(\text{SO}_4)_3$  и 4 мг/л активированной  $\text{SiO}_2$ ). Для уменьшения конц-ии эмульгированных нефтепродуктов необходимо избегать применения при водн. технолог. операциях центробежных насосов, парожеток и барометрич. конденсаторов. Разрушению эмульсий способствуют нагревание СВ при давлении до  $t\text{-р}$  выше точки кипения воды и подщелачивание (до pH 9,5).

С. Конобеев  
52121. Упрощенная очистка сточных вод молочных заводов. Каунт (Simplified dairy waste treatment. Count R. R. in), Milk Prod. J., 1955, 46, № 11, 10—11, 54 (англ.)

Работа небольших молочных з-дов сезонная и поэтому на них биофильтры для очистки СВ неприменимы. Рекомендуется собирать суточный расход СВ в емкость и добавлять туда биокультуру (Б), окисляющую молоко, лактозу и часть глюкозы, с образованием  $\text{CO}_2$ ,  $\text{NH}_3$  и  $\text{H}_2\text{O}$  (длительность процесса 8 час). Прирост Б равен половине веса сухого остатка СВ. Б может существовать в воде при условии поступления 1,25 г  $\text{O}_2$  на 1 г сухого остатка СВ в сутки. Б отстаивается 2 часа, после чего  $2/3$  СВ сбрасываются в водоем. Оставшаяся Б аэрируется, при этом потеря Б за счет окисления составляет 16% в сутки, что соответствует ее ежесуточному приросту. Щел. р-р от мытья бутылок может разрушить Б. На установке отсутствует необходимость удаления осадков. Общее снижение загрязнений достигает 95%.

Л. Милованов  
52122. Очистка сточных вод маслоделательных заводов. Треблер, Хардинг (Fundamentals of the control and treatment of dairy waste. Treble H. A., Harding H. G.), Sewage and Industr. Wastes, 1955, 27, № 12, 1369—1382 (франц.)

Указывается на необходимость уменьшения кол-ва СВ и их раздельного канализования с повторным использованием части СВ. Приведены условия сброса СВ в городскую канализацию. При самостоятельной биохим. очистке СВ в прудах принимают нагрузку 51 кг БПК на 1 га в сутки. Для орошения применяется отстоянная вода при нагрузке 34—284 м<sup>3</sup> в сутки на 1 га. При очистке на биофильтрах конц. СВ должна быть разбавлена до БПК 200—300 мг/л, рециркуляция принимается равной 5 : 1—10 : 1. Образующийся ил сбрасывается или передается на иловые площадки. БПК очис. СВ после двойного фильтра 10 мг/л. При очистке СВ в аэротенках ( $t\text{-ра}$   $32^\circ$ ) их необходимо предварительно обработать известью. Длительность аэрирования с добавкой 10—20% активного ила 3—5 час. Метантенки работают нормально при  $32^\circ$  с добавкой извести и осадка бытовых СВ. Образование  $\text{H}_2\text{S}$  малое.

Л. Милованов  
52123. К вопросу об очистке сточных вод винокуренных заводов. Кильп (Anmerkung der technischen Schriftleitung. Kilp), Alkohol — Ind., 1955, 68, № 16, 396 (нем.)

Редакционное примечание к статье Витмана (РЖХим, 1956, 62496). Отмечается, что на винокуренных з-дах, перерабатывающих крахмалосодержащее сырье, барда представляет собой ценное кормовое средство, а не СВ. Патоная и дрожжевая барда также содержит ценные в-ва, которые можно использовать в качестве удобрений.

М. Губарь  
52124. Дискуссия по статье: Соьер, Хауард, Перш «Теоретические основы известкования метантенков». Ньюспил, Морган, (Scientific basis for liming of digesters. Discussion. Neuspil, Peter J., Morgan Philip F.), Sewage and Industr. Wastes, 1955, 27, № 2, 177—179 (англ.)

Лабораторные опыты авторов подтвердили, что по сравнению с процессом в контрольных метантенках без добавления извести, процесс при известковании идет быстрее, причем нормальная газоточка дости-

гается на 3 недели раньше. См. РЖХим, 1957, 24133. С. Конобеев

52125 П. Метод определения находящихся в воде окислителей и восстановителей, в частности восстановленного кислорода. Линевер (Verfahren zur Bestimmung von chemisch oxydierbaren oder reduzierbaren Stoffen, insbesondere von Sauerstoff in Wasser, durch Depolarisationsmessung. Lie new eg Fritz) [Simens & Halske A.-G.]. Пат. ФРГ 882315, 9.07.53 [Chem. Zbl., 1955, 126, № 26, 5096 (нем.)]

Метод определения основан на измерении величины деполаризации и сводится к снятию кривой изменения напряжения или к измерению изменения тока при постоянном напряжении на 2 электродах, погруженных в разные р-ры, один из которых содержит определяемое в-во, а другой освобождается от него с помощью каких-либо окислителей или восстановителей. Э. Мингулина

52126 П. Обессоливание воды (Verfahren zur Entsalzung von Wasser) [Farbenfabriken Bayer A.-G.]. Пат. ФРГ 919460, 21.10.54 [Chem. Zbl., 1955, 126, № 26, 6103 (нем.)]

При обессоливании воды фильтрованием через Н-и ОН-иониты дополнительно включается фильтр, регулирующий рН; он представляет собой катионит, обменивающий как ионы щел. металлов, так и Н<sup>+</sup>-ионы, или анионит, обменивающий как ОН<sup>-</sup>-ионы, так и анионы к-т. О. Мартынова

52127 П. Способ удаления кислорода из теплых и горячих вод. Весли (Verfahren zum Entfernen von Sauerstoff aus warmen und heißen Wässern. Wesley Walter) [Farbenfabriken Bayer A.-G.]. Пат. ФРГ 921139, 9.12.54 [Chem. Zbl., 1955, 126, № 6103 (нем.)]

Вода фильтруется (без регенерации фильтра) через зернистые с большой поверхностью катиониты, синтезированные на основе фенолов (напр. из фенола, крезол- $\alpha$ -сульфо-к-ты и формальдегида). Конц-ия О<sub>2</sub> в воде (рН 8,2, жесткость 9 мг-экв/л) снижается при 75° с 7,3 до 0,03—0,18 мг/л. О. Мартынова

52128 П. Способ обезмасливания и умягчения воды. Фишер (Verfahren zum Entölen und Enthärten von Wasser. Fischer Emil). Пат. ФРГ 920178, 15.11.54 [Chem. Zbl., 1955, 126, № 26, 6103 (нем.)]

Предлагается способ обезмасливания и умягчения воды при помощи активного угля и ионитов. Фильтры примерно 1 раз в сутки выключаются на регенерацию, которая производится при т-ре более высокой, чем процесс фильтрования. О. Мартынова

52129 П. Состав гидрофобной смеси. Томаркин (Water-repellant composition. Tomarkin Leonard). Пат. США 2711967, 28.06.55.

Предлагается состав, состоящий из водн. р-ра метил-силиконата Na и небольшого кол-ва тетрадецилсульфата Na. О. Мартынова

См. также: Анализ 51584, 51619. Коррозия 53439, 53461. Удаление фенолов из газовой воды 52186. Процесс на свекло-сахарном произ-ве без СВ 53164. Водоемы и водотоки 51085—51088. Аппараты и к-и. Приборы 53545, 53562. Бактериологический контроль воды 53240

## ПЕРЕРАБОТКА ТВЕРДЫХ ГОРЮЧИХ ИСКОПАЕМЫХ

Редактор М. О. Хайкин

52130. Решение вопроса о происхождении лигнитов на основе их теплотемпостей. Террес, Дене, Нанди, Шейдель, Траппе (Die Entscheidung der Frage der Entstehung von Faserkohle auf Grund ihrer spezifischen Wärmen. Terres Ernst, Dähne Heinz, Nandi Biswanat, Scheidel Curt, Trappe Klaus), Brennstoff Che-

mie, 1956, 37, № 17-18, 269—277; № 21-22, 366—370 (нем.)

В развитие более ранних исследований, показавших, что теплотемпости (Т) полукоксов и коксов зависят от степени их графитизации, а следовательно, от т-ры термич. обработки их, определены Т 28 образцов лигнитов различных месторождений и высказаны соображения об условиях их образования. Описаны приборы для определения Т и приведены данные технич., элементарного и петрографич. анализа ряда образцов и величины их Т после нагревания при т-рах до 1000°. Исследования также искусств. лигниты, полученные из целлюлозы ели и бука в различных средах при 300°. В результате сопоставления найденных величин Т авторы считают, что фюзен лигнитов северного полушария образовался путем обугливания при т-рах 700—1000° лесных пожаров. Семифюзен и витрен лигнитов южного полушария образовались путем обуглероживания без значительного подъема т-ры. Н. Гаврилов

52131. Классификация битуминозных сланцев по данным их химического исследования. Тертиль (Uzytkowa klasyfikacja złóż typków bitumicznych przywęglowych na podstawie badań chemicznych. Tertyl S.), Prace inst. Min-wa hutn., 1956, 8, № 5, 269—280 (польск.; рез. русе., англ.)

Для классификации битуминозных сланцев и углей ПНР с точки зрения пригодности для хим. переработки, в частности, полукоксования, были проведены технич. анализы образцов топлив из 52 шахт, разгонки этих образцов в алюминиевой реторте (по методу Фишера — Шредера), элементарные анализы топлив и полученных из них полукоксированных смол и масел, а также определение состава и физ.-хим. характеристик полукоксированных смол и продуктов их разгонки. Показано, что индекс вязкости получаемого из сланцев смазочного масла может служить критерием для оценки пригодности польских сланцев к хим. переработке и исходным параметром для их классификации. Найденны зависимости между выходами масла (в пересчете на органич. массу) и его индексом вязкости, а также между уд. весом масла и отношением в нем С : Н. К. Э.

52132. Перспективы химической и коксохимической промышленности Японии. Ногуту (我が國化學工業の將來とタール工業. 野口正蔵), コールタール, Кору талу, Coal Tar., 1954, 6, № 11, 28—32 (японск.)

52133. Топливо и энергетика в Англии. Часть I. Николс (Fuel and power in Great Britain. Part I. Nicholls C. M.), Industr. Chemist, 1955, 31, № 365, 273—280 (англ.)

52134. Добыча и применение торфа в Финляндии. Кайла (Ajankohtaista polttoturverintamaltamme. Kaila Lauri), Tekn. aikakauslehti, 1955, 45, № 11, 256—258 (финск.; рез. англ.)

52135. Производство металлургического кокса и газа в Советском Союзе. Деларозьер (Les industries du coke métallurgique et du gaz en U. R. S. S. Delaroziere F.), J. usines gaz, 1956, 80, № 4, 144—147 (франц.)

52136. Производство бытового газа. Хиндл (Darlington gas manufacture and supply. Hindle C.), Gas Times, 1955, 84, № 851, 21—23 (англ.)

Описано произ-во бытового газа для снабжения г. Дарлингтона (Англия), приведены некоторые показатели по технологич. схеме и оборудованию произ-ва, причем подробно описан центробежный компрессор новой конструкции. Даются перспективы развития газоснабжения. Н. Лапидес

52137. Химия угля. X. Образование гуминовых веществ из целлюлозы. XI. Искусственное обуглероживание смеси лигнина и целлюлозы. XII. Происхождение серы в угле. Фунэсака, Йококава (石炭化学に関する研究. 第 10 報. セルロースよりフミン質

の生成. 第 11 報. セルロースとリグニン混合物の人造石炭化. 第 12 報. 石炭中の硫黄の生成について. 舟阪渡, 横川親雄. 工業化学雑誌, Korô kagaku dzasshi, J. Chem. Soc. Japan. Industr. Chem. Sec., 1953, 56, № 1, 34—36; № 4, 267—268; № 10, 804—806. Сообщение IX см. J. Chem. Soc. Japan. Industr. Chem. Sect., 1952, 55, 348—350.

52138. Изучение строения каменного угля. 8. Растворимость углей в различных растворителях и скорость реакции. Баба 9. Строение каменного угля и процессе коксования. Носида 10. Органохимическое исследование угля. Хигути 11. Исследование строения каменного угля на основе статистических данных анализа. Оути (石炭構造の研究. VIII. 溶剤抽出機構および反應速度より見た構造 馬場有政. IX. 石炭の構造とコークス化の過程. 吉田雄次. X. 有機化学的にみた石炭の研究. 樋口耕三. XI. 分析値より石炭の統計的構造を研究する方法. 大内公耳), 燃料協會誌, Нэнрё кёкайси, J. Fuel Soc. Japan, 1953, 32, № 310, 93—98; 98—102; № 311, 179—188, 188—194 (японск.) Обзор. Библ. 40 назв.

52139. Химия и петрография битумов из бурых и каменных углей. Часть III. Увеличение отражательной способности углей при активировании битумов по сравнению с природным обуглероживанием. Штах, Тейхмюллер (Zur Chemie und Petrographie der Ionen-Austrascher aus Braun und Steinkohlen. III. Teil. Die Reflexionszunahme der Kohlen bei der Austausch-Aktivierung im Vergleich zu derjenigen bei der natürlichen Inkohlung. Stach H., Teichmüller M.), Brennstoff-Chemie, 1953, 34, № 21/22, 337—338 (нем.)

Часть II см. РЖХим, 1957, 35282

52140. Химическая интерпретация рентгенографического изучения тонкой структуры угля. Драйден (Chemical interpretation of X-ray studies of the ultra-fine structure of coal. Dryden I. G. C.), Fuel, 1955, 34, Suppl. April, 29—35 (англ.)

52141. Реология угля. VI. Мицеллярная структура и ее связь с аномалиями реологических свойств битуминозного угля. Иноуэ, Тани (Rheology of coal. VI. The micelle structure in relation to anomalies of rheological. Inoue Katsuya, Tani Hideo), Bull. Chem. Soc. Japan., 1953, 26, № 8, 458—460 (англ.)

Часть V см. РЖХим, 1957, 38613.

52142. Лигнит Южного Аркота. Лахри (South Arcot lignite. Lahiri A.), Commet, 1954—1955, 4, 9—21 (англ.)

Дана характеристика лигнитов (Л) Южного Аркота (Индия, штат Мадрас) и продуктов их переработки. Месторождение с запасами 200 млн. т занимает площадь в 13 км<sup>2</sup>; мощность пластов 3—20 м. Свежесдобытый Л содержит от 50 до 60% влаги. Содержание на сухую массу (в %): С 65—70, О—20—25, Н—5, N<sub>2</sub>+S—1,5; теплотворность 6200—7000 ккал/кг; зольность 3—10%; выход летучих—50%. Для придания транспортабельности и более эффективного сжигания на опытных з-де проведены опыты по подсушке Л до 13—16% влаги и брикетированию под давл. 1,65—2 т/см<sup>2</sup>. При полукочковании сырого угля или брикетов при 500—600° получен выход на 1 т/см<sup>2</sup> Л 54—67 л дегтя и 6,7 л автомобильного бензина. В дегте содержится ~7% парафина и 0,2% пиридиновых оснований. При экстрагировании Л смесью бэл. и петр. эфира, (70 : 30) получен воск с выходом 5,26%, т. пл. 85—90°. Приведены данные по гидрогенизации Л при 400—450° и начальном давл. Н<sub>2</sub> 100 кг/см<sup>2</sup>, а также по стоимости брикетирования и использования брикетов на электростанциях.

У. Андрес  
52143. Изучение легкого разложения лигнита разбавленной азотной кислотой. (I). Наилучшие условия

получения нитрогуминовых кислот и аналогичных соединений. Хигути, Аран, Цуюгути, Асакэ (亞炭の稀硝酸による低度分解の研究. I. 主生成物としてニトロフミン酸系物質を得るための条件. 樋口耕三, 荒井卓三, 露口亨夫, 浅川一雄), 燃料協會誌, Нэнрё кёкайси, J. Fuel Soc. Japan, 1956, 35, № 351, 404—410 (японск.; рез. англ.)

С целью получения нитрогуминовых к-т и аналогичных соединений изучались оптимальные условия для р-ции лигнита с разб. HNO<sub>3</sub>. При этом определяли выход нитрогуминовых к-т, кол-во непрореагировавшей HNO<sub>3</sub>, выход ценных побочных продуктов и т. д. Из 100 ч. сухого беззольного лигнита при 80° получалось 84 ч. нерастворимого в воде органич. твердого в-ва, 92% которого растворялось в холодной разб. щелочи.

Н. Лапидес

52144. О зависимости плотности газа от условий состояния. Шустер (Über die Abhängigkeit der Gasdichte — Werte von den Zustandsbedingungen. Schuster Fritz), Brennstoff — Chemie, 1956, 37, № 23—24, 389—391 (нем.)

Приведены значения изменения плотности по отношению к воздуху при давл. 1—1000 атм и т-рах 0 и 100° для коксового и других газов.

Н. Лапидес

52145. Теоретические основы измельчения угля при углеподготовке на брикетных фабриках. Часть I. Размер зерен и удельная поверхность угля. Часть II. Характеристики размольных машин. Рамлер (Zerkleinerungstheoretische Grundlagen des Naßdienstes von Brikettfabriken. Teil I: Kornaufbau und spezifische Oberfläche der Kohle. II. Kenngrößen der Zerkleinerungsmaschine. Ramler E.), Bergbautechnik, 1955, 5, № 12, 618—627; 1956, 6, № 1, 5—15 (нем.)

В работе анализируются закономерности распределения зерен угля по величине при дроблении. Рассматриваются начальные, промежуточные и конечные продукты дробления. Даны ф-лы для распределения зерен бурого угля по крупности. Для определения уд. поверхности зерен рекомендуется диаграмма Лангемана. Приведены ф-лы и графики для определения уд. расхода энергии на единицу поверхности, образующейся при размельчении. Даны ф-лы расхода мощности для дезинтеграторов и пластинчатых мельниц и графики зависимости средней величины зерен от числа оборотов или окружной скорости ротора и размера исходного материала. Приведены характеристики для других типов мельниц и дробилок.

Г. Стельмах

52146. Исследование зависимости между петрографическим строением мягких бурых углей и их способностью к брикетированию. Якоб (Untersuchungen über die Beziehung zwischen dem petrographischen Aufbau von Weichbraunkohlen und der Brikettierbarkeit. Jacob Helmut. Freiburger Forschungsh., 1956, A, № 45, 1—100 (нем.)

Изучена способность бурых углей (БУ) к брикетированию в зависимости от петрографич. состава, степени окисления и содержания битумов, а также влияние этих факторов на водостойкость, механич. свойства и огнестойкость брикетов (Б). Разработана классификация гумусов (Г), входящих в состав БУ, основанная на «степени конденсации», характеризующей люминесцентным анализом, возрастанием содержания С и уменьшением О и изменением физ.-хим. констант как сырого БУ, так и Б из него. Установлена линейная зависимость между рН и влажностью БУ в залегании. Наилучшие Б дают БУ со среднеконденсированным Г и средним или высоким содержанием битумов. Окисление БУ в залегании ухудшает качество Б. Библ. 117 назв.

Н. Гаврилов

52147. Влияние привода пресса на производительность, уплотнение и качество брикетов при брикетировании.



ровании бурых углей. Ршель, Кнут (Der Einfluß des Pressentriebwerkes auf die Produktionsleistung, die Verdichtung und die Qualität der Briquets bei der Braunkohlenbriquetierung auf Stragpressen. Rieschel Hartmut, Knauth Berthold), Freiburger Forschungsh., 1956, А, № 50, 61—66 (нем.)

Рассматривается кинематика различных приводов и влияние ее на время и степень сжатия брикетов. Время сжатия не является величиной постоянной для данного привода, но зависит и от кол-ва угля. Рядом диаграмм иллюстрируется методика подбора оптимального веса брикетов.

В. Загребельная  
52148. Графическая интерпретация процессов грохочения на брикетных фабриках. Рамлер, Глэкер (Graphische Auswertung der Kenngrößen für Absiebvorgänge in Briquetfabriken. Rammeler E., Glöckner E.), Bergbautechnik, 1956, 6, № 6, 294—300 (нем.)

При брикетировании бурых углей большую роль играет классификация по крупности. В статье приводятся ф-лы для определения полезной площади различных сит. Аналитически определяется производительность и к. п. д. грохотов в зависимости от выхода надрешетного и подрешетного продуктов, толщины слоя угля и других факторов. Работа грохота оценивается по ситовому анализу грохоченого угля.

В. Загребельная  
52149. Исследования по определению наиболее плотной упаковки высушенного бурого угля различного ситового состава. Тренклер (Untersuchungen über die dichteste Packung von Körnungsgemischen aus getrockneter Braunkohle. Trenkler H.), Braunkohle, 1956, 8, № 23—24, 481—483 (нем.)

При брикетировании угля нужно применять топливо такого ситового состава, чтобы оно имело максим. насыпной вес (НВ). Это необходимо для уменьшения работы прессования, идущей, в основном, на сближение кусков топлива и, в меньшей степени, на изменение формы топлива при брикетировании. Кроме того, топливо с максим. НВ содержит миним. кол-во воздуха, подлежащего удалению во время брикетирования. Приведенными исследованиями по определению НВ высушенных бурых углей различного ситового состава показано, что наиболее плотная упаковка получается при применении топлива или с малыми размерами частиц (0—0,12 мм), или с большими размерами частиц (>2 мм). Топлива со средними, наиболее употребимыми размерами частиц (0,12—2 мм), имеют миним. НВ. Встряхиванием угля можно увеличить НВ приблизительно на 15%.

Н. Лапидес  
52150. Применение метода Майера для оценки эффективности обогащения углей. Делл (The Mayer curve. Dell C. C.), Colliery Engng, 1956, 33, № 392, 412—414 (англ.)

Рассматривается метод Майера — график, изображения данных фракционного анализа угльных проб при обогащении. Кривая Майера строится в системе: абсцисса — выход фракции по весу в процентах; ордината — кумулятивные значения зольности фракций в процентах от всей пробы. Таким образом отношения соответствующих значений ординаты к абсциссе являются зольностями фракций. Для интерпретации результатов разделения строится пучок лучей с центром в начале координат. Угол наклона лучей определяется его пересечением в соответствующей точке ординаты, определяющей значение зольности. Эти лучи дают возможность быстро находить промежуточные значения зольности. Показателями эффективности разделения являются тангенсы углов наклона касательных в точках, показывающих зольность концентрата и зольность товарного продукта. Описываются векторные

свойства кривой Майера и дается геометрич. ее анализ. Дан пример интерпретации результатов разделения угля на 3 продукта.

У. Андреас  
52151. Обесеривание угля и кокса. Блейдон, Мотт (The desulphurisation of coal and coke. Bleydon H. E., Mott R. A.), Gas World, 1956, 144, № 3769, 961 (англ.)

Кратко рассмотрен вопрос о путях и возможностях обесеривания угля и кокса.

Н. Гаврилов  
52152. Углеобогадительная фабрика для небольших предприятий. Польшмидт (Eine Aufbereitungsanlage für Kleinzechen. Pohlschmidt August), Glückauf, 1956, 92, № 41—42, 1247—1250 (нем.)

Для экономичного сжигания пылевидного угля в топках целесообразно предварительное обогащение (О). При выборе метода О следует отдать предпочтение разделению в тяжелых средах — и предусмотреть возможность О шлама. Рациональная технологич. схема показана на примере углеобогадительной ф-ки в Рейнхаузене производительностью до 1400 т рядового угля в сутки, содержащего 50% класса — 6 мм; в качестве материала для создания тяжелой среды служит магнетит. Медленное перемешивание во вращающемся барабане обеспечивает стабильность суспензии. Средние потери магнетита составляют ~200 г на 1 т. Спец. прибор регистрируется плотность пульсы, что позволяет автоматич. регулировать процесс О.

В. Загребельная  
52153. Сравнение сухого и мокрого грохочения материалов, применяемых в битумных смесях. Гоф (A comparison of dry and wet sieving of mixed aggregates and fillers used in bituminous mixtures. Gough C. M.), Roads and Road Constr., 1955, 33, № 393, 262, 288 (англ.)

Рассматривается влияние ситового состава, кол-ва наполнителей, времени рассева на эффективность грохочения битума, асфальта и других материалов, применяемых в дорожном строительстве.

В. Загребельная  
52154. Прогресс в изучении производства кокса. Симмура (コークス製造研究の近況. 新村唯治), 燃料協会誌, Нонрё, кекайси, J. Fuel. Soc. Japan, 1956, 35, № 347, 127—133 (японск.; рез. англ.)

Дано краткое описание современного состояния коксовой пром-сти в Японии и произ-ва доменного кокса из слабо коксующихся или некоксующихся углей, а также опытов на пилотной установке по коксованию с добавками полуккокса, коксовой мелочи, окисленного угля и др.

З. Векслер  
52155. Несколько практических указаний по подбору топлив для газификации и коксования. Бедье (Quelques indications élémentaires pratiques pour servir au choix des combustibles naturels destinés à la gazéification et à la carbonisation. Bédier René), Chaleur et ind., 1956, 37, № 372, 208—212 (франц.)

Приведена классификационная диаграмма, на которой угли по содержанию летучих и по показателю вспучивания распределены на 8 групп. Высказаны соображения о пригодности углей тех или иных групп и их смесей для газификации и коксования. Даны советы в отношении granulометрич. состава углей, содержания влаги, золы и пр.

Н. Гаврилов  
52156. Некоторые вопросы изучения производства кокса для доменных печей. Сиро (高炉用コークス製造研究上の 2,3 の問題. 成博), 九州炭山學會誌, Кюсю кодзан гаккайси, J. Mining Inst. Kyushu, 1955, 23, № 4, 122—127 (японск.)

52157. Обсуждение вопросов, касающихся кокса, на Варшавской конференции по унификации стандартов в металлургической промышленности. Реслер (Jednání o koksu na varšavské konferenci pro sjednocení

norem hutního průmyslu. Resler J i f i), Normalisace, 1955, 4, № 12, 267—269 (чешск.; рез. русск.)

Краткое освещение результатов конференции по унификации стандартов на кокс. Присутствовали представители СССР, Польши ГДР, Чехословакии, ВНР и РНР. В качестве проекта международного стандарта рассматривались польские нормы. Окончательного решения принято не было. Достигнуто соглашение считать оптимальной крупность кокса  $>80$  м.м. З. П

52158. Влияние степени измельчения угля на качество кокса. Харват (Vliv mletí uhlí na jakost koksu. Ch a r v á t V l. Paliva, 1956, 36, № 2, 40—44 (чешск. рез. русск., нем.)

Учитывая влияние тщательного измельчения угольной шихты, загружаемой в коксовые печи, на качество кокса и важность контроля ситового состава шихты, рассмотрены применяемые способы такого контроля и сделаны сопоставления с практич. данными. Показано, что воспроизводимые результаты по ситовому составу шихты получаются только при определении фракции, остающейся на сите с отверстиями 2—3 мм, и фракции, проходящей через сито с отверстиями 0,2—0,3 мм, причем лучшие результаты получаются в случае применения сит с первыми из указанных размеров отверстий. К. З.

52159. Причины образования губки в коксе и методы борьбы с ней. Левин Э. Д., Кокс и химия, 1956, № 8, 28—33

Показано, что образование губчатого кокса обусловлено вспучиванием размягченной массы загрузки газообразными продуктами пиролиза углей. Кол-во губки увеличивается по мере увеличения разности т-р затвердевания и размягчения и, следовательно, зависит от состава шихты; снижение температурного режима коксования также резко увеличивает кол-во губки. Образование губки уменьшается с повышением влажности шихты. Для ликвидации губки предлагается обеспечить разность т-р затвердевания и размягчения  $\leq 65^\circ$ , т-ру верха коксового пирога  $1000 \pm 50^\circ$  и влажность шихты  $\geq 8\%$ . Установленный на основании опытов режим снизил образование губки в 2,3 раза.

Н. Гаврилов

52160. Факторы, влияющие на графитизацию кокса. Дюрриф (Faktoren der Koksgrphitierung. D u r i f S.), Brennstoff-Chemie, 1956, 37, № 23—24, 402—404 (нем.)

С помощью рентгеноскопич. исследований показано, что физ. и хим. свойства углей в пластич. состоянии определяют характер получаемого кокса и способность его к графитизации при высоких т-рах. Приводятся результаты исследований по определению влияния на графитизацию кокса скорости подъема т-ры, предварительного окисления угля, перемешивания угля во время пребывания его в пластич. состоянии, петрографич. состава исходных углей и проведения коксования в азоте под давл.  $100 \text{ кг/см}^2$ . Н. Лапидес

52161. Значение технического анализа и определения коксемости угля для производства специальных коксов. Абрамский (Rohstoffliche und verkoungstechnische Gesichtspunkte für die Herstellung von Spezialkoksen für verschiedene Verwendungszwecke. A b r a m s k i C.), Glückauf, 1955, 91, Beiheft, 195—201 (нем.)

Приведены стандарты на кокс в ФРГ и на примере электродного и литейного коксов показано, что путем подбора и различной обработки шихты можно получить качеств. кокс из различного исходного сырья.

Г. Стельмах

52162. Тепловое расширение и истинная плотность коксов, состоящих из пек с добавкой серы. Ямагути (硫黄添加ピッチより作つたコータスの眞比重と熱膨脹係數について. 山口哲夫), 東海電極技報, Токай

дэнкёку гихо, Tokai Technol. J., 1955, 16, № 2, 16—19 (японск.; рез. англ.)

Пек с т. размягч.  $81^\circ$  нагревали, после чего к нему добавляли 0,5—30% S при перемешивании для удаления выделяющегося газа. Измеряли истинную плотность и коэф. теплового расширения спекшихся (при т-ре  $1200^\circ$ ) и графитизированных пековых коксов. Плотность уменьшалась с увеличением конц-ии S (2,25 при 0% и 1,82 при 20% S для графитизированного и 2,10—1,77 при 20% S для спекшегося коксов). Коэф. расширения изменяется от минимума до максимума с увеличением содержания S. Это может быть объяснено образованием мостиков S между слоями графитовой структуры, которое вызывает местное сжатие и недо-статки в структуре решетки. Chem. Abstrs, 1956, 50, № 18, 13410 Hideaki Chihara,

52163. Сухое тушение кокса. Моррис (Consideration and assessment of coke dry cooling. Morris A. E., Publs Instn Gas Engrs., 1956, № 487, 37 pp.) (англ.)

Сухое тушение (СТ) кокса путем циркуляции инертных газов было осуществлено на практике по методам Коллена и Зульпера. Основные преимущества СТ: получение до 450 кг пара на 1 т потушенного кокса; уменьшение выхода мелочи и повышение механич. прочности кокса; легкое отделение тонких фракций в процессе коксосортировки. Одновременно СТ требует повышенных затрат и приводит к потерям  $\sim 0,5\%$  кокса вследствие выгорания. В последнее время СТ осуществляется также непосредственно в нижней части вертикальных реторт непрерывного действия путем введения водяного пара, кокс непосредственно выгружается в закрытый контейнер, являющийся продолжением реторты. Газообразные продукты взаимодействия пара с раскаленным коксом смешиваются с основным газовым потоком. При охлаждении кокса с  $1000^\circ$  до  $850^\circ$  его тепло используется для получения водяного газа; при дальнейшем охлаждении это тепло расходуется на перегрев пара. В. Загребельная

52164. Кокс и коксохимические продукты в США. Мадсен (Coke and by-products in 1954. M a d s e n I. E.), Iron and Steel Engr, 1955, 32, № 12, 85—91 (англ.)

Техноэкономическая сводка работы коксохим. пром-сти США в 1954 г. В. З.

52165. Состав каменноугольной смолы из углей Кузнецкого бассейна. Новиков В. Н., Гейштейн Е. М., Серебрякова Е. К., Гуревич Б. С., Кокс и химия, 1956, № 8, 36—40

Исследована смола коксования углей Кузбасса в печах Гипрокоса ПК-42. Смола дистиллировалась на 5 фракций и пек, фракции подвергались соответствующим обработкам, нейтр. часть, фенолы и основания каждой фракции ректифицировались. Выделено  $\sim 50$  индивидуальных в-в и фракций, установлен элементарный состав и приведено распределение N, O и S в компонентах смолы. Отмечается недостаточность хим. методов колич. определения индивидуальных в-в в каменноугольной смоле и необходимость применения физ. и физ.-хим. методов (полярография, комбинационного рассеяния, тонкой ректификации), применяющихся при анализе нефтепродуктов. Н. Гаврилов

52166. Обезвоживание каменноугольных смол. Милява (コールタールの脱水法に就いて. 宮川一郎), コールタール, Кору тару, Coal Tar., 1956, 6, № 11, 12—16 (японск.)

52167. О методах испытаний продуктов перегонки каменноугольной смолы. 1—4. Карасава (タール製品の試験方法に就いて. 1, 2, 3, 4. 唐澤保雄), コールタール, Кору тару, Coal Tar., 1955, 7, № 5, 15—20; № 6, 18—23; № 7, 30—34; № 8, 368—371, 367 (японск.)

52168. Разделение оснований каменноугольной смолы жидкостной экстракцией. I. Разделение метиловых эфиров никотиновой и изоникотиновой кислот. II. Разделение никотиновой и изоникотиновой кислот. Ямамото, Аракава, Хигути, Йошимура (タール鹽基の液-液抽出による分離法. 第1報. ニコチン酸メチルエステル及びイソニコチン酸メチルエステルの液-液抽出による分離. 第2報. ニコチン酸及びイソニコチン酸の液-液抽出による分離. 山本明正, 荒川久一, 樋口久, 吉村甲二), *コールタール, Kory taru*, Coal Tar, 1955, 7, № 7, 6—9; № 8, 365—367 (японск.).

52169. Исследование оснований буроугольной смолы. II. Разгонка оснований легкого масла и разделение технически важных пиридинов методом дробной дистилляции. Науман, Лейбниц (Zur Kenntnis der Basen des Braunkohlenteeres. II. Die Destillation der Leichtölbasen und die destillative Trennung einiger technisch wichtiger Pyridine. Nauman Kurt, Leibnitz Eberhard), *Chem. Technik*, 1956, 8, № 8, 458—471 (нем.).

Дано теоретич. освещение вопроса о дистилляционном разделении производных пиридина и проведена разгонка 50 кг оснований, выделенных из легких масел буроугольной смолы, на двух последовательных колонках с общим числом теоретич. тарелок 109. Тонкой фракционировкой в течение 154 суток было выделено 44 фракции с т. кип. 104—200°, которые подвергнуты дополнительным разгонкам при 35 мм. Кривые кипения с резко выраженным ступенчатым ходом позволили установить присутствие пиридина,  $\alpha$ -,  $\beta$ -,  $\gamma$ -пиридинов и 2,6-лутидина. Состав дистиллятов будет сообщен дополнительно. Сообщение I. *Chem. Technik*, 1952, 4, 14. Н. Гаврилов

52170. Непрерывная кислотная промывка сырого бензола. Куродазumi, Инами (粗ベンゼルの連続洗滌に就いて. 黒住匡臣, 井波宏), *コールタール, Kory taru*, Coal Tar, 1955, 7, № 2, 13—16 (японск.).

Приведены данные по эксплуатации установки. Э. Т. 52171. Основные направления в процессе очистки нафталина, антрацена и карбазола. I—IV. Цуцуми (ナフタリン, アントラセン及びカルバゾールの精製 (その1, 2, 3, 4. 提煉). *コールタール, Kory taru*, Coal Tar, 1955, 7, № 1, 32—38; № 2, 23—26; № 3, 38—43; № 4, 45—51 (японск.).

52172. Пики буроугольной смолы. II. Выделение и идентификация полициклических ароматических соединений. Престинг, Штейнбах (Braunkohlenteerpeche. II. Isolierung und Identifizierung polycyclischer Aromaten aus Braunkohlenteerpechen. Presting Willi, Steinbach Karl), *Chem. Technik*, 1956, 8, № 11, 649—658 (нем.).

Из пиков и продуктов их термич. разложения путем перегонки в вакууме, экстрагирования р-рителями (изопропиловый спирт, ацетон,  $\text{CCl}_4$  и др.) и хроматографич. разделения выделены ароматич. полициклич. соединения, из которых с помощью УФ-спектров идентифицированы пикен 1, 2, 8-триметилпикен. Сообщение I РЖХим, 1956, 59096. Н. Гаврилов

52173. Водорастворимые поликарбоновые кислоты, полученные при окислении каменноугольного пека. Борем, Хамметт (Water-soluble polycarboxylic acids from the oxidation of coal tar pitch. Borgham G. R., Hammett R. H. J.), *J. Appl. Chem.*, 1956, 6, № 8, 329—334 (англ.).

Исследованы продукты окисления кислородом каменноугольного пека (т. размягч. 75°) при давл. 50—60 кг/см<sup>2</sup> и т-ре ~265° в автоклаве в присутствии конц. р-ра KOH. Продуктом являлась смесь растворимых в воде алифатич. и поликарбоновых ароматич. к-т с выходом ~30% на углерод. Путем хроматографии метилированных углеводородов, полученных из к-т и ИК-спектров

установлено, что ароматич. к-ты имеют, в основном, полициклич. структуру. Н. Кельцев

52174. Размол пекového кокса. I. Иекава, Икеда (ピッチコークスの粉砕特性. 第1報. 石川敏功, 池田憲治), *炭素, Tanso, Carbons*, 1955, 4, № 4, 8—12 (японск.; рез. англ.).

Пековый кокс, получаемый из каменноугольного пека при 600—900°, а также нефтяной кокс размалывали в шаровой мельнице со стальными шарами. Площадь  $S$  поверхности частиц после размала (прирост уд. поверхности, см<sup>2</sup>/г) определена как функция суммарного числа оборотов и мельницы. Скорость возрастания  $S$  постепенно уменьшается с увеличением  $n$ . Приведен график зависимости  $S$  от  $t$ -ры коксования  $t$ . Значение  $S$  постепенно уменьшается в интервале 600—800°, а затем незначительно повышается при 800—900°, т. е. кривые  $S = f(t)$  при  $n = \text{const}$  проходят через слабо выраженный минимум при ~800°. Э. Тукачинская

52175. Получение фенола и крезолов из дегтей полукоксования каменных углей. Ланин В. А., Мохунь Л. М., Эдемская Н. Д., Иав. АН СССР Отд. техн. н., 1956, № 10, 128

Исследованы фенолы и крезолы из средней фракции дегтя (97—320°), полученного при полукоксовании черемховского каменного угля в печах Лурги при ~800°. Для очистки сырых фенолов полукоксования от смолистых в-в и азотистых оснований с успехом применялась фосфорная к-та (0,5—1%). Очищ. фенольно-крезольная фракция разогнана на колонке точной ректификации на 4 фракции: 2 фенольных и 2 крезольных. Приведены данные о т-рах кипения, содержаниях фенола и крезолов, а также выходах этих фракций. М. Липец

52176. Использование сырых фенолов. I. Окислительное расщепление гидрированных сырых фенолов низкотемпературной сухой перегонки. Имото, Адзума (タール酸性油の利用に関する研究. 第1報. 低温タール酸性油と添加物の酸化環開裂. 井本英二, 東敏一), *有機合成化学協会誌, Юки госэй какаку какайси, J. Soc. Organ. Synth. Chem. Japan*, 1954, 12, № 9, 368—371 (японск.).

52177. Регулирование работы коксовой печи путем непрерывного измерения влажности угля. Нисено, Цудзак, Маэда (コークス炉装入炭湿分の連続測定による作業管理について. 西尾勝, 都崎吉之助, 前田眞澄), *燃料協会誌, Нэнрё кёкайси, J. Fuel Soc. Japan*, 1956, 35, № 354, 591—599 (японск.; рез. англ.).

Контролируя влажность загружаемого угля, можно регулировать температурный режим коксовой печи и повысить ее производительность. Описан прибор для определения влажности угля методом непрерывного измерения его диэлектрич. постоянной, меняющейся в зависимости от содержания влаги; замеры производятся непосредственно на транспортной ленте. Приводятся результаты экспериментов. Н. Ланидес

52178. О фактическом распределении температур в коксовой печи. Калиновский, Шпилевич (O właściwy układ temperatur w piecu koksoowniczym. Kalinowski Bohdan, Szpilewicz Aleksander), *Koks, smoła, gaz*, 1956, 1, № 2, 52—60 (польск.).

Рассмотрены теплотехнич. вопросы работы коксовых печей (распределение т-р в камере и каналах, потери тепла и др.) и показано на примерах из практики существенное расхождение между фактически наблюдаемым и оптимальным распределениями т-р. Даны рекомендации по упорядочению тепловых режимов работы коксовых печей на з-дах ПНР. К. З.

52179. Модифицированная коксовая печь для измерения давления испучивания. Джекман, Хелфинстайн, Эйслер, Рид (Coke oven to measure expansion pressure — modified Illinois oven.



Jackman H. W., Helfinstine R. J., Eissler R. L., Reed F. H.), Proc. Blast Furnace, Coke Oven and Raw Mater. Comm. A. I. M. and M. E., 1955, 14, 204—219. Discuss., 219—224 (англ.)

Описание конструкции опытной коксовой печи с подвижной стенкой для измерения давления всучивания. Ширина камеры печи 432 мм, емкость ~0,35 м³; обогрев — электрич. с помощью элементов Глобара. Приведены результаты определения давления всучивания и качества полученного кокса. Д. Цикарев

52180. Отклики на статью Р.З.Лернера «Об изменении компонентов коксового цеха для значительного увеличения числа печей в батарее». Лозовский И. М., Варшавский Т. П., Непомнящий И. Л., Герасимова Л. С., Кокс и химия, 1956, № 7, 28—31

Дается положительная оценка предложения Р. З. Лернера. См. РЖХим, 1956, 59094. Н. Гаврилов

52181. О некоторых свойствах сланца-кукерита. Фомина А. С. ENSV teaduste Akad. toimetised. Tehn. ja füüs.—matem. teaduste seer., Изв. АН ЭССР. Сер. техн. и физ. матем. н., 1956, 5, № 1, 42—54 (рез. эст. англ.)

Изменение истинного и кажущегося уд. веса сланца при термич. обработке (250—750°) приводит к увеличению его пористости не только в зоне полукоксования, но и в зоне битуминизации органич. в-ва. Увеличение пористости обеспечивается высоким содержанием минер. зерен, полное диспергирование которых происходит при содержании керогена >50%. В зависимости от соотношений органич. и минер. составляющих сланец в зоне битуминизации полностью сохраняет первоначальную структуру, становится пластичным, или расплавляется. Изучение термич. превращений керогена сланца-кукерита в интервале т-р 200—400° показывает, что переход высокомолекулярного твердого керогена в низкомолекулярный плавкий термобитум связан с предварительной дегидрогенизацией. Повышение т-ры обработки сланца ускоряет процесс битуминизации керогена и приводит к дальнейшим превращениям термич. неустойчивых в данных условиях сложных соединений в более простые. В. Загребельная

52182. К вопросу о классификации горючих газов. Сообщение 2. Взаимозаменимость и горючие свойства газов. Геберт (Neuer Vorschlag zur Klassifikation der Brenngase. 2 Mitt. über Austauschbarkeit und Brenneigenschaften von Gasen. Gebert Fr.), Gaswärme, 1956, 5, № 5, 195—199 (нем.)

52183. Развитие газификации твердых топлив в Англии. Дент (Sviluppi nella gassificazione di combustibili solidi in Gran Bretagna. Dent F. J.), Riv. combust., 1956, 10, № 11, 787—802 (итал.; рез. англ. нем., франц.)

Доклад на V международном энергетич. конгрессе в Вене в 1956 г. К. З.

52184. Генераторный газ как конкурентоспособное топливо. Аллан (Making producer gas a competitive fuel. Allan G. W. C.), J. W. Scotland Iron and Steel Inst., 1953—1954, 61, 183—197 (англ.)

Суммировано развитие газогенераторного дела после войны. Рассмотрены процессы в различных зонах газогенератора (Г), автор рекомендует увеличить высоту слоя топлива для избежания прогаров и для более полного протекания медленного процесса разложения пара раскаленным топливом. В результате исследования в стеклянном Г при постоянной нагрузке были найдены зависимости состава газа и его т-ры от общей высоты слоя топлива и высоты зоны горения. Предложено применять автоматич. регулировку загрузки в Г топлива, подачи воздуха и пара, а также скорости плакуудаления в зависимости от т-ры в плаковой зоне. Рассмотрена работа Г со швель-шахтой. Приводится

экспериментально найденная зависимость между т-рой газа на выходе и фракционным составом получаемой смолы. Применение Гсо швель-шахтой уменьшает кол-во пыли в газе. Н. Лапидес

52185. Газификация фусов во взвешенном состоянии. Волков В. Ф., Тр. Уральского политехн. ин-та, 1956, сб. 61, 75—80

Опыты газификации во взвешенном состоянии фусов — отходов очистки торфяного генераторного газа, проведенные на опытной установке, представлявшей собой обращенный усеченный конус с нижним отверстием diam. 50 мм, верхним отверстием 500 мм и высотой 1000 мм, показали возможность получения из фусов с теплотворностью 5200 ккал/кг газа с теплотворностью 1000—1200 ккал/м³. Скорость воздуха в нижнем сечении генератора 1,75 м/сек, а в пересчете на живое сечение решетки 7,87 м/сек, напор под решеткой 108 мм, на высоте 100 мм от решетки 55 мм, на выходе 3 мм. Зола удалялась продвинутой через отверстия на 100 мм выше решетки. Унос составил 4,5% от расхода топлива, зольность уноса 40,6%, а потеря горючих с уносом 2,7%. При наличии дутья с большим напором возможна интенсификация процесса. Н. Гаврилов

52186. Удаление фенолов из газовой воды. Канэясу (安水中のフェノールの除去. 金安仁一郎), 燃料協会誌, Нанрё кёкайси, J. Fuel. Soc. Japan, 1955, 34, № 335, 137—145 (японск.; рез. англ.)

Эффективное обезфеноливание достигается экстракцией бензолом с добавлением каменноугольного легкого масла, по схеме Отто. Дано подробное описание установки и результатов ее работы.

52187. Завод газификации пылевидного топлива по Копперу-Тотиеку. Тэрун, Итиянаги (コッパース. トチエツク式微粉炭ガス化装置の運転について. 照井経法—概文二), 燃料協会誌, Нанрё кёкайси, J. Fuel. Soc. Japan, 1956, 35, № 352, 461—469 (японск.; рез. англ.)

Описан работающий с конца 1955 г. з-д газификации пылевидного топлива, производительностью 210 000 м³ в сутки для получения синтез-газа из низкосортных углей. Н. Лапидес

52188. Газовый завод в Дунфермлайне (Англия). Томсон (Changing from old plant to new at Dunfermline. Thomson A. M.), Gas Times., 1954, 78, № 812, 174, 176 (англ.)

Описан ввод в эксплуатацию з-да после реконструкции. На з-де установлены новые эстауэтеры, электрофильтры, скрубберы, ящики с болотной рудой для сероочистки, трубопроводы. Подробно описан процесс перевода на газ новой газовой нитки без остановки печей. Перед пуском аппаратура продувалась инертным газом, получаемым при сжигании дизельного топлива. Н. Лапидес

52189. Экономичность работы газовых заводов в Чехословакии. Лапачек (Hospodářská situace karbonizačních plynáren. Lapáček V.), Paliva, 1956, 36, № 10, 344—350 (чешск.)

Статистическими и расчетными данными показаны неблагоприятные экономич. условия работы местных газовых з-дов в Чехословакии (с ретортными или камерными печами), вследствие высокой стоимости угля и низких отпускных цен на газ. Высказаны соображения о предпочтительности выработки газа в газогенераторах под давлением и на энергохимических комбинациях. К. З.

52190. Подземная газификация угля в Советском Союзе. Желтиков (Подземная газификация на вгльшната в Съветския Съюз. Желтиков Г.), Минно дело, 1955, 10, № 4, 37—42 (болг.) См. РЖХим 1957, 16588.

52191. Подземная газификация угля. Тэрун (石炭の地下ガス化. 照井秋生), 燃料協会誌, Нэн-

ре кёкайси, J. Fuel Soc. Japan, 1956, 35, № 352, 478—482 (японск.; рец. англ.)

В ближайшем будущем в Японии будут проводиться опыты подземной газификации углей, в связи с чем даются общие предпосылки для проведения процесса, история развития и методы подземной газификации. Особо отмечаются опыты подземной газификации, проведенные в Англии, имеющей исходные данные, во многих отношениях сходные с Японией.

Н. Лапидес  
52192. Термический крекинг углей. Оранский

Н. И., Ж. прикл. химия, 1956, 29, № 8, 1250—1256  
По описанной ранее (РЖХим, 1957, 16569) методике подвергались термич. крекингу бурые и каменные угли месторождений Южного Сахалина. Показано, что органич. масса бурых углей крекируется на 39,8%, а каменных — на 35,2%. Предлагается для южносахалинских углей сочетать процессы полукоксования и термич. крекинга, что повысит выходы бензина в 3—4 раза, а парафина в 2-3 раза по сравнению с одним полукоксованием.

В. Кельцев  
52193. Работа башенной установки сухой сероочистки. Быков С. Т., Уманец И. В., Белов В. И., Сообщ. Гос. союз. ин-та по проектир. предприятий коксохим. пром-сти, 1956, вып. 17, 121—124

Описан опыт эксплуатации башенной установки Днепродзержинского азотно-тукового з-да для тонкой очистки коксового газа от  $H_2S$  болотной рудой, содержащей (%): руды 95, древесных опилок 4,5, извести или соды 0,5; влажность массы 25—30%. При содержании в газе (после мокрой очистки) 2—3 г/м<sup>3</sup>  $H_2S$  степень очистки достигает 65—70%. Указаны недостатки установки и мероприятия для их устранения на проектируемых установках.

Г. Рабинович  
52194. Сероочистка вакуум-содовым методом. Тагута, Йосида (ヴァキウム・カーボネート脱硫法について, 山口敏郎, 吉田哲), 燃料協会誌, Напрё кёкайси, J. Fuel. Soc. Japan, 1954, 33, № 328, 407—412 (японск.)

Вакуум-содовый метод обессеривания газов коксования (American Corpergs Co) впервые применен на з-де в Минка (остров Кюсю). Приводятся описание процесса и полученные результаты.

А. Нагакитна  
52195. Получение роданистого аммония из газа коксовых печей. I. Извлечение циана из коксового газа. Саэки, Кагами, Фудзита. II. Метод очистки раствора технического роданистого аммония. Саэки, Фудзита (アンモニウムチオシアネートの製造に関する研究. 第1報. コークス爐ガス中の青酸回収の基礎研究. 佐伯修, 加ガ見久幸, 藤田敏一郎. 第2報. ロダンアンモン回収粗液の精製法に就いて. 佐伯修, 藤田敏一郎), Кор. тару, Coal Tar, 1955, 7, 10—14; № 8, 361—364 (японск.)

52196. О качестве серной кислоты для получения сульфата аммония из коксовых газов. Песобэ (副生硫酸製造用原料硫酸の品質に就いて. 磯部恒雄), Кор. тару, Coal Tar, 1955, 7, № 6, 15—17 (японск.)

При промывке коксовых газов серной к-той (конц-ия 70—80%), содержащей >0,03% соединений As, образуется кол. сульфид мышьяка. Это приводит к интенсивному пенообразованию в приемнике для смол и к потемнению получаемого  $(NH_4)_2SO_4$ . Э. Тукачинская

52197. Номограмма для определения соотношения C : H в топливах. Декер (Chart gives C/H ratio of fuels. Decker William H.), Chem. Engng, 1955, 62, № 4, 208, 210 (англ.)

Приводится номограмма, позволяющая быстро устанавливать соотношения C : H в топливах, необходимые для расчета теплотворности топлив. В точке пересечения линий, выражающей процентное содержание  $CO_2$  и  $O_2$  (анализ по Orsa), со шкалой номограммы находят соотношение C : H. Напр., содержание 5%  $O_2$  и 8%  $CO_2$  соответствует соотношению C : H в топливе рав-

ном 2,4. С помощью серии линий, связывающих шкалу C : H с линией процентного содержания  $CO_2$ , находят теоретич. содержание  $CO_2$  для продуктов сгорания топлива в каждом частном случае. Сопоставляя эти данные, можно составить приблизительное представление об эффективности печи или нагревателя.

З. Векслер  
52198. Определение степени точности отбора проб смеси углей. Корнэлл, Шверд (Test of accuracy of sampling mixed coals with small increments. Coryell R. L., Schwerd F. J.), Combustion, 1955, 27, № 4, 61—64 (англ.)

Проведено эксперим. исследование степени точности отбора вручную небольших проб углей и их смесей. Отклонения от средних значений в случае смеси углей примерно на 25% выше, чем при отборе проб индивидуальных углей. Приводятся данные по методике сокращения лабор. проб углей.

В. Загребельная

52199. Смешение аналитический пробы угля или кокса. Баркер, Мотт, Томас (Mixing of the analysis sample of coal or coke. Barker J. E., Mott R. A., Thomas W. C.), Fuel, 1956, 35, № 4, 493—500 (англ.)

Показаны преимущества лабор. смесителя Британского об-ва по исследованию кокса, осуществляющего эффективное смешение пробы за 1 мин.; этот смеситель превосходит по качеству прибор, разработанный Горным департаментом США. Предлагаемый смеситель представляет контейнер емк. 250 мл с лопастной мешалкой, приводимой в движение от мотора с редуктором, дающим 250 об/мин; мешалка состоит из перфорированной медной пластинки и расположенного под прямым углом к ней скребка, перемешивающего пробу непосредственно на дне контейнера. Смеситель рассчитан на одновременное смешение 40—50 проб. Преимущества смесителя показаны на результатах анализа золь и S в углях, поскольку расхождения между параллельными определениями достигают миним. значений.

В. Загребельная  
52200. Контроль за качеством угля на шахте методом быстрой карбонизации. Брисс, Ричардс (Coal quality control at the mine by rapid carbonization. Brisse A. H., Richards P. L.), Proc. Blast. Furnace, Coke Oven and Raw Mater. Comm. A. I. M. and M. E., 1955, 14, 265—276. Discuss., 276—278 (англ.)

Предложен метод контроля за качеством угля (У), позволяющий непосредственно на руднике установить его коксуюемость. Пробы У, отобранные по специально разработанной методике по глубине шурфа, подвергаются скоростной карбонизации в опытной печи с электрообогревом. Исследуемый У в кол-ве ~14 кг загружают в нагретую печь и в течение 2 час. с постоянной скоростью поднимают т-ру стенок печи от 1600 до 2000°. В процессе коксования производится автоматич. запись давления вспучивания, развиваемого в угольной загрузке. От полученного кокса отбирают пробу в ~4,5 кг крупностью 1—2 мм и испытывают на механич. прочность по модифицированному методу ASTM (100 оборотов со скоростью 24 об/мин). Затем кокс рассеивают и выход класса + 3/4 мм принимают за показатель прочности.

Д. Цикарев  
52201. Определение влаги бурых углей Викторни (Австралия). Браун (The determination of moisture in Victorian brown coals. Brown G. M.), Austral. J. Appl. Sci., 1955, 6, № 3, 365—375 (англ.)

Исследовалась пригодность английских стандартов для определения влажности бурых углей. Метод Дина и Старка дает результаты, близкие к результатам, полученным при сушке угля в атмосфере азота. Первый рекомендуется для больших, а второй для малых навесок угля. Повышение т-ры с 105 до 130° увеличивает результат определения влаги на 0,15%. Метод сушки

угля в воздухе дает результаты несколько отличные, причем различие зависит от сорта угля и степени его влажности.

**Н. Лапидес 52202. Определение следов кислорода в газовых смесях. Петер (Über die Bestimmung von Sauerstoffspuren in Gasgemischen. Peter M a x), Monatsbull. Schweiz. Verein Gas- und Wasserfachmännern, 1956, 36, № 3, 55—58 (нем.)**

Описан чувствительный метод колориметрич. определения следов  $O_2$  в газовых смесях в форме комплексного соединения 3-валентного Fe с пирокатехином. Для приготовления реактива на 1401,2 мг соли Мора берут 1180,3 мг пирокатехина и воды. р-р разбавляют 0,02 н.  $Na_2CO_3$  до 500 мл. 100 мл полученного р-ра разбавляют 0,02 н.  $Na_2CO_3$  до 2 л. При окислении кислородом 2-валентного Fe в 3-валентный р-р окрашивается в красный цвет. Погрешность метода составляет 5—10% (в зависимости от содержания  $O_2$  в пробе газовой смеси), но ее можно снизить, пользуясь колориметром с зеленым фильтром. Присутствие в газовой смеси компонентов светлого газа не мешает определению. Предыдущее сообщение см. РЖХим, 1957, 12875.

Т. Леви

**52203 П. Способ коксования (Sposób kokowania) [Houilleres du Bassin de Lorraine]. Польск. пат. 37529, 2.06.55**

С целью увеличения плотности загружаемой в коксовые печи шихты, предложено сухой или высушенный уголь предварительно смачивать эмульсией, обычно водной, углеводов или их производных, имеющей состав ~20 % воды и ~89 % органич. в-в. Влажность исходной шихты ~5%, кол-во вводимой эмульсии порядка 5%. В качестве органич. компонентов могут быть взяты кумароновая смола или иные остаточные фракции разгонки сырого бензола и смолы.

К. З.

**52204 П. Способ закали кокса. Смит (Coke calcining process. Smith B r o o k I.), [Esso Research and Engineering Co.]. Пат. США № 2734851, 14.02.56**

Способ получения электродного кокса из нефтяного сырья, при котором тонкоизмельченный горячий кокс в псевдооживленном состоянии пропускается сверху вниз через зоны подогрева, нагрева, обжига, восстановления и охлаждения. Противотоком коксу в зону охлаждения одновременно с пуском процесса вводится  $CO_2$ . В зоне подогрева поддерживается т-ра 600—815° за счет тепла горячих газов зоны нагрева. В зону нагрева, имеющую т-ру 1000—1100°, вводится воздух, в смеси с которым сжигается газ, содержащий в основном CO, выделяющийся в зоне обжига и спекания. В этой зоне кокс выдерживается от 5 мин. до 8 час. при т-ре 1100—1400°, достигаемой за счет подачи воздуха и сжигания CO, и затем поступает в зону восстановления, где при 850—1100° происходит превращение  $CO_2$  из зоны охлаждения в CO по р-ции с раскаленным коксом. Из зоны восстановления кокс поступает в зону охлаждения, где охлаждается холодной  $CO_2$ , и далее на тушение.

С. Гордон

**52205 П. Способ очистки бензола. Соьер (Verfahren zum Reinigen von Benzol. Sawyer E d w a r d W i l l i a m) [Purification du benzène brut] [Imperial Chemical Inds Ltd]. Пат. ФРГ 946438, 2.08.56; Франц. пат. 1107818, 5.01.56**

Предлагается способ очистки бензола (I), содержащего неароматич. углеводороды. I при 650—900° (точнее 750—850°) под давл. 1—10 атм вводят в слой твердого инертного в-ва в псевдооживленном состоянии в смеси с  $H_2$  или с газом, содержащим не менее 30 %  $H_2$ . На 1 моль I рекомендуется брать 1,5—3,0 моля  $H_2$ . Предварительно I очищают от S-соединений. В описываемом примере очистка I из коксового дегтя производится в аппарате с внутренним диам. 76 мм с псевдооживленным слоем песка высотой 7,5 см. Подача  $H_2$  — 700 л/час,

I — 845 л/час, т-ра 780°, давление около атмосферного, время контакта 2 сек. Песок из реактора поступает в трубку с внутренним диам. 38 мм, где обжигается на газах коксовых печей, собирается в циклоне, а затем возвращается в цикл. Продукты р-ции после конденсации ректифицируют. При переработке продукта с т. пл. 3,36° и с содержанием I 65% выход I с т. пл. 5,46° составил 62,2%. В качестве инертного в-ва можно применять также кокс, керамику и тому подобные материалы с частицами размером 1—19 мм.

З. Векслер

**52206 П. Усовершенствование способа извлечения фенолов (Improvements in or relating to the recovery of phenols or the like) [Metallgesellschaft A.-G.]. Австрал. пат. 160345, 13.01.55**

Усовершенствованный метод выделения фенолов, крезолов, ксиленолов, пирокатехина и их гомологов из смесей с нейтр. маслами заключается в следующем: кислые масла экстрагируют водой при т-ре  $>100^\circ$  под давлением, экстракт разбавляют водой и окончательное отделение нейтр. масел производят азотропной дистилляцией с паром. Кислые масла из экстракта извлекают органич. р-рителями при  $\geq 20^\circ$ .

Л. Юрченко

**52207 П. Печь типа коксовой со стояком и устройством для утилизации тепла. Кнапштейн (Gaserzeugungsofen, wie Koksöfen, mit Steigrohrwärmegewinnungs vorrichtung. K n a p p s t e i n J o h a n n e s) [Fa. Carl. Still]. Пат. ФРГ № 949188, 13.09.56**

Патентуется устройство для получения пара за счет тепла коксового газа, выходящего из печи через стояк. Пар получается в пространстве между двойными стенками устройства. Хороший теплообмен достигается благодаря омыванию внутренней стенки со стороны газа аммиачной водой, которая подается с помощью сопла, направленного вниз, и отражающей поверхности, которая направляет ее вверх на стенки. В случае открытия поворачивающегося дна цилиндра, к которому прикреплена отражающая поверхность, вода из сопла направляется вниз, в гидрозатвор.

Н. Лапидес

**52208 П. Газификация крупнокускового и мелкозернистого топлива (Apparatus for the gasification of coarse-pieced and fine grained fuels). Badische Anilin & Soda-Fabrik]. Англ. пат. 710999, 23.06.54 [Fuel Abstrs, 1954, 16, № 6, 56—57 (англ.)]**

Патентуется способ газификации крупнокускового топлива (КТ) и топлива мелкозернистого (МТ), которое может быть смешано с нефтепродуктами. КТ вводится в аппарат для газификации и образует неподвижный слой, в который непосредственно подается МТ с помощью червячного конвейера с наружным охлаждением или охлаждаемого поршня; одновременно в топливный слой вводится кислород или газ, содержащий свободный кислород так, что топливо тесно перемешивается с газом и образуется расплавленный шлак. Способ пригоден для произ-ва карбидов, ферросилиция и других в-в, требующих для своего образования высоких т-р.

З. Саблина

**52209 П. Способ получения водяного газа или синтез-газа. Стейншлагер (Verfahren zur Herstellung von Wassergas oder Synthesegas. Steinschlaeger Michael) [Alfred William Newbery]. Пат. ФРГ 914048, 24.06.54 [Chem. Zbl., 1955, 126, № 26, 6174 (нем.)]**

Предлагается способ попеременного получения водяного газа или синтез-газа, заключающийся в том, что тепло, необходимое для проведения р-ции с твердым горючим в газогенераторе и для компенсации тепловых потерь, получают частично за счет применения регенератора, подогреваемого газом продукты или газом с газогенераторной установки или другими источниками



тепла, Через нагретый регенератор пропускают смесь водяного газа (газ возврата) с добавкой или без добавки коксового газа, или другого газа, богатого  $\text{CH}_4$ , или газа, содержащего углеводороды, а также газа, состоящего из углеводородов и водяного пара и (или)  $\text{CO}_2$ . При прохождении через регенератор смесь нагревается до определенной температуры и далее поступает в газогенератор. Частично тепло получают за счет того, что через газогенератор время от времени пропускают  $\text{O}_2$ , воздух или  $\text{O}_2$ -содержащие газы. Б. Энглин

**52210 П.** Способ получения нефтяных горючих газов из подземных месторождений горючего. Юнгстрём (Verfahren zur Gewinnung nutzbarer, insbesondere ölhaltiger und brennbarer Gase aus unterirdischen Brennstofflagerstätten. Ljungström Frederick) [Svenska Skifferolje Aktiebolaget]. Пат. ФРГ 931310, 4.08.55

Предлагается способ получения горючих газов из подземных залежей горючего, напр. горючих сланцев и других битуминозных пластов, посредством пробуренных скважин, из которых одни служат для подвода в пласт тепла, а другие для вывода получаемого газа, причем кол-во первых минимум в три раза превышает кол-во вторых. Подающие скважины расположены на поверхности земли в виде правильных или почти правильных геометрич. фигур, напр. 6- или 4-угольников, из которых только часть не имеет в середине выводящих скважин. Б. Энглин

**52211 П.** Пиролитический процесс эндотермического разложения газообразного сырья. Хаш (Pyrolytic process for endothermically altering a gaseous material. H a s c h e R. L.). Англ. пат. 716814, 13.10.54 [J. Appl. Chem., 1955, 5, № 4, 1516 — 1517 (англ.)]

Предложен эффективный метод проведения эндотермич. процессов с газообразным материалом в циклич. регенеративной системе с использованием тепла и работы, напр. произ-во энергетич. газа из природного,  $\text{HCN}$  (из углеводородов и  $\text{NH}_3$ ), сажи, олефинов (дегидратацией спиртов) и пр. Газообразный материал равномерно нагревается, проходя через изогнутые по окружности и практически параллельные каналы (поперечное сечение  $\leq 19$  мм), содержащие первичную регенеративную массу (алунд), которую предварительно нагревают в направлении газового потока путем пропускания через нее в противоположном направлении нагретой смеси горючего газа и  $\text{O}_2$ . Реакционную смесь затем пропускают через эндотермич. реакционную зону, напр. при  $430-560^\circ$  и давлении и полученный продукт быстро охлаждают в каналах второй регенеративной массы. Отношение алунда к свободному объему в каналах  $\leq 1:3$  ( $1:4-10$ ), свободный объем вместе со свободным объемом зоны сгорания  $\leq 60\%$  от общего объема каналов в обеих регенеративных массах, а время нахождения газообразного материала в каждой зоне строго лимитируется. В. Шер

**52212 П.** Очистка коксового и аналогичных газов (Purification of coke-oven and like gases) [Harpner Bergbau-Akt.-Ges.]. Англ. пат. 719353, 1.12.54 [Fuel Abstrs, 1955, 17, № 4, 39 (англ.)]

Предлагается процесс очистки газов от  $\text{H}_2\text{S}$  и других кислых соединений, а также от  $\text{NH}_3$ . Процесс проводят в две стадии. В обеих стадиях газ и отмывающая жидкость движутся противотоком. В первой стадии газ очищается от  $\text{H}_2\text{S}$  и других кислых соединений, во второй — от  $\text{NH}_3$ . Промывная вода после первой стадии направляется в перегонный куб, где испаряется вместе с  $\text{NH}_3$ . Пары, свободные от продуктов улавливания кислых соединений и богатые  $\text{NH}_3$ , конденсируются при  $65-75^\circ$ , смешиваются с промывными водами, идущими из второй стадии процесса и направляются в качестве промывной жидкости в первую стадию процесса. Н. Лапидес

**52213 П.** Метод выгрузки очистной массы из вставных корзин башен для газоочистки. Гунтерманн (Verfahren zum Austragen der in den Turmreinigeranlage herausgeführten Einsatzkörben befindlichen Reinigungsmasse. Guntermann Wilhelm) [Pintsch Bamag A.-G.]. Пат. ФРГ 938564, 02.02.56

В связи с тем, что болотная руда при очистке коксового, водяного и др. газов после насыщения ее  $\text{H}_2\text{S}$  слипается, предлагается выгружать ее, приводя в движение ящик с рудой на вращающемся столе и вырубая руду с помощью фрезы или неподвижного ножа. Патент предусматривает также метод выгрузки, при котором ящик с рудой неподвижен, а фреза передвигается по поверхности руды. Перед выгрузкой можно опрокидывать ящик на  $90^\circ$  и более, а затем вырубать руду с помощью вращающегося инструмента.

Н. Лапидес

**52214 П.** Камера сгорания с расплавлением золы (Chambre de combustion à fusion de cendres) [Deutsche Babcock & Wilcox Dampf-Kessel-Werke A.-G.]. Франц. пат. 1101371, 5.10.55 [Chaleur et ind., 1956, 37, № 374, 130 (франц.)]

Камера сгорания для инжектируемой смеси пылевидного топлива и воздуха отличается следующим: смесь воздух-топливо инжектируется в выносную топку против перегородки, которая имеет профиль, придающий пламени вихревое спиральное движение. Пламя направляется вдоль боковых стенок тонки вниз к сборным колодцам для шлака, в месте входа в колодцы подается дополнительный воздух. После расплавления шлака пламя поступает в собственно камеру сгорания, где оно нагревает, как обычно, испарительные трубы. А. Равинович

См также: Хим. переработка углей 52314, 52315, 52317. Техн. безопасн. на коксохимич. заводах 53579, 53580. Водоснабжение коксовых заводов 52104

## ПЕРЕРАБОТКА ПРИРОДНЫХ ГАЗОВ И НЕФТИ. МОТОРНОЕ ТОПЛИВО. СМАЗКИ

Редакторы И. М. Руденская, М. О. Хайкин

**52215.** Извлечение нефти из песчаных пластов растворами полиоксисилированных детергентов. Данинг, Густафсон, Джохансен (Displacement of petroleum from sand surfaces by solutions of polyoxyethylated detergents. Dunning H. N., Gustafson H. J., Johansen R. T.) Industr. and Engng Chem., 1954, 46, № 3, 591—596 (англ.)

**52216.** Характеристика сырых нефтей месторождения Биг-Хорн (США). Уэджер, Ланум (Characteristics of crude oils from Big Horn Basin fields. W e g e r W. J., Lanum W. J.), Petrol. Engr, 1954, 26, № 2, A52, A55—A58, A60 (англ.)

**52217.** Выгорание нефтей и нефтепродуктов со свободной поверхности в резервуарах. Павлов П. П., Хованова А. М., Магумов А. М. Докл. АН АзербССР, 1956, 12, № 7, 453—457  
См. РЖХим, 1956, 72668

**52218.** Нефтехимический комбинат Фортэ в штате Новый Орлеан (США). Стрельцов (Fortier plant of American Cyanamid. Strelzoff S.), Petrol. Refiner, 1956, 35, № 3, 167—170 (англ.)

На установках Линде получают  $\text{O}_2$  и  $\text{N}_2$  (степень чистоты 95 и 99,7%). Неполным окислением природного газа по способу БАСФ получают газ, содержащий  $\sim 8\% \text{C}_2\text{H}_2$ . Последний извлекают спец. р-рителем, а остаточный газ, содержащий  $\text{H}_2-60$ ,  $\text{CO}-28$ ,  $\text{CO}_2-$

и  $\text{CH}_4$  — 5%, подвергают конверсии паром и полученный  $\text{H}_2$  очищают моноэтанолламином и жидким  $\text{N}_2$ . Из  $\text{H}_2$  и  $\text{N}_2$  на аммиачном з-де при 360 ат получают  $\text{NH}_3$ , который в смеси с  $\text{CH}_4$  сжигают на Pt-сетке с воздухом в  $\text{HCN}$ , а из нее и  $\text{C}_2\text{H}_2$  получают акрилонитрил. На комбинате имеется ряд побочных произв-в серной к-ты из S, сульфата аммония, хлорвинила и др.

**52219.** Применение нефтепродуктов как сырья в газовой и нефтехимической промышленности. Шнейдер (Über die Verfügbarkeit von Mineralölprodukten als Ausgangstoffe für die Gaserzeugung in Energiewirtschaft und Petrochemie. Schneider K. W.), Brennstoff-Wärme-Kraft, 1956, 8, № 2, 49—54 (нем.) В связи с ожидаемым дефицитом энергии в ФРГ рассматриваются возможности развития нефтеперерабатывающей и нефтехим. пром-сти для получения дополнительных кол-в энергетич. газа и жидкого топлива. Рассмотрены отдельно возможности развития произв-ва и использования легких углеводородных газов ( $\text{CH}_4$ ,  $\text{C}_2\text{H}_6$ ), сжиженных газов и нефтепродуктов, с координацией деятельности газовой, нефтеперерабатывающей и нефтехим. пром-сти ФРГ.

**52220.** Завод синтеза по Фишеру — Тропшу в Южной Африке. Херберт (Fischer — Tropsch synthesis in South Africa. Herbert W.), Chem. Age India, 1956, 7, № 2, 17—26 (англ.)

Описан з-д по произв-ву моторных топлив синтезом Фишера — Тропша в г. Сасолбурге (Южная Африка). Исходным сырьем служит местный низкосортный уголь. Кислород в кол-ве 1800 т в сутки получают на 6 установках Линде, синтез-газ — газификацией угля под давл. 25 кг  $\text{см}^2$  на парокислородном дутье в 9 газогенераторах Лурги производительностью каждый 22500  $\text{м}^3/\text{час}$ . При газификации получают ряд побочных продуктов: смолу, газовый бензин, фенолы, аммиак и др. Газ очищается по способу Ректизол; из полученного синтез-газа  $2/3$  подают в реакторы со стационарным Fe-катализатором, а  $1/3$  в смеси с остаточным газом синтеза — в реакторы с циркулирующим пылевидным катализатором.

**52221.** Основы техники перегонки нефти. Брукс (Basic techniques in petroleum fractionation. Brooks C. H.), Petrol. Engr, 1955, 27, № 11, C33—C34, C36—C38 (англ.)

Коротко описана конструкция и работа простейшей, сложной колонны, колонны без ребойлера, с внутренними отпарными секциями, однократного испарения и вакуумной колонны. Приведены схемы описываемых колонн с вспомогательным оборудованием. Объяснен смысл кривых А. С. Т. М. и приведен пример кривых.

**52222.** Утилизация серы из средневосточных нефтей на нефтеперерабатывающем заводе Кондор. Мортара (How Condor refinery recovers sulfur from middle east crudes. Mortara Mario), Oil and Gas J., 1956, 54, № 38, 70—71 (англ.)

Описана установка з-да Кондор (Милан, Италия) для переработки  $\text{H}_2\text{S}$ , образующегося при различных процессах нефтепереработки, в  $\text{H}_2\text{SO}_4$ . Газ состава (вес. %)  $\text{H}_2\text{S}$  92—94,  $\text{H}_2\text{O}$  1—2, углеводороды 4—6,  $\text{NH}_4$  0,8—0,9 промывают слабой  $\text{H}_2\text{SO}_4$  для удаления следов  $\text{NH}_4$  и сжигают в печи с получением газов, содержащих 6—7 об. %  $\text{SO}_2$ , пара и следов  $\text{SO}_3$ ; т-ра на выходе из печи ~900°. Отходящий газ последовательно охлаждают в трубчатом холодильнике до 380°, промывают в колонке слегка подкисленной водой (причем он охлаждается до 66°) и окончательно охлаждают в холодильнике с водяным орошением до 35°, при частичном обезвоживании. Полную осушку производят электростатич. осушителем и 98%-ной  $\text{H}_2\text{SO}_4$ . Осушенный  $\text{SO}_2$  нагревают до 421° и окисляют над неподвижным контактом ( $\text{V}_2\text{O}_5$

на гранулированной глине). Производительность установки 30 т/сутки 99%-ной  $\text{H}_2\text{SO}_4$ . Управление установкой автоматизировано. Приведена схема.

**52223.** Исследование эффективной поверхности кремний-алюминиевого катализатора крекинга. Морита (石油接觸分離用シリカ・アルミナ觸媒の有効表面に関する研究. 森田義郎), 工業化学雑誌, Kōgō Kagaku dzasshi, J. Chem. Soc. Japan. Industr. Chem. Sec., 1955, 58, № 9, 698—700 (японск.)

**52224.** Каталитическая дегидроконверсия осветительного керосина. Николеску, Попеску (Dehidroconversia catalitică a petrolului lampant. Nicolescu I. V., Popescu Alexe. La déhydroconversion catalytique du pétrole lampant. Nicolescu I. V., Popescu Alexe), Studii și cercetări chim., 1954, 2, № 3-4, 171—181 (рум.; рез. русск.; франц.); Rev. chim. (București), 1954, 2, 107—117 (франц.)

Рассматривается процесс каталитич. крекинга и ароматизации керосина и газойля, а также протекающие при этом хим. превращения углеводородов над алюмосиликатными катализаторами различного состава.

**52225.** Газовая промышленность и нефтепереработка. Дейвис (The integration of the gas industry with oil refining. Davis J. E.), Gas Times, 1956, 87, № 877, 409—412, 415 (англ.)

Доклад на Международной энергетич. конференции в Вене об использовании нефтепродуктов для произв-ва городского газа в Англии путем карбюрации водяного газа и каталитич. конверсии нефтяных углеводородов.

**52226.** Каталитическая циклическая газификация тяжелых топлив. Гаскюэль (Gazéification catalytique des fuels lourds N 2 en marche cyclique. Gascuel Louis), Métallurgie et constr. méc., 1956, 88, № 9, 755—757 (франц.)

Краткое описание способа каталитич. газификации тяжелых жидких топлив. Приведена характеристика исходного топлива и дан состав получаемого газа.

**52227.** Удаление и превращение меркаптанов. Уокер, Кенни (Removing and converting mercaptans. Walker H. E., Kenney E. B.), Petrol. Process., 1956, 11, № 4, 58—66 (англ.)

Описаны существующие производственные методы очистки бензинов для удаления меркаптанов (шел. очистка, процессы солотайзер дуализер, унизол, мерканзол) и превращения их в менее вредные S-соединения (докторская очистка, очистка  $\text{SnCl}_2$ , процессы с продуванием воздухом и применением ингибиторов). Приведены схемы процессов. Библ. 23 назв.

**52228.** Очистка легких керосиновых фракций жидким аммиаком. Мацукэ, Сэкигучи (Refining of light kerosene fraction with liquid ammonia. Matsuki Yasuo, Sekiguchi Yasuo), Sci. Repts Res. Insts Tohoku Univ., 1953, A5, № 1, 93—97 (англ.)

Опыты очистки жидким  $\text{NH}_3$  проводились на дистиллятах трех японских нефтей, имеющих пределы кипения 170—260°. Исследовалось влияние кол-ва жидкого  $\text{NH}_3$  (50—325%) и т-ры (от -10 до +20°) на выходы и качество рафинатов. При непрерывном процессе очистки легких керосиновых жидким  $\text{NH}_3$ , к-ты и омыляемые компоненты экстрагируются почти полностью, но непредельные и S-соединения — сравнительно трудно. Полнота удаления ароматич. компонентов при обработке жидким  $\text{NH}_3$  такая же, как и при обработке жидким  $\text{SO}_2$ . Селективность действия жидкого  $\text{NH}_3$  повышается с понижением т-ры процесса. Выход рафината достигает 85—90% на сырую нефть. Попытка очистки нефти смесью  $\text{NH}_3$  и  $\text{C}_6\text{H}_6$  не имела успеха (недостаток кон-

струкции аппарата), но анилиновая точка рафината значительно улучшилась по сравнению с очисткой одним жидким  $\text{NH}_3$ . Благодаря низкой стоимости, отсутствию корродирующего действия на аппаратуру и вредного физиологического действия жидкий  $\text{NH}_3$  более пригоден для очистки масел, чем  $\text{SO}_2$ . И. Рожков

52229. Использование кислого гудрона. I. Иси-кава (石油精製廢酸ピッチ處理法に對する私見. 1. 石川平七), 化學工業, Karaku kogei, Chem. Ind. (Japan), 1956, 7, № 9, 25—28 (японск.)

Описаны лабор. и заводские опыты использования кислого гудрона (КГ) для получения дорожного асфальта нейтральной КГ в присутствии воды продуктами выветривания вулканич. пепла, обладающими большой склонностью к образованию гелей. Предполагаемая ф-ла этого продукта  $\text{Al}_2\text{O}_3 \cdot 2\text{SiO}_2 \cdot x\text{H}_2\text{O} + \text{Al}(\text{OH})_3 \cdot y\text{H}_2\text{O}$  (с примесью  $\text{Fe}(\text{OH})_3$  и  $\text{H}_2\text{O}$ ). После нейтрализации КГ гудрону добавляют воду и обрабатывают его паром. Он дает легко укладываемый дорожный асфальт.

Л. Левин

52230. Зависимость между показателями вязко-эластических свойств битумов и данными общепринятых испытаний. Пул (A general system describing the visco-elastic properties of bitumens and its relation to routine test data. Pool C. van der), J. Appl. Chem., 1954, 4, № 5, 221—236 (англ.)

52231. Обезвоживание природного газа непосредственно у его источников. Парк, Дау (Dehydrating natural gas at the wellhead. Park A. S., Dow W. M.), Oil and Gas J., 1956, 54, № 55, 194, 196, 199—200, 202, 205 (англ.)

Описана новая портативная осушающая адсорбционная установка, работающая на коротких циклах, для применения непосредственно у источников газа. Благодаря уменьшению общего веса осушителя, применяемого в установке и более короткому времени адсорбции до регенерации, уменьшаются капитальные затраты, а также затраты тепла на регенерацию. Приводится технологич. схема и применяемые аппараты. Установка может работать в большом диапазоне т-р и давлений и пригодна как для сушки газа, так и для дополнительного извлечения углеводородов.

Н. Лапидес

52232. Установка для переработки природного газа на острове Мустанг (Texas). Рисен (Renwar's new island processing plant. Resen F. Lawrence), Oil and Gas J., 1955, 53, № 38, 104—105, 107, 109 (англ.)

52233. Пригодность пропана и бутана для бытового потребления с учетом производительности регулирования и загрузки установки. Ридель (Propan oder Butan im Haushalt unter Berücksichtigung der Verdampfungsleistung, Reglerleistung und der Anlagenbelastung. Riedel Gottfried), Gaswärme, 1956, 5, № 10, 350—356 (нем.)

Изучены условия эксплуатации расположенных внутри и вне зданий установок по использованию охлажденных газов при применении в качестве топлива пропана, бутана и их смесей. Рассмотрены случаи работы одно- и двухбаллонных установок с авторегулирующим включением при двухступенчатом и одноступенчатом снятии давлений.

Н. Гаврилов

52234. Образование сажи в углеводородных пламенах. Суэйцер, Хеллер (The formation of carbon black in hydrocarbon flames. Sweitzer C. W., Heller G. L.), Rubber World, 1956, 134, № 6, 855—865 (англ.)

Рассматривается возможная схема (капельная теория) образования сажевых частиц в углеводородном пламени. Образующийся по одной из известных р-ций свободных радикалов  $\text{C}_2\text{H}_2$  путем гидрогенизации и конденсации дает сначала простые ароматич. соединения, а затем все более сложные высокомолекуляр-

ные соединения, имеющие низкую упругость паров даже при т-ре пламени. Превышение упругости насыщ. паров этих соединений приводит к конденсации их в мельчайшие капли; внутри каждой капли ориентируются полициклич. соединения в виде ядра, которое постепенно выделяет водород, вырастает в сажевую частицу. Для подтверждения предлагаемой схемы проведены опыты по отбору продуктов разложения природного газа в промышленной печи для произ-ва печной сажи и их идентификации, а также опыты по разложению природного газа в лабор. трубке при различных т-ре и времени контакта. Анализ продуктов разложения газа в печи и трубке показал наличие высокомолекулярных ароматич. соединений, аналогичных соединениям, присутствующим в бензольных и ацетоновых экстрактах из сажи. Первичным продуктом разложения природного газа в трубке авторы считают ацетилен и, возможно, этилен. Подтверждение предлагаемой теории авторы видят также во внутренней структуре и сферич. форме сажевых частиц. И. Рафальскес

52235. Окислительный пиролиз метана в высокоскоростном газовом потоке. Гриненко Б. С., В сб.: Хим. переработка нефт. углеводородов. М., АН СССР, 1956, 106—114

Разработан способ и аппарат для получения ацетилена окислительным пиролизом метана; приводятся результаты опытных работ по этому способу, отличающемуся тем, что процесс проводится в высокоскоростном газовом потоке. Эксперим. установка имеет производительность  $100 \text{ м}^3/\text{час}$  по метано-кислородной смеси; реакционный канал печи имеет диам. 25/40 мм и длину ~600 мм. Время пребывания газов в реакционной зоне 0,0025—0,005 сек.; отношение  $\text{O}_2$ :  $\text{CH}_4 = 0,6—0,65$ ; конц-ия  $\text{C}_2\text{H}_2$  в газе пиролиза 8—8,6 об. %, что соответствует выходу  $\text{C}_2\text{H}_2$  15,0—15,7 об. % или до 33 вес. % от исходного  $\text{CH}_4$ . Опыты проводились как с предварительным нагревом исходной смеси до 300—350°, так и без ее подогрева; в последнем случае общий расход  $\text{O}_2$  повышался на 4—5%. На входе в реакционный канал наблюдалось резко неравномерное распределение скоростей по сечению: по оси 350—500, у стенок 3—15 м/сек; установлено, что процесс протекал устойчиво при отношении максим. скорости к средней скорости по сечению канала 1,5—3,6. Даны соотношения и основные показатели для проектирования промышленных печей с многоструйной подачей смеси, производительностью 2,5 и 10 тыс. т.  $\text{C}_2\text{H}_2$  в год. В. Кельцев

52236. Конверсия легких углеводородов. Брак-але (Sul reforming degli idrocarburi leggeri. Brackale Sergio), Gas Ital., 1956, 6, № 11, 331—333 (итал.)

Описан способ Копперса-Хаше конверсии легких углеводородов (пропана) для получения городского газа путем частичного его сжигания с воздухом. К. З.

52237. Стехиометрия и энергетика разложения природного газа в электрической дуге. Драгный (Stechiometrie a energetika štěpení zemního plynu v elektrickém oblouku. Drahný Miloš), Chem. průmysl., 1956, 6, № 10, 410—413 (чешск.; рез. русск., англ.)

Отмечая перспективность процесса расщепления  $\text{CH}_4$  (природного газа) в электрич. дуге для получения  $\text{C}_2\text{H}_2$ ,  $\text{C}_2\text{H}_4$ ,  $\text{H}_2$ , С и других хим. продуктов, приведены расчеты с выводом ф-л и диаграммы для облегчения оценки влияния основных параметров процесса на направление необходимых р-ций. К. З.

52238. Исследование мотоконпрессоров для природного газа. Медичи (Alcune ricerche sui motocompressori per gas naturale. Medici Mario), Rivoluzione industr., 1956, 4, № 37, 56—60 (итал.)



Описываются результаты опытов по выяснению экономичности работы мотокомпрессора для природного газа на различных режимах. Показано, что термич. к. п. д. компрессора при снижении числа оборотов с 500—550 до 300 об/мин. падает с 26,5% до 21,8%, а расход природного газа на 1 кВт мощности двигателя возрастает на 26%.

**52239. Ракетное топливо. Бетес-Фьерро** (Propulsants paramotors cohete. Betes Fierro A. G.), Ingenieria aeronaut., 1955, 7, № 27, 32—47 (исп.)

Обзорная статья. Критически разобраны и сопоставлены различные топлива и окислители для ракетных двигателей. Даны физ.-хим. характеристики для ряда топлив, приведено несколько топливных схем. Н. Щекин

**52240. Влияние качества топлива и масла на работу двигателя. Веспер** («Two for the money» — gasoline and motor oil are partners. Vesper Howard G.), Proc. Amer. Petrol. Inst., 1955, Sec. 2, 35, 67—74 (англ.)

Рассматривается влияние изменения конструкции автомобильных двигателей (АД) в США за 1946—1955 гг. на качество применяемых автомобильных топлив и масел; указывается, что в результате улучшения в последнее время качества топлив и масел межремонтный пробег АД увеличился более чем в 2 раза по сравнению со сроком службы их на 1946 г., когда он был равен 60—80 000 км. При снижении содержания S в автобензине с 0,25% до 0,1% срок эффективного действия присадок, содержащихся в масле, может быть удлинён на 30%. В свою очередь применение новых всесезонных масел позволяет снизить требования к октановому числу (ОЧ) автобензинов на 2—4 пункта, что при использовании бензинов с ОЧ 95 обеспечивает значительную экономию. Основные проблемы, требующие дальнейшего разрешения, — устранение низкотемпературного осадкообразования и уменьшение нагарообразования в АД.

**52241. Испытание тяжелых топлив на двигателе. Крессуэлл** (Heavy fuel and the mirrlees. K. Cresswell F.), Techn. J. Brush Group, 1955, 3, № 1, 12—15 (англ.)

Проведены обширные испытания двигателя типа Mirrlees «K» (трехцилиндровый с диаметром цилиндра 38 см и ходом поршня 45,7 см, 428 об/мин. мощностью 621 л. с.) на топливах вязкостью 2,5—9 ст и выше с содержанием S 2,5—3,77 вес.%, коксовым числом по Копрасу 8,4—9, золы 0,1—0,2% и теплотворностью >10000 ккал/кг. Продолжительность отдельных испытаний 1000 час. Использовались обычные добавки к топливам спец. антикоррозионные покрытия движущихся деталей (клапанные седла), смазочные масла, предназначенные для работы в тяжелых условиях. Даются рекомендации по созданию оптимальных условий применения топлив и смазочных масел на указанном двигателе.

**52242. Влияние металлов на стабильность дистиллятных топлив. Минг, Ботт** (Metals affect distillate stability. Ming E. T., Bott L. L.), Petrol. Refiner, 1956, 35, № 4, 192—194 (англ.)

Применялся новый лабор. метод для ускоренной оценки стабильности дистиллятных топлив (ДТ) при резервуарном хранении. ДТ (320 мл) перемешивали с водой (3,2 мл), содержащей металл в виде соли 2-этилгексановой к-ты, обычно 0,004% металла на ДТ; перемешивали при помощи магнитной мешалки в закрытом сосуде, наполненном O<sub>2</sub> при атмосферном давлении и t-ре 40°; определяли поглощение O<sub>2</sub> по падению давления через 12-часовые промежутки времени. Исследованы ДТ разного происхождения — прямой гонки, термич. и каталитич. крекинга и смеси; металлы — Cu, Fe, Mn, Pb, Zn и без металла. Действие металлов по абс. и

относительной величине было различным для ДТ разного состава. Совместное действие двух металлов аддитивного эффекта не давало.

**52243. Зависимость октанового числа от температуры кипения примогонных фракций. Льюис, Оттенуэллер** (Octane-boiling point correlation Lewis W. A., Ottenweller J. H.), Oil and Gas J., 1956, 54, № 48, 132 (англ.)

Приводится график зависимости исследовательского октанового числа (ОЧ) от t-ры выкипания 50% топлива по методу ASTM; кривые построены на основании определения ОЧ ряда образцов примогонных топлив из американских нефтей. График позволяет ориентировочно предсказать ОЧ топлива в зависимости от его фракционного состава, а также дает возможность выбрать необходимую t-ру конца кипения фракции с заданным ОЧ.

**52244. Современные реактивные топлива, обзор основных технических показателей.** — (Jet age fuels reviewed: what and why they are. — ), Skyways, 1955, 14, № 12, 28—29 (англ.)

Приводятся американские и английские технич. условия на 7 марок реактивных топлив: легких и типа керосинов. Основные показатели по этим топливам изменяются в следующих пределах: уд. веса 0,739—0,802 для более легких и 0,780—0,852 для более тяжелых топлив; низшая теплотворность 10170—10225 ккал; t-ра вспышки 38—43° для керосиновых и —40, —25, —18° для бензиновых топлив; t-ра застывания от —40 до —60°; общая S (ламповый метод) 0,20—0,40%; S меркаптановая во всех случаях 0,005%, фактические смолы 5—10 мг на 100 мл; потенциальные смолы 8—20 мг на 100 мл; ароматич. углеводороды 20—25 об.%; олефины для бензиновых топлив 5%, во всех случаях (по бромному числу). Все рассматриваемые топлива выдерживают пробу на коррозию (медная пластинка).

**52245. Фильтры для дизельных топлив. Часть III. Рихтер** (Filter für Dieselkraftstoffe. Teil III. Richter K.), Dtsch Agrartechnik, 1954, 4, № 3, 84—86 (нем.)

Приводятся данные по очистке фетровых фильтров различной степени загрязнения путем промывки чистым топливом, причем однократная промывка недостаточна. Характеризуется влияние конструкции фильтра на фильтруемость, а также рассматриваются результаты исследования фильтрующей способности бумажных фильтров различных марок в зависимости от степени и характера загрязнения топлива, скорости фильтрации и поверхности фильтра в сравнении с фетровым фильтром. Предпочтение отдается фильтру SR20/Ig. Исследование щелевых и сетчатых фильтров показало, что в то время, как последние практически не засоряются, щелевые фильтры, отличаясь невысокой фильтрующей способностью, очень чувствительны к загрязнению. Часть II см. РЖХим, 1957, 31953.

**52246. Улучшение нефтетоплив с помощью присадок. Бертолетт, Роджерс** (Improving fuel oils through addition agents. Bertollette W. de B., Rogers J. D.), Petrol. Engr, 1956, 28, № 12, C41—C42, C45—C46

Рассматриваются затруднения при применении дистиллятных топлив: коммунального назначения, дизельных, реактивных, вследствие их нестабильности — образования осадков при хранении и отложений в процессе применения, и возможности повышения стабильности при добавлении присадок. Для этой цели используются присадки, главным образом, следующих типов: металлч. соли нефтяных сульфокислот, полиарены, алкиламины.

**52247. Физико-химическая природа воспламенения в двигателях с воспламенением от сжатия. Басев**

**В. Я. Соколик А. С.** В сб.: Поршневые двигатели внутр. сгорания. М., АН СССР, 1956, 93—105. Изучались вопросы механизма процесса воспламенения в двигателях, роль предпламенных хим. р-ций и т. д. Подробно описана методика исследования; последнее проведено на керосине, стандартном дизельном топливе без присадки и с содержанием 2—4% изоамилинитрита. Регистрацией свечения при помощи фотоэлектронного умножителя установлено образование холодного пламени как стадии, предшествующей возникновению горячего взрыва. Это наблюдение подтверждено сопоставлением диаграмм давления при воспламенении при впрыске топлива в воздух и в азот (т. е. в тех же условиях сжатия и испарения, но без хим. р-ции). Исследовано влияние т-ры на длительность двух стадий воспламенения при различных давлениях и хим. свойствах топлива. Регистрации сгорания при впрыске жидкого топлива, полученные скоростной кино съемкой по шпирен-методу и в прямом свете, показывают образования очагов воспламенения и распространение от них турбулентных фронтов пламени.

**Н. Шеголев 52248.** Выхлопные газы при работе на компаундированных топливах. Определение состава с газоанализатором, использующим метод сравнения теплопроводностей. Гатман, Уэйсс (Blended fuel exhaust gas. Determinations with the thermal conductivity analyser. Gutman Felix, Weiss K.), Automob. Engr., 1955, 45, № 10, 415—417 (англ.)

**52249.** Определение температуры воспламенения сажи. Андерсон, Уотсон (Soot ignition temperature measurement. Anderson D. R., Watson W. R.), Combustion, 1956, 28, № 4, 43—46 (англ.)

Приводится описание прибора, предназначенного для определения т-ры воспламенения (ТВ) сажи, и соответствующей методики, при помощи которой исследованы ТВ сажи в зависимости от ее происхождения и влияние различных соединений на ТВ сажи, полученной при сжигании тяжелого топлива. ТВ этой сажи 590°, расхождения между повторными определениями ТВ не превышают  $\pm 3^\circ$ . Установлено, что некоторые металлоорганич. соединения — соли каприловой и нафеновых к-т, при нанесении их на сажу в виде 1%-ного р-ра в топливе значительно снижают ТВ сажи; особенно эффективны соединения Pb, Na, K, Cu, Ni и Fe, понижающие ТВ сажи на 190—130°. Влияние не содержащих металлов соединений S, P, N и галогенов, в особенности Cl и Br, на ТВ сажи очень невелико; тем не менее некоторые из указанных в-в могут изменять эффективность металлоорганич. соединений: в присутствии Cl влияние соединений Cu на изменение ТВ сажи увеличивается; при совместном испытании соединений Cu и трикрезилфосфата наблюдается уменьшение каталитич. эффекта Cu.

**А. Виппер 52250.** Физико-химическое исследование поведения масла в двигателе. Бонди, Боббен, Даймонд (Physico-chemical investigation of engine oil performance. Bondi A., Beaubien S. J., Diamond H.), Lubricat. Engng., 1956, 12, № 4, 267—273 (англ.)

При изучении влияния смазочного масла с различными присадками на чистоту деталей и коррозию подшипников двигателя (Д) испытания последних проводились на трех режимах: а) низкотемпературных циклах, характеризующих городскую езду автомобилей с частыми остановками; б) умеренно-температурной работе Д, характеризующей зимнюю езду транспорта по магистральным дорогам; в) форсированной работе дизеля. Испытываемые в Д образцы масел исследовались на способность предотвращать взаимную адгезию и выпадение диспергированных углистых частиц, на окисляемость

в присутствии катализатора и на коррозионность по отношению к подшипникам. Лабор. испытания проводились при т-рах, соответствующих работе Д на указанных режимах. При низкотемпературной работе (а) карбюраторного Д т-ра в Д недостаточна для окисления масла, и загрязняющие осадки в Д образуются вследствие попадания продуктов сгорания топлива в масло и их флокуляции. Чем более высокой дефлокуляционной способностью обладает присадка, тем чище Д. При умеренных т-рах работы карбюраторного Д без остановок на поршнях образуется лак; авторы считают причиной этого попадание в масло окислителей, образующихся при сгорании топлива. Это подтверждается тем, что между лакообразованием на поршнях Д, испытанных по методике (б), и дефлокуляционной способностью присадки или окислительной характеристикой масла нет соответствия, но лакообразование тем ниже, чем выше щелочность присадки. Чистота Д (карбюраторных и дизелей) при высокотемпературных условиях определяется как способностью присадки дефлокулировать продукты сгорания топлива, так и антиокислительной стабильностью масла с присадкой. Лабор. испытание масла на коррозию подшипников по принятой авторами методике согласуется с результатами испытания на Д.

**А. Равикович 52251.** Смазочные масла с присадкой осеренных терпенов (Lubricant additives comprising sulphurized terpenes) (Esso Research & Engineering Co.) Англ. пат. 735231, 17.08.55

Смазочный состав включает смазочное масло (М) и небольшое кол-во продукта, образующегося при нагревании осеренного терпена или осеренной смеси терпенов с фосфором. Рекомендуются моноциклич. терпены, особенно торговый дипентен и бидиклич. терпены, напр.  $\alpha$ -пинен. Присадка добавляется в кол-ве  $\leq 5\%$ , и в частности  $\leq 1\%$  по весу к нефтяным и синтетич. М., напр., к эфирам себаценовой или адипиновой к-т и спиртов с 7—10 атомами С или к эфирам, полученным из гликолей и полигликолей, алифатич. двухосновных к-т и одноатомных спиртов или одноосновных к-т в конце цепи. В виде примера такого М приводится синтетич. авиамасло с присадкой, полученной нагреванием осеренного дипентена с фосфором, или минер. М, которое помимо указанной присадки, может также содержать Ва-соль л-изооктилфенолсульфида и Са-соль красных нефтяных сульфокислот. Г. Морозов 52252. Универсальные моторные масла. Грофф (Les huiles moteurs dites «Multigrades» G. Groff J.), Rev. Inst. franç., pétrole, 1956, 11, № 9, 1161—1174 (франц.)

Разъясняются особенности, классификация и преимущества универсальных моторных масел, загущенных присадками. Рассматриваются вязкостные свойства масел и влияние их на работу двигателя: запуск на холоду, смазку в рабочих условиях, энергетич. потери. Показана возможность классификации моторных масел на основе их вязкостей при т-ре запуска на холоду и рабочей т-ре. Библ. 36 назв.

**А. Равикович 52253.** Универсальные моторные масла. Грофф (Evolution des huiles, moteurs vers la formule dite «multigrades». Groff Jean), Bull. Assoc. franç. techniciens pétrole, 1956, № 116, 103—124 (франц.)

Рассматриваются требования к вязкости масел М для двигателей внутреннего сгорания; показана целесообразность использования универсальных (исесезонных) М в современных двигателях. Приводится характеристика вязкостных присадок, добавляемых к моторным М, и вязкостно-температурных свойств универсальных М; указаны преимущества последних перед М других сортов: более легкий запуск двигателя при низкой т-ре; уменьшение кол-ва отложений в камере сгорания, способствующее снижению требований к детона-

ционной стойкости топлива; снижение расхода М; снижение расхода топлива. Описана методика определения зависимости между качеством М и требованиями к детонационной стойкости топлива. На примере гидравлич. жидкостей с вязкостной присадкой показано, что в процессе эксплуатации происходит деполимеризация вязкостной присадки.

А. Виппер  
52254. Оружейные масла, состав и методы испытаний современных сортов. Штепанек (Waffen-Öle. Neuzeitliche Zusammensetzungen und Kurzprüfungs-methode. Stepanek J.), Prakt. Chem., 1956, 7, № 4, 113—115 (нем.)

Обзор. Библ. 6 назв.

Б. Энглин

52255. Вязкость масла и смазка автомобильных двигателей. Луренте (Oljeviskositet och smörjning av bilmotorer. Lorentz Hans—Eric), Tekn. tidskr., 1955, 85, № 34, 753—758 (шведск.)

Разбираются вопросы смазки автосиловых агрегатов и вязкостных характеристик применяемых масел; основное внимание обращено на низкотемпературные свойства последних. Показаны преимущества загущенных масел перед обычными.

Н. Щеголев

52256. Химическая и электрическая стабильность масел. Крейн С. Э., Кулакова Р. В., Лужецкий А. А., Конкин М. Г., Александров А. Н., Химия и технология топлива, 1956, № 2, 60—68

Приводятся данные по устойчивости против окисления и тангенсу угла диэлектрич. потерь ( $\tan \delta$ ) масел различного происхождения, фракций нафеново-парафиновых (I) и ароматич. углеводородов, выделенных из масел адсорбционным методом, и смесей этих фракций; окисление проводилось как без металлов, так и в присутствии Pb, Fe и Cu. Показано, что с повышением глубины очистки  $\tan \delta$  масел уменьшается. Наименьшим  $\tan \delta$  обладают I, свободные от ароматич. углеводородов и смол, но они менее стабильны против окисления; в процессе окисления  $\tan \delta$  I увеличивается сравнительно мало. Добавление к I ароматич. углеводородов, выделенных из тех же масел, повышает их хим. стабильность, но ухудшает диэлектрич. свойства. Наибольшей электрич. стабильностью обладают I высоковязких остаточных масел. Присутствие металлов ухудшает хим. и электрич. стабильность масел и фракций. У высоковязких I  $\tan \delta$  при окислении даже в присутствии металлов повышается значительно меньше, чем у других фракций и масел.

Р. Липштейн

52257. Синтетические и минеральные трансформаторные масла. Васселен (Les diélectriques de synthèse concurrent-ils les huiles minérales pour transformateurs. Vasselien M.), Ingers et techniciens, 1955, № 82, 47, 49 (франц.)

Сопоставляются свойства, преимущества и недостатки синтетич. и минер. трансформаторных масел.

В. Щекли

52258. Кислотность трансформаторных масел. Рао (Acidity in transformer oil. Rao T. S.), Power Engr., 1956, 6, № 1, 13—23 (англ.)

Приводятся основные требования и технич. условия разных стран на трансформаторные масла. Установлена допустимая кислотность масла 0,5 мг КОН. Разрешается использовать масла с кислотностью до 1 мг КОН при периодич. их фильтрации. При кислотности выше 1 мг КОН масло должно быть слито из трансформатора. К-ты, образующиеся при старении масел, воздействуют на изоляцию и медь катушек. Этот процесс ускоряется при наличии влаги, поэтому следует удалять как нерастворенную, так и растворенную влагу. Описаны способы регенерации масел: натронной известью, тринатрийфосфатом и адсорбентами — фуллеровой землей и активированной окисью алюминия. Последняя может быть использована для непрерывной очист-

ки масла непосредственно в трансформаторе. Из ингибиторов окисления находят промышленное применение для трансформаторных масел: дитретичный-бутил-паракрезол (I), диметил-6-третичный бутилфенол, N-фенил-3-нафтиламин и дисалицилэтилендиамин. Эти присадки добавляют к свежим маслам в конц-ии 0,3—0,5%. В регенерированные масла присадку I добавляют в кол-ве 3—10% (США).

Р. Липштейн

52259. Испытание изоляционных масел на сопротивляемость пробивному напряжению. Стиннетт (The resistivity test for insulating oil. Stannett A. W.), Electr. Times, 1956, 129, № 3349, 43—45 (англ.)

Кратко рассмотрены опубликованные данные по оценке изолирующей способности трансформаторных масел (ТМ) как характеристики их поведения в условиях эксплуатации. Разобраны причины старения ТМ: влияние кислотности, загрязнение смолистыми веществами и водой. Графически показана воспроизводимость метода оценки ТМ для трех сортов масел.

З. Векслер

52260. Изучение граничной смазки типичными фторированными эфирами. Бауэрс, Коттингтон, Томас, Зисман (Boundary lubrication studies of typical fluoroesters. Bowers R. C., Cottington R. L., Thomas T. M., Zisman A. W.), Lubricat. Engng. 1956, 12, № 4, 245—253 (англ.)

Исследовали гранично-смазывающие и противозносные свойства нескольких частично-фторированных эфиров главным образом ди (1Н, 1Н, 5Н-октафторептил) глутарата и ди (1Н, 1Н, 7Н-додекафторептил) 3-метилглутарата. Для сравнения в тех же условиях исследовали и нефторированный эфир — ди(2-этилгексил) себадиат. Исследования производили на аппарате прерывистого скольжения Боудена-Лебена и на четырехшариковом аппарате при  $t$ -рах 25—185°; в качестве поверхностей трения взяты твердая сталь по мягкой стали, по твердой стали, по бронзе и бронза по мягкой стали. Коэф. трения фторированных соединений мало отличались между собой и от коэф. трения нефторированного диэфира. Износ на четырехшариковом аппарате был почти всегда ниже для фторированных диэфиров, особенно при повышенных  $t$ -рах, чем для нефторированного. Трение у диэфиров обоих типов всегда заметно снижалось при добавке 1% стеариновой к-ты, однако на износ это не всегда отражалось благоприятно. Добавка трикрезилфосфата (1—2%) для обоих типов диэфиров давала значительное снижение износа. С повышением  $t$ -ры до 185° трение и износ заметно возрастают для обоих типов диэфиров, однако фторированный диэфир с добавкой трикрезилфосфата показал одинаковый износ при 60, 130 и 205°. Испытание на четырехшариковом аппарате того же диэфира с разным содержанием трикрезилфосфата показало, что износ снижается до минимума уже при 0,14% трикрезилфосфата. Хорошие смазочные свойства фтороэфиров в граничных условиях и их отличная приемистость к противозносным присадкам делают целесообразным применение фтороэфиров для получения масел и смазок работоспособных в условиях высоких  $t$ -р. А. Равикович

52261. К вопросу о синергизме в консистентных смазках. Сообщение I. Механизм и кинетика синергизма. Мартынов В. М., Химия и технол. топлива, 1956, № 6, 61—67

Для кинетики синергизма (С) гелей и, в частности консистентных смазок, предложено ур-ние, ранее эмпирически подобранное Фаррингтоном и Гумфреем и характеризующее кинетику отпрессовывания масла из смазки на приборе Гершеля. Исследование гелей, полученных путем загущения масла МВИ стеаратом Li (10%), показало вполне удовлетворительное совпаде-



ние высчисленных значений  $S$  с фактически найденными. Установлено, что начальная скорость  $S$  находится в прямой зависимости от уд. поверхности геля. Выделяющееся при  $S$  масло частично задерживается на поверхности геля в виде тонкого нестекающего слоя, толщина которого в опытах с маслом МВП при  $t$ -ре 18–20° составляла  $\sim 8$  м. Е. Иглипина

52262. Гидравлические жидкости для высоких температур. Уэрринг (High temperature hydraulic fluids. Warrington R. H.), *Hydraul. Power Transmiss.*, 1956, 2, № 23, 683–686 (англ.)

Характеризуется значение отдельных показателей качества гидравлич. жидкостей, предназначенных для работы в условиях высоких  $t$ -р (200–300°), и приводятся основные технич. данные для авиационных гидравлич. жидкостей, в основном на силиконовой основе. Б. Энглин

52263. Химические препараты для автомобилей. Кларк (Automotive chemical specialties. Clark John M.), *Soap and Chem. Specialties*, 1956, 32, № 10, 145–147, 173 (англ.)

Излагаются технич. требования по улучшению качества и разработке тормозных жидкостей, охлаждающих жидкостей — антифризов, защитных покрытий и других препаратов для автомобилей. А. Равинович

52264. Методические указания для производства некоторых расчетов при обработке результатов анализов химического состава природных газов. Ростовец Н. Н., Панова В. Г., *Материалы Всес. н.-и. геол. ин-та*, 1956, вып. 18, 155–168

По упругости и составу газов, содержащихся в подземных водах, находящихся вблизи нефтяных или газовых залежей, а также по солевому и бактериологич. составу подземных вод можно оценить перспективы нефтегазоносности какого-либо района. Разность упругостей газов, растворенных в подземных водах в различных точках, показывает направление диффузионного потока газа и указывает местонахождение нефтяной или газовой залежи. В статье описана методика некоторых расчетов, проводимых при обработке результатов анализов хим. состава спонтанных газов, а также газов, растворенных в водах глубинных зон, зон аэрации и в водах, содержащих при выходе на поверхность растворенный и частично выделившийся из  $p$ -ра спонтанный газ. Н. Липидес

52265. Методы структурного анализа минеральных масел. Джирелли, Фратта (Metodi di analisi strutturale degli oli minerali. Girelli A., Fratta C. A.), *Riv. combust.*, 1956, 10, № 9, 625–643 (итал.)

Описываются методика структурного анализа с применением ультразвука, определение степени разветвленности углеводородных цепей и попытки усовершенствования методов анализа масел. Начало см. РЖХим, 1957, 42243. В. Шекин

52266. Спектрографическое определение следов элементов в смазочных маслах тангенциальным методом. Окада, Накаи, Кодзума (正切法 (仮稱) による油中微量元素の分光定量について. 岡田富男, 中井重夫, 上妻常英), *工業化学雑誌*, Kōgō Kagaku Zasshi, J. Chem. Soc. Japan. Industr. Chem. Sec., 1955, 58, № 9, 661–664 (японск.)

52267. Зависимость между конструкцией лампы и точкой образования копоти. Раковский, Хант (Variables in lamp design that affect smoke point. Rakowsky Frederick W., Hunt Russell A., Jr), *Analyt. Chem.*, 1956, 28, № 10, 1583–1586 (англ.)

Изучена зависимость между физ. характеристиками фитильной лампы и точкой образования копоти (ТК) (высота неоптавшего пламени, которая может быть достигнута в испытательной лампе), являющейся важ-

ной характеристикой нефтяных дистиллатов. Установлено, что диаметр фитиля, диаметр лампового стекла и его высота и относительная высота воздушной сетки и фитиля влияют на ТК. Сконструирована лампа нового типа; в ней фитиль (из фетра) помещается в трубке диам. 8,0 мм; диаметр лампового стекла 2,2 см, высота его 20 см. Воздушная сетка (20 меш.) изготовлена из нержавеющей стали; высота ее 2,86 см, высота направляющей у фитиля 2,5 см. Т. Леви

52268. Температура размягчения битуминозных материалов по «пэн-тест» (PSP). Дэдмен (The pen softening point test (for bituminous materials). Deden A. L.), *J. Appl. Chem.*, 1957, 7, № 2, 64–66 (англ.)

Определение  $t$ -ры размягчения по методу «пэн-тест» применимо для самых разнообразных битуминозных материалов и дает представление об их чувствительности к  $t$ -ре. Испытание проводится на простом приборе, основной частью которого является стандартная игла для пенетromетра, смонтированная в направляющих таким образом, что может свободно в них скользить, но может быть и закреплена. На иглу действует нагрузка в  $50 \pm 0,05$  г. Движение иглы отмечается стрелкой на спец. дуговидной шкале, градуированной таким образом, что расстояние между ее двумя крайними отметками соответствует опусканию иглы пенетromетра на 2 мм. Испытуемый материал наливают в формочку без дна, высотой 6,35 мм и диаметром в верхней части 7,93 мм; формочку неподвижно закрепляют в подставке, в самом центре под иглой, и все нагревают в бане, которая может содержать спирт, глицерин или воду в зависимости от необходимой  $t$ -ры. Бана представляет собою литровой стакан, в который наливают 500 мл соответствующей жидкости. Начальную  $t$ -ру берут на 25° ниже ожидаемого результата опыта. Для низких  $t$ -р следует брать технич. спирт и охлаждать его добавлением небольших кусков твердой углекислоты. Иглу устанавливают на поверхности образца, а шкалу таким образом, чтобы стрелка показывала нуль. Затем иглу освобождают, а  $t$ -ру бани поднимают со скоростью 2° в мин. при непрерывном помешивании. Когда конец стрелки достигнет второй отметки шкалы, записывают  $t$ -ру, которая и является  $t$ -рой размягчения по методу «пэн-тест» (PSP). Приведены результаты испытания по этому методу различных битумов, пеков и смол, в сравнении с данными испытания тех же материалов на  $t$ -ру размягчения по методу «Кольцо и Шар», глубину проникания (100 г, 5 сек., 25°),  $t$ -ру эквивалентной вязкости, а также индекс пенетрации. Преимуществом метода являются быстрота и простота в выполнении при небольшом кол-ве испытуемого материала и точности параллельных опытов  $\pm 1^\circ$ . Метод применим как для самых твердых пеков и битумов, так и для маловязких смол. Однако для маловязких материалов возможно ограничение в тех случаях, когда понижение  $t$ -ры вызывает выпадение кристаллич. в-в или восков. А. Кузьмина

52269 П. Обработка углеводородов в псевдокипящем слое. Мерффи, Тайсон, Мартин, Кемпбелл (Treating hydrocarbon fluids. Murphree Eger V., Tyson Charles W., Martin Homer Z., Campbell Donald L.) [Standard Oil Development Co.], Канад. пат. 506338, 5.10.54

Каталитический реформинг углеводородов, входящих в состав бензина и имеющих сравнительно низкое октановое число, заключается в контактировании сырья с пылевидным псевдокипящим катализатором в удлиненной зоне  $p$ -ции (ЗР). Давление в ЗР должно быть достаточным, чтобы преодолеть сопротивление потока системы. В зону смещения подают катализатор и пары подогретых углеводородов. Катализатор, суспендиро-

важный в парах углеводородов, проходит через ЗР, имеющую сравнительно низкое сопротивление потоку, где достигается желаемая глубина реформинга. Затем катализатор отделяют от продуктов конверсии, регенерируют и возвращают в колонну. При регенерации катализатор в псевдооживленном состоянии продувают воздухом. В зоне регенерации имеется сравнительно низкое сопротивление потоку. Зона регенерации имеет сравнительно большой диаметр, так чтобы газы регенерации проходили ее с большими скоростями, чем частицы катализатора. Зоны р-ции и регенерации находятся под общим давл. 3,5—35 атм.

**52270 П. Реактор и способ конверсии углеводородов с псевдооживленным катализатором. Скуайрс** (Fluidized solids reactor and process in the conversion of hydrocarbons. Squires Walter, Jr) [Esso Research and Engineering Co.]. Пат. США 2706704, 19.04.55

Реактор представляет вертикальный удлиненный сосуд, имеющий внутри циклонный сепаратор, прикрепленный к верхней части реактора. При работе такого реактора в его верхней части образуется застойная зона (33), в которой накапливается кокс. Согласно изобретению, 33 для предотвращения образования в ней отложений отделяется от остальной части реактора сплошной перегородкой, прикрепленной к стенкам реактора и имеющей небольшой просвет у стенок циклона, обеспечивающий только ограниченный проход газов. Во время работы реагирующие пары и частицы катализатора вводятся в реактор снизу. Скорость потока паров подбирается такой, чтобы поддерживать частицы катализатора в псевдооживленном состоянии. Сверху указанной перегородки непрерывно вводится инертный газ под давлением, достаточным для предотвращения прохода продуктов р-ции и частиц катализатора через указанный просвет в 33.

**52271 П. Способ получения бензина из нефтяных фракций или остатков** (Process for the recovery of benzine from petroleum oils or crude residues) [Badsche Anilin & Soda-Fabrik A-G.]. Англ. пат. 719543 1.12.54 [Fuel. Abstrs, 1955, 17, № 4, 65 (англ.)]

Для получения бензина или нефтяных фракций или остатков, содержащих  $\leq 2\%$  асфальтовых в-в и  $\geq 12\%$  Н, сырье подвергают катализит. деструктивной гидрогенизации, пропуская при 400—550° и давл.  $> 200$  атм (предпочтительно при 300—800 атм) со скоростью 0,2—1,5 кг сырья на 1 л катализатора (К) в час через неподвижный слой. Последний состоит из естественных или синтетич. силикатов,  $\text{SiO}_2$  или  $\text{Al}_2\text{O}_3$  с добавкой малых кол-в соединений Мо и (или) W, предпочтительно с добавкой еще меньших кол-в соединений Cr, Ni, Co или Fe. Соотношение т-ры, давления и скорости сырья для данного К подбирается так, чтобы продукты однократного пропускания содержали  $< 6$  вес. % газов и  $\geq 35$  вес. % и  $\leq 65$  вес. % бензина. Выпекшие продукты подвергают рециркуляции. Более 80 вес. %, предпочтительно  $> 85$  вес. % сырья должны превратиться в бензин и  $> 90$  вес. % в бензин + легко сжимаемые газообразные углеводороды.

**52272 П. Способ производства нафталина. Андерсон, Гофман** (Procédé de production du naphthalène. Anderson James A., Jr, Hoffman Edward J.) [Standard Oil Development Co.]. Франц. пат. 1108981, 19.01.56

Способ получения нафталина из углеводородных фракций, содержащих тетралин, путем дегидрогенизации — деалкилирования их, осуществляемой обработкой в реакционной зоне, не содержащей активного катализатора при 650—760°, под давл. 28—70 атм, продолжительности от 2 до 120 сек. водородом в кол-ве 71—178 м<sup>3</sup> (при 0° и 760 мм) на 100 л фракции. В исход-

ной фракции могут содержаться алкильные боковые цепи с 1—4 атомами С.

**52573 П. Экстрактивная кристаллизация с мочевиной и тиомочевинной. Феттерли** (Extractive crystallization with urea and thiourea. Fetterly Lloyd C.) [Shell Development Co.]. Канад. пат. 505855, 14.09.54

Для поддержания рН воды. р-ра мочевины на уровне  $< 9,5$  при контактировании этого р-ра с нормальными углеводородами, в частности с нефтяным смазочным маслом, содержащим значительное кол-во нормальных углеводородов, а также для поддержания на указанном уровне рН воды. р-ра тиомочевины при контактировании с нафтеновыми или разветвленными углеводородами с целью получения соответствующих кристаллич. молекулярных комплексов указанных углеводородов с мочевиной и тиомочевинной, предлагается добавлять к реакционной смеси соответствующее кол-во к-ты, в частности жирной, напр.  $\text{CH}_3\text{COOH}$ .

**52274 П. Способ выделения углеводородов с разветвленными цепями из смесей их с углеводородами нормального строения и циклическими углеводородами. Блок, Гейзер** (Separation of branched chain hydrocarbon from mixtures containing cyclic and straight chain components. Bloch Herman S., Geisler Edward M.) [Universal Oil Products Co.]. Пат. США 2698870, 4.01.55

Алифатич. углеводороды (У) с разветвленной цепью выделяют из жидкой смеси их по крайней мере с одним У с прямой цепью или циклич. углеводородом пропусканием через слой пористых твердых частиц продукта, полученного конденсацией алифатич. альдегида с мочевиной, тиомочевинной, или их N-моноалкил, или алкилзамещенными, при т-ре от  $-15^\circ$  до  $50^\circ$  и давлении, достаточном для поддержания углеводородов в жидком состоянии. Толщина слоя и скорость введения смеси должны быть достаточными для эффективной избирательной адсорбции основной части У. Благодаря этому У удерживают и выделяют из смеси, после чего удаляют непоглощенную часть углеводородов из слоя, прекращают дальнейшее пропускание смеси и выделяют адсорбированные У из слоя.

**52275 П. Способ получения парафина из нефтяного гача. Мор** (Verfahren zur Paraffingewinnung aus Mineralölgesch. Mohr Conrad) [Heinrich Rätz]. Пат. ГДР 3692, 23.08.54

Нефтяной гач смешивают с вспомогательным материалом, обладающим способностью впитывать масло (напр., древесными опилками), после чего смесь прессуют для отделения жидкого масла. В отличие от способа, описанного в пат. 2260 (РЖХим, 1954, 45476), для отделения жидкой фазы применяют давл. 100—1000 атм, вместо 30 атм. Повышенное давление не только увеличивает скорость процесса, но и улучшает выход парафина. Давление выбирается тем выше, чем выше соотношение парафина к маслу в гаче. Отпрессованный материал рекомендуется повторно прессовать при более высоком давлении, чем при первом прессовании. Материал перед повторным прессованием нужно разрыхлять или размельчать. Парафин из лепешки извлекают отгонкой или р-рителями.

**52276 П. Способ получения стабильных водных дисперсий битумов, пеков, смол или других твердых углеводородов. Кронхольц** (Verfahren zur Herstellung von hochstabilen, wässrigen Dispersionen aus Bitumen, Pechen, Teeren oder anderen festen Kohlenwasserstoffen. Kronholz Hans) [Deutsche Supraton G. m. b. H.]. Пат. ФРГ 946653, 2.08.56

Для получения стойких дисперсий применяют в качестве эмульгаторов твердые материалы, богатые гуминовыми к-тами, напр. торф-сырец, особенно черный торф и торфяную воду, причем эмульгируемые углево-

дороды пропускают непрерывным потоком через аппарат особой конструкции, имеющий один или несколько многокамерных ступенчатых дросселей. Частота перемены давления составляет  $\sim 200\,000$  гц, предпочтительно в области верхнего предела слышимости. Н. Г. 52277 П. Битуминозные дорожно-строительные материалы (Bituminous road surfacing materials) [National Research Development Corp.]. Англ. пат. 714153, 25.08.54

Степень твердения битуминозного связующего для укатанного горячего асфальта увеличивается при добавлении материала, содержащего  $\geq 1$  фенольных компонентов, в кол-ве 4 ч. на 100 ч. связующего. В смеси может присутствовать твердый битум или пек. Фенольные компоненты и пек могут быть совмещены, напр., при использовании пека низкотемпературного или среднетемпературного каменноугольного дегтя или концентрата, полученного при нейтрации водно-шел. вытяжки среднетемпературного каменноугольного дегтя.

А. Кузьмина  
52278 П. Производство сажи. Хеллер (Carbon black manufacture. Heller George L.) [Columbian Carbon Co.]. Канад. пат. 514817, 19.07.55

Предложен способ получения сажи неполным горением углеводородов (У), которые в газообразной форме вводятся в нижнюю часть нагретой печи в форме множества отдельных восходящих потоков диам. 2,5—25 мм; удлиненные форсунки для их ввода равномерно распределены по поперечному сечению печи и находятся друг от друга на расстоянии 3,4—8,25 диаметров этих потоков; воздух вводится со скоростью  $\leq 1$  м/сек (не турбулентным потоком) в кол-ве, достаточном для сжигания только части У; начальная скорость У не менее чем в 12 раз превышает скорость потоков воздуха. Во время движения в нижней части печи У и воздух нагреваются без контакта друг с другом до т-ры 760—1300° после чего контактируются и происходит неполное сжигание У с образованием сажевых частиц. Газы с суспандированной в них сажой выводятся затем из камеры печи для охлаждения и выделения сажевых частиц. Время нагрева У без контакта с воздухом регулируется, так, чтобы происходил частичный пиролиз без выделения углерода. Приведена схема печи.

В. Кельцев  
52279 П. Производство сажи. Экхольм, Хеллер (Manufacture of carbon black. Ekholm Wesley C., Heller George L.) [Columbian Carbon Co.]. Канад. пат. 513679, 14.06.55

Предложен способ получения печной сажи разложением углеводородов (У), отличающийся тем, что У вдуваются в турбулентный поток горячих дымовых газов, проходящих через узкую пустую реакционную камеру прямоугольного сечения шириной  $\leq 450$  мм (300—350 мм). В качестве У может быть взят природный газ, обогащенный ароматич. У с кондом кипения  $\leq 380^\circ$  в кол-ве 70—270 см<sup>3</sup> на 1 м<sup>3</sup> природного газа или с доведением его теплотворности до 10 700—12 500 ккал/м<sup>3</sup>. У вдуваются мелкими струями диам. 6—19 мм через форсунки, размещенные в обоих боковых стенках камеры; струи, направленные друг против друга, пересекают ширину камеры. Отношение весовых скоростей У и дымовых газов должно быть от 3:1 до 10:1. Дана схема печи.

В. Кельцев  
52280 П. Производство ацетиленов. Биллс (Production of acetylene. Bills John L.) [Union Oil Co. of California]. Пат. США 2741648, 10.04.56

Предложен непрерывный способ получения ацетиленов пиролизом углеводородов (У), заключающийся в пропуске У потоком с нагретыми твердыми частями (ТЧ) в кол-ве 3,2—160 кг на 1 м<sup>3</sup> исходных У; нагрев У при этом до т-ры 980—1650° протекает за 0,001—0,5 сек. Смесь ТЧ и газов далее выводится снизу реакционной зоны в разделительную зону, в которой

газы проходят через плотный опускающийся слой вводимых сюда дополнительно холодных ТЧ, отделяются от ТЧ, быстро охлаждаясь до т-ры  $\leq 760^\circ$ ; затем ацетилен выделяется из охлажд. газов. Нагретые ТЧ могут иметь одинаковый или меньший средний диаметр, чем холодные ТЧ, напр. соответственно 10—100 и 4—20 меш. ТЧ из верхнего бункера проходит в нагревательную зону, оттуда в реакционную зону и затем в разделительную зону; часть ТЧ из верхнего бункера отдельным потоком направляется непосредственно в разделительную зону; из разделительной зоны ТЧ поднимаются подъемником в верхний бункер. Приведена схема.

В. Кельцев  
52281 П. Топливо для жидкостных ракетных двигателей. Ханнум (Self-sufficient fuel. Hannum John A.). [Borg — Warner Corp.]. Канад. пат. 510912, 15.03.55

Композиции жидкого топлива, содержащие: 1) тетранитрометан или гексанитроэтан, как окислители, а в качестве топлива — жидкий нитропарафин; последний содержит  $\leq 1$ -ой нитрогруппы на каждый атом С; 2) тетранитрометан в кол-ве 10—65 вес. % и остальное кол-во динитроэтана (топливо); 3) тетранитрометан в кол-ве 5—60 вес. % и остальное кол-во тринитропропана; 4) высококачественное ракетное топливо, содержащее различные алифатич. нитропарафины, из которых хотя бы один является окислителем — тетранитрометаном или гексанитроэтаном и хотя бы один является топливом — соединением, имеющим  $\leq 1$ -ой нитрогруппы на атом С парафиновой цепи.

И. Рожков  
52282 П. Бензин с присадкой. Масса, Расселл III. (Gasoline type fuel composition. Massa Victor F., Russell Barrett B. III rd) [Esso Research and Engng Co.]. Пат. США 2739049, 20.03.56

Предложена присадка к моторному топливу, снижающая нагарообразование в двигателях внутреннего сгорания. Это достигается путем добавления алкогюля алюминия, разлагающегося в зоне сгорания с образованием окиси Al, которая выделяется вместе с углеводородными и свинцовыми отложениями и способствует выпадению нагара в виде хлопьев, уносимых с выхлопными газами. К бензину, содержащему алкилсвинцовый антидетонатор, прибавляют 0,01—0,1 % алкогюля алюминия, имеющего 3—10 (3—5) атомов С, в качестве алкогюля применяется изопропилал алюминия. Для растворения последнего прибавляют также 0,001—0,01 % пептизатора, это может быть Na-соль нефтяных сульфокислот, либо алкилфенолсульфид шел. металла.

С. Розенер  
52283 П. Выделение этанола из продукта синтеза углеводородов. Уивер (Recovery of pure ethanol from hydrocarbon synthesis product. Weaver Joe C., Jr) [Stanolind Oil and Gas Co.]. Пат. США 2715604, 16.08.55

Патентуется способ выделения этанола, пригодного для применения в качестве моторного топлива, из водн. фракции (ВФ), получаемой в синтезах углеводородов из СО и Н<sub>2</sub> в присутствии псевдоожидженного Fe-катализатора. ВФ с т. кип. 48—102°, содержащая масляный альдегид, этанол, метилэтилкетон и метанол, вводится в промежуточной точке в перегонную колонну, имеющую зоны отгонки и ректификации; из точки перегонной колонны, расположенной в промежутке, примерно на 10 тарелок выше и на 15 тарелок ниже упомянутого ввода, отбирается  $\sim 10\%$  ВФ, а возвратная жидкость вводится в зону ректификации выше точки отбора. Т-ра возвратной жидкости 62—65°. В нижней части отбирают фракцию, содержащую этанол, в основном, свободный от метанола.

Г. Марголина



**52284 П.** Каталитическое гидрирование окиси углерода (Procédé d'hydrogénation catalytique de l'oxyde de carbone) [Rheinpreussen A.-G. für Bergbau und Chemie]. Франц. пат. 1108326, 11.01.56

В процессе каталитич. гидрогенизации СО парами воды предварительное восстановление катализатора производится при атмосферном давлении промышленными газами, содержащими СО, и богатыми инертными газами, напр. генераторными или колошниковыми. Пример: Щел. катализатор состава 100 Fe, 0,5 Cu, 2 K<sub>2</sub>CO<sub>3</sub>, 100 кизельгура, полученный путем осаждения обычным способом (как р-ра нитрата Na<sub>2</sub>CO<sub>3</sub>), подвергают предварительной обработке колошниковыми газами в течение 24 час. при 270°, атмосферном давлении и объемной скорости 100, рассчитанной на СО колошниковых газов. Затем производят обработку чистой СО в тех же условиях.

**52285 П.** Производство углеводородов и кислородсодержащих соединений. Хесс, Арнолд, Сенсел (Production of hydrocarbons and oxygenated compounds. Hess Howard, V., Arnold George B., Sensel Eugene E.) [Texaco Development Corp.]. Канад. пат. 512131, 19.04.55

Предлагается усовершенствование процесса каталитич. конверсии СО и Н<sub>2</sub>. Смесь образующихся жидких углеводородов, воды и кислородных органич. соединений, содержащих алифатич. спирты C<sub>2</sub>—C<sub>20</sub>, разделяется на углеводородную и водн. фазы при t-ре >95° (95—150°), под давлением выше атмосферного (≥7 ат), достаточном для поддержания обеих фаз в жидком состоянии (напр., 10—20 ат). В углеводородной фазе концентрируются все растворимые в воде спирты C<sub>2</sub> и выше, а также значительная часть спиртов C<sub>2</sub>; спирты выделяют отдельно из обеих фаз. Приводится схема установки.

**52286 П.** Окислы металлов группы VA в сочетании с алюмогидридами щелочных металлов как катализаторы полимеризации олефинов. Филд, Феллер (Group V a metal oxide and alkali metal aluminum hydride catalyst for olefin polymerization. Field Edmund, Feller Morris) [Standard Oil Co.]. Пат. США. 2727024, 13.12.55

Способ произ-ва полимерных углеводородов с мол. в. ≥300 состоит в том, что газообразные олефины (этилен, пропилен или их смеси) контактируют при 130—325° с катализатором, состоящим из алюмогидрида щел. металла и окисла металла группы VA периодич. системы.

**52287 П.** Способ очистки продуктов гидрирования окисей углерода. Бюхнер, Мейс (Verfahren zur Reinigung von Kohlenoxydhydrierungsprodukten. Büchner Karl, Meis Josef) [Ruhchemie A.-G.]. Пат. FRG 922884, 27.01.55

Продукты гидрирования СО очищают р-рами едких щелочей, предварительно обработанных сульфидами щел. металлов, преимущественно Na<sub>2</sub>S (кристаллич.); обработку проводят длительное время при ~20° путем смешения р-ра щелочи с Na<sub>2</sub>S, применяемым в кол-ве эквивалентном кол-ву присутствующего в щелочи хлората щел. металла. 1000 л 40%-ного водн. NaOH, уд. в. 1,4300, содержащего 572 г NaOH и ~14 г NaClO<sub>3</sub> в 1 л, энергично смешивают при 20—25° с 35 г кристаллич. Na<sub>2</sub>S (конц-ия 30—32% Na<sub>2</sub>S); при этом Na<sub>2</sub>S быстро растворяется и NaClO<sub>3</sub> удаляется настолько полно, что он уже не оказывает вредного влияния на олефины при последующей обработке продуктов гидрирования СО.

**52288 П.** Стабилизированные смеси, содержащие гидрированные хинолины с ингибиторами окисления. Джонс, Смит (Stabilized compositions containing hydrogenated quinolines with oxidation inhibitors. Jones Allen R., Smith John O.,

Jr) [Standard Oil Development Co.]. Канад. пат. 510216, 15.02.55

Для стабилизации нестойких к окислению углеводородных смесей предлагается композиция, состоящая из гидрированных хинолина или хиналидина (тетрадека-) и ингибитора окисления: N-бутилпарааминофенола, в весовом соотношении между собой от 0,1 до 10. Предлагаемая композиция может содержать помимо упомянутых компонентов, N-N'-дитирочный бутилпарафенилендиамин и 2,6-дитирочный бутил-4-метилфенол; все ингибиторы берутся в тех же соотношениях. Такая смесь предлагается и для стабилизации бензинов. Последние могут быть стабилизированы смесью из тетрагидрохиналидина и N-бутилпарааминофенола. Кол-во входящих в композицию компонентов составляет в сумме 0,0016—0,80 г/л.

**52289 П.** Компаундированное смазочное масло. Гриффин, Ван-Эсс (Compounded lubricating oil. Griffin John R., Van Ess Paul R.) [Shell Development Co.]. Канад. пат. 523786, 10.04.56

Смазочное масло с низкой зольностью для термич. напряженных двигателей внутреннего сгорания, содержащее 0,04—0,25% (на сульфатную золь) смешивающейся с маслом металлич. соли продукта конденсации альдегида с ароматич. окисоединением, в частности, с маслорастворимым алкилфенолом, и 0,1—0,5 вес. % маслорастворимого, сравнительно стабильного ароматич. амина в качестве антиокислителя. При использовании предлагаемого масла в качестве авиационного берется антиокислитель, содержащий конденсированные ароматич. кольца, практически свободный от S и металлич. радикалов; рекомендуется также дополнительно вводить Са-соль маслорастворимой нефтяной сульфокислоты в качестве моющей присадки.

**52290 П.** Смазочное масло с ингибитором коррозии (Corrosion inhibited lubricant) [Atlas Powder Co.]. Австрал. пат. 162526, 5.05.55

Композиция состоит в основном из минер. смазочного масла и небольшого кол-ва — до 10 вес. % сложного эфира, полученного из высшей жирной к-ты и полиокс-алкиленового эфира гексита.

**52291 П.** Смазочные композиции (Lubricating oil composition) [Socony-Vacuum Oil Co., Inc.]. Англ. пат. 733 839, 20.07.55

Минеральные смазочные масла содержат в качестве детергентов комплексные соли одного или более металлов I и II группы и муравьиной к-ты с добавкой органич. сульфокислоты и одной или более карбоновой к-ты выше HCOOH. Такой комплекс, приготовленный в присутствии воды и минер. масла и затем дегидратированный, значительно лучше растворяется в масле, чем его компоненты. Сульфокислота рекомендуется предпочтительно из алкилбензола или алкилнафталина. Масло может содержать антиокислительную и другие присадки.

**52292 П.** Загустители для масла (Oil thickeners) [Standard Oil Development Co.]. Англ. пат. 728684, 27.04.55

Композиция изоляционного масла представляет собой высокоочищ. минер. масло, содержащее следы примесей, загущенное до нужной вязкости полииндином, поликумароном, полибензонирролом или политиофеноном.

**52293 П.** Улучшенные консистентные смазки. Спроул, Паттенден (Graisses lubrifiantes perfectionnees. Sproule Lorne W., Pattenenden Warren C.) [Standard Oil Development Co.]. Франц. пат. 1084375, 19.01.55 [Oléagineux, 1955, 10 № 4, 294 (франц.)]

Смазки загущаются смесью из 60% Са- и 40% Li-

мыл оксикислот  $C_{12} - C_{14}$ , предпочтительно 12-оксистерариновой к-ты.

Е. Покровская  
52294 П. Смазочные композиции (Lubricating compositions) [Standard Oil Development Co.]. Англ. пат. 718365, 10.11.54 [Fuel Abstrs, 1955, 17, № 4, 75—76 (англ.)]

Консистентная смазка, представляющая собой загущенное смазочное масло, к которому добавлено небольшое кол-во антиокислителя: 1-алкил-1,1-[ $n$ ,  $n'$ -ди(оксифенил)] этана, где алкил содержит 1—4 атома С; предпочтительно это группа  $CN_2$ .

Н. Кельцев  
52295 П. Консистентные смазки, загущенные сажей. Колфенбах, Вестердал (Lubricating greases thickened with carbon black. Kolfenbach John J., Vesterdal Hans G.) [Standard Oil Development Co.]. Пат. США 2696470, 7.12.54

К жидкой консистентной смазке, полученной загущением смазочного масла мылом (1—5 вес. % на смазку) щел., щел.-зем. металла или Al и насыщ. жирных к-т с 12—22 атомами С, добавляется при т-ре образования мыла и перемешивании 4,5—15 вес. % (по больше, чем мыла) сажи, хорошо адсорбирующей масло. Смесь нагревают до т-ры, достаточной для поддержания мыла в жидком состоянии, подвергают механич. обработке для образования прочного мыльного слоя на саже. По охлаждению получают смазку устойчивой структуры.

М. Шекина  
52296 П. Эмульгаторы для минеральных масел. Грунов (Emulgiermittel für Mineralöle. Grunow Hubert) [Chemische Fabrik Grünau A.-G. Zweigniederlassung Tepha-Ilertissen]. Пат. ФРГ 939589, 23.02.56

Предлагается в качестве эмульгаторов (Э) для минер. масел (М) применять растворимые в воде соли кислого эфира фталевой к-ты общей ф-лы  $C_6H_4(COO)_2 RMe$ , где Me — щел. металл или группа  $NH_4$ , R — остаток (О) алифатич. спирта с  $\geq 8$  атомами С в молекуле, или О алкилированного фенола, с одной или несколькими алифатич. боковыми цепями с  $>4$  атомами С, или О многоатомного алифатич. спирта, одна из гидроксильных групп которого этерифицирована высшей жирной к-той (К). Э добавляется в кол-ве 1,5—40 вес. % от веса М. Э может представлять собой также продукты конденсации К с в-вами белкового характера типа полипептидов. При м е р: 50%-ный водн. р-р Na-соли моноэфира фталевой к-ты и додецилфенола смешивается с 2—3 вес. ч. веретенного М. После добавления воды и соответствующего перемешивания, получается стабильная эмульсия. Указано на возможное применение Э в металлообрабатывающей и текстильной пром-сти.

Н. Шеголев  
52297 П. Растворимое смазочно-охлаждающее масло (Soluble cutting oil) [Standard Oil Development Co.]. Англ. пат. 722665, 26.01.55

Растворимый смазочный состав, применяющийся при резке металлов, состоит из минер. смазочного масла, содержащего небольшое кол-во осерненного жирного масла, растворимого в масле металлнафтената и (или) металлич. соли нефтяной сульфокислоты и неполного сложного эфира жирной к-ты и сорбита или полиоксипропиленового производного его, в котором радикал жирной к-ты содержит 12—22 атома С. Полноксипропиленовый радикал содержит 2—20 оксипропиленовых групп. Из неполных сложных эфиров указываются моно-, ди- и триолеаты и стеараты сорбита и полиоксипропилен-триолеаты и тристеараты сорбита. В спецификации указываются Na-нафтенат и нефтяные Na- или Ca-сульфонаты. Осерненное жирное масло может содержать 6—20 вес. % S и осерненного спермацетового масла. Упомянуты также такие ингредиенты, как чистое масло и спирты такие, как изопропиловый

и этиленгликоль; допускается присутствие небольших кол-в воды и свободной к-ты.

Г. Марголина

См. также: Общие вопросы: 53422; анализ нефти и нефтепродуктов 51657. Применение нефтепродуктов 52030, 52304. Нефтепереработное оборудование 53503, 53504. Перегонка нефти 53496. Анализ сырой нефти 51657. Селективная экстракция углеводородов 50746. Катализатор реформинга 51792. Конструкц. материалы для установок реформинга 53436. Расчеты по перегонке нефти 53496. Очистка сточных вод 52113, 52114, 52119, 52120. Техн. безопасн. 53581

## ПРОМЫШЛЕННЫЙ ОРГАНИЧЕСКИЙ СИНТЕЗ

Редакторы С.З.Тайц, В. П. Фабричный

52298. Новое в химической технологии. Фальк (Germany shifts to new technology. Falk Karl), Chem. Engng, 1955, 62, № 5, 182—186 (англ.)

Краткий обзор современного состояния пром-сти основного органич. синтеза в ФРГ.

Е. Соколова  
52299. Использование пропилена в промышленности основного органического синтеза. Попова Н. И., Тр. Вост.-Сиб. фил. АН СССР, 1956, вып. 4, 37—57

Обзор. Библ. 121 назв.

И. Гонсалес  
52300. Ацетилен в современной химии. III. Современные способы получения производных ацетилена. Химия Реппе. Тиле (El acetileno en la química moderna III. Procedimientos modernos de fabricación de derivados del acetileno. La química de Reppe. Thiele Wolfgang E.), Ciencia, 1955, 15, № 9—10, 219—228 (исп.)

Популярная статья по химии ацетилена. Описаны способы получения его производных. См. РЖХим, 1955, 56360.

И. Гонсалес  
52301. Синтезы алкинолов. V. Испытание непрерывного процесса на опытной установке. З. Мурахаси, Тацуя, Акита, Хирусавы, Като, Курукава, Мацумото, Миура, Футои, Нисикиори, Нисимура, Нисимура, Нисино, Обаяси, Отака, Цунамицу, Ямагиси, Ионэмицу (アルキノール合成 第5報 連続合成法 中間試験報告 3. 村橋修介, 龍谷文吉, 秋田一雄, 蛭澤清一, 加藤力太郎, 黒川實雄, 志本嘉之, 三浦和夫, 二井滋, 新鐵功, 西村泉也, 西村 且, 西尾明, 大村一精, 大谷健雄), 常光要, 山岸章夫, 米光英一, 工業化學雜誌, Kōgō kagaku zasshi, J. Chem. Soc. Japan Industr. Chem. Sec., 1953, 56, № 11, 17—19 (японск.)

Приведены эксперим. данные, полученные при непрерывном синтезе алкинолов в ранее описанном аппарате (см. Мурахаси, Chem. Eng. Japan, 1952, 16, 35). Кислотность формальдегида (рН 2—8,8) не влияет на выход бутиндиола; выход пропаргилового спирта повышается при работе в кислой среде. Добавление  $CN_2OH$  к р-рителю для ацетилена не оказывает положительного влияния. Катализатор сохраняет активность по крайней мере 1 мес. при непрерывной работе. Chem. Abstrs, 1954, 48, № 13, 7536—7537. Katsuya Inouye  
52302. Многоатомные спирты, их значение, свойства, получение и области применения. Эфиры сорбита и его производных (Les polyols industriels. Importance économique—propriétés—préparation, applications. Les esters de sorbitol et de ses dérivés. G. A.), Rev. prod. chim., 1954, 57, № 1200, 133—140 (франц.)

Краткий обзор способов получения ангидросорбитов и сорбитанов. Приведены таблицы, характеризующие 9 препаратов, производимых в Швейцарии, и 16 препаратов, получаемых в США. Указаны коммерческие названия, области применения, хим. и физ. свойства ряда продуктов. См. РЖХим, 1956, 33536. Я. Кантор

**52303.** Получение цетиловинилового эфира. Комори, Нагасима, Синсуги (セチルビニルエーテルの製造について. 小森三郎, 長島隆行, 新杉英), 工業化学雑誌, Kōgō Kagaku Zasshi, J. Chem. Soc. Japan. Industr. Chem. Sec., 1954, 57, № 12, 932—934 (японск.)

Р-цию цетилового спирта (I) с  $C_2H_2$  при 160—220° в присутствии катализатора (KOH или NaOH, 1—5% от веса I) изучали при времени р-ции до 3 час.; отмечали зависимость изменения йодного числа от кол-ва получаемого цетиловинилового эфира. Образование эфира завершается в течение 1 часа при 200° и энергичном размешивании в присутствии KOH (3% от веса I). Chem. Abstrs, 1956, 50, № 2, 779. Katsuya Inouye

**52304.** Получение альдегидов из нефти. Часть 3. Шервуд (Making aldehydes from petroleum. Part 3. Sherwood Peter W.), Petrol. Refiner, 1955, 34, № 3, 201—206 (англ.)

Рассмотрены промышленные схемы получения альдегидов гидратацией ацетилен, омылением винилметилового эфира, из побочных продуктов синтеза углеводородов по Фишеру — Тропшу через этилендиамидат с одновременным получением  $(CH_3CO)_2O$ . Часть 2 см. РЖХим, 1956, 72758.

**52305.** Производство и применение глиоксали. Каллай (Gloxál gyártása és felhasználása. Kállai Ferenc), Magyar. kémik. lapja, 1953, 8, № 12, 351—354 (венг.)

**52306.** Щелочная плавка высших алифатических кетонов. III. Продукты, получаемые при щелочной плавке стеарона. Такэсита (脂肪族高級ケトンのアルカリ熔融反応. 第3報. ステアロンのアルカリ熔融反応物について. 竹下健次郎), 工業化学雑誌, Kōgō Kagaku Zasshi, J. Chem. Soc. Japan. Industr. Chem. Sec., 1953, 56, № 1, 28—30 (японск.)

В продуктах р-ции стеарона ( $C_{17}H_{35}COC_{17}H_{35}$ ) с NaOH, проводимой при 300—350°, установлено наличие стеариновой и пальмитиновой к-т. Chem. Abstrs, 1954, 48, № 13, 7545. K. Inouye

**52307.** Синтез гликолевой кислоты из окиси углерода и формальдегида под высоким давлением. Кодама, Такэдзак, Окамото, Накагава, Юаса (一酸化炭素とホルムアルデヒドよりグリコール酸の合成に関する研究. 兜玉信次郎, 竹崎嘉真, 岡本暢也, 中川國夫, 湯浅幸雄), 工業化学雑誌, Kōgō Kagaku Zasshi, J. Chem. Soc. Japan. Industr. Chem. Sec., 1955, 58, № 3, 201—205 (японск.)

Параформальдегид (I) и CO реагируют в присутствии  $H_2SO_4$  в качающемся автоклаве при нагревании до 180° в течение 1 часа, а затем 4 часа при 180° и 900—950 ат. Выход гликолевой к-ты (II) достигает максим. (64%) после 2 час. в случае 1,66 моль I на 1 л и 85% после 3 час. в случае 8,33 моль I на 1 л. Предполагается, что одновременно происходит р-ция Канинцдаро по схеме:  $2HCHO + H_2O \rightleftharpoons CH_3OH + HCO_2H$ . Исследовано влияние на выход II начальной конц-ии I, давления (100—1400 ат), т-ры (150—190°) и конц-ии  $H_2SO_4$ . Наиболее подходящими условиями являются следующие: 1000 ат 180—190°, 1—2 н.  $H_2SO_4$  и небольшая конц-ия I; наилучший выход II (91,2%) был получен при проведении р-ции с 1,66 молями I на 1 л и 1 н.  $H_2SO_4$  при 180° в течение 4 час. при конечном давл. 1360 ат. Chem. Abstrs, 1956, 50, № 6, 4010. K. Inouye

**52308.** Получение виннокаменной кислоты электролизом винного камня. Тукаси́ма, Ясукава (酒石の電解による酒石酸の製造. 塚島寛, 安川三郎), 工業化学雑誌, Kōgō Kagaku Zasshi, J. Chem. Soc. Japan. Industr. Chem. Sec. 1953, 56, № 5, 317—319 (японск.)

**52309.** Получение янтарной кислоты и эфира на ее основе. Луткова В. И., Шмагина Н. Н., Ж. прикл. химии, 1956, 29, № 9, 1438—1439

Разработан метод получения  $HOOC(CH_2)_2COOH$  (I) окислением тетрагидрофурана (II) (получен из фурфуrola) 55%-ной  $HNO_3$ . При окислении II в I опробованы различные окислители: воздух с различными катализаторами (соли Mn, Cu, Fe),  $H_2O_2$ , конц. и 55%-ная  $HNO_3$ . В колбу с обратным холодильником помещают 209 мл 55%-ной  $HNO_3$ , перемешивая, добавляют 10—15 капель II (т. кип. 64—65°;  $d_{20}^{20} 0,888$ ;  $n_D^{20} 1,4060$ ). При появлении окислов азота колбу охлаждают и одновременно добавляют к смеси 36 г II, следя за тем, чтобы т-ра не превышала 25—30°, после чего содержимое колбы перемешивают при 25—30° еще 3 часа и оставляют на несколько часов. Кристаллы отфильтровывают, получают 45 г I. К фильтрату добавляют конц.  $HNO_3$  для доведения конц-ии  $HNO_3$  до 55%, укрепленную к-ту используют повторно. Упариванием фильтрата можно получить еще 8 г I. Полученную I промывают 55%-ной  $HNO_3$  и сушат в вакууме; т. пл. 183°, кислотное число 946, выход 90% (теор.) нитросоединений не содержит. На основе I и смеси спиртов, содержащих в среднем 12 атомов C, получают сложный эфир, являющийся пластификатором для полихлорвинила. В колбу с обратным холодильником, водоотделителем, мешалкой и термометром помещают 255 г I, 885 г смеси спиртов, 25 г  $n-C_3H_7C_6H_4OSO_2H$  и 400 мл дихлорэтана. Перемешиваемую смесь нагревают до 85—95° и выдерживают при этой т-ре до полного отделения воды, после чего отгоняют дихлорэтан, а затем удаляют в вакууме избыточный спирт. Эфир промывают водой, 5%-ным р-ром  $Na_2CO_3$ , снова промывают водой, сушат  $Na_2SO_4$  и перегоняют, т. кип. 225°/2 мм. Полученный эфир — слегка окрашенная нейтр. жидкость,  $d_{20}^{20} 0,9150$ ;  $n_D^{20} 1,4510$ ; т-ра вспышки 205°; удельное объемное сопротивление  $9,0 \cdot 10^{12}$  ом. см; коэф. омыления 246. И. Гонсблес

**52310.** Рост значения малеинового ангидрида. Шервуд (Burgeoning maleic anhydride. Sherwood Peter W.), Petrol. Process., 1956, 11, № 11, 82—89 (англ.)

Обзор методов получения и применения малеинового ангидрида (I) в различных областях промышленности. Подробно описано получение I частичным окислением  $C_6H_6$ , влияние на этот процесс строения катализатора, т-ры, объемной скорости на катализаторе, соотношения воздуха и  $C_6H_6$  и т. д. Приведена схема выделения I с применением дибутилфталата в качестве поглотителя. Библ. 20 назв. Н. Ланцдес

**52311.** Винилацетат. IX. Влияние добавления ацетата цинка к активному углю на синтез винилацетата. Х. Ацетальдегид и кротоновый альдегид. Такигава (酢酸ビニルに関する研究. 第9報. 酢酸ビニル合成觸媒中の活性炭に対する酢酸亜鉛量について. 第10報. 酢酸ビニル合成におけるアセトアルデヒドおよびクロトンアルデヒドの副生について. 瀧川敏), 工業化学雑誌, Kōgō Kagaku Zasshi, J. Chem. Soc. Japan. Industr. Chem. Sec., 1954, 58, № 6, 471—474; 474—477 (японск.)

IX. Степень адсорбции  $(CH_3COO)_2Zn$  (I) активным углем, применяемым для синтеза винилацетата, пропорциональна кол-ву молей. I. Измерено поглощение  $C_2H_2$  и  $CH_3COOH$  при 100—200° углем, вводимым с добавлением различных кол-в I (до 0,7 г на 1 г угля). Присутствие I на поверхности угля тормозит аномально активное поглощение  $C_2H_2$ , приводящее к внезапному повышению т-ры р-ции в начальной стадии синтеза и к сокращению срока службы катализатора.

X. В отходящих газах и в винилацетате определяют содержание  $CH_3CHO$ . Отходящие газы содержат 5—10%  $CH_3CHO$ . Обсуждаются возможности произ-ва кротонового альдегида, установлено каталитич. действие I на катализатор. В качестве побочного продукта должен образовываться винилметилкетон. Часть VIII см. РЖХим, 1957, 1169. Э. Тукачинская



**52312. Свойства диалкильных эфиров алкенилнтарных кислот.** Мацуда, Ямаути, Яmanoуэ (アルケニルコハク酸ジアルキルエステルの性状について. 松田住雄, 山内健男, 山之上謙市. 工業化学雑誌. Kōgō Kagaku Zasshi, J. Chem. Soc. Japan Industr. Chem. Sec., 1955, 58, № 4, 296—298 (японск.).

Додеценилнтарная к-та (I), тетрадеценилнтарная к-та (II) и гексадеценилнтарная к-та (III) были получены с 50—65%-ным выходом нагреванием малеинового ангидрида с соответствующими олефинами при 170—180° в течение 5—10 час. Диалкильные эфиры [алкил—CH<sub>2</sub>, C<sub>2</sub>H<sub>5</sub>, C<sub>3</sub>H<sub>7</sub>, изо-C<sub>3</sub>H<sub>7</sub>, C<sub>4</sub>H<sub>9</sub>, изо-C<sub>5</sub>H<sub>11</sub>, C<sub>6</sub>H<sub>5</sub>CH(C<sub>2</sub>H<sub>5</sub>)CH<sub>2</sub>, или n-C<sub>8</sub>H<sub>17</sub>] I, II и III [за исключением изо-C<sub>5</sub>H<sub>11</sub>, C<sub>4</sub>H<sub>9</sub>CH(C<sub>2</sub>H<sub>5</sub>)CH<sub>2</sub>- и n-октиловых эфиров I и III] были получены в присутствии n-C<sub>3</sub>H<sub>7</sub>C<sub>6</sub>H<sub>5</sub>SO<sub>3</sub>H. Полученные додецениловые эфиры при гидрировании (1 атм, 70—80°) в присутствии скелетного Ni давали соответствующие додециловые эфиры. В таблице приведены показатели преломления, уд. веса, числа омыления и йодные числа этих эфиров. Изучены пластифицирующие свойства эфиров для сополимера поливинилхлорида с поливинилацетатом (95:5). Наилучшими пластификаторами оказались додецениловые эфиры. Для изучения смазывающих свойств были измерены коэф. вязкости и т-ры текучести. Хорошими смазывающими свойствами обладают бутил-, n-октил- и тетрадецилдодеценилсукцинаты и бутилгексадецилсукцинат. Chem. Abstrs, 1956, 50, № 6, 4032.

**52313. О синтезе и применении высших алкаминамов.** Намба, Бэссё, Миядзак (アルキルアミン系カチオン活性剤に就いて. 難波義郎, 別所史雄, 宮崎裕. 油脂化学協会誌, Юси кагаку кёкайси, J. Oil Chemists' Soc., Japan, 1954, 3, № 1, 23—26 (японск.).

**52314. О путях интенсификации сероуглеродного производства.** Фельдман Ю. А. В сб.: Искусств. волокно. Вып. 10, М., 1955, 13—24.

На интенсивность процесса получения CS<sub>2</sub> сжиганием угля (У) в токе газообразной S влияют: характер распределения т-ры в слое; величина реакционной поверхности У в слое и предельная для данного сорта У и т-ры р-ции уд. производительность (II) слоя по CS<sub>2</sub> (r<sub>c</sub>); величина необходимой для этого оптимальной скорости подачи в зону р-ции и наличие катализирующих в-в в У. II процесса может быть увеличена повышением т-ры р-ции, кроме случая, когда скорость подачи S при заданной т-ре р-ции меньше величины, необходимой для использования реакционных возможностей данного слоя У, и когда характер распределения т-ры в слое связан с наличием больших градиентов, а т-ра определяется лишь в одной точке обогреваемого пространства. В первом случае II реакторов повышают усилением питания их S. Для второго случая приведены схема и кривая примерного распределения т-ры по высоте слоя У. Суммарную характеристику работы слоя получают интегрированием дифференциальной II элементарных слоев У по температурной кривой. Приведена изотерма, соответствующая производственной т-ре 900°, практически никогда не соблюдаемой по всей высоте слоя У. В р-ции получения CS<sub>2</sub> активно участвует слой У с т-рой 800°, слой, лежащий выше и ниже этого температурного уровня, CS<sub>2</sub> не образуют, поэтому для повышения II реторт необходим равномерный, достаточный и устойчивый их прогрев на возможно большей высоте. Величина реакционной поверхности r<sub>c</sub> зависит от физич. структуры У и размеров его частиц. Установлено, что с уменьшением среднестатистич. размера частиц У в слое, величина r<sub>c</sub> резко возрастает. Проведены опыты с различными гранулометрич. фракциями производственного У, обожженно-

го при 900—1000°. В таблице приведены эксперим. данные, полученные на интегральном реакторе с толщиной слоя У 11, 15 и 18 см при т-рах прогрева слоя в электрич. печи в его нижней части 920 ± 20° и 980 ± 20°. С уменьшением размеров частиц У возрастает влияние повышения т-ры р-ции на r<sub>c</sub>. В соответствии с размерами частиц У подбирают режим работы реактора и соотношение между высотой и диаметром слоя так, чтобы увеличение гидродинамич. сопротивления слоя току паров S не привело к выбросу У из реактора. Одним из условий увеличения r<sub>c</sub> является создание малогабаритных реакторов для использования угольной мелочи. Рассмотрено значение скорости тока паров S для протекания слоевого процесса образования CS<sub>2</sub> при 800—1200°. Добавление некоторых солей щел. металлов к У в той же температурной области (при условии защиты стенок реакционных реторт от действия шлаков) также интенсифицирует процесс образования CS<sub>2</sub>. Н. Гонсалес

**52315. О методе экспериментального изучения динамики слоевого процесса получения сероуглерода из угля и газообразной серы.** Фельдман Ю. А., Богданова-Березовская И. В. В сб.: Искусств. волокно. Вып. 10, М., 1955, 99—107.

Предложен метод изучения динамики слоевых процессов образования CS<sub>2</sub> из элементов, позволяющий изучать этот процесс с большей точностью. Метод состоит в проведении процесса со значительными кол-вами исходных в-в и сконденсированного продукта, измеряемых во времени объемным или весовым способом. Приведена схема лабор. установки. Рассмотрено использование дифференциального и интегрального реакторов и указаны случаи их применения. Предложена мера уд. производительности слоя твердого углеродистого материала в процессе образования CS<sub>2</sub> в виде величины r<sub>c</sub>; дан способ ее определения. В таблице и графически представлена зависимость r<sub>c</sub>, полученной на дифференциальном реакторе, от т-ры для древесного угля (размер частиц 2—3 мм). Н. Гонсалес

**52316. Интенсивный комбинированный метод подготовки древесного угля для производства сероуглерода.** Фельдман Ю. А., Зимина Л. Н., Арапович Б. С., Аграновский Н. Н. В сб. Искусств. волокно. Вып. 10, М., 1955, 67—81.

Основным недостатком существующего способа сушки (С) древесного угля (У) является то, что летучие в-ва почти не удаляются из У; это приводит к выделению их в реакционных ретортах. Разработан режим С, не имеющий недостатков существующих способов, но сохраняющий их положительные стороны. Определены т-ры воспламенения ряда У при продувании горячего воздуха через квадратный слой У сечением 1 дм<sup>2</sup> и высотой 40 см. Установлено, что т-ра воспламенения зависит от т-ры выжиги У. Найдено, что С без воспламенения в токе воздуха букового У ретортного обжига (350—400°) протекает при т-ре ≤ 130°, а березового У кучного обжига (600—650°) примерно ≤ 145°. Опыты по контактной сушке У горячим воздухом показали значительное ускорение сушки У. Время удаления влаги из У, по сравнению с С без непосредственного контакта с сушильным агентом (СА), сокращается в 3—5 и более раз, в зависимости от исходной влажности У, т-ры С и скорости прохождения СА. Приведены кривые динамики процесса удаления влаги из У при подаче СА в условиях контактной сушки при С воздухом (130°) и смесью воздуха с N<sub>2</sub> при 165°, а также кривая зависимости т-ры воспламенения букового и березового У от содержания в газе O<sub>2</sub>. Подтверждены преимущества контактного способа С, благодаря его интенсивности. Описана полупроизводственная установка, на которой

изучена комбинированная термодготовка У с удалением летучих в-в. Основным условием при проведении термодготовки У в контактных сушильках является соблюдение времени выжигания летучих в-в. Приведены результаты ряда опытов, а также результаты сушки У в сушильных ретортах с наружным обогревом и в опытной контактной сушилке. Качество У заметно улучшается и резко сокращается продолжительность С. Присутствие в сушильных газах большого кол-ва СО нежелательно, т. к. может образоваться взрывоопасная смесь. Разработанный метод термодготовки У сокращает объемы сушильных отделений и металлоемкость конструкций.

И. Гонсалес

**52317. О некоторых усовершенствованиях процесса конденсации сероуглерода и обработки шлама. Селухин Б. И., Кверель Э. Л.** В сб.: Искусств. волокно. Вып. 10, М., 1955, 40—53

При существующей системе конденсации  $CS_2$  теряется 30—40%  $CS_2$ , содержащегося в образующемся шламе (Ш). Осуществлен ряд усовершенствований процесса. В целях предотвращения засорения газопроводов над конденсаторами установлены оросительные колонки (К) diam. 550 мм, высотой 900 мм, заполненные керамич. кольцами  $50 \times 50$  мм и орошаемые холодной водой через распределитель с отверстиями diam. 3—5 мм. Размеры К зависят от расположения газопроводов и газопроводов системы. Установка К и увеличение диаметра газопроводов улучшают работу газовой системы и обеспечивают бесперебойный проход газов. Увеличение объема газовой системы смягчает колебания давления при загрузке реторта. Сконструирована и опробована на произв. установка для отделения Ш перед конденсацией  $CS_2$ , работающая на принципе обработки в оросительной К отходящих из реторты газов горячей водой (70—80°) и последующей конденсацией очищ. паров  $CS_2$  в конденсаторе. Приведена схема шламоотделителя. Конденсацию  $CS_2$  осуществляют в двух последовательно расположенных конденсаторах. Получающийся  $CS_2$  содержит 0,1—0,05% нелетучих в-в. Аналитич. данные испытания приведены в таблице. Метод снижает потери  $CS_2$  с отходящей водой. Описана схема установки для извлечения  $CS_2$  из Ш. Аппарат емк. 3—4 м<sup>3</sup> после работы в течение 8—10 дней прогревают до 80—90°, затем 2—3 часа продувают острым паром, охлаждают водой и выгружают Ш из аппарата. Обработанный Ш содержит 1—2%  $CS_2$ , после пропарки он содержит S—80%; As—12,5%; Se до 1%. При обработке Ш возвращается 8—10 кг  $CS_2$  на 1 т выработки.

И. Гонсалес

**52318. Этилендиаминотетрауксусная кислота. Маури (El EDTA. Mauri Luis), Textil. Supl. tecn. y inform., 1956, 3, № 156, 9—11 (исп.)**

Приведены хим. свойства этилендиаминотетрауксусной к-ты  $[(HOOC)_2NCH_2]_2$  и ее солей, указано их применение в медицине, фармации, косметике, с. х., пищевой, кожевенной и других областях пром-сти.

И. Гонсалес

**52319. Возможность промышленного получения капролактама из циклогексанона и нитропарафинов по методу Новотного. Пётровский (O możliwości przemysłowego otrzymywania kaprolaktamu z cykloheksanonu i nitroparafinu metodą Novotnego. Piórowski A.), Przem. chem., 1956, 35, № 7, 405—407 (польск.; реф. русск., англ.)**

Описаны метод синтеза капролактама (I) из циклогексанона (II), без выделения оксима II. Проверен метод получения I из II и нитрометана (III), или же нитроэтана (IV). Лучший выход получения при синтезе с IV. В 3-горлой колбе нагревают 75 г 20%-ного олеума до 120° и прибавляют по каплям 45 г III (или 50 г IV), регулируя т-ру ~125° скоростью прибавления. После понижения т-ры до ~110° добавляют по каплям 60 г

(или, соответственно, 52 г) II. Т-ра повышается до ~120°. Охлажд. смесь вливают тонкой струйкой при перемешивании в 250 мл (или 150 мл) 28%-ного  $NH_3$ . Извлекают эфиром или  $C_6H_6$ . Р-ритель отгоняют и остаток перегоняют; т. кип. I 195—197°/15 мм.

S. Chudzyński

**52320. Механизмы реакции каталитического окисления ароматических углеводородов в паровой фазе и их применение. V. Получение бензойной кислоты из фталового ангидрида. VI. Окисление скипидара. Сасаяма (芳香族炭化水素の接觸的空氣酸化の反應機構とその應用. 第5報. 無水フタル酸の接觸的氣相脱炭酸による安息香酸の製造. 第6報. テレピン油の酸. 篠山博), 工業化學雜誌, Kore kagaku daasshi, J. Chem. Soc. Japan. Industr. Chem. Sec., 1953, 56, № 9, 671—673; № 70, 761—763 (японск.)**

V. Смесь паров фталового ангидрида (I), воды и воздуха пропускали над катализатором ( $ZnO$ /пемза) при 350—400°. При скорости пропускания I 1,57—2,35 г/час, ~2,7—9,5-кратном кол-ве воды от теоретически необходимого для гидратации I и пропускания некоторого кол-ва воздуха (т-ра > 380°) выход  $C_6H_5COOH$  был 63—71,3%. На опытной установке при скорости пропускания I 17—25 г/час и 25—49 экв и воды в 1 час., без пропускания воздуха (т-ра 430—450°) выход  $C_6H_5COOH$  составлял 67—80%. В р-цию не вошло 18—39% I.

Chem Abstrs, 1955, 49, № 11, 7523.

VI. При окислении скипидара (I) (92,5 об. % I перегоняется при 86—185°) воздухом в присутствии  $V_2O_5$  или  $Sn_2(VO_4)_2$  при 400—430° получают малеиновую к-ту (выход 20—32%). В продуктах р-ции найдены *n*-толуиловая к-та, терефталевая к-та и *n*-бензохинон. Обсужден механизм р-ции. Лучший выход предполагают получить при термич. разложении I с последующим каталитич. окислением.

Chem. Abstrs, 1954, 48, № 21, 13238. Сообщение IV. см. РЖХим, 1957, 45427. Katsuya Inouye

**52321. О хлорировании полизамещенных монофенолов. I. Пентахлорфенол (1-ое сообщение): получение «гексахлорфенола». Денивель, Фор (Sur la chloruration de monophénols polysubstitués. I. Pentachlorophénol (1<sup>er</sup> mémoire): préparation de l'Hexachlorophénol. Denivel Léon, Fort Roland), Bull. Soc. chim. France, 1956, № 11—12, 1834—1839 (франц.)**

В результате эсперим. проверки описанных в литературе и патентах способов хлорирования пентахлорфенола (I) в среде неполярных р-рителей в присутствии катализаторов  $FeCl_3$ ,  $AlCl_3$ ,  $SbCl_5$ ,  $J_2$  или при УФ-облучении разработан способ получения «гексахлорфенола» (I, 2, 4, 5, 6, 6-гексахлорпиклогексадиен-1, 4-она-3) (II) с почти колич. выходом в присутствии безвод.  $AlCl_3$ . Через р-р 0,1 моля чистого I в 300 мл  $CCl_4$ , содержащих 2,5 г безвод.  $AlCl_3$ , пропускают при т-ре между 40 и 50° струю сухого  $Cl_2$  в течение 4 час. (выделение HCl), охлаждают, отделяют выпавший чистый II (8 г, т. пл. 105°), отгоняют  $CCl_4$  и получают дополнительно 21 г менее чистого II (т. пл. 101—102°), содержащего следы I, обнаруживаемые на ИК-спектрах. Общий выход II составляет 96% от веса I. Хлорирование I в УФ-свете дало отрицательный результат. Чистый I получен кипячением 10%-ного водн. р-ра продажного I (основные примеси: Fe, неп полностью хлорированные фенолы, смолы) 15 мин. в присутствии 2%  $Na_2O_2$  с последующим (после охлаждения и фильтрования) подкислением и перекристаллизацией осадка (4—5 раз) из  $CCl_4$ , с животным углем до получения I с т. пл. 190°. Я. Кантор

**52322. Дезалкилирование ди-втор-бутилбензола. Цунода (ジ第二ブチルベンゼンの脱アルキル化反應. 角田康五郎), 東海電機技報, Токай дэнкёку гихо,**

Tokai Technol. J., 1955, 16, № 1, 20—23 (японск.; реза. англ.)

Реакция дезалкилирования ди-*нор*-бутилбензола в присутствии  $\text{AlCl}_3$  и  $\text{C}_6\text{H}_6$  является бимолекулярной; энергия активации 20 ккал/моль. Определения скорости сделаны при 20, 30 и 40°. Константа равновесия для р-ции  $\text{C}_6\text{H}_6 + \text{C}_6\text{H}_4[\text{CH}(\text{CH}_3)\text{C}_2\text{H}_5]_2 \rightleftharpoons 2\text{C}_6\text{H}_5\text{CH}(\text{CH}_3)\text{C}_2\text{H}_5$  при 20° равна 0,31. Константа скорости зависит от концентрации  $\text{AlCl}_3$ .

Chem. Abstrs, 1956, 50, 204—205.

52323. Влияние условий на процесс получения дифенила из бензола под давлением. Хосака, Такехиса (ベンゼンの加圧下におけるジフェニル合成反応におよぼす反応条件の影響. 保坂義信, 武正昭), 工業化学雑誌, Kōgō kagaku daasshi, J. Chem. Soc. Japan Industr. Chem. Sec., 1955, 58, № 12, 1001—1004 (японск.)

Бензол пропускали через стальную трубку при 625—695° под различным давлением (10—60 ат) с различной скоростью (40—3000 л/час), определяли выход дифенила (I) и высших полифенилов. Выход I ~10—15 вес. % от  $\text{C}_6\text{H}_6$  при 20—30 ат, скорости 1000—3000 л/час и 695° без возвращения  $\text{C}_6\text{H}_6$ . Скорость превращения  $\text{C}_6\text{H}_6$  в I и высшие полифенилы пропорциональна  $V^{-0.8-0.7}$  и  $1/V$  соответственно, где  $V$  — объемная скорость пропуска  $\text{C}_6\text{H}_6$ . Скорость р-ции пропорциональна квадрату давления. Различали два вида С, осаждавшегося на внутренней поверхности реакционной трубки: аморфный С, получаемый, по-видимому, при каталитич. разложении  $\text{C}_6\text{H}_6$ , и смолообразный С, образующийся при дегидрогенизационной конденсации  $\text{C}_6\text{H}_6$ ; более высокое давление при р-ции может понизить осаждение первого вида С.

Chem. Abstrs, 1956, 50, № 18, 12922.

Katsuya Inouye

52324. Изучение каталитического действия активированного каолина. 3. Реакция цетилового спирта с фенолом. 2. Реакция между производными жирных кислот и фенолом и использование продуктов реакции в качестве пластификаторов. Ватанабэ (活性白土の接觸作用に関する研究. 第1報. セチルアルコールとフェノールの縮合反応. 第2報. オレイン酸誘導体とフェノールとの反応及び反応生成物の可塑剤としての應用. 渡邊誠一), 油脂化学協会誌, Юси какаку кёкайси, 1953, 2, № 1, 21—24; № 2, 18—22 (японск.)

52325. Триоксиметилфенол и его получение. Похвальский, Зовалль (Trójhdroksymetylofenol i jego otrzymywanie. Pochwalski J., Zowall H.), Przem. chem., 1956, 35, № 8, 454—456 (польск.; реза. русск., англ.)

Приведены хим. характеристика триоксиметилфенола (I) и история исследований этого в-ва. Изложены возможности технич. применения I. Описан метод получения I из его Na-производного нейтр-цией теоретич. кол-вом 20%-ной  $\text{HCl}$  в присутствии избытка свободного  $\text{CH}_2\text{O}$ . I получают с выходом 60%, т. пл. 87°.

W. Lewenstein

52326. Получение пирокатехина из технического 2-дихлорбензола. Асаока, Сэкигута (工業用オジクロルベンゼンよりカチコールの製造. 浅岡 鋼・関口辰夫), 工業化学雑誌, Kōgō kagaku daasshi, J. Chem. Soc. Japan Industr. Chem. Sec., 1954, 57, № 8, 590—592 (японск.)

Подробно изучено получение пирокатехина (I) из неочищ.  $\text{o-C}_6\text{H}_4\text{Cl}_2$  (II). Примерно 70%-ный II и различные кол-ва  $\text{NaOH}$  и  $\text{Ba}(\text{OH})_2$  реагировали в стальном качающемся автоклаве при 200—285° и 65—68 ат в течение 10—14 час. Подкислением  $\text{HCl}$ , фильтрацией, экстракцией эфиром и повторной перегонкой в вакууме получены белые кристаллы I, т. кип. 140—142°/25 мм. Лучший выход I (71,4%) был получен при следующих

условиях: молярное отношение  $\text{NaOH} : \text{Ba}(\text{OH})_2 = 1 : 2$ , на 1 моль II брали 4 молярных эквивалента общего кол-ва щелочи, время р-ции 12 час. при 270—280°. Для увеличения выхода I рекомендуется прибавлять 0,01 моля гидросульфата или  $\text{HCOONa}$  на 1 моль II. Chem. Abstrs, 1956, 50, № 1, 227.

52327. Частичное дегидрокислирование пирокатехина и смеси двухатомных фенолов под давлением. Елинек (Parciální dehydroxylace pyrokatechinu a směsi dvojmocných fenolů za tlaku. Jelínek Jago m i r F.), Chem. průmysl., 1956, 6, № 1, 3—6 (чешск.; реза. русск., англ.)

Исследован процесс дегидрокислирования 2-атомных фенолов в металлч. реакторе непрерывного действия в атмосфере  $\text{H}_2$  при давл. 50—80 ат с катализатором (К)  $\text{MoO}_3\text{—Al}_2\text{O}_3$  (1:1). Р-ция изучена на примерах пирокатехина (I), а также смесей фенолов, получаемых из бурых углей: а) содержание I 73,9%, т. кип. 248—275°,  $d_4^{20}$  1,1523; б) содержание I 53,8%, т. кип. 247—284°, остаток при перегонке 13%,  $d_4^{20}$  1,132. Установлены оптимальные условия дегидрокислирования I: т-ра 350—370°, давл. 60 ат, нагрузка (q) катализатора 0,5—0,75 г I на 1 мл объема К в 1 час, расход  $\text{H}_2$  (V) ~200 л/час. К не снижает активности >574 час. Показано, что в продукте р-ции содержится фенол (67,7%), *n*-циклогексилфенол и пирокатехин. Из смеси: а) при 360°, 60 ат, q = 0,72—1,0, V = 296—379 л/час получен продукт, содержащий 59,1—61,0% фенольной фракции, состоящей из фенола (22,4%) *o*-, *m*- и *p*-крезолов и других в-в. В течение 1246 час. не замечено снижения активности К. Из смеси б) в тех же условиях (кроме q = 0,58, 2,23) получены продукты с содержанием фенольной фракции <31,7%.

C. Войткевич

52328. Новый способ получения диметилового эфира терефталевой кислоты из толуола. Гриль (Über ein neues Verfahren zur Herstellung von Terephthaläuredimethylester aus Toluol. Griehl Wolfgang), Faserforsch. und Textiltechnik, 1953, 4, № 11, 464—469 (нем.)

Приведен новый лабор. способ получения диметилтерефталата, применяемого для произ-ва терилена. Толуол (I) обрабатывают при 70—75°  $\text{CH}_2\text{O}$  и  $\text{HCl}$  в присутствии  $\text{ZnCl}_2$ . Получают смесь хлорметилтолуолов (т. кип. 92—94°/20 мм) с выходом ~90% на вешедный р-цию I (~75% на ватный I) и 4—8% переносившихся примесей. Независимо от кол-ва взятого  $\text{ZnCl}_2$  отгон всегда состоит из смеси 57% *n*-изомера и 43% *o*-изомера. Эту смесь хлорируют на свету до образования смеси  $\omega$ -гексахлор-*n*-ксилола, т. пл. 111°, с  $\omega$ -пентахлор-*o*-ксилолом, т. пл. 43°. Смесь разделяют отсасыванием, добавка бензина облегчает разделение. Кипячением  $\omega$ -гексахлор-*n*-ксилола, в течение 15 час. с 80%-ным водн.  $\text{CH}_3\text{OH}$  в присутствии к-ты ( $\text{H}_2\text{SO}_4$ ,  $\text{H}_3\text{PO}_4$ ) и каталитич. кол-в  $\text{FeCl}_3$  или  $\text{ZnCl}_2$  получают диметилтерефталат, выход ~100%; в качестве побочного продукта образуется  $\text{CH}_3\text{Cl}$ . Давление повышает скорость р-ции. При хлорметилировании I в качестве побочного продукта получается 2,4-*бис*-(хлорметил)-толуол, т. пл. 43°, при омылении водн. р-ром  $\text{NaHCO}_3$  OH образует 2,4-*бис*-(оксиметил)-толуол, т. пл. 82°, который при окислении 35%-ной  $\text{HNO}_3$  превращается в *m*-метил-изофталевую к-ту, т. пл. 332°, ее диметилловый эфир имеет т. пл. 80°. Кроме того, при хлорметилировании I образуется смесь, состоящая из ~40% *n,n'*-дитолилметана, ~20% *o,o'*-дитолилметана и ~20% *o,n'*-дитолилметана. Омылением  $\omega$ -пентахлор-*o*-ксилола водной при 120—140° в присутствии  $\text{FeCl}_3$  получают полуальдегид фталевой к-ты, который при жидкофазном окислении воздухом в присутствии  $\text{H}_2\text{Bg}$  дает фталевую к-ту. При окислении 2,4-*бис*-(оксиметил)-толуола  $\text{KMnO}_4$  образуется тримеллитовая к-та, т. пл. 218°, ее триметило-



вый эфир имеет т. кип.  $194^{\circ}/12$  мм. 2,4-бис-(хлорметил)-толуол при нагревании с  $C_4H_9OH$  и  $NaOH$  дает 2,4-( $C_4H_9OCH_2$ ) $_2C_6H_3CH_3$ , т. кип.  $182-184^{\circ}/10$  мм. Для того чтобы сделать предлагаемый способ экономически целесообразным, необходимо использовать побочные продукты, в первую очередь  $CH_3Cl$  и полуальдегид фталевой к-ты.

Б. Фабричный

**52329. Выделение арилсульфокислот.** Фейльхенфельд (Separation of aryl sulfonic acids. Feilchenfeld Hans), Industr. and Engng Chem., 1956, 48, № 10, 1935—1937 (англ.)

Составлена тройная диаграмма фаз системы сульфокислота —  $H_2SO_4$  — вода для толуола (при  $30, 45$  и  $60^{\circ}$ ),  $n$ -ксилола (при  $30$  и  $60^{\circ}$ ) и лигроиной прямойгонки с т. кип.  $130-170^{\circ}$  (при  $30^{\circ}$ ). Для каждого из указанных в-в максим. выделение сульфокислоты наблюдалось при составе отработанной к-ты:  $\sim 65\%$   $H_2SO_4$  и  $35\%$  воды. Оптимальные условия выделения в отдельных частных случаях могут быть рассчитаны при помощи приводимых диаграмм.

В. Уфимцев

**52330. Сульфирование ароматических соединений.** Моносульфирование  $\beta$ -нафтола. Нида, Окава (芳香族化合物のスルホン化に関する研究.  $\beta$ -ナフトールのモノスルホン化. 飯田弘忠, 大川勝昭), 工業化学雑誌, Kōgō Kagaku daasshi, J. Chem. Soc. Japan, Industr. Chem. Sec., 1955, 58, № 12, 995—998 (японск.)

Анализ  $NH_4$ -солей 2-нафтол-6-сульфокислоты (I, соль) 2-нафтол-1-сульфокислоты, 2-нафтол-8-сульфокислоты и 2-нафтол-7-сульфокислоты производили с инфракрасным спектрометром Берда, работая при  $8,0-12,5$   $\mu$ , с образцами, суспендированными в  $CS_2$  с добавкой  $Al$ -стеарата. Вышеуказанные  $NH_4$ -соли 2-нафтол-сульфокислот получали р-цией  $\beta$ -нафтола с различными кол-вами  $H_2SO_4$  при  $40-90^{\circ}$ , время р-ции до  $300$  мин. Главным продуктом р-ции (3 часа  $90^{\circ}$ ) была I, максим. выход  $NH_4$ -соли 2-нафтол-8-сульфокислоты ( $\sim 60\%$ ) был достигнут проведением р-ции в течение 3 час. при  $60^{\circ}$ . Выход I повышается с увеличением времени р-ции, особенно при повышенной т-ре. Конц-ия  $H_2SO_4$ , по-видимому, влияет на состав получаемых сульфатов, особенно в начальной стадии р-ции.  $NH_4$ -соль 2-нафтол-7-сульфокислоты не была получена при использовавшихся условиях р-ции. Обработкой  $\beta$ -нафтола теоретич. кол-вом сульфаминовой к-ты ( $190-200^{\circ}$ , 4 часа) получена I, выход  $80\%$ . Chem. Abstrs, 1956, 50, № 18, 12939.

К. И.

**52331. Выделение тетрагидрофурана из его смесей с водой.** Йосинока, Танияма, Саката (テトラヒドロフラン水系からテトラヒドロフランの分離について. 吉岡民雄, 谷山雅一, 板田四夫), 工業化学雑誌, Kōgō Kagaku daasshi, J. Chem. Soc. Japan, Industr. Chem. Sec., 1955, 58, № 4, 299—302 (японск.)

Выделение тетрагидрофурана (I) из различных смесей I ( $10-90\%$ ) с водой проводили по одному из следующих методов: а) высаливание  $NaCl$  с образованием  $93$ -ного I (выход  $95\%$ ) из р-ров, содержащих  $>60\%$  I; б) добавлением  $CS_2$  или  $(C_2H_5)_2O$  к азеотропной смеси I с водой ( $95,5\%$  I, т. кип.  $63,4^{\circ}$ ) и перегонкой; в) добавлением толуола, ксилола, глицерина или  $n$ -гептана к азеотропной смеси для растворения I, или воды и последующей перегонкой. Простая перегонка смешанного р-ра была недостаточной. Приведены кривые перегонки для случаев б) и в). Chem. Abstrs, 1956, 50, 4107—4108.

К. Иноуэ

**52332. Применение молибденовых катализаторов в химической промышленности.** Слэйс (Molybdenkatalysatoren voor de chemische industrie. S l u i s K. J. N., v a n), Chem. courant, 1956, 55, № 1767, 104—108 (голл.)

Обзор. Библ. 23 назв.

Б. Ф.

**52333 П. Концентрирование олефинов.** Савой (Concentration of olefines. Savoy Michael) [The Pure Oil Co.]. Канад. пат. 513580, 7.06.55

Для выделения олефинов из газовых смесей эти смеси обрабатывают селективно абсорбирующим олефины р-ром  $Cu^+$ -соли ( $Cu_2Cl_2$ ) в безводн. подкисленном р-рителе, состоящем из смеси алкилоламина и низкокипящего одноатомного спирта (кол-во соли  $Cu$  в подкисленном р-ре значительно больше, чем может быть в неподкисленном насыщ. р-ре этой соли в указанном р-рителе). Для подкисления р-рителя применяют неорганич. к-ты,  $C_6H_5COOH$  или  $ClCH_2COOH$ . И. Шалавина

**52334 П. Способ этилирования ациклических олефинов.** Клоссон, Колка, Лиджett (Verfahren zur Äthylierung von acyclischen Olefinen. Closson Rex De Wayne, Kolka Alfred Jerome, Ligett Waldo Buford) [Ethyl Corp.]. Пат. FRG 943645, 24.05.56

Олефины этилируют р-цией с  $C_2H_4$  при  $50-250^{\circ}$  и  $10-200$  атм в присутствии металлорганич. соединений щел. металлов, взятых в кол-ве  $0,01-10\%$ , лучше  $0,1-5\%$  по отношению к олефину. В частности, гексен-1 этилируют в присутствии  $Na$ -гексена-1. В продукт  $N_2$  автоклав вносят  $470$  ч. гексена-1,  $53$  ч.  $Na$ -гексена-1 и  $260$  ч. гексана (разбавитель), нагревают до  $100^{\circ}$  и вводят  $C_2H_4$  до давл.  $27$  атм, нагревают до  $182^{\circ}$  при дополнительном введении  $C_2H_4$  до давл.  $34-46$  атм и размешивают еще  $75$  мин. По охлаждении газ удаляют, катализатор разлагают прибавлением воды, спирта, отделяют и промывают водой органич. слой. Перегонкой на колонке со спиральной насадкой выделяют фракцию 3-этилгексена-1 (выход  $4,25\%$ , т. кип.  $110-111^{\circ}/745$  мм,  $n_D^{20}$   $1,4071$ ,  $d_4^{20}$   $0,7133$ , бромоное число  $154,6$ ) и фракцию  $n$ -октена, выход,  $4,05\%$ , т. кип.  $117,5-122,8^{\circ}/745$  мм,  $n_D^{20}$   $1,4125-1,4179$ ,  $d_4^{20}$   $0,7200-0,7295$ , бромоное число  $125-169$ . Процесс можно осуществлять непрерывно. Получаемые соединения пригодны в качестве промежуточных продуктов, моторного топлива и составных частей его, р-рителей, разбавителей для средств борьбы с вредителями. В. Уфимцев

**52335 П. Нитрит щелочного металла как ингибитор полимеризации диацетиленов.** Нелсон (Alkali metal nitrite as a polymerization inhibitor for diacetylene. Nelson Herbert H.) [Monsanto Chemical Co.]. Пат. США 2715103, 9.08.55

Диацетилен (I), присутствующий в кол-ве  $0,05-5\%$  в газовых смесях (последние образуются при получении  $C_2H_2$  из углеводородов в электрич. дуге или их термич. разложением), полимеризуется при очистке  $C_2H_2$  (действие различных р-рителей при определенных т-рах и давлении) и тем самым затрудняет очистку, напр. забивает фильтры. Предложен метод подавления полимеризации I добавлением нитрита щел. металла ( $Na$ ,  $K$  или  $Li$ ) к р-рам, содержащим I. Р-рителями служат бутиролактон и другие органич. в-ва, абсорбирующие  $C_2H_2$  из газовой смеси. Ингибитор добавляют в кол-ве  $1-10\%$  ( $1-2\%$  от веса всей композиции). Для подавления образования полимера I во время абсорбции и десорбции ингибитор можно добавлять непосредственно в р-ритель или вводить его в виде р-ра нужной конц-ии в абсорбционную систему.

И. Шалавина

**52336 П. Получение тетрафторэтилена.** Фарлоу, Мьютерте (Preparation of tetrafluoroethylene. Farlow Mark W., Muetterte Earl L.) [E. I. du Pont de Nemours and Co.]. Пат. США 2 732 411, 24.01.56

Новый способ получения тетрафторэтилена (I) состоит в р-ции  $F_2$ , разбавленного инертным газом ( $N_2$ ,  $Ar$ ,  $He$ ), с углеродом (уголь, графит, костяной уголь, различные сорта сажи) при очень высокой т-ре (до  $4500^{\circ}$ , но не ниже  $1400^{\circ}$ ) и давл.  $1-2$  мм, с последующим

возможно быстрым охлаждением (в течение 0,1—0,001 сек.) продуктов р-ции и удалением  $F_2$  действием воды, КОН, NaOH (в твердом виде или в виде водн. р-ра), карбонатов, сульфитов, KJ, NaJ или мелко измельченного угля. I отделяют от побочных продуктов ( $CF_4$ ,  $C_2F_6$ ,  $C_3F_8$ , а также высшие фторуглероды) ректификацией. Р-ция может быть проведена в условиях электрич. дуги (3—50 а, 10—20 а). 3 ч. I пропускают в течение 25 мин. через электрич. дугу (4 а, 16—18 а) при давл. 1—4 мм, непрореагировавший  $F_2$  поглощают NaJ. В ловушке, охлажденной с помощью жидкого  $N_2$ , помещенной на конце системы, получают 2 ч. конденсата, состоящего из I (10%),  $CF_4$  (80%),  $C_2F_6$ , а также следов  $C_3F_8$  и  $SiF_4$ ; в другом варианте процесса применяется индукционный нагрев системы. Л. Герман

**52337 П. Способ получения фторалкилйодидов. Хасельдине** (Verfahren zur Herstellung von Fluoralkyljodiden. Haszeldine Robert Neville). Пат. ФРГ 944429, 14.06.56

Фторалкилйодиды получают действием избытка  $J_2$  на ангидриды соответствующих карбоновых к-т при т-ре  $\geq 250^\circ$  по схеме:  $RCOOCOR' + J_2 \rightarrow RJ + RJ' + CO_2 + CO$ , где R и R' — галоидалкилы, содержащие  $\geq 2$  атомов F в  $\alpha$ - или  $\beta$ -положениях, предпочтительно имеющие 3 атома F в  $\alpha$ -положении. Напр., 3 ч.  $(CF_3CO)_2O$  и 12 ч.  $J_2$  нагревают в автоклаве 12 час. при  $300^\circ$ . Получают 3,5 ч.  $CF_3J$ , т. кип. —  $22^\circ$ . Нагреванием 3 ч.  $(n-C_3F_7CO)_2O$  и 10 ч.  $J_2$  до  $400^\circ$  в Pt-трубке получают 2,8 ч.  $CF_3CF_2CF_2J$ , т. кип.  $39,5^\circ$ . Аналогично получают  $C_2F_5J$ ,  $C_4F_9J$  и  $C_6F_{11}J$ ,  $CF_3COOCOCF_3$  дает  $CF_3J$  и  $C_2F_5J$ .

Б. Дяткин

**52338 П. Дегалонирование фторсодержащих соединений. Смит, Миллер** (Dehalogenation of Fluorine compounds. Smith Lee B., Miller Charles B.). [Allied Chemical and Dye Corp.]. Канад. пат. 515663, 16.08.55

Соединения, содержащие группировку  $CXY_2CX'$   $Y'F$  (X и X' — галоиды, отличные от F, а Y, Y', Y' — атом H, галоид, алифатич. или ароматич. радикал), напр. сполна галонированные этаны (в частности,  $CCl_2FCClF_2$ ), дегалонируют действием Zn, взятого в избытке  $\leq 20\%$ , в спиртовой среде, напр. в среде  $CH_3OH$  или  $C_2H_5OH$ , содержащих  $\leq 6$  вес. % воды, в присутствии HCl (инициатор р-ции) в кол-ве 0,1—2 вес. %, считая на исходное полигалонированное в-во.

Л. Герман

**52339 П. Способ получения высших спиртов. Такао, Кумamoto** (高級アルコールの製法. 高尾正保. 熊本正樹). Япон. пат. 6566, 15.10.54

Восстановлением каприловой (I), каприновой, лауриновой и других алифатич. к-т и их производных при нагревании под давлением получают алифатич. спирты с тем же числом атомов C. Метилловый эфир I получают этерификацией I при  $80^\circ$  обработкой 30%-ным  $CH_3OH$  в присутствии 1,5%  $H_2SO_4$ , избыток  $CH_3OH$  отмыывают водой, а метилловый эфир I каталитически восстанавливают в присутствии Cu-хромита нагреванием под давлением. При проведении каталитич. восстановления при  $255—260^\circ$  (реакционную массу промывают водой для удаления  $CH_3OH$ ) получают (в скобках указан выход): октиловый спирт (94,2%), углеводороды (2,1%) и непрореагировавший эфир (3,7%); при проведении восстановления при  $220^\circ$  получают: октиловый спирт (97,1%) и углеводороды (0,9%). В. Уфимцев

**52340 П. Способ получения бутин-2-диола-1,4. Ренне, Штейнхофер, Тришман** (Verfahren zur Herstellung von Butin-2-diol-1,4. Renne Walter, Steinhofer Adolf, Trieschmann Hans Georg) [Badische Anilin- & Soda-Fabrik (I. G. Farbenindustrie A.-G. «In Auflösung»)]. Пат. ФРГ 871005, 16.03.53 [Chem. Abstrs, 1956, 50, № 12, 8713 (англ.)]

Выход ( $\equiv CCH_2OH$ )<sub>2</sub> (I) при получении его р-цией  $C_2H_2$  и воды.  $CH_2O$  в присутствии Cu-ацетиленда (II) улучшен за счет увеличения миним. конц-ии  $CH_2O \geq 1\%$  и удаления  $CH_2O$  перегонкой под давлением при достаточном флегмовом числе. Водн. р-р  $CH_2O$  ( $\sim 22\%$ ) и  $C_2H_2$  под давл. 5 ат пропускают прямотоком через башню, заполненную катализатором (II на  $SiO_2$ ) при  $95—100^\circ$ . Скорость введения реагентов должна быть такова, чтобы р-р, выходящий из башни, содержал 1,5%  $CH_2O$  (скорость  $C_2H_2$  0,3—10;  $CH_2O$  0,02—1,0 см/сек). Р-р содержит  $\sim 27,7\%$  I и 1,4%  $HC \equiv CCH_2OH$  (III). Р-р нагревают при т-ре кипения под давл. 1,5 ат в колонне с дефлегматором, пока не перегонится 20% р-ра; дистиллат, содержащий  $CH_2O$  и III, возвращают в реактор, а остаток в перегонной колонне содержит 34,6% I, 0,15%  $CH_2O$  и  $< 0,15\%$  III. В. Смит

**52341 П. Очистка бутандиола-1,4 от примесей, дающих окраску** (Elimination of colourforming impurities from 1,4-butanediol) [General Aniline & Film Corp.]. Англ. пат. 729841, 11.05.55.

Способ обработки технич. бутандиола-1,4 (I), не содержащего непредельных в-в, от примесей, дающих темную окраску при обработке конц. HCl, заключается в обработке 20—60%-ного (по весу) водн. р-ра I водородом в присутствии Ni-содержащих катализаторов гидрирования ( $150—170^\circ$ , 50—500 ат, 1—10 час.). Очист. I не дает окрашивания с конц. HCl в течение 30 мин. Напр., р-р I в воде обрабатывают  $H_2$  при повышенном давлении в присутствии скелетного Ni или Ni, Cu и Mn, нанесенных на Si-содержащий носитель или на  $SiO_2$ , активированный нагреванием в  $H_2$ . I может быть получен гидрированием бутиндиола над тем же катализатором. Бутиндиол получают пропускаям  $C_2H_2$  и водн. р-ра  $CH_2O$  через катализатор (Cu — Bi-ацетиленд), нанесенный на гранулированный  $SiO_2$ , при повышенном т-ре и давлении. В. Смит

**52342 П. Способ получения 2,2,4-триметилпентандиола-1,3. Лейсен, Купер** (Verfahren zur Herstellung von 2,2,4-Trimethylpentan-1,3-diol. Lasey Richard Norman, Cooper Leslie Ernest) [The Distillers Co. Ltd.]. Пат. ФРГ 939869, 8.03.56

5,5-Диметил-2,4-дизопропил-6-оксидиоксан-1,3 (I) гидрируют в жидкой фазе при  $30—130^\circ$ , лучше при  $50—100^\circ$ , в присутствии скелетного Ni в слабокислой среде, создаваемой (в том случае, когда исходное в-во не обладает само по себе кислой р-цией), добавкой небольшого кол-ва слабой к-ты, напр. уксусной, пропионовой, n-или изомасляной, янтарной, малоновой или адипиновой, или соли слабого основания и сильной к-ты, в частности, галогенида щел.-зем. металла; не рекомендуется применение сильных к-т ( $H_3PO_4$ ,  $CCl_3COOH$ ) и  $HCOOH$ , вредно действующих на катализатор. Возможно применение неочищ. I, получаемого при каталитической щелочью конденсацией  $изо-C_3H_7CHO$ ; высушенный над безводн.  $CaCl_2$ , он обладает достаточной кислой р-цией. Гидрирование можно проводить как при обычном, так и при повышенном давлении, в отсутствие или в присутствии разбавителей, в частности  $C_2H_5OH$ , n-или  $изо-C_3H_7OH$  или  $изо-C_4H_9OH$ . Диол выделяют из реакционной смеси перегонкой под пониженным давлением. Так, 282 ч. неочищ. I, 50 ч. 50%-ной смеси скелетного Ni с  $изо-C_3H_7OH$  и 5 ч. лед.  $CH_3COOH$  перемешивают 8 час. в атмосфере  $H_2$  при постепенном повышении т-ры с 50 до  $85^\circ$ . За этот период поглощается 4,5 ч.  $H_2$ ; при перегонке продукта р-ции получают с выходом 80% (теор.) 2,2,4-триметилпентандиол-1,3, т. кип.  $122^\circ/20$  мм, т. пл.  $32—33^\circ$  (т. пл.  $51^\circ$  после перекристаллизации из водн. сп.). В отсутствие  $CH_3COOH$  р-ция протекает крайне медленно: за 1,5 часа поглощается 0,42 ч.  $H_2$ , после чего р-ция почти прекращается и возобновляется лишь после добавки к-ты. При гидрировании

в отсутствие к-ты 272 г. высушенного над безводн.  $\text{CaCl}_2$  неочищ. I поглощается за 45 час.  $\sim 4,3$  г.  $\text{H}_2$ , выход диола составляет 71%. Я. Кантор

**52343 П. Способ производства изопропилового эфира.** Нерад, Виттенберг, Клуэгл (Způsob výroby isopropyletheru z izopropanolu. N ěrad Z d e n ěk, Wittenberg Ervin, Kl ůgl Jan). Чехосл. пат. 83739, 3.01.55

Способ произ-ва изопропилового эфира (I) действием  $\text{H}_2\text{SO}_4$  на *изо*- $\text{C}_3\text{H}_7\text{OH}$  (II) при повышенной т-ре и нормальном давлении состоит в том, что сначала безводн. I обрабатывают 100%-ной  $\text{H}_2\text{SO}_4$ , после чего образующийся диизопропилсульфат (III) разлагают водой, постепенно подаваемой при повышении т-ры реакционной смеси с 90 до 130°. В реактор вводят 200 кг безводн. II, затем прибавляют при перемешивании 16 кг 100%-ной  $\text{H}_2\text{SO}_4$  с такой скоростью, чтобы т-ра реакционной смеси медленно поднималась до 80°. Когда кол-во введенной  $\text{H}_2\text{SO}_4$  будет соответствовать необходимому для образования III, т-ра повысится до 90°; при этом начинается отгонка I через колонну и холодильник в коллектор, в котором собирается I, в то же время пропилен (IV) отводят в скруббер, где IV освобождают от  $\text{SO}_2$  и следов  $\text{H}_2\text{SO}_4$  с помощью  $\text{Ca}(\text{OH})_2$ , после чего IV отводят для дальнейшего использования. Одновременно с отгонкой I вводят воду в кол-ве, соответствующем кол-ву отгоняемого I, сначала медленно затем, когда т-ра достигнет 100°, быстрее, поскольку часть воды отгоняется вместе с I. Воду вводят в кол-ве, несколько большем, чем требуется для гидролиза III. Нагревание прекращают по достижении 130°, когда образование I полностью прекращается и начинается полимеризация IV. Скопившийся в коллекторе I промывают водой и р-ром соды или известковым молоком. Содержимое коллектора после отставания отводят из нижней части, I передают на ректификацию. Выход составляет: 7,15 кг I, 5,8 кг IV и 2,66 кг непрореагировавшего. Потери II составляют 0,63 кг. Приведена схема аппарата. И. Елинек

**52344 П. Способ получения простых эфиров из алколей типа алилового спирта и замещенных галогенсодержащих карбинолов.** Баллард, Моррис, Ван-Уинкл (Ethers of allyl-type alcohols with halogen — containing substituted carbols, and process. Ballard Seaver A., Morris Rupert C., Van Winkle L.) [Shell Development Co.]. Канад. пат. 523787, 10.04.56

Способ состоит в проводимой при нагревании жидкофазной р-ции галогенидов  $\beta$ , $\gamma$ -олефиновых углеводородов с эпокси соединениями. Простой эфир *бис*-(галоидметил)-карбинола с первичным алифатич. спиртом, имеющим  $\beta$ -метиленовую группу, получают нагреванием в жидкой фазе при 100—350° первичного галогенида алифатич. углеводорода, имеющего метиленовую группу в положении 2, с эпигалоидгидрином глицерина в присутствии  $\text{Cu}$ -соли. Патентуются простые эфиры  $\beta$ , $\gamma$ -олефиновых спиртов с замещ. карбинолами, галоидметильные группы которых непосредственно связаны с третичным атомом C, в частности, 3-хлораллил-*бис*-(хлорметил)-карбиноловый эфир. О. Черников

**52345 П. Способ одновременного получения простых и сложных эфиров.** Цукamoto, Судзук (エステル及びエーテルを同時に製造する方法. 梅本正, 鈴木鉄也) [三菱化成工業株式会社, ミツubishi kasei kōgō kabushiki kaisha]. Япон. пат. 214, 21.01.55

Простые и сложные эфиры одновременно получают обработкой ортоэфиров безводн.  $\text{FeCl}_3$  в безводн. среде. 100 г  $\text{HC}(\text{OCH}_3)_3$  и 5 г безводн.  $\text{FeCl}_3$  нагревают 2 часа при перемешивании при 50° под обратным холодильником, охлаждаемым смесью  $\text{CH}_3\text{OH}$  и твердой  $\text{CO}_2$ , реакционную смесь охлаждают до -50° и фракционной перегонкой выделяют 41,1 г  $(\text{CH}_3)_2\text{O}$ , выход 97%, т. кип.

-25°, и 55,8 г  $\text{CH}_3\text{COOCH}_3$ , выход 98,5%, т. кип. 32°. 100 г  $\text{CH}_3\text{C}(\text{OC}_2\text{H}_5)_3$  и 6 г безводн.  $\text{FeCl}_3$  при перемешивании нагревают 3 часа при 60° под обратным холодильником, охлаждают до 15° и фракционной перегонкой выделяют 43,4 г  $(\text{C}_2\text{H}_5)_2\text{O}$ , выход 95%, т. кип. 35°, и 52,1 г  $\text{CH}_3\text{COOC}_2\text{H}_5$ , выход 96%. В. Уфимцев

**52346 П. Стабилизация эфира.** Малликрофт, Руле (Ether preservation. Mallinckrodt Edward Jr., Ruehle Archie E.) [Mallinckrodt Chemical Works]. Пат. США 2720546, 11.10.55

Простой эфир стабилизируют добавкой 4,10-фенантролина или его  $\text{Cu}^{2+}$ ,  $\text{Fe}^{2+}$ -или  $\text{Pb}$ -производного.

И. Шалавина

**52347 П. Получение окиси этилена окислением этилена.** Синно (エチレンの気相酸化によるエチレンオキシドの製造法 椎野和夫) [工業技術院長, Kōgō gijyūkyōintē]. Япон. пат. 3919, 9.06.55

При получении окиси этилена (I) окислением этилена (II)  $\text{O}_2$  или воздухом в присутствии  $\text{Ag}$ -катализатора (K, катализатор) применяют вспомогательные K ( $\text{Cu}$ ,  $\text{Au}$ ,  $\text{Ni}$  и другие металлы), однако, процесс идет при высокой т-ре. Предлагается в этом процессе применять K, приготовленный из солей  $\text{Ag}$  с добавлением небольшого кол-ва кремневой к-ты, который имеет высокую активность и избирательное действие; с этим K получают I с хорошим выходом уже при 200—250°. Этот K готовят восстановлением в потоке  $\text{H}_2$  при 250°  $\text{Ag}_2\text{CO}_3$ , содержащего небольшое кол-во  $\text{Ag}_2\text{SiO}_3$ . K р-ру 0,05 моля  $\text{AgNO}_3$  в 100 мл дистилл. воды при перемешивании прибавляют 50 мл р-ра, содержащего 0,02 моля  $\text{Na}_2\text{CO}_3$  и 0,001 моля  $\text{Na}_2\text{SiO}_3$ ; полученный осадок  $\text{Ag}_2\text{CO}_3$ , содержащий  $\sim 5\%$   $\text{Ag}_2\text{SiO}_3$ , промывают водой и сушат при 110° несколько часов, растирают в пыль и смешивают с 50 мл размоленной пемзы, добавляя небольшое кол-во дистилл. воды, перемешивают, выпаривают и высушивают досуха; наносят на пемзу и помещают в трубку, пропускают при 200° воздух, затем восстанавливают, пропуская  $\text{N}_2$ , содержащий 10%  $\text{H}_2$ , затем при 230° пропускают 1 час воздух, содержащий 8%  $\text{H}_2$ , со скоростью 1000 л на 1 K в 1 час, при этом 59% взятого II превращается в I, выход 68%, считая на вошедший в р-цию II или 40%, считая на взятый II; при 245° получают I с выходом 49%, считая на взятый II. В аналогичных условиях опыта с K, приготовленным без добавления  $\text{Na}_2\text{SiO}_3$ , при 250° II не изменяется, при 400° выход I < 10%. В. Каратаев

**52348 П. Способ карбонилирования олефинов.** Каттерал (Förfäringssätt vid karbonylering av olefiner. Catterall W. E.) [Standard Oil Development Co.]. Шведец. пат. 148311, 4.01.55

Олефины карбонилируют р-цией с  $\text{CO}$  и  $\text{H}_2$  в присутствии  $\text{Co}$ -карбонила в условиях, способствующих образованию альдегидов (I). Полученный продукт, содержащий I и растворенный  $\text{Co}$ -карбонил, передают в зону удаления катализатора, куда вводят жидкую воду. Тепло в эту зону подводят через змеевик. Полученную смесь, содержащую I,  $\text{Co}$  и воду, передают в отстойник. Продукт, содержащий I, свободный от растворенного  $\text{Co}$ , выводят из отстойника, а по крайней мере часть отстоявшейся водн. фазы возвращают в зону отделения катализатора. Приведена схема процесса. Л. Крюкова

**52349 П. Получение хлорала.** Черчилл, Шеффер (Chloral manufacture. Churchill John W., Schaeffer Benjamin B.) [Mathieson Chemical Corp.]. Канад. пат. 517390, 11.10.55

Хлораль получают р-цией  $\beta$ , $\beta'$ -дихлорэтилового эфира с  $\text{Cl}_2$  при облучении светом, в присутствии воды, кол-во которой должно быть по крайней мере достаточным для образования хлоральгидрата ( $\geq 3$  молей на 1 моль  $\beta$ , $\beta'$ -дихлордиэтилового эфира). О. Черцов

**52350 П. Способ удаления воды из водных растворов уксусной кислоты или из смесей уксусной кислоты,**



уксусного ангидрида и воды при помощи азеотропной перегонки. Алелитьер (Förfarande för azeotropisk avtätning av vattenhaltigättiksyra eller av blandningar av ättiksyra, anhydrid och vatten. Alhétritère L.) [Les Usines de Melle Soc. An.] Швед. пат. 150359, 21.06.55

Указанные р-ры или смеси обезвоживают или очищают азеотропной перегонкой с основным азеотропообразователем (ОА), дающим с водой азеотропную смесь, и вспомогательным азеотропообразователем (ВА), образующим с водой азеотроп, который кипит ниже, чем азеотроп воды с ОА. Благодаря этому в колонне (К) образуется область, в которой действует ВА. Эта область находится выше области действия ОА. Способ отличается тем, что отгонку летучих примесей производят выше зоны действия ВА и тем, что в верхней части К образуется зона сепарации, где жидкость стекает обратно, а поднимающиеся пары не образуют пузырьков. Жидкость в зоне сепарации разделяется на два слоя; нижний слой, содержащий воду, удаляют, а верхний слой стекает в К. Приведена схема процесса. Л. Крюкова 52351 П. Производство уксусного ангидрида. Мацуда, Накаха, Като, Сирасаки (無水酢酸の製造法. 松田義朗, 中原義郎, 加藤力太郎, 白崎省三) [大日本セロイド株式会社, Дайнихон сэруридо кабусики кайся]. Японск. пат. 4878, 15.07.55

Способ получения уксусного ангидрида (I) окислением ацетальдегида (II)  $O_2$  в присутствии катализаторов дает хорошие результаты при применении таких разбавителей, как ацетон,  $CH_3COCH_3$  или другие кетоны; эти в-ва способствуют абсорбции  $O_2$  и оказывают влияние на повышение выхода I. Р-ция идет при 1 атм и  $10^\circ$  в присутствии  $Co(NO_3)_2$  и  $Cu(NO_3)_2$ . 88 г II, 176 г ацетона, 200 мг  $Cu(NO_3)_2$  и 80 мг  $Co(NO_3)_2$  помещают в стеклянный сосуд с пористым дном (высота 80 мм, диам. 30 мм), вводят 300 мл  $O_2$  в течение 1 мин. при  $40^\circ$ , заканчивают р-цию через 1,5 часа, получают 291 г жидкости, содержащей 22,5% I, 11,3%  $CH_3COOH$  и 0,65% перекиси ацетилла; выход I 64,1%, считая на II, общий выход продуктов окисления 92,6%. В смеси 88 г II, 176 г  $CH_3COCH_3$ , 200 мг  $Cu(NO_3)_2$  и 80 мг  $Co(NO_3)_2$  вводят в течение 1 мин. 350 мл  $O_2$  при  $40^\circ$ , заканчивают р-цию через 1,5 часа, получают 288 г жидкости, содержащей 21,7% I, 12%  $CH_3COOH$  и 1,12% перекиси ацетилла; выход I, 61,2%, общий выход продуктов окисления 92,1%. В. Каратаев

52352 П. Способ получения уксусного ангидрида. Мураками, Накаха, Като, Сибаяма, Ямагути, Сирасаки (無水酢酸の製造法. 村上恭平, 中原義郎, 加藤力太郎, 柴山茂明, 山口朝照, 白崎省三) [大日本セロイド株式会社, Дайнихон сэруридо кабусики кайся]. Японск. пат. 425, 27.01.55

( $CH_3CO$ ) $_2O$  (I) получают окислением  $CH_3CHO$  (II) при нагревании и нормальном или повышенном давлении в присутствии хлористых или азотнокислых солей  $Co$  или  $Si$  в среде этилацетата (III) обработкой  $O_2$  или газами, содержащими ~20%  $O_2$ . Через смесь 44 г II и 88 г III в присутствии 30 мг безвод.  $CoCl_2$  или 70 мг безвод.  $SiCl_4$  в вертикальной трубке диам. 23 мм при  $50^\circ$  и повышенном давлении пропускают смесь газов из 90%  $O_2$  и 10%  $N_2$  со скоростью 150 мл в 1 мин. в течение 1 часа; получают 135 г продукта, содержащего 16% I, 14,1%  $CH_3COOH$  (IV), 1,32%  $CH_3COOOH$  (V) и 0,23% II, общий выход I и IV 53%. Аналогично из 44 г II и 88 г III в присутствии 40 мг  $Co(NO_3)_2$  или 100 мг  $Cu(NO_3)_2$ , пропускают 100 мл  $O_2$  в 1 мин. при  $40^\circ$  в течение 1,5 часа, получают 139 г смеси, содержащей 17,3% I, 15,1% IV, 1,73% V и 0,12% II, общий выход I и IV 53%; из 44 г II и 88 г III в присутствии 40 мг  $CoCl_2$  или 70 мг  $SiCl_4$  при  $50^\circ$  и 3 атм, пропускают 250 мл  $O_2$  в 1 мин. в течение 1,5 часа, получают 146 г смеси, содержащей 25,6% I, 7,5% IV, 1,47% V и 0,29% II, общий выход

I и IV 77%; из 44 г II и 88 г III в присутствии 40 мг  $Co(NO_3)_2$  или 100 мг  $Cu(NO_3)_2$  при  $45^\circ$  и 5 атм, пропускают воздух со скоростью 500 мл в 1 мин. в течение 1,5 часа, получают 140 г смеси, содержащей 20,7% I, 14,4% IV, 1,62% V и 0,2% II, общий выход I и IV 58,9%.

В. Уфимцев  
52353 П. Способ и аппарат для гидролиза метилацетата и разделения уксусной кислоты и метилового спирта. Саката (酢酸メチルの加水分解による酢酸及びメタノールの分離装置. 坂田四夫). Японск. пат. 424, 27.01.53

Приведена технологич. схема разделения  $CH_3OH$  и  $CH_3COOH$ ; получаемых при гидролизе метилацетата (I). Смесь паров  $CH_3OH$  и I отделяют от воды.  $CH_3COOH$  и конденсируют. Фракционной перегонкой конденсата отделяют  $CH_3OH$  от I, который возвращают в процесс. Водн.  $CH_3COOH$  концентрируют, причем пары воды используют для подогрева в теплообменнике смеси  $CH_3OH$  и I.

В. Уфимцев  
52354 П. Получение двусосновных кислот из ненасыщенных жирных кислот. Кобаяси, Миядзак (不飽和脂肪酸より二鹽基性酸の製造法. 小林正, 宮崎昭治) [工業技術院長, Когэ гйдаюцу нитё]. Японск. пат. 5079, 14.08.54

Улучшены условия р-ции получения азеланиновой к-ты (I) окислением олеиновой к-ты (II) или смеси насыщ. жирных к-т озоном. Изучение влияния т-ры и конц-ии озона при получении I дало возможность более эффективно проводить озонирование II, разложение озонидов, окисление альдегидов и уменьшить образование побочных продуктов. Озонирование I озонированным кислородом (OK) или воздухом с конц-ией  $O_3$  4—5% наиболее полно проходит при т-ре ~ $50^\circ$ ; для разложения озонидов требуется нагревание при  $80$ — $120^\circ$  в течение 1 часа; окисление альдегидов происходит при пропускании OK или воздуха с содержанием озона 0,01—1% при  $40$ — $100^\circ$ . Для разложения перекисей реакционную смесь нагревают до  $80$ — $120^\circ$  в присутствии катализаторов (водн. р-ры солей металлов). Образовавшиеся двусосновные к-ты (главный компонент — I) и одноосновные к-ты (главный компонент — пеларгоновая к-та) выделяют экстракцией и перегонкой. В 300 г жирных к-т, выделенных из китового жира (йодное число 70,1, кислотное число 203) при  $40^\circ$  пропускают OK, содержащий 4—5% озона, в течение 24 час. со скоростью 0,27 л/мин, разлагают озониды нагреванием при  $90$ — $110^\circ$  в течение 1 часа, получают 339 г масла. В 300 г этого масла пропускают 8 час. OK (конц-ия  $O_3$  0,25%) при  $50$ — $70^\circ$  со скоростью 0,5 г/мин, получают 300 г продуктов окисления, прибавляют в отношении 1:1 катализатор (0,01 н. водн.  $MnCl_2$  + 0,05 н. водн.  $HCl$ ), перемешивают 1 час. при  $90$ — $100^\circ$  и оставляют для расслаивания; 250 г полученного масла перегоняют при 17 мм рт. ст., получают следующие фракции: 26 г, т. кип. < $120^\circ$ ; 51 г, т. кип.  $120$ — $150^\circ$ ; 23 г, т. кип.  $150$ — $180^\circ$ . Оставшееся масло извлекают большим кол-вом горячей воды, получают 76 г неочищ. I, из р-ра катализатора выделяют 4,3 г I; выход неочищ. I, считая на исходную ненасыщ. к-ту, 33%; кроме того выделяют пеларгоновую к-ту (выход 20%) и жирные к-ты  $C_7$ — $C_{11}$  (выход 10%). В. Каратаев

52355 П. Способ получения эфиров монофторуксусной кислоты. Эгасира, Осака, Китаю (モノフルオール酢酸エステルの製造法. 江頭三男, 大阪太郎, 北野尚男) [橋本左内, 野津龍三郎, Хасимото Самп, Ядау Рюсабуро]. Японск. пат. 8269; 8270, 15.12.54

Эфиры монофторуксусной к-ты (I, к-та) с алифатич. одноатомными спиртами, содержащими >3 атомов  $C$ , или многоатомными спиртами, получают р-цией I или ее шел.-зем. соли с указанными спиртами в присутствии минер. или органич. к-ты, являющейся более силь-

ной к-той, чем I. Получены эфиры I с пропиловым, бутиловым, амиловым, гексильным, октиловым, дециловым и другими спиртами, а также с этиленгликолем, диэтиленгликолем, триэтиленгликолем, гексаметиленгликолем, глицерином и другими гликолями. При 35° смешивают 49,5 г I ( $d_{40}^{25}$  1,38—1,39) с 100 мл  $n\text{-C}_4\text{H}_9\text{OH}$ , полученный р-р охлаждают до т-ры  $\sim 20^\circ$  и прибавляют к нему при перемешивании смесь 200 мл  $n\text{-C}_4\text{H}_9\text{OH}$  и 50 мл  $\text{H}_2\text{SO}_4$  ( $d$  1,84), поддерживая т-ру  $< 90^\circ$ ; проводят р-цию 4 часа, верхний слой промывают водой, нижний слой выливают на лед, экстрагируют эфиром, экстракт соединяют с верхним слоем, сушат и перегоняют; выделяют  $n\text{-C}_4\text{H}_9\text{OOCCH}_2\text{F}$ , выход 90%, т. кип. 148—153°; после вторичной перегонки получают чистый эфир ( $n$  1,3970,  $d$  1,0229). К 1000 г измельченного  $(\text{FCH}_2\text{COO})_2\text{Ca}$  постепенно прибавляют 2550 г  $\text{H}_2\text{SO}_4$  ( $d$  1,84), поддерживая т-ру  $\sim 200^\circ$ , перемешивают 2,5 часа при 150—200°, охлаждают и прибавляют 1350 г технич. октилового спирта с т. кип. 175—213°, перемешивают 10 мин. при 50°, выливают реакционную смесь в воду, экстрагируют 1000 мл эфира. Экстракт сушат и фракционируют, получают 1270 г октилового эфира I, т. кип. 202—204°/400 мм; выделяют также немного гексильного эфира I, т. кип. 186—188°/760 мм, децилового эфира I, т. кип. 148—151°/20 мм, додецилового эфира I, т. кип. 172—175°/16 мм. К смеси 500 г I и 200 г  $\text{HOSCH}_2\text{CH}_2\text{OH}$  прибавляют 100 мл 85—88%-ной  $\text{H}_2\text{PO}_4$ , перемешивают 10 час. при 60°, охлаждают и выливают в воду, экстрагируют 500 мл эфира; выделяют  $(\text{FCH}_2\text{COOCH}_2)_2$ , выход 92%, т. кип. 136—139°/9 мм. В смесь 240 г I и 95 г глицерина, помещенную в серебряный сосуд, вводят 60 г безводн. HF, поддерживают т-ру 0° в течение нескольких часов, выливают реакционную смесь в воду, выделившееся масло промывают р-ром  $\text{NaHCO}_3$  и затем извлекают эфиром; при перегонке получают 242 г полного эфира глицерина I, т. кип. 177—183°/5 мм. Из 250 г I и 100 г пентаэритрита в присутствии безводн. HF при т-ре от  $-10$  до  $-5^\circ$  получают 185 г соответствующего тетраэфира пентаэритрита, т. пл. 149° (из сп.). К смеси 78 г I и 95 г фурфурилового спирта прибавляют 10 г  $\text{HOSO}_2\text{Cl}$ , нагревают, не доводя до кипения, выливают жидкость в воду, экстрагируют эфиром; при перегонке получают 87 г фурфурилового эфира I, т. кип. 72—83°/5 мм (пат. 8269). Различные эфиры I получают р-цией метилового или этилового эфира I со спиртами или гликолями в присутствии щел. металлов, их солей или алколюлятов. К 1000 г  $\text{C}_6\text{H}_5\text{CH}_2\text{OH}$ , содержащего 18 г 43%-ного водн. KOH, при перемешивании быстро прибавляют 930 г  $\text{FCH}_2\text{COOCH}_3$  (II), нагревают 3 часа при 165°, охлаждают, прибавляют 2000 г эфира, содержащего немного HCl, перемешивают, промывают экстракт водой, высушивают и перегоняют, получают 240 г  $\text{C}_6\text{H}_5\text{CH}_2\text{OOCCH}_2\text{F}$ , т. кип. 130—133°/20 мм. К 1000 г гексильного спирта, в котором растворено 5 г Na, при перемешивании прибавляют 1100 г  $\text{FCH}_2\text{COOCH}_2\text{H}_5$ , нагревают 4 часа при 150°; получают 410 г гексильного эфира I, т. кип. 186—189°/250 мм. К р-ру 1,6 г Na в 25 мл абс.  $\text{CH}_3\text{OH}$  прибавляют 100 г глицерина, нагревают, удаляя  $\text{CH}_3\text{OH}$ , охлаждают, растворяют 2 г Na, прибавляют 300 г II, нагревают при 130° в колбе с колонкой (высота 1 м) в течение 5 час., причем отгоняется  $\text{CH}_3\text{OH}$ ; после охлаждения перемешивают с 2%-ной HCl, экстрагируют эфиром; перегонкой выделяют 215 г полного глицеринового эфира I, т. кип. 170—180°/10 мм; в тех же условиях из 70 г аллилового спирта, 2 г Na и 95 г II получают 95 г аллилового эфира I, т. кип. 63—65°/50 мм; из 60 г пропаргильного спирта при 110° получают 81 г пропаргильного эфира I, т. кип. 52—56°/10 мм. Р-цией 100 г II, 150 г  $\text{трет}\text{-C}_4\text{H}_9\text{OH}$  и 25 г  $\text{трет}\text{-бутилата Al}$  (82°, 10 час.) получают 105 г  $\text{трет}\text{-C}_4\text{H}_9\text{OOCCH}_2\text{F}$ , т. кип. 40—42°/20 мм (пат. 8270).

В. Каратаев

52356 П. Метод получения эфиров акриловой кислоты. Сига, Цурута (アクリル酸エステルの製造法. 志賀謙, 鶴田徳松) [新日本窒素肥料株式会社, Сия хитосиссо хирё кабусики кайся]. Японск. пат. 1274, 11. 03.54

Синтез эфиров акриловой к-ты (I, к-та) р-цией спиртов с  $\text{C}_2\text{H}_2$  и CO по способу Ренне требует длительного времени р-ции, применения безводн. спиртов и чистого  $\text{NiI}_2$ . Предлагаются ускорители этой р-ции в виде добавок (1—2% от веса спиртов) органич. насыщ. или ненасыщ. к-т; в этом случае время р-ции сокращается вдвое и высокие выходы эфиров I получают при употреблении необезвоженных спиртов и продажного 70%-ного  $\text{NiI}_2$ . В автоклав емк. 2 л помещают р-р 5 г продажного  $\text{NiI}_2$  в 222 г бутанола и 2 г кротовой к-ты, вытесняют воздух  $\text{N}_2$  и вводят равные кол-ва CO и  $\text{C}_2\text{H}_2$  под давл. 30 атм; встряхивают и нагревают до 170—180°; после снижения давления снова вводят смесь CO и  $\text{C}_2\text{H}_2$ ; через 2 часа заканчивают р-цию и полученную жидкость перегоняют, выделяют 320 г 90%-ного бутилового эфира I, выход 75%, т. кип. 140—147°. В тех же условиях при р-ции CO,  $\text{C}_2\text{H}_2$ , 200 г 95%-ного  $\text{C}_2\text{H}_5\text{OH}$  и 5 г  $\text{NiI}_2$  в присутствии 2 г масляной к-ты при продолжительности р-ции 3 часа получают этиловый эфир I с выходом 78%. При р-ции CO,  $\text{C}_2\text{H}_2$ , 264 г амилового спирта и 5 г  $\text{NiI}_2$  в присутствии 2 г  $\text{HCOOH}$  в течение 3 час. получают амилловый эфир I с выходом 80%; в отсутствие  $\text{HCOOH}$  р-цию следует вести 8 час.

В. Каратаев  
52357 П. Способ получения эфиров, амидов или нитрилов  $\alpha$ -галлоидакриловых кислот из соответствующих эфиров, амидов или нитрилов  $\alpha$ ,  $\alpha$ -или  $\alpha$ ,  $\beta$ -дигаллоидпропионовых кислот. А. н. е. о. и. (Verfahren zur Herstellung von Estern, Amiden oder Nitrilen der  $\alpha$ -Halogenacrylsäuren aus den entsprechenden  $\alpha$ ,  $\alpha$ -oder  $\alpha$ ,  $\beta$ -Dihalogenpropionsäure-estern-amiden oder nitrilen. Anson Harry Davis) [General Anilin & Film Corp.]. Пат. ФРГ 883891, 4.08.53 [Chem. Zbl., 1955, 126, № 34, 8030 (нем.)]

Эфиры, амиды или нитрилы  $\alpha$ -галлоидакриловых к-т получают дегидрогалогенированием соответствующих производных дигаллоидпропионовых к-т, содержащих  $\geq 1$  атома галлоида в  $\alpha$ -положении, действием щелочи в смеси воды со смешивающимся с водой органич. р-рителем (9:1—1:9) при нагревании. По другому способу на соответствующие производные  $\alpha$ ,  $\alpha$ -или  $\alpha$ ,  $\beta$ -дигаллоидпропионовых к-т действуют р-ром щел., щел.-зем. или  $\text{NH}_4$ -соли поликарбонатов к-ты, где нейтрализованы по крайней мере две COOH-группы. Очистку эфиров  $\alpha$ -хлоракриловой к-ты производят вымораживанием, пока не выпадет 50—95% твердых в-в.  $\text{ClCH}_2\text{CHClCOOCH}_3$  нагревают 1,5 часа с  $\text{CH}_3\text{COONa}$  в смеси воды с  $\text{иоо}\text{-C}_2\text{H}_5\text{OH}$ , получают  $\text{CH}_2=\text{CHClCOOCH}_3$ , т. кип. 20—23°/8 мм.  $\text{CH}_2\text{ClCHClCOOCH}_3$  дает  $\text{CH}_2=\text{CHClCOOCH}_3$ , т. кип. 65—68°/2 мм. Получены  $\text{иоо}\text{-C}_2\text{H}_5\text{OOCCH}=\text{CH}_2$ , т. кип. 53—55°/20 мм,  $\text{CH}_2=\text{CHCOOCH}_2\text{CH}=\text{CH}_2$ , т. кип. 67—70°/20 мм. Из соответствующих эфиров и амидов  $\alpha$ ,  $\beta$ -дихлорпропионовой к-ты могут быть также получены: этиловый, пропиловый, бутиловый, амиловый, изоамиловый,  $n$ -гексильный, октиловый, лауриловый, октадециловый, глицериновый, сорбитовый, манитовый, фениловый, крезиловый, резорциловый, нафтиловый, бензиловый, фенхильный, метилфениловый, кротильный, олеиловый, хлораллиловый, фурфурильный эфиры,  $\beta$ -оксипропиламид, циклогексил-, циклогексиметил-, бензил- и бензилметиламид, анилид, морфолид и пиперидид  $\alpha$ -хлоракриловой к-ты.

Б. Дяткин  
52358 П. Способ выделения цианного водорода. Дрейк, Стоу, Браусек (Verfahren zur Gewinnung von Cyanwasserstoff. Drake Lewis R., Stowe Stephen C., Broucek

Kenneth F.) [The Dow Chemical Co.]. Пат.  
ФРГ 933687, 29.09.55

Содержащие HCN газообразные смеси обрабатывают (лучше противотоком) жидким при  $-20^{\circ}$  р-рителем общей ф-лы RCONRR, где R—H или алкил с 1—4 атомами C, причем, по меньшей мере, один из R алкил. В частности, применяют HCONCH<sub>3</sub>, HCON(CH<sub>3</sub>)<sub>2</sub>, HCON(CH<sub>3</sub>)(C<sub>2</sub>H<sub>5</sub>), HCONHC<sub>2</sub>H<sub>5</sub>, HCON(C<sub>2</sub>H<sub>5</sub>)<sub>2</sub>, HCON(C<sub>3</sub>H<sub>7</sub>)<sub>2</sub>, HCON(C<sub>4</sub>H<sub>9</sub>)<sub>2</sub>, CH<sub>3</sub>CON(CH<sub>3</sub>)<sub>2</sub>, C<sub>2</sub>H<sub>5</sub>CONHC<sub>2</sub>H<sub>5</sub>, CH<sub>3</sub>CON(C<sub>2</sub>H<sub>5</sub>)<sub>2</sub>. Эти соединения образуют 2-н. р-ры HCN с парц. давлением паров HCN  $\sim 16$ —33 мм при 25°. Так, газообразную смесь из 94% N<sub>2</sub> и 6% HCN, промывающую HCON(CH<sub>3</sub>)<sub>2</sub> при  $-20^{\circ}$  в колонне со скоростью, обеспечивающей практически полное поглощение HCN р-рителем. Получаемый 7%-ный р-р HCN нагревают в колонне и улетучивающиеся пары HCN охлаждают до т-ры сжижения. Выделенный HCN составляет 95% содержащегося в исходной смеси и  $\sim 97\%$  содержащегося в диметилформамидном р-ре.

Я. Кантор

52359 П. Непрерывный способ получения хлористого  
циана. Х ю м е р (Sätt vid kontinuerlig framställ-  
ning av klorcyan. Huemer H.) [Deutsche Gold-  
und Silber-Scheideanstalt vormals Roessler]. Швед.  
пат. 151933. 18.10.55

Хлористый циан (I) получают по ур-нию:  $\text{Cl}_2 + \text{HCN} = \text{HCN} + \text{HCl}$ . Хлор непрерывно вводят в нижнюю часть реакционной колонны (РК), по которой при постоянной т-ре стекает р-р HCN. Газы, выходящие из верхней части РК, промывают водой в скруббере, расположенном над РК, при этом основная часть I остается непоглощенной. Способ характеризуется тем, что циркуляционным насосом быстро перекачивают очень разб. р-р, имеющий постоянную конц-ию HCN, из нижней части РК в ее верхнюю часть, подавая в колонну HCN и  $\text{Cl}_2$  в примерно эквимолярных кол-вах. Промывную воду, выходящую из скруббера, возвращают в РК. Часть жидкости, циркулирующей в РК, непрерывно отбирают в перегонную колонну, в которой отгоняют HCN и I, возвращаемые в головную часть РК. Кубовый остаток, состоящий из разб. HCl, выводят из процесса. Приведена технологич. схема. Л. Крюкова

Л. Крюкова

52360 П. Способ получения алкилнитритов. Трей-  
ен (Process and resulting compositions. Treacy  
John C.). Пат. США 2739166, 20.03.56

Алкилнитриты (I) получают р-цией  $\text{NO}_2$ -газа (конц. или разб., вплоть до 1—2%-ного) с одноатомными алкилфатч. спиртами при  $t\text{-ре} \leq 30^\circ$ . Образующиеся I содержат примеси неустоявшегося строения и могут быть очищены перегонкой. Напр., барбитруют  $\text{NO}_2$  в  $\text{C}_3\text{H}_7\text{OH}$  при  $25\text{--}30^\circ$  до тех пор, пока  $\text{NO}_2$  не появится над р-ром. Отгоняющийся по мере образования  $\text{C}_3\text{H}_7\text{ONO}$  конденсируют в ловушке, охлаждаемой сухим льдом. Аналогично проводят р-цию с *изо*- $\text{C}_3\text{H}_7\text{OH}$  и *изо*- $\text{C}_4\text{H}_9\text{OH}$ , нормальным, вторичным и *трет*- $\text{C}_4\text{H}_9\text{OH}$ , причем пропускание газа прекращают после поглощения 0,75 моля  $\text{NO}_2$  на 1 моль спирта, после чего т-ра (самопроизвольно или подогревом) доводится до  $70\text{--}75^\circ$ , причем отгоняются I. Аналогично могут быть получены этил-, *н*-пропил-, амил-, гексил-, октил-, децил- и другие I. Продукты применяются (предпочтительно без очистки) в качестве добавок к дизельному топливу.

Б. ДЯТКИН

52361 П. Способ получения оксиминоацетона. К о-  
ра о r (Process for preparing oximinoacetone. C o-  
ra o r George R.) [E. I. du Pont de Nemours  
and Co.]. Пат. США 2731499, 17.01.56

1 моль алкилнитрита, содержащего  $\geq 3$  атомов С (в частности, 1 моль изопропилнитрита (I), обрабатывают при  $t$ -ре между 0 и  $70^\circ$  (в случае I между 0 и  $30^\circ$ )  $\geq 2$  молями ацетона (II) в присутствии 0,05 моля HCl на 1 моль нитрита. Процесс может быть непрерывным и дает вы-

сские выходы весьма чистого продукта. Так, в перемешиваемый и охлажд. льдом р-р 465 г II в 5 мл конц. HCl вводят по каплям 178,4 г I (всес. соотношение  $\text{HCl:I} = 0,030 : 1$ ; мол. соотношение  $\text{II : I} = 4:1$ ) и после отгонки образовавшегося *изо*-C<sub>3</sub>H<sub>7</sub>ОН и непрореагировавшего II под пониженным давлением получают 164 г (94% от израсходованного I) оксимисоацетона, т. пл. 61—64° (64—64,5° после перекристаллизации из сп. + петр. эф.). Приведено еще 4 примера. Оксимисоацетон является исходным в-вом для синтеза 2,5-диметилпиперазина.

Я. Кантор

52362 П. Способ производства аминов (Process for the production of amines) [Ruhrchemie A.-G.]. Англ. пат. 728702, 27.04.55

Амины получают р-цией алифатич. или циклоалифатич. альдегидов (насыщ., ненасыщ., окси- и диальдегидов), лучше разб. низкокипящим р-ителем (напр., спиртом или углеводородом), с  $\text{NH}_3$  или первичными или вторичными аминами при т-ре  $< 0^\circ$  и дальнейшим гидрированием смеси в жидкой фазе при повышенных т-ре и давлении, лучше в присутствии катализаторов, содержащих Ni или Co. Процесс может быть периодическим или непрерывным. Р-р  $\text{C}_2\text{H}_5\text{CHO}$  в  $\text{CH}_3\text{OH}$  обрабатывают  $\text{NH}_3$  при  $-15^\circ$ , добавляют Ni-катализатор и под давлением пропускают  $\text{H}_2$ ; смесь при нагревании дает  $\text{C}_2\text{H}_7\text{NH}_2$ . Указанным методом из продукта оксисинтеза, содержащего 62%  $\text{C}_7$ -альдегида и 38%  $\text{C}_6$ -углеводорода, получают первичный  $\text{C}_7$ -амин и дигетил-амин; из метилэтилакролена образуется 2-метил-пентиламин и некоторое кол-во  $\text{C}_3\text{H}_7\text{OH}$ ; альдоль, полученный из  $\text{C}_2\text{H}_5\text{CHO}$ , дает гексааноламин и  $\text{C}_3\text{H}_7\text{NH}_2$ ; обработкой  $\text{C}_2\text{H}_5\text{CHO}$  пропиламинол получают  $(\text{C}_2\text{H}_5)_2\text{NH}$ . Охлажд. до  $-10^\circ$  р-р  $\text{C}_3\text{H}_7\text{CHO}$  в  $\text{CH}_3\text{OH}$  обрабатывают  $\text{NH}_3$ , затем гидрируют при повышенных т-ре и давлении; образуется смесь первичного и вторичного бутиламина. Трициклодеканметилальдегид, полученный оксисинтезом из дициклопентадиена, при обработке  $\text{NH}_3$  ( $-5^\circ$ ) и последующем гидрированием дает трициклодеканметиламин. Обработанный таким способом камфенальдегид, полученный оксисинтезом из камфена, дает камфенметиламин. И. Шалавина

И. Шалавина

52363 П. Производство этилендиамина (Production of ethylene diamine) [Farbenfabriken Bayer A.-G.]. Англ. пат. 735779, 31.08.55

$(\text{H}_2\text{NCH}_2)_2$  получают р-цвей  $(\text{ClCH}_2)_2$  (I) с водн.  $\text{NH}_3$  (конц-я >35%) под давлением и при повышенной т-ре. Так, смесь водн.  $\text{NH}_3$  и I пропускают под давлением через систему нагретых никелевых труб. Избыточный  $\text{NH}_3$  удаляют из реакционной смеси в колонне под давлением, после разбавления водой прибавляют к реакционной смеси  $\text{NaOH}$ , отделяют  $\text{NaCl}$  в фракционированием выделяют гидрат  $(\text{H}_2\text{NCH}_2)_2$ , и полиметиленполиамин. Можно осуществлять непрерывный процесс, если брать I в таком кол-ве, чтобы он растворялся в применяемом водн.  $\text{NH}_3$ . В. Смит

В. СМЯТ

52364 П. Получение диаминов из додекандиона-2,11 и тетрадекандиона-2,13 (Preparation of diamines from 2,11-dodecanedione and 2,13-tetradecanedione) [Du Pont de Nemours & Co. E. I.]. Англ. пат. 737423, 28.09.55

При р-ции додекандиона-2,11 или тетрадекандиона-2,13 с  $\text{H}_2$  и  $\text{NH}_3$  образуются додеканdiamин-2,11 или тетрадеканdiamин-2,13, из которых р-цией с диметил-оксалаатом получают светостойчивые полиоксамиды.

И. Шалавина

52365 П. Способ получения нитрилов. Бренд-стрем (Sätt att framställa nitriler. Brändström A. E.) [AB Pharmacia]. Швед. пат. 155114, 10.07.56

Нитрилы общей ф-лы  $RR'R''CCH_2CH_2CN$ , где R, R' и R'' — алкилы, содержащие  $\leq 3$  атомов C в каждой группе, получают, нагревая галогениды общей ф-лы



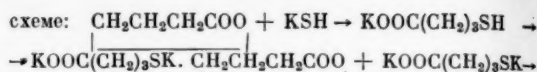
$RR'R''CCH_2CH_2X$ , где  $X$  — галогид, напр.  $Cl$  или  $Br$ , с цианидом щел. металла, напр.  $NaCN$ , в присутствии гидроксилсодержащего в-ва, растворяющего цианид, напр., гликолей или полигликолей. В колбе емк. 5 л кипятят 8 час. при перемешивании смесь 825 г  $(CH_3)_2CCH_2CH_2Br$  (I), 1500 мл спирта и р-ра 300 г  $NaCN$  в 400 мл воды, спирт отгоняют через колонну, остаток перегоняют с водяным паром. Органич. слой встряхивают с равным объемом конц.  $HCl$ , сушат  $Na_2SO_4$  и перегоняют. Получают 369 г  $(CH_3)_2CCH_2CH_2CN$  (II), т. кип. 53—55°/7 мм. Из 165 г I, 175 мл  $CH_3OH$  и р-ра 60 г  $NaCN$  в 80 мл воды получают 45 г II, т. кип. 58—60°/9 мм; из 1500 мл этиленгликоля, 300 г  $NaCN$  и 825 г I получают 495 г II, т. кип. 57—59°/8 мм; из 600 г  $(CH_3)_2CCH_2CH_2Cl$  в присутствии этиленгликоля получают 475 г II; из 181 г  $C_2H_5(CH_3)_2CCH_2CH_2Cl$ , 84 г  $NaCN$  и 420 мл полиэтиленгликоля (моп. в ~300), нагревая смесь 1,5 часа при 144—180°, получают 136 г  $C_2H_5(CH_3)_2CCH_2CH_2CN$ , т. кип. 76—80°/8 мм; из 148 г  $C_2H_5(CH_3)_2CCH_2CH_2Cl$ , 60 г  $NaCN$  и 300 мл полиэтиленгликоля получают 110 г  $C_2H_5(CH_3)_2CCH_2CH_2CN$ , т. кип. 93—95°/12 мм. Получаемые нитрилы являются полупродуктами. Б. Фабричный

**52366 П.** Способ присоединения цианистого водорода с использованием содержащих  $HCN$  комплексов (Hydrogen cyanide-containing complexes and process of hydrogen cyanide addition employing same) [Monsanto Chemical Co.]. Англ. пат. 730209, 18.05.55

Патентуют комплексы строения  $2HCN \cdot HCON(CH_3)_2$ ;  $2HCN \cdot CH_3CON(CH_3)_2$  и  $HCN \cdot CH_3CON(CH_3)_2$ , которые присутствуют в смеси диметилациламидов с  $HCN$  и могут быть использованы для присоединения  $HCN$  к ненасыщ. соединениям: моно- и диолефинам, ацетилену и ацетиленовым углеводородам ф-лы  $CH \equiv CR$  ( $R$  — алкил с 1—4 атомами  $C$ ), хинонам и ненасыщ. альдегидам, кетонам, к-там, нитрилам. Для р-ции могут быть использованы: винилацетилен, акрилонитрил (I), 1-цианбутadiен-3, метилвинилкетон, окись мезитила, акролеин, кротоновый альдегид, акриловая к-та, метилметакрилат, малеиновая к-та, диэтилфумарат, винилацетат, винилформат, бутadiен, циклопентадиен и циклогексадиен. Р-цию проводят при атмосферном или повышенном давлении, лучше при нагревании; в качестве катализаторов можно использовать неорганич. основания, металлы или соли металлов, органич. амины или их четвертичные соли. Диметилациламиды и  $HCN$  можно прибавлять к ненасыщ. в-вам каждый в отдельности. Так, I и  $HCN$  прибавляют к смеси  $HCON(CH_3)_2$  и  $(C_2H_5)_3N$ , перегонкой выделяют динитрил янтарной к-ты. Аналогично присоединением  $HCN$  к  $C_2H_2$  получают I, из винилацетилена получают 1-цианбутadiен-1,3 и 2,3-дицианбутилен-2, из винилацетата — ацетат нитрила молочной к-ты, из 1-циклогексенилацетата — ацетат 1-цианциклогексанола, из метилвинилкетона — нитрил леулиновой к-ты, из этилового эфира пропиоловой к-ты — этиловый эфир 2-цианакриловой кислоты. В. Смит

**52367 П.** Способ получения алифатических и ари-алифатических дикарбоновых кислот, содержащих серу, и их солей. Хаусман, Беймлер, Грефингер (Verfahren zur Herstellung von aliphatischen oder araliphatischen Dicarbonsäuren oder deren Salzen. Haussmann Hans, Bäumlér Rudolf, Gräffinger Gerhard) [Badische Anilin- & Soda-Fabrik A.-G.]. Пат. ФРГ 920247, 18.11.54 [Chem. Abstr., 1955, 49, № 18, 12532 (англ.)]

Лактоны или лактонообразные соединения, которые могут содержать ароматич. радикалы ( $\gamma$ -бутиро-,  $\gamma$ -валеро-,  $\alpha$ -метил- $\gamma$ -бутиро-,  $\delta$ -валеро-,  $\delta$ -капро-, крото-, оксиметилбутиролактон, фталид, кумарины или оксикумарины) нагревают в безвод. среде в жидкой фазе с кислотными сульфидами щел. металлов. Р-ция идет по



$\rightarrow Si(CH_2)_3COOH)_2$  (I). 72 г безвод.  $KSH$  и 86 г  $\gamma$ -бутиролактона кипятят при 150—190°, пока выделяется  $H_2S$ . После прекращения экзотермич. р-ции растворяют смесь в 100 мл воды и подкисляют 100 г 50%-ной  $H_2SO_4$ . Осадок  $K_2SO_4$  удаляют, маслянистую I экстрагируют эфиром. Из экстракта выделяют неочищ. I, выход 95%, кислотное число 515. Кристаллизацией из  $C_6H_6$  получают чистую I, выход 75%, т. пл. ~99°, кислотное число 535. В. Смит

**52368 П.** Способ производства аминоспиртов (Process for the production of amino alcohols) [Ruhchemie A.-G.]. Англ. пат. 734050, 20.07.55

Аминоспирты получают гидролизом хлоргидратов хлорированных алкиламинов, который проводят кипячением 1 ч. исходного в-ва с 5—100 ч. воды под давлением в течение 1—20 час. при 50—200°. Свободные аминоспирты выделяют добавлением сильного основания, напр.,  $NaOH$ ,  $KOH$  или  $Ca(OH)_2$  и перегонкой в вакууме или отгонкой  $HCl$ , образующегося в процессе р-ции, с последующим добавлением сильного основания. В качестве побочных продуктов образуется немного алкениламинов и аминов, содержащих 2  $OH$ -группы или кетогруппу.  $n$ -Бутиламины нейтрализуют  $HCl$  и хлорируют при УФ-облучении; образующийся  $HCl$  отгоняют, остаток гидролизуют водой при 150°, добавляя  $NaOH$  и перегоняют свободный 4-аминобутанол. Р-р  $n$ -амиламина в  $CCl_4$  нейтрализуют  $HCl$ , затем хлорируют в присутствии активничного света; р-ритель отгоняют, остаток гидролизуют указанным методом и выделяют 5-аминопентанол, который может быть также получен гидролизом хлоргидрата 5-хлор-1-аминопентана водой при 150° и дальнейшей обработкой, как указано выше.  $n$ -Гексиламины превращают в хлоргидрат, хлорируют как в предыдущем случае, остаток кипятят с водой; после нейтр-ции продукта перегонкой выделяют 6-аминогексанол. Аминоспирты используют в произ-ве алкидных смол или других полимерных продуктов. И. Шалавина

**52369 П.** Производство аминокислот и промежуточных продуктов их синтеза. Линкольн (Production of amino-acids and intermediates therefor. Lincoln James) [Camille Dreyfus]. Канад. пат. 517 455, 11.10.55

Эфиры формиламиноокислот, у которых формиламиногруппа отделена от этерифицируемой карбоксильной группы более, чем одним атомом  $C$  (напр., этиловые эфиры  $\alpha, \alpha$ -диалкил-3-формиламинопропионовых к-т), получают гидролизом эфиров цианамидов к-т (напр., этиловых эфиров диалкилцианамидных к-т) при 60—120° и повышенном давлении  $H_2$  в присутствии эфира муравьиной к-ты и скелетного  $Ni$  или  $Co$ . Патентуется этиловый эфир формиламинотриметилауксусной к-ты. О. Чернов

**52370 П.** Способ получения алифатических аминокислот. Марцин (Verfahren zur Herstellung von Aminofettsäuren. Marzin Adolf). Пат. ГДР 11471, 9.04.56

Аминокислоты (АК) получают из смеси жирных к-т (ЖК), содержащих  $\geq 5$  атомов  $C$ , или из функциональных производных ЖК, нитруя их парами  $HNO_3$  или  $NO_2$  при 100—200° (нитрование желательно проводить примерно на 50%), нитросоединения восстанавливают обычным способом, лучше каталитич. гидролизом, напр., над скелетным  $Ni$  при  $t$ -ре  $< 150^\circ$  в присутствии  $NH_3$ . Получают смесь АК, содержащих  $NH_2$ -группу в различных положениях к  $COOH$ -группе;  $\alpha$ -аминокислоты отсутствуют. 600 ч. смеси ЖК с 7—9 атомами  $C$ , имеющей кислотное число ( $KЧ$ ) 383, полученной при окислении парафина, нагревают в аппарате для

нитрования, туда же в течение 2—3 час. прибавляют 390 ч. конц.  $\text{HNO}_3$  ( $d$  1,52), поддерживая указанную т-ру. В конце процесса возможно вспенивание. Продукт нитрования смешивают с 1—2-кратным объемом воды, водн. слой отделяют, продукт промывают водой. Выход 630 ч., содержание N 3,7%. При длительном стоянии продукта выделяется ~10 ч. дикарбоновых к-т ( $\text{KЧ}$  740), которые отделяют. Продукт этерифицируют избытком  $n\text{-C}_4\text{H}_9\text{OH}$  до тех пор, пока  $\text{KЧ}$  не будет <1. Продукт перегоняют в вакууме, отбирая фракцию с т. кип. 91—170°/1—2 мм. Выход 599 ч., содержание N 3,5%. 130 ч. полученной фракции растворяют в 260 ч.  $\text{CH}_3\text{OH}$ , насыщ.  $\text{NH}_3$ , помещают во вращающийся автоклав, прибавляют 5% скелетного Ni, нагревают  $\text{H}_2$  до 50 атм, медленно нагревают до 150° и по мере поглощения подкачивают  $\text{H}_2$ . После отделения Ni и отгонки  $\text{CH}_3\text{OH}$  и  $\text{NH}_3$  продукт омыляют нагреванием с конц.  $\text{HCl}$ , разбавляют 5-кратным кол-вом воды, отделяют слой масла. Упариванием водн. слоя получают с выходом ~50% смесь хлоридратов АК в виде бледно-желтого сиропа, содержащего 47,78% C, 8,79% N, 18,56% Cl и 7,29% O. Из хлоридратов АК обычным способом, напр. прибавлением спиртового щелочи, получают свободные АК или их лактамы. В. Фабричный 52371 П. Способ получения эфиров ациламинокарбоновых кислот. Бауэр, Кёнен (Verfahren zur Herstellung von Aycaminocarbonsäureestern. Bauer Dieter, Coenen Max) [Farbenfabriken Bayer A.-G.]. Пат. ФРГ 942864, 9.05.56

Эфиры ациламинокарбоновых к-т, содержащих >2 атомов C между  $\text{NH}_2$ - и  $\text{COOH}$ -группами, получают этерификацией избытком спирта при нагревании кислотного р-ра лактама, содержащегося в реакционном р-ре после бекмановской перегруппировки соответствующего оксима, и последующим взаимодействием полученной реакционной смеси (без выделения промежуточных продуктов) с эквивалентным кол-вом ацилирующего агента в присутствии связывающих к-ту в-в. 113 ч. циклогексаноксима обрабатывают 150 ч. 65%-ного олеума в присутствии 150 ч. жидкого  $\text{SO}_2$ , затем  $\text{SO}_2$  испаряют, к остатку прибавляют 300 ч.  $\text{CH}_3\text{OH}$  и нагревают 15—20 час. при 90°. По охлаждении полученную смесь приливают по каплям одновременно с р-ром 100 ч. хлорангидрида терефталевой к-ты (I) в 400 ч. дихлорэтана (II) при размешивании (т-ра <5°) к р-ру 320 ч. соды в 2500 ч. воды с добавлением 0,1—1% смачивающего средства, размешивают еще 1 час при 20°, отфильтровывают и промывают водой 182 ч. метилового эфира терефталил-бис-( $\omega$ -аминокапроновой к-ты), т. пл. 165°, может быть перекристаллизован из  $\text{HOCH}_2\text{CH}_2\text{OOC}_2\text{H}_5$ . При использовании 108,5 ч.  $\text{ClCOOC}_2\text{H}_5$  (вместо I), извлечением реакционной смеси II и удалением р-рителя, получают 175 ч.  $\text{C}_6\text{H}_5\text{CONH}(\text{CH}_2)_5\text{COOCH}_3$ , т. кип. 132—134°/0,05 мм. 127 ч. смеси изомерных метилциклогексаноксимов перегруппировывают 150 ч. 65%-ного олеума в присутствии 150 ч. жидкого  $\text{SO}_2$ , после испарения  $\text{SO}_2$  и прибавления 300 ч.  $\text{CH}_3\text{OH}$  нагревают 15—20 час. при 90°, по охлаждению ацилируют 100 ч. I, извлекают II и удаляют II выделяют 180 ч. метилового эфира терефталил-бис-(C-метил- $\omega$ -аминокапроновой к-ты), воскообразная масса. Получаемые эфиры пригодны в качестве промежуточных в-в (напр., для получения продуктов поликонденсации), а также пластификаторов для пластич. масс (напр., ацетилцеллюлозы и поливинилхлорида).

В. Уфимцев

52372 П. Способ получения иминоэфиров. Хехельхаммер (Verfahren zur Herstellung von Iminoäthern. Heschelhammer Wilhelm) [Farbenfabriken Bayer A.-G.]. Пат. ФРГ 948973, 13.09.56

Иминоэфиры получают р-цией р-ров первичных или

вторичных амидов карбоновых к-т со сложными эфирами хлормуравьиной к-ты, причем последние целесообразно применять в эквивалентном кол-ве или небольшом избытке. Смесь 45 ч. формамида и 110 ч.  $\text{ClCOOC}_2\text{H}_5$  (I) в 100 ч. сухого  $\text{C}_6\text{H}_6$  сильно размешивают при 20°; при умеренном разогревании с выделением  $\text{CO}_2$  выделяется легко разлагающийся хлоридрат формиминоэтилового эфира, который отфильтровывают и промывают  $\text{C}_6\text{H}_6$ ; 59 ч. ацетамида и 120 ч. I при размешивании нагревают 30 мин. при 50°, смешивают с 50 ч. эфира и отфильтровывают хлоридрат ацетиминоэтилового эфира; при внесении его в 100 ч. 50%-ного р-ра поташа выделяют ацетиминоэтиловый эфир, т. кип. 90—94°. К р-ру 113 ч. капролактама (II) в 400 ч.  $\text{C}_6\text{H}_6$  прибавляют 108,5 ч. I, после 12 часового размешивания (выделяется  $\text{CO}_2$ ) отфильтровывают хлоридрат  $\alpha$ -этил-капролактама, обработкой которого р-ром поташа выделяют  $\alpha$ -этилкапролактим, т. кип. 83°/26 мм. К р-ру 113 ч. II в 300 ч.  $\text{C}_6\text{H}_6$  прибавляют 107,5 ч. бутиленгликоль-бис-хлормуравьиного эфира, размешивают 12 час., отфильтровывают и промывают  $\text{C}_6\text{H}_6$  хлоридрат  $\alpha,\alpha'$ -бутилен-бис-капролактама, который переводят в  $\alpha,\alpha'$ -бутилен-бис-капролактим, т. кип. 140—145°/0,2 мм, т. пл. 66°. 42,5 ч. хлоридрата капролактама хлормуравьиного эфира растворяют с 22,6 ч. II в 60 объемах. ч.  $\text{C}_6\text{H}_6$  и 6 час. слабо кипятят, отфильтровывают и промывают  $\text{C}_6\text{H}_6$  хлоридрат  $\alpha$ -бис-капролактама, который переводят в  $\alpha$ -бис-капролактим, т. кип. 108°/0,4 мм. Получаемые иминоэфиры являются промежуточными продуктами для получения средств для борьбы с вредителями, пластификаторов и пластических масс.

В. Уфимцев

52373 П. Способ получения уретан- или мочевинысульфохлоридов. Граф (Verfahren zur Herstellung von Urethan- bzw. Harnstoffsulfochloriden. Graf Roderich) [Farbwerke Hoechst A.-G., vormals Meister Lucius & Brüning]. Пат. ФРГ 931467, 8.08.55

Способ состоит в обработке хлорангидрида N-карбонилсульфаминовой к-ты  $\text{OCNSO}_2\text{Cl}$  (I), который получают из  $\text{SO}_2$  и  $\text{ClCN}$  по пат. 928896 (см. РЖХим, 1956, 62766), при охлаждении и перемешивании эквимольным кол-вом соединения с одной или несколькими окси-, тио- или аминогруппами. Спирты и тиоспирты дают соответственно уретан- или тиоуретансульфохлориды ф-л  $\text{R}(\text{—OCONHSO}_2\text{Cl})_n$  и  $\text{R}(\text{—SCONHSO}_2\text{Cl})_n$ , а амины — мочевинысульфохлориды ф-лы  $\text{R}(\text{—NR'CONHSO}_2\text{Cl})_n$  ( $\text{R}$  — органич. радикал,  $\text{R}'$  — органич. радикал или  $\text{H}$ , а  $n$  — целое число). Во многих случаях, во избежание чрезмерно бурной р-ции, лучше применять компоненты р-ции в виде р-ров в инертном р-рителе ( $\text{C}_6\text{H}_6$ ,  $\text{C}_6\text{H}_5\text{Cl}$ , тетрагидронафталин). 141,5 вес. ч. I обрабатывают при перемешивании и охлаждении 32 вес. ч.  $\text{CH}_3\text{OH}$  так, чтобы во время добавления первой половины  $\text{CH}_3\text{OH}$  т-ра р-ции была ~20°, во время добавления второй половины  $\text{CH}_3\text{OH}$  т-ре р-ции дают повыситься до т-ры плавления образующегося метилового эфира N-сульфохлоридкарбаминовой к-ты (II, к-та), который при охлаждении реакционной смеси затвердевает в кристаллич. массу с т. пл. 70°; т. кип. ~115°/4 мм (с небольшим разложением). Соблюдение указанных температурных условий не обязательно при обработке (с перемешиванием) 141,5 вес. ч. I в 500 вес. ч.  $\text{C}_6\text{H}_6$ , 46 вес. ч.  $\text{C}_2\text{H}_5\text{OH}$ , разб.  $\text{C}_6\text{H}_6$ . Реакционную смесь охлаждают снаружи или за счет р-рителя, стекающего из обратного холодильника. Этиловый эфир II (т. пл. 50°) выделяют с колич. выходом отгонкой р-рителя. Аналогично получены следующие эфиры II:  $n$ -пропиловый, т. пл. 51°, изопропиловый, т. пл. 69°,  $n$ -бутиловый, т. пл. 39°, 2-хлорэтиловый, т. пл. 57—58°, аллиловый, т. пл. 20—25°,  $n$ -додециловый, т. пл. 61°, циклогексильный, т. пл. 83°, фениловый, т. пл. 107°, 4-хлорфениловый, т. пл. 118°, 4-нитрофениловый, т. пл.

116—118° и бензиловый, т. пл. 77—78°; N-фенилмочевина-N'-сульфохлорид, т. пл. 105—115°, N-(4-этоксифенил)-мочевина-N'-сульфохлорид, т. пл. 120—130°, S-фениловый и S-бензиловый эфиры N-сульфохлорид-тиокарбаминной к-ты, т. пл. 108° и 89° соответственно, циклогексилкарбамид-N-сульфохлорид (вязкая жидкость),  $\text{ClSO}_2\text{NHCOO}(\text{CH}_2)_6\text{OCONHSO}_2\text{Cl}$ , т. пл. 110—113° и  $o\text{-C}_6\text{H}_4(\text{OCONHSO}_2\text{Cl})_2$ , т. пл. 164°. Соединения можно применять как полупродукты в произ-ве вспомогательных текстильных в-в, красителей, лекарственных в-в, инсектицидов и др. и в большинстве случаев, благодаря их высокой реакционной способности, без выделения из реакционной смеси. Я. Кантор

**52375 П. Производство гексаорганозамещенных дисилиметиленов.** Гудуни (Production of hexaorganodisilmethylenes. Goodwin John T., Jr.) [Dow Corning Corp.]. Канад. пат. 523680, 10.04.56 Соединения общей ф-лы  $\text{R}_2\text{SiCH}_2\text{SiR}_2$ , где R — алкил, напр. метил или моноциклич. арил, получают р-цией жидкого  $\text{R}_2\text{SiCH}_2\text{X}$  (X — Cl или Br) с жидким  $\text{R}_2\text{SiX}$  в присутствии щел. металла. Напр.,  $\text{R}_2\text{SiCH}_2\text{SiR}_2$  смешивают с  $\text{R}_2\text{SiCH}_2\text{X}$ , а затем добавляют щел. металл. В. Смит

**52376 П. Дегидрохлорирование β-хлорпропилхлорсиланов.** Пайне, Йорк (Dehydrochlorination of β-chloropropyl chlorosilanes. Pines Arthur N., York Edward R.) [Union Carbide and Carbon Corp.]. Пат. США 2735860, 21.02.56

Метилвинилхлорсиланы получают дегидрохлорированием β-хлорпропилхлорсиланов, напр. β-хлорпропилтрихлорсилана (I), β-хлорпропилметилдихлор-, β-хлорпропилдихлор-, и β-хлорпропилдиэтилмоноклорсиланов, нагреванием этих в-в при 160—210° в присутствии 5—40% (от веса Si-органич. соединения) изохинолина (II) или хлоргидрата II; выделяющийся при этом HCl выводит из сферы р-ции, а продукт р-ции в это время удаляют из реакционной массы фракционной перегонкой. Для получения чистого продукта в-во фракционируют еще раз. При непрерывном процессе исходное в-во вводят в р-цию с такой скоростью, с которой удаляется образующийся продукт из сферы р-ции; в этом случае для дегидрохлорирования больших кол-в β-хлорпропилхлорсиланов расходуется лишь немного II или хлоргидрата II. В перегонный куб емк. 250 мл, соединенный с вакуумным резервуаром и снабженный дистилляционной колонной (51 см × 1,9 см) со стеклянной насадкой, загружают ~20 г II и 165 г I и нагревают до кипения (т-ра в кубе ~168°). Выделяется HCl; отгоняющийся метилвинилтрихлорсилан поступает через ловушку, охлаждаемую сухим льдом, в приемник. I добавляют в реактор из вакуумного резервуара с такой скоростью, с какой продукт р-ции собирается в приемнике, так что уровень жидкости в реакторе остается приблизительно постоянным в течение всего процесса. За 13,5 час. из 406 г I получают 274 г продукта р-ции, который содержит 116 г метилвинилтрихлорсилана. И. Шалавина

**52376 П. Способ получения оловоорганических соединений.** Мак, Паркер (Verfahren zur Herstellung von organischen Zinnverbindungen. Mack Garry P., Parker E. Mery.) [Advance Solvents Chemical Corp.]. Пат. ФРГ 915939, 2.08.54 [Chem. Zbl., 1955, 126, № 18, 4224—4225 (нем.)] Оловоорганические соединения общей ф-лы (RO)-[Sn(R'')(R'')O]<sub>n</sub>R', где (RO) — остаток спирта, R' — тот же самый радикал, что и R, R'' и R''' — одинаковые или различные алкилы или арильные остатки, n — степень полимеризации, получают обработкой в-в ф-лы R''R'''SnX<sub>2</sub> (X — галоген) в безводн. и не содержащем OH-групп р-рителе стехиометрич. кол-вом алколюлятов или спиртов в присутствии NH<sub>3</sub> или третичного амина с последующим отделением вы-

павшего галогенида и отгонкой р-рителя (т-ра во время р-ции и обработки должна быть ≤150°). 60,8 г (C<sub>4</sub>H<sub>9</sub>)<sub>2</sub>SnCl<sub>2</sub> растворяют в толуоле, обрабатывают при 0° 21,6 г CH<sub>3</sub>ONa, нагревают 10 мин. при 80°, отфильтровывают NaCl и отгоняют р-ритель при 80° и уменьшенном давлении. Получают CH<sub>3</sub>O[Sn(C<sub>4</sub>H<sub>9</sub>)<sub>2</sub>O]<sub>1,1</sub>CH<sub>3</sub>, выход >95%, мол. в. 397,6, т. пл. 118—119° (из спирта или толуола). Продукт является стабилизатором для галлоидсодержащих синтетич. смол. В. Смит

**52377 П. Меркаптостибины и стабилизированные ими композиции** (Dérivés mercaptoantimonieux et compositions stabilisées à l'aide de ces dérivés) [Metal & Thermit Corp.]. Франц. пат. 1100437, 20.09.55 [Chimie et industrie, 1956, 76, № 3, 516 (франц.)]

Меркаптостибины получают р-цией окиси или галогенида Sb с меркаптанами, меркаптокарбонowymi к-тами или их эфирами и применяют в качестве стабилизаторов синтетич. смол. Я. Кантор

**52378 П. Органические соединения свинца** (Organolead compounds) [Ethyl Corp.]. Англ. пат. 719913, 8.12.54

Алкил- или арилзамещ. производные Pb, напр. (CH<sub>3</sub>)<sub>4</sub>Pb, (C<sub>2</sub>H<sub>5</sub>)<sub>4</sub>Pb, (C<sub>3</sub>H<sub>7</sub>)<sub>4</sub>Pb, (CH<sub>3</sub>)<sub>2</sub>(C<sub>2</sub>H<sub>5</sub>)<sub>2</sub>Pb, (C<sub>2</sub>H<sub>5</sub>)<sub>2</sub>(CH<sub>3</sub>)<sub>2</sub>Pb, (C<sub>6</sub>H<sub>5</sub>)<sub>4</sub>Pb и (C<sub>6</sub>H<sub>5</sub>)<sub>2</sub>(C<sub>6</sub>H<sub>5</sub>)<sub>2</sub>Pb, получают растворением смеси Pb с щел. или щел.-зем. металлом, либо сплава Pb с указанным металлом (напр., Pb — Na, Pb — K или Pb — Ca-сплав) в жидком NH<sub>3</sub> (1 — 1000, лучше 2 — 25 вес. ч. NH<sub>3</sub> на 1 ч. металла) и дальнейшей обработкой указанного р-ра алкилирующим (или) арилирующим агентом, содержащим углеродородную группу, связанную с отрицательным радикалом, который может образовывать соль с щел. или щел.-зем. металлом (алкил- или арилхлориды, бромиды или йодиды, диалкилсульфаты и триалкилфосфаты, содержащие радикалы C<sub>2</sub>H<sub>5</sub>, C<sub>3</sub>H<sub>7</sub>, C<sub>4</sub>H<sub>9</sub> или C<sub>6</sub>H<sub>5</sub>) при т-ре от —35 до 60° в течение 1—60 мин. Приведен пример получения (C<sub>2</sub>H<sub>5</sub>)<sub>4</sub>Pb и использованием Na—Pb-сплава. Л. Герман

**52379 П. Способ получения циклопентена из дициклопентадиена** (Procédé d'obtention du cyclopentène à partir du dicyclopentadiène) [Ruhchemie A.-G.]. Франц. пат. 1107562, 3.01.56

Дидициклопентадиен (I) превращают в газообразный циклопентадиен (II), который непрерывно пропускают в смеси с почти теоретич. кол-вом H<sub>2</sub> под давл. 1 атм над неподвижным катализатором гидрирования (предпочтительно над Ni-или Co-катализатором). Для превращения I в II его пропускают брызгами, нагретыми до 150—200°, через колонну с нагретыми до той же т-ры Fe-стружками или другой насадкой на Fe-основе, или пропускают (предпочтительно нагретыми) через слой или колонну с нагретыми до 100—200° (предпочтительно 130—160°) алифатич. углеводородами с т-рой кипения на ~50° выше т-ры кипения I. Пары II перед каталитич. гидрированием пропускают через фракционную колонну с дефлегматором для отделения от увеличенного I. Алифатич. углеводороды лучше нагревать с помощью термосифона, что обеспечивает непрерывную циркуляцию их через колонну. Выход II в 1-м случае >95%, а во 2-м случае достигает 100%. Выход циклопентена (III) при гидрировании II под давл. 1 атм значительно превышает выход его в случае гидрирования II под повышенным давлением. Так, через нагретую до 120° вертикальную стеклянную трубку с внутренним диам. 23 мм, содержащую 150 мл Ni-катализатора, пропускают вместе с 10,5 мл H<sub>2</sub> пары II из установленного под трубкой испарителя, в который по каплям вводят 40 мл/час свежеприготовленного II. По выходе из трубки продукт р-ции охлаждают, собирают в приемник с длинным горлом и после термич. обработки (для димеризации неврагировавшего II. перегоняют; получают 96%-ный III с выходом 90%)



считая на израсходованный II. При гидрировании 1,6 кг II в автоклаве при 80°/100 ат в присутствии 50 г Ni-катализатора до поглощения 80% потребного для насыщения двойной связи кол-ва H<sub>2</sub> (продолжительность 80 мин.) получают 94%-ный III с выходом 35%.

Я. Кантор

**52380 П. Способ получения циклогексена. Бинапфаль** (Verfahren zur Herstellung von Cyclohexen. Binapf Josef) [Farbenfabriken Bayer A.-G.]. Пат. ФРГ 950284, 04.10.56

Циклогексен (I) получают отщеплением воды от дихлоргексисилового эфира (II) в присутствии дегидратирующих в-в (ZnCl<sub>2</sub>, H<sub>3</sub>PO<sub>4</sub>, конц. H<sub>2</sub>SO<sub>4</sub> или лучше глины с активной поверхностью). Способ характеризуется тем, что II нагревают до 100—200° (лучше 120—175°) при нормальном или повышенном давлении. Появляется отходом при технич. получении циклогексанола и циклогексанона из циклогексиламина. Смесь 182 ч. II и 40 ч. Al-гидросиликата с активной поверхностью нагревают при перемешивании до 120—170°. В течение 30—40 мин. происходит дегидратация, одновременно в течение 1,5 часа отгоняют жидкость с т. кип. 80—84°/756 мм. От дистиллата отделили 15 г воды. Фракционированием получают 132 ч. I, т. кип. 82—84°/755 мм, выход 80%. Применяя вместо Al-гидросиликата ZnCl<sub>2</sub> получают 130 ч. I, который является исходным в-вом для дальнейших синтезов, напр. для получения адипиновой к-ты.

Б. Фабричный

**52381 П. Получение пентаенов. Ислер** (Manufacture of pentaenes. Isler Otto) [Hoffmann-La Roche Ltd]. Канад. пат. 512742, 10.05.55

Пентаены получают р-цией β-понона с эфиром ф-лы  $XCH_2C \equiv CC(CH_3) = CHCH_2OR$ , где X — галоген, в частности Br, R — низший алкил, в частности CH<sub>3</sub>, в присутствии Zn или Mg, с последующим селективным восстановлением образующегося 1-алкокси-3,7-диметил-9-циклогексенилонаден-2,8-ин-4-ола-7 H<sub>2</sub> над Pd и дегидратацией 1-алкокси-3,7-диметил-9-триметилциклогексенилонаден-2,4,8-ола-7 (I) нагреванием с дегидратирующим агентом, лучше в присутствии разбавителя. Дегидратацию I можно проводить, превращая I в галогидропроизводное действием галогенидов фосфора с последующим отщеплением галогеноводорода действием щел. агента.

В. Смит

**52382 П. Способ нитрования углеводородов. Грушке, Ладеман, Рибер** (Verfahren zur Nitrierung von Kohlenwasserstoffen. Gruschke Hans, Lademann Rudolf, Rieber Martin) [Farbwerke Hoechst A.-G. vormals Meister Lucius & Brüning]. Пат. ФРГ 950006, 4.10.56

Способ нитрования алифатич. и циклоалифатич. углеводородов HNO<sub>3</sub> в газовой фазе характеризуется тем, что смесь продуктов р-ции быстро охлаждают введением воды или водн. р-ров в жидкой или парообразной форме. Вводимые в-ва не должны содержать О<sub>2</sub>. Испаряют циклогексан и 50%-ную HNO<sub>3</sub>, пары пропускают через смесь, нагретый до 400°. В месте выхода газов в них впрыскивают брызги воды. Реакционные газы и воду охлаждают в холодильнике. Объем газов, не сконденсировавшихся при 10°, составляет 0,5 от объема газов, образующихся при осуществлении способа без охлаждения водой. Приведены примеры нитрования циклогексана с применением 10%-ного р-ра Na<sub>2</sub>SO<sub>4</sub> и свободного от О<sub>2</sub> водяного пара с т-рой 110°. В последнем случае объем отходящих газов составляет 1/3 от объема газов, образующихся без применения охлаждения.

Б. Фабричный

**52383 П. Метод получения дихлоргексисиламмонийнитрита. Уокер, Стилман** (Method for preparing dicyclohexylammonium nitrite. Walker Aaron, Stillman Nathan) [Shell Development Co.]. Канад. пат. 510209, 15.02.55

Дихлоргексисиламмонийнитрит получают действием MeNO<sub>2</sub> (Me — NH<sub>4</sub> или щел. металл) на водн. р-р дихлоргексисиламина и фосфорной к-ты. Мол. соотношение амин: к-та: MeNO<sub>2</sub> — 2:1:2. Содержание твердого в-ва в реакционной массе должно составлять 25—40 вес.%.  
Л. Герман

**52384 П. Способ получения гексахлорбензола. Шейнберг, Котлер** (Verfahren zur Herstellung von Hexachlorbenzol. Scheuing Georg, Kottler August) [C. H. Boehringer Sohn.]. Пат. ФРГ 891841, 1.10.53 [Chem. Abstrs, 1955, 49, № 15, 10571 (англ.)]

Полихлорциклогексаны типа изомеров гектахлорциклогексана или гексахлорциклогексана (I) (кроме γ-I), получаемые хлорированием C<sub>6</sub>H<sub>6</sub> или C<sub>6</sub>H<sub>5</sub>Cl, дают при обработке расплавленного в-ва хлором C<sub>6</sub>Cl<sub>6</sub>, причем отщепляется HCl. 500 г расплавленного I насыщают хлором при 180—220° до прекращения выделения HCl. Перекристаллизацией из кипящего C<sub>6</sub>H<sub>6</sub> получают C<sub>6</sub>Cl<sub>6</sub>, выход—100%, т. пл. 224—225°. В. Смит

**52385 П. Способ очистки высших фенолов. Эттель** (Způsob čistění vyšších fenolů. Ettel Viktor) [Чехосл. пат. 83647, 03.06.55]

Для очистки от примесей высокомолекулярные фенолы превращают с помощью гидроокиси щел. металла в максим. насыщ. р-р фенолята, который при т-ре ~20° подвергают диализу чистой водой в установке, снабженной полупроницаемой пленкой из регенерированной целлюлозы или производного целлюлозы, после чего из диализованного р-ра разб. фенолята получают чистые фенолы.

И. Елинен

**52386 П. Способ производства ароматических замещенных алканов** (Process for the production of substituted alkanes) [N. V. de Battafsch Petroleum Maatschappij]. Англ. пат. 736943, 14.09.55

Замещенные алканы, имеющие 2 оксисарильные группы у одного атома С, получают каталитич. действием сильной к-ты, имеющей константу диссоциации >10<sup>-3</sup> (H<sub>2</sub>SO<sub>4</sub> или HCl), и меркаптана (лучше CH<sub>3</sub>SH или C<sub>2</sub>H<sub>5</sub>SH) на гидроперекиси (Г) ф-лы RC(R')(R'')OOH, где R — арил или алкирил, R' — H или алкил, R'' — алкил. Меркаптан берут в кол-ве 0,5—5% от веса Г; наиболее благоприятное весовое соотношение между Г и к-той — 0,5—7,5. В р-цию может быть введен одноатомный фенол в не менее, чем эквимолярном кол-ве по отношению к Г. Процесс в основном протекает таким образом, что OH-группа, если это возможно, оказывается в пара-положении. Г добавляют в кислотную реакционную среду при 0—10°; р-цию лучше проводить при 0—60°. Желательно присутствие инертного органич. р-рителя, напр. углеводорода, низшего спирта или эфира. Указанный процесс особенно важен для получения 2,2-ди-(4-оксифенил)-пропана из Г кумола; на нее действуют смесью C<sub>6</sub>H<sub>5</sub>OH и H<sub>2</sub>SO<sub>4</sub> в присутствии C<sub>2</sub>H<sub>5</sub>SH; n-C<sub>7</sub>H<sub>16</sub> насыщают HCl и вводят в р-цию со смесью Г кумола и C<sub>2</sub>H<sub>5</sub>SH. В качестве других исходных в-в использованы гидроперекиси α-фенилэтила, α-этил-α-метилбензила, α, α-диметил-п-метилбензила и α, α-диметилнафтилметила.

И. Шалавина

**52387 П. Разложение органических перекисей** (Organisten peroksidien hajottaminen) [The Distillers Co. Ltd.]. Финск. пат. 27853, 10.09.55

Фенолы и кетоны получают разложением перекисей низших алкилбензолов водн. H<sub>2</sub>SO<sub>4</sub>. Способ характеризуется тем, что разложение проводят при 20—40°, применяя 9—65%-ную (по объему) H<sub>2</sub>SO<sub>4</sub>.  
Б. Ф.

**52388 П. Карбонилирование ароматических галогидропроизводных. Тейбет** (Carbonylation of aryl halides. Tabet Georges E.) [E. I. du Pont de Nemours and Co.]. Канад. пат. 517355, 11.10.55  
Хлор- или бромпроизводные ароматич. ряда (напр., n-дигалогенбензол или n-хлортолуол) карбонилируют

в отсутствие влаги и в присутствии карбонильного соединения одного из металлов подгруппы Fe, напр. Ni-(CO)<sub>4</sub> и не содержащей воды, насыщ. карбоневой к-ты жирного ряда.

О. Черницов  
52389 П. Соли дикарбоновых кислот (Salts of dicarboxylic acids) [Henkel & Cie G. m. b. H.]. Австрал. пат. 167173, 22.03.56

Соли ароматич. дикарбоновых к-т получают, нагревая К-соли ароматич. монокрбоновых к-т с CO<sub>2</sub> при t-ре >340°.

Б. Фабричный  
52390 П. Способ получения мономерных этиленгликолевых эфиров терефталевой кислоты. Фартинг (Způsob výroby monomerických ethylenglykolových esterů kyseliny tereftalové. Farthing Alan Charles). Чехосл. пат. 83322, 24.03.53

Мономерные этиленгликолевые эфиры терефталевой к-ты (I, к-та) получают р-цией окиси этилена с I при 60—120° в присутствии небольшого кол-ва соли I с неорганич. основанием, растворимым в воде; соотношение катионов и молекул I (свободной и связанной в виде терефталата) должно лежать в пределах 1:5 и 1:2. Р-цию проводят в водн. среде. Смесь 50 ч. I, 6,72 ч. КОН и 415 ч. воды вводят в сосуд, снабженный мешалкой, трубкой для подачи газа под уровень жидкости и трубкой для отвода газа в обратный холодильник. Смесь нагревают при перемешивании до 100° и в течение 11 час. подают в смесь окиси этилена. Почти прозрачную горячую жидкость фильтруют; после охлаждения выделяются кристаллы, которые отфильтровывают, промывают холодной водой и сушат. Выход бис-(3-оксипропил)-терефталата 36,8 ч., т. пл. 109°. Приведено еще 2 сходных примера с применением вместо КОН пиридина и NaOH. Продукт может применяться для получения высокополимерных эфиров.

И. Елинек  
52391 П. Стабильные соли диазония. Глан, Бергстром (Stabilized diazonium salts and process of effecting same. Glahn William H. von, Bergstrom Herman A.) [General Aniline & Film Corp.]. Канад. пат. 517364, 11.10.55

Для получения стабильных солей диазониев диазотированные ароматич. соединения смешивают с поверхностноактивными агентами, имеющими алифатич. гидрофобную группу и алифатич. связанную гидрофильную группу и с другим в-вом, способным к образованию соли с диазониевым соединением. Отмечено применение смеси сульфированного кастрового масла и ZnCl<sub>2</sub>, 1,5-нафталиндисульфокислоты и Na-олеата, Na-соли серноислого эфира простого изооктилфенилового эфира гликоля и CdCl<sub>2</sub>.

О. Черницов  
52392 П. Способ очистки обладающих щелочной реакцией аминов, жидких или твердых при комнатной температуре. Кауфман, Эрбе (Verfahren zur Reinigung von bei Zimmertemperatur flüssigen oder festen basisch reagierenden Aminen. Kaufmann Waldemar, Erbe Friedrich) [Farbwerke Hoechst A.-G. vormals Meister Lucius & Brünig]. Пат. ФРГ 944952, 28.06.56

Указанные амины очищают растворением в водн. р-ре SO<sub>2</sub>, преимущественно при нормальном давлении, и, после отделения нерастворимых примесей, вновь выделяют амин из его водн. р-ра отгонкой и (или) нейтр-цией SO<sub>2</sub>. В частности, патентуются: а) применение абсорбирующего или экстрагирующего средства перед отгонкой и (или) нейтр-цией SO<sub>2</sub>; б) удаление SO<sub>2</sub> из водн. р-ра нагреванием и (или) понижением давления и (или) пропусканием инертных газов, причем отгоняемый SO<sub>2</sub> можно использовать повторно; в) непрерывное применение указанного способа с введением регенерированного SO<sub>2</sub> в процесс. 10 г неочищ. темного, коричнево-фиолетового α-нафтамина (I) суспендируют в 100 мл воды, при 35—40° при размешивании вводят SO<sub>2</sub>, причем I быстро растворяется, р-р фильт-

руют и нейтрализуют содой, получают 9,6 г I, окрашенного лишь в слабо-розовый цвет. Аналогично очищают 6-хлор-4-амино-1,3-диметоксибензол, диметиланилин и трибутиламин.

В. Уфимцев  
52393 П. Способ выделения N-моноалкил-о-хлоранилина из смесей с о-хлоранилином и N-диалкил-о-хлоранилином. Бауэр, Хавеман (Verfahren zum Abtrennen von N-Monoalkyl-o-chloranilin aus Gemischen mit o-Chloranilin und N-Dialkyl-o-chloranilin. Bauer Kurt, Havemann Heinrich) [Farbenfabriken Bayer A.-G.]. Пат. ФРГ, 950288, 04.10.56

Смесь указанных аминов, растворенных в неполярном р-рителе, напр. циклогексане или бензине, промывают в экстракционной колонне разб. р-ром к-ты, напр. разб. H<sub>2</sub>SO<sub>4</sub>. N-Монометил-о-хлоранилин (I) остается в неполярном р-рителе, остальные амины переходят в кислый р-р. В нижний конец экстракционной колонны Шейбеля (диам. 35 мм, длина 1500 мм) с 30 мешалками вводят 7200 мл/час бензинового р-ра смеси аминов, содержащей 15,4% о-хлоранилина, 67,3% I и 17,3% N-диметил-о-хлоранилина, в верхний конец колонны подают 2650 мл/час 10%-ной H<sub>2</sub>SO<sub>4</sub>. От рафина, вытекающего из верхнего конца колонны, отгоняют с небольшим кол-вом бензин. Перегонкой 770 г остатка получают 99,7%-ный I. Подщелачиванием кислого экстракта получают 430 г смеси, содержащей 52,8% первичных, 8,6% вторичных и 38,6% третичных оснований, которую можно пускать на повторное алкилирование. Из смеси, содержащей 7,1% о-хлоранилина, 75% моноэтил-о-хлоранилина (II) и 17,9% N-диэтил-о-хлоранилина, при помощи 2000 мл 10%-ной H<sub>2</sub>SO<sub>4</sub> в колонне эффективностью 11 тарелок получают 870 г ~96%-ного II и 330 г экстракта, содержащего еще 20% II.

Б. Фабричный  
52394 П. Способ получения 1,3,5-трис-(α-аминоэтил)-бензола. Шрётер, Байер (Verfahren zur Herstellung von 1,3,5-Tris-(α-aminoäthyl) — Benzol. Schröter Rudolf, Bayer Otto) [Farbenfabriken Bayer A.-G.]. Пат. ФРГ 949566, 20.09.56  
1,3,5-трис-(α-аминоэтил)-бензол (I) получают, обрабатывая 1,3,5-триацетилбензол катализатич. возбужденным H<sub>2</sub> в присутствии NH<sub>3</sub>. Условия р-ции зависят от применяемого катализатора: со скелетным Ni р-ция начинается уже при t-ре ~20° и проходит с достаточной скоростью при 60—150°; с катализаторами, содержащими Cu в качестве активного компонента, процесс ведут при t-ре ~200° и давл. 100—300 ат. 100 вес. ч. триацетилбензола, 200 объемн. ч. C<sub>2</sub>H<sub>5</sub>OH и 20 вес. ч. скелетного Ni помещают во вращающийся автоклав, который продувают H<sub>2</sub>. Добавляют 65 вес. ч. жидкого NH<sub>3</sub>, автоклав нагревают до 120° и нагнетают H<sub>2</sub> до 150 ат, пока он не перестанет поглощаться. Т-ра может повыситься до 150°. Р-р отделяют от Ni, отгоняют NH<sub>3</sub>, C<sub>2</sub>H<sub>5</sub>OH и воду, остаток фракционируют в вакууме. Получают 79 вес. ч. I, т. кип. 130—135°/0,08 мм; н-крат I имеет т. пл. 225°. I является ценным полупродуктом для получения пластич. масс и лекарственных веществ.

Б. Фабричный  
52395 П. Способ обеспечения и стабилизации ароматических и гетероциклических аминов. Мюллер, Альберс, Энгельберц (Verfahren zum Entfärben und Stabilisieren von aromatischen und heterocyclischen Aminen. Müller Hermann, Albers Arnold, Engelbertz Paul) [Farbwerke Hoechst A.-G.]. Пат. ФРГ 942992, 9.05.56

Ароматические и гетероциклич. амины обеспечивают и стабилизируют прибавлением безводн. SnCl<sub>4</sub> или двойной соли (ДС) SnCl<sub>4</sub> с ароматич. амином (тем же самым или другим ароматич. амином, их смесью или алкоксиамином). Добавки применяют в кол-ве от 0,001

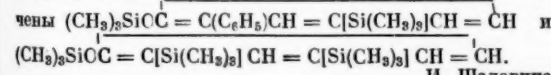
до 1%. В 100 кг свежеполученного *m*-хлоранилина (I) растворяют ~10 г ДС I с  $\text{SnCl}_2$ ; продукт становится светлым как вода и не окрашивается при стоянии в течение нескольких месяцев в закрытом сосуде. Аналогичные результаты получают при добавлении: к 100 кг I — ~10 г ДС *o*-анинидина (II) с  $\text{SnCl}_2$ ; к 100 кг II — 100 г ДС II с  $\text{SnCl}_2$ ; к 100 кг I—100 г безводн.  $\text{SnCl}_2$  или эквивалентного кол-ва кристаллич.  $\text{SnCl}_2$ ; к 100 кг *o*-хлоранилина — 80 г ДС II с  $\text{SnCl}_2$ ; к 100 кг *n*-хлор-анинидина — 100 г ДС II с  $\text{SnCl}_2$ ; к 100 кг *o*-толуидина — 100 г ДС II с  $\text{SnCl}_2$ ; к 100 кг *n*-фенилендиамин — 120 г ДС II с  $\text{SnCl}_2$ ; к 100 кг оксанинобензотиазола — 100 г ДС II с  $\text{SnCl}_2$ ; к 100 кг сильно окрашенного *o*-фенетида — 0,5 кг  $\text{SnCl}_2$ ; к 100 кг окрашенного 5-амино-1,2-диметилбензимидазола — 100 ДС II с  $\text{SnCl}_2$ . В. Уфимцев

52396 П. Способ получения  $\epsilon$ -бензамидо- $\alpha$ -бромкапроновой кислоты и ее солей с щелочными металлами. Диккерт, Бриттон (Verfahren zur Herstellung von  $\epsilon$ -Benzamido- $\alpha$ -bromcapronsäure und ihren Alkalisalzen. Dickert Yancey J., Britton Edgar C.) [The Dow Chemical Co.]. Пат. ФРГ 949567, 20.09.56

$\epsilon$ -Бензамидокапроновую к-ту вводят в р-цию с 1,1—2 молями  $\text{Br}_2$  в присутствии каталитич. кол-ва (10—25 мол.%) галогенида Р, напр.  $\text{PCl}_3$ , при 80—100° (лучше >80°) в среде р-рителя ( $\text{C}_6\text{H}_5\text{Cl}$ ,  $\text{C}_6\text{H}_5\text{Br}$ , хлорированные или бромированные алканы с 2—4 атомами С, жидкие при т-ре ~20° и кипящие >80°, в частности этиленбромид или этиленхлорид); образующуюся  $\epsilon$ -бензамидо- $\alpha$ -бромкапроновую к-ту (I) в случае надобности превращают в ее соль со щел. металлом. В реакторе емк. 1000 л, футерованном стеклом, смешивают 263 кг  $\epsilon$ -бензамидокапроновой к-ты с 650 кг этиленбромидом, при охлаждении постепенно прибавляют 15 кг  $\text{PCl}_3$ , а затем в течение 2 час. вводят при перемешивании 220 кг  $\text{Br}_2$ . Смесь нагревают до 90—95° и после того, как выделение  $\text{HBr}$  практически прекратится, смесь охлаждают. В деревянном чане смешивают 75 л 50%-ного  $\text{NaOH}$  с 550 л воды, к этому р-ру при перемешивании постепенно прибавляют продукт р-ции при 30—35° и рН ~12. После прибавления щел. смесь перемешивают 30 мин., отделяют водн.-щел. слой, содержащий  $\text{Na}$ -соль I, от этиленбромидов, который после очистки используют повторно. Щел. р-р  $\text{Na}$ -соли I постепенно прибавляют к р-ру 1,6 молей  $\text{HCl}$  и 2,3 кг  $\text{NaHSO}_4$  в 600 л воды. Кристаллизация I наступает сразу после подкисления, шлам охлаждают до т-ры ~20°, отфильтровывают, промывают и сушат. Выход I составляет 335 кг (36,7%), т. пл. 163°. В случае применения этиленхлорида бромирование ведут при 82°, выход I составляет 89%. I является промежуточным продуктом для получения лизина. Б. Фабричный

52397 П. Триалкилсилилфеноксисиланы. Спир (Trialkylsilylphenoxysilanes. Speir John L., Jr) [Dow Corning Silicones Ltd]. Канад. пат. 517809, 25.10.55

Соединения ф-лы  $(\text{R}_3\text{SiO})_n\text{R}'(\text{SiR})_p\text{C}_6\text{H}_5-n-m-p$ , где R — алкил, R' — алкил или фенил,  $n$  и  $p = 1, 2, m = 0$  или 1, получают р-цией галогидфеноксисилана ф-лы  $(\text{R}_3\text{SiO})_n\text{R}'\text{X}_p\text{C}_6\text{H}_5-n-m-p$ , где X — галогид, с триалкилсилианом ф-лы  $\text{R}_3\text{SiY}$ , где Y — галогид или алкоксил, в присутствии щел. металла. Указанным методом получают



И. Шалавина  
52398 П. О-этиловый, О-(2,4,5-трихлорфенольный) диэфир метанфосфинной кислоты (O-ethyl O-(2,4,5-trichlorophenyl) methanephosphonate) [Dow Chemical Co.]. Англ. пат. 736338, 7.09.55

Соединение ф-лы  $2,4,5\text{-Cl}_3\text{C}_6\text{H}_2\text{OP}(=\text{O})(\text{CH}_3)\text{OC}_2\text{H}_5$  получают действием  $\text{C}_2\text{H}_5\text{OH}$  на диспергированный в инертном р-рителе (эфир или  $\text{C}_6\text{H}_6$ ) хлорангидрид 2,4,5-трихлорфенолового эфира метанфосфинной к-ты ф-лы  $2,4,5\text{-Cl}_3\text{C}_6\text{H}_2\text{OP}(=\text{O})(\text{CH}_3)\text{Cl}$ , р-цию проводят в присутствии в-ва, связывающего  $\text{HCl}$ , напр.  $\text{C}_5\text{H}_5\text{N}$ .

И. Шалавина

52399 П. Способ получения антранилвиниловых эфиров. Реппе (Verfahren zur Herstellung von Anthranilvinyläthern. Reppe Walter) [Badische Anilin- & Soda-Fabrik A.-G.]. Пат. ФРГ 940044, 0.803.56

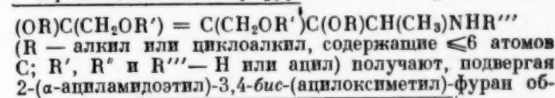
Антрон (антранол-9), который может иметь заместители, обрабатывают  $\text{C}_2\text{H}_2$  при 100—300° (170—200°) в среде инертного р-рителя ( $\text{C}_6\text{H}_6$ , толуол, ксилол) в присутствии соединения Zn или Cd, желательнее в-ва, растворимого в реакционной смеси, в частности стеарата, нафтената или ацетата Zn или Cd. Р-цию можно проводить при атмосферном или повышенном давлении. К суспензии 300 г антрона в 1600 г толуола добавляют 30 г Zn-стеарата и смесь обрабатывают в автоклаве с мешалкой при 180—190° смесью  $\text{N}_2 + \text{C}_2\text{H}_2$  (объемное соотношение 1:3) под давл. 20—25 ат; по мере израсходования  $\text{C}_2\text{H}_2$  подводят свежий  $\text{C}_2\text{H}_2$ . После поглощения вычисленного кол-ва  $\text{C}_2\text{H}_2$  охлаждают, фильтруют, отгоняют толуол, остаток перегоняют, собирая фракцию, с т. кип. 175—185°/4 мм, содержащую антранилвиниловый эфир (I), выход 75—80%. Из жидкого дистиллата после отсасывания выделившихся кристаллов диантрона, антрона и антрахинона охлаждением и внесением затравки выделяют желтые кристаллы I, т. пл. 47°. Аналогично из 1,4-диметилантрона получают 1,4-диметилантранилвиниловый эфир, т-ра кипения фракции 160—190°/4 мм. I можно применять в произ-ве синтетич. смол.

Я. Кантор  
52400 П. Усовершенствование способа производства фурфуролового спирта и применяемых катализаторов (Perfectionnements apportés aux procédés pour fabriquer de l'alcool furfurylique et aux catalyseurs utilisés à cet effet) [The Quaker Oats Co.]. Франц. пат. 1099438, 5.09.55 [Chimie et industrie, 1956, 76, № 3, 503 (франц.)]

Фурфурол восстанавливают в паровой фазе, пропуская его вместе с избытком  $\text{H}_2$  при ~120—155° над катализатором, содержащим восстановленную Si и улучшенным добавкой 5—10% безводн.  $\text{Na}$ -силиката. В. К.

52401 П. Способ получения производных дигидрофурана (Fremgangsmåde til fremstilling af dihydrofuranforbindelser) [A/S Sadolin & Holmblad]. Датск. пат. 80385, 9.01.56

Производные дигидрофурана общей ф-лы  $\text{OCH}$ -



щей ф-лы  $\text{OCH} = \text{C}(\text{CH}_2\text{OR}')\text{C}(\text{CH}_2\text{OR}'') = \text{CCH}(\text{CH}_3)\text{NHR}'''$  электролизу при т-ре от -10 до -25° в среде одноатомного спирта ( $\text{C}_2\text{H}_5\text{OH}$  или  $\text{CH}_3\text{OH}$ ) ф-лы  $\text{RONH}$ , в присутствии электролита, после чего полученное окисленное в-во ф-лы  $\text{OCH}(\text{OR})\text{C}(\text{CH}_2\text{OR}') = \text{C}(\text{CH}_2\text{OR}'')$

$\text{OR}'\text{C}(\text{OR})\text{CH}(\text{CH}_3)\text{NHR}'''$  омыляют в щел. среде. 2,5 г 2-( $\alpha$ -ацетиламидоэтил)-3,4-бис-(ацетоксиметил)-фурана и 0,3 г  $\text{NH}_4\text{Br}$  растворяют в 20 мл  $\text{CH}_3\text{OH}$  и р-р подвергают электролизу в спец. приборе (см. РЖХим, 1957, 41106) при т-ре охлаждающей бани -21°. Электролиз ведут по следующей схеме (приведены время в часах, сила тока в амперах, напряжение в вольтах;



расход тока в амперчасах и расход тока в процентах от теоретически необходимого): 0,1, 0,7, 6,2, 0,07, 16; 0,3, 0,7, 6,3, 0,20, 44; 0,6, 0,7, 6,3, 0,30, 67; 0,8, 0,5, 6,5, 0,5, 110). После электролиза желтую жидкость выливают в р-р  $\text{CH}_3\text{ONa}$  (получен из 0,458 г Na в 5 мл  $\text{CH}_3\text{OH}$ ),  $\text{CH}_3\text{OH}$  и  $\text{NH}_3$  отгоняют в вакууме. Остаток, представляющий собой смесь 2-( $\alpha$ -ацетиламиноэтил)-3,4-бис-(ацетоксиметил)-2,5-диметокси-2,5-дигидрофурана, 2-( $\alpha$ -апиламиноэтил)-3-оксиметил-4-ацетоксиметил-2,5-диметокси-2,5-дигидрофурана, 2-( $\alpha$ -ацетиламиноэтил)-3-оксиметил-4-ацетоксиметил-2,5-диметокси-2,5-дигидрофурана и 2-( $\alpha$ -ацетиламиноэтил)-3,4-бис-(оксиметил)-2,5-диметокси-2,5-дигидрофурана, смешивают с 8,5 мл 3 н. NaOH. Смесь кипятят с обратным холодильником 21 час, а затем непрерывно экстрагируют эфиром 48 час. Экстракт упаривают в вакууме, получают 2-( $\alpha$ -аминоэтил)-3,4-бис-(оксиметил)-2,5-диметокси-2,5-дигидрофуран в виде масла. Продукты применяются в синтезе витамина B<sub>6</sub>. Б. Фабричный

#### 52402 II. Получение производных тетрагидропирана.

Уэстон (Procédé de préparation de nouveaux dérivés de tétrahydropyrane. Whetstone Richard R.) [N. V. de Bataafsche Petroleum Maatschappij]. Франц. пат. 1043107, 6.11.53 [Chem. Zbl., 1955, 126, № 23, 5425 (нем.)]

2-оксигександаль (I) или 2-формил-, 2-алкил-, 5-алкил- или 2,5-диалкил- $\Delta^6$ -дигидропиран реагируют в присутствии минер. к-т со спиртами или меркаптанами, образуя производные тетрагидропирана. Р-ция с I протекает при 35—125°, с 2-формил- $\Delta^6$ -дигидропираном при 0—80°. Напр., к кипящей смеси ~170 г I, 250 мл 0,02 н.  $\text{H}_2\text{SO}_4$  и 225 мл  $\text{C}_6\text{H}_6$  постепенно прибавляют 525 мл спирта. После нагревания в течение 18 час. получают 172 г 6-этокси-2-диэтоксиметил-тетрагидропирана, т. кип. 65,8—70,1°/1—2 мм,  $n_D^{20}$  1,432. Получены следующие в-ва: 6-метокси-2-диметоксиметил- (т. кип. 98—101°/15 мм,  $n_D^{20}$  1,4375), 6-аллилкси-2-диаллилксиметил-, 6-стеарокси-2-дистеароксиметил-, 6-бутилмеркапто-2-дибутилмеркаптометил-, 6-метокси-2-диметоксиметил-2,5-диметил-, 6-амилокси-2-диамилоксиметил-2,5-диметил-, 6-стеарокси-2-дистеароксиметил-2,5-диметил- и 6-бутилмеркапто-2-дибутилмеркаптометил-2,5-диметилтетрагидропиран. Полученные в-ва могут использоваться для пропитки, получения фотографич. пленок, пластич. масс и лекарств. В. Смит

52403 II. Производство триоксоканов и родственных соединений. Аел, Засловский (Manufacture of trioxocanes and related compounds. Astle Melvin J., Zaslowsky Joel A.), [Mathieson Chemical Corp.]. Канад. пат. 518548, 15.11.55

Соединения общей ф-лы  $\text{O}(\text{CH}_2\text{CH}_2\text{O})_n\text{CH}_2\text{R}$ , где  $n=2$  или 3, R — H или алифатич. радикал, получают контактированием смеси алифатич. альдегида и диэтилен- или триэтиленгликоля с кислой катионообменной смолой при повышенной т-ре. Р-цией диэтиленгликоля с параформальдегидом, *изо*- $\text{C}_3\text{H}_7\text{CHO}$  или  $\text{CH}_3\text{CH}_2\text{CH}(\text{C}_2\text{H}_5)\text{CHO}$  в указанных условиях получают, соответственно, 1,3,6-триоксокан, 2-изопропил- или 1-этил-*n*-пропил-1,3,6-триоксокан. И. Шалавина

52404 II. Способ выделения гомологов пиридина, замещенных в положении 3 или 3 и 5, из смеси пиридиновых оснований. Кубичка (Způsob přípravy homológů pyridinu, substituovaných v poloze 3 nebo 3,5 ze směsi dehtových zásad. Kubička Rudolf). Чехосл. пат. 83777, 1.02.55

Гомологи пиридина (I — пиридин), замещенные в положении 3 или 3 и 5, напр. 3-пиколин (II) и 3,5-лутидин, выделяют из смеси оснований с т. кип. ~140—150°, действуя на смесь избытком водн. р-ра  $\text{CH}_2\text{O}$  в присутствии кислых или щел. катализаторов в автоклаве при 100—200° (лучше при 150°). При этом гомо-

логи I, замещенные в положении 3 или 3 и 5, в р-ции не входят и могут быть отделены, напр., перегонкой с водяным паром; остальные гомологи I превращаются в метилльные производные. 100 ч. концентрата II, содержащего 81,5% II, 6% 2,6-лутидина (III) и 12,5% 4-пиколина, нагревают в автоклаве с 150 ч. 38%-ного водн. р-ра  $\text{CH}_2\text{O}$  3 часа при 150—160°. Непрореагировавшие основания отгоняют с водяным паром и высаливают из дистиллата. Получают 78 ч. смеси оснований, содержащей 95% II; примесью является III. Окислением продукта  $\text{KMnO}_4$  получают никотиновую к-ту, т. пл. 232°. 100 ч. фракции с т. кип. 140—145°, содержащей 36,4% III, 29,3% II и 34,3% 4-пиколина, нагревают при 140—150° 3 часа с 225 ч. 38%-ного водн.  $\text{CH}_2\text{O}$ . Из реакционной смеси перегонкой с паром выделяют смесь, содержащую 51% II и 49% III. И. Е.

52405 II. Способ получения новых производных пиридин-3,5-дикарбоновой кислоты (Verfahren zur Herstellung eines neuen Pyridin-3,5-dicarbonsäurederivates) [Cilag A.-G.]. Швейц. пат. 297665, 1.06.54; 298404, 1.07.54; 299620, 16.08.54 [Chem. Abstrs, 1956, 50, № 10, 7149—7150 (англ.)]

Доп. к швейц. пат. 284073. Хлорангидрид моноэтилового эфира пиридин-3,5-дикарбоновой к-ты (I, дикислота), полученный из 14 г I и 100 г  $\text{SOCl}_2$ , обрабатывают в присутствии 75 мл  $\text{C}_6\text{H}_6$  14 г  $\text{C}_6\text{H}_5\text{CH}_2\text{CH}(\text{C}_6\text{H}_5)\text{NH}_2$ , смесь охлаждают, добавляют 15 мл  $\text{C}_2\text{H}_5\text{N}$ , перемешивают несколько часов при 20°, экстрагируют  $\text{C}_6\text{H}_6$ , экстракт промывают водой, разб. р-ром  $\text{KHCO}_3$  и сушат. Испарением р-рителя получают 16 г 5-(1,2-дифенил)-этилового эфира I, т. пл. 138—139° (из 70%-ного  $\text{C}_2\text{H}_5\text{OH}$  и  $\text{CH}_3\text{COOC}_2\text{H}_5$  — петр. эф.) (пат. 297665). 70 г 5-диэтиламида 3-метилового эфира I обрабатывают 500 мл конц.  $\text{NH}_4\text{OH}$  (30 час., 20°), р-р выпаривают досуха, остаток обрабатывают диоксаном, смесь упаривают. Получают 43 г 5-диэтиламида-3-амида I, т. пл. 135—136° (из  $\text{CH}_3\text{COOC}_2\text{H}_5$ ), этот же продукт был также получен из 3-амида 5-фенилового эфира I и  $(\text{C}_2\text{H}_5)_2\text{N}$  при 150—180° (пат. 298404). К р-ру хлорангидрида, полученному из 14 г моно-1,2-дифенилэтиламида I и 320 г  $\text{SOCl}_2$ , в 200 мл  $\text{C}_6\text{H}_6$  прибавляют р-р 36 г  $(\text{CH}_3)_2\text{NCH}_2\text{CH}_2\text{OH}$  в 100 мл  $\text{C}_6\text{H}_6$ , смесь экстрагируют 3 раза (всего 800 мл 2 н.  $\text{CH}_3\text{COOH}$  и 500 г льда), экстракт нейтрализуют  $\text{K}_2\text{CO}_3$  и извлекают  $\text{CHCl}_3$ . Получают 10,1 г 3-(2-диметиламино)-этилового эфира 5-(1,2-дифенил)-этиламида I, т. пл. 119—120° (из низкипящего петр. эф.) (пат. 299620). В. Смит

52406 II. Способ получения 6-галоидалкил-2,4-диаминотриазина, Носек, Эттель (Způsob přípravy 6-halogenalkyl-2,4-diaminotriazinu. Nosek Jaroslav, Ettel Viktor). Чехосл. пат. 83708, 01.12.54

Дигуанид конденсируют в среде безводн. низших алифатич. спиртов (лучше в присутствии алкоголитов щел. металлов) с эфирами алифатич. к-ты, содержащими галоид в  $\alpha$ -или  $\beta$ -положении. В колбу емк. 1 л вносят 100 г тонко измельченного, высушенного при 105° сульфата дигуанида, 200 мл безводн.  $\text{CH}_3\text{OH}$  и 61 г этилового эфира хлоруктановой к-ты. Содержимое нагревают до 60° и прибавляют по каплям при перемешивании р-р  $\text{CH}_3\text{ONa}$ , приготовленный из 23 г Na и 275 мл безводн.  $\text{CH}_3\text{OH}$ . После введения всего кол-ва  $\text{CH}_3\text{ONa}$  массу кипятят 0,5 часа, отгоняют  $\text{CH}_3\text{OH}$ , остаток размешивают с 200 мл воды и отсасывают 6-монохлорметил-2,4-диаминотриазин, который затем перекристаллизуют из 400 мл воды. Получают 64 г продукта (выход 80,1%); повторной кристаллизацией получают 32—40 г чистого в-ва, т. разл. 215°. Из дигуанида и этилового эфира  $\beta$ -бромпропионовой к-ты получают 6-монобромметил-2,4-диаминотриазин, выход 50% (теор.), т. разл. 185—200°. 6-Галоидалкил-2,4-диаминотриазины являются промежуточными в-вами для синтеза

лекарственных в-в, обладающих диуретической активностью.

И. Елинек

52407 П. Получение гуанининов. Кайзер (Preparation of guanamines. Kaiser Donald W.) [American Cyanamid Co.]. Канад. пат. 511898, 19.04.55

Усовершенствование метода получения гуанининов р-цией нитрилов высших жирных к-т, содержащих  $\geq 8$  атомов С, с дициандиамином (I) в инертном ОН-содержащем р-ителе в присутствии основного катализатора состоит в том, что I (твердый или в инертном р-ителе) прибавляют к р-ру нитрила в течение  $\geq 1$  часа. Если применяют I в виде р-ра, то его добавляют к реакционной массе непрерывно. Большую часть катализатора вводят вместе с I.

И. Шалавина

52408 П. Способ получения хлоргидрата 2-аминотиазола. Новак, Мейстршик (Zrúsob přípravu hydrochloridu 2-aminothiazolu. Novak Jindřich, Meistršík Karel). Чехосл. пат. 83267, 3.03.55

$C_2H_5ON$  (I) хлорируют  $Cl_2$  (газом) до уд. в. 1.01—1.02, после чего к перемешиваемому р-ру при  $80^\circ$  добавляют  $SC(NH_2)_2$ . После медленной отгонки избыточного I кристаллизуют хлоргидрат 2-аминотиазола (II). В эмалированный автоклав емк. 500 л, с мешалкой, эмалированным холодильником и рубашкой, охлаждаемой рассолом, вводят 300 кг абс. I, охлаждают до  $-10^\circ$  и пропускают  $Cl_2$  с такой скоростью, чтобы т-ра была в пределах  $13-18^\circ$ . Хлорирование ведут до уд. в. 1.01—1.02 при  $15^\circ$ . Объем хлорированной смеси увеличивается до  $\sim 480$  л. Затем добавляют 50 кг  $SC(NH_2)_2$ , автоклав закрывают и перемешиваемую массу нагревают 2 часа при  $80^\circ$ . Постепенным повышением т-ры до  $100^\circ$  в течение последующих 6 час. отгоняют 250—300 л I. Р-р II перекачивают в керамику. бак; при охлаждении выпадают бледно-желтые кристаллы II, выход 90—100 кг.

И. Елинек

См. также: Катализаторы: для окисления олефинов 51791; полимеризации олефинов 52286. Промывка и очистка бензола 52170, 52205. Очистка нафталина, антрацена, карбазола 52171. Прона-во нафталина 52272. Гидрирование СО 52284, 52285, 52287. Получение: дифенилоксида 52630; ароматических альдегидов 52630; винилацетата в жидкой фазе 51157

## ПРОМЫШЛЕННЫЙ СИНТЕЗ КРАСИТЕЛЕЙ

Редактор Н. А. Медыжовская

52409. Азокрасители и их полупродукты. XII. Синтез красителей ряда бензопрочного желтого RL. Ниси Аба, Такаги (アゾ染料及び中間体に関する研究. 第12報. ベンゾ. フラスト. エロ RL-系染料の合成について. 西鉄之輔, 阿部行太, 高木邦彦). 工業化学雑誌, Kōgō Kagaku Zasshi, J. Chem. Soc. Japan Industr. Chem. Sec., 1953, 56, № 5, 367—369 (японск.)

Описано получение следующих аминазоосоединений: 4-аминоазобензол-4'-сульфокислота, 4-амино-3-метилазобензол-4'-сульфокислота, 4-амино-3-метоксиназобензол-4'-сульфокислота и 4-амино-2-метил-5-метоксиназобензол-4'-сульфокислота. Эти соединения обрабатывали  $SOCl_2$  и исследовали свойства полученных прямых красителей. Все красители яркого желтого цвета. Стойкость к свету, стирке и красящая способность значительно улучшаются при получении красителей из соединений, содержащих  $o-CH_3$ - и  $m-CH_3O$ -группы. Часть XI см. Kōgō Kagaku Zasshi, 1950, 53, 118—120.

Э. Тукачинская  
52410. N-ацильные производные красителей, полученных из 3-сульфо-7-амино-8-(2'-сульфо-4'-аминобензолазо)-1-нафтола. Окубо, Китагава (4-アミノベンゼン-2-スルホン酸-アゾン酸のNアシル誘導染料

について. 大久保一郎, 北川敏夫), 工業化学雑誌, Kōgō Kagaku Zasshi, J. Chem. Soc. Japan Industr. Chem. Sec., 1953, 56, № 5, 344—346 (японск.)

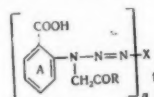
Получено девять N-ацил-4'-аминопроизводных Na-соли 3-сульфо-7-амино-8-(2'-сульфо-4'-аминобензолазо)-1-нафтола (I) следующего строения:  $RCOCH_3$ ,  $RCOC_2H_5$ ,  $RCOC_3H_7$ ,  $RCOC_4H_9$ ,  $RCOCH=CHC_6H_5$ ,  $RCOCH_2Cl$ ,  $RCO(CH_2)_2OCH_3$ ,  $RCO(CH_2)_2OCH_2CH_3$ ,  $RCOCOR$  и  $RCOR$ , где R — ядро I. Максимумы спектров поглощения водн. р-ров этих соединений лежат в пределах 500—530 мμ. Приведены кривые спектров отражения тканей, окрашенных этими красителями. Длина основной волны отражения 493—496 мμ. Эти моноазокрасители являются прочными красителями для шерсти. Рассмотрено гипсохромное влияние ацильных групп. Э. Т. 52411. Получение нидиго из этанолаанилина. Яма

нака (エタノール・アニリンより靑藍の製造. 山中龍雄), 科学研究所報告, Kōgaku Kenkyūso Hōkoku, Repts. Scient. Res. Inst., 1954, 30, № 3, 191—195 (японск.; рез. англ.)

Исследован механизм циклизации при получении нидиго синего (I) сплавлением β-анилиноэтилового спирта (II) со щелочью в прасутствии  $H_2$ . Основные черты этого способа сводятся к удалению следов воды из щелочи, стабилизации боковой связи между α- и β-атомами С и растворении плава в холодной воде. Анилин нагреванием с 25%-ным р-ром этиленхлоргидрина превращают в II. 40 г II обрабатывают 7 г металлического Na и получают β-анилиноэтилалкоголят Na. Это в-во (35 г в пересчете на II) переводят в нидоксил сплавлением с сухими щелочами (500 г NaOH, 250 г KOH, 100 г порошкообразной жженной извести и 10 г металлического Na) в присутствии  $H_2$ . Последнюю р-цию — превращение нидоксила в I — проводят растворением плава в холодной воде и пропусканием струи воздуха через щел. р-р. I фильтруют и промывают разб. HCl и водой до удаления извести; получают 30,5 г I; выход 92%.

Э. Тукачинская

52412 П. Выделение диазоаминосоединений [Isolation of diazoamino derivatives] [Compagnie Française des Matières Colorantes]. Англ. пат. 729158, 4.05.55  
Диазоаминосоединения общей ф-лы (I) (R — окси-,



алкокси- или аминогруппа;  $n = 1$  или 2; X — остаток диазо- или бисдиазосоставляющей: ядро A может быть один или несколько раз замещено галоидом, алкилом или алкоксилем) выделяют из р-ров осаждением едкими щелочами, предпочтительно с одновременным высаливанием растворимыми солями металлов. В частности, применяют смеси NaOH и NaCl. Кристаллы отфильтровывают и сушат. I получают р-цией в неспирт. р-рах диазоосоединений аминов общих ф-л  $XNH_2$  или  $X(NH_2)_2$  с производными глицина общей ф-лы  $C_6H_4-o-COOH$  ( $-NH-CH_2-CO-R$ ). Приведены примеры получения и выделения диазоаминосоединений, получаемых из следующих пар в-в: а) N-(2-карбоксифенил)-глицин и диазотированный 5-хлор-о-толуидин, 4-хлор-о-толуидин, m-хлоранилин, 5-хлор-о-анизидин, аминазоотолуол (2 изомера), 2,6-дихлор-2,5-диметоксис-4'-нитро-4-аминоазобензол, 2,5-диметоксис-4'-нитро-4-аминоазобензол, 6-амино-7-(о-хлорфенилазо)-индазол или 5-метоксис-2,4'-диметил-2-нитро-4-аминоазобензол; б) N-(2-карбоксифенил)-глицин и бисдиазотированный диазидин; в) N-(2-карбокси-4-хлорфенил)-глицин и диазотированный 4-хлор-о-толуидин или m-хлоранилин; г) N-(2-карбокси-5-хлорфенил)-глицин и диазо-

тированный аминоазотолуол или 2,6-дихлор-2',5'-диметокси-4-нитро-4'-аминоазобензол; д) N-(2-карбоксивинил)-глицин и диазотированный 4-бензоил-амино-2,5-диэтоксанилин; е) этиловый эфир N-(2-карбоксивинил)-глицина и диазотированный 4-хлор-о-толуидин или 2,5-дихлоранилин; ж) N-(2-карбоксивинил)-глицинамид и диазотированный 4-хлор-о-толуидин. Указано также применение других исходных в-в: N-(2-карбоксивинил)-глицина, замещ. 3-хлор-, 3,4-дихлор-, 3,6-дихлор-, 4,6-дихлор- и 5-метокси-, метилового эфира N-(2-карбоксивинил)-глицина, а также диазо- и диазосоединений бензольного, дифенильного ряда, производных азобензола, индазола и бензотиазола, замещ. алкильными, алкоксильными, нитро-, ациламино-, сульфамидными, сульфонильными и трифторметильными группами. N-(2-карбоксивинил)-глицин получают из 5-метоксинантралиновой к-ты и  $\text{ClCH}_2\text{COOH}$ .

В. Уфимцев

**52413 П.** Способ выделения диазоаминосоединений. Брейг, Глитенберг (Verfahren zur Isolierung von Diazoaminoverbindungen. Breig Kurt, Glietenberg Eugen) [Farbenfabriken Bayer A.-G.]. Пат. ФРГ 950292, 4.10.56

Диазоаминосоединения (ДА), полученные из слабоотрицательно-замещ. аминов бензольного ряда, не содержащих способствующих растворению в воде групп, и алкиламиносульфобензойных к-т (стабилизатор), выделяют из их содовых р-ров смешением с избытком гидроокиси щел. металла в твердом виде или в форме р-ра. Возможно также проводить выделение гидроокисью щел. металла с дополнительным прибавлением NaCl при нагревании. ДА пригодны для деяного крашения (для печати). Смесь 41 г 2-метил-5-хлоранилина, 175 мл воды и 80 мл HCl (36 объемн. %) при 0–5° диазотируют 67 мл 30%-ного р-ра  $\text{NaNO}_2$ . Диазотирование в течение 45 мин. при 0–5° приливают при размешивании к смеси р-ра 90 г 2-этиламино-5-сульфобензойной к-ты (I) в 100 мл воды, 50 мл р-ра NaOH (36° Вэ) и 70 г порошка соды. По окончании сочетания смеси высыпают с 460 мл р-ра NaOH (36° Вэ) и 225 г NaCl, через ~30 мин. отфильтровывают кристаллич. ДА, выход 90%. Аналогично получают ДА (в скобках указан выход) из 2-метил-4-хлоранилина и I (87%), из 2-метокси-5-хлоранилина и I (85%), из м-хлоранилина и 2-изопропиламино-5-сульфобензойной к-ты (95%). В. Уфимцев

**52414 П.** Способ получения моноазокрасителей. Бреннейзен, Хусс, Зиберт (Verfahren zur Herstellung von Monoazofarbstoffen. Brenneisen Erich, Huss Richard, Siebert Arthur) [Farbwerke Hoechst A.-G. vormalig Meister Lucius & Brüning]. Пат. ФРГ 946732, 2.08.56

Моноазокрасители получают сочетанием диазотированного 2-нитроанилина, который может содержать еще галоид, сульфогруппу, алкил или трифторметил, с п-разолоном-5; после чего полученные моноазокрасители, содержащие не меньше одной карбоксильной или сульфогруппы, обрабатывают органич. основанием. Полученные красители растворяются в органич. р-рителях (напр., в  $\text{CH}_3\text{OH}$ ,  $\text{C}_2\text{H}_5\text{OH}$ ,  $\text{C}_4\text{H}_9\text{OH}$ ,  $\text{CH}_3\text{COOCH}_3$ , метилгликоле, этилгликоле, диэтиловом спирте) и пригодны для окраски лаков, полимеризатов, смешанных полимеризатов, конденсатов, протрав для дерева, целлюлозы и т. п. Суспензия 13,8 вес. ч. 2-нитроанилина (I) в 65 объемн. ч. 5 н. HCl разбавляют 65 объемн. ч. воды и с добавлением льда при 0° диазотируют 20 объемн. ч. 5 н.  $\text{NaNO}_2$ , размешивают 1 час, осветляют и приливают к р-ру 26 вес. ч. 1-(2-сульфофенил)-3-метилпиразолона-5 (100%-ного), 400 объемн. ч. воды и 10 объемн. ч. 10 н. NaOH при 3–5°, размешивают 1 час, высыпают 200 вес. ч. NaCl и отфильтровывают краситель. Его растворяют в ~800 объемн. ч. воды, осветляют и к фильтрату при 18–20° прибавляют 220 объемн. ч.

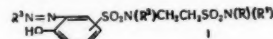
0,5 н. сульфата дициклогексиланина (II) (хлоргидрата ди-о-толилгуанидина, роданида гуанидина или хлоргидрата дифенилгуанидина), размешивают 6–8 час. и отфильтровывают желтый краситель с очень хорошей светостойкостью. Аналогичные красители получают (во всех случаях в качестве амина указан II): из I и 1-(2'-сульфофенил)-5-пиразолон-3-карбоновой к-ты (III); из I и 1-(4'-хлор-2'-сульфофенил)-5-пиразолон-3-карбоновой к-ты; из 2-нитроанилин-4-сульфокислоты (IV) и 1-фенил-5-пиразолон-3-карбоновой к-ты (V); из 2-нитро-4-трифторметиланилина и III; из IV и III; из 2-нитро-4-метиланилина и 1-(6'-хлор-2'-метил-4'-сульфофенил)-3-метил-5-пиразолона (VI); из 4-хлор-2-нитроанилина и 1-(2'-сульфофенил)-3-фенил-5-пиразолона (VII); из IV и 3-метил-5-пиразолона; из I и V; из I 1-(2'-хлор-5'-сульфофенил)-3-метил-5-пиразолона; из I и VI; из I и VII; из I и 1-(2'-метил-4'-сульфофенил)-3-метил-5-пиразолона; из I 1-(2'-метил-4'-сульфофенил)-5-пиразолон-3-карбоновой к-ты; из I этилового эфира 1-(6'-хлор-2'-метил-4'-сульфофенил)-5-пиразолон-3-карбоновой к-ты; из IV и амида V. В. Уфимцев

**52415 П.** Обрабатываемые металлами и металлодержателем азокрасители, их получение и применение. Сюро, Ролле, (Nouveaux colorants azoïques métallisables et métallifères, leur préparation et leurs applications. Sureau Robert, Rollet Jean) [Co Française des Matières Colorantes]. Франц. пат. 1101830, 11.10.55 [Chimie et industrie, 1956, 76, № 3, 506 (франц.)]

Сочетают 5(или 6)-оксиндазол или его производные, замещенные в любом, кроме 4- или 7-положениях, не способствующими растворению в воде заместителями, с диазотированным о-аминофенолом или о-аминобензойной к-той, незамещ. или замещ. в положениях 3, 4, 5 и 6 заместителями, не способствующими растворению в воде. Металлич. комплексы этих красителей получают обработкой красителей металлич. соединениями, обычно применяемыми для образования металлич. комплексов красителей. Полученные металлич. комплексы красителей пригодны для крашения животных или анимализированных волокон или суперполиамидов из нейтр. или слабодиссоциирующей ваны. В. Уфимцев

**52416 П.** Способ получения хромоносодержащих моноазокрасителей, не содержащих сульфогрупп. Брейг, Глитенберг, Нюслер (Verfahren zur Herstellung von chromhaltigen sulfonsäuregruppenfreien Monoazofarbstoffen. Breig Kurt, Glietenberg Eugen, Nüssler Ludwig) [Farbenfabriken Bayer A.-G.]. Пат. ФРГ 927705, 16.05.55

Cr-содержащие моноазокрасители, не содержащие сульфогрупп, получают обработкой о, о'-диоксимона-азокрасителей общей ф-лы (I) (R и R'—H или алкил;



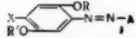
R<sup>2</sup>—алкил или замещ. алкил; R<sup>1</sup>—остаток азосоставляющей, содержащей оксигруппу в орто-положении к азогруппе) Cr-отдающими средствами. Полученные Cr-содержащие красители окрашивают шерстяные волокна из нейтр. или слабодиссоциирующей ваны в очень светочувствительные цвета, обладающие, кроме того, очень хорошей прочностью к стирке и хорошей ровняющей способностью. Р-р 11,2 г N-метил-N-(β-аминосальфонил)-этиламина 2-аминофенол-4-сульфокислоты (I; к-та—II) в 150 мл воды и 10 мл HCl (к-ты) при 0–5° диазотируют 10%-ным р-ром  $\text{NaNO}_2$ , полученную суспензию диазосоединения нейтрализуют  $\text{NaHCO}_3$  до слабощелочной р-ции и медленно при 0° приливают к р-ру 8 г 1-ацетиламино-7-нафтола, 1,6 г твердого NaOH, 4 г соды и 150 мл воды, через 1 час сочетание заканчивается, pH 9,4. Размешивают 16 час. при 20°, приливанием небольшого кол-ва разб. HCl устанавливают на pH 8, краси-



тель отфильтровывают, а затем растворяют при нагревании до 75—80° в 90 мл воды и 10 мл NaOH 36° Вё, приливают 125 мл р-ра, содержащего 42,6 г  $K_2Cr_2O_7$  и 78 г глюкозы в 1 л, размешивают 20 мин. при 80°, охлаждают до 40°, устанавливают прибавлением разб. HCl на pH 8,5 и отфильтровывают Cr-комплекс красителя, окрашивающий в темно-синий цвет. Суспензию диазосоединения, полученного из 11,2 г I нейтрализуют  $NaHCO_3$  и медленно при 0° приливают к р-ру 6,95 г 1-фенил-3-метилпиразолона-5, 1,6 г NaOH и 4 г соды в 200 мл воды, размешивают 16 час. при pH 8, краситель отфильтровывают, а затем в течение 2 час. кипятят со 150 мл р-ра хромалицикловоксилого  $NH_4$  (соответствует 1,52 г  $Cr_2O_3$ ), после чего из горячего р-ра 12% NaCl высаливают Cr-комплекс красителя, окрашивающий в красновато-оранжевый цвет. Аналогично из 11,2 г I и 7,3 г 3-оксидифениленоксида получают Cr-комплекс красителя, красящий в фиолетово-коричневый цвет, а из 11,7 г N-метил-N-(3-метиламино-сульфонил)-ацетилаида II и 8 г 1-ацетиламино-7-нафтола получают Cr-комплекс красителя, красящий в черный цвет.

В. Уфимцев

**52417 П. Способ получения хромосодержащих моноазокрасителей. Шетти, Кустер** (Verfahren zur Herstellung von chromhaltigen Monoazofarbstoffen. Schetty Guido, Kuster Werner) [J. R. Geigy A.-G.]. Пат. ФРГ 943368, 17.05.56  
Cr-содержащие моноазокрасители, не содержащие никаких кислотных способствующих растворению в воде групп, получают из моноазокрасителей общей ф-лы (I) (X — H или галогид; R — H или низший замещ. или



незамещ. алкил; R' — оксикалкил с  $\geq 2$  атомами C или превращающийся в него заместитель; A — остаток производного 2-нафтола, сочетающегося в положение 1, незамещ. или замещ. неионогенными заместителями) обработкой Cr-отдающим средством, взятым в таком кол-ве, чтобы на 2 молекулы красителя содержалось  $\geq 1$  атома Cr. Это хромирование проводят в таких условиях, чтобы находящаяся в орто-положении к азогруппе алкоксильная группа превращалась в оксигруппу. В частности, патентуется применение I, у которых R = R' = оксикалкил, и проведение обработки Cr-отдающим средством при t-ре  $> 100^\circ$ . Р-р 21,3 ч. 2,5-бис-(3-оксизтил)-анилина (II) растворяют в 250 ч. воды и 35 ч. конц. HCl, диазотируют при 0—3°, диазораствор при 0—3° приливают к р-ру 15,2 ч. 2-нафтола, 11 объемами. ч. 10 н. NaOH и 25 ч. безводн. соды в 500 ч. воды, по окончании сочетания нагревают до 70°, отфильтровывают и сушат полученный краситель. Краситель в 800 объемами. ч. этиленгликоля нагревают 8 час. при 145—155° с Cr-ацетатом (7,6 ч.  $Cr_2O_3$ ) и 12,8 объемами. ч. 10 н. NaOH, темный сине-фиолетовый р-р выливают в 2000 ч. 15%-ного р-ра NaCl и через 16 час. отфильтровывают, промывают разб. водн. р-ром NaCl и сушат Cr-комплекс, окрашивающий в очень светопрочный темно-синий цвет. Аналогичный краситель с лучшей ровняющей способностью получают при применении в качестве диазосоставляющей 24,8 ч. 4-хлор-2,5-бис-(3-оксизтил)-анилина. Получены также следующие красители (приведены состав красителя и цвет окраски его Cr-комплексом): II — 6-бром-2-нафтол, красноватый темно-синий; II — диметиламид 2-нафтол-8-сульфонокислоты, синий; II — 6-метокси-2-нафтол, зеленовато-синий; II — 7-метокси-2-нафтол, заметное красное предшествующего. Получаемые Cr-комплексы окрашивают шерстяные и, в особенности, синтетич. полипептидные волокна (напр. суперполиамидов) из нейтр. до слабощелочной ванны в очень прочные яркие синие цвета с особенно хорошей ровняющей способностью.

В. Уфимцев

**52418 П. Способ получения медьсодержащих дисазокрасителей. Штюссер** (Verfahren zur Herstellung kupferhaltiger Disazofarbstoffe. Stüsser Richard) [Farbenfabriken Bayer A.-G.]. Пат. ФРГ 938500, 2.02.56

Cu-содержащие дисазокрасители (I) получают бисдиазотированием 4,4'-диамино-3,3'-диалкоксидифенила или 4,4'-диамино-3,3'-диоксидифенила и последующим сочетанием с 1 молем 1-алкокси-8-нафтол-моноили-дисульфокислоты и 1 молем такой же азосоставляющей или 1,8-диоксинафталин-моно- или дисульфокислоты, после чего полученный дисазокраситель обрабатывают Cu-отдающим средством. Полученные I отличаются от известных сравнимых красителей отчасти повышенной чистотой тона, отчасти лучшими прочностями к оживке. К р-ру 696 ч. 1-этоксис-8-нафтол-3,6-дисульфокислоты (II) в воде с прибавлением соды до щел. р-ции и льда при 0—5° приливают при размешивании диазораствор, полученный из 244 ч. дианализина (III) бисдиазотированием при  $\sim 5^\circ$  138 ч.  $NaNO_2$  в присутствии 700 ч. HCl 19,5° Вё; щел. р-цию при сочетании поддерживают прибавлением соды. По окончании образования моноазокрасителя прибавляют пиридин и р-р NaOH и нагревают до 30—40° для образования дисазокрасителя, который превращают (с удалением метильной группы) в Cu-комплекс, окрашивающий волокна хлопка и вискозы в очень светопрочный чистый синий цвет. Аналогично получают Cu-комплекс красителя из 1 моля 3,3'-диоксидифенила и 2 молей II. К р-ру 348 ч. II в воде с прибавлением соды до щел. р-ции прибавляют лед и при 0—5° при перемешивании приливают диазораствор, полученный бисдиазотированием 244 ч. III, поддерживая щел. р-цию прибавлением соды. По окончании образования моноазокрасителя прибавляют р-р 268 ч. 1-этоксис-8-нафтол-4-сульфонокислоты в воде с прибавлением соды, размешивают 1 час, прибавляют немного пиридина и р-р NaOH до pH  $\sim 11$ , нагревают 2 часа до 40° и размешивают еще 1 час при этой t-ре, краситель высаливают, отфильтровывают и превращают (с удалением метильной группы) в Cu-комплекс, окрашивающий в чистый синий цвет. К р-ру 348 ч. II в воде с прибавлением соды, прибавляют лед и диазораствор из 244 ч. III, по окончании образования моноазокрасителя приливают р-р 240 ч. 1,8-диоксинафталин-4-сульфонокислоты в воде с прибавлением соды, размешивают  $\sim 15$  мин., прибавляют 500 ч. пиридина, размешивают 15 мин., приливают р-р NaOH до pH  $\sim 11$ , размешивают 1 час, нагревают до 35° и размешивают при этой t-ре еще 1 час, краситель высаливают NaCl, отфильтровывают и превращают (с удалением метильной группы) в Cu-комплекс, окрашивающий в светопрочный синий цвет.

В. Уфимцев

**52419 П. Способ получения нитрокрасителей. Бекке, Либовицкий, Маркграф, Клауг** (Verfahren zur Herstellung eines Nitrofarbstoffs. Becke Friedrich, Libowitzky Herbert, Markgraf Otto, Klug Max) [Badische Anilin- & Soda-Fabrik A.-G.]. Пат. ФРГ 948348, 30.08.56

Нитрокраситель получают р-цией 6-хлор-4-нитрорезорцина (I) с  $CH_2O$  в щел. среде. Смесь 60 ч. диметилового эфира I, 120 ч. 33%-ного водн. NaOH, 60 ч. воды и 50 ч.  $CH_3OH$  нагревают 6—8 час. в автоклаве при 140—150° и подкислением выделяют I, т. пл. 117—119°. 38 ч. I, 40 ч. 30%-ного р-ра  $CH_2O$  и 32 ч.  $CH_3OH$  нагревают при размешивании до 40°, прибавляют 48 ч. 50%-ного водн. KOH и нагревают при  $\sim 80^\circ$  до начала кристаллизации продукта, размешивают 1—2 часа при 50—60° и по охлаждении отфильтровывают, промывают холодной водой и сушат. Получают 43 ч.  $K_2$ -соли 2,2',6,6'-тетраокси-3,3'-динитро-5,5'-дихлордифенилметана (II), выход 92%. Растворением ее в горя-

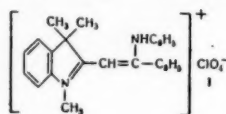
чей воде и подкислением HCl (к-той) получают II, т. пл. 234—235° (из лед. CH<sub>3</sub>COOH). Полученный краситель окрашивает волокна шерсти и шелка, волосы, меха и перья из нейтр. или слабодиссоциирующей водн. ванны уже при ~30° в чистый желтый цвет.

**В. Уфимцев**  
**52420 П.** Способ получения полиметиновых или стироловых красителей, замещенных в метиновой цепи. Кёнен, Ристер (Verfahren zur Herstellung von in der Methinkette substituierten Polymethin- oder Styrylfarbstoffen. Coenen Ludwig-Max, Rister Oskar) [Farbenfabriken Bayer A.-G.]. Пат. ФРГ 944027, 7.06.56

Названные красители получают конденсацией кетонов гетероциклич. метиновых оснований общей ф-лы  $RN-C(Z)=CH-(CH=CH)_n-COR$  или кетонов,

содержащих две гетероциклич. кольчатые системы, общей ф-лы  $RN-C(Z')=CH-(CH=CH)_n-CO-(CH=CH)_m-CH=C(Z'')-NR$  (Z, Z', Z'' — одинаковые или

различные группировки атомов, необходимые для замыкания гетероциклич. кольца с приконденсированным кольцом или без него и заместителями; R — алкил, арил, аракил или аракилен; n — 0 или целое число; причем атомы C метиновой цепи могут быть замещены) в присутствии кислотных конденсирующих средств (напр., кислот хлоридов) с первичными или вторичными аминами. К р-ру 4 ч. 1,3,3-триметил-2-ω-бензоилметилениндоллина в 20 ч. CHCl<sub>3</sub> прибавляют р-р 2,2 ч. POCl<sub>3</sub> в 15 ч. CHCl<sub>3</sub> и кипятят несколько минут. В охлажд. смесь прибавляют 2,7 ч. анилина и снова кипятят 5 мин., по охлаждению выливают в 200 ч. воды. CHCl<sub>3</sub> и непрореагировавший анилин отгоняют с водяным паром, горячий водн. р-р красителя фильтруют и прибавлением к фильтрату насыщ. р-ра NH<sub>4</sub>ClO<sub>4</sub> выделяют 4,3 ч. перхлората красителя ф-лы (I), оранжево-



желтые иглы с металлич. блеском, т. пл. 183° (из CH<sub>3</sub>OH), окрашивает ацетатный шелк (АШ) в светло-желтый цвет. Аналогично из 4 ч. бис-(1,3,3-триметил-2-метилениндоллин)-кетона (II) и 20 ч. пиперидина получают 3 ч. перхлората красителя, желтый кристаллич. порошок, т. пл. 181—182° (из CH<sub>3</sub>OH), максимум сенсизации (MC) AgCl-эмульсии 472 мμ, окрашивает АШ в желтый цвет; из 4 ч. II и 20 ч. n-бутиламина — перхлорат красителя, желтый кристаллич. порошок, т. пл. 176—178°, MC 472 мμ, АШ оранжевый; из 4 ч. II и 20 ч. циклогексиламина — перхлорат красителя, оранжевый кристаллич. порошок, т. пл. 167—168°, MC 473 мμ (на AgBrCl-эмульсии 479 мμ), АШ кирпично-красный; из 4 ч. 1-метил-2-ω-бензоилметил-1,2-дигидробензтиазола и 6 ч. дифениламина — 6,3 ч. перхлората красителя (очистка из изопропилового спирта), MC 433 мμ; из 3 ч. 1,3,3-триметил-2-метил-β-иннамолиндоллина и 5,1 ч. дифениламина — 2 ч. перхлората красителя, АШ коричнево-желтый. Получаемые красители пригодны для сенсibilизирования фотографич. эмульсий, для окраски текстиля, а также в качестве маскирующих и фильтровых красителей.

**В. Уфимцев**  
**52421 П.** Способ получения кубовых красителей. Цервек, Хейрих (Verfahren zur Herstellung von Küpenfarbstoffen. Zerweck Werner, Heinrich Ernst) [Casella Farbwerke Mainkur A.-G.]. Пат. ФРГ 946735, 2.09.56

Кубовые красители получают р-цией 3,4-фталил-2-

аминоакридоны с β-нафтойной к-той и ее функциональными производными или продуктами замещения в ядре этих соединений. 50 ч. 3,4-фталил-2-аминоакридоны (полученного из 1-амино-4-бромантрахинон-2-сульфокислоты и антракинон-1-к-ты) нагревают 6 час. при 160° с 38 ч. хлорангидрида β-нафтойной к-ты в 1000 ч. o-дихлорбензола, по охлаждении отфильтровывают краситель, промывают его o-дихлорбензолом и CH<sub>3</sub>OH. Окрашивает хлопковые волокна из красного куба в красновато-синий цвет с очень хорошими прочностями.

**В. Уфимцев**  
**52422 П.** Способ получения красителей фталоцианинового ряда. Мюльбауэр (Verfahren zur Herstellung von Farbstoffen der Phthalocyaninreihe. Mühlbauer Fritz) [Badische Anilin- & Soda-Fabrik A.-G.]. Пат. ФРГ 946834, 9.08.56

Красители фталоцианинового ряда получают р-цией фталоцианинсульфохлоридов с 4-амино-4'-нитродифениламин-2'-сульфокислотой (I). 420 ч. Si-фталоцианина и 3000 ч. ClSO<sub>3</sub>H нагревают 4 часа при 135—140° и перемешивании, по охлаждению до 30° выливают в смесь 25 000 ч. льда и 25 000 ч. воды при т-ре 0°, краситель отделяют, сливают с него разб. к-ту, отсасывают и промывают 5000 ч. холодной воды, получают 3350 ч. водн. пасты Si-фталоцианин-три-или-тетрасульфохлорида (II) с pH 1,9, к которой добавляют р-р 100 ч. NH<sub>4</sub>-карбоната в 50 ч. воды до pH 5,7. К 500 ч. пасты II при размешивании прибавляют р-р 30,7 ч. I в смеси 80 ч. воды и 27 ч. 25%-ного водн. NH<sub>3</sub>, при этом т-ра смеси повышается на 15—20° и через ~30 мин. масса загустевает; ее выпаривают и сушат, получают 145 ч. красителя, пригодного для окраски кожи и бумаги и приготвления цапоновых лаков с синевато-зеленой окраской, обладающей очень хорошими прочностями. В 1000 ч. II при т-ре 8° и перемешивании прибавляют р-р 185 ч. I в смеси 440 ч. воды и 90 ч. 25%-ного водн. NH<sub>3</sub>, продолжают перемешивать 30 мин. и затем прибавляют 36 ч. 25%-ного водн. NH<sub>3</sub>, перемешивают еще 1 час и далее обрабатывают аналогично указанному выше, получают 455 ч. красителя, окрашивающего в яркий желто-зеленый цвет. Описано аналогичное получение из Со-фталоцианина зеленого или желтовато-зеленого красителя для цапоновых лаков, кожи и бумаги и из Al-фталоцианина желтовато-зеленого красителя для кожи и бумаги.

**В. Уфимцев**  
**52423 П.** Способ получения фталоцианинового красителя с устойчивыми красящими свойствами. Грехэм (Process of producing tinctorially stable phthalocyanine coloring matters. Graham Donald P.) [E. I. du Pont de Nemours and Co.]. Канад. пат. 516750, 20.09.55

Си-фталоцианин в тонкодисперсной форме, не содержащий Cl, устойчивый к действию ароматич. р-рителей, получают размолом его с NaCl в присутствии органич. жидкости и последующим извлечением размоленного продукта разб. к-той для удаления NaCl и органич. жидкости. Усовершенствование этого способа состоит в применении практически безводн. и невоспламеняющейся органич. жидкости, обладающей ограниченным растворяющим действием на α-форму Си-фталоцианина, применяемой в кол-ве ≤50% от веса обрабатываемого пигмента. В частности, указаны в качестве ароматич. р-рителей кислот, в качестве органич. жидкости низкокипящие полихлорированные алифатич. углеводороды (напр. тетрахлорэтилен) в кол-ве 5—50% от веса Си-фталоцианина.

**М. Ваяня**  
**52424 П.** Способ получения металлосодержащих S-нитокарбамидофталоцианинов. Оно, Цунуми (金屬含有フタロシアニル-S-イソチオカルバミド類の製造法. 小野信, 次郎 堀洋) [日本化薬株式会社 Нихон какаку кабусики кайся]. Японск. пат. 5183, 27.07.55

Металлосодержащие нитрофталоцианины, полученные

конденсацией рассчитанных кол-в незамещ. и(или) нитрозамещ. фталевой к-ты, фталевого ангидрида или их функциональных производных с добавлением мочевины (I), восстанавливают до металлосодержащих аминифталоцианинов, затем диазотируют и р-цией диазониевой соли металлосодержащего фталоцианина с тиомочевой (II) получают соответствующие металлосодержащие S-изотиокарбамидофталоцианины. Смесь 14,4 ч. п-нитрофтальмида (III), 3,7 ч. фталевого ангидрида, 15,6 ч. I, 0,2 ч.  $\text{NH}_4$ -молибдата (IV) и 4 ч.  $\text{Cu}_2\text{Cl}_2$  в 160 о-дихлорбензола (V) нагревают при сильном размешивании 15 час. при 170°; перегонкой с водяным паром отгоняют V, фильтруют и обрабатывают остаток смесью 55 ч. 35%-ной  $\text{HCl}$  (к-ты) и 800 ч. воды при 90° в течение 2 час., вновь фильтруют, промывают водой и сушат, получают 17,2 ч.  $\text{Cu-4,4',4''-тринитрофталоцианина}$ . Его тонко растирают и суспенсируют в 250 ч. воды, прибавляют 30 ч. технич.  $\text{Na}_2\text{S}$  в 50 ч. воды при 20° и восстанавливают в течение 10 час., по окончании р-ции от щел. р-ра отфильтровывают темно-зеленый осадок и промывают его водой. Полученное аминосоединение сушат и суспенсируют в 175 ч. 20%-ной  $\text{HCl}$  (к-ты) и при 10° диазотируют 20 ч. водн. р-ра, содержащего 5,2 ч.  $\text{NaNO}_2$ ; затем прибавляют 120 ч. льда и приливают р-р 27 ч. II в 460 ч. воды, причем выделяется  $\text{N}_2$ , осадок отфильтровывают, промывают 200 ч. 10%-ной  $\text{HCl}$  (к-ты) и сушат при 60°, получают ~17 ч. хлоргидрата  $\text{Cu-4,4',4''-три-(S-изотиокарбамидо)-фталоцианина}$ . Аналогично, при применении, вместо  $\text{Cu}_2\text{Cl}_2$ , 10 ч. кристаллич.  $\text{CoCl}_2$  получают ~17 ч. хлоргидрата  $\text{Co-4,4',4''-три-(S-изотиокарбамидо)-фталоцианина}$ ; а при применении, вместо II, 3,7 ч. S-этилтиомочевину получают ~18,5 ч.  $\text{Cu-4,4',4''-три-(S-изотио-N-этилкарбамидо)-фталоцианина}$ . Из 19,2 ч. III, 15,6 ч. I, 0,2 ч. IV и 4 ч.  $\text{Cu}_2\text{Cl}_2$  в 160 ч. V получают 17,5 ч.  $\text{Cu-4,4',4''-тетранитрофталоцианина}$ , восстановлением которого 40 ч. технич.  $\text{Na}_2\text{S}$  в 70 ч. воды получают  $\text{Cu-4,4',4''-тетрааминофталоцианин}$ ; диазотированием последнего 30 ч. водн. р-ра, содержащего 7 ч.  $\text{NaNO}_2$ , и последующей обработкой II получают 19 ч. хлоргидрата  $\text{Cu-4,4',4''-тетра-(S-изотиокарбамидо)-фталоцианина}$ . Аналогично из 19,2 ч. III и 23,7 ч. 4-хлор-5-нитрофтальмида получают хлоргидрат  $\text{Cu-ди-(5-хлор)-4,4',4''-тетра-(S-изотиокарбамидо)-фталоцианина}$ , который последующей обработкой р-ром 10 г безводн.  $\text{Na}_2\text{SO}_4$  в 1 л воды переводит в соответствующий трудно растворимый сульфат. 25 ч. I и 0,2 ч. IV при 150° при размешивании помехом прибавляют к жидкому плавку из смеси 14,4 ч. III, 3,7 ч. фталевого ангидрида, 3,7 ч. хлористого фталла и 3 ч.  $\text{Cu}_2\text{Cl}_2$ , затем нагревают до 200° и еще в течение 1 часа при 200°, готовый плав охлаждают, тонко измельчают, обрабатывают смесью 55 ч. 35%-ной  $\text{HCl}$  (к-ты) и 800 ч. воды в течение 2 час. при 90°, фильтруют, промывают водой и сушат, получают ~17,2 ч.  $\text{Cu-4,4',4''-тринитрофталоцианина}$ , переработкой которого, аналогично указанному выше, получают ~17 ч. хлоргидрата  $\text{4,4',4''-три-(S-изотиокарбамидо)-фталоцианина}$ . В.У.

**52425 П. Фталоцианиновые пигменты, устойчивые к действию растворителей. Унсуолл** (Solvent stable phthalocyanine pigments. Wiswall Richard H., Jr) [American Cyanamid Co.]. Канад. пат. 516238, 6.09.55

Патентуется улучшенный тонкодисперсный, устойчивый к действию р-рителей и  $\text{H}_2\text{SO}_4$ , интенсивноокрашенный, не содержащий галогенов, фталоцианиновый пигмент (фталоцианин металла, напр.  $\text{Zn-фталоцианин}$ ), который характеризуется: а) средним размером частиц  $\leq 2\mu$ ; б) кристаллич. строением; в) рентгеновскими линиями максим. интенсивности с межплоскостными расстояниями  $\sim 12,7$ ,  $\sim 9,7$  и  $\sim 3,75$  А; г) сохранением среднего размера частиц  $\leq 2\mu$  при кипячении в ксилоле в течение 1 часа; д) не обнаруживает заметного паде-

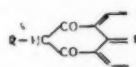
ния интенсивности окраски при длительном хранении в контакте с органич. жидкостью, вызывающей кристаллизацию. Для этого фталоцианиновый пигмент, полученный по способу «кислотного пастирования», в форме крупных кристаллов подвергают размолу с сухим вспомогательным размалывающим материалом для получения пигмента со средней величиной частиц  $\leq 2\mu$ , а в большей части  $\leq 1\mu$  и размолотый материал обрабатывают органич. жидкостью, вызывающей кристаллизацию. В. Уфимцев

**52426 П. Способ получения фталоцианинового пигмента с устойчивой интенсивностью окраски. Грехэм** (Process of producing tinctorially stable phthalocyanine coloring matters. Graham Donald P.) [E. I. du Pont de Nemours and Co.]. Канад. пат. 516751, 20.09.55

Способ получения не содержащего Cl фталоцианинового пигмента (I) (напр.  $\text{Cu-фталоцианина}$ ) в тонкодисперсной форме, характеризующегося устойчивой интенсивностью окраски в ароматич. р-рителях (напр. в ксилоле), состоит в том, что неочищ. I в  $\beta$ -форме подвергают размолу с  $\text{NaCl}$  в присутствии органич. жидкости, а затем размолотую массу извлекают разб. водн. к-той для удаления соли и органич. жидкости. Патентуемое улучшение этого способа состоит в том, что в качестве органич. жидкости применяют толуол, ксилол и этилбензол, цимол, тетралин или другие жидкие алкилбензолы, содержащие  $\leq 10$  атомов C и кипящие в пределах 110–210°, или смеси их в кол-ве  $\leq 50\%$  (5–50%) от веса I. В. Шемякин

**52427 П. Способ получения красителей. Роланд** (Verfahren zur Herstellung von Farbstoffen. Roland Werner) [Badische Anilin- und Soda-Fabrik A.-G.]. Пат. ФПГ 911416, 12.05.54 [Chem. Zbl., 1955, 126, № 12, 2787 (нем.)]

Соединения, содержащие по меньшей мере одну атомную группировку общей ф-лы (I), в частности перинафтиндиандионы-1,3 (II), нагревают на водяной бане с в-ми, содержащими одну или несколько неароматич. СНО-групп, напр.  $\text{CH}_2\text{O}$ ,  $\text{CH}_3\text{CHO}$ , пропионовым, масляным или энантовым альдегидом, фурфуролом или глиоксалем.  $\text{CH}_2$ -группы II могут быть замещ. галои-



дами, нитро-, сульфо-, циан-, ациламино- или карбоксильными группами. Полученные продукты пригодны в качестве печатных красок, а также для окраски бумаги, вискозы, каучука, пластич. масс и лаков, высокомолекулярные же продукты также для окраски жиров и масел. 5 ч. II, 200 ч. 85%-ной  $\text{HCOOH}$  и 20 ч. 30%-ного  $\text{CH}_2\text{O}$  образуют при т-ре р-ции 4,5 ч. продукта, желтые кристаллы, т. пл. 348–500° (разл.). В. Уфимцев

**52428 П. Пирроколинокарбонцианиновые красители и способ их получения. Спрейг** (Pyrrocolinocarbo-cyanine dyes and process for the preparation thereof. Sprague Robert H.) [Canadian Kodak Co. Ltd.]. Канад. пат. 517104, 4.10.55

Способ получения пирроколинокарбонцианинов общей формулы 
$$[C(R^3)=C(R^1)-N(Z)-C=C-CH=CH=$$

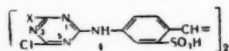
$C-C(Z)=N-C(R^1)=C(R^2)]^+x^-(R' \text{ и } R^2)-N$ , алкил с 1–6 атомами C или арил ряда бензола; Z — неметаллич. атомы для построения кольца ряда пиридина; X — анион) конденсацией производных пирроколина общей ф-лы 
$$C(R^3)=C(R^1)-N(Z)-C=CH$$
 (обозначения те же)



с 1,3,3-триалкоксипропенами, в которых алкильные группы содержат 1—2 атома С. Конденсацию проводят в присутствии безводн. карбоновых к-т с 2—4 атомами С и бромидов, хлоридов, йодидов, перхлоратов, нитратов или сульфатов щел. или щел.-зем. металлов. Напр., конденсацией 2,3-дифенилпирроколинона с 1,3,3-триметоксипропеном в присутствии лед.  $\text{CH}_3\text{COOH}$  и  $\text{KBr}$  получают пирроколинокарбонцианин, в котором  $\text{R}^1$  и  $\text{R}^2$  — фенильные остатки. Н. Спасокукоцкий

**52429 П.** Способ получения производных стильбена. Хаякава (スチルベンの新誘導体の製造法, 早川銀式郎) [日曹化工株式会社, Ниссо како кабусики кайси]. Японск. пат. 5983, 26.08.55

Производные стильбена, пригодные в качестве оптически отбеливающих средств, получают р-цией производных 4,4'-бис-[(4-хлор-1,3,5-триазинил-6)-амино]-стильбен-2,2'-дисульфокислоты общей ф-лы (I) (X-одинаковые или различные ариламиногруппы, напр.  $\text{NH}-\text{C}_6\text{H}_5$ ,  $\text{NH}-\text{C}_6\text{H}_4\text{CH}_3$ ,  $\text{NH}-\text{C}_6\text{H}_4\text{SO}_3\text{H}$ ) с алифатич. спиртами, напр.,  $\text{CH}_3\text{OH}$ ,  $\text{C}_2\text{H}_5\text{OH}$ , этиленгликолем, глицерином или сорбитом, в присутствии средств, связывающих к-ту; при этом происходит замещение атомов



Сl на алкоксигруппы. Реакционную смесь, полученную из 3,7 и 4,4'-диаминостильбен-2,2'-дисульфокислоты, 3,69 ч. хлористого цианура и 1,86 ч. анилина и содержащую 4,4'-бис-[(2-анилино-4-хлор-1,3,5-триазинил-6)-амино]-стильбен-2,2'-дисульфокислоту, нейтрализуют, прибавляют 12,4 ч. этиленгликоля и 1,5 ч. соды, нагревают сначала для отгонки содержащегося ацетона, а затем 5 час. при 97—100° и перемешивают, высаливают  $\text{NaCl}$  полученную бледно-желтую Na-соль 4,4'-бис-[2-анилино-4-(2-оксизтокеи)-1,3,5-триазинил-6-амино]-стильбен-2,2'-дисульфокислоты; продукт окрашивает из нейтр. среды растительные, а из кислой среды — животные волокна, приобретающие интенсивную синюю флуоресценцию. Аналогично Na-соль 4,4'-бис-[(2-анилино-4-хлор-1,3,5-триазинил-6)-амино]-стильбен-2,2'-дисульфокислоты нейтрализуют при перемешивании, прибавляют необходимое кол-во или с некоторым избытком 1 н. метанольного р-ра  $\text{NaOH}$ , кипятят 3 часа, затем отгоняют  $\text{CH}_3\text{OH}$  и выделяют Na-соль 4,4'-бис-[(2-анилино-4-метокси-1,3,5-триазинил-6)-амино]-стильбен-2,2'-дисульфокислоты, сообщающую окрашиваемым ею волокнам синюю флуоресценцию. В. Уфимцев

**52430 П.** Алкилированные полиамины (Alkylated polyamines) [Farbenfabriken Bayer A.-G.]. Англ. пат. 736914, 14.09.55

Пералкилированные полиамины (ПП) получают р-цией β-галогидрированного этиленамина или его соли с гидроокисью щел. металла в р-рителе при pH 7—12 и последующим превращением полученного полиамина обработкой его алкилирующим агентом в ПП. Алкилендиамины или полиалкиленполиамины могут образовываться при р-ции. Гидроокись щел. металла прибавляют в течение р-ции, причем наличие щелочности проверяют при помощи триазиновой бумажки. В качестве алкилирующего реагента применяют, преимущественно, диметилсульфат (I), а в качестве исходного амина, преимущественно, хлоридрат β-хлорэтиленамина (II) обрабатывают  $\text{NaOH}$  в водн. среде; б) тоже с прибавлением этилендиамина или полиэтиленполиамина; в) II в  $\text{CH}_3\text{OH}$  обрабатывают р-ром  $\text{NaOH}$  в метиловом спирте; получаемые во всех трех случаях продукты подвергают последующей р-ции с I. В. Уфимцев

**52431 П.** Способ получения диспергирующихся в воде выпускных форм полупродуктов для холодного крашения. Марнон, Бьянко (Method of preparing water-dispersible compositions for azo dyeing. Marmon Donald E., Bianco Joseph) [General Aniline & Film Corp.]. Пат. США 2734793, 14.02.56

Выпускные формы полупродуктов, легко образующих водн. дисперсии, пригодные для холодного крашения простых и сложных эфиров целлюлозы и суперполиамидных волокон, получают размолом сильновязких паст, содержащих на каждую 1 ч. ароматич. амина, практически нерастворимого в воде, 0,5—3 ч. диспергатора (напр. устойчивого к к-там, растворимого в воде Mg-сульфоната лигнинна) в условиях энергичного размалывающего действия в течение 0,5—5 час.; полученную пасту сушат и растирают в порошок. В примерах указано: а) применение смесителей Вернер-Пфлейднера в качестве аппаратуры для измельчения; б) применение данного способа для диспергирования окис-4,4'-дихлор-2-аминодифенила, л-нитро-о-анизидина, n-бутиламида 4-метоксиметаниловой к-ты, 4-амино-2,5-диэтоксисбензанилида, о-аминоазотолуола и его хлоргидрата, 4-(о-метоксифенилазо)-1-нафтиламина, хлоргидрата 2-амино-4,4'-дихлордифенилового эфира; в) применение различных торговых марок Na-, Mg- и Ca-сульфонатов лигнинна в качестве диспергатора; г) примеры применения полученных выпускных форм для холодного крашения волокон ацетилцеллюлозы и найлона с проявлением анилидом, n-хлоранилидом и о-анизидидом 2,3-оксинафтойной к-ты. В. Уфимцев

См. также: Цианиновые 52302. Опред. азогрупп в азокрасителях 51637. Светочувствительные краски 51304. История 50295

## КРАШЕНИЕ И ХИМИЧЕСКАЯ ОБРАБОТКА ТЕКСТИЛЬНЫХ МАТЕРИАЛОВ

Редакторы О. В. Матвеева, А. П. Матецкий

**52432.** Пригодные для получения волокна мальвовые Бомбея. Бетрабет (Fibre-yielding malvales of Bombay. Betrabet S. M.), J. Scient. and Industr. Res., 1956 (B—C)15, № 6, C146—C148 (англ.)

В связи с испытываемым в настоящее время в Индии недостатком джута была проверена возможность использования для его замены 16 видов растений семейства мальвовых, из числа произрастающих на территории штата Бомбей. Установлено, что по физ. и хим. свойствам близки к джуту только 4 вида: *Malachra capitata*, *Abutilon indicum* (полноценные заменители джута), *Hibiscus tetraphyllus*, *Urena lobata* (пригодные для изготовления только менее качественных изделий — веревок, упаковочной ткани). К. Маркузе

**52433.** Разделение клеток орто- и паракортеса шерсти. Лёво (Essais de séparation des cellules de l'ortho et du paracortex de la laine. Leveau M.), Bull. Inst. text. France, 1956, № 63, 91—96 (франц.; рез. англ.)

Для отделения клеток ортокортеса волокна шерсти пропускают 60 мин. при 60° 6  $\text{HNO}_3$ , после чего пропускают через мешалку. Получаемый фильтрат после 15-ти минутного размешивания фильтруют через фильтр Нуча № 2, задерживающий клетки паракортеса и <6% клеток паракортеса. Для отделения последних полученную смесь подвергают размешиванию еще 10 мин., фильтруют через металлч. сито, обрабатывают 1%-ным р-ром  $\text{NaOH}$ , снова пропускают через мешалку и фильтруют. А. Матецкий

**52434.** Сверхокрашение шерсти в растворах бромистого лития. Гриффит, Александер

(The supercontraction of wool in lithium bromide solution. Griffith June, Alexander A. E.), Chemistry and Industry, 1956, № 47, 1424—1425 (англ.)

Обработка шерсти в течение 3 час. при 100° в 8 M LiBr с последующей промывкой в буферном р-ре (рН 4—9) вызывает необратимое сверхсжатие волокон (до 50% от их исходной длины). Содержание в р-ре следов Br (~10<sup>-6</sup> M), обнаруживаемых лишь спектроскопически, предотвращает сверхсжатие, проявляемое в полной мере при конц-ии Br 10<sup>-7</sup> M и частично в пределах конц-ий 10<sup>-6</sup>—10<sup>-7</sup> M. Дальнейшее повышение конц-ии Br (в р-ре 8 M LiBr) до 10<sup>-5</sup> M приводит к почти полному растворению шерсти. Для достижения устойчивых условий обработки следует удалить следы Br действием малых кол-в Na<sub>2</sub>S<sub>2</sub>O<sub>3</sub>. А. Матецкий

52435. Пожелтение подвергнутой термическому разрушению шерсти. Часть I. Мазинг, Ван-Овербеке (Le jaunissement de la laine dégradée thermiquement. 1-е partie. Mazingue G., Van Overbeke M.), Bull. Inst., text. France., 1956, № 62, 27—36 (франц.; рез. англ.)

Сопоставление степени пожелтения в результате выдерживания в вентилируемом термостате 72 часа при 120° белковых волокон показало, что шелк и зеиновое волокно «викара» обнаруживают меньшие изменения сравнительно с шерстью и волокнами казенновыми и «ардиль». Это связано с отличиями в содержании диаминокислот (пониженное у волокон первой и повышенное у волокон второй группы). Подтверждением участия свободных аминогрупп в названном процессе разрушения белков служит также достигаемое устранение пожелтения при нагреве сульфамидированной шерсти. Равным образом определение содержания свободных аминогрупп (методом диитрофенилирования) в шерсти до и после ее термич. обработки выявило снижение этого показателя на ~30%. А. Матецкий

52436. Вопросы шлихтования. Морев (Probleme der Schlichterei. Moroff H.), Melland Textilber., 1956, 37, № 6, 678—680 (нем.; рез. англ., франц., исп.)

Дана систематич. классификация продуктов для шлихтования, основанная на их растворимости и хим. свойствах: растворимые в воде; водн. суспензии пластич. в-в; растворимые в органич. р-рителях; плавящиеся, не содержащие р-рителей. Поставлен вопрос о проведении шлихтования синтетич. филаментарных волокон в процессе их отделки тотчас же после приготовления.

О. Славина

52437. Разработка способа беления тканей из смеси хлопка и штапельного вискозного волокна. Вайнтрауб (Opracowanie warunkow bielecia tkanin z mieszanek bawelna-wloknio wiskozowe cieta. Wajntraub J.), Przem. wlokienniczy, 1955, 9, № 6, Biul. Inst. wlokiennictwa, 21 (польск.)

Ткани из смеси хлопка (75%) и штапельного вискозного волокна (25%) предлагается подвергать ферментативной расщиповке диастафором, затем варке при 115—120° в р-ре NaOH (4% от веса ткани). По другому варианту варку проводят в тех же условиях, но при замене ~50% NaOH петеноном G (сульфофир жирного спирта). Обработка завершается белеением в р-ре Na+ClO. Второй способ более дорогой, но обеспечивает большую сохранность и мягкость волокна. Л. Песин

52438. Беление трикотажных изделий. Вейнинг (Die Ce-Es-Bleiche für Maschenware. Weining Karl), Melland Textilber., 1956, 37, № 8, 947—948 (нем.; рез. англ., франц., исп.)

Рецептура и практика беления: гипохлоритного и перекисного с применением оптич. отбеливающих в-в.

И. Фодиман

52439. Влияние температуры и длительности обработки в процессе глажения сливера. Тауненд,

Питчер (The effect of temperature and period of immersion in backwashing. Townend P. P., Pitcher R. K.), J. Text. Inst. Trans., 1956, 47, № 11, T611—T612 (англ.)

Сравнительные опыты глажения сливера, приготовленного из австралийской мериносовой шерсти, при пропуске через воду при т-ре 43, 65 и 82° и длительности обработки 29, 84, 167 и 661 сек. показали, что как повышение т-ры, так и увеличение времени погружения в воду, сопровождаемое соответствующим удлинением сушки, вызывает увеличение обрывности в гребнечесании и снижение средней длины волокон. А. Матецкий

52440. Беление тканей из смеси шерсти и штапельного волокна. Гершов М. М., Комарова Г. Ф., Текстильн. пром-сть, 1957, № 2, 56—57

На комбинате «Ригас-Текстиль» разработан ускоренный способ беления шерстяных и смешанных тканей, основанный на последовательном применении обработки Na<sub>2</sub>S<sub>2</sub>O<sub>4</sub>, HCOOH и H<sub>2</sub>O<sub>2</sub> в закрытой барке при пропуске CO<sub>2</sub> или в условиях ограниченного доступа воздуха. Длительность названных стадий обработки соответственно 60—80 мин., 30 мин. и 90—150 мин.

А. Матецкий

52441. Заварка и фиксирование тканей. Циммерман (Das Brennen und Fixieren der Gewebe. Zimmermann K.), Textil- und Faserstofftechnik, 1956, 6, № 1, 45—46 (нем.)

Обзор способов заварки шерстяных тканей (обработка на крабб-машине, мокром декатире, бренибоке).

О. Славина

52442. Изучение фиксирования шерстяных тканей.

(II). Влияние pH воды, применяемой для заварки тканей, на их фиксирование. Окадзима, Иноуэ (毛織物のパーマメントセットに関する研究 第2報. Crabbing 用水の pH とセット効果. 岡島三郎, 井上哲男), 纖維學會誌, Сэнъи гаккайши, J. Soc. Text. and Cellulose Ind., Japan, 1956, 12, № 4, 280—287 (японск.; рез. англ.)

Для выявления влияния pH воды при заварке шерстяных тканей их замачивали в воде (1 час, 50°) при значениях pH р-ра 7—10,5, а затем обрабатывали в 6 слоев 5—20 мин. при 100° и давлении валов 0,5—4 кг/см<sup>2</sup>. При действии на обработанные образцы пара при 100° в течение 10—20 мин. блеск их уменьшался тем в меньшей степени, чем выше была эффективность фиксирования. На основе этого критерия оценки установлено, что наибольшее фиксирование достигается при заварке ткани в условиях pH 9,2. Обработка при pH > 8 связана с появлением запаха H<sub>2</sub>S и легким пожелтением ткани. Часть I см. РЖХим, 1957, 13223.

О. Славина

52443. Сухая карбонизация лоскута. Галчинский (Sucha karbonizacja szmat. Galczyński Witold), Wlokiennictwo, 1956, 5, № 8, 187—189 (польск.)

Для лоскута наиболее эффективной является сухая карбонизация действием газообразного HCl на оборудовании спец. конструкции.

И. Фодиман

52444. Снижение способности шерсти к усадке и свойлачиванию. Ладаи (Laine inféutable et irrécissable. Ladaï G.), Monit. text., 1956, 18, № 5, 91, 93 (франц.)

Для обеспечения равномерности хлорирования шерсти, проводимого в целях снижения ее способности к усадке и свойлачиванию, в применяемый р-р гипохлорита с содержанием 1,5—2% активного хлора при pH 2 (добавка HCl) вводят 2—2,7% препарата мелаксик СН.

А. Матецкий

52445. Прессованный войлок из шерстяных отходов.

Парьков В. Промысл. кооперация, 1956, № 11, 8

Для приготовления войлока из отходов после улотнения настила на виброплитах, пропитывания р-ром H<sub>2</sub>SO<sub>4</sub>, уплотнения на молотовой машине, отжима и

супки полученные листы прессуют на гидравлич. прессе при 100—120° и давл. 100 атм. А. Матейкий

**52446.** Причины возникновения на тканях из полиамидных волокон волнистости и на тканях из вискозного волокна блеска. Гаек (Předcházení vzniku vlnění polyamidových tkanin a leskle u tkanin z viskového hedvábí. H a j e k J a n), Textil., 1956, 11, № 10, 297—298 (чешск.)

Дефекты тканей из полиамидных волокон (волнистость) и из вискозных волокон (блеск) зависят от различия длины отдельных нитей ткани и от проявления их механич. свойств, определяемых показателями модуля растяжимости и эластичности. И. Фодиман

**52447.** Светопрочность окрасок. Кэлин, Розенберг (Despre rezistentia la lumină a vopsirilor. C. ălin C., Rosenberg S.), Ind. textila, 1956, 7, № 2, 74—84 (рум.; рез. русск., нем.)

Обзор данных о фотохимич. выцветании окрасок, зависимости его от структуры хромофоров и методах оценки светопрочности. Библ. 18 назв. О. Славина

**52448.** Улучшение блеска хлопкового волокна. Часть XI. Красители и блеск. Форт, Эллиотт, Стрейкер (The improvement of luster of cotton. Part XI; Dyes and luster. F o u r t L y m a n, E l l i o t t H. J., Stericher Pauline), Text. Res. J. 1955, 25, № 4, 326—329 (англ.)

Были исследованы выкраски кубовыми красителями, относящимися к трем различным классам (по Валько) в отношении их поведения при обработке мылом. Выкраски красителем, сохраняющим аморфное строение после окисления и обработки мылом, не изменили блеска. Выкраски красителем, кристаллизующимся после обработки мылом, обнаружили некоторое снижение блеска. Но незначительное повышение блеска, достигаемое в случае неприменения обработки мылом не может компенсировать неизбежного при этом резкого снижения прочности окраски к мокрым обработкам. Кроме того, увеличение блеска при отсутствии обработки мылом наблюдается лишь в глубоких оттенках, когда увеличение блеска за счет глубины оттенка намного больше изменений блеска в результате действия мыла. Выбор красителей и способов крашения должен определяться скорее требованиями, предъявляемыми к прочности окраски, чем соображениями, касающимися блеска. Выкраски, обладающие лучшей устойчивостью к трению, будут обладать и лучшим блеском. Вообще же блеск зависит больше от мерсеризации, чем от крашения. Часть X см. РЖХим, 1957, 45763. В. Зельтнь

**52449.** Усовершенствование механической красильной жгутовой барки. Хуан - И-цю (繩狀染呢機的改進. 黃變福), 染化, Жаньхуа, 1956, № 9, 9—10 (кит.)

Усовершенствованная барка, первоначально предназначавшаяся для крашения суконных тканей, как показал опыт, может быть применена и для хлопчатобумажных тканей. В результате соответствующего расположения валов скольжение ткани при продвижении в барке снижено с 13—14% до 4—5%, что улучшает прокрашивание ткани. Г. Богданов

**52450.** Крашение текстильных изделий при температурах выше 100°. — (Das Färben von Textilien bei Temperaturen über 100° C.—), Chem. Rundschau, 1956, 9, № 12, 259—260 (нем.)

Крашение при т-ре >100° имеет особое значение в ряде случаев при применении: прямых и сернистых красителей для целлюлозных волокон (в частности, при крашении вискозных куличей); кислотных и кислотно-хромовых красителей для шерсти; дисперсных красителей для синтетич. волокон. О. Славина

**52451.** Применение хлористого аммония для стабилизации растворов диазосоединения азомина синего О.

Тан Шань-фа (氯化銨作凡拉明藍抗碱劑的試驗. 湯善法), 染化, Жаньхуа, 1955, № 12, 517 (кит.)

Опыты по использованию  $\text{NH}_4\text{Cl}$  для стабилизации р-ров диазосоединения азомина синего О (взамен обычно применяемых  $\text{ZnSO}_4$  или  $(\text{NH}_4)_2\text{SO}_4$ ) дали положительные результаты: р-р в корыте плюсовки продолжительное время остается чистым, нет пенообразования при сочетании, не выпадает клейкий осадок, ткань окрашивается равномерно, значительно повышается прочность окрасок к свету, погоде и трению, улучшается блеск ткани. Г. Богданов

**52452.** Методы повышения прочности к мокрым обработкам окрасок прямыми красителями и применение катионактивных закрепителей. Бюддикер-Лёне (Die Methoden zur Naßechtheitsverbesserung substantiver Färbungen, unter besonderer Berücksichtigung kationaktiver Nachbehandlungsprodukte. B ü d d i c k e r - L ö n s H. G.), Z. ges. Textilind., 1956, 58, № 3, 93—97 (нем.)

Для упрочнения окрасок прямыми красителями применяют обработку  $\text{CH}_2\text{O}$ , диазотирование с последующим сочетанием с азосоставляющей, обработку солями металлов, а также катионактивными в-вами. Из числа последних наиболее распространены левогены WW, HW, FW и солидогены FFL, FR. Н. Абрамова

**52453.** Медьсодержащие катионактивные препараты для последующей обработки окрасок субстантивными красителями с целью повышения прочности окраски. Вирт (Cu-haltige kationaktive Nachbehandlungsmittel für die Echtheitsverbesserung substantiver Färbungen. W i r t h R.), Prakt. Chem., 1956, 7, № 8, 268—269 (нем.)

Препарат «воафикс S специальный новый» применяют для последующей обработки окрасок прямыми красителями на хлопке. Приведена таблица красителей, пригодных для этой обработки, с указанием изменений оттенков окраски и достигаемого повышения ее прочности к мокрым обработкам и свету. Окрашенное и тщательно промытое изделие обрабатывают при нагревании в течение 15 мин. до 60—70° и еще 15 мин. при этой т-ре, а затем промывают. Расход препарата составляет 50—100% от веса красителя, но ≤3% от веса изделия. В. Уфимцев

**52454.** Приготовление индигового куба ферментативным методом. Часть 1. Исследование процесса и влияние отдельных факторов. Такаха, Торимицу, Танабаэ (藍の醗酵法に関する研究. 第1報. 醗酵過程と之に及ぼす諸因子の影響について. 高原義昌, 島光美穂子, 田邊脩), 醗酵協會誌, Хакко кёкайси, J. Ferment Assoc., 1956, 14, № 4, 21—24 (японск.)

Обзор. Библ. 5 назв. Ким Су Ен

**52455.** Крашение шерсти при низких температурах. Листер (La teinture de la laine à basse température. L i s t e r G. H.), Textil-Rundschau, 1956, 11, № 8, 463—466 (франц.)

См. РЖХим, 1957, 28291.

**52456.** Применение ретуширующих веществ для шерстяных тканей. Лукас (Die Verwendung von Retuschiermitteln in der Tuchindustrie. L u c a s E.), Melland Textilber, 1956, 37, № 10, 1210—1211 (нем.; рез. англ., франц., исп.)

Для устранения мелких дефектов окрашенных тканей применяют ретуширующие в-ва в виде спец. карандашей или пластинок, а также туши, наносимой стеклянным пером. Требуется обеспечивать полное исправление дефектов, достаточную прочность окраски, возможность быстрой обработки. После нанесения ретуши ткань прессуют и запаривают. И. Фодиман

**52457.** Отварка и крашение шелка. Ван Синь-шан, Лю Бо-кунь (花(素)果緞綢絲的練染法. 王鑫生, 劉伯堃), 染化, Жаньхуа, 1956, № 9, 34—36, 8 (кит.)



Описаны способы отварки и крашения шелковых тканей.

Г. Богданов  
52458. Крашение полиэфирных волокон. Зигрист (Färben von Polyesterfasern. Siegrist G.), Textil-Rundschau, 1956, 11, № 9, 520—527 (нем.)

Обзор методов крашения полиэфирных волокон (применение дисперсных красителей с добавкой в-в, вызывающих набухание волокон; крашение под давлением; термозольный способ; образование нерастворимых азокрасителей на волокне). Библ. 2 назв. К. Маркузе

52459. Крашение и печатание полиакрилонитрильных волокон по сандокриловому способу. — (Ueber das Färben und Bedrucken von Polyacrylnitrillfasern nach dem Sandocrylverfahren.—), Chem. Rundschau, 1956, 9, № 12, 257—258 (нем.)

Обзор. О. С.  
52460. Результаты лабораторных исследований в области печатания кубовыми красителями и их практическое использование. Фокс (Practical interpretation of the results of laboratory investigations in the field of vat printing. Fox Maurice R.), Amer. Dyestuff. Reporter, 1956, 45, № 14, P447—P451 (англ.)

Основные факторы, влияющие на поведение кубовых красителей (К) при печатании, — их окислительно-восстановительный потенциал (ОВП) и скорость восстановления. Величина ОВП определяет значение электроотрицательного потенциала (ЭОП), при котором происходит полное восстановление К. Поэтому применяемые восстановители должны иметь более высокий ОВП, сравнительно с К. Практически, чем более отрицателен ЭОП красителя, тем труднее протекает восстановление и тем более сильный восстановитель требуется. Маршалл и Петерс ввели понятие «лейко-потенциала» (ЛП), как восстановительного потенциала, проявляемого при полном окислении р-ра лейкокрасителя. Прямое измерение ЛП печатных красок и наблюдения за поведением К при печатании позволили установить, что для одних и тех же красителей ЛП в печатных красках, содержащих поташ и ронгалит, больше, чем в разб. р-рах. Это означает, что не все К, применяемые для крашения, пригодны для печатания по ронгалитно-поташному способу. В связи с происходящим во время сушки напечатанной ткани и хранения ее перед зрельником частичным разложением ронгалита для поддержания достаточно высокого ЭОП при обработке в зрельнике необходимо увеличение конц-ии ронгалита. Т-ра сравнительно мало влияет на скорость разложения ронгалита в печатной краске, большее значение имеет применяемая щелочь. NaOH с ронгалитом и гидросульфитом дает более высокий ЭОП, чем  $K_2CO_3$ , но способствует увеличению скорости разложения. Продолжительность обработки в зрельнике сильно зависит от скорости восстановления К; напр., в печатной краске, содержащей бритагшум, 5% глицерина и 13,5% поташа, флавантрон, имеющий малый ЭОП (ЛП—735 мв) и высокую скорость восстановления, дает хорошие результаты при любых условиях машинной или ручной печати. Он так чувствителен к восстановителям, что восстановительная сила одного шел. бритагшума достаточна для хорошего его фиксирования. Тиюндия коричневый G (ЛП — 817 мв) требует для удовлетворительного фиксирования конц-ии ронгалита  $\geq 8\%$  и более длительной обработки в зрельнике без предварительного выжигания ткани, при котором возможно окисление ронгалита на воздухе. Кубовый антрахиноновый коричневый AR, имеющий очень высокий ЛП (—923 мв) и низкую скорость восстановления, при обычных условиях дает выход К на волокне лишь 50% от возможного при оптимальных условиях.

О. Славина  
72461. Применение модифицированной полиакрило-

бумажной и вискозной тканей. Новотняк (Mozliwości zastosowania modyfikowanej żywicy poliakrylowej do druku pigmentowego na tkaninie bawełnianej i wiskozowej. Nowotniak Kazimierz), Przem. Włókienniczy, 1956, 10, № 7, Biul. laboratorium kolorystycznego, 9—12 (польск.)

Для опытов печатания пигментами в шаровой мельнице размазывали 70 час. порошки пигментов (100 г) с некалином С (20 г), ализариновым маслом (10 г), 20%-ным р-ром казеина в р-ре буры (I) (50 г) и водой (70 г) и получали 250 г 40%-ной пасты пигмента (II). Применяли также связующее в виде сополимера акриламида (III) и этилакрилата (IV) в соотношении 2,22 ч. III на 100 ч. IV; N, N', N''-триакрилоилтриметилентриамин —  $C_{12}H_{16}O_3N_3$  (V) из акрилонитрила и  $CH_2O$ ; эмульсионный загуститель VI из I и лаковый бензин. Печатали по хлопчатобумажной и вискозной ткани краской состава: 62,5 г II, 400 г 40%-ной воды, суспензии сополимера III и IV, 50 г мочевины, 500 г VI и 60%-ной пасты V, с использованием 4 пигментов — ганза желтого Г, гелиогена зеленого Г, гелиогена голубого Б и перманента красного Ф4Р. Оптимальная т-ра закрепления пигмента в течение 5 мин: на хлопчатобумажной ткани 110°, на вискозной 130—135°. Полученные набивки отличаются чистотой тона, хорошей прочностью к стирке и удовлетворительной к трению, но по качеству уступают полученным пигментами — Орема и Акраминами. Приведены методики синтеза III и V, получения воды, суспензии сополимера III и IV и приготовления I и VI. Даны общий обзор и характеристика свойств и методов применения имеющихся в настоящее время на мировом рынке продуктов для пигментного печатания. П. Ф.

53462. Расход ронгалита при получении цветных вытравок на тканях, окрашенных нерастворимыми азокрасителями. Шэнь Вэнь (納夫妥拔色氫白粉用量試驗. 沈文), 染化, Жаньхуа 1955, № 8, 337 (кит.)

52463. Применение кубозольей совместно с солями железа в резервной печати. Чэнь-Чжань (可溶性還原染料鐵鹽防染法. 陳珍), 染化, Жаньхуа, 1955, № 10, 422—423 (кит.)

Нанесение на азотлированную ткань резервной печатной краски, содержащей кубозоль, загустку,  $Fe(OH)_3$  и  $FeSO_4$  с последующим сочетанием с диазосоставляющей позволяет получать яркие расцветки кубозольями по фону образующегося нерастворимого азокрасителя. После пропуска через воздушный зрельник и перед промывкой необходима обработка горячим р-ром  $H_2SO_4$ . Преимущества способа: простота осуществления, высокая прочность окрасок, малая стоимость. Г. Б.

52464. Исследования в области усовершенствования текстильных изделий для нужд армии. [Канада] Холмс, Терл (Textile research and development for the armed forces. Holmes G. T., Turle L. H.), Canad. Text. J., 1956, 73, № 16, 31—34, 37 (англ.)

Обзор задач в области научного исследования и пр.-сти. С. Светов

52465. Применение обработки на пескоструйной машине в отделке текстильных изделий. Джонсон (Sandblasting as a new technique in fabric finishing. Johnson A.), Text. Manufacturer, 1956, 82, № 974, 59—60 (англ.)

Опыт применения обработки на пескоструйной машине образцов шерстяной ткани и войлока выявил возможность получения на них эффекта типа достигаемого при ворсовании. Образец трикотажного изделия после обработки оказался разрушенным. П. Морыганов

52466. Синтетические смолы и целлюлозные препараты как несмываемые аппреты для хлопчатобумажных тканей. Гуськова Л. Г., Сб. научн. работ. Моск. ин-та нар. х-ва, 1956, вып. 8, 171—185

Аппрет на основе латекса СВХ сохраняется на ткани после 10 стирок на ~50%, сообщает значительное увеличение прочности ткани на истирание (~90%) и несколько увеличивает прочность на разрыв. Целлюлозный аппрет Л также удерживается на тканях после 10 стирок на ~50%, повышает прочность на истирание (до 30%) и несколько повышает прочность ткани на разрыв. Метакриловый аппрет повышает прочность тканей на истирание и на разрыв, однако вследствие неустойчивости к мокрым обработкам (полностью смывается с ткани после 5 стирок) не может оказать существенного влияния на увеличение носкости тканей, подвергающихся частым стиркам. Крахмальный аппрет смывается после первой стирки.

Н. Абрамова

**52467. Обработка тканей синтетическими смолами.** Хендрике (Kusthars-finishes. Hendriks K. J. H.), *Textiel. ind.*, 1956, 36, № 1, 18—19 (голл.)

Обзор способов применения синтетич. смол для обработки тканей (снижение способности к усадке, придание огнестойкости).

Л. Песин

**52468. Усадка шерстяных тканей.** Ван-Овербеке (Le retrait des tissus de laine. Van Overbeke M.), *Ind. text.*, 1956, № 839, 747—751 (франц.)

Наличие внутренних напряжений, создающихся на всех стадиях произ-ва, приводит к усадке шерстяных тканей в процессах утюжки. Степень усадки зависит от величины этих напряжений, структуры тканей, способа крашения, способа и режима декатировки. Ткани, окрашенные в волокне или ленте, дают, как правило, меньшую усадку сравнительно с окрашенными в волокне. Вопрос о способе придания шерстяным тканям устойчивых линейных размеров не получил пока полного разрешения. Следует учитывать, что невозможно предъявлять ко всем тканям одинаковые требования в части допустимой усадки по основе и по утку ( $\leq 1\%$ ).

А. Матецкий

**52469. Бромсодержащие фосфонитрилаты как вещества, придающие хлопку огнестойкость.** Хамалайнен, Гатри (Bromine-containing phosphonitrites as flame retardants for cotton. Hamalainen Carl, Guthrie John D.), *Text. Res. J.*, 1956, 26, № 2, 141—144 (англ.)

Фосфонитрилхлорид ( $\text{PCl}_2$ )<sub>n</sub> получают р-цией между  $\text{PCl}_5$  и  $\text{NH}_4\text{Cl}$  в среде тетрагидрата, в результате которой образуются тримеры и тетрамеры:  $\text{Cl}_2\text{P} = \text{NPCL}_2 = \text{N} - \text{PCl}_2 = \text{N}; \text{Cl}_2\text{P} = \text{N} - \text{PCl}_2 = \text{N} - \text{PCl}_2 = \text{N} - \text{PCl}_2 = \text{N} - \text{PCl}_2 = \text{N}$

—  $\text{PCl}_2 = \text{N} - \text{PCl}_2 = \text{N}$

Оба эти соединения придают хлопчатобумажным тканям огнестойкость, но в то же время снижают их прочность (действие образующейся при гидролизе  $\text{HCl}$ ). Для исключения этого вредного влияния хлор замещают группами  $\text{CH}_2 = \text{CHCH}_2\text{O}$  — или  $\text{CH}_2\text{Br} - \text{CHBr} - \text{CH}_2\text{O}$  —. Водн. эмульсиями полученных эфиров пропитывали хлопчатобумажные ткани для придания им огнестойкости. Лучшие результаты из испытанных в-в дал полимеризованный продукт взаимодействия бромформа и аллилфосфонитрилата.

П. Морыганов

**52470. Воздухопроницаемые прорезиненные ткани для резиновой и обувной промышленности.** Дуриан Бласко (Priedušný pógumovaný textil pre obuv gumárskej a obuvníckej výroby. Durián A., Blasko J.), *Kozafství*, 1955, 5, № 10, 187—188, 189 (словац.)

Для повышения воздухопроницаемости прорезиненной ткани в состав резинового клея, применяемого для пропитки и склейки деталей текстильной обуви, добавляют динитроэпоксиамилтетрамин  $\text{C}_8\text{H}_{10}\text{O}_2\text{N}_4$  (I). I обладает вулканизирующим действием и позволяет снизить кол-во вулканизатора; он начинает возгоняться при 60—95°, поэтому смешивание следует проводи

при  $\leq 40^\circ$ . Хранить I нужно в прохладном помещении, вдали от сушилок и отопительных установок. В резиновую смесь I вводят в последнюю очередь при тщательном перемешивании. Процесс склейки не отличается от обычного. Относительная воздухопроницаемость определялась на приборе Федорова и достигала 18 000 — 36 000 мл/час (при обычном резиновом клее — 6000 мл/час). Обработанная по новому методу ткань не создает никаких затруднений при дальнейших операциях.

З. Бобырь

**52471. Таблицы текстильных вспомогательных веществ, не выпускаемых во Франции.** — (Liste de produits auxiliaires textiles non fabriqués en France.), *Rev. text.*, 1956, 55, № 8, 530—548 (франц.)

Приведены названия и краткие данные о составе и назначении не выпускаемых во Франции текстильных хим. вспомогательных препаратов.

А. Пакшвер

**52472. Обзор новых достижений в текстильном производстве.** Новый восстановитель для крашения и печати. Холл (A review of current developments in textile processing. A new reducing agent useful in dyeing and printing. Hall A. J.), *Indian Text. J.*, 1955, 66, № 782, 84—87 (англ.)

Диоксид тиомочевина является сильным восстановителем в кислой среде. Применение его вместо ронгалита позволяет окрашивать кубовыми красителями в кислой среде шелк, шерсть и ацетатное волокно. Синие красители с красноватым оттенком, обеспечивающие на хлопке прочные окраски, получают обработкой солью  $\text{Cu}$ -продукта сочетания диазотированного дианизидина с 1 молем нафтолдисульфокислоты и 1 молем пиразолона, содержащего метильную группу в положении 3. Стойкость шерсти к действию бактерий повышают введением заместителей в амино- и фенильные группы кератина с образованием новых поперечных связей (напр., обработкой эпихлоргидрином и искусным ангидридом, 4,6-бисхлорметил-1,3-диметилбензолом, динитрофторбензолом).

Н. Абрамова

**52473. Применение поляризационного микроскопа для распознавания текстильных волокон в их смесях.** Провведи (Sull'impiego del microscopio polarizzatore per l'identificazione di miscele di fibre tessili. Provvedi Fosco), *Chimica e industria*, 1956, 38, № 8, 696—697 (итал.)

Обзор. Библ. 11 назв.

И. Фодиман

**52474. Анализ текстильных вспомогательных продуктов.** II. Хуве (Analisi dei prodotti ausiliari tessili. II. Hoeve, van der), *Tintoria*, 1956, 53, № 1, 15—19 (итал.)

Описание методов хим. анализа текстильных вспомогательных препаратов: катионактивных, анионактивных, неионогенных, а также их смесей. Часть I см. РЖХим, 1956, 66293.

Д. Кантер

**52475 П. Методы и аппаратура для обработки текстильных изделий.** Ханней, Килби (Methods of and apparatus for, treating textile or like materials. Hannay Robert S. E., Kilby William), *Sandfast Dyers and Printers Ltd.*, Канад. пат. 514010, 21.06.55

Разработан способ обработки текстильных изделий по непрерывному методу в красильных, белильных, варочных и других р-рах, при котором указанные р-ры заливают поверх слоя расплавленного металла, не реагирующего ни с обрабатываемым изделием, ни с р-ром. Расплавленный металл заливается в вертикальный аппарат V-образной формы, снабженный в нижней части направляющим роликом. Ткань проходит через р-р и, не выходя на воздух, непосредственно поступает в расплавленный металл, проходит в нем вниз до дна аппарата, огибает ролик, поднимается вверх и выходит на воздух. При этом происходит равномерный отжим ткани при

постоянном давлении и нагревании. Т-ра плавления металла  $\leq 100^\circ$ .

**52476 П.** Способ обработки волокон из регенерированной целлюлозы перед вязанием, ткачеством, перемоткой, кручением (Method of treating regenerated cellulose fibres prior to knitting, weaving, winding or twisting) [Metallges. A.-G.-J. Англ. пат. 719535, 1.12.54]

Для улучшения технологич. свойств волокон из регенерированной целлюлозы их обрабатывают перед вязанием, ткачеством, перемоткой или кручением водн. р-ром или дисперсией (рН 4—7) анионоактивного поверхностноактивного в-ва, содержащего  $\geq 1$  кислотной группы и состоящего из первичного или вторичного простого эфира  $H_3PO_4$ , содержащего анионный поверхностноактивный радикал, присоединенный к  $COOH$  через промежуточную цепь продукта полимеризации окиси алкилена, или из карбоновой к-ты, в которой анионный поверхностноактивный радикал (являющийся алифатич. радикалом, содержащим  $\geq 8$  атомов С или алкиламещ. ароматич. или гидроароматич. радикалом, содержащим  $\geq 9$  атомов С) присоединен к  $COOH$  через цепь продукта полимеризации окиси алкилена. Эфиры  $H_3PO_4$  могут содержать 1 или 2 анионные поверхностноактивные группы или 1 такую группу и радикал, содержащий  $\geq 1$  свободную  $OH$ -группу, напр. производные полигликоля или полиглицерина. Анионоактивные в-ва можно применять совместно с катионоактивными, или вместе с нейтр. маслами, жирными спиртами, амидами жирных к-т или третичными эфирами  $H_3PO_4$ . Приведены примеры анионоактивных в-в: 1) продукт р-ции  $CH_2ClCOOH$  с продуктом конденсации 1 моля октадецилового спирта с 6 молями окиси этилена (I); 2) вторичный о-фосфат продукта конденсации 1 моля олеилового спирта с 8 молями I; 3) смешанный вторичный эфир  $H_3PO_4$ , получаемый этерификацией 1 моля  $H_3PO_4$  1 молем продукта конденсации 1 моля стеаринового спирта с 8 молями I, или с 1 молем полиэтиленгликоля; 4) смешанный вторичный эфир  $H_3PO_4$ , получаемый из 1 моля  $H_3PO_4$  и 1 моля продукта конденсации 1 моля олеилового спирта с 8 молями I, или с 1 молем продукта конденсации 1 моля стеаринового спирта с 8 молями I. В примерах 3 и 4 указана также обработка продуктом р-ции стеариновой к-ты с триэтаноламином.

**52477 П.** Способ удаления минеральных масел с растительных волокон (Perfectionnements au procédé pour éliminer l'huile minérale des fibres végétales) [Lockport Cotton Batting Co.]. Франц. пат. 1032681, 3.07.53 [Chem. Zbl., 1955, 126, № 31, 7350 (нем.)]

Для удаления загрязняющего минер. масла придлинные образцы замачивают в воде и отжимают до остаточного содержания влаги 45—55% (от веса волокна). Затем для удаления масла пропускают через них 10 мин. ток воздуха т-ры 120—160°, что одновременно снижает влажосодержание до 30%, а затем и ниже в результате заключительной обработки воздухом при более низкой т-ре.

**52478 П.** Способ мойки шерсти органическими растворителями (Solvent scouring of wool) [Distillers Co. Ltd and Whitehead (Laisterdyke), Ltd W. and J.]. Англ. пат. 739166, 26.10.55

В процессе мойки шерсть обрабатывают 1—2 часа при 50—60° бутиловым спиртом (*н.*, *изо.*, *втор.*, *трет.* бутанол), после чего отжимают и снова обрабатывают спиртом. Обработку можно проводить также в барке в течение ~7 мин. при перемещении шерсти с помощью борны. Предусматривается также использование смеси амиллового спирта и сивушного масла.

**52479 П.** Метод снижения способности шерсти к усадке и свойлачиванию. Рюменс, Раккеман (Verfahren zum Schrumpf- und Filzfestmachen von Wolle. Rümens Wilhelm, Racke-

mann Curt) [Badische Anilin- und Soda-Fabrik A.-G.]. Пат. ФРГ 947965, 23.08.56

Для снижения способности шерсти к усадке и свойлачиванию проводят ее хлорирование р-рами, содержащими активный хлор и метилольные производные гликоальдегидов. Напр., 100 ч. мытой шерсти обрабатывают (длина ванны 1 : 40; 15°; 90 мин.) р-ром, содержащим (в *г/л*) 2—30%-ной  $HCl$ ; 0,8 тетраметилэтиленгликоксиальдегида и 0,5-активного хлора. Хлорсодержащее соединение добавляют в р-р после 5—15-минутной обработки в нем шерсти. После промывки проводят антихлорирование  $NaHSO_3$  или  $Na_2S_2O_3$  10 мин. при ~20°, промывку, сушку. Такая обработка обеспечивает равномерность хлорирования шерсти, устойчивость применяемых р-ров, устранение запаха, снижение расхода активного хлора.

А. Матецкий

**52480 П.** Способ повышения окрашиваемости изделий из полиамидных волокон. Вулсер, Лоу, Колман (Verfahren zur Verbesserung der Färbbarkeit von Polyamidtextilstoffen Wooler Alan Metcalf, Lowe Arthur, Coleman Denis) [Imperial Chemical Industries Ltd]. Пат. ФРГ 943589, 24.05.56

Для повышения окрашиваемости изделия обрабатывают линейным полиалкиленимином, содержащим одну или две конечные аминогруппы и отвечающим ф-ле:  $H_2N-[(CH_2)_nNH-]_m-(CH_2)_n-X$ , где  $n$  имеет одинаковое или различное значение для различных полиметиленовых групп молекулы и равно 2, 3, 4, 5, или 6;  $m$  — целое число больше 0 и  $X$  — галоген,  $NH_2$  или  $OH$ -группа. Полиалкиленимины получают обработкой этиленимина в водн. р-ре аммиаком или едкой щелочью в присутствии инициатора, напр.  $HCl$ . В качестве р-рителей могут применяться вода, спирты, толуол, ксилол и др. или их смеси. Обработка полиамидного материала производится в присутствии р-рителей полиалкиленимина при т-ре  $\leq 100^\circ$ , в течение ~1 часа (возможно и 2—3 мин) с последующим отжимом, промывкой и сушкой. Процесс может осуществляться непрерывно. **Пример** (в вес. ч.): 1 ч. полиамидной пряжи нагревают 30 мин. при 95° в 25 ч. 5%-ного р-ра триэтиленетрамина в изопропанол. Пряжу промывают сначала водой, потом теплой 1%-ной  $CH_3COOH$  и наконец теплой водой; затем высушивают при 50—60° на воздухе. Обработанная таким образом нить сохраняет прочность исходной. 1 ч. обработанной (и параллельно необработанной) полиамидной пряжи окрашивают при 85° 45 мин. в кислой красильной ванне, приготовленной добавлением к 50 ч. воды 0,03 ч. 85%-ной  $NaCOOH$  0,1 ч.  $Na_2SO_4$  и 0,04 ч. красителя нафталиншарлаха красного 4RS. Колориметрич. определения установили, что обработанная пряжа присоединила в 2,4 раза большее кол-во красителя сравнительно с необработанной.

Р. Нейман

**52481 П.** Способ одновременного крашения и аппретирования текстильных материалов. Пирер (Verfahren zum gleichzeitigen Färben und Appretieren von Textilien. Pierer Heinz). Пат. ФРГ 923544, 17.02.55 [Textil-Praxis, 1955, 10, № 6, 612 (нем.)]

Во изменение способа, описанного в пат. 922162 (РЖХим, 1957, 2247), на подлежащий крашению и отделке текстильный материал сначала наносят, напр. плюсованием, смесь способных к сочетанию компонентов, в частности нафтол и диазосоединение в устойчивой индифферентной форме. В кислом проявительном р-ре создают условия образования красителя при одновременном нанесении аппретурирующих препаратов, напр. придающих гидрофобность.

О. Славина

**52482 П.** Способ получения прочных окрасок. Хappe (Verfahren zur Herstellung von echten Färbungen. Happe Wilhelm) [Farbwerke Hoechst A.-G.]



vormals Meister Lucius & Brüning]. Пат. ФРГ 933271, 22.09.55

Для получения из изделий из шерсти, полиамидных волокон или смесей из них прочных окрасок применяют кислотные красители, содержащие одну или несколько групп  $-\text{SO}_2-\text{CH}=\text{CH}_2$  или  $-\text{SO}_2-\text{CH}_2-\text{CH}_2-\text{X}$  (X — атом галогена или группа  $-\text{O}-\text{SO}_2\text{H}$ ), при введении в красильную ванну мочевины и полигликолевого простого эфира высокомолекулярного окиссоединения (напр., продуктов конденсации высокомолекулярных спиртов или фенолов с оксисью этилена). Краснение ведут в нейтр. или кислой среде. Мочевину и полигликолевого эфира добавляют от 0,5 до 5% (лучше 1—2%) от веса волокна, причем соотношение указанных добавок можно брать различное. Н. Абрамова

52483 П. Краснение текстильных изделий. Уорд, Хэггерти (Dyeing of textile materials. Ward George C., Haggerty William T., Jr) [Celanese Corp. of America]. Канадск. пат. 512019, 19.04.55

Для крашения изделий из синтетич. и ацетилцеллюлозных волокон их обрабатывают в водн. р-ре, содержащем лейконпроизводное кубового красителя, и на каждые 100 вес. ч. воды — 0,1—1 ч. карбоната щел. металла, 0,5—10 ч. алкиламина (для ацетилцеллюлозного волокна — этанол- или диэтаноламина) и 3—25 ч. смешивающейся с водой органич. жидкости, вызывающей набухание волокна (напр., бутилкарбита). Длительность обработки 10—30 мин. при 40—60°, затем 30—90 мин. при 70—90°, после чего проводят окисление лейкосоединения. Н. Абрамова

52484 П. Способ многоцветной печати текстильных и других материалов и приспособление для нее. Мейтнер (Vielfarbandruckverfahren zum Bedrucken von Textilien und anderen Stoffen und Vorrichtung. Meitner Walter) [Isotope Development Ltd]. Пат. ФРГ 930630, 21.07.55

Для быстрого обнаруживания степени загрязнения данной печатной краски (K) при многоцветном рисунке K с предыдущего вала, в состав печатной K, загрязнения от которой наиболее вероятно, вводят радиоактивные в-ва. С помощью спец. приспособления в процессе работы измеряют радиоактивность последующих K, характеризующую их загрязненность. При обнаружении кол-ва загрязняющей K, превышающих допустимые, добавляют соответствующее кол-во свежей K.

З. Панфилова

53485 П. Способ получения на тканях многоцветных рисунков. Рюккерт (Verfahren zur Erzeugung von farbigen Mustern auf Geweben. Rückert Walter). Пат. ГДР 10294, 22.08.55

Способ получения многоцветных рисунков на ворсовых тканях с вытканными узорами, при котором на созданные в ткачестве по рисунку участки ткани методом аэрографии наносят пигментные красители. Конденсация связующего в-ва и фиксация красителя достигаются нагреванием ткани ИК-лучами или горячим воздухом. Н. Абрамова

52486 П. Состав для придания водоупорности. Бернем (Water repellent composition. Burnham Robert R.) [United Carbide and Carbon Corp.]. Пат. США 2737458, 6.03.56

Применяют твердый состав, эмульгирующийся в горячей воде и состоящий из 35—65% воска (в том числе до 5% карнаубского воска); 5—20% фиксатора, представляющего собой водорастворимую, способную к диссоциации Zr или Al соль низшей жирной к-ты с 2—4 атомами C [в том числе ацетат Al, формиат Al, ацетат Zr, оксихлорид Zr и  $\text{ZrO}(\text{NH}_4\text{CO}_3)_2$ ]; 3—6% эмульгатора для системы вода в масле, представляющего собой эфир сорбита или сорбита и полиоксипропилена и высшей жирной к-ты с 16—18 атомами C (напр., олеиновой); 0,1—

1,5% в-ва, обладающего одновременно гидрофобизирующими и эмульгирующими свойствами и состоящего из поливалентной соли Al или Zr и жирной к-ты с длинной цепью, содержащей 10—18 атомов C (напр., дистеарата Al); 1—5% в-ва, придающего нерастворимость и являющегося связующим типа поливинилового спирта, предпочтительно гидролизованного на 86—98%, и оксипропилцеллюлозы; 5—15% гигроскопич. в-ва, препятствующего высыханию твердого состава и представляющего собой многоатомный спирт, содержащий 2—6 гидроксильных групп при отсутствии других функциональных групп, напр. сорбит, глицерин или полиэтиленгликоль, а также (иногда) 0,1—2% лаурилсульфата Na. Напр., сплавляют при 85° 35 ч. парафина, 0,25 ч. карнаубского воска, 0,25 ч. дистеарата Al, 3,5 ч. минер. масла или петролатума, 4,75 ч. олеата сорбита и 4,75 ч. олеата полиоксипропиленового эфира сорбита. 1,85 ч. высоковязкого поливинилового спирта, гидролизованного на 86—98%, растворяют, энергично перемешивая при 10—15° в 20,65 ч. воды, к которой добавлено 10 ч. сорбита и 0,5 ч. лаурилсульфата Na. Эту дисперсию нагревают до 40° и медленно при энергичном перемешивании приливают к вышеуказанной масляной фазе при 75—85°. Через 5 мин. при работающей мешалке постепенно добавляют 18,5 ч. порошкообразного ацетата Al, по окончании добавления которого перемешивают еще 5 мин. и прекращают нагревание. При 60—65° состав отверждают путем быстрого охлаждения, после чего превращают в хлопья, кусочки, стружку или выдавливают для придания удобной для применения формы. Перед употреблением твердый состав разводят до 1—3%-ной конц-ии водой при 65—85°. Для придания водоупорности изделия погружают в полученную дисперсию, напр. на 30 сек., отжимают до привеса 50—80% и высушивают.

В. Пахомов  
52487 П. Способ обработки текстильных изделий и состав для него. Никкерсон (Composition for and treatment of textile materials. Nickerson Ralph F.) [Monsanto Chemical Co.]. Пат. США 2725308, 29.11.55

Для обработки текстильных изделий (преимущественно целлюлозных) применяют водн. р-ры, содержащие: 1) в-во типа метилолацетиленидиурейдов с содержанием 3,5—4 молей связанного  $\text{CH}_2\text{O}$  на 1 моль ацетиленидиурейда или метилолигидантоинов с содержанием 1,8—2 молей связанного  $\text{CH}_2\text{O}$  на 1 моль гидантоина или их смесей; 2) водорастворимое полигидросоединение, состоящее из атомов C, O и H и 3) водорастворимый сополимер соединения, относящегося к группе ненасыщ. алифатич. дикарбоновых к-т и ангидридов, имеющих 4—8 атомов C, а также смесей указанных к-т и ангидридов с алкилированными сложными полуэфирами указанных к-т с содержанием в алкильной группе 1—4 атомов C, с в-вом, способным к сополимеризации с указанными выше компонентами, из группы полимеризующихся виниловых и винилиденовых соединений, имеющих одну или две группы  $\text{CH}_2=\text{C}$ . Указанный р-р имеет pH < 3. Частично высушенный текстильный материал подвергают механич. обработке прессованием, изменяющим структуру поверхности ткани, и нагревают до образования на ткани нерастворимой в воде смолы.

Н. Абрамова  
52488 П. Способ облагораживания целлюлозных и гидратцеллюлозных текстильных изделий. Лейпин, Армбрустер, Хартман (Verfahren zum Veredeln von Cellulose- und Cellulosehydrat-Textilgut. Leupin Oscar, Armbruster Richard, Hartmann Adolf) [Badische Anilin- & Soda-Fabrik A.-G.]. Пат. ФРГ 936924, 22.12.55

Уменьшение усадки, набухания и увеличение прочности в мокром состоянии, а также гидрофобности цел-

люлозных текстильных материалов достигаются пропиткой их одно- или двухваннным способом в присутствии кислых катализаторов р-ром метилолацетиленидимочевны, с содержанием  $>2$  метилольных групп, и р-рами высокомолекулярных спиртов, аминов или амидов карбоновых к-т, не содержащих метилольных групп; или пропиткой однованным способом водорастворимыми или легко диспергируемыми в воде продуктами конденсации этих компонентов с последующим отжимом, сушкой и термич. обработкой. П р и м е р. Ткань из целлюлозных волокон обрабатывают несколько минут в р-ре, содержащем в 1 л 75 г тетраметилолацетиленидимочевны, 100 г 10%-ной водн. эмульсии октадецилового спирта и 5 г  $\gamma$ -хлормасляной к-ты, отжимают, высушивают при 90° и подвергают термич. обработке (15 мин. при 130°). Обработанная ткань характеризуется повышенной водоупорностью и пониженным набуханием и усадкой с сохранением этих свойств после многократной стирки в кипящем р-ре мыла.

А. Волохина  
52489 П. Способ гофрирования и тиснения узоров; новые промышленные изделия, получаемые по этому способу. Делатр (Procédé de gaufrage ou de frappe et produits industriels nouveaux obtenus par ce procédé. Delattre L.). Франц. пат. 1098597, 8.08.55 [Teintex, 1956, 21, № 2, 159 (франц.)]

Для гофрирования и тиснения узоров применяют гравировальное приспособление в виде ткани из особо твердых и упругих нитей спец. переплетения. Это приспособление при прижатии его действием пресса или отжима между парой гладких валков дает на обрабатываемом изделии рисунки. Обработку рекомендуется проводить в теплой и влажной среде при соответствующем рН.

Д. Кантор  
52490 П. Способ нанесения рельефного рисунка на поверхность изделий, содержащих термопластические искусственные вещества. Мюллер-Хохстрассер (Verfahren zur Herstellung von gemusterten mechanischen Verformungen auf thermoplastische Kunststoffe enthaltenden Flächengebilden. Müller-Hochstrasser Hermann-Georg) [Cilander A.-G.]. Пат. ФРГ 942265, 3.05.56

Способ состоит в том, что на пленки и ткани из термопластичных синтетич. и искусств. волокон наносят, согласно рисунку, путем печатания состав, содержащий реазервирующие в-ва (РВ), препятствующие в дальнейшем переходу тепла в соответствующих участках от нагретого формующего приспособления — каландра, гравированного вала, штампа и т. д. Принцип действия РВ, характеризующихся коэф. теплопроводности при 30°  $< 0,05$ , основан на том, что в условиях горячего прессования, тиснения и пр., РВ плавятся, на что и расходуется теплота, поступающая от формующего аппарата, в результате чего защищенные РВ места термопластичного материала остаются неизменными. Такой процесс позволяет осуществлять многочисленные и разнообразные комбинации механич. изменения поверхности изделия с крашением и набивкой по типу применяемых обычно для тканей. К РВ относятся клеевые в-ва (трагант, крахмал, желатина, казеин, производные целлюлозы и др.) или не обладающие клеевыми свойствами (порошок талька, костяная мука, опилки, измельченные волокна и пр., применяемые с добавкой фиксирующих в-в). Самое механич. изменение плоской поверхности изделия производится по способу набивки нагретого до пластического состояния материала гладкими валами или выжигальными, с рельефным тиснением. Проводится не менее двух набивок различных РВ и не менее двух различных механич. обработок для создания узорчатой структуры. Кроме того, применяются обычные операции для придания крелового эффекта и улучшения оптич. свойств деформированного материала. П р и м е р. На ткань из полиамидного волокна наносят,

согласно рисунку, теплоизолирующую массу, содержащую: гуммиарабика 1:1 (1 часть гуммиарабика + 1 часть воды) 900 г, воды 90 г, скипидара 10 г; затем при 150° ткань обрабатывают на каландре до сильного блеска, РВ отмывают и ткань высушивают. Получается слегка блестящий рисунок на сильно блестящем фоне, причем этот эффект может быть усилен крашением, так как различно обработанные участки ткани окрашиваются неодинаково.

Р. Нейман  
52491 П. Текстильные изделия с содержанием искусственных белковых волокон. — (Textiles containing artificial fibres of protein) [American Patents Corp.]. Англ. пат. 738687, 19.10.55

Для образования на гладкой поверхности искусств. белковых волокон трещин холст, ленту, пряжу или изделия из окрашенных или неокрашенных смесей этих и других волокон (хлопка, льна, белковых, полиамидных, гидратцеллюлозных) пропускают под натяжением или в свободном состоянии через барку с водой или водн. р-ром нейтр. или кислой соли аммония, шел. или шел-зем. металла. Т-ра обработки 30—100°. Затем проводят сушку в релаксированном состоянии. А. Матейский  
52492 П. Противомольный состав. Вольф (Mothproofing. Wolff Ernst A.) [Merck and Co., Inc.]. Канад. пат. 510753, 8.03.55

Состав для придания текстильным изделиям моле-стойкости, применяемый в виде р-ра в органич. р-рителе, содержит в основном 1,1-бис-( $n$ -хлорфенил)-2,2,2-трихлорэтан (I) и  $\sim 2$ —15% (от веса последнего) пластификатора (II), напр. дибутилфталата, три- $o$ -крезилфосфата или метилабетината. Добавка II препятствует кристаллизации I на изделии после нанесения состава.

Я. Кантор  
52493 П. Способ повышения взаимосвязанности полиакрилонитрильных и полиамидных нитей в изделиях из них. Гюнтер (Verfahren zur Verbesserung der Haften Eigenschaften von Stoffen auf Polyacrylnitril oder Polyamidbasis. Günther Gottfried), [Phoenix-Gummiwerke A.-G.]. Пат. ФРГ 944211, 7.06.56

Известный способ повышения способности тканей проклеиваться каучукоподобными в-вами, основанный на применении полиизоцианатов, эффективен для тканей из полиакрилонитрильных или полиамидных волокон только после предварительной обработки  $H_2O_2$  или другими окислителями (перекисью натрия, перборатом, перекисью дибензояла и др. или их смесями). Обработку проводят с подогревом или без него. К окислителям можно прибавлять смачиватели, щелочи или к-ты. При этом во всех случаях достигается повышение взаимосвязанности нитей в ткани, а также лучшее проклеивание при прорезывании. П р и м е р. Ткань из полиакрилонитрильного волокна нагревают 30 мин. в 3%-ном р-ре  $H_2O_2$  до 60—80°. После тщательной промывки и сушки ткань погружают в 20%-ный р-р полиизоцианата и высушивают. Затем ткань пропитывают р-ром каучука и вулканизуют обычным способом.

Р. Нейман  
52494 П. Способ обработки стеклянных волокон. Моттер, Элтон (Procédé de traitement des fibres de verre. Motter Theodore J., Elton William L.) [Libbey-Owens — Ford Glass Co.]. Франц. пат. 1106077, 13.07.55, [Bull. Inst. text. France, 1956, № 60, 154—155 (франц.)]

Для заключительной обработки стеклянных волокон, повышающей их гибкость, применяют пластич. в-ва, связывающие поверхностные слои волокон с их средними участками. Для этого применяют кремнийорганич. соединения: диаллилдиэтоксисилан, винилтрихлорсилан, растворимые соли винил- и аллилсилоксанола, винилтриэтоксисилан. Для приготовления р-ра подкисляют воду  $HCOOH$  до рН 3,2—4,6 и прибавляют

винилтриэтоксисилан при размешивании. Ткань обрабатывают полученным гомогенным, прозрачным р-ром, предварительно разбавл. водой. Затем ткань высушивают при относительно низкой т-ре, напр., в накатанном на перфорированный валик виде в сушилке при 121° в течение 18 час.

Обработанные изделия отличаются повышенной прозрачностью. Р. Нейман

См также: История 50295—50297

### ВЗРЫВЧАТЫЕ ВЕЩЕСТВА. ПИРОТЕХНИЧЕСКИЕ СОСТАВЫ. СРЕДСТВА ХИМИЧЕСКОЙ ЗАЩИТЫ

Редактор М. С. Фишбейн

**52495. Безопасные взрывчатые вещества в твердой оболочке. Деффе** (Les explosifs de sécurité à gaine rigide. Deffet Louis), Explosifs, 1956, 9, № 3, 80—86 (франц.)

Исследовалось влияние твердой оболочки на скорость детонации безопасных взрывчатых в-в, состоящих из смеси нитроглицерина, нитроглицоля, тринитротолуола,  $\text{NH}_4\text{NO}_3$ ,  $\text{NaCl}$  и древесной муки с оболочкой из прессованного  $\text{NaCl}$ . Показано, что скорость детонации зависит в основном от состава взрывчатого в-ва и что испытанные образцы взрывчатых в-в вполне пригодны для работ в шахтах, опасных по газу. Такие взрывчатые в-ва можно непосредственно покрывать твердой оболочкой, минуя промежуточную стадию патронирования их в бумагу, что позволяет надежнее соединять их с капсюлем-детонатором, а также изготовлять одновременно мощные и безопасные взрывчатые в-ва. М. Фишбейн

**52496. Текучесть бензина, загущенного напалмом. Агостон, Харт, Хоттел, Клемм, Миселс, Помрой, Томпсон** (Flow of gasoline thickened by napalm. Agoston George A., Harte Walter H., Hottel Hoyt C., Klemm William A., Mysels Karol J., Romero Harold H., Thompson John M.), Industr. and Engng Chem., 1954, 46, № 5, 1017—1019 (англ.)

Изучено влияние ряда факторов на перепад давления при течении по трубопроводу бензина, загущенного напалмом (основное алюминиевое мыло, полученное из смеси жирных к-т кокосового масла, олеиновой и нафтеновых к-т). Э. Тукачинская

**52497 П. Способ получения зернистого бездымного пороха. Олсен, Тиббитс, Кирн** (Verfahren zur Herstellung von gekörntem, rauchlosem Pulver. Olsen Frederick, Tibbitts Gordon C., Kerone Edward B. W.) [Olin Industries, Inc.]. Пат. ФРГ 915797, 29.07.54 [Chem. Zbl., 1955, 126, № 18, 4255—4256 (нем.)]

К тонкоизмельченной желатинированной нитроцеллюлозе добавляют агломерирующее в-во, обладающее взрывчатыми свойствами, способное ее растворять или пластифицировать. Полученную массу перерабатывают в порох, состоящий из зерен большого диаметра. Способ получения состоит в том, что нестойкий тонкоизмельченный бездымный порох суспендируют в воде, а затем обрабатывают его нитроглицерином или смесью три- и динитротолуолов, добавляя в качестве защитного коллоида крахмал или гуммиарабик, а в качестве р-рителя —  $\text{C}_2\text{H}_5\text{OH}$  или бензол. Для флегматизации пороховых зерен применяют дибутилфталат. М. Фишбейн

**52498 П. Взрывчатое вещество, содержащее пористый материал из мочевиной смолы** (Explosif contenant des mousses de résine d'urée) (Soc. Nobel Fran-

çaise). Франц. пат. 1081803, 23.12.54 [Chimie et Industrie, 1956, 75, № 1, 100 (франц.)]

Смесь взрывчатых в-в содержит некоторое кол-во пористой мочевино-формальдегидной смолы, образование которой облегчается добавкой поливинилового спирта. Я. Кантор

**52499 П. Безопасный детонирующий шнур. Долан, Бримли, Демпстер** (Sicherheits-Knallzündschnur. Dolan John Edmund, Brimley Kenneth John, Dempster Peter Blackwood) [Imperial Chemical Inds Ltd]. Пат. ФРГ 945496, 12.07.56

Сердцевина шнура состоит из тана (тетранитропропантирита), а оболочка из гибкой, водостойкой термопластич. массы. Масса в основном содержит мелкоизмельченное пламягасящее в-во и небольшое кол-во термопластич. смолы, играющей роль цементатора с размером частиц, меньшим 0,02 мм, и обладает хорошей пластичностью при 60—200°. Приведено несколько примеров. М. Фишбейн

**52500 П. Способ изготовления недетонирующего воспламенительного шнура. Зенфтман** (Icke-detonierende tändrör jämte sätt vid framställning av desamma. Zenftman H.) [Imperial Chemical Industries Ltd]. Швед. пат. 149623, 12.04.55

Способ заключается в равномерном сжигании порошкообразных окислителя и восстановителя с термопластич. смолой, играющей роль связующего в-ва, в качестве которого применяют нерастворимое в воде смолообразное ненасыщ. полимерное соединение с т. пл. 90—125°. При некотором избытке восстановителя по сравнению со стехиометрич. составом, возникает при поджигании р-ции, непрерывно распространяющаяся по всей длине шнура и обеспечивающая безотказное воспламенение капсюля-детонатора. В. Пахомов

**52501 П. Состав для дегазации. Мак-Махон** (Decontaminating composition. Mac Mahon James D.) [Olin Mathieson Chemical Corp.]. Пат. США 2719828, 4.10.55

Предлагается состав, пригодный как в сухом состоянии, так и в виде тестообразной массы для дегазации горючего газа, содержащий 40—45 вес.% гипохлорита Ca (не <70% активного хлора, степень измельчения — 60 меш), 5—12 вес.% негашеной извести (не <93% активной  $\text{CaO}$ ; степень измельчения 95%—325 меш), увеличивающей смачиваемость состава, придавая ему жел. свойства, необходимые для нейтрации продуктов дегазации, и связывая влагу, содержащуюся в других компонентах, 1—10 вес.% гашеной извести также придающей щелочность и стабилизирующей вязкость суспензии, 20—50 вес.% нерастворимого в воде и стабильного по отношению к гипохлориту неорганич. наполнителя (мел,  $\text{MgO}$ ,  $\text{MgCO}_3$ ,  $\text{Al}_2\text{O}_3$ ), 1—10 вес.% соли щел. металла, анион которой образует с Ca нерастворимую соль, увеличивающей вязкость суспензии и препятствующей образованию пены, напр.  $\text{Na}_2\text{CO}_3$ , метасиликат Na и тринатрийфосфат и 1—10 вес.% хлористого Na для снижения т-ры замерзания суспензии до —20°. Л. Херсонская

### ЛЕКАРСТВЕННЫЕ ВЕЩЕСТВА. ВИТАМИНЫ. АНТИБИОТИКИ

Редактор Н. А. Медыжовская

**52502. Польская фармацевтическая промышленность в первом десятилетии существования Польской Народной Республики. Каляндик, Гумулка** (Rozwój produkcji polskiego przemysłu farmaceutycznego w okresie pierwszego dziesięciolecia Polskiej Rzeczypospolitej Ludowej. Kaładyk K., Gu-



mulka W.), Przem. chem., 1954, 33, № 6, 277—280 (польск.)

52503. К перспективе производства медикаментов. Ганч (K perspektivě ve výrobě léčiv. Hanč Oldřich), Chem. průmysl, 1954, 4, № 3, 89—94 (чешск.)

52504. Конференция фармацевтической секции Чехословацкого медицинского общества Я. Е. Пуркyně в Лугачовицах. Индра, Губик (Konference farmaceutické sekce Čs. lékařské společnosti J. E. Purkyně v Luhačovicích. Indra A., Hubík J.), Českosl. farm., 1955, 4, № 6, 280—282 (чешск.)

52505. Катнообменные смолы в медицинской практике. Эль-Хазен, Маллат (Les résines échangeuses de cations dans la pratique médicale. El-Khazen Philippe, Mallat Fouad), Rev. méd. Moyen Orient, 1956, 13, № 3, 352—357 (франц.)

52506. Новое неорганическое соединение железа как лечебное средство и способ его получения. Краузе (O nowym nieorganicznym związku żelaza nadającym się jako środek leczniczy i metodzie jego otrzymywania. Krause Alfons), Farmac. polska, 1956, 12, № 10, 256—257 (польск.)

В качестве лечебного средства в железотерапии предложен феррит магния, называемый Актиферроном. Последний получают осаждением  $\gamma$ -Fe(OH) (польск. пат. 34471, 1951) в присутствии  $Mg(OH)_2$  при  $t$ -ре 20° в нейтр. или слабо щел. среде. Клинич. исследования показали высокую эффективность препарата, хорошо переносимого больными, в том числе и детьми.

J. Chodkowski

52507. Кремнийорганические соединения — силиконы. Дембека (Związki krzemooorganiczne-silikonu. Dębska Wanda), Farmac. polska, 1956, 12, № 9, 226—229 (польск.)

Обзор истории химии силиконов и их фармакологич. применения.

A. Roniewicz

52508. Полиэтиленгликоли и эфиры целлюлозы, их применение для производства лекарственных веществ. Мадсен (Om polyethylenglycoler og cellulose-ethere af heres anvendelse i farmaci. Madsen Ejvin), Arch. pharmaci og chemi, 1954, 61, № 21, 817—835 (датск.)

52509. Этилоксетилацеллюлоза как слабительное. Альм (Etyl-hydroxyetylcellulosa som laxermedel. In vitroförsök avseende svällningsförmåga och vätskeretentionsförmåga. Alm Olof), Svenska läkartidn., 1955, 52, № 36, 2204—2218 (шведск.)

52510. Изучение *Digitalis*. I. Выделение *Digitalinum verum* из листьев *Digitalis purpurea*. Сасакава (ジギタリスに関する研究. 第1報. ジギタリス. プルブレア葉から *Digitalinum verum* の分離について. 笹川義郎), 薬学雑誌, Якугаку дзасси, J. Pharm. Soc. Japan, 1954, 74, № 5, 474—477 (японск.; рез. англ.)

Семена *Digitalis purpurea* (500 г) экстрагируют водой, обрабатывают  $Pb(OH)_2$  и смесью холестерина с  $CH_3OH$ , пропускают через колонку с  $Al_2O_3$  и фракционируют методом противоточного распределения смесью  $CHCl_3$ - $CH_3OH$ - $H_2O$  (10 : 8 : 5). Получают *Digitalinum verum*  $C_{33}H_{50}O_{14} \cdot 2H_2O$  — кристаллич. иглы, т. пл. 243,3—244,0° (с разложением);  $[\alpha]^{20}_D$   $1,5 \pm 1,2$ ; летальная доза (для голубя) 1,24 мг/кг; гексаацетат, т. пл. 164—165° и 228—230°;  $[\alpha]^{20}_D$   $-16,3 \pm 4,2\%$ ; окрашивается 84%-ной  $H_2SO_4$  в оранжевый → желтый → розовый цвета; при гидролизе образуются диангидротоксигенин, т. пл. 209—211°, глюкоза и дигиталоза.

Э. Тучакинская

52511. Получение кристаллического каротина методом фракционирования компонентов белкового коагулята. Свищук А. А., Савинов Б. Г. В сб.: Технол. и применение витамина А и каротина. М.,

1956, 25—30; в сб.: Витамины. 2. Киев, АН УССР, 1956, 17—21

В проведенной в Ин-те органич. химии АН УССР работе по получению кристаллич. каротина (I) источником служил получаемый термич. способом белковый коагулят морковного сока. Экстракцию проводили хлорированными углеводородами, позволяющими экстрагировать I без предварительного высушивания коагулята, простым смешиванием его с р-рителем, при обычной  $t$ -ре и в короткие сроки (15—20 мин.). В указанных условиях в экстракт полностью переходит липовидная фракция, состоящая из фосфатидов изомасляной, олеиновой и пальмитиновой к-т, стерина, фитол и I. Считая, что главным препятствием кристаллизации I являются поверхностноактивные в-ва, авторы исследовали ряд способов их удаления и остановились на фракционировании липовидной фракции белкового коагулята с применением селективных р-рителей: коагулят обрабатывают порошкообразным NaOH, экстрагируют хлорированным углеводородом, из экстракта отгоняют р-ритель, остаток обрабатывают силикагелем (60 г на 1 г коагулята), полученное адсорбционное соединение обрабатывают пропанбутановой смесью (при дальнейшей обработке из маточника выделяют фитол, масляный концентрат I) стерин удаляют кипящим метанолом, остающийся на силикагеле I растворяют в нагретом хлорированном углеводороде и кристаллизуют I с выходом ~75%, чистотой свыше 92% (смесь  $\alpha$ -,  $\beta$ -,  $\gamma$ -I). Приведена технологич. схема получения кристаллич. I. Указана возможность фракционирования компонентов липовидов непосредственно в пластидном материале.

Ю. Вендельштейн

52512. О некоторых особенностях технологической схемы каротинового производства. Савинов Б. Г. В сб.: Технол. и применение витамина А и каротина. М., 1956, 39—46

В целях усовершенствования произ-ва каротина (I) предложено заменить связанное с большими трудностями прессование морковной мезги вымыванием пластид из клеток интенсивным перемешиванием мезги с водой, для чего сконструирован спец. суспензионный экстрактор (лучше применять четырехчленную батарею экстракторов) с центробежным смесителем, осуществляющим не только перемешивание вихревыми токами, но и дробление частиц. Для отделения морковного коагулята лучшим методом, проверенным на опытной установке, оказался центрифугальный, проводимый в несколько измененном дрожжевом сепараторе (продолжительность набора барабана коагулятом 3 часа, выгрузка из барабана компактного блока с влажностью 70—80% и почти полный переход I в коагулят). При получении масляного концентрата I сделано наблюдение, что связанная вода влажного белкового коагулята морковного сока при определенных условиях не препятствует экстракции I растительным маслом. Для экстракции применен центробежный смеситель, обеспечивающий продолжительность цикла одной экстракции загрузки в 20—25 мин. при соотношении коагулята и масла 1 : 2, причем для насыщения до 2 мг I/мг нужно экстрагировать дважды по принципу противоточка. В масло переходит в среднем (2 сезона опытно-производственной установки) 90% I. Оба предложенные усовершенствования обеспечивают стабильный выход I в масляный концентрат (80—85%) без обезвоживания коагулята и применения органич. р-рителей, что также способствует сохранению пищевой ценности отходов произ-ва.

Ю. Вендельштейн

52513. Сравнительная оценка качества промышленных А-витаминных и каротиновых препаратов. Графская З. С. В сб.: Технол. и применение витамина А и каротина. М., 1956, 80—85

В течение 1952—1954 гг. исследованы различные пре-

параты витамина А (I) — драже с I, поливитаминное драже, концентраты I и препараты I в жире, а также концентраты каротина в масле, полученные с разных з-дов и хранившиеся различные промежутки времени. В соответствии с ГОСТ отклонение  $\pm 10\%$  считалось ошибкой определения. Результаты исследования показали, что только часть препаратов драже с I и поливитаминного драже выпущавшихся з-дами витаминной пром-сти, содержала I в кол-ве, отвечавшем указанному на этикетке, причем наиболее удовлетворительными оказались препараты драже с I Ленинградского и Киевского витаминного з-да и ф-ки «Мара». Препараты поливитаминного драже з-да ВНИВИ и 2-го Ленинградского з-да оказались удовлетворительными, а Челябинского з-да хорошими. Из препаратов каротина в масле произ-ва Краснодарского комбината и Табынского з-да только 50% соответствовало стандартной продукции. Образцы концентратов I 1-го Московского витаминного з-да оказались хорошего качества (даже при длительном хранении), а произ-ва Московского рыбообрабатывающего комбината почти во всех случаях соответствовали конц-ии, указанной на этикетках.

Ю. Вендельштейн  
52514. Фармакологически активные полисахариды морских водорослей. Приготовление, свойства и использование. II. Рюттен (Pharmaceutische belangrijke polysacchariden uit zeevruchten bereiding, eigenschappen en verwerking. II. Rutten A. M. G.), Chem. en pharm. techn., 1954, 10, № 3, 45—47 (голл.)

Обзор. Библ. 39 назв. Часть I см. РЖХим, 1956, 52295.

52515. Источник гекогенина. Часть III. Экстракция гекогенина из сока сезаля. Спенсли (A source of hecogenin. Part III. Further observations on its extraction from sisal juice. Spensley P. C.), Chemistry and Industry, 1956, № 14, 229—231 (англ.)

Ввиду того, что гекогенин (I) является исходным продуктом для получения кортизона и других стероидов, применяемых в медицине, в Восточной Африке проведены исследования по извлечению I из сока сезаля. В предыдущих статьях сообщалось: а) I содержится в соке листьев сезаля в виде глюкозида, б) сок при стоянии ферментируется (ферменты самого растения) и выделяет осадок, в который увлекается большая часть I, содержащегося в соке и в) содержание I в соке зависит от возраста растений. В настоящей статье сообщается о продолжении исследования: выпадающий при стоянии осадок коагулируют кипячением 4 часа с 0,75—1,0 н.  $H_2SO_4$ , после чего он хорошо фильтруется; промытый и высушенный осадок кипятят 4 часа с 2 н. спирт. HCl или  $H_2SO_4$ , спирт удаляют отгонкой с паром (с добавлением активированного древесного угля), промывают водой, 1 н. NaOH, водой, сушат и экстрагируют в сокслете в течение 72 час. изопропиловым эфиром, после удаления последнего сырой I ацетилируют уксусным ангидридом, осаждают метанолом и перекристаллизовывают из нефтяной фракции с т. кип. 100—120°. Получают ацетат I, т. пл. 242—248°,  $[\alpha]_D^{25}$  от —3 до —4°, обычно содержит 3—4% примеси  $\alpha$ ,  $\beta$ -ненасыщ. кетона (ацетата  $\Delta^9$ ,<sup>11</sup>-дегидрогекогенина).

Ю. Вендельштейн  
52516. К характеристике галеновых препаратов хинной корки. Томсон (Zur Charakteristik der galenischen Präparate der Chinarinde. Thomson W o l d e m a r), Pharmaz. Zentralhalle, 1956, 95, № 8, 318—325 (нем.)

Приведен историч. обзор галеновых препаратов хинной корки, многочисленных исследований этих препаратов, в большинстве случаев отвечающих поставленным требованиям, новых способов изготовления этих препаратов и методов их исследования. Указано на зна-

чительно повышенный выход алкалоидов при экстракции хинной корки более слабым спиртом, напр. 44—45%-ным вместо 68%-ного (по DAB-6) или 90% (по Британский Фармакопее) при добавлении органич. к-ты, напр. 4%  $HSOON$  или 2%  $CH_3COON$ .

Ю. Вендельштейн

52517. Поливинилпирролидон. Получение, свойства, применение. Ремон (Polyvinylpyrrolidone. Preparation — Propriétés — Emplois. Remond J.), Rev. prod. chim., 1956, 59, № 1224, 127—129, 131; № 1227, 260—263 (франц.)

Обзор способов получения и полимеризации винилпирролидона; свойства поливинилпирролидона (ПВП), список торговых марок ПВП и фирм, их изготовляющих, подробно описано приготовление р-ров ПВП с солями Na, K, Ca и Mg, применяемых в качестве заменителей крови; применение ПВП в косметике, фармации, в качестве защитного коллоида в полиграфии и др. Библ. 24 назв.

Ю. Вендельштейн

52518. Химическая несовместимость лавровишневой настойки с сиропом. Важное значение pH и роль примесей. Витт, Гашар (Incompatibilité chimique entre l'eau de laurier-cerise et le sirop simple. Importance du pH. Rôle des substances adjuvantes. Vitte G., Guichard C.), Bull. Soc. pharmacie Bordeaux, 1955, 94, N spécial, 85—90 (франк.)

При анализах сиропов, содержащих лавровишневую настойку, на содержание HCN обнаружено значительное снижение последней сравнительно с обозначенным, которое не может быть объяснено испарением. Обнаружено, что HCN выступает в р-цию с небольшими кол-вами инвертированного сахара, всегда присутствующего в сиропе, причем р-ция зависит от pH: в щел. среде р-ция протекает быстро, замедленно в нейтральной и совершенно прекращается при pH 5. Предложено добавлять к сиропу небольшое кол-во лимонной к-ты (несколько мг/л), доводя pH до 5 и гарантируя предотвращение потерь HCN.

Ю. Вендельштейн

52519. Смачивающие вещества и их применение в фармацевтической практике. Рено (Les mouillants et leurs applications en pharmacie. Renault Henri), Prod. pharm., 1955, 10, № 11, 683—691 (франц.)

Показаны роль смачивающих в-в (СВ) среди других в-в, изменяющих поверхностное натяжение — эмульгаторов, пенообразующих и моющих и механизм смачивания в зависимости от структуры молекул СВ (интерпретация Дервишана). СВ разделены на 3 группы: анионные (напр., дибутылфталсульфонат Na), катионные (напр., соли четвертичного аммония) и неионизированные. Отмечено различное применение СВ в фармацевт. практике, в особенности в терапии, где СВ прибавляют к лекарственным в-вам для усиления их терапевт. действия (антисептики, местноанестезирующие в-ва, антибиотики и др.), причем исследования показывают противоположный эффект добавлений СВ как усиливающих, так и ослабляющих активность лекарственного в-ва. Поскольку теория не дает соответствующего критерия, полезность прибавления СВ может быть решена только эксперим. путем.

Ю. Вендельштейн

52520. Комплексометрическое определение карбоната Са в серных мазях. Шаршунова (Komplexometrické stanovenie uhličitanu vápenutého v srovoých mastiach. Šaršunová M.), Českosl. farm., 1956, 5, № 4, 217—218 (словацк.; рез. русск., англ., нем.)

Разработан быстрый способ определения  $CaCO_3$  в фармакопейных серных мазях (определение проводят в течение нескольких минут) титрованием р-ром хелатна III в присутствии индикатора — мурексида. Составную часть галенового препарата определяют, не применяя р-рителя для выделения Са из мази с по-

следующим перманганатометрич. определением. Приведены результаты определения Са в Unguentum sulfuratum flavum и Unguentum sulfuratum nigrum.

Ю. Вендельштейн  
52521. Предсказание устойчивости фармацевтических препаратов. I. Устойчивость окраски в жидком смешанном сульфепрепарате. Гаррет, Карпер (Prediction of stability in pharmaceutical preparations. I. Color stability in a liquid multisulfate preparation. Garrett Edward R., Carper Robert E.), J. Amer. Pharmac. Assoc. Scient., 1955, 44, № 8, 515—518 (англ.)

Исследована устойчивость окраски жидкого цитра-сульфаза (смесь сульфадиазина, сульфамеазина, сульфаметазина, цитрата Na, вкусовых и суспендирующих в-в, подкрашенная желтым № 6 FD и Си красным № 33D и Си, при различных т-рах путем измерения поглощения через определенные промежутки времени. Разложение активных в-в препарата независимо от характера р-ции разложения вызывает изменение окраски, и, следовательно, оптич. поглощения, причем это изменение зависит от т-ры и может быть вычислено с помощью отношения Аррениуса для любой т-ры по величинам, найденным для данной т-ры. Таким образом степень устойчивости препарата, определенная в течение месяца при повышенной т-ре, может служить критерием для предсказания его устойчивости в течение нескольких лет при 20°, т. е. в обычных условиях хранения. Приведены кривые поглощения при 60° в зависимости от времени и диаграмма оптич. поглощения образцов, хранившихся при 40, 50, 60 и 70°, в зависимости от времени.

Ю. Вендельштейн  
52522. Количественное определение стрихнина наряду с бруцином. Спектрофотометрический метод для препаратов стрихнина. Енцш (Die quantitative Bestimmung des Strychnins neben Brucin. Eine neue spektrophotometrische Wertbestimmungsmethode für Strychnosdrogen. Jentzsch K.), Pharmaz. Zentralhalle, 1956, 95, № 7, 270—284 (нем.)

Современные фармакологи рекомендуют проводить определение стрихнина (I) наряду с бруцином (II) в лекарственных в-вах (ЛВ) и препаратах I путем отделения II окислением  $\text{HNO}_3$  и последующим определением I объемным путем. Исследования показали, что при действии  $\text{HNO}_3$  на ЛВ, содержащий I и II, наряду с II частично окисляется I. Разработана и предложена спектрофотометрич. метод определения I и II в ЛВ (Semen Strychni, Semen Ignatii I, Semen Ignatii II): точную навеску ~50 мг хорошо измельченного ЛВ экстрагируют 5 мл смеси 3 ч. 96%-ного спирта, 1 ч. хлф. и 0,25 ч. 10%-ного  $\text{NH}_3$ , экстракт выпаривают на водяной бане, остаток обрабатывают спиртом и 2 каплями 2 н.  $\text{H}_2\text{SO}_4$ , снова выпаривают, прибавляют 2 мл горячей воды, смывают в колбу 3 раза по 2 мл воды, прибавляют 2 капли 15%-ного NaOH и 0,2 мл 33%-ного  $\text{Na}_2\text{CO}_3$  и взбалтывают в течение 5 мин. с 5 г хлф. и 10 г эфира, для осветления встраивают с 0,5 г траганта, 7,5 г р-ра (половина навески) выпаривают, остаток (несколько капель) нагревают на водяной бане с 5 мл 0,1 н. HCl до исчезновения запаха хлф., смывают в колбу на 25 мл и дополняют 0,1 н. HCl, фильтруют, отбрасывают первые 15 мл, дальнейшую часть фильтрата используют для измерения поглощения в кювете 1 см при 262,5 и 300 мμ и вычисляют процент I и II в ЛВ. Приведена таблица результатов анализа.

Ю. Вендельштейн  
52523. Колориметрическое определение коденна. Акия, Накадзава, Исикура (コデニンの比色定量法. 秋谷七郎, 中澤泰男, 石倉治), 薬学雑誌, Якугаку дааси, J. Pharmac. Soc. Japan, 1956, 76, № 5, 608—610 (японск.; рез. англ.)

Предложен колориметрич. способ определения коденна окислением его  $\text{KMnO}_4$  в солянокислой среде с по-

следующим окрашиванием прибавлением Na-соли хромотроповой к-ты и  $\text{H}_2\text{SO}_4$  и спектрометрич. определением при 580 мμ. Окраска вызывается образованием  $\text{CH}_2\text{O}$  при окислительном отщеплении метоксильных и N-метильных групп коденна. Приведены оптич. плотности (при 580 мμ и конц-ии 200 γ/мл) коденна 0,31, морфина 0,200, норкоденна 0,120 и диацетиленорморфина 0,011.

Ю. Вендельштейн  
52524. Экстракция нефилтрованной культуральной жидкости в аппарате Подбельяка. Андерсон, Лай (Commercial extraction of unfiltered fermentation broths in the Podbielniak contactor. Anderson D. W., Lau E. F.), Chem. Engng Progr., 1955, 51, № 11, 507—512 (англ.)

Техническая характеристика моделей 9000 и 9500 экстрактора Подбельяка, применяемого для обработки нефилтрованной культуральной жидкости (КЖ), указания на особенности экстракции (скорость ротора, отношение КЖ к р-рителю, отношение 2-х фаз в роторе) КЖ хлормицетина и пенициллина и сравнение стоимости обработки.

Ю. Вендельштейн  
52525. Поглощение кислорода жировыми эмульсиями, применяемыми для внутривенного питания. Гейер, Сасло, Стар (Studies on the oxygen uptake of fat emulsion used in intravenous alimentation. Geyer Robert P., Saslaw Irving, Stare Frederick J.), J. Amer. Oil Chemists Soc., 1955, 32, № 10, 528—531 (англ.)

Исследовано влияние природы жира в эмульсиях, характера и конц-ии стабилизаторов, т-ры и размеров диспергированных частиц жира на поглощение кислорода жировыми эмульсиями, применяемыми для внутривенного питания.

Г. Фрид  
52526. Реакция сочетания п-диазобензолсульфонкислоты. II. Колориметрическое и осциллополюграфическое исследование. Берка, Зыка (Korulační reakce s kyselinou p-diazobenzensulfonovou. II. Kolorimetrická a oscilopolarografická studie. Berka Antonín, Zýka Jaroslav), Českosl. farm., 1955, 4, № 6, 305—308 (чешск.; рез. русск., англ.)

Приведены результаты дальнейшего исследования р-ции сочетания некоторых в-в, применяемых в фармацевтич. практике: фенола, β-нафтола, резорцина, пирокатехина и аналептина—с п-диазобензолсульфонкислотой. Доказано, что помимо обычного сочетания, имеет место еще и побочная р-ция. Указана возможность определения конца титрования сильных к-т и оснований в присутствии метилового красного. Метод пригоден для титрования окрашенных р-ров. Часть I см. РЖХим, 1956, 48484.

Н. М.  
52527. Повторная перегонка воды для фармацевтических целей. Коруболо, Бичан-Фиштер (Problem destiliranje i redestiliranje vode u Ph. Jug. II. Corubolo I., Bican-Fister T.), Farmac. glasnik, 1954, 10, № 7, 312—318 (сербо-хорв.; рез. англ.)

52528. Заполнение ампул в атмосфере азота. Фолс (Fyllning av injektabiller i kvävgasatmosfär. Förs Miles), Svensk farmac. tidskr., 1954, № 24, 573—578 (шведск.)

Ампулы заполняют при небольшом избыточном давлении азота (без какой-либо спец. стерилизации газа). При этом исключается возможность окисления таких в-в как адреналин и аскорбиновая к-та (в р-ре) и отпадает необходимость применения антиоксидантов (напр., пиросульфитов).

Э. Тукачинская  
52529. Об установлении норм содержания ампул для инъекций. Ван-Эспен (Mises au point préliminaires à l'établissement de normes concernant la contenance des ampoules injectables. Van Espen J.), J. pharmac. Belgique, 1956, 38, № 5-6, 239—252 (франц.; рез. фламанд.)



Исследован ряд образцов ампул с р-рами для инъекции с точки зрения соответствия их содержимого к указанному на этикетке, приведена сводка полученных отклонений. Предложен прибор для измерения содержания ампул путем всасывания в бюретку и отсчета в последней объема жидкости с таблицей поправок на остающуюся в ампуле жидкость. Приведены кол-ва избыточной жидкости (подвижной и вязкой), вводимой в ампулы с различными дозами, гарантирующие врачу инъекцию полной указанной дозы. Ю. Вендельштейн

**52530 П.** Способ получения биологически активного производного дифенилметана (Verfahren zur Herstellung eines biologisch wirksamen Diphenylmethanderivates) [Aktiebolaget Ferrosan]. Швейц. пат. 304181 [Chem. Zbl., 1955, 126, № 3, 7979 (нем.)]

Для получения 2,2',5,5'-тетраоксидифенилметандикарбоновой-3,3' к-ты, применяемой в качестве промежуточного продукта и лекарственного в-ва, гентизиновую к-ту конденсируют с HCHO в кислой среде. Ю. Вендельштейн

**52531 П.** Соединения четырехвалентного олова, применяемые в ветеринарии. Керр, Уолд (Veterinary tetravalent tin compositions. Kerr Kathel B., Walde Arthur W.) [Dr. Salsbury's Lab.]. Пат. США 2702775; 2702776, 2702777, 2702778, 22.02.55

Препарат, применяемый в ветеринарии для лечения заболеваний, вызванных простейшими и глистами, повышающий мясную продукцию и способствующий ускоренному росту домашней птицы и домашних животных, состоит из носителя, пригодного для перорального применения, который содержит небольшие, но эффективные кол-ва (0,0025% от веса препарата) соединения общей ф-лы  $(R')(R^2)Sn(R^3)(R^4)_n$ , где  $R'$  и  $R^2$  — алкил, арил или аралкил,  $R^3$  и  $R^4$  — электроотрицательные группы, а  $n = 1-20$  (пат. 2702775), напр. ди-*n*-бутил-Sn-малеат (пат. 2702776), окись дифенил-Sn, дифенил-Sn-дихлорид, дифенил-Sn-сульфид, дифенил-Sn-диацетат, дифенил-Sn-малеат (пат. 2702777), окись дибензил-Sn, дибензил-Sn-дихлорид, дибензил-Sn-сульфид, дибензил-Sn-диацетат и дибензил-Sn-малеат (пат. 2702778). Ю. Вендельштейн

**52532 П.** Соли амидинов (Amidine salts) [Cilag, Ltd.]. Англ. пат. 737035, 21.09.55

Соли амидинов общей ф-лы  $[R'-X-C(=NH)NH_2]^+R''^-$  ( $R'$  — алкил с прямой или разветвленной цепью с  $\geq 2$  атомами C;  $X = O, S, NH$  или метиленовая группа, которая может содержать алкильный остаток;  $R''^-$  — анион I (I — *n*-аминосалициловая к-та) получают р-цией амидинов, гуанидинов, алкилизомочевин или алкилизомочевин с I в р-рителе или в воде или р-цией неорганич. солей амидинов с солями I. В примерах описано получение соответствующих солей I при р-ции: а) три-*n*-бутилацетамидина с I; б) хлоргидрата лаурамидина с Na-солью I; в) бромгидрата додецилгуанидина с Na-солью I; г) 2,2,2-трибутилэтилгуанидина с I. Аналогично получают соли I с триэтилацетамидином, трипропилацетамидином, *n*-децилгуанидином, *n*-ундецилгуанидином, гексилгуанидином, *n*-цетилгуанидином и *трет*-децилгуанидином, О-изопропил-II (II — изомочевина), II, О-*n*-бутил-II, О-*n*-гексил-II, О-*n*-октил-II, О-*n*-децил-II, О-*n*-ундецил-II, О-*n*-додецил-II, О-*n*-цетил-II, S-*n*-бутилдизотимочевинной, S-*n*-децилдизотимочевинной и S-*n*-пентилдизотимочевинной. В. Уфимцев

**52533 П.** Получение основных производных диазоаминобензола. (Manufacture of basic diazoaminobenzene compounds) [Farbwerke Hoechst A.-G. Vorm. Meister, Lucius, & Brünning]. Англ. пат. 728457, 20.04.55

Производные диазоаминобензола (I) общей ф-лы  $R-C_6H_4-NH-N=N-C_6H_4-R'$  [ $R$  и  $R'$  — одна из групп  $-C(NH_2)=NH$  или  $-NH-C(NH_2)=$

$=NH$  или  $-CH=N-NH-C(NH_2)=NH$ , находящаяся в мета- или пара-положении к азогруппе] и их соли получают: а) р-цией диазотированного R-замещ. анилина с R'-замещ. анилином или б) превращением в группы R и R' заместителей диазоаминобензола, находящихся в мета- или пара-положении к диазоаминоститу, напр. р-цией альдегидной группы с аминогуанидином или его солями. Если R и R' являются идентичными и находятся в одном и том же положении к диазоаминоститу, то I могут быть получены в) р-цией I моля R-замещ. анилина с 0,5 моля диазотирующего реагента, после чего pH реакционной смеси доводят до  $\sim 3-7$  для конденсации непрореагировавшего амина с солью диазония. Приведены примеры получения симметричных I по методу «в» из *n*-(II) и *m*-аминобензамидина (III), *n*-аминофенилгуанидина (IV), полученного (без выделения из реакц. массы) гидролизом разб. HCl карбоната *n*-ацетиламинофенилгуанидина, получения несимметричных I диазотированием первой и сочетанием со второй из следующих пар компонент: II и III, IV и II, II и *n*-аминобензальминогуанидин, *m*-аминофенилгуанидин (V), полученный без выделения гидролизом карбоната *m*-ацетиламинофенилгуанидина, и IV, V и III; р-цией диазоаминобензальдегида с нитратом аминогуанидина в водн. CH<sub>3</sub>OH, содержащем следы HCl. В каждом случае описано основание и его хлоргидрат, а в некоторых случаях карбонат и ацетат. I активны против паразитов крови. Карбонат *m*-ацетиламинофенилгуанидина получают из хлоргидрата *m*-аминоацетанилида и NCNН<sub>2</sub>. В. Уфимцев

**52534 П.** Способ получения фенолового эфира *n*-аминосалициловой кислоты. Тиман, Абельгор-Эллинг (Method of producing *p*-aminosalicylic acid phenylester. Thiemann W. H. A., Abildgaard-Elling K.) [Lovens Kemiske Fabrik Ved A. Kongsted]. Англ. пат. 737040, 21.09.55

Феноловый эфир *n*-аминосалициловой к-ты (I) получают р-цией 4-ацетаминно-2-ацетоксибензойной к-ты (II) с хлорангидридом неорганич. к-ты, напр. POCl<sub>3</sub>, или тионилхлоридом, и этерификацией полученного продукта р-цией фенолом в той же или последующей стадии, после чего ацетильную группу или группы, содержащиеся в ацетилированном феноловом эфире удаляют кипячением с р-ром сильной к-ты в среде органич. р-рителя, смешивающегося с водой. Образование хлорангидрида органич. к-ты и этерификацию можно проводить в одной стадии нагреванием N,О-диацетил-*n*-аминосалициловой к-ты с фенолом и POCl<sub>3</sub> (причем удаляется О-ацетильная группа); удаление ацетильной группы из полученного фенолового эфира N-ацетил-*n*-аминосалициловой к-ты (III) нагреванием с к-той приводит к образованию соли, из которой свободное основание выделяют обработкой водой. П р и м е р ы: а) II обрабатывают тионилхлоридом, образующийся соответствующий бензонилхлорид вводят в р-цию с фенолом и получают феноловый эфир II, который превращают в I кипячением с 1 н. спирт. р-ром HCl; б) при совместном нагревании II, фенола и POCl<sub>3</sub> образуется III, который кипячением с 2 н. спирт. р-ром HCl превращают в I. Ю. Вендельштейн

**52535 П.** Способ получения 5,5-фенилэтилбарбитуровой кислоты. Рихтер (Verfahren zur Herstellung von 5,5-Phenyläthylbarbitursäure. Richter E. H. A.) Пат. ГДР 10847, 2.12.55

Для получения 5,5-фенилэтилбарбитуровой к-ты (I) из дибутилового эфира фенилэтилмалоновой к-ты (II), мочевины и бутилата Na р-цию проводят в присутствии низкокипящего спирта, напр., метанола, в качестве р-рителя и в-ва, ускоряющего р-цию, что предотвращает разложение II под действием высокой т-ры, уменьшает нечистоту (постепенное добавление бутилата Na) и дает более высокие выходы и чистоту I. П р и м е р:

320 г II и 180 г мочевины нагревают с 400 мл метанола до 75°, причем растворяется вся мочеви́на, и прибавляют по каплям в течение 6—7 час. р-р 69 г Na в 1310 г бутанола, т-ра поднимается до 92°, при этой т-ре выдерживают 3 часа, отгоняют р-рители, охлаждают, размешивают с 2 л воды, фильтруют, водн. р-р подкисляют HCl до pH 3, перекристаллизуют осадок из спирта и сушат. Выход I 170—175 г, что составляет 73—76% теоретического.

Ю. Вендельштейн

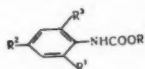
**52536 П.** Способ получения диванилиденциклогексана (Verfahren zur Herstellung von Divanillylden-Cyclohexanon). [Anton von Waldheim Chemisch pharmazeutische Fabrik]. Австр. пат. 180258, 25.11.54 [Chem. Zbl., 1955, 126, № 15, 3438—3439 (нем.)]

Для получения диванилиденциклогексана ванилин конденсируют с двойным мол. кол-вом циклогексана в кислой среде при повышенной т-ре, полученный продукт конденсации мацерируют в разб. холодной  $\text{CH}_3\text{COOH}$  и очищают перекристаллизацией из  $\text{CH}_3\text{COOH}$ . Применяют для лечения заболеваний печени и желчного пузыря.

Ю. Вендельштейн

**52537 П.** Анестетики (Anaesthetics) [Aktiebolaget Bofors]. Англ. пат. 734745, 3.08.55

Эфиры фенилкарбаминовых к-т общей ф-лы (I)



( $\text{R}'$  и  $\text{R}^3$  — алкил или алкоксил,  $\text{R}^2$  — H, алкил или алкоксил,  $\text{R} - \text{R}^4\text{NR}^5\text{R}^6$ , где  $\text{R}^4$  — нормальный или разветвленный, насыщ. или ненасыщ. углеводородный радикал, содержащий  $\leq 6$  атомов C, а  $\text{R}^5$  и  $\text{R}^6$  — H или алкил и вместе с атомом N могут образовывать гетероцикл. кольцо) получают р-цией эфира фенилкарбаминовой к-ты общей ф-лы I, где  $\text{R}$  — нормальная, разветвленная, или гетероцикл. насыщ. или ненасыщ. углеводородная цепь, с аминоспиртом ф-лы  $\text{HOR}^4\text{NR}^5\text{R}^6$  в присутствии щел. или щел.-зем. металла. Предпочтительно р-цию проводят с избытком аминоспирта, при повышенной т-ре и в вакууме для отгонки в течение р-ции образующегося спирта ROH. Примеры: а) метиловый эфир 2,6-диметилфенилкарбаминовой к-ты нагревают с диэтиламиноэтиловым спиртом и получают диэтиламиноэтиловый эфир 2,6-диметилфенилкарбаминовой к-ты; б) аналогично пиперидинэтиловый эфир 2,4,6-триметилфенилкарбаминовой к-ты получают из пиперидинэтилового спирта и этилового эфира 2,4,6-триметилфенилкарбаминовой кислоты.

Ю. Вендельштейн

**52538 П.** Химioterапeвтические агенты (Chemotherapeutic agents) [National Research Development Corp.]. Англ. пат. 738415, 12.10.55

Патентуются соединения, препятствующие росту опухолей, общей ф-лы  $\text{C}_6\text{H}_4[\text{O}(\text{CH}_2)_n\text{COOR}^1\text{N}(\text{R}^2)_2]$  ( $\text{R}$  — группа  $\text{CH}_2\text{CH}_2\text{Cl}$ ,  $\text{R}^1$  — H или алкил, а  $n$  — не выше 4), получаемые обработкой  $\text{POCl}_3$  соединений вышеуказанной ф-лы, где  $\text{R}$  — группа  $\text{CH}_2\text{CH}_2\text{OH}$ , а  $\text{R}^1$  — алкил; для получения свободной к-ты ( $\text{R}^1$  — H) эфирную группу гидролизуют в кислой среде. Особенно активны свободные к-ты, в которых оба заместителя находятся в пара-положении. Примеры: а)  $n$ -N,N-ди-(2-хлорэтил)-аминоуксусную к-ту получают кипячением этил- $n$ -N,N-ди-(2-оксэтил)-аминофеноксацетата (II) с  $\text{POCl}_3$  в хлороформе с последующим гидролизом образующегося продукта HCl (к-та), б) аналогично, но в  $\text{C}_6\text{H}_6$  вместо  $\text{CHCl}_3$ , получают  $n$ -N,N-ди-(2-хлорэтил)-аминофеноксипропионовую к-ту из метил- $n$ -N,N-ди-(2-оксэтил)-аминофеноксипропионата (III), в) аналогично б) получают  $n$ -N,N-ди-(2-хлорэтил)-аминофеноксимасляную к-ту (IV) из метил- $n$ -N,N-ди-(2-оксэтил)-аминоксипропионата. Исходный II получают р-цией этил- $n$ -

аминофеноксацетата с окисью этилена в 1 н.  $\text{CH}_3\text{COOH}$ , аналогично получают III и IV.

Ю. Вендельштейн

**52539 П.** Бензоаты бис-четвертичного аммония. Зиглер (Bis-quaternary ammonium benzoates. Ziegler Carl) [Merck & Co., Inc.]. Пат. США 2717904, 13.09.55

Патентуются соединения общей ф-лы  $[\text{n}-(\text{R}')(\text{R}^2)(\text{R}^3)+\text{N}+\text{C}_6\text{H}_4\text{COORN}^+(\text{R}^4)(\text{R}^5)]\text{R}^6\text{R}^7$ , где  $\text{R}'$ ,  $\text{R}^2$ ,  $\text{R}^3$  и  $\text{R}^4$  — низшие алкилы;  $\text{R}^5$  и  $\text{R}^6$  — низшие алкилы или фенил-алкилы, алкилы которых являются низшими;  $\text{R}^7$  — алкилен с нормальной или разветвленной цепью, содержащей 3—6 атомов C, и  $\text{R}^4$  и  $\text{R}^5$  — иеоксичный анион.

Ю. Вендельштейн

**52540 П.** Способ получения эфиров никотиновой кислоты. Шустер, Шенниг (Verfahren zur Herstellung von Estern der Nicotinsäure. Schuster Curt, Spänig Hermann) [Badische Anilin- & Soda-Fabrik A.-G.]. Пат. FRG 942509, 3.05.56

Эфиры никотиновой к-ты (I) получают нагреванием в автоклаве при 120—200° свободной I с избытком одного или многоатомного спирта, свободного от эфирных групп, без прибавления катализатора и удаления образующейся воды. Р-цию можно проводить непрерывным способом в среде индифферентного растворителя. В качестве спиртов применяют  $\text{CH}_3\text{OH}$ ,  $\text{C}_2\text{H}_5\text{OH}$ , гексиловый, изопропиловый, циклогексильный или бензиловый спирт, гликоли, глицерин, хлорированные спирты или триэтаноламин. Получаемые эфиры являются ценными промежуточными продуктами, особенно для получения фармацевтич. препаратов. В автоклаве нагревают 8 час. при 180° смесь 250 ч. чистой I и 1500 ч. безводн. спирта, по охлаждению фильтруют от I, из фильтрата отгоняют избыток спирта, снова отделяют выпавшую I, после чего отгоняют 232 ч. этилового эфира I (т. кип. 104—108°/11 мм, выход 75,5%); из остатка после перегонки регенерируют еще 30 ч. I; выход эфира I с учетом регенерированной I — 92%. Аналогичным образом из 250 ч. I и 1500 ч.  $n$ -бутанола получают 245 ч.  $n$ -бутилового эфира I, т. кип. 128—131°/11 мм, 89,5% теории на израсходованную I. Из 250 ч. I и 1500 ч. циклогексанола (180°, 10 час) получают 214 ч. циклогексильного эфира I, т. кип. 124—127°/1 мм; регенерируют 87 ч. I. Из смеси 1000 ч. толуола, 500 ч.  $n$ -бутанола и 250 ч. I получают 241 ч.  $n$ -бутилового эфира I и 54 ч. регенерированной I.

Ю. Вендельштейн

**52541 П.** Производные изоникотиновой кислоты и способ их получения (Isonicotinic acid derivatives and process for the manufacture thereof) [Roche Products, Ltd]. Англ. пат. 729967, 4.05.55

Патентуются соединения общей ф-лы  $4\text{[CO}-\text{N}(\text{R}''')\text{N}(\text{R}')\text{R}'']\text{C}_6\text{H}_4\text{N}$  (каждый из  $\text{R}'$  и  $\text{R}''$  — H, алкил, аралкил или алкенил;  $\text{R}'''$  — алкил, аралкил или алкенил) и соли этих соединений с к-тами. Их получают р-цией галогидангидридов изоникотиновой к-ты или их галогидратов с моно-, ди- или триазем. гидразином, причем заместителями являются алкил, аралкил или алкенил; в случае, если в р-цию введен  $\text{N}'\text{N}'$ -дизамещ. гидразин, образующийся  $\text{N}^2\text{N}^2$ -дизамещ. изоникотинилгидразин обрабатывают щел. металлом, растворенным в низшем алканоле, и затем галогидным алкилом, аралкилом или алкенилом. В примерах описано получение производных гидразина:  $\text{N}'$ -изоникотинил- $\text{N}'$ ,  $\text{N}^2$ -дизамещ.-I (гидразин) и его хлоргидрата;  $\text{N}'$ -изоникотинил- $\text{N}'$ ,  $\text{N}^2$ -дизамещ.-I и его хлоргидрата;  $\text{N}'$ -изоникотинил —  $\text{N}'$ - $n$ -бутил- $\text{N}^2$ ,  $\text{N}^2$ -диметил-I,  $\text{N}'$ -изоникотинил- $\text{N}'$ -аллил- $\text{N}^2$ ,  $\text{N}^2$ -диметил-I и  $\text{N}'$ -изоникотинил- $\text{N}^1$ -аллил- $\text{N}^2$ ,  $\text{N}^2$ -диэтил-I,  $\text{N}'$ -изоникотинил- $\text{N}^1$ -бензил- $\text{N}^2$ ,  $\text{N}^2$ -диметил-I.

Ю. Вендельштейн

**52542 П.** Производные изоникотиновой кислоты и способ их получения (Isonicotinic acid derivatives

and process for the manufacture thereof) [Roche Products, Ltd]. Англ. пат. 724699, 23.02.55

Соединения, обладающие химиотерапевтич. свойствами, общей ф-лы  $RCONHN-C_4(R')(R'')$ , где R — остаток пиридина, R' — H или алкил, а R'' — пиридил, тиенил или нитрофурил, получают р-цией изоникотинилгидразина с альдегидом или кетоном общей ф-лы  $R'COR''$ , предпочтительно в среде разбавителя, напр., воды и (или) низшего спирта. В примерах описано получение: 1) 1-изоникотинил-2-[пиридил-(3')-метилен]-гидразина из пиридин-3-альдегида; 2) пиридил-(4')-метиленпроизводного; 3) 1-изоникотинил-2-[тиенил-(2')-метилен]-гидразина из тioen-(2)-карбонсальдегида; 4) 1-изоникотинил-2-[5'-нитрофуруриден]-гидразина из 5-нитрофурурола; 5) 1-изоникотинил-2-[1'-пиридил-4'']-этилен-гидразина из метилпиридил-(4)-кетона; 6) 1-изоникотинил-2-[1'-(пиридил-3''-пропилен)-гидразина и 7) 1'-(пиридил-4'')-пропиленпроизводного из 3-пропилен- и соответственно 4-пропиленпиридина; 8) 1-изоникотинил-2-[1'-(тиенил-2'')-этилен]-гидразина из 2-апетилтиофена.

Ю. Вендельштейн 52543 П. Способ получения производного изоникотининовой кислоты (Verfahren zur Herstellung eines Isonicotinsäure-Derivates) [F. Hoffmann—La Roche & Co. A-G.]. Швейц. пат. 301594, 16.11.54 [Chem. Zbl., 1955, 126, № 29, 6806 (нем.)]

Для получения туберкулоstatic. продукта, 1-изоникотинил-2-альдозилгидразина, особенно 2-изоникотинил-2-альдопентозил- и 1-изоникотинил-2-альдогексозилгидразина, эквимолекулярные кол-ва гидразида изоникотининовой к-ты и альдозы, конденсируют кипячением с обратным холодильником в среде разбавителя, напр. метанола. Напр., из гидразида изоникотининовой к-ты и d-глюкозы получают бесцветные кристаллы 1-изоникотинил-2-d-глюкозилгидразина, окрашивающегося при нагревании и разлагающегося при 160°.

Ю. Вендельштейн 52544 П. Производное изоникотининовой кислоты и способ его получения (Isonicotinic acid derivative and process for the manufacture thereof) [Roche Products, Ltd]. Англ. пат. 734100, 27.07.55

Патентуемое химиотерапевтич. соединение, изоникотинилгидразон коричневого альдегида, получают конденсацией изоникотинилгидразина с коричневым альдегидом, предпочтительно при повышенной т-ре в среде разбавителя, напр. воды, низшего спирта или воды. спирта.

Ю. Вендельштейн 52545 П. Способ получения противотуберкулезных соединений (Procédé de fabrication de composés antituberculeux) [Imperial Chemical Inds]. Франц. пат. 1107521, 3.01.56

Патентуется способ получения терефталата S,S'-диэтилдиотиола (I) этерификацией терефталевой к-ты (II) этилмеркаптаном (III) или р-цией галоидангидрида II с III, в присутствии инертного р-рителя и в-ва, связывающего образующуюся к-ту, напр. NaOH. Примеры (в вес. ч.): а) к р-ру 68 ч. III в 510 ч. воды. 2 н. р-ра NaOH прибавляют в течение 20 мин. при размешивании и т-ре 15—20 (поддерживаемой охлаждением) 90 ч. хлорангидрида II в 350 ч. бензола (IV), нагревают до 28°, отделяют бензольный слой, промывают его водой, выпаривают IV и получают I, т. пл. 90—91°; б) 20 ч. хлорангидрида II и 20 ч. III кипятят до прекращения выделения HCl, отгоняют избыток III, остаток кристаллизуют из IV или спирта, получая I с т. пл. 90—91°. Активность патентуемого в-ва против туберкулеза, искусственно вызванного у животных, настолько значительна, что позволяет рассчитывать на применение его для лечения естественного туберкулеза у человека и животных.

Ю. Вендельштейн 52546 П. Способ расщепления рацемического прео-1-фенил-2-аминопропандиола-1,3 (Process for the reso-

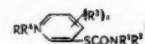
lution of racemic threo-1-phenyl-2-amino-1,3-propanediol) [Lepetit Soc. per Azioni]. Англ. пат. 738064, 5.10.55

Патентуемое расщепление рацемич. прео-1-фенил-2-аминопропандиола-1,3 (I) на его оптич. активные изомеры осуществляют р-цией его с D-глутаминовой к-той (II) в алифатич. спирте, содержащем 1—6 атомов C (напр., C<sub>2</sub>H<sub>5</sub>OH), отделением путем фильтрования нерастворимого продукта, из которого (+)-I выделяют обработкой конц. воды. р-ром карбоната щел. металла (напр. K<sub>2</sub>CO<sub>3</sub>) и перекристаллизацией из инертного органич. р-рителя (напр. CHCl<sub>3</sub>); фильтрат от продукта р-ции с II выпаривают досуха, остаток перекристаллизуют из инертного органич. р-рителя и получают (—)-I, который остается не связанным с II, применяемой в кол-ве 2 экв на 1 экв рацемич. I. Ю. Вендельштейн 52547 П. Способ получения 1-(n-нитрофенил)-2-аминопропандиола-1,3. Кересть, Вольф (Procédé de préparation du 1-(p-nitrophényl)-2-amino-propandiol, 1,3-diol. Kereszt, Wolf) [Gyogyszeripari Kutató Intezet, Chinoin Gyogyszer es Vegyeszeti Termek Gyara R. T.]. Франц. пат. 1051241, 14.01.54 [Chem. Zbl., 1955, 126, № 25, 5854 (нем.)]

Доп. к англ. пат. 701127 (РЖХим, 1956, 55961). При нагревании 6 г dl-прео-1-фенил-2-аминопропандиола-1,3 (I) с 5,4 г n-нитробензальдегида в течение 40 мин. при 120—130° и 70 мм рт. ст. с одновременным удалением выделяющейся воды получают 2-(n-нитрофенил)-4-(α-оксibenзил)-оксазолидин (II), т. пл. 156—157° (нагреванием 4 г I с 6 мл бензальдегида 1 час при 150° получают соответствующее фенильное соединение, т. пл. 137—138°). К р-ру 1 г II в 7 мл абс. пиридина прибавляют при охлаждении льдом 2,5 мл уксусного ангидрида; после переработки продукта р-ции получают 2-(n-нитрофенил)-4-(α-ацетоксибензил)-оксазолидин, т. пл. 161—162°, 1 г которого растворяют при —5—0° в течение 6 мин. в смеси 5 мл конц. HNO<sub>3</sub> и 2,5 мл уксусного ангидрида, затем нитруют при 0—10° в течение 10 мин. и выделяют из реакционной смеси 2-(n-нитрофенил)-4-(α-ацетокси-n-нитробензил)-оксазолидин, т. пл. 133—135°; последний нагревают 3,5 часа с 50-кратным от его веса кол-вом 8%-ной HCl до 90—95°, причем образуется 2-(n-нитрофенил)-4-(α-оксibenзил)-оксазолидин, т. пл. 221—222°, который кипятят в течение 12 час. с HCl, содержащей лед. CH<sub>3</sub>COOH, превращают в чистый 1-(n-нитрофенил)-2-аминопропандиол-1,3 (III), который можно разделить на его оптич.-активные изомеры; из них l-прео-III, т. пл. 161—162°, служит для приготовления фармацевтич. препаратов.

Ю. Вендельштейн 52548 П. Соединения пиридина с терапевтическими свойствами. В юст (Pyridine therapeutic compounds. Wuest Heinz M. [William R. Warner & Co. Inc.]. Канад. пат. 512588, 3.06.55

Патентуется способ получения соединений общей ф-лы (I) (R<sup>1</sup> и R<sup>2</sup> — алкил, арил, галоид-арил или гидроарил, или R<sup>1</sup> и R<sup>2</sup> вместе образуют поли-



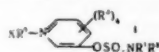
метиленовый радикал, содержащий ≤5 атомов C, R<sup>3</sup> — H, низший алифатич. или ариалфатич. радикал или галоид, R<sup>4</sup> — органич. радикал, образующий четвертичное соединение, а R — анион, образующий выше названное соединение) р-цией соединения ф-лы I, в где R и R<sup>4</sup> отсутствуют (3-валентный атом N) с соединением ф-лы R<sup>4</sup>R. Напр., бромид 1-бензил-3-(диметилкарбамилмеркапто)-пиридина (II) получают взаимодействием 3-(диметилкарбамилмеркапто)-пиридина с бромистым бензилом. Патентуются также получаемые



этим способом четвертичные соли третичных аминов, в частности II.

Ю. Вендельштейн  
52549 П. Терапевтически активные соединения пиридина. В юст (Pyridine Therapeutic compounds. Wuest Heinz M.) [William R. Warner & Co., Inc.]. Канад. пат. 512588, 3.05.55

Патентуется способ получения соединений общей ф-лы (I) ( $R^1$  и  $R^2$  — алкил, аларкил, арил, галондиро-



ванный арил или гидроарил, причем  $R^1$  и  $R^2$  могут быть одинаковыми или разными и каждый из них предпочтительно содержит не более 10 атомов С, или они оба вместе образуют полиметиленовое кольцо, содержащее не более 5 атомов С,  $R^3$  — Н, низший алифатич. или ари- алифатич. радикал, содержащий не более 10 атомов С или галонд, причем  $R^3$  могут быть одинаковыми или разными;  $R^4$  — органич. радикал, образующий четвертичное соединение; X — анион, образующий четвертичное соединение) путем р-ции соединения ф-лы I, где X и  $R^4$  при атоме N отсутствуют, а  $R^1$ ,  $R^2$  и  $R^3$  имеют вышеуказанное значение, с в-вом общей ф-лы  $R^4X$  (X и  $R^4$  имеют указанное выше значение), образующим четвертичное соединение. В качестве примеров получаемых вышеописанным способом четвертичных солей третичных аминов названы 1-бензил- и 1-метил-3-(N-диметилсульфамил)-пиридинийбромиды.

Ю. Вендельштейн  
52550 П. Способ получения тиосемикарбазида пиридинальдегида. Хагенбах, Жизен (Zrůsob výroby thiosemikarbazonů pyridinaldehydů. Hagenbach Rudolf, Gysin Hans). Чехосл. пат. 85564, 15.02.56

Тиосемикарбазоны пиридинальдегидов применяют в химиотерапии туберкулеза как таковые или в виде солей (напр., тиоцианатов). Их получают р-цией пиридинальдегида или его производного с тиосемикарбазидом. Вместо тиосемикарбазида можно применять легко обменивающиеся тиосемикарбазоны кетонов (ацетона, циклогексанола). 11 ч. пиридин-3 альдегида (I) растворяют в 100 ч. спирта, прибавляют р-р 9,3 ч. тиосемикарбазида в 100 ч. горячей воды, смесь нагревают 1 час с обратным холодильником на водяной бане, охлаждают, отфильтровывают выпавшие кристаллы; после перекристаллизации (пиридин — вода) получают тиосемикарбазон I, т. пл. 222° (разл.). 7,5 ч. тиосемикарбазона ацетона растворяют в 80 ч. горячей 50%-ной  $CH_3COONH_4$ , прибавляют р-р 6 ч. I в 20 ч. воды, нагревают 1 час до кипения, охлаждают, нейтрализуют конц. аммиаком и получают тиосемикарбазон I. После перекристаллизации (диоксан — вода) т. пл. 222° (разлож.) Аналогичным с вышеописанным способом получают тиосемикарбазон пиридин-4 альдегида.

Б. Адамец  
52551 П. Способ получения 4-(N-фенил-N-бензиламин)-1-алкилпиперидинов и их производных, замещенных в ароматическом остатке. Каллиш и Г (Verfahren zur Herstellung von 4-(N-phenyl-N-benzyl-amino)-1-alkyl-piperidinen bzw. ihrer in den aromatischen Resten substituierten Derivate. Kallisch nigg Rolf) [Knoll A.-G. Chemische Fabriken]. Пат. FRG 891547, 28.09.53 [Chem. Zbl., 1955, 126, № 16, 3687 (нем.)]

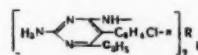
Для получения названных соединений N-бензил-алили (вданном случае замещ. вядре) (I) конденсируют с 4-галонд-1-алкилпиперидинами в присутствии щел. конденсирующего в-ва. Напр., при кипячении I в течение 12 час. в ксилтоле с амидом Na и 1-метил-4-хлорпиперидином в атмосфере  $N_2$  образуется 4-(N-фенил-N-бензиламин)-1-метилпиперидин, т. пл. 115°, дихлоргидрат, т. пл. 189° (разл.), монохлоргидратмоногидрат,

т. пл. 210°. Аналогично получают 4-[N-фенил-N-(4'-метоксибензил)-амин]-1-метилпиперидин, т. пл. 115°, дихлоргидратмоногидрат, т. пл. 192°; 4-[N-(4'-метилфенил)-N-бензиламин]-1-метилпиперидин, т. пл. 106—107°, дихлоргидрат, т. пл. 223°; 4-[N-фенил-N-(4'-хлорбензил)-амин]-1-метилпиперидин, т. пл. 115°, дихлоргидрат, т. пл. 193°. Патентуемые в-ва применяют для получения лекарственных в-в. Ю. Вендельштейн  
52552 П. Способ получения новой соли 8-оксихинолина (Verfahren zur Herstellung eines neuen Salzes von 8-Oxychinolin) [Ciba A.-G.]. Швейц. пат. 301583, 20.04.51 [Chem. Zbl., 1955, 126, № 34, 7981 (нем.)]

8-оксихинолин или его соль вводят в р-цию с дихлоруксусной к-той или ее солью и получают дихлорацетат 8-оксихинолина, т. пл. 107—108°, растворим в воде, образуя 30%-ный р-р, хорошо растворим в липидах. Применяется в качестве лекарственного средства.

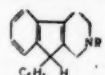
Ю. Вендельштейн  
52553 П. Производные пиридина и способ их получения (Pyrimidine derivatives and process for their production) [Soc. des Usines Chimiques Rhône-Poulenc]. Англ. пат. 735890, 31.08.55

Амебоцидные соединения общей ф-лы (I) (R — двувалентная алифатич. цепь, содержащая 2—6 атомов С) и



их соли получают конденсацией 2-амино-4-хлор-5-(4'-хлорфенил)-6-этилпиридина или его N-ацетиламинопроизводного с диамином общей ф-лы  $NH_2R_2NH_2$  предпочтительно кипячением 2 молей пиридина с 1 молем диамина в среде р-рителя, напр. фенола. В качестве аминов упомянуты этилендиамин, 1,4-диаминобутан и гексаметилендиамин, приводящие к образованию соответственно N, N'-1,2-ди-(2'-амино-5'-л-хлорфенил)-6'-этил-4'-пиридил-аминоэтана, -бутана и -гексана. Ю. Вендельштейн  
52554 П. 8-галондоксантиновые соли органических оснований и способ их получения. Кьюсик (Methods of preparing haloxanthine salts of organic bases and the 8-haloxanthine salts resulting from said methods. Cusic John W.) [G. D. Searle and Co.]. Канад. пат. 512781, 10.05.55

8-галондоксантиновую соль 2-алкил-9-фенил-2,3,4,9-тетрагидро-1-пиридинена (I) (R — низший алкил) получают нагреванием I в инертном, смешивающемся с во-



дой р-рителе с 8-галондоксантином, содержащем Н-атом в положении 7. Указано также получение 8-хлортеофилиновой соли I ( $R=CH_3$ ) и 8-бромтеофилиновой соли I ( $R=CH_3$ ).

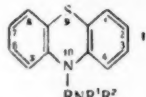
В. Смит  
52555 П. Способ получения производных нафтодиантрона, содержащих гидроксильные группы. Брокман, Клуге (Verfahren zur Herstellung von Hydroxylgruppen enthaltenden Naphthodianthrondervaten. Brockmann Hans, Kluge Friedrich) [Farbenfabriken Bayer A.-G.]. Пат. FRG 921386, 16.12.54 [Chem. Zbl., 1955, 126, № 19, 4407—4408 (нем.)]

Галондированные в положении 1 и содержащие, кроме того,  $CH_2$ -группу окси- или алкоксиантрахиноны превращают по Ульману в производные 1,1'-диантрахинонилы (I), которые после деалкилирования (в случае алкоксисоединений) восстанавливают (напр., Cu и конц.  $H_2SO_4$ ) в производные геллантрона; при одновременном облучении УФ-светом образуются производные метилнафтодиантрона. Смесь триметилового эфира 1-



обычными способами, применяемыми для превращения динитрилов в диамидины. Трихлоргидрат моногидрат-**I**, т. пл.  $> 300^\circ$ . Ю. Вендельштейн  
52560 **II**. Фентиазины (Phenthiazines) [Soc. des Usines Chimiques Rhône-Poulenc]. Австрал. пат. 164395, 18.08.55

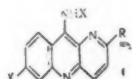
Терапевтически ценные соединения фентиазина общей ф-лы (**I**) (фентиазиновое кольцо замещено в положении 1 или 3 нижним алкилом или нижним алкоксилем, а группировка  $RNR^1R^2$  означает или диметиламинопропиловую или пирролидинпропиловую цепь) полу-



чают конденсацией соединения ф-лы **I** с упомянутыми выше заместителями в положениях 1 и 3 и с  $R^3$  при N (в положении 10) вместо  $RNR^1R^2$  с соединением общей ф-лы  $R^4NR^1R^2$ , где  $R^1$  и  $R^2$  — или самостоятельные метилы или образуют с прилежащим азотом N пирролидиновое кольцо, один из  $R^3$  и  $R^4$  — H, а другой — замещенная на конце галовидом пропильная группа.

Ю. Вендельштейн  
52561 **II**. Получение мезо-замещенных азаакридинов (Production of meso-substituted azaacridines) [Ward, Blenkinsop & Co., Ltd Howards of Ilford, Ltd]. Англ. пат. 722704, 26.01.55

Азаакридины общей ф-лы (**I**) (R — алкокси- или арил-оксигруппа; Y — Cl, Br или J; X — H, арил, аларкил



или Z —  $C_nH_{2n}$ -группа;  $n > 1$ ; Z — H, окси-, алкокси- или группа одной из общих ф-л  $R'R''N$  —,  $R'R''N$  —  $C_mH_{2m}O$  — или  $CH_2CH_2-A-CH_2CH_2-N$  (R' и R'' —

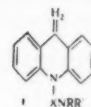
алкил с 1—4 атомами C;  $m > 1$ ; A есть  $-CH_2-$  или  $-O-$ ) получают нагреванием соответствующих 9-галондза-мещ. 1-азаакридинов (в присутствии или отсутствие инертного р-рителя) или соответствующих 9-фенокси-или 9-алкилфенокси-1-азаакридинов с  $NH_4$ -солью слабой к-ты, первичным аларкиламином, ариламином или амином общей ф-лы  $ZC_nH_{2n}NH_2$  9-фенокси- или 9-алкилфенокси-1-азаакридины получают нагреванием 9-галонд-2-азаакридинов с фенолом или алкилфенолом и могут реагировать дальше с выделением или без выделения из реакционной среды или 9-галонд-1-азаакридины непосредственно нагревают с  $NH_4$ -солью или амином в присутствии фенола или алкилфенола. Получаемые продукты обладают фармацевтич. действием, в частности против плазмодиев. Напр., а) 2-метокси-6,9-дихлор-1-азаакридин нагревают с фенолом, а затем полученный продукт с 5-диэтиламино-2-аминопентаном,  $(NH_4)_2CO_3$ ,  $\beta$ -морфолиноэтиламином,  $\beta$ -пиперидиноэтиламином,  $n$ -додециламином или  $n$ -толуидином; б) 2-н-бутокси-6,9-дихлор-1-азаакридин нагревают с фенолом, а затем с 5-диэтиламино-2-аминопентаном,  $\beta$ -диэтиламиноэтиламином,  $(NH_4)_2CO_3$ , этаноламином,  $\beta$ -этоксипропиламином или  $\beta$ -диэтиламиноэтоксипропиламином; в) 2-метокси-6,9-дихлор-1-азаакридин нагревают с бензиламином; г) 2-фенокси-6,9-дихлор-1-азаакридин нагревают с фенолом, а затем с  $(NH_4)_2CO_3$ . Приведен дополнительный список аминов, применяемых для р-ции.

В. Уфимцев

52562 **II**. Терапевтически ценные производные акрида-на (Therapeutically valuable acridan derivatives)

[Cassella Farbwerke Mainkur A.-G.]. Англ. пат. 727635, 6.04.55

Патентуются четвертичные соли производных акрида-на общей ф-лы (**I**) (X — алкилен, R и R' — алкилы,



которые могут образовать кольцо с эфирами арилсульфоновых к-т), получаемые нагреванием производного акрида-на (**II**) с эфиром арилсульфоновой к-ты в р-рителе, напр. бэл., толуоле или декагидронафталине. N-пиперидилэтил-**II** вводят в р-цию с метил- $n$ -толуолсульфонатом или N-диэтиламиноэтил-**II** с метил- $n$ -толуолсульфонатом, метилбензолсульфонатом или фенилбензолсульфонатом соответственно; диэтиламиноэтил-**II** (описан его хлоргидрат) или N-пиперидилэтил-**II** получают взаимодействием дигидроакридина в р-ре толуола, содержащем щел. в-во, напр. амид Na, фенил-Li, тонкодисперсный металлич. Na (или K) или измельченный KOH, соответственно с 1-диэтиламин-2-хлорэтаном или  $\beta$ -хлорэтилпиперидином.

Ю. Вендельштейн  
52563 **D**. Способ получения 5-н-гептил-2-тиогиданто-на. Фрелик (Sätt att framställa 5-n-heptyl-2-tiohydantoin. Frøelich E. J.) [Sterling Drug Inc.]. Шведск. пат. 155232, 17.07.56

5-н-гептил-2-тиогидантонин (**I**) получают, нагревая 2-аминопеларгоновую к-ту с водорастворимым неорганич. тиоцианатом, напр. с тиоцианатом Na, K или Ca, и ангидридом низшей алифатич. к-ты, в частности, с  $(CH_3CO)_2O$  (**II**), с последующим дезацилированием полученного **I**, содержащего в положении 1 ацильную группу. Смесь 51,9 г 2-аминопеларгоновой к-ты, 40 г  $NH_4$ -тиоцианата, 180 мл **II** и 20 мл  $CH_3COOH$  нагревают 20 мин. с обратным холодильником, а затем выливают в 1500 мл ледяной воды. После гидролиза избыточного **II** води. р-р несколько раз экстрагируют  $CHCl_3$ , р-ритель отгоняют в вакууме. Полученное ацетильное производное **I** прибавляют к смеси 133 мл  $C_2H_5OH$ , 133 мл воды и 133 мл конц. HCl, кипятят 40 мин., а затем охлаждают льдом. Выпавший **I** промывают водой и кристаллизуют из спирта с добавкой обесцвечивающего угля. Продукт сушат 12 час. при  $70^\circ$ , получают 35,3 г **I**, выход 55%, т. пл.  $130-131,6^\circ$ . Продукт обладает сильным противотуберкулезным действием.

Б. Фабричный  
52564 **II**. Способ получения новых ароматических тиоэфиров (Verfahren zur Herstellung eines neuen aromatischen Thioesters) [Cilag A.-G.]. Швейц. пат. 301684—301694, 16.11.54 [Chem. Zbl., 1955, 126, № 27, 6340 (нем.)]

Доп. к швейц. пат. 297993 (РЖХим, 1956, 44675). Для получения химиотерапевтич. в-в (бактерициды и гистогонные) в соединениях общей ф-лы  $C_nH_{2n}SR(OH)_2$  1,2,4 (**I**), где R — Na, K и т. д., обменивают R на органич. остаток. Напр., из Na-соли 2,4-диокситофенола и хлорангидрида N,N-диэтилкарбаминовой к-ты получают эфир 2,4-диоксифенилдиэтилкарбаминовой к-ты, т. пл.  $149-150^\circ$ . Аналогично получены (2,4-диоксифенилтио-**II**) эфир **II**-аминобензойной к-ты, т. пл.  $210-211^\circ$ ; эфир **II**-бензойной к-ты, т. пл.  $136-137^\circ$ ; **II**-изоамиловый эфир, т. кип.  $120-122^\circ/0,01$  мм; **II**-гексильный эфир, т. кип.  $126^\circ/0,07$  мм; **II**-бензилловый эфир, т. кип.  $140-145^\circ/0,02$  мм, т. пл.  $86-87^\circ$ ; **II**-уксусная к-та, т. пл.  $99-100^\circ$  (из **I** и хлоруксусной к-ты или ее этилового эфира, в последнем случае с последующим омылением); **II**-изобутиловый эфир, т. кип.  $113-115^\circ/0,06$  мм; **II**-н-бутоксипропиловый эфир, т. кип.  $144-145^\circ/0,08$  мм; **II**-[4',6'-диметилпиримидиловый-(2')]-эфир, т. пл.  $191-193^\circ$ ; **II**- $\beta$ -феноксипропиловый эфир,



т. пл. 68—69°; II-β-оксизтоксиэтиловый эфир, т. кип. 168°/0,04 мм; II-феноксиэтиловый эфир, т. пл. 106—108°; II-β-диэтиламиноэтиловый эфир, т. пл. 120°; II-β-(4'-карбоксифенокси)-этоксизтиловый эфир, т. пл. 76—78°; II-β-(2'-карбоксифенокси)-этоксизтиловый эфир т. пл. 173° (Na-соль). Ю. Вендельштейн

52565 П. 2-(*n*-аминобензолсульфамидо)-тиазол. Цукамото, Сакада [2-(*p*-aminobenzenesulfonamido)-thiazole. Tsukamoto Tadashi, Sakada Rikita] [Mitsubishi Chemical Industries Co.]. Японск. пат. 4624, 16.09.53 [Chem. Abstrs, 1955, 49, № 10 6998 (англ.)]

К 160 г  $\text{CH}_3\text{COOCHClCH}_2\text{Cl}$  в 1 л воды при 60° прибавляют 200 г *n*- $\text{CH}_3\text{CONHC}_6\text{H}_4\text{SO}_2\text{NHC}_6\text{H}_5$ , затем частями прибавляют 135 г  $\text{NaHCO}_3$ , поддерживая pH в пределах 3,5—5,5. Смесь охлаждают, продукт отфильтровывают и гидролизуют 5 объемами 27%-ного NaOH. После подкисления получают 141 г (81,5%) сульфата тиазола. Б. Фабричный

52566 П. Способ получения соединений, обладающих средством к опухолям. Цервек, Перш, Штахель (Verfahren zur Herstellung von tumoraffinen Verbindungen. Zerweck Wernern, Persch Walther, Stachel Adolf) [Cassella Farbwerke Mainkur A.-G.]. Пат. ФРГ 891260, 28.09.53 [Chem. Zbl., 1955, 126, № 16, 3686 (нем.)]

Конденсируют розанилин или *n*-розанилин с многоядерными арилами, содержащими реакционные заместители, напр.,  $\text{NH}_2$ , OH или галогиды, до соответствующих триарилрозанилинов, после чего последние сульфировать до вступления по крайней мере трех сульфогрупп. Нагревают *n*-розанилин, 2-нафтол и безводн.  $\text{NaHSO}_4$  в течение 7—8 час. при 210°, получают  $\text{N}, \text{N}', \text{N}''$ -три-(β-нафтил)-*n*-розанилин, растворяющийся после сульфирования (конц.  $\text{H}_2\text{SO}_4$ ) и превращения в Na-соль в воде с зелено-синей окраской. Хлоргидрат  $\text{N}, \text{N}', \text{N}''$ -три-(β-нафтил)-*n*-розанилина растворяется в воде с синей окраской и зеленой флуоресценцией. Хлоргидрат  $\text{N}, \text{N}', \text{N}''$ -три-(флуоренил)-2)-*n*-розанилина после сульфирования и превращения в Na-соль растворяется в воде с зелено-синей окраской. Полученные соединения обладают низкой токсичностью.

В. Уфимцев  
52567 П. Получение резерпина и его солей (Manufacture of alkaloid and its salts) [Ciba A.-G.]. Англ. пат. 734108, 27.07.55

Патентуется алкалоид резерпин (I), его соли и способ их выделения из экстракта, получаемого при обработке *Rauwolfia serpentina*, *R. vomitoria*, *R. inebrians* (преимущественно их корней) слабополярным или неполярным р-рителем, несмешивающимся или частично смешивающимся с водой. Для экстракции применяют галогидные производные углеводов, смешанные с полярным р-рителем (напр., спиртом), и иногда — водой (последняя может содержать к-ты, основания или соли). При добавлении воды экстракт разделяется на две фазы, между которыми распределяются извлеченные в-ва. Растительный материал (или экстракт из него) может быть также обработан водн. р-ром к-ты ( $\text{H}_3\text{PO}_4$ ), низшие жирные к-ты, кислые соли многоосновных к-т) и полученный таким образом экстракт обрабатывают слабополярным или неполярным р-рителем. Выделение I из экстракта осуществляют поглощением его на адсорбенте, напр., хроматографией на  $\text{Al}_2\text{O}_3$ ,  $\text{SiO}_2$  или силикате, с последующим вымыванием р-рителем, содержащим  $\text{C}_6\text{H}_6$ , и кристаллизацией из спирта или кетона (особенно  $\text{CH}_3\text{OH}$ ). Описаны различные способы экстракции, приводящие к получению кристаллич. I. Соли I могут быть получены прямым добавлением к-ты или путем обменного разложения; описано получение следующих солей I: хлоргидрата, нитрата, сульфата, пикрата, перхлората, метансульфоната, оксалата, салицилата, аскорбата, цитрата, малеата, сукцината и тартрата. Мо-

гут быть получены также соли других галогидоводородных к-т и соли фосфорной, уксусной, пропионовой, молочной, этансульфоновой, изотионовой, бензойной,  $\alpha$ -аминосалициловой и тиосульфоновой к-т. Описаны физ., хим. и физиологич. свойства I. А. Травин

52568 П. Способ получения дигидрокодеина. Штейн (Verfahren zur Herstellung von Dihydrocodein. Stein Alfred), Пат. ГДР 8212, 9.09.54

Дигидрокодеин (I) получают обработкой кодеина (II) молекулярным  $\text{H}_2$  в органич. р-рителе, предпочтительно в диоксане (III) или метаноле (IV) в присутствии Ni, напр. скелетного. Битартрат I в чистом состоянии выделяют прибавлением к сырому продукту р-ции р-равинной к-ты (V) в индифферентном органич. р-рителе, предпочтительно в III или IV и осаждением спиртами, предпочтительно IV. Из маточника от осажженного битартрата I в качестве побочного продукта выделяют дигидрокодеин (VI). Применение Ni вместо обычных Pt или Pd значительно ускоряет гидрирование. Пр и м е р ы: а) 500 г II, 50 г Ni-катализатора и 800 мл безводн. III нагревают в автоклаве при размешивании и давл.  $\text{H}_2$  25 атм 5 час. при 100—110°, охлаждают, сливают с осадка и удаляют тонкую суспензию Ni фильтрованием. Осадок Ni на дне можно непосредственно применять еще не менее 4 раз. Из желтого фильтрата удаляют р-ритель, остаток растворяют в смешивающихся с водой алифатич. спиртах к горячему конц. р-ру прибавляют воду до появления муты, медленно охлаждают, после начала кристаллизации прибавляют еще воды до прекращения образования муты, охлаждают и получают I, т. пл. 112—114°; б) полученный в а) после отделения катализатора р-р сырого I медленно при энергичном перемешивании обрабатывают с горячим р-ром 280 г V в 5 мл безводн. III, образующаяся сначала вязкая масса превращается в тонкие кристаллы. Из сконцентрированного маточного р-ра получают еще некоторое количество битартрата. Обе фракции битартрата нагревают до кипения с 3 л IV, при охлаждении жидкость внезапно мутнеет и выпадают плотные кристаллы битартрата I, которые фильтруют, промывают IV и эфиром, сушат при 40—60°, т. пл. 189°. Он отвечает всем требованиям и содержит 99,5—100% алкалоида на I в битартрате. Маточник применяют для следующих перекристаллизаций; в) маточник после выделения битартрата I из метанольного маточного р-ра в б) выпаривают в вакууме, остаток растворяют в 10%-ной  $\text{H}_2\text{SO}_4$ , фильтруют, р-р сильно подщелачивают  $\text{NH}_3$ , выпавший VI кристаллизуют из этилацетата, т. пл. 192—193°; г) смесь II, Ni и III гидрируют 3 часа при 80° и давлении 110 атм и перерабатывают как в а) и б); низкая т-ра, кратковременная обработка и высокое давление позволяют увеличить выход I и избежать образования побочных продуктов, напр. VI. Ю. Вендельштейн

52569 П. Новая соль витамина  $\text{B}_1$  и способ ее получения (Nouveau sel de la vitamine  $\text{B}_1$  et son procédé de préparation) [Société des usines chimiques Rhône-Poulenc]. Франц. пат. 1108379, 12.01.56

Новую соль витамина  $\text{B}_1$  и метилен-бис-β-оксинафтойной к-ты (I), очень мало растворимую в воде, не имеющую определенной т-ры плавления, устойчивую при хранении (даже в присутствии влаги) и не обладающую запахом, получают р-цией двойного обмена соли витамина  $\text{B}_1$ , напр. хлоргидрата (предпочтительно в виде 5—10% р-ра) с солью I, напр. с диантровой солью, в водн. р-рах при 20°. Новую соль прибавляют в муку или в препараты, предназначенные для кормления животных. Пр и м е р. К 355 мл 5%-ного р-ра хлоргидрата витамина  $\text{B}_1$  (с 1 мол. воды) прибавляют при 20° р-р Na-соли I, полученный из 19,4 г I и 100 мл 1 н. р-ра соды; образующийся зеленовато-желтый осадок оставляют на 15 час., фильтруют, промывают 300 мл дистил. воды, сушат и получают 31,4 г метилен-бис-оксинафтоа-

та витамина В<sub>1</sub>, который, в отличие от других нерастворимых солей, легко превращается, напр., в хлоридат витамина В<sub>1</sub>, обработкой суспензии новой соли в воде р-ром HCl.

Ю. Вендельштейн  
52570 П. Способ получения фосфорных эфиров рибофлавина. Уэйденхеймер, Рид (Method of preparation of phosphoric acid esters of riboflavin. Weidenheimer Joseph F., Reed Charles S.) [American Cyanamid Co.]. Канад. пат. 512668, 10.05.55

Смесь рибофлавина (I) и H<sub>3</sub>PO<sub>4</sub> (II) нагревают 10—120 мин. при 60—100°, растворяют в спирте и осаждают р-рителем из класса простых эфиров или кетонов. При весовом соотношении I:II=1:2 получают дифосфорный эфир I.

А. Травин  
52571 П. Получение витамина В<sub>12</sub> (Preparation of vitamin B-12) [Olin Mathieson Chemical Corp., formerly Mathieson Chemical Corp.]. Англ. пат. 731706, 15.06.55

Витамин В<sub>12</sub> получают выращиванием микроорганизма *Actinomyces* ATCC № 11071 или разновидности ATCC № 11072 в соответствующей стерильной, водн. питательной среде, содержащей источник усвояемого С и N и Co и выделением витамина В<sub>12</sub>, причем культуральную жидкость предварительно обрабатывают звуковыми волнами для дробления клеток. Ферментацию проводят при 30—37°, выход кобаламина повышают прибавлением моно CN или нитрила. Источником С служит, по крайней мере, частично жир или жирная к-та, содержащая >14 атомов С.

Ю. Вендельштейн  
52572 П. Способ выделения витамина В<sub>12</sub>. Вулф (Process for recovering vitamin B<sub>12</sub>. Wolf Frank J., Merck & Co., Inc.). Канад. пат. 513750, 14.06.55

В процессе получения очищ. концентратов витаминной группы В<sub>12</sub> из культуральной жидкости, получаемой выращиванием в соответствующей питательной среде микроорганизмов, производящих витамин В<sub>12</sub>, патентуется обработка концентратов по меньшей мере одним в-вом, выделяющим моно CN, напр. цианидом, HCN или в-вами, образующими цианиды или HCN в процессе р-ции, при pH 5—7, после чего разделяют витаминные группы В<sub>12</sub> и сопровождающие их в-ва.

Ю. Вендельштейн  
52573 П. Выделение и очистка витамина В<sub>12</sub>. Лайфут, Тейлор (Recovery and purification of vitamin B<sub>12</sub>. Lightfoot Edwin N. Jr., Taylor Roy J.) [Chas. Pfizer & Co., Inc.]. Канад. пат. 513776, 14.06.55

Для выделения витамина В<sub>12</sub> из культуральной жидкости (КЖ) и очистки его, КЖ обрабатывают активированным углем, элюируют адсорбат спирто-водной смесью, удаляют спирт, водн. элюат обрабатывают при pH не ниже 7 цианистой солью, р-р подкисляют, удаляют избыток цианида, водн. р-р обрабатывают спиртовым р-рителем в присутствии растворимой в воде нейтр. неорганич. соли, напр. сульфата, полученный спирт. р-р экстрагируют водой, водн. вытяжку экстрагируют жидкой алифатич. монокарбоновой к-той с нормальной цепью, содержащей 4—14 атомов С, напр. этилацетатной или циклогексилуксусной к-той, и выделяют очищ. В<sub>12</sub> из экстракта в карбоновой к-те.

Ю. Вендельштейн  
52574 П. Способ получения очищенных концентратов витаминной группы В<sub>12</sub>. Ленс, Веймenga (Verfahren zur Herstellung gereinigter Konzentrate der Vitamine der В<sub>12</sub>-Gruppe. Lens Jan, Wijmenga Harry Gerard) [N. V. Organon]. Пат. ФРГ 940489, 22.03.56

Найдено, что при обработке печени или ее концентратов цианидами, HCN (или соединениями, способными выделять эти в-ва) выход витамина В<sub>12</sub> (I) повышается. Метод позволяет также полностью выделять I в кристаллич. состоянии и в таких случаях, когда существую-

щие способы не достигают цели. Наилучший результат получают в том случае, когда одновременно с обработкой печени печень подвергают воздействию пищеварительных ферментов (напр., папанна). Из 100 г очищ. экстракта печени, содержащего 30% сухого в-ва, выделяют известным методом (герм. пат. 835178) 8,2 мг кристаллич. I. Элюаты, полученные при вымывании коричневой и желтой полос хроматограммы 0,1%-ным р-ром NH<sub>3</sub>, доводят до pH 6,5, смешивают с водн. коричневым элюатом, полученным после отделения красного элюата, прибавляют 75 мг KCN, доводят pH до 6, выдерживают 2 дня при 52°, упаривают в вакууме до ~100 мл и хроматографируют на 250 г Al<sub>2</sub>O<sub>3</sub>; получают 7,4 мг кристаллич. I. К 37 г порошка, являющегося отходом после обычной очистки и содержащего 21 мг ±10% I, прибавляют 250 мг NaCN, выдерживают 16 час. при ~20° и хроматографируют на 400 г Al<sub>2</sub>O<sub>3</sub>; вымыванием фиолетово-красной полосы хроматограммы водой получают 19 мг ±10% I.

А. Травин  
52575 П. Способ очистки и разделения витаминной группы В<sub>12</sub> хроматографией на колонках с целлюлозой. Берихауер (Verfahren zur Reinigung und Trennung der Vitamine der В<sub>12</sub>-Gruppe durch Verteilungschromatographie an Zellulose Säulen. Berichauer Konrad) [Aschaffenburger Zellstoffwerke A.-G.]. Пат. ФРГ 940369, 15.03.56

В процессе очистки и разделения витаминной группы В<sub>12</sub> путем хроматографии на колонках с целлюлозой по пат. ФРГ 930651 (РЖХим, 1956, 79420) с применением насыщ. водой n-бутанола в качестве проявителя патентуется прибавление к последнему солей, предпочтительно, надхлорной к-ты, напр. перхлората К, повышающих точность разделения кобаламинов. Напр., сухой препарат кизельгура, содержащий смесь различных кобаламинов, тесно перемешивают с кол-вом KClO<sub>4</sub>, достаточным для насыщения предусмотренного кол-ва проявителя, переносят на колонку с порошком целлюлозы и проявляют n-бутанолом, насыщ. водой и содержащим цианид. Одновременно ставят опыт без добавления KClO<sub>4</sub>. Сравнение показывает, что добавление KClO<sub>4</sub> способствует значительно лучшему разделению фактора Ia от витамина В<sub>12</sub> и витамина В<sub>12</sub>-фактора III от этиокобаламинкарбоновых к-т.

Ю. Вендельштейн  
52576 П. Выделение веществ с активностью против злокачественной анемии (Recovery of antipernicious anemia factors) [Merck & Co., Inc.]. Англ. пат. 726840, 23.03.55

Витамин В<sub>12</sub> (I) и в-ва с активностью I извлекают из водн. р-ра, напр. из культуральной жидкости, обработкой твердым 2,4,5-трихлорфенолом (II), причем получают экстракт I в II, который обрабатывают водой и несмешивающейся с водой органич. жидкостью, которая является р-рителем для II и не растворяет I (напр., CCl<sub>4</sub>, хлф. или дихлорэтилен); получают водн. экстракт I, свободный от II, или экстракт I в II растворяют в ацетоне или метаноле перед обработкой несмешивающимся с водой органич. р-рителем и водой.

Ю. Вендельштейн  
52577 П. Стероиды (Steroid compounds) [Upjohn Co.]. Англ. пат. 738580, 19.10.55

Патентуются 3-окси-11α-апилокси-20-кетопрегнаны и способ превращения 3,20-дикетопрегнана в 3-окси-1 (I—20-кетопрегнан) р-цией р-ра 3,20-дикетопрегнана, содержащего Н, ОН, апилокси- или оксогруппу в положении 11 с 1—4 экв боргидрида щел. металла (предпочтительно 1—1,25 экв. NaBH<sub>4</sub> или LiBH<sub>4</sub>), считая на восстановление одной оксогруппы, при t-ре 0—100° и времени р-ции от 2 мин. до 2 час.; в качестве р-рителя применяют, напр. метанол, этанол, изопропанол, диоксан или тетрагидрофуран, причем к некоторым из этих

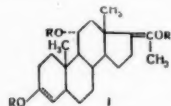
р-рителей можно прибавлять небольшое кол-во воды. В примерах описано получение следующих соединений: 3 $\beta$ -оксиг-II (II — 20-кетотетрагидропегнан), 3 $\alpha$ , 11 $\alpha$ -диоксиг-I, 3 $\beta$ , 11 $\alpha$ -диоксиг-II, 3 $\alpha$ -оксиг-11 $\alpha$ -ацетоксиг-I, 3 $\beta$ -оксиг-11 $\alpha$ -ацетоксиг-II, 3 $\alpha$ -оксиг-11,20-дигетопегнана, 3 $\beta$ -оксиг-11,20-дигетотетрагидропегнана. Указаны также 3 $\alpha$ -оксиг-I и 3 $\beta$ -оксиг-II, содержащие в положении 11 $\alpha$ -формоксиг-, пропиониксиг-, изопропиониксиг-, бутироилксиг-, валериолксиг-, гексанолксиг-, гептанолксиг-, октанолксиг-, бензоилксиг-, фенилацетоксиг-, сукциноилксиг- и циклопентилпропиониксиг-группы. 11 $\alpha$ -оксипрегестерон получают из прегестерона действием спор культуры RH 176 (вид *Rhizopus arrhizus*) в стерильной суспензии в соевом р-ре; 11 $\alpha$ -ацетоксиг-3,20-дигетопегнаны и 11 $\alpha$ -ацетоксиг-3,20-аллопегнаны получают р-цией 11 $\alpha$ -оксиг-3,20-дигетопегнана или 11 $\alpha$ -оксиг-3, 20-дигетотетрагидропегнана с ангидридами уксусной, пропионовой, изопропионовой, масляной, валериановой, капроновой, энантовой, каприловой, бензойной, фенилуксусной, янтарной и циклопентилпропионовой к-ты.

Ю. Вендельштейн  
52578 П. Стероиды (Steroid) [Upjohn Co.]. Англ. пат. 729221, 4.05.55

Патентуемый 4-прегнететраон-3,6,11,20 получают р-цией 6,11-диоксипрегестерона (I) с более чем 1 экв (предпочтительно ~2 экв) окислителя на 1 моль I в течение времени, достаточного для превращения ОН-группы в положениях 6 и 11 в кетогруппы, без побочных превращений в других частях молекулы. В качестве окислителей применяют  $\text{KMnO}_4$ , N-бромцетамид в *tert*-бутаноле или  $\text{H}_2\text{CrO}_4$ . Ю. Вендельштейн

52579 П. Соединения стероидов (Steroid compounds) [Upjohn Co.]. Англ. пат. 728936, 27.04.55

Патентуются соединения общей ф-лы (I) (RO — ацилксиг-, R — радикал органич. к-ты, предпочтительно с 1—8 атомами C) и способ их получения нагреванием



11 $\alpha$ -оксиг- или 11 $\alpha$ -ацетоксигпегнандиона-3,20 с ангидридом или хлорангидридом к-ты при 100—200° в присутствии кислотного катализатора, напр. *n*-толуолсульфоксиды или  $\text{H}_2\text{SO}_4$ . В примерах описано применение ангидридов уксусной, пропионовой и энантовой к-ты; 11 $\alpha$ -ацетоксигпегнаны получают обработкой ангидридом к-ты при 20° 11 $\alpha$ -оксипегнана, а последние образуются при гидрировании 11 $\alpha$ -оксипрегестерона в присутствии Pd—C катализатора. Ю. Вендельштейн

52580 П. Соединения стероидов (Steroid compounds) [Ciba Ltd]. Австрал. пат. 167255, 29.03.55

Патентуется способ получения 11, 12  $\beta$ -оксидов ряда стероидов путем обработки 11-галоид-12-оксостероидов комплексными гидридами амфотерных металлов с последующим действием на образующиеся 11,12-галоид-гидрины агентов, способных отщеплять галоидоводородные к-ты.

Ю. Вендельштейн  
52581 П. Гидрирование  $\Delta^4$ -стероида (Hydrogenation of a  $\Delta^4$ -steroid) [Upjohn Co.]. Англ. пат. 738635, 19.10.55

Патентуется нормальный и аллопегнан-11 $\alpha$ -олдион-3,20 и способ получения их смеси гидрированием 3,20-дигетотетра-11 $\alpha$ -оксиг-4-прегнена  $\text{H}_2$  в присутствии Pd. Гидрирование проводят в присутствии органич. основания, напр. триэтиламина и (или) органич. р-рителя, напр. спирта. Нормальный и аллоизомеры разделяют экстракцией р-рителем, напр. петр. эфиром, или хроматографически. Подробно описаны примеры с применением катализатора — Pd на древесном угле.

Ю. Вендельштейн

52582 П. Получение 17-оксиг-20-кетостероидов (Manufacture of 17-hydroxy-20-ketosteroids) [Farbwerke Hoechst A.-G. Vorm. Meister, Lucius, & Bruning]. Англ. пат. 739139, 26.10.55

Патентуемые 17-оксиг-20-кетостероиды получают р-цией 16,17-оксиг-20-кетостероидов с щел. или щел.-зем. солями HJ, напр. с NaJ, KJ или  $\text{CaJ}_2$ , и органич. карбоновой или сульфоксидной, напр. низшей алифатич. карбоновой к-той: муравьиной, уксусной или пропионовой или толуолсульфоксидной, и каталитич. восстановлением полученного 16-йод-17-оксиг-20-кетостероида для удаления J в положении 16; р-цию проводят в инертном р-рителе, в котором растворимы соли HJ, напр. в низших спиртах, диоксане или кетонах, напр. в ацетоне, а также в их смесях с водой. В качестве исходных в-в указаны 16,17-оксигпрогестерон  $\Delta^4$ -прегнен-3 $\beta$ -олон-20 и их ацетаты; ацетат  $\Delta^4$ -прегнен-21-олдион-3,20, прегестерон, диацетат  $\Delta^4$ -прегнен-3 $\beta$ , 21-диолдион-20, диацетат аллопегнан-3 $\beta$ , 21-диолдион-20, диацетат пегнан-3 $\alpha$ , 21-диолдион-20, ацетат пегнан-3 $\alpha$ -олон-20, ацетат аллопегнан-3 $\beta$ -олон-20,  $\Delta^4$ -прегнан-11 $\alpha$ -олдион-3,20 и 21-ацетат пегнан-3 $\beta$ , 21-диолдион-20. В примерах описано получение 16-йод- $\Delta^4$ -прегнен-3 $\beta$ , 17 $\alpha$ -диолдион-20 и его 3 $\beta$ -ацетата; 21-ацетата 16-йод- $\Delta^4$ -прегнен-17 $\alpha$ , 21-диолдион-3,20; 16-йод-17 $\alpha$ -оксипрегестерона;  $\Delta^4$ -прегнен-3 $\beta$ , 17 $\alpha$ -диолдион-20 и его 3 $\beta$ -ацетата; 21-ацетата  $\Delta^4$ -прегнен-17 $\alpha$ , 21-диолдион-3,20 и 17-оксипрегестерона. 5,16-дигетопегнандиол-3 $\beta$ , 17-он-20-3-ацетат получают обработкой ацетата 16,17-оксиг- $\Delta^4$ -прегнен-3 $\beta$ -олон-20, бромистоводородной к-той.

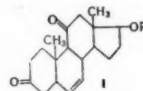
Ю. Вендельштейн  
52583 П. Способ получения стероидных лактамов.

Шмидт-Томе, Фрич (Verfahren zur Herstellung von Steroidlactamen. Schmidt-Thomé Josef, Fritsch Werner) [Farbwerke Hoechst A.-G., vormals Meister Lucius & Brüning]. Пат. ФРГ 917971, 16.09.54 [Chem. Zbl., 1955, 126, № 32, 7503—7504 (нем.)]

Насыщенные или ненасыщ. 17-оксигстероидного ряда, после защиты ОН-группы посредством ацилирования, подвергают перегруппировке по Бекману (с  $\text{POCl}_3$  в пиридине) и полученные таким образом оксилактамы деацилируют и окисляют в кетолактамы. Описанным образом ацетат дегидроизоандростерон-оксима превращают в ацетат дегидроизоандростерон-оксилактама (т. пл. 295°), который превращают в свободный оксилактам (т. пл. 292—295°) и далее — по Опенауэру — в тестол-оксилактам (т. пл. 263°). Аналогично получают бензоат эстрол-оксилактама (т. пл. 304—314°) и соответствующий ему свободный оксилактам (т. пл. >350°). Соединения имеют терапевт. значение или служат для синтеза лекарственных препаратов. А. Травин

52584 П. 11-Кетопроизводные ряда андростена и их получение (11-keto compounds of the androstene series and the preparation thereof) [American Cyanamid Co.]. Англ. пат. 738629, 19.10.55

Патентуются производные 11-кетотестостерона ф-лы (I)



( $R_1$  — H, радикал алифатич.  $C_1$  —  $C_4$  или бензойной к-ты). Предложен способ получения этих соединений, состоящий в окислении 17-эфиров (напр., ацетата)  $\Delta^4$ -андростендиол-11 $\beta$ , 17 $\beta$ -она  $\text{CrO}_3$  в лед.  $\text{CH}_3\text{COOH}$  при 10—100° и омылении получаемых при этом эфиров 11-кетотестостерона водн. р-рами гидратов оксиг карбонатов или бикарбонатов щел. и щел.-зем. металлов. В качестве



примера назван  $\Delta^4$ -андростенон-17-дион-3,11 и его 17-ацетат. А. Травин

52585 П. Эфиры 11 $\alpha$ ,17 $\alpha$ ,21-триоксипрегнадиона-3,20. Меррей, Питерсон (Esters of 11 $\alpha$ ,17 $\alpha$ ,21-trihydroxypregnane-3,20-dione. Murray Herbert) [The Upjohn Co.]. Канад. пат. 50 874, 26.10.54. Патентуется способ получения эфиров 11 $\alpha$ ,17 $\alpha$ ,21-триоксипрегнадиона-3,20 (I) ацелированием I карбоновой к-той, содержащей до 8 атомов C. В качестве примеров приводятся 11 $\alpha$ ,21-диацетокси-17 $\alpha$ -оксипрегнадион-3,20 и 11 $\alpha$ ,21-дидицклокси-17 $\alpha$ -оксипрегнадион.

Л. Михельсон

52586 П. Способ получения кортизона (Process for the preparation of cortisone) [Upjohn Co.]. Англ. пат. 739023, 26.10.55

Кортизон получают обработкой 11 $\alpha$ ,17 $\alpha$ ,21-триоксипрегнадиона-3,20 (I)  $H_2CrO_4$  в кол-ве до 4 хим. экв на 1 моль стероида, предпочтительно при т-ре от  $-10$  до  $10^\circ$ . Р-цию можно проводить в гетерог. среде, применяя водн. р-р  $H_2CrO_4$  и несмешивающийся с водой органич. р-ритель, напр.  $CaH_2$ ,  $CHCl_3$ ,  $CCl_4$ , гексан или хлорбензол, или в гомог. среде, применяя водн.  $H_2CrO_4$  и смешивающийся с водой р-ритель, напр. уксусную или пропионовую к-ту. Примеры: а) I окисляют  $CrO_3$  в лед.  $CH_3COOH$ , после разбавления водой смесь экстрагируют хлористым метилом и получают кристаллич. продукт, содержащий 45% кортизона; б) как а), но с водн. уксусной к-той в качестве среды при окислении; в) для иллюстрации влияния избытка окислителя I окисляют более чем 4 экв  $H_2CrO_4$  и получают адреностерон. Ю. Вендельштейн

52587 П. Получение препаратов тестостерона для инъекций (Manufacture of testosterone injection preparations) [Schering A.-G.]. Англ. пат. 729808, 4.05.55

Патентуется енолбутират тестостерон-17-бутирата и его получение любым из ныне применяемых или описанных в литературе методов получения известных енольных эфиров 17-эфиров тестостерона. В примере описано применение тестостерона, бутирата Na и масляного ангидрида в качестве исходных материалов. Ю. Вендельштейн

52588 П. Соединения цикlopentanопoлигидрофенантренового ряда и способ их получения (Compounds of the cyclopentanopolihydrophenanthrene series and a method of making same) [Schering A.-G.]. Англ. пат. 738631, 19.10.55

Патентуются цикlopentanопoлигидрофенантреновые соединения, содержащие предельный или непредельный углеводородный радикал и OH-группу в положении 3 и кетогруппу в положении 17. Указанные соединения получают окислением соответствующих 17-оксипроизводных. Напр., 3 $\alpha$ -метиландростандиол-3 $\beta$ ,17 $\beta$  или 3 $\beta$ -метиландростандиол-3 $\alpha$ ,17 $\alpha$ -окисляют  $CrO_3$  в лед.  $CH_3COOH$  соответственно в 3 $\alpha$ -метиландростандиол-3 $\beta$ -он-17 и 3 $\beta$ -метиландростандиол-3 $\alpha$ -он-17. Препараты обладают антигормональным действием. А. Травин

52589 П. Лечебные препараты стрептомицина. Хобсон (Preparations for streptomycin therapy. Hobson Lawrence B.) [Olin Mathieson Chemical Corp.]. Канад. пат. 510193, 15.02.55

Патентуются улучшенные препараты стрептомицина (I), состоящие по меньшей мере из двух антибиотиков (в одной и той же дозе), одним из которых является I, а другим — дигидрострептомицин (II), причем мол. отношения I и II в препарате варьируют в пределах 1 моля I: 2 моля II и 2 молей I: 1 моль II, общее кол-во I и II в препарате эквивалентно (в пересчете на моль) кол-ву компонентов, применяемых для лечения в отдельности. Патентуемая смесь применяют в виде безводн. стерильного порошка или в жидкости, пригодной для парентерального применения. Ю. Вендельштейн

52590 П. Получение кристаллических солей стрептомицина. Регна, Соломонс III, Пастернак (Preparation of crystalline salts of streptomycin. Regna Peter P., Solomons III Isaiah A., Pasternack Richard) [Chas. Pfizer & Co., Inc., [a Delaware Corp.]. Канад. пат. 513773, 14.06.55

Для получения двойных солей тригалоидгидратов-I (стрептомицин — I) р-р тригалоидгидрата I (напр., трихлоргидрата или трибромгидрата I) в метаноле вводят в р-цию с насыщ. р-ром, галоидного металла, напр.  $CaCl_2$ ,  $CaBr_2$ ,  $NaBr$ ,  $SrCl_2$ ,  $SrBr_2$ , в метаноле, выпаривают смесь до точки насыщения р-ра галоидным металлом и кристаллизуют двойную соль тригалоидгидрата I и галоидного металла. В качестве примера приведены двойные соли трихлоргидрата I с  $CaCl_2$  и  $SrCl_2$  и трибромгидрата I с  $NaBr$ . Ю. Вендельштейн

52591 П. Стрептомицин из разновидности *Streptomyces griseus*. Ходжес (Streptomycin from mutated *streptomyces griseus*. Hodges Arabelle B.) [Merk & Co., Inc.]. Канад. пат. 513748, 14.06.55

Патентуется применение измененного УФ-облучением вида *Streptomyces griseus* для получения повышенных выходов стрептомицина, путем выращивания указанной культуры в водн. питательной среде глубинным способом в аэробных условиях. Ю. Вендельштейн

52592 П. Терапевтические агенты (Therapeutic agents) [Soc. des Usines Chimiques Rhône-Poulenc]. Англ. пат. 724863, 23.02.55

Стрептомицин-изоникотинилгидразон (I) и его соли получают взаимодействием изоникотинилгидразида (взятого в избытке) с солью стрептомицина при т-ре выше и ниже  $50^\circ$ , напр. при  $0-10^\circ$  или при т-ре кипения в водн. среде; получаемый продукт осаждают р-рителем, в котором он слабо растворим, напр. метанолом, предпочтительно после концентрирования водн. р-ра, или водн. р-р. после предварительного концентрирования или без такового, подвергают азеотропной перегонке, напр. с  $CaH_6$ ; р-цию можно проводить в органич. среде, являющейся р-рителем для соли стрептомицина, напр. в этиленгликоле при  $0-100^\circ$ . В примерах описаны различные пути получения сульфата I из сульфата стрептомицина и изоникотинилгидразида. Ю. Вендельштейн

52593 П. Способ экстракции ауреомицина из культуральных жидкостей. Прёд'Ом (Sätt att extrahera aureomycin ur odlingslösningar. Preud'Homme J. C. J.) [Soc. des Usines Chimiques Rhône-Poulenc]. Швед. пат. 147050, 21.09.54

Культуральные жидкости *Streptomyces aureofaciens* фильтруют при pH 1,5, фильтрат подщелачивают, осадок экстрагируют подкисленным изопропиловым спиртом. К экстракту прибавляют NaCl для отделения воды и примесей, затем концентрируют экстракт и кристаллизуют ауреомицин в присутствии этиленгликоля. Б. Фабричный

52594 П. Препараты окситетрациклина — виомицина. Ниглиш (Oxytetracycline-viomycin antibiotic compositions. English Arthur R.) [Chas. Pfizer & Co., Inc.]. Канад. пат. 513775, 14.06.55

Патентуемые препараты состоят из 50—90 вес. ч. сульфата виомицина и 50—10 вес. ч. хлоргидрата окситетрациклина. Ю. Вендельштейн

52595 П. Фосфит хлорамфеникола и способ его получения (Chloramphenicol phosphite and process for the manufacture thereof) [Allen & Hanbury Ltd]. Англ. пат. 734776, 10.08.55

Патентуется диклч. фосфит-I (хлорамфеникол-I) и способ его получения обработкой I трехалоидным Р, предпочтительно в присутствии безводн. р-рителя, и последующим гидролизом полученного продукта. В примерах описано применение  $PCl_5$  в метил- или этилендихлориде и  $PBr_3$  в этилендихлориде; во всех случаях

гидролиз осуществляют с помощью влажного эфира. Свойства фосфита I как антибиотика аналогичны с I.

Ю. Вендельштейн

**52596 П.** Способ получения 1-фенил-2-дигалоидоацетамидопропандиолов-1,3 и их производных, замещенных в фенильном остатке. (Procédé de préparation de 1-phényl-2-dihalogénacétamino-1,3-propanediols et de leurs dérivés substitués dans le reste phényl) [Gyogyszeripari Kutató Intezet, Chinoín Gyógyszer és Vegyszeti Termék Gyára r. t. (Dr. Kereszty és Dr. Wolf)]. Франц. пат. 1043453, 9.11.53 [Chem. Zbl., 1955, 126, № 23, 5373 (нем.)]

Аминоспирты общей ф-лы  $C_6H_4(R) - CH(OH)CH(NH_2)CH_2OH$  ( $R = H, NO_2$  или группа, превращаемая в  $NO_2$ , алкил, циклоалкил или ароматич. остаток) одновременно или последовательно вводят в р-цию с тригалогендигалогенидом, напр. хлоралем или трибромдигалогенидом, и с щел. или щел.-зем. цианидом или с HCN в присутствии в-в, нейтрализующих к-ту. Пример: 2,12 г *dl*-*mpeo*-1-(*n*-нитрофенил)-2-аминопропандиола-1,3 суспендируют в 20 мл воды, прибавляют при 10° 1 мл хлораля и 0,6 г NaCN и нагревают смесь 10 мин. при 55°, причем образуется *dl*-*mpeo*-1-(*n*-нитрофенил)-2-дихлорацетамидопропандиол-1,3, т. пл. 152—153°. Указаны также *l*-*mpeo*-1-(*n*-нитрофенил)-2-дихлорацетамидопропандиол-1,3 (хлорамфеникол), т. пл. 150—151°, обладающий свойствами антибиотика.

Ю. Вендельштейн

**52597 П.** Способ получения жидких заменителей крови (Verfahren zur Herstellung von Blutersatzflüssigkeiten) [Hausmann A.-G. Schweiz. Medizinal- & Sanitätsgeschäft St. Gallen]. Швейц. пат. 295533, 1.03.54 [Chem. Abstrs., 1955, 49, 21, 15183 (англ.)]

Карбоксилцеллюлозу (I) превращают в соль, которую затем растворяют и с помощью  $CO_2$  устанавливают рН р-ра в соответствии с рН крови. Стерилизованный р-р устойчив. Концию I подбирают так, чтобы вязкость р-ра соответствовала таковой кровяной плазмы. I полностью распадается в организме без образования каких-либо вредных отложений. Соли I можно растворять в р-ре Рингера, р-ре NaCl, р-ре Тирода, р-рах углеводов, аминокислот, щелочей, в эмульсиях жиров, витаминов (особенно рутине). Напр., 3,5 ч. I смешивают с 50 ч. р-ра Тирода, смесь превращают в р-р с помощью смеси 9,46 ч. 2 н. NaOH, 0,57 ч. 2 н. KOH, 15 ч. 0,05 н. известковой воды, 0,1 ч. 2 н.  $MgCl_2$  и добавляют водой до 100 ч., после чего пропускают  $CO_2$  до насыщения р-ра, разливают в ампулы или склянки и стерилизуют.

Ю. Вендельштейн

**52598 П.** Способ получения препарата калликреина с пролонгированным действием. Шульц (Verfahren zur Herstellung eines protrahiert wirksamen Kallikrein — Präparates. Schultz Fritz) [Farbenfabriken Bayer A.-G.] Пат. ФРГ 941685, 19.04.56

Способ состоит в смешении водн. р-ра калликреина (I) с водн. р-ром поливинилпирролидона (II). Последний обладает способностью адсорбировать I. Препараты I, будучи введены в организм, сохраняют терапевтич. действие в течение 36—48 час. К стерилизованному р-ру 50 г II в 500 мл дистилл. воды (K по Фикентгеру 90) прибавляют через стерильный фильтр 500 мл водн. р-ра, содержащего 100000 ед. I и 90 г сахара, хорошо перемешивают, разливают по 1,5 мл в ампулы емк. 5 мл и высушивают вымораживанием при —40°. При растворении сухого содержимого ампулы в 1,5 мл дистилл. воды получают прозрачный р-р, содержащий 150 ед. I. К стерилизованному р-ру II в 500 мл воды (K по Фикентгеру 30) прибавляют через стерильный фильтр 500 мл водн. р-ра, содержащего 5000 единиц I и 8,5 г NaCl, хорошо перемешивают и разливают в ампулы. В 1 мл содержится 5 ед. I. А. Травин

**52599 П.** Вещества, препятствующие свертыванию крови (Blutgerinnungshemmende Mittel) [Joh. A. Benckiser G. m. b. H. Chemische Fabrik]. Австр. пат. 178531, 25.05.54 [Chem. Zbl., 1955, 126, № 23, 5374 (нем.)]

Для предотвращения свертывания крови применяют смеси растворимых в воде солей полимерных фосфорных к-т и щел. солей  $H_3PO_4$ . Смеси можно также применять совместно с другими в-вами аналогичного действия, напр. с Na-солью нитрилотриуксусной к-ты или с Na-солями серных эфиров целлюлозы или декстрина. Напр., для предотвращения свертывания 10 л бычьей крови достаточно р-ра 7,5 г  $Na_2P_2O_7$  и 2,5 г  $NaH_2PO_4$  в 100 мл воды. Ю. Вендельштейн

**52600 П.** Противозачаточные составы. Тауб (Contraceptive compositions. Taub Abraham) [Julius Schmid, Inc.]. Канад. пат. 513335, 31.05.55

Предложен улучшенный спермицидный желированный состав, действующий в течение относительно короткого промежутка времени и не раздражающий нежные слизистые оболочки при соприкосновении с ними, содержащий спермицидный агент общей ф-лы  $CH_2(OR')(CH_2OCH_2)_nCH_2OR''$ , ( $n \geq 2$ ,  $R'$  и  $R''$  — ацилы жирной к-ты, содержащей не менее 6 атомов C, в частности монолаурат додекаэтиленгликоля, моноолеат гексаоксиэтиленгликоля или моностеарат нонаоксиэтиленгликоля), диспергируемый в воде загуститель, играющий роли связывающего в-ва в составе, смазывающий, пластифицирующий агент и буфер, обеспечивающий щел. рН состава. Состав предназначен для применения в водн. носителе. Ю. Вендельштейн

**52601 П.** Способ получения мази для лечения ожогов на основе Calendula. Билд (Verfahren zur Herstellung einer Calendulasable zur Behandlung von Verbrennungen. Bild Josef). Австр. пат. 181690, 12.04.55 [Chem. Abstrs., 1955, 49, № 11, 7816 (англ.)]

Цветы *Calendula officinalis* экстрагируют органич. р-рителем, предпочтительно спиртом, экстракт выпаривают досуха, сухой смолистый остаток тщательно перемешивают до получения однородного продукта с расплавленным веводом, основанном мази, напр. вазелином. По желанию, можно добавлять порошкообразную или коллоидную S и пластификаторы. Пример состава мази (в г): свежих цветов *Calendula* 60, вазелина 1000, перуанского бальзама 8, порошка S 6 и ментола 4. Ю. Вендельштейн

**52602 П.** Зубные цементы. Липкинд, Рогов (Dental cements. Lipkind Henry, Rogoff Sidney). Пат. США 2729569, 3.01.56

Патентуется введение в цементы, предназначенные для пломбирования зубов, 0,05—5,0 вес. % от состава (напр., 2 вес. %) соли щел. металла и алкилсиликоновой к-ты, алкил которой содержит 1—6 атомов C, при отношении щел. металла к силикону от 2 : 1 до 1 : 1, напр. 2 вес. % метилсиликоната Na (I). В примерах описано испытание образцов пломб, полученных на основе оксидов Zn, Mg, Bi, Si, Al и  $H_3PO_4$  с добавлением и без добавления I. Пробы застывших через 24 часа пломб, не содержащие I, окрашиваются в 1%-ной HCl через 1 мин., разрыхляются через 2 мин. и распадаются через 40 мин., пробы содержащие 2—3% I не окрашиваются через 15 мин. и приобретают едва заметную окраску и шероховатость через 40 мин. Ю. Вендельштейн

**52603 П.** Вата из целлюлозы (Cellulose wadding) [Papeteries de la Robertsau]. Англ. пат. 736195, 07.09.55

Патентуется способ изготовления хирургич. материала из целлюлозы (I), заключающийся в том, что к I прибавляют хлорофилл (II), который фиксируют прибавлением растворимой соли polyvalентного металла (сульфат Al (IV), квасцы, соли Ba). Фиксацию улучшают добавлением крахмала (III). Напр., отбеленную

основную сульфитную целлюлозу измельчают в воде, вносят II и III, размешивают, прибавляют IV и из полученной таким образом массы вырабатывают полотно, перевязочный материал, детские салфетки и т. п.

А. Травин

См. также: Общие вопросы: применение побочных продуктов ядерного реактора в фарм. пром-сти 51737; методы анализа 51652; противораковые в-ва 16474Бх, 16475Бх; растит. сырье 16608Бх, 16617Бх, 16618Бх. Органич. лекарств. в-ва 51211—51214, 51223, 51227, 51243, 51244, 51265—51267, 51276, 51280, 51283, 51290, 51295, 51298, 51307, 51312. Алкалоиды 51218, 51393, 51397, 51398, 51404, 51406, 51651. Глюкозиды 51386, 51406, 51655. Гормоны 51373—51375, 51379, 51383, 51384; 16386Бх. Антибиотики 51409, 51411, 51643. Переработка природных продуктов 51463

## ФОТОГРАФИЧЕСКИЕ МАТЕРИАЛЫ

Редактор В. С. Чельцов

52604. Изучение непрерывного процесса изготовления фотографической эмульсии. II. Средняя продолжительность созревания. Кикучи, Огава, Накао, Осима, Арига (爲乳濁の連続的製造工程に関する研究. 第2報. 平均熟成時間について. 菊池一, 小川一, 中野義信, 大島幹義, 有賀研一), 工業化學雜誌, Koré kagaku zasshi, J. Chem. Soc. Japan Industr. Chem. Sec., 1953, 56, № 2, 64—66 (японск.)

Приведен математич. анализ стадии хим. созревания фотографич. эмульсии (Э) при изготовлении ее непрерывным процессом. Изготовленная Э состоит из смеси Э с разными стадиями созревания. Средняя продолжительность созревания определяется как  $\int dt/v$ , где  $t$  — время созревания объема эмульсии  $dv$ . Выводится соотношение между продолжительностью созревания Э, изготовленной непрерывным процессом, и продолжительностью созревания Э, изготовленной обычным процессом. Эксперим. проверка соотношения показала, что оно выполняется для низкочувствительной Э и, сверх установленного предела, для Э высокочувствительных.

Т. Ткаченко

52605. Роль поверхностного натяжения при полине эмульсии. Цанки (Uloga napetosti površine kod emulzioniranja. Sanki Kresimir), Kemija u industriji, 1956, 5, № 12, F-55-F-58 (сербо-хорв.; рез. нем.)

Рассматривается значение поверхностного натяжения при нанесении слоя эмульсии на пленку, пластинки и бумагу. Для предупреждения дефектов слоя рекомендуется применение в-в, уменьшающих поверхностное натяжение эмульсии. Приводятся методика применения и результаты испытания влияния сапона, хостапала Си CV, хостапона AP и Т. Эти в-ва уменьшают поверхностное натяжение эмульсии и в малых конц-иях действуют благоприятно при полине эмульсии на фотобумагу. Слишком большие конц-ии оказывают отрицательное влияние.

К. Мархилевич

52606. Обнаружение малых концентраций органических красителей фотографированием УФ-красной люминесценции. Лазарев Д. Н., Эрastos Д. П. В сб.: Люминесцентный анализ. Минск, АН БССР, 1956, 8—15; Дискус., 15  
Излагается метод фотографирования ИК-люминесценции некоторых адсорбированных органич. красителей, заключающийся в освещении объекта с исследуемой выцветкой видимыми лучами и съемке его с применением соответствующих светофильтров на фотограф. слой, чувствительный лишь к ИК-излучению. Чувствительность обнаружения окраски этим методом равна  $2.10^{-7}$  г/см<sup>2</sup>. Способ может применяться в тех-

нике реставрации текстов, написанных чернилами из анилиновых красителей и ослабленных вследствие выцветания или подчисток, а также в приложенных люминесцентного метода анализа и сортировки в некоторых областях народного х-ва.

Т. Ткаченко

52607. Унификация проявителей для черно-белых кинопозитивов. Блюмберг Н. Б., Иванова В. Г., Матисон Ф. С., Новацкая Т. А., Почивалов Н. С., Тр. Ленингр. ин-та киноинженеров, 1956, вып. 4, 170—175

Несмотря на использование одного и того же кинопозитивного проявителя (П) и наполнителя отличающегося от основного проявителя отсутствием бромида калия, состав П в машинах на различных предприятиях неодинаков. Различие объясняется тем, что состав П в машине зависит от скорости подачи наполнителя, от типа проявляемой пленки (кол-во восстанавливаемого Ag) и от степени азарии П. На двух предприятиях состав П в машине был следующий (конц-ия в г/л): метола соответственно 1,6 и 1,0; гидрохинона 4,5 и 1,9; моносulfонатов гидрохинона 3,1 и 6,5; sulfата натрия кристаллич. 35,0 и 29,3; соды безводн. 20,0 и 26,0; бромистого натрия 4,0 и 2,8. Кол-во наполнителя в л на 1000 м кинопленки 9,5 и 8,5. Кол-во Ag в г на 1000 м кинопленки 40,0 и 25,0; кол-во окисленного гидрохинона (в %) — очень малое и 80. При анализе результатов установлено, что значительная доля Ag проявлена моносulfонатами метола и гидрохинона. Постановлены опыты по разработке унифицированного П, для чего исследовалась зависимость скорости проявления от конц-ии компонентов П. В связи с тем, что на отдельных предприятиях применяют машины с различной производительностью, разработаны и предложены два П для продолжительности проявления 2 мин. 15 сек. и 4 мин. 30 сек. Состав П: метола соответственно 1,6 и 0,8 г; гидрохинона 4,0 и 2,5 г; sulfопронизодных 3,1 г и 3,1 г; sulfата кристаллич.  $35,0 \pm 2,0$  г и  $35,0 \pm 2,0$  г; соды безводн. 20,0 и 20,0 г; бромистого натрия  $4,0 \pm 0,2$  и  $4,0 \pm 0,2$  г.

К. Мархилевич

52608. О фиксировании ядерных эмульсий кислыми фиксажами. Самойлович Д. М., Баринова Е. С. Приборы и техн. эксперимента, 1956, № 3, 46—49

Изучалось влияние различных условий фиксирования на качество следов частиц, регистрируемых на ядерных толстослойных пластинках (Р — ННКОИ). Показано, что при фиксировании слоев в кислых фиксажах происходит растворение зерен металлич. Ag, в результате чего размеры их уменьшаются. Это растворение тем сильнее, чем ниже pH фиксажа, а также чем длительнее продолжительность фиксирования, и может привести к полному разрушению следов. В результате уменьшения размеров зерен увеличивается расстояние между ними, что приводит к кажущемуся увеличению «дискриминационной» способности эмульсии. Применение кислых фиксажей для фиксирования и осветления толстых эмульсионных слоев приводит к снижению точности измерений и не может быть рекомендовано.

Т. Ткаченко

52609. Длительность производственного цикла массовой печати фильмокопий и пути ее сокращения. Петровский В. В., Тр. Ленингр. ин-та киноинженеров, 1956, вып. 4, 218—226

Длительность производственного цикла массовой печати (МП) фильмокопий (ФК) определяется временем превращения сырья, т. е. позитивной пленки в готовую продукцию — ФК. Эта длительность складывается из длительности производственных операций — технологич. и нетехнологич. (контроль, транспортировка) и длительности перерывов. При анализе цикла МП Ленинградской копировальной ф-ки с различными по быстротходности сочетаниями копировальных аппара-



тов и проявочных машин выяснилось, что больше половины времени (64—66%) составляет пролеживание роликов вследствие разрывов между операциями; технологич. операции составляют ~30% и нетехнологич. — ~5%. Из мероприятий по сокращению длительности производственного цикла указаны: 1) снижение трудоемкости операций МП, 2) сокращение времени нетехнологич. операций и 3) сокращение или уменьшение перерывов посредством улучшения организации произ-ва. Анализ длительности перерывов при обследовании цикла МП цветных ФК показал, что из общей длительности перерывов 48,5% обуславливается организационно-технич. причинами; технически неизбежные перерывы составляют 51,5%. МП должна быть поточно-массовым произ-вом, одним из принципов которого является организация непрерывности процесса, при которой ролики, по окончании данной операции, должны передаваться на следующую операцию без задержки. Ввиду невозможности разбить процесс произ-ва ФК на операции, равные или кратные по времени, необходимо создание межлинейных оборотных заделов между копировальным и проявочным и между проявочным и просмотрным отделениями; оборотные заделы позволяют синхронизировать отдельные операции. Предполагаемые мероприятия позволяют сократить длительность цикла МП на 40—50%. К. Мархлевич

52610. Современная фотографическая химия. Кикуги (最近の寫眞化學. 菊池眞一), 自然, Сидзэн, 1956, 11, № 11, 10—18 (японск.)

52611. Сравнительное исследование микро и макрозернистости фотографических почернений. Левенберг Т. М., Маркелова А. А., Кулешова В. М., Тр. Ленингр. ин-та киноинженеров, 1956, вып. 4, 179—188

Цель работы — выяснение связи между микрозернистостью, определяемой размерами и формой серебряных зерен проявленного изображения, и макрозернистостью, характеризующейся колебаниями оптич. плотности малых участков изображения. Исследовалась зависимость средней площади проекции проявленных зерен ( $x$ ), а также фактора макрозернистости от экспозиции при постоянной  $\gamma$  и от  $\gamma$  при постоянной экспозиции. Исследование проводили на пластинках панхром и пленке панхром-10. Применяли обычную сенситометрич. методику, а также общепринятую методику построения кривых распределения зерен по размерам, причем при определении размеров зерен окончательное увеличение на отпечатках было равно 5000. Фактор зернистости определяли проекционным гранулометром. При испытаниях пластинок и пленок применяли проявитель Чибисова. Установлено, что 1) форма кривых распределения по размерам для проявленных зерен аналогична форме кривой для эмульсионных (непроявленных) зерен, но первые кривые более растянуты, т. е. имеют большую дисперсию; 2) средний размер серебряных зерен при средних условиях экспонирования примерно вдвое больше среднего размера эмульсионных кристаллов. При постоянной  $\gamma$  средний размер проявленных зерен убывает с увеличением экспозиции, а при постоянной экспозиции не меняется с изменением  $\gamma$ . Фактор зернистости возрастает как с увеличением экспозиции, так и с увеличением  $\gamma$ . Делается вывод, что для почернений одного и того же фотографич. материала макро- и микрозернистость являются независимыми. Фактором, определяющим микрозернистость, является, вероятно, распределение зерен, а не их размеры. К. Мархлевич

52612. Исследование одной из причин градационных искажений при цветной печати на многослойных пленках. Купчикова В. П., Тр. Ленингр. ин-та киноинженеров, 1956, вып. 4, 189—191

Исследовалась зависимость градационных искажений

при цветной печати на многослойной позитивной пленке от плотности применяемых корректирующих светофильтров. Установлено, что по мере увеличения оптич. плотности светофильтров с светопоглощением в области эффективной спектральной чувствительности данного слоя коэфф. контрастности этого слоя понижается. Зависимость эта носит линейный характер, но для различных образцов пленки выражена в неодинаковой степени. Т. Ткаченко

52613. Материалы оборудования для химических процессов, применяемых в цветной фотографии. Тернер (Materials of construction for color processing equipment. Turner John R.), Photogr. Sci. and Techn., 1956, 3, № 4, 137—144 (англ.)

Рассматриваются требования к материалам для конструирования аппаратов в отношении их стоимости, влияния на фотографич. р-ры и влияния р-ров на материалы. Подверженность нержавеющей стали (НРС) коррозии зависит от изготовления — применения пассивации и др. Корродирующее действие на НРС оказывают отбеливающие р-ры с феррицианидом и бихроматом. Медленное действие обрабатывающих р-ров на пластик. материалы (ПМ) иногда не обнаруживается при обычных испытаниях в течение нескольких дней или недель. Некоторые ПМ склонны поглощать проявитель, а также окисляться под действием р-ров, причем становятся непрозрачными; могут также разлагаться при повышенной т-ре. Одни из них быстро, другие медленно поглощают влагу, что необходимо учитывать при установлении размеров деталей. Фотографич. р-ры могут загрязняться от соприкосновения с различными материалами. В р-ры могут переходить фотографич. активные в-ва — соединения Си и Sn из металлиз. частей оборудования, сера из каучуковых деталей, некоторые органич. соединения из ПМ. Наряду с применением НРС и использованием ряда других материалов получили широкое применение ПМ в связи с простотой изготовления из них частей оборудования и хорошими физ. и хим. свойствами. Напр., изготавливаются баки для р-ров из полиэтилена, различные детали проявочных машин из непластифицированного поливинилхлорида и др. Широко применяемые проявочные машины Дебры, Арри, Хаустон построены главным образом из ПМ. Приводится список различного оборудования (баки, ролики, валы, подшипники, рамы, трубопроводы) и рекомендуемых для них материалов. К. Мархлевич

52614 С. Фотографические бумаги для регистрирующих аппаратов (Photographische Papiere für registrierende Apparate. Rollenmaße) Стандарт ФРГ, DIN 4516, 1956

В стандарте приведены размеры рулонных фотографич. бумаг — ширина, длина и допустимые отклонения, а также величина диаметров рулонов. К. Мархлевич

52615 П. Фотографические пленки с подслоем. Свинделл (Photographische Filme mit Haftschrift. Swindells Frank Evans) [E. J. du Pont de Nemours and Co.], Пат. ФРГ 942313, 3.05.56

Патентуется фотографич. материал, на подложку (I) которого, по крайней мере, с одной стороны нанесен подслои (II) из 3-компонентного смешанного полимера (II), содержащего от 35 до 94 (предпочтительно, 60—94) вес. % (в расчете на мономер) винилиденхлорида, от 3,5 до 40 (предпочтительно 5—35) вес. % сложного эфира (III) акриловой к-ты и от 0,5 до 25 (предпочтительно 1—5) вес. % итаконовой к-ты. На подслои наносят водонепроницаемые колл., в частности, галлоид-серебряные эмульсионные слои. Предлагаемый П дает хорошее сцепление с различными И, обеспечивает прочное удерживание колл. слоев и, являясь гидрофобным,

не вызывает изменения размеров фотографич. материала при хранении и обработке. Описано нанесение П на I из эфиров целлюлозы и карбоновых к-т (в частности, ацетата и триацетата целлюлозы), нитроцеллюлозы, бумаги, различных высокополимеров и особо из высокополимерного сложного эфира этиленгликоля и терефталевой к-ты с т. пл.  $>200^\circ$ . П может быть получен различными путями, причем подходящими III являются алкильные эфиры акриловой или метакриловой к-ты с 1—18 атомами С в алкильной группе, акрил и метакрилонитрил или винилхлорид. Особо существенно применение лишь итаконовой к-ты; другие подобные к-ты дают неудовлетворительные результаты. Пример: П получают смешением в реакторе 85 г винилиденхлорида, 15 г метилового эфира акриловой к-ты, 2 г итаконовой к-ты, 100 мл воды, 0,33 г  $(\text{NH}_4)_2\text{S}_2\text{O}_8$ , 0,17 г  $\text{Na}_2\text{S}_2\text{O}_5$  и 2 г Na-додецилсульфата (смесь Na-алкилсульфатов с 8—16 атомами С). Смесь нагревают до  $34^\circ$  и перемешивают до полного потребления винилиденхлорида (50—60 мин.), после чего добавляют 1 г продукта конденсации Na-3-нафталинсульфоната и формальдегида, охлаждают и фильтруют. Через полученную смесь в-в протягивают пленку из смешанного полимеризата этиленгликоля и терефталевой к-ты (с т. пл.  $>200^\circ$ ), дают стечь каплям, высушивают на воздухе и выдерживают для затвердения в течение 10 мин. при  $100^\circ$ . Такой подслои обеспечивает хорошую прочность сцепления желатиновых и галлодосеребряных эмульсионных слоев с подложкой. С. Бонгард 52616 П. Метод приготовления фотографических материалов. Нокс, Твардокус, Дейвис (Method of preparing photographic products. Knox William J., Jr, Twardokus Edward F., Davis Gordon D.) [Eastman Kodak Co.]. Пат. США 2739891, 27.03.56

Предлагается усовершенствованный способ нанесения эмульсии на пленку или бумагу для получения тонких слоев при достаточной скорости полива и без дефектов слоя. Известно применение поверхностно-активных в-в, в частности сапонина, недостаток которого заключается в неоднородности свойств различных партий, а также в возможности вуалирования и понижения светочувствительности. Предлагается применение в-в общей ф-лы  $(\text{R}')\text{CO}-\text{N}(\text{R}^2)-\text{CH}_2-\text{CH}_2-\text{SO}_2\text{Na}$ , где  $\text{R}'$  — алифатич. остаток с 11—18 атомами С,  $\text{R}^2$  — алифатич. остаток с 1—4 атомами С, фенил или циклоалкил. В частности, подходящими являются олеилметилтаурин, миристилметилтаурин, стеарилметилтаурин. При введении этих в-в в эмульсию можно на один эмульсионный слой наносить второй слой после студения первого слоя, не дожидаясь его высыхания. Производные таурина прибавляют к жидкой фотографич. эмульсии или водн. р-ру желатины в кол-ве 0,0055—0,5% (предпочтительно 0,0055—0,22%) по отношению к весу водн. р-ра желатины. Пример 1. К позитивной бромодосеребряной эмульсии, содержащей 6,5% желатины и 0,2 моля галлоидного серебра на 1 кг эмульсии, прибавляют в виде 2%-ного р-ра 0,89 г Na-соли миристилметилтаурина на каждый моль галлоидного серебра; эмульсию наносят на обычную ацетатную основу. Пример 2. К негативной паихроматич. бромодосеребряной эмульсии, содержащей 6,5% желатины и 0,25 моля галлоидного серебра на 1 кг эмульсии, прибавляют в виде 2%-ного р-ра 0,22 г Na-соли миристилметилтаурина на каждый моль галлоидного серебра. К. Мархлиев 52617 П. Фотографический проявитель. Ульрих, Мерш, Валь, Дельфс (Photographischer Entwickler. Ulrich Hans, Mersch Rudolf, Wahl Ottmar, Delfs Detlef) [Agfa A.-G. für Photofabrikation]. Пат. ФРГ 945606, 12.07.56

Патентуется фотографич. проявитель, отличающийся содержанием 1-арил-3-аминопиразолина (I), арильный остаток которого содержит в положении 2 или 4 OH-или  $\text{NH}_2$ -группу, причем атомы Н этих групп могут быть замещены алкильной, окси-, сульфо- или карбоксилалкильной группой. I может являться единственным проявляющим в-вом в проявителе или применяться совместно с другими проявляющими в-вами. Особо указано применение 1-( $\alpha$ -оксифенил)-3-аминопиразолина (II). I в комбинации с другими проявляющими в-вами дают очень высокий эффект супераддитивности проявляющего действия. Так, в комбинации с гидрохиноном при введении в проявитель в кол-вах, в 20—50 раз меньших, они дают более высокий эффект увеличения скорости проявления, повышения чувствительности и контраста, чем метол. В таких весьма стабильных проявителях I почти полностью регенерируется. Согласно примерам, гидрохиноновые проявители с II для проявления хлоросеребряных бумаг (0,05 г II вместо 1 г метола), бромосеребряных бумаг (0,125 г II вместо 2,5 г метола), фототехнич. пленки (0,17 г II вместо 5 г метола) более активны, чем метологидрохиноновые. Также указана эффективность замены метола в подобных проявителях 1-( $\alpha$ -метиламинофенил)- или 1-( $\alpha$ -этиламинофенил)-3-аминопиразолином (0,125 г и 0,132 г вместо 2,5 г метола соответственно); в рентгеновом проявителе 1-( $\alpha$ -аминофенил)- или 1-( $\alpha$ -амино-метилфенил)-3-аминопиразолином (0,09 г и 0,095 г вместо 3,5 г соответственно). I получают при восстановлении в кислотной среде (напр., Zn-пылью)  $\beta$ -N-арил-N-нитрозаминопропионитрила (III), содержащего в арильном остатке соответствующие заместители. III легко получают нитрозированием  $\beta$  ариламинопропионитрилов, которые, в свою очередь, получают при взаимодействии ароматич. аминов с акрилонитрилом. С. Бонгард

52618 П. Способ проклеивания фотографических бумаг и получающийся материал. Григс, Херд (Method of sizing photographic paper and resultant product. Griggs William H., Heard Warren T.) [Eastman Kodak Co.]. Пат. США 2739062, 20.03.56

Патентуется способ изготовления бумаги с улучшенным желатиновым покрытием, применимой в качестве подложки для фотографии. материалов. Способ отличается тем, что желатиновое покрытие содержит от 10 до 50 вес. % (предпочтительно 20—35%) полимерного продукта (I), включающего повторяющиеся мономеры строения  $[-\text{CHC}_6\text{H}_5-\text{CH}_2-\text{CHCONH}_2-\text{CHCOO}-(\text{NH}_4)^+ \text{I}_x]$ . I получают при р-ции стирола с малеиновым ангидридом с последующей р-цией продукта с  $\text{NH}_3$ , вводят в р-р желатины при  $\text{pH} < 5$  и получающуюся массу наносят на бумагу, которую, по крайней мере частично, высушивают. Если I вводят в кол-ве 40—50% от веса желатины, то поддерживают  $\text{pH} < 3,5$  добавлением к-ты. Патентуемая подложка не оказывает вредного влияния на фотографич. слой, включающий проявляющие в-ва, компоненты цветного проявления и т. п., что имеет место при нанесении слоев желатины, задублинной альдегидами, в частности, формальдегидом. Пример: 42 г желатины подвергают в течение часа набуханию в 200 ч. холодной воды и растворяют при нагревании до  $\sim 40^\circ$  и добавлении 745 ч. горячей воды. В р-р вводят 125 вес. ч. 10%-ного водн. р-ра I и поддерживают  $\text{pH}$  между 4,5 и 5. Р-р желатины и I наносят на бумагу и высушивают. Степень нерастворимости получаемого слоя вполне соответствует желатиновым слоям, задублинным соединениями  $\text{Cr}^{3+}$  и формальдегидом. С. Бонгард

52619 П. Стабилизация эмульсий, сенсibilизированных полимерами оксидов алкиленов. Карролл

(Stabilization of emulsions sensitized with alkylene oxide polymers. Carroll Burt H.) [Eastman Kodak Co.] Пат. США 2728666, 27.12.55

Светочувствительные галогдосеребряные эмульсии, сенсibilизированные полиалкиленгликолями или продуктами конденсации окисей алкиленов, содержащих 2—4 атомов С, с мол. в.  $\geq 300$ , с гликолями, алифатич. спиртами, к тами, аминами или продуктами циклич. дегидратации гексатов. Эмульсии содержат также небольшие кол-ва: 1) продукта присоединения Hg-соли к гетероциклич. соединению, в котором гетероциклич. атом N связан с атомами С не менее, чем тремя связями, или к аминзамещ. одноядерному ароматич. соединению (или его галоидогидрату), в котором аминный атом N связан тремя связями с атомами С, или к галоидогидрату алифатич. амина с 3 атомами С; 2) органич. соединения Hg, в котором атом Hg связан нейонной Hg—С-связью с циклич. органич. ядром и ионной связью с анионом; 3) простой соли Hg и органич. или неорганич. к-ты.

Я. Кантор

52620 П. Фототермографические вещества. Левин (Photothermographic substances. Levy Marlyn) [United States of America as represented by the Secretary of the Army]. Пат. США 2739893, 27.03.56

Патентуется светочувствительный материал, проявляемый нагреванием. Материал отличается тем, что содержит в качестве фототермографич. в-ва (в-во, которое, будучи экспонировано светом, разлагается или изменяется при нагревании в соответствии с величиной экспозиции) диспергированную в органич. коллоиде (напр., желатине) Ag-соль тиосемикарбазида или смесь ее с Ag-диаминоксисом янтарной к-ты. Пример: Высушенный Ag-тиосемикарбазид (I) измельчают в агатовой ступке. К 0,5 г I при комнатной т-ре добавляют 5 мл 3%-ного р-ра желатины (при перемешивании). После того, как I полностью смочен р-ром желатины, добавляют еще 10 мл этого р-ра. Эмульсию пропускают через гомогенизатор, слой ее наносят на стеклянную пластинку, высушивают в течение суток и экспонируют. Термич. проявление проводят нагреванием до 60°. Получение I: 0,91 г тиосемикарбазида растворяют в 30 мл дистилл. воды на водяной бане, охлаждают до 40° и добавляют 10 мл 1 н. AgNO<sub>3</sub> (примерно, в течение 7 сек.). Отфильтровывают выделяющуюся смолистую часть и фильтрат охлаждают льдом в течение 5 мин. Образующийся осадок отфильтровывают, промывают дистилл. водой и сушат в течение суток в эксикаторе над CaCl<sub>2</sub>.

С. Бонгард

52621 П. Процесс фотографического переноса. Юцки, Яккел (Photographic transfer process. Yutzky Henry C., Yackel Edward C.) [Eastman Kodak Co.]. Пат. США 2740717, 3.04.56

Способ получения прямого позитивного фотографич. изображения переносом соединений Ag из светочувствительного слоя в слой, не чувствительный к свету, включает: а) съемку объекта на фотографич. эмульсионный слой из задублированного коллоида, содержащий галогидное серебро и проявляющее в-во (ПВ), недиффундирующее в указанном коллоиде; б) обработку эмульсионного слоя щел. р-ром, способствующим проявлению этим ПВ, и приведение влажного светочувствительного слоя, пропитанного указанным щел. р-ром, в тесный контакт с приемным слоем, содержащим р-ритель галогидного серебра и в-во, осаждающее Ag. В качестве коллоида может применяться желатина, щел. р-ра — р-р углекислого натрия, ПВ — 3,4-диоксифенил, приемный слой — светочувствительная или нечувствительная бумага, покрытая соединением аммония и аминоганидинсульфатом.

Т. Ткаченко

52622 П. Светочувствительный материал и процессы фотомеханической репродукции (Light-sensitive material and processes for photo-mechanical reprodu-

ction) [Kalle & Co., A.-G.]. Англ. пат. 725773, 9.03.55

На подложку (Al или Zn) наносят слой из нерастворимого в воде эфира или сульфонида нитронафталинсульфокислоты, который может дополнительно содержать заместители (алкил, алкокси, NO<sub>2</sub>, OH или COOH) и, в частности, NO<sub>2</sub>-группу в нафталиновом ядре. Экспонированные участки имеют повышенную растворимость в разб. щел. р-рах. После экспонирования через позитив и щел. проявления получают позитивное изображение, пригодное в качестве защитного слоя при травлении. Для нанесения слоя применяют р-рители, кипящие между 70 и 130°; р-ры преимущественно содержат также растворимую в щелочи смолу, эфир или амид о-дифенолсульфокислоты и улучшающий наблюдение краситель, который удаляют при проявлении. Пример: На Al-пластинку наносят 1-метил-5-нитронафталин-4-сульфоанилид в смеси гликольмонометилового эфира и диметилформамида, высушивают, экспонируют, натирают р-ром Na<sub>2</sub>PO<sub>4</sub>, протирают р-ром Na<sub>2</sub>PO<sub>4</sub> и окрашивают жирной краской для применения в качестве печатной формы. Также применяют: 1-метил-5-нитронафталин-4-сульфон-N-метиланилид (проявление р-ром едкой щелочи); 1-метил-5-нитронафталин-4-сульфонометиламида; п, п'-бис-(1-метил-5-нитронафталин-4-сульфокислота)-дифениловый эфир (I) совместно с растворимой в щелочи фенолоформальдегидной смолой; п, п'-бис-(1,8-нитронафталинсульфонамидо)-дифенилметан (II); смесь II с эфиром бис-(нафтохинон-(1,2)-диазидо-(2)-5-сульфокислоты) (III) и бис-(2-оксинафтил-1)-метаном (IV) в качестве сенсibilизатора; эфир п-(нафтохинон (1', 2')-диазид-(2')-5'-сульфонамидо) фенол-1-нитронафталин-8-сульфокислоты (V) и др. I (т. пл. 224°) получают перемешиванием 1-метил-5-нитронафталин-4-сульфохлорида с п, п'-диоксифенилом и NaOH в ацетоне, удалением р-рителя и кристаллизацией; II (т. пл. 170°) — нагреванием соответствующего сульфохлорида и диаминодифенилметана с NaOH в ацетоне, удалением р-рителя и промыванием после подкисления; эфир III и IV получают конденсацией этих в-в в присутствии соды в ацетоне; V (т. пл. 220°) получают конденсацией продукта соединения метола и 2-диазо-1-нафтол-5-сульфокислоты с 1,8-нитронафталинсульфохлоридом в щел. диоксане.

С. Бонгард

52623 П. Многослойная цветная пленка с полным маскированием. Спранг (Multilayer color film for integral masking. Sprung Joseph A.) [General Aniline & Film Corp.]. Пат. США 2733143, 31.01.56

Патентуется многослойная пленка (МП) с полным маскированием для получения цветного изображения цветным проявлением и обработкой р-ром диазониевой соли (I) для перевода остаточного компонента в азокраситель. Для получения маскирующих изображений требуемой плотности и контраста в слое, где эти изображения должны быть (желтое — в слое с компонентой пурпурного, оранжево-красное — в слое с компонентой голубого красителя), вводят смесь недиффундирующих компонент, одна из которых не содержит заместителя в положении сочетания, вторая — содержит заместитель — SO<sub>3</sub>H, Cl или Br. Обе компоненты вступают в р-цию с первичным продуктом окисления проявляющегося в-ва с образованием красителя, но лишь одна из них, не содержащая заместителя, может вступать в р-цию с I, образуя азокраситель для маскирующего изображения. Соотношение компонент в смеси устанавливают опытом. В качестве компонент желтого красителя применяют недиффундирующие производные ацилапетанилида (в частности, бензола-апетанилида), которые вступают в р-цию с I лишь при pH > 6, причем при обработке МП применяют р-ры I, забуференные при pH ~ 5. Пример: Экспонированную МП, содержащую в синечувствительном слое ком-



поненту 3-(*n*-стеароиламинобензоилацетамин)-изофта-  
леву к-ту, в зеленочувствительном — смесь компонент  
1-(4'-фенокс)-3'-сульфобензил-3-гептадецилпиразо-  
лона (5) и 1-фенил-3-гептадецил-5-пиразолон-4-сульфо-  
кислоты, в красноточувствительном — смесь компонент  
1-окси-2-нафтоил-N-октадециламино-4-сульфокислоты  
и 1-окси-2-нафтоил-2'-N-метилоктадециламино-5'-  
сульфанилида, обрабатывают для получения цветного  
негатива и после фиксирования еще 2—5 мин. при 20°  
в р-ре: 1,91 г. сульфаниловой к-ты (моногидрата) рас-  
творяют в 500 ч. тепловой воды, быстро охлаждают  
до 5°, подкисляют 1,5 ч. конц. HCl и диазотируют р-ром  
0,7 г. NaNO<sub>2</sub> в 25 ч. воды; pH р-ра доводят до ~5 до-  
бавлением 0,4 ч. CH<sub>3</sub>COONa·3H<sub>2</sub>O. Обработанная  
МП содержит желтое, пурпурное и голубое изображения  
из красителей цветного проявления, а также желтое и  
оранжево-красное маскирующие изображения из  
азокрасителей в слоях соответственно с пурпурным  
и голубым изображениями. Описано регулирование  
контраста и плотности желтого маскирующего изобра-  
жения при наличии в пленке лишь пиразолоновой ком-  
поненты, незамещ. в положении сочетания. В этом слу-  
чае часть остаточной компоненты перед погружением  
МП в р-р I блокируют обработкой МП р-ром альдегида,  
напр., состава: вода 1 л, формальдегид (36%) 25 мл,  
NaHCO<sub>3</sub> 2 г. В зависимости от времени обработки (от  
15 сек. до 5 мин.) меняется кол-во компоненты для р-ции  
с I.

С. Бонгард

52624 П. Субтрактивная цветная фотография (Sub-  
tractive colour photography) [Kodak, Ltd]. Англ. пат.  
728769, 27.04.55

Патентуется способ получения маскированных изобра-  
жений, отличающийся применением многослойной плен-  
ки (МП), содержащей красноточувствительный слой,  
в двух слоях при цветном проявлении образуются красители цвета, не допол-  
нительного к зоне чувствительности слоя. В синечув-  
ствительном слое применяют либо желтоокрашенную  
компоненту (I), образующую пурпурный краситель, либо  
оранжевоокрашенную (II), образующую голубой крас-  
тель. Если синечувствительный слой содержит I, то II  
предпочтительно вводить в зеленочувствительный слой,  
и наоборот. Подходящими I являются 1-(*n*-мет-бутил-  
фенокс)-фенил-3-α-(*n*-мет-бутилфенокс)-пропионила-  
мино-4-*m*-метоксифенилазопиразолон (5) и 4-*o*-толуолазо-  
пиразолон (5) (III); они могут быть смешаны с неокра-  
шенной компонентой, напр. 1-(*n*-мет-бутилфенокс)-  
фенил-3-α-(*n*-мет-бутилфенокс)-пропиониламинопи-  
разолоном (5), для достижения требуемой степени коррек-  
ции. Из II указаны 4'-(*n*-мет-бутилфенокс)-1-окси-4'-  
фенилазо-2-нафталилд (IV) и 1-окси-4-(2'-метокс-4'-  
нитрофенилазо)-2-(4'-*o*-тор-амилфенил)-нафталилд (крас-  
ноокрашенная, не применимая в синечувствительном слое);  
для регулирования степени коррекции II могут быть  
смешаны, напр. с 1-окси-2-(α-2,4-ди-*m*-мет-амилфенокс)-  
*n*-бутил-нафталидом или 2-(2',4'-ди-*m*-мет-амилфенокс)-  
свацетамин-4,6-дихлор-5-метилфенолом. Подходящая  
компонента желтого красителя — N-(4-бензоилацетамин-  
бензолсульфонил)-N-(γ-фенилпропил)-*l*-толуидин (V).  
МП применима в трехступенном процессе получения  
цветных кинофильмов: с оригинального негатива полу-  
чают промежуточный дубльнегатив, с которого печатают  
цветной позитив. МП применяется либо при съемке, либо  
для печати дубльнегативов. Указаны возможные ком-  
бинации расположения компонент по слоям МП и све-  
тофильтров при печати дубльнегатива с трех цветоде-  
ленных позитивов. В примере описана пленка, красноточ-  
чувствительный слой которой содержит V, зеленочувствитель-  
ный — IV, синечувствительный — III. IV и V перед  
введением в эмульсию диспергируют в диоктилгид-  
рохиноне и дибутилфталате. Эти в-ва вводят в и жел-  
атиновые прослойки между слоями. В синечувствитель-

ный слой вводят о-крезилфосфат, тартрацин и флуорес-  
цен. Пленку применяют для съемки и проявления с  
обращением.

С. Бонгард

52625 П. Светочувствительные фотографические ма-  
териалы и эмульсии для рентгеновских лучей (Light-  
sensitive photographic elements and emulsions sui-  
table for X-ray exposure) [Kodak, Ltd]. Англ. пат.  
738636, 19.10.55

Десенсибилизация при сгибах фотографий. пленки  
(в особенности рентгеновской пленки), имеющей на  
обих сторонах подложки слой галоидосеребряной  
желатиновой эмульсии, по крайней мере, 10 м толщи-  
ной, уменьшается при введении в эмульсию роданина,  
3-алкил- или 3-арилроданина (алкильная или арильная  
группы могут быть замещены) или алкилен-бис-3,3'-  
роданина, с числом атомов C в алкильной группе от  
2 до 10. Каждый эмульсионный слой должен быть тол-  
ще 12 м. Применяют следующие в-ва: 3-метил-, 3-3'-  
оксизтил-, 3-*n*-гептил-, 3-карбэтоксиметил-, 3-*n*-лау-  
рил-, 3-этил-, 3-фенил-, 3-*l*-диметиламинофенил-родани-  
н, этилен-бис-3,3'-роданин и декаметил-*n*-бис-3,3'-  
роданин. В слое могут вводиться одинаковые или раз-  
личные соединения. Эмульсионные слои могут быть по-  
крыты желатиновым слоем или слоем другого кол-  
лоида, содержащего не диффундирующее светопоглощаю-  
щее в-во. Противоореальные слои могут помещаться  
между подложкой и эмульсионным слоем. Степень де-  
сенсibilизации пленки при сгибах может определяться  
сенситометрически. 3-*l*-диметиламинофенилроданин по-  
лучают кипячением р-ра карбоксиметилтринитрокарбоно-  
вой к-ты, *l*-аминодиметиланилина и Na<sub>2</sub>CO<sub>3</sub> в водн.  
р-ре, охлаждением и выделением в-ва в виде осадка.

И. Соловьева

52626 П. Способ изготовления пластинок для печат-  
ных форм. Клинг, Маркерт (Verfahren  
zum Beschichten von Druckplatten für Kopierzwecke.  
Kling Walter, Markert Hans) [Böhme  
Fettchemie G. m. b. H.]. Пат. ФРГ 925206,  
14.03.55

Патентуется изготовление пластинок для печатных  
форм нанесением слоя высокополимерных набухающих  
углеводородов с свободными или нейтрализованными карбо-  
кислыми группами, напр. Na-солью альгиновой к-ты  
(2%-ного р-ра) или карбоксиметилцеллюлозы (1%-ного  
р-ра). Пластины сенсibilизируют купанием в р-рах  
(NH<sub>4</sub>)<sub>2</sub>Cr<sub>2</sub>O<sub>7</sub>, 100 г на 1 л) или нитрата уранила  
с винной к-той (150 г уранилнитрата и 10 г винной к-ты  
в 1 л). Проявление ведут обычными способами, напр.  
водой или р-ром молочной к-ты. Получаемые таким  
образом слои могут применяться вместо аналогичных  
слоев из гуммиарабика.

Н. Спасокукоцкий

## ДУШИСТЫЕ ВЕЩЕСТВА. ЭФИРНЫЕ МАСЛА. ПАРФЮМЕРИЯ И КОСМЕТИКА

Редактор В. Н. Белов

52627. Масло индийского сандалового дерева. Вы-  
деление чистого α- и β-санталенов. Гхатгей,  
Бхаттачария (Indian sandalwood oil. Isolation  
of pure alpha- and beta-santalenes. Ghatgey B. B.,  
Bhattacharya S. C.), Perfum. and Essent.  
Oil Rec., 1956, 47, № 10, 353—355 (англ.)

Из масла индийского сандалового дерева *Santalum-  
album* L. перегонкой на колонке, а затем над натрием  
выделены β-сантален, т. кип. 123—124°/6 мм, *d*<sub>4</sub><sup>20</sup>  
0,8906; *n*<sub>D</sub><sup>25</sup> 1,4937; [α]<sub>D</sub> 57,06; и α-сантален, т. кип.  
116°/6 мм; *d*<sub>4</sub><sup>20</sup> 0,9030; *n*<sub>D</sub><sup>24,8</sup> 1,4855; [α]<sub>D</sub> +6,60°.

Г. Молдованская

**52628. Использование отходов (смола) после ректификации мятного масла.** Погорелова В. М., Мед. пром-сть СССР, 1954, № 4, 26—28

Разработан метод выделения мятного масла (I) из смолы, полученной при его ректификации путем омыления 20%-ным водн. р-ром едкого кали в течение 8—9 час. и последующей отгонки I с водяным паром. Выход I 75—80%. Путем фракционной разгонки I в вакууме (10 мм рт. ст.) установлено, что в его состав входит: l-ментол (35—55%), d-ментон (10%), α- и β-пинен, цинеол, лимонен, дипентен, уксусный и валериановый эфиры ментола, а в состав смолистого остатка — пальмитиновая и стеариновая кислоты. I из смолы является дополнительным источником получения ментола. М. Стрейбой

**52629. Стандартизация югославских эфирных масел.** Туцаков (Normalizzazione delle essenze jugoslave, Tusačkov Yovan, Rev. ital. essenze profumi, piante offic., oli veget., saponi, 1956, 38, № 10, 446—452 (итал.))

Указываются трудности выработки общих стандартов ввиду различия эфирных масел в зависимости от места произрастания растений и различной обработки. Перечислены физ. и хим. константы, необходимые для стандартизации эфирных масел (подробно описан метод определения кислотного числа), условия упаковки, хранения и отбора проб. Е. Смольянинова

**52630. Полупроизводственный метод получения дифенилоксида.** Сабо (Poluindustrijski proizvodnja difeniloksida, S a b o S.), Kemija u industriji, 1956, 5, № 12, 311—315 (серб.-хорв.; рез. англ., франц., нем.)

Описано получение дифенилоксида на базе бензола и фенола. Охарактеризованы основные свойства и области применения дифенилоксида, имеющего большое значение в произ-ве душистых в-в, косметич. препаратов и мыл. Л. Шулов

**52631. О получении ароматических альдегидов «нитрозным методом»** Елисеева В. Н., Девицкая Т. А., Ж. прикл. химии, 1956, 29, № 12, 1894—1896

Разработан метод получения анисового альдегида и гелиотропина конденсацией, соответственно, метилового эфира фенола и метилового эфира пирокатехина с уротропином (I) и нитрозодиметиланилином (II). Найдено, что без предварительного восстановления II и в отсутствие катализаторов ( $MnCl_2$ ,  $ZnCl_2$ ,  $Al$ ,  $Cu$ ) выход альдегидов составляет 44% (от веса эфира); в присутствии указанных катализаторов 1,6% от веса эфира) выход 56%. Наибольшие выходы получены при проведении р-ции в сернохлорной среде, в сернохлорной среде выход падает на 12%. На выход не влияет последовательность прибавления реагентов, так же как и присутствие или отсутствие спирта. Оптимальные условия проведения р-ции: 1 моль эфира фенола, 1,2 моля II, 0,24 моля I, 5-кратное кол-во (от эфира) телич.  $HCl$  и 1,6% (от эфира)  $Al$ -стружки или  $ZnCl_2$  перемешивают 6—8 час. при 40—60°. Последующий гидролиз проводят или отгонкой альдегида с водяным паром или нагреванием при 40—60°, 6 час. с 3-кратным кол-вом воды. Е. Смольянинова

**52632. Составление духов.** Мюллер (The compounding of perfumes, Müller Pierre), Soap, Perfum. and Cosmetics, 1956, 29, № 8, 915—918 (англ.)

Краткие указания по составлению духов. С. Корз

**52633. Аэрозоли на новом пути.** Рес (Aerosol auf neuen Wegen, Raehs W.), Seifen-Cle-Fette-Wachse, 1956, 82, № 21, 616—617 (нем.; рез. англ., франц., исп.)

Обзор перспектив произ-ва и применения аэрозолей. Л. Шулов

**52634. Расширение применения аэрозолей.** Швейсхеймер (Aerosole wachsen in den Himmel. Immer

umgreifendere Verwendung von Aerosolpackungen, Schweisheimer W.), Rieschstoffe und Aromen, 1956, 6, № 11, 342, 344—346 (нем.)

Приведены данные о выпуске косметич. препаратов в виде аэрозолей (А) в США и Европе. Описаны принцип применения А, требования к сосудам и вентилям для упаковки А, методика наполнения сосудов. Сообщается о применении в пром-сти А спец. в-в (полизолей), значительно расширяющих область применения А; дана характеристика косметич. препаратов, выпускаемых теперь в виде А, благодаря применению полизолей. Л. Шулов

**52635. Прогресс в потреблении аэрозолей.** Швейсхеймер (Fortschritte der Aerosolbenutzung, Schweisheimer W.), Parfum. und Kosmetik, 1956, 37, № 11, 620—622 (нем.)

Обзор достижений и новых работ в области произ-ва аэрозолей. Л. Шулов

**52636. Клапаны на распылителях аэрозолей.** Кемпбелл (Aerosol valves, Campbell S. J.), Amer. Perfumer and Arom., 1957, 69, № 1, 78—80 (англ.)

Обзор применяемых клапанов на распылителях аэрозолей и предъявляемые к ним требования в зависимости от состава распыляемых веществ. Е. Смольянинова

**52637. Косметические эмульгирующие агенты.** Васич (Cosmetic emulsifying agents, Vasic V.), Perfum. and Essent. Oil Rec., 1956, 47, № 6, 209—216 (англ.)

Дан перечень косметич. эмульгирующих агентов, их торговое название, состав, применение и т. д. Г. Молдованская

**52638. Ацетожиры в косметике.** Янистин (Die Acetofette in der Kosmetik, Janistyn H.), Parfum. und Kosmetik, 1956, 37, № 8, 406—407 (нем.; рез. англ., франц.)

Ацетожиры (АЖ) представляют собой эфиры глицерина, у которого одна ОН-группа этерифицирована высокомолекулярными насыщ. или ненасыщ. к-тами, а одна или две других — уксусной к-той. АЖ получают ацетилированием моноглицеридов или переэтерификацией триглицеридов в избытке триацетина в присутствии 0,2% метилата натрия (по отношению к жиру) при 80°. В зависимости от характера кислотного радикала АЖ имеют разную консистенцию — жидкую, полутвердую или воскообразную. АЖ не токсичны, безвкусны, пластичны, обладают большой растяжимостью. После установления полной безвредности АЖ их целесообразно применять в различных косметич. препаратах для полной или частичной замены жира. А. Войцеховская

**52639. Пантотеновая кислота, ее свойства и действие.** Рюмеле (Die Pantothenäure, ihre Eigenschaften und Wirkung, Ruemele T.), Seifen-Cle-Fette-Wachse, 1956, 82, № 23, 689—690 (нем.; рез. англ., франц., исп.)

Пантотеновая к-та (I) применяется в косметич. и лекарственных средствах. I устойчива к свету и т-ре, стабильна в нейтр. р-рах; в горячих к-тах и щелочах активность I падает. Активна только правоповоротная форма I ( $[\alpha]_D^{20}$  24,3). Соответствующий спирт также активен и особенно легко впитывается кожей. Установлено, что I в случае перхоти, выпадения волос, их ломкости и потери блеска нормализует деятельность сальных желез и способствует росту волос. Применение I дает хорошие результаты при ожогах и инфицированных ранах. А. Войцеховская

**52640. Растворимость меланина.** Слейс (Solubility of melanins, Sluis K. J. H.), Perfum. and Essent. Oil Rec., 1956, 47, № 8, 288—292 (англ.)

Обзор. Библ. 16 назв.

Г. М.

52641. **Косметические средства, содержащие мед.** Бенк (Kosmetische Mittel mit Honig — Zusatz. Benk E.), Seifen-Cle-Fette-Wachse, 1956, 82, № 22, 657—658 (нем.)

Рекомендуется вводить мед (М) в косметич. средства для рук и бритья, в воду для лица. В медово-глицериновое желе вводят до 10% М, в воду для лица  $\geq 4\%$ . М обладает бактерицидными свойствами и способствует усилению притока крови. Следует применять неочищ. пчелиный М, содержащий ферменты, к-ты и белковые в-ва в натуральной форме. М целесообразно вводить в шел. средства (мыла и мыльные кремы), нейтрализующие к-ты, ферменты, ароматич. и белковые в-ва. М уничтожающие его биологич. активность. А. В.

52642. **Успокоительные и косметические препараты для ванн.** Калиш (Bath preparations. Cosmetic tranquilizers. Kalish Joseph), Drug und Cosm. Ind., 1956, 79, № 1, 36—37, 108 (англ.)

52643. **Защитные препараты от загара.** Хилфер (Suntan preparations. Hilfer Harry), Drug und Cosm. Ind., 1956, 78, № 4, 462—463, 570—572 (англ.)

52644. **Сернистый селен как средство против выпадения волос.** Матсон (Selenium sulfide as an anti-dandruff agent. Matson Edward J.), J. Soc. Cosmetic Chemists, 1956, 7, № 5, 459—466 (англ.)

Рекомендуют применять сернистый селен (I) как средство укрепления волос. I получают сплавлением 1 моля Se и 2 молей S при  $t = 225^\circ$ . Далее I сплавляют с бентонитом в пропорции 1 : 1 при  $t = 270^\circ$  выше  $t = 270^\circ$  его плавления. После охлаждения I дробят в тонкий порошок и применяют в виде водн. суспензии. Отмечено, что 0,5%-ная суспензия I наиболее эффективна при *Micrococ. aureus* и *albus* и *Pityrosporum ovale*.

И. Вольфензон

52645. **Роль эстрогенов в косметике.** Шмидт (Die Rolle der Oestrogene in der Kosmetik. Schmidt Hans Walter), Seifen-Cle-Fette-Wachse, 1956, 82, № 16, 471—472 (нем.; рез. англ., франц., исп.)

Отмечается целесообразность применения в косметич. препаратах эстрогенов и синтетич. в-в, обладающих действием гормонов.

А. Войцеховская

52646. **Критические замечания к испытаниям средств защиты от солнца.** Маш (Kritisches zur Prüfung von Lichtschutzmitteln. Masch Ludwig-Wilhelm), Parfüm. und Kosmetik, 1956, 37, № 11, 609—614 (нем.)

Обсуждаются результаты ряда физ. испытаний средств защиты от солнечных лучей с фильтрующим действием. Для характеристики пропускной способности этих средств предложен фактор — «критич. толщина слоя»: толщина слоя препарата, уменьшающая действие лучей на 10%.

Л. Шулов

52647. **Определение четвертичных аммониевых соединений в растворах для холодной завивки.** Уокер, Хирш (Der Nachweis quaternärer Ammoniumverbindungen in Kaltwell-Lösungen. Walker G. T., Hirsch F.), Seifen-Ole-Fette-Wachse, 1956, 82, № 26, 783—784 (нем.; рез. англ., франц., исп.)

Описан простой колориметрич. способ качеств. определения четвертичных аммониевых соединений с поверхностноактивными свойствами в препаратах, содержащих тиогликолят и употребляемых для холодной завивки волос. Способ основан на образовании комплекса голубого цвета, переходящего в присутствии в-ва с активным катионом в неполярный органич. р-ритель.

Л. Шулов

52648. **Предпосылки для выпуска аэрозолей в стеклянной упаковке.** Ханс (Voraussetzungen für den Verkaufsstart eines Glas — Aerosoles. Hans Friedrich H.), Parfüm. und Kosmetik, 1956, 37, № 11, 622, 625—628 (нем.)

Описаны перспективы произ-ва аэрозолей в стеклян-

ной упаковке, обладающей рядом ценных качеств: стойкость к коррозии, разнообразием форм и др. Обсуждаются вопросы, связанные с произ-вом и потреблением аэрозолей.

Л. Шулов

52649. **Желатиновые капсулы и их применение в косметике.** Видман (Die Gelatine-Kapsel und ihre Anwendung in der Kosmetik. Widmann A. G.), Seifen-Cle-Fette-Wachse, 1956, 82, № 15, 422—423 (нем.; рез. англ., франц., исп.)

Рекомендуются для упаковки косметич. препаратов желатиновые капсулы и ампулы. Автоматич. машина Шерера дает возможность формовки и расфасовки до 40 000 ампул в час, с точностью дозирования жидкостей и пастообразной массы до  $\pm 1\%$ . Желатина физиологически индифферентна. В желатиновые капсулы можно упаковывать животные и растительные масла, фармацевт. минер. масла, парафиновое масло DAB6 и DAB2, содержащее действующие в-ва, и жидкие неполярные р-рители (трихлорэтилен, четыреххлористый углерод, эфир, углеводороды и силиконы). Водн. и спирт. р-ры следует заменять полиэтиленгликолевыми. Упаковка в ампулах очень удобна и дает возможность дозирования для однократного применения средств от загара, средств, содержащих витамины, гормоны, добавок для ванн, лаков для ногтей и средств для удаления лака.

А. Войцеховская

См. также: Синтез *п*-аминокоричной к-ты 51212;  $\beta$ -формилпропионовой к-ты 51241; *п*-ментатриена-(1,5,8 (9)) и пиролиз его в дегидрооцимен 51363; айкарвон 51364. История 50292. Школьные опыты 50349

## КАУЧУК НАТУРАЛЬНЫЙ И СИНТЕТИЧЕСКИЙ. РЕЗИНА

Редактор Д. М. Сандомирский

52650. **Технический прогресс в резиновой промышленности СССР.** Сагановский и Багневский (Postęp techniczny w przemyśle gumowym w ZSRR. Saganowski H., Bagniewski J.), Przem. chem., 1956, 12, № 10, 537—540

Отчет о поездке польских специалистов в СССР в 1955 г.

В. Ленетов

52651. **Новейшие достижения в резиновой промышленности.** Смитсон (Recent advances in the rubber industry. Smithson J. A.), Pract. Plastics, 1956, 7, № 11, 14—16, 28—30 (англ.)

Популярная статья.

В. Шершнез

52652. **Особые способы получения изделий из латекса методом ионного отложения.** Горком (Besondere Verfahren bei der Herstellung von Latex-Tauchartikeln. Gorkom C. van), Kautschuk-Anwendungen, 1956, 6, № 2, 25—26 (нем.)

Описано получение метеорологич. баллонов, противогазовых трубок, гуммированных сит. Желатинирующий агент —  $\text{CaCl}_2$ . Для получения баллона применяют полую овальную резиновую форму, усиленную по центральной оси металлич. трубкой. Чтобы вытащить форму (диам. 8 см) из шейки баллона (диам. 1 см), слегка подсушенный гель раздувают, вводя воздух между формой и гелем до диам. 32 см. Раздутый гель вулканизуют горячим воздухом при  $100\text{--}110^\circ$ , затем форму в сжатом состоянии извлекают через шейку баллона. Форма для противогазовой трубки имеет продольный сквозной канал, суживающийся внизу до 2 мм. Перед погружением ее в р-р  $\text{CaCl}_2$  нижнее отверстие затыкают бумагой. Гель сушат на форме и вулканизуют при  $100\text{--}110^\circ$ . В верхнюю часть формы подают воду под давлением. Вода выталкивает бумагу и движется вверх между формой и изделием, благодаря чему



но соскальзывает с формы. Металлич. сита для просева твердых материалов гуммируют методом ионного отложения, образования пленок в ячейках сит избегают, так подбирая рецептуру латексной смеси, что при промывке водой гель смывается только с ячеек.

И. Шмурак

52653. Теория деструкции молекул каучука. Кирияма (ゴム分子の崩壊の理論. 桐山茂), Японск. Гомо. Ассоциация, Япония, гомо. кейкайси, J. Soc. Rubber. Ind., 1956, 29, № 10, 894—913 (японск.)

Обзор по деструкции молекул каучука под действием нагревания, окисления, радикалов и механич. воздействия (ультразвук). Библ. 65 назв. Ю. Ермаков

52654. История первых экспериментов по сополимеризации с применением натурального каучука. Ле-Бра (History of the first experiments on copolymerization using natural rubber. Le Bras J.), Rubber J., 1957, 132, № 2, 42 (англ.)

52655. Исследование гелеобразования в различных типах полимеров вистексным методом. Ларчар, Тафт, Дьюк, Муни, Дьенге (A study on vixtex gel points in various types of polymers. Larchar T. B., Taft W. K., Duke J., Mooney H. R., Gueyeng J. M.), Rubber Age, 1956, 79, № 6, 971—976 (англ.)

Определяли вистексным способом вязкость полимера, отбирая 1 мл латекса на различных стадиях полимеризации и растворяя его в 100 мл смеси бензол-изопропанол (80 : 20), содержащей 0,01% фенил-3-нафтиламина. Р-р фильтровали, определяли конц-ию с поправкой на некаучуковые в-ва и вязкость в вискозиметре Оствальда. Рассчитывали приведенную логарифмич. вязкость  $\lg \eta_{\text{отн}}/C$  при  $C \rightarrow 0$ , определенную вистексным методом (ВВ). Точка гелеобразования (ТГ) определяется положением максимума на кривой ВВ — степень полимеризации. Определяли также вязкость бензольных р-ров сухого остатка латексов. Исследовали полимеризацию бутадиена, стирола, и их смесей при 50°, 5°, —17,8°, варьируя соотношение мономеров, эмульгаторов, регуляторов в полимеризационных рецептах, содержащих сахар, с низким содержанием сахара, сульфокислотных, железопирофосфатных и содержащих аммиак. ВВ увеличивается с понижением т-ры полимеризации для одинаковых степеней полимеризации; она выше для сополимеров, чем для гомополимеров при всех т-рах и увеличивается с возрастанием содержания стирола в полимере. ТГ повышается (максимум ВВ сдвигается в сторону увеличения степени полимеризации) при всех т-рах с ростом содержания регулятора, при этом ВВ и ТГ падает быстрее в случае сополимера, чем в случае гомополимера. Тип эмульгатора также влияет на ТГ.

В. Кулезов

52656. Свойства нового вида синтетического каучука СКН. Субботин С. А., Самолетова В. В., Знаменская А. К., Хим. пром-сть, 1956, № 7, 405—407

Во ВНИИ синтетич. каучука синтезирован полиизопреновый каучук (СКН), содержащий 90—95% структуры 1—4 и 5—10% структуры 1—2 и 3—4. Подавляющая часть звеньев 1—4 находится в *цис*-форме, а боковые группы образованы главным образом из звеньев 3—4. Озонирование указывает, что звенья 1—4 связаны только в положении «голова к хвосту». По распределению мол. весов СКН близок к НК. Рентгенографически и по Джоуль-эффекту показано, что СКН кристаллизуется при растяжении, но медленнее и при большем удлинении, чем НК. Сопротивление разрыву ненаполненных резин из СКН или НК одинаково, но первые обладают более высоким относительным удлинением и более низкими модулями. СКН равноценен НК по эластичности на отскок, динамич. модулю упру-

гости, модулю трения, теплообразованию при многократном сжатии или изгибе в ненаполненных смесях, а в сажевых смесях превосходит НК. СКН уступает НК по сопротивлению раздиру и температуростойкости как в ненаполненных, так и в сажевых смесях. Т-ра стеклования СКН —68°, вследствие чего он обладает несколько более низким коэф. морозостойкости, чем НК. По теплостойкости СКН в ненаполненных смесях равноценен НК, а в сажевых превосходит его. Сырые смеси из СКН обладают меньшей прочностью и клейкостью, чем смеси из НК, ненаполненные смеси из СКН плохо каландруются и шприцуются. СКН способен к механич. пластикации и дает меньшую усадку, чем бутадиеновые каучуки. По комплексу свойств СКН способен заменить НК при изготовлении грузовых шин, а также ряда технич. и бытовых высокоэластичных изделий.

И. Тютюрский

52657. Новый завод СК в Форт Денлоп. — (New synthetic rubber plant opened at Fort Dunlop.) Rubber J., 1957, 132, № 1, 6—9; Petroleum, 1957, 20, № 2, 65 (англ.)

Описание полупроизводственной установки для эмульсионной полимеризации бутадиенированного каучука производительностью 1500 т в год. В. Шершев

52658. Повышение эластичности бутылкаучука с помощью химической модификации. Липер, Гейбл, Д'Амиго, Дун (Improved resilience in butyl rubber through chemical modification. Leeper H. M., Gable C. L., D'Amico J. J., Tung C. C.), Rubber World, 1956, 135, № 3, 413—420, 428 (англ.)

N-Метил-N,4-динитрозоанилин (Elastopar) (I) вводили в бутылкаучук (БК) в закрытом смесителе при 124° вместе с другими ингредиентами в кол-ве до 3,0 ч. на 100,0 ч. БК. Время введения 1—2—3 мин. Вулканизаты из модифицированного БК имеют повышенные модули (в 1,5—2 раза), эластичность, электросопротивление (вследствие лучшего диспергирования наполнителя), улучшенные низкотемпературные и технологич. свойства, пониженную твердость. Величина снижения гистерезиса прямо пропорциональна конц-ии саж. Бензотриаолдисульфид увеличивает активность I, а тиурам — уменьшает. Модифицированный БК полностью растворяется в бэл., что указывает на отсутствие эффекта сшивания. I активен в смесях с сажей и мелом, может применяться в виде маточных смесей с полиизобутиленом.

В. Кулезов

52659. Бутылкаучук в покрытиях проводов и кабелей. (Diskussionen über Butylkautschuk-Draht- und Kabelumspinnungen. (Eine Diskussion über Butylkautschuk. —), Kautschuk und Gummi, 1956, 9, № 9, WT 231 — WT 232. Diskuss. WT 232 — WT 235 (нем.)

Материалы дискуссии в клубе резинщиков в Род-Айленде (США). Обсуждались вопросы приготовления резиновых смесей из бутылкаучука (I) при повышенных т-рах, выбора ускорителей вулканизации БК, влияния S на свойства вулканизата деформации и шприцевания изоляционных смесей из БК. П. Эсман

52660. Производство бутылкаучука. Мулен (La fabrication du caoutchouc butyl. Moulin Marie), Chimie et industrie, 1956, 76, № 4, 746—753 (франц.; рез. англ., исп.)

Обзор получения мономеров, полимеризации и свойств бутылкаучука.

Р. Беркович

52661. Неопрены и хайпалон — новейшие достижения. Каттон (Neoprene and Hypalon — die neuesten Entwicklungen. Catton Neil L.), Kautschuk und Gummi, 1956, 9, № 11, WT280 — WT286, WT288 (нем.)

Обзор. Сравнение физ.-мех. и технологич. свойств неопренов WX, WHV и хайпалона 20. Б. Шершев

52662. Получение привитых полимеров при действии ионизирующих излучений. Мага, Шапиро, Себбан-Данон (Preparation of graft polymers by ionizing radiations. Magat M., Chapirio A., Sebban-Danon J.), Rubber J., 1956, 131, № 26, 890, 906 (англ.)

52663. Реакции получения привитых полимеров с помощью перекисей. Сметс (Graft reactions by means of peroxides. Smetts G.), Rubber J., 1956, 131, № 26, 889—890 (англ.)

52664. От смесей каучука со смолами к привитым смолами каучукам. Развитие работ по комбинациям каучуков и смол за последние годы. Далеш-Печ (Von Kautschuk-Harz-Polymerisatgemischen zu Kautschuk Harz-Pfropfpolymerisat. Entwicklungsarbeiten über die Kombination von Kautschuk und Harz in den letzten Jahren. Dalesch-Paetsch Hildegard), Kautschuk und Gummi, 1956, 9, № 12, WT312-WT314, WT316, WT318, WT320 (нем.) Обзор работ по получению и свойствам смесей НК с СК с полистиролом, полиакрилатами, полиэтиленом, фенолформальдегидными смолами и др.; получение привитых полимеров и проблемы усиления каучука непосредственно в латексе. Библ. 54 назв. В. Кулеанов

52665. Растекаемость каучука. Часть II. Поверхностные пленки очищенного каучука. Часть II. Влияние окислительных агентов на поверхностные пленки каучука. Сиварамакришнан, Рао (Spreading properties of rubber. Part I. Surface films of purified rubber. Part II. Effect of oxidising agents on spread films of rubber. Sivaramakrishnan N. H., Rao M. R. A.), Trans. and Proc. Instn Rubber Ind., 1956, 32, № 1, T19—T26; 32, № 3, T69—T76 (англ.)

I. Изучали свойства поверхностных пленок из НК различной степени очистки, полученных на поверхности вода — воздух при помощи весов Лэнгмюра-Адама. Латекс, стабилизированный  $\text{NH}_3$ , очищали диализом, коагулировали  $\text{CH}_3\text{COOH}$ , коагулом экстрагировали ацетоном и подвергали 3-кратному фракционному осаждению из смеси бал. со сп. (32 : 100). Содержание N составляло 0,008%. При обработке других порций латекса щелочью с последующей экстракцией коагулолом ацетоном, или гидролизом протенном в автоклаве при 190° с последующей экстракцией коагулолом водой и сп. или при обработке трипсином при 37° содержание N составляло соответственно 0,05; 0,15 и 0,14%. Для пленок, полученных из р-ров в бал. или хлф. зависимость поверхностного давления от величины поверхности пленки линейна при давл. > 3 дин/см, ниже этого давления пленки обладают сжимаемостью. Разрушение пленок наблюдается при давл. 8—9 дин/см. Толщина пленок, полученных из р-ров в бал. уменьшается с разбавлением р-ра до конц-ии 4 мг/см<sup>3</sup>, а из р-ров в хлф. уменьшается во всем интервале конц-ии. Содержание N незначительно влияет на величину поверхности, толщину и эластичность пленок, это указывает, что протенны, содержащиеся в латексе, при очистке денатурируются и переходят в нерастворимое состояние. Толщина пленок увеличивается с увеличением мол. веса каучука (K) (определенного вискозиметрич.) и в зависимости от р-рителя в ряду: бал.-толуол-сесь бал. с ацетоном или сп. Толщина пленок несколько сот А — указывает, что они состоят из агрегатов цепей со значительными силами когезии. К относятся к полукристаллич. полимерам, содержащим слабые гидрофильные группы.

II. При окислении пленок из K с содержанием N 0,05%, полученных из толуольных р-ров, на поверхности р-ров  $\text{KMnO}_4$  различной конц-ии, при постоянном давл. 2 дин/см, величина поверхности пленки изменяется во времени по кривой с максимумом, что

объясняется распрямлением молекул K в начальной стадии окисления вследствие отталкивания возникающих групп OH, и высокой гидрофильностью и растворением в водн. фазе при высокой конц-ии групп OH. Скорость окисления пленок на  $\text{KMnO}_4$  с увеличением pH уменьшается, а на  $\text{H}_2\text{O}_2$  — увеличивается, что согласуется с уменьшением окислительного потенциала  $\text{KMnO}_4$  и увеличением потенциала  $\text{H}_2\text{O}_2$  при увеличении pH. Изменение мол. веса K с 470 000 до 290 000 практически не влияет на скорость окисления. При окислении пленок на 0,005 M водн. р-рах  $\text{Cl}_2$ ,  $\text{Br}_2$  или  $\text{J}_2$  величина поверхности пленки со временем медленно возрастает вследствие увеличения растекаемости K под действием полярных групп и одновременного увеличения гидрофобности K. В случае  $\text{Br}_2$  получаются более устойчивые пленки, чем в случае  $\text{Cl}_2$ , что объясняется действием хлорноватистой к-ты в последнем случае. Малая величина поверхности пленок в случае  $\text{J}_2$  объясняется высокой гидрофобностью йодированного K.

И. Тугорский  
52666. Сопротивление изоляции из резины и виниловых соединений. Торни, Хосси, Пески (ゴム及びビニル混和物の絶縁抵抗に関する一考察. 島居忠一, 星井清, 一色節也). 日本ゴム協会誌, Нихон гому кёкайси, J. Soc. Rubber Ind., 1956, 29, № 10, 869—873, 941 (японск.; рез. англ.)

Для исследования механизма объемной проводимости пластифицированных поливинилхлоридных смол и наполненных резин, измеряли изменение объемного сопротивления (ОС) в зависимости от содержания пластификатора или наполнителя. ОС смесей, содержащих пластификатор с высоким сопротивлением, может быть не велико. Это объясняется наличием цепочек пластификатора или наполнителя. Образование цепочек зависит от хим. средства между смолой, пластификатором и наполнителем, а ОС от степени диспергирования. Подобное явление наблюдается также и в случае механич. свойств, оно хорошо объясняется корреляцией, существующей между ОС и модулем или т-рой хрупкости. А. Лукомская

52667. Масляные каучуки и их технические свойства. Получение устойчивых эмульсий масел и определение условий их смешения с латексом. Калаус А. Е., Рабинерзон М. А., Захарченко П. И., Зайцева А. Б., Файнштейн М. С., Хим. пром-сть, 1956, № 8, 449—455

Исследовали влияние эмульгатора, т-ры смешения, конц-ии масла на устойчивость эмульсии автола-18 в воде (Э) и смешение ее с латексами СК-30 и СК-30А. Лучшими эмульгаторами для Э являются мыла жирных к-т  $\text{C}_{14}$ — $\text{C}_{17}$ , оптимальная конц-ия масла 30—50% в присутствии стеарата триэтанолamina, т-ра эмульгирования 30—45° Э на стеарате K менее устойчива к действию солей, содержащихся в латексе, и поэтому разрушается при смешении. Э на стеарате триэтанолamina разрушается только при смешении с латексом СК-30А, что объясняется миграцией на поверхность глобул латекса части эмульгатора. По разработанному непрерывному способу получения масляных каучуков, латекс смешивается при 45—50° с Э, содержащей достаточное для предотвращения разрушения Э кол-во эмульгатора, в течение 8—10 мин. до полного совмещения и затем направляется на коагуляцию. В. Кулеанов

52668. Свойства печных саж и влияние на эксплуатационные свойства протекторов покрышек. Вестлиннинг (Eigenschaften und Leistung von Furnace-Rußen für Reifen-Laufflächen. Westlinning H.), Kautschuk und Gummi, 1956, 9, № 11, WT 273—WT 280 (нем.)

Исследовали влияние различных саж на технологич. свойства резиновых смесей и эксплуатационные свой-

ства протекторов. Печная сажа HAF (I), придающая резинам высокое сопротивление истиранию, имеет наиболее вероятный диаметр частиц порядка 30 мк, а печные сажи SAF (II) и JSAF (III), дающие превосходное сопротивление резин истиранию, несколько < 20 мк, т. е. ближе к канальной саже MPC (IV). При смешении, т-ры смесей выше в случае печных саж, но в случае II ближе к т-рам с IV. Чем активнее сажа, тем больше Дефо-твердость смеси с повышением т-ры смешения. Начало подвулканизации по Муни для смесей из НК при 121° с I 14, с II 12 и III 13 мин., а для смесей из СК низкотемпературной полимеризации при 130° с I 21, с II 18 и III 16 мин. Соответственно смеси с II дают меньшую скорость шприцевания, для I и III — скорости близки. Поверхность шприцованных заготовок смесей из СК с печными сажами лучше, чем с канальной. В вулканизатах из НК и СК модуль (300%) снижается, эластичность и сопротивление раздиру повышаются при введении саж в последовательности I, III, II. Испытание на истирание по немецкому стандарту почти не дает разницы в показателях для I и III. Рекомендуется американский метод истирания под углом (Акрон). Подъем т-ры при многократной деформации на сдвиг на флексометре Файерстона выше у резин с III, чем с I. Дорожные испытания протекторов из НК и СК с I и III на Нюрбургском круге показали (при статистич. оценке большого числа результатов) следующие соотношения истирания протекторов после 20 тыс. км. Из СК, I : III = 100 : 69, из НК, I : III = 100 : 72. Микроскопич. исследование поверхностей истирания протекторов показывает, что модель истирания по Шалламаху пригодна для НК, но не для СК. Рекомендуется введение III в протекторы из НК и СК.

А. Лукомская

**52669. Усиление синтетических эластомеров. Слюда как наполнитель в резине из GR-S.** Гейтан, Блум, Бобалек (Reinforcement of synthetic elastomers. Mica fillers in vulcanized GR-S rubber. Gaitan A., Blum G. W., Bobalek E. G.), Industr. and Engng Chem., 1956, 48, № 11, 2080—2082 (англ.)

В смесях из GR-S слюда (С) является малоактивным наполнителем, вызывая по сравнению с ненаполненными резинами увеличение сопротивления разрыву менее чем втрое и модулей — вдвое. 50 вес. ч. С эквивалентны по эффекту усиления 10 вес. ч сажи. С оказывает пластифицирующее действие, что позволяет получать вулканизаты без мягчителей. Смесь С с сажей легко диспергируется в каучуке без мягчителей. Резины без ZnO, наполненные С, в отличие от других минер. наполнителей, обладают высоким относительным удлинением.

И. Тугорский

**52670. Усиление синтетических эластомеров. Влияние сажи на крепление бутылкачука к латуни (70/30).** Линг, Бобалек, Блум (Reinforcement of synthetic elastomers. Effect of carbon fillers in bonding butyl rubber to 70/30 brass. Ling T. H., Bobalek E. G., Blum G. W.), Industr. and Engng Chem., 1956, 48, № 11, 2083—2085 (англ.)

Изучалось влияние 4 типов канальных саж (С) и 3 типов печных С (20—60 вес. %) на прочность крепления бутылкачука к латуни. Между прочностью крепления (Z) и увеличением работы разрыва (ΔA) за счет наполнения С существует эмпирич. зависимость:  $Z = 7,963(\Delta A)^{1/2} + 60$ . Для увеличения прочности крепления необходимо менять состав сплава и его поверхностную обработку и улучшать физ.-мех. свойства резины. Для всех типов С силы адгезии превышают когезионные силы, т. е. разрыв происходит по резине. В случае канальной С Carbolac 2 при наполнении > 20 вес. % происходит отслаивание резины от металла, что объясняется уменьшением сил адгезии вследствие

адсорбции S на С или высоким содержанием летучих в этой С, выделение которых при вулканизации разрушает адгезионные пленки.

И. Тугорский

**52671. Усиление синтетических эластомеров. Влияние размера частиц и типа наполнителя на прочность.** Скиннер, Бобалек, Блум, Линг (Reinforcement of synthetic elastomers. Influence of particle size and type on tensile behavior. Skinner S. M., Bobalek E. G., Blum G. W., Ling T. H.), Industr. and Engng Chem., 1956, 48, № 11, 2086—2093. Discuss. 2093—2094 (англ.)

При вулканизации бутылкачука (БК) (см. пред. реф.) эффективное число цепей, рассчитанное по ур-нию Джемса-Гута, Уолла и Флори линейно увеличивается с увеличением дозровок сажи. Скорость относительного увеличения густоты сетки за счет наполнения максимальна для саж, имеющих средний размер частиц (~30 мк). Прочностные свойства вулканизатов из БК хорошо описываются эмпирич. ур-нием, предложенным ранее (Blanchard, Parkinson, Ind. Eng. Chem., 1952, 44, 799). Вулканизаты GR-S имеют эффективное число цепей в единице объема того же порядка, что и вулканизаты БК ( $10^{19}$ — $10^{20}$ ), но меньший коэф. жесткости и большее отклонение от теории. В резинах из GR-S, наполненных слюдой, с добавлением ZnO жесткость уменьшается. В резинах из GR-S, наполненных комбинациями сажи со слюдой различного состава, густота сетки увеличивается с увеличением дозровок сажи и уменьшением дозровок слюды и с добавлением ZnO.

И. Тугорский

**52672. Пластичная дешевая смесь с повышенной жесткостью и хорошими технологическими свойствами.**—(Mélanges bon marché a dureté élevée et à mise en oeuvre facile.—), Rev. gén. caoutchouc, 1956, 33, № 10, 877 (франц.) 927—928 (англ.); 931—932 (исп.); 934—935 (итал.);

Добавление 40 ч. мягчителя «смола ZW тип 20» в комбинации с сажей в подшошенную смесь на основе регенерата позволяет получать из пластичной смеси жесткий вулканизат.

Р. Беркович

**52673. К вопросу о вулканизации высокоэластических полимеров. Сообщение 9. Вулканизация синтетического каучука тиурамдисульфидом (II).** Шеле, Туссен (Zur Kenntnis der Vulkanisation hochelastischer Polymerisate. 9. Mitt. Die Vulkanisation synthetischer Kautschuke durch Thiuramdisulfide (II). Scheele Walter, Toussaint Horst—Eckart), Kautschuk und Gummi, 1956, 9, № 10, WT243—WT247 (нем.)

При вулканизации пербунана 2818, содержащего 28% акрилонитрила, 3 вес. ч. тетраэтилтиурамдисульфида (I) в присутствии 10 вес. ч. активной ZnO при 120—150° предельное кол-во образующегося дитиокарбамата Zn (II) составляет 2/3 от введенного I. Побочные р-ции с нитрильными группами не обнаружены. При 145—150° через 16 час. от начала р-ции наблюдается заметное уменьшение кол-ва образующегося II. Р-ции расхода I и образования II подчиняются ур-нию 1-го порядка, энергии активации равны соответственно 22,1 и 18,2 ккал/моль, что совпадает с соответствующими значениями для НК и несколько ниже значений для Буна-S. Константы скорости расхода I в 4—5 раз превышают соответствующие константы скорости образования II. Введение 33,3 мол. % II (на введенный I) не влияет на кинетику вулканизации при 135° и на предельное кол-во образующегося II. Сообщение 8 см. РЖХим, 1957, 24712.

И. Тугорский

**52674. Новая смазка для форм. Вольфенский продукт FW<sub>6</sub>.** Арндт (Das Wolfener Produkt FW<sub>6</sub>— ein Neues Formeinstreich- und Trennmittel für die Gummiindustrie. Arndt D.), Plaste und Kautschuk, 1956, 3, № 8, 188—189 (нем.)



Моющее средство FW<sub>6</sub> (изготавливаемое на з-де красок в Вольфене, ГДР) с успехом применяется для смазки вулканизационных форм и предотвращения прилипания. FW<sub>6</sub> в отличие от продуктов окисления восков придает формуемым изделиям чистоту и блеск и не дает нагара на формах. FW<sub>6</sub> не влияет на физ.-мех. свойства резины. FW<sub>6</sub> рекомендуется также применять вместо пудровочных материалов и для смазки противней при термопластикации Буна S-3, для приема шприцованных изделий и при гранулировании в комбинации с супензией стеарата Zn.

П. Эсман

**52675. Вулканизованная обувь.** Фишер (Vulkanizirana obuća. Fischer E. Hinko), Koza i obuća, 1956, 5, № 7, 261—264 (сербо-хорв.; рез. англ., франц., нем.)

Обзор состояния мировой пром-сти в области резиновой обуви. Отмечаются достигнутые результаты и делаются предложения для развития этой отрасли пром-сти в Югославии.

М. Монастырская

**52676. Содержащий резину битумный материал для заполнения швов.** Гесинк, Нейвелд (Bitumineus voegvuulingsmateriaal met rubber. Geesink H. A. O. W., Nijveld H. A. W.), Wegen, 1956, 30, № 1, 5—7 (гол.; рез. англ.)

Для заполнения швов между бетонными плитами в дорожном строительстве применяют битумы, модифицированные НК. Описаны состав и свойства этих композиций.

В. Шершнев

**52677. Методы испытания каучука и резины.** Международная конференция 1955 г. Скотт (Rubber test methods: 1955 international meeting. Scott J. R.), Trans and Proc. Instn. Rubber Ind., 1955, 31, № 6, P. 208 — P. 215 (англ.)

Сообщение о 6-ой конференции Комитета ISO/TC-45 Международной организации по стандартизации, 5—10 сентября 1955 г. в Дюссельдорфе. Приняты рекомендации по испытанию латекса, сырого каучука, определению загрязнений в каучуке, присутствия Си и Мп, сопротивления раздиру, старению, прочности связи резины с металлом, морозостойкости резины, остаточной деформации сжатия; по классификации вулканизованных резины и по терминологии. Были также рассмотрены вопросы: электропроводности резины, стандартизации атмосферных условий испытания, определения набухания, определения прочности на микрообразцах, микро-твердости, растрескивания и роста трещин при изгибе и выбора единиц линейных размеров.

М. Хромов

**52678. Измерение электропроводности резины.** Церниаль (Messung der elektrischen Leitfähigkeit von Gummi. Zernial D.), Kautschuk und Gummi, 1957, 10, № 1, WT1 — WT5 (нем.)

Обзор стандартных методов измерения электропроводности резины.

А. Лукомская

**52679. Анализ резины. Часть I. Определение сажи в мягких резинах.** Вебер, Шульц (Gummianalyse. Teil I. Über die Bestimmung von Ruß in Weichgummivulkanisaten. Weber K., Schulz F.), Plaste und Kautschuk, 1956, 3, № 11, 270—271 (нем.)

Навеску (В) (250—300 мг) измельченного вулканизата экстрагируют 8 час. смесью хлф.-ацетон (68:32 об. %), высушивают на водяной бане. 1—1,5 часа обрабатывают 30 мл конц. HNO<sub>3</sub>. После центрифугирования при 4000—6000 об/мин сажу декантируют, многократно промывают HNO<sub>3</sub>, взвешивают после высушивания (А<sub>1</sub>), сжигают при 800—1000° (А<sub>2</sub>); % сажи  $C = (A_1 - A_2) / 100 \cdot B$ . Для более точного определения C (с учетом различий в уд. весах резины) предлагается Фла:  $C = 100(1/\gamma_k - 1/\gamma_{*}) / (1/\gamma_k - 1/\gamma_R) - E(1/\gamma_k - 1/\gamma_E) / (1/\gamma_k - 1/\gamma_R) - A(1/\gamma_k - 1/\gamma_A) / (1/\gamma_k - 1/\gamma_R)$

где E — % экстракта, A — % золы,  $\gamma_{*}$  — уд. вес резины,  $\gamma_k$  — уд. вес каучука,  $\gamma_R$  — уд. вес сажи (1,8 г/см<sup>3</sup>),  $\gamma_E$  — уд. вес экстракта (1,02 ± 0,04 г/см<sup>3</sup>),  $\gamma_A$  — уд. вес золы (5,4 г/см<sup>3</sup> в ненаполненной резине).

А. Лукомская

**52680 П. Способ и аппарат для коагуляции.** Стрит (Coagulation process and apparatus. Street John N.) [Firestone Tire and Rubber Co.]. Канад. пат. 518771, 22.11.55

В ванну с коагулянтном направляют большое кол-во струй дисперсии, меняя быстро и непрерывно их положение под поверхностью коагулянта. Струи распадаются на капельки и при их коагуляции образуются порошок из каучукоподобных частиц. Порошок поднимается на поверхность, разбивая образовавшиеся на ней агломераты. Полученный материал удаляют с поверхности коагулянта.

М. Лурье

**52681 П. Резиновые смеси, содержащие кремний.** Барри (Silicon-containing rubber compositions. Barry Arthur J.) [Dow Corning Silicones Ltd.]. Канад. пат. 523956, 17.04.56

НК, гуттаперча, балата или каучукоподобный бутадиевтирольный сополимер взаимодействует с гидрополиалкоксисилилом (напр., гидротоксисилилом) или с полихлормонооксисилоном. Получающийся продукт присоединения содержит радикалы с ф-лой SiR<sub>n</sub>(OR)<sub>3-n</sub>, где R — метил или фенил, R' — алкил от метила до пропила, n = 0 или 1, связанным с атомами C каучукового углеводорода связью Si — C. Кол-во радикалов обеспечивает содержание Si в продукте 1—33% от углерода.

М. Лурье

**52682 П. Эластичные нити и ткани (Elastic yarns and fabrics)** [Dow Corning Corp.]. Англ. пат. 726479, 16.03.55

Доп. к англ. пат. 682540. Для получения шприцованных или нарезанных эластичных волокон, нитей и пряжи применяют вулканизованные кремнийорганич. соединения с добавками или без добавок окиси Ti, окисей и карбонатов Fe, Hg, Cd и Zn, а также цирконов металлов. В пряже нити имеют оплетку из обычной текстильной пряжи.

А. Волохина

**52683 П. Способ получения ячеистого или губчатого силиконового каучука.** Уоррик (Verfahren zur Herstellung von zell-oder schwammförmigem Siloxan-kautschuk. Warrick Earl Leathen) [Dow Corning Corp.]. Пат. ФРГ 946746, 2.08.56

Жидкий или студнеобразный полисилоксан, содержащий в среднем на один атом Si 1,75—2,25 органич. остатков типа алкила, арила, замещ. алкилов и арилов или их смесей, ≥ 40 мол. % структурных единиц R<sub>2</sub>SiO (где R — низший алкильный остаток), при добавлении наполнителей (напр., TiO<sub>2</sub>, глета, силикагели), нагревают с органич. перекисью, содержащей не менее одного ароматич. ацильного остатка (напр., перекись бензола (ПБ)), до т-ры, превышающей т-ру разложения перекиси, при отсутствии O<sub>2</sub>, в условиях, допускающих достаточное расширение массы. При этих или более высоких т-рах, путем дальнейшего нагрева, возможно отверждение получившихся губок. При м е р. Жидкий диметилсилоксан с вязкостью 1000 сст, полученный при 4-час. нагревании с обратным холодильником двух объемов диметилдиэтоксисилана, 1 объема 95%-ного спирта и 1 объема соляной к-ты, промывают, сушат и освобождают от низших полимеров отгонкой при 250° (0,5 мм). Остаток смешивают с 3 вес. % ПБ, осажденной на CaSO<sub>4</sub>. Смесь нагревают 2 часа при 150° и получают эластичный и клейкий, но не растворимый в бэл. гель. В него вводят 25 вес. % не содержащего щелочи асбеста 3 вес. % ПБ. Тестообразную массу в отсутствие O<sub>2</sub> нагревают в прессформе, допускающей

расширение массы, 0,5 часа при 150°. Полученная губка сохраняет свойства при  $t_{\text{пр}} > 200^\circ$ .

**М. Монастырская**  
**52684 П.** Способ изготовления белых активных наполнителей для каучука, содержащих кремнекислоту. К ю т н е р (Verfahren zur Herstellung eines weißen, kiesel-säurehaltigen, aktiven Kautschukfüllstoffes. K ü t t n e r F r i e d r i c h) [VEB Chemische Fabrik Fahrbrücke]. Пат. ГДР 11821, 25.06.56

Фильтрат, остающийся после осаждения глинозема из р-ра сульфата Al водн. аммиаком, доводят до конца 2,7—3%, нагревают до 40° и смешивают с 4—5%-ным водн. р-ром растворимого стекла ( $\text{Na}_2\text{O} \cdot 3,3\text{SiO}_2$ ). Через некоторое время фильтруют, осадок промывают, сушат при 85° и измельчают.

**А. Лукомская**  
**52685 П.** Наполненный силиконовый каучук. С а в и д ж (Gefüllter Silikonkautschuk. Savage Richard Miner) [General Electric Co.]. Пат. ФРГ 949903, 27.09.56

В качестве наполнителя силиконового каучука, содержащего в среднем на 1 атом Si 1,95—2,25 углеводородных групп (преимущественно метильных или метилфенильных), применяют 0,1—2 ч. (на 1 ч. полисилоксана)  $\gamma$ -окси Al с величиной частиц  $< 10^{-4}$  мм, а также  $\leq 5\%$  ZnO. Для отверждения рекомендуют перекиси бензоила. П р и м е р. Полидиметилсилоксан, полученный при 6-часовой конденсации октаметилциклотетрасилана с 0,01% KOH при 150°, смешивали (в вес. ч. на 100 вес. ч. полимера) с 50  $\gamma$ -окси Al, 22ZnO и 3 перекиси бензоила. Образцы прессовали 15 мин. при 124° и давл. 35 кг/см<sup>2</sup>, затем нагревали 1 час при 150° и 24 часа при 250° в камере с обменом воздуха. Сопротивление разрыву 66,4 кг/см<sup>2</sup>, относительное удлинение 660%, сопротивление раздиру 10,8 кг/см.

**М. Монастырская**  
**52686 П.** Пластификация материалов, вулканизуемых серой, и смесей на их основе. Ш у л ц, Х и л л е р (Plasticization of sulfur vulcanizable materials, and related compositions. Schulze Walter A., Hillyer John C.) [Phillips Petroleum Co.]. Пат. США 2738100, 13.03.56

Диены с 4—6 атомами С полимеризуют в р-ре в низкотемпературном присутствии тонкоизмельченного щел. катализатора, или в эмульсии в присутствии больших кол-в меркаптана до мол. в. 500—5000 (вязкость 100—6000 сек. при 38° на вискозиметре Сейболт Фуллон, ненасыщенность 70—90% от теоретич.), гидроксилируют по двойной связи  $\text{H}_2\text{O}_2$  в присутствии эфира муравьиной к-ты как катализатора. Полученные гидроксили этерифицируют  $\text{POCl}_3$  в присутствии низкомолекулярного спирта для нейтрации оставшихся OH-групп или монокарбоновой к-той. Иногда проводят частичную гидрогенизацию продукта до этерификации. Полученный пластификатор вводят в кол-ве 1—25 вес. ч. на 100 вес. ч. каучука в резиновую смесь из НК, GR-S, нитрильного, хлоропренового или других каучуков на вальцах, закрытом смесителе или в латексе. Полученный пластификатор увеличивает клейкость СК и не экстрагируется р-рителями из вулканизата, что позволяет применять его в стойких к р-рителям прокладках, уплотнениях и т. д.

**В. Кузнецов**  
**52687 П.** Способ обработки 2,2'-дитио-бис-бензотиазола. Х а у н (Method of treating 2,2'-dithiobisbenzothiazole. H o w e y C e c i l R.) [United States Rubber Co.]. Пат. США 2734064, 7.02.56

Для улучшения препарата 2,2'-дитио-бис-бензотиазола (I) пасту I с 15—80% (напр., 45—65%) влаги перемешивают при 20° 5—120 мин., а затем сушат. При этом происходит значительное уменьшение объема порошка I. Для уменьшения пыления к смеси перед сушкой можно добавлять 0,5—2% масла. П р и м е р: 800 ч. влажной (55% влаги) пасты I, перемешивают 30

мин. в смесителе, сушат и просеивают через сито (25 меш), 100 г полученного порошка I занимает объем 300 мл; необработанный порошок занимает объем 400 мл и значительно больше пылит.

**В. Уфимцев**  
**52688 П.** Усовершенствование обработки каучука (Perfectionnement relatif au traitement du caoutchouc) [Monsanto Chemicals Ltd]. Франц. пат. 1116692, 9.05.56

В качестве ускорителя вулканизации НК или СК при 15—50° применяют 2—5 вес. ч. смеси (30 : 70 : 90 : 10) соли алифатич. или циклоалифатич. амина (напр., циклогексилamina) меркаптобензотиазола и N,N-диалкилдитиокарбамата Zn. В последнем аликилы содержат 1—4 атома C (напр., этил). Р. Беркович

**52689 П.** Самозаклеивающиеся изделия (Puncture sealing articles). [Wingfoot Corp.]. Англ. пат. 731240, 1.06.55

В надувном изделии, напр. в бескамерной шине или в камере, на слое прокальвающегося материала с высоким сопротивлением раздиру имеется пластина из смеси, заклеивающей проколы. Указанный слой состоит из 0,25—50 вес. % полихлоропрена и 99,75—50 вес. % бутилкаучука. Пластина может состоять из двух одинаково растяжимых слоев, склеенных с внутренней обкладкой бескамерной шины или с камерой. Слой с высоким сопротивлением раздиру может быть стенкой самой камеры. Пример смеси (в вес. ч.): бутилкаучук 95, полихлоропрен 5, сажа 46,4, масло 20, стеариновая к-та 2,3,  $\text{MgCO}_3$  10, ZnO 10, Si, меркаптобензотиазол 0,5, тетраметилтирамдисульфид 0,5. М. Лурье

**52690 П.** Способ изготовления резинотканевых материалов. Л ь ю и е (Verfahren zur Herstellung eines zusammengesetzten Gummi-Textil-Materials. Lewis Ellis A. B.) [The Commonwealth Engineering Co. of Ohio]. Пат. ФРГ 950601, 11.10.56

Натуральный или синтетич. (полихлоропреновый) латекс смешивают с вулканизирующими добавками, р-ром силиката Na, вспенивают перемешиванием при одновременном введении сжатого газа, инертного относительно смеси (закись азота), и, в виде жидкой пены, наносят на ткань. Рекомендуют добавлять перед вспениванием 3—5% высокомолекулярной  $\alpha$ -целлюлозы и вулканизовать НК-лучами. Возможно послойное нанесение пены с последовательной вулканизацией каждого слоя. Указанный способ приводит к проникновению каучуковых частиц между волокнами и нитями ткани без прохождения их насквозь и укрепляет ворс.

**М. Монастырская**  
**52691 П.** Усовершенствование способа и устройства для изготовления эластичных нитей. О л д е р ф е р (Perfectionnement aux procédés et dispositifs pour fabriquer les fils élastiques. Alderfer St. W.). Франц. пат. 1115340, 23.04.56

Тонкий лист резиновой смеси разрезают на нити, которые покрывают силиконовым клеем с примесью талька, вытягивают пропуском через систему валков, собирают в виде ленты и вулканизуют на барабанах. Готовый продукт легко разделяется на отдельные нити.

**Р. Беркович**  
**52692 П.** Способ изготовления цветной креповой резины. З и к к е р м а н н (Verfahren zur Herstellung von gefärbtem Kreppegummi. Sickermann Dieter) [Gummierwerke Bredenscheid G. m. b. H.]. Пат. ФРГ 947111, 9.08.56

Для приготовления цветной креповой резины, в частности креповой подошвы, натуральный креп вместе с красителем и вулканизирующим агентом подвергают на дробильных вальцах обработке, достаточной для равномерного распределения в каучуке прибавленных ингредиентов, но без нарушения при этом креповой структуры. Затем смесь пропускают через каландр, получают равномерно окрашенную пластину и дублируют

ее. Самопроизвольная постепенная вулканизация предохраняет резину от деформации. М. Лурье

52693 П. Индикатор для регенерации резины. Ван Валкенбург (Liquid for reclaiming rubber. Van Valkenburgh Edward A.). Пат. США 2736662, 28.02.56

Для регенерации резины (в особенности из GR-S) по кислотному способу применяют однородную жидкость, состоящую главным образом из 5—40% сырого таллового масла (I), предварительно подвергнутого тепловой обработке при  $t_{\text{ре}} > 127^\circ$  и смешанного со значительно большим кол-вом (60—95%) нефтяного углеводородного масла (II), почти нелетучего при  $t_{\text{ре}}$  вулканизации. II представляет собой смесь нелетучего масла (35—85%) с небольшим кол-вом (10—25%) нефти, содержащей ароматич. в-ва. М. Лурье

52694 П. Способ регенерации старой резины. Сол, Грин, Уиггинс (Verfahren zum Rückgewinnen von Altkautschukvulkanisaten. Saul Walter, Green Wyld, Wiggins Thomas Joseph) [Semtex Ltd]. Пат. ФРГ 946663, 2.08.56

Старую резину измельчают в крошку, смешивают с регенерированным отработанным маслом (углеводородным маслом, получающимся при очистке нефти, битумом или их смесью) и с поверхностноактивным в-вом (I) и механически обрабатывают при высокой  $t_{\text{ре}}$ , но ниже  $t_{\text{ры}}$  разложения каучука. I может быть сложным эфиром одноосновной органич. предельной или непредельной к-ты (с 12—22 атомами C) и полигликоля (напр., полиэтиленгликоля) с мол. в. 200—700 (обычно 400) или солью вышеуказанной к-ты с четвертичным аммонийным соединением, напр. пирдиниевым, у которого атом N связан с алкильной цепью с 10—22 атомами C. Сложный эфир должен растворяться в масле в кол-ве  $\geq 5\%$ . Пример. 170 вес. ч. проекторной крошки смешивают с 30 ч. содержащего ароматич. в-ва нефтяного экстракта и 4 ч. дилаурата полиэтиленгликоля (с мол. в. 400) или с 6 ч. олеата петилапиридиния. Смесь помещают в аппарат с мешалкой и рубашкой. В последнюю пропускают пар давл. 6—7  $\text{кг/см}^2$  и смесь обрабатывают 30 мин. Затем продукт каналюруют и получают пластины с хлороформным экстрактом 14,5%, считая на начальное содержание крошки, и с пластичностью по Муни 46 при  $120^\circ$ . М. Лурье

См. также: Справочник по каучукам 52792. Синтетич. латексы, реология 51483. Введение смол 52867. Хлоркаучук 53454. Силиконовый каучук, получение 52847, 52848. Привитые полимеры 51493. Полиуретаны 52736. Высокоэластические св-ва 51479. Вязкость каучука 51482. Совмещение с пластмассами 52730. Перчатки резиновые для защиты от излучения 53564. Клейкая лента 52887. Гуммирование 53455. Синтез каучука грибами 16623Бх

## СИНТЕТИЧЕСКИЕ ПОЛИМЕРЫ. ПЛАСТМАССЫ

Редакторы А. А. Жданов, Н. С. Левкина

52695. Прогресс в области пластм. за 1956 год. — (Materials progress — 1956. —). Mod. Plastics, 1957, 34, № 5, 87—106, 199—204, 207—214, 217—222, 224—226 (англ.)

Обзор новых разработок и развития произ-ва термоактивных и термопластичных пластмасс за 1940—1956 гг. Л. Песин

52696. Германские пластики на ярмарке в Ганновере. Станкус (German plastics at the Hannover fair. Stanckus L.). Canad Plastics, 1955, Oct., 61—62, 64 (англ.)

Дана характеристика экспонированных образцов полистирола, поливинилхлорида, полиэтилена, полиэфиров, полиизонанатов, полиорганосилоксанов, полиэтиленсфталата и эпоксидных смол. Л. Песин

52697. Пластмассы на XXXIV международной ярмарке в Милане. Поццо (I materiali plastici alla XXXIV fiera internazionale di Milano. Pozzo R.). Materie plast., 1956, 22, № 6, 453—494 (итал.)

Подробно описаны экспонированные на стендах образцы пластич. масс и изделий из них. Дано 145 фото. Л. Песин

52698. Выставка оборудования для переработки пластмасс на XXXIV ярмарке в Милане. Сиртоли (Macchinari ed attrezzature per materia plastiche alla XXXIV fiera di Milano. Sirtoli M.). Materie plast., 1956, 22, № 6, 497—510 (итал.)

52699. Тесния изменений физических свойств пластиков, вызываемых радиацией. Райан (Theory of the changes in physical characteristics of plastics caused by radiation. Ryan J. W.). SPE Journal, 1954, 10, № 4, 11, 40—41 (англ.)

Действие радиации обусловлено образованием свободных радикалов и ионов, участвующих в процессах полимеризации, деполимеризации, декарбоксилирования, окисления и восстановления. Изучено изменение физ. свойств политетрафторэтилена, полиэтилена, полиафиров. Т. Кастерина

52700. Ползучесть пластических масс под действием динамических нагрузок. Марин, Шуман (Dynamic creep of plastics. Marin Joseph, Schuman W. J.). SPE Journal, 1955, 11, № 7, 18—21, 54 (англ.)

Изложена теория, позволяющая по данным статич. ползучести предсказать динамич. ползучесть под действием попеременных растягивающих сил, накладываемых на постоянно действующую растягивающую силу. Сравнение кривых ползучести, полученных в результате фактич. испытаний на динамич. ползучесть, с кривыми, полученными на основе изложенной теории, обнаруживает весьма близкое совпадение, что подтверждает изложенную теорию. Е. Хургин

52701. Выбор материала для обеспечения наименьшего веса конструкций. Адамс, Финдлей, Стоктон (Considerations in the design of plastics structures for light weight. Adams C. H., Findley W. N., Stockton F. D.). Mod. Plast., 1955, 32, № 12, 139—141, 144, 146, 148, 216 (англ.)

Описан метод установления критериев наименьшего веса конструкций, которые удовлетворяли бы различным условиям службы конструкций. Е. Хургин

52702. Оснастка из пластмасс для обработки металла. Стивенс (Plastics tooling for metal working. Stevens Howard). Mod. Plast. Encycl. issue, 1955, 33, № 1A, 638—640, 642—644, 646, 648 (англ.)

Обзор применяемой оснастки из пластмасс и методы ее изготовления. Л. Песин

52703. Применение пластических масс в конструировании. Брюлар (Le constructeur et l'emploi des matières plastiques. Brulhart P.). Mécanic, 1955, № 4; Usine belge, 1955, 32, № 1443, 9—12; № 1444, 6—11 (франц.)

Описаны свойства, рост применения пластмасс и основные принципы применения их в конструкциях, в частности, для подшипников. Приведены данные об удельных нагрузках, соотношении длины и диаметра, толщины, зазора между шейкой и телом подшипника, смазке, начальной притирке и др. Е. Хургин

52704. Применение пластмасс в качестве конструкционного материала для акустической аппаратуры. Токида (音響材料としてのプラスチック 時田夫) プラスチックス, Пурасутиккусу, Japan Plastics, 1955, 6, № 11, 30—37 (японск.)



Кратко изложено применение пластмасс для изготовления деталей телефонной аппаратуры, громкоговорителей, микрофонов, магнитофонов, звукоусилителей и других акустич. приборов.

В. Иоффе  
52705. Облицовка, вкладыши и покрытия из пластических масс.— (Look to plastics linings.—), Mod Plast., 1955, 33, № 4, 85—91, 202, 204, 206, 209, 210, 212 (англ.)

Обзор. Рассмотрены защитные покрытия, облицовки и вкладыши из пластмасс (полиэтилена, политрифторхлортилена, поливинилхлорида, стеклопластиков на основе полиэфирных смол и др.) для транспортной тары и для производственных и складских резервуаров.

Е. Хургин  
52706. Защитные каски и шлемы из пластмасс. Крочелла (Caschi ed elmetti di protezione in materia plastica. Crocella P.), Mater. plastiche, 1954, 20, № 4, 273—276 (итал.)

Описана конструкция и технология изготовления предохранительных шлемов из стеклопластиков на основе полиэфирных смол, из жесткого поливинилхлорида, текстолита на основе термореактивной фенолформальдегидной смолы для мотоциклистов, пилотов реактивных самолетов и т. д.

Н. Р.  
52707. Упаковочные материалы. Кондо (各種包装. 近藤重農夫). Пластиккус, Пурасутиккусу, Japan Plastics, 1956, 6, № 11, 4—6 (японск.)

Рассмотрено применение полиэтилена, поливинилхлорида, целлофана и др., для упаковочных материалов.

В. Иоффе  
52708. Полупродукты. Пауэлл (Organic intermediates. Powell A. R.), Mod. Plast. Encycl. issue, 1955, 33, № 1A, 306, 308, 310 (англ.)

Кратко описаны источники получения основного сырья и полупродуктов для пластмасс и дана краткая характеристика этих материалов. Отмечено: начат промышленный выпуск формалина с конц-ией  $\text{CH}_2\text{O}$  в 50%; для получения термостойких эпоксидных и фенольных смол предложена добавка в качестве компонента диоксидифенилсульфона; в произ-ве клеев, волокон, эластомеров и др. нашли применение 2 новых диизоцианата: 3,3'-диметил-4,4'-бифенилендиизоцианат и 3,3'-диметокси-4,4'-бифенилендиизоцианат и др.

Л. Песин  
52709. Устойчивость к старению формованных изделий из пластмасс. Осима, Уэда (各種プラスチック成型品の耐候性. 大島敬治, 上田誠一). Пластиккус, Пурасутиккусу, Japan Plastics, 1955, 6, № 7, 1—7 (японск.)

Обзор методов испытания пластмасс (фенольных, аминных, меламиновых, полиэфирных, полистирольных, поливинилхлоридных, полиметилметакрилатных) на старение.

В. Иоффе  
52710. Адсорбция влаги полистиролом, триацетатом целлюлозы и поливинилхлоридом ниже упругости насыщения. Дей (Water adsorption in polystyrene, cellulose triacetate, and polyvinyl chloride below saturation vapour pressure. Day A.-G.), J. Oil and Colour chemists' Assoc., 1955, 38, № 12, 782—793; Paint Technol., 1955, 19, № 214, 231 (англ.)

Адсорбция влаги и диффузия паров воды через органич. пленки имеет важное значение для электротехники, при применении пленки в качестве упаковок и для покрытий. Кривые адсорбции паров воды полистиролом, поливинилхлоридом и триацетатом целлюлозы были получены в отсутствие воздуха непосредственным взвешиванием на специально сконструированных вакуумных торсионных микровесах, предназначенных для взвешивания образцов в 0,1 г с точностью до  $10^{-7}$  г. Измерения производились при низком давлении паров воды, путем выдерживания образцов над насыщ. р-ром соли. Изотермы были получены для т-р в пределах

25—50°. Определялось также влияние толщины образцов полистирола на адсорбцию паров воды. Для всех трех материалов были определены коэф. диффузии, энергии активации диффузии и теплоты адсорбции и рассмотрена зависимость адсорбции от молекулярного строения полимеров.

С. Шинкин  
52711. Многократный изгиб слоновых стеклопластиков, изготовленных на основе полиэфирной и фенольной смолы. Энмото, Мураяма (エヌモト および ムライマ 樹脂粘層板の繰返し曲げ試験. 榎本信助, 村山昭平), 鉄道業務研究資料, Тэцудо гёкэнкю сирё, J. Railway Engng Res., 1955, 12, № 13, 22—26, 2 (японск.; рез. англ.)

Для определения прочностной усталости испытаны на многократный изгиб стеклопластики (I) на основе полиэфирной (весовое отношение смолы к стеклу 1:1) и фенольной смолы. Испытания производились при 3000 циклов в мин.; при этом определялись повышение т-ры, ослабление напряжений и характер разрушения образца. Полученные результаты показали, что предел усталости I на основе полиэфирных смол несколько выше, чем на основе фенольных смол; у последних отношение предела усталости к прочности на растяжение выше, но при пересчете на удельную прочность предел усталости выше у I на основе полиэфирных смол. Термопластичные по своей природе полиэфирные смолы размягчаются под действием тепла, развивающегося в них при многократном изгибе; достигну определе́нного предела, т-ра резко повышается, ускоряя тем самым разрушения смолы; но при этом не происходит полного разрушения I, вследствие сопротивления стеклинной ткани. Фенольная же смола размягчается в незначительной степени, но в ней образуются мелкие поверхностные трещины, которые непрерывно растут, вызывая разрушение I при сравнительно небольшом сопротивлении.

С. Иофе  
52712. Направления развития конструирования приборов для испытаний пластмасс на прочность. Штарман (Entwicklungsrichtungen der mechanischen Festigkeitsprüfung von Kunststoffen. Starmann F.), Chemiker-Ztg, 1955, 79, № 19, 664—670 (нем.; рез. англ.)

Прочность на растяжение является одним из важнейших свойств пластмасс. Тенденция в развитии конструирования приборов на растяжение заключается в том, чтобы они регистрировали как наибольшее усилие растяжения, так и усилие растяжения в момент разрыва образца и, вместе с тем, удлинение при достижении наибольшего усилия и при достижении разрывного усилия. Приводится схема маятникового прибора, удовлетворяющего этим требованиям. Удлинение образца лишь в том случае замеряется как изменение расстояния между зажимами, когда сечение образца постоянно на всей длине. Если, как это предусматривается нормами, концы образцов имеют иное сечение, то замер удлинения должен производиться по увеличению расстояния между постоянными точками на той части образца, которая имеет постоянное значение. Этот замер в настоящее время не совсем удовлетворителен. Будущие приборы должны не только обеспечить объективно величину изменения этого расстояния, но и нанесение ее на диаграмму. Следует отметить еще работы по конструированию таких зажимов, которые позволили бы применять образцы постоянного сечения на всей длине. Приводятся некоторые схемы зажимов, удовлетворяющих этому требованию. Результаты испытаний зависят также от скорости нарастания нагрузки или скорости увеличения удлинения. Приборы должны обеспечить воспроизводимости той или иной указанной скорости. Существующие приборы этому требованию полностью не удовлетворяют. Приведены некоторые схемы для решения этой задачи. Е. Хургин

**52713.** Сорбция воды термически обработанным полистиролом и пластифицированным поливинилхлоридом. Дэй (Water sorption in heat-treated polystyrene and plasticised polyvinyl chloride. Day A. G. Techn. Rept. Electr. Res. Assoc., 1956, № L/T344, 7 pp., ill.) (англ.)

Исследована сорбция воды полистиролом (I) и поливинилхлоридом (II) при помощи вакуум-торсионных весов. I применялся в виде непластифицированного листового материала толщиной 1,5 мм с мол. в. ~ 80 000 без термообработки и после прогрева 180 час. в вакууме при 120°. Потеря в весе I после такой термообработки составила 0,18%. II испытывался в виде пленки толщиной 0,081 мм, первоначально содержащей 22% трикрезилфосфата, 3,5% карбоната свинца и 1% стеарата Са. Кол-во пластификатора в результате длительного вакуумирования II при т-ре от 20 до 60° понижалось до 1%. Испытания сорбции воды I показали, что в результате термич. обработки сорбция не уменьшилась, как ожидалось, а наоборот увеличилась на 24%, по-видимому, вследствие деструкции длинных цепей молекул I. Поэтому маловероятно, что сорбция связана с наличием каких-либо трещин в материале. Испытание II при низкой влажности показало хорошее соответствие с теорией адсорбции Брунауэра — Эммета — Теллера и дало теоретич. подтверждение одной из констант. Вычислена энергия активации диффузии для II и показана температурная зависимость изотерм.

С. Шишкин

**52714.** Достижения в производстве термопластических материалов. Хейм (Recent progress in the fabrication of thermoplastic materials. Haim G., Brit. Welding J., 1955, 2, № 8, 329—332 (англ.))

Описаны достижения в произ-ве полиэтилена (I) и поливинилхлориде (II), а также технология их сварки. Отмечено широкое использование I и II в произ-ве различных изделий, в том числе систем трубопроводов, корпусов различных машин и др. Приведены примеры изделий из I и II различной формы и размеров, выполненных с помощью спец. сварочных машин. Рассмотрены некоторые технич. данные по конструкции автоматов, сварочных машин с использованием газовых горелок и технологич. приемы выполнения сварных соединений из I и II.

А. Пусян

**52715.** Трубы, применяемые в химической промышленности. Такара (化學工業用パイプ、宝つちを), プラスチックス, Пурасутикусу, Japan Plastics, 1955, 6, № 11, 40—43 (японск.)

Приведена характеристика и описаны области применения в хим. пром-сти труб из полиэтилена и поливинилхлорида.

В. Иоффе

**52716.** Полиэтилены. Бенкендорф (New polyethylenes. Benkenдорff G. W., Austral Plastics., 1955, 11, № 122, 17, 19 (англ.))

Описаны метод получения и свойства полиэтилена (I), полученного по методу Циглера. Приведено сравнение свойств I, получаемого под высоким и под низким давлением, а также потребление I в США и Англии за 1954—1957 гг.

Л. Песин

**52717.** Облученный полиэтилен. Гудун, Уэсел (Irradiated polyethylene. Goodwin P. A., Wetzel J. W.), Gen. Electr. Rev., 1955, 58, № 5, 48—51 (англ.)

В США выпускается материал «ирратен» — облученный полиэтилен (I). После облучения I сохраняет все свойства: высокие электрич. характеристики, прочность, гибкость при низкой т-ре, влаго- и химостойкость и приобретает повышенную нагревостойкость. Облучение расширило применение I для целей упаковки, допуская стерилизацию материала паром, для облучки, для изготовления трубопроводов, предметов домашнего обихода и т. д. повысив их рабочие т-ры.

В 1954 г. ~20% всего I применялось для электроизоляции. Лента из ирратена 101 не течет при т-рах до 250°, однако быстро окисляется при повышенных т-рах. Стабилизированная лента (ирратен 201) содержит ингибитор окисления и может работать при т-ре до 125°, при 200° она имеет достаточно высокую электрич. прочность. Ирратен 201 в отличие от обычного I не растрескивается при воздействии р-рителей и моющих средств. С повышением т-ры выше 100° прочность ирратена на разрыв понижается линейно. При т-ре выше 110° ирратен 201 деформируется пропорционально применяемой нагрузке и после ее удаления восстанавливает первоначальные размеры. Пленка из ирратена 210 при нагревании от 125 до 150° дает усадку в продольном направлении и после обмотки вокруг проводников, катушек и т. д. плотно их обтягивает, образуя влагонепроницаемую оболочку для т-р выше 100°. Ирратен 201, защищенный с поверхности слоем другого материала, может длительно работать как материал класса А. При соприкосновении и с медью и с воздухом — при несколько более низкой т-ре. Без соприкосновения с воздухом изоляция инертна к меди. Ирратен 201 допускает кратковременные перегревы без размягчения и разложения до 200°. Продукты разложения ирратена не обладают корродирующим действием. С. Шишкин

**52718.** Упаковка. Применение поливинилхлорида в химической промышленности. Уэллинг (Packaging. PVC aids chemical industry. Welling M. S., Perfum. and Essent. Oil Rec., 1955, 46, № 5, 167—172 (англ.))

**52719.** Техника переработки поливинилкарбазола. Якоби (Verarbeitungstechnik von Polyvinylcarbazol. Jacobi Hans-Rudolf), Kunststoffe, 1955, 45, № 10, 481—484 (нем.; рец. англ., франц., исп.)

Описаны свойства, механич. обработка, прессование, литье под давлением и шпирцевание поливинилкарбазола.

Е. Хурган

**52720.** Жесткий и мягкий поливинилловые пластики. Холланд (Rigid and non-rigid vinyls. Holland B.), Mod. Plast. Encycl. issue, 1955, 33, № 1A, 574, 576, 578 (англ.)

Обзор оборудования и технологии переработки.

Л. Песин

**52721.** Развитие производства жесткого листового поливинилхлоридного пластика. Мейкин (The development of rigid vinyl sheet production. Makin F. B.), Brit. Plastics, 1955, 28, № 12, 500—504 (англ.)

Описаны технология и оборудование произ-ва жесткого пластика «Кобекс» на основе сополимера винилхлорида (94%) и винилиденхлорида (4%).

Л. Песин

**52722.** Сравнение методов формования листов из жесткого поливинилхлорида и целлюлозы. Огмура (硬質塩化ビニル板とセルロイド板の成型加工の比較. 荻村英男), プラスチックス, Пурасутикусу, Japan Plastics, 1955, 6, № 7, 10—14 (японск.)

Описаны методы изготовления листов из жесткого поливинилхлорида и целлюлозы и указано влияние т-ры, времени формования и других факторов на физ. и мех. свойства листов.

В. Иоффе

**52723.** Соединение труб из жесткого поливинилхлорида при помощи соединительных муфт. Маэдзава (硬質塩化ビニルの継手による接合の注意と要領. 前澤誠吾), プラスチックス, Пурасутикусу, Japan Plastics, 1955, 6, № 7, 37—39 (японск.)

Кратко изложена методика соединения труб из жесткого поливинилхлорида при помощи нагретых муфт.

В. Иоффе

**52724.** Свойства пластифицированного поливинилхлорида, как уплотнительного материала. IV. Вопросы адгезии поливинилхлоридного пластика при сварке

ВЧ-токами. V. Адгезия пластифицированного поливинилхлорида к металлам. Тикамори, Сакаситы, Итими (パッキン材料としての可塑化ポリ塩化ビニル樹脂の性質について, 第4報. 軟質可塑化ビニル樹脂の接着 (高周波接着法). 第5報. 金属と軟質可塑化ビニル樹脂の接着. 近森健重, 坂下武, 一見宜雄), 日本ゴム協会誌, Нихон гому кекайси, J. Soc. Rubber Ind. Japan, 1954, 27, № 2, 73—76 (японск.)

IV. Приведены физ.-мех. свойства полихлорвинилового пластика в местах сварки ВЧ-токами и рассмотрены адгезионные свойства пластика при сварке.

V. Описаны адгезионные свойства пластифицированного поливинилхлорида к различным металлам. Часть III см. РЖХим, 1957, 42761.

Е. Исффе 52725. Политетрафторэтилен и его применение. Роге (Quelques notes sur le téflon et sa mise en oeuvre. R. G. ué C.), Rech. aéronaut., 1955, № 48, 51—53 (франк.)

Обзор механич., термич., хим., диэлектрич. и токсич. свойств политетрафторэтилена, а также методов его переработки в изделия к применения. Л. Песин 52726. Фторосодержащие смолы. Часть 2. Политетрафторэтилен. Кобаяси (弗素樹脂. 第2回. 主として P. T. F. E. について. 小村 朗郎), プラスチックス, Пурасуттикуссу, Japan Plastics, 1955, 6, № 11, 43—51 (японск.)

Описаны области применения политетрафторэтилена в электротехнич. пром-сти, авиастроении, машиностроении и др. Часть I см. РЖХим, 1957, 49463. В. Иоффе 52727. Кумаронинденевола смолы. Невядомский.

Вишневский (Zywica kumaronowo-indenowa. Niewiadomski T., Wiszniowski K.), Chemik, 1955, 8, № 10, 270—273 (польск.)

Кумаронинденевола смолы (I) получены полимеризацией нейтр. кумаронового масла (т. кип. 165—190°) в присутствии  $H_2SO_4$ ,  $FeCl_3$ ,  $AlCl_3$ , а в последнее время —  $BF_3 \cdot 2C_6H_5OH$  (II) или  $BF_3 \cdot 2CH_3COOH$  (III) в кол-ве 0,7—0,8% (т-ра полимеризации 110—120°). Полученные смолы с  $AlCl_3$ , II и III светлого цвета, имеют т. пл. ~100°, с  $H_2SO_4$  — темно-окрашенные с т. пл. 50—60°, с  $FeCl_3$  — более высокоплавкие, но также темно-окрашенные. I применяются в полиграфич. пром-сти для изготовления печатных красок; а также в лакокрасочном произ-ве и электротехнич. пром-сти. Отмечено, что в ПНР изготовляют I несколько сот тонн. Л. Песин 52728. Полиэпоксидные смолы, их химические и физические свойства. Айвинсон, Хау, Карпфен (Polyepoxide resins, their chemical reactions and physical properties. Ivins M. G., Howe B. R., Karpfen F. M.), J. appl. Chem., 1957, 7, № 3, 118—122 (англ.)

Кратко охарактеризованы полиэпоксидные смолы, получаемые конденсацией новолачных или резольных смол с эпихлоргидрином в присутствии щелочи, и приведены их свойства по сравнению с диэпоксидными смолами. Благодаря полифункциональности полиэпоксидные смолы отверждаются быстрее диэпоксидных смол, причем отвердителями могут служить и первичные моноамины; кроме того они могут быть модифицированы с использованием части эпоксидных групп и сохраняют при этом способность к отверждению. Они растворимы в углеводородах, образуя низковязкие р-ры. В. Пахомов 52729. Некоторые характеристики отверждения эпоксидных смол. Аллен, Хантер (Some characteristics of epoxide resin systems. Allen F. J., Hunter W. M.), J. Appl. Chem., 1957, 7, № 2, 86—96 (англ.)

Рассмотрены современные методы модификации алифатич. полиаминов. Модификация акрилонитрилом дает ряд низковязких отвердителей различной активно-

сти, особо полезных для применения в отливках всех типов, слоистых материалах и клеях, в частности при изготовлении штампов, шаблонов и приспособлений.

Модификация  $CH_2CH_2O$  дает несколько более активные отвердители, применимые для тех же целей. Важными преимуществами модифицированных аминов являются пониженная (для производных акрилонитрила) или не-

значительная (для производных  $CH_2CH_2O$ ) токсичность. Для сравнения описаны другие отвердители эпоксидных смол: фенольные смолы, органич. к-ты и их ангидриды и ароматич. амины. В. Пахомов 52730. Совмещенные поликонденсационные смолы.

Петров Г. С. Успехи химии и технологии полимеров, Сб. 1. М., Госхимиздат, 1955, 55—62

Обзор свойств совмещенных смол, полученных методом совмещения фенолформальдегидных смол (новолачного и резольного типа) с карбамидными смолами, анилином, терморезактивными полиэфирными смолами, полиамидами, поливинилхлоридом, каучуком и поливинилпирролином. Библи. 18 назв. 3. Иванова 52731. Современный конструкционный материал «фаолит». Мадер (Novodobá konstrukční hmota faolit. Mader Richard), Elektrotechnik, 1955, 10, № 12, 396—397 (чешск.)

Приведена характеристика фенопласта «фаолит», разработанного в Чехословакии и выпускаемого трех типов: «фаолит А» — наполненный спец. сортом асбеста, с весьма низким содержанием в-в, растворимых в к-те, «фаолит Т» — наполненный смесью тонко измельченного графита и небольшого кол-ва асбеста, и «фаолит Р» — наполненный смесью песка с асбестом. Фаолит применяют как химически стойкий конструкционный материал для изготовления вентиляторов, работающих в агрессивных средах, и как электро- и теплоизоляционный материал в электротехнике. Л. Песин 52732. Об отверждении мочевино-формальдегидных смол. Коварская Б. М., Слонимский Г. Л., Каргин В. А., Коллоид. ж., 1955, 17, № 6, 428—433

Исследован процесс отверждения мочевиноформальдегидной смолы (применяемой в произ-ве аминопластов) при помощи механич. методов — на динамометрич. весах. Мочевиноформальдегидные смолы обнаруживают при отверждении три стадии. В первой стадии смола представляет собой низкомолекулярное в-во, которое при низких т-рах стеклообразно, а при высоких — вязко-текуче и легко растворяется в воде. Высокоэластич. состояния не наблюдается. Во второй стадии смола превращается в рыхлое эластичное тело, содержащее 40—50% воды, внешне напоминающее студень, переходящий при дальнейшем нагревании в более плотное состояние. Смола в этой стадии, по-видимому, представляет собой построенный из более длинных, чем исходный полимер цепей, что подтверждается отсутствием равновесных напряженных состояний у смолы и низкими значениями т-ры перехода в вязко-текучее состояние. В третьей стадии смола становится жесткой, неплавкой и нерастворимой. Отвержденная смола обладает способностью набухать в различных жидкостях. Способность набухшей отвержденной смолы переходить в вязко-текучее состояние характеризуется отсутствием прочных связей в этих смолах при повышенных т-рах и возможное отсутствие равновесных напряженных состояний. По-видимому, в этой стадии отвержденная смола не имеет также устойчивой сетчатой структуры, образованной хим. связями. Л. Иванова 52733. Высокомолекулярные соединения на основе алифатич. производных мочевины. Сообщение III. Взаимодействие маленинуровой кислоты и аммоний-



ных солей мелениуровой и сукцинуровой кислот с искусственным альдегидом. Дудкин М. С., Тр. Одесск. технол. ин-та им. И. В. Сталина, 1955, 7, 167—170

В результате взаимодействия мелениуровой к-ты с аммонийными солями сукцинуровой, мелениуровой к-ты с искусственным альдегидом получены смолообразные продукты, способные образовывать пленки. Показано, что путем осаждения спирт. р-ров полученных соединений эфиром возможно выделение двух фракций, характеризующихся различным содержанием азота. Предыдущее сообщение см. РЖХим, 1957, 39263. Н. Левкина

52734. Акриламид. Часть I. — (Acrylamide. Part I. —), Rubber and Plast. Age, 1955, 36, № 2, 89, 91 (англ.)

Обзор свойств, химизма полимеризации акриламида и типовых рецептур сополимеризации акриламида с метакриламидом, а также с 1,3-бутадиеном. Л. Песин

52735. Найлон. — (Nylon. —), Mod. Plast. Encycl. issue, 1955, 33, № 1A, 560, 562—564, 566, 569 (англ.)

Приведена характеристика полиамидных композиций, предназначенных для переработки методом непрерывного выдавливания, и дано описание оборудования (червячного пресса с основными деталями и охлаждающего и транспортирующего устройств). Л. Песин

52736. Полиуретаны. Бьоркстен, Харкер (Isocyanate resins. Björkstén Johan, Harker Betty), Mod. Plast. Encycl. issue, 1955, 33, № 1A, 145—147 (англ.)

Приведен краткий обзор методов получения, свойств и применения полиуретановых пенопластов эластомеров, клеев и покрытий. Л. Песин

52737. Пластмассы на основе производных целлюлозы. Джаскот (Cellulosics. Jaskot E. S.), Mod. Plast. Encycl. issue, 1955, 33, № 1A, 546, 548—550, 552 (англ.)

Обзор технологии переработки ацетилцеллюлозы, ацетобутирата целлюлозы и этилцеллюлозы методом непрерывного выдавливания. Л. Песин

52738. Пластмассы на основе производных целлюлозы. Палмер, Мейер, Скогин (Cellulosics. Palmer S. E., Meyer L. W. A., Scogin R. J.), Mod. Plast. Encycl. issue, 1955, 33, № 1A, 75—80 (англ.)

Приведен краткий обзор методов получения, характеристик и применения пластмасс на основе ацетилцеллюлозы, ацетобутирата целлюлозы, нитроцеллюлозы, лигно-целлюлозных продуктов, оксигетилцеллюлозы, карбоксиметилцеллюлозы, этилцеллюлозы, целлофана. Л. Песин

52739. Пластификаторы для поливинилхлорида, полученные на основе жирных кислот. Сигэно (油脂を原料とした鹽化ビニル用可塑剤について. 滋野吉廣), 化学, Кагаку, Chemistry (Japan), 1956, II, № 9, 32—38 (японск.)

Обзор. Библ. 32 назв.

52740. Способ получения пластификаторов для поливинилхлоридных смол. Антыков А. П., Изв. Киевск. политехн. ин-та, 1956, 17, 229—239

Описан способ получения пластификаторов для поливинилхлорида из отходов дициклопентадиеновой фракции (ДЦП) и «кубовых остатков» коксохим. произ-р. ДЦП, выкипающую в пределах 150—195°, сополимеризуют с 1—6% растительных или синтетич. жирных к-т (либо их эфиров) при 105—110° в течение 20—30 мин., совместно с 40—50% дибутилфталата (I) или с 60—75% пластификатора, полученного из «кубовых остатков» и 0—10% I в присутствии 0,1% (от веса всей загрузки) 30%-ной перекиси водорода или перекиси бензоила. Полученные пластификаторы обладают хорошей стойкостью к старению в атмосферных условиях и могут заменять от 50 до 100% применяемого I. Л. Песин

52741. О миграции пластификаторов. Цёреп, Мерц (Beitrag zum Problem der Weichmacherwanderung. Zöhrer K., Merz A.), Kunststoffe, 1955, 45, № 1, 9—12 (нем.; рез. франц., англ., нем.)

Исследована миграция пластификаторов (П) из поливинилхлорида (I) по отношению к различным материалам: непластифицированному I, I, содержащему 15% 2-этилгексилфталата, полиэтилену, пластику для кабельных оболочек, коже (опойку) и пленкам нитролаков. Для опытов применяли смесь из 60% I и 40% 2-этилгексилфталата, подвергавшуюся вальцеванию при 155° и величине зазора 0,7 мм вначале, а затем 0,5 мм. Из вальцованного материала вырезали листы площадью 10 см<sup>2</sup>, которые помещали между двумя листами одного из перечисленных выше материалов и двумя стеклянными пластинками и выдерживали под нагрузкой 0,5 кг/см<sup>2</sup> 24 часа в термостате при заданной т-ре, после чего все листы взвешивали. Установлено, что миграция П значительно увеличивается с повышением т-ры. Большинство опытов проводили при 70°, при этой т-ре за короткое время получают сравнимые и воспроизводимые данные по потерям в весе П. Приведены результаты определения летучести П из листовых материалов различными методами (в том числе с активированным углем) в зависимости от т-ры. Изучена также зависимость между содержанием П, его миграцией, летучестью и маслорастворимостью. Исследовано влияние на миграцию П времени и т-ры вальцевания пластика, причем влияние этих факторов оказалось невелико, гораздо большее значение имела толщина испытуемых образцов. Добавка к пластику небольших кол-в пигментов и наполнителей также мало влияла на миграцию. Проведены опыты с полимерными П, обладающими по сравнению с обычными, применяемыми для пластификации сложными эфирами, большим мол. весом, трудной растворимостью в мыльной воде и масле и практически отсутствием летучести. Приводятся состав смеси для кабельных оболочек и составы применявшихся для изготовления пленок нитролаков. См. также РЖХим, 1956, 76315.

В. Шишкин

52742. Окрашивание пластмасс. Бернхард (La colorazione delle materie plastiche. Bernhard Paul), Ind. vernice, 1955, 9, № 10, 265—267 (итал.)

Описаны методы окрашивания пластмасс в массе (в процессе изготовления), поверхностным окрашиванием готовых изделий путем погружения их в красильную ванну (путем лакировки). Даны характеристики основных типов красителей и пигментов, применяемых для окраски пластмасс и рекомендации по подбору красителей и окрашиванию в массе аминопластов, фенопластов и эпоксидных смол. Л. Песин

52743. Смазочные материалы. — (Lubricants. —), Mod. Plast. Encycl. issue, 1955, 33, № 1A, 328, 330 (англ.)

Обзор свойств несиликоновых материалов: порошкообразных, масел и восков и водорастворимых восков. Л. Песин

52744. Флуоротен. Хонниш, Маддок (Fluorothene. Honish J. K., Maddock B. H.), Mod. Plast. Encycl. issue, 1955, 33, № 1A, 552, 554—556 (англ.)

Описана технология переработки флуоротена (политрифторхлорэтилен) методом непрерывного выдавливания для изготовления пленки и нанесения кабельной изоляции. Приведены расчетные номограммы. Л. Песин

52745. Политрифторхлорэтилен. Джуна (Polytrifluoroethylene. Juna J. A.), Mod. Plast. Encycl. issue, 1955, 33, № 1A, 556, 558, 560 (англ.)

Описаны оборудование (червячный пресс, муфштук) и технология переработки политрифторхлорэтилена

методом непрерывного выдавливания (произ-во труб и нанесение кабельной изоляции). Л. Песня

**52746. Практика выдавливания труб из пластических масс. Шенкель** (Erfahrungen beim Spritzen von Kunststoffrohren. Schenkkel Gerhard), Kunststoffe, 1955, 45, № 10, 486—490 (нем.; рез. англ., франц., исп.)

Описаны различные методы центрирования и калибровки труб, их преимущества и недостатки. Отмечены опасность разложения термопластичных материалов, в особенности поливинилхлорида, если центрирование производится посредством перемещения дорна или мундштука, и неизбежность внутренних напряжений в результате охлаждения. Описан новый способ производства труб, в частности из поливинилхлорида, в котором центрирование и калибровка нераздельно связаны. В этом случае центрирование производится не перемещением дорна или мундштука, а перемещением калибрующей головки, подвижно соединенной с головкой для выдавливания. Приведена схема этого устройства. Подробно рассмотрен метод контроля размеров изготовляемой трубы, concentричности наружной и внутренней поверхности, толщины стенок, а также новый метод контроля с помощью радиоактивного излучения и приведены схемы подобных устройств. Е. Хургин

**52747. Полистирол. Тейер** (Polystyrene. Thayer Gordon B.), Mod. Plast. Encycl. issue, 1955, 33, № 1A, 476, 478, 480 (англ.)

Рассмотрены вопросы, связанные с подбором оптимальных параметров при литье под давлением полистирола: замер давления в формах, трение пластика о стенки формы, смазка пластика, размеры литников, применение предварительной пластикации и весовой дозировки. Л. Песня

**52748. Политрифторхлорэтилен. Джуна** (Polytrifluorochloroethylene. Jura J. A.), Mod. Plast. Encycl. issue, 1955, 33, № 1A, 464—465, 468 (англ.)

Описана техника переработки политрифторхлорэтилена методом литья под давлением, а также компрессионного формования. Л. Песня

**52749. Литье под давлением и литьевое прессование жесткого поливинилхлорида. Виск, Кениг** (Spritzgießen und Spritzpressen von Hart-PVC. Zur Verarbeitung von weichmacherfreien Polymerisaten halogenhaltiger Vinylverbindungen. Wick G., König H.), Kunststoffe, 1955, 45, № 10, 425—428 (нем.; рез. англ., франц., исп.)

Для устранения трудностей (т-ра переработки близка к т-ре разложения), возникающих при переработке поливинилхлорида (I) без пластификаторов в изделия на машинах, работающих по периодич. режиму (литьевые машины, прессы для литьевого прессования), предложен режим литья под давлением, при котором материал в цилиндре литьевой машины нагревается на 10—20° ниже т-ры, при которой I легко течет. Эта т-ра достигается при продавливании материала через канал или каналы, сечение которых на 50—75% меньше первоначального, а длина в 2—5 раз больше диаметра начального сечения. Уд. давление при этом выше 1500 кг/см<sup>2</sup>. После этого сужения материал проходит через сопло в литьевую пресс-форму с т-рой 40—60°. При таком методе работы I находится при т-ре легкого течения лишь весьма незначительное время, на пути от суженного сечения до прессформы, благодаря чему опасность разложения почти исключается. При литьевом прессовании материал непрерывно пластифицирует на червячном прессе до т-ры, при которой он только способен течь; отсюда он поступает в цилиндр, нагретый до т-ры легкого течения; этот цилиндр ставят на прессформу, нагреваемую вне прессы до той же т-ры; назначение прессы состоит только в продавливании материала из цилиндра в прессформу; охлаждение пресс-

формы производится вне прессы до тех пор, пока не затвердеет наружная корка изделия, после чего изделие вынимается из формы и поступает в ванну со ступенчато-меняющейся т-рой для медленного охлаждения. Такой порядок работы требует применения нескольких прессформ и осуществления непрерывного такта, напр., с помощью карусельного стола прессы. Е. Хургин

**52750. Производство пленки на червячных прессах методом выдавливания. Шенкель** (Entwicklung und Erfahrungen in der Herstellung von Blasfolien. Schenkkel G.), Plastica, 1955, 8, № 8, 396—400 (нем.; рез. англ., франц.)

Описано три метода произ-ва пленки, отличающиеся направлением выхода выдаваемого шланга (трубы) из головки червячного прессы (вертикально вниз, вертикально вверх, горизонтально). Указаны преимущества и недостатки каждого метода. Даны рекомендации в отношении характера помещения (двери, окна, отопление, полы и др.) для монтажа этих установок. Е. Хургин

**52751. Соображения по технике формования под вакуумом. Матюлат, Пихт** (Technische Betrachtungen zur Vakuumformung. Matulat Gerhard, Picht Horst), Kunststoffe, 1955, 45, № 10, 484—485 (нем.; рез. англ., франц., исп.)

Указаны причины возможного брака изделий при формовании под вакуумом и пути их устранения (сохранять помещения, в которых производится формование, в исключительной чистоте; хранить на складе листы пластического материала, переложенными тонкой бумагой; в случае, если применяется предварительный подогрев вне машины для формования, каждый лист материала подогревать отдельно, следить за тем, чтобы листы не были перегреты перед формованием; применять для изготовления форм материал, который после обработки был бы совершенно гладок, без осипи, раковин; особое внимание обращать на правильность расположения и размер каналов для отсоса. Описан метод двухступенчатого формования, который может быть с успехом применен для произ-ва крупных и сложных по конфигурации изделий. Е. Хургин

**52752. Формование под вакуумом термопластов. Клейнер** (Vakuumformung von thermoplast. Kleiner Lorenz), Plastvärlden, 1955, 5, № 12, 224, 226 (швед.)

Описано формование под вакуумом жесткого поливинилхлорида, высокопрочного полистирола, пластмасс на основе ацетилацеллюлозы, ацетобутирата целлюлозы, полиакрилатов, полиэтилена, полиэфиров. Л. Песня

**52753. Технология формования термопластичных материалов под вакуумом. Страттон** (Zur Technologie der Vakuum Formung. Stratten Bowman Jr.), Kunststoffe, 1955, 45, № 8, 360—363 (нем.; рез. англ. франц., исп.)

Описаны требования технологии формования, а также даны практич. указания по технике формования, контролю процесса и применяемым термопластичным материалам. Е. Хургин

**52754. Армирующие материалы для слоистых пластиков. Мейнс** (Sheet reinforcements. Mains G. H.), Mod. Plast. Encycl. issue, 1955, 33, № 1A, 298, 300, 302—303 (англ.)

Обзор материалов (целлюлозная и асбестовая бумага, хлопчатобумажные, асбестовые, стеклянные, шелковые, нейлоновые и другие ткани, древесный шпон и маты из стекловолокна, хлопка и асбеста), применяемых для армирования слоистых пластиков. С. Иофе

**52755. Смолы, формируемые при низком давлении. Свойства и области применения эпоксидных, полиэфирных и других смол. Гото, Янагихара**

(低壓成型樹脂の進歩——ポリエステル, エポキシ樹脂等の特性と應用——後藤憲三, 柳原光太郎), 電気學會雜誌, Дэнки гаккай даасси, J. Inst. Electr. Engrs Japan, 1955, 75, № 11, 1397—1407 (японск.)

Обзор свойств, областей применения и методов формирования слоистых пластиков, изготовленных на основе полиэфирных, эпоксидных и фенольных смол. Библ. 37 назв. В. Иофе.

52756. О физико-механических свойствах древеснослоистых пластиков. Шейдин П. А., Ракин А. Г., Демидова Л. А., Деревообработ. пром-сть, 1955, № 9, 12—15

Сравниваются свойства нового древеснослоистого пластика ДСП-КВ, содержащего пониженное кол-во (4—5%) смолы (РЖХим, 1956, 41255), со свойствами древеснослоистого пластика ДСП-Б (дельта-древесина) с обычным для этого материала содержанием смолы. Показано, что механич. свойства и водостойкость ДСП-КВ ниже, чем ДСП-Б.

Л. Корпун  
52757. Стеклопластики. — (Glasfaser und Kunststoff. —), Kunststoffe, 1955, 45, № 10, 495—499 (нем.)

Описаны различные виды непрерывного и штапельного стекловолокна с их обозначением по германской и американской номенклатуре и указаны основные области их применения. Приведен перечень изделий, изготовляемых из стеклопластиков (СП) в различных отраслях народного хозяйства: в строительстве, в электротехнике, авиационной, машиностроительной и судостроительной промышленности, в произ-ве резервуаров и различных емкостей, труб и профилированных балок, мебели, спортивных принадлежностей, предметов домашнего обихода и других изделий различного назначения. Для десяти видов промышленных стеклотканей даны основные показатели (исходные нити и их кручение, плотность по основе и утку, толщина, вес, переплетение и др.). Показаны физ.-мех. свойства СП на полиэфирной смоле по сравнению со свойствами конструкционных сталей и алюминиевых сплавов. Дана таблица пороков, возникающих при переработке СП, с указанием причин их возникновения и способов их устранения. С. Иофе

52758. Механические свойства стеклянных волокон, применяемых для производства стеклопластиков. Яблоков (Propriétés mécaniques des fils de verre utilisés dans les stratifiés. Iablokoff A.-Kh.). Rech. aéronaut., 1955, № 48, 39—49 (франц.)

Изучались вопросы, связанные с прочностью первичных стеклянных нитей (из 200 элементарных волокон): разбор показаний прочности на растяжение; выбор длины испытываемой нити; аппаратура и методика определения прочности на растяжение; влияние степени пропитки на прочность нитей (замасленных и после их термич. обработки); определение свойств нитей путем измерения кажущегося модуля упругости волокна; определение одновременности разрыва волокон в нити; влияние числа кручения на 1 м на упругость нити; определение влияния упругих связей между волокнами на их сопротивление растяжению. На основании новых методов определения свойств стеклянных нитей путем измерения кажущегося модуля упругости  $E^1$  (при величине напряжения, отнесенной к общему сечению нити), высказано предположение о роли и значении упругих связей между волокнами на повышение механич. свойства стеклонити. В то время как нити основы, хорошо пропитанные латексом, имеют фактич. модуль упругости  $8500 \text{ кг/мм}^2$  при сопротивлении волокна растяжению  $285 \text{ кг/мм}^2$ , эти же нити после термич. обработки ткани имеют прочность волокна на растяжение  $75 \text{ кг/мм}^2$  при кажущемся модуле упругости, не превышающем  $4000 \text{ кг/мм}^2$ . Это доказывает, что фактич. условия произ-ва стеклопластиков, в особенности первичных нитей, из которых изготавливаются стеклонити, еще далеки от оптимальных. Для получения высоко-

прочных стеклопластиков необходимо: тщательно удалить замасливатели из стеклоткани; обеспечить гибкую и прочную связь между элементарными волокнами; максимально повысить адгезию связующих к стекловолокну. С. Иофе

52759. Применение стекломатов с механически связанными волокнами для армирования стеклопластиков. Калхун (Mechanically bonded fibre glass mat for plastic reinforcement. Calhoun L. M.), Austral. Plastics, 1955, 11, № 118, 7, 9—11, 13, 15—16 (англ.)

Стекломаты (СМ), в которых волокна связаны между собой чисто механически, а не смолой, обладают рядом преимуществ: прочным сцеплением волокон, хорошей смачиваемостью различными смолами и возможностью изменять вес в широких пределах (от 610 до  $3050 \text{ г/м}^2$ ). В промышленном масштабе выпускаются три вида СМ: «Format», «Novmat», «Fabmat». Первый вид СМ представляет собой нарезанную ровницу, механически закрепленную на подложке из тонкого мата. Второй вид является высокопрочным однонаправленным СМ из непрерывных прядей ровницы, равномерно распределенных на подложке из нарезанной ровницы (на 1 см приходится 120 однонаправленных нитей). Третий вид СМ — нарезанная ровница, механически закрепленная на подложке из стеклянной ткани. Для лучшего сочетания стекловолокна со смолами СМ предварительно обрабатывают воланами или сиканами. Формование изделий из пропитанных СМ, в зависимости от их назначения, производится: контактным способом, в резиновых мешках, металл. формах или диффузионным способом. Приведены основные правила, которыми следует руководствоваться при формировании изделий из СМ. С. Иофе

52760. Исследование стеклопластиков в поляризованном свете. Хорридж (A polarized light study of glass fibre laminates. Horridge G. A.), Brit. J. Appl. Phys., 1955, 6, № 9, 314—319 (англ.)

Изучалось взаимодействие между стеклянными волокнами (СВ) и смолой наряду с анализом фотоупругости анизотропных материалов, применяемых для конструктивных целей. Получение стеклопластика (СП), достаточно прозрачного для фотоупругих исследований, потребовало соблюдения особых условий: поверхность деталей формы хорошо очищалась; стеклоткань обрабатывалась винилидхлорсианом после выжигания из нее замасливателя; показатель преломления смолы (Maco 28С) был достаточно близок к показателю преломления СВ; газы, растворенные в смоле, удалялись под вакуумом. Описана техника формирования СП. Результаты исследований показывают, что разность хода на единицу напряжения не зависит от ориентации СВ по отношению к испытываемому образцу. Модуль Юнга слоистого СП изменяется от  $0,052 \times 10^6 \text{ кг/см}^2$  — для направления под углом в  $45^\circ$  — до  $0,21 \times 10^6 \text{ кг/см}^2$  — для продольного направления; при данном фотоупругом эффекте нагрузки обратно пропорциональны этим величинам. В образцах, изготовленных в указанных выше условиях, получается в среднем разность хода в 1000 А на 0,5% напряжений для СП толщиной 6,35 мм. Двойное лучепреломление напряженной смолы зависит в значительной степени от условий ее приготовления: процент катализатора, т-ры, скорости отверждения и др. Проведены опыты по определению посредством поляризационного микроскопа изменений, происходящих в СП под нагрузкой; при этом можно было обнаружить мельчайшие трещины, образующиеся между смолой и СВ: напряжения, при которых получаются такие трещины ( $280 \text{ кг/см}^2$ ), значительно меньше нормальных рабочих напряжений и составляют  $\sim 1/10$  максим. напряжений. Косвенным путем показано, что ползуток СП зависит от ориентации СВ по отношению к направлению напряжений. С. Иофе



**52761. Формование стеклопластиков.** Брукер, Леви, Готтлиб, Стейнман, Олеский (Molding reinforced plastics. Brucker M., Levy P., Gottlieb S., Steinman R., Oleesky S. S.), Mod. Plast. Encycl. issue, 1955, 33, № 1A, 393—394, 396, 398—399 (англ.)

Обзор свойств и применения стеклопластиков. Отмечено, в частности, что разработаны новые виды связующих (водн. эмульсия акрилатного типа, модифицированная фенольная смола) и стеклопластики на их основе. Кратко описаны усовершенствования различных способов формования. С. Иофе

**52762. Стеклопластики.** Гран-д'Отвиль (Fibres de verre + plastic = vetroplastic. Grand'Hauteville E.), Bull. techn. Suisse romande, 1955, 81, № 21-22, 421—425 (франц.)

Кратко рассмотрены способы формования стеклопластиков. Дана характеристика отдельных видов стекловолоконистых материалов, применяемых в произв-ве стеклопластиков, и способов подготовки их для повышения адгезии смолы к стекловолокну. С. Иофе

**52763. Применение полиэфирных смол при формовании на холоду армированных пластиков.** Монако (Le resine poliestere nello stampaggio a freddo dei plastici rinforzati. Monaco U.), Mater. plastiche, 1955, 21, № 10, 833—844 (итал.)

Обзор методов холодного формования стеклопластиков на основе полиэфирных смол. И. Рез.

**52764. Формованные стеклопластики с постоянными физико-механическими свойствами.** — (Consistency in glass-reinforced mouldings.—), Brit. Plastics, 1955, 28, № 12, 480—483 (англ.)

Разработана технология формования авиационных деталей из стеклопластиков, при которой сводится к минимуму влияние влаги и воздушных включений. При этом процессе катализированная смола инжектируется в закрытую спаренную форму (Ф), в которую предварительно загружено определенное кол-во материала из непрерывного стекловолокна; связующее вводится в Ф при пониженном давлении; остаток воздуха удаляется вакуумированием из Ф, затем подающие и выводные вентили закрываются, и изделие отверждается обычным способом. Описаны модель установки для формования и способ изготовления Ф, показаны образцы деталей, изготовленных таким способом. Этот способ обеспечивает небольшой разброс значений величин прочности, плотности и жесткости изделий. Отмечается, что наряду с этим должно быть обращено внимание на постоянство значений характеристик усталости и ползучести материала. С. Иофе

**52765. Некоторые практические данные об армированных стеклопластиках для авиационных конструкций.** Шликельман (Renforcement des structures d'avions à l'aide de plastiques. Schliekelman R. J.), Techn. et sci. aéronaut., 1955, № 4, 234—240 (англ.)

Приведены механич. характеристики стеклопластиков (I) на основе стеклотканей различного переплетения и полиэфирных смол. Дана зависимость сопротивления изгибу, модуля упругости при изгибе и коэф. жесткости I от направления волокон, содержания в них стекла и их уд. веса. Эти данные сопоставлены с аналогичными характеристиками для дюралюминия. Показана возможность изготовления отдельных деталей самолета из I. С. Иофе

**52766. Корпуса электронно-счетных машин из стеклопластика в сочетании с винипластом.** Рейнольдс, Челлис (Vinyl plus reinforced plastics. Reynolds F. W., Chellis L. N.), Mod. Plast., 1955, 33, № 4, 115, 118, 120—122, 124, 228, 230, 232 (англ.)

Сочетание стеклопластика (I) с винипластом (II)

позволяет получать материал для изготовления корпусов электронно-счетных машин, что дает ряд преимуществ (уменьшение веса, устойчивость к образованию вмятин и царапин, уменьшению шума при работе, улучшение склейки, снижение стоимости изготовления, повышение огнестойкости и сопротивления истиранию) по сравнению с корпусами из штампованной стали или из II со стальными листами. Основными недостатками II, армированного I, являются низкая теплоотдача и необходимость обеспечения условий устранения радиопомех. С. Иофе

**52767. Сосуды высокого давления из армированных стеклопластиков для военно-химических целей.** Раун (Reinforced plastics pressure vessels for chemical corps applications. Raun Milton A.), Mod. Plast., 1955, 33, № 4, 146, 148, 150, 154—156, 236, 237 (англ.)

В США в 1952 г. было закончено исследование вопроса о применении армированных стеклопластиков (I) для изготовления сосудов высокого давления (СВД) с целью выяснения возможности их использования в произв-ве портативных огнеметов. В результате этого исследования установлено, что СВД из I не корродируют, лучше защищают огнеметчика и могут дать значительную экономию в весе по сравнению с металлич. СВД одинаковой емкости. Разработаны технич. требования на СВД сферич. и цилиндрич. формы и определены отдельные области их применения. Намечены мероприятия по изучению ориентации стеклянного волокна, ровницы, матов и тканей в СВД, а также по применению различных связующих для стекловолокна и по разработке металлич. и других фланцев и соединений для СВД. Для сферич. СВД установлены следующие технич. требования: емк. 3657 см<sup>3</sup>, максим. диам. 198 мм, рабочее давл. 140 кг/см<sup>2</sup>, давление при испытании 245 кг/см<sup>2</sup>, разрушающее давл. 420 кг/см<sup>2</sup>, диаметр соединительной трубки 25,4 мм. Кроме того, СВД должны давать снижение веса ≥ 25% по сравнению с металлич., которые весят 2,72 кг, не разрушаться при попадании в них снарядов калибра 7,6 или 12,7 мм и выдерживать 2000 циклов при давл. 175 кг/см<sup>2</sup> и т-ра от —40 до +71°. Описаны условия изготовления СВД из I, их испытания на водопоглощение, герметичность, увеличение объема, прочностную усталость, а также проверки при хранении и испытания на прострел. Дан анализ зависимости деформаций от напряжения в отдельных точках сферич. СВД. Приведены результаты испытаний сосудов цилиндр. формы, предназначенных для высоких и низких давлений. С. Иофе

**52768. Гофрированные листы из стеклопластика на основе полиэфирных смол и их применение в строительстве.** — (I laminati ondulati in poliestere-vetro nell'edilizia.—), Mater. plastiche, 1955, 21, № 4, 305—308 (итал.)

Обзор физ.-мех. свойств стеклопластика и применение его в виде гофрированных листов как кровельного материала. Л. Песин

**52769. Слоистые пластики.** Скоу (Laminating. Skow Norman A.), Mod. Plast. Encycl. issue, 1955, 33, № 1A, 382-384, 386 (англ.)

Обзор произв-в технич. и декоративных слоистых пластиков (плит, стержней и труб). Л. Песин

**52770. Полистирол — (Styrene.—), Mod. Plast. Encycl. issue, 1955, 33, № 1A, 619-620, 622-629 (англ.)**

Обзор основных промышленных марок полистирола, применяемых для произв-ва пенопластов (I). Описана технология вспенивания полистирола, клеи и лаки для полистирольных I, методы механич. обработки, лакировки, нанесения декоративных эффектов и приклейки I. Л. Песин

**52771. Полиуретановые пенопласты.** Мольтопре-н. Найто (ポリウレタンフォーム主としてモ

ルトブレン)について・内藤淳一) プラスチックス・  
 株式会社, Japan Plastics, 1956, 7, № 9, 16—22  
 (японск.)

Обзор. Библ. 12 назв.

В. Иоффе

52772. Производство и применение порошковых  
 пластмасс (Zur Herstellung und Anwendung von  
 pulverförmigen Kunststoffen. Stastny Fritz). Kaut-  
 schuk und Gummi, 1955, 8, № 9, 204—207  
 (нем.)

Обзор по произ-ву и применению порошковых на  
 основе термореактивных смол, поливинилхлорида, по-  
 листирола, полиэтилена, силиконов, полиуретанов.

И. Рез

52773. Иониты. Керк (Ion exchange resins. Kirk  
 Paul F.). Mod. Plast. Encycl. issue, 1955, 33, № 1A,  
 136, 138—140 (англ.)

Обзор строения основных типов катионитов и анио-  
 нитов, методов их получения и применения для конди-  
 ционирования воды, в металлургии, фармацевтич.  
 хим. и пищевой пром-сти, аналитич. химии и др. Отме-  
 чено, что в последнее время начали применять иониты  
 в форме пленок или мембран, с помощью которых можно  
 получать каустик, не содержащий NaCl.

Л. Песин

52774. Устойчивость к набуханию катионообменных  
 смол, полученных из трехмеризованных линейных  
 сульфокислот полистирола. Штах (Quellfeste  
 Kationenaustauscher durch Vernetzung linearer Po-  
 lystyrol-sulfonsäuren. Stach Hans), Angew.  
 Chemie, 1955, 67, № 24, 786—787 (нем.)

Приведены краткие данные о получении катионо-  
 обменных смол (I), устойчивых к набуханию, на основе  
 «спитых» сульфокислот полистирола (II), которые  
 можно получить сульфированием сополимера стирола  
 с дивинилбензолом или с аналогичным дивинильным  
 соединением. Полистирол можно превратить в трех-  
 мер обработкой полимерными альдегидами (параальде-  
 гидом, метальдегидом, полиглиоксалем) во время суль-  
 фирования хлорсульфоновой к-той или после него.  
 I получают в виде шариков, которые обрабатывают  
 влажным воздухом, промывают  $H_2SO_4$ , нейтрализуют  
 и превращают в Na-соль II. Изменением кол-ва альде-  
 гида можно изменять степень сшитости II и тем самым  
 изменять свойства I. Нагреванием II, полученного  
 в форме шариков, с  $KHSO_4$  и безводн. глицерином полу-  
 чают I большой емкости и с хорошей стойкостью к на-  
 буханию.

С. Виноградова

52775. Понообмен. 2. Применение понообменных  
 смол в промышленности и для исследовательских  
 целей. Хатчен (Ion exchange. 2. Industrial and  
 research applications. Hutcheon J. M.), Chem.  
 and Process Engng, 1955, 36, № 1, 5—9 (англ.)

Обзор. Библ. 44 назв. Часть 1 см. РЖХим, 1957,  
 17229.

С. Шишкин

52776. Теория адгезионной способности и механиче-  
 ской прочности клеевых швов. Рива-Ляусс  
 (Théorie de l'adhésivité et résistance mécanique des  
 assemblages collés. Rivat-Lahousse A.), Ind.  
 plast. mod., 1955, 7, № 10, 37—38 (франц.)

Обзор современных взглядов на процессы склейки.

Л. Песин

52777. Клеи на основе поликонденсационных совме-  
 щенных синтетических смол. Петров Г. С.,  
 Успехи химии и технологии полимеров. Сб. 1, М.,  
 Госхимиздат, 1955, 100—111

Обзор. Рассмотрены клеи на основе поликонденса-  
 ционных смол (фенолальдегидных, карбамидных и  
 полиэфирных) и смешанных поликонденсационных  
 смол (меламиномочевинформальдегидных, мочевино-  
 меламинополиэфирных, мочевиномеламинофенольных, а  
 также смол, полученных смешением феноло- и моче-  
 виноформальдегидных смол с поливинилцетальными).  
 Библ. 21 назв.

З. Иванова

52778. Синтетические клеи, применяемые в совет-  
 ской фанерной промышленности. — (Kleje syntetyczne  
 stosowane przez radziecki przemysł klejkowy. —),  
 Przem. drzewny, 1956, 7, № 4, 9—12 (польск.)

Описаны карбамидные и фенольные клеи, применяе-  
 мые в советской фанерной пром-сти, общие принципы  
 их произ-ва и применения. Отмечено, что в польскую  
 пром-сть следует ввести вспенивающиеся клеи на осно-  
 ве мочевиноформальдегидных смол, меламиновую плен-  
 ку и спиртовые р-ры фенольных клеев.

S. Chudzyński

52779. Синтетические смолы для склейки металлов  
 с металлами. Франц (Kunststoffe zum Kleben von  
 Metallen mit Metallen. Franz K.), Seifen-Ole-  
 Fette-Wachse, 1955, 81, № 24, 709—710 (нем.)

Описано применение для склейки металлов эпоксид-  
 ных смол горячего отверждения арамидов марок I,  
 XV и XVI, которые стабильны при 20° соответственно  
 2 года, 1 год и 6 месяцев. Отверждение их проводят  
 при 130° (10—14 час.) с последующей выдержкой при  
 200° (30 мин.). У смол арамид холодного отверждения  
 марок 101, 102, 103, 121 стабильность от 6 месяцев до  
 1 года, время отверждения после добавки отвердителя  
 от 14 до 72 час. при 20°. Новые типы эпоксидных смол  
 дают при комбинировании с фенолформальдегидными  
 смолами замазки, обладающие высокой стойкостью  
 к действию щелочей и 15%-ной  $HNO_3$ . Начало см.  
 РЖХим, 1956, 44898.

Л. Песин

52780. Характеристика карбамидных смол, приме-  
 няемых в мебельной промышленности за границей.  
 Забродки А. Г., Деревообработ. пром-сть,  
 1956, № 7, 27—28

Приведены характеристики и рецептуры пригото-  
 вления клеев, выпускаемых пром-стью США, Англии,  
 Швейцарии, ГДР и Чехословакии; а также методы склей-  
 ки ими древесины.

Л. Песин

52781. Формование тефлона (политетрафторэтилена)  
 для электротехнических целей. Хиббард (Forming  
 teflon for electrical uses. Hibbard Robert L.),  
 Mod. Plast., 1955, 33, № 1, 134—136, 138—139 (англ.)  
 Рассмотрены конструктивные и технологич. труд-  
 ности, связанные с переработкой политетрафторэтиле-  
 на (I), и даны рекомендации по конструированию де-  
 талей из I, в том числе условия формования и механич.  
 обработки, сочетание I с металлами, герметизация из-  
 делий I, миним. толщины стенок и допуски. Описаны  
 приемы оценки качества изделий из I: стабильность фор-  
 мы, степень внутренних напряжений, плотность, одно-  
 родность. Приведены кривые пластич. поведения I  
 в широком пределе т-р (до 360°) и зависимости электр.  
 прочности I от его плотности.

С. Шишкин

52782. Применение синтетических смол в качестве  
 термоизоляционных материалов для высоких и низ-  
 ких температур. Ландзерини (L'impiego delle  
 resine sintetiche nell'isolamento termico per alte e  
 basse temperature. Lazzerini Renato), Calore,  
 1955, 26, № 10, 455—474 (итал.)

Обзор свойств пенопластов на основе полистироль-  
 ных, поливинилхлоридных, мочевиноформальдегидных,  
 эпоксидных, полиуретановых, силиконовых, ацети-  
 лцеллюлозных, фенольных, политетрафторэтиленовых,  
 синтетич. каучука, а также пеностекла и силикагеля.

Л. Песин

52783. Конструкция прессформ для литьевых машин.

Прессформы для изделий трубчатой формы без вну-  
 тренней резьбы и для изделий с металлической ар-  
 матурой. Гастров (Konstruktion von Werkzeugen  
 für Spritzgüßmaschinen. Abreißverfahren für rohrfö-  
 rmige Teile ohne Innengewinde und Teile mit Metal-  
 leinlagen. Gastrow Hans), Kunststoffe, 1955,  
 45, № 9, 405—407 (нем.; рез. англ., франц., исп.)  
 Описаны конструкции прессформ для трубчатых  
 изделий без внутренней резьбы с подводом литника

к внутренней поверхности изделия и для изделий с металл. арматурой; отличительной особенностью этих прессформ являются две плоскости разреза и наличие спец. плиты для отрыва литников, непосредственно подводящих литьевой материал к изделию. Е. Хургин 52784. Из практики эксплуатации червячных мезильных прессов «Ко-Кнетер». Эшбах (Betriebsverfahren mit dem Ko-Kneter. Aeschbach J.), Kunststoffe, 1955, 45, № 10, 456—460 (нем.; рез. англ., исп.)

Описаны дополнения и усовершенствования (применение ступенчатых валов, устройство в валу двух зон обогрева вместо одной, оснащение машины механич. питательным устройством, усовершенствование схемы обогрева, оснащение машины грануляторами различных систем), внесенные в конструкцию червячных мезильных прессов «Ко-Кнетер». Практика эксплуатации этих машин показала, что они могут быть использованы для смешения, разминания и пластикация, но не для выдавливания изделий из термопластичных материалов. Е. Хургин

52785. Смесители и вальцы для холодной переработки наплазочных паст из пластмасс. Бауэр (Mischmaschinen und Walzwerke für die Kaltverarbeitung von Kunststoff-Streichpasten. Bauer), Chemiker-Ztg., 1955, 79, № 19, 674—675 (нем.; рез. англ.)

Описана переработка порошковых пластмасс с пластификаторами и красителями на планетарных смесителях с лопастями различной формы в зависимости от консистенции материала. Эти лопасти обеспечивают сьем материала со стенок и дна, не оставляя в смесителе никаких мертвых зон. Конечная переработка паст производится на трехвалковых вальцах с фрикцией и охлаждением валков в целях отвода образующегося тепла. Они обеспечивают хорошее растирание продукта; благодаря охлаждению исключается возможность желатинизации продукта на поверхности валков.

Е. Хургин 52786. Применение металлоискательных приборов в промышленности пластмасс.— (Metallsuchgeräte in der Kunststoffindustrie.—), Gummi und Asbest, 1955, 8, № 11, 603—604 (нем.)

Описан электронный металлоискательный прибор (обнаруживающий как черные, так и цветные металлы), применяемый в промышленности пластмасс с целью предотвращения от повреждения каландров, червячных прессов и другого оборудования.

Л. Песин 52787. Сварка пластических масс. Фрей-Ишер (Das Schweißen von Kunststoffen. Frei-Ischer E.), Technica, 1955, 4, №21: 1029—1034; № 22, 1119—1122 (нем.)

Рассмотрена сварка (С) с применением струи горячего газа в качестве теплоносителя. Даны указания по подготовке сварочного шва веток, присадочного материала и технологии С. Рассмотрены методы С термопластичных материалов: 1) Контактная С, в которой нагрев свариваемых материалов производится соприкосновением с ними нагретого инструмента (клин, планка, утюг). Описан применяемый инструмент и технология С: т-ра, давление, скорость, а также метод С труб веток. 2) С ВЧ-токами: описан принцип С, уточнено понятие импульсной С, при которой электроды служат не только для нагрева, но и для охлаждения шва. 3) С трением. В общих чертах описана технология С. 4) Огневая С. Это наименее совершенный вид С, описан очень кратко и употребляется редко. Е. Хургин 52788. Оборудование для ВЧ-сварки. Пти, Годен (Outillages pour souder haute — fréquence. Petit J., Godin R.), Ind. plast. mod., 1955, 7, № 10, 22—23; 1956, 8, № 1, 25—27 (франц.)

Описано приспособление, аппаратура и электроды для точечной сварки изделий из поливинилхлорида,

а также технология сварки запоров (молний) в изделиях из поливинилхлорида.

Л. Песин 52789. Пластмассы, смолы и краски. Парке (Plastics, resins and paints. Parks Lloyd E.), SPE Journal, 1955, 11, № 10, 19—24 (англ.)

Описаны основные свойства термопластов (полиэтилена, полистирола, поливинилхлорида, поливинилацетата, полиакрилатов и полиметакрилатов и их сополимеров, триацетата, ацетобутирата целлюлозы и этилцеллюлозы) и термореактивных пластиков (фенольных и полиэфирных). Рассмотрены требования, предъявляемые к лакокрасочным покрытиям для пластмасс, и отмечена необходимость подбора для лаков и эмалей р-рителей с учетом их возможного воздействия на пластики. Описано нанесение на пластики декоративных лакокрасочных покрытий методом «шелкового сита».

С. Шипкин 52790. Окраска полиэтилена и краска для печатания на полиэтилене. Танигутти (Боричетлен印刷とインキ. 谷口治孝),プラスチックス, Пурасутикусу, Japan Plastics, 1955, 6, № 10, 60—64 (японск.)

Рассмотрены различные методы нанесения окраски на полиэтиленовые пленки, а также применяемые краски. В. Поффе

52791 К. Введение в химию и технологию пластических масс. Рунге (Wstęp do chemii i technologii tworzyw sztucznych. Runge Franz. Tlum. z niem., Warszawa, Państw. Wydawn. Nauk., 1956, 184 s., il., 18 zł) (польск.)

52792 К. Справочник по полимерам: синтетические волокна, пластмассы и каучуки. Поффе (Fibres, plastics and rubbers: a handbook of common polymers. Poff William John. London. Butterworth's Scient. Publ., 1956, XVI, 400 pp., ill., 63 sh.) (англ.)

52793 К. Пластические массы. Учебное пособие для химико-технологических училищ. Павлик, Венгель (Plastické hmoty. Pomocná kn. pro chem. školy prům. Pavlík Miloslav, Węgiel Jan. Praha, SNTL, 1955, 376, 3 s., il., 26, 40 Kčs) (чешск.)

52794 К. Фторопласты. Чегодаев Д. Д. Л., Госхимиздат, 1956, 86 стр., илл., 2 р. 30 к.

52795 П. Способ непрерывной сополимеризации (Verfahren zur stetigen Mischpolymerisation) [Standard Oil Development Co.]. Пат. ФРГ 936719, 22.12.55

Способ сополимеризации алифатич. моноолефинов (содержащих в молекуле 4—8 атомов С, напр. изобутилена) и 40—70 вес.% циклич. моноолефинов в присутствии катализатора Фриделя — Крафта и разбавителя при т-ре от —12 до —107° (напр., при —73° или при —96°) отличается тем, что компоненты непрерывно смешивают в первом аппарате, где происходит частичная полимеризация; далее продукты р-ции проводят через ряд аппаратов до получения конечного продукта с желаемой степенью полимеризации. В качестве циклич. моноолефинов используют винилароматич. соединения, напр. стирол или его моно-, диалкил- или галоидпроизводные, инден, кумарон, α-винилнафталин или дигидронафталин. В качестве катализаторов применяют галогениды металлов, BF<sub>3</sub>, активированный BF<sub>3</sub>, AlCl<sub>3</sub>, TiCl<sub>4</sub> или комплекс из алкоксида и хлорида алюминия. Для разбавления и охлаждения смеси в процессе сополимеризации используют пропан, этан, этилен, метилхлорид, жидкую или твердую CO<sub>2</sub>. Катализатор растворяют в низших алкилгалогенидах или в низкомолекулярных, свободных от серы насыщ. углеводородах или их смесях. Кол-во вводимого р-рителя составляет 100—500 об.% от сополимеризующихся в-в. Напр., в процессе непрерывной сополимеризации конверсия в первом аппарате достигает 20—70% (или 40—60%); в последнем аппарате конверсия составляет 97—100%. Катализатор можно



вводить в каждый аппарат, причем на каждой последующей стадии в аппараты вводят катализатор в кол-ве, не меньшем, чем на первой стадии.

Б. Киселев  
52796 П. Облучение полимеров (Irradiation of polymers) [General Electric Co.]. Австрал. пат. 166835, 23.02.56

Для улучшения свойств и модификации полиэтилена, галогенированного и хлорсульфированного полиэтиленов и их смесей их облучают электронами высокой энергии.

Я. Кантор  
52797 П. Процесс полимеризации в присутствии борогидридов металлов и металлов Va-группы. Филд, Феллер (Polymerization process with group V-A metal and metal borohydride catalyst. Field Edmund, Feller Morris) [Standard Oil Co.]. Пат. США 2728757, 27.12.55

Полиэтилен с мол. в.  $\geq 300$  получают полимеризацией этилена при 75—325° в присутствии борогидридов щел. металлов и окислов металлов Va-группы.

А. Дабагова  
52798 П. Усовершенствованный способ выделения полиэтилена в процессе полимеризации этилена. Рассум, Хатч, Уэйсман (Improved product separation in ethylene polymerization process. Russum Leonard W., Hatch Robert L., Weismann Gert H.) [Standard Oil Co.]. Пат. США 2728753, 27.12.55

Твердый полиэтилен получают полимеризацией, проводимой в этиленовой фазе, в реакторе, под давл. 280—1400 кГ/см<sup>2</sup> в присутствии инициатора перекисного типа. Суспензию полимера в этилене выводят из реактора эжектированием струей воды, введенной в суспензию под давлением. Воду вводят в таком кол-ве и с такой скоростью, при которых происходит турбулентное перемешивание суспензии с водой и получается смесь трех фаз — воды, этилена и полимера. Этилен отделяют от воды и полимера в центробежном сепараторе и возвращают в реактор под давлением, которое определяется эжектирующей струей воды.

А. Дабагова  
52799 П. Стабилизированный полиэтилен (Stabilized polyethylene compositions) [Monsanto Chemical Co.]. Австрал. пат. 201160, 29.03.56

Полиэтилен содержит небольшое кол-во сульфида диалкилфенола.

А. Жданов  
52800 П. Омыление разветвленных полимеров. Ундерхорн, Мак-Доналд, Клейбаккер (Saponification of «porcorn» polymers. Wiederhorn Norman M., MacDonald Theresa L., Kleibacker Wilson M.) [United Shoe Machinery Corp.]. Пат. США 2734893, 14.02.56

Способ получения высокомолекулярных ценных полимеров состоит в том, что стирол или другой мономер (о-хлорстирол,  $\alpha$ -винилнафталин, бутадиев, изопрен, метил-, этил-, *n*-пропил-, *n*-бутил-, *n*-октил- или лаурил-метакрилат или их смеси) смешивают с 0,5—10 % нерастворимого окисленного высыхающего масла, напр. тунгового, содержащего иницирующую полимеризацию перекисные группировки, и ведут полимеризацию при  $t_{\text{ре}} \leq 150^\circ$  в отсутствие растворимых катализаторов (К), получая нерастворимый разветвленный полимер, состоящий из линейных цепей, соединенных с вышеназванным К; полимер выделяют из смеси и омыляют К для отделения линейных цепей полимера. Напр., пленку тунгового масла толщиной 3 мм сушат 8 недель на солнце, многократно экстрагируют бензолом и размалывают в смеси с сухим льдом в порошок дисперсностью 60 меш. Полимеризацию стирола в присутствии 5% такого К ведут в запаянном стеклянном сосуде под азотом при 90° в течение 8 час. Продукт содержит нерастворимую и растворимую фракции в соотношении  $\sim 5:1$ . После отмытки растворимой фракции бензолом нерастворимый полимер кипя-

тят 24 час. в смеси равных кол-в кислоты и бутанола с NaOH, взятым в кол-ве, равном по весу примененному К, после чего подкисляют конц. HCl, осаждают полимер из р-ра метанолом, растворяют в бензоле и снова осаждают. Вискозиметрически определен мол. в. 480 000; в растворимой фракции 720 000. В присутствии 2,5% К и полимеризации при 45° в течение 37 час. нерастворимая и растворимая фракции дали полимер с мол. в. 2 240 000 и 2 450 000, соответственно. Полученные полимеры с таким высоким мол. весом обычно достигается лишь при условии крайне медленной полимеризации в отсутствие К при  $\sim 20^\circ$ .

В. Пахомов  
52801 П. Пленки, их состав и способ получения. Андервуд, Фуллер (Pellicules, compositions et procédé pour leur fabrication. Underwood William Frederick, Fuller Edward Deering) [The Visking Corp.]. Франц. пат. 1108656, 16.01.56

Пленка, непроницаемая для водяных паров, состоит из 95—60% полиэтилена с уд. в. 0,91—0,925 и 5—40% разветвленного полиэтилена с уд. в. 0,94, в молекуле которого содержатся только ничтожные следы кислорода и карбонильных групп. Молекула разветвленного полиэтилена имеет у каждого седьмого атома С главной цепи ответвление, содержащее  $\geq 6$  атомов С. Пленки формуют из расплавленного исходного материала литьем под давлением.

М. Фишбейн  
52802 П. Способ полимеризации пропилена. Фонтана, Облад, Киддер (Propylene polymerization process. Fontana Celeste M., Obblad Alex G., Kidder Glenn A.) [Socony Mobil Oil Co. Inc.]. Канад. пат. 517929, 25.10.55

Способ получения полипропилена с вязкостью 30—40 000 сек. при 99° по Сэйболту состоит в том, что смесь пропилен,  $AlBr_3$  в виде р-ра в непolyмеризуемом углеводороде, напр. пропане, и промотора (HBr, бромированного алифатич. углеводорода, имеющего  $\geq 3$  атомов С или соединений, выделяющих HBr в условиях р-ции) вводят в зону полимеризации в таких соотношениях, что в ходе р-ции мол. соотношения между промотором и растворенным  $AlBr_3$  равны 0,2—5, а скорость подачи пропилен в зону полимеризации не превышает 2 моля в 1 мин. на 1 моль растворенного  $AlBr_3$ . Вязкость получаемого полимера изменяется с  $t$ -рой менее, чем это дано ур-нием:  $m = 3,850 - 1,794W$ , где  $m = [\lg \lg (\eta_{T_1} + 0,8) - \lg \lg (\eta_{T_2} + 0,8)] / (\lg T_2 - \lg T_1)$ ,  $W = \lg \lg (\eta_{T_1} + 0,8)$ ,  $T_1 = 559,7$ ,  $T_2 = 669,7$ , а  $\eta_{T_1}$  и  $\eta_{T_2}$  — вязкость в сст при 37,5° и 99° соответственно.

В. Пахомов  
52803 П. Композиция для подшипников, содержащая политетрафторэтилен. Уайт (Bearing compositions containing polytetrafluoroethylene. White Hobart S.) [United States of America as represented by the Secretary of the Navy]. Пат. США 2715617, 16.08.55

Композиция состоит из гомог. прессованной смеси 10—60 вес.% порошкообразного политетрафторэтилена и молибдена, вольфрама или их смеси.

Б. Киселев  
52804 П. Коагуляция неэластичных полимеров. Моррис (Coagulation of non-elastic polymers. Morris Elton K.) [Dow Chemical Co.]. Канад. пат. 515708, 16.08.55

Способ коагуляции быстро осаждающихся латексов неэластичного (по сравнению с каучуком) сополимера винилиденхлорида с соединением, содержащим одну этиленовую связь (напр., винилхлоридом или акрилонитрилом), состоит в том, что струю латекса с диаметром частиц 0,051—5,08 м вводят в избыток жидкого коагулятора и затем отмыывают коагулом водой, не содержащей механич. загрязнений, от водорастворимых примесей. Полимер выпадает в виде волокнистых ча-

стиц, не содержащих окклюзированной воды и водорастворимых примесей

А. Дабагова

**52805 П.** Способ получения пластмасс с цветным узором из поливинилхлорида и его сополимеров. Бёкль (Verfahren zur Herstellung von farbig gemusterten thermoplastischen Kunststoffen, insbesondere aus Polyvinylchlorid und seinen Mischpolymerisaten. Böckl Norbert). Пат. ФРГ 915151, 15.07.54 [Chem. Zbl., 1955, 126, № 26, 6154 (нем.).]

Поливинилхлорид или его сополимеры смешивают при нагревании с пластификаторами, красителями и наполнителями, измельчают, смешивают с аналогичным материалом другой окраски и смесь нагревают до образования гомогенной желатинированной массы. Пленки, пластины и т. п. изделия получают формованием пластика при повышенных т-ре и давлении с последующей дальнейшей желатинизацией. Я. Кантор

**52806 П.** Способ получения поливинилового спирта. Стеффенсен, Йонсен, Йонсен (Verfahren zur Herstellung von Polyvinylalkohol. Steffen Otto, Johnsen Henry, Johnsen Reidar) [Norsk Hydro-Elektrisk Kvaestofaktieselskab]. Пат. ФРГ 948087. 30.08.56

Способ отличается тем, что поливинилформат обрабатывают высококонц. жидким, газообразным или растворенным  $\text{NH}_3$  (конц-ия  $\geq 80\%$ ) и образующийся поливиниловый спирт отделяют от формамида. Для выделения полимера из реакционной смеси можно применять осадители или отгонять побочные продукты. Р-цию можно проводить в среде низшего алифатич. спирта ( $\text{CH}_3\text{OH}$ ) при 0—40°. Напр., 60 г поливинилформата и 190 г  $\text{NH}_3$  помещают в автоклав, выдерживают ~45 мин. при ~20°, охлаждают ниже т-ры кипения содержимого автоклава, вводят 110 г  $\text{CH}_3\text{OH}$ , отфильтровывают выпавший поливиниловый спирт и промывают его  $\text{CH}_3\text{OH}$ . Полимер практически не содержит сложноэфирных групп и полностью растворяется в воде, образуя прозрачные р-ры. А. Жданов

**52807 П.** Способ получения высоковязкого водорастворимого поливинилового спирта. Штарк, Штарк (Verfahren zur Herstellung hochviskös-löslicher Polyvinylalkohole. Starck Werner, Starck Hans) [Farbwerke Hoechst A.-G. vormals Meister Lucius & Brünig]. Пат. ФРГ 946848, 9.08.56

Способ получения поливинилового спирта, образующего 4%-ные водн. р-ры с вязкостью  $>140$  спуз при 20°, отличается тем, что омыляют поливинилацетат, полученный полимеризацией в суспензии, эмульсии или блоке в присутствии  $\geq 0,8\%$  перекиси олеила. Напр., в 250 вес. ч. винилацетата растворяют 4,8 ч. перекиси олеила. 30 объемам ч. смеси кипятят с обратным холодильником и постепенно вводят в течение 4 час. остальную часть р-ра. Через 12 час. нагревания при 70—80° полимеризация заканчивается и небольшое кол-во непрореагировавшего винилацетата отгоняют в вакууме. 70 вес. ч. полученного полимера ( $K_w = 63$ ) растворяют в 400 вес. ч.  $\text{CH}_3\text{OH}$  и вводят р-р в течение 45 мин. в кипящую смесь 225 вес. ч.  $\text{CH}_3\text{OH}$  и 4,5 вес. ч. 20%-ной р-ра  $\text{NaOH}$  в  $\text{CH}_3\text{OH}$ . Смесь кипятят 15 час., отфильтровывают поливиниловый спирт (35 вес. ч.), промывают его  $\text{CH}_3\text{OH}$  и сушат в вакууме. Полученный поливиниловый спирт легко растворяется в теплой воде и имеет  $K_w = 76$ . 4%-ный водн. р-р его имеет вязкость 580 спуз при 20°. В другом примере описана полимеризация винилацетата в суспензии с последующим гидролизом полимеризата по аналогичной методике. А. Жданов

**52808 П.** Метод получения синтетических смолоподобных продуктов полимеризации (Process for the production of synthetic resinlike polymerization pro-

ducts) [Deutsche Gold- und Silberscheideanstalt vorm. Roessler]. Англ. пат. 733996, 20.07.55

Полимеры получают полимеризацией в блоке или р-ре (в среде ксилола) мономерных продуктов конденсации  $\alpha, \beta$ -ненасыщ. альдегидов (напр., акролеина) с насыщ. алифатич. спиртами, имеющими  $\geq 2$  метильных групп, связанных с атомом С (напр., с глицерином или пентаэритритом). По одному из вариантов метода продукт конденсации полимеризуют в присутствии одного из катализаторов, добавляя другой мономер и завершают полимеризацию при необходимости в присутствии другого катализатора. В качестве катализаторов используют, напр., азиобутиронитрил, соли диазотированного *p*-нитроанилина или 6-бензоламино-4-метоксип-*N*-толуидина, диазотизиферы (4-метилбензолдиазомеркапто-2-нафталин), этиксид  $\text{BF}_3$ , перекись бензола (I) и *tert*-амины, и комплекс I с ацетилацетоном Fe. Полимеризуемая смесь может также содержать стирол, малеиновую к-ту, винилацетат, диаллилфталат и их смеси. Полимеризацию можно вести в присутствии природных смол, высыхающих или модифицированных высыхающих масел. Полимеры можно использовать для прессования и применять в качестве лаков, а также в произв-ве искусств. кожи. З. Н.

**52809 П.** Способ получения усовершенствованных веществ для структурирования почв. Хедрик, Маури (Mejoras en agentes acondicionadores de suelos y métodos de prepararlos. Hedrick Ross M., Mowry David T.) [Monsanto Chemical Co.]. Мексик. пат. 55319, 6.04.55

Способ получения водорастворимой полимерной композиции, содержащей Са, отличается тем, что 1 моль малеинового ангидрида этерифицируют 0,2—0,6 молями алифатич. спирта, содержащего  $\leq 3$  атома С, сополимеризуют полученный неполный эфир с 1—2 молями винилацетата и смешивают сополимер в мелкодисперсной форме с  $\text{CaO}$ ,  $\text{Ca}(\text{OH})_2$  или  $\text{CaCO}_3$ . В. Нахомов

**52810 П.** Способ получения стабильных водных дисперсий сложных поливиниловых эфиров. Зоммер (Verfahren zur Herstellung stabiler wässriger Polyvinylester-Dispersionen. Sommer Siegfried) [Farbwerke Hoechst A.-G. vormals Meister Lucius & Brünig]. Пат. ФРГ 944521, 14.06.56

Способ получения стабильных водн. дисперсий поливиниловых эфиров низших органич. к-т и их смесей в присутствии поливинилового спирта или его водорастворимых производных в качестве диспергаторов, и перекисных соединений в качестве катализаторов полимеризации отличается тем, что полимеризацию виниловых эфиров ведут в кислой среде в присутствии низкомолекулярных алифатич. ацеталей, содержащих 4—20 атомов С в молекуле, напр.,  $(\text{C}_2\text{H}_5\text{O})_2\text{CHCH}_3$ . Напр., к 300 ч. 6%-ного водн. р-ра поливинилового спирта, рН которого доведен до 3,4 добавлением  $\text{HCOOH}$ , приливают 0,9 ч. 40%-ной  $\text{H}_2\text{O}_2$  и 3 ч.  $(\text{C}_2\text{H}_5\text{O})_2\text{CHCH}_3$ , после чего нагревают до 65°. При этой т-ре равномерно в течение 1 ч. 20 м. 300 ч. винилацетата. В полученной дисперсии содержится  $<1\%$  мономера, а показатель К (по Фикенчеру) равен 59—60. Она совместима с пластификаторами, напр. дибутилфталатом, и дает прозрачные пленки с хорошей водостойкостью. В. Нахомов

**52811 П.** Способ получения полиэфиров  $\alpha$ -цианакриловой кислоты. Джойнер, Хоккинс (Method of making  $\alpha$ -cyanoacrylates. Joyner Frederick B., Hawkins Cary F.) [Eastman Kodak Co.]. Пат. США 2721858, 25.10.55

Полимерные эфиры  $\alpha$ -цианакриловой к-ты получают нагреванием р-ров эфиров циануксусной к-ты ф-лы  $\text{NC}-\text{CH}_2-\text{COOR}$  ( $\text{R}$  — алкил, циклогексил или фенил) с  $\text{CH}_2\text{O}$  и щел. катализатором конденсации при 50—90° в неводн. органич. р-рителе, перегоняющемся

при т-ре ниже т-ры деполимеризации полимерного эфира. Реакционную воду удаляют азеотропной перегонкой без деполимеризации полученного полимера.

В. Уфимцев

**52812 П. Способ получения полиакрилонитрила.** Веннинг (Verfahren zur Herstellung von Polyacrylnitril. Wenning Heinrich) [Chemische Werke Hüls A.-G.]. Пат. ФРГ 939053, 16.02.56. Доп. к пат. ФРГ 925430 (РЖХим, 1956, 48768).

Акрилонитрил полимеризуют в водн. среде в присутствии окислительно-восстановительных систем и  $\text{SO}_2$ , которая является единственным донором ионов  $\text{H}^+$  в системе. В полимеризатор емк. 500 л вводят ежедневно 100 л воды, 7,6 кг акрилонитрила, 38 г  $\text{K}_2\text{S}_2\text{O}_8$  и 38 г  $\text{NaHSO}_3$ , поддерживая давление в аппарате  $< 2$  атм введением  $\text{SO}_2$ . Дисперсию полимера (частицы размером 1  $\mu$ ) непрерывно отводят через сифон. После удаления  $\text{SO}_2$  и остатка мономера в вакууме при нагревании полимер отфильтровывают, промывают и высушивают. Продукт легко растворяется в диметилформамиде.

Ю. Тягунов

**52813 П. Способ получения растворов поливиниловых соединений.** Крессуэлл, Каммингс (Verfahren zur Herstellung von Lösungen polymerisierter Vinylverbindungen. Cresswell Arthur, Cummings Percival William) [American Cyanamid Co.]. Пат. ФРГ 937553, 12.01.56.

Способ состоит в том, что полимер (полиакрилонитрил или сополимеры акрилонитрила, напр., с метилакрилатом или аллиловым спиртом, содержащие  $\geq 85$  вес. % связанного акрилонитрила) диспергируют в водн. р-ре соли, образующей сильно гидратированные ионы (тиоцианаты  $\text{Na}$  или  $\text{Ca}$ ), конц-ия которой недостаточна для растворения полимера, и к дисперсии добавляют соль до тех пор, пока ее конц-ия превысит критич. конц-ию, необходимую для растворения полимера. Применяемые для растворения полимеры могут содержать 20—50 вес. % воды. Напр., 194 ч. измелченного влажного (27,7% воды) сополимера из 95% акрилонитрила и 5% метилакрилата (вискозиметрич. мол. в 77 000) вносят при 25° и сильным перемешивании в 641 ч. 43,5%-ного водн. р-ра тиоцианата  $\text{Ca}$ . При последующем энергичном перемешивании вводят 1165 ч. 55,9%-ного водн. р-ра тиоцианата  $\text{Ca}$ ; вязкость смеси быстро возрастает и через 2 часа при 20° полимер растворяется полностью. В других примерах в качестве солей указаны  $\text{ZnCl}_2$ , гуанидинтиоцианат и тиоцианат  $\text{Na}$ .

Ю. Тягунов

**52814 П. Способ получения сополимеров акрилонитрила.** Бир, Кюхлер, Гамп (Verfahren zur Herstellung von Acrylnitrilmischpolymerisaten. Bier Gerhard, Kuchler Leopold, Gamp Hans) [Farbwerke Hoechst A.-G. vormals Meister Lucius & Brüning]. Пат. ФРГ 944520, 14.06.56.

Способ отличается тем, что в качестве второго компонента сополимеризации применяют органич. эфиры угольной к-ты  $\text{ROCOOR}'$ , где  $\text{R}$  — способный к сополимеризации радикал, а  $\text{R}'$  — насыщ. или ненасыщ., но неспособный к сополимеризации радикал. По окончании р-ции эфирные группы могут быть омылены или перестерифицированы; при необходимости в процесс могут быть введены дополнительные компоненты, образующие сополимеры, в том числе простые хлоралкилвиниловые эфиры. В этом случае имеющиеся в составе сополимера хлоралкильные группы могут быть превращены в органич. основные группы. Напр., приготавливают р-р 5 г алкилсульфоната, 15 г ацетата  $\text{Na}$ , 3 г лед.  $\text{CH}_3\text{COOH}$  и 5 г  $\text{MgSO}_4 \cdot 7\text{H}_2\text{O}$  в 2000 г воды (эмульгирующая смесь) и смесь 700 г акрилонитрила, 50 г  $\beta$ -хлорэтилвинилового эфира и 50 г этилаллилкарбоната. В колбу вводят 250 г воды, 250 г эмульгирующей смеси, 1 г 35%-ной  $\text{H}_2\text{O}_2$  и 40 г смеси мономеров. Для иницирования р-ции вводят немного нижеуказанного

р-ра роигалита и далее в объемном соотношении 1 : 2 : 1 р-р 7,5 г роигалита в 750 г эмульгирующей смеси, смесь мономеров и р-р 8 г 35%-ной  $\text{H}_2\text{O}_2$  в 750 г эмульгирующей смеси. При взаимодействии сополимера с органич. основанием, напр. пиридином, триметиламино и диметилэтаноларином, в сополимер вводят четвертичные аммонийные группы. При этом одновременно или впоследствии может быть произведено омыление этилкарбонатных групп с образованием в составе сополимера ОН-групп. Полученные сополимеры легко окрашиваются и являются исходным материалом для получения окрашенных прессизделий, волокна, пленок и т. д.

В. Пахомов

**52815 П. Модифицированные полиакрилонитрил и полиметакрилонитрил.** Ширер, Кувер (Modified polyacrylonitriles and polymethacrylonitriles. Shearer Newton H., Jr, Coover Harry W., Jr) [Eastman Kodak Co.]. Пат. США 2719144, 27.09.55.

Патентуется модифицированный акрил или метакрилонитрильный полимер, в котором  $\sim 10$ —20% нитрильных групп превращены в группы  $-\text{CONHCRR}'\text{R}''$ , где  $\text{R}$  —  $\text{H}$  или метил, а  $\text{R}'$  и  $\text{R}''$  — алифатич. радикалы с 1—2 атомами  $\text{C}$ .

В. Пахомов

**52816 П. Пленки и аналогичные изделия, устойчивые к действию света и масел и допускающие стерилизацию при нагревании.** Рейн (Pellicules feuilles et articles analogues résistant à l'action de la lumière des huiles et des graisses et stérilisables par la chaleur. Rein Herbert) [Cassella Farbwerke Mainkur]. Франц. пат. 1026649, 29.04.53 [Chem. Zbl., 1955, 126, № 27, 6407—6408 (нем.)].

Пленки из полиакрилонитрила или сополимеров, содержащих 75—85% акрилонитрила, устойчивые к действию света, масел, и допускающие стерилизацию, применяют для изготовления шаровых зондов для метеорологич. приборов, в качестве упаковочного материала для продовольственных продуктов и медикаментов и в качестве защитных покрывал для витрин.

**52817 П. Сополимеры винилиденцианида и сложных виниловых эфиров.** Гилберт, Миллер (Copolymers of vinylidene cyanide and vinyl esters. Gilbert Harry, Miller Floyd F.) [B. F. Goodrich Co.]. Канад. пат. 516314, 6.09.55.

Способ получения сополимеров винилиденцианида и сложных виниловых эфиров (винилового эфира бензойной к-ты) заключается в том, что жидкий винилиденцианид растворяют в органич. р-рителе (бзл.), смешивают р-р с виниловым эфиром ф-лы  $\text{CH}_2=\text{CHCOAr}$  ( $\text{Ar}$  — ароматич. радикал, у которого все атомы  $\text{H}$  соединены с атомами  $\text{C}$ ) и перекисным инициатором (перекисью  $o,o'$ -дихлорбензола). Полученный сополимер имеет структуру  $-(\text{M}_1-\text{M}_2)_x-(\text{M}_1-\text{M}_2)_y-$ , где  $\text{M}_1$  и  $\text{M}_2$  — звенья винилиденцианида и винилового эфира и  $x$  — целое число и представляет собой твердое в-во, размягчающееся при нагревании, растворимое при  $\sim 20^\circ$  в диметилформамиде, но нерастворимое в ацетоне, спирте, бензоле и простых эфирах. Винилиденцианид, применяемый для сополимеризации в кол-ве 0,5—90 мол. %, является жидкостью при  $\sim 20^\circ$  и кристаллич. в-вом при  $0^\circ$  (в чистом виде имеет т. пл. 9,0—9,7°), полимеризуется в присутствии воды при 20° с образованием твердой нерастворимой в воде смолы и взаимодействует с 1,3-бутадиеном, образуя твердый 4,4-дицианциклогексен.

**52818 П. Получение полимеров** (Production of polymers) [Badische Anilin- und Soda-Fabrik A.-G.]. Англ. пат. 739438, 26.10.55.

N-винилкарбазол полимеризуют в блоке, р-ре или водн. суспензии с применением в качестве защитного коллоида полиакрилата  $\text{Na}$ , полиакриламида или поли-



N-винилпирролидона, а в качестве катализатора — перекиси *трет*-бутила, без доступа  $O_2$  в среде инертного газа ( $N_2$ ,  $H_2$  или  $CO_2$ ), также под давлением. Как добавки к перекиси могут быть применены N-содержащие катализаторы ( $\alpha, \alpha'$ -азо-бис-диметилвалеронитрил,  $\alpha, \alpha'$ -азо-бис-изобутиронитрил, метиловый эфир  $\alpha, \alpha'$ -азо-бис-изомасляной к-ты, фенил-азо-три-*n*-анизилметан, *n*-хлорфенил-, *m*-хлорфенил-, фенил-,  $\alpha$ -нафтил-, и *o*-нитрофенилазо-трифенилметаны, *n*-хлорфенилазо-три-*n*-толилметан и тетрафенилгидразин).

З. Нудельман  
52819 П. Уреидоалкилвиниловые эфиры. Бортник, Меламед (Ureidoalkyl vinyl ethers. Bortnick Newman M., Melamed Sidney) [Rohm & Haas Co.]. Пат. США 2734890, 14.02.56

Способ получения соединений ф-лы  $CH_2=CHOAN-(R)CONH_2$  (A — алкилен с 2—18 атомами C, из которых по меньшей мере 2 находятся в цепи между атомами O и N; R — H или углеводородный радикал с 1—18 атомами C) состоит в том, что эфир ф-лы  $CH_2=CHOAN-NHR$  смешивают с эквивалентным кол-вом водорастворимого цианата щел. металла и добавляют 2—40%-ный водн. р-р сильной неокисляющей к-ты, при  $pH \geq 6,8$  и  $t$ -ре 0—50°. Патентуются также полимеры указанных соединений и сополимеры их с другими винилсодержащими соединениями, напр. сложными виниловыми эфирами, эфирами акриловой и метакриловой к-т и акрилонитрилом. Напр., в реактор с мешалкой, холодильником, капельной воронкой и термометром загружают 648 ч.  $KOCH_3$ , 522 ч.  $CH_2=CHOCH_2CH_2NH_2$  и 1000 ч. воды; при перемешивании добавляют смесь 589 ч. 37%-ной водн.  $HCl$  и 500 ч. воды в течение 5 час. при охлаждении для поддержания  $t$ -ры 30°, причем после добавления 90% к-ты  $pH$  смеси часто проверяют и не допускают снижения  $pH$  ниже 6,8. Смесь оставляют на 16 час., после чего отгоняют на паровой бане под вакуумом воду и летучие в-ва. К остатку добавляют 2350 ч. дихлорэтана, кипятят 15 мин. и фильтруют. Выпавшие из фильтрата белые игольчатые кристаллы (710 ч.) представляют собой  $CH_2=CHOCH_2CH_2NHCONH_2$ , т. пл. 73—74°. Продукт растворим в воде и полярных органич. р-рителях. Описан также способ получения уреидоалкилвиниловых эфиров сшивлением аминоалкилвиниловых эфиров с мочевиной при 115—145°, при необходимости в присутствии  $KOCH_3$  в качестве катализатора; этим путем получают менее чистые продукты, чем по основному способу. Полимеризацию ведут в р-ре в воде или формамиде, в присутствии алифатич. азосоединения, напр. диметилазодизобутирата, в качестве катализатора; полимеры растворимы в воде и нерастворимы в органич. р-рителях. Описан ряд сополимеров с виниловыми мономерами, обладающих разнообразными свойствами и пригодных для получения покрытий, пленок, прессизделий, отливок, пропиток, аппретур, связующих, волокон, а также в качестве полупродуктов для получения модифицированных материалов. В примерах в качестве исходных продуктов для получения сополимеров описаны: 3-уреидопропилвиниловый эфир (т. пл. 83,5—85°), 3-уреидоизобутилвиниловый эфир (т. пл. 115—117°), *N*-метил-2-уреидоэтилвиниловый эфир (т. пл. 64—66°), *N*-( $\alpha$ -фенилэтил)-3-уреидоэтилвиниловый эфир (т. пл. 84°) и  $\epsilon$ -уреидоамилвиниловый эфир (т. пл. 103—104°). Приведено 57 примеров, описывающих методики получения уреидоалкилвиниловых эфиров, полимеров и сополимеров на их основе.

В. Пахомов  
52820 П. Способ получения сополимеров с преимущественным содержанием амида акриловой кислоты (Verfahren zur Herstellung von Mischpolymerisaten mit überwiegendem Anteil an Acrylsäureamid) [Cassella Farbwerke Mainkur A.-G.]. Швейц. пат. 299215—299216, 18.08.54 [Chem. Zbl., 1955, 126, № 31, 7331 (нем.)]

Доп. к швейц. пат. 297028 (РЖХим, 1955, 56833). Акрилонитрил переводят в амид акриловой к-ты с помощью  $H_2SO_4$ , и, не выделяя амид после нейтрации, сополимеризуют его с винилацетатом или метилакрилатом в присутствии перекисного инициатора и сильного восстановителя. Полученные сополимеры применяют в качестве вспомогательных в-в в текстильной пром-сти и для клеев.

М. Альбам  
52821 П. Производство сыпучих твердых солей полиалкениларилсульфоновых кислот. Бауман (Manufacture of free-flowing solid salts of alkenylaromatic resin sulfonic acids. Bauman William C.) [The Dow Chemical Co.]. Пат. США 2732322, 31.01.56

Способ получения мелкодисперсных сыпучих солей водорастворимых полиалкениларилсульфоновых к-т непосредственно из мелкодисперсных твердых сульфоновых к-т состоит в том, что тщательно смешивают водн. р-р основного металлическ. соединения, напр.  $NaOH$ ,  $KOH$ ,  $Na_2CO_3$  или  $K_2CO_3$ , содержащий  $\leq 160$  г воды на 1 г-экв основного соединения, с твердой мелкодисперсной полиалкениларилсульфоновой к-той, напр. полистиролсульфоновой к-той или сульфированным сополимером стирола с винилтолуолом, в приблизительно эквивалентном кол-ве с суспензией сульфокислоты в инертной органич. жидкости, не являющейся р-рителем ни для сульфокислоты, ни для ее соли, и после перемешивания отделяют от смеси мелкодисперсную твердую соль. Напр., кашку мелкодисперсной водорастворимой полистиролсульфоновой к-ты в  $CH_2Cl_2$  (I) (полученной и осажденной действием  $H_2SO_4$  на р-р полистирола в I) нагревают до 50° и медленно добавляют к ней при перемешивании 50%-ный водн.  $NaOH$  до получения  $pH$  7 при растворении пробы твердой фазы в воде. Основную массу I отделяют фильтрованием, а остаток удаляют сушкой. Продукт представляет собой белый мелкодисперсный сыпучий полистиролсульфонат  $Na$ . Полученные водорастворимые соли пригодны для применения в качестве аппретур. В. Пахомов  
52822 П. Способ получения сополимеров и получаемые продукты (Procédé de production de copolymères et produits en résultant) [Farbenfabriken Bayer]. Франц. пат. 1067200, 14.06.54 [Chem. Zbl., 1955, 126, № 26, 6152 (нем.)]

Сополимеры получают из виниловых соединений и насыщ. или ненасыщ. сложных полиэфиров (из многоосновных карбоновых к-т, спиртов, аминоспиртов, ди- или полифункциональных диаминов) или их смесей; хотя бы один из полиэфиров содержит в молекуле связанный вторичный амин ф-лы  $RNH(CH_2)_nX$  (R — алкил, арил, аралкил; X —  $COOH$ ,  $NH_2$ ,  $OH$ ,  $NHR$ ; n — целое число от 1 до 6), напр., окситетралин; -нафтиламин, окситетралиндиамин, N-фенилэтилендиамин, N-фенил-3-аланин. Амины применяют в кол-ве 0,01—25% от полиэфира. Напр., смесь (в вес. ч.) 146 адипиновой к-ты, 148 фталевого ангидрида, 196 малеинового ангидрида, 250 гликоля и 15 окситетралина нагревают при 200—210°, пока не прекратится выделение воды, окончательно обезвоживают при 200°/15 мм, добавляют при 160° 0,6 вес. ч. гидрохинона, при 110—115°—285 вес. ч. стирола, перемешивают, добавляют 2% перекиси бензоила при снижающейся  $t$ -ре, отливают в формы и выдерживают 45 мин. при 45—50°. Получают желтую, прозрачную, нерастворимую смолу.

М. Альбам  
52823 П. Гидантоиновые эфиры сополимеров малеинового ангидрида. Смит (Hydantoin esters of maleic anhydride copolymers. Smith Albert C., Jr) [Eastman Kodak Co.]. Пат. США 2719141, 27.09.55  
Сополимер содержит чередующиеся звенья —  $CH_2CH(C_6H_5)$  — (I) и звенья ф-лы —  $CH(COOH)CH(COO-$   
 $(CH_2)_nNC(=O)NHC(=CHC_6H_4OR)C=O$  — (II) —

мол. соотношениях I:II от 0,5:1 до 3:1, где  $n$  — целое число от 2 до 4, а R — алкил, содержащий 1—4 атома C. Положения OR безразлично. А. Дабагова 52824 П. Многокомпонентные смеси полимеров (Polycomponent compositions of polymeric materials) [Firestone tire & Rubber Co]. Англ. пат. 726583, 23.03.55

Состав содержит 5—95% смолы типа полистирола и 95—5% смеси, содержащей 20—95% привитого сополимера стирола (I) на бутадиеновом эластомере и 5—80% бутадиенового эластомера. Все три компонента составляют  $\geq 75\%$  всего состава. В состав смолы стирольного типа могут входить поли-I или сополимер I (55%),  $\alpha$ -метилстирол (до 40%) и другое винильное соединение (до 10%). Привитой сополимер, получаемый полимеризацией I в водн. дисперсии (латексе) эластомера с  $K_2S_2O_8$  в качестве катализатора, содержит 10—80% I, связанного с гомополимером бутадиена или с сополимером бутадиена ( $\geq 60\%$ ), I (до 40%),  $\alpha$ -метилстирола (до 40%) и другого винильного соединения (до 10%). В качестве последнего используют винилформат, -ацетат, -пропионат, -стеарат, -фторид, -хлорид, хлорированные в ядре стирола, винилнафталин, -карбазол, метил- и этилвинилкетоны, метил-, этил- или изопропилвинильный эфир, винилденхлорид или -хлорбромид, метилизопропенилкетон, изопропилацетат, акриловую или метакриловую к-ту, метил- или этилакрилат, метилметакрилат, диэтилмалеинат, малеиновый ангидрид, изопрен, 2,3-диметил- или 2,3-дихлор-1,3-бутадиев, хлоропрен, пиперилен и т. д.

З. Нудельман 52825 П. Полимеризация (Polymerization) [Goodrich Co., B. F. J. Англ. пат. 734669, 3.08.55]

Сополимеры, содержащие винилденцианид, алифатич. сопряженный диен, а также (необязательно) другой хомомер (винильный или алиловый эфир, винилгалогенид, 1,2-дигалоидэтилен, эфир акриловой или метакриловой к-ты, замещ. или незамещ. стирол, акрилонитрил или изобутилен) получают полимеризацией смеси мономеров в блоке или в р-ре в присутствии органич. тиола и  $SO_2$ . В качестве диенов используют бутадиев изопрен, пиперилен, 2,3- и 1,2-диметил-, 1-этил-, 2-неопентил-, фенил-, 2-хлор-, 2-бром-, 1-бром-2-метил- и 1-йод-3-метилбутадиев, 2-метил-1,3-пентадиен или их смеси. В качестве р-рителей применяют бензол, толуол, трихлорбензол, гексанон, гептан, этилхлорид или  $CHCl_3$ . Из тиолов применяют тиофенол, тионафтол, 8-тиохинолин, 3-метилциклогексан-,  $o$ -,  $p$ - и  $m$ -толил-, ксилл-,  $\alpha$ -толил-, метан-, этан-, 1- и 2-пропан-, 1- и 2-бутан-, 1-гексан- и додекантиолы, 2-меркаптоэтанол, и  $\gamma$ -меркапто- $\alpha$ , $\beta$ -диметилмасляную к-ту или их смеси. Из полимеров заготавливают волокно и пленку. З.Н. 52826 П. Получение бис-дифениленэтлена и термопластичных смол из флуорена. Дженнингс, Вильямс (Preparation from fluorene of bis-diphenylene ethylene or of thermoplastic resins. Jennings Raymond J. S., Williams Alan F.) [C. D. Patents Ltd]. Канад. пат. 510120, 15.02.55

Способ получения термопластичных смол с т. пл.  $\geq 450^\circ$  состоит в нагревании при  $360^\circ$  бис-дифениленэтлена с 0,1—1% перекиси бензоила в течение продолжительного времени, напр., в течение 18 часов.

В. Пахомов 52827 П. Способ получения продуктов конденсации. Штрейб, Бинапфль, Шнелль (Verfahren zur Herstellung von Kondensationsprodukten. Streib Hugu, Binapfl Josef, Schnell Hermann) [Farbenfabriken Bayer A.-G.]. Пат. FRG 947738, 23.08.56

Для получения полимеров хлорметилированные циклоалкилароматич. углеводороды (также в смеси с ароматич. углеводородами) нагревают в присутствии ка-

тализатора (нафтената Zn). В качестве исходных в-в используют продукты хлорметилирования циклогексилбензола, -нафталина или -дифенила, циклогексилбензилхлорид, также ароматич., алкилароматич., циклоалкилароматич. или хлорметилированные ароматич. или нитроароматич. углеводороды или ненасыщ. дикарбоновые к-ты и их ангидриды. Напр., 208 вес. ч.  $n$ -циклогексилбензилхлорида (т. кип.  $162^\circ$ ) нагревают с 0,05 вес. ч. нафтената Zn до  $128^\circ$ ; при этой т-ре начинается выделение HCl. Далее т-ру постепенно повышают до  $250^\circ$ , заканчивая р-цию под вакуумом при 12 мм рт. ст. Получают 169,5 вес. ч. светло-желтой смолы (99% теор.), растворимой в ксилоле, бен. и льняном масле. Полимеры применяют в качестве мягчителей для пластмасс и лаков.

А. Жданов 52828 П. Глицидные полиэферы — (Glycidyl polyethers) [N. V. De Bataafsche Petroleum Maatschappij]. Австрал. пат. 200549, 26.01.56

Для отверждения полиэфиров, содержащих  $>1$  эпиксидной группы в молекуле, в качестве агента отверждения применяют  $m$ -фенилендиамин. Я. Кантор 52829 П. Способные к полимеризации смеси и их стабилизация (Polymerizable mixtures and stabilization thereof) [Pittsburgh Plate Glass Co.]. Англ. пат. 735488, 24.08.55

Полиэфиры — производные гликолей и дикарбоновых к-т с двойной связью — стабилизируют растворимыми вещ-ми. солями аминов, преимущественно третичных, причем к-та должна быть не менее сильной, чем  $CN_3COOH$ , и должна обладать меньшей окисляющей способностью, чем  $H_2SO_4$  (напр., солями пиридина, триметил-, трибутил-, триамил-, диметилфенил-, триэтил-, трибензил-, диэтил-, бензилфенил-, бензилметил- или  $\alpha$ -нафталинамина и галогеноводородных к-т, этилен-бис-пиридинилхлоридом, пиридилмалеинатом или этилен-бис-диметиламмонийбромидом). В составе полиэфиров могут быть малеиновая, фумаровая, мезокановая, цитраконовая, этил- и диметилмалеиновая, ксерононовая, итаконовая и 3,6-эндометилен-1,2,3,6-тетрагидрофталевая к-ты. Полиэфиры могут быть модифицированы одноатомными спиртами, напр. аллиловым, и (или) насыщ. дикарбоновыми к-тами и (или) монокарбоновыми к-тами (линоленовой, линолевой, элестеариновой, октадекатриеновой, клупановоденовой, уксусной или пропионовой). В полиэфир можно добавлять ненасыщ. мономеры, напр. стирол, диаллилфталат или метилметакрилат. Для быстрого затвердевания в составы вводят перекиси (ацетила, бензоила или лауроила) или гидроперекиси  $tert$ -бутила или циклогексила, также в смеси с продуктами конденсации анилина или толуидина с форм-, ацет- или бутиральдегидом или облучают их УФ-светом. Для окончательного затвердевания смолы нагревают при  $125$ — $200^\circ$ . Необязательными компонентами могут быть обычные ингибиторы (хинон и гидрохинон), наполнители (целлюлозное, асбестовое или стеклянное волокно) и пластификаторы (диметилфталат). Составы можно применять в качестве литьевых смол, для покрытия металлов и пропитки дерева, бумаги или тканей из стеклянного или хлопкового волокна. З. Нудельман 52830 П. Способ поликонденсации дигликолетерифталевых эфиров в расплаве (Procédé pour polycondenser des esters diglycol-téréphthaliques à l'état fondu) [Vereinigte Glanzstoff-Fabriken A.-G.]. Франц. пат. 1105133, 22.06.55 [Bull. Inst. text. France, 1956, № 60, 137 (франц.)]

С целью удаления избытка гликоля при завершении р-ции поликонденсации дигликолетерифталевых эфиров через расплавленную массу пропускают пары алифатич., ароматич. или алициклич. углеводородов, не содержащих функциональных групп ( $C_{11}H_{24}$  и его гомологов,  $C_6H_6$ ,  $C_6H_5CH_3$ ,  $C_6H_5(C_2H_5)_2$ , циклогексан и т. п.), которые нагревают до  $170$ — $250^\circ$  и вводят в мас-

су, нагретую до 260—270°. Процесс ведут непрерывно, и пары подают навстречу образующемуся поликонденсату. Предлагаемый способ позволяет полностью предотвратить проникновение  $O_2$  в аппаратуру, чего весьма трудно достичь при ведении процесса под вакуумом.

**В. Пахомов**  
**52831 П.** Усовершенствованные самозатухающие полиэфир. **Фуркад, Валле, Сак** (Perfectionnements aux polyesters auto-extinguibles. Fourcade Robert, Walle Thérèse van de, Sack Henri) [Houillères du bassin du Nord et du Pas-de-Calais]. Франц. пат. 1108424, 12.01.56

Способ получения самозатухающих прозрачных полиэфиров повышенной термостабильности отличается тем, что в качестве одного из основных компонентов для получения частично хлорированных полиэфиров, а при необходимости и в качестве сшивающего агента применяют органич. эфиры фосфорной и (или) борной к-ты и OH-содержащих алифатич., алициклич. или ароматич. соединений с 1—8 атомами С в молекуле. Напр., для получения 100 г полиэфира берут (в г) 42 трихлорфталевой к-ты, 23 диэтилглицоля, 18 малеиновой к-ты, 15 трикрезилфосфата и 12 стирола. В других примерах использованы также ди- и тетрахлорфталевая и хлормалеиновая к-ты, этилен- и триэтилглицоль, диаллилфталат, -тетрахлорфталат и -малеинат, триаллилборат, трифенил-, триксиленил- и дифенилаллилфосфат. Полученные продукты содержат ~20—30% Cl и имеют преимущество в отношении прозрачности по сравнению с полиэфиром, горючесть которых уменьшена добавлением неорганич. наполнителей, и в отношении термостабильности по сравнению с сильнохлорированными труднотолкаемыми полиэфиром. **В. Пахомов**

**52832 П.** Способ полимеризации связующих в слоистых пластиках и литьевых смол при низких температурах. **Фрайлетт** (Process and method for thermosetting, lamination and casting at low temperatures. F. R. Lett Vincent J.). Канад. пат. 510888, 15.03.55

Для ускорения полимеризации смесей, содержащих полиэфирную смолу (из двуатомного спирта и  $\alpha$ -ненасыщ.  $\alpha,\beta$ -дикарбоновой к-ты), стирол и органич. перекись, в смеси вводят необходимое кол-во окиси или гидроокиси Mg, Ca, Sr или Ba. Полимеризация этих композиций протекает без нагревания извне. **А. Жданов**

**52833 П.** Способ введения пигментов или матирующих добавок в высокомолекулярные линейные полиэфир. **Диксон, Хит, Рейнольдс** (Process for incorporating pigments or delustrants with highly polymeric linear esters. Dickson James T., Heath Royden L., Reynolds Reginald J. W.) [Imperial Chemical Industries Ltd]. Канад. пат. 518528, 15.11.55

Для введения в высокомолекулярные полиэфир мелкодисперсного инертного неорганич. или органич. в-ва или смеси в-в последние диспергируют в гликоле типа  $HO(CH_2)_nOH$ , где  $n = 2-10$ , и добавляют дисперсию к смеси исходных в-в для приготовления полиэфира (напр., полиэтилтерефталата), или к низкомолекулярному промежуточному продукту с последующим завершением р-ции образования полимера. Гликоль, применяемый для диспергирования может одновременно принимать участие в р-ции поликонденсации.

**В. Пахомов**  
**52834 П.** Способ получения облицовочных материалов. **Хейнц, Шастный** (Verfahren zur Herstellung von Belagstoffen. Heintz Kurt, Stastny Fritz) [Badische Anilin- & Soda-Fabrik A.-G.]. Пат. ФРГ 948086, 30.08.56

Способ состоит в том, что нейтр. или кислые эфиры малоновой к-ты и низкокипящих одноатомных спиртов переводят в полимеры нагреванием с трех- или полиатом-

ными спиртами, смешивают полимер с наполнителем и наносят композицию либо на подложку, либо непосредственно развальцовывают в листы. В реакционную смесь можно вводить двуатомные насыщ. или ненасыщ. спирты, их моноалкиловые простые эфиры или высококипящие одноатомные спирты, а также нейтр. или кислые эфиры моно- или дикарбоновых к-т и перечисленных спиртов. Напр., 166 ч. малонового эфира (I) и 125 ч. триметилпропана (II) постепенно нагревают до 100—140°; при этом отгоняется 91 ч. этанола. Дальнейшую конденсацию проводят при 150°/30—40 мм. На вальцах смешивают (в ч.) 200 полученной смолы, 200 пробковой муки, 120 древесной муки, 25 железного сурика, 100 мела и 15 канифоли; смесь накачивают на джутовую ткань в виде слоя толщиной 3 мм. Материал после 7 дней выдержки при 85° сохраняет хорошую эластичность. В других примерах описано получение смол из смеси (в ч.) 320 I, 90 1,4-бутандиола, 58 II и 58 1,2,4-бутантриола и из смеси 320 I, 50 II, 50 1,2,4-бутантриола и 86 2-бутиндиола-1,4. **А. Жданов**

**52835 П.** Способ проведения реакции между фурфуролом и меламиноформальдегидными продуктами конденсации и состав, полученный в результате этой реакции. **Линденфельсер, Паттерсон** (Process of reacting furfural with melamineformaldehyde condensation products and composition obtained therefrom. Lindenfelser Richard, Patterson Donald G.) [American Cyanamid Co.]. Канад. пат. 519371, 13.12.55

Сиропообразный плавкий продукт конденсации 1 моля меламинна с 1,5—3,5 молями  $CH_2O$  или р-р меламиноформальдегидного продукта конденсации нагревают с 3—25% (напр., 3—15% или 10—25%) фурфурола (от веса фурфурола и продукта конденсации) до 80—120°, в 1-м случае при pH 8,5—11,5, во 2-м — при pH 9,5—10,5, и дегидратируют реакционную смесь нагреванием в вакууме 500—680 мм. **Я. Кантор**

**52836 П.** Способ получения растворимых в воде азотсодержащих продуктов конденсации. **Шиффер** (Verfahren zur Herstellung wasserlöslicher stickstoffhaltiger Kondensationsprodukte. Schiffer Rudolf) [Zschimmer & Schwarz vormals Chemnitz.]. Пат. ФРГ 930755, 25.07.55

Растворимые в воде азотсодержащие продукты конденсации образуются при взаимодействии высокомолекулярных алкилхлоридов или -бромидов, содержащих  $>8$  атомов С и  $\geq 1$  реакционноспособного атома Cl или Br, с альдегидными соединениями аммиака или аминов, в среде в-в, содержащих OH-группу не фенольного характера. Р-цию проводят при кипячении реакционной смеси. Исходные алкилхлориды могут иметь различные заместители. В качестве р-рителей применяют OH-содержащие алифатич., ароматич. и циклоалифатич. соединения также в смеси с в-вами, не содержащими OH-групп. Напр., смесь 35 вес. ч. гексаметилентетрамина, 68 вес. ч. пентилхлорида и 250 объемн. ч. циклогексанола кипятят 6 час. и отгоняют р-ритель под вакуумом. Получают вязкую растворимую в воде смолу. **А. Борсдаченко**

**52837 П.** Синтетические смолы из продуктов присоединения акрилонитрила. **Дадли** (Synthetic resins derived from acrylonitrile adducts. Dudley James R.) [American Cyanamid Co.]. Канад. пат. 510653, 8.03.55

Смола содержит продукт р-ции полиаммина, акрилонитрила и производного карбаминной к-ты или дициандиамид, гуанидина или его соли. Напр., не растворимую в воде смолу в виде гранул получают нагреванием тетраэтиленпентамина с продуктом присоединения акрилонитрила к гуанидину или его солям при соотношении продукта присоединения к тетраэтиленпентамину ~2:1. Гранулированная, не растворимая



в воде смола может быть также получена из полналкиленполиаминов, акрилонитрила и производного карбаминной к-ты при нагревании смеси до удаления аммиака с последующим гранулированием дезаминированного продукта р-ции.

А. Дабагова  
52838 П. **Линейные полиамиды из 5-трет-бутилэфталевой кислоты.** Карлстон, Лам (Linear superpolyamides of 5-*t*-butylisophthalic acid. Carlston Earl F., Lum Funston G.) [California Research Corp.]. Пат. США 2715620, 16.08.55

Патентуется линейный полиамид на основе 5-трет-бутилэфталевой к-ты и алифатич. диамина, содержащего 5—10 атомов С.

Б. Киселев  
52839 П. **Способ получения полиуретанов.** Вагнер (Verfahren zur Herstellung von Polyurethanen. Wagner Georg) [Farbwerke Hoechst A.-G. vormals Meister Lucius u. Brüning]. Пат. ФРГ 921233, 13.12.54 [Chem. Zbl., 1955, 126, № 20, 4716 (нем.)]

Полиуретаны получают при р-ции диаминов с диэфирами диолов и карбаминной к-ты, также замещ. у N низшими радикалами или с бис-эфирами угольной к-ты, диолов и низших спиртов или фенолов. Применяемые диолы имеют ф-лу  $X(OH)_2$ , где X содержит в цепи 2—3 атома С или  $\geq 4$  звеньев между OH-группами. В составе X могут также находиться гетероатомы или гетерогруппы. В качестве компонентов р-ции применяют напр.: 1,6-гексаметилендиамин, 1,4-тетраметилдиамин или 2,2,4-триметил-1,5-пентаметилдиамин, этиленгликольдиуретан и метилгександиолдиуретан. Полученные полиуретаны способны к прядению из расплава.

М. Альбам  
52840 П. **Способ получения синтетических смол** (Verfahren zur Herstellung von Kunststoffen) [Thüringische Zellwolle A.-G., Zellwolle- und Kunstseide-Ring G. m. b. H.]. Пат. ФРГ 932454, 1.09.55

Способ получения смол, содержащих амидные или сложноеэфирные группы из диаминов или гликолей и дикарбоновых к-т, отличается тем, что исходные компоненты берут не в эквимолекулярном соотношении; продукт конденсации содержит свободные  $NH_2$ - или OH-группы, способные реагировать с диизоцианатами (тетра-, пента-, гекса-, гепта- или октаметилдиизоцианатом) или соединениями, образующими диизоцианаты, напр. диуретанами, хлорпроизводными димочевины или диазидами дикарбоновых к-т. Процесс проводят в среде р-рителей (бензол, фенол, крезол, пиридин или их смеси). Смолы могут быть также получены при р-ции гликолей или диаминов с небольшим кол-вом диизоцианатов с последующей конденсацией продуктов р-ции с дикарбоновыми к-тами. Напр., 5 молей гексаметилендиамина обрабатывают 1 молею хлорангидрида себаценовой к-ты в среде бензола или пиридина. Продукт р-ции промывают холодным 25%-ным р-ром щелочи, фильтруют, фильтрат экстрагируют р-рителем, отгоняют р-ритель, остаток соединяют с остатком на фильтре и отгоняют избыток диамина. В остатке определяют титрованием число свободных аминогрупп и в соответствии с результатом анализа прибавляют гексаметилендиизоцианат. После бурной р-ции смесь дополнительно нагревают в течение короткого промежутка времени. Полученные полимеры используют для производства литых и формованных изделий и волокон.

Б. Киселев  
52841 П. **Способ получения продуктов поликонденсации.** Вьяр (Verfahren zur Herstellung von Polykondensationsprodukten. Viard Marcel-Jean) [Soc. An. des Manufactures des Glaces et Produits Chimiques de Saint-Gobain]. Пат. ФРГ 948015, 23.08.56

1 моль нейтр. эфира (из хлорангидрида или ангидрида дикарбоновой к-ты и гликолевого эфира карбаминной к-ты), содержащего по крайней мере 1 реакцион-

неспособный атом Н у каждого атома N, конденсируют с 1 молею ангидрида или (лучше) хлорангидрида указанной выше дикарбоновой к-ты. Напр., 1 моль фумарового эфира гликолькарбаминной к-ты ф-лы  $H_2NCOO(CH_2)_2OCOSCH=CHCOO(CH_2)_2CONH_2$  обрабатывают 1 молею фумарилхлорида. Образуется твердый полимер, нерастворимый в воде, но растворимый в кипящем спирте.

А. Жданов  
52842 П. **Способ получения высокополимерных продуктов конденсации.** Бок (Verfahren zur Herstellung von hochpolymeren Kondensationsprodukten. Bock Walter) [Badische Anilin- & Soda-Fabrik A.-G.]. Пат. ФРГ 916467, 12.06.54 [Chem. Zbl., 1955, 126, № 16, 3747 (нем.)]

Доп. к пат. ФРГ 907700 (РЖХим, 1956, 63227). Способ отличается тем, что в качестве дикарбоновых к-т, имеющих  $\geq 5$  атомов С применяют такие, у которых в углеродной цепи содержатся гетероатомы (О или S). В примерах приведены эфирокислоты ф-л  $HOOC(CH_2)_2O(CH_2)_2O(CH_2)_2COOH$  и  $HOOC(CH_2)_2O(CH_2)_4O(CH_2)_2COOH$ , также их моно- и дигидразиновок соли.

Р. Франкфурт  
52843 П. **Связанные полиизоцианаты.** Бунге (Hidden polyisocyanates. Bunge Wilhelm) [Farbenfabriken Bayer Akt.-Ges.]. Канад. пат. 516294, 6.09.55

Ароматич. эфиры оксикалкарбаминных к-т обрабатывают полиизоцианатами, поликарбсоединениями к-тами или функциональными производными последних, напр. ди- или триизоцианатом, в частности, в эквимолекулярных кол-вах в инертном растворителе.

Я. Кантор  
52844 П. **Полифениленхлорсиланы.** Кларк (Chlorosilphenane polymers. Clark Harold A.) [Dow Corning Corp.]. Канад. пат. 511555, 5.04.55  
Линейные кремнийорганич. полимеры, в которых атомы Si связаны с фениленовыми радикалами, фенильными радикалами и атомами Cl (напр., соединения ф-лы  $C_6H_5Si(Cl)_2C_6H_4Si(Cl)_2X$ , где X — Cl или  $C_6H_5$ ), получают при нагревании фенилхлорсиланов ф-лы  $(C_6H_5)_xSiCl_{4-x}$  (x имеет значения от 1,5 до 2,9) в жидкой фазе при 210—300° в присутствии 0,001—10 вес.%  $AlCl_3$ .

А. Жданов  
52845 П. **Способ получения полналкилсилоксанов.** Рид, Том (Process for preparing alkylpolysiloxanes. Reed Charles E., Tome John M.) [General Electric Co.]. Пат. США 2741630, 10.04.56

Для получения полналкилсилоксанов смесь паров диалкилдиалогенсиланов и алканолов пропускают при т-ре от 175° до т-ры разложения образующихся в-в над катализатором, состоящим из галогенида Zn и силкагеля. Для р-ции, напр. используют смесь паров  $(CH_3)_2SiCl_2$  и  $CH_3OH$  или  $(C_2H_5)_2SiCl_2$  и  $C_2H_5OH$ , пропуская их при 175—400° над  $ZnCl_2/SiO_2$ . А. Жданов  
52846 П. **Способ полимеризации алкилциклотрисилоксанов.** Данем, Уагер (Verfahren zum Polymerisieren von Alkylcyclotrisiloxanen. Dunham Milton Leon, jun., Wagner George Hoyt) [Union Carbide and Carbon Corp.]. Пат. ФРГ 946266, 26.07.56

Алкилциклотрисилоксаны ф-лы  $(RR'SiO)_3$  (R и R' — алкил) нагревают при 200—350° под давл.  $\geq 100$  кг/см<sup>2</sup>, лучше под давл. 1000—7000 кг/см<sup>2</sup>. Напр., 20 мл гексаэтилциклотрисилоксана нагревают 18 час. при 250° и давл. 3500 кг/см<sup>2</sup>. Образуемый полимер имеет вязкость 10 000—50 000 сантиу.

А. Жданов  
52847 П. **Способ получения полнорганосилоксанов гидролизом и конденсацией органосиланов.** Клазе (Verfahren zur Herstellung von Organosiloxanen bzw. Polyorganosiloxanen durch Hydrolyse und Kondensation von Organosilanen. Clasen Her-

mann, Kahles Anita) [Metallgesellschaft A.-G.]. Пат. ФРГ 948194, 30.08.56

Способ отличается тем, что органосиланы, содержащие связи Si — H и (или) Si — Si, гидролизуют смесью воды, спирта ( $\text{CH}_3\text{OH}$ ) и аммиака и конденсируют продукты р-ции при нагревании. Степень и скорость гидролиза можно регулировать введением аммиака и (или) воды, а конденсацию продуктов гидролиза можно осуществлять также в окислительной среде. Побочные продукты (воду, аммиак, спирт) удаляют отгонкой или выпариванием. Наряду со спиртом, кол-во которого в реакционной среде достаточно для растворения продуктов гидролиза, можно применять другие р-рители. Если для р-ции используют соединения, содержащие кроме связей Si — H и Si — Si также гидролизующие атомы или группы, вначале проводят гидролиз в нейтр. или кислой среде, конденсируют продукты гидролиза и обрабатывают их водн. аммиаком в спирт. среде. Напр., 3 г диметилхлорсилана растворяют в холодном эфире и вливают тонкой струей в воду. Выделившуюся HCl нейтрализуют  $\text{NH}_3$  и добавляют  $\text{CH}_3\text{OH}$  и аммиак. После окончания выделения  $\text{H}_2$  удаляют р-ритель и  $\text{NH}_3$ ; получают 3,5 г вязкого полидиметилсилоксана, который превращают в эластомер обычными способами. Получаемые полимеры могут быть использованы для изготовления лаков, пластмасс, эластомеров и смазочных масел. А. Жданов

52848 П. Стабилизация полиорганосилоксанов. Линвилла (Stabilisation et perfectionnement des organopolysiloxanes. Linville Robert Griffith) [Compagnie Française Thomson-Houston]. Франц. пат. 1108764, 17.01.56

Способ стабилизации полиорганосилоксанов (I) отличается тем, что к I, полимеризованному в присутствии щел. соединения, напр. KOH или CsOH, и содержащему один или несколько алифатич., ароматич. или замещ. галогеном углеводородных радикалов (напр., к метил-, фенил- или метилфенилполисилоксану) добавляют небольшое кол-во (<10%) органич. производного Р, способного дезактивировать указанное щел. соединение или продукты его р-ции с I, напр., эфиров фосфорной, тиофосфорной, фосфористой, фосфорноватой, фосфорноватистой или фосфиновых к-т, трифенил- или трикрезилфосфат или -фосфит, причем часть щел. соединения может быть удалена из I до указанной обработки; в состав полученных продуктов могут быть введены обычные добавки: наполнители, катализаторы, пигменты, напр.  $\text{SiO}_2$ ,  $\text{TiO}_2$ ,  $\text{Fe}_2\text{O}_3$ , перекись бензоила и т. д. Способ пригоден как для жидких, так и для твердых или эластичных I. Стабилизация позволяет удалять из I летучие компоненты при высокой т-ре, не опасаясь деполимеризации или разложения I. Напр. 1000 ч. октаметилциклотетрасилоксана, 0,1 ч. KOH и 13,3 ч. декаметилтетрасилоксана перемешивают 4 часа при 150°; полученную смесь линейных метилполисилоксанов с вязкостью 2500 *спуаз* нагревают до 300°; в течение 30 мин. происходит почти полная деполимеризация полученных полимеров в летучие продукты. К отдельной пробе добавляют 0,72 ч. трифенилфосфита и нагревают 30 мин. при 300° для удаления летучих; потери при этом составляют 19%; остаток имеет вязкость 4300 *спуаз* и после фильтрования дает стабильное к нагреванию масло. В других примерах описаны аналогичные способы обработки жидких полимеров, а также метилполисилоксанового эластомера. В последнем случае наряду с повышенной термостабильностью достигается также снижение остаточной деформации при сжатии. В. Нахов

52849 П. Удаление катализатора полимеризации (Removal of polymerizing agents) [General Electric Co.]. Австрал. пат. 201103, 29.03.56

Способ состоит в том, что полиорганосилоксан,

имеющий вязкость  $\geq 500\,000$  *спуаз*, полученный полимеризацией низкомолекулярного продукта в присутствии катализатора и содержащий в себе указанный катализатор, тщательно месят с водой, которую затем удаляют. В. Нахов

52850 П. Эластопластическая масса. Едличка (Elastoplastische Kunstharzmasse. Jedlicka Helmut). Пат. ФРГ 942225, 26.04.56

Массу, состоящую из смеси большей доли (напр., 60%) неотверждаемого кремнийорганич. эластомера с меньшей долей (напр., 40%) твердой плавкой немодифицированной эпоксидной смолы, получают добавлением эластомера к нагретой до  $\sim 100^\circ$  эпоксидной смоле с последующим тщательным перемешиванием. Продукт обладает эластичностью в пределах ст  $-40^\circ$  до  $150^\circ$ , клейкостью по отношению почти ко всем материалам, выдерживает без изменений нагревание и продолжительное хранение и пригоден для применения в качестве клея, связующего и герметика. В. П.

52851 П. Способ получения электроизоляционных

пластичных масс. Барри (Verfahren zur Herstellung plastischer dielektrischer Massen. Barry Arthur John) [Dow Corning Corp.]. Пат. ФРГ 946186, 26.07.56

Способ состоит в том, что жидкий полисилоксан с вязкостью  $\geq 50$  *сеп* при 25°, содержащий 1,9–2,1  $\text{CH}_3$ - и  $\text{C}_6\text{H}_5$ -группы на 1 атом Si (из общего числа радикалов  $\text{CH}_3$ -группы составляют  $\geq 50\%$ ), смешивают с гелем  $\text{SiO}_2$  водн. фазы в котором заменена р-рителем, смешивающимся с полисилоксаном. Кол-во геля в композиции составляет 1–35 вес.% от смеси. Вместо геля  $\text{SiO}_2$  можно применять смешанные гели  $\text{SiO}_2$  и оксидов металлов ( $\text{Al}_2\text{O}_3$ ), в которых атомное соотношение металлы: Si должно составлять  $< 0,22$ , или же гели  $\text{SiO}_2$ , содержащие тонкодиспергированные минер. соединения. Для превращения гидрогеля в органогель его можно вначале обработать р-рителем, смешивающимся с водой, но не смешивающимся с полисилоксаном, и затем вторым р-рителем, смешивающимся как с полисилоксаном, так и с первоначально использованным р-рителем. Для удаления р-рителя после смешения с полимером его можно отогнать или экстрагировать избытком жидкого полимера. Последний может быть также использован для разбавления массы. Напр., 100 ч. р-ра жидкого стекла (уд. в. 1,365, содержание Na 8,2%, содержание  $\text{SiO}_2$  26,7%, эмпирич. ф-ла  $\text{Na}_2\text{O} \cdot 3,36 \text{SiO}_2$ ) смешивают с 121 ч. воды, получают р-р с уд. в. 1,165 и конц-ей 18 вес.% 80 объема ч. этого р-ра смешивают с 20 объема ч. 37,6%-ной HCl; через 16 час. выпавший гель измельчают до частиц размером  $\sim 6$  мм, промывают водой для удаления Cl и затем ацетоном до полного удаления воды. Избыток ацетона сливают, добавляют 400 мл полисилоксана с вязкостью 645 *сеп* (содержащего 5 мол.%  $\text{CH}_3\text{SiO}_{1,5}$ , 90 мол.%  $(\text{CH}_3)_2\text{SiO}$  и 5 мол.%  $(\text{CH}_3)_3\text{SiO}_{0,5}$ ) и вакуумируют смесь, нагревая ее на кипящей водяной бане для удаления ацетона. Продукт измельчают, добавляя к нему в процессе измельчения еще 700 мл полимера и нагревают 3 часа в вакууме при 100° до полного удаления следов ацетона. Конечный материал типа консистентной смазки содержит 5,46 вес.% свободного  $\text{SiO}_2$ , имеет пенетрацию 25,3 мм в исходном состоянии, потери в весе за счет испарения после 24 час. при 200° 1,71% и электрич. прочность 22 *кв/мм*. Продукты используют в качестве уплотнителей в системах зажигания, герметизирующих паст и смазок. А. Жданов

52852 П. Полисилоксановый герметик. Уоррик (Siloxane putty. Warrick Earl L.) [Dow Corning Silicones Ltd.]. Канад. пат. 511538, 5.04.55

Герметик содержит 100 вес. ч. растворимого в бензоле полиорганосилоксана с вязкостью  $\geq 100\,000$  *сеп*,

имеющего алкильные и моноциклич. арильные радикалы, 1—20 вес. ч. мелкодисперсной  $\text{SiO}_2$  с объемом пор  $\geq 4 \text{ см}^3/\text{г}$  и теплотой смачивания 0,3—1 кал на 1  $\text{см}^2$  объема пор и 100—500 вес. ч. другого наполнителя.

А. Жданов

**52853 П.** Продукты присоединения к простым полиэфирам (Addition products of polyethers) [Henkel and Cie G. m. b. H.]. Австрал. пат. 164153, 4.08.55

Патентуется способ получения соединений, имеющих полиэфирные группы и остатки сернистой к-ты, действием сульфидирующих агентов, более энергичных чем  $\text{H}_2\text{SO}_4$  на полиэфиры, имеющие  $\geq 3$  атомов O в полиэфирной цепи. Сульфидирующее в-во берут в кол-ве  $\geq 3$  молей на 1 моль полиэфира, но  $\leq 1$  моля на каждый эфирный атом O.

Ю. Васильев

**52854 П.** Получение продуктов полимеризации тетрагидрофурана. Мервейн, Моршель (Verfahren zur Herstellung von Polymerisationsprodukten aus Tetrahydrofuran. Meerwein Hans, Morschel Heinrich) [Farbenfabriken Bayer A.-G.]. Пат. ФРГ 898518, 30.11.53 [Chem. Lbl., 1955, 126, № 6, 1391 (нем.)]

Масло- или воскообразный (в зависимости от условий р-ции) продукт полимеризации тетрагидрофурана получают при обработке последнего катализаторами полимеризации (электрофильные галогениды металлов и неметаллов, галогеноводородные к-ты, галоидангидриды и ангидриды к-т, органич. или неорганич. к-ты, органич. соединения с подвижным атомом галоида, неорганич. галоидные соединения, образующие при гидролизе к-ты, функциональные производные оксосоединений из 1 моля спирта и органич. или неорганич. к-ты, также из двух одинаковых или различных органич. или неорганич. к-т или из эфира сильной к-ты). В качестве добавок к указанным в-вам применяют  $\text{SO}_2$ .

Л. Макарова

**52855 П.** Способ получения высокополимеров из щелочных полифосфатов и четвертичных аммониевых оснований. Семменс, Пенке (Verfahren zur Herstellung von hochpolymeren Harzen aus Alkalipolyphosphaten und quaternären Ammoniumverbindungen. Semmens Peter, William Brett, Penketh George Edward) [Imperial Chemical Inds Ltd]. Пат. ФРГ 946011, 19.07.56

Способ состоит в том, что водн. р-р полифосфата К обрабатывают водн. р-ром красителя, содержащего изотерионные группы в виде солеобразных соединений. Для р-ции применяют р-р полифосфата К, который имеет при конц-ии 0,1 вес. % вязкость в 15 раз большую, чем вода. Применяемый р-р красителя имеет  $\text{pH} < 6$ . Напр., 2,5 г полифосфата К обрабатывают 50 мл р-ра NaCl такой конц-ии, чтобы атомное соотношение  $\text{K/Na} = 0,5$ . Через 1 час сливают р-р с осадка и растворяют набухшую массу в 180 мл воды при сильном перемешивании. Р-р фильтруют и к фильтрату добавляют 270 мл р-ра, содержащего 1,5 вес. % синего красителя, полученного при взаимодействии три-(хлорметил)-фаллоцианина Cu с тетраметилтиомочевой. Выпавший осадок промывают водой и высушивают. Получается твердый полимер синего цвета, не размягчающийся при 250°. В других примерах полифосфат К солибилизируют обработкой ионообменными смолами и на р-р действуют красителем, полученным при взаимодействии тетраметилтиомочевин с ди-(хлорметил)-4,4'-ди-(6-метилбензил)-2-азобензолом или бис-хлорметилированным изобензотранном. Выход полимера во всех случаях близок к теоретическому.

А. Жданов

**52856 П.** Способ получения смол из терпенов и малеинового ангидрида. Эльмер (Verfahren zur Herstellung von Terpen - Maleinsäureanhydrid - Harzen. Ellmer Lars Roland) [Aktiebolaget

Statens Skogsindustrier]. Пат. ФРГ 943381, 17.05.56

Способ получения смол состоит в том, что предварительно нагретый скипидар, не содержащий терпенов с сопряженными связями и состоящий в основном из бициклич. терпенов ( $\alpha$ - и  $\beta$ -пинена), приливают тонкой струей непрерывно или порциями к расплавленному малеиновому ангидриду при 150—200° в присутствии 0,025—0,25% (от скипидара) 85%-ной  $\text{H}_3\text{PO}_4$ . Р-цию начинают при т-ре  $\sim 150^\circ$ ; после экзотермич. стадии т-ру поднимают до 180° и затем до 200°. Конечный продукт прозрачен и окрашен в красный цвет (13—14 по шкале Гарднера). Применение  $\text{H}_3\text{PO}_4$  ускоряет р-цию и улучшает цвет продукта (10—11 по шкале Гарднера).

Ю. Васильев

**52857 П.** Смолистые покрытия для защиты материалов от плесени и влаги (Resinous compositions for the protection of materials and equipment sensitive to the action of water moisture and mould growth) [Soc. Des Usines Chimiques Rhone-poulenc]. Англ. пат. 722601, 26.01.55

Для защиты от влаги и грибов предмет погружают в состав, содержащий 25—62% поливинилхлорида, очич. антраценовое масло (не содержащее собственно антрацена, фенола, аминов и серы), с т. кип. 95—130°/10 мм, и пластификатор (хлорированные ароматич. или нафталиновые углеводороды, или эфиры адипиновой, фосфорной, фталевой и себаценовой к-т). Обработанный предмет нагревают при 75—150°. К составу можно прибавлять стабилизаторы, пигменты, наполнители и фунгициды (монометилсилилатин и тионафтен).

К. Шведова-Шиловская

**52858 П.** Способ этерификации твердого органического вещества. Фишер, Фоссе (Verfahren zur Veresterung eines organischen Feststoffes. Fischer Heinrich, Voss Walter). Пат. ГДР 9855, 28.11.55

Способ отличается тем, что твердое в-во (целлюлозу), пропитанное катализатором этерификации, помещают рыхлым слоем в вертикальную трубу (соотношение высоты к диаметру  $\sim 10:1$ ), через которую протекает сверху вниз этерифицирующая смесь (напр., уксусная к-та и ангидрид), сильно разбавленная р-рителем, не растворяющим получаемый эфир (напр., бензолом). Скорость протекания (10—20 мл/час), конц-ию этерифицирующей смеси, т-ру и друг. условия устанавливают таким образом, чтобы повышение т-ры реакционной массы не превышало нескольких градусов; процесс проводят при легко управляемых т-рах (30—50°).

М. Альбам

**52859 П.** Сложноэфирные и ацетальные производные пентаэритрита и полипентаэритрита как пластификаторы ацетилцеллюлозы. Барт (Ester-acetals of pentaerythritol and polyepentaerythritols as plasticizers for cellulose acetate. Barth Robert H.) [Heyden Chemical Corp.]. Канад. пат. 515894, 23.08.55

Пластический материал содержит органич. производные целлюлозы и пластификатор, являющийся одновременно сложным эфиром и ацеталем пентаэритрита или полипентаэритрита, в котором  $\geq 2$  OH-группы связаны в ацетальной группировке и по крайней мере одна из оставшихся OH-групп этерифицирована карбоновой к-той. В частности, для пластификации ацетилцеллюлозы применяют в-ва ф-лы  $\text{RCHOCH}_2\text{C}(\text{CH}_2\text{O})_n\text{C}(\text{CH}_2\text{OCOXY})(\text{CH}_2\text{OCOXY})$ , где R — H или алкил, а X и Y — алкил.

А. Дабагова

**52860 П.** Сложные алифатические эфиры и пластмассы, их содержание. Смит, Янг (Alkyl esters and plastic compositions comprising same. Smith Paul V., Young David W.) [Esso Research and Engineering Co.]. Пат. США 2734884, 14.02.56

Пластмасса состоит из 100 ч. поливинилхлорида и



30—60 ч. нейтр. эфира фталевой, себаценовой, азелаиновой или дигликолевой к-ты, этерифицированной смесью первичных алифатич. спиртов с разветвленной цепью, содержащих 10 атомов С в молекуле и отвечающих ф-лам  $RCH(R')CH(R'')CH_2OH$  и  $RCH_2C(R')(R'')CH_2OH$  ( $R, R'$  и  $R''$  содержат 1—5 атомов С каждый и 7 атомов С в сумме), или смеси равных кол-в указанного эфира и изомерных диизооктилфталатов; спирты для приготовления таких эфиров получают гидрогенизацией продукта р-ции между  $CO$ ,  $H_2$  и олефинами, содержащими 7 или 9 атомов С, соответственно, при 120—205° и 150—400 ат. Смешанные предварительно компоненты пластмассы вальцуют 5 мин. при 140—160°, получая материал с повышенной тепло- и морозостойкостью. В. Пахомов

**52861 П.** Соединения олова, связанные с амидами меркаптокислот, и смолы, стабилизированные ими (Tin compounds linked to mercapto acid amides and resins stabilized therewith) [Argus Chemical Lab., Inc.]. Англ. пат. 737508, 28.09.55

Для стабилизации составов, содержащих хлорированные смолы, напр. сополимеры винилхлорида с винилацетатом, винилиденхлоридом или стиролом, к ним добавляют 0,1—10 вес.% оловоорганич. соединения ф-лы  $R_nSnX_{4-n}$  ( $R$  — алкил,  $X$  — остаток амида из алифатич. монокарбоновой меркаптокислоты, имеющих 2—6 атомов С, и первичного или вторичного неароматич. амина, причем атом Sn связан с S,  $n=1,2$  или 3). Напр., к сополимеру винилхлорида и -ацетата добавляют диоктилфталат и стабилизатор, у которого  $R = C_4H_9$ ,  $n=2$  и  $X$  — остаток бис-(2-этилгексил)-амида тиогликолевой к-ты, или трикрезилфосфат и стабилизатор, у которого  $R = C_2H_5$ ,  $n=2$  и  $X$  — остаток  $n$ -амиламида тиогликолевой к-ты. З. Нудельман

**52862 П.** Стабилизированные винилароматические соединения. Эрикссон (Stabilized vinyl aromatic compounds. Erickson Edwin R.) [Mathieson Alkali Works]. Канад. пат. 515759, 16.08.55

Винилароматические соединения стабилизируют введением небольших кол-в продукта взаимодействия в-ва ф-лы  $C_6(R^1)(R^2)(R^3)(R^4)(R^5)OH$  с каталитич. кол-вом  $SnCl_4$  при нагревании. В ф-ле  $R^1, R^2, R^3, R^4$  и  $R^5 = H$ ,  $OH$  или углеводородный радикал, при условии, что по крайней мере один из  $R^1$  и  $R^2$  (находящихся в положении 2 и 4 к  $OH$ -группе) является  $OH$ -группой. Приведены примеры стабилизации замещ. в ядре дихлорстирола продуктами взаимодействия  $SnCl_4$  с дитрет-бутилгидрохиноном, трет-бутилпирокатехином или пирокатехином. А. Дабагова

**52863 П.** Стабилизаторы для поливинилхлорида (Vinylchloride polymer composition) [Metal & Thermit Corp.]. Англ. пат. 739766, 2.11.55

Меркапиды сурьмы  $Sb(SR)_3$  получают взаимодействием соединений 3-валентной  $Sb$ , напр.  $Sb_2O_3$  или тригалогенида  $Sb$ , с меркаптаном  $RSH$ , гд  $R = C_2H_5, C_6H_5, C_4H_9, C_6H_{13}, C_8H_{17}, C_{10}H_{21}, C_{12}H_{25}, C_6H_5CH_2, C_6H_5CH_2CH_2$  и  $CH_3C_6H_4$ . Напр., получают  $Sb(SC_{12}H_{25})_3$  из  $Sb_2O_3$  и  $C_{12}H_{25}SH$ ;  $Sb(SC_6H_5)_3$  из  $Sb_2O_3$  и  $C_6H_5SH$ ,  $Sb(SC_6H_{17})_3$  из  $SbCl_3$  и  $n-C_6H_{17}SH$ . Меркапиды  $Sb$  пригодны для стабилизации поливинилхлоридных смол. В. Пахомов

**52864 П.** Способ получения растворов и набухших гелей политрифторхлорэтилена. Фукс, Хойер, Шталлер (Verfahren zur Herstellung von Lösungen und Anquellungen aus Polytrifluorchloräthylen. Fuchs Otto, Hoyer Hans, Staller Anton) [Farbwerke Hoechst A.-G. vormals Meister Lucius & Brüning]. Пат. ФРГ 945660, 12.07.56

Способ получения р-ров и набухших гелей политрифторхлорэтилена (I) отличается тем, что в качестве р-рителей, агентов набухания или пластификаторов применяют кислородсодержащие производные мента-

на, принадлежащие к классу терпенов или камфоры, имеющие спиртовые, альдегидные, кетонные, сложноэфирные и (или) эфирные группы, причем указанные соединения могут применяться в смеси друг с другом и (или) с другими р-рителями и разбавителями. Напр., карбон вызывает набухание I при 130°, а при 165—170° дает с ним мягкую гомог. прозрачную массу. Терпинеол образует с I при 160° мягкую прозрачную массу, способную формоваться еще при 100° и пригодную для формирования самых тонких волокон. Камфора дает при 175° 12%-ный р-р I, остающийся прозрачным и гомогенным при 162°. Соответствующие т-ры для цинеола лежат при 130° и 128°. Приведено ~ 20 индивидуальных и смешанных р-рителей и т-ры помутнения 12%-ных р-ров I в них. Новые р-рители имеют преимущество перед ранее известными (метизилеи, кумол) в том, что последние не дают прозрачных р-ров, и, кроме того, работа с ними при обычном давлении или в открытых сосудах затруднительна из-за близости т-ры растворения и т-ры кипения. В. Пахомов

**52865 П.** Алкиленполиаминметилфосфоновые кислоты. Берсуорт (Alkylene polyamine methylene phosphonic acids. Bersworth Frederick C.) [The Dow Chemical Co.]. Канад. пат. 523678, 10.04.56

Патентуются соединения ф-лы  $(HO)_2P(=O)CH_2N(R)C_nH_{2n}N(R)(CH_2P(=O)(OH))_2$ , где  $n$  — число от 2 до 6, а  $R = H$  или  $CH_2P(=O)(OH)_2$ , и соли, получаемые из них со щел. металлами; в частности патентуются в-ва ф-лы  $[(HO)_2P(=O)CH_2]_2NC_2H_4N[CH_2P(=O)(OH)]_2$  и  $[(HO)_2P(=O)CH_2]_2NC_2H_4NHCH_2P(=O)(OH)_2$ . В. Пахомов

**52866 П.** Прессованные тормозные накладки. Лусид (Molded friction linings. Lucid David E.) [General Motors Corp.]. Канад. пат. 514858, 19.07.55

Накладки состоят из фрикционного наполнителя, модифицированной маслом фенолформальдегидной смолы с отвердителем в качестве основного связующего и дополнительного связующего из маслорастворимого синтетич. каучука, напр. бутадиенстирольного или изопреинабугиленового, с вулканизующими добавками; весовые соотношения между смолой и каучуком лежат в пределах от 1:1 до 7:1. В. Пахомов

**52867 П.** Изделия и способ их изготовления. Росс (Composite article and method of making same. Ross Jack S.) [Dominion Rubber Co., Ltd.]. Канад. пат. 513120, 24.05.55

Изделие состоит из множества слоев ткани, склеенных связующим. Последнее получают при испарении воды из дисперсии, содержащей эластичный каучукоподобный материал (I), частично конденсированную смолу (II), катализатор — гидроокись щел. металла, пигмент и казеинат  $NH_4$ . В качестве I используют сополимеры стирола с бутадиеном или изопреном, а также полихлоропрен или сополимеры бутадиена с акрилонитрилом в смеси с вулканизующими в-вами. II получают при частичной конденсации 1 моля многоатомного фенола, имеющего  $OH$ -группы в положении 1,3 (резорцина), с 2—3 молями альдегидов ( $CH_2O$ ). Соотношение между I и II таково, что содержание многоатомного фенола в II составляет 6,75—15% от веса I, а общее кол-во I и II в дисперсии равно 30—50%. Б. Киселев

**52868 П.** Слоистые изделия из неагрессирующимся покрытием и способ их изготовления. Паттерсон (Laminated articles having craze resistant coatings, compositions for producing coatings and processes of making both of same. Patterson Donald G.) [American Cyanamid Co.]. Канад. пат. 512201, 26.04.55

Способ произ-ва листовых материалов заключается в том, что на поверхность листа целлюлозного волок-

мистого материала наносят из р-ра смесь термореактивной (мочевинно- или меламиноформальдегидной) смолы, пигмента и стеклянных волокон, высушивают и прессуют при нагревании; на поверхности материала образуется нерастворимая неплавкая пленка. Р-рителем для смолы служат вода или спирт (этанол). Соотношение между смолой и р-рителем составляет 1:1,5—5; соотношение между стеклянным волокном и смолой лежит в пределах 1:1—9; диаметр стеклянных волокон составляет 4—11 м. При использовании меламиноформальдегидной смолы последняя содержит на 1 моль меламина 1,5—3,5 моля формальдегида. Б. Киселев 52869 П.

**Эластичные листы, защищающие от излучения, и их производство** (Feuilles élastiques protégeant contre les rayonnements et articles fabriqués à partir de ces feuilles) [Badische Anilin- & Soda-Fabrik (I. G. Farbenindustrie A.-G. «In Auflösung»)]. Франц. пат. 1060624, 5.04.54 [Chem. Zbl., 1955, 126, № 23, 5437 (нем.)]

Эластичные листы, защищающие от рентгеновских лучей, получают из полимеров или сополимеров эфирной акриловой к-ты. Р-ры или водн. эмульсии этих полимеров смешивают с не растворимыми в воде соединениями Pb (PbSO<sub>4</sub>, PbO (I)), взятыми в кол-ве 87—96%; из смеси изготовляют мягкую эластичную пленку, которая при 100—180° становится еще более эластичной. Ее можно наносить на бумагу, ткань и другие волокнистые материалы или покрывать слоем полиизобутилена, содержащего I. Напр., 87,5 ч. I смешивают с водн. эмульсией, содержащей 6,25 ч. полиэтилен и 6,25 ч. полибутилакрилата, удаляют воду, вальцуют 10—20 мин. при 80—90° и раскатывают пленку, которую прессуют 5 мин. при 160° и 50 атм. Степень абсорбции лучей пленкой толщиной 1 мм соответствует абсорбции листовым Pb толщиной 0,7 мм. Р. Франкфурт 52870 П.

**Способ соединения ориентированных термопластичных пленок**. Баниган (Process of heat-sealing tensilized thermoplastic films. Banigan Thomas Franklin) [E. I. du Pont de Nemours and Co.]. Пат. США 2719100, 27.09.55

Способ соединения ориентированных в различных направлениях пленок из полиэтилентерефталата заключается в том, что между поверхностями соединяемых пленок помещают ненапряженную пленку из аморфного полиэтилентерефталата, пакет слегка спрессовывают и нагревают до ~170°.

Б. Киселев 52871 П. **Способ изготовления из кристаллического поливинилиденхлорида трубок с неслипавшимися стенками**. Айронс (Process for the manufacture of crystalline vinylidene chloride polymer tubing whose walls do not cohere. Irons Carroll R.) [Dow Chemical Co.]. Канад. пат. 515711, 16.08.55

Трубки изготовляют шприцеванием их сверху вниз в охлаждающую ванну, в которой трубки переохлаждают, сжимают и наполняют смазочной жидкостью от точки сжатия до уровня, близкого к уровню охлаждающей жидкости в ванне, после чего их вытягивают с целью ориентации. Усовершенствование состоит в том, что противодействующий сдвиганию тонкоизмельченный твердый агент (порошок слюды или крахмала), диспергированный в газовой струе, вводят непрерывно и с равномерной скоростью внутрь трубки, в пространство между мундштуком шприцмашины и смазочной жидкостью, отклоняя взвесь в сторону размятченных стенок трубки; струю газа непрерывно удаляют; порошок покрывает внутренние стенки трубки, частично вкрапываясь в них. Я. Кантор 52872 П.

**Термостойкая ткань с покрытием из сплавленных политетрафторэтилена и криолита**. Фей (Heat resistant fabric coated with a fused composition comprising polytetrafluoroethylene and cryolite, and method of producing same. Fay Robert E.,

Jr) [E. I. du Pont de Nemours and Co.]. Пат. США 2717220, 6.09.55

Ткань имеет покрытие из сплавленной композиции, содержащей политетрафторэтилен и 5—40 вес.% криолита. Б. Киселев

52873 П. **Склеивка покрытий из поливинилхлорида с нейлоновой тканью**. Ван-Эттен (Adhesion of polyvinyl chloride coatings to nylon fabric. Van Etten Howard A.) [E. I. du Pont de Nemours and Co.]. Канад. пат. 511559, 5.04.55

На нейлоновую ткань наносят из дисперсии по крайней мере с одной стороны тонкое покрытие из растворимого в спирте замещ. у N алкоксиметилполиамида и покрывают ткань дисперсией поливинилхлорида. Обе дисперсии содержат летучий р-ритель, причем в одной из дисперсий в составе р-рителя находится высококипящий кетон — циклогексанон, фенхон, изофорон или дигидроизофорон. В качестве N-алкоксиметилполиамида используют производные гексаметилендиамина и адипиновой или себацдиновой к-т, в которых алкоксигруппа содержит 1—4 атома С, напр., N-метоксиметилполигексаметилендицианамид. Расход полиамида составляет 13,5—50,8 г/м<sup>2</sup>. После удаления р-рителя получается гладкое однородное покрытие. Р. Ф.

52874 П. **Способ обработки ткани**. Кеттлети (Process of finishing fabrics and the fabrics so produced. Kettlety Howard W.) [American Viscose Corp.]. Канад. пат. 511145, 22.03.55

Гибкая эластичная водостойкая газонепроницаемая ткань соткана из нитей, состоящих из синтетич. (полиамидных) волокон. Нити, образующие поверхность ткани, покрыты непрерывной эластичной пленкой из синтетич. ненасыщ. эластомера (неопрена). В точках пересечения внутренних нитей пленка отсутствует, благодаря чему, ткань может растягиваться без разрушения и отставания пленки. Б. Киселев

52875 П. **Упаковочный материал**. Мерффи, Серматтей (Packaging materials. Murphy Clyde G., Sermattei John P.) [E. I. du Pont de Nemours and Co.]. Канад. пат. 511374, 29.03.55

Пластическая композиция, образующая упаковочный материал при нанесении на основу распылением, состоит из 1,4—10 ч. поливинилбутирала (I) с стандартной вязкостью 40—60 спуаз, 1 ч. поливинилацетата (II) с стандартной вязкостью 55—70 спуаз, 5—25% (от веса смол) совместяемого пластификатора (трикрезилфосфата), 10—40% масла, ингибирующего процесс коррозии и смеси р-рителей. Смесь содержит не менее двух р-рителей, 30—70% которых испаряются подобно ацетону и 70—30% — подобно этиловому спирту. Общая вязкость р-ра составляет 225—2000 спуаз. В частности, композиция содержит (в %): I (50 спуаз) 7,7; II (60 спуаз) 3,8; трикрезилфосфата 1,7; масла 2,8; этилового спирта 27,3; толуола 14,7; ацетона 42,0. Б. Киселев

52876 П. **Слоистый материал из бумаги и мешки для упаковки липких полимеров**. Линда (Paper base laminates and bags for packaging tacky polymeric materials. Linda Frank R.) [St. Ragis Paper Co.]. Канад. пат. 513524, 7.06.55

Многослойный бумажный пакет состоит из нескольких вложенных один в другой бумажных пакетов. Последний внутренний пакет обклеивают непроницаемой пленкой из эластичного полимера (полиэтилена), покрытого маслянистым в-вом. Полиэтиленовая пленка приклеена к бумажному пакету клеем, который позволяет легко извлекать пленку из бумажных пакетов. Благодаря этому упакованный полимер может быть легко извлечен вместе с полиэтиленовой пленкой из упаковки. Б. Киселев

52877 П. **Способ получения пеноматериалов на основе полиэфирных смол**. Сак, Фуркад, Вазле

(Procédé d'obtention de résines du type polyesters sous forme alvéolaire. Sack Henri, Fourcade Robert, Walle Thérèse vande) [Houillères du Bassin Nord et du Pas-de-Calais]. Франц. пат., 1108425, 12.01.56

Способ получения жестких и эластичных пеноматериалов отличается тем, что предварительно приготовленный ненасыщ. полиэфир сшивают обработкой водой после добавления органич. диизоцианата и добавлением винилового или аллилового производного с последующей полимеризацией при необходимости в присутствии ускорителя; на 100 ч. ненасыщ. полиэфира добавляют предпочтительно 5—20 ч. диизоцианата и 10—30 ч. винилового или аллилового производного; в случае относительно низкого содержания диизоцианата добавляют порообразователь, являющийся одновременно катализатором и ускорителем виниловой полимеризации. Напр., к 300 г диаллилфталата добавляют полиэфир (гидроксильное число ~150, кислотное число ~5), полученный конденсацией смеси (в г) 2000 дипропиленгликоля, 900 фталевой к-ты и 1000 малеиновой к-ты, 0,3 г гидрохинона, 3 капли  $\text{CH}_3\text{COCl}$  и 300 г гексаметилендиизоцианата и нагревают 30—45 мин. при 110°. Затем добавляют 1% перекиси метилэтилкетона и 0,05% нафтената Со и быстро вводят 1,5% воды. Оба процесса идут одновременно без дополнительного нагревания с образованием пеноматериала. В случае введения вместо перекиси и ускорителя 2% порофора N тепло, выделяющееся в результате р-ции с диизоцианатом после добавления 1,5% воды, вызывает разложение порофора N, что приводит к полимеризации и дополнительно вспениванию. В. Пахомов

52878 П. Производство термопластичных пенопластов. Мак-Нитайр (Manufacture of cellular thermoplastic products. McIntire Otis R.) [The Dow Chemical Co.]. Канад. пат. 512715, 10.05.55

Для получения изделий из термопластичных пенопластов с миним. размером 50 мм в аппарат помещают твердый термопластичный полимер или сополимер моновинилароматич. соединения и вводят газообразное в-во (олефин с 3—4 атомами С), которое способно растворяться в полимере. Содержимое аппарата нагревают под давлением до т-ры, не превышающей крит. т-ру газа, так, чтобы образовался текучий гель, который затем выдвигают из аппарата через отверстие diam. 19—250 мм. При выдвигании происходит вспенивание материала. Кол-во пенообразователя берется таким, чтобы материал обладал достаточной подвижностью при выдвигании и чтобы в результате полного испарения газообразователя, происходящего с поглощением теплоты испарения, образующийся пенопласт имел т-ру от —30 до 85°. Л. Чернина

52879 П. Конструкции из пенопластов. Саймон Томас, Диксон (Composite cellular plastic structure. Simon Eli, Thomas Frank W., Dixon Lloyd A. Jr) [Lockheed Aircraft Corp.]. Пат. США 2728702, 27.12.55

Для произ-ва авиационных конструкций изготавливают металлич. обшивку, образующую пустотелый элемент с желаемыми внешними контурами, наносят на внутреннюю поверхность обшивки жидкий клей и напрессовывают стеклянную ткань на покрытую клеем поверхность. Внутри конструкции заливают состав, который вспенивается на месте и заполняет элемент, проникая в пустоты между нитями ткани и приклеиваясь к стеклянным волокнам. При этом пеноматериал прочно связывается с обшивкой, образуя монолитную конструкцию. При напрессовке стеклянн. ткани необходимо избегать пропитки ткани клеем. Б. Киселев

52880 П. Контейнеры, обладающие теплоизоляционными свойствами (Container having thermal insula-

ting properties) [Sponge Rubber Products Co.]. Англ. пат. 716724, 13.10.54 [Rubber Abstrs, 1955, 33, № 1, 26 (англ.)]

Эластичные, но сохраняющие форму контейнеры формируют из пенополивинилхлорида, имеющего упрочненный не вспененный поверхностный слой. Изделия обладают теплоизоляционными свойствами и могут быть использованы для хранения льда. См. также англ. пат. 714606 (РЖХим, 1955, 56914). А. Жданов

52881 П. Способ получения селективных к комплексобразующим ионам металлов ионообменных смол. Бём (Verfahren zur Herstellung von für Komplexbildende Metallionen selektiven Ionenaustauschern. Böhm Roland) [VEB Farbenfabrik Wolfen]. Пат. ГДР 18081, 28.11.55

Хлорметилированные сополимеры пространственного строения из углеводородов обрабатывают аминокарбоновыми к-тами, их солями или сложными эфирами в щел. среде, или же сополимеры сначала обрабатывают  $\text{NH}_3$  или амином и на полученный продукт, имеющий основную р-цию, действуют галоидокарбоновыми к-тами, их солями или сложными эфирами; амино- или галоидокарбоновыми к-ты или их производные применяют в избытке. Напр., 50 ч. хлорметилированного сополимера, полученного из стирола и дивинилбензола, подвергают набуханию в 100 ч. диоксана и при т-ре кипения добавляют в течение 4 час. 120 ч. этилендиамина. После отделения от жидкой фазы и промывки NaOH 50 ч. полученной смолы подвергают набуханию в воде. При кипячении в течение 5 час. добавляют р-р 750 ч. хлоруксусной к-ты и 400 ч. соды в 2000 ч. воды. Полученная смола обладает селективностью к комплексобразующим ионам металлов и регенерируется с помощью к-ты. В равновесном состоянии с 0,05 М р-ром  $\text{CuSO}_4$  при pH 3,1 г смолы поглощает 1,75 ммоля  $\text{Cu}^{2+}$ . М. Альбан

52882 П. Сополимеры ненасыщенных сульфокислот и полиненасыщенных соединений. Дадли (Copolymers of unsaturated sulfonic acids and polyunsaturated compounds. Dudley James R.) [American Cyanamid Co.]. Канад. пат. 512667, 10.05.55

Гранулированную не растворимую в воде катионообменную смолу получают сополимеризацией 1—20 молей винилсульфокислоты и 1 моля N,N'-метилдиакриламида. Полученный гель отверждают и гранулируют. Л. Чернина

52883 П. Способ получения клеев. Лысы (Způsob výroby lepidel. Ly s ý Jan). Чехосл. пат. 83683, 5.05.55

Способ получения клеев конденсацией меламин (I) с формальдегидом (II) в присутствии сахара отличается тем, что I конденсируют с II в присутствии поливинилового спирта и сахара (гидролизованного крахмала или сахара) в кол-ве, не превышающем 50% от веса I. Напр., 126 г I конденсируют с 500 мл 35%-ного водн. II в присутствии 40 г поливинилового спирта и 53 г гидролизованного крахмала при pH 9. Конденсация продолжается 4—5 час.; в результате образуются эфирные связи между метилолмеламином и OH-группами поливинилового спирта и сахара. Продукт упаривают, выливают на противень и после нескольких дней сушки размалывают в порошок. Прочность склейки древесины этим клеем достигает 100—120 кг/см<sup>2</sup>, после 48 час. в воде — 80—90 кг/см<sup>2</sup>. В. Пахомов

52884 П. Смолы, содержащие нитрильные группы (Resins containing nitrile groups) [Dunlop Rubber Aust. Ltd.]. Астрал. пат. 166847, 23.02.56

Патентуются продукты р-ции многоатомного фенола, низшего алифатич. кетона и полимера или сополимера, содержащего нитрильные группы. Смолы применяют для клеев. Я. Кантор



52885 П. Клей, содержащие альгинаты. В ал л и д и г е м (Alginate containing adhesive compositions. V all a n d i g h a m V a n c e V.) [Kelco Co.]. Канад. пат. 509072, 11.01.55

Клей содержит воду, твердое крахмалостое в-во, имеющие клеящие свойства, и 0,2—2% (от твердых в-в) водорастворимой (Na- или  $\text{NH}_4$ -) соли альгиновой к-ты. А. Идманов

52886 П. Клей для облицовочных плиток и подобных изделий. Д и л л (Adhesive composition for wall tile or the like. D i l l C h a r l e s E.) [Patent and Licensing Corp.]. Канад. пат. 515910, 23.08.55

Клей содержит 4—6 вес. ч. балаты или гуттаперчи, 1 вес. ч. сополимера стирола и модифицированной глицерофталатом и соевым маслом алкидной смолы, наполнители, пигмент и летучий р-ритель; кол-во сополимера составляет 25—40 вес. % от клея. Я. Кантор

52887 П. Гуммированная лента, неполостью покрытая с обеих сторон клеем веществом. Л е с с е р (Doppelseitig mit selbstklebenden, den Träger nicht vollständig bedeckenden Klebstoffen ausgerüsteter Klebstreifen. L e s s e r O t t o) [Claus Koenig]. Пат. ФРГ 933943, 6.10.55

Лента представляет подложку (из бумаги, полотна, прозрачной пленки на целлюлозной основе), по обеим сторонам которой нанесено продольными полосами клеящее в-во (напр., на основе каучука) со свободными от клея промежутками. Полосы смещены так, что каждой гуммированной полосе на одной стороне подложки соответствует негуммированная полоса на обратной стороне. Лента перфорирована вдоль полос и заканчивается негуммированным концом (для захвата при разрывании). Рекомендуется пропитывать негуммированную поверхность подложки воском или подобным в-вом; в этом случае лента не требует прокладок при свертывании. Применяется для прикрепления чертёжной бумаги к доске, для переплетения и подклейки бумаги и т. п. целей. Я. Кантор

52888 П. Способ изготовления липких лент и повышения их клейкости. П э р р (Procédé pour augmenter le pouvoir adhésif de certaines bandes servant à la contention de pansements et bandes ainsi obtenues. H u e r g e J. B. E. M. J.) [Франц. пат. 1051615, 18.01.54 [Chem. Zbl., 1955, 126, № 2, 411 (нем.)]]

На одну из сторон тканевой ленты наносят слой клейкой массы, состоящей из продукта конденсации алифатич. или ароматич. альдегида с виниловым спиртом, сополимера стирола и изобутилена, пластификатора (напр., органич. фосфата, фталата, пентахлордифенила) и наполнителя (напр., соли, окиси или инертного в-ва растительного происхождения). Другую сторону ленты покрывают пластмассой с целью получения гладкой блестящей поверхности. При наматывании ленты клейкая сторона соприкасается с гладкой стороной. Клейкая масса содержит (в вес. ч.) 700—900 поливинилацетата 1000 сополимера стирола и изобутилена, 200—300  $\text{CaCO}_3$  и 900 диоктилфталата. Я. Кантор

52889 П. Клейкая лента. Х о л м е н, Л а н д к у и с т (Pressure-sensitive adhesive tape. H o l m e n R e y n o l d E., L u n d q u i s t W i l l i a m E.) [Minnesota Mining & Manufacturing Co.]. Пат. США 2733169, 31.01.56

Способ получения стойкого к действию р-рителей проклеенного волокнистого материала, пригодного для применения в качестве подложки для клейкой ленты, состоит в том, что смешивают р-р (в летучем органич. р-рителе) азотсодержащего полиэфира и небольшое кол-во альдегидного отвердителя, достаточное для получения термореактивной тонкой пленки, имеющей модуль  $\sim 2,1$ — $11 \text{ кг/см}^2$  при 100%-ном удлинении и прочность  $\geq 5 \text{ кг/см}^2$  при удлинении  $\geq 300\%$ , напр. 2—6% растворимой термореактивной меламинформаль-

дегидной смолы с кислым катализатором; смесью пропитывают тонкий пористый гибкий волокнистый материал, сушат и нагревают для отверждения полимера и проклейки материала. Полиэфир является растворимым продуктом конденсации, имеющим низкое кислотное число, полученным при нагревании эквивалентных кол-в реагирующих компонентов, представляющих собой: а) дикарбоновых к-ты, из которых  $\geq 80\%$  имеют  $\geq 4$  атомов С в главной цепи и  $\text{COOH}$ -группы при различных атомах С и в основном не содержат сопряженных двойных связей;  $\leq 20\%$  дикарбоновых к-т составляют малеиновая, фумаровая, птаконовая и цитраконовая к-ты или аддукты малеинового ангидрида и сопряженных диенов; б) соединения, способные к р-ции с к-тами — диэтаноланилин, неспособные к циклизации моноалканолламины, имеющие единственную  $\text{NH}_2$ -группу, неспособные к циклизации N-углеродазамещенные моноалканолламины с единственной вторичной аминогруппой, гликоли и смеси названных в-в, обязательно содержащие диэтаноланилин в кол-ве, достаточном для того, чтобы по меньшей мере одна N-арильная группа приходилась в среднем на каждые 100 атомов полимерной цепи, содержащей такие группы; относительные кол-ва названных компонентов обусловлены тем, что: 1) если кол-во диэтаноланилина недостаточно для того, чтобы по меньшей мере одна N-арильная группа в среднем приходилась на каждые 50 атомов полимерной цепи, соединяющей такие группы, то соединения (б) должны включать по меньшей мере небольшую часть неспособного к циклизации моноалканолламина с единственной аминогруппой; 2) если дикарбоновые к-ты содержат значительную долю к-т, способных легко образовывать циклич. имиды, то указанный нециклизуемый моноалканолламин с единственной  $\text{NH}_2$ -группой должен быть в основном исключен. Напр., 1090 ч. диэтаноланилина, 910 ч. диметризованных жирных к-т, 538 ч. дигликолевой к-ты и 53 ч. малеинового ангидрида нагревают в 525 ч. ксилола (I) в закрытом сосуде в атмосфере  $\text{N}_2$  при перемешивании, причем отгоняющаяся с I вода удаляется, а I возвращается в реактор. Затем периодически отгоняют часть I для повышения т-ры. Р-цию ведут 8 час. при 140—180°, 8 час. при 185—200° и 2 часа при 200°. По охлаждению разбавляют изопропанолом и I (2:1) до 61%-ной конц-ии; кислотное число смолы 11,3. К части р-ра добавляют 3% (от веса твердых в-в) растворимой термореактивной меламинформальдегидной смолы (Мелмак 248-8), 0,06% фталевого ангидрида и 0,05% метилен-бис-фенола в качестве антиоксиданта. Отлитую пленку сушат 2 часа при 100°. Пленка имеет прочность  $10,7 \text{ кг/см}^2$ , удлинение 78% и модуль Юнга  $3,6 \text{ кг/см}^2$ . Смесь наносит на пористую крепкую пропиточную бумагу, сушат и нагревают 30 мин. при 120°, получая подложку для клейкой ленты. Подложка без клейкого слоя пригодна для временной защиты клеевой поверхности ленты (в процессе произ-ва). В. Пахомов

52890 П. Композиции-диэлектрики. Р о с с, А л л и с о н (Dielectric compositions. R o s s S i d n e y D., A l l i s o n W i l l i a m M.) [Sprague Electric Co.]. Пат. США 2719182, 27.09.55

Композиция, применяемая в качестве диэлектрика, состоит из жидкого полиизобутилена с мол. в. 300—5000 и нодным числом 25—65 и бензила в кол-ве 0,1—5%. Б. Киселев

52891 П. Огнестойкие изолированные проводники. Ш а т ц е л ь (Flame-resistant insulated conductors. S c h a t z e l R. A.) [Rome Cable Corp.]. Англ. пат. 713174, 4.08.54 [Rubber Abstrs, 1954, 32, №11, 497 (англ.)]

Изолированный электрич. проводник имеет изоляцию, содержащую 60—9% полиэтилена, 40—10%

смеси хлорсодержащего органич. соединения и бора-та Zn или окиси Sb, феноксипропенноксид, мягчитель и пластификатор. В частности, изоляция провода содержит (в %): 68—78 полиэтилена, 13,5—10,5 хлорированного парафина, 13,5—10 окиси Sb, 2—0,5 феноксипропенноксида, 1,5—0,5 стеарата Ca и 1,5—0,5 трикрезилфосфата.

Ф. Нанкина

52892 П. Способ соединения электрических проводов.

Бейтзела, Гранди (Method of splicing insulated conductor. Batezell Alfred P., Grandy Andrew J.). Пат. США 2730473, 10.01.56

Способ состоит в том, что с концов соединяемых проводов удаляют изоляцию, сращивают концы, обкладывают место соединения предварительно отформованными полуцилиндрич. листами или соответствующей формы полосами из термопластичного материала и сплавляют изоляцию при нагревании под давлением. Описано быстродействующее ручное приспособление рычажного и пружинного типа, имеющее обогреваемые штампы для прессования, куда укладываются полосы термопластичного материала и сращиваемые провода.

Б. Киселев

См. также: раздел *Химия высокомолекулярных веществ и рефераты*: Общие вопросы 52368, 52372, 52394, 52399, 52402. Полимеризационные смолы 51574, 51684, 52461, 52466, 52517, 52664, 53324. Фенолформальдегидные смолы 52664, 52938, 52939, 53018, 53019. Мочевинно-формальдегидные смолы 51797. Кремнийорганические соединения 52507, 53339. Пластификаторы 52371, 52372. Стабилизаторы 52376, 52377. Поропласты 52498. Ионообменные смолы 50920, 50923, 50971, 52102, 52505, 53098. Применение побочных продуктов ядерного реактора 51737. Научные учреждения 50316, 50317

## ЛАКИ. КРАСКИ. ЭМАЛИ. ОЛИФЫ. СИККАТИВЫ

Редактор М. Ф. Сорокин

52893. Новое в области лакокрасочных материалов пигментов, сырья для лаков и красок. — (Neuere Entwicklungen auf den Arbeitsgebieten der Pigmente, Lackrohstoffe und Anstrichmittel. —), Farbe und Lack, 1955, 61, № 4, 162—187 (нем.).

Краткие сведения о пигментах, красителях и наполнителях, пленкообразующих в-вах, пластификаторах, р-рителях для лаков и красок. Указаны хим. составы, сорта, свойства, области применения. См. РЖХим, 1955, 47656.

М. Гольдберг  
52894. Получение лаков. Фарбер (Varnish making. Farber Benjamin), Paint Ind. Mag., 1956, 71, № 5, 20, 22—24, 50—51 (англ.)

Составные части, классификация, качеств. требования и общие вопросы произ-ва лаков. Примеры варки лаков из фенольной смолы и тунгового масла, а также с введением дегидратированного касторового масла. Примеры расчета рецентуры — потребного кол-ва пентаэритрита при получении смоляного эфира и при получении соевых алкидов, включая определение требующихся кол-в соевого масла и воды. Алкидные связующие можно полимеризовать до более высокого мол. веса, чем масляно-смоляные лаки, без наступления желатинизации. Большинство матовых алкидных связующих имеет более высокое содержание фталевого ангидрида, сильнее полимеризованы и более вязки, даже при низком содержании твердых в-в. Б. Шемякин

52895. Эфиры кремневой кислоты. Ратгоуский (Estery kyseliny kremicite. Rathousky Jiri), Chem. prumysl, 1956, 6, № 3, 115—118 (чеш.)

Указываются способы приготовления и применения эфиров (пропитка дерева, в лакокрасочной пром-сти в произ-ве строительных материалов). М. Юркица

52896. Исследование глицериновых смол. Хайнд (Glycerine resin research. Hing John D.), Paint and Varnish Prod., 1955, 45, № 3, 30—31, 58 (англ.)  
Общие сведения об алкидных смолах.

М. Гольдберг

52897. Тиксотропные алкиды. Тремени (Alkydes thixotropiques. Tremain A.), Chim. peintures, 1956, 19, № 8, 297—302 (франц.)

Тиксотропные алкиды (I) в виде гелей, уменьшающих вязкость под действием усилия сдвига, или встряхивания, готовят взаимодействием обычного масляного алкида с полиамидной смолой. Структуру геля (от жидкой до каучукоподобной) и тиксотропные свойства можно варьировать. Для разбавления I рекомендуют алифатич. р-рители, так как ароматич. углеводороды, кетоны и эфиры ослабляют структуру геля, а спирты разрушают его. I можно применять для декоративных красок, наносимых кистью; такие краски стойки к хранению, пигмент в них не оседает, они могут быть матовыми, блестящими и полуматовыми, в зависимости от взятого алкида. Приведены характеристики трех смол и рецентуры белых красок.

Б. Брейтман

52898. Силиконы и их применение для защитных покрытий. Кан (Silicones and their application in protective coatings. Cahn Harold L.), Offic. Digest, 1956, 28, № 378, 590—602 (англ.)

Общие сведения о кремнийорганич. смолах и покрытиях на их основе.

Б. Ш.

52899. Алкидные смолы, модифицированные ненасыщенными жирными кислотами соевого масла. Сакураи, Фудзивара (尿素分離法による大豆油多不飽和脂肪酸で変性したアルキッド樹脂の研究. 櫻井洗, 藤原正雄), 工業化学雑誌, Koré kagaku zasshi, J. Chem. Soc. Japan. Industr. Chem. Sec., 1955, 58, № 11, 934—937 (японск.)

Ненасыщенные жирные к-ты (I) соевого масла, полученные выделением комплекса с мочевиной, обрабатывают фталевым ангидридом (1 моль) и глицерином (2 моль) при нормальном и уменьшенном давлении, или в присутствии ксилола. Измерялось кислотное число, вязкость, цвет, склонность к пожелтению, время высыхания и т. д. Применение ксилола улучшает качества продукта, получаемого при прямом нагревании, по всем испытываемым показателям. Подобные испытания для жирных к-т льняного масла показывают, что I дают лучшие алкидные смолы, что предположительно объясняют содержанием линолевой к-ты.

Н. С.

52900. Акрилонитрил в лакокрасочных покрытиях. Пулман (Acrylonitrile in surface coatings. Pullman J. C.), Paint and Varnish Prod., 1956, 46, № 7, 27—34, 109 (англ.)

Обзор областей применения сополимеров акрилонитрила со стиролалкидными, винилиденхлоридными смолами и окисидированными высыхающими маслами. Библ. 30 назв.

К. Белыева

52901. О развитии нитроцеллюлозных лаков за 1946—1955 гг. Криен (Developments in nitrocellulose lacquers between 1946 and 1955. Creasy J.), Prod. Finish., 1956, 9, № 7, 81—86 (англ.)

Кратко рассматриваются общие вопросы развития синтеза сырьевых материалов, разработки нитроцеллюлозных лаковых составов и улучшения методов распыления. Принцип распыления лаков при повышенных т-рах получил должное применение с появлением необходимого оборудования; разобраны преимущества и недостатки метода. Описаны основы электростатич. и аэрозольной систем распыления.

Б. Шемякин

52902. Области применения асфальтовых эмульсий. Уике (From automobiles to bridges is range of asphalt emulsions. Weeks C. C.), Canad. Paint

and Varnish Mag., 1955, 29, № 3, 8, 10, 12, 14, 54, 56—67 (англ.)

Краткие сведения об истории применения асфальтов, их хим. составе и свойствах. Применение асфальтовых эмульсий (I) позволяет избежать недостатков, свойственных покрытиям расплавленными асфальтами — хладотекучести и склонности к растрескиванию. Нанесение I не требует нагрева и может производиться на мокрую поверхность. Пленки I высыхают быстрее асфальтовых лаков, в пленке которых долго задерживается остаточный р-ритель; вследствие отсутствия р-рителя I не портят качества пищевых продуктов, не имеют запаха и не горючи. Они не вызывают коррозии металлов. Недостатками I являются: способность к замерзанию при низких т-рах, повреждаемость свеженапеченной эмульсии от дождя и, в некоторых случаях, резумульгирование покрытия при воздействии воды. I используют для защиты аппаратуры, баков, строительной стали, подвижного состава, мостов, бетона и кровель зерновых элеваторов, конструкций зданий, плотин. М. Гольдберг

52903. Вопросы, возникающие при образовании эмульсионной поливинилацетатной краски. — (Problemes qui peuvent se presenter lors de la formation de peintures-emulsions a base d'acetate de polyvinyle.), Chim. peintures, 1956, 19, № 6, 219—225 (франц.)

Кратко описаны эмульсионная полимеризация винилацетата, пластификаторы, свойства получаемых пленок красок, требования, предъявляемые к эмульсионным краскам на основе поливинилацетата, основные компоненты этих красок, вопросы стабильности краски при хранении. Б. Брейтман

52904. Новые достижения в области сырьевых материалов для эмульсионных красок. Коган, Кларк (New developments in chemicals for emulsion paints. Cogan Howard D., Clarke F.), Offic. Digest, 1956, 28, № 380, 764—772. Discuss. 772—774 (англ.)

Исследовалось влияние эмульгаторов и защитных коллоидов при синтезе эмульсионным методом сополимеров винилацетата с другими виниловыми эфирами: бутиратом, кротонатом, пропионатом, 2-этилгексоатом, а также с бутил- и 2-этилгексилакрилатами — ди-2-этилгексилмалеатом на стабильность получаемых латексов при хранении. Установлено, что свойства латекса зависят не только от кол-ва природы эмульгаторов и защитных коллоидов, но и от состава мономеров и технологич. режима. К. Беляева

52905. Синтетические органические пигменты. Систематический обзор общих свойств. Ивсенсен (Synthetic organic pigments. A systematic review of general properties. Evensen E.), Paint Manufact., 1956, 26, № 8, 284—286, 300 (англ.)

Многочисленные торговые названия пигментов, особенно в тех случаях, когда они не находятся во взаимосвязи с хим. составами, часто могут служить источником ошибок при их применении. Приведена классификация органич. пигментов на красочные лаки, тонеры, пигментные красители, металлич. координационные соединения. Описанная классификация и общие свойства отдельных красочных групп позволяют предопределять поведение каждой группы в различных средах и условиях применения. Б. Шемякин

52906. Влияние катализаторов и температуры на скорость окисления льняного масла. Статья I. Уехара (Oxidation rate of linseed oil under the influence of catalysts and temperatures—paper I. Uehara H. a j.), Amer. Paint J., 1955, 40, № 7—A, 26—27, 29—35, 37 (англ.)

Изучено влияние 3 катализаторов — нафтената кобальта (I), нафтената магния (I') и нафтената свинца

(III) — при т-рах 25, 45, 65, 75 и 85° на скорость окисления льняного масла, оцениваемую по кол-ву абсорбированного кислорода. При 25° указанные катализаторы незначительно влияют на скорость окисления, но при 45° и выше зафиксирована большая скорость окисления. По активности катализаторы располагаются в ряд: I—II—III. Комбинация I с II приводит к аддитивному увеличению скорости окисления, тогда как комбинация II с III уменьшает скорость окисления. При 45—85° тройной катализатор менее чувствителен к изменениям т-ры, чем любой двойной или одинарный. Процесс окислительной полимеризации протекает в 4 стадии: 1-я — активация кислорода, 2-я — начальная стадия, 3-я — стадия распространения и 4-я — стадия затухания процесса. В. Белобородов

52907. Изучение продуктов взаимодействия рыбьего жира и льняного масла с малеиновым ангидридом. Доадрио, Фернандес-Марсоль (Estudio de aceites maleinizados de pescado y linaza. Doadrio A., Fernandez Marzol J. M.), An. Real soc. española fis. y quim., 1955, B51, № 9—10, 531—540 (франц.; рез. англ. исп.)

Обработка малеиновым ангидридом высыхающих масел значительно улучшает их качество как сырья лакокрасочной пром-сти. Описаны результаты опытов с рыбьим жиром и льняным маслом. При этом определяли кислотное число, число омыления, коэф. преломления, йодное число и содержание свободного малеинового ангидрида. Продукты р-ции подвергались термич. полимеризации. При этом измерялись вязкость, кислотность и йодное число. В полученных полимеризованных маслах и в их полимерных фракциях, извлеченных ацетоном, исследовались способность к высыханию, твердость и стойкость по отношению к горячей и холодной воде и щелочам. В. Машкин

52908. Гели алюминивых мыл. Ликата (Aluminum soap gels. Licata Francis J.), Amer. Paint J., 1956, 40, № 39, 94, 96, 98, 100, 104, 106; Offic. Digest, 1956, 28, № 373, 121—127 (англ.)

Рассматриваются свойства гелей Al-мыл. Al-стеараты улучшают свойства пластизолей и нефтяных восков.

Б. Шемякин  
52909. Смачивающие вещества в растворяющей системе. Бингем (Wetting agents in solvent systems. Bingham Ira H.), Offic. Digest, 1956, 28, № 377, 438—440 (англ.)

Рассматриваются некоторые области применения смачивающих в-в, в первую очередь в составах для покрытий, в качестве в-в, способствующих смачиванию пигментов связующими и стабильности дисперсной фазы. Кратко описаны различные типы смачивающих в-в. Б. Шемякин

52910. Нитропарафины в качестве растворителей в лакокрасочных продуктах. Ашли (The nitroparaffins as solvents for technical coatings. Ashley Warren C.), Amer. Paint J., 1956, 40, № 38, 104, 108, 110, 112, 114, 115, 118, 120 (англ.)

Обсуждается вопрос применимости нитропарафинов (I), в качестве р-рителей (II) в лакокрасочной пром-сти. Приведены технич. условия, которым должны удовлетворять хорошие II, физ. свойства I и других II, для сравнения с I. I растворяют большинство пленкообразующих в-в и смол, но не растворяют воски, аэри, саран и некоторые природные смолы, напр. шеллак. Растворяющая сила I увеличивается при добавлении толуола. I преимущественно применяются в ацетицеллюлозных и виниловых лаках. Б. Шемякин  
52911. Средства и методы протравливания древесины. Часть 1. Тышка (Środki i metody powierzchniowego barwienia drewna. Część 1. Tyśzka Jozef), Przem. drzewny, 1953, 4, № 9, 13—15 (польск.)



Рассмотрены методы и материалы, применяемые для протравливания древесины, с целью имитации под ценные породы. Протравливание «одымлением» заключается в обработке пород, содержащих дубитель, напр. дуба, в спец. кабинках аммиаком в водн. р-ре, или лучше газообразным. Белесоватые участки надревине, содержащие мало дубителя, предварительно насыщают 5%-ным р-ром таннина, в который вводится декстрин, обеспечивающий равномерное распределение таннина и предотвращающий вымывание его из древесины. Обрабатывать аммиаком можно как натуральное дерево, так и полированное и лакированное. Аммиак проникает сквозь слой политуры или лака, вступая с дубителем в хим. соединение, придающее поверхности темно-серую окраску без утраты блеска. Помимо водо- и спирторастворимых протрав (I) (бейцев) применяются и восковые, подразделяющиеся на водн. и безвод. Водн. восковые I содержат омыленный натуральный или синтетич. воск и краситель и растворяются в теплой воде. Безводн. I содержат воск, парафин и жировой краситель и растворяются в бензине или скипидаре. При пользовании восковыми I достаточно торцевания щетками, причем достигается одновременно окрашивание и создание защитного слоя, что значительно снижает стоимость обработки.

М. Гольдберг

**52912. Унификация лакокрасочных материалов, применяемых для окраски медицинских изделий.** К о н о в а л о в П. Г., Алексеев Е. Г., Горовой Б. Я., Мед. пром-сть СССР, 1954, № 1, 17—22

Проведена работа по унификации лакокрасочных материалов, применяемых для окраски медицинских изделий, сокращена их номенклатура. Кроме того, произведена разбивка материалов на технологич. группы: грунты, шпаклевки, выцветители, покрывные эмали и лаки и даны рекомендации систем покрытий.

К. Беляева

**52913. Особенности устройства легко обслуживаемой системы качественной окраски способом распыления.** Паттон (Paint spray setup features quality work, easy maintenance. Patton W. G.), Iron Age, 1956, 177, № 20, 96—98 (англ.)

Краткое описание цеха по окраске автомобильных кузовов.

Б. Шемякин

**52914. Безвоздушная окраска распылением.** Бид (Airless spray painting. Bede James A.), Plating, 1955, 42, № 10, 1251—1254 (англ.)

См. также РЖХим, 1955, 22575

**52915. Сведения для составителя лакокрасочных рецептов.** Бид (What the formulator should know. Bede James A.), Canad. Paint and Varnish Mag., 1956, 30, № 8, 20, 21, 50, 51, 54 (англ.)

Рассматриваются вопросы, связанные с улучшением техники нанесения лакокрасочных покрытий — применением нового способа безвоздушного распыления. За последнее время разработаны спец. типы оборудования, способствовавшие развитию применения нового способа распыления, напр., сопло распылителя из сапфира и карбида вольфрама, что исключает истирающее, абразивное действие на него пигментов. Новый способ распыления без помощи воздуха основан на применении гидравлич. давл. 20—40 ат и подогрева лаков до 71°, а составов на синтетич. в-вах до 82—93°. При этом используются внутренние силы расширения паров р-рителя, приводящие к дополнительному раздроблению красочных частиц. Приведены примеры составов р-рителей для синтетич. эмалей, лаков для внутренних и других покрытий, для нейлона, неопрена и пластизолов.

Б. Шемякин

**52916. Применение распылителей для современных покрытий.** Ч. 2. Ривс (The spray gun in modern industry (2). Reeves Mark), Compressed Air

and Hydraulic Engng, 1955, 20, № 237, 400—402, 406 (англ.)

Общие сведения о различных способах распыления. Часть I см. РЖХим, 1956, 69985.

Б. Шемякин

**52917. Проблемы окраски водосборников.** Готхардт (Tank-paint manufacturers' problems. Gotthardt Charles J.), Water and Sewage Works, 1956, 103, 15 June, 166—167, 172 (англ.)

Лучшие результаты, в качестве защитных покрытий стальных резервуаров для водопроводных сооружений, показывают пленки, пигментированные некоторыми основными пигментами, которые способствуют образованию нерастворимой пленки на всей поверхности анода, или корродирующей площади. Наиболее пригодными пигментами могут служить и менее известные ингибиторы коррозии, чем свинцовый сурик или цинковый крош, такие напр., как Zn-пыль в соединении с ZnO, основной Pb-крош и основной Pb-Si-крош (пигмент нового типа). Покрытия следует наносить в виде нескольких слоев, при общей толщине после сушки 0,05—0,007 мм.

Б. Шемякин

**52918. Замечания об окраске бетонных блоков.** Грант (Notes on coloring concrete block. Grant William), Concrete, 1956, 64, № 4, 39—41 (англ.)

Пигменты для окраски бетона не должны химически взаимодействовать с известью цемента, должны быть прочными в атмосферных условиях под непосредственным воздействием солнечных лучей и рассеянного дневного света, обладать соответствующими красящими свойствами. Обсуждаются общие вопросы выбора и возможности применения как природных, так и искусств. минер. и органич. пигментов. Применяются окислы железа, окисл хрома, синий ультрамарин; однако в последнем случае часто может медленно протекать р-ция с бетоном. Различные цветовые оттенки получают при смешивании пигментов двух или более цветов; состав определяется опытным путем при испытании на красок на бетонных панелях. Пигменты следует вводить в кол-ве не >10% от веса цемента, за исключением некоторых пигментов и особых условий. Очень важен контроль кол-ва воды в окрашиваемой бетонной смеси. Приведены методы испытания степени выцветания, светостойкости, дисперсности пигментов и наличия примесей.

Б. Шемякин

**52919. Лаки прошлого. Восстановление некоторых рецептов, применявшихся мастерами струнных инструментов.** Марживаль (Vernis de jadis. Reconstruction des formules employées par les luthiers d'autrefois. Margival F.), Peintures, pigments, vernis, 1956, 32, № 7, 614 (франц.)

На основании спектроскопич. и микрографич. исследований лаков, покрывающих скрипки, виолончели, контрабасы старых итальянских мастеров (1550—1750 гг.), восстановлен их состав и разработана технология изготовления. Основой этих спирт. лаков являются резинаты Са, Al, Fe (из камеди, канифоли), растворенные в льняном масле, содержащие красящие в-во марены.

Б. Брейтман

**52920. Временные защитные покрытия для металлов.** I. Ланолинсодержащие материалы. Стронг (Temporary protective coatings for metals. I-Lanolin-containing materials. Strong E.), Prod. Finish, 1956, 9, № 9, 50—58, 116, 118 (англ.)

Обзор развития в Англии противокоррозионных покрытий для временной защиты металлов на основе материалов, содержащих ланолин, сравнение защитного действия последних с защитным действием нефтяных продуктов — минер. масел и вазелина. Б. Шемякин

**52921. Стандарты и методы испытаний.** — (Proposed standards and methods of test.—), Offic. Digest, 1956, 28, № 372, 5—16 (англ.)

Предложены четыре метода испытаний: определение

гептанового числа углеводородных р-рителей; определение разбавляющей силы углеводородных р-рителей для нитроцеллюлозы; определение шарообразности стеклянных сферических частиц; определение общего содержания хлора в поливинилхлоридных полимерах и сополимерах, применяемых для покрытий. Приведено описание аппаратуры, реактивов, хода процесса определения и расчета результатов испытаний. В. Ш. 52922.

**Изучение пленок из высокополимеров. Часть III. Измерение модуля твердости путем крутильных колебаний. Часть IV. Иноуэ. Измерение модуля Юнга и коэффициенты вязкости путем колебаний на изгиб. Часть V. Влияние содержания пластификатора, смолы и пигментов на вязкоэластические свойства нитроцеллюлозной пленки. Часть VI. Испытание на истирание покрытий при помощи песка. Часть VII. Стойкость целлюлозных пленок к истиранию. Иноуэ, Сато (高分子皮膜の研究. 第3報. ぬじり振動法による剛性率の測定. 第4報. 曲げ振動法による塗膜のヤング率と垂直粘性係数の測定. 第5報. 硝酸纖維素皮膜の弾性に及ぼす可塑劑, 樹脂及び顔料の影響. 井上幸彦. 第6報. 塗膜の磨耗試験. 第7報. 纖維素系樹脂の磨耗抵抗. 井上幸彦, 佐藤弘三). 高分子化学, Kobunshi Kagaku, Chem. High Polymers, 1953, 10, № 95, 140—145, 145—148; № 98, 247—252; № 99, 294—300, 300—305 (японск.)**

**III. Изучение модуля твердости нитроцеллюлозных пленок проводилось при помощи крутильных колебаний.**

**IV. Определение модуля Юнга и коэф. вязкости нитроцеллюлозных пленок проводилось при помощи изгибающих колебаний.**

**V. Изучение влияния смолы, пластификатора (I) и пигментов (II) на вязкоэластические свойства нитроцеллюлозных пленок показало, что при увеличении содержания I или смолы коэф. вязкости (KV) и модуль Юнга (МО) уменьшались, а при увеличении содержания II KV и МО возрастали.**

**VI. При помощи песка, падающего под углом 30—55°, изучалось влияние содержания пластификатора (дибутилфталата или трикрезилфосфата), смолы и пигментов на устойчивость нитроцеллюлозной пленки и нитроцеллюлозных покрытий к истиранию. Установлено, что устойчивость к истиранию уменьшалась по мере увеличения содержания пигментов. Влияние содержания пластификатора было незначительным.**

**VII. Изучалась зависимость между устойчивостью нитроцеллюлозных пленок к истиранию и другими механич. свойствами этих пленок. В. Иоффе**

**52923. Методы испытаний алкидных смол. Части V, VI, VII, VIII. Братт (Alkyd resin evaluation procedures, Part V, VI, VII, VIII. Bratt O. H.), West. Paint Rev., 1955, 41, № 2, 21A—22A; № 3, 21A, 22A, 24A; № 4, 23A, 24A, 26A; № 5, 24A, 26A (англ.)**

**Часть V. Описаны методики и оборудование, необходимое для испытания пленок алкидных смол воздушной сушки и горячего отверждения на стойкость к воде, каустич. соде, бензину, а также к к-там — уксусной и олеоновой.**

**Часть VI. Способы определения гибкости покрытий. Часть VII. Обсуждаются вопросы определения изменения цвета и блеска пленок полиэфирных эмалей, содержащих белый пигмент.**

**Часть VIII. Приведены методики определения цвета и блеска до и после старения пленок связующих и эмалей, изготовленных на основе глифталевых смол. Приведены расчеты для приготовления красочных паст с различной степенью растира, таблица пересчета весовых конц-й пигмента в объеме, описана методика определения стабильности окиси цинка в глифталевом связующем, путем измерения вязкости до и после**

старения, приведена ф-ла для вычисления стабильности.

Предыдущее сообщение см. РЖХим, 1955, 47663.

**52924. Прикладная колориметрия. Браун (Chromique de la colorimetrie appliquee. Braun F.), Chim. peintures, 1956, 19, № 6, 227—230 (франц.)** Приведены данные, полученные для 24 красок на фотоколориметре LV<sub>2</sub> и спектрофотометре Гарди. Наблюдается небольшая разница между показаниями по всей длине спектра, особенно в зоне пурпурного и слабого синего цветов. Предложен более точный метод анализа и измерения цветов очень слабой интенсивности. Б. Брейтман

**52925. Определение относительной интенсивности газовой сажи. Вут (Determination of the relative tinting strength of carbon black. Voet Andries), Amer. Ink Maker, 1956, 34, № 5, 63 (англ.)**

Обычный метод определения интенсивности пигментов для полиграфич. красок недостаточно точен вследствие некоторых его недостатков, напр. субъективной оценки результатов наблюдения. Предложен объективный метод, согласно которому интенсивность определяется фотоэлектрич. способом. Точность метода  $\pm 4\%$ . Б. Шемякин

**52926. К вопросу определения удельной поверхности всплывающих алюминиевых чешуйчатых пигментов в пастообразной форме. Ренер, Клинич (Beitrag zur Bestimmung der spezifischen Oberfläche an spiegelbildenden Aluminiumblattpigmenten in Pastenform. Rehner Thomas, Klimits Ladislaus), Farbe und Lack, 1956, 62, № 10, 464—468 (нем.)**

Способ определения удельной поверхности частиц распределением их на водн. поверхности является общераспространенным для всплывающих (способных к «лифтингу») алюминиевых чешуйчатых пигментов и также позволяет определять среднюю толщину частиц. При анализе пигмента в пасте, его переводят в порошок при помощи экстракции и последующего высушивания. Описан способ определения удельной поверхности алюминиевых пигментов всех степеней дисперсности. Б. Шемякин

**52927. Метод получения свободных красочных пленок. Гаррис (A procedure for preparing free paint films. Harris J.), Offic. Digest, 1956, 28, № 372, 30—31 (англ.)**

Для получения свободных пленок применяли матовую фотобумагу, на желатинированную поверхность которой с помощью ножа наносился тонкий слой испытуемой краски. После высыхания красочной пленки бумага смачивалась водою для размягчения желатина, пленка осторожно снималась и подвешивалась для сушки в горизонтальном положении на 30 мин. Описанным методом могут быть получены пленки размером 7,5—10 см<sup>2</sup> и толщиной до 12 м, с отклонением в пределах  $\pm 2-3$  м. М. Ваньян

**52928. Определение пористости и поверхности пор лаковых пленок при помощи измерения электропроводности электродитов. Вейнман (Die Bestimmung der Porigkeit und Porenfläche von Lackfilmen mit Hilfe der Elektrolyt-Durchlässigkeit. Weinmann K.), Fette, Seifen, Anstrichmittel, 1956, 58, № 7, 507—515 (нем.; рез. англ., франц., исп.)** Обсуждаются сложные соотношения между пористостью и защитой против коррозии. Описан метод электрохим. определения пористости лаковых пленок путем применения р-ров NH<sub>4</sub>Cl, преимущественно NaCl. Приведены результаты опытов, полученные на разных пленках. Б. Шемякин

**52929. Сравнительные исследования по определению твердости красок. Валиер (Vergleichende Un-**

tersuchungen über die Bestimmung der Härte von Anstrichen. Wapler D.), Farbe und Lack, 1955, 61, № 4, 142—155 (нем.)

Исследования и сравнения между собой известные методы определения твердости лакокрасочных пленок, основанные на принципах вдавливания, затухания колебаний маятника и сдирания. Показана зависимость твердости лаковых пленок от влажности и т-ры окружающего воздуха.

М. Гольдберг  
52930. Влияние испытания на ударную вязкость на долговечность красочной системы. Кронштейн, Капфар (The effect of impact tests on life of paint systems. Kronstein Max, Kapfer W. H.), Paint and Varnish Prod., 1956, 46, № 4, 33—47, 82 (англ.)

Изучалось влияние различных фосфатов металлов на характеристику ударной вязкости фосфатированных, окрашенных и неокрашенных стальных поверхностей. Долговечность красочной системы, наносимой на стальные поверхности, испытывали путем погружения образцов в воду и солевого орошения. Для оценки результатов испытаний, применяли метод электрографич. печатания. Приведено подробное описание метода.

Б. Шемякин  
52931. Мансовая целлюлоза в качестве отделочного материала. Карр (Maize cellulose as a finishing material. Karr William), Metal Finish., 1956, 54, № 5, 56—57 (англ.)

Сообщается о применении мансовой целлюлозы в качестве полировального материала для отделки металлических покрытий. Обработку проводят в барабане. Не обладая абразивными свойствами, мансовая целлюлоза пригодна для полировки покрытий, получаемых из легких металлов, напр. Al, Mg и мягких металлов, как напр. Ag. Муку из мансовой целлюлозы применяют также для многих красок в качестве наполнителя.

Б. Шемякин  
52932. «Jet»-мельницы и их внедрение в различные области промышленности. Кауфман (Über Jet-Mühlen und ihren Einsatz in verschiedenen Industriezweigen. Kaufmann Werner), Dtsch. Farben-Z., 1956, 10, № 4, 118—122 (нем.)

Описана конструкция мельницы, работающей по принципу струйных мельниц, которая применяется для измельчения пигментов, смол и т. п. Н. Аграненко

52933. Опыты по применению для красок тонкомолотых пигментов. Кауфман (Erfahrungen mit feinst vermahlenen Pigmenten bei der Verarbeitung zu Anstrichmitteln. Kaufmann Werner), Farbe und Lack, 1956, 62, № 9, 428—431 (нем.)

Описаны устройство и способ действия струйной мельницы для размолта пигментов. Вследствие отсутствия у нее движущихся частей, размалываемый материал не загрязняется. Исключительно высокая тонкость помола дает весьма значительные преимущества для произ-ва красок. Можно, напр., тонкомолотый 60%-ный литопон наполнять ~45% тонкомолотого глинозема и получать укрывистость, подобную укрывистости обычного 60%-ного литопона. Б. Шемякин

52934. Новые переплетные краски. Вайнштейн Э. С., Хлыстова Л. А., Полигр. произ-во, 1956, № 6, 25—26

В качестве новых красок для переплетов, быстро высыхающих на ледерине, созданы в лабор. условиях краски на глифталевой олифе с Со-сиккативом и сиккативирующих пигментах — кроне,  $TiO_2$ , цинковых белилах, пигменте алом Н, лаке красном ЖБ и др. Разработаны в лабор. и экспериментально-цеховых условиях 7 новых красок черного, белого, красного, синего, желтого, зеленого и коричневого цветов, высыхающих на ледерине в течение 13—15 час. при ~20°.

Б. Шемякин

52935. Факторы, влияющие на кроющую способность типографских красок при типографской и офсетной печати. Боула (Factors affecting ink coverage in letterpress and offset printing. Bowles R. F.), Paint Technol., 1956, 20, № 225, 201—203 (англ.)

На кроющую способность типографских красок (I) влияют степень гладкости бумаги (II), красящая способность (интенсивность) и объемный фактор I. Кол-во I, требуемой для полного покрытия, обратно пропорционально этим факторам и увеличивается пропорционально увеличению степени прозрачности I. При измерении II достаточно точные данные могут быть получены при определении веса краски, израсходованной для получения соответствующего отпечатка. Приведена общая ф-ла для оценки I. Впитывающая способность или восприимчивость бумаги к I оказывает лишь косвенное влияние на качество полутонов и неровности печати.

Б. Шемякин  
52936. Пути улучшения качества печатных красок Березин Б. И., Полигр. произ-во, 1956, № 6, 24—25

Рассматриваются характеристики печатных свойств красок во взаимосвязи с их структурно-механич. свойствами и скоростью высыхания.

Б. Шемякин

52937 II. Смешанный полимер трихлорэтилена, малата касторового масла и моноолефинового соединения. Тони (Interpolymer of trichloroethylene, castor oil maleate and monoolefinic compound. Tawney Pliny O.) [Dominion Rubber Co., Ltd]. Канад. пат. 515478, 9.08.55

Сополимер получают при нагревании при 40—100° смеси 50—120 молей трихлорэтилена, 1—20 молей эфира, касторового масла и ненасыщ. двусосновой органич. к-ты (малеиновой, с кислотным числом 30—100 или его гомологов) и 0,5—6 молей моноолефинового соединения (винилацетата) в присутствии 0,1—10% органич. перекисного катализатора. О. Сладкова

52938 II. Способ получения сополимеров стирола (или его производных) и продуктов присоединения малеинового ангидрида к высыхающим или полувывсыхающим маслам (Fremgasmade til fremstilling af blandingspolymerisater af styrol,  $\alpha$ -metylstyrol eller i kaernen med alkyl eller halogen substitueret styrol eller en blanding af sådanne styrolforbindelser og additionsprodukter af maleinsyreanhydrid og en eller flere tørrende eller halvtørrende olier) [Adriani Honig's Kunsthar's Industrie N. V.]. Датск. пат. 79538, 11.07.55

Способ изготовления сополимеров, при котором стирол,  $\alpha$ -метилстирол или замещенные в ядре алкилом или галогеном стирола, или смеси перечисленных соединений, вводят в р-цию с заранее приготовленными продуктами присоединения малеинового ангидрида к одному или нескольким высыхающим или полувывсыхающим маслам, причем свободные ангидридные группы этерифицируют одним или несколькими одно- или многоатомными спиртами, отличается тем, что сополимеризацию стирольного компонента и продукта присоединения и этерификацию ангидридных групп проводят одновременно или частью одновременно. Напр., к продукту присоединения 19 ч. малеинового ангидрида к 380 ч. льняного отбеленного масла и 100 ч. древесного масла добавляют 285 ч. стирола и 120 ч.  $\alpha$ -метилстирола при 160°, с постоянной скоростью, в течение 5 час. Через 30 мин. после начала подачи стирольной смеси добавляют 13 ч. глицерина. По окончании добавления стирольной смеси т-ру повышают до 240—260°. Образуется светлоокрашенная вязкая прозрачная смола с кислотным числом 4,2, вязкостью 50%-ного кислотного р-ра 39,2 *спуз* и временем горячей сушки 15 мин. В других примерах аналогичные продукты получены



также с применением, наряду с перечисленными исходными материалами, соевого и ойтискового масел, гидроабетилового спирта и пентаэритрита. Во всех случаях получены прозрачные вязкие смолы с кислотным числом 4,2—8,4, вязкостью 50%-ного кислотного р-ра 25,8—115,0 *супа* и временем горячей сушки 10—45 мин. Продукты пригодны для приготовления лаков и красок.

**В. Пахомов**  
52939 П. Сополимеры модифицированных жирными маслами сложных полиэфиров и мономерных виниловых соединений. У и н и с т р а (Copolymers of fatty oil modified polyesters and vinyl monomers. W y n s t r a J o h n) [Union Carbide and Carbon Corp.]. Канад. пат. 515805, 16.08.55

Плавкие растворимые сополимеры, применяемые в виде р-ров в органич. р-рителях в качестве покрывных композиций, получают сополимеризацией (в среде органич. р-рителя, взятого в кол-ве 10—90% от веса компонентов р-ции, для предотвращения желатинизации смеси) следующих компонентов: 1) соединения общей ф-лы  $\text{CH}_2=\text{CHR}$ , где R — содержащее сопряженную с  $\text{CH}_2=\text{CH}$  двойную связь арильный или гетероциклич. радикал, карбалкокси-, карбокси-, кето-, нитрило- или амидогруппа (напр., алкилакрилат или стирол); 2) модифицированного  $\geq 50$  вес.% жирного масла, плавкового полиэфира, полученного взаимодействием многоатомного спирта с не содержащими сопряженных связей жирными к-тами растительных масел,  $\Delta$ -1,4-дигидрофталевой к-той и двухосновным аддуктом (по Дильсу-Альдеру) дициклопентадиена (или дициклопентадиена) с маленовой, хлормаленовой или фумаровой к-тами (или ангидридами первых двух) и характеризующегося содержанием в молекуле в среднем 1—3 остатков аддукта. Напр., получают сополимер 40—60 вес.% стирола с 60—40 вес.% модифицированного  $\geq 50$  вес.% жирного масла полиэфира многоатомного спирта, вышеуказанных к-т растительных масел, фталевого ангидрида и аддукта дициклопентадиена и маленового ангидрида.

**Я. Кантор**  
52940 П. Получение декоративных и защитных покрытий (Production of decorative and protective coatings) [Oxford Corp.]. Англ. пат. 734140, 27.07.55

В состав для основного покрытия входят пигменты  $\text{TiO}_2$ ,  $\text{Al}(\text{OH})_3$ , литопон, молибдатный оранжевый и литоль рубиновый в смеси со связующим из очищ. льняного масла, алкидными смолами на сильно полимеризованном масле, а также высококипящие углеводородные разбавители и Mn-, Pb- и Co-нафтенаты. Получаемую пасту наносят при помощи валиков, а затем, несмотря на то, что покрытие еще сырое, на него наносят способом распыления коричневую искусств. эмаль. Последнюю получают на основе эмалей желтого, красного, черного и белого цветов, смешанных со связующим — тощей смолой, получаемой при взаимодействии дициклопентадиена (I) с соевым маслом (содержание твердых в-в в смоле при помощи уайт-спирита доводят до 70%), или продуктом конденсации мочевины с формальдегидом, алкилированным бутанолом или октиловым спиртом. Цветные эмали могут содержать соответственно тартразин желтый, литоль рубиновый, газовую сажу и  $\text{ZnO}$  в смеси с сополимерами I и нафтой. Соплимер I можно применять в качестве связующего в пасте; желаемая степень несовместимости с коричневой эмалью достигается добавлением соответствующего кол-ва силиконового масла к пасте.

**Б. Шемлякин**  
52941 П. Метод введения селена в пигмент пурпурный кадмий. Маркот (Method of incorporating selenium in cadmium red pigments. Marcot Guy C.) [American Cyanamid Co.]. Канад. пат. 509406, 25.01.55

Способ улучшения пигмента пурпурного кадмия,

получаемого прокаливанием предварительно обезжиренной и высушенной многокомпонентной шихты, отличается тем, что металлич. порошкообразный Se вводится в шихту в виде суспензии в водн. р-ре смеси сульфидов щел. и щел.-зем. металлов. Р-р содержит 0,25—0,65 вес.% сульфида в пересчете на  $\text{Na}_2\text{S}$ . Конц-ия Se в суспензии 50—75%.

**К. Беляева**  
52942 П. Высококачественное защитное покрытие. Андерсон, Ширер, Уолтерс (Enduit protecteur perfectionné. Anderson N. J., Shearer W. J., Walters H. E.), Франц. пат. 1108964, 19.01.56

В состав для покрытия входит: а) щел.-зем. соль жирной к-ты в р-ре в углеводороде, или в водн. эмульсии (соль алюминия, цинка или магния); б) р-ритель, к которому добавляется сиккатив — нафтенат кобальта (р-рителем обычно является алифатич. углеводород); в) пигменты или красители, растворимые в масле; г) к пигментированным составам добавляются наполнители: карбонат кальция, молотый вермикулит или слюда; д) для повышения адгезии вводят искусств. или естественные смолы (алкидные смолы или силиконы). Пример (в вес. ч.): 1,3 алюминиевой соли жирных к-т льняного масла растворяют в 87 производного скипидара (напр., «петропина»); 80 этого р-ра смешивают с 15 алюминиевой пудры и 5 р-ра нафтената Со в производном скипидаре, содержащего 0,2% металлич. Со. Покрытие можно сушить горячей сушкой, или стойки к действию высоких т-р. При применении их в качестве жаростойких следует выбирать пигменты и наполнители, стойкие к высоким т-рам. **Н. Аграненко**

52943 П. Коричневое защитное покрытие для дерева. Ресслер, Шоллес (Braunfärbendes, holzschützendes Anstrichmittel. Rössler Rudolf, Scholles Willy) [Deutsche Solvay-Werke G. m. b H.]. Пат. ФРГ 893119, 12.10.53 [Chem. Zbl., 1955, 196, № 10, 2329 (нем.)]

В состав (I) для покрытия дерева входят химически обработанный бурый уголь и соли металлов (или их комплексные соли) в качестве протравливающего средства. К I добавляют защитные для дерева соли и огнезащитные средства. Обработка бурого угля производится щелочами,  $\text{Na}_2\text{CO}_3$  или другими щел. солями слабых к-т или органич. оснований. В качестве солей металлов пригодны соли Fe, Zn, Cr, Al, As и др. I на дереве имеет устойчивый цвет, атмосферостоек.

**Н. Кельцев**  
52944 П. Способ и оборудование для получения защитных покрытий из порошкообразных термопластичных материалов. Геммер (Verfahren und Vorrichtung zur Herstellung von Schützüberzügen aus pulverförmigen thermoplastischen Kunststoffen. Gemmer Erwin) [Knapsack-Griesheim Akt.-Ges.]. Пат. ГФР 933019, 15.09.55

Способ нанесения антикоррозийных термопластичных покрытий заключается в погружении изделия, на которое наносится покрытие, в камеру, на нижней керамич. плите которой находится порошкообразный термопластичный материал, продуваемый инертным газом (азотом). При продувании инертного газа через нижнюю пористую керамич. плиту порошкообразный материал переходит во взвешенное состояние, покрывая изделие, предварительно нагретое до т-ры плавления пластика. Для нанесения покрытия используется полиэтилен.

**Б. Киселев**  
52945 П. Получение на металлических поверхностях прилипающего полиэтиленового покрытия. Хейслер, Хейслер (Process of forming adherent polyethylene coatings on metal surfaces. Heisler J. S., Heisler A.). Англ. пат. 727470, 6.04.55

Прилипающее защитное покрытие из полиэтилена (I) образуется на металлич. поверхности, при избытке

твердых частиц (порошка) I против кол-ва, требующегося для получения желаемой толщины покрытия, при соприкосновении I в течение 15—40 мин. с металлич. поверхностью, нагреваемой до  $t$ -ры 176—246°, в результате расплавления частиц I. Избыток I удаляется, а покрытая металлич. поверхность подвергается термообработке. Приведена схема установки для покрытия металлич. тары (барабанов), которые предварительно очищают песком и нагревают. По другому способу порошок I вручную напесовывается до требуемой толщины на покрываемое, нагретое изделие. После горячей сушки (спекания) покрытия изделие быстро охлаждается, при помощи воздушного дутья или обрызгивания водой. Способ применим также для покрытия листов, полос и пластин стали, железа, меди, алюминия, олова, никки и латуни. Б. Шемякин 52946 П. Состав для покрытия, уменьшающий липкость битумных поверхностей (Anti-stick coating composition and building materials treated therewith) [Robertson Thain, Ltd.] Англ. пат. 722818, 2.02.55 Состав, уменьшающий липкость битумных поверхностей, состоит из водорастворимых альгината или эфира целлюлозы в качестве пленкообразующего материала, жидкого водорастворимого полиалкиленгликоля и (или) его производного простого моноэфира в качестве пластификатора (гигроскопичность последнего не должна превышать гигроскопичность пленкообразующего материала). В качестве гликолей можно применять полиэтиленгликоли и водорастворимые сополимеры этилен- и пропиленгликолей. Рекомендуется применять простые моноэфиры — производные таких полигликолей, как  $C_1-C_4$  — алкильные эфиры. Примерный состав в виде р-ра получают при растворении в воде (%) 2 альгината натрия, 1 мыла и 1—2 монобутилового эфира гликолей. В качестве альгинатов можно применять  $Na(K)$ -,  $NH_4$ -,  $Cu$ - или  $Zn$ -альгинаты. Мыльный компонент необязателен, он действует как смачивающее в-во. Б. Шемякин

См. также: Полиорганосилоксаны 52847. Полиуретановые смолы 52736. Кумаринидиновые смолы 52727. Эпоксидные смолы 52728, 52729. Покрытия из бутылкаучука 52659. Деструкция каучука 52653. Фталоцианиновые пигменты 52422. Защитные лакокрасочные покрытия 53456—53459, 53470; антикоррозионные покрытия асбовинилом 53453. Окраска стали 53450. Подготовка поверхности 53451. Атмосферная коррозия под лакокрасочными покрытиями 53438. Определение Pb в эмалевых красках 51593. Нанесение металлич. покрытия 53442, 53443

## ЛЕСОХИМИЧЕСКИЕ ПРОДУКТЫ. ЦЕЛЛЮЛОЗА И ЕЕ ПРОИЗВОДНЫЕ. БУМАГА

Редактор В. П. Хованская

52947. Древесина белой американской ели. Набухание древесины (комплексе древесина — вода). Яблоков (Le bois d'épicéa. Lablokkoff A. K h.), Rev. bois, 1955, 10, № 12, 26—28 (франц.)  
О набухании древесины с точки зрения сорбции воды, роли водородных связей (мостиков), связей вода — целлюлоза, образованию гидратов и электрич. явлениях. Ю. Вендельштейн 52948. Исследование проницаемости клеточных стенок древесины для воды и растворенных веществ. Хартман-Дик (Untersuchungen über die Durchlässigkeit der Zellmembranen des Holzes für Wasser und gelöste Stoffe (Autorreferat einer Dissertation), Hartmann-Dick U.), Wiss. Z. Pädagog.

Hochschule Potsdam Math.—naturwiss. Reihe, 1954—1955, 1, № 1, 76—77 (нем.)

Колич. исследована проницаемость (П) древесины сосны, пихты и горного клена для жидкостей под давл. 2 ат как величина фильтрации, выраженная в мл/см<sup>2</sup>/мм/мин, в тангенциальном и радиальном направлениях. Числа П заболони (3) отдельных стволов одной породы отличаются друг от друга в 20 раз, средние величины П для мест одного ствола, незначительно удаленных друг от друга, колеблются в пределах  $\pm 100\%$ , для соприкасающихся мест срезов меньше, чем более удаленных. Длительное фильтрование под давлением резко понижает (до нескольких % от первоначального) П у хвойных пород, меньше у клена. На границе 3 и сердцевины П резко падает в 20—30 раз. Приведены данные о влиянии различных хим. реагентов на П. Ю. Вендельштейн 52949. Химическая структура клеточной перегородки.

Яблоков (Structure chimique de la paroi cellulaire. Iablokkoff A. K h.), Rev. bois, 1955, 10, № 11, 21—25 (франц.)

Современные взгляды на распределение хим. элементов в древесине и клеточной перегородке, на хим. структуру лигнина и целлюлозы (кристаллич. и аморфной части целлюлозы, теория ее строения, типы целлюлозы, свойства). Ю. Вендельштейн 52950. Современные исследования лигнина. Энквист (Ligninforskning i detta nu. Enkvist Terje), Papperi ja puu, 1956, 38, № 9, 376—382, 390 (шведск.; рез. англ., финск.)

Обзор по вопросу строения лигнина и возможностях его использования для произ-ва пластмасс, дубителей и других материалов. В частности обсужден вопрос о деметилировании метоксильных групп, а также о деструкции пропановых боковых цепей. Библ. 63 назв. М. Чудаков 52951. Современное состояние проблемы использования отходов древесины и основные направления научно-исследовательской работы в этой области. Васильев П. В., Баженов В. А., Калинин А. И. В сб.: Материалы совещания по проблемам пром. использования отходов древесины. М., АН СССР, 1956, 5—33

52952. Вопросы промышленного использования отходов лесозаготовок, лесопиления и деревообработки. Лопухов Е. И. В сб.: Материалы совещания по проблемам пром. использования отходов древесины. М., АН СССР, 1956, 34—46

52953. Промышленное использование отходов древесины путем химической переработки и механической обработки. Вейнов К. А. В сб.: Материалы совещания по проблемам пром. использования отходов древесины. М., АН СССР, 1956, 47—58

52954. Проблема отходов лесопильно-деревообрабатывающей промышленности. Товстолегов М. Д. В сб.: Материалы совещания по проблемам пром. использования отходов древесины. М., АН СССР, 1956, 65—72

52955. Спрессованные отходы древесины — заменитель металла. Хухрянский П. Н. В сб.: Материалы совещания по проблемам пром. использования отходов древесины. М., АН СССР, 1956, 107—116

52956. Переработка отходов лесозаготовок в неликвидной дровяной древесины методом пиролиза. Козлов В. Н. В сб.: Материалы совещания по проблемам пром. использования отходов древесины. М., АН СССР, 1956, 239—247

Для пиролиза отходов лесозаготовок в зависимости от их кол-ва запроектированы три типа установок: одноканальная печь мощностью 20 000 скл. м<sup>2</sup> сырья в год, двухканальная на 50 000 скл. м<sup>2</sup> и на 75 000 скл. м<sup>2</sup> сырья в год. А. Х.

## 52957. Переработка и использование буковой смолы.

Дьяков (Переработка и оползотворяване на буковия катран. Дьяков Асен Ив.), Тежка промишленост, 1956, 5, № 7, 37—44 (болг.).

52958. Повторный опыт перегонки в промышленных условиях живицы сосны *Pinus caribaea* из Британского Гондураса. Ковни, Излип, Матьюс (A second large-scale distillation trial of slash pine oleo-resin from British Honduras. Coveney R. D., Islip H. T., Matthews W. S. A.), Colon. Plant and Animal Prod., 1954, 4, № 4, 313—318 (англ.).

Живица, полученная при подсочке с применением хим. воздействия  $H_2SO_4$ , содержала (в вес.%): канифоль 73,3, скипидара 17,8, потери (главным образом вода) составили 8,9. Живица, полученная без применения хим. воздействия, содержала (в вес.%): канифоль 76,1, скипидара 18,4, потери составили 5,5. Выделенные канифоль и скипидар в обоих случаях практически были одинакового качества. Приведены аналитич. характеристики этих продуктов. Начало см. РЖХим. 1956, 79726.

Л. Коршун

## 52959. Состав сосновых живичных скипидаров XXV.

Доклад о двух видах белой сосны: *Pinus koraiensis* из Кореи и *P. peuce* из Македонии. Илов, Миров (Composition of gum turpentine of pines XXV. A report on two white pines: *Pinus koraiensis* from Korea and *P. peuce* from Macedonia. Illov P. M., Jr, Mirov N. T.). J. Amer. Pharm. Assoc. (Scient. Ed.), 1956, 45, № 2, Part 1, 77—81 (англ.).

Скипидар из *P. koraiensis* содержит (в %): 29 *dl*, 1- $\alpha$ -пинена; 15 1-3-пинена; 7  $\Delta^3$ -карена; 6 *dl*-1-лимонена; следы *n*-ундекана; 2 *dl*, 1-борнилацетата; 9 сесквитерпенов (преимущественно лонгифолена; 20,5 дитерпенов: 1 окисленных соединений; остаток и потери составляют 10,5. Скипидар *P. peuce* (в %): 50 *dl*, 1- $\alpha$ -пинена, 6 1-3-пинена, 2 (3-мирцена, 1 терпинолена, *dl*, 11-борнилацетата. 9 составляют сесквитерпены, один из которых возможно кадилен, 17 дитерпенов (преимущественно пембрен), 2 окисленных соединений, предположительно дитерпеновых спиртов, остаток и потери составляют 12. Сообщение XXIV см. РЖХим, 1957, 73244. Л. Коршун

## 52960. Вышние терпены в продуктах, получаемых при варке сульфатной целлюлозы. Бергстрём (Högre terpenen i produkter från sulfatcellulosa-kokning. Bergström Hilding), Svensk papperstidn., 1956, 59, № 4, 141—142 (шведск.; рез. англ.).

Исследован ряд жидких продуктов, получаемых в сульфатном процессе. При разгонке остатка, полученного после отгонки части сырого терпентинного масла до 225°, выделены две фракции. Первая фракция отгонялась при 110 и второй при 70 мм рт. ст. Основные части дистилата от обеих фракций имели уд. в.  $\sim 0,92$  и йодное число 260—290 и характеризовались левым вращением. В составе обеих фракций установлено наличие кадилина, или смеси кадиленов; возможно присутствие сесквитерпеновых спиртов (кадинола). Масло, отделенное от диффузорного конденсата, содержит значительно больше высококипящих терпенов (выше 225°), чем сырое терпентинное масло.

М. Нагорский

52961. Абетиновая кислота — первичная кислота живицы ели обыкновенной (*Picea excelsa* Link). Бардышев И. И., Черчес Х. А., Ж. прикл. химии, 1956, 29, № 12, 1888—1889

Путем кристаллизации солей борняламина и смоляных к-т из живицы ели обыкновенной выделена абетиновая к-та с т. пл. 173—173,5° и  $[\alpha]_D - 115^\circ$  (в сп.).

А. Х.

## 52962. Применение свежего осмолы для получения канифольно-скипидарных продуктов, целлюлозы, по-

лучеллюлозы и древесноволокнистых материалов. Медников Ф. А. В сб.: Материалы совещания по проблемам пром. использования отходов древесины. М., АН СССР, 1956, 196—204. См. также РЖХим, 1956, 34169.

52963. Структура гемицеллюлозы *Pinus taeda* Болл, Джонс, Николсон, Пейнтер (The structure of the hemicelluloses of loblolly pine. Ball D. H., Jones J. K. N., Nicholson W. H., Painter T. J.), Tappi, 1956, 39, № 6, 438—443 (англ.).

При гидролизе древесины сосны (*P. taeda*) получены олигосахариды, 2 из которых идентифицированы: как 2-0-(4-0-метил- $\alpha$ -D-глюкуронопиранозил)-D-ксилоза и 4-0-3-D-глюкопиранозил-D-манноза. При экстракции опилок щелочью получена смесь гемицеллюлоз, 4 фракции которых состоят из ксилозы и 4-0-метилглюкуроновой к-ты, ксилозы и глюкуроновой (или галактуриновой) к-ты, галактозы и арабинозы, маннозы, глюкозы и галактозы. Изучено действие к-т на арабинозу, ксилозу и маннозу.

Ю. Вевдельштейн

## 52964. Фурфурол из костры. Франковский (Furfuról z paździerz. Frąckowski A.), Przegląd słoikniczy, 1956, 10, № 4, Bull. Inst. przem. włókienniczych, 8—9 (польск.).

При предгидролизе и последующем гидролизе льняной костры в течение 5 час. при оптим. т-ре 155°, разб.  $H_2SO_4$ , при модуле 1:3 пептозаны и частично целлюлоза, содержащаяся в ней, образуют фурфурол (I). Оставшийся лигнин может быть конденсирован с крезолом, фенолом (получение синтетич. смол) или из него может быть также получен активированный уголь. Ректификацией I сырьца (темно-красный цвет) получают 85% чистого I. Фракция т. кип. 86—158°, состоит из воды, I, органич. к-т, эфиров и альдегидов. Фракция т. кип. 158—165° содержит чистый I (99,5%), уд. в. 1,156, имеет светло-желтую окраску. Е. Гурвич

## 52965. Древесина. Беккер, Стамм (Wood. Baechler Roy H., Stamm Alfred), Industr. and Engng Chem., 1954, 46, № 10, 2127—2130 (англ.).

Обзор по вопросу обработки древесины консервирующими средствами, антипиренами, ее стабилизации. Библ. 87 назв.

А. Х.

## 52966. К теории диффузии химических реагентов в свежесрубленную древесину. Мак-Набб, Тейлор (A note on some theory relating to the diffusion of chemicals in green timber. Mc-Nabb A., Taylor W. B.), New Zealand J. sci. and Technol., 1955, B36, № 5, 533—536 (англ.).

Приведено математич. обоснование диффузии хим. реагентов в древесину в радиальном направлении, а также даны поправки к толкованию данных, по вопросу о зависимостях между конц-ей р-ра химреагентов и временем диффузии.

Д. Лекторский

## 52967. Изучение поглощения жидкости древесиной при погружении. Сообщение 1. Влияние продолжительности и повторности такой обработки на поглощение жидкости сосновой и еловой древесиной. Беккер, Штарфингер (Studien über die Flüssigkeitsaufnahme beim Tauchen von Holz. I Mitt. Der Einfluss der Tauchdauer und einer Wiederholung der Tauchbehandlung auf die Flüssigkeitsaufnahme von Kiefer- und Fichtenholz. Becker Günther, Starfänger Käthe), Holz Roh- und Werkstoff, 1955, 13, № 12, 462—467 (нем.).

В результате лабор. опытов показано, что при увеличении продолжительности погружения с 5 сек. до 1 мин. поглощение водн. р-ров защитных средств строгаемой заболонной частью сосны (влажность 12—14°) возрастает с 10% до 40%, а масляных препаратов — до 20%; впитывающая способность еловой древесины



значительно меньше сосновой; полностью высушенная после однократной пропитки древесина поглощает при повторной пропитке такое же кол-во воды. р-ра, масляные р-ры поглощаются значительно меньше.

Г. Брахман

**52968. Консервирующие смеси для древесины из растворимых в воде веществ. I. Введение в технологию. Субьета** (Mezclas preservadoras de madera solubles en agua. I. Introduccion a su tecnologia. Zubietta Gerardo J.), Industria y quimica, 1956, 17, № 9, 549—551, 565 (исп.)

Приведены характеристики ряда промышленных марок консервирующих древесины водорастворимых препаратов, образующих невымываемые осадки в древесине. Дана таблица результатов наблюдения за состоянием столбов и свай, обработанных описываемыми препаратами, в условиях пребывания их в земле в течение ряда лет.

М. Нагорский  
**52969. Изготовление водорастворимых защитных веществ для древесины. Хадерт** (Herstellung wasserlöslicher Holzschutzmittel. Hadert H.), Seifen- und Fett-Wachse, 1956, 82, № 21, 633—636 (нем.; рез. англ., франц., исп.)

Приведены составы некоторых смешанных солей под торговыми марками № 100—№ 800. Для защиты от гниения при длительном хранении достаточно 1—2%-ного р-ра защитной соли № 100, состоящей из 88 кг NaF, 8 кг  $\alpha$ -5,6 (NO<sub>2</sub>)<sub>2</sub>C<sub>6</sub>H<sub>4</sub>(CH<sub>3</sub>)OH и 4 кг KHC<sub>2</sub>O<sub>4</sub>. Для защитной пропитки распиленного дерева рекомендуют соль № 500, состоящую из 30 кг K<sub>2</sub>C<sub>2</sub>O<sub>4</sub>, 50 кг двукристового калия, с добавкой 20 кг K<sub>2</sub>CO<sub>3</sub>, до pH 7. Дана технология смешивания солей, их применения, описаны свойства отдельных компонентов. Применяют для пропитки также антраценовые масла, деготь и другие масла.

С. Свердлов  
**52970. Опыты по повышению огнестойкости древесины при помощи химических средств. Зволаковский** (Badania nad obniżeniem palności drewna przy użyciu środków chemicznych. Zwołanowski Tadeusz), Przegl. budowl., 1955, 27, № 10, 383—384 (польск.)

**52971. Использование древесных отходов, неликвидной и дровяной древесины в целлюлозно-бумажном производстве. Ларин П. С.** В сб.: Материалы совещания по проблемам пром. использования отходов древесины. М., АН СССР, 1956, 117—122

Рекомендуется: древесные отходы целлюлозно-бумажных предприятий использовать на изготовление древесно-волоконистых плит; значительную часть дровяной и неликвидной древесины смешанных пород — на некоторые виды упаковочной бумаги и тарного картона; отходы лесопиления и деревообработки — в качестве сырья для произ-ва сульфатной целлюлозы; лиственные породы древесины — для произ-ва целлюлозы, полуцеллюлозы, хим. древесины. А. Хованская

**52972. К вопросу о качестве сульфитной целлюлозы. Карлинский** (K otázke kvality sulfitovej celulózy. Karlínský Nikola J.), Papír a celulosa, 1955, 10, № 7, 122—127 (словац.; рез. русск.)

Для увеличения однородности сульфитной целлюлозы (Ц) и ее реакционной способности необходимо: вести запарку древесины в котлах, не применять оборотных вод и конденсатов, получаемых при получении варочной к-ты, не допускать содержания SO<sub>2</sub> в к-те свыше 4,5%, возможно точно соблюдать режим работы котлов для получения заданной вязкости, удалять из отбеленной и неотбеленной короткие волокна (идущие затем на выработку бумаги), снизить давление в мокрой части бумагоделательной машины и т-ру сушки (этим увеличивается внутренняя поверхность волокон и повышается реакционная способность), увеличить запасы на складах перерабатывающих заводов (долгое

вылеживание снижает потери в реакционной способности).

З. Бобырь  
**52973. Выходы сульфитной целлюлозы. Огайт** (Ausbeutefragen bei der Herstellung von Sulfzellstoff. Ogait Alfred), Das Papier, 1953, 7, № 23/24, 471—478 (нем.; рез. англ., франц.)

Выход может быть рассчитан по эмпирич. ф-ле: выход-0,9 (СП/100)+36,7, где СП — средняя степень полимеризации целлюлозы (Ц). Если древесина не переражена (СП < 600) и условия варки сопоставимы, то расчетные величины обычно хорошо согласуются с эксперим. данными. Обсуждается зависимость выхода Ц от степени провара (измеряемой числом Джонсона — Нолла) и от вязкости в медно-аммиачном р-ре белых Ц.

Э. Тукачинская  
**52974. Практика применения жидкого SO<sub>2</sub> для получения кислоты. Литчфилд** (Experience with liquid sulphur dioxide in acid making. Litchfield R. D.), Pulp and Paper Mag. Canada, 1954, 55, № 3, 247—252 (англ.)

Изложены преимущества применения жидкого SO<sub>2</sub> по сравнению с получением к-ты сжиганием серы.

Э. Т.

**52975. К вопросу о введении производства полуцеллюлозы. II. Регенерация химических реагентов при обработке целлюлозы сульфитом натрия. Кубелка, Гойнош** (Příspevek k zavedení výroby polobuněkiny. II. Regenerace chemikálií při výrobě neutrálním siričitanem sodným. Kubelka V., Hojnos J.), Papír a celula, 1956, 11, № 11, 233—235 (чешск.)

При произ-ве полуцеллюлозы необходима регенерация хим. реагентов, содержащихся в сульфитном щелоке (III), до получения Na<sub>2</sub>SO<sub>3</sub>. Успех регенерации в значительной степени зависит от концентрации Ц, поэтому необходимо правильно организовать промывку целлюлозы с рециркуляцией Ц, а также использовать при варке наименьшее кол-во хим. реагентов. Регенерация ведется в восстановительной атмосфере, как это обычно происходит в регенерационных сульфитных установках. Полученный р-р обрабатывают SO<sub>2</sub>, в результате чего Na<sub>2</sub>CO<sub>3</sub> и Na<sub>2</sub>S переходят в Na<sub>2</sub>SO<sub>3</sub>, используемый снова при варке целлюлозы. Регенерация сжигания в избытке воздуха нецелесообразна, так как Na<sub>2</sub>SO<sub>4</sub> очень трудно восстанавливается в сульфит. Сжигание Ц с точно рассчитанным кол-вом воздуха невозможно, так как Na<sub>2</sub>SO<sub>3</sub> при т-ре выше 400° разлагается. Часть I см. РЖХим, 1957, 42952. М. Адамс

**52976. О повышении эффективности использования вещества древесины при производстве целлюлозы сульфатным способом. Соколова А. А., Богомолов Б. Д.** В сб.: Материалы совещания по проблемам пром. использования отходов древесины. М., АН СССР, 1956, 123—130

Из отходов сульфатноцеллюлозного произ-ва получают: очищ. сульфатный скипидар, одорантсульфат, хозяйственное мыло и щел. лигнин. Последний можно использовать для получения дубителей, ванилина, органич. к-т, пластмасс и в качестве активного наполнителя резины.

А. Хованская  
**52977. Сульфатная варка с большим расходом щелока. Симкин Г. Э.** (Fierberea sulfat cu un consum mare de alcalii. Simchin G. E.), Ind. lemn. celuloză și hirt., 1954, № 9, 350—352 (рум.)

Перевод. См. РЖХим, 1956, 8348.

**52978. Реология сваренной древесины. I. Введение и обсуждение. II. Влияние температуры. Стоун** (The rheology of cooked wood. I. Introduction and discussion. II. Effect of temperature. Stone I. E.), Tappi, 1955, 38, № 8, 449—451, 452—451 (англ.)

Часть I. В результате морфологич. исследований древесных клеток (в процессе варки) установлено, что

сопротивление клеточных стенок обуславливает сопротивление компонентов древесины растворению. Обсуждена зависимость между степенью провара щепы и механич. энергией, затрачиваемой на процесс распада древесины на волокна.

Часть II. Высушенную древесину желтой березы погружали в масляную среду и нагревали до 205° и набухшую в воде древесину помещали в р-р  $\text{NaHCO}_3$  и нагревали до 185°. Микроскопич. исследованиями установлено, что в древесине при обработке в масле при  $t \sim 20$  начинается разрушение вторичной стенки клеток, в то время как срединная пластинка между клетками разрушается лишь при 205°. В водн. среде очень сильно фибриллируется внешняя поверхность клеток. При 120° разрушения поверхности клеток значительны.

М. Белецкая  
52979. Получение нейтральной сульфитной целлюлозы. II. Влияние изменения расхода хим. реагентов. Финдлей, Нолан (Neutral sulfite semichemical pulping II. Effect of variables on chemical consumption. Findley Marshall E., Nolan W. J.), Paper Ind., 1956, 38, № 5, 384—385 (англ.)

Рекомендуется использовать в процессе варки щелок с начальной конц-ией  $\text{Na}_2\text{SO}_3 \sim 20 \text{ г/л}$  (в переводе на  $\text{Na}_2\text{O}$ ). В случае более низкой конц-ии щелока необходимо учитывать дополнительные затраты на регенерацию хим. реагентов из щелоков. Л. Михеева

52980. Сравнение процессов варки древесины. Мак-Кее Ральф Н. (Comparison of wood pulping processes. McKee R. H.), Pulp and Paper Mag. Canada, 1954, 55, № 2, 64—66 (англ.)

Сопоставлены гидротропный и сульфатный способы варки древесины. Э. Т.

52981. Отбелка древесной массы. Янковский (Bleaching of Groundwood Pulps. Yankowski Anthony A.), Paper Ind. 1955, 36, № 10, 1006—1007 (англ.)

Для перекисной отбелки (рН 10—10,5, общая щелочность 1,2—1,9%  $\text{NaOH}$  от сухого веса массы) применяются различные комбинации перекисей  $\text{Na}_2\text{O}_2$  и  $\text{H}_2\text{O}_2$  с добавкой  $\text{MgSO}_4$ , в качестве антикатализатора и силикат  $\text{Na}$ , в качестве стабилизатора  $\text{H}_2\text{O}_2$  и для образования антикоррозионного слоя на металл. частях аппаратуры. Во время отбелки гипохлоритом  $\text{Ca}$  постепенно добавляют  $\text{NaOH}$  для поддержания рН 9—11. После расхода всего активного хлора (20—25 мин. при 38°) массу промывают и подкисляют до рН 5,5—5,5 при помощи  $\text{SO}_2$  для предупреждения ее потемнения. В отдельных случаях промывают водой. Отбелка гидросульфитом  $\text{Zn}$  производится при рН 5,0—6,5. Повышение конц-ии гидросульфита выше 1% нецелесообразно, так как не дает заметного повышения белизны. Гипохлоритная отбелка очень эффективна для лиственных пород, напр. для древесины тополя; перекисная для еловой древесины. Гидросульфит цинка белил все виды древесины, но достигаемая белизна меньше, чем при других видах отбелки. При гипохлоритной отбелке потери доходят до 2,5%, при перекисной и гидросульфитной они меньше 1%. Е. Каверзнева

52982. Хлорирование целлюлозной массы. Чандра (Chlorination of pulp. Chandra Pratar), Indian Pulp and Paper, 1956, 11, № 4, 200—203 (англ.)

При хлорировании целлюлозной массы протекают следующие процессы: растворение инкрустирующих в-в; разложение окрашенных в-в; окисление инкрустирующих в-в после их отделения от целлюлозного материала и окисление целлюлозы. В свете перечисленных р-ций автор разбирает хлорирование сульфитной и сульфатной целлюлозы. Ю. Вендельштейн

52983. Влияние рН на процесс отбелки целлюлозы. Рамсон (The role of pH in bleaching pulp. Ramson W. Howard), Tappi, 1956, 39, № 5, 284—295 (англ.)

Приведены результаты опытов по отбелке частично отбеленной сульфитной и сульфатной целлюлозы  $\text{Cl}_2$ ,  $\text{ClO}_2$ , хлоритом  $\text{Na}$ ,  $\text{H}_2\text{O}_2$ ,  $\text{CH}_3\text{COOH}$  и кривые, позволяющие выбрать оптимальную величину рН для получения целлюлозы требуемой характеристики.

Л. Михеева  
52984. Изменение цвета крафтцеллюлозы. Мэрум (Color reversion of kraft pulp. Marum E. B.), Tappi, 1956, 39, № 6, 390—394 (англ.)

Пожелтение белевой целлюлозы (Ц) при сушке и хранении происходит в тех случаях, когда она перебелена  $\text{NaClO}$  (I). Ц предварительно отбеленная  $\text{ClO}_2$  с промежуточным экстрагированием  $\text{NaOH}$  при рН = 4,6—4,8, отличалась довольно стабильным цветом. При обработке ее I, содержащим 1% активного  $\text{Cl}$ , максим. пожелтение наблюдалось при рН = 8,9, миним. при рН 9,5. Крафтцеллюлоза, обработанная хлором,  $\text{NaOH}$  и I, отбеливалась I при 35° и рН 1,8—11,3. Максим. пожелтение было при рН 6,8 и кол-ве активного  $\text{Cl}$  1,5%, миним. при рН 9,5 и 1,0% активного  $\text{Cl}$ . При обработке I, содержащим 1% активного  $\text{Cl}$ , хлопка и  $\alpha$ -Ц предварительно отбеленных  $\text{ClO}_2$ , при разных рН не замечалось изменения цвета. Показано, что наиболее эффективное удаление в-в, вызывающих пожелтение Ц происходит при применении щел. экстрагирования между двумя ступенями обработки  $\text{ClO}_2$ . Найдено, что изменение цвета усиливается при увеличении  $\text{CuZ}$  и содержания  $\beta$ - и  $\gamma$ -Ц. А. Сафьян

52985. Определение морфологической и химической однородности целлюлозных волокон. Милов Б. Г., Витовтова М. И., Научн. тр. Центр. н.-и. ин-т целлюлозн. и бум. пром-сти, 1956, вып. 41, 123—134

С помощью поляризационного микроскопа разработана шкала интерференционной окраски набухающих в р-рителе целлюлозных волокон (Ц), по которой можно судить о степени морфологич. и хим. (со содержание лигнина) однородности волокон, зависящей от хим. состава, плотности в-ва и толщины слоя клеточных стенок, и с помощью которой получают единую характеристику волокон Ц. Графич. выражение полученных величин дает кривую распределения лигнина между группами волокон. Хим. однородность волокон Ц можно характеризовать средними размерами в перечнике линейного набухания волокон в р-рителе, как признаком сжатия структуры мол. остовца Ц, которое повышается по мере удаления спутников Ц. Установлена закономерная связь между величиной набухания волокон в р-рителе и степенью делигнификации Ц и вязкостью ее р-ров. Ю. Вендельштейн

52986. Тонкая структура целлюлозы и других микрофибриллярных веществ. Балашов, Престон (Fine structure of Cellulose and other microfibrillar substances. V. Balashov, R. D. Preston), Nature 1956, 176, 64 (англ.)

Исследована структура целлюлозы водоросли *Valonia* электронографич. методом. Н. Майя

52987. Исследование целлюлозы в электронном микроскопе. I. Электронный микроскоп. Радо II. Тонкая структура элементов клеточной целлюлозы. Лендье, Берло, Радо (Elektronmikroskopische cellulózvizsgálatok. I. rész. Az elektronmikroszkop. Radó Felicia. II. rész. A szilmacellulóz sejtelemeinek finomszerkezete. Lengyel Pal, Barla Endrene, Radó Felicia), Papír-és nyomdandhn., 1956, 8, № 4, 122—124; № 5, 149—156 (венг.)

52988. Пиролиз целлюлозы под вакуумом. Мадорский, Страус, Харт (Pyrolysis of cellulose

in a vacuum. Madorsky S. L., Hart V. E., Straus S.), J. Res. Nat. Bur. Standards, 1956, 56, № 6, 343—354 (англ.)

Изучался пиролиз образцов хлопка, хлопковой гидроцеллюлозы и вискозного шелка, без пропитки и с пропиткой  $\text{Na}_2\text{CO}_3$  или  $\text{NaCl}$ , при 250—397° под высоким вакуумом. Летучие фракции состояли в основном из  $\text{CO}$ ,  $\text{CO}_2$ , воды и левоглюкозана (деготь), остаток — уголь. Целлюлозные материалы, пропитанные солями, давали пониженные выходы дегтя и увеличенные кол-ва  $\text{CO}$ ,  $\text{CO}_2$ ,  $\text{H}_2\text{O}$  и угля. Пиролиз вискозного шелка протекает с большей скоростью, чем пиролиз хлопка и гидратцеллюлозы. Выход левоглюкозана при пиролизе вискозного шелка ниже, а  $\text{CO}_2$ ,  $\text{CO}$  и  $\text{H}_2\text{O}$  выше, чем при пиролизе хлопка и гидратцеллюлозы. Энергия активации термич. разложения чистых целлюлозных материалов весьма больше, чем таковая для тех же материалов, импрегнированных  $\text{Na}_2\text{CO}_3$  или  $\text{NaCl}$ . Приведен возможный механизм пиролиза целлюлозы.

М. Чудаков

**52989. Получение эфиров целлюлозы и фталевой кислоты. Малм, Менч, Фулкерсон, Хайатт** (Preparation of phthalic acid esters of cellulose. Cellulose derivatives. Malm C. J., Mench J. W., Fulkerson Brazelton, Hiatt G. D.), Industr. and Engng Chem., 1957, 49, № 1, 84—88 (англ.)

Описано получение фталатов этилцеллюлозы (ЭЦ) и ацетилцеллюлозы (АЦ) в среде  $\text{CH}_3\text{COOH}$  и в присутствии  $\text{CH}_3\text{COONa}$  (в отсутствие пиридина). Приведены результаты исследования влияния т-ры, времени, изменения кол-ва и соотношений загруженного фталевого ангидрида,  $\text{CH}_3\text{COONa}$  и  $\text{CH}_3\text{COOH}$  и содержания воды в реакционной среде на содержание фталила в получаемых смешанных производных целлюлозы. Скорость введения фталила в ЭЦ и АЦ повышается с увеличением т-ры, но конечное содержание фталила в продукте с повышением т-ры > 60° падает. Приведена диаграмма растворимости фталатов АЦ с различным содержанием ацетила и фталила в 1,5%-ном р-ре  $\text{NaHCO}_3$ , показывающая, что для растворимости образцов с низким содержанием свободных OH-групп требуется высокое содержание фталила, в то время как образцы, с низкой суммарной степенью замещения при малом кол-ве фталатных групп образуют растворимые в воде Na-соли. Ю. Вендельштейн

**52990. Метилирование вторичного ацетата целлюлозы диазометаном. Ребенфельд, Пачу** (Methylation of secondary cellulose acetate with diazomethane. Rebenfeld L., Pascu E.), J. Polymer Sci., 1956, 21, № 98, 273—277. (англ.; рез. франц., нем.)

Изучался процесс метилирования диазометаном свободных гидроксильных групп вторичного ацетата целлюлозы (I) (39,2% ацетильных групп). Установлено, что при метилировании I диазометаном в присутствии незначительного кол-ва воды наряду с р-цией метилирования протекает деацетилирование I. Степень деацетилирования и метилирования зависят от содержания влаги в I и от времени р-ции. Так, при метилировании I с влажностью 100, 65 и 0% в течение 8 час. содержание метоксильных групп составляло 5,72, 1,46, 1,14 соответственно. При влажности исходной I 100% содержание ацетильных групп после метилирования падало до 25,7%. Предложен возможный механизм р-ции деацетилирования. М. Чудаков

**52991. Исследование распределения заместителей в оксигетилцеллюлозе. Крун, Линдберг** (An investigation of the distribution of substituents in hydroxyethylcellulose. Croon Ingemar, Lindberg Bengt), Svensk papperstidn., 1956, 59, № 22, 794—799 (англ.; рез. шведск., нем.)

Изучалось распределение заместителей в оксигетил-

целлюлозе, содержащей 0,60 оксигетильных группы на глюкозный остаток путем гидролиза до эфиров глюкозы и фракционирования их на угольной колонне. Были выделены и охарактеризованы глюкоза, три монозамещ. и шесть двузамещ. эфиров глюкозы. Относительное кол-во полученных различных производных глюкозы хорошо совпадало со значениями, вычисленными, исходя из предположения о равной доступности для этерификации всех глюкозных остатков и из отношения констант скоростей р-ции этерификации гидроксильных групп, расположенных у  $\text{C}_2$ ,  $\text{C}_3$ ,  $\text{C}_6$  и оксигетильной группы, равного 3 : 1 : 10 : 20. Около 25% введенной окиси этилена реагировало с оксигетильными группами целлюлозы, образуя полиэтиленоксидные цепи.

М. Чудаков

**52992. Окисление черного щелока. Венемарк** (Om oxidation av svartlut. Venemark E.), Svensk papperstidn., 1956, 59, № 18, 629—640 (шведск., рез. англ., нем.)

Опыты вели со щелоками от хвойной и от лиственной сульфитной целлюлозы с содержанием 10,45—11,4 е/а  $\text{Na}_2\text{S}$ . Окисление производилось технич.  $\text{O}_2$  при т-рах 60—90°. При окислении основной части  $\text{Na}_2\text{S}$  расход  $\text{O}_2$  значительно превышает теоретич. кол-во, нужное для образования  $\text{Na}_2\text{S}_2\text{O}_3$ . При дальнейшем окислении щелока поглощение  $\text{O}_2$  доходит до 210—230% от теоретич. Установлено, что окисление не ограничивается образованием только  $\text{Na}_2\text{S}_2\text{O}_3$ . Интенсивность действия  $\text{O}_2$  при кол-вах  $\text{Na}_2\text{S}$  до 2 е/а не зависит от конц-ии  $\text{Na}_2\text{S}$ .

М. Нагорский

**52993. Сульфитный отработанный щелок. V. Равновесное распределение ионов аммония и других ионов между катионообменной смолой и водными растворами. Фелисетта, Маркем, Мак-Карти** (Sulphite spent liquor. V. Equilibrium distribution of ammonium and other ions between cation exchange resins and aqueous solutions. Felicetta V. F., Markham A. E., McCarthy Joseph L.), Tappi, 1954, 37, № 10, 431—436 (англ.)

Часть IV см. РЖХим, 1957, 42964.

**52994. Выпарной аппарат с термокомпрессией для отработанных сульфитных щелоков. Крейг, Эдджи, Расселл** (A thermal compression evaporator for spent sulphite liquor. Craig D., Elgee H., Russell J. K.), Pulp and Paper Mag. Canada, 1954, 55, № 5, 97—102 (англ.)

**52995. Программное регулирование температуры варочных котлов. Балмасов Е. Я., Бум. пром-сть, 1956, № 10, 5—9**

Рекомендуется совершенствовать оборудование и технологич. процессы (в данном случае введением устройств для принудительной циркуляции щелока, осуществлением непрерывной варки и т. д.), применять современные средства и методы автоматич. контроля и регулирования процессов, решать задачу комплексно для целых цехов и э-дов. Проведены схемы подключения программного регулятора т-ры и автоматич. управления компрессором. А. Хованский

**52996. Применение неметаллических химически стойких материалов в оборудовании сульфитно-целлюлозного производства. Горянинова А. В., Бум. пром-сть, 1957, № 1, 22—25**

Рекомендуется применение винилпласта, фюлита, асбонивала, непрочладемого графата, спец. стала отечественных марок, футеровки кислотоупорным кирпичом на диабазовой замазке с подслоем из полиизобутилена, и др. А. Х.

**52997. Испытание метода для определения полноты удаления примесей из целлюлозы. Николсон** (A suggested test method for the determination of the efficiency of reject removal. Nicholson Geor-



ge B., Jr), Tappi, 1954, 37, № 1, A150 — A155 (англ.)

52998. Определение карбоксильных групп в целлюлозах с помощью комплексонов. Дёринг (Carboxylgruppenbestimmungen in Zellstoffen mit Komplexon. Doering Helmut), Das Papier, 1956, 10, № 7—8, 140—141 (нем.; рез. англ., франц.)

Целлюлозу (I), освобожденную HCl-к-той от металлов, обрабатывают ацетатом Zn (II), определяя связанный карбоксилатами Zn титрованием комплексоном (двухнатровой солью этилендиаминтетрауксусной к-ты (III)) до и после воздействия на I. 5 г грубо измельченной I суспендируют в смесителе в 200 мл 0,1—0,2 н. HCl и оставляют суспензию на 2 часа, изредка взбалтывая, затем отсасывают, тщательно промывают водой и сушат при 30—40° в течение ночи. К 1 г обеззоленной I (влажность определяют отдельно) прибавляют 50 мл р-ра II (2,1 г  $Zn(C_2H_3O_2)_2 \cdot 2H_2O$  растворяют в 1 л прокипяченной дистил. воды; 25 мл р-ра титруют р-ром III, приготовление которого указано ниже), плотно закрывают пробкой, и периодически взбалтывая, оставляют на 2 часа или на ночь, кашку I отсасывают, к 25 мл фильтрата добавляют 2 мл буферного р-ра (54 г  $NH_4Cl$  растворяют в воде, прибавляют 350 мл 25%-ного р-ра  $NH_3$  и доводят до 1 л), прибавляют твердый индикатор (2,5-эриохромчерного смешивают с 1 г метилового красного, 1 г смеси растирают с 200 г NaCl) до появления устойчивого красного окрашивания и титруют 0,01 н. III (1,861 г III растворяют в воде и доводят до 1 л) до перехода цвета индикатора в яркий-зеленый (через коричневый). Следует применять чистейшую дистил. воду. Метод прост, нечувствителен к  $CO_2$ , с отчетливым концом титрования. Приведена таблица сравнительного определения  $COOH$  по описанному методу и по методу Вильсона.

Ю. Вендельштейн  
52999. Методы определения слабых и сильных кислотных групп в различных препаратах лигнина и целлюлозах. Экман, Энквист (Some determinations of weak and strong acidic groups in various lignin preparations and pulps. Ekman Kurt, Enkvist Terje), Papperi ja Puu, 1955, 37, № 8, 369—377, 382 (англ.)

53000. Характеристика целлюлозы вискозиметрическим методом. Славик (Charakterizovanie celulózy viskozimetrickou metódou. Slávik Jvan), Chem. zvesti, 1956, 10, № 7, 460—467 (словацк.; рез. русск., нем.)

Метод определения вязкости целлюлозы (I) в медно-аммиачном р-ре при конц-ии I 10 г/л не позволяет характеризовать степень полимеризации и полидисперсности I. Предлагается р-р I в медно-аммиачном р-ре с конц-ией 10 г/л разбавлять до конц-ии 0,5—1,0 г/л и определять вязкость полученного р-ра в вискозиметре. При этом пользуются ур-нием Филиппа, которое для р-ров с конц-ией 10,0 и 0,5 г/л имеет следующий вид:

$$\eta_s = \lg \eta_{\text{отн}}' / \lg (1 + [\sqrt{\eta_{\text{отн}}'}]^{20})$$

где  $\eta_{\text{отн}}'$  — относительная вязкость при максим. конц-ии р-ра,  $\eta_{\text{отн}}$  — относительная вязкость при миним. конц-ии р-ра. Значение  $\eta_s$  выражает приблизительно полидисперсность целлюлозы.  $\eta_s$  в случае низкой степени полидисперсности I < 7, в случае высокой степени полидисперсности I > 8. Метод может быть использован для ориентировочного определения степени полидисперсности I или цел. I путем определения вязкости медно-аммиачного или вискозного р-ров, а также для характеристики производственных вискозных р-ров.

В. Деревницкая  
53001. Вопросы автоматизации и контроля работы бумагоделательной машины. Штенанек (Otázky řešení automatizace výrobní linky papírenského stroje.

Štěpánek Jiří), Papír a celuloza, 1956, 11, № 7, 157—161 (чеш.; рез. русск., нем., англ.)

53002. Некоторые опыты по комбинированному размолу волокна для тонкой и мягкой бумаги в роллах и гидрораббывателях. Поллак (Některé zkušenosti s kombinovaným mletím tenkých a jemných grafických papírů na holandrech a hydrofinerech. Pollak Josef), Papír a celuloza, 1955, 10, № 9, 176—180 (чешск.; рез. русск.)

53003. Прогресс в производстве бумаги из органических и неорганических синтетических волокон. Ариедтер (New developments in the manufacture of organic and inorganic synthetic fiber paper. Ariedter Hanns F.), Tappi, 1956, 39, № 5, 299—303 (англ.)

Обзор. Библ. 7 назв.

Э. Т.

53004. Переработка и применение бумаги. Части 3, 4. Бумаги с бронзовой фольгой и их применение. Деи (Paper conversion and usage. No. 63. Parts 3, 4. Coated bronze foil papers and their uses. Day Frederick T.), World's Paper Trade Rev., 1955, 143, № 10, 808, 810 (англ.)

Описан процесс покрытия металл. порошками с предварительным нанесением связующих и облицовки бумаги (или картона) алюминиевой фольгой. Часть 2 см. РЖХим, 1957, 10053.

М. Белецкая

53005. Упаковочная бумага с применением сарана. Рейтер (Saranové obaly. Reiter Radovan), Papír a celuloza, 1956, 11, № 6, 127—130 (чешск.)

53006. О содержании невымываемых азотистых веществ в сортах бумаги для хроматографии. Штро (Untersuchungen über den Gehalt an nicht auswaschbaren N-Substanzen in Papiersorten für die Papierchromatographie. Stroh H.-H.), Pharmazie, 1956, 11, № 7, 473—475 (нем.)

В необработанных бумагах Ватман 4 (В), Шлейхер и Шюль (Ш), Эльфор (Э) содержание азота (I) колеблется соответственно в пределах 14—20 мг/100 г, 10—17 мг/100 г и 53—57 мг/100 г. После обработки р-рами NaOH, HCl,  $NaHCO_3$ ,  $CH_3COOH$ , метанолом и т. п. содержание I в образцах В и Ш практически не меняется и значительно понижается в Э; наилучшие результаты дает промывка 0,5 н. NaOH в течение 24 час., понижающая содержание I до 11—15 мг/100 г в Э. Невымываемые в-ва, по-видимому, являются белками, прочно связанными с целлюлозой.

Ю. Вендельштейн

53007. Свойства латексной пленки для бумаг, наполненной инертными пигментами. Осборн, Шатава, Антлфингер (Properties of latex films loaded with inert pigments. Osborne E. B., Satawa R. D., Antliffinger G. J.), Tappi, 1956, 39, № 1, 47—51 (англ.)

53008. Получение стабильных суспензий из экстракционной канифоли для проклейки бумаги. Малешков (Получаване на стабилни суспензии от екстракционен колофон, Малешков Здр.), Техника (Бълг.), 1956, 5, № 3, 36—38 (болг.)

53009. Оценка полиакрилатов, используемых для поверхностных покрытий бумаги, путем изучения свободных пленок. Мак-Лаughлин (Evaluation of acrylic binders for paper coating pigments by study of free films. McLaughlin P. J.), Pulp and Paper Mag. Canada, 1955, 56, № 7, 134; Tappi, 1955, 38, № 5, 309—312 (англ.)

53010. Гуаровая камедь в качестве добавки в роллах. Кушинг (Quar gum as dry beater additive. Cushing M. L.), Tappi, 1955, 38, № 7, A113—A114 (англ.)

При добавлении в бумажную массу (до ее размола или рафинирования) природной камеди гуар получают более «адкую», лучше обезвоживающуюся бумажную массу, обеспечивающую повышение плотности, сниже-

ние пористости и улучшение механич. прочности (сопротивление разрыву, излому и продавливанию) полотна бумаги.

М. Белецкая  
53011. Новый вид клея для бумажного производства. Ведерников В. Г., Бум. пром-сть, 1957, № 1, 25—26

Сырьем для получения клея (К) служит талловый пек (остаток после вакуум-перегонки сырого таллового масла). В зависимости от сорта т-ра размягчения пека 53—55° и 70°; кислотное число 33 и 20; число омыления (в г  $\text{Na}_2\text{CO}_3$  на 100 г) 7 и 6, смоляных к-т 15% и 12%, неомыляемых 37% и 42%. Основные показатели таллового плавленого К следующие: содержание (в %) общей соды  $\leq 11$ ; воды по Дину и Старку  $\leq 5$  (ГОСТ 2477—44); т-ра размягчения  $\geq 70$  (ОСТ 7872—39). Этот К является полноценным заменителем канифоли при проклейке картона, изоплит и темных сортов бумаги.

А. Хованская  
53012. Транспортирование покровных эмульсий для мелованых бумаг. Карвер, Фут (How to handle coating clay slurries, Carver Marlin E., Foote William J.), South. Pulp and Paper Manufacturer, 1955, 18, № 8, 35, 36, 38 (англ.)

Описано устройство для транспортирования и подачи покровных эмульсий.

К. Ц.  
53013. Новейшие технологические схемы и оборудование для крупных предприятий тарного картона и упаковочной бумаги. Цветков И. Д. В сб.: Материалы совещания по проблемам пром. использования отходов древесины. М., АН СССР, 1956, 154—162

53014. Картоны. Комплекс картон-пластик. Ланез (Les cartons, le complexe carton-plastique. Lanéze), Mém. Soc. ingrs civils France, 1955, 108, № 2, 83—90 (франц.)

Рассмотрены различные виды картонной упаковки и методы повышения их хим. и мех. стойкости с помощью высокополимеров, в частности покрытие пленками. Изложены технич. требования, предъявляемые к материалам, применяемым для упаковки пищевых продуктов. Указаны инсектицидные и фунгицидные средства для упаковочных материалов.

Л. Песин  
53015. О некоторых характеристиках серого картона (II). Видерман (Despre unele caracteristici ale masei de carton cenușii și factorii care le influențează (II). Wiedermann A.), Ind. lemn. celul. și hirt., 1955, 4, № 9, 351—356 (рум.; рез. русск.)

Часть I см. РЖХим, 1956, 37827.  
53016. Теоретические основы технологии переработки древесных отходов на картон и древесноволокнистые плиты. Солечник Н. Я. В сб.: Материалы совещания по проблемам пром. использования отходов древесины. М., АН СССР, 1956, 138—147

Экспериментально подтверждено, что: 1) способность целлюлозы (Ц) к размолу зависит от ее упруго-вязких свойств, связанных с длиной ее макромолекул, 2) решающим фактором в процессе пропарки Ц, кроме т-ры и продолжительности обработки, является активная кислотность среды, которая различна у хвойных и лиственных пород древесины. В соответствии с теорией и технологией процесса термич. обработки (закалки) плит, гидрофильные свойства древесины обусловлены наличием в неориентированных участках Ц, а также в гемцеллюлозах и в лигнине огромного кол-ва гидроксильных, обладающих способностью поглощать воду из воздуха (пара) и капельно-жидкую воду при погружении в нее древесины.

А. Хованская  
53017. Использование древесных отходов методом дефибрирования. Хлебников А. А. В сб.: Материалы совещания по проблемам пром. использования отходов древесины. М., АН СССР, 1956, 131—137

Приведена и описана схема очистного и обезвоживающего оборудования с указанием его параметров. Древесную массу можно использовать в произ-ве древесноволокнистых плит (включая паркет и конструкционные плиты), а также для различного вида тарных и строительных картонов.

А. Хованская  
53018. Применение смол из суммарных фенолов в качестве связующих. Шорыгина Н. В., Отливанчик А. Н., Деревообработ. пром-сть, 1957, № 2, 15—16

В качестве связующих при произ-ве древесностружечных древесноволокнистых плит применены водно-эмульсионные смолы марки ФГ-2, полученные из суммарных фенолов Шекинского з-да. Указанные смолы содержат (в %) 50—70 сухого остатка, 5—12 свободного фенола и 4—6 свободного формальдегида.

А. Х.  
53019. Влияние размера и формы частиц на прочность и неизменяемость размеров у плиток из древесных частиц со смоляным связующим. Тернер (Effect of particle size and shape on strength and dimensional stability of resin-bonded wood-particle panels. Turner H. Dale), J. Forest Prod. Res. Soc., 1954, 4, № 5, 210—223 (англ.)

Проведены опыты по получению прочных древесных плит (ДП) из отходов деревообрабатывающей пром-сти. В качестве связующего применяли фенольную смолу (2—4—8% на сухой вес ДП), которую вводили в виде водн. суспензии путем обрызгивания стружек с последующей сушкой при 50°. Образцы с влажностью  $\leq 10\%$  прессовали при 160° в течение 15 мин. под давл. 17,5—35—70 кг/см<sup>2</sup>.

И. Рез  
53020. О влиянии термообработки при производстве древесноволокнистых плит. Клаудитц, Штегман (Beitrag zur Kenntnis des Ablaufes und der Wirkung thermischer Reaktionen bei der Bildung von Holzwerkstoffen. Klauditz Wilhelm, Stegmann Günther), Holz Roh- und Werkstoff, 1955, 13, № 11, 434—440 (нем.)

53021. Сжатие волокон в листах целлюлозы. Иварсон (Compression of cellulose fiber sheets. Ivarsson Bertil W.), Tappi, 1956, 39, № 2, 97—104 (англ.)

Для изучения динамики сжатия волокон целлюлозного листа сконструирован новый прибор. Основную деталь прибора представляет стальная пластина, к которой испытуемый образец прижимается с помощью съемной, измерительной пластины. Создаваемое давление изменяется от 0 до 400 кг/см<sup>2</sup>. Испытания прибора показали хорошую воспроизводимость измерений и установили влияние различных условий определения на результаты испытаний. Сжимаемость образца зависит от степени разработки волокон и содержания влаги в целлюлозе. При влажности пробы, превышающей 30% (точка насыщения волокна влагой), величина сжатия остается постоянной. Таким образом, реологич. изменения в бумаге (картоне) могут наблюдаться только в тех пределах, когда происходит адсорбция влаги волокном, по достижении насыщения волокна влагой, при дальнейшем повышении влажности его реологич. свойства не изменяются, но зависят от предварительных обработок целлюлозы.

М. Белецкая  
53022. Бетаметр на мокром конце бумажной машины. Петижан (Beta gauges at the wet end. Petitjean A. L.), Paper Ind., 1956, 38, № 8, 674—676 (англ.)

Установка бетаметра в мокрой части бумажной машины позволяет непрерывно контролировать работу мокрых прессов и отсасывающих ящиков. Установка его после мокрых прессов и после сушильной части машины по дифференциальной схеме открывает новые возможности в отношении контроля за работой сушильной части машины.

С. Иванов

**53023. Прибор Чапмана для определения печатной гладкости бумаги. III. Чертеж и применение прибора с непосредственным отчетом. Обеншейн** (The chapman printing smoothness tester. III. Design and use of a direct reading tester. Obenshain D. Noel), Tappi, 1955, 38, № 2, 105—114 (англ.) Часть II см. РЖХим, 1956, 59919.

**53024. Новый простой метод определения жиронепроницаемости. Трöger** (Eine neue, einfache Methode zur Bestimmung der Fettdichtigkeit. Tröger Horst), Zellstoff und Papier, 1956, 5, № 3, 62—64 (нем.)

На прямоугольник бумаги размером  $4 \times 25$  см наносит 0,2 мл диэтилового эфира фталевой к-ты, окрашенного малахитовым зеленым, и кладут на нее стеклянную пластинку такого же размера и груз в 1000 г. Через 24 часа подсчитывают на лежащей внизу контрольной бумаге точки проникновения. В качестве быстрой пробы может быть применена обработка спиртовым р-ром фуксинна. В. Высотская

**53025 К. Химия древесины и целлюлозы. Никитин В. М.** Перев. с русск. (Chémia dreva a celulózy. Nikitin V. M. Překl. z rus. Bratislava, SVTL, 1956, 396 s., ил., 30.40 Kčs) (словацк.)

**53026 К. Химико-технический контроль лесохимических производств (Учебник для техникумов). Сумароков В. П., Гордон Л. В. М.—Л.**, Гослесбумиздат, 1956, 258 стр., илл., 6 р. 95 к.

**53027 К. Справочник бумажника (технолога) [В 3 т.]. Т. 2. Кн. 1. Ред. Алексеев А. А. М.—Л.**, Гослесбумиздат, 1956, 459 стр., илл., 23 р. 95 к.

**53028 К. Справочник бумажника (технолога) [В 3 т.]. Т. 2. Кн. 2. Ред. Алексеев А. А., Пузырев С. А. М.—Л.**, Гослесбумиздат, 1957, 434 стр., илл., 20 р. 95 к.

**53029 П. Способ ображивания сахарных растров, содержащих уксусную кислоту. Карл** (Vorrichtung zum Verhüten der Schaumbildung beim Destillieren alkoholhaltiger Maischen. Carl Jacob), Пат. ФРГ 945383, 5.07.56

При ображивании сахарных р-ров бактериями для получения бутанола и ацетона, ограничивают содержание уксусной к-ты (I) в сусле 5 г/л отгонкой с водяным паром, получением нерастворимых солей или разбавлением сусла субстратом, не содержащим I. Пример 1. 100 л сульфитных щелоков с содержанием I 15 г/л при pH 3,5 нагревают барботажным паром до 90° и продувают воздухом 4 часа при той же т-ре. Содержание I снижают до 2,5 г/л. Доводят pH до 7,5 добавлением  $\text{Ca}(\text{OH})_2$  и  $\text{CaCO}_3$ , фильтруют или декантируют и охлаждают до 36°. В этих условиях после 44 час. брожения выход р-рителей составляет 38% по отношению к редуцирующим сахарам, т. е. из 100 кг редуцирующих сахаров — 22,7 кг бутанола, 11,4 кг ацетона и 3,9 кг этанола. Пример 2. К 1000 л сульфитных щелоков, содержащих 10 г/л I и 40 г/л редуцирующих сахаров, добавляют 1000 л воды и 55 кг патоки, содержащей 50% сахара. Этим снижают содержание I до 4,9 г/л. Дальнейшая обработка аналогична примеру 1. Выход р-рителей, составляет 39,4%, т. е. из 100 кг редуцирующих сахаров, 14,6 кг бутанола, 9,3 кг ацетона и 2,7 кг этанола. Г. Опмян

**53030 П. Способ и приспособление для обработки и дезинфекции старых деревьев (Procédé et dispositif pour le traitement et la désinfection des vieux bois)** [Pest Control Co]. Франц. пат. 1100082, 15.09.55 [Chimie et industrie, 1956, 76, № 3, 499 (франц.)] Прибор, через который проводят жидкость, предназначенную для обработки дерева (ЖОД), вставляя в отверстие, сообщающееся с каналами, продельанными

насекомыми, и (или) с сосудами дерева; к прибору присоединяют фитиль, погруженный в ЖОД, причем уровень ЖОД расположен выше отверстия, через которое ее вводят. Ю. Вендельштейн

**53031 П. Способ предотвращения вспенивания при загрузке варочных котлов сульфатцеллюлозного производства. Таркконен** (Verfahren zur Verhinderung des Schäumens bei der Beschickung von Sulfatzellstoffkochen. Tarkkonen Oma) [Fa. Sunila Osakeyhtiö Oma Tarkkonen]. Пат. ФРГ 944044, 7.06.56

Подача черного щелока (ЧЩ) под давлением одновременно и вместе со стружкой через спец. загрузочный аппарат любой конструкции (пропитывание стружки) в варочный котел, с последующей подачей в него белого щелока, совершенно устраняет вспенивание и сохраняет тепло, содержащееся в ЧЩ, что приводит в экономии пара до 25% и более. Подача стружки и ЧЩ через загрузочный аппарат обеспечивает равномерное пропитывание стружки и, вследствие этого, однородные результаты варки. Одновременную подачу стружки и ЧЩ через загрузочный аппарат осуществляют расчетом времени подачи ЧЩ или отмериванием его любым способом. Ю. Вендельштейн

**53032 П. Целлюлозная масса из материалов, содержащих сердцевину. Фицпатрик** (Paper pulp from pith containing materials. Fitzpatrick B. C.). Австрал. пат. 150320, 5.03.53

Волокнистый растительный материал, содержащий сердцевину, варят (без деструкции) с горючим водн. щелоком, в который NaOH вводят с такой скоростью, чтобы общее кол-во активного NaOH в варочном котле никогда не превышало конц-ии 0,06% от веса варочной жидкости или 0,5% от веса первоначально загруженного материала, содержащего сердцевину. Барку заканчивают после того, как достигнута желаемая степень удаления лигнина. Ю. Вендельштейн

**53033 П. Способ отбелики двуокисью хлора материалов, содержащих целлюлозу. Рингстрем** (Sätt vid blekning av cellulosahaltigt material med kloroxid. Ringström E.) [Uddeholms AB.]. Швед. пат. 151174, 16.08.55

После предварительной отбелики материала (если требуется) каким-либо иным агентом производят отбелку  $\text{ClO}_2$  в кислой или нейтр. среде, затем материал обрабатывают р-ром NaOH, содержащим небольшое кол-во активного кислорода, так, что последний расходуется настолько быстро, что не вызывает разложения волокнистого материала, при этом кол-во NaOH превышает кол-во активного кислорода в 11—14 раз. М. Нагорский

**53034 П. Одноступенчатая отбелка сульфатной целлюлозы. Стоун, Матарес** (Available chlorine single-stage bleaching of sulfate pulp. Stone William A., Matarese John George) [Olin Mathieson Chemical Corp.]. Пат. США 2741537, 10.04.56

Водную суспензию сульфатной целлюлозы (СЦ) отбеливают одновременно  $\text{Cl}_2$  и  $\text{ClO}_2$  в отношении от 2,5 до 3,5 : 1, или  $\text{Cl}_2$  и растворимым в воде хлоритом в отношении от 3,5 до 4,5:1. Пример: (а) Первую стадию отбелики проводят 9,1 кг хлорита Na и 41 кг  $\text{Cl}_2$  на 1 т СЦ, после нейтрации поддерживают pH 9—9,5, чтобы масса была слегка щелочной к концу 1 часа в сборнике. Белизна массы после 1-го промывного аппарата (ПА) ~ 68%. Во время размола в течение 1 часа при 38° прибавляют 2,3 кг хлорита Na. Белизна СЦ после 2-й промывки 74% при хорошей прочности. Из ролла и 2-го ПА выделяется тяжелый для рабочих запах  $\text{ClO}_2$ . (б) Параллельно с (а) в течение 3 дней проводят отбелку в одну стадию, вводя 41—45 кг  $\text{Cl}_2$  и 13,6 кг хлорита Na на 1 т СЦ; после нейтр-ции поддерживают



$pH \sim 9,5$ ;  $pH$  массы, входящей в 1-й ПА,  $\sim 8$ , белизна СЦ 73,5 при высокой прочности. При патентуемой одноступенчатой обработке добавление смеси  $TiO_2$  и  $BaSO_4$  (3:1) в ролл сокращают с 17,7 кг (при двухступенчатой обработке) до 4,5 кг на 1 т ЦП.

Ю. Вендельштейн

**53035 П.** Способ получения легко растворимых в воде порошкообразных простых эфиров целлюлозы (Verfahren zur Herstellung leicht wasserlöslicher Celluloseäther in Pulverform) [Sichel-Werke A.-G.]. Пат. ФРГ 930954, 28.07.55

Водн. или водн.-щел., предпочтительно пастообразные, р-ры эфиров целлюлозы (метил-, оксиалкил-, карбоксиалкилцеллюлозы), получаемые осаждением эфиров из реакционной смеси к-тами или кислыми солями и повторным растворением их в водн. щелочи, наносят тонким слоем на горячую поверхность, предпочтительно на цилиндры с  $t$ -рой  $> 100^\circ$ , на которых тонкий слой быстро и интенсивно высушивается, после чего его измельчают в порошок. Полученные этим способом эфиры целлюлозы легко и быстро растворяются как в холодной, так и в горячей воде и водн. щелочах с образованием высоковязких р-ров, применяемых в качестве аппретур и шпихт, загустителей типографских красок и клеев.

Я. Кантор

**53036 П.** Способ выпаривания отработанных сульфитных щелоков. Гренин, Линдберг (Verfahren zum Eindampfen von Sulfiteablauge. Grewin Fredrik Waldemar, Lindberg Sten Gösta) [Aktiebolaget Rosenblads Patent]. Пат. ФРГ 942312, 3.05.56

Выпаривание сульфитных щелоков осуществляется ступенчато в нескольких выпарных аппаратах, обогреваемых соковым паром, содержащим  $SO_2$ . При этом каналы для пара и щелока периодически меняются. Таким образом, тепловые поверхности, соприкасающиеся со щелоком, периодически омываются конденсатом, содержащим  $SO_2$ .

М. Чудаков

**53037 П.** Утилизация отработанных сульфитных щелоков. Шнелл, Шнелл, Рибен (Sulfite waste liquor utilization. Schnell J. R., Schnell A., Rieben P.). Австрал. пат. 167177, 22.03.56

Отработанные сульфитные щелока упаривают при 50—100° и вакууме 80—90% в многоступенчатом вакуум-выпарном аппарате до содержания воды  $\sim 20$ —40%, содержание воды до 10—20% уменьшают при атмосферном давлении и 70—90° в выпарном аппарате, в котором выпариваемая жидкость стекает тонкой пленкой вдоль нагретых стенок выпарной камеры, при  $pH$  жидкости в обеих стадиях 5—6; после выпаривания  $pH$  концентрата доводят до 7,2—8 смешиванием с  $Ca(OH)_2$  при 70—100° в смесителе с планетарной мешалкой.

Ю. Вендельштейн

**53038 П.** Обработка лигнинсодержащих жидкостей (Treatment of Ligneous Liquors) (St. Lawrence Corp., Ltd). Аггл. пат. 732116, 22.06.55

Н-содержащие продукты получают обработкой лигнинсодержащих жидкостей (ЛЖ) соединениями четвертичного аммония (СЧА) и отделением полученного осадка от маточника. Способ можно использовать для выделения составных частей лигнина (Л) из ЛЖ осаждением СЧА соответствующего продукта, отделением последнего и разложением для выделения Л. Патентуется также новый продукт присоединения лигно-сульфоновой к-ты (I) и СЧА. В качестве Л можно применять отработанные щелока от кислой сульфитной или щел. варки древесины или других растительных материалов. Из СЧА названы следующие производные аммония III: хлориды алкилтриметил-П, бромид цетилапиридина, бромид тетрадецилапиридина, хлорид диметилфенилбензил-П, хлорид стеарамидометилпи-

ридина, бромид цетилапиридина-П, бромид лаурилтриметил-П, хлорид трис-(оксиптил)-бензил-П, хлорид бензилпиридина, хлорид триэтилбензил-П, хлорид трис-(оксиптил)-пропил-П, этилсульфат трис-(оксиптил)-этил-П и хлориды диалкилдиметил-П. Продукты присоединения можно расщеплять на составные части разными путями, напр. действием сильных минер. к-т —  $HCl$ ,  $H_2SO_4$  или  $H_3PO_4$ . В случае выделения I из ЛЖ их можно растворять в щелочах для получения р-ров щел. солей I, из которых I выделяют подкислением. Продукты присоединения можно разлагать едкой щелочью при 100°. СЧА можно отделять от продуктов присоединения добавлением органич. хлоридов или углеводов, напр.  $CCl_4$ , керосина, спирта или других р-рителей СЧА. Маточники, остающиеся после отделения продуктов присоединения и содержащие сахара, можно использовать для получения спирта или фурфурола или обработать новообменными в-вами для выделения сахаров в очист. виде. Примеры. Свежепродутый сульфитный щелок нейтрализуют  $CaCO_3$ , одновременно продувая воздух для удаления избытка  $SO_2$ , с помощью  $Ca(OH)_2$  устанавливают  $pH$  5,8; охлаждают до 20° и прибавляют хлорид цетилапиридина до прекращения выделения осадка, после чего нагревают до  $t$ -ры выше 50°, причем частицы осадка плавятся и осаждаются в виде пластич. массы, с которой декантируют маточник; или через свежепродутую жидкость из сборника пропускают воздух для удаления избытка  $SO_2$ , с помощью едкой щелочи устанавливают  $pH$  7,4 и обрабатывают как указано в 1-м примере; свежепродутую жидкость из сборника с  $pH$  2,3 обрабатывают СЧА как описано. Получаемые продукты присоединения можно использовать частично или полностью взамен фенолов, напр. резорцина, в произ-ве фенольных синтетич. смол и в качестве сырья для р-ций полимеризации и конденсации.

Ю. Вендельштейн

**53039 П.** Метод модификации поверхности ненасыщенного сложного эфира целлюлозы, содержащего включения. Хьюсон (Method of modifying the surface of unsaturated cellulose ester containing bodies. Hewson William B.) [Hercules Powder Co.]. Пат. США 2705689, 5.04.55

Ненасыщ. сложные эфиры целлюлозы, содержащие 0,01—1,5 ненасыщ. ацильных групп на глюкозный остаток, для повышения их растворимости в органич. р-рителях, обрабатывают с водн. р-ром перманганата (с конц-цией от 1% до насыщ. р-ра) в течение времени, достаточного для поверхностного отложения  $MnO_2$ , и затем реагентом, растворяющим  $MnO_2$ . А. Яшунская

**53040 П.** Устройство для разгрузки варочных котлов, работающих под давлением. Рихтер, Рихтер (Utmattningsanordning vid tryckkokare. Richter J. C. F. C., Richter O. J.). [AB Kamyr]. Швед. пат. 151284, 23.08.55

Устройство для выгрузки волокнистого материала из вертикальных цилиндрич. автоклавов, в частности из целлюлозных варочных котлов непрерывного действия включает работающие на дне котла скребки, укрепленные на вращающейся вертикальной оси, расположенной концентрично с автоклавом и проходящей через его дно; в непосредственной близости к выходному отверстию в дне автоклава, находящемуся сбоку от оси скребков, устроено горизонтальное червячное питающее устройство; к выкидному концу которого примыкает камера, снабженная плузовыми или задерживающим устройством на выходе волокнистого материала.

М. Нагорский

**53041 П.** Бумага с поверхностным покрытием и способ ее получения. Эрикссон (Sätt att framställa överdraget papper jämte sålunda framställt papper. Erickson D. R.). Швед. пат. 149055, 1.03.55

Бумагу покрывают 100 ч. наполнителя, диспергированного в растворе NaOH, содержащем 6—10 ч. оксалкилцеллюлозы, растворимой в воде. NaOH, но нерастворимой в воде; покрытие непосредственно после этого приводит в соприкосновение с водорастворимым соединением, которое содержит с одной стороны ион, способный реагировать с Na-ионом NaOH, и давать водорастворимую натриевую соль, а с другой стороны — ион, реагирующий с гидроксидом NaOH; этим водорастворимым соединением может быть водорастворимая к-та, кислая соль, или аммонийная соль. Обработанную таким способом бумагу затем сушат. М. Нагорский

См. также: Камедь *Acacia catechu* 51359. Компоненты древесины *Pinus excelsa* 51448. Гемипцеллюлозы осин. древесины 51523. Метоксидсодержащие углеводы сосновой древесины 51524. ИК-спектры летучих жирных к-т и их медных солей 50443, 50444. Пиролиз ацетона 50758. Разделение уксусной к-ты и  $\text{CH}_3\text{OH}$  52353. Автоокисление  $\Delta^3$  карена 50766. Превращение эйкарена 51364. Действие тетрацетата свинца на цинеол, терпинолен 51367. Применение терпенов 52251, 52856. О консервантах древесины 51831. Исслед. целлюлоз 51458, 51462, 51469, 51474, 51518, 51525, 52137. Сложные эфиры целлюлозы 51519, 52858. Простые эфиры целлюлозы 50907, 51517. Применение 52603, лигносульфонаты 51520, 51521. Водоснабжение цел. бум. пром-сти 52103. Очистка сточных вод 52103, 52113. Приготовл. фотографич. бумаги 52614, 52618

## ИСКУССТВЕННЫЕ И СИНТЕТИЧЕСКИЕ ВОЛОКНА

Редактор В. А. Деревышкая

53042. Реакция взаимодействия сополимеров акрилонитрила и алкилхлорацетата с аминами. Хэм, Крейг, Ганн (Reaction of acrylonitrile alkenyl chloroacetate copolymers with amines. Ham George E., Graig Alfred B., Gann Paul W.), *Industr. and Engng Chem.*, 1953, 45, № 10, 2323—2326 (англ.).

Суспензионную сополимеризацию акрилонитрила (I) с алкилхлорацетатом (II) или метилхлорацетатом (III) проводили при соотношении вода : мономеры-2,4, в присутствии 0,1—1,0%  $\text{K}_2\text{S}_2\text{O}_8$ , 0,1—0,2% *трет*-додецилмеркаптана и 0,1—0,5% «Акто 450» при  $t$ -ре 75—85°. Получаемый сополимер, содержащий 2—15% II или III, легко формируется в волокно из 17—18%-ного р-ра в N,N-диметилформамиде (IV). Соплимеру I и III можно придать способность окрашиваться кислотными красителями путем обработки его р-ра в IV (перед формированием волокна) триметиламином (V) [2—3 часа при 30°]. Р-ры сополимера I и II в IV после обработки V становятся нестабильными, быстро желатинируют и из них не удается формировать волокна. Поэтому для придания этому сополимеру способности окрашиваться кислотными красителями формируют волокна из р-ра необработанного сополимера в IV и полученные волокна обрабатывают газообразным  $\text{NH}_3$  (15 мин. при 100°) или циклогексиламином (3 мин. при 110°). Качество волокна и прокраска, как правило, получают лучшими при формировании из р-ров, обработанных V, чем при последующей обработке волокна  $\text{NH}_3$  или аминами. Предыдущее сообщение см. РЖХим, 1956, 5454. Л. Песин

53043. Синтетические волокна из сополимеров на основе акрилонитрила. Сообщение IV о полиакрилонитрильных волокнах. Хуньяр, Рейхерт, Фарк (*Synthetische Fasern aus Copolymerisaten mit überwiegendem Anteil an Acrylnitril. IV Mitteilung*

*über Acrylfasern. Hunyár A., Reichert H., Fark H.*), *Faserforsch. und Textiltechnik*, 1955, 6, № 4, 145—152 (нем.; рез. русск., англ.).

Изучалась реакционная способность отдельных компонентов в р-ции сополимеризации с  $\text{CH}_2=\text{CH}-\text{CN}$  (I). Показано, что при сополимеризации I с винилацетатом (II), образуются сополимеры, содержащие большее кол-во I, чем в мономерной смеси. При сополимеризации I с метакрилонитрилом (III), метилметакрилатом (IV) и акриловой к-той (V) наблюдается обратная зависимость, и только при сополимеризации I с акриламидом (VI) образуется сополимер с соотношением компонентов соответствующим мономерной смеси. Для получения сополимеров заданного состава сополимеризация проводилась при постепенном добавлении более реакционноспособного компонента. Получены сополимеры I с небольшим содержанием (от 5 до 30%) второго компонента, из которых сформованы волокна и исследованы их свойства. Показано, что волокна из сополимеров I с VI и V имеют более высокую разрывную прочность и удлинение. Введение V в сополимер повышает  $t$ -ру начала усадки волокна при нагреве. Волокна, полученные из сополимеров I с II, III и IV обладают более низкой прочностью. По эластич. свойствам волокна располагаются в следующем порядке: наиболее высокие у сополимера I с III, затем у поли-I, сополимера I с II, IV, V и VI. Приводятся объяснения полученных результатов. Сообщение III см. РЖХим, 1957, 36106. З. Зазулина

53044. Влияние полидисперсности на молекулярному весу при получении синтетических волокон из полиакрилонитрила. Сообщение V о полиакрилонитрильных волокнах. Хуньяр (Die Rolle der polymerhomologen Verteilungsbreite bei der Herstellung synthetischer Fasern aus Polyacrylnitril. V. Mitteilung über Acrylfasern. Hunyár A.), *Faserforsch. und Textiltechnik*, 1955, 6, № 7, 300—309 (нем.; рез. русск., англ.); *Abhandl. Dtsch. Akad. Wiss. Berlin. Kl. Chem. Geol. und Biol.*, 1955 (1956), № 6, 141—150, Diskuss. 150—153 (нем.).

Показано, что из полиакрилонитрила (I) с относит. вязкостью ( $\eta_{\text{отн}}$ ) < 1,55 волокно формировать нельзя. При изменении  $\eta_{\text{отн}}$  от 1,55 до 1,89 даже после вытягивания на 1000% не удается получить прочного волокна ( $\leq 12,3$  к.м). Оптимальное значение  $\eta_{\text{отн}}$  для I 2,2—4,3, из этих полимеров получено волокно с прочностью 39,0—41,5 к.м. Дальнейшее повышение  $\eta_{\text{отн}}$  (до 4,99) приводит к снижению прочности волокна до 26,7—28,7 к.м. Добавление небольшого кол-ва низкомолекулярного I ( $\eta_{\text{отн}}$  1,89) к полимеру с более высоким  $\eta_{\text{отн}}$  (3,01) при сохранении среднего значения  $\eta_{\text{отн}}$  практически не влияет на свойства волокна. При увеличении полидисперсности I смешением с еще более низкомолекулярным I ( $\eta_{\text{отн}}$  1,55 и 1,18) с еще более высокомолекулярным продуктом (4,08 и 4,97) происходит значительное снижение прочности волокна (с 31,1 к.м до 15 к.м и 2,5 к.м соответственно).

53045. Успехи в области полимеров. Часть 2. Придание полиакрильных волокон. Сомерс (Polymer progress 1956 series. Part 2. Acrylic fibres and the spinning process. Somers J. A.), *Man Made Texts*, 1956, 32, № 383, 49—50 (англ.).

Обсуждается применение различных органич. р-рителей и конц. водн. р-ров неорганич. солей для придания полиакрилонитрильного волокна. Предыдущее сообщение см. РЖХим, 1957, 6328. А. Волохина

53046. Волокно из поливинилхлорида. V. Горячая обработка волокна водой, борной кислотой и формалином. VI. Обработка волокна термостойкими смолами. VII. Скорость прядения и горячая вытяжка. Йоси-





**53054. Определение равномерности химических волокон. Буркхарт** (Die Gleichmäßigkeitprüfung von Chemiefasern. Burkhardt W.), Reyon, Zellwolle und and. Chemiefasern, 1955, № 4, 238, 240—241 (нем.).

Описано устройство прибора (Устер, модель С) для определения равномерности нитей бесконечной длины и методика работы на нем. А. Роговина

**53055. Влияние свойств искусственного вискозного шелка на полосатость тканей. Натансон Н. А.,** Текстильн. пром-сть, 1957, № 1, 45—46

Имеется три основных причины полосатости, или разнооттеночности материалов из искусств. волокон: различие оптич. свойств отдельных участков нити, обусловленное колебанием в строении поверхности волокна, формы поперечного среза, направления и величины крутки, числа элементарных волокон, колебаний по номеру. Такая неравномерность у вискозного шелка обнаруживается даже на коротких участках нити одной пакетки, как следствие несовершенства процессов прядения, промывки и сушки на бобинах, перемотки на бобинажных машинах. Вторым источником полосатости являются различные оттенки идущего в крашение сырья, обусловленные наличием местных пятен, неравномерным распределением замасливающих в-в, дефектами десульфурации и отбелки. Такую разнооттеночность, сильно сказывающуюся на светлых тонах, особенно — голубых, иногда удается устранить предварительным отбелыванием волокна. Третьей причиной наиболее сильной разнооттеночности, вызванной неравномерным распределением красителя по волокну, являются различия в физ.-хим. структуре волокон. Для устранения полосатости необходимо в первую очередь улучшение свойств искусств. волокон.

Р. Нейман

**53056 К. Химия и технология полиамидных волокон. Кларе Г.** Перев. с нем. М., Гизлегпром, 1956, 247 стр., илл., 9 р. 85 к.

**53057 К. Переработка искусственных волокон. Кориковский П. К.** Перев. с англ. М., Гизлегпром, 1956, 263 стр., илл., 10 р. 20 к.

**53058 П. Способ получения извитых волокон. Абернети** (Method of making crinkled fibers. Abernethy Nelson W.) [Dow Chemical Co.], Канад. пат. 515709, 16.08.55

Тонкие волокна из расплава кристаллич. полимера или сополимера винилиденхлорида прядут сверху вниз в атмосфере воздуха, причем со всех сторон каждого волокна на него направляют в пределах  $\sim 25$ —250 мм от отверстия фильера множество струй инертной к волокну газа, напр. воздуха, с т-рой  $\sim 20^\circ$  таким образом, чтобы горячие волокна не слипались (струи, в частности, могут быть направлены наволочно снизу вверх и собираться в конус с вершиной  $\sim 25$ —250 мм ниже отверстия фильеры), после чего волокна переохлаждают и вытягивают и, в результате, получают волокно с натуральными извитками. Приведена технологич. схема. Я. Кантор

**53059 П. Способ получения прядильных растворов из акрилонитрила и его сополимеров. Пирот** (Verfahren zur Herstellung von Spinnlösungen aus Polyacrylsäurenitril bzw. seinen Mischpolymerisaten. Pirost Ernst) [Vereinigte Glanzstoff-Fabriken Akt.-Ges.], Пат. ФРГ 948079, 30.08.56

В случае применения для прядильных р-ров полиакрилонитрила одного р-рителя — диметилформамида — часто образуются нити с неудовлетворительной структурой, хорошие нити получают из прядиль-

ных р-ров, приготовленных с применением смеси р-рителей состоящей из диметилформамида и ацеталей. Последние добавляют в кол-ве 5—15%, предпочтительно 8—12%. Из таких смесей р-рителей коагуляция идет медленнее, улучшается процесс вытяжки волокна, что положительно отражается на его свойствах. Напр., 20 кг полиакрилонитрила диспергируют при  $15$ — $20^\circ$  в смеси р-рителей, состоящей из 72 кг диметилформамида и 8 кг дипропилаформали, и одновременно обезвоздушивают. Дисперсию постепенно нагревают и при т-ре  $\sim 110$ — $120^\circ$  образуются хорошо прядомый р-р, который можно переработать как по сухому, так и по мокрому способу прядения. В случае сухого способа прядения прядильный р-р прядется обычным образом при  $180^\circ$  через прядильную шахту длиной в 4 м. Получаемые нити очень хорошо поддаются вытягиванию примерно до 11-кратной величины. При мокром способе прядения прядильный р-р непосредственно после нагревания до  $120^\circ$  формуются в холодной воде, нить можно принимать со скоростью 150—400 м/мин при одновременном предварительном вытягивании. Полученные нити обладают хорошим блеском в противоположность спряденным из р-ра в чистом диметилформамиде. Этот блеск указывает на хорошую ориентацию волокна. Наконец, нити без труда вытягиваются до 5—8-кратной величины. Величина конечной втяжки зависит от предварительной вытяжки.

Р. Нейман

**53060 П. Способ получения волокон и нитей из поливинилового спирта. Томонари, Номура, Осуги, Танабе** (Verfahren zur Herstellung von künstlichen Gebilden, wie Fäden oder Fasern, aus Polyvinylalkohol. Tomonari Tsukumo, Nomura Shigeki, Osugi Tetsuro, Tanabe Kenichi) [Kurashiki Rayon Co. Ltd.], Пат. ФРГ 932626, 5.09.55

Высушенное волокно нагревают в атмосфере насыщ. или перегретого пара органич. жидкостей таких как спирты (напр.,  $\text{CH}_3\text{OH}$  или  $\text{C}_2\text{H}_5\text{OH}$ ), вода или любые их смеси, затем обрабатывают в р-ре, содержащем альдегиды, напр.  $\text{CH}_2\text{O}$ , или глиоксаль, и катализатор, напр.  $\text{H}_2\text{SO}_4$ , для образования ацеталей. При горячей обработке к пару можно примешивать газы: воздух,  $\text{CO}_2$ ,  $\text{N}_2$ ,  $\text{H}_2$ , а также пары органич. к-т, аминов и амидов. Такие обработки существенно улучшают устойчивость волокна к воде и нагреву. Результат зависит от т-ры и продолжительности обработки. Если ацетиленоано 25—75% гидроксильных групп поливинилового спирта, т-ра размягчения значительно повышается, и волокна не изменяются при кипячении в воде. Напр., волокна из поливинилового спирта, полученные по мокрому или сухому способам прядения после сушки или после промывки в ледяной воде, или спирте, или без сушки, нагревают в течение одного часа при  $120^\circ$  в атмосфере насыщ. пара этанола и обрабатывают для образования ацетали один час при  $60^\circ$  в воде, р-ре, содержащем 22%  $\text{H}_2\text{SO}_4$ ,  $\text{Na}_2\text{SO}_4$  и 3%  $\text{CH}_2\text{O}$ ; затем промывают водой и высушивают горячим воздухом. После этого волокна приобретают отличную прочность к воде и нагреванию.

Р. Нейман

**53061 П. Получение полиамидного штапельного волокна. Хереле, Еле, Кунц, Меллер, Шлак** (Production of staple fibres from polyamides. Herele Ludwig, Jehle Kurt, Kunz Karl, Möller Paul, Schlack Paul) [Bohingen A.-G. für Textil-Faser]. Пат. США 2733122, 31.11.56

Волокно (В) получается методом непрерывной полимеризации, прядения и отделки на одном агрегате. Из капролактама по методу непрерывной полимеризации получается прядильный расплав, который непрерывно формируется в пучок В с общим титром 200 000 де-

ние и элементарным титром 16 денье. Полученные В, содержащие ~10% мономера, вытягиваются между двумя роликами в 4 раза, после чего элементарный титр В составляет 4 денье, и далее направляются с уменьшенной на 6% скоростью через следующие ролики, вращающиеся с окружной скоростью 40 м/мин, в промывную ванну. В этой ванне жгут находится в течение 80 сек. и освобождается от прищипной препарации и водорастворимых примесей в полимере до ~1,5%. После этого жгут направляется через ролики в следующую барку, где обрабатывается при 35° препарационным составом, придающим В мягкость. После обработки В должно содержать 0,5% препарационного в-ва и сушится на горячих поверхностях, нагретых паром до 115°. Сушка продолжается 60 сек. до влажности 3%. После сушки В подвергаются механич. обработке для придания извитости, причем применяются рифленые ролики, нагретые до 125°. Жгут извитых волокон направляется без натяжения в резальную машину и разрезается на отрезки в 100 мм, которые отводятся пневматически на упаковку. Время сушки В можно снизить до 25 сек.; при этом влажность В составляет 5,5%. Приведены схемы процесса и отдельных деталей аппарата. А. Пакшвер

**53062 П.** Способ непрерывной отделки искусственного шелка. Клайн, Фрайер, Хелм, Мак-Деллан, Бергман (Verfahren zur Nachbehandlung von in einem fortlaufenden Arbeitsgang erzeugten künstlichen Fäden, insbesondere Kunstseidefäden. Kline Hayden Benjamin, Fryer Louis Samuel, Helm Emerson Benette, McLellan Kenneth Murray, Bergmann Richard Frederick) [Courtaulds Ltd]. Пат. ФРГ 947506, 16.08.56

Обычно при непрерывном придании и отделке искусств. шелка на роликах или парных цилиндрах получают нити с сильной усадкой при вторичном увлажнении. Это объясняется, главным образом, быстрой (1—2 мин.) сушкой нитей под натяжением. Для получения безусадочного шелка предлагается нити на роликах подвергать вторичному (после сушки) увлажнению без натяжения. Благодаря высокой т-ре нить при этом успевает релаксировать и получается безусадочной. В примере описывается отделка вискозного шелка 150/40 денье на рифленых роликах, со скоростью 68 м/мин. После 1-го ролика нить поступает на 2-й ролик в свежесформованном гелеобразном состоянии с влажностью 400%. На 3-й ролик после промывки нить поступает при ~20°. Поверхность 3-го ролика нагрета до 115° и нить на этом ролике быстро нагревается до 90°, сушится и фиксируется. После нескольких витков на этом ролике нить усаживается благодаря конусности ролика. 3-й ролик имеет 38 мм цилиндрич. длины и 127 мм конич. поверхности. На конич. части ролика диаметр уменьшается до 124,5 мм. На этом же ролике на последних 6,4 мм его длины нить увлажняется водн. р-рами с подачей жидкости 30 мл/мин. При этом нить увлажняется до 200% и удлиняется. Поэтому 4-й ролик цилиндрич. имеет в начальной части увеличенный диаметр (127 мм). Увеличение диаметра на 2,5 мм соответствует увеличению длины нити при увлажнении, и нить поступает на 4-й ролик без провисания или натяжения. 4-й ролик сделан из эбонита и не обогревается. После выхода с 4-го ролика нить равномерно увлажнена до 200% и поступает на 5-й ролик на вторичную сушку при т-ре ≤100°. Нить обычно нагревается до 78°. Первые 38 мм 5-го ролика строго цилиндрические, следующие 89 мм длины ролика конические, а последние 38 мм вновь строго цилиндрические. При усадке на 5-м ролике нить приобретает полную безусадочность. А. Пакшвер

**53063 П.** Непрерывная отделка нитей жидкостями (Perfectionnements au traitement des fils par des liquides) [Courtaulds Ltd]. Франц. пат. 1108932, 19.01.56

Нить направляется по спиральям через ряд роликов, расположенных парами и наклоненных друг к другу под заданным углом, и орошается последовательно различными жидкостями. В конце одного из роликов установлены отжимные планки (ракли) для отвода жидкости, которые направляют жидкость навстречу нити. Напр., выпрядают вискозный шелк с титром 60 денье/16 волокон, фильера с отверстиями 0,1 мм из обычной вискозы (8% целлюлозы и 6% NaOH) с зрелостью по NaCl 6,0 в ванну, содержащую 9% H<sub>2</sub>SO<sub>4</sub>, 20% Na<sub>2</sub>SO<sub>4</sub> и 3% ZnSO<sub>4</sub>. После выхода из осадительной ванны нить направляется на пару цилиндрич. роликов, наклоненных друг к другу. Длина роликов 85 см; ролики разделены на две зоны, около 50 см и 30 см длины, отделенные между собой утолщением 5 мм длиной. Диаметр роликов в первой зоне равен 16,5 см и во второй зоне 17,5 см. Окружная скорость роликов во второй зоне достигает 150 м/мин. Расстояние между двумя роликами в паре равняется 25 см. Нижний ролик наклонен к горизонтали и к месту поступления нити на ролик на 2°. Верхний ролик расположен горизонтально. Первую половину роликов нить проходит без дополнительной обработки жидкостями. На этом участке завершается регенерация нити. Вторая зона роликов служит для отделки и ракля, установленная вблизи поверхности нижнего ролика, отжимает избыток жидкости, направляя ее обратно навстречу нити. На нижний ролик подается 200 мл/мин воды при 60°. Благодаря наличию ракля и встречному движению воды по отношению к нити промывка происходит полностью и после одной пары роликов нить направляется на сушильный барабан и далее на колпачное веретено для крутки. А. Пакшвер

**53064 П.** Способ формирования изделий из фенилтиоуретана целлюлозы. Аллвелл (Shaped articles of cellulose phenyl-thiourethane and method of producing them. Allewelt Arthur L.) [American Viscose Corp.]. Пат. США 2728630, 27.12.55. Патентуется способ получения извитых волокон из фенилтиоуретана целлюлозы (I) с удлинением в сухом состоянии ≥ 15% и прочностью в сухом состоянии ≥ 1,5 г/денье, в мокром ≥ 0,75 г/денье. Разб. шел. р-р I, в котором фенилтиоуретановые группы распределены равномерно, по 1 группе на 2 или на 5 глюкозных остатка, прядется в водн. коагуляционную ванну при т-ре 25—75°, при конц-ии сульфатона 7—11% и фосфатона 11,7—18%. pH ванны 3,2—6,2, значение числа дегидрирования 215—265. Спряденные волокна вытягивают, промывают и сушат. С. Савина

**53065 П.** Аппарат для измельчения щелочной целлюлозы. Уайгем, Смит, Джонсон (Shredding machine with expansion chamber. Weigham William Reginald, Smith John O., Johnson George M.) [Courtaulds Ltd]. Пат. США 2717742, 13.09.55

Приводится описание горизонтального барабана (Б) для измельчения шел. целлюлозы. Б медленно вращается вокруг своей оси и имеет на внутренних поверхностях приспособления для измельчения. Внутри Б вращается шнек, перемещающий шел. целлюлозу к выходному отверстию Б. Шел. целлюлоза измельчается в кольцевом пространстве между стенками Б и шнеком и поступает в расширенное пространство в дните Б. Приведена схема Б. А. Пакшвер

**53066 П.** Обработка нейлоновых нитей, корда и подобных изделий. Иллигворт, Дейч (Treatment of nylon thread, cord and like materials. Illingworth James W., Deutsch Ge-

orge S.) [Dunlop Tire and Rubber Goods Co.]. Канад. пат. 523961, 17.04.56

Патентуется способ снижения удлинения нейлонового волокна или корда (< 20%), заключающийся в пропитке волокна растворимой термореактивной смолой (напр., спирт. р-ром фенолформальдегидной или резорциноформальдегидной смолой), вытяжке этого волокна при нагрузке, составляющей 50 % разрывной нагрузки, и переводе смолы в нерастворимую форму путем нагревания в процессе вытяжки с последующей релаксацией до полного прекращения усадки.

С. Савина

53067 П. Антистатические замасливатели для искусственного шелка. Худ (Anti-static rayon oils. Hood John Marshall) [American Cyanamid Co.]. Пат. ФРГ 2738324, 13.03.56

Для снижения электростатич. зарядов при текстильной переработке вискозного или ацетатного шелка вводят в замасливающие составы 7,5—15% от веса замасливающего состава додецилтолуолсульфонатов. Напр., обрабатывают искусств. шелк замасливающим составом, содержащим 7,5% додецилтолуолсульфоната Na, 7,5% аммониевой соли диэтилсульфозифира янтарной к-ты и 85% легкого минер. масла. После замасливания волокна становятся мягче и не прилипают к деталям текстильных машин.

А. Пакшвер

53068 П. Аппарат для придания из расплава. Липском, Спикман (Melt spinning apparatus. Lipscomb Robert, Speakman Raymond Holden) [Imperial Chemical industries Ltd.]. Пат. США 2740986, 10.04.56

Аппарат для непрерывного сплавления полимера и подачи расплава для придания состоит из герметически закрытого сосуда с коническим днищем, в нижней части которого имеется отверстие для отвода расплава к фильере. Через сосуд проходит два вертикальных стержня, которые производят колебательные движения в продольном направлении и периодически открывают и закрывают доступ расплава к насосу. В аппарат непрерывно подается твердый полимер, который под давлением прижимается к обогреваемой плите, имеющей мелкие отверстия. На плите поддерживается постоянная и достаточно высокая т-ра; струйки расплава через отверстия в плите непрерывно и под давлением направляются к прядильному насосу и далее в фильеру. Диаметр плиты равняется 75 мм, диаметр отдельных отверстий в плите 2,4—3 мм, диаметр отверстий в поршнях 19 мм, длина хода поршня 38 мм, давление пружин ~ 25 кг/см<sup>2</sup>, давление N<sub>2</sub> в системе 0,7—1,5 атм, скорость вращения эксцентрикового механизма 200 об/мин. Повышая т-ру нагрева плиты, можно увеличить производительность плавильного аппарата. Так напр., при нагревании плиты до 315°, т-ры расплава 300°, общий титр выпрядаемого пучка нитей 140 денье и производительность плавильного аппарата 1,8 кг/час. При повышении т-ры плиты до 320° т-ра расплава увеличивается до 316°, и подача до 3,6 кг/час при том же титре жгута. Благодаря периодич. подаче расплавленной массы и быстрой нагреву и выпуску массы в фильеру, ее т-ра может быть поднята до 300° и выше без термодеструкции, что позволяет значительно увеличить производительность плавильного аппарата (обычно производительность плавильного аппарата не превышает 0,9 кг/час). Новый плавильный аппарат позволяет выпрадать 0,7—7 кг нити в час. Приведены рисунки и подробное описание деталей плавильного аппарата и кривая подачи расплава стержнями.

А. Пакшвер

53069 П. Аппарат для придания волокон из расплава (Production of artificial fibres) [British Celanese, Ltd.]. Англ. пат. 719853, 8.12.54

Для придания различных полимеров из расплава предлагается аппарат, состоящий из бункера, подающего приспособления и электрически обогреваемой пластины, имеющей отверстия для выпрядания тонких волокон. Волокна непрерывно оттягиваются от отверстий пластины и в таком же кол-ве через бункер непрерывно подается твердый полимер. Для придания из расплава пригодны различные волокнообразующие полимеры в порошкообразной форме (тонина помола — 0,62 мм), напр. сложные эфиры целлюлозы (ацетаты, пропионаты, ацетопропионаты или ацетобутираты целлюлозы), простые эфиры целлюлозы (этил и бензилцеллюлоза), синтетич. полимеры, напр. полиэтилен, полистирол, полигексаметиленгептаметиленмочевина, 4,4-полнуретаны или смеси полимеров, 50% ацетилцеллюлозы и 50% полигексаметиленадипамида, 90% ацетилцеллюлозы и 10% пропионата целлюлозы. Полимер подается и прижимается к нагретой плите с помощью стержня или лопастями вентиляционного типа. Пластина обогревается с помощью двух стержней, к которым подводится ток небольшого напряжения. Приведено подробное описание аппарата и 2 рисунка.

А. Пакшвер

См. также: Мол. структура полимерных волокон 51474—51476. Алкидные смолы 52896, 52899. Фильтрование вискозы 53524. История 50298

## ЖИРЫ И МАСЛА. ВОСКИ.

## МЫЛА. МОЮЩИЕ СРЕДСТВА. ФЛОТОРЕАГЕНТЫ

Редактор А. А. Зинovieв

53070. Из опыта работы маслосебяющей промышленности Китайской Народной Республики. Белобородов В. В., Маслосеб.-жир. пром-сть, 1956, № 7, 33—35

Краткое описание отдельных достижений маслосебяющей пром-сти КНР: схемы и режимы шелушения хлопковых семян и отделения оболочек от ядра, охлаждения сееров шнековых прессов СД при помощи масла, переработки хлопковых семян по схеме форчан—шнекпресс, работы горизонтального ротационного экстрактора, предварительного дистиллятора мисцеллы с использованием перегрева и мгновенного расширения и системы рекуперации р-рителя из воздуха при помощи масла.

В. Белобородов

53071. Соотношения между естественными синтетическими жирами и жирными кислотами. Андерс (I rapporti intercorrenti tra grassi ed acidi grassi naturali e sintetici. A n d e r s H e i n z), Ind. vernice, 1955, 9, № 8, 207—210 (итал.)

Обзор в области химии жиров и жирных к-т. Некоторые соображения, относящиеся к вопросам синтеза их.

Л. Фрейдкин

53072. Условия хранения и причины порчи высоко-масляных семян подсолнечника. Плюшкин А. Е. З., Маслосеб.-жир. пром-сть, 1956, № 8, 3—6

Поступающие на 3-д семена высоко-масляного подсолнечника различаются между собой по степени зрелости, следовательно, по содержанию масла, количеству и качеству, составу их гидрофильных в-в. Кроме того, вода в семенах имеет различные виды связей с их гидрофильной частью. Поэтому влажность свежесобранных отдельных семян подсолнечника колеблется в широких пределах. После тепловой обработки в производственных сушилах семена сохраняют разноразличность по видам связей с гидрофильными в-вами и, следовательно, отдельные семена обладают различной жизнедеятельностью. Поэтому повышенная т-ра



семян, поступающих в склады после сушилок, приводит к усилению жизнедеятельности отдельных влажных семян, которые становятся очагами самосогревания. При равновесной влажности семян разнородность отдельных семян по их колич. и качеств. составу сохраняется, но она уже не может влиять на поведение семян при хранении, так как при равновесной влажности семена обладают одинаковой жизнедеятельностью. Отсюда, для сохранения семян высоко-масличного подсолнечника необходимо убранные семена (при влажности  $\geq 13\%$ ) подвергнуть сушке для быстрого удаления влаги и снижения их жизнедеятельности, а затем подвергнуть их активному вентилированию для приведения к равновесной влажности. После этого семена могут длительное время храниться без порчи. Рекомендуется взять под контроль также методы уборки и способы хранения семян в послеуборочный период на токах и заготовках для предотвращения их порчи до поступления на маслозаводы. Необходимость активного вентилирования может быть распространена и на семена других масличных культур.

Г. Фрид  
53073. Зависимость химического состава кедрового масла от местопроизрастания кедр. Сай-Монсеева Е. Г., Изв. Иркут. с.-х. ин-та, 1954, (1955), вып. 6, 153—163

С целью выяснения причин резких колебаний физ.-хим. показателей масла (М) кедровых орехов и возможности объяснить эти колебания с точки зрения теории климатич. изменчивости растений проанализировано М из разных районов Зап. Сибири (данные приведены в таблицах). Найденно, что М в зависимости от места произрастания кедр имеет различный хим. состав, что находится в соответствии с теорией климатич. изменчивости растений. В зависимости от величины йодного числа (ЙЧ) М может быть использовано в различных целях — М с низким ЙЧ является хорошим пищевым продуктом, М с высоким ЙЧ пригодно для технич. целей.

Н. Любошиц  
53074. Изучение масла из семян дерева *Zanthoxylum badrunga*. Миаруддин (Studies on bazna oil. Miarguddin M.D.), Pakistan J. Scient. Res., 1955, 7, № 2, 56—57 (англ.)

Масло (М) из семян *Zanthoxylum badrunga* сем. Rutaceae может применяться как пищевое, так и для технич. целей. М имеет светло-желтый — золотисто-желтый цвет, приятный запах,  $n_D^{20}$  1,4609—1,4621,  $d_4^{20}$  0,919—0,920, кислотность (по олеиновой к-те) сразу после экстракции 4,1—4,6, в течение 3-х месяцев после получения  $\geq 8,4$ , неомыляемых 1,4—1,7%, число омыления 191,2—192,2, йодное число 77,85—80,26, расчетное содержание глицерина 9,5—10,0%, т. заст. 3—9°. М легко растворимо в эфире, хлороформе петр. эфире. М относится к классу невысыхающих масел. После очистки может применяться вместо оливкового масла как пищевое масло.

И. Рожков  
53075. Состав индийского тунгового масла. Чакрабартти, Чакрабартти (The composition of Indian tung oils. Chakrabarty S. R., Chakrabarty M. M.), Sci. and Culture, 1955, 21, № 6, 326—327 (англ.)

Исследован состав масла, полученного из очищ. ядер *Aleurites fordii* Hemsl. и *A. montana* Wils. экстракцией петр. эфиром. Вес 100 шт. семян 150 г и 350 г, содержание ядер в семенах 55,8 и 58%. выход масла 40 и 37% от веса ядер, число омыления 294,1 и 295,9; йодное число (Вийс, 0,5 часа) 151,3 и 152,5;  $n_D^{20}$  1,5100 и 1,5100; свободных к-т (считая на олеиновую) 0,47 и 0,44%; неомыляемых 0,8 и 1,0% для *A. montana* и *A. fordii*, соответственно. Состав жирных к-т масла (в %): элестеариновая 64,6 и 64,8; линолевая 10,7 и 11,7; олеиновая 18,2 и 18,4, насыщ. к-ты 6,5 и 5,1 для

*A. montana* и *A. fordii* соответственно. Подтверждено, что время желатинизации может служить критерием качества тунгового масла.

Н. Любошиц  
53076. Изучение растительных масел и жиров. II. III. Касимото (植物油脂の研究 第2報 第3報 榎本竹治), 日本化学雑誌. Нихон кагаку дзасси, J. Chem. Soc. Japan. Pure Chem. Sec., 1954, 75, № 11, 1110—1115; 1955, 76, № 6, 624—627 (японск.)

Изучался состав и физ.-хим. показатели следующих растительных масел: *Rhodotypos scandens* Makino; *Albizia julibrissin* Durazz; *Robinia pseudo* Acacia L.; *Astragalus sinicus* L.; *Vistaria floribanda* DC; *Sofora japonica* L.; *Allium fistulosum*; *Tetragonia expansa* Murr; *Spinacia oleracea* L.; *Beta vulgaris* L. var. Cicla L.; *Datura tatula* L.; *Sciadopitius verticillata* Sub. et Zucc.; *Xanthoxylum piperitum* DC; *Actinidia polydama* Mig.; *Plantago major* L. var. asiatica Decne.

Н. Соловьева  
53077. Кинетика изменения диэлектрической проницаемости при дегидратации касторового масла и термополимеризации глицеридов октадекадиен-9,11-кислоты 1. Конейковский В. М., Тр. Краснодарск. ин-та пищ. пром-сти, 1956, вып. 13, 87—95

Изучено изменение диэлектрич. проницаемости и других констант касторового масла в процессах дегидратации и последующей термополимеризации. Уменьшение диэлектрич. проницаемости в обоих указанных процессах отражает отщепление элементов воды. Уменьшение диэлектрич. проницаемости при термополимеризации сопровождается уменьшением йодного числа и возрастанием уд. веса, вязкости и коэф. преломления. При исследовании процесса дегидратации касторового масла, вместо определения ацетильного числа, рекомендуется измерение диэлектрич. проницаемости.

В. Белобородов  
53078. Содержание меди и железа в соевом и рапсовом маслах. Тояма, Маэда, Хаяси (大豆油およびナタネ油の銅および鉄含量について. 外山修一, 前田雄男, 林美樹), 油脂化学協会誌, Юси кагаку кёкайи, J. Oil Chemists' Soc., Japan, 1955, 4, № 5, 255—256 (японск.)

53079. Физические и химические константы пищевых (растительных) масел и жиров. Ласерда (Constantes físicas e químicas de óleos e gorduras comestíveis. Lacerda Alberto), Rev. Soc. Brasileira quim., 1953, 20, № 1—2, 29—30 (порт.)

53080. Родановое число и анализ жиров. Лю Шукай (硫黄値與油脂成分分析. 劉樹楷), 化學世界, Хуасюэ шицзе, 1955, № 1, 21—22, 23 (кит.)

53081. Коэффициент Белье или Адлера для масла земляного ореха. Леклерк, Фагар (Indice Bellier ou Adler de l'huile d'archide. Lescleercq Léon, Fagard Joseph), J. pharmac. Belgique, 1954, 9, № 9—10, 325—330 (франц.; рез. гол.)

53082. Получение новых продуктов из хлопкового масла и осадков. Голдблатт (Developing new products from lottonseed oil and Foots. Goldblatt L. A.), Cotton Gin and Oil Mill, 1955, 56, № 15, 34—36, 38 (англ.)

В числе новых продуктов, получаемых из жиров, указаны аетоглицериды, димеры линолевой к-ты, эпоксидированные масла и жирные к-ты, производные жирн. к-т по карбоксильной группе (соли, амиды, нитрилы, амины и др.). Указано на практич. значение изомеризации непредельных жирных к-т, особенно в положение двойных связей (10,11) и (6,7), так как после озонирования и разрыва углеродной цепи по местам этих связей возникают важные в произ-ве найлона к-ты — себадиновая и адидиновая. Сообщено, что госсипол, находящийся в хлопковых соеах, что госсипол, находящийся в хлопковых соеах,

может быть полностью разрушен нагреванием их при 200—220° в течение 1—2 мин. и тогда хлопковый soapstock может быть полноценным сырьем для указанных выше прозв-в.

**А. Зиновьев**  
53083. Увеличение выхода смальца путем правильной выжимки шварков. Гжегожевич (Zwiększenie wydajności smalcu przez prawidłowe wyciskanie skwarek. Grzegorzewicz Józef, Gospod. miesna, 1954, 6, № 11, 336—338 (польск.))

53084. Интенсификация извлечения жира из кости. Матрцова С., Сафонов С., Мясная индустрия СССР, 1956, № 5, 34—35

Описан способ дополнительного извлечения жира из вареной кости и паренки посредством центрифугирования. Показано, что этот метод эффективнее метода промывки кости в моечном аппарате. В. Белобородов

53085. Непрерывно-поточная линия для извлечения жира «Ленинград». Лапин А., Мясная индустрия СССР, 1956, № 5, 22—24

Описана установка для извлечения жира путем разрушения жировых клеток при истечении жирсырья под значительным давлением через слой соединительной ткани. В. Белобородов

53086. Некоторые малоизвестные жиры водных животных. Тояма, Такаки (よく知られていない動物の水産動物油について. 外山修之, 高井英子), 油脂化学協会誌, Юси кагаку кёкаиси, J. Oil Chemists Soc. Japan, 1954, 3, № 6, 268—269 (японск.)

Приведены, соответственно, наименование масла,  $d_4^{20}$ ;  $n_D^{20}$ ; кислотное число; число омыления; йодное число (ИЧ) (по Вийсу): % неомыляемых; число нейтр-ции жирных к-т; ИЧ жирных к-т; % твердых к-т в жирных к-тах; не растворимых в эфире полибромидов жирных к-т; и другие характеристики (в скобках). Масло *Grampus oreo*, 0,9135; 1,4701; 1,04; 186,5; 112,3; 7,54; —; —; —; 21,77 (число Рейхерта-Мейселя 6,72; в масле найдены изовалериановая к-та; петиловый и олеиловый спирты). Китовая ворвань из *Balaena glacialis*, 0,9196; 1,4760; 2,64; 186,6; 132,2; 0,46; —; —; 30,00. (содержание Br в полибромиде 70,02%). Основной жир взрослого *Mugil cephalus* (выход 1,2%); 0,9306; 1,4803; 1,50; 197,8; 159,0; 0,72; —; —; 18,30; —; (ИЧ твердых жирных к-т 34). Жир внутренностей молодых *M. cephalus* (выход 3,3%); 0,9361; 1,4817; 28,4; 195,6; 151,7; 4,43; 212,3; 153,3; —; —; Основной жир *Trachurus japonicus* (выход < 1%); 0,9165 (25%); 1,4767; 3,26; 192,4; 136,7; 1,56; 198,6; 141,9; 20,57; 47,45 (ИЧ твердых к-т 8,7). Жир внутренностей *T. japonicus* (выход 13,3%); 0,9223 (25%); 1,3778; 12,3; 188,5; 135,8; 2,47; 197,7; 139,9; 24,81; 48,01; (ИЧ твердых к-т 7,0) Основной жир *Nezagrammos otaki* (выход меньше 1%); —; 1,4801; 55,0; 184,7; 153,9; 2,19; 190,0; 159,8; 12,81; 35,70; (ИЧ твердых к-т 8,9). Основной жир *Ophiocephalus tadius*; 0,9344; 1,4776; 19,5; 173,3; 116,7; 9,95; 201,5; 119,2; 23,80; 24,49; (ИЧ твердых к-т 9,7). Жир внутренностей *O. tadius*; 0,9239; 1,4747; 2,01; 189,1; 124,2; 4,01; —; —; 21,40; 27,19; (ИЧ твердых к-т 3,7). Жир печени *Katsuwonus vagans* (выход 3—8%); 0,9200; 1,5035; 2,14; 132,6; 239,4; 23,64; 188,0; 214,0; —; 87,25; Жир печени *Spheroides pardalis*; 0,9259; 1,4796; 2,94; 180,3; 171,9; 2,48; —; —; 56,92; (0,219; содержание Br в полибромиде 70,47%; стерия 28,66% от неомыляемых). Большинство жиров живущих в воде животных изучено впервые. Н. Соловьева

53087. Техническое применение рыбных жиров и ворваней. Скиба (Zum technischen Einsatz von Fischölen und Tranen. Skiba K. J.), Fette, Seifen, Anstrichmittel, 1955, 57, № 7, 522—524 (нем.)

53088. Применение метода определения триацетина по Бенци и Саккони для обнаружения в масле гидрогенизированного жира дельфина. Онгаро (Es-

tensione dei metodo Bezzi e Sacconi per la triacetina alla ricerca dell'oleo idrogenato di delfino nel burro. Ongaro Dante), Boll. Lab. chim. provinc., 1955, 6, № 1, 4—7 (итал.)

Для обнаружения фальсификации сливочного жира гидрогенизированным дельфиньим жиром применен метод Бенци и Саккони (Annali di Chimica Applicata, 1935, 25, 407). Растопленное масло (10 г) омыляют 4 мл NaOH (1 : 1) в присутствии 40 г глицерина; после охлаждения до 90° прибавляют 180 мл дистилл. воды и 100 мл разб.  $H_2SO_4$ . Летучие к-ты отгоняют по Рейхерту и собирают 4 фракции по 55 мл, причем каждая фракция должна отгоняться точно в течение 10 мин.; 50 мл каждой фракции титруют 0,1 н. NaOH (фенолфталейн). Полученные 4 величины складывают и рассчитывают теоретич. величины титрования, для чего полученную сумму умножают на эмпирич. коэф. 0,373 (для 1 фракции), 0,285 (для 2), 0,205 (для 3) и 0,138 (для 4). Получают две величины титрования для каждой фракции — найденную и вычисленную, а затем вычитают вторую из первой. При отсутствии фальсификации разница обычно очень мала. Обычно сумма полученных разностей для первых 2 фракций отрицательна, а для вторых 2 фракций положительна. По абсолютной величине эти суммы обычно равны или почти равны друг другу. В случае фальсификации масла триацетином абсолютные значения получаемых сумм возрастают, в случае же присутствия среди летучих к-т изовалериановой к-ты из дельфиньего жира алгебраич. сумма разностей для первых 2 фракций положительна, а для вторых 2 фракций — отрицательна. Абсолютные величины сумм в этом случае остаются равными. Метод позволяет открыть присутствие в масле 10—12% гидрогенизированного дельфиньего жира. А. Верещанин

53089. О современных установках для очистки жиров от брома. Нияма (最近の油脂脱臭装置について. 西山忠夫), 化学工業, Kagaku kōgō, Chem. Ind. (Tokyo), 1955, 6, № 8, 721—724 (японск.)

53090. О действии железа на скорость процесса окислительной порчи жиров. Козин Н. Н., Ловачев Л. Н., Сб. науч. работ Моск. ин-т нар. х-ва, 1956, вып. 8, 47—67

Изучены изменения, происходящие при хранении образцов подсолнечного рафинированного и нерафинированного, хлопкового, соевого масел и китового жира с целью определения влияния железа на скорость их окисления. Образцы масел хранили в течение 8,5 месяцев в стеклянных банках из оранжевого стекла и в банках из черной жести объемом 250 см<sup>3</sup>. Через каждые 15 дней образцы перемешивали. При хранении образцов масел в железных сосудах обнаружено увеличение содержания железа в среднем в 2 раза, причем увеличение кол-ва железа находится в прямой зависимости от величины кислотного числа. Увеличение содержания железа привело к усилению каталитич. эффекта на окисление масла, особенно, на порчу нерафинированного подсолнечного, хлопкового и соевого масел. При хранении в железных банках интенсивность окраски подсолнечного и соевого масел уменьшается, хлопкового — увеличивается, а китового жира — значительно увеличивается. Такого изменения интенсивности окраски почти не наблюдается в маслах, хранившихся в стеклянной таре. Ухудшение вкуса и запаха наступало скорее в маслах, хранившихся в железных банках, чем в маслах хранившихся в стеклянной таре. Отмечается роль содержащихся в растительных маслах природных антиоксидантов, присутствием которых и объясняется большая стойкость нерафинированного подсолнечного масла по сравнению с рафинированным, так как при рафинации происходит потеря антиоксидантов. Наибольшую антиокислительную

стойкость из испытанных масел даже в контакте с железом проявило хлопковое нерафинированное масло, как наиболее богатое в-ами антиокислительного характера. Изменения перекисных и кислотных чисел через каждый месяц хранения представлены в таблицах.

А. Войцеховская  
53091. Изучение изменений, происходящих в жирах при хранении. Ляскова Ю. Н., Иванова А. А., Гришина В. Н., Пуклин Я. С. Тр. Всес. н.-и. пн-та мяс. пром-сти, 1955, вып. 7, 78—95

Изучены изменения, происходящие в жирах при их хранении в производственных условиях с помощью методов определения флуоресценции,  $\alpha$ -дикарбонильных чисел, р-ции с нейтр. красной, изменения окраски окрашенных жиров. В дополнение к органолептич. методу исследования рекомендуется определение следующих показателей: для свиного жира — перекисные и  $\alpha$ -дикарбонильные числа, р-ция с нейтр. красной; для говяжьего жира — спектрофотометрич. кривая, интенсивность окраски, р-ция с нейтр. красной. Флуоресценция и кислотные числа говяжьего и свиного жира не изменяются в процессе хранения при  $-8^\circ$  и поэтому не могут применяться как показатели, характеризующие состояние топлёных жиров в процессе хранения. Опытные данные представлены в таблицах и выражены графически.

А. Войцеховская  
53092. Установление оптимальных условий и сроков хранения топлёного говяжьего жира. Комарова В. Н., Тр. Всес. н.-и. пн-та мяс. пром-сти, 1955, вып. 7, 96—107

Изучено влияние т-ры, интенсивности окраски и отскоки говяжьего жира (Ж) на его стойкость. Показано, что наиболее благоприятная т-ра для хранения Ж  $-18^\circ$ . При  $\sim 20^\circ$  наблюдается обесцвечивание Ж, который затем подвергается быстрой окислительной порче. Отскок Ж при вытопке и отстаивании снижает стойкость Ж вследствие катализирующего действия как самой соли, так и находящихся в ней примесей металлов. Повышение кислотности Ж ускоряет процесс порчевания при низких т-рах и обесцвечивания при  $\sim 20^\circ$  т-ре. При вытопке Ж и очистке его без применения отскоки (вытопка на непрерывно действующих аппаратах с последующим сепарированием) хранение Ж до 1 года можно проводить при т-ре  $> 0^\circ$ . Результаты опытов приведены в таблицах и выражены графически.

А. Войцеховская  
53093. Значение метода Свифта как контроля прогоркания жиров для практической работы. Гаек (Význam Swiftovy metody kontroly žluknutí tuků pro praxi. Hájek Zdeněk), Průmysl potravin, 1955, 6, № 9, 456—458 (чешск.)

Приведены результаты определения степени устойчивости жиров методом Свифта с точки зрения применения его для контроля технологич. процессов и определения качества готовых изделий жировой пром-сти и в отраслях пищевой пром-сти, которые употребляют жиры.

Б. Хомутов  
53094. О промышленных условиях проведения реакции контактного восстановления жирных кислот. Тоёда (脂肪酸接觸還元の工業的反應條件について、豊田良一), 油脂化学協会誌, Юси какаку кёкайси, J. Oil Chemists' Soc., Japan, 1955, 4, № 2, 63—65 (японск.)

53095. Изомеризация в процессе гидрогенизации. II. Метилловый эфир *цис*-10, *цис*-12 октадеценной кислоты. III. Линолевая кислота. IV. Метилловый эфир элестеариновой кислоты. Аллен, Киес (Isomerization during hydrogenation. II. Methyl cis-10, cis-12-octadecadienoate. III. Linoleic acid. IV. Methyl eleostearate. Allen R. R., Kiess Arthur A.), J. Amer. Oil Chemists' Soc., 1956, 33,

№ 7, 301—304; № 8, 355—359; № 9, 419—422 (англ.)

На основании данных спектрофотометрии и озонирования доказано, что при частичном гидрировании при  $\sim 20^\circ$  и атмосферном давлении конъюгированной диевой системы — метилловый эфир *цис*-10, *цис*-12 октадеценной к-ты (сообщение II), изолированной диевой системы — линолевая к-та (сообщение III), и конъюгированной триеновой системы — метилловый эфир 9, 11, 13-октадекатриеновой к-ты (сообщение IV) одновременно имеет место геометрич. изомеризация и перемещение двойной связи так же, как и при гидрировании непредельных соединений (сообщение I см. РЖХим, 1956, 56472).

Н. Кологирова  
53096. Применение сульфокислот с липофильными группами. XI. Процесс расщепления жиров по Твистеллю с применением перегретого пара. Фукудзумы (製油性部を有するスルホン酸の應用に関する研究. 第11報. 過熱水蒸気によるトイシチエル油脂分解法. 福住一雄), 工業化学雑誌, Koré kaaku дзасси, J. Chem. Soc. Japan Industr. Chem. Sec., 1954, 57, № 6, 448—449 (японск.)

Соевое и кокосовое масла гидролизуют в присутствии 0,5—1,0% гидролитич. реагента, полученного взаимодействием дибтилнафталина с  $\text{H}_2\text{SO}_4$  в потоке перегретого водяного пара с диоксановым р-рителем и без него. Гидролиз с 1% реагента составлял  $\sim 29\%$  в присутствии р-рителя и 40—41% без него. Предыдущее сообщение см. РЖХим, 1956, 27503.

Э. Тукачинская  
53097. Кристаллические продукты присоединения мочевины в химии жиров. VI. Продукты присоединения моно- и диглицеридов насыщенных кислот. Мартинес-Морено, Маеуэлос-Вела, Васкес-Ронсеро (Application de los aductos cristalinios de urea a la química de las grasas. VI. Aductos con mono y diglicéridos saturados. Martínez Moreno Juan M., Mazullos Vela F., Vázquez Roncero A), An. Real Soc. española fis y quim. Ser. B., 1954, B50, № 6, 625—630 (исп.; рез. англ.)

Исследован состав продуктов присоединения (II) мочевины к моно- и диглицеридов насыщ. жирных к-т. Найденные величины  $R$ -молярного отношения «мочевины : глицерид» — составили для моноглицеридов (в скобках — диглицеридов) к-т: каприловой 10,6 (14,54), каприновой 11,21 (16,95), лауриновой 12,71 (18,0), миристиновой 14,31 (20,39), пальмитиновой 16,14 (20,97), стеариновой 17,98 (23,04). Отношение  $R/n$ , где  $n$  — число атомов C в цепи, выразилось прямыми, отвечающими у-ниями:  $R=0,85n+0,19$  для II моноглицеридов и  $R=0,40n+7,38$  для диглицеридов. Это указывает на то, что строение II моноглицеридов соответствует нормальному типу II мочевины с петаном, а II диглицеридов — аномальному типу II с бифункциональным соединением (Schlenk, Ann., 1949, 565, 204). Найденные плотности II диглицеридов показали значительное отклонение от рассчитанных: для диглицеридов (в скобках — рассчитанные величины) каприновой к-ты 1,231 (1,339), лауриновой 1,214 (1,356), миристиновой 1,205 (1,362). С увеличением II, вместо возрастания плотности, установлено ее уменьшение. Автор полагает, что решетка «аномальных» II имеет более плотную упаковку. Часть V см. РЖХим, 1956, 63455.

К. Герцфельд  
53098. Очистка глицерина с помощью ионообменных смол. Миядзака (イオン交換樹脂によるグリセリンの精製. 宮崎一郎), プラスチックス, Пурасутикус, Japan Plastics, 1954, 5, № 11, 24—28 (японск.)

53099. Алкоголиз растительных масел. Сиборн (The alcoholysis of fatty oils: comment. Seaborn



- L. R.), J. Oil and Colour Chemists Assoc., 1956, 39, № 4, 262—264 (англ.)  
 Дискуссия См. РЖХим. 1957, 46248  
 Получение несопадающих с аналитич. данными результатов контроля р-ции алкоголя из растительных масел титрованием метанолом объясняется, по мнению автора, наличием побочных процессов, в частности р-ции образования диглицеридов и полимеризации жирных к-т.  
 К. Беляева  
 53100. Поведение некоторых растительных масел во время нагревания при дезодорировании. Уэно, Уно (真空, 加熱下の水素気流中における植物油の變化について. 上野誠一, 宅野昭夫), 油脂化学協會誌, Юси какаку кёкайси, J. Oil Chemists' Soc. Japan, 1955, 4, № 6, 35—36, 327—328 (японск.)  
 53101. Приготовление активированных растительных углей для обесцвечивания масел. Кришнамурти, Нараяна-Рао (Preparation of activated vegetable carbons for bleaching oils. Krishna murthy K., Narayana Rao M.), Bull. Central Food Technol. Res. Inst. Mysore, 1955, 4, № 9, 208—209 (англ.)  
 Активирование проводилось хлористым цинком и окисью кальция по методу, описанному ранее (Мукхерджи, Бхаттачария, J. Amer. et Soc., 1949, 71, 1725). Для различных углей даны сравнительные выходы, влажность, зольность, объемные веса и степень обесцвечивания хлопкового масла. Лучшие показатели имеет уголь, полученный из рисовой шелухи и обработанный NaOH и водн. р-ром  $ZnCl_2$  (50 г  $ZnCl_2$  на 100 г сырья), содержащий 10% HCl-кислоты. Сравнивалась степень обесцвечивания хлопкового масла активированными углями, полученными из различного растительного сырья (опилки пяти видов деревьев, скорлупы хлопка и земляных орехов и рисовой шелухи).  
 О. Сладкова  
 53102. Калориметрическое исследование поведения жиров и масел при плавлении. Ридель (Kalorimetrische Untersuchungen über das Schmelzverhalten von Fetten und Ölen. R i e d e l L.), Fette-Seifen-Anstrichmitt., 1955, 57, № 10, 771—782 (нем.; рез. англ., франц., исп.)  
 53103. Изучение шортенингов. I. Кремообразующие свойства добавленных жиров. Накадзава, Симادا, Умэдзава (ショートニングに関する研究. 第1報. クリーミング性について. 中澤君敏, 島田哲夫, 梅澤貢), 油脂化学協會誌, Юси какаку кёкайси, J. Oil Chemists' Soc., Japan, 1955, 4, № 2, 57—60 (японск.)  
 53104. Пропиленгликольальгинат. III. Стабилизация эфира для эмульгирования. Такахаси, Такано (アルギン酸プロピレングリコールエステルの研究. 第2報. エステルの乳化性に対する安定作用. 高橋武雄, 高野良男), 工業化学雑誌, Когё какаку дааси, J. Chem. Soc. Japan Industr. Chem. Sec., 1953, 56, № 9, 688—689 (японск.)  
 Определены эмульгирующая способность (ЭС) пропиленгликольальгината (I), триэтаноламинальгината (II), поливинилового спирта (III), пиридинлаурата и немыльного детергента (Д) по отношению к соевому маслу и жидкому парафину при введении их в кол-ве 0,01—0,15% при 20%. I и II обнаруживают определенную ЭС. Введение I в р-р II, III и Д оказывает стабилизирующее действие на их ЭС. Часть II см. РЖХим, 1955, 1127.  
 Э. Тукачинская  
 53105. Применение высокочастотной акустики к эмульсиям. Фукусима, Имадзу (高周波水測定法のエマルジョンに対する利用. 福島健重, 今津和郎), 油脂化学協會誌, Юси какаку кёкайси, J. Oil Chemists' Soc. Japan, 1955, 4, № 4, 188—190 (японск.)  
 53106. Изучение шерстяного жира. V. Измерение числа омыления и йодных чисел шерстяного жира и

причина несоответствия этих измерений. Миякава, Омори (羊毛ロウに関する研究. 第5報. 羊毛ロウのケン化値, ヨウ素價の測定および従来の測定の誤差の原因について. 宮川高明, 大森昭三), 油脂化学協會誌, Юси какаку кёкайси, J. Oil Chemists' Soc. Japan, 1954, 3, № 5, 1—5 (японск.)

53107. Эфиры в жире волос человека. Николаидес, Фостер (Esters in human hair fat. Nicolaides N., Foster Roscoe C., Jr), J. Amer. Oil Chemists' Soc., 1956, 33, № 9, 404—409 (англ.)

Из жира волос человека выделены воски, триглицериды и смесь моно- и диглицеридов (методы получения жира описаны). Установлено, что свободные жирные к-ты получаются в результате расщепления триглицеридов. Отмечена незначительная разница в составе жира волос мужчин и женщин.  
 И. Вольфензон

53108. Новый способ извлечения шерстяного жира из отработанных моечных растворов. Салин А. С., Отроков Г. М., Щербак С. Н., Шершев В. М., Сб. предл. по экон. электр. и тепл. энергии, премия. на 9-м Всес. конкурсе, М.—Л., 1955, 199—205

Извлечение жира из моечных р-ров включает важную стадию обработки их воздухом, который проводится через р-р в виде мельчайших пузырьков. В результате этого большая часть жировых в-в выносятся в пену, в виде обогащенной эмульсии. Это выполняется в спец. машине (приведены спец. схема и описание). В результате переработки на указанной машине р-р разделяется на обезжиренную воду и конц. эмульсию в виде крема (25%). Эмульсия проходит самотеком по лотку в воронку-сборник, стенки которой обогреваются снаружи паровыми трубами. Из воронки-сборника эмульсия проходит вибрирующий шерстоуловитель, а затем шестеренчатый насос перекачивает ее в бак, где она подогревается до 70—95° и далее подается в грязевой сепаратор. В результате сепарирования получается технич. ланолин при влажности до 3%. При описанном методе получения шерстяного жира сепарированию подвергается не весь моечный р-р, а лишь обогащенная жировая эмульсия, для обработки которой достаточно двух сепараторов вместо 30 по старой схеме; это позволяет снизить расход электроэнергии на 113 тыс. кет-ч в год. Приведена технология, схема извлечения шерстяного жира. А. Бугоркова  
 53109. Структура воска. Маркс, Престинг (Beitrag zur Deutung des Wachstzustandes. Marx Theodor, Presting Willi), Chem. Technik, 1955, 7, № 11, 662—673 (нем.)

Исследована структура восков, даны кривые т-ры плавления, твердости и текучести n-парафинов в зависимости от числа атомов C (от 18 до 28). Обсуждена структура некоторых восков и паст. Кажущееся аморфное состояние восков объяснено примесью посторонних в-в (смола). Указано, что образование стабильной поверхностной пленки восков микрокристаллич. структуры обуславливает глянec восковых покрытий. Обработке пленки предшествует тиксотропный переход воска в жидкое состояние от теплоты трения (при полировке). Различные структуры показаны на большом кол-ве снимков парафинов, восков и их паст. Г. Шураев

53110. Растворимость газов в расплавленном парафине и микрокристаллических восках. Райденура, Уэтерфорд, Капелл (Solubility of gases in molten paraffin and microcrystalline waxes. Ridenour W. R., Weatherford W. D., Jr, Capell R. G.), Industr. and Engng Chem., 1954, 46, № 11, 2376—2381 (англ.)

53111. Непрерывная переработка мыла под вакуумом. Геблер (Die kontinuierliche Verarbeitung

von Seife unter Vakuum. Heibler H.), Fette, Seifen Anstrichmittel., 1956, 58, № 4, 286—292 (нем.).

Описаны две непрерывнодействующие установки по произ-ву туалетного и хозяйственного мыла. Произ-во туалетного мыла: мыльная основа с содержанием 62—63% жирных к-т подается насосом через фильтр в сборник. Из него мыло спец. насосом подают в перегреватель, из которого оно поступает в горизонтальную вакуум-камеру, где распыливается форсунками. Здесь за счет расширения происходит испарение содержащейся в мыле влаги, и высушенное пластичное мыло попадает на шнекпресс, из которого оно выходит либо в виде «вермишели», либо в виде стружки с содержанием ~80% жирных к-т. В дальнейшем мыло перерабатывается по обычной схеме произ-ва туалетного мыла. Формование мыла производится в двойном шнекпрессе, находящемся под вакуумом, вследствие чего готовое туалетное мыло выходит без трещин, полос и без воздушных пузырей. Кроме улучшения качества мыла эта схема произ-ва дает значительную экономию на паре, воде и электроэнергии. При производительности 1000 кг мыла в час расходуется: пара 150—200 кг; воды 8—16 м<sup>3</sup> и электроэнергии 20 квт. Произ-во хозяйственного мыла: сваренное мыло насосом подают в подогреватель, а из него через распыливающее устройство на двухвалковую вальцовку, находящуюся под вакуумом. С вальцев мыло в виде лент транспортером подается на двойной шнекпресс, работающий под вакуумом. Бруски мыла с содержанием жирных к-т 67—72%, выходящие из шнекпресса, разрезают на куски и последние штампуют. Выработка мыла с содержанием 60% жирных к-т на подобных установках невозможна.

Ф. Неволин  
53112. Мыло для морской и жесткой воды. Залио-по М. П., Баранов Л. М., Масл.-жир. пром-сть, 1956, № 1, 18—19

Мыло для морской и жесткой воды предложено варить из жировой смеси, содержащей 65% кокосового масла (КМ), 30% кашалотового жира и 5% канифоли. При варке мыла, в отличие от варки обычной мыльной основы, омыляют КМ 40%-ным р-ром щелочи и добавляют саламас только после полного омыления КМ. Состав мыла перед высаливанием: 48—50% жирных к-т, неомыленного жира и восков в сумме ≤0,5% (к жирным к-там), ≤1,5 свободной NaOH. Добавляют в мыльную массу 40%-ный р-р NaOH до полного высаливания и оставляют на 2 часа. Сливают подмыльный щелок в котел, добавляют р-р соли и воду и проводят второе высаливание, после чего ядро шлифуют. «Мыло с кипа» должно содержать жирных к-т ≤48%, 0,5—0,8% свободной NaOH, NaCl — в 2—2,5 раза более содержания свободной NaOH. После отстаивания (24 часа) мыльную основу, имеющую состав: жирных к-т ≤62%, свободной NaOH 0,1—0,3%, свободной NaCl 0,3—0,6%, охлаждают на вальцах, высушивают в сушильной камере до содержания жирных к-т 80—83% (производительность сушилки почти в 3 раза меньше нормальной), подвергают пилерованию и разрезанные на куски штанги быстро охлаждают на обдувочном транспортере. Характеристика готового мыла: 81—82% жирных к-т; 0,1—0,2% свободной NaOH; 0,4—0,7% свободной NaCl, йодное число 15—18, неомыленного жира и восков (к жирным к-там) 0,13—0,5%; неомыляемых и жирных спиртов (к жирным к-там) 8—13%; мол. вес чистых жирных к-т 235—241; пенное число 1%-ного р-ра (по жирным к-там) в воде жесткостью 60° (нем.) 350—390. По внешнему виду и однородности оно не уступает обычному туалетному мылу, дает хорошую пену в морской воде и хорошо отбивает загрязнения.

Г. Молдованская  
53113. Свойства гуанидиновых мыл. Иноуэ, Микумо, Кусано (グアニジン石鹼について. 井上

及, 三雲次郎, 草野遇), 工業化學雜誌, Kōgō Kagaku Zasshi, J. Chem. Soc. Japan Industr. Chem., 1954, 57, № 4, 330—332 (японск.).

Получены и исследованы гуанидиновые мыла (М) лауриновой (т. пл. 56—57°), пальмитиновой (т. пл. 86—87°), стеариновой (т. пл. 94—95°) и олеиновой к-т. М устойчивы к нагреванию до 130°, хорошо растворимы в спирте и воде и могут быть применены в более широком температурном интервале, чем щел. мыла. Растворимость М (кроме стеарата) при 30° в эфире, C<sub>6</sub>H<sub>6</sub> и CCl<sub>4</sub> 0,02 г на 100 г р-рителя в ацетоне 0,1 г/100 г. М поглощают влагу в большем кол-ве, чем К- и Na-мыла. Степень гидролиза пальмитата и стеарата такая же, как у щел. мыл, а лаурата и олеата заметно меньше. Удельная электропроводность и поверхностное натяжение такие же, как у щел. мыл. Лаурат обладает бактерицидной активностью.

Н. Любошиц  
53114. Быстрый метод анализа мыла. Лю Го-чжи (肥皂的快速分析法. 劉國志), 化學世界, Хуасяе шицзе, 1954, 9, № 7, 303—306 (кит.).

53115. О методе ускоренного анализа мыла. Фэн Лань-бинь (對於肥皂的快速分析法的意見. 馮蘭賓), 科學世界, Кусяе шицзе, 1955, № 3, 140 (кит.).

53116. Детергенты. Ниино (ソープレスソープ, 新野昌生), 化學, Karaky, Chemistry (Kyoto), 1955, 10, № 5, 44—49 (японск.).

53117. Применение синтетических моющих средств на фабрике-прачечной. Гуттов, Шпарбер, Масл.-жир. пром-сть, 1957, № 1, 23—24

Испытание стиральных порошков, изготовленных из смеси синтетич. поверхностноактивных в-в и кальцинированной соды в соотношении 1 : 2, показало, что эти порошки полностью заменяют мыло и стиральный порошок, изготовленный на жировой основе. Такие продукты, как ОП-7 и ОП-10, являются только вспомогательными в-вами и должны применяться в смеси с жировым мылом. При использовании синтетич. порошков время стирки сокращается на 10—15%, при хорошем качестве стирки.

М. Рейбах  
53118. Синтетические детергенты. Развитие в области детергентов. Штупель (I detergenti sintetici — Un'evoluzione nel campo dei detergenti. Stüpel H.), Olii miner., grassi e saponi, colori e vernici, 1955, 32, № 8, 165—170 (итал.).

Обзор применяемых синтетич. детергентов, их свойства, сравнение с мылами, схематич. описание установки для получения порошкообразных детергентов, перспективы их развития. Библ. 50 назв. Л. Фрейдкин  
53119. Производные жирных кислот, содержащие азот. Швигер (Some nitrogen derivatives of fatty acids. Schwitzer M. K.), Industr. Chemist, 1955, 31, № 366, 340—346 (англ.).

Рассмотрены азотсодержащие производные жирных к-т. Указано, что жирнокислые амины или амиды являются исходными в-вами для получения катионактивных, неионогенных и амфотерных продуктов. При взаимодействии первичного амина с хлористым метилом получают водорастворимые катионактивные четвертичные аммониевые соединения. Из вторичных аминов также получают четвертичные аммониевые соединения, растворимые в масле. Третичные амины служат для получения четвертичных аммониевых соединений, обладающих антисептич. свойствами. При взаимодействии первичных аминов и жирнокислых амидов с окисью этилена получают неионогенные продукты. При взаимодействии первичных аминов с хлоруксусной к-той получают соединения, содержащие в одной и той же молекуле основные и кислые группы. Для получения аминов жирные к-ты, которые предварительно дистиллируют и фракционируют, и безводн. NH<sub>3</sub> подают в колонну из кислотоупорной стали с дефлег-

матором. Из этой колонны смесь исходных продуктов и продуктов р-ции поступает в дистилляционную колонну, где отгоняются не вступающие в р-цию жирные к-ты и  $\text{NH}_3$ . Образование нитрилов заканчивается в другом аппарате (конверторе) в присутствии катализатора (окиси алюминия). Неочищ. нитрилы проходят через дистилляционную колонну, где отгоняются жирные к-ты, вода и  $\text{NH}_3$ . Нитрилы гидрогенизируют в присутствии металлич. Ni при 14 атм и 150°.

Ф. Неволин

**53120. Рациональные мощные средства для стирки белья в механических прачечных.** Попов П. П., Афанасьева В. Л., Гор. х-во Москвы, 1956, № 5, 36—37

Приведены сравнительные результаты стирок белья мылом и сульфанолам и при использовании водосмягчающего средства — гексаметафосфата натрия. Применение сульфанола и гексаметафосфата натрия позволяют сократить время стирки, расход стирочных материалов, повысить качество стирки и уменьшить износ ткани.

Ф. Неволин

**53121. Кальциевые мыла как фактор, уменьшающий моющий эффект средства для стирки.** Галинский (Mydła wapniowe jako czynnik zmniejszający efekt piorący substancji piorącej. Galiński K a r o l), Przem. włókienn., 1955, 9, № 9, 400—403 (польск.). Обсуждается отрицательное влияние жесткой воды на процессы стирки и крашения текстильных материалов. Объясняется принцип действия комплексных соединений, образуемых полифосфатами, а также Na-солей аминокполикарбоновых к-т, препятствующих образованию Са-мыл. Перечисляются средства, диспергирующие Са-мыла, а также аналитич. критерии оценки. Описываются методы определений: пеннотворности и моющей способности посредством определения степени белизны, содержания Са-мыл в волокне, степени инкрустации.

A. Wielopolski

**53122 П. Аппаратура для экстракции растительных масел.** Паскал (Apparatus for solvent extraction of vegetable oils. Pascal Michael W.) [The Sherwin Williams Co.]. Пат. США 2714551, 2.08.55

Патентуется экстрактор непрерывного действия, в котором экстрагируемый материал поступает в измельчитель, который может служить также в качестве смесителя. В измельчителе или после него материал смешивается с мисцеллой, и полученная таким образом пульпа направляется в смеситель — экстрактор, в котором процесс экстракции совершается при перемешивании. Затем полуобезжиренный материал вместе с мисцеллой направляется в пневмовую осадительную центрифугу, в которой производится две операции: а) отделение от материала мисцеллы, направляемой на полировочную фильтрацию и далее на удаление р-рителя, и б) смешение материала со слабой мисцеллой, выходящей из последней по ходу процесса центрифуги. Полученная при этом пульпа направляется в следующий смеситель-экстрактор и далее в следующую центрифугу, в которую, однако, подается чистый р-ритель. Всего в системе установлено три смесителя-экстрактора и три центрифуги. Выходящий из последней центрифуги шрот направляется на отгонку р-рителя.

В. Белобородов

**53123 П. Фракционирование в растворителе масел, содержащих стеарин.** Пассино (Solvent fractionation of stearin-containing oils. Passino Herbert J.) [The M. W. Kellogg Co.]. Пат. США 2728707, 27.12.55

Патентуется способ фракционирования масел посредством обработки их селективным р-рителем с целью получения из рыбьих жиров концентрата витаминов А

и (или) D. Нейтрализованный рыбий жир, содержащий витамины и высокоплавкие глиcerиды, подвергается фракционированию обработкой его газообразным при нормальных условиях, но жидким при достаточном давлении р-рителем (напр., пропаном) следующим образом: жир непрерывно вводится в зону фракционирования и обрабатывается в противотоке р-рителем в таком интервале т-р, в котором при росте т-ры растворимость жира уменьшается; получается богатая витаминами фракция, которую затем охлаждают для разделения на две фазы с меньшей и большей плотностью; в 1-й содержится витамины, во 2-й — жир, содержащий твердые глиcerиды. Фазу с большей плотностью разбавляют пропаном, смешивают со свежим рыбьим жиром и возвращают в зону фракционирования; из фазы с меньшей плотностью извлекают концентрат витаминов.

В. Белобородов

**53124 П. Образование нестойких легко разделяемых эмульсий** (Making unstable separable emulsions) [Aktiebolaget Separator]. Англ. пат. 722806, 2.02.55

Для получения нестойкой эмульсии (Э) компонент, который склонен к образованию непрерывной фазы, вводится в другой компонент в виде капель или в виде пара, образующего капли при конденсации. Величина капель должна быть такова, чтобы при перемешивании, которому будет подвергнута Э, не происходило образование вторичной Э. Способ особенно применим для процесса промывания масел водой, когда образующаяся нестойкая Э по окончании промывания подвергается центрифугированию для выделения чистого масла (М). Рапсовое М при смешивании с водой должно иметь капли в  $\sim 20 \mu$ , кокосовое  $5 \mu$ . На рисунках показано в разрезе устройство для подачи масла в воду под давлением и подробное устройство с присоединением к центрифуге.

В. Мазюкевич

**53125 П. Переработка углеводородов.** Гаррис, Стравинский (пат. 2697061), Креймер (пат. 2697062) (Processing of hydrocarbons. Harris Rhett G., Strawinski Raymond J. (пат. 2697061); Cramer David L. (пат. 2697062)) [Texaco Development Corp.]. Пат. США 2697061, 2697062, 14.12.54

Для получения жироподобных омыляемых материалов и органич. к-т из углеводородов последние по пат. 2697061 диспергируют в минер. питательной для микроорганизмов среде при отсутствии других органич. субстратов и засевают микроорганизмами из группы пенициллиновых и аспергилловых плесеней или дрожжей *Monilia*, или *Saccharomyces*, смесь подвергают на известный период времени ферментации, затем собирают образовавшееся твердое в-во и выделяют из него жироподобный омыляемый материал и органич. к-ты. Аналогичный процесс проводят по пат. 2697062 в присутствии фосфолипидов.

О. Магидсон

**53126 П. Способ стабилизации масел, изменяющихся в результате самоокисления.** Шленкер (Verfahren zum Stabilisieren von autoxydabel veränderlichen Ölen. Schlenker Felix) [Chemische Werke Albert]. Пат. ФРГ 939164, 16.02.56

Для стабилизации масел смешивают при нагревании со смоло- или маслоподобными продуктами конденсации алколюлятов 2- или более валентных металлов и реагирующих в таутомерной форме производных кетонов, преимущественно эфиров  $\beta$ -кетокислот,  $\beta$ -дикетонов или эфиров малоновой к-ты; выпадающие при этом продукты удаляют фильтрованием, центрифугированием или другими приемами. П р и м е р. 100 вес. ч. сурепного масла при 100° смешивают с 5,8 вес. ч. искусств. смолы, содержащей Al, затем масло фильтруют. После такой обработки устойчивость масла к окислению возрастает. Смолу получают 3-часовым кипячением 500 вес. ч. этилата-Al с 260 вес. ч. ацето-



уксусного эфира. Легкокипящие продукты (до 180°) удаляют отгонкой в вакууме.

**53127 П.** Способ консервирования жиров, масел, продуктов питания и других веществ, содержащих жиры и масла. Грдличка, Ведлич (Způsob konzervace tuků, olejů, potravin a jiných látek, tuky, oleje neb mastnoty obsahujících. Hrdlička Karel, Vedlich Miloslav). Чехосл. пат. 83064, 1.09.54

Патентуется способ консервирования указанных продуктов путем добавления НД или консервирующей смеси, состоящей из йодида щел. металла и одной или нескольких органич. к-т алифатич. ряда: муравьиной, уксусной, пропионовой, молочной, малоновой, янтарной, лимонной. При взаимодействии к-ты с йодидом щел. металла выделяется НД, обладающий бактерицидным действием, тормозящий ферментативные процессы, а выделяющийся под действием кислорода воздуха йод присоединяется по месту двойных связей к ненасыщ. жирным к-там. Израсходованный НД восполняется при взаимодействии йодидов с органич. к-тами. Йодиды берут в кол-ве необходимом для создания конц-ии НД 0,001—0,007%. Консервированию не подлежат в-ва, свойства которых меняются при добавлении органич. к-т.

**53128 П.** Метод производства маргарина, масла и аналогичных продуктов. Сахариссен, Борк (Method of producing margarine, butter and similar products. Zachariassen Stig Holger Bjarne, Borck Alfred Gerhard). [Aktiebolaget Separator]. Канад. пат. 509865, 8.02.55

Предлагается метод произ-ва масла, маргарина и аналогичных продуктов не менее чем из двух жидких компонентов (К), один из них жир, а другой — фаза, которая будет в нем диспергирована. К темперруют так, чтобы после смешивания в требуемом соотношении продукция имела т-ру более низкую, чем т-ра застывания жира. Смешивание и гомогенизация диспергируемой фазы должны происходить быстро, до наступления полной кристаллизации жира. Охлаждение должно обеспечивать отвод теплоты кристаллизации жира, так чтобы не происходило изменения состояния диспергированной фазы. При смешивании двух жиро-водных эмульсий, диспергируемой фазой является эмульсия, содержащая меньшее кол-во жира. При смешивании К различной вязкости наименее вязкий К должен иметь наиболее низкую т-ру. Смешиванию и гомогенизации подвергаются К, имеющие разные т-ры.

**53129 П.** Способ получения очищенного пчелиного воска. Залли (Verfahren zur Gewinnung von gereinigten Bienenwachs. Sallie Ernst). Пат. FRG 837909, 01.12.55

Для получения очш. воска (В) пчелиные соты, неочищ. или экстракционный В быстро нагревают до т-ры  $\geq 80^\circ$  (лучше  $\geq 100^\circ$ ) при помощи теплоносителя, напр. горячих воздуха, воды и др. Целесообразно к теплоносителю, который движется навстречу стекающему вниз В, добавлять к-ты, напр. HCl. Расплавленный и нагретый В направляют на центрифугу (Ц) со сплошным ротором, если обработку В ведут в присутствии воды и с сетчатым ротором, если центрифугирование проводят при т-ре  $> 100^\circ$ . Очш. от посторонних в-в В подвергают отбелке. К плавящейся или уже расплавленной массе добавляют отбеливающее в-во (до или во время центрифугирования). Полученные при центрифугировании посторонние в-ва, содержащие В, подвергают повторному центрифугированию или экстрагированию. Напр. 15 кг пчелиных сот помещают в сетку или проволоочное сито, расплавляют поступающим снизу перегретым до  $140^\circ$  паром, содержащим 9,2% HCl-газа, выходящим сверху при  $100^\circ$ . Соби-

рающийся на дне расплавленный В смешивают с 8 л кипящей воды и подают на Ц со сплошным барабаном, Ц обогревается острым паром. Центрифугируют в течение 1 мин. при скорости 600 об/мин. затем в течение 2 мин. при скорости 1700 об/мин. Общее время центрифугирования 4 мин. Получают обычным образом чистый пчелиный В и промежуточный слой. К последнему добавляют 5% NaCl и возвращают в аппарат для расплавления. Получают светло-желтый, почти бесцветный В, содержание В в остатке 7%. Более загрязненный В смешивают с 2% отбелочной землей, перемешивают 2 часа при нагревании глхим паром до  $100^\circ$ , добавляют 25% воды, перемешивают и центрифугируют.

**53130 П.** Моющие композиции (Detergent compositions) [General Aniline & Film Corp.]. Англ. пат. 738538, 12.10.55

Патентуется моющая композиция, состоящая из водорастворимых хлоридов, бромидов, сульфатов, нитратов или апетатов поливалентного металла (Mg, Ca, Al, Fe, или их смеси) и соединения ф-лы  $RO[CH_2CH(R')O]_nSO_3M$ , где R — разветвленный алкильный или алкиларильный радикал с  $\geq 10$  атомами C; R' — водород или метил; n=1—8 и M — одновалентный катион (натрий, калий, аммоний, алкиламин или оксикалиламин). Соединения указанной выше ф-лы получают конденсацией разветвленного алифатич. спирта  $\geq 10$  атомами C (получают оксосинтезом) или алкилфенола, имеющего в алкильной цепи  $\geq 4$  атома C, с окисью этилена или окисью пропилена с последующим сульфированием этого продукта серной к-той. Соли поливалентных металлов должны составлять 5—50% от веса сульфированного продукта.

**53131 П.** Неслеживающиеся моющие смеси. Льюис, Серл (Non-caking detergent composition. Lewis Allen H., Searle Donald F.) [California Research Corp.]. Пат. США 2709685, 31.05.55

Патентуются смеси моющих средств, содержащие в качестве активного в-ва алкилбензолсульфонаты, которые не слеживаются при хранении. Для этой цели в смеси вводят 1—10% хлорбензолсульфоната. Его можно ввести в смесь различными способами: проведением одновременного сульфирования алкилбензола и хлорбензола, смешением просульфированных в отдельности алкилбензола и хлорбензола и, наконец, смешением нейтрализованных алкилбензолсульфоната и хлорбензолсульфоната. Пример: смесь 255 ч. полипропилбензола (12—15 атомов C) и 45 ч. хлорбензола сульфигируют медленно 361 ч. 20%-ной дымящей  $H_2SO_4$  в течение 45 мин. при  $30-32^\circ$ , затем т-ру повышают до  $46^\circ$  и перемешивают в течение 3 час. После этого выливают сульфопроduct при перемешивании в р-р 250 ч. NaOH в 1000 ч. воды. При нейтр-ции поддерживают т-ру  $38-50^\circ$ . К смеси добавляют 211 ч.  $Na_2SO_4$  (отношение активного в-ва к  $Na_2SO_4 = 40 : 60$ ). Вместо  $Na_2SO_4$  можно вводить другие неогранич. соли: фосфаты, карбонаты, NaCl. Смесь высушивают. После хранения продукта в течение 7 дней при  $32^\circ$  и 80%-ной относительной влажности слеживается только 6% продукта. Без добавки хлорбензолсульфоната аналогичный продукт слеживается на 65%.

**53132 П.** Метод и аппарат для уплотнения диспергированных твердых материалов (Method and apparatus for compacting pulverized solid materials) [Micro Processing Equipment, Inc.]. Англ. пат. 736591, 14.09.55

Синтетические моющие средства (МС) или мыла получают в форме пористых брусков спрессовыванием

порошков соответствующих материалов, полученных распылением. Бруски МС могут быть приготовлены из распыленного синтетич. МС, напр. из Na-соли лаурилсульфата, содержащего сульфат натрия в смеси с пемзой, мелом или двуокисью титана. Содержание МС в брусках 5—60 вес. %. Крупные бруски получают спеканием мелких. Бруски получают также из распыленного мыла, из твердой стеариновой к-ты и мягких мыл. В. Реутский

**53133 П. Получение поверхностноактивных агентов.** Олдем, Уэрт (Production of surface active agents. Oldham W. J., Wirth M. M.) [British Petroleum Co., Ltd; Formerly Anglo-Iranian Oil Co., Ltd]. Англ. пат. 728433, 20.04.55

Поверхностноактивные соли получают при взаимодействии  $\text{SO}_2$  и гидроперекисей высокомолекулярных алифатич. углеводородов, а также алкилированных нафтеновых углеводородов или смесей тех и других. Р-ции ведут в водн. или спирт. средах, применяя неорганич. или органич. основания в таких кол-вах, чтобы получались нейтр. соли. Р-ции ведут при  $t$ -ре от  $-10$  до  $+100^\circ$ .  $\text{SO}_2$  употребляют в жидкой или газовой форме при нормальном, пониженном или повышенном давлении. В качестве оснований применяют гидроокиси щел. металлов, алканолламины (этанолламины и бутанолламины, пиридин, аммиак). Гидроперекиси могут быть получены при окислении соответствующего углеводородного сырья с длиной цепи 10—20 атомов С (лучше 12—16 атомов С). Напр., керосиновую фракцию с т. кип.  $210$ — $220^\circ$ , окисляют воздухом, экстрагируют метанолом гидроперекиси и концентрируют экстракт; концентрат диспергируют в водн. р-ре  $\text{NaOH}$  и обрабатывают  $\text{SO}_2$ , получая водн. р-р поверхностно-активного в-ва. О. Сладкова

**53134 П. Способ нейтрализации продуктов сульфирования или сульфатирования** (Fremgangsmåde til neutralisation af sulfonerings-eller af sulfateringsprodukter) [Aktieselskabet Grindstedvaerket]. Дат. пат. 79337, 6.06.55

При нейтр-ции (Н) продуктов, распадающихся в процессе Н (при повышении  $t$ -ры), ее производят в щелевидном пространстве между неподвижной и вращающейся поверхностями охлаждения, в которое непрерывно вводят компоненты р-ции, а нейтрализованный продукт и избыток одного из компонентов р-ции отводят вдоль оси вращающейся поверхности. Для Н применяют конц. р-р гидроокиси щел. металла, содержащий карбонат или водн. р-р  $\text{NH}_3$ . Вращающаяся поверхность охлаждения имеет форму цилиндра, усеченного конуса или биконич. Отвод жидкости устроен по оси вращающегося тела, а ввод в кожухе, окружающем вращающуюся поверхность, на середине его высоты. Преимущество способа состоит в быстром отводе тепла Н, чем избегается повышение  $t$ -ры, вызывающее расщепление сульфированного продукта. Способ рекомендуется для Н продуктов сульфирования одно- и многоатомных спиртов, жирных к-т, алифатич. к-т с длинной цепью и жиров. К. Герпфельд

**53135 П. Метод уменьшения вспенивания и токсичности жидкостей.** Ярроу (Method of minimizing foaming and toxicity of liquids. Yarrow H.). Англ. пат. 736351, 7.09.55

Вспенивание жидкостей, вызываемое анионоактивными детергентами, уменьшается при нейтр-ции некоторых или всех анионоактивных в-в прибавлением галогенида четвертичного аммониевого основания, напр. хлорида додецилдиметилбензиламмония или цетилаштридиний-хлорида. Нейтрализующее в-во можно применять в виде р-ра или вводить его непосредственно в р-р детергента. Продукт частичной или полной нейтр-ции может быть вредным, поэтому нейтр-цию

следует проводить немедленно перед конечной фильтрацией жидкости. В., Красева

См. также: Лыняное масло 52906, 52907. Алюминиевые мыла 52908. Детергенты 52909. Экстрагирование масла из раст. сырья 53530. Охрана труда 53582.

## УГЛЕВОДЫ И ИХ ПЕРЕРАБОТКА

Редактор М. С. Гарденин

**53136. Бактериальные процессы при переработке сахарной свеклы.** Андерсен (Bakterielle Gärungserscheinungen bei der Zuckerrübenverarbeitung. Andersen Erik), Z. Zuckerind., 1956, 6, № 12, 623—630 (нем.; рез. англ., франц.)

Сопоставлены применяющиеся методы определения бактериальной активности и показано, что хорошим показателем активности бактерий является длительность латентной фазы (интервала времени от момента заражения пробы до начала развития бактерий). Эксперим. данные бактериальной активности поступающих в произ-во воды и свекольной стружки показывают значение мойки свеклы, хлорирования мойшей воды и обварки стружки перед диффузией. Исследованы источники развития бактерий внутри самого произ-ва и приведены исследования скорости и полноты вытеснения производственным потоком очагов бактерий из оборудования; указаны условия рациональной конструкции аппаратов. Выявлена связь между микробиологич. процессами и производственными показателями (рН,  $t$ -ра, содержание сухих в-в) и даны указания по рациональному проведению технологич. процесса. Н. Гарденин

**53137. Опыт изучения комплекса углеводов сока свеклы при ее хранении методом хроматографии на бумаге.** Барабанов М. И., Безносенко В. Ф., Тр. Киевск. технол. ин-та пищ. пром-сти, 1956, вып. 16, 83—88

Изучен состав хранящейся свеклы. При нормальных условиях хранения не происходит глубоких изменений углеводов свеклы и накопления правовращающихся углеводов. Показана целесообразность применения метода хроматографии на бумаге для выявления безрафинозных сортов свеклы. Г. Новоселова

**53138. Исправления к статье: «Модернизация работы диффузионной батареи».** Пелетинский, Сахарная пром-сть, 1956, № 2, 3 (обл.) К РЖХим, 1956, 76577.

**53139. Плазмолиз свекловичной стружки при однократном опшаривании ее в ротационном диффузионном аппарате.** Коваль Е. Т., Сахарная пром-сть, 1956, № 12, 48—50

Исследована степень плазмолиза клеток свекловичной ткани при работе ротационного диффузионного аппарата с порционным питанием стружкой по способу Берке и с непрерывным питанием в обход автоматич. ковшевых весов. Скорость плазмолиза клеток зависит от способа подачи стружки в опшариватель. При порционной дозировке стружки процесс плазмолиза завершается лишь в 6-й камере диффузионного аппарата. При непрерывной подаче в аппарат стружки и 6—7-кратного кол-ва идущего на ее нагревание сока  $t$ -рой  $88$ — $91^\circ$  обеспечивается необходимая степень плазмолиза уже в опшаривателе и сливной трубе. Г. Новоселова

**53140. Лабораторные опыты нагрева при помощи электрического тока.** Досс, Вишну (Laboratory experiments on resistance heating of massecuites. Doss K. S. G., Vishnu), Internat. Sugar J., 1956, 58, № 695, 303—305 (англ.)

Для лучшего истощения мелассы целесообразно utfель (У) охлаждать в кристаллизаторах до возможно низкой т-ры (напр., 40°), что однако вызывает затруднение при подаче У к центрифугам и при фуговке. Подогрев У перед фуговкой с использованием поверхности охлаждения приводит к местным перегревам и повышению доброкачественности мелассы. Лабор. опыты по подогреву У путем пропуска электрич. тока показали преимущество этого способа; в качестве электродов применяли стальные полосы, помещаемые в сосуд, через который пропускали У в кол-ве 34 кг/час. Расход электроэнергии для подогрева 100 т У в сутки на 15° (с 38°) на тростниковосахарном з-де производительностью 1000 т тростника составил при напряжении 66 в 960 кет-ч.

Г. Бенин  
53141. Приближенное уравнение массовой скорости кристаллизации сахара. Головин П. В., Тр. Киевск. технол. ин-та пищ. пром-сти, 1956, вып. 16, 9—15

Выведено приближенное ур-ние зависимости истощения маточного р-ра от факторов кристаллизации. Показан способ расчета коэфф. диффузии сахарозы в нечистых р-рах. Приведен пример расчета приведенной толщины диффузионной пленки у граней кристаллов и кривой истощения маточного р-ра. Г. Новоселова

53142. Исправление к статье: «Зависимость доброкачественности кристаллов сахарозы от доброкачественности сахарных растворов и сиропов». Терек (Ispravka. Terek Ljudevit), Technika, 1956, 11, № 10, 1544 (серб.-хорв.)  
К РЖХим, 1957, 25097.

53143. Применение ионитов для очистки сахарного сока. Диккинсон (Ion exchange applied to sugar juice refining. Dickinson B. N.), S. Afric. Sugar J., 1956, 40, № 10, 781—783 (англ.)

Краткий обзор производств, применяющих иониты для очистки сахарных соков — свеклосахарное, рафинадное, глюкозное, анапных соков и сахарных сиропов. Отмечена целесообразность применения для обезвреживания соков высокоосновных анионитов в хлор-форме и катионитов с карбоксильными функциональными группами для уменьшения инверсии сахарозы при последовательном пропуске р-ров через катионит-анионит.

Г. Бенин  
53144. Брикетометр для густого сока. Модзелевский (25 kampanii brikomierza do soku gęstego. Modzelewski Tadeusz), Gaz. cukrown., 1956, 58, № 2, 41 (польск.)

Описан прибор, измеряющий плотность выходящего из выпарки сока. Основной частью прибора является цилиндрич. поплавок весом 21 кг, замыкающий при помощи движка контакты электролампы, сигнализирующих о всплывании поплавка в перекачиваемом соке. При изменении плотности сока на 2° Бр. поплавок всплывает на 7,5 мм.

З. Фабинский  
53145. Кондуктометрический контроль выхода мелассы. Эчи, Вавринец (A melaszhozam ellenőrzése vezetőképességi módszerrel. Écsy László, Vavrinecz Gábor), Cukoripar, 1956, 9, № 6, 123—125 (венг.)

Доклад Р. Каролана (Ирландия) на 7-й сессии международной комиссии по сахарной пром-сти.

Ю. Юкович  
53146. Изучение метода определения редуцирующих сахаров (VI). Определение инвертного сахара модифицированным методом Блома. Мацуо, Мори (還元糖の定量法に関する研究. 第6報. Blom 變法による轉化糖の定量. 松尾義之, 森英子), 釀酵工學雜誌. Хакко когаку дзасси, J. Ferment. Technol., 1954, 32, № 2, 76—79 (японск.; рез. англ.)

При определении инвертного сахара модифицированным методом Блома в японском сахаре, тростни-

ковой мелассе, джемах, плодовых соках, результаты определений на 0,1—2,8% выше по сравнению с результатами по методу Лейне, что можно отнести за счет большей точности первого метода. Содержание инвертного сахара рассчитывали по ф-ле: конц-ия инвертного сахара ( $mg/100\text{ мл}$ ) = К/титр инвертного сахара в мл, где коэфф. К для инвертного сахара — 1540. Ошибка метода  $\pm 1,6\%$ , область применения при конц-ии инвертного сахара 65—165  $mg/100\text{ мл}$ . Часть V см. РЖХим, 1957, 32671.

В. Гурин  
53147. Химия и сахарный тростник. Уиггинс (Chemistry and the sugar cane. Wiggins I. F.), J. Roy. Soc. Arts, 1956, 105, № 4992, 31—42 (англ.)

Содержание лекции автора, в которой освещены связь химии с возделыванием сахарного тростника, технологией его переработки, дальнейшее развитие тростниковосахарной пром-сти, использование сахара как сырья для хим. пром-сти и утилизации мелассы, багассы и фильтпресной грази.

Г. Бенин  
53148. Выгодность использования сокового пара многокорпусной выпарной станции на сахарных заводах. Оммэн, Сринивасан (Beneficial effects of bleeding vapour from multiple effects evaporators in sugar factories. Oommen T. T., Srinivasan K. Y.), Indian Sugar, 1956, 6, № 5, 317—320 (англ.)

В связи с тем, что не все тростниковосахарные з-ды Индии используют соковые пары многокорпусной выпарной станции, приводятся известные положения о наиболее рациональном паротборе сокового пара из различных корпусов 4-корпусной выпарки и рассмотрено влияние этого фактора на производительность и поверхность нагрева тепловой аппаратуры.

Г. Бенин  
53149. Содержание воска в фильтпресной грази различных тростниковосахарных заводов Индии. Мукхерджи (A survey of cane wax contents of press cakes from different sugar factories in India. Mukherjee S.), J. Scient. Soc., 1954, 3, May, 7—9 (англ.)

Определено экстрагированием бензолом из воздушн. смеси грази содержание воска в фильтпресной грази 15 тростниковосахарных з-дов, применяющих сульфитационный способ очистки сока. Содержание воска, в зависимости от сорта тростника, способа работы, аппаратуры для фильтрации, климатич. условий и др., колебалось в пределах от 6,25 до 18,5% к весу асух. грази. Такие данные позволят более правильно установить место строительства з-да для получения воска из фильтпресной грази.

Г. Бенин  
53150. Обработка оттеков «В» на сахарном заводе Трианон в 1955 г. Демаре (Traitement des égouts B a la sucrerie de Trianon durant la campagne 1955. Desmarais Roland), Rev. agric. et suc. Ile Maurice, 1956, 35, № 4, 189—191 (франц.)

Непрерывнодействующий сепаратор Вестфалии типа SKIG 10006 испытан для осветления оттеков «В» на сахарном з-де. Разбавленные до 60—70° Бр. и нагретые до 85° оттеки подвергались обработке в сепараторе и, затем, присоединялись к utfелю основного продукта. В результате повысился выход и доброкачественность основного продукта, сократилось время варки utfели, улучшился процесс центрифугирования за счет снижения вязкости мелассы и снизилось кол-во мелассы и ее доброкачественность.

М. Старосельская  
53151. Новый завод по переработке арроурута в Вест-Индии. Лотон (New West Indian arrowroot factory. Lawton. Olwen), Food, 1956, 25, № 301, 368—372 (англ.)

Описание оборудования и технологии произ-ва крахмала из арроурута. Особенностью процесса является поточный метод отделения крахмала от жидкой фазы на центрифугах и сушка крахмала в обогреваемых



паром сушилках вместо обычной сушки на воздухе. 90% продукции составляет пищевой крахмал, широко применяемый для произ-ва детских продуктов.

Т. Сабурова  
53152. Современный способ производства муки крахмала из кассавы. К ё й с о н (The modern method of manufacture of cassava flour and starch. K u i z o n Porfirio G.), Agric. and Industr. Life, 1956, 18, August, 10 (англ.)

После отделения ботвы корни режут на куски и подвергают очистке в барабанных или кулачных мойках. Очищ. корни измельчают на пыльчатых или перфорированных терках в тонкую кашку, из которой отмыывают крахмал на двух последовательных ситовых аппаратах с отверстиями 0,147 и 0,074 мм. Крахмальное молоко, имеющее плотность  $\sim 3^\circ \text{Bé}$ , сгущают до  $22^\circ \text{Bé}$  на непрерывно-действующих, быстроходных конденсаторах. Далее крахмал обезвоживают на вакуум-фильтре до влажности 30—35%. Перед высушиванием к такому крахмалу добавляют сухой продукт, отчего влажность смеси снижается до 25%, вслед за чем смесь высушивают до влажности 11—12% и просеивают через нейлоновое сито с отверстиями в 0,11 мм. Сходящую с сита после отмывки крахмала мезгу, содержащую 67% влаги, высушивают предпочтительно на барабанных сушилках с 67% до 12% влаги и размалывают на быстроходной бичевой мельнице; применение обычных мельничных жерновов исключается, вследствие возможности попадания в продукт частичек песка. Муку просеивают через сито с отверстиями  $\sim 0,125$  мм и упаковывают в мешки. Сходящие с сита волокнистые примеси клетчатки используются для набивки подушек. Смешиванием муки и крахмала в различных соотношениях получают обычно продукт с 20% последнего. Оборудование, соприкасающееся с измельченными корнями, следует изготовлять из нержавеющей стали, так как присутствующая в корнях синильная к-та при соприкосновении с солями железа будет окрашивать продукты в темно-синий цвет.

Н. Баканов

53153. Новое к проблеме явлений старения системы крахмал — вода. Самек (Neuere Beiträge zum Problem der Alterungserscheinungen von Stärke-Wasser Systemen. Sam e c M.), Stärke, 1956, 8, № 5, 107—109 (нем.)

Сообщаются предварительные результаты исследований процессов старения крахмальных р-ров. В работе использован метод М. Ребек'а с применением лейкооснования кристаллвиолетта, который при топомех. р-циях в присутствии кислотных атомных групп приобретает окраску, интенсивность которой и служит мерой кислотности. Сделан вывод, что р-ция с лейкооснованием кристаллвиолетта указывает на кислую природу крахмала; при старении крахмальных р-ров изменяется СО-содержащие атомные группы и повышается кислотный характер р-ра. Слабая предварительная обработка крахмальных в-в  $\beta$ -амилазой снижает или повышает ретроградацию, в зависимости от структуры этих в-в.

Н. Баканов

52154. Высушивание крахмала токами высокой частоты. Мас, Питермат (Le séchage de l'amidon par haute fréquence. Maes E., Pietermat a t F. P.), Rev. ferment. et inds aliment., 1956, 11, № 2, 106—110 (франц.)

Высушивание образцов токами высокой частоты в лаборатор. практике дало положительные результаты. Пробы глютена были высушены за 10—12 мин., вместо 16 час. при  $100\text{—}105^\circ$ . При 15-минутном высушивании расхождение в анализах составляет 0,15%. Способ проверен на 50 образцах различных продуктов кукурузно-крахмального произ-ва (кукуруза сухая и замоченная, росток, крахмал, мезга, замочная вода, патока и глю-

коза). Описаны примененная аппаратура и методика исследований. Образцы в 3 г высушивались в керамич. юветах за 15 мин.; при содержании влаги  $>25\%$  высушивание велось с 2—3-минутными интервалами. Параллельно определения влажности проводились с высушиванием в шкафу при  $100^\circ$  в течение 4,5 час. В результате  $>400$  определений установлено оптимальное время для высушивания образцов. Патоку высушить не удалось вследствие испарения и карамелизации.

Н. Баканов

53155. О растворах крахмала в четвертичных аммониевых основаниях. Липатова Г. В., Науч.-исслед. тр. Моск. текстильн. ин-та, 1956, 18, 94—98

Изучена возможность применения в качестве р-рителя для крахмала воды. р-ра триметиламиния. Установлено, что различные модификации крахмала имеют не только разный мол. вес, но и разную форму макромолекул. При растворении нативного крахмала в четвертичном аммониевом основании не происходит полного разрыва связей между макромолекулами, как при обычной тепловой клейстеризации.

Г. Новоселова

54156. Характеристика пектинов. Савур (Characterization of pectins. S a v u r G. R.), Indian Food Packer, 1956, 10, № 4, 7—9 (англ.)

Исследованы пектины из различных видов растительного сырья Индии: из коры цитрусовых, культурных и диких яблок, груш, моркови, головок подсолнечника. Пектин получали на полузаводской установке экстрагированием в 0,5%-ной винной к-те. Представлены данные влажности, содержания пектина по пектату кальция, уроновых к-т, метоксидов, выходов и студнеобразующей способности пектинов. Испытаны различные реагенты для экстрагирования пектина (НСl, винная к-та, гексаметафосфат натрия). Пектин с лучшей студнеобразующей способностью получен экстрагированием винной к-той при рН 2,4—2,6. Из гуавы получены образцы низкометоксилированного пектина. Из яблочного пектина выделена пектиновая к-та, метилполигалактуронизид и получена галактуроновая к-та. Приведен состав продуктов гидролиза спиртового экстракта образцов пектина из 7 видов растительного сырья.

Л. Сосновский

53157. Изучение приготовления и очистки альгиновой кислоты электродиализом. I, II. Приготовление альгиновой кислоты двухкамерным способом. III. Приготовление альгиновой кислоты трехкамерным способом. IV. Обесцвечивание альгиновой кислоты хлором. Кодзима (アルギン酸の精製に關する研究. I, II. 三室電解透析法の実験的検討 III. 三室電解透析法によるアルギン酸の製造. IV. 鹽素ガスによる脱色及び脱色アルギン酸の精製に就て. 小島良夫), 日本水産學會誌, Нихон суйсан гаккайси, Bull. Japan. Soc. Scient. Fish., 1956, 21, № 12, 1253—1256, 1257—1260; 22, № 2, 104—107, 108—111 (японск.; рез. англ.)

I. В связи с трудностями получения очень чистой альгиновой к-ты (I) из *Eckloria cava* обычными методами сделана попытка получить I высокой степени чистоты электродиализом р-ра неочищ. альгината натрия (II), полученного экстракцией *E. cava*. Исследованы условия экстракции I из *E. cava*, выход и свойства. Экстракция 0,6%-ным р-ром  $\text{Na}_2\text{CO}_3$  при  $70^\circ$  в течение 4 час. дает оптимальные результаты.

II. Р-р II, полученный из *E. cava* при оптимальных условиях подвергнут электродиализу с двумя камерами. I осаждается на аноде. Выход и чистота I близки к получаемым обычными методами, что указывает на бесполезность применения двухкамерного способа диализа для получения чистой I.

III. При электродиализе р-ра II трехкамерным способом с охлаждением водой I осаждается в средней

камере. После пропуска 5 а-ч расход электроэнергии составил 76,5 кет-ч/кг, а выход 1 23%. Содержание золы в  $I < 1\%$ , а общее содержание азота мало отличается от полученного при двухкамерном способе.

IV. Сравниваются два метода отбеливания р-ра II и уменьшения содержания азота — отбеливание пропусканием хлора и электролитич. отбеливание. Найдено, что 13 л газообразного хлора вполне достаточно для отбеливания 800 мл 1,25%-ного р-ра II. Отбеленный таким образом р-р II подвергают электродиализу трехкамерным методом. После пропуска 7,3 а-ч расход электроэнергии составил 169,8 кет-ч/кг, выход 1 23%. При таком методе очистки содержание азота  $\geq 1\%$ , но содержание золы 0,5%. Н. Любошиц

53158. Изучение метода выпаривания при производстве глюкозы. Хомбо (葡萄酒工業に於ける蒸發法の考察, 本坊蔵吉), 醸造工學雜誌, Ханко когаку дзасси, J. Ferment. Technol., 1954, 32, № 1, 40—42 (японск.)

Описан метод выпаривания с применением тепловых компрессов для отходящего пара. Приведены примеры расчета расходов тепла и технич. энергии. Ким Су Ён

53159. Трипозы кленового сиропа. Андервуд, Ленто, Уиллите (Triose compounds in maple sirup. Underwood J. C., Lento H. G., Jr., Willits C. O.), Food Res., 1956, 21, № 5, 589—597 (англ.)

Из кленового сиропа отгонкой с паром и хроматографией на колонке выделены карбонильные соединения, содержащие три атома С: глицириновый альдегид, редуктон, метилглиоксаль и ацетон, возможно обуславливающие вкус, запах и цвет кленового сиропа.

Г. Новоселова  
53160. Кленовый сироп. IX. Микроорганизмы, как причина преждевременной остановки струи сока, вытекающего из отверстий в клене. Нагски, Уиллите (Maple sirup. IX. Microorganisms as a cause of premature stoppage of sap flow from maple tap holes. Naghski J., Willits C. O.), Appl. Microbiol., 1955, 3, № 3, 149—151 (англ.)

Исследовано влияние роста микроорганизмов в 3 отверстиях, высверленных в кленах для добывания сока в период сокодвижения. Параллельно из 4-го контрольного отверстия сок собирался в ассептич. условиях. Появление бактерий в 1-м и 2-м выходных отверстиях наблюдалось через 3 недели, в 3-м отверстии — через 7 недель. Истечение сока из отверстий прекратилось соответственно через 4,5, 7 и 9,5 недель после сверления. Выход сока составил 34, 27 и 83% от возможного выхода за сезон. Кол-во бактерий к этому времени достигало 0,8—1,7 млн. в 1 мл сока. Истечение сока из контрольного отверстия не прекратилось через 11 недель. Опыт заражения отверстий микрофлорой подтвердил, что прекращение истечения сока зависит от развития микроорганизмов, а не от высушивания заболони. Часть VII см. РЖХим, 1956, 63526.

А. Кононов  
53161. Приготовление искусственного меда на основе рафинадного сахара. Уеманов Х. У., Султанов А. С., Изв. АН УзССР, 1955, № 4, 41—49 (рез. узб.)

Разработан способ произ-ва искусств. меда, по составу близкого к натуральному. В автоклав с мешалкой загружают 300 г рафинадного сахара, 57 мл дистилл. воды и 12 мл разб. смеси к-т (2 г молочной, 2 г щавелевой, 0,2 мл HCl, уд. в. 1,19, и 30 г муравьиной к-т в 4 л воды). Герметически закрывают автоклав, нагревают смесь до 110° и выдерживают при этой т-ре 35 мин. Давление в автоклаве поднимают до 1,5 атм. Т-ру снижают до 90—100°. К инвертированному сахару добавляют 12 мл 10%-ного р-ра пищевоей желатины, смесь тщательно перемешивают и, в случае необходимости,

фильтруют через полотно. После охлаждения добавляют 0,003 г витамина В, 0,24 г аскорбиновой к-ты и медовую эссенцию и разливают в стеклянную тару. Выход 380 г. Г. Новоселова

53162 К. Крахмал: сырье, производство и применение. Бротлект (Starch: its sources, production, and uses. Broutlecht Charles Andrew, Rainhold; Chapman, 1954, 408 pp., ill., 12 doll., 80 sh.) (англ.)

53163 П. Установка для непрерывного выщелачивания растворимых веществ из твердых материалов, главным образом сахара из свекловичных хвостиков. Загородский (Urządzenie do wylugowywania w sposób ciągły substancji rozpuszczalnych z materiałów stałych a zwłaszcza cukru z ogonków buraczanych. Zagrodzki Stanisław) [Cukrownia «Szamotulys». Przedsiębiorstwo Państwowe]. Польшк. пат. 37651, 10.06.55

Диффузионный аппарат (ДА) представляет собою V-образную трубу, установленную под углом в 45°. Выщелачиваемый материал (свекловичная стружка) вводится в верхнее плечо трубы через загрузочную воронку, помещенную недалеко от изгиба, и передвигается с помощью сеток, укрепленных на бесконечной цепи. V-образная труба обогревается диффузионной жидкостью, которая последовательно проходит через многосекционную рубашку, поступает в верхний конец этой трубы. Готовый р-р отстаивают, чистый сок отбирают; загрязненный верхний слой нагревают и подают снова в ДА через загрузочную воронку вместе со стружкой. Высоложенную стружку отжимают на прессе и сок возвращают в ДА. В случае надобности ДА снабжается добавочными штуцерами для ввода и вывода р-ров. Приведена схема аппарата. Я. Штейнберг

53164 П. Способ проведения диффузии на свеклосахарном производстве без сточных вод. Шареiko (Sposób prowadzenia dyfuzji bez wód odpływowych przy otrzymywaniu cukru z buraków. Szarejko Roman) [Cukrownia Brześć Kujawski]. Польшк. пат. 36452, 10.01.55

В последний диффузор, содержащий обессахаренную свекловичную стружку (СС), вводят чистую воду до заполнения соком первого диффузора, загруженного свежей СС. Затем содержимое последнего диффузора спускают и отделяют диффузионную воду от СС. Последнюю отжимают на прессах, полученную воду используют для промывки фильтр-прессов сока и ополаскивание диффузоров. Основную массу диффузионной воды (часть возвращают для промывки диффузора) после нагрева вводят в предпоследний диффузор в кол-ве, соответствующем кол-ву сока, направляемого в мерники. Приведен ориентировочный баланс использования воды. Я. Штейнберг

53165 П. Метод и аппарат для непрерывного противоточного выщелачивания твердого материала. Брюнике-Ольсен (Process and apparatus for the countercurrent lixiviation of solid material. Brüniche-Olsen Henning Anton) [Aktieselskabet de Danske Sukkerfabrikker]. Пат. США 2713009, 12.07.55

Аппарат для непрерывного выщелачивания измельченного твердого материала представляет собой закрытую продолговатую емкость с вращающимися внутри шнековым транспортером. Лопасти шнека состоят из множества связанных друг с другом винтовых полос, идущих вдоль спиральной поверхности. Выщелачиваемый материал (ВМ) поступает через отверстие в одном из концов аппарата и, вращаясь, передвигается с помощью шнека к противоположному концу емкости, в котором имеется разгрузочное отверстие. Давление,

направленное под прямым углом к оси вращающейся массы, сильно уплотняет ВМ, оставляя его, однако, приемлемым для р-рителя. Секции, образуемые лопастями шнека, расположены симметрично в вертикальной плоскости относительно оси вращения. Это обеспечивает постоянную скорость вращения ВМ. Выщелачивающий агент поступает через устройство в разгрузочной части аппарата, движется противотоком под действием силы тяжести через секции ВМ и выводится в противоположном конце емкости. Форма лопастей обеспечивает возможность прохождения потока выщелачивающей жидкости.

**53166 П.** Способ очистки сахарных сиропов при помощи ионообменника (Verfahren zur Reinigung von Zuckersäften mittels Ionenaustauscher) [Licencia Tálalmányokat Ertékesítő Vállalat]. Швейц. пат. 302892, 17.01.55 [Chem. Zbl., 1955, 126, № 27, 8756 (нем.)]

Для очистки сахарного сиропа его пропускают через катионообменник, заряженный  $\text{NH}_4^+$ , и анионообменник, заряженный  $\text{OH}^-$ ; образующийся  $\text{NH}_4\text{OH}$  удаляют; очищенный таким образом сироп пропускают через катионообменник, заряженный  $\text{H}^+$ ; и вторично — через анионообменник, заряженный  $\text{OH}^-$ . Ионообменники подвергают регенерации.

**53167 П.** Способ отделения коллоидальных загрязнений и уменьшения содержания золы в сахаросодержащих жидкостях. Руссо, Поппер, Гутфельд (Verfahren zur Abscheidung kolloidaler Verunreinigungen und zur Herabsetzung des Aschegehalts zuckerhaltiger Flüssigkeiten. Russo C. Blas, Popper Karel, Gutfeld Walter). Пат. ФРГ 942860, 9.05.56

Патентуемый способ, позволяющий получить, в частности из мелассы, дополнительное кол-во кристаллич. сахара, состоит в комбинировании: 1) электролитич. очистки с применением металлич. электродов, преимущественно алюминиевых, которая разрушает коллоидальную систему, 2) обработки подвергнутого предварительной очистке и отфильтрованного сока средствами для осветления (напр., активированным углем), и 3) последующей обработки р-ра ионообменниками, в частности синтетич. обменными смолами, удаляющими из р-ра неорганич. в-ва.

**53168 П.** Обработка студнеобразных отходов.

Норман (Treatment of pectous waste. Norman Daniel P.) [New England Spectrochemical Lab.]. Пат. США 2727033, 13.12.55

Для извлечения ценных продуктов из студнеобразных отходов, содержащих воду и водорастворимые в-ва, применяют органич. р-ритель напр.: метанол, этанол, *n*-пропанол, изопропанол, *n*-бутанол, вторичный и третичный бутанол, *n*-амиловый спирт, изоамиловый спирт, ацетон, диоксан, метилацетон, метилэтилкетон, диацетонный спирт и циклогексанон. Обработку продолжают до извлечения всей воды, содержащейся в отходах, и выделения водорастворимых компонентов.

**53169 П.** Очистка и обессоливание агар-агара. Тжоа Си Лиан (Verfahren zum Reinigen und Entsalzen von Agar-Agar. Tjoa Sie Lian). Пат. ФРГ 925970, 4.04.55

Для очистки и обессоливания сырой агар, полученный из водорослей, тонко измельчают и промывают водой при  $+20^\circ$  в воронке, через которую снизу поступает, а сверху вытекает промытая вода. Массу центрифугируют для удаления влаги и сушат.

**53170 П.** Способ непрерывной кристаллизации сиропов. Може (Sposob ciągłej krystalizacji syropów. Morze Józef). Польск. пат. 38157, 30.06.55

Патентуется аппарат для непрерывной кристаллизации сахарных сиропов. Сироп (конц.  $80^\circ$  Бр.) непре-

рывно протекает через многосекционный кристаллизатор (сосуд с перегородками), постепенно сгущается пропусканием нагретого воздуха до  $100-120^\circ$  и закристаллизовывается. К воздуху может быть добавлен водяной пар или газ ( $\text{SO}_2$ ), способствующий осветлению сиропа. Аппарат работает при давлении, близком к атмосферному (до 0,2 *атм*). Приведена схема аппарата и описано устройство и способ работы. Я. Штейнберг

См. также: Катализатор для очистки сахарного сока 51793.

## БРОДИЛЬНАЯ ПРОМЫШЛЕННОСТЬ

Редакторы А. М. Емельянов, Г. А. Новоселова

**53171.** К вопросу о методе определения стойкости дрожжей. Мича (Problematika a metody stanovení trvanlivosti droždí. Míča Bohumil), Kvasny průmysl, 1956, 2, № 4, 81—83 (чешск.; рез. русск., нем.)

Дана сравнительная оценка различных методов определения стойкости дрожжей. Наиболее удобен и правилен метод определения стойкости прессованных дрожжей при  $35^\circ$  в чашках Петри. На два дня быстрее можно получить данные по стойкости дрожжей кондуктометрич. методом.

**53172.** Разработка скоростного метода определения устойчивости прессованных дрожжей. Гужинская (Opracowanie szybkościowej metody oznaczania trwałości drożdży prasowanych. Górzynska Jadwiga), Prace inst. i lab. badawcz. przem. roln. i spożywc., 1956, 6, № 2, 24—66 (польск.; рез. русск., англ.)

Выявлено отсутствие закономерной взаимосвязи между устойчивостью дрожжей при  $35^\circ$  с одной стороны и при  $40$ ,  $45$  и  $50^\circ$  — с другой, а также наличие такой взаимосвязи с содержанием аминного азота и гликогена в дрожжах. Содержание аминного азота определяют методом Серенсена, гликогена — методом Дроздова (Мясная индустрия СССР, 1952, 5, 72—74). Установлено, что устойчивость дрожжей при  $35^\circ$  составляет  $>96$  час. при содержании аминного азота  $2,32-6,5$  мг на  $100$  мл;  $96$  час. при  $6,5-9,8$  мг на  $100$  мл и  $<96$  час. при  $>10$  мг на  $100$  мл. Обратная зависимость установлена в отношении содержания гликогена. Устойчивость  $>96$  час. наблюдалась при  $>5\%$  гликогена,  $96$  час. при  $4-5\%$  и  $<96$  час. при  $<4\%$ . Оба метода подлежат массовой производственной проверке. Г. Опмян

**53173.** Изменение сульфгидрильных соединений и проницаемости клетки при сушке хлебопекарных дрожжей и их хранения. Ноткина Л. Г., Абезгауз Т. М., Запаря Е. М., Тр. Укр. н.-и. ин-та пищевой пром-сти, 1954, 1, 30—46

Общее кол-во сульфгидрильных соединений, содержащихся в дрожжах, в процессе сушки почти не изменяется. Меняется лишь кол-во легко извлекаемых из дрожжевых клеток растворимых сульфгидрильных соединений, главным образом глютатиона, выход которого из неповрежденных дрожжевых клеток затруднен. Высокая проницаемость клеточной оболочки сушеных дрожжей обуславливает полное извлечение йодредуцирующих в-в при воздействии водой в течение 30 мин. на сушеные дрожжи с  $8,5\%$  влажности; у дрожжей с влажностью  $17\%$  оболочка клеток имеет также полную проницаемость и водорастворимые соединения из них полностью извлекаются. При хранении сухих дрожжей йодредуцирующие в-ва уменьшаются только в том случае, если падает подъемная сила дрожжей: при этом происходит связывание SH-групп, которые при обогащении клетки водой вновь освобождаются;



не исключена возможность и частичного обратимого окисления SH-групп. Высокое содержание в сухих дрожжах легко извлекаемых сульфидрильных соединений вызывает распыливание теста и снижает качество готового хлеба. М. Плевако

**53174. Культивирование *Torula utiis* на отходах лимоннокислого брожения. II. Опыты в полувзводном масштабе. Леопольд, Фенцль (Die Züchtung von *Torula utilis* in Ablaugen der Citronensäuregärung. II. Erfahrungen über die Züchtung von *Torula utilis* in Ablaugen der Gärungscitronensäurefabrikation im halotechnischen Maßstab. Leopold Heinrich, Fenczl Zdeněk), Chem. Technik, 1955, 7, № 10, 608—615 (нем.)**

Описаны опыты культивирования пищевых дрожжей (*Torula utilis*) на р-рах сахара после удаления из них лимонной к-ты, продуцируемой *Aspergillus niger*. Для консервирования сброженных сиропов при перевозке применялось их подкисление или подщелачивание. При доставке кислых р-ров в железных цистернах отмечено повышенное содержание в р-рах Fe, плохо отразившееся на росте и качестве выращиваемых Д. Несмотря на это, выход Д и в этом случае превышал выходы, получаемые при культивировании Д на мелассе, отходов спиртовой пром-сти и на сульфитных щелоках. Часть I. см. РЖХимБх, 1956, 2352.

А. Емельянов

**53175. Перспективы развития производства спирта из пищевого сырья. Джагиллов Х., План. х-во, 1956, № 6, 68—74**

Рассмотрена экономия, целесообразность, пути и перспективы развития в СССР произ-ва гидролизного, синтетич. и сульфитного спиртов взамен технич. этанола из пищевого сырья. Г. Ошмян

**53176. Современные картофелехранилища в спиртовом производстве. Фрей, Штрейт (Neuzeitliche Kartoffellagerung in Brennereibetrieben. Frey A., Streit A.), Brantweinwirtschaft, 1957, 79, № 1, 1—6 (нем.)**

Обоснована экономия, целесообразность пользования подвальными и амбарными картофелехранилищами, оборудованными гидравлич. транспортерами и вентиляционными установками. Приведены практич. указания по оборудованию хранилищ, режиму хранения картофеля, расходу воды и электроэнергии и затратам труда. Г. Ошмян

**53177. Непрерывные варка, охлаждение и осахаривание спиртового сусла. Ватанабэ (酒精醱製造工程の連続化に就て. 渡邊博), 醸酵協会誌, Хакко кёкайси, J. Ferment. Assoc., 1956, 14, № 6, 3—6 (японск.)**

Описан метод непрерывного разваривания крахмалсодержащего сырья, осахаривания и охлаждения сусла в аппаратах, распространенных в США. Указаны преимущества этого метода: постоянный расход пара при разваривании, возможность экономии тепла при применении теплообменников, повышение выхода спирта. Приведены схемы аппаратов. Ким Су Ен

**53178. Опыт работы по непрерывному развариванию крахмалистого сырья в распыленном виде. Бегма И. П., Яновский В. С., Дикий Н. Ф., Спирт. пром-сть, 1956, № 3, 30—31**

При осуществлении на Мирощком спирт. з-де схемы непрерывного разваривания крахмалистого сырья успешно применены: мельничный размольный двухпарный станок (длина валков 1000 мм, окружная скорость размольного верхнего вала 6 м/сек, diam. валков 250 мм, рифли на валках — 14 ниток на дюйм с уклоном 12°) производительностью до 2800—3000 кг/час зерна (расход электроэнергии 8—10 кет-ч), а также паровой распылитель с диском типа ротора паровой турбины, который приводится в движение паром давлением

6 атм, направляемым на лопасти с двух сторон. Распылитель делает 700—950 об/мин. Наблюдения показали, что масса хорошо распыляется и сразу же охватывается струей пара, что улучшает ее разваривание. Получены хорошие производственные показатели. Описано устройство упрощенного станка для изготовления чешуйчатых сит для картофельной молотковой дробилки. Г. Ошмян

**53179. Изучение спиртового сусла. I. О сбраживании спиртового сусла прессованными дрожжами. Ано (酒精醱に関する研究. 第1報. 壓搾酵母による酒精醱の醱酵について. 阿野藤七), 醸酵工學雜誌, Хакко когаку дзасси, J. Ferment. Technol., 1956, 34, № 1, 33—36 (японск.; рез. англ.)**

В полупроизводственных условиях изучено применение прессованных дрожжей для спиртового произ-ва, лучшие результаты (по выходу спирта) получены при использовании небольших кол-в дрожжей (0,5—2%). Выход спирта достигает ~89% от теоретич. при использовании прессованных дрожжей, полученных с выходом (на сахар мелассы) 39%, и составляет ~85% в случае применения дрожжей, полученных с выходом 117%. М. Плевако

**53180. Изучение биохимической активности микроорганизмов. I. Этиловый спирт из сгущенного пальмового сока и мелассы. Хан, Наз, Чагатай (Studies in the chemical activities of micro-organisms. I — Ethanol from gur and molasses. Khan A. Waheed, Naz Zafar Iqbal, Chughtai I. D.), Pakistan J. Sci., 1954, 6, № 3, Pakistan J. Sci. Res. 88—91 (англ.)**

Приведены данные по сравнительной оценке бродильной активности дрожжей *Saccharomyces cerevisiae* (2 расы) *Saccharomyces ellipsoideus* и *Saccharomyces carlsbergensis* при сбраживании в лабор. условиях 9—13%-ных сахарных р-ров, приготовленных из сахарозы, сгущенного пальмового сока и мелассы, с добавкой  $(\text{NH}_4)_2\text{SO}_4$  и  $\text{K}_2\text{HPO}_4$ , при pH 4,0—4,5 и 26—29°. Наибольший выход спирта на всех средах получен при применении *S. ellipsoideus* 1911 с использованием за 8 дней 86—89% сахара, содержащегося в среде. Отмечено ускорение сбраживания сахаров дрожжами *S. carlsbergensis* и *S. cerevisiae* при добавлении питательных солей. Приведены данные по составу мелассы и сгущенного пальмового сока из разных районов Пакистана. М. Плевако

**53181. Изучение несбраживающихся сахаров. IX. Олигосахариды, синтезируемые из мальтозы *Schizosaccharomyces pombe*. Сибасаки, Асо (非糖性糖に関する研究・第9報・Schizo Pombeによる糖類の轉移生成に就て・柴崎一雄・麻生浩), 醸酵工學雜誌, Хакко когаку дзасси, J. Ferment. Technol., 1954, 32, № 10, 395—399, 38—39 (японск.; рез. англ.)**

Изучен синтез олигосахаридов *Schizosaccharomyces pombe* из мальтозы, глюкозы, сахарозы и р-ра крахмала (промытые клетки дрожжей суспендировали в буферном р-ре мальтозы и реакционную смесь выдерживали 1—2 часа при 28—30°). Методом хроматографии на бумаге установлено, что из мальтозы (конц-ия 11,78% получено: сакебиозы 0,28 г, койлбиозы 0,43 г, изомальтозы 1,50 г, панозы 0,33 г, декстрантриозы 0,37 г (в 100 мл). Часть VIII см. РЖХим, 1957, 46521. В. Г.

**53182. Фазовое равновесие жидкость — пар в системе этиловый спирт — вода — хлористый кальций при атмосферном давлении. Добросердов Л. Л., Ильина В. П., Тр. Ленингр. технол. ин-та пищ. пром-сти, 1956, 13, 92—100**

Описаны прибор и метод для определения равновесных составов динамик. способом. Установлено, что коэфф. летучести этанола (I) в присутствии  $\text{CaCl}_2$  заметно возрастает, особенно при низких конц-иях I в жидкости, причем полностью нарушается азеотроп-

ная точка, что позволяет получить методами перегонки безводн. спирт. В пределах до 72 вес. % I в жидкой фазе т-ра кипения тройной системы ниже, а при более высоких конц-ях I — выше, чем системы без  $\text{CaCl}_2$ . Установлено, что в присутствии  $\text{CaCl}_2$  парц. давление паров воды понижается, а паров I повышается. Г. Ошмян

**53183. Спиртометрия. Приккен** (L'alcoolometria. Pricken J.), Rassegna diritto e tecn. doganale e imposte fabbr., 1956, 5, № 11, 661—678 (итал.). Изложены теоретич. основы конструирования спиртомеров. Сопоставлены спиртометрич. шкалы разных стран. Приводится узаконенная в Бельгии таблица уд. весов водно-спиртовых смесей при 15° для крепости спирта 0—100 об. % с интервалами в 1%. Г. Ошмян

**53184. О необходимости унификации шкалы спиртомеров. Шульце-Беридт** (Über die notwendige Vereinheitlichung der Graduierung von Aräometern in der Alkoholometrie. Schultze-Berndt), Brantweinwirtschaft, 1957, 79, № 2, 20, 21, 23—25 (нем.).

В связи с необходимостью разработки единой международной шкалы спиртомеров в основу расчета шкалы рекомендуется принять данные Осборна и Фроста по уд. весу и коэфф. расширения водно-спиртовых смесей и градуировку спиртомеров в г/мл безводн. спирта при 20°.

**53185. Практическое значение факторов температуры в сжатии при приготовлении спиртных напитков. Вальтер** (Temperatur und Kontraktion in ihrer praktischen Auswirkung bei der Herstellung von Spirituosen. Walter Erich), Alkohol-Ind., 1957, 70, № 3, 65—66 (нем.).

Обсуждено влияние сжатия и повышения т-ры при смешивании спирта с водой на объем и крепость получаемой смеси. Рекомендуется применение соответствующих таблиц при расчетах состава купажей спиртных изделий. Г. Ошмян

**53186. Определение наилучшего времени перегонки коньячного виноматериала. Нушев** (Установивание на най-подходящо време за изваряване на конячния виноматериал. Нушев Илия Хр.), Лозарство и винарство, 1956, 5, № 3, 154—158 (болг.).

Два года проводили опытные перегонки коньячных виноматериалов. Перегонки после января — февраля давали возрастающее кол-во эфиров в коньячном спирте, особенно после мая и достигли к октябрю следующего года 750 мг/л (т. е. на 200—250% выше, чем в спирте из молодого вина). Аналогично увеличивается и летучая кислотность. Кол-во альдегидов уменьшается с октября до мартовских перегонки, но затем увеличивается, достигая в октябре — ноябре следующего года 75—85 мг/л против 45—60 мг/л из молодого вина. Кол-во высших спиртов и фурфурола не зависит от времени перегонки. Наилучшую дегустационную оценку получили спирты, перегнанные с ноября по март, спирты, полученные до мая, были хуже, но не плохие. Перегонки после мая и до октября имели неприятный вкус и букет старого вина. После 3-летней выдержки наилучшими были спирты, перегнанные с ноября по март.

**53187. Созревание и старение ликера и коньяка. Фарого, Роман** (Maturizarea și învechirea lichiorului și a coniacului. Farago Stefan, Roman Emil), Rev. ind. aliment. prod. vegetale, 1956, № 9, 31—32 (рум.).

Для сокращения длительности созревания и старения ликера и коньяка до 10—14 суток рекомендуется обработка их (или ректификованного спирта, идущего на их изготовление) твердыми или жидкими препаратами серебра с последующим содержанием в глазированных керамич. или металлич. эмалированных резервуарах.

А. Марин

**53188. Изучение искусственного сака (из сои).**

**II. Расщепление обезжиренных соевых бобов бактериальной протеазой. III. Ферментативное расщепление белков обезжиренных соевых бобов бактериальной протеазой. Сакамото** (第2報. 細菌 protease に依る脱脂大豆蛋白の消化に就いて合成分清酒に關する研究. 第3報. 脱脂大豆蛋白の酵素消化に就いて坂本政義), 崎鹽工學雜誌, Хакко когаку даасси, J. Ferment. Technol., 1955, 33, № 4, 145—152; № 6, 251—255 (японск.; рез.).

Установлены оптимальные условия расщепления азотсодержащих в-в обезжиренных соевых бобов бактериальной протеазой. При 38—40° и pH 6,5—7 в-ва, расщепленные протеазой, содержали 71,2% общего кол-ва азота. Активность протеазы заметно снижается при повышении конц-ии спирта и снижении т-ры среды до 5°, при 90° фермент нестойк. Аминокислотный состав протеазного гидролизата подобен составу продукта расщепления риса под влиянием *Aspergillus oryzae*. Кол-во свободных аминокислот возрастает при предварительном выдерживании субстрата в течение 10 мин. при 100° в присутствии неорганич. солей и пятикратного кол-ва воды. Бактериальная протеаза легко расщепляет альбумин и глобулин соевых бобов, но с трудом гидролизует глутелин. Методом хроматографии на бумаге были обнаружены 17—20 видов аминокислот, причем в продуктах расщепления альбумина почти не обнаружено аспарагиновой к-ты и пролина. Ча-ть I см. РЖХим, 1957, 6483.

**53189. Изучение пригодности отдельных составных частей сырья для производства сака. III. Изучение пригодности сырья для приготовления японского койи. Тоёдзава, Йоидзаки** (清酒醸造工業に於ける原料利用率に關する研究. 第3報. 製麹工程に於ける原料利用率. 豊澤誠, 米崎治男), 釀酵工學雜誌, Хакко когаку даасси, J. Ferment. Technol., 1953, 31, № 11, 453—455 (японск.; рез. англ.).

Сырьем для произ-ва японского койи является луцный пропаренный рис и препарат *Asp. oryzae*. В процессе произ-ва койи кол-во углеводов, содержащихся в пропаренном рисе, уменьшается прямо пропорционально кол-ву получаемой культуры гриба. Потери общего N через 35—40 час. достигают 4—6%. Кол-во жиров, напротив, возрастает с развитием плесени. Часть II см. РЖХим, 1957, 46538.

**53190. Исследования роли фосфорных соединений при производстве сака (4). Фракции фосфорных соединений риса для сака. Мори, Ватанабэ** (清酒醸造に於ける磷成分の形態に關する研究. 第4報. 酒造用米の酸溶性磷及び磷分測定量について. 森太郎, 渡邊和夫), 釀酵工學雜誌, Хакко когаку даасси, J. Ferment. Technol., 1956, 34, № 11, 530—532, 36—37 (японск.; рез. англ.).

Фосфорные соединения риса были подразделены на фракции: кислоторастворимая, липидная и нуклеиновая. Кислоторастворимая фракция экстрагируется в течение 30 мин. при 0°, а для ее экстракции совместно с нуклеиновой фракцией требуется 2-часовое кипячение в воде. Часть 3 см. РЖХим, 1957, 17546. Г. Ошмян

**53191. Опыты по предотвращению потемнения барды сака. Мүто, Камада** (黒粕の簡易予知法と酸及び亜硫酸鹽の防止效果について. 武藤, 龜山芳雄), 日本醸造協會雜誌, Нихон дайдзо кейай даасси, J. Soc. Brew., Japan, 1956, 51, № 10, 58—56 (японск.; рез. англ.).

Изучено влияние к-т и сульфитов на потемнение бардысака. Наиболее эффективно предотвращал потемнение барды бисульфит калия.

**53192. Производство глицерина из мелассы путем брожения. Поляк** (Produkcja gliceryny fermentacyjnej z melasu. Polak Feliks), Przem. spożywczy, 1956, 10, № 3, 108—112 (польск.; рез. русск., нем.).

Обсуждены пути и способы использования мелассы, в частности для произ-ва глицерина путем брожения. Рассмотрена возможность отделения глицерина от перебродившей массы методом адсорбции, во избежание трудоемкого процесса перегонки. Библ. 25 назв.

А. Hulanicki

**53193. Ячмень и качество пива. Сильвиньи** (Orges et qualités de la bière. V-me Congrès international de l'European brewery convention. Szilvinyi A. v.), Petit J. brasseur, 1955, 63, № 2549, 409—410 (франц.)

Два сорта ячменя выращивались в совершенно одинаковых условиях с внесением различных удобрений. В каждом случае выделяли белки в различной степени зрелости зерна. Определялись фракции: глобулин, гордени, глутелин, остаточный белок, растворимый в 1%-ной щелочи, и остаточный, нерастворимый белок. Установлено, что содержание глобулина в значительной степени зависит от удобрения. Содержание гордени нарастает во всех фазах и незначительно зависит от удобрения. Глутелин практически постоянен в продолжении всех фаз созревания.

Отношение гордени: глутелин + остаточный белок  $\geq 1,0$  для легко разрыхляемого ячменя. При  $< 1,0$ , ячмень плохо растворяется и дает в большинстве случаев опалесцирующее сусло. Е. Кержинская

**53194. Кондиционирование воздуха в солодовне. Вилек** (Klimatisace sladovny. Vilek V.), Kvasný průmysl, 1956, 1, № 11, 246—247 (чешск.; рез. русск.)

Расчет кол-ва тепла, выделяемого ячменем при хранении, проращивании и осахаривании, указывает на необходимость расхода холода для понижения т-ры и конденсации пара. Рациональна установка под потолком холодильной системы, дающей нисходящий поток воздуха. Е. Стефановский

**53195. О приготвлении типичного темного солода и пива. Глётцль** (Ueber die Herstellung typischer dunkler Malze und Biere. Gloetzl J.), Brauerei, 1956, 10, № 51—52, 323—326 (нем.)

Рассмотрены особенности приготовления темного солода и пива. Рекомендуются: тонкокожурные высокобелковые ячмени, разрыхление до 45—46%, при проращивании 2-кратное схватывание солода после 5-го и 7-го дней ращения, отсушка подвяленного солода при  $103—106^{\circ} \geq 3—3,5$  час. при начальной влажности 20—25%, чтобы к началу поджаривания он содержал 8—10% воды. Затиравание солода при изготовлении сусла проводят с 3 отварками, но иногда делают 1 и 2 отварки или простое настаивание. Для получения начального сусла  $18—20^{\circ}$  Бё выдерживают соотношение солода к воде равное 1:3 или 1:3,5. Время главного брожения у темных сортов пива короче, чем у светлых: т-ра брожения слегка повышена  $\leq 9,5^{\circ}$ . Выдержка в течение 2—10 недель в зависимости от сорта пива. При разливе пива в бочки его не фильтруют, бутылочное фильтруют. П. Буковский

**53196. Применение мембранных фильтров в лабораториях пивоваренных заводов. Хас** (Use of the membrane filter in the brewing laboratory. Haas Gerhard J.), Wallerstein Labs Communs, 1956, 49, № 64, 7—22 (англ.; рез. франц., исп.)

Описывается несколько типов фильтрующих устройств из стекла и нержавеющей стали, а также техника фильтрации и метод оценки полученных результатов. После фильтрации проб через мембранные фильтры (МФ) последние переносят непосредственно на культуральную среду, на которой и проращивают. Микроорганизмы, задержанные на МФ, получают питательные в-ва путем их диффузии через мембрану. Хороший рост на МФ дают дрожжи и *Pediococcus cerevisiae*, но роста *Lactobacillus pastorianus* не удалось. Выращенные микроорганизмы мож-

но учитывать количественно. Проросшие фильтры фильтруют 0,1%-ным водн. р-ром краски «виктория синяя». Фильтрацию через МФ применяют с хорошими результатами при анализе воздуха и на всех этапах пивоваренного произ-ва. Метод пригоден для анализа готового пива, проверки эффективности пастеризации и оценки качества фильтрации пива. А. Жвирблинская

**53197. Определение вредителей пивоваренного производства в воде и в вымытых бутылках. Винке** (Über den Nachweis von bierschädlichen Organismen in Wasser und gereinigten Flaschen. Wienke E.), Brauwelt, 1956, В 96, № 30, 496—499 (нем.)

Обсуждаются существующие методы биологии. производственного контроля воды и качества мойки бутылок. Для колич. и качеств. определения обсемененности применяется посев 1 мл пробы на поверхность или в толщу питательной среды и метод фильтрации проб через мембранные фильтры с последующим их проращиванием. В 1 мл воды допускается содержание 100 микроорганизмов при отсутствии патогенных форм; важное значение при этом имеет отсутствие вредных для пищеварения микробов: длинных палочек, кокков, диких дрожжей. Опыты показали, что при использовании мембранных фильтров прорастают лишь аэробные формы, в то время как посев в толщу среды делает возможным рост и анаэробов. Оба метода дополняют один другой, причем второй является важнейшим, поскольку в пиве встречается большое кол-во анаэробов. Для контроля качества мойки бутылок их заливают определенным кол-вом стерильной воды, встряхивают в течение 5 мин. и делают высеv. Проверка 16 образцов смыва показала, что на стенках вымытых бутылок остаются жизнеспособные кокки. Лучшей питательной средой для обнаружения вредных для пивоварения бактерий является агар на дрожжевой воде. А. Жвирблинская

**53198. Безалкогольные напитки, содержащие кофеин. II. Определяющие кофеина и фосфорной кислоты. Хаман** (Coffeinhaltige Erfrischungsgetränke. II. Mitteilung. Die Bestimmung des Coffeins und der Phosphorsäure. Hamann Volker), Z. Lebensmittel-Untersuch. und Forsch., 1954, 98, № 3, 213—218 (нем.)

40 мл напиток нагревают в мерной колбе на 60 мл для удаления  $\text{CO}_2$ , добавляют 4 мл 40%-ного р-ра  $\text{CuSO}_4$  и 4 мл н.  $\text{NaOH}$ , доводят объем до метки (можно добавить 1—2 капли петр. эф. для удаления пены), взбалтывают и фильтруют. 40 мл фильтрата переносят в делительную воронку с 5 мл  $\text{CHCl}_3$ , добавляют по каплям 1 мл 5%-ного р-ра  $\text{KMnO}_4$ , 3 мл свежеприготовленного 10%-ного р-ра  $\text{FeSO}_4$  и 0,3—0,5 мл  $\text{H}_2\text{SO}_4$  (уд. в. 1,35) и оставляют на 15 мин., после чего экстрагируют 4 раза 10 мл и 1 раз 15 мл  $\text{CHCl}_3$ . Отфильтрованный экстракт переносят в колбу Кьельдаля, выпаривают р-ритель на водяной бане и определяют азот по Кьельдалю с титрованием 0,01 н.  $\text{HCl}$ . Содержание кофеина в 100 мл лимонада (кол.-во мл 0,01 н.  $\text{HCl} \times 0,4853 \times 100$ )/26,6. Содержание  $\text{P}_2\text{O}_5$  определяют одним из способов, предложенных Рейкардом (Z. Unters. Lebensm., 1943, 85, 158—164), для вина и виноградного сока. При анализе 13 торговых сортов лимонада получены следующие результаты:  $d_{20} 1,0401—1,0453$ ;  $\text{pH}$  с  $\text{CO}_2$  2,42—4,01, без  $\text{CO}_2$  2,41—3,92; содержание кофеина 3,78—18,29 мг/100 мл;  $\text{H}_3\text{PO}_4$  (в пересчете на  $\text{P}_2\text{O}_5$ ) 0—54,17 мг/100 мл. Часть I см. РЯХХИ, 1956, 5618. Э. Тукачинская

**53199. Современные способы получения винокопной кислоты из отходов, содержащих винный камень. Асиро-Сазе** (Estado actual de la obtención de ácido tartárico a partir de las heces tartáricas residuales. Acero Sáez Eduardo), Ion 1955, 15, № 173, 745—755; 1956, 16, № 175, 80—86 (исп.)



Обзор современных способов получения виннокаменной к-ты. Описана технология кристаллизации к-ты. Библ. 19 назв. И. Гонсалес

53200. Дифференцирование укусов во Вьетнаме (Искусственные укусы. Вьетнамские и импортные спиртовые укусы. Винные укусы). Ришар, Планьоль (Différenciation des vinaigres au Viet-Nam (Vinaigres artificiels. Vinaigres d'alcool vietnamiens et d'importation. Vinaigres de vin. Richard C., Plagnol H.), Inds aliment. et agric., 1956, 73, № 11, 787—788 (франц.))

Предлагается пользоваться для дифференцирования укуса различного происхождения показателями: pH, нелетучих, к-т, сухого экстракта, перманганатного числа окисления и содержания спирта и ацетона. Приводятся показатели различных видов укуса.

53201. Потенциометрическое определение кислотности некоторых пищевых продуктов. Пшибыльский, Парыс (Potencjometryczne oznaczenie kwasowosci niektorych artykułow żywności. Przybyski Edmund, Parys Janina), Rozn Panstw zakl. hig., 1955, 6, № 2, 119—140 (польск.; рез. русск., англ.)

Потенциометрическое титрование р-ром NaOH применено для определения загрязнения уксусной к-ты неорганич. к-тами, а также кислотности вина, пива, муки и суррогата кофе с рабочими хингидронным или стеклянным электродами и сравнительным каломельным.

53202. Вклад советской биохимии в теоретическое обоснование технологии шампанских вин. Шептилич (Aportul biochimiei sovietice la fundamentarea teoretică a tehnologiei vinurilor spumose. Septilici Georgeta), An. Rom.-Sov. Ser. agric., 1956, 10, № 5, 93—110 (рум.)

Обзор трудов советских биохимиков, освещающих биокаталитич., хим. и физ.-хим. процессы, происходящие при произв-ве натуральных шампанских вин и при искусств. введении в них CO<sub>2</sub>. Библ. 26 назв.

53203. Опыты применения в виноделии дрожжей в порошке. Пьерри, Контини (Prove di vinificazione con lieviti sfiofilizzati. Pierri G., Coni L.), Riv. viticolt. e enol., 1955, 8, № 10, 347—351 (итал.)

Культурные дрожжи обращаются в торговле в трех видах — жидкие культуры, гранулированные и на агаре. Эти виды культур требуют пересева или соблюдения сложной микробиологич. техники. Для удобства перевозки, применения на местах и оживления предложена культура дрожжей в порошкообразном состоянии. Обращение в порошок производится сублимацией — замораживанием и выпариванием среды при разрежении. Эти культуры физиологически аномальны и требуют довольно легкой операции по регенерации. Сушеные дрожжи готовились по способу Галлан и Дюпона. Штаммы дрожжей и вид — *Saccharomyces ellipsoideus* были получены из Ин-та Пастера. По заключению, такие дрожжи сохраняются дольше других видов культур, но приготовление разводки требует более продолжительного времени (4 суток). При сбраживании ими виноградного сусла, спирта образуется меньше, а кислотность получаемого вина больше. Применение таких дрожжей целесообразно в отдельных случаях, напр. при отсутствии природных дрожжей или культуры на агаре.

53204. Селекция винных дрожжей, устойчивых к SO<sub>2</sub>, и применение их при сбраживании сульфитированных соков. Минарик (Selekcja SO<sub>2</sub>-rezistentnych vinných kvasiniek a ich použitie pri kvasení sirených mustov. Minárik Erich), Kvasný

prumysl, 1956, 2, № 8, 183—186 (словацк.; рез. русск., нем., англ., франц.)

При сульфировании соков получают различные соотношения кол-в SO<sub>2</sub> и недиссоциированной H<sub>2</sub>SO<sub>4</sub> в зависимости от pH, что необходимо учитывать ввиду ингибирующего действия SO<sub>2</sub> на дрожжи. Е. Плевако

53205. Механизм образования медного касса в белых столовых винах. 1. Зависимость изменений окислительно-восстановительного потенциала на образование медного касса. Джослин, Лактон (Mechanism of copper casse formation in white table wine. 1. Relation of changes in redox potential to copper casse. Joslyn M. A., Lukton A.), Food Res., 1956, 21, № 2, 384—396 (англ.)

Показано, что добавление в вино Fe в пределах 4,6 до 10 мг/л, SO<sub>2</sub> в кол-ве 333—500 мг/л не влияет на ОВ-потенциал (Eh) и возникновение касса (K). При содержании Cu 0,5 мг/л K нет, но K появляется при увеличении содержания Cu до 3 мг/л и выше. K возникает при Eh = 295 + 10 мВ (при pH 3,30). Добавление комплексобразующего агента — этилендиаминотетраацетата (препарат «Версен») ведет к резкому снижению Eh и подавлению K. При уменьшении pH на 1,0 Eh вина возрастает на 69 мВ. Добавление коллоидов, крахмала, пектина, казеина, желатин, глюкозы, фруктозы, этанола, фосфатов, цитратов, малонатов не влияет на Eh, при котором появляется K. Изменение содержания SO<sub>2</sub> от 100 мг/л до 300 мг/л также не отразилось на потенциале образования K. Дневной свет вызывает более быстрое падение Eh и более раннее возникновение K, чем темнота. Авторы полагают, что происходит фотохимич. р-ции, ведущие к появлению восстановителей. в анаэробных условиях Eh возрастает, а K уменьшается. При низких т-рах интенсивность и скорость возникновения K меньше, чем при высоких.

53206. Болезни вин, содержащих остаточный сахар. Заллер (Biologische Gefahren für Weine mit Restzucker. Saller Walter), Österr. Weinzeitung, 1956, 11, № 8, 50 (нем.)

Рассмотрены причины наличия в вине остаточного сахара: неполное сбраживание сахара вследствие слишком высокого его содержания в сусле и прекращение брожения добавлением SO<sub>2</sub>, охлаждением или обесцвечивающим фильтрованием. Для вин, содержащих остаточный сахар, большую опасность представляют: 1) кислотопожижающие бактерии, вызывающие помутнение вин с небольшим содержанием SO<sub>2</sub>, при длительной выдержке их при повышенной т-ре. Для устранения помутнения рекомендуется фильтрация; 2) бактерии ожирения, развивающиеся в молодых, мало проветренных винах. Вино становится тягучим и при переливании вытягивается в длинные нити. Для борьбы с этим заболеванием рекомендуется переливка вина с сильным проветриванием в хорошо закуранные бочки.

53207. Обработка углекислотой вин, имеющих сероводородный запах. — (Behandlung böcksernder Weine mit Kohlensäure.—), Österr. Weinzeitung, 1956, 11, № 10, 62 (нем.)

На основании проведенных опытов предложено вводить CO<sub>2</sub> в вина с запахом сероводорода. При этом запах полностью исчезает, а вино сохраняет свои органолептич. свойства. Описана техника обработки.

53208. Применение метода Пено для определения общих эфиров в портвейнах. Пиментел-Диаш (Le dosage des éthers-sels totaux dans le vin de Porto Application de la méthode de E. Peynaud. Pimentel Dias Maria Angela), Bull. Office internat. vin, 1955, 28, № 298, VII Congrès intern. vigne et vin, 316—324 (франц.)

Изучена возможность применения метода Пено для

определения общего содержания эфиров в портвейнах. Метод Пено без изменений к портвейнам неприменим. Необходимо: а) для осветления вина применять ацетат свинца (вместо ацетата ртути) с последующим удалением избытка Pb насыщ. р-ром  $\text{Na}_2\text{SO}_4$  и б) уменьшить объем пробы до 30 мл (вместо 150 мл). Метод не дает возможности судить о качестве вина по содержанию эфиров. Подтверждены теоретич. выводы Берто и экспери. данные Пено о том, что в винах кислых эфиров всегда больше, чем нейтральных. Н. Простосердова

**53209. Наблюдения при производственном биологическом контроле бутылок для вина и виноградного сока.** Люти, Хагнауэр (Beobachtungen bei der betriebsbiologischen Kontrolle von Wein- und Süssmostflaschen. Lüthi H., Hagnauer W.), Schweiz. Z. Obst- und Weinbau, 1955, 64, № 26, 517—525 (нем.)

Показана необходимость обработки бутылок при  $\geq 90^\circ$ . Рассмотрены типы моечных машин. Предыдущее сообщение см. РЖБиол., 1956, 48177. Ф. А.

**53210. Исследования качества основных банатских вин урожая 1955 г. Драгомир, Петричу** (Cercetări privind calitatea principalelor tipuri de vin din banat în anul 1955. Dragomir Cornel, Petreanu Florica), Grădina, via și liveada, 1956, 5, № 11, 50—56 (рум.)

Исследованы условия выращивания в Банате разных сортов винограда и органолептич. и физ.-хим. свойства изготовленных из них вин в 1955 г. Виноград сорта Майрка дал урожай 10000 кг/га, сок его содержал 187 г/л сахара, вино имело кислотность 4,18—5,76 г/л и содержало 10,09—10,79% спирта; сорта Крия соответственно 6000, 200, 4,63—5,76 и 10,79—12,23; сорта Штейншилдер — 7000, 173, 4,75 и 9,83; сорта Кадарка — >4000, 178, 5,16 и 11,77; сорта Крупный Бургунский — >3500, 212, 4,72 и 11,68. Вина имеют среднее качество, но в купажах намного улучшаются, особенно ценен для купажей виноград сорта Крупный Бургунский. Исследовались и другие вина (Мускат Оттонель, Каберне Совиньон, Итальянский Рислинг), для которых почва Баната менее благоприятна, они изготавливаются в малых кол-вах, но ценны для купажей.

А. Марин  
**53211. Химический состав вин зоны Этны. Барбагалло** (Studio sulla composizione chimica dei vini dell'Etna. Barbagallo Luigi), Riv. viticolt. e enol., 1955, 8, № 10, 339—346 (итал.)

Исследовалось содержание железа и его формы в 42 образцах вин зоны Этны. Приводятся результаты исследований по уменьшению содержания в вине разных форм железа при охлаждении вина для выделения винного камня в производственных условиях.

Н. Простосердова

**53212 К. Микроорганизмы в броидальной промышленности.** Изд. 7-е, полностью перераб. Перев. с датек. Нёргенсен (Mikroorganismen der Garungsindustrie. Jørgensen Alfred. 7. vollst. neubearb. Aufl. Übers. aus dem Dänisch. Nürnberg, Carl, 1956, XI, 563 S., 38 Bl., 56. DM) (нем.)

**53213 Д. Советские медовые вина.** Попова Е. Е. Автореф. дисс. канд. техн. н. Моск. ин-т нар. х-ва, М., 1956

**53214 П. Способ ведения дрожжевого брожения.** Куд, Лихолан, Предитис (Sposób prowadzenia fermentacji drożdżowej. Kud Edward, Licholan Stanisław, Prieditis Wiswaldis) [Narodowe Zakłady Przemysłu Drożdżowego]. Польша. пат. 37400, 15.04.55

При периодич. или непрерывном отборе из чана

дрожжевой массы оставляют в чане заранее вычисленное кол-во сухой массы дрожжевых клеток (ДК), обеспечивающее максим. прирост кол-ва ДК за единицу времени. Для расчета оптимального кол-ва ДК в чане и наиболее выгодного режима отбора ДК из чана приведены 5 ур-ний, калибровочная кривая и примеры, иллюстрирующие их применение. Г. Ошмян

**53215 П. Производство уксуса** (Manufacture of vinegar) [British Vinegars, Ltd]. Англ. пат. 727039, 30.03.55

При произ-ве уксуса окислением спиртовой жидкости уксуснокислыми бактериями воздух вдувают под давлением, по крайней мере на последней стадии окисления. Скорость аэрации увеличивают по мере размножения бактерий, повышая при этом давление, чтобы сохранить по возможности постоянный объем воздуха или  $\text{O}_2$ , проходящего через р-р в заданное время, для предотвращения или ограничения вспенивания. Для разрушения пены к жидкости может быть добавлен силикон или смазка, а также использованы механич. или электр. устройства. Окисляемый р-р состоит из смеси  $\frac{2}{3}$  солодовой бражки и  $\frac{1}{3}$  уксуса, полученного предыдущим окислением. Пример. Цилиндр из нержавеющей стали с нижней винтовой крышкой наполняют на  $\frac{3}{4}$  спиртовой жидкостью, уксуснокислыми бактериями или уксусом предыдущего окисления (для затравки) через трубку и впускной клапан верхней винтовой крышки, которую затем заворачивают. Воздух нагнетают через трубку с регулирующим вентилем, соединенную с нижней винтовой крышкой. Воздух распределяется спеш. аэратором и, пройдя сквозь толщу р-ра, поступает в вертикальный холодильник, соединенный с верхней крышковой цилиндром и снабженный отводной трубкой с регулирующим вентилем. В. Гурин

См. также: Дрожжи 16395Бх. Промышленные ферменты 17143Бх, 17146Бх. Содержание витаминов и др. азотистых в-в в сусле и винах, 17147Бх, 17148Бх. Летучие альдегиды чая 17152Бх.

## ПИЩЕВАЯ ПРОМЫШЛЕННОСТЬ

Редакторы А. М. Емельянов, Г. А. Новоселова, А. Л. Прокопович

**53216. Техника в пищевой промышленности. Уайтлок** (The engineer in the food industry. White-lock G.), Scott. Electr. Engr., 1956, 27, № 11, 766, 768, 770, 772, 774, 776, 778 (англ.)

Показано внедрение современной техники в пищевую промышленность на примерах молочных заводов и мельниц. Приводится подробное описание технологии произ-ва пастеризованного молока и пшеничной муки. Рассмотрено оборудование этих произ-в и контрольно-измерительная аппаратура. А. Емельянов

**53217. Измерение и регулирование сложных производственных параметров в пищевой промышленности.** Скарлетт (Measurement and control of the more difficult process variables. Scarlett Wm. J.), Food Technol., 1956, 10, № 12, 584—588 (англ.)

Обзор современных усовершенствований в методах измерения и регулирования непрерывных производственных процессов с точки зрения возможностей и перспектив применения их в произ-ве пищевых продуктов. В частности, рассматриваются возможности применения: 1) радиоактивных в-в с низкой интенсивностью излучения; 2) колориметров или фотометров для сравнения цвета, напр. р-ров сахара, цвета и степени помутнения пива и пр.; 3) ультразвуковых колебаний для измерения вязкости различных продуктов.

Рассматривается возможность применения рефрактометра не только для исследования сравнительно прозрачных жидкостей. Приведены принципиальные схемы соответствующих установок и теоретич. основы их применения. С. Светов

**53218. Значение коллекции чистых культур для переработки сельскохозяйственных продуктов. Джексон** (Rôle d'une collection de cultures dans l'utilisation des produits agricoles. Jackson Richard W.), *Inds. aliment. et agric.*, 1957, 74, № 1, 19—25 (франц.; рез. англ.)

Обзор различных областей применения микроорганизмов в пищевой пром-сти, в частности в произ-ве витаминов B<sub>2</sub> и B<sub>12</sub>, лимонной к-ты, декстрана и в анализе пищевых продуктов на содержание аминокислот, антибиотиков, витаминов и других в-в. А. Емельянов

**53219. Достижения пищевой технологии в США.**— (Food technology development in the U. S. A.—, *Food*, 1956, 25, № 295, 120—121, 128 (англ.)

После двухгодичного испытания применяется новый способ отбеливания муки ClO<sub>2</sub> в виде «ледяного блока». Фирмой Sterwin Chemical Inc. выпускается спец. оборудование для этого способа, названного «Hy-Cure». Покрытие мяса воском погружением отрубов мяса или тушек дичи в расплавленную массу производят перед замораживанием этих продуктов для предупреждения усушки. По удалении восковой оболочки после месячного хранения мясо остается красным и сочным. Изменение содержания аскорбиновой к-ты (I) использовано для оценки условий холодильного хранения продуктов. Спаржа, кочанная и цветная капуста, шпинат, зеленые бобы и горох в течение 4, 8 и 12 месяцев хранения при —12, —18 и —29°. Оказалось, что хранение овощей при —12° значительно снижает содержание I. Напр., в цветной капусте с начальным содержанием 178 мг/100 г продукта через 4, 8 и 12 месяцев хранения его осталось соответственно 70, 30 и 10%. Вырабатываются стандартные смеси для быстрой домашней выпечки хлеба. А. Орлов

**53220. Пути и цели химии пищевых продуктов в Германии. Бергнер** (Putevi i ciljevi kemije prehrambenih proizvoda u Njemačkoj. Bergner K.), *Tehnika*, 1955, 10, № 3, 425—427 (серб.-хорв.; рез. нем.)

**53221. Промышленное замораживание пищевых продуктов. Крейтцтрегер** (Das Einfrieren von Lebensmitteln in der Industrie. Kreitzträger), *Kälte*, 1957, 10, № 2, 49—50 (нем.)

Приводится описание тоннельной морозилки и плиточного аппарата для контактного замораживания при —35°. А. Емельянов

**53222. О быстром охлаждении и замораживании пищевых продуктов. Яспер** (Wirtschaftliche Gesichtspunkte beim Einsatz von Kühl- und Gefrieranlagen in der Lebensmittelindustrie. Jasper W.), *Technik*, 1956, 11, № 12, 849—856 (нем.)

Описаны опыты быстрого охлаждения и замораживания свинины, говядины, сливочного масла и рыбы в тоннельных камерах охлаждения и замораживания. Приводятся кривые скорости охлаждения продуктов, основные параметры процесса и схематич. чертежи охлаждающих устройств. А. Емельянов

**53223. Лиофилизация. Канетта** (La liofilizzazione. Canetta Eliano), *Ingegneria chim.*, 1955, 4, № 4, 9—14 (итал.)

Изложены теоретич. основы и промышленное применение консервирования скоропортящихся в-в в пищевой, фармацевтической и других отраслях пром-сти путем лиофилизации (сублимация воды в глубоком вакууме из замороженных в-в при t-ре от —30° до —40°). Описана применяемая современная аппаратура и процесс ее работы. А. Марин

**53224. Общие соображения о сушке пищевых продуктов. Ленигер** (I Allgemeine Betrachtungen über das Trocknen von Lebensmitteln. Leniger H. A.), *Ingenieur (Nederl.)*, 1957, 69, № 2, Ch. 1—Ch. 12. Discuss., Ch. 12—Ch. 14 (нем.)

Значение сушки для пищевой пром-сти, сушка как процесс консервирования, условия сушки и конечная влажность продуктов, сравнение сушки с другими способами консервирования, давление паров в пищевых продуктах, типы пищевых продуктов с точки зрения их поведения при сушке. А. Емельянов

**53225. Применение β- и γ-лучей и радиоактивных изотопов в пищевой промышленности. Герман** (Die Anwendung der Beta- und Gamma-Strahlen sowie der radioaktiven Isotopen in der Lebensmittelindustrie. Hermann J.), *Lebensmittel-Ind.*, 1957, 4, № 2, 56—59 (нем.)

Элементарные сведения о строении атома, α-, β- и γ-лучах, единицах измерения атомной энергии, абсорбции лучей. А. Емельянов

**53226. О применении ионизирующих излучений для сохранения пищевых продуктов. Ханнан, Колби** (The food scientist looks at radiation preservation. Hannan R. S., Coleby B.), *Nuclear Power*, 1957, 2, № 9, 8—11, 33 (англ.; рез. франц., нем., исп., русск.)

Рассмотрены источники излучений и их применение для удлинения сроков хранения продуктов. А. Е.

**53227. Применение ионизирующих излучений в области брожения и при приготовлении пищевых продуктов. II. Влияние излучений на микроорганизмы и ферменты III. Примеры применения излучений. Сибеаки** (食糧・醸酵の分野に於ける Ionizing Radiation の應用. II. 微生物及び諸物質に対する作用. III. 放射線の應用例. 芝崎 勲), *醸酵工學雜誌*, Хакко когаку дзасси, *J. Ferment. Technol.*, 1956, 34, № 8, 400—405; № 9, 448—453; № 10, 492—497 (японск.)

Обзор литературы. Библ. 50 назв. Сообщение I см. РЖХим, 1957, 32931. Ким Су Ен

**53228. Значение консервирования продуктов облучением для войскового питания. Райер III** (Influence of radiation preservation of foods on military feeding. Ryer III. Robert), *Food Technol.*, 1956, 10, № 11, 516—519 (англ.)

Рассмотрены итоги работ, проведенных по заданию Военного ведомства США, по консервированию продуктов ионизирующими излучениями. Установлены необходимые дозы для облучения (в фэр.): для подавления прорастания картофеля и лука 12 000; для уничтожения трихинелл и насекомых 30 000; для пастеризации продуктов 200 000; для стерилизации — 3 × 10<sup>6</sup>. Опыты, проведенные над животными и людьми, в которых от 35—100% пищевого рациона состояло из облученных продуктов, не обнаружили вредного физиологич. влияния. Отмечены большие потери рибофлавина, тиамина и витамина Е в облученном мясе по сравнению с мясными консервами. Определено влияние облучения в разных дозах на вкусовые свойства, цвет и запахи различных продуктов. Отмечается, что стойкость облученных продуктов при хранении в обычных условиях еще недостаточна, так как для разрушения ферментов требуются очень большие дозы облучения (~10-10<sup>6</sup>). Обсуждаются вопрос о стоимости этого метода консервирования и о его значении для продовольственного снабжения войск. А. Емельянов

**53229. Электромагнитное излучение (применение в пищевой промышленности) (Elektromagnetische Strahlung. C.),** *Tehnika*, 1955, 10, № 12, 1810—1811 (серб.-хорв.)

**53230. Антиоксиданты в пищевой промышленности. Ли** (Antioxidants in the food industry. Lee C. H.), *Research*, 1956, 9, № 12, 472—478 (англ.)



Рассмотрены факторы, ускоряющие или замедляющие окисление пищевых продуктов при хранении, и механизм действия антиоксидантов. Описаны токоферолы, галловая, кофейная, нордигидрогалловая к-ты, флавоноиды, бутилксиантозол и бутилксиантолол, синергисты (аскорбиновая к-та, ароматич. амины) их применение. Приведены допустимые нормы, фармакология, характеристика.

**А. Емельянов**  
**53231. О применении антиоксидантов в пищевых продуктах.** Толленар (Neuere Entwicklungen auf dem Gebiet der Verwendung von Antioxydantien in Nahrungsmitteln. Tollenaar F. D.), Dtsch. Lebensmitt.-Rundschau, 1956, 52, № 12, 307—313 (нем.)

Добавление к сдобным мучным изделиям антиоксидантов (0,02% додецилгаллата; 0,02% бутилксиантолола или смеси их в соотношении 1:1) дало при хранении в течение до 14 недель снижение перекисных чисел. Вкус изделий сначала ухудшался, затем улучшался. Несоответствие между возрастанием перекисей и вкусовыми оценками отмечено и в опытах с сухим молоком. У жиров и масел, напротив, по мере их хранения возрастает перекисное число и одновременно ухудшаются их вкусовые качества. Сравнительными исследованиями изменений вкуса кукурузного масла с антиоксидантами при хранении показано, что прогоркание развивается быстрее при неполном наполнении бутылки. Лучшие результаты по предупреждению прогоркания получены со смесью 0,01% бутилксиантолола и 0,005% додецилгаллата.

**А. Емельянов**  
**53232. Потребности питания и обогащение пищевых продуктов.** Обогащение пищевых продуктов витаминами A и D. Вильямс (Nutritional requirements and food fortification. The fortification of foods with vitamins A and D. Williams P. N.), Chemistry and Industry, 1956, № 49, 1469—1473 (англ.)

Обзор работ по витаминизации продуктов. Рассмотрена история вопроса, способы витаминизации маргарина, ванапнати, молока, кормовых средств.

**А. Емельянов**  
**53233. Витаминизация пищи, как основная задача практической современной витаминологии.** Мацко (Witaminizacja żywności jako podstawowe zadanie praktycznej witaminologii współczesnej. Maćko S. N.), Przem. spożywczy, 1957, 11, № 1, 4—8 (польск.; рез. русск., англ.)

Обзорная статья по работам, проведенным по этому вопросу в Советском Союзе. Библ. 27 назв. A. П.

**53234. Следы тяжелых металлов и их значение для технологии пищевых продуктов.** Тейфель (Schwermetallspuren und ihre Bedeutung für die Lebensmitteltechnologie. Tüfel K.), Lebensmittel-industrie, 1955, 2, № 7, 161 (нем.)

Рассмотрены процессы, происходящие в пищевых продуктах в присутствии следов металлов. Часто эти следы бывают столь малы, что трудно допустить их вредное действие, однако, напр. зеленый горошек, содержащий 1  $\gamma$ /г Cu или 6  $\gamma$ /г Fe, становится серым, сгущенное молоко, содержащее 3  $\gamma$ /г Fe, дает с кофе приятную коричневую окраску, а при 10  $\gamma$ /г Fe придает напикту неприятный серый цвет.

**Б. Кафка**  
**53235. Оценка вкусовых качеств продуктов как вспомогательное средство при их исследовании.** I. Методы вкусовой оценки. Еллинек (Geschmacksprüfungen als Hilfsmittel in der Forschung I. Methoden der Geschmacksprüfung. Jellinek G.), Fette, Seifen, Anstrichmittel, 1956, 58, № 10, 910—919 (нем.)

Обзор литературы по 4 группам способов опробования продуктов: 1) для установления различия между образцами, 2) для качеств. оценки, 3) для описания качеств. признаков, 4) для установления разряда продуктов. Библ. 56 назв.

**А. Емельянов**

**53236. Прибор для испытания твердости пищевых продуктов по методу Володкевича.** Грюневальд (Ein Festigkeitsprüfgerät für Lebensmittel nach N. Wolodkewitsch. Grűnewald Th.), Z. Lebensmittel Untersuch. und Forsch., 1957, 105, № 1, 1—2 (нем.)

Дано детальное описание прибора и способа пользования им для определения твердости пищевых продуктов по методу Володкевича (см. РЖХим, 1956, 76689). Этим прибором проведено определение консистенции путем разрезания продуктов между стенками гильзы кантом штемпеля, а также измерение силы проицания, сопротивления на сжатие, срезывания, а также изгиба и растяжения. Результаты замерений представлены диаграммами (сила — путь).

**А. Емельянов**  
**53237. Определение красящих веществ в пищевых продуктах методом электрофореза.** Вильямс (The electrophoretic isolation of dye-stuffs in foods. Williams John F.), Analyst, 1957, 82, № 972, 211 (англ.)

100 г исследуемого материала экстрагируют при легком забалтывании 6 час. при 45° 250 мл н-бутилового спирта, насыщ. 2 н. HCl. Смесь отфильтровывают через воронку Бюхнера и фильтрат сгущают в вакууме при  $t \leq 45^\circ$ . Темный смолообразный остаток наносят на полоски бумаги Ватман 3 MM размером 608  $\times$  127 мм и проводят электрофорез в аппарате, описанном Фостером (Foster A. B., Chem. and Ind., 1952, 1050) при силе тока 10 ма и напряжении 600 в, применяя буферный р-р (рН 12) смеси 1000 мл 0,05 М Na-тетрабората и 1600 мл 0,1 н. NaOH. Подсущивают электрофорограммы до появления контуров окрашенных зон, элюируют красящие в-ва дистил. водой и наблюдают их спектры поглощения. С тем же экстрактом проводят слепой опыт. При большом содержании красящих в-в в продукте элюат используют для исследования методом хроматографии на бумаге, применяя р-ритель: фенол—вода—НСООН. Метод дал вполне удовлетворительные результаты при анализе красящих в-в в печенье, джемах и пр.

**В. Гурья**  
**53238. Определение бензойной кислоты в пищевых продуктах.** Ходоровская (Oznaczenie dodatku kwasu benzoowego w artykułach żywności. Chodorowska Krystyna), Roczn. Państw. zakł. hig., 1955, 6, № 4, 329—343 (польск.; рез. русск., англ.)

Разработан метод определения бензойной к-ты (I) плодовых и рыбных консервах и в маргарине, основанный на экстракции I сначала водн. р-ром щелочи, затем, после удаления белков реактивом Карреа (150 г  $K_4Fe(CN)_6$  в 1 л воды и 300 г  $ZnSO_4 \cdot 7H_2O$  в 1 л воды) и подкисления, эфиром. Из эфирной вытяжки I опять экстрагируют щелочью. Часть щел. экстракта выпаривают, в сухом остатке проводят цветную р-цию по Молеру в модификации Геиде — Якоба и Гроссфельда и колориметрируют. Ошибка определения составила — 7,2 + 6,7%. Установлено, что присутствие салициловой к-ты и эфиров  $\epsilon$ -оксибензойной к-ты лишь незначительно изменяет оттенок возникающей при р-ции Молера окраски и не мешает определению I.

**З. Фабинский**  
**53239. Применение хлористого трифенилтетразола для определения общего количества микроорганизмов в пищевых продуктах.** Вार्ди (Trifeniltetrazonium-klorid alkalmazása élelmiszerek élő összcsíraszámának meghatározására. Várdi I. Á.), Élelm. ipar, 1955, 9, № 12, 380—382 (венг.; рез. русск., нем., англ.)

Конц-ия 20  $\mu$ /мл хлористого трифенилтетразола (II) в молочном агаре не препятствует размножению бактериальной флоры исследуемых пищевых продуктов, а красный цвет колоний, развивающихся на таком агаре, облегчает подсчет микроорганизмов. Молочный

агар с I может служить для последующей дифференциации бактериальной флоры исследуемых продуктов.

А. Прогорович

**53240. Бактериологический контроль воды и некоторых пищевых продуктов при помощи мембранных фильтров.** М а ш и н о в а, Ш а х а (Bakteriologická kontrola vod a některých potravinářských výrobků membránovými filtry. Mašínová L., Šacha F. r.), Průmysl, potravin, 1957, 8, № 1, 36—39 (чешск.; рез. русск., англ., нем.)

Описание и сравнительная оценка упрощенного метода бактериологич. контроля воды и пищевых продуктов (общая обсемененность и кол-во *Bact. coli aerogenes*) при помощи мембранных фильтров. Предлагаемый метод является более точным, быстрым и простым.

А. Прогорович

**53241. Оценка и стандартизация хлебных злаков.** Шефер (Appréciation et standardisation des céréales panifiables. Schaefer W.), Courrier normalis., 1956, 23, № 132, 701—705 (франц.)

**53242. Об уменьшении прорастаемости зерна, поступающего на помол.** М ю л л е р (Weniger Auswuchstgetreide — Problematik und züchterische Möglichkeiten. Müller Herbert W.), Mühle, 1956, 93, № 51—52, 748—750 (нем.)

Рассмотрены причины прорастания и меры по снижению кол-ва проросшего зерна при хранении (условия уборки, сушка, возможности селекции). Для определения всхожести рекомендуется метод связывания колосьев (3—10), которым устанавливается равномерность прорастания зерен при сборе урожая. А. Емельянов

**53243. Изучение технологии зерна на сельскохозяйственной экспериментальной станции Северной Дакоты.** Гаррис (The development of cereal technology at the North Dakota Agricultural Experiment Station. Harris R. H.), Food Technol., 1956, 10, № 10, 14, 16, 18, 20 (англ.)

Краткое описание с.-х. эксперим. станции, организованной в 1905—1908 гг. в штате Северная Дакота (США) для изучения мукомольных и хлебопекарных качеств пшениц, а в настоящее время изучающей также пивоваренные качества ячменя и биохим. свойства зерновых культур.

В. Базарнова

**53244. Уборка и хранение кукурузы.** Д а р п у (Deux problèmes à résoudre pour le producteur de maïs: récolte et conservation. Darpu R.), Rev. agric. Puy-de-rôme, 1956, 19, sept.-oct., 20—23 (франц.)

Указания по уборке и сушке кукурузы применительно к хозяйствам среднего масштаба. А. Емельянов

**53245. О качественных изменениях продуктов переработки овса.** Сообщение 4. Пурр. Сообщение 5. Хейсс, Пурр. Сообщение 6. Исследование водорастворимого горького вещества овса. Хотте-прот, Мор (Über die Qualitätsbeeinflussung von Hafererzeugnissen. IV. Mitteilung. Purr Arnulf. V. Mitteilung. Heiss Rudolf, Purr Arnulf. VI. Untersuchungen über den wässerlichen Bitterstoff aus Hafer. Hottenroth B., Mohr W.), Dtsch. Lebensmitt.-Rundschau, 1953, 49, № 9, 205—213; 1954, 50, № 8, 186—192; № 9, 225—229; 1956, 52, № 8, 225—228 (нем.)

IV. Исследовано образование антиоксидантов в овсе в зависимости от способа его обработки, влияния процессов распада белковых в-в, сортовых особенностей и стадии зрелости зерна.

V. Опытами хранения овсяной муки показано влияние влажности на изменение органолептич. показателей качества. При 5—6% влаги наблюдались незначительные изменения вкуса после хранения в течение 0,5 года при 30°. При 8,5—9,5% влаги установлено значительное ухудшение качества уже по истечении 2—4 месяцев. Рассмотрены данные по образованию свободных

жирных к-т во время хранения овсяной муки и связь их содержания с органолептич. оценкой вкуса муки.

VI. Выделенное из сырого овса водорастворимое горькое в-во состояло из смеси двух компонентов, одним из которых являлся негорький сапонин с гемолизирующим действием, другой, представляющий собственно горькое в-во, имел строение, подобное сапонины. Генины и ацетаты генинов этих в-в получены в кристаллич. форме. Оба они относятся к классу стероидсапоненинов. Генин горького в-ва идентифицирован УФ-анализом как не содержащий СО-групп свободный сапоненин изо-ряда. На основании некоторых эксперим. данных предполагается, что между горьким в-вом и негорьким сапонином существует генетич. связь. Сообщение III см. РЖХим, 1957, 10152

А. Емельянов

**53246. Взаимоотношения между зональными лабораториями по качеству пшениц и лабораториями штатов.** Шелленбергер (Relationship of state wheat quality laboratories to regional wheat quality laboratories. Shellenberger John A.), Milling Prod., 1956, 21, № 8, 9—11 (англ.)

Зональные лаборатории и лаборатории штатов в США оказывают помощь селекционерам в хлебопекарной оценке выводимых новых сортов пшениц и решению вопроса о целесообразности их дальнейшего распространения. Раньше, чем новый сорт допускается к распространению, он в течение года выращивается на нескольких участках в сравнимых условиях с пшеницами, известными по качеств. характеристикам. Кол-во полученного зерна должно быть достаточным для выработки муки, обеспечивающей производственное мукомольное и хлебопекарное испытание сорта. Независимые заключения лабораторий и произ-ва обеспечивают достоверную оценку качества новых сортов. В. Базарнова

**53247. Влияние термической обработки зерна на его титруемую и активную кислотность.** Ш а б а т у р а И. А., Зап. науч. студ. о-ва, Львовск. торгов.-экон. ин-т, 1957, вып. 1, 36—40

Исследованием рядового товарного зерна пшеницы установлено, что у зерна с влажностью  $>20\%$  с увеличением длительности сушки титруемая кислотность по болтушке и воды, вытяжке непрерывно и значительно падает. У сухого зерна высушенного, кислотность по болтушке и вытяжке при сушке при 60° выше, чем при 45°, но ниже, чем при 75°. У сухого зерна при 45°, понижается титруемая кислотность по болтушке и воды, вытяжке; у влажного зерна значительно повышается кислотность по болтушке и уменьшается по водной вытяжке. Величина активной кислотности с повышением т-ры сушки во всех случаях снижается. Г. Новоселова

**53248. Физические основы изменения удельного веса эндосперма в зависимости от влажности.** I. Удельный вес срезанных и размолотых частиц эндосперма.

II. Влияние сушки на восстановление удельного веса эндосперма в зависимости от поведения цельных пшеничных зерен. Кемпбелл, Джонс (On the physical basis of the response of endosperm density to change in moisture content. I. Densities of dissected and of milled endosperm particles. II. Reversibility of endosperm density on drying in relation to behavior of whole-wheat grains. Campbell J. D., Jones C. R.), Cereal Chem., 1955, 32, № 4, 325—334; 333—343 (англ.)

Удельный вес частиц срезов эндосперма по мере повышения влажности пшеницы (Манитоба) снижается. Пропуск зерна через валки драной системы нарушает структуру эндосперма, в результате чего скорость снижения уд. веса в крупе при увлажнении  $>10-13\%$  увеличивается, уд. вес мунистых частиц крупы при сушке до содержания влаги  $<12\%$  резко снижается, в то время как при аналогичных условиях у стекловидных частиц он повышается. Сушка полностью вос-

становливают уд. вес частиц эндосперма в том случае, если влажность материала при получении срезов  $\leq 20\%$ . Уд. вес не восстанавливается при сушке цельного зерна при увлажнении его до  $18,5\%$ . Увлажнение стекловидной пшеницы Манитоба вызывает образование трещин в эндосперме, не влияющих на восстановление уд. веса в процессе сушки.

**Р. Токарева 53249.** Изучение изотерм десорбции пшеницы при температурах 20 и  $50^\circ$ . Беккер, Салланс (A study of the desorption isotherms of wheat at  $25^\circ$  C and  $50^\circ$  C. Becker H. A., Sallans H. R.), Cereal Chem., 1956, 33, № 2, 79—91 (англ.)

Определение изотерм производилось по образцам пшеницы, предварительно доведенной до влажности  $32\%$ , являющейся границей перехода влаги из связанного в свободное состояние. После грубого измельчения, навески пшеницы по  $1,5$  г помещали над р-ром  $\text{H}_2\text{SO}_4$  и выдерживали при постоянной т-ре до установления равновесия десорбции. По полученным изотермам, с помощью соответствующих ф-л, вычислялись кол-во тепла, потребное для десорбции одного моля воды в зависимости от влажности зерна, теплота дегидратации в кал на г сухого в-ва зерна и средняя равновесная теплота десорбции в высушиваемом зерне. Подсчет показал, что начальная теплота десорбции составляет  $7-10$  ккал на 1 моль десорбированной из зерна воды. При повышении влажности зерна  $>30\%$ , теплота десорбции падает до незначительных пределов по сравнению с нормальной теплотой испарения воды. Теплота дегидратации составляет  $\sim 43-47$  ккал/г сухого в-ва зерна. В процессе сушки отмечается выделение тепла при переходе влаги в зерне от неравномерного к равномерному распределению, при постоянной средней влажности, в силу большей теплоты дегидратации у зерна с неравномерным распределением влаги. В. Базарнова

**53250.** Мягкие и твердые пшеницы, культивируемые в Алжире. Зубовский (Les blés tendres et durs cultivés en Algérie. Zoubovskiy M.), Bull. Ecole franç. meunerie, 1956, № 153, 115—120 (франц.) Сравнительные данные помольных и хлебопекарных качеств.

**А. Емельянов 53251.** Опыт дифференциации крахмалов пшеницы. Жофруа (Essai de différenciation des amidons de froment. Geoffroy R.), Bull. Ecole franç. meunerie, 1955, № 145, 18—21 (франц.)

Исследовалась устойчивость пшеничного крахмала различного происхождения к механич. и биохим. воздействиям. Подтверждено, что сырой крахмал нечувствителен к действию разжижающих ферментов, но после растирания он частично гидролизует вследствие разрушения гранул. Степень последнего различна в зависимости от происхождения зерна. Скорость брожения теста зависит от устойчивости гранул крахмала при помеле зерна. Вязкость крахмальных гелей, равная  $700-850$  ед. амилографа Брандлера, снижалась под действием амилаз до  $200-300$  ед. Опыты с растиранием зерна в грубых условиях установили чувствительность клейковины и крахмала к такой обработке, что показано на альвеограммах.

**А. Емельянов 53252.** О меченых инсектицидных остатках в пищевых продуктах. V. Характер и значение остатков бромистого этилена в обработанной им пшенице. Бриджес (The fate of labelled insecticide residues in food products. V. The nature and significance of ethylene dibromide residues in fumigated wheat. Bridges R. G.), J. Sci. Food and Agric., 1956, 7, № 5, 305—313 (англ.)

Бромистый этилен меченым  $\text{Br}^{82}$  (I), применяли для исследования степени поглощения и хим. изменений I в пшенице, при использовании его в качестве фунгицида, с последующей аэрацией и нагреванием материала. Обработке I подвергали зерно пше-

ницы, цельное и размоленное, клейковину и крахмал. Установлена высокая степень поглощения I пшеницей при медленной аэрации. Зерно пшеницы содержало остатки I после 12 суточной аэрации; в связи с этим применение I может вызывать нежелательные последствия. При  $\sim 20^\circ$  происходит р-ция между I и белком пшеницы. При нагревании часть I, поглощенного пшеницей и оставшегося после аэрации, разлагается с образованием этиленгликоля и неорганич. бромидов. По-видимому, происходит р-ция между этиленгликолем и группой  $-\text{SCH}_3$  метионина белка пшеницы. НВг, освобожденный при нагревании, судя по действию на крахмал, разрушает оболочку крахмальных зерен. Предполагается незначительное изменение питательной ценности пшеницы при обработке ее бромистым этиленом. Даны схема аппарата и метод приготовления I, таблицы и графики результатов опытов. Библ. 34 назв. Сообщение IV см. РЖХим, 1955, 55672. В. Базарнова

**53253.** Простой метод распознавания загрязнения пшеницы мочой грызунов. Лаксо, Ферриган, Шульце, Геддес (A simple method for detecting contamination of wheat by rodent urine. Laakso J. W., Ferrigan Madelyn, Schultze M. O., Geddes W. F.), Cereal Chem., 1956, 33, № 2, 141—145 (англ.)

Метод основан на цветной р-ции  $\text{NH}_3$ , образующегося из мочевины под действием уреазы, с модифицированным реактивом Несслера — Фолина. Исследуемые и контрольные зерна помещают по одному в углубления, сделанные в плоской чашке из прозрачной пластмассы. В каждое углубление добавляют 1 каплю свежеприготовленной взвеси препарата уреазы в фосфатном буфере (рН 6,8), оставляют на 5 мин., после чего добавляют по 1 капле реактива на  $\text{NH}_3$  и следят за появлением окраски (от желтой до оранжевой). Обнаружение окраски может быть облегчено в УФ-свете или при свете лампы накаливания с использованием голубого или зелено-голубого фильтра. Подсчитывают процент загрязненных зерен. Метод обладает высокой чувствительностью (обнаружено загрязнение  $0,1\%$ -ным р-ром мочевины после высушивания зерен). Ошибка метода уменьшается от  $15,7\%$  до  $5,2\%$  при возрастании загрязнения от  $0,5$  до  $8,0\%$ . Показано, что взрослая крыса, свободно передвигающаяся по слову зерна, при наличии воды загрязняет до  $10\,000$  зерен в сутки.

**Д. Лозовский 53254.** Определение влажности зерна. Сообщение I. Отбор и разделение пробы. Шефер, Зейбел (Problematik und Durchführung der Feuchtigkeitsbestimmung bei Getreide. I. Mitt. Probenahme und Probenteilung. Schäfer W., Seibel W.), Mühle, 1957, 94, № 9, 109—110 (нем.)

Содержание влаги в партиях хранящегося зерна подвержено значительным колебаниям. Необходимо определять быстрыми методами влажность в возможно большем кол-ве образцов, отобранных из различных мест партии. При этом получают данные о распределении влаги в партии и среднее содержание влажности всей партии зерна. Разделение средней пробы и отбор образца из нее для анализа исключается, так как при этом происходит потеря влаги.

**А. Емельянов 53255.** Определение степени повреждения прорастанием зерна и муки. Жофруа (Détection de l'avarie par germination dans les blés et farines. Geoffroy W.), Bull. Ecole franç. meunerie, 1956, № 155, 209—211 (франц.)

Из  $10$  г измельченного зерна или муки и  $1$  г растворимого крахмала готовят болтушку с  $50$  мл дистил. воды, выдерживают 4 часа (зерно) или 8 час. (муку) при  $18-20^\circ$ , фильтруют до полного осветления; добавляют к  $20$  мл фильтрата  $0,6$  мл р-ра J, сравнивают окраску со стандартными р-рами.



**53256. Практические опыты измерения цвета муки при производственном контроле на мельницах. Штаудт (Praktische Erfahrungen mit der Farbmessung zur Betriebskontrolle in Mühlen: Staudt E.), Getreide und Mehl, 1956, 6, № 12, 105—107 (нем.)**

Параллельные определения цвета и зольности муки установили отсутствие строгой связи между этими показателями. Усовершенствование техники измерения цвета муки (прибор Мартини и Кент-Джонса или Photovolt Corporation) обеспечило преимущество данного показателя для качества, оценки муки. В Голландии определение зольности муки полностью заменено измерением ее цвета. В качестве стандартных образцов для сравнения применяют, в частности, тесто из талька трех степеней безизны. Определение цвета, производимое за 3—5 мин., позволяет осуществлять контроль произ-ва на различных точках помольной системы.

А. Емельянов

**53257. Определение примеси небольшого количества ржаной муки в пшеничной. Йонг (Het bepalen van kleine hoeveelheden roggebloem in broodbloem. Jongh G.), Conserva, 1957, 5, № 8, 236—240 (гол.; рез. англ.)**

Модифицированный микроскопич. метод Берлинера и Копмана (Z. ges. Mühlenw., 1928, 5, 21), описание которого приводится, дал хорошие результаты при определении примеси ржаной муки к пшеничной в торговых образцах муки.

А. Емельянов

**53258. О добавлении воды к муке при проведении испытаний на альвеографе Шопена. Мес, Пиротт (Der Alveograph von Chopin: Konstante oder veränderliche Wasserzugabe? Maes E., Pirotte A.), Getreide und Mehl, 1957, 7, № 1, 1—2 (нем.)**

Определение на альвеографе Шопена проводят всегда при 43%-ной влажности теста, независимо от водопоглощательной способности (ВС) муки. Последнюю можно вычислить (по Шопену) по данным нормальной альвеограммы, взяв за основу добавление 50% воды при P-60. На 20 образцах муки с возрастающим добавлением воды (45—55%) показано отсутствие прямой связи между величиной P и добавлением воды. Установлено, что мука при добавлении к ней воды по инструкции (50% для муки влажностью 14,3%) дает среднюю альвеограмму и может дать лучшую альвеограмму при добавлении воды с учетом ее ВС. Предлагаются при известной ВС муки, напр. в 50%, получить 3 альвеограммы для образцов с добавлением к муке 49,50 и 51% воды и выбрать из них лучшую, в которой отношение  $P:L$  приближается к 0,5-1 (лучше всего 0,66). Величина W имеет значение для оценки муки только при нормальном характере альвеограммы. При неизвестной ВС муки проводится ряд измерений с возрастающим добавлением воды, напр., 45—55% и снова выбирается лучшая альвеограмма.

А. Емельянов

**53259. Кислотность смесей муки. Ластит (Lisztkeverékek savfoka. Láshtity Radomir), Élelm. ipar, 1955, 9, № 6, 189—192 (венг.; рез. русск., англ., нем.)**

Изучена общая кислотность, содержание свободных жирных к-т, общая и остаточная щелочность смесей пшеничной (ПМ) и соевой, а также ржаной (РМ) и соевой муки (СМ). Установлено, что за исключением общей кислотности данные изученных показателей складываются из данных отдельных компонентов смеси. На основании большого расхождения в данных общей и остаточной щелочности ПМ, РМ и СМ разработан метод колич. определения примеси СМ в ПМ и РМ. На основании величин общей щелочности разработан метод определения СМ в пшеничном и ржаном хлебе.

Г. Юдкович

**53260. Оценка хлебопекарных качеств муки по физическим показателям. Брабендер (The physical**

evaluation of flour performance. Brabender C. W.), Baker's Digest, 1956, 30, № 2, 37—40, 68 (англ.)

Стандартные методы оценки муки, основанные на определении содержания золы и белковых в-в, недостаточны для характеристики ее свойств при произ-ве хлеба на современном механизированном предприятии. Характеристика хлебопекарных качеств муки должна отражать ее физ. свойства на трех стадиях произ-ва: при замесе, брожении и формировании теста и при выпечке хлеба. Недостатки одной стадии возможно исправить в последующей, необходима правильная оценка основных качеств, признаков муки с точки зрения всего процесса хлебопечения. Важнейшие факторы замеса: абсорбция, время замешивания и сила муки характеризуются фаринограммами; стадия брожения и формирования теста — экстенсограммами, определяющими степень созревания муки. Качество муки в стадии выпечки хлеба измеряется амилограммами, характеризующими разжижающую активность ферментов муки. Практич. опыт показал, что образцы муки, имеющие одинаковые показатели по этим измерениям, дают близкие между собой результаты и при хлебопечении, что подтверждает преимущество физ. методов оценки (фаринографом, экстенсографом и амилографом) по сравнению с хим. для унификации хлебопекарных качеств муки.

А. Емельянов

**53261. Определение хлебопекарной силы пшеничной муки. Жофруа (Détermination de la force boulangère. Geoffroy R.), Genie rural, 1955, 48, № 5, 178—180 (франц.)**

Приводятся альвеограммы различных образцов пшеничной муки, применяемой на хлебопекарных Франции. Указывается на влияние сорта и метеорологич. условий урожая на хлебопекарную силу муки, характеризующую величину W на альвеографе Шопена.

А. Емельянов

**53262. Упаковка муки в мелкую тару. Шольц (Die Herstellung von Mehl-Kleinpackungen. Scholz Herbert), Mühle, 1957, 94, № 4, 41—43 (нем.)**

Приводится описание технологии упаковки от подачи муки до упаковки пакетов с мукой в укрупненную тару.

А. Емельянов

**53263. Производство питательных смесей для детей раннего возраста. Гуляев В. Н., Консервы и овощесуш. пром-сть, 1957, № 1, 8—11**

Описана технологич. схема двух поточных линий произ-ва сухих крупяных отваров и произ-ва молочных смесей с сухими крупяными отварами или без них. Приведены рецептуры и нормы расхода сырья и 2 схемы размещения оборудования.

Г. Н.

**53264. О снижении содержания лецитина в продуктах, приготовленных из теста с добавкой яиц. Аккер (Über den Lecithinrückgang in Eierteigwaren. Akker L.), Dtsch. Lebensmitt.-Rundschau, 1957, 53, № 1, 10—12 (нем.)**

Наблюдаемое при хранении вермишели и макарон снижение лецитина объясняется действием фосфолипазы D, расщепляющей лецитин на фосфоглицериновую к-ту и холин, и дальнейшим расщеплением фосфоглицериновой к-ты фосфатазой на диглицерид и фосфорную к-ту. Вторая стадия определяется обычными аналитич. методами. При этом расщеплении не происходит образования свободных жирных к-т. Быстрое уменьшение лецитина, наблюдаемое уже при изготовлении макарон, происходит при длительной сушке в условиях, способствующих ферментативному расщеплению, на которое большое влияние оказывает содержание влаги в тесте и в воздухе.

А. Емельянов

**53265. Основные направления в изучении химии теста. Глинка, Андерсон (Lines of attack on dough chemistry. Hlynka Isydore, Anderson**

J. A.), J. Agric. and Food Chem., 1957, 5, № 1, 56—59 (англ.)

Рассмотрены современные методы изучения теста: опытные выпечки, исследование физич. и хим. свойств. Опытные выпечки, характеризующие качество муки, не дают представления о механизме тестообразования. Новейшие методы реологии и приборы для измерения релаксации теста (релаксометр) и его упругости (резонаторный эластомер) в сочетании с амперометрич. титрованием и полирографией, методами определений сульфидрильных и дисульфидных групп дают более полное представление о свойствах этой сложной системы, изменяющейся во времени.

А. Емельянов

**53266. О применении пшеничной клейковины в хлебопечении. Кемпф** (Verwendungsmöglichkeiten von Weizenkleber in der Bäckerei. K e m p f W.), Stärke, 1956, 8, № 11, 261—268, Diskuss., 258 (нем.; рез. англ.)

Многочисленными опытными выпечками пшеничного хлеба с добавлением 4 видов клейковины (сырой, высушенной на вальцах, в вакууме и на распылительной сушилке) показано, что лучшие результаты получаются с клейковинной распылительной сушки: последняя обладает лучшими хлебопекарными свойствами и дает наибольший объемный выход хлеба. Близкие результаты получены с сырой клейковинной, но применение ее в хлебопечении сопряжено с известными затруднениями. Клейковина, высушенная на вальцах, ухудшает качество хлеба. При добавлении клейковины распылительной сушки в кол-ве до 10% наблюдалось постоянное улучшение качества хлеба; вкусовые качества последнего признаны лучшими при добавлении 5—6% (в расчете на сухое в-во). Приводится дискуссия по данному вопросу.

А. Емельянов

**53267. Об образовании естественного консервирующего вещества при выпечке хлеба. Шульц, Древе** (Über die Bildung eines natürlichen Konservierungsmittels beim Backprozeß B. S c h u l z A., D r e w s E.), Brot und Gebäck, 1957, 11, № 2, 25—29 (нем.) Исследовано образование муравьиной к-ты (I) при выпечке различных сортов ржаного хлеба из цельного зерна. Показано, что содержание I увеличивается пропорционально времени выпечки хлеба (или его термич. стерилизации). Колебания т-ры выпечки в пределах, применяемых на практике, оказывают незначительное влияние на содержание I в мякише. При выпечке хлеба из тонко размолотой муки установлено большее образование I, чем при выпечке хлеба из муки грубого помола. Добавление патоки, соевой муки, обезжиренного сухого молока и солодовой муки значительно повышает образование I в хлебе длительной выпечки (пумперникель). Напр., добавление 3% сухого молока ведет к удвоению содержания I, которое увеличивается пропорционально добавляемому кол-ву молока. Р-ры глюкозы не влияют заметно на образование I. Параллельно с хим. исследованиями проводились опыты хранения хлеба для установления подавляющего действия I на плесени. Стерилизованный нарезанный хлеб, выпеченный в течение  $\geq 18$  час., не заплесневел после 5 недель хранения. Однако кол-ва I, образующиеся в процессе хлебопечения, недостаточны для подавления роста меловой плесени.

А. Емельянов

**53268. О балльной оценке качества хлеба. Томас, Фукс** (Der Rehbrücker Vorschlag zur Brotbewertung. Thomas B., Fuchs K.), Brot und Gebäck, 1957, 11, № 2, 32—34 (нем.)

Сравниваются две схемы балльной оценки хлеба: 1) разработанная Пельсхенке и Шульцем (Детмольдский научно-исследовательский институт переработки зерна ФРГ) и 2) предложенная научно-исследовательским институтом питания в Потсдаме — (Рейбруке ГДР). Приводится и подробно комментируется новая

схема 30 балльной оценки хлеба, в которой на внешний вид хлеба отводится 3, на свойства мякиса, определяемые разрезанием (прилипание к ножу, крошливость) 3, на запах 3, на оценку корки 3, мякиса 9 и на вкус 9 баллов. Хлеб признается очень хорошим при оценке 27—30 баллами, из которых 11 должны принадлежать вкусу и запаху. 23—26 баллов дают хорошему хлебу (из них 10 баллов за вкус и запах), 19—22 удовлетворительному (8 баллов за вкус и запах). Ниже 18 баллов хлеб считают неудовлетворительного качества.

А. Емельянов

**53269. Хлебопекарная оценка люксембургских пшениц. Петерс** (Backwert der luxemburgischen Weizensorten. Peeters G. P.), Getreide und Mehl, 1957, 7, № 2, 9—12 (нем.)

**53270. Автоматизация производства хлеба. Бунцель** (Automatisierung der Brotherstellung. B u n z e l K.), Brot und Gebäck, 1957, 11, № 2, 29—30 (нем.)

Рассмотрены элементы автоматизации хлебозавода и компоновка оборудования на автоматич. хлебозаводе. Снабжение муки в вагонах-цистернах, хранение муки в силосах и внутризаводское перемещение пневматич. способом обеспечивают экономии сырья и рабочей силы, а также соблюдение санитарно-гигиенических требований. Непрерывное замешивание теста основано на приготовлении жидкой закваски (выход 250) при 35° в первом силосе, из второго силоса подают муку и из третьего — соло-дрожжевой р-р. Для произ-ва хлеба различных сортов применяют систему бункерных агрегатов, предложенную Гатилингом.

А. Емельянов

**53271. Замораживание хлеба и хлебных изделий. Ланг** (Das Einfrieren von Brot und Backwaren. Lang O.), Kälte, 1957, 10, № 2, 59—62 (нем.)

**53272. Достижения технологии упаковки хлеба. Уэйт** (Recent advances in bread wrapping technology. Waite F. L.), Baker's Digest, 1956, 30, № 4, 56—57, 69 (англ.)

Приводится описание и фотоснимки агрегата (модель 3-122 Machine and Foundry Co.) для упаковки хлеба, автомата с кинопочным управлением. А. Емельянов

**53273. Экономический анализ современного состояния хлебопечения. Хытил, Скождополе** (Ekonomický rozbor současného stavu pekárenské výroby. Chytil Metoděj, Skochedpole Bedřich), Průmysl potravin, 1957, 8, № 1, 27—32 (чешек.; рез. русск., англ., нем.)

**53274. Витаминизация кондитерских изделий. Грюнер В. С.** В сб.: Витаминизация пищ. продуктов М., Пищепромиздат, 1956, 9—16

**53275. Использование плодов рожкового дерева. Лавалле** (Usages alimentaires des caroubes. Lavallée Paul), Rev. agric. Afrique Nord, 1956, 54, № 1, 933, 830—832; 934, 848—850 (франц.) Сладкие рожки (Р) используют в Испании, Алжире и других средиземноморских странах для изготовления дешевых сиропов и суррогатов нуги и шоколада. В Египте из Р готовят искусств. мед, смесь с лакрицей и изюмом для шербетов. Продажные Р содержат (в %): воды 13, азотистых в-в 5,08, жира 0,5, сахара 30,2, прочих углеводов 39,87, клетчатки 9,1, золы 2,25 и до 20% очень твердых зерен. Мука из них очень питательна и содержит (в %): воды 14, минер. в-в 5,5, азотистых в-в 12, жира 2,5, углеводов 64, клетчатки 2.

Б. Кафка

**53276. Производство кондитерских изделий с сухой молочной сывороткой. Либиг** (Herstellung von Süßwaren mit molkenpulver. Liebig A. Walter), Molk.-und Kaser.-Ztg., 1956, 7, № 6, 170—171 (нем.)

Сухая сыворотка содержит (в %) на сухое в-во:

молочного сахара  $\leq 65\%$ , белковых в-в  $\geq 10,8$ , золы  $\leq 12$ ,  $\text{CaO} \leq 1,7$ . В среднем сухое в-во содержит альбумина и глобулина 9—15%, лактозы  $\sim 82\%$ , солей  $\sim 9\%$ . Сухая сыворотка обладает выраженным молочным и сладким вкусом. Рекомендуется применять ее в кондитерском произ-ве.

**В. Реутов 53277.** Применение сорбиновой кислоты, в частности в новом фунгистатическом шортенинге, для предупреждения плесневения мучных кондитерских изделий. Мельник, Гудинг, Валтейк (Sorbic acid as a fungistat in bakery production with special emphasis on a novel fungistatic shortening. Melnick Daniel, Gooding Chester M., Vahlteich Hans W.), Baker's Digest, 1956, 30, № 5, 46—51, 54, 65 (англ.)

Для облегчения пользования сорбиновой к-той (I) как консервантом в кондитерской пром-сти предложено вводить ее в слоеное тесто или в глазури в растительном универсальном шортенинге (5 : 95). Проведенными опытами в лабор. и заводском масштабе показано, что в изделиях из сбитного теста I в концентрации 0,2% в 4 раза эффективнее, чем пропионат Na или Ca; кроме того, I не дает посторонних привкусов и не влияет на качество, показатели пирожных. Положительные результаты получены и в опытах с добавлением I в фруктовые начинки и тесто сладких пирогов. Во всех опытах I вводилась в тесто в виде фунгистатич. шортенинга, в начинки — в р-рах пропиленгликоля. Применение нового шортенинга в хлебопечении не дало положительных результатов: I действует подавляюще не только на плесени, но и на дрожжи, нарушая нормальный ход брожения теста.

**А. Емельянов 53278.** Шоколадная глазурь. Морис (Le chocolat de couverture. Maurice M.), 9e art. franc., 1956, 3, № 28, 32—33 (франц.)

Описаны условия глазировки мучных изделий шоколадом (III), предотвращающие поседение глазури. III должен поступать в произ-во без седины и кристаллов масла какао. Темперированный III должен иметь т-ру 32°, превышающую т-ру глазируемого изделия.

**Б. Кафка 53279.** Автоматика в пищевой промышленности: производство бисквитов. Селль (L'automatique et une industrie alimentaire: la biscuiterie. Scelles Pierre), Chocolat., confis. France, 1957, № 115, 18—19 (франц.)

Предлагается на автоматизированных бисквитных предприятиях устанавливать контрольные посты для систематич. улучшения качества продукции.

**А. Емельянов 53280.** Формы из алюминиевой фольги для мучных кондитерских изделий. Ротч, Тесмер (Backformen aus Aluminiumfolie. Rotsch A., Tesser E.), Brot und Gebäck, 1957, 11, № 2, 30—32 (нем.). Испытаны в опытных выпечках изделий из песочного и бисквитного теста прямоугольные (емк. 250, 350 и 550 г) и круглые (емк. 200 и 400 г) формы из алюминиевой фольги. Формы выдержали боковые напряжения при выпечке изделий. Последние имели лучший вид и дольше сохраняли свою свежесть, чем изделия, выпеченные в формах из черной жести с бумажной прокладкой. Особо хорошие результаты получены при изготовлении небольших фруктовых тортов. Готовые изделия поступают в продажу в алюминиевых формах, что облегчает их транспорт и сохраняет их внешний вид.

**А. Емельянов 53281.** Очистка бобов какао. Кох (Das Reinigen von Kakaobohnen. Koch J.), Gordan, 1956, 56, № 1336, 13—15 (нем.)

Работа современных машин для удаления оболочек бобов какао не считается удовлетворительной. После дробления на машине обжаренных бобов вальцами или

рифлеными дисками и пропуска через сита оболочки отсоединяются воздухом. Производительность машин зависит от скорости тока воздуха, создаваемого эксгаустером, и регулировки ее в каналах, от загрязнения дробящих бобы механизмов, от исправности сит. Скорость воздуха должна быть постоянной и часто контролироваться, на дробление должны идти хорошо охлажденные бобы (чтобы масло какао в них полностью затвердело). Контроль чистоты крупки производят либо ручной отборкой шелухи, либо по содержанию жира. Эти методы недостаточно точны, так как содержание жира в бобах какао колеблется, а в мелкой крупке трудно различить частицы оболочек.

**Б. Кафка 53282.** Микроэлементы в бобах какао. Дешрейдер, Куайи (Les oligoéléments dans les fèves de cacao. Deschreider A. R., Coillie L. van), Rev. internat. Chocolat., 1956, 11, № 9, 374—384 (франц., нем.)

Исследовано содержание микроэлементов в бобах какао, освобожденных от оболочек, и в тонко измельченных оболочках. Описана методика определения микроэлементов. Приведено содержание микроэлементов в шести сортах бобов какао. Обжаренные бобы сорта Аккра содержат (в мг/кг) в семядолях и в оболочке соответственно: Fe 23 и 250, Mn 21,8 и 41,95, Cu 18,5 и 35,0, Zn 31,5 и 70, Al 0 и 171,1, As 0,27 и 1,71, Mo 0,07 и 0,25, F 0 и 0,76, Pb 0,1 и 1,1.

**Б. Кафка 53283.** Какао-порошок. Кох (Enige feiten betreffende cacao-poeder. Koch J.), Cacao, chocolade, suikerwerken, 1956, 24, № 8, 270—273 (гол.)

**53284.** Соображения относительно изменения упаковки в шоколадной промышленности. Либиг (Bestimmungsgründe für den Packungswechsel in der Schokoladenindustrie. Liebig A. Walter), Verpackungsrundschau, 1956, 7, № 9, 447—448 (нем.)

**53285.** Применение латуни и меди для упаковок шоколада. Графе (Laiton et cuivre et l'emballage du chocolat. Gräfe E.), Pro-metal., 1956, 9, № 53, 733—734 (франц., нем.)

Описан способ заворачивки шоколада в многоцветную этикетку с выпуклым шрифтом или рисунком. **Е. Т. 53286.** Внутрифабричное транспортирование конфет.

Бак (Conveyors aid the packaging of sweets. Bussk J. A.), Mech. Handling, 1956, 43, № 9, 540—543 (англ.)

Описание системы и фотоснимки оборудования для транспортирования завернутых конфет на фабрике James Pascall Ltd в городе Митчем (Англия). **С. Светов 53287.** Кондитерская фабрика в Ваттиньи (Франция).

Мусье (La R. T. I. A. à «La pie qui chante. Mouchet Robert), Rev. techn. ind. aliment., 1956, 4, № 36, 92—107 (франц.)

**53288.** Пригодность различных сортов черной смородины для промышленной переработки. Дусбург, Кроненберг (De waarde van verschillende zwarte bessersassen voor de verwerkingsindustrie. Doesburg J. J., Kronenberg H. G.), Conserva, 1956, 4, № 12, 374—375 (гол.)

Приведены содержание аскорбиновой к-ты и кислотность 35 голландских сортов черной смородины урожая 1947—1948 и 1954—1955 гг. В Голландии  $\sim 92\%$  урожая черной смородины перерабатывается консервной пром-стью.

**Л. Песин 53289.** Огнеопасность камер для дозревания плодов и овощей в ацетилене. Пульизи (Pericolosità delle camere ad acetilene per la maturazione dei prodotti orto-frutticoli. Puglisi Francesco), Antincendio, 1956, 8, № 2, 76—82 (итал.; рец. англ., нем., франц., исп.); Calore, 1955, 26, № 10, 447—454 (итал.)

Рассмотрен режим работы и причины взрывов в камерах с ацетиленом, получаемым из  $\text{CaC}_2$ . В большинстве случаев взрывы вызываются искрением при корот-



ком замыкании электрич. сети или неосторожном обращении с огнем. Предлагаются меры, снижающие пожароопасность: а) ограничение кол-ва вводимых в камеру ацетилена и  $\text{CaC}_2$ ; б) удаление камер от других построек; в) ограничение кубатуры камеры до 50 м³; г) т-ра камеры не должна превышать 21—35°; д) запрещение строительства железобетонных камер; е) введение газа в печь по трубам. Указывается на необходимость спец. обучения и инструктажа персонала, работающего в камерах для дозревания плодов в ацетиле.

Т. Сабурова

**53290. Предупреждение снижения качества на инспекционных линиях.** Гулд (Prevent quality loss on inspection lines. Gould Wilbur A.), Food Packer, 1956, 37, № 13, 17, 20 (англ.)

Обсуждаются вопросы скорости и типа конвейеров для сортировки плодов и овощей.

А. Емельянов

**53291. Сортировка лимонов по цвету.** Худ (Grades by color at 40 a second. Hood H. C.), Food Engng, 1956, 28, № 6, 66—67, 177 (англ.)

Описание, фотоснимки и схематич. чертеж установок для распределения лимонов по цвету (с помощью фотоэлементов) и последующей их упаковки и транспортирования на склад. Лимоны после предварительной очистки и распределения по размерам рассортировывают на 4 сорта по цвету. Машина работает с большой точностью, производительность — 40 штук в 1 сек.

С. Светов

**53292. Упаковка плодов в Дании.** Дальбро (Obstverpackung und Aufmachung in Dänemark. Dalbro S.), Schweiz. Z. Obst- und Weinbau, 1956, 65, № 22, 496—499 (нем.)

Яблоки и груши по качеству делят на пять сортов, первые три сорта — для потребления в свежем виде, последние два — для переработки. Первые три обязательно сортируют по размеру, завертывают в папиросную бумагу и укладывают по диагонали. Каждый сорт подразделяют на 3 класса по размеру плодов. Применяют ящики 6 различных типов. Наиболее употребительны: ящики размером 457×292×266 мм, вмещающие 18 кг плодов при диагональной укладке; ящики размером 578×366×250 мм, вмещающие 20 кг яблок, не пригодны для диагональной укладки. Перед укладкой ящик выстилают гофрированным картоном и бумагой определенного цвета для каждого сорта плодов. На ящике наклеивают этикетку того же цвета с указанием: сорта, кол-ва штук, веса нетто, даты упаковки и номера контролера. Применяют упаковку в полиэтиленовые пакеты. Упаковка плодов в Дании удобна, но дорога. В Европе принято 1500 видов упаковки.

Н. Токмачева

**53293. Изменение физических свойств некоторых плодов при хранении.** Ильди (Evolution de la constitution physique de certains agrumes pendant l'entreposage. Ildis P.), Rev. gén. froid, 1955, 32, № 10, 1139—1145 (франц.)

Наибольшая убыль веса при хранении в течение 12 недель установлена у лимонов (при +10°), затем у грейпфрута (при +12°) и наконец у апельсинов (при +3, +4°). Вес сока у лимонов и грейпфрута остался без изменения и немного снизился у апельсинов (2—5%). Вес кожуры не изменился у апельсинов и снизился у лимонов и грейпфрута. У всех цитрусовых снизился вес мякоти, в меньшей степени у апельсинов, несколько больше у лимонов и грейпфрута.

В. Гурни

**53294. Хранение яблок при низких температурах.** Николайсен-Скупни (Aus der Forschungsarbeit über die Kallagerung von Äpfeln. Nicolaisen-Scupin L.), Kälte, 1956, 9, № 9, 304, 306, 307 (нем.)

Яблоки хранили при —1, +1, +2,5, +6°, при относительной влажности воздуха 85 и 90% и ежедневном озонировании помещения. Указаны оптимальные усло-

вия хранения для отдельных сортов яблок. Некоторые сорта яблок, в том числе белый зимний кальвил, не годятся для хранения при низких т-рах. Н. Токмачева

**53295. Поверхностное покрытие кожицы плодов и овощей.** Альмгрен (Vaxning av frukt och grönsaker. Almgren Knut), Kgl. Skogs-och lantbruksakad. tidskr., 1956, 95, № 5—6, 275—318 (шведск.; рез. англ.)

Описаны составы покрытий и рецептуры, применяемые в США и Австралии, а также способы обработки плодов и овощей покровными материалами, включая расход материалов и стоимость обработки. Приведены результаты испытания покрытий различных плодов и овощей (цитрусовых, бананов, фиников, ананасов, дынь, манго, яблок, груш, вишен, винограда, томатов, огурцов, корнеплодов и картофеля); описаны опыты по применению покрытий для яблок и груш, проводившиеся в США, Англии, Дании, Голландии и Германии. Во всех случаях применение покрытий способствовало удлинению сроков хранения и снижению потерь и порчи плодов и овощей. Библ. 127 назв.

В. Гржибов

**53296. Бланширование овощей перед сушкой.** Гудинг (The scalding of vegetables before dehydration. Gooding E. G. B.), Food Manufacture, 1956, 31, № 9, 369—375 (англ.)

Проведены сравнительные опыты в заводском масштабе для установления потерь сухих в-в, различий в качестве и сохраняемости сухих овощей (капусты, моркови, картофеля) при бланшировании их перед сушкой 2-мя способами: паром и водой (при 99—100° в течение 2,5—3 мин. в зависимости от вида овощей). Установлено снижение потерь сухих в-в при бланшировании паром по сравнению с бланшированием в воде. В процентах к начальному содержанию сухих в-в получены следующие средние цифры (соответственно): капуста (три сорта) 23,7 и 11,6; морковь 9,2 и 4,3; картофель 17,9 и 7,6. Кроме сохранения сухих в-в, показаны следующие преимущества бланширования паром: повышение выходов и качества сухих овощей, лучшее сохранение аскорбиновой к-ты и предупреждение потемнения капусты и моркови при хранении. А. Емельянов

**53297. Исследования по выяснению поведения продуктов растительного происхождения во время сушки.**

Гёрлинг (Untersuchungen zur Aufklärung des Trocknungsverhaltens pflanzlicher Stoffe. Görling P. a. u.), VDI, Forschungsh., 1956, № 458, 35 (нем.)

Подробно описаны эксперим. работы по изучению поведения картофеля во время сушки с указанием применявшихся для проведения опытов оборудования и методов и подробным изложением полученных результатов, иллюстрируемых многочисленными графиками, таблицами и диаграммами. Рассмотрение и анализ многочисленных измерений сорбционных свойств картофеля и древесины показали, что с увеличением содержания влаги происходит сначала мономолекулярное связывание воды, а затем полимолекулярное. Экспериментально установлено, что в конечном итоге связывание воды происходит благодаря капиллярной конденсации. Анализ большого числа кривых скорости высушивания, полученных для картофеля при различных т-рах, подтвердил, что миграция влаги обусловлена совместным влиянием перемещения капиллярной влаги и диффузии паров, как это имеет место в случае негигроскопич. пористых материалов.

В. Гржибов

**53298. Сухое картофельное пюре и картофельная мука для кленок (изготовление, свойства и требования к их качеству).** Вегнер (Kartoffelpüreepulver und Kartoffelflockmehl. Herstellung Eigenschaften und Qualitätsanforderungen. Wegner Hans), Dtsch. Lebensmitt.-Rundschau, 1956, 52, № 8, 199—205 (нем.)

Для произ-ва сухого картофельного пюре очищ. кар-

тофель пропаривают в течение 20—25 мин. под небольшим давлением, измельчают, смешивают с порошкообразным зернопродуктом, содержащим 10% влаги, сушат смесь до влажности 10% и просеивают. Важно при изготовлении не повредить клетки картофеля. При смешивании с 4—5 частями воды или молока при 80—90° получается пюре, которое мало отличается от пюре из свежего картофеля. Мука для кленок — смесь крахмала (25%), тонко размолотого сушеного картофеля, NaCl (3—6%) и немного клейстеризованного крахмала. Влажность готового продукта 9—14%.

Н. Токмачева

**53299. Новый метод своевременного выявления возможности покраснения кислой капусты.** Николайсен, Пиппер (Neue Methode zur rechtzeitigen Erkennung einer Rotverfärbung beim Sauerkraut. Nicolaïsen W., Pieper Renate), Industr. Obst- und Gemüseverwert., 1956, 41, № 17, 355—356 (нем.)

2 г капусты или капустного сока обрабатывают 2 или 1 мл 25%-ной HCl. Дефектная капуста через 30 мин. краснеет. Капусту исследуют при закладке на хранение.

Н. Токмачева

**53300. Транспортирование вишни.** Левин, Гастон (Grower handling of red cherries. Levin J. H., Gaston H. P.), Circ. U. S. Dept Agric., 1956, № 981, 20 (англ.)

Описаны два новых способа транспортирования плодов на консервный з-д (испытанные на с.-х. опытной станции в штате Мичиган): перевозка плодов в ящиках с применением для их погрузки садовых электрокар с подъемником и транспортирование плодов в цистернах с водой.

Г. А.

**53301. Овощные консервы как источник некоторых витаминов.** Харлампович (Konserwy warzywne jako źródło niektórych witamin. Chałmowski Zofia), Przem. spożywczy, 1957, 11, № 2, 67—73 (польск.; рез. русск., англ., нем.)

Изучено содержание аскорбиновой к-ты, тиамина и рибофлавина в сырых и консервированных зеленом горошке, фасоли, огурцах, помидорах, моркови, а также каротина в моркови. Установлено, что лучшим источником витамина С являются консервы из томатов (20 мг на 100 г). В консервах из моркови содержится 21,6 мг каротина на 100 г продукта. Консервы из остальных овощей содержат значительно меньше витаминов.

А. Прогорович

**53302. Влияние добавок и бланширования на качество цельнозерной сладкой кукурузы.** Уайли (Effect of additives and blanching on the quality of processed whole-kernel sweet corn. Wiley Robert C.), Food Technol., 1956, 10, № 12, 595—598 (англ.)

Исследовано действие различных способов обработки зерен сладкой кукурузы с различной шириной зерна (3 сортов) на вес, вкус, содержание сахара и сухих в-в. Кукурузу консервировали в 2%-ном рассоле замораживанием или стерилизацией в жестянках. Перед стерилизацией применяли бланширование паром зерен, срезаемых с початка, бланширование целых початков, 4-минутное выдерживание зерен в 2%-ных р-рах CaCl<sub>2</sub>, слабо метоксилированного пектина, карбоксиметилцеллюлозы и в комбинациях этих р-ров. Обработанные в р-рах зерна перед замораживанием бланшировали паром. В консервированной кукурузе, бланшированной зернами, найдено сахара на 1% меньше, чем в образцах, обработанных другими способами. По содержанию сухих в-в в вкусу образцы не отличались. В замороженной кукурузе, обработанной р-ром 2%-ного CaCl<sub>2</sub> с 2%-ным пектином и 2%-ной карбоксиметилцеллюлозой а также в контрольной, вымоченной в воде, сахара было на 1% меньше, чем в других образцах.

Сухих в-в было больше в небланшированной кукурузе. Из замороженных образцов худшим по вкусу признана кукуруза, бланшированная в зернах, отделенных от початка.

А. Конолов

**53303. О порче консервов из спаржи.** Смит, Райд-наур, Морс (Problems in civil defense: report on a training course for food and drug officials. Smith H. P., Ridenour D. J., Morse Roy E.), Food Technol., 1955, 9, № 12, 648 (англ.)

Сообщается об опытах хранения консервов из спаржи в жестяной и стеклянной таре с добавлением и без добавления при изготовлении норгидрогваретовой к-ты в качестве антиоксиданта. Образцы спаржи, консервированной в стеклянных банках, выставленные на прямой солнечный свет, испортились в конце 3-й недели хранения. Внешних изменений не было, но при открывании банок чувствовался запах H<sub>2</sub>S. Через 1 месяц консервы в стеклянных банках заметно побелели, рассол сделался светлым, но крышка почернела, а спаржа имела резкий сероводородный запах. В образцах консервов, в жестяных и стеклянных банках, хранившихся в темноте, этих изменений не было.

А. Емельянов

**53304. Последние достижения в области быстрого замораживания плодов и овощей.** Бенефилд (Latest developments in quick freezing fruits and vegetables. Benefield H. P.), Austral. Food Manufacture., 1956, 26, № 4, 42, 44 (англ.)

Краткое содержание доклада, прочитанного автором на 8-м Австралийском съезде консервщиков. Отмечаются преимущества замораживания как метода консервирования плодов и овощей, значение подбора спец. сортов овощей, главным образом горошка, для замораживания и значение уборки плодов и овощей в опт. стадии зрелости. Приводится краткое описание и обсуждаются значение процесса бланширования, а также вопросы механизации упаковки, экономики, хранения, перевозок и методов распределения, применения различных методов упаковки и упаковочных материалов, как напр. полиэтилена, фольги, картона с оклейкой фольгой и др. Отмечаются успехи в применении электроники для автоматич. контроля расфасовки, веса нетто, качества упаковки при наполнении тары продуктом.

В. Гржино

**53305. Изучение пороков яблок, возникающих при их замораживании.** Николайсен-Скупин (Studie über Gefrierschäden von Äpfeln. Nicolaïsen-Scupin L.), Kältetechnik, 1956, 8, № 10, 313—315 (нем.)

Изучены пороки яблок, вызываемые замораживанием и холодильным хранением. При хранении плодов при т-ре, ниже т-ры замерзания плодового сока (для яблок —1,2°, —2,8°), чаще всего при быстром охлаждении порча плода распространяется от поверхности плода внутрь, степень порчи зависит от т-ры и длительности действия холода. При постепенном замораживании и не очень низкой т-ре процесс может быть обратим: при медленном оттаивании плод не имеет пороков, хотя и мягче свежего по консистенции. Во время хранения при 0° и выше плоды часто приобретают коричневую окраску, которая распространяется изнутри наружу. Яблоки разных сортов не одинаково реагируют на охлаждение и замораживание и после оттаивания качества их различно. Дано 11 рис.

Н. Токмачева

**53306. Повышение стойкости при хранении фруктовых и овощных концентратов.** Вэш (How to improve the keeping qualities of fruit and vegetable concentrates. Vas K.), Food Manufacture, 1957, 32, № 2, 71—76 (англ.)

Фруктовые соки, томат-пюре, джемы и другие фруктовые и овощные концентраты подвергаются порче осмифильными микроорганизмами. Предложено полу-

чать стабильные продукты понижением равновесной относительной влажности  $\leq 75\%$ , путем добавления к ним поваренной соли, глицерина, фруктозы, *d*-ксилозы и других осмотически активных в-в. Продукты, приготовленные с содержанием растворимых сухих в-в, удовлетворяющем составленным на основании опытов ур-ниям, не портятся в течение нескольких месяцев. Соль к томат-пюре добавляют в сочетании с уксусной кислотой. Другой метод повышения сохранности концентратов — ионообменная деминерализация при их изготовлении. А. Кононов

**53307.** Изучение производства сока цитрусового плода натеумикан (XVI). Механизм потемнения (5). Глюкозоглициновая реакция. Номура (夏蜜柑果汁製造に關する基礎的研究. 第16 部. 果汁の褐變機構について. 其の 5. glucose, glycine 反應 (補稿). 野村男次). 發酵工學雜誌, Хакко когаку дзасси, J. Ferment. Technol., 1955, 33, № 5, 212—216 (япон., рез. англ.)

Продолжено изучение механизма потемнения сока при глюкозо-глициновой р-ции. В качестве промежуточных продуктов р-ции открыты диацетил и пировиноградный альдегид. Источником потемнения соков следует считать альдегиды, образующиеся при расщеплении, описанном Стреккером. Глюкоза темнеет очень быстро в присутствии  $\text{CH}_3\text{COH}$ , но не  $\text{HCOH}$ . Так как глицин, дающий при расщеплении  $\text{HCOH}$ , темнеет быстрее, чем аланин, дающий при расщеплении  $\text{CH}_3\text{COH}$ , следует считать, что образование альдегидов из аминокислот при расщеплении не является основной причиной процесса потемнения сока. Из потемневших продуктов глюкозо-глициновой р-ции выделен 4 (или 5)-метилглиоксалин (имидазол) и его открытие служит новым доказательством той точки зрения, что в процессе потемнения сока имеет место как расщепление сахаров, так и расщепление аминокислот. Часть XV см. РИХИм, 1957, 39789. В. Гурни

**53308.** Состав апельсиновых соков, изготовленных различными способами. Свифт, Велдхейс (Composition of commercial segment and peel juices of Florida oranges. Swift Lyle James, Veldhuis M. K.), J. Agric. and Food Chem., 1957, 5, № 1, 49—52 (англ.)

Проведено сравнительное изучение соков, полученных из фторидских апельсинов различными способами. Исследовались: 1) образцы свежего апельсинового сока обычной промышленной выработки, взятые непосредственно после флиппера; 2) образцы свежего сока, полученного вручную на стеклянных конусах; 3) образцы сока с добавлением эфирного апельсинового масла, извлеченного из их кожицы холодным прессованием и центрифугированием. Опыты по изучению соков проводились в период с 14 декабря 1954 по 16 июня 1955 г. с перерывом на март, причем образцы отбирались еженедельно. Результаты исследований приведены в виде графиков по следующим показателям: растворимые сухие в-ва, кислотность, рН, отношение градусов Бр к кислотности, восстанавливающие сахара, сахароза, общее кол-во сахаров, растворимые пектиновые в-ва, аскорбиновая к-та, флавоноиды, диацетил, уд. вес, вязкость, цвет, флуоресценция. Приведены также данные о содержании общего кол-ва азотистых в-в и золы в соках. В. Грживо

**53309.** Влияние качества исходного сырья и методов обработки на качество цитрусовых соков в Марокко. Патрон, Свинцов (Influence de la matière première et des méthodes de traitement sur la qualité des jus d'agrumes au Maroc. Patron A., Swinsov H.), Fruits, 1956, 11, № 11, 471—478 (франц.); Приведены результаты технологич. сортоиспытания, хим. исследования и органолептич. оценки плодов местных сортов апельсинов и грейпфрута и полученных

из них соков. Выявлены сорта, наиболее подходящие для произ-ва соков. Т. Сабурова

**53310.** Плодовые консервы. Черная смородина. — (Conserves de fruits. Cassis.—), J. ind. chocolat., confis., confit., 1956, № 358, 3 (франц.)

Сок черной смородины содержит (в %): влаги 81,2, азота 1,23, жиров 0,68, сахаров 11,68, экстрактивных в-в 0,44, клетчатки 4,02, золы 0,75. Описаны способы ее использования и машины для произ-ва сока и консервов. Б. Кафа

**53311.** Определение небольших количеств монобромуксусной кислоты и ее эфиров. Хансен (Determination of small amounts of monobromoacetic acid and monobromoacetic acid esters. Hansen B. O. D. I.), Acta pharmaceut. et toxicol., 1956, 12, № 4, 389—398 (англ.)

Часть эфира монобромуксусной к-ты ( $\text{CH}_3\text{OOCCH}_2\text{Br}$ ) (I), добавляемого в фруктовые соки, джем и мармелад, гидролизует на этиленгликоль и монобромуксусную к-ту (II). I и II в различной степени подавляют рост микроорганизмов. На этом основан микробиол. метод определения I, чувствительность которого равна 4—5 мг в 1 л продукта, с точностью  $\pm 20\%$ . Гидролиз I проводят в течение 10—12 мин. 0,5 M  $\text{H}_2\text{SO}_4$  перед экстракцией эфиром. Задержку роста проверяют на *Torula utilis* и *Saccharomyces carlsbergensis*. Метод применим при отсутствии других консервантов. В этом случае органич. соединения галодов определяют микрхимич. методом. Приводится пропись и описание рабочих р-ров и аппаратура качеств. и колич. определения бромидов, хлоридов и йодидов в сидре, джеме и мармеладе, основанного на выпаривании и озолении с КОН эфирного экстракта и микродиффузионном анализе по методу Конвея (Conway E. Y. Microdiffusion analysis and volumetric error. London, 1950) А. Емельянов

**53312.** Антибиотики в молочной промышленности. Липинская (Antybiotyki w mleczarstwie. Lipińska E. W.), Przegl. mleczarski, 1957, 5, № 2, 14—15 (польск.)

**53313.** Усовершенствования в области технологии молока и молочных продуктов. Стевич (Neke novosti u tehnologiji mleka i mlečnih proizvoda. Stević B. G. o. j. e), Tehnika, 1955, 10, № 6, 915—917 (сербо-хорв.; рез. нем.)

Обзорная статья о повышении питательной ценности молока путем введения в него после пастеризации микрофлоры, приживающейся в кишечнике человека и улучшающей усвоение пищи — «флоранизация». Приведены способы защиты сырной корки путем завертывания сыров после посолки в спец. виды бумаги из поливинила и подобных ему материалов. Завернутый сыр пастеризуют паром в течение 6—8 мин., при этом на корке погибают вегетативные формы микроорганизмов. Описан сыроизготовитель, в котором ведут все процессы выработки сыра вплоть до прессования, и новый аппарат для промышленной выработки сливок на молочном 3-де. А. Титов

**53314.** Влияние незаметной порчи вкладышей доильных стаканов на бактериальную обсемененность молока. Клейдон (Bacterial counts of milk as affected by inconspicuous deterioration in milking machine teat-cup liners. Claydon T. J.), J. of Milk and Food Technol., 1955, 18, № 6, 160—163 (англ.)

Наличие незаметных простым глазом трещин на внутренних поверхностях вкладышей доильных стаканов способствует скоплению бактерий в этих трещинах и повышает бактериальную обсемененность молока. Ф. Новикова

**53315.** Состав частиц казеина молока. Форд, Рамсделл, Ландеман (Composition of the casein-containing particles in milk. Ford T. F., Ramsdell, Landeman)



dell G. A., Landsman Shirley G.), J. Dairy Sci., 1955, 38, № 8, 843—857 (англ.)

Около 75—90% казеиносодержащих частиц в свежем обезжиренном молоке представляют собой фосфопро-теины, состоящие из  $\alpha$ -,  $\beta$ - и  $\gamma$ -форм казеина; отношение органич. фосфора к азоту в них составляет 16:4:1. Фосфопро-теины находятся во всех колл. частицах раз-личных размеров. Фосфопро-теины находятся в молоке в виде комплекса с кальций- и трикальций-фосфатом. Соотношение неорганич. фосфора в молоке изменяется, понижаясь с уменьшением размера частиц. Для образ-цов молока с низким содержанием кальция и для мель-чайших частиц казеина определено соотношение каль-ция к органич. и неорганич. фосфору как 5:2:2. Самые крупные частицы казеина в обезжиренном молоке имеют в своем составе меньше органич. фосфора, но они также содержат небелковые в-ва. Часть казеиносодер-жащих частиц (5—10%) осталась невыделенной в те-чение центрифугирования. Н. Бойко

53316. Сохранение коровьего молока. Люст (La conservation du lait de vache. Lust Maurice), Scalpel, 1955, 108, № 3, 53—62 (франц.)

Подробно обсуждаются разные способы сохранения молока (понижение кислотности добавлением соды, охлаждение, замораживание, кипячение, пастеризация, тиндализация, стерилизация, облучение и сушка), а также сохранение его основных питательных в-в путем изго-товления кисломолочных продуктов, с приведением перечня наиболее известных из них. В. Новикова

53317. Гидравлические факторы в процессе гомогени-зации молока. Барановский Н. В., Тр. Моск. технол. ин-та мяс. и молоч. пром-сти, 1956, вып. 6, 85—96

Проведена работа по уточнению гидравлич. характери-стики потока в зоне клапанной цепи гомогенизатора и объяснению механизма гомогенизации молока. Показа-на роль гомогенизирующего клапана и гидравлич. факторов в процессе гомогенизации. Высота клапанной щели зависит от уд. нагрузки, вязкости и давления гомогенизации. Падение давления в клапане происхо-дит при входе жидкости в клапанную щель. Определяю-щим фактором в процессе гомогенизации является наи-большая скорость истечения в начале щели. Степень дисперсности связана с давлением гомогенизации. Сред-ний размер жировых частиц в гомогенизированном молоке с повышением давления гомогенизации умень-шается сначала быстро, затем все более медленно. Ориентировочно закон изменения выражен эмпирич. ф-лой  $d_{cp} = 12 \Delta p^{-0.5}$ , где  $d_{cp}$  — средний диаметр частиц в микронах,  $\Delta p$  — давление гомогенизации в атм (при давл. 30—200 атм и гомогенизации цельного молока при 60°). В. Долговский

53318. Влияние на витамин С кислорода и двуокиси углерода, находящихся под давлением. Люк (Der Einfluss von komprimiertem Kohlendioxid und Sauerstoff auf das Vitamin C. Lück Hans), Z. Lebens-mittel-Untersuch. und-Forsch., 1954, 98, № 1, 18—25 (нем.)

Исследована стабилизация молока и других напитков при хранении при 4 и 20° с помощью сжатых газов. Содержание витамина С (I) в лимонном соке быстро уменьшается при 8 атм  $CO_2$ , но остается постоянным при полном удалении воздуха. Обсуждается ухудше-ние вкусовых качеств продуктов в связи с образованием  $H_2O_2$ , так как при хранении напитков в присутствии  $O_2$  в них обнаружены перекисные соединения. Под дей-ствием сжатого  $O_2$  I быстро переходит в соединения, которые после обработки  $H_2S$  обезбечивают дихлор-фенолиндофенол; возможно, что образуется дегидро-аскорбиновая к-та. При давлении  $O_2$  ниже 8 атм она медленно разлагается. При 8 атм  $O_2$  I в лимонном соке разрушается в течение 2 дней. В начале разрушение

I идет медленнее, чем р-ции 1-го порядка; расход чистого I в р-ре метафосфорной к-ты протекает с большей скоростью. Э. Тукачинский

53319. Проба на редуктазу для оценки качества мо-лока. Тентони, Доннини (La prova della reductasi per la valutazione della qualità del latte. Tentoni Raffaele, Donnini Giorgio), Giorn. batteriol. e immunol., 1955, 47, № 9—10, 406—438; Latte, 1955, 29, № 7, 437—447 (итал.; ре-з. франц., англ., нем.)

Обзорная статья об основных принципах исследова-ния молока на редуктазу и о новых электрометрич. понятиях, касающихся окислительно-восстановитель-ных индикаторов (метиленовый голубой, резазурип). Рассмотрены причины, оказывающие влияние на пока-зание проб на редуктазу. По мнению авторов, проба на редуктазу является надежной, чем быстрая (10 мин.) резазуриновая проба, не дающая возможности обнару-жить молоко ниже среднего или плохого качества; она пригодна лишь для выбраковки молока. Библ. 217 назв. В. Богданов

53320. Новый метод определения понижения кислот-ности молока. Хункар (Ujabb eljárás a tej tompí-tottságának meghatározására. Közlemény a Tejipari Központi Laboratóriumból. Hunkár Béla), Élelm. ipar, 1955, 9, № 10, 304—306 (венг.; ре-з. русск., англ., нем.)

При определении кислотности к молоку, нейтралि-зованному до pH 8,2, добавляют 4 мл р-ра  $CaCl_2$  и осаж-дают Са-казеинат и Са-альбуминат 25 мл ацетона. После осаждения белков 20 мл сыворотки титруют 0,1 н. HCl до pH 3,5. Понижение кислотности (в градусах Сокслета — Хенкеля) (SH) рассчитывают по ф-ле:  $X = C \cdot f - SH$ , где C — кол-во мл 0,1 н. HCl, по-шедшей на титрование сыворотки, f — фактор, завися-щий от кислотности молока, SH — кислотность молока по Сокслету — Хенкелю. Г. Юлкович

53321. Определение хлора в молоке методом Водэ с консервированным раствором крахмала. Бер-тельсен, Маттсон (Undersökning av klor-förekomst i mjölk medelst Wodes prov utförd med konserverad stärkelselösning. Bertelsen E., Mattson N.), Svenska mejeritidn., 1955, 47, № 32, 472, 475 (шведск.)

Метод Водэ позволяет быстро и надежно определить присутствие хлора в молоке в кол-ве  $\sim 10$  мг/л ( $\sim 5$  л хлорамина на 50 л молока). Рекомендуется следующий ход анализа: к 10 мл молока в пробирке добавляют 1 мл 5%-ного р-ра KI и 1 мл 2%-ного крахмального р-ра (I); после смешения добавляют 10 мл конц. HCl, после его снова перемешивают. В присутствии хлора или  $H_2O_2$ , в течение 3 мин. появляется заметное синее окрашивание р-ра. Проведены опыты по изысканию консервирующих средств для увеличения стойкости I. В 2%-ный I добавляли 20% поваренной соли, 0,001% тимоло или 0,3% препарата бономолда. Консервиро-ванный I заражали плесенью и бактериями. Часть проб выдерживали при  $\sim 20^\circ$ , другую часть — при понижен-ной т-ре. Через 1, 3, 6 и 10 недель хранения проводили определения хлора в молоке с применением консерви-рованного I. Лучшее консервирующее действие оказало добавление поваренной соли к I. В этом случае I не изменялся после 10 недель хранения. Не обнаружено разницы между I, хранившимся при  $\sim 20^\circ$  и понижен-ной т-ре. Л. Кондратьева

53322. Метод определения пастеризации молока по фосфатазной пробе с применением динатрийфосфата-ленифосфата в качестве субстрата. Таллок (A phosphatase test for pasteurisation of milk using disodium phenolphthalein phosphate as substrate. Tulloch W. J.), J. Dairy Res., 1955, 22, № 2, 191—199 (англ.)

Описан модифицированный метод Стивена (Stiven

D. (J. Dairy Res., 1947, 15, 57) колич. определения фосфатазы для установления пастеризации молока с применением динатрийфенолфталенифосфата (I), вместо Са-соли, в двух вариантах: 1) длительный для более точного определения и 2) быстрый для сортировки молока. 1) Приготовление стандартных р-ров: 1 мл прокипяченного молока, 8 мл р-ра диэтилбарбитурата натрия (II), (11,54 г на 1 л), 1 мл спирт. р-ра фенофталеина (III) (3,5—17,5 γ/мл) и 2 капли хлороформа. После выдержки в течение 22 час. при 37° добавляют по 1 мл 10%-ного  $\text{NH}_4\text{OH}$ . Субстрат (11,54 г/л II + 0,12 г I + 2 капли хлороформа) стандартизуется по содержанию в нем свободному III: в колбу на 100 мл отмеривают 3 мл прокипяченного молока, 27 мл субстрата и 3 мл 10%-ного  $\text{NH}_4\text{OH}$ . Если окраска совпадает с окраской стандарта в пробирке, содержащей 8,5 γ/мл III, субстрат применяют как «0,1 субстрат». Аналогично готовят субстрат в 2 раза слабее «0,05 г субстрат» (0,06 г I). Для определения в 2 пробирки с 1 мл испытуемого молока и молока прокипяченного приливают по 9 мл «0,1 г субстрата», выдерживают 22 часа в водяной бане при 37°; в другие 2 пробирки с 1 мл молока в каждой, приливают также по 9 мл «0,05 г субстрата». Окраска в пробирках с прокипяченным молоком должна совпасть с окраской в пробирках, по которым стандартизовался субстрат. По разнице в окраске между испытуемым и прокипяченным молоком находят содержание фосфатазы. 2) Для быстрого определения применяют другие кол-ва р-ров и, вместо молока прокипяченного, молоко, нагретое до 65° в течение 45 мин.; наблюдение окраски производят после 2-часовой выдержки. Метод признан более точным, чем методы Ашефенбурга и Мюллера, Кей и Грахама; применяемые реактивы стабильны, изменение окраски улавливается легко.

Н. Брио

**53323. Определение бактерий кишечной группы в пастеризованном молоке. Вилсене, Влессхаувер** (De coliformtest bij 30° C voor gepasteuriseerd melk. Wilssens A., Vleeschauwer A. de), Meded. Landbouwhogeschool en Opzoekingsstat. staat Gent., 1956, 21, № 1, 125—136 (флам.; рез. англ., франц., нем.)

Проверены различные методы определения бактерий кишечной группы (БКГ) в пастеризованном молоке и установлено, относятся ли микроорганизмы, растущие на дезоксиолатагаре, к этой группе. Выяснено, что т-ра 35° является максимальной для газообразования многих форм БКГ. Флора БКГ представлена *Aerobacter* и промежуточными видами, характерными для вторично инфицированного молока. Более точные и воспроизводимые результаты при определении БКГ в пастеризованном молоке получены при инкубации в условиях 30°, чем при 37°, особенно в жидкой среде.

А. Прогоревич

**53324. Полиэтиленовая бумага для молочной тары. Часть I. Бозони** (La carta politenata per i contenitori del latte. Parte I. Bazoni A. G.), Mater. plastiche, 1955, 21, № 8, 637—643 (итал.)

Описана новая система разлива молока в тару из полиэтилена, называемая «тетра-пак». Автомат стерилизует УФ-светом полиэтиленовую бумагу, изготовляет из нее тару в форме тетраэдра, наполняет ее молоком, плотно закупоривает и доставляет на транспорт. Производительность автомата 90 ед. в 1 мин. (готовится новая модель производительностью 180 штук). Емкость тары 1/10, 1/4 и 1/2 л. 2 автомата обслуживаются одним рабочим.

Н. Славина

**53325. Режимы кратковременной высокотемпературной пастеризации с коротким периодом нагрева для смеси сливочного мороженого. Тобиас, Кауфман, Трейси** (Pasteurization equivalents of high-temperature short-time heating with ice cream

mix. Tobias J., Kaufmann O. W., Tracy P. H.), J. Dairy Sci., 1955, 38, № 9, 959—968 (англ.)

Изучались производственные режимы пастеризации, эквивалентные лабор., при которых происходит уничтожение термоустойчивых бактерий, в частности *Micrococcus* sp. MS102. Установлено, что пастеризации смеси сливочного мороженого при 68,5—71° в течение 30 мин., в лабор. условиях эквивалентны производственные режимы при 86—90° в течение 0,8 сек. или 83—86° в течение 3,8 сек.

А. Орлов

**53326. Факторы, влияющие на бактериальную обсемененность молочного мороженого. Зант, Мур** (Some factors affecting bacterial counts of soft ice milk. Zant W. C., van der Moore A. V.), Food Technol., 1955, 9, № 6, 285—289 (англ.)

Изучено влияние времени и т-ры инкубации при определении кол-ва бактерий чашечным методом в мороженом. Для определения бактериальной обсемененности молочного мороженого с содержанием 2—6% жира рекомендуется инкубация посевов на чашках в течение 3 дней при 25° или 4 дней при 21°. Термофильные микроорганизмы обнаружены в очень малом кол-ве. Относительно невелико кол-во протей, и липолитич. микроорганизмов. Выдержка смеси для мороженого при повышенной т-ре в течение длительного времени, а также нарушение санитарно-гигиенич. условий при реализации мороженого повышают бактериальную обсемененность последнего.

В. Новикова

**53327. Влияние степени сгущения молока на свойства обезжиренного сухого молока распылительной сушки. Влессхаувер, Пейвелде** (Invloed van de indikkingsgraad van de gecondenseerde melk op de eigenschappen van magere verstuivingsmelkpoeder. Vleeschauwer A. de, Puyvelde A. Van), Meded. Landbouwhogeschool en Opzoekingsstat. staat Gent, 1956, 21, № 1, 137—151 (гол.; рез. англ., франц., нем.)

Изучена зависимость между степенью предварительного сгущения молока и дисперсностью, микроскопич. структурой, величиной частиц, плотностью и содержанием воздуха внутри частиц сухого обезжиренного молока (СМ). Установлено, что степень дисперсности СМ зависит от степени подсушивания. Процентное соотношение частиц различного размера в различных сортах разного СМ распылительной сушки постоянно. Наибольшее кол-во в исследованных сортах СМ составляют частицы диам. 6—12 м. Объем воздуха внутри частиц СМ понижается и плотность повышается с повышением конц-ии сухих в-в в сгущенном молоке. А. Прогоревич

**53328. Влияние кислотности сливок на свойства взбитых сливок. Лоо** (De invloed van de zuurtegraad van de slagroom op de eigenschappen van de opgeklopte room. Loo L. G. W. v. d.), Zuivel, 1956, 62, № 37, 780—781, 783 (голл.)

Обзор. Библ. 10 назв.

Л. П.

**53329. Измерение цвета топленого масла при хранении. Годель А.**, Молоч. пром-сть, 1956, № 2, 38—39

Для изучения причины появления фисташкового цвета (ФЦ) в топленом масле образцы молочного жира и топленого масла хранили в одинаковой таре параллельно при разных т-рах; изменение цвета определяли спектрофотометрически и визуально. Установлено, что изменение цвета находится в зависимости от т-ры хранения и протекает тем быстрее, чем она ниже. При —18° первые признаки ФЦ наблюдались через 3,5 месяца, при —10° позже, а при —5, 0 и +5° совсем не наблюдались. Спектральным анализом обнаружено, что свежий молочный жир (в бензине) имеет широкую полосу поглощения с максимумом на волне 452 мμ, свойственные каротины; кривые поглощения жира с измененным цветом

отличаются сдвигом полосы поглощения к УФ-части спектра и появлением дополнительного максимума. Образование ФЦ объясняется склонностью каротина к изомеризации и изменением устойчивости при увеличении его концентрации в жидкой фракции жира в результате постепенной кристаллизации ее, а также обогащения ее при этом глицеридами ненасыщ. жирных к-т. Изменение цвета не сопровождается значительным изменением вкуса и аромата жира. А. Голель

**53330. Микроскопическое определение распределения влаги в масле.**— (Die mikroskopische Bestimmung der Wasserverteilung in Butter.—), Dtsch. Molkerie-Ztg., 1956, 77, № 20, 677 (нем.)  
См. РЖХим, 1957, 25318.

**53331. Современные тенденции в сыроделии.** Харпер, Кристофферсен (Current trends in cheese manufacture. Harper W. J., Kristoferssen T.), J. Dairy Sci., 1956, 39, № 3, 342—344 (англ.)

Обсуждение путей механизации произ-ва швейцарского сыра и чеддер и причины потери или изменения вкуса сыров, выработанных новыми механизированными способами. Б. Хавкина

**53332. Технология производства сыров типа фонтана.** Гитти (La tecnologia dei formaggi a pasta pressata, non cotta del tipo ad imitazione fontina fabbricati nelle vasche meccaniche olandesi. Ghitti Cesare), Latte, 1955, 29, № 6, 375—376; № 7, 453—454 (итал.)  
Предыдущее сообщение см. РЖХим, 1957, 29064.

**53333. Перспективы развития производства эмментальского сыра в Финляндии.** Виртанен (Emmentaluuston valmistuksen kehittämisestä ja tulevaisuudesta Suomessa. Virtanen Artturi I.), Karjalaisuus, 1956, 32, № 11, 269—273 (финск.)

**53334. Химический состав и питательная ценность венецианских сыров.** Далла-Торре, Фонтанелла (Composizione chimica e valore alimentare di alcuni formaggi tipici del veneto. Dalla Torre G., Fontanella E.), Latte, 1955, 29, № 10, 697—699 (итал.)

**53335. Молочная сыворотка и отходы производства лактозы как источник витамина В<sub>2</sub>.** Опущинска, Суяк (Serwatka mleczna oraz melas polaktozowy jako źródło witaminy B<sub>2</sub>. Opuszczynska H., Sujak S.), Przem. rolny i spożywczy, 1954, 8, № 11, 401—403 (польск.; рез. русск., англ.)

Витамин В<sub>2</sub>, содержащийся в обезжиренном молоке, целиком переходит в сыворотку, в которой он содержится в кол-ве (в среднем) 168 γ на 100 мл. В побочном продукте, получаемом при произ-ве молочного сахара, содержание витамина В<sub>2</sub> составляет 1520—3680 γ на 100 мл (в среднем 2389 γ на 100 мл). В. Новикова

**53336. Очистка заводского оборудования на месте.** Смит, Рот (Plant equipment cleaned-in-place. Smith Gail A., Roth Armin A.), Milk Plant Monthly, 1955, 44, № 8, 27—30 (англ.)

Обсуждены различные способы мойки оборудования молочных заводов по методу «очистка на месте». Этот метод успешно применяется к маслозготовителям и фризерам непрерывного действия, к пастеризаторам, подогревателям, а также к частям оборудования, через которые можно подавать очищающий р-р под давлением. Линии и оборудование для холодного молока очищают циркуляцией хлорированных моющих р-ров с т-рой 52—60° в течение 15—20 мин. Линии и оборудование для горячего молока очищают двойной циркуляцией р-ров: первичная циркуляция щел. моющего средства при т-ре, на 5° превышающей т-ру молока, в течение 20—30 мин. и последующая циркуляция слабого р-ра к-ты в течение 15—20 мин. при т-ре 71°. А. Орлов

**53337. Применение холода для хранения мяса.** Лисуллов (Primena hladnoće kod mesa. Lisulov

Aleksandar), Tehnika, 1955, 10, № 10, 1473—1482 (серб.; рез. нем.)  
Обзор. Библ. 12 назв. З. Л.

**53338. Мясо, высушенное в замороженном состоянии (методом сублимации).** 1. Приготовление и свойства. Таппель, Конрой, Эмерсон, Риджер, Стюарт (Freeze-dried meat. I. Preparation and properties. Tappel A. L., Conroy A., Emerson M. R., Regier L. W., Stewart G. F.), Food Technol., 1955, 9, № 8, 401—405 (англ.)

Изучены два способа обезвоживания кусков говяжьего мяса толщиной в 25 мм, а также рыбы и птицы: 1) пластмассовые лотки с кусками замороженного мяса в камерах при абс. давл. 0,1—0,2 мм и т-ре —40° на конденсоре обогревали ИК-лучами, 2) полные полки с кусками замороженного мяса при абс. давл. 0,6—0,7 мм и т-ре —34,4° на конденсоре обогревали циркулирующей горячей водой. Установлено, что оба способа обезвоживания дают хорошие результаты (спустя 24 часа влажность мяса снижается до 10%), однако установка с ИК-лучами дороже и контроль т-ры здесь затруднен, вследствие чего возможны местные перегревы. Органолептит. и физ.-хим. исследования качества высушенного в замороженном состоянии мяса показали, что оно сохраняет свойственный свежему мясу красный цвет и пористость структуры, не изменяет объем при высушивании, быстро восстанавливается (<5 мин.), давая продукт, близкий по свойствам к свежему мясу. В. Гурни

**53339. Применение кремнийорганических соединений в мясной промышленности.** Гринберг Т., Мясная индустрия СССР, 1957, № 1, 61  
Обзорная статья. А. П.

**53340. О качестве колбасных изделий для армии.** Илич (Kakve kobasičarske proizvode žell Armija. Ilic Vukasin), Tehnika, 1955, 10, № 12, 1804—1807 (сербо хорв.; рез. нем.)

Обсуждение требований к качеству сырья, рецептуре и качеству готовых изделий. З. Л.

**53341. О производстве копченых изделий из свинины.** Шишкина Н., Каленова М., Мясная индустрия СССР, 1957, № 1, 6—8

Для улучшения вкусовых качеств изделий из свинины и повышения их выходов рекомендуется при произ-ве тамбовских и воронежских окороков увеличить кол-во рассола, вводимого в них шприцеванием, до 8—12%; конц-ию шприцевального рассола при изготовлении сырокопченых окороков 18° В<sub>б</sub>, копчено-вареных и вареных 16 В<sub>б</sub>. Вымачивание окороков может быть заменено промыванием в воде с т-рой 30—40°. Варку окороков, а также ленинградских и ростовских рулетов следует проводить при 82—87°, а загрузку в варочные котлы при т-ре воды 87—90°. Для устранения потерь при зачистке готовых вареных и копчено-вареных окороков (6,7—7,8%) рекомендуется произ-во ветчины в формах. Наиболее целесообразным способом ускоренного посола окороков является посол через кровеносную систему. А. Прогорович

**53342. Консервная промышленность (Дании) в 1956 году.** Мясные консервы. Шах (Konserverindustrien ved årsskiftet. Kødkonserver. Schack W.), Konserver, 1956, 14, В 12, 133—134 (датск.)

**53343. К вопросу о пересмотре режима стерилизации мясных консервов в банке № 14.** Апт Ф., Мясная индустрия СССР, 1957, № 1, 52

На основании данных о термоустойчивости микроорганизмов, обсеменности консервов «говядина тушеная» перед стерилизацией в нормальных условиях произ-ва с мясом повышенной обсеменности, данных о проникновении тепла в банку № 14 во время стерилизации в производственных условиях, а также результатов бактериологич. анализов консервов за 3 года ре-



комендуется для проверки режим стерилизации консервов «говядина тушеная» по ф-ле (30—90—50)/120 с противодавлением 2,2 атм. В консервах, стерилизованных по этому режиму, мясо имело более плотную консистенцию и лучшее качество по органолептике, данным, чем в консервах, стерилизованных более длительное время.

А. Прогорович  
53344. Использование некоторых продуктов после убой скота для производства ферментов. Незгоданский (Wykorzystanie niektórych produktów poubojowych do produkcji enzymów. Niezgodziński Krzysztof), Gospod. mięsna, 1955, 7, № 12, 12—13 (польск.).

Описан технологич. процесс произ-ва пепсина из слизистых оболочек желудков свиней и сычужного фермента химозина из сычужков молочных телят.

З. Фабинский  
53345. О профилактике заболеваний и промышленной санитарии (на мясокомбинатах). Кутуков В., Полоторнова Т., Мясная индустрия СССР, 1957, № 1, 33—35

53346. Холодильное хранение птицы и яиц в Голландии. Туккер (Congelamento del pollo da tavola nei Paesi Bassi. Tukker J. G.), Freddo, 1956, 10, № 6, 29—31, 33 (итал.)

53347. Техника хранения яиц в холодильниках. Коппини (Tecnica del freddo nella conservazione delle uova. Coppin R.), Freddo, 1956, 10, № 6, 19—25 (итал.)

Обзор. А. М.  
53348. Холодильные камеры для хранения яиц. Жизен (Almacenes frigoríficos para la conservación de huevos. Gysin W.), Metalurgia y electr., 1956, 20, № 231, 104—110 (исп.)

Описано несколько типов камер для хранения яиц и яичного меланжа, а также способы определения свежести яиц, организация работы камер и упаковочных помещений. Приведены планы холодильных камер.

Е. Б.  
53349. Изучение процесса порчи водных промысловых (XX). Рассмотрение порчи различных видов рыб (3). Влияние автолиза на порчу. Симидзу, Хибикки (水産物の學敗に關する研究. XX. 魚種による腐敗の相違についての考察. 清水亘, 日引重幸), 日本水産學會誌, Нихон суйсан гаккайси, Bull. Japan. Soc. scient. Fisheries, 1955, 21, № 4, 267—270 (японск.; рез. англ.)

Наблюдается очень небольшая разница в кол-ве выделяющихся продуктов расщепления при порче нормальной и подвергшейся автолизу камбалы, но гистамина образуется больше в рыбе, подвергшейся автолизу. При порче макрели образуется больше летучих оснований и гистамина в рыбе, подвергшейся автолизу. Предполагают, что гистидин находится в больших количествах внутри клеток, чем в межклеточном пространстве, и имеется различие в плотности клеточных стенок у этих двух видов рыб. У камбалы стенки клеток плотнее и гистидин проходит сквозь них труднее; гистидин труднее подвергается действию бактерий. Часть XIX см. РЖХим, 1957, 50023.

В. Гурни  
53350. Использование антибиотиков для консервирования рыбы и морских продуктов. Бойд, Блум, Мьюрхед, Тарр (Use of antibiotics for the preservation of fish and sea foods. Boyd J. W., Blum H. M., Muirhead C. R., Tarr H. L. A.), Amer. J. Public Health, 1956, 46, № 12, 1531—1539 (англ.)

Обзор. Библ. 24 назв.  
53351. Копчение лососевых. Хелм (Smoking salmon in half the time. Helme William), Industr. gas (USA), 1955, 34, № 3, 12—13 (англ.)

Газделение на филе лососевые подвергают на судне

бочковому посолу и перевозят к месту переработки в рефрижераторах. Филе лососевых, вымоченное в течение суток в проточной воде, предварительно подсушивают осушенным холодным воздухом и коптят 4 часа при т-ре дыма 29° до достижения т-ры внутри филе 21°. Процесс сушки воздуха и копчения рыбы автоматизирован. За 7—9 час. работы установки можно коптить 4,5 т рыбы, получая ароматный вкусный деликатесный продукт. Готовый продукт упаковывают в полиэтиленовые пакеты и перевозят к месту реализации в сухом льду.

С. Елманов  
53352. Электростатическое копчение. Сикорский (Wedzenie elektrostatyczne. Sikorski Zdzisław), Gospod. rybna, 1956, 8, № 7, 8—10 (польск.)

Изложены теоретич. основы электростатич. копчения и его применение в Германии для копчения шпрот при напряжении 50 кв в течение 7—12 мин., в Лос-Анжелосе для копчения филе лосося при напряжении 16 кв в течение 17 сек., в Японии для получения коптильной жидкости, применяемой для мокрого копчения. Указана экономичность этого способа. См. также РЖХим, 1955, 1488.

З. Фабинский  
53353. Вопросы упаковки пищевых продуктов. Кюпер (Der Lebensmittelhandel und seine Verpackungsprobleme. Küper Artur), Neue Verpack., 1957, 10, № 1, 14—15, 7 (нем.; рез. англ.)

Кратко рассмотрены вопросы автоматич. и полуавтоматич. упаковки продуктов, о применении в ФРГ способа хранения яиц в искусств. оболочке вместо скорлупы, о применении фольги для упаковки мармелада.

А. Емельянов  
53354. Аппарат для определения газонепроницаемости пластических пленок. Гендерсон, Уоллес (A simple apparatus for determining gas permeability of flexible films. Henderson R., Wallace G. A.), Food Technol., 1956, 10, № 12, 636—638 (англ.)

Описание, фотоснимок и чертежи деталей аппарата для испытания малопроницаемых пленок, применяемых в пищевой промышленности для упаковки продуктов под вакуумом и в атмосфере инертных газов. С. Светов  
53355. Упаковка мяса, колбасных изделий, солонин, рыбы и других морских продуктов. Верло (L'emballage des viandes, charcuteries, salaisons et semi-conserves, poissons et produits de la mer etc... Verlot), Etudes outre-mer, 1956, 39, nov., 339—347. Discuss., 347 (франц.)

53356 К. Технология и технико-химический контроль хлебопекарного производства (Учебник для сред. спец. учебн. завед.). Сарычев Б. Г., М., Пищепромиздат, 1956, 404 стр., илл., 10 р. 10 к.

53357 Д. Технологическое оборудование консервных заводов и основные вопросы его совершенствования. Дикин М. Я. Автореф. дисс. докт. техн. н., Киевск. технол. ин-т пищ. пром-сти, Киев, 1957

53358 С. Бензоат натрия для пищевой промышленности (Benzoat de sodiu alimentar). Ст. PHP STAS № 5176: 1956 (рум.)

53359 С. Пшеничная мука. Методы исследования (Făină de grâu. Metode de analiză). Ст. PHP STAS № 90: 1956 (рум.)

53360 П. Способ приготовления пищевого продукта из крахмала. Гофман, Криковский, Дуатто, Ино (Sätt att framställa et näringsmedel av stärkelse. Hofman T. E. R., Krizkovsky F. L. P., Doittau P. E. R., Hinaut G.) [N. V. W. A. Scholten's Aardappelmeelfabrieken, Soc. des Laboratoires de Recherches pour Applications Industrielles (Solar)]. Шведск. пат. 150540, 28.06.55

Смесь крахмала с 20—60 об. % воды прессуют вращающимися вальцами до получения слоя толщиной (в сухом состоянии) 1—2 мм. Полученную массу подогреть до 100—180°, вращая вальцы со скоростью 1 об./мин., и затем сушат. Эта обработка производится так, что структура зерен крахмала разрушается, хлопья, получающиеся в результате измельчения образовавшихся пленок, в холодной воде не растворяются, а в теплой воде набухают в ограниченном объеме, что исключает возможность образования гомог. клейкого в-ва.

Л. Кондратьева

53361 П. Способ приготовления вспомогательного хлебопекарного средства. Брабендер, Кульман, Пагенштедт Verfahren zum Herstellen eines Backhilfsmittels. (Brabender Carl Wilhelm, Kuhlmann Wilhelm, Pagenstedt Bernd) [Brabender o. H.]. Пат. ФРГ 943041, 9.05.56

Хлебопекарное средство для улучшения качества хлеба готовят в жидком или сушеном виде из суспензии муки в воде (1 : 0,4—2,1), взбиваемой на машине с высоким числом оборотов в течение 5—30 мин. с такой силой и продолжительностью, чтобы вызвать распад набухших белковых кол. мицелл на возможно мелкие частицы. До начала взбивания можно добавлять к суспензии в-ва, способствующие набуханию и окислению клейковины, а также газообразованию при последующем брожении теста: ферменты, окислители и эмульгаторы, напр. аскорбиновую к-ту, препараты диастаза, молоко и молочные продукты. Для получения указанного средства в виде сухого порошка продукт после взбивания сушат при  $\leq 50^\circ$ . Напр., 2850 г пшеничной муки взбивают в течение 12 мин. с 3000 мл воды в присутствии воздуха до получения жидкой однородной массы. Взбивание производят на цилиндрич. машине с водяным охлаждением (2700 об./мин.). Для приготовления теста берут 4750 г пшеничной муки, 1950 г взбитой водно-мучной суспензии, 2310 мл воды, 85,5 г соли и 171,0 г дрожжей. Замес проводят обычным способом на тестомесилке; первое брожение — 1 час, затем перебивка теста, второе брожение — 1 час, разделка (по 500 г), формовка и расстойка теста, выпечка 30 мин. при  $235^\circ$ .

А. Емельянов

53362 П. Пакет для упаковки пищевого продукта и способ упаковки. Банович (Packaged article of food and method of making the same. Banowitz Benjamin B.) [T. V. Time Foods, Inc.]. Пат. США 2741559, 10.04.56

Предлагается пакет для совместной упаковки кукурузы и масла для ее обжарки и способ упаковки. Для изготовления пакетов рекомендуется прозрачный листовый материал из синтетич. пластика: полиэтилена, сарана и других, склеиваемых нагреванием. Прямоугольный пакет разделен на два узких отделения путем склеивания передней и задней стенок. Отделение пакета, расширенное в нижней части, наполняют кукурузой; отделение, расширяющееся вверх, наполняют жидким или твердым гидрогенизированным растительным маслом, предназначенным для обжаривания кукурузы. Наполненный пакет запечатывают склеиванием верхних кромок пакета путем нагревания. При наполнении пакетов их ставят в вертикальном положении в стойку, состоящую из удлиненного основания с продольным углублением, на котором расположены отделения для пакетов, образованные изогнутой несколько раз наподобие гармошки полоской листового металла, припаянной к основанию одним рядом сгибов. Другой ряд сгибов представляет собой верхние части перегородок между отделениями для пакетов. Каждая перегородка имеет V-образную форму в перевернутом виде. Нижняя часть каждого отделения стойки образована плоскими стенками, сходящимися под острым углом у основа-

ния стойки. Масло, налитое в узкую часть пакета, принимает плоскую форму пространства между перегородками. Стороны пакетов для кукурузы поддерживают более низкие перегородки. Твердое масло в расплавленном виде наливают в пакеты, установленные в стойках, во время медленного движения конвейера со стойками в охлаждающий тоннель с циркулирующим в нем холодным воздухом. По выходе из тоннеля пакеты с застывшим маслом наполняют кукурузой и запечатывают нагреванием вручную или на автоматич. механизме. Приводится схематич. чертежи пакета и приспособления для упаковки.

А. Кононов

53363 П. Способ обработки семенного картофеля для предотвращения преждевременного прорастания. Тойки (Menetteletypa siemenperunai käsittelmiseksi ennen aikaisen itujen muodostumisen ehkäisemiseksi) [N. V. Philips' Gloeilampenfabrieken]. Фин. пат. 27902, 10.09.55

Для обработки семенного картофеля применяют препараты, содержащие 1,1,2,3,3,4,5,5-октахлорпентен-1.

М. Тойкка

53364 П. Производство молочных таблеток (Production of milk tablets) [Aplin & Barrett, Ltd]. Англ. пат. 738755, 19.10.55

Сухое обезжиренное молоко барабанной сушки pokrывают водн. эмульсией гидрогенизированного жира, для чего молочный порошок пропускают через слой распыленной эмульсии. В молочный порошок может быть введено 0,1—0,5% жира. Перед сушкой к молоку можно добавлять краситель, а к сухому молоку витамин А в сахарной пудре. Эмульсия состоит из полностью гидрогенизированного пальмоядрового масла, глюкозодекстринового сиропа, метилэтилцеллюлозы и моностеарата глицерина.

Е. Жданова

53365 П. Способ производства сгущенного молока (Procédé de préparation de lait concentré liquide et lait obtenu par ledit procédé) [Cooperative Condensfabriek «Friesland»]. Франц. пат. 1085224, 28.01.55 [Lait, 1956, 36, № 355—356, 349 (франц.)]

Свежее молоко сначала пастеризуют, затем сгущают в вакууме, гомогенизируют, нормализуют, разливают в жестяные банки и возможно быстрее стерилизуют при 115—130° в течение 37 мин., после чего охлаждают до 80° или ниже и хранят до употребления при 0—15°. Можно стерилизовать сгущенное молоко при тех же условиях до разлива молока в банки и разливать стерилизованное молоко в банки в асептич. условиях. Наполненные банки выдерживают в течение небольшого промежутка времени при повышенной т-ре или немедленно охлаждают до 80° или ниже, затем хранят на холоду. При этих способах проп-ва не наблюдается свертывания или загустевания сгущенного молока. Н. Брио

53366 П. Искусственные кишечные оболочки.

Шнекко (Konstgjorda korvjalster. Schnecko O.) [Kalle & Co. A.-G.]. Швед. пат. 150219, 31.05.55. Патентуются искусств. кишечные оболочки, имеющие на внутренней стороне устойчивый слой из высокомолекулярного алифатич. углеводорода.

Л. Кондратьева

53367 П. Способ улучшения вкуса, усвояемости и стойкости рыбы. Мейер (Process for the improvement of taste, digestibility, and stability of fish meat. Meyer Albert) [Calgon, Inc.]. Пат. США 2735777, 21.02.56

Свежую рыбу консервируют в р-ре NaCl, содержащем 0,2—2% к весу рыбы соединения поли-фосфорных к-т, напр. водорастворимую соль цел. металла или аммонийную соль пиро-, мета-, триполи- или тетрафосфорной к-ты, или же не растворимый воде кристаллич. К-метафосфат, который переходит в водорастворимую форму при добавлении Na- и NH<sub>4</sub>-солей. В рассол добавляют также уксус и H<sub>2</sub>O<sub>2</sub>. П р и м е р: Вывощенное в течение

24 час. филе сельди помещают в рассол, содержащий 6% уксуса, 9% NaCl, 0,1% 33%-ной  $H_2O_2$  и 1% Напрофосфата. После 6 дней получают нежную, приятного светлого цвета сельдь, используемую затем для приготовления маринадов. Л. Кондратьева

**53368 П.** Способ посола и упаковки свежей и слабосоленой сельди. Э р а с м и (Sätt att salta och färpacka färsk eller lätt försaltad sill. E r a s m i e S. E. O. W.). Швед. пат. 151498, 13.09.55

Свежую или слабосоленую сельдь, после удаления жабры и внутренностей, упаковывают, заливая рассолом средней концентрации, в водонепроницаемые пакеты, изготовленные из органич. материалов, напр. импрегнированной бумаги, регенерированной целлюлозы или искусств. смол или же из комбинации перечисленных материалов. В результате сельдь просаливается и созревает в мелкой таре, предназначенной непосредственно для целей распределения. Л. Кондратьева

**53369 П.** Способ приготовления основной приправы для супов и соусов, состоящей из смеси жира и муки. Я н с с о н (Sätt att framställa en huvudsakligen av fett och mjöl bestående i huvudsak vattenfri blandning, avsedd at användas som grundredning för såser, soppor och dylikt. J a n s s o n A. L.). Швед. пат. 151692, 27.09.55

Муку добавляют к расплавленному жиру при  $t$ -ре  $\leq 50^\circ$  (несколько выше точки плавления жира), после чего смесь при постоянном помешивании подогревают до  $t$ -ры  $\leq 140^\circ$ . Полученную массу охлаждают до загустения и упаковывают. Л. Кондратьев

См. также: Витамины 16386Бх. Канцерогенное действие в-в, добавляемых к пище 17117Бх. Физ. и биохим. процессы при охлажд. и хранении мяса 17156 Бх. Применение побочн. продуктов ядерного реактора 51737. Загрязнение пищи пестицидами 51843. Очистка сточных вод в пищевой пром-сти 52113, 52121, 52122. Коррозия в молочной пром-сти 53432. Сушка в пищевой пром-сти 53509. Охрана труда в консервной пром-сти 53577

## КОЖА. МЕХ. ЖЕЛАТИНА. ДУБИТЕЛИ. ТЕХНИЧЕСКИЕ БЕЛКИ

Редактор О. В. Мамеева

**53370.** Исследование кожи. Д а с (Leather research. D a s B. M.). Altech, 1955, 5, 8—12 (англ.)

Рассмотрены 3 направления исследований в области кожевенной пром-сти в Индии: гистологическое, бактериологическое и химическое. М. Л.

**53371.** Фрейбергерский международный коллоквиум химиков-кожевников. Ф е х е р (A freibergeri nemzetközi bőrvégysz kollégium. F e h é r I s t v á n), Bőr és cipőtechn., 1955, 6, № 4, 73—74 (венг.)

**53372.** Индийские и китайские козы шкуры как сырье для производства перчаточной кожи. К ш и в и ц к и й (Skóry kozie indyjskie i chińskie jako surowiec na produkt rękawiczkowy. K r z y w i c k i E d w a r d). Przegl. skór., 1956, 11, № 9, 215—221 (польск.)

При произ-ве перчаточной кожи из индийских и китайских козых шкур для придания им требуемой растяжимости и рыхлости применяют спец. метод дубления, а также подготовительных операций. Приведена подробная методика выделки перчаточной кожи из этого сырья. J. Vaedtke

**53373.** Ввести на съемке и консервировании шкур новые технику и технологию. Горбатов В. М. (из доклада), Мясная индустрия СССР, 1956, № 5, 7—11

От качества съемки шкур зависят качество шкуры и туши, их товарный вид, а также уд. вес потерь, в результате прирезки мяса и жира, которые достигают в среднем 1 кг (на шкурах свиней — до 6 кг). Описаны новые механич. способы съемки шкур: механич. съемка с предварительным охлаждением туш, совмещение механич. и пневматич. способов съемки, применение агрегата марки «ФУА», электроножа Перко и т. д. Предложены мероприятия по внедрению механич. съемки шкур. Р. Колчина

**53374.** О качестве консервирования кожевенного сырья на мясокомбинатах. Л ю к с е м б у р г М., Мясная индустрия СССР, 1956, № 5, 13—15

Отмечены преимущества консервирования мокросольным и в первую очередь тузлукованием по сравнению с сушкой. Перечислены важнейшие недостатки существующей практики тузлукования на мясокомбинатах: а) замедленность и неравномерность просаливания, б) нестандартность шкур по усолу и хим. составу, в) загрязненность мездры. Описывается установка для тузлукования в США, обеспечивающая равномерный и ускоренный просол шкуры и освобождающая мясокомбинат от трудоемкой операции досолки шкур в штабелях. Сопоставлены данные хим. анализа мокросольной шкуры в СССР и в США. Методика первичной обработки кожсырья на наших мясокомбинатах устарела. Нужна новая организация работы, основанная на повышении эффективности и равномерности просаливания шкуры в тузлуке, на механизации обработки шкуры и на широком применении антисептиков. М. Люксенбург

**53375.** Освоена новая, технология тузлукования. Алексеев Н. Ф., Мясная индустрия СССР, 1956, № 5, 16—17

Разработана новая технология консервирования кожевенного сырья, по которой тузлукование осуществляется за 10 час. и получают хорошие результаты. Содержание соли в шкуре составляет 10—11%, шкура остается эластичной, упругой и отвечает всем требованиям стандарта. Р. Колчина

**53376.** Сравнительные испытания эффективности порошкообразных инсектицидов ДДТ и ВНС против жука-кожееда *Dermestes maculatus*. Вильямс (Comparative tests of the effectiveness of DDT and VNC dusting powders against the «hide or leather beetle», *Dermestes maculatus* degeer. (Col. dermestidae). Williams Gwyneth C.), J. Soc. Leather Trades' Chemists, 1956, 40, № 8, 253—258 (англ.)

Лабораторные исследования показали, что инсектицид ВНС (содержащий 0,5%  $\gamma$ -изомера) вызывает гибель жука-кожееда *Dermestes maculatus* за 24 часа, в то время как для ДДТ (5%-ная конц-ия) необходимо 48 час., причем за 48 час. погибают и 30% контрольных жучков, не подвергавшихся действию инсектицидов. Личинки менее подвержены действию инсектицидов: ДДТ вообще не действует на них, а ВНС вызывает их гибель после 24-час. действия порошка и 72 час. выжидания. З. Лебедева

**53377.** Исследование процесса зольения козых шкур. К ш и в и ц к а я (Z badań nad wapieniem krajowych skór kozich. K r z y w i c k a A.), Przegl. skór., 1956, 11, № 10, 247—251 (польск.)

Изучалось влияние времени зольения на свойства перчаточных кож, вырабатываемых из козых шкур. Общее время обработки изменялось от 6 до 62 суток. Показано, что оптимальное общее время обработки 24—28 суток. К. Зарембо

**53378.** Взаимное влияние различных танинов при дублении подошвенных кож. Мага, Ярошинская-Драбик, Штруб, Унгар, Гофман (Asupra influenței reciproce a diversilor agenți tananți, în tanajul vegetal al pieilor pentru talpă. Maga Cornelia, Iarosinschi-Dra-



ric Irina, Strub Const., Ungar Cabol, Hofman Tuli), Bul. Inst. politehn. Iasi, 1956, 2, № 1—2, 123—130 (рум.; рез. русск., франц.)

Для выявления оптимального состава смеси танидов (Т), обеспечивающего соответствующие физ.-хим. свойства кожи, проводили дубление экстрактами квебрахо, или, дубовой древесины и валонен, а также смесями этих экстрактов в различных соотношениях. Определяли изменение концентрации Т и толщины кожи во времени. В результате взаимного влияния различных Т в р-ре увеличивается дисперсность частиц и однородность их размеров, что способствует более быстрому и равномерному поглощению их кожей. В отдельных случаях в результате взаимного влияния степени дисперсности частиц Т превышает величину, обеспечивающую коже полноту и равномерное дубление по всей толщине.

Г. Маркус

**53379. Выработка шорно-седельных (поясных) кож из свиного сырья без растительных дубителей. Овруцкий М. Ш., Брусиловский М. О., Науч.-исслед. тр. Укр. н.-п. ин-т кож.-обув. пром-сти, 1956, сб. 8, 22—25**

Предложена методика выработки указанных кож. Отмочно-зольные и преддубильные процессы проводят поединой методике выработки юфты. После пикелевания голяе обрабатывают хромсульфитцеллюлозной смесью. Дубление проводят с применением 7% дубильных синтана ПЛ, СПС или ФЛ-3. Дубитель СПС дает более низкие коэфф. дубильности, чем ПЛ, но по внешнему виду кожи, дубленные дубителем СПС, не хуже, чем дубленные ПЛ. Шорно-седельная кожа, выработанная без применения растительных дубителей, соответствует требованиям ГОСТ и успешно используется галантерейными фабриками. Применение данного метода значительно сокращает расход растительных танидов, заменяемых сульфитцеллюлозным экстрактом и синтанами ПЛ и СПС.

Р. Колчина

**53380. Дубление полифосфатами и продуктами их фракционирования. Lasser (Tannage aux polyphosphates. Essais de tannage avec divers polyphosphates et les produits de leur fractionnement. Lasserre Raymond), Bull. Assoc. franc., chimistes inds cuir, 1956, 18, № 4, 9—21 (франц.)**

Были получены полифосфаты с различными соотношениями  $\text{Na}_2\text{O}$  к  $\text{P}_2\text{O}_5$ , и ими были выдублены различные кожи, в которых определяли содержание Р и  $\text{P}_2\text{O}_5$ . Результаты показали, что полифосфатными соединениями можно проводить предварительное задубливание полуфабриката. Мол. вес полифосфатов должен быть  $\sim 200$  и отношение  $\text{Na}_2\text{O}$  к  $\text{P}_2\text{O}_5 \sim 1$ . При этом происходит наилучшее фиксирование полифосфата на волокнах.

Д. Горин

**53381. Обзор современного состояния крашения кожи. Люшер (Ueberblick über den neueren Stand der Lederfärberei. Lüscher Ernst), Chem. Rundschau, 1956, 9, № 21, 469—470 (нем.)**

**53382. Уменьшение промокаемости юфтовых кож при помощи алюминиевого мыла. Родзевич (Obniżanie nasiąkliwości skórjuftowych za pomocą mydeł glinowych Rodziewicz Olgięder), Przegl. skórzan, 1956, 1, № 9, 228—321 (польск.)**

Обсуждаются явления, происходящие при поглощении воды кожей. При исследовании водостойкости кожи различают увлажнение, промокаемость и водопропускность. Гидрофобность волокон юфтовых кож можно увеличить введением алюминиевого мыла, которое вводится в кожу в виде р-ра в органич. р-рителях или в виде эмульсии. Возможно также образование их в коже при пропитке ее р-ром алюминиевой соли, а затем р-ром мыла.

Ж. Ваедтке

**53383. Нанесение искусственного лицевого слоя на технические кожи. Манка (Sporządzania sztucz-**

nego lica na cholewy obiegowe. Manka Józefa. Zakład Skóry Technicznej Instytutu Przemysłu Skórzanego), Przegl. skór., 1956, 11, № 8, 194—196 (польск.)

Изучалось нанесение лицевого слоя на детали из технич. кожи для повышения срока их использования, а также возможность применения при их произ-ве низкокачеств. сырья. Для нанесения искусств. лицевого слоя применяется эмульсия акриловой смолы (Corialgrund), а также воска «Т».

Ж. Ваедтке

**53384. Полиамидирование шеврета и нижнего спилка.**

Зайончковский А. Д., Яблоко Я. М., Михайлов Н. А., Феоктистов В. К., Шмерлинг Б. М., Берштейн М. Х., Гуськов Ф. Г., Парамонов В. Г., Глау-ман Г. М., Григориади М. Т., Легкая пром-сть, 1956, № 10, 22—26

Для получения доброкачественных материалов для верха обуви производили упрочнение спилка и шеврета пропиткой их р-рами различных спирторастворимых пластифицированных или непластифицированных полиамидов. Более полное проникновение полиамида в меж-волоконные пространства кожи достигалось пропиткой под вакуумом при разрежении 600 мм рт. ст. При пресовании упрочненного материала при 90° улучшается прочность держания лицевого слоя и внешний вид материала. Разработана методика упрочнения и отделки шеврета и спилка лаком 548 и ПФФ 2/10. Шеврет и спилки, упрочненные этими лаками, по прочности держания лицевого слоя не уступают шевро и хромовому опою. После обработки предел прочности при растяжении возрастает более чем в два раза, паропро-ницаемость достигает 2,2—2,5 мг/см<sup>2</sup>·час.

Р. Колчина

**53385. Изменения линейных размеров и площади хромового выростка при тяжке на тянущих машинах и растяжке на рамах. Олейник Н. Н., Рабинович Ф. И., Науч.-исслед. тр. Укр. н.-п. ин-т кож.-обув. пром-сти, 1956, сб. 8, 42—49**

Изучалась возможность повышения выхода по площади хромового выростка в результате изменения порядка проведения тяжки на тянущих машинах и растяжки на рамах. Порядок растяжки кож на рамах существенно влияет на выход площади кожи, на изменение ее длины и ширины. При растяжке кож на рамах сначала по ширине, а затем по другим направлениям увеличивается ширина кож на 5—16% и площадь на 4—7% по сравнению с соответствующими размерами при растяжке кож обычным способом. Изменения физ.-мех. свойств при этом не обнаружено. Зависимость между кол-вом проходов рабочих органов тянущей машины по всей площади кожи и увеличением площади кожи после сушки на рамах не установлена. Тяжка чепрака при увеличенном числе проходов рабочих органов тянущей машины увеличивает площадь кожи после сушки на рамах значительно больше, чем при обычной тяжке. Для увеличения площади хромового выростка рекомендуется введение дополнительной тяжки чепрачной части выростка на тянущей машине. Растяжку на рамах рекомендуется производить в следующем порядке: по ширине, по длине, по диагоналям.

Р. Колчина

**53386. Процессы обработки хромовой кожи, производимые между сушкой и отделкой. Кане (Observations on box calf manufacturing operations between drying and finishing. Kahne F.), Tanner, 1955, 10, № 3, 15—16 (англ.)**

Для обеспечения соответствующей влажности, кожи после сушки охлаждают в помещениях с непрерывной подачей воздуха, влажность которого должна быть 80—90%, что достигается орошением водой или паром. Условия и продолжительность обработки зависят от сорбционной способности кожи, а также от кол-ва

поступающего воздуха и его влажности. Сорбционная способность определяется как предварительной обработкой, так и условиями отжима и сушки кожи. Описаны также условия и методы увлажнения кожи опилками и путем погружения в воду.

**М. Ваньян 53387.** Влияние многократного увлажнения и сушки на промокаемость кожи. Раабе, Витановский (Wplyw wielokrotnego uwadniania i suszenia na nasiakliwość skór surowych. Raabe Edward, Witanowski Michał, Przegl. skór., 1956, 11, № 9, 221—224 (польск.).)

Исследовалось влияние многократного увлажнения и сушки на изменение промокаемости кож растительного дубления (подошвенных и юфтовых), а также кож хромового дубления. У кож растительного дубления наблюдается повышение промокаемости, а у хромовых кож понижение промокаемости.

**Ж. Ваедтке 53388.** Прибор для измерения термических и эластических свойств шкуры и полученных из нее материалов. Фи, Колхун, Уитнауэр (Instrument for measuring thermal and elastic behavior of hide and modified hide materials. Fee Jeanne G., Calhoun R. R., Witnauer L. P., J. Amer. Leather Chemists Assoc., 1956, 51, № 10, 530—541 (англ.).)

Описанным прибором измеряют удлинение и усадку шкур и кож, т-ру сваривания, модули упругости и деформацию скручивания под нагрузкой. Измерения можно производить в разных температурных условиях в воздушной или жидкой среде. Этот прибор недорог и прост в применении для заводской лаборатории. Приведено описание определения т-ры сваривания и степени усадки шкуры и дубленой кожи, обсуждено влияние дубления на жесткость при кручении и характеристика упругости до и после усадки материала.

**М. Люксембург 53389.** Прибор для испытания усадки кожи. Манн, Мерхиг (Transverse shrinkage tester. Mann C. W., Merhig C. P., J. Amer. Leather Chemists' Assoc., 1955, 50, № 12, 584—598 (англ.).)

Метод определения т-ры сваривания кожи основан на измерении набухания (изменение толщины) кожи, сопутствующего уменьшению площади при сваривании. Описаны приборы 2-х типов для измерения т-ры сваривания. Первый тип прибора, имеющий оптич. систему контроля, пригоден не только для обычной нераспиленной кожи, но и для послойного анализа кожи на сваривание, для анализа малопрочных образцов и гольевого порошка. Во втором типе набухание образца при т-ре сваривания определяется автоматич. включением всей системы в электр. цепь. Этот метод применим для измерения т-ры сваривания в воде при т-рах выше и ниже 100°.

**М. Люксембург 53390.** Методика определения истираемости подошвенной кожи. Овечкин Е. С., Науч.-исслед. тр. Укр. н.-и. ин-т кож.-обув. пром-сти, 1956, сб. 8, 186—231

Определение истираемости подошвенной кожи производится на видоизмененном стандартном приборе путем истирания циклами при чередовании истирания с «отдыхом». Экспериментально подтверждена пригодность предлагаемой методики испытания и прибора. Показано наличие зависимости между показателями истираемости и содержанием в коже гольевого в-ва, углами наклона пучков волокон и степенью удаления из кожи вымываемых в-в. Результаты работы позволяют наметить пути повышения износостойчивости подошвенной кожи: 1) увеличением степени хромирования; 2) уменьшением содержания в коже вымываемых в-в; 3) исключением 2-кратной прокатки, введенном контроле этой операции.

**Р. Колчина 53391.** Метод определения адгезии покрывной пленки к коже. Беркарт, Галлагер, Неэр (Bonding film adhesion test for leather finishes. Bur-

kart C. A., Gallagher N. D., Neher M. B., J. Amer. Leather Chemists Assoc., 1956, 51, № 8, 418—428 (англ.).)

Результаты определения по этому методу не зависят от других свойств пленки, напр. ее эластичности. Медную пластинку склеивают при небольшом давлении с покрывной пленкой на коже при помощи промежуточной пленки из термореактивной смолы (фенолформальдегидной). Прибор дает возможность получать при склеивании постоянное давление и создавать в процессе отверждения пленки определенную т-ру. После склейки определяют адгезию расслаиванием склеенной медной пластинки и полоски кожи на обычном динамометре. Прибор и метод были испытаны на кожах разных видов при различных условиях. Для большинства типов кож пригодны следующие условия склеивания: 150—170°, 10—20 сек., 0,56—0,84 кг/см². Виниловое покрытие на обивочной коже требует 200°. Покривная лаковая пленка не склеивалась даже при 225°. Для этого случая метод пока не может быть применен. Наименьшей адгезией обладают покрытия на козлине, средней — на верхней обувной коже из яловки и наибольшей — на обивочной коже из яловки. Изменения т-ры, давления и времени отверждения в указанных выше пределах не влияют заметно на результаты определения.

**И. Эттингер 53392.** О методе определения заряда вспомогательных материалов. Отто (Über eine Methode zur Bestimmung der Ladungscharakteren von Hilfsmitteln. Otto G., Leder, 1956, 7, № 6, 145—148 (нем.; рез. англ., франц., исп.).)

Для определения знака заряда вспомогательных поверхностноактивных в-в, применяемых в кожевенной пром-сти, употребляют дисперсии анионных и катионных синтетич. смол. Напр., для катионных в-в применяют «индикатор А», а для анионных в-в — «индикатор К». Метод неприменим для продуктов, содержащих соли многовалентных металлов в кол-ве, превышающем «следы».

**И. Эттингер 53393.** О крашении овчины в сырье. Беднарчик (O barwieniu skór baranich w stanie surowym. Bednarczyk Henryk, Przegl. skór., 1956, 11, № 8, 198—199 (польск.).)

Описано проводимое в промышленном масштабе крашение овчины до дубления. Этот способ снижает стоимость произ-ва и сокращает производственный цикл на 50%. Крашение проводится обычным способом.

**Ж. Ваедтке 53394.** Изучение процесса получения дубящих хромовых солей восстановлением путем электролиза. И. Восстановление соединений  $\text{Cr}^{6+}$  в кислых растворах  $\text{NH}_4\text{SO}_4\text{H}$  и дубящие свойства полученных соединений. Комуро, Утида (電解還元によるクロム媒製造に関する研究. 第2報. スルファミン酸性溶液中の  $\text{Cr}^{6+}$  化合物の還元とその生成液の媒製学的性質について. 小室利光, 内田隆, 東京工業試験所報告, Tokai kōgō sikkō shokoku, Kepts Govt Chem. Industr. Res., 1956, 51, № 5, 199—205, XVII (японск.; рез. англ.).)

Различные соединения  $\text{Cr}^{6+}$  в р-рах, подкисленных  $\text{NH}_4\text{SO}_4\text{H}$  (I), были электролитически восстановлены до  $\text{Cr}^{3+}$ . Проведено кондуктометрич. и потенциометрич. титрование полученных р-ров (синевато-фиолетового цвета) щелочью и изучены их дубящие свойства. Установлено, что для восстановления  $\text{Cr}^{6+}$  до  $\text{Cr}^{3+}$  требуется по меньшей мере 3 экв I. В случае применения соединений  $\text{Cr}^{6+}$  в виде  $\text{M}_2\text{CrO}_4$  или  $\text{M}_2\text{Cr}_2\text{O}_7$  (где M — щел. металл) I требуется больше. Стехиометрич. соотношения между  $\text{Cr}^{6+}$  и I, цвет р-ра после восстановления и кривые титрования показали, что эти соли являются фиолетовой модификацией  $[\text{Cr}(\text{H}_2\text{O})_6]^{3+}$  или  $[\text{Cr}(\text{H}_2\text{O})_4]^{3+}$ .

( $O_2S \cdot NH_2$ )<sub>2</sub>. Для дубления их нужно подщелачивать, при этом цвет р-ра переходит в зеленый. Выдубленные образцы оюйка имели т-ру сваривания и содержание  $Cr_2O_3$  ниже, чем при обычном дублении. Это объясняется меньшей способностью I входить в комплекс, чем у  $H_2SO_4$ . С. Бреслер

**53395. Экспериментальные работы по классификации дубильного сырья на галлотаниды и флботаниды.** Михалюк (Proby klasyfikacji garbników na galotaniny i flobotaniny. Michałuk Adam), Acta polon. pharm., 1956, 13, № 1, 65—75 (польск.; рец. русск., 1977.)

Проведены серии качеств. анализов, позволяющих отнести таниды, содержащиеся в разных дубильных материалах, к группе галло- или флботанидов. Показано, что р-ция, предложенная Тризом для классификации дубильного сырья, имеет преимущество перед другими (Стясный), так как она удобна и дает возможность четко разделить таниды на указанные 2 группы.

М. Люксембург

**53396. Растительные дубильные материалы.** Агарвал, Панде (Vegetable tanning materials of U. P. Agarwal R. K., Pande G. D.), Tanner, 1956, 11, № 3, 13—16 (англ.)

Перечислены 36 растений, произрастающих в провинции Утар-Прадеш (Индия) и содержащих значительное кол-во танидов в коре, плодах, листьях, корнях и других частях растения. Приведены цифровые данные о содержании танидов и нетанидов, а для некоторых из них и характеристика этих танидов как дубителей. Все эти растения, хотя и достаточно распространены, сравнительно мало изучены как дубители. Рекомендуются их систематич. изучение и применение как в отдельности, так и в смесях. З. Лебедева

**53397. Химический анализ среднеазиатских дубителей.** Мирзаев А. М., Тр. Ташкентск. с.-х. ин-та, 1956, 7, 177—180

В Средней Азии для дубления кож широко используются корневища ревеня, конского щавеля и других местных дубителей. Хим. анализ показал, что эти дубители содержат: ревень — 13,65%, щавель — 13,54% дубящих в-в. Эти дубители имеют промышленное значение. Р. Колчина

**53398 К. Производство юфты.** Рамм С. Н., М., Гизлегпром, 1956, 144 стр., илл., 5 р. 25 к.

**53399 П. Способ дубления рыбных шкур.** Тшенсинский (Sposob garbowania skór rybich. Trześniński Piotr) [Morski Instytut Rybacki]. Польш. пат. 37821, 5.07.55

Предложен способ дубления рыбных шкур солями хрома, растительными дубителями с добавкой и без добавки синтанов. Шкуры после отмоки зольят в известковых зольниках с добавлением  $CaCl_2$  без обострителей, а затем мягчат препаратами, изготовляемыми из внутренностей морских рыб. Затем шкуры без никелевания дубят в слабых р-рах хромовых солей или растительных танидов. Дальнейшие операции обычные. Пример: подобранную партию отмачивают 4—8 час. в проточной воде (15°) и после обтекания (1 час) взвешивают. Ослабляют чешую в р-рах 3—5%  $CaO$  с прибавлением 0,1—0,3%  $CaCl_2$  при 15—18° 10—24 часа. Чешую удаляют стальными щетками и голье промывают. Лицевой слой обрабатывают зазубренными молотками. Промывают 5—12 час. в проточной воде. Мягчат препаратами из рыбных внутренностей в кол-ве 0,5—1,2% от веса шкур при pH 7—8, при ~20° 16—18 час. После промывки 15—30 мин. и обтекания проводят хромовое дубление однованым способом. Голье закладывают в 5%-ный р-р соли, вращают 15—20 мин.

Добавляют при вращении 4—5 час. малыми порциями р-р хромовой соли, р-р соды (0,5% от веса голье), промывают, нейтрализуют в р-ре  $NaHCO_3$  (1,5% от веса кожи) при 30—35°. Дальнейшие операции как обычно.

М. Люксембург

**53400 П. Способ крашения хромовых кож.** Кшивицкий (Sposob barwienia skór chromowych. Krzywicki Edward) [Politechnika Warszawska. Zakład Technologii Organicznej II.]. Польш. пат. 36384, 1.02.55

Голье после промывки пропитывают водн. р-ром соли  $Fe^{2+}$ , а затем на волокне окисляют  $Fe^{2+}$  в  $Fe^{3+}$ . Голье можно сначала пропитать водн. р-ром окислителя, а затем водн. р-ром соли  $Fe^{2+}$ . Пример. Отбеленный полуфабрикат промывают чистой водой при 25° и после короткого обтекания красят в ванне, содержащей: 200% воды (25°), 4%  $FeSO_4 \cdot 7H_2O$  и 0,6%  $CH_3COONa$ , вращают 45 мин. и добавляют: 0,3%  $K_2Cr_2O_7$  и 0,4%  $HCOOH$ , растворенных в 15% воды (20°). После 35—40 мин. дальнейшего вращения кожи выгружают, промывают в чистой теплой воде и нейтрализуют в барабане 250% воды и 1,75%  $NaHCO_3$ . Разрез кожи должен иметь pH 5,5—6,0. И. Люксембург

**53401 П. Метод крашения кож и мехов нерастворимыми азокрасителями.** Конигштейн (Process of dyeing skins and furs with insoluble azo dyestuffs. Konigstein Werner Kirt) [Farbwerke Hoechst Akt.-Ges. vormals Meister Lucius & Bruning]. Канад. пат. 509245, 18.01.55

Материал, подлежащий окраске, обрабатывают в щел. среде  $CH_2O$  и р-ром азосоставляющей, содержащей по меньшей мере одну OH-группу и способной сочетаться в орто-положении к этой группе. Краситель проявляют обработкой р-ром диазосоставляющей. Применение диазосоставляющих, содержащих сильно отрицательные заместители, облегчается предварительной обработкой материала в-вами, выделяющими кислоту (напр., р-ром гипохлорита щел. или щел.-зем. металла). Материал можно также предварительно обработать р-ром карбоната натрия, а затем  $CH_2O$  и щел. р-ром азосоставляющей. В качестве азосоставляющей можно применять соединения бензольного, нафталинового или антраценового ряда, карбоциклические или гетероциклические, не содержащие других групп, придающих растворимость, кроме OH-групп. И. Этиногоф

**53402 П. Способ отделки кожи.** Пектор, Ондрачек (Spůsob úpravy usní. Pektor Vladimír, Ondraček Jaroslav). Чехосл. пат. 84665, 1.10.55

Для отделки кожи применяют аппретуры, содержащие наряду с казенновыми покрывными красками также водн. дисперсию эфиров акриловой к-ты. Аппретуруют кожи в мокром состоянии до сушки. Пример состава аппретуры (для втирания в мокрую кожу): тестообразная казенновая покрывная краска (I) для кожи 20%, белковое связующее (20% сухого в-ва) (II) 5%, водн. дисперсия полиакриловой смолы (40% сухого в-ва) (III) 16% и воды до 100%. Состав аппретуры для обрызгивания мокрой кожи: I 20%, II 5%, III 8—12% и воды до 100%. М. Люксембург

**53403 П. Заменитель лака.** Юскевич, Швейкерт (Lakier zastępczy. Jusiewicz Józef, Schweikert Jan) [Związek Branzowy Spółdzielni Chemiczno-Mineralnych Województwa Łódzkiego i. m. Łodzi]. Польш. пат. 36418, 20.11.54

Для изготовления заменителя лака вместо дефицитного льняного масла применяют померсолное масло, являющееся отходом произ-ва мерсапона — моющего средства, получаемого из мерсола (побочный продукт при синтезе бензина). В состав вводят также канифоль, предварительно обработанную гашеной известью, лаковый бензин и сиккатив. Пример. Состав заменителя



лака (в вес. ч.): 43,7 канифоли, 15,5 померсолового масла, 34,4 лакового бензина, 2,7 сиккатива и 3,7 гашеной извести. Померсоловое масло нагревают в котле до 120—130° и выдерживают при этой т-ре 2—3 часа до полного обезвоживания. Охлажденное до 110° померсоловое масло смешивают с канифолью, предварительно обработанной известью, и при этой т-ре добавляют  $\sim 1/5$  всего кол-ва бензина, охлаждают до 50—60°, после чего подбивают остаток бензина и прибавляют сиккатив.

М. Люксембург  
53404 П. Средство для чистки замшевой кожи. П р о к о п о в и ч (Środek do czyszczenia skór zamszowych. Prokopicz Irena), Польш. пат. 37724, 30.07.55

Предлагаемое средство состоит из высушенной массы, представляющей отход произ-ва крахмала из картофеля, с прибавлением или без прибавления красителя.

М. Люксембург  
53405 П. Способ извлечения танинов из трудно экстрагируемых дубильных материалов. В е б е р (Způsob vyluhování těžko vyluhovatelných tříslin. Weber Helmut), Чехосл. пат. 83579, 1.04.55

Дубильные материалы, напр. китайские чернильные орешки, миробаланы, сумак, перед экстрагированием тщательно смешивают с в-вами, увеличивающими объем смеси, напр. солома, березовый прут, деревянная стружка, после чего производят экстрагирование при 50—65°. П р и м е р. 2000 кг китайских чернильных орешков тщательно перемешивают с 50 кг деревянной стружки, после чего производят экстрагирование танинов по обычному принципу противотока: сливанием крепкого сока с свежее загруженных материалов при 50° и заливкой водой 65° уже экстрагированного материала.

М. Люксембург  
53406 П. Способ получения продуктов конденсации. Ш и р м (Verfahren zur Herstellung von Kondensationsprodukten. Schirm Erik) [VEB Hydrierwerk Rodleben]. Пат. ГДР 9434, 28.03.55

Доп. к пат. ГДР 8338 (РЖХим, 1956, 21279), по которому дубители получают конденсацией обработанных сульфитных щелоков с ароматич. сульфамидами и альдегидами или с метилальными соединениями сульфамидов или их эфиров с галоидоводородными к-тами. Предложено р-цию конденсации проводить при  $\text{pH} > 7$ , предпочтительно между 7 и 8. П р и м е р. 318 вес. ч. слабощел. ( $\text{Na}_2\text{CO}_3$ ) сульфитцеллюлозного экстракта (аналитич. показатели: дубящие в-ва 22,42%, недубящие в-ва 33%, доброкачественность (ДК) 40,5%, влажность 44,58%, зольность 11,92%, pH после 5-кратного разбавления — 7,35) смешивают при  $\sim 20^\circ$  с 80 вес. ч.  $\text{m-C}_6\text{H}_4(\text{SO}_2\text{NH}_2)_2$  и 55 вес. ч. 37%-ного водн. р-ра  $\text{CH}_2\text{O}$ , нагревают до 90° и перемешивают 12 час. при 90—97°. После охлаждения получают 439 вес. ч. клейкой твердой желто-бурой прозрачной массы (дубящие в-ва 37,3%, недубящие в-ва 26,7%, доброкачественность 58,3%, влажность 36%, зольность 10,05%), которая после сушки на воздухе при 98—100° дает 264 вес. ч. сухого продукта, содержащего 61,7% дубящих в-в, 36,9% недубящих в-в, доброкачественность  $\sim 62,5\%$  и 15,3% зольности при влажности 1,4%. При проведении р-ции в кислых условиях, согласно основному пат. 8338, доброкачественность составляет 40—50%.

Я. Кантор  
53407 П. Способ получения синтетических дубителей. Ш т а т е р, Р е й х (Verfahren zur Herstellung von synthetischen Austauschgerbstoffen. Stather Fritz, Reich Günter). Пат. ГДР 10016, 4.07.55

Растворимые в холодной воде дубители на основе лигнофенолов получают нагреванием последних при  $\sim 100^\circ$  в щел. среде со щел. сульфитом и  $\text{CH}_2\text{O}$  в присутствии одноядерных многоатомных фенолов, напр.

пирокатехина, резорцина или их техн. смесей, кол-во которых в реакционной среде может изменяться в широких пределах, причем с повышением конц-ии оксигенов должна повышаться и конц-ия  $\text{CH}_2\text{O}$ ; конц-ия же сульфита может быть понижена. Полученные дубители можно смешивать или конденсировать с необработанными или обработанными щелочью очич. сульфитными щелоками, что повышает способность получаемых дубителей растворять флорафены. П р и м е р. 1000 г очич. щелочью сульфитных щелоков (32° Bé) нагревают 2 часа при 180° с 1000 г  $\text{NaOH}$ , плав после охлаждения растворяют в воде, подкисляют  $\text{HCl}$  до pH 3,5 и высушивают выпавший лигнофенол. В 3-горлой колбе, снабженной мешалкой, обратным холодильником и капельной воронкой, растворяют 100 г полученного лигнофенола и 25 г пирокатехина в 125 г 10%-ного  $\text{NaOH}$ , добавляют 25 г  $\text{Na}_2\text{SO}_3$ , нагревают смесь до 60°, добавляют в течение 30 мин. 125 г 30%-ного  $\text{CH}_2\text{O}$ , нагревают дополнительно 4 часа при 100°, выливают в насыщ. р-р  $(\text{NH}_4)_2\text{SO}_4$  и подкисляют 50%-ной  $\text{H}_2\text{SO}_4$  до pH 3,5. Выпадающий при этом смолоподобный дубитель растворяется без остатка в воде в любых соотношениях. Дубленные кожи отличаются хорошим наполнением и приятной окраской.

Я. Кантор

См. также: Ферменты для кожевенного произ-ва 17157Бх

## ПРОЧИЕ ПРОИЗВОДСТВА

Редакторы В. И. Елинек, В. Д. Матвеев,  
Н. А. Ширяева

53408 П. Процесс изготовления полупроводящего слоя. Р о б и л л а р (Procédé pour l'obtention de couches semi-conductrices. Robillard J. J. A.). Франц. пат. 1064045, 10.05.54 [Chem. Zbl., 1955, 126, № 27, 6385 (нем.)]

Полупроводящий слой наносят испарением Ge в вакууме ( $10^{-7}$ — $10^{-8}$  мм рт. ст.) с очень небольшими добавками других элементов, напр. Sb или Al, при этом подложка нагревается до 350—500°. Al или Sb могут наноситься испарением после покрытия подложки слоем Ge; затем производят тепловую обработку, при которой добавки диффундируют в слой Ge. Г. Масленникова

53409 П. Способ обработки баллонов для люминесцентных ламп. Г а с т и н (Method of treating fluorescent lamp bulbs. Gustin Daniel S.) [Westinghouse Electric Corp.]. Пат. США 2709644, 31.05.55  
Снижение коэфф. трения поверхности стеклянных баллонов, покрытых люминоформным слоем, уменьшает силу удара при их столкновении и снижает брак по отвалу люминоформного слоя. Уменьшение коэфф. трения получают при погружении баллона после мойки в водн. р-р, содержащий 2—10 вес. % сульфата Al, при 38°. При этом Na на поверхности стекла замещается на Al и образуется сульфат Na. Баллоны промывают водой до удаления сульфата Na, сушат, наносят на них люминоформный слой и отжигают. Б. Гугель

53410 П. Способ эмалирования электрических проводников (Processes for enamelling electric conductors [Pirelli Soc. Per Azioni]). Англ. пат. 733729, 20.07.55  
Изоляцию из поливинилацетата (или крезолформальдегидной смолы), наносимую на проводники, покрывают защитным слоем эмали. Последняя может состоять из дегидратированного касторового масла, модифицированной смоляными к-тами фенольной смолы, сиккатива (содержащего Co), бензина и скипидара. Рекомендуются наносить 2 слоя эмали. И. Смирнова

53411 П. Способ склеивания изделий, особенно из металлов. М ю л л е р, Н и ш к (Verfahren zum Verkleben von Gegenständen, insbesondere von Metallen.

XUM

в начале образуется  $\text{Fe}_2\text{O}_3$ , затем растворение и диффузия железа в  $\text{Fe}_2\text{O}_3$  дают  $\text{Fe}_3\text{O}_4$ , образующийся только при толщине слоя  $\text{Fe}_2\text{O}_3$  в 100—150 Å, что объясняется зависимостью скорости диффузии железа и кислорода от толщины окисной пленки. При большей скорости диффузии кислорода пленки состоят из чистого  $\gamma\text{-Fe}_2\text{O}_3$ ; с утолщением пленок в глубоких слоях возникает  $\text{Fe}_3\text{O}_4$  и р-ция идет на границе 2 окислов. При большой диффузии железа тонкие слои состоят из  $\text{Fe}_3\text{O}_4$ , а  $\text{Fe}_2\text{O}_3$  образуется с их утолщением. Повышение т-ры при постоянной толщине пленок ускоряет диффузию железа и увеличивает конц-ию  $\text{Fe}_3\text{O}_4$ . Выше 425° скорость окисления возрастает, образуется  $\text{FeO}$ , однако механизм р-ции еще не выяснен. Пленки до 4 м толщину с преобладанием  $\text{Fe}_3\text{O}_4$  на железе плотно прилегают; на стали пленки самостоятельно отслаиваются при толщине 2,5 м. Установленное быстрое образование  $\text{Fe}_2\text{O}_3$  у неарочно держащихся пленок позволяет считать его продуктом вторичной р-ции между пленкой и кислородом, 1 не первичным продуктом окисления, как при т-ре <425°. Библ. 10 назв. Т. Шалаева

**53420. Связь между коррозионной стойкостью металлов и тонкими пленками на их поверхности. Родин** (The relation of thin films to corrosion. Rhodin Thor N.), Corrosion, 1956, 12, № 9, 55—65 (англ.)

Отмечается, что коррозионная стойкость нержавеющих сталей и других сплавов на железной основе тесно связана с составом и структурой тонких пленок на их поверхности. На примере поведения тонких пленок на стали марки 304 в 10%-ном р-ре  $\text{FeCl}_3$  показано, что с увеличением толщины пленки, получившейся в результате обработки стали в р-ре, содержащем 5%  $\text{HNO}_3$  и 0,5%  $\text{K}_2\text{Cr}_2\text{O}_7$ , при 60° скорость коррозии увеличивается. В составе тонкой пленки (30А) содержание Si, Fe и Ni в несколько раз больше, а Cr — в несколько раз меньше, чем в толстой пленке (300А). Улучшение коррозионной стойкости стали 316 L с повышенным содержанием Si связано со значительным увеличением в пленке содержания Si и Mo и уменьшением в ней содержания Fe. Указывается, что свойства пленки зависят и от других составляющих в сплаве. Защитная способность пленок против язвенной коррозии указывается с гидратированными гетерополикислотами, содержащими окислы Si и Mo. И. Левин

**43521. Строение окалины на хромистых сталях. Йерия, Ранделл, Лонго** (The structure of oxide scales on chromium steels. Yearian H. J., Randlell E. C., Longo T. A.), Corrosion, 1956, 12, № 10, 55—65 (англ.)

Изучение строения окалины, проведенное на 4 промышленных хромистых сталях с содержанием 5,76, 13,72, 17,45 и 26,31% Cr, путем выдержки этих сталей до 100 час. в атмосфере кислорода или при пропускании воздуха при 700—1160° показало, что окалина может быть 2 типов. Тип А наблюдался в тех случаях, когда скорость коррозии стали не превышала  $\sim 4 \text{ г/м}^2\text{час}$ , а тип Б — при значительно большей скорости коррозии. В условиях, близких к критич., окалина типа А в процессе окисления превращается в окалину типа Б. Основной составляющей окалины типа А является  $\text{Cr}_2\text{O}_3$ , которой обычно сопутствует  $\alpha\text{-Fe}_2\text{O}_3$ . С повышением содержания Cr в стали содержание  $\alpha\text{-Fe}_2\text{O}_3$  в окалине уменьшается. При высоких т-рах или при больших выдержках образуются разб. твердые р-ры одной фазы в другой. При наличии в стали нескольких десятых процента Mn в окалине типа А могут содержаться большие кол-ва  $\text{MnCr}_2\text{O}_4$ , особенно в высокохромистых сталях, при проведении опытов на воздухе и при низких т-рах. Окалина типа Б состоит из 2 слоев. Внешний слой во всех отношениях напоминает слой  $\text{Fe}_3\text{O}_4$  и  $\text{Fe}_2\text{O}_3$ , образующиеся на чистом Fe; основная же часть внутрен-

него слоя, соответствующая слою  $\text{FeO}$  на чистом Fe, является твердым р-ром  $\text{FeFe(2-x)Cr}_x\text{O}_4$  шпинельного типа. Значение  $x$  по всему внутреннему слою находится в пределах 0,5—1,5. Вблизи металла  $x$  быстро поднимается до 2, а вблизи слоя  $\text{Fe}_3\text{O}_4$   $x$  быстро падает до 0. С увеличением содержания Cr в стали, с повышением т-ры и продолжительности процесса окисления величина  $x$  растет. Полученные эксперим. данные рассматриваются с точки зрения предложенной фазовой диаграммы Fe — Cr — O, а также с точки зрения динамики процесса образования окалины. И. Левин

**53422. Определение величины pH воды нефтяных скважин. Роджерс** (Calculation of the pH of oil well waters. Rogers Walter F.), Corrosion, 1956, 12, № 12, 19—25 (англ.)

Для изучения причин коррозии оборудования нефтяных скважин необходимо знать pH воды в тех участках скважины, в которых металл подвергается коррозии. Величина pH воды на выходе из скважины может отличаться от pH жидкости внутри последней в связи с потерей кислых газов при снижении давления. Разработана методика расчета pH (с учетом потерь летучих кислых газов) для 3 типов буровых вод: рассолов нефтяных скважин, pH которых определяется соотношением  $\text{CO}_2$ :  $\text{HCO}_3^-$ ; рассолов, кислотность которых определяется гидролизом солей Ca и Mg при наличии органич. к-т; конденсационные воды. А. Мамет

**53423. Влияние механических деформаций на кинетику коррозионных и электрохимических процессов. Антонова Л. Г., Красильщиков А. И., Тр. Гос. н.-и. и проект. ин-та азот. пром-сти, 1956, вып. 6, 314—321**

Описана конструкция ячейки для измерения потенциалов электродов в виде проволоки, находящейся под напряжением растяжения в области пластич. деформации, при наложении постоянного тока катодного или анодного направления. Согласно принятой методике сила поляризующего тока фиксировалась постоянной, и наблюдалось изменение  $\epsilon$  со временем без нагрузки и после растяжения образца. Измерения проводились с Cu в подкисленном р-ре 0,1 н.  $\text{CuSO}_4$ , Ag в 0,025 н.  $\text{AgNO}_3$ , Fe (отожженным) и Ni в 0,1 н.  $\text{KOH}$ , Fe в 2,75 н.  $\text{NH}_4\text{NO}_3$ . Высказывается предположение, что наблюдаемое влияние механ. деформации на  $\epsilon$  и кинетику электрохим. процессов связано с изменением скачка потенциала в поверхностном слое металла и каталитич. действием деформации металла. Особенно заметный эффект сдвига  $\epsilon$  в отрицательную сторону при растяжении, достигавший почти 1 в, наблюдался в отношении пассивного Fe в щел. р-ре. А. Шаталов

**53424. Современные представления о межкристаллитной коррозии. Житнянский** (Ako sa nám javí interkrystalická korózia dnes a ako ju detekujeme. Žitňanský Bohumil), Zvärač. sbor., 1956, 5, № 3, 444—457 (словац.; рез. русск., нем.)

Обзор по вопросам межкристаллитной коррозии, особенно аустенитных Cr-Ni-сталей, и меры борьбы с ней. Автором разработан экспресс-метод исследования склонности основного металла и сварных швов к межкристаллитной коррозии. В. Левинсон

**53425. К вопросу о межкристаллитной коррозии и коррозии под напряжением гомогенных твердых растворов Cu-Au и Cu-Zn и способных к распаду твердых растворов Al-Zn-Mg. Клатте** (Zum Problem der interkristallinen und der Spannungs-korrosion an den homogenen Kupfer-Gold- und Kupfer-Zink- und an ausscheidungs-fähigen Aluminium-Zink-Magnesium Mischkristallen. Klatte Heinrich), Werkstoffe und Korrosion, 1956, 7, № 10, 545—560 (нем.)

Коррозия под напряжением гомог. твердых р-ров (TP) Cu-Au (I) и Cu-Zn (II). В 2 сериях опытов изме-



но понижение предела прочности  $\delta_B$  кг/мм<sup>2</sup> при различном времени действия Hg на ненагруженный образец и определено время, требуемое от начала опыта до разрушения образца, нагруженного до 90%  $\delta_B$  и помещенного под Hg. После первоначального быстрого понижения  $\delta_B$  со временем стремится к предельной величине, в дальнейшем почти не изменяющейся, которая зависит от концентрации TP, а также т-ры и предшествующей термообработки сплава. Наибольшее понижение  $\delta_B$  при наименьшем  $t$  наблюдается у сплавов с соотношением компонентов 1 : 1. В этой точке кривые  $\delta_B$ -состав и  $t$ -состав проходят через минимум—эффект твердого р-ра (ЭТР). При действии хим. агентов минимум на кривых  $\delta_B$  и  $t$ -состав вследствие ЭТР наблюдается при действии р-ров FeCl<sub>3</sub>, паров NH<sub>3</sub> на сплавы I и II, однако обычно не при 50%-ной конц-ии TP. Указывается, что простое поверхностное растворение не могло бы вызвать ЭТР, и его конечную причину автор усматривает в нарушении границ зерен кристаллич. решеток основного металла при внедрении атомов второго компонента. Число таких нарушений зависит от конц-ии TP, и их влияние сказывается в повышенной по сравнению с чистым металлом активности границ зерен TP, способствующей местному увеличению скорости диффузии и р-ции и общему понижению  $\delta_B$ . Различия ЭТР при испытаниях на разрыв в Hg и хим. агентах объяснены тем, что действие последних носит электрохим. характер. Согласно развиваемым автором взглядам, механизм коррозии под напряжением обусловлен наличием микротрещин, дно которых вследствие конц-ии напряжений непрерывно подвергается пластич. деформации и усиленной коррозии «сползающего» металла. Образование сетки межкристаллитных трещин, перерастающих под напряжением в трещину излома, в ряде случаев энергетически более выгодно (для металлов с куб. поверхностно-центрированной решеткой). Рассмотрено также возникновение транскристаллич. трещин в результате действия хим. агентов на напряженный металл. По мнению автора, ЭТР, обусловленный примесями в технич. Cu, следует принимать во внимание при объяснении коррозии латуни в атмосфере NH<sub>3</sub>. А. Шаталов

**53426. Коррозионная усталость сварных швов малоуглеродистых сталей. А б д - э л ь - В а х е д** (Corrosion fatigue of low-carbon steel welded joints. A b d - E l - W a h e d A. M.), Brit. Welding J., 1955, 2, № 6, 247—253 (англ.)

**53427. Случай коррозионного растрескивания аустенитной нержавеющей стали. Беруик** (A case history of stress corrosion cracking of austenitic stainless steel. Berwick I. D. G.), Corrosion, 1956, 12, № 12, 58—60 (англ.)

Описан случай коррозионного растрескивания решеток из нержавеющей стали марки 316, применяющихся в варочных котлах и находящихся в контакте с сульфатными щелочами, содержащими 7,5% SO<sub>2</sub>, продукты переработки древесины и следы хлоридов при ~144°. Решетки находились в напряженном состоянии в связи с технологич. приемами, применяющимися в процессе их изготовления и эксплуатации. Трещины имели транскристаллитный характер. Помимо растрескивания, на стали наблюдалась язвенная коррозия. Для борьбы с коррозионным растрескиванием рекомендована обработка решетки в течение 30 мин. при 840—870° с последующим охлаждением в печи или на воздухе. Применение стали марки 317 и указанной термич. обработки ликвидировало случаи коррозионного растрескивания и значительно уменьшило язвенную коррозию решеток. И. Левин

**53428. Коррозия сплавов медь-золото в растворах аммиака и аммонийных солей, содержащих кислород.**

**Фишер, Халперн** (Corrosion of copper-gold alloys by oxygen-containing solutions of ammonia and ammonium salts. Fisher J. I., Halpern J.), J. Electrochem. Soc., 1956, 103, № 5, 282—286 (англ.)

Исследование скорости коррозии (СК) в условиях вращения образцов Cu и сплавов системы Cu—Au, содержащих 2,0, 5,0, 10,0 и 15,1 ат. % Au в р-рах NH<sub>3</sub> с добавками и без добавок (NH<sub>4</sub>)<sub>2</sub>SO<sub>4</sub>, в которых растворен O<sub>2</sub> (конц-ии NH<sub>3</sub> 0,23 М, конц-ии (NH<sub>4</sub>)<sub>2</sub>SO<sub>4</sub> 0,01—0,06 М в 0,5 М р-ре NH<sub>3</sub>), показало, что коррозия сплавов Cu-Au протекает с растворением Cu, причем легирование Cu 2 ат. % Au резко снижает скорость растворения ее; дальнейшее увеличение содержания Au до 15 ат. % не оказывает заметного влияния на СК. В присутствии (NH<sub>4</sub>)<sub>2</sub>SO<sub>4</sub> сплав с 15 ат. % Au совершенно не корродирует. При коррозии сплавов Cu-Au наблюдалось образование поверхностных пленок. Авторы полагают, что эти пленки образуются Au, остающимся при растворении Cu, и что они содержат CuO или Cu<sub>2</sub>O. Этим объясняется наблюдаемое уменьшение СК со временем и с увеличением содержания Au в сплаве. О. Блох

**53429. Нержавеющие стали. Мак-Ф и** (Know stainless steels when selecting for equipment. MacFie W. E.), Industr. and Engng Chem., 1956, 48, № 11, 1965—1970 (англ.)

Обобщены данные по существующим составам нержавеющей сталей (НС), видам коррозии, которым они подвергаются, способам их очистки от окислов и жировых загрязнений, пассивации. Указаны основные дегирующие компоненты в хромистых и хромоникелевых сталях и их влияние на термич. обработку сталей и коррозионную стойкость. Приведены данные по коррозионной стойкости нержавеющей сталей в атмосферных условиях и в некоторых агрессивных средах. Отмечается влияние на коррозионную стойкость НС т-ры среды, ее конц-ии, наличие в среде примесей и др. факторов. Описаны отдельные виды коррозии, которым подвергаются НС, приведены примеры разрушения НС и указаны способы предотвращения каждого из видов коррозии. В разделе контактной коррозии отмечается возможность ее возникновения при контакте деталей клапанов и насосов, изготовленных из НС с уплотнениями на основе графита, так как потенциал последнего более электроположителен, чем потенциал НС. Указывается на необходимость тщательной очистки и пассивации НС и рекомендуется в ряде случаев добавлять к применяющейся для пассивации 20%-ной HNO<sub>3</sub> 5% K<sub>2</sub>Cr<sub>2</sub>O<sub>7</sub>. М. Кристал

**53430. Стойкость аустенитных хромоникелевых сталей в серной кислоте.**— (Gli acciai inossidabili austenitici al cromo-nickel nei confronti dell'acido solforico.—), Nickel, 1955, № 59, 1—10 (итал.)

Результаты исследования 4 типов нержавеющей стали в условиях воздействия H<sub>2</sub>SO<sub>4</sub> с конц-ями 0—95% при т-рах 38, 65, 80 и 93° в присутствии сульфатов и других окислителей показали, что лучшей стойкостью обладают стали, содержащие Mo; стали 18-8 корродируют почти во всех конц-иях к-ты при 38°. Сталь, содержащая (в %): С 0,073, Мн 1,77, Р 0,01, S 0,008, Si 0,44, Cr 24,14, Ni 20,91, оказалась несколько лучше, чем сталь, содержащая 18,42% Cr и 9,26% Ni, и хуже, чем сталь, содержащая (кроме вышеуказанных элементов) еще, соответственно, 2,44 и 3,45% Mo. В чистых р-рах H<sub>2</sub>SO<sub>4</sub> применение Cr-Ni-стали типа 18-8 нецелесообразно. Добавка сульфатов, солей азотной и хромовой к-т уменьшает скорость коррозии (СК) всех типов сталей. Это влияние менее заметно с повышением т-ры. При 38° все стали, содержащие 1,5% и более Cu, более стойки при любых конц-иях к-ты до 85%. При 65° стали, содержащие те же % Cu, стойки до конц-ии к-ты

80%. При 80° стали, содержащие более 2% Си, более стойки, чем стали, содержащие Мо. При  $t$ -рах >93° СК повышена для всех конц-ий к-ты, даже для стали, содержащей более 2% Си. Добавки Си в стали, содержащие Мо, уменьшают СК для конц-ий к-ты до 80% при  $t$ -рах до 65°.

Я. Лапин  
53431. Коррозионная стойкость магния и защита магниевых сплавов от коррозии. Асада (マダシウムの耐食性と防蝕法. 麻田宏一), 金屬, Киндзоку, Metals, 1956, 26, № 5, 388—390 (японск.)

53432. Проблемы коррозии в молокообработывающей промышленности. Ботем (The dairy plant manufacturer's view of corrosion problems. Botham G. H.), Chemistry and Industry, 1956, № 42, 1165—1169 (англ.)

Рассмотрены вопросы коррозии (К) металл. оборудования молокообработывающей пром-сти. К, вызываемая непосредственно молоком, влияет главным образом на загрязнение продукции ионами металла и в меньшей степени на разрушение оборудования. Основным источником коррозионных разрушений является воздействие дезинфицирующих в-в, охлаждающих рассолов и стерилизации. Освещены вопросы подбора коррозионностойких материалов, проектирования и изготовления аппаратуры и необходимых мероприятий для защиты оборудования от К в процессе эксплуатации. Приведены данные о склонности сварных соединений стали к межкристаллитной К в зависимости от содержания в стали С и таблица стойкости нержавеющей стали 18-8 в различных коррозионных средах в зависимости от степени обработки поверхности стали. В качестве мероприятий для защиты от К рекомендуется: применение нейтр. дезинфицирующих средств (полифосфатов, NaOCl, четвертич. аммониевых оснований и др.), окраска и защитные гальванич. покрытия оборудования.

В. Лукинская  
53433. Коррозия грузовых судов. Адамс, Хадсон (The corrosion of cargo ships and its prevention. Adams H. J., Hudson J. C.), Trans. Inst. Marine Engrs, 1956, 68, № 11, 429—448. Discuss., 448—459 (англ.)

См. РЖХим, 1956, 76928.  
53434. Насосное оборудование, расположенное на открытом воздухе. Литл (Outdoor pumping equipment. Lytle N. M.), Petrol. Engr., 1956, 28, № 3, D26—D27, D29 (англ.)

Рассматривается опыт эксплуатации насосного оборудования, расположенного на открытом воздухе и подвергаемого воздействию солнца, ветра и атмосферных осадков. В качестве защитного покрытия применяется в этих условиях обычная Al-краска. Упоминается о применении защитных приспособлений от пыли и т. д. Возобновление окраски оборудования производится без предварительного удаления старой краски.

И. Левин  
53435. Аппаратура из алюминиевых сплавов для продукции с контролируемым качеством. Минфорд, Хамфрис (Aluminum alloy equipment for controlled quality production. Minford J. D., Humphries T. S.), Industr. and Engng Chem., 1956, 48, № 11, 1975—1978 (англ.)

Описаны общие свойства Al как конструкционного материала и особенности его, позволяющие применять этот металл в хим., пищевой и других отраслях пром-сти для изготовления аппаратуры. Al применяется, в частности, для изготовления оборудования бумажной пром-сти, в косметич. пром-сти, при хранении и перевозке эфирных масел. Так как Al не вызывает искривления, он применяется в аппаратуре взрывчатых в-в. Нетоксичность продуктов коррозии Al позволяет применять его для изготовления оборудования, в котором происходят микробиологич. процессы. Al и продукты

его коррозии белого цвета не влияют на окраску перерабатываемых хим. в-в, что позволяет применять Al при изготовлении пластич. масс, искусственного волокна и фармацевтич. препаратов.

М. Кристаль  
53436. Выбор материалов для установок каталитического риформинга. Хёр, Дейклер, Уоррелл (Selection of materials for construction of catalytic reforming units. Hur J. J., Deichler J. K., Worrell G. R.), Paper Amer. Soc. Mech. Engrs, 1956, № PET-8, 1—6 (англ.)

При выборе конструкционных материалов для установок каталитич. риформинга необходимо учитывать возможность водородной и сероводородной коррозии. Углеродистые стали могут применяться при  $t$ -рах 260°, стали с 1% Cr — в интервале 260—560°; при более высоких  $t$ -рах содержание Cr не должно быть менее 2%. Трубки теплообменника, работающего при 260°, можно изготавливать из низкохромистых сталей в том случае, если содержание  $H_2S$  в газе не превышает 0,015 об. %, в противном случае необходимо применять трубы из аустенитной нержавеющей стали типа 18-8. И. Левин

53437. Коррозия металлов, используемых для атомного реактора, под действием воды при высоких температурах. Ито (原子炉用金属材料の高温の水による腐食. 伊藤伍郎), 金屬, Киндзоку, Metals, 1956, 26, № 3, 225—232 (японск.)

53438. Атмосферная коррозия в присутствии твердых частиц. Престон, Саньял (Atmospheric corrosion by nuclei. Preston R. St. J., Sanyal B.), J. Appl. Chem., 1956, 6, № 1, 26—44 (англ.)  
Исследование влияния частиц различных солей, золы, карбоната и флюса, применяющегося при сварке, на скорость и характер коррозии (К) малоуглеродистой стали в атмосфере различной относительной влажности (частицы этих соединений равномерно наносились на поверхность образцов стали) показало, что на 1-й стадии К имеет нитевидный характер. Скорость же К зависит от природы контактирующих твердых частиц и от относительной влажности. В большинстве случаев К происходит при относительной влажности >60%; некоторые же гигроскопич. соли (LiCl, CaCl<sub>2</sub>, MgCl<sub>2</sub>) вызывают К и при более низких значениях относительной влажности. К стали в контакте с частицами некоторых гидролизующихся солей может происходить быстрее при 70% относительной влажности, чем при 99%. Рассматривается механизм нитевидной К при контактировании стали с твердыми частицами, а также механизм К под органич. защитными покрытиями. Под слоем органич. покрытия достаточной толщины нитевидная К происходит только в местах нарушения сплошности покрытия. Присутствие твердых частиц на поверхности лакокрасочного покрытия обычно вызывает К быстрее, чем наличие этих частиц под покрытием.

И. Левин  
53439. Коррозия трубопроводов под действием артезианской воды. Гофман (Well water corrosion eats hole in piping budget. Hoffman John F.), Heat., Piping and Air Condit., 1956, 28, № 12, 94—95 (англ.)

При выборе материала трубопроводов для установки по кондиционированию воздуха значение pH артезианской воды, используемой для охлаждения, было ошибочно принято равным 6,6 вместо истинной величины 5,4. Это вызвало 17 лет в течение 5 лет эксплуатации и привело к большим расходам на ремонт.

А. Мамет  
53440. Коррозия скобяных изделий, применяющихся при пользовании изоляторами и проводниками. Барден, Шейдел (Corrosion as it affects insulator and conductor hardware. Bardeen A. W., Shedd J. M.), Power Appar. and Systems, 1956, № 24, 491—498. Discuss., 498—501 (англ.)

Обзор по вопросам коррозии (К) скобяных изделий и борьбе с ней в установках, в которых применяются изоляторы. Рассматриваются условия, вызывающие К, продукты К, факторы, влияющие на К, равномерная К, К изоляторов штырей, К в напряженном состоянии, К под влиянием контакта с другим металлом, коррозионные испытания в лаб. и естественных условиях. Из методов защиты рассматриваются конструктивные изменения, снижение электрич. перенапряжения, борьба с наличием щелей и участков, где может скапливаться влага, металлич. покрытия, другие виды покрытий, применение низколегированных сталей, кового железа, нержавеющей стали, кремнистой бронзы и алюминиевых сплавов.

И. А. Левин  
53441. К вопросу о влиянии формы катода на отношение величин электрической эрозии анода и катода. Афанасьев, Миткевич (Да питання аб у впливе форми катода на адносини величин електричної ерозии анода і катода. Афанасьєв Н. В., Миткевич С. Л.), Весці АН БССР, 1955, № 1, 109—111 (белорусск.)  
См. РЖХим, 1956, 27762.

53442. Нанесение металлического покрытия на стальной мост методом распыления. Парке (Metal spraying on a clifton suspension bridge. Parkes R. A.), Corros. Technol., 1956, 3, № 10, 317—318 (англ.)

Краткое описание дробеструйного метода, примененного для удаления органич. защитных покрытий столетней давности, способа нанесения цинкового покрытия толщиной 0,13 мм распылением и нанесения наружного слоя краски с цинкхроматным грунтовым слоем.

И. Левин  
53443. Нанесение Al-покрытия способом металлизации. Сугияма (溶媒によるアルミナイズン法. 山正孝), 金属, Киндзюку, Metals, 1956, 26, № 3, 205—208 (японск.)

Обзор. Библ. 9 назв. М. Мельникова

53444. Цинковые коррозионнозащитные покрытия. Хисамацу (亜鉛による防食処理. 久松寛弘), 金属, Киндзюку, Metals, 1956, 26, № 11, 828—831 (японск.)

Обзор. Библ. 14 назв. М. Мельникова

53445. Алюмирование. Ицука (アルミナイズン法の評價. 飯塚耕芳), 金属, Киндзюку, Metals, 1956, 26, № 3, 209—211 (японск.)

53446. Высокотемпературное цинкование в жидкой среде. Желязов (Высокотемпературно течно цинкуване: Желязов Ж.), Техна промышленност, 1956, 5, № 6, 24—30 (болг.)

Описание советского метода, предложенного институтом «Оргавтопром» и данные советских авторов.

Е. Стефановский  
53447. Хромирование в целях придания изделию стойкости к коррозии и к истиранию. Лехейн, Уоктелл (Chromizing for resistance to corrosion and wear. Leheine Daniel E., Wachtell Richard L.), Prod. Engag., 1956, 27, № 12, 180—183 (англ.)

Описаны способ хромирования («раск» метод), осуществляемый при т-ре вогонки соединений Cr, обеспечивающий диффузию Cr в основной металл с образованием на поверхности металла сплава с различным содержанием Cr, а также свойства покрытий и области применения изделий, защищенных указанным способом.

В. Лукинская  
53448. Хромирование увеличивает коррозионную стойкость деталей. — (Chromium plating increases corrosion resistance. —), Electr. Manufact., 1955, 56, № 1, 158, 160 (англ.)

53449. Коррозионная защита алюминиевых кабелей, армированных сталью. Ямадзи, Симоямада (ACSR鋼心アルミ導線の防蝕處理. 山路賢吉, 下山田富

保), 日立評論, Хитати хёрон, Mag. Electr. and Mech. Engrs., 1956, № 15, спец. вып., 13—19 (японск.)

53450. Защита стали от коррозии с помощью металлических покрытий, в частности горячего цинкования. Эйнеберген (La protection contre la corrosion de l'acier par des couches métalliques spécialement par la galvanisation à chaud. Eijnsbergen J. F. H. v a n). Rev. Soc. roy. belge ingrs et industriels, 1956, № 9—10, 388—393 (франц.)

Доклад, прочитанный в Бельгийском центре по изучению коррозии и Королевском обществе инженеров и промышленников 26 марта 1956 г. в Брюсселе. Даны сравнительные характеристики Zn-, Al- и Cd-покрытий и кратко описаны способы, применяемые для их нанесения. В частности, описан метод холодной металлизации, который заключается в нанесении на очищ. и протравленную поверхность стали краски, содержащей 94—95% мелкой Zn-пыли и 5—6% связующего, в качестве которого могут использоваться полиметакрилаты, производные каучука, бутилтаната, силикаты и др. Указывается, что в тех случаях, когда Zn-покрытия по стали не могут обеспечить надежную защиту ее, напр. в промышленных районах с атмосферой, загрязненной SO<sub>2</sub>, SO<sub>3</sub> и NO<sub>2</sub>, фторидами и угольной пылью, целесообразно применение комбинированного покрытия, состоящего из Zn и химически стойкой краски. В этом случае подготовка оцинкованной поверхности для обеспечения хорошей адгезии краски с Zn-покрытиями может осуществляться с помощью пескоструйной обработки, образованием естественной пленки из солей Zn путем выдержки покрытия в течение 3—18 месяцев на воздухе; фосфатированием горячим или холодным с образованием очень тонкой пленки Zn<sub>3</sub>(PO<sub>4</sub>)<sub>2</sub> на основе поливинилбутираля. Выбор краски определяется природой и конц-ей хим. агентов и методом нанесения краски. Для более агрессивных условий рекомендуются краски на основе полиуретанов, этоксилиновых смол, полихлортрифторэтиленовых смол, а также фенольных смол на основе фуранов и эпокси-мол. Для менее жестких условий — асфальтобетонные краски, смеси тунгового масла с алкоил- или арифенольными смолами, производными каучука или полиметакрилата. Необходимая средняя толщина лакового покрытия (≥ 60 μ) достигается трехкратным нанесением краски распылителем или двухкратным нанесением кистью.

Я. Матлис  
53451. Струйная обработка как предварительная подготовка для фосфатирования листового металла. Кляппельберг (Strahläpplen als Vorbehandlung für das Phosphatieren von Blechen. K l ä p p e l b e r g E.), Metalloberfläche, 1957, 11, № 1, 17—18 (нем.)

При подготовке поверхности под бондериризацию (уекоренное фосфатирование) предлагается применять струйную обработку порошками PWS18, PWS50 и PWS110. Сопоставляют результаты испытаний 4 групп опытов с различными комбинациями струйной обработки и различными режимами бондериризации. Показано, что нефосфатируемые поверхности при механич. повреждениях лакокрасочных покрытий способствуют образованию пузырей и отслаиванию покрытия, в то время как струйная обработка способствует образованию мелкозернистой кристаллич. структуры фосфатного слоя, ведет к улучшению сцепляемости лакокрасочного покрытия и показывает хорошую сопротивляемость агрессивной среде (5%-ный туман NaCl при 35° в течение 250 час.) даже при повреждении пленки покрытия.

Р. Салем  
53452. Коррозия бетона в цехах электролиза алюминия. Гайдаров Ю. В., Бетон и железобетон, 1957, № 2, 69—70



Изучение скорости коррозии (СК) бетона в цехах электролиза  $Al$  показало, что степень разрушения железобетонных конструкций различна и находится в прямой зависимости от процентного содержания в воздухе цехов фтористого водорода и степени влажности воздуха. Фтористый водород, соединяясь с водяными парами, образует плавиковую к-ту, могущую вызвать вышеуказанную коррозию, снижающую мех. прочность бетона. СК еще более возрастает в тех случаях, когда бетон для конструкций изготавливается на естественных песчано-гравийных смесях, содержащих большое кол-во пылевидных примесей.

П. Фрейберг  
53453. Применение асбовинила в качестве антикоррозионного материала. Клинов И. Я. В сб.: Неметал. коррозионностойкие материалы и покрытия. Л., Госхимиздат, 1955, 39—46

Основой асбовинила является дивинил-ацетиленовый лак (этиноль), который в смеси с измельченным асбестом при соотношении  $\sim 1 : 1,3-1,5$  образует асбовиниловую массу (I). Лак этиноль — 40—50%-ный р-р высокополимерных ацетиленовых производных в ксилоле, содержащий 2—3% стабилизатора (древесно-смоляной антиокислитель). Приведены физ.-мех. свойства отвержденного асбовинила и технология нанесения I. Последний наносится на подготовленную поверхность в виде 2- или 3-слойного покрытия толщиной по 3—4 мм, с промежуточными слоями этинолевого лака, при общей толщине покрытия 10—12 мм; через 3—5 суток производят окончательную 2-кратную лакировку. Отверждение покрытия происходит при нагреве до 120—130° по определенному режиму с общей продолжительностью 50 час.; покрытия на крупногабаритных объектах отверждаются на воздухе при 15—20° в течение 25—30 суток. Асбовинил в качестве антикоррозионного футеровочного материала для аппаратуры и оборудования нашел широкое применение в пром-сти для замены Pb и др. цветных металлов и сплавов.

В. Шемякин  
53454. К вопросу о защите от коррозии. Хебберлинг (Zur Rostschutzfrage. Hebbeling Hans), Schlägel und Eisen, 1956, № 9, 558—559 (нем.)

Для защиты поверхности стали от коррозии, в условиях воздействия промышленной атмосферы, применяют связующие в-ва, состоящие из р-ров фталевых смол или хлоркаучука или из смеси обоих указанных в-в. Фталевые смолы особенно отличаются, как известно, тем, что они химически связывают основные компоненты жирных масел, а потому, подобно последним, при соединении со щел. свинцовыми пигментами превращаются в полуорганич. соединения, так называемые «свинцовые мыла». Кроме того, указанные смолы обладают особой стойкостью в отношении хим. воздействия воды. Хлоркаучук обладает значительной стойкостью к воздействию газов, паров и жидкостей. Отлично зарекомендовали себя на практике смеси  $Pb_2O_4$  с хлоркаучуком. Весьма перспективны опыты со смесями  $Pb_2O_4$  с р-рами некоторых поливинилэфировых смол.

П. Фрейберг  
53455. Антикоррозионные материалы на основе полиизобутилена. Лабути А. Л. В сб.: Неметал. коррозионностойкие материалы и покрытия. Л., Госхимиздат, 1955, 47—66

Описана рецептура и методы получения новых марок полиизобутиленовых композиций (ПИ); приведены составы, основные физ.-механич. показатели различных марок ПИ и их хим. стойкость. В качестве наполнителей они содержат в различных соотношениях и сочетаниях сажу, графит, тальк, асбест и в некоторых случаях небольшие добавки парафина или вазелинового масла. Рассмотрены клеи для крепления ПИ обкладок к металлу, бетону, дереву и другим конструкционным материалам; для соединений ПИ листов применяются

сварку. Техника обкладки металлич. резервуаров листовым ПИ в основном подобна способу гуммирования резиновыми смесями, но без последующей вулканизации. В хим. пром-сти в качестве антикоррозионного, гидроизоляционного и прокладочного материала применяют марку ПСГ, содержащую 100 ч. ПИ (П—200), 100 ч. газовой канальной сажи и 100 ч. аморфного графита. Указывается, что также разработаны антикоррозионные резины на основе бутылкаучука; они эластичны, высокопрочны и не подвержены холодной текучести.

Б. Шемякин  
53456. Современное состояние техники защитных лакокрасочных покрытий по металлу. Дри и берг А. Я. В сб.: Неметал. коррозионностойкие материалы и покрытия. Л., Госхимиздат, 1955, 95—112

Обзор достижений и дальнейшего направления работ в области защитных лакокрасочных покрытий по металлу. Рассмотрены зависимость стойкости покрытий от ряда факторов, основные виды разрушения при старении пленок и процессы дальнейшей полимеризации во взаимосвязи со структурой соединений. Приведены результаты атмосферных и ускоренных испытаний покрытий. Показано, что атмосферостойкость самой пленки следует отличать от атмосферостойкости покрытия, определяемой сроком защиты металла от коррозии; первая зависит преимущественно от стойкости пленкообразующего органич. в-ва, продолжительность же антикоррозионной защиты определяется также силами сцепления и взаимодействия покрытия и металла. Применение разнородных многослойных покрытий и использование для грунтовок пленкообразователей, превращающихся в трехмерный, неплывкий и нерастворимый полимер, позволяет применять менее стойкие краски, напр., краски на основе низкомолекулярных пленкообразующих, не переходящих в трехмерный полимер. Библ. 34 назв.

В. Шемякин  
53457. Работы Всесоюзной конторы «Лакокрасок» по защите от коррозии оборудования и сооружений на предприятиях химической промышленности. Рейбман А. И. В сб.: Неметал. коррозионностойкие материалы и покрытия. Л., Госхимиздат, 1955, 118—134

Описан опыт Всесоюзной конторы «Лакокрасок» по защите от коррозии оборудования и металлоконструкций хим. предприятий. Изучено влияние на стойкость покрытий в условиях стендовых испытаний в производственной атмосфере метода нанесения лакокрасочного материала и числа слоев, времени сушки и выдержки, состава грунта, различных агрессивных сред (р-ров  $H_2SO_4$ ,  $HCl$ ,  $NaCl$ ,  $NaOH$ ). Испытания в течение 13 месяцев показали, что наилучшие защитные свойства имеют пленки толщиной 90—230  $\mu$  (7—13 слоев), недостаточно стойки покрытия толщиной 40—60  $\mu$ ; наилучшие результаты дают методы воздушного распыления и окунания. Установлено, что время межслойной сушки комплексного покрытия на основе перхлорвиниловых смол и хлорвинилвинилиденхлоридных сополимеров в интервале 20 мин., 1, 2 и 24 час. при 20° практически не влияет на стойкость, но стойкость покрытий такого типа повышается при выдержке их до начала испытания  $\geq 5$  суток при 20°. Хорошие результаты показал грунт из смеси лака ХСЛ с 20% талька.

В. Шемякин  
53458. Защитные покрытия для промышленной атмосферы. П. Тольванен (Teräsrakenteiden suo- jamaaleista. P. Tolvanen Veikko), Tekn. kemian aikakauslehti, 1956, 13, № 14, 470, 473—474, 476 (фин.; рез. англ.)

Обсуждаются вопросы окраски стальных конструкций, выбор красок для различных условий работы, методы контроля покрытий. Библ. 11 назв. Сообщения I см. РЖХим, 1956, 73746. М. Мельников

**53459. Ртутные соединения в покрытиях, применяющихся для защиты корпусов судов из алюминиевых сплавов.** Уэст (Mercury compositions on aluminium alloy hull plating. West E. G.), Corros. Technol., 1957, 4, № 1, 13—14 (англ.)

На отдельных деталях подводной части корпуса моторной лодки из Al-сплава, окрашенной композицией, содержащей Hg-соединения, была выявлена очень сильная коррозия. Таким образом, применение Hg-препаратов в красках, предназначенных против обрастания, для корпусов из Al-сплавов недопустимо, так как невозможно избежать контакта Hg-соединения с Al-сплавом, ведущего к быстрой коррозии сплава. Описан метод удаления Hg с Al-сплава. И. Левин

**53460. Антикоррозионные краски на основе этиноля.** Золотов Н. Н. В сб.: Неметал. коррозионно-стойкие материалы и покрытия. Л., Госхимиздат, 1955, 113—117

Обзор по вопросам изготовления и применения красок на основе лака этиноль. Приведен проект технич. условий на этиноль. Указывается, что в настоящее время выпускаются 3 вида хим. стойких эмалевых красок на основе этиноля ДП: алюминиевая, на железном сурик и черная краски, которые наносятся распылением и применяются в виде 4-слойного покрытия. В атмосферных условиях Al-покрытие предохраняет металл от коррозии в течение 2—2,5 лет, покрытие на железном сурик  $\geq 1$  год. Хорошие результаты показали продукты сочетания этиноля с полистиролом; в присутствии хлорпарафина такие пигментированные особенно устойчивы к коррозии, содержащиеся тальк, отличались высокой хим. стойкостью и медленно старели. Эти новые краски (марки ДПС) рекомендуются в качестве грунтовок холодной и горячей сушки для окраски кровли и металлоконструкций. Б. Шемякин

**53461. Бакелитирование как способ защиты теплообменной аппаратуры от коррозии со стороны охлаждающей воды.** Синайский Г. М., Смирнов Н. П., Распопова Л. В., Вестель Г. М., Кристьян М. А. В сб.: Неметал. коррозионно-стойкие материалы и покрытия. Л., Госхимиздат, 1955, 135—143

Описан способ защиты от коррозии теплообменной аппаратуры бакелитовым лаком. Проведена работа по уточнению режима термообработки бакелитовых покрытий, содержащих Al-пудру и графит, определению влияния последних и коэф. теплопередачи защищенных железных трубок. Коррозия определялась после испытания в проточной воде при 50°. Опыты показали, что бакелитовые покрытия уменьшают коррозионные потери в 15—20 раз, повышение т-ры термообработки от 100 до 150° уменьшает необходимое количество слоев, потери 6- и 10-слойных покрытий практически одинаковы, защитные свойства покрытий повышаются при введении в бакелитовый лак Al-пудры или графита. Наиболее высокий коэф. теплопередачи (94—97%) защищенных трубок по сравнению с незащищенными показали покрытия, содержащие Al-пудру. Бакелитирование рекомендуется как способ защиты теплообменной аппаратуры от коррозии при действии охлаждающей воды. Б. Шемякин

**53462. Защита оболочек кабелей. Катодная защита кабелей сваян.** Джеррард, Уолтерс (The protection of cable sheathing. Cathodic protection of telecommunication cables. Gerrard J., Walters J. R.), Chemistry and Industry, 1956, № 40, 1060—1068 (англ.)

Указывается, что на линиях связи в Англии  $> 35\%$  всех повреждений кабелей вызываются коррозией, что составляет  $\sim 1,74$  случая на 100 км в год. Общее число повреждений за последний год составило 5558. Начиная с 1947 г., было принято решение об уменьшении тол-

щины кабельной оболочки всех кабелей diam.  $> 25,4$  мм. Мерами защиты оболочки кабеля является электрич. дренаж, секционирование кабеля. От почвенной коррозии лучшим методом защиты является катодная защита. Критерием защиты является снижение потенциала до  $-550$  мв и сдвиг его от естественного потенциала не меньше чем 100 мв. Спек. испытания Mg-и Al-анодов показали преимущества первых. При дальнейшем испытании было обнаружено повреждение хим. коррозией соседних кабелей, находившихся в асбцементных каналах. Для практич. защиты было установлено на 100 секциях кабеля  $> 700$  анодов diam. 10,2 см и длиной 508 мм. Для засыпки каждого анода применялось 31,7 кг гипса в смеси с водой, что увеличивало выход тока примерно на 30%. Помимо гальванич. анодов, было установлено 72 катодных станций с наложенным током. Для предупреждения катодной коррозии напряжение защиты не превышает  $-2,5$  в по электроду сравнения. С целью устранения вредного влияния катодной защиты на соседние сооружения необходимо, чтобы включение катодной защиты не изменяло потенциал на соседних сооружениях больше чем на 0,100 в. Так как 30-летняя практика показала, что во многих местах в Англии коррозии стандартных кабелей с Pb-оболочкой, проложенных в керамики. трубах, не наблюдается, считается неэкономичным повсеместно применять защитную текстильную обмотку. В то же время во многих местах требуется дополнительное применение катодной защиты. В. Притула

**53463. Защита оболочек кабелей.** Робсон, Тейлор (The protection of cable sheathing. Robson W. W., Taylor A. R.), Chemistry and Industry, 1956, № 41, 1111—1119 (англ.)

Проведенные в Англии длительные испытания Pb и многих его сплавов, Cu, Al и других металлов и сплавов, а также защитных покрытий в семи различных почвах (сроки испытания 1, 3 и 5 лет), показали, что после первых двух сроков испытания все образцы показали одинаковую стойкость во всех почвах, кроме образцов, находившихся в золе, которые подверглись точечной коррозии. Опасность анаэробной коррозии существует для стали в почвенных условиях, но не могла быть воспроизведена для Gb ни в лабор., ни в естественных условиях. Были проведены широкие испытания с оцинкованным кабелем, который был помещен в глину и в золу. Помещенный между этими образцами миллиамперметр показал, что образец, находившийся в глине, являлся анодом, а в золе катодом. При высыхании почв ток резко уменьшался. Эти же испытания в производственных условиях дали те же результаты. Pb-образец, находившийся в глине, сильно разъедался, покрывался толстым слоем белых продуктов коррозии, характер коррозии точечный. Такие же результаты получены с образцами из Cu и Fe. Хорошую антикоррозионную защиту дала засыпка песком или мелом. Из защитных покрытий лучшие результаты дала обертка лентой полиэтилена или полихлорвинила. Pb<sub>2</sub>O<sub>4</sub> и битумная краска не дали удовлетворительной защиты. Успешно применялась катодная защита как с Mg-анодами, так и с наложенным током. В. Притула

**53464. Предотвращение коррозии оцинкованного железа. Причины коррозии и катодная защита магнетитом протекторами.** Айронман (Checking corrosion in galvanized iron. Ironman R.), Mod. Power and Engng, 1956, 56, № 11, 84—86 (англ.)

Описана катодная защита сборников горячей воды из оцинкованного железа при помощи наложения внешнего тока или применения Mg-протекторов. Механизм катодной защиты и электропроводность воды как основной фактор, регулирующий катодную защиту. Действие избыточного кол-ва растворенного в воде H<sub>2</sub>, как деполаризующего агента. Отсутствие влияния на

скорость коррозии контакта сборника с Cu-трубами. Способ крепления протекторов. Предпочтительное использование штампованных, а не литых протекторов в силу большей однородности их структуры. В. Лукинская 53465. Контроль коррозионной стойкости методом испытания в солевом тумане. Р и ш а р (Le controle de la résistance a la corrosion par les essais au brouillard salin. R i c h a r d L.), Galvano, 1956, 25, № 238, 45—46 (франц.)

Даны ряд указаний относительно методов подготовки образцов перед их испытанием в солевой камере и формы ведения записи испытаний. Кратко описана и приведена схема лабор. упрощенной камеры для испытания покрытий в солевом тумане с указанием ее габаритов и технич. данных. Я. Матлис

53466. Метод создания искусственного климата для испытания органических покрытий. Н о р и с (Procédé de climatisation pour l'évolution des recouvrements organiques. Comptes rendus du VIe Congrès des fabrications mécaniques. N o r i s C.), Galvano, 1956, 25, № 238, 38—39 (франц.)

Указывается, что при ускоренных испытаниях покрытий в условиях искусств. климата необходимо воспроизвести наиболее важные естественные факторы, встречающиеся в условиях прибрежного тропич. климата и способствующие разрушению органич. покрытий. Одним из таких факторов является свет. Фактор ускорения, определяемый соотношением между кол-вом часов экспозиции в естественных условиях, обуславливающей определенное разрушение покрытия, и кол-вом часов, обуславливающих в искусств. условиях аналогичное разрушение, должен быть равным 9. Показатель ускорения для всех остальных факторов, способствующих разрушению, определить не представляется возможным в связи с неясностью их механизма действия. Я. Матлис

53467. Предварительные операции по подготовке железнодорожных цистерн для нанесения защитных покрытий. Сообщение исследовательской группы NACE T-3E-1 коррозионного контроля железнодорожных цистерн [Англия].— (Tentative procedures for preparing tank car interiors for lining. A report by NACE task group T-3E-1 on corrosion control of railroad tank cars.—), Corrosion, 1955, 11, № 6, 69—70 (англ.)

Описана методика осуществления контроля коррозионной стойкости ж.-д. цистерн. Г. Кушнер

53468 П. Защитное покрытие для стальных деталей газоочистительных установок. Ш п е к х а р д т (Schutzüberzug für Eisen oder Stahl in Gasreinigungsanlagen. S p e c k h a r d t G e o r g) [Rheinlbe Bergbau A.-G.]. Пат. ФРГ 945075, 28.06.56

Способ покрытия для защиты от коррозии стальных деталей газоочистительных установок, находящихся в условиях воздействия агрессивных соединений, содер-

жащихся в сыром газе, как, напр.,  $H_2S$ , CN и т. п., или паров р-рителей, заключается в том, что после удаления с деталей продуктов коррозии они покрываются тонким слоем воды. р-ра цементной суспензии в смеси с мелкозернистым песком, после чего этот слой сушится на воздухе, а затем окончательно твердеет при контактировании с вышеуказанными агрессивными газами. П. Фрейберг

53469 П. Метод уменьшения коррозионного воздействия горючих газов на металл (Method of reducing the corrosive attack of combustion gases on metal) [Midland Tar Distillers, Ltd]. Англ. пат. 734190, 27.07.55

Патентуется введение в камеру горения или в горючие газы гетероциклич. третичного амина или смеси таких аминов. М. Мельникова

53470 П. Красящее средство, удаляющее ржавчину и защищающее от коррозии. В и л л е м с (Entrostendes und rostschützendes Anstrichmittel. W i l l e m s F r a n z). Пат. ФРГ 913568, 14.06.54 [Dtsch. Farben-Z., 1955, 9, № 2, 48 (нем.)]

Краска состоит из льняного масла, олифы, тонкомолотого томасшлака (РЖХИМ, 1956, 45082), причем последний может быть целиком или частично замещен тонкомолотым шлаком, рудой или минералом, из которого можно выделить  $H_2PO_4$  (в данном случае  $Na_2PO_4$ ) посредством слабой к-ты. Н. Сурков

53471 П. Композиция и листовой материал для торможения коррозии металлов. С е н к у с (Composition and sheet material for inhibition of corrosion of metals. S e n k u s M u r r a y) [Daubert Chemical Co.]. Пат. США 2739870, 27.03.56

Для торможения атмосферной коррозии металлов предложена композиция, состоящая из органич. моно-, ди- или полиамида, водорастворимого неорганич. нитрита металла и соли бензойной к-ты, усиливающей защитное действие первых двух компонентов. На 1 вес. ч. нитрита приходится по 0,05—20 вес. ч. амида и бензоата. Амид должен содержать в структурной цепи <25 атомов С. Бензоаты применяются щел. и щел.-зем. металлов, а также Al и Fe. Предложено также применять пропитку этим составом листового материала. В частности, предложена пропитка этого материала смесью мочевины, нитрата щел. металла и бензоата натрия в равных по весу кол-вах. А. Мамет

См. также: Эдхемографич. измерения 50850. Скорость окисления Cu в  $HNO_3$  50852. Растворение монокристаллич. Zn в к-те 50854. Анодное поведение Ni в  $H_2SO_4$  50851. Материалы, стойкие к окислению 51774. Щелоче- и кислотоупорная замазка 53412. Защитные покрытия из силиконов 52898. Окраска водосборников 52917. Временные защитные покрытия для металлов 52920. Защитные свойства лаковых покрытий 52928. Покрытия из пластмасс 52705.

## ПРОЦЕССЫ И ОБОРУДОВАНИЕ ХИМИЧЕСКИХ ПРОИЗВОДСТВ

### ПРОЦЕССЫ И АППАРАТЫ ХИМИЧЕСКОЙ ТЕХНОЛОГИИ

Редакторы В. А. Жужиков, Б. Г. Лукьянов, В. Г. Фастовский

53472. Процессы и оборудование химических производств. Т. I. (化學工業と化學機械. 第1巻). 化學工業, Кагаку корё, Chem. Ind. (Japan), 1956, 7, прилож. № 4, 1—272 (японск.)

53473. Всплывание единичных пузырьков в среде жидкости. М е л и к я н Р. А., Ж. прикл. химия, 1953, 23, № 12, 1792—1802

Рассмотрены вопросы теории и проведено эксперим. исследование явления свободного всплывания единичных пузырьков в среде жидкости (Ж) на системе воздух—вода. Установлено, что приращение потенциальной энергии системы от начала до конца всплывания газа в слое Ж остается постоянным и равно  $\Delta U = V_1(P + \rho h) = \text{const}$ , где  $\Delta U$  — приращение потенциальной



энергии системы,  $V_1$  — объем пузырька,  $P$  — давление над Ж,  $h$  — высота столба Ж,  $\gamma$  — уд. вес Ж. Указано, что работа расширения газа в период его всплывания полностью затрачивается на преодоление трения и что потеря потенциальной энергии системы, вследствие обратного стекания Ж в ходе всплывания газа, количественно равна работе расширения газа. Установлено, что в простейшем виде явление свободного всплывания пузырьков в среде Ж представляет совокупность трех одновременно действующих и взаимно сопряженных материальных потоков: потока смеси пузырьков и Ж, направленного вверх; потока Ж, направленного вниз; потока всплывающих пузырьков в параллельном потоке смеси, направленного вверх. С. Крашенинников

**53474. Образование капель в жидкостях при истечении из сопел при больших расходах.** 3 и 6 м. с. К а у ф м а н (Tropfenbildung in Flüssigkeiten aus Düsen bei hohen Durchsätzen. Siemens W., Kauffmann J. F.), Chem.-Ingr.-Techn., 1957, 29, № 1, 32—38 (нем.; реф. англ., франц.)

Исследовался процесс образования капель при истечении легкой жидкости (Ж) из сопла, погруженного в тяжелую Ж, при средних и больших расходах, характеризующихся тем, что из сопла вытекает струя, которая диспергируется на некотором расстоянии от сопла (при средних расходах) или непосредственно на выходе из него (при больших расходах). Диаметр сопла  $d_s$  составлял 1, 2, 3, 4 и 6 мм. Скорость Ж в сопле изменялась от 20 до 200 см/сек. Ход процесса истечения фиксировался путем скоростной фотосъемки, производившейся с выдержкой 1/600 сек. При обработке опытных данных принималось, что мелкие капли являются сферич., а более крупные имеют форму эллипсоидов. Обнаружено, что при увеличении расхода Ж максимум на кривых распределения перемещается в сторону капель большого размера. При некотором расходе наряду с основным максимумом на кривых распределения появляется второй максимум в области малых диаметров капель. При больших расходах Ж (для сопла диам. 4 мм) основной максимум пропадает и остается лишь максимум в области малых размеров капель. Такой характер изменения размеров капель объясняется тем, что с увеличением расхода Ж одновременно происходит увеличение диаметра капель и раздробление некоторой их части. В соответствии с изложенным уд. поверхностно-капель для сопел различных диаметров достигает максимума при малых скоростях Ж в сопле, затем с увеличением скорости уд. поверхность проходит через минимум, после чего вновь возрастает. Миним. значение уд. поверхности имеет место при скоростях Ж, соответствующих максим. кол-ву образующихся крупных капель. Скорость Ж, отвечающая точке минимума, возрастает с уменьшением  $d_s$ . Зависимость сопротивления сопла от скорости Ж для всех сопел выражается одной кривой. При малых расходах Ж влияние поверхностного натяжения  $\sigma$  незначительно. С увеличением расхода Ж максимум на кривых распределения смещается в область малых диаметров капель тем скорее, а уд. поверхность возрастает в тем большей степени, чем меньше  $\sigma$  на границе раздела фаз. Из результатов исследования вытекает, что уд. поверхность капель зависит главным образом от диаметра сопла и расхода Ж, в меньшей степени от  $\sigma$  и разности уд. весов и в очень малой степени от вязкости обеих фаз. Уд. поверхность  $Q_{\text{манс}}$ , соответствующая точке максимума в области малых расходов Ж, определяется ур-нием  $Q_{\text{манс}} = 5.5/d_s^3$  см<sup>3</sup>/см<sup>2</sup>.

В. Коган

**53475. Движение газа сквозь неподвижный слой.** Расчет коэффициента трения посредством коэффициента лобового сопротивления отдельной частицы.

С и р а н (固定層を通る流體の壓損失摩擦係數の一表示法 CD およびこれと單一粒子の抵抗係數  $f_v$  との関係について. 白井 隆), 化学工学, Кагаку когаку, Chem. Engng (Japan), 1956, 20, № 8, 434—439 (японск., реф. англ.)

Проведено эксперим. определение коэф. трения при прохождении газа сквозь неподвижный и слабо псевдооживленный слой твердых частиц. Указано, что коэф. трения может быть рассчитан по ур-нию:  $\Delta p/L_a = 2(f_v'') [\mu_F/(g_c D_p^2)]$ , где  $\Delta p$  — разность давлений в г/см<sup>2</sup>;  $L_a$  — фиктивная высота слоя твердых частиц в см при свободном объеме, равном нулю;  $f_v''$  — коэф. трения;  $u$  — линейная скорость газа в см/сек, отнесенная ко всему сечению колонны;  $\mu_F$  — вязкость газа в г/см сек;  $g_c$  — коэф. пропорциональности;  $D_p$  — средний диаметр частицы в см. По опытным данным и по данным, полученным путем пересчета результатов других исследований, построен график зависимости коэф. трения для фиксированного слоя и для отдельной шаровой частицы от модифицированного критерия Рейнольдса  $Re_p = D_p G/\mu_F$ , где  $G$  — весовая скорость газа на единицу сечения аппарата в г/сек·см<sup>2</sup>. Отмечается, что в псевдооживленных слоях коэф. трения уменьшается обратно пропорционально скорости газа, приближаясь к значению коэф. трения для отдельной шаровой частицы. При достижении коэф. трения этого значения вместо процесса псевдооживления наблюдается унос твердых частиц. Указывается, что в среднем значение коэф. трения для фиксированного и слабо псевдооживленного слоя частиц в 55—80 раз выше значения коэф. трения отдельной частицы. Указывается, что при среднем увеличении коэф. трения в 66.6 раз разность давлений для фиксированного слоя может быть выражена посредством коэф. лобового сопротивления отдельной частицы:  $\Delta p/L_a = [\mu_F/(g_c \cdot D_p^2)] \times 50 C_D Re_p$ , где  $C_D$  — коэф. лобового сопротивления отдельной частицы. С. Крашенинников

**53476. Конференция по очистке дымовых и промышленных газов** (Journée du dépolluissage des fumées et gaz industriels. Paris. Inst. franç. combustibles et énergie. 1954, 215 p., ill.) (франц.)

Рассмотрены вопросы классификации, испытания и выбора оборудования; гранулометрич. состава и агломерации аэрозолей; применения фильтров, циклонов и мультициклонов; использования ультразвука; теории электростатич. осаждения; загрязнения атмосферы отходящими газами. С. Гинзбург

**53477. Пылеулавливающее оборудование.** I. В и л с о н (Dust collection equipment. I. Wilson Alan), Steam Engr, 1956, 26, № 302, 75—78 (англ.)

Приведены схемы устройства и краткое описание 4 золоуловителей циклонного типа для котлов малой мощности (до 10 т/час). Два из них обладают очень малым гидравлич. сопротивлением (5—6 мм вод. ст.) и дают на грубой золе (95% > 43  $\mu$ ) степень улавливания 75%. Два другие аппарата с несколько большим сопротивлением (от 12 до 25 мм вод. ст.) дают на золе такой же крупности степень улавливания 85—90%.

Ю. Скорещкий

**53478. Усовершенствование и применение гидроциклонов.** П о с п и ш и л (Vývoj a použití hydrocyklonů. Pospíšil J.), Chem. průmysl, 1956, 6, № 1, 36—38 (чешск.)

**53479. Извлечение из отходящего воздуха в производстве искусственного волокна соединений, содержащих серу, поглощаемых, содержащими железо.** Г р е г о р, Г а ж о, П л ь ш к о (K problému odsírenia odpadového vzduchu tovární na viskozové vlákna železitými absorbentmi. Gregor, Gažo T.,

- Pisko E.), Chem. průmysl, 1955, 5, № 4, 159—162 (чешск.)
53480. Установка диафрагмы правильного размера. Труп, Гудуни (Install the right-size orifice. Troupe Ralph A., Goodwin Bernard M.), Chem. Engng, 1956, 63, № 10, 199—203 (англ.) Рассмотрено регулирование потока жидкости, поступающей из центробежного насоса в аппарат, при помощи диафрагмы. Приведены 2 метода расчета диафрагмы, основанные на использовании гидродинамич. закономерностей и характеристик центробежного насоса. Правильность расчета диафрагм обоими методами проверена в лаборатории путем сравнения эксперим. результатов с расчетными. С. Крашенинников
53481. Теория аналогии теплоотдачи и трения при движении жидкости и газа по трубе и теплоотдача в случае использования расплавленного металла. Киёса (管内流れの摩擦・伝熱アナロジー理論および熔融金属を用いた場合の熱伝達・流量量平), 化学工学, Kagaku kokagaku, Chem. Engng (Tokyo), 1955, 19, № 5, 283—289 (японск.) Обзор. Библ. 22 назв. Г. Фонарева
53482. Теплообмен в условиях свободного ламинарного движения газа с переменной вязкостью у вертикальной стенки. Танаев А. А., Ж. техн. физики, 1956, 26, № 12, 2714—2719 Дано теоретич. решение задачи о теплообмене при свободной конвекции газа у вертикальной стенки с учетом изменения вязкости от т-ры. Система дифференциальных ур-ний в частных производных сведена к системе обыкновенных дифференциальных ур-ний. Первое приближение приводит к решению:  $Nu_m / Gr_m^{1/4} = 0,359 [1 + (T_w / T_\infty)]^{0,404} (T_w / T_\infty)^{-0,154}$ , где в выражениях  $Nu_m$  и  $Gr_m$  физ. параметры газа отнесены к средней т-ре пограничного слоя;  $T_\infty$  — т-ра невозмущенного потока;  $T_w$  — т-ра у стенки. Получены также второе и третье приближения. Все они сопоставлены с эмпирич. зависимостью  $Nu_m = 0,54 (Gr \times Pr)_m^{1/4}$ , и показано, что в диапазоне  $(T_w / T_\infty) = 0,5 \div 2,5$  различие между теоретич. и эксперим. значениями комплекса  $Nu_m / Gr_m^{1/4}$  не превосходит 10%. Это доказывает, что предпосылки, положенные в основу теоретич. решения, удовлетворительно отражают существо процесса. Ю. Петровский
53483. Конденсация водяного пара из движущейся паро-воздушной смеси. Баум В. А., Брдлик П. М., Теплоэнергетика, 1957, № 1, 42—45 Экспериментально исследован процесс конденсации водяного пара из паро-воздушной смеси, движущейся внутри вертикальной трубки (диам. 18/22 мм, длина 800 мм), охлаждаемой водой. Опыты проводились при значениях  $Re_n$  на входе в конденсаторную трубку, равных 2800—40000, средних по трубе значениях  $Re = 1300 \div 40000$ , объемных содержаниях пара  $\epsilon_n = 0,186 \div 0,965$ , давлении смеси  $p_c = 1 \div 1,3$  атм. Средние по длине трубы значения коэф. массообмена могут быть найдены из ур-ния  $\Pi_T = 13,0 Re^{-0,2} \times (p_n / p_c)^{1,2} [(p_n - p_{ст}) / p_c]^{0,105}$ , где  $p_n$  и  $p_{ст}$  — парц. давления пара в смеси и при т-ре стенки. Обработаны также эксперим. данные Фастовского В. Г. и Ровинского А. Е. (Известия ВТИ, 1950, № 4, 24—26) и для  $700 < Re < 1300$  получено аналогичное ур-ние  $\Pi_T = (2p_n / p_c - 0,06) [(p_n - p_{ст}) / p_c]^{0,105}$ . Наступление переходного режима при меньших  $Re$  (по сравнению с теплообменом однофазной жидкости) возможно связано с дополнительной турбулизацией потока, вызванной нали-
- чем при конденсации пара постоянного поперечного потока в-ва и фазовыми превращениями. А. Ровинский
53484. Метод расчета конденсатора для паро-газовых смесей. Кавамура (ガス-蒸気混合物に對する冷却凝縮器の設計法. 河村裕治), 化学工学, Kagaku kokagaku, Chem. Engng (Tokyo), 1954, 18, № 9, 447—450 (японск.)
53485. Приближенное уравнение для определения коэффициента теплоотдачи при выпаривании жидкостей. Хоблер (Uproszczone równanie na współczynnik  $\alpha$  przy odparowaniu cieczy. H obler T.), Przem. chem., 1956, 12, № 2, 96—98 (польск.; рез. русск., англ.)
- Предлагается приближенное ур-ие для расчета коэф. теплоотдачи  $\alpha$  при кипении  $Nu_z = \alpha \delta_z / \lambda = 4,41 \cdot 10^{-3} \times (V_p / K)^{1,5} (p \delta / \sigma)^{1,75}$ , где  $\delta_z$  — геометр. фактор, равный  $v^2 / g^{1/2}$ ,  $v$  — кинематич. вязкость жидкости в  $m^2 / \text{час}$ ,  $g$  — ускорение силы тяжести в  $m / \text{час}^2$ ,  $\lambda$  — теплопроводность жидкости в  $\text{ккал} / m \text{ час град}$ ,  $V_p$  — коэф., определяемый из соотношения  $V_p \cong \gamma' / \gamma''$ ,  $\gamma'$  — плотность кипящей жидкости в  $kg \text{ массы} / m^3$ ,  $\gamma''$  — плотность насыщ. пара в  $kg \text{ массы} / m^3$ ,  $k$  — коэф., равный  $r / (c \Delta t K)$ ,  $r$  — скрытая теплота парообразования в  $\text{ккал} / kg$ ,  $c$  — теплоемкость р-ра в  $\text{ккал} / kg \text{ град}$ ,  $\Delta t$  — разность т-р между стенкой и кипящей жидкостью в градусах,  $p$  — давление в аппарате в атм,  $\delta$  — величина, пропорциональная диаметру образующихся пузырьков в м, определяемая из соотношения  $\delta = \sqrt{\sigma / \gamma'}$ , где  $\sigma$  — поверхностное натяжение в  $kg / m$ ,  $\gamma'$  — уд. вес кипящей жидкости в  $kg / m^3$ . С. Крашенинников
53486. Циркуляция в жидких каплях. Колдербанк, Коршинский (Circulation in liquid drops. Calderbank P. H., Korchinski I. J. O.), Chem. Engng Sci., 1956, 6, № 2, 65—78 (англ.; рез. франц.)
- Экспериментально исследован процесс теплообмена при прохождении капль (К) ртути и бромбензола через водн. р-р глицирина. Опыты проводились в стеклянной колонке диам. 3,7 см и длиной 20 см. В случае бромбензола внутренняя циркуляция наблюдалась визуально. Экспериментально определялись размер и скорость К, т-ра К на входе и выходе колонки, а также т-ра жидкости и ее расход. Установлено, что внутренняя циркуляция приводит к увеличению эффективной теплопроводности (ТП) в 2,25 раза по сравнению с молекулярной ТП и оказывает незначительное влияние на коэф. теплоотдачи жидкости и коэф. лобового сопротивления К. В области  $Re \leq 200$  К ведут себя как твердые шарики. Более резкое увеличение эффективной ТП и коэф. теплоотдачи жидкости при  $Re > 200$  объясняется вибрацией К. Р. Артым
53487. О теплопередаче в псевдооживленном слое. Кунни (流動層における傳熱について, 國井大蔵), 化学工学, Kagaku kokagaku, Chem. Engng (Tokyo), 1954, 18, № 6, 294—302 (японск.)
53488. Свойства теплоносителей, применяемых в атомных реакторах. Киёса (原子炉に用いられるターボラントの諸性質. 清瀬), 化学工学, Kagaku kokagaku, Chem. Engng (Tokyo), 1955, 19, № 5, 289 (японск.)
53489. Исследование кожухотрубного теплообменника. Линке (Untersuchungen über Rohrbündel-Wärmeübertrager. Linke W.), Chem.-Ingr-Techn., 1955, 27, № 3, 142—148 (нем.; рез. англ., франц.)
53490. Пластинчатые теплообменники. Джапп (Plate heat exchangers. Jupp J. F.), Canad. Chem. Process, 1954, 38, № 13, 48, 50, 52 (англ.)
53491. Количество охлаждающей воды и размер барометрической трубы в конденсаторе смешения. Сато, Катаока (混合凝縮器の冷却水と大気胸の

寸法. 佐藤 敬夫, 片岡 宏), 化学工学, Кагаку когаку, Chem. Engng (Tokyo), 1954, 18, № 8, 395 (японск.)

53492. Переключение нагнетательной и всасывающей линий. Куормби (The discharge-suction cross section. Quarmby Ben), Canad. Refrig. and Air Condit. J., 1956, 22, № 12, 21—22 (англ.)

Для периодич. отогревания испарителя компрессионной холодильной установки в целях удаления отложенного снега производится переключение нагнетательной и всасывающей линий: горячий хладагент из компрессора направляется в испаритель, а оттуда через конденсатор возвращается в компрессор. В некоторых случаях устраивается обводная линия, благодаря которой в период отогревания хладагент не проходит через дроссельное устройство. Ю. Петровский

53493. Воздухоотделитель для крупных холодильных установок. Дик М., Холодильная техника, 1956, № 4, 67—68

Описан воздухоотделитель, по принципу действия аналогичный аппарату, который серийно изготовляется в-дом «Компрессор», но в отличие от него имеющий охлаждаемую поверхность в 3,7 раза больше. Благодаря этому даже при значительном попадании воздуха в холодильную систему при осмотре и ремонте достаточно 1—2 суток непрерывной работы для полного освобождения от инертных газов. Б. Сумм

53494. Использование  $\gamma$ -лучей для определения объемного напорного паросодержания и истинного уровня в аппарате. Стерман Л. С., Сурмов А. В., Теплоэнергетика, 1955, № 8, 39—43

Описана опытная установка для определения при помощи  $\gamma$ -лучей доли поперечного сечения аппарата, занимаемого паром при барботаже его сквозь слой жидкости. Полученные по этому способу результаты сравнены с данными, найденными путем определения уд. веса паро-водяной смеси при помощи дифференциального манометра. Отмечено, что расхождение между величинами, полученными по обоим способам, не превышает погрешности измерений и составляет 10—15%. Указано, что понятие истинного уровня (границы между зонами паро-водяной смеси и чистого пара) при большой интенсивности барботажа является условным, так как переход одной зоны в другую осуществляется постепенно. При небольшой интенсивности барботажа наблюдается более резкая граница между обеими зонами. В. Жужиков

53495. Метод изучения диффузионных явлений, протекающих в гетерогенных условиях. Закощиков А. П., Сб. научн. работ. Высш. школа промысл. кооперации, 1956, вып. 1, 20—30

Предлагается метод изучения диффузионных явлений в тех случаях, когда в-во в ходе процесса образуется в твердой фазе и по мере образования диффундирует в р-р. Для выяснения характера распределения конц-н в-ва в различных зонах р-ра в заданный момент времени вся жидкая фаза разделяется на 3 фракции, изучаемые отдельно: сливную жидкость (Ж), Ж, отжимаемую под давл. до 250 ат, и удержанную Ж, прочно связанную с твердой фазой. Применение метода поясняется на примерах адсорбции NaOH и к-т растительными материалами (РМ), диффузионного извлечения пентоз при гидролизе РМ, выяснения зависимости диффузионного извлечения сахара при гидролизе РМ от величины модуля. Метод применим также при изучении других диффузионных процессов в гетерог. среде и процессов адсорбции из р-ров. А. Ровинский

53496. Улучшенные способы расчетов по перегонке нефти. Эдмистер (Improved integral technique for petroleum distillation calculations. Edmister Wayne C.), Industr. and Engng Chem., 1955, 47, № 9, Part 1, 1685—1690 (англ.)

53497. Успехи в области усовершенствования установок для осуществления контакта между жидкостью и газом. Хата (液ガス接觸装置の進歩. 八田四郎次), 化学工学, Кагаку когаку, Chem. Engng (Tokyo), 1955, 19, № 9, 457—463 (японск.)

Обзор. Библ. 24 назв. Г. Фонарева  
53498. О захлебывании насадочных колонн при работе с системами газ — жидкость и жидкость — жидкость. Фудзита (充填塔の溢注速度. 藤田重文), 化学工学, Кагаку когаку, Chem. Engng (Tokyo), 1955, 19, № 3, 131—132 (японск.)

53499. Об эффективности разделения при фракционировании бинарных идеальных и неидеальных систем. Робу (Asupra criteriului de separare prin fractionare a sistemelor binare ideale și neideale. Robu I. V.), Studii. Inst. petrol. și gaze București, 1955, № 1, 41—62 (рум.)

Выведено ур-ние для определения коэф. разделения и числа теоретич. ступеней при фракционировании идеальных и неидеальных систем. З. Хавинский

53500. Расчет режима полного орошения сложной колонны. П. Багатуров С. А., Химия и технол. топлива, 1956, № 7, 68—71

Путем совместного решения ур-ний материального баланса и ур-ний Фенске-Андервуда выведены ур-ния для определения миним. числа теоретич. тарелок при бесконечно большом флегмовом числе для случаев, когда один или несколько компонентов полностью отсутствуют в дистиллате или кубовом остатке. Метод расчета по выведенным ур-ниям поясняется примером. Сообщение I см. РЖХим, 1957, 3277. В. Коган  
53501. Расчет ректификационной аппаратуры для азеотропных тройных смесей. Шикин К. Н., Тр. Днепропетр. хим.-технол. ин-та, 1956, № 5, 69—79

На примере системы металол — хлороформ — бензол поясняется применение предложенного ранее метода расчета равновесных составов пара и жидкости в 3-компонентных системах с азеотропными точками (РЖХим, 1956, 73820). Рассматривается применение этого способа к тройным системам с различным сочетанием положительных и отрицательных бинарных азеотропов. Для определения миним. флегмового числа в процессе ректификации предлагается пользоваться диаграммой состав пара — состав жидкости для компонента, отбираемого в качестве дистиллата. Принимается, что рабочая линия в этой диаграмме является прямой. В. Коган

53502. Новый метод определения оптимальной конструкции колпачковых тарелок. Часть III. Техника расчета. Болс (New process design methods for optimum bubble-cap tray design. Part III. Design technique. Bolles William L.), Petrol. Process., 1956, 11, № 4, 72—79 (англ.)

Производится предварительный выбор одного из стандартных типов колпачков (К) и по графику (см. пред. сообщ. РЖХим, 1957, 3280) определяется площадь прорезей К, необходимая при полной их нагрузке для обеспечения заданной производительности. Затем выбирается расстояние между К, определяется площадь тарелки (Т), находящаяся в сфере действия К, которая составляет ~60% от общей площади Т, и вычисляется диаметр колонны. В зависимости от отношения расходов жидкости и пара выбирается тип Т. В порядке возрастания этого отношения рекомендуется применять следующие Т: 1) с противотоком, 2) с противотоком и ступенчатым расположением колпачков (СРК), 3) с перекрестным током, 4) с перекрестным током и СРК, 5) с распределением жидкости на 2 потока (2-ходовые), 6) 2-ходовые с СРК, 7) 2-ходовые с промежуточными переливными порогами (ППП), 8) 2-ходовые с PPP и СРК. С учетом найденного диаметра



колонны производится новый выбор типа К, определяется площадь, на которую распространяется их действие, и сечение сегментных передельных труб. Выбираются расстояния между Т и расположением К на Т и делается гидравлич. расчет, на основании которого уточняется конструкция Т. Расчет повторяется до определения оптимальной конструкции Т, характеризующей миним. стоимостью (включая монтаж) одной теоретич. Т. Расчет рекомендуется производить для верхней и нижней Т, а также для Т, находящихся непосредственно выше и ниже точки ввода исходной смеси. Рекомендуется расположение К по равностороннему треугольнику. При сильно отличающихся расходах пара и жидкости в разных частях колонны должны применяться Т разных типов. В. Коган

**53503.** Характеристика тарелок системы «унифлокс». — (Here's how uniflux trays are performing. —), Oil and Gas J., 1955, 54, № 7, 100—103 (англ.)

Указано, что в эксплуатации находятся ~100 колонн с тарелками системы «унифлокс» (РЖХим, 1955, 42144) и 150 колонн с такими тарелками сооружаются. Приведены рабочие характеристики 6 колонн, примененных в различных операциях нефтепереработки (к.п.д. тарелок достигает в среднем 96%).

Ю. Петровский

**53504.** Новые данные о работе тарелок «унифлокс». Боула (New operating data for uniflux trays. Bowles V. O.), Petrol. Refiner, 1955, 34, № 7, 118—119 (англ.)

**53505.** К кинетике массообмена между газами и жидкостями. Фильштих (Zur Kinetik des Stoffaustausches zwischen Gasen und Flüssigkeiten. Vieltich Wolf), Chem.-Ingr.-Techn., 1956, 28, № 8—9, 543—551 (нем.; рез. англ., франц.)

Рассмотрение кинетики абсорбции основано на предположении, что сопротивление при переходе абсорбируемого в-ва через границу раздела фаз мало по сравнению с сопротивлением диффузионному переносу в каждой фазе. На основании 2-го закона Фика дается вывод ур-ний для расчета скорости абсорбции для неподвижных и движущихся фаз, а также при наличии обратимой и необратимой р-ции 1-го порядка. Рассматривается также случай протекания обратимой р-ции 2-го порядка. Для колич. проверки указанного выше предположения экспериментально исследовался процесс десорбции и абсорбции  $\text{CO}_2$  при разных т-рах струй декалина и воды. Поглощение газа производилось в закрытом термостатированном сосуде, в котором струя жидкости диам. 0,6—0,8 мм, длиной от 7 до 30 мм получалась за счет свободного истечения из капилляра. Расход поглощенной  $\text{CO}_2$  измерялся с помощью газовой бюретки. В соответствии с теорией, опытными данными обнаружена линейная зависимость кол-ва газа, абсорбированного в единицу времени, от корня квадратного из длины струи или объемного расхода жидкости. Данные для процессов абсорбции и десорбции ложатся на одну прямую. Показано, что рассчитанные по опытным данным коэф. диффузии в системе  $\text{CO}_2$ —декалин хорошо согласуются с литературными данными для других систем. Для системы  $\text{CO}_2$ —вода, в которой имеет место хим. р-ция образования угольной к-ты, приводятся результаты предварительных опытов. Из опытных данных следует, что температурная зависимость скорости абсорбции объясняется лишь изменением коэф. диффузии с т-рой, а не изменением скорости р-ции. Основываясь на количественном совпадении рассчитанных и опытных данных, сделан вывод, что для описания процесса массообмена между газом и движущейся жидкостью (во всяком случае при ламинарном ее движении) можно принять, что определяющим процессом является диффузия в каждой фазе, а не переход в-ва через границу раздела фаз. В. Коган

**53506.** Характеристики условий захлебывания пульсационной экстракционной колонны. Эдуарде, Бейер (Flooding characteristics of a pulse extraction column. Edwards R. B., Beyer G. H.), A. I. Ch. E. Journal, 1956, 2, № 2, 148—152 (англ.) См. РЖХим, 1956, 80350.

**53507.** Противоточный многоступенчатый центробежный экстрактор. Цудзи (ハーションバース.ゼット式逆流過器. 北俊一), 化学工学, Kogaku kogyo, Chem. Engng (Tokyo), 1955, 19, № 4, 187—191 (японск.)

**53508.** Видоизмененная диаграмма «i — x». Итани (新しい i-x 濃度圖表. 井伊谷鋼一), 化学工学, Kogaku kogyo, Chem. Engng (Tokyo), 1954, 18, № 8, 385—386 (японск.)

**53509.** Исследование механизма сушки влажных материалов. Михеева Н. С., Тр. Моск. техн. ин-та пищ. пром-сти, 1956, вып. 6, 64—77

Рассмотрены результаты изучения процесса сушки капиллярнопористых тел путем определения полей т-ры и влажности в пограничном слое. Приведены подробное описание техники измерения и математич. обработка эксперим. данных. А. Емельянов

**53510.** Основные коэффициенты переноса тепла и массы вещества во влажных материалах. Лыков А. В., Тр. Моск. техн. ин-та пищ. пром-сти, 1956, вып. 6, 7—20

Даны математич. анализ основных законов и коэффициенты переноса тепла и в-ва при термич. обработке влажных материалов. А. Емельянов

**53511.** Испарение во влажный воздух органических растворителей со смоченных ими поверхностей. Иосида, Хёдо (空気に水蒸気が有潤滑劑の濕球におよぼす影響. 吉田哲夫, 兵衛務), 化学工学, Kogaku kogyo, Chem. Engng (Tokyo), 1956, 20, № 10, 534—540 (японск.; рез. англ.)

Эксперим. данные показывают, что благодаря наличию воды в воздухе при  $t_{wd} > t_{a1}$  т-ра смоченного р-рителем термометра во влажном воздухе  $t_{a1}$  для негигроскопичных р-рителей (толуол и  $\text{CCl}_4$ ) оказывается больше, чем т-ра того же термометра в сухом воздухе  $t_{a1}'$  ( $t_{wd}$  — т-ра точки росы влажного воздуха). Для гигроскопичных р-рителей (метанол и этанол), если воздух не является абсолютно сухим,  $t_{a1}$  всегда больше, чем  $t_{a1}'$ . Влияние наличия паров воды на  $t_{a1}$  может быть выражено ур-нем  $t - t_{a1} = b + a(t - t_{w1})$ , где  $t$  — т-ра воздуха,  $t_{w1}$  — т-ра смоченного водой термометра во влажном воздухе и  $a$  и  $b$  — константы, определяемые из ур-ния теплового баланса поверхности, смоченной р-рителем. Основываясь на полученных данных для указанных выше р-рителей, сделано заключение, что для определения т-ры мокрого термометра может быть использовано ур-ние:  $h/k' = \beta_0 (Sc / Pr)^{1/3} C_n$ , где  $h$  — коэф. теплоотдачи,  $k'$  — коэф. массопередачи,  $\beta_0 = (h/k')_{\text{ансп}} / (h/k')$ ,  $Sc$  и  $Pr$  — критерии Шмидта и Прандтля для воздуха в нормальном состоянии и  $C_n$  — влажность воздуха. Значения  $(h/k')_{\text{ансп}}$  и  $\beta_0$  определены путем обработки эксперим. данных. Вопреки имеющемуся в литературе указанию на то, что  $h/(k'C_n) \approx 1$ , показано, что эта величина  $> 1$ . В. Коган

**53512.** Критическое рассмотрение методов измерения размеров зерен. Унгар (A szemnagyság-mérés módszereinek kritikája. Ungár Tibor), Épitőanyag, 1956, 8, № 10, 365—375 (венг.)

Обзор. Библ. 29 назв.

Г. Фонарева

**53513.** Виброизоляция производственных агрегатов в химической промышленности. Ильинский В. С., Хим. пром-сть, 1957, № 1, 35—41

**53514 К.** Химическое машиностроение. Т. 1. Часть 1. Учебное пособие для III курса промышленных школ. Соет. Пошта, Кунст, Новосад, Вебер, Сринский, Лёфнер (Stavba stroju chemických. 1. díl 1. část, Učební text pro 3. roč. PŠ str.—čtyřleté studium (Obor zařízení a stroje pro chem. a potr. výrobu). Sest Pošta Jiří, Kunst Arnošt, Novosad Zdeněk, Weber Miloš, Srinský Vladimír, Löffner Jiří. Praha, Stud a inf. ústav odb. školství, 1954, 183 str., il., 12,20 Kčs) (чешск.)

**53515 П.** Аппарат для очистки газа или воздуха. Вилиш, Вилиш (Gas- und Luftreinigungsapparat. Wilisch Julius, Wilisch Alexander). Пат. ГДР 7971, 18.10.54

Газ или воздух входит в цилиндрич. вертикальный аппарат сверху через сопло и поступает в камеру для улавливания крупных частиц, представляющую собой чашу с кольцеобразными ребрами на внутренней поверхности. Газ ударяется о дно чаши, причем от него отделяется часть крупных частиц, поднимается вдоль стенок чаши и уходит из нее, по возможности, без уменьшения скорости. Ребра вызывают в движущемся газе завихрения, в результате чего остальная часть крупных частиц отбрасывается на ребра и задерживается на них. Затем газ направляется в устройство, состоящее из пластинчатых тарелок, заполненных маслом, проходит сквозь отверстия в середине тарелок и выходит из аппарата через нижний штуцер. Г. Рабинович

**53516 П.** Аппарат для улавливания мелких капель жидкости из газового потока. Арборг (Abscheider für Flüssigkeitstropfen oder Schaum aus einem gasförmigen Medium. Arborg Ake) [Aktiebolaget Svenska Fläktfabriken]. Пат. ФРГ 944726, 21.06.56

Описывается аппарат циклонного типа с корпусом, выполненным в виде спирали. Верхняя часть центральной трубы соединена с конич. раструбом. В месте этого соединения образуется кольцевой желоб, за счет того, что центральная труба входит в раструб на некоторую высоту. Основная часть жидкости выводится снизу, а часть жидкости собирается в желобе и выводится по трубе в боковой стенке аппарата. Я. Дозорец

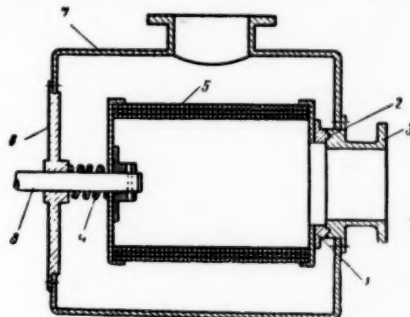
**53517 П.** Аппарат для удаления твердого вещества из газов. Кеессе (Apparatus for the removal of solid matter from gases. Kaess Franz Josef) [Süddeutsche Kalkstickstoffwerke A.-G.]. Пат. США 2741330, 10.04.56

Описывается фильтрующий аппарат с размерами  $350 \times 120 \times 200$  см для очистки от пыли газов карбидной печи при  $t$ -ре  $300^\circ$  (кол-во газа  $500 \text{ м}^3/\text{час}$ ; состав:  $\text{CO}$  65%,  $\text{H}_2$  10%,  $\text{CO}_2$  5%,  $\text{N}_2$  20%). В качестве фильтрующей перегородки применяются пористые материалы из фарфора, глинозема, кокса. Степень запыленности газа в результате фильтрации уменьшается с 110 до  $5 \text{ г}/\text{м}^3$ . Для предотвращения забивания пор фильтрующей перегородки последняя автоматич. продувается обратным потоком горячего чистого газа при давл.  $300\text{—}400 \text{ мм вод. ст.}$  Переключение циклов фильтрации и продувки производится посредством 3-ходовых кранов с электромагнитным приводом, управляемых дифференциальным мембранным манометром. Ю. Скорецкий

**53518 П.** Уплотнительное устройство барабанного фильтра для мокрой очистки воздуха и газов. Шлоц (Dichtungseinrichtung für Trommelfilter zur Naß-Reinigung von Luft und Gasen. Schloz Heinrich) [Heinrich Schloz und Willy Neumann]. Пат. ФРГ 944604, 21.06.56

Предлагаемая конструкция уплотнительного устройства позволяет облегчить сборку и разборку фильтра и значительно сократить длительность проведения этих операций. Устройство состоит из фланца 1 с кольцевым

выступом 2, входящим в паз штуцера 3, и пружины 4, прижимающей вращающийся барабан 5 к штуцеру 3.



При разборке фильтра крышка 6 корпуса 7 фильтра удаляется и барабан 5 вместе с валом 8 извлекаются из фильтра. В. Реутский

**53519 П.** Ленточный фильтр. Вальню (Bandfilter. Wallny John Gunnar) [Metallgesellschaft. A.-G.]. Пат. ФРГ 946979, 9.08.56

Усовершенствование ленточного фильтра состоит в том, что между движущейся несущей лентой, разделенной поперечными ребрами на отдельные фильтрующие ячейки, и неподвижной отсосной камерой помещается движущаяся с той же скоростью и выполненная из резины натяжная лента. Назначение последней состоит в том, чтобы разгрузить от напряжений растяжения несущую ленту и вместе с тем обеспечить достаточно хорошую герметизацию между фильтрующими ячейками этой ленты и неподвижной камерой. Натяжная лента жестко скреплена с двумя параллельно расположенными шарнирными цепями, приводимыми в движение звездочкой, установленной между 2 приводными барабанами несущей ленты. Герметизация зазора между несущей и натяжной лентами создается уплотнительными ребрами, расположенными на поверхности натяжной ленты. Применение натяжной ленты позволяет значительно уменьшить радиус приводных барабанов и увеличить длину и ширину несущей ленты вследствие уменьшения ее толщины. В. Реутский

**53520 П.** Приспособление для фильтрации суспензий. Пальцер, Марр (Vorrichtung zum Ausfiltrieren von Feststoffen aus Flüssigkeiten. Palzer Karl, Marr Ernst) [Friedrich Uhde G. m. b. H.]. Пат. ФРГ 947464, 16.02.56

Для фильтра состоящего из кольцевого желоба, разделенного перегородками на отделения для приема суспензии, промывной жидкости и отфильтрованного осадка, и фильтрующих ячеек, предложено вспомогательное устройство для подъема и опускания фильтрующих ячеек при их переходе из одного отделения желоба в другое. Устройство состоит из установленных под каждой из отсосных трубок рычагов, совершающих при вращении фильтрующих ячеек возвратно-поступательное движение в вертикальном направлении, причем скорость подъема и опускания рычагов установлена в соответствии с числом перегородок в желобе и с расстоянием между ними. В. Реутский

**53521 П.** Многослойный фильтр с плоскими или кольцевыми фильтрующими перегородками (Mehrschichtiges Anschwemmfilter in Rohr- oder Plattenform und Verfahren zu dessen Betrieb) [Fa. Philipp Hilge]. Пат. ФРГ 945748, 19.07.56

В качестве фильтрующей перегородки в фильтре используется несколько последовательно расположенных слоев из различных вспомогательных в-в (асбест, ки-

зельгур). В отличие от аналогичных фильтров, применявшихся до настоящего времени, фильтр позволяет производить замену или удаление любого фильтрующего слоя, не затрагивая других слоев. Фильтр с кольцевыми фильтрующими перегородками состоит из кожуха и установленных в нем 2 цилиндрич. перфорированных опорных перегородок, разделяющих пространство внутри кожуха на внутреннюю камеру и 2 кольцевые камеры, в которых намыиванием образуются первичный и вторичный слои вспомогательного в-ва.

В. Реутский

**53522 П. Метод изготовления щелевого фильтра из твердого материала.** Краусхар (Verfahren zur Herstellung eines Spaltfilters aus festem Material. Kraushaar Reinhold). Пат. ФРГ 942625, 3.05.56

Изготовление щелевых фильтров из твердых материалов с шириной щели  $< 1/10$  мм обходится очень дорого, что объясняется трудностью сборки фильтров с такими узкими щелями. Предлагаемый метод значительно облегчает их изготовление. Метод состоит в том, что поверхности элементов, образующих щели (провода, пластины), перед сборкой погружаются в среду, способную покрывать их равномерной по толщине пленкой (толщина пленки устанавливается в соответствии с необходимой шириной щели), застывающей при извлечении элементов из ванны. После сборки элементы жестко скрепляются друг с другом, а застывшая пленка удаляется путем растворения, оставляя между ними узкие щели заданной ширины.

В. Реутский

**53523 П. Приспособление к фильтровальному аппарату** (Laitelma suodatuslaitoksiin) [Norsk Hydro-Elektrisk Kvaelfstofaktieselskab]. Фин. пат. 27998, 10.11.55

Описано приспособление к фильтру, очистка которого производится обратным потоком фильтрата. Приспособление состоит из 3-ходового крана и автоматически действующего пневматич. устройства, изменяющего положение 3-ходового крана таким образом, что через определенные интервалы времени фильтрат из сборника направляется обратно в фильтр для промывки фильтрующей перегородки.

И. Смирнов

**53524 П. Применение зернистых поверхностноактивных фильтрующих материалов, содержащих тяжелые металлы, для фильтрации жидкостей.** Клейнерт, Гроганц (Körniges, oberflächenaktives, schwermetallhaltiges Filtermaterial zur Filtration von Flüssigkeiten. Kleiner Theodor, Grohgan z Hermann). [Zellwolle Lenzing A.-G.]. Пат. ФРГ 946797, 9.08.56

В качестве материала для изготовления фильтрующих перегородок предложено использовать зернистые поверхностноактивные материалы, содержащие тяжелые металлы и приобретающие в процессе тепловой обработки желательную структуру пор. Для этой цели могут быть использованы колчеданный огарок или сульфиды Fe, размеры зерен которых лежат в пределах 0,1—1 мм, причем вес зерен с диам.  $\leq 0,3$  мм должен составлять  $\geq 1/3$  от общего веса всего материала. Фильтрующие перегородки, изготовленные из таких материалов, в отличие от тканевых, легко подвергаются регенерации и имеют более высокую проникаемость. В частности, такие перегородки могут быть использованы для фильтрации вискозы.

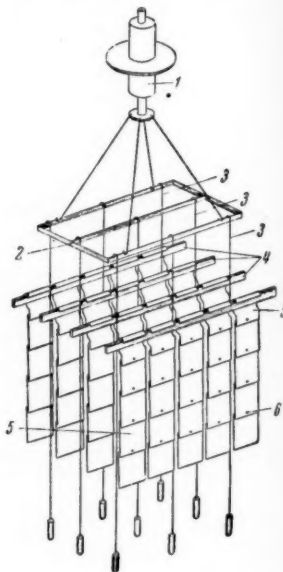
В. Реутский

**53525 П. Усовершенствование электрофильтров** (Perfectionnements aux précipitateurs électrostatiques) [Compagnie pour la fabrication des compteurs et matériel d'usines à gaz]. Франц. пат. 1110366, 13.02.56

Усовершенствование электрофильтра предусматривает применение составной конструкции осадительных пластин (ОП). Помимо удобства монтажа, который в этом случае можно производить, пользуясь неболь-

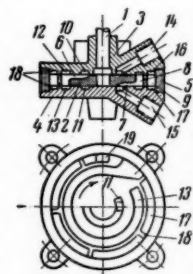
шими люками в корпусе аппарата, составные ОП характеризуются еще дополнительными преимуществами: 1) легко достигается точное вертикальное расположение электродов и устраняется опасность деформации последних в ходе монтажа; 2) электроды могут быть изготовлены из пластин очень малой толщины, что дает возможность

применять дорогостоящие коррозионностойкие металлы; 3) облегчается удаление осаждаемого на электродах материала. Электрофильтр состоит из изолятора 1, на котором подвешены рамы 2 для крепления коронирующих проводов 3. На опорных рейках 4 подвешены составные пластины 5, скрепляемые болтами 6. Электроды промываются водой, которая поступает по трубопроводу (на рис. не показан). Ю. Скореецкий



**53526 П. Лабиринтный эмульгатор.** Хейнольд (Mander-emulsor. Heinoild G. Willy). Пат. ГДР 11703, 30.06.56

Находящийся на валу 1 диск 2 вращается в замкнутом пространстве, ограниченном верхней 3 и нижней 4 крышками и центрирующим их кольцом 5, в котором имеется штуцер для удаления воздуха. С обеих сторон на 2 имеются выемки, образующие каналы 6 и 7, сообщающиеся с помощью отверстий 8. По периферии 2 имеет радиальные лопасти 9. Система каналов 6 и 7 с кольцевыми выточками 10 и 11, а также 12 и 13 образует насос для двух жидкостей, в который последние поступают по штуцерам 14 и 15. Выточка 13 тангенциальным каналом сообщается с образованной выточками 16 и 17 камерой, в которой находятся лопасти 9.



16 и 17 расположены concentрически с выточками 12 и 13 и разделены перемычками 18, плотно прилегающими к 2, на отдельные части. Благодаря этому выточки 16 и 17 образуют с 9 ступенчатый канал, окаймленный разгрузочным желобом 19 со штуцером. Работа эмульгатора регулируется с помощью кранов, установленных на штуцерах 14, 15 и 19. В каналах 12 и 13 происходит предварительное смешение за счет повышения давления и циркуляции, возникающей между этими камерами через отверстия 8. В ступенчатом канале, образованном 9, 16 и 17, происходит интенсивное перемешивание за счет изменения направления движения.

В. Коган

**53527 П. Смешивание газов с жидкостями.** Мерки (Mixing of gases and liquids. Märky Her-



bert Leo) [Kerag Kesselschmiede, Apparate- und Maschinenbau]. Пат. США 2733056. 31.01.56

Смешение осуществляется подачей газа в полый ситчатый барабан, быстро вращающийся внутри наполненного жидкостью сосуда. Вращающийся барабан не соприкасается непосредственно с жидкостью, а отделен от последней пограничным слоем пены, образующимся при определенной скорости вращения за счет выхода газа из отверстий в стенках барабана. Опытами установлено, что при этом механич. энергия, затрачиваемая на привод барабана, уменьшается на 30—40%. Эффективность работы такого аппарата выше, чем насадочных колонн.

Ю. Скорейкий  
53528 П. Способ азеотропного обезвоживания смесей уксусной кислоты и воды или уксусной кислоты, уксусного ангидрида и воды. Алеритьер (Verfahren zur azeotropen Entwässerung von Gemischen aus Essigsäure und Wasser oder aus Essigsäure, Eissäureanhydrid und Wasser. Alheritiere Louis) [Les Usines de Melle Soc. An.]. Пат. ФРГ 946799, 9.08.56

Предлагается способ обезвоживания с помощью азеотропной ректификации смесей уксусной к-ты, уксусного ангидрида и воды, содержащих летучие растворимые в воде примеси, наличие которых ухудшает условия расслаивания отгоняемых азеотропных смесей, что уменьшает эффективность разделения. Способ отличается тем, что процесс обезвоживания, проводимый в присутствии разделяющих в-в (РВ), осуществляется не во всей, а в части колонны. Над этой частью колонны устраивается сепарационная зона, через которую не происходит барботаж пара и из которой отводится выделяющийся здесь нижний водный слой. Верхний слой, представляющий собой р-р уксусной к-ты и уксусного ангидрида в РВ, по переливной трубе стекает в колонну. Над сепарационной зоной имеется ректифицирующая часть, состоящая не менее чем из 4 тарелок. Ректифицирующее действие этой части колонны, а также размеры дефлегматора и т-ра охлаждающей воды в нем должны обеспечивать возможность отбора в виде дистиллата основной части низкокипящих примесей, не содержащих РВ. Процесс обезвоживания путем азеотропной ректификации может осуществляться с применением комбинированного РВ, состоящего из основного и вспомогательного РВ. Последний образует с водой азеотропную смесь с более низкой т-рой кипения, чем основной РВ. Благодаря этому вспомогательный РВ оказывает эффективное действие в части колонны, находящейся выше зоны действия основного РВ. В качестве основного РВ могут применяться пропиладетат, изопропиладетат, а в качестве вспомогательного РВ — углеводороды (напр., бензол) с т-рой кипения, близкой к т-ре кипения циклогексана.

В. Коган  
53529 П. Аппарат для проведения диффузионных процессов между жидкостями и газами. Линдер (Laite nesteiden ja kaasujen välisten diffuusioprosessien suorittamiseksi. Linder Åke Vilhelm Bernhard). Фин. пат. 28064, 10.12.55

Описана абсорбционная колонна с рядом ситчатых тарелок для контактирования движущихся противотоком жидкой и газообразной фаз. Тарелки снабжены спец. желобами, расположенными так, что направление потока жидкости непрерывно меняется. В желобе, в месте изменения направления потока, устроены один или несколько направляющих выступов, делящих поток жидкости на два или больше отдельных потоков.

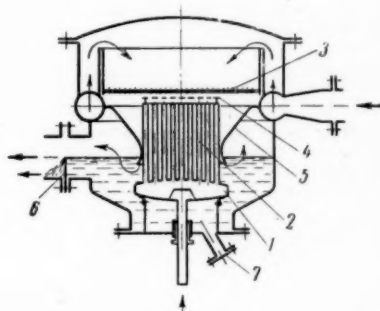
И. Смирнов

53530 П. Аппарат для экстракции масла из растительного сырья. Андрус (Apparatus for the extraction of oils from vegetable matter. Andrews Thomas) [Rose, Downs & Thompson]. Пат. США 2733136, 31.01.56

Экстракционный аппарат для извлечения масла из растительного сырья представляет собой горизонтальный бесконечный конвейер, состоящий из пропускающей р-ритель ленты с закрепленными на ее внешней стороне камерами. Конвейер заключен в кожух, в верхней части плотно прилегающий к камерам. Между верхней и нижней частями ленты имеются 6 секций, в которых поддерживается различное давление. Мелкоизмельченный материал вместе с р-рителем поступает в камеру, расположенную над секцией, в которой давление равно атмосферному. При движении камера перемещается над вакуумной секцией, в которой из материала извлекается р-ритель, а затем над секцией повышенного давления, где материал разрыхляется. Далее камера проходит над следующей секцией, где давление равно атмосферному; здесь к материалу добавляется свежий р-ритель. Затем камера последовательно перемещается над вакуумной секцией и секцией повышенного давления, где переработанное растительное сырье сбрасывается с конвейера.

К. Сакодынский  
53531 П. Способ быстрого охлаждения реакционного газа в каталитических процессах окисления. Польт, Кноп (Verfahren zur raschen Abkühlung der Reaktionsgase bei katalytischen Oxydationsprozessen. Pohl Walter, Knoop Ludwig). Пат. ГДР 11822, 27.06.56

С помощью насоса охлаждающая жидкость (Ж) (напр., вода) подается в небольшую распределительную камеру 1, в верхнюю крышку которой вмонтирован пучок труб 2. Поднимаясь по трубам, Ж частично испаряется. Подбирывание Ж на опорную решетку 3, поддерживающую катализатор, предотвращается с помощью расположенного над 2 сепаратора из проволоочной сетки 4. Реакционный

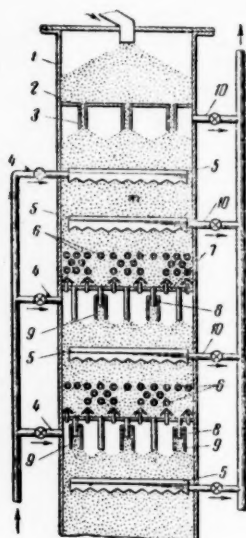


газ, выходящий через 3, подвергается первоначальному охлаждению за счет смешения с паром и Ж, вытекающими из 2. Затем охлаждение происходит в пространстве, ограниченном кожухом 5, за счет теплообмена газа с Ж, стекающей по наружным стенкам трубок. При помощи перегородки 6 в межтрубном пространстве поддерживается уровень Ж, находящийся выше нижней кромки 5, благодаря чему дальнейшее охлаждение газа происходит за счет барботажа через Ж. Содержащиеся в газе твердые частицы остаются в Ж и могут отводиться через штуцер 7. В случае необходимости 2 может быть сделан такой длины, чтобы в нем происходило полное испарение Ж. Вместо пучка труб могут применяться змеевики.

В. Коган

53532 П. Метод и аппаратура для охлаждения гранулированного контактного материала. Фанесток (Method and apparatus for cooling granular contact material. Fahnestock Frank C.) [Socony Mobil Oil Co., Inc.]. Пат. США 2741603, 10.04.56

Предлагаются конструкция теплообменника и метод охлаждения контактного материала (КМ) в регенераторах крекинг-установок. В рассматриваемом аппарате вся поверхность теплообмена бесперерывно находится в контакте как с жидкостью, так и с КМ. Регулирование т-ры КМ обеспечивается созданием необходимых скоростей потоков, причем это достигается при отсутствии каких-либо вентилях или ограничителей в пространстве печи, что является основным преимуществом теплообменника при высоких т-рах в рабочей зоне. Метод заключается в следующем: в верхнюю зону регенератора 1 подается КМ из реакционной зоны. В регенераторе имеется перегородка 2 с большим кольцом отверстий, в которые вставлены патрубки 3. КМ, попадая на 2, просыпается через 3 во второе отделение регенератора, затем проходит через ряды поперечных перфорированных и продуваемых воздухом труб 4. Для предотвращения забивания отверстий в указанных трубах, последние сверху закрываются колпачками 5. Воздух в регенератор подается для выжигания твердых отложений из КМ. Продукты сжигания отводятся из регенератора по трубам 10. Процесс выжигания сопровождается выделением тепла и повышением т-ры КМ. Допустимая т-ра КМ 520—700°.



При более высокой т-ре КМ теряет каталитич. свойства. Снижение т-ры материала достигается установкой поперечного пучка труб 6, внутри которых протекает теплоноситель. Под этим пучком расположена следующая перегородка 7 регенератора, по конструкции аналогичная 2. На концы патрубков 8 через ряд надеты передвигаемые спец. механизмом наковечники 9, служащие для регулирования скорости высыпания КМ. При установке 9 в верхнее положение длины 8 будут одинаковыми и скорость материала по сечению зоны также будет одинаковой. Выдвижением 9 достигается удлинение 8, что приводит к уменьшению скорости высыпания КМ.

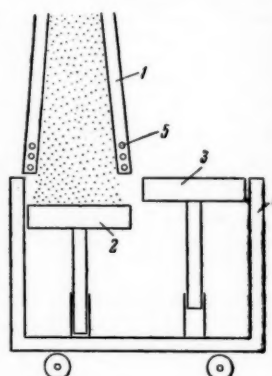
**Т. Коляч**  
**53533 П.** Метод осуществления циркуляции подвижных зернистых материалов. Айви, Делаплейн (Verfahren zur Kreislaufführung freiließender körniger, fester Stoffe. Ivey Edwin Harry, jun., Delaplaine John Watson) [Houdry Process Corp.]. Пат. ФРГ 918323, 21.03.55 [Chem. Zbl., 1955, 126, № 34, 8068—8069 (нем.)]

Предложен метод осуществления циркуляции подвижных зернистых материалов через реакционные зоны, в которых происходит их контакт с жидкими или газообразными в-вами. После этого материалы поступают в вспомогательную камеру, откуда сжатым газом поднимаются по вертикальной трубе в отстойную камеру, где происходит отделение газа или жидкости от твердых частиц, причем уровень твердых частиц в камере поддерживается все время приблизительно постоянным. Осевшие частицы снова поступают в реакционные зоны. Предложенный метод особенно рекомендуется для осуществления каталитич. превращений углевод-

родов, при которых катализатор может быть регенерирован при помощи кислородсодержащих газов.

**В. Реутский**  
**53534 П.** Способ и установка для удаления текущего материала из аппарата. Герстнер (Verfahren und Vorrichtung zur Entnahme eines fließfähigen Gutes aus einem Schacht. Gerstner Ferdinand) [Walter-Chemie G. m. b. H.]. Пат. ФРГ 948413, 30.08.56

Шибер 2, вплотную закрывающий выходное отверстие (ВО) шахты 1, опускается вместе с находящимся на нем горячим продуктом (пластмасса, смола), после чего перемещается влево в направлении, перпендикулярном оси шахты. Одновременно передвигается в поперечном направлении и перекрывает ВО установленный на общей раме 4 шибер 3, находящийся в крайнем верхнем положении. Рабочий цикл завершается опусканием 3 с находящимся на нем продуктом и последующим поперечным передвижением 4. В случае особо высоких т-р ВО шахты снабжается холодильным устройством 5.

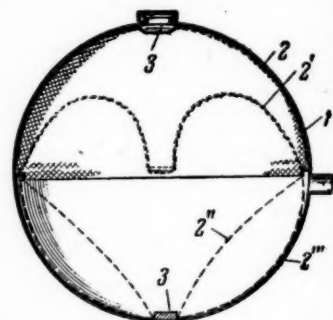


**В. Гриншпун**  
**53535 П.** Установка для обработки твердого мелкоизмельченного вещества жидкостью или газом.

Эран (Laite kiinteän hienojakoisen aineen käsittelymiseksi nestemäi sillä ja/tai kaasumaisilla aineilla. Hérengr André). Фин. пат. 27849, 10.09.55

Установка выполнена в виде башни с несколькими механич. грохотами, на которых происходит контакт твердого тела с газом или жидкостями. **И. Смирнов**  
**53536 П.** Газгольдер. Ларсен (Gas storage apparatus. Larsen Lyle V.) [Chicago Bridge and Iron Co.]. Пат. США 2737453, 6.03.56

Предложено усовершенствование для сферич. газгольдера 1 с подвижной гибкой диафрагмой 2, заключающееся в том, что к 2 по центру прикрепляется груз 3. Это приводит к тому, что при разгрузке и заполнении 1 не происходит трения 2 о стенки газгольдера. Кроме того, при наличии 3 не происходит образования складок на 2, что приводит к накоплению в них воды, под действием которой происходит разгрузки 1. 2', 2'' и 2''' показывают промежуточные положения 2 в процессе разгрузки газгольдера.



**В. Реутский**

См. также: Трубы из пластика в хрм. пр-сти 52715, 52723. Очистка воздуха от окислов азота 51750. Очистка коксового газа 52194, 52212. Теплоизоляция

ные материалы 51941, 52005. Выпаривание с термокомпрессией 53158. Выпарные установки 52994, 53148. Экстракция неорганич. в-в органич. растворителями 51739. Фракционированная перегонка производных пиридина 52169. Кристаллизация 53170. Адсорбер с предохранит. устройством 53575. Аппаратура для экстракции 53122. Аппаратура для непрерывного выщелачивания 53163, 53165. История перегонки 50293

## КОНТРОЛЬНО-ИЗМЕРИТЕЛЬНЫЕ ПРИБОРЫ. АВТОМАТИЧЕСКОЕ РЕГУЛИРОВАНИЕ

Редакторы А. М. Дробиз, Н. Я. Феста

**53537.** Роль измерительной и автоматической аппаратуры в химической промышленности и смежных производствах. Зарембский (Rola aparatury pomiarowej w przemyśle chemicznym i przemysłach pokrewnych. Zaremski Henryk), Pomiar, automat., kontrola, 1955, 1, № 1, 13—16 (польск.)

Приведено экономич. обоснование применения измерительной аппаратуры и устройств автоматизации. Даны примеры роста производительности (от 50 до 10 000%), снижения затрат труда (от 20 до 80%) и экономии в расходе энергии (от 10 до 70%), полученных при автоматизации 15 различных технологич. процессов. Обсуждаются показатели оснащения хим. произ-в измерительной и регулирующей аппаратурой, а также главные системы контроля и управления. Указаны основные принципы применения средств автоматизации в хим. пром-сти и доля капитальных затрат на эти цели, составляющая от 4%, при установке единичных устройств, и до 40% при полной автоматизации процессов.

Ю. Скорецкий

**53538.** Дискуссия по вопросу метрологической терминологии. Фельш (Dyskusja w sprawie terminologii metrologicznej. Felsz Jerzy). Pomiar, automat., kontrola, 1956, 2, № 4, 156—158 (польск.)

**53539.** Анализ статистических погрешностей систем автоматического контроля. Синицын Б. С., Науч. зап. Львовск. политехн. ин-т, 1956, № 36, 113—124

**53540.** Опыт снижения стоимости приборного оборудования опытной установки с подвижным катализатором. Майнет, Меркус (Cost-saving techniques for instrumenting a fluidized bed pilot plant. Minet R. G., Mirkus J. D.), Chem. Engng Progr., 1956, 52, № 12, 531—534 (англ.)

На опыте автоматизации ползаводской опытной установки с подвижным псевдоожиженным катализатором показывается, как можно упростить схему контроля и регулирования и этим получить значительный экономич. эффект. Указывается, что стоимость приборов опытной установки может достигать 50% от стоимости ее аппаратуры, между тем как в заводских условиях эта сумма не превышает 8—12%. Приведены примеры возможных упрощений. Так напр., вместо установки дифдатчика для измерения перепада давлений от 0 до  $0,4 \text{ кг/см}^2$  рекомендуется устанавливать 2 блока. 1-й блок — суммирующий, прибавляет к перепаду давл.  $0,1 \text{ кг/см}^2$ , а 2-й удваивает полученное давление. В результате получается стандартное для пневматич. регулятора давление ( $0,2—1 \text{ кг/см}^2$ ). Вместо стандартного клапана предлагается шланг, пережимаемый мембранным исполнительным механизмом. В результате этих мероприятий сэкономлено 36% стоимости приборов и регуляторов.

И. Ихлов

**53541.** Автоматизация и радиоактивные изотопы. Анба (オートメーションとラジオアイソトープ. 合 業修一), 化学工, Katakoku kokaku, Chem. Engng (Japan), 1956, 20, № 7, 376—379 (японск.)

**53542.** Применение радиоактивных изотопов для промышленной гамма-дефектоскопии. Езерский (Zas-

tosowanie izotopów promienio twórczych w gammagrafii przemysłowej. Jezierski Roman), Przegl. mech., 1956, 15, № 3, 92—94 (польск.)

См. также РЖХим, 1956, 54998.

**53543.** Радиоактивный уровнемер типа УР-4. Фурман К., Ульященко В., Пожарное дело, 1956, № 2, 21

**53544.** Оптический монохроматический пирометр ЕР-4 отечественного производства. Чекалинский (Pirometr optyczny monochromatyczny EP-4 produkcji krajowej. Czekaliński Lech), Pomiar, automat., kontrola, 1956, 2, № 5, 177—178 (польск.)

После предварительной проверки и апробирования опытных образцов Главным управлением мер в Польше впервые начато серийное произ-во улучшенной модели оптич. пирометра типа ЕР-4. Прибор имеет 2 предела измерений:  $800—1400^\circ$  и  $1200—2000^\circ$ . Допустимая погрешность отсчета  $\pm 1,5\%$  от верхнего предела шкалы. Вес пирометра  $\sim 1,7 \text{ кг}$ . Приведены схемы, описание принципа действия и конструктивного устройства ЕР-4, а также фотографии внешнего вида прибора.

Ю. Скорецкий

**53545.** Автоматический регулятор температуры сырой воды после подогревателей декремизационной установки. Серебряков Г. И., Чириков В. И., Электр. станции, 1957, № 1, 77

Для автоматизации узла декремизации был применен электронный регулятор т-ры типа ЭРС-3 завода «Энергоприбор». Импульсы на этот регулятор подается от термометра сопротивления, врезанного на выходе воды из водоподогревателей. Регулятор воздействует через колонку дистанционного управления и связанную с ней регулируемую заслонку на подачу греющего пара давл. 13 атм к подогревателям.

М. Людмирский

**53546.** Регулирование температуры и влажности в новой газовой лаборатории. — (Temperature and humidity control in new gas laboratory.—), Chem. Engng and Mining Rev., 1956, 49, № 1, 17—19 (англ.)

При смешении газа, полученного из бурого угля, с хвостовыми газами нефтепергонных аз-дов и др. газами важно контролировать теплотворную способность получаемой газовой смеси. Установленные для этой цели регистрирующие калориметры Сигма требуют стабильной т-ры и влажности окружающей среды. В особенности влияют колебания т-ры и влажности на точность контрольных анализов, посредством которых проверяются калориметры. Для повышения точности измерений теплотворной способности газов лаборатории и комната, где установлены приборы, были снабжены установкой кондиционирования воздуха. Установка продувала через помещение  $56 \text{ м}^3/\text{мин}$  фильтрованного, кондиционированного воздуха (75% циркуляционного и 25% свежего). Т-ра поддерживалась летом  $27^\circ$ , а зимой —  $20^\circ$ . В летнее время эта установка понижает влажность воздуха в 2 раза. Зимой влажность воздуха можно пренебречь. Одновременно стабилизировали также т-ру вод. охлаждающей калориметры. Установка повысила точность проведения газовых анализов в лаборатории.

И. Ихлов

**53547.** Непрерывные анализы. Кумз (Continuous analysis. Combes J. J.), Automation, 1956, 3, № 8, 49—53 (англ.)

Непрерывные анализаторы рекомендуется применять для контроля состава: а) входящих потоков; б) выхода из абсорбционных или скрубберных систем, для устранения нежелательных загрязнений продуктов; в) в реакционных сосудах, для определения и устранения опасных для процесса конц-ий; г) на выходе из реакторов, для определения активности катализаторов; д) в циркуляционных системах, для определения накопления инертных примесей; е) выходного продукта, с целью определения его кондиции; з) в атмосфере цеха,



для определения ее токсичности или взрывоопасности. Приводятся рекомендации по выбору точки отбора и типа анализатора. Дана таблица применяемых типов анализаторов: 1) хим. с измерением изменения давления при поглощении измеряемого компонента; 2) термохим. с использованием эффекта каталитич. сжигания; 3) колориметрич.; 4) с измерением диэлектрич. проницаемости; 5) дифференциальных рефрактометров; 6) электрокондуктометрич.; 7) диффузионных; 8) pH-метров; 9) ИК-анализаторов с позитивной или негативной фильтрацией; 10) масс-спектрометров; 11) магнитных, механич. или термомеханич.; 12) деполаризационных, для определения  $O_2$ ; 13) радиологич., для определения  $Ag$  в  $N_2$ ; 14) спектрографич., в том числе: оптич., флуоресцентных с применением рентгеновских лучей, ядерно-магнитного резонанса и др.; 15) спектрофотометров; 16) УФ-анализаторов.

**И. Илюх**  
**53548. Измерения влажности воздуха и газов. Лик, П. Лосе** (Feuchtigkeitsmessungen in Luft und Gasen. Lick Klaus, Ploß Gerhard), *Keram. Z.*, 1956, 8, № 12, 606—612 (нем.)

Описывается новый прибор (электрогигрограф), позволяющий измерять и автоматически регистрировать влажность газов. Чувствительный элемент представляет собой цилиндр  $200 \times 25$  мм из изолирующего материала, пропитанный р-ром  $LiCl$  и обмотанный спиральными электродами. Электропроводность этого р-ра резко падает в момент его насыщения и выпадения кристаллов  $LiCl$ , что соответствует 10% относительной влажности газа. В зависимости от влажности р-ра изменяется сила тока (между электродами) и соответственно этому нагрев р-ра и испарение влаги из него. Таким образом самопроизвольно устанавливается динамич. равновесие между влажностью р-ра и анализируемого газа. Термометр сопротивления, помещенный внутри цилиндра, показывает  $t$ -ру, соответствующую влажности газа, и его показания регистрируются на самопишущем приборе, градуированном в  $t$ -рах точек росы. Пересчет в абс. или относительные влажности или в пар. давления пара может легко производиться при помощи особой расчетной линейки. Электрогигрограф может измерять  $t$ -ры точек росы в интервале  $-30$  до  $100^\circ$  при  $t$ -рах газов от  $-20$  до  $150^\circ$ . Сравнительные испытания с другими методами определения влажности газов показали погрешности, не превышающую  $1^\circ$   $t$ -ры точки росы. Применение электрогигрографа было успешно испытано для регулирования режимов керамич. сушил и газогенераторов.

**А. Говоров**  
**53549. Термомангнитный газоанализатор на кислород.** Ицкович Э. Л. В сб.: Теплоэнерг. приборы и регуляторы, М. — Л., Машгиз, 1956, 195—201

Рассматриваются основные конструктивные особенности, приводятся технич. характеристики и результаты эксплуатации опытных образцов термомангнитных газоанализаторов для определения кислорода в дымовых газах типа ТМГК-5 со шкалой  $0-5\%$   $O_2$ , разработанных Институтом автоматики и телемеханики АН СССР и трестом «Союзтеплоконтроль». Отмечается, что при соответствующем изменении пределов шкалы этот прибор может быть применен в различных отраслях промышленности для контроля и автоматич. регулирования процесса горения. Основная погрешность измерения прибора равна  $5\%$  от шкалы. Постоянная времени прибора 10 сек. Описано спец. газозаборное устройство к газоанализатору.

**М. Людмирский**  
**53550. Анализатор окиси углерода. Каван** (Analysátor kyslíčníku uhelnatého «I CO—2»). Kavan I., *Paliva*, 1956, 36, № 5, 157—158 (чешск.)

Описан переносный газоанализатор, основанный на измерении повышения  $t$ -ры при окислении  $CO$  на активном в-ве ( $AgMnO_4$  на носителях, состоящих из окисей) с помощью очень чувствительного термостолбика

и милливольтметра. Аппарат имеет два диапазона измерений  $0,005-0,100$  и  $0,01-1,0\%$   $CO$ ; продолжительность измерения  $2-7$  мин.; размер  $215 \times 120 \times 120$  мм, вес 3 кг.

**Е. Ст.фановский**  
**53551. Промышленный прибор для обнаружения паров фторидов металлов. Шоу, Дирюотер** (Production-type volatile metal fluoride detector. Shaw W. E., Dearwater J. R.), *Industr. and Engng. Chem.*, 1956, 48, № 4, 792—793 (англ.)

Спектрально чистый графитовый стержень, предварительно активированный 8-часовым кипением в смеси конц. азотной и соляной к-т, помещается в камеру, в которую напускается газ, содержащий пары фторидов металлов. Вследствие разъедания стержня его форма меняется, вместе с ней меняется и электрич. сопротивление стержня. По изменению электрич. сопротивления судят о наличии и конц-ии паров фторидов в исследуемом газе. Приведены фотография датчика и схемы измерения.

**Л. Васильев**  
**53552. Автоматический пробоотборник для крупнокусковой руды. Малкин С. З.** Цветн. металлы, 1956, № 8, 73—75

Автоматический пробоотборник (П) (проба руды отбирается путем пересечения струи при падении ее с ленты транспортера) состоит из бункера с открывающимся дном, смонтированного на автоматическом перемещающемся по рельсам тележку. Принцип работы П заключается в том, что с получением импульса от реле времени включается в действие приводная станция, которая заставляет П двигаться к месту падения струи с транспортера. Пройдя струю опробуемого материала, П автоматически останавливается. При повторном срабатывании реле времени он движется в обратном направлении, вновь пересекает струю опробуемого материала и доходит до места разгрузки, где днище открывается и материал высыпается. Дается расчет параметров бункера и числа отсечек. Описываются механизм движения тележки и процесс разгрузки бункера.

**М. Людмирский**  
**53553. Быстродействующее регулирование с помощью магнитного регулятора. Кронмюллер** (Schnellregelungen mit dem Magnetikregler. Krommüller H.), *Dechema Monogr.*, 1955, 24, № 283—292, 244—257 (нем.)

Фирма Siemens und Halske разработала электрич. регулятор с магнитным усилителем. Регулятор состоит из 3-ступенчатого магнитного усилителя и электромоторного исполнительного механизма с балансирным индуктивным мотором 2-фазного тока. Входной сигнал мощностью в  $10^{-7}$  вт достаточен для достижения максим. сигнала от усилителя. Мощность, отдаваемая усилителем при питании от сети переменного тока с частотой 50  $гц$ ,  $60-250$  вт. Коэф. усиления по мощности достигает  $6 \cdot 10^7-2,5 \cdot 10^8$ . При входном сопротивлении в  $50$  ом достаточно напряжения в  $7$  мв для достижения мотором максим. скорости. Время запаздывания регулятора 1 сек. Время полного закрытия регулирующего органа 20 сек. Исполнительный механизм снабжен омич. датчиком обратной связи, воздействующим на вход усилителя через систему сопротивлений и емкостей, позволяющую получать изоморфное регулирование с предварением. Так как регулятор не требует обслуживания, он не приспособлен для щитового монтажа. На щите управления монтируются только задатчик, указатель отклонения регулируемого параметра и переключатель с ручного на автоматич. управление. Для пояснения принципа действия и области применения регулятора приводятся основные сведения по работе и построению схем магнитных усилителей и основы теории автоматич. регулирования. Регулятор рекомендуется применять главным образом при сравнительно быстро протекающих процессах. Приведены примеры,

показывающие хорошую работу нового регулятора при регулировании давления и питания котлов.

И. Ихлов

**53554. Автоматизация в цементной промышленности.** Шигонский (Automatyzacja ruchu w przemyśle cementowym. Szygowski Anatol), Cement, Warpo, Gips., 1955, 11, № 2, 35—39 (польск.).

Описание мероприятий по автоматизации вращающихся печей и мельниц по данным, опубликованным в СССР и Англии.

Е. Стефановский

**53555. Как использовать телевизионную технику в стекольной и керамической промышленности.** Клапка (Jak využít televizní techniky ve sklářském a keramickém průmyslu. Klápka Jan), Sklár a keramik, 1956, 6, № 12, 298 (чешск.).

Кратко описаны возможности использования в стекольной и керамич. пром-сти нового промышленного телевизора (Т) «Видикон», выпущенного в Чехословакии в 1956 г. Такого типа Т выпускают многие фирмы Англии, Италии, ФРГ и США и широко используют в пром-сти. С места установки камеры изображение передается кабелем на расстояние до 1000 м; размеры съемочной камеры  $13 \times 13 \times 27$  см, вес 2—4 кг; приемный экран от  $105 \times 80$  до  $640 \times 480$  мм. Съемочные камеры могут быть снабжены стереоскопикой, перископом, микроскопом или светофильтром. Рекомендуется применение Т для наблюдения за процессами произ-ва в труднодоступных или вредных для здоровья местах, для проверки подачи сыпучих в-в при дозировке, для дистанционного контроля процессов обжига или плавки, для наблюдения за отдаленными контрольными приборами, для дистанционной передачи отчетов, рапортов, для наблюдения с одного места за деятельностью цехов, за входами и выходами, для учебных, рекламных и других целей.

С. Глебов

**53556 К. Аналитический контроль производства азотной промышленности.** М., Госхимиздат, 1956, Вып. 1. Контроль в газогенераторном цехе и отделениях конверсии окиси углерода, водной и медно-аммиачной очистки. 176 стр. илл., 6 р. 75 к. Вып. 2. Контроль производства аммиачной селитры. 88 стр., илл., 3 р. 70 к.

**53557 П. Весы для взвешивания жидкостей Меррей** (Scales for the weighing of liquids. Murray Cecil Walter) [George Fletcher & Co., Ltd]. Пат. США 2717142, 6.09.55

Автоматические весы для взвешивания жидкостей отличаются тем, что выпускной клапан в весовом танке и выпускной клапан в весовом танке управляются через рычажную передачу коромыслом весов, на котором подвешен весовой танк. Малому перемещению этого танка соответствует значительное перемещение обоих клапанов.

И. Ихлов

**53558 П. Жидкостной манометр.** Черри, Фолли (Liquid manometers. Cherry Robert H., Foley Gerard M.) [Leeds and Northrup Co.]. Пат. США 2738678, 20.03.56

В жидкостном манометре с омич. передачей показаний предлагается чувствительные нити изолировать от манометрич. жидкости и использовать для измерения эффект изменения т-ры этой нити при ее погружении в жидкость. При этом устраняется влияние переменного электрич. сопротивления контакта нити с жидкостью. Ток, протекающий через нити, выбирается таким, чтобы он нагревал эти нити. Для устранения влияния внешних условий (состав газа, т-ра и т. п.) применяется сравнительный элемент, состоящий из ампулы с такой же нитью, как у рабочего плеча, и с кол-вом жидкости, соответствующим среднему уровню жидкости в рабочем плече. Оба элемента, рабочий и

сравнительный, соединяются по газовой фазе и включаются в мостовую схему (равновесную). Приведены варианты использования данного прибора для измерения барометрич. давления (с ртутным барометром) и расхода газа.

И. Ихлов

**53559 П. Метод измерения температуры.** Риджер (Method of measuring temperature. Regier Robert B.) [Phillips Petroleum Co.]. Пат. США 2739035, 20.03.56

Чувствительный элемент для измерения т-ры по предлагаемому методу состоит из 2 отделений, разделенных полупроницаемой перегородкой, которая не позволяет смешиваться твердым в-вам, находящимся в этих отделениях, но является проницаемой для газовых продуктов разложения этих в-в. Оба отделения заполняются в-вами типа карбонатов или сульфатов щелзем. металлов, причем в одно отделение помещается радиоактивное, а в другое нерадиоактивное в-во. После выдержки в течение определенного времени при измеримой т-ре чувствительный элемент охлаждается и измеряется соотношение радиоактивностей в обоих отделениях, что и является мерой т-ры. Этим же методом можно измерять интеграл т-ры во времени.

И. Ихлов

**53560 П. Термометры.** Перлин (Thermometers Pelrin Fred) [Brown & Bigelow]. Пат. США 2742787, 24.04.56

Патентуется настольный термометр стрелочного типа, отличающийся отсутствием видимой связи между чувствительным элементом и циферблатом. Для этого наружный конец спирального чувствительного элемента прикреплен к уравновешенной стрелке, а внутренний к противовесу, обеспечивающему определенное положение этого конца чувствительного элемента в пространстве. Все измерительное устройство свободно одевается на ось, закрепленную в центре циферблата из прозрачной пластмассы, который одновременно является основанием прибора.

И. Ихлов

**53561 П. Вискозиметр.** Копп (Viscosimeter. Coene William G.) [Eastman Kodak Co.]. Пат. США 2738670, 20.03.56

Патентуется погружной вискозиметр ротационного типа, в котором ротор приводится во вращение с постоянной скоростью и измеряется вращающий момент, передаваемый статору через тонкий слой измеряемой жидкости, находящейся между статором и ротором. Измеряемый момент выводится из сосуда с измеряемой жидкостью при помощи торсионной трубки. Ротор может быть выполнен в виде диска или цилиндра. Соответственно статор имеет форму пластинки или полуцилиндра. При наличии в сосуде с измеряемой жидкостью мешалки ротор может быть прикреплен непосредственно к валу мешалки.

И. Ихлов

**53562 П. Прибор для автоматического периодического исследования жидкостей фотоэлектрическим путем,** главным образом для контроля излившей жесткости в установках для смягчения воды. Вуши (Přístroj k samostatnému periodickému vyšetřování kapalin fotoelektrickou cestou, zejména pro kontrolu zbytkové tvrdosti v zařízeních na změkčování vody. Wüsch Josef). Чехосл. пат. 84645, 1.10.55

Патентуется конструкция фотоэлектрич. колориметра, в который исследуемая и индикаторная жидкости подаются периодически порциями с помощью дозаторов, приводимых в действие общим двигателем.

Е. Стефановский

**53563 П. Метод и аппаратура для дозирования определенных количеств газа** (Method and apparatus for the dosed delivery of gas quantities) [A.-G. fuer Grundwasserbauten]. Англ. пат. 723671, 9.02.55

Для дозирования определенных кол-в газа, напр.  $Cl$  в  $H_2O$ , предлагается электромагнитный клапан, ко-

торый при каждом своем ходе пропускает определенный объем газа. Число ходов этого клапана определяется кол-вом электрич. импульсов задающего устройства. В случае хлорирования воды роль последнего может выполнять контактное устройство водомерного счетчика.

И. Ихлов

## ТЕХНИКА БЕЗОПАСНОСТИ. САНИТАРНАЯ ТЕХНИКА

Редакторы Н. Ф. Кононов, И. В. Саноцкий

53564. Обращение с радиоактивными материалами, I. П. Багналл, Спрагг (The handling of radioactive materials. I. P. Bagnall K. W., Spragg W. T.), *Atomics*, 1955, 6, № 3, 71—78, № 5, 125—129, 133 (англ.)

I. Описывается типовая радиохим. лаборатория. Для предотвращения распространения радиоактивных материалов за пределы лаборатории защитная одежда и обувь должны оставаться в помещении, отбросы не канализуются, а собираются и уничтожаются, вытяжная вентиляция снабжается фильтрами, задерживающими радиоактивную пыль, полы изготавливаются из линолеума, покрытого твердым воском или пластиковой краской. Сверху накладывается тонкий слой спец. воска, сменяемый при уборке. Приводятся расчеты вентиляции и отопления. Защита от излучения обеспечивается применением экранов: из свинца толщиной 3,5 см, железа 6,0 см или кирпича 20 см. Защита от радиоактивной пыли в тех случаях, когда активность источников невелика (до 100  $\mu$ кюри 3 $\gamma$  и до 10  $\mu$ кюри  $\alpha$ -излучателей), достигается применением вытяжных шкафов (скорость воздуха у открытой дверцы 36 м/мин). Устанавливаются также шкафы с плексигласовыми стеклами, куда вдеваются резиновые перчатки. Удобным расстоянием между центрами отверстий для перчаток считается 46—48 см. Некоторые  $\alpha$ -излучатели пропихивают резину раньше, чем она изнашивается, вследствие чего перчатки регулярно проверяются на радиоактивность. В шкафу поддерживается давление на 25,4 мм вод. ст. ниже атмосферного. Дезактивация поверхностей производится путем смены слоя краски и противокоррозийного лака. Необходимо стремиться к тому, чтобы стоимость аппаратуры была ниже, чем стоимость ее дезактивации. Библ. 17 назв.

И. Саноцкий

II. Изложены основные требования к приборам, служащим для взятия проб и транспортировки радиоактивных жидкостей (Ж): пипетки, пипунжеры, шприцы и т. д. Приведены схемы установок для передачи Ж по трубопроводу с использованием вакуума или сжатого воздуха (по желанию); для ускорения дистилляции Ж ниже т-ры кипения; для одновременного перемешивания в нескольких сосудах Ж при экстрагировании. Разбираются принципы экранирования в защитной камере. В качестве прозрачной экранирующей среды рекомендованы стеклянные бруски, содержание 50% Pb. Библ. 17 назв.

Н. Соловьева

53565. Извлечение с помощью дитизона радиоактивного цинка  $Zn^{65}$  из тканей. Сато, Фукуяма, Ямада (ジチゾンを用いる組織中放射性亜鉛  $Zn^{65}$  の抽出法. 佐藤徳郎, 福山富太郎, 山田美恵子), *公衆衛生*, Косюэй, J. Public Health, 1956, 20, № 1, 48—49 (японск.)

53566. О хроническом отравлении окисью углерода, связанном с работой гаражей. Кнохе (Über eine chronische Kohlenoxydvergiftung an Garagenbetriebern. K. Noche Bernhardt), *Zbl. Arbeitsmed. und Arbeitsschutz*, 1956, 6, № 12, 280—289 (нем.)

См. также: Контроль качества клинкера 52010. Изменение и регулирование в пищевой пром-сти 53217. Автоматизация хлебопечки 53270. Автоматика в пищ. в пищевой пром-сти 53217, 53236, 53279. Программное регулирование т-ры 52995. Автоматизация бумагоделательной машины 53001, 53022. Прибор для испытания усадки кожи 53389

53567. Повреждение глаз при химических работах. Предохранение и методы лечения. Уайтхед (Eye injuries in chemical works. Prevention and methods of treatment. Whitehead K. P.), *Chem. Age*, 1957, 77, № 1958, 130—132 (англ.)

Указано, что за 1955 г. на 3 больших хим. з-дах с общим кол-вом рабочих 4500 число поврежденных глаз (ПГ) составляло 1163. Большинство ПГ обусловлено находящимися в воздухе инородными телами, брызгами различных в-в. 97% ПГ, вызванных хим. в-вами, подвергнуто лечению на медицинском пункте з-да. Уменьшение частоты ПГ за последние 10 лет на хим. з-дах объясняют проведением ряда профилактич. мероприятий: герметизацией и механизацией производственных процессов, улучшением системы вентиляции и др. Подчеркнуто большое значение индивидуальной защиты (защитные очки из найлона, предохраняющие от ПГ в 90% случаев, газонепроницаемые защитные очки). Важная роль в деле снижения кол-ва ПГ принадлежит санитарной пропаганде.

Г. Дикарева

53568. Успехи и проблемы в области воздушной сепарации. Румпф (Fortschritte und Probleme auf dem Gebiete der Windsichtung. Rumpf H. A.), *Staub*, 1956, № 47, 634—645 (нем.; рез. англ., франц.)

Излагается принцип действия воздушных сепараторов и приводится описание их конструкций (сепараторы типа Микроплекс с диам. 132, 400 и 800 мм для улавливания пыли с частицами размером 2—15  $\mu$  и др.).

Я. Дозорев

53569. Уменьшение загрязнения атмосферы окислами азота — задача инженеров-химиков. Фейт (Nitrogen oxides a challenge to chemical engineers. Faith W. L.), *Chem. Engng Progr.*, 1956, 52, № 8, 342—344 (англ.)

Рассматривается механизм образования тумана в атмосфере. Установлено, что туман образуется в результате индуцированной фотохимической р-ции между углеводородами (УВ), а также их окисленными производными, и окислами  $N_2$ . В атмосфере Лос-Анжелоса (США) при образовании тумана обнаружено повышенное содержание (в ч. на 1 млн.): УВ 3,  $NO+NO_2$ , 0,7,  $O_3$  1 (последний образуется в результате фотохим. р-ции). Приведены данные о кол-ве  $NO$ , образующейся при сгорании бензина, природного газа и нефти. Обсуждаются мероприятия по уменьшению выброса  $NO$  в атмосферу: каталитич. разложение  $NO$ ; каталитич. восстановление  $NO$   $H_2$  или  $CO$ ; взаимодействие  $NO$  с  $NH_3$ ; окисление  $NO$  при добавлении  $O_3$  или катализатора 1,3-бутадиена с последующим поглощением  $NO_2$ ; ингибирование образования  $NO$ .

Г. Рабинович

53570. Новое в исследовании физико-химических основ пылеулавливающего действия смазчателей. Барон Л. И., Цвети. металлы, 1956, № 6, 74—75

Информация о заседании Комиссии по борьбе с силикозом при АН СССР. Н. Кулагина

53571. Вентиляция бродильных цехов. Гогиташвили Г. Г., *Спирт. пром-сть*, 1956, № 4, 20—21



Изме-  
53217.  
и кш  
имное  
одела-  
тания

Исследованиями, проведенными на ряде спиртовых заводов, установлено, что в воздухе бродильных цехов содержание  $\text{CO}_2$  в 3—9 раз превышает предельно допустимую концентрацию (при негерметизированных чанах). Определены концентрации  $\text{CO}_2$  в воздухе помещений на разных уровнях. Сделан вывод о необходимости принудительной приточно-вытяжной вентиляции с размещением всасывающих отверстий в нижних зонах помещений.

Ю. Скорецкий

53572. Хлористый кальций как охлаждающий агент в автономных дыхательных аппаратах с замкнутым циклом. Браннер (Calcium chloride as a cooling agent in self-contained, closed-circuit, breathing apparatus. Brunner G. E. B., Instn Fire Engrs Quart, 1956, 16, № 24, 278—280 (англ.))

В дыхательном аппарате с замкнутым циклом, применяемом работниками пожарной службы, температура циркулирующего в нем воздуха может повыситься за счет: 1) тепла, выделяемого телом человека; 2) тепла при поглощении  $\text{CO}_2$  абсорбентом; 3) лучистой энергии, выделяющейся при пожаре. Повышение температуры может быть таким, что воздух становится неприятным для вдыхания, в связи с чем требуется его охлаждение в теплообменнике. В качестве хладагента рекомендуется применять хлористый Са в кристаллической форме ( $\text{CaCl}_2 \cdot 6\text{H}_2\text{O}$ ), у которого способность поглощения тепла в 5 раз выше, чем у воды, в том же интервале температур.

Ю. Скорецкий

53573. Образование статического электричества при движении жидкостей. Клинкенберг (Entstehung von statischer Elektrizität durch Bewegung von Flüssigkeiten. Klinkenberg A.), Erdöl und Kohle, 1956, 9, № 11, 779—782 (нем.)

Описываются условия возникновения статического электричества при движении разнородных жидкостей за счет трения их частиц друг о друга и о стенки сосудов.

Я. Дозорец

53574. Предохранение и противопожарная защита на пылеугольных установках. Ханель (Sicherheit und Brandschutz in Kohlenstaubanlagen. Hanel H.), Energietechnik, 1956, 6, № 12, 538—547 (нем.)

Даются описание пылеугольных установок и характеристика факторов, влияющих на воспламенение пылей различных сортов угля (температура среды, толщина слоя и величина поверхности скопления пыли, верхний и нижний пределы взрывоопасных концентраций при различных размерах пылинок и т. д.). Рассматриваются методы определения концентрации пылей и мероприятия, предупреждающие пожары и взрывы пылей.

Я. Дозорец

53575. Адсорбер новой конструкции с предохранительным устройством. Кноп (Neuartige Adsorber und Sicherheitseinrichtungen für die Lösungsmittel-Rückgewinnung. Knoop W.), Zbl. Arbeitsmed. und Arbeitsschutz, 1956, 6, № 11, 255—259 (нем.)

Описана конструкция адсорбера, снабженного предохранительным приспособлением, предупреждающим самовозгорание активированного угля в период его регенерации после удаления растворителя. Регенерация производится продувкой угля паром и просушкой его горячим воздухом. Для предупреждения воспламенения угля в слой его помещается металлическая проволока, которая плавится при 125—130°. При повышении температуры свыше 130° проволока расплавляется и срабатывает автоматическое устройство, включающее звуковой сигнал. Применяются также и др. устройства для предупреждения и тушения пожаров.

Я. Дозорец

53576. О применении химической пены и качестве пеногенераторных порошков. Лабеев Н., Пожарное дело, 1956, № 1, 12—15

53577. Пути улучшения охраны труда на предприятиях консервной промышленности. Чернашов (Căile de îmbunătățire a protecției muncii în întreprinderile de conserve. Cernășov N.), Rev. ind. aliment. prod. vegetale, 1956, № 9, 12—15 (рум.)

Причины травматизма на предприятиях консервной промышленности распределяются следующим образом: 60% — порезы осколками стекла, кусками жести, острыми предметами и пр.; 12% — ушибы и ранения, полученные при погрузочных работах; 9% — ожоги при перемещении горячих продуктов; 2% — ранения, полученные при ремонте оборудования; 1% — электроудары; 16% — разные причины. Анализируются причины травматизма и указываются способы его устранения.

З. Хаймский

53578. Простое устройство, обеспечивающее безопасность [электрического] подогревателя. Фукуда (簡単なできるヒーターの安全装置. 福田矩彦), 化学と工業, Karaky, to kogē, Chem. and Chem. Ind., 1956, 9, № 11, 535 (японск.)

53579 К. Техника безопасности в коксохимическом производстве. Гольбрайт Ю. А., Киев, Гостехиздат УССР, 1956, 222 стр., илл., 5 р. 35 к.

53580 К. Коксохимические заводы. Указания по технике безопасности. Глазер (Zakłady koksochemiczne. Wskazówki bezpieczeństwa pracy. Głazer T. Warszawa, PWT, 1954, 115, s., ил., 7.80 zł) (польск.)

53581 К. Правила безопасности при эксплуатации нефтегазоперерабатывающих заводов. М., Гостоптехиздат, 1956, 135 стр., 6 р. 10 к.

53582 К. Защита от пыли, газов и паров на предприятиях маслянистой промышленности. Бухарин В. В., Лучин Б. Г. М., Пищепромиздат, 1956, 24 стр., илл., 35 коп.

53583 Д. Материалы по интоксикации сероуглеродом (Клинико-экспериментальные исследования). Лысина Г. Г. Автореф. дис. канд. мед. н., Киевск. мед. ин-т им. А. А. Богомольца, Киев, 1957

53584 П. Фильтр для улавливания активных излучений (Filtres pour radiations actiniques et procédés de fabrication [Ateliers de Constructions Electriques de Charleroi]. Франц. пат. 1057178, 5.03.54 [Chem. Zbl., 1955, 126, № 16, 3778 (нем.)])

В качестве фильтра применяется оболочка, изготовленная на основе поливинилового спирта, содержащего 70—99% ОН-групп. Т. к. поливиниловый спирт хорошо растворим в смеси спиртов и к-т (напр., в смеси  $\text{CH}_3\text{OH}$  и  $\text{HCl}$ ), то фильтрующий слой может быть выполнен в виде пленки лака. При изготовлении фильтра оболочку после сушки нагревают до 70—150°. Проницаемость фильтра варьируется путем обработки его щелочами или к-тами.

Н. Баскина

См. также: Эластичные листы для защиты от излучений 52869. Борьба с запыленностью 53476, 53477, 53479. Пожары и взрывы 51161. Огнестойкие ткани 52469. Огнестойкая изоляция для проводов 52891. Огнестойкая древесина 52970. Определение микроколичеств As 51575. Определение окислов азота в воздухе 51705

## НОВЫЕ КНИГИ, ПОСТУПИВШИЕ В РЕДАКЦИЮ

**Номенклатура химических соединений.** Ред. Хираяма, Мидзогути, Ямамото (Nomenclature of chemical compounds. Edited by Coordination Committee of Documentation and Library Services, Committee on Nomenclature and Editorial Board of the Journal of Japanese Chemistry. Eds. Hirayama Kenzo, Mizoguchi Dorothy U., Yamamoto Yuchi. Nankodo, 1957, 368 стр., 730 иен) (японск.)

Книга публикуется от имени Координационного комитета по документации и библиотечной службе, Комитета по номенклатуре и Редакции журнала Кагаку-но рэйки (Journal of Japanese Chemistry). Она представляет собой новое, исправленное и дополненное издание аналогичной книги, впервые изданной в 1955 г.; в ней учтены все постоянные и временные правила Международного союза чистой и прикладной химии (до августа 1956 г.).

Книга состоит из двух частей.

1) Правила Международного союза чистой и прикладной химии.

Органические соединения (Общие правила. Углеводороды. Основные гетероциклические соединения. Простые функции. Сложные функции. Радикалы. Нумерация. Кремнийорганические соединения. Галогенпроизводные углеводородов. Углеводы. Природные аминокислоты и родственные вещества. Каротиноиды. Стероиды).

Неорганические соединения (Элементы. Названия радикалов. Бинарные соединения. Соединения, содержащие 3 и более элементов. Кислоты. Соли и аналогичные соединения. Координационные соединения. Агрегатное состояние. Полиморфизм).

2) Другие правила и рекомендации.

Стереизомеры. Применение префикса «рег» в наименованиях галогенсодержащих органических соединений. Применение буквы *H* для обозначения положения атома водорода в почти полностью фторированных органических соединениях. Органические соединения, содержащие фосфор. Высокополимеры. Витамины. Стероиды. Терпеновые углеводороды. Трипеноиды. Тропаноиды. Азуленоиды. Меченые соединения. Электродвижущие силы и электродные потенциалы.

В конце книги имеется ряд справочных и вспомогательных материалов, а также предметные указатели (на японском и английском языках).

**Ядерная химия и ее приложения.** Хайсинский (La chimie nucléaire et ses applications. Haïssinsky M. Paris, Masson et Cie, 1957, 651 p., ill.) (франц.)

В понятие ядерной химии автор включает: 1) основы ядерной физики, 2) радиохимию, 3) радиационную химию и 4) приложения метода меченых атомов.

В книге приведены основные сведения об элементарных частицах, о строении атомных ядер, процессах радиоактивного распада и ядерных реакциях. Дано представление о делении ядер тяжелых элементов и о современной ядерной технике в ее мирном и военном аспектах.

Приведено описание свойств естественных радиоактивных элементов, изотопного эффекта и методов разделения изотопов.

Изложение радиационной химии включает взаимодействие излучения с веществом, химическое действие излучения, радиолиз водных растворов (рассматривается наиболее подробно), действие излучения на органические вещества и биологические системы, химические явления, вызванные ядерными превращениями.

Изложены теория изотопного обмена, теория распре-

деления микрокомпонента между двумя фазами. Описано применение изотопных методов в геохимии, геологии и астрофизике, использование радиоактивных и изотопных индикаторов в теоретической и прикладной электрохимии, аналитической химии, при исследованиях механизма и кинетики химических реакций, при биологических и физиологических исследованиях, в различных областях промышленности и сельского хозяйства. Затронут также вопрос о применении метода меченых атомов и об использовании излучения радиоактивных изотопов в медицине (диагностика и терапия).

Книга разбита на 25 глав, подразделенных на параграфы, снабжена указателями сокращений названий периодических изданий, авторским и предметным.

Из современных руководств по радиохимии и радиационной химии эта книга наиболее широко охватывает область теоретических и прикладных знаний, касающихся химической стороны ядерно-физических явлений. Она представляет несомненный интерес для научных работников и инженеров, соприкасающихся с указанными вопросами, а также может служить учебным пособием для студентов и аспирантов соответствующих специальностей.

**Минеральная химия, теоретическая и экспериментальная (электронная химия).** Для высших учебных заведений. Галле. Изд. 2-е. (Chimie minérale théorique et expérimentale (Chimie électronique). A l'usage de l'enseignement supérieur. 2-e éd. Gallais Fernand. Paris, Masson et Cie, 1957, 809 p., ill, 4300 fr.) (франц.)

Книга представляет собой курс неорганической и общей химии для студентов высших учебных заведений. Она состоит из двух частей: Часть первая — Общие сведения. Часть вторая — Элементы.

Первая часть курса содержит элементарное изложение основных понятий и законов, включая периодический закон Д. И. Менделеева, строение атома, электронную теорию валентности, термохимию, фотохимию, химическую кинетику, химическое равновесие. Несмотря на элементарность изложения, местами применяются простейшие средства дифференциального и интегрального исчисления.

Во второй части рассматриваются элементы и их соединения по группам периодической системы.

**Введение в изучение метаморфических пород и металлогенных месторождений. Физико-химические и термодинамические основы.** Лаффитт (Introduction à l'étude des roches métamorphiques et des gîtes métallifères. Physico-chimie et thermodynamique. Laffitte Pierre. Paris, Masson et Cie, 1957, 356 p., ill, 4000 fr.) (франц.)

Книга предназначена для геологов и имеет целью ознакомить их с физическими и физико-химическими основами этой специальности.

Материал в книге разбит на 4 части (13 глав).

**Часть I.** Общие сведения о строении вещества (начиная от атомного ядра и кончая кристаллическим и жидким состоянием).

**Часть II.** Химический состав горных пород (распределение химических элементов, химический анализ, петрохимические расчеты).

**Часть III.** Термодинамика (кратко изложены основные понятия и более обстоятельно — учение о равновесиях) и кинетика физических процессов.

**Часть IV.** Петрология метаморфических пород (с использованием физико-химических основ, изложенных в предыдущих трех частях).

После каждой части приведен библиографический список, в конце имеется указатель важнейших понятий, упомянутых в книге.

Д. Бочвар  
**Качественный анализ и реакции в растворе. Шарло.**

Пад. 4, полностью перераб. (L'analyse qualitative et les réactions en solution. Charlot G. 4e éd. entier. refond. Paris. Masson et Cie, 1957. XII, 368 p., ill., 3600 fr.) (франц.)

Книга состоит из трех частей. Материал изложен на уровне современных научных данных.

**Часть I.** Общие вопросы.

Рассмотрены наиболее важные вопросы теории качественного химического анализа: строение атомов и соединений, число окисления, координационное число, химическое равновесие, окислители и восстановители, кислоты и основания, комплексные соединения, кислотность и окисление-восстановление, свойства осадков, растворимость малорастворимых соединений, осаждение и кислотность, комплексообразование и редокс-процессы, неводные растворители, экстракция, скорость реакций и катализаторы и др.

**Часть II.** Химические свойства и характеристика ионов. Описаны наиболее важные аналитические реакции на ионы щелочных и щелочноземельных металлов, металлов группы аммиака, группы свинца, группы мышьяка и группы серебра, благородных металлов; аналитические реакции соединений галогенов, водорода, кислорода, серы, селена, теллура, азота, фосфора, углерода, кремния, бора.

Описанию реакций каждой группы элементов предпослано краткое теоретическое введение.

**Часть III.** Ход качественного анализа.

Описаны общая техника и ход анализа, приемы анализа неизвестного раствора и твердого вещества.

А. Бусев  
**Химико-технологические процессы в угольной промышленности. Труды Международной конференции в Сток-Орчард, Англия, июнь 1956 г. Ред. Шарпи (Chemical engineering in the coal industry. An International Conference organiz. National Coal Board, Great Britain, at Stoke Orchard, Cheltenham, England, June 1956. Ed. Sharpley Forbes W. London-New York-Paris, Pergamon Press, [1957], 141 pp., ill., 50 sh., 8.50 doll.) (англ.)**

Вступительное слово, доклады, материалы дискуссий по докладам, заключительное слово.

Доклады: 1. Окисление углей. Буайе (Boyer A. F., Франция).

2. Окисление углей в псевдооживленном слое. Дженкинс (Jenkins, G. I., Англия).

3. Исследования по коксованию брикетов в Германии. Реринк (Reerink Wilhelm, ФРГ).

4. Брикетирование. Грегори (Gregory D. H., Англия).

5. Изучение процесса полукоксования в псевдооживленном слое. Петави, Фок (Peytavy, A., Foch P., Франция).

6. Изучение смол, полученных при коксовании и псевдооживленном слое. Уотсон, Вильямс (Watson G. H., Williams A. Fowler, Англия).

7. Промышленная переработка смол, полученных при низкотемпературном коксовании. Сабатье (Sabatier J. L., Франция).

М. Хайкин  
**Защитные и декоративные покрытия. Гордон, Долгип (Surface coatings and finishes. Gordon Philip L., Dolgin George J. New York, Chem. Publ. Co., Inc., 1954, 299 pp., ill., 9 doll.) (англ.)**

В книге кратко изложены основы технологии изготовления наиболее распространенных типов пленкообразующих веществ для лаков и красок. Описаны реакции образования и области применения различ-

ных синтетических материалов, применяемых для разнообразных покрытий.

Книга состоит из 10 глав.

**Глава 1.** Технология получения масляно-смоляных лаков. Кратко описаны свойства различных природных и синтетических смол, растительных масел, сиккативов. Приведены рецептуры и способы изготовления различных масляных лаков.

**Глава 2.** Покрытия на основе синтетических смол и полимеров (краткое вступление к последующим главам).

**Главы 3—5** посвящены синтетическим конденсационным лаковым смолам: алкидным (гл. 3), фенолоальдегидным (гл. 4) и мочевино- и меламиноформальдегидным (гл. 5). В каждой из этих небольших глав после изложения теоретических основ следуют краткое описание синтеза смолы, областей ее применения и типовые рецептуры лакокрасочных материалов.

В **главе 6** описаны способы получения, структура и свойства различных эфиров целлюлозы (простые — нитрат, ацетат, ацетобутират; сложные — этил-, бензил- и метилцеллюлоза). Описаны лаки на основе этих эфиров.

**Глава 7** содержит описание синтетических высокополимеров и лакокрасочных материалов из них. Кратко рассмотрен механизм цепной полимеризации, получение и свойства поливинилхлорида и его сополимеров с винилацетатом, поливинилбутирила, полимеров эфиров акриловой и метакриловой кислот, полистирола, бутадиенстирольного сополимера.

В **главе 8** кратко описаны производные каучука — циклизованный, хлорированный, продукты окисления, гидрохлорированный, а также рецептуры лакокрасочных материалов на их основе.

В **главе 9** схематично рассмотрены силиконовые смолы, аллилкрахмал, хлорпарафин, углеводородные смолы, фурановые смолы, эпоксидные смолы.

**Глава 10** содержит описание обычных методов анализа пленкообразующих веществ, в частности определение молекулярного веса, и красок.

В приложении дана справочная таблица по лаковым смолам (химический характер, торговые марки, фирмы-изготовители).

М. Сорокин

**Биохимия. Введение в ее динамику. Болдуин. Перев. с англ. (Biochemie. Einführung in ihre Dynamik. Baldwin Ernest. Übers. aus dem engl. Weinheim, Verl. Chem. GmbH., 1957, 356 S., ill.) (нем.)**

Книга представляет собой перевод со 2-го переработанного английского издания (Dynamic aspects of biochemistry, 2nd ed., 1952). На русском языке вышел перевод с 1-го издания 1948 г. — Основы динамической биохимии, М., Изд. ин. лит., 1949.

Книга написана крупным специалистом; в ней дано систематическое и подробное описание химической динамики организма (преимущественно животного).

Книга состоит из двух частей.

**Часть I.** Ферменты. Рассмотрены свойства ферментов и характер ферментативных процессов, действие различных групп ферментов и их отдельных представителей из числа гидролаз и десмолаз, трансфераз и изомераз, оксидоредуктаз.

Специальная глава (отсутствующая в 1-м издании) посвящена биологической энергетике.

**Часть II.** Обмен веществ. Рассмотрены методы изучения межклеточного обмена, химическая сторона питания, химия пищеварения и всасывания, процессы обмена белков и аминокислот (а также особенности обмена отдельных аминокислот), химизм образования конечных продуктов азотистого обмена, особенности обмена холина, гуанидиновых оснований, имидазоль-



ных производных, пуриновых и пиримидиновых тел. В отдельных главах рассмотрены анаэробный обмен углеводов в дрожжах, мышцах и печени, аэробный обмен углеводов в животном организме; образование углеводов в процессе фотосинтеза в растениях, обмен жиров в животном организме и у микроорганизмов, синтез высших жирных кислот, превращение жиров в углеводы.

В книге критически рассмотрены существующие динамические представления в биохимии, причем автор отмечает, какие из них являются строго дока-

занными и какие еще требуют экспериментального подтверждения.

Книга снабжена систематическим перечнем основной литературы (в том числе журнальной) по 1956 г. включительно, рекомендуемой для углубленного изучения.

Книга представляет несомненный интерес для биохимиков, биологов и медиков, а также для других читателей, уже знакомых со строением и свойствами основных составных частей животного и растительного организмов.

Л. Броуде

## АВТОРСКИЙ УКАЗАТЕЛЬ

- |                          |                         |                          |                         |                         |
|--------------------------|-------------------------|--------------------------|-------------------------|-------------------------|
| <b>А</b>                 | Асахара 51526           | Богданова-Березовская    | Ватанабе 52070          | Гогоритвили П. В. 50994 |
| Абезгауз Т. М. 53173     | Аснаров М. А. 51533 Д   | И. В. 52315              | Ватанабе 52076          | Годель А. 53329         |
| Аблов А. В. 50992        | Аснеров А. Г. 51074     | Богомолов Е. Д. 52976    | Ватанабе 52324          | Головин П. В. 53141     |
| Абрамова В. Ф. 15831     | Асо 53181               | Богословский Б. М. 51185 | Ватанабе 53177          | Голутвин Ю. М. 50676,   |
| Абрамян А. З. 51037      | Атанасов Е. 51645       | Богоявленский А. Ф.      | Ватанабе 53190          | 50677                   |
| Абэ 51295                | Атива 51563             | 51880                    | Ведерников В. Г. 53011  | Гольбрайхт Ю. А. 53579  |
| Аваева С. М. 51421       | Атрашенков Л. Я. 50577  | Боднар Э. 51531 Д        | Вейнов К. А. 52953      | Гольцев В. Д. 50571     |
| Авалдани А. Е. 50735     | Афанасьева В. Л. 53120  | Боженев П. И. 52061      | Вейшман А. М. 51380     | Голынов А. Н. 51936     |
| Авгуль Н. Н. 50894       | Афанасьева Л. И. 51025  | Боник Г. В. 50712        | Великанова Е. И. 51977  | Гонинберг М. Г. 50753   |
| Аветинов В. Г. 51932     | Афанасьеу Н. В. 53441   | Болдырев В. В. 50798     | Вестель Г. М. 53461     | Гончаров В. В. 51916    |
| Авэ 52409                | Аяпов У. 52017          | Болквядзе Л. С. 52002    | Вестфрид Ц. О. 50980    | Горбатов В. М. 53373    |
| Аграновский И. Н. 52316  |                         | Болотов Е. А. 51147      | Видро Л. И. 51977       | Горбенко Ф. П. 50399    |
| Адамович А. Н. 52081     | <b>Б</b>                | Болтанс Б. И. 50562      | Винниченко Н. Т. 51053  | Гордон Л. В. 53026      |
| Адамович Л. П. 51582     | Баба 52138              | Большанов К. А. 50743    | Виноградов А. П. 51019  | Горелова М. Н. 51977    |
| Адаума 52176             | Бабинель А. е. 51080    | Боресков Г. К. 52090     | Витовтова М. И. 52985   | Горжеский Д. И. 51036   |
| Анба 53541               | Багатуров С. А. 53500   | Борода Т. А. 50341       | Вишневская Г. И. 51159  | Горовой Б. Я. 52912     |
| Анаси 52070              | Баненов В. А. 52951     | Бородавская М. Б.        | Волженский А. В. 52001  | Городинский Г. М. 51979 |
| Анибеси 51186            | Баглагина Ю. Г. 50550   | 51040                    | Волков В. Ф. 52185      | Горская Н. М. 51154     |
| Аниа 52301               | Балабина Г. В. 50631    | Бородина Г. М. 51390     | Володченко А. И. 51057  | Горяга Г. И. 50718      |
| Аниа 51347               | Балмасов Е. Я. 52995    | Бородкина М. С. 50820    | Вольф Э. 50658, 50678   | Горяинова А. В. 52996   |
| Аниа 52523               | Бартанов М. И. 53137    | Ботвинник М. М. 51421    | Вольфсон Ф. И. 51045    | Гото 50951              |
| Алабышев А. Ф. 50675     | Баранов Л. М. 53112     | Браз Г. И. 51261         | Воскресенская Н. К.     | Гото 51639              |
| Алейникова М. М. 51827   | Баранова Е. Г. 50435    | Брдлик П. М. 53483       | 50728                   | Гото 52755              |
| Алксандров А. Н. 52256   | Барановский В. И. 50646 | Бродик М. С. 50437       | Воюцкий С. С. 50932     | Графская З. С. 52513    |
| Алексеев А. А. 53027,    | Барановский Н. В. 53317 | Броун Ж. Л. 50818        | Врублевский М. И.       | Грачева Е. Г. 51605     |
| 53028                    | Бардывшев И. И. 52961   | Броунштейн Б. И. 50654   | 51104 Д                 | Гребенщикова В. И.      |
| Алексеев Е. Г. 52912     | Баринаева Е. С. 52608   | Брусиловский М. С.       | Вудворд Р. Б. 51340     | 50900                   |
| Алексеев Н. Ф. 53375     | Барон Л. И. 53570       | 53379                    | Вълчева Л. 50306        | Григоренко Ф. Ф. 50864  |
| Алениковский В. В. 50801 | Басевич В. Я. 52247     | Бувакина Л. А. 50808     |                         | Григориади М. Т. 53384  |
| Алехин Н. Я. 53047       | Баталин А. Х. 50303     | Бугай А. А. 50560        | <b>Г</b>                | Григорьев Д. П. 51031   |
| Альбов М. Н. 51044       | Баум В. А. 53483        | Будрейко Е. А. 50358 Д   | Гайдаров Ю. В. 53452    | Григорьев И. Ф. 51106 Д |
| Аманума 51937            | Бапанадзе И. Л. 50735   | Бунеева Л. И. 51964      | Гавчев Н. 51535         | Гринберг А. А. 50986—   |
| Аматацу 51595            | Бегма И. П. 53178       | Бурмистров М. И. 50682   | Гао Юя-юй 51865         | 50988                   |
| Анисимова Н. П. 51105 Д  | Безносенко В. Ф. 53137  | Бутневич Е. К. 52004     | Гензман М. А. 50906     | Гринберг Т. 53339       |
| Ано 53179                | Белобородов В. В. 53070 | Бутузов В. П. 50701      | Генчан М. 51645         | Гриненко Б. С. 52235    |
| Антипин Л. Н. 50834      | Белов В. И. 52193       | Бухарин В. В. 53582      | Генчев Х. 50810 Д       | Грипина В. И. 53091     |
| Антонова Л. Г. 53423     | Белов Н. А. 51093       | Бушманов Б. Н. 50603     | Герпштейн Е. М. 52165   | Гроссманн Г. 50658      |
| Антьонов А. П. 52740     | Белоновская Г. П. 51487 | Быков А. Н. 51474        | Герштейн Е. М. 52165    | Груз Э. А. 51970        |
| Анфинников М. А. 51818   | Беляева И. И. 50968     | Бынов С. Т. 52193        | Герасимов Я. И. 50664   | Грюнер В. С. 53274      |
| Апф Ф. 53343             | Беньковский В. Г. 50958 | Бэсс 52313               | Герасимова Л. С. 51476, | Гу Ли-Чун 51537         |
| Аран 51260               | Бергман А. Г. 50734     |                          | 52180                   | Гуляев В. Н. 53263      |
| Аран 52143               | Березин Б. И. 52936     | <b>В</b>                 | Герлинг Э. К. 51025     | Гурвич Е. И. 51895      |
| Аракава 52168            | Березин Г. И. 50894     | Вайнштейн Б. К. 50543    | Гершов М. М. 52440      | Гурвич Л. В. 50613      |
| Арани 51295              | Березин Н. Г. 50704     | 50544, 50546             | Герцпринг С. Д. 50657   | Гурвич М. М. 50928      |
| Аранович Б. С. 52316     | Берлин А. А. 51496      | Вайнштейн Э. С. 52943    | Гинабург М. А. 53047    | Гуревич В. С. 52165     |
| Арига 52604              | Бернштейн Е. И. 51586   | Вакимото 51617           | Глаголева М. А. 51052   | Гуськов Ф. Г. 53384     |
| Ария С. М. 50658, 50678  | Бернштейн М. Х. 53384   | Ванагас В. В. 50381      | Гладштейнский Е. J.     | Гуськова Л. Г. 52466    |
| Асада 51552              | Виленио Д. И. 50597     | Ван Синь-шан 52457       | 50725                   | Гутин А. М. 50929       |
| Асада 53431              | Еланитная Л. П. 51831   | Ван Синь-шан 52457       | Глазова А. И. 50720     | Гуттов Н. Г. 53117      |
| Асакава 52143            | Еленинский С. В. 51831  | Вартанян А. Т. 50596     | Глебов П. Д. 52077      |                         |
| Асано 52036              | Блок Н. И. 50720        | Варшавский Т. П. 52180   | Глейм В. Г. 50706       | <b>Д</b>                |
| Асано 52326              | Бломберг И. В. 52607    | Васильев П. В. 52951     | Глузман Г. М. 53384     | Давидович Т. А. 52631   |
| Асахара 51512            | Богданова А. В. 51510   | Васильева В. В. 52084 Д  | Гипп П. I. 50301        | Данюшевская А. И.       |
|                          |                         | Ватанабе 52024           | Гогиташвили Г. Г. 53571 | 51101, 51102            |

- Дашневич Б. Н. 51188  
Дешмарский Ю. К. 50864, 51897  
Демидова Л. А. 52756  
Деревицкая В. А. 51525  
Деревянкин В. А. 50834  
Дерягин Б. В. 51067, 51070  
Джалилов Х. 53175  
Дик М. 53493  
Диний Н. Ф. 53178  
Динис М. Я. 53357  
Добросердов Л. Л. 53182  
Дон П. 51899 П  
Дон Т. 51861 П  
Долгопосок Б. А. 51487  
Долов М. А. 50624, 50626  
Домбровский А. В. 51184  
Дринберг А. Я. 53456  
Дружинин И. Г. 51831  
Дубровин А. В. 50631  
Дудеров Г. Н. 51931  
Дудкин М. С. 52733  
Дунаев П. Т. 52093  
Дуркина А. В. 50386  
Духанина В. И. 51088  
Дущина Е. Г. 51086  
Дэгути 51266  
Дячков А. И. 52957  
Дятлова Н. М. 51012 Д
- Е**  
Евстюхин А. И. 50731  
Еков Б. 52005  
Елисеева В. Н. 52631  
Елпатьевский О. Д. 50593  
Емютин В. П. 50722  
Емельянов В. С. 50731  
Емсоф Г. М. 51598  
Ермакова Т. А. 50743  
Ермоленко Н. Ф. 50904, 50905, 50910  
Ерофеев Б. В. 50766  
Ершов В. В. 51268  
Есаия Г. Т. 51810  
Есельсон Б. Н. 50704
- Ж**  
Жаворонков Н. М. 50637  
Жарновский А. М. 51013 Д  
Желтинов Г. 52190  
Желязов Ж. 53446  
Жиланов И. В. 50895  
Жуков Г. В. 51107 К  
Жулин В. М. 51532 Д  
Жуховицкий С. Ю. 50927
- З**  
Забезинский Я. Л. 50709  
Забродин А. С. 52780  
Заварицкий Н. В. 51729  
Завриев К. С. 52065  
Задумкин С. Н. 50876, 50877  
Зайончковский А. Д. 53384  
Зайцева А. Б. 52667  
Зайцева А. Г. 51075  
Законщиков А. П. 53495
- Заликоп М. Н. 53112  
Залманзон Э. С. 51052  
Запара Е. М. 53173  
Запрометов Б. Г. 50933  
Запутряев В. А. 51383  
Захарова В. П. 51935  
Захарченко П. И. 52667  
Зверов М. М. 51510  
Зелиман С. Г. 51461  
Землянский И. И. 50342  
Зимина Л. Н. 52316  
Зинько Э. И. 51932  
Знаменская А. К. 52656  
Золотов Н. Н. 53460  
Зульфугаров З. Г. 50809
- И**  
Иванова А. А. 53091  
Иванова В. Г. 52607  
Ивански 51085  
Ивасани 51627  
Ида 51714  
Ида 51813  
Идельчин З. Б. 51233  
Ижнми 52724  
Измаильский В. А. 50429  
Изотова Т. Е. 51827  
Израилевич Е. А. 50768  
Израйлева С. Б. 51147  
Инда 52330  
Интани 53508  
Иппука 53445  
Инда 51193  
Инда 51947  
Инда 52174  
Игоя 51549  
Ильина В. П. 53182  
Ильинский В. П. 51100, 51101, 51754  
Ильинский В. С. 53513  
Ильяшев Г. М. 52077  
Имаду 53105  
Имадо 51298  
Иман 51565  
Имафуки 51983  
Имото 50771  
Имото 51477, 51488  
Имото 51489  
Имото 42176  
Инами 52170  
Иноуэ 51643  
Иноуэ 52442  
Иноуэ 53113  
Иорданов Н. 51591  
Исибаси 50921  
Исибаси 51551  
Исибаси 51578  
Исинада 51064  
Исида 51301  
Исида 51659  
Исикава 51211  
Исикава 52174  
Исикава 52229  
Исингура 52523  
Исимори 51595  
Испихара 51714  
Испидуна Х. 51775 П  
Исобе 52196  
Исини 52666  
Итатани 51631  
Итибагае 51243  
Итигава 51097
- Итигнаги 52187  
Ито 51466  
Ито 51643  
Ито 51947  
Ито 53437  
Иднович Э. Л. 53549  
Ишкин А. З. 51880
- П**  
Поконова 52137  
Пшномити 52058  
Понояма 51575  
Помода 51229  
Понда 51706  
Понедзани 53189  
Понемину 52301  
Посигоси 52055  
Посида 51653  
Посида 52138  
Посида 52194  
Посида 53511  
Посикава 51866  
Посимюра 51548  
Посимюра 52168  
Поспона 52331, 53046
- К**  
Кавагани 51544  
Каван 51465  
Кавалонайте В. Е. 50605  
Кавамацу 51503  
Кавамура 53484  
Каванэ 51755  
Каварская Б. М. 52732  
Кавасани 51305  
Кагами 52195  
Каганов М. И. 50704  
Кади 51295  
Кадота 51000  
Казанский Б. А. 51171  
Казмина Т. И. 51056  
Канграйева А. 50808  
Кану 51211  
Какутани 52056  
Калаус А. Е. 52667  
Каленова М. 53341  
Кадниш А. И. 52951  
Каменский Б. 51570  
Каммори 51724  
Камеда 53191  
Канакина М. А. 51063  
Канахара 51193  
Каневская С. И. 51131  
Кано 52074  
Кандпольский И. С. 52019  
Канэиwa 51219  
Канэясу 52486  
Капустин А. П. 50605  
Карапетьянц М. Х. 50655  
Карасава 52167  
Каргин В. А. 52732  
Каркарашвили М. В. 50994  
Карпович И. А. 50596  
Касахара 51246  
Касимото 53076  
Касэ 51211  
Катаока 53491  
Катаяма 51436  
Каткова К. П. 51147
- Като 52301  
Като Р. 52351 П, 52352 П  
Катушкина И. Ф. 51475  
Кац Д. М. 51089  
Кацул 51813  
Кашкай М. А. 51078  
Кашкаров О. Д. 51099  
Кверель Э. Л. 52317  
Кедрова В. Т. 51077  
Кесаманды Ф. П. 50619  
Киёсэ 53481, 53488  
Киёта 51601  
Кизеветтер 51103  
Кикутти 52604  
Кикутти 52610  
Кильман Я. И. 51794, 51795  
Кимото 51306  
Кинд В. В. 52022  
Кинкляде К. А. 52021  
Киприанов Г. И. 51380  
Киреев П. С. 50389  
Кирияма 52653  
Кирыашкин В. И. 50597  
Кирыашкина З. И. 50597  
Киселев А. В. 50894, 50896  
Кисимото 51446  
Кислова А. И. 50734  
Кита 52067  
Китагава 52410  
Китаев Г. А. 50955  
Китано 51329, 51332, 51336  
Китано Х. 52355 П  
Кларе Г. 53056  
Клевие В. А. 51794  
Клевцов П. В. 50688, 51098  
Клейнер М. Б. 51935  
Климова О. М. 51517  
Клинов И. Я. 53453  
Ключов В. П. 50697  
Ключаров Я. В. 52011  
Кнуниц И. Л. 51331  
Кобахидзе М. Г. 52065  
Кобаяси 51186  
Кобаяси 51547  
Кобаяси 51866  
Кобаяси 52726  
Кобаяси М. 52354 П  
Ковалева Н. В. 50896  
Коваль Е. Т. 53139  
Ковда В. А. 51071  
Коган Е. А. 50891  
Комама 52307  
Кодзани 50714  
Кодзима 51251  
Кодзима 53157  
Кодаума 51636, 52266  
Козин Н. И. 53090  
Козлов В. Н. 52956  
Козлова Ю. С. 51525  
Козловская Х. Н. 51476  
Коидэ 50487  
Коломиец В. Т. 50592  
Комарова В. Н. 53092  
Комарова Г. Ф. 52440  
Комарова Т. А. 50604  
Комарь Н. П. 50713
- Комацу 51998 П  
Комори 52303  
Комуро 53394  
Кондо 51511  
Кондо 52073  
Кондо 52707  
Кондратова В. П. 51593  
Коно 51653  
Коновалов П. Г. 52912  
Конь Н. С. 51835  
Колейковский В. М. 53077  
Копкин М. Г. 52256  
Корелова А. И. 51978  
Корниковский П. К. 53057  
Корнев К. А. 51322  
Коробов В. В. 50613  
Коровин С. С. 50743  
Коршан В. В. 51515  
Корякин В. А. 50736  
Косака 52073  
Косарева В. М. 52012  
Косенко В. Е. 50560  
Косицын А. В. 50925  
Кост А. Н. 51268  
Костырев Г. Б. 50577  
Косуэ 51209  
Косанов В. Н. 50577  
Кота 52073  
Котани 51896  
Коханенко П. Н. 50571  
Кочева Л. 51591  
Кочергин П. М. 51208  
Кочешков К. А. 51319  
Красильников А. И. 53423  
Крейн С. Э. 52256  
Кремнев Л. Я. 50959  
Крип'янович П. И. 50725  
Кристян М. А. 53416  
Крогнус Е. А. 50978  
Крылов А. Я. 50577  
Крупатин Т. Л. 50703  
Крыгова А. И. 50806  
Кубота 50665  
Кубота 51379  
Кубояма 50425  
Кудряшова Л. Н. 50732  
Кузелева Е. С. 50804  
Кузнецов В. И. 51041, 51042  
Кузнецов С. И. 50834  
Кузьма Ю. В. 50725  
Кулакова Р. В. 52256  
Кулешова В. М. 52611  
Куликов Г. С. 50562  
Куликов И. С. 50687  
Куль Э. В. 52013  
Кулякин Я. 51570  
Кумамото М. 52339 П  
Кунни 53487  
Купчинская В. П. 52612  
Курабаси 51293  
Кургаев Е. Ф. 50930  
Курлина Е. В. 50592  
Куродзми 52170  
Курова 50949  
Курокава 52301  
Кусано 53113  
Кусима 51937  
Кутанов И. П. 50905

Кутателадзе К. С. 52021  
Кутуков В. 53345

Л

Лабеев Н. 53576  
Лабутин А. Л. 53455  
Лавринович Е. В. 52075  
Лаврушин Ф. И. 53047  
Ладейнова Л. В. 50974  
Ладиева В. Д. 51107 К  
Лазарев Д. Н. 52606  
Лазовский И. М. 52180  
Ланин В. А. 52175  
Ланина Н. Н. 51093  
Лашин А. 53085  
Ларин П. С. 52971  
Лашко Н. Ф. 50720  
Лебедев С. В. 50584  
Левенберг Т. М. 52611  
Левин Э. Д. 52159  
Левина С. А. 50910  
Левинсон И. Б. 50381  
Левицкий Д. И. 51030  
Левский Л. К. 51025  
Левшин Л. В. 50434, 50435  
Лемеп Н. Л. 50904  
Леммлейн Г. Г. 50688, 51098  
Либсман А. Л. 51171  
Ли Ван-чан 50773  
Липатова Г. В. 53155  
Листопадков В. В. 51718  
Ли Цзо-цзунь 50773  
Ли Чун-лянь 51720  
Лобачев А. Н. 50544  
Ловачев Л. Н. 53090  
Лодочникова В. И. 51319  
Лопухов Е. И. 52952  
Лотарев Б. М. 53047  
Лощкарев М. А. 50682  
Лукецкий А. А. 52256  
Луновников А. Ф. 50751  
Лунынов С. Ю. 50873  
Лурье М. Ю. 51339 Д  
Луткова В. И. 52309  
Лутин Б. Г. 53582  
Лыгина И. А. 50894  
Лыков А. В. 53510  
Лысенко Н. М. 51313  
Лысина Г. Г. 53583  
Любов Б. Я. 50708  
Лю Го-чжи 53114  
Людновская М. А. 51795  
Люксембург М. 53374  
Лю Шу-кай 53080  
Лясковская Ю. Н. 53091

М

Мада С. 53378  
Маймин З. Л. 51056  
Манаров С. З. 50974  
Мани 51587  
Максима 51706  
Макуха М. П. 51557  
Макухина А. А. 51107 К  
Малешков З. 53008  
Малкин С. З. 53552  
Мальшев И. И. 51029  
Малаян И. Г. 50618  
Мамедов А. И. 51058

Мамия 51702  
Марджанян Г. М. 51810  
Мариелова А. А. 52611  
Марков Б. Ф. 51897  
Мартынов В. М. 52261  
Маруяма 51639  
Масино 51707  
Маслов В. Н. 50941  
Маслов П. Г. 50653  
Маслов Ю. 50653  
Масуда 50575  
Масуда 51434  
Масуда 51516  
Матвеев Г. М. 51915, 51927  
Матвеев М. А. 51915, 51927  
Матисон Ф. С. 52607  
Матрозова С. 53084  
Мацубара 51367  
Мацуда 52312  
Мацуда И. 52351 П  
Мацукава 51305  
Мацунава 51434  
Мацумото 52301  
Мацуо 51558  
Мацуо 53146  
Мацуура 51247  
Мацуура 51654  
Маэда 51301  
Маэда 52177  
Маэда 53078  
Маэдава 52723  
Мегири 51436  
Медников Ф. А. 52962  
Меликян Р. А. 53473  
Мельникова М. К. 51067, 51070  
Мидзуками 51632, 51649  
Мидзуноки 52063  
Мийсави 51719  
Мийеси 51512  
Миниоров А. Е. 50968  
Минумо 53113  
Мидзуноки Б. Г. 52985  
Милотин Н. Н. 50852  
Минаков А. Г. 51979  
Мираев А. М. 53397  
Миселюк Е. Г. 50560  
Миура 52301  
Михайлов Н. А. 53384  
Михайлов Н. В. 50314, 51461  
Михайлова А. А. 50818  
Михайлова Н. К. 52011  
Михеева С. Н. 53509  
Михельсон М. Л. 50964  
Михов М. 51539  
Мишу 51868  
Миягава 52166  
Миядзава 51912  
Миядзана 53098  
Миядзани 52313  
Миядзани А. 52354 П  
Миянава 53106  
Мияно 51706  
Миясита 51209  
Мильштейн С. М. 51560  
Миткевич С. П. 52441  
Мо Бо-кунь 52457  
Могилевский Е. М. 53047  
Мокрушин С. Г. 50955

Монастырский Д. Н. 50302  
Монина Н. Л. 52023, 52026  
Морачевский А. Г. 50675  
Мори 53146  
Мори 53190  
Морикава 50665  
Морикава 51706  
Морита 52223  
Мория 50466  
Морозова М. П. 50658, 50678  
Мостовова Г. А. 51159  
Мотояма 51509  
Мохун Л. М. 52175  
Муранами 52073  
Муранами К. 52352 П  
Мурас 51597  
Мурата 51260  
Мурахаси 52301  
Мураяма 52711  
Мурин А. Н. 50646  
Мустакимов Г. Д. 51812  
Муса 51698  
Мута 53191  
Мышляева В. В. 52035  
Мэгуро Т. 51762 П  
Мякинченко М. И. 52019

Н

Наган 52006  
Нагасима 52303  
Нагата 51649  
Нагахама 51186  
Наисан А. 51942  
Найдин Д. П. 51023  
Найто 52771  
Накагава 51193  
Накагава 52307  
Накадзава 51247  
Накадзава 52523  
Накадзава 53103  
Накадзава М. 51762 П  
Накан 52266  
Накан С. 51770 П  
Накамура 50771  
Накамура 51638  
Накамура М. 51765 П  
Накано 52604  
Накахара П. 52351 П, 52352 П  
Намба 52313  
Нарнока 52056  
Нарышкина Т. И. 51140  
Натан Э. Е. 51475  
Натансон Г. Л. 50963, 50967  
Натансон И. А. 53055  
Нейман М. Б. 50751  
Нейман О. В. 50953  
Нейман Р. Э. 50953  
Непомнящий И. Д. 52180  
Нерпин С. В. 51067  
Несмеянов Ан. Н. 50736  
Нетначев М. И. 52065  
Нефедов В. Д. 50646  
Нигматуллин Р. Ш. 51696  
Нинно 53116  
Ники 51637

Николаев А. В. 50953, 51739  
Ниси 51983  
Ниси 52409  
Нисикава 51578  
Нисикава 51947  
Нисикюри 52301  
Нисимото 51436  
Нисимура 51377  
Нисимура В. 52301  
Нисимура К. 52301  
Нисиро 52177  
Нисиро 52301  
Нисиро 51580  
Нисияма 51509  
Нисияма 53089  
Нитта 51085  
Нитта 51229  
Новацкий Т. А. 52607  
Новиков В. Н. 52165  
Новодранов Ю. К. 50880  
Ногут 52036  
Нодзани 51590  
Нодзу 51336  
Ноздрев В. Ф. 50623  
Номура 53307  
Носан В. М. 50340  
Ноткина Л. Г. 53173  
Нуридин Р. Н. 51402  
Нухев Н. Х. 53186

О

Оболенский П. В. 51727 К  
Овечкин Е. С. 53390  
Овруцкий М. Ш. 53379  
Овчаренко Ф. Д. 51919  
Огава 51643  
Огава 51651  
Огава 52604  
Огимура 52722  
Ода 51513  
Ода 51613  
Ои 51511  
Она 51558  
Онава 52330  
Окада 51636  
Окада 51983  
Окада 52266  
Окадзима 52442  
Окамото 51547  
Окамото 52307  
Окамура 51509  
Окано 51275  
Окава 50504  
Окиво 51637  
Окубо 52410  
Окуи 51341  
Окумура 51187  
Океда 51295  
Олейник Н. Н. 53385  
Омори 52301  
Омори 53106  
Омура 52056  
Оно 50398  
Оно 50648  
Оно Е. 52424 П  
Оноэ 51639  
Оранский И. И. 52192  
Орнатская З. И. 50588  
Осава 51347  
Осай 52055

Осана 51329, 51336  
Осана Т. 52355 П  
Осида В. И. 52026  
Осима 52074  
Осима 52604  
Осима 52709  
Осими 52057  
Остапенко Е. Н. 50523  
Ота 50413  
Ота 51306  
Ота 51511  
Отака 52301  
Отани 53417  
Отливанчик А. Н. 53018  
Отроков Г. М. 53108  
Оура 51206  
Оути 52138  
Оцу 51477  
Оцука М. 51861 П  
Ощиповский В. В. 51710

П

Павлинова А. В. 51560, 51586, 51598, 51603  
Павлов Н. В. 51048  
Павлов П. П. 52217  
Паншвер А. Е. 51474—51476  
Панов Е. М. 51319  
Панова В. Г. 52264  
Панченко И. Д. 51897  
Парамонов В. Г. 53384  
Пелетминский В. Н. 53138  
Перлин Ю. Е. 50585  
Петрашень В. И. 51593  
Петржан Г. И. 50986, 50987  
Петров А. А. 51170  
Петров В. П. 51924  
Петров Г. С. 52730, 52777  
Петрова Ю. Н. 51056  
Петровский В. В. 52609  
Петрунькин В. Е. 51311—51313  
Пицель Л. Н. 52082  
Плотникова Г. И. 51510  
Плюшкина Е. З. 53072  
Плющев В. Е. 50743  
Погорелова В. М. 52628  
Поднен А. К. 51761 Д  
Подольская Е. В. 51057  
Полковников Б. Д. 50807, 51169  
Половно Н. И. 51107 К  
Полубояринов Д. Н. 51923  
Полуторнова Т. 53345  
Полывинный И. Р. 50795  
Полынов Ю. А. 50919  
Померанцева И. Я. 51094  
Пономарев В. Д. 50795, 50841, 50957  
Понятовский Е. Г. 50701  
Попов Д. К. 50646  
Попов И. П. 53120  
Попов Н. А. 52003  
Попов Ф. М. 50597  
Попова Е. Е. 53213



Попова Н. И. 52299  
Попова Э. И. 51921  
Попченко С. Н. 52077  
Посыпайно В. И. 50734  
Почивалов Н. С. 52607  
Предводителева Г. С.  
51207  
Преображенский Р. К.  
50581  
Преснов В. А. 50586  
Прохоров С. П. 51030  
Проценко Л. Д. 51322  
Прянишникова М. А.  
51171  
Птицын Б. В. 50988  
Пузырев С. А. 53028  
Пычев В. А. 52014

Р

Рабинерзон М. А. 52667  
Рабинович Б. Н. 50716  
Рабинович Ф. И. 53385  
Ракни А. Г. 52756  
Рамм С. Н. 53398  
Располова Л. В. 53461  
Ратинов В. В. 50709  
Рейндер П. А. 50314  
Регель А. Р. 50593  
Рейдман А. И. 53457  
Резников Л. Г. 51935  
Роговин З. А. 51525  
Роде А. А. 51068, 51069  
Родина М. В. 50291  
Родюнова К. Ф. 51057,  
51063  
Рождественская З. Б.  
50869  
Розенберг Т. И. 50709  
Розман И. М. 51684  
Ройбурд А. Л. 50708  
Ростовцев Н. Н. 52264  
Рояк С. М. 52035  
Рубан Н. Н. 50841  
Руданов Г. П. 51886  
Румш М. А. 50550  
Рустамов Х. Р. 50683,  
50684  
Ручкина В. Д. 50805  
Рыс И. Г. 51005 К

С

Сава 51301  
Савабё 51613  
Савельев Д. В. 51833  
Савинов Б. Г. 52511,  
52512  
Савицкий Е. М. 50566  
Садыхов А. С. 51402  
Сажно В. П. 51935  
Сай-Молсева Е. Г.  
53073  
Сайто 51631  
Сана 52069  
Сакагути 51466  
Санаи 50921  
Санамото 53188  
Санасита 52724  
Саната 52076  
Саната 52331  
Саната С. 52353 П  
Санимото 51295  
Сакума 51211

Сакураба 51549  
Сакураи 52899  
Салин А. С. 53108  
Самарин А. М. 50687  
Самойлович Д. М. 52608  
Самойлова В. В. 52656  
Самсонов Г. В. 50661  
Санада 51912  
Сарычев Б. Г. 53356  
Сасакава 52510  
Сасаяма 52320  
Сатин М. С. 52061  
Сато 51304  
Сато 51463  
Сато 51868  
Сато 53491  
Сато 53565  
Сафонов С. 53084  
Сафорова Т. С. 51235  
Сахаров Д. И. 50614  
Саэки 52195  
Свищук А. А. 52511  
Сёдан 51468  
Синигути 52326  
Семенов Н. П. 51107 К  
Семенова О. И. 50386  
Семенова Э. В. 51517  
Семенченко В. К. 50300  
Семихатов А. Н. 51088  
Сёно 51241  
Сергиевская С. И. 51235  
Серебренников В. В.  
51006 К  
Серебренникова О. В.  
50834  
Серебряков Г. И. 53545  
Серебрякова Е. К. 52165  
Сибасани 53181  
Сибасани 53227  
Сибата 51551  
Сибаяма С. 52352 П  
Сивно Г. Н. 51087  
Сига К. 52356 П  
Сигэмацу 51279  
Сигэмацу 51298  
Сигэмацу 51551  
Сигэмацу 51578  
Сигэно 52739  
Синно К. 52347 П  
Синагава 51565  
Синайский Г. М. 53461  
Синицын Б. С. 53539  
Синицын В. И. 50873  
Синицын К. К. 51895  
Синохара 53051  
Синсуги 52303  
Син Сю-и 51092  
Сираи 51270  
Сираи 53475  
Сирасани Д. 52352 П  
Сирасани С. 52351 П  
Сираяма 52066  
Сиро 52156  
Сирояма 52073  
Сима 51581  
Симада 53103  
Симидзу 53349  
Симмура 52154  
Симобё Ф. 51805 П  
Симомада 53449  
Снобё В. Д. 50866  
Снобё Е. М. 50866

Снородумов В. А. 51261  
Скриплевский А. Ф.  
50721  
Слепухин В. И. 52317  
Сливно М. Г. 52090  
Слонимский Г. Л. 52732  
Сметанин Д. А. 51091  
Смирнов Е. А. 50429  
Смирнов М. П. 50732  
Смирнов Н. П. 53461  
Смирнов Н. С. 50968  
Смирнова Н. Л. 50499  
Смоланна И. В. 51188  
Соболев В. Д. 50623  
Соболев В. С. 50500  
Советова Р. К. 51931  
Соколик А. С. 52247  
Соколов С. Н. 50674  
Соколова А. А. 52976  
Соколовская Л. Л. 50587  
Соколовский Д. В. 50808  
Солганик Н. Я. 53016  
Соловьев Л. П. 51872  
Соловьев Ю. С. 51046  
Сонгина О. А. 50869  
Соместенная Е. М.  
51315  
Сояма Т. 51805 П  
Срывалли П. Т. 50834  
Старик И. Е. 50577,  
50925  
Старик Ф. Е. 50577  
Степанов В. М. 51073  
Стерман Л. С. 53494  
Стефанов Л. 50306  
Столбникова В. В. 52080  
Страхова Н. М. 51052  
Субботин С. А. 52656  
Сугимото 51298  
Сугияма 53443  
Судзуки 50487  
Судзуки Т. 52345 П  
Султанов А. С. 53161  
Сумароков В. П. 53026  
Сумаронова Т. 50982  
Сунахара 51565  
Сунь Чан-э 50773  
Сурнов А. В. 53494  
Сыдоров В. Ф. 50586  
Сырцова Г. П. 50992  
Сёйдзи 51866  
Сёйяма 50921  
Сёки 50487  
Сёто 51296  
Сюй Гуан-сянь 50836

Т

Тагути 52194  
Такаги 51526  
Такаги 52409  
Такада 52036  
Танаи 53086  
Танано 53104  
Такао М. 52339 П  
Танара 52715  
Танахара 52454  
Танахаси 51296  
Танахаси 51304  
Танахаси 53104  
Танаяма 51640  
Танигава 52311  
Танияма 51697

Танада 51698  
Танадаэи 52307  
Танэмото 51436  
Танэмото 51488  
Танэмото 51636  
Танэмото 52306  
Танэхиса 52323  
Танабё 1274  
Танабё 51291  
Танабё 51302  
Танабё 51454  
Танаев А. А. 53482  
Тан Ло-цин 51504  
Тандава 53051  
Тандилова К. Б. 52035  
Танигути 51295  
Танигути 51295  
Танигути 52790  
Танияма 52331  
Тан Шань-ора 52451  
Тан Ю-ци 50538  
Тарасов В. В. 51914  
Тасина 51229  
Тацуа 52073  
Тацуя 52301  
Ташпулатов Ю. 50610 Д  
Тейс Р. В. 51023  
Тейтельбаум Б. Я. 50313  
Тенстер Е. Н. 50988  
Терехова В. Ф. 50566  
Тинамори 52724  
Тинякова Е. И. 51487  
Тичун Н. Н. 50581  
Товстоле М. Д. 52954  
Тода 51509  
Тойда 53094  
Тойдава 53189  
Токида 52704  
Токуяма 51215  
Толмачев В. Н. 50980  
Толстой Н. А. 50581  
Топчиева К. В. 50809  
Торин 52666  
Торимичу 52454  
Тояма 53078, 53086  
Тунасида 52308  
Турневич Н. М. 50983,  
51557  
Тыкачинский И. Д.  
51964  
Тэруи 52187  
Тэруи 52191  
Тюдеш Ф. 51529 Д

ѳ

ѳорёвский Р. 50839

У

Уваров О. В. 50637  
Удау 51404  
Укида 51489  
Ульященко В. 53543  
Уманец И. В. 52193  
Умедава 53103  
Уно 53100  
Усманов Х. У. 53161  
Утида 53394  
Утробина Н. М. 51827  
У Цзин-гуан 50836  
У Шу-цун 50932  
Уода 52709  
Уэмура 52033

Уэно 51595  
Уэно 53100

Ф

Фазылова М. Ф. 50933,  
Файдин О. М. 50436  
Файнштейн М. С. 52667  
Федин А. А. 52001  
Феклисов Г. И. 50751  
Фельдман Ю. А. 52314—  
52316  
Феокистов В. К. 53384  
Фердман Д. Л. 50311  
Финалов Ю. А. 51159  
Фигуровский Н. А.  
50604  
Филатова Н. В. 50913  
Флоренский К. П. 51065  
Фонин А. В. 51331  
Фомина А. С. 52181,  
Фрейдлин Л. Х. 50807,  
51169  
Фридман Р. А. 50906  
Фрунзе Т. М. 51515  
Фудзавара 52899  
Фудзиди 51279, 51308  
Фудзимура 51519  
Фудзисава 51266  
Фудзита 52195  
Фудзита 53498  
Фунугава 51275  
Фунугава 51275  
Фунугава 51097  
Фунугава 53578  
Фунугава 53096  
Фунуи 51329, 51332,  
51336  
Фунусима 53105  
Фунусима Т. 51765 П  
Фунуяма 53565  
Фунасака 52137  
Фунне В. Ф. 50722  
Фурман К. 53543  
Фурунава 51259  
Футон 52301  
Фуэно 50404  
Фэн Лань-бинь 53115

Х

Халецкий А. М. 51154,  
51383  
Хамагути 50771  
Хамана 51404  
Халилов Х. М. 50619  
Хао Жунь-юн 50538  
Харада 51503  
Харада 51896  
Хасини И. Г. 51159  
Хаса 51206  
Хата 53497  
Хатихама 51241  
Хачанян М. А. 51964  
Хачкурузов Г. А. 50654  
Хаянова Г. 52429 П  
Хаями 51618  
Хаяси 52058  
Хаяси 53078  
Хёдо 53511  
Хибини 53349  
Хигути 51887  
Хигути 52138  
Хигути 51143

- Хигути 52168  
Хинэ 51871  
Хирано 51000  
Хирасава 51889  
Хирусави 52301  
Хисаману 53444  
Хитоуги 52058  
Хлебников А. А. 53017  
Хлыстова Л. А. 52934  
Хованова А. М. 52217  
Ходзуми 52055  
Ходоров Е. И. 52012  
Хононов Х. Б. 51914  
Хомбо 53158  
Хомутов Н. Е. 50823  
Хонда 51206  
Хосана 52323  
Хосии 52666  
Хосинава 51723  
Хуан И-цзо 52449  
Хургина Р. А. 53047  
Хусанова Ш. Г. 51605  
Хухрянский П. Н. 52955
- Цагарели К. К. 51079  
Цал М. И. 51338 Д  
Цанић В. 50839  
Царьков В. 52445  
Цветков И. Д. 53013  
Цейтлин Л. А. 51951  
Цзян Цзя-фэн 52068  
Цзян Юань-шан 51504  
Циммер К. Г. 51684
- Цинцивили Л. Д. 50994  
Цой Р. И. 51979  
Цудзани 52177  
Цудзи 53507  
Цукамото 51446  
Цукамото М. 52345 П  
Цуклин Я. С. 53091  
Цунода 52322  
Цуномицу 52301  
Цурута 50404  
Цурута Т. 52356 П  
Цутихаси 52057  
Цуюгути 52143  
Цуцуми 52171  
Цуцуми Н. 52424 П  
Цымбал Р. М. 50682
- Ч
- Чебуков М. Ф. 52014  
Чегодаев Д. Д. 52794  
Чердынцев В. В. 51017  
Чернавин А. С. 51800  
Чернопленов Н. А. 51914  
Черчес Х. А. 52961  
Чеченин М. Е. 52003  
Чжан Юй-чжун 51550  
Чжао Го-си 50880  
Чжоу Гун-ду 50538  
Чжоу Мэн-и 51965  
Чибисов К. В. 50813,  
50814, 50818  
Чижевская И. И. 51233  
Чижиков Д. М. 50716  
Чилингаришвили Т. П. 51094
- Чирников В. И. 53545  
Чирко А. И. 50766  
Чирков Н. М. 50683,  
50684  
Чмутов К. В. 50913  
Чупахин М. С. 51023  
Чэнь Чжэнь 52463
- Ш
- Шабатура И. А. 53247  
Шадури Р. С. 50397  
Шапиро И. Е. 51970  
Шарифов К. А. 50664  
Шатенштейн А. И. 50768  
Швидковский Е. Г. 50718  
Шеберстов В. И. 50820  
Шевченко Ф. Д. 50845  
Шейдин И. А. 52756  
Шекун А. Я. 51696  
Шеломов И. К. 50706  
Шершнев В. М. 53108  
Шестоперов С. В. 52047  
Шефтель И. Т. 50592  
Шиманский Н. С. 50370  
Шихашвили Т. Г. 51079  
Шинкин К. И. 53501  
Шинкин Н. В. 50978  
Шинкина Н. 53341  
Шмагина Н. Н. 52309  
Шмерлинг Б. М. 53384  
Шмидт А. И. 51040  
Шнаревич Л. И. 51561  
Шорыгина Н. В. 53018  
Шостановский М. Ф. 51510
- Шпарбер Ю. А. 53117  
Шпигельман Е. С. 51687  
Шрайбман Б. Д. 50337,  
50338  
Штейнберг Д. С. 51047  
Шуйкин Н. И. 51140  
Шульгин А. И. 50852  
Шульга М. С. 50673  
Шышнышвили М. Е. 50918  
Шэнь Вань 52462
- Щ
- Щепотьева Е. С. 50901  
Щербак С. Н. 53108  
Щукина М. Н. 51207
- Э
- Эгасира 51232  
Эгасира Ф. 52355 П  
Эдемская Н. Д. 52175  
Элькинд М. Ф. 50736  
Эми 51618  
Энокки 51295  
Эномото 52711  
Эрастов Д. П. 52606  
Эристави Д. И. 51094
- Ю
- Юаса 52307  
Юкава 51279  
Юрчан П. 51935  
Юсис Б. В. 51582
- Я
- Ябло Я. М. 53384  
Яги Ю. 51762 П  
Ягоди Г. А. 50637  
Ядава 52049  
Яковлева Е. Е. 51036  
Ямагиси 52301  
Ямагути 51477  
Ямагути 51866  
Ямагути 52162  
Ямагути А. 52352 П  
Ямагути П. 51861 П  
Ямада 51295  
Ямада 53565  
Ямадзи 53449  
Ямamoto 51601  
Ямamoto 51688  
Ямamoto 52168  
Ямamoto С. 51765 П  
Яманака 52411  
Ямануэ 52312  
Ямаути 52049  
Ямаути 52312  
Ямпольский Б. Я. 50932  
Янагава 51327  
Янагиса 52755  
Янагия 51293  
Яновский В. С. 53178  
Ярмухамедова Э. 50982  
Ярым-Агаев Н. И. 50691  
Ясиро 51272  
Яскина Д. С. 51131  
Ясунава 52308  
Яхонтов Л. Н. 51397  
Яшвили А. И. 52025

- А
- Abbas A. A. 52106  
Abbey A. 51959 П  
Abdel Fettah Aly Ismail 51239  
Abdel Hamid El-Sayed Harhash. 51244  
Abd-El-Wahed A. M. 53426  
Abe H. 50463, 50464  
Abe S. 50862  
Aberg E. 51845  
Abernethy N. W. 53058 П  
Abildgaard-Elling K. 52534 П  
Abramovitch R. A. 51271  
Abramski C. 52161  
Acero-Sáez E. 53199  
Acker L. 53264  
Ackermann R. J. 50694  
Adachi K. 51303  
Adams C. H. 52701  
Adams H. J. 53433  
Adobbati M. 51156  
Adorni N. 50644  
Aeschbach J. 52784  
Afifi S. E. D. 51821  
Agarwal H. P. 50858  
Agarwal R. K. 53396  
Agasian P. K. 51568  
Agoston G. A. 52496  
Ahmed Mustafa 51244
- Aken J. S. A. J. M. 51764 П  
Alaa Eldin Abdel Aziz Hassan 51244  
Albers A. 52395 П  
Albert A. 51289  
Albrecht A. C. 50427  
Alburger D. E. 51663  
Alder K. 51363  
Alderfer S. W. 52691 П  
Aldinger R. 51989  
Aldrich P. E. 51396  
Alexander A. E. 52434  
Alexander P. 51500  
Alhérière L. 52350 П,  
53528 П  
Allan G. W. C. 52184  
Allen F. G. 52729  
Allen G. F. H. 51183  
Allen R. R. 53095  
Allewelt A. L. 53064 П  
Allinger N. L. 50415  
Allison W. M. 52890 П  
Alm O. 52509  
Almenningen A. 50485  
Almgren K. 53295  
Altman J. H. 51692  
Altschul R. 51253  
Amdur I. 50892  
Amell A. R. 50764  
Ames S. L. 50590  
Amiel Y. 51420  
Amrein E. 51940
- Anderegg F. O. 52079  
Anderegg J. A. 52079  
Anders H. 51660, 53071  
Andersen E. 53136  
Anderson A. G. 51180  
Anderson D. M. W. 51522  
Anderson D. R. 52249  
Anderson D. W. 52524  
Anderson H. C. 50331  
Anderson J. A. 52272,  
53265  
Anderson N. I. 52942 П  
Anderson P. A. 50591  
Anderson R. J. 51297  
André G. E. 51735  
Andreas A. 52086  
Andrews J. C. 50323  
Andrews K. W. 50715  
Andrews T. 53530 П  
Andrisano R. 50428  
Angyal S. J. 51343, 51344  
Anspach J. M. 51540  
Anson H. D. 52357 П  
Antal J. 50304  
Antlinger G. J. 53007  
App B. A. 51822  
Arahamian N. S. 51248  
Aratani I. 51419  
Arborgh A. 53516 П  
Archard G. D. 50545  
Archer J. R. 51798  
Arcoria A. 51299  
Arends C. B. 51667
- Arigoni D. 51370  
Arltetter H. F. 53003  
Armbruster R. 52488 П  
Armstrong A. M. 51004  
Arndt D. 52674  
Arnold G. B. 52285 П  
Arnot J. 51857 П  
Arroeste H. 50422, 50611  
Arvia A. J. 50831  
Ascoli Marchetti F. 51411  
Ashley J. N. 52559 П  
Ashley W. C. 52910  
Asimov I. 50330  
Astle M. J. 52403 П  
Aswathanarayana U. 51024  
Aten A. H. W. 50812  
Aubrey K. V. 51034  
Audran R. 51669  
Austin I. G. 50589  
Averbach B. L. 50514  
Avias J. 51039  
Axilrod B. M. 50477
- В
- Baba H. 50418  
Baccolo S. 51825  
Backman A. 51999  
Badies S. 51711  
Bădoi R. 51743  
Baechler R. H. 52965  
Bagnall K. W. 53564  
Bagniewski J. 52650
- Bähr G. 51320  
Bain G. H. 51644  
Baird R. 51112  
Bak B. 50459  
Baker E. B. 50470  
Balashov V. 52986  
Balcar V. 51984  
Balej J. 50685  
Ball D. H. 52963  
Ballard S. A. 52344 П  
Ballhausen C. J. 50410  
Balwit J. S. 51501  
Banchero J. T. 50772  
Bandel W. 50497  
Banderet A. 51493  
Banigan T. F. 52870 П  
Bannerjee N. R. 51443  
Banowitz B. B. 53362 П  
Barbagallo L. 53211  
Bardeen A. W. 53440  
Bardos T. J. 51278  
Barendrecht E. 50867  
Barker J. E. 52199  
Barkoff E. 51700  
Barla E. 52987  
Barlow D. O. 51180  
Barltop J. A. 51369  
Barnes R. G. 50461  
Barr M. 50961  
Barrer R. M. 50899, 51460  
Barro-Raffel M. 51641  
Barry A. J. 52681 П,  
52851 П

Авторский указатель

- Barstad J. 50537  
Barth P. 51178  
Barth R. H. 52859 II  
Bartholomew G. A. 50372  
Bartlett M. F. 51425  
Bartlett P. D. 51137  
Barzily I. 51414  
Bastian S. 52016  
Bastiansen O. 50485  
Bate G. L. 50643  
Bateman A. M. 51027  
Bateman J. B. 50887  
Bates R. G. 50838  
Batezell A. P. 52892 II  
Batti P. 50730  
Bauer 52785  
Bauer D. 52371 II  
Bauer H. F. 51429  
Bauer K. 52393 II  
Bauman W. C. 52821 II  
Baumann F. 51883  
Baumeister P. W. 51673  
Baumgärtel H. 51190  
Bäumler R. 52367 II  
Bayer O. 52394 II  
Beaubien S. J. 52250  
Beck P. A. 50715  
Becke F. 52419 II  
Becker E. D. 50660  
Becker G. 52967  
Becker H. A. 53249  
Becker K. 50775  
Becker R. 52092 II  
Beckert O. 50997  
Bede J. A. 52914, 52915  
Bedier R. 52155  
Bednarczyk H. 53393  
Begun G. M. 58638, 58639  
Behar I. 50515  
Behrnt K. 51661  
Belcher R. 51633  
Bell G. M. 50935  
Bell J. J. J. 51623  
Belner R. J. 51483  
Benard J. 50796  
Benard J. 53418  
Benedict W. S. 50779  
Benefield H. G. 53304  
Benk E. 52641  
Benkendorff G. W. 52716  
Bennett R. N. 50759  
Benoit H. 50483  
Bentley K. W. 51405  
Bentley R. 51349  
Berak J. 51799  
Beran P. 51609  
Berg A. 50346  
Berg S. S. 52559 II  
Berg W. T. 50671  
Berger A. 51416  
Berger C. 50802  
Berger F. M. 51854 II  
Berghezan A. 50513  
Bergmann E. D. 51335, 51642  
Bergmann R. F. 53062 II  
Bergmann W. 51918  
Bergner K. 53220  
Bergström H. 52960  
Bergström H. A. 52391 II  
Bergström I. 50633  
Beringer F. M. 51110, 51314  
Berka A. 52526  
Berkovic S. 51335  
Bernhardt J. 50939  
Berliner E. 50774  
Berlinguet L. 51413  
Bernhard P. 52742  
Bernhauer K. 52575 II  
Bernstein H. B. 50961  
Bernstein P. 51253  
Berry C. R. 50817  
Bersworth F. C. 52865 II  
Bertelsen E. 53321  
Bertholf J. H. 51828  
Beid V. 50746  
Bertocci U. 50855  
Bertolette W. B. 52246  
Berwick I. D. G. 53427  
Betes Fierro A. G. 52239  
Bethel H. A. 50375  
Betrabet S. M. 52432  
Betz H. 51988, 51990  
Beyer G. H. 53506  
Beyer H. 51222  
Bezenberger H. 51226  
Bhalla M. S. 51713  
Bhattacharya S. C. 52627  
Bhatti M. K. 51633  
Bhude B. V. 51359  
Blanco J. 52431 II  
Bican J. 51536  
Bican-Fišter T. 52527  
Bicelli L. 50447  
Biddingmayer W. L. 51824  
Bier G. 52814 II  
Biffen F. M. 51730  
Billmann E. 51139 K  
Bilvoet J. M. 50505  
Bilbo A. J. 51333  
Bild J. 52601 II  
Bilek V. 53194  
Bilger X. 51779 II  
Billertowa T. 51620  
Bills J. L. 52280 II  
Binapfl J. 52380 II, 52827 II  
Bingham I. H. 52909  
Biniecki S. 51245  
Birch A. J. 51433  
Bisby H. 51680  
Bjorksten J. 52736  
Black W. B. 50433  
Blackman L. C. F. 51164, 51165  
Blades C. E. 51254  
Bláha K. 51108  
Blais N. C. 50377  
Blakey F. A. 52007  
Blanc D. 51731  
Blanchard M. L. 50555  
Blanz E. J. 51378  
Blaško J. 52470  
Blaustein B. D. 50833  
Blaydon H. E. 52151  
Blin-Stoyle R. J. 50368  
Bloch H. S. 52274 II  
Block S. S. 51841  
Bloembergen N. 50602  
Blok J. 50573  
Bluhm H. M. 53350  
Blum G. W. 52669—52671  
Bodalek E. G. 52669—52671  
Bock W. 52842 II  
Böckl N. 52805 II  
Bockris J. O'M. 50849, 50863  
Boehm M. J. 50601  
Boer D. H. W. 50971  
Boer J. H. 50911  
Boggs L. A. 51354  
Böhm F. 51403  
Böhm R. 52881 II  
Böhme H. 51166, 51226  
Böhmländer F. 51011 II  
Bolles W. L. 53502  
Bollinger L. E. 50784  
Bolognesi G. P. 50854  
Bonacini C. 51571  
Bonafede J. D. 51142  
Bonati R. 50524  
Bondi A. 51506, 52250  
Boomgaard J. 51785 II  
Borck A. G. 53128 II  
Boreham G. R. 52173  
Borlera M. L. 51600  
Borner P. 51109  
Borovička M. 51218  
Bortnick N. M. 52819 II  
Boschan R. 51111  
Boše A. N. 50879  
Bošnjak K. 51709  
Bosoni A. G. 53324  
Botham G. H. 53432  
Bothorel P. 50480  
Bott L. L. 52242  
Böttcher R. 50990  
Boud A. H. 50492  
Bourdais J. 50936  
Bourstein R. 50792  
Bové J. 51646  
Boven R. 50947  
Bower V. E. 50838  
Bowers A. 51365  
Bowers R. C. 52260  
Bowles R. F. 52935  
Bowles V. O. 53504  
Boyd J. W. 53350  
Boyd R. H. 50696  
Boyer R. O. 51898 II  
Boyer-Kawenoki F. 51462  
Boysen M. 50811  
Brabender C. W. 53260, 53361 II  
Bracale S. 52236  
Brace A. W. 51885  
Bradley A. 51117  
Bradley E. 51081  
Braubanti A. 50519  
Branche G. 51049  
Brändström A. E. 52365 II  
Bratt O. H. 52923  
Braun F. 52924  
Braunstein R. 50457  
Brautlecht C. A. R. 53162  
Bray P. J. 50461  
Bree A. 51676  
Breig K. 52413 II, 52416 II  
Breiter M. 50859  
Brennensen E. 52414 II  
Bresle A. 50868  
Breslin A. J. 50962  
Bridges R. G. 53252  
Brihta I. 50329  
Brimley K. J. 52499 II  
Brise A. H. 52200  
Britton E. C. 52396 II  
Broadfield E. R. 51949  
Brockmann H. 52555 II  
Broekema A. 51852 II  
Broida H. P. 50780  
Brook A. G. 51316  
Brooker S. G. 50323  
Brooks A. A. 51728  
Brooks C. H. 52221  
Broser W. 50497  
Broucek K. F. 52358 II  
Brouckere L. 53419  
Brown D. W. 51499  
Brown E. G. 51610  
Brown G. M. 52201  
Brown L. H. 51680  
Brown P. G. M. 51562  
Brown R. D. 50402  
Brown R. J. 51987  
Brownlee L. D. 50726  
Brubaker C. H. 50835  
Bruce C. F. 51671  
Brüche E. 51894  
Bruchhausen F. 51447  
Brucker M. 52761  
Bruggeman W. H. 51740  
Brulhart P. 52703  
Brüniche-Olsen H. A. 53165 II  
Brunner G. E. B. 53572  
Brunnschweller E. 53052  
Bruno S. 51435  
Brust H. F. 51858 II  
Buchanan A. S. 50938  
Büchner K. 52287 II  
Bucht E. 51373  
Buck J. A. 53286  
Buckingham A. D. 50478  
Bucknal E. H. 51890  
Büddicker-Löns H. G. 52452  
Buff F. P. 50874  
Bühler H. H. 50667  
Buliček J. 52113  
Bunge W. 528443 II  
Bunnett J. F. 51115  
Bunzel K. 53270  
Burch D. E. 50421  
Burg A. B. 51333  
Burger A. 51401  
Burkardt L. A. 50744, 51689  
Burkart C. A. 53391  
Burkhardt K. 51450 II  
Burkhart W. 53054  
Burant W. 51310, 51326  
Burleigh T. E. 51712  
Burnham R. 52486 II  
Burris W. A. 51715  
Busch D. H. 50996  
Bushee R. 50354  
Busvine J. R. 51811  
Buswell A. M. 52095  
Butler J. A. V. 51457  
Buu-Hoi N. P. 51227  
Buzágh A. 50954  
Buzincu J. 51583  
Bryce-Smith D. 51130  
Brzozowska N. 51292  
Brzozowski T. 51292

C

- Cabur U. A. 50736  
Cadiot P. 51255  
Cahen R. R. 51788 II  
Cahn H. L. 52898  
Cala J. A. 50776  
Calaway W. T. 59110  
Calderbank P. H. 53486  
Caldin E. F. 50765  
Caldwell W. T. 51277  
Calero R. 51386  
Calhoun L. M. 52759  
Calhoun R. R. 53388  
Cálin C. 52447  
Callistru C. 51867  
Calvo J. V. 51870  
Cambil L. 50471  
Camp T. R. 52100  
Campbell A. N. 50739  
Campbell A. W. 50789  
Campbell D. L. 52269 II  
Campbell G. M. 50672  
Campbell J. D. 53248  
Campbell J. R. B. 51364  
Campbell S. J. 52636  
Canetta E. 53223  
Canki K. 52605  
Canonica L. 51156, 51203  
Cantow H. J. 50740  
Capell R. G. 53110  
Capitani C. 51708  
Carelli V. 51374  
Carhart H. W. 50781  
Carlson O. N. 50970  
Carlsson C. G. 51611, 51625  
Carlston E. F. 52838 II  
Caronna G. 51435  
Carpenter D. K. 51459  
Carpenter G. B. 50533  
Carper R. E. 52521  
Carr E. F. 50620  
Carroll B. H. 52619 II  
Carroll J. J. 51212  
Carson J. F. 51346  
Carswell D. J. 50918  
Carte A. E. 50710  
Carthew A. R. 51060  
Cartledge G. H. 50847  
Carver M. E. 53012  
Casini G. 51411  
Catterall W. E. 52348 II  
Catton N. L. 52661  
Cavalla J. P. 51300  
Cavallaro L. 50854  
Cermák V. 50686  
Cernašov N. 53577  
Cerniani A. 50432  
Cernohlávek D. 51573  
Chabrier P. 51213  
Chakrabarty M. M. 53075  
Chakrabarty S. R. 53075  
Chakrabarty S. K. 52053  
Chalvet O. 50400  
Chaminade R. 50632  
Champion W. C. 51161  
Chandra P. 52982  
Chang S. C. 50972  
Chapiro A. 52662



- Chapman D. R. 51680  
 Charlampowicz Z. 53301  
 Charlesby A. 51500, 51502  
 Charison A. J. 51356  
 Charvát V. 52158  
 Chechan C. 51669  
 Chellis L. N. 52766  
 Cheng K. L. 51614  
 Chernick C. L. 50679  
 Cherry R. H. 53558 II  
 Chiarlo B. 51223  
 Chierici I. 50519  
 Chiorboli P. 50494  
 Chodorowska K. 53238  
 Chovin P. 51577  
 Chowdhury K. P. R. 52053  
 Christensen D. 50459  
 Christian R. H. 50788  
 Chirstol H. 51234  
 Chughtal I. D. 53180  
 Chupka W. A. 50416  
 Churchill J. W. 52349 II  
 Chytil M. 53273  
 Cieszyński T. 51620  
 Čihálik J. 51543, 51545  
 Ciolan I. 50741  
 Claesson S. 51456  
 Clark H. A. 52844 II  
 Clark J. C. 50609  
 Clark J. M. 52263  
 Clark K. G. 51797  
 Clark L. W. 50770  
 Clarke F. 52904  
 Clarke F. F. 51753  
 Clarke P. 51130  
 Clarkson R. 50412  
 Clasen H. 52847 II  
 Claydon T. J. 53314  
 Clerici G. 51864  
 Clermonté R. 51431  
 Cleverdon D. 50489  
 Clingman A. L. 51360  
 Closson R. D. W. 52334 II  
 Clueckauf E. 51737  
 Clusius K. 50667  
 Coble R. L. 51933  
 Cochecl V. 51789  
 Cocker J. D. 51365, 51366  
 Codell M. 51612  
 Coene W. G. 53561 II  
 Coenen L. M. 52420 II  
 Coenen M. 52371 II  
 Cogan H. D. 52904  
 Cohen J. 50600  
 Cohen M. 50514  
 Cohen M. H. 50572  
 Cohen S. G. 51253  
 Collie L. 53282  
 Cole R. H. 50621  
 Coleby B. 53226  
 Coleman D. 52480 II  
 Coleman L. E. 51334  
 Collet L. H. 50844  
 Collins C. J. 51132  
 Collins F. C. 50616, 50711  
 Collins G. B. 50489  
 Collongues R. 50515  
 Combes J. J. 53547  
 Conroy A. 53338  
 Containing B. 53039 II  
 Conti L. 51307  
 Contini L. 53203  
 Conway B. E. 50849  
 Cook A. H. 51426  
 Cook M. 51949  
 Cook M. A. 50790  
 Cook R. L. 51987  
 Cooke A. H. 50670  
 Cookson R. C. 51116  
 Cooper L. E. 52342 II  
 Coover H. W. 52815 II  
 Coppini R. 53347  
 Coraor G. R. 52361 II  
 Corbett J. D. 50495  
 Cordier S. 50362  
 Cordon W. A. 52048  
 Corliiss L. M. 50552  
 Corral R. A. 51142  
 Corubolo I. 52527  
 Coryell R. L. 52198  
 Cotter T. P. 50789  
 Cottingham R. L. 52260  
 Coulon R. 50496  
 Covey R. D. 52958  
 Cowan M. 50458  
 Cowley C. L. M. 51949  
 Crabtree D. G. 51809  
 Craig A. B. 53042  
 Craig D. 52994  
 Cramer D. L. 53125  
 Crawford A. 51621  
 Creasy J. 52901  
 Crescent B. 51859 II  
 Cresswell A. 52813 II  
 Cresswell F. 52241  
 Crisan C. 51144, 51242  
 Crocella P. 52706  
 Crombie L. 51149, 51150  
 Croon I. 52991  
 Cros M. 50632  
 Crossley M. L. 52558 II  
 Crosswhite H. M. 50440  
 Crowley M. S. 52052  
 Crowley P. R. 50960  
 Cruikshank S. S. 51630  
 Cushing M. L. 53010  
 Cummings P. W. 52813 II  
 Cupr V. 50850  
 Curtin D. Y. 51117  
 Cusic J. W. 52554 II  
 Cusmano S. 51270  
 Czekalinski L. 53544  
 Czernin W. 52018
- D**
- Dähling H. 51902 II  
 Dähne H. 52130  
 Dalbro S. 53292  
 Dale J. 50537  
 Dalesch-Paetsch H. 52664  
 Daigarno A. 50394—  
 50396  
 Dalla Torre G. 53334  
 D'Amico J. E. 52658  
 Dancy W. B. 51806 II  
 Danusso F. 51490  
 Daou J. 50594  
 Darpoux R. 53244  
 Das B. M. 53370  
 Dauben W. G. 51378  
 Dautreppe D. 50462  
 David I. 50797  
 Davies A. G. 51258  
 Davies G. L. 51135  
 Davis A. N. 51828  
 Davis G. D. 52616 II  
 Davis J. E. 52225  
 Dawson L. R. 50842  
 Day A. G. 52710, 52713  
 Day F. T. 53004  
 Deadman A. L. 52268  
 Deal C. H. 51699  
 Dean R. S. 51781  
 De Angelis A. 50746  
 Dearwater J. R. 53551  
 Dębska W. 52507  
 Dechamps G. 50324  
 Decker D. L. 50598  
 Decker W. H. 52197  
 Deffert L. 52495  
 Deichler J. K. 53436  
 Dejaice J. 50542  
 Delaplaine J. W. 53533 II  
 Delarozier F. 52135  
 Delattre L. 52489 II  
 Delebecque M. 52038  
 Delfs D. 52617 II  
 Dell C. C. 52150  
 Deloupy M. C. 51664  
 Delwaulle M. L. 50452  
 Dempster P. B. 52499 II  
 Denivelle L. 52321  
 Dent F. J. 52183  
 Dent K. P. 51658  
 De Riz O. 53053  
 Desai C. M. 50882  
 Deschreider A. R. 53282  
 Desmarais R. 53150  
 Dettner H. W. 51874  
 Deutsch G. S. 53066 II  
 DeVore G. W. 51051  
 Dewar M. J. S. 51124—  
 51129, 51164, 51165  
 Dewey D. R. (II) 51907 II  
 D'Hont M. 51738  
 Diamond H. 50374  
 Diamond H. 52250  
 Diaper D. G. M. 51628  
 Dichter J. 51993 II  
 Dick I. B. 52102  
 Dickert Y. J. 52396 II  
 Dickinson B. N. 53143  
 Dickson J. T. 52833 II  
 Dieke G. H. 50440  
 Dienes G. J. 50705  
 Dill C. S. 52886 II  
 Dintenfass L. 50931  
 D'Ipollito F. 51741  
 Dixon L. A. 52879 II  
 Dizabo P. 50493  
 Dizdaz Z. I. 50971  
 Doadrio A. 52907  
 Dobry A. 50936  
 Dodgeu H. W. 50659  
 Doering H. 52998  
 Doesburg J. J. 53288  
 Doittau P. E. R. 53360 II  
 Dolan J. E. 52499 II  
 Dole M. 51470  
 Dolejši J. 50578  
 Doležal J. 51609  
 Domanski B. 50802  
 Donnini G. 53319  
 Doorn C. Z. 50574  
 Dornow A. 51204  
 Doss K. S. G. 53140  
 Douglas G. V. 51050  
 Douglass R. M. 50516  
 Dow W. M. 52231  
 Dragomir C. 53210  
 Draňný M. 52237  
 Drake L. R. 52358 II  
 Dreisbach P. F. 52558 II  
 Drews E. 53267  
 Dreyfus B. 50462  
 Drost-Hansen W. 50617  
 Drucker C. 50875  
 Druery J. 51276  
 Dryden I. G. C. 52140  
 Drysdale J. J. 50486  
 Dryselius E. 51524  
 Duda O. 50344  
 Dudek A. 51038  
 Dudley J. R. 52837 II,  
 52882 II  
 Dugdale R. A. 50557  
 Dugleux P. 50760  
 Duke J. 52655  
 Dunet A. 51255  
 Dunham M. L. 52846 II  
 Dunn F. W. 51424  
 Dunning H. N. 52215  
 Durian A. 52470  
 Durif S. 52160  
 Duyckaerts G. 51666  
 Dyer E. 50763  
 Dyke S. F. 51405  
 Dymek W. 51281, 51292
- E**
- Earley J. E. 50621  
 Eastham J. F. 51132  
 Eby C. J. 51205  
 Eckstein Z. 51216  
 Écsy L. 53145  
 Edenwall I. A. 51780 II  
 Edmister W. C. 53496  
 Eds R. 50784  
 Edwards R. B. 53506  
 Egalon R. 51748  
 Eger C. 51635  
 Egert R. 51972  
 Eggers D. F. 51667  
 Egge M. P. 51891  
 Ehrlich G. 50891  
 Eichborn J. L. 50908  
 Eichenberger K. 51276  
 Eijnsbergen J. F. H. 53450  
 Eissler L. 52179  
 Ekholm W. C. 52279 II  
 Ekman K. 52999  
 Eldridge R. W. 51705  
 Elgee H. 52994  
 Elias H. G. 51694  
 Elion G. B. 51283, 51286,  
 51287  
 El-Khazen P. 52505  
 Elkin H. 52119  
 Ellestad R. B. 51753  
 Elliott H. J. 52448  
 Elliott P. 51433  
 Ellmer L. R. 52856 II  
 Elton W. L. 52494 II  
 Emerson M. R. 53338  
 Emmons W. D. 5119  
 Emond R. E. 51857 II  
 Emrich H. W. 51934  
 Endt P. M. 50379  
 Engelbertz P. 52395 II  
 Engelter A. 51478  
 English A. R. 52594 II  
 Enkoji T. 51278  
 Enkvist T. 52950, 52999  
 Enns J. H. 51572  
 Epstein J. 50745  
 Erasme S. E. O. W.  
 53368 II  
 Erbe F. 52392 II  
 Erickson A. E. 50909  
 Erickson D. R. 53041  
 Erickson E. R. 52862 II  
 Erikson S. O. 51607  
 Erlenmeyer H. 51225  
 Ermisch W. 50385  
 Erving J. J. 51985  
 Eschenmoser A. 51370  
 Ettel V. 52385 II, 52406 II  
 Euler J. 50865  
 Evans E. A. 51146  
 Evensen E. 52905  
 Ewald H. 50630  
 Eyraud C. 50802
- F**
- Fagard J. 53081  
 Fahnestock F. C. 53532 II  
 Fairbrother F. 50984  
 Faith W. L. 53569  
 Falco E. A. 51285  
 Falk K. 52298  
 Fanderlik M. 51963  
 Farago S. 53187  
 Faraoe G. 51022  
 Farben B. 52894  
 Fark H. 53043  
 Farlow M. W. 52336 II  
 Farmer V. C. 51541  
 Farr H. V. 51766 II  
 Farrar P. 50717  
 Farthing A. C. 52390 II  
 Fasman G. 51416  
 Faurote P. D. 51328  
 Fauth H. 51505  
 Fay R. E. 52872 II  
 Fay R. W. 51826  
 Fediuk F. 51038  
 Fee J. G. 53388  
 Fehér F. 50977  
 Fehér I. 53371  
 Feigl H. 50859  
 Felchenfeld H. 52329  
 Felder E. 51408  
 Felicetta V. F. 51521,  
 52993  
 Feller M. 52286 II,  
 52797 II  
 Felsz J. 53538  
 Fencel Z. 53174  
 Ferles M. 51256  
 Fernandez Marzol J. M.  
 52907  
 Fernlund U. 51607  
 Ferrari A. 50524  
 Ferrigan M. 53253  
 Ferroni E. 50826  
 Fetterly L. C. 52273 II  
 Fieochl A. 51156  
 Fiedler H. J. 51918  
 Fiedler K. 51177

- Field E. 52286 II,  
52797 II  
Field G. B. 50387  
Fields P. R. 50373, 50374  
Fierens P. J. C. 50752,  
51120  
Fieselmann H. 51195—  
51197  
Findley M. E. 52979  
Fiendley W. N. 52701  
Fischer E. 50295  
Fischer E. 52128 II  
Fischer E. H. 52675  
Fischer E. O. 50472,  
50990, 50997  
Fischer H. 52858 II  
Fischer H. O. L. 51350  
Fisher J. I. 53428  
Fitzpatrick B. C. 53032 II  
Fladung R. 51943  
Flajzman F. 50937,  
50942  
Fletcher J. M. 51562  
Flügge J. 51675  
Fok Shiu Ming 51483  
Foley G. M. 53558 II  
Foley R. T. 50853  
Folkins H. O. 50799  
Fontana C. M. 52802 II  
Fontanella E. 53334  
Foote W. J. 53012  
Ford T. J. 53315  
Fordyce D. B. 50897  
Foreman J. K. 51599  
Fornfeld E. J. 51399  
Fornier R. 50449  
Fors M. 52528  
Forshaw I. P. 51610  
Forss D. A. 51145  
Fort R. 52321  
Foster A. B. 51172  
Foster R. 50438  
Foster R. C. 53107  
Fouad M. G. 50860  
Fourcade R. 52831 II,  
52877 II  
Fourt L. 52448  
Fox M. R. 52460  
Foye W. O. 51412  
Frackowiak A. 52964  
Fraknőy V. 50954  
Franke I. 51955 II  
Franz K. 52779  
Franze C. 50782  
Frearson P. M. 51297  
Freed S. 50441  
Freeman M. P. 50695  
Frie-Ischer E. 52787  
Fréling E. 50760  
Frenkel C. 51892  
Frey A. 53176  
Frey-Wyssling A. 50298  
Fried V. 50699  
Friedman A. M. 50373  
Friedrich K. 51656  
Frllette V. J. 52832 II  
Fristrom R. M. 50778  
Fritsch W. 52583 II  
Froelich E. J. 52563 II  
Fromm F. 50698  
Frondel C. 50526  
Frost A. A. 50393  
Fry P. R. 51832  
Frye W. C. 51712  
Fryer L. S. 53062 II  
Fuchs K. 53268  
Fuchs O. 51109, 52864 II  
Fujita H. 50366  
Fukui K. 50403  
Fukuyama Y. 51043  
Fulkerson B. 52989  
Fuller E. D. 52801 II  
Furman T. 52110  
Furst A. 50336
- G**
- Gable C. L. 52658  
Gäbler H. 53111  
Gabrielli G. 50826  
Gabrielson O. 50525  
Gaddy V. L. 51797  
Gahan J. B. 51828  
Gaines G. L. 50888  
Gaitan A. 52669  
Galatry L. 50496  
Galczyński W. 52443  
Galiński K. 53121  
Gall J. F. 51903 II,  
51904 II  
Gallagher N. D. 53391  
Gallo U. 51406  
Gamp H. 52814 II  
Canea I. 51381  
Gann P. W. 53042  
Garaj J. 50315  
Gardiner M. W. 50965  
Garman P. 51840  
Garmus R. D. 51815  
Garner A. Y. 51136  
Garrett E. R. 52521  
Garstide J. E. 51623  
Gascuel L. 52226  
Gaston H. P. 53300  
Gastrow H. 52783  
Gates M. 51250  
Caudemar M. 51141  
Gaudry R. 51413  
Gault H. 51155  
Gaume-Mahn F. 50501  
Gažo J. 53479  
Gebert F. 52182  
Geddes W. F. 53253  
Geel W. C. 50857  
Geering E. J. 51110  
Geesink H. A. O. W.  
52676  
Geiger H. 51423  
Geiser E. M. 52274 II  
Geltman S. 50383  
Gemmer E. 52944 II  
Geoffroy R. 53251, 53255,  
53261  
Georgil H. W. 51703  
Gerharz R. 51677  
Gerrard J. 53462  
Gerstner F. 53534 II  
Gey K. F. 50353  
Geyer R. P. 52525  
Gharpurey M. K. 50607  
Ghatgey B. B. 52627  
Ghitti C. 53332  
Giallombardo H. J. 51118  
Giang Nguyen Thanh  
51155  
Gibaud A. 50758  
Giesen K. 51626  
Gilbert H. 52817 II  
Gilchrist A. 50621  
Gilham P. 51343  
Gilles P. W. 50694  
Gillespie T. 50889  
Gillespie T. 50889  
Gilliland E. R. 51907 II  
Gillispie C. 50299  
Gilman H. 51316, 51317  
Girelli A. 52265  
Giudicelli R. 51213  
Glahn W. H. 52391 II  
Glaser T. 53580  
Glauberman H. 50962  
Glennie D. W. 51520  
Gilletenberg E. 52416 II  
Glöckner E. 52148  
Gloetzel J. 53195  
Gloss G. H. 51773 II  
Godin R. 52788  
Goedel W. 52059  
Goedwin P. A. 52717  
Goehring M. 50975  
Goettelman R. C. 51705  
Göke G. 51615  
Goldberg M. W. 51855 II  
Goldblatt L. A. 53082  
Goldschmidt S. 51162  
González A. G. 51386  
Good W. 50945  
Goodhue L. 51846  
Gooding C. M. 53277  
Gooding E. G. B. 53296  
Goodman C. H. L. 50589  
Goodwin B. M. 53480  
Goodwin J. T. 52374 II  
Goos A. 51819  
Gordy W. 50458  
Gorin C. 50993  
Gorkom C. 52652  
Göring P. 53297  
Görzyńska J. 53172  
Goss A. J. 50723  
Goton R. 50680  
Götte E. 51848 II  
Gotthardt C. J. 52917  
Gottlieb M. H. 50922  
Gottlieb S. 52761  
Götz N. 51230  
Gough C. M. 52153  
Gould E. S. 50700,  
51310, 51326  
Gould W. A. 53290  
Goutarel R. 51394, 51398,  
51400  
Gove H. E. 50372  
Graf R. 51778 II, 52373 II  
Grafe E. 53285  
Graff Y. 51534  
Gräflinger G. 52367 II  
Graham D. P. 52423 II,  
52426 II  
Gramss A. 51929  
Grand J. A. 51003  
Grand d'Hauteville E.  
52762  
Grandy A. J. 52892 II  
Grange J. 50482  
Grant J. 52103  
Grant W. 52072, 52918  
Grantham G. R. 52110  
Grassie N. 51497  
Gratot I. 50632  
Graves R. H. 50842  
Green H. 51648  
Green W. 52694 II  
Greenberg B. 51310  
Greenfield P. 50715  
Greenwood C. T. 51522  
Greenwood N. N. 50553  
Gregor 53479  
Gregor H. P. 50920  
Grewe R. 51173  
Grewin F. W. 53036 II  
Griehl W. 52328  
Griffin M. 50668  
Griffin J. R. 52289 II  
Griffing D. F. 50371  
Griffith J. 52434  
Griffiths J. E. 50739  
Griggs W. H. 5261 II  
Grim R. E. 51061  
Grimmett R. E. R. 50321  
Grodecka H. 50343  
Gross J. 52252, 52253  
Grohgan H. 53524 II  
Gross J. H. 51773 II  
Groth W. 50636  
Gruenwald T. 51642  
Grund H. 50490  
Grundy J. 51192  
Gruner C. T. 52118  
Grüner M. 52016  
Grünwald T. 53236  
Grunow H. 52296 II  
Gruschke H. 52382 II  
Gryder J. W. 50833  
Grzegorzewicz J. 53083  
Guare C. J. 50853  
Guastalla J. 50885  
Guichard C. 52518  
Guindner L. A. 50892  
Gulen R. C. 51248  
Gumalka W. 52502  
Gunn R. 50966  
Gunstone F. D. 51151  
Guntermann W. 52213 II  
Günthard H. H. 50448  
Günther G. 52493 II  
Günther H. 51674  
Gupta R. C. 51189  
Gupta S. L. 50934  
Gupta V. N. 51439  
Gustafson H. J. 52215  
Guštak-Mašek I. 51280  
Gustin D. S. 53409 II  
Cut M. 51384  
Gutfeld W. 53167  
Guthrie J. D. 42469  
Gutman F. 52248  
Gutowsky H. S. 50467,  
50468  
Gyenge J. M. 52655  
Gysin H. 51849 II,  
52550 II  
Gysin W. 53348
- H**
- Haas G. 51228  
Haas G. J. 53196  
Haber C. P. 51333  
Hadert H. 52069  
Haessler C. 50455  
Hafner W. 50997  
Hagenbach R. 52550 II  
Haggerty W. T. 52483 II  
Hägglund E. 51524  
Hagnauer W. 53209  
Hahn H. 50518  
Hahn V. 51250  
Haim G. 52714  
Hájek B. 50969  
Hájek J. 52446  
Hajek Z. 53093  
Hajos A. 52557 II  
Hake R. R. 50598  
Hala E. 50699  
Hall A. J. 52472  
Hall F. T. 51873  
Hall H. K. 50401  
Hall J. A. 51830  
Haller P. 50635  
Haller W. 51521  
Halpern J. 50761,  
51004, 53428  
Halsall T. G. 51365, 51366  
Halsey G. D. 50695  
Halteman E. K. 50510  
Halver J. E. 51422  
Halweg H. 51839  
Ham G. E. 53042  
Hamalainen C. 52469  
Hamann V. 53198  
Hamilton W. 51371  
Hamilton W. C. 50408  
Hammett R. H. J. 52173  
Hamick D. L. 50438  
Hanafy Z. 50846  
Hanö O. 52503  
Hancock E. B. 51172  
Hancox N. C. 51145  
Hanel H. 53574  
Hannaert H. 50752  
Hannan R. S. 53226  
Hannay R. S. E. 52475 II  
Hannum J. A. 52281 II  
Hans F. H. 52648  
Hansen B. 53311  
Happe W. 52482 II  
Haq S. 51357  
Harder B. 50518  
Harding H. G. 52122  
Hardwick R. 50825  
Hariharan P. 51713  
Harker B. 52736  
Harker D. 50503  
Harper W. J. 53331  
Harris G. M. 50640 ;  
Harris J. 52927  
Harris R. G. 53125 II  
Harris R. H. 53243  
Harrison J. 51655  
Hart V. E. 52988  
Harte W. H. 52496  
Hartley J. 51054  
Hartmann A. 52488 II  
Hartmann W. 52092 II  
Hartmann-Dick U. 52948  
Hasche R. L. 52211 II  
Hasegawa M. 51442  
Hasson F. X. 50723  
Hastings J. M. 50552  
Haszeldine R. N. 52337 II  
Hatch L. P. 52116

- Hatch R. L. 52798 II  
Hauptmann B. 53053  
Hausdorff H. H. 51576  
Hauser C. R. 51205  
Hausser K. H. 50473  
Haussmann H. 52367 II  
Have J. 51585  
Havemann H. 52393 II  
Haven Y. 50574  
Havif J. 51542  
Hawkins G. F. 52811 II  
Hawkins J. E. 51715  
Hawthorne M. F. 51119  
Hayes F. N. 51683  
Hayes T. J. 51610  
Hayward L. D. 51353  
Heard W. T. 52618 II  
Hearmon R. F. S. 50567  
Heastle R. 50693  
Heath D. F. 50780  
Heath R. L. 52833 II  
Hebberling H. 53454  
Heberle J. W. 50388  
Hechelhammer W. 52372 II  
Hecker H. 51323  
Hedgcock F. T. 50583  
Hedgran A. 50634  
Hedrick R. M. 52809 II  
Hefferman M. L. 50402  
Hegedus A. 51787 II  
Hegemann F. 51626  
Helart R. B. 50533  
Heljboer J. 51481  
Helkens D. 51507  
Hein F. 51323  
Heine H. W. 51123  
Heinold G. W. 53526  
Heinrich E. 52421 II  
Heinrich E. W. 50520  
Heintz K. 52834 II  
Heisler A. 52945 II  
Heisler J. S. 52945 II  
Heiss R. 53245  
Helfferich B. 51167  
Helfferich F. 50917, 50923  
Helfinstine R. J. 52179  
Hell J. 50884  
Heller G. L. 52234, 52278 II, 52279 II  
Hellman H. 51228  
Helm E. B. 53062 II  
Helme W. 53351  
Henbest H. B. 51153  
Henderson G. 52119  
Henderson R. 53354  
Hendrickson Y. G. 51117  
Hendriks K. J. H. 52467  
Henglein A. 50811  
Henglein F. A. 51348  
Henry W. E. 50601  
Henry la Blanchetals C. 50599  
Herbert W. 52220  
Hérelé L. 53061 II  
Hereng A. 53535 II  
Hérenguel J. 51881  
Herman L. 50419  
Herman R. 50419  
Hermann J. 53225  
Hermanowicz W. 51619  
Herr R. R. 51278  
Herring D. L. 51333  
Herrmann E. 51884  
Herscovici M. 51867  
Herwig H. U. 51480  
Herz W. 51182  
Hess H. V. 52285 II  
Hess K. 51518  
Heumann K. E. 51518  
Heumann T. 50559  
Hewson W. B. 53039 II  
Hey D. H. 51135  
Heymann H. 50369  
Hiatt G. D. 52989  
Hibbard R. L. 52781  
Hickmott T. W. 50891  
Higasi K. 50418  
Higginson W. C. E. 51004  
Hikichi A. 51830  
Hilbert K. 51968  
Hilfer H. 52643  
Hill R. K. 51395  
Hills G. J. 50863  
Hillyer J. C. 52686 II  
Himsworth F. R. O. 53412 II  
Hinaut G. 53360 II  
Hind J. D. 52896  
Hindle C. 52136  
Hinman R. L. 51220, 51221  
Hirsch F. 52647  
Hitchings G. H. 51282—51288  
Hlynka I. 53265  
Hobbs R. B. 51985  
Hobler T. 53485  
Hobson L. B. 52589 II  
Hodges A. B. 52591 II  
Ho Don So 51422  
Hodosan F. 51381  
Hoelscher H. E. 51678  
Hoeve 52474  
Hoffman D. S. 50666  
Hoffman J. D. 50477  
Hoffman J. F. 53439  
Hoffman E. J. 52272 II  
Hofman T. 53378  
Hofman T. E. R. 53360 II  
Hofmann A. 51394  
Hofmann F. W. 51330  
Hoffmann K. A. 51007  
Hofmann V. 50348  
Höfinghaus W. 51939  
Hojnoš J. 52975  
Holden A. N. 50539  
Holland B. 52720  
Holland T. E. 50789  
Hollnagel M. 50851  
Holmen R. E. 52889 II  
Holmes G. T. 52464  
Holt J. R. 50378  
Holzer K. 51361  
Honda M. 51001  
Honish J. K. 52744  
Honold R. 50297  
Hood G. M. 50438  
Hood H. C. 53291  
Hood J. M. 53067 II  
Horšcu I. 51789  
Horn G. 50803  
Horn H. 50700  
Hornberger P. 51771 II  
Horner L. 51850 II  
Horrige G. A. 52760  
Horyath A. 51787 II  
Hošťálek Z. 50738  
Hottel H. C. 52496  
Hottenroth B. 53245  
Houchins H. R. 51962 II  
Hough L. 51351  
House H. O. 51194  
Howard E. L. 52051  
Howard G. A. 51437  
Howard J. N. 50421  
Howard W. H. 51470  
Howe B. R. 52728  
Hower W. F. 52030  
Howey C. R. 52687 II  
Hoyer H. 52864 II  
Hrdlička K. 53127 II  
Hubbard C. V. 51854 II  
Huber F. 51686  
Huber G. 51427  
Huber M. 50540  
Hubik J. 52504  
Hübner W. 51884  
Hudec J. 51116  
Hudson J. C. 53433  
Hudson R. L. 51530 II  
Huemer H. 52359 II  
Huerre J. B. E. M. J. 52888  
Huffaker J. E. 51132  
Huggins C. M. 50488  
Hughes H. H. 52041  
Hughes L. J. 50897  
Huisgen R. 51133, 51134  
Huitric A. C. 50476  
Hulme R. 50541  
Hultberg S. 50634  
Hulyalkar R. K. 51359  
Humphries T. S. 53435  
Hund F. 50558  
Hünig S. 51238  
Hunkar B. 53320  
Hunt R. A. 52267  
Hunter R. F. 51527  
Hunter W. M. 52729  
Hunyar A. 53043, 53044  
Hur J. J. 53436  
Huss S. 52414 II  
Hutcheon J. M. 52775  
Hutchinson E. 50828  
Hutton D. B. 52114  
Huus T. 50367
- I**  
Iablokoff A. K. 52758, 52947, 52949  
Iarosinski-Drabic I. 53378  
Iberg R. 50530, 50531  
Ida J. 52051  
Iengar H. V. R. 50759  
Ignatov D. V. 50794  
Ikan R. 51335  
Ildis P. 53293  
Ilit V. 53340  
Illingworth J. W. 53066 II  
Illoff P. M. 52959  
Ilshner B. 50793  
Ilvesvita R. 51734  
Imanishi S. 50426  
Indelli A. 50762  
Inghram M. G. 50374, 50416  
Ingle T. R. 51359  
Inglett G. E. 51441  
Ingold W. 51906 II  
Ingraham L. L. 51002  
Inman D. 50863  
Inoue Y. 52922  
Inouye K. 52141  
Ironman R. 53464  
Irons C. R. 52871 II  
Ishiwatari K. 50465  
Islam A. M. 51364  
Isler O. 51407  
Isler O. 52381 II  
Islip H. T. 52958  
Issa I. M. 51546  
Issa R. M. 51546  
Issidorides C. H. 51248  
Issleib K. 50976  
Ito M. 50426  
Ivarsson B. W. 53021  
Ivey E. H. 53533 II  
Ivinson M. G. 52728  
Iwase E. 50579
- J**  
Jach J. 50756  
Jacini G. 51641  
Jacklin A. G. 51149  
Jackman H. W. 52179  
Jacks H. 51832, 51842  
Jackson M. L. 50972  
Jackson R. W. 53218  
Jacob H. 52146  
Jacobi H. R. 52719  
Jacobson C. A. 50356 K  
Jacobson H. 50920  
Jacquier R. 51234  
Jaffee R. I. 50582  
Jäger E. 51685  
Jakobson J. 51758  
Jámbor B. 51606  
Jambor J. 52087 II  
James T. H. 50821  
Janecke H. 50312  
Jang G. 50915  
Janik B. 51269  
Janistyn H. 52638  
Jankowski T. 50883  
Janot M. M. 51394, 51400  
Jansen J. 50406  
Jansson A. L. 53369 II  
Jaskot E. S. 52737  
Jasper J. J. 50886  
Jasper W. 53222  
Jayaraman R. 51096  
Jebson-Marwedel H. 51967  
Jeblicka H. 52850 II  
Jedwab J. 51035  
Jeger O. 51370  
Jehle K. 53061 II  
Jelinek J. F. 52327  
Jellinek G. 53235  
Jemric K. 51280  
Jenckel E. 51480  
Jenkins F. E. 50640  
Jennings R. J. S. 52826 II  
Jensen M. L. 51027  
Jensen N. 51485  
Jentoft R. E. 51579  
Jentzsch K. 52522  
Jeschke J. P. 51173  
Jesse H. 51657  
Jezierski R. 53542  
Jindra A. 52504  
Jiu J. 51378  
Johann I. 50815  
Johannesen B. 51152  
Johansen R. T. 52215  
Jöhl A. 51425  
Johnsen H. 52806 II  
Johnsen R. 52806 II  
Johnson A. 52465  
Johnson G. M. 53065 II  
Johnson H. E. 51451 II  
Johnson J. E. 50781  
Joiner W. A. 50320, 50322  
Jones A. R. 52258 II  
Jones C. R. 53248  
Jones D. C. 50902  
Jones E. 50759  
Jones E. R. H. 50412  
Jones J. K. N. 52963  
Jones K. E. 52020  
Jones R. G. 51399  
Jones T. O. 51668  
Jongh G. 53257  
Jørgensen A. 53212  
Joshi R. M. 51492  
Josien M. L. 50493  
Joalyn M. A. 53205  
Jovanovic M. 51742  
Joyner F. B. 52811 II  
Jubelt R. 51028  
Jungers J. 50755  
Jupa J. A. 52745, 52748  
Jupp J. F. 53490  
Juskiewicz J. 53403 II  
Juza R. 50522
- K**  
Kabasakalian P. 50861  
Kadaba P. 51202  
Kaess F. J. 53517 II  
Kahanek H. 51238  
Kahler F. H. 51759  
Kahles A. 52847 II  
Kahne F. 53386  
Kalla L. 52134  
Kainz G. 51634  
Kaiser D. W. 52407 II  
Kaiser L. 50692  
Kakiuti Y. 50442  
Kalab D. 50871  
Kakandyk K. 52502  
Kalbe H. 50353  
Kalinowski B. 52178  
Kalish J. 52642  
Kállay F. 52305  
Kallischnigg R. 52551 II  
Kalsing H. 51969  
Kamal A. 51392  
Kammel H. 51961 II  
Kaneko S. 50612  
Kanzaki H. 50556  
Kapfer W. H. 52930  
Kaptanoglu Y. M. 52037  
Karlik M. 51566  
Karlinký N. 52972  
Karpfen F. M. 52728



- Karr W. 52931  
Karsch W. 53029 II  
Kasper J. S. 50512  
Kästner S. 51495  
Katayama M. 50534  
Katchalski E. 51416  
Kato T. 50747  
Katz T. J. 51396  
Kaufman J. F. 53474  
Kaufmann O. W. 53325  
Kaufmann W. 52392 II  
Kaufmann W. 52932, 52933  
Kauth H. 51847 II  
Kavan I. 53550  
Kawamura H. 50465  
Kazi H. 50882  
Keckl Z. 50310  
Keil T. 50893  
Keil A. 51888  
Keith P. C. 51782 II  
Kemp J. W. 51704  
Kempf W. 53266  
Kempter C. P. 50662  
Kende A. S. 51231  
Kennedy W. R. 51624  
Kenner C. T. 50351  
Kenneu E. B. 52227  
Kent-Jones D. W. 50325  
Kenyon J. 51258  
Kereszly 52547 II  
Kern R. 50517  
Kern W. 51505  
Kerone E. B. W. 52497  
Kerr K. B. 52531 II  
Kerr V. N. 51683  
Kerr W. W. 51497  
Kerwin F. 50629  
Kesler E. 51245  
Kettlety H. W. 52874 II  
Key A. 52097  
Keyes R. T. 50790  
Khalafalla S. 50846  
Khan A. W. 53180  
Kiba T. 50641  
Kladder G. A. 52802 II  
Kiefer C. 51926  
Kiers P. J. H. 51807 II, 51808 II  
Kiersztyń E. 51938  
Kless A. A. 53095  
Kihara T. 50612  
Kiker J. E. 52105  
Kilby W. 52475 II  
Killan G. 51995 II  
Kilp 52123  
Kimble D. O. 51337  
Kimura I. 50783  
Kingerly W. D. 51933  
Kingsbury A. W. G. 51054  
Kint E. 51584  
Kipling J. J. 50903  
Kirk P. F. 52773  
Kiron B. 50979  
Kirsten W. J. 51629, 51721  
Kishita M. 50475  
Kiss J. 51606  
Kivalo P. 50870  
Klaeboe P. 50446  
Klapka J. 53555  
Klatte H. 53425  
Klauditz W. 53020  
Klauke E. 51267  
Klaus W. 50907  
Kleibacker W. M. 52800 II  
Klein E. 50815  
Kleiper L. 52752  
Kleinert F. 53524 II  
Kleinstein A. 50998  
Klemer A. 51355  
Klemma W. A. 52496  
Klimitz L. 52926  
Kline G. B. 51399  
Kline H. B. 53062 II  
Kling O. 50985  
Kling W. 52626 II  
Klinkenberg A. 53573  
Kloubek J. 51108  
Klusk R. H. 51622  
Klug M. 52419 II  
Kluge F. 52555 II  
Klügel J. 52343 II  
Kluppelberg E. 53451  
Knaffstein J. 52207 II  
Knauth B. 52147  
Knelman F. H. 50319  
Knoche B. 53566  
Knoop L. 53531 II  
Knop W. 53675  
Knopf A. 51020  
Knorr C. A. 50859  
Knox W. J. 52616 II  
Knutson H. 51821  
Koba S. 50612  
Kobayashi T. 50475  
Kobryner W. 51493  
Koch C. 50627  
Koch G. K. 50812  
Koch J. 53281, 53283  
Kochansky Z. 51280  
Kocwa A. 51269  
Köhne K. H. 51981  
Kolankiewicz J. 51389  
Koltenbach J. J. 52295 II  
Kolka A. J. 52334 II  
Kollonitsch J. 52557 II  
Kolodinski W. 52015  
Kolra R. 50991  
Komarewsky V. I. 50800  
Kondo S. 50535  
König H. 52749  
Konigstein W. K. 53401 II  
Konopicky K. 51911  
Korchinski I. J. O. 53486  
Korff S. A. 50628  
Korinek G. J. 50761  
Korman S. 51783 II  
Kornfeld E. C. 51399  
Korst W. L. 50527  
Kortüm G. 50309  
Kosak A. I. 51175  
Kostolansky A. 51290  
Kostov I. 50608  
Kotrlý S. 51542  
Kottler A. 52384 II  
Koulkes M. 51143  
Kountz R. R. 52121  
Kovács L. 51157  
Kovář J. 51108  
Koyama T. 51095  
Krakowka P. 51839  
Krämer H. 50907  
Krause A. 52506  
Kraushaar R. 53522 II  
Krauss W. 50490  
Kraut M. 52557 II  
Krekeler K. 50316, 50317  
Kresze G. 50775  
Kreutzträger 53221  
Krieger I. M. 50940  
Krigbaum W. R. 51459  
Krishnamurthy K. 51014  
Kristoffersen T. 53331  
Krizkovsky F. L. P. 53360 II  
Krüger F. A. 51785 II  
Krogh-Svendsen E. 51538  
Kronenberg H. G. 53288  
Kronholz H. 52276 II  
Kronmüller H. 53553  
Kronstein M. 52930  
Krochvil F. 51941  
Krüger G. 50840  
Krüger P. 53416  
Krupnička J. 51409  
Krzywicka A. 53377  
Krzywicki E. 53372, 53400 II  
Kubelha V. 52975  
Kubička R. 52404  
Kubo M. 50475  
Kucharcik L. 53415  
Kühler L. 52814 II  
Kud E. 53214 II  
Kuhlmann W. 53361 II  
Kuhn H. G. 51672  
Kulizon P. G. 53152  
Kukin I. 51722  
Kuk-Meiri S. 51414  
Kulp J. L. 50643  
Kumagai S. 50783  
Kumler W. D. 50476  
Kündig-Hegedüs H. 51387  
Kunst A. 53514  
Kuntz I. 51110  
Kuntze H. 51508  
Kunz K. 53061 II  
Küper A. 53353  
Kuper A. B. 50565  
Kurtz J. 51416  
Kurz R. 50952  
Kusch P. 50388  
Kuster W. 52417 II  
Küttner F. 52684 II  
Kwart H. 51122  
  
L  
Laakso J. W. 52253  
Lacerda A. 53079  
Lacey R. N. 52342 II  
Lacina S. 51973  
Ladam G. 52444  
Lademann R. 52382 II  
Lagerqvist A. 50420  
Lahiri A. 52142  
Laidler K. 51746  
Lakshmanan B. R. 50444  
Lal J. B. 51189  
Landais J. 51121  
Landi-Vittori R. 51418  
Landsberg P. T. 50651  
Landsberg R. 50851  
Landsman S. G. 53315  
Lang O. 53271  
Langbridge D. 50948  
Lange W. E. 51412  
Lange W. H. 51283, 51286  
Langley R. C. 51992  
Lanum V. J. 52216  
Japáček V. 52189  
Lapèze 53014  
Larchar T. B. 52655  
Larsen L. 53536 II  
Lasserre R. 53380  
Laszity R. 53259  
Lattay R. 51882, 51883  
Lau E. F. 52524  
Laue W. 50977  
Lauer W. M. 51191  
Laurent J. F. 50796  
Lautsch W. 50497  
Lavallée P. 53275  
Laverne M. 50617  
Lawrence A. S. C. 50948  
Lawrie W. 51371  
Lawton E. J. 51501  
Lawton O. 53151  
Lay J. O. 51863  
Lazarus D. 50565  
Lazzerini R. 52782  
Lea C. H. 53230  
Leach S. 50423  
Leandri G. 51307  
Lebbe J. 51577  
Le Bot J. 51726  
Le Bras J. 52654  
Leclercq L. 53081  
Lecomte C. 50549  
Lederer E. 51431  
Leeper H. M. 52658  
Léger C. 50645  
Lehane D. E. 53447  
Le Hir A. 51394  
Lehmann W. 50576  
Leibnitz E. 52169  
Leibowitz Y. 51345  
Leineweber J. P. 50711  
Leipold R. 51518  
Leithäuser H. 51851 II  
Lelong P. 51881  
Le Montagner S. 51726  
Lengyel P. 52987  
Leniger H. A. 53224  
Lens J. 52574 II  
Lento H. G. 53159  
Leonte C. 51867  
Leopold H. 53174  
Leorato E. 51838  
Leprince P. 50755  
Lesser O. 52887 II  
Leupin O. 52488 II  
Leveau M. 52433  
Levey M. 50292  
Levin J. H. 53300  
Levine H. B. 50611  
Levine S. 50935  
Levinson A. A. 50529  
Levy H. A. 50551  
Levy M. 52620 II  
Levy P. 52761  
Levy-Pascal A. E. 51483  
Lewis A. H. 53131 II  
Lewis B. A. 51168  
Lewis E. B. 52690 II  
Lewis J. 50769  
Lewis W. A. 52243  
Leyland H. M. 51175  
Li J. C. M. 50669  
Li N. C. 50999  
Libowitzky H. 52419 II  
Licata F. J. 52908  
Lichalap S. 53214 II  
Lichtenstein N. 51414  
Lichtenwalter G. 51317  
Liebig A. W. 53276, 53284  
Liebl H. 50630  
Liebmann A. J. 50293  
Lieck K. 53548  
Liehr A. D. 50411  
Lieneweg F. 52125 II  
Ligett W. B. 52334 II  
Lightfoot E. N. 52573 II  
Lincoln J. 52369 II  
Linda F. R. 52876 II  
Lindal B. 51758  
Lindberg B. 52991  
Lindberg S. G. 53036 II  
Lindenfelser R. 52835 II  
Linder A. V. B. 53529  
Lindner H. J. 51197  
Lindquist D. A. 51826  
Lindström G. 50369  
Ling T. H. 52670, 52671  
Lingner K. 51447  
Linke W. 53489  
Linville R. G. 52848 II  
Lipiec T. 51652  
Lipińska E. 53312  
Lipkind H. 52602 II  
Ipscomb R. 53068 II  
Lister G. H. 52455  
Lisulov A. 53337  
Litchfield R. D. 52974  
Litherland A. E. 50372  
Littlewood R. 50707  
Litvinski I. 51801  
Livingston R. L. 50484  
Liwischitz Y. 51415, 51420  
Ljungström F. 52210 II  
Llochet R. 50439, 50481  
Loeffler M. C. 50698  
Löffner J. 53514  
Lommatsch A. 52032  
Longo T. A. 53421  
Loo L. G. W. 53328  
López Gómez P. 51948  
Lorentz H. E. 52255  
Lornitzo F. 51178  
Losa C. G. 50667  
Lothe J. J. 50446  
Lotter H. G. 51237  
Lovelace A. M. 51334  
Lovreček B. 51709  
Löwdin P. O. 50390, 50391  
Lowe A. 52480 II  
Lübbens D. 57662  
Lucas E. 52456  
Lucid D. E. 52866 II  
Lück H. 53318  
Ludwig B. J. 51854 II  
Ludwig G. W. 50460  
Ludwig R. E. 51294  
Lukeš R. 51108, 51252, 51256, 51257  
Lukman A. 53205  
Lum E. G. 52838 II  
Luminet P. 52083 R

- Lumme P. O. 50832  
Lunde K. 50446  
Lundquist W. E. 52889 II  
Lundstrom F. O. 51797  
Lupan S. 51743  
Lupfert S. 51204  
Lüscher E. 53381  
Lust M. 53316  
Luther H. 51657  
Lüthi H. 53209  
Lutz R. E. 50433  
Lykos P. G. 50393  
Lyle R. E. 51452 II  
Lynn N. 50395  
Lyons L. E. 51676  
Lysý J. 52883 II  
Lytle N. M. 53434  
Lytle W. O. 51997 II
- M**  
McCarthy J. L. 51250, 51521, 52993  
McConnell H. M. 50407, 50469  
Macdonald C. G. 51343  
MacDonald D. L. 51350  
MacDonald T. L. 52800 II  
McDonald J. A. 50633  
McDuffie B. 50335  
McElcheran D. E. 50629  
McEntee M. E. 51176  
McEwan W. S. 50744, 51689  
Macey H. H. 51944  
McFee W. E. 53429  
MacGillavry C. H. 50527  
McGinnies R. T. 50406  
McGookin A. 51309  
Machu W. 50860  
McHugh D. J. 51344  
McIntire O. R. 52878 II  
Mack G. P. 52376 II  
Mackay L. B. 51288  
McKee R. H. 52980  
McKelvey J. M. 51678  
McKenzie N. 50899  
McKeown G. G. 51353  
McKinlay K. 51820  
Macko S. N. 53233  
McLaughlin C. 52030  
McLaughlin P. J. 53009  
McLellan K. M. 53062 II  
MacLeod J. A. 51705  
Mac Mahon J. D. 52501 II  
McNebb A. 52966  
McQuillan A. D. 50590  
Maddock B. H. 52744  
Madel W. 51847 II  
Mader R. 52731  
Madgin W. M. 50737  
Madorsky S. L. 52988  
Madsen E. 52508  
Madsen I. E. 52164  
Maes E. 53154, 53258  
Magat M. 52662  
Mahapatra G. N. 51836  
Mahesh V. B. 51448  
Mahler W. 51333  
Mains G. H. 52754  
Makin F. B. 52721  
Malat M. 51596  
Malawski M. 51249  
Malhotra H. L. 52050  
Malin M. E. 50789  
Mallat F. 52505  
Mallemann R. 50482  
Mallinckrodt E. 52346 II  
Malm C. J. 52989  
Malmstadt H. V. 51602  
Mandel M. 50364  
Manka J. 53383  
Mankel A. 51265  
Mann C. W. 53389  
Mann M. J. 51399  
Manning J. R. 50565  
Manning W. M. 50374  
Mapother D. E. 50598  
Marcot G. C. 52941 II  
Marcocoff N. 51264  
Marek L. J. 52115  
Margival F. 52919  
Margolin H. 50717  
Margot A. 51849 II  
Marignan R. 50365  
Marin J. 52700  
Marini-Bettolo G. B. 51418  
Marino S. J. 50817  
Marion F. 50973  
Markert H. 52626 II  
Markgraf O. 52419 II  
Markham A. E. 52993  
Marks G. S. 51432  
Märky H. L. 53527 II  
Marnon D. E. 52431 II  
Maron S. H. 51483  
Marple D. T. 50456  
Marr E. 53520 II  
Marshall F. 51314  
Marson L. M. 50384  
Martens P. H. 51564  
Martin H. Z. 52269 II  
Martin J. F. 51138  
Martin W. G. 50507  
Martinez Mareno J. M. 53097  
Martin-Smith M. 51250  
Marum E. B. 52984  
Marx T. 53109  
Marzin A. 52370 II  
Masch L. W. 52646  
Mašinová L. 53240  
Mason B. 51725  
Mason J. G. 50981  
Mason M. S. 51422  
Massa V. F. 52282 II  
Massoulier A. 50481  
Matarasso-Tchiroukhine E. 51240  
Matarse J. G. 53034 II  
Mathys-Solvel M. 53419  
Matiba R. 51945  
Matson E. J. 52644  
Matsuki Y. 52228  
Matthews R. J. S. 51494  
Matthews W. S. A. 52958  
Mattson N. 53321  
Mattock R. D. 50887  
Matulat G. 52751  
Mauras H. 50663  
Mauris L. 52318  
Maurice M. 53278  
Mausner M. 51116  
May I. 51033  
Mayer H. 51273  
Mayer H. 51661  
Mayer J. E. 50661  
Mazingue G. 52435  
Mazuels Vela F. 53097  
Mazzagatti R. P. 51732 II  
Meakins G. D. 51376  
Maeres P. 51473  
Medici M. 52238  
Medvedeva N. 50757  
Meerwein H. 51109, 52854 II  
Megoko T. B. 51315  
Mehl W. 50849  
Mehrotra K. N. 50879  
Meier R. 51237  
Meis J. 52287 II  
Meitner W. 52484 II  
Meixner H. 51026  
Mejstřík K. 52408 II  
Melamed S. 52819 II  
Melles J. L. 51852 II  
Mellor J. W. 51009 K  
Melnick D. 53277  
Melton C. E. 50639  
Mench J. W. 52989  
Meneret M. J. 51913  
Mengelberg M. 51417  
Menzi K. 50296  
Merhib C. P. 53389  
Mering J. 51458, 51469  
Merkeman M. J. 51574  
Mersch R. 52617 II  
Merz A. 52741  
Metzler D. F. 52105  
Meulendijk P. N. 50521  
Meyer A. 53367 II  
Meyer H. 50670  
Meyer L. W. A. 52738  
Miaruddin M. 53074  
Miča B. 53171  
Michaluk A. 51181, 53395  
Michel G. 51666  
Micheli R. A. 51378  
Mickel J. P. 50835  
Midzuno Y. 50612  
Miescher E. 50431  
Miholic S. 51076  
Milani E. 51708  
Milazzo G. 50431  
Milks J. E. 51523  
Mill G. S. 50902  
Miller A. A. 51501  
Miller C. B. 52338 II  
Miller D. S. 50643  
Miller E. 50799  
Miller F. F. 52817 II  
Miller H. 51974  
Miller H. C. 51903 II, 51904 II  
Miller R. K. 51122  
Miller R. R. 51003  
Milligan D. E. 50660  
Milloy M. H. 50945  
Milne H. B. 51422  
Minárik E. 53204  
Minczewski J. 50328  
Minet R. G. 53540  
Minford J. D. 53435  
Ming E. T. 52242  
Mirkus J. D. 53540  
Mirnik K. 51076  
Mirnik M. 50937, 50942  
Mirov N. T. 52959  
Missimer J. K. 51985  
Misztal S. 51409  
Mitzner B. M. 51690  
Mizuno Y. 51303  
Mlisko A. 51325  
Modecki H. 51389  
Moacanin J. 51521  
Modzelewski T. 53144  
Moffitt W. 50410  
Mohamed Aly Allam 51244  
Mohamed Kamel 51244  
Mohn H. 51982  
Mohr C. 52275 II  
Mohr W. 53245  
Mohrý J. 51290  
Moldovan V. 52043  
Mole T. 51125—51128  
Möller P. 53061 II  
Möllers J. 51958 II  
Monaco U. 52763  
Mondon A. 51362  
Mondon R. 51879  
Monier J. C. 50517  
Monnier D. 51569  
Montanari F. 51224  
Montavon M. 51407  
Moodie A. F. 50548  
Mooney H. R. 52655  
Mooney M. 51482  
Moore A. V. 53326  
Moore D. W. 50744  
Moore E. J. W. 50527  
Morré W. T. 51725  
Morandi L. 51733  
Morduhovic M. A. 52010  
Moreau J. J. 50360  
Morel J. 50419  
Morgan J. W. W. 51352  
Morgan P. F. 52124  
Morgan V. 50526  
Morimoto S. 51158  
Morisi G. 50494  
Moroff H. 52436  
Morrill V. 51994 II  
Morris A. E. 52163  
Morris E. K. 52804 II  
Morris L. J. 51151  
Morris R. C. 52344 II  
Morrison D. E. 51399  
Morschel H. 52854 II  
Morse R. E. 53303  
Mortara M. 52222  
Mortland M. M. 50909  
Morton B. L. 52045  
Morton M. 50776  
Morze J. 53170 II  
Mosher C. S. 50828  
Mosher H. S. 51337  
Mostafa M. A. K. 51498  
Motizuki K. 50409  
Mott R. A. 52151, 52199  
Mottet T. J. 52494 II  
Mouchet R. 53287  
Moulding P. 51952  
Moulin M. 52660  
Mourad J. N. 51763 II  
Moureau H. 51577  
Mousseron M. 51234  
Mowry D. T. 52809 II  
Moza B. K. 51385  
Mrcus C. L. 51494  
Muettterties E. L. 52336 II  
Mühlbauer F. 52422 II  
Muirhead C. R. 53350  
Mukherjee S. 53149  
Müller E. 53411 II  
Müller F. H. 51478  
Huller G. 51391  
Müller H. 52395 II  
Müller H. W. 53242  
Müller P. 52632  
Müller-Hochstrasser H. G. 52490 II  
Mulvaney J. E. 51314  
Muphree F. V. 52269 II  
Murphy C. G. 52875 II  
Murray C. W. 53557 II  
Murray H. C. 52585 II  
Murt E. M. 51589  
Murthy H. P. S. 51920  
Musialik M. 52009  
Mustakallio K. K. 50870  
Muto S. 51072  
Mutschke U. 50518  
Myer Y. P. 50898  
Mysels K. J. 52496
- N**  
Nagamiya T. 50409  
Nagata C. 50403  
Naghaski J. 53160  
Najer H. 51213  
Nakanishi S. 51327  
Nam N. H. 51227  
Nandi B. 52130  
Nangnot P. 51564  
Nann E. 50636  
Narahari Rao K. 50454  
Narayana Rao M. 53101  
Nardelli M. 50519  
Naumann K. 52169  
Naz Z. I. 53180  
Neale A. J. 51138  
Neher M. B. 53391  
Neihof R. 50922  
Neiman M. 50757  
Nelson H. H. 52335 II  
Nelson M. K. 52105  
Nenitescu C. D. 50656  
Nérad Z. 52343 II  
Neuert H. 50369  
Neunzig H. 51882  
Neuspiel P. J. 52124  
Neuss N. 51394  
Neville A. M. 52071  
Neville R. G. 50993  
Nicholls C. M. 52133  
Nicholson G. B. 52997  
Nicholson M. M. 50872  
Nicholson W. H. 52963  
Nickerson R. F. 52487 II  
Nicolaid M. 51583  
Nicolaidis N. 53107  
Nicolaisen W. 53299  
Nicolaisen-Scupin L. 53294, 53305  
Nicolas L. 51472  
Nicolescu I. V. 52224  
Nicolle N. P. 52107  
Niebuhr 51592  
Niedenzu K. 50975  
Niesel W. 51662

- Niewiadomski T. 52727  
Niezgodziński K. 53344  
Nijveld H. A. W. 52676  
Nikitin V. M. 53025  
Nikitine S. 50580  
Nischk G. 53411 II  
Nishiyama S. 50579  
Nitschmann H. 51928  
Nitzschke O. 51908 II  
Nobles W. L. 51212  
Noddack W. 51021  
Noguchi S. 52132  
Nolan W. J. 52979  
Noll W. A. 51939  
Nomura S. 5306 II  
Nordal A. 51152  
Noris C. 53466  
Norman A. 51382  
Norman D. P. 53168 II  
Normant H. 51144  
Norris R. G. W. 50767  
Norwitz G. 51612  
Nosek J. 52406 II  
Novák J. 52408 II  
Novosad Z. 53514  
Nowotniak K. 52461  
Noyce D. S. 51114  
Numerof P. 50642  
Nunn J. R. 51360, 51528  
Nüßler L. 52416 II
- O**  
Obenshain D. N. 53023  
Oberlin M. 51458, 51469  
Oblad A. G. 52802 II  
O'Brien T. D. 50479  
Ocker H. 51853 II  
Ocker H. D. 50923  
Oel H. J. 50561  
Offenbach J. A. 51486  
Ogait A. 52973  
Ohashi S. 50641  
Ohtsuka M. 50463  
Okabe T. 50862  
Okáč A. 51554, 51556  
Okamoto T. 51115  
Okuyama H. 50946  
Olah G. 51324, 51325  
Oldham W. J. 53133 II  
O'Leary M. J. 51985  
Olesky S. S. 52761  
Oliphant T. A. 50380  
Oliver E. D. 51716  
Olliver M. 51658  
olsen F. 52497 II  
Omura I. 50418  
Ondráček J. 53402 II  
Ongaro D. 53088  
Ono K. 50464  
Onyon P. F. 51464, 51494  
Oommen T. T. 53148  
Oppedal L. V. 51214  
Opuszyńska H. 53335  
Orasiz O. O. 51142  
O'Rear J. G. 51328  
Orlicek A. F. 50742  
Orthmann H. J. 51471  
Osborn C. 51846  
Osborne E. B. 53007  
Osugi T. 53060 II  
Oswald A. 51324, 51325  
Oswiecimska M. 51181
- Otsuka E. 50465  
Ott D. G. 51683  
Ottgen G. 51167  
Otteweller J. H. 52243  
Otto G. 53392  
Otvos J. W. 51699  
Overberger C. G. 50861, 51314  
Overend W. G. 51172  
Owen T. C. 51153
- P**  
Pacault A. 50480  
Pace E. L. 50671  
Paciorek A. 50347  
Packter A. 50926  
Pacsu E. 52990  
Pagenstedt B. 53361 II  
Paglia E. 50471  
Painter T. J. 52963  
Palik E. D. 50454  
Palmer K. J. 51622  
Palmer S. E. 52738  
Palzer K. 53520 II  
Pande G. D. 53396  
Papafil E. 50998  
Papafil M. 50998  
Paparelle G. 52101  
Pape M. E. 50632  
Pappalardo G. 50428  
Park A. S. 52231  
Parker E. 52376 II  
Parker R. L. 51066  
Parkes R. A. 53442  
Parks L. E. 52789  
Parmar S. S. 51198, 51199  
Parr R. G. 50392  
Parry H. L. 51506  
Partridge W. S. 50790  
Parys J. 53201  
Pascal M. W. 53122 II  
Passerini R. 50432  
Passino H. J. 51752, II, 51233 II  
Pasternack R. 52590 II  
Pasveer A. 52111  
Patel G. A. 51814  
Patel N. G. 51814  
Patron A. 53309  
Pattenden W. C. 52293 II  
Patterson D. G. 52835 II, 52868 II  
Patton W. G. 52913  
Paul E. B. 50372  
Paulsen F. R. 50349  
Pavlik M. 52793  
Peacock J. 50765  
Peacock R. D. 50989  
Peakall D. B. 50903  
Peccatori E. 51708  
Pecorini H. A. 50772  
Pedersen C. 51289  
Peerdeman A. F. 50505  
Peeters G. P. 53269  
Peil H. 51160  
Pektor V. 53402 II  
Pelikan J. 51596  
Pelizzoni F. 51203  
Peltier J. 50400  
Pelzold A. 51990  
Perlin F. 53560 II  
Peng C. J. 50729
- Pengelly A. E. 50589  
Penketh G. E. 52855 II  
Penny H. C. 50422  
Pentz E. I. 50354  
Pepinsky R. 50504  
Percheron F. 51400  
Peretti J. 50652  
Perilli Fedeli B. 51571  
Perlin A. S. 51356  
Persch W. 52566 II  
Peter M. 52202  
Peters H. 52064  
Peters M. S. 51750  
Petersen R. 51455  
Peterson D. H. 52585 II  
Peterson R. E. 51717  
Peterson S. W. 50551  
Petit J. 52788  
Petit J. C. 51726  
Petitjean A. L. 53022  
Petitpas T. 51458  
Petreanu F. 53210  
Petrow V. 51375  
Petrú F. 50969  
Petti R. D. 50887  
Pfeiffer C. 51749  
Pfeiffer H. 50793  
Phillips D. D. 51161  
Phillips W. D. 50486  
Pichat L. 50645  
Picht H. 52751  
Pick J. 50699  
Pickett O. A. 50763  
Pieper R. 53299  
Pierce C. E. 51717  
Pierer H. 52481  
Pieri G. 53203  
Piesbergen U. 50472  
Pieternaat F. P. 53154  
Pirma I. 50776  
Pilcher G. 50681  
Pimentel G. C. 50488  
Pimentel Dias M. A. 53208  
Pinder A. R. 51176  
Pines A. N. 52375 II  
Piontelli R. 51869  
Plotowski A. 52319  
Pirot E. 53059 II  
Pirotte A. 53258  
Pistorius C. A. 50857  
Pitcher R. K. 52439  
Pitman H. W. 51689  
Pitré D. 51408  
Pitzer K. S. 50660  
Plagnol H. 53200  
Plas H. J. 50527  
Plimi J. 51218  
Ploß G. 53548  
Ploum H. 51608  
Pliško E. 54379  
Plyler E. K. 50779  
Pochan A. R. 50881  
Pochwalski J. 52325  
Pogány G. 51747  
Pohl G. 52109  
Pohl W. 53531 II  
Pohlschmidt A. 52152  
Poisson J. 51398  
Polak F. 53192  
Polanyi J. C. 50749  
Polgar N. 51432
- Pollak J. 53002  
Pollock J. McC. 50491  
Pomeroy H. H. 52496  
Pool C. 52230  
Popescu A. 52224  
Popoff K. 50650  
Popovici A. 51867  
Popovics S. 52027  
Poppa H. 51878  
Popper K. 53167 II  
Porter E. W. 52029  
Posey F. A. 50995  
Pospišil J. 55478  
Pošta J. 53514  
Pota G. 52096  
Pothmann C. 51592  
Powell A. R. 52708  
Powell H. M. 50541  
Powers T. C. 52044  
Pozzo R. 52697  
Pradhan S. 51817  
Pranti F. 51055  
Prasad T. V. 51920  
Presting W. 52172, 53109  
Preston R. D. 52986  
Preston R. S. J. 53438  
Preud—Homme J. C. J. 52593 II  
Prévost C. 51121  
Pricken J. 53183  
Prieditis W. 53214 II  
Procházka V. 50969  
Proctor C. M. 51701  
Profft E. 51263  
Prokopowicz I. 53404  
Proper R. 50745  
Protiva M. 51218  
Provvedi F. 52473  
Przybylski E. 53201  
Pullman J. C. 52900  
Pudlis F. 53289  
Purcell E. M. 50387  
Puri B. R. 50898  
Purr A. 53245  
Purves C. B. 51523  
Puyvelde A. V. 53327  
Pyl T. 51222  
pule G. L. 50375
- Q**  
Quarmby B. 53432  
Quelet E. 51240  
Quervain F. 51066
- R**  
Raale E. 53387  
Raaen V. F. 51132  
Rachlin A. I. 61855 II  
Rackemann C. 52479 II  
Rackow B. 50474  
Radó F. 52987  
Raef M. 52106  
Raehs W. 52633  
Ragle J. I. 50659  
Rainwater F. H. 51081  
Rajagopalan T. R. 51438  
Rakowsky P. W. 52267  
Ralea R. 50998  
Raman K. 51368  
Rammler E. 52145, 52148  
Ramsauer R. 51995 II  
Ramsdell G. A. 53315
- Ramsden S. A. 51672  
Randell E. C. 53421  
Rangaswami S. 51440  
Rannila T. V. 51960 II  
Rao C. B. 51444  
Rao M. R. A. 52665  
Rao P. N. 51368  
Rao T. S. 52258  
Raphael R. A. 51168, 51364  
Rapson W. H. 52983  
Rasool S. I. 51016  
Rasse M. 51954  
Rastrup-Andersen J. 50459  
Rath W. 51957 II  
Rathouský J. 52895  
Ratnam C. V. 51210  
Ratouls R. 51255  
Rattu A. 51514  
Raun M. A. 52767  
Rausch D. A. 51334  
Rauth P. 52130  
Raveux R. 51646  
Ray A. E. 50511  
Reaville E. T. 51520  
Reay J. S. S. 50899  
Rebenfeld L. 52990  
Reed C. C. 52570 II  
Reed C. E. 52845 II  
Reed F. H. 52179  
Reed S. A. 50960  
Reents A. C. 51759  
Reeves M. 52916  
Regan W. H. 52116  
Regier L. W. 53338  
Regier R. B. 53559 II  
Regna P. P. 52590 II  
Regner A. 50685  
Rehm K. 51966  
Rehner T. 52926  
Reich G. 53407 II  
Reich H. A. 50388  
Reichert H. 53043  
Reimers F. 51538  
Reimlinger H. 51133, 51134  
Rein H. 52816 II  
Reiss H. 50829  
Reiss R. 50580  
Reiter R. 53005  
Remond J. 52517  
Remy-Genneté P. 51760  
Rena M. 51852 II  
Renault H. 52519  
Renzi L. 51418  
Reppe W. 52340 II, 52399 II  
Resen F. L. 52232  
Resler E. L. 50615  
Resler J. 52157  
Reynolds F. W. 52766  
Reynolds R. J. W. 52833 II  
Rhodes E. J. H. 51630  
Rhodin T. N. 50791, 53420  
Ricci E. 51090  
Rice S. A. 50822, 50830  
Richard C. 53200  
Richard L. 53465  
Richards P. L. 52260  
Richardson P. R. 51628



- Richter E. 52535 II  
Richter J. 50327  
Richter J. C. F. C. 53040 II  
Richter K. 52245  
Richter O. J. 53040 II  
Ritzenheim H. 51524  
Rick 52060  
Rideal E. 50707, 50889  
Ridenour D. J. 53303  
Ridenour W. P. 53110  
Riding F. 50750  
Rieben P. 53037  
Rieber M. 52382 II  
Riedel G. 52233  
Riedel L. 53102  
Rienacker G. 50803  
Rieschel H. 52147  
Riester O. 52420 II  
Righi G. 50432  
Rigler F. H. 51083  
Riker I. R. 52105  
Riley C. J. 51599  
Ring F. 51681  
Ringström E. 53033 II  
Ringwood A. E. 51032  
Ripa D. 50746  
Ris C. 50573  
Ritchie P. D. 50759  
Rivat-Lahousse A. 52776  
Robbins R. C. 51705  
Roberts C. B. 51602  
Roberts H. L. 50450  
Roberts S. M. 51786 II  
Robillard J. J. A. 53408 II  
Robin S. 51665  
Robins R. K. 51282, 51284  
Robinson R. J. 51579  
Robison W. H. 51809  
Robson W. W. 53463  
Robu I. V. 53499  
Rodig O. R. 51376  
Rodziewicz O. 53382  
Roeske R. 51425  
Roessler U. H. 50727  
Roff W. J. 52792  
Rogers J. D. 52246  
Rogers L. H. 51705  
Rogers N. A. J. 51369  
Rogers W. F. 53422  
Rogoff S. 52602 II  
Rogue C. 52725  
Rohland W. 52427 II  
Rohleder J. 50568  
Rolek M. 52031  
Rollet J. 52415 II  
Roman E. 53187  
Romeo A. 51374, 51410  
Romeo A. 51374, 51410  
Rometsch R. 51276  
Romo J. 51148  
Roniewicz A. 51249  
Rooney T. E. 51623  
Roos A. M. 50812  
Ropert M. E. 51049  
Rose D. J. 50417  
Rosenberg S. 52447  
Rosenthal R. W. 50745  
Ross J. S. 52867 II  
Ross S. D. 52890 II  
Rösler R. 52943 II  
Roth A. A. 53336  
Rotsch A. 53280  
Rouir E. V. 51574  
Rousset A. 50439, 50480, 50481  
Rowland F. S. 50642  
Roy D. M. 50733  
Roy R. S. 50878  
Roychaudhuri D. K. 51393  
Rozenal L. 51650  
Ruckert W. 52485 II  
Ruegg R. 51407  
Ruehle A. E. 52346 II  
Ruemele T. 52639  
Ruhemann M. 52089  
Ruhoff J. R. 51766 II  
Rumens W. 52479 II  
Rumpf H. 53568  
Rundle R. E. 50495  
Runge F. 52791  
Rush C. A. 51630  
Russell R. B. 52282 II  
Russell J. J. 52007  
Russell J. K. 52994  
Russell R. 51934  
Russo C. B. 53167 II  
Russum L. W. 52758 II  
Rust A. D. 52098  
Rutten A. M. G. 52514  
Rutten F. 51084  
Ruyssen R. 50947  
Ruzicka L. 51370  
Ryan D. E. 51559, 51604  
Ryan J. W. 52699  
Rybak B. 50439  
Ryer R. (III) 53228
- S**
- Sabo S. 52630  
Šácha F. 53240  
Sack H. 52831 II, 52877 II  
Saganowski H. 52650  
Saint-James D. 50570  
Saito S. 50946  
Sakada R. 52565 II  
Sakowski W. J. 51900 II  
Sallans E. R. 53249  
Saller W. 53206  
Sallie E. 53129 II  
Saltsburg H. 50874  
Salvinen J. 50361  
Samadahl B. 51214  
Sambeth J. 50975  
Samec M. 53153  
Sanders A. C. E. 50438  
Sanderson R. T. 50414  
Sandler H. J. 51749  
Sandri R. 50786  
Sanyal B. 53438  
Sardo S. 51834  
Sarma B. 51588  
Sarnecki W. 51162  
Šarunová M. 52520  
Sasaki H. 50946  
Saslaw I. 52525  
Sasse H. J. 51109  
Sasse K. 51195, 51196  
Sastri B. V. R. 51440  
Satava R. D. 53007  
Sato K. 52922  
Sattin P. 50827  
Saucy G. 51407  
Sauerwald F. 50702  
Saul W. 52694 II  
Saumagne P. 50493  
Savage R. M. 52685 II  
Savelsberg W. 51893  
Savioli C. 51410  
Savoy M. 52333 II  
Savur G. R. 53156  
Sawyer C. N. 52112  
Sawyer E. W. 52205 II  
Sayre E. V. 50441  
Scanlan J. 50750  
Scarlett W. J. 53217  
Scatchard G. 50696  
Scelles P. 53279  
Schack W. 53342  
Schäfer W. 53241, 53254  
Schaeffer B. B. 52349 II  
Scharke W. 51008 K  
Schatel R. A. 52891 II  
Schauenstein E. 51449  
Schay G. 51479  
Scheele W. 52673  
Scheffer F. 51508  
Scheidel C. 52130  
Scheinost K. 51348  
Schenck G. O. 51691  
Schenkel G. 52746, 52750  
Schetty G. 52417 II  
Scheuing G. 52384 II  
Schiffner R. 52836 II  
Schilling G. 50452  
Schilling S. 51685  
Schimberni A. M. 51410  
Schindler O. 51387  
Schinke H. 50702  
Schinz H. 51174  
Schirm E. 53406 II  
Schlack P. 53061 II  
Schlafer H. L. 50985  
Schlenker F. 53126 II  
Schliekmann R. J. 52765  
Schlogl R. 50917  
Schloz H. 53518 II  
Schmerlaib G. 5361  
Schmidt F. A. 50970  
Schmidt H. W. 52645  
Schmidt-Thomé J. 52583 II  
Schmorak M. 50633  
Schnabel W. 50811  
Schnecko O. 53366 II  
Schneider J. 50351  
Schneider K. W. 52219  
Schnell A. 53037  
Schnell H. 52827 II  
Schnell J. R. 53037  
Schoedler K. 53029 II  
Schoeller K. 51321  
Scholler F. 51634  
Scholles W. 52943 II  
Scholtissek C. 51163  
Scholz H. 53262  
Schön H. 50353  
Schoof H. T. 51824  
Schrodt H. 51109  
Schroter R. 52394 II  
Schuller E. 53053  
Schultz F. 52598 II  
Schultze M. O. 53253  
Schultze-Bernat 53184  
Schulz A. 53267  
Schulz F. 52679  
Schulz G. 51177  
Schulz K. F. 50942  
Schulz L. G. 50622  
Schulz R. C. 51505  
Schulze W. A. 52686 II  
Schumacher M. 51363  
Schuman W. J. 52700  
Schuster C. 52540 II  
Schuster F. 52144  
Schuster N. E. 51454 D  
Schwabe K. 50754, 51996 II  
Schwager A. 51345  
Schwankl P. 50819  
Schwarz J. C. P. 51342  
Schwarz R. 51321  
Schwarzenbach G. 51001  
Schwebel A. 51682  
Schweikert J. 53403 II  
Schweishelmer W. 51986  
Schweishelmer W. 52634, 52635  
Schwerd F. J. 52198  
Schwitzer M. K. 53119  
Scoffone E. 50827  
Scogin R. J. 52738  
Scott J. R. 52677  
Seaborne L. R. 53099  
Seaman W. 51730  
Searle D. F. 51313 II  
Sears P. G. 50842  
Sebban-Danon J. 52662  
Seccl M. 51514  
Segel S. L. 50461  
Seibel W. 53254  
Seidel W. 50976  
Seller H. 51225, 51405  
Seiwert R. 50385  
Sekera A. 51695  
Sekiguchi Y. 52228  
Selin L. E. 50420  
Semmens P. W. B. 52855 II  
Sen A. B. 51198—51201  
Sen B. 50912  
Sénéchal P. 51318  
Sen Gupta A. K. 51200, 51201  
Senkbel H. O. 51858 II  
Senkus M. 53471 II  
Sénégall P. 51318  
Sengupta A. K. 51200  
Sensel E. E. 52285 II  
Šepitlići G. 53202  
Serenus R. S. E. 51353  
Sermattel J. P. 52875 II  
Seshadri T. R. 51438, 51439, 51443, 51448  
Seshappa G. 51096  
Sisson G. 52663  
Smith A. B. 50373  
Smith A. C. 52823 II  
Smith B. J. 52204  
Smith C. N. 51828  
Smith D. K. 52028  
Smith F. 51354  
Smith G. A. 53336  
Smith H. 51176  
Smith H. P. 53303  
Smith J. 50511  
Smith J. O. 52288 II, 53065 II  
Smith J. W. 50489, 50492  
Smith L. B. 52338 II  
Smith P. V. 52860 II  
Smith R. 51033  
Smith T. D. 51599  
Smith V. 51802  
Smith V. N. 51699  
Smith W. S. 52114  
Smith W. T. 51202  
Smithson J. A. 52651  
Smittenberg J. 50326  
Shair R. C. 50920  
Shapiro D. 51271  
Sharma V. N. 51392  
Shaw W. E. 53551  
Sheadel J. M. 53440  
Shearer N. H. 52815 II  
Shearer W. J. 52942 II  
Sheer C. 51783 II  
Shellenberger J. A. 53246  
Shepard S. E. 51953  
Sherherd F. B. 51756  
Sherwood P. W. 52120, 52304, 52310  
Shimanouchi T. 50442  
Shingler T. 51952  
Shirai M. 50943  
Shirato T. 51442  
Shukla U. N. 51189  
Sianesi D. 51490  
Sickerman D. 52692 II  
Siddiqui A. A. 51823  
Siddiqui H. G. 51392  
Sidman J. W. 50424  
Siebel J. 51769 II, 51777 II  
Siebert A. 52414 II  
Siebert A. R. 50671  
Siebert H. 50451  
Siegel F. P. 51014 D  
Siegrist G. 52458  
Siekman H. J. 51950  
Siemes W. 53474  
Siewert G. 51388  
Sifferlen R. 50554  
Sikowska K. 51619  
Sikorski Z. 53352  
Silfverberg L. 51059  
Silvestri M. 50644  
Simmons R. F. 50787  
Simmons T. C. 51330  
Simon E. 52879 II  
Simpson W. T. 50427  
Sims C. T. 50582  
Singh D. D. 50898  
Singh N. L. 50453  
Singh R. 51920  
Sion A. 50355  
Sirtoli M. 52698  
Sisson J. B. 53049  
Sivaramakrishnan N. H. 52665  
Skell P. S. 51136  
Skiba K. J. 53087  
Skinner G. S. 51294  
Skinner H. A. 50679  
Skinner S. M. 52671  
Skočdopole B. 53273  
Skočdopole R. E. 50668  
Skow N. A. 52769  
Slater C. A. 51426  
Slavik C. F. 51922  
Slavik J. 53000.  
Slootmaekers P. J. 50785

- Sluis K. J. H. 52332, 52640  
 Soeda A. 51043  
 Sollner K. 50922  
 Solomon A. N. 51956 II  
 Solomons (III) 52590 II  
 Spiltoff P. 50914  
 Somers J. A. 53045  
 Sommer L. 51553—51556  
 Sommer S. 52810 II  
 Sönnerskog, S. 51467  
 Sorensen J. 50914  
 Sörum H. 50536, 50537  
 Sowerby D. B. 50769  
 Spahn H. 51878  
 Spandau H. 50952  
 Spänig H. 52540 II  
 Speakman R. H. 53068 II  
 Speckhardt G. 53468 II  
 Spedding F. H. 50668  
 Speir J. L. 52397 II  
 Spek J. 51585  
 Spensley P. C. 52515  
 Spille J. 51109  
 Spillner F. 51567  
 Spinner E. 50405  
 Spragg W. T. 53564  
 Sprague R. H. 52428 II  
 Spring F. S. 51371  
 Spring J. A. 52623 II  
 Sproule L. W. 52293 II  
 Squibb G. R. 51873  
 Squibb G. R. 51873  
 Squires W. 52270 II  
 Srinivasan K. Y. 53148  
 Srinivasan N. R. 52034  
 Srivastava H. M. L., 51817  
 Srivastava M. G. 51844  
 Srsnky L. 52062  
 Srsnky V. 53514  
 Stach H. 52139  
 Stach H. 52774  
 Stachel A. 52566 II  
 Stachel A. 52566 II  
 Stachel H. D. 51166, 51226  
 Stach J. 51877  
 Stachelin M. 51837  
 Stafford E. T. 51113  
 Stahl H. O. 50997  
 Stamm K. 52086 II  
 Staller A. 52864 II  
 Stamm A. J. 52965  
 Stammreich H. 50449  
 Stange W. 53303  
 Stankus L. 52696  
 Stanley D. R. 52100  
 Stanley E. 50506  
 Stannett A. W. 52259  
 Starck H. 52807 II  
 Starck W. 52807 II  
 Starczewicka-Chorazyna H. 50308  
 Stare F. J. 52525  
 Starfinger K. 52967  
 Staritzky E. 50516  
 Stark B. T. 50853  
 Starzmann F. 52712  
 Stasiz O. 50569  
 Stastny F. 52772, 52834 II  
 Stather F. 53407 II  
 Staudt H. 50816  
 Staudt E. 53256  
 Stawitz J. 50907  
 Sluis K. J. H. 52332, 52640  
 Steacie E. W. R. 50748  
 Stedman R. J. 51425  
 Steele W. A. 50890  
 Steffensen O. 52806 II  
 Stegmann H. 50353  
 Stegerda J. J. 509 II  
 Stegmann G. 53020  
 Steidle W. 50352  
 Stein A. 52568  
 Stein M. L. 51401  
 Steinbach K. 52172  
 Steinhof A. 52340 II  
 Steinman R. 52761  
 Steinmann F. 52085 II  
 Steinschlaeger M. 52209 II  
 Steketee J. 50573  
 Stenson R. 50948  
 Stepanek J. 52254  
 Štěpánek J. 53001  
 Stephan R. 51236  
 Stephen A. M. 51358, 51360  
 Stephen H. 51262  
 Stephen T. 51262  
 Stern E. S. 51297  
 Stern K. H. 50848  
 Stevens J. M. 50625  
 Stevenot J. E. 51337  
 Stevens H. 52702  
 Stevens T. E. 51372  
 Stević B. 53313  
 Stewart A. L. 50394, 50396  
 Stewart F. H. C. 51425  
 Stewart G. F. 53338  
 Stillman N. 52383 II  
 Stockendal R. 50633  
 Stockton F. D. 52701  
 Stockx J. 51430  
 Stone J. E. 52978  
 Stone J. M. 51673  
 Stone W. A. 53034 II  
 Stork J. 52087 II  
 Stork G. 51395  
 Stoufer R. C. 50996  
 Stowe S. 52358 II  
 Straley J. W. 50453  
 Stráňák J. 51695  
 Straton B. 52753  
 Stratton B. 52753  
 Straub C. 53378  
 Straus S. 52988  
 Strause F. 50763  
 Strauss F. B. 51670  
 Strauss W. 50956  
 Strawinski R. J. 53125 II  
 Street J. N. 52680 II  
 Street N. 50938  
 Streib H. 52827 II  
 Streicher P. 52448  
 Streit A. 53176  
 Strelzoff S. 52218  
 Stroh H. H. 53006  
 Strong E. 52920  
 Strubel W. 51190  
 Strunz H. 50528  
 Struthers J. D. 50564  
 Stuart-Webb I. A. 51375  
 Studier M. H. 50374  
 Stuetz D. E. 51429  
 Stultz K. P. 51692  
 Stüpel H. 53118  
 Stüsser R. 52418 II  
 Subba Rao N. V. 51210  
 Suchet M. 52094  
 Suetaka W. 50445  
 Sugavara K. 51095  
 Sujak S. 53335  
 Suk V. 51596  
 Sullivan H. R. 51277  
 Supniewski J. 51409  
 Sureau R. 52415 II  
 Suryan G. 50508  
 Sutton L. E. 50681  
 Svoboda J. 51055  
 Svoboda K. 52040  
 Swales D. A. 50737  
 Sweitzer C. W. 52234  
 Swift L. J. 53308  
 Swinarski A. 50334  
 Swindells P. E. 52615 II  
 Swinzen H. 53309  
 Swoboda O. P. 51428  
 Swoden W. 51423  
 Sybel C. 51626  
 Syryanarayana C. V. 50843  
 Szantó I. 50509  
 Szarejko R. 53164 II  
 Szász L. 50382  
 Szigeti G. 51787 II  
 Szilvinyi A. 53193  
 Srör P. 51479  
 Szpilewicz A. 52178  
 Szygocki A. 53554  
 Szymczyk F. 51389  
 T  
 Tabet G. E. 52388 II  
 Tabor D. 50888  
 Tada S. 50641  
 Taft W. K. 52655  
 Taguchi T. 51419  
 Taha M. I. 51351  
 Talbot G. 51413  
 Tamamushi B. 50944  
 Tamchyna J. 51290  
 Tamelen E. E. 51178, 51396  
 Tanabe K. 53060 II  
 Tanaka M. 51082  
 Tanaka T. 52042  
 Tănăsescu I. 51381  
 Tani H. 52141  
 Tani M. E. 50524  
 Tannenbaum E. 50459  
 Tanner E. 52104  
 Tappel A. L. 53338  
 Tarkkonen O. 53031 II  
 Tarr H. L. A. 53350  
 Tassel E. 51779 II  
 Tate B. E. 51137  
 Taub A. 52600 II  
 Taube H. 50837, 50995  
 Täufel K. 53234  
 Tavares Y. 50449  
 Tawney P. O. 52937 II  
 Taylor A. R. 53463  
 Taylor G. W. 50767  
 Taylor J. B. 50984  
 Taylor R. J. 52573 II  
 Taylor W. B. 52966  
 Taylor W. F. S. 51876  
 Teclenberg H. 51520  
 Teichmüller M. 52139  
 Teil H. G. (II) 51930  
 Temme T. 52078  
 Tentoni R. 53319  
 Terdic M. 51381  
 Terebová K. 51545  
 Terek L. 53142  
 Terpilowski J. 50724  
 Terres E. 52130  
 Tertian L. 50549  
 Tertis S. 52131  
 Tessmer E. 53280  
 Teuber H. J. 51230  
 Tezak B. 50937, 50942  
 Thaker R. 51258  
 Thayer G. B. 52747  
 Thesing J. 51273  
 Theus V. 51174  
 Thiele W. E. 52300  
 Thiemann W. H. A. 52534 II  
 Thilo E. 50840  
 Thomas B. 53268  
 Thomas B. R. 51114  
 Thomas F. W. 52879 II  
 Thomas M. D. 51705  
 Thomas R. P. 51798  
 Thomas T. M. 52260  
 Thomas W. C. 52199  
 Thompson J. M. 52496  
 Thomson A. M. 52188  
 Thomson R. H. 51541  
 Thomson W. 52516  
 Thorn R. J. 50694  
 Thornton R. E. 51176  
 Thum R. 51995 II  
 Thumm W. 51744 II  
 Thurzó G. 51157  
 Tibbitts G. C. 52497 II  
 Tiberio T. 51270  
 Tineknell R. C. 51859 II  
 Tjiteica S. 50656  
 Tjoa Sia Lian 53169 II  
 Tobias J. 53325  
 Tobolsky A. V. 51486  
 Tollenaar F. D. 53231  
 Tolvanen V. 53458  
 Tomarkin L. W. 52129 II  
 Tome J. M. 52845 II  
 Tomizuka C. T. 50565  
 Tomoeda M. 51419  
 Tomonari T. 53060 II  
 Toole R. C. 50479  
 Tornetta B. 51299  
 Torsoueva H. 50757  
 Toussaint H. E. 52673  
 Townsend P. P. 52439  
 Toye R. 51952  
 Tracy P. H. 52325  
 Trail R. C. 50332  
 Trappe K. 52130  
 Tratta C. A. 52265  
 Trávníček Z. 53050  
 Treacy J. C. 52360 II  
 Trebler H. A. 52122  
 Tremain A. 52897  
 Trenkler H. 52149  
 Trieschmann H. G., 52340 II  
 Trillat J. J. 50549  
 Trippett S. 51445  
 Trischka J. W. 50456, 50457  
 Tröger H. 52024  
 Trojanek J. 51252  
 Troupe R. A. 53480  
 Trtilek J. 50348  
 Truffert L. 51577  
 Truhaut R. 51843  
 Trumbore F. A. 50723  
 Trzebiatowski W. 50318  
 Trzciński P. 53399 II  
 Tschapke A. 52117  
 Tsukamoto T. 52565 II  
 Tucakov, Y. 52629  
 Tukker J. G. 53346  
 Tuleff J. 51925  
 Tullock W. J. 53322  
 Tung C. C. 52658  
 Tuppy H. 51403  
 Turian G. 51837  
 Turkiewicz E. 50357 K  
 Turl L. H. 52464  
 Turner C. 51527  
 Turner H. D. 53019  
 Turner H. S. 51138  
 Turner J. R. 52613  
 Tutthasi S. 50595  
 Tyndokus E. F. 52616 II  
 Tyrrell H. J. V. 50824  
 Tyson C. W. 52269 II  
 Tyska J. 52911  
 U  
 Ubbelohde A. R. 50491  
 Ueberreiter K. 51471  
 Ujhelyi J. 52027  
 Ulbrecht J. 50690  
 Ulrich H. 52617 II  
 Umegaki Y. 51043  
 Underwood J. C. 53159  
 Underwood W. F. 52801 II  
 Ungar C. 53378  
 Ungar T. 53512  
 Unger V. A. 51815  
 Uphoff W. 50522  
 Urbański T. 51216  
 Urch D. S. 51125, 51129  
 Ursenbach W. O. 50790  
 Uyebara H. 52906  
 V  
 Vahlteich H. W. 53277  
 Valencia C. 51934  
 Valentin T. 50439  
 Nallandigham V. V. 529885 II  
 Van Allan J. A. 51183  
 Vandendriessche L. 51430  
 Van Epen J. 52529  
 Van Ess P. R. 52289 II  
 Van Etten H. A. 52873 II  
 Vanhille R. 51748  
 Van Overbēke M. 52435, 52468  
 Vanselow W. 50821  
 Van Tiggelen A. 50785  
 Van Valkenburgh E. A. 52693 II

Авторы указатель

- Van Winkle L. 52344 II  
Várdi P. 53239  
Vas K. 53306  
Vasic V. 52637  
Vasselin M. 52257  
Vassy E. 51015  
Vaughan G. 50484  
Vavrinecz G. 53145  
Vazquez Roncero A. 53097  
Veale P. O. 50333  
Vedlich M. 53127 II  
Veldhuis M. K. 53308  
Venemark E. 52992  
Venkatesan V. K. 50843  
Vanhateswarlu V. 51444  
Ventura G. 51406  
Verain A. 51669  
Vergnoux A. M. 51664  
Verhoogen J. 51018  
Verlot 53355  
Vermilyea D. A. 50856  
Vernotte P. 50363  
Verscaffelt J. E. 50649  
Vesely Z. 51257  
Vesper H. G. 52240  
Vesterdal H. G. 52295 II  
Viallard R. 50594  
Vlard M. J. 52841 II  
Viehweiger F. 51991  
Viel G. 51843  
Vielstich W. 53505  
Vigier R. 51616  
Vigneaud V. 51425  
Vigo S. 51594  
Vilim O. 50699  
Ville J. 51757  
Vilotti R. 51374  
Vilsens A. 53323  
Virella Bloda A. 52008  
Virtanen A. I. 53333  
Vishnu 53140  
Vit J. 50969  
Vitte G. 52518  
Vleeschauwer A. 53323, 53327  
Vliet K. M. 50573  
Vodar B. 50496  
Voet A. 52925  
Volger J. 50625  
Voráček J. 51543  
Voss W. 52858 II  
Vřešťál J. 51542  
Vydra F. 51566
- W  
Wachtell R. L. 53447  
Wachter A. 52383 II  
Wade P. 51658  
Wadso I. 50679  
Waerber H. G. 52039  
Wagner W. 52839 II  
Wagner G. H. 52846 II  
Wahl O. 52617 II  
Wählin E. 50868  
Wailles P. C. 50412  
Wain A. G. 51562  
Wainer E. 51956 II  
Wainer E. 51956 II  
Waite F. L. 53272  
Wajntraub J. 52437  
Wakefield J. W. 52105  
Walde A. W. 52531 II  
Walker G. T. 52647  
Walker H. E. 52227  
Wall F. T. 50939  
Wall L. A. 51499  
Wallace G. A. 53354  
Wallace W. E. 50520  
Wallden S. J. 51780 II  
Walle T. 52831 II, 52877 II  
Walny J. G. 53519 II  
Walter E. 53185  
Walters H. E. 52942 II  
Walters J. R. 53462  
Walters W. R. 52115  
Wanchoo V. H. 50950  
Wapler D. 52929  
Ward D. N. 51425  
Ward G. C. 52483 II  
Warford E. W. T. 51124—51127  
Warhurst E. 50750  
Warrick E. L. 51484, 52683 II, 52852 II  
Warring R. H. 52262  
Waterstrat R. M. 50512  
Watson C. C. 51716  
Watson H. S. 53371  
Watson W. 52114  
Watson W. R. 52249  
Watson W. W. 50377  
Watt P. B. 51693  
Watters J. I. 50981  
Weatherford W. D. 53110  
Weaver H. E. 50469  
Weaver J. C. 52283 II  
Webb A. J. 51842  
Weber H. 53405 II  
Weber J. 50689  
Weber J. H. 50666  
Weber K. 52679  
Weber M. 53514  
Weeks C. C. 52902  
Węgiel J. 52793  
Wegner H. 53298  
Weidenheimer J. F. 52570 II  
Weigham W. R. 53065 II  
Weill G. 50483  
Weinberg F. J. 50777  
Weining K. 52438  
Weinmann K. 52928  
Weir P. 52099  
Weismann G. H. 52798 II  
Weiser D. W. 52115  
Weiss K. 52248  
Welch A. J. E. 50797  
Welge K. H. 50636  
Welling M. S. 52718  
Wencke K. 50924  
Wenger W. J. 52216  
Wenkert E. 51372, 51393  
Wenning H. 52812 II  
Werner E. 51875  
Werner F. E. 50514  
Wesly W. 52127 II  
Wesselink G. A. 50812  
West E. G. 53459  
Westheimer F. H. 51002  
Westlinning H. 52668  
Wetstone D. M. 50920  
Wetzel J. W. 52717  
Wever H. 50563  
Weugand F. 51423, 51428  
Whalley E. 50680  
Wheatley J. C. 50371  
Wheeler J. A. 50376  
Whelan W. J. 51357  
Whetstone J. 50606  
Whetstone R. R. 52402 II  
White H. S. 52803 II  
White J. M. 50999  
Whitehead G. B. 51816  
Whitehead K. 50726  
Whitehead K. P. 53567  
Whitehead K. 53216  
Whitting M. C. 50412  
Whittaker E. J. W. 50532  
Wick G. 52749  
Wicke W. 50559  
Widmann A. 52649  
Wiederhorn N. M. 52800 II  
Wiedermann A. 53015  
Wieland T. 51160  
Wienke E. 53197  
Wiggins L. F. 53147  
Wiggins T. J. 52694 II  
Wijmenga H. G. 52574 II  
Wilbur J. M. 50609  
Wilder P. 51179  
Wilds A. 51254  
Wiley R. C. 53302  
Wilhelm H. A. 50970  
Willisch A. 53515  
Willisch J. 53515  
Willard J. E. 51668  
Willemart A. 51255  
Willems F. 53470  
Willems J. 51748  
Williams A. F. 52826 II  
Williams D. 50421  
Williams D. D. 51003  
Williams G. A. 50467  
50468  
Williams G. C. 53376  
Williams G. H. 51135  
Williams J. F. 52237  
Williams K. G. 50781  
Williams P. N. 53232  
Willits C. O. 53159, 53160  
Wilmshurst J. K. 50443  
Wilputte-Steinert L. 50752  
Wilson A. 53477  
Winkhaus G. 50977  
Winstein S. 51111—51113  
Winston A. 51179  
Winter A. 50294  
Winterfeld K. 51267  
Wirth M. M. 53133 II  
Wirth R. 52453  
Wiswall R. H. 52425 II  
Wiszniewski K. 52727  
Witanowski M. 53387  
Witnauer L. P. 53388  
Wittenberg E. 52343 II  
Wittig F. E. 51686  
Wittig G. 51771 II  
Woebecke H. N. 51782 II  
Wolf 52547 II  
Wolf F. J. 52572 II  
Wolf W. P. 50670  
Wolfe M. 51647  
Wolff E. A. 52492 II  
Wolff G. A. 50609  
Wolfhard H. G. 50787  
Wolfmarm M. L. 51352  
Wollam J. S. 50520  
Wood E. A. 50539  
Wood T. D. 50886  
Woodward L. A. 50450  
Woodward R. B. 51399  
Wooler A. M. 52480 II  
Woolfson M. M. 50502  
Worrall I. J. 50553  
Worrell G. R. 53436  
Worrell H. E. 50763  
Wright P. J. F. 52054  
Wright S. E. 51655  
Wronski M. 53048  
Wuest H. M. 52548 II, 52549 II  
Wujciak D. W. 51191  
Wünsch J. 53562 II  
Wynstra J. 52939 II
- X  
Xuong N. D. 51227
- Y  
Yackel E. C. 52621 II  
Yamada S. 50747  
Yamaguchi S. 50547  
Yankowski A. A. 52981  
Yarden A. 51635  
Yarger F. L. 50788  
Yarrow H. 53135 II  
Yasuda B. 51217  
Yazawa K. M. 50686  
Yaerian H. J. 53421  
Yee J. Y. 51797  
Yoeast R. L. 50999  
Yonezama T. 50403  
York E. R. 52375 II  
Young D. W. 52860 II  
Young J. A. 51330  
Young L. 50849, 50863  
Young R. S. 50350  
Yutzy H. C. 52621 II
- Z  
Zachariassen S. H. B. 53128 II  
Zagrodzki S. 53163 II  
Zaki Mohammed El-Sha-fel 51239  
Zander H. 52000  
Zanker V. 50430  
Zant W. C. 53326  
Zarębski H. 53537  
Zaslowsky J. A. 52403 II  
Zaunick R. 50307  
Zechner S. 51607  
Zeitler G. 51021  
Zeller P. 51407  
Zen. E.-An 51062  
Zenftman H. 52500 II  
Zernial D. 52678  
Zerweck W. 52421 II, 52566 II  
Ziechmann W. 51508  
Zieg H. 51273  
Ziegler C. 52539 II  
Ziener H. 51373  
Zilkha A. 51415, 51420  
Zimmerman H. E. 51118  
Zimmermann J. 51538  
Zimmermann K. 52441  
Zinke A. 51361  
Ziólek B. 50345  
Zisman W. A. 52260  
Žitňanský B. 53424  
Zoche G. 51320  
Zöhrer K. 52741  
Zorn B. 51265  
Zoubovsky M. 53250  
Zowall H. 52325  
Zubieta G. J. 52968  
Zucchi U. 50384  
Zucco P. S. 51699  
Zukál E. 50991  
Zürcher A. 51453 II  
Zürcher R. F. 50448  
Zwahlen P. 51569  
Zwetsch A. 51917  
Zwietering P. 509 II  
Zwolanowski T. 52970  
Zyka J. 52526

ბაცნაძე ი. ლ. 50735  
პომერანცევა ნ. ი. 51094

ჩილინგარიშვილი თ. ი. 51094  
კინქლაძე ქ. ა. 52021

ქუთათელაძე კ. ს. 51094  
ერისთავი ლ. ი. 52021

აგალიანი ა. ე. 50735



135 II  
17  
50686  
53421  
7  
99  
3403  
5 II  
52860 II  
1330  
9, 50863  
350  
321 II

H. B.  
63 II  
El-Sha-

6  
37  
52403 II

0 II  
21 II,  
508

51420  
51118  
538  
52441

60  
A  
50

II

I  
0

一木保夫 52058  
一色節也 52666  
一見雄 52724  
一柳文二 52187  
一番々瀬向 51243  
三井壽雄 51868  
三代澤康雄 51719  
三好淑子 51512  
三浦和夫 52301  
三雲次郎 53113  
上田誠一 52709  
上妻常英 51636, 52266  
上野誠一 53100  
上野馨 51595  
下山田富保 53449  
下部房太郎 51605 II  
中川國夫 52307  
中川端夫 51193  
中川重夫 52266  
中村光良 51765  
中村喜光 50771  
中村直慎 51638  
中原義郎 52351 II  
中野義信 52604  
中澤君敏 53103  
中澤浩一 51247  
中澤道雄 51762  
中澤泰男 52523  
丸山和博 51639  
關澤宏 53051  
久松敬弘 53444  
久保山昭 50425  
久保田宏 50665  
久保田尚志 51379  
久島亥三雄 51937  
二本利介 51637  
二井淑 52301  
井上及 53113  
井上幸彦 52922  
井上哲男 52442  
井上重治 51643  
井本三郎 51489  
井本英二 50771, 52176  
井本睦 51477, 51488  
井田富夫 61714  
井波宏 52170  
井伊谷鋼一 53508  
今井日出夫 51565  
今戸佐太郎 51298  
今吹勝治 51983  
今津和郎 53105  
劉國志 53114  
伊田基 51813  
伊藤伍郎 53437  
伊藤尚德 51947  
伊藤定一郎 51643  
伊藤順夫 51466  
佐伯修 52195  
佐藤弘三 52922  
佐藤浩一 51304  
佐藤猛 51463  
佐藤敏一 51868  
佐藤敏夫 53491  
佐藤德郎 53565  
作間忠行 51211  
保坂義信 52323  
倉林正弘 51293  
先本龍三 51295  
見玉信次郎 52307  
内田隆 53394  
内藤淳一 52771  
八木裕 51762

八代有 51272  
八田四郎次 53497  
八浜義和 51241  
兵働務 53511  
出口義雄 51266  
別所史雄 52313  
前田量三 51301  
前田眞澄 52177  
前田雄男 53078  
前澤誠吾 52723  
劉伯瑩 52457  
劉樹楷 53080  
加々見久幸 52195  
加治有恒 51295  
加來天民 51211  
加藤力太郎 52301, 52351,  
52352  
加瀬佳年 51211  
北川敏夫 52410  
北俊一 53507 II  
北野尚男 51329, 51322,  
51336, 52355  
半井成明 51770  
原田茂久 51896  
原田豊 51303  
古川淳 51259  
崎崎滋 50714  
吉川英夫 51866  
吉田鶴介 51653  
吉田哲夫 53511  
吉田哲一 5194  
吉田雄次 52138  
吉村甲二 52168  
吉村長藏 51548  
吉岡民雄 52331, 53046  
吉越盛次 52055  
合葉修一 53541  
吳瑞光 50836  
周公度 50538  
周孟一 51965  
品川陸明 51565  
唐有祺 50538  
唐敬慶 51504  
唐澤保雄 52167  
四方田實穂 51229  
國井大藏 53487  
土居義朝 51899 II  
土肥忠博 51861 II  
土橋宣夫 52051  
坂下武 52724  
坂口康義 51466  
坂井渡 50921  
坂田中 52076  
坂田四夫 52331  
坂本政義 53188  
坂靜雄 52069  
城博 52156  
堤洋 52424 II  
埃雲 52171  
塚本正 52345  
塚本越夫 51446  
塚島寛 52308  
増田磯雄 50575  
増田幸夫 51516  
増田克忠 51454  
外山修之 53078, 53086  
大川勝昭 52330  
大久保一郎 51637, 52410  
大井令一 51511  
大内公耳 52138  
大田正樹 50413, 51906,  
51511

大竹傳雄 52301  
大村裕 52056  
大坂太一郎 51329, 51336  
大谷南海男 54417  
大坂太一郎 52355  
大林一精 52301  
大津隆行 51477  
大浦彦吉 51206  
大島久次 52074  
大島敬治 52709  
大島幹義 52604  
大森昭三 53106  
大塚正富 51861 II  
大澤利昭 51347  
太齊宗一 52055  
天沼倭 51937  
天辰浩久 51595  
奥井誠一 51391  
奥村重雄 51187  
孫承壽 50773  
安川三郎 52308  
守谷亨 50466  
宇津慶三 51404  
宇野昭夫 53100  
宮下修一 51209  
宮川一郎 52166  
難川高明 53106  
宮崎昭治 52354  
宮崎裕 52313  
宮崎嶺一郎 53098  
宮健太次 51706  
宮澤清 51912  
費つちを 52722  
小川一 52604  
小川忠彦 51651  
小川洋 51643  
小田伸彬 51613  
小田良平 51513  
小出力 50487  
小坂賢二 52073  
小谷錦治 51896  
小林正 52354  
小林正光 51547  
小林朗郎 52726  
小林參人 51186  
小林麗四郎 51866  
小松英次郎 51998 II  
小室利光 53394  
小島良夫 53157  
小島茂樹 51251  
小野公男 50399  
小野周 50648  
小野信次郎 52424  
小菅 貞二 51209  
小森三郎 52303  
尾上慶吾 51639  
山之上謙市 52312  
山口政明 51477  
山口哲夫 52162  
山口寛 51866  
山口朝照 52352  
山口義之 51861 II  
山中龍雄 52711  
山内三子 52049  
山内健男 52312  
山本外男 51765  
山本明正 52168  
山本俊夫 51601  
岡田辰三 51983  
山田幸元 51295  
山田美恵子 53565  
山岸章夫 502301

山路賢吉 53449  
岡本和男 51547  
岡本暢也 52307  
岡田富男 51636, 52266  
岡村誠三 51509  
岡好良 51558  
岡野定輔 51275  
岡島三郎 52442  
岩崎友吉 51627  
岩崎岩次 51085  
岸本安生 51446  
島田哲夫 53103  
島誠 51581  
川垣恭三 51544  
川松後治 51503  
市川一夫 51097  
常光要 52301  
平野康一 51000  
平澤良介 51889  
幸田太一 52073  
廻治雄 51436  
徐光寛 50896  
後藤良造 51639  
後藤憲三 52755  
後藤克己 50951  
徳山幹治 51215  
志賀謙 52356 II  
成岡昌夫 52056  
戸田卓男 51509  
新井秀男 51260  
新田正 51085  
新田義博 51229  
新杉英 52303  
新村唯治 52154  
新野昌生 53116  
日引重幸 53349  
日根文男 51871  
早川銀七郎 52429  
明石外世樹 52070  
星川玄見 51723  
星井清 52666  
時田保夫 52704  
曾山武 51805 II  
有賀研一 52604  
木本宏 51306  
木田五一郎 52067  
木山卓彦 51509  
木田和雄 51206  
本坊藏吉 53158  
村上忠直 52073  
村上恭平 52352  
村山昭平 52711  
村田二郎 51260  
村瀬武男 51597  
村橋俊介 52301  
杉本典夫 51298  
李作駿 50773  
李旺長 50773  
李珠連 51720  
東敬一 52176  
林正道 52058  
林美樹 53078  
松川泰三 51305, 51434  
松田佳雄 52312  
松田義朗 52351 II  
松本嘉之 52301  
松尾茂樹 51558  
松尾義之 53146  
松原義治 51367  
松浦信 51247  
松浦泰 51654  
板谷芳京 51631

柳原光太郎 52756  
柴山茂明 52352 II  
柴田正三 51551  
柴崎一雄 53181  
柳谷康新 51293  
桶田秀雄 51295  
森川久 51706  
森川清 50665  
森太郎 53190  
森田義郎 52223  
森英子 53146  
梅澤實 53103  
相山正孝 53443  
椎野和夫 52347 II  
植村次郎 52033  
樋口久 52168  
樋口正紀 51887  
樋口耕三 52138, 52148  
榎吉二 51295  
横川親雄 52137  
横山友 51575  
櫻本竹治 53076  
横道英雄 52058  
櫻井洗 52899  
櫻場周吉 51549  
武久正昭 52322  
武田正巳 51698  
武者宗一郎 51698  
武藤浩 53191  
水上聰 51632, 51649  
水越達雄 52063  
永井彰一郎 52006  
永田耕一 51649  
江元生 51504  
江見浩一 51618  
江頭二三 52355  
江頭曉 512-2  
池田和英 51947  
池田鉄太郎 51193  
池田憲治 52174  
池谷昭三 51549  
沈文 52462  
合河徹 51465  
河村祐治 53484  
河根誠 51755  
河野美保 51653  
浜口隆也 51771  
浮田純二 51889  
浅川一雄 52143  
浅田正子 51552  
浅岡節 52326  
浅原照三 51512, 51526  
浅野駿吉 52036  
清山哲郎 50921  
清永田 53349  
清田壽 51601  
清治満 51866  
清瀬 53488  
清瀬量平 53451  
深川安彦 51275  
渡邊幸三郎 52024  
渡邊昇 52076  
渡邊和夫 53190  
渡邊昭吉 52070  
渡邊博 53177  
渡邊誠 52324  
湯川敦彦 51279  
湯淺幸雄 52307  
湯善法 52451  
滋野吉廣 52739  
澤芳郎 51301

澤邊重治 51613  
濱名政和 51404  
瀬戸正二 51296  
瀧山一善 51697  
瀧川敏 52311  
照井秋生 52191  
照井繼治 52187  
熊本正樹 52339  
片山和子 51436  
片岡宏 53491  
牧正文 51587  
牧島象二 51706  
狩野春一 52074  
王鑫生 52457  
田口敏郎 52194  
田鹿義雄 51229  
田邊良久 51274, 51291  
51302  
田邊脩 52474  
白山和久 52066, 52073  
白井秀明 51272  
白井隆 53475  
白崎省三 52351, 52352 II  
益子安 51707  
目黒智郎 51762  
眞田義彰 51912  
矢澤徳治 52049  
石川平七 52229  
石川貞嘉 51241  
石川敏功 52174  
石田恒子 51301  
石田進一 51659  
石和田靖章 51064  
石倉俊治 52523  
石原智男 51714  
石森富太郎 51595

石塚博 51775 II  
石橋信彦 50921  
石橋雅義 51551, 51579  
砂原廣志 51565  
磯部恒雄 52196  
神森大彦 51724  
福山富太郎 53565  
福井謙一 51329, 51332, 51336  
福田矩彦 53578  
福田増入 51097  
福住一雄 53096  
福島健重 53105  
福島登司男 51765  
秋田一雄 52301  
秋吉三郎 51186  
秋谷七郎 51347, 52523  
穂積豊 52055  
章育中 51550  
竹下健次郎 52306  
竹本常松 51436  
竹本博 51636  
竹本喜一 5148  
竹崎嘉眞 52307  
竹野高之 50404  
笠原晃 51246  
笹川義郎 52510  
篠山博 52320  
篠原康夫 53051  
米田幸夫 51706  
米光英一 52301  
米崎治男 53189  
脇元作郎 51617  
勝屋志朗 51813  
舟阪渡 52137  
芝崎勲 53227

草野遇 53113  
荒川久一 52168  
荒井卓三 52143  
荒木正雄 51295  
荻村英男 52722  
莊野利之 51241  
菊池眞一 52604, 52610  
莊司重敏 51468  
蔣家奮 52068  
藤井輝一 51279, 51308  
藤田敬一郎 52195  
藤田重女 52408  
藤村敏一 51519  
藤原正雄 52899  
藤澤俊郎 51266  
蛭澤洋一 52301  
西川保重 51947  
西川泰治 51579  
西山忠夫 53089  
西山富弘 51509  
西本喜重 51436  
西村亘 52301  
西村果也 52301  
西村重夫 51377  
西尾明 52301  
醇西醇 52177  
西明太 51983  
西鉄之輔 52409  
川崎式 51305  
角田康五郎 52322  
角田サキ 51000  
角谷保 52056  
諾沃德拉諾夫 Ю. К. 50880  
谷山雅一 52331  
谷口治孝 52790  
谷口卓藏 51295

谷口幹二 51295  
豊田良一 53094  
豊澤誠 53189  
趙國璽 50880  
幸田太一 52073  
幸學毅 51092  
近森徳重 52724  
近藤芳美 52073  
近藤重農夫 52707  
近藤朝士 51511  
野口豊 52036  
速永謙 51618  
郝潤泰 50539  
都崎吉之助 52177  
重松恒信 51551, 51579  
重松謙 51279, 51298  
野口正藏 52132  
野村男次 53307  
野津龍三郎 51336  
野崎亭 51590  
金安仁一郎 52186  
金原三郎 51193  
金庭照子 51210  
鈴木啓介 50887  
鈴木錦也 52345  
錦織功 52301  
長谷純一 51206  
長浜静男 51186  
長島隆行 52303  
間宮眞佐人 51702  
關口辰夫 52326  
關集三 51487  
阿知波繁一 51563  
阿部一夫 51295  
阿部行太 52409  
阿野藤七 53179

陳珍 52463  
難波義郎 52313  
露口亨夫 52143  
顧里之 51537  
飯田弘忠 52330  
飯塚耕治 53445  
馬場有政 52138  
馮蘭賓 53115  
高山雄二 51640  
高井英子 53086  
高木行雄 51526  
高木邦彦 52409  
高田成夫 52036  
高尾正保 52339  
高原義昌 52454  
高野良男 53104  
高與棟 51865  
高橋西蔵 51304  
高橋秋水 51296  
高橋武雄 53104  
島光美恵子 52454  
島居忠一 52666  
鷺海浩 52057  
鶴田順二 50404  
鶴田徳松 53356 II  
森田宏一 53431  
藤生清 53181  
黄奕秋 52449  
黒川實雄 53001  
黒住區臣 52170  
黒岩茂隆 50949  
齊佳子 51631  
龍谷文吉 52301  
龜田泰弘 52073  
龜芳雄 53191

# УКАЗАТЕЛЬ ДЕРЖАТЕЛЕЙ ПАТЕНТОВ

AB Kamyr 53040  
AB Pharmacia 52365  
Adrian Honig s Kunsthars  
Industrie N. V. 52938  
Advance Solvenients Chemi-  
cal Corp. 52376  
Agfa Akt. für Photofabrika-  
tion 52617  
Akt. Ges. Cilander 52490  
Akt. Ges. fuer Grundwasser-  
bauten 53563  
Aktiebolaget Bofors. 52537  
Aktiebolaget Ferrosan. 52530  
Aktiebolaget Rosenblads Pa-  
tenter 53036  
Aktiebolaget Separator 53124,  
53128  
Aktiebolaget Statens Skogsin-  
dustrier 52856  
Aktiebolaget Svenska Flåkt-  
fabriken 53516  
Aktieselskabet de Danske Suk-  
kerfabrikker 53165  
Aktieselskabet Grindstedva-  
erket 53134  
Allen & Hanbury, Ltd. 52595  
Allied Chemical and Dye Corp.  
52338  
American Cyanamid Co. 52407,  
52425, 52558, 52570, 52584,

52813, 52835, 52837, 52868,  
52882, 52941, 53067  
American Patents Corp. 52491  
American Viscose Corp. 52874,  
53064  
Andrews-Alderfer Co. 52691  
Anton von Waldheim Chem-  
isch pharmazeutische Fab-  
rik 52536  
Aplin & Barrett, Ltd 53364  
Argus Chemical Lab., Inc.  
52861  
Aschaffenburg Zellstoffwer-  
ke Akt. ges. 52575  
A/S Sadolin & Holmblad 52401  
Ateliers de Constructions Ele-  
ctriques de Charleroi 53584  
Atlas Powder Co. 52290  
Badische Anilin- & Soda-Fab-  
rik Akt. Ges. 52208, 52271,  
52340, 52367, 52399, 52419,  
52422, 52427, 52479, 52488,  
52540, 52818, 52834, 52842,  
52869  
Bamag-Meguín Akt. Ges. 51901  
Baugh & Sons Co. 51793  
Benckiser J. A. G. m. b. H.  
52599  
Berg-Warner Corp. 52281

Bobingen Akt. Ges. für Tex-  
til-Faser. 53061  
Boehringcr C. H. Sohn 51847,  
52384  
Böhme Fettchemie G. m. b.  
H. 52626  
Bolidens Gruv A. B. 51759  
Borax Consolidated Ltd. 51856  
Brabender O. H. 53361  
British Celanese, Ltd 53069  
British Petroleum Co., Ltd  
53133  
British Thomson-Houston Co.,  
Ltd 51784  
British Vinegars, Ltd 53215  
Brown & Bigelow 53560  
Calgon, Inc. 53367  
California Research Corp.  
52838, 53131  
Canadian Kodak Co. Ltd.  
52428  
Carborundum Co. 51959, 51962  
Carter Products, Inc. 51854  
Casella Farbwerke Mainkur  
Akt. Ges. 52421, 52562,  
52566, 52816, 52820  
C. D. Patents Ltd 52826  
Celanese Corp. of America  
52483

Chas Pfizer & Co., Inc., 52573,  
52590, 52594  
Chemische Fabrik Fährbrücke  
52684  
Chemische Fabrik Grünau Akt.  
Ges. 52296  
Chemische Werke Albert 53126  
Chemische Werke Hüls Akt.  
Ges. 51908, 52812  
Chempatents, Inc. 51791  
Chicago Bridge and Iron Co.  
53536  
Chinolin Gyógyszer es Vegyész-  
zeti Termékek Gyára r. t.  
(Dr. Kereszty és Dr. Wolf).  
52557  
Ciba Akt. Ges. 52552, 52556,  
52567, 52580  
Cilag Akt. Ges. 52405, 52535,  
52564  
Claus Koenig 52887  
Co. pour la fabrication des  
compteurs et matériel d'usines  
a gaz. 53525  
Co Française des Matières Co-  
lorantes. 52412, 52415, 51779  
Co. Française Thomson-Hous-  
ton 52848  
Columbian Carbon Co. 52278,  
52279

# Указатель держателей патентов

Commonwealth Engineering Co of Ohio 52690

Cooperative Condensfabrik «Friesland» 53365

Corning Silicons Ltd 52397

Courtaulds Ltd. 53062, 53063, 53065

Cukrownia Brześć Kujawski 53164

Cukrownia «Szczamoty» Przemysłowy Panstwowe 53163

Daubert Chemical Co. 53471

De Directie van de Staatsmijnen in Limburg 51764

Dehydag Deutsche Hydrierwerke G. m. b. H. 51848

Deutsche Babcock & Wilcox Dampf-Kessel-Werke Akt. Ges. 52214

Deutsche Gold- und Silberscheidanstalt vormals Rosser 52359, 52808

Deutsche Solvay-Werke G. m. b. H. 52943

Deutsche Supraton G. m. b. H. 52276

Distillers Co. Ltd 52342, 52387, 52478

Dominion Rubber Co., Ltd 52867, 52937

Dow Chemical Co. 51858, 51860, 51862, 52358, 52396, 52398, 52804, 52821, 52865, 52871, 52878, 53058

Dow Corning Corp. 52374, 52682, 52683, 52844, 52851

Dow Corning Silicons Ltd 52681, 52852

Dreyfus C. 52369

Dunlop Rubber Aust. Ltd. 52884

Dunlop Tire and Rubber Goods Co. 53066

Du Pont de Nemours E. I. and Co. 52336, 52361, 52364, 52388, 52423, 52426, 52645, 52870, 52872, 52873, 52875

Eastman Kodak Co. 52616, 52618, 52619, 52621, 52811, 52815, 52823, 53561

Egyesült Izzólampa és Villamosági Részvénytársaság 51787

Erz-u Kohle-Flotation G. m. b. H. 51769, 51777

Eso Research and Engineering Co. 51857, 52204, 52251, 52270, 52282, 52860

Etat Français Ministre des postes, télégraphes et téléphones 51955

Ethyl Corp. 52334, 52378

Farbenfabriken Bayer Akt. Ges. 52126, 52127, 52363, 52371, 52380, 52393, 52394, 52413, 52416, 52418, 52420, 52430, 52555, 52598, 52822, 52827, 52843, 52854, 54411

Farbenfabrik Wolfen 52881

Farbwerke Hoechst Akt. Ges. vormals Meister Lucius & Brünig 51778, 51850, 52373, 52382, 52392, 52395, 52414, 52482, 52533, 52582, 52583, 52807, 52810, 52814, 52839, 52864, 53401

Firestone Tire and Rubber Co. 52680, 52824

Firma Carl Still 52207

Firma Gottlob Epple 51853

Firma Philipp Hilge 53521

Firma Sunila Osakeyhtiö, Tarkkonen O. 53031

Fletcher G. & Co., Ltd 53557

Geigy J. R. Akt. Ges. 51849, 52417

General Aniline & Film Corp. 51786, 52341, 52357, 52391, 52431, 52623, 53130

General Electric Co. 52685, 52796, 52845, 52849

General Motors Corp. 52866

Ges für Linde's Eismaschinen Akt. Ges. 52092

Goodrich B. F. Co. 52817, 52825

Gummiwerke Bredenscheid G. m. b. H. 52692

Gyógyszeripari Kutató Intézet, Chinoin Gyógyszer és Vegyszeti Termékek Gyára R. T. 52547, 52596

Halkyn District United Mines Ltd 51910

Harpener Bergbau Akt. Ges. 52212

Hausmann Akt. Ges. Schweiz. Medizinal- & Sanitätsgesellschaft St. Gallen 52597

Henkel & Cie G. m. b. H. 52389, 52853

Hercules Powder Co. 53039

Heyden Chemical Corp. 52859

Heyl & Co. Chemisch-Pharmazeutische Fabrik 51771

Hoffmann-La Roche & Co. Akt. Ges. 51855, 52381, 52543

Houdry Process Corp. 53533

Houillères du Bassin de Lorraine 52203

Houillères du Bassin du Nord et du Pas-de-Calais 52831, 52877

Howards of Ilford, Ltd 52561

Hydrierwerk Rodleben 53406

Hydrocarbon Research, Inc. 51782

I. G. Farbenindustrie Akt. Ges. «In Auflösung» 52340

Imperial Chemical Industries Ltd. 52205, 52480, 52499, 52500, 52545, 52833, 52855, 53068, 53412

International Minerals & Chemical Corp. 51773, 51806

Ionics, Inc. 51907

Isotope Developments Ltd 52484

Kaiser Aluminium & Chemical Corp. 51772

Kalle & Co., Akt. Ges. 52622, 53366

Kelco Co. 52885

Kellogg M. W. Co. 51752, 53123

Kennedy Van Saun Mfg & Eng. Corp. 52088

Kerag Keselschmiede, Apparate- und Maschinenbau 53527

Klöckner-Humboldt-Deutz Akt. Ges. 51905

Knapsack-Griesheim Akt. Ges. 52944

Knoll Akt. Ges. Chemische Fabriken 52551

Kodak, Ltd 52624, 52625

Königshütte G. m. b. H. 52085

Kurashiki Rayon Co. Ltd 53060

Leeds and Northrup Co. 53558

Lepetit Soc. per Azioni 52546

Libbey-Owens-Ford Glass Cny. 52494

Licencia Tálmányokat Értékesítő Vállalat 53166

Lockheed Aircraft Corp. 52879

Lockport Cotton Batting Co. 52477

Lovens Kemiske Fabrik Ved. A. Kongsted. 52534

Mallinckrodt Chemical Works 51766, 52346

Marconi's Wireless Telegraph Co. Ltd 51776

Maschinenfabrik Sörth, Zweigniederlassung der Ges. für Linde's Eismaschinen Akt. Ges. 51902

Mathieson Alkali works 52862

Mathieson Chemical Corp. 52349, 52403

May & Baker Ltd 52559

Merck and Co., Inc 52492, 52539, 52572, 52576, 52591

Metal & Thermit Corp. 52377, 52863

Metallgesellschaft Akt. Ges. 51744, 52206, 52476, 52847, 53519

Metro-Cutani, Ltd 51774

Micro Processing Equipment, Inc. 53132

Midland Tar Distillers, Ltd 53463

Minnesota Mining & Manufacturing Co. 52889

Mitsubishi Chemical Industries Co. 52565

Monsanto Chemical Co. 51859, 52335, 52366, 52487, 52688, 52799, 52809

Morski Instytut Rybacki 53399

Nadodrzańskie Zakłady Przemysłu Drożdżowego 53214

National Lead Co. 51956

National Research Development Corp. 52277, 52538

Newbery A. W. 52209

New England Spectrochemical Lab. 53168

Norsk Hydro-Elektrisk Kvaestofaktieselskab 51751, 52806, 53523

N. V. Aagrunol Chemische Fabriek 51852

N. V. de Bataafsche Petroleum Maatschappij 52386, 52402, 52828

N. V. Koninklijke Nederlandse Zoutindustrie 51807, 51808

N. V. Organon 52574

N. V. Philips' Gloeilampenfabrieken 51785, 53363

N. V. Scholten's W. A. Aardappelmeelfabrieken 53360

Olin Industries, Inc. 52497

Olin Mathieson Chemical Corp. 51900, 52501, 52571, 52589, 53034

Oxford Corp. 52940

Paper Patents Co. 53413

Papeteries de la Robertsau 52603

Patent and Licensing Corp. 52886

Pennsylvania Salt Manufacturing Co. 51903, 51904

Pest Control Co. 53030

Philips Patentverwaltung G. m. b. H. 51958

Phillips Petroleum Co. 52686, 53559

Phoenix-Gummiwerke Akt. Ges. 52493

Pintsch Bama Akt. Ges. 52213

Pirelli Soc. Per. Azioni 53410

Pittsburgh Platts Glass Co. 51997, 52829

Politechnika Warszawska. Zakład Technologii Organicznej II. 53400

Porzellanfabrik Kahla 51957

Pure Oil Co. 52333

Quaker Oats Co. 52400

Rätzel H. 52275

Rheinische Bergbau Akt. Ges. 53468

Rheinpreussen Akt. Ges. für Bergbau und Chemie 52284

Robertson Thain Ltd 52946

Roche Products, Ltd 52541, 52542, 52544

Rohm & Haas Co. 5289

Rome Cable Corp. 52891

Rose, Downs & Thompson 53530

Rosenthal-Isolatoren G. m. b. H. 51961

Ruhrchemie Akt. Ges. 51804, 52287, 52362, 52368, 52379



# Указатель держателей патентов

Saint Lawrence Corp., Ltd 53038	Socony-Vacuum Oil Co., Inc. 52291	Thüringische Zellwolle Akt. Ges. 52840	Vereinigte Glanzstoff-Fabri- ken Akt. Ges. 52830, 53059
Salsbury's Lab. 52531	Soc. des Produits Azotés 51768	Tjoa Sie Lian 53169	Visking Corp. 52801
Sandfast Dyers and Printers Ltd 52475	Soc des usines chimiques Rhône-Poulenc 51767, 52553, 52560, 52569, 52592, 52593, 52857	Tornescher Hefe G. m. b. H. 53029	
Schering Akt. Ges. 52587, 52588	Sponge Rubber Products Co. 52880	T. V. Time Foods, Inc. 53362	
Schloz H., H. und W. Neu- mann 53518	Sprague Electric Co. 52890	Uddeholms A. B. 53033	Wacker-Chemie G. m. b. H. 51909, 53594
Schmid J. Inc. 52600	Standard Oil Co. 52286, 52797, 52798	Unde F. G. m. b. H. 53520	Ward, Blenkinsop & Co., Ltd 52561
Searle G. D. & Co. 52554	Standard Oil Development Co. 51790, 52269, 52272, 52288, 52292—52295, 52297, 52348, 52695	Union Carbide and Carbon Corp. 52375, 52486, 52486, 52939	Warner W. R. & Co., Inc. 52548, 52549
Semtex Ltd. 52694	Stanolind Oil and Gas Co. 52283	Union Oil Co. of California 52280	Westinghouse Electric Corp. 53409
Shell Development Co. 52273, 52289, 52344, 52383	Sterling Drug, Inc. 52563	United Shoe Machinery Corp. 52800	Whitehead (Laisterdyke), Ltd W. & J. 52478
Sherwin-Williams Co. 53122	St. Regis. Paper. Co. 52876	Universal Oil Products Co. 51792, 52274	Wingfoot Corp. 52689
Sichel-Werke Akt. Ges. 53035	Suddeutsche Kalkstickstof- werke Akt. Ges. 53517	Upjohn Co. 52577—52579, 52581, 52585, 52586	
Siemens & Halske Akt. Ges. 52125	Svenska Skifferolje Aktiebol- aget 52210	USA the Secretary of the Army 52620	Zellwolle-und Kunstseide-Ring G. m. b. H. 52840
Soc. Anon. des Manufactures des Glaces et Produits Chi- miques de Saint-Gobain 52841	Taubmans Industries Ltd 51745	USA, the Secretary of the Navy 52803	Zellwolle Zenzing Akt. Ges. 53524
Soc. des Laboratoires de Re- cherches pour Applications Industrielles 53360	Texaco Development Corp. 51732, 52285, 53125	USA, U. S. of Energy Commis- sion 51898	Zschimmer & Schwarz vormals Chemnitz 52836
Soc & La Radio-Industrie 51788		Usines de Melle Soc. Anon 2350, 53528	Związek Branzowy Spółdziel- ni Chemiczno-Mineralnych Województwa Łódzkiego i. m. Łodzi 53403
Soc Nobel Francaise 52498		U. S. Rubber Co. 52687	
Socony Mobil Oil Co. Inc. 52802, 53532			

Асахи насэй ногё набусини  
найся 51765, 51805  
Бэппу нагану ногё набусини  
найся 51762  
Дайнихон сэруройдо набусини  
найся 52351, 52352

Дон йосимото, тую ногё на-  
бусини найся 51899  
Когё гидзюунингё 52347,  
52354  
Мицубиси насэй ногё набуси-  
ни найся 52345

Ниссо нано набусини найся  
52429  
Нихон наяку набусини найся  
52424  
Оцуна нагану якухин набуси-  
ни найся 51861

Син нихон тиссо хире набу-  
сини найся 52356  
Хасимото санай, ядзу ри-  
сабуру 52355

Технический редактор Т. П. Поленова

Подписано к печати 16. IX. 1957 г. Тираж 4600 Формат бумаги 84×108<sup>1</sup>/<sub>16</sub> Зак. 1935  
Печ. л. 51,66 Бум. л. 15<sup>1</sup>/<sub>4</sub> Уч.-изд. л. 94,2

2-я тип. Издательства АН СССР. Москва, Шубинский пер., д. 10

Fabri-  
52830,

b. H.

o., Ltd

o., Inc.

Corp.

(e). Ltd

de-Ring

t. Ges.

vormals

dsziel-

ralnych

kiego

e набу-

зу ро-

Цена 28 р. 80 к.

Printed in the USSR



